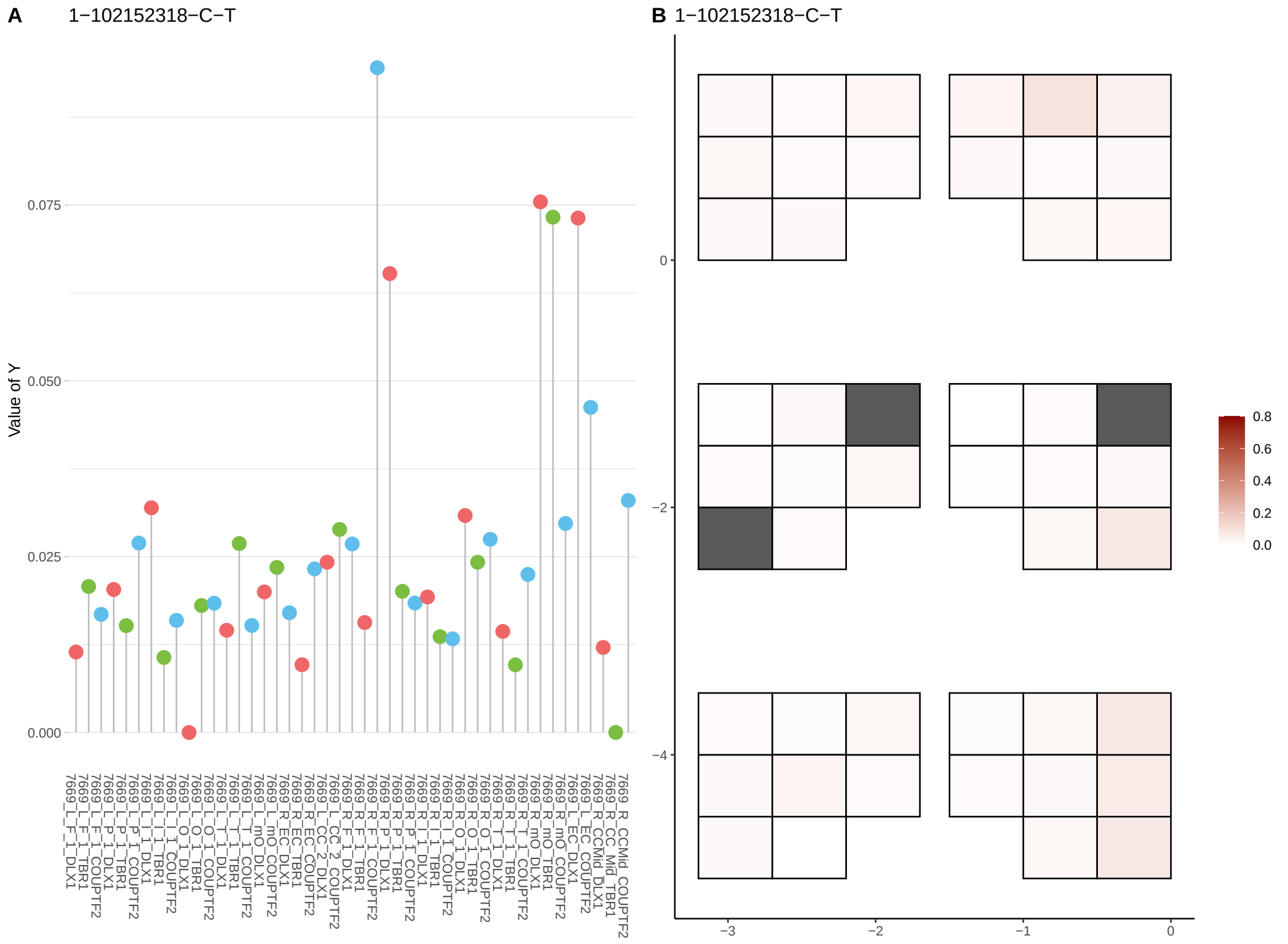
A
1−102152318−C−T
Value of Y
0.075
0.050
0.025
0.000
7669_L_F_1_DLX1
7669_L_F_1_TBR1
7669_L_F_1_COUPTF2
7669_L_P_1_DLX1
7669_L_P_1_TBR1
7669_L_P_1_COUPTF2
7669_L_I_1_DLX1
7669_L_I_1_TBR1
7669_L_I_1_COUPTF2
7669_L_O_1_DLX1
7669_L_O_1_TBR1
7669_L_O_1_COUPTF2
7669_L_T_1_DLX1
7669_L_T_1_TBR1
7669_L_T_1_COUPTF2
7669_L_mO_DLX1
7669_L_mO_COUPTF2
7669_R_EC_DLX1
7669_R_EC_TBR1
7669_R_EC_COUPTF2
7669_L_CC_2_DLX1
7669_L_CC_2_COUPTF2
7669_R_F_1_DLX1
7669_R_F_1_TBR1
7669_R_F_1_COUPTF2
7669_R_P_1_DLX1
7669_R_P_1_TBR1
7669_R_P_1_COUPTF2
7669_R_I_1_DLX1
7669_R_I_1_TBR1
7669_R_I_1_COUPTF2
7669_R_O_1_DLX1
7669_R_O_1_TBR1
7669_R_O_1_COUPTF2
7669_R_T_1_DLX1
7669_R_T_1_TBR1
7669_R_T_1_COUPTF2
7669_R_mO_DLX1
7669_R_mO_TBR1
7669_R_mO_COUPTF2
7669_L_EC_DLX1
7669_L_EC_COUPTF2
7669_R_CCMid_DLX1
7669_R_CC_Mid_TBR1
7669_R_CCMid_COUPTF2
B
1−102152318−C−T
0
−2
−4
−3
−2
−1
0
0.8
0.6
0.4
0.2
0.0

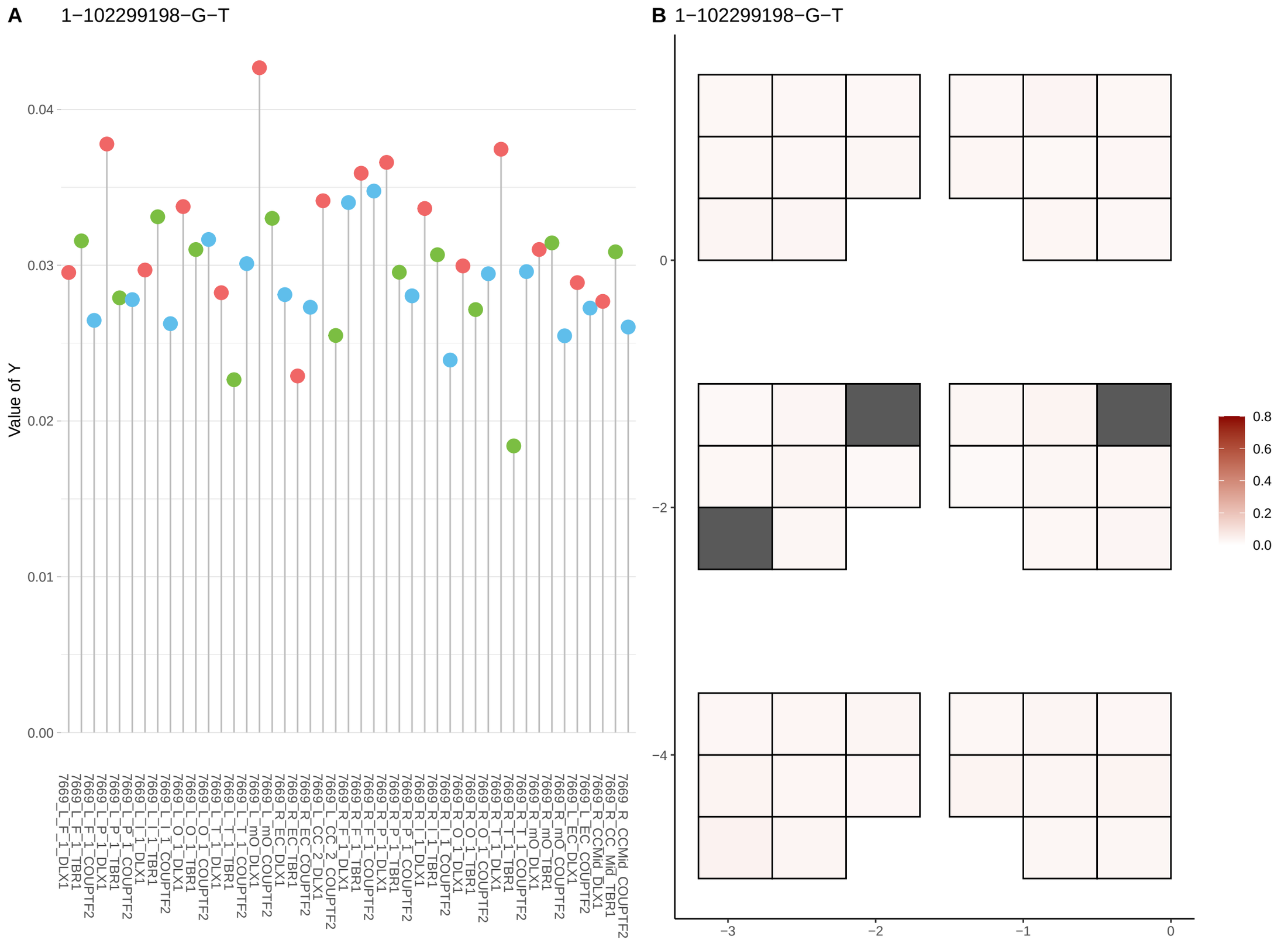
A
1−102299198−G−T
Value of Y
0.04
0.03
0.02
0.01
0.00
7669_L_F_1_DLX1
7669_L_F_1_TBR1
7669_L_F_1_COUPTF2
7669_L_P_1_DLX1
7669_L_P_1_TBR1
7669_L_P_1_COUPTF2
7669_L_I_1_DLX1
7669_L_I_1_TBR1
7669_L_I_1_COUPTF2
7669_L_O_1_DLX1
7669_L_O_1_TBR1
7669_L_O_1_COUPTF2
7669_L_T_1_DLX1
7669_L_T_1_TBR1
7669_L_T_1_COUPTF2
7669_L_mO_DLX1
7669_L_mO_COUPTF2
7669_R_EC_DLX1
7669_R_EC_TBR1
7669_R_EC_COUPTF2
7669_L_CC_2_DLX1
7669_L_CC_2_COUPTF2
7669_R_F_1_DLX1
7669_R_F_1_TBR1
7669_R_F_1_COUPTF2
7669_R_P_1_DLX1
7669_R_P_1_TBR1
7669_R_P_1_COUPTF2
7669_R_I_1_DLX1
7669_R_I_1_TBR1
7669_R_I_1_COUPTF2
7669_R_O_1_DLX1
7669_R_O_1_TBR1
7669_R_O_1_COUPTF2
7669_R_T_1_DLX1
7669_R_T_1_TBR1
7669_R_T_1_COUPTF2
7669_R_mO_DLX1
7669_R_mO_TBR1
7669_R_mO_COUPTF2
7669_L_EC_DLX1
7669_L_EC_COUPTF2
7669_R_CCMid_DLX1
7669_R_CC_Mid_TBR1
7669_R_CCMid_COUPTF2
B
1−102299198−G−T
0
−2
−4
−3
−2
−1
0
0.8
0.6
0.4
0.2
0.0

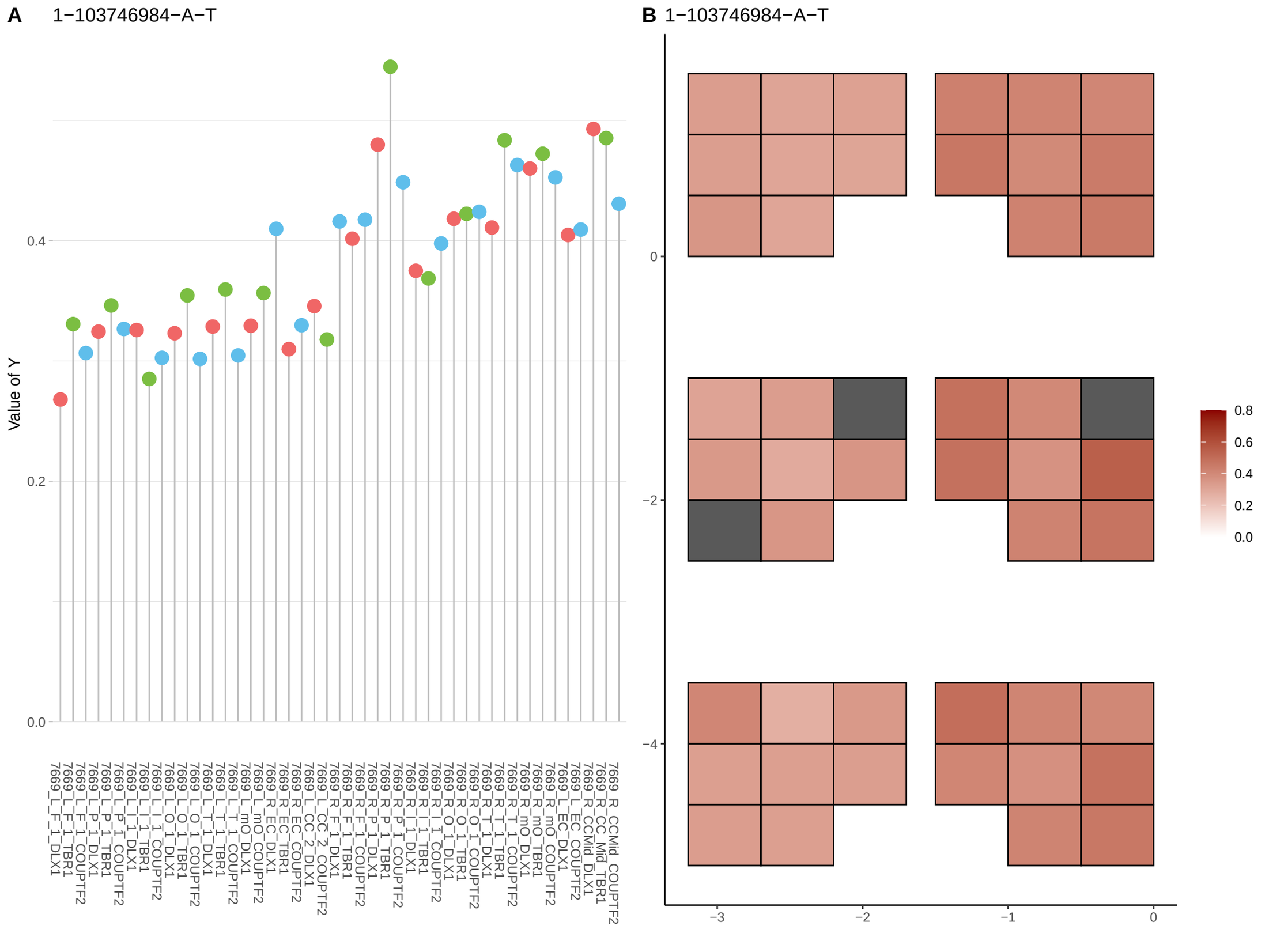
A
1−103746984−A−T
Value of Y
0.0
0.2
0.4
7669_L_F_1_DLX1
7669_L_F_1_TBR1
7669_L_F_1_COUPTF2
7669_L_P_1_DLX1
7669_L_P_1_TBR1
7669_L_P_1_COUPTF2
7669_L_I_1_DLX1
7669_L_I_1_TBR1
7669_L_I_1_COUPTF2
7669_L_O_1_DLX1
7669_L_O_1_TBR1
7669_L_O_1_COUPTF2
7669_L_T_1_DLX1
7669_L_T_1_TBR1
7669_L_T_1_COUPTF2
7669_L_mO_DLX1
7669_L_mO_COUPTF2
7669_R_EC_DLX1
7669_R_EC_TBR1
7669_R_EC_COUPTF2
7669_L_CC_2_DLX1
7669_L_CC_2_COUPTF2
7669_R_F_1_DLX1
7669_R_F_1_TBR1
7669_R_F_1_COUPTF2
7669_R_P_1_DLX1
7669_R_P_1_TBR1
7669_R_P_1_COUPTF2
7669_R_I_1_DLX1
7669_R_I_1_TBR1
7669_R_I_1_COUPTF2
7669_R_O_1_DLX1
7669_R_O_1_TBR1
7669_R_O_1_COUPTF2
7669_R_T_1_DLX1
7669_R_T_1_TBR1
7669_R_T_1_COUPTF2
7669_R_mO_DLX1
7669_R_mO_TBR1
7669_R_mO_COUPTF2
7669_L_EC_DLX1
7669_L_EC_COUPTF2
7669_R_CCMid_DLX1
7669_R_CC_Mid_TBR1
7669_R_CCMid_COUPTF2
B
1−103746984−A−T
0
−2
−4
−3
−2
−1
0
0.8
0.6
0.4
0.2
0.0

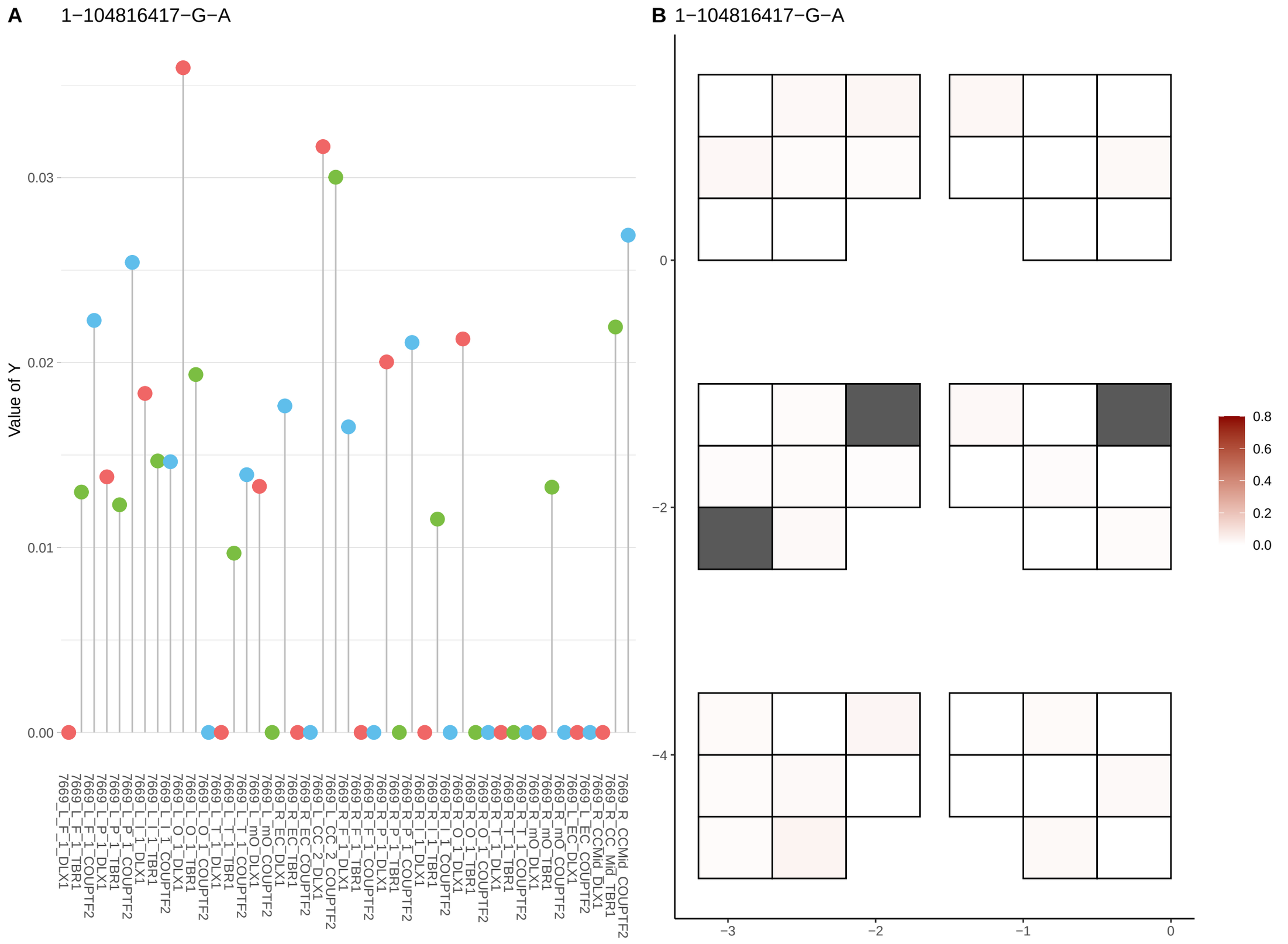
A
1−104816417−G−A
Value of Y
0.03
0.02
0.01
0.00
7669_L_F_1_DLX1
7669_L_F_1_TBR1
7669_L_F_1_COUPTF2
7669_L_P_1_DLX1
7669_L_P_1_TBR1
7669_L_P_1_COUPTF2
7669_L_I_1_DLX1
7669_L_I_1_TBR1
7669_L_I_1_COUPTF2
7669_L_O_1_DLX1
7669_L_O_1_TBR1
7669_L_O_1_COUPTF2
7669_L_T_1_DLX1
7669_L_T_1_TBR1
7669_L_T_1_COUPTF2
7669_L_mO_DLX1
7669_L_mO_COUPTF2
7669_R_EC_DLX1
7669_R_EC_TBR1
7669_R_EC_COUPTF2
7669_L_CC_2_DLX1
7669_L_CC_2_COUPTF2
7669_R_F_1_DLX1
7669_R_F_1_TBR1
7669_R_F_1_COUPTF2
7669_R_P_1_DLX1
7669_R_P_1_TBR1
7669_R_P_1_COUPTF2
7669_R_I_1_DLX1
7669_R_I_1_TBR1
7669_R_I_1_COUPTF2
7669_R_O_1_DLX1
7669_R_O_1_TBR1
7669_R_O_1_COUPTF2
7669_R_T_1_DLX1
7669_R_T_1_TBR1
7669_R_T_1_COUPTF2
7669_R_mO_DLX1
7669_R_mO_TBR1
7669_R_mO_COUPTF2
7669_L_EC_DLX1
7669_L_EC_COUPTF2
7669_R_CCMid_DLX1
7669_R_CC_Mid_TBR1
7669_R_CCMid_COUPTF2
B
1−104816417−G−A
0
−2
−4
−3
−2
−1
0
0.8
0.6
0.4
0.2
0.0

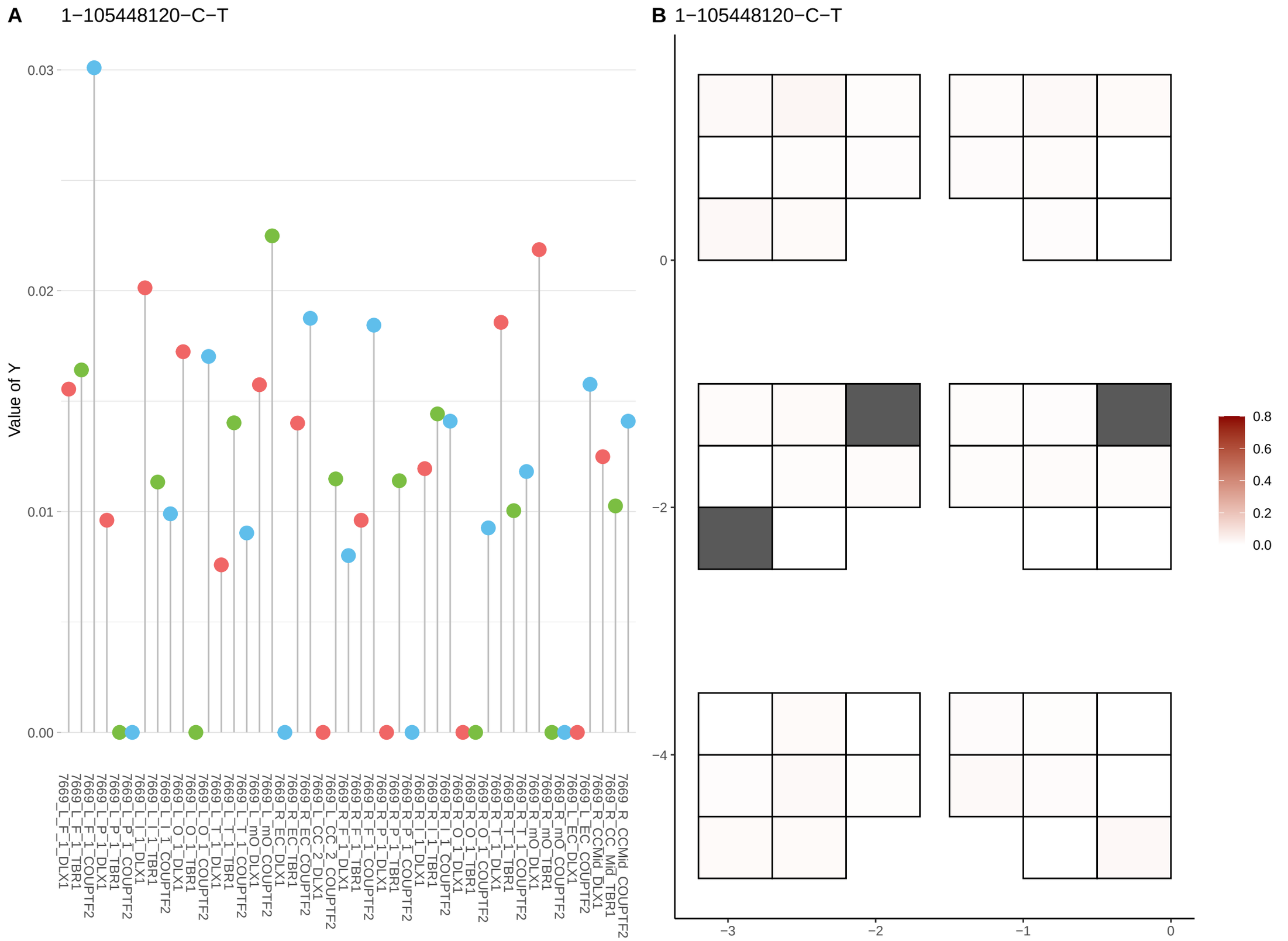
A
1−105448120−C−T
Value of Y
0.03
0.02
0.01
0.00
7669_L_F_1_DLX1
7669_L_F_1_TBR1
7669_L_F_1_COUPTF2
7669_L_P_1_DLX1
7669_L_P_1_TBR1
7669_L_P_1_COUPTF2
7669_L_I_1_DLX1
7669_L_I_1_TBR1
7669_L_I_1_COUPTF2
7669_L_O_1_DLX1
7669_L_O_1_TBR1
7669_L_O_1_COUPTF2
7669_L_T_1_DLX1
7669_L_T_1_TBR1
7669_L_T_1_COUPTF2
7669_L_mO_DLX1
7669_L_mO_COUPTF2
7669_R_EC_DLX1
7669_R_EC_TBR1
7669_R_EC_COUPTF2
7669_L_CC_2_DLX1
7669_L_CC_2_COUPTF2
7669_R_F_1_DLX1
7669_R_F_1_TBR1
7669_R_F_1_COUPTF2
7669_R_P_1_DLX1
7669_R_P_1_TBR1
7669_R_P_1_COUPTF2
7669_R_I_1_DLX1
7669_R_I_1_TBR1
7669_R_I_1_COUPTF2
7669_R_O_1_DLX1
7669_R_O_1_TBR1
7669_R_O_1_COUPTF2
7669_R_T_1_DLX1
7669_R_T_1_TBR1
7669_R_T_1_COUPTF2
7669_R_mO_DLX1
7669_R_mO_TBR1
7669_R_mO_COUPTF2
7669_L_EC_DLX1
7669_L_EC_COUPTF2
7669_R_CCMid_DLX1
7669_R_CC_Mid_TBR1
7669_R_CCMid_COUPTF2
B
1−105448120−C−T
0
−2
−4
−3
−2
−1
0
0.8
0.6
0.4
0.2
0.0

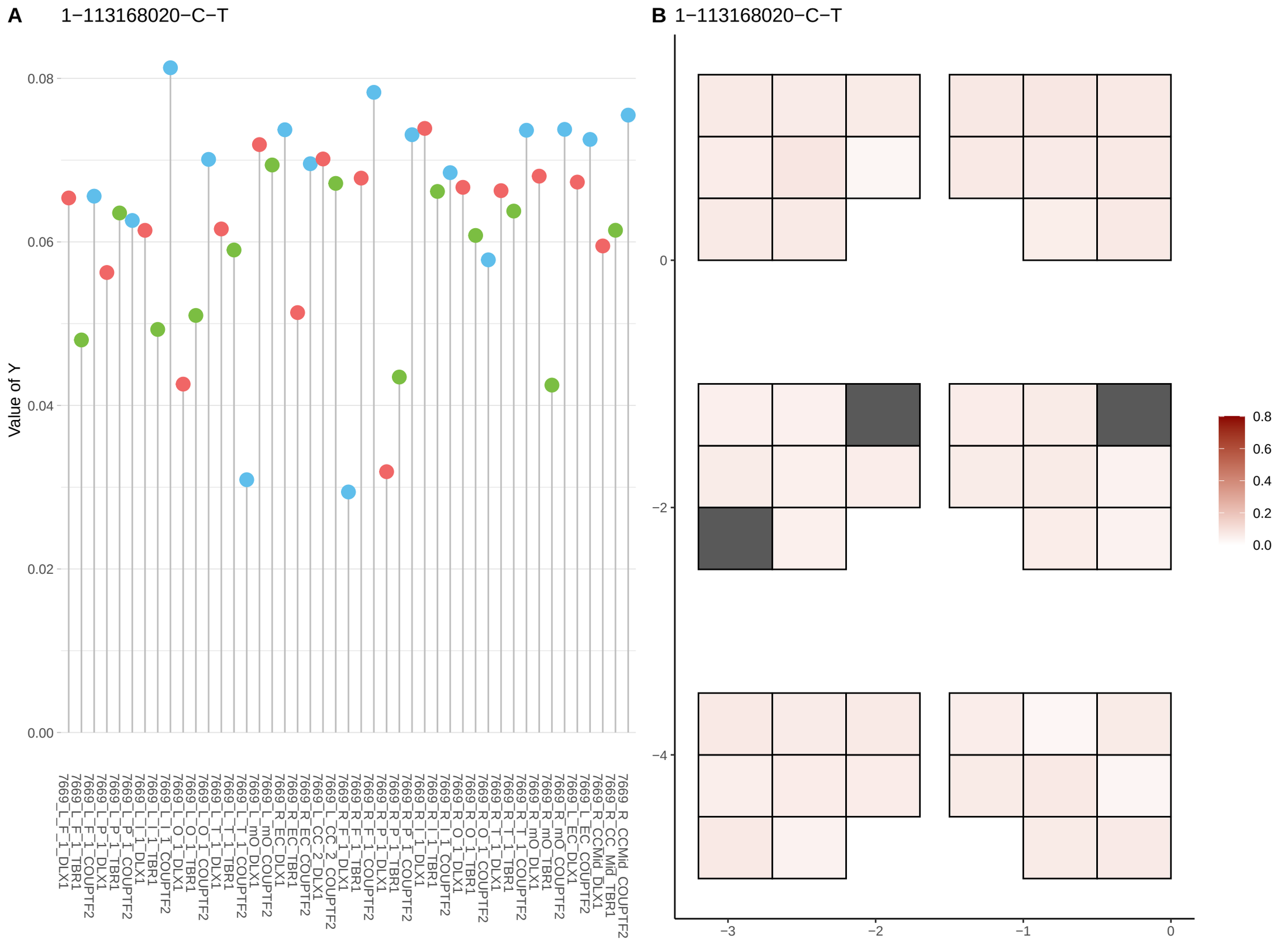
A
1−113168020−C−T
Value of Y
0.08
0.06
0.04
0.02
0.00
7669_L_F_1_DLX1
7669_L_F_1_TBR1
7669_L_F_1_COUPTF2
7669_L_P_1_DLX1
7669_L_P_1_TBR1
7669_L_P_1_COUPTF2
7669_L_I_1_DLX1
7669_L_I_1_TBR1
7669_L_I_1_COUPTF2
7669_L_O_1_DLX1
7669_L_O_1_TBR1
7669_L_O_1_COUPTF2
7669_L_T_1_DLX1
7669_L_T_1_TBR1
7669_L_T_1_COUPTF2
7669_L_mO_DLX1
7669_L_mO_COUPTF2
7669_R_EC_DLX1
7669_R_EC_TBR1
7669_R_EC_COUPTF2
7669_L_CC_2_DLX1
7669_L_CC_2_COUPTF2
7669_R_F_1_DLX1
7669_R_F_1_TBR1
7669_R_F_1_COUPTF2
7669_R_P_1_DLX1
7669_R_P_1_TBR1
7669_R_P_1_COUPTF2
7669_R_I_1_DLX1
7669_R_I_1_TBR1
7669_R_I_1_COUPTF2
7669_R_O_1_DLX1
7669_R_O_1_TBR1
7669_R_O_1_COUPTF2
7669_R_T_1_DLX1
7669_R_T_1_TBR1
7669_R_T_1_COUPTF2
7669_R_mO_DLX1
7669_R_mO_TBR1
7669_R_mO_COUPTF2
7669_L_EC_DLX1
7669_L_EC_COUPTF2
7669_R_CCMid_DLX1
7669_R_CC_Mid_TBR1
7669_R_CCMid_COUPTF2
B
1−113168020−C−T
0
−2
−4
−3
−2
−1
0
0.8
0.6
0.4
0.2
0.0

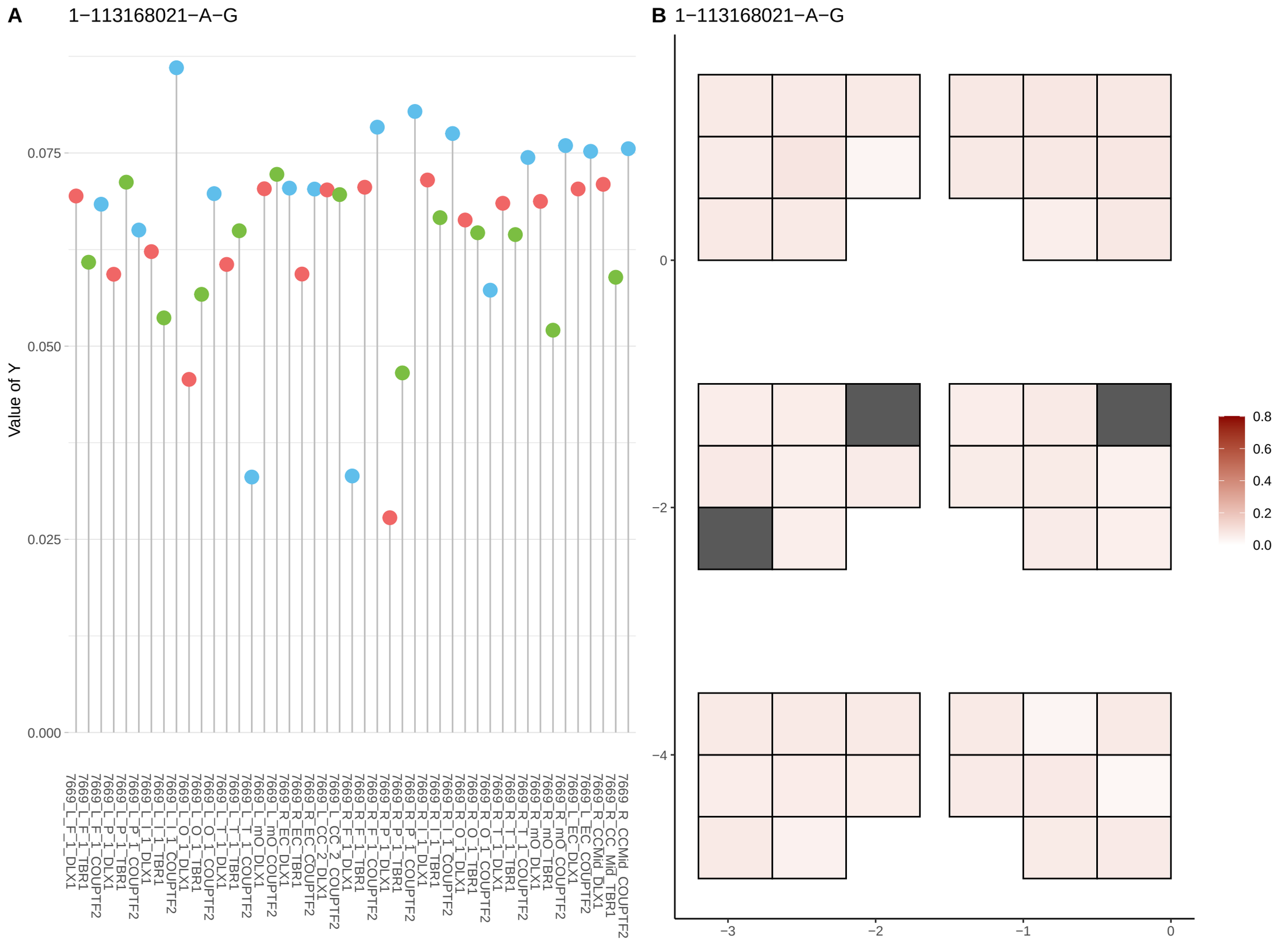
A
1−113168021−A−G
Value of Y
0.075
0.050
0.025
0.000
7669_L_F_1_DLX1
7669_L_F_1_TBR1
7669_L_F_1_COUPTF2
7669_L_P_1_DLX1
7669_L_P_1_TBR1
7669_L_P_1_COUPTF2
7669_L_I_1_DLX1
7669_L_I_1_TBR1
7669_L_I_1_COUPTF2
7669_L_O_1_DLX1
7669_L_O_1_TBR1
7669_L_O_1_COUPTF2
7669_L_T_1_DLX1
7669_L_T_1_TBR1
7669_L_T_1_COUPTF2
7669_L_mO_DLX1
7669_L_mO_COUPTF2
7669_R_EC_DLX1
7669_R_EC_TBR1
7669_R_EC_COUPTF2
7669_L_CC_2_DLX1
7669_L_CC_2_COUPTF2
7669_R_F_1_DLX1
7669_R_F_1_TBR1
7669_R_F_1_COUPTF2
7669_R_P_1_DLX1
7669_R_P_1_TBR1
7669_R_P_1_COUPTF2
7669_R_I_1_DLX1
7669_R_I_1_TBR1
7669_R_I_1_COUPTF2
7669_R_O_1_DLX1
7669_R_O_1_TBR1
7669_R_O_1_COUPTF2
7669_R_T_1_DLX1
7669_R_T_1_TBR1
7669_R_T_1_COUPTF2
7669_R_mO_DLX1
7669_R_mO_TBR1
7669_R_mO_COUPTF2
7669_L_EC_DLX1
7669_L_EC_COUPTF2
7669_R_CCMid_DLX1
7669_R_CC_Mid_TBR1
7669_R_CCMid_COUPTF2
B
1−113168021−A−G
0
−2
−4
−3
−2
−1
0
0.8
0.6
0.4
0.2
0.0

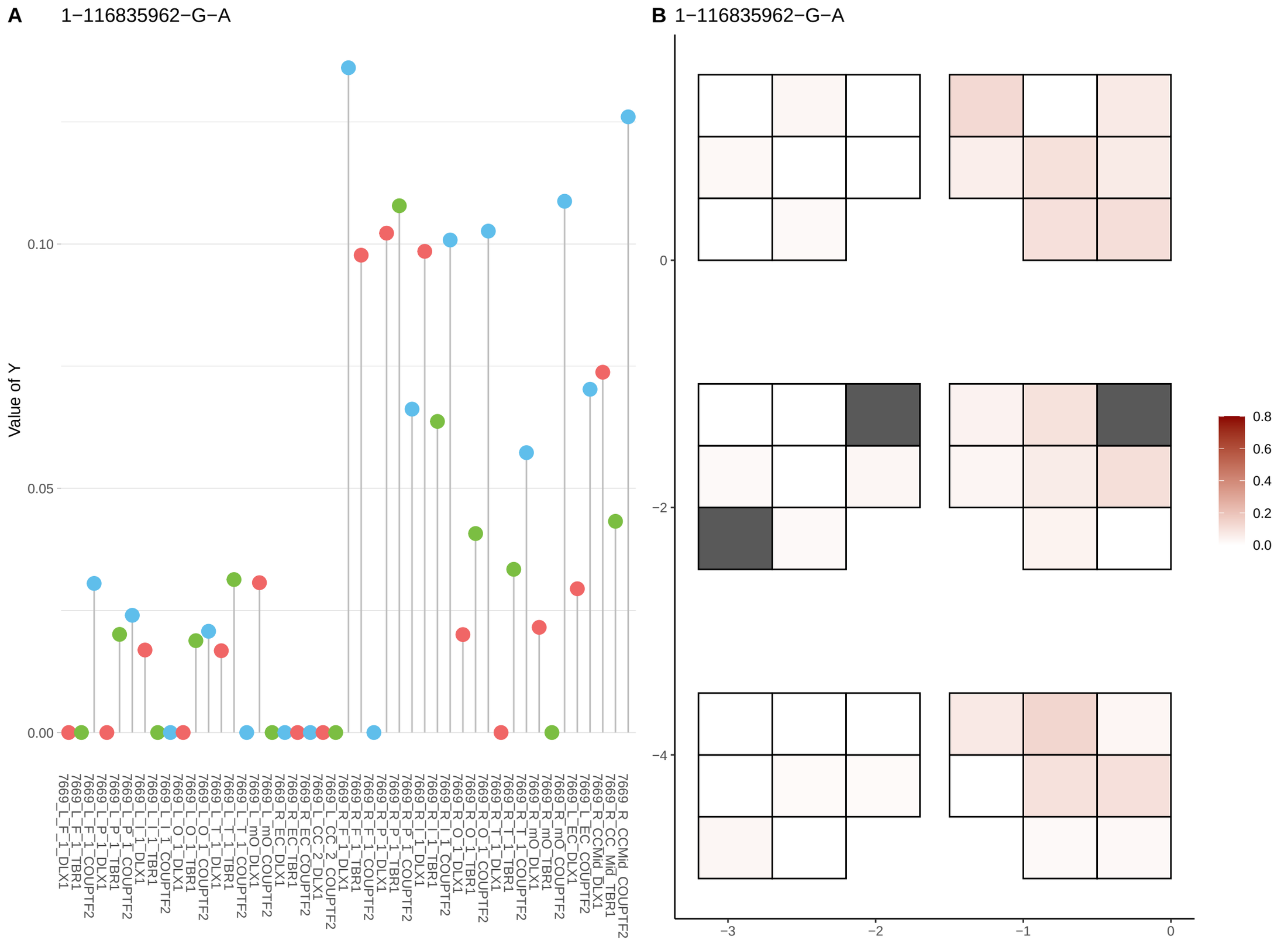
A
1−116835962−G−A
Value of Y
0.10
0.05
0.00
7669_L_F_1_DLX1
7669_L_F_1_TBR1
7669_L_F_1_COUPTF2
7669_L_P_1_DLX1
7669_L_P_1_TBR1
7669_L_P_1_COUPTF2
7669_L_I_1_DLX1
7669_L_I_1_TBR1
7669_L_I_1_COUPTF2
7669_L_O_1_DLX1
7669_L_O_1_TBR1
7669_L_O_1_COUPTF2
7669_L_T_1_DLX1
7669_L_T_1_TBR1
7669_L_T_1_COUPTF2
7669_L_mO_DLX1
7669_L_mO_COUPTF2
7669_R_EC_DLX1
7669_R_EC_TBR1
7669_R_EC_COUPTF2
7669_L_CC_2_DLX1
7669_L_CC_2_COUPTF2
7669_R_F_1_DLX1
7669_R_F_1_TBR1
7669_R_F_1_COUPTF2
7669_R_P_1_DLX1
7669_R_P_1_TBR1
7669_R_P_1_COUPTF2
7669_R_I_1_DLX1
7669_R_I_1_TBR1
7669_R_I_1_COUPTF2
7669_R_O_1_DLX1
7669_R_O_1_TBR1
7669_R_O_1_COUPTF2
7669_R_T_1_DLX1
7669_R_T_1_TBR1
7669_R_T_1_COUPTF2
7669_R_mO_DLX1
7669_R_mO_TBR1
7669_R_mO_COUPTF2
7669_L_EC_DLX1
7669_L_EC_COUPTF2
7669_R_CCMid_DLX1
7669_R_CC_Mid_TBR1
7669_R_CCMid_COUPTF2
B
1−116835962−G−A
0
−2
−4
−3
−2
−1
0
0.8
0.6
0.4
0.2
0.0

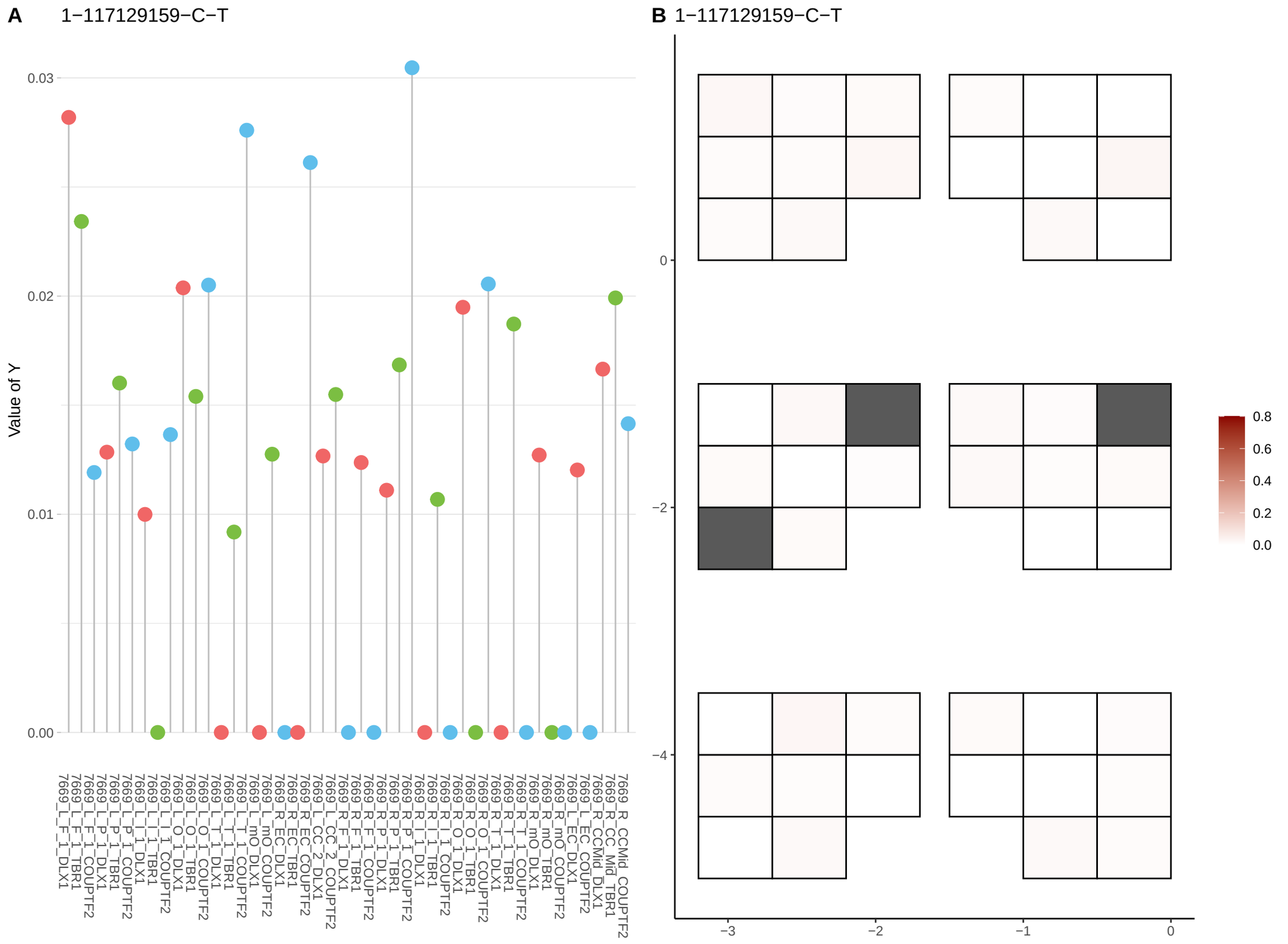
A
1−117129159−C−T
Value of Y
0.03
0.02
0.01
0.00
7669_L_F_1_DLX1
7669_L_F_1_TBR1
7669_L_F_1_COUPTF2
7669_L_P_1_DLX1
7669_L_P_1_TBR1
7669_L_P_1_COUPTF2
7669_L_I_1_DLX1
7669_L_I_1_TBR1
7669_L_I_1_COUPTF2
7669_L_O_1_DLX1
7669_L_O_1_TBR1
7669_L_O_1_COUPTF2
7669_L_T_1_DLX1
7669_L_T_1_TBR1
7669_L_T_1_COUPTF2
7669_L_mO_DLX1
7669_L_mO_COUPTF2
7669_R_EC_DLX1
7669_R_EC_TBR1
7669_R_EC_COUPTF2
7669_L_CC_2_DLX1
7669_L_CC_2_COUPTF2
7669_R_F_1_DLX1
7669_R_F_1_TBR1
7669_R_F_1_COUPTF2
7669_R_P_1_DLX1
7669_R_P_1_TBR1
7669_R_P_1_COUPTF2
7669_R_I_1_DLX1
7669_R_I_1_TBR1
7669_R_I_1_COUPTF2
7669_R_O_1_DLX1
7669_R_O_1_TBR1
7669_R_O_1_COUPTF2
7669_R_T_1_DLX1
7669_R_T_1_TBR1
7669_R_T_1_COUPTF2
7669_R_mO_DLX1
7669_R_mO_TBR1
7669_R_mO_COUPTF2
7669_L_EC_DLX1
7669_L_EC_COUPTF2
7669_R_CCMid_DLX1
7669_R_CC_Mid_TBR1
7669_R_CCMid_COUPTF2
B
1−117129159−C−T
0
−2
−4
−3
−2
−1
0
0.8
0.6
0.4
0.2
0.0

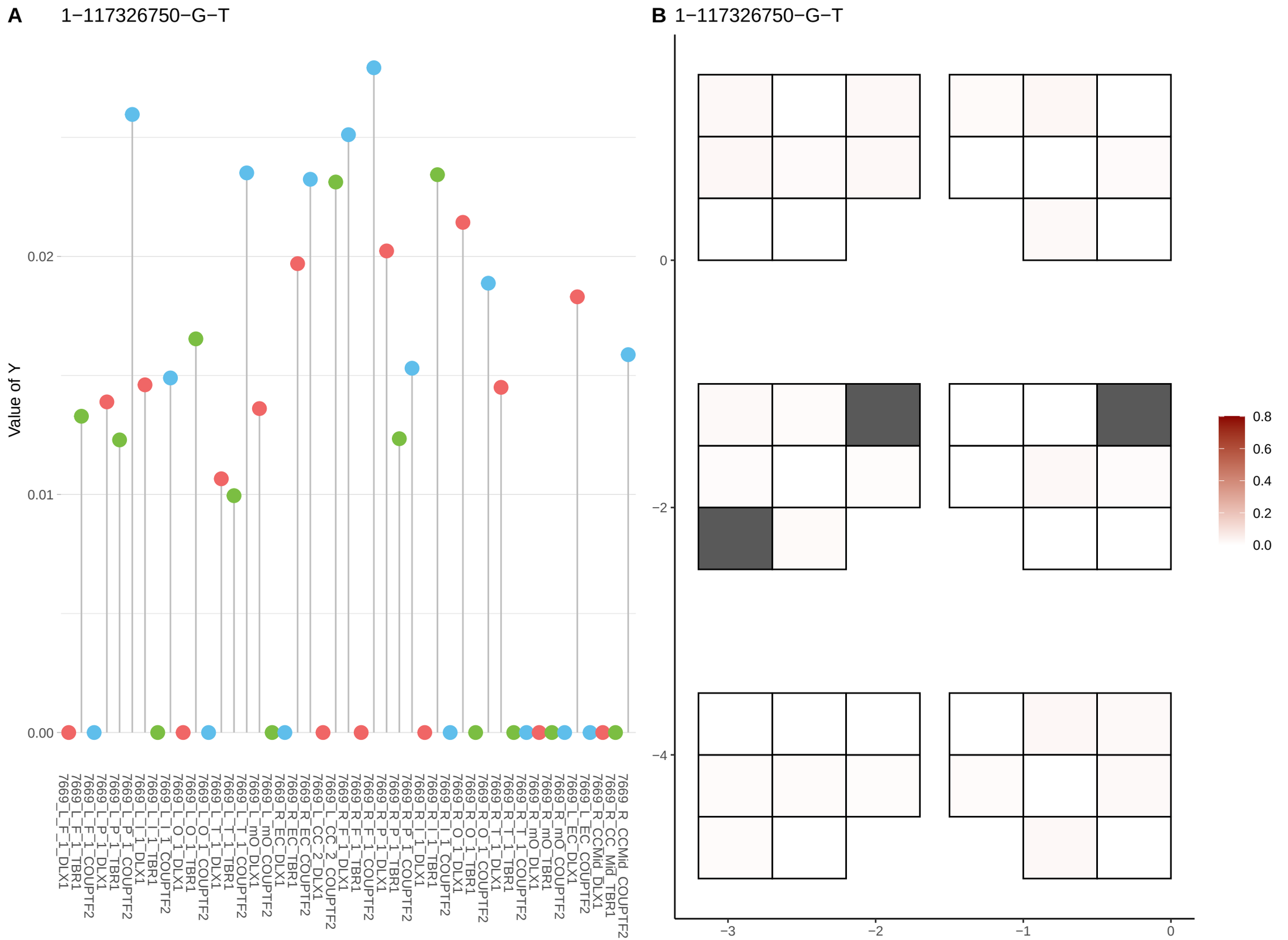
A
1−117326750−G−T
Value of Y
0.02
0.01
0.00
7669_L_F_1_DLX1
7669_L_F_1_TBR1
7669_L_F_1_COUPTF2
7669_L_P_1_DLX1
7669_L_P_1_TBR1
7669_L_P_1_COUPTF2
7669_L_I_1_DLX1
7669_L_I_1_TBR1
7669_L_I_1_COUPTF2
7669_L_O_1_DLX1
7669_L_O_1_TBR1
7669_L_O_1_COUPTF2
7669_L_T_1_DLX1
7669_L_T_1_TBR1
7669_L_T_1_COUPTF2
7669_L_mO_DLX1
7669_L_mO_COUPTF2
7669_R_EC_DLX1
7669_R_EC_TBR1
7669_R_EC_COUPTF2
7669_L_CC_2_DLX1
7669_L_CC_2_COUPTF2
7669_R_F_1_DLX1
7669_R_F_1_TBR1
7669_R_F_1_COUPTF2
7669_R_P_1_DLX1
7669_R_P_1_TBR1
7669_R_P_1_COUPTF2
7669_R_I_1_DLX1
7669_R_I_1_TBR1
7669_R_I_1_COUPTF2
7669_R_O_1_DLX1
7669_R_O_1_TBR1
7669_R_O_1_COUPTF2
7669_R_T_1_DLX1
7669_R_T_1_TBR1
7669_R_T_1_COUPTF2
7669_R_mO_DLX1
7669_R_mO_TBR1
7669_R_mO_COUPTF2
7669_L_EC_DLX1
7669_L_EC_COUPTF2
7669_R_CCMid_DLX1
7669_R_CC_Mid_TBR1
7669_R_CCMid_COUPTF2
B
1−117326750−G−T
0
−2
−4
−3
−2
−1
0
0.8
0.6
0.4
0.2
0.0

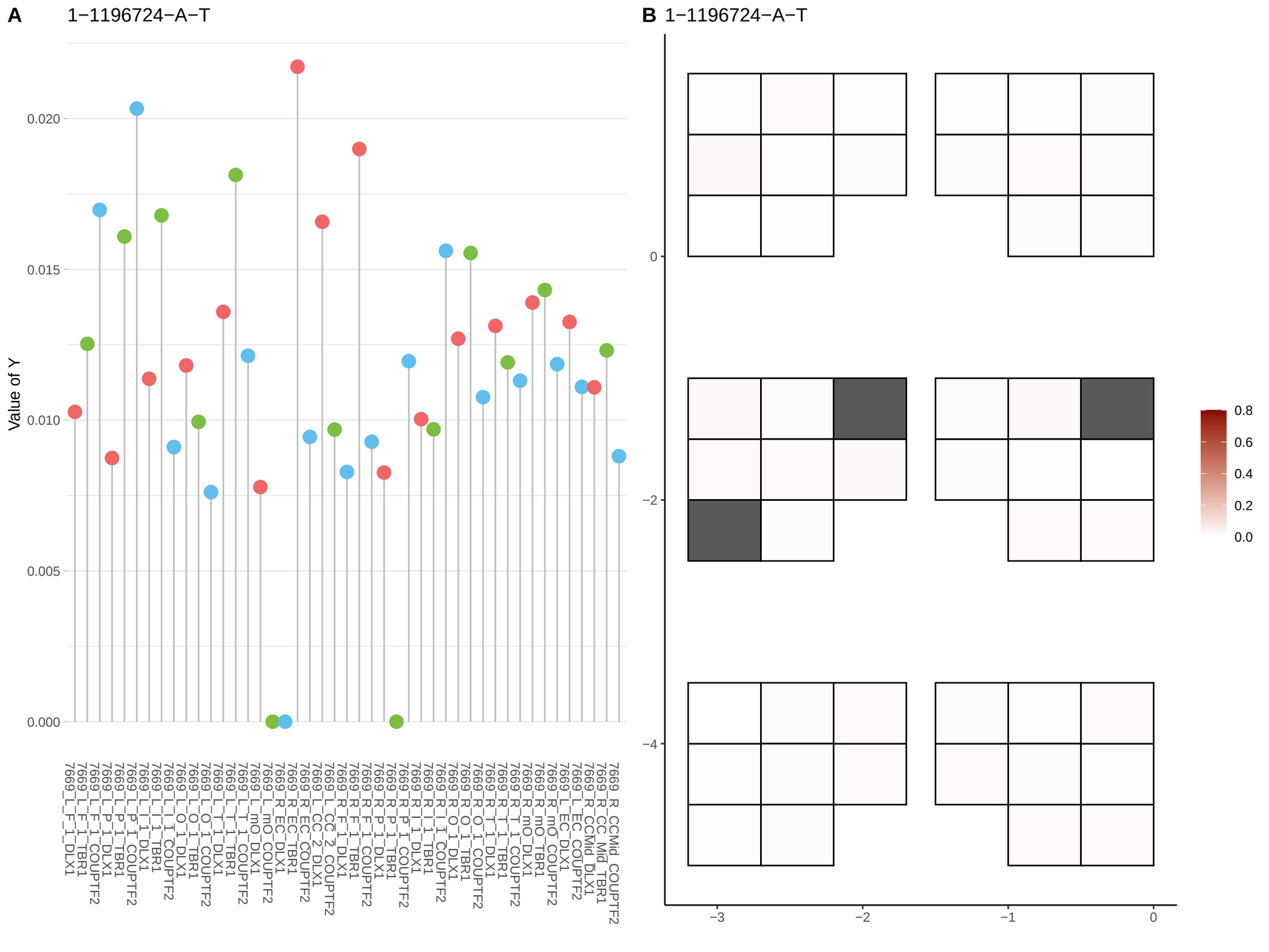
A
1−1196724−A−T
Value of Y
0.020
0.015
0.010
0.005
0.000
7669_L_F_1_DLX1
7669_L_F_1_TBR1
7669_L_F_1_COUPTF2
7669_L_P_1_DLX1
7669_L_P_1_TBR1
7669_L_P_1_COUPTF2
7669_L_I_1_DLX1
7669_L_I_1_TBR1
7669_L_I_1_COUPTF2
7669_L_O_1_DLX1
7669_L_O_1_TBR1
7669_L_O_1_COUPTF2
7669_L_T_1_DLX1
7669_L_T_1_TBR1
7669_L_T_1_COUPTF2
7669_L_mO_DLX1
7669_L_mO_COUPTF2
7669_R_EC_DLX1
7669_R_EC_TBR1
7669_R_EC_COUPTF2
7669_L_CC_2_DLX1
7669_L_CC_2_COUPTF2
7669_R_F_1_DLX1
7669_R_F_1_TBR1
7669_R_F_1_COUPTF2
7669_R_P_1_DLX1
7669_R_P_1_TBR1
7669_R_P_1_COUPTF2
7669_R_I_1_DLX1
7669_R_I_1_TBR1
7669_R_I_1_COUPTF2
7669_R_O_1_DLX1
7669_R_O_1_TBR1
7669_R_O_1_COUPTF2
7669_R_T_1_DLX1
7669_R_T_1_TBR1
7669_R_T_1_COUPTF2
7669_R_mO_DLX1
7669_R_mO_TBR1
7669_R_mO_COUPTF2
7669_L_EC_DLX1
7669_L_EC_COUPTF2
7669_R_CCMid_DLX1
7669_R_CC_Mid_TBR1
7669_R_CCMid_COUPTF2
B
1−1196724−A−T
0
−2
−4
−3
−2
−1
0
0.8
0.6
0.4
0.2
0.0

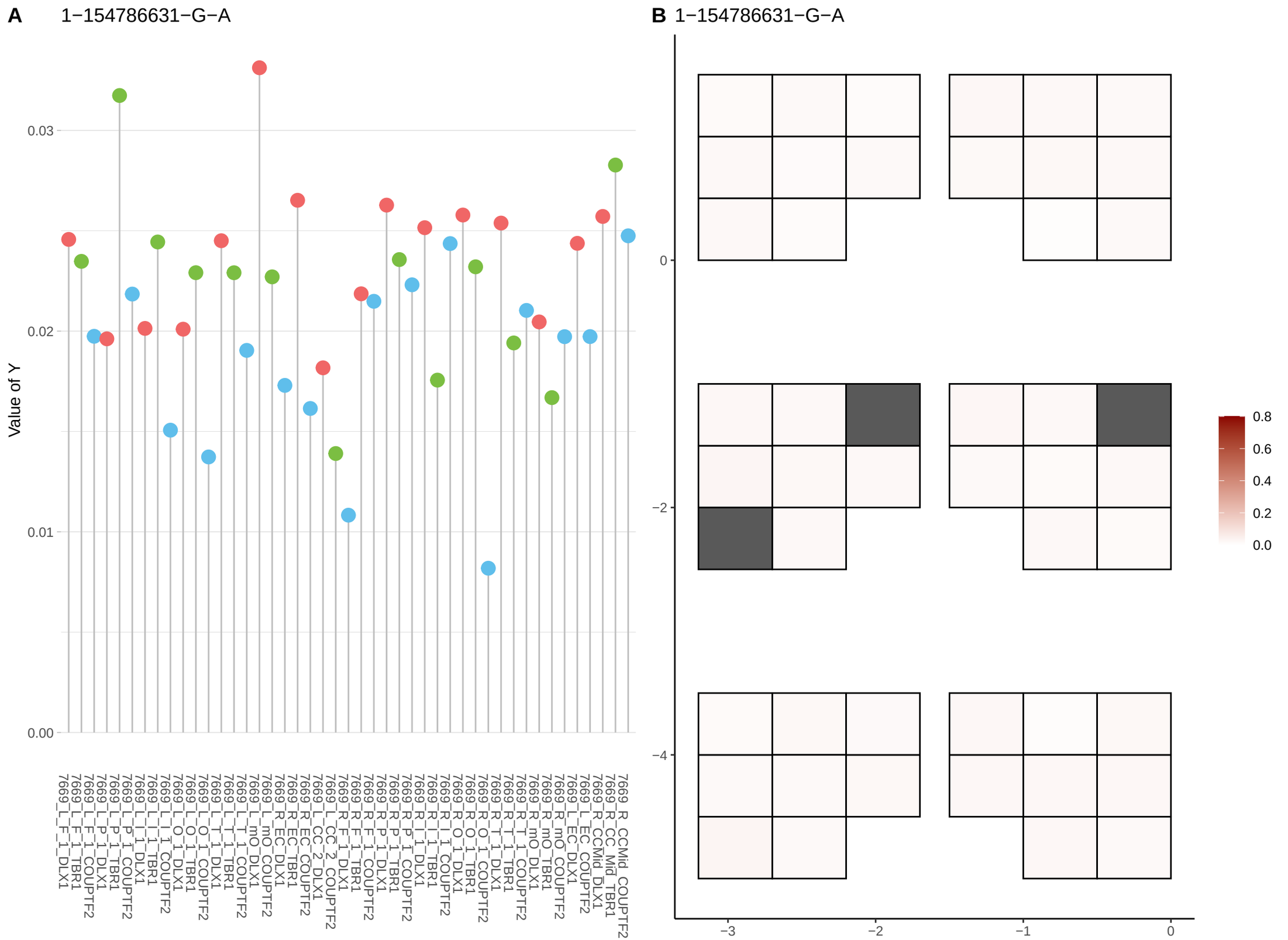
A
1−154786631−G−A
Value of Y
0.03
0.02
0.01
0.00
7669_L_F_1_DLX1
7669_L_F_1_TBR1
7669_L_F_1_COUPTF2
7669_L_P_1_DLX1
7669_L_P_1_TBR1
7669_L_P_1_COUPTF2
7669_L_I_1_DLX1
7669_L_I_1_TBR1
7669_L_I_1_COUPTF2
7669_L_O_1_DLX1
7669_L_O_1_TBR1
7669_L_O_1_COUPTF2
7669_L_T_1_DLX1
7669_L_T_1_TBR1
7669_L_T_1_COUPTF2
7669_L_mO_DLX1
7669_L_mO_COUPTF2
7669_R_EC_DLX1
7669_R_EC_TBR1
7669_R_EC_COUPTF2
7669_L_CC_2_DLX1
7669_L_CC_2_COUPTF2
7669_R_F_1_DLX1
7669_R_F_1_TBR1
7669_R_F_1_COUPTF2
7669_R_P_1_DLX1
7669_R_P_1_TBR1
7669_R_P_1_COUPTF2
7669_R_I_1_DLX1
7669_R_I_1_TBR1
7669_R_I_1_COUPTF2
7669_R_O_1_DLX1
7669_R_O_1_TBR1
7669_R_O_1_COUPTF2
7669_R_T_1_DLX1
7669_R_T_1_TBR1
7669_R_T_1_COUPTF2
7669_R_mO_DLX1
7669_R_mO_TBR1
7669_R_mO_COUPTF2
7669_L_EC_DLX1
7669_L_EC_COUPTF2
7669_R_CCMid_DLX1
7669_R_CC_Mid_TBR1
7669_R_CCMid_COUPTF2
B
1−154786631−G−A
0
−2
−4
−3
−2
−1
0
0.8
0.6
0.4
0.2
0.0

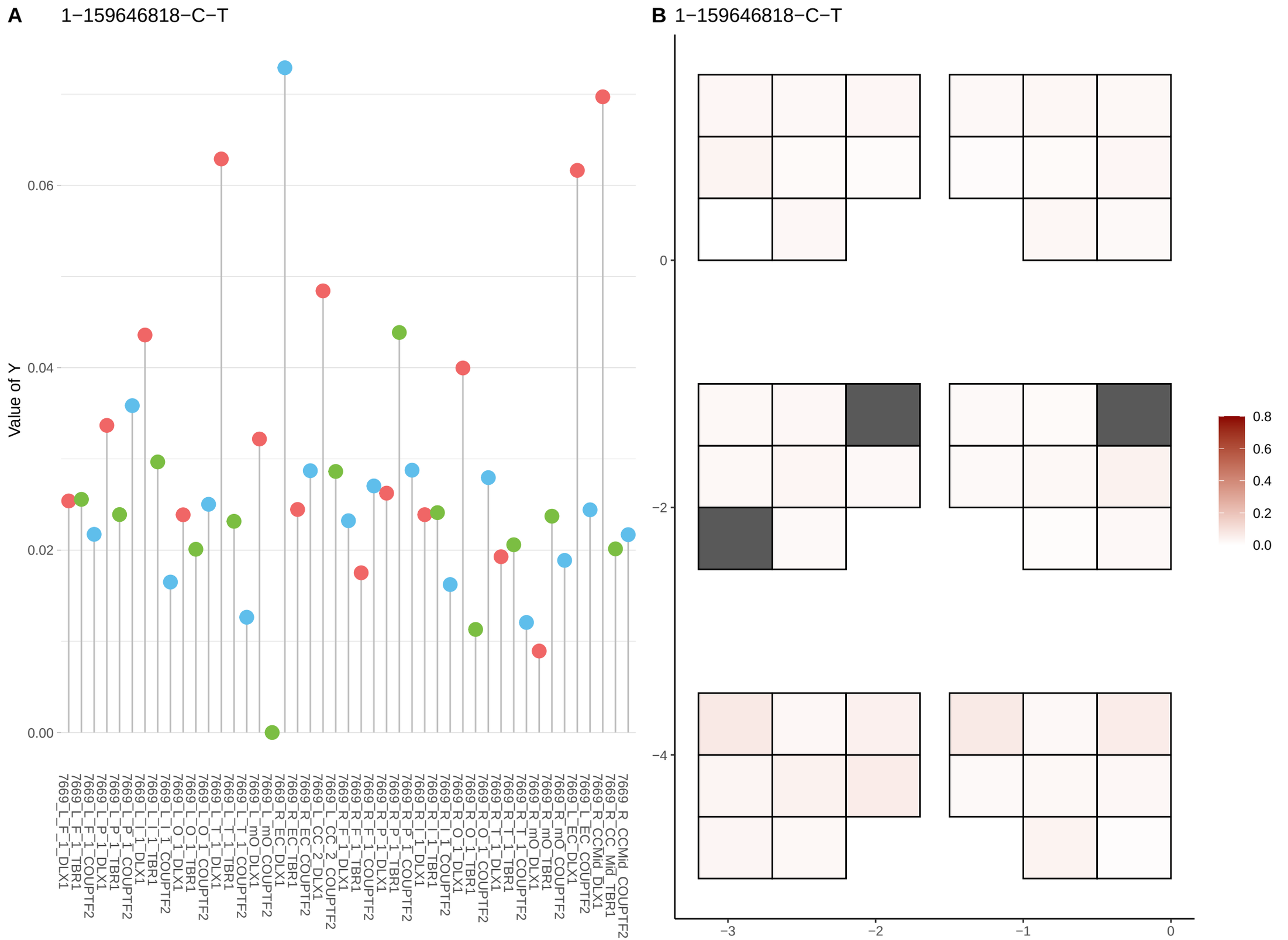
A
1−159646818−C−T
Value of Y
0.06
0.04
0.02
0.00
7669_L_F_1_DLX1
7669_L_F_1_TBR1
7669_L_F_1_COUPTF2
7669_L_P_1_DLX1
7669_L_P_1_TBR1
7669_L_P_1_COUPTF2
7669_L_I_1_DLX1
7669_L_I_1_TBR1
7669_L_I_1_COUPTF2
7669_L_O_1_DLX1
7669_L_O_1_TBR1
7669_L_O_1_COUPTF2
7669_L_T_1_DLX1
7669_L_T_1_TBR1
7669_L_T_1_COUPTF2
7669_L_mO_DLX1
7669_L_mO_COUPTF2
7669_R_EC_DLX1
7669_R_EC_TBR1
7669_R_EC_COUPTF2
7669_L_CC_2_DLX1
7669_L_CC_2_COUPTF2
7669_R_F_1_DLX1
7669_R_F_1_TBR1
7669_R_F_1_COUPTF2
7669_R_P_1_DLX1
7669_R_P_1_TBR1
7669_R_P_1_COUPTF2
7669_R_I_1_DLX1
7669_R_I_1_TBR1
7669_R_I_1_COUPTF2
7669_R_O_1_DLX1
7669_R_O_1_TBR1
7669_R_O_1_COUPTF2
7669_R_T_1_DLX1
7669_R_T_1_TBR1
7669_R_T_1_COUPTF2
7669_R_mO_DLX1
7669_R_mO_TBR1
7669_R_mO_COUPTF2
7669_L_EC_DLX1
7669_L_EC_COUPTF2
7669_R_CCMid_DLX1
7669_R_CC_Mid_TBR1
7669_R_CCMid_COUPTF2
B
1−159646818−C−T
0
−2
−4
−3
−2
−1
0
0.8
0.6
0.4
0.2
0.0

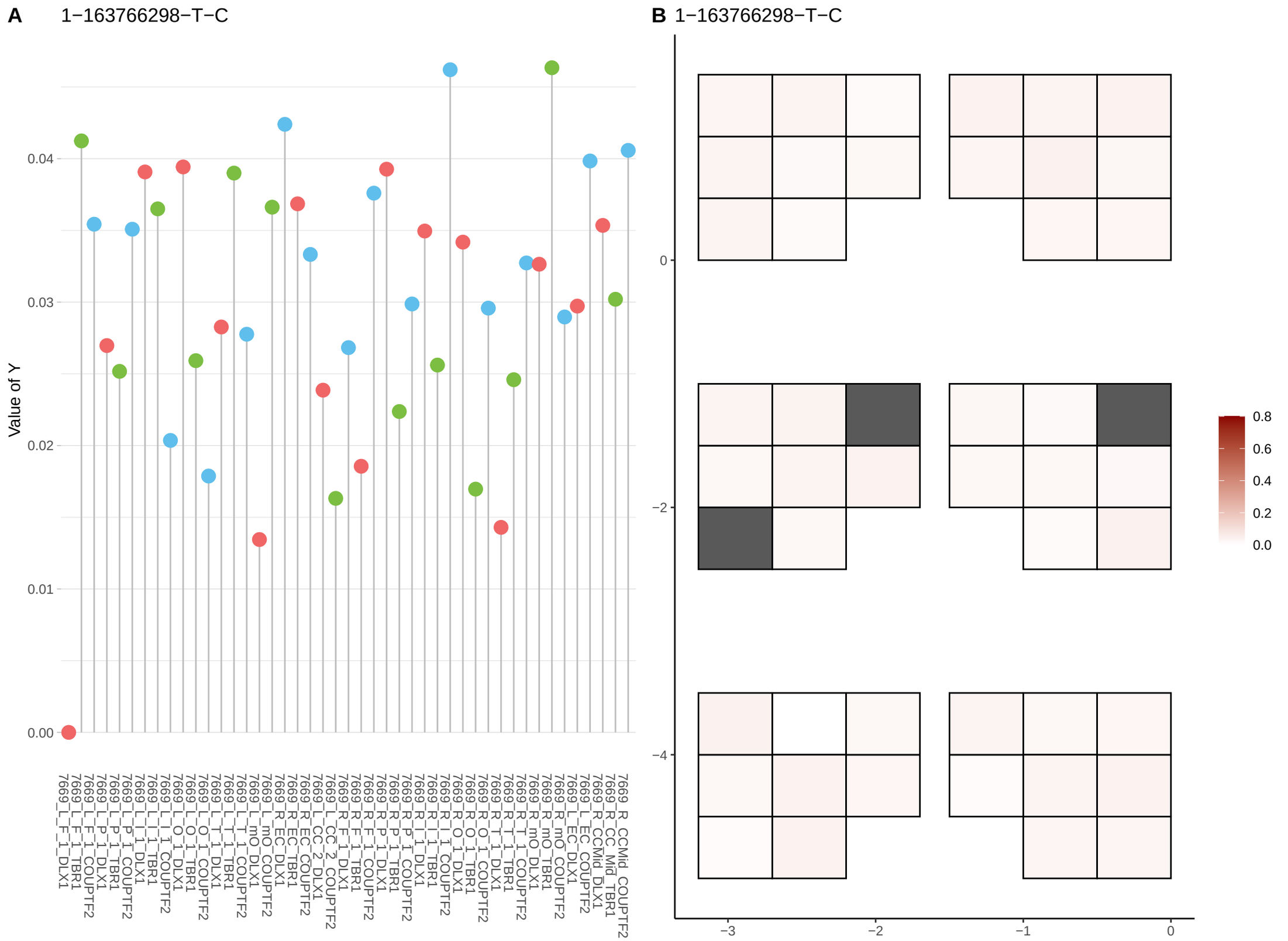
A
1−163766298−T−C
Value of Y
0.04
0.03
0.02
0.01
0.00
7669_L_F_1_DLX1
7669_L_F_1_TBR1
7669_L_F_1_COUPTF2
7669_L_P_1_DLX1
7669_L_P_1_TBR1
7669_L_P_1_COUPTF2
7669_L_I_1_DLX1
7669_L_I_1_TBR1
7669_L_I_1_COUPTF2
7669_L_O_1_DLX1
7669_L_O_1_TBR1
7669_L_O_1_COUPTF2
7669_L_T_1_DLX1
7669_L_T_1_TBR1
7669_L_T_1_COUPTF2
7669_L_mO_DLX1
7669_L_mO_COUPTF2
7669_R_EC_DLX1
7669_R_EC_TBR1
7669_R_EC_COUPTF2
7669_L_CC_2_DLX1
7669_L_CC_2_COUPTF2
7669_R_F_1_DLX1
7669_R_F_1_TBR1
7669_R_F_1_COUPTF2
7669_R_P_1_DLX1
7669_R_P_1_TBR1
7669_R_P_1_COUPTF2
7669_R_I_1_DLX1
7669_R_I_1_TBR1
7669_R_I_1_COUPTF2
7669_R_O_1_DLX1
7669_R_O_1_TBR1
7669_R_O_1_COUPTF2
7669_R_T_1_DLX1
7669_R_T_1_TBR1
7669_R_T_1_COUPTF2
7669_R_mO_DLX1
7669_R_mO_TBR1
7669_R_mO_COUPTF2
7669_L_EC_DLX1
7669_L_EC_COUPTF2
7669_R_CCMid_DLX1
7669_R_CC_Mid_TBR1
7669_R_CCMid_COUPTF2
B
1−163766298−T−C
0
−2
−4
−3
−2
−1
0
0.8
0.6
0.4
0.2
0.0

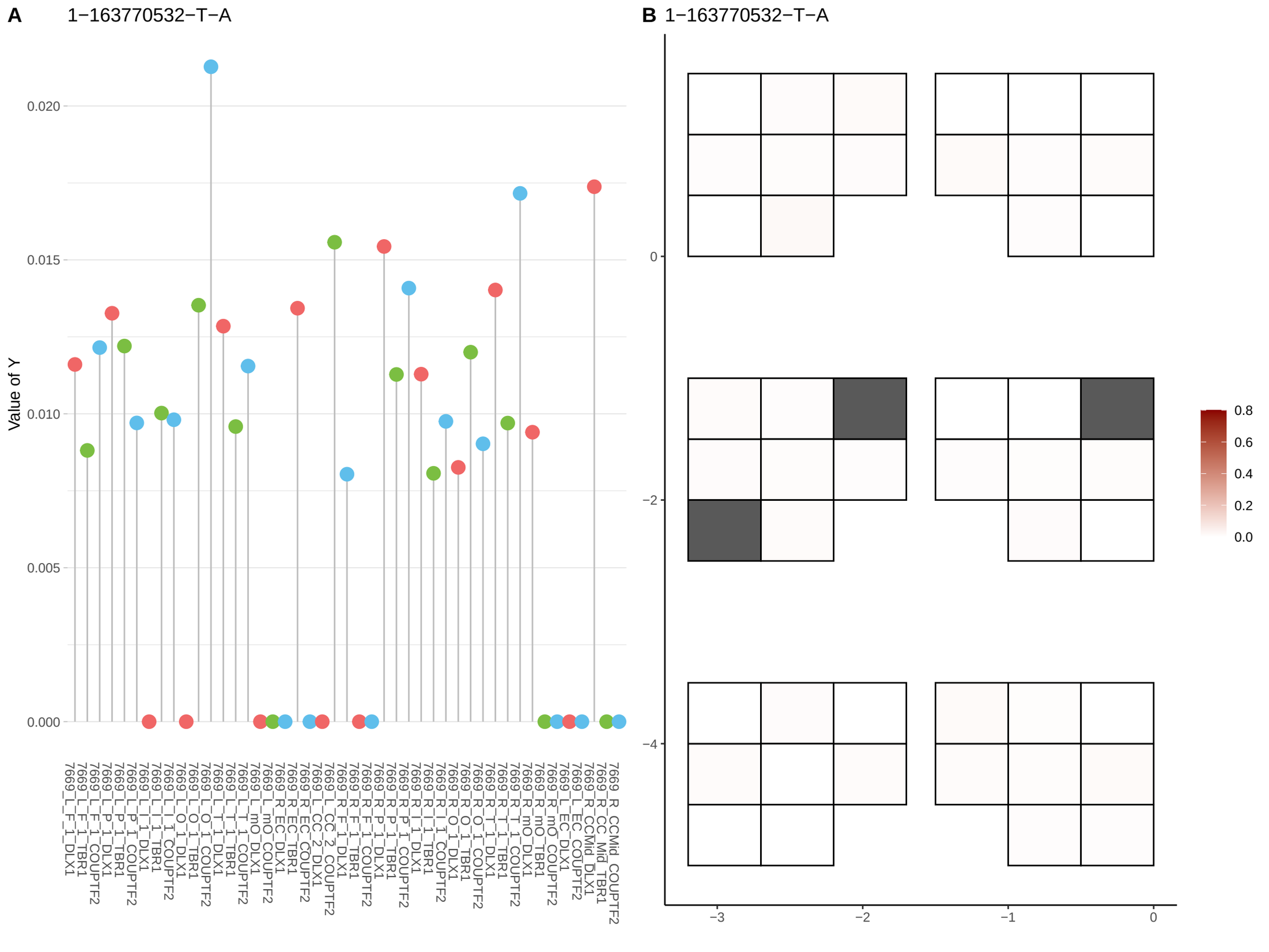
A
1−163770532−T−A
Value of Y
0.020
0.015
0.010
0.005
0.000
7669_L_F_1_DLX1
7669_L_F_1_TBR1
7669_L_F_1_COUPTF2
7669_L_P_1_DLX1
7669_L_P_1_TBR1
7669_L_P_1_COUPTF2
7669_L_I_1_DLX1
7669_L_I_1_TBR1
7669_L_I_1_COUPTF2
7669_L_O_1_DLX1
7669_L_O_1_TBR1
7669_L_O_1_COUPTF2
7669_L_T_1_DLX1
7669_L_T_1_TBR1
7669_L_T_1_COUPTF2
7669_L_mO_DLX1
7669_L_mO_COUPTF2
7669_R_EC_TBR1
7669_R_EC_DLX1
7669_R_EC_COUPTF2
7669_L_CC_2_DLX1
7669_L_CC_2_COUPTF2
7669_R_F_1_DLX1
7669_R_F_1_TBR1
7669_R_F_1_COUPTF2
7669_R_P_1_DLX1
7669_R_P_1_TBR1
7669_R_P_1_COUPTF2
7669_R_I_1_DLX1
7669_R_I_1_TBR1
7669_R_I_1_COUPTF2
7669_R_O_1_DLX1
7669_R_O_1_TBR1
7669_R_O_1_COUPTF2
7669_R_T_1_DLX1
7669_R_T_1_TBR1
7669_R_T_1_COUPTF2
7669_R_mO_DLX1
7669_R_mO_TBR1
7669_R_mO_COUPTF2
7669_L_EC_DLX1
7669_L_EC_COUPTF2
7669_R_CCMid_DLX1
7669_R_CC_Mid_TBR1
7669_R_CCMid_COUPTF2
B
1−163770532−T−A
0
−2
−4
−3
−2
−1
0
0.8
0.6
0.4
0.2
0.0

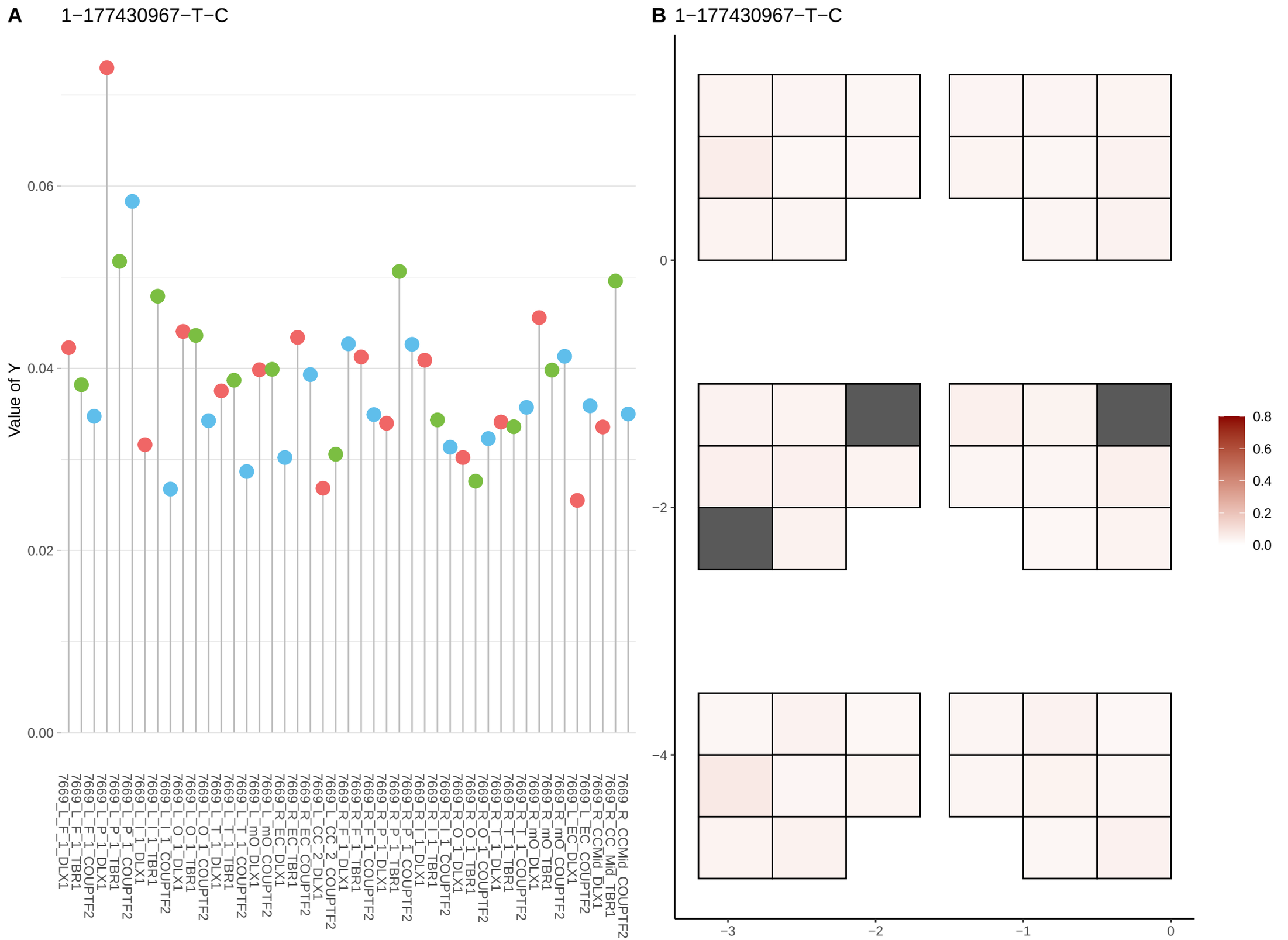
A
1−177430967−T−C
Value of Y
0.06
0.04
0.02
0.00
7669_L_F_1_DLX1
7669_L_F_1_TBR1
7669_L_F_1_COUPTF2
7669_L_P_1_DLX1
7669_L_P_1_TBR1
7669_L_P_1_COUPTF2
7669_L_I_1_DLX1
7669_L_I_1_TBR1
7669_L_I_1_COUPTF2
7669_L_O_1_DLX1
7669_L_O_1_TBR1
7669_L_O_1_COUPTF2
7669_L_T_1_DLX1
7669_L_T_1_TBR1
7669_L_T_1_COUPTF2
7669_L_mO_DLX1
7669_L_mO_COUPTF2
7669_R_EC_DLX1
7669_R_EC_TBR1
7669_R_EC_COUPTF2
7669_L_CC_2_DLX1
7669_L_CC_2_COUPTF2
7669_R_F_1_DLX1
7669_R_F_1_TBR1
7669_R_F_1_COUPTF2
7669_R_P_1_DLX1
7669_R_P_1_TBR1
7669_R_P_1_COUPTF2
7669_R_I_1_DLX1
7669_R_I_1_TBR1
7669_R_I_1_COUPTF2
7669_R_O_1_DLX1
7669_R_O_1_TBR1
7669_R_O_1_COUPTF2
7669_R_T_1_DLX1
7669_R_T_1_TBR1
7669_R_T_1_COUPTF2
7669_R_mO_DLX1
7669_R_mO_TBR1
7669_R_mO_COUPTF2
7669_L_EC_DLX1
7669_L_EC_COUPTF2
7669_R_CCMid_DLX1
7669_R_CC_Mid_TBR1
7669_R_CCMid_COUPTF2
B
1−177430967−T−C
0
−2
−4
−3
−2
−1
0
0.8
0.6
0.4
0.2
0.0

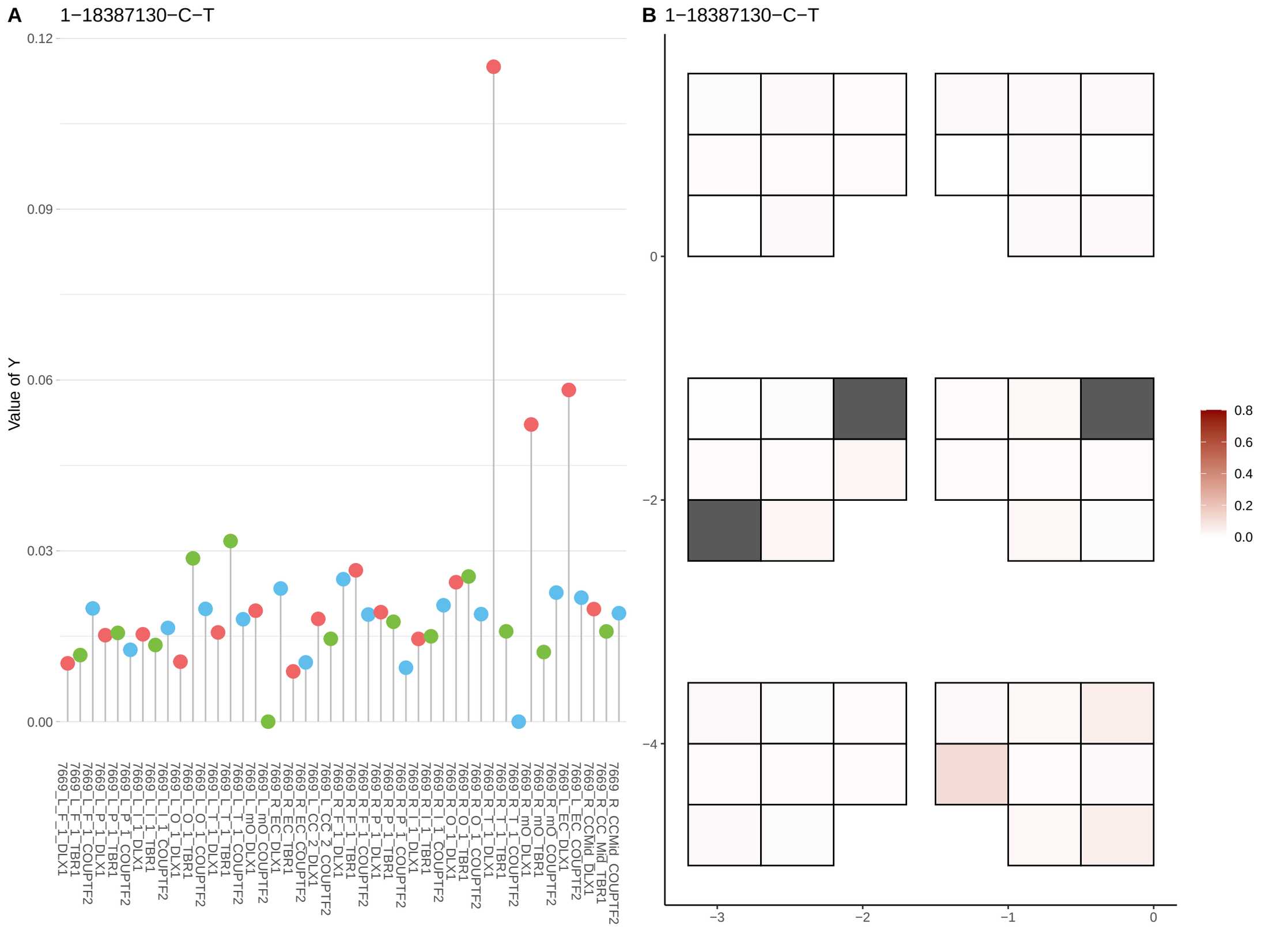
A
1−18387130−C−T
Value of Y
0.12
0.09
0.06
0.03
0.00
7669_L_F_1_DLX1
7669_L_F_1_TBR1
7669_L_F_1_COUPTF2
7669_L_P_1_DLX1
7669_L_P_1_TBR1
7669_L_P_1_COUPTF2
7669_L_I_1_DLX1
7669_L_I_1_TBR1
7669_L_I_1_COUPTF2
7669_L_O_1_DLX1
7669_L_O_1_TBR1
7669_L_O_1_COUPTF2
7669_L_T_1_DLX1
7669_L_T_1_TBR1
7669_L_T_1_COUPTF2
7669_L_mO_DLX1
7669_L_mO_COUPTF2
7669_R_EC_DLX1
7669_R_EC_TBR1
7669_R_EC_COUPTF2
7669_L_CC_2_DLX1
7669_L_CC_2_COUPTF2
7669_R_F_1_DLX1
7669_R_F_1_TBR1
7669_R_F_1_COUPTF2
7669_R_P_1_DLX1
7669_R_P_1_TBR1
7669_R_P_1_COUPTF2
7669_R_I_1_DLX1
7669_R_I_1_TBR1
7669_R_I_1_COUPTF2
7669_R_O_1_DLX1
7669_R_O_1_TBR1
7669_R_O_1_COUPTF2
7669_R_T_1_DLX1
7669_R_T_1_TBR1
7669_R_T_1_COUPTF2
7669_R_mO_DLX1
7669_R_mO_TBR1
7669_R_mO_COUPTF2
7669_L_EC_DLX1
7669_L_EC_COUPTF2
7669_R_CCMid_DLX1
7669_R_CC_Mid_TBR1
7669_R_CCMid_COUPTF2
B
1−18387130−C−T
0
−2
−4
−3
−2
−1
0
0.8
0.6
0.4
0.2
0.0

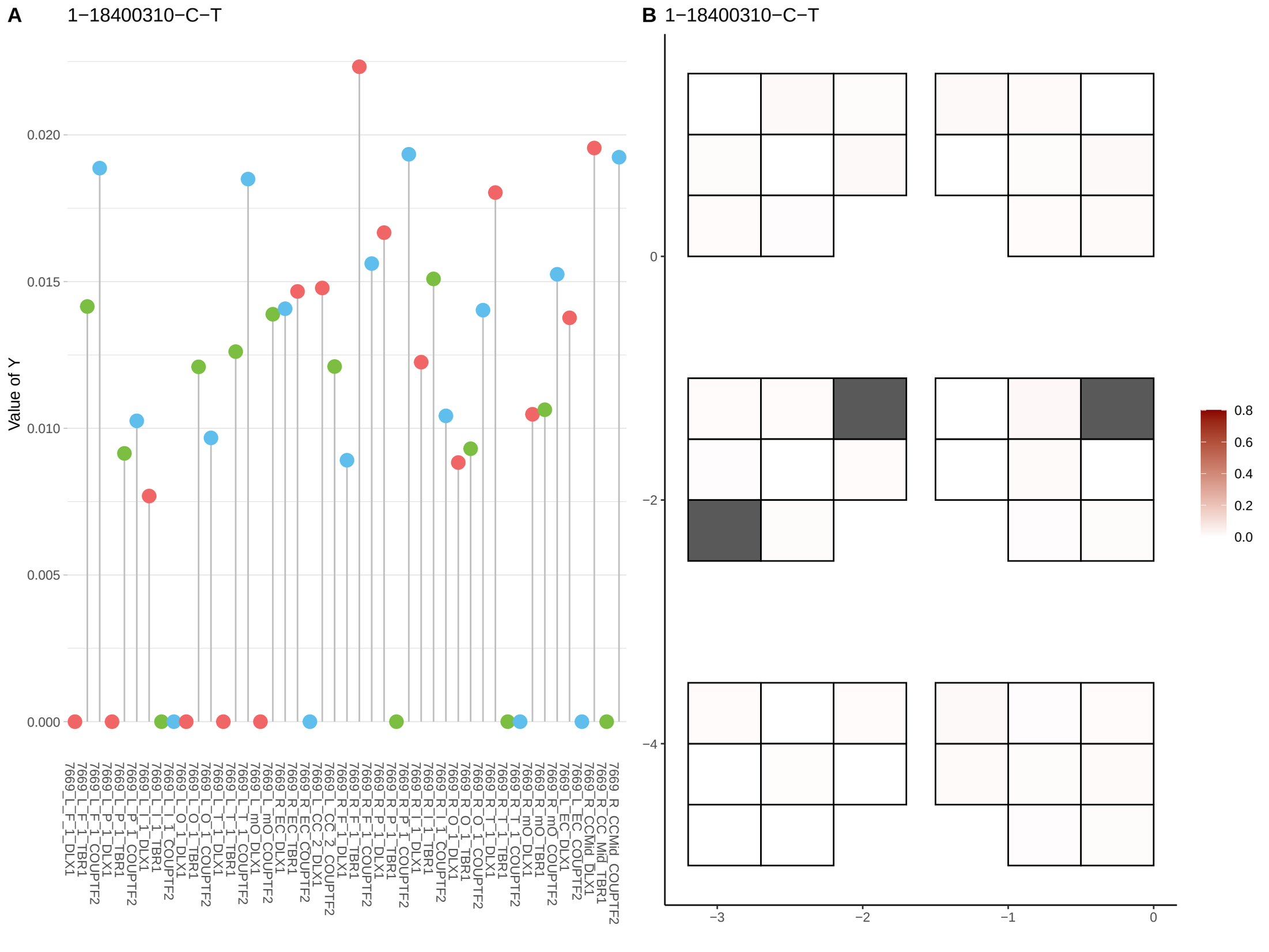
A
1−18400310−C−T
Value of Y
0.020
0.015
0.010
0.005
0.000
7669_L_F_1_DLX1
7669_L_F_1_TBR1
7669_L_F_1_COUPTF2
7669_L_P_1_DLX1
7669_L_P_1_TBR1
7669_L_P_1_COUPTF2
7669_L_I_1_DLX1
7669_L_I_1_TBR1
7669_L_I_1_COUPTF2
7669_L_O_1_DLX1
7669_L_O_1_TBR1
7669_L_O_1_COUPTF2
7669_L_T_1_DLX1
7669_L_T_1_TBR1
7669_L_T_1_COUPTF2
7669_L_mO_DLX1
7669_L_mO_COUPTF2
7669_R_EC_DLX1
7669_R_EC_TBR1
7669_R_EC_COUPTF2
7669_L_CC_2_DLX1
7669_L_CC_2_COUPTF2
7669_R_F_1_DLX1
7669_R_F_1_TBR1
7669_R_F_1_COUPTF2
7669_R_P_1_DLX1
7669_R_P_1_TBR1
7669_R_P_1_COUPTF2
7669_R_I_1_DLX1
7669_R_I_1_TBR1
7669_R_I_1_COUPTF2
7669_R_O_1_DLX1
7669_R_O_1_TBR1
7669_R_O_1_COUPTF2
7669_R_T_1_DLX1
7669_R_T_1_TBR1
7669_R_T_1_COUPTF2
7669_R_mO_DLX1
7669_R_mO_TBR1
7669_R_mO_COUPTF2
7669_L_EC_DLX1
7669_L_EC_COUPTF2
7669_R_CCMid_DLX1
7669_R_CC_Mid_TBR1
7669_R_CCMid_COUPTF2
B
1−18400310−C−T
0
−2
−4
−3
−2
−1
0
0.8
0.6
0.4
0.2
0.0

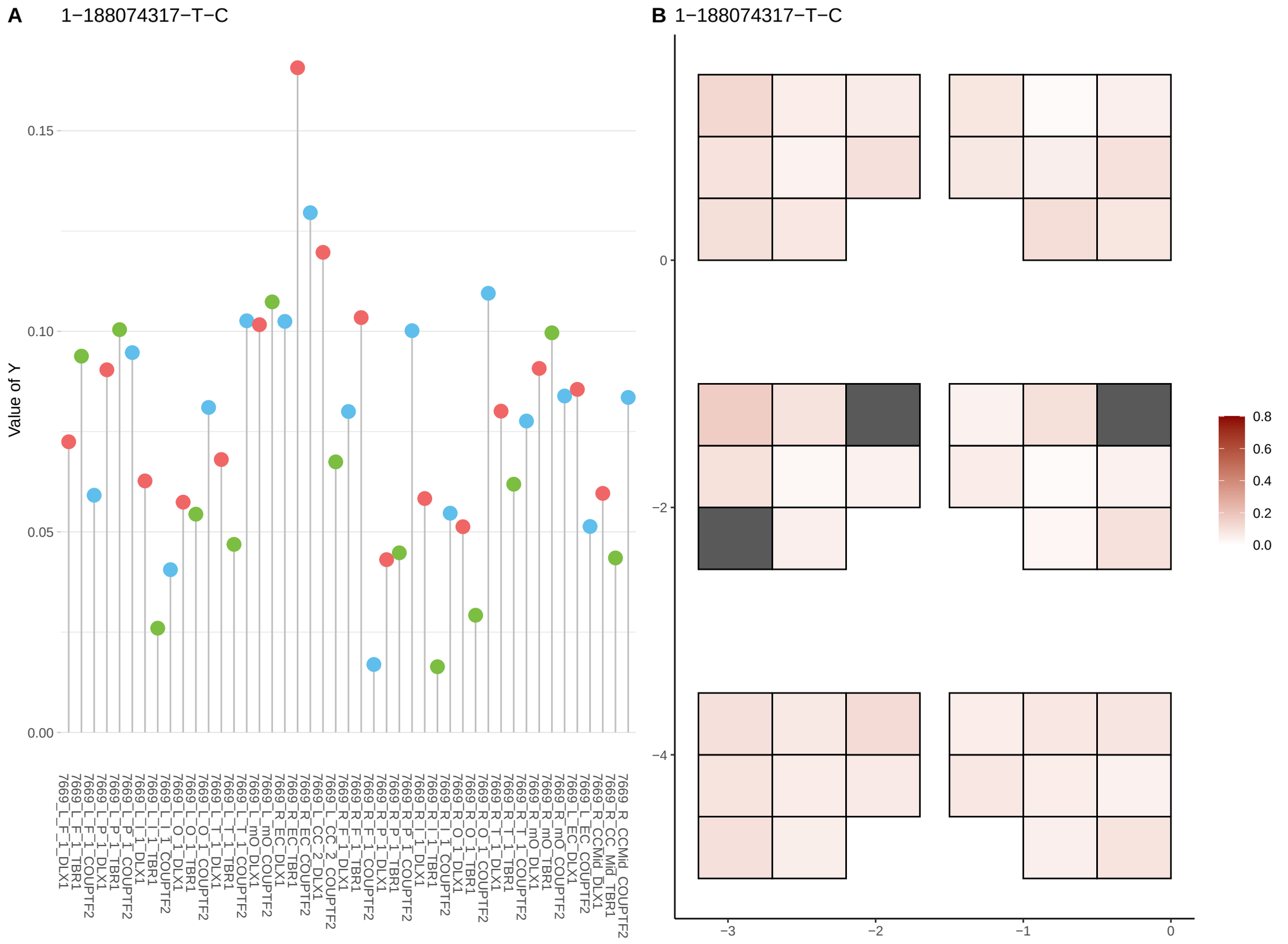
A
1−188074317−T−C
Value of Y
0.15
0.10
0.05
0.00
7669_L_F_1_DLX1
7669_L_F_1_TBR1
7669_L_F_1_COUPTF2
7669_L_P_1_DLX1
7669_L_P_1_TBR1
7669_L_P_1_COUPTF2
7669_L_I_1_DLX1
7669_L_I_1_TBR1
7669_L_I_1_COUPTF2
7669_L_O_1_DLX1
7669_L_O_1_TBR1
7669_L_O_1_COUPTF2
7669_L_T_1_DLX1
7669_L_T_1_TBR1
7669_L_T_1_COUPTF2
7669_L_mO_DLX1
7669_L_mO_COUPTF2
7669_R_EC_DLX1
7669_R_EC_TBR1
7669_R_EC_COUPTF2
7669_L_CC_2_DLX1
7669_L_CC_2_COUPTF2
7669_R_F_1_DLX1
7669_R_F_1_TBR1
7669_R_F_1_COUPTF2
7669_R_P_1_DLX1
7669_R_P_1_TBR1
7669_R_P_1_COUPTF2
7669_R_I_1_DLX1
7669_R_I_1_TBR1
7669_R_I_1_COUPTF2
7669_R_O_1_DLX1
7669_R_O_1_TBR1
7669_R_O_1_COUPTF2
7669_R_T_1_DLX1
7669_R_T_1_TBR1
7669_R_T_1_COUPTF2
7669_R_mO_DLX1
7669_R_mO_TBR1
7669_R_mO_COUPTF2
7669_L_EC_DLX1
7669_L_EC_COUPTF2
7669_R_CCMid_DLX1
7669_R_CC_Mid_TBR1
7669_R_CCMid_COUPTF2
B
1−188074317−T−C
0
−2
−4
−3
−2
−1
0
0.8
0.6
0.4
0.2
0.0

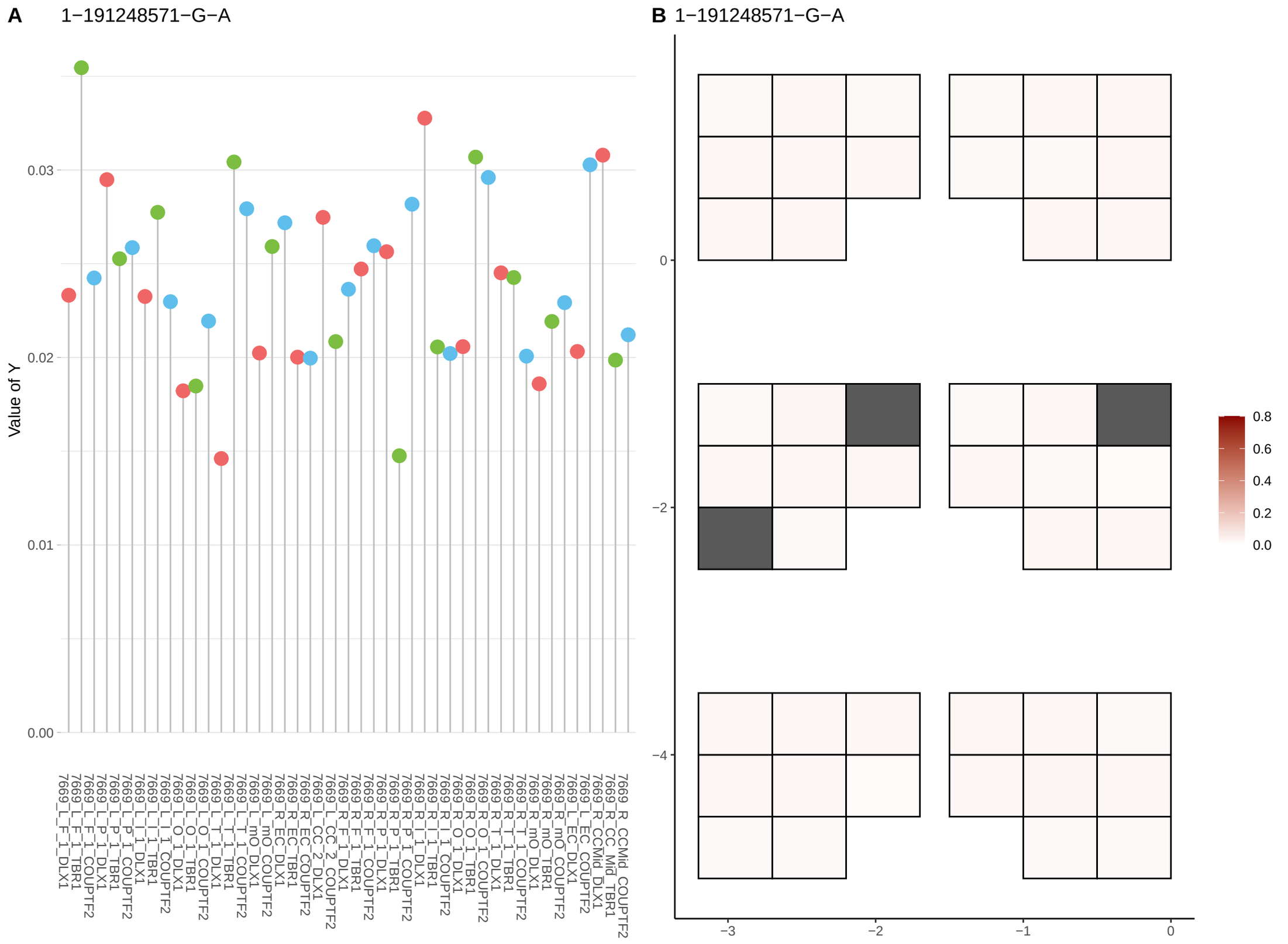
A
1−191248571−G−A
Value of Y
0.03
0.02
0.01
0.00
7669_L_F_1_DLX1
7669_L_F_1_TBR1
7669_L_F_1_COUPTF2
7669_L_P_1_DLX1
7669_L_P_1_TBR1
7669_L_P_1_COUPTF2
7669_L_I_1_DLX1
7669_L_I_1_TBR1
7669_L_I_1_COUPTF2
7669_L_O_1_DLX1
7669_L_O_1_TBR1
7669_L_O_1_COUPTF2
7669_L_T_1_DLX1
7669_L_T_1_TBR1
7669_L_T_1_COUPTF2
7669_L_mO_DLX1
7669_L_mO_COUPTF2
7669_R_EC_DLX1
7669_R_EC_TBR1
7669_R_EC_COUPTF2
7669_L_CC_2_DLX1
7669_L_CC_2_COUPTF2
7669_R_F_1_DLX1
7669_R_F_1_TBR1
7669_R_F_1_COUPTF2
7669_R_P_1_DLX1
7669_R_P_1_TBR1
7669_R_P_1_COUPTF2
7669_R_I_1_DLX1
7669_R_I_1_TBR1
7669_R_I_1_COUPTF2
7669_R_O_1_DLX1
7669_R_O_1_TBR1
7669_R_O_1_COUPTF2
7669_R_T_1_DLX1
7669_R_T_1_TBR1
7669_R_T_1_COUPTF2
7669_R_mO_DLX1
7669_R_mO_TBR1
7669_R_mO_COUPTF2
7669_L_EC_DLX1
7669_L_EC_COUPTF2
7669_R_CCMid_DLX1
7669_R_CC_Mid_TBR1
7669_R_CCMid_COUPTF2
B
1−191248571−G−A
0
−2
−4
−3
−2
−1
0
0.8
0.6
0.4
0.2
0.0

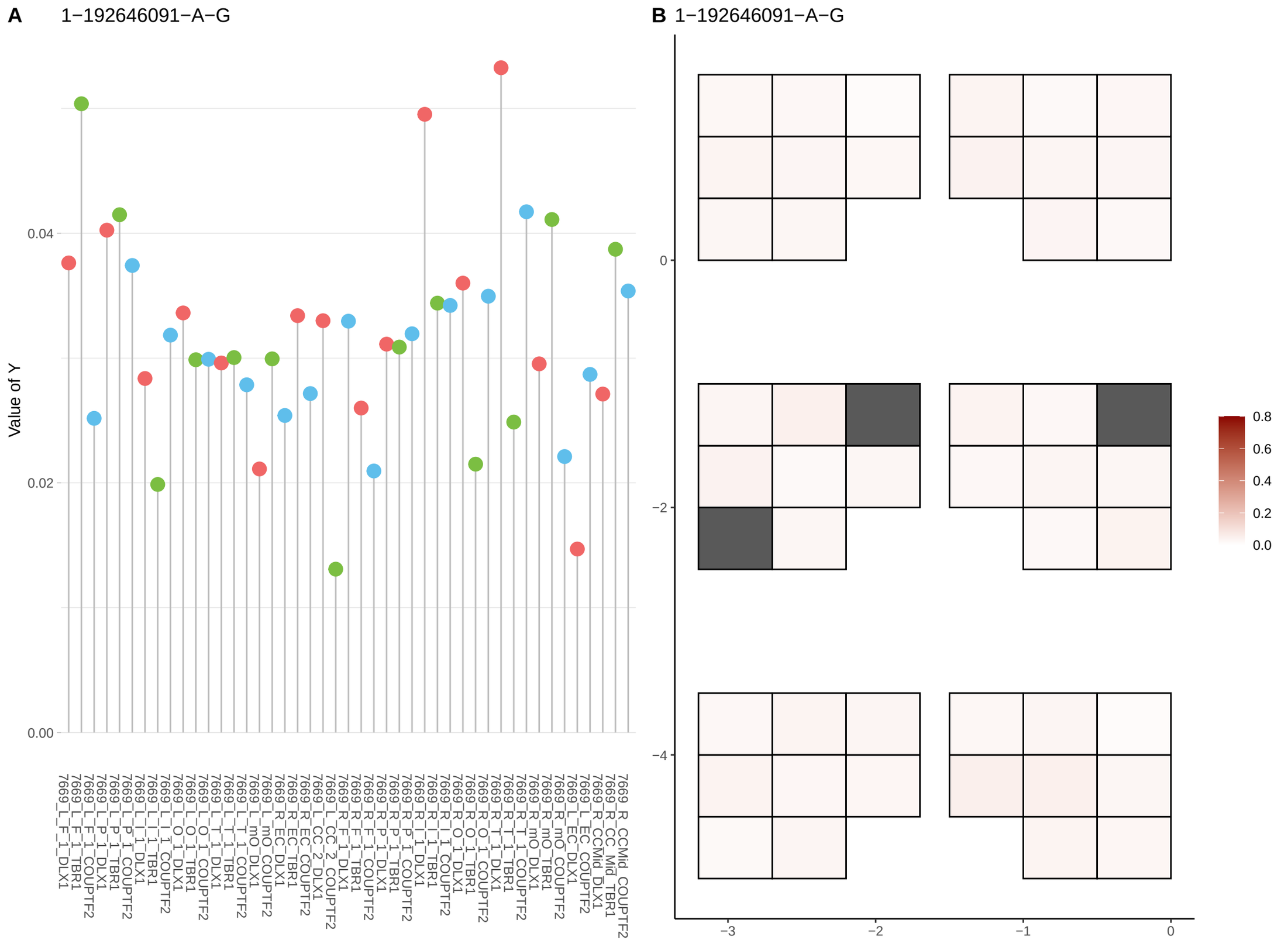
A
1−192646091−A−G
Value of Y
0.04
0.02
0.00
7669_L_F_1_DLX1
7669_L_F_1_TBR1
7669_L_F_1_COUPTF2
7669_L_P_1_DLX1
7669_L_P_1_TBR1
7669_L_P_1_COUPTF2
7669_L_I_1_DLX1
7669_L_I_1_TBR1
7669_L_I_1_COUPTF2
7669_L_O_1_DLX1
7669_L_O_1_TBR1
7669_L_O_1_COUPTF2
7669_L_T_1_DLX1
7669_L_T_1_TBR1
7669_L_T_1_COUPTF2
7669_L_mO_DLX1
7669_L_mO_COUPTF2
7669_R_EC_DLX1
7669_R_EC_TBR1
7669_R_EC_COUPTF2
7669_L_CC_2_DLX1
7669_L_CC_2_COUPTF2
7669_R_F_1_DLX1
7669_R_F_1_TBR1
7669_R_F_1_COUPTF2
7669_R_P_1_DLX1
7669_R_P_1_TBR1
7669_R_P_1_COUPTF2
7669_R_I_1_DLX1
7669_R_I_1_TBR1
7669_R_I_1_COUPTF2
7669_R_O_1_DLX1
7669_R_O_1_TBR1
7669_R_O_1_COUPTF2
7669_R_T_1_DLX1
7669_R_T_1_TBR1
7669_R_T_1_COUPTF2
7669_R_mO_DLX1
7669_R_mO_TBR1
7669_R_mO_COUPTF2
7669_L_EC_DLX1
7669_L_EC_COUPTF2
7669_R_CCMid_DLX1
7669_R_CC_Mid_TBR1
7669_R_CCMid_COUPTF2
B
1−192646091−A−G
0
−2
−4
−3
−2
−1
0
0.8
0.6
0.4
0.2
0.0

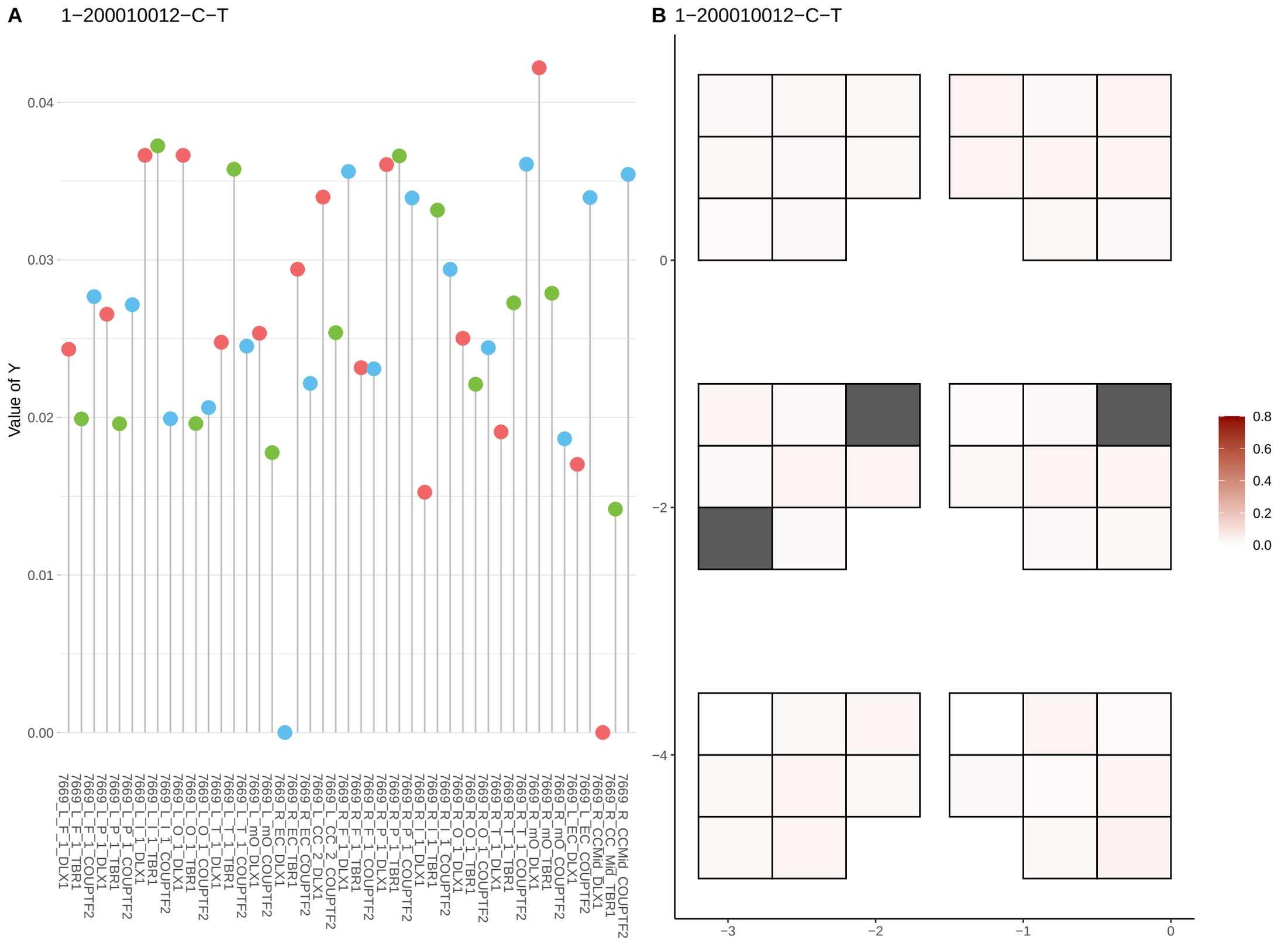
A
1−200010012−C−T
Value of Y
0.04
0.03
0.02
0.01
0.00
7669_L_F_1_DLX1
7669_L_F_1_TBR1
7669_L_F_1_COUPTF2
7669_L_P_1_DLX1
7669_L_P_1_TBR1
7669_L_P_1_COUPTF2
7669_L_I_1_DLX1
7669_L_I_1_TBR1
7669_L_I_1_COUPTF2
7669_L_O_1_DLX1
7669_L_O_1_TBR1
7669_L_O_1_COUPTF2
7669_L_T_1_DLX1
7669_L_T_1_TBR1
7669_L_T_1_COUPTF2
7669_L_mO_DLX1
7669_L_mO_COUPTF2
7669_R_EC_DLX1
7669_R_EC_TBR1
7669_R_EC_COUPTF2
7669_L_CC_2_DLX1
7669_L_CC_2_COUPTF2
7669_R_F_1_DLX1
7669_R_F_1_TBR1
7669_R_F_1_COUPTF2
7669_R_P_1_DLX1
7669_R_P_1_TBR1
7669_R_P_1_COUPTF2
7669_R_I_1_DLX1
7669_R_I_1_TBR1
7669_R_I_1_COUPTF2
7669_R_O_1_DLX1
7669_R_O_1_TBR1
7669_R_O_1_COUPTF2
7669_R_T_1_DLX1
7669_R_T_1_TBR1
7669_R_T_1_COUPTF2
7669_R_mO_DLX1
7669_R_mO_TBR1
7669_R_mO_COUPTF2
7669_L_EC_DLX1
7669_L_EC_COUPTF2
7669_R_CCMid_DLX1
7669_R_CC_Mid_TBR1
7669_R_CCMid_COUPTF2
B
1−200010012−C−T
0
−2
−4
−3
−2
−1
0
0.8
0.6
0.4
0.2
0.0

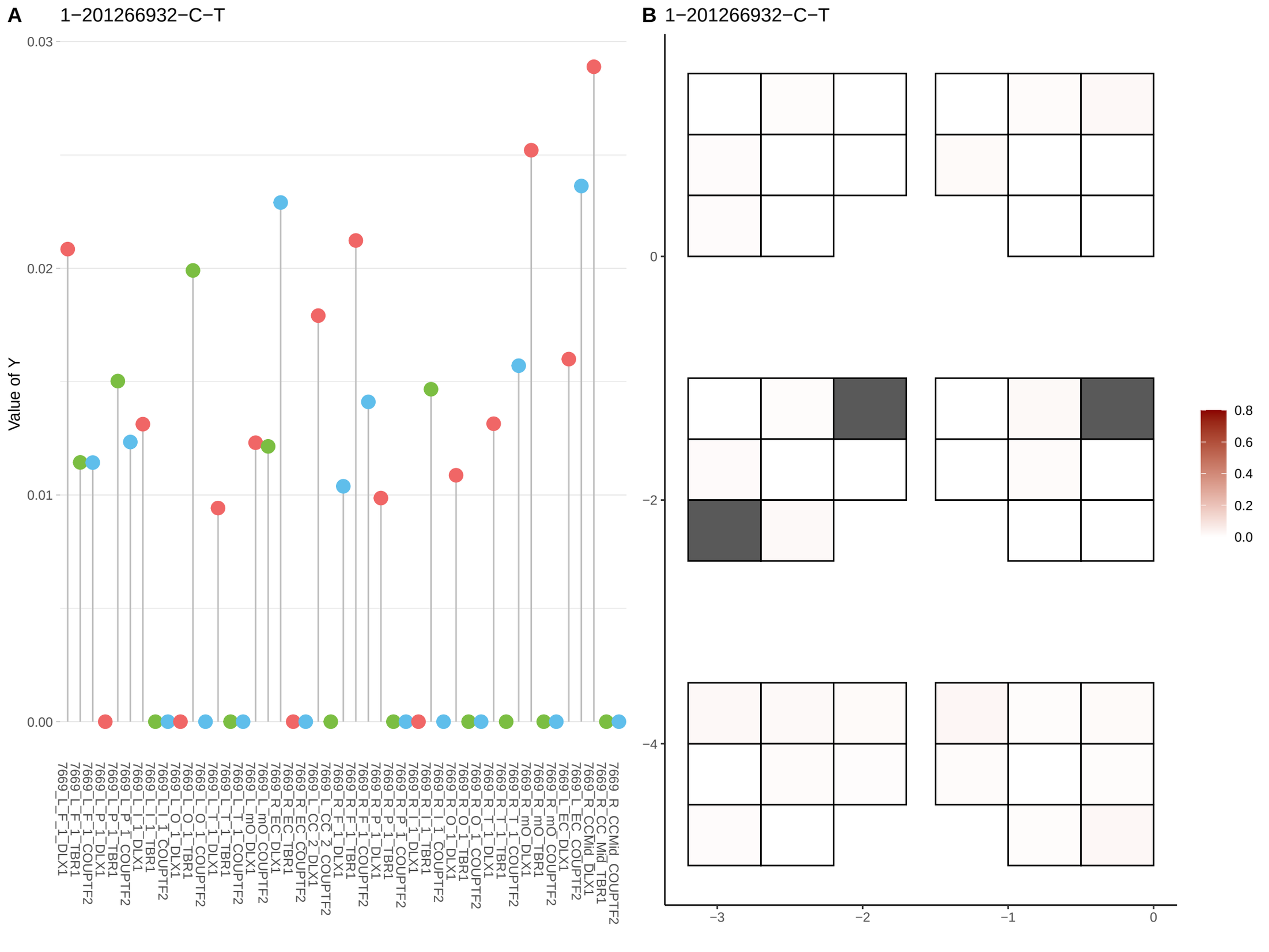
A
1−201266932−C−T
Value of Y
0.03
0.02
0.01
0.00
7669_L_F_1_DLX1
7669_L_F_1_TBR1
7669_L_F_1_COUPTF2
7669_L_P_1_DLX1
7669_L_P_1_TBR1
7669_L_P_1_COUPTF2
7669_L_I_1_DLX1
7669_L_I_1_TBR1
7669_L_I_1_COUPTF2
7669_L_O_1_DLX1
7669_L_O_1_TBR1
7669_L_O_1_COUPTF2
7669_L_T_1_DLX1
7669_L_T_1_TBR1
7669_L_T_1_COUPTF2
7669_L_mO_DLX1
7669_L_mO_COUPTF2
7669_R_EC_DLX1
7669_R_EC_TBR1
7669_R_EC_COUPTF2
7669_L_CC_2_DLX1
7669_L_CC_2_COUPTF2
7669_R_F_1_DLX1
7669_R_F_1_TBR1
7669_R_F_1_COUPTF2
7669_R_P_1_DLX1
7669_R_P_1_TBR1
7669_R_P_1_COUPTF2
7669_R_I_1_DLX1
7669_R_I_1_TBR1
7669_R_I_1_COUPTF2
7669_R_O_1_DLX1
7669_R_O_1_TBR1
7669_R_O_1_COUPTF2
7669_R_T_1_DLX1
7669_R_T_1_TBR1
7669_R_T_1_COUPTF2
7669_R_mO_DLX1
7669_R_mO_TBR1
7669_R_mO_COUPTF2
7669_L_EC_DLX1
7669_L_EC_COUPTF2
7669_R_CCMid_DLX1
7669_R_CC_Mid_TBR1
7669_R_CCMid_COUPTF2
B
1−201266932−C−T
0
−2
−4
−3
−2
−1
0
0.8
0.6
0.4
0.2
0.0

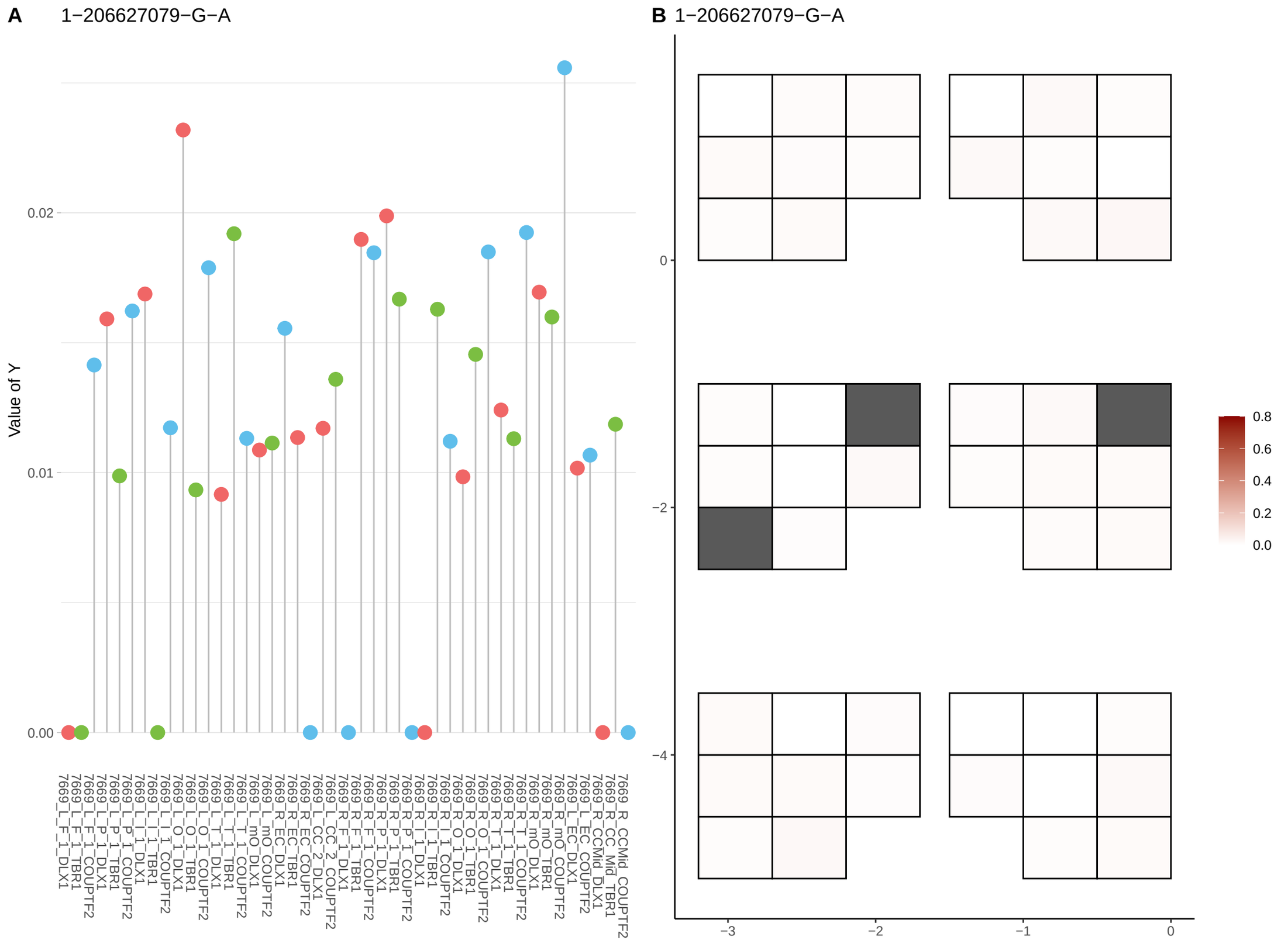
A
1−206627079−G−A
Value of Y
0.02
0.01
0.00
7669_L_F_1_DLX1
7669_L_F_1_TBR1
7669_L_F_1_COUPTF2
7669_L_P_1_DLX1
7669_L_P_1_TBR1
7669_L_P_1_COUPTF2
7669_L_I_1_DLX1
7669_L_I_1_TBR1
7669_L_I_1_COUPTF2
7669_L_O_1_DLX1
7669_L_O_1_TBR1
7669_L_O_1_COUPTF2
7669_L_T_1_DLX1
7669_L_T_1_TBR1
7669_L_T_1_COUPTF2
7669_L_mO_DLX1
7669_L_mO_COUPTF2
7669_R_EC_DLX1
7669_R_EC_TBR1
7669_R_EC_COUPTF2
7669_L_CC_2_DLX1
7669_L_CC_2_COUPTF2
7669_R_F_1_DLX1
7669_R_F_1_TBR1
7669_R_F_1_COUPTF2
7669_R_P_1_DLX1
7669_R_P_1_TBR1
7669_R_P_1_COUPTF2
7669_R_I_1_DLX1
7669_R_I_1_TBR1
7669_R_I_1_COUPTF2
7669_R_O_1_DLX1
7669_R_O_1_TBR1
7669_R_O_1_COUPTF2
7669_R_T_1_DLX1
7669_R_T_1_TBR1
7669_R_T_1_COUPTF2
7669_R_mO_DLX1
7669_R_mO_TBR1
7669_R_mO_COUPTF2
7669_L_EC_DLX1
7669_L_EC_COUPTF2
7669_R_CCMid_DLX1
7669_R_CC_Mid_TBR1
7669_R_CCMid_COUPTF2
B
1−206627079−G−A
0
−2
−4
−3
−2
−1
0
0.8
0.6
0.4
0.2
0.0

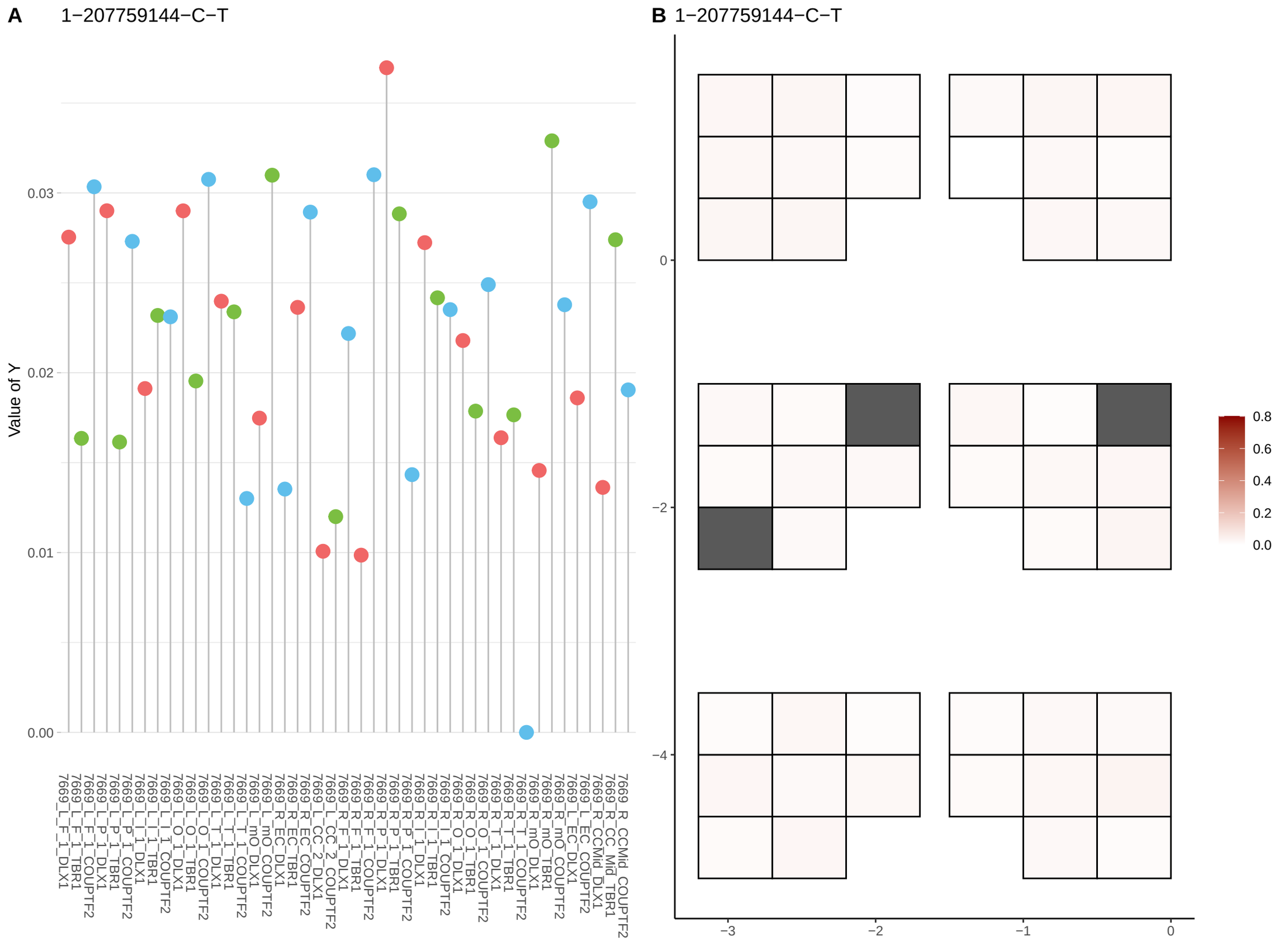
A
1−207759144−C−T
Value of Y
0.03
0.02
0.01
0.00
7669_L_F_1_DLX1
7669_L_F_1_TBR1
7669_L_F_1_COUPTF2
7669_L_P_1_DLX1
7669_L_P_1_TBR1
7669_L_P_1_COUPTF2
7669_L_I_1_DLX1
7669_L_I_1_TBR1
7669_L_I_1_COUPTF2
7669_L_O_1_DLX1
7669_L_O_1_TBR1
7669_L_O_1_COUPTF2
7669_L_T_1_DLX1
7669_L_T_1_TBR1
7669_L_T_1_COUPTF2
7669_L_mO_DLX1
7669_L_mO_COUPTF2
7669_R_EC_DLX1
7669_R_EC_TBR1
7669_R_EC_COUPTF2
7669_L_CC_2_DLX1
7669_L_CC_2_COUPTF2
7669_R_F_1_DLX1
7669_R_F_1_TBR1
7669_R_F_1_COUPTF2
7669_R_P_1_DLX1
7669_R_P_1_TBR1
7669_R_P_1_COUPTF2
7669_R_I_1_DLX1
7669_R_I_1_TBR1
7669_R_I_1_COUPTF2
7669_R_O_1_DLX1
7669_R_O_1_TBR1
7669_R_O_1_COUPTF2
7669_R_T_1_DLX1
7669_R_T_1_TBR1
7669_R_T_1_COUPTF2
7669_R_mO_DLX1
7669_R_mO_TBR1
7669_R_mO_COUPTF2
7669_L_EC_DLX1
7669_L_EC_COUPTF2
7669_R_CCMid_DLX1
7669_R_CC_Mid_TBR1
7669_R_CCMid_COUPTF2
B
1−207759144−C−T
0
−2
−4
−3
−2
−1
0
0.8
0.6
0.4
0.2
0.0

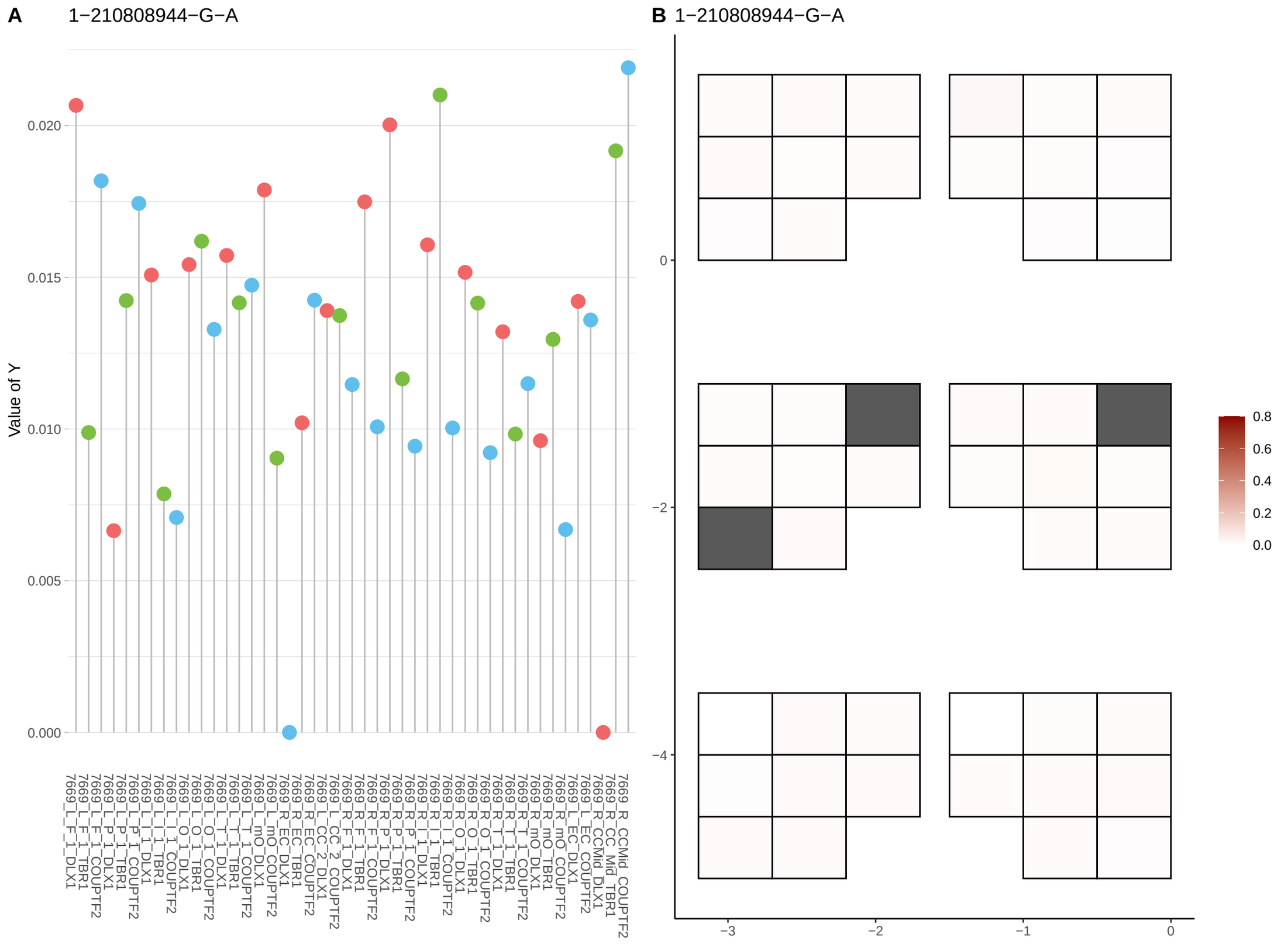
A
1−210808944−G−A
Value of Y
0.020
0.015
0.010
0.005
0.000
7669_L_F_1_DLX1
7669_L_F_1_TBR1
7669_L_F_1_COUPTF2
7669_L_P_1_DLX1
7669_L_P_1_TBR1
7669_L_P_1_COUPTF2
7669_L_I_1_DLX1
7669_L_I_1_TBR1
7669_L_I_1_COUPTF2
7669_L_O_1_DLX1
7669_L_O_1_TBR1
7669_L_O_1_COUPTF2
7669_L_T_1_DLX1
7669_L_T_1_TBR1
7669_L_T_1_COUPTF2
7669_L_mO_DLX1
7669_L_mO_COUPTF2
7669_R_EC_DLX1
7669_R_EC_TBR1
7669_R_EC_COUPTF2
7669_L_CC_2_DLX1
7669_L_CC_2_COUPTF2
7669_R_F_1_DLX1
7669_R_F_1_TBR1
7669_R_F_1_COUPTF2
7669_R_P_1_DLX1
7669_R_P_1_TBR1
7669_R_P_1_COUPTF2
7669_R_I_1_DLX1
7669_R_I_1_TBR1
7669_R_I_1_COUPTF2
7669_R_O_1_DLX1
7669_R_O_1_TBR1
7669_R_O_1_COUPTF2
7669_R_T_1_DLX1
7669_R_T_1_TBR1
7669_R_T_1_COUPTF2
7669_R_mO_DLX1
7669_R_mO_TBR1
7669_R_mO_COUPTF2
7669_L_EC_DLX1
7669_L_EC_COUPTF2
7669_R_CCMid_DLX1
7669_R_CC_Mid_TBR1
7669_R_CCMid_COUPTF2
B
1−210808944−G−A
0
−2
−4
−3
−2
−1
0
0.8
0.6
0.4
0.2
0.0

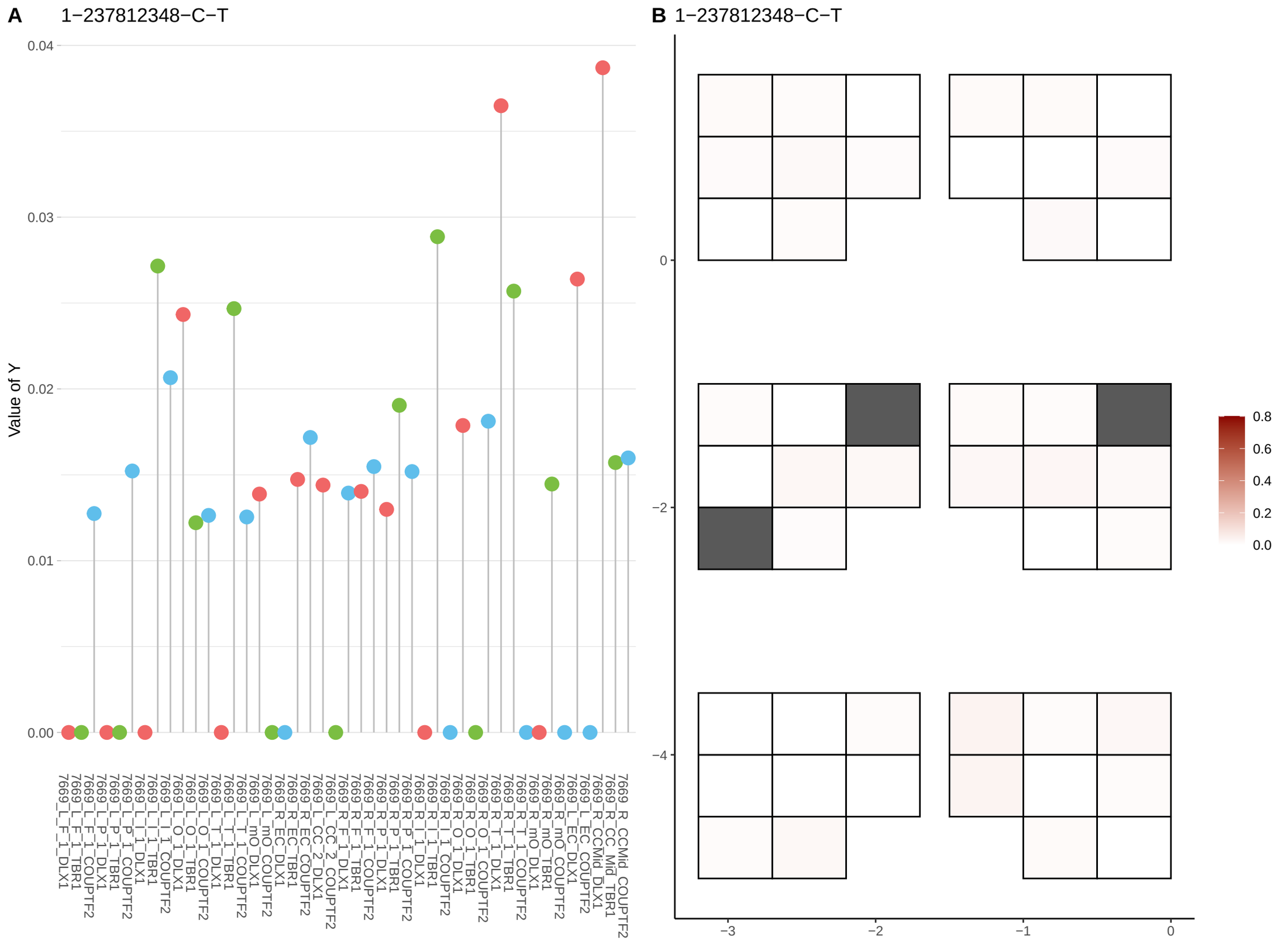
A
1−237812348−C−T
Value of Y
0.04
0.03
0.02
0.01
0.00
7669_L_F_1_DLX1
7669_L_F_1_TBR1
7669_L_F_1_COUPTF2
7669_L_P_1_DLX1
7669_L_P_1_TBR1
7669_L_P_1_COUPTF2
7669_L_I_1_DLX1
7669_L_I_1_TBR1
7669_L_I_1_COUPTF2
7669_L_O_1_DLX1
7669_L_O_1_TBR1
7669_L_O_1_COUPTF2
7669_L_T_1_DLX1
7669_L_T_1_TBR1
7669_L_T_1_COUPTF2
7669_L_mO_DLX1
7669_L_mO_COUPTF2
7669_R_EC_DLX1
7669_R_EC_TBR1
7669_R_EC_COUPTF2
7669_L_CC_2_DLX1
7669_L_CC_2_COUPTF2
7669_R_F_1_DLX1
7669_R_F_1_TBR1
7669_R_F_1_COUPTF2
7669_R_P_1_DLX1
7669_R_P_1_TBR1
7669_R_P_1_COUPTF2
7669_R_I_1_DLX1
7669_R_I_1_TBR1
7669_R_I_1_COUPTF2
7669_R_O_1_DLX1
7669_R_O_1_TBR1
7669_R_O_1_COUPTF2
7669_R_T_1_DLX1
7669_R_T_1_TBR1
7669_R_T_1_COUPTF2
7669_R_mO_DLX1
7669_R_mO_TBR1
7669_R_mO_COUPTF2
7669_L_EC_DLX1
7669_L_EC_COUPTF2
7669_R_CCMid_DLX1
7669_R_CC_Mid_TBR1
7669_R_CCMid_COUPTF2
B
1−237812348−C−T
0
−2
−4
−3
−2
−1
0
0.8
0.6
0.4
0.2
0.0

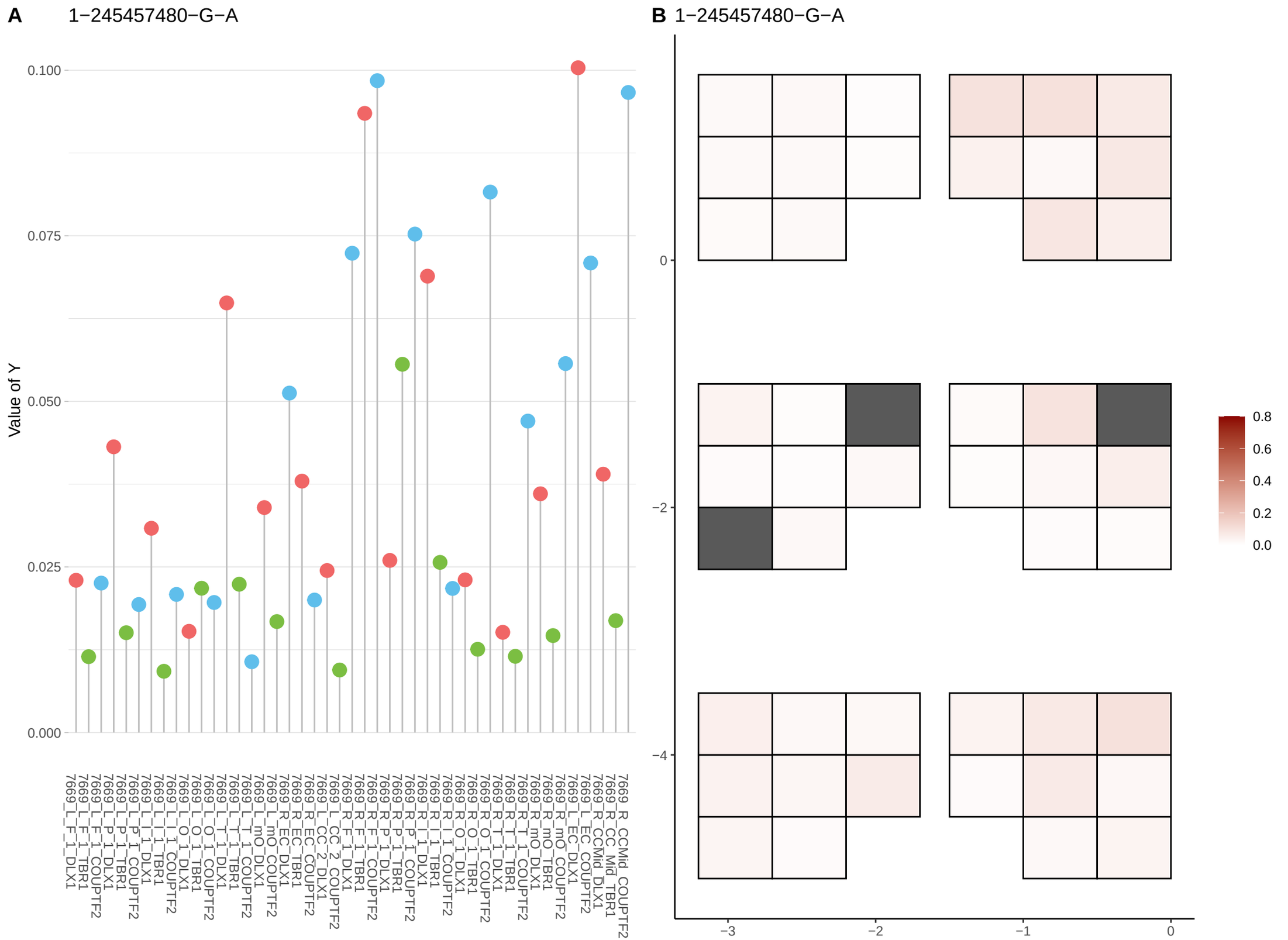
A
1−245457480−G−A
Value of Y
0.100
0.075
0.050
0.025
0.000
7669_L_F_1_DLX1
7669_L_F_1_TBR1
7669_L_F_1_COUPTF2
7669_L_P_1_DLX1
7669_L_P_1_TBR1
7669_L_P_1_COUPTF2
7669_L_I_1_DLX1
7669_L_I_1_TBR1
7669_L_I_1_COUPTF2
7669_L_O_1_DLX1
7669_L_O_1_TBR1
7669_L_O_1_COUPTF2
7669_L_T_1_DLX1
7669_L_T_1_TBR1
7669_L_T_1_COUPTF2
7669_L_mO_DLX1
7669_L_mO_COUPTF2
7669_R_EC_DLX1
7669_R_EC_TBR1
7669_R_EC_COUPTF2
7669_L_CC_2_DLX1
7669_L_CC_2_COUPTF2
7669_R_F_1_DLX1
7669_R_F_1_TBR1
7669_R_F_1_COUPTF2
7669_R_P_1_DLX1
7669_R_P_1_TBR1
7669_R_P_1_COUPTF2
7669_R_I_1_DLX1
7669_R_I_1_TBR1
7669_R_I_1_COUPTF2
7669_R_O_1_DLX1
7669_R_O_1_TBR1
7669_R_O_1_COUPTF2
7669_R_T_1_DLX1
7669_R_T_1_TBR1
7669_R_T_1_COUPTF2
7669_R_mO_DLX1
7669_R_mO_TBR1
7669_R_mO_COUPTF2
7669_L_EC_DLX1
7669_L_EC_COUPTF2
7669_R_CCMid_DLX1
7669_R_CC_Mid_TBR1
7669_R_CCMid_COUPTF2
B
1−245457480−G−A
0
−2
−4
−3
−2
−1
0
0.8
0.6
0.4
0.2
0.0

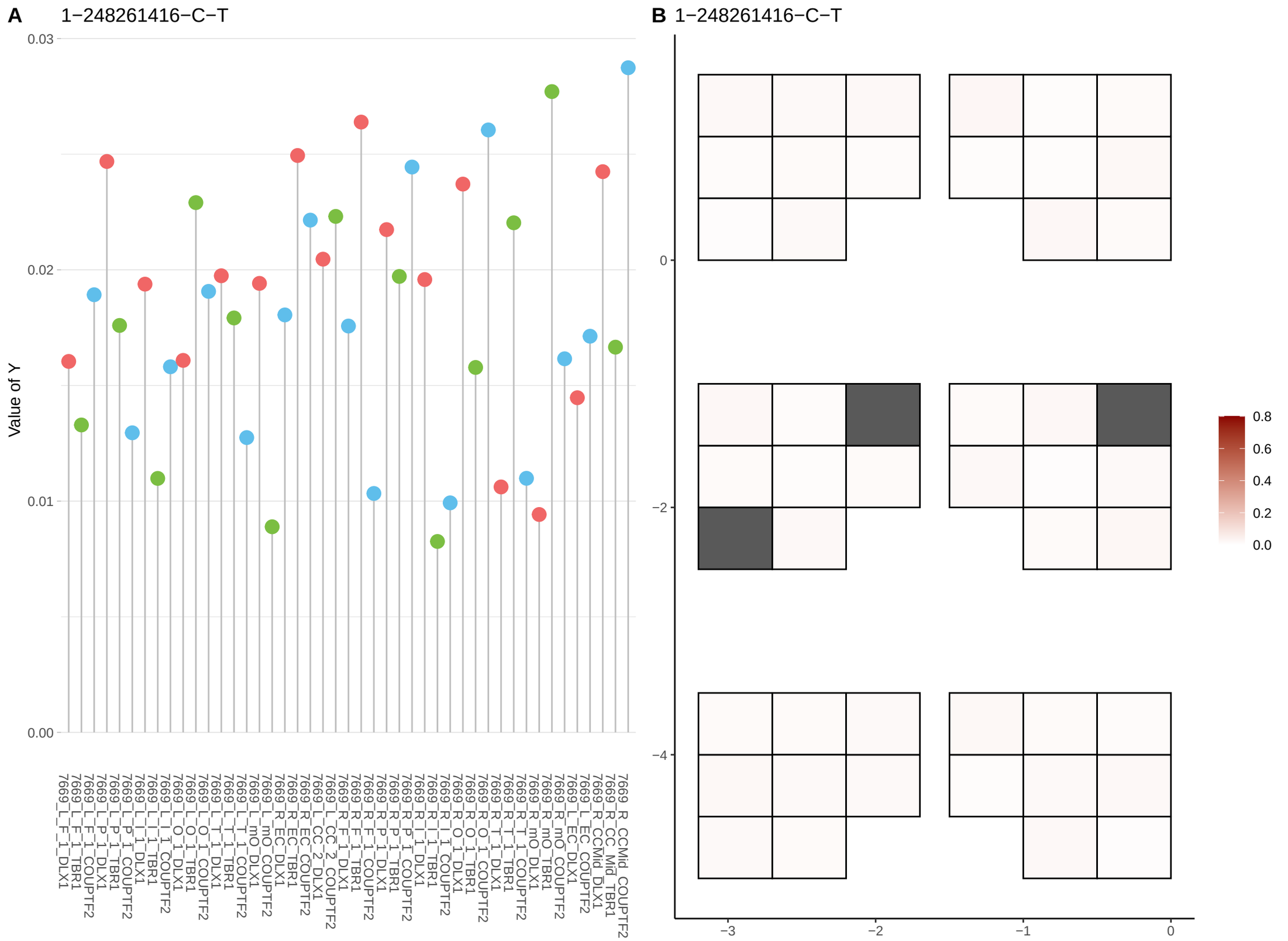
A
1−248261416−C−T
Value of Y
0.03
0.02
0.01
0.00
7669_L_F_1_DLX1
7669_L_F_1_TBR1
7669_L_F_1_COUPTF2
7669_L_P_1_DLX1
7669_L_P_1_TBR1
7669_L_P_1_COUPTF2
7669_L_I_1_DLX1
7669_L_I_1_TBR1
7669_L_I_1_COUPTF2
7669_L_O_1_DLX1
7669_L_O_1_TBR1
7669_L_O_1_COUPTF2
7669_L_T_1_DLX1
7669_L_T_1_TBR1
7669_L_T_1_COUPTF2
7669_L_mO_DLX1
7669_L_mO_COUPTF2
7669_R_EC_DLX1
7669_R_EC_TBR1
7669_R_EC_COUPTF2
7669_L_CC_2_DLX1
7669_L_CC_2_COUPTF2
7669_R_F_1_DLX1
7669_R_F_1_TBR1
7669_R_F_1_COUPTF2
7669_R_P_1_DLX1
7669_R_P_1_TBR1
7669_R_P_1_COUPTF2
7669_R_I_1_DLX1
7669_R_I_1_TBR1
7669_R_I_1_COUPTF2
7669_R_O_1_DLX1
7669_R_O_1_TBR1
7669_R_O_1_COUPTF2
7669_R_T_1_DLX1
7669_R_T_1_TBR1
7669_R_T_1_COUPTF2
7669_R_mO_DLX1
7669_R_mO_TBR1
7669_R_mO_COUPTF2
7669_L_EC_DLX1
7669_L_EC_COUPTF2
7669_R_CCMid_DLX1
7669_R_CC_Mid_TBR1
7669_R_CCMid_COUPTF2
B
1−248261416−C−T
0
−2
−4
−3
−2
−1
0
0.8
0.6
0.4
0.2
0.0

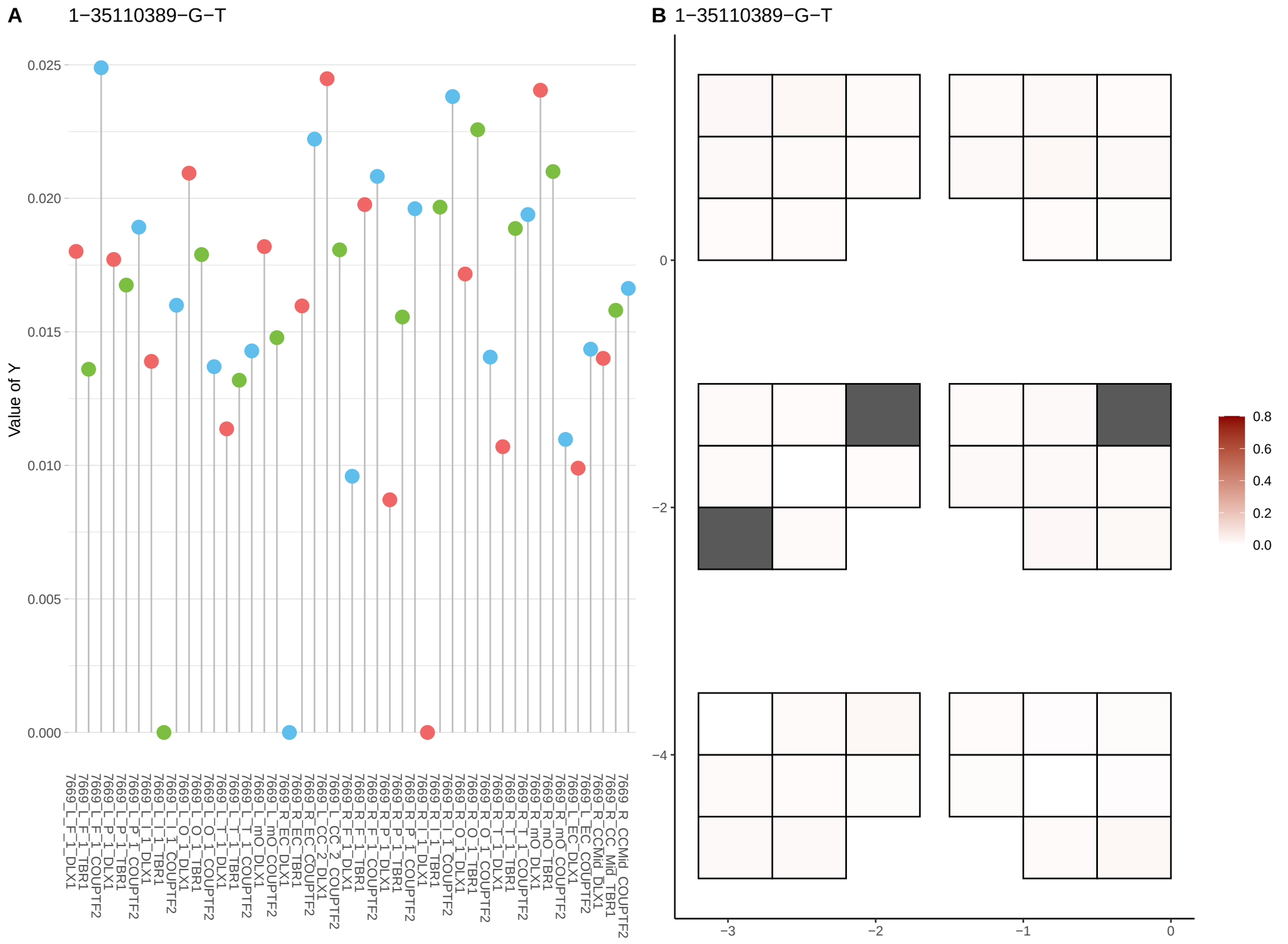
A
1−35110389−G−T
Value of Y
0.025
0.020
0.015
0.010
0.005
0.000
7669_L_F_1_DLX1
7669_L_F_1_TBR1
7669_L_F_1_COUPTF2
7669_L_P_1_DLX1
7669_L_P_1_TBR1
7669_L_P_1_COUPTF2
7669_L_I_1_DLX1
7669_L_I_1_TBR1
7669_L_I_1_COUPTF2
7669_L_O_1_DLX1
7669_L_O_1_TBR1
7669_L_O_1_COUPTF2
7669_L_T_1_DLX1
7669_L_T_1_TBR1
7669_L_T_1_COUPTF2
7669_L_mO_DLX1
7669_L_mO_COUPTF2
7669_R_EC_DLX1
7669_R_EC_TBR1
7669_R_EC_COUPTF2
7669_L_CC_2_DLX1
7669_L_CC_2_COUPTF2
7669_R_F_1_DLX1
7669_R_F_1_TBR1
7669_R_F_1_COUPTF2
7669_R_P_1_DLX1
7669_R_P_1_TBR1
7669_R_P_1_COUPTF2
7669_R_I_1_DLX1
7669_R_I_1_TBR1
7669_R_I_1_COUPTF2
7669_R_O_1_DLX1
7669_R_O_1_TBR1
7669_R_O_1_COUPTF2
7669_R_T_1_DLX1
7669_R_T_1_TBR1
7669_R_T_1_COUPTF2
7669_R_mO_DLX1
7669_R_mO_TBR1
7669_R_mO_COUPTF2
7669_L_EC_DLX1
7669_L_EC_COUPTF2
7669_R_CCMid_DLX1
7669_R_CC_Mid_TBR1
7669_R_CCMid_COUPTF2
B
1−35110389−G−T
0
−2
−4
−3
−2
−1
0
0.8
0.6
0.4
0.2
0.0

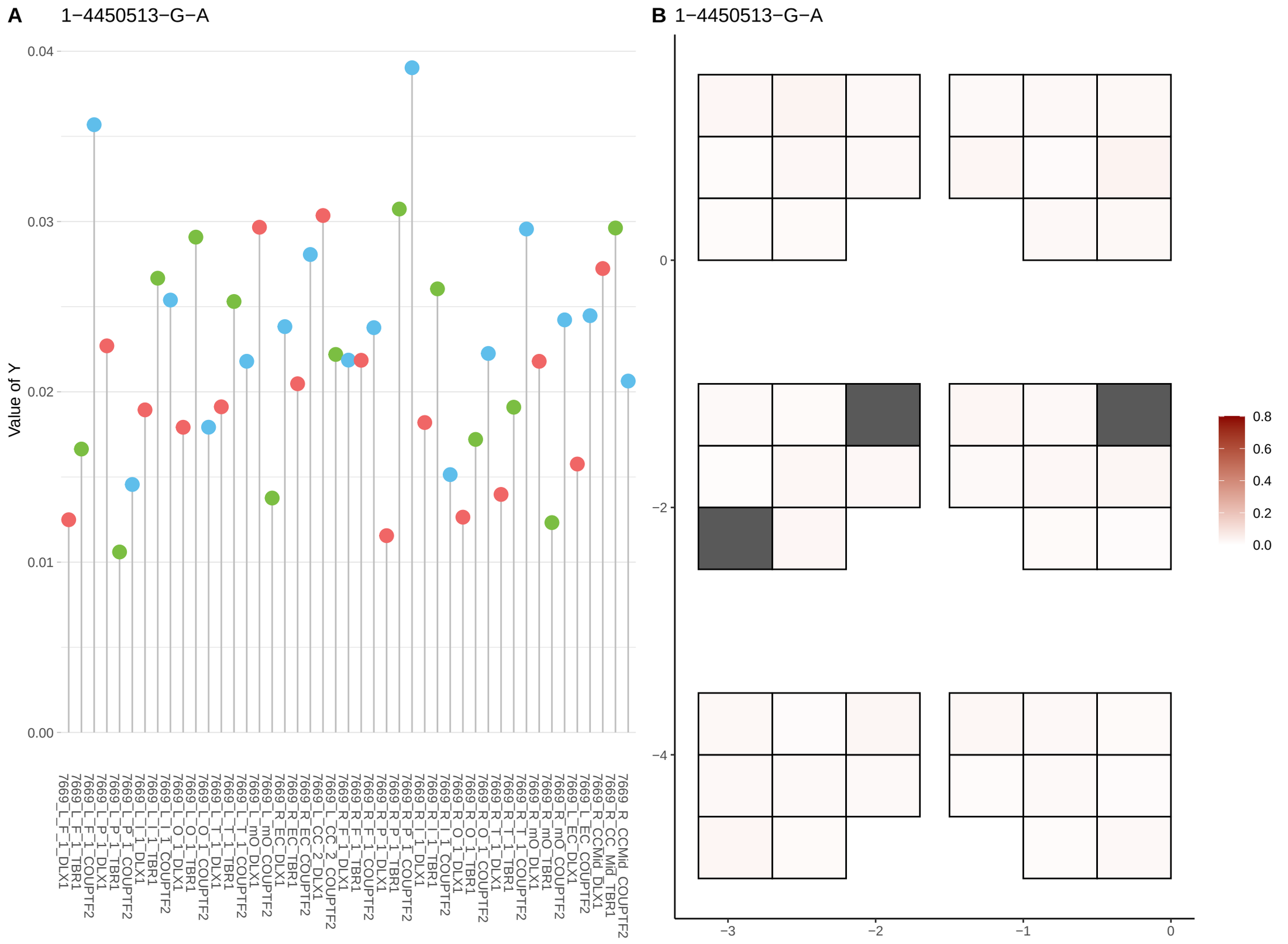
A
1−4450513−G−A
Value of Y
0.04
0.03
0.02
0.01
0.00
7669_L_F_1_DLX1
7669_L_F_1_TBR1
7669_L_F_1_COUPTF2
7669_L_P_1_DLX1
7669_L_P_1_TBR1
7669_L_P_1_COUPTF2
7669_L_I_1_DLX1
7669_L_I_1_TBR1
7669_L_I_1_COUPTF2
7669_L_O_1_DLX1
7669_L_O_1_TBR1
7669_L_O_1_COUPTF2
7669_L_T_1_DLX1
7669_L_T_1_TBR1
7669_L_T_1_COUPTF2
7669_L_mO_DLX1
7669_L_mO_COUPTF2
7669_R_EC_DLX1
7669_R_EC_TBR1
7669_R_EC_COUPTF2
7669_L_CC_2_DLX1
7669_L_CC_2_COUPTF2
7669_R_F_1_DLX1
7669_R_F_1_TBR1
7669_R_F_1_COUPTF2
7669_R_P_1_DLX1
7669_R_P_1_TBR1
7669_R_P_1_COUPTF2
7669_R_I_1_DLX1
7669_R_I_1_TBR1
7669_R_I_1_COUPTF2
7669_R_O_1_DLX1
7669_R_O_1_TBR1
7669_R_O_1_COUPTF2
7669_R_T_1_DLX1
7669_R_T_1_TBR1
7669_R_T_1_COUPTF2
7669_R_mO_DLX1
7669_R_mO_TBR1
7669_R_mO_COUPTF2
7669_L_EC_DLX1
7669_L_EC_COUPTF2
7669_R_CCMid_DLX1
7669_R_CC_Mid_TBR1
7669_R_CCMid_COUPTF2
B
1−4450513−G−A
0
−2
−4
−3
−2
−1
0
0.8
0.6
0.4
0.2
0.0

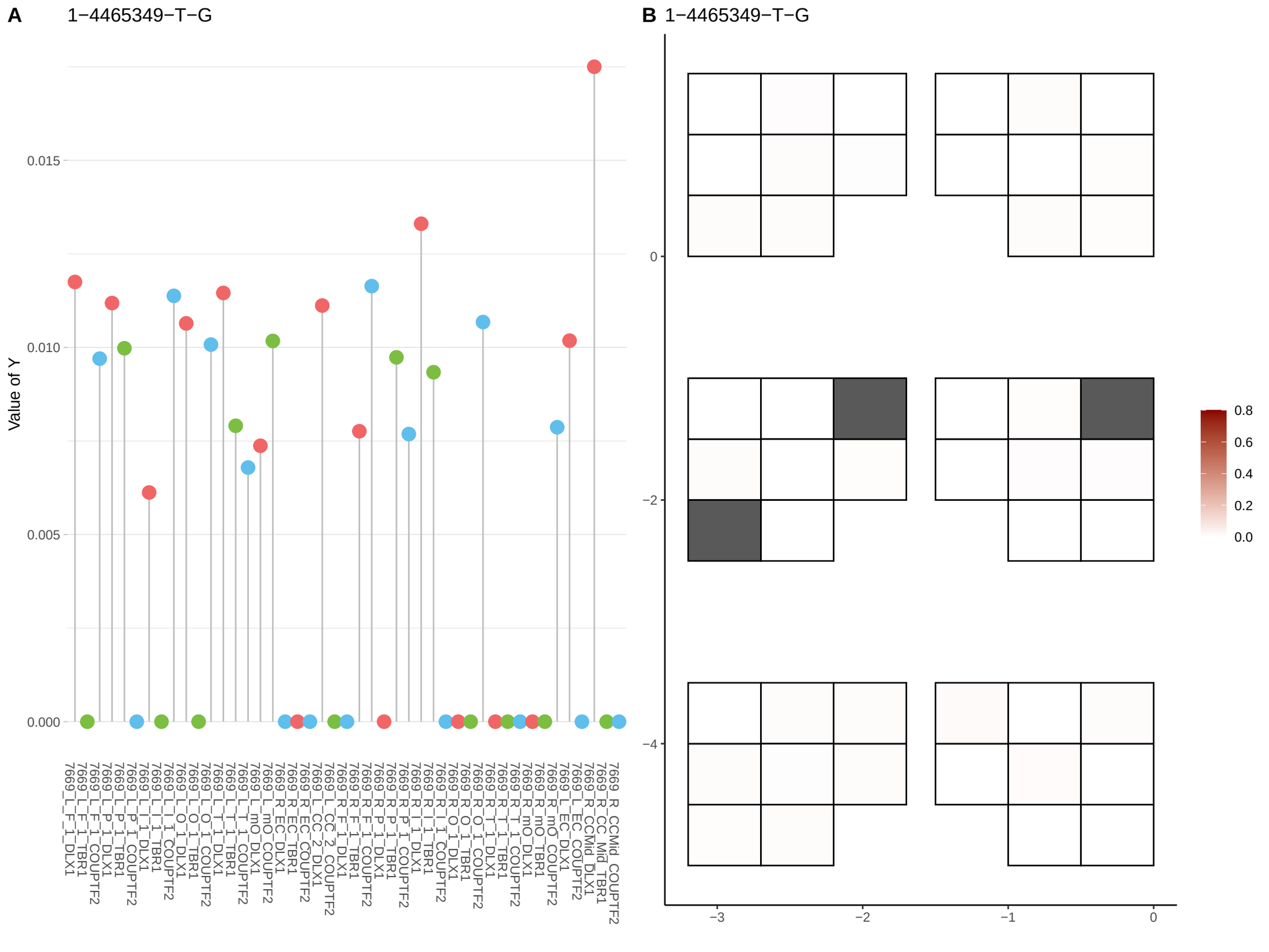
A
1−4465349−T−G
Value of Y
0.015
0.010
0.005
0.000
7669_L_F_1_DLX1
7669_L_F_1_TBR1
7669_L_F_1_COUPTF2
7669_L_P_1_DLX1
7669_L_P_1_TBR1
7669_L_P_1_COUPTF2
7669_L_I_1_DLX1
7669_L_I_1_TBR1
7669_L_I_1_COUPTF2
7669_L_O_1_DLX1
7669_L_O_1_TBR1
7669_L_O_1_COUPTF2
7669_L_T_1_DLX1
7669_L_T_1_TBR1
7669_L_T_1_COUPTF2
7669_L_mO_DLX1
7669_L_mO_COUPTF2
7669_R_EC_DLX1
7669_R_EC_TBR1
7669_R_EC_COUPTF2
7669_L_CC_2_DLX1
7669_L_CC_2_COUPTF2
7669_R_F_1_DLX1
7669_R_F_1_TBR1
7669_R_F_1_COUPTF2
7669_R_P_1_DLX1
7669_R_P_1_TBR1
7669_R_P_1_COUPTF2
7669_R_I_1_DLX1
7669_R_I_1_TBR1
7669_R_I_1_COUPTF2
7669_R_O_1_DLX1
7669_R_O_1_TBR1
7669_R_O_1_COUPTF2
7669_R_T_1_DLX1
7669_R_T_1_TBR1
7669_R_T_1_COUPTF2
7669_R_mO_DLX1
7669_R_mO_TBR1
7669_R_mO_COUPTF2
7669_L_EC_DLX1
7669_L_EC_COUPTF2
7669_R_CCMid_DLX1
7669_R_CC_Mid_TBR1
7669_R_CCMid_COUPTF2
B
1−4465349−T−G
0
−2
−4
−3
−2
−1
0
0.8
0.6
0.4
0.2
0.0

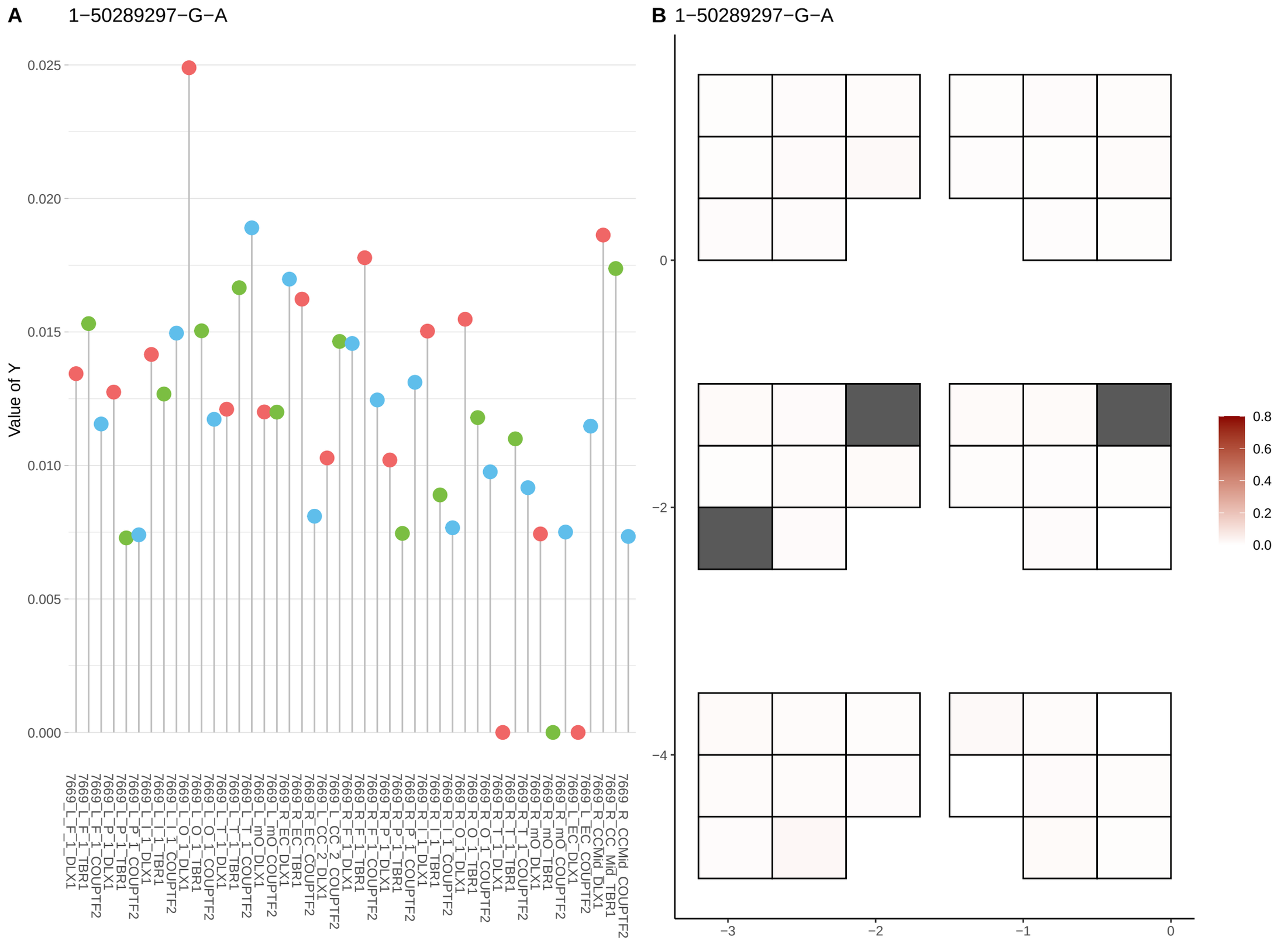
A
1−50289297−G−A
Value of Y
0.025
0.020
0.015
0.010
0.005
0.000
7669_L_F_1_DLX1
7669_L_F_1_TBR1
7669_L_F_1_COUPTF2
7669_L_P_1_DLX1
7669_L_P_1_TBR1
7669_L_P_1_COUPTF2
7669_L_I_1_DLX1
7669_L_I_1_TBR1
7669_L_I_1_COUPTF2
7669_L_O_1_DLX1
7669_L_O_1_TBR1
7669_L_O_1_COUPTF2
7669_L_T_1_DLX1
7669_L_T_1_TBR1
7669_L_T_1_COUPTF2
7669_L_mO_DLX1
7669_L_mO_COUPTF2
7669_R_EC_DLX1
7669_R_EC_TBR1
7669_R_EC_COUPTF2
7669_L_CC_2_DLX1
7669_L_CC_2_COUPTF2
7669_R_F_1_DLX1
7669_R_F_1_TBR1
7669_R_F_1_COUPTF2
7669_R_P_1_DLX1
7669_R_P_1_TBR1
7669_R_P_1_COUPTF2
7669_R_I_1_DLX1
7669_R_I_1_TBR1
7669_R_I_1_COUPTF2
7669_R_O_1_DLX1
7669_R_O_1_TBR1
7669_R_O_1_COUPTF2
7669_R_T_1_DLX1
7669_R_T_1_TBR1
7669_R_T_1_COUPTF2
7669_R_mO_DLX1
7669_R_mO_TBR1
7669_R_mO_COUPTF2
7669_L_EC_DLX1
7669_L_EC_COUPTF2
7669_R_CCMid_DLX1
7669_R_CC_Mid_TBR1
7669_R_CCMid_COUPTF2
B
1−50289297−G−A
0
−2
−4
−3
−2
−1
0
0.8
0.6
0.4
0.2
0.0

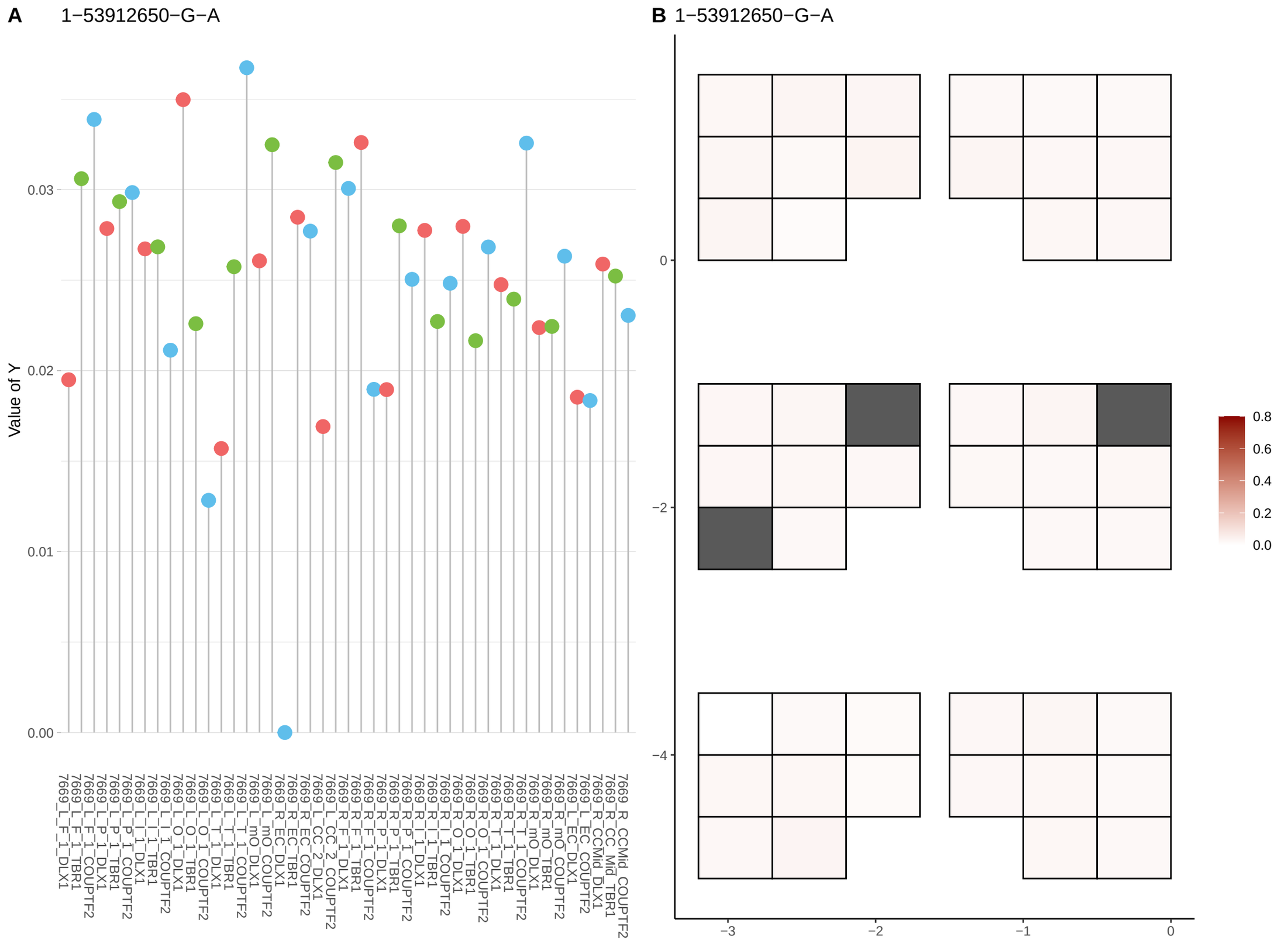
A
1−53912650−G−A
Value of Y
0.03
0.02
0.01
0.00
7669_L_F_1_DLX1
7669_L_F_1_TBR1
7669_L_F_1_COUPTF2
7669_L_P_1_DLX1
7669_L_P_1_TBR1
7669_L_P_1_COUPTF2
7669_L_I_1_DLX1
7669_L_I_1_TBR1
7669_L_I_1_COUPTF2
7669_L_O_1_DLX1
7669_L_O_1_TBR1
7669_L_O_1_COUPTF2
7669_L_T_1_DLX1
7669_L_T_1_TBR1
7669_L_T_1_COUPTF2
7669_L_mO_DLX1
7669_L_mO_COUPTF2
7669_R_EC_DLX1
7669_R_EC_TBR1
7669_R_EC_COUPTF2
7669_L_CC_2_DLX1
7669_L_CC_2_COUPTF2
7669_R_F_1_DLX1
7669_R_F_1_TBR1
7669_R_F_1_COUPTF2
7669_R_P_1_DLX1
7669_R_P_1_TBR1
7669_R_P_1_COUPTF2
7669_R_I_1_DLX1
7669_R_I_1_TBR1
7669_R_I_1_COUPTF2
7669_R_O_1_DLX1
7669_R_O_1_TBR1
7669_R_O_1_COUPTF2
7669_R_T_1_DLX1
7669_R_T_1_TBR1
7669_R_T_1_COUPTF2
7669_R_mO_DLX1
7669_R_mO_TBR1
7669_R_mO_COUPTF2
7669_L_EC_DLX1
7669_L_EC_COUPTF2
7669_R_CCMid_DLX1
7669_R_CC_Mid_TBR1
7669_R_CCMid_COUPTF2
B
1−53912650−G−A
0
−2
−4
−3
−2
−1
0
0.8
0.6
0.4
0.2
0.0

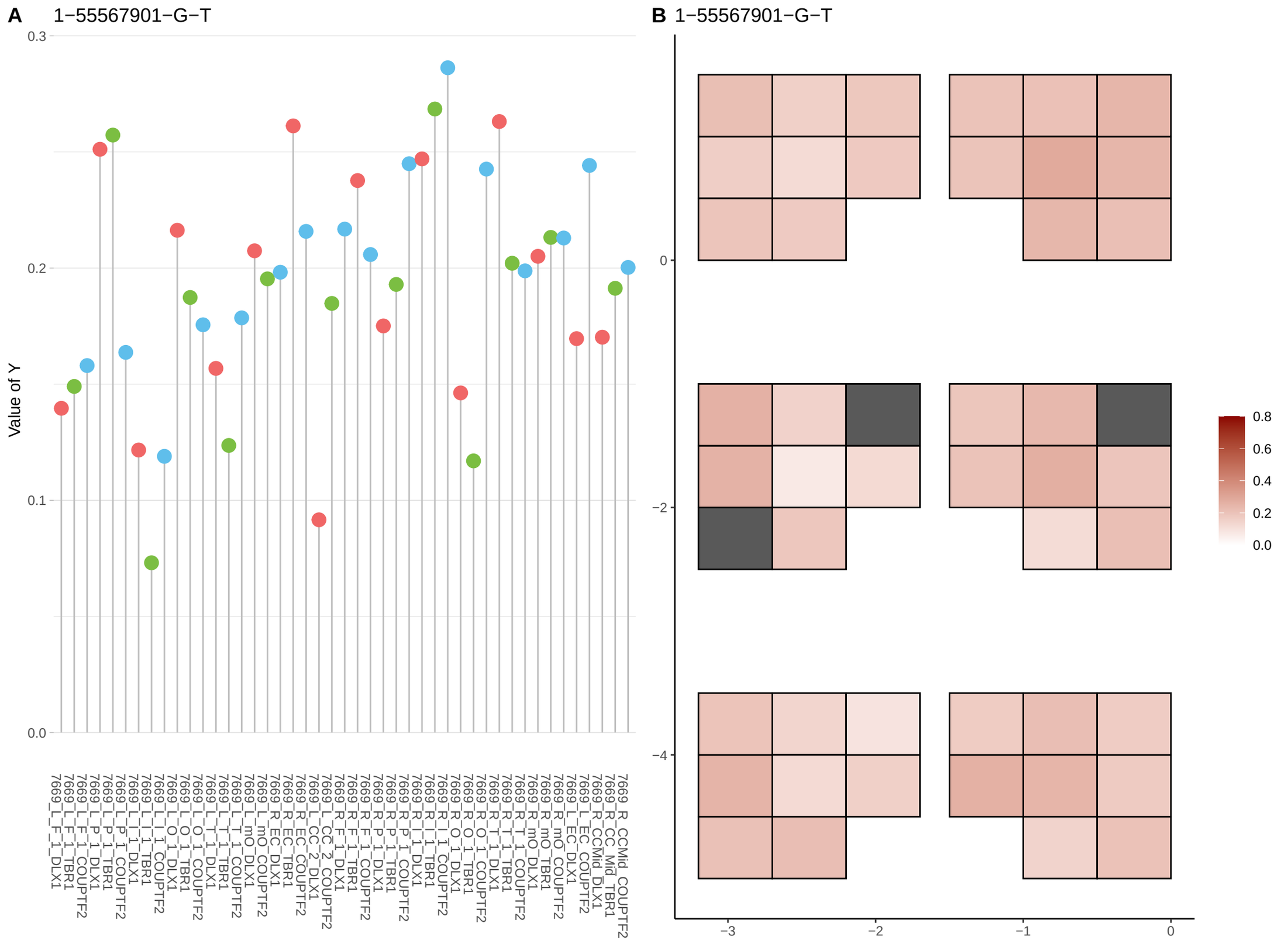
A
1−55567901−G−T
Value of Y
0.3
0.2
0.1
0.0
7669_L_F_1_DLX1
7669_L_F_1_TBR1
7669_L_F_1_COUPTF2
7669_L_P_1_DLX1
7669_L_P_1_TBR1
7669_L_P_1_COUPTF2
7669_L_I_1_DLX1
7669_L_I_1_TBR1
7669_L_I_1_COUPTF2
7669_L_O_1_DLX1
7669_L_O_1_TBR1
7669_L_O_1_COUPTF2
7669_L_T_1_DLX1
7669_L_T_1_TBR1
7669_L_T_1_COUPTF2
7669_L_mO_DLX1
7669_L_mO_COUPTF2
7669_R_EC_DLX1
7669_R_EC_TBR1
7669_R_EC_COUPTF2
7669_L_CC_2_DLX1
7669_L_CC_2_COUPTF2
7669_R_F_1_DLX1
7669_R_F_1_TBR1
7669_R_F_1_COUPTF2
7669_R_P_1_DLX1
7669_R_P_1_TBR1
7669_R_P_1_COUPTF2
7669_R_I_1_DLX1
7669_R_I_1_TBR1
7669_R_I_1_COUPTF2
7669_R_O_1_DLX1
7669_R_O_1_TBR1
7669_R_O_1_COUPTF2
7669_R_T_1_DLX1
7669_R_T_1_TBR1
7669_R_T_1_COUPTF2
7669_R_mO_DLX1
7669_R_mO_TBR1
7669_R_mO_COUPTF2
7669_L_EC_DLX1
7669_L_EC_COUPTF2
7669_R_CCMid_DLX1
7669_R_CC_Mid_TBR1
7669_R_CCMid_COUPTF2
B
1−55567901−G−T
0
−2
−4
−3
−2
−1
0
0.8
0.6
0.4
0.2
0.0

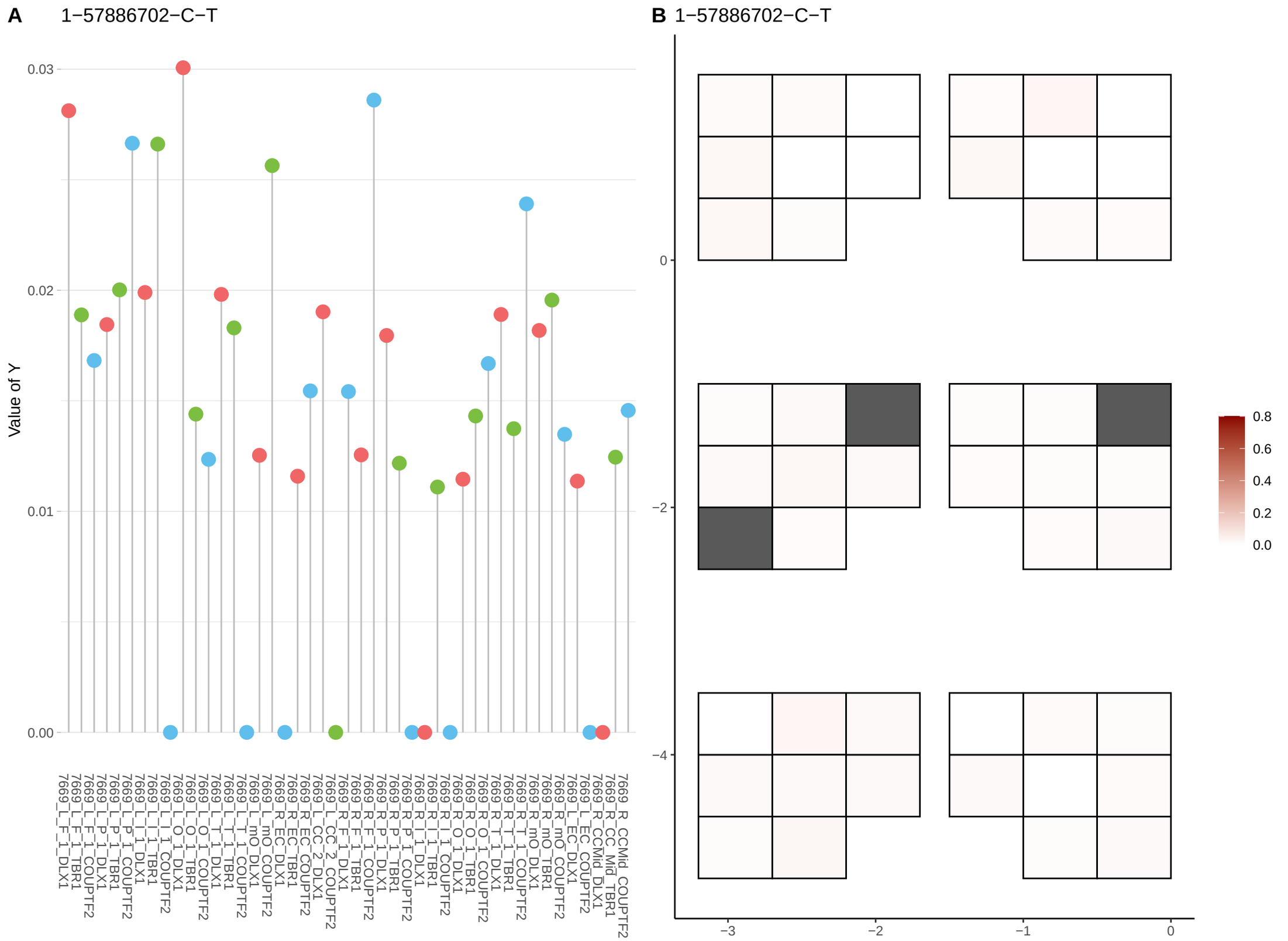
A
1−57886702−C−T
Value of Y
0.03
0.02
0.01
0.00
7669_L_F_1_DLX1
7669_L_F_1_TBR1
7669_L_F_1_COUPTF2
7669_L_P_1_DLX1
7669_L_P_1_TBR1
7669_L_P_1_COUPTF2
7669_L_I_1_DLX1
7669_L_I_1_TBR1
7669_L_I_1_COUPTF2
7669_L_O_1_DLX1
7669_L_O_1_TBR1
7669_L_O_1_COUPTF2
7669_L_T_1_DLX1
7669_L_T_1_TBR1
7669_L_T_1_COUPTF2
7669_L_mO_DLX1
7669_L_mO_COUPTF2
7669_R_EC_DLX1
7669_R_EC_TBR1
7669_R_EC_COUPTF2
7669_L_CC_2_DLX1
7669_L_CC_2_COUPTF2
7669_R_F_1_DLX1
7669_R_F_1_TBR1
7669_R_F_1_COUPTF2
7669_R_P_1_DLX1
7669_R_P_1_TBR1
7669_R_P_1_COUPTF2
7669_R_I_1_DLX1
7669_R_I_1_TBR1
7669_R_I_1_COUPTF2
7669_R_O_1_DLX1
7669_R_O_1_TBR1
7669_R_O_1_COUPTF2
7669_R_T_1_DLX1
7669_R_T_1_TBR1
7669_R_T_1_COUPTF2
7669_R_mO_DLX1
7669_R_mO_TBR1
7669_R_mO_COUPTF2
7669_L_EC_DLX1
7669_L_EC_COUPTF2
7669_R_CCMid_DLX1
7669_R_CC_Mid_TBR1
7669_R_CCMid_COUPTF2
B
1−57886702−C−T
0
−2
−4
−3
−2
−1
0
0.8
0.6
0.4
0.2
0.0

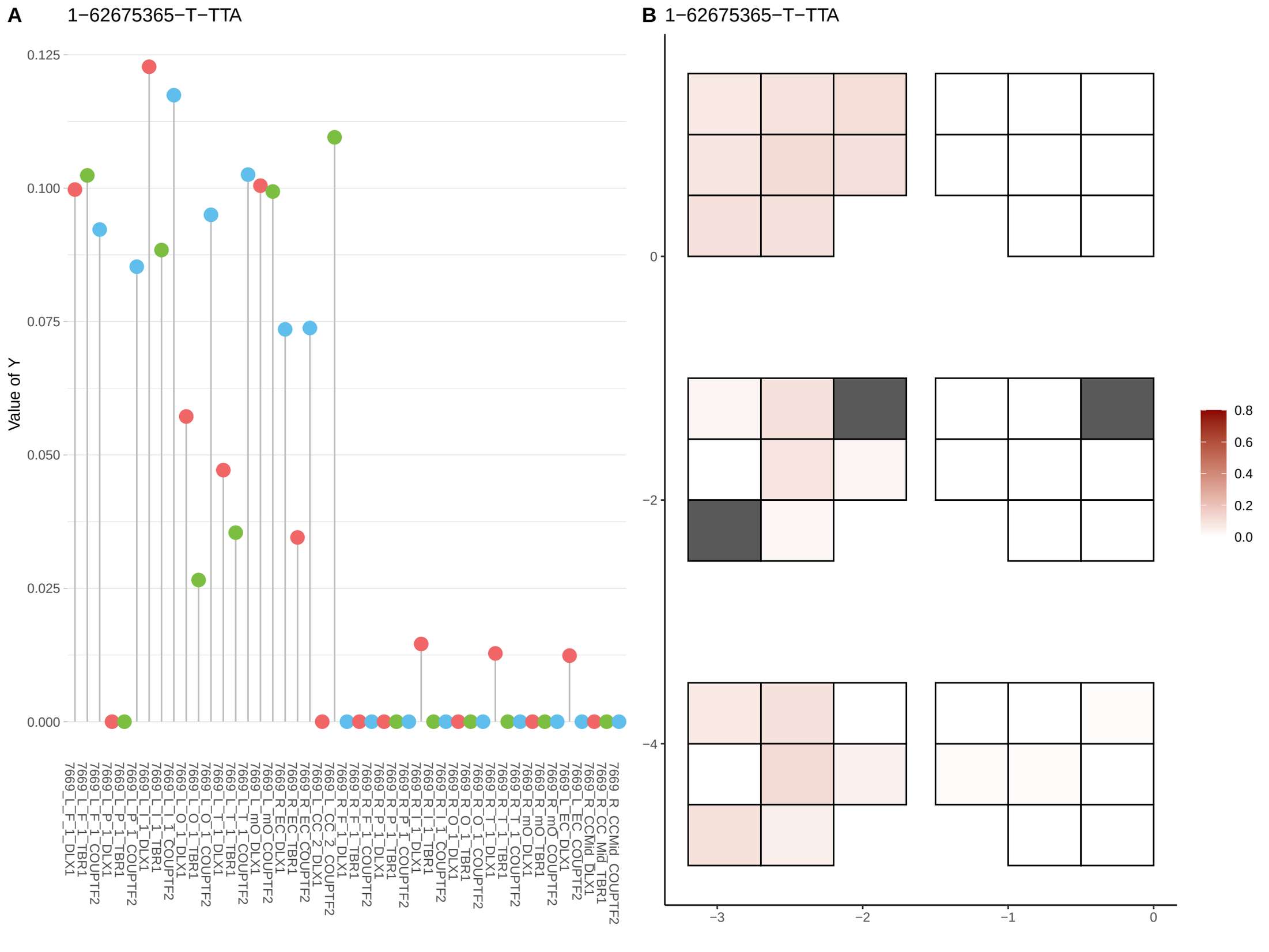
A
1−62675365−T−TTA
Value of Y
0.125
0.100
0.075
0.050
0.025
0.000
7669_L_F_1_DLX1
7669_L_F_1_TBR1
7669_L_F_1_COUPTF2
7669_L_P_1_DLX1
7669_L_P_1_TBR1
7669_L_P_1_COUPTF2
7669_L_I_1_DLX1
7669_L_I_1_TBR1
7669_L_I_1_COUPTF2
7669_L_O_1_DLX1
7669_L_O_1_TBR1
7669_L_O_1_COUPTF2
7669_L_T_1_DLX1
7669_L_T_1_TBR1
7669_L_T_1_COUPTF2
7669_L_mO_DLX1
7669_L_mO_COUPTF2
7669_R_EC_DLX1
7669_R_EC_TBR1
7669_R_EC_COUPTF2
7669_L_CC_2_DLX1
7669_L_CC_2_COUPTF2
7669_R_F_1_DLX1
7669_R_F_1_TBR1
7669_R_F_1_COUPTF2
7669_R_P_1_DLX1
7669_R_P_1_TBR1
7669_R_P_1_COUPTF2
7669_R_I_1_DLX1
7669_R_I_1_TBR1
7669_R_I_1_COUPTF2
7669_R_O_1_DLX1
7669_R_O_1_TBR1
7669_R_O_1_COUPTF2
7669_R_T_1_DLX1
7669_R_T_1_TBR1
7669_R_T_1_COUPTF2
7669_R_mO_DLX1
7669_R_mO_TBR1
7669_R_mO_COUPTF2
7669_L_EC_DLX1
7669_L_EC_COUPTF2
7669_R_CCMid_DLX1
7669_R_CC_Mid_TBR1
7669_R_CCMid_COUPTF2
B
1−62675365−T−TTA
0
−2
−4
−3
−2
−1
0
0.8
0.6
0.4
0.2
0.0

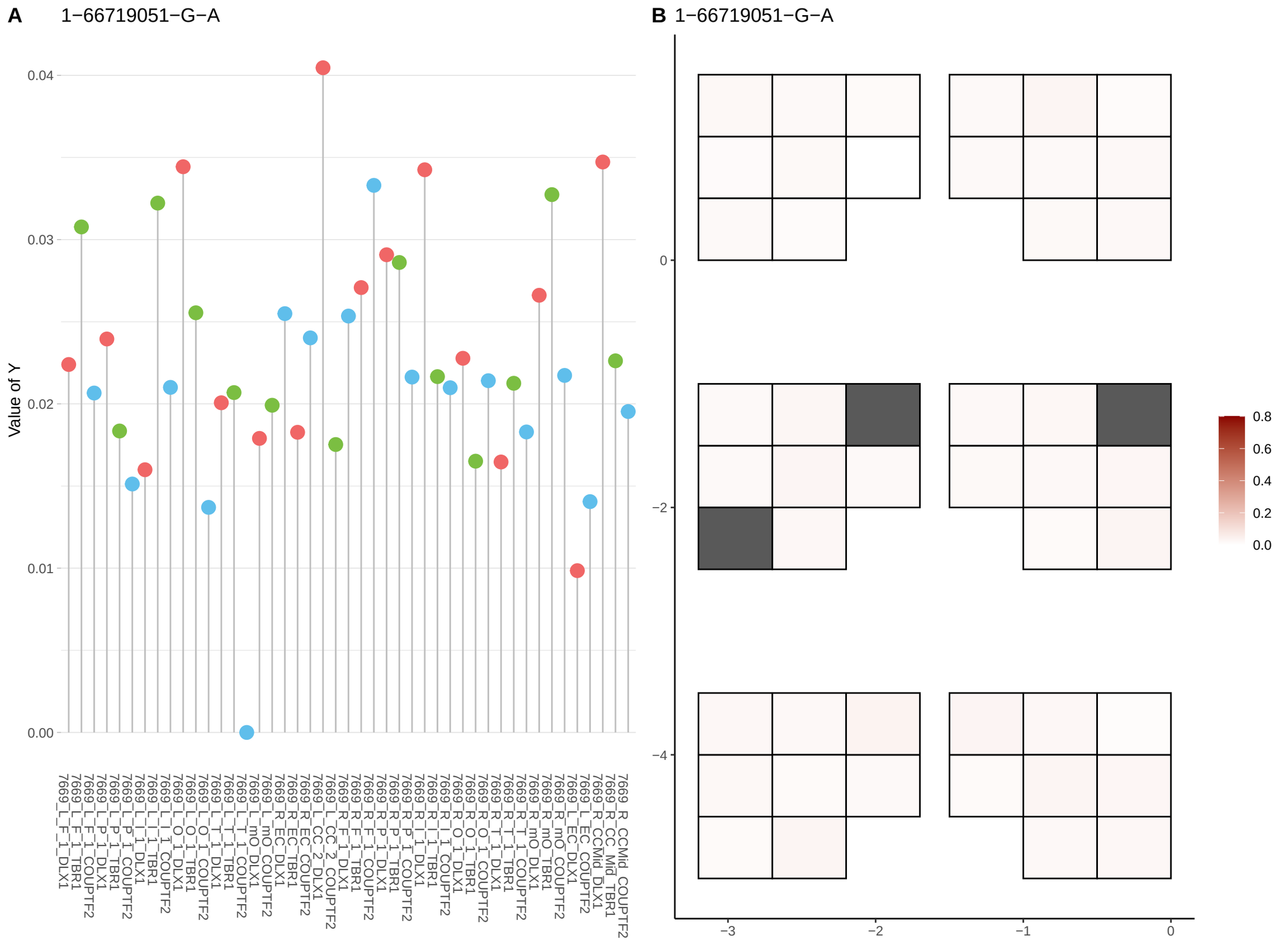
A
1−66719051−G−A
Value of Y
0.04
0.03
0.02
0.01
0.00
7669_L_F_1_DLX1
7669_L_F_1_TBR1
7669_L_F_1_COUPTF2
7669_L_P_1_DLX1
7669_L_P_1_TBR1
7669_L_P_1_COUPTF2
7669_L_I_1_DLX1
7669_L_I_1_TBR1
7669_L_I_1_COUPTF2
7669_L_O_1_DLX1
7669_L_O_1_TBR1
7669_L_O_1_COUPTF2
7669_L_T_1_DLX1
7669_L_T_1_TBR1
7669_L_T_1_COUPTF2
7669_L_mO_DLX1
7669_L_mO_COUPTF2
7669_R_EC_DLX1
7669_R_EC_TBR1
7669_R_EC_COUPTF2
7669_L_CC_2_DLX1
7669_L_CC_2_COUPTF2
7669_R_F_1_DLX1
7669_R_F_1_TBR1
7669_R_F_1_COUPTF2
7669_R_P_1_DLX1
7669_R_P_1_TBR1
7669_R_P_1_COUPTF2
7669_R_I_1_DLX1
7669_R_I_1_TBR1
7669_R_I_1_COUPTF2
7669_R_O_1_DLX1
7669_R_O_1_TBR1
7669_R_O_1_COUPTF2
7669_R_T_1_DLX1
7669_R_T_1_TBR1
7669_R_T_1_COUPTF2
7669_R_mO_DLX1
7669_R_mO_TBR1
7669_R_mO_COUPTF2
7669_L_EC_DLX1
7669_L_EC_COUPTF2
7669_R_CCMid_DLX1
7669_R_CC_Mid_TBR1
7669_R_CCMid_COUPTF2
B
1−66719051−G−A
0
−2
−4
−3
−2
−1
0
0.8
0.6
0.4
0.2
0.0

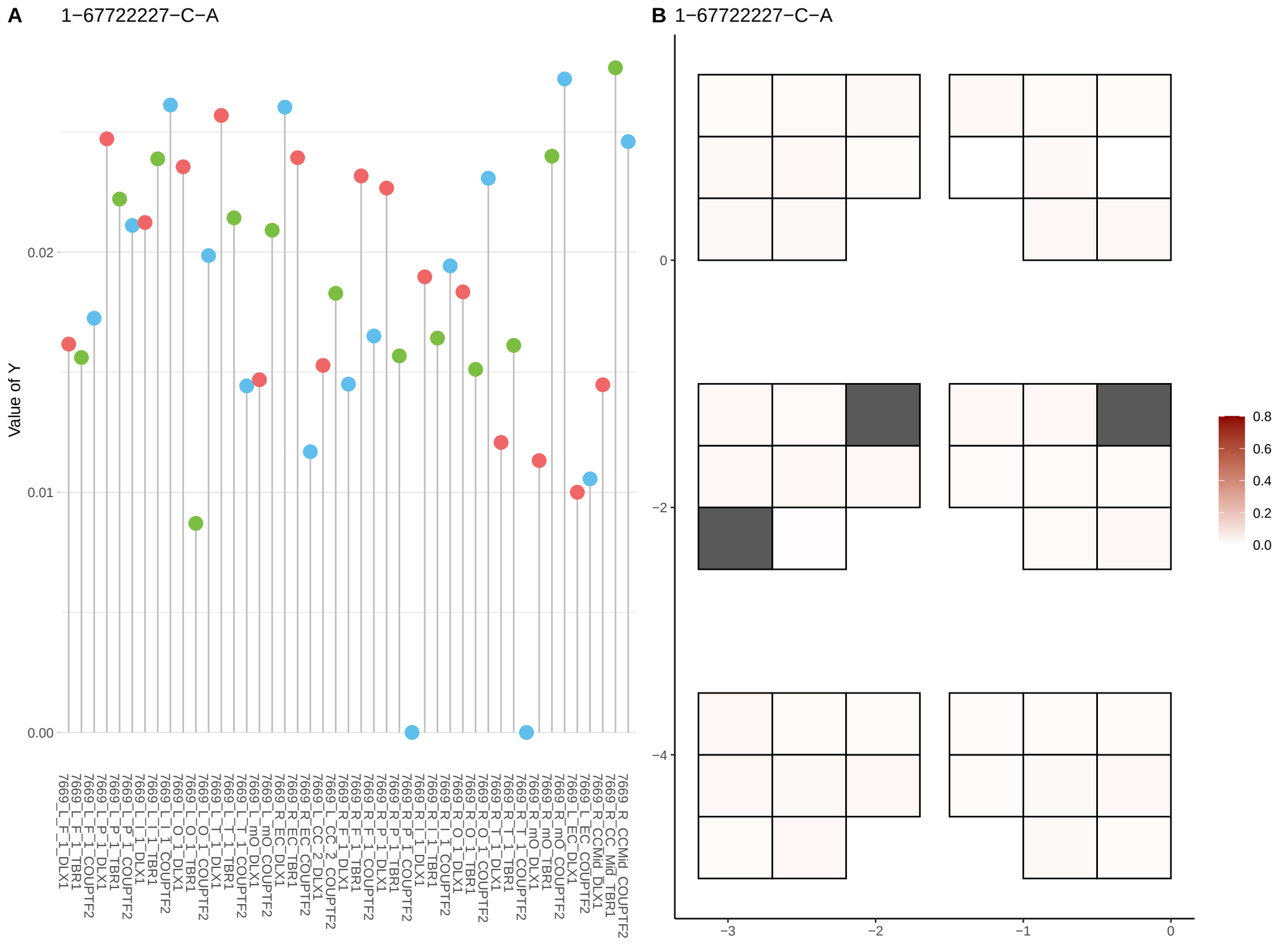
A
1−67722227−C−A
Value of Y
0.02
0.01
0.00
7669_L_F_1_DLX1
7669_L_F_1_TBR1
7669_L_F_1_COUPTF2
7669_L_P_1_DLX1
7669_L_P_1_TBR1
7669_L_P_1_COUPTF2
7669_L_I_1_DLX1
7669_L_I_1_TBR1
7669_L_I_1_COUPTF2
7669_L_O_1_DLX1
7669_L_O_1_TBR1
7669_L_O_1_COUPTF2
7669_L_T_1_DLX1
7669_L_T_1_TBR1
7669_L_T_1_COUPTF2
7669_L_mO_DLX1
7669_L_mO_COUPTF2
7669_R_EC_DLX1
7669_R_EC_TBR1
7669_R_EC_COUPTF2
7669_L_CC_2_DLX1
7669_L_CC_2_COUPTF2
7669_R_F_1_DLX1
7669_R_F_1_TBR1
7669_R_F_1_COUPTF2
7669_R_P_1_DLX1
7669_R_P_1_TBR1
7669_R_P_1_COUPTF2
7669_R_I_1_DLX1
7669_R_I_1_TBR1
7669_R_I_1_COUPTF2
7669_R_O_1_DLX1
7669_R_O_1_TBR1
7669_R_O_1_COUPTF2
7669_R_T_1_DLX1
7669_R_T_1_TBR1
7669_R_T_1_COUPTF2
7669_R_mO_DLX1
7669_R_mO_TBR1
7669_R_mO_COUPTF2
7669_L_EC_DLX1
7669_L_EC_COUPTF2
7669_R_CCMid_DLX1
7669_R_CC_Mid_TBR1
7669_R_CCMid_COUPTF2
B
1−67722227−C−A
0
−2
−4
−3
−2
−1
0
0.8
0.6
0.4
0.2
0.0

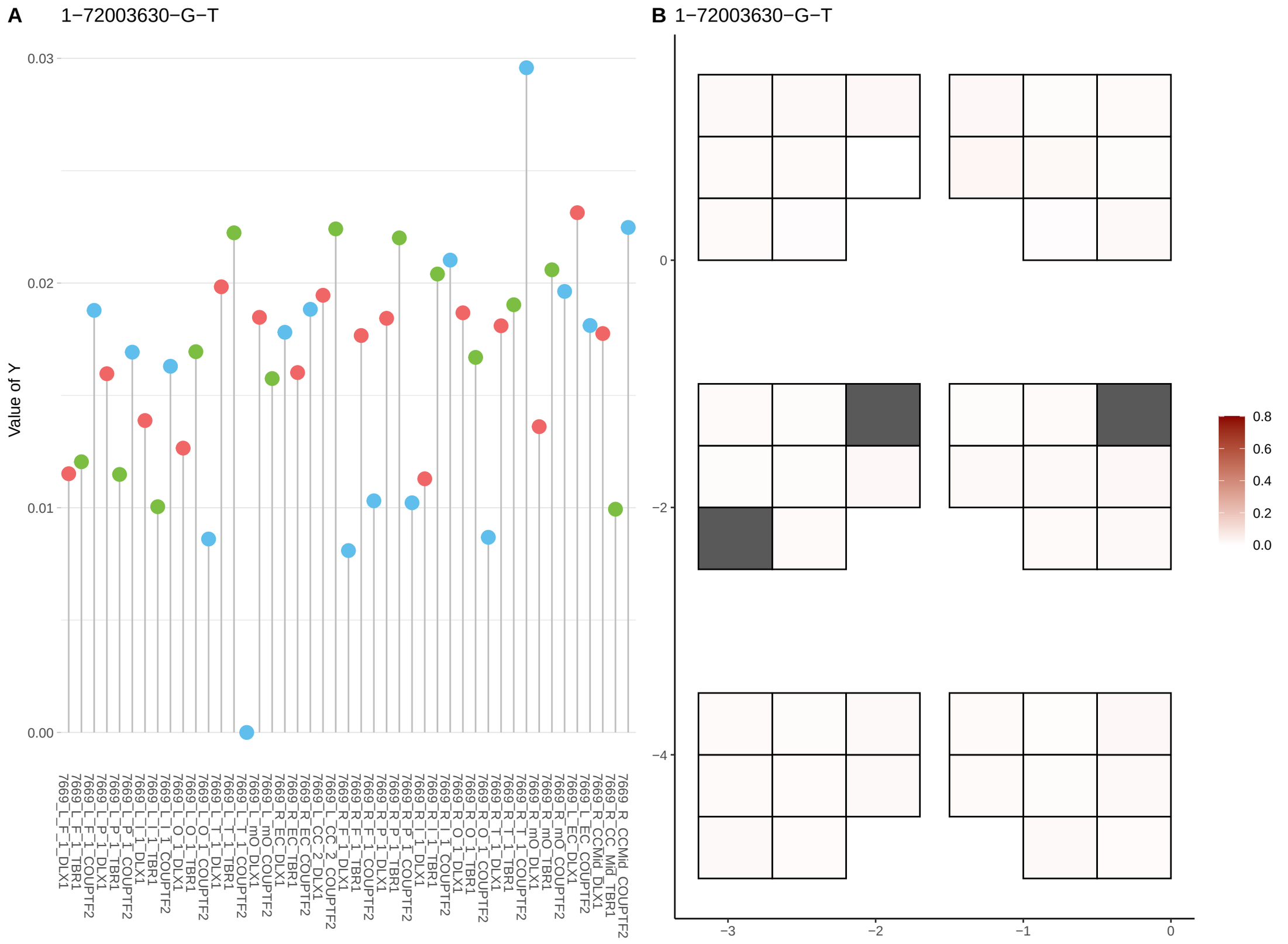
A
1−72003630−G−T
Value of Y
0.03
0.02
0.01
0.00
7669_L_F_1_DLX1
7669_L_F_1_TBR1
7669_L_F_1_COUPTF2
7669_L_P_1_DLX1
7669_L_P_1_TBR1
7669_L_P_1_COUPTF2
7669_L_I_1_DLX1
7669_L_I_1_TBR1
7669_L_I_1_COUPTF2
7669_L_O_1_DLX1
7669_L_O_1_TBR1
7669_L_O_1_COUPTF2
7669_L_T_1_DLX1
7669_L_T_1_TBR1
7669_L_T_1_COUPTF2
7669_L_mO_DLX1
7669_L_mO_COUPTF2
7669_R_EC_DLX1
7669_R_EC_TBR1
7669_R_EC_COUPTF2
7669_L_CC_2_DLX1
7669_L_CC_2_COUPTF2
7669_R_F_1_DLX1
7669_R_F_1_TBR1
7669_R_F_1_COUPTF2
7669_R_P_1_DLX1
7669_R_P_1_TBR1
7669_R_P_1_COUPTF2
7669_R_I_1_DLX1
7669_R_I_1_TBR1
7669_R_I_1_COUPTF2
7669_R_O_1_DLX1
7669_R_O_1_TBR1
7669_R_O_1_COUPTF2
7669_R_T_1_DLX1
7669_R_T_1_TBR1
7669_R_T_1_COUPTF2
7669_R_mO_DLX1
7669_R_mO_TBR1
7669_R_mO_COUPTF2
7669_L_EC_DLX1
7669_L_EC_COUPTF2
7669_R_CCMid_DLX1
7669_R_CC_Mid_TBR1
7669_R_CCMid_COUPTF2
B
1−72003630−G−T
0
−2
−4
−3
−2
−1
0
0.8
0.6
0.4
0.2
0.0

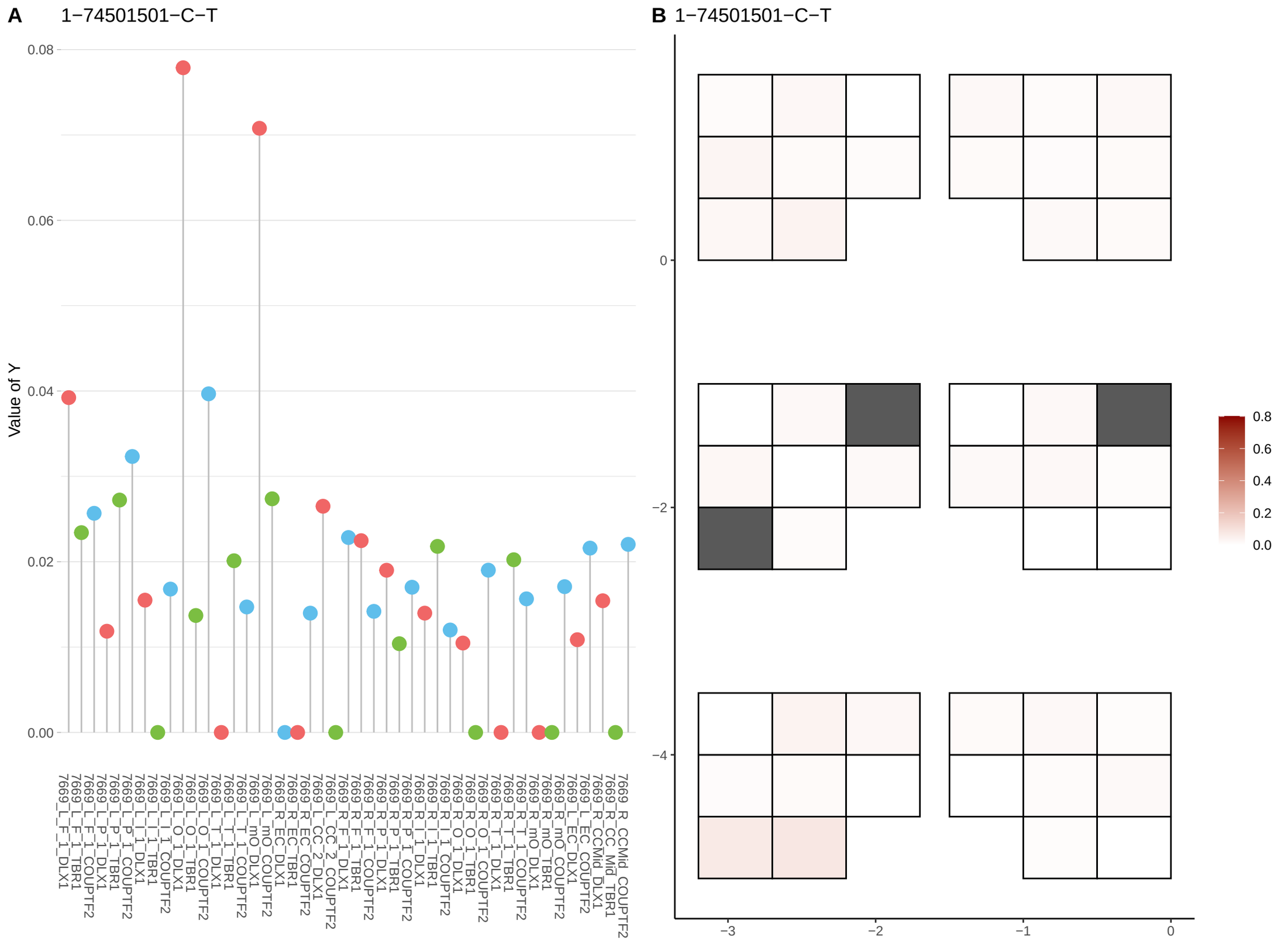
A
1−74501501−C−T
Value of Y
0.08
0.06
0.04
0.02
0.00
7669_L_F_1_DLX1
7669_L_F_1_TBR1
7669_L_F_1_COUPTF2
7669_L_P_1_DLX1
7669_L_P_1_TBR1
7669_L_P_1_COUPTF2
7669_L_I_1_DLX1
7669_L_I_1_TBR1
7669_L_I_1_COUPTF2
7669_L_O_1_DLX1
7669_L_O_1_TBR1
7669_L_O_1_COUPTF2
7669_L_T_1_DLX1
7669_L_T_1_TBR1
7669_L_T_1_COUPTF2
7669_L_mO_DLX1
7669_L_mO_COUPTF2
7669_R_EC_DLX1
7669_R_EC_TBR1
7669_R_EC_COUPTF2
7669_L_CC_2_DLX1
7669_L_CC_2_COUPTF2
7669_R_F_1_DLX1
7669_R_F_1_TBR1
7669_R_F_1_COUPTF2
7669_R_P_1_DLX1
7669_R_P_1_TBR1
7669_R_P_1_COUPTF2
7669_R_I_1_DLX1
7669_R_I_1_TBR1
7669_R_I_1_COUPTF2
7669_R_O_1_DLX1
7669_R_O_1_TBR1
7669_R_O_1_COUPTF2
7669_R_T_1_DLX1
7669_R_T_1_TBR1
7669_R_T_1_COUPTF2
7669_R_mO_DLX1
7669_R_mO_TBR1
7669_R_mO_COUPTF2
7669_L_EC_DLX1
7669_L_EC_COUPTF2
7669_R_CCMid_DLX1
7669_R_CC_Mid_TBR1
7669_R_CCMid_COUPTF2
B
1−74501501−C−T
0
−2
−4
−3
−2
−1
0
0.8
0.6
0.4
0.2
0.0

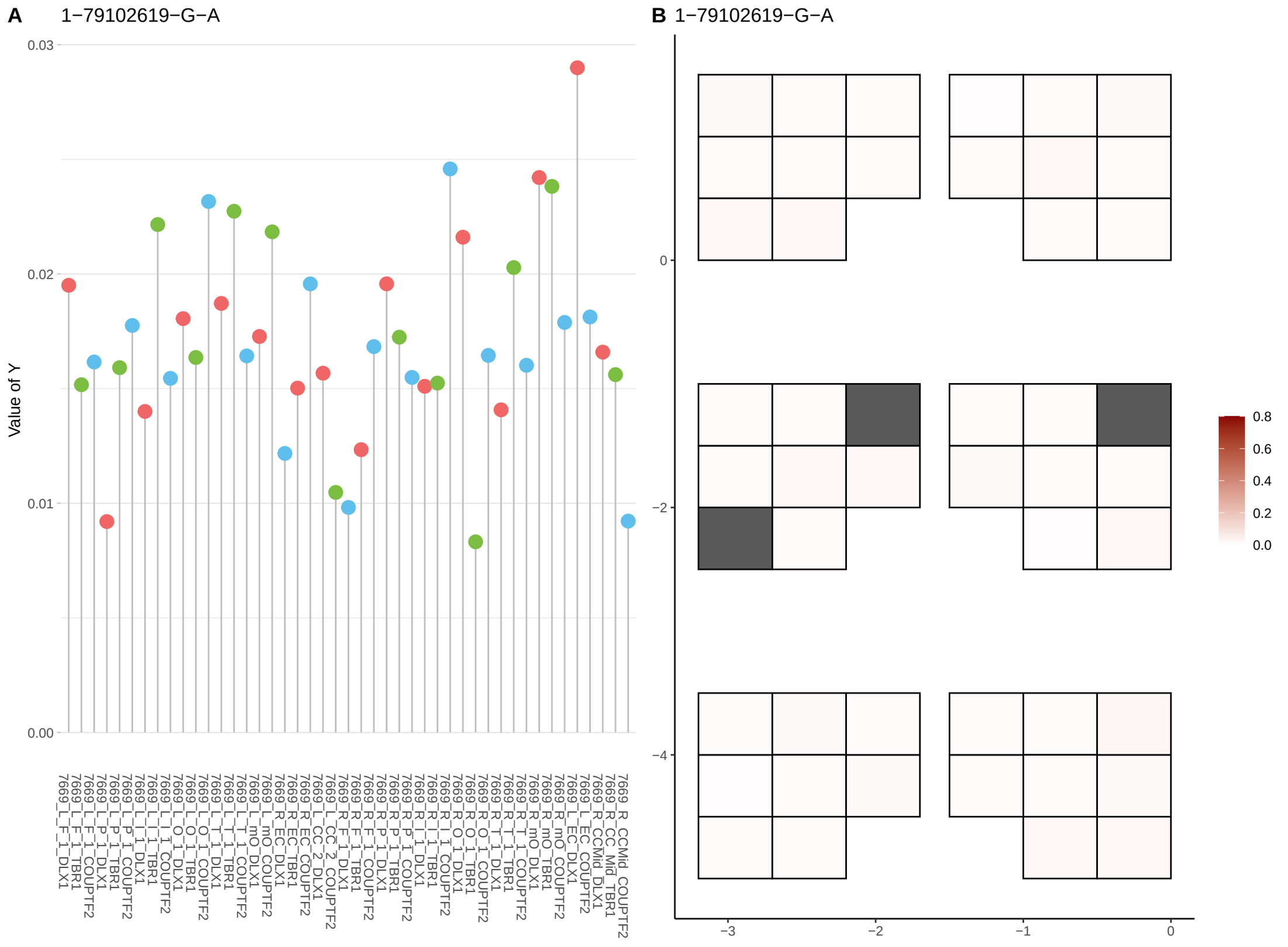
A
1−79102619−G−A
Value of Y
0.03
0.02
0.01
0.00
7669_L_F_1_DLX1
7669_L_F_1_TBR1
7669_L_F_1_COUPTF2
7669_L_P_1_DLX1
7669_L_P_1_TBR1
7669_L_P_1_COUPTF2
7669_L_I_1_DLX1
7669_L_I_1_TBR1
7669_L_I_1_COUPTF2
7669_L_O_1_DLX1
7669_L_O_1_TBR1
7669_L_O_1_COUPTF2
7669_L_T_1_DLX1
7669_L_T_1_TBR1
7669_L_T_1_COUPTF2
7669_L_mO_DLX1
7669_L_mO_COUPTF2
7669_R_EC_DLX1
7669_R_EC_TBR1
7669_R_EC_COUPTF2
7669_L_CC_2_DLX1
7669_L_CC_2_COUPTF2
7669_R_F_1_DLX1
7669_R_F_1_TBR1
7669_R_F_1_COUPTF2
7669_R_P_1_DLX1
7669_R_P_1_TBR1
7669_R_P_1_COUPTF2
7669_R_I_1_DLX1
7669_R_I_1_TBR1
7669_R_I_1_COUPTF2
7669_R_O_1_DLX1
7669_R_O_1_TBR1
7669_R_O_1_COUPTF2
7669_R_T_1_DLX1
7669_R_T_1_TBR1
7669_R_T_1_COUPTF2
7669_R_mO_DLX1
7669_R_mO_TBR1
7669_R_mO_COUPTF2
7669_L_EC_DLX1
7669_L_EC_COUPTF2
7669_R_CCMid_DLX1
7669_R_CC_Mid_TBR1
7669_R_CCMid_COUPTF2
B
1−79102619−G−A
0
−2
−4
−3
−2
−1
0
0.8
0.6
0.4
0.2
0.0

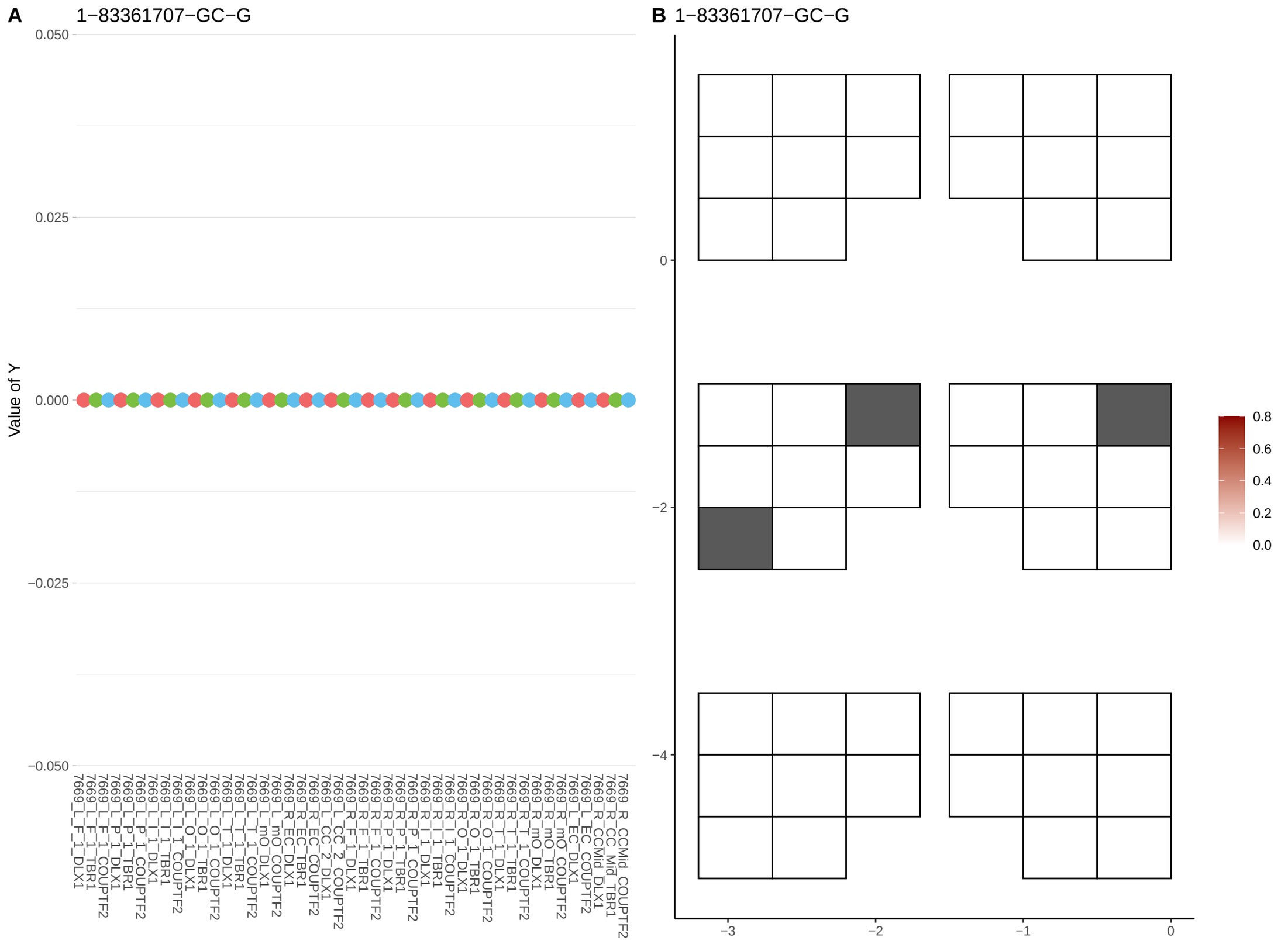
A
1−83361707−GC−G
Value of Y
0.050
0.025
0.000
−0.025
−0.050
7669_L_F_1_DLX1
7669_L_F_1_TBR1
7669_L_F_1_COUPTF2
7669_L_P_1_DLX1
7669_L_P_1_TBR1
7669_L_P_1_COUPTF2
7669_L_I_1_DLX1
7669_L_I_1_TBR1
7669_L_I_1_COUPTF2
7669_L_O_1_DLX1
7669_L_O_1_TBR1
7669_L_O_1_COUPTF2
7669_L_T_1_DLX1
7669_L_T_1_TBR1
7669_L_T_1_COUPTF2
7669_L_mO_DLX1
7669_L_mO_COUPTF2
7669_R_EC_DLX1
7669_R_EC_TBR1
7669_R_EC_COUPTF2
7669_L_CC_2_DLX1
7669_L_CC_2_COUPTF2
7669_R_F_1_DLX1
7669_R_F_1_TBR1
7669_R_F_1_COUPTF2
7669_R_P_1_DLX1
7669_R_P_1_TBR1
7669_R_P_1_COUPTF2
7669_R_I_1_DLX1
7669_R_I_1_TBR1
7669_R_I_1_COUPTF2
7669_R_O_1_DLX1
7669_R_O_1_TBR1
7669_R_O_1_COUPTF2
7669_R_T_1_DLX1
7669_R_T_1_TBR1
7669_R_T_1_COUPTF2
7669_R_mO_DLX1
7669_R_mO_TBR1
7669_R_mO_COUPTF2
7669_L_EC_DLX1
7669_L_EC_COUPTF2
7669_R_CCMid_DLX1
7669_R_CC_Mid_TBR1
7669_R_CCMid_COUPTF2
B
1−83361707−GC−G
0
−2
−4
−3
−2
−1
0
0.8
0.6
0.4
0.2
0.0

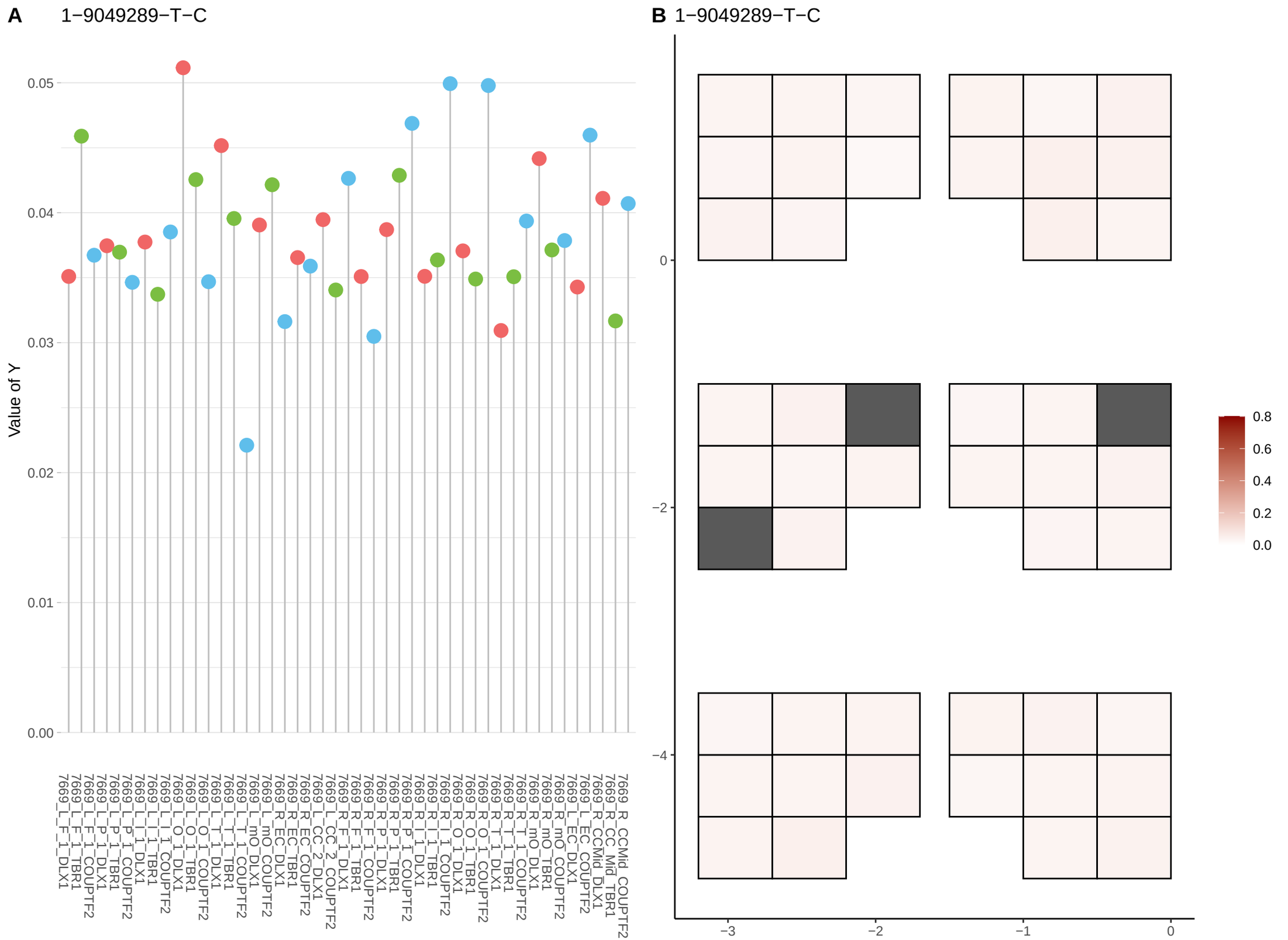
A
1−9049289−T−C
Value of Y
0.05
0.04
0.03
0.02
0.01
0.00
7669_L_F_1_DLX1
7669_L_F_1_TBR1
7669_L_F_1_COUPTF2
7669_L_P_1_DLX1
7669_L_P_1_TBR1
7669_L_P_1_COUPTF2
7669_L_I_1_DLX1
7669_L_I_1_TBR1
7669_L_I_1_COUPTF2
7669_L_O_1_DLX1
7669_L_O_1_TBR1
7669_L_O_1_COUPTF2
7669_L_T_1_DLX1
7669_L_T_1_TBR1
7669_L_T_1_COUPTF2
7669_L_mO_DLX1
7669_L_mO_COUPTF2
7669_R_EC_DLX1
7669_R_EC_TBR1
7669_R_EC_COUPTF2
7669_L_CC_2_DLX1
7669_L_CC_2_COUPTF2
7669_R_F_1_DLX1
7669_R_F_1_TBR1
7669_R_F_1_COUPTF2
7669_R_P_1_DLX1
7669_R_P_1_TBR1
7669_R_P_1_COUPTF2
7669_R_I_1_DLX1
7669_R_I_1_TBR1
7669_R_I_1_COUPTF2
7669_R_O_1_DLX1
7669_R_O_1_TBR1
7669_R_O_1_COUPTF2
7669_R_T_1_DLX1
7669_R_T_1_TBR1
7669_R_T_1_COUPTF2
7669_R_mO_DLX1
7669_R_mO_TBR1
7669_R_mO_COUPTF2
7669_L_EC_DLX1
7669_L_EC_COUPTF2
7669_R_CCMid_DLX1
7669_R_CC_Mid_TBR1
7669_R_CCMid_COUPTF2
B
1−9049289−T−C
0
−2
−4
−3
−2
−1
0
0.8
0.6
0.4
0.2
0.0

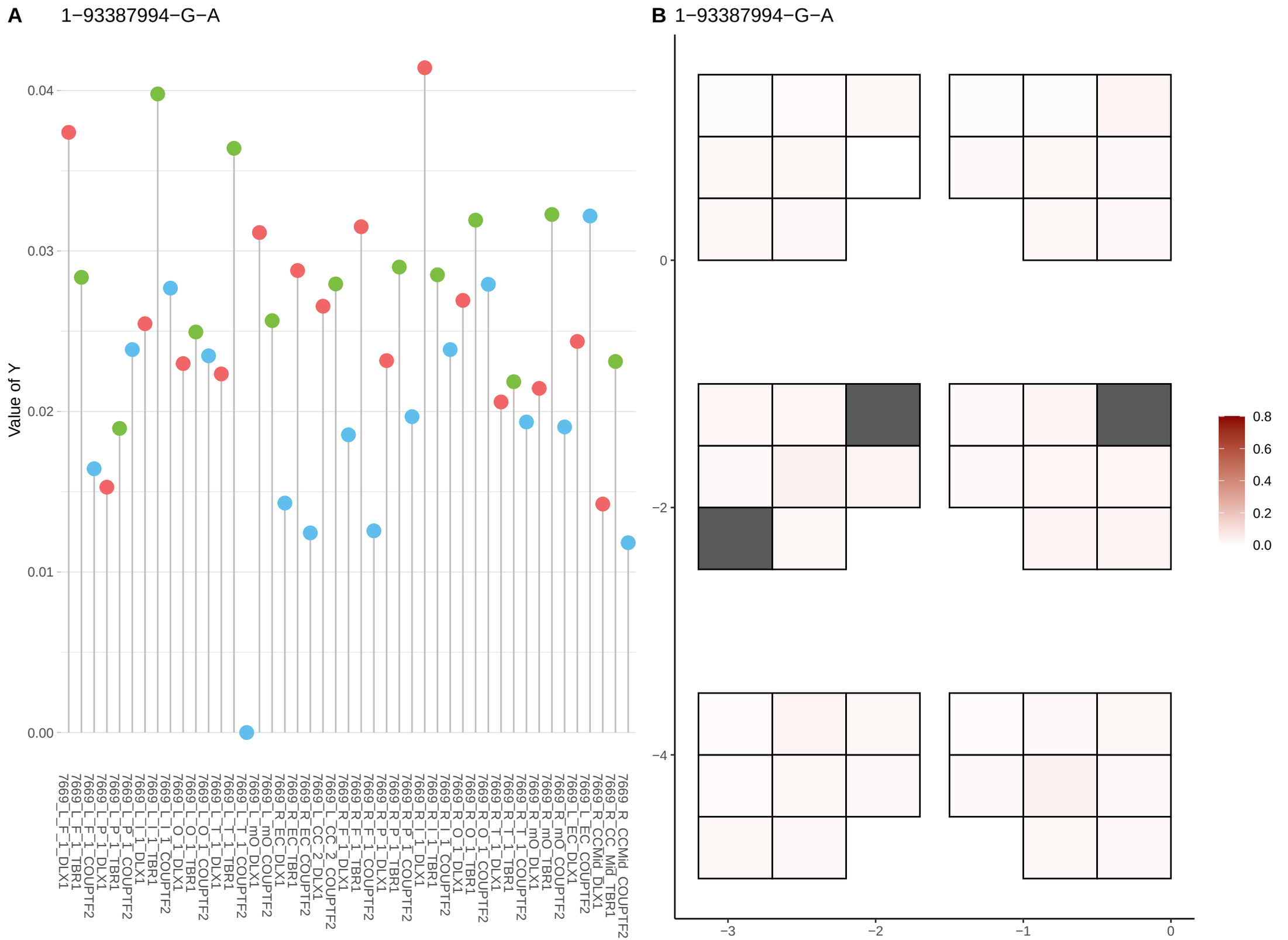
A
1−93387994−G−A
Value of Y
0.04
0.03
0.02
0.01
0.00
7669_L_F_1_DLX1
7669_L_F_1_TBR1
7669_L_F_1_COUPTF2
7669_L_P_1_DLX1
7669_L_P_1_TBR1
7669_L_P_1_COUPTF2
7669_L_I_1_DLX1
7669_L_I_1_TBR1
7669_L_I_1_COUPTF2
7669_L_O_1_DLX1
7669_L_O_1_TBR1
7669_L_O_1_COUPTF2
7669_L_T_1_DLX1
7669_L_T_1_TBR1
7669_L_T_1_COUPTF2
7669_L_mO_DLX1
7669_L_mO_COUPTF2
7669_R_EC_DLX1
7669_R_EC_TBR1
7669_R_EC_COUPTF2
7669_L_CC_2_DLX1
7669_L_CC_2_COUPTF2
7669_R_F_1_DLX1
7669_R_F_1_TBR1
7669_R_F_1_COUPTF2
7669_R_P_1_DLX1
7669_R_P_1_TBR1
7669_R_P_1_COUPTF2
7669_R_I_1_DLX1
7669_R_I_1_TBR1
7669_R_I_1_COUPTF2
7669_R_O_1_DLX1
7669_R_O_1_TBR1
7669_R_O_1_COUPTF2
7669_R_T_1_DLX1
7669_R_T_1_TBR1
7669_R_T_1_COUPTF2
7669_R_mO_DLX1
7669_R_mO_TBR1
7669_R_mO_COUPTF2
7669_L_EC_DLX1
7669_L_EC_COUPTF2
7669_R_CCMid_DLX1
7669_R_CC_Mid_TBR1
7669_R_CCMid_COUPTF2
B
1−93387994−G−A
0
−2
−4
−3
−2
−1
0
0.8
0.6
0.4
0.2
0.0

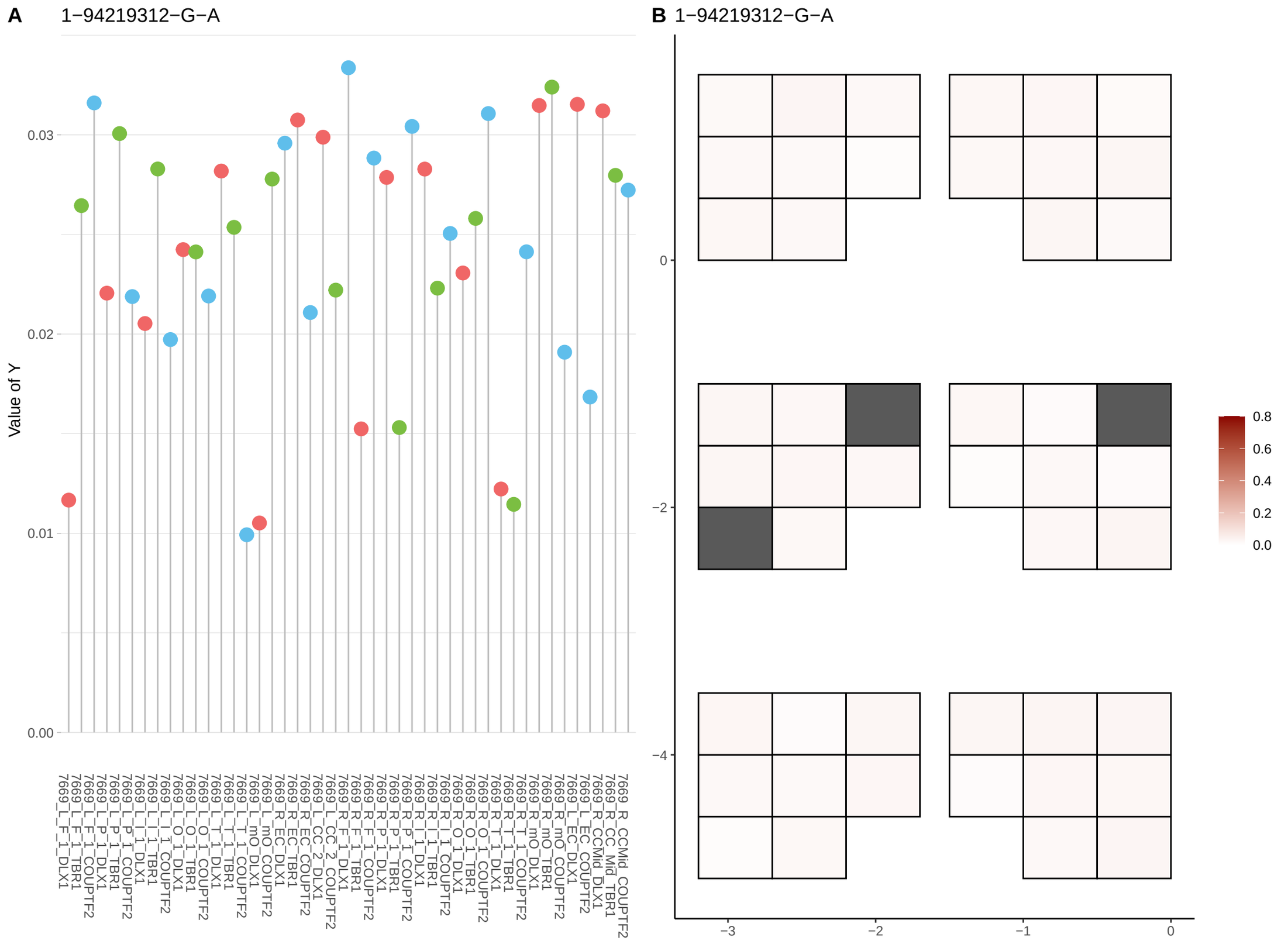
A
1−94219312−G−A
Value of Y
0.03
0.02
0.01
0.00
7669_L_F_1_DLX1
7669_L_F_1_TBR1
7669_L_F_1_COUPTF2
7669_L_P_1_DLX1
7669_L_P_1_TBR1
7669_L_P_1_COUPTF2
7669_L_I_1_DLX1
7669_L_I_1_TBR1
7669_L_I_1_COUPTF2
7669_L_O_1_DLX1
7669_L_O_1_TBR1
7669_L_O_1_COUPTF2
7669_L_T_1_DLX1
7669_L_T_1_TBR1
7669_L_T_1_COUPTF2
7669_L_mO_DLX1
7669_L_mO_COUPTF2
7669_R_EC_DLX1
7669_R_EC_TBR1
7669_R_EC_COUPTF2
7669_L_CC_2_DLX1
7669_L_CC_2_COUPTF2
7669_R_F_1_DLX1
7669_R_F_1_TBR1
7669_R_F_1_COUPTF2
7669_R_P_1_DLX1
7669_R_P_1_TBR1
7669_R_P_1_COUPTF2
7669_R_I_1_DLX1
7669_R_I_1_TBR1
7669_R_I_1_COUPTF2
7669_R_O_1_DLX1
7669_R_O_1_TBR1
7669_R_O_1_COUPTF2
7669_R_T_1_DLX1
7669_R_T_1_TBR1
7669_R_T_1_COUPTF2
7669_R_mO_DLX1
7669_R_mO_TBR1
7669_R_mO_COUPTF2
7669_L_EC_DLX1
7669_L_EC_COUPTF2
7669_R_CCMid_DLX1
7669_R_CC_Mid_TBR1
7669_R_CCMid_COUPTF2
B
1−94219312−G−A
0
−2
−4
−3
−2
−1
0
0.8
0.6
0.4
0.2
0.0

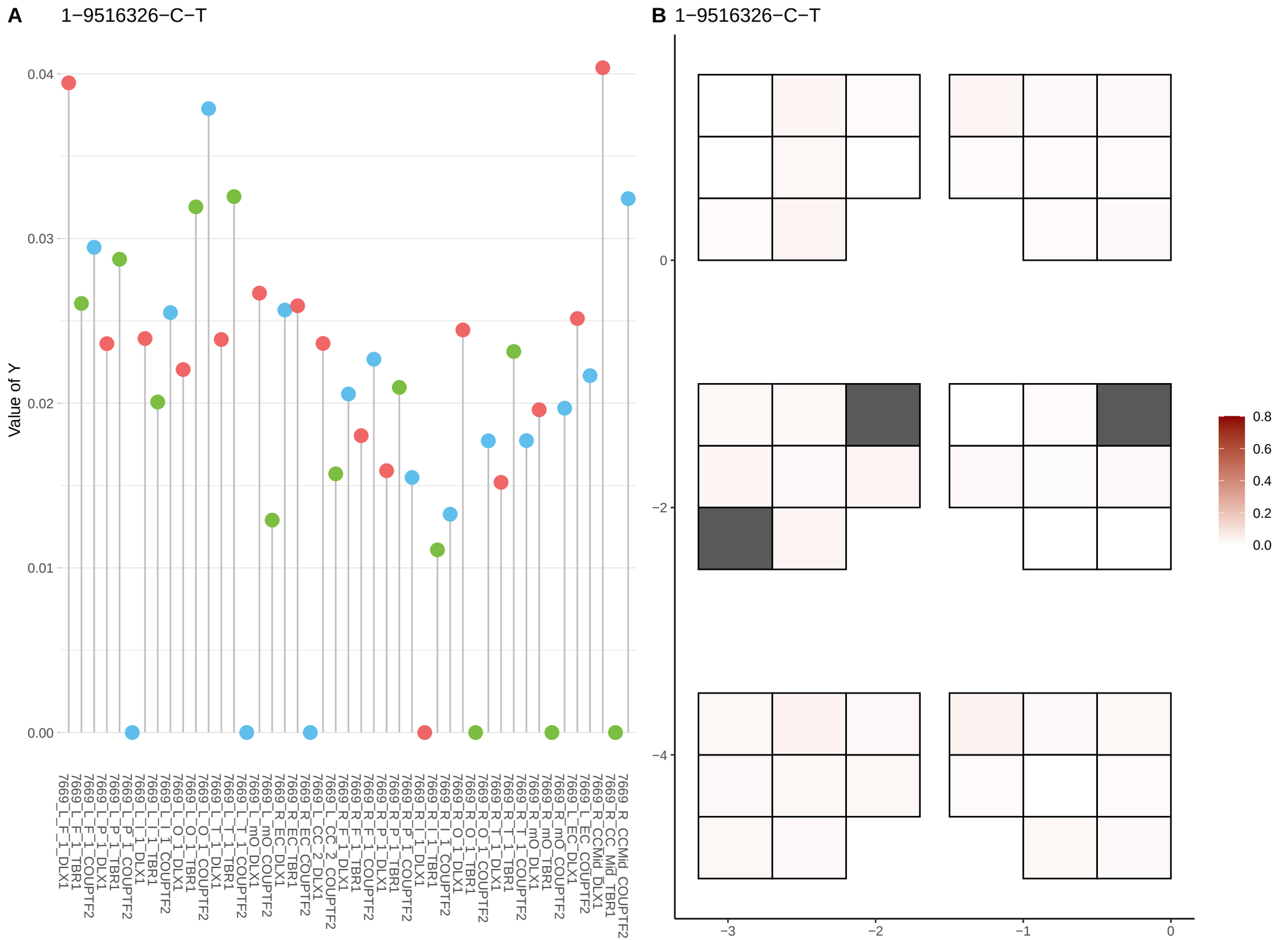
A
1−9516326−C−T
Value of Y
0.04
0.03
0.02
0.01
0.00
7669_L_F_1_DLX1
7669_L_F_1_TBR1
7669_L_F_1_COUPTF2
7669_L_P_1_DLX1
7669_L_P_1_TBR1
7669_L_P_1_COUPTF2
7669_L_I_1_DLX1
7669_L_I_1_TBR1
7669_L_I_1_COUPTF2
7669_L_O_1_DLX1
7669_L_O_1_TBR1
7669_L_O_1_COUPTF2
7669_L_T_1_DLX1
7669_L_T_1_TBR1
7669_L_T_1_COUPTF2
7669_L_mO_DLX1
7669_L_mO_COUPTF2
7669_R_EC_DLX1
7669_R_EC_TBR1
7669_R_EC_COUPTF2
7669_L_CC_2_DLX1
7669_L_CC_2_COUPTF2
7669_R_F_1_DLX1
7669_R_F_1_TBR1
7669_R_F_1_COUPTF2
7669_R_P_1_DLX1
7669_R_P_1_TBR1
7669_R_P_1_COUPTF2
7669_R_I_1_DLX1
7669_R_I_1_TBR1
7669_R_I_1_COUPTF2
7669_R_O_1_DLX1
7669_R_O_1_TBR1
7669_R_O_1_COUPTF2
7669_R_T_1_DLX1
7669_R_T_1_TBR1
7669_R_T_1_COUPTF2
7669_R_mO_DLX1
7669_R_mO_TBR1
7669_R_mO_COUPTF2
7669_L_EC_DLX1
7669_L_EC_COUPTF2
7669_R_CCMid_DLX1
7669_R_CC_Mid_TBR1
7669_R_CCMid_COUPTF2
B
1−9516326−C−T
0
−2
−4
−3
−2
−1
0
0.8
0.6
0.4
0.2
0.0

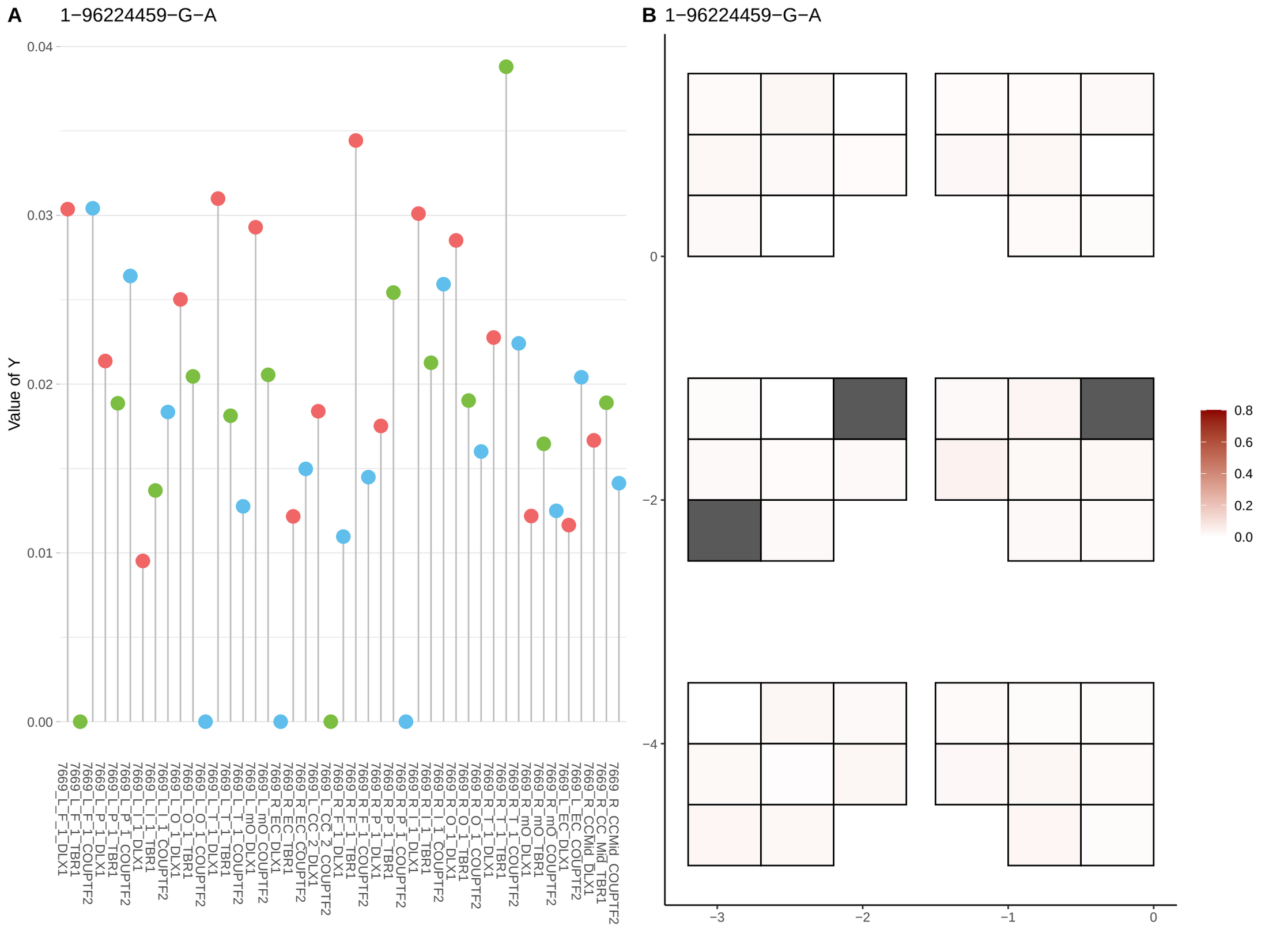
A
1−96224459−G−A
Value of Y
0.04
0.03
0.02
0.01
0.00
7669_L_F_1_DLX1
7669_L_F_1_TBR1
7669_L_F_1_COUPTF2
7669_L_P_1_DLX1
7669_L_P_1_TBR1
7669_L_P_1_COUPTF2
7669_L_I_1_DLX1
7669_L_I_1_TBR1
7669_L_I_1_COUPTF2
7669_L_O_1_DLX1
7669_L_O_1_TBR1
7669_L_O_1_COUPTF2
7669_L_T_1_DLX1
7669_L_T_1_TBR1
7669_L_T_1_COUPTF2
7669_L_mO_DLX1
7669_L_mO_COUPTF2
7669_R_EC_DLX1
7669_R_EC_TBR1
7669_R_EC_COUPTF2
7669_L_CC_2_DLX1
7669_L_CC_2_COUPTF2
7669_R_F_1_DLX1
7669_R_F_1_TBR1
7669_R_F_1_COUPTF2
7669_R_P_1_DLX1
7669_R_P_1_TBR1
7669_R_P_1_COUPTF2
7669_R_I_1_DLX1
7669_R_I_1_TBR1
7669_R_I_1_COUPTF2
7669_R_O_1_DLX1
7669_R_O_1_TBR1
7669_R_O_1_COUPTF2
7669_R_T_1_DLX1
7669_R_T_1_TBR1
7669_R_T_1_COUPTF2
7669_R_mO_DLX1
7669_R_mO_TBR1
7669_R_mO_COUPTF2
7669_L_EC_DLX1
7669_L_EC_COUPTF2
7669_R_CCMid_DLX1
7669_R_CC_Mid_TBR1
7669_R_CCMid_COUPTF2
B
1−96224459−G−A
0
−2
−4
−3
−2
−1
0
0.8
0.6
0.4
0.2
0.0

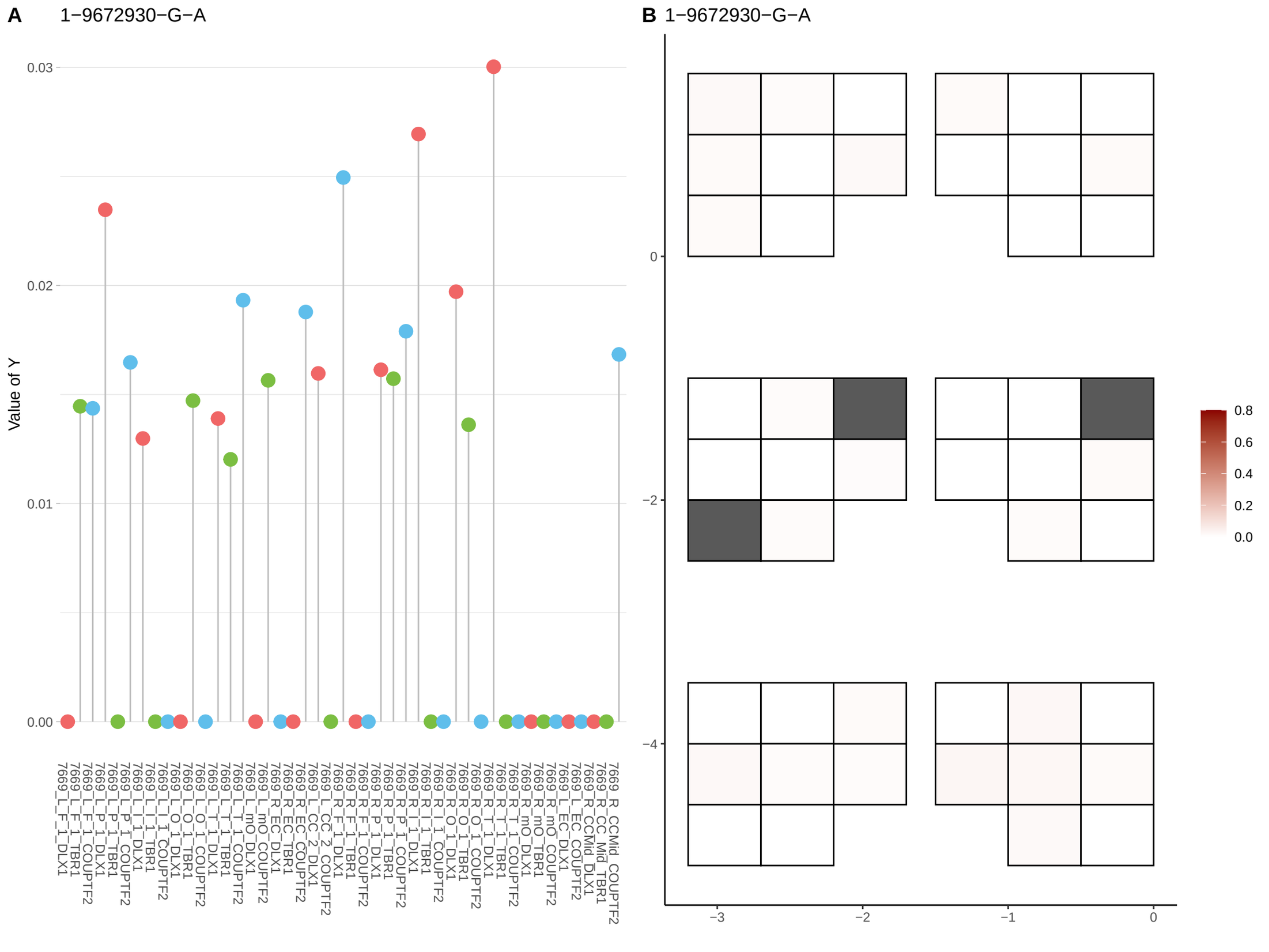
A
1−9672930−G−A
Value of Y
0.03
0.02
0.01
0.00
7669_L_F_1_DLX1
7669_L_F_1_TBR1
7669_L_F_1_COUPTF2
7669_L_P_1_DLX1
7669_L_P_1_TBR1
7669_L_P_1_COUPTF2
7669_L_I_1_DLX1
7669_L_I_1_TBR1
7669_L_I_1_COUPTF2
7669_L_O_1_DLX1
7669_L_O_1_TBR1
7669_L_O_1_COUPTF2
7669_L_T_1_DLX1
7669_L_T_1_TBR1
7669_L_T_1_COUPTF2
7669_L_mO_DLX1
7669_L_mO_COUPTF2
7669_R_EC_DLX1
7669_R_EC_TBR1
7669_R_EC_COUPTF2
7669_L_CC_2_DLX1
7669_L_CC_2_COUPTF2
7669_R_F_1_DLX1
7669_R_F_1_TBR1
7669_R_F_1_COUPTF2
7669_R_P_1_DLX1
7669_R_P_1_TBR1
7669_R_P_1_COUPTF2
7669_R_I_1_DLX1
7669_R_I_1_TBR1
7669_R_I_1_COUPTF2
7669_R_O_1_DLX1
7669_R_O_1_TBR1
7669_R_O_1_COUPTF2
7669_R_T_1_DLX1
7669_R_T_1_TBR1
7669_R_T_1_COUPTF2
7669_R_mO_DLX1
7669_R_mO_TBR1
7669_R_mO_COUPTF2
7669_L_EC_DLX1
7669_L_EC_COUPTF2
7669_R_CCMid_DLX1
7669_R_CC_Mid_TBR1
7669_R_CCMid_COUPTF2
B
1−9672930−G−A
0
−2
−4
−3
−2
−1
0
0.8
0.6
0.4
0.2
0.0

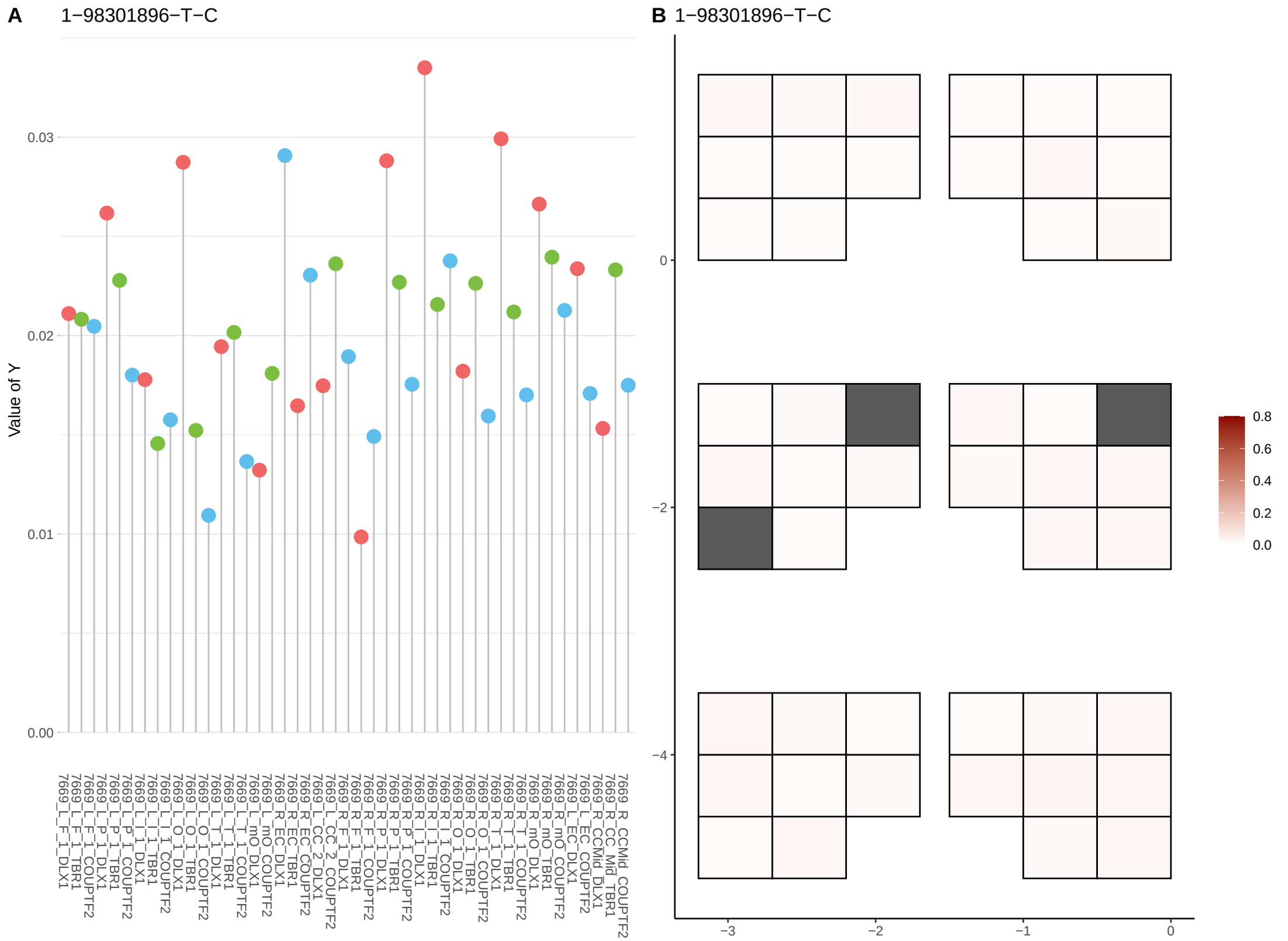
A
1−98301896−T−C
Value of Y
0.03
0.02
0.01
0.00
7669_L_F_1_DLX1
7669_L_F_1_TBR1
7669_L_F_1_COUPTF2
7669_L_P_1_DLX1
7669_L_P_1_TBR1
7669_L_P_1_COUPTF2
7669_L_I_1_DLX1
7669_L_I_1_TBR1
7669_L_I_1_COUPTF2
7669_L_O_1_DLX1
7669_L_O_1_TBR1
7669_L_O_1_COUPTF2
7669_L_T_1_DLX1
7669_L_T_1_TBR1
7669_L_T_1_COUPTF2
7669_L_mO_DLX1
7669_L_mO_COUPTF2
7669_R_EC_DLX1
7669_R_EC_TBR1
7669_R_EC_COUPTF2
7669_L_CC_2_DLX1
7669_L_CC_2_COUPTF2
7669_R_F_1_DLX1
7669_R_F_1_TBR1
7669_R_F_1_COUPTF2
7669_R_P_1_DLX1
7669_R_P_1_TBR1
7669_R_P_1_COUPTF2
7669_R_I_1_DLX1
7669_R_I_1_TBR1
7669_R_I_1_COUPTF2
7669_R_O_1_DLX1
7669_R_O_1_TBR1
7669_R_O_1_COUPTF2
7669_R_T_1_DLX1
7669_R_T_1_TBR1
7669_R_T_1_COUPTF2
7669_R_mO_DLX1
7669_R_mO_TBR1
7669_R_mO_COUPTF2
7669_L_EC_DLX1
7669_L_EC_COUPTF2
7669_R_CCMid_DLX1
7669_R_CC_Mid_TBR1
7669_R_CCMid_COUPTF2
B
1−98301896−T−C
0
−2
−4
−3
−2
−1
0
0.8
0.6
0.4
0.2
0.0

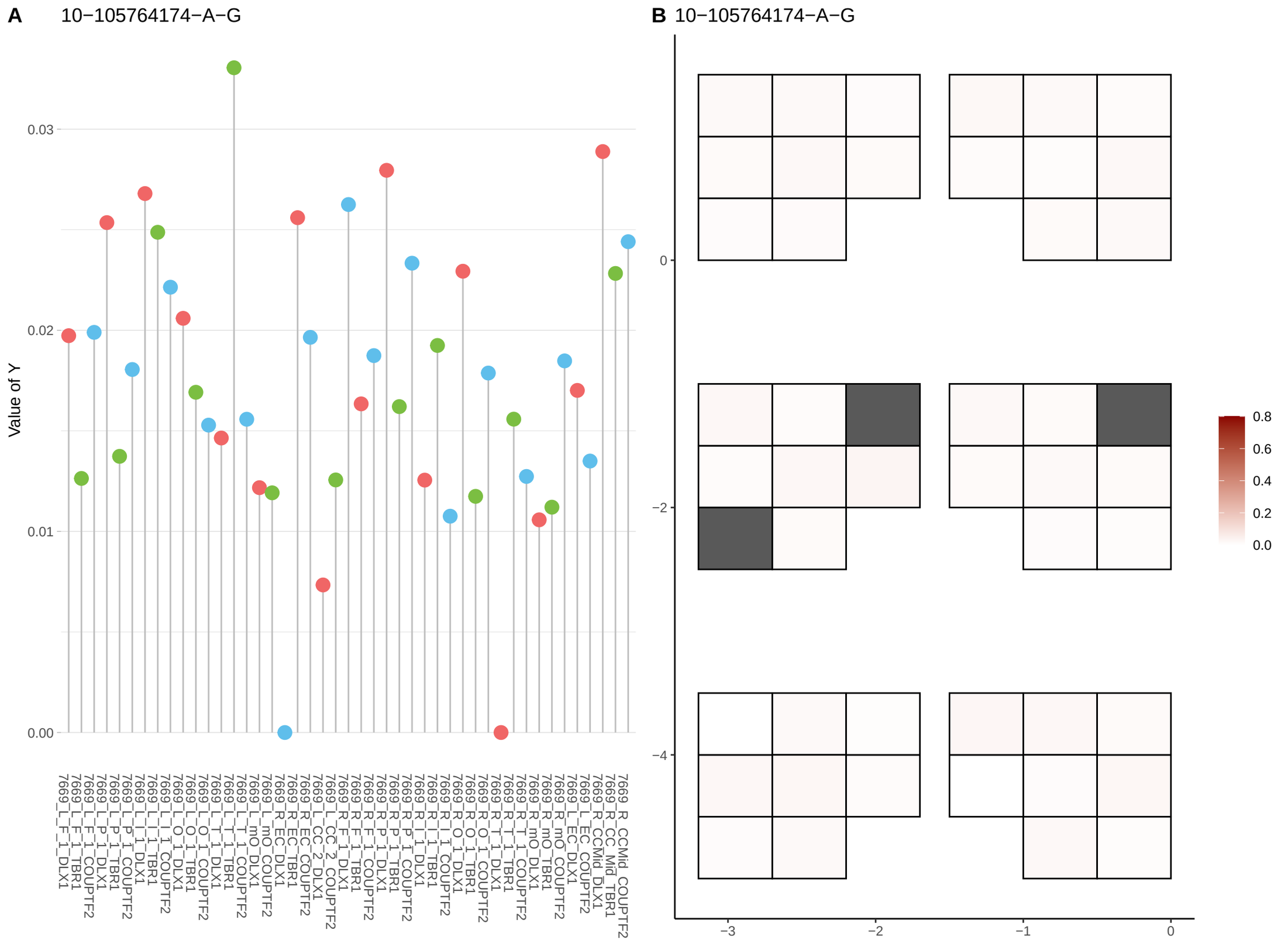
A
10−105764174−A−G
Value of Y
0.03
0.02
0.01
0.00
7669_L_F_1_DLX1
7669_L_F_1_TBR1
7669_L_F_1_COUPTF2
7669_L_P_1_DLX1
7669_L_P_1_TBR1
7669_L_P_1_COUPTF2
7669_L_I_1_DLX1
7669_L_I_1_TBR1
7669_L_I_1_COUPTF2
7669_L_O_1_DLX1
7669_L_O_1_TBR1
7669_L_O_1_COUPTF2
7669_L_T_1_DLX1
7669_L_T_1_TBR1
7669_L_T_1_COUPTF2
7669_L_mO_DLX1
7669_L_mO_COUPTF2
7669_R_EC_DLX1
7669_R_EC_TBR1
7669_R_EC_COUPTF2
7669_L_CC_2_DLX1
7669_L_CC_2_COUPTF2
7669_R_F_1_DLX1
7669_R_F_1_TBR1
7669_R_F_1_COUPTF2
7669_R_P_1_DLX1
7669_R_P_1_TBR1
7669_R_P_1_COUPTF2
7669_R_I_1_DLX1
7669_R_I_1_TBR1
7669_R_I_1_COUPTF2
7669_R_O_1_DLX1
7669_R_O_1_TBR1
7669_R_O_1_COUPTF2
7669_R_T_1_DLX1
7669_R_T_1_TBR1
7669_R_T_1_COUPTF2
7669_R_mO_DLX1
7669_R_mO_TBR1
7669_R_mO_COUPTF2
7669_L_EC_DLX1
7669_L_EC_COUPTF2
7669_R_CCMid_DLX1
7669_R_CC_Mid_TBR1
7669_R_CCMid_COUPTF2
B
10−105764174−A−G
0
−2
−4
−3
−2
−1
0
0.8
0.6
0.4
0.2
0.0

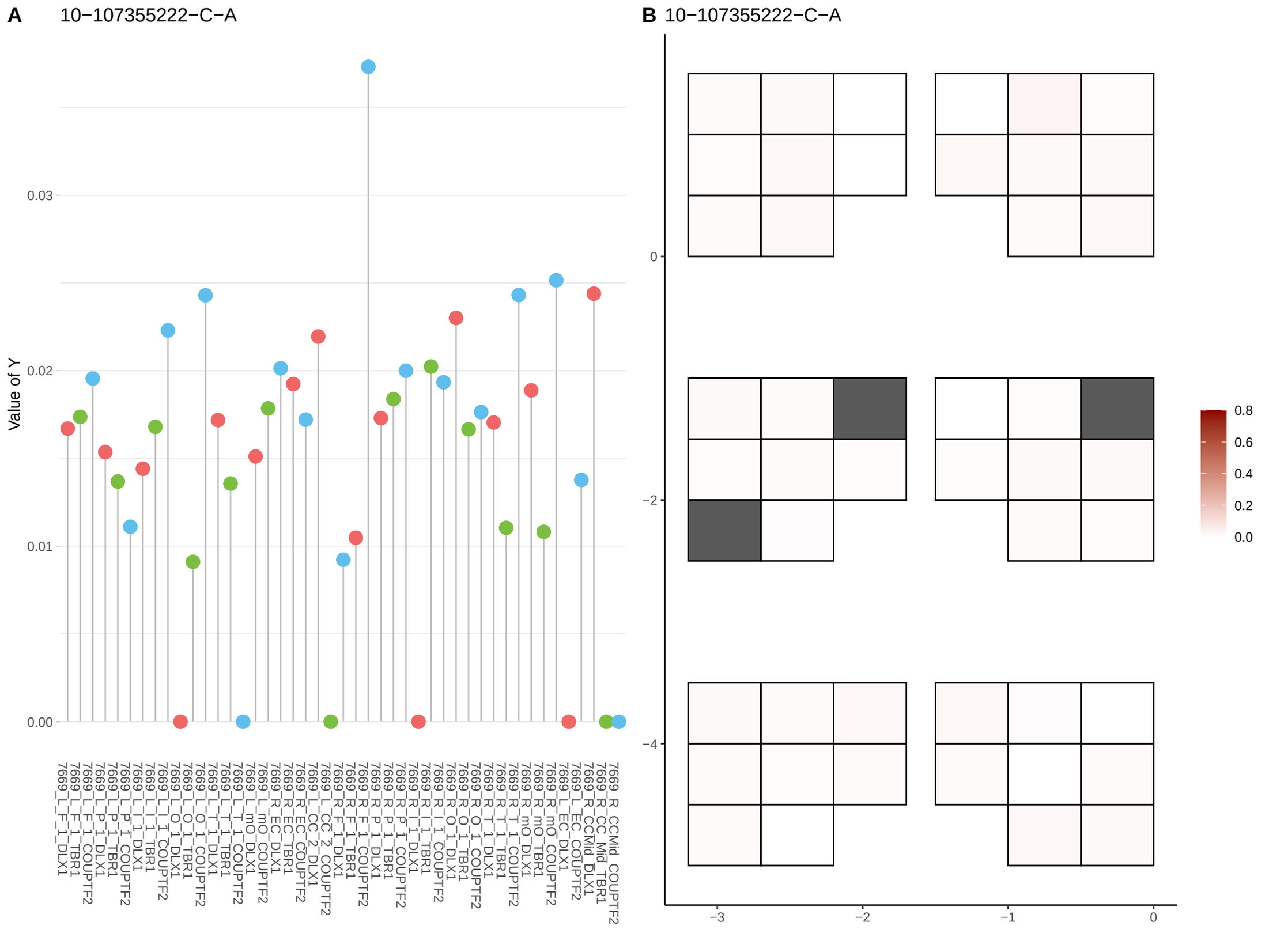
A
10−107355222−C−A
Value of Y
0.03
0.02
0.01
0.00
7669_L_F_1_DLX1
7669_L_F_1_TBR1
7669_L_F_1_COUPTF2
7669_L_P_1_DLX1
7669_L_P_1_TBR1
7669_L_P_1_COUPTF2
7669_L_I_1_DLX1
7669_L_I_1_TBR1
7669_L_I_1_COUPTF2
7669_L_O_1_DLX1
7669_L_O_1_TBR1
7669_L_O_1_COUPTF2
7669_L_T_1_DLX1
7669_L_T_1_TBR1
7669_L_T_1_COUPTF2
7669_L_mO_DLX1
7669_L_mO_COUPTF2
7669_R_EC_DLX1
7669_R_EC_TBR1
7669_R_EC_COUPTF2
7669_L_CC_2_DLX1
7669_L_CC_2_COUPTF2
7669_R_F_1_DLX1
7669_R_F_1_TBR1
7669_R_F_1_COUPTF2
7669_R_P_1_DLX1
7669_R_P_1_TBR1
7669_R_P_1_COUPTF2
7669_R_I_1_DLX1
7669_R_I_1_TBR1
7669_R_I_1_COUPTF2
7669_R_O_1_DLX1
7669_R_O_1_TBR1
7669_R_O_1_COUPTF2
7669_R_T_1_DLX1
7669_R_T_1_TBR1
7669_R_T_1_COUPTF2
7669_R_mO_DLX1
7669_R_mO_TBR1
7669_R_mO_COUPTF2
7669_L_EC_DLX1
7669_L_EC_COUPTF2
7669_R_CCMid_DLX1
7669_R_CC_Mid_TBR1
7669_R_CCMid_COUPTF2
B
10−107355222−C−A
0
−2
−4
−3
−2
−1
0
0.8
0.6
0.4
0.2
0.0

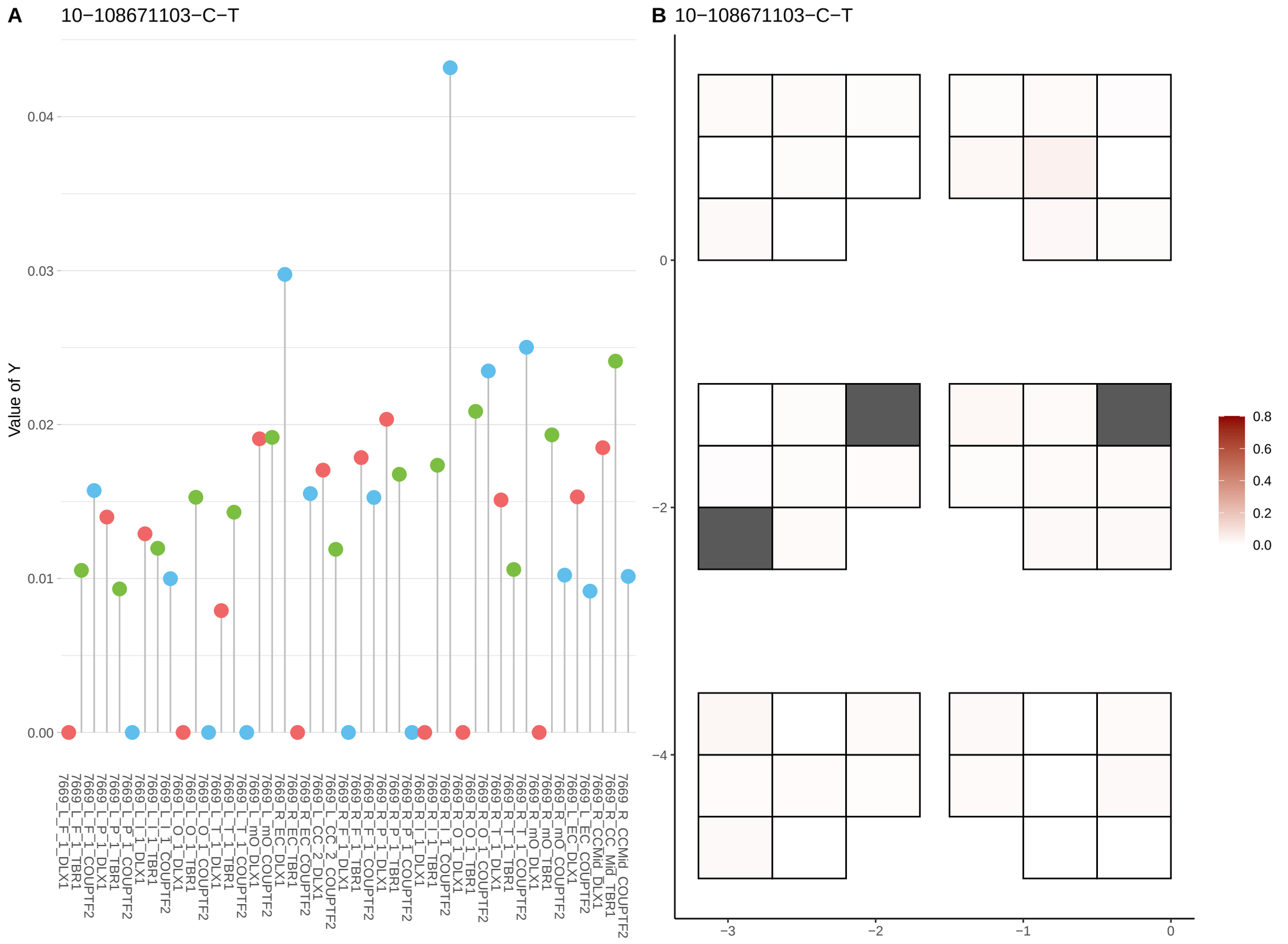
A
10−108671103−C−T
Value of Y
0.04
0.03
0.02
0.01
0.00
7669_L_F_1_DLX1
7669_L_F_1_TBR1
7669_L_F_1_COUPTF2
7669_L_P_1_DLX1
7669_L_P_1_TBR1
7669_L_P_1_COUPTF2
7669_L_I_1_DLX1
7669_L_I_1_TBR1
7669_L_I_1_COUPTF2
7669_L_O_1_DLX1
7669_L_O_1_TBR1
7669_L_O_1_COUPTF2
7669_L_T_1_DLX1
7669_L_T_1_TBR1
7669_L_T_1_COUPTF2
7669_L_mO_DLX1
7669_L_mO_COUPTF2
7669_R_EC_DLX1
7669_R_EC_TBR1
7669_R_EC_COUPTF2
7669_L_CC_2_DLX1
7669_L_CC_2_COUPTF2
7669_R_F_1_DLX1
7669_R_F_1_TBR1
7669_R_F_1_COUPTF2
7669_R_P_1_DLX1
7669_R_P_1_TBR1
7669_R_P_1_COUPTF2
7669_R_I_1_DLX1
7669_R_I_1_TBR1
7669_R_I_1_COUPTF2
7669_R_O_1_DLX1
7669_R_O_1_TBR1
7669_R_O_1_COUPTF2
7669_R_T_1_DLX1
7669_R_T_1_TBR1
7669_R_T_1_COUPTF2
7669_R_mO_DLX1
7669_R_mO_TBR1
7669_R_mO_COUPTF2
7669_L_EC_DLX1
7669_L_EC_COUPTF2
7669_R_CCMid_DLX1
7669_R_CC_Mid_TBR1
7669_R_CCMid_COUPTF2
B
10−108671103−C−T
0
−2
−4
−3
−2
−1
0
0.8
0.6
0.4
0.2
0.0

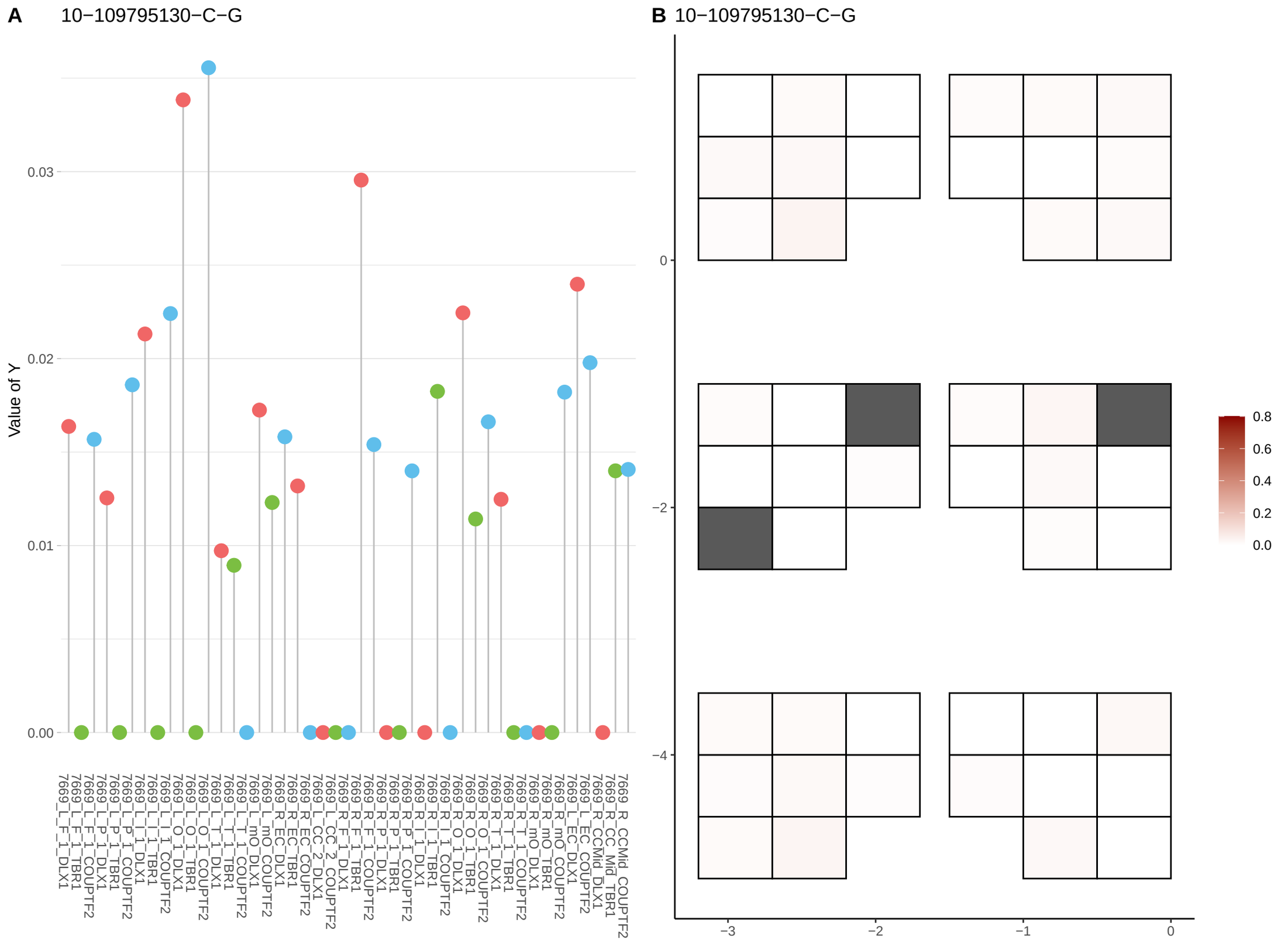
A
10−109795130−C−G
Value of Y
0.03
0.02
0.01
0.00
7669_L_F_1_DLX1
7669_L_F_1_TBR1
7669_L_F_1_COUPTF2
7669_L_P_1_DLX1
7669_L_P_1_TBR1
7669_L_P_1_COUPTF2
7669_L_I_1_DLX1
7669_L_I_1_TBR1
7669_L_I_1_COUPTF2
7669_L_O_1_DLX1
7669_L_O_1_TBR1
7669_L_O_1_COUPTF2
7669_L_T_1_DLX1
7669_L_T_1_TBR1
7669_L_T_1_COUPTF2
7669_L_mO_DLX1
7669_L_mO_COUPTF2
7669_R_EC_DLX1
7669_R_EC_TBR1
7669_R_EC_COUPTF2
7669_L_CC_2_DLX1
7669_L_CC_2_COUPTF2
7669_R_F_1_DLX1
7669_R_F_1_TBR1
7669_R_F_1_COUPTF2
7669_R_P_1_DLX1
7669_R_P_1_TBR1
7669_R_P_1_COUPTF2
7669_R_I_1_DLX1
7669_R_I_1_TBR1
7669_R_I_1_COUPTF2
7669_R_O_1_DLX1
7669_R_O_1_TBR1
7669_R_O_1_COUPTF2
7669_R_T_1_DLX1
7669_R_T_1_TBR1
7669_R_T_1_COUPTF2
7669_R_mO_DLX1
7669_R_mO_TBR1
7669_R_mO_COUPTF2
7669_L_EC_DLX1
7669_L_EC_COUPTF2
7669_R_CCMid_DLX1
7669_R_CC_Mid_TBR1
7669_R_CCMid_COUPTF2
B
10−109795130−C−G
0
−2
−4
−3
−2
−1
0
0.8
0.6
0.4
0.2
0.0

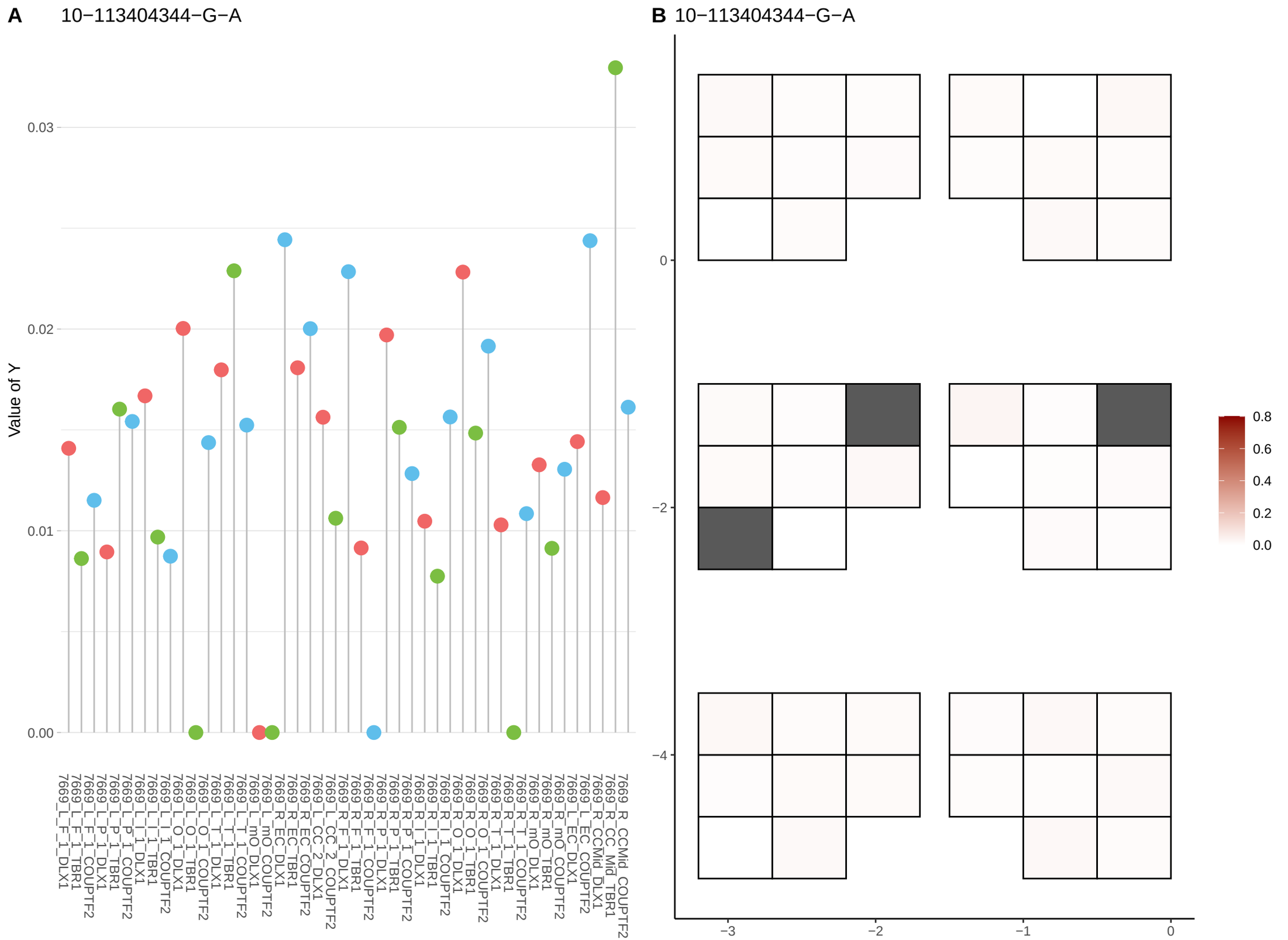
A
10−113404344−G−A
Value of Y
0.03
0.02
0.01
0.00
7669_L_F_1_DLX1
7669_L_F_1_TBR1
7669_L_F_1_COUPTF2
7669_L_P_1_DLX1
7669_L_P_1_TBR1
7669_L_P_1_COUPTF2
7669_L_I_1_DLX1
7669_L_I_1_TBR1
7669_L_I_1_COUPTF2
7669_L_O_1_DLX1
7669_L_O_1_TBR1
7669_L_O_1_COUPTF2
7669_L_T_1_DLX1
7669_L_T_1_TBR1
7669_L_T_1_COUPTF2
7669_L_mO_DLX1
7669_L_mO_COUPTF2
7669_R_EC_DLX1
7669_R_EC_TBR1
7669_R_EC_COUPTF2
7669_L_CC_2_DLX1
7669_L_CC_2_COUPTF2
7669_R_F_1_DLX1
7669_R_F_1_TBR1
7669_R_F_1_COUPTF2
7669_R_P_1_DLX1
7669_R_P_1_TBR1
7669_R_P_1_COUPTF2
7669_R_I_1_DLX1
7669_R_I_1_TBR1
7669_R_I_1_COUPTF2
7669_R_O_1_DLX1
7669_R_O_1_TBR1
7669_R_O_1_COUPTF2
7669_R_T_1_DLX1
7669_R_T_1_TBR1
7669_R_T_1_COUPTF2
7669_R_mO_DLX1
7669_R_mO_TBR1
7669_R_mO_COUPTF2
7669_L_EC_DLX1
7669_L_EC_COUPTF2
7669_R_CCMid_DLX1
7669_R_CC_Mid_TBR1
7669_R_CCMid_COUPTF2
B
10−113404344−G−A
0
−2
−4
−3
−2
−1
0
0.8
0.6
0.4
0.2
0.0

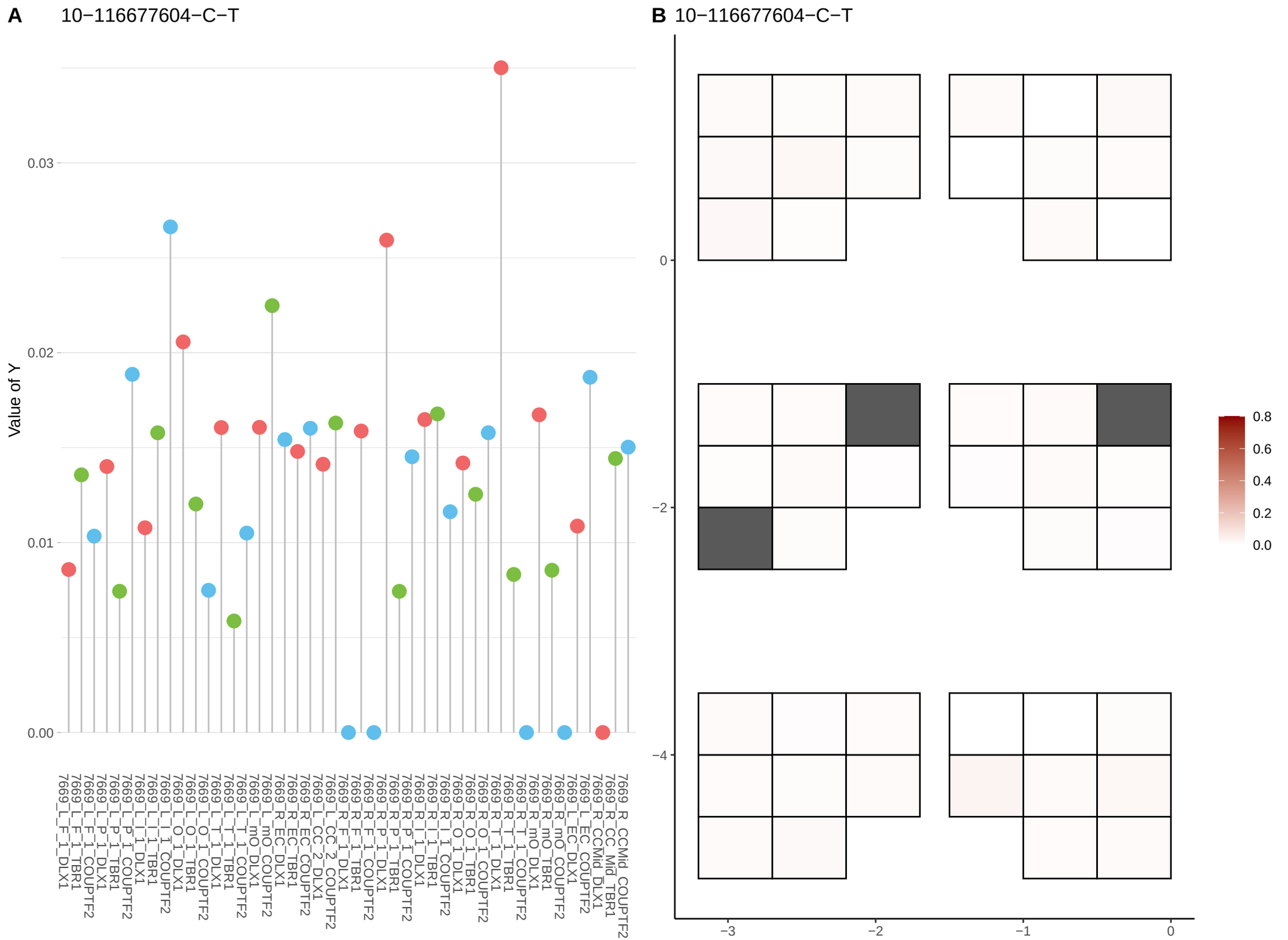
A
10−116677604−C−T
Value of Y
0.03
0.02
0.01
0.00
7669_L_F_1_DLX1
7669_L_F_1_TBR1
7669_L_F_1_COUPTF2
7669_L_P_1_DLX1
7669_L_P_1_TBR1
7669_L_P_1_COUPTF2
7669_L_I_1_DLX1
7669_L_I_1_TBR1
7669_L_I_1_COUPTF2
7669_L_O_1_DLX1
7669_L_O_1_TBR1
7669_L_O_1_COUPTF2
7669_L_T_1_DLX1
7669_L_T_1_TBR1
7669_L_T_1_COUPTF2
7669_L_mO_DLX1
7669_L_mO_COUPTF2
7669_R_EC_DLX1
7669_R_EC_TBR1
7669_R_EC_COUPTF2
7669_L_CC_2_DLX1
7669_L_CC_2_COUPTF2
7669_R_F_1_DLX1
7669_R_F_1_TBR1
7669_R_F_1_COUPTF2
7669_R_P_1_DLX1
7669_R_P_1_TBR1
7669_R_P_1_COUPTF2
7669_R_I_1_DLX1
7669_R_I_1_TBR1
7669_R_I_1_COUPTF2
7669_R_O_1_DLX1
7669_R_O_1_TBR1
7669_R_O_1_COUPTF2
7669_R_T_1_DLX1
7669_R_T_1_TBR1
7669_R_T_1_COUPTF2
7669_R_mO_DLX1
7669_R_mO_TBR1
7669_R_mO_COUPTF2
7669_L_EC_DLX1
7669_L_EC_COUPTF2
7669_R_CCMid_DLX1
7669_R_CC_Mid_TBR1
7669_R_CCMid_COUPTF2
B
10−116677604−C−T
0
−2
−4
−3
−2
−1
0
0.8
0.6
0.4
0.2
0.0

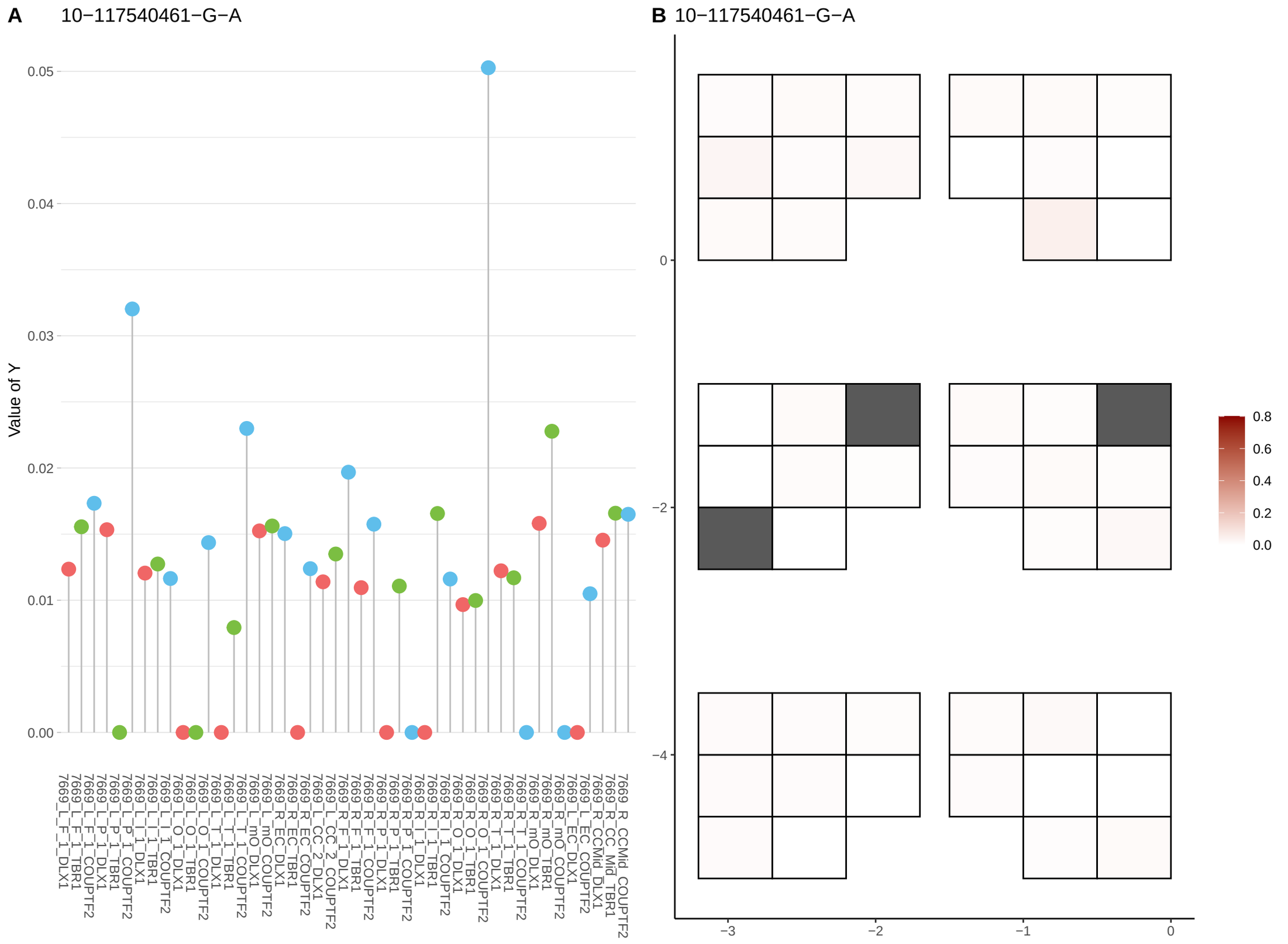
A
10−117540461−G−A
Value of Y
0.05
0.04
0.03
0.02
0.01
0.00
7669_L_F_1_DLX1
7669_L_F_1_TBR1
7669_L_F_1_COUPTF2
7669_L_P_1_DLX1
7669_L_P_1_TBR1
7669_L_P_1_COUPTF2
7669_L_I_1_DLX1
7669_L_I_1_TBR1
7669_L_I_1_COUPTF2
7669_L_O_1_DLX1
7669_L_O_1_TBR1
7669_L_O_1_COUPTF2
7669_L_T_1_DLX1
7669_L_T_1_TBR1
7669_L_T_1_COUPTF2
7669_L_mO_DLX1
7669_L_mO_COUPTF2
7669_R_EC_DLX1
7669_R_EC_TBR1
7669_R_EC_COUPTF2
7669_L_CC_2_DLX1
7669_L_CC_2_COUPTF2
7669_R_F_1_DLX1
7669_R_F_1_TBR1
7669_R_F_1_COUPTF2
7669_R_P_1_DLX1
7669_R_P_1_TBR1
7669_R_P_1_COUPTF2
7669_R_I_1_DLX1
7669_R_I_1_TBR1
7669_R_I_1_COUPTF2
7669_R_O_1_DLX1
7669_R_O_1_TBR1
7669_R_O_1_COUPTF2
7669_R_T_1_DLX1
7669_R_T_1_TBR1
7669_R_T_1_COUPTF2
7669_R_mO_DLX1
7669_R_mO_TBR1
7669_R_mO_COUPTF2
7669_L_EC_DLX1
7669_L_EC_COUPTF2
7669_R_CCMid_DLX1
7669_R_CC_Mid_TBR1
7669_R_CCMid_COUPTF2
B
10−117540461−G−A
0
−2
−4
−3
−2
−1
0
0.8
0.6
0.4
0.2
0.0

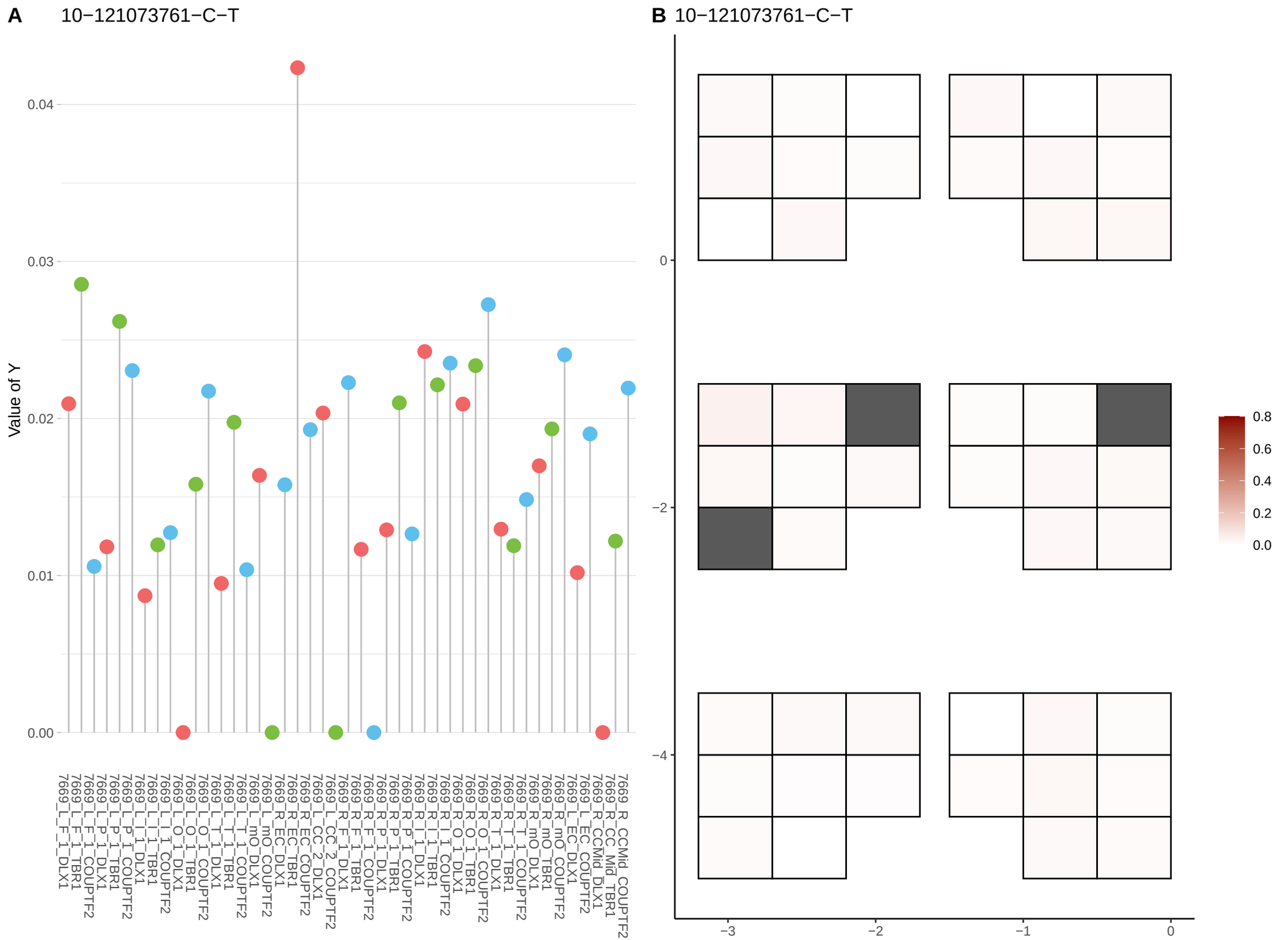
A
10−121073761−C−T
Value of Y
0.04
0.03
0.02
0.01
0.00
7669_L_F_1_DLX1
7669_L_F_1_TBR1
7669_L_F_1_COUPTF2
7669_L_P_1_DLX1
7669_L_P_1_TBR1
7669_L_P_1_COUPTF2
7669_L_I_1_DLX1
7669_L_I_1_TBR1
7669_L_I_1_COUPTF2
7669_L_O_1_DLX1
7669_L_O_1_TBR1
7669_L_O_1_COUPTF2
7669_L_T_1_DLX1
7669_L_T_1_TBR1
7669_L_T_1_COUPTF2
7669_L_mO_DLX1
7669_L_mO_COUPTF2
7669_R_EC_DLX1
7669_R_EC_TBR1
7669_R_EC_COUPTF2
7669_L_CC_2_DLX1
7669_L_CC_2_COUPTF2
7669_R_F_1_DLX1
7669_R_F_1_TBR1
7669_R_F_1_COUPTF2
7669_R_P_1_DLX1
7669_R_P_1_TBR1
7669_R_P_1_COUPTF2
7669_R_I_1_DLX1
7669_R_I_1_TBR1
7669_R_I_1_COUPTF2
7669_R_O_1_DLX1
7669_R_O_1_TBR1
7669_R_O_1_COUPTF2
7669_R_T_1_DLX1
7669_R_T_1_TBR1
7669_R_T_1_COUPTF2
7669_R_mO_DLX1
7669_R_mO_TBR1
7669_R_mO_COUPTF2
7669_L_EC_DLX1
7669_L_EC_COUPTF2
7669_R_CCMid_DLX1
7669_R_CC_Mid_TBR1
7669_R_CCMid_COUPTF2
B
10−121073761−C−T
0
−2
−4
−3
−2
−1
0
0.8
0.6
0.4
0.2
0.0

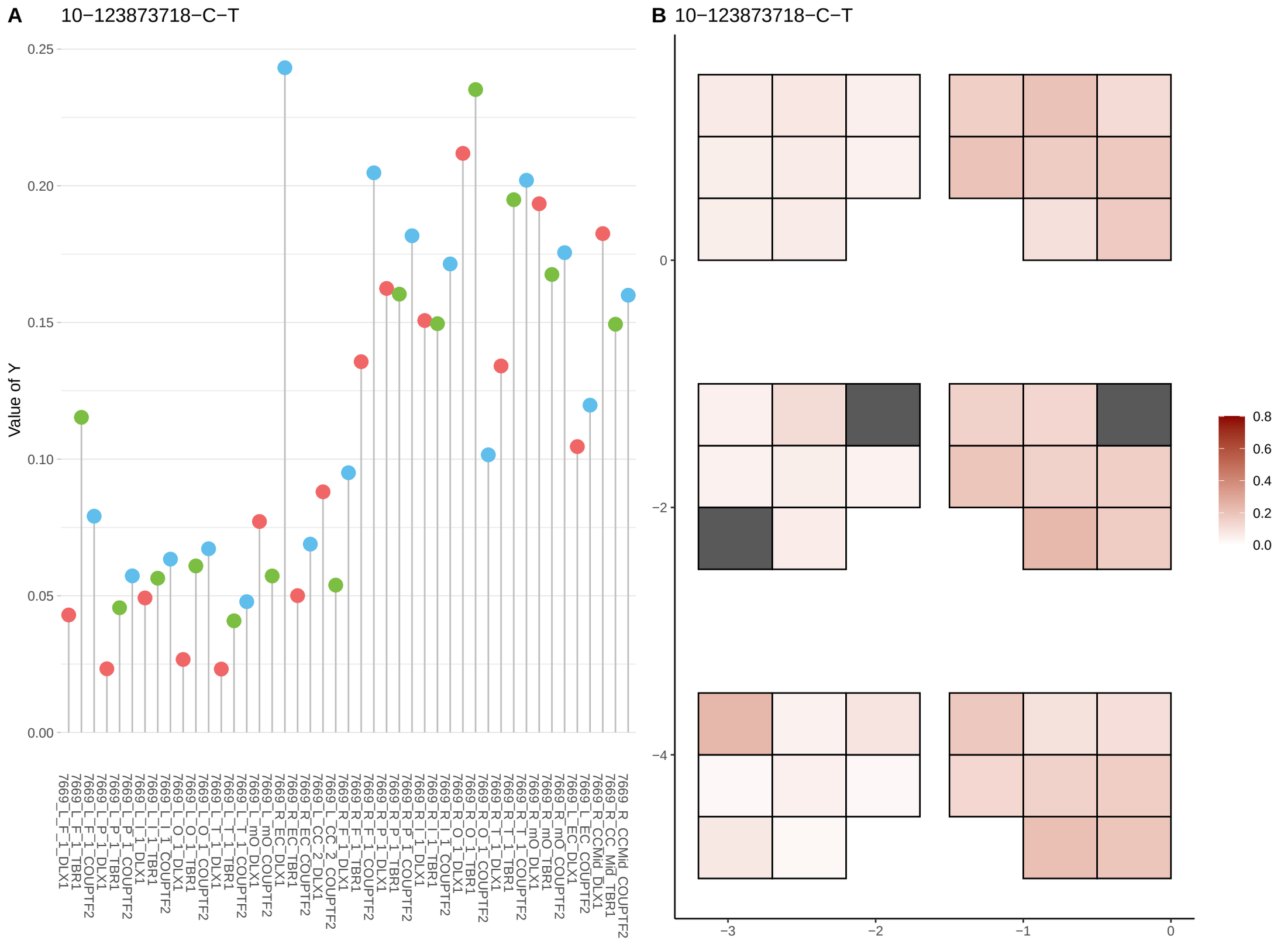
A
10−123873718−C−T
Value of Y
0.25
0.20
0.15
0.10
0.05
0.00
7669_L_F_1_DLX1
7669_L_F_1_TBR1
7669_L_F_1_COUPTF2
7669_L_P_1_DLX1
7669_L_P_1_TBR1
7669_L_P_1_COUPTF2
7669_L_I_1_DLX1
7669_L_I_1_TBR1
7669_L_I_1_COUPTF2
7669_L_O_1_DLX1
7669_L_O_1_TBR1
7669_L_O_1_COUPTF2
7669_L_T_1_DLX1
7669_L_T_1_TBR1
7669_L_T_1_COUPTF2
7669_L_mO_DLX1
7669_L_mO_COUPTF2
7669_R_EC_DLX1
7669_R_EC_TBR1
7669_R_EC_COUPTF2
7669_L_CC_2_DLX1
7669_L_CC_2_COUPTF2
7669_R_F_1_DLX1
7669_R_F_1_TBR1
7669_R_F_1_COUPTF2
7669_R_P_1_DLX1
7669_R_P_1_TBR1
7669_R_P_1_COUPTF2
7669_R_I_1_DLX1
7669_R_I_1_TBR1
7669_R_I_1_COUPTF2
7669_R_O_1_DLX1
7669_R_O_1_TBR1
7669_R_O_1_COUPTF2
7669_R_T_1_DLX1
7669_R_T_1_TBR1
7669_R_T_1_COUPTF2
7669_R_mO_DLX1
7669_R_mO_TBR1
7669_R_mO_COUPTF2
7669_L_EC_DLX1
7669_L_EC_COUPTF2
7669_R_CCMid_DLX1
7669_R_CC_Mid_TBR1
7669_R_CCMid_COUPTF2
B
10−123873718−C−T
0
−2
−4
−3
−2
−1
0
0.8
0.6
0.4
0.2
0.0

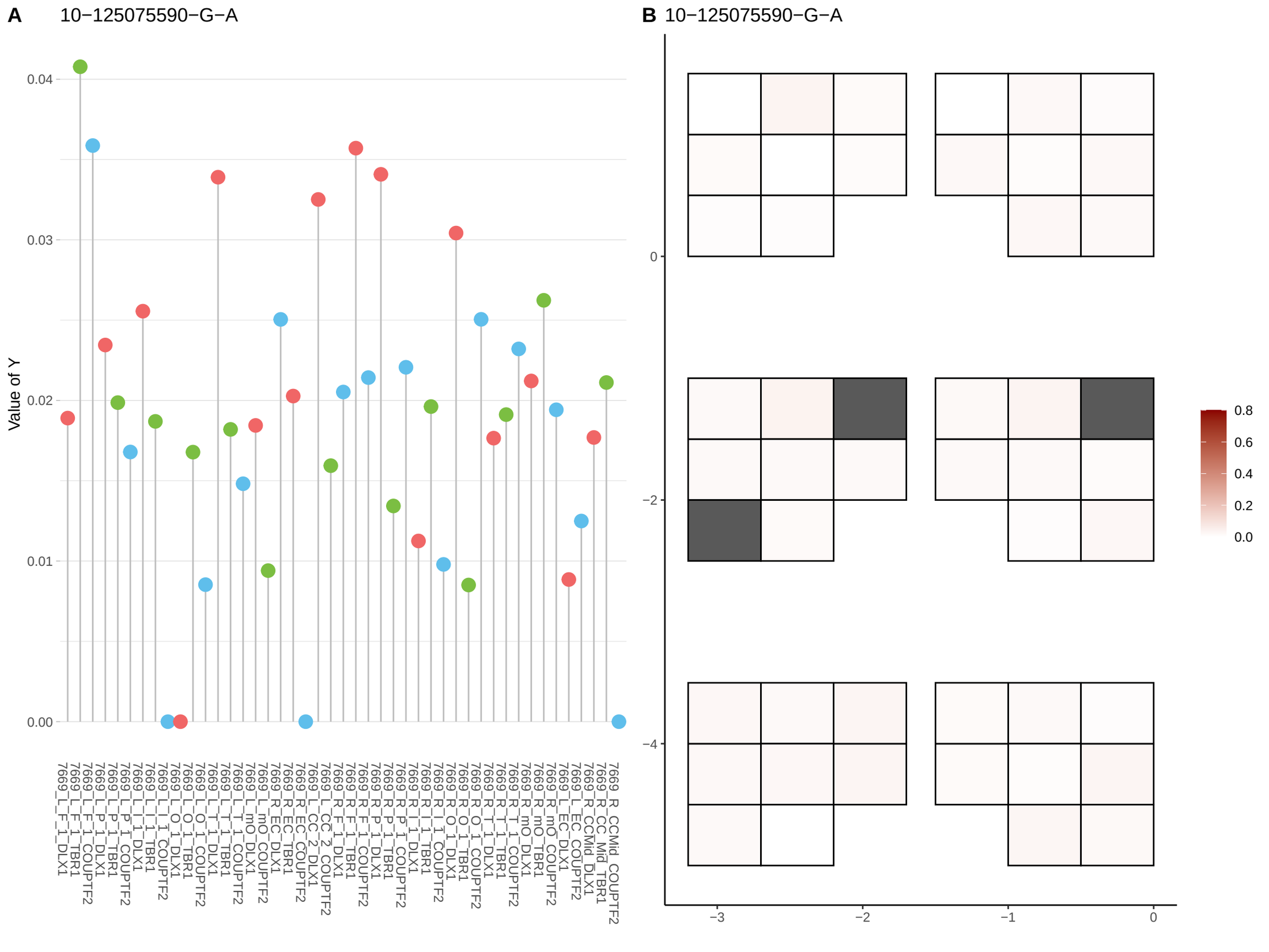
A
10−125075590−G−A
Value of Y
0.04
0.03
0.02
0.01
0.00
7669_L_F_1_DLX1
7669_L_F_1_TBR1
7669_L_F_1_COUPTF2
7669_L_P_1_DLX1
7669_L_P_1_TBR1
7669_L_P_1_COUPTF2
7669_L_I_1_DLX1
7669_L_I_1_TBR1
7669_L_I_1_COUPTF2
7669_L_O_1_DLX1
7669_L_O_1_TBR1
7669_L_O_1_COUPTF2
7669_L_T_1_DLX1
7669_L_T_1_TBR1
7669_L_T_1_COUPTF2
7669_L_mO_DLX1
7669_L_mO_COUPTF2
7669_R_EC_DLX1
7669_R_EC_TBR1
7669_R_EC_COUPTF2
7669_L_CC_2_DLX1
7669_L_CC_2_COUPTF2
7669_R_F_1_DLX1
7669_R_F_1_TBR1
7669_R_F_1_COUPTF2
7669_R_P_1_DLX1
7669_R_P_1_TBR1
7669_R_P_1_COUPTF2
7669_R_I_1_DLX1
7669_R_I_1_TBR1
7669_R_I_1_COUPTF2
7669_R_O_1_DLX1
7669_R_O_1_TBR1
7669_R_O_1_COUPTF2
7669_R_T_1_DLX1
7669_R_T_1_TBR1
7669_R_T_1_COUPTF2
7669_R_mO_DLX1
7669_R_mO_TBR1
7669_R_mO_COUPTF2
7669_L_EC_DLX1
7669_L_EC_COUPTF2
7669_R_CCMid_DLX1
7669_R_CC_Mid_TBR1
7669_R_CCMid_COUPTF2
B
10−125075590−G−A
0
−2
−4
−3
−2
−1
0
0.8
0.6
0.4
0.2
0.0

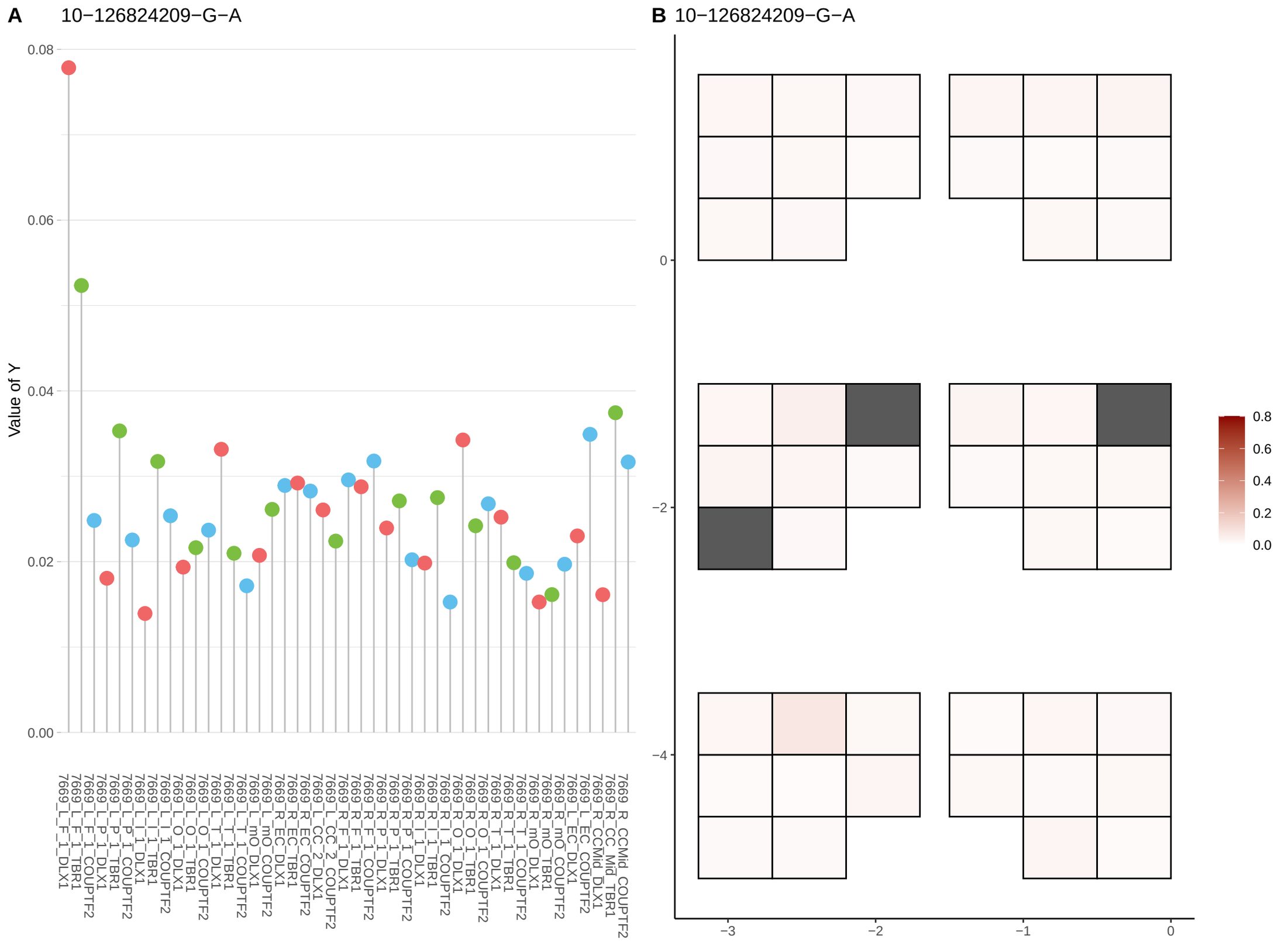
A
10−126824209−G−A
Value of Y
0.08
0.06
0.04
0.02
0.00
7669_L_F_1_DLX1
7669_L_F_1_TBR1
7669_L_F_1_COUPTF2
7669_L_P_1_DLX1
7669_L_P_1_TBR1
7669_L_P_1_COUPTF2
7669_L_I_1_DLX1
7669_L_I_1_TBR1
7669_L_I_1_COUPTF2
7669_L_O_1_DLX1
7669_L_O_1_TBR1
7669_L_O_1_COUPTF2
7669_L_T_1_DLX1
7669_L_T_1_TBR1
7669_L_T_1_COUPTF2
7669_L_mO_DLX1
7669_L_mO_COUPTF2
7669_R_EC_DLX1
7669_R_EC_TBR1
7669_R_EC_COUPTF2
7669_L_CC_2_DLX1
7669_L_CC_2_COUPTF2
7669_R_F_1_DLX1
7669_R_F_1_TBR1
7669_R_F_1_COUPTF2
7669_R_P_1_DLX1
7669_R_P_1_TBR1
7669_R_P_1_COUPTF2
7669_R_I_1_DLX1
7669_R_I_1_TBR1
7669_R_I_1_COUPTF2
7669_R_O_1_DLX1
7669_R_O_1_TBR1
7669_R_O_1_COUPTF2
7669_R_T_1_DLX1
7669_R_T_1_TBR1
7669_R_T_1_COUPTF2
7669_R_mO_DLX1
7669_R_mO_TBR1
7669_R_mO_COUPTF2
7669_L_EC_DLX1
7669_L_EC_COUPTF2
7669_R_CCMid_DLX1
7669_R_CC_Mid_TBR1
7669_R_CCMid_COUPTF2
B
10−126824209−G−A
0
−2
−4
−3
−2
−1
0
0.8
0.6
0.4
0.2
0.0

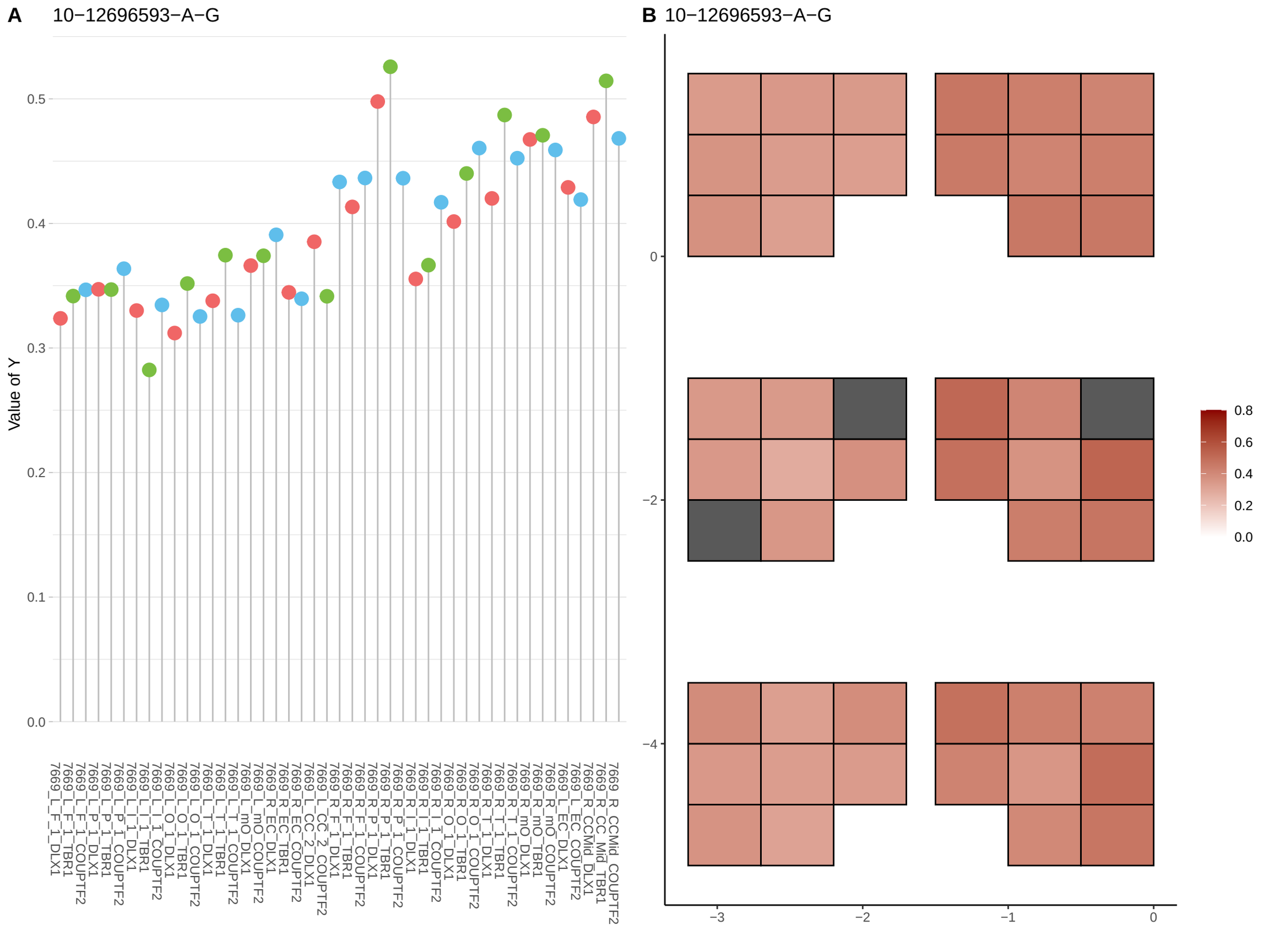
A
10−12696593−A−G
Value of Y
0.0
0.1
0.2
0.3
0.4
0.5
7669_L_F_1_DLX1
7669_L_F_1_TBR1
7669_L_F_1_COUPTF2
7669_L_P_1_DLX1
7669_L_P_1_TBR1
7669_L_P_1_COUPTF2
7669_L_I_1_DLX1
7669_L_I_1_TBR1
7669_L_I_1_COUPTF2
7669_L_O_1_DLX1
7669_L_O_1_TBR1
7669_L_O_1_COUPTF2
7669_L_T_1_DLX1
7669_L_T_1_TBR1
7669_L_T_1_COUPTF2
7669_L_mO_DLX1
7669_L_mO_COUPTF2
7669_R_EC_DLX1
7669_R_EC_TBR1
7669_R_EC_COUPTF2
7669_L_CC_2_DLX1
7669_L_CC_2_COUPTF2
7669_R_F_1_DLX1
7669_R_F_1_TBR1
7669_R_F_1_COUPTF2
7669_R_P_1_DLX1
7669_R_P_1_TBR1
7669_R_P_1_COUPTF2
7669_R_I_1_DLX1
7669_R_I_1_TBR1
7669_R_I_1_COUPTF2
7669_R_O_1_DLX1
7669_R_O_1_TBR1
7669_R_O_1_COUPTF2
7669_R_T_1_DLX1
7669_R_T_1_TBR1
7669_R_T_1_COUPTF2
7669_R_mO_DLX1
7669_R_mO_TBR1
7669_R_mO_COUPTF2
7669_L_EC_DLX1
7669_L_EC_COUPTF2
7669_R_CCMid_DLX1
7669_R_CC_Mid_TBR1
7669_R_CCMid_COUPTF2
B
10−12696593−A−G
0
−2
−4
−3
−2
−1
0
0.8
0.6
0.4
0.2
0.0

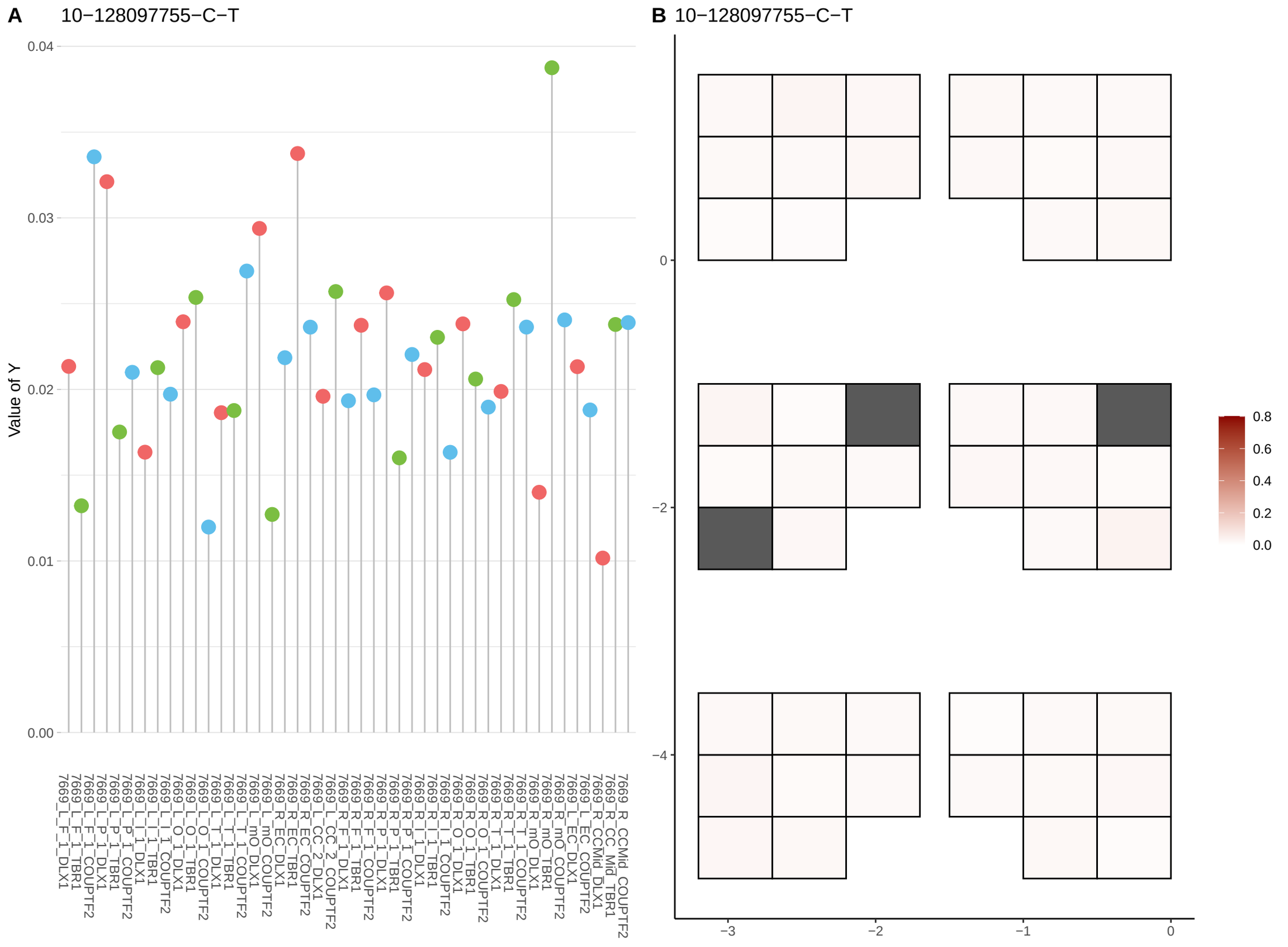
A
10−128097755−C−T
Value of Y
0.04
0.03
0.02
0.01
0.00
7669_L_F_1_DLX1
7669_L_F_1_TBR1
7669_L_F_1_COUPTF2
7669_L_P_1_DLX1
7669_L_P_1_TBR1
7669_L_P_1_COUPTF2
7669_L_I_1_DLX1
7669_L_I_1_TBR1
7669_L_I_1_COUPTF2
7669_L_O_1_DLX1
7669_L_O_1_TBR1
7669_L_O_1_COUPTF2
7669_L_T_1_DLX1
7669_L_T_1_TBR1
7669_L_T_1_COUPTF2
7669_L_mO_DLX1
7669_L_mO_COUPTF2
7669_R_EC_DLX1
7669_R_EC_TBR1
7669_R_EC_COUPTF2
7669_L_CC_2_DLX1
7669_L_CC_2_COUPTF2
7669_R_F_1_DLX1
7669_R_F_1_TBR1
7669_R_F_1_COUPTF2
7669_R_P_1_DLX1
7669_R_P_1_TBR1
7669_R_P_1_COUPTF2
7669_R_I_1_DLX1
7669_R_I_1_TBR1
7669_R_I_1_COUPTF2
7669_R_O_1_DLX1
7669_R_O_1_TBR1
7669_R_O_1_COUPTF2
7669_R_T_1_DLX1
7669_R_T_1_TBR1
7669_R_T_1_COUPTF2
7669_R_mO_DLX1
7669_R_mO_TBR1
7669_R_mO_COUPTF2
7669_L_EC_DLX1
7669_L_EC_COUPTF2
7669_R_CCMid_DLX1
7669_R_CC_Mid_TBR1
7669_R_CCMid_COUPTF2
B
10−128097755−C−T
0
−2
−4
−3
−2
−1
0
0.8
0.6
0.4
0.2
0.0

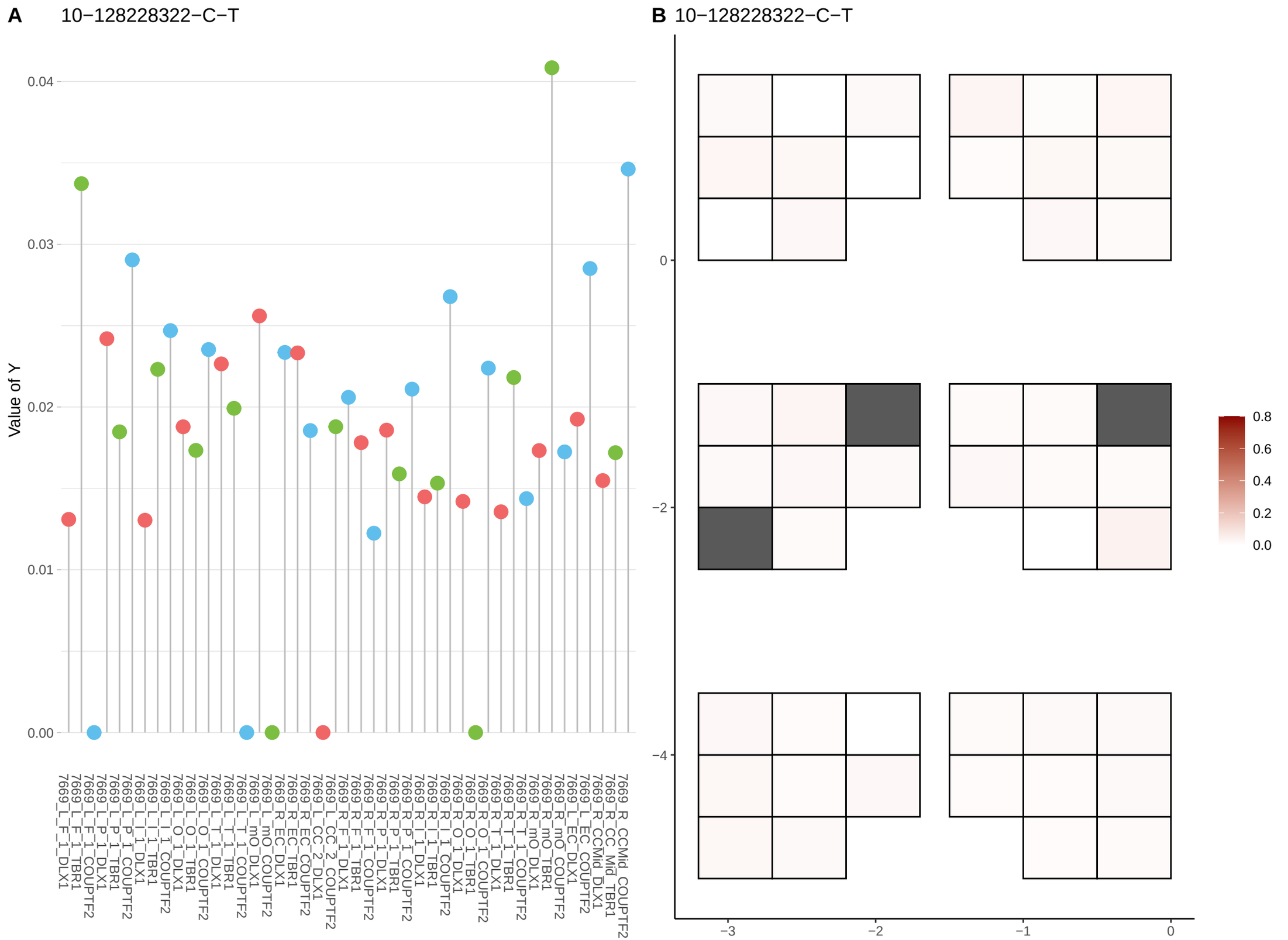
A
10−128228322−C−T
Value of Y
0.04
0.03
0.02
0.01
0.00
7669_L_F_1_DLX1
7669_L_F_1_TBR1
7669_L_F_1_COUPTF2
7669_L_P_1_DLX1
7669_L_P_1_TBR1
7669_L_P_1_COUPTF2
7669_L_I_1_DLX1
7669_L_I_1_TBR1
7669_L_I_1_COUPTF2
7669_L_O_1_DLX1
7669_L_O_1_TBR1
7669_L_O_1_COUPTF2
7669_L_T_1_DLX1
7669_L_T_1_TBR1
7669_L_T_1_COUPTF2
7669_L_mO_DLX1
7669_L_mO_COUPTF2
7669_R_EC_DLX1
7669_R_EC_TBR1
7669_R_EC_COUPTF2
7669_L_CC_2_DLX1
7669_L_CC_2_COUPTF2
7669_R_F_1_DLX1
7669_R_F_1_TBR1
7669_R_F_1_COUPTF2
7669_R_P_1_DLX1
7669_R_P_1_TBR1
7669_R_P_1_COUPTF2
7669_R_I_1_DLX1
7669_R_I_1_TBR1
7669_R_I_1_COUPTF2
7669_R_O_1_DLX1
7669_R_O_1_TBR1
7669_R_O_1_COUPTF2
7669_R_T_1_DLX1
7669_R_T_1_TBR1
7669_R_T_1_COUPTF2
7669_R_mO_DLX1
7669_R_mO_TBR1
7669_R_mO_COUPTF2
7669_L_EC_DLX1
7669_L_EC_COUPTF2
7669_R_CCMid_DLX1
7669_R_CC_Mid_TBR1
7669_R_CCMid_COUPTF2
B
10−128228322−C−T
0
−2
−4
−3
−2
−1
0
0.8
0.6
0.4
0.2
0.0

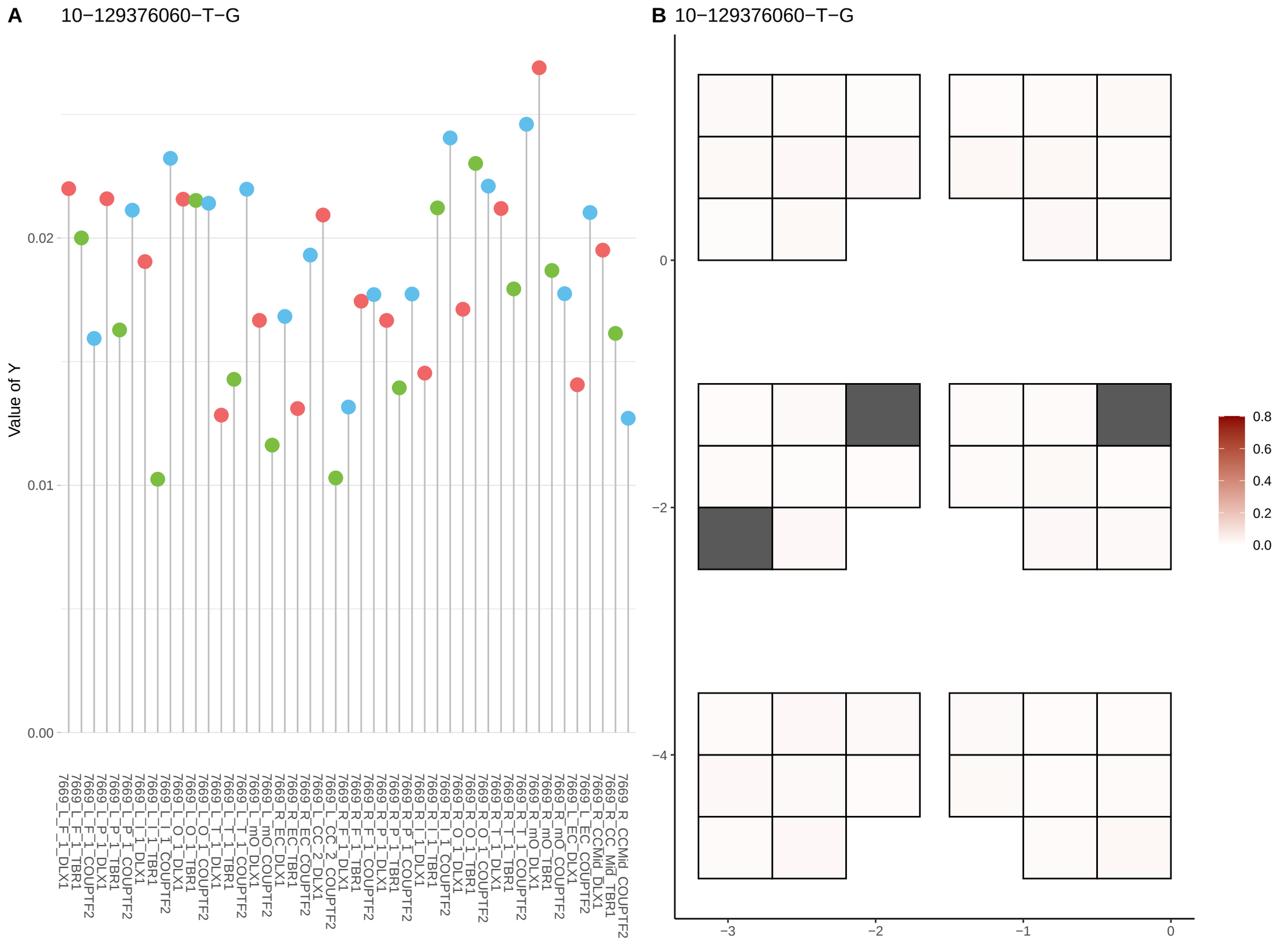
A
10−129376060−T−G
Value of Y
0.02
0.01
0.00
7669_L_F_1_DLX1
7669_L_F_1_TBR1
7669_L_F_1_COUPTF2
7669_L_P_1_DLX1
7669_L_P_1_TBR1
7669_L_P_1_COUPTF2
7669_L_I_1_DLX1
7669_L_I_1_TBR1
7669_L_I_1_COUPTF2
7669_L_O_1_DLX1
7669_L_O_1_TBR1
7669_L_O_1_COUPTF2
7669_L_T_1_DLX1
7669_L_T_1_TBR1
7669_L_T_1_COUPTF2
7669_L_mO_DLX1
7669_L_mO_COUPTF2
7669_R_EC_DLX1
7669_R_EC_TBR1
7669_R_EC_COUPTF2
7669_L_CC_2_DLX1
7669_L_CC_2_COUPTF2
7669_R_F_1_DLX1
7669_R_F_1_TBR1
7669_R_F_1_COUPTF2
7669_R_P_1_DLX1
7669_R_P_1_TBR1
7669_R_P_1_COUPTF2
7669_R_I_1_DLX1
7669_R_I_1_TBR1
7669_R_I_1_COUPTF2
7669_R_O_1_DLX1
7669_R_O_1_TBR1
7669_R_O_1_COUPTF2
7669_R_T_1_DLX1
7669_R_T_1_TBR1
7669_R_T_1_COUPTF2
7669_R_mO_DLX1
7669_R_mO_TBR1
7669_R_mO_COUPTF2
7669_L_EC_DLX1
7669_L_EC_COUPTF2
7669_R_CCMid_DLX1
7669_R_CC_Mid_TBR1
7669_R_CCMid_COUPTF2
B
10−129376060−T−G
0
−2
−4
−3
−2
−1
0
0.8
0.6
0.4
0.2
0.0

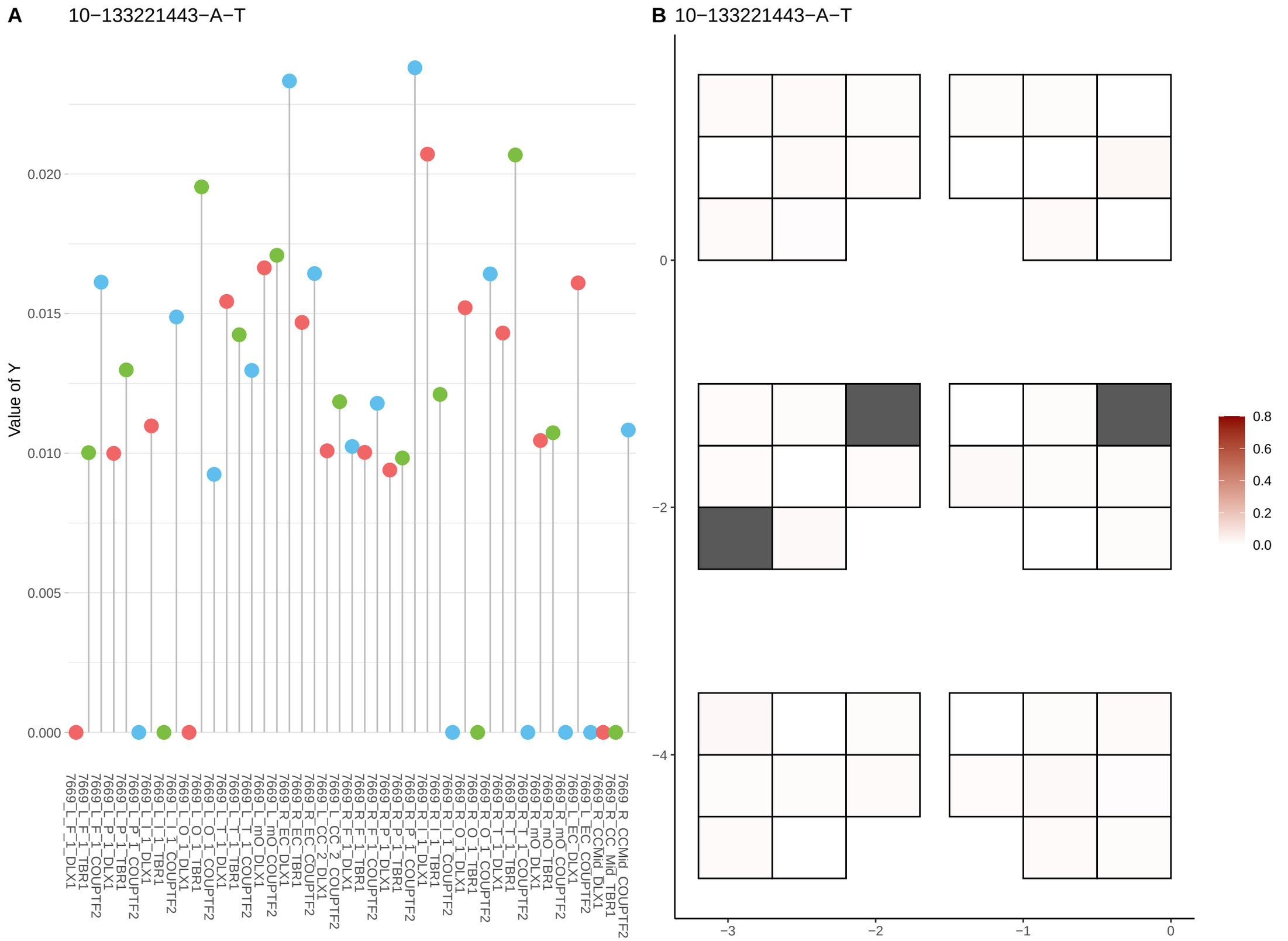
A
10−133221443−A−T
Value of Y
0.020
0.015
0.010
0.005
0.000
7669_L_F_1_DLX1
7669_L_F_1_TBR1
7669_L_F_1_COUPTF2
7669_L_P_1_DLX1
7669_L_P_1_TBR1
7669_L_P_1_COUPTF2
7669_L_I_1_DLX1
7669_L_I_1_TBR1
7669_L_I_1_COUPTF2
7669_L_O_1_DLX1
7669_L_O_1_TBR1
7669_L_O_1_COUPTF2
7669_L_T_1_DLX1
7669_L_T_1_TBR1
7669_L_T_1_COUPTF2
7669_L_mO_DLX1
7669_L_mO_COUPTF2
7669_R_EC_DLX1
7669_R_EC_TBR1
7669_R_EC_COUPTF2
7669_L_CC_2_DLX1
7669_L_CC_2_COUPTF2
7669_R_F_1_DLX1
7669_R_F_1_TBR1
7669_R_F_1_COUPTF2
7669_R_P_1_DLX1
7669_R_P_1_TBR1
7669_R_P_1_COUPTF2
7669_R_I_1_DLX1
7669_R_I_1_TBR1
7669_R_I_1_COUPTF2
7669_R_O_1_DLX1
7669_R_O_1_TBR1
7669_R_O_1_COUPTF2
7669_R_T_1_DLX1
7669_R_T_1_TBR1
7669_R_T_1_COUPTF2
7669_R_mO_DLX1
7669_R_mO_TBR1
7669_R_mO_COUPTF2
7669_L_EC_DLX1
7669_L_EC_COUPTF2
7669_R_CCMid_DLX1
7669_R_CC_Mid_TBR1
7669_R_CCMid_COUPTF2
B
10−133221443−A−T
0
−2
−4
−3
−2
−1
0
0.8
0.6
0.4
0.2
0.0

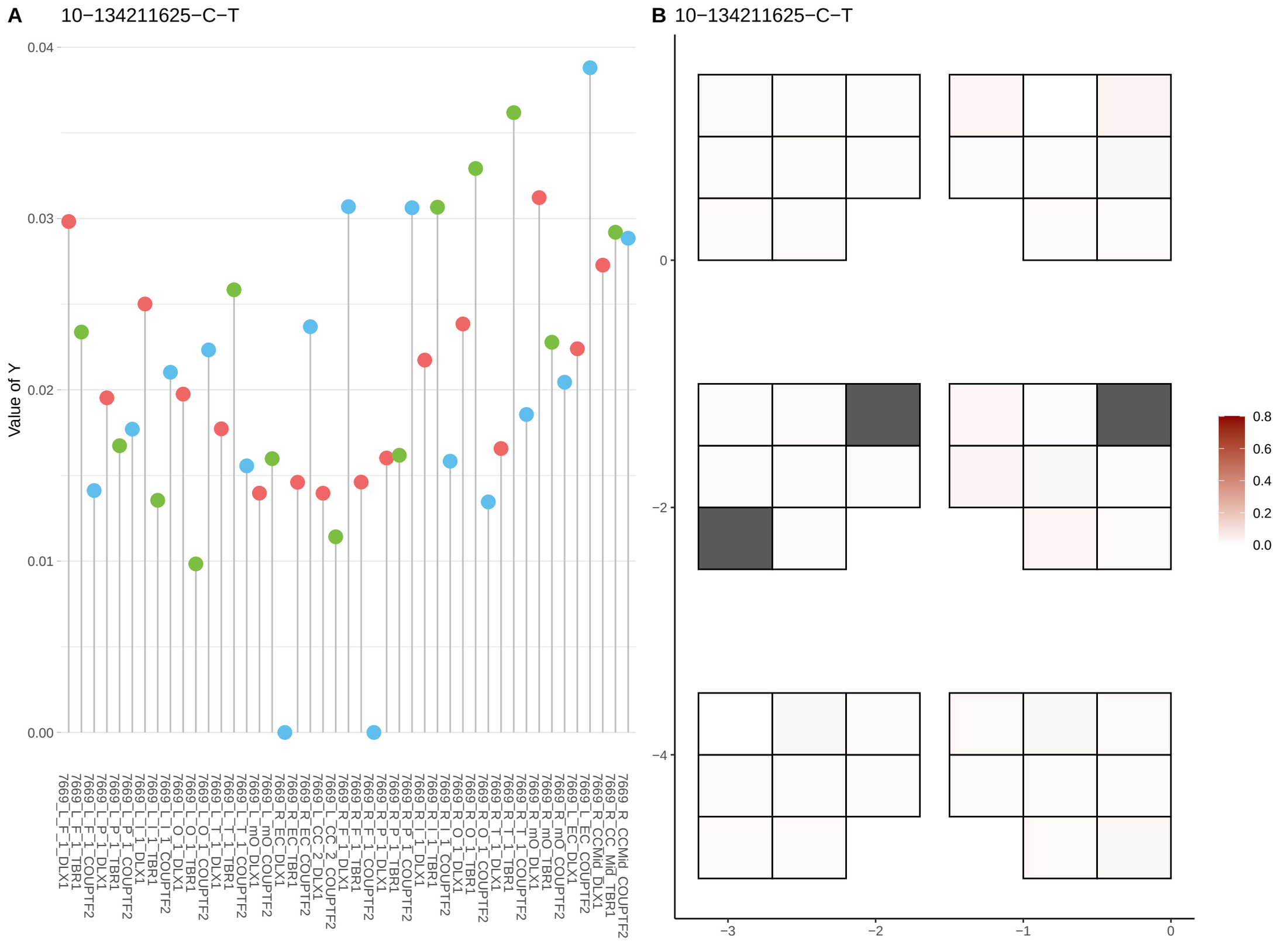
A
10−134211625−C−T
Value of Y
0.04
0.03
0.02
0.01
0.00
7669_L_F_1_DLX1
7669_L_F_1_TBR1
7669_L_F_1_COUPTF2
7669_L_P_1_DLX1
7669_L_P_1_TBR1
7669_L_P_1_COUPTF2
7669_L_I_1_DLX1
7669_L_I_1_TBR1
7669_L_I_1_COUPTF2
7669_L_O_1_DLX1
7669_L_O_1_TBR1
7669_L_O_1_COUPTF2
7669_L_T_1_DLX1
7669_L_T_1_TBR1
7669_L_T_1_COUPTF2
7669_L_mO_DLX1
7669_L_mO_COUPTF2
7669_R_EC_DLX1
7669_R_EC_TBR1
7669_R_EC_COUPTF2
7669_L_CC_2_DLX1
7669_L_CC_2_COUPTF2
7669_R_F_1_DLX1
7669_R_F_1_TBR1
7669_R_F_1_COUPTF2
7669_R_P_1_DLX1
7669_R_P_1_TBR1
7669_R_P_1_COUPTF2
7669_R_I_1_DLX1
7669_R_I_1_TBR1
7669_R_I_1_COUPTF2
7669_R_O_1_DLX1
7669_R_O_1_TBR1
7669_R_O_1_COUPTF2
7669_R_T_1_DLX1
7669_R_T_1_TBR1
7669_R_T_1_COUPTF2
7669_R_mO_DLX1
7669_R_mO_TBR1
7669_R_mO_COUPTF2
7669_L_EC_DLX1
7669_L_EC_COUPTF2
7669_R_CCMid_DLX1
7669_R_CC_Mid_TBR1
7669_R_CCMid_COUPTF2
B
10−134211625−C−T
0
−2
−4
−3
−2
−1
0
0.8
0.6
0.4
0.2
0.0

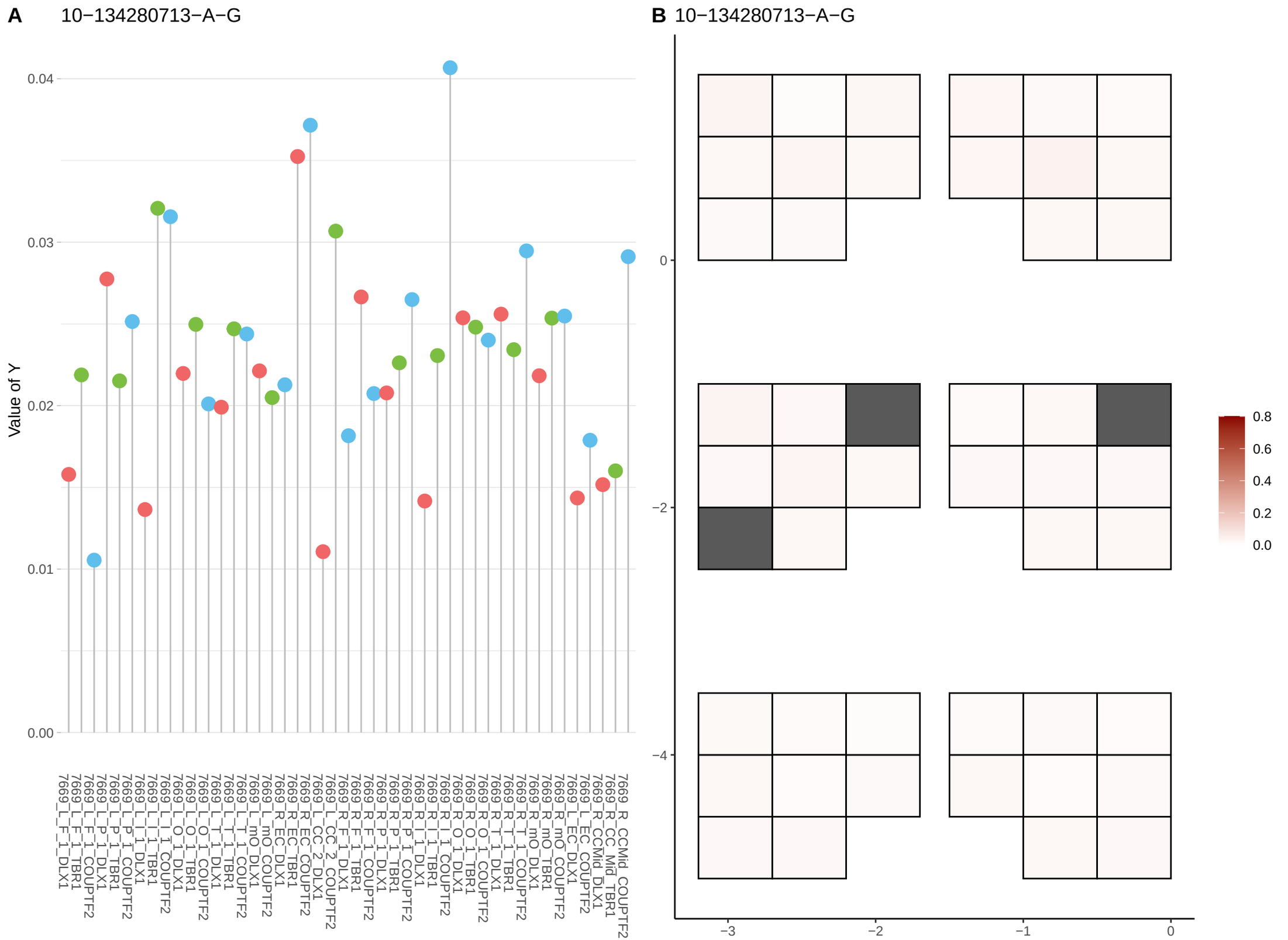
A
10−134280713−A−G
Value of Y
0.04
0.03
0.02
0.01
0.00
7669_L_F_1_DLX1
7669_L_F_1_TBR1
7669_L_F_1_COUPTF2
7669_L_P_1_DLX1
7669_L_P_1_TBR1
7669_L_P_1_COUPTF2
7669_L_I_1_DLX1
7669_L_I_1_TBR1
7669_L_I_1_COUPTF2
7669_L_O_1_DLX1
7669_L_O_1_TBR1
7669_L_O_1_COUPTF2
7669_L_T_1_DLX1
7669_L_T_1_TBR1
7669_L_T_1_COUPTF2
7669_L_mO_DLX1
7669_L_mO_COUPTF2
7669_R_EC_DLX1
7669_R_EC_TBR1
7669_R_EC_COUPTF2
7669_L_CC_2_DLX1
7669_L_CC_2_COUPTF2
7669_R_F_1_DLX1
7669_R_F_1_TBR1
7669_R_F_1_COUPTF2
7669_R_P_1_DLX1
7669_R_P_1_TBR1
7669_R_P_1_COUPTF2
7669_R_I_1_DLX1
7669_R_I_1_TBR1
7669_R_I_1_COUPTF2
7669_R_O_1_DLX1
7669_R_O_1_TBR1
7669_R_O_1_COUPTF2
7669_R_T_1_DLX1
7669_R_T_1_TBR1
7669_R_T_1_COUPTF2
7669_R_mO_DLX1
7669_R_mO_TBR1
7669_R_mO_COUPTF2
7669_L_EC_DLX1
7669_L_EC_COUPTF2
7669_R_CCMid_DLX1
7669_R_CC_Mid_TBR1
7669_R_CCMid_COUPTF2
B
10−134280713−A−G
0
−2
−4
−3
−2
−1
0
0.8
0.6
0.4
0.2
0.0

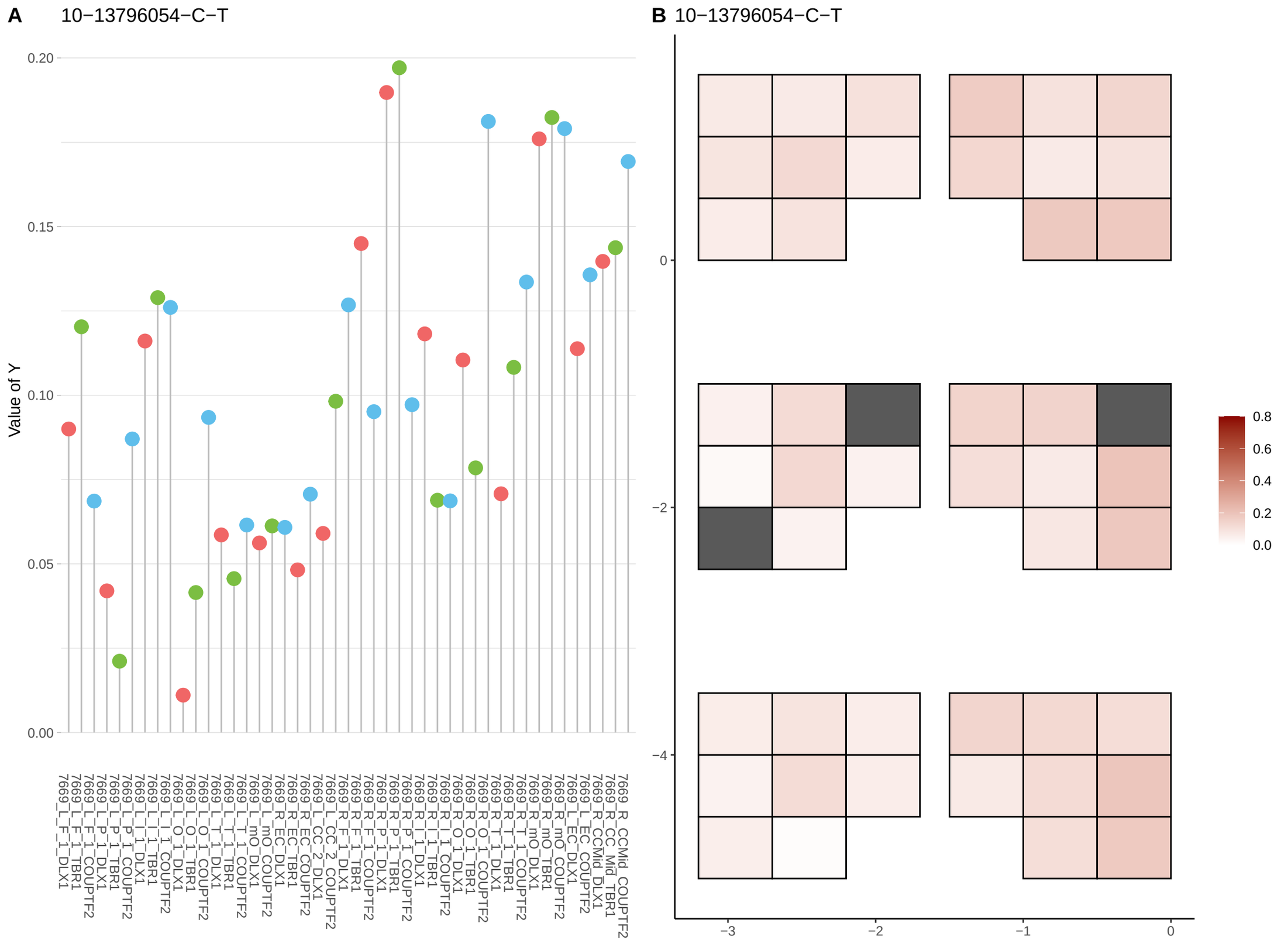
A
10−13796054−C−T
Value of Y
0.20
0.15
0.10
0.05
0.00
7669_L_F_1_DLX1
7669_L_F_1_TBR1
7669_L_F_1_COUPTF2
7669_L_P_1_DLX1
7669_L_P_1_TBR1
7669_L_P_1_COUPTF2
7669_L_I_1_DLX1
7669_L_I_1_TBR1
7669_L_I_1_COUPTF2
7669_L_O_1_DLX1
7669_L_O_1_TBR1
7669_L_O_1_COUPTF2
7669_L_T_1_DLX1
7669_L_T_1_TBR1
7669_L_T_1_COUPTF2
7669_L_mO_DLX1
7669_L_mO_COUPTF2
7669_R_EC_DLX1
7669_R_EC_TBR1
7669_R_EC_COUPTF2
7669_L_CC_2_DLX1
7669_L_CC_2_COUPTF2
7669_R_F_1_DLX1
7669_R_F_1_TBR1
7669_R_F_1_COUPTF2
7669_R_P_1_DLX1
7669_R_P_1_TBR1
7669_R_P_1_COUPTF2
7669_R_I_1_DLX1
7669_R_I_1_TBR1
7669_R_I_1_COUPTF2
7669_R_O_1_DLX1
7669_R_O_1_TBR1
7669_R_O_1_COUPTF2
7669_R_T_1_DLX1
7669_R_T_1_TBR1
7669_R_T_1_COUPTF2
7669_R_mO_DLX1
7669_R_mO_TBR1
7669_R_mO_COUPTF2
7669_L_EC_DLX1
7669_L_EC_COUPTF2
7669_R_CCMid_DLX1
7669_R_CC_Mid_TBR1
7669_R_CCMid_COUPTF2
B
10−13796054−C−T
0
−2
−4
−3
−2
−1
0
0.8
0.6
0.4
0.2
0.0

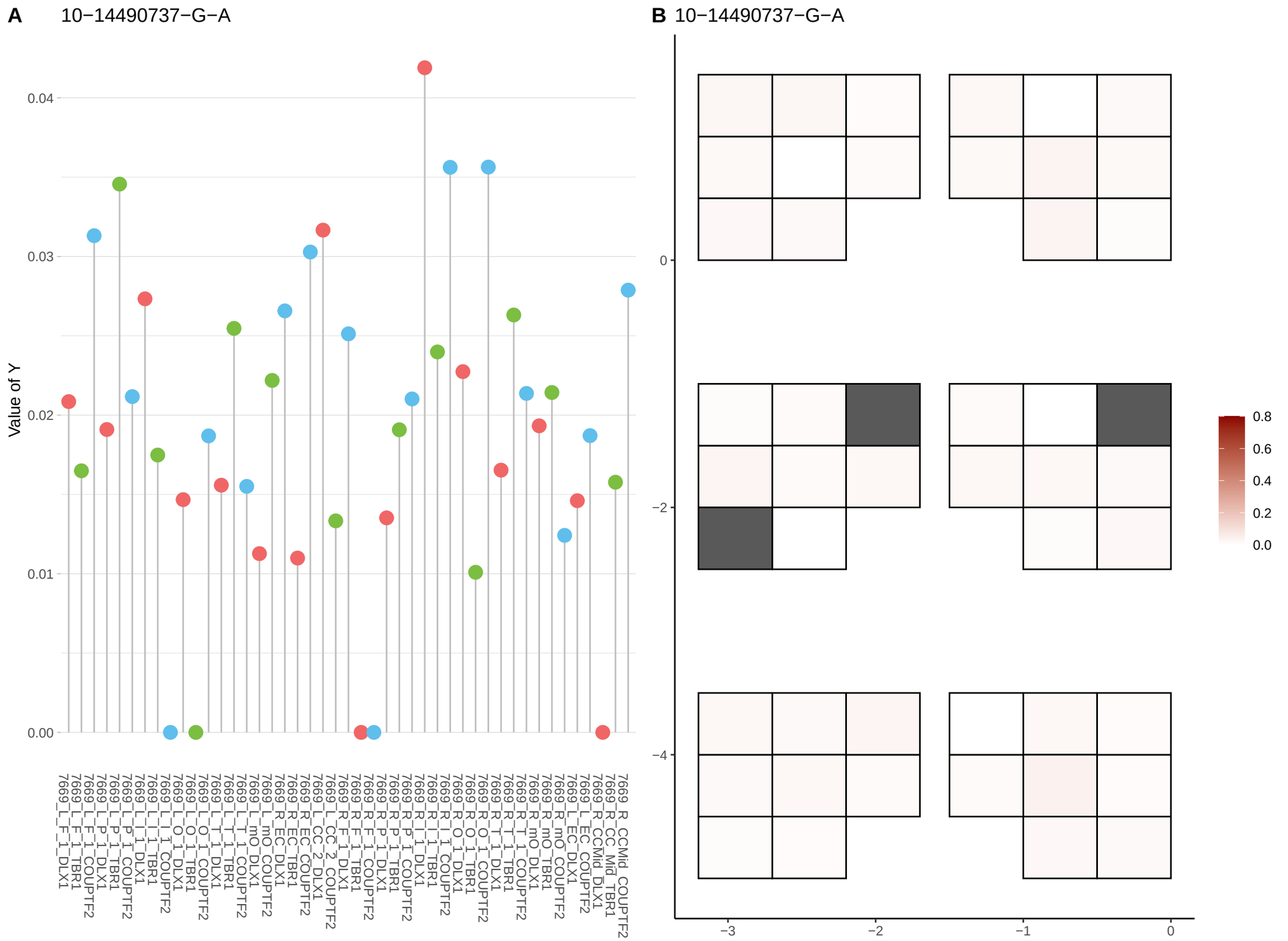
A
10−14490737−G−A
Value of Y
0.04
0.03
0.02
0.01
0.00
7669_L_F_1_DLX1
7669_L_F_1_TBR1
7669_L_F_1_COUPTF2
7669_L_P_1_DLX1
7669_L_P_1_TBR1
7669_L_P_1_COUPTF2
7669_L_I_1_DLX1
7669_L_I_1_TBR1
7669_L_I_1_COUPTF2
7669_L_O_1_DLX1
7669_L_O_1_TBR1
7669_L_O_1_COUPTF2
7669_L_T_1_DLX1
7669_L_T_1_TBR1
7669_L_T_1_COUPTF2
7669_L_mO_DLX1
7669_L_mO_COUPTF2
7669_R_EC_DLX1
7669_R_EC_TBR1
7669_R_EC_COUPTF2
7669_L_CC_2_DLX1
7669_L_CC_2_COUPTF2
7669_R_F_1_DLX1
7669_R_F_1_TBR1
7669_R_F_1_COUPTF2
7669_R_P_1_DLX1
7669_R_P_1_TBR1
7669_R_P_1_COUPTF2
7669_R_I_1_DLX1
7669_R_I_1_TBR1
7669_R_I_1_COUPTF2
7669_R_O_1_DLX1
7669_R_O_1_TBR1
7669_R_O_1_COUPTF2
7669_R_T_1_DLX1
7669_R_T_1_TBR1
7669_R_T_1_COUPTF2
7669_R_mO_DLX1
7669_R_mO_TBR1
7669_R_mO_COUPTF2
7669_L_EC_DLX1
7669_L_EC_COUPTF2
7669_R_CCMid_DLX1
7669_R_CC_Mid_TBR1
7669_R_CCMid_COUPTF2
B
10−14490737−G−A
0
−2
−4
−3
−2
−1
0
0.8
0.6
0.4
0.2
0.0

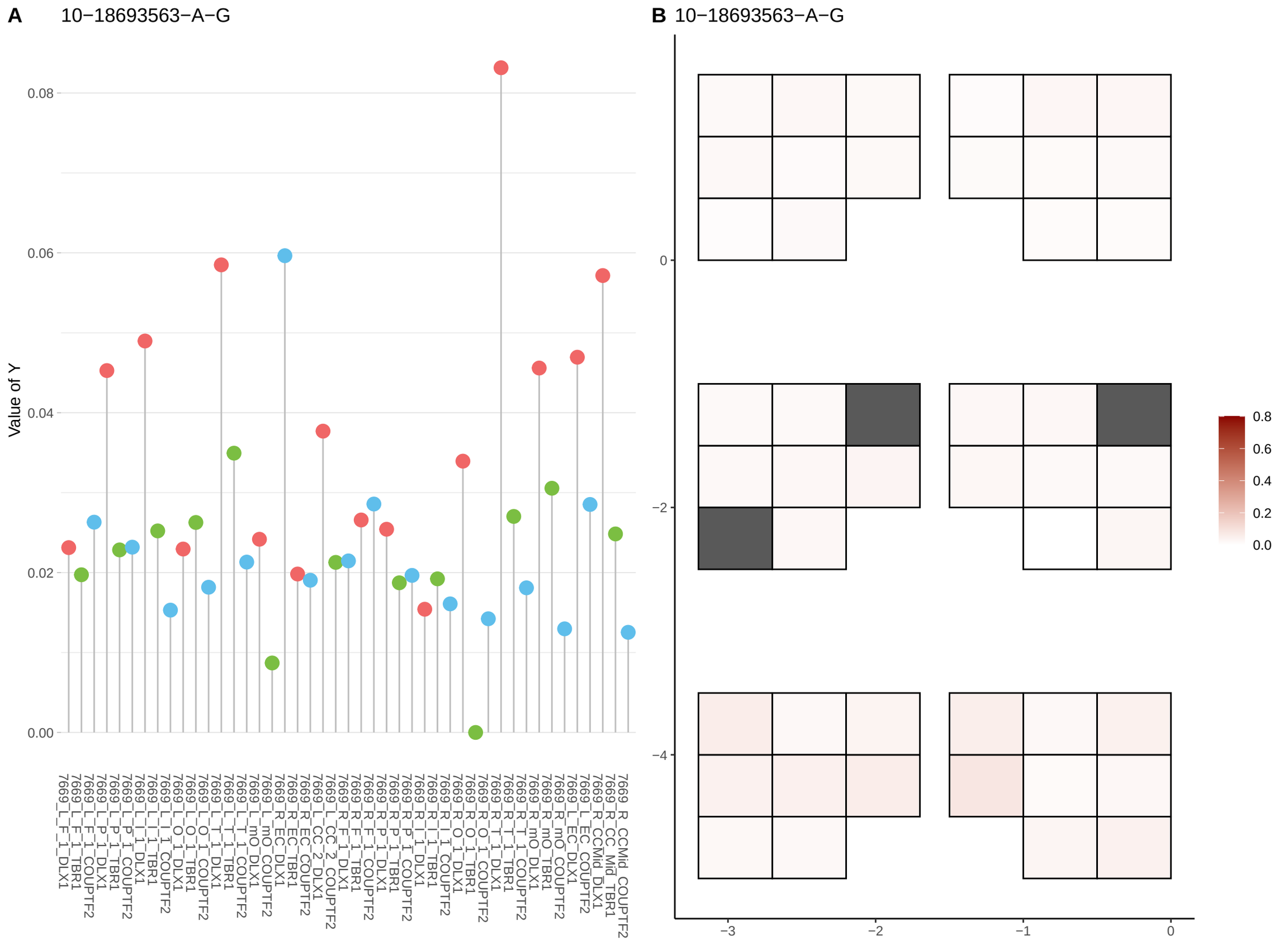
A
10−18693563−A−G
Value of Y
0.08
0.06
0.04
0.02
0.00
7669_L_F_1_DLX1
7669_L_F_1_TBR1
7669_L_F_1_COUPTF2
7669_L_P_1_DLX1
7669_L_P_1_TBR1
7669_L_P_1_COUPTF2
7669_L_I_1_DLX1
7669_L_I_1_TBR1
7669_L_I_1_COUPTF2
7669_L_O_1_DLX1
7669_L_O_1_TBR1
7669_L_O_1_COUPTF2
7669_L_T_1_DLX1
7669_L_T_1_TBR1
7669_L_T_1_COUPTF2
7669_L_mO_DLX1
7669_L_mO_COUPTF2
7669_R_EC_DLX1
7669_R_EC_TBR1
7669_R_EC_COUPTF2
7669_L_CC_2_DLX1
7669_L_CC_2_COUPTF2
7669_R_F_1_DLX1
7669_R_F_1_TBR1
7669_R_F_1_COUPTF2
7669_R_P_1_DLX1
7669_R_P_1_TBR1
7669_R_P_1_COUPTF2
7669_R_I_1_DLX1
7669_R_I_1_TBR1
7669_R_I_1_COUPTF2
7669_R_O_1_DLX1
7669_R_O_1_TBR1
7669_R_O_1_COUPTF2
7669_R_T_1_DLX1
7669_R_T_1_TBR1
7669_R_T_1_COUPTF2
7669_R_mO_DLX1
7669_R_mO_TBR1
7669_R_mO_COUPTF2
7669_L_EC_DLX1
7669_L_EC_COUPTF2
7669_R_CCMid_DLX1
7669_R_CC_Mid_TBR1
7669_R_CCMid_COUPTF2
B
10−18693563−A−G
0
−2
−4
−3
−2
−1
0
0.8
0.6
0.4
0.2
0.0

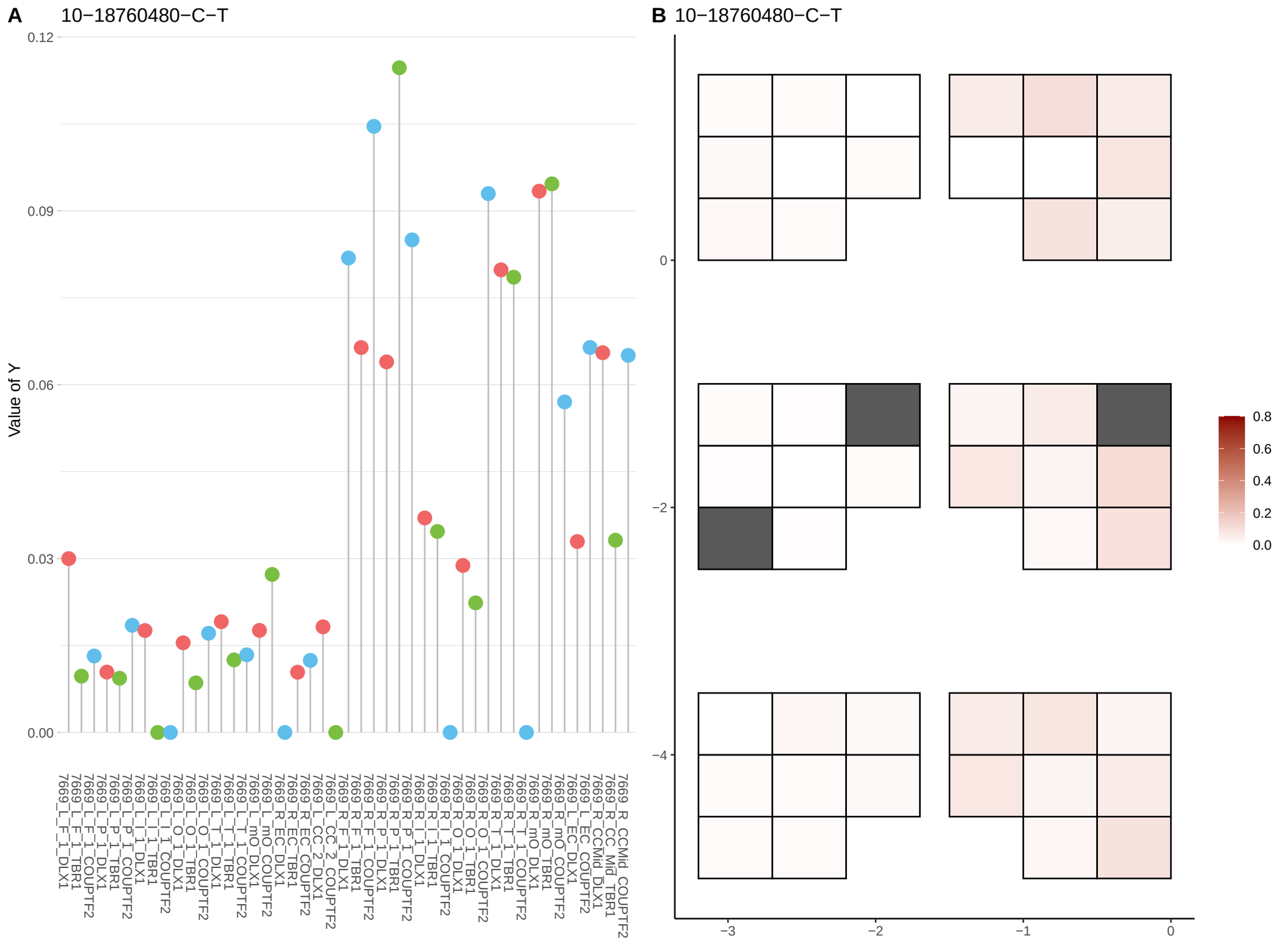
A
10−18760480−C−T
Value of Y
0.12
0.09
0.06
0.03
0.00
7669_L_F_1_DLX1
7669_L_F_1_TBR1
7669_L_F_1_COUPTF2
7669_L_P_1_DLX1
7669_L_P_1_TBR1
7669_L_P_1_COUPTF2
7669_L_I_1_DLX1
7669_L_I_1_TBR1
7669_L_I_1_COUPTF2
7669_L_O_1_DLX1
7669_L_O_1_TBR1
7669_L_O_1_COUPTF2
7669_L_T_1_DLX1
7669_L_T_1_TBR1
7669_L_T_1_COUPTF2
7669_L_mO_DLX1
7669_L_mO_COUPTF2
7669_R_EC_DLX1
7669_R_EC_TBR1
7669_R_EC_COUPTF2
7669_L_CC_2_DLX1
7669_L_CC_2_COUPTF2
7669_R_F_1_DLX1
7669_R_F_1_TBR1
7669_R_F_1_COUPTF2
7669_R_P_1_DLX1
7669_R_P_1_TBR1
7669_R_P_1_COUPTF2
7669_R_I_1_DLX1
7669_R_I_1_TBR1
7669_R_I_1_COUPTF2
7669_R_O_1_DLX1
7669_R_O_1_TBR1
7669_R_O_1_COUPTF2
7669_R_T_1_DLX1
7669_R_T_1_TBR1
7669_R_T_1_COUPTF2
7669_R_mO_DLX1
7669_R_mO_TBR1
7669_R_mO_COUPTF2
7669_L_EC_DLX1
7669_L_EC_COUPTF2
7669_R_CCMid_DLX1
7669_R_CC_Mid_TBR1
7669_R_CCMid_COUPTF2
B
10−18760480−C−T
0
−2
−4
−3
−2
−1
0
0.8
0.6
0.4
0.2
0.0

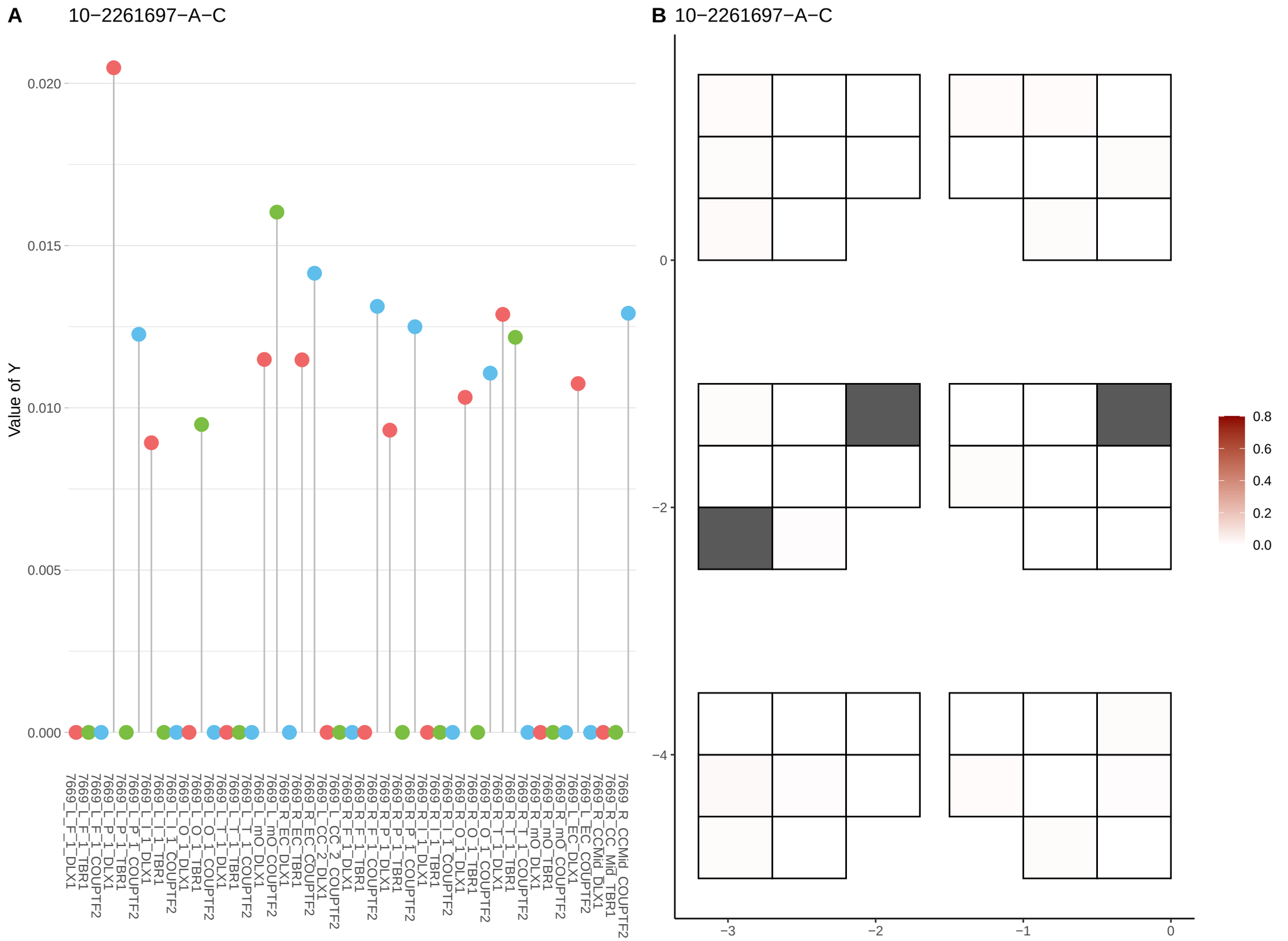
A
10−2261697−A−C
Value of Y
0.020
0.015
0.010
0.005
0.000
7669_L_F_1_DLX1
7669_L_F_1_TBR1
7669_L_F_1_COUPTF2
7669_L_P_1_DLX1
7669_L_P_1_TBR1
7669_L_P_1_COUPTF2
7669_L_I_1_DLX1
7669_L_I_1_TBR1
7669_L_I_1_COUPTF2
7669_L_O_1_DLX1
7669_L_O_1_TBR1
7669_L_O_1_COUPTF2
7669_L_T_1_DLX1
7669_L_T_1_TBR1
7669_L_T_1_COUPTF2
7669_L_mO_DLX1
7669_L_mO_COUPTF2
7669_R_EC_DLX1
7669_R_EC_TBR1
7669_R_EC_COUPTF2
7669_L_CC_2_DLX1
7669_L_CC_2_COUPTF2
7669_R_F_1_DLX1
7669_R_F_1_TBR1
7669_R_F_1_COUPTF2
7669_R_P_1_DLX1
7669_R_P_1_TBR1
7669_R_P_1_COUPTF2
7669_R_I_1_DLX1
7669_R_I_1_TBR1
7669_R_I_1_COUPTF2
7669_R_O_1_DLX1
7669_R_O_1_TBR1
7669_R_O_1_COUPTF2
7669_R_T_1_DLX1
7669_R_T_1_TBR1
7669_R_T_1_COUPTF2
7669_R_mO_DLX1
7669_R_mO_TBR1
7669_R_mO_COUPTF2
7669_L_EC_DLX1
7669_L_EC_COUPTF2
7669_R_CCMid_DLX1
7669_R_CC_Mid_TBR1
7669_R_CCMid_COUPTF2
B
10−2261697−A−C
0
−2
−4
−3
−2
−1
0
0.8
0.6
0.4
0.2
0.0

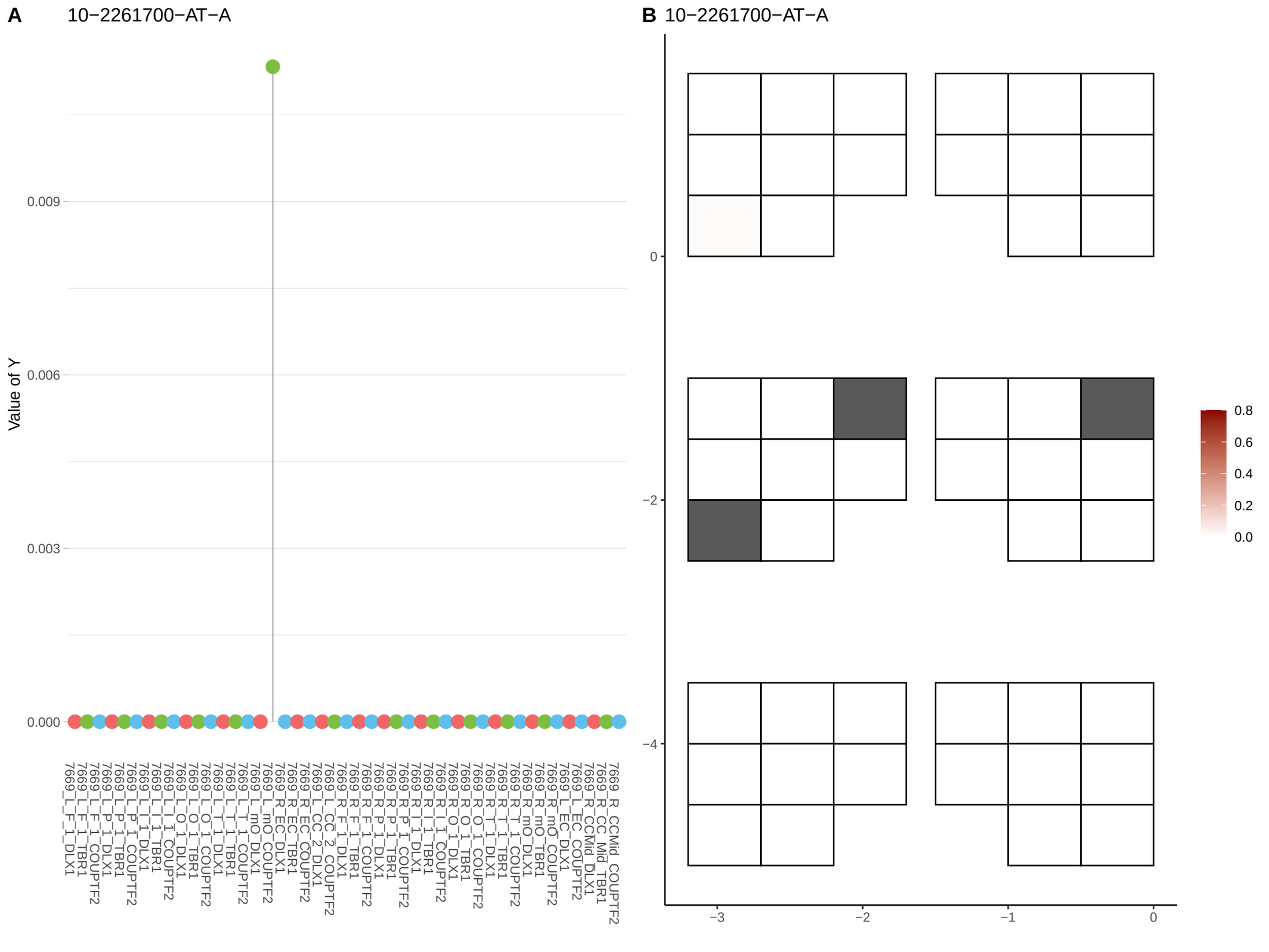
A
10−2261700−AT−A
Value of Y
0.009
0.006
0.003
0.000
7669_L_F_1_DLX1
7669_L_F_1_TBR1
7669_L_F_1_COUPTF2
7669_L_P_1_DLX1
7669_L_P_1_TBR1
7669_L_P_1_COUPTF2
7669_L_I_1_DLX1
7669_L_I_1_TBR1
7669_L_I_1_COUPTF2
7669_L_O_1_DLX1
7669_L_O_1_TBR1
7669_L_O_1_COUPTF2
7669_L_T_1_DLX1
7669_L_T_1_TBR1
7669_L_T_1_COUPTF2
7669_L_mO_DLX1
7669_L_mO_COUPTF2
7669_R_EC_DLX1
7669_R_EC_TBR1
7669_R_EC_COUPTF2
7669_L_CC_2_DLX1
7669_L_CC_2_COUPTF2
7669_R_F_1_DLX1
7669_R_F_1_TBR1
7669_R_F_1_COUPTF2
7669_R_P_1_DLX1
7669_R_P_1_TBR1
7669_R_P_1_COUPTF2
7669_R_I_1_DLX1
7669_R_I_1_TBR1
7669_R_I_1_COUPTF2
7669_R_O_1_DLX1
7669_R_O_1_TBR1
7669_R_O_1_COUPTF2
7669_R_T_1_DLX1
7669_R_T_1_TBR1
7669_R_T_1_COUPTF2
7669_R_mO_DLX1
7669_R_mO_TBR1
7669_R_mO_COUPTF2
7669_L_EC_DLX1
7669_L_EC_COUPTF2
7669_R_CCMid_DLX1
7669_R_CC_Mid_TBR1
7669_R_CCMid_COUPTF2
B
10−2261700−AT−A
0
−2
−4
−3
−2
−1
0
0.8
0.6
0.4
0.2
0.0

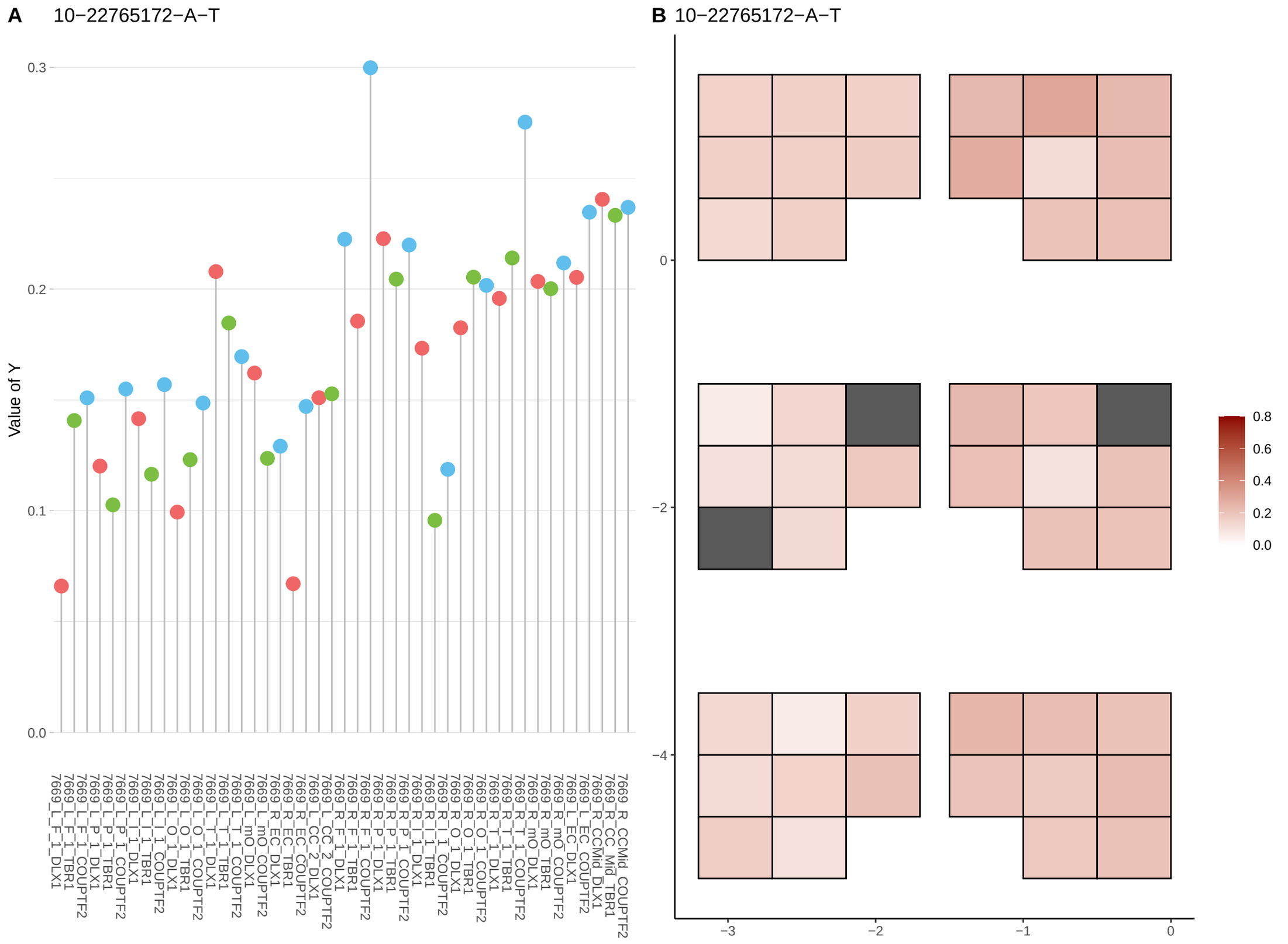
A
10−22765172−A−T
Value of Y
0.3
0.2
0.1
0.0
7669_L_F_1_DLX1
7669_L_F_1_TBR1
7669_L_F_1_COUPTF2
7669_L_P_1_DLX1
7669_L_P_1_TBR1
7669_L_P_1_COUPTF2
7669_L_I_1_DLX1
7669_L_I_1_TBR1
7669_L_I_1_COUPTF2
7669_L_O_1_DLX1
7669_L_O_1_TBR1
7669_L_O_1_COUPTF2
7669_L_T_1_DLX1
7669_L_T_1_TBR1
7669_L_T_1_COUPTF2
7669_L_mO_DLX1
7669_L_mO_COUPTF2
7669_R_EC_DLX1
7669_R_EC_TBR1
7669_R_EC_COUPTF2
7669_L_CC_2_DLX1
7669_L_CC_2_COUPTF2
7669_R_F_1_DLX1
7669_R_F_1_TBR1
7669_R_F_1_COUPTF2
7669_R_P_1_DLX1
7669_R_P_1_TBR1
7669_R_P_1_COUPTF2
7669_R_I_1_DLX1
7669_R_I_1_TBR1
7669_R_I_1_COUPTF2
7669_R_O_1_DLX1
7669_R_O_1_TBR1
7669_R_O_1_COUPTF2
7669_R_T_1_DLX1
7669_R_T_1_TBR1
7669_R_T_1_COUPTF2
7669_R_mO_DLX1
7669_R_mO_TBR1
7669_R_mO_COUPTF2
7669_L_EC_DLX1
7669_L_EC_COUPTF2
7669_R_CCMid_DLX1
7669_R_CC_Mid_TBR1
7669_R_CCMid_COUPTF2
B
10−22765172−A−T
0
−2
−4
−3
−2
−1
0
0.8
0.6
0.4
0.2
0.0

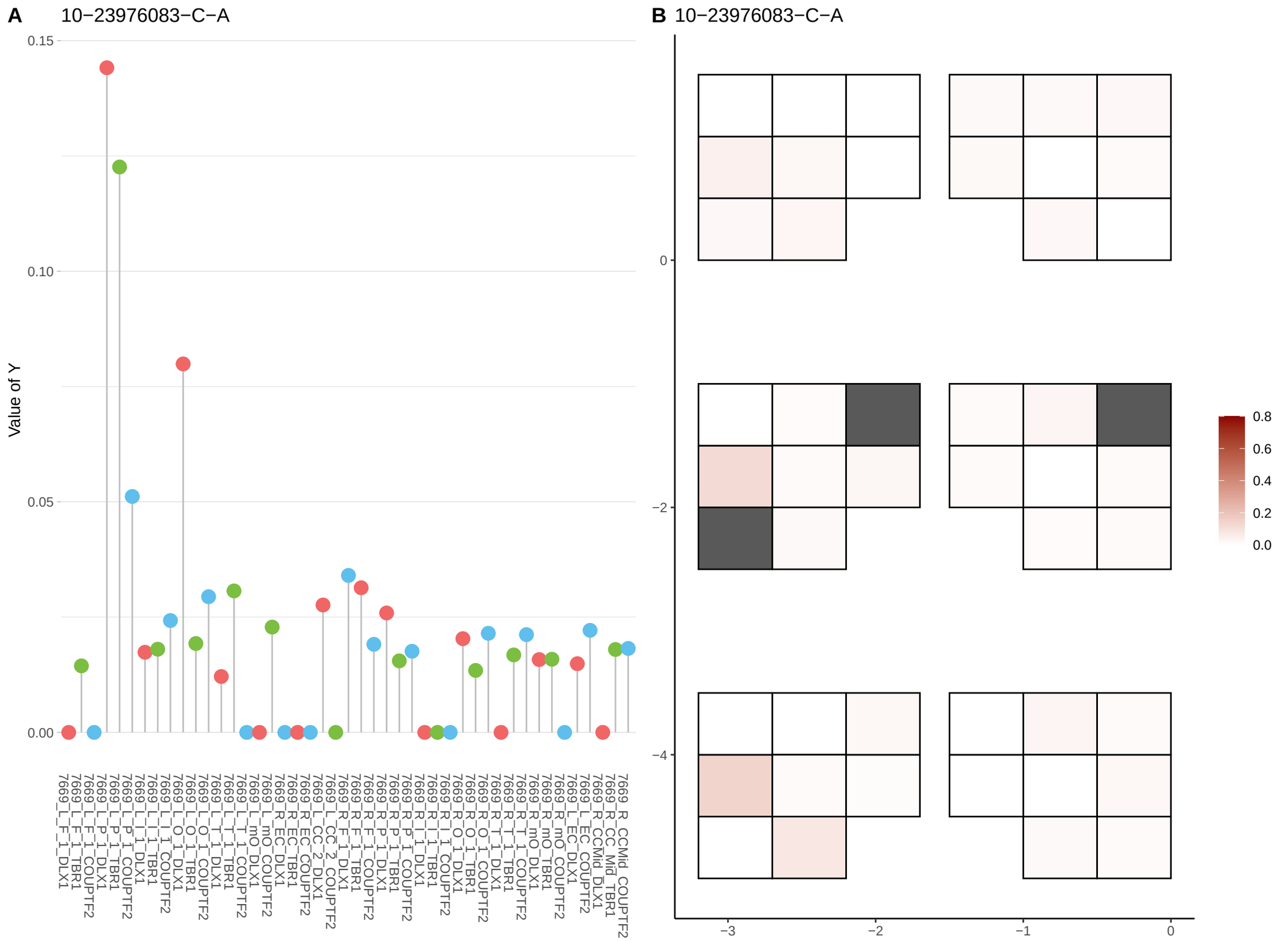
A
10−23976083−C−A
Value of Y
0.15
0.10
0.05
0.00
7669_L_F_1_DLX1
7669_L_F_1_TBR1
7669_L_F_1_COUPTF2
7669_L_P_1_DLX1
7669_L_P_1_TBR1
7669_L_P_1_COUPTF2
7669_L_I_1_DLX1
7669_L_I_1_TBR1
7669_L_I_1_COUPTF2
7669_L_O_1_DLX1
7669_L_O_1_TBR1
7669_L_O_1_COUPTF2
7669_L_T_1_DLX1
7669_L_T_1_TBR1
7669_L_T_1_COUPTF2
7669_L_mO_DLX1
7669_L_mO_COUPTF2
7669_R_EC_DLX1
7669_R_EC_TBR1
7669_R_EC_COUPTF2
7669_L_CC_2_DLX1
7669_L_CC_2_COUPTF2
7669_R_F_1_DLX1
7669_R_F_1_TBR1
7669_R_F_1_COUPTF2
7669_R_P_1_DLX1
7669_R_P_1_TBR1
7669_R_P_1_COUPTF2
7669_R_I_1_DLX1
7669_R_I_1_TBR1
7669_R_I_1_COUPTF2
7669_R_O_1_DLX1
7669_R_O_1_TBR1
7669_R_O_1_COUPTF2
7669_R_T_1_DLX1
7669_R_T_1_TBR1
7669_R_T_1_COUPTF2
7669_R_mO_DLX1
7669_R_mO_TBR1
7669_R_mO_COUPTF2
7669_L_EC_DLX1
7669_L_EC_COUPTF2
7669_R_CCMid_DLX1
7669_R_CC_Mid_TBR1
7669_R_CCMid_COUPTF2
B
10−23976083−C−A
0
−2
−4
−3
−2
−1
0
0.8
0.6
0.4
0.2
0.0

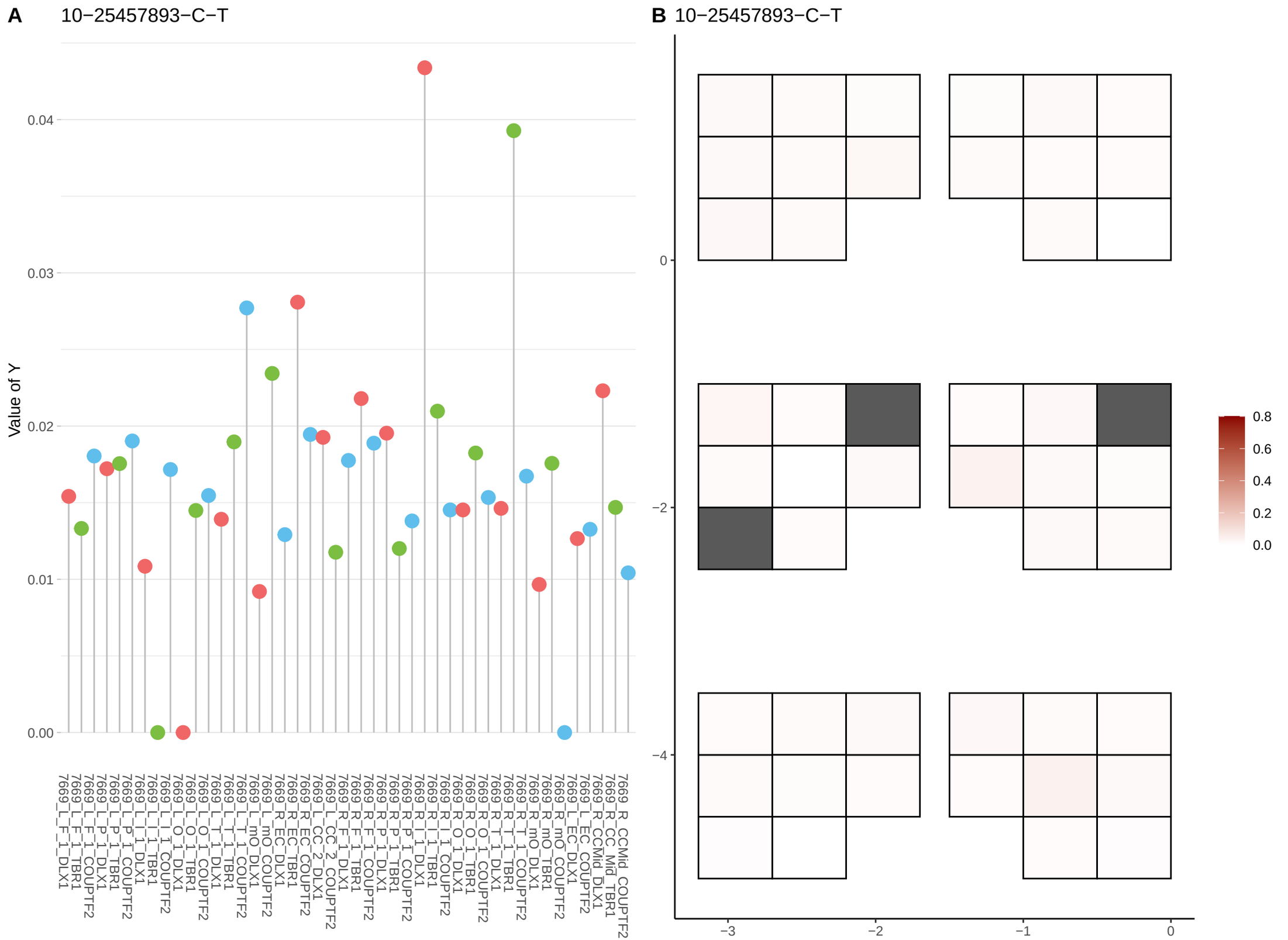
A
10−25457893−C−T
Value of Y
0.04
0.03
0.02
0.01
0.00
7669_L_F_1_DLX1
7669_L_F_1_TBR1
7669_L_F_1_COUPTF2
7669_L_P_1_DLX1
7669_L_P_1_TBR1
7669_L_P_1_COUPTF2
7669_L_I_1_DLX1
7669_L_I_1_TBR1
7669_L_I_1_COUPTF2
7669_L_O_1_DLX1
7669_L_O_1_TBR1
7669_L_O_1_COUPTF2
7669_L_T_1_DLX1
7669_L_T_1_TBR1
7669_L_T_1_COUPTF2
7669_L_mO_DLX1
7669_L_mO_COUPTF2
7669_R_EC_DLX1
7669_R_EC_TBR1
7669_R_EC_COUPTF2
7669_L_CC_2_DLX1
7669_L_CC_2_COUPTF2
7669_R_F_1_DLX1
7669_R_F_1_TBR1
7669_R_F_1_COUPTF2
7669_R_P_1_DLX1
7669_R_P_1_TBR1
7669_R_P_1_COUPTF2
7669_R_I_1_DLX1
7669_R_I_1_TBR1
7669_R_I_1_COUPTF2
7669_R_O_1_DLX1
7669_R_O_1_TBR1
7669_R_O_1_COUPTF2
7669_R_T_1_DLX1
7669_R_T_1_TBR1
7669_R_T_1_COUPTF2
7669_R_mO_DLX1
7669_R_mO_TBR1
7669_R_mO_COUPTF2
7669_L_EC_DLX1
7669_L_EC_COUPTF2
7669_R_CCMid_DLX1
7669_R_CC_Mid_TBR1
7669_R_CCMid_COUPTF2
B
10−25457893−C−T
0
−2
−4
−3
−2
−1
0
0.8
0.6
0.4
0.2
0.0

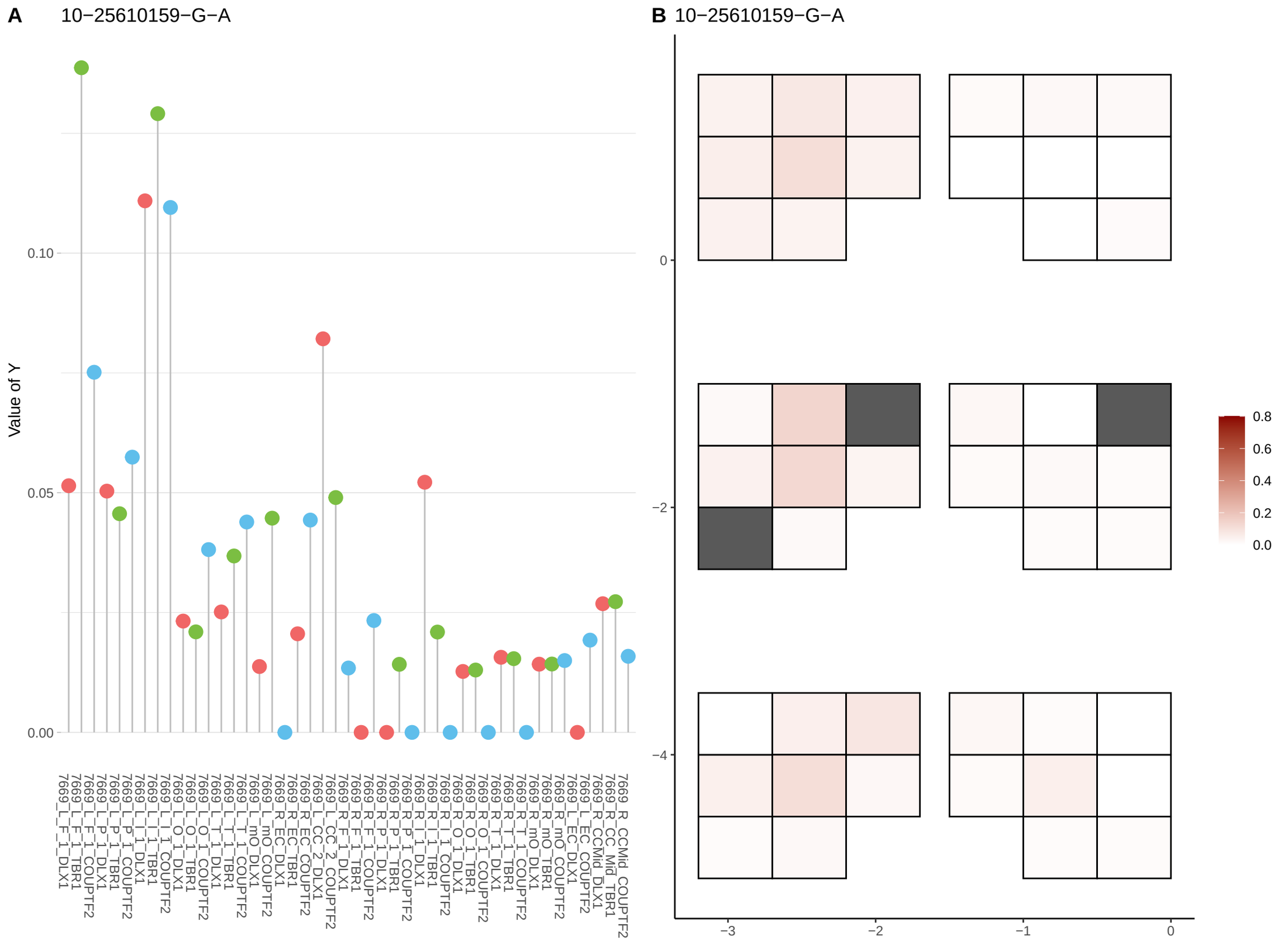
A
10−25610159−G−A
Value of Y
0.10
0.05
0.00
7669_L_F_1_DLX1
7669_L_F_1_TBR1
7669_L_F_1_COUPTF2
7669_L_P_1_DLX1
7669_L_P_1_TBR1
7669_L_P_1_COUPTF2
7669_L_I_1_DLX1
7669_L_I_1_TBR1
7669_L_I_1_COUPTF2
7669_L_O_1_DLX1
7669_L_O_1_TBR1
7669_L_O_1_COUPTF2
7669_L_T_1_DLX1
7669_L_T_1_TBR1
7669_L_T_1_COUPTF2
7669_L_mO_DLX1
7669_L_mO_COUPTF2
7669_R_EC_DLX1
7669_R_EC_TBR1
7669_R_EC_COUPTF2
7669_L_CC_2_DLX1
7669_L_CC_2_COUPTF2
7669_R_F_1_DLX1
7669_R_F_1_TBR1
7669_R_F_1_COUPTF2
7669_R_P_1_DLX1
7669_R_P_1_TBR1
7669_R_P_1_COUPTF2
7669_R_I_1_DLX1
7669_R_I_1_TBR1
7669_R_I_1_COUPTF2
7669_R_O_1_DLX1
7669_R_O_1_TBR1
7669_R_O_1_COUPTF2
7669_R_T_1_DLX1
7669_R_T_1_TBR1
7669_R_T_1_COUPTF2
7669_R_mO_DLX1
7669_R_mO_TBR1
7669_R_mO_COUPTF2
7669_L_EC_DLX1
7669_L_EC_COUPTF2
7669_R_CCMid_DLX1
7669_R_CC_Mid_TBR1
7669_R_CCMid_COUPTF2
B
10−25610159−G−A
0
−2
−4
−3
−2
−1
0
0.8
0.6
0.4
0.2
0.0

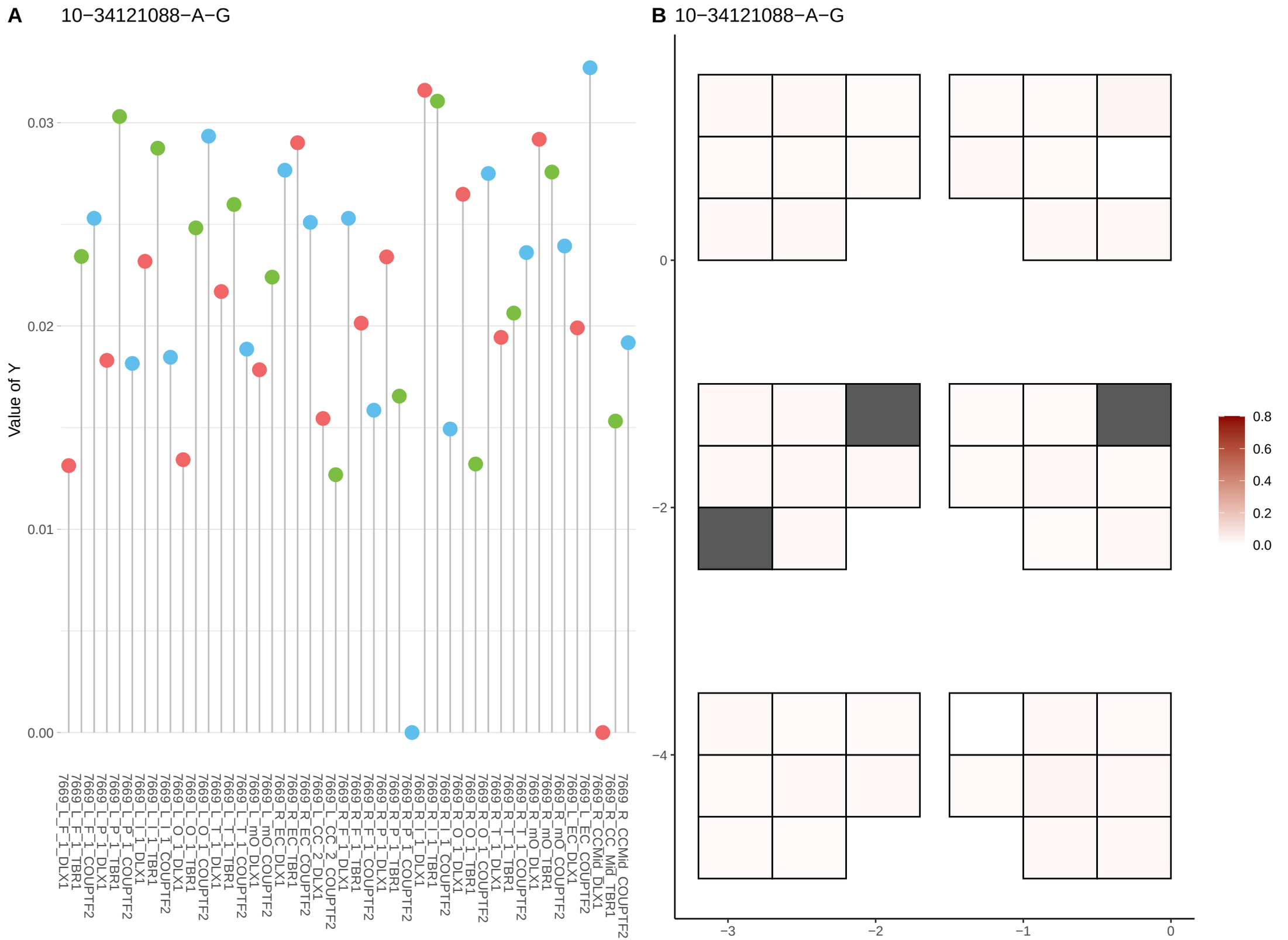
A
10−34121088−A−G
Value of Y
0.03
0.02
0.01
0.00
7669_L_F_1_DLX1
7669_L_F_1_TBR1
7669_L_F_1_COUPTF2
7669_L_P_1_DLX1
7669_L_P_1_TBR1
7669_L_P_1_COUPTF2
7669_L_I_1_DLX1
7669_L_I_1_TBR1
7669_L_I_1_COUPTF2
7669_L_O_1_DLX1
7669_L_O_1_TBR1
7669_L_O_1_COUPTF2
7669_L_T_1_DLX1
7669_L_T_1_TBR1
7669_L_T_1_COUPTF2
7669_L_mO_DLX1
7669_L_mO_COUPTF2
7669_R_EC_DLX1
7669_R_EC_TBR1
7669_R_EC_COUPTF2
7669_L_CC_2_DLX1
7669_L_CC_2_COUPTF2
7669_R_F_1_DLX1
7669_R_F_1_TBR1
7669_R_F_1_COUPTF2
7669_R_P_1_DLX1
7669_R_P_1_TBR1
7669_R_P_1_COUPTF2
7669_R_I_1_DLX1
7669_R_I_1_TBR1
7669_R_I_1_COUPTF2
7669_R_O_1_DLX1
7669_R_O_1_TBR1
7669_R_O_1_COUPTF2
7669_R_T_1_DLX1
7669_R_T_1_TBR1
7669_R_T_1_COUPTF2
7669_R_mO_DLX1
7669_R_mO_TBR1
7669_R_mO_COUPTF2
7669_L_EC_DLX1
7669_L_EC_COUPTF2
7669_R_CCMid_DLX1
7669_R_CC_Mid_TBR1
7669_R_CCMid_COUPTF2
B
10−34121088−A−G
0
−2
−4
−3
−2
−1
0
0.8
0.6
0.4
0.2
0.0

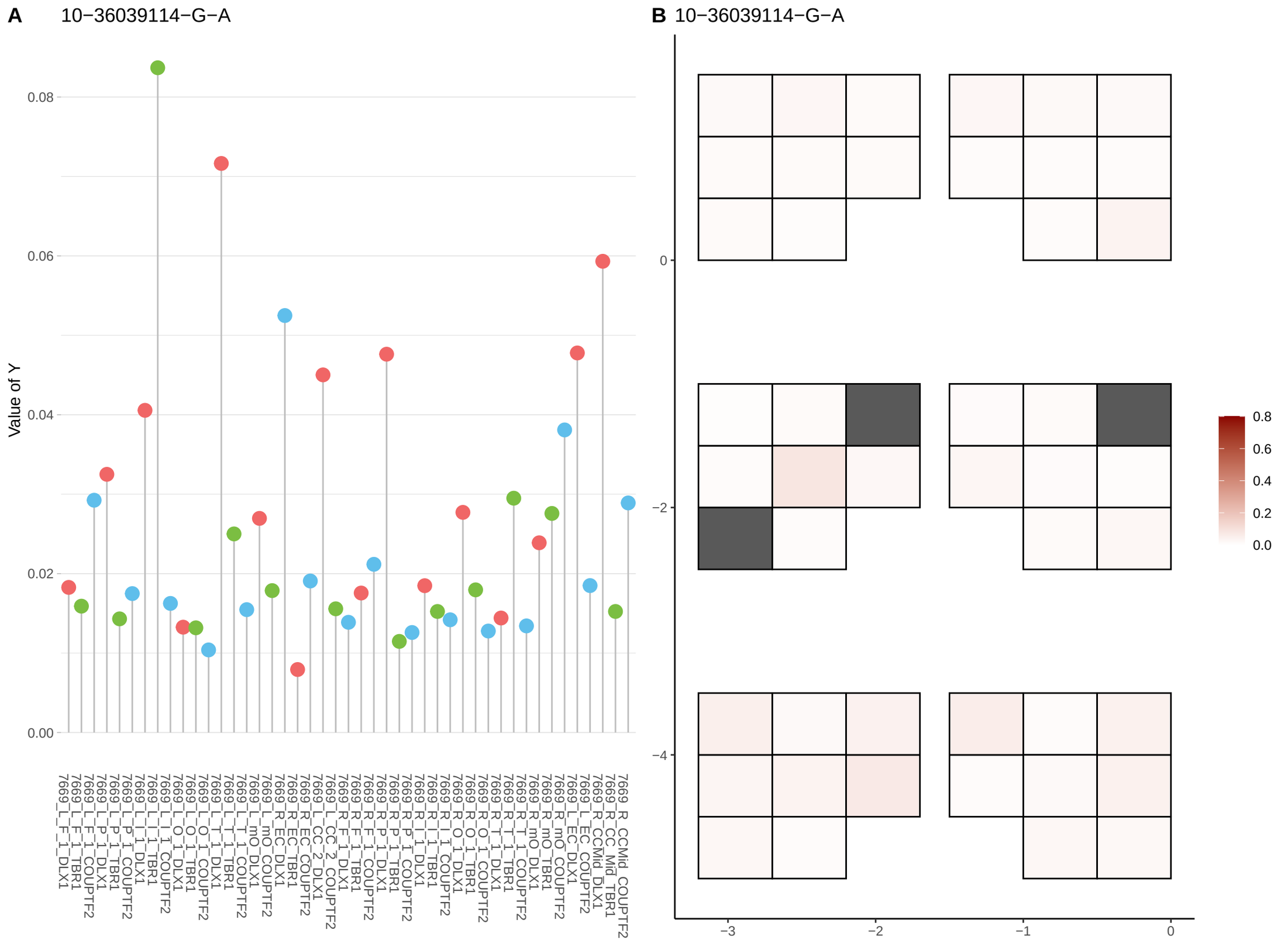
A
10−36039114−G−A
Value of Y
0.08
0.06
0.04
0.02
0.00
7669_L_F_1_DLX1
7669_L_F_1_TBR1
7669_L_F_1_COUPTF2
7669_L_P_1_DLX1
7669_L_P_1_TBR1
7669_L_P_1_COUPTF2
7669_L_I_1_DLX1
7669_L_I_1_TBR1
7669_L_I_1_COUPTF2
7669_L_O_1_DLX1
7669_L_O_1_TBR1
7669_L_O_1_COUPTF2
7669_L_T_1_DLX1
7669_L_T_1_TBR1
7669_L_T_1_COUPTF2
7669_L_mO_DLX1
7669_L_mO_COUPTF2
7669_R_EC_DLX1
7669_R_EC_TBR1
7669_R_EC_COUPTF2
7669_L_CC_2_DLX1
7669_L_CC_2_COUPTF2
7669_R_F_1_DLX1
7669_R_F_1_TBR1
7669_R_F_1_COUPTF2
7669_R_P_1_DLX1
7669_R_P_1_TBR1
7669_R_P_1_COUPTF2
7669_R_I_1_DLX1
7669_R_I_1_TBR1
7669_R_I_1_COUPTF2
7669_R_O_1_DLX1
7669_R_O_1_TBR1
7669_R_O_1_COUPTF2
7669_R_T_1_DLX1
7669_R_T_1_TBR1
7669_R_T_1_COUPTF2
7669_R_mO_DLX1
7669_R_mO_TBR1
7669_R_mO_COUPTF2
7669_L_EC_DLX1
7669_L_EC_COUPTF2
7669_R_CCMid_DLX1
7669_R_CC_Mid_TBR1
7669_R_CCMid_COUPTF2
B
10−36039114−G−A
0
−2
−4
−3
−2
−1
0
0.8
0.6
0.4
0.2
0.0

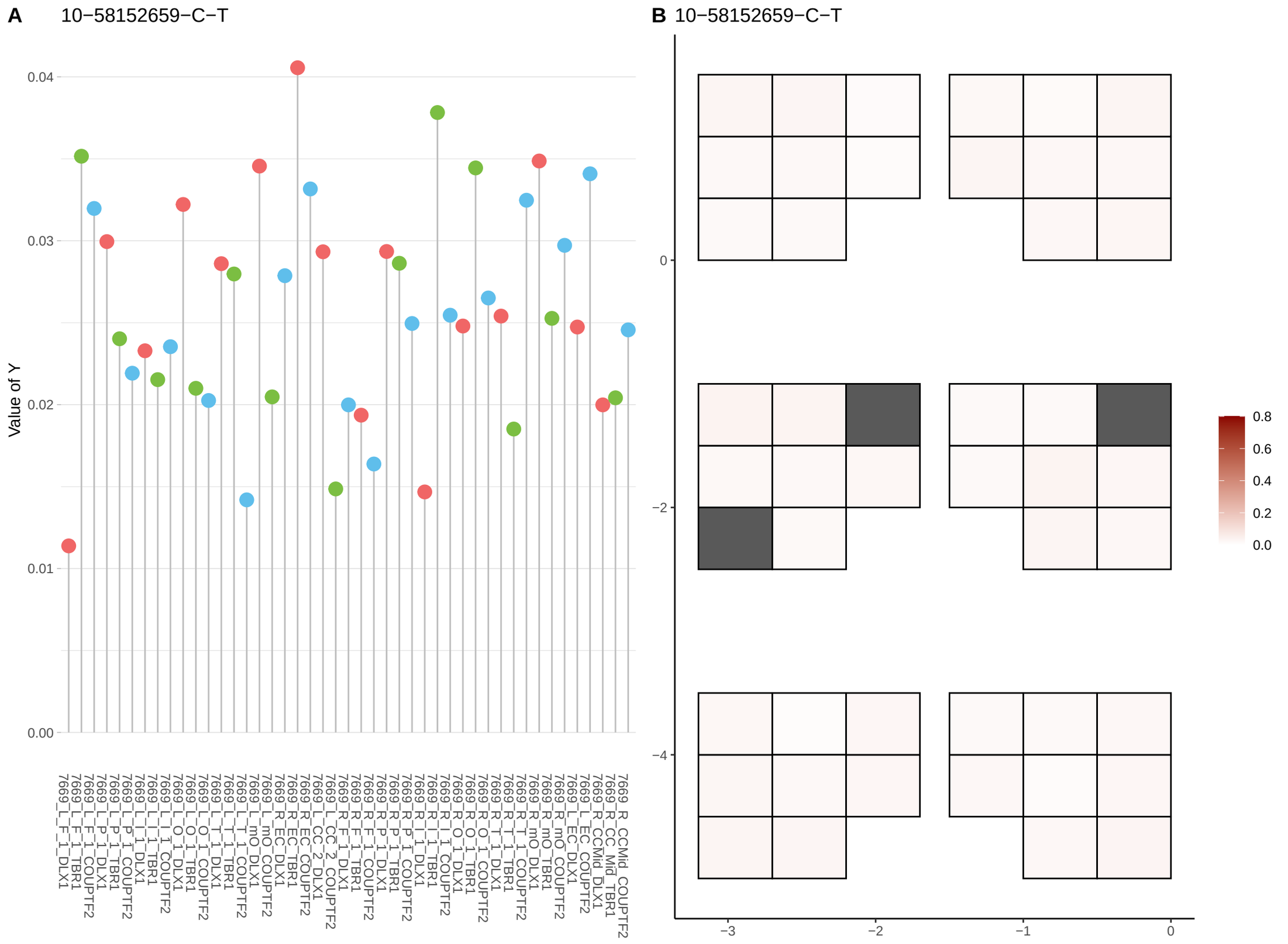
A
10−58152659−C−T
Value of Y
0.04
0.03
0.02
0.01
0.00
7669_L_F_1_DLX1
7669_L_F_1_TBR1
7669_L_F_1_COUPTF2
7669_L_P_1_DLX1
7669_L_P_1_TBR1
7669_L_P_1_COUPTF2
7669_L_I_1_DLX1
7669_L_I_1_TBR1
7669_L_I_1_COUPTF2
7669_L_O_1_DLX1
7669_L_O_1_TBR1
7669_L_O_1_COUPTF2
7669_L_T_1_DLX1
7669_L_T_1_TBR1
7669_L_T_1_COUPTF2
7669_L_mO_DLX1
7669_L_mO_COUPTF2
7669_R_EC_DLX1
7669_R_EC_TBR1
7669_R_EC_COUPTF2
7669_L_CC_2_DLX1
7669_L_CC_2_COUPTF2
7669_R_F_1_DLX1
7669_R_F_1_TBR1
7669_R_F_1_COUPTF2
7669_R_P_1_DLX1
7669_R_P_1_TBR1
7669_R_P_1_COUPTF2
7669_R_I_1_DLX1
7669_R_I_1_TBR1
7669_R_I_1_COUPTF2
7669_R_O_1_DLX1
7669_R_O_1_TBR1
7669_R_O_1_COUPTF2
7669_R_T_1_DLX1
7669_R_T_1_TBR1
7669_R_T_1_COUPTF2
7669_R_mO_DLX1
7669_R_mO_TBR1
7669_R_mO_COUPTF2
7669_L_EC_DLX1
7669_L_EC_COUPTF2
7669_R_CCMid_DLX1
7669_R_CC_Mid_TBR1
7669_R_CCMid_COUPTF2
B
10−58152659−C−T
0
−2
−4
−3
−2
−1
0
0.8
0.6
0.4
0.2
0.0

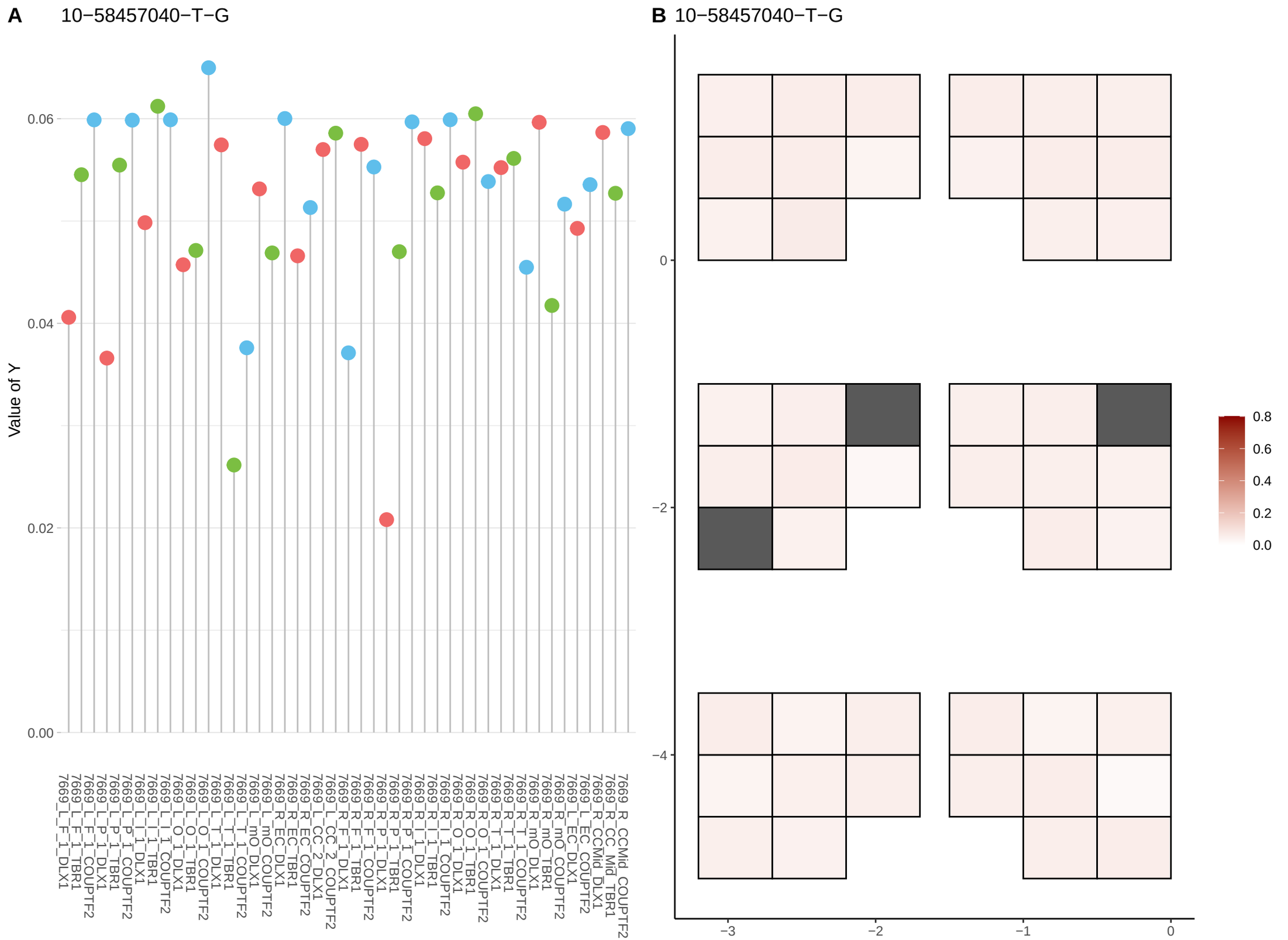
A
10−58457040−T−G
Value of Y
0.06
0.04
0.02
0.00
7669_L_F_1_DLX1
7669_L_F_1_TBR1
7669_L_F_1_COUPTF2
7669_L_P_1_DLX1
7669_L_P_1_TBR1
7669_L_P_1_COUPTF2
7669_L_I_1_DLX1
7669_L_I_1_TBR1
7669_L_I_1_COUPTF2
7669_L_O_1_DLX1
7669_L_O_1_TBR1
7669_L_O_1_COUPTF2
7669_L_T_1_DLX1
7669_L_T_1_TBR1
7669_L_T_1_COUPTF2
7669_L_mO_DLX1
7669_L_mO_COUPTF2
7669_R_EC_DLX1
7669_R_EC_TBR1
7669_R_EC_COUPTF2
7669_L_CC_2_DLX1
7669_L_CC_2_COUPTF2
7669_R_F_1_DLX1
7669_R_F_1_TBR1
7669_R_F_1_COUPTF2
7669_R_P_1_DLX1
7669_R_P_1_TBR1
7669_R_P_1_COUPTF2
7669_R_I_1_DLX1
7669_R_I_1_TBR1
7669_R_I_1_COUPTF2
7669_R_O_1_DLX1
7669_R_O_1_TBR1
7669_R_O_1_COUPTF2
7669_R_T_1_DLX1
7669_R_T_1_TBR1
7669_R_T_1_COUPTF2
7669_R_mO_DLX1
7669_R_mO_TBR1
7669_R_mO_COUPTF2
7669_L_EC_DLX1
7669_L_EC_COUPTF2
7669_R_CCMid_DLX1
7669_R_CC_Mid_TBR1
7669_R_CCMid_COUPTF2
B
10−58457040−T−G
0
−2
−4
−3
−2
−1
0
0.8
0.6
0.4
0.2
0.0

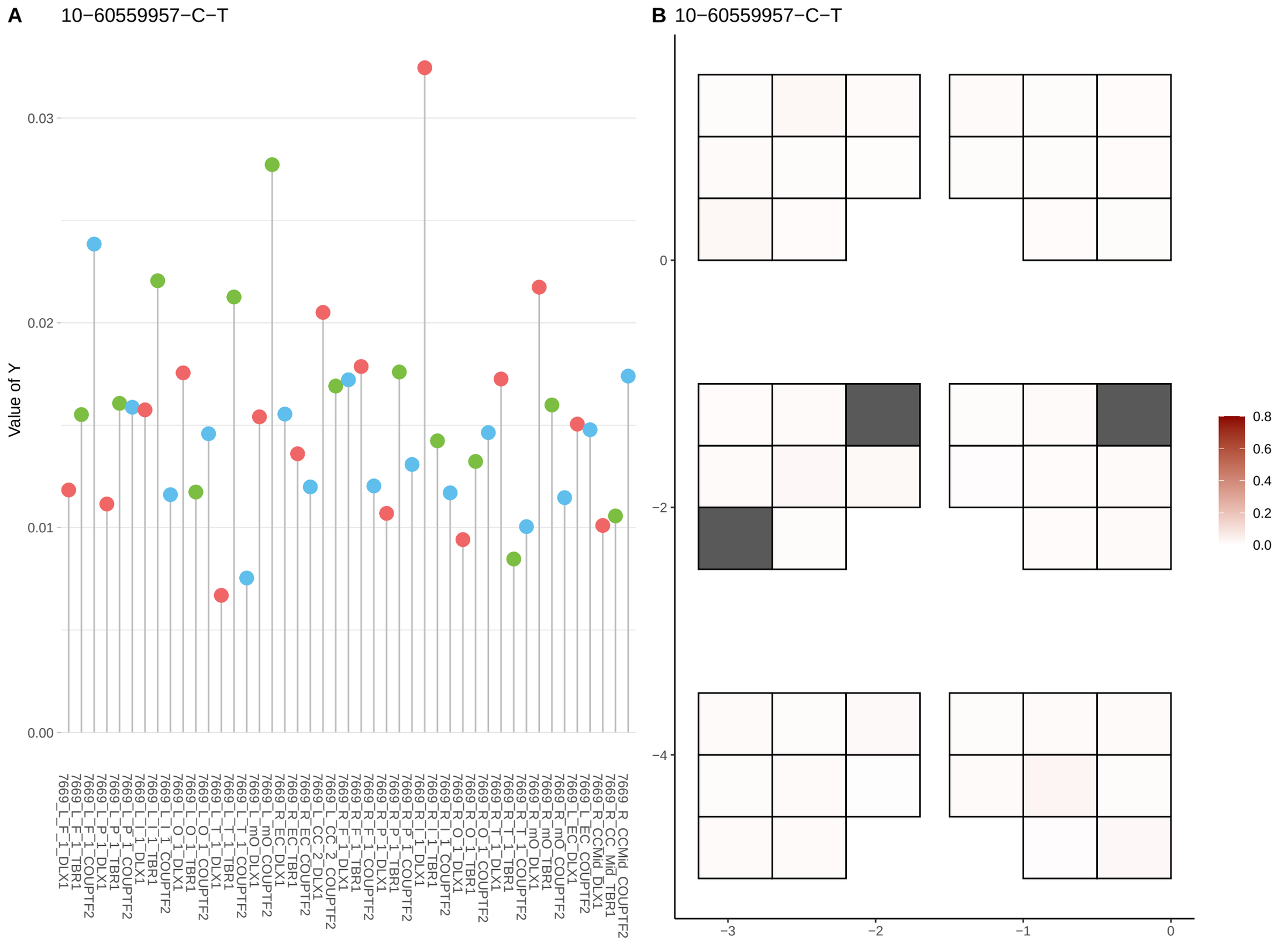
A
10−60559957−C−T
Value of Y
0.03
0.02
0.01
0.00
7669_L_F_1_DLX1
7669_L_F_1_TBR1
7669_L_F_1_COUPTF2
7669_L_P_1_DLX1
7669_L_P_1_TBR1
7669_L_P_1_COUPTF2
7669_L_I_1_DLX1
7669_L_I_1_TBR1
7669_L_I_1_COUPTF2
7669_L_O_1_DLX1
7669_L_O_1_TBR1
7669_L_O_1_COUPTF2
7669_L_T_1_DLX1
7669_L_T_1_TBR1
7669_L_T_1_COUPTF2
7669_L_mO_DLX1
7669_L_mO_COUPTF2
7669_R_EC_DLX1
7669_R_EC_TBR1
7669_R_EC_COUPTF2
7669_L_CC_2_DLX1
7669_L_CC_2_COUPTF2
7669_R_F_1_DLX1
7669_R_F_1_TBR1
7669_R_F_1_COUPTF2
7669_R_P_1_DLX1
7669_R_P_1_TBR1
7669_R_P_1_COUPTF2
7669_R_I_1_DLX1
7669_R_I_1_TBR1
7669_R_I_1_COUPTF2
7669_R_O_1_DLX1
7669_R_O_1_TBR1
7669_R_O_1_COUPTF2
7669_R_T_1_DLX1
7669_R_T_1_TBR1
7669_R_T_1_COUPTF2
7669_R_mO_DLX1
7669_R_mO_TBR1
7669_R_mO_COUPTF2
7669_L_EC_DLX1
7669_L_EC_COUPTF2
7669_R_CCMid_DLX1
7669_R_CC_Mid_TBR1
7669_R_CCMid_COUPTF2
B
10−60559957−C−T
0
−2
−4
−3
−2
−1
0
0.8
0.6
0.4
0.2
0.0

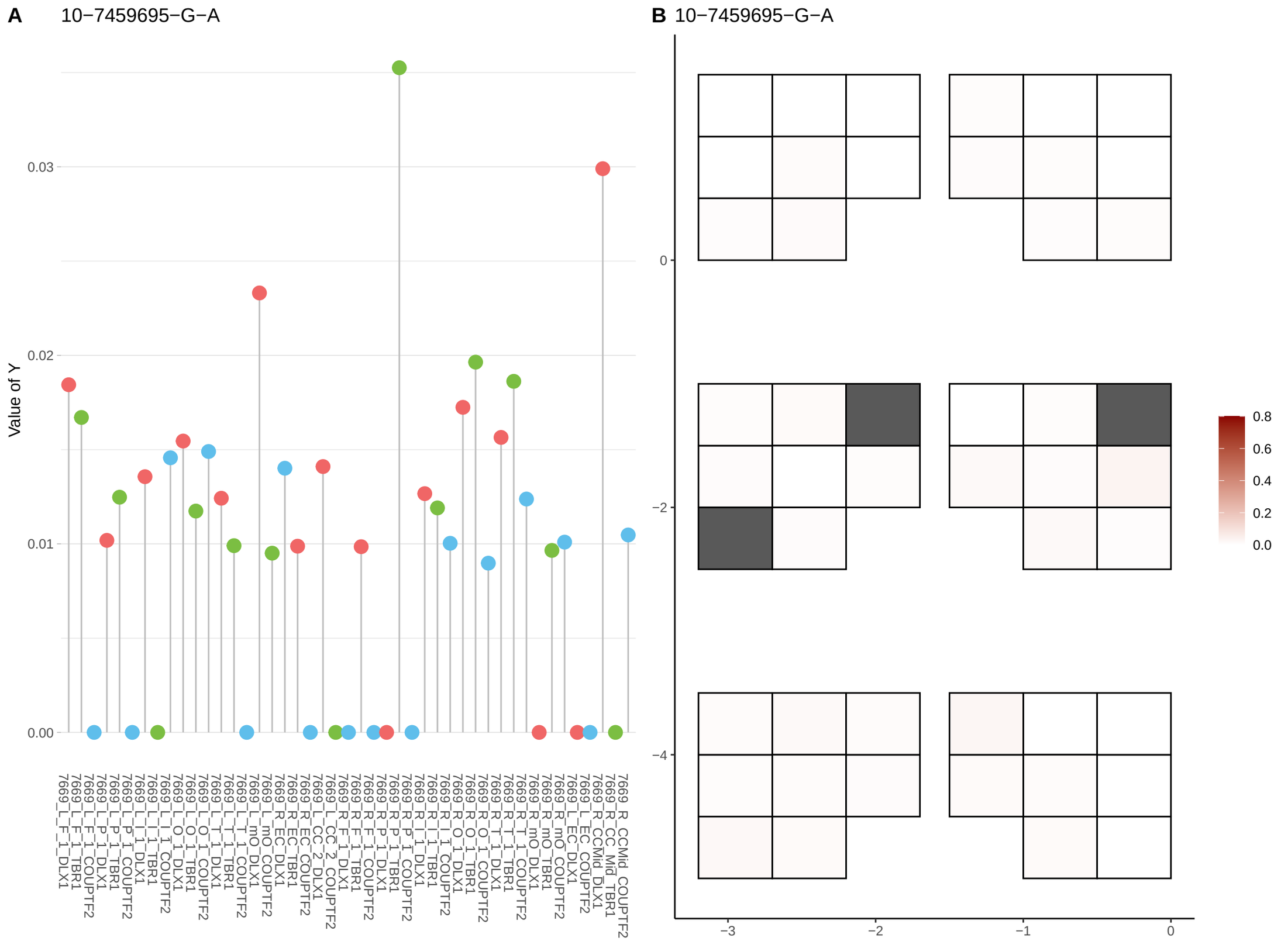
A
10−7459695−G−A
Value of Y
0.03
0.02
0.01
0.00
7669_L_F_1_DLX1
7669_L_F_1_TBR1
7669_L_F_1_COUPTF2
7669_L_P_1_DLX1
7669_L_P_1_TBR1
7669_L_P_1_COUPTF2
7669_L_I_1_DLX1
7669_L_I_1_TBR1
7669_L_I_1_COUPTF2
7669_L_O_1_DLX1
7669_L_O_1_TBR1
7669_L_O_1_COUPTF2
7669_L_T_1_DLX1
7669_L_T_1_TBR1
7669_L_T_1_COUPTF2
7669_L_mO_DLX1
7669_L_mO_COUPTF2
7669_R_EC_DLX1
7669_R_EC_TBR1
7669_R_EC_COUPTF2
7669_L_CC_2_DLX1
7669_L_CC_2_COUPTF2
7669_R_F_1_DLX1
7669_R_F_1_TBR1
7669_R_F_1_COUPTF2
7669_R_P_1_DLX1
7669_R_P_1_TBR1
7669_R_P_1_COUPTF2
7669_R_I_1_DLX1
7669_R_I_1_TBR1
7669_R_I_1_COUPTF2
7669_R_O_1_DLX1
7669_R_O_1_TBR1
7669_R_O_1_COUPTF2
7669_R_T_1_DLX1
7669_R_T_1_TBR1
7669_R_T_1_COUPTF2
7669_R_mO_DLX1
7669_R_mO_TBR1
7669_R_mO_COUPTF2
7669_L_EC_DLX1
7669_L_EC_COUPTF2
7669_R_CCMid_DLX1
7669_R_CC_Mid_TBR1
7669_R_CCMid_COUPTF2
B
10−7459695−G−A
0
−2
−4
−3
−2
−1
0
0.8
0.6
0.4
0.2
0.0

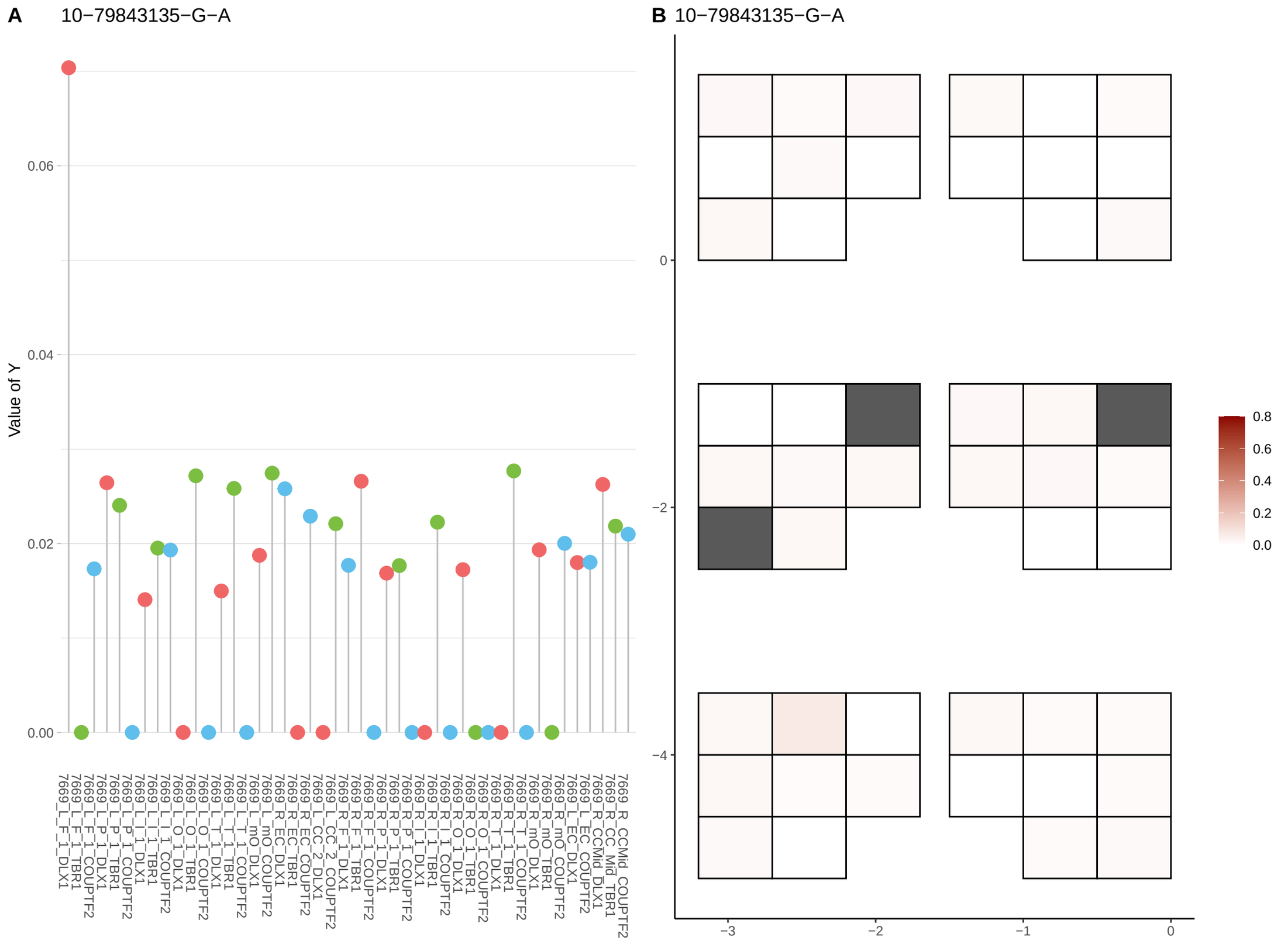
A
10−79843135−G−A
Value of Y
0.06
0.04
0.02
0.00
7669_L_F_1_DLX1
7669_L_F_1_TBR1
7669_L_F_1_COUPTF2
7669_L_P_1_DLX1
7669_L_P_1_TBR1
7669_L_P_1_COUPTF2
7669_L_I_1_DLX1
7669_L_I_1_TBR1
7669_L_I_1_COUPTF2
7669_L_O_1_DLX1
7669_L_O_1_TBR1
7669_L_O_1_COUPTF2
7669_L_T_1_DLX1
7669_L_T_1_TBR1
7669_L_T_1_COUPTF2
7669_L_mO_DLX1
7669_L_mO_COUPTF2
7669_R_EC_DLX1
7669_R_EC_TBR1
7669_R_EC_COUPTF2
7669_L_CC_2_DLX1
7669_L_CC_2_COUPTF2
7669_R_F_1_DLX1
7669_R_F_1_TBR1
7669_R_F_1_COUPTF2
7669_R_P_1_DLX1
7669_R_P_1_TBR1
7669_R_P_1_COUPTF2
7669_R_I_1_DLX1
7669_R_I_1_TBR1
7669_R_I_1_COUPTF2
7669_R_O_1_DLX1
7669_R_O_1_TBR1
7669_R_O_1_COUPTF2
7669_R_T_1_DLX1
7669_R_T_1_TBR1
7669_R_T_1_COUPTF2
7669_R_mO_DLX1
7669_R_mO_TBR1
7669_R_mO_COUPTF2
7669_L_EC_DLX1
7669_L_EC_COUPTF2
7669_R_CCMid_DLX1
7669_R_CC_Mid_TBR1
7669_R_CCMid_COUPTF2
B
10−79843135−G−A
0
−2
−4
−3
−2
−1
0
0.8
0.6
0.4
0.2
0.0

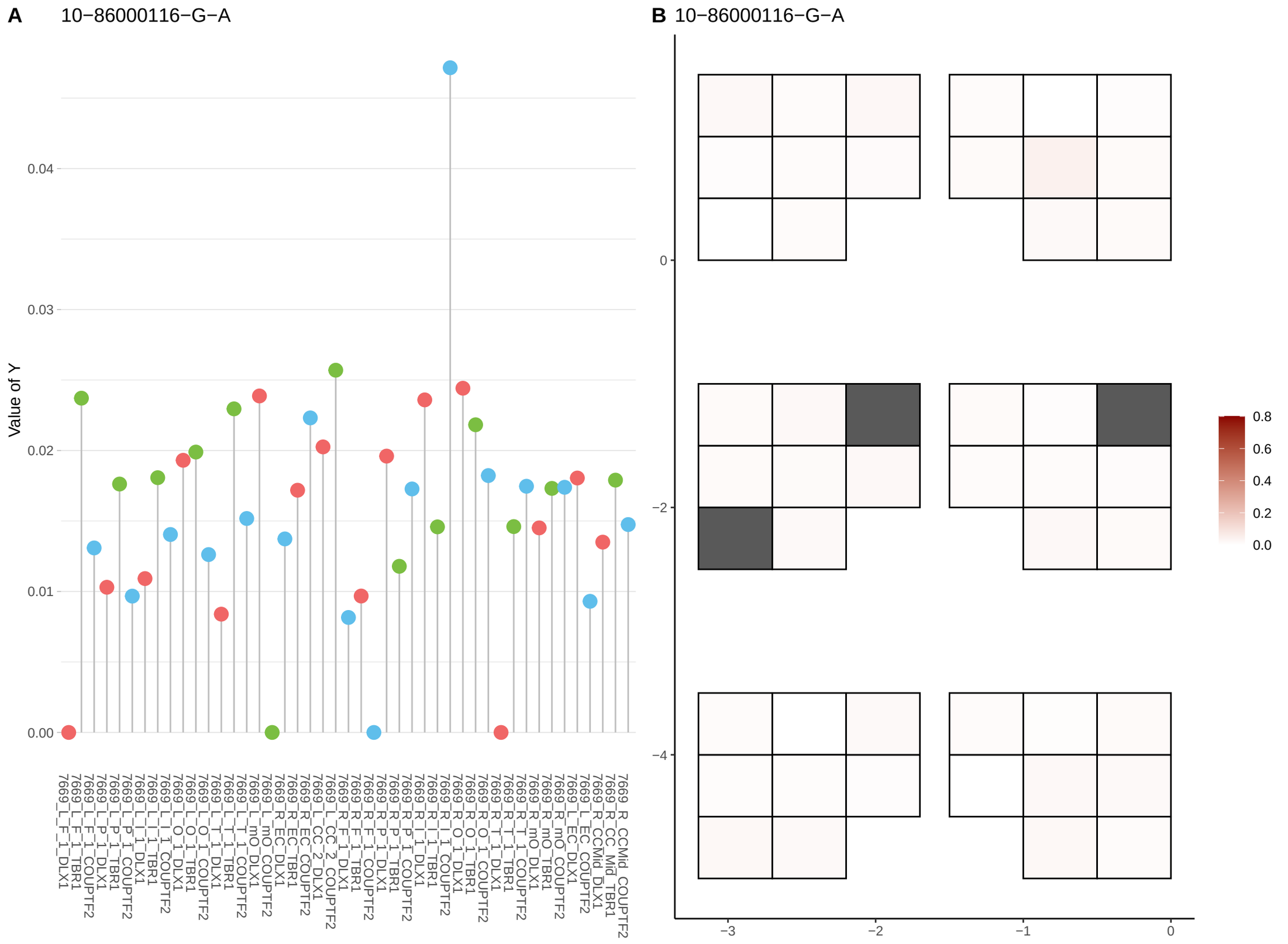
A
10−86000116−G−A
Value of Y
0.04
0.03
0.02
0.01
0.00
7669_L_F_1_DLX1
7669_L_F_1_TBR1
7669_L_F_1_COUPTF2
7669_L_P_1_DLX1
7669_L_P_1_TBR1
7669_L_P_1_COUPTF2
7669_L_I_1_DLX1
7669_L_I_1_TBR1
7669_L_I_1_COUPTF2
7669_L_O_1_DLX1
7669_L_O_1_TBR1
7669_L_O_1_COUPTF2
7669_L_T_1_DLX1
7669_L_T_1_TBR1
7669_L_T_1_COUPTF2
7669_L_mO_DLX1
7669_L_mO_COUPTF2
7669_R_EC_DLX1
7669_R_EC_TBR1
7669_R_EC_COUPTF2
7669_L_CC_2_DLX1
7669_L_CC_2_COUPTF2
7669_R_F_1_DLX1
7669_R_F_1_TBR1
7669_R_F_1_COUPTF2
7669_R_P_1_DLX1
7669_R_P_1_TBR1
7669_R_P_1_COUPTF2
7669_R_I_1_DLX1
7669_R_I_1_TBR1
7669_R_I_1_COUPTF2
7669_R_O_1_DLX1
7669_R_O_1_TBR1
7669_R_O_1_COUPTF2
7669_R_T_1_DLX1
7669_R_T_1_TBR1
7669_R_T_1_COUPTF2
7669_R_mO_DLX1
7669_R_mO_TBR1
7669_R_mO_COUPTF2
7669_L_EC_DLX1
7669_L_EC_COUPTF2
7669_R_CCMid_DLX1
7669_R_CC_Mid_TBR1
7669_R_CCMid_COUPTF2
B
10−86000116−G−A
0
−2
−4
−3
−2
−1
0
0.8
0.6
0.4
0.2
0.0

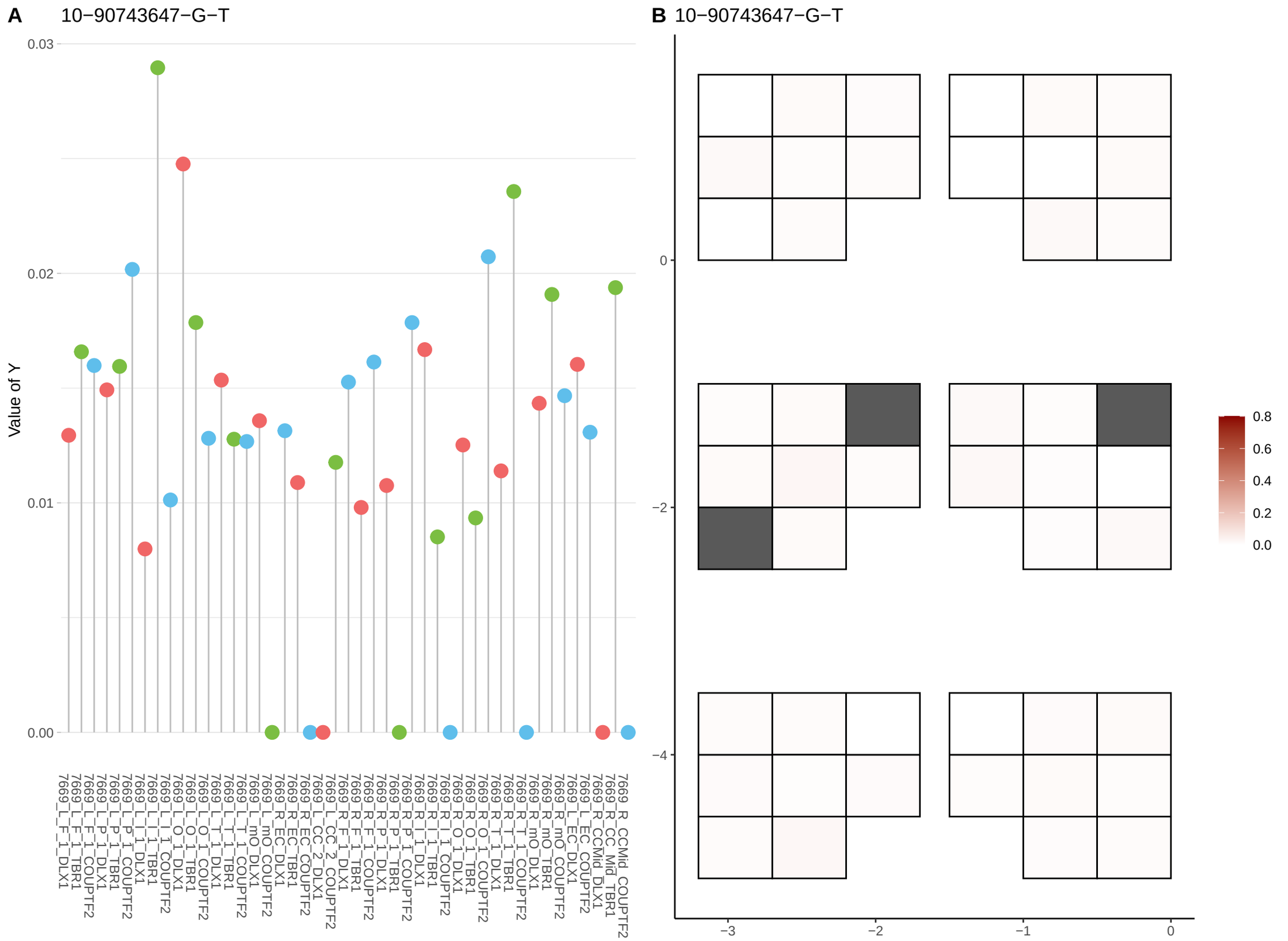
A
10−90743647−G−T
Value of Y
0.03
0.02
0.01
0.00
7669_L_F_1_DLX1
7669_L_F_1_TBR1
7669_L_F_1_COUPTF2
7669_L_P_1_DLX1
7669_L_P_1_TBR1
7669_L_P_1_COUPTF2
7669_L_I_1_DLX1
7669_L_I_1_TBR1
7669_L_I_1_COUPTF2
7669_L_O_1_DLX1
7669_L_O_1_TBR1
7669_L_O_1_COUPTF2
7669_L_T_1_DLX1
7669_L_T_1_TBR1
7669_L_T_1_COUPTF2
7669_L_mO_DLX1
7669_L_mO_COUPTF2
7669_R_EC_DLX1
7669_R_EC_TBR1
7669_R_EC_COUPTF2
7669_L_CC_2_DLX1
7669_L_CC_2_COUPTF2
7669_R_F_1_DLX1
7669_R_F_1_TBR1
7669_R_F_1_COUPTF2
7669_R_P_1_DLX1
7669_R_P_1_TBR1
7669_R_P_1_COUPTF2
7669_R_I_1_DLX1
7669_R_I_1_TBR1
7669_R_I_1_COUPTF2
7669_R_O_1_DLX1
7669_R_O_1_TBR1
7669_R_O_1_COUPTF2
7669_R_T_1_DLX1
7669_R_T_1_TBR1
7669_R_T_1_COUPTF2
7669_R_mO_DLX1
7669_R_mO_TBR1
7669_R_mO_COUPTF2
7669_L_EC_DLX1
7669_L_EC_COUPTF2
7669_R_CCMid_DLX1
7669_R_CC_Mid_TBR1
7669_R_CCMid_COUPTF2
B
10−90743647−G−T
0
−2
−4
−3
−2
−1
0
0.8
0.6
0.4
0.2
0.0

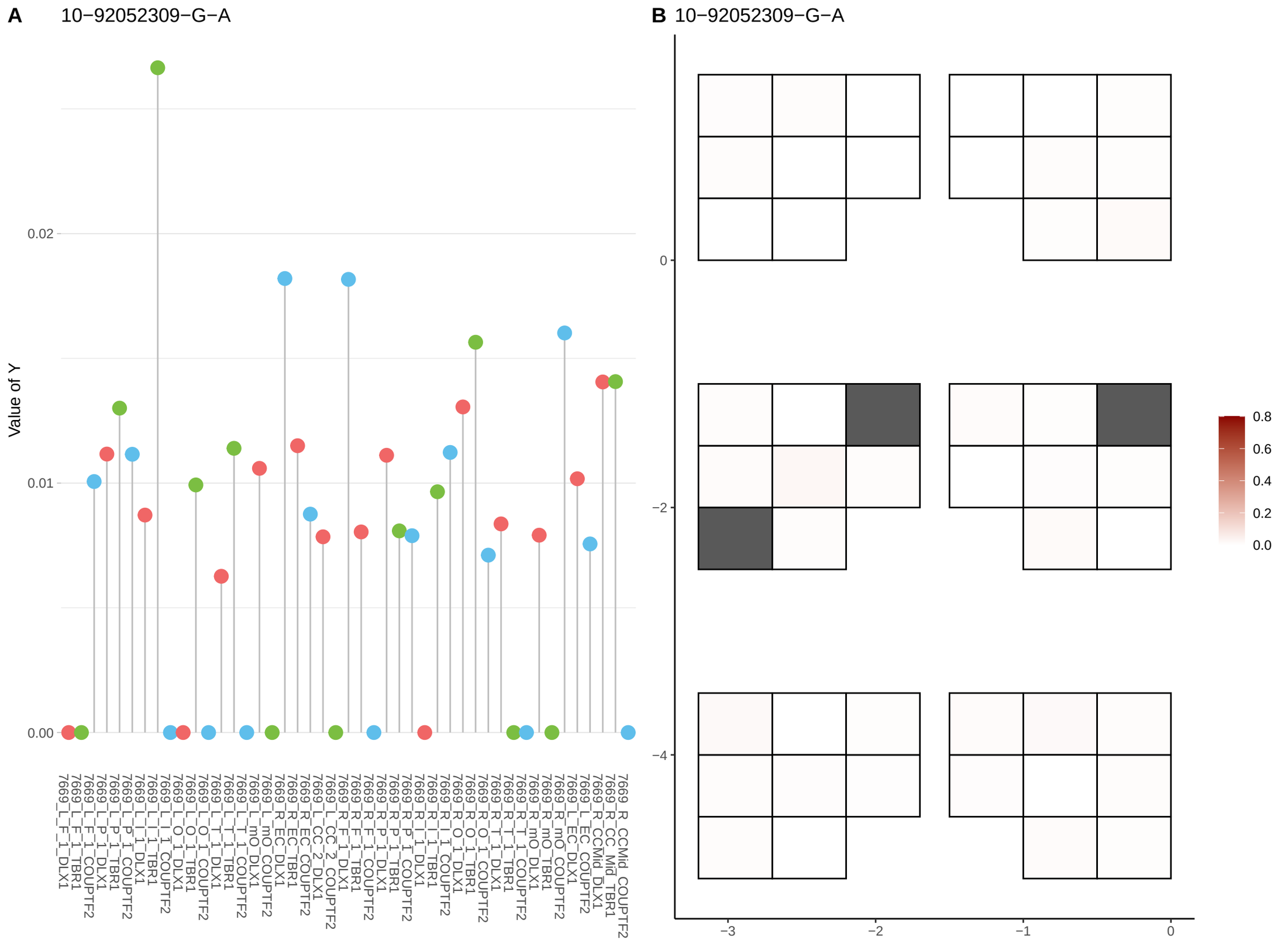
A
10−92052309−G−A
Value of Y
0.02
0.01
0.00
7669_L_F_1_DLX1
7669_L_F_1_TBR1
7669_L_F_1_COUPTF2
7669_L_P_1_DLX1
7669_L_P_1_TBR1
7669_L_P_1_COUPTF2
7669_L_I_1_DLX1
7669_L_I_1_TBR1
7669_L_I_1_COUPTF2
7669_L_O_1_DLX1
7669_L_O_1_TBR1
7669_L_O_1_COUPTF2
7669_L_T_1_DLX1
7669_L_T_1_TBR1
7669_L_T_1_COUPTF2
7669_L_mO_DLX1
7669_L_mO_COUPTF2
7669_R_EC_DLX1
7669_R_EC_TBR1
7669_R_EC_COUPTF2
7669_L_CC_2_DLX1
7669_L_CC_2_COUPTF2
7669_R_F_1_DLX1
7669_R_F_1_TBR1
7669_R_F_1_COUPTF2
7669_R_P_1_DLX1
7669_R_P_1_TBR1
7669_R_P_1_COUPTF2
7669_R_I_1_DLX1
7669_R_I_1_TBR1
7669_R_I_1_COUPTF2
7669_R_O_1_DLX1
7669_R_O_1_TBR1
7669_R_O_1_COUPTF2
7669_R_T_1_DLX1
7669_R_T_1_TBR1
7669_R_T_1_COUPTF2
7669_R_mO_DLX1
7669_R_mO_TBR1
7669_R_mO_COUPTF2
7669_L_EC_DLX1
7669_L_EC_COUPTF2
7669_R_CCMid_DLX1
7669_R_CC_Mid_TBR1
7669_R_CCMid_COUPTF2
B
10−92052309−G−A
0
−2
−4
−3
−2
−1
0
0.8
0.6
0.4
0.2
0.0

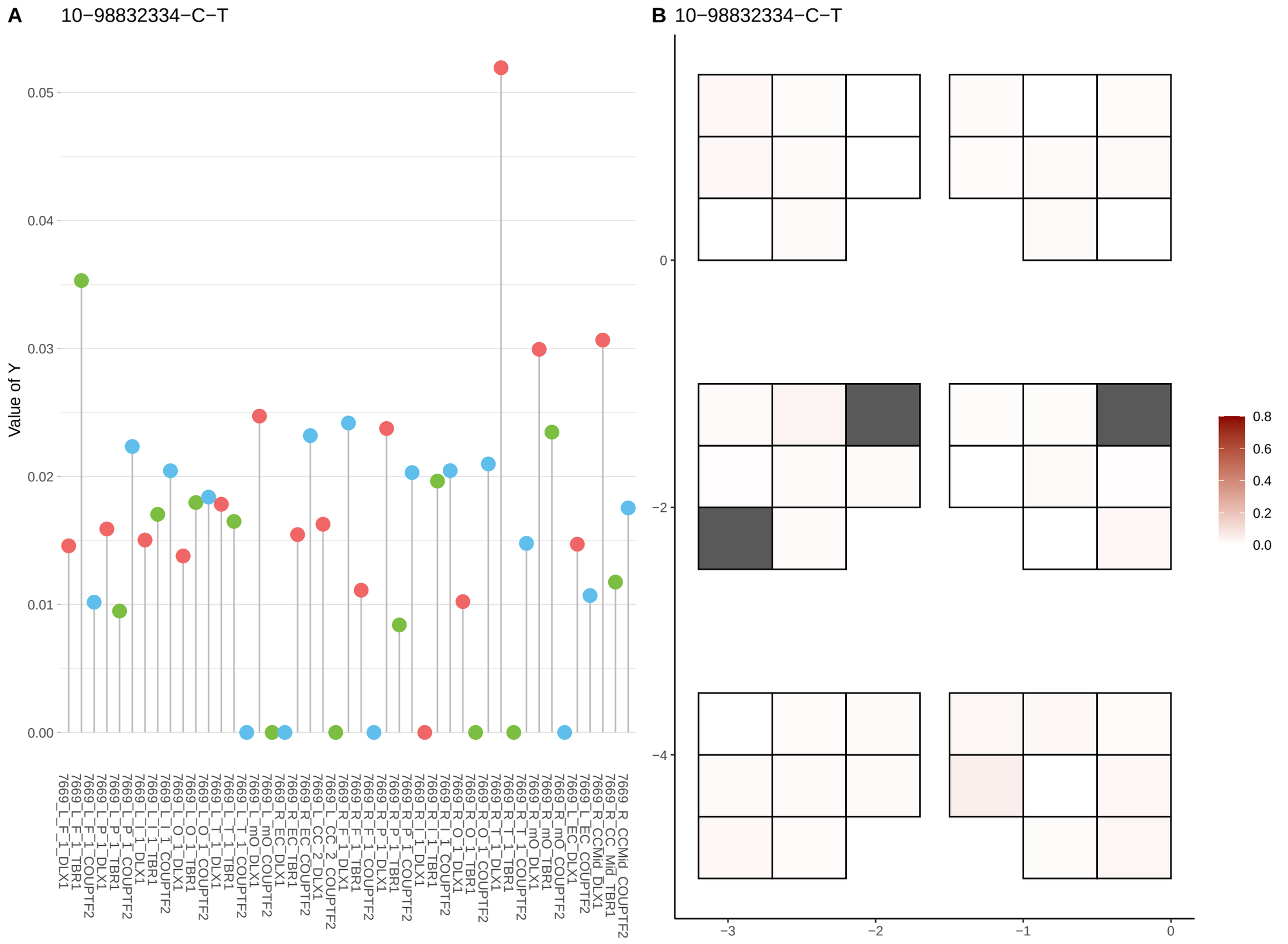
A
10−98832334−C−T
Value of Y
0.05
0.04
0.03
0.02
0.01
0.00
7669_L_F_1_DLX1
7669_L_F_1_TBR1
7669_L_F_1_COUPTF2
7669_L_P_1_DLX1
7669_L_P_1_TBR1
7669_L_P_1_COUPTF2
7669_L_I_1_DLX1
7669_L_I_1_TBR1
7669_L_I_1_COUPTF2
7669_L_O_1_DLX1
7669_L_O_1_TBR1
7669_L_O_1_COUPTF2
7669_L_T_1_DLX1
7669_L_T_1_TBR1
7669_L_T_1_COUPTF2
7669_L_mO_DLX1
7669_L_mO_COUPTF2
7669_R_EC_DLX1
7669_R_EC_TBR1
7669_R_EC_COUPTF2
7669_L_CC_2_DLX1
7669_L_CC_2_COUPTF2
7669_R_F_1_DLX1
7669_R_F_1_TBR1
7669_R_F_1_COUPTF2
7669_R_P_1_DLX1
7669_R_P_1_TBR1
7669_R_P_1_COUPTF2
7669_R_I_1_DLX1
7669_R_I_1_TBR1
7669_R_I_1_COUPTF2
7669_R_O_1_DLX1
7669_R_O_1_TBR1
7669_R_O_1_COUPTF2
7669_R_T_1_DLX1
7669_R_T_1_TBR1
7669_R_T_1_COUPTF2
7669_R_mO_DLX1
7669_R_mO_TBR1
7669_R_mO_COUPTF2
7669_L_EC_DLX1
7669_L_EC_COUPTF2
7669_R_CCMid_DLX1
7669_R_CC_Mid_TBR1
7669_R_CCMid_COUPTF2
B
10−98832334−C−T
0
−2
−4
−3
−2
−1
0
0.8
0.6
0.4
0.2
0.0

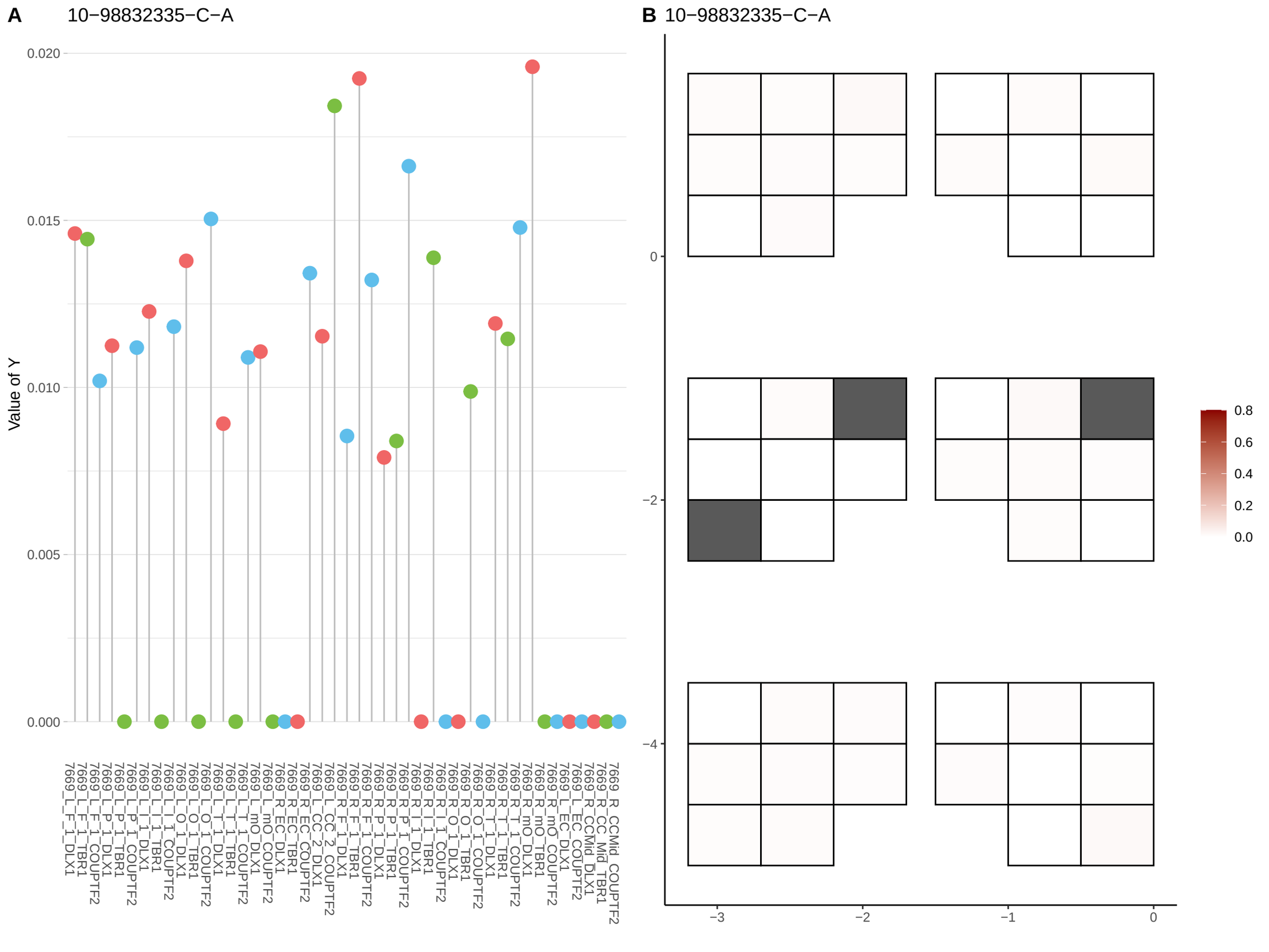
A
10−98832335−C−A
Value of Y
0.020
0.015
0.010
0.005
0.000
7669_L_F_1_DLX1
7669_L_F_1_TBR1
7669_L_F_1_COUPTF2
7669_L_P_1_DLX1
7669_L_P_1_TBR1
7669_L_P_1_COUPTF2
7669_L_I_1_DLX1
7669_L_I_1_TBR1
7669_L_I_1_COUPTF2
7669_L_O_1_DLX1
7669_L_O_1_TBR1
7669_L_O_1_COUPTF2
7669_L_T_1_DLX1
7669_L_T_1_TBR1
7669_L_T_1_COUPTF2
7669_L_mO_DLX1
7669_L_mO_COUPTF2
7669_R_EC_DLX1
7669_R_EC_TBR1
7669_R_EC_COUPTF2
7669_L_CC_2_DLX1
7669_L_CC_2_COUPTF2
7669_R_F_1_DLX1
7669_R_F_1_TBR1
7669_R_F_1_COUPTF2
7669_R_P_1_DLX1
7669_R_P_1_TBR1
7669_R_P_1_COUPTF2
7669_R_I_1_DLX1
7669_R_I_1_TBR1
7669_R_I_1_COUPTF2
7669_R_O_1_DLX1
7669_R_O_1_TBR1
7669_R_O_1_COUPTF2
7669_R_T_1_DLX1
7669_R_T_1_TBR1
7669_R_T_1_COUPTF2
7669_R_mO_DLX1
7669_R_mO_TBR1
7669_R_mO_COUPTF2
7669_L_EC_DLX1
7669_L_EC_COUPTF2
7669_R_CCMid_DLX1
7669_R_CC_Mid_TBR1
7669_R_CCMid_COUPTF2
B
10−98832335−C−A
0
−2
−4
−3
−2
−1
0
0.8
0.6
0.4
0.2
0.0

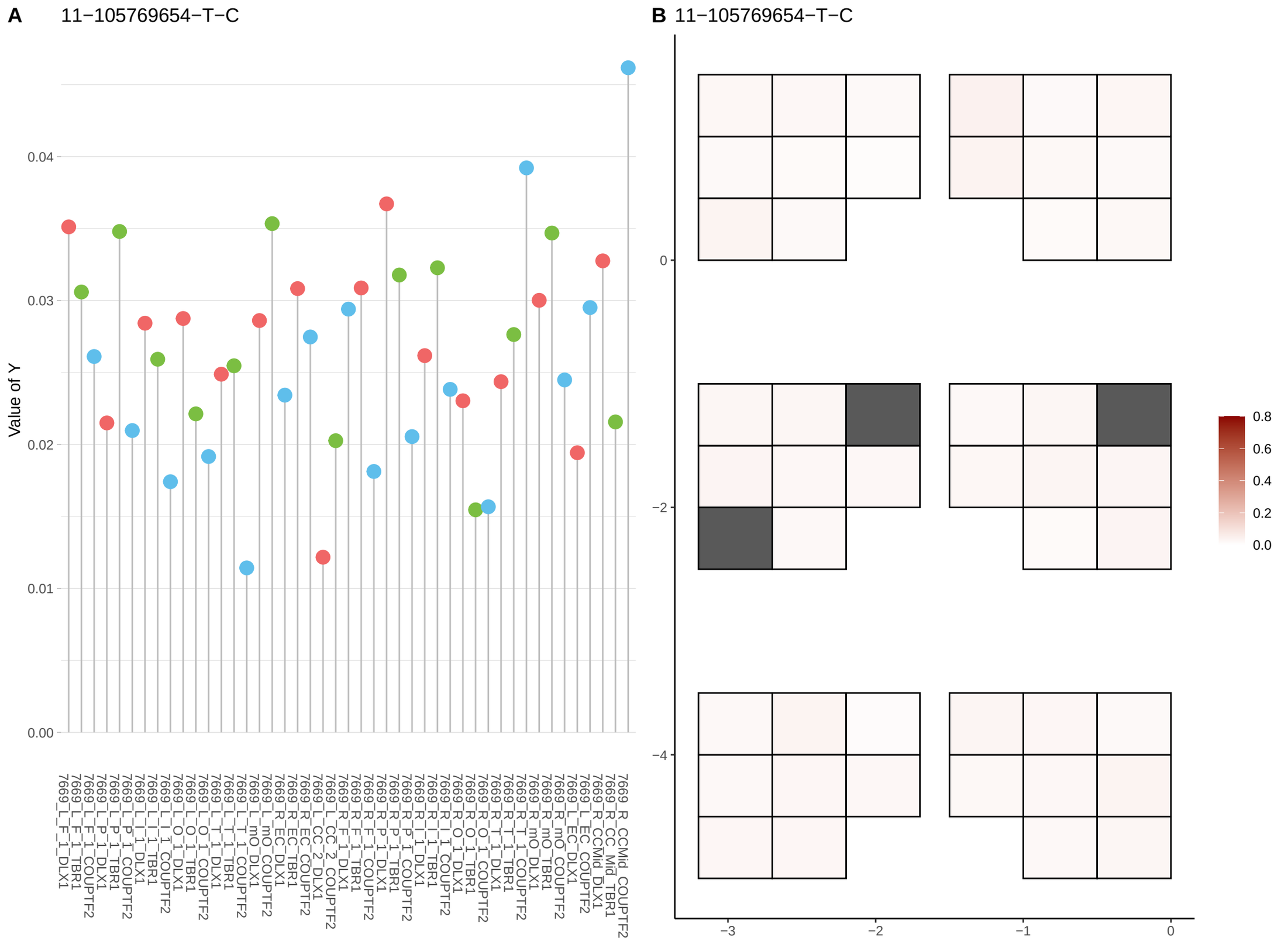
A
11−105769654−T−C
Value of Y
0.04
0.03
0.02
0.01
0.00
7669_L_F_1_DLX1
7669_L_F_1_TBR1
7669_L_F_1_COUPTF2
7669_L_P_1_DLX1
7669_L_P_1_TBR1
7669_L_P_1_COUPTF2
7669_L_I_1_DLX1
7669_L_I_1_TBR1
7669_L_I_1_COUPTF2
7669_L_O_1_DLX1
7669_L_O_1_TBR1
7669_L_O_1_COUPTF2
7669_L_T_1_DLX1
7669_L_T_1_TBR1
7669_L_T_1_COUPTF2
7669_L_mO_DLX1
7669_L_mO_COUPTF2
7669_R_EC_DLX1
7669_R_EC_TBR1
7669_R_EC_COUPTF2
7669_L_CC_2_DLX1
7669_L_CC_2_COUPTF2
7669_R_F_1_DLX1
7669_R_F_1_TBR1
7669_R_F_1_COUPTF2
7669_R_P_1_DLX1
7669_R_P_1_TBR1
7669_R_P_1_COUPTF2
7669_R_I_1_DLX1
7669_R_I_1_TBR1
7669_R_I_1_COUPTF2
7669_R_O_1_DLX1
7669_R_O_1_TBR1
7669_R_O_1_COUPTF2
7669_R_T_1_DLX1
7669_R_T_1_TBR1
7669_R_T_1_COUPTF2
7669_R_mO_DLX1
7669_R_mO_TBR1
7669_R_mO_COUPTF2
7669_L_EC_DLX1
7669_L_EC_COUPTF2
7669_R_CCMid_DLX1
7669_R_CC_Mid_TBR1
7669_R_CCMid_COUPTF2
B
11−105769654−T−C
0
−2
−4
−3
−2
−1
0
0.8
0.6
0.4
0.2
0.0

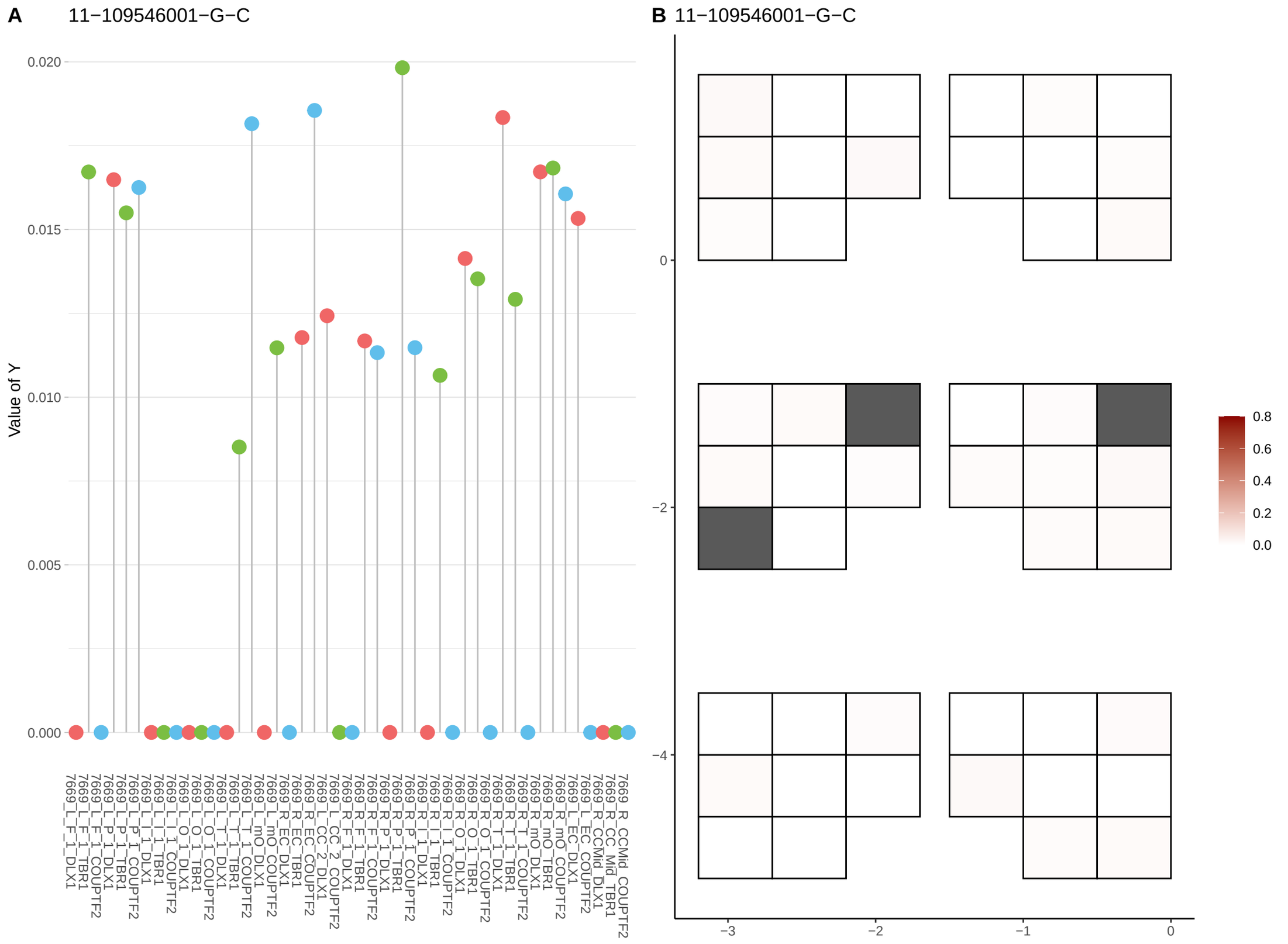
A
11−109546001−G−C
Value of Y
0.020
0.015
0.010
0.005
0.000
7669_L_F_1_DLX1
7669_L_F_1_TBR1
7669_L_F_1_COUPTF2
7669_L_P_1_DLX1
7669_L_P_1_TBR1
7669_L_P_1_COUPTF2
7669_L_I_1_DLX1
7669_L_I_1_TBR1
7669_L_I_1_COUPTF2
7669_L_O_1_DLX1
7669_L_O_1_TBR1
7669_L_O_1_COUPTF2
7669_L_T_1_DLX1
7669_L_T_1_TBR1
7669_L_T_1_COUPTF2
7669_L_mO_DLX1
7669_L_mO_COUPTF2
7669_R_EC_DLX1
7669_R_EC_TBR1
7669_R_EC_COUPTF2
7669_L_CC_2_DLX1
7669_L_CC_2_COUPTF2
7669_R_F_1_DLX1
7669_R_F_1_TBR1
7669_R_F_1_COUPTF2
7669_R_P_1_DLX1
7669_R_P_1_TBR1
7669_R_P_1_COUPTF2
7669_R_I_1_DLX1
7669_R_I_1_TBR1
7669_R_I_1_COUPTF2
7669_R_O_1_DLX1
7669_R_O_1_TBR1
7669_R_O_1_COUPTF2
7669_R_T_1_DLX1
7669_R_T_1_TBR1
7669_R_T_1_COUPTF2
7669_R_mO_DLX1
7669_R_mO_TBR1
7669_R_mO_COUPTF2
7669_L_EC_DLX1
7669_L_EC_COUPTF2
7669_R_CCMid_DLX1
7669_R_CC_Mid_TBR1
7669_R_CCMid_COUPTF2
B
11−109546001−G−C
0
−2
−4
−3
−2
−1
0
0.8
0.6
0.4
0.2
0.0

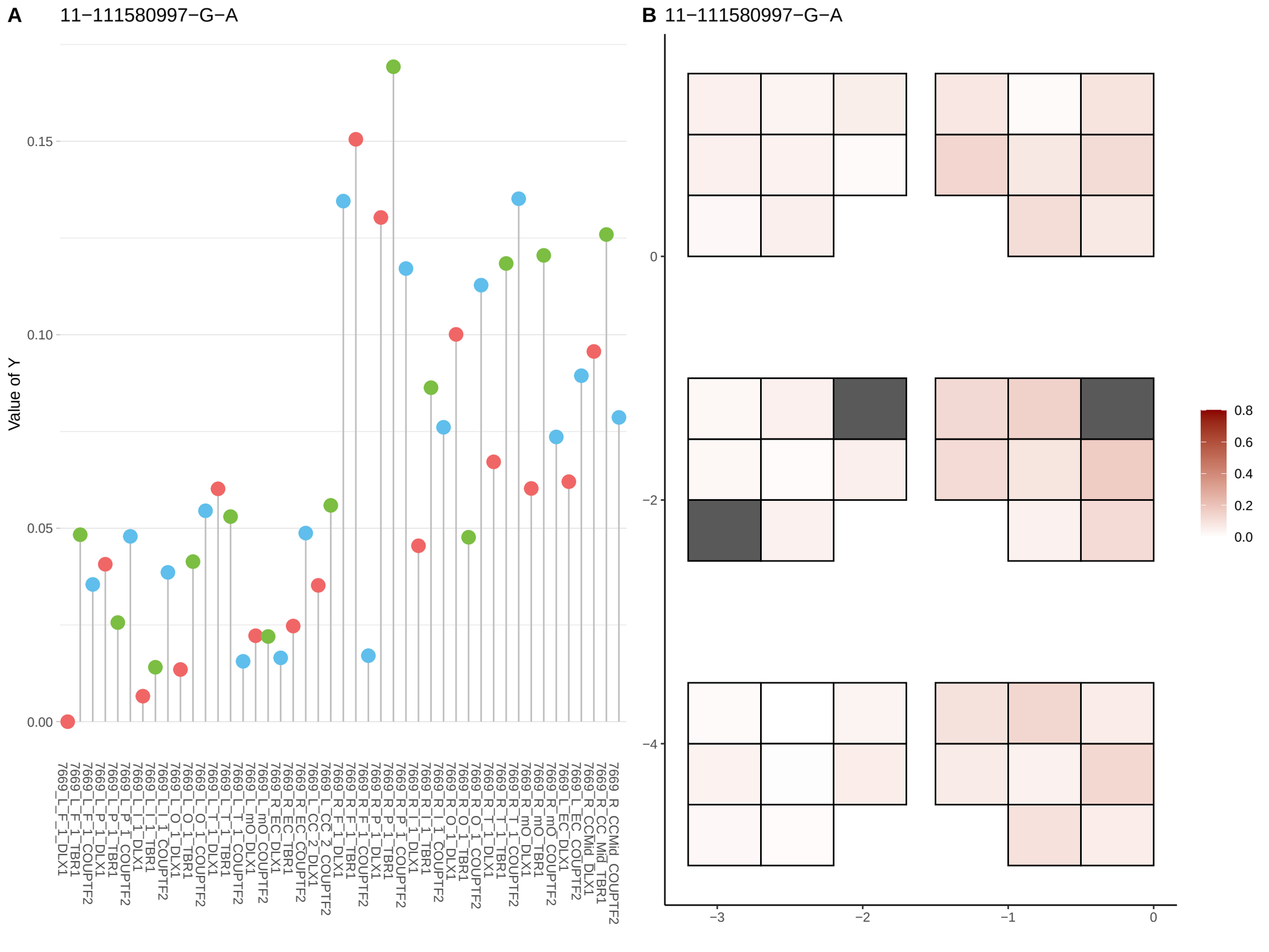
A
11−111580997−G−A
Value of Y
0.15
0.10
0.05
0.00
7669_L_F_1_DLX1
7669_L_F_1_TBR1
7669_L_F_1_COUPTF2
7669_L_P_1_DLX1
7669_L_P_1_TBR1
7669_L_P_1_COUPTF2
7669_L_I_1_DLX1
7669_L_I_1_TBR1
7669_L_I_1_COUPTF2
7669_L_O_1_DLX1
7669_L_O_1_TBR1
7669_L_O_1_COUPTF2
7669_L_T_1_DLX1
7669_L_T_1_TBR1
7669_L_T_1_COUPTF2
7669_L_mO_DLX1
7669_L_mO_COUPTF2
7669_R_EC_DLX1
7669_R_EC_TBR1
7669_R_EC_COUPTF2
7669_L_CC_2_DLX1
7669_L_CC_2_COUPTF2
7669_R_F_1_DLX1
7669_R_F_1_TBR1
7669_R_F_1_COUPTF2
7669_R_P_1_DLX1
7669_R_P_1_TBR1
7669_R_P_1_COUPTF2
7669_R_I_1_DLX1
7669_R_I_1_TBR1
7669_R_I_1_COUPTF2
7669_R_O_1_DLX1
7669_R_O_1_TBR1
7669_R_O_1_COUPTF2
7669_R_T_1_DLX1
7669_R_T_1_TBR1
7669_R_T_1_COUPTF2
7669_R_mO_DLX1
7669_R_mO_TBR1
7669_R_mO_COUPTF2
7669_L_EC_DLX1
7669_L_EC_COUPTF2
7669_R_CCMid_DLX1
7669_R_CC_Mid_TBR1
7669_R_CCMid_COUPTF2
B
11−111580997−G−A
0
−2
−4
−3
−2
−1
0
0.8
0.6
0.4
0.2
0.0

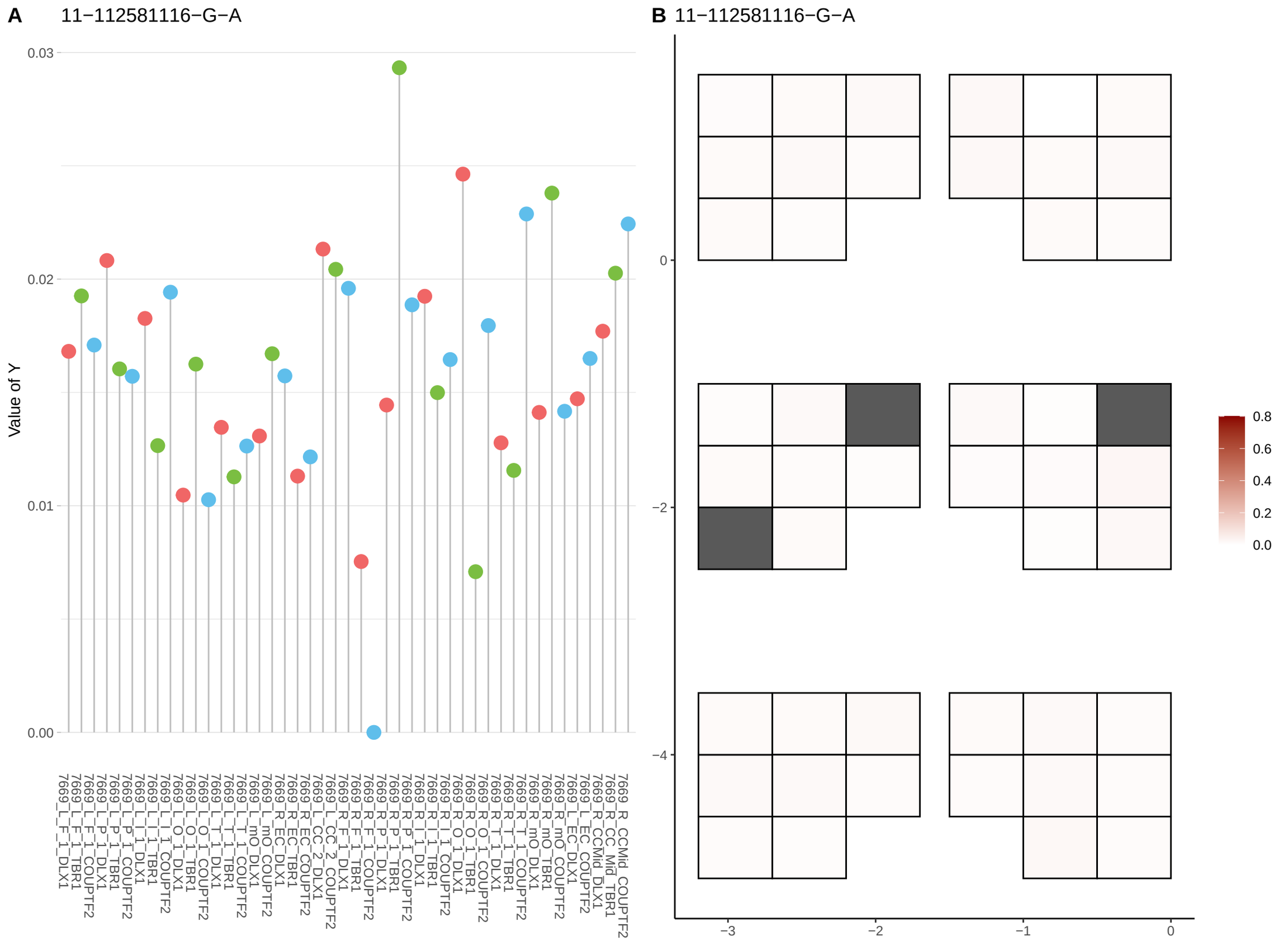
A
11−112581116−G−A
Value of Y
0.03
0.02
0.01
0.00
7669_L_F_1_DLX1
7669_L_F_1_TBR1
7669_L_F_1_COUPTF2
7669_L_P_1_DLX1
7669_L_P_1_TBR1
7669_L_P_1_COUPTF2
7669_L_I_1_DLX1
7669_L_I_1_TBR1
7669_L_I_1_COUPTF2
7669_L_O_1_DLX1
7669_L_O_1_TBR1
7669_L_O_1_COUPTF2
7669_L_T_1_DLX1
7669_L_T_1_TBR1
7669_L_T_1_COUPTF2
7669_L_mO_DLX1
7669_L_mO_COUPTF2
7669_R_EC_DLX1
7669_R_EC_TBR1
7669_R_EC_COUPTF2
7669_L_CC_2_DLX1
7669_L_CC_2_COUPTF2
7669_R_F_1_DLX1
7669_R_F_1_TBR1
7669_R_F_1_COUPTF2
7669_R_P_1_DLX1
7669_R_P_1_TBR1
7669_R_P_1_COUPTF2
7669_R_I_1_DLX1
7669_R_I_1_TBR1
7669_R_I_1_COUPTF2
7669_R_O_1_DLX1
7669_R_O_1_TBR1
7669_R_O_1_COUPTF2
7669_R_T_1_DLX1
7669_R_T_1_TBR1
7669_R_T_1_COUPTF2
7669_R_mO_DLX1
7669_R_mO_TBR1
7669_R_mO_COUPTF2
7669_L_EC_DLX1
7669_L_EC_COUPTF2
7669_R_CCMid_DLX1
7669_R_CC_Mid_TBR1
7669_R_CCMid_COUPTF2
B
11−112581116−G−A
0
−2
−4
−3
−2
−1
0
0.8
0.6
0.4
0.2
0.0

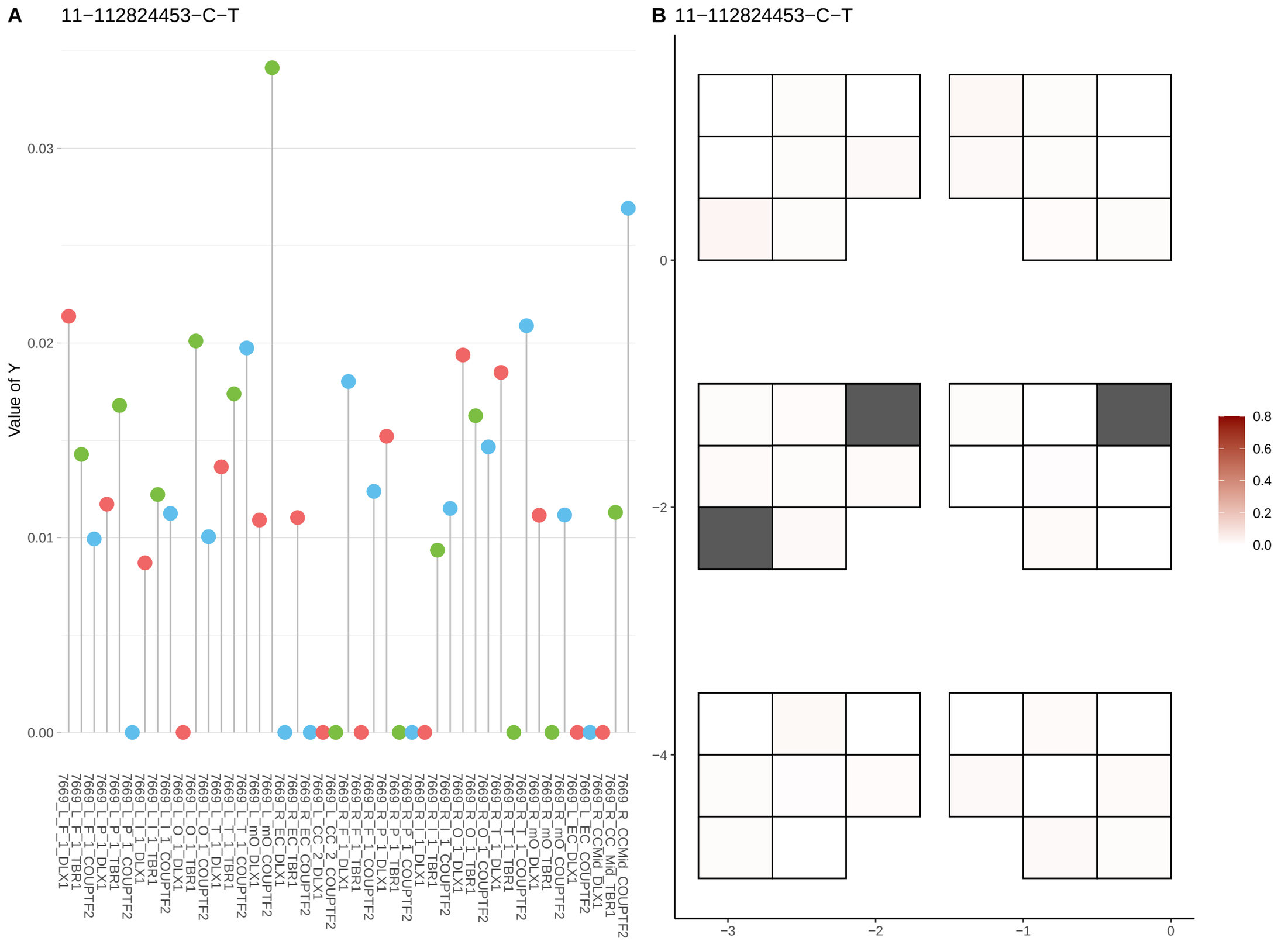
A
11−112824453−C−T
Value of Y
0.03
0.02
0.01
0.00
7669_L_F_1_DLX1
7669_L_F_1_TBR1
7669_L_F_1_COUPTF2
7669_L_P_1_DLX1
7669_L_P_1_TBR1
7669_L_P_1_COUPTF2
7669_L_I_1_DLX1
7669_L_I_1_TBR1
7669_L_I_1_COUPTF2
7669_L_O_1_DLX1
7669_L_O_1_TBR1
7669_L_O_1_COUPTF2
7669_L_T_1_DLX1
7669_L_T_1_TBR1
7669_L_T_1_COUPTF2
7669_L_mO_DLX1
7669_L_mO_COUPTF2
7669_R_EC_DLX1
7669_R_EC_TBR1
7669_R_EC_COUPTF2
7669_L_CC_2_DLX1
7669_L_CC_2_COUPTF2
7669_R_F_1_DLX1
7669_R_F_1_TBR1
7669_R_F_1_COUPTF2
7669_R_P_1_DLX1
7669_R_P_1_TBR1
7669_R_P_1_COUPTF2
7669_R_I_1_DLX1
7669_R_I_1_TBR1
7669_R_I_1_COUPTF2
7669_R_O_1_DLX1
7669_R_O_1_TBR1
7669_R_O_1_COUPTF2
7669_R_T_1_DLX1
7669_R_T_1_TBR1
7669_R_T_1_COUPTF2
7669_R_mO_DLX1
7669_R_mO_TBR1
7669_R_mO_COUPTF2
7669_L_EC_DLX1
7669_L_EC_COUPTF2
7669_R_CCMid_DLX1
7669_R_CC_Mid_TBR1
7669_R_CCMid_COUPTF2
B
11−112824453−C−T
0
−2
−4
−3
−2
−1
0
0.8
0.6
0.4
0.2
0.0

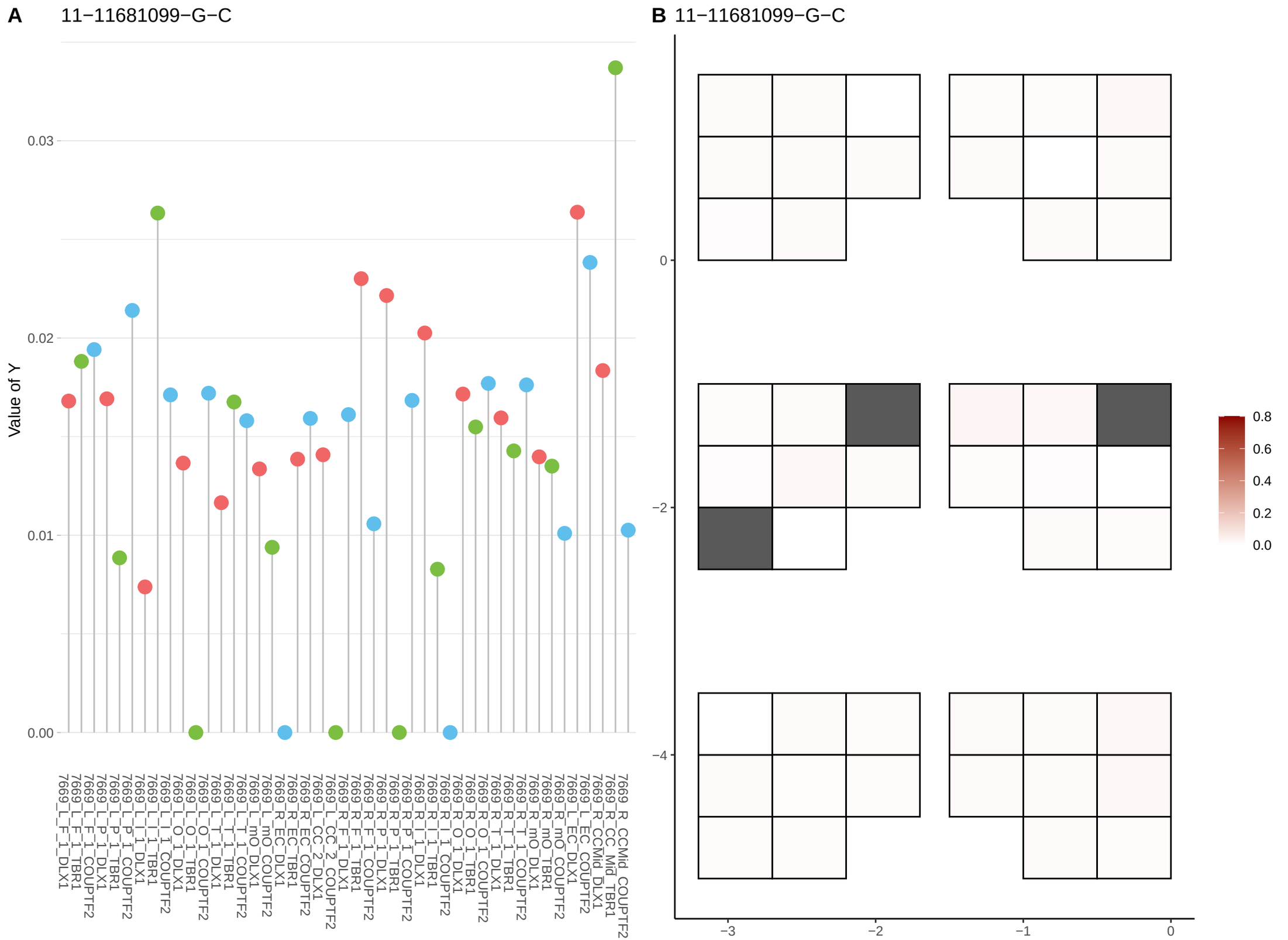
A
11−11681099−G−C
Value of Y
0.03
0.02
0.01
0.00
7669_L_F_1_DLX1
7669_L_F_1_TBR1
7669_L_F_1_COUPTF2
7669_L_P_1_DLX1
7669_L_P_1_TBR1
7669_L_P_1_COUPTF2
7669_L_I_1_DLX1
7669_L_I_1_TBR1
7669_L_I_1_COUPTF2
7669_L_O_1_DLX1
7669_L_O_1_TBR1
7669_L_O_1_COUPTF2
7669_L_T_1_DLX1
7669_L_T_1_TBR1
7669_L_T_1_COUPTF2
7669_L_mO_DLX1
7669_L_mO_COUPTF2
7669_R_EC_DLX1
7669_R_EC_TBR1
7669_R_EC_COUPTF2
7669_L_CC_2_DLX1
7669_L_CC_2_COUPTF2
7669_R_F_1_DLX1
7669_R_F_1_TBR1
7669_R_F_1_COUPTF2
7669_R_P_1_DLX1
7669_R_P_1_TBR1
7669_R_P_1_COUPTF2
7669_R_I_1_DLX1
7669_R_I_1_TBR1
7669_R_I_1_COUPTF2
7669_R_O_1_DLX1
7669_R_O_1_TBR1
7669_R_O_1_COUPTF2
7669_R_T_1_DLX1
7669_R_T_1_TBR1
7669_R_T_1_COUPTF2
7669_R_mO_DLX1
7669_R_mO_TBR1
7669_R_mO_COUPTF2
7669_L_EC_DLX1
7669_L_EC_COUPTF2
7669_R_CCMid_DLX1
7669_R_CC_Mid_TBR1
7669_R_CCMid_COUPTF2
B
11−11681099−G−C
0
−2
−4
−3
−2
−1
0
0.8
0.6
0.4
0.2
0.0

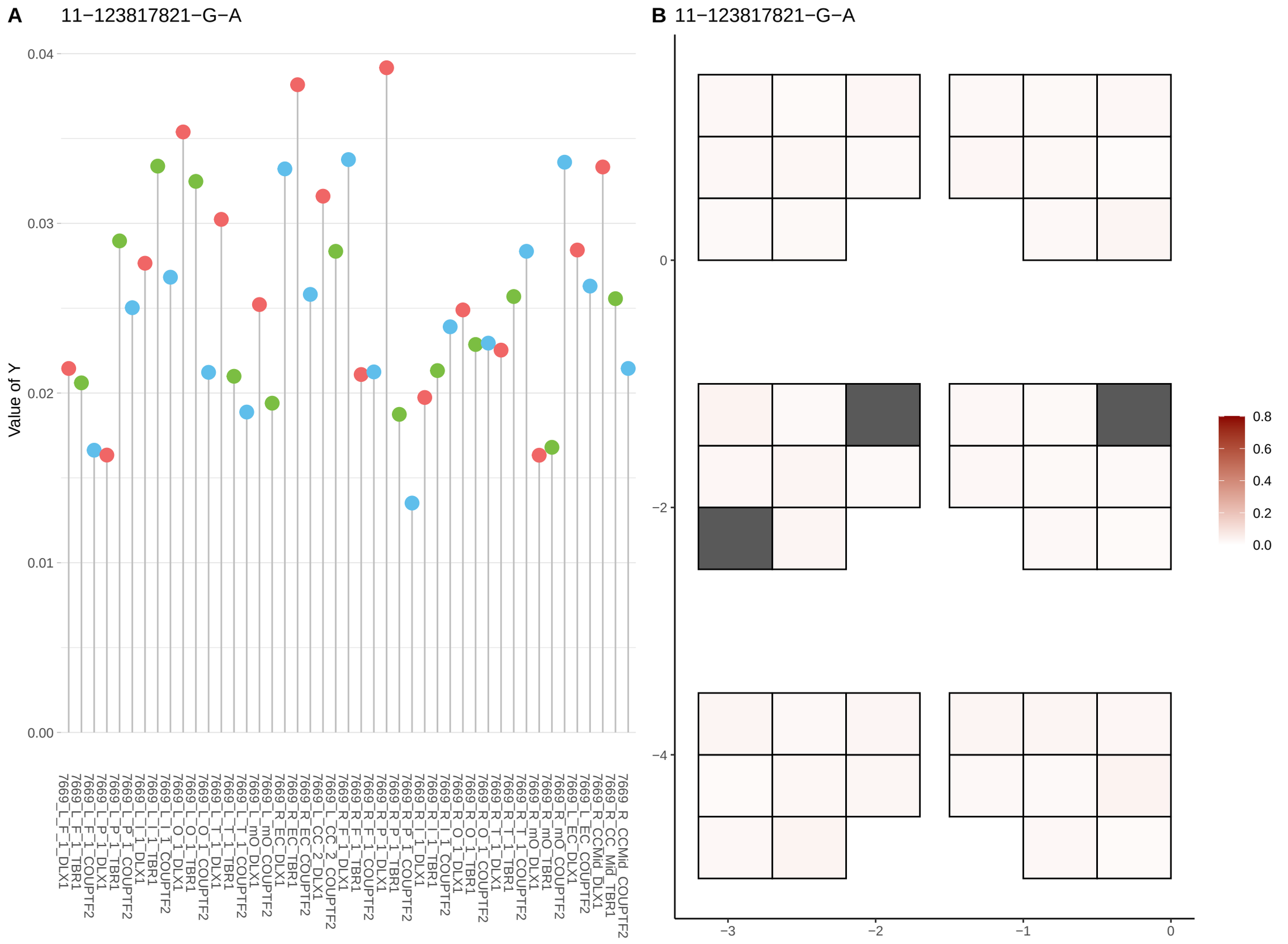
A
11−123817821−G−A
Value of Y
0.04
0.03
0.02
0.01
0.00
7669_L_F_1_DLX1
7669_L_F_1_TBR1
7669_L_F_1_COUPTF2
7669_L_P_1_DLX1
7669_L_P_1_TBR1
7669_L_P_1_COUPTF2
7669_L_I_1_DLX1
7669_L_I_1_TBR1
7669_L_I_1_COUPTF2
7669_L_O_1_DLX1
7669_L_O_1_TBR1
7669_L_O_1_COUPTF2
7669_L_T_1_DLX1
7669_L_T_1_TBR1
7669_L_T_1_COUPTF2
7669_L_mO_DLX1
7669_L_mO_COUPTF2
7669_R_EC_DLX1
7669_R_EC_TBR1
7669_R_EC_COUPTF2
7669_L_CC_2_DLX1
7669_L_CC_2_COUPTF2
7669_R_F_1_DLX1
7669_R_F_1_TBR1
7669_R_F_1_COUPTF2
7669_R_P_1_DLX1
7669_R_P_1_TBR1
7669_R_P_1_COUPTF2
7669_R_I_1_DLX1
7669_R_I_1_TBR1
7669_R_I_1_COUPTF2
7669_R_O_1_DLX1
7669_R_O_1_TBR1
7669_R_O_1_COUPTF2
7669_R_T_1_DLX1
7669_R_T_1_TBR1
7669_R_T_1_COUPTF2
7669_R_mO_DLX1
7669_R_mO_TBR1
7669_R_mO_COUPTF2
7669_L_EC_DLX1
7669_L_EC_COUPTF2
7669_R_CCMid_DLX1
7669_R_CC_Mid_TBR1
7669_R_CCMid_COUPTF2
B
11−123817821−G−A
0
−2
−4
−3
−2
−1
0
0.8
0.6
0.4
0.2
0.0

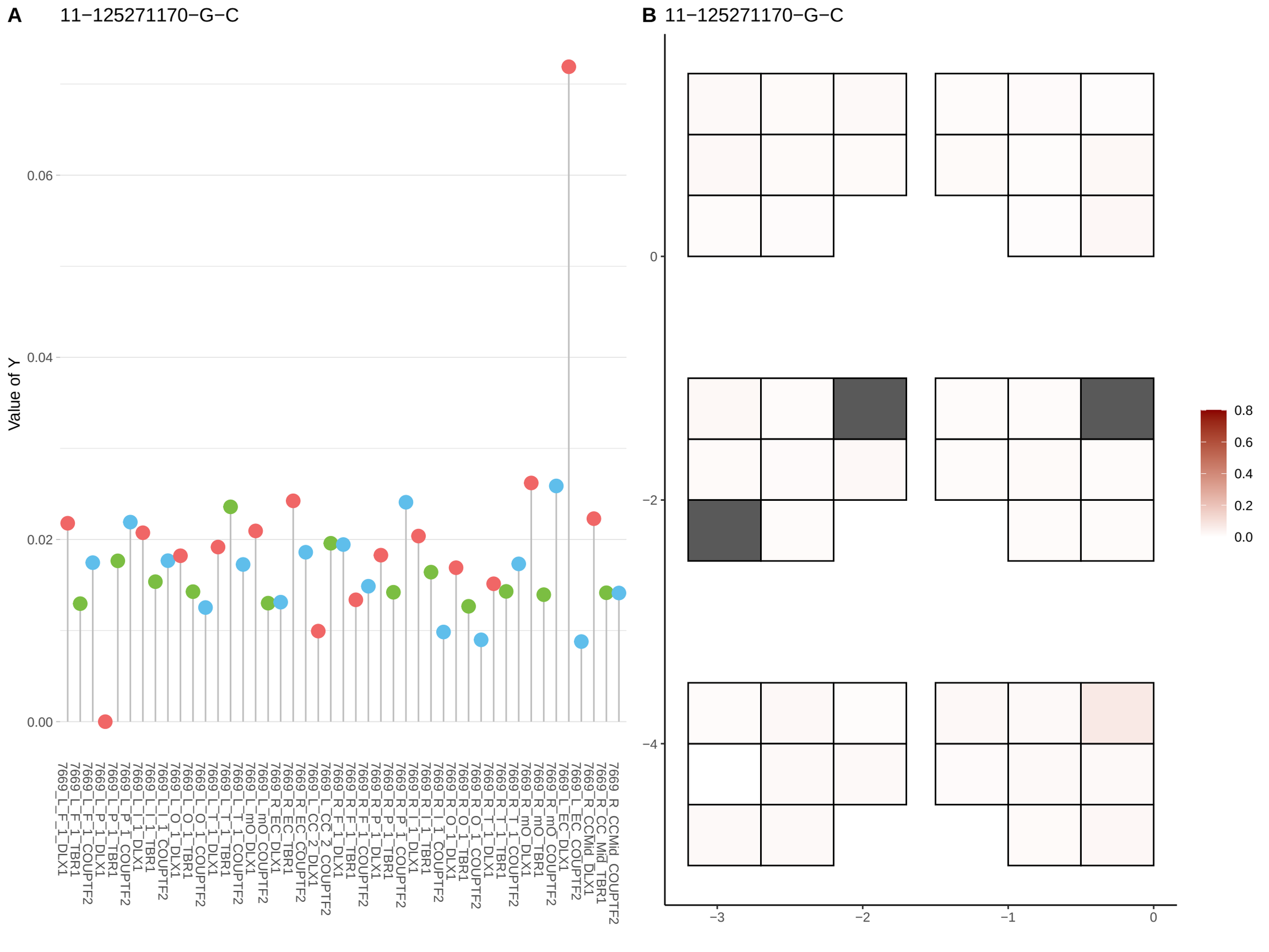
A
11−125271170−G−C
Value of Y
0.06
0.04
0.02
0.00
7669_L_F_1_DLX1
7669_L_F_1_TBR1
7669_L_F_1_COUPTF2
7669_L_P_1_DLX1
7669_L_P_1_TBR1
7669_L_P_1_COUPTF2
7669_L_I_1_DLX1
7669_L_I_1_TBR1
7669_L_I_1_COUPTF2
7669_L_O_1_DLX1
7669_L_O_1_TBR1
7669_L_O_1_COUPTF2
7669_L_T_1_DLX1
7669_L_T_1_TBR1
7669_L_T_1_COUPTF2
7669_L_mO_DLX1
7669_L_mO_COUPTF2
7669_R_EC_DLX1
7669_R_EC_TBR1
7669_R_EC_COUPTF2
7669_L_CC_2_DLX1
7669_L_CC_2_COUPTF2
7669_R_F_1_DLX1
7669_R_F_1_TBR1
7669_R_F_1_COUPTF2
7669_R_P_1_DLX1
7669_R_P_1_TBR1
7669_R_P_1_COUPTF2
7669_R_I_1_DLX1
7669_R_I_1_TBR1
7669_R_I_1_COUPTF2
7669_R_O_1_DLX1
7669_R_O_1_TBR1
7669_R_O_1_COUPTF2
7669_R_T_1_DLX1
7669_R_T_1_TBR1
7669_R_T_1_COUPTF2
7669_R_mO_DLX1
7669_R_mO_TBR1
7669_R_mO_COUPTF2
7669_L_EC_DLX1
7669_L_EC_COUPTF2
7669_R_CCMid_DLX1
7669_R_CC_Mid_TBR1
7669_R_CCMid_COUPTF2
B
11−125271170−G−C
0
−2
−4
−3
−2
−1
0
0.8
0.6
0.4
0.2
0.0

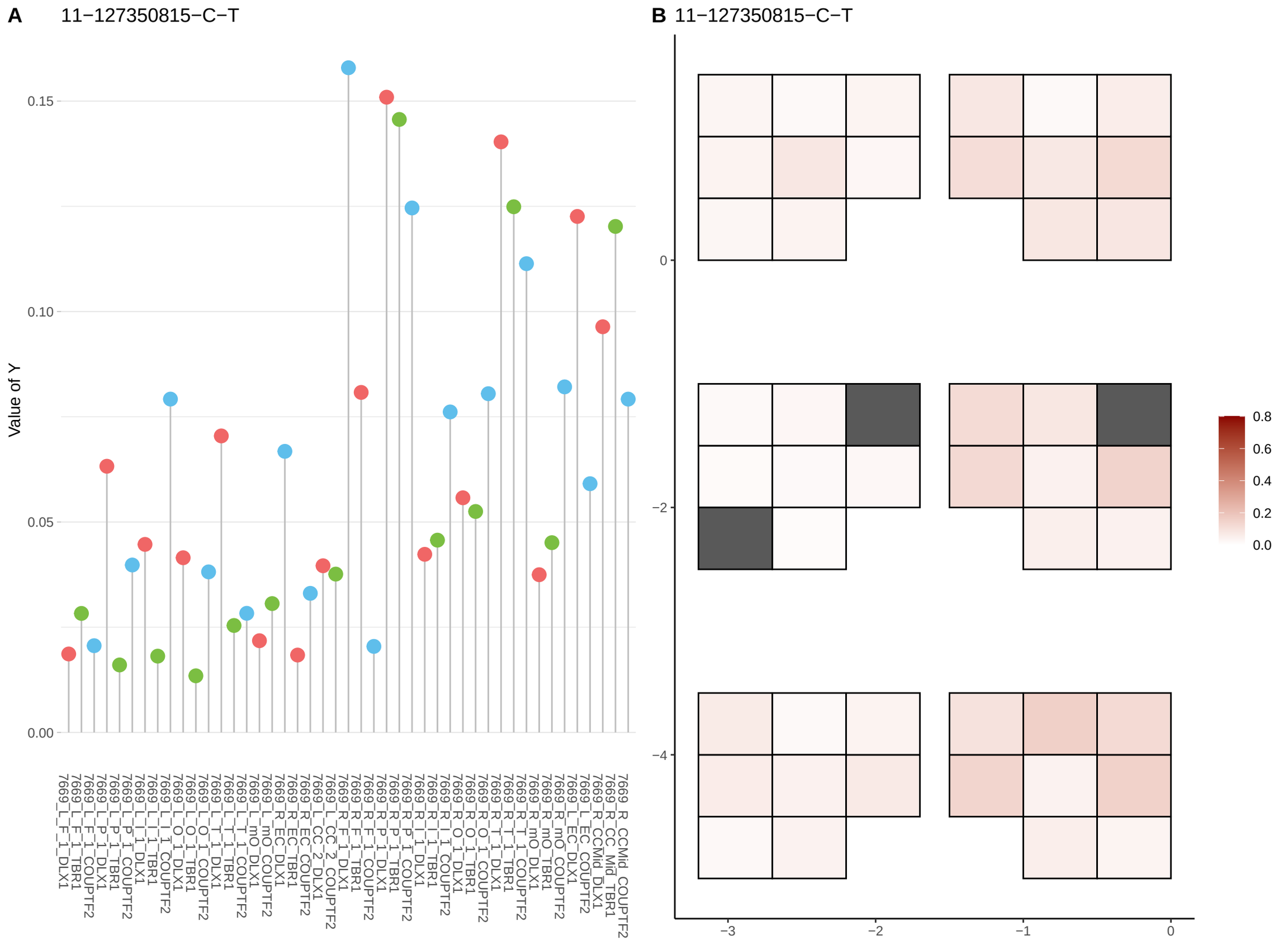
A
11−127350815−C−T
Value of Y
0.15
0.10
0.05
0.00
7669_L_F_1_DLX1
7669_L_F_1_TBR1
7669_L_F_1_COUPTF2
7669_L_P_1_DLX1
7669_L_P_1_TBR1
7669_L_P_1_COUPTF2
7669_L_I_1_DLX1
7669_L_I_1_TBR1
7669_L_I_1_COUPTF2
7669_L_O_1_DLX1
7669_L_O_1_TBR1
7669_L_O_1_COUPTF2
7669_L_T_1_DLX1
7669_L_T_1_TBR1
7669_L_T_1_COUPTF2
7669_L_mO_DLX1
7669_L_mO_COUPTF2
7669_R_EC_DLX1
7669_R_EC_TBR1
7669_R_EC_COUPTF2
7669_L_CC_2_DLX1
7669_L_CC_2_COUPTF2
7669_R_F_1_DLX1
7669_R_F_1_TBR1
7669_R_F_1_COUPTF2
7669_R_P_1_DLX1
7669_R_P_1_TBR1
7669_R_P_1_COUPTF2
7669_R_I_1_DLX1
7669_R_I_1_TBR1
7669_R_I_1_COUPTF2
7669_R_O_1_DLX1
7669_R_O_1_TBR1
7669_R_O_1_COUPTF2
7669_R_T_1_DLX1
7669_R_T_1_TBR1
7669_R_T_1_COUPTF2
7669_R_mO_DLX1
7669_R_mO_TBR1
7669_R_mO_COUPTF2
7669_L_EC_DLX1
7669_L_EC_COUPTF2
7669_R_CCMid_DLX1
7669_R_CC_Mid_TBR1
7669_R_CCMid_COUPTF2
B
11−127350815−C−T
0
−2
−4
−3
−2
−1
0
0.8
0.6
0.4
0.2
0.0

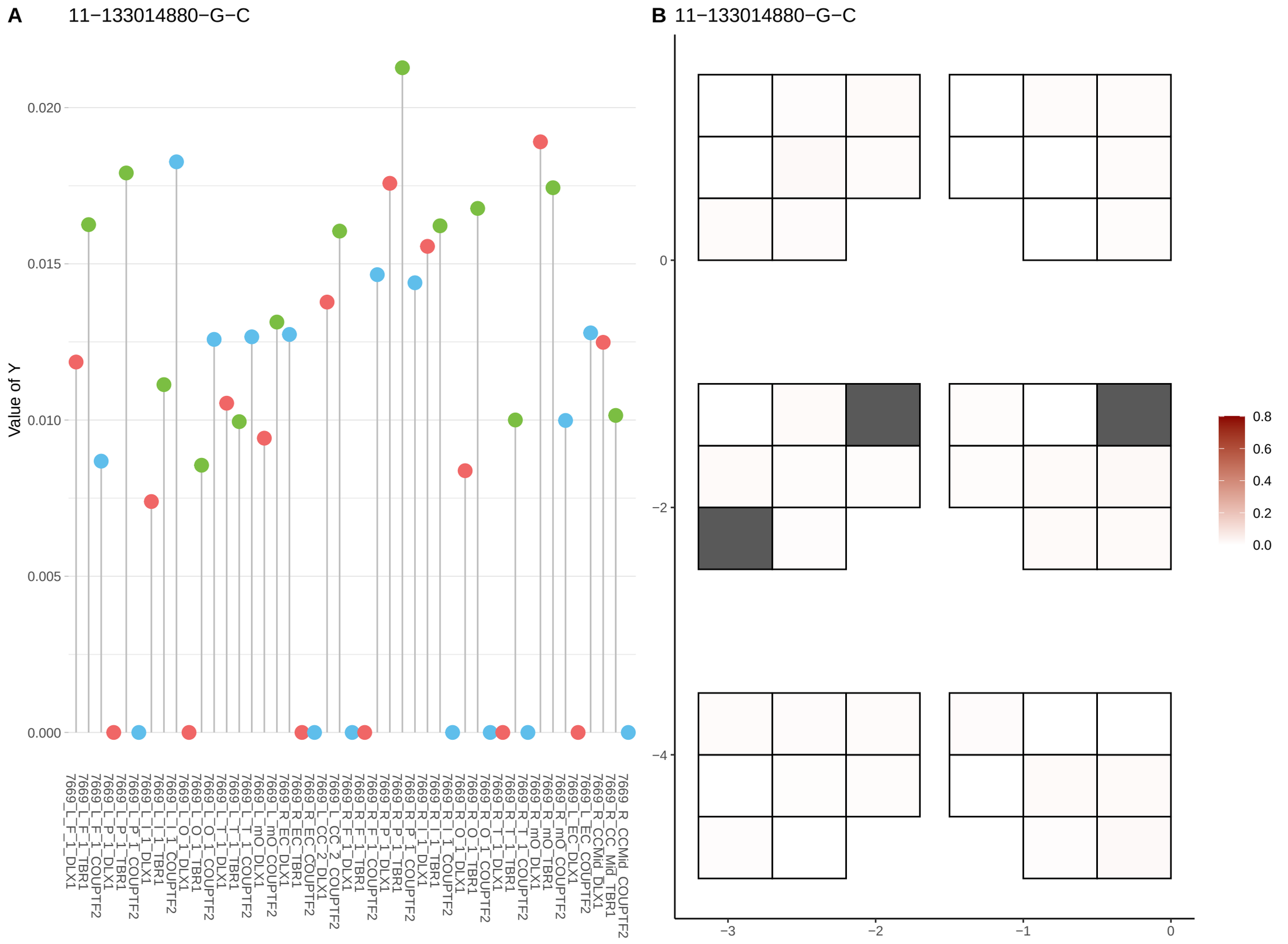
A
11−133014880−G−C
Value of Y
0.020
0.015
0.010
0.005
0.000
7669_L_F_1_DLX1
7669_L_F_1_TBR1
7669_L_F_1_COUPTF2
7669_L_P_1_DLX1
7669_L_P_1_TBR1
7669_L_P_1_COUPTF2
7669_L_I_1_DLX1
7669_L_I_1_TBR1
7669_L_I_1_COUPTF2
7669_L_O_1_DLX1
7669_L_O_1_TBR1
7669_L_O_1_COUPTF2
7669_L_T_1_DLX1
7669_L_T_1_TBR1
7669_L_T_1_COUPTF2
7669_L_mO_DLX1
7669_L_mO_COUPTF2
7669_R_EC_DLX1
7669_R_EC_TBR1
7669_R_EC_COUPTF2
7669_L_CC_2_DLX1
7669_L_CC_2_COUPTF2
7669_R_F_1_DLX1
7669_R_F_1_TBR1
7669_R_F_1_COUPTF2
7669_R_P_1_DLX1
7669_R_P_1_TBR1
7669_R_P_1_COUPTF2
7669_R_I_1_DLX1
7669_R_I_1_TBR1
7669_R_I_1_COUPTF2
7669_R_O_1_DLX1
7669_R_O_1_TBR1
7669_R_O_1_COUPTF2
7669_R_T_1_DLX1
7669_R_T_1_TBR1
7669_R_T_1_COUPTF2
7669_R_mO_DLX1
7669_R_mO_TBR1
7669_R_mO_COUPTF2
7669_L_EC_DLX1
7669_L_EC_COUPTF2
7669_R_CCMid_DLX1
7669_R_CC_Mid_TBR1
7669_R_CCMid_COUPTF2
B
11−133014880−G−C
0
−2
−4
−3
−2
−1
0
0.8
0.6
0.4
0.2
0.0

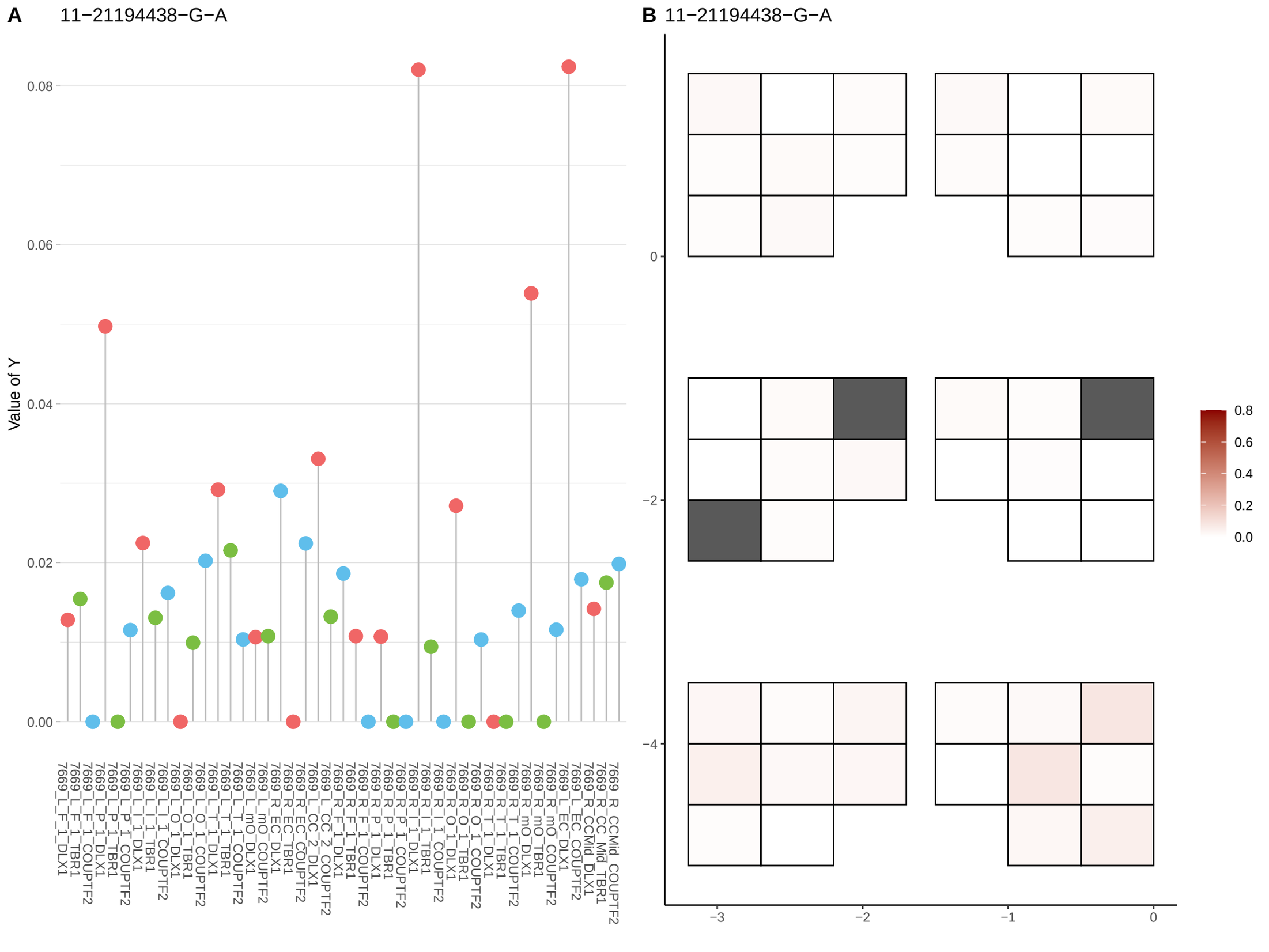
A
11−21194438−G−A
Value of Y
0.08
0.06
0.04
0.02
0.00
7669_L_F_1_DLX1
7669_L_F_1_TBR1
7669_L_F_1_COUPTF2
7669_L_P_1_DLX1
7669_L_P_1_TBR1
7669_L_P_1_COUPTF2
7669_L_I_1_DLX1
7669_L_I_1_TBR1
7669_L_I_1_COUPTF2
7669_L_O_1_DLX1
7669_L_O_1_TBR1
7669_L_O_1_COUPTF2
7669_L_T_1_DLX1
7669_L_T_1_TBR1
7669_L_T_1_COUPTF2
7669_L_mO_DLX1
7669_L_mO_COUPTF2
7669_R_EC_DLX1
7669_R_EC_TBR1
7669_R_EC_COUPTF2
7669_L_CC_2_DLX1
7669_L_CC_2_COUPTF2
7669_R_F_1_DLX1
7669_R_F_1_TBR1
7669_R_F_1_COUPTF2
7669_R_P_1_DLX1
7669_R_P_1_TBR1
7669_R_P_1_COUPTF2
7669_R_I_1_DLX1
7669_R_I_1_TBR1
7669_R_I_1_COUPTF2
7669_R_O_1_DLX1
7669_R_O_1_TBR1
7669_R_O_1_COUPTF2
7669_R_T_1_DLX1
7669_R_T_1_TBR1
7669_R_T_1_COUPTF2
7669_R_mO_DLX1
7669_R_mO_TBR1
7669_R_mO_COUPTF2
7669_L_EC_DLX1
7669_L_EC_COUPTF2
7669_R_CCMid_DLX1
7669_R_CC_Mid_TBR1
7669_R_CCMid_COUPTF2
B
11−21194438−G−A
0
−2
−4
−3
−2
−1
0
0.8
0.6
0.4
0.2
0.0

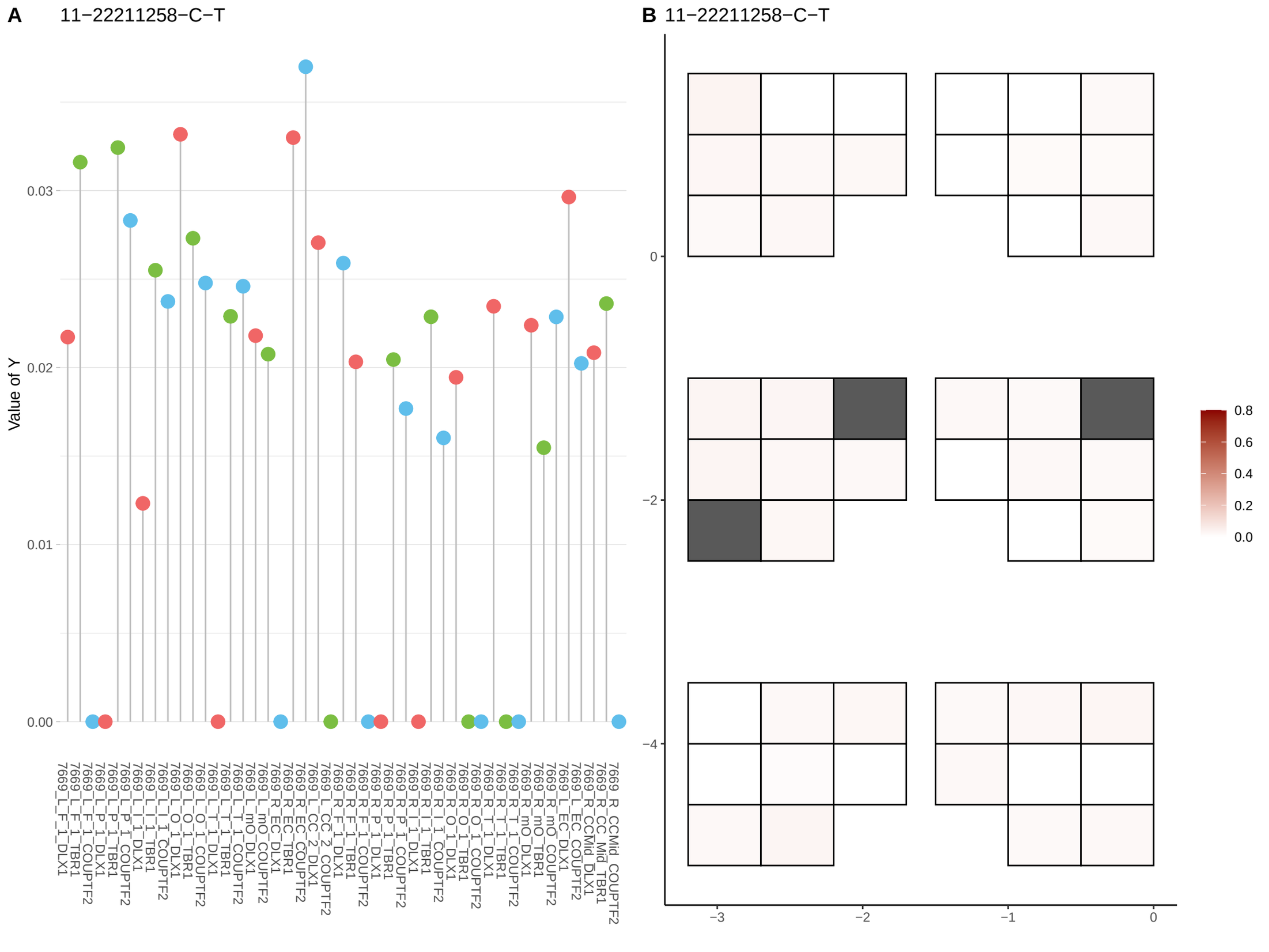
A
11−22211258−C−T
Value of Y
0.03
0.02
0.01
0.00
7669_L_F_1_DLX1
7669_L_F_1_TBR1
7669_L_F_1_COUPTF2
7669_L_P_1_DLX1
7669_L_P_1_TBR1
7669_L_P_1_COUPTF2
7669_L_I_1_DLX1
7669_L_I_1_TBR1
7669_L_I_1_COUPTF2
7669_L_O_1_DLX1
7669_L_O_1_TBR1
7669_L_O_1_COUPTF2
7669_L_T_1_DLX1
7669_L_T_1_TBR1
7669_L_T_1_COUPTF2
7669_L_mO_DLX1
7669_L_mO_COUPTF2
7669_R_EC_DLX1
7669_R_EC_TBR1
7669_R_EC_COUPTF2
7669_L_CC_2_DLX1
7669_L_CC_2_COUPTF2
7669_R_F_1_DLX1
7669_R_F_1_TBR1
7669_R_F_1_COUPTF2
7669_R_P_1_DLX1
7669_R_P_1_TBR1
7669_R_P_1_COUPTF2
7669_R_I_1_DLX1
7669_R_I_1_TBR1
7669_R_I_1_COUPTF2
7669_R_O_1_DLX1
7669_R_O_1_TBR1
7669_R_O_1_COUPTF2
7669_R_T_1_DLX1
7669_R_T_1_TBR1
7669_R_T_1_COUPTF2
7669_R_mO_DLX1
7669_R_mO_TBR1
7669_R_mO_COUPTF2
7669_L_EC_DLX1
7669_L_EC_COUPTF2
7669_R_CCMid_DLX1
7669_R_CC_Mid_TBR1
7669_R_CCMid_COUPTF2
B
11−22211258−C−T
0
−2
−4
−3
−2
−1
0
0.8
0.6
0.4
0.2
0.0

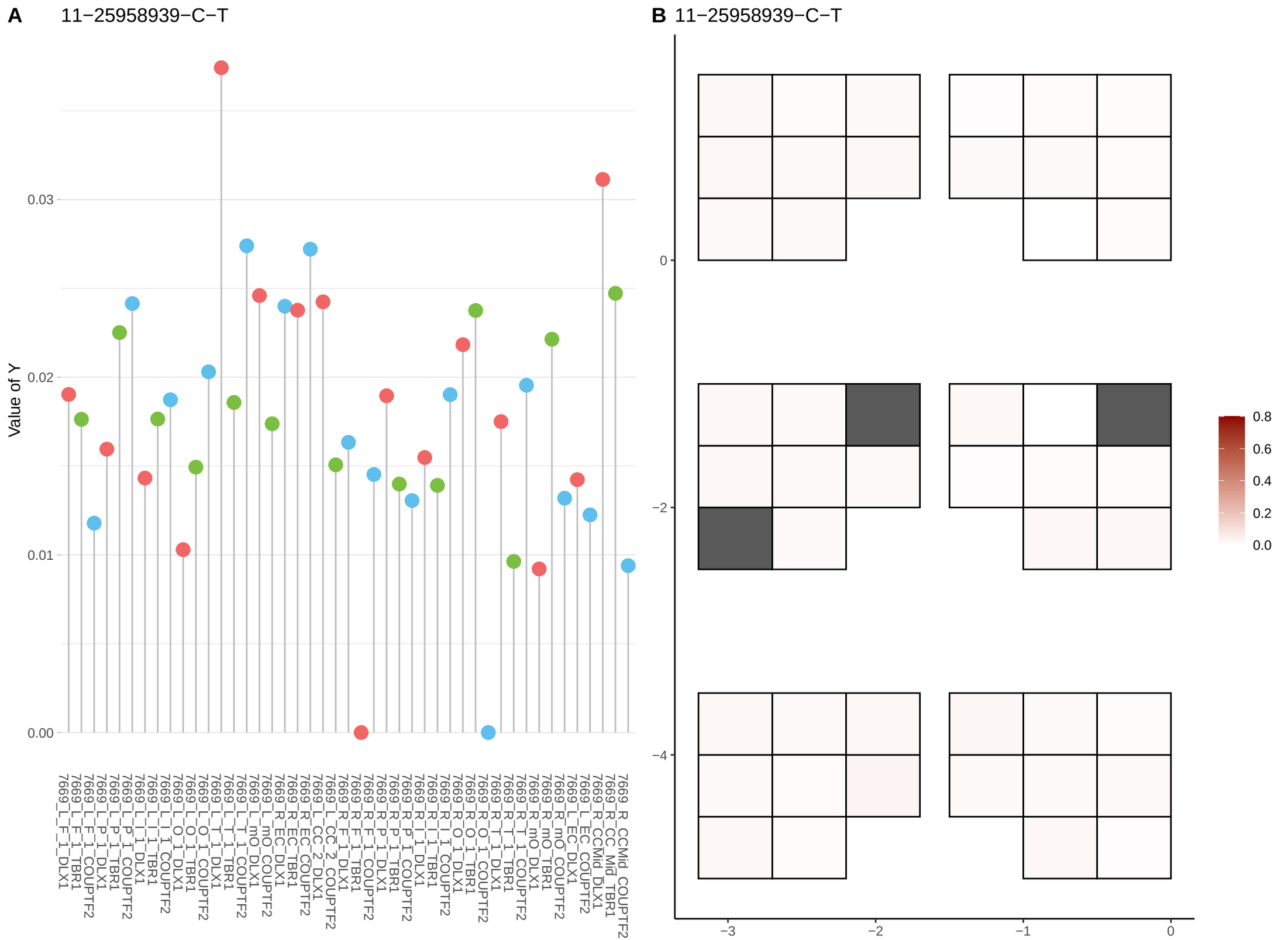
A
11−25958939−C−T
Value of Y
0.03
0.02
0.01
0.00
7669_L_F_1_DLX1
7669_L_F_1_TBR1
7669_L_F_1_COUPTF2
7669_L_P_1_DLX1
7669_L_P_1_TBR1
7669_L_P_1_COUPTF2
7669_L_I_1_DLX1
7669_L_I_1_TBR1
7669_L_I_1_COUPTF2
7669_L_O_1_DLX1
7669_L_O_1_TBR1
7669_L_O_1_COUPTF2
7669_L_T_1_DLX1
7669_L_T_1_TBR1
7669_L_T_1_COUPTF2
7669_L_mO_DLX1
7669_L_mO_COUPTF2
7669_R_EC_DLX1
7669_R_EC_TBR1
7669_R_EC_COUPTF2
7669_L_CC_2_DLX1
7669_L_CC_2_COUPTF2
7669_R_F_1_DLX1
7669_R_F_1_TBR1
7669_R_F_1_COUPTF2
7669_R_P_1_DLX1
7669_R_P_1_TBR1
7669_R_P_1_COUPTF2
7669_R_I_1_DLX1
7669_R_I_1_TBR1
7669_R_I_1_COUPTF2
7669_R_O_1_DLX1
7669_R_O_1_TBR1
7669_R_O_1_COUPTF2
7669_R_T_1_DLX1
7669_R_T_1_TBR1
7669_R_T_1_COUPTF2
7669_R_mO_DLX1
7669_R_mO_TBR1
7669_R_mO_COUPTF2
7669_L_EC_DLX1
7669_L_EC_COUPTF2
7669_R_CCMid_DLX1
7669_R_CC_Mid_TBR1
7669_R_CCMid_COUPTF2
B
11−25958939−C−T
0
−2
−4
−3
−2
−1
0
0.8
0.6
0.4
0.2
0.0

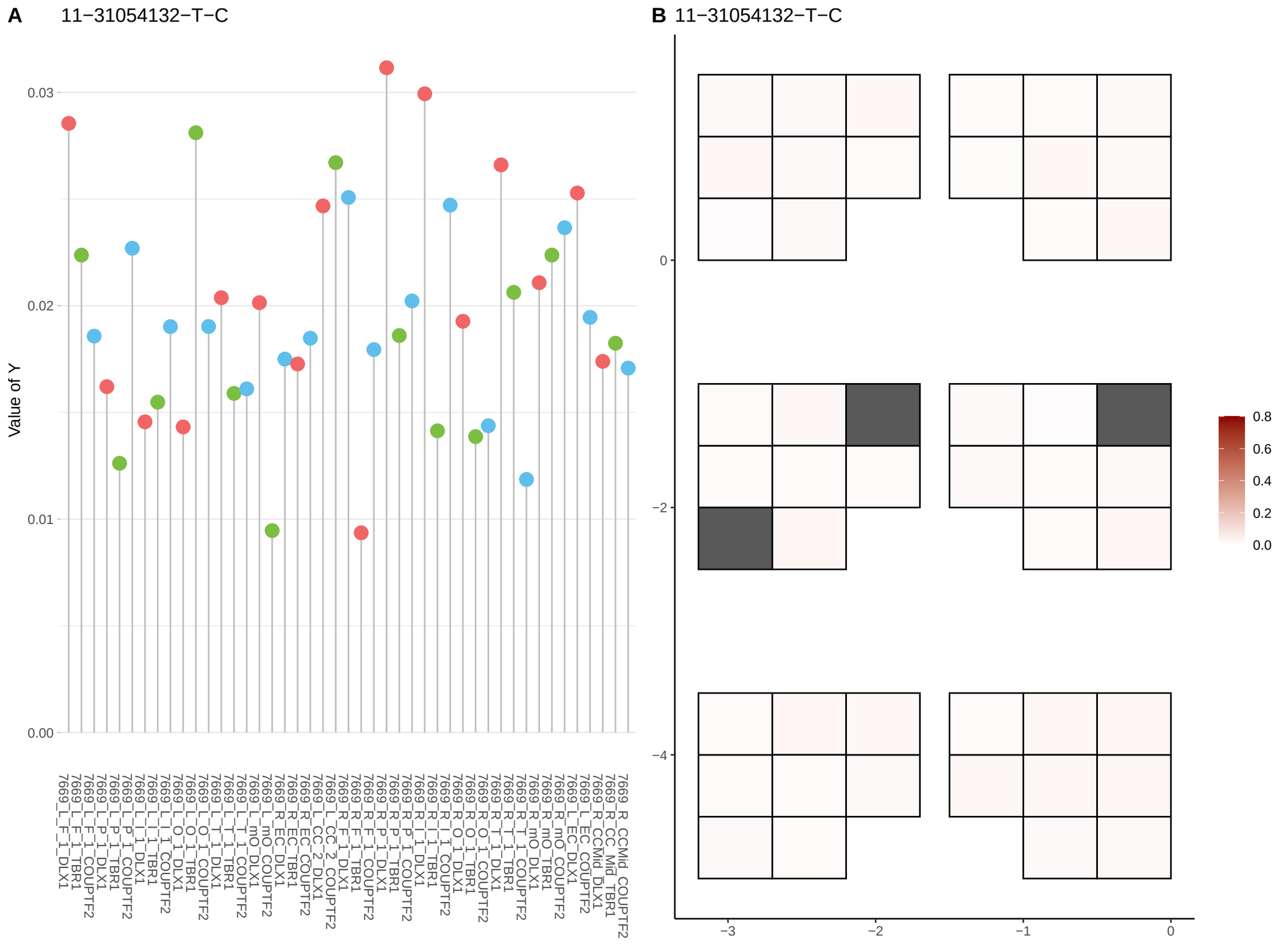
A
11−31054132−T−C
Value of Y
0.03
0.02
0.01
0.00
7669_L_F_1_DLX1
7669_L_F_1_TBR1
7669_L_F_1_COUPTF2
7669_L_P_1_DLX1
7669_L_P_1_TBR1
7669_L_P_1_COUPTF2
7669_L_I_1_DLX1
7669_L_I_1_TBR1
7669_L_I_1_COUPTF2
7669_L_O_1_DLX1
7669_L_O_1_TBR1
7669_L_O_1_COUPTF2
7669_L_T_1_DLX1
7669_L_T_1_TBR1
7669_L_T_1_COUPTF2
7669_L_mO_DLX1
7669_L_mO_COUPTF2
7669_R_EC_DLX1
7669_R_EC_TBR1
7669_R_EC_COUPTF2
7669_L_CC_2_DLX1
7669_L_CC_2_COUPTF2
7669_R_F_1_DLX1
7669_R_F_1_TBR1
7669_R_F_1_COUPTF2
7669_R_P_1_DLX1
7669_R_P_1_TBR1
7669_R_P_1_COUPTF2
7669_R_I_1_DLX1
7669_R_I_1_TBR1
7669_R_I_1_COUPTF2
7669_R_O_1_DLX1
7669_R_O_1_TBR1
7669_R_O_1_COUPTF2
7669_R_T_1_DLX1
7669_R_T_1_TBR1
7669_R_T_1_COUPTF2
7669_R_mO_DLX1
7669_R_mO_TBR1
7669_R_mO_COUPTF2
7669_L_EC_DLX1
7669_L_EC_COUPTF2
7669_R_CCMid_DLX1
7669_R_CC_Mid_TBR1
7669_R_CCMid_COUPTF2
B
11−31054132−T−C
0
−2
−4
−3
−2
−1
0
0.8
0.6
0.4
0.2
0.0

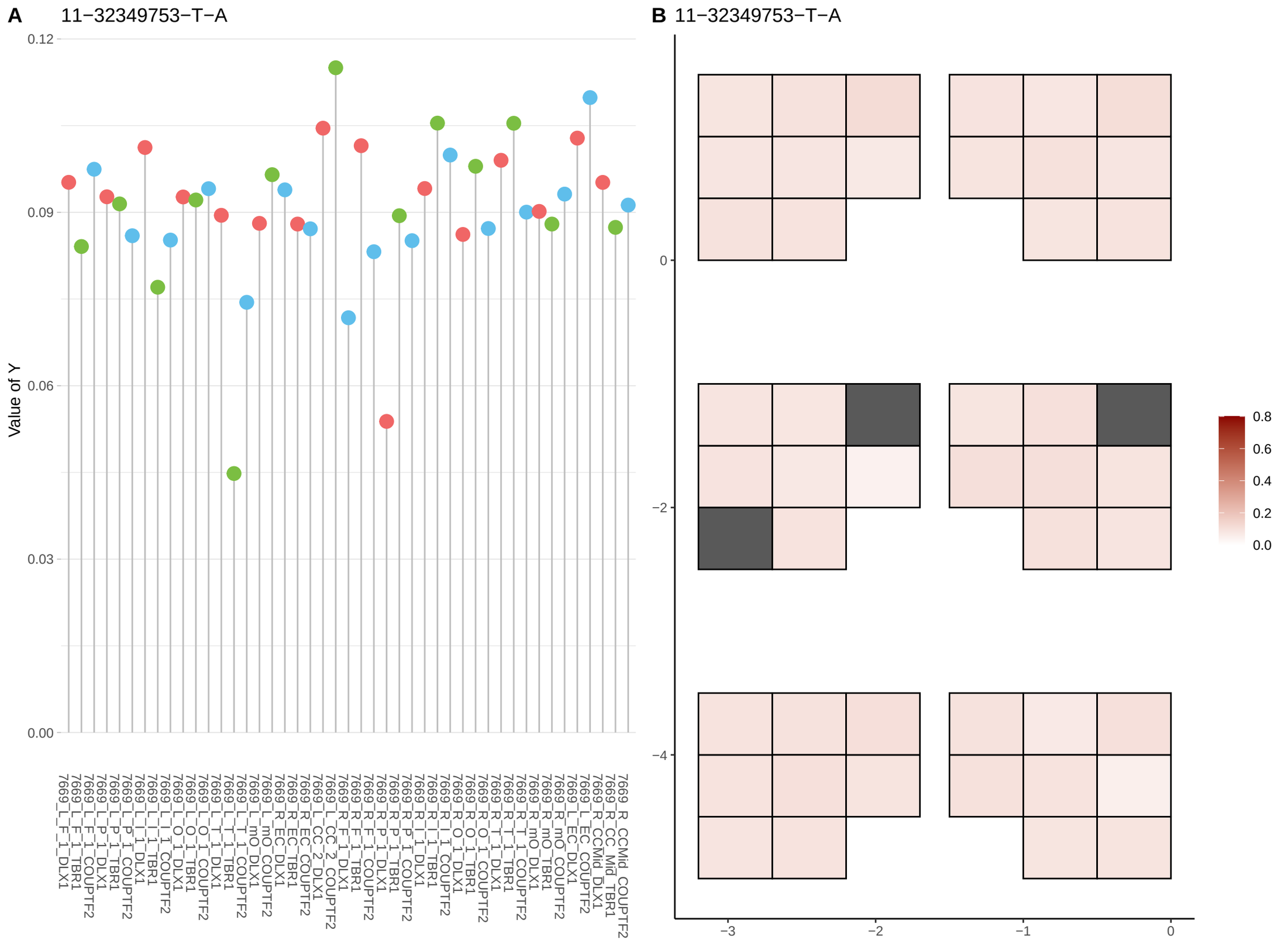
A
11−32349753−T−A
Value of Y
0.12
0.09
0.06
0.03
0.00
7669_L_F_1_DLX1
7669_L_F_1_TBR1
7669_L_F_1_COUPTF2
7669_L_P_1_DLX1
7669_L_P_1_TBR1
7669_L_P_1_COUPTF2
7669_L_I_1_DLX1
7669_L_I_1_TBR1
7669_L_I_1_COUPTF2
7669_L_O_1_DLX1
7669_L_O_1_TBR1
7669_L_O_1_COUPTF2
7669_L_T_1_DLX1
7669_L_T_1_TBR1
7669_L_T_1_COUPTF2
7669_L_mO_DLX1
7669_L_mO_COUPTF2
7669_R_EC_DLX1
7669_R_EC_TBR1
7669_R_EC_COUPTF2
7669_L_CC_2_DLX1
7669_L_CC_2_COUPTF2
7669_R_F_1_DLX1
7669_R_F_1_TBR1
7669_R_F_1_COUPTF2
7669_R_P_1_DLX1
7669_R_P_1_TBR1
7669_R_P_1_COUPTF2
7669_R_I_1_DLX1
7669_R_I_1_TBR1
7669_R_I_1_COUPTF2
7669_R_O_1_DLX1
7669_R_O_1_TBR1
7669_R_O_1_COUPTF2
7669_R_T_1_DLX1
7669_R_T_1_TBR1
7669_R_T_1_COUPTF2
7669_R_mO_DLX1
7669_R_mO_TBR1
7669_R_mO_COUPTF2
7669_L_EC_DLX1
7669_L_EC_COUPTF2
7669_R_CCMid_DLX1
7669_R_CC_Mid_TBR1
7669_R_CCMid_COUPTF2
B
11−32349753−T−A
0
−2
−4
−3
−2
−1
0
0.8
0.6
0.4
0.2
0.0

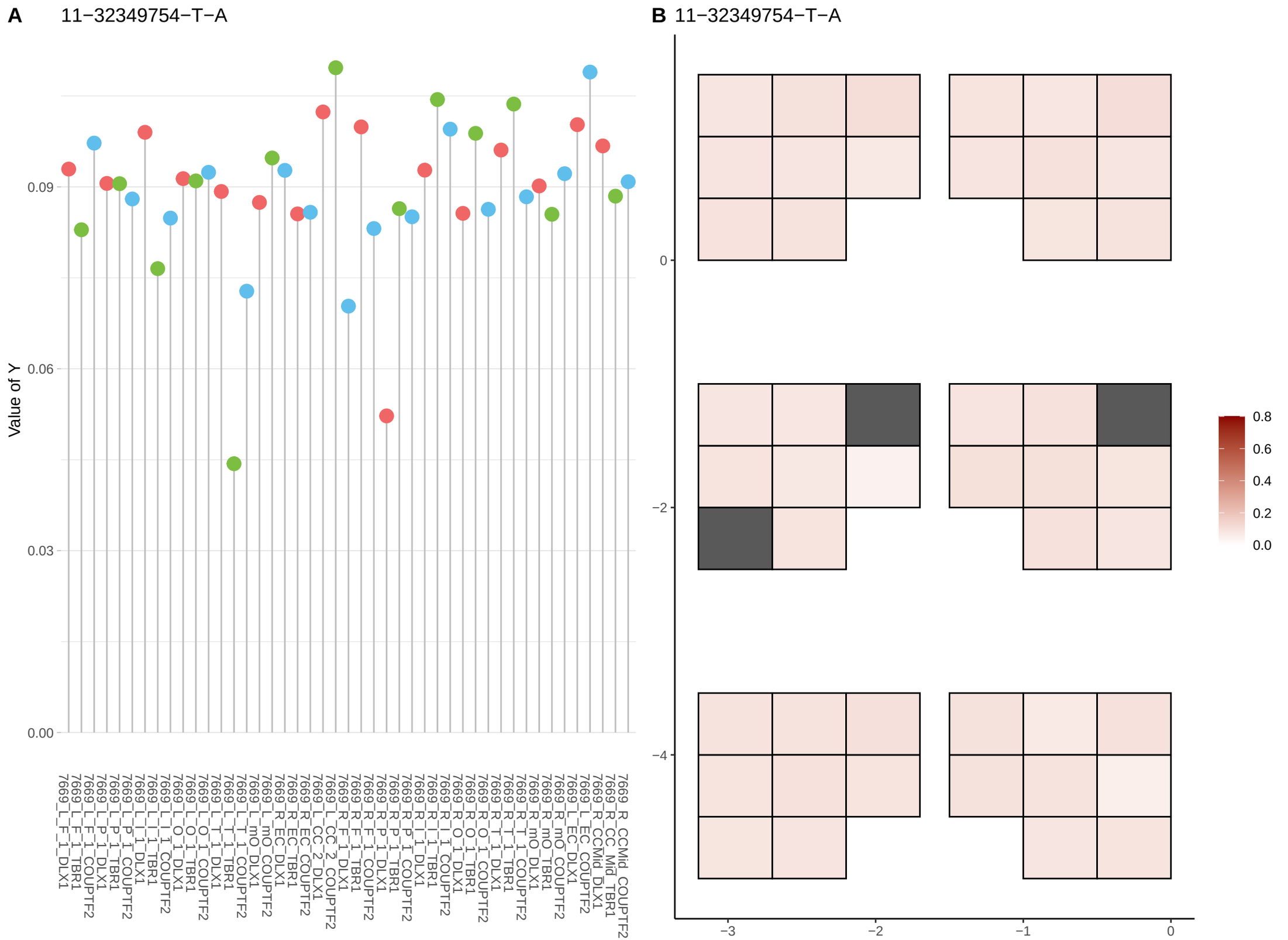
A
11−32349754−T−A
Value of Y
0.09
0.06
0.03
0.00
7669_L_F_1_DLX1
7669_L_F_1_TBR1
7669_L_F_1_COUPTF2
7669_L_P_1_DLX1
7669_L_P_1_TBR1
7669_L_P_1_COUPTF2
7669_L_I_1_DLX1
7669_L_I_1_TBR1
7669_L_I_1_COUPTF2
7669_L_O_1_DLX1
7669_L_O_1_TBR1
7669_L_O_1_COUPTF2
7669_L_T_1_DLX1
7669_L_T_1_TBR1
7669_L_T_1_COUPTF2
7669_L_mO_DLX1
7669_L_mO_COUPTF2
7669_R_EC_DLX1
7669_R_EC_TBR1
7669_R_EC_COUPTF2
7669_L_CC_2_DLX1
7669_L_CC_2_COUPTF2
7669_R_F_1_DLX1
7669_R_F_1_TBR1
7669_R_F_1_COUPTF2
7669_R_P_1_DLX1
7669_R_P_1_TBR1
7669_R_P_1_COUPTF2
7669_R_I_1_DLX1
7669_R_I_1_TBR1
7669_R_I_1_COUPTF2
7669_R_O_1_DLX1
7669_R_O_1_TBR1
7669_R_O_1_COUPTF2
7669_R_T_1_DLX1
7669_R_T_1_TBR1
7669_R_T_1_COUPTF2
7669_R_mO_DLX1
7669_R_mO_TBR1
7669_R_mO_COUPTF2
7669_L_EC_DLX1
7669_L_EC_COUPTF2
7669_R_CCMid_DLX1
7669_R_CC_Mid_TBR1
7669_R_CCMid_COUPTF2
B
11−32349754−T−A
0
−2
−4
−3
−2
−1
0
0.8
0.6
0.4
0.2
0.0

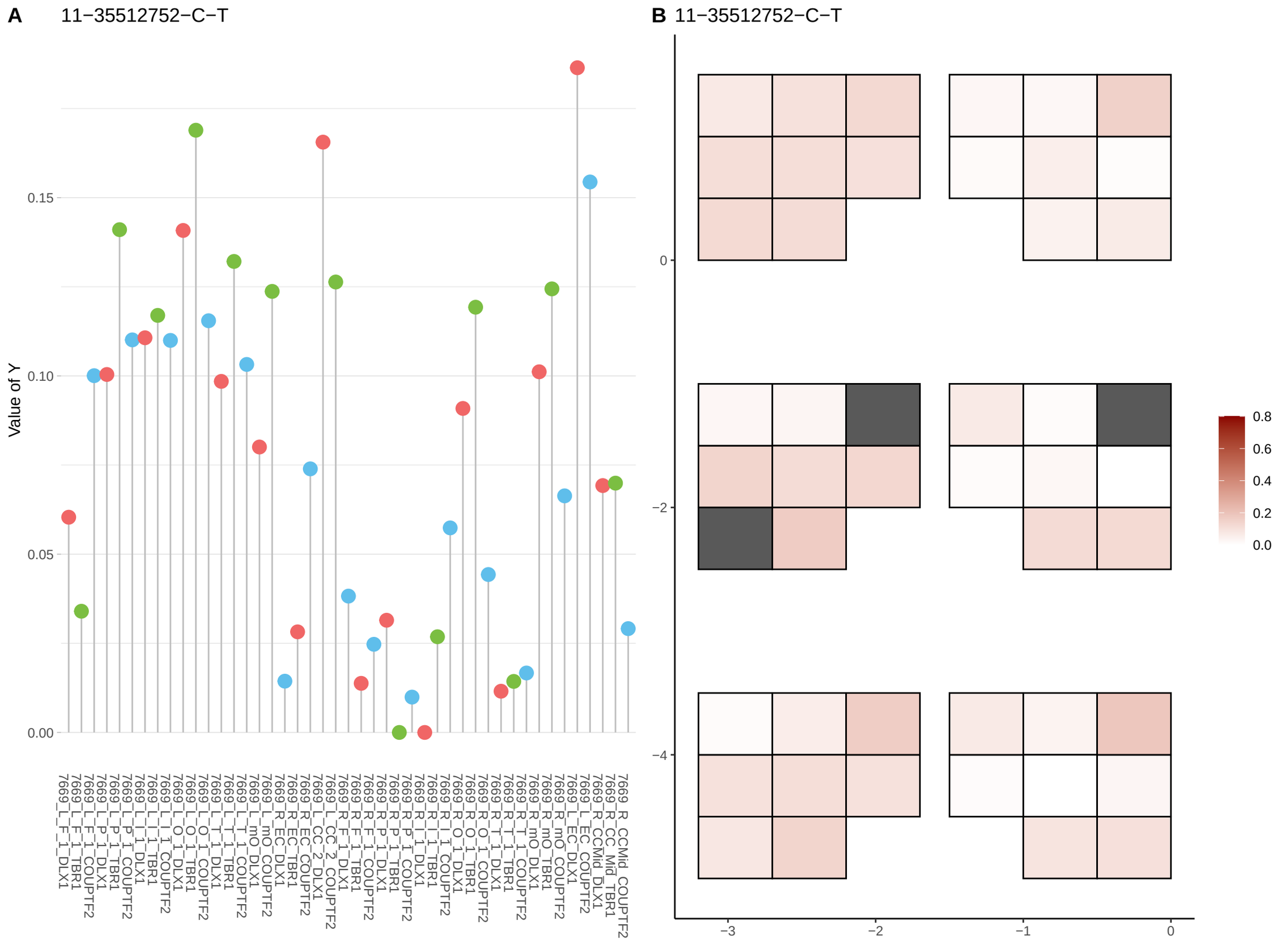
A
11−35512752−C−T
Value of Y
0.15
0.10
0.05
0.00
7669_L_F_1_DLX1
7669_L_F_1_TBR1
7669_L_F_1_COUPTF2
7669_L_P_1_DLX1
7669_L_P_1_TBR1
7669_L_P_1_COUPTF2
7669_L_I_1_DLX1
7669_L_I_1_TBR1
7669_L_I_1_COUPTF2
7669_L_O_1_DLX1
7669_L_O_1_TBR1
7669_L_O_1_COUPTF2
7669_L_T_1_DLX1
7669_L_T_1_TBR1
7669_L_T_1_COUPTF2
7669_L_mO_DLX1
7669_L_mO_COUPTF2
7669_R_EC_DLX1
7669_R_EC_TBR1
7669_R_EC_COUPTF2
7669_L_CC_2_DLX1
7669_L_CC_2_COUPTF2
7669_R_F_1_DLX1
7669_R_F_1_TBR1
7669_R_F_1_COUPTF2
7669_R_P_1_DLX1
7669_R_P_1_TBR1
7669_R_P_1_COUPTF2
7669_R_I_1_DLX1
7669_R_I_1_TBR1
7669_R_I_1_COUPTF2
7669_R_O_1_DLX1
7669_R_O_1_TBR1
7669_R_O_1_COUPTF2
7669_R_T_1_DLX1
7669_R_T_1_TBR1
7669_R_T_1_COUPTF2
7669_R_mO_DLX1
7669_R_mO_TBR1
7669_R_mO_COUPTF2
7669_L_EC_DLX1
7669_L_EC_COUPTF2
7669_R_CCMid_DLX1
7669_R_CC_Mid_TBR1
7669_R_CCMid_COUPTF2
B
11−35512752−C−T
0
−2
−4
−3
−2
−1
0
0.8
0.6
0.4
0.2
0.0

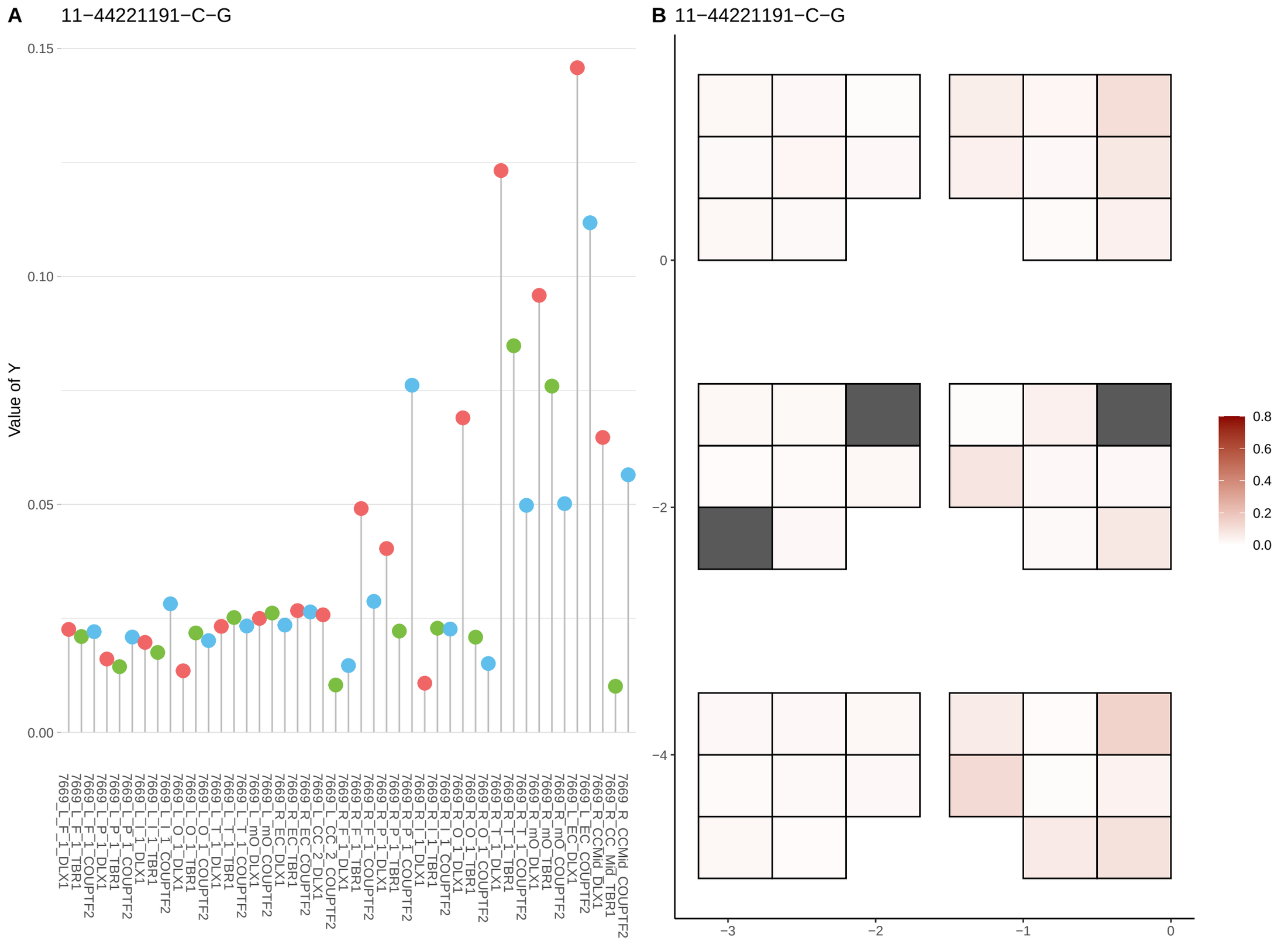
A
11−44221191−C−G
Value of Y
0.15
0.10
0.05
0.00
7669_L_F_1_DLX1
7669_L_F_1_TBR1
7669_L_F_1_COUPTF2
7669_L_P_1_DLX1
7669_L_P_1_TBR1
7669_L_P_1_COUPTF2
7669_L_I_1_DLX1
7669_L_I_1_TBR1
7669_L_I_1_COUPTF2
7669_L_O_1_DLX1
7669_L_O_1_TBR1
7669_L_O_1_COUPTF2
7669_L_T_1_DLX1
7669_L_T_1_TBR1
7669_L_T_1_COUPTF2
7669_L_mO_DLX1
7669_L_mO_COUPTF2
7669_R_EC_DLX1
7669_R_EC_TBR1
7669_R_EC_COUPTF2
7669_L_CC_2_DLX1
7669_L_CC_2_COUPTF2
7669_R_F_1_DLX1
7669_R_F_1_TBR1
7669_R_F_1_COUPTF2
7669_R_P_1_DLX1
7669_R_P_1_TBR1
7669_R_P_1_COUPTF2
7669_R_I_1_DLX1
7669_R_I_1_TBR1
7669_R_I_1_COUPTF2
7669_R_O_1_DLX1
7669_R_O_1_TBR1
7669_R_O_1_COUPTF2
7669_R_T_1_DLX1
7669_R_T_1_TBR1
7669_R_T_1_COUPTF2
7669_R_mO_DLX1
7669_R_mO_TBR1
7669_R_mO_COUPTF2
7669_L_EC_DLX1
7669_L_EC_COUPTF2
7669_R_CCMid_DLX1
7669_R_CC_Mid_TBR1
7669_R_CCMid_COUPTF2
B
11−44221191−C−G
0
−2
−4
−3
−2
−1
0
0.8
0.6
0.4
0.2
0.0

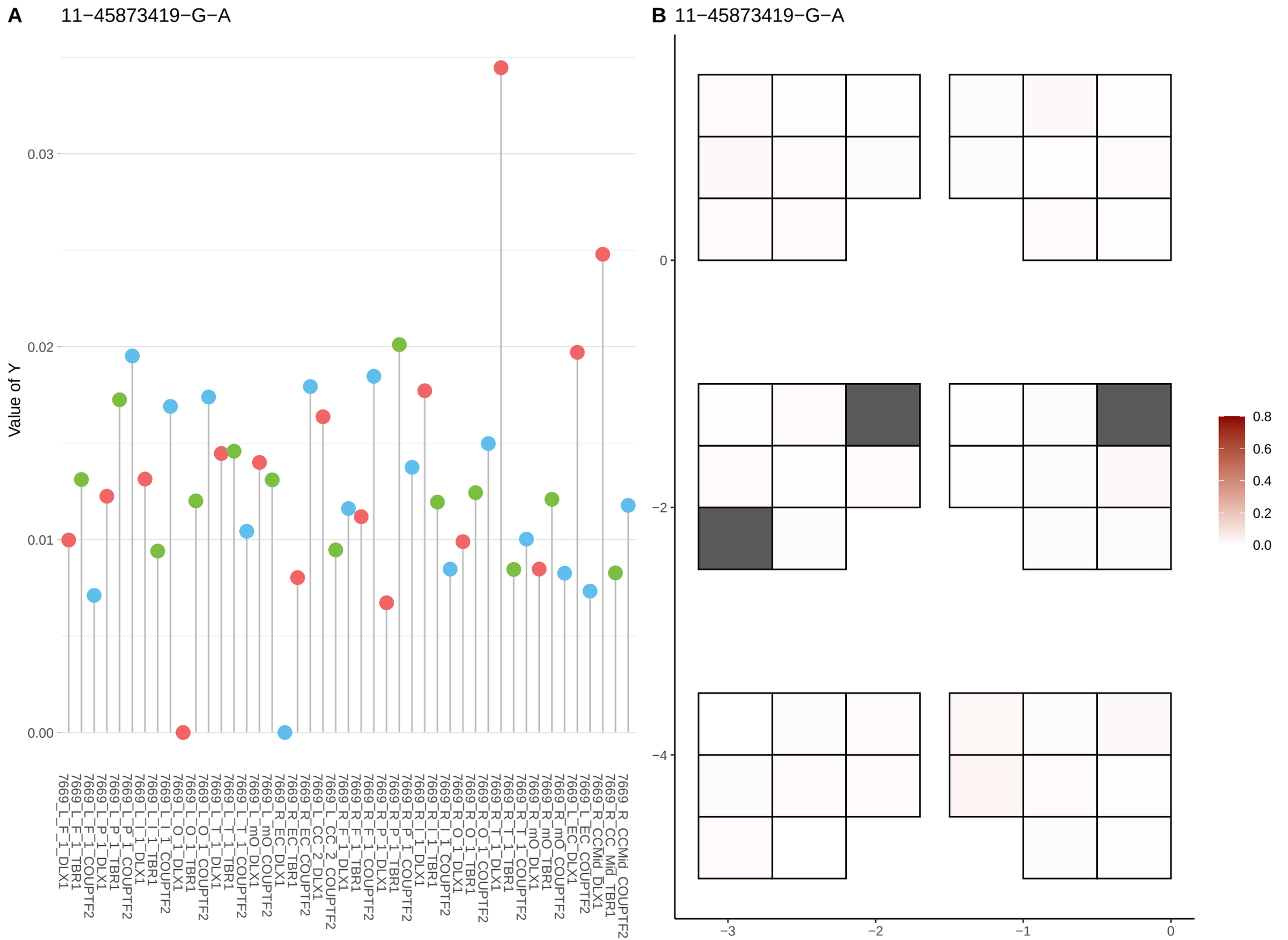
A
11−45873419−G−A
Value of Y
0.03
0.02
0.01
0.00
7669_L_F_1_DLX1
7669_L_F_1_TBR1
7669_L_F_1_COUPTF2
7669_L_P_1_DLX1
7669_L_P_1_TBR1
7669_L_P_1_COUPTF2
7669_L_I_1_DLX1
7669_L_I_1_TBR1
7669_L_I_1_COUPTF2
7669_L_O_1_DLX1
7669_L_O_1_TBR1
7669_L_O_1_COUPTF2
7669_L_T_1_DLX1
7669_L_T_1_TBR1
7669_L_T_1_COUPTF2
7669_L_mO_DLX1
7669_L_mO_COUPTF2
7669_R_EC_DLX1
7669_R_EC_TBR1
7669_R_EC_COUPTF2
7669_L_CC_2_DLX1
7669_L_CC_2_COUPTF2
7669_R_F_1_DLX1
7669_R_F_1_TBR1
7669_R_F_1_COUPTF2
7669_R_P_1_DLX1
7669_R_P_1_TBR1
7669_R_P_1_COUPTF2
7669_R_I_1_DLX1
7669_R_I_1_TBR1
7669_R_I_1_COUPTF2
7669_R_O_1_DLX1
7669_R_O_1_TBR1
7669_R_O_1_COUPTF2
7669_R_T_1_DLX1
7669_R_T_1_TBR1
7669_R_T_1_COUPTF2
7669_R_mO_DLX1
7669_R_mO_TBR1
7669_R_mO_COUPTF2
7669_L_EC_DLX1
7669_L_EC_COUPTF2
7669_R_CCMid_DLX1
7669_R_CC_Mid_TBR1
7669_R_CCMid_COUPTF2
B
11−45873419−G−A
0
−2
−4
−3
−2
−1
0
0.8
0.6
0.4
0.2
0.0

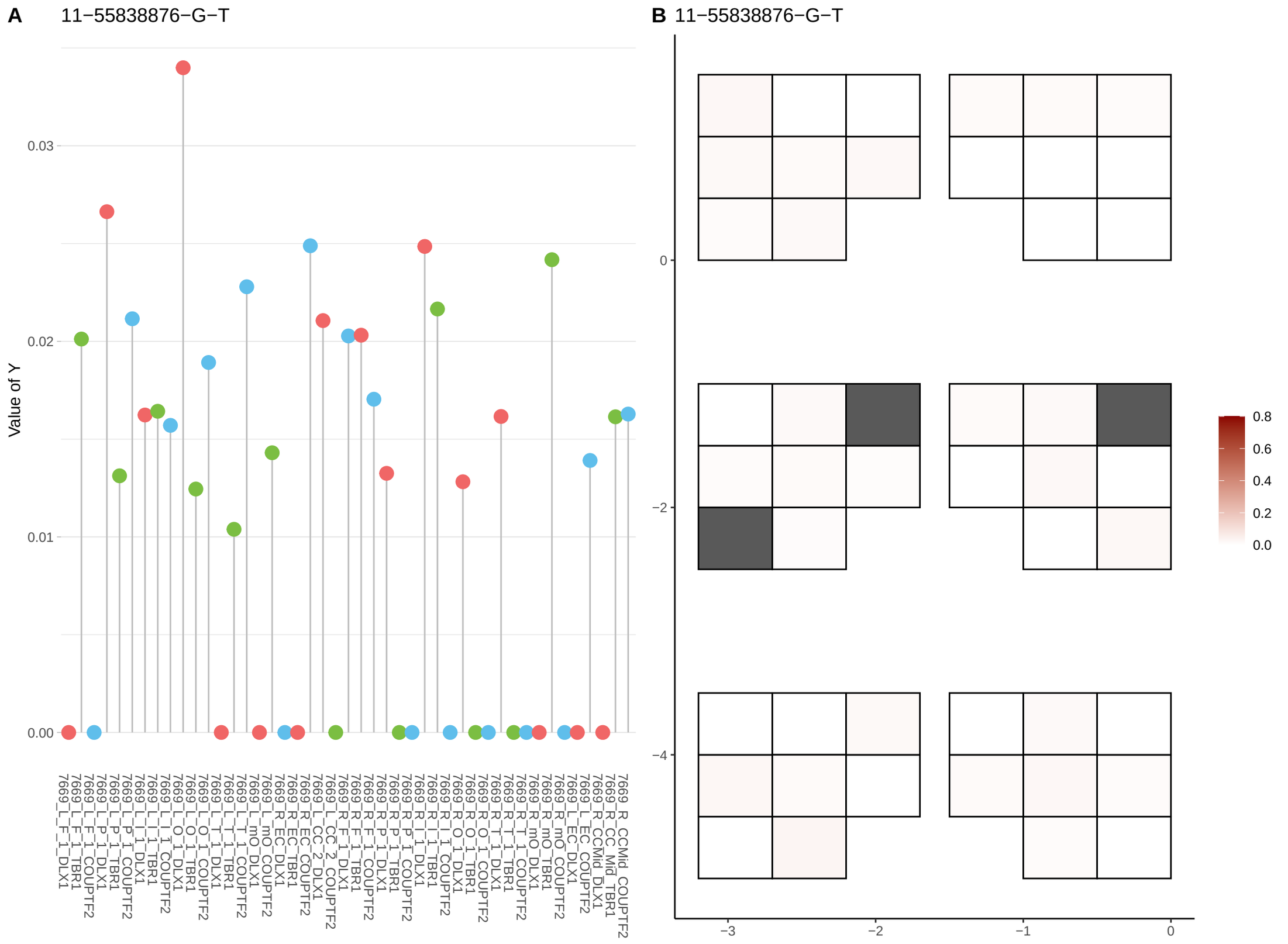
A
11−55838876−G−T
Value of Y
0.03
0.02
0.01
0.00
7669_L_F_1_DLX1
7669_L_F_1_TBR1
7669_L_F_1_COUPTF2
7669_L_P_1_DLX1
7669_L_P_1_TBR1
7669_L_P_1_COUPTF2
7669_L_I_1_DLX1
7669_L_I_1_TBR1
7669_L_I_1_COUPTF2
7669_L_O_1_DLX1
7669_L_O_1_TBR1
7669_L_O_1_COUPTF2
7669_L_T_1_DLX1
7669_L_T_1_TBR1
7669_L_T_1_COUPTF2
7669_L_mO_DLX1
7669_L_mO_COUPTF2
7669_R_EC_DLX1
7669_R_EC_TBR1
7669_R_EC_COUPTF2
7669_L_CC_2_DLX1
7669_L_CC_2_COUPTF2
7669_R_F_1_DLX1
7669_R_F_1_TBR1
7669_R_F_1_COUPTF2
7669_R_P_1_DLX1
7669_R_P_1_TBR1
7669_R_P_1_COUPTF2
7669_R_I_1_DLX1
7669_R_I_1_TBR1
7669_R_I_1_COUPTF2
7669_R_O_1_DLX1
7669_R_O_1_TBR1
7669_R_O_1_COUPTF2
7669_R_T_1_DLX1
7669_R_T_1_TBR1
7669_R_T_1_COUPTF2
7669_R_mO_DLX1
7669_R_mO_TBR1
7669_R_mO_COUPTF2
7669_L_EC_DLX1
7669_L_EC_COUPTF2
7669_R_CCMid_DLX1
7669_R_CC_Mid_TBR1
7669_R_CCMid_COUPTF2
B
11−55838876−G−T
0
−2
−4
−3
−2
−1
0
0.8
0.6
0.4
0.2
0.0

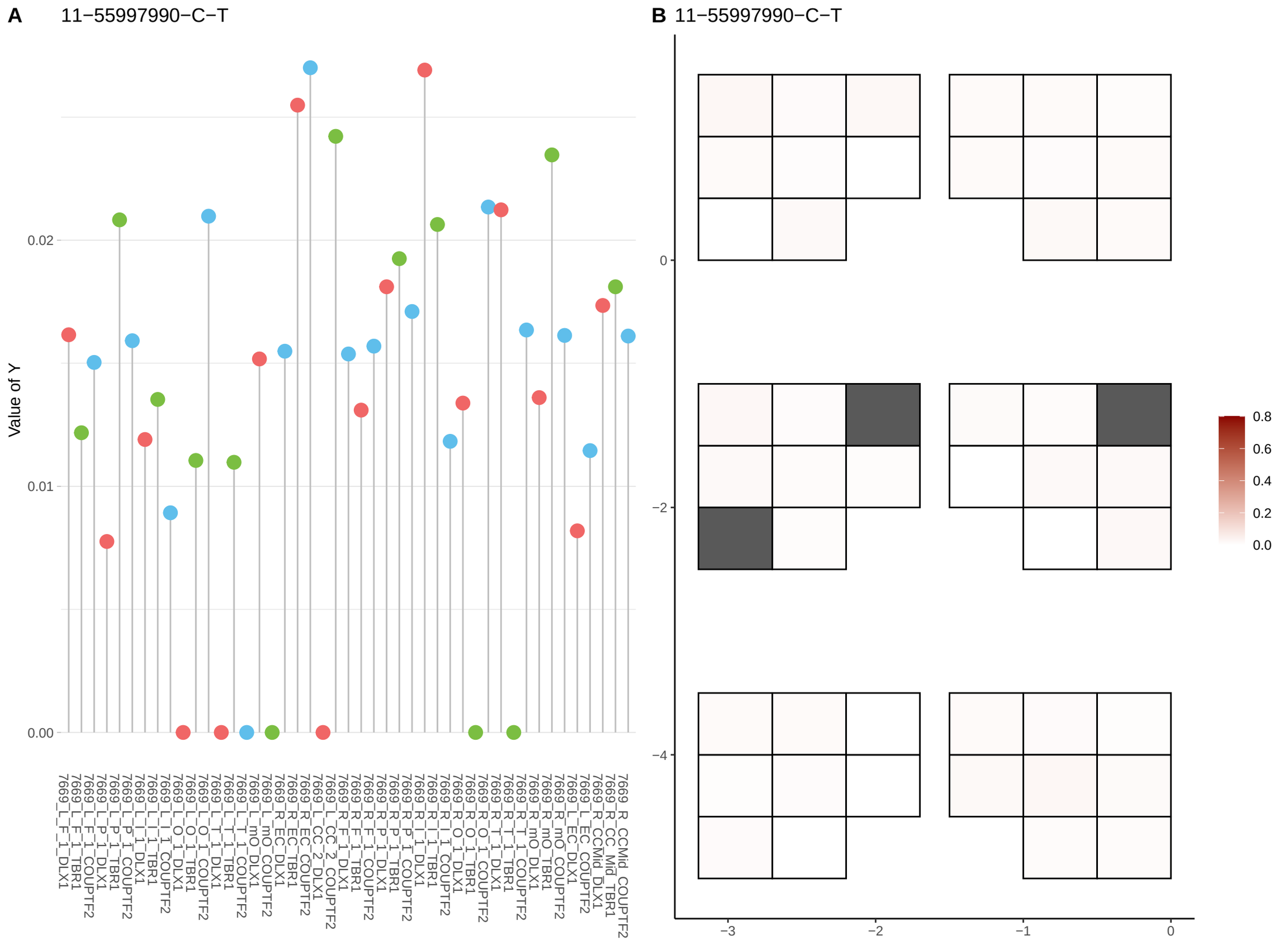
A
11−55997990−C−T
Value of Y
0.02
0.01
0.00
7669_L_F_1_DLX1
7669_L_F_1_TBR1
7669_L_F_1_COUPTF2
7669_L_P_1_DLX1
7669_L_P_1_TBR1
7669_L_P_1_COUPTF2
7669_L_I_1_DLX1
7669_L_I_1_TBR1
7669_L_I_1_COUPTF2
7669_L_O_1_DLX1
7669_L_O_1_TBR1
7669_L_O_1_COUPTF2
7669_L_T_1_DLX1
7669_L_T_1_TBR1
7669_L_T_1_COUPTF2
7669_L_mO_DLX1
7669_L_mO_COUPTF2
7669_R_EC_DLX1
7669_R_EC_TBR1
7669_R_EC_COUPTF2
7669_L_CC_2_DLX1
7669_L_CC_2_COUPTF2
7669_R_F_1_DLX1
7669_R_F_1_TBR1
7669_R_F_1_COUPTF2
7669_R_P_1_DLX1
7669_R_P_1_TBR1
7669_R_P_1_COUPTF2
7669_R_I_1_DLX1
7669_R_I_1_TBR1
7669_R_I_1_COUPTF2
7669_R_O_1_DLX1
7669_R_O_1_TBR1
7669_R_O_1_COUPTF2
7669_R_T_1_DLX1
7669_R_T_1_TBR1
7669_R_T_1_COUPTF2
7669_R_mO_DLX1
7669_R_mO_TBR1
7669_R_mO_COUPTF2
7669_L_EC_DLX1
7669_L_EC_COUPTF2
7669_R_CCMid_DLX1
7669_R_CC_Mid_TBR1
7669_R_CCMid_COUPTF2
B
11−55997990−C−T
0
−2
−4
−3
−2
−1
0
0.8
0.6
0.4
0.2
0.0

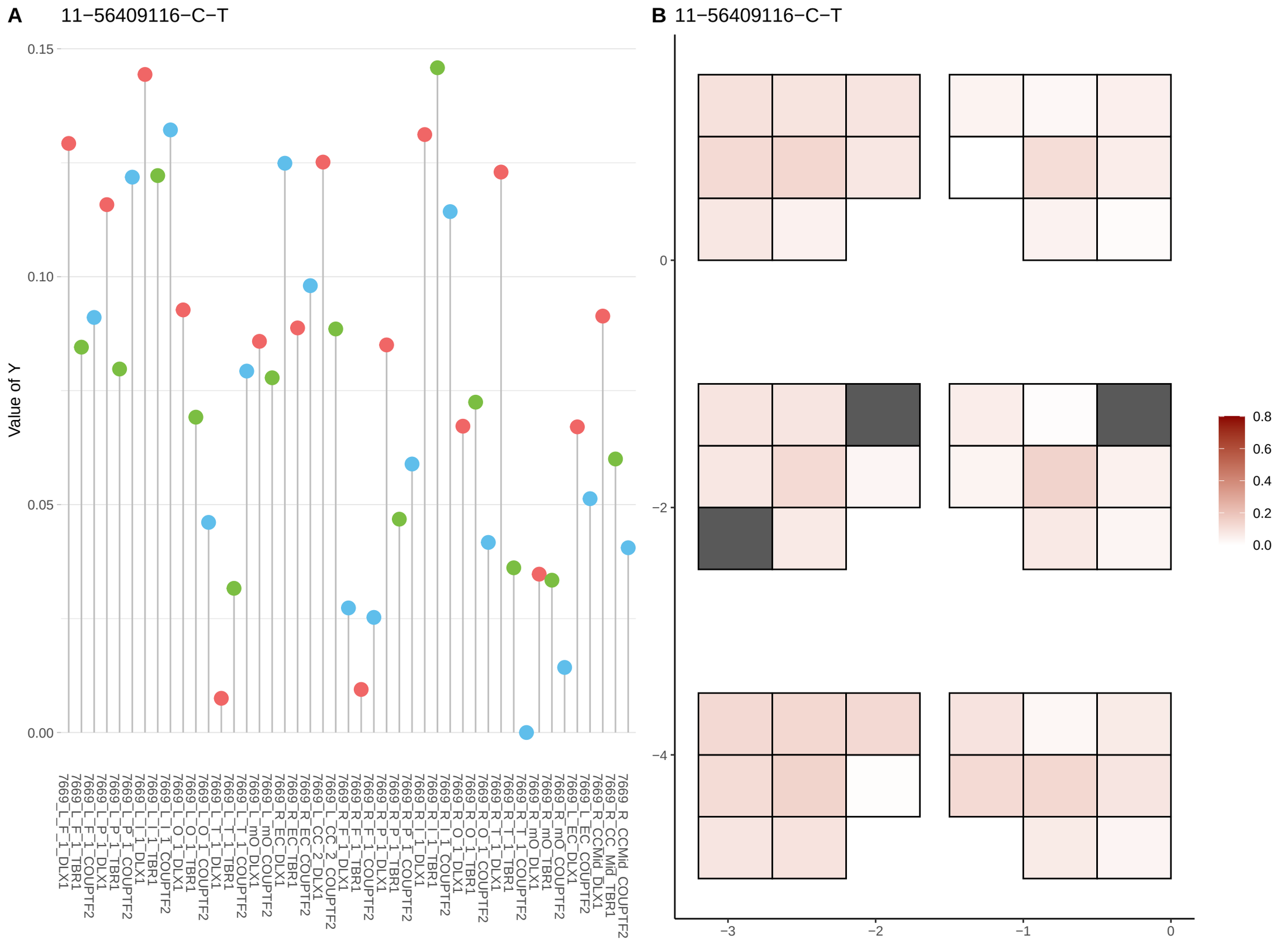
A
11−56409116−C−T
Value of Y
0.15
0.10
0.05
0.00
7669_L_F_1_DLX1
7669_L_F_1_TBR1
7669_L_F_1_COUPTF2
7669_L_P_1_DLX1
7669_L_P_1_TBR1
7669_L_P_1_COUPTF2
7669_L_I_1_DLX1
7669_L_I_1_TBR1
7669_L_I_1_COUPTF2
7669_L_O_1_DLX1
7669_L_O_1_TBR1
7669_L_O_1_COUPTF2
7669_L_T_1_DLX1
7669_L_T_1_TBR1
7669_L_T_1_COUPTF2
7669_L_mO_DLX1
7669_L_mO_COUPTF2
7669_R_EC_DLX1
7669_R_EC_TBR1
7669_R_EC_COUPTF2
7669_L_CC_2_DLX1
7669_L_CC_2_COUPTF2
7669_R_F_1_DLX1
7669_R_F_1_TBR1
7669_R_F_1_COUPTF2
7669_R_P_1_DLX1
7669_R_P_1_TBR1
7669_R_P_1_COUPTF2
7669_R_I_1_DLX1
7669_R_I_1_TBR1
7669_R_I_1_COUPTF2
7669_R_O_1_DLX1
7669_R_O_1_TBR1
7669_R_O_1_COUPTF2
7669_R_T_1_DLX1
7669_R_T_1_TBR1
7669_R_T_1_COUPTF2
7669_R_mO_DLX1
7669_R_mO_TBR1
7669_R_mO_COUPTF2
7669_L_EC_DLX1
7669_L_EC_COUPTF2
7669_R_CCMid_DLX1
7669_R_CC_Mid_TBR1
7669_R_CCMid_COUPTF2
B
11−56409116−C−T
0
−2
−4
−3
−2
−1
0
0.8
0.6
0.4
0.2
0.0

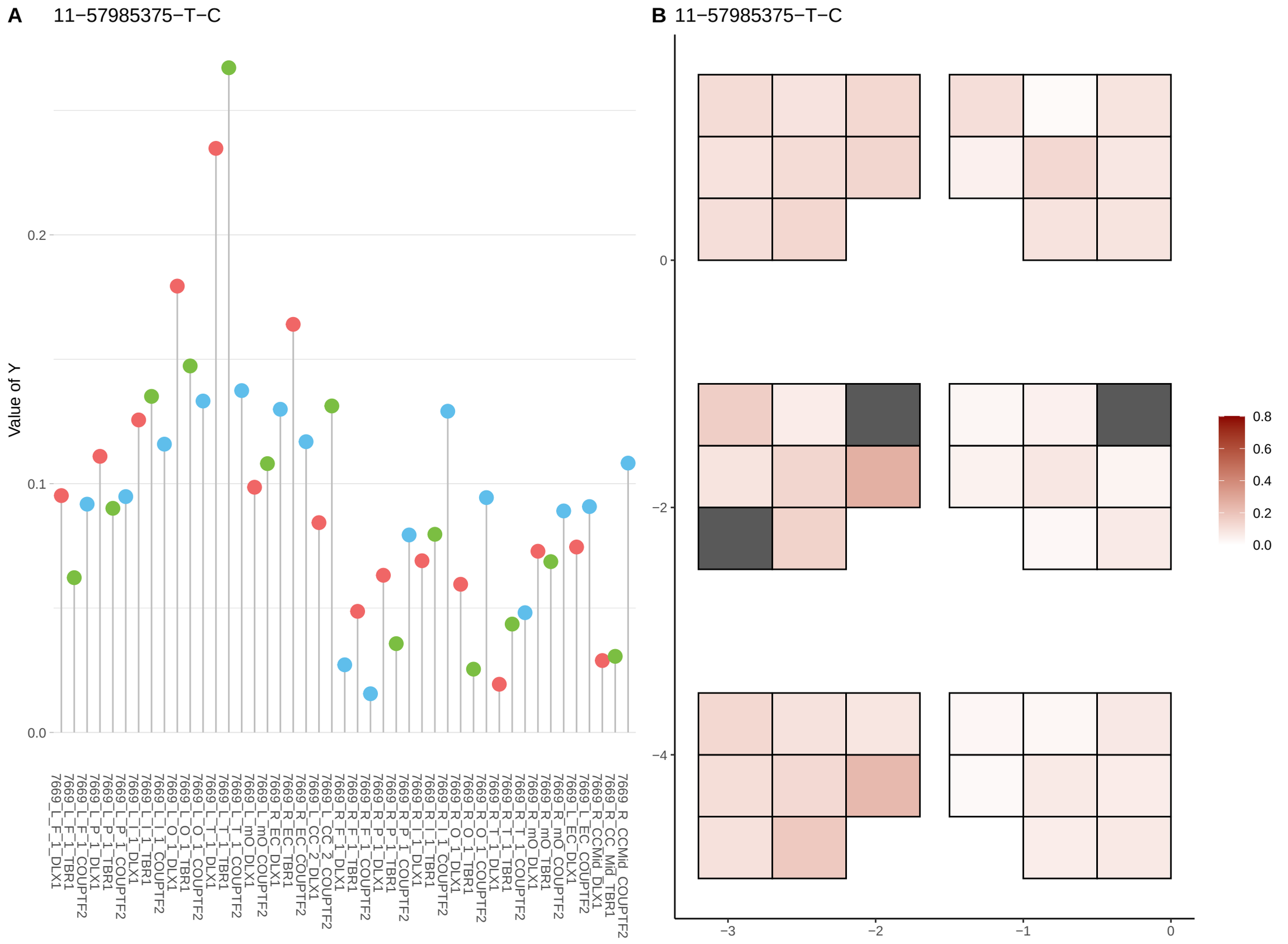
A
11−57985375−T−C
Value of Y
0.0
0.1
0.2
7669_L_F_1_DLX1
7669_L_F_1_TBR1
7669_L_F_1_COUPTF2
7669_L_P_1_DLX1
7669_L_P_1_TBR1
7669_L_P_1_COUPTF2
7669_L_I_1_DLX1
7669_L_I_1_TBR1
7669_L_I_1_COUPTF2
7669_L_O_1_DLX1
7669_L_O_1_TBR1
7669_L_O_1_COUPTF2
7669_L_T_1_DLX1
7669_L_T_1_TBR1
7669_L_T_1_COUPTF2
7669_L_mO_DLX1
7669_L_mO_COUPTF2
7669_R_EC_DLX1
7669_R_EC_TBR1
7669_R_EC_COUPTF2
7669_L_CC_2_DLX1
7669_L_CC_2_COUPTF2
7669_R_F_1_DLX1
7669_R_F_1_TBR1
7669_R_F_1_COUPTF2
7669_R_P_1_DLX1
7669_R_P_1_TBR1
7669_R_P_1_COUPTF2
7669_R_I_1_DLX1
7669_R_I_1_TBR1
7669_R_I_1_COUPTF2
7669_R_O_1_DLX1
7669_R_O_1_TBR1
7669_R_O_1_COUPTF2
7669_R_T_1_DLX1
7669_R_T_1_TBR1
7669_R_T_1_COUPTF2
7669_R_mO_DLX1
7669_R_mO_TBR1
7669_R_mO_COUPTF2
7669_L_EC_DLX1
7669_L_EC_COUPTF2
7669_R_CCMid_DLX1
7669_R_CC_Mid_TBR1
7669_R_CCMid_COUPTF2
B
11−57985375−T−C
0
−2
−4
−3
−2
−1
0
0.8
0.6
0.4
0.2
0.0

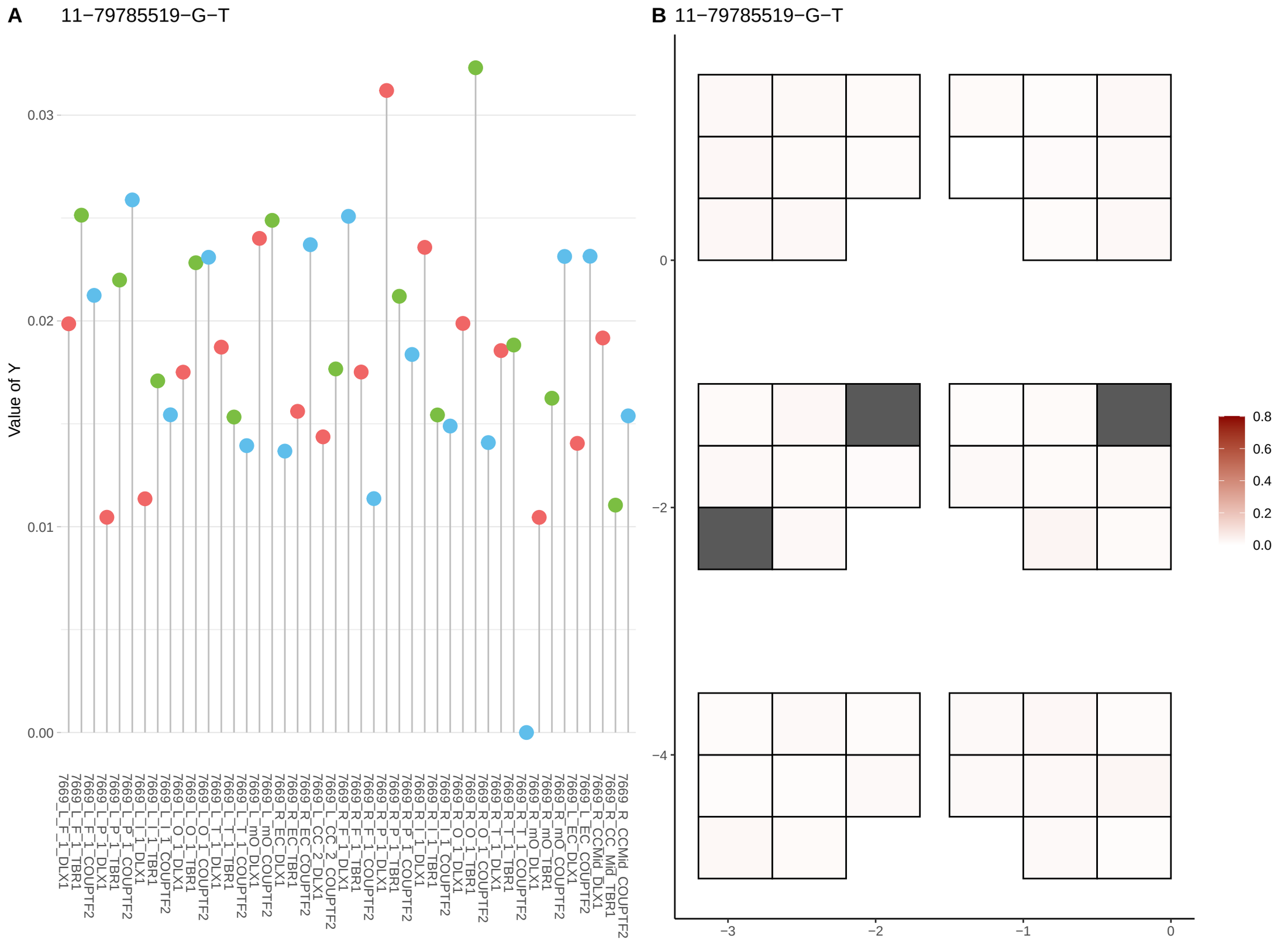
A
11−79785519−G−T
Value of Y
0.03
0.02
0.01
0.00
7669_L_F_1_DLX1
7669_L_F_1_TBR1
7669_L_F_1_COUPTF2
7669_L_P_1_DLX1
7669_L_P_1_TBR1
7669_L_P_1_COUPTF2
7669_L_I_1_DLX1
7669_L_I_1_TBR1
7669_L_I_1_COUPTF2
7669_L_O_1_DLX1
7669_L_O_1_TBR1
7669_L_O_1_COUPTF2
7669_L_T_1_DLX1
7669_L_T_1_TBR1
7669_L_T_1_COUPTF2
7669_L_mO_DLX1
7669_L_mO_COUPTF2
7669_R_EC_DLX1
7669_R_EC_TBR1
7669_R_EC_COUPTF2
7669_L_CC_2_DLX1
7669_L_CC_2_COUPTF2
7669_R_F_1_DLX1
7669_R_F_1_TBR1
7669_R_F_1_COUPTF2
7669_R_P_1_DLX1
7669_R_P_1_TBR1
7669_R_P_1_COUPTF2
7669_R_I_1_DLX1
7669_R_I_1_TBR1
7669_R_I_1_COUPTF2
7669_R_O_1_DLX1
7669_R_O_1_TBR1
7669_R_O_1_COUPTF2
7669_R_T_1_DLX1
7669_R_T_1_TBR1
7669_R_T_1_COUPTF2
7669_R_mO_DLX1
7669_R_mO_TBR1
7669_R_mO_COUPTF2
7669_L_EC_DLX1
7669_L_EC_COUPTF2
7669_R_CCMid_DLX1
7669_R_CC_Mid_TBR1
7669_R_CCMid_COUPTF2
B
11−79785519−G−T
0
−2
−4
−3
−2
−1
0
0.8
0.6
0.4
0.2
0.0

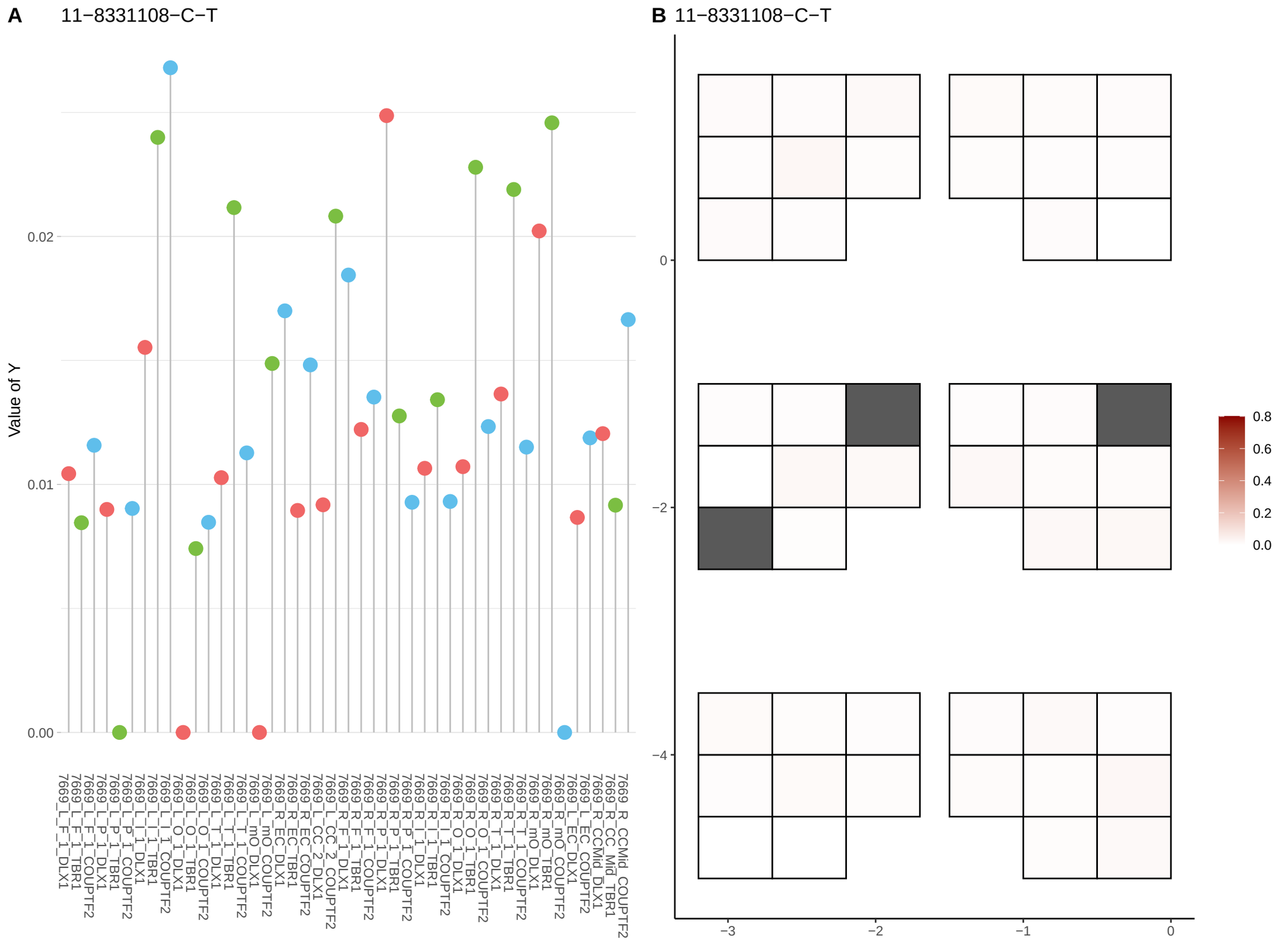
A
11−8331108−C−T
Value of Y
0.02
0.01
0.00
7669_L_F_1_DLX1
7669_L_F_1_TBR1
7669_L_F_1_COUPTF2
7669_L_P_1_DLX1
7669_L_P_1_TBR1
7669_L_P_1_COUPTF2
7669_L_I_1_DLX1
7669_L_I_1_TBR1
7669_L_I_1_COUPTF2
7669_L_O_1_DLX1
7669_L_O_1_TBR1
7669_L_O_1_COUPTF2
7669_L_T_1_DLX1
7669_L_T_1_TBR1
7669_L_T_1_COUPTF2
7669_L_mO_DLX1
7669_L_mO_COUPTF2
7669_R_EC_DLX1
7669_R_EC_TBR1
7669_R_EC_COUPTF2
7669_L_CC_2_DLX1
7669_L_CC_2_COUPTF2
7669_R_F_1_DLX1
7669_R_F_1_TBR1
7669_R_F_1_COUPTF2
7669_R_P_1_DLX1
7669_R_P_1_TBR1
7669_R_P_1_COUPTF2
7669_R_I_1_DLX1
7669_R_I_1_TBR1
7669_R_I_1_COUPTF2
7669_R_O_1_DLX1
7669_R_O_1_TBR1
7669_R_O_1_COUPTF2
7669_R_T_1_DLX1
7669_R_T_1_TBR1
7669_R_T_1_COUPTF2
7669_R_mO_DLX1
7669_R_mO_TBR1
7669_R_mO_COUPTF2
7669_L_EC_DLX1
7669_L_EC_COUPTF2
7669_R_CCMid_DLX1
7669_R_CC_Mid_TBR1
7669_R_CCMid_COUPTF2
B
11−8331108−C−T
0
−2
−4
−3
−2
−1
0
0.8
0.6
0.4
0.2
0.0

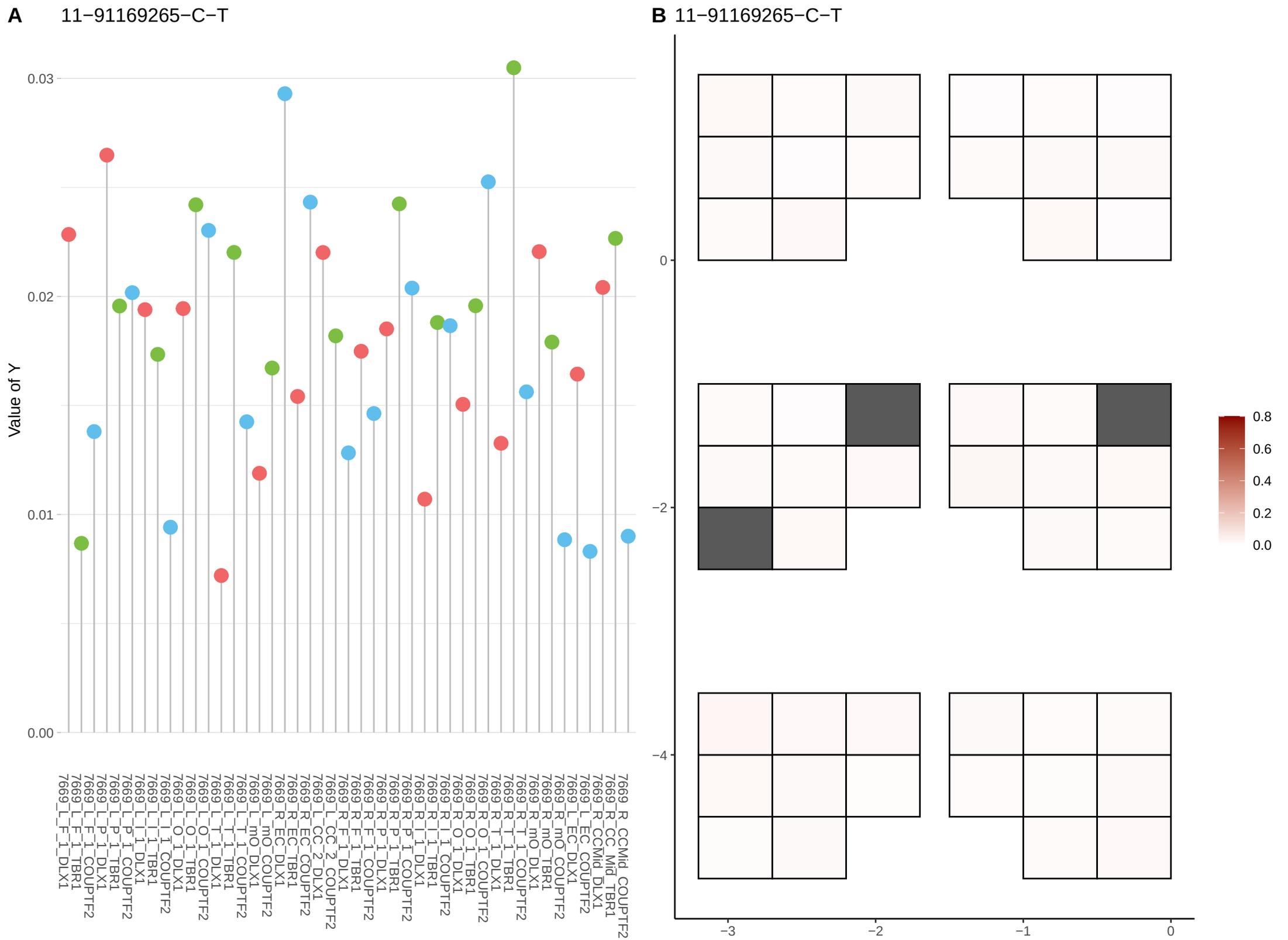
A
11−91169265−C−T
Value of Y
0.03
0.02
0.01
0.00
7669_L_F_1_DLX1
7669_L_F_1_TBR1
7669_L_F_1_COUPTF2
7669_L_P_1_DLX1
7669_L_P_1_TBR1
7669_L_P_1_COUPTF2
7669_L_I_1_DLX1
7669_L_I_1_TBR1
7669_L_I_1_COUPTF2
7669_L_O_1_DLX1
7669_L_O_1_TBR1
7669_L_O_1_COUPTF2
7669_L_T_1_DLX1
7669_L_T_1_TBR1
7669_L_T_1_COUPTF2
7669_L_mO_DLX1
7669_L_mO_COUPTF2
7669_R_EC_DLX1
7669_R_EC_TBR1
7669_R_EC_COUPTF2
7669_L_CC_2_DLX1
7669_L_CC_2_COUPTF2
7669_R_F_1_DLX1
7669_R_F_1_TBR1
7669_R_F_1_COUPTF2
7669_R_P_1_DLX1
7669_R_P_1_TBR1
7669_R_P_1_COUPTF2
7669_R_I_1_DLX1
7669_R_I_1_TBR1
7669_R_I_1_COUPTF2
7669_R_O_1_DLX1
7669_R_O_1_TBR1
7669_R_O_1_COUPTF2
7669_R_T_1_DLX1
7669_R_T_1_TBR1
7669_R_T_1_COUPTF2
7669_R_mO_DLX1
7669_R_mO_TBR1
7669_R_mO_COUPTF2
7669_L_EC_DLX1
7669_L_EC_COUPTF2
7669_R_CCMid_DLX1
7669_R_CC_Mid_TBR1
7669_R_CCMid_COUPTF2
B
11−91169265−C−T
0
−2
−4
−3
−2
−1
0
0.8
0.6
0.4
0.2
0.0

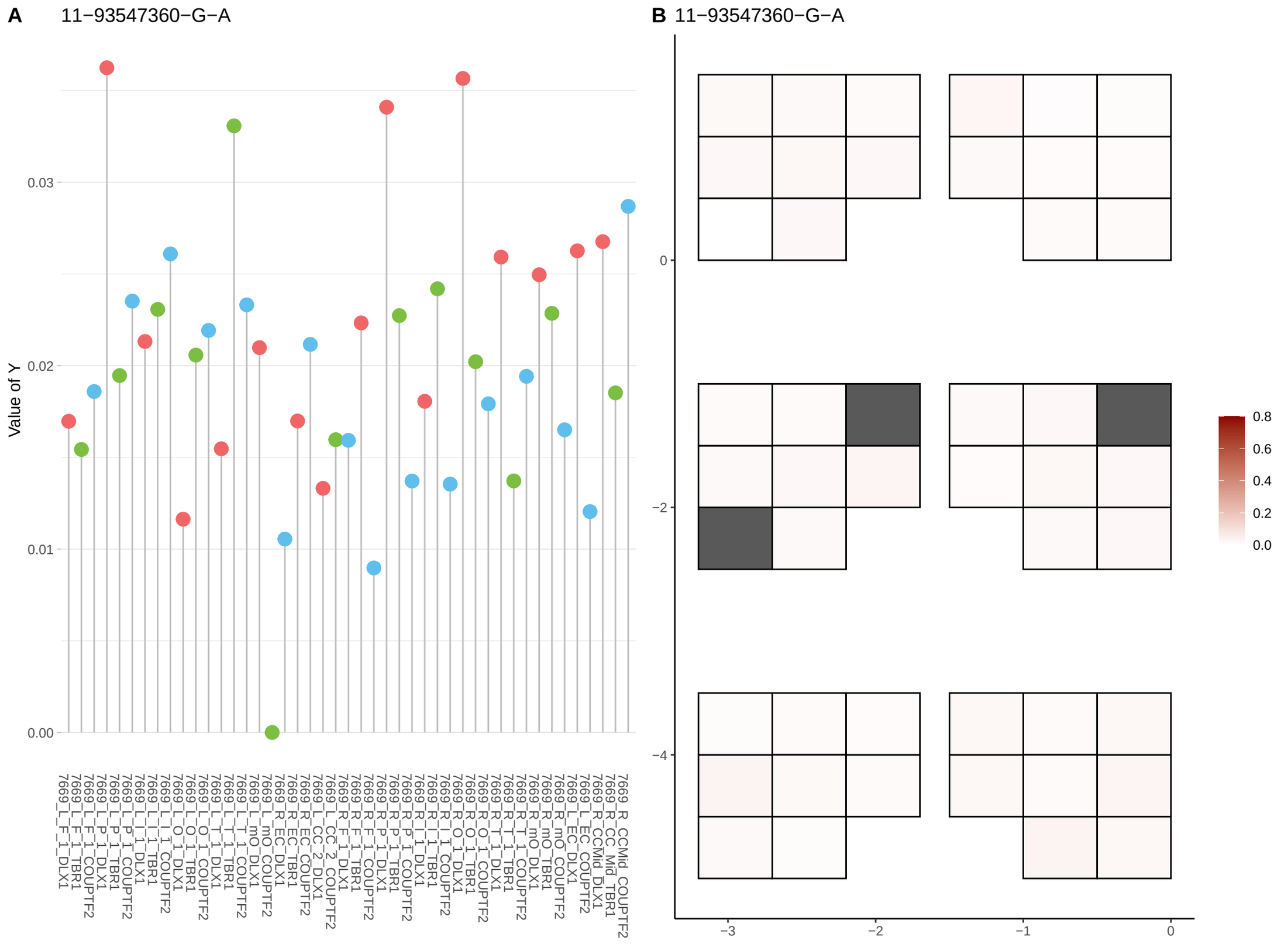
A
11−93547360−G−A
Value of Y
0.03
0.02
0.01
0.00
7669_L_F_1_DLX1
7669_L_F_1_TBR1
7669_L_F_1_COUPTF2
7669_L_P_1_DLX1
7669_L_P_1_TBR1
7669_L_P_1_COUPTF2
7669_L_I_1_DLX1
7669_L_I_1_TBR1
7669_L_I_1_COUPTF2
7669_L_O_1_DLX1
7669_L_O_1_TBR1
7669_L_O_1_COUPTF2
7669_L_T_1_DLX1
7669_L_T_1_TBR1
7669_L_T_1_COUPTF2
7669_L_mO_DLX1
7669_L_mO_COUPTF2
7669_R_EC_DLX1
7669_R_EC_TBR1
7669_R_EC_COUPTF2
7669_L_CC_2_DLX1
7669_L_CC_2_COUPTF2
7669_R_F_1_DLX1
7669_R_F_1_TBR1
7669_R_F_1_COUPTF2
7669_R_P_1_DLX1
7669_R_P_1_TBR1
7669_R_P_1_COUPTF2
7669_R_I_1_DLX1
7669_R_I_1_TBR1
7669_R_I_1_COUPTF2
7669_R_O_1_DLX1
7669_R_O_1_TBR1
7669_R_O_1_COUPTF2
7669_R_T_1_DLX1
7669_R_T_1_TBR1
7669_R_T_1_COUPTF2
7669_R_mO_DLX1
7669_R_mO_TBR1
7669_R_mO_COUPTF2
7669_L_EC_DLX1
7669_L_EC_COUPTF2
7669_R_CCMid_DLX1
7669_R_CC_Mid_TBR1
7669_R_CCMid_COUPTF2
B
11−93547360−G−A
0
−2
−4
−3
−2
−1
0
0.8
0.6
0.4
0.2
0.0

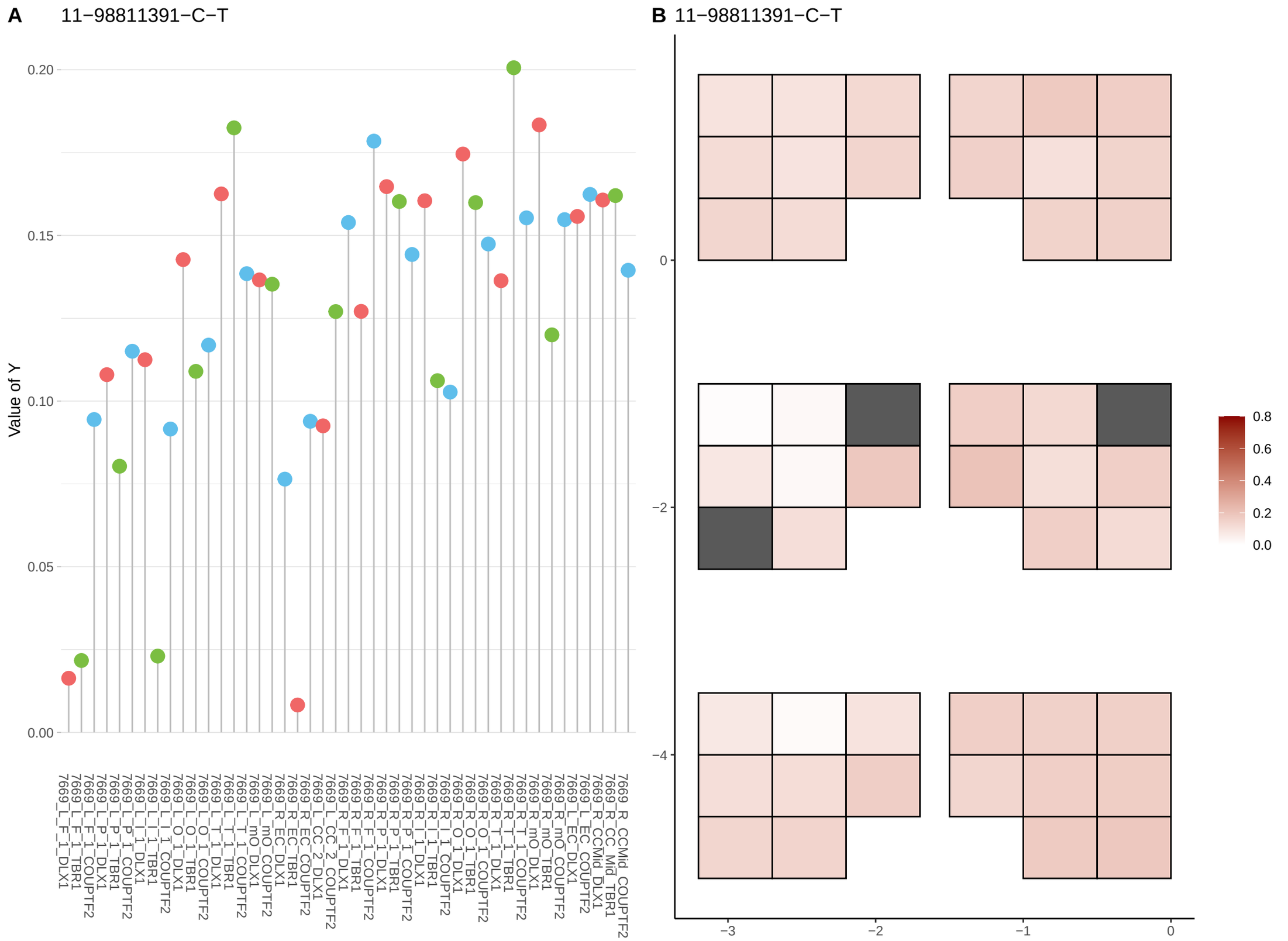
A
11−98811391−C−T
Value of Y
0.20
0.15
0.10
0.05
0.00
7669_L_F_1_DLX1
7669_L_F_1_TBR1
7669_L_F_1_COUPTF2
7669_L_P_1_DLX1
7669_L_P_1_TBR1
7669_L_P_1_COUPTF2
7669_L_I_1_DLX1
7669_L_I_1_TBR1
7669_L_I_1_COUPTF2
7669_L_O_1_DLX1
7669_L_O_1_TBR1
7669_L_O_1_COUPTF2
7669_L_T_1_DLX1
7669_L_T_1_TBR1
7669_L_T_1_COUPTF2
7669_L_mO_DLX1
7669_L_mO_COUPTF2
7669_R_EC_DLX1
7669_R_EC_TBR1
7669_R_EC_COUPTF2
7669_L_CC_2_DLX1
7669_L_CC_2_COUPTF2
7669_R_F_1_DLX1
7669_R_F_1_TBR1
7669_R_F_1_COUPTF2
7669_R_P_1_DLX1
7669_R_P_1_TBR1
7669_R_P_1_COUPTF2
7669_R_I_1_DLX1
7669_R_I_1_TBR1
7669_R_I_1_COUPTF2
7669_R_O_1_DLX1
7669_R_O_1_TBR1
7669_R_O_1_COUPTF2
7669_R_T_1_DLX1
7669_R_T_1_TBR1
7669_R_T_1_COUPTF2
7669_R_mO_DLX1
7669_R_mO_TBR1
7669_R_mO_COUPTF2
7669_L_EC_DLX1
7669_L_EC_COUPTF2
7669_R_CCMid_DLX1
7669_R_CC_Mid_TBR1
7669_R_CCMid_COUPTF2
B
11−98811391−C−T
0
−2
−4
−3
−2
−1
0
0.8
0.6
0.4
0.2
0.0

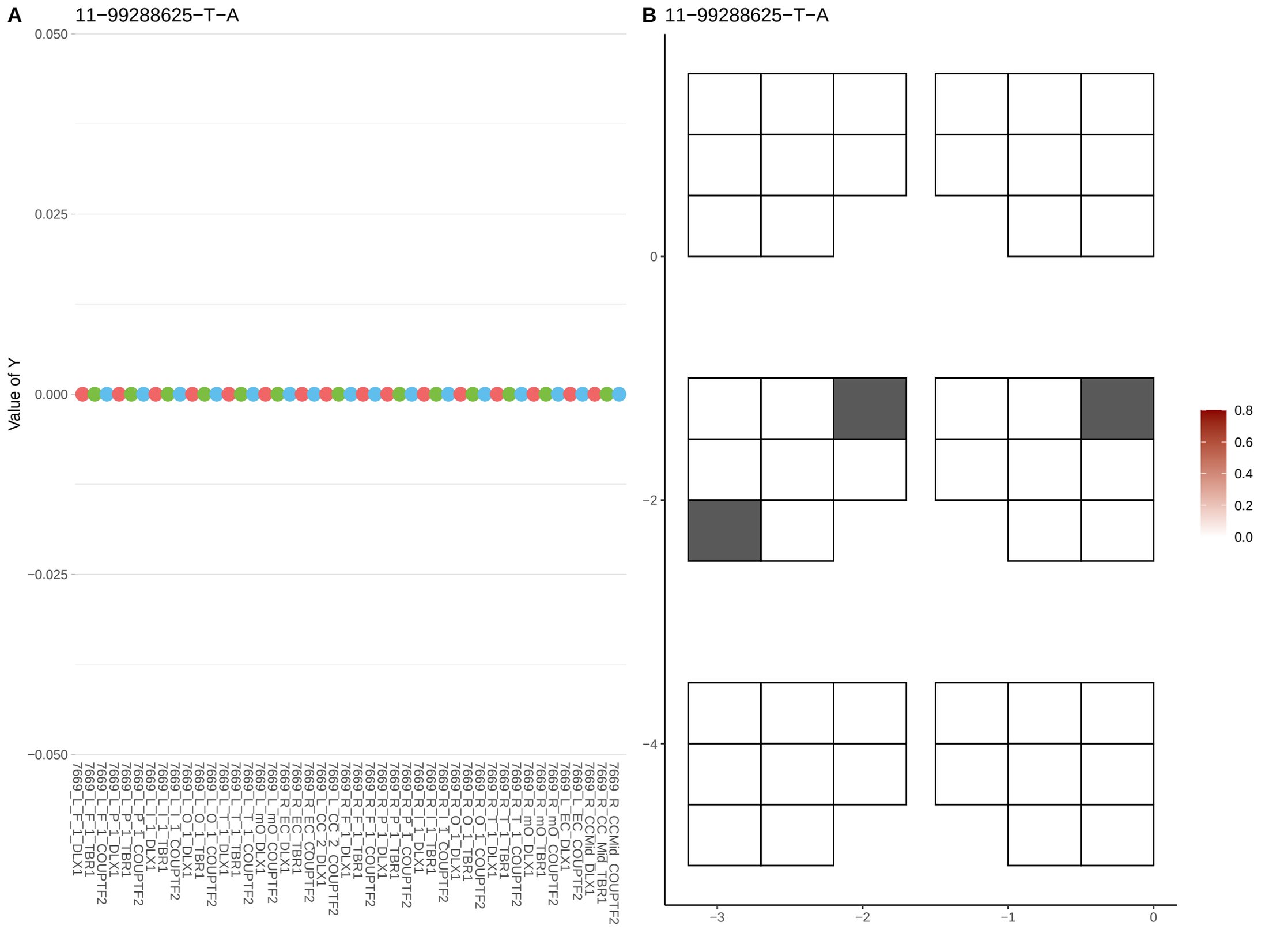
A
11−99288625−T−A
Value of Y
0.050
0.025
0.000
−0.025
−0.050
7669_L_F_1_DLX1
7669_L_F_1_TBR1
7669_L_F_1_COUPTF2
7669_L_P_1_DLX1
7669_L_P_1_TBR1
7669_L_P_1_COUPTF2
7669_L_I_1_DLX1
7669_L_I_1_TBR1
7669_L_I_1_COUPTF2
7669_L_O_1_DLX1
7669_L_O_1_TBR1
7669_L_O_1_COUPTF2
7669_L_T_1_DLX1
7669_L_T_1_TBR1
7669_L_T_1_COUPTF2
7669_L_mO_DLX1
7669_L_mO_COUPTF2
7669_R_EC_DLX1
7669_R_EC_TBR1
7669_R_EC_COUPTF2
7669_L_CC_2_DLX1
7669_L_CC_2_COUPTF2
7669_R_F_1_DLX1
7669_R_F_1_TBR1
7669_R_F_1_COUPTF2
7669_R_P_1_DLX1
7669_R_P_1_TBR1
7669_R_P_1_COUPTF2
7669_R_I_1_DLX1
7669_R_I_1_TBR1
7669_R_I_1_COUPTF2
7669_R_O_1_DLX1
7669_R_O_1_TBR1
7669_R_O_1_COUPTF2
7669_R_T_1_DLX1
7669_R_T_1_TBR1
7669_R_T_1_COUPTF2
7669_R_mO_DLX1
7669_R_mO_TBR1
7669_R_mO_COUPTF2
7669_L_EC_DLX1
7669_L_EC_COUPTF2
7669_R_CCMid_DLX1
7669_R_CC_Mid_TBR1
7669_R_CCMid_COUPTF2
B
11−99288625−T−A
0
−2
−4
−3
−2
−1
0
0.8
0.6
0.4
0.2
0.0

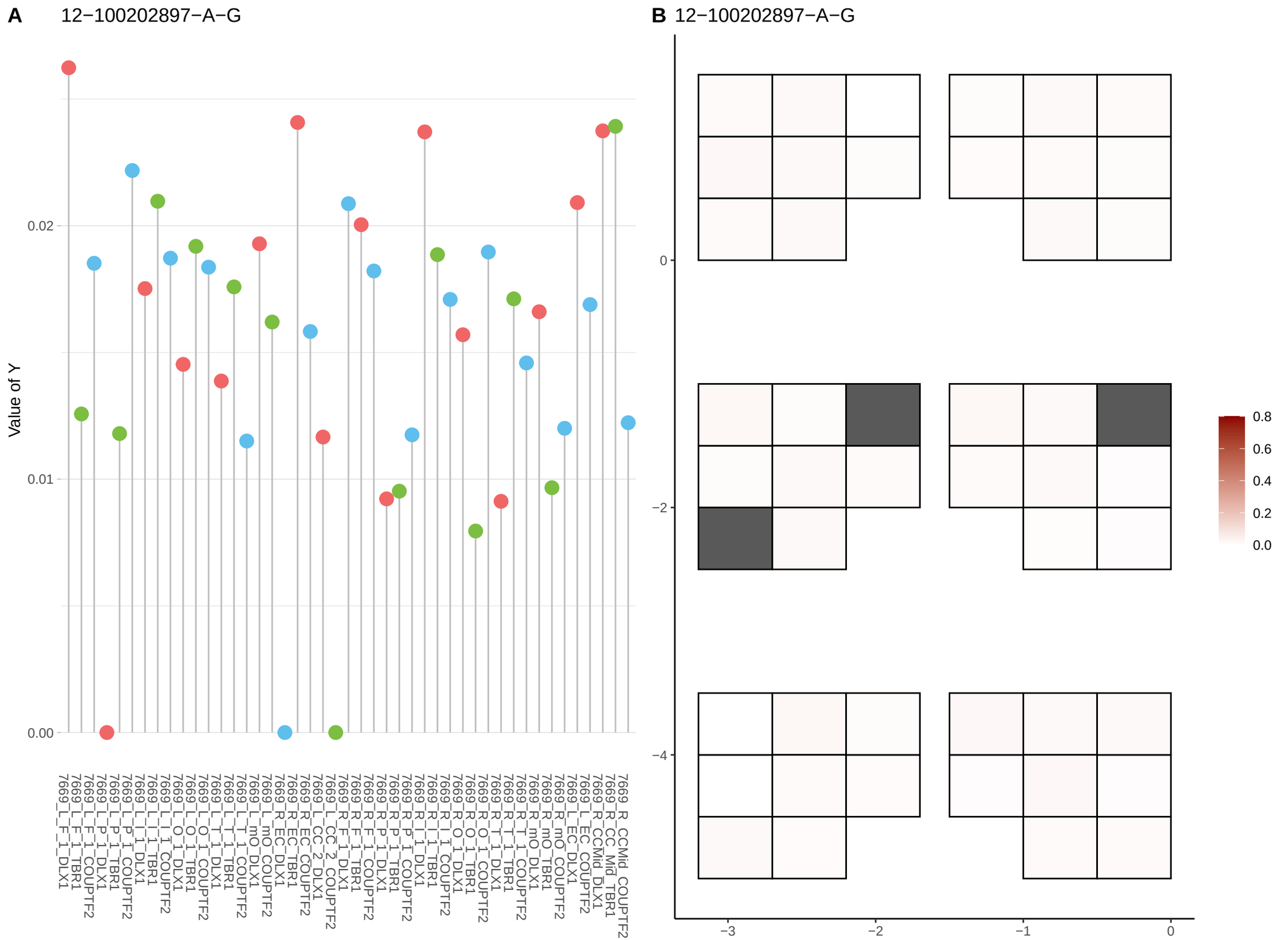
A
12−100202897−A−G
Value of Y
0.02
0.01
0.00
7669_L_F_1_DLX1
7669_L_F_1_TBR1
7669_L_F_1_COUPTF2
7669_L_P_1_DLX1
7669_L_P_1_TBR1
7669_L_P_1_COUPTF2
7669_L_I_1_DLX1
7669_L_I_1_TBR1
7669_L_I_1_COUPTF2
7669_L_O_1_DLX1
7669_L_O_1_TBR1
7669_L_O_1_COUPTF2
7669_L_T_1_DLX1
7669_L_T_1_TBR1
7669_L_T_1_COUPTF2
7669_L_mO_DLX1
7669_L_mO_COUPTF2
7669_R_EC_DLX1
7669_R_EC_TBR1
7669_R_EC_COUPTF2
7669_L_CC_2_DLX1
7669_L_CC_2_COUPTF2
7669_R_F_1_DLX1
7669_R_F_1_TBR1
7669_R_F_1_COUPTF2
7669_R_P_1_DLX1
7669_R_P_1_TBR1
7669_R_P_1_COUPTF2
7669_R_I_1_DLX1
7669_R_I_1_TBR1
7669_R_I_1_COUPTF2
7669_R_O_1_DLX1
7669_R_O_1_TBR1
7669_R_O_1_COUPTF2
7669_R_T_1_DLX1
7669_R_T_1_TBR1
7669_R_T_1_COUPTF2
7669_R_mO_DLX1
7669_R_mO_TBR1
7669_R_mO_COUPTF2
7669_L_EC_DLX1
7669_L_EC_COUPTF2
7669_R_CCMid_DLX1
7669_R_CC_Mid_TBR1
7669_R_CCMid_COUPTF2
B
12−100202897−A−G
0
−2
−4
−3
−2
−1
0
0.8
0.6
0.4
0.2
0.0

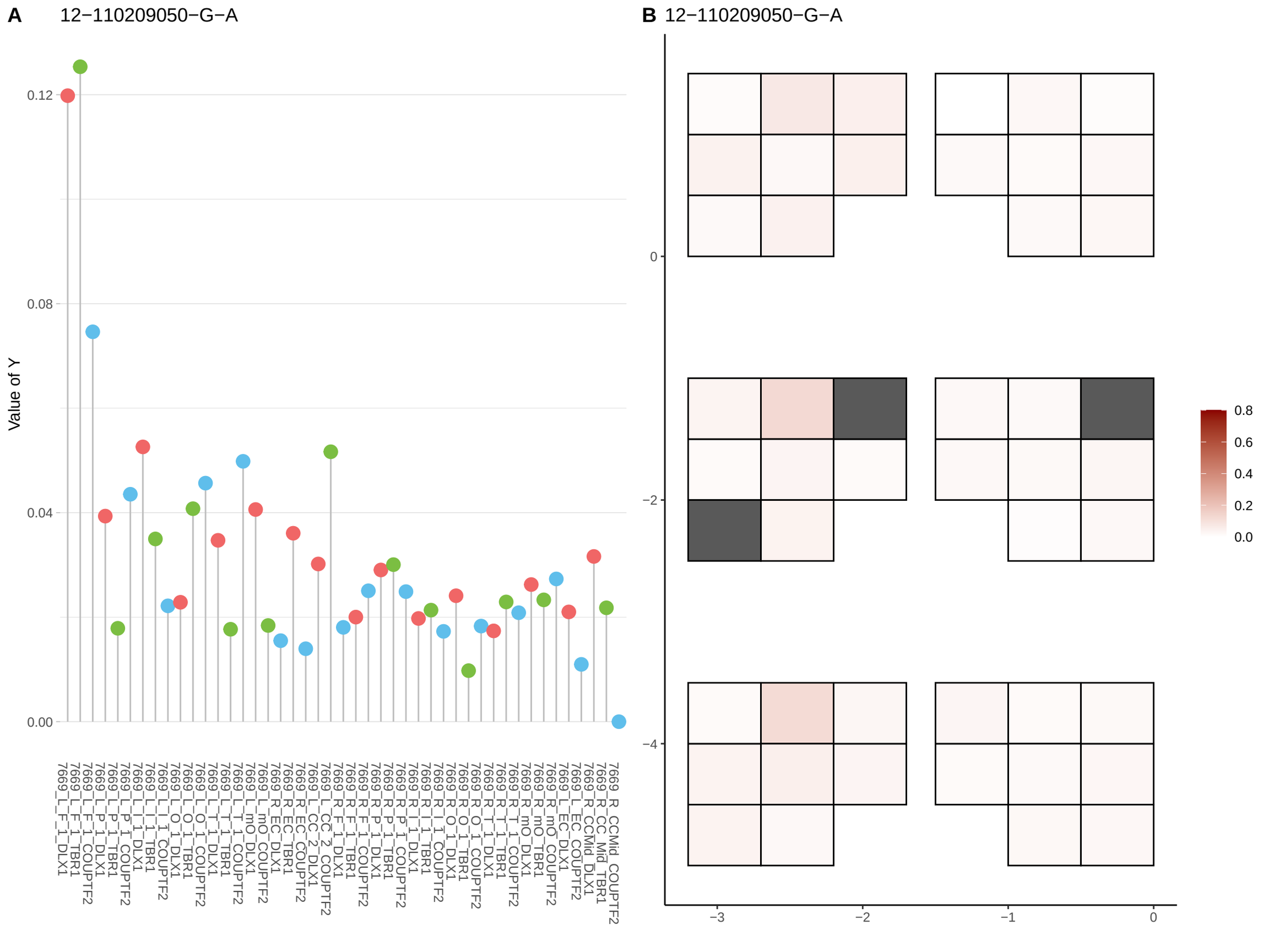
A
12−110209050−G−A
Value of Y
0.12
0.08
0.04
0.00
7669_L_F_1_DLX1
7669_L_F_1_TBR1
7669_L_F_1_COUPTF2
7669_L_P_1_DLX1
7669_L_P_1_TBR1
7669_L_P_1_COUPTF2
7669_L_I_1_DLX1
7669_L_I_1_TBR1
7669_L_I_1_COUPTF2
7669_L_O_1_DLX1
7669_L_O_1_TBR1
7669_L_O_1_COUPTF2
7669_L_T_1_DLX1
7669_L_T_1_TBR1
7669_L_T_1_COUPTF2
7669_L_mO_DLX1
7669_L_mO_COUPTF2
7669_R_EC_DLX1
7669_R_EC_TBR1
7669_R_EC_COUPTF2
7669_L_CC_2_DLX1
7669_L_CC_2_COUPTF2
7669_R_F_1_DLX1
7669_R_F_1_TBR1
7669_R_F_1_COUPTF2
7669_R_P_1_DLX1
7669_R_P_1_TBR1
7669_R_P_1_COUPTF2
7669_R_I_1_DLX1
7669_R_I_1_TBR1
7669_R_I_1_COUPTF2
7669_R_O_1_DLX1
7669_R_O_1_TBR1
7669_R_O_1_COUPTF2
7669_R_T_1_DLX1
7669_R_T_1_TBR1
7669_R_T_1_COUPTF2
7669_R_mO_DLX1
7669_R_mO_TBR1
7669_R_mO_COUPTF2
7669_L_EC_DLX1
7669_L_EC_COUPTF2
7669_R_CCMid_DLX1
7669_R_CC_Mid_TBR1
7669_R_CCMid_COUPTF2
B
12−110209050−G−A
0
−2
−4
−3
−2
−1
0
0.8
0.6
0.4
0.2
0.0

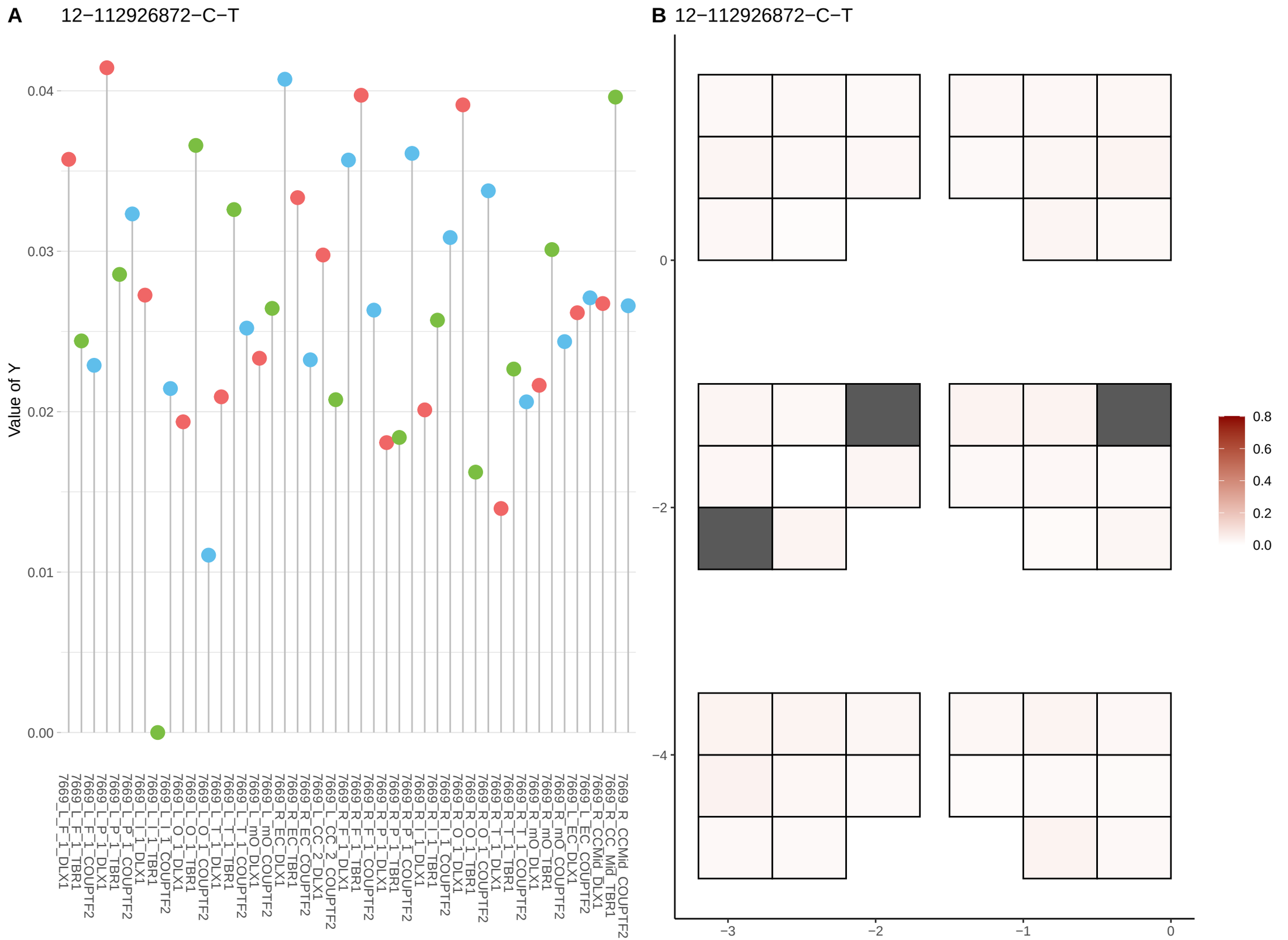
A
12−112926872−C−T
Value of Y
0.04
0.03
0.02
0.01
0.00
7669_L_F_1_DLX1
7669_L_F_1_TBR1
7669_L_F_1_COUPTF2
7669_L_P_1_DLX1
7669_L_P_1_TBR1
7669_L_P_1_COUPTF2
7669_L_I_1_DLX1
7669_L_I_1_TBR1
7669_L_I_1_COUPTF2
7669_L_O_1_DLX1
7669_L_O_1_TBR1
7669_L_O_1_COUPTF2
7669_L_T_1_DLX1
7669_L_T_1_TBR1
7669_L_T_1_COUPTF2
7669_L_mO_DLX1
7669_L_mO_COUPTF2
7669_R_EC_DLX1
7669_R_EC_TBR1
7669_R_EC_COUPTF2
7669_L_CC_2_DLX1
7669_L_CC_2_COUPTF2
7669_R_F_1_DLX1
7669_R_F_1_TBR1
7669_R_F_1_COUPTF2
7669_R_P_1_DLX1
7669_R_P_1_TBR1
7669_R_P_1_COUPTF2
7669_R_I_1_DLX1
7669_R_I_1_TBR1
7669_R_I_1_COUPTF2
7669_R_O_1_DLX1
7669_R_O_1_TBR1
7669_R_O_1_COUPTF2
7669_R_T_1_DLX1
7669_R_T_1_TBR1
7669_R_T_1_COUPTF2
7669_R_mO_DLX1
7669_R_mO_TBR1
7669_R_mO_COUPTF2
7669_L_EC_DLX1
7669_L_EC_COUPTF2
7669_R_CCMid_DLX1
7669_R_CC_Mid_TBR1
7669_R_CCMid_COUPTF2
B
12−112926872−C−T
0
−2
−4
−3
−2
−1
0
0.8
0.6
0.4
0.2
0.0

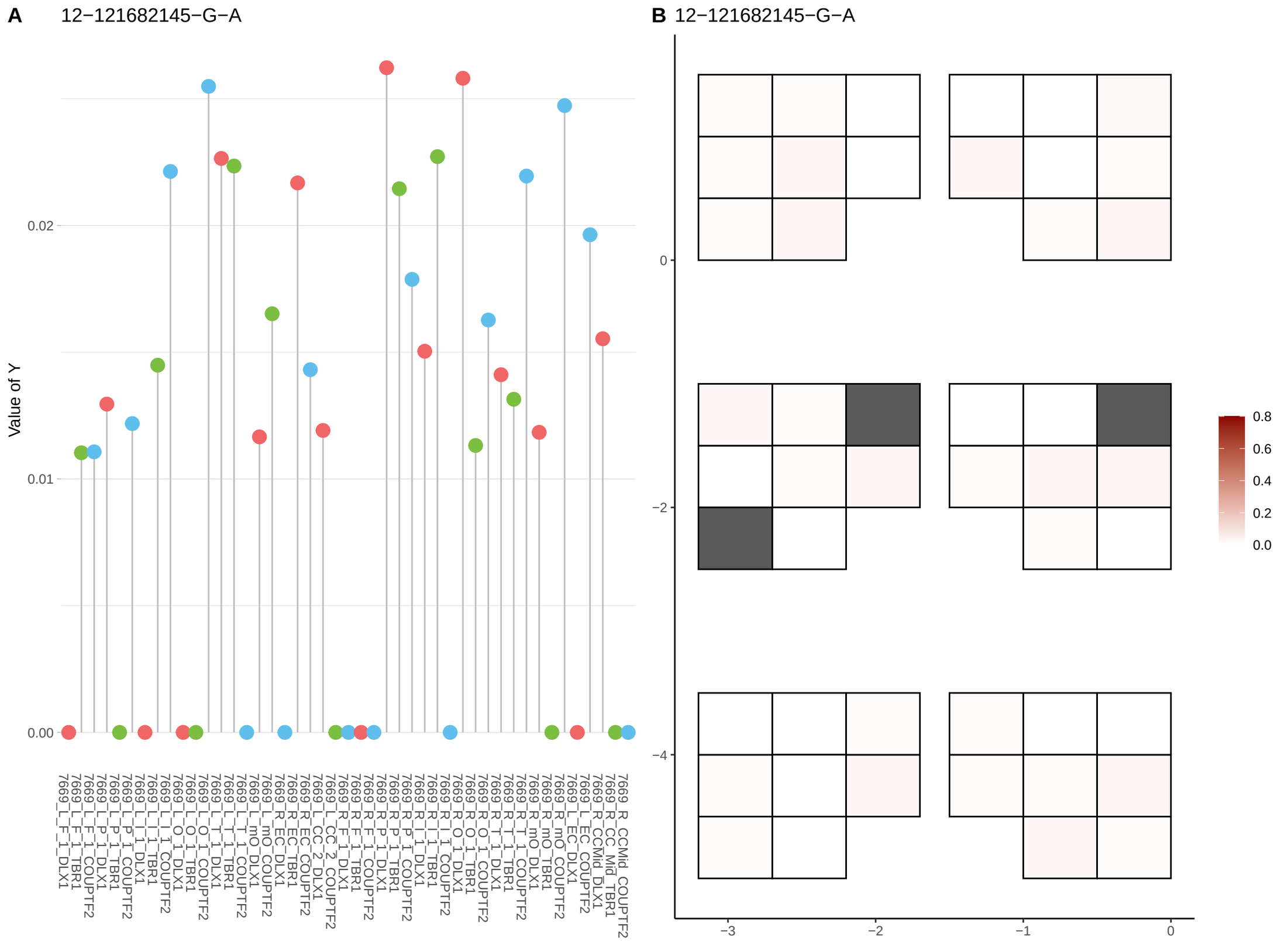
A
12−121682145−G−A
Value of Y
0.02
0.01
0.00
7669_L_F_1_DLX1
7669_L_F_1_TBR1
7669_L_F_1_COUPTF2
7669_L_P_1_DLX1
7669_L_P_1_TBR1
7669_L_P_1_COUPTF2
7669_L_I_1_DLX1
7669_L_I_1_TBR1
7669_L_I_1_COUPTF2
7669_L_O_1_DLX1
7669_L_O_1_TBR1
7669_L_O_1_COUPTF2
7669_L_T_1_DLX1
7669_L_T_1_TBR1
7669_L_T_1_COUPTF2
7669_L_mO_DLX1
7669_L_mO_COUPTF2
7669_R_EC_DLX1
7669_R_EC_TBR1
7669_R_EC_COUPTF2
7669_L_CC_2_DLX1
7669_L_CC_2_COUPTF2
7669_R_F_1_DLX1
7669_R_F_1_TBR1
7669_R_F_1_COUPTF2
7669_R_P_1_DLX1
7669_R_P_1_TBR1
7669_R_P_1_COUPTF2
7669_R_I_1_DLX1
7669_R_I_1_TBR1
7669_R_I_1_COUPTF2
7669_R_O_1_DLX1
7669_R_O_1_TBR1
7669_R_O_1_COUPTF2
7669_R_T_1_DLX1
7669_R_T_1_TBR1
7669_R_T_1_COUPTF2
7669_R_mO_DLX1
7669_R_mO_TBR1
7669_R_mO_COUPTF2
7669_L_EC_DLX1
7669_L_EC_COUPTF2
7669_R_CCMid_DLX1
7669_R_CC_Mid_TBR1
7669_R_CCMid_COUPTF2
B
12−121682145−G−A
0
−2
−4
−3
−2
−1
0
0.8
0.6
0.4
0.2
0.0

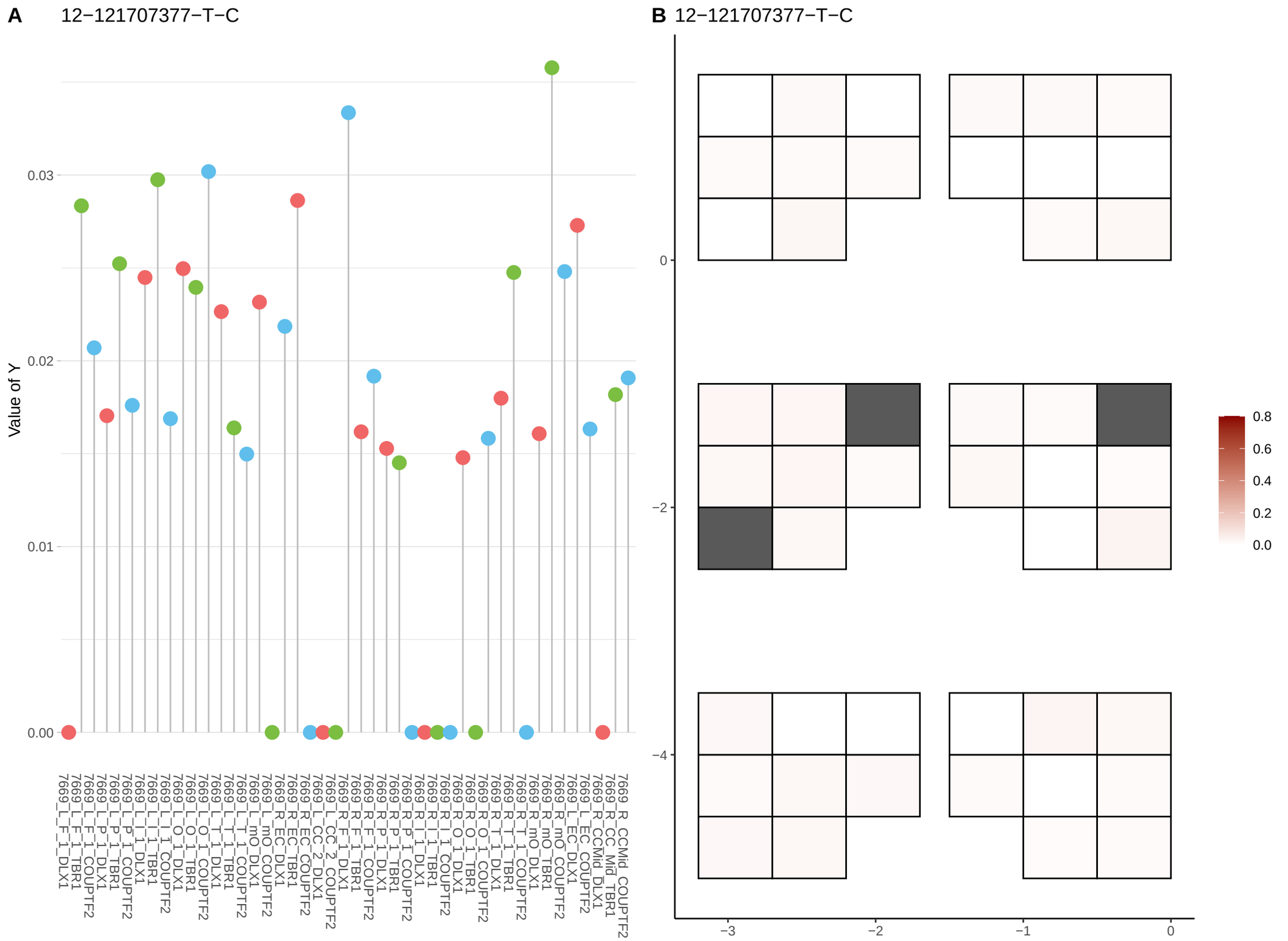
A
12−121707377−T−C
Value of Y
0.03
0.02
0.01
0.00
7669_L_F_1_DLX1
7669_L_F_1_TBR1
7669_L_F_1_COUPTF2
7669_L_P_1_DLX1
7669_L_P_1_TBR1
7669_L_P_1_COUPTF2
7669_L_I_1_DLX1
7669_L_I_1_TBR1
7669_L_I_1_COUPTF2
7669_L_O_1_DLX1
7669_L_O_1_TBR1
7669_L_O_1_COUPTF2
7669_L_T_1_DLX1
7669_L_T_1_TBR1
7669_L_T_1_COUPTF2
7669_L_mO_DLX1
7669_L_mO_COUPTF2
7669_R_EC_DLX1
7669_R_EC_TBR1
7669_R_EC_COUPTF2
7669_L_CC_2_DLX1
7669_L_CC_2_COUPTF2
7669_R_F_1_DLX1
7669_R_F_1_TBR1
7669_R_F_1_COUPTF2
7669_R_P_1_DLX1
7669_R_P_1_TBR1
7669_R_P_1_COUPTF2
7669_R_I_1_DLX1
7669_R_I_1_TBR1
7669_R_I_1_COUPTF2
7669_R_O_1_DLX1
7669_R_O_1_TBR1
7669_R_O_1_COUPTF2
7669_R_T_1_DLX1
7669_R_T_1_TBR1
7669_R_T_1_COUPTF2
7669_R_mO_DLX1
7669_R_mO_TBR1
7669_R_mO_COUPTF2
7669_L_EC_DLX1
7669_L_EC_COUPTF2
7669_R_CCMid_DLX1
7669_R_CC_Mid_TBR1
7669_R_CCMid_COUPTF2
B
12−121707377−T−C
0
−2
−4
−3
−2
−1
0
0.8
0.6
0.4
0.2
0.0

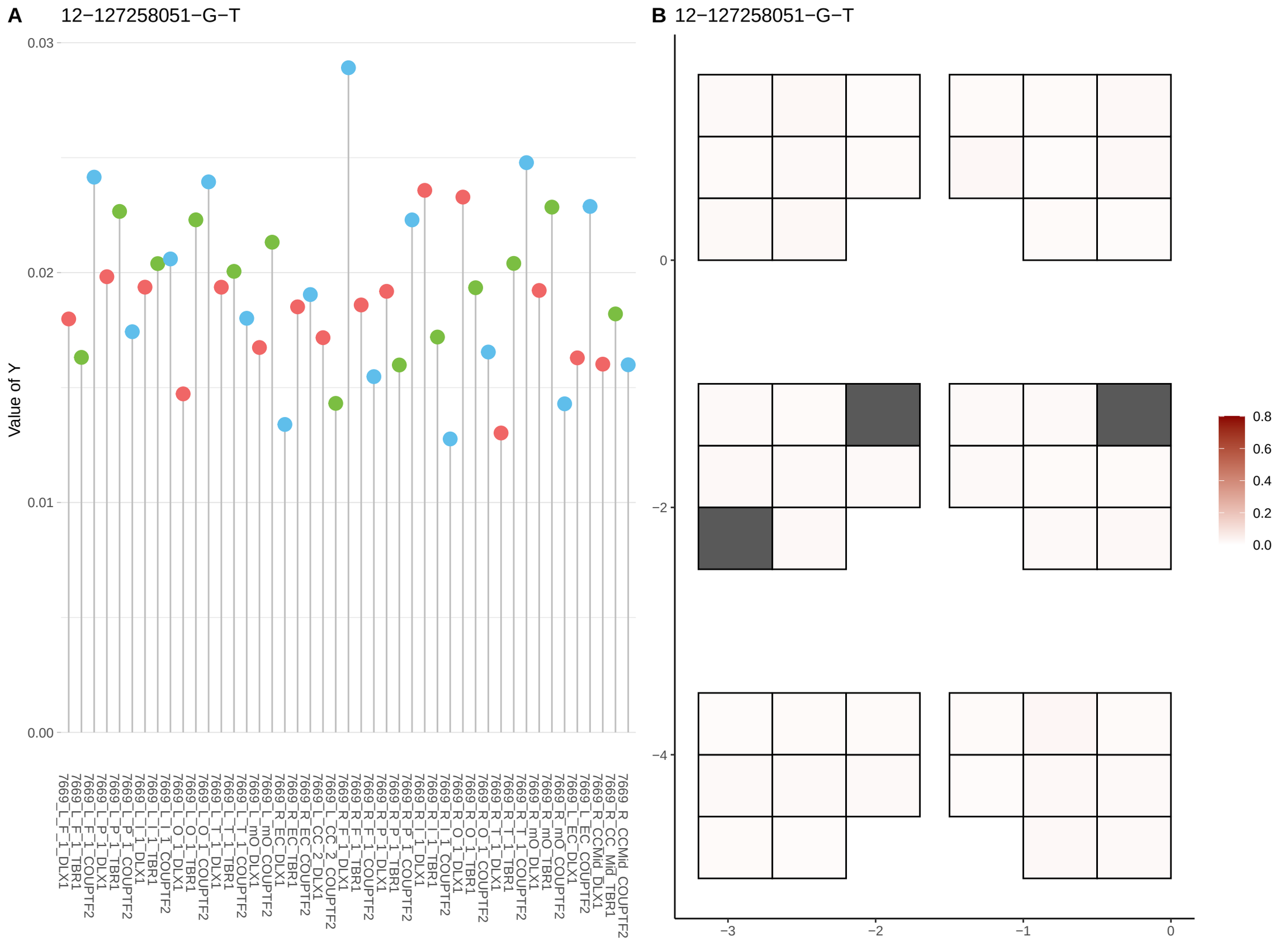
A
12−127258051−G−T
Value of Y
0.03
0.02
0.01
0.00
7669_L_F_1_DLX1
7669_L_F_1_TBR1
7669_L_F_1_COUPTF2
7669_L_P_1_DLX1
7669_L_P_1_TBR1
7669_L_P_1_COUPTF2
7669_L_I_1_DLX1
7669_L_I_1_TBR1
7669_L_I_1_COUPTF2
7669_L_O_1_DLX1
7669_L_O_1_TBR1
7669_L_O_1_COUPTF2
7669_L_T_1_DLX1
7669_L_T_1_TBR1
7669_L_T_1_COUPTF2
7669_L_mO_DLX1
7669_L_mO_COUPTF2
7669_R_EC_DLX1
7669_R_EC_TBR1
7669_R_EC_COUPTF2
7669_L_CC_2_DLX1
7669_L_CC_2_COUPTF2
7669_R_F_1_DLX1
7669_R_F_1_TBR1
7669_R_F_1_COUPTF2
7669_R_P_1_DLX1
7669_R_P_1_TBR1
7669_R_P_1_COUPTF2
7669_R_I_1_DLX1
7669_R_I_1_TBR1
7669_R_I_1_COUPTF2
7669_R_O_1_DLX1
7669_R_O_1_TBR1
7669_R_O_1_COUPTF2
7669_R_T_1_DLX1
7669_R_T_1_TBR1
7669_R_T_1_COUPTF2
7669_R_mO_DLX1
7669_R_mO_TBR1
7669_R_mO_COUPTF2
7669_L_EC_DLX1
7669_L_EC_COUPTF2
7669_R_CCMid_DLX1
7669_R_CC_Mid_TBR1
7669_R_CCMid_COUPTF2
B
12−127258051−G−T
0
−2
−4
−3
−2
−1
0
0.8
0.6
0.4
0.2
0.0

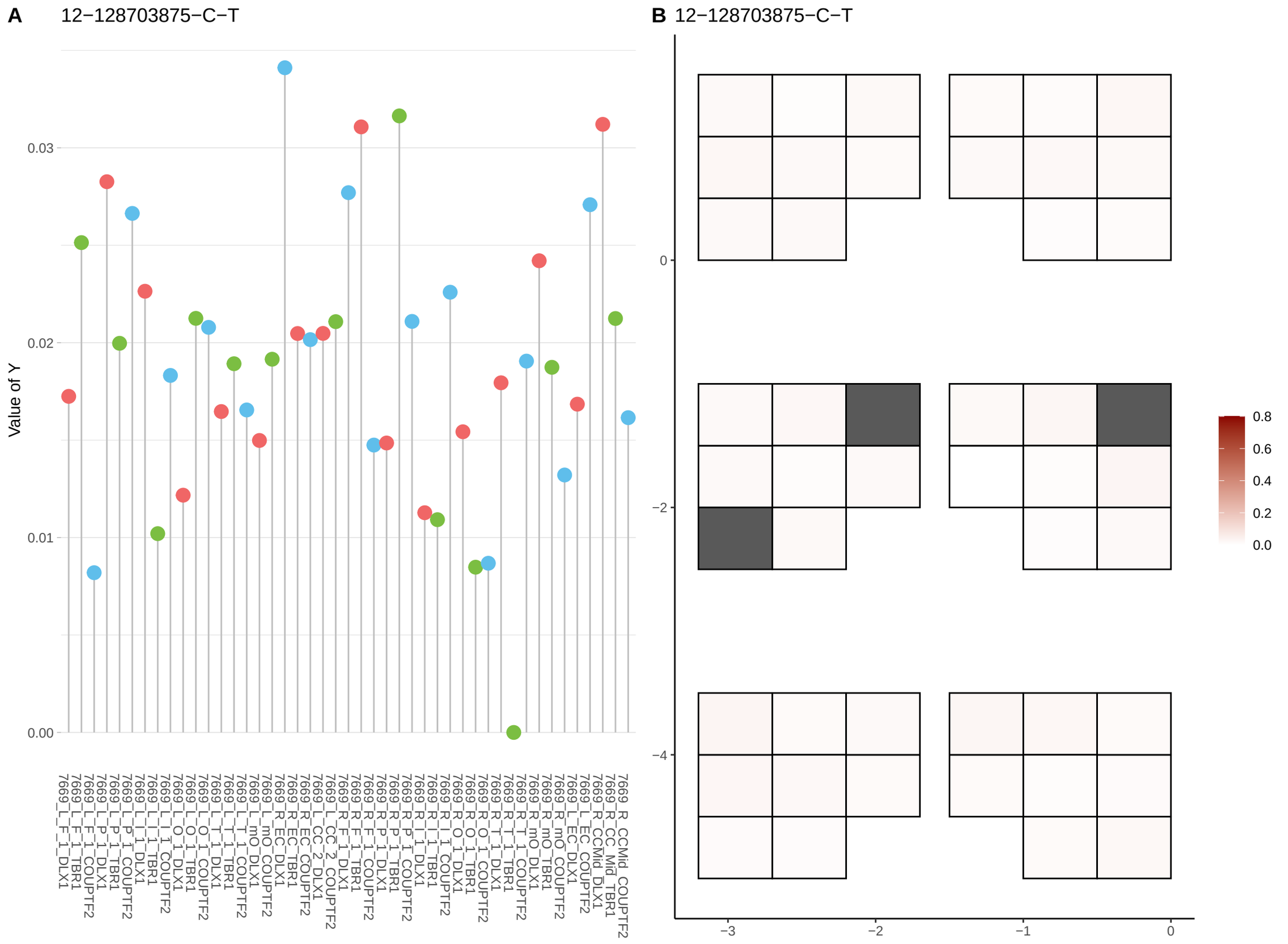
A
12−128703875−C−T
Value of Y
0.03
0.02
0.01
0.00
7669_L_F_1_DLX1
7669_L_F_1_TBR1
7669_L_F_1_COUPTF2
7669_L_P_1_DLX1
7669_L_P_1_TBR1
7669_L_P_1_COUPTF2
7669_L_I_1_DLX1
7669_L_I_1_TBR1
7669_L_I_1_COUPTF2
7669_L_O_1_DLX1
7669_L_O_1_TBR1
7669_L_O_1_COUPTF2
7669_L_T_1_DLX1
7669_L_T_1_TBR1
7669_L_T_1_COUPTF2
7669_L_mO_DLX1
7669_L_mO_COUPTF2
7669_R_EC_DLX1
7669_R_EC_TBR1
7669_R_EC_COUPTF2
7669_L_CC_2_DLX1
7669_L_CC_2_COUPTF2
7669_R_F_1_DLX1
7669_R_F_1_TBR1
7669_R_F_1_COUPTF2
7669_R_P_1_DLX1
7669_R_P_1_TBR1
7669_R_P_1_COUPTF2
7669_R_I_1_DLX1
7669_R_I_1_TBR1
7669_R_I_1_COUPTF2
7669_R_O_1_DLX1
7669_R_O_1_TBR1
7669_R_O_1_COUPTF2
7669_R_T_1_DLX1
7669_R_T_1_TBR1
7669_R_T_1_COUPTF2
7669_R_mO_DLX1
7669_R_mO_TBR1
7669_R_mO_COUPTF2
7669_L_EC_DLX1
7669_L_EC_COUPTF2
7669_R_CCMid_DLX1
7669_R_CC_Mid_TBR1
7669_R_CCMid_COUPTF2
B
12−128703875−C−T
0
−2
−4
−3
−2
−1
0
0.8
0.6
0.4
0.2
0.0

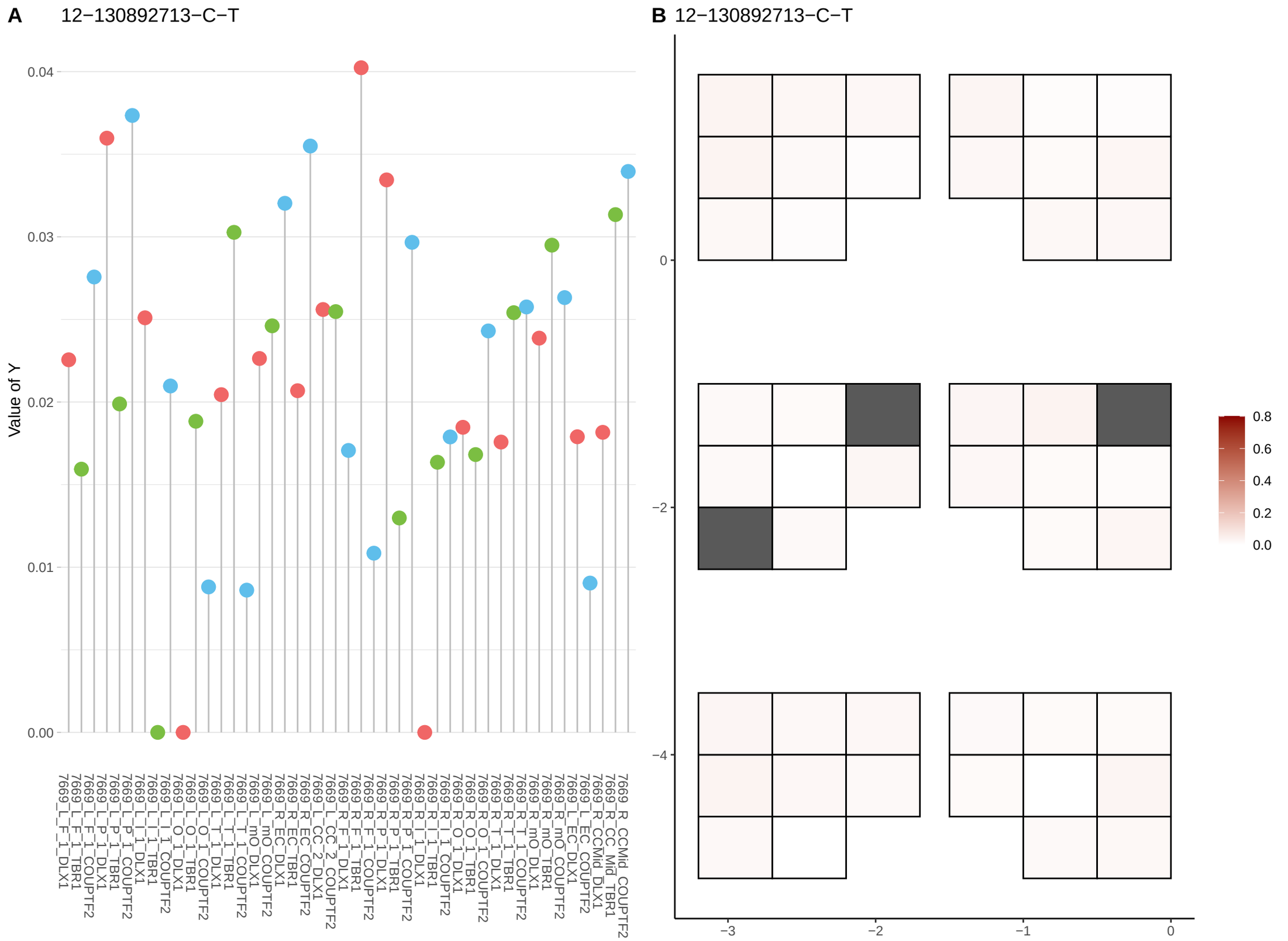
A
12−130892713−C−T
Value of Y
0.04
0.03
0.02
0.01
0.00
7669_L_F_1_DLX1
7669_L_F_1_TBR1
7669_L_F_1_COUPTF2
7669_L_P_1_DLX1
7669_L_P_1_TBR1
7669_L_P_1_COUPTF2
7669_L_I_1_DLX1
7669_L_I_1_TBR1
7669_L_I_1_COUPTF2
7669_L_O_1_DLX1
7669_L_O_1_TBR1
7669_L_O_1_COUPTF2
7669_L_T_1_DLX1
7669_L_T_1_TBR1
7669_L_T_1_COUPTF2
7669_L_mO_DLX1
7669_L_mO_COUPTF2
7669_R_EC_DLX1
7669_R_EC_TBR1
7669_R_EC_COUPTF2
7669_L_CC_2_DLX1
7669_L_CC_2_COUPTF2
7669_R_F_1_DLX1
7669_R_F_1_TBR1
7669_R_F_1_COUPTF2
7669_R_P_1_DLX1
7669_R_P_1_TBR1
7669_R_P_1_COUPTF2
7669_R_I_1_DLX1
7669_R_I_1_TBR1
7669_R_I_1_COUPTF2
7669_R_O_1_DLX1
7669_R_O_1_TBR1
7669_R_O_1_COUPTF2
7669_R_T_1_DLX1
7669_R_T_1_TBR1
7669_R_T_1_COUPTF2
7669_R_mO_DLX1
7669_R_mO_TBR1
7669_R_mO_COUPTF2
7669_L_EC_DLX1
7669_L_EC_COUPTF2
7669_R_CCMid_DLX1
7669_R_CC_Mid_TBR1
7669_R_CCMid_COUPTF2
B
12−130892713−C−T
0
−2
−4
−3
−2
−1
0
0.8
0.6
0.4
0.2
0.0

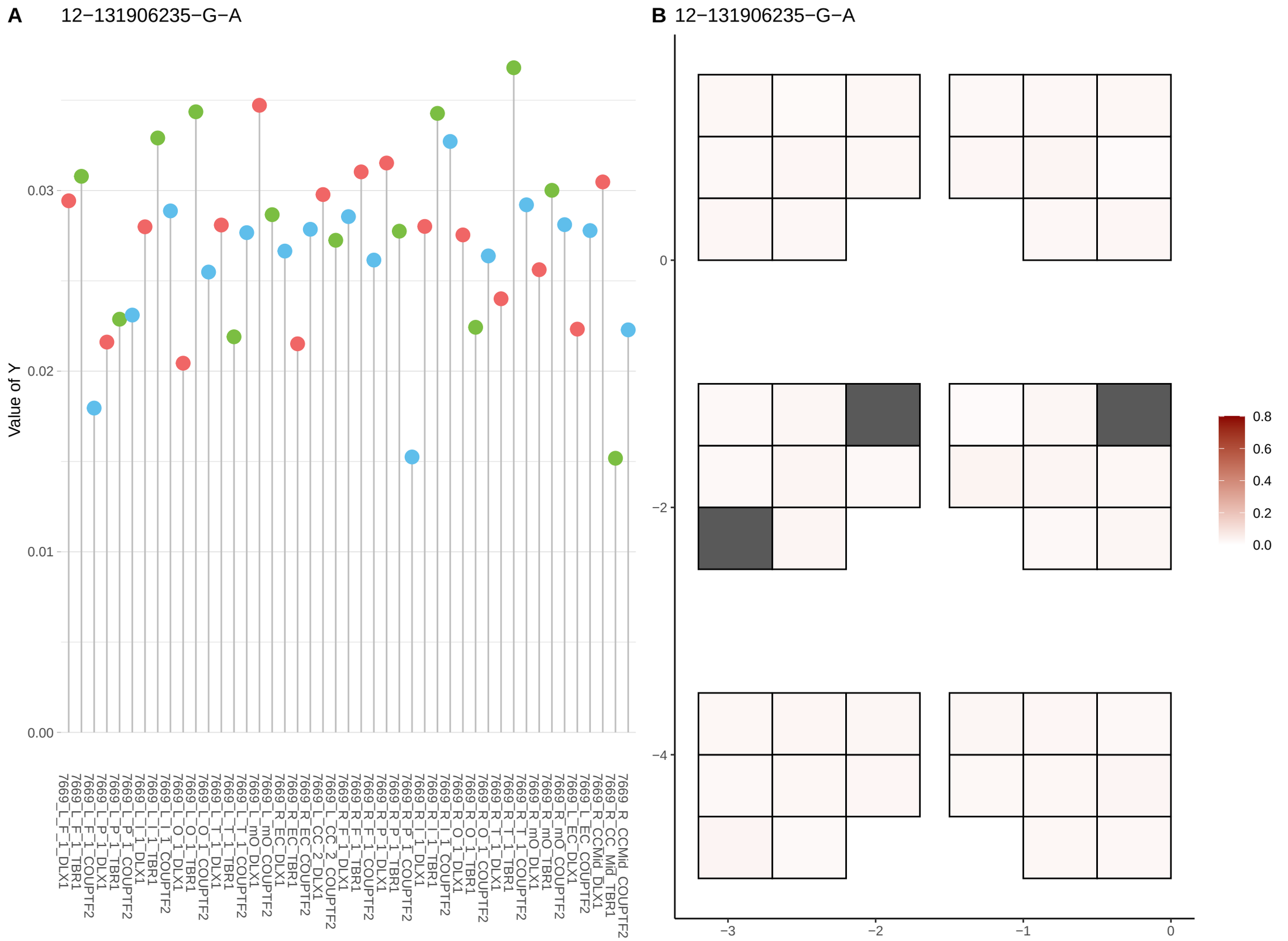
A
12−131906235−G−A
Value of Y
0.03
0.02
0.01
0.00
7669_L_F_1_DLX1
7669_L_F_1_TBR1
7669_L_F_1_COUPTF2
7669_L_P_1_DLX1
7669_L_P_1_TBR1
7669_L_P_1_COUPTF2
7669_L_I_1_DLX1
7669_L_I_1_TBR1
7669_L_I_1_COUPTF2
7669_L_O_1_DLX1
7669_L_O_1_TBR1
7669_L_O_1_COUPTF2
7669_L_T_1_DLX1
7669_L_T_1_TBR1
7669_L_T_1_COUPTF2
7669_L_mO_DLX1
7669_L_mO_COUPTF2
7669_R_EC_DLX1
7669_R_EC_TBR1
7669_R_EC_COUPTF2
7669_L_CC_2_DLX1
7669_L_CC_2_COUPTF2
7669_R_F_1_DLX1
7669_R_F_1_TBR1
7669_R_F_1_COUPTF2
7669_R_P_1_DLX1
7669_R_P_1_TBR1
7669_R_P_1_COUPTF2
7669_R_I_1_DLX1
7669_R_I_1_TBR1
7669_R_I_1_COUPTF2
7669_R_O_1_DLX1
7669_R_O_1_TBR1
7669_R_O_1_COUPTF2
7669_R_T_1_DLX1
7669_R_T_1_TBR1
7669_R_T_1_COUPTF2
7669_R_mO_DLX1
7669_R_mO_TBR1
7669_R_mO_COUPTF2
7669_L_EC_DLX1
7669_L_EC_COUPTF2
7669_R_CCMid_DLX1
7669_R_CC_Mid_TBR1
7669_R_CCMid_COUPTF2
B
12−131906235−G−A
0
−2
−4
−3
−2
−1
0
0.8
0.6
0.4
0.2
0.0

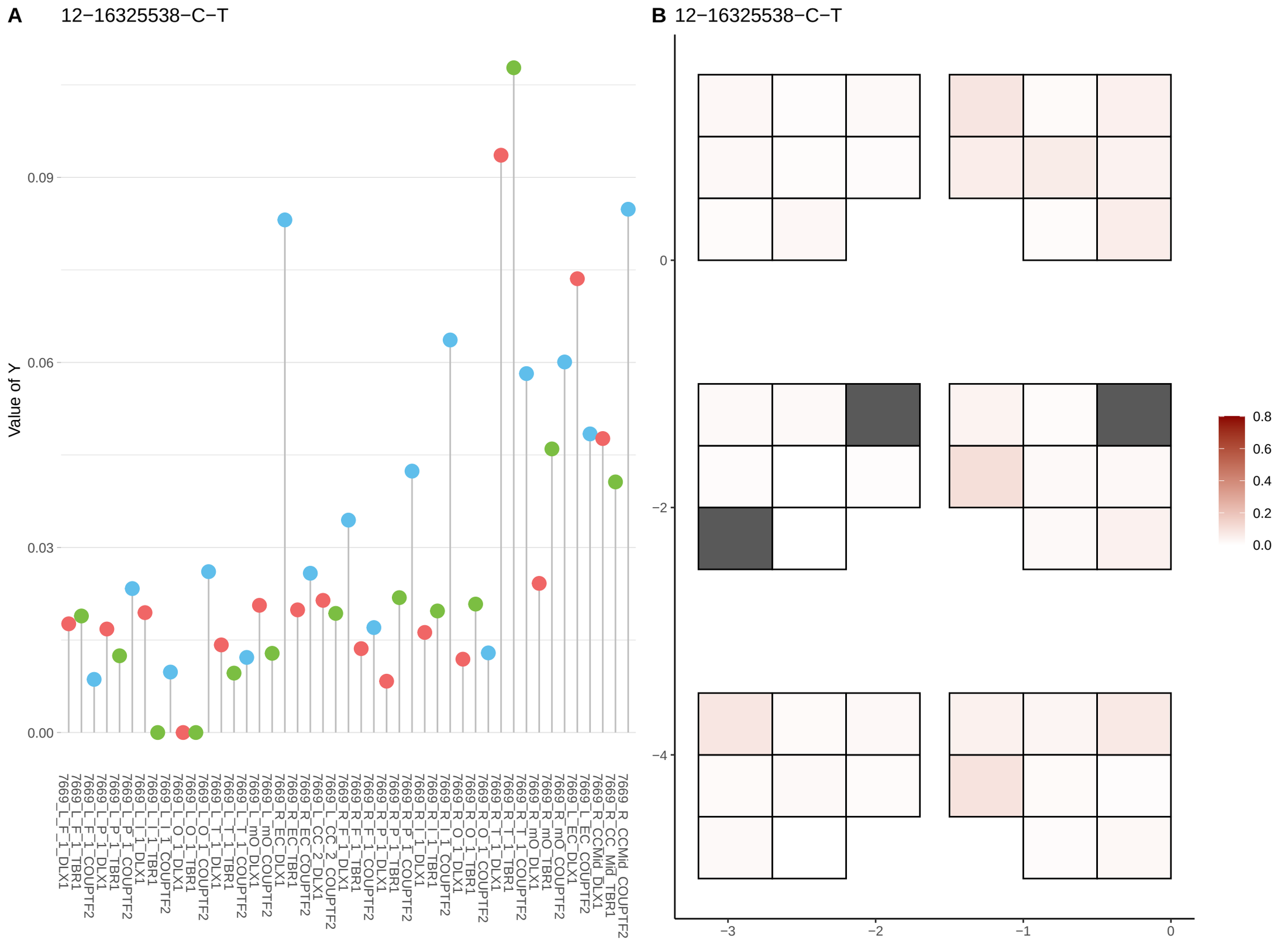
A
12−16325538−C−T
Value of Y
0.09
0.06
0.03
0.00
7669_L_F_1_DLX1
7669_L_F_1_TBR1
7669_L_F_1_COUPTF2
7669_L_P_1_DLX1
7669_L_P_1_TBR1
7669_L_P_1_COUPTF2
7669_L_I_1_DLX1
7669_L_I_1_TBR1
7669_L_I_1_COUPTF2
7669_L_O_1_DLX1
7669_L_O_1_TBR1
7669_L_O_1_COUPTF2
7669_L_T_1_DLX1
7669_L_T_1_TBR1
7669_L_T_1_COUPTF2
7669_L_mO_DLX1
7669_L_mO_COUPTF2
7669_R_EC_DLX1
7669_R_EC_TBR1
7669_R_EC_COUPTF2
7669_L_CC_2_DLX1
7669_L_CC_2_COUPTF2
7669_R_F_1_DLX1
7669_R_F_1_TBR1
7669_R_F_1_COUPTF2
7669_R_P_1_DLX1
7669_R_P_1_TBR1
7669_R_P_1_COUPTF2
7669_R_I_1_DLX1
7669_R_I_1_TBR1
7669_R_I_1_COUPTF2
7669_R_O_1_DLX1
7669_R_O_1_TBR1
7669_R_O_1_COUPTF2
7669_R_T_1_DLX1
7669_R_T_1_TBR1
7669_R_T_1_COUPTF2
7669_R_mO_DLX1
7669_R_mO_TBR1
7669_R_mO_COUPTF2
7669_L_EC_DLX1
7669_L_EC_COUPTF2
7669_R_CCMid_DLX1
7669_R_CC_Mid_TBR1
7669_R_CCMid_COUPTF2
B
12−16325538−C−T
0
−2
−4
−3
−2
−1
0
0.8
0.6
0.4
0.2
0.0

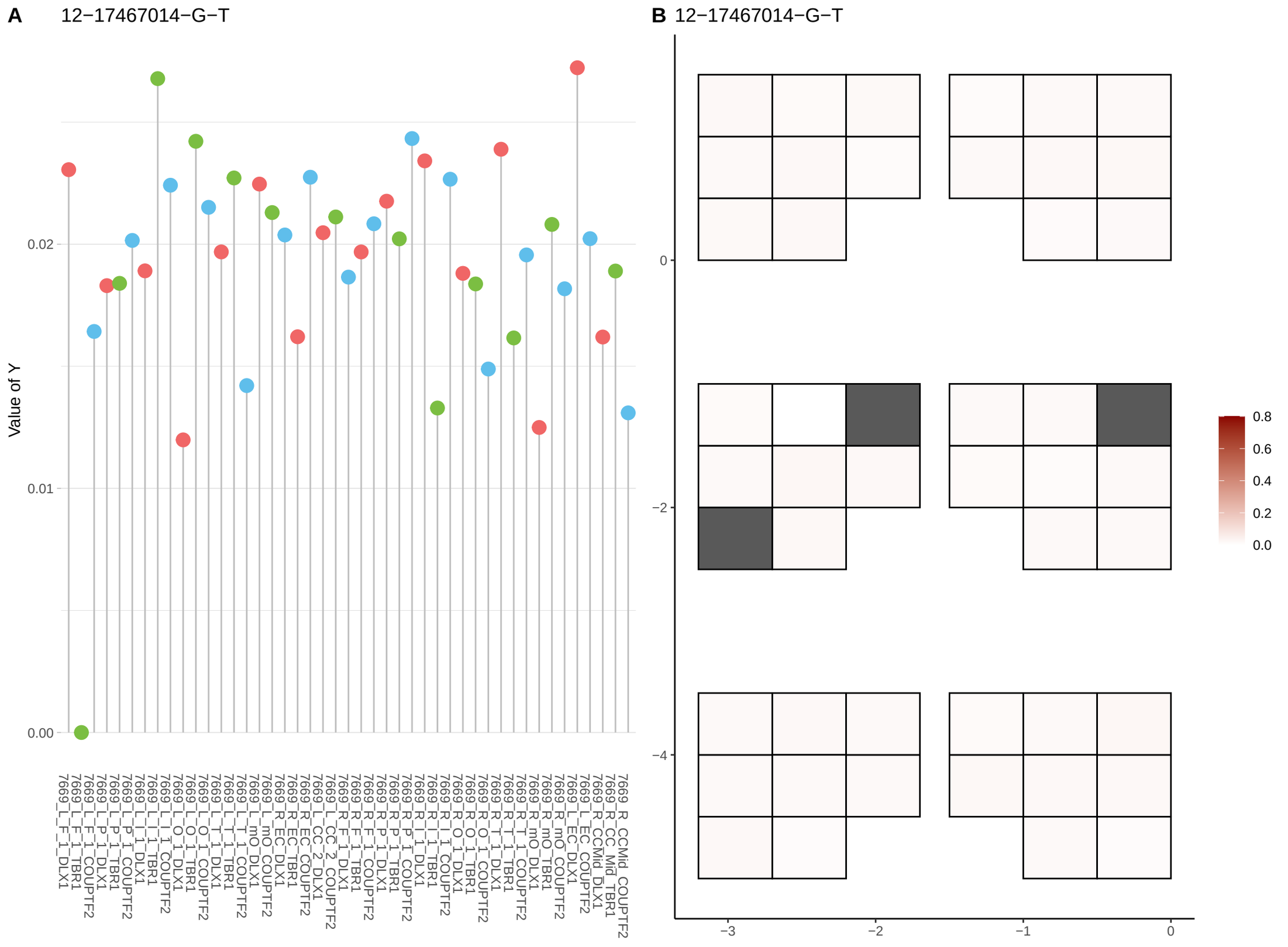
A
12−17467014−G−T
Value of Y
0.02
0.01
0.00
7669_L_F_1_DLX1
7669_L_F_1_TBR1
7669_L_F_1_COUPTF2
7669_L_P_1_DLX1
7669_L_P_1_TBR1
7669_L_P_1_COUPTF2
7669_L_I_1_DLX1
7669_L_I_1_TBR1
7669_L_I_1_COUPTF2
7669_L_O_1_DLX1
7669_L_O_1_TBR1
7669_L_O_1_COUPTF2
7669_L_T_1_DLX1
7669_L_T_1_TBR1
7669_L_T_1_COUPTF2
7669_L_mO_DLX1
7669_L_mO_COUPTF2
7669_R_EC_DLX1
7669_R_EC_TBR1
7669_R_EC_COUPTF2
7669_L_CC_2_DLX1
7669_L_CC_2_COUPTF2
7669_R_F_1_DLX1
7669_R_F_1_TBR1
7669_R_F_1_COUPTF2
7669_R_P_1_DLX1
7669_R_P_1_TBR1
7669_R_P_1_COUPTF2
7669_R_I_1_DLX1
7669_R_I_1_TBR1
7669_R_I_1_COUPTF2
7669_R_O_1_DLX1
7669_R_O_1_TBR1
7669_R_O_1_COUPTF2
7669_R_T_1_DLX1
7669_R_T_1_TBR1
7669_R_T_1_COUPTF2
7669_R_mO_DLX1
7669_R_mO_TBR1
7669_R_mO_COUPTF2
7669_L_EC_DLX1
7669_L_EC_COUPTF2
7669_R_CCMid_DLX1
7669_R_CC_Mid_TBR1
7669_R_CCMid_COUPTF2
B
12−17467014−G−T
0
−2
−4
−3
−2
−1
0
0.8
0.6
0.4
0.2
0.0

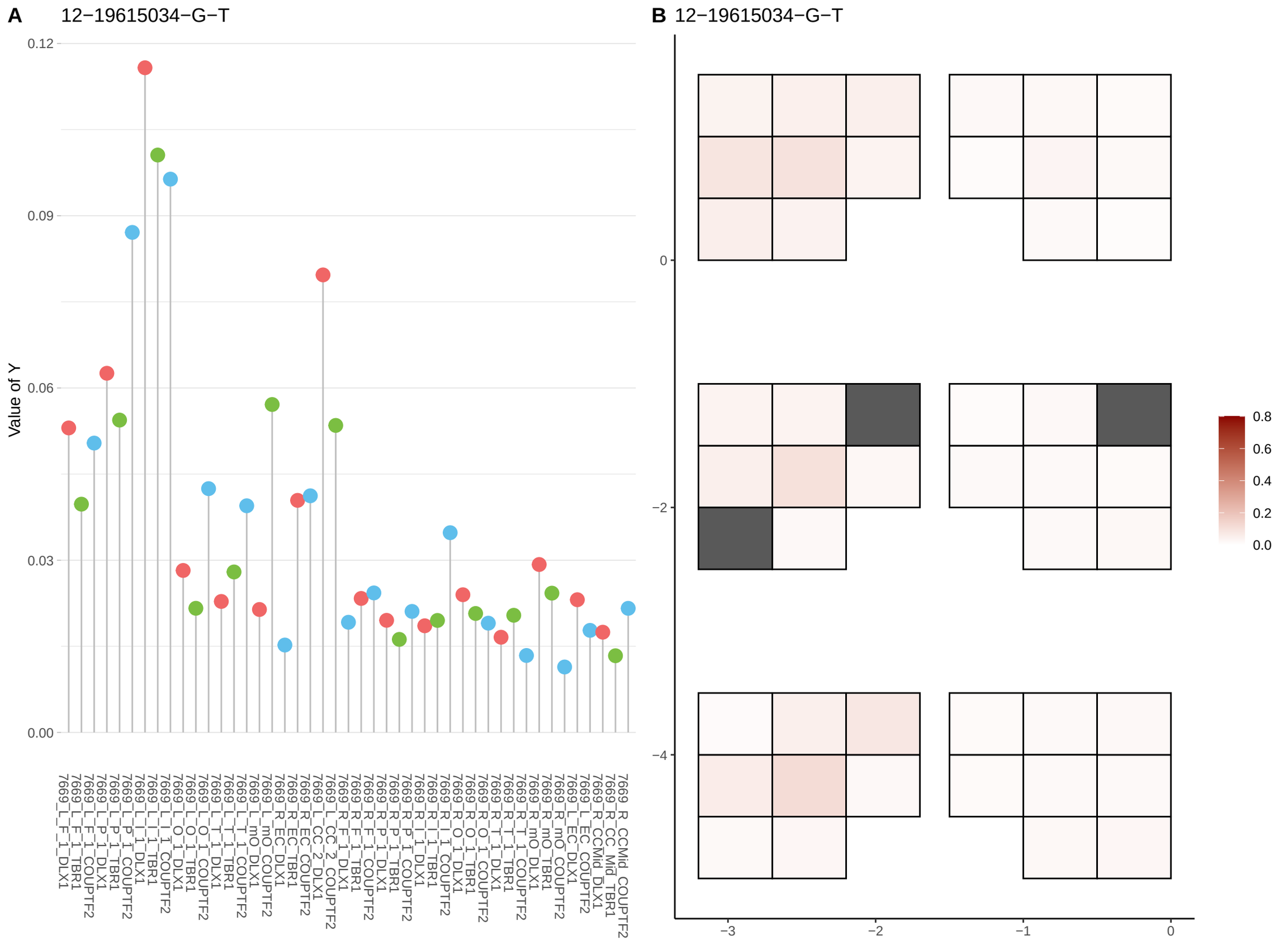
A
12−19615034−G−T
Value of Y
0.12
0.09
0.06
0.03
0.00
7669_L_F_1_DLX1
7669_L_F_1_TBR1
7669_L_F_1_COUPTF2
7669_L_P_1_DLX1
7669_L_P_1_TBR1
7669_L_P_1_COUPTF2
7669_L_I_1_DLX1
7669_L_I_1_TBR1
7669_L_I_1_COUPTF2
7669_L_O_1_DLX1
7669_L_O_1_TBR1
7669_L_O_1_COUPTF2
7669_L_T_1_DLX1
7669_L_T_1_TBR1
7669_L_T_1_COUPTF2
7669_L_mO_DLX1
7669_L_mO_COUPTF2
7669_R_EC_DLX1
7669_R_EC_TBR1
7669_R_EC_COUPTF2
7669_L_CC_2_DLX1
7669_L_CC_2_COUPTF2
7669_R_F_1_DLX1
7669_R_F_1_TBR1
7669_R_F_1_COUPTF2
7669_R_P_1_DLX1
7669_R_P_1_TBR1
7669_R_P_1_COUPTF2
7669_R_I_1_DLX1
7669_R_I_1_TBR1
7669_R_I_1_COUPTF2
7669_R_O_1_DLX1
7669_R_O_1_TBR1
7669_R_O_1_COUPTF2
7669_R_T_1_DLX1
7669_R_T_1_TBR1
7669_R_T_1_COUPTF2
7669_R_mO_DLX1
7669_R_mO_TBR1
7669_R_mO_COUPTF2
7669_L_EC_DLX1
7669_L_EC_COUPTF2
7669_R_CCMid_DLX1
7669_R_CC_Mid_TBR1
7669_R_CCMid_COUPTF2
B
12−19615034−G−T
0
−2
−4
−3
−2
−1
0
0.8
0.6
0.4
0.2
0.0

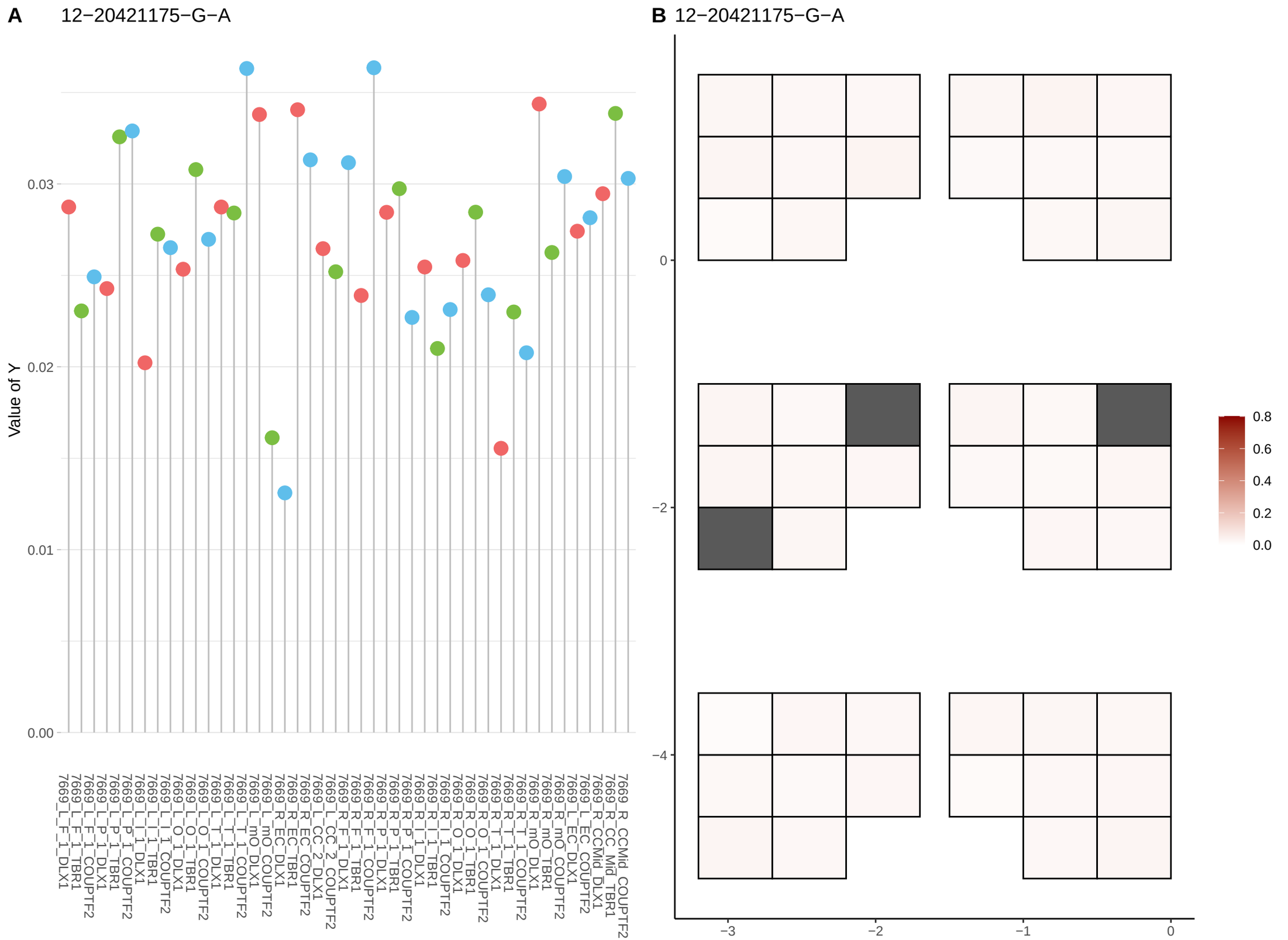
A
12−20421175−G−A
Value of Y
0.03
0.02
0.01
0.00
7669_L_F_1_DLX1
7669_L_F_1_TBR1
7669_L_F_1_COUPTF2
7669_L_P_1_DLX1
7669_L_P_1_TBR1
7669_L_P_1_COUPTF2
7669_L_I_1_DLX1
7669_L_I_1_TBR1
7669_L_I_1_COUPTF2
7669_L_O_1_DLX1
7669_L_O_1_TBR1
7669_L_O_1_COUPTF2
7669_L_T_1_DLX1
7669_L_T_1_TBR1
7669_L_T_1_COUPTF2
7669_L_mO_DLX1
7669_L_mO_COUPTF2
7669_R_EC_DLX1
7669_R_EC_TBR1
7669_R_EC_COUPTF2
7669_L_CC_2_DLX1
7669_L_CC_2_COUPTF2
7669_R_F_1_DLX1
7669_R_F_1_TBR1
7669_R_F_1_COUPTF2
7669_R_P_1_DLX1
7669_R_P_1_TBR1
7669_R_P_1_COUPTF2
7669_R_I_1_DLX1
7669_R_I_1_TBR1
7669_R_I_1_COUPTF2
7669_R_O_1_DLX1
7669_R_O_1_TBR1
7669_R_O_1_COUPTF2
7669_R_T_1_DLX1
7669_R_T_1_TBR1
7669_R_T_1_COUPTF2
7669_R_mO_DLX1
7669_R_mO_TBR1
7669_R_mO_COUPTF2
7669_L_EC_DLX1
7669_L_EC_COUPTF2
7669_R_CCMid_DLX1
7669_R_CC_Mid_TBR1
7669_R_CCMid_COUPTF2
B
12−20421175−G−A
0
−2
−4
−3
−2
−1
0
0.8
0.6
0.4
0.2
0.0

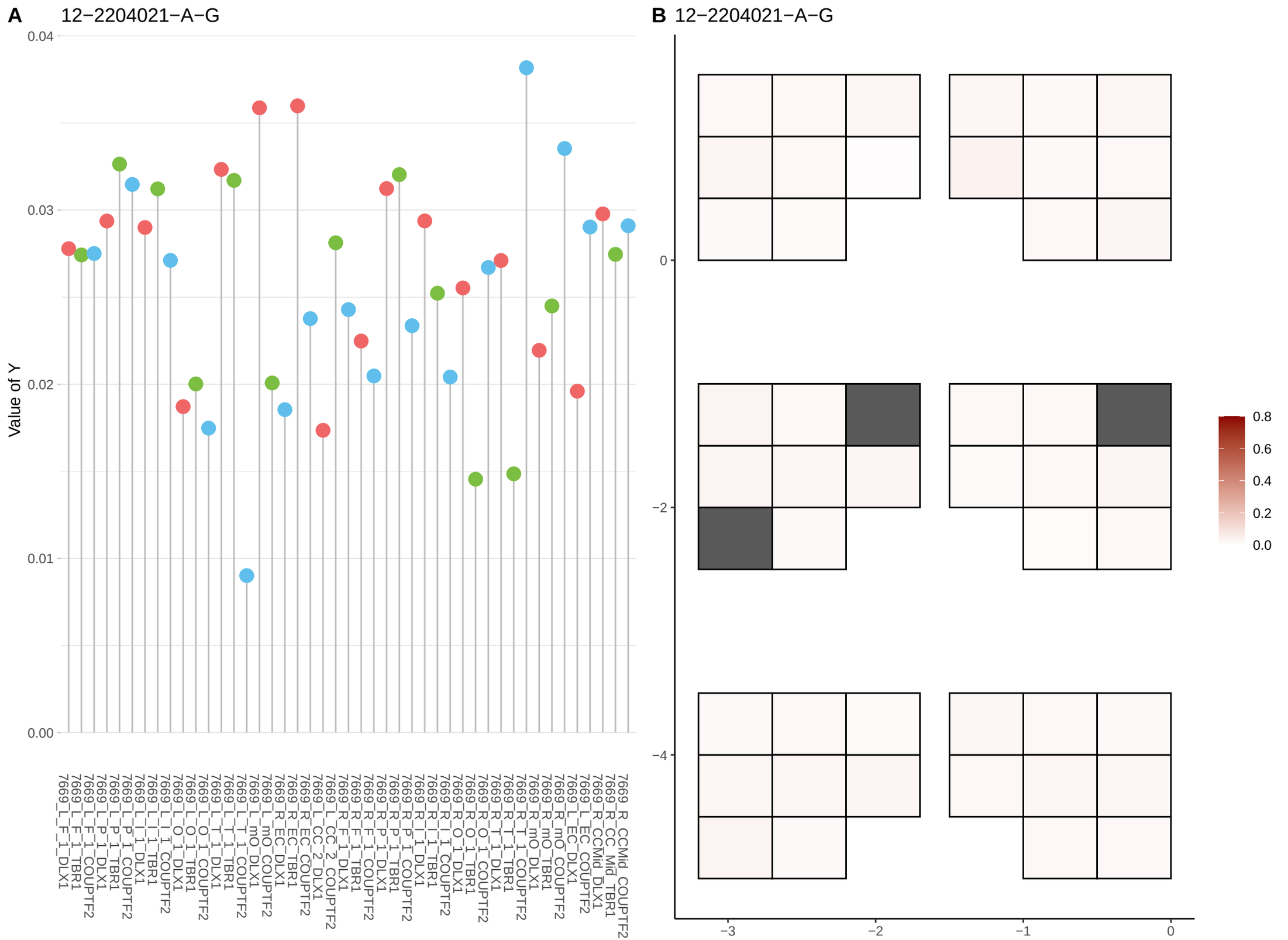
A
12−2204021−A−G
Value of Y
0.04
0.03
0.02
0.01
0.00
7669_L_F_1_DLX1
7669_L_F_1_TBR1
7669_L_F_1_COUPTF2
7669_L_P_1_DLX1
7669_L_P_1_TBR1
7669_L_P_1_COUPTF2
7669_L_I_1_DLX1
7669_L_I_1_TBR1
7669_L_I_1_COUPTF2
7669_L_O_1_DLX1
7669_L_O_1_TBR1
7669_L_O_1_COUPTF2
7669_L_T_1_DLX1
7669_L_T_1_TBR1
7669_L_T_1_COUPTF2
7669_L_mO_DLX1
7669_L_mO_COUPTF2
7669_R_EC_DLX1
7669_R_EC_TBR1
7669_R_EC_COUPTF2
7669_L_CC_2_DLX1
7669_L_CC_2_COUPTF2
7669_R_F_1_DLX1
7669_R_F_1_TBR1
7669_R_F_1_COUPTF2
7669_R_P_1_DLX1
7669_R_P_1_TBR1
7669_R_P_1_COUPTF2
7669_R_I_1_DLX1
7669_R_I_1_TBR1
7669_R_I_1_COUPTF2
7669_R_O_1_DLX1
7669_R_O_1_TBR1
7669_R_O_1_COUPTF2
7669_R_T_1_DLX1
7669_R_T_1_TBR1
7669_R_T_1_COUPTF2
7669_R_mO_DLX1
7669_R_mO_TBR1
7669_R_mO_COUPTF2
7669_L_EC_DLX1
7669_L_EC_COUPTF2
7669_R_CCMid_DLX1
7669_R_CC_Mid_TBR1
7669_R_CCMid_COUPTF2
B
12−2204021−A−G
0
−2
−4
−3
−2
−1
0
0.8
0.6
0.4
0.2
0.0

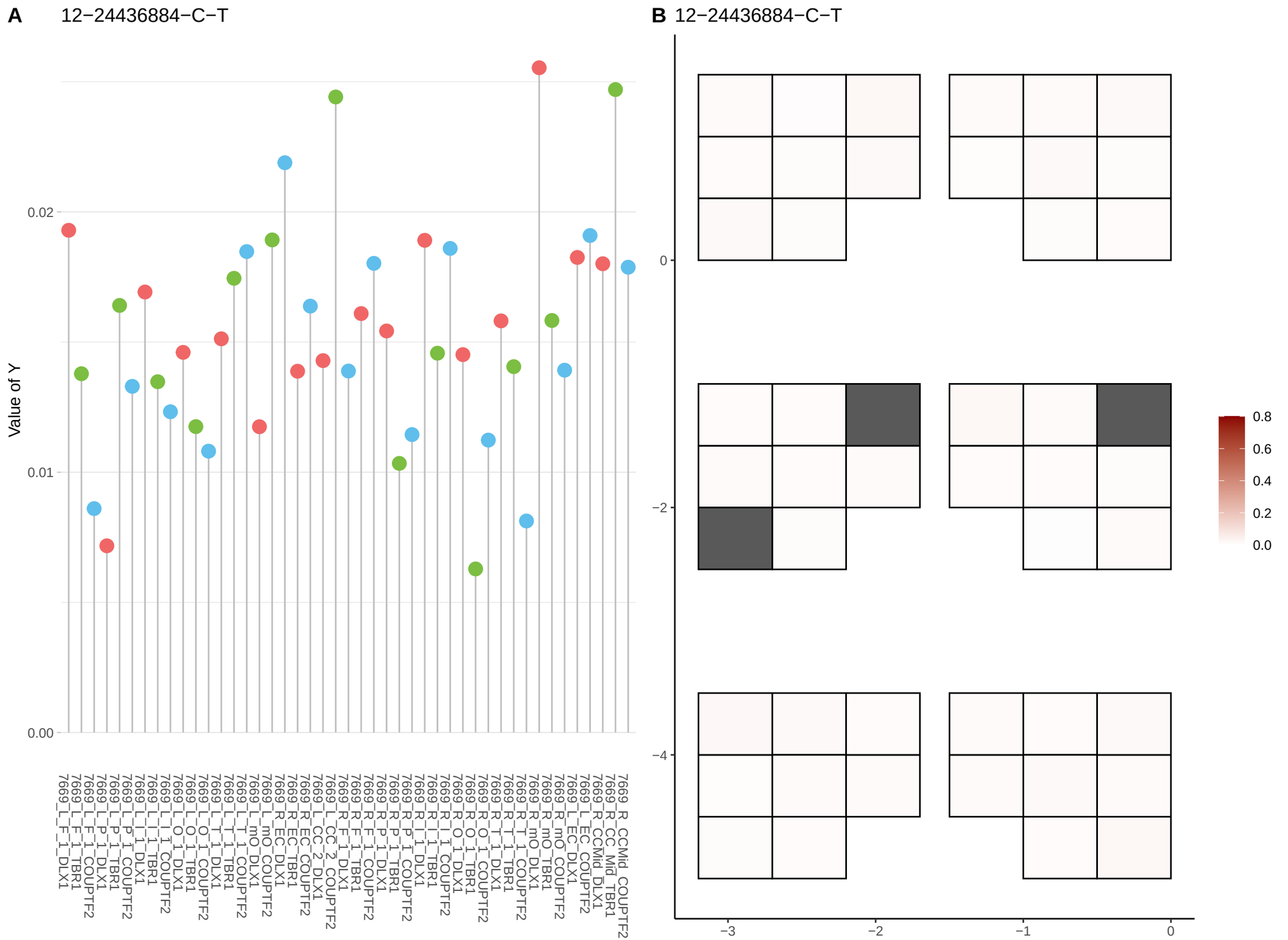
A
12−24436884−C−T
Value of Y
0.02
0.01
0.00
7669_L_F_1_DLX1
7669_L_F_1_TBR1
7669_L_F_1_COUPTF2
7669_L_P_1_DLX1
7669_L_P_1_TBR1
7669_L_P_1_COUPTF2
7669_L_I_1_DLX1
7669_L_I_1_TBR1
7669_L_I_1_COUPTF2
7669_L_O_1_DLX1
7669_L_O_1_TBR1
7669_L_O_1_COUPTF2
7669_L_T_1_DLX1
7669_L_T_1_TBR1
7669_L_T_1_COUPTF2
7669_L_mO_DLX1
7669_L_mO_COUPTF2
7669_R_EC_DLX1
7669_R_EC_TBR1
7669_R_EC_COUPTF2
7669_L_CC_2_DLX1
7669_L_CC_2_COUPTF2
7669_R_F_1_DLX1
7669_R_F_1_TBR1
7669_R_F_1_COUPTF2
7669_R_P_1_DLX1
7669_R_P_1_TBR1
7669_R_P_1_COUPTF2
7669_R_I_1_DLX1
7669_R_I_1_TBR1
7669_R_I_1_COUPTF2
7669_R_O_1_DLX1
7669_R_O_1_TBR1
7669_R_O_1_COUPTF2
7669_R_T_1_DLX1
7669_R_T_1_TBR1
7669_R_T_1_COUPTF2
7669_R_mO_DLX1
7669_R_mO_TBR1
7669_R_mO_COUPTF2
7669_L_EC_DLX1
7669_L_EC_COUPTF2
7669_R_CCMid_DLX1
7669_R_CC_Mid_TBR1
7669_R_CCMid_COUPTF2
B
12−24436884−C−T
0
−2
−4
−3
−2
−1
0
0.8
0.6
0.4
0.2
0.0

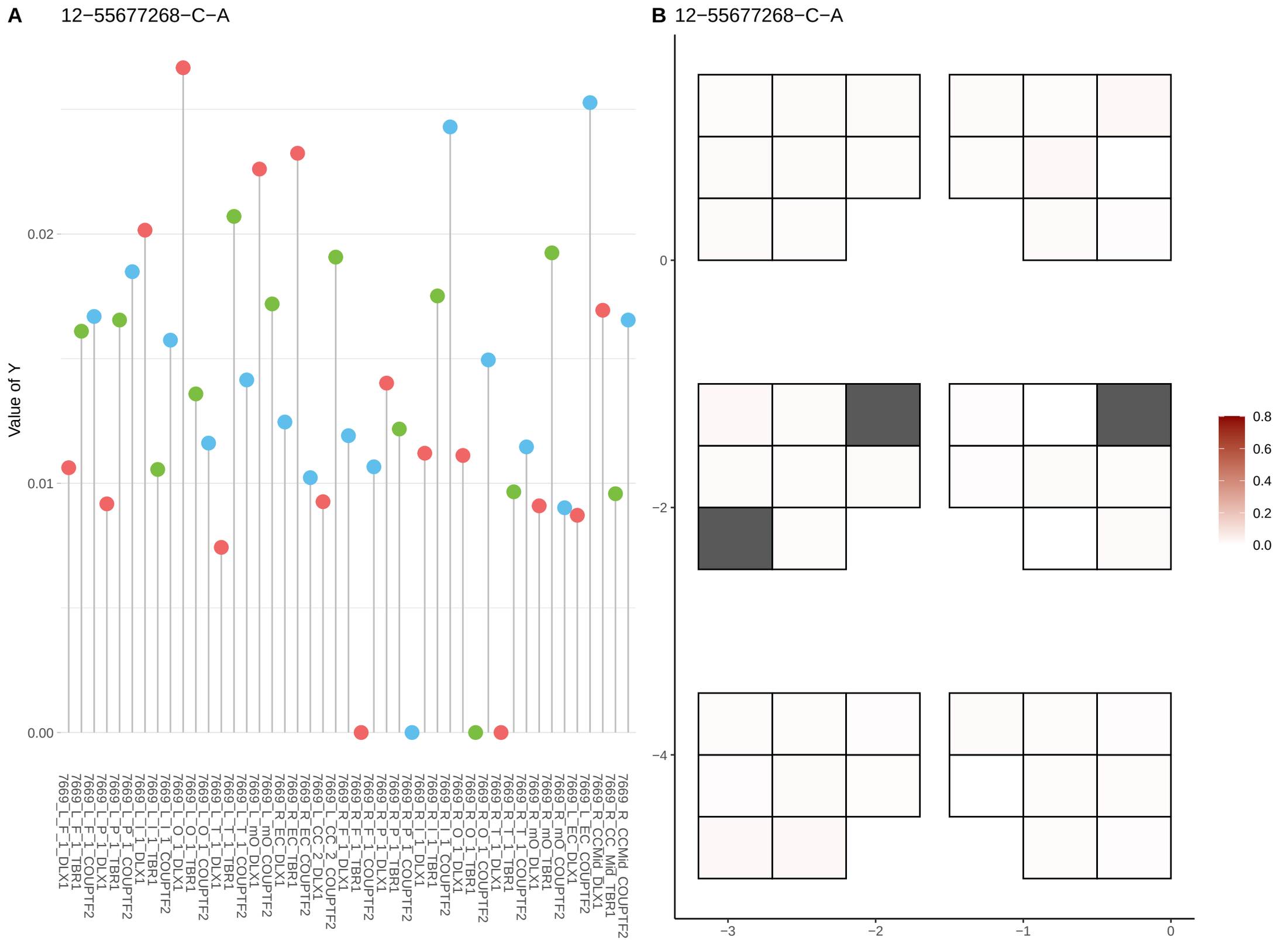
A
12−55677268−C−A
Value of Y
0.02
0.01
0.00
7669_L_F_1_DLX1
7669_L_F_1_TBR1
7669_L_F_1_COUPTF2
7669_L_P_1_DLX1
7669_L_P_1_TBR1
7669_L_P_1_COUPTF2
7669_L_I_1_DLX1
7669_L_I_1_TBR1
7669_L_I_1_COUPTF2
7669_L_O_1_DLX1
7669_L_O_1_TBR1
7669_L_O_1_COUPTF2
7669_L_T_1_DLX1
7669_L_T_1_TBR1
7669_L_T_1_COUPTF2
7669_L_mO_DLX1
7669_L_mO_COUPTF2
7669_R_EC_DLX1
7669_R_EC_TBR1
7669_R_EC_COUPTF2
7669_L_CC_2_DLX1
7669_L_CC_2_COUPTF2
7669_R_F_1_DLX1
7669_R_F_1_TBR1
7669_R_F_1_COUPTF2
7669_R_P_1_DLX1
7669_R_P_1_TBR1
7669_R_P_1_COUPTF2
7669_R_I_1_DLX1
7669_R_I_1_TBR1
7669_R_I_1_COUPTF2
7669_R_O_1_DLX1
7669_R_O_1_TBR1
7669_R_O_1_COUPTF2
7669_R_T_1_DLX1
7669_R_T_1_TBR1
7669_R_T_1_COUPTF2
7669_R_mO_DLX1
7669_R_mO_TBR1
7669_R_mO_COUPTF2
7669_L_EC_DLX1
7669_L_EC_COUPTF2
7669_R_CCMid_DLX1
7669_R_CC_Mid_TBR1
7669_R_CCMid_COUPTF2
B
12−55677268−C−A
0
−2
−4
−3
−2
−1
0
0.8
0.6
0.4
0.2
0.0

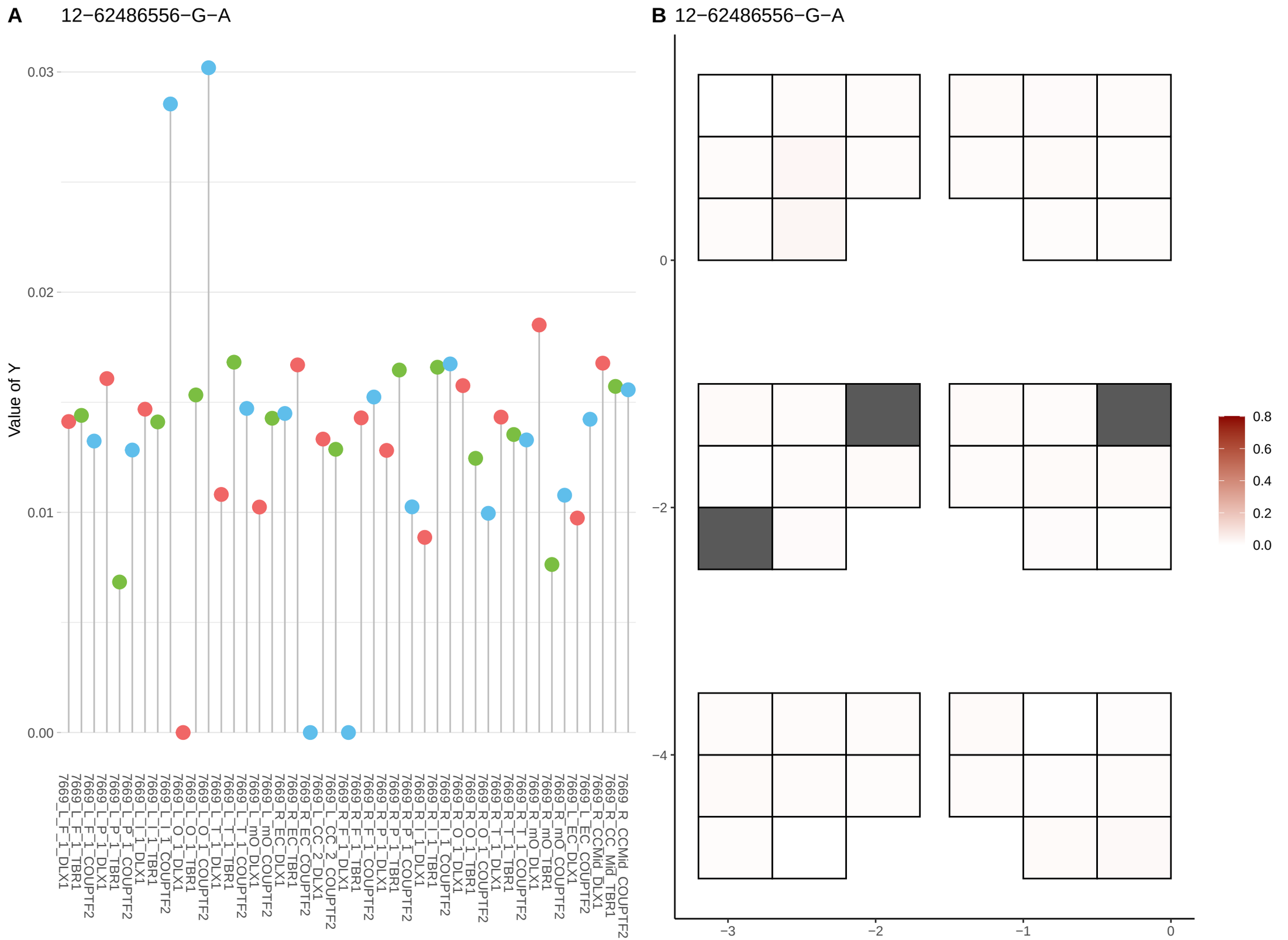
A
12−62486556−G−A
Value of Y
0.03
0.02
0.01
0.00
7669_L_F_1_DLX1
7669_L_F_1_TBR1
7669_L_F_1_COUPTF2
7669_L_P_1_DLX1
7669_L_P_1_TBR1
7669_L_P_1_COUPTF2
7669_L_I_1_DLX1
7669_L_I_1_TBR1
7669_L_I_1_COUPTF2
7669_L_O_1_DLX1
7669_L_O_1_TBR1
7669_L_O_1_COUPTF2
7669_L_T_1_DLX1
7669_L_T_1_TBR1
7669_L_T_1_COUPTF2
7669_L_mO_DLX1
7669_L_mO_COUPTF2
7669_R_EC_DLX1
7669_R_EC_TBR1
7669_R_EC_COUPTF2
7669_L_CC_2_DLX1
7669_L_CC_2_COUPTF2
7669_R_F_1_DLX1
7669_R_F_1_TBR1
7669_R_F_1_COUPTF2
7669_R_P_1_DLX1
7669_R_P_1_TBR1
7669_R_P_1_COUPTF2
7669_R_I_1_DLX1
7669_R_I_1_TBR1
7669_R_I_1_COUPTF2
7669_R_O_1_DLX1
7669_R_O_1_TBR1
7669_R_O_1_COUPTF2
7669_R_T_1_DLX1
7669_R_T_1_TBR1
7669_R_T_1_COUPTF2
7669_R_mO_DLX1
7669_R_mO_TBR1
7669_R_mO_COUPTF2
7669_L_EC_DLX1
7669_L_EC_COUPTF2
7669_R_CCMid_DLX1
7669_R_CC_Mid_TBR1
7669_R_CCMid_COUPTF2
B
12−62486556−G−A
0
−2
−4
−3
−2
−1
0
0.8
0.6
0.4
0.2
0.0

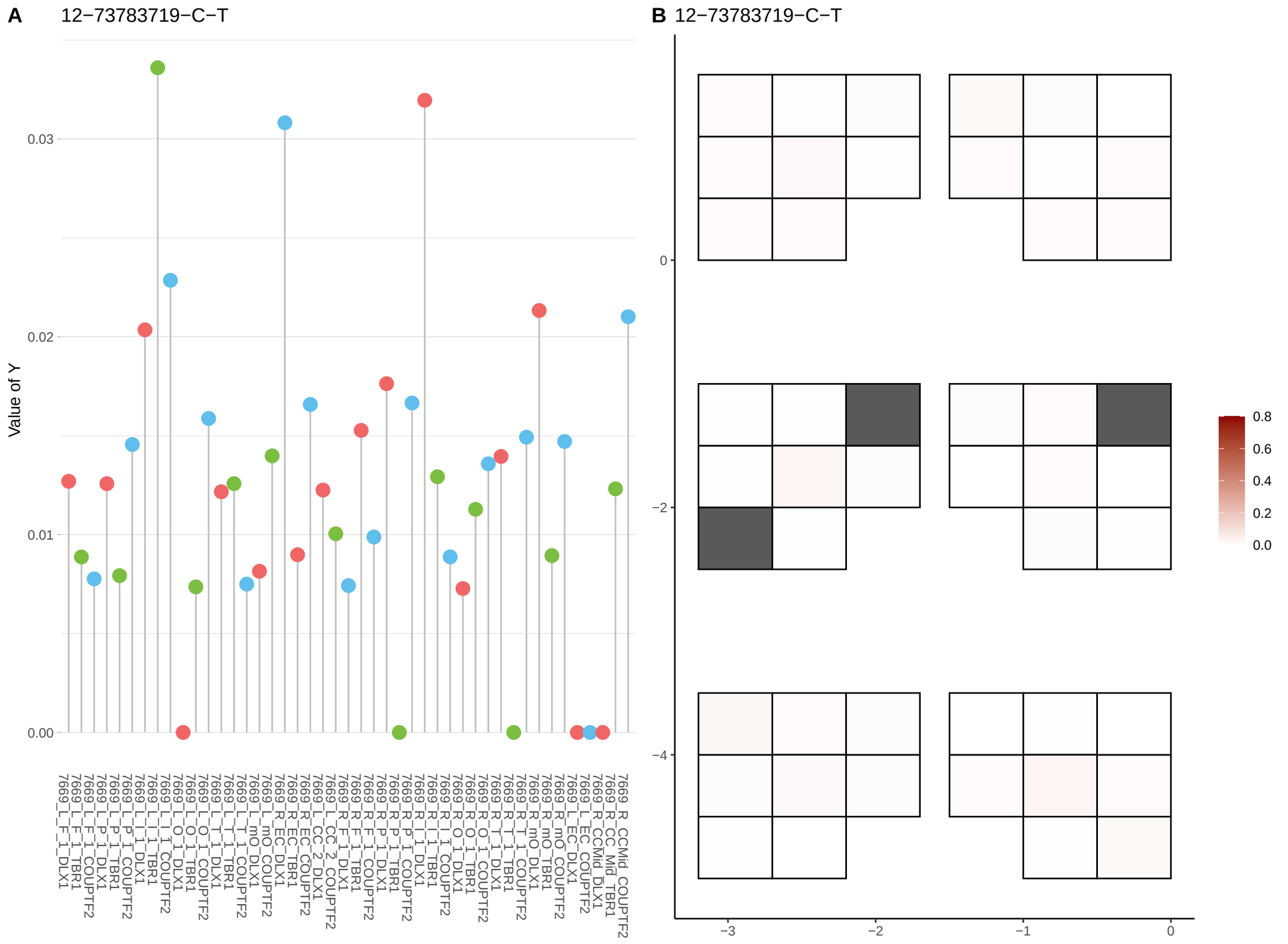
A
12−73783719−C−T
Value of Y
0.03
0.02
0.01
0.00
7669_L_F_1_DLX1
7669_L_F_1_TBR1
7669_L_F_1_COUPTF2
7669_L_P_1_DLX1
7669_L_P_1_TBR1
7669_L_P_1_COUPTF2
7669_L_I_1_DLX1
7669_L_I_1_TBR1
7669_L_I_1_COUPTF2
7669_L_O_1_DLX1
7669_L_O_1_TBR1
7669_L_O_1_COUPTF2
7669_L_T_1_DLX1
7669_L_T_1_TBR1
7669_L_T_1_COUPTF2
7669_L_mO_DLX1
7669_L_mO_COUPTF2
7669_R_EC_DLX1
7669_R_EC_TBR1
7669_R_EC_COUPTF2
7669_L_CC_2_DLX1
7669_L_CC_2_COUPTF2
7669_R_F_1_DLX1
7669_R_F_1_TBR1
7669_R_F_1_COUPTF2
7669_R_P_1_DLX1
7669_R_P_1_TBR1
7669_R_P_1_COUPTF2
7669_R_I_1_DLX1
7669_R_I_1_TBR1
7669_R_I_1_COUPTF2
7669_R_O_1_DLX1
7669_R_O_1_TBR1
7669_R_O_1_COUPTF2
7669_R_T_1_DLX1
7669_R_T_1_TBR1
7669_R_T_1_COUPTF2
7669_R_mO_DLX1
7669_R_mO_TBR1
7669_R_mO_COUPTF2
7669_L_EC_DLX1
7669_L_EC_COUPTF2
7669_R_CCMid_DLX1
7669_R_CC_Mid_TBR1
7669_R_CCMid_COUPTF2
B
12−73783719−C−T
0
−2
−4
−3
−2
−1
0
0.8
0.6
0.4
0.2
0.0

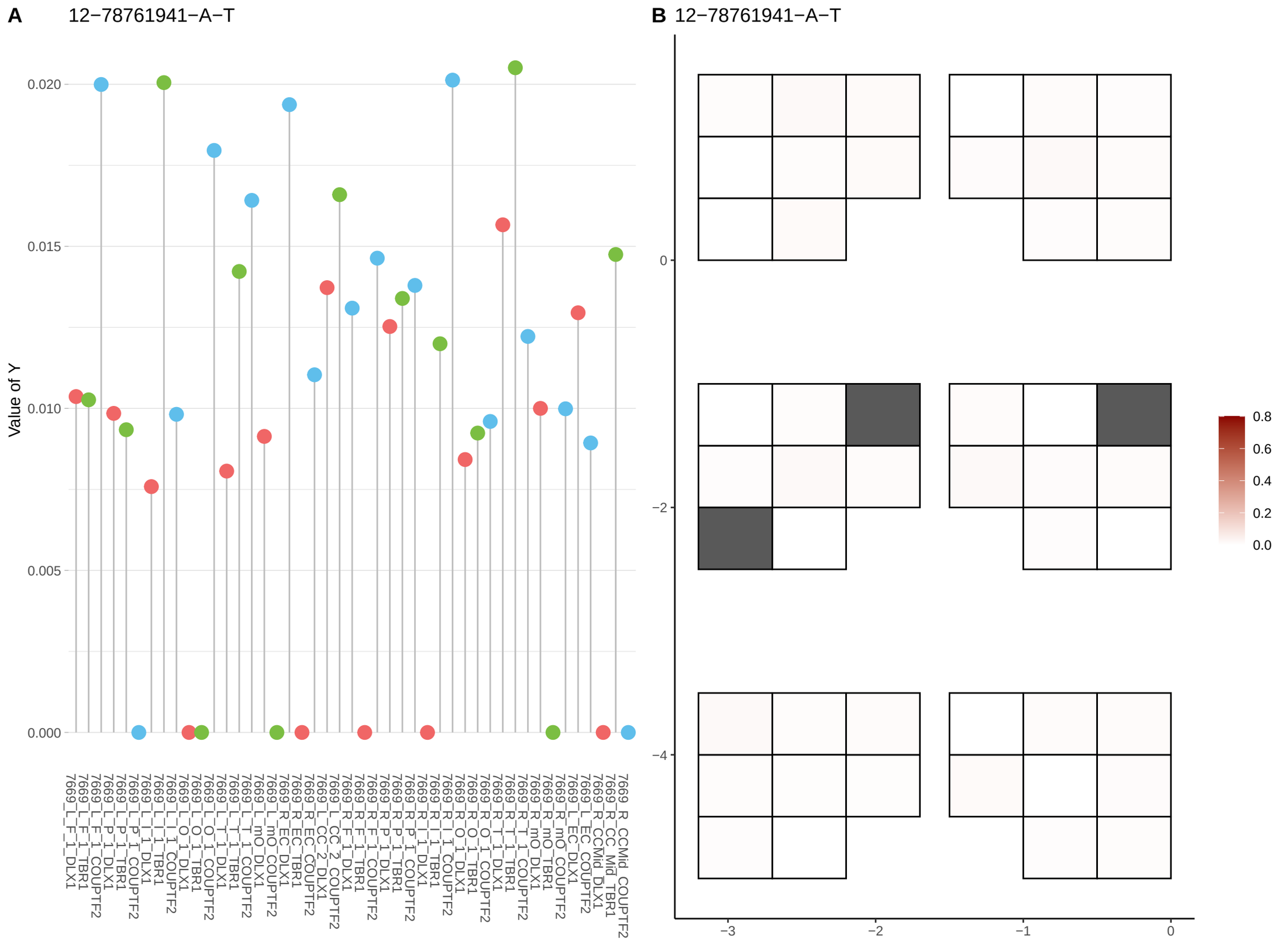
A
12−78761941−A−T
Value of Y
0.020
0.015
0.010
0.005
0.000
7669_L_F_1_DLX1
7669_L_F_1_TBR1
7669_L_F_1_COUPTF2
7669_L_P_1_DLX1
7669_L_P_1_TBR1
7669_L_P_1_COUPTF2
7669_L_I_1_DLX1
7669_L_I_1_TBR1
7669_L_I_1_COUPTF2
7669_L_O_1_DLX1
7669_L_O_1_TBR1
7669_L_O_1_COUPTF2
7669_L_T_1_DLX1
7669_L_T_1_TBR1
7669_L_T_1_COUPTF2
7669_L_mO_DLX1
7669_L_mO_COUPTF2
7669_R_EC_DLX1
7669_R_EC_TBR1
7669_R_EC_COUPTF2
7669_L_CC_2_DLX1
7669_L_CC_2_COUPTF2
7669_R_F_1_DLX1
7669_R_F_1_TBR1
7669_R_F_1_COUPTF2
7669_R_P_1_DLX1
7669_R_P_1_TBR1
7669_R_P_1_COUPTF2
7669_R_I_1_DLX1
7669_R_I_1_TBR1
7669_R_I_1_COUPTF2
7669_R_O_1_DLX1
7669_R_O_1_TBR1
7669_R_O_1_COUPTF2
7669_R_T_1_DLX1
7669_R_T_1_TBR1
7669_R_T_1_COUPTF2
7669_R_mO_DLX1
7669_R_mO_TBR1
7669_R_mO_COUPTF2
7669_L_EC_DLX1
7669_L_EC_COUPTF2
7669_R_CCMid_DLX1
7669_R_CC_Mid_TBR1
7669_R_CCMid_COUPTF2
B
12−78761941−A−T
0
−2
−4
−3
−2
−1
0
0.8
0.6
0.4
0.2
0.0

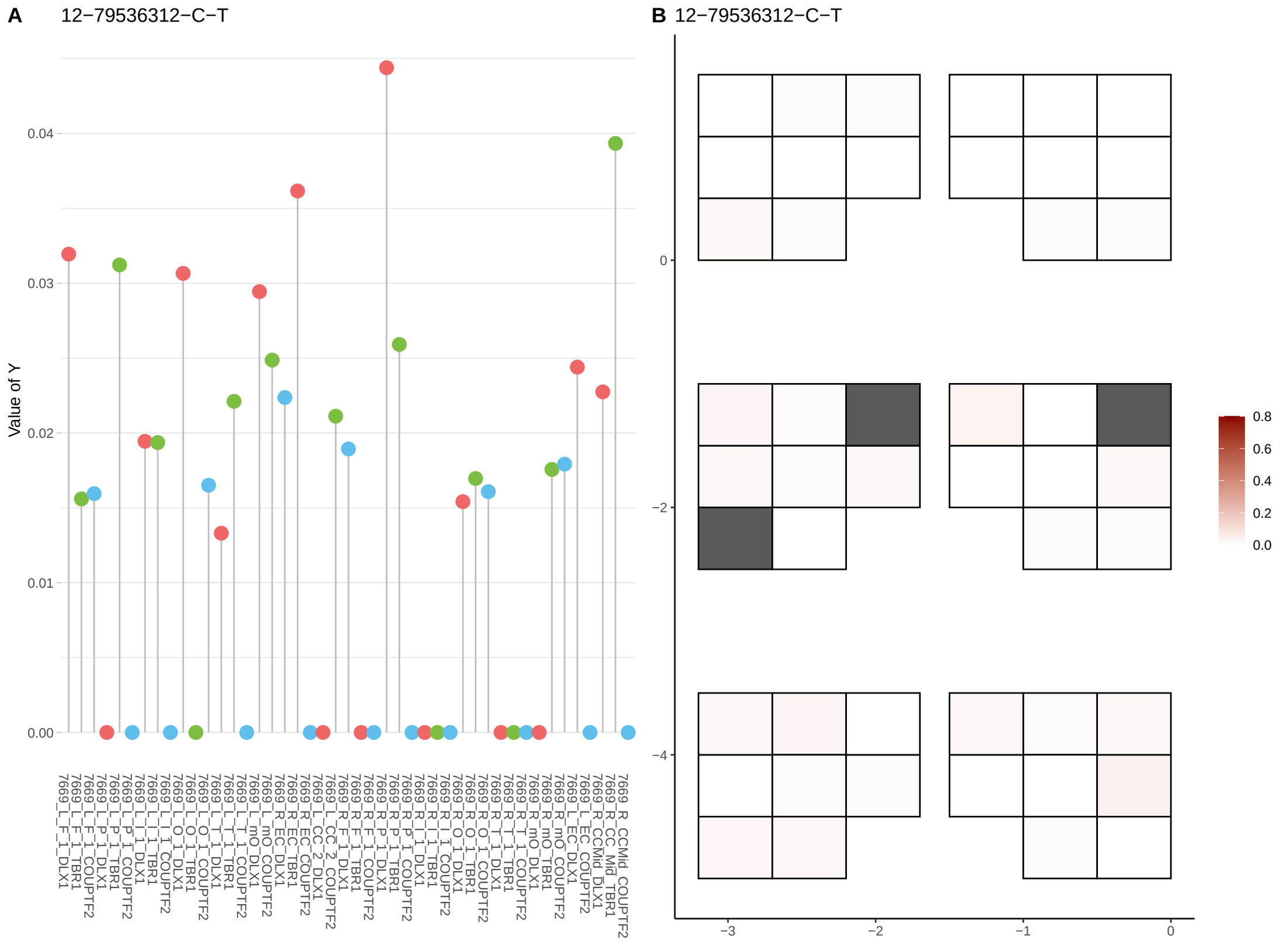
A
12−79536312−C−T
Value of Y
0.04
0.03
0.02
0.01
0.00
7669_L_F_1_DLX1
7669_L_F_1_TBR1
7669_L_F_1_COUPTF2
7669_L_P_1_DLX1
7669_L_P_1_TBR1
7669_L_P_1_COUPTF2
7669_L_I_1_DLX1
7669_L_I_1_TBR1
7669_L_I_1_COUPTF2
7669_L_O_1_DLX1
7669_L_O_1_TBR1
7669_L_O_1_COUPTF2
7669_L_T_1_DLX1
7669_L_T_1_TBR1
7669_L_T_1_COUPTF2
7669_L_mO_DLX1
7669_L_mO_COUPTF2
7669_R_EC_DLX1
7669_R_EC_TBR1
7669_R_EC_COUPTF2
7669_L_CC_2_DLX1
7669_L_CC_2_COUPTF2
7669_R_F_1_DLX1
7669_R_F_1_TBR1
7669_R_F_1_COUPTF2
7669_R_P_1_DLX1
7669_R_P_1_TBR1
7669_R_P_1_COUPTF2
7669_R_I_1_DLX1
7669_R_I_1_TBR1
7669_R_I_1_COUPTF2
7669_R_O_1_DLX1
7669_R_O_1_TBR1
7669_R_O_1_COUPTF2
7669_R_T_1_DLX1
7669_R_T_1_TBR1
7669_R_T_1_COUPTF2
7669_R_mO_DLX1
7669_R_mO_TBR1
7669_R_mO_COUPTF2
7669_L_EC_DLX1
7669_L_EC_COUPTF2
7669_R_CCMid_DLX1
7669_R_CC_Mid_TBR1
7669_R_CCMid_COUPTF2
B
12−79536312−C−T
0
−2
−4
−3
−2
−1
0
0.8
0.6
0.4
0.2
0.0

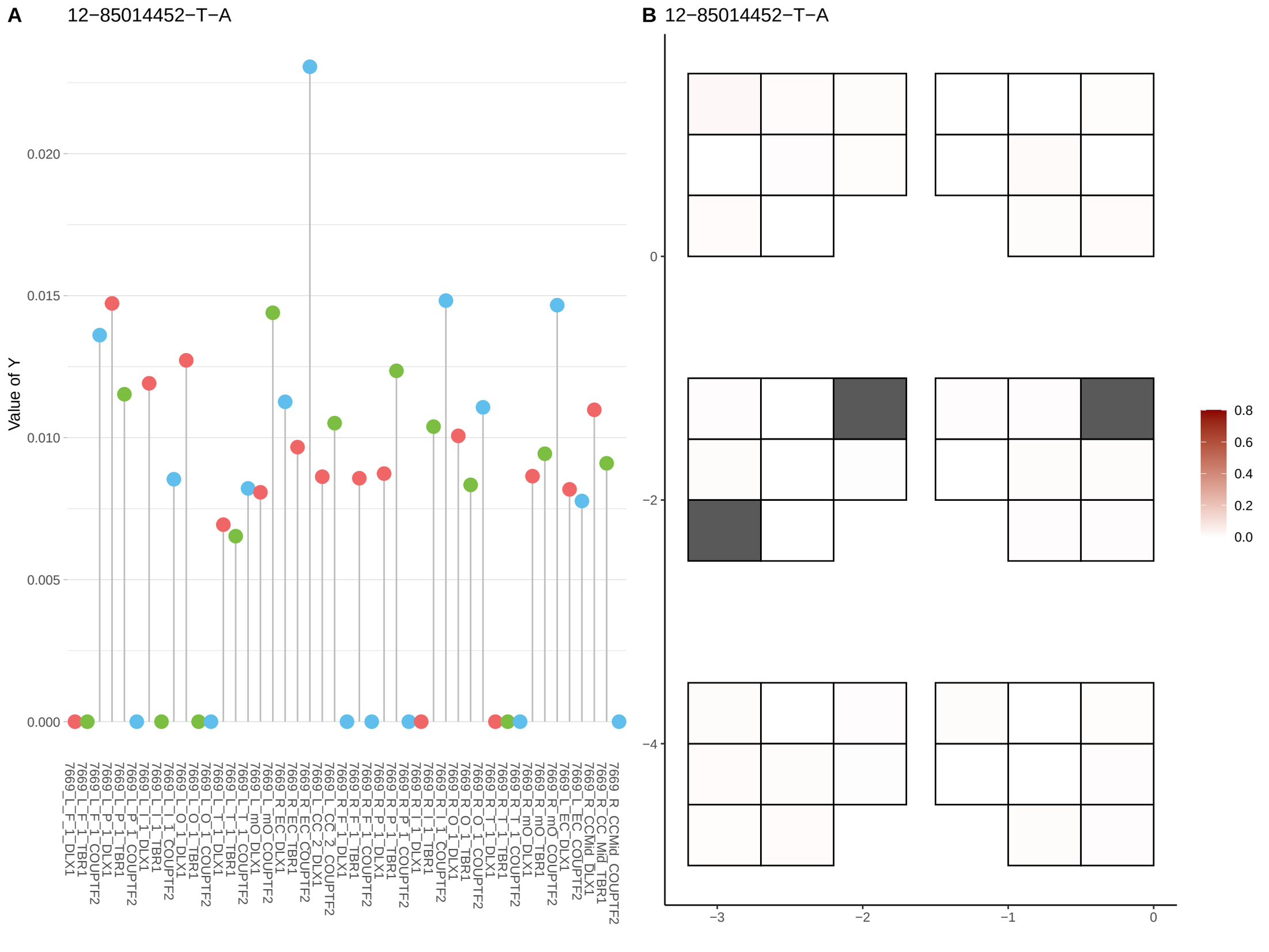
A
12−85014452−T−A
Value of Y
0.020
0.015
0.010
0.005
0.000
7669_L_F_1_DLX1
7669_L_F_1_TBR1
7669_L_F_1_COUPTF2
7669_L_P_1_DLX1
7669_L_P_1_TBR1
7669_L_P_1_COUPTF2
7669_L_I_1_DLX1
7669_L_I_1_TBR1
7669_L_I_1_COUPTF2
7669_L_O_1_DLX1
7669_L_O_1_TBR1
7669_L_O_1_COUPTF2
7669_L_T_1_DLX1
7669_L_T_1_TBR1
7669_L_T_1_COUPTF2
7669_L_mO_DLX1
7669_L_mO_COUPTF2
7669_R_EC_DLX1
7669_R_EC_TBR1
7669_R_EC_COUPTF2
7669_L_CC_2_DLX1
7669_L_CC_2_COUPTF2
7669_R_F_1_DLX1
7669_R_F_1_TBR1
7669_R_F_1_COUPTF2
7669_R_P_1_DLX1
7669_R_P_1_TBR1
7669_R_P_1_COUPTF2
7669_R_I_1_DLX1
7669_R_I_1_TBR1
7669_R_I_1_COUPTF2
7669_R_O_1_DLX1
7669_R_O_1_TBR1
7669_R_O_1_COUPTF2
7669_R_T_1_DLX1
7669_R_T_1_TBR1
7669_R_T_1_COUPTF2
7669_R_mO_DLX1
7669_R_mO_TBR1
7669_R_mO_COUPTF2
7669_L_EC_DLX1
7669_L_EC_COUPTF2
7669_R_CCMid_DLX1
7669_R_CC_Mid_TBR1
7669_R_CCMid_COUPTF2
B
12−85014452−T−A
0
−2
−4
−3
−2
−1
0
0.8
0.6
0.4
0.2
0.0

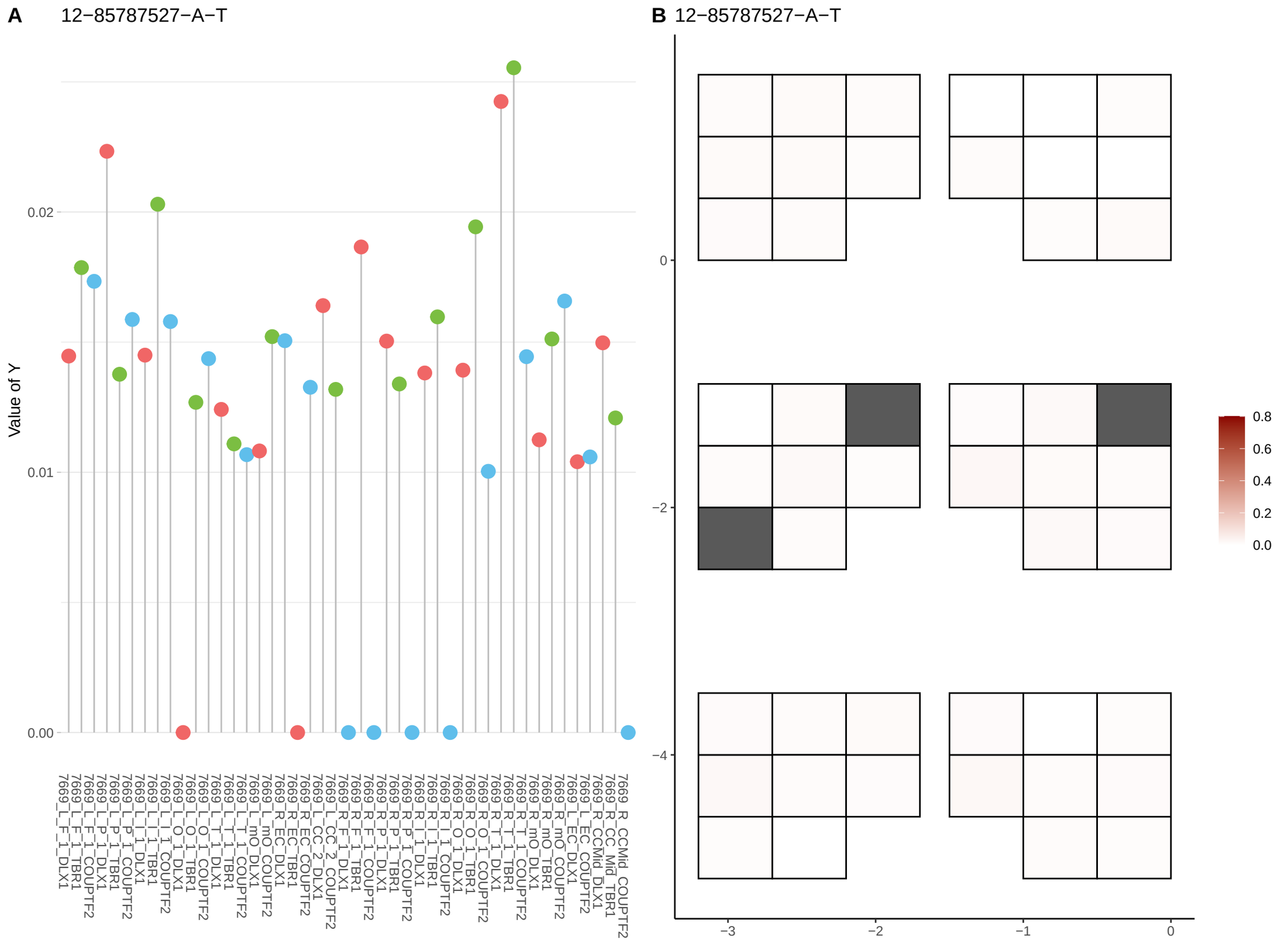
A
12−85787527−A−T
Value of Y
0.02
0.01
0.00
7669_L_F_1_DLX1
7669_L_F_1_TBR1
7669_L_F_1_COUPTF2
7669_L_P_1_DLX1
7669_L_P_1_TBR1
7669_L_P_1_COUPTF2
7669_L_I_1_DLX1
7669_L_I_1_TBR1
7669_L_I_1_COUPTF2
7669_L_O_1_DLX1
7669_L_O_1_TBR1
7669_L_O_1_COUPTF2
7669_L_T_1_DLX1
7669_L_T_1_TBR1
7669_L_T_1_COUPTF2
7669_L_mO_DLX1
7669_L_mO_COUPTF2
7669_R_EC_DLX1
7669_R_EC_TBR1
7669_R_EC_COUPTF2
7669_L_CC_2_DLX1
7669_L_CC_2_COUPTF2
7669_R_F_1_DLX1
7669_R_F_1_TBR1
7669_R_F_1_COUPTF2
7669_R_P_1_DLX1
7669_R_P_1_TBR1
7669_R_P_1_COUPTF2
7669_R_I_1_DLX1
7669_R_I_1_TBR1
7669_R_I_1_COUPTF2
7669_R_O_1_DLX1
7669_R_O_1_TBR1
7669_R_O_1_COUPTF2
7669_R_T_1_DLX1
7669_R_T_1_TBR1
7669_R_T_1_COUPTF2
7669_R_mO_DLX1
7669_R_mO_TBR1
7669_R_mO_COUPTF2
7669_L_EC_DLX1
7669_L_EC_COUPTF2
7669_R_CCMid_DLX1
7669_R_CC_Mid_TBR1
7669_R_CCMid_COUPTF2
B
12−85787527−A−T
0
−2
−4
−3
−2
−1
0
0.8
0.6
0.4
0.2
0.0

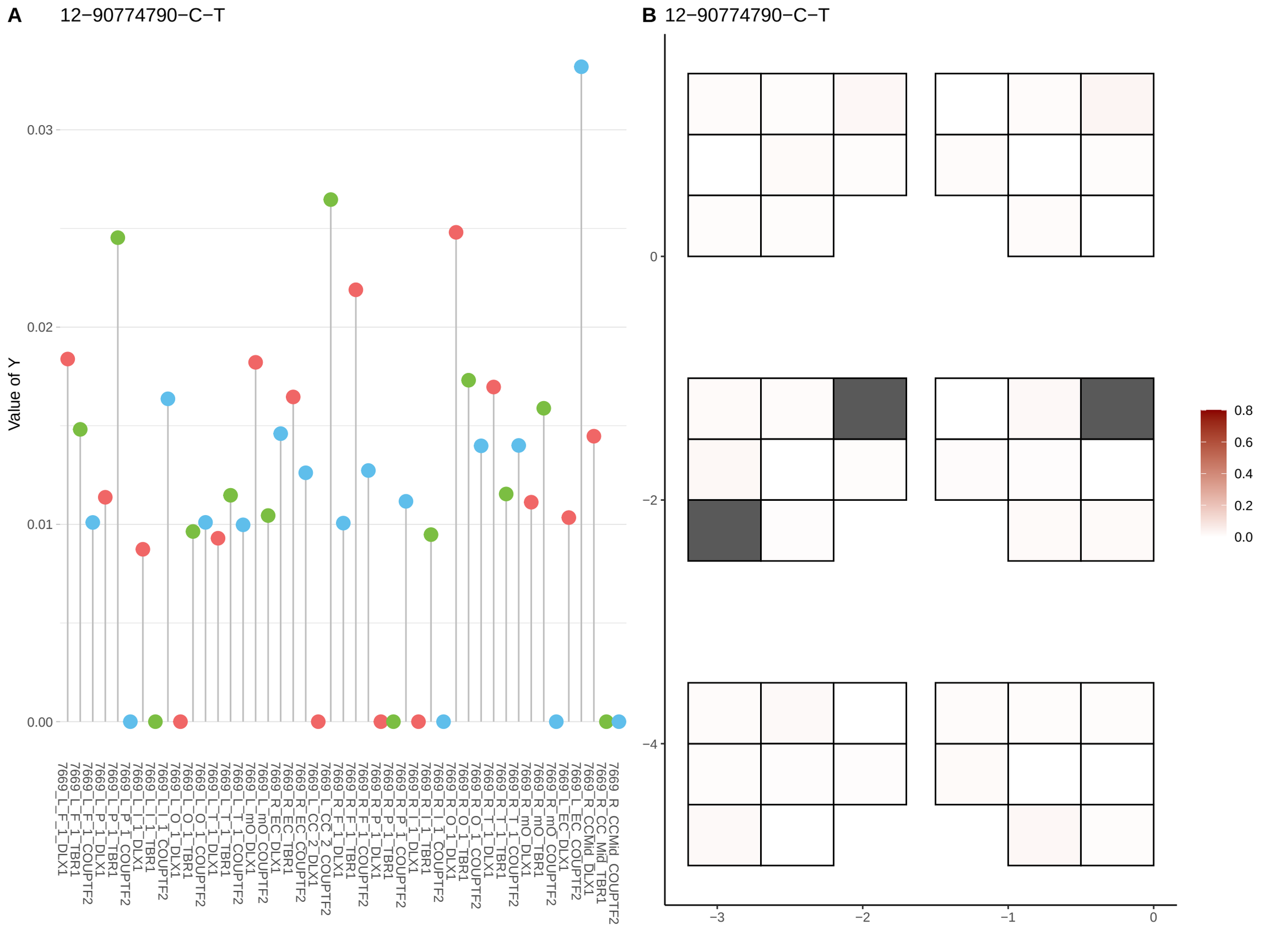
A
12−90774790−C−T
Value of Y
0.03
0.02
0.01
0.00
7669_L_F_1_DLX1
7669_L_F_1_TBR1
7669_L_F_1_COUPTF2
7669_L_P_1_DLX1
7669_L_P_1_TBR1
7669_L_P_1_COUPTF2
7669_L_I_1_DLX1
7669_L_I_1_TBR1
7669_L_I_1_COUPTF2
7669_L_O_1_DLX1
7669_L_O_1_TBR1
7669_L_O_1_COUPTF2
7669_L_T_1_DLX1
7669_L_T_1_TBR1
7669_L_T_1_COUPTF2
7669_L_mO_DLX1
7669_L_mO_COUPTF2
7669_R_EC_DLX1
7669_R_EC_TBR1
7669_R_EC_COUPTF2
7669_L_CC_2_DLX1
7669_L_CC_2_COUPTF2
7669_R_F_1_DLX1
7669_R_F_1_TBR1
7669_R_F_1_COUPTF2
7669_R_P_1_DLX1
7669_R_P_1_TBR1
7669_R_P_1_COUPTF2
7669_R_I_1_DLX1
7669_R_I_1_TBR1
7669_R_I_1_COUPTF2
7669_R_O_1_DLX1
7669_R_O_1_TBR1
7669_R_O_1_COUPTF2
7669_R_T_1_DLX1
7669_R_T_1_TBR1
7669_R_T_1_COUPTF2
7669_R_mO_DLX1
7669_R_mO_TBR1
7669_R_mO_COUPTF2
7669_L_EC_DLX1
7669_L_EC_COUPTF2
7669_R_CCMid_DLX1
7669_R_CC_Mid_TBR1
7669_R_CCMid_COUPTF2
B
12−90774790−C−T
0
−2
−4
−3
−2
−1
0
0.8
0.6
0.4
0.2
0.0

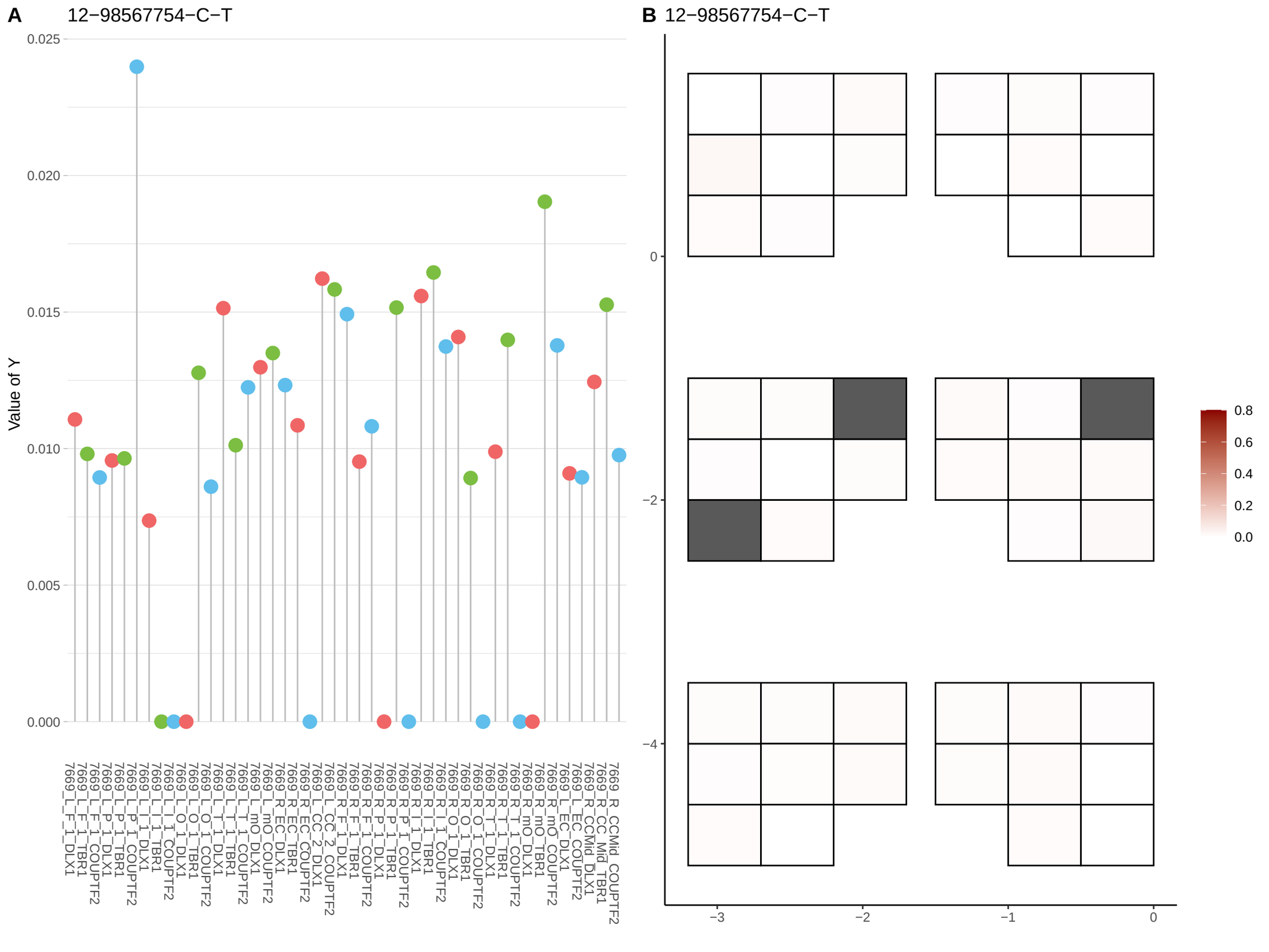
A
12−98567754−C−T
Value of Y
0.025
0.020
0.015
0.010
0.005
0.000
7669_L_F_1_DLX1
7669_L_F_1_TBR1
7669_L_F_1_COUPTF2
7669_L_P_1_DLX1
7669_L_P_1_TBR1
7669_L_P_1_COUPTF2
7669_L_I_1_DLX1
7669_L_I_1_TBR1
7669_L_I_1_COUPTF2
7669_L_O_1_DLX1
7669_L_O_1_TBR1
7669_L_O_1_COUPTF2
7669_L_T_1_DLX1
7669_L_T_1_TBR1
7669_L_T_1_COUPTF2
7669_L_mO_DLX1
7669_L_mO_COUPTF2
7669_R_EC_DLX1
7669_R_EC_TBR1
7669_R_EC_COUPTF2
7669_L_CC_2_DLX1
7669_L_CC_2_COUPTF2
7669_R_F_1_DLX1
7669_R_F_1_TBR1
7669_R_F_1_COUPTF2
7669_R_P_1_DLX1
7669_R_P_1_TBR1
7669_R_P_1_COUPTF2
7669_R_I_1_DLX1
7669_R_I_1_TBR1
7669_R_I_1_COUPTF2
7669_R_O_1_DLX1
7669_R_O_1_TBR1
7669_R_O_1_COUPTF2
7669_R_T_1_DLX1
7669_R_T_1_TBR1
7669_R_T_1_COUPTF2
7669_R_mO_DLX1
7669_R_mO_TBR1
7669_R_mO_COUPTF2
7669_L_EC_DLX1
7669_L_EC_COUPTF2
7669_R_CC_Mid_DLX1
7669_R_CC_Mid_TBR1
7669_R_CC_Mid_COUPTF2
B
12−98567754−C−T
0
−2
−4
−3
−2
−1
0
0.8
0.6
0.4
0.2
0.0

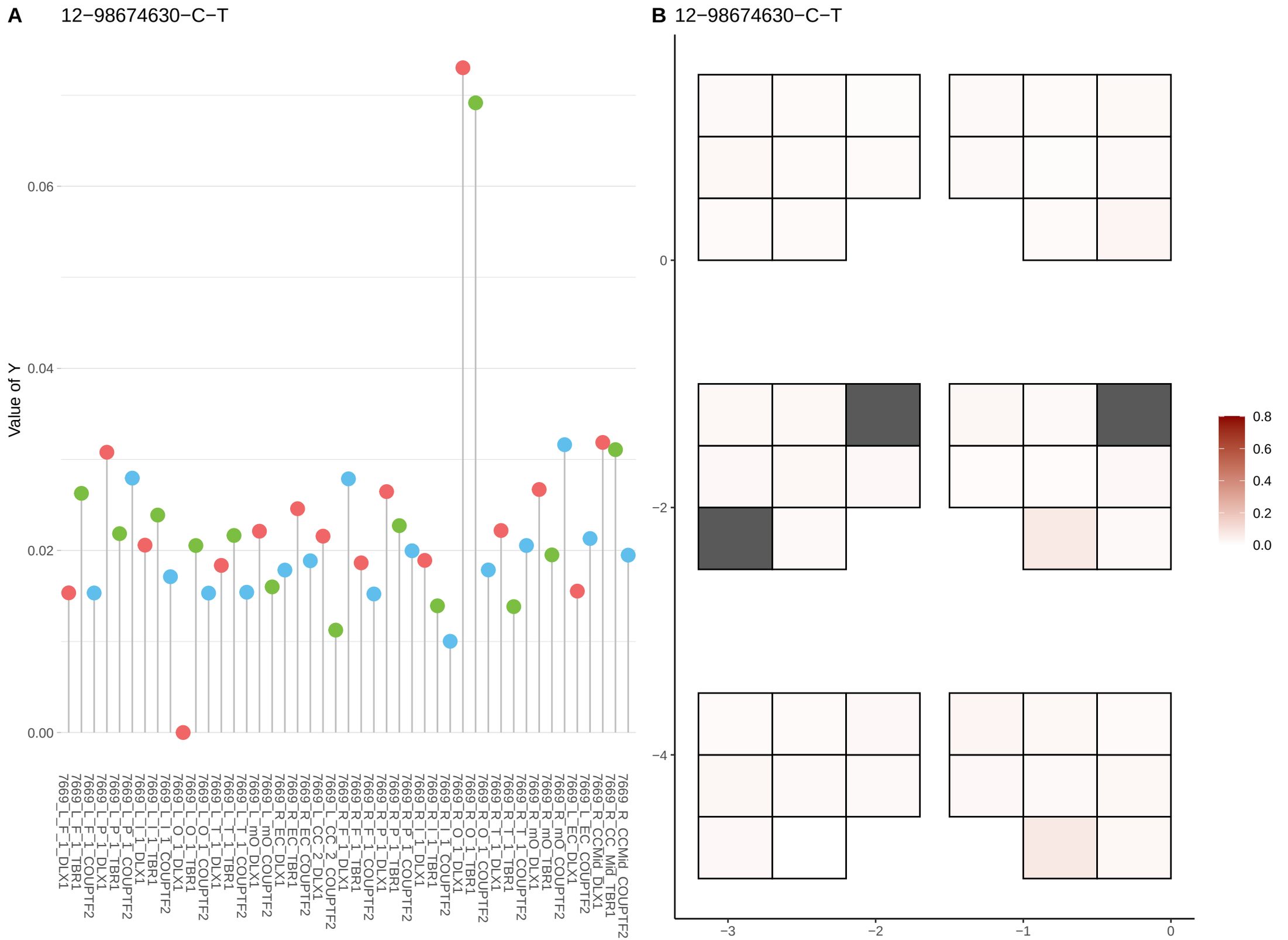
A
12−98674630−C−T
Value of Y
0.06
0.04
0.02
0.00
7669_L_F_1_DLX1
7669_L_F_1_TBR1
7669_L_F_1_COUPTF2
7669_L_P_1_DLX1
7669_L_P_1_TBR1
7669_L_P_1_COUPTF2
7669_L_I_1_DLX1
7669_L_I_1_TBR1
7669_L_I_1_COUPTF2
7669_L_O_1_DLX1
7669_L_O_1_TBR1
7669_L_O_1_COUPTF2
7669_L_T_1_DLX1
7669_L_T_1_TBR1
7669_L_T_1_COUPTF2
7669_L_mO_DLX1
7669_L_mO_COUPTF2
7669_R_EC_DLX1
7669_R_EC_TBR1
7669_R_EC_COUPTF2
7669_L_CC_2_DLX1
7669_L_CC_2_COUPTF2
7669_R_F_1_DLX1
7669_R_F_1_TBR1
7669_R_F_1_COUPTF2
7669_R_P_1_DLX1
7669_R_P_1_TBR1
7669_R_P_1_COUPTF2
7669_R_I_1_DLX1
7669_R_I_1_TBR1
7669_R_I_1_COUPTF2
7669_R_O_1_DLX1
7669_R_O_1_TBR1
7669_R_O_1_COUPTF2
7669_R_T_1_DLX1
7669_R_T_1_TBR1
7669_R_T_1_COUPTF2
7669_R_mO_DLX1
7669_R_mO_TBR1
7669_R_mO_COUPTF2
7669_L_EC_DLX1
7669_L_EC_COUPTF2
7669_R_CCMid_DLX1
7669_R_CC_Mid_TBR1
7669_R_CCMid_COUPTF2
B
12−98674630−C−T
0
−2
−4
−3
−2
−1
0
0.8
0.6
0.4
0.2
0.0

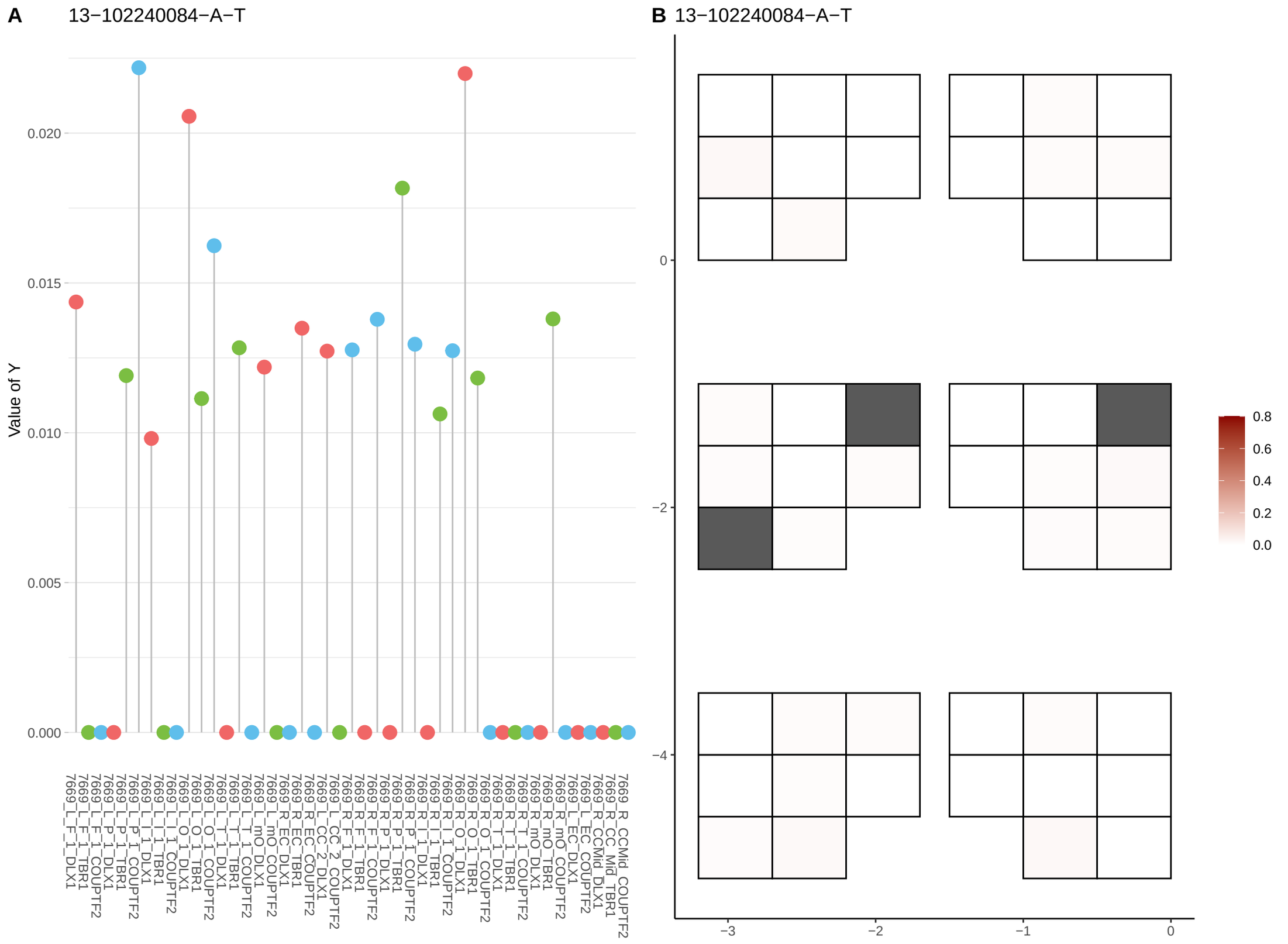
A
13−102240084−A−T
Value of Y
0.020
0.015
0.010
0.005
0.000
7669_L_F_1_DLX1
7669_L_F_1_TBR1
7669_L_F_1_COUPTF2
7669_L_P_1_DLX1
7669_L_P_1_TBR1
7669_L_P_1_COUPTF2
7669_L_I_1_DLX1
7669_L_I_1_TBR1
7669_L_I_1_COUPTF2
7669_L_O_1_DLX1
7669_L_O_1_TBR1
7669_L_O_1_COUPTF2
7669_L_T_1_DLX1
7669_L_T_1_TBR1
7669_L_T_1_COUPTF2
7669_L_mO_DLX1
7669_L_mO_COUPTF2
7669_R_EC_DLX1
7669_R_EC_TBR1
7669_R_EC_COUPTF2
7669_L_CC_2_DLX1
7669_L_CC_2_COUPTF2
7669_R_F_1_DLX1
7669_R_F_1_TBR1
7669_R_F_1_COUPTF2
7669_R_P_1_DLX1
7669_R_P_1_TBR1
7669_R_P_1_COUPTF2
7669_R_I_1_DLX1
7669_R_I_1_TBR1
7669_R_I_1_COUPTF2
7669_R_O_1_DLX1
7669_R_O_1_TBR1
7669_R_O_1_COUPTF2
7669_R_T_1_DLX1
7669_R_T_1_TBR1
7669_R_T_1_COUPTF2
7669_R_mO_DLX1
7669_R_mO_TBR1
7669_R_mO_COUPTF2
7669_L_EC_DLX1
7669_L_EC_COUPTF2
7669_R_CCMid_DLX1
7669_R_CC_Mid_TBR1
7669_R_CCMid_COUPTF2
B
13−102240084−A−T
0
−2
−4
−3
−2
−1
0
0.8
0.6
0.4
0.2
0.0

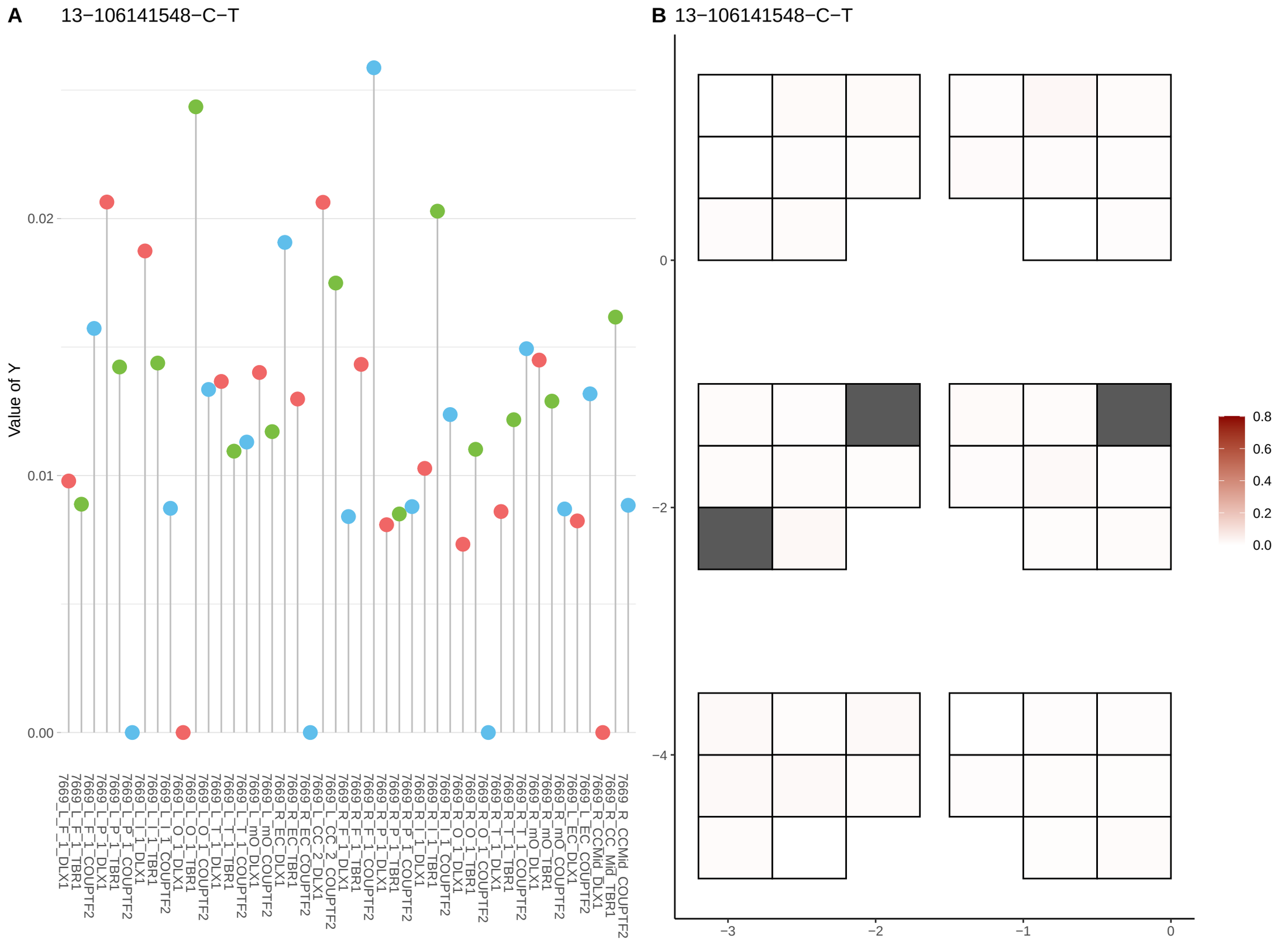
A
13−106141548−C−T
Value of Y
0.02
0.01
0.00
7669_L_F_1_DLX1
7669_L_F_1_TBR1
7669_L_F_1_COUPTF2
7669_L_P_1_DLX1
7669_L_P_1_TBR1
7669_L_P_1_COUPTF2
7669_L_I_1_DLX1
7669_L_I_1_TBR1
7669_L_I_1_COUPTF2
7669_L_O_1_DLX1
7669_L_O_1_TBR1
7669_L_O_1_COUPTF2
7669_L_T_1_DLX1
7669_L_T_1_TBR1
7669_L_T_1_COUPTF2
7669_L_mO_DLX1
7669_L_mO_COUPTF2
7669_R_EC_DLX1
7669_R_EC_TBR1
7669_R_EC_COUPTF2
7669_L_CC_2_DLX1
7669_L_CC_2_COUPTF2
7669_R_F_1_DLX1
7669_R_F_1_TBR1
7669_R_F_1_COUPTF2
7669_R_P_1_DLX1
7669_R_P_1_TBR1
7669_R_P_1_COUPTF2
7669_R_I_1_DLX1
7669_R_I_1_TBR1
7669_R_I_1_COUPTF2
7669_R_O_1_DLX1
7669_R_O_1_TBR1
7669_R_O_1_COUPTF2
7669_R_T_1_DLX1
7669_R_T_1_TBR1
7669_R_T_1_COUPTF2
7669_R_mO_DLX1
7669_R_mO_TBR1
7669_R_mO_COUPTF2
7669_L_EC_DLX1
7669_L_EC_COUPTF2
7669_R_CCMid_DLX1
7669_R_CC_Mid_TBR1
7669_R_CCMid_COUPTF2
B
13−106141548−C−T
0
−2
−4
−3
−2
−1
0
0.8
0.6
0.4
0.2
0.0

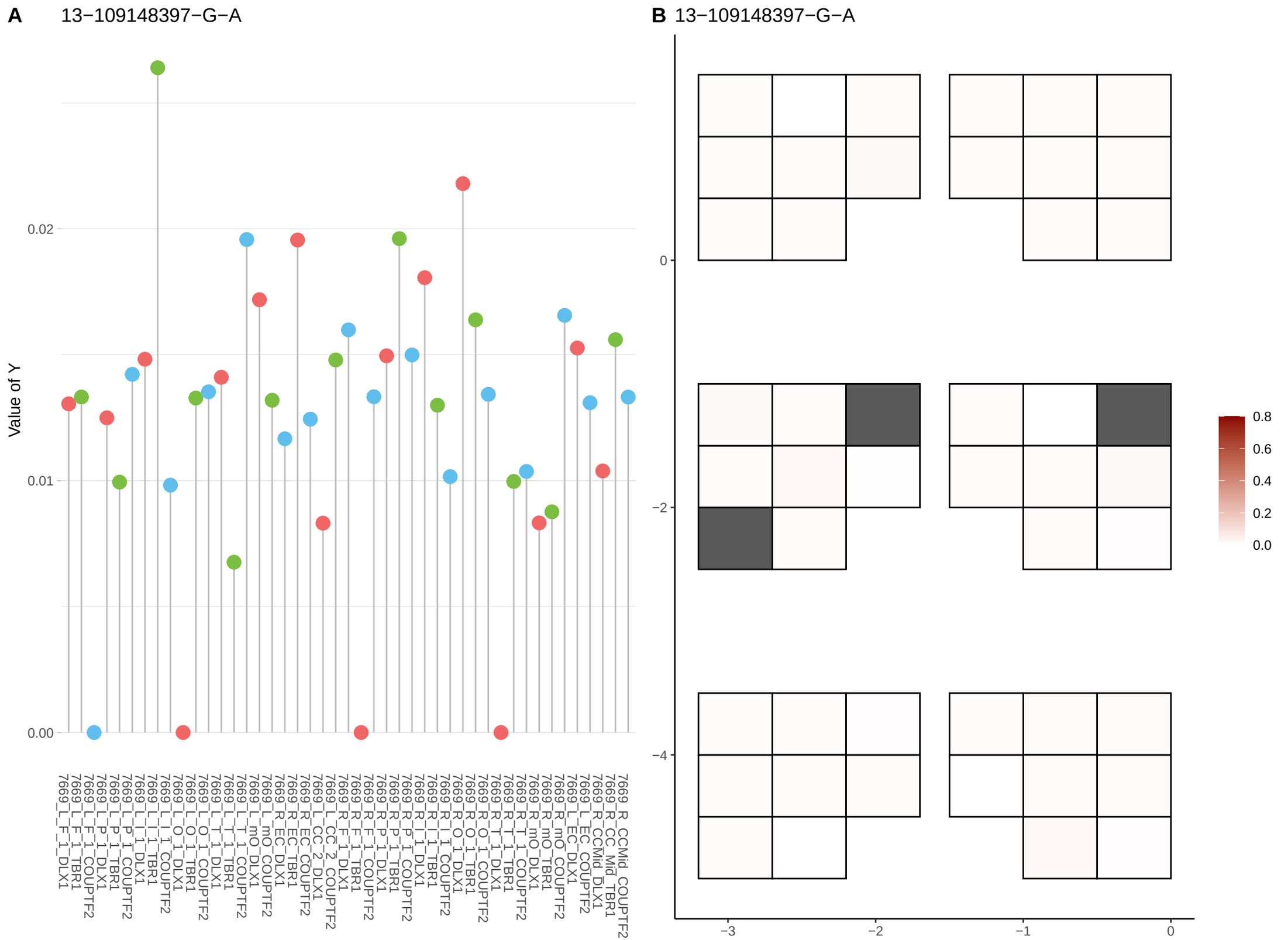
A
13−109148397−G−A
Value of Y
0.02
0.01
0.00
7669_L_F_1_DLX1
7669_L_F_1_TBR1
7669_L_F_1_COUPTF2
7669_L_P_1_DLX1
7669_L_P_1_TBR1
7669_L_P_1_COUPTF2
7669_L_I_1_DLX1
7669_L_I_1_TBR1
7669_L_I_1_COUPTF2
7669_L_O_1_DLX1
7669_L_O_1_TBR1
7669_L_O_1_COUPTF2
7669_L_T_1_DLX1
7669_L_T_1_TBR1
7669_L_T_1_COUPTF2
7669_L_mO_DLX1
7669_L_mO_COUPTF2
7669_R_EC_DLX1
7669_R_EC_TBR1
7669_R_EC_COUPTF2
7669_L_CC_2_DLX1
7669_L_CC_2_COUPTF2
7669_R_F_1_DLX1
7669_R_F_1_TBR1
7669_R_F_1_COUPTF2
7669_R_P_1_DLX1
7669_R_P_1_TBR1
7669_R_P_1_COUPTF2
7669_R_I_1_DLX1
7669_R_I_1_TBR1
7669_R_I_1_COUPTF2
7669_R_O_1_DLX1
7669_R_O_1_TBR1
7669_R_O_1_COUPTF2
7669_R_T_1_DLX1
7669_R_T_1_TBR1
7669_R_T_1_COUPTF2
7669_R_mO_DLX1
7669_R_mO_TBR1
7669_R_mO_COUPTF2
7669_L_EC_DLX1
7669_L_EC_COUPTF2
7669_R_CCMid_DLX1
7669_R_CC_Mid_TBR1
7669_R_CCMid_COUPTF2
B
13−109148397−G−A
0
−2
−4
−3
−2
−1
0
0.8
0.6
0.4
0.2
0.0

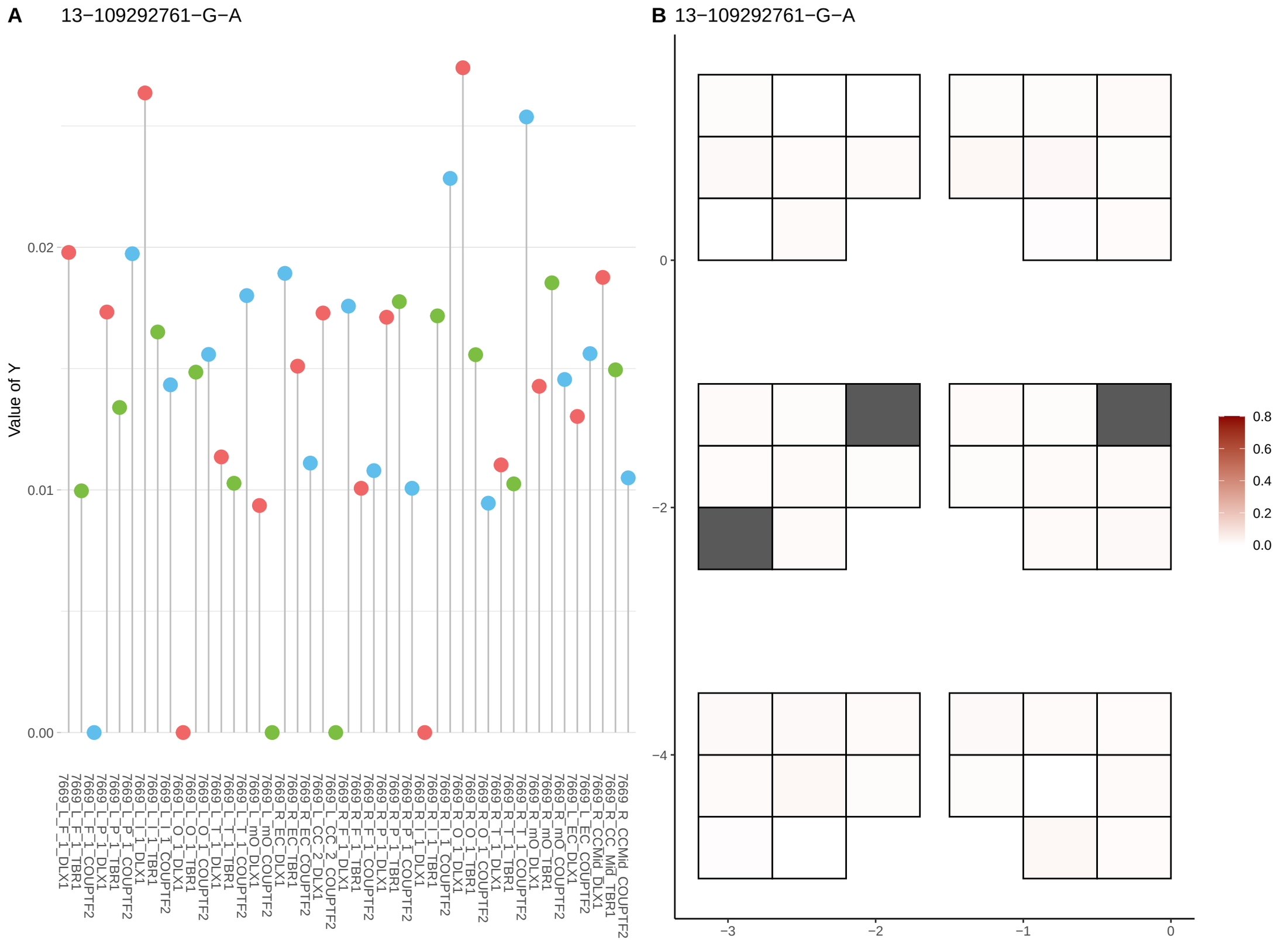
A
13−109292761−G−A
Value of Y
0.02
0.01
0.00
7669_L_F_1_DLX1
7669_L_F_1_TBR1
7669_L_F_1_COUPTF2
7669_L_P_1_DLX1
7669_L_P_1_TBR1
7669_L_P_1_COUPTF2
7669_L_I_1_DLX1
7669_L_I_1_TBR1
7669_L_I_1_COUPTF2
7669_L_O_1_DLX1
7669_L_O_1_TBR1
7669_L_O_1_COUPTF2
7669_L_T_1_DLX1
7669_L_T_1_TBR1
7669_L_T_1_COUPTF2
7669_L_mO_DLX1
7669_L_mO_COUPTF2
7669_R_EC_DLX1
7669_R_EC_TBR1
7669_R_EC_COUPTF2
7669_L_CC_2_DLX1
7669_L_CC_2_COUPTF2
7669_R_F_1_DLX1
7669_R_F_1_TBR1
7669_R_F_1_COUPTF2
7669_R_P_1_DLX1
7669_R_P_1_TBR1
7669_R_P_1_COUPTF2
7669_R_I_1_DLX1
7669_R_I_1_TBR1
7669_R_I_1_COUPTF2
7669_R_O_1_DLX1
7669_R_O_1_TBR1
7669_R_O_1_COUPTF2
7669_R_T_1_DLX1
7669_R_T_1_TBR1
7669_R_T_1_COUPTF2
7669_R_mO_DLX1
7669_R_mO_TBR1
7669_R_mO_COUPTF2
7669_L_EC_DLX1
7669_L_EC_COUPTF2
7669_R_CCMid_DLX1
7669_R_CC_Mid_TBR1
7669_R_CCMid_COUPTF2
B
13−109292761−G−A
0
−2
−4
−3
−2
−1
0
0.8
0.6
0.4
0.2
0.0

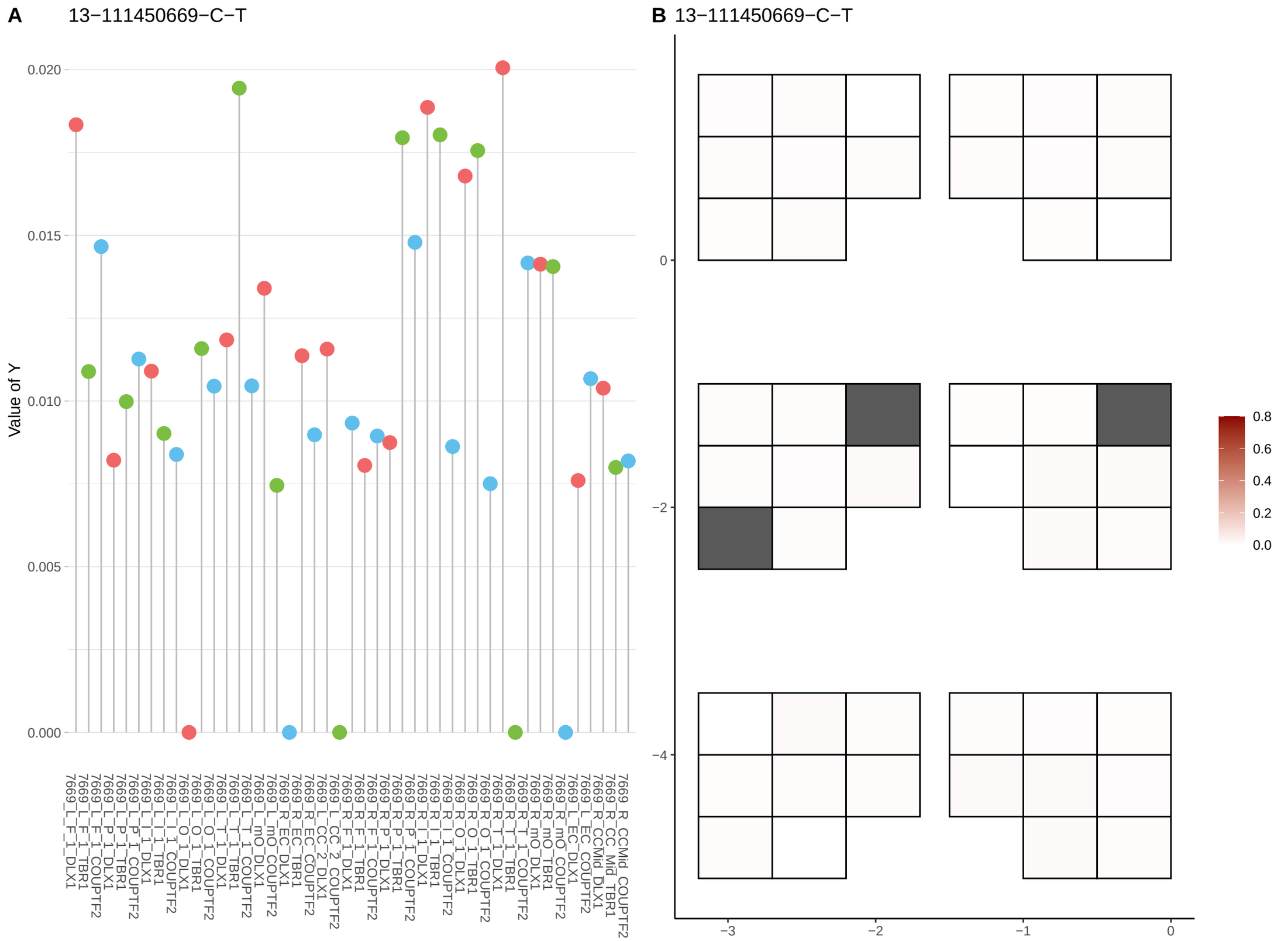
A
13−111450669−C−T
Value of Y
0.020
0.015
0.010
0.005
0.000
7669_L_F_1_DLX1
7669_L_F_1_TBR1
7669_L_F_1_COUPTF2
7669_L_P_1_DLX1
7669_L_P_1_TBR1
7669_L_P_1_COUPTF2
7669_L_I_1_DLX1
7669_L_I_1_TBR1
7669_L_I_1_COUPTF2
7669_L_O_1_DLX1
7669_L_O_1_TBR1
7669_L_O_1_COUPTF2
7669_L_T_1_DLX1
7669_L_T_1_TBR1
7669_L_T_1_COUPTF2
7669_L_mO_DLX1
7669_L_mO_COUPTF2
7669_R_EC_DLX1
7669_R_EC_TBR1
7669_R_EC_COUPTF2
7669_L_CC_2_DLX1
7669_L_CC_2_COUPTF2
7669_R_F_1_DLX1
7669_R_F_1_TBR1
7669_R_F_1_COUPTF2
7669_R_P_1_DLX1
7669_R_P_1_TBR1
7669_R_P_1_COUPTF2
7669_R_I_1_DLX1
7669_R_I_1_TBR1
7669_R_I_1_COUPTF2
7669_R_O_1_DLX1
7669_R_O_1_TBR1
7669_R_O_1_COUPTF2
7669_R_T_1_DLX1
7669_R_T_1_TBR1
7669_R_T_1_COUPTF2
7669_R_mO_DLX1
7669_R_mO_TBR1
7669_R_mO_COUPTF2
7669_L_EC_DLX1
7669_L_EC_COUPTF2
7669_R_CCMid_DLX1
7669_R_CC_Mid_TBR1
7669_R_CCMid_COUPTF2
B
13−111450669−C−T
0
−2
−4
−3
−2
−1
0
0.8
0.6
0.4
0.2
0.0

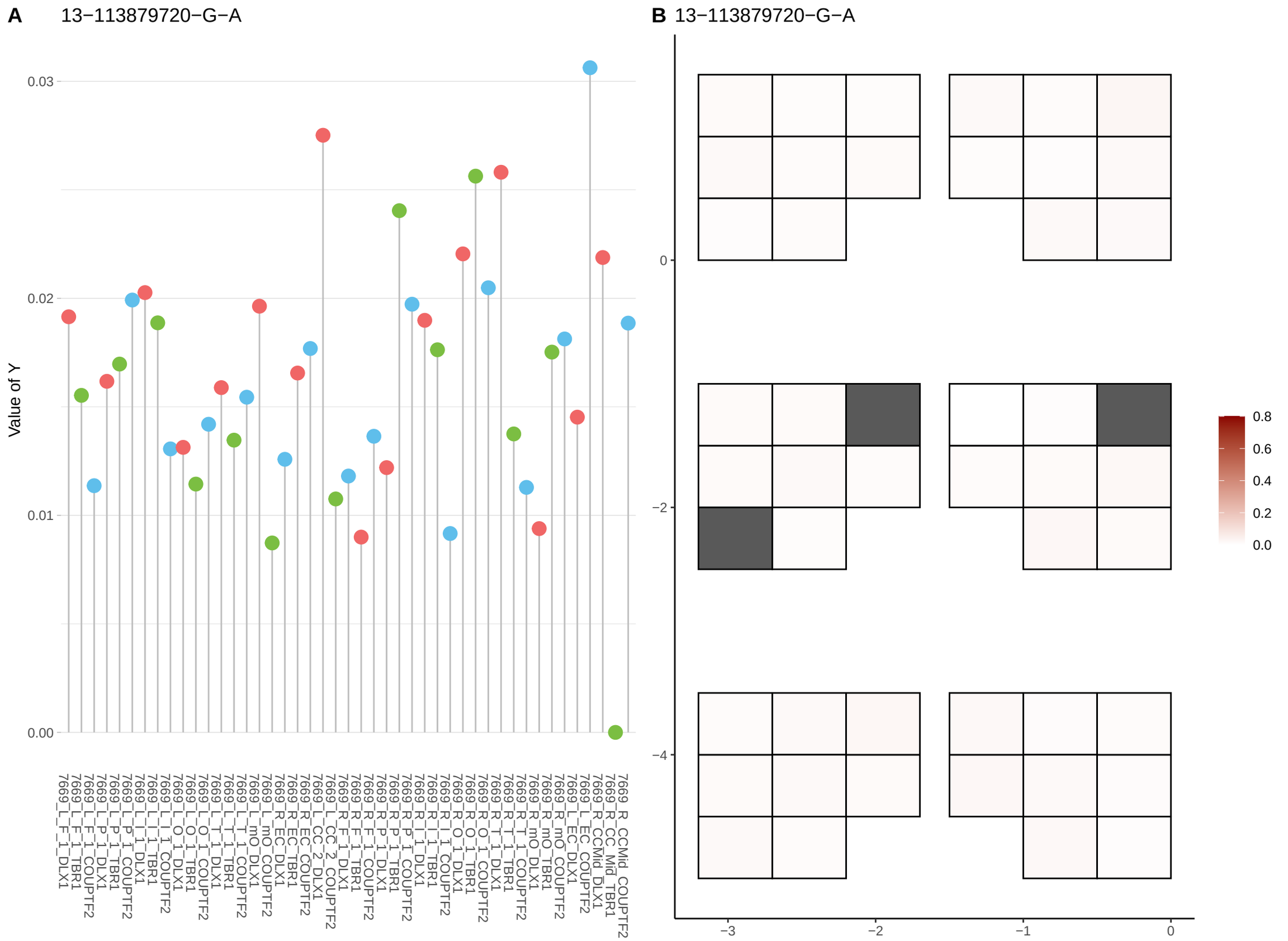
A
13−113879720−G−A
Value of Y
0.03
0.02
0.01
0.00
7669_L_F_1_DLX1
7669_L_F_1_TBR1
7669_L_F_1_COUPTF2
7669_L_P_1_DLX1
7669_L_P_1_TBR1
7669_L_P_1_COUPTF2
7669_L_I_1_DLX1
7669_L_I_1_TBR1
7669_L_I_1_COUPTF2
7669_L_O_1_DLX1
7669_L_O_1_TBR1
7669_L_O_1_COUPTF2
7669_L_T_1_DLX1
7669_L_T_1_TBR1
7669_L_T_1_COUPTF2
7669_L_mO_DLX1
7669_L_mO_COUPTF2
7669_R_EC_DLX1
7669_R_EC_TBR1
7669_R_EC_COUPTF2
7669_L_CC_2_DLX1
7669_L_CC_2_COUPTF2
7669_R_F_1_DLX1
7669_R_F_1_TBR1
7669_R_F_1_COUPTF2
7669_R_P_1_DLX1
7669_R_P_1_TBR1
7669_R_P_1_COUPTF2
7669_R_I_1_DLX1
7669_R_I_1_TBR1
7669_R_I_1_COUPTF2
7669_R_O_1_DLX1
7669_R_O_1_TBR1
7669_R_O_1_COUPTF2
7669_R_T_1_DLX1
7669_R_T_1_TBR1
7669_R_T_1_COUPTF2
7669_R_mO_DLX1
7669_R_mO_TBR1
7669_R_mO_COUPTF2
7669_L_EC_DLX1
7669_L_EC_COUPTF2
7669_R_CCMid_DLX1
7669_R_CC_Mid_TBR1
7669_R_CCMid_COUPTF2
B
13−113879720−G−A
0
−2
−4
−3
−2
−1
0
0.8
0.6
0.4
0.2
0.0

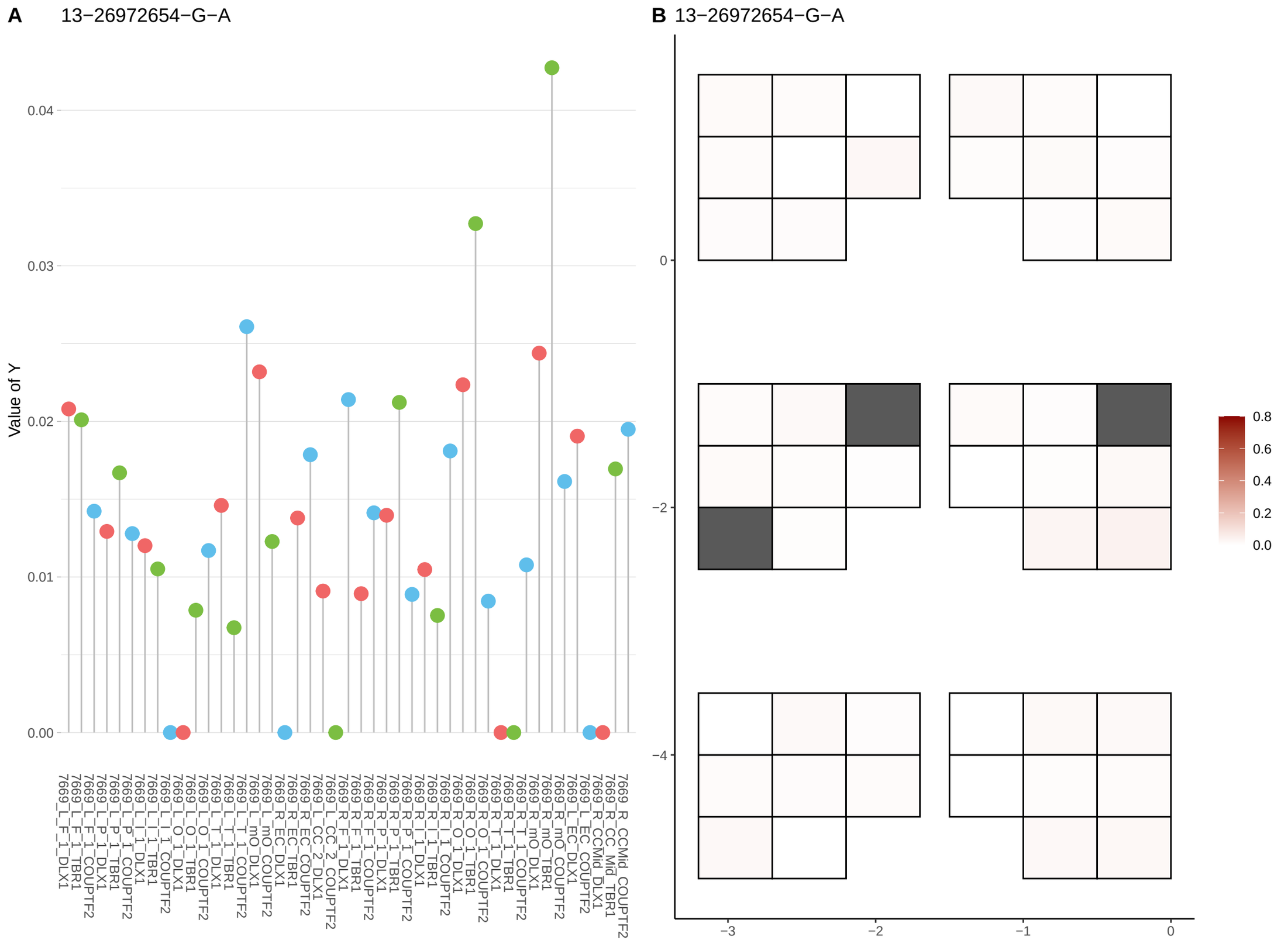
A
13−26972654−G−A
Value of Y
0.04
0.03
0.02
0.01
0.00
7669_L_F_1_DLX1
7669_L_F_1_TBR1
7669_L_F_1_COUPTF2
7669_L_P_1_DLX1
7669_L_P_1_TBR1
7669_L_P_1_COUPTF2
7669_L_I_1_DLX1
7669_L_I_1_TBR1
7669_L_I_1_COUPTF2
7669_L_O_1_DLX1
7669_L_O_1_TBR1
7669_L_O_1_COUPTF2
7669_L_T_1_DLX1
7669_L_T_1_TBR1
7669_L_T_1_COUPTF2
7669_L_mO_DLX1
7669_L_mO_COUPTF2
7669_R_EC_DLX1
7669_R_EC_TBR1
7669_R_EC_COUPTF2
7669_L_CC_2_DLX1
7669_L_CC_2_COUPTF2
7669_R_F_1_DLX1
7669_R_F_1_TBR1
7669_R_F_1_COUPTF2
7669_R_P_1_DLX1
7669_R_P_1_TBR1
7669_R_P_1_COUPTF2
7669_R_I_1_DLX1
7669_R_I_1_TBR1
7669_R_I_1_COUPTF2
7669_R_O_1_DLX1
7669_R_O_1_TBR1
7669_R_O_1_COUPTF2
7669_R_T_1_DLX1
7669_R_T_1_TBR1
7669_R_T_1_COUPTF2
7669_R_mO_DLX1
7669_R_mO_TBR1
7669_R_mO_COUPTF2
7669_L_EC_DLX1
7669_L_EC_COUPTF2
7669_R_CCMid_DLX1
7669_R_CC_Mid_TBR1
7669_R_CCMid_COUPTF2
B
13−26972654−G−A
0
−2
−4
−3
−2
−1
0
0.8
0.6
0.4
0.2
0.0

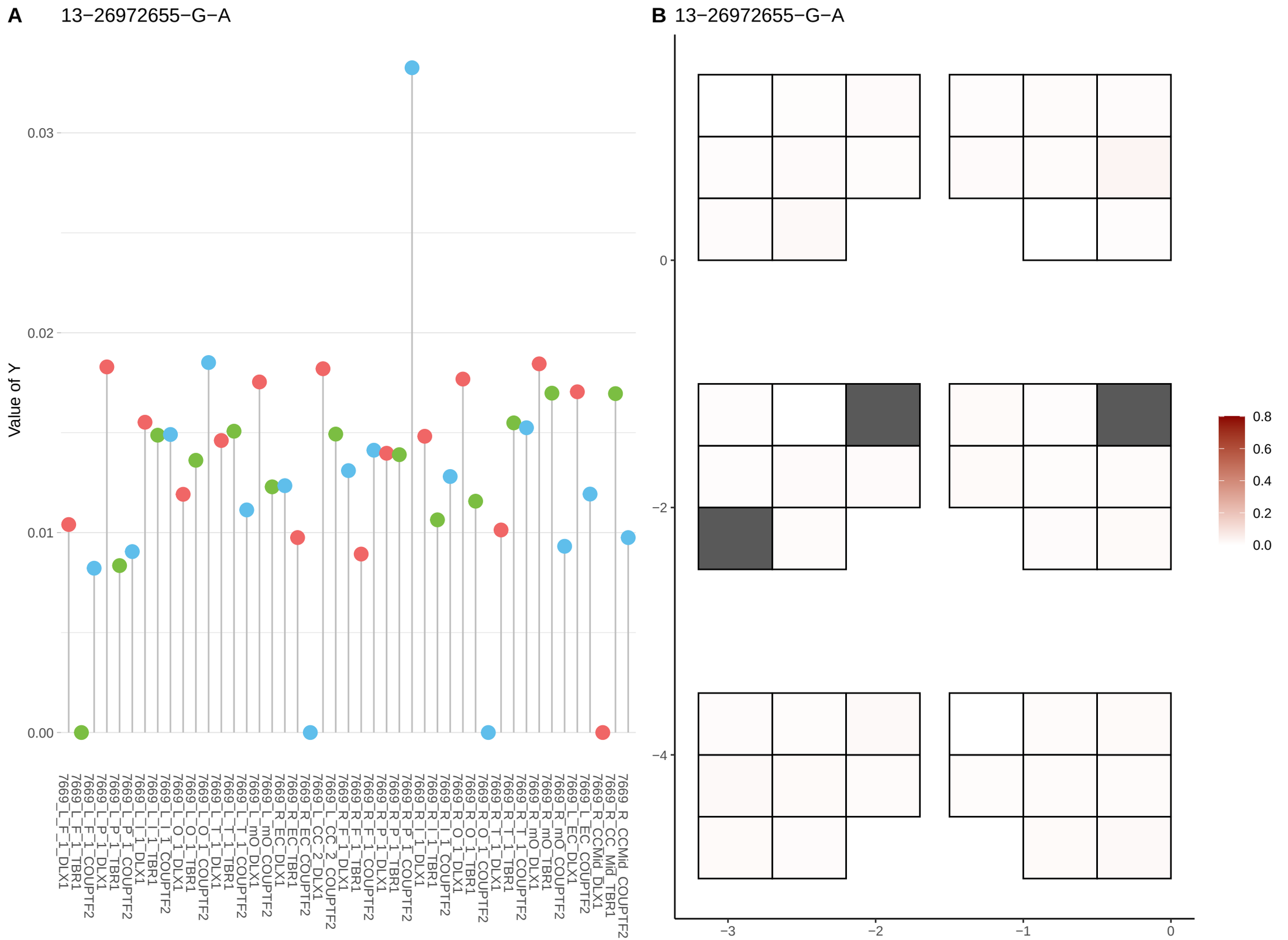
A
13−26972655−G−A
Value of Y
0.03
0.02
0.01
0.00
7669_L_F_1_DLX1
7669_L_F_1_TBR1
7669_L_F_1_COUPTF2
7669_L_P_1_DLX1
7669_L_P_1_TBR1
7669_L_P_1_COUPTF2
7669_L_I_1_DLX1
7669_L_I_1_TBR1
7669_L_I_1_COUPTF2
7669_L_O_1_DLX1
7669_L_O_1_TBR1
7669_L_O_1_COUPTF2
7669_L_T_1_DLX1
7669_L_T_1_TBR1
7669_L_T_1_COUPTF2
7669_L_mO_DLX1
7669_L_mO_COUPTF2
7669_R_EC_DLX1
7669_R_EC_TBR1
7669_R_EC_COUPTF2
7669_L_CC_2_DLX1
7669_L_CC_2_COUPTF2
7669_R_F_1_DLX1
7669_R_F_1_TBR1
7669_R_F_1_COUPTF2
7669_R_P_1_DLX1
7669_R_P_1_TBR1
7669_R_P_1_COUPTF2
7669_R_I_1_DLX1
7669_R_I_1_TBR1
7669_R_I_1_COUPTF2
7669_R_O_1_DLX1
7669_R_O_1_TBR1
7669_R_O_1_COUPTF2
7669_R_T_1_DLX1
7669_R_T_1_TBR1
7669_R_T_1_COUPTF2
7669_R_mO_DLX1
7669_R_mO_TBR1
7669_R_mO_COUPTF2
7669_L_EC_DLX1
7669_L_EC_COUPTF2
7669_R_CCMid_DLX1
7669_R_CC_Mid_TBR1
7669_R_CCMid_COUPTF2
B
13−26972655−G−A
0
−2
−4
−3
−2
−1
0
0.8
0.6
0.4
0.2
0.0

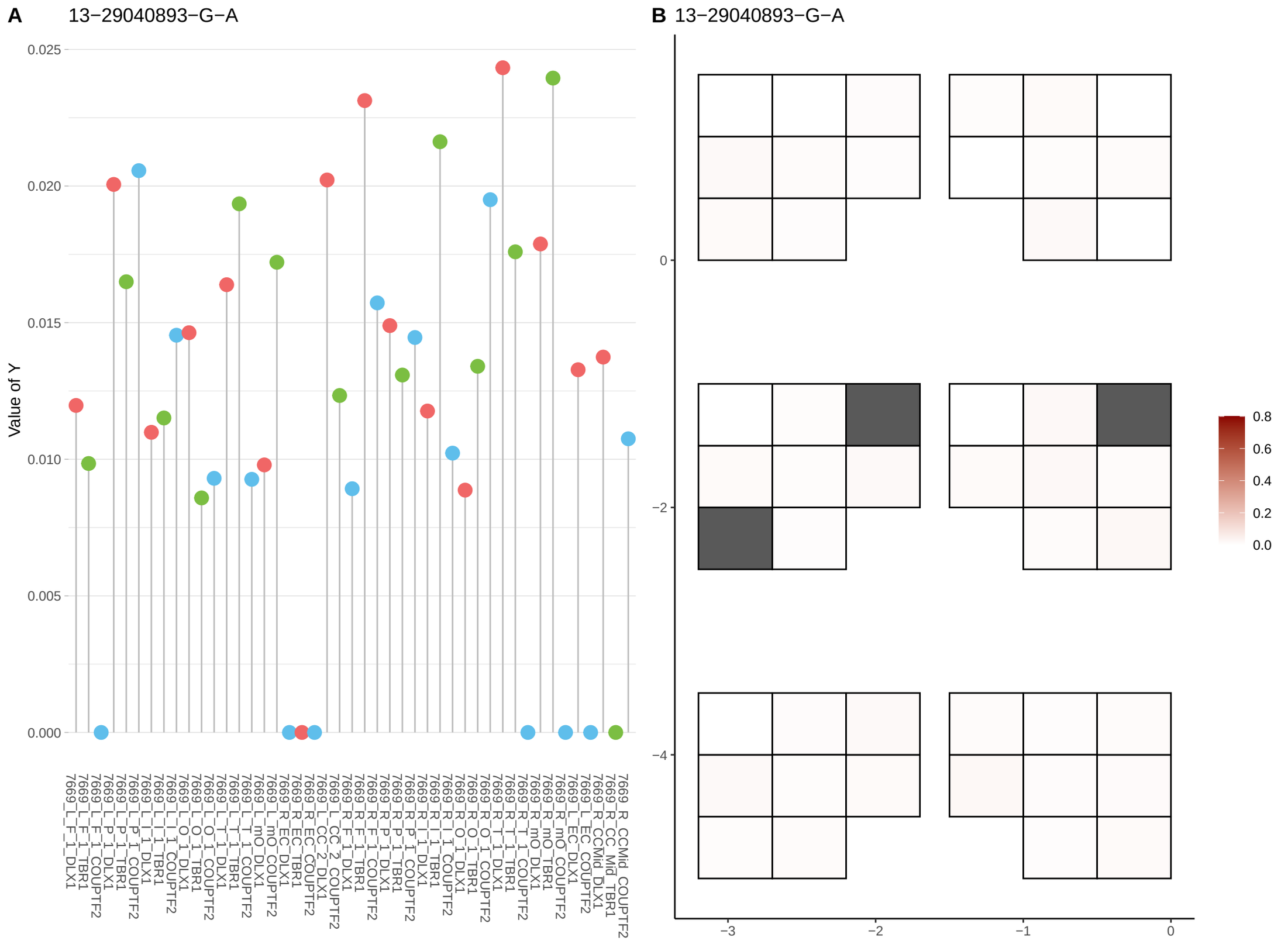
A
13−29040893−G−A
Value of Y
0.025
0.020
0.015
0.010
0.005
0.000
7669_L_F_1_DLX1
7669_L_F_1_TBR1
7669_L_F_1_COUPTF2
7669_L_P_1_DLX1
7669_L_P_1_TBR1
7669_L_P_1_COUPTF2
7669_L_I_1_DLX1
7669_L_I_1_TBR1
7669_L_I_1_COUPTF2
7669_L_O_1_DLX1
7669_L_O_1_TBR1
7669_L_O_1_COUPTF2
7669_L_T_1_DLX1
7669_L_T_1_TBR1
7669_L_T_1_COUPTF2
7669_L_mO_DLX1
7669_L_mO_COUPTF2
7669_R_EC_DLX1
7669_R_EC_TBR1
7669_R_EC_COUPTF2
7669_L_CC_2_DLX1
7669_L_CC_2_COUPTF2
7669_R_F_1_DLX1
7669_R_F_1_TBR1
7669_R_F_1_COUPTF2
7669_R_P_1_DLX1
7669_R_P_1_TBR1
7669_R_P_1_COUPTF2
7669_R_I_1_DLX1
7669_R_I_1_TBR1
7669_R_I_1_COUPTF2
7669_R_O_1_DLX1
7669_R_O_1_TBR1
7669_R_O_1_COUPTF2
7669_R_T_1_DLX1
7669_R_T_1_TBR1
7669_R_T_1_COUPTF2
7669_R_mO_DLX1
7669_R_mO_TBR1
7669_R_mO_COUPTF2
7669_L_EC_DLX1
7669_L_EC_COUPTF2
7669_R_CCMid_DLX1
7669_R_CC_Mid_TBR1
7669_R_CCMid_COUPTF2
B
13−29040893−G−A
0
−2
−4
−3
−2
−1
0
0.8
0.6
0.4
0.2
0.0

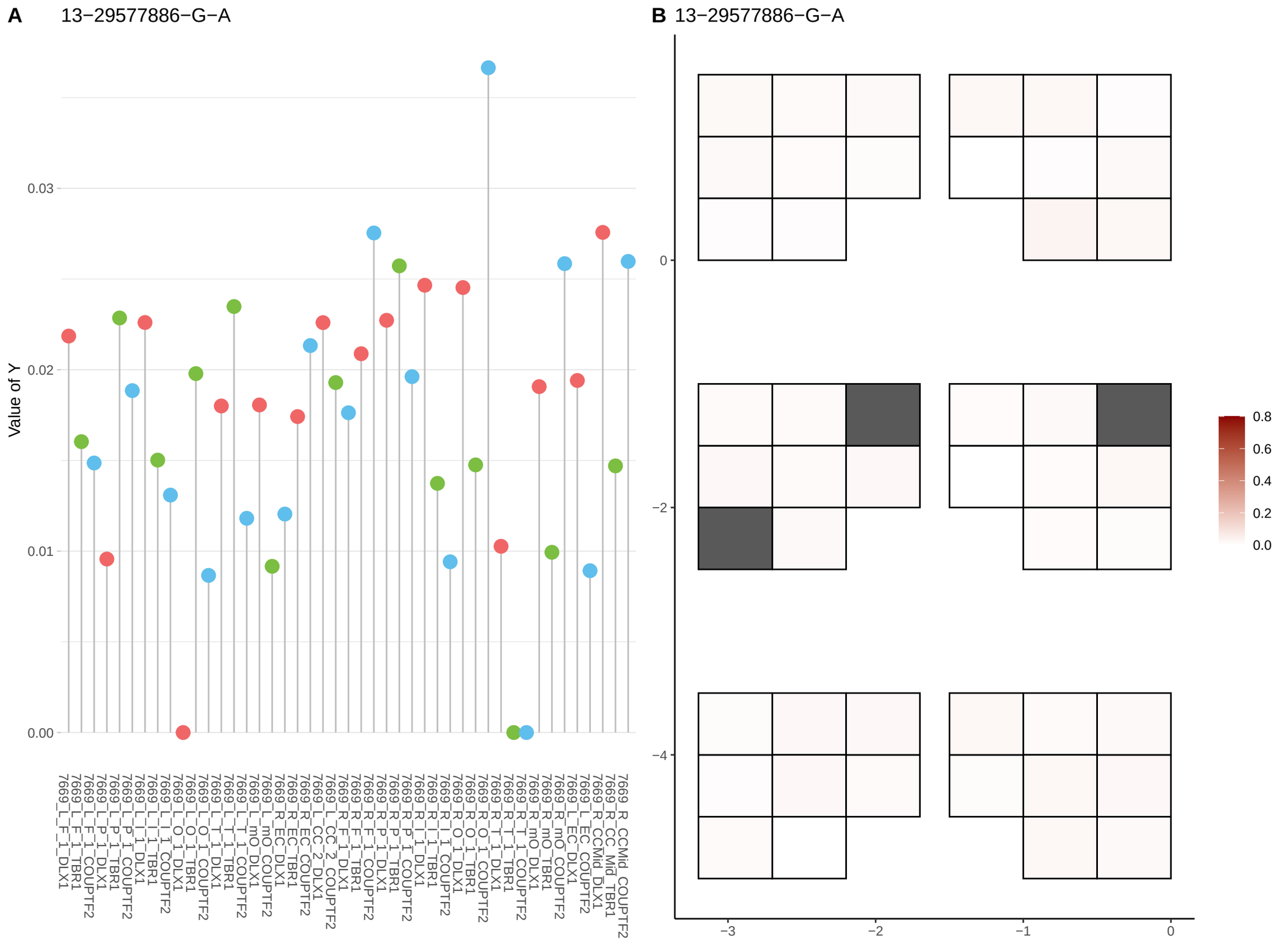
A
13−29577886−G−A
Value of Y
0.03
0.02
0.01
0.00
7669_L_F_1_DLX1
7669_L_F_1_TBR1
7669_L_F_1_COUPTF2
7669_L_P_1_DLX1
7669_L_P_1_TBR1
7669_L_P_1_COUPTF2
7669_L_I_1_DLX1
7669_L_I_1_TBR1
7669_L_I_1_COUPTF2
7669_L_O_1_DLX1
7669_L_O_1_TBR1
7669_L_O_1_COUPTF2
7669_L_T_1_DLX1
7669_L_T_1_TBR1
7669_L_T_1_COUPTF2
7669_L_mO_DLX1
7669_L_mO_COUPTF2
7669_R_EC_DLX1
7669_R_EC_TBR1
7669_R_EC_COUPTF2
7669_L_CC_2_DLX1
7669_L_CC_2_COUPTF2
7669_R_F_1_DLX1
7669_R_F_1_TBR1
7669_R_F_1_COUPTF2
7669_R_P_1_DLX1
7669_R_P_1_TBR1
7669_R_P_1_COUPTF2
7669_R_I_1_DLX1
7669_R_I_1_TBR1
7669_R_I_1_COUPTF2
7669_R_O_1_DLX1
7669_R_O_1_TBR1
7669_R_O_1_COUPTF2
7669_R_T_1_DLX1
7669_R_T_1_TBR1
7669_R_T_1_COUPTF2
7669_R_mO_DLX1
7669_R_mO_TBR1
7669_R_mO_COUPTF2
7669_L_EC_DLX1
7669_L_EC_COUPTF2
7669_R_CCMid_DLX1
7669_R_CC_Mid_TBR1
7669_R_CCMid_COUPTF2
B
13−29577886−G−A
0
−2
−4
−3
−2
−1
0
0.8
0.6
0.4
0.2
0.0

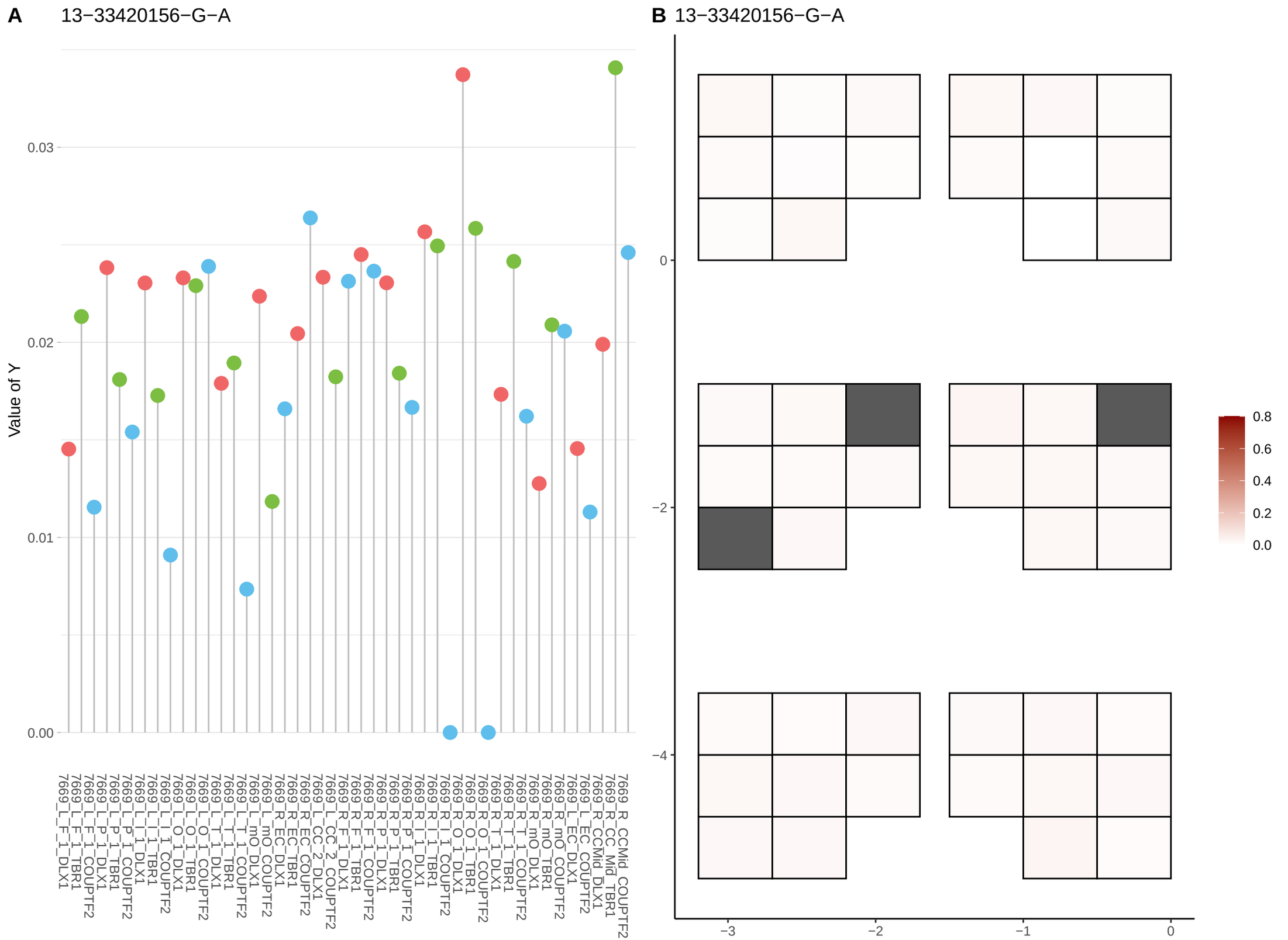
A
13−33420156−G−A
Value of Y
0.03
0.02
0.01
0.00
7669_L_F_1_DLX1
7669_L_F_1_TBR1
7669_L_F_1_COUPTF2
7669_L_P_1_DLX1
7669_L_P_1_TBR1
7669_L_P_1_COUPTF2
7669_L_I_1_DLX1
7669_L_I_1_TBR1
7669_L_I_1_COUPTF2
7669_L_O_1_DLX1
7669_L_O_1_TBR1
7669_L_O_1_COUPTF2
7669_L_T_1_DLX1
7669_L_T_1_TBR1
7669_L_T_1_COUPTF2
7669_L_mO_DLX1
7669_L_mO_COUPTF2
7669_R_EC_DLX1
7669_R_EC_TBR1
7669_R_EC_COUPTF2
7669_L_CC_2_DLX1
7669_L_CC_2_COUPTF2
7669_R_F_1_DLX1
7669_R_F_1_TBR1
7669_R_F_1_COUPTF2
7669_R_P_1_DLX1
7669_R_P_1_TBR1
7669_R_P_1_COUPTF2
7669_R_I_1_DLX1
7669_R_I_1_TBR1
7669_R_I_1_COUPTF2
7669_R_O_1_DLX1
7669_R_O_1_TBR1
7669_R_O_1_COUPTF2
7669_R_T_1_DLX1
7669_R_T_1_TBR1
7669_R_T_1_COUPTF2
7669_R_mO_DLX1
7669_R_mO_TBR1
7669_R_mO_COUPTF2
7669_L_EC_DLX1
7669_L_EC_COUPTF2
7669_R_CCMid_DLX1
7669_R_CC_Mid_TBR1
7669_R_CCMid_COUPTF2
B
13−33420156−G−A
0
−2
−4
−3
−2
−1
0
0.8
0.6
0.4
0.2
0.0

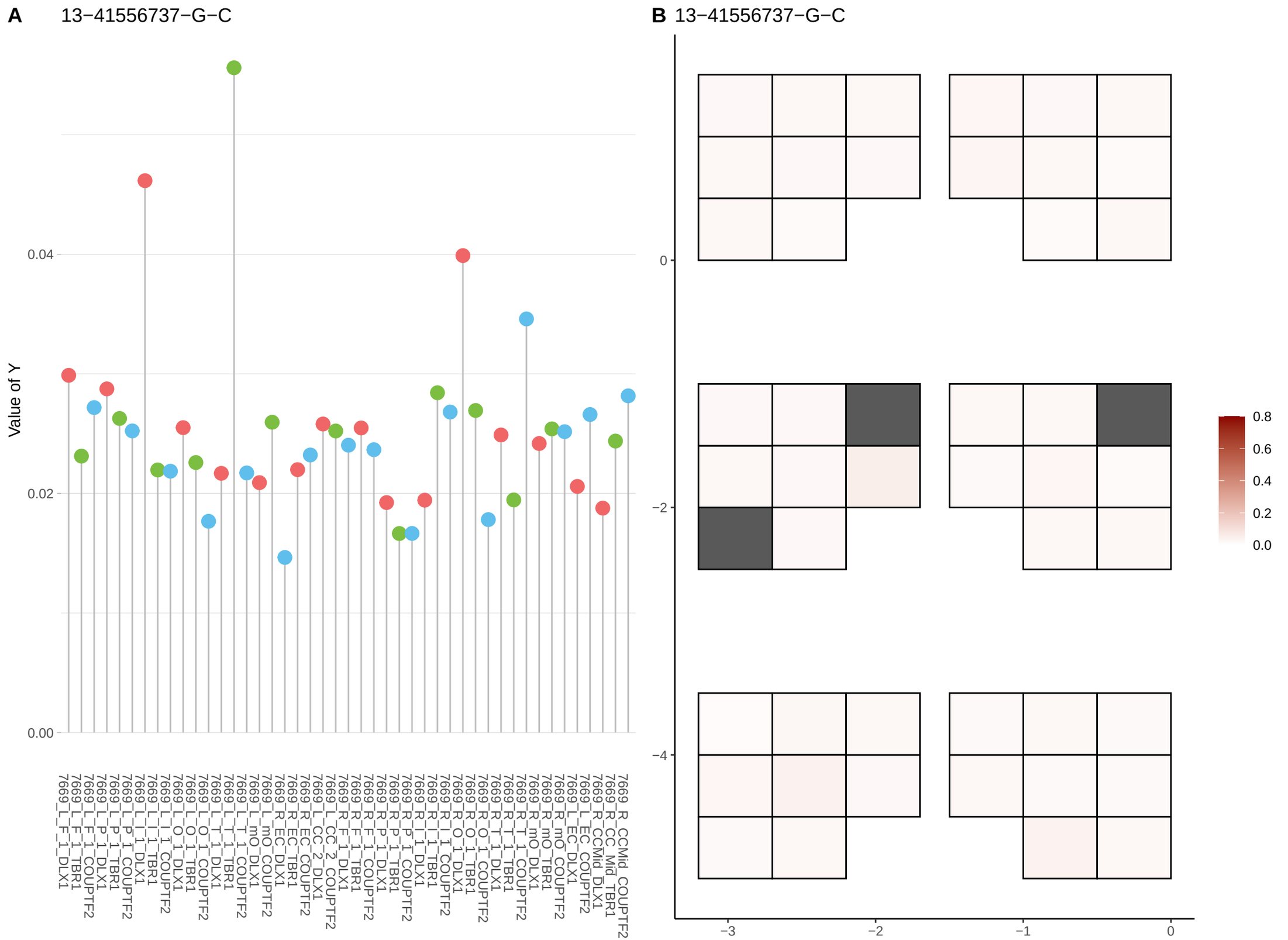
A
13−41556737−G−C
Value of Y
0.04
0.02
0.00
7669_L_F_1_DLX1
7669_L_F_1_TBR1
7669_L_F_1_COUPTF2
7669_L_P_1_DLX1
7669_L_P_1_TBR1
7669_L_P_1_COUPTF2
7669_L_I_1_DLX1
7669_L_I_1_TBR1
7669_L_I_1_COUPTF2
7669_L_O_1_DLX1
7669_L_O_1_TBR1
7669_L_O_1_COUPTF2
7669_L_T_1_DLX1
7669_L_T_1_TBR1
7669_L_T_1_COUPTF2
7669_L_mO_DLX1
7669_L_mO_COUPTF2
7669_R_EC_DLX1
7669_R_EC_TBR1
7669_R_EC_COUPTF2
7669_L_CC_2_DLX1
7669_L_CC_2_COUPTF2
7669_R_F_1_DLX1
7669_R_F_1_TBR1
7669_R_F_1_COUPTF2
7669_R_P_1_DLX1
7669_R_P_1_TBR1
7669_R_P_1_COUPTF2
7669_R_I_1_DLX1
7669_R_I_1_TBR1
7669_R_I_1_COUPTF2
7669_R_O_1_DLX1
7669_R_O_1_TBR1
7669_R_O_1_COUPTF2
7669_R_T_1_DLX1
7669_R_T_1_TBR1
7669_R_T_1_COUPTF2
7669_R_mO_DLX1
7669_R_mO_TBR1
7669_R_mO_COUPTF2
7669_L_EC_DLX1
7669_L_EC_COUPTF2
7669_R_CCMid_DLX1
7669_R_CC_Mid_TBR1
7669_R_CCMid_COUPTF2
B
13−41556737−G−C
0
−2
−4
−3
−2
−1
0
0.8
0.6
0.4
0.2
0.0

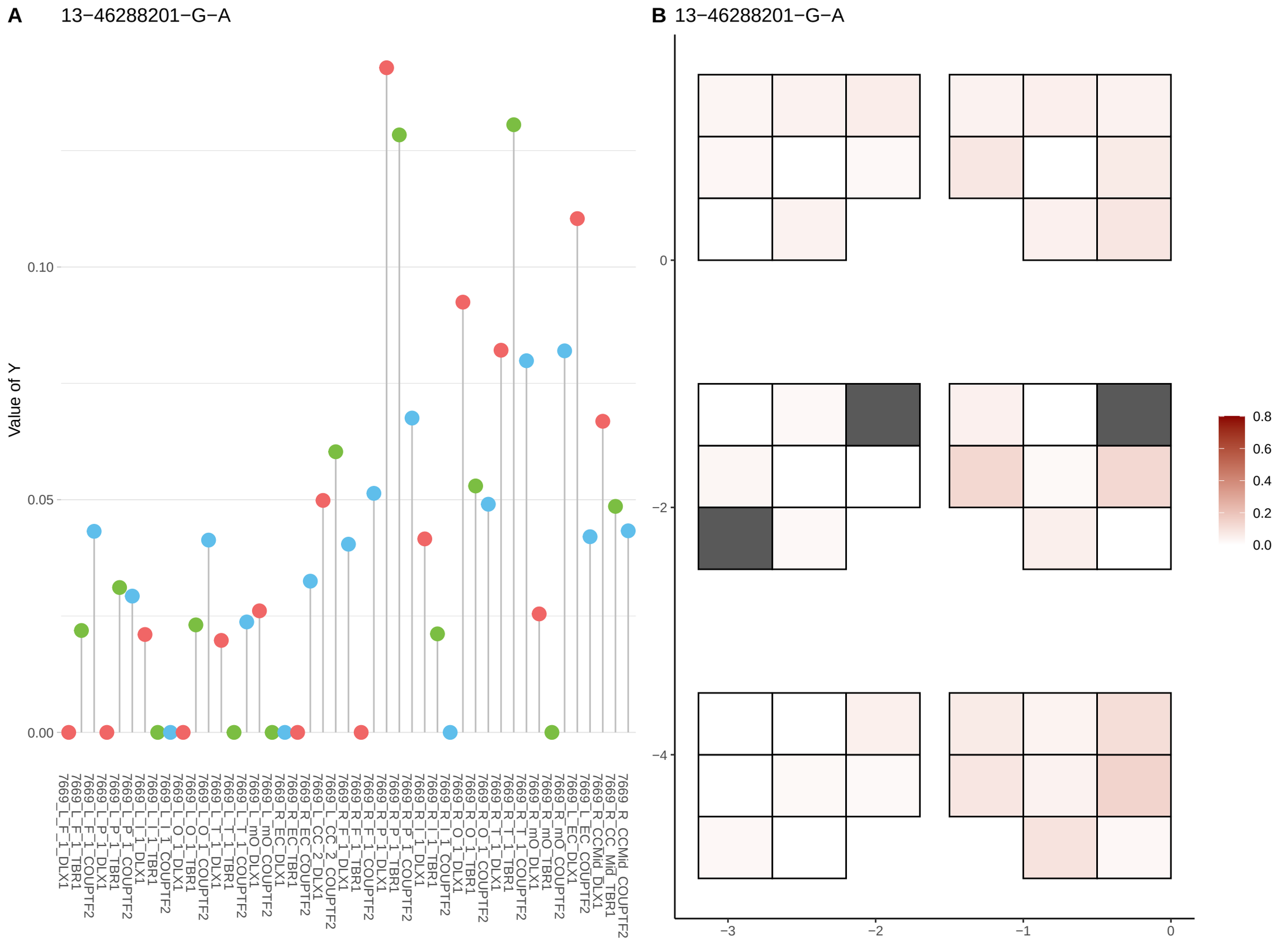
A
13−46288201−G−A
Value of Y
0.10
0.05
0.00
7669_L_F_1_DLX1
7669_L_F_1_TBR1
7669_L_F_1_COUPTF2
7669_L_P_1_DLX1
7669_L_P_1_TBR1
7669_L_P_1_COUPTF2
7669_L_I_1_DLX1
7669_L_I_1_TBR1
7669_L_I_1_COUPTF2
7669_L_O_1_DLX1
7669_L_O_1_TBR1
7669_L_O_1_COUPTF2
7669_L_T_1_DLX1
7669_L_T_1_TBR1
7669_L_T_1_COUPTF2
7669_L_mO_DLX1
7669_L_mO_COUPTF2
7669_R_EC_DLX1
7669_R_EC_TBR1
7669_R_EC_COUPTF2
7669_L_CC_2_DLX1
7669_L_CC_2_COUPTF2
7669_R_F_1_DLX1
7669_R_F_1_TBR1
7669_R_F_1_COUPTF2
7669_R_P_1_DLX1
7669_R_P_1_TBR1
7669_R_P_1_COUPTF2
7669_R_I_1_DLX1
7669_R_I_1_TBR1
7669_R_I_1_COUPTF2
7669_R_O_1_DLX1
7669_R_O_1_TBR1
7669_R_O_1_COUPTF2
7669_R_T_1_DLX1
7669_R_T_1_TBR1
7669_R_T_1_COUPTF2
7669_R_mO_DLX1
7669_R_mO_TBR1
7669_R_mO_COUPTF2
7669_L_EC_DLX1
7669_L_EC_COUPTF2
7669_R_CCMid_DLX1
7669_R_CC_Mid_TBR1
7669_R_CCMid_COUPTF2
B
13−46288201−G−A
0
−2
−4
−3
−2
−1
0
0.8
0.6
0.4
0.2
0.0

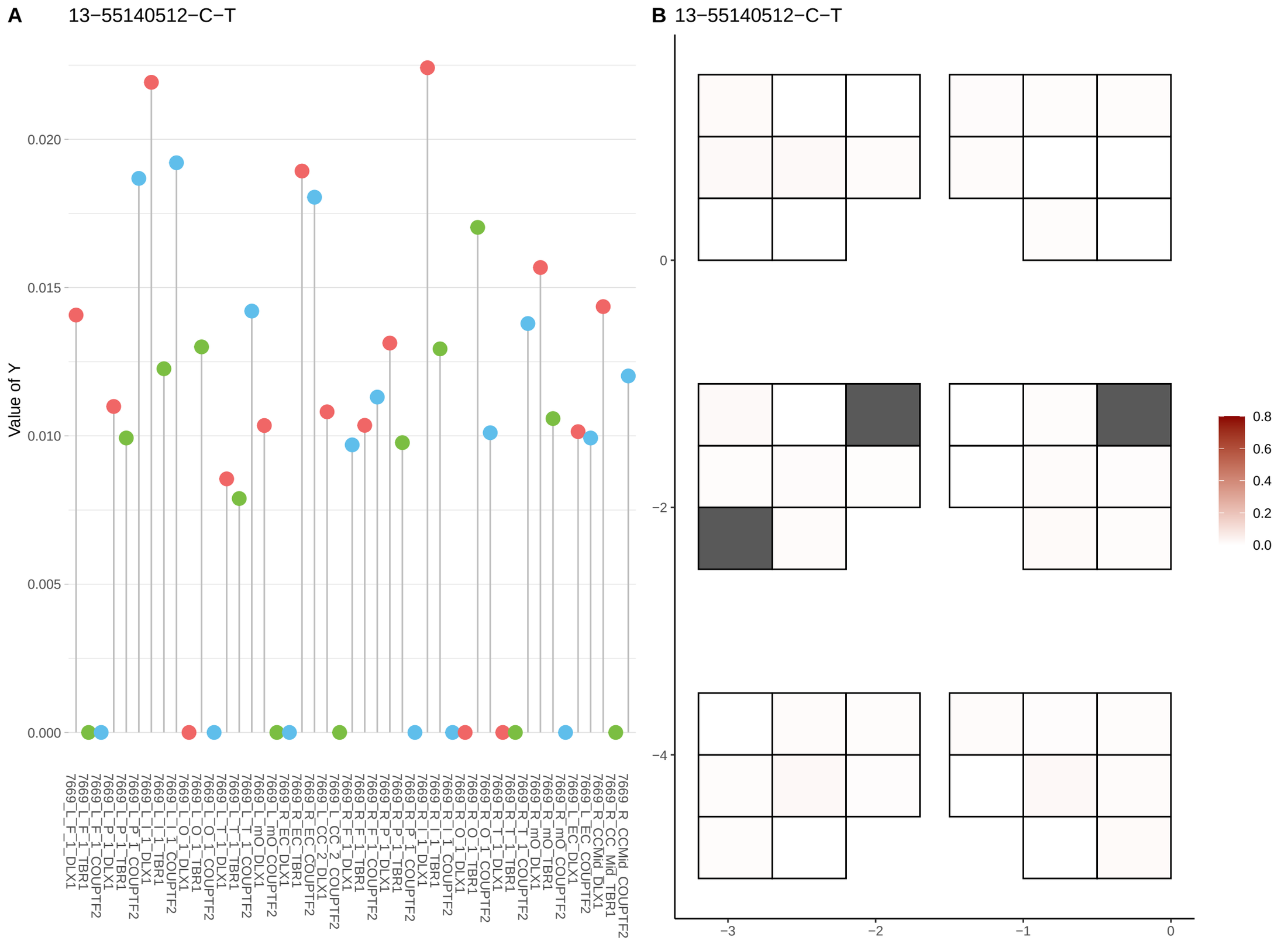
A
13−55140512−C−T
Value of Y
0.020
0.015
0.010
0.005
0.000
7669_L_F_1_DLX1
7669_L_F_1_TBR1
7669_L_F_1_COUPTF2
7669_L_P_1_DLX1
7669_L_P_1_TBR1
7669_L_P_1_COUPTF2
7669_L_I_1_DLX1
7669_L_I_1_TBR1
7669_L_I_1_COUPTF2
7669_L_O_1_DLX1
7669_L_O_1_TBR1
7669_L_O_1_COUPTF2
7669_L_T_1_DLX1
7669_L_T_1_TBR1
7669_L_T_1_COUPTF2
7669_L_mO_DLX1
7669_L_mO_COUPTF2
7669_R_EC_DLX1
7669_R_EC_TBR1
7669_R_EC_COUPTF2
7669_L_CC_2_DLX1
7669_L_CC_2_COUPTF2
7669_R_F_1_DLX1
7669_R_F_1_TBR1
7669_R_F_1_COUPTF2
7669_R_P_1_DLX1
7669_R_P_1_TBR1
7669_R_P_1_COUPTF2
7669_R_I_1_DLX1
7669_R_I_1_TBR1
7669_R_I_1_COUPTF2
7669_R_O_1_DLX1
7669_R_O_1_TBR1
7669_R_O_1_COUPTF2
7669_R_T_1_DLX1
7669_R_T_1_TBR1
7669_R_T_1_COUPTF2
7669_R_mO_DLX1
7669_R_mO_TBR1
7669_R_mO_COUPTF2
7669_L_EC_DLX1
7669_L_EC_COUPTF2
7669_R_CCMid_DLX1
7669_R_CC_Mid_TBR1
7669_R_CCMid_COUPTF2
B
13−55140512−C−T
0
−2
−4
−3
−2
−1
0
0.8
0.6
0.4
0.2
0.0

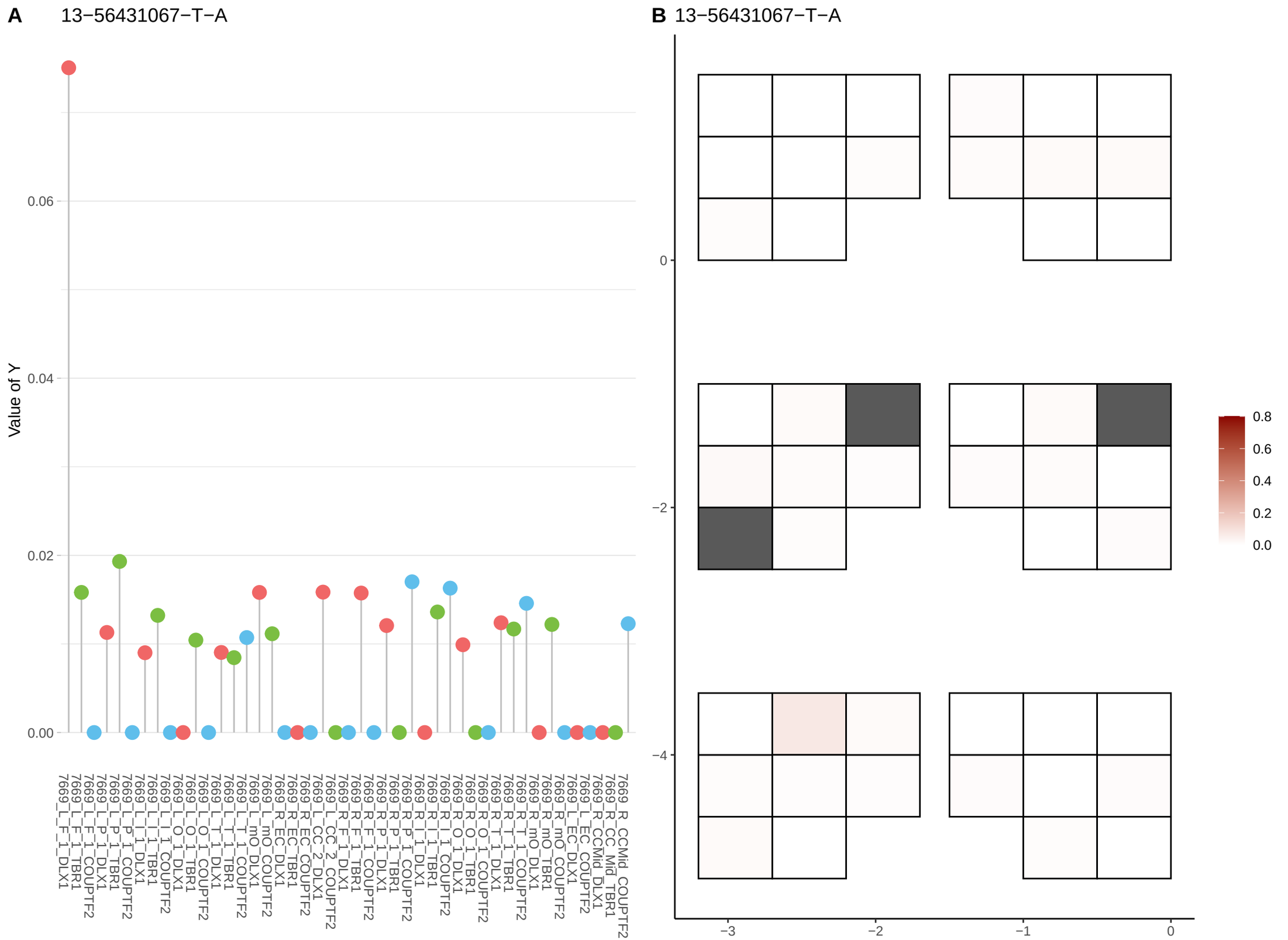
A
13−56431067−T−A
Value of Y
0.06
0.04
0.02
0.00
7669_L_F_1_DLX1
7669_L_F_1_TBR1
7669_L_F_1_COUPTF2
7669_L_P_1_DLX1
7669_L_P_1_TBR1
7669_L_P_1_COUPTF2
7669_L_I_1_DLX1
7669_L_I_1_TBR1
7669_L_I_1_COUPTF2
7669_L_O_1_DLX1
7669_L_O_1_TBR1
7669_L_O_1_COUPTF2
7669_L_T_1_DLX1
7669_L_T_1_TBR1
7669_L_T_1_COUPTF2
7669_L_mO_DLX1
7669_L_mO_COUPTF2
7669_R_EC_DLX1
7669_R_EC_TBR1
7669_R_EC_COUPTF2
7669_L_CC_2_DLX1
7669_L_CC_2_COUPTF2
7669_R_F_1_DLX1
7669_R_F_1_TBR1
7669_R_F_1_COUPTF2
7669_R_P_1_DLX1
7669_R_P_1_TBR1
7669_R_P_1_COUPTF2
7669_R_I_1_DLX1
7669_R_I_1_TBR1
7669_R_I_1_COUPTF2
7669_R_O_1_DLX1
7669_R_O_1_TBR1
7669_R_O_1_COUPTF2
7669_R_T_1_DLX1
7669_R_T_1_TBR1
7669_R_T_1_COUPTF2
7669_R_mO_DLX1
7669_R_mO_TBR1
7669_R_mO_COUPTF2
7669_L_EC_DLX1
7669_L_EC_COUPTF2
7669_R_CCMid_DLX1
7669_R_CC_Mid_TBR1
7669_R_CCMid_COUPTF2
B
13−56431067−T−A
0
−2
−4
−3
−2
−1
0
0.8
0.6
0.4
0.2
0.0

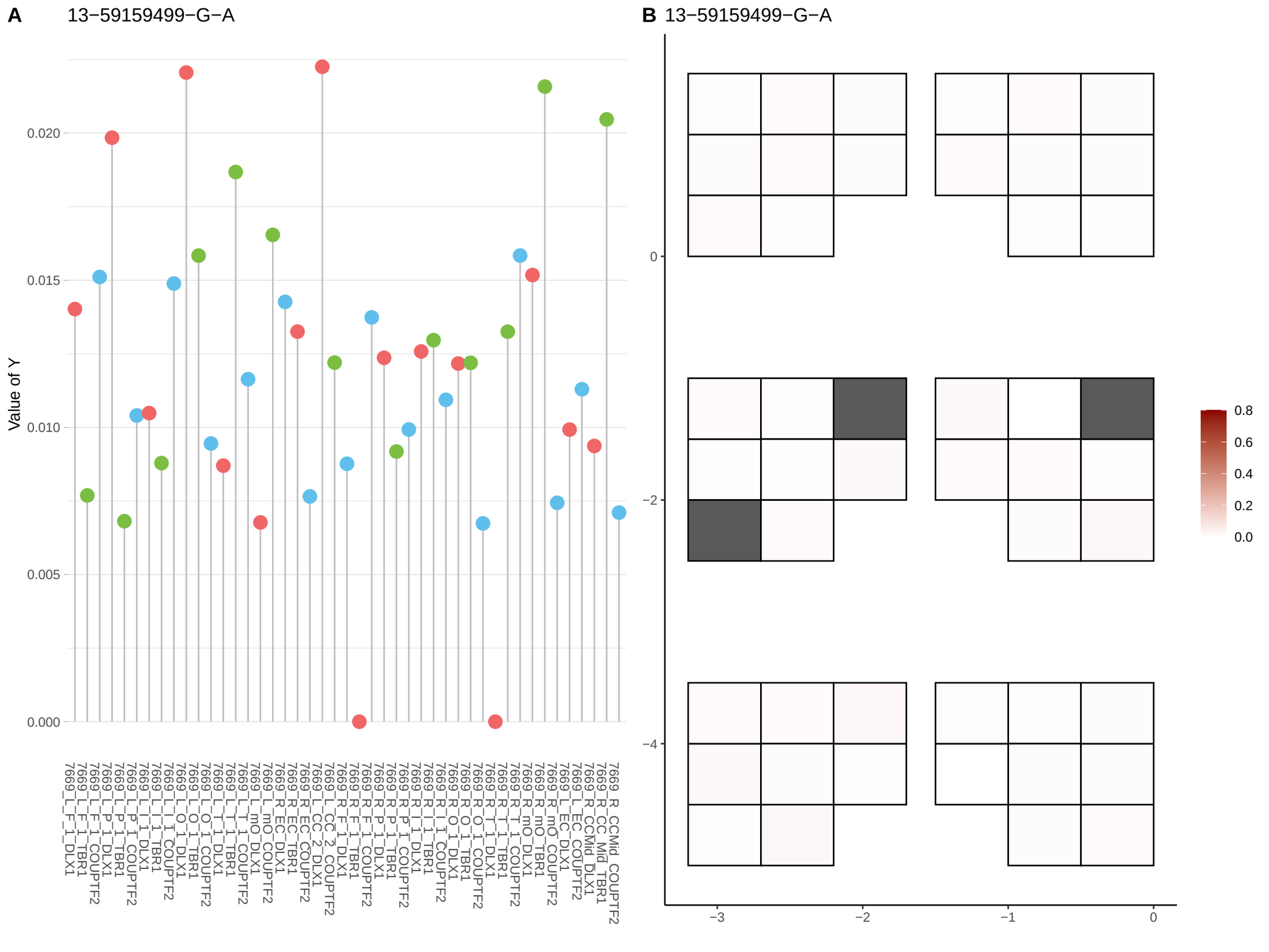
A
13−59159499−G−A
Value of Y
0.020
0.015
0.010
0.005
0.000
7669_L_F_1_DLX1
7669_L_F_1_TBR1
7669_L_F_1_COUPTF2
7669_L_P_1_DLX1
7669_L_P_1_TBR1
7669_L_P_1_COUPTF2
7669_L_I_1_DLX1
7669_L_I_1_TBR1
7669_L_I_1_COUPTF2
7669_L_O_1_DLX1
7669_L_O_1_TBR1
7669_L_O_1_COUPTF2
7669_L_T_1_DLX1
7669_L_T_1_TBR1
7669_L_T_1_COUPTF2
7669_L_mO_DLX1
7669_L_mO_COUPTF2
7669_R_EC_DLX1
7669_R_EC_TBR1
7669_R_EC_COUPTF2
7669_L_CC_2_DLX1
7669_L_CC_2_COUPTF2
7669_R_F_1_DLX1
7669_R_F_1_TBR1
7669_R_F_1_COUPTF2
7669_R_P_1_DLX1
7669_R_P_1_TBR1
7669_R_P_1_COUPTF2
7669_R_I_1_DLX1
7669_R_I_1_TBR1
7669_R_I_1_COUPTF2
7669_R_O_1_DLX1
7669_R_O_1_TBR1
7669_R_O_1_COUPTF2
7669_R_T_1_DLX1
7669_R_T_1_TBR1
7669_R_T_1_COUPTF2
7669_R_mO_DLX1
7669_R_mO_TBR1
7669_R_mO_COUPTF2
7669_L_EC_DLX1
7669_L_EC_COUPTF2
7669_R_CCMid_DLX1
7669_R_CC_Mid_TBR1
7669_R_CCMid_COUPTF2
B
13−59159499−G−A
0
−2
−4
−3
−2
−1
0
0.8
0.6
0.4
0.2
0.0

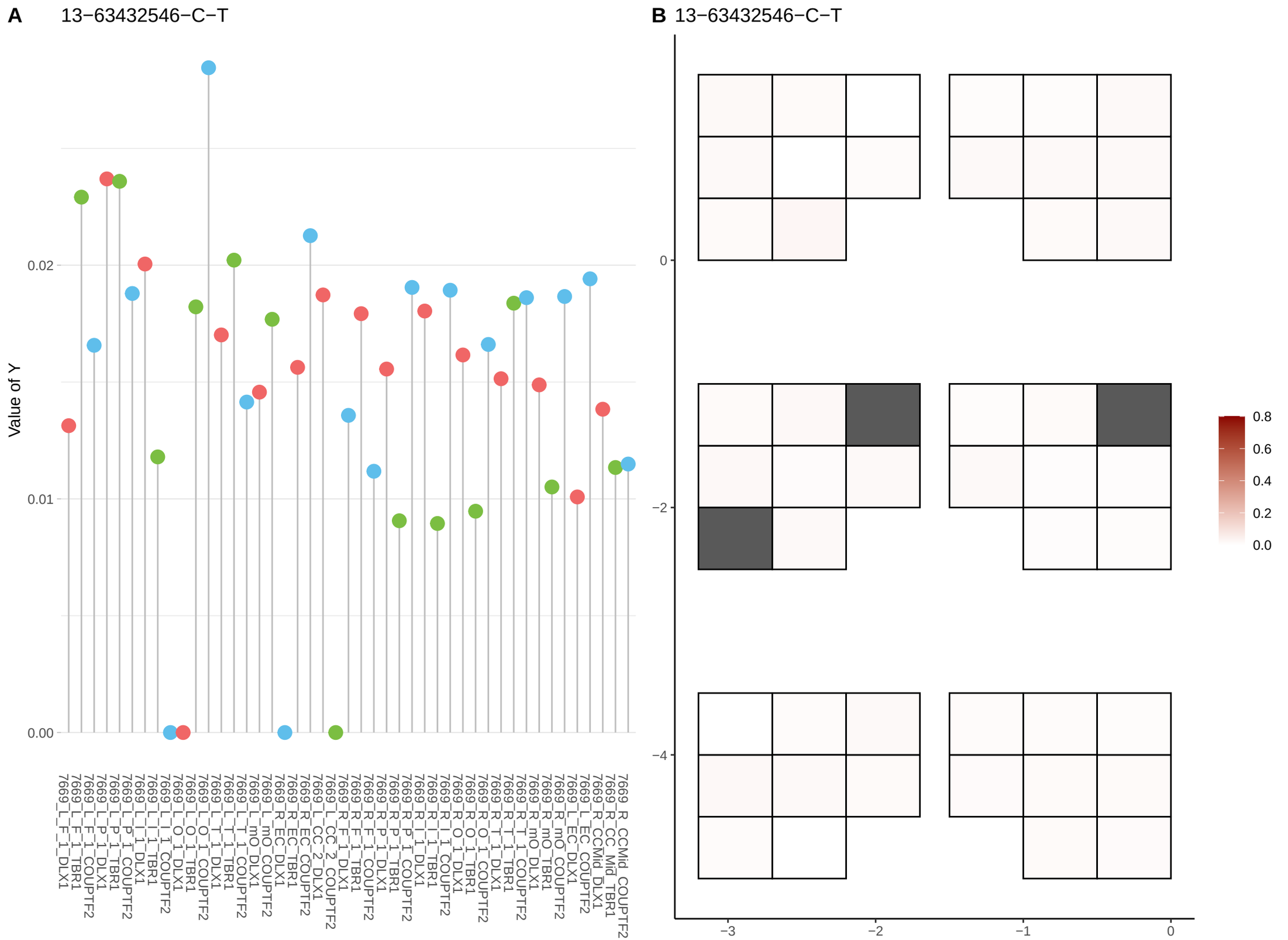
A
13−63432546−C−T
Value of Y
0.02
0.01
0.00
7669_L_F_1_DLX1
7669_L_F_1_TBR1
7669_L_F_1_COUPTF2
7669_L_P_1_DLX1
7669_L_P_1_TBR1
7669_L_P_1_COUPTF2
7669_L_I_1_DLX1
7669_L_I_1_TBR1
7669_L_I_1_COUPTF2
7669_L_O_1_DLX1
7669_L_O_1_TBR1
7669_L_O_1_COUPTF2
7669_L_T_1_DLX1
7669_L_T_1_TBR1
7669_L_T_1_COUPTF2
7669_L_mO_DLX1
7669_L_mO_COUPTF2
7669_R_EC_DLX1
7669_R_EC_TBR1
7669_R_EC_COUPTF2
7669_L_CC_2_DLX1
7669_L_CC_2_COUPTF2
7669_R_F_1_DLX1
7669_R_F_1_TBR1
7669_R_F_1_COUPTF2
7669_R_P_1_DLX1
7669_R_P_1_TBR1
7669_R_P_1_COUPTF2
7669_R_I_1_DLX1
7669_R_I_1_TBR1
7669_R_I_1_COUPTF2
7669_R_O_1_DLX1
7669_R_O_1_TBR1
7669_R_O_1_COUPTF2
7669_R_T_1_DLX1
7669_R_T_1_TBR1
7669_R_T_1_COUPTF2
7669_R_mO_DLX1
7669_R_mO_TBR1
7669_R_mO_COUPTF2
7669_L_EC_DLX1
7669_L_EC_COUPTF2
7669_R_CCMid_DLX1
7669_R_CC_Mid_TBR1
7669_R_CCMid_COUPTF2
B
13−63432546−C−T
0
−2
−4
−3
−2
−1
0
0.8
0.6
0.4
0.2
0.0

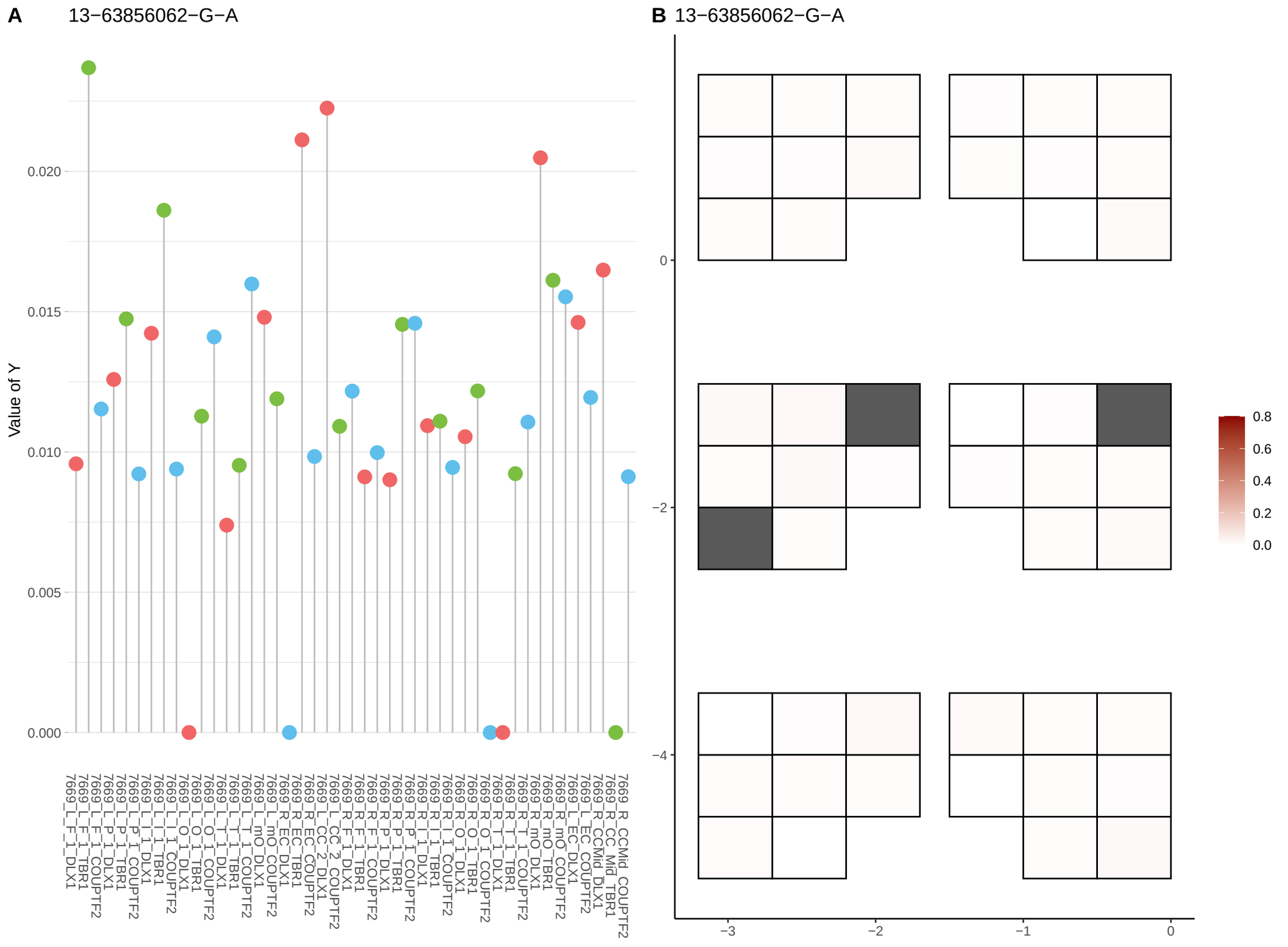
A
13−63856062−G−A
Value of Y
0.020
0.015
0.010
0.005
0.000
7669_L_F_1_DLX1
7669_L_F_1_TBR1
7669_L_F_1_COUPTF2
7669_L_P_1_DLX1
7669_L_P_1_TBR1
7669_L_P_1_COUPTF2
7669_L_I_1_DLX1
7669_L_I_1_TBR1
7669_L_I_1_COUPTF2
7669_L_O_1_DLX1
7669_L_O_1_TBR1
7669_L_O_1_COUPTF2
7669_L_T_1_DLX1
7669_L_T_1_TBR1
7669_L_T_1_COUPTF2
7669_L_mO_DLX1
7669_L_mO_COUPTF2
7669_R_EC_DLX1
7669_R_EC_TBR1
7669_R_EC_COUPTF2
7669_L_CC_2_DLX1
7669_L_CC_2_COUPTF2
7669_R_F_1_DLX1
7669_R_F_1_TBR1
7669_R_F_1_COUPTF2
7669_R_P_1_DLX1
7669_R_P_1_TBR1
7669_R_P_1_COUPTF2
7669_R_I_1_DLX1
7669_R_I_1_TBR1
7669_R_I_1_COUPTF2
7669_R_O_1_DLX1
7669_R_O_1_TBR1
7669_R_O_1_COUPTF2
7669_R_T_1_DLX1
7669_R_T_1_TBR1
7669_R_T_1_COUPTF2
7669_R_mO_DLX1
7669_R_mO_TBR1
7669_R_mO_COUPTF2
7669_L_EC_DLX1
7669_L_EC_COUPTF2
7669_R_CCMid_DLX1
7669_R_CC_Mid_TBR1
7669_R_CCMid_COUPTF2
B
13−63856062−G−A
0
−2
−4
−3
−2
−1
0
0.8
0.6
0.4
0.2
0.0

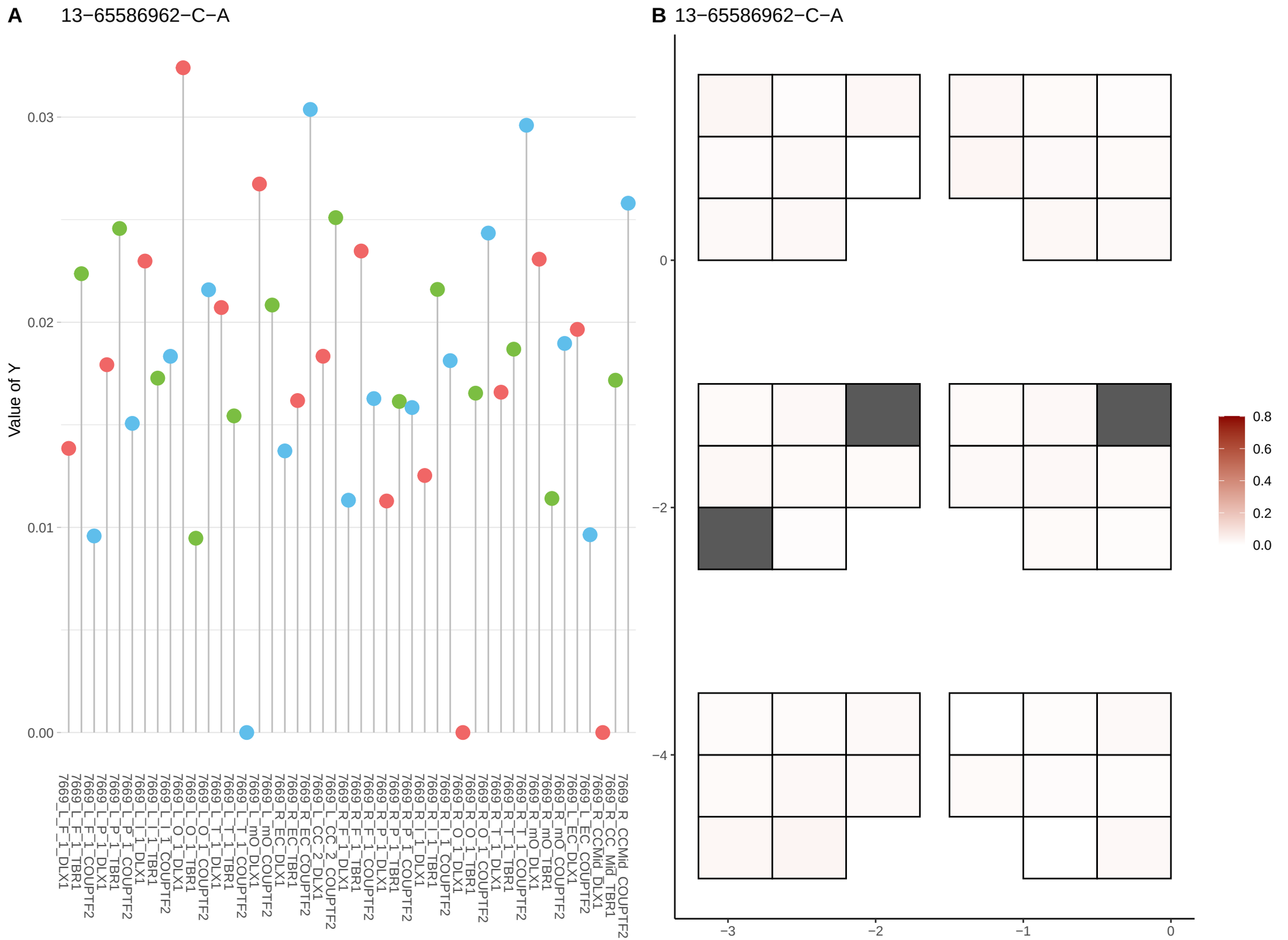
A
13−65586962−C−A
Value of Y
0.03
0.02
0.01
0.00
7669_L_F_1_DLX1
7669_L_F_1_TBR1
7669_L_F_1_COUPTF2
7669_L_P_1_DLX1
7669_L_P_1_TBR1
7669_L_P_1_COUPTF2
7669_L_I_1_DLX1
7669_L_I_1_TBR1
7669_L_I_1_COUPTF2
7669_L_O_1_DLX1
7669_L_O_1_TBR1
7669_L_O_1_COUPTF2
7669_L_T_1_DLX1
7669_L_T_1_TBR1
7669_L_T_1_COUPTF2
7669_L_mO_DLX1
7669_L_mO_COUPTF2
7669_R_EC_DLX1
7669_R_EC_TBR1
7669_R_EC_COUPTF2
7669_L_CC_2_DLX1
7669_L_CC_2_COUPTF2
7669_R_F_1_DLX1
7669_R_F_1_TBR1
7669_R_F_1_COUPTF2
7669_R_P_1_DLX1
7669_R_P_1_TBR1
7669_R_P_1_COUPTF2
7669_R_I_1_DLX1
7669_R_I_1_TBR1
7669_R_I_1_COUPTF2
7669_R_O_1_DLX1
7669_R_O_1_TBR1
7669_R_O_1_COUPTF2
7669_R_T_1_DLX1
7669_R_T_1_TBR1
7669_R_T_1_COUPTF2
7669_R_mO_DLX1
7669_R_mO_TBR1
7669_R_mO_COUPTF2
7669_L_EC_DLX1
7669_L_EC_COUPTF2
7669_R_CCMid_DLX1
7669_R_CC_Mid_TBR1
7669_R_CCMid_COUPTF2
B
13−65586962−C−A
0
−2
−4
−3
−2
−1
0
0.8
0.6
0.4
0.2
0.0

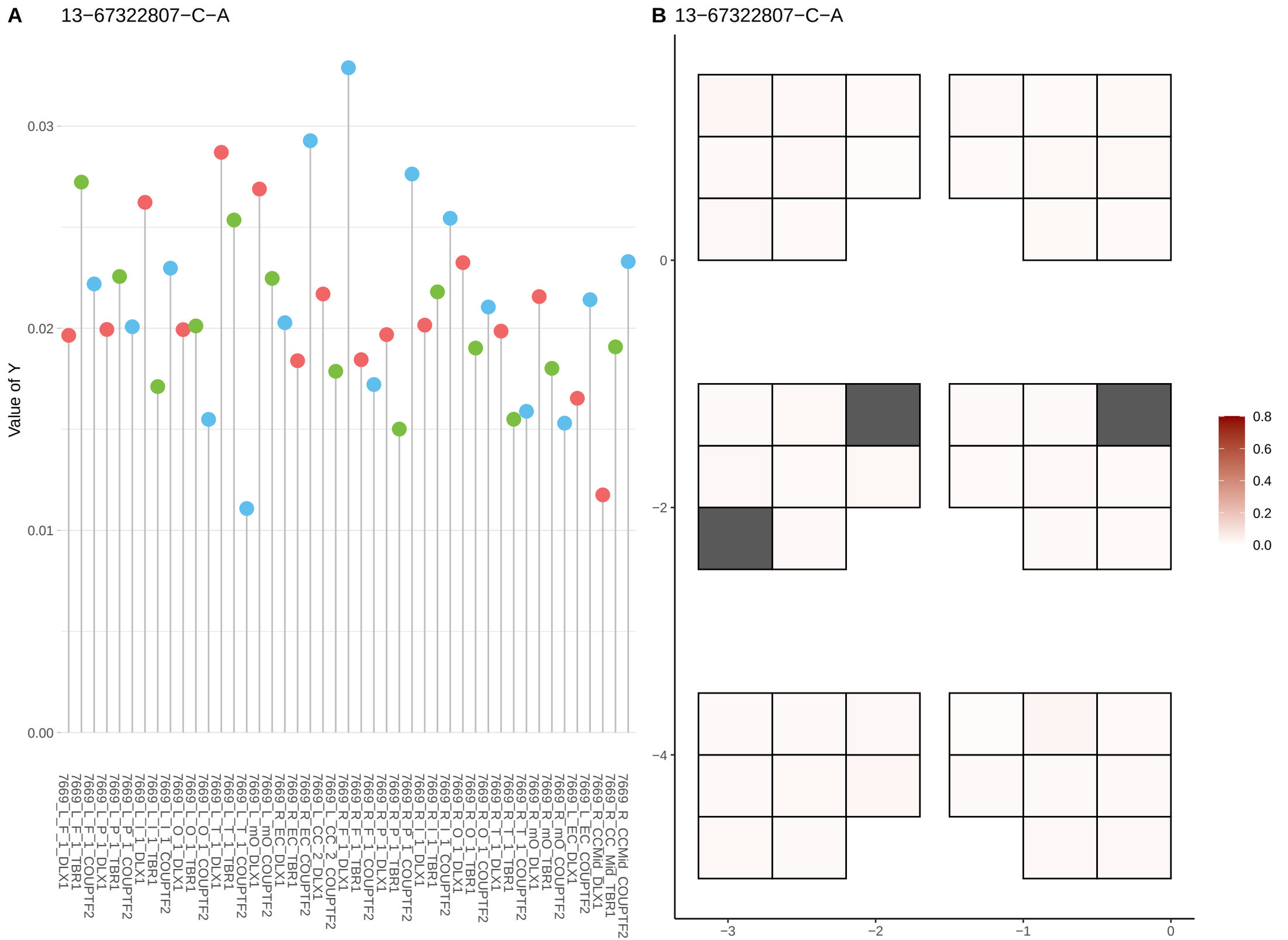
A
13−67322807−C−A
Value of Y
0.03
0.02
0.01
0.00
7669_L_F_1_DLX1
7669_L_F_1_TBR1
7669_L_F_1_COUPTF2
7669_L_P_1_DLX1
7669_L_P_1_TBR1
7669_L_P_1_COUPTF2
7669_L_I_1_DLX1
7669_L_I_1_TBR1
7669_L_I_1_COUPTF2
7669_L_O_1_DLX1
7669_L_O_1_TBR1
7669_L_O_1_COUPTF2
7669_L_T_1_DLX1
7669_L_T_1_TBR1
7669_L_T_1_COUPTF2
7669_L_mO_DLX1
7669_L_mO_COUPTF2
7669_R_EC_DLX1
7669_R_EC_TBR1
7669_R_EC_COUPTF2
7669_L_CC_2_DLX1
7669_L_CC_2_COUPTF2
7669_R_F_1_DLX1
7669_R_F_1_TBR1
7669_R_F_1_COUPTF2
7669_R_P_1_DLX1
7669_R_P_1_TBR1
7669_R_P_1_COUPTF2
7669_R_I_1_DLX1
7669_R_I_1_TBR1
7669_R_I_1_COUPTF2
7669_R_O_1_DLX1
7669_R_O_1_TBR1
7669_R_O_1_COUPTF2
7669_R_T_1_DLX1
7669_R_T_1_TBR1
7669_R_T_1_COUPTF2
7669_R_mO_DLX1
7669_R_mO_TBR1
7669_R_mO_COUPTF2
7669_L_EC_DLX1
7669_L_EC_COUPTF2
7669_R_CCMid_DLX1
7669_R_CC_Mid_TBR1
7669_R_CCMid_COUPTF2
B
13−67322807−C−A
0
−2
−4
−3
−2
−1
0
0.8
0.6
0.4
0.2
0.0

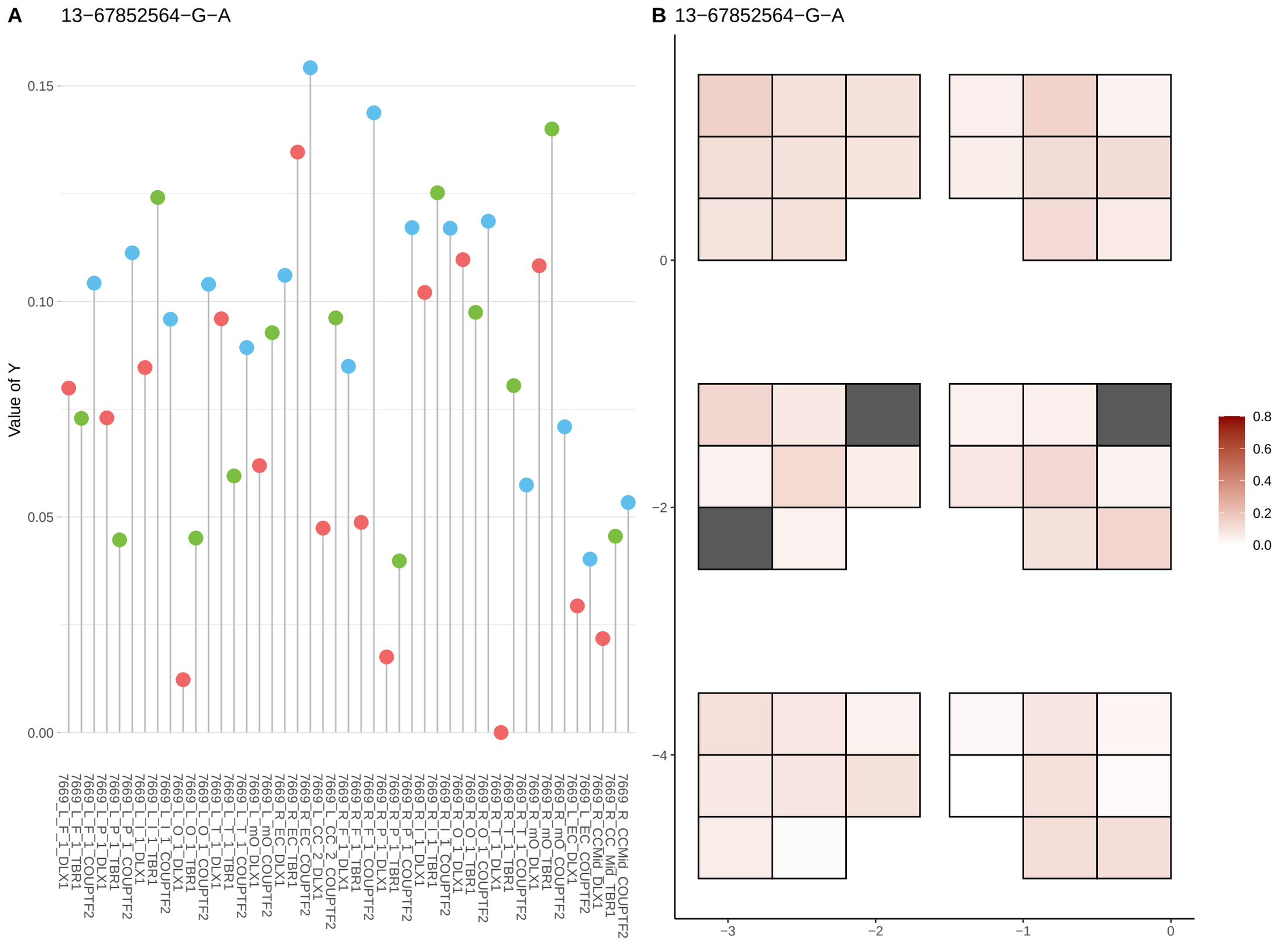
A
13−67852564−G−A
Value of Y
0.15
0.10
0.05
0.00
7669_L_F_1_DLX1
7669_L_F_1_TBR1
7669_L_F_1_COUPTF2
7669_L_P_1_DLX1
7669_L_P_1_TBR1
7669_L_P_1_COUPTF2
7669_L_I_1_DLX1
7669_L_I_1_TBR1
7669_L_I_1_COUPTF2
7669_L_O_1_DLX1
7669_L_O_1_TBR1
7669_L_O_1_COUPTF2
7669_L_T_1_DLX1
7669_L_T_1_TBR1
7669_L_T_1_COUPTF2
7669_L_mO_DLX1
7669_L_mO_COUPTF2
7669_R_EC_DLX1
7669_R_EC_TBR1
7669_R_EC_COUPTF2
7669_L_CC_2_DLX1
7669_L_CC_2_COUPTF2
7669_R_F_1_DLX1
7669_R_F_1_TBR1
7669_R_F_1_COUPTF2
7669_R_P_1_DLX1
7669_R_P_1_TBR1
7669_R_P_1_COUPTF2
7669_R_I_1_DLX1
7669_R_I_1_TBR1
7669_R_I_1_COUPTF2
7669_R_O_1_DLX1
7669_R_O_1_TBR1
7669_R_O_1_COUPTF2
7669_R_T_1_DLX1
7669_R_T_1_TBR1
7669_R_T_1_COUPTF2
7669_R_mO_DLX1
7669_R_mO_TBR1
7669_R_mO_COUPTF2
7669_L_EC_DLX1
7669_L_EC_COUPTF2
7669_R_CCMid_DLX1
7669_R_CC_Mid_TBR1
7669_R_CCMid_COUPTF2
B
13−67852564−G−A
0
−2
−4
−3
−2
−1
0
0.8
0.6
0.4
0.2
0.0

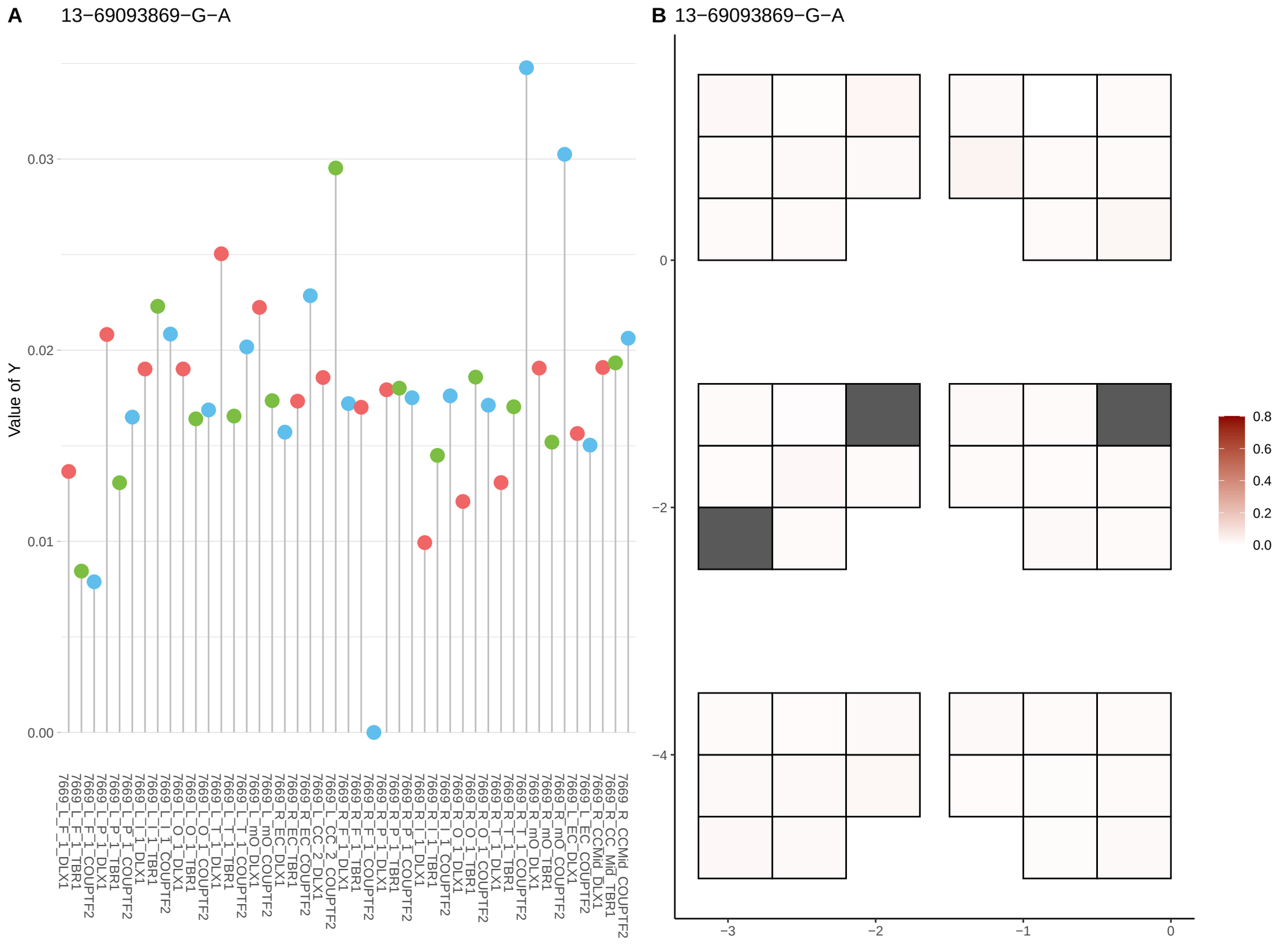
A
13−69093869−G−A
Value of Y
0.03
0.02
0.01
0.00
7669_L_F_1_DLX1
7669_L_F_1_TBR1
7669_L_F_1_COUPTF2
7669_L_P_1_DLX1
7669_L_P_1_TBR1
7669_L_P_1_COUPTF2
7669_L_I_1_DLX1
7669_L_I_1_TBR1
7669_L_I_1_COUPTF2
7669_L_O_1_DLX1
7669_L_O_1_TBR1
7669_L_O_1_COUPTF2
7669_L_T_1_DLX1
7669_L_T_1_TBR1
7669_L_T_1_COUPTF2
7669_L_mO_DLX1
7669_L_mO_COUPTF2
7669_R_EC_DLX1
7669_R_EC_TBR1
7669_R_EC_COUPTF2
7669_L_CC_2_DLX1
7669_L_CC_2_COUPTF2
7669_R_F_1_DLX1
7669_R_F_1_TBR1
7669_R_F_1_COUPTF2
7669_R_P_1_DLX1
7669_R_P_1_TBR1
7669_R_P_1_COUPTF2
7669_R_I_1_DLX1
7669_R_I_1_TBR1
7669_R_I_1_COUPTF2
7669_R_O_1_DLX1
7669_R_O_1_TBR1
7669_R_O_1_COUPTF2
7669_R_T_1_DLX1
7669_R_T_1_TBR1
7669_R_T_1_COUPTF2
7669_R_mO_DLX1
7669_R_mO_TBR1
7669_R_mO_COUPTF2
7669_L_EC_DLX1
7669_L_EC_COUPTF2
7669_R_CCMid_DLX1
7669_R_CC_Mid_TBR1
7669_R_CCMid_COUPTF2
B
13−69093869−G−A
0
−2
−4
−3
−2
−1
0
0.8
0.6
0.4
0.2
0.0

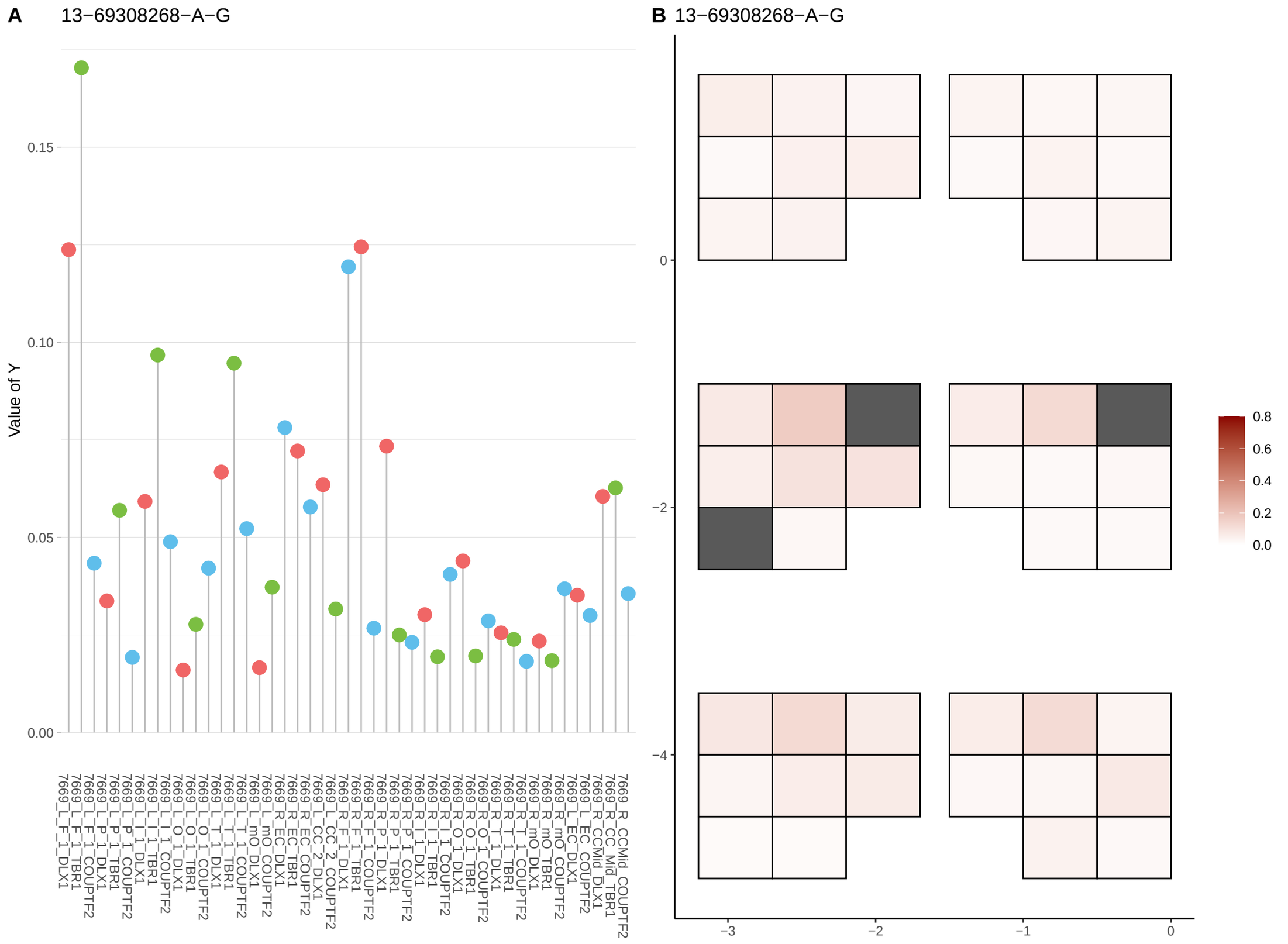
A
13−69308268−A−G
Value of Y
0.15
0.10
0.05
0.00
7669_L_F_1_DLX1
7669_L_F_1_TBR1
7669_L_F_1_COUPTF2
7669_L_P_1_DLX1
7669_L_P_1_TBR1
7669_L_P_1_COUPTF2
7669_L_I_1_DLX1
7669_L_I_1_TBR1
7669_L_I_1_COUPTF2
7669_L_O_1_DLX1
7669_L_O_1_TBR1
7669_L_O_1_COUPTF2
7669_L_T_1_DLX1
7669_L_T_1_TBR1
7669_L_T_1_COUPTF2
7669_L_mO_DLX1
7669_L_mO_COUPTF2
7669_R_EC_DLX1
7669_R_EC_TBR1
7669_R_EC_COUPTF2
7669_L_CC_2_DLX1
7669_L_CC_2_COUPTF2
7669_R_F_1_DLX1
7669_R_F_1_TBR1
7669_R_F_1_COUPTF2
7669_R_P_1_DLX1
7669_R_P_1_TBR1
7669_R_P_1_COUPTF2
7669_R_I_1_DLX1
7669_R_I_1_TBR1
7669_R_I_1_COUPTF2
7669_R_O_1_DLX1
7669_R_O_1_TBR1
7669_R_O_1_COUPTF2
7669_R_T_1_DLX1
7669_R_T_1_TBR1
7669_R_T_1_COUPTF2
7669_R_mO_DLX1
7669_R_mO_TBR1
7669_R_mO_COUPTF2
7669_L_EC_DLX1
7669_L_EC_COUPTF2
7669_R_CCMid_DLX1
7669_R_CC_Mid_TBR1
7669_R_CCMid_COUPTF2
B
13−69308268−A−G
0
−2
−4
−3
−2
−1
0
0.8
0.6
0.4
0.2
0.0

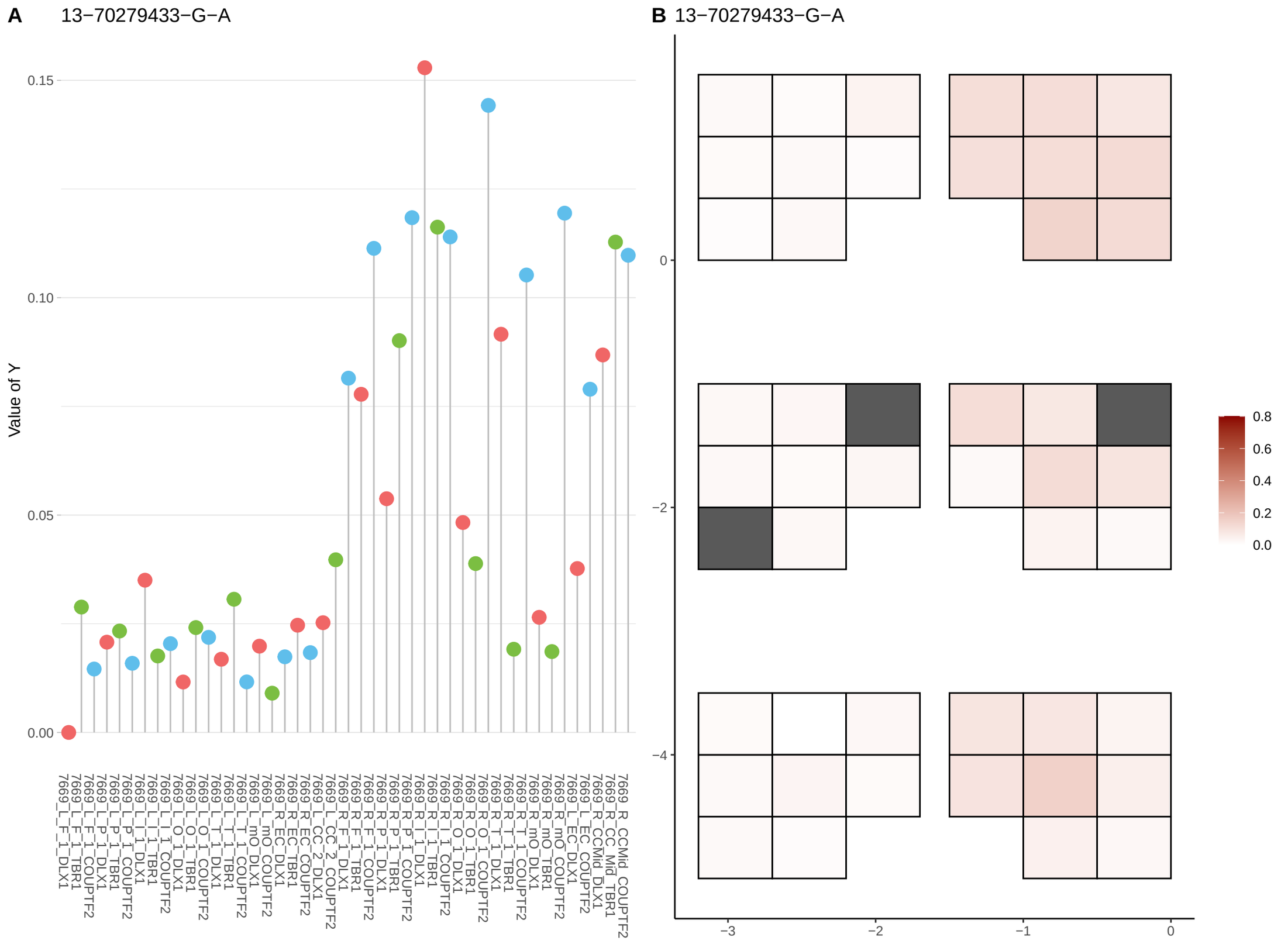
A
13−70279433−G−A
Value of Y
0.15
0.10
0.05
0.00
7669_L_F_1_DLX1
7669_L_F_1_TBR1
7669_L_F_1_COUPTF2
7669_L_P_1_DLX1
7669_L_P_1_TBR1
7669_L_P_1_COUPTF2
7669_L_I_1_DLX1
7669_L_I_1_TBR1
7669_L_I_1_COUPTF2
7669_L_O_1_DLX1
7669_L_O_1_TBR1
7669_L_O_1_COUPTF2
7669_L_T_1_DLX1
7669_L_T_1_TBR1
7669_L_T_1_COUPTF2
7669_L_mO_DLX1
7669_L_mO_COUPTF2
7669_R_EC_DLX1
7669_R_EC_TBR1
7669_R_EC_COUPTF2
7669_L_CC_2_DLX1
7669_L_CC_2_COUPTF2
7669_R_F_1_DLX1
7669_R_F_1_TBR1
7669_R_F_1_COUPTF2
7669_R_P_1_DLX1
7669_R_P_1_TBR1
7669_R_P_1_COUPTF2
7669_R_I_1_DLX1
7669_R_I_1_TBR1
7669_R_I_1_COUPTF2
7669_R_O_1_DLX1
7669_R_O_1_TBR1
7669_R_O_1_COUPTF2
7669_R_T_1_DLX1
7669_R_T_1_TBR1
7669_R_T_1_COUPTF2
7669_R_mO_DLX1
7669_R_mO_TBR1
7669_R_mO_COUPTF2
7669_L_EC_DLX1
7669_L_EC_COUPTF2
7669_R_CCMid_DLX1
7669_R_CC_Mid_TBR1
7669_R_CCMid_COUPTF2
B
13−70279433−G−A
0
−2
−4
−3
−2
−1
0
0.8
0.6
0.4
0.2
0.0

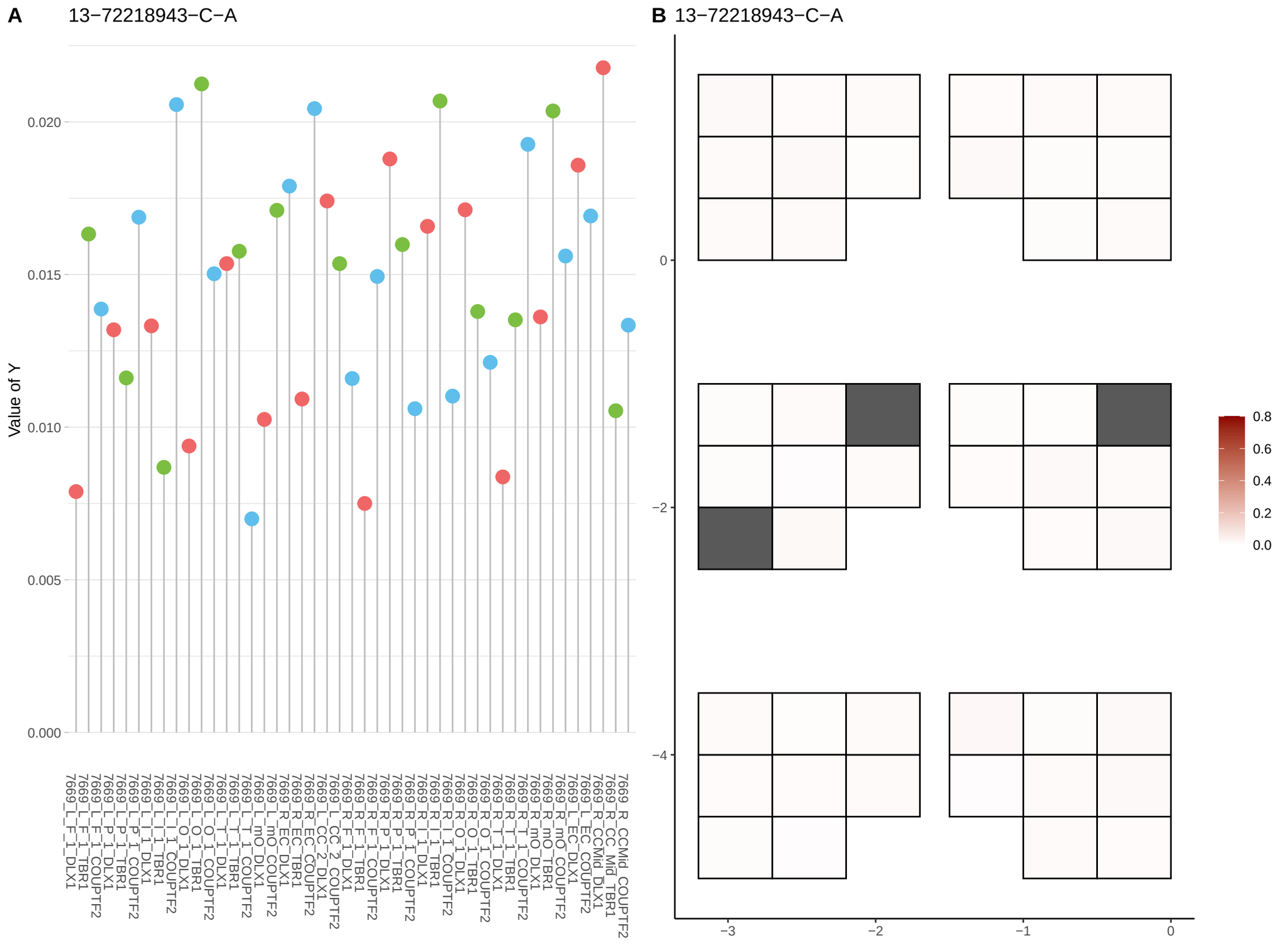
A
13−72218943−C−A
Value of Y
0.020
0.015
0.010
0.005
0.000
7669_L_F_1_DLX1
7669_L_F_1_TBR1
7669_L_F_1_COUPTF2
7669_L_P_1_DLX1
7669_L_P_1_TBR1
7669_L_P_1_COUPTF2
7669_L_I_1_DLX1
7669_L_I_1_TBR1
7669_L_I_1_COUPTF2
7669_L_O_1_DLX1
7669_L_O_1_TBR1
7669_L_O_1_COUPTF2
7669_L_T_1_DLX1
7669_L_T_1_TBR1
7669_L_T_1_COUPTF2
7669_L_mO_DLX1
7669_L_mO_COUPTF2
7669_R_EC_DLX1
7669_R_EC_TBR1
7669_R_EC_COUPTF2
7669_L_CC_2_DLX1
7669_L_CC_2_COUPTF2
7669_R_F_1_DLX1
7669_R_F_1_TBR1
7669_R_F_1_COUPTF2
7669_R_P_1_DLX1
7669_R_P_1_TBR1
7669_R_P_1_COUPTF2
7669_R_I_1_DLX1
7669_R_I_1_TBR1
7669_R_I_1_COUPTF2
7669_R_O_1_DLX1
7669_R_O_1_TBR1
7669_R_O_1_COUPTF2
7669_R_T_1_DLX1
7669_R_T_1_TBR1
7669_R_T_1_COUPTF2
7669_R_mO_DLX1
7669_R_mO_TBR1
7669_R_mO_COUPTF2
7669_L_EC_DLX1
7669_L_EC_COUPTF2
7669_R_CCMid_DLX1
7669_R_CC_Mid_TBR1
7669_R_CCMid_COUPTF2
B
13−72218943−C−A
0
−2
−4
−3
−2
−1
0
0.8
0.6
0.4
0.2
0.0

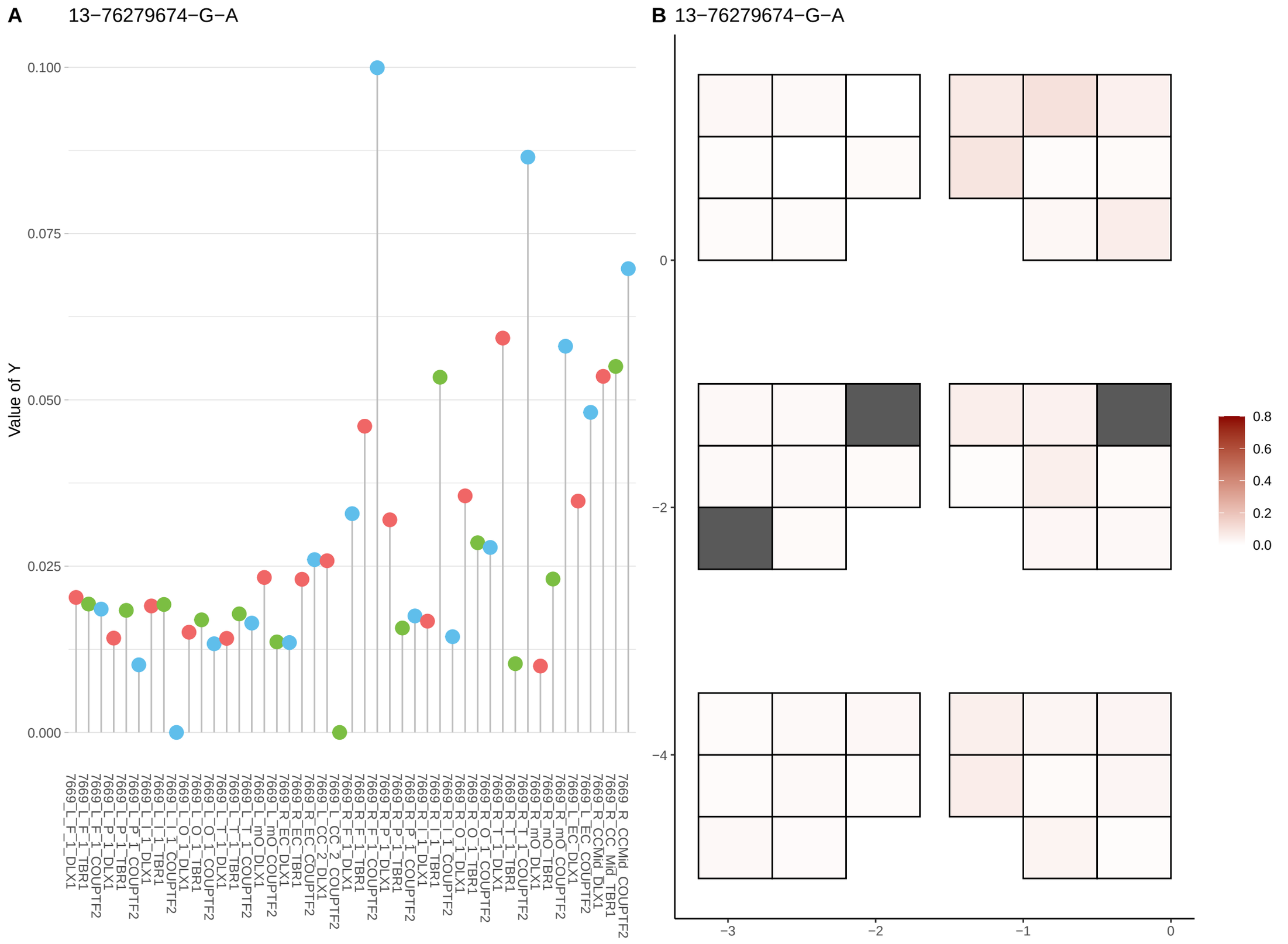
A
13−76279674−G−A
Value of Y
0.100
0.075
0.050
0.025
0.000
7669_L_F_1_DLX1
7669_L_F_1_TBR1
7669_L_F_1_COUPTF2
7669_L_P_1_DLX1
7669_L_P_1_TBR1
7669_L_P_1_COUPTF2
7669_L_I_1_DLX1
7669_L_I_1_TBR1
7669_L_I_1_COUPTF2
7669_L_O_1_DLX1
7669_L_O_1_TBR1
7669_L_O_1_COUPTF2
7669_L_T_1_DLX1
7669_L_T_1_TBR1
7669_L_T_1_COUPTF2
7669_L_mO_DLX1
7669_L_mO_COUPTF2
7669_R_EC_DLX1
7669_R_EC_TBR1
7669_R_EC_COUPTF2
7669_L_CC_2_DLX1
7669_L_CC_2_COUPTF2
7669_R_F_1_DLX1
7669_R_F_1_TBR1
7669_R_F_1_COUPTF2
7669_R_P_1_DLX1
7669_R_P_1_TBR1
7669_R_P_1_COUPTF2
7669_R_I_1_DLX1
7669_R_I_1_TBR1
7669_R_I_1_COUPTF2
7669_R_O_1_DLX1
7669_R_O_1_TBR1
7669_R_O_1_COUPTF2
7669_R_T_1_DLX1
7669_R_T_1_TBR1
7669_R_T_1_COUPTF2
7669_R_mO_DLX1
7669_R_mO_TBR1
7669_R_mO_COUPTF2
7669_L_EC_DLX1
7669_L_EC_COUPTF2
7669_R_CCMid_DLX1
7669_R_CC_Mid_TBR1
7669_R_CCMid_COUPTF2
B
13−76279674−G−A
0
−2
−4
−3
−2
−1
0
0.8
0.6
0.4
0.2
0.0

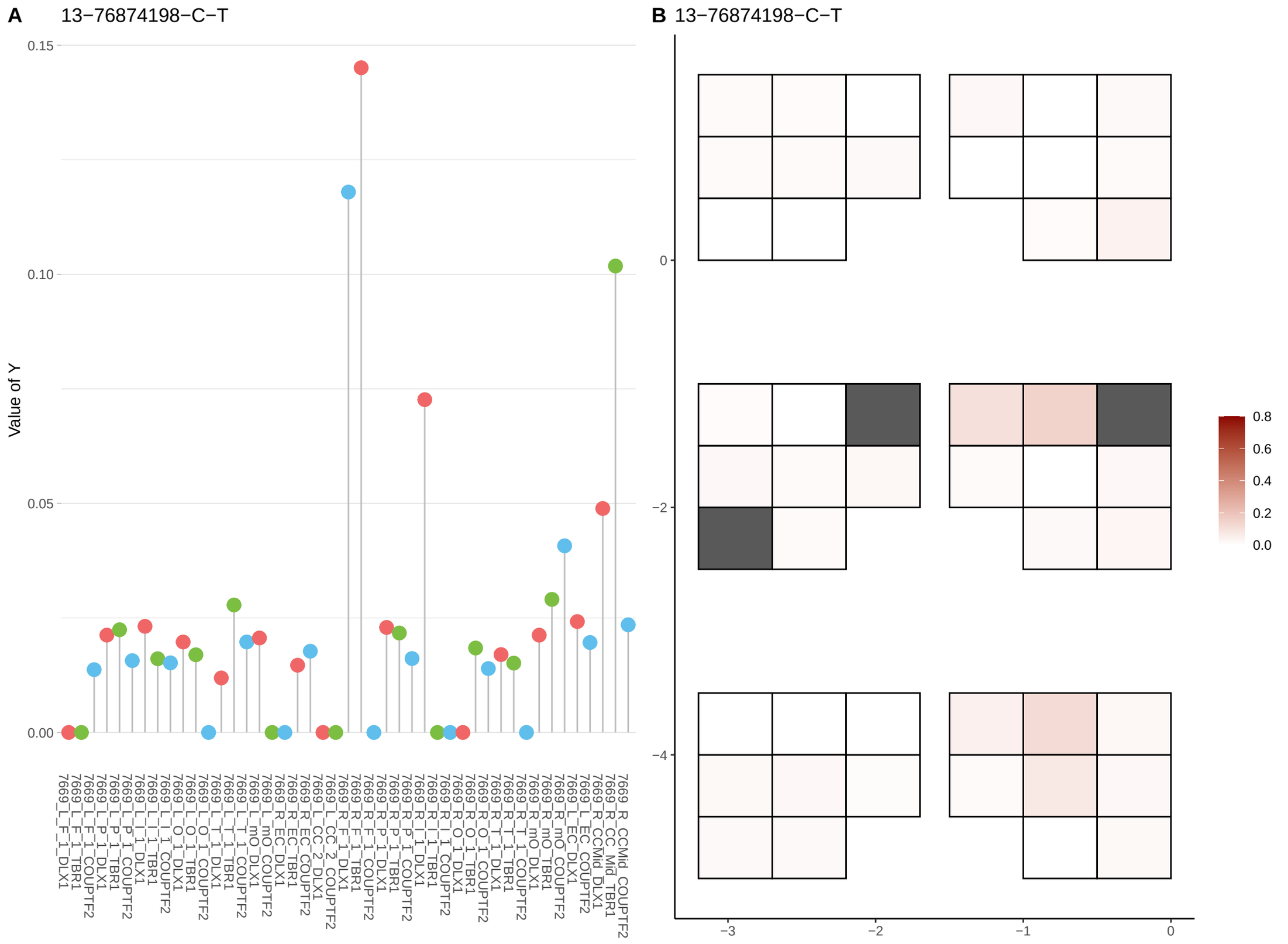
A
13−76874198−C−T
Value of Y
0.15
0.10
0.05
0.00
7669_L_F_1_DLX1
7669_L_F_1_TBR1
7669_L_F_1_COUPTF2
7669_L_P_1_DLX1
7669_L_P_1_TBR1
7669_L_P_1_COUPTF2
7669_L_I_1_DLX1
7669_L_I_1_TBR1
7669_L_I_1_COUPTF2
7669_L_O_1_DLX1
7669_L_O_1_TBR1
7669_L_O_1_COUPTF2
7669_L_T_1_DLX1
7669_L_T_1_TBR1
7669_L_T_1_COUPTF2
7669_L_mO_DLX1
7669_L_mO_COUPTF2
7669_R_EC_DLX1
7669_R_EC_TBR1
7669_R_EC_COUPTF2
7669_L_CC_2_DLX1
7669_L_CC_2_COUPTF2
7669_R_F_1_DLX1
7669_R_F_1_TBR1
7669_R_F_1_COUPTF2
7669_R_P_1_DLX1
7669_R_P_1_TBR1
7669_R_P_1_COUPTF2
7669_R_I_1_DLX1
7669_R_I_1_TBR1
7669_R_I_1_COUPTF2
7669_R_O_1_DLX1
7669_R_O_1_TBR1
7669_R_O_1_COUPTF2
7669_R_T_1_DLX1
7669_R_T_1_TBR1
7669_R_T_1_COUPTF2
7669_R_mO_DLX1
7669_R_mO_TBR1
7669_R_mO_COUPTF2
7669_L_EC_DLX1
7669_L_EC_COUPTF2
7669_R_CCMid_DLX1
7669_R_CC_Mid_TBR1
7669_R_CCMid_COUPTF2
B
13−76874198−C−T
0
−2
−4
−3
−2
−1
0
0.8
0.6
0.4
0.2
0.0

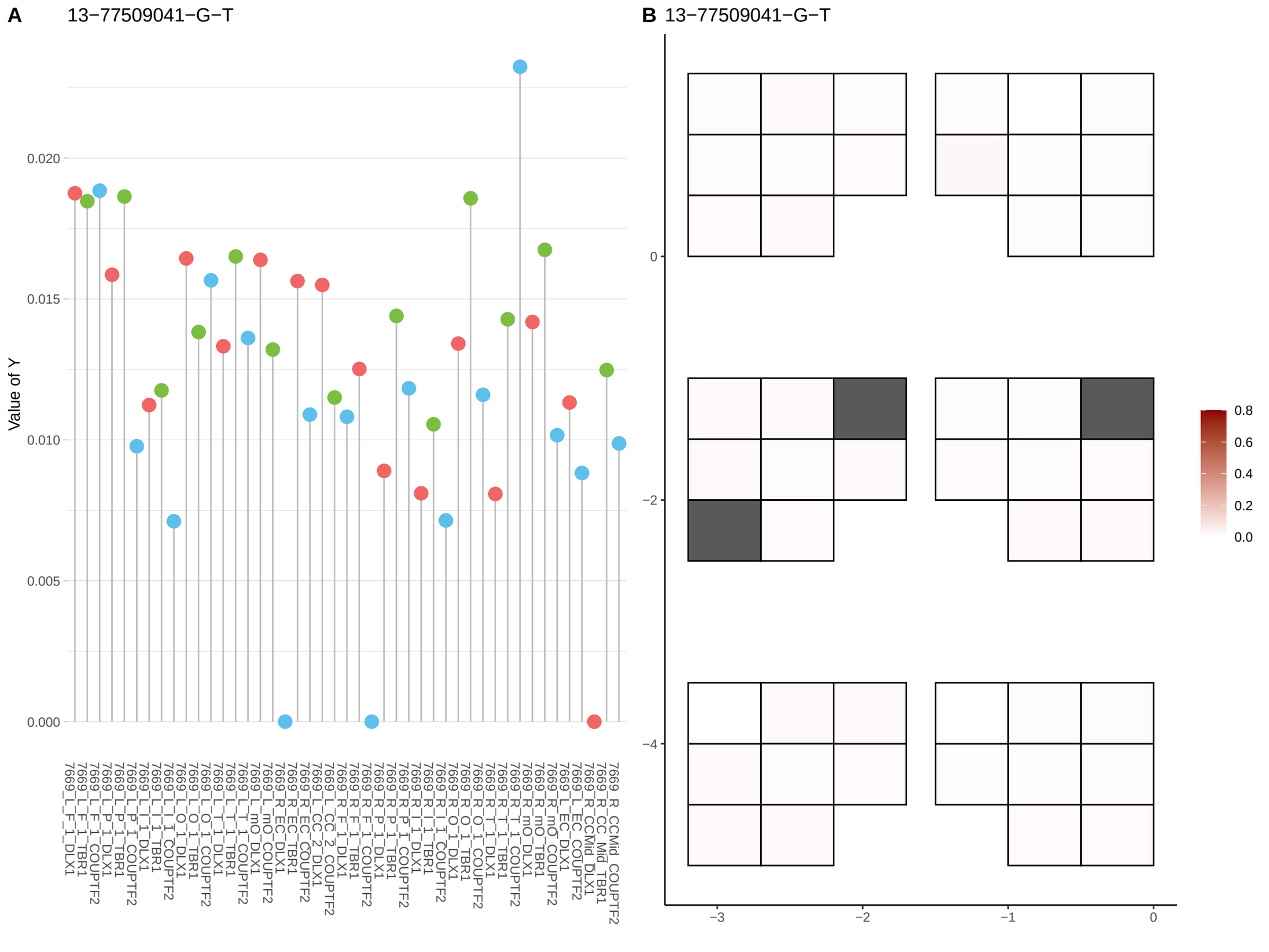
A
13−77509041−G−T
Value of Y
0.020
0.015
0.010
0.005
0.000
7669_L_F_1_DLX1
7669_L_F_1_TBR1
7669_L_F_1_COUPTF2
7669_L_P_1_DLX1
7669_L_P_1_TBR1
7669_L_P_1_COUPTF2
7669_L_I_1_DLX1
7669_L_I_1_TBR1
7669_L_I_1_COUPTF2
7669_L_O_1_DLX1
7669_L_O_1_TBR1
7669_L_O_1_COUPTF2
7669_L_T_1_DLX1
7669_L_T_1_TBR1
7669_L_T_1_COUPTF2
7669_L_mO_DLX1
7669_L_mO_COUPTF2
7669_R_EC_DLX1
7669_R_EC_TBR1
7669_R_EC_COUPTF2
7669_L_CC_2_DLX1
7669_L_CC_2_COUPTF2
7669_R_F_1_DLX1
7669_R_F_1_TBR1
7669_R_F_1_COUPTF2
7669_R_P_1_DLX1
7669_R_P_1_TBR1
7669_R_P_1_COUPTF2
7669_R_I_1_DLX1
7669_R_I_1_TBR1
7669_R_I_1_COUPTF2
7669_R_O_1_DLX1
7669_R_O_1_TBR1
7669_R_O_1_COUPTF2
7669_R_T_1_DLX1
7669_R_T_1_TBR1
7669_R_T_1_COUPTF2
7669_R_mO_DLX1
7669_R_mO_TBR1
7669_R_mO_COUPTF2
7669_L_EC_DLX1
7669_L_EC_COUPTF2
7669_R_CCMid_DLX1
7669_R_CC_Mid_TBR1
7669_R_CCMid_COUPTF2
B
13−77509041−G−T
0
−2
−4
−3
−2
−1
0
0.8
0.6
0.4
0.2
0.0

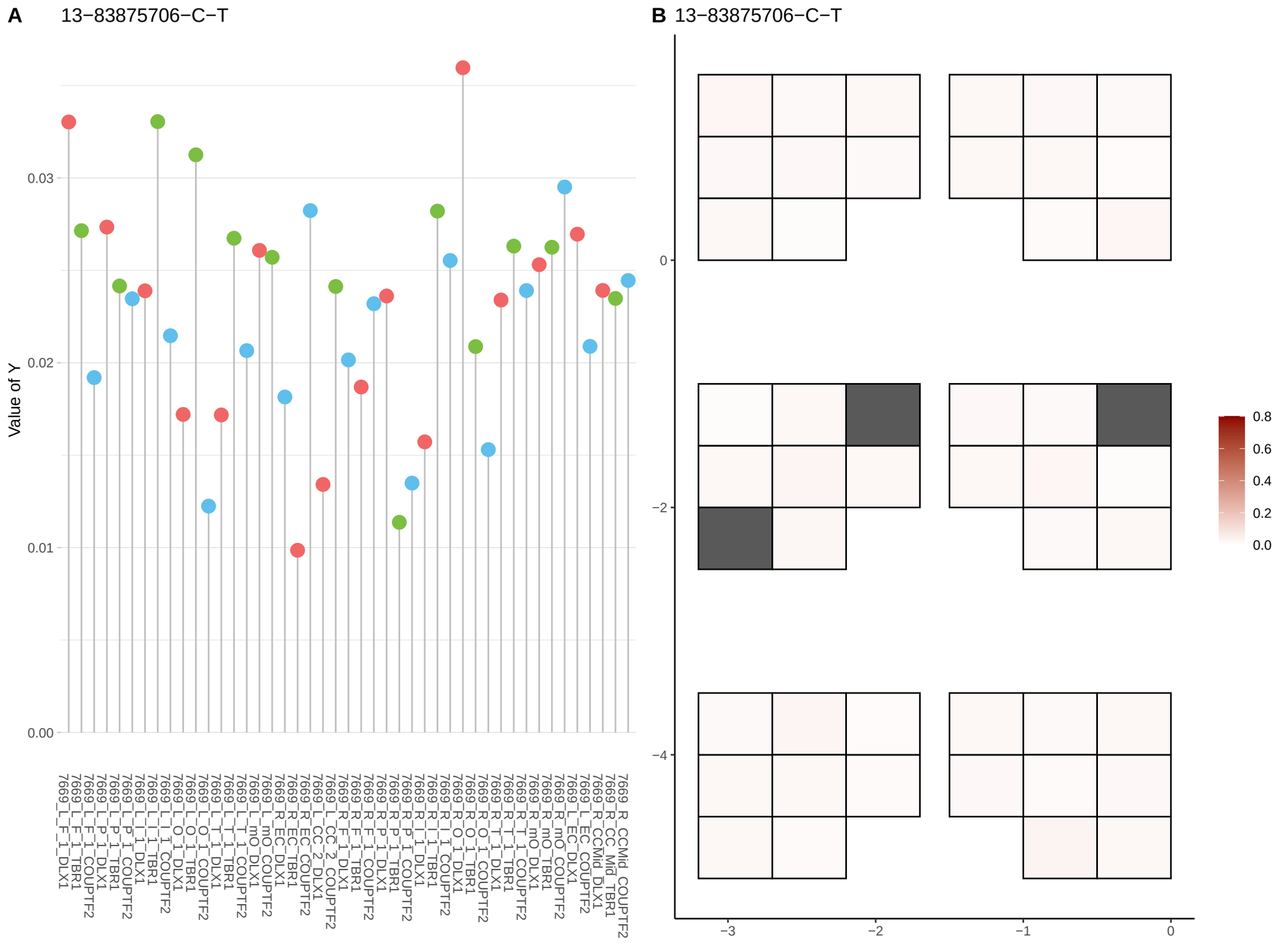
A
13−83875706−C−T
Value of Y
0.03
0.02
0.01
0.00
7669_L_F_1_DLX1
7669_L_F_1_TBR1
7669_L_F_1_COUPTF2
7669_L_P_1_DLX1
7669_L_P_1_TBR1
7669_L_P_1_COUPTF2
7669_L_I_1_DLX1
7669_L_I_1_TBR1
7669_L_I_1_COUPTF2
7669_L_O_1_DLX1
7669_L_O_1_TBR1
7669_L_O_1_COUPTF2
7669_L_T_1_DLX1
7669_L_T_1_TBR1
7669_L_T_1_COUPTF2
7669_L_mO_DLX1
7669_L_mO_COUPTF2
7669_R_EC_DLX1
7669_R_EC_TBR1
7669_R_EC_COUPTF2
7669_L_CC_2_DLX1
7669_L_CC_2_COUPTF2
7669_R_F_1_DLX1
7669_R_F_1_TBR1
7669_R_F_1_COUPTF2
7669_R_P_1_DLX1
7669_R_P_1_TBR1
7669_R_P_1_COUPTF2
7669_R_I_1_DLX1
7669_R_I_1_TBR1
7669_R_I_1_COUPTF2
7669_R_O_1_DLX1
7669_R_O_1_TBR1
7669_R_O_1_COUPTF2
7669_R_T_1_DLX1
7669_R_T_1_TBR1
7669_R_T_1_COUPTF2
7669_R_mO_DLX1
7669_R_mO_TBR1
7669_R_mO_COUPTF2
7669_L_EC_DLX1
7669_L_EC_COUPTF2
7669_R_CCMid_DLX1
7669_R_CC_Mid_TBR1
7669_R_CCMid_COUPTF2
B
13−83875706−C−T
0
−2
−4
−3
−2
−1
0
0.8
0.6
0.4
0.2
0.0

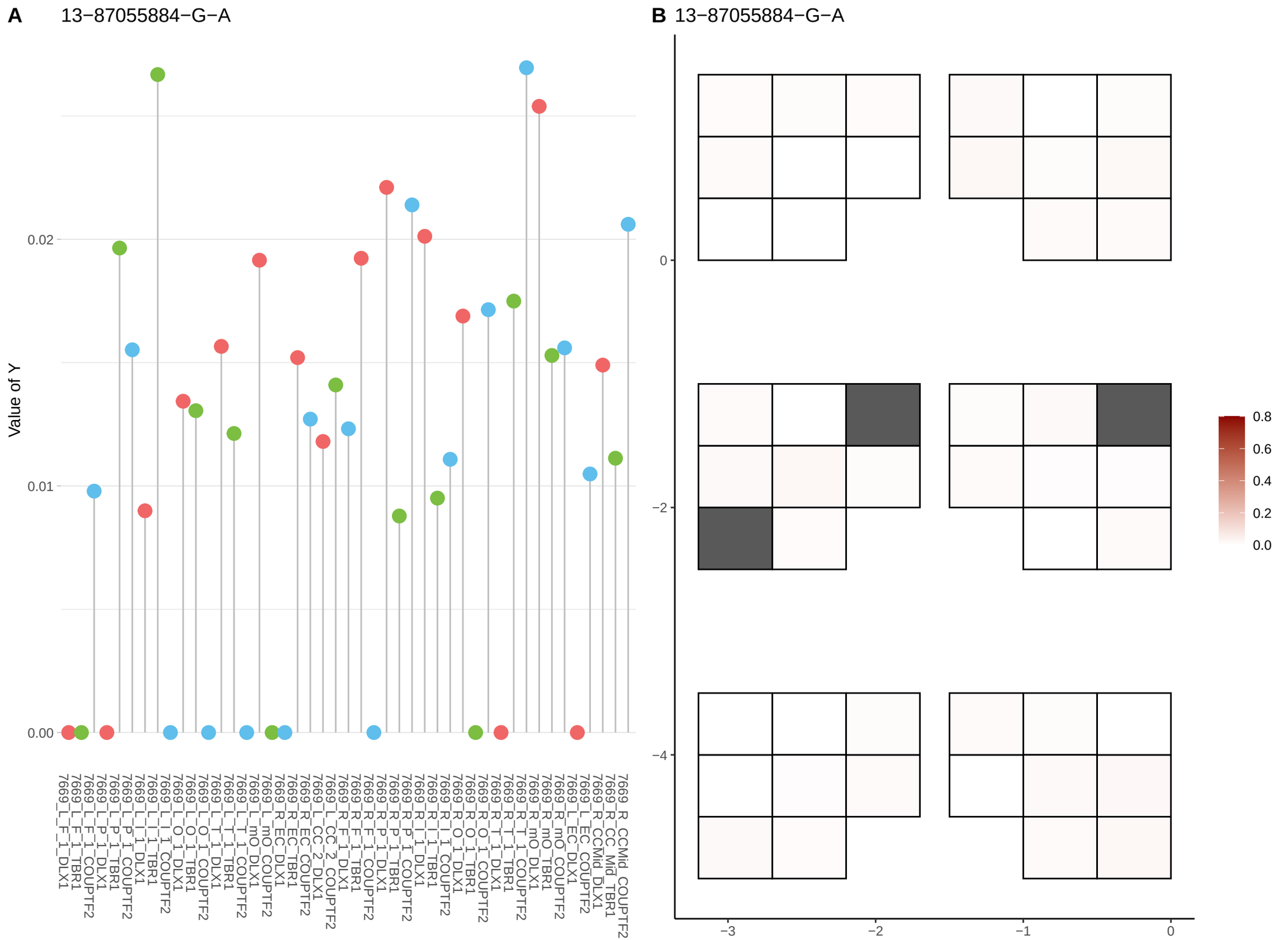
A
13−87055884−G−A
Value of Y
0.02
0.01
0.00
7669_L_F_1_DLX1
7669_L_F_1_TBR1
7669_L_F_1_COUPTF2
7669_L_P_1_DLX1
7669_L_P_1_TBR1
7669_L_P_1_COUPTF2
7669_L_I_1_DLX1
7669_L_I_1_TBR1
7669_L_I_1_COUPTF2
7669_L_O_1_DLX1
7669_L_O_1_TBR1
7669_L_O_1_COUPTF2
7669_L_T_1_DLX1
7669_L_T_1_TBR1
7669_L_T_1_COUPTF2
7669_L_mO_DLX1
7669_L_mO_COUPTF2
7669_R_EC_DLX1
7669_R_EC_TBR1
7669_R_EC_COUPTF2
7669_L_CC_2_DLX1
7669_L_CC_2_COUPTF2
7669_R_F_1_DLX1
7669_R_F_1_TBR1
7669_R_F_1_COUPTF2
7669_R_P_1_DLX1
7669_R_P_1_TBR1
7669_R_P_1_COUPTF2
7669_R_I_1_DLX1
7669_R_I_1_TBR1
7669_R_I_1_COUPTF2
7669_R_O_1_DLX1
7669_R_O_1_TBR1
7669_R_O_1_COUPTF2
7669_R_T_1_DLX1
7669_R_T_1_TBR1
7669_R_T_1_COUPTF2
7669_R_mO_DLX1
7669_R_mO_TBR1
7669_R_mO_COUPTF2
7669_L_EC_DLX1
7669_L_EC_COUPTF2
7669_R_CCMid_DLX1
7669_R_CC_Mid_TBR1
7669_R_CCMid_COUPTF2
B
13−87055884−G−A
0
−2
−4
−3
−2
−1
0
0.8
0.6
0.4
0.2
0.0

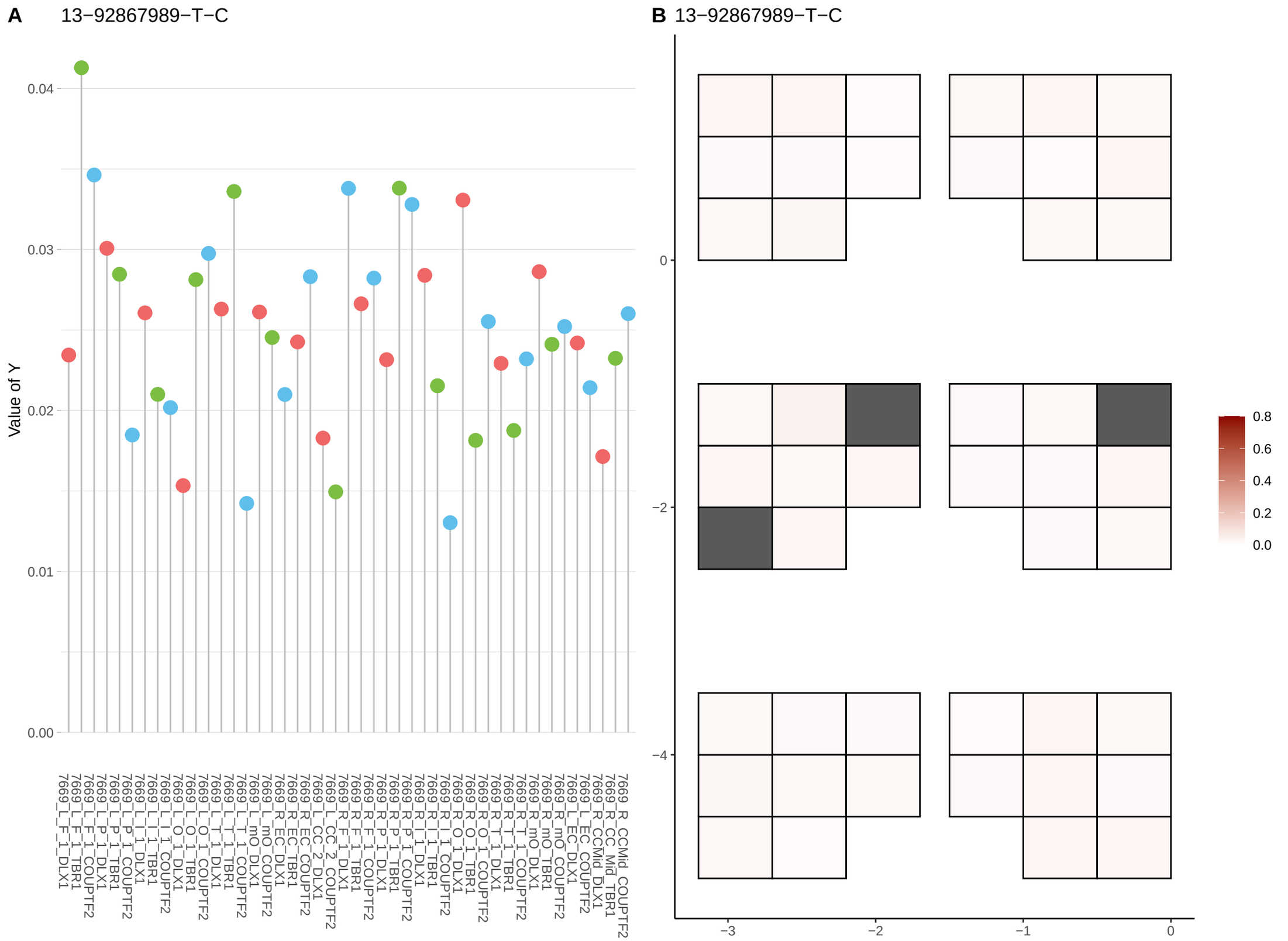
A
13−92867989−T−C
Value of Y
0.04
0.03
0.02
0.01
0.00
7669_L_F_1_DLX1
7669_L_F_1_TBR1
7669_L_F_1_COUPTF2
7669_L_P_1_DLX1
7669_L_P_1_TBR1
7669_L_P_1_COUPTF2
7669_L_I_1_DLX1
7669_L_I_1_TBR1
7669_L_I_1_COUPTF2
7669_L_O_1_DLX1
7669_L_O_1_TBR1
7669_L_O_1_COUPTF2
7669_L_T_1_DLX1
7669_L_T_1_TBR1
7669_L_T_1_COUPTF2
7669_L_mO_DLX1
7669_L_mO_COUPTF2
7669_R_EC_DLX1
7669_R_EC_TBR1
7669_R_EC_COUPTF2
7669_L_CC_2_DLX1
7669_L_CC_2_COUPTF2
7669_R_F_1_DLX1
7669_R_F_1_TBR1
7669_R_F_1_COUPTF2
7669_R_P_1_DLX1
7669_R_P_1_TBR1
7669_R_P_1_COUPTF2
7669_R_I_1_DLX1
7669_R_I_1_TBR1
7669_R_I_1_COUPTF2
7669_R_O_1_DLX1
7669_R_O_1_TBR1
7669_R_O_1_COUPTF2
7669_R_T_1_DLX1
7669_R_T_1_TBR1
7669_R_T_1_COUPTF2
7669_R_mO_DLX1
7669_R_mO_TBR1
7669_R_mO_COUPTF2
7669_L_EC_DLX1
7669_L_EC_COUPTF2
7669_R_CCMid_DLX1
7669_R_CC_Mid_TBR1
7669_R_CCMid_COUPTF2
B
13−92867989−T−C
0
−2
−4
−3
−2
−1
0
0.8
0.6
0.4
0.2
0.0

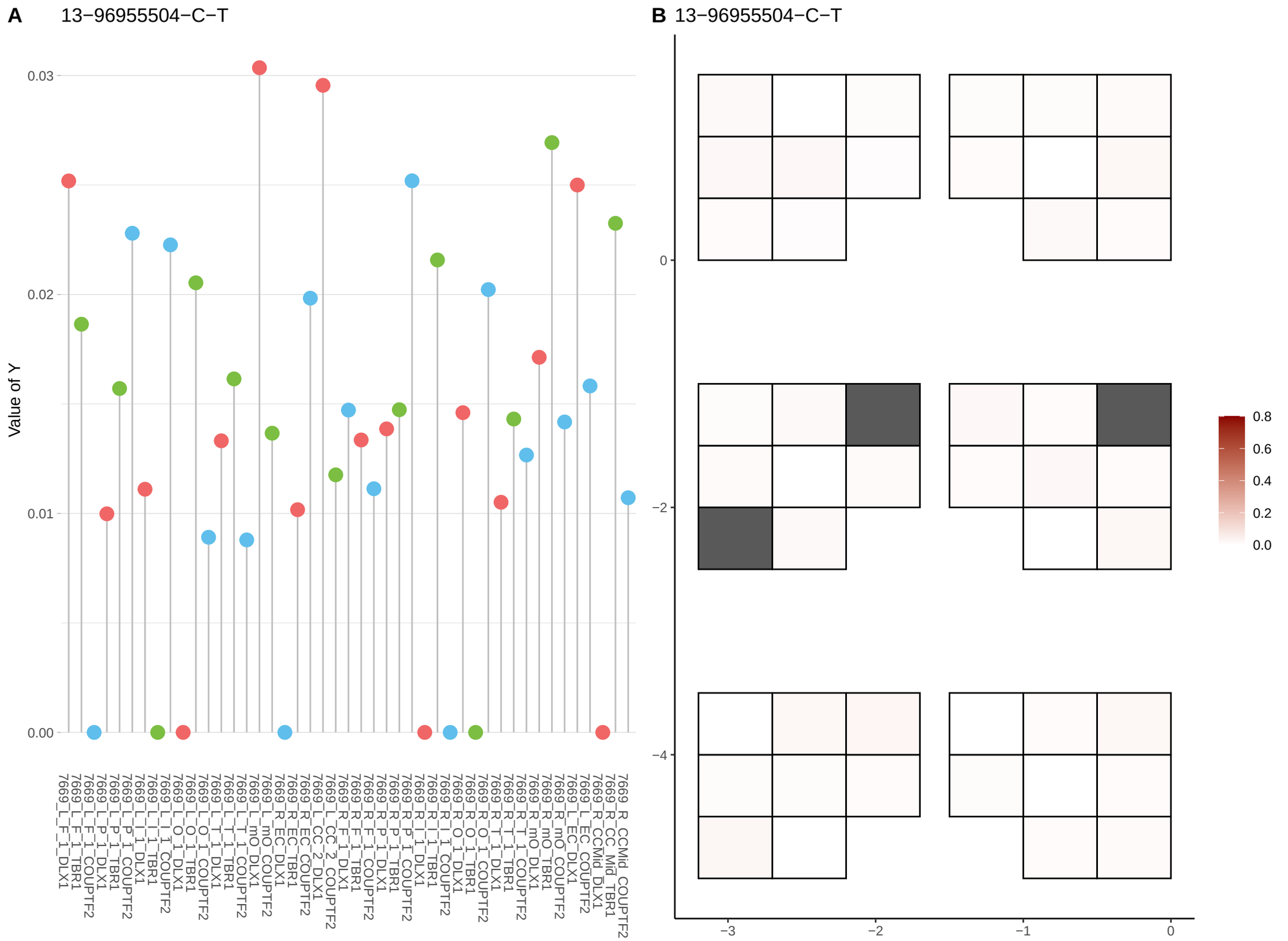
A
13−96955504−C−T
Value of Y
0.03
0.02
0.01
0.00
7669_L_F_1_DLX1
7669_L_F_1_TBR1
7669_L_F_1_COUPTF2
7669_L_P_1_DLX1
7669_L_P_1_TBR1
7669_L_P_1_COUPTF2
7669_L_I_1_DLX1
7669_L_I_1_TBR1
7669_L_I_1_COUPTF2
7669_L_O_1_DLX1
7669_L_O_1_TBR1
7669_L_O_1_COUPTF2
7669_L_T_1_DLX1
7669_L_T_1_TBR1
7669_L_T_1_COUPTF2
7669_L_mO_DLX1
7669_L_mO_COUPTF2
7669_R_EC_DLX1
7669_R_EC_TBR1
7669_R_EC_COUPTF2
7669_L_CC_2_DLX1
7669_L_CC_2_COUPTF2
7669_R_F_1_DLX1
7669_R_F_1_TBR1
7669_R_F_1_COUPTF2
7669_R_P_1_DLX1
7669_R_P_1_TBR1
7669_R_P_1_COUPTF2
7669_R_I_1_DLX1
7669_R_I_1_TBR1
7669_R_I_1_COUPTF2
7669_R_O_1_DLX1
7669_R_O_1_TBR1
7669_R_O_1_COUPTF2
7669_R_T_1_DLX1
7669_R_T_1_TBR1
7669_R_T_1_COUPTF2
7669_R_mO_DLX1
7669_R_mO_TBR1
7669_R_mO_COUPTF2
7669_L_EC_DLX1
7669_L_EC_COUPTF2
7669_R_CCMid_DLX1
7669_R_CC_Mid_TBR1
7669_R_CCMid_COUPTF2
B
13−96955504−C−T
0
−2
−4
−3
−2
−1
0
0.8
0.6
0.4
0.2
0.0

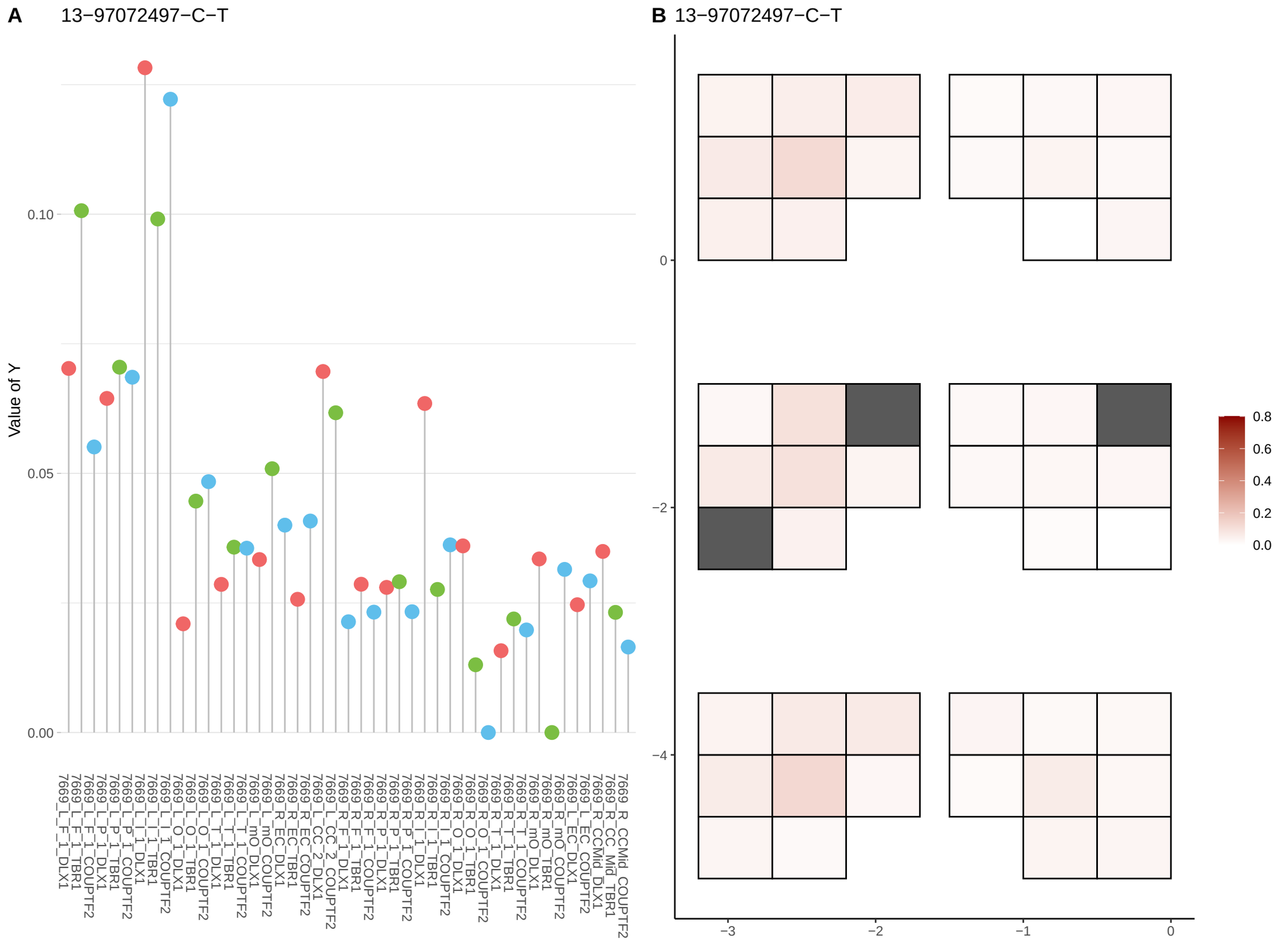
A
13−97072497−C−T
Value of Y
0.10
0.05
0.00
7669_L_F_1_DLX1
7669_L_F_1_TBR1
7669_L_F_1_COUPTF2
7669_L_P_1_DLX1
7669_L_P_1_TBR1
7669_L_P_1_COUPTF2
7669_L_I_1_DLX1
7669_L_I_1_TBR1
7669_L_I_1_COUPTF2
7669_L_O_1_DLX1
7669_L_O_1_TBR1
7669_L_O_1_COUPTF2
7669_L_T_1_DLX1
7669_L_T_1_TBR1
7669_L_T_1_COUPTF2
7669_L_mO_DLX1
7669_L_mO_COUPTF2
7669_R_EC_DLX1
7669_R_EC_TBR1
7669_R_EC_COUPTF2
7669_L_CC_2_DLX1
7669_L_CC_2_COUPTF2
7669_R_F_1_DLX1
7669_R_F_1_TBR1
7669_R_F_1_COUPTF2
7669_R_P_1_DLX1
7669_R_P_1_TBR1
7669_R_P_1_COUPTF2
7669_R_I_1_DLX1
7669_R_I_1_TBR1
7669_R_I_1_COUPTF2
7669_R_O_1_DLX1
7669_R_O_1_TBR1
7669_R_O_1_COUPTF2
7669_R_T_1_DLX1
7669_R_T_1_TBR1
7669_R_T_1_COUPTF2
7669_R_mO_DLX1
7669_R_mO_TBR1
7669_R_mO_COUPTF2
7669_L_EC_DLX1
7669_L_EC_COUPTF2
7669_R_CCMid_DLX1
7669_R_CC_Mid_TBR1
7669_R_CCMid_COUPTF2
B
13−97072497−C−T
0
−2
−4
−3
−2
−1
0
0.8
0.6
0.4
0.2
0.0

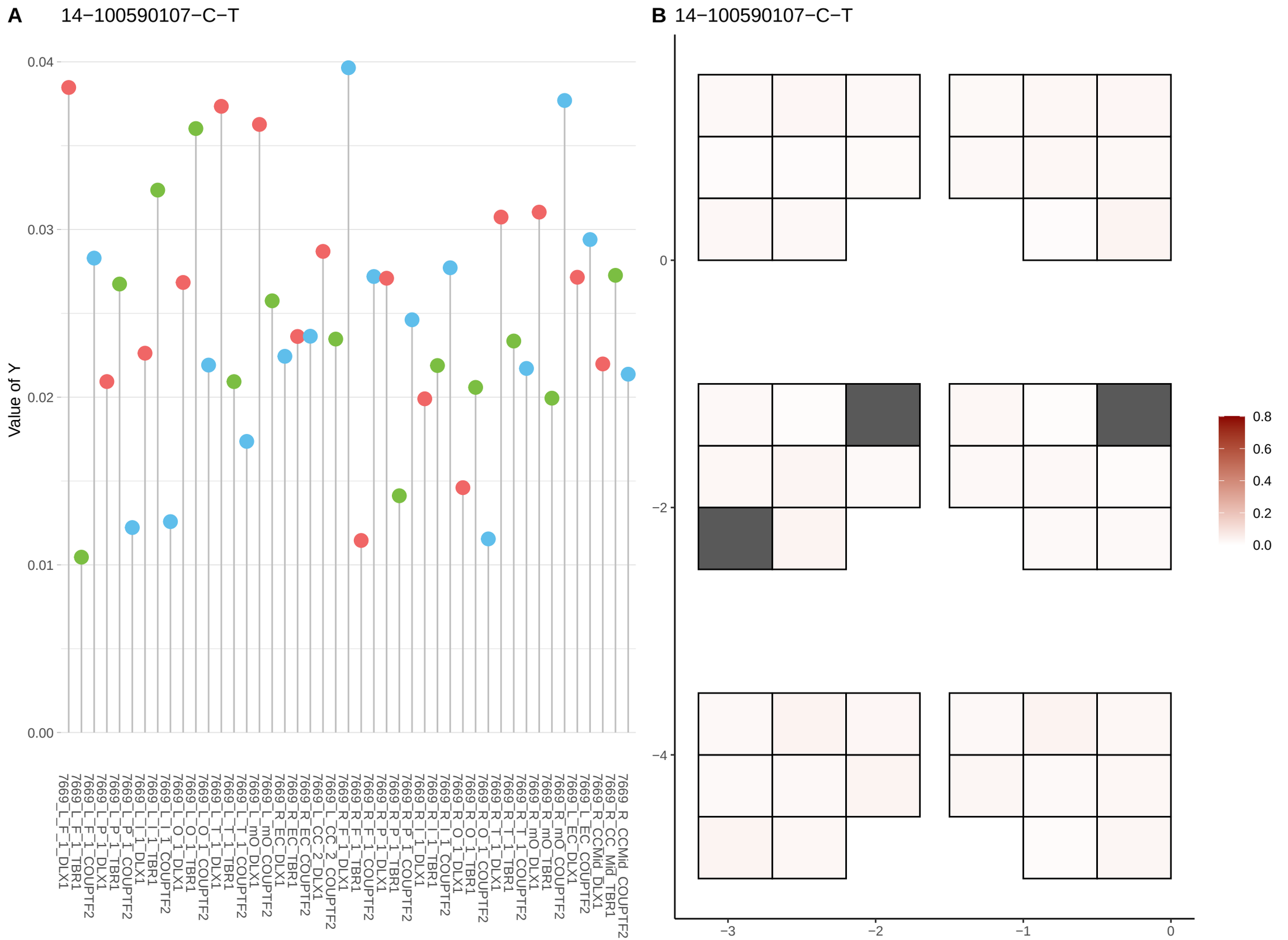
A
14−100590107−C−T
Value of Y
0.04
0.03
0.02
0.01
0.00
7669_L_F_1_DLX1
7669_L_F_1_TBR1
7669_L_F_1_COUPTF2
7669_L_P_1_DLX1
7669_L_P_1_TBR1
7669_L_P_1_COUPTF2
7669_L_I_1_DLX1
7669_L_I_1_TBR1
7669_L_I_1_COUPTF2
7669_L_O_1_DLX1
7669_L_O_1_TBR1
7669_L_O_1_COUPTF2
7669_L_T_1_DLX1
7669_L_T_1_TBR1
7669_L_T_1_COUPTF2
7669_L_mO_DLX1
7669_L_mO_COUPTF2
7669_R_EC_DLX1
7669_R_EC_TBR1
7669_R_EC_COUPTF2
7669_L_CC_2_DLX1
7669_L_CC_2_COUPTF2
7669_R_F_1_DLX1
7669_R_F_1_TBR1
7669_R_F_1_COUPTF2
7669_R_P_1_DLX1
7669_R_P_1_TBR1
7669_R_P_1_COUPTF2
7669_R_I_1_DLX1
7669_R_I_1_TBR1
7669_R_I_1_COUPTF2
7669_R_O_1_DLX1
7669_R_O_1_TBR1
7669_R_O_1_COUPTF2
7669_R_T_1_DLX1
7669_R_T_1_TBR1
7669_R_T_1_COUPTF2
7669_R_mO_DLX1
7669_R_mO_TBR1
7669_R_mO_COUPTF2
7669_L_EC_DLX1
7669_L_EC_COUPTF2
7669_R_CCMid_DLX1
7669_R_CC_Mid_TBR1
7669_R_CCMid_COUPTF2
B
14−100590107−C−T
0
−2
−4
−3
−2
−1
0
0.8
0.6
0.4
0.2
0.0

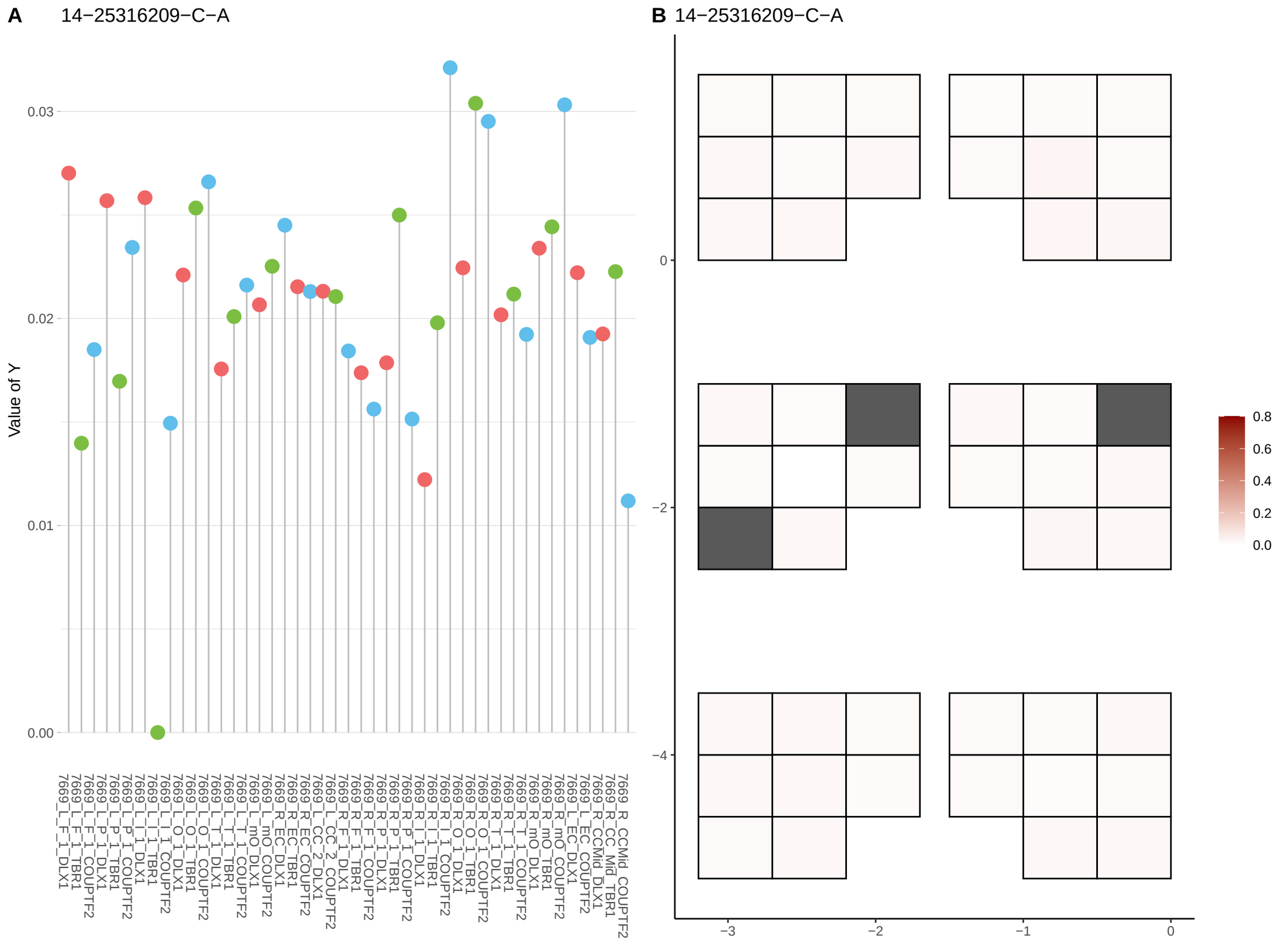
A
14−25316209−C−A
Value of Y
0.03
0.02
0.01
0.00
7669_L_F_1_DLX1
7669_L_F_1_TBR1
7669_L_F_1_COUPTF2
7669_L_P_1_DLX1
7669_L_P_1_TBR1
7669_L_P_1_COUPTF2
7669_L_I_1_DLX1
7669_L_I_1_TBR1
7669_L_I_1_COUPTF2
7669_L_O_1_DLX1
7669_L_O_1_TBR1
7669_L_O_1_COUPTF2
7669_L_T_1_DLX1
7669_L_T_1_TBR1
7669_L_T_1_COUPTF2
7669_L_mO_DLX1
7669_L_mO_COUPTF2
7669_R_EC_DLX1
7669_R_EC_TBR1
7669_R_EC_COUPTF2
7669_L_CC_2_DLX1
7669_L_CC_2_COUPTF2
7669_R_F_1_DLX1
7669_R_F_1_TBR1
7669_R_F_1_COUPTF2
7669_R_P_1_DLX1
7669_R_P_1_TBR1
7669_R_P_1_COUPTF2
7669_R_I_1_DLX1
7669_R_I_1_TBR1
7669_R_I_1_COUPTF2
7669_R_O_1_DLX1
7669_R_O_1_TBR1
7669_R_O_1_COUPTF2
7669_R_T_1_DLX1
7669_R_T_1_TBR1
7669_R_T_1_COUPTF2
7669_R_mO_DLX1
7669_R_mO_TBR1
7669_R_mO_COUPTF2
7669_L_EC_DLX1
7669_L_EC_COUPTF2
7669_R_CCMid_DLX1
7669_R_CC_Mid_TBR1
7669_R_CCMid_COUPTF2
B
14−25316209−C−A
0
−2
−4
−3
−2
−1
0
0.8
0.6
0.4
0.2
0.0

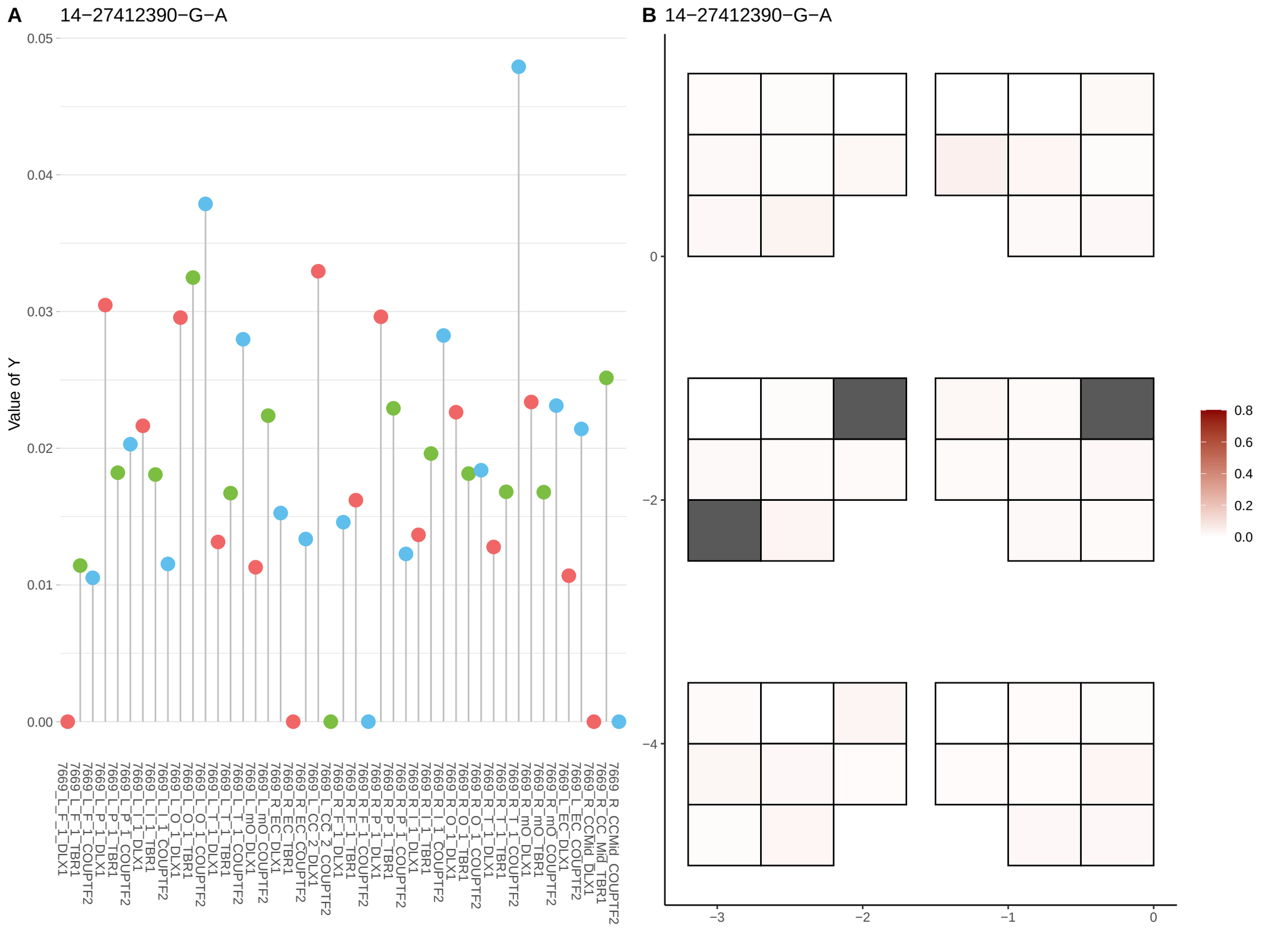
A
14−27412390−G−A
Value of Y
0.05
0.04
0.03
0.02
0.01
0.00
7669_L_F_1_DLX1
7669_L_F_1_TBR1
7669_L_F_1_COUPTF2
7669_L_P_1_DLX1
7669_L_P_1_TBR1
7669_L_P_1_COUPTF2
7669_L_I_1_DLX1
7669_L_I_1_TBR1
7669_L_I_1_COUPTF2
7669_L_O_1_DLX1
7669_L_O_1_TBR1
7669_L_O_1_COUPTF2
7669_L_T_1_DLX1
7669_L_T_1_TBR1
7669_L_T_1_COUPTF2
7669_L_mO_DLX1
7669_L_mO_COUPTF2
7669_R_EC_DLX1
7669_R_EC_TBR1
7669_R_EC_COUPTF2
7669_L_CC_2_DLX1
7669_L_CC_2_COUPTF2
7669_R_F_1_DLX1
7669_R_F_1_TBR1
7669_R_F_1_COUPTF2
7669_R_P_1_DLX1
7669_R_P_1_TBR1
7669_R_P_1_COUPTF2
7669_R_I_1_DLX1
7669_R_I_1_TBR1
7669_R_I_1_COUPTF2
7669_R_O_1_DLX1
7669_R_O_1_TBR1
7669_R_O_1_COUPTF2
7669_R_T_1_DLX1
7669_R_T_1_TBR1
7669_R_T_1_COUPTF2
7669_R_mO_DLX1
7669_R_mO_TBR1
7669_R_mO_COUPTF2
7669_L_EC_DLX1
7669_L_EC_COUPTF2
7669_R_CCMid_DLX1
7669_R_CC_Mid_TBR1
7669_R_CCMid_COUPTF2
B
14−27412390−G−A
0
−2
−4
−3
−2
−1
0
0.8
0.6
0.4
0.2
0.0

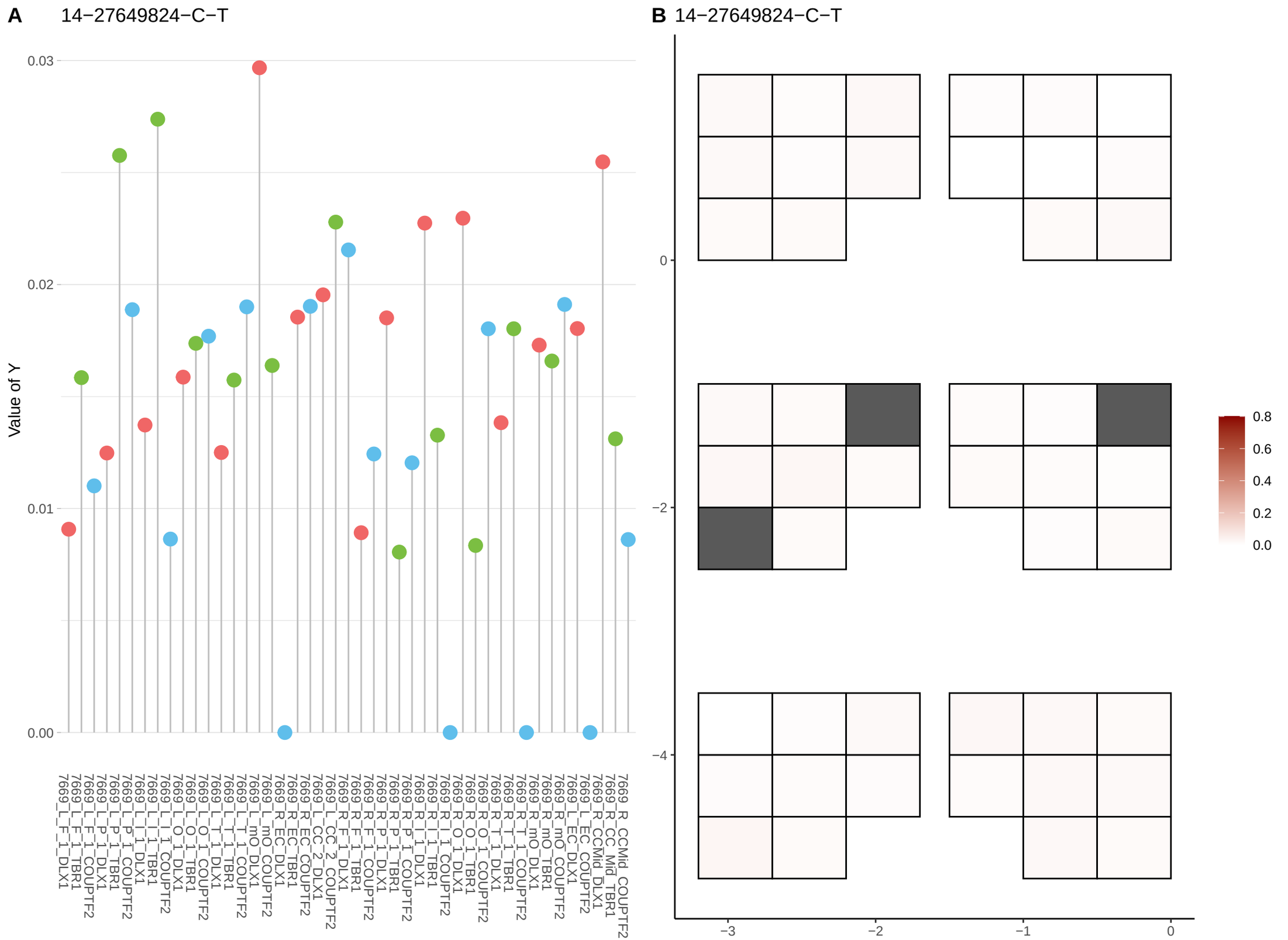
A
14−27649824−C−T
Value of Y
0.03
0.02
0.01
0.00
7669_L_F_1_DLX1
7669_L_F_1_TBR1
7669_L_F_1_COUPTF2
7669_L_P_1_DLX1
7669_L_P_1_TBR1
7669_L_P_1_COUPTF2
7669_L_I_1_DLX1
7669_L_I_1_TBR1
7669_L_I_1_COUPTF2
7669_L_O_1_DLX1
7669_L_O_1_TBR1
7669_L_O_1_COUPTF2
7669_L_T_1_DLX1
7669_L_T_1_TBR1
7669_L_T_1_COUPTF2
7669_L_mO_DLX1
7669_L_mO_COUPTF2
7669_R_EC_DLX1
7669_R_EC_TBR1
7669_R_EC_COUPTF2
7669_L_CC_2_DLX1
7669_L_CC_2_COUPTF2
7669_R_F_1_DLX1
7669_R_F_1_TBR1
7669_R_F_1_COUPTF2
7669_R_P_1_DLX1
7669_R_P_1_TBR1
7669_R_P_1_COUPTF2
7669_R_I_1_DLX1
7669_R_I_1_TBR1
7669_R_I_1_COUPTF2
7669_R_O_1_DLX1
7669_R_O_1_TBR1
7669_R_O_1_COUPTF2
7669_R_T_1_DLX1
7669_R_T_1_TBR1
7669_R_T_1_COUPTF2
7669_R_mO_DLX1
7669_R_mO_TBR1
7669_R_mO_COUPTF2
7669_L_EC_DLX1
7669_L_EC_COUPTF2
7669_R_CCMid_DLX1
7669_R_CC_Mid_TBR1
7669_R_CCMid_COUPTF2
B
14−27649824−C−T
0
−2
−4
−3
−2
−1
0
0.8
0.6
0.4
0.2
0.0

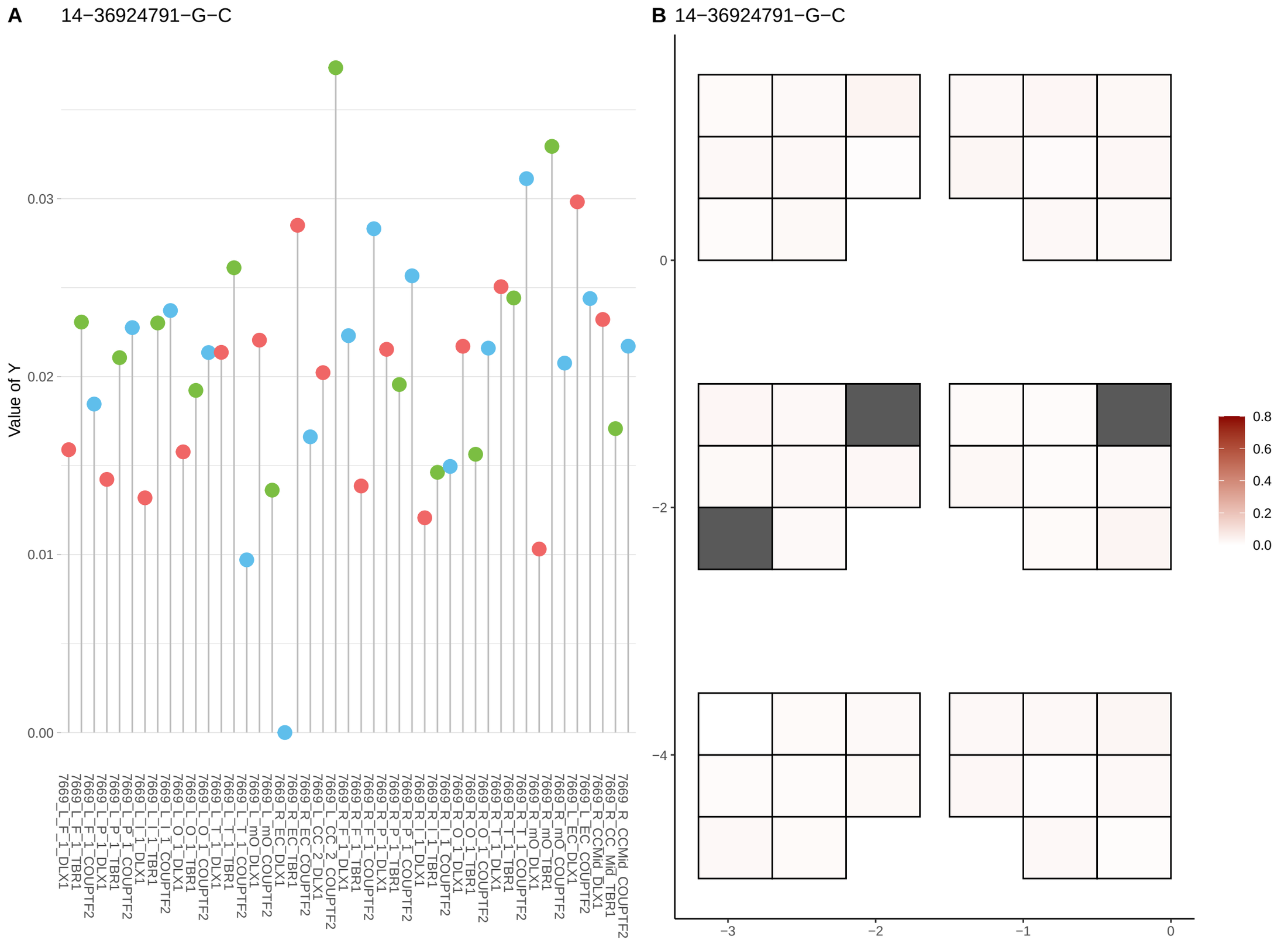
A
14−36924791−G−C
Value of Y
0.03
0.02
0.01
0.00
7669_L_F_1_DLX1
7669_L_F_1_TBR1
7669_L_F_1_COUPTF2
7669_L_P_1_DLX1
7669_L_P_1_TBR1
7669_L_P_1_COUPTF2
7669_L_I_1_DLX1
7669_L_I_1_TBR1
7669_L_I_1_COUPTF2
7669_L_O_1_DLX1
7669_L_O_1_TBR1
7669_L_O_1_COUPTF2
7669_L_T_1_DLX1
7669_L_T_1_TBR1
7669_L_T_1_COUPTF2
7669_L_mO_DLX1
7669_L_mO_COUPTF2
7669_R_EC_DLX1
7669_R_EC_TBR1
7669_R_EC_COUPTF2
7669_L_CC_2_DLX1
7669_L_CC_2_COUPTF2
7669_R_F_1_DLX1
7669_R_F_1_TBR1
7669_R_F_1_COUPTF2
7669_R_P_1_DLX1
7669_R_P_1_TBR1
7669_R_P_1_COUPTF2
7669_R_I_1_DLX1
7669_R_I_1_TBR1
7669_R_I_1_COUPTF2
7669_R_O_1_DLX1
7669_R_O_1_TBR1
7669_R_O_1_COUPTF2
7669_R_T_1_DLX1
7669_R_T_1_TBR1
7669_R_T_1_COUPTF2
7669_R_mO_DLX1
7669_R_mO_TBR1
7669_R_mO_COUPTF2
7669_L_EC_DLX1
7669_L_EC_COUPTF2
7669_R_CCMid_DLX1
7669_R_CC_Mid_TBR1
7669_R_CCMid_COUPTF2
B
14−36924791−G−C
0
−2
−4
−3
−2
−1
0
0.8
0.6
0.4
0.2
0.0

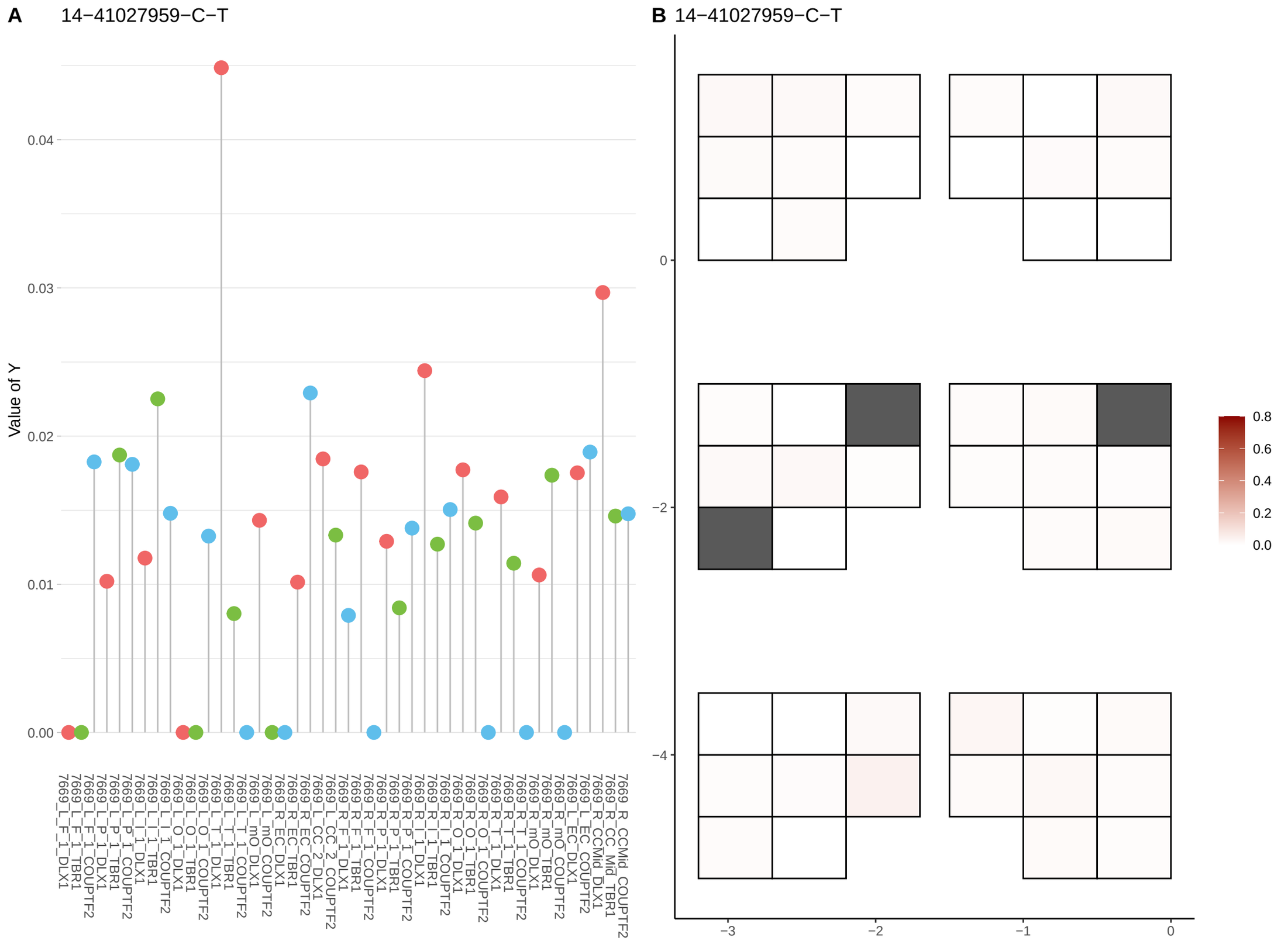
A
14−41027959−C−T
Value of Y
0.04
0.03
0.02
0.01
0.00
7669_L_F_1_DLX1
7669_L_F_1_TBR1
7669_L_F_1_COUPTF2
7669_L_P_1_DLX1
7669_L_P_1_TBR1
7669_L_P_1_COUPTF2
7669_L_I_1_DLX1
7669_L_I_1_TBR1
7669_L_I_1_COUPTF2
7669_L_O_1_DLX1
7669_L_O_1_TBR1
7669_L_O_1_COUPTF2
7669_L_T_1_DLX1
7669_L_T_1_TBR1
7669_L_T_1_COUPTF2
7669_L_mO_DLX1
7669_L_mO_COUPTF2
7669_R_EC_DLX1
7669_R_EC_TBR1
7669_R_EC_COUPTF2
7669_L_CC_2_DLX1
7669_L_CC_2_COUPTF2
7669_R_F_1_DLX1
7669_R_F_1_TBR1
7669_R_F_1_COUPTF2
7669_R_P_1_DLX1
7669_R_P_1_TBR1
7669_R_P_1_COUPTF2
7669_R_I_1_DLX1
7669_R_I_1_TBR1
7669_R_I_1_COUPTF2
7669_R_O_1_DLX1
7669_R_O_1_TBR1
7669_R_O_1_COUPTF2
7669_R_T_1_DLX1
7669_R_T_1_TBR1
7669_R_T_1_COUPTF2
7669_R_mO_DLX1
7669_R_mO_TBR1
7669_R_mO_COUPTF2
7669_L_EC_DLX1
7669_L_EC_COUPTF2
7669_R_CCMid_DLX1
7669_R_CC_Mid_TBR1
7669_R_CCMid_COUPTF2
B
14−41027959−C−T
0
−2
−4
−3
−2
−1
0
0.8
0.6
0.4
0.2
0.0

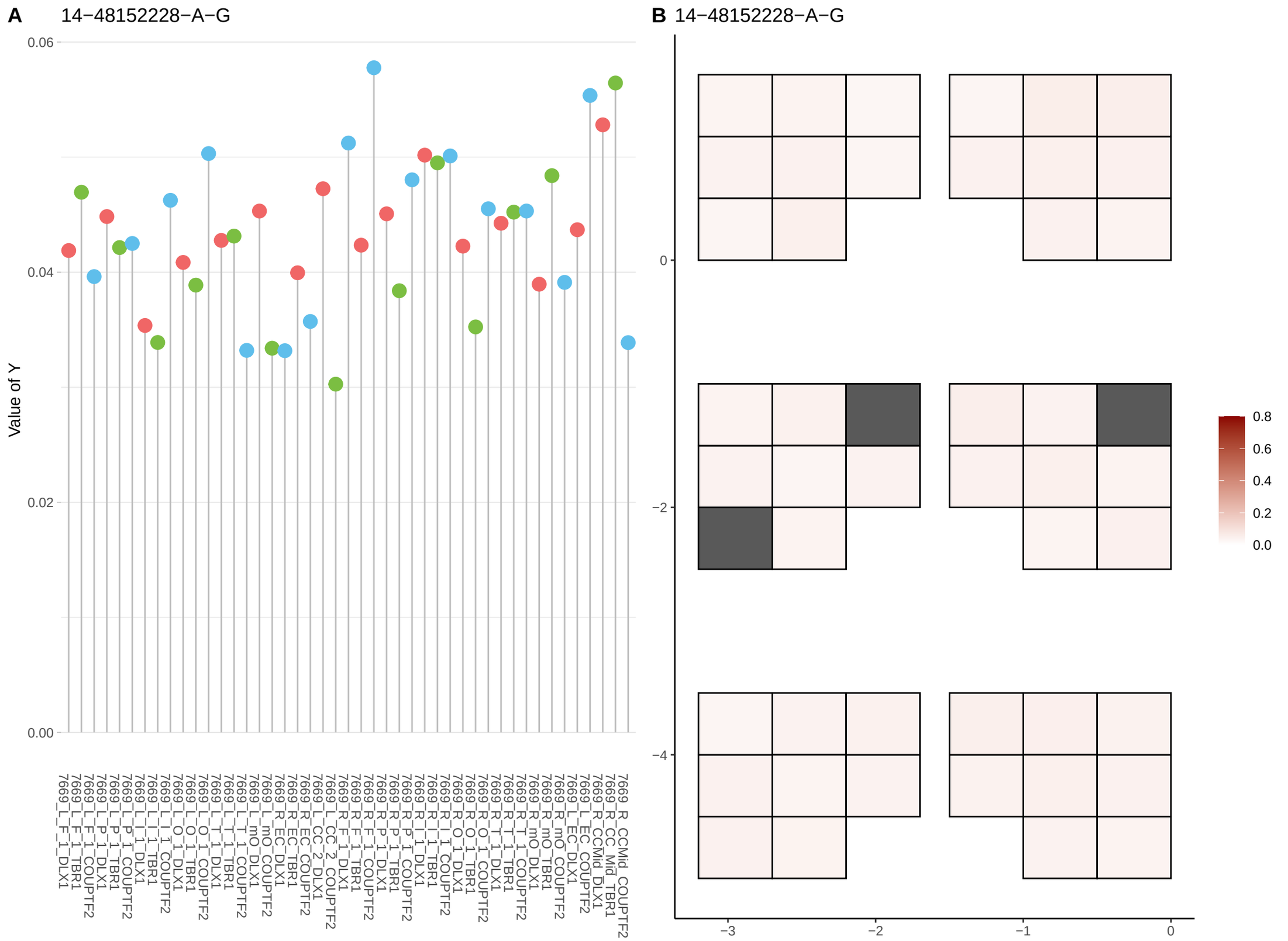
A
14−48152228−A−G
Value of Y
0.06
0.04
0.02
0.00
7669_L_F_1_DLX1
7669_L_F_1_TBR1
7669_L_F_1_COUPTF2
7669_L_P_1_DLX1
7669_L_P_1_TBR1
7669_L_P_1_COUPTF2
7669_L_I_1_DLX1
7669_L_I_1_TBR1
7669_L_I_1_COUPTF2
7669_L_O_1_DLX1
7669_L_O_1_TBR1
7669_L_O_1_COUPTF2
7669_L_T_1_DLX1
7669_L_T_1_TBR1
7669_L_T_1_COUPTF2
7669_L_mO_DLX1
7669_L_mO_COUPTF2
7669_R_EC_DLX1
7669_R_EC_TBR1
7669_R_EC_COUPTF2
7669_L_CC_2_DLX1
7669_L_CC_2_COUPTF2
7669_R_F_1_DLX1
7669_R_F_1_TBR1
7669_R_F_1_COUPTF2
7669_R_P_1_DLX1
7669_R_P_1_TBR1
7669_R_P_1_COUPTF2
7669_R_I_1_DLX1
7669_R_I_1_TBR1
7669_R_I_1_COUPTF2
7669_R_O_1_DLX1
7669_R_O_1_TBR1
7669_R_O_1_COUPTF2
7669_R_T_1_DLX1
7669_R_T_1_TBR1
7669_R_T_1_COUPTF2
7669_R_mO_DLX1
7669_R_mO_TBR1
7669_R_mO_COUPTF2
7669_L_EC_DLX1
7669_L_EC_COUPTF2
7669_R_CCMid_DLX1
7669_R_CC_Mid_TBR1
7669_R_CCMid_COUPTF2
B
14−48152228−A−G
0
−2
−4
−3
−2
−1
0
0.8
0.6
0.4
0.2
0.0

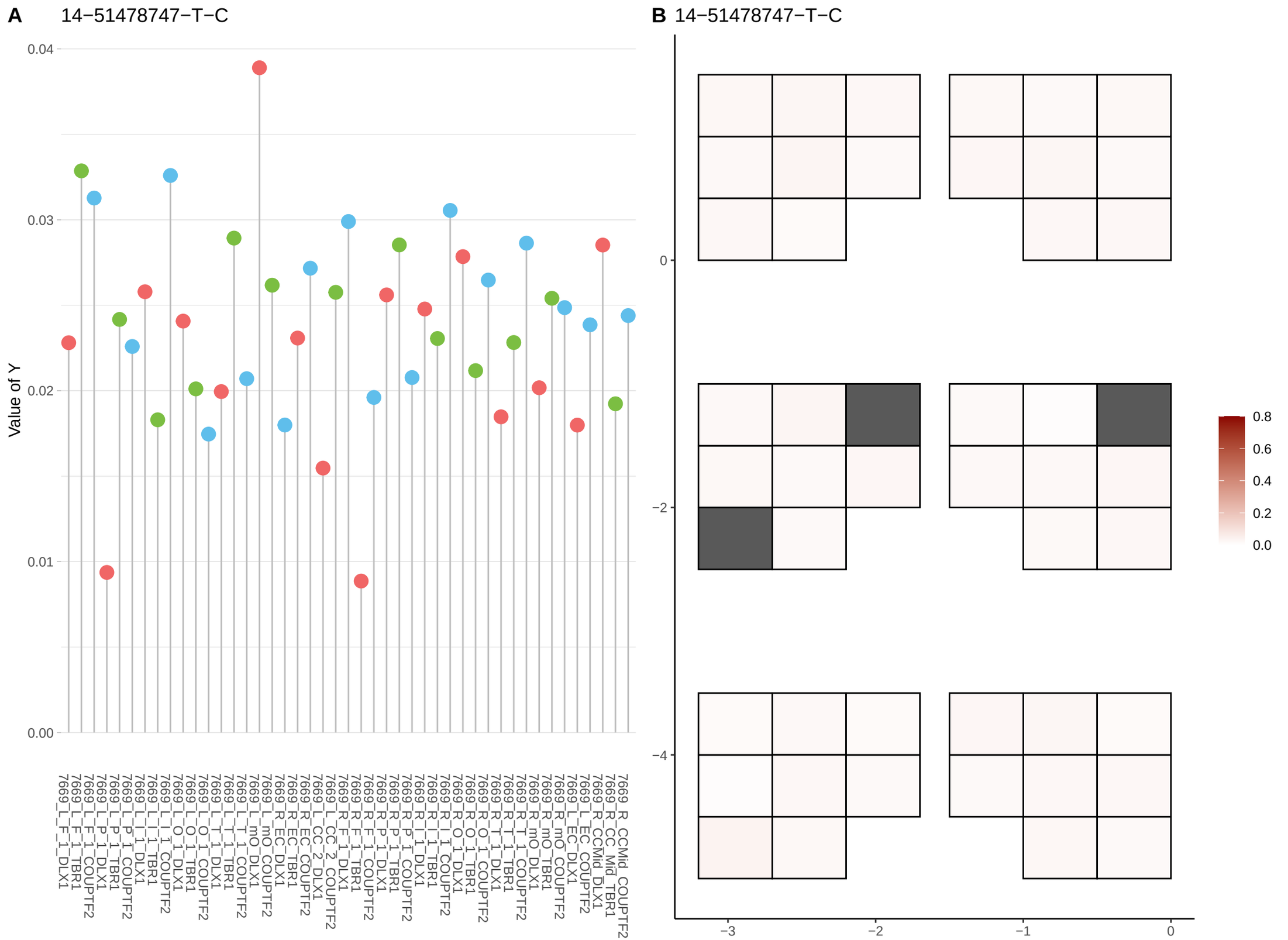
A
14−51478747−T−C
Value of Y
0.04
0.03
0.02
0.01
0.00
7669_L_F_1_DLX1
7669_L_F_1_TBR1
7669_L_F_1_COUPTF2
7669_L_P_1_DLX1
7669_L_P_1_TBR1
7669_L_P_1_COUPTF2
7669_L_I_1_DLX1
7669_L_I_1_TBR1
7669_L_I_1_COUPTF2
7669_L_O_1_DLX1
7669_L_O_1_TBR1
7669_L_O_1_COUPTF2
7669_L_T_1_DLX1
7669_L_T_1_TBR1
7669_L_T_1_COUPTF2
7669_L_mO_DLX1
7669_L_mO_COUPTF2
7669_R_EC_DLX1
7669_R_EC_TBR1
7669_R_EC_COUPTF2
7669_L_CC_2_DLX1
7669_L_CC_2_COUPTF2
7669_R_F_1_DLX1
7669_R_F_1_TBR1
7669_R_F_1_COUPTF2
7669_R_P_1_DLX1
7669_R_P_1_TBR1
7669_R_P_1_COUPTF2
7669_R_I_1_DLX1
7669_R_I_1_TBR1
7669_R_I_1_COUPTF2
7669_R_O_1_DLX1
7669_R_O_1_TBR1
7669_R_O_1_COUPTF2
7669_R_T_1_DLX1
7669_R_T_1_TBR1
7669_R_T_1_COUPTF2
7669_R_mO_DLX1
7669_R_mO_TBR1
7669_R_mO_COUPTF2
7669_L_EC_DLX1
7669_L_EC_COUPTF2
7669_R_CCMid_DLX1
7669_R_CC_Mid_TBR1
7669_R_CCMid_COUPTF2
B
14−51478747−T−C
0
−2
−4
−3
−2
−1
0
0.8
0.6
0.4
0.2
0.0

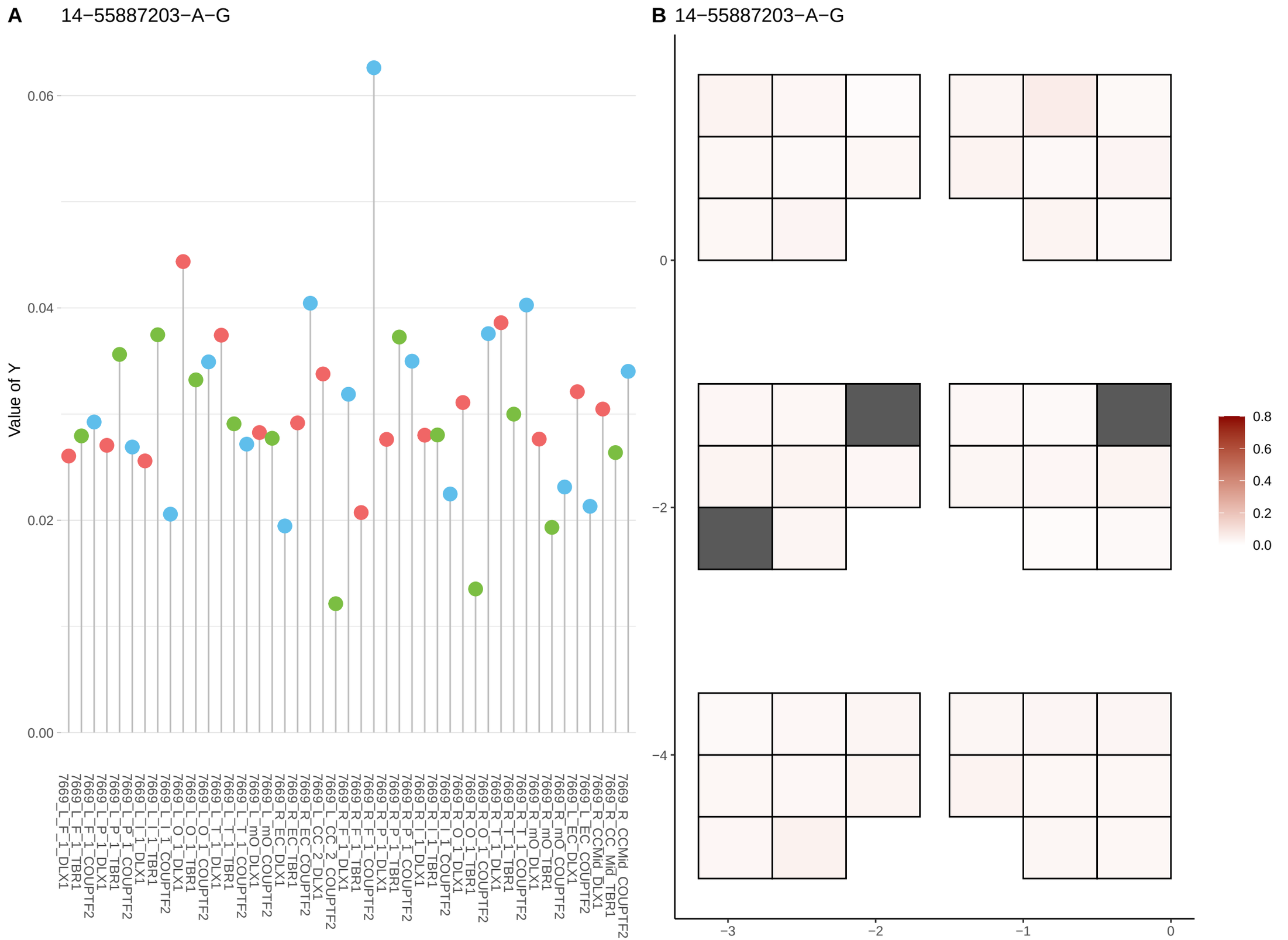
A
14−55887203−A−G
Value of Y
0.06
0.04
0.02
0.00
7669_L_F_1_DLX1
7669_L_F_1_TBR1
7669_L_F_1_COUPTF2
7669_L_P_1_DLX1
7669_L_P_1_TBR1
7669_L_P_1_COUPTF2
7669_L_I_1_DLX1
7669_L_I_1_TBR1
7669_L_I_1_COUPTF2
7669_L_O_1_DLX1
7669_L_O_1_TBR1
7669_L_O_1_COUPTF2
7669_L_T_1_DLX1
7669_L_T_1_TBR1
7669_L_T_1_COUPTF2
7669_L_mO_DLX1
7669_L_mO_COUPTF2
7669_R_EC_DLX1
7669_R_EC_TBR1
7669_R_EC_COUPTF2
7669_L_CC_2_DLX1
7669_L_CC_2_COUPTF2
7669_R_F_1_DLX1
7669_R_F_1_TBR1
7669_R_F_1_COUPTF2
7669_R_P_1_DLX1
7669_R_P_1_TBR1
7669_R_P_1_COUPTF2
7669_R_I_1_DLX1
7669_R_I_1_TBR1
7669_R_I_1_COUPTF2
7669_R_O_1_DLX1
7669_R_O_1_TBR1
7669_R_O_1_COUPTF2
7669_R_T_1_DLX1
7669_R_T_1_TBR1
7669_R_T_1_COUPTF2
7669_R_mO_DLX1
7669_R_mO_TBR1
7669_R_mO_COUPTF2
7669_L_EC_DLX1
7669_L_EC_COUPTF2
7669_R_CCMid_DLX1
7669_R_CC_Mid_TBR1
7669_R_CCMid_COUPTF2
B
14−55887203−A−G
0
−2
−4
−3
−2
−1
0
0.8
0.6
0.4
0.2
0.0

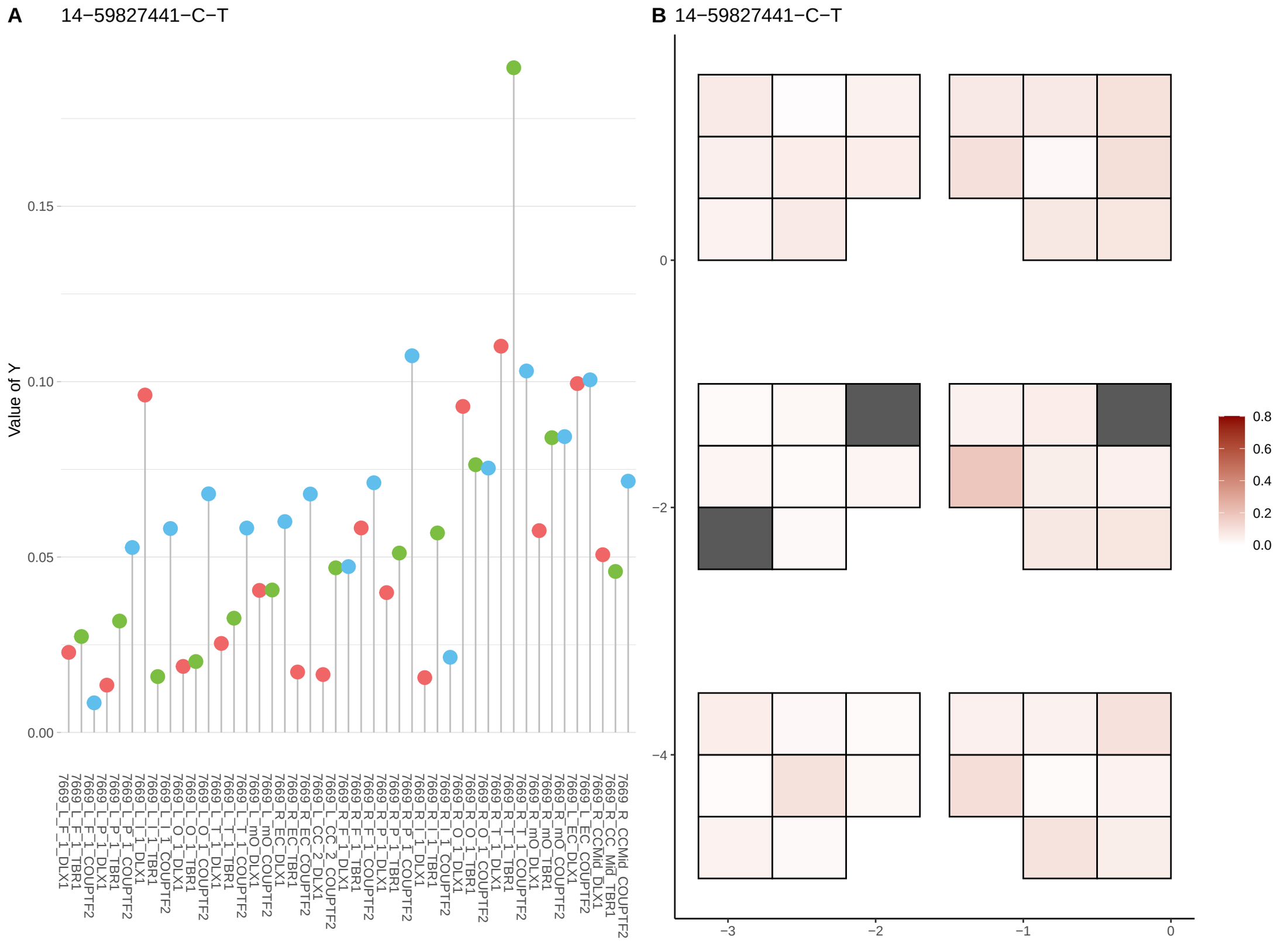
A
14−59827441−C−T
Value of Y
0.15
0.10
0.05
0.00
7669_L_F_1_DLX1
7669_L_F_1_TBR1
7669_L_F_1_COUPTF2
7669_L_P_1_DLX1
7669_L_P_1_TBR1
7669_L_P_1_COUPTF2
7669_L_I_1_DLX1
7669_L_I_1_TBR1
7669_L_I_1_COUPTF2
7669_L_O_1_DLX1
7669_L_O_1_TBR1
7669_L_O_1_COUPTF2
7669_L_T_1_DLX1
7669_L_T_1_TBR1
7669_L_T_1_COUPTF2
7669_L_mO_DLX1
7669_L_mO_COUPTF2
7669_R_EC_DLX1
7669_R_EC_TBR1
7669_R_EC_COUPTF2
7669_L_CC_2_DLX1
7669_L_CC_2_COUPTF2
7669_R_F_1_DLX1
7669_R_F_1_TBR1
7669_R_F_1_COUPTF2
7669_R_P_1_DLX1
7669_R_P_1_TBR1
7669_R_P_1_COUPTF2
7669_R_I_1_DLX1
7669_R_I_1_TBR1
7669_R_I_1_COUPTF2
7669_R_O_1_DLX1
7669_R_O_1_TBR1
7669_R_O_1_COUPTF2
7669_R_T_1_DLX1
7669_R_T_1_TBR1
7669_R_T_1_COUPTF2
7669_R_mO_DLX1
7669_R_mO_TBR1
7669_R_mO_COUPTF2
7669_L_EC_DLX1
7669_L_EC_COUPTF2
7669_R_CCMid_DLX1
7669_R_CC_Mid_TBR1
7669_R_CCMid_COUPTF2
B
14−59827441−C−T
0
−2
−4
−3
−2
−1
0
0.8
0.6
0.4
0.2
0.0

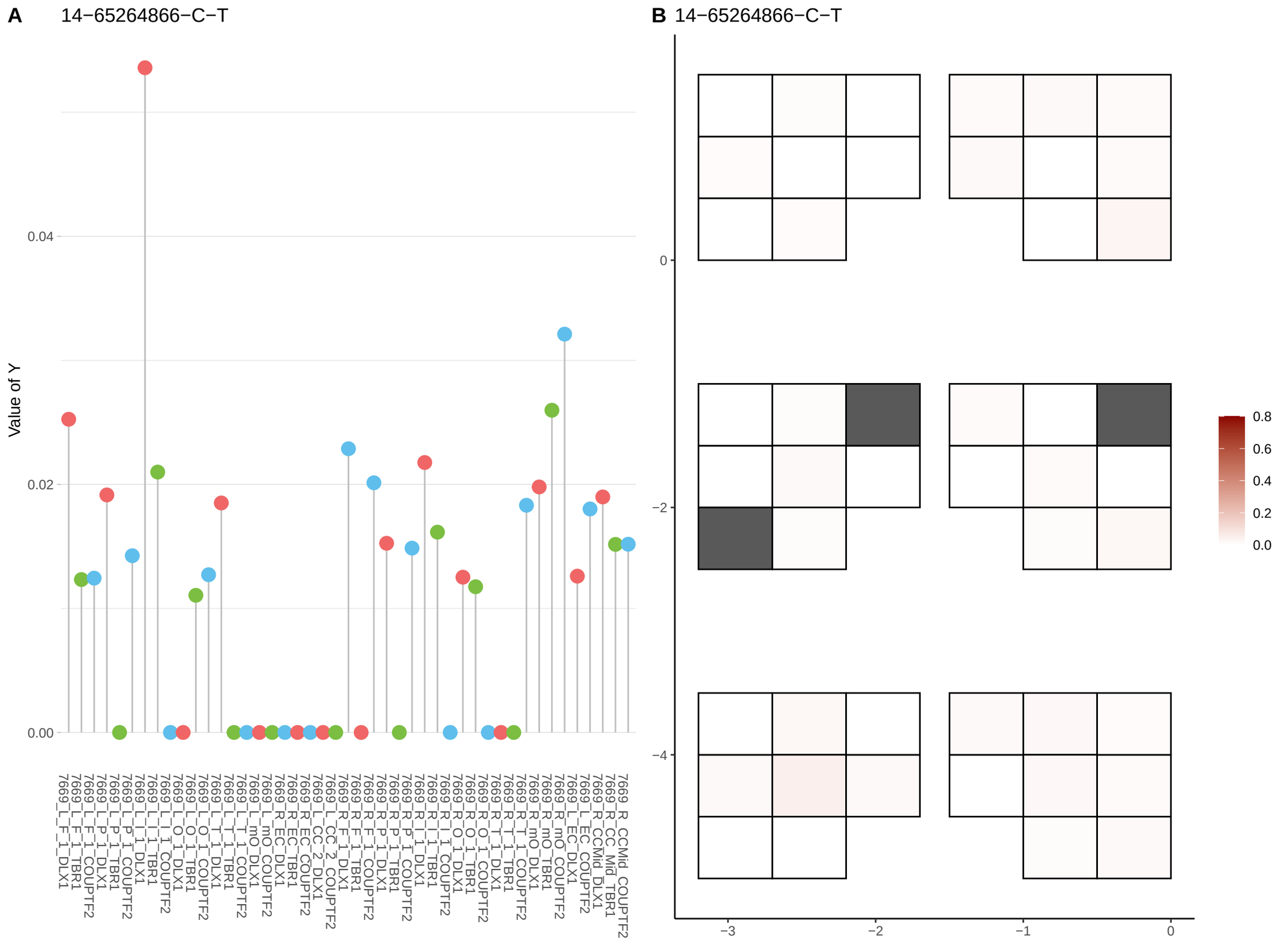
A
14−65264866−C−T
Value of Y
0.04
0.02
0.00
7669_L_F_1_DLX1
7669_L_F_1_TBR1
7669_L_F_1_COUPTF2
7669_L_P_1_DLX1
7669_L_P_1_TBR1
7669_L_P_1_COUPTF2
7669_L_I_1_DLX1
7669_L_I_1_TBR1
7669_L_I_1_COUPTF2
7669_L_O_1_DLX1
7669_L_O_1_TBR1
7669_L_O_1_COUPTF2
7669_L_T_1_DLX1
7669_L_T_1_TBR1
7669_L_T_1_COUPTF2
7669_L_mO_DLX1
7669_L_mO_COUPTF2
7669_R_EC_DLX1
7669_R_EC_TBR1
7669_R_EC_COUPTF2
7669_L_CC_2_DLX1
7669_L_CC_2_COUPTF2
7669_R_F_1_DLX1
7669_R_F_1_TBR1
7669_R_F_1_COUPTF2
7669_R_P_1_DLX1
7669_R_P_1_TBR1
7669_R_P_1_COUPTF2
7669_R_I_1_DLX1
7669_R_I_1_TBR1
7669_R_I_1_COUPTF2
7669_R_O_1_DLX1
7669_R_O_1_TBR1
7669_R_O_1_COUPTF2
7669_R_T_1_DLX1
7669_R_T_1_TBR1
7669_R_T_1_COUPTF2
7669_R_mO_DLX1
7669_R_mO_TBR1
7669_R_mO_COUPTF2
7669_L_EC_DLX1
7669_L_EC_COUPTF2
7669_R_CCMid_DLX1
7669_R_CC_Mid_TBR1
7669_R_CCMid_COUPTF2
B
14−65264866−C−T
0
−2
−4
−3
−2
−1
0
0.8
0.6
0.4
0.2
0.0

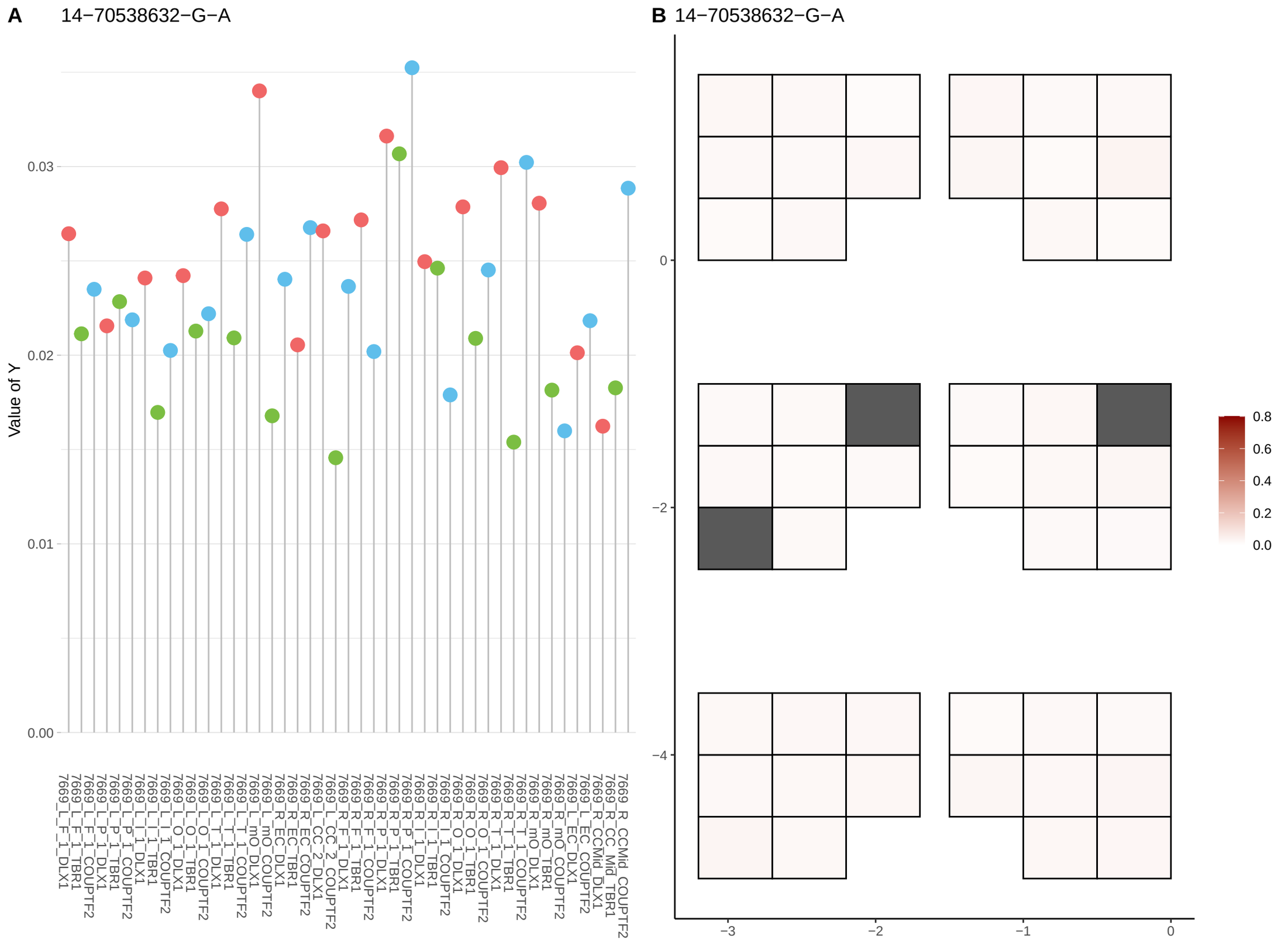
A
14−70538632−G−A
Value of Y
0.03
0.02
0.01
0.00
7669_L_F_1_DLX1
7669_L_F_1_TBR1
7669_L_F_1_COUPTF2
7669_L_P_1_DLX1
7669_L_P_1_TBR1
7669_L_P_1_COUPTF2
7669_L_I_1_DLX1
7669_L_I_1_TBR1
7669_L_I_1_COUPTF2
7669_L_O_1_DLX1
7669_L_O_1_TBR1
7669_L_O_1_COUPTF2
7669_L_T_1_DLX1
7669_L_T_1_TBR1
7669_L_T_1_COUPTF2
7669_L_mO_DLX1
7669_L_mO_COUPTF2
7669_R_EC_DLX1
7669_R_EC_TBR1
7669_R_EC_COUPTF2
7669_L_CC_2_DLX1
7669_L_CC_2_COUPTF2
7669_R_F_1_DLX1
7669_R_F_1_TBR1
7669_R_F_1_COUPTF2
7669_R_P_1_DLX1
7669_R_P_1_TBR1
7669_R_P_1_COUPTF2
7669_R_I_1_DLX1
7669_R_I_1_TBR1
7669_R_I_1_COUPTF2
7669_R_O_1_DLX1
7669_R_O_1_TBR1
7669_R_O_1_COUPTF2
7669_R_T_1_DLX1
7669_R_T_1_TBR1
7669_R_T_1_COUPTF2
7669_R_mO_DLX1
7669_R_mO_TBR1
7669_R_mO_COUPTF2
7669_L_EC_DLX1
7669_L_EC_COUPTF2
7669_R_CCMid_DLX1
7669_R_CC_Mid_TBR1
7669_R_CCMid_COUPTF2
B
14−70538632−G−A
0
−2
−4
−3
−2
−1
0
0.8
0.6
0.4
0.2
0.0

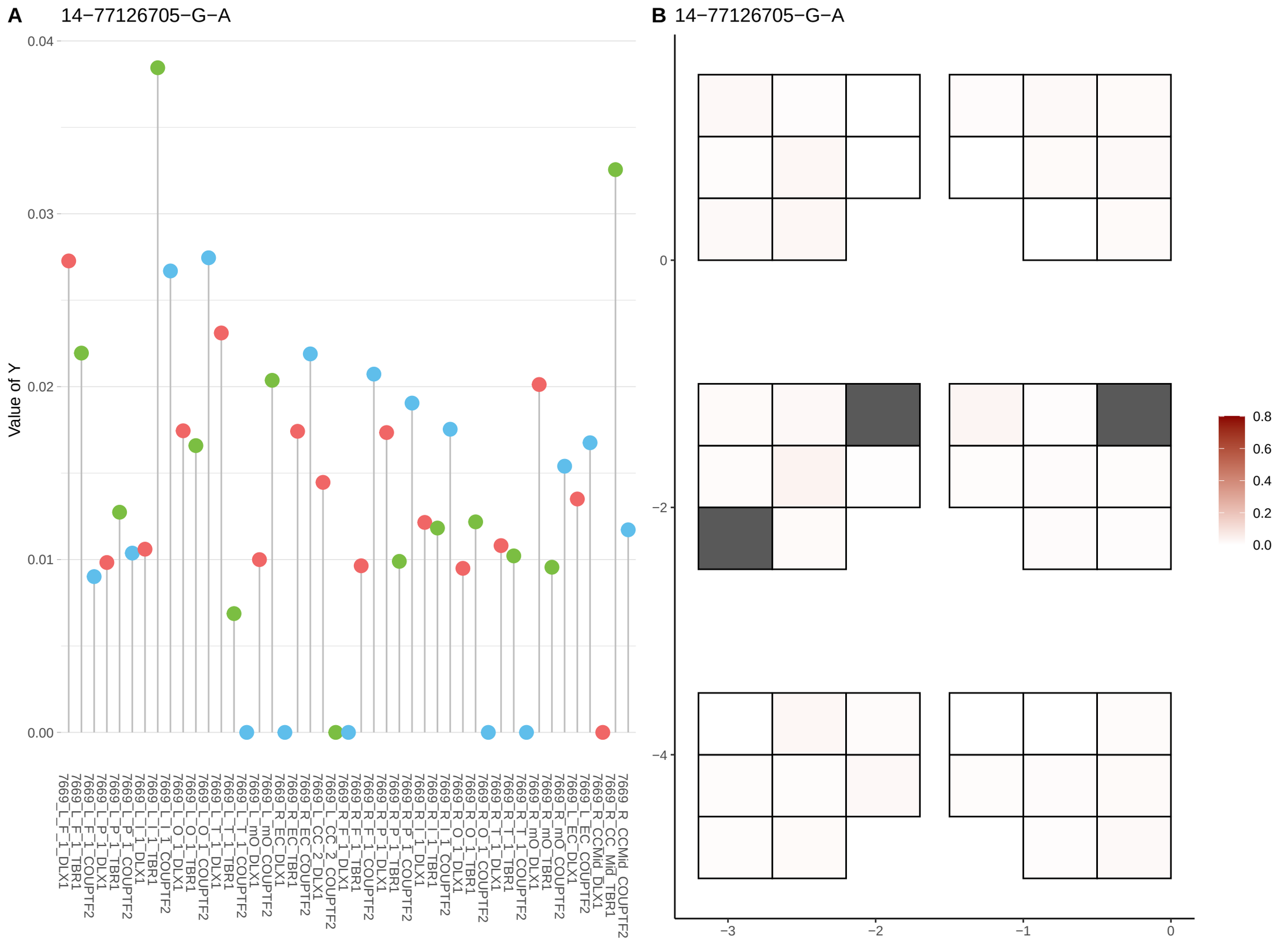
A
14−77126705−G−A
Value of Y
0.04
0.03
0.02
0.01
0.00
7669_L_F_1_DLX1
7669_L_F_1_TBR1
7669_L_F_1_COUPTF2
7669_L_P_1_DLX1
7669_L_P_1_TBR1
7669_L_P_1_COUPTF2
7669_L_I_1_DLX1
7669_L_I_1_TBR1
7669_L_I_1_COUPTF2
7669_L_O_1_DLX1
7669_L_O_1_TBR1
7669_L_O_1_COUPTF2
7669_L_T_1_DLX1
7669_L_T_1_TBR1
7669_L_T_1_COUPTF2
7669_L_mO_DLX1
7669_L_mO_COUPTF2
7669_R_EC_DLX1
7669_R_EC_TBR1
7669_R_EC_COUPTF2
7669_L_CC_2_DLX1
7669_L_CC_2_COUPTF2
7669_R_F_1_DLX1
7669_R_F_1_TBR1
7669_R_F_1_COUPTF2
7669_R_P_1_DLX1
7669_R_P_1_TBR1
7669_R_P_1_COUPTF2
7669_R_I_1_DLX1
7669_R_I_1_TBR1
7669_R_I_1_COUPTF2
7669_R_O_1_DLX1
7669_R_O_1_TBR1
7669_R_O_1_COUPTF2
7669_R_T_1_DLX1
7669_R_T_1_TBR1
7669_R_T_1_COUPTF2
7669_R_mO_DLX1
7669_R_mO_TBR1
7669_R_mO_COUPTF2
7669_L_EC_DLX1
7669_L_EC_COUPTF2
7669_R_CCMid_DLX1
7669_R_CC_Mid_TBR1
7669_R_CCMid_COUPTF2
B
14−77126705−G−A
0
−2
−4
−3
−2
−1
0
0.8
0.6
0.4
0.2
0.0

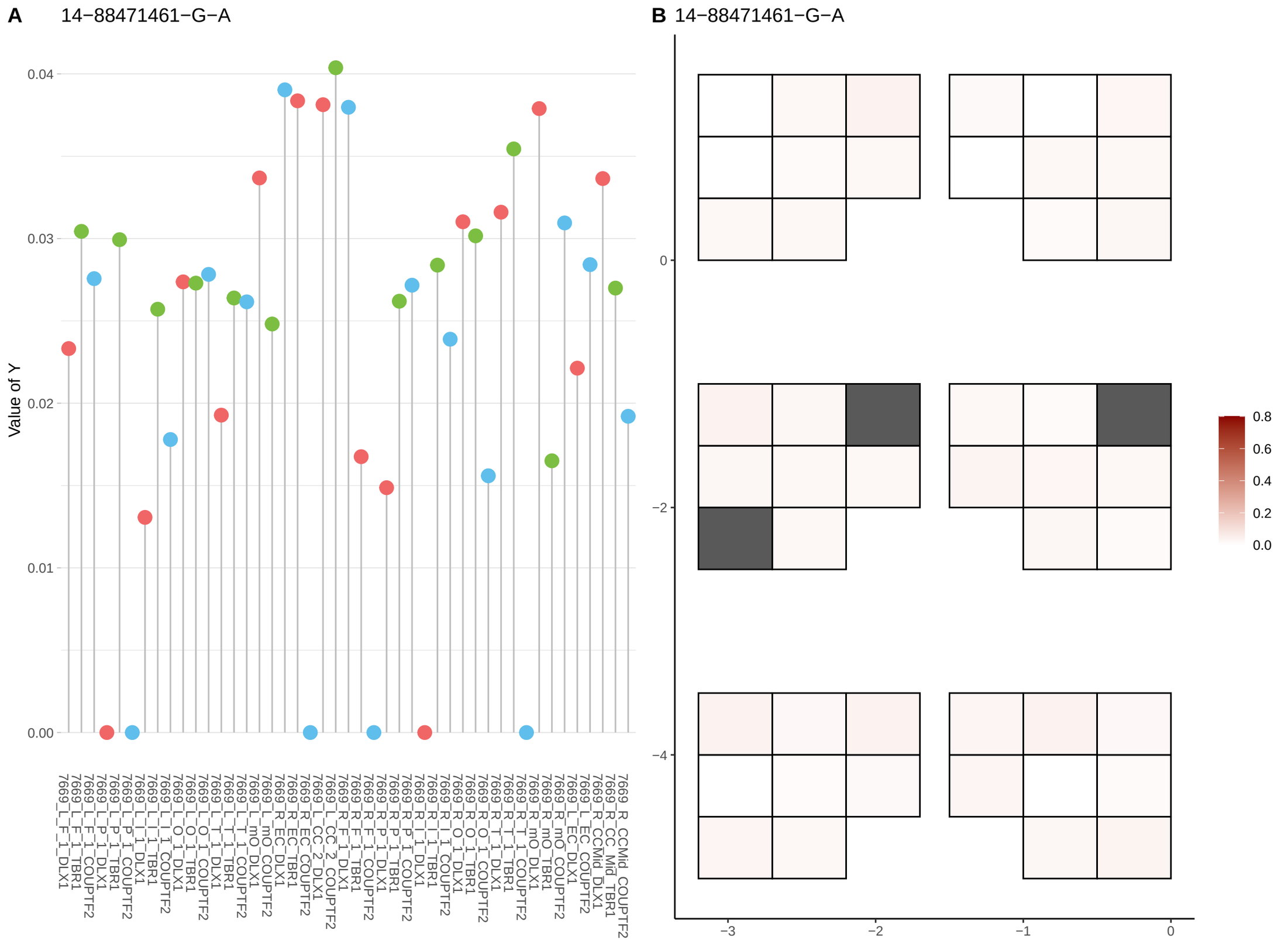
A
14−88471461−G−A
Value of Y
0.04
0.03
0.02
0.01
0.00
7669_L_F_1_DLX1
7669_L_F_1_TBR1
7669_L_F_1_COUPTF2
7669_L_P_1_DLX1
7669_L_P_1_TBR1
7669_L_P_1_COUPTF2
7669_L_I_1_DLX1
7669_L_I_1_TBR1
7669_L_I_1_COUPTF2
7669_L_O_1_DLX1
7669_L_O_1_TBR1
7669_L_O_1_COUPTF2
7669_L_T_1_DLX1
7669_L_T_1_TBR1
7669_L_T_1_COUPTF2
7669_L_mO_DLX1
7669_L_mO_COUPTF2
7669_R_EC_DLX1
7669_R_EC_TBR1
7669_R_EC_COUPTF2
7669_L_CC_2_DLX1
7669_L_CC_2_COUPTF2
7669_R_F_1_DLX1
7669_R_F_1_TBR1
7669_R_F_1_COUPTF2
7669_R_P_1_DLX1
7669_R_P_1_TBR1
7669_R_P_1_COUPTF2
7669_R_I_1_DLX1
7669_R_I_1_TBR1
7669_R_I_1_COUPTF2
7669_R_O_1_DLX1
7669_R_O_1_TBR1
7669_R_O_1_COUPTF2
7669_R_T_1_DLX1
7669_R_T_1_TBR1
7669_R_T_1_COUPTF2
7669_R_mO_DLX1
7669_R_mO_TBR1
7669_R_mO_COUPTF2
7669_L_EC_DLX1
7669_L_EC_COUPTF2
7669_R_CCMid_DLX1
7669_R_CC_Mid_TBR1
7669_R_CCMid_COUPTF2
B
14−88471461−G−A
0
−2
−4
−3
−2
−1
0
0.8
0.6
0.4
0.2
0.0

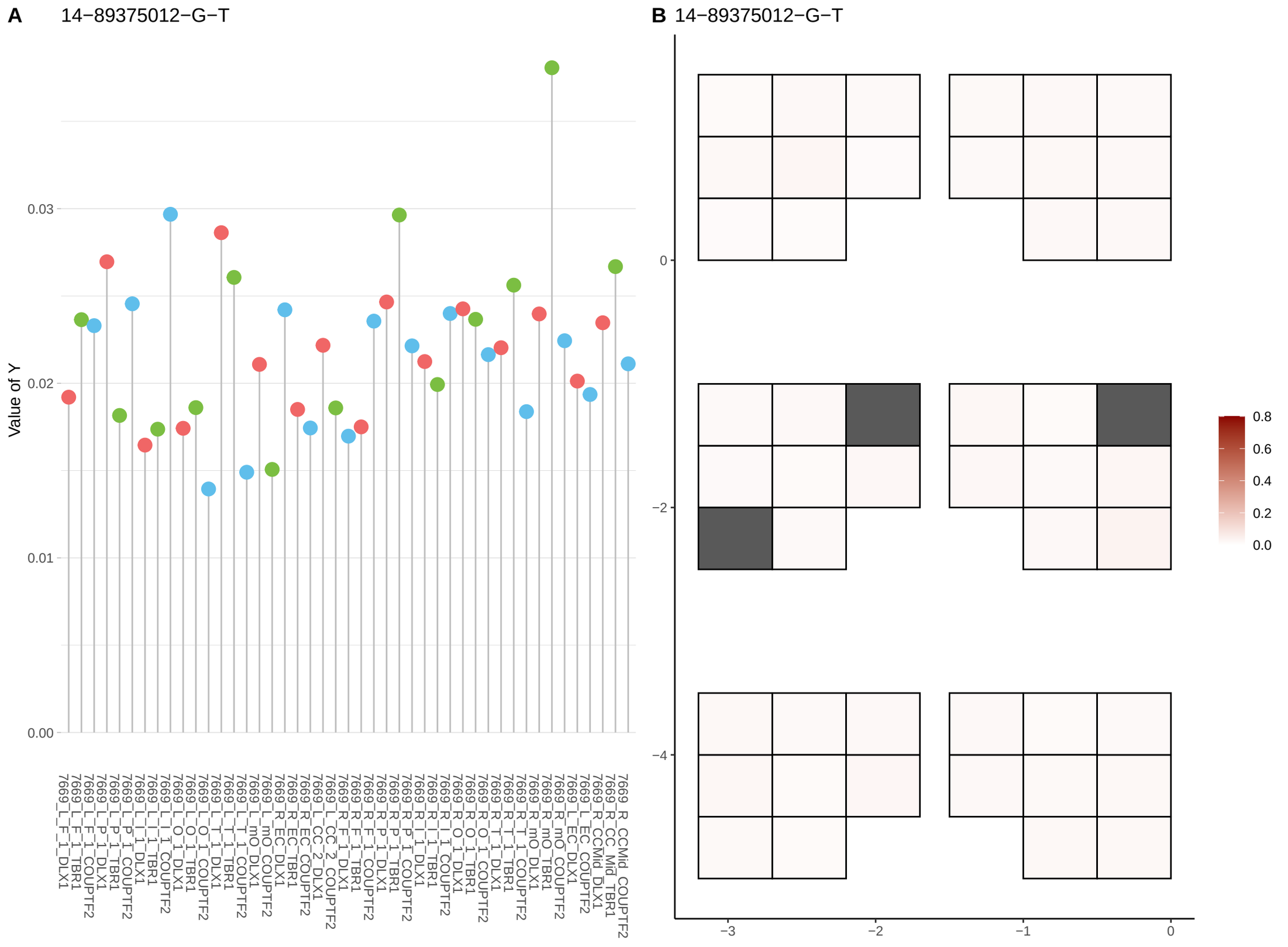
A
14−89375012−G−T
Value of Y
0.03
0.02
0.01
0.00
7669_L_F_1_DLX1
7669_L_F_1_TBR1
7669_L_F_1_COUPTF2
7669_L_P_1_DLX1
7669_L_P_1_TBR1
7669_L_P_1_COUPTF2
7669_L_I_1_DLX1
7669_L_I_1_TBR1
7669_L_I_1_COUPTF2
7669_L_O_1_DLX1
7669_L_O_1_TBR1
7669_L_O_1_COUPTF2
7669_L_T_1_DLX1
7669_L_T_1_TBR1
7669_L_T_1_COUPTF2
7669_L_mO_DLX1
7669_L_mO_COUPTF2
7669_R_EC_DLX1
7669_R_EC_TBR1
7669_R_EC_COUPTF2
7669_L_CC_2_DLX1
7669_L_CC_2_COUPTF2
7669_R_F_1_DLX1
7669_R_F_1_TBR1
7669_R_F_1_COUPTF2
7669_R_P_1_DLX1
7669_R_P_1_TBR1
7669_R_P_1_COUPTF2
7669_R_I_1_DLX1
7669_R_I_1_TBR1
7669_R_I_1_COUPTF2
7669_R_O_1_DLX1
7669_R_O_1_TBR1
7669_R_O_1_COUPTF2
7669_R_T_1_DLX1
7669_R_T_1_TBR1
7669_R_T_1_COUPTF2
7669_R_mO_DLX1
7669_R_mO_TBR1
7669_R_mO_COUPTF2
7669_L_EC_DLX1
7669_L_EC_COUPTF2
7669_R_CCMid_DLX1
7669_R_CC_Mid_TBR1
7669_R_CCMid_COUPTF2
B
14−89375012−G−T
0
−2
−4
−3
−2
−1
0
0.8
0.6
0.4
0.2
0.0

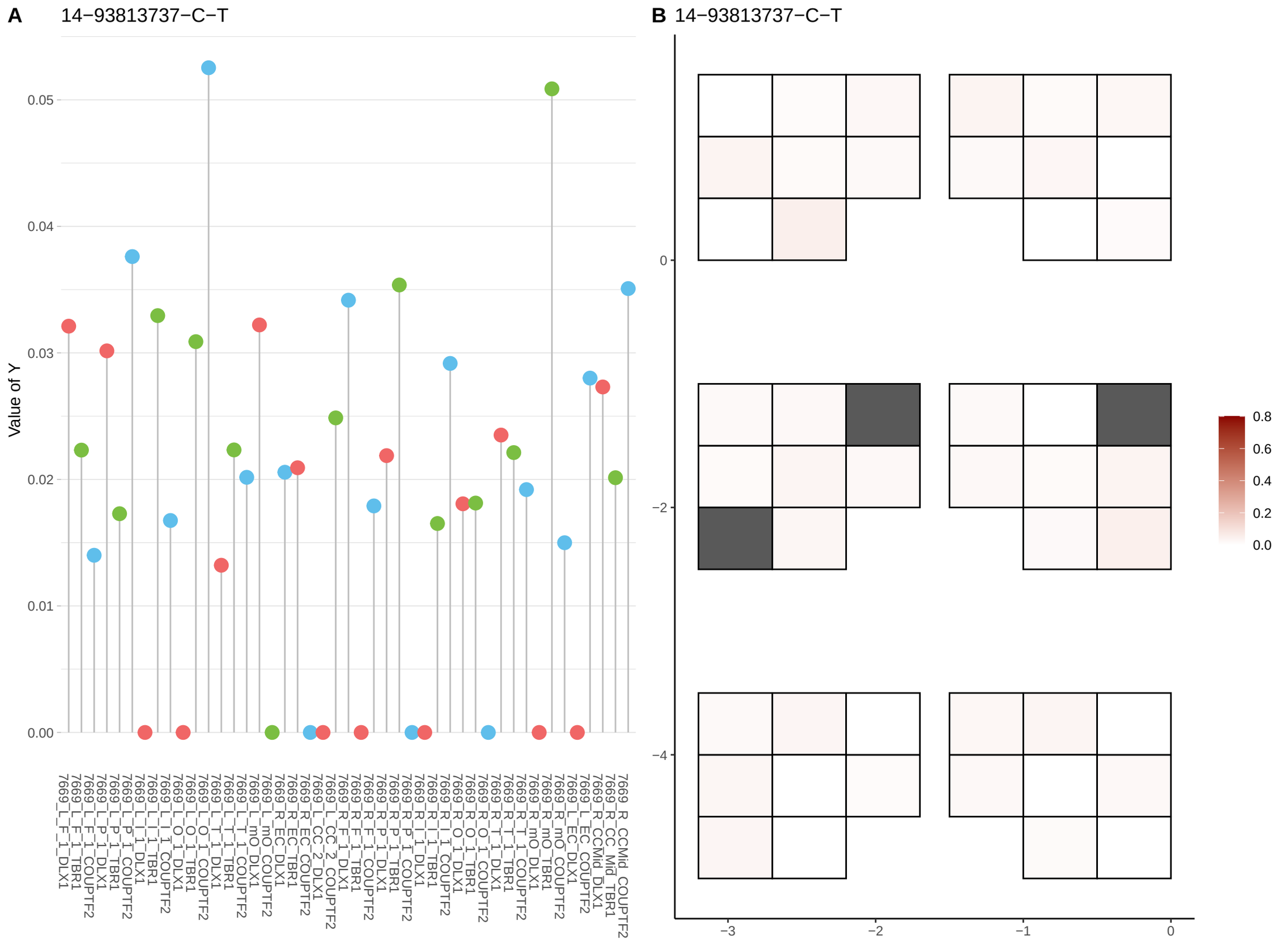
A
14−93813737−C−T
Value of Y
0.05
0.04
0.03
0.02
0.01
0.00
7669_L_F_1_DLX1
7669_L_F_1_TBR1
7669_L_F_1_COUPTF2
7669_L_P_1_DLX1
7669_L_P_1_TBR1
7669_L_P_1_COUPTF2
7669_L_I_1_DLX1
7669_L_I_1_TBR1
7669_L_I_1_COUPTF2
7669_L_O_1_DLX1
7669_L_O_1_TBR1
7669_L_O_1_COUPTF2
7669_L_T_1_DLX1
7669_L_T_1_TBR1
7669_L_T_1_COUPTF2
7669_L_mO_DLX1
7669_L_mO_COUPTF2
7669_R_EC_DLX1
7669_R_EC_TBR1
7669_R_EC_COUPTF2
7669_L_CC_2_DLX1
7669_L_CC_2_COUPTF2
7669_R_F_1_DLX1
7669_R_F_1_TBR1
7669_R_F_1_COUPTF2
7669_R_P_1_DLX1
7669_R_P_1_TBR1
7669_R_P_1_COUPTF2
7669_R_I_1_DLX1
7669_R_I_1_TBR1
7669_R_I_1_COUPTF2
7669_R_O_1_DLX1
7669_R_O_1_TBR1
7669_R_O_1_COUPTF2
7669_R_T_1_DLX1
7669_R_T_1_TBR1
7669_R_T_1_COUPTF2
7669_R_mO_DLX1
7669_R_mO_TBR1
7669_R_mO_COUPTF2
7669_L_EC_DLX1
7669_L_EC_COUPTF2
7669_R_CCMid_DLX1
7669_R_CC_Mid_TBR1
7669_R_CCMid_COUPTF2
B
14−93813737−C−T
0
−2
−4
−3
−2
−1
0
0.8
0.6
0.4
0.2
0.0

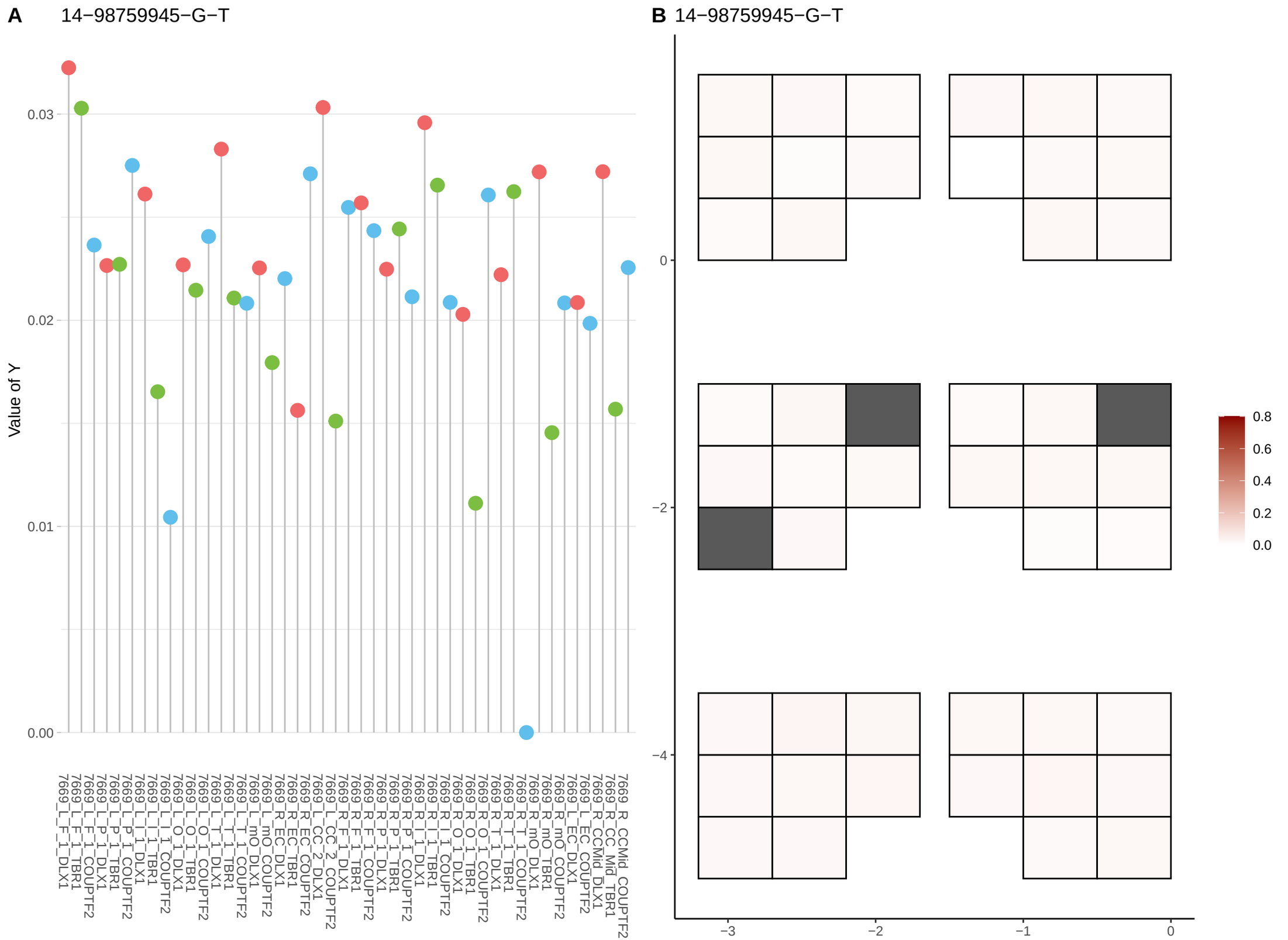
A
14−98759945−G−T
Value of Y
0.03
0.02
0.01
0.00
7669_L_F_1_DLX1
7669_L_F_1_TBR1
7669_L_F_1_COUPTF2
7669_L_P_1_DLX1
7669_L_P_1_TBR1
7669_L_P_1_COUPTF2
7669_L_I_1_DLX1
7669_L_I_1_TBR1
7669_L_I_1_COUPTF2
7669_L_O_1_DLX1
7669_L_O_1_TBR1
7669_L_O_1_COUPTF2
7669_L_T_1_DLX1
7669_L_T_1_TBR1
7669_L_T_1_COUPTF2
7669_L_mO_DLX1
7669_L_mO_COUPTF2
7669_R_EC_DLX1
7669_R_EC_TBR1
7669_R_EC_COUPTF2
7669_L_CC_2_DLX1
7669_L_CC_2_COUPTF2
7669_R_F_1_DLX1
7669_R_F_1_TBR1
7669_R_F_1_COUPTF2
7669_R_P_1_DLX1
7669_R_P_1_TBR1
7669_R_P_1_COUPTF2
7669_R_I_1_DLX1
7669_R_I_1_TBR1
7669_R_I_1_COUPTF2
7669_R_O_1_DLX1
7669_R_O_1_TBR1
7669_R_O_1_COUPTF2
7669_R_T_1_DLX1
7669_R_T_1_TBR1
7669_R_T_1_COUPTF2
7669_R_mO_DLX1
7669_R_mO_TBR1
7669_R_mO_COUPTF2
7669_L_EC_DLX1
7669_L_EC_COUPTF2
7669_R_CCMid_DLX1
7669_R_CC_Mid_TBR1
7669_R_CCMid_COUPTF2
B
14−98759945−G−T
0
−2
−4
−3
−2
−1
0
0.8
0.6
0.4
0.2
0.0

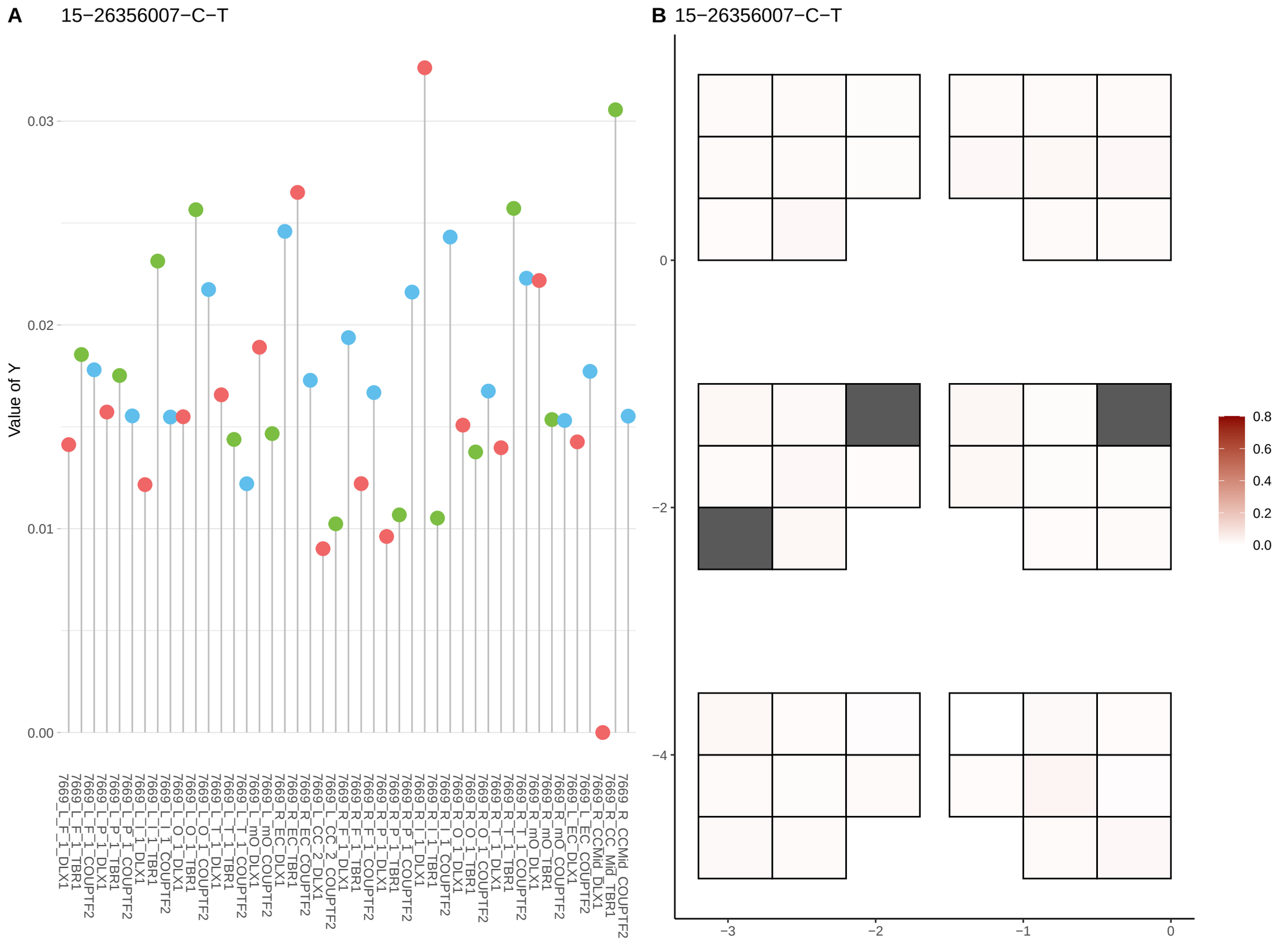
A
15−26356007−C−T
Value of Y
0.03
0.02
0.01
0.00
7669_L_F_1_DLX1
7669_L_F_1_TBR1
7669_L_F_1_COUPTF2
7669_L_P_1_DLX1
7669_L_P_1_TBR1
7669_L_P_1_COUPTF2
7669_L_I_1_DLX1
7669_L_I_1_TBR1
7669_L_I_1_COUPTF2
7669_L_O_1_DLX1
7669_L_O_1_TBR1
7669_L_O_1_COUPTF2
7669_L_T_1_DLX1
7669_L_T_1_TBR1
7669_L_T_1_COUPTF2
7669_L_mO_DLX1
7669_L_mO_COUPTF2
7669_R_EC_DLX1
7669_R_EC_TBR1
7669_R_EC_COUPTF2
7669_L_CC_2_DLX1
7669_L_CC_2_COUPTF2
7669_R_F_1_DLX1
7669_R_F_1_TBR1
7669_R_F_1_COUPTF2
7669_R_P_1_DLX1
7669_R_P_1_TBR1
7669_R_P_1_COUPTF2
7669_R_I_1_DLX1
7669_R_I_1_TBR1
7669_R_I_1_COUPTF2
7669_R_O_1_DLX1
7669_R_O_1_TBR1
7669_R_O_1_COUPTF2
7669_R_T_1_DLX1
7669_R_T_1_TBR1
7669_R_T_1_COUPTF2
7669_R_mO_DLX1
7669_R_mO_TBR1
7669_R_mO_COUPTF2
7669_L_EC_DLX1
7669_L_EC_COUPTF2
7669_R_CCMid_DLX1
7669_R_CC_Mid_TBR1
7669_R_CCMid_COUPTF2
B
15−26356007−C−T
0
−2
−4
−3
−2
−1
0
0.8
0.6
0.4
0.2
0.0

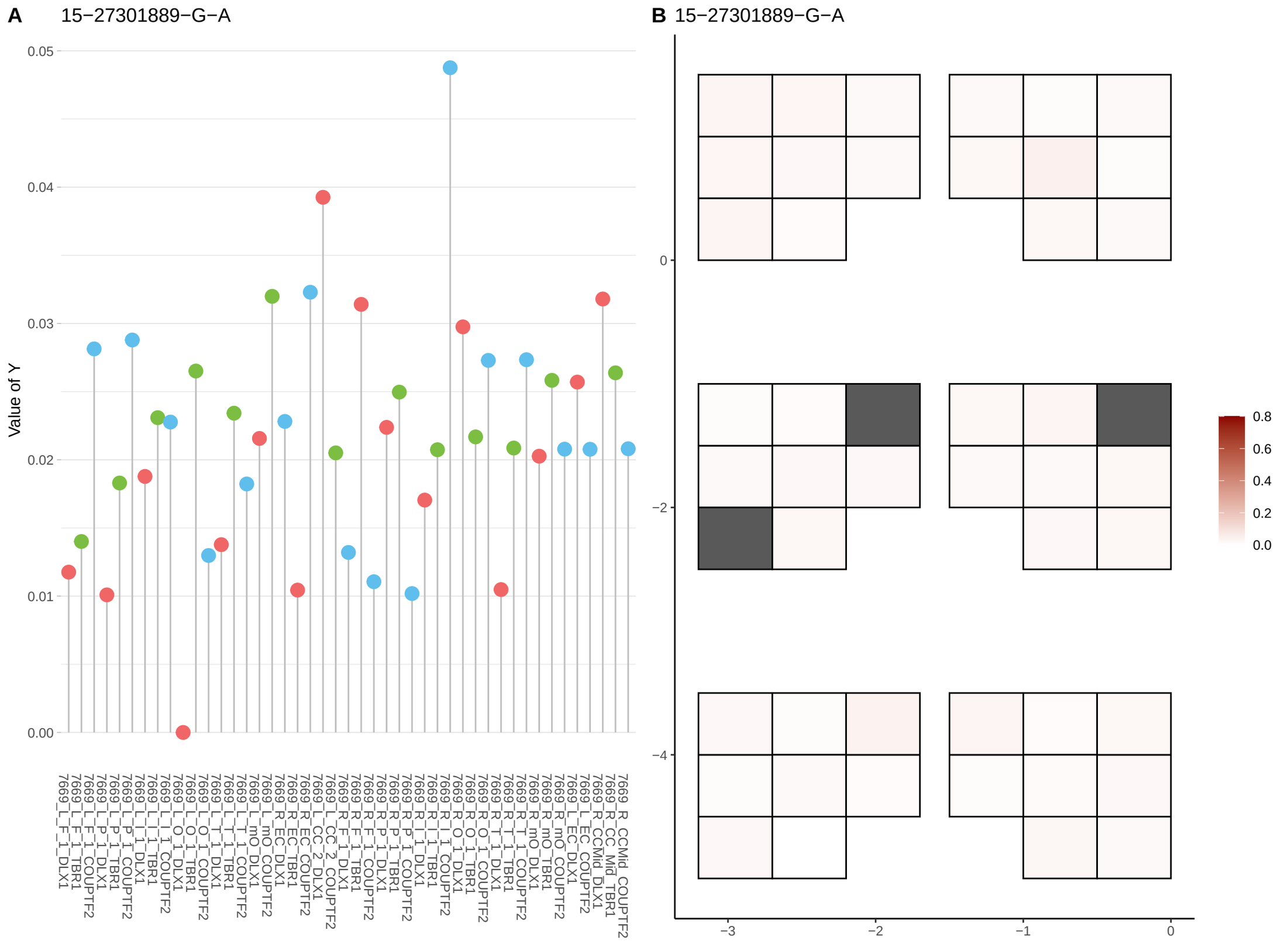
A
15−27301889−G−A
Value of Y
0.05
0.04
0.03
0.02
0.01
0.00
7669_L_F_1_DLX1
7669_L_F_1_TBR1
7669_L_F_1_COUPTF2
7669_L_P_1_DLX1
7669_L_P_1_TBR1
7669_L_P_1_COUPTF2
7669_L_I_1_DLX1
7669_L_I_1_TBR1
7669_L_I_1_COUPTF2
7669_L_O_1_DLX1
7669_L_O_1_TBR1
7669_L_O_1_COUPTF2
7669_L_T_1_DLX1
7669_L_T_1_TBR1
7669_L_T_1_COUPTF2
7669_L_mO_DLX1
7669_L_mO_COUPTF2
7669_R_EC_DLX1
7669_R_EC_TBR1
7669_R_EC_COUPTF2
7669_L_CC_2_DLX1
7669_L_CC_2_COUPTF2
7669_R_F_1_DLX1
7669_R_F_1_TBR1
7669_R_F_1_COUPTF2
7669_R_P_1_DLX1
7669_R_P_1_TBR1
7669_R_P_1_COUPTF2
7669_R_I_1_DLX1
7669_R_I_1_TBR1
7669_R_I_1_COUPTF2
7669_R_O_1_DLX1
7669_R_O_1_TBR1
7669_R_O_1_COUPTF2
7669_R_T_1_DLX1
7669_R_T_1_TBR1
7669_R_T_1_COUPTF2
7669_R_mO_DLX1
7669_R_mO_TBR1
7669_R_mO_COUPTF2
7669_L_EC_DLX1
7669_L_EC_COUPTF2
7669_R_CCMid_DLX1
7669_R_CC_Mid_TBR1
7669_R_CCMid_COUPTF2
B
15−27301889−G−A
0
−2
−4
−3
−2
−1
0
0.8
0.6
0.4
0.2
0.0

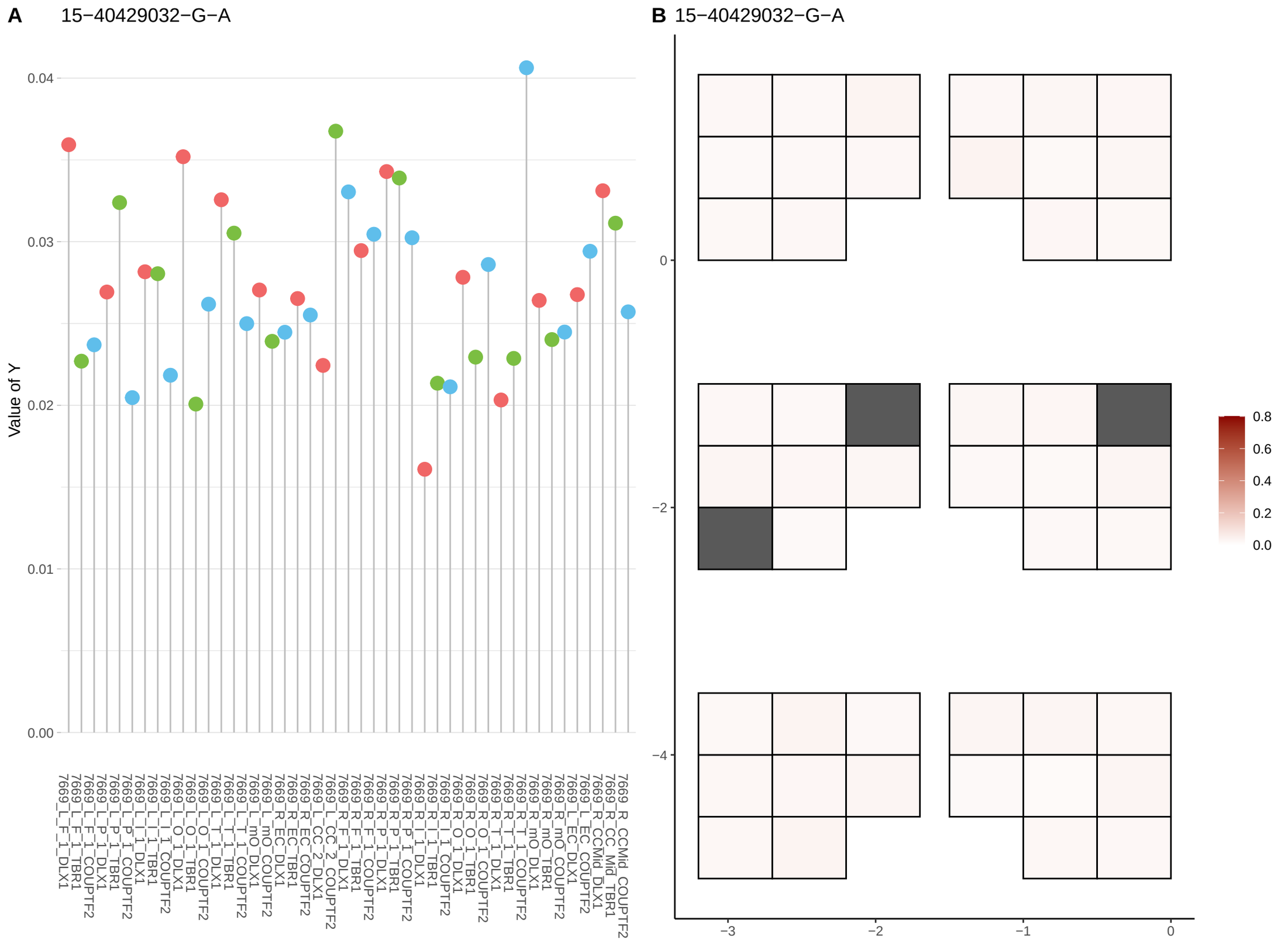
A
15−40429032−G−A
Value of Y
0.04
0.03
0.02
0.01
0.00
7669_L_F_1_DLX1
7669_L_F_1_TBR1
7669_L_F_1_COUPTF2
7669_L_P_1_DLX1
7669_L_P_1_TBR1
7669_L_P_1_COUPTF2
7669_L_I_1_DLX1
7669_L_I_1_TBR1
7669_L_I_1_COUPTF2
7669_L_O_1_DLX1
7669_L_O_1_TBR1
7669_L_O_1_COUPTF2
7669_L_T_1_DLX1
7669_L_T_1_TBR1
7669_L_T_1_COUPTF2
7669_L_mO_DLX1
7669_L_mO_COUPTF2
7669_R_EC_DLX1
7669_R_EC_TBR1
7669_R_EC_COUPTF2
7669_L_CC_2_DLX1
7669_L_CC_2_COUPTF2
7669_R_F_1_DLX1
7669_R_F_1_TBR1
7669_R_F_1_COUPTF2
7669_R_P_1_DLX1
7669_R_P_1_TBR1
7669_R_P_1_COUPTF2
7669_R_I_1_DLX1
7669_R_I_1_TBR1
7669_R_I_1_COUPTF2
7669_R_O_1_DLX1
7669_R_O_1_TBR1
7669_R_O_1_COUPTF2
7669_R_T_1_DLX1
7669_R_T_1_TBR1
7669_R_T_1_COUPTF2
7669_R_mO_DLX1
7669_R_mO_TBR1
7669_R_mO_COUPTF2
7669_L_EC_DLX1
7669_L_EC_COUPTF2
7669_R_CCMid_DLX1
7669_R_CC_Mid_TBR1
7669_R_CCMid_COUPTF2
B
15−40429032−G−A
0
−2
−4
−3
−2
−1
0
0.8
0.6
0.4
0.2
0.0

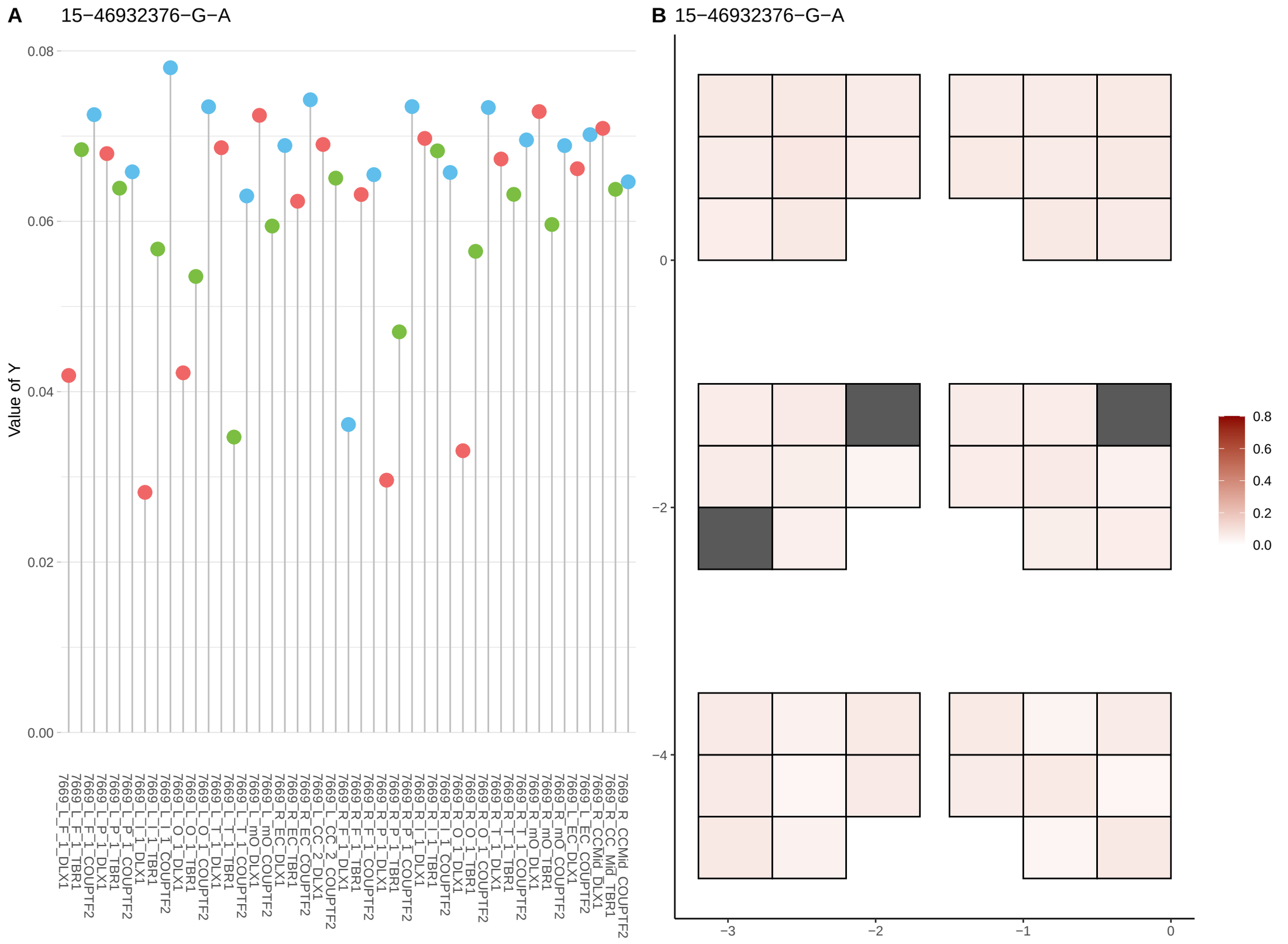
A
15−46932376−G−A
Value of Y
0.08
0.06
0.04
0.02
0.00
7669_L_F_1_DLX1
7669_L_F_1_TBR1
7669_L_F_1_COUPTF2
7669_L_P_1_DLX1
7669_L_P_1_TBR1
7669_L_P_1_COUPTF2
7669_L_I_1_DLX1
7669_L_I_1_TBR1
7669_L_I_1_COUPTF2
7669_L_O_1_DLX1
7669_L_O_1_TBR1
7669_L_O_1_COUPTF2
7669_L_T_1_DLX1
7669_L_T_1_TBR1
7669_L_T_1_COUPTF2
7669_L_mO_DLX1
7669_L_mO_COUPTF2
7669_R_EC_DLX1
7669_R_EC_TBR1
7669_R_EC_COUPTF2
7669_L_CC_2_DLX1
7669_L_CC_2_COUPTF2
7669_R_F_1_DLX1
7669_R_F_1_TBR1
7669_R_F_1_COUPTF2
7669_R_P_1_DLX1
7669_R_P_1_TBR1
7669_R_P_1_COUPTF2
7669_R_I_1_DLX1
7669_R_I_1_TBR1
7669_R_I_1_COUPTF2
7669_R_O_1_DLX1
7669_R_O_1_TBR1
7669_R_O_1_COUPTF2
7669_R_T_1_DLX1
7669_R_T_1_TBR1
7669_R_T_1_COUPTF2
7669_R_mO_DLX1
7669_R_mO_TBR1
7669_R_mO_COUPTF2
7669_L_EC_DLX1
7669_L_EC_COUPTF2
7669_R_CCMid_DLX1
7669_R_CC_Mid_TBR1
7669_R_CCMid_COUPTF2
B
15−46932376−G−A
0
−2
−4
−3
−2
−1
0
0.8
0.6
0.4
0.2
0.0

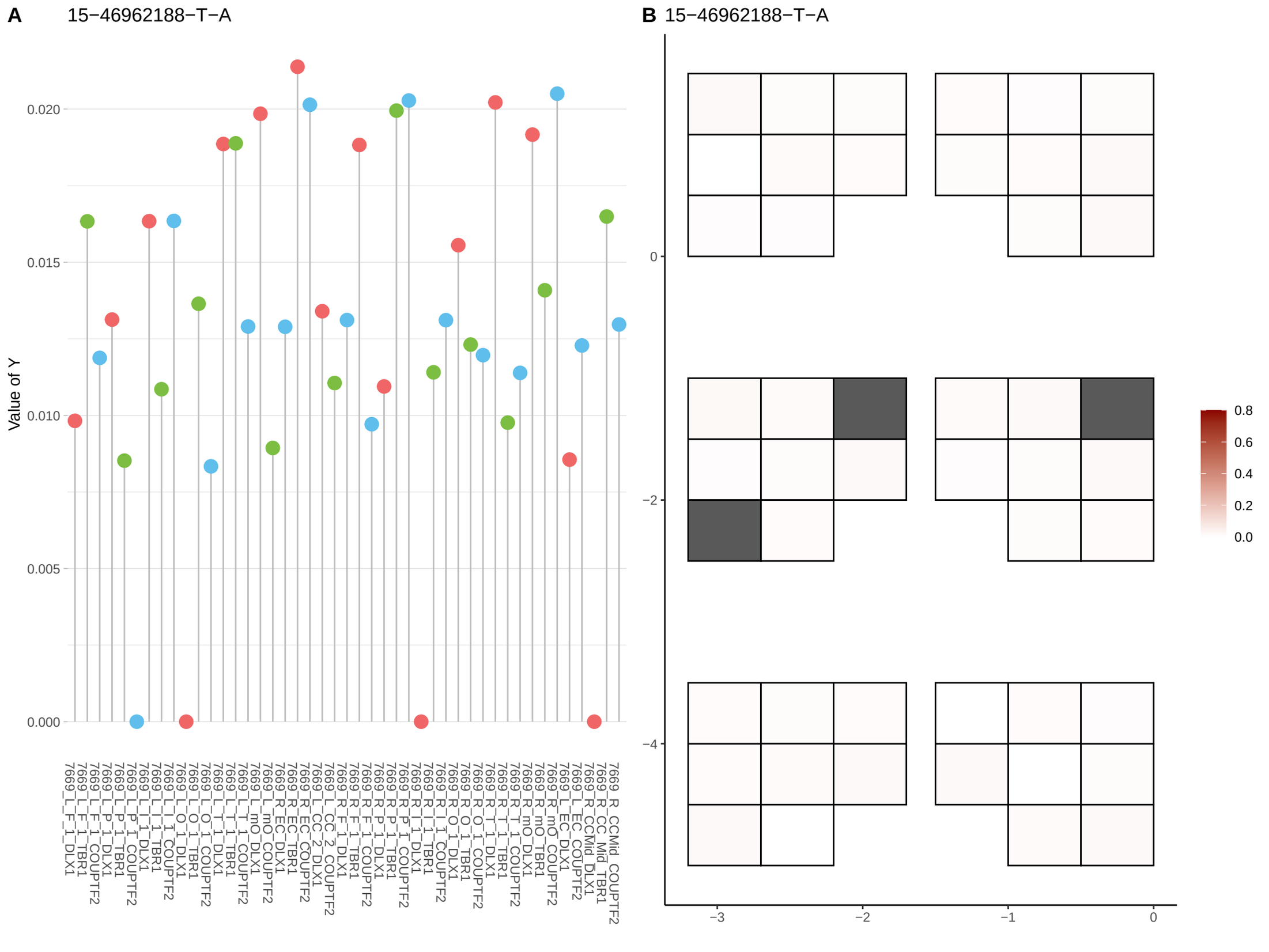
A
15−46962188−T−A
Value of Y
0.020
0.015
0.010
0.005
0.000
7669_L_F_1_DLX1
7669_L_F_1_TBR1
7669_L_F_1_COUPTF2
7669_L_P_1_DLX1
7669_L_P_1_TBR1
7669_L_P_1_COUPTF2
7669_L_I_1_DLX1
7669_L_I_1_TBR1
7669_L_I_1_COUPTF2
7669_L_O_1_DLX1
7669_L_O_1_TBR1
7669_L_O_1_COUPTF2
7669_L_T_1_DLX1
7669_L_T_1_TBR1
7669_L_T_1_COUPTF2
7669_L_mO_DLX1
7669_L_mO_COUPTF2
7669_R_EC_DLX1
7669_R_EC_TBR1
7669_R_EC_COUPTF2
7669_L_CC_2_DLX1
7669_L_CC_2_COUPTF2
7669_R_F_1_DLX1
7669_R_F_1_TBR1
7669_R_F_1_COUPTF2
7669_R_P_1_DLX1
7669_R_P_1_TBR1
7669_R_P_1_COUPTF2
7669_R_I_1_DLX1
7669_R_I_1_TBR1
7669_R_I_1_COUPTF2
7669_R_O_1_DLX1
7669_R_O_1_TBR1
7669_R_O_1_COUPTF2
7669_R_T_1_DLX1
7669_R_T_1_TBR1
7669_R_T_1_COUPTF2
7669_R_mO_DLX1
7669_R_mO_TBR1
7669_R_mO_COUPTF2
7669_L_EC_DLX1
7669_L_EC_COUPTF2
7669_R_CCMid_DLX1
7669_R_CC_Mid_TBR1
7669_R_CCMid_COUPTF2
B
15−46962188−T−A
0
−2
−4
−3
−2
−1
0
0.8
0.6
0.4
0.2
0.0

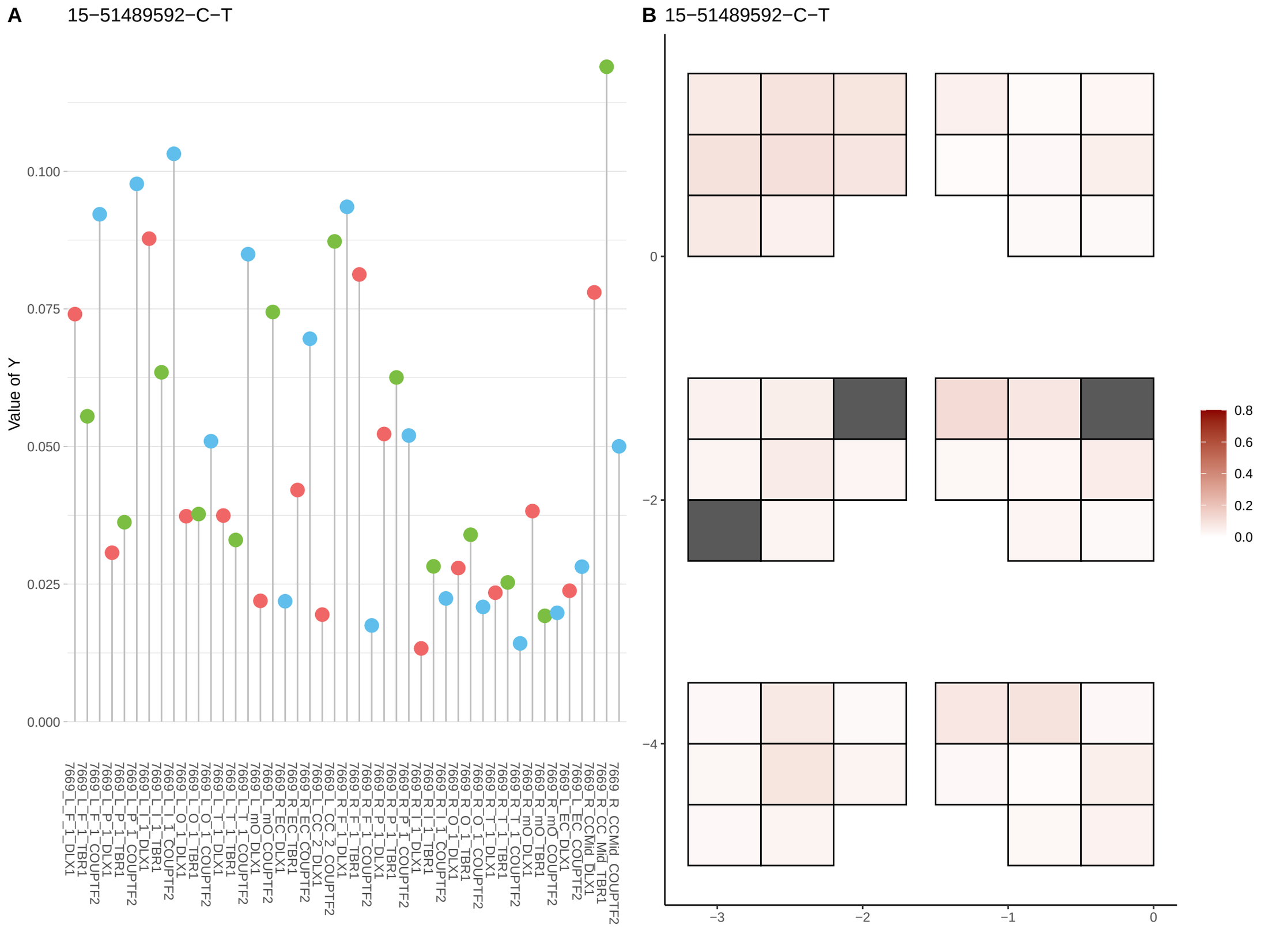
A
15−51489592−C−T
Value of Y
0.100
0.075
0.050
0.025
0.000
7669_L_F_1_DLX1
7669_L_F_1_TBR1
7669_L_F_1_COUPTF2
7669_L_P_1_DLX1
7669_L_P_1_TBR1
7669_L_P_1_COUPTF2
7669_L_I_1_DLX1
7669_L_I_1_TBR1
7669_L_I_1_COUPTF2
7669_L_O_1_DLX1
7669_L_O_1_TBR1
7669_L_O_1_COUPTF2
7669_L_T_1_DLX1
7669_L_T_1_TBR1
7669_L_T_1_COUPTF2
7669_L_mO_DLX1
7669_L_mO_COUPTF2
7669_R_EC_DLX1
7669_R_EC_TBR1
7669_R_EC_COUPTF2
7669_L_CC_2_DLX1
7669_L_CC_2_COUPTF2
7669_R_F_1_DLX1
7669_R_F_1_TBR1
7669_R_F_1_COUPTF2
7669_R_P_1_DLX1
7669_R_P_1_TBR1
7669_R_P_1_COUPTF2
7669_R_I_1_DLX1
7669_R_I_1_TBR1
7669_R_I_1_COUPTF2
7669_R_O_1_DLX1
7669_R_O_1_TBR1
7669_R_O_1_COUPTF2
7669_R_T_1_DLX1
7669_R_T_1_TBR1
7669_R_T_1_COUPTF2
7669_R_mO_DLX1
7669_R_mO_TBR1
7669_R_mO_COUPTF2
7669_L_EC_DLX1
7669_L_EC_COUPTF2
7669_R_CCMid_DLX1
7669_R_CC_Mid_TBR1
7669_R_CCMid_COUPTF2
B
15−51489592−C−T
0
−2
−4
−3
−2
−1
0
0.8
0.6
0.4
0.2
0.0

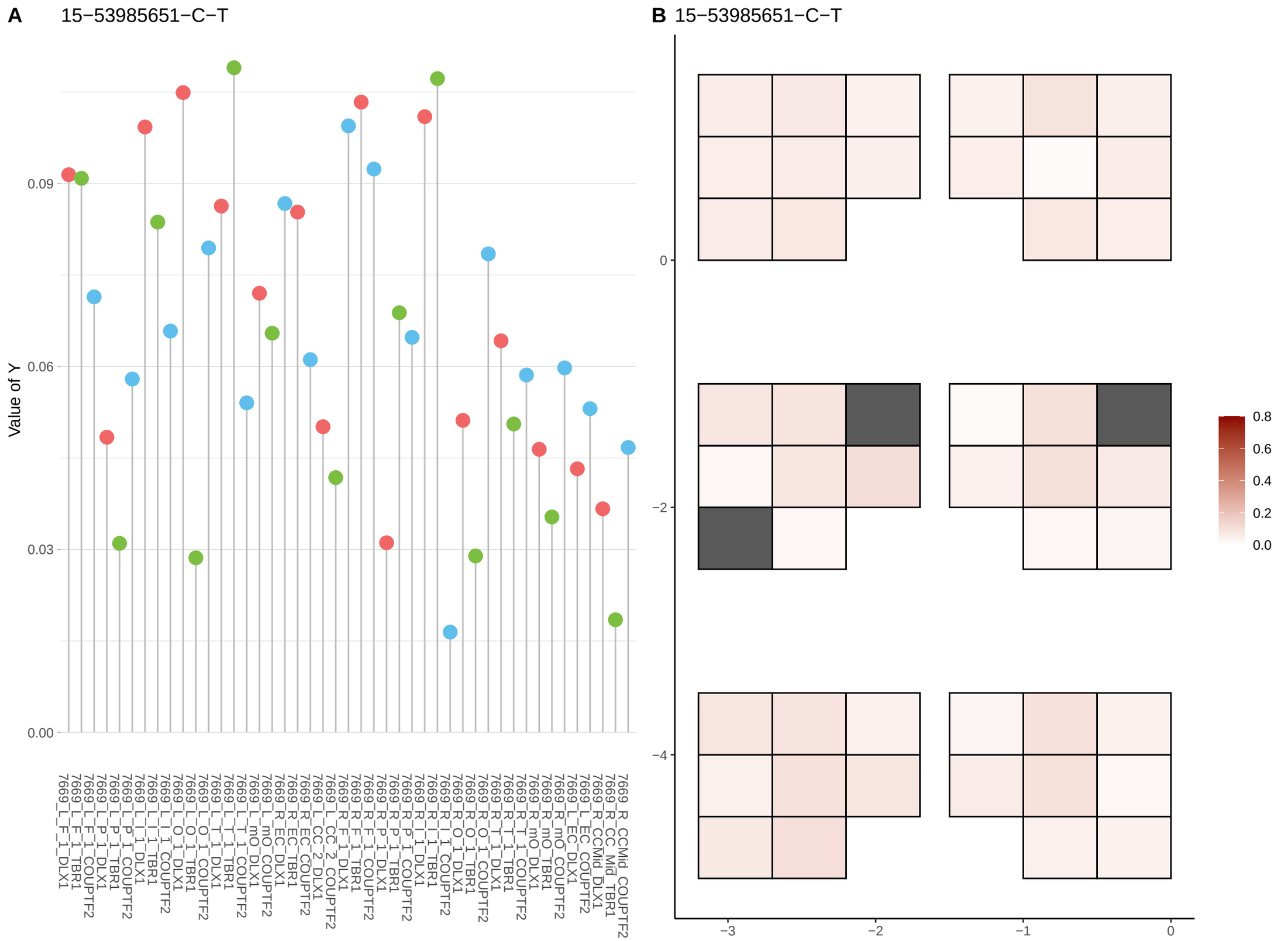
A
15−53985651−C−T
Value of Y
0.09
0.06
0.03
0.00
7669_L_F_1_DLX1
7669_L_F_1_TBR1
7669_L_F_1_COUPTF2
7669_L_P_1_DLX1
7669_L_P_1_TBR1
7669_L_P_1_COUPTF2
7669_L_I_1_DLX1
7669_L_I_1_TBR1
7669_L_I_1_COUPTF2
7669_L_O_1_DLX1
7669_L_O_1_TBR1
7669_L_O_1_COUPTF2
7669_L_T_1_DLX1
7669_L_T_1_TBR1
7669_L_T_1_COUPTF2
7669_L_mO_DLX1
7669_L_mO_COUPTF2
7669_R_EC_DLX1
7669_R_EC_TBR1
7669_R_EC_COUPTF2
7669_L_CC_2_DLX1
7669_L_CC_2_COUPTF2
7669_R_F_1_DLX1
7669_R_F_1_TBR1
7669_R_F_1_COUPTF2
7669_R_P_1_DLX1
7669_R_P_1_TBR1
7669_R_P_1_COUPTF2
7669_R_I_1_DLX1
7669_R_I_1_TBR1
7669_R_I_1_COUPTF2
7669_R_O_1_DLX1
7669_R_O_1_TBR1
7669_R_O_1_COUPTF2
7669_R_T_1_DLX1
7669_R_T_1_TBR1
7669_R_T_1_COUPTF2
7669_R_mO_DLX1
7669_R_mO_TBR1
7669_R_mO_COUPTF2
7669_L_EC_DLX1
7669_L_EC_COUPTF2
7669_R_CCMid_DLX1
7669_R_CC_Mid_TBR1
7669_R_CCMid_COUPTF2
B
15−53985651−C−T
0
−2
−4
−3
−2
−1
0
0.8
0.6
0.4
0.2
0.0

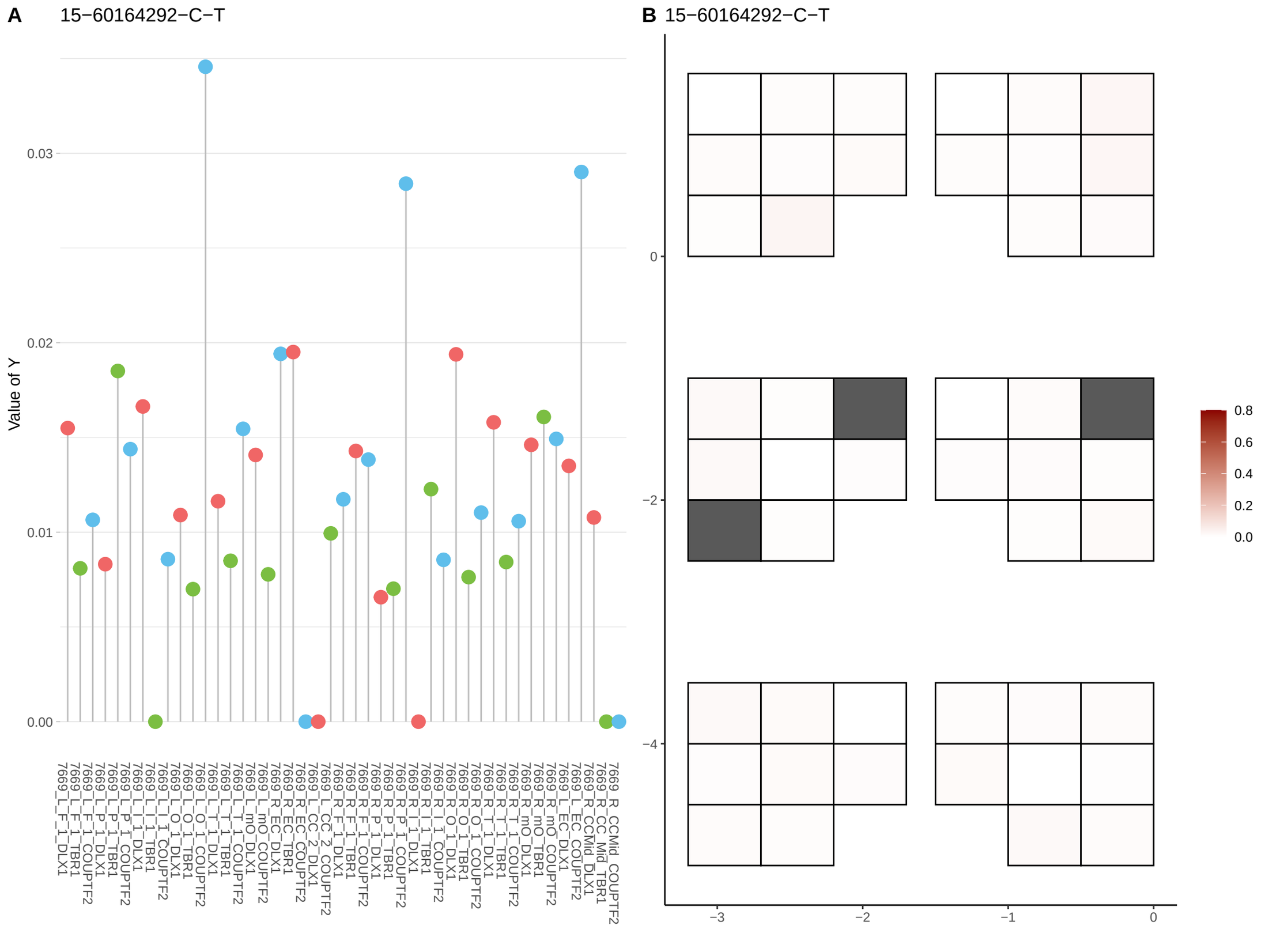
A
15−60164292−C−T
Value of Y
0.03
0.02
0.01
0.00
7669_L_F_1_DLX1
7669_L_F_1_TBR1
7669_L_F_1_COUPTF2
7669_L_P_1_DLX1
7669_L_P_1_TBR1
7669_L_P_1_COUPTF2
7669_L_I_1_DLX1
7669_L_I_1_TBR1
7669_L_I_1_COUPTF2
7669_L_O_1_DLX1
7669_L_O_1_TBR1
7669_L_O_1_COUPTF2
7669_L_T_1_DLX1
7669_L_T_1_TBR1
7669_L_T_1_COUPTF2
7669_L_mO_DLX1
7669_L_mO_COUPTF2
7669_R_EC_DLX1
7669_R_EC_TBR1
7669_R_EC_COUPTF2
7669_L_CC_2_DLX1
7669_L_CC_2_COUPTF2
7669_R_F_1_DLX1
7669_R_F_1_TBR1
7669_R_F_1_COUPTF2
7669_R_P_1_DLX1
7669_R_P_1_TBR1
7669_R_P_1_COUPTF2
7669_R_I_1_DLX1
7669_R_I_1_TBR1
7669_R_I_1_COUPTF2
7669_R_O_1_DLX1
7669_R_O_1_TBR1
7669_R_O_1_COUPTF2
7669_R_T_1_DLX1
7669_R_T_1_TBR1
7669_R_T_1_COUPTF2
7669_R_mO_DLX1
7669_R_mO_TBR1
7669_R_mO_COUPTF2
7669_L_EC_DLX1
7669_L_EC_COUPTF2
7669_R_CCMid_DLX1
7669_R_CC_Mid_TBR1
7669_R_CCMid_COUPTF2
B
15−60164292−C−T
0
−2
−4
−3
−2
−1
0
0.8
0.6
0.4
0.2
0.0

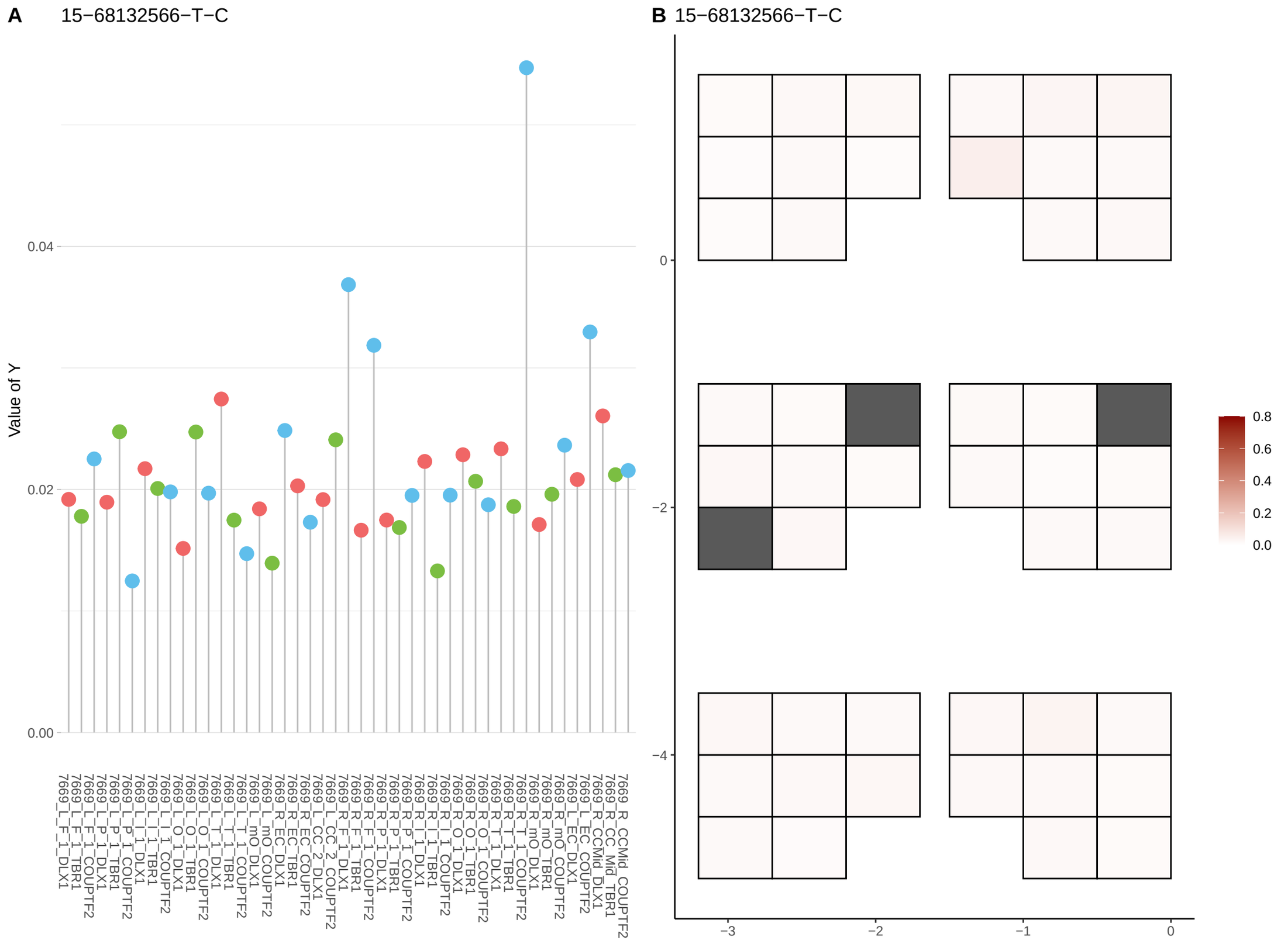
A
15−68132566−T−C
Value of Y
0.04
0.02
0.00
7669_L_F_1_DLX1
7669_L_F_1_TBR1
7669_L_F_1_COUPTF2
7669_L_P_1_DLX1
7669_L_P_1_TBR1
7669_L_P_1_COUPTF2
7669_L_I_1_DLX1
7669_L_I_1_TBR1
7669_L_I_1_COUPTF2
7669_L_O_1_DLX1
7669_L_O_1_TBR1
7669_L_O_1_COUPTF2
7669_L_T_1_DLX1
7669_L_T_1_TBR1
7669_L_T_1_COUPTF2
7669_L_mO_DLX1
7669_L_mO_COUPTF2
7669_R_EC_DLX1
7669_R_EC_TBR1
7669_R_EC_COUPTF2
7669_L_CC_2_DLX1
7669_L_CC_2_COUPTF2
7669_R_F_1_DLX1
7669_R_F_1_TBR1
7669_R_F_1_COUPTF2
7669_R_P_1_DLX1
7669_R_P_1_TBR1
7669_R_P_1_COUPTF2
7669_R_I_1_DLX1
7669_R_I_1_TBR1
7669_R_I_1_COUPTF2
7669_R_O_1_DLX1
7669_R_O_1_TBR1
7669_R_O_1_COUPTF2
7669_R_T_1_DLX1
7669_R_T_1_TBR1
7669_R_T_1_COUPTF2
7669_R_mO_DLX1
7669_R_mO_TBR1
7669_R_mO_COUPTF2
7669_L_EC_DLX1
7669_L_EC_COUPTF2
7669_R_CCMid_DLX1
7669_R_CC_Mid_TBR1
7669_R_CCMid_COUPTF2
B
15−68132566−T−C
0
−2
−4
−3
−2
−1
0
0.8
0.6
0.4
0.2
0.0

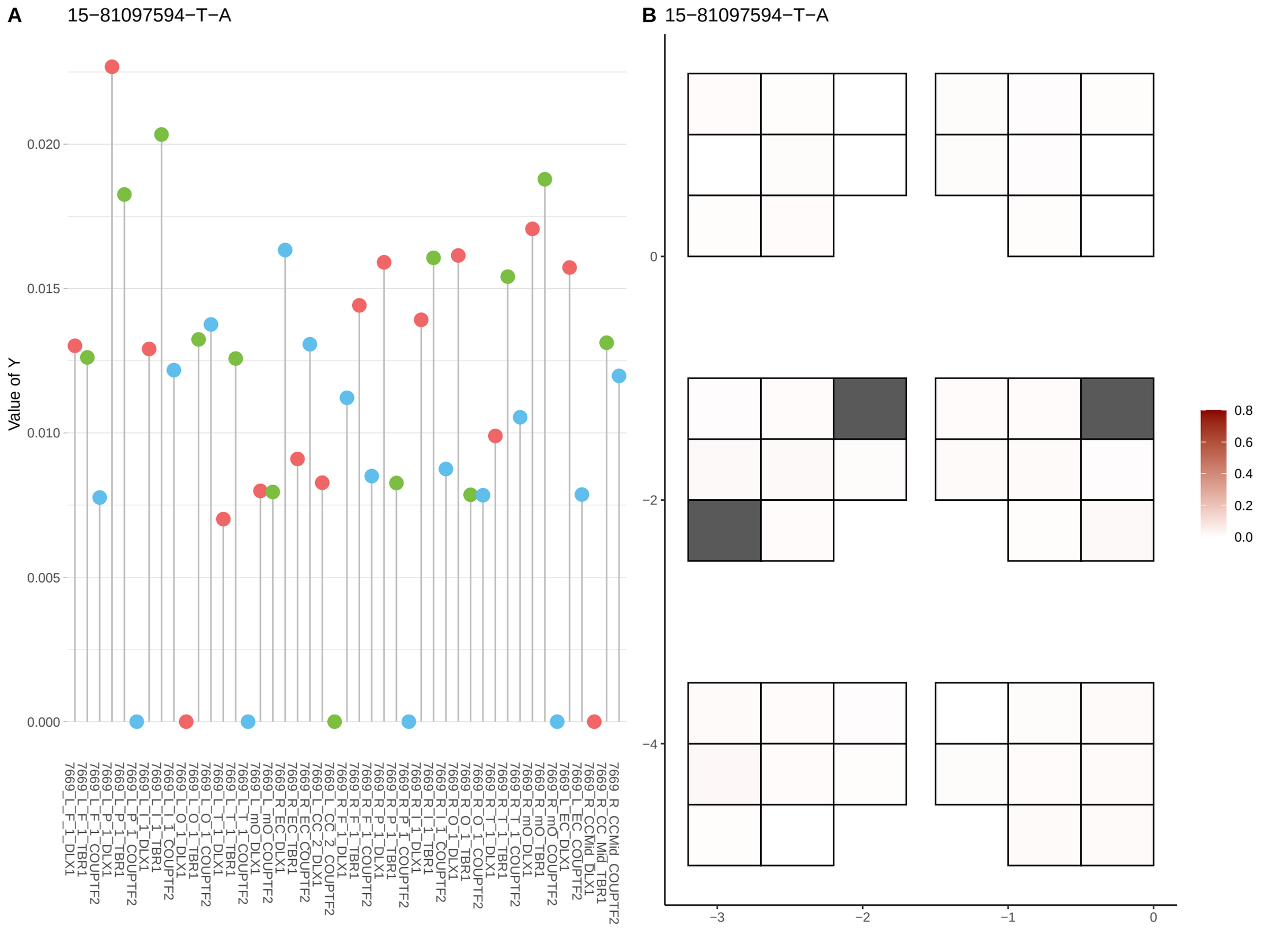
A
15−81097594−T−A
Value of Y
0.020
0.015
0.010
0.005
0.000
7669_L_F_1_DLX1
7669_L_F_1_TBR1
7669_L_F_1_COUPTF2
7669_L_P_1_DLX1
7669_L_P_1_TBR1
7669_L_P_1_COUPTF2
7669_L_I_1_DLX1
7669_L_I_1_TBR1
7669_L_I_1_COUPTF2
7669_L_O_1_DLX1
7669_L_O_1_TBR1
7669_L_O_1_COUPTF2
7669_L_T_1_DLX1
7669_L_T_1_TBR1
7669_L_T_1_COUPTF2
7669_L_mO_DLX1
7669_L_mO_COUPTF2
7669_R_EC_DLX1
7669_R_EC_TBR1
7669_R_EC_COUPTF2
7669_L_CC_2_DLX1
7669_L_CC_2_COUPTF2
7669_R_F_1_DLX1
7669_R_F_1_TBR1
7669_R_F_1_COUPTF2
7669_R_P_1_DLX1
7669_R_P_1_TBR1
7669_R_P_1_COUPTF2
7669_R_I_1_DLX1
7669_R_I_1_TBR1
7669_R_I_1_COUPTF2
7669_R_O_1_DLX1
7669_R_O_1_TBR1
7669_R_O_1_COUPTF2
7669_R_T_1_DLX1
7669_R_T_1_TBR1
7669_R_T_1_COUPTF2
7669_R_mO_DLX1
7669_R_mO_TBR1
7669_R_mO_COUPTF2
7669_L_EC_DLX1
7669_L_EC_COUPTF2
7669_R_CCMid_DLX1
7669_R_CC_Mid_TBR1
7669_R_CCMid_COUPTF2
B
15−81097594−T−A
0
−2
−4
−3
−2
−1
0
0.8
0.6
0.4
0.2
0.0

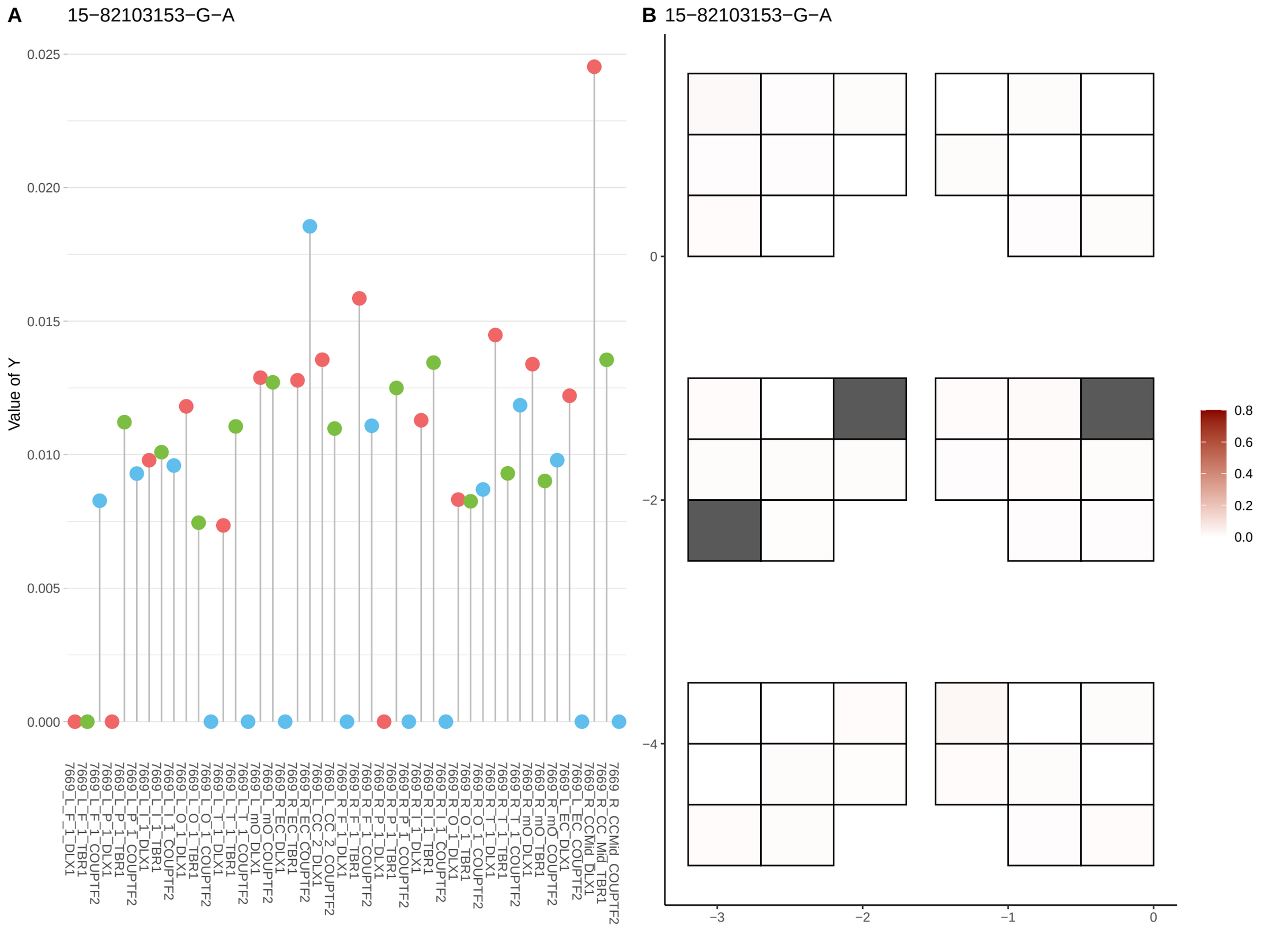
A
15−82103153−G−A
Value of Y
0.025
0.020
0.015
0.010
0.005
0.000
7669_L_F_1_DLX1
7669_L_F_1_TBR1
7669_L_F_1_COUPTF2
7669_L_P_1_DLX1
7669_L_P_1_TBR1
7669_L_P_1_COUPTF2
7669_L_I_1_DLX1
7669_L_I_1_TBR1
7669_L_I_1_COUPTF2
7669_L_O_1_DLX1
7669_L_O_1_TBR1
7669_L_O_1_COUPTF2
7669_L_T_1_DLX1
7669_L_T_1_TBR1
7669_L_T_1_COUPTF2
7669_L_mO_DLX1
7669_L_mO_COUPTF2
7669_R_EC_DLX1
7669_R_EC_TBR1
7669_R_EC_COUPTF2
7669_L_CC_2_DLX1
7669_L_CC_2_COUPTF2
7669_R_F_1_DLX1
7669_R_F_1_TBR1
7669_R_F_1_COUPTF2
7669_R_P_1_DLX1
7669_R_P_1_TBR1
7669_R_P_1_COUPTF2
7669_R_I_1_DLX1
7669_R_I_1_TBR1
7669_R_I_1_COUPTF2
7669_R_O_1_DLX1
7669_R_O_1_TBR1
7669_R_O_1_COUPTF2
7669_R_T_1_DLX1
7669_R_T_1_TBR1
7669_R_T_1_COUPTF2
7669_R_mO_DLX1
7669_R_mO_TBR1
7669_R_mO_COUPTF2
7669_L_EC_DLX1
7669_L_EC_COUPTF2
7669_R_CCMid_DLX1
7669_R_CC_Mid_TBR1
7669_R_CCMid_COUPTF2
B
15−82103153−G−A
0
−2
−4
−3
−2
−1
0
0.8
0.6
0.4
0.2
0.0

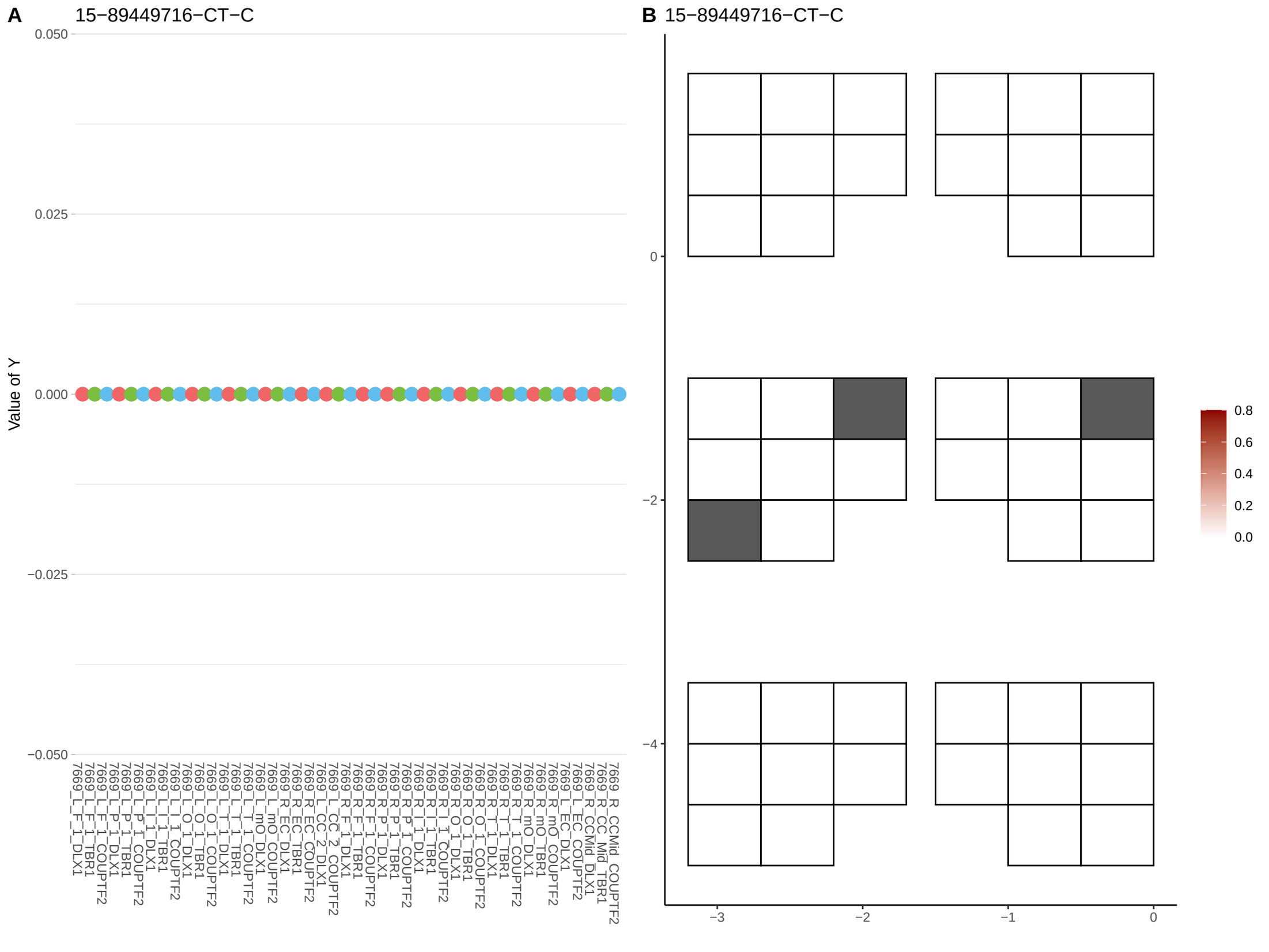
A
15−89449716−CT−C
Value of Y
0.050
0.025
0.000
−0.025
−0.050
7669_L_F_1_DLX1
7669_L_F_1_TBR1
7669_L_F_1_COUPTF2
7669_L_P_1_DLX1
7669_L_P_1_TBR1
7669_L_P_1_COUPTF2
7669_L_I_1_DLX1
7669_L_I_1_TBR1
7669_L_I_1_COUPTF2
7669_L_O_1_DLX1
7669_L_O_1_TBR1
7669_L_O_1_COUPTF2
7669_L_T_1_DLX1
7669_L_T_1_TBR1
7669_L_T_1_COUPTF2
7669_L_mO_DLX1
7669_L_mO_COUPTF2
7669_R_EC_DLX1
7669_R_EC_TBR1
7669_R_EC_COUPTF2
7669_L_CC_2_DLX1
7669_L_CC_2_COUPTF2
7669_R_F_1_DLX1
7669_R_F_1_TBR1
7669_R_F_1_COUPTF2
7669_R_P_1_DLX1
7669_R_P_1_TBR1
7669_R_P_1_COUPTF2
7669_R_I_1_DLX1
7669_R_I_1_TBR1
7669_R_I_1_COUPTF2
7669_R_O_1_DLX1
7669_R_O_1_TBR1
7669_R_O_1_COUPTF2
7669_R_T_1_DLX1
7669_R_T_1_TBR1
7669_R_T_1_COUPTF2
7669_R_mO_DLX1
7669_R_mO_TBR1
7669_R_mO_COUPTF2
7669_L_EC_DLX1
7669_L_EC_COUPTF2
7669_R_CCMid_DLX1
7669_R_CC_Mid_TBR1
7669_R_CCMid_COUPTF2
B
15−89449716−CT−C
0
−2
−4
−3
−2
−1
0
0.8
0.6
0.4
0.2
0.0

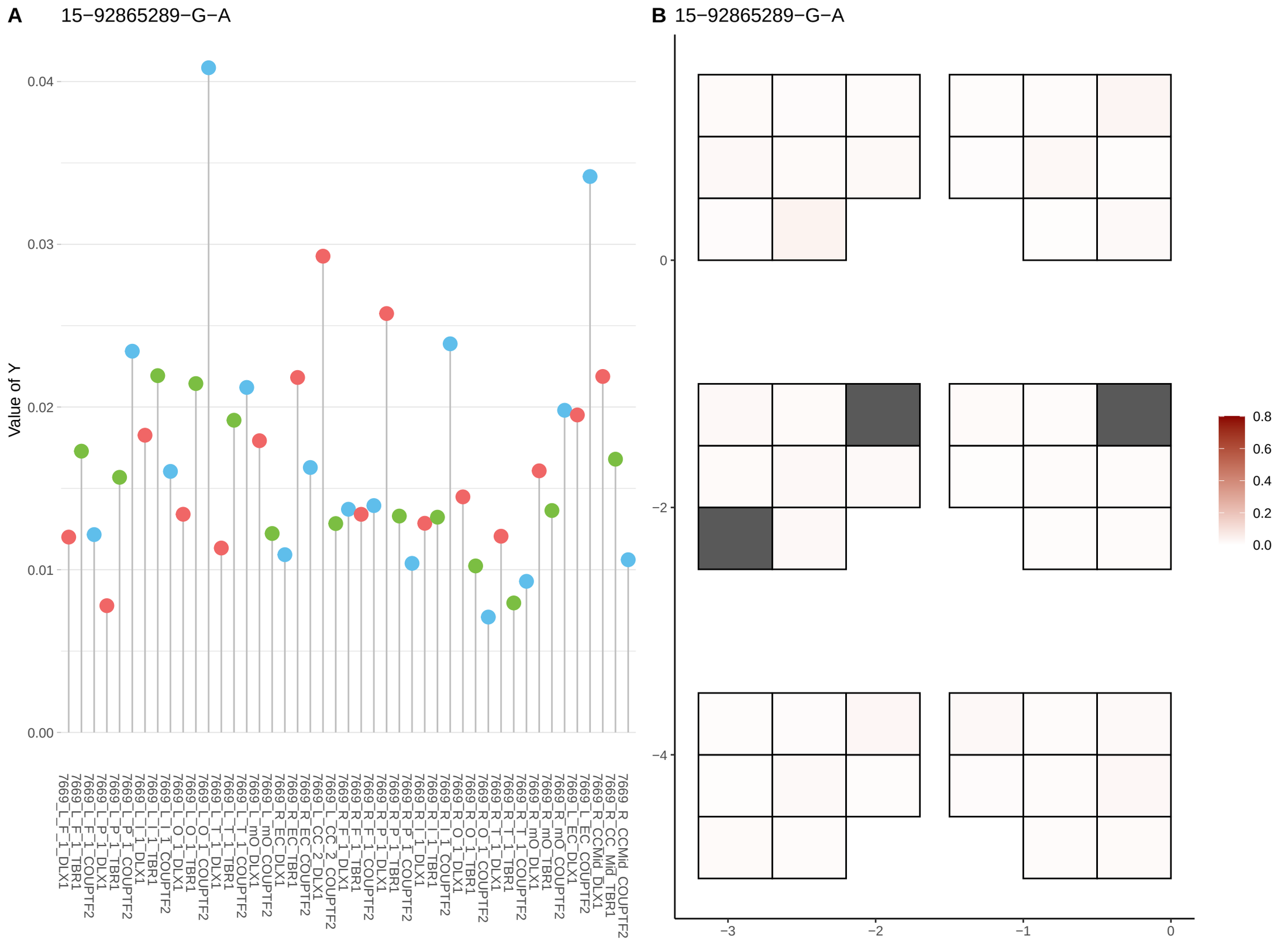
A
15−92865289−G−A
Value of Y
0.04
0.03
0.02
0.01
0.00
7669_L_F_1_DLX1
7669_L_F_1_TBR1
7669_L_F_1_COUPTF2
7669_L_P_1_DLX1
7669_L_P_1_TBR1
7669_L_P_1_COUPTF2
7669_L_I_1_DLX1
7669_L_I_1_TBR1
7669_L_I_1_COUPTF2
7669_L_O_1_DLX1
7669_L_O_1_TBR1
7669_L_O_1_COUPTF2
7669_L_T_1_DLX1
7669_L_T_1_TBR1
7669_L_T_1_COUPTF2
7669_L_mO_DLX1
7669_L_mO_COUPTF2
7669_R_EC_DLX1
7669_R_EC_TBR1
7669_R_EC_COUPTF2
7669_L_CC_2_DLX1
7669_L_CC_2_COUPTF2
7669_R_F_1_DLX1
7669_R_F_1_TBR1
7669_R_F_1_COUPTF2
7669_R_P_1_DLX1
7669_R_P_1_TBR1
7669_R_P_1_COUPTF2
7669_R_I_1_DLX1
7669_R_I_1_TBR1
7669_R_I_1_COUPTF2
7669_R_O_1_DLX1
7669_R_O_1_TBR1
7669_R_O_1_COUPTF2
7669_R_T_1_DLX1
7669_R_T_1_TBR1
7669_R_T_1_COUPTF2
7669_R_mO_DLX1
7669_R_mO_TBR1
7669_R_mO_COUPTF2
7669_L_EC_DLX1
7669_L_EC_COUPTF2
7669_R_CCMid_DLX1
7669_R_CC_Mid_TBR1
7669_R_CCMid_COUPTF2
B
15−92865289−G−A
0
−2
−4
−3
−2
−1
0
0.8
0.6
0.4
0.2
0.0

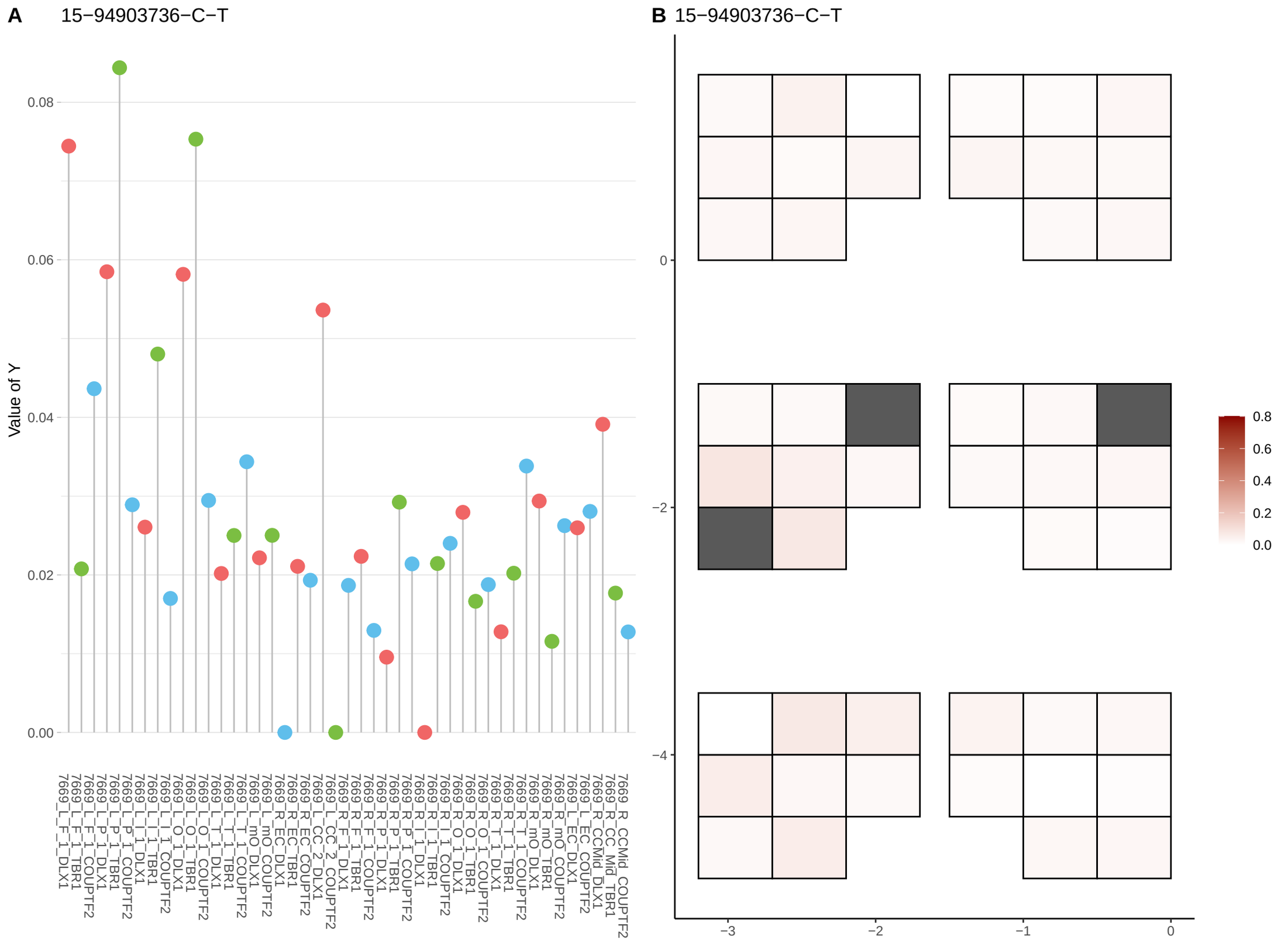
A
15−94903736−C−T
Value of Y
0.08
0.06
0.04
0.02
0.00
7669_L_F_1_DLX1
7669_L_F_1_TBR1
7669_L_F_1_COUPTF2
7669_L_P_1_DLX1
7669_L_P_1_TBR1
7669_L_P_1_COUPTF2
7669_L_I_1_DLX1
7669_L_I_1_TBR1
7669_L_I_1_COUPTF2
7669_L_O_1_DLX1
7669_L_O_1_TBR1
7669_L_O_1_COUPTF2
7669_L_T_1_DLX1
7669_L_T_1_TBR1
7669_L_T_1_COUPTF2
7669_L_mO_DLX1
7669_L_mO_COUPTF2
7669_R_EC_DLX1
7669_R_EC_TBR1
7669_R_EC_COUPTF2
7669_L_CC_2_DLX1
7669_L_CC_2_COUPTF2
7669_R_F_1_DLX1
7669_R_F_1_TBR1
7669_R_F_1_COUPTF2
7669_R_P_1_DLX1
7669_R_P_1_TBR1
7669_R_P_1_COUPTF2
7669_R_I_1_DLX1
7669_R_I_1_TBR1
7669_R_I_1_COUPTF2
7669_R_O_1_DLX1
7669_R_O_1_TBR1
7669_R_O_1_COUPTF2
7669_R_T_1_DLX1
7669_R_T_1_TBR1
7669_R_T_1_COUPTF2
7669_R_mO_DLX1
7669_R_mO_TBR1
7669_R_mO_COUPTF2
7669_L_EC_DLX1
7669_L_EC_COUPTF2
7669_R_CCMid_DLX1
7669_R_CC_Mid_TBR1
7669_R_CCMid_COUPTF2
B
15−94903736−C−T
0
−2
−4
−3
−2
−1
0
0.8
0.6
0.4
0.2
0.0

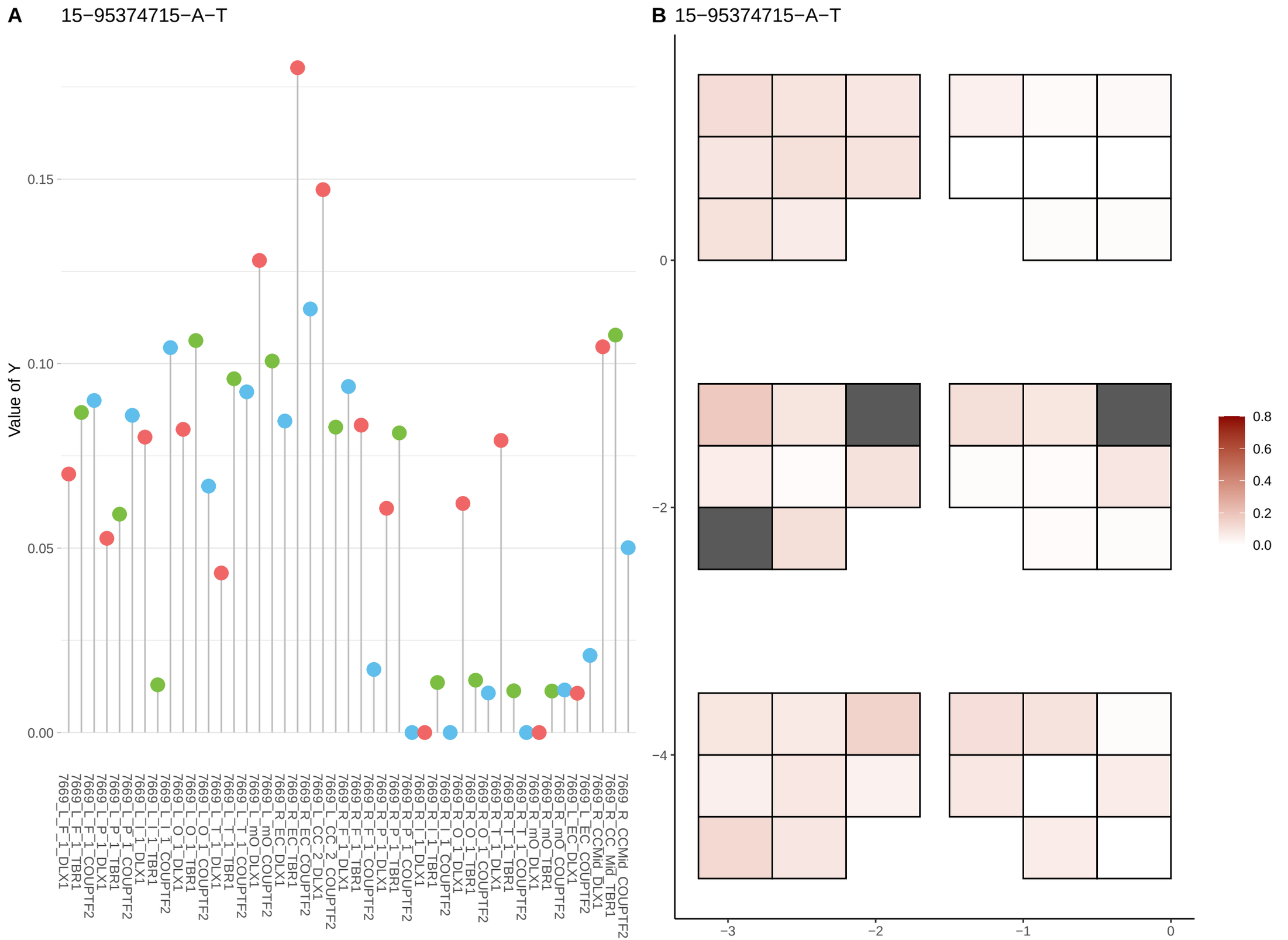
A
15−95374715−A−T
Value of Y
0.15
0.10
0.05
0.00
7669_L_F_1_DLX1
7669_L_F_1_TBR1
7669_L_F_1_COUPTF2
7669_L_P_1_DLX1
7669_L_P_1_TBR1
7669_L_P_1_COUPTF2
7669_L_I_1_DLX1
7669_L_I_1_TBR1
7669_L_I_1_COUPTF2
7669_L_O_1_DLX1
7669_L_O_1_TBR1
7669_L_O_1_COUPTF2
7669_L_T_1_DLX1
7669_L_T_1_TBR1
7669_L_T_1_COUPTF2
7669_L_mO_DLX1
7669_L_mO_COUPTF2
7669_R_EC_DLX1
7669_R_EC_TBR1
7669_R_EC_COUPTF2
7669_L_CC_2_DLX1
7669_L_CC_2_COUPTF2
7669_R_F_1_DLX1
7669_R_F_1_TBR1
7669_R_F_1_COUPTF2
7669_R_P_1_DLX1
7669_R_P_1_TBR1
7669_R_P_1_COUPTF2
7669_R_I_1_DLX1
7669_R_I_1_TBR1
7669_R_I_1_COUPTF2
7669_R_O_1_DLX1
7669_R_O_1_TBR1
7669_R_O_1_COUPTF2
7669_R_T_1_DLX1
7669_R_T_1_TBR1
7669_R_T_1_COUPTF2
7669_R_mO_DLX1
7669_R_mO_TBR1
7669_R_mO_COUPTF2
7669_L_EC_DLX1
7669_L_EC_COUPTF2
7669_R_CCMid_DLX1
7669_R_CC_Mid_TBR1
7669_R_CCMid_COUPTF2
B
15−95374715−A−T
0
−2
−4
−3
−2
−1
0
0.8
0.6
0.4
0.2
0.0

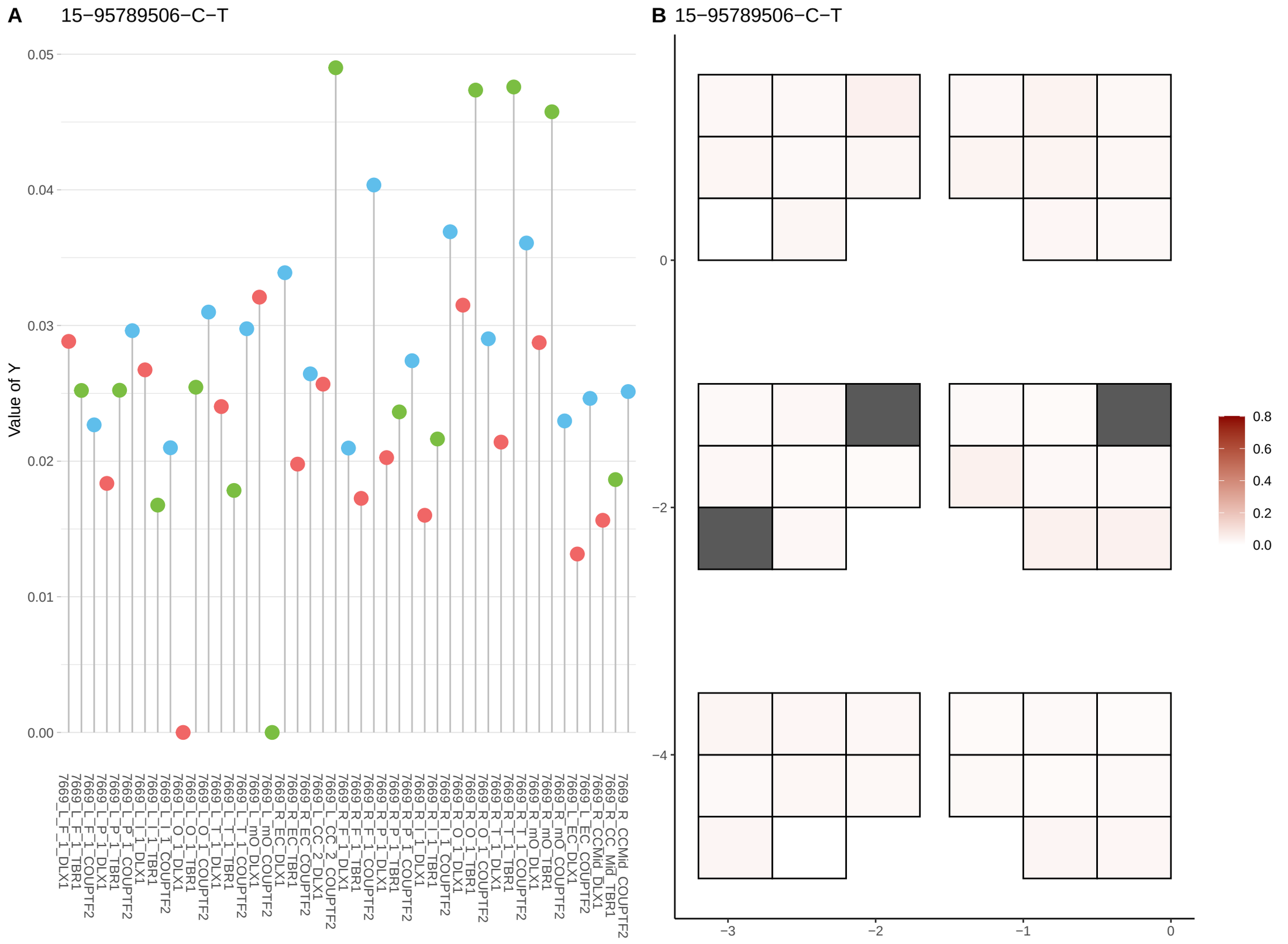
A
15−95789506−C−T
Value of Y
0.05
0.04
0.03
0.02
0.01
0.00
7669_L_F_1_DLX1
7669_L_F_1_TBR1
7669_L_F_1_COUPTF2
7669_L_P_1_DLX1
7669_L_P_1_TBR1
7669_L_P_1_COUPTF2
7669_L_I_1_DLX1
7669_L_I_1_TBR1
7669_L_I_1_COUPTF2
7669_L_O_1_DLX1
7669_L_O_1_TBR1
7669_L_O_1_COUPTF2
7669_L_T_1_DLX1
7669_L_T_1_TBR1
7669_L_T_1_COUPTF2
7669_L_mO_DLX1
7669_L_mO_COUPTF2
7669_R_EC_DLX1
7669_R_EC_TBR1
7669_R_EC_COUPTF2
7669_L_CC_2_DLX1
7669_L_CC_2_COUPTF2
7669_R_F_1_DLX1
7669_R_F_1_TBR1
7669_R_F_1_COUPTF2
7669_R_P_1_DLX1
7669_R_P_1_TBR1
7669_R_P_1_COUPTF2
7669_R_I_1_DLX1
7669_R_I_1_TBR1
7669_R_I_1_COUPTF2
7669_R_O_1_DLX1
7669_R_O_1_TBR1
7669_R_O_1_COUPTF2
7669_R_T_1_DLX1
7669_R_T_1_TBR1
7669_R_T_1_COUPTF2
7669_R_mO_DLX1
7669_R_mO_TBR1
7669_R_mO_COUPTF2
7669_L_EC_DLX1
7669_L_EC_COUPTF2
7669_R_CCMid_DLX1
7669_R_CC_Mid_TBR1
7669_R_CCMid_COUPTF2
B
15−95789506−C−T
0
−2
−4
−3
−2
−1
0
0.8
0.6
0.4
0.2
0.0

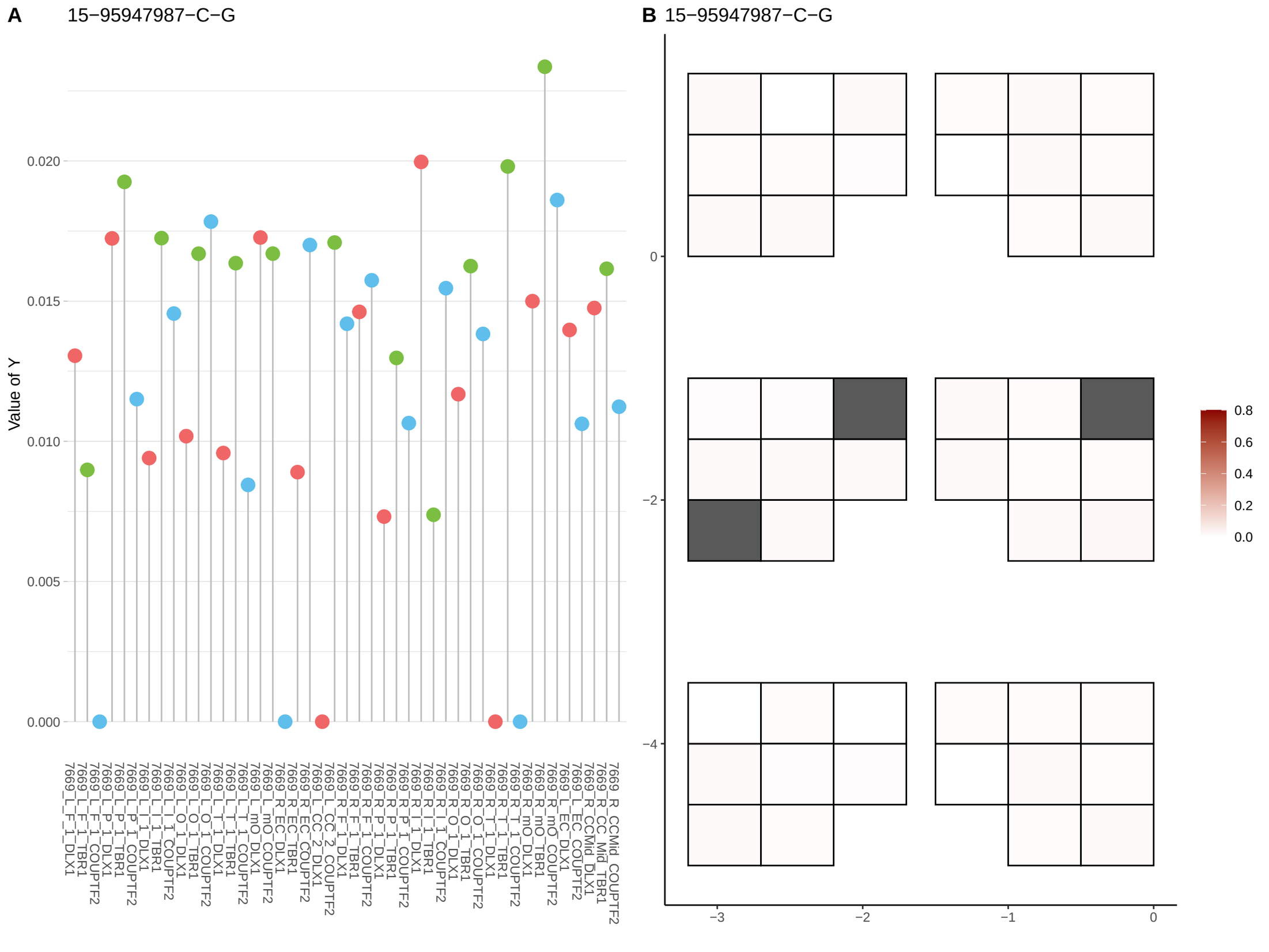
A
15−95947987−C−G
Value of Y
0.020
0.015
0.010
0.005
0.000
7669_L_F_1_DLX1
7669_L_F_1_TBR1
7669_L_F_1_COUPTF2
7669_L_P_1_DLX1
7669_L_P_1_TBR1
7669_L_P_1_COUPTF2
7669_L_I_1_DLX1
7669_L_I_1_TBR1
7669_L_I_1_COUPTF2
7669_L_O_1_DLX1
7669_L_O_1_TBR1
7669_L_O_1_COUPTF2
7669_L_T_1_DLX1
7669_L_T_1_TBR1
7669_L_T_1_COUPTF2
7669_L_mO_DLX1
7669_L_mO_COUPTF2
7669_R_EC_DLX1
7669_R_EC_TBR1
7669_R_EC_COUPTF2
7669_L_CC_2_DLX1
7669_L_CC_2_COUPTF2
7669_R_F_1_DLX1
7669_R_F_1_TBR1
7669_R_F_1_COUPTF2
7669_R_P_1_DLX1
7669_R_P_1_TBR1
7669_R_P_1_COUPTF2
7669_R_I_1_DLX1
7669_R_I_1_TBR1
7669_R_I_1_COUPTF2
7669_R_O_1_DLX1
7669_R_O_1_TBR1
7669_R_O_1_COUPTF2
7669_R_T_1_DLX1
7669_R_T_1_TBR1
7669_R_T_1_COUPTF2
7669_R_mO_DLX1
7669_R_mO_TBR1
7669_R_mO_COUPTF2
7669_L_EC_DLX1
7669_L_EC_COUPTF2
7669_R_CCMid_DLX1
7669_R_CC_Mid_TBR1
7669_R_CCMid_COUPTF2
B
15−95947987−C−G
0
−2
−4
−3
−2
−1
0
0.8
0.6
0.4
0.2
0.0

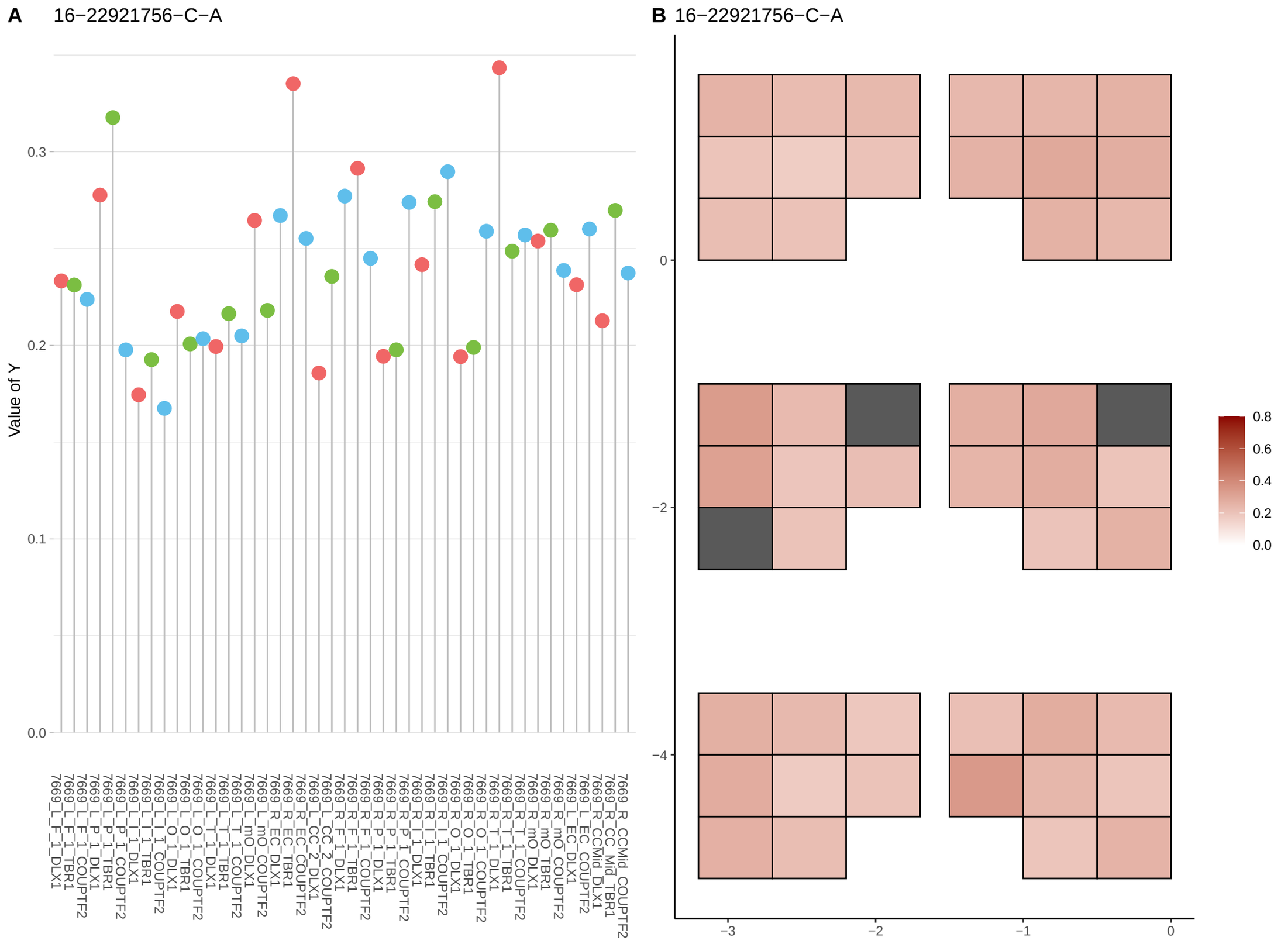
A
16−22921756−C−A
Value of Y
0.0
0.1
0.2
0.3
7669_L_F_1_DLX1
7669_L_F_1_TBR1
7669_L_F_1_COUPTF2
7669_L_P_1_DLX1
7669_L_P_1_TBR1
7669_L_P_1_COUPTF2
7669_L_I_1_DLX1
7669_L_I_1_TBR1
7669_L_I_1_COUPTF2
7669_L_O_1_DLX1
7669_L_O_1_TBR1
7669_L_O_1_COUPTF2
7669_L_T_1_DLX1
7669_L_T_1_TBR1
7669_L_T_1_COUPTF2
7669_L_mO_DLX1
7669_L_mO_COUPTF2
7669_R_EC_DLX1
7669_R_EC_TBR1
7669_R_EC_COUPTF2
7669_L_CC_2_DLX1
7669_L_CC_2_COUPTF2
7669_R_F_1_DLX1
7669_R_F_1_TBR1
7669_R_F_1_COUPTF2
7669_R_P_1_DLX1
7669_R_P_1_TBR1
7669_R_P_1_COUPTF2
7669_R_I_1_DLX1
7669_R_I_1_TBR1
7669_R_I_1_COUPTF2
7669_R_O_1_DLX1
7669_R_O_1_TBR1
7669_R_O_1_COUPTF2
7669_R_T_1_DLX1
7669_R_T_1_TBR1
7669_R_T_1_COUPTF2
7669_R_mO_DLX1
7669_R_mO_TBR1
7669_R_mO_COUPTF2
7669_L_EC_DLX1
7669_L_EC_COUPTF2
7669_R_CCMid_DLX1
7669_R_CC_Mid_TBR1
7669_R_CCMid_COUPTF2
B
16−22921756−C−A
0
−2
−4
−3
−2
−1
0
0.8
0.6
0.4
0.2
0.0

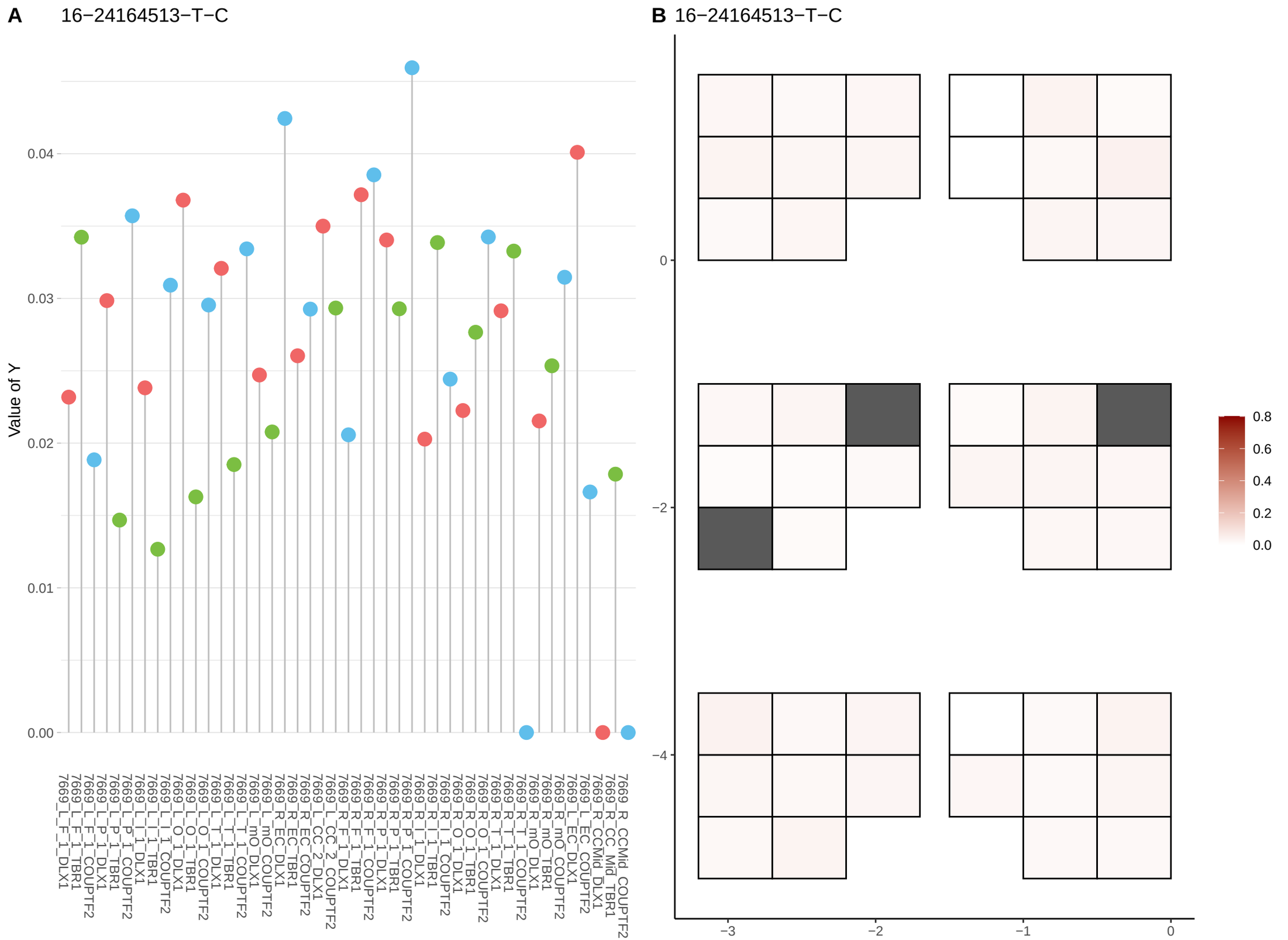
A
16−24164513−T−C
Value of Y
0.04
0.03
0.02
0.01
0.00
7669_L_F_1_DLX1
7669_L_F_1_TBR1
7669_L_F_1_COUPTF2
7669_L_P_1_DLX1
7669_L_P_1_TBR1
7669_L_P_1_COUPTF2
7669_L_I_1_DLX1
7669_L_I_1_TBR1
7669_L_I_1_COUPTF2
7669_L_O_1_DLX1
7669_L_O_1_TBR1
7669_L_O_1_COUPTF2
7669_L_T_1_DLX1
7669_L_T_1_TBR1
7669_L_T_1_COUPTF2
7669_L_mO_DLX1
7669_L_mO_COUPTF2
7669_R_EC_DLX1
7669_R_EC_TBR1
7669_R_EC_COUPTF2
7669_L_CC_2_DLX1
7669_L_CC_2_COUPTF2
7669_R_F_1_DLX1
7669_R_F_1_TBR1
7669_R_F_1_COUPTF2
7669_R_P_1_DLX1
7669_R_P_1_TBR1
7669_R_P_1_COUPTF2
7669_R_I_1_DLX1
7669_R_I_1_TBR1
7669_R_I_1_COUPTF2
7669_R_O_1_DLX1
7669_R_O_1_TBR1
7669_R_O_1_COUPTF2
7669_R_T_1_DLX1
7669_R_T_1_TBR1
7669_R_T_1_COUPTF2
7669_R_mO_DLX1
7669_R_mO_TBR1
7669_R_mO_COUPTF2
7669_L_EC_DLX1
7669_L_EC_COUPTF2
7669_R_CCMid_DLX1
7669_R_CC_Mid_TBR1
7669_R_CCMid_COUPTF2
B
16−24164513−T−C
0
−2
−4
−3
−2
−1
0
0.8
0.6
0.4
0.2
0.0

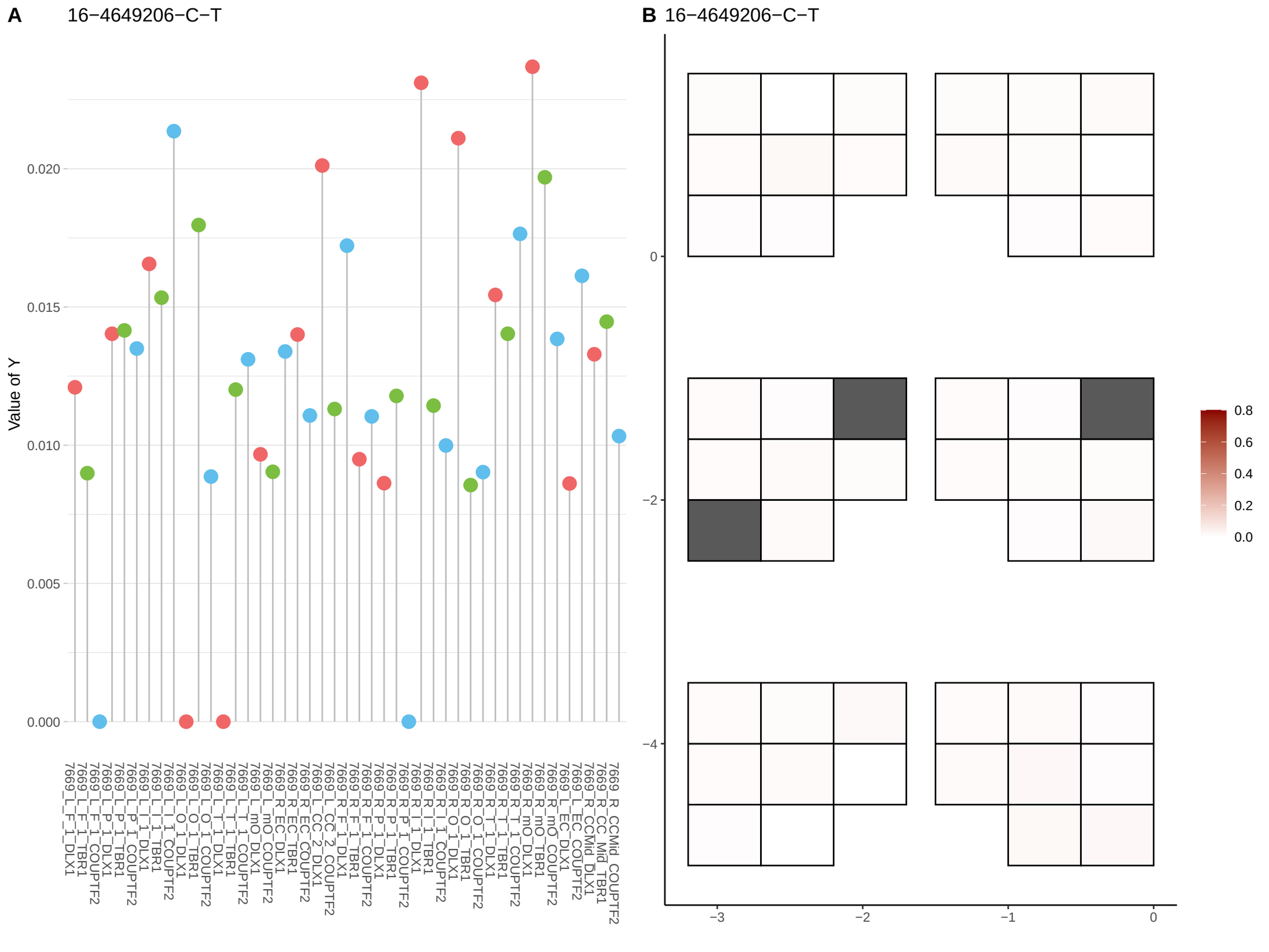
A
16−4649206−C−T
Value of Y
0.020
0.015
0.010
0.005
0.000
7669_L_F_1_DLX1
7669_L_F_1_TBR1
7669_L_F_1_COUPTF2
7669_L_P_1_DLX1
7669_L_P_1_TBR1
7669_L_P_1_COUPTF2
7669_L_I_1_DLX1
7669_L_I_1_TBR1
7669_L_I_1_COUPTF2
7669_L_O_1_DLX1
7669_L_O_1_TBR1
7669_L_O_1_COUPTF2
7669_L_T_1_DLX1
7669_L_T_1_TBR1
7669_L_T_1_COUPTF2
7669_L_mO_DLX1
7669_L_mO_COUPTF2
7669_R_EC_DLX1
7669_R_EC_TBR1
7669_R_EC_COUPTF2
7669_L_CC_2_DLX1
7669_L_CC_2_COUPTF2
7669_R_F_1_DLX1
7669_R_F_1_TBR1
7669_R_F_1_COUPTF2
7669_R_P_1_DLX1
7669_R_P_1_TBR1
7669_R_P_1_COUPTF2
7669_R_I_1_DLX1
7669_R_I_1_TBR1
7669_R_I_1_COUPTF2
7669_R_O_1_DLX1
7669_R_O_1_TBR1
7669_R_O_1_COUPTF2
7669_R_T_1_DLX1
7669_R_T_1_TBR1
7669_R_T_1_COUPTF2
7669_R_mO_DLX1
7669_R_mO_TBR1
7669_R_mO_COUPTF2
7669_L_EC_DLX1
7669_L_EC_COUPTF2
7669_R_CCMid_DLX1
7669_R_CC_Mid_TBR1
7669_R_CCMid_COUPTF2
B
16−4649206−C−T
0
−2
−4
−3
−2
−1
0
0.8
0.6
0.4
0.2
0.0

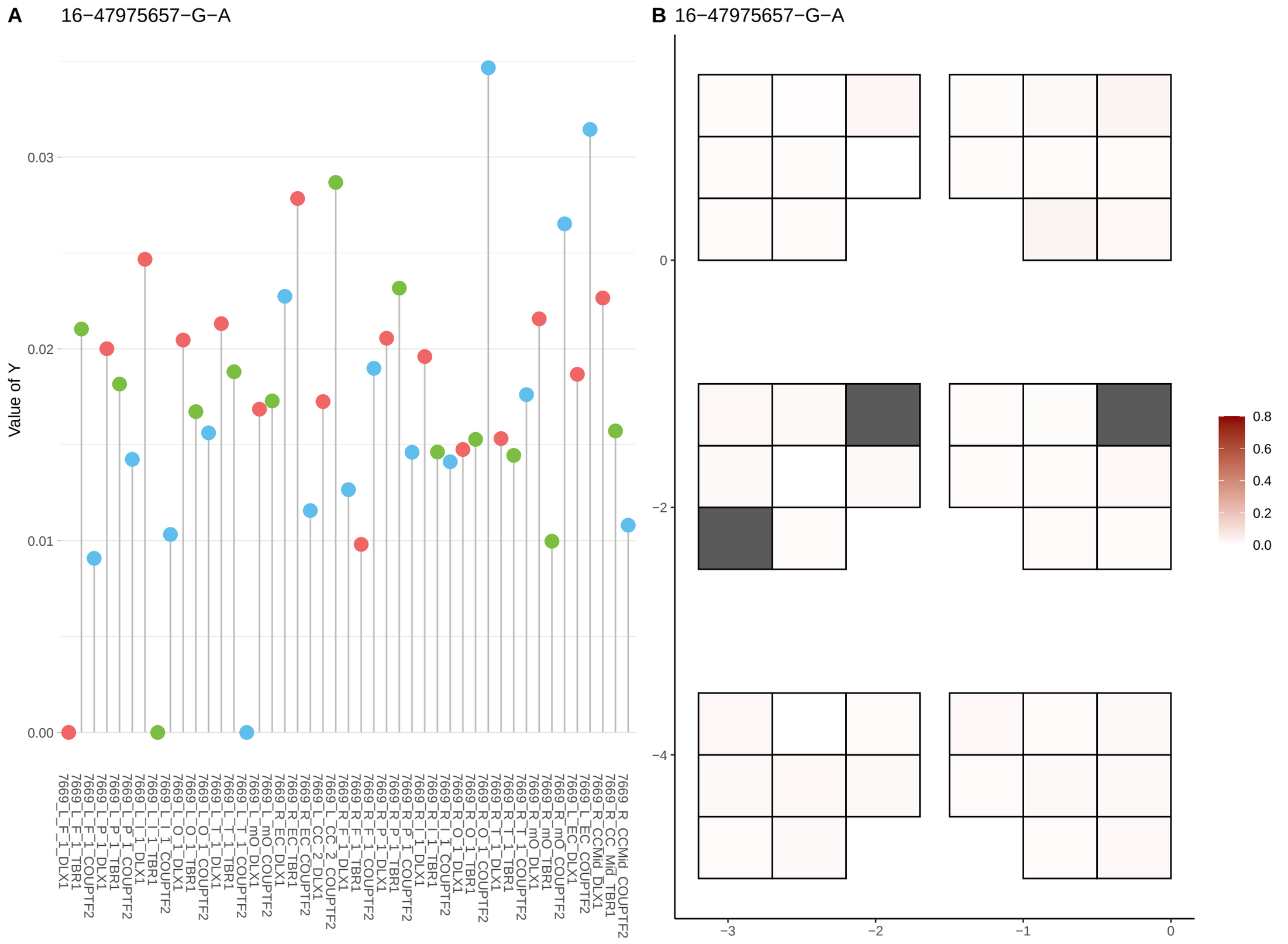
A
16−47975657−G−A
Value of Y
0.03
0.02
0.01
0.00
7669_L_F_1_DLX1
7669_L_F_1_TBR1
7669_L_F_1_COUPTF2
7669_L_P_1_DLX1
7669_L_P_1_TBR1
7669_L_P_1_COUPTF2
7669_L_I_1_DLX1
7669_L_I_1_TBR1
7669_L_I_1_COUPTF2
7669_L_O_1_DLX1
7669_L_O_1_TBR1
7669_L_O_1_COUPTF2
7669_L_T_1_DLX1
7669_L_T_1_TBR1
7669_L_T_1_COUPTF2
7669_L_mO_DLX1
7669_L_mO_COUPTF2
7669_R_EC_DLX1
7669_R_EC_TBR1
7669_R_EC_COUPTF2
7669_L_CC_2_DLX1
7669_L_CC_2_COUPTF2
7669_R_F_1_DLX1
7669_R_F_1_TBR1
7669_R_F_1_COUPTF2
7669_R_P_1_DLX1
7669_R_P_1_TBR1
7669_R_P_1_COUPTF2
7669_R_I_1_DLX1
7669_R_I_1_TBR1
7669_R_I_1_COUPTF2
7669_R_O_1_DLX1
7669_R_O_1_TBR1
7669_R_O_1_COUPTF2
7669_R_T_1_DLX1
7669_R_T_1_TBR1
7669_R_T_1_COUPTF2
7669_R_mO_DLX1
7669_R_mO_TBR1
7669_R_mO_COUPTF2
7669_L_EC_DLX1
7669_L_EC_COUPTF2
7669_R_CCMid_DLX1
7669_R_CC_Mid_TBR1
7669_R_CCMid_COUPTF2
B
16−47975657−G−A
0
−2
−4
−3
−2
−1
0
0.8
0.6
0.4
0.2
0.0

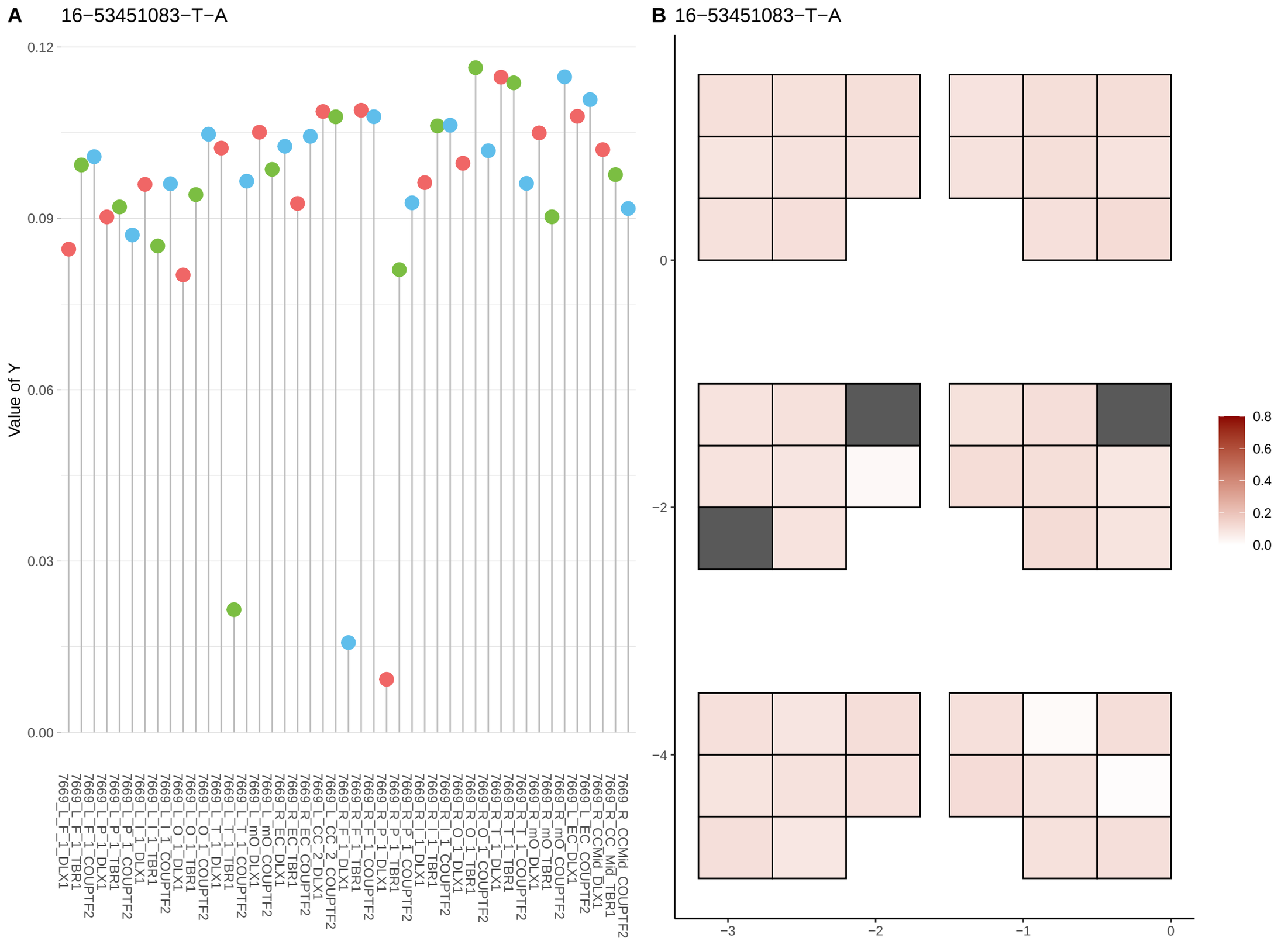
A
16−53451083−T−A
Value of Y
0.12
0.09
0.06
0.03
0.00
7669_L_F_1_DLX1
7669_L_F_1_TBR1
7669_L_F_1_COUPTF2
7669_L_P_1_DLX1
7669_L_P_1_TBR1
7669_L_P_1_COUPTF2
7669_L_I_1_DLX1
7669_L_I_1_TBR1
7669_L_I_1_COUPTF2
7669_L_O_1_DLX1
7669_L_O_1_TBR1
7669_L_O_1_COUPTF2
7669_L_T_1_DLX1
7669_L_T_1_TBR1
7669_L_T_1_COUPTF2
7669_L_mO_DLX1
7669_L_mO_COUPTF2
7669_R_EC_DLX1
7669_R_EC_TBR1
7669_R_EC_COUPTF2
7669_L_CC_2_DLX1
7669_L_CC_2_COUPTF2
7669_R_F_1_DLX1
7669_R_F_1_TBR1
7669_R_F_1_COUPTF2
7669_R_P_1_DLX1
7669_R_P_1_TBR1
7669_R_P_1_COUPTF2
7669_R_I_1_DLX1
7669_R_I_1_TBR1
7669_R_I_1_COUPTF2
7669_R_O_1_DLX1
7669_R_O_1_TBR1
7669_R_O_1_COUPTF2
7669_R_T_1_DLX1
7669_R_T_1_TBR1
7669_R_T_1_COUPTF2
7669_R_mO_DLX1
7669_R_mO_TBR1
7669_R_mO_COUPTF2
7669_L_EC_DLX1
7669_L_EC_COUPTF2
7669_R_CCMid_DLX1
7669_R_CC_Mid_TBR1
7669_R_CCMid_COUPTF2
B
16−53451083−T−A
0
−2
−4
−3
−2
−1
0
0.8
0.6
0.4
0.2
0.0

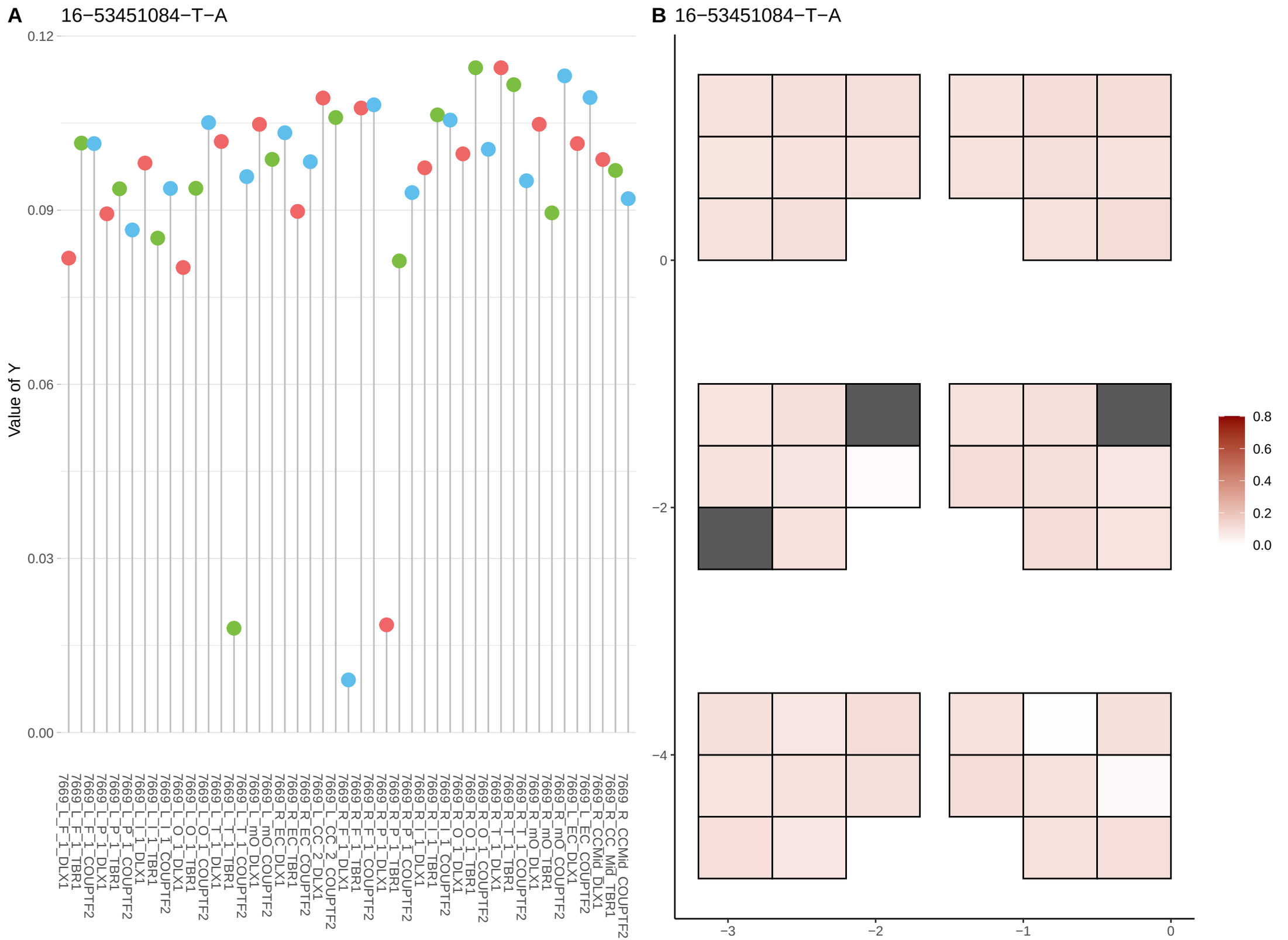
A
16−53451084−T−A
Value of Y
0.12
0.09
0.06
0.03
0.00
7669_L_F_1_DLX1
7669_L_F_1_TBR1
7669_L_F_1_COUPTF2
7669_L_P_1_DLX1
7669_L_P_1_TBR1
7669_L_P_1_COUPTF2
7669_L_I_1_DLX1
7669_L_I_1_TBR1
7669_L_I_1_COUPTF2
7669_L_O_1_DLX1
7669_L_O_1_TBR1
7669_L_O_1_COUPTF2
7669_L_T_1_DLX1
7669_L_T_1_TBR1
7669_L_T_1_COUPTF2
7669_L_mO_DLX1
7669_L_mO_COUPTF2
7669_R_EC_DLX1
7669_R_EC_TBR1
7669_R_EC_COUPTF2
7669_L_CC_2_DLX1
7669_L_CC_2_COUPTF2
7669_R_F_1_DLX1
7669_R_F_1_TBR1
7669_R_F_1_COUPTF2
7669_R_P_1_DLX1
7669_R_P_1_TBR1
7669_R_P_1_COUPTF2
7669_R_I_1_DLX1
7669_R_I_1_TBR1
7669_R_I_1_COUPTF2
7669_R_O_1_DLX1
7669_R_O_1_TBR1
7669_R_O_1_COUPTF2
7669_R_T_1_DLX1
7669_R_T_1_TBR1
7669_R_T_1_COUPTF2
7669_R_mO_DLX1
7669_R_mO_TBR1
7669_R_mO_COUPTF2
7669_L_EC_DLX1
7669_L_EC_COUPTF2
7669_R_CCMid_DLX1
7669_R_CC_Mid_TBR1
7669_R_CCMid_COUPTF2
B
16−53451084−T−A
0
−2
−4
−3
−2
−1
0
0.8
0.6
0.4
0.2
0.0

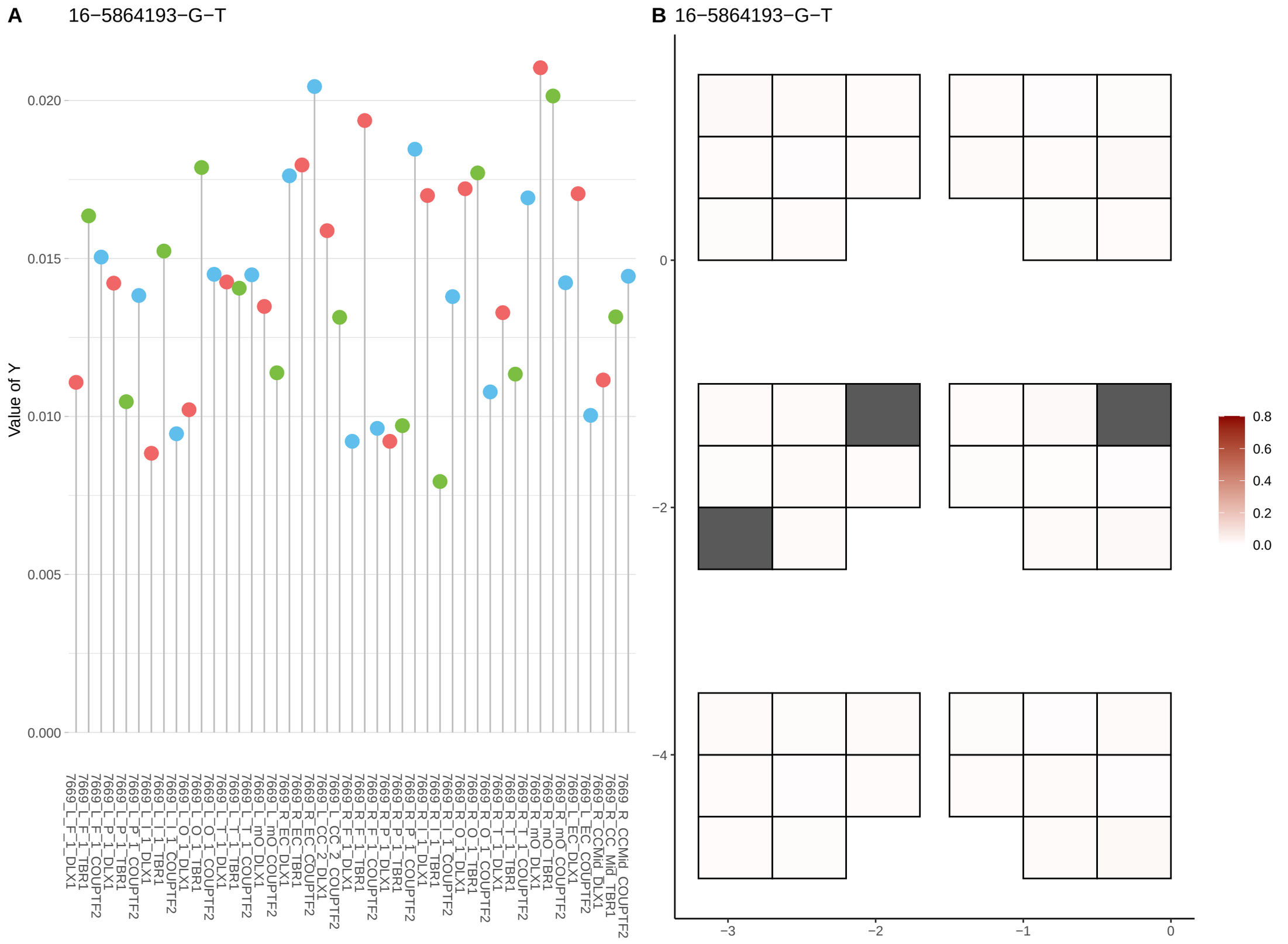
A
16−5864193−G−T
Value of Y
0.020
0.015
0.010
0.005
0.000
7669_L_F_1_DLX1
7669_L_F_1_TBR1
7669_L_F_1_COUPTF2
7669_L_P_1_DLX1
7669_L_P_1_TBR1
7669_L_P_1_COUPTF2
7669_L_I_1_DLX1
7669_L_I_1_TBR1
7669_L_I_1_COUPTF2
7669_L_O_1_DLX1
7669_L_O_1_TBR1
7669_L_O_1_COUPTF2
7669_L_T_1_DLX1
7669_L_T_1_TBR1
7669_L_T_1_COUPTF2
7669_L_mO_DLX1
7669_L_mO_COUPTF2
7669_R_EC_DLX1
7669_R_EC_TBR1
7669_R_EC_COUPTF2
7669_L_CC_2_DLX1
7669_L_CC_2_COUPTF2
7669_R_F_1_DLX1
7669_R_F_1_TBR1
7669_R_F_1_COUPTF2
7669_R_P_1_DLX1
7669_R_P_1_TBR1
7669_R_P_1_COUPTF2
7669_R_I_1_DLX1
7669_R_I_1_TBR1
7669_R_I_1_COUPTF2
7669_R_O_1_DLX1
7669_R_O_1_TBR1
7669_R_O_1_COUPTF2
7669_R_T_1_DLX1
7669_R_T_1_TBR1
7669_R_T_1_COUPTF2
7669_R_mO_DLX1
7669_R_mO_TBR1
7669_R_mO_COUPTF2
7669_L_EC_DLX1
7669_L_EC_COUPTF2
7669_R_CCMid_DLX1
7669_R_CC_Mid_TBR1
7669_R_CCMid_COUPTF2
B
16−5864193−G−T
0
−2
−4
−3
−2
−1
0
0.8
0.6
0.4
0.2
0.0

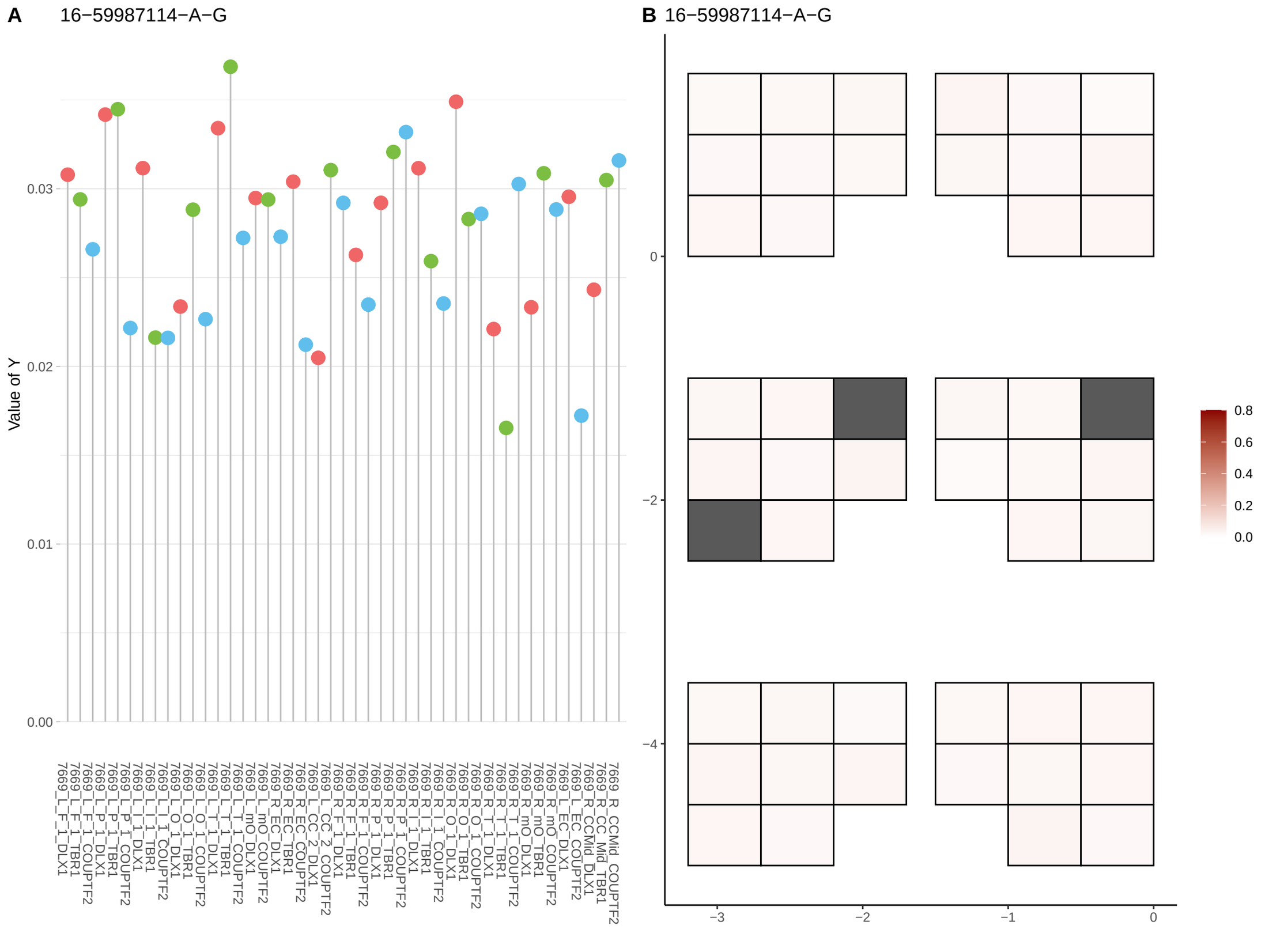
A
16−59987114−A−G
Value of Y
0.03
0.02
0.01
0.00
7669_L_F_1_DLX1
7669_L_F_1_TBR1
7669_L_F_1_COUPTF2
7669_L_P_1_DLX1
7669_L_P_1_TBR1
7669_L_P_1_COUPTF2
7669_L_I_1_DLX1
7669_L_I_1_TBR1
7669_L_I_1_COUPTF2
7669_L_O_1_DLX1
7669_L_O_1_TBR1
7669_L_O_1_COUPTF2
7669_L_T_1_DLX1
7669_L_T_1_TBR1
7669_L_T_1_COUPTF2
7669_L_mO_DLX1
7669_L_mO_COUPTF2
7669_R_EC_DLX1
7669_R_EC_TBR1
7669_R_EC_COUPTF2
7669_L_CC_2_DLX1
7669_L_CC_2_COUPTF2
7669_R_F_1_DLX1
7669_R_F_1_TBR1
7669_R_F_1_COUPTF2
7669_R_P_1_DLX1
7669_R_P_1_TBR1
7669_R_P_1_COUPTF2
7669_R_I_1_DLX1
7669_R_I_1_TBR1
7669_R_I_1_COUPTF2
7669_R_O_1_DLX1
7669_R_O_1_TBR1
7669_R_O_1_COUPTF2
7669_R_T_1_DLX1
7669_R_T_1_TBR1
7669_R_T_1_COUPTF2
7669_R_mO_DLX1
7669_R_mO_TBR1
7669_R_mO_COUPTF2
7669_L_EC_DLX1
7669_L_EC_COUPTF2
7669_R_CCMid_DLX1
7669_R_CC_Mid_TBR1
7669_R_CCMid_COUPTF2
B
16−59987114−A−G
0
−2
−4
−3
−2
−1
0
0.8
0.6
0.4
0.2
0.0

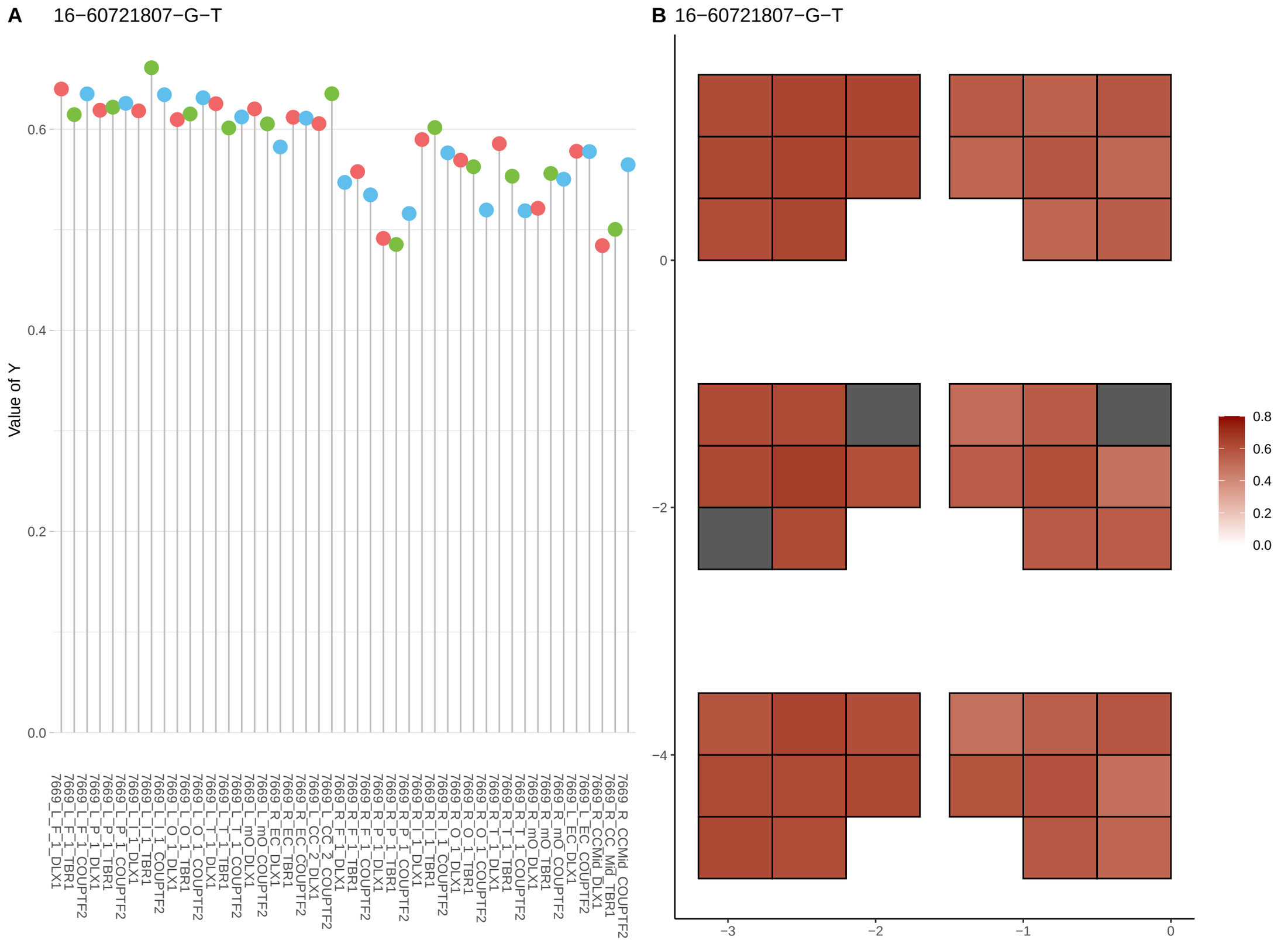
A
16−60721807−G−T
Value of Y
0.0
0.2
0.4
0.6
7669_L_F_1_DLX1
7669_L_F_1_TBR1
7669_L_F_1_COUPTF2
7669_L_P_1_DLX1
7669_L_P_1_TBR1
7669_L_P_1_COUPTF2
7669_L_I_1_DLX1
7669_L_I_1_TBR1
7669_L_I_1_COUPTF2
7669_L_O_1_DLX1
7669_L_O_1_TBR1
7669_L_O_1_COUPTF2
7669_L_T_1_DLX1
7669_L_T_1_TBR1
7669_L_T_1_COUPTF2
7669_L_mO_DLX1
7669_L_mO_COUPTF2
7669_R_EC_DLX1
7669_R_EC_TBR1
7669_R_EC_COUPTF2
7669_L_CC_2_DLX1
7669_L_CC_2_COUPTF2
7669_R_F_1_DLX1
7669_R_F_1_TBR1
7669_R_F_1_COUPTF2
7669_R_P_1_DLX1
7669_R_P_1_TBR1
7669_R_P_1_COUPTF2
7669_R_I_1_DLX1
7669_R_I_1_TBR1
7669_R_I_1_COUPTF2
7669_R_O_1_DLX1
7669_R_O_1_TBR1
7669_R_O_1_COUPTF2
7669_R_T_1_DLX1
7669_R_T_1_TBR1
7669_R_T_1_COUPTF2
7669_R_mO_DLX1
7669_R_mO_TBR1
7669_R_mO_COUPTF2
7669_L_EC_DLX1
7669_L_EC_COUPTF2
7669_R_CCMid_DLX1
7669_R_CC_Mid_TBR1
7669_R_CCMid_COUPTF2
B
16−60721807−G−T
0
−2
−4
−3
−2
−1
0
0.8
0.6
0.4
0.2
0.0

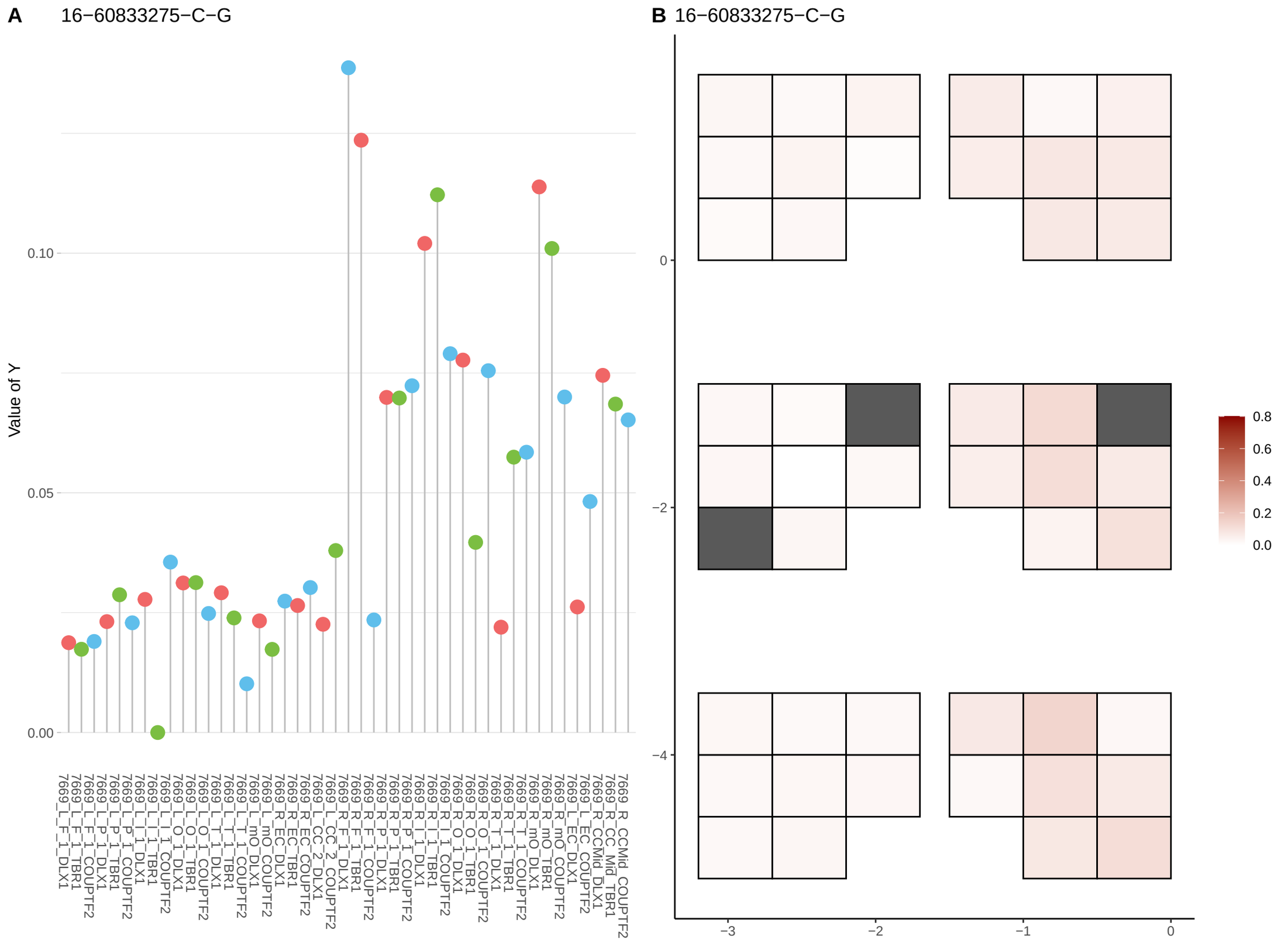
A
16−60833275−C−G
Value of Y
0.10
0.05
0.00
7669_L_F_1_DLX1
7669_L_F_1_TBR1
7669_L_F_1_COUPTF2
7669_L_P_1_DLX1
7669_L_P_1_TBR1
7669_L_P_1_COUPTF2
7669_L_I_1_DLX1
7669_L_I_1_TBR1
7669_L_I_1_COUPTF2
7669_L_O_1_DLX1
7669_L_O_1_TBR1
7669_L_O_1_COUPTF2
7669_L_T_1_DLX1
7669_L_T_1_TBR1
7669_L_T_1_COUPTF2
7669_L_mO_DLX1
7669_L_mO_COUPTF2
7669_R_EC_DLX1
7669_R_EC_TBR1
7669_R_EC_COUPTF2
7669_L_CC_2_DLX1
7669_L_CC_2_COUPTF2
7669_R_F_1_DLX1
7669_R_F_1_TBR1
7669_R_F_1_COUPTF2
7669_R_P_1_DLX1
7669_R_P_1_TBR1
7669_R_P_1_COUPTF2
7669_R_I_1_DLX1
7669_R_I_1_TBR1
7669_R_I_1_COUPTF2
7669_R_O_1_DLX1
7669_R_O_1_TBR1
7669_R_O_1_COUPTF2
7669_R_T_1_DLX1
7669_R_T_1_TBR1
7669_R_T_1_COUPTF2
7669_R_mO_DLX1
7669_R_mO_TBR1
7669_R_mO_COUPTF2
7669_L_EC_DLX1
7669_L_EC_COUPTF2
7669_R_CCMid_DLX1
7669_R_CC_Mid_TBR1
7669_R_CCMid_COUPTF2
B
16−60833275−C−G
0
−2
−4
−3
−2
−1
0
0.8
0.6
0.4
0.2
0.0

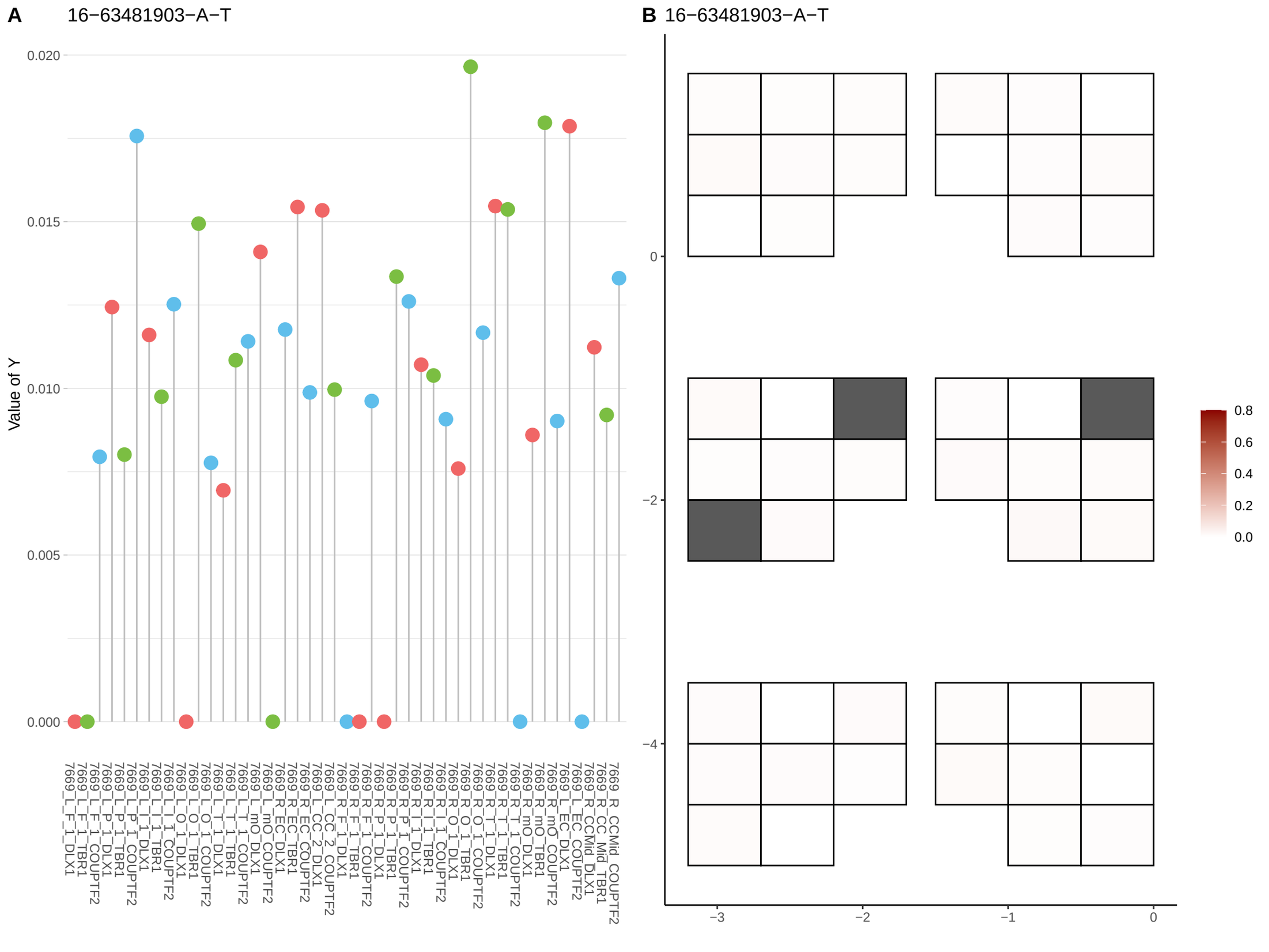
A
16−63481903−A−T
Value of Y
0.020
0.015
0.010
0.005
0.000
7669_L_F_1_DLX1
7669_L_F_1_TBR1
7669_L_F_1_COUPTF2
7669_L_P_1_DLX1
7669_L_P_1_TBR1
7669_L_P_1_COUPTF2
7669_L_I_1_DLX1
7669_L_I_1_TBR1
7669_L_I_1_COUPTF2
7669_L_O_1_DLX1
7669_L_O_1_TBR1
7669_L_O_1_COUPTF2
7669_L_T_1_DLX1
7669_L_T_1_TBR1
7669_L_T_1_COUPTF2
7669_L_mO_DLX1
7669_L_mO_COUPTF2
7669_R_EC_DLX1
7669_R_EC_TBR1
7669_R_EC_COUPTF2
7669_L_CC_2_DLX1
7669_L_CC_2_COUPTF2
7669_R_F_1_DLX1
7669_R_F_1_TBR1
7669_R_F_1_COUPTF2
7669_R_P_1_DLX1
7669_R_P_1_TBR1
7669_R_P_1_COUPTF2
7669_R_I_1_DLX1
7669_R_I_1_TBR1
7669_R_I_1_COUPTF2
7669_R_O_1_DLX1
7669_R_O_1_TBR1
7669_R_O_1_COUPTF2
7669_R_T_1_DLX1
7669_R_T_1_TBR1
7669_R_T_1_COUPTF2
7669_R_mO_DLX1
7669_R_mO_TBR1
7669_R_mO_COUPTF2
7669_L_EC_DLX1
7669_L_EC_COUPTF2
7669_R_CCMid_DLX1
7669_R_CC_Mid_TBR1
7669_R_CCMid_COUPTF2
B
16−63481903−A−T
0
−2
−4
−3
−2
−1
0
0.8
0.6
0.4
0.2
0.0

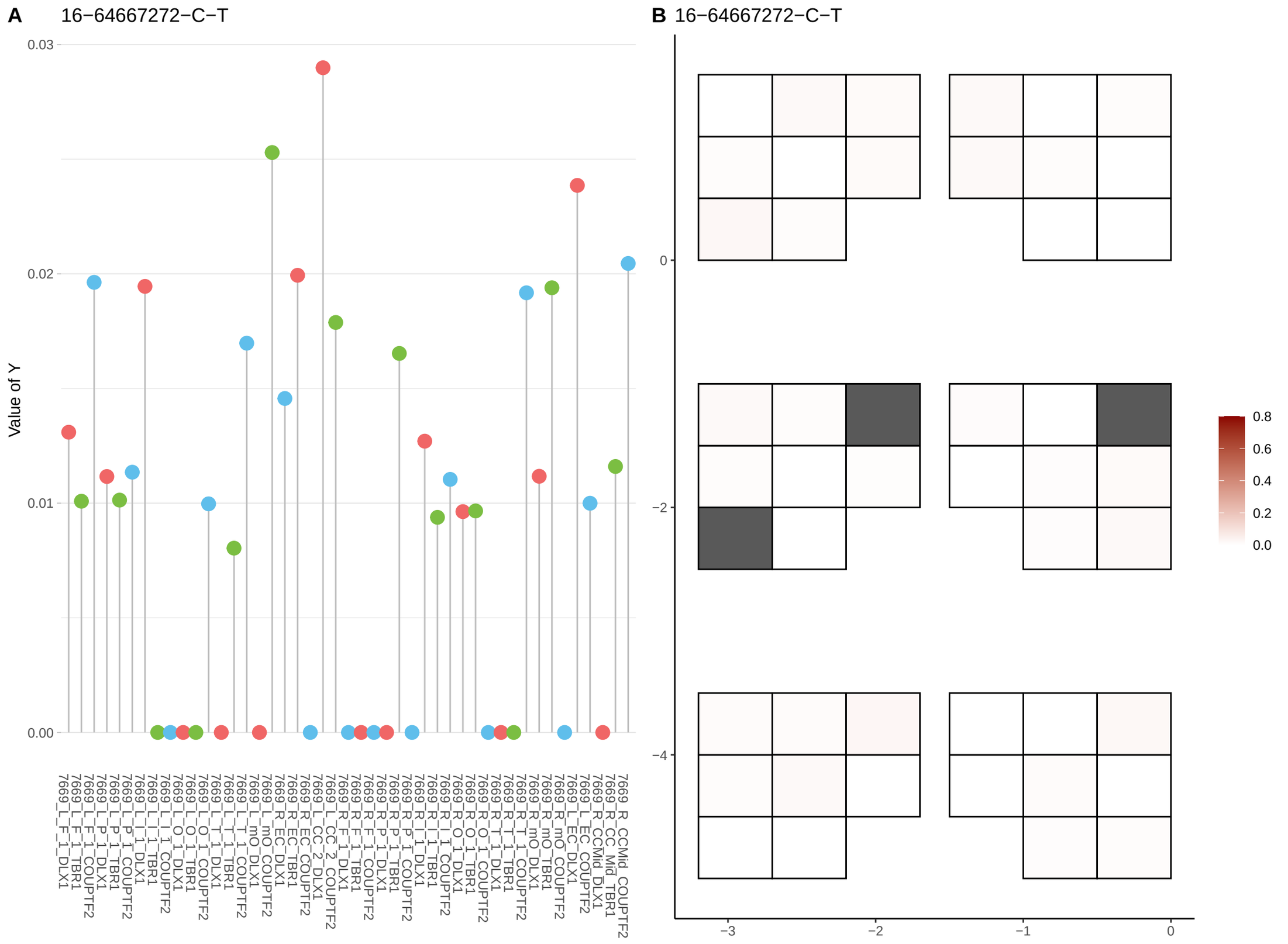
A
16−64667272−C−T
Value of Y
0.03
0.02
0.01
0.00
7669_L_F_1_DLX1
7669_L_F_1_TBR1
7669_L_F_1_COUPTF2
7669_L_P_1_DLX1
7669_L_P_1_TBR1
7669_L_P_1_COUPTF2
7669_L_I_1_DLX1
7669_L_I_1_TBR1
7669_L_I_1_COUPTF2
7669_L_O_1_DLX1
7669_L_O_1_TBR1
7669_L_O_1_COUPTF2
7669_L_T_1_DLX1
7669_L_T_1_TBR1
7669_L_T_1_COUPTF2
7669_L_mO_DLX1
7669_L_mO_COUPTF2
7669_R_EC_DLX1
7669_R_EC_TBR1
7669_R_EC_COUPTF2
7669_L_CC_2_DLX1
7669_L_CC_2_COUPTF2
7669_R_F_1_DLX1
7669_R_F_1_TBR1
7669_R_F_1_COUPTF2
7669_R_P_1_DLX1
7669_R_P_1_TBR1
7669_R_P_1_COUPTF2
7669_R_I_1_DLX1
7669_R_I_1_TBR1
7669_R_I_1_COUPTF2
7669_R_O_1_DLX1
7669_R_O_1_TBR1
7669_R_O_1_COUPTF2
7669_R_T_1_DLX1
7669_R_T_1_TBR1
7669_R_T_1_COUPTF2
7669_R_mO_DLX1
7669_R_mO_TBR1
7669_R_mO_COUPTF2
7669_L_EC_DLX1
7669_L_EC_COUPTF2
7669_R_CCMid_DLX1
7669_R_CC_Mid_TBR1
7669_R_CCMid_COUPTF2
B
16−64667272−C−T
0
−2
−4
−3
−2
−1
0
0.8
0.6
0.4
0.2
0.0

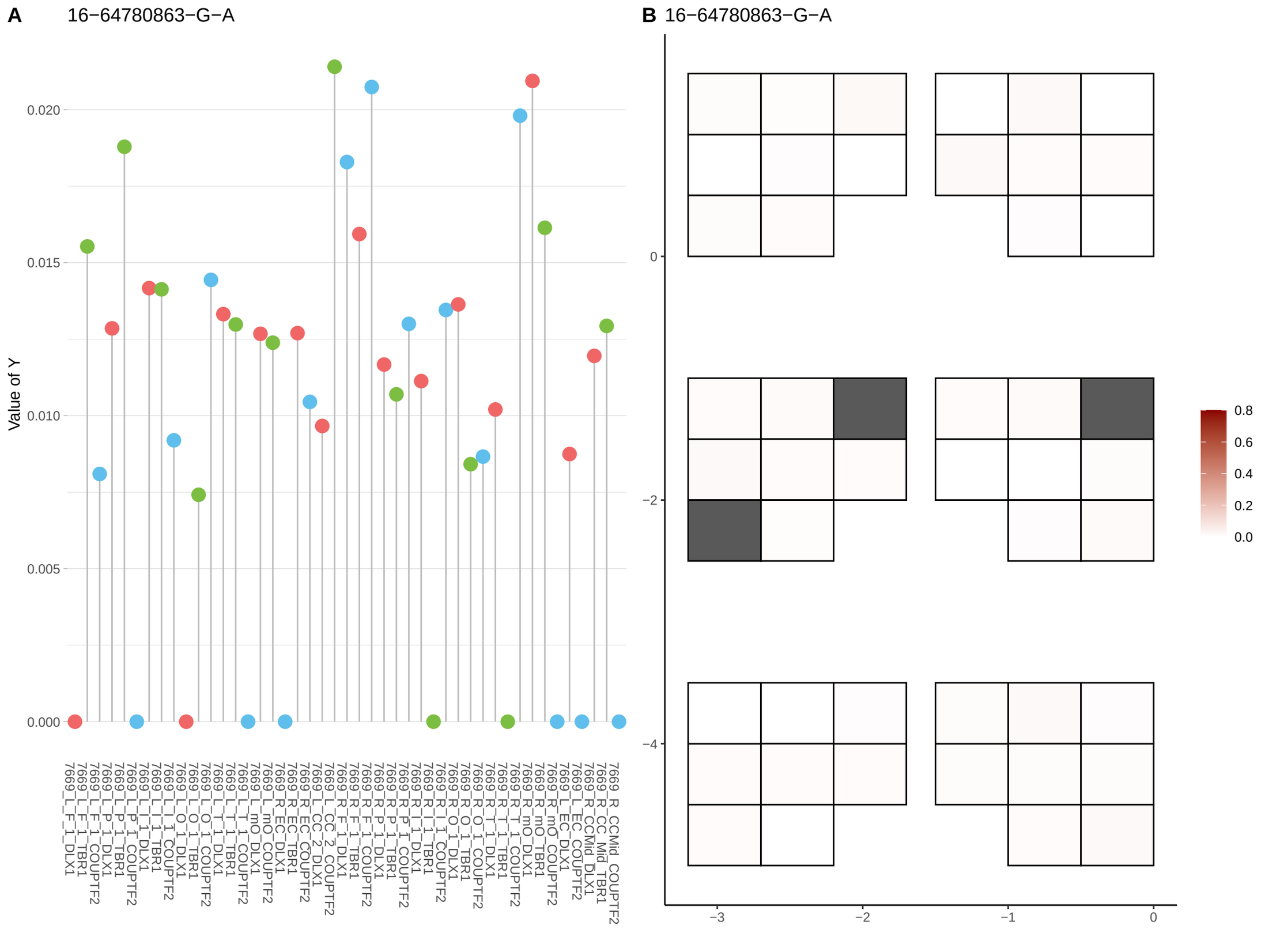
A
16−64780863−G−A
Value of Y
0.020
0.015
0.010
0.005
0.000
7669_L_F_1_DLX1
7669_L_F_1_TBR1
7669_L_F_1_COUPTF2
7669_L_P_1_DLX1
7669_L_P_1_TBR1
7669_L_P_1_COUPTF2
7669_L_I_1_DLX1
7669_L_I_1_TBR1
7669_L_I_1_COUPTF2
7669_L_O_1_DLX1
7669_L_O_1_TBR1
7669_L_O_1_COUPTF2
7669_L_T_1_DLX1
7669_L_T_1_TBR1
7669_L_T_1_COUPTF2
7669_L_mO_DLX1
7669_L_mO_COUPTF2
7669_R_EC_DLX1
7669_R_EC_TBR1
7669_R_EC_COUPTF2
7669_L_CC_2_DLX1
7669_L_CC_2_COUPTF2
7669_R_F_1_DLX1
7669_R_F_1_TBR1
7669_R_F_1_COUPTF2
7669_R_P_1_DLX1
7669_R_P_1_TBR1
7669_R_P_1_COUPTF2
7669_R_I_1_DLX1
7669_R_I_1_TBR1
7669_R_I_1_COUPTF2
7669_R_O_1_DLX1
7669_R_O_1_TBR1
7669_R_O_1_COUPTF2
7669_R_T_1_DLX1
7669_R_T_1_TBR1
7669_R_T_1_COUPTF2
7669_R_mO_DLX1
7669_R_mO_TBR1
7669_R_mO_COUPTF2
7669_L_EC_DLX1
7669_L_EC_COUPTF2
7669_R_CCMid_DLX1
7669_R_CC_Mid_TBR1
7669_R_CCMid_COUPTF2
B
16−64780863−G−A
0
−2
−4
−3
−2
−1
0
0.8
0.6
0.4
0.2
0.0

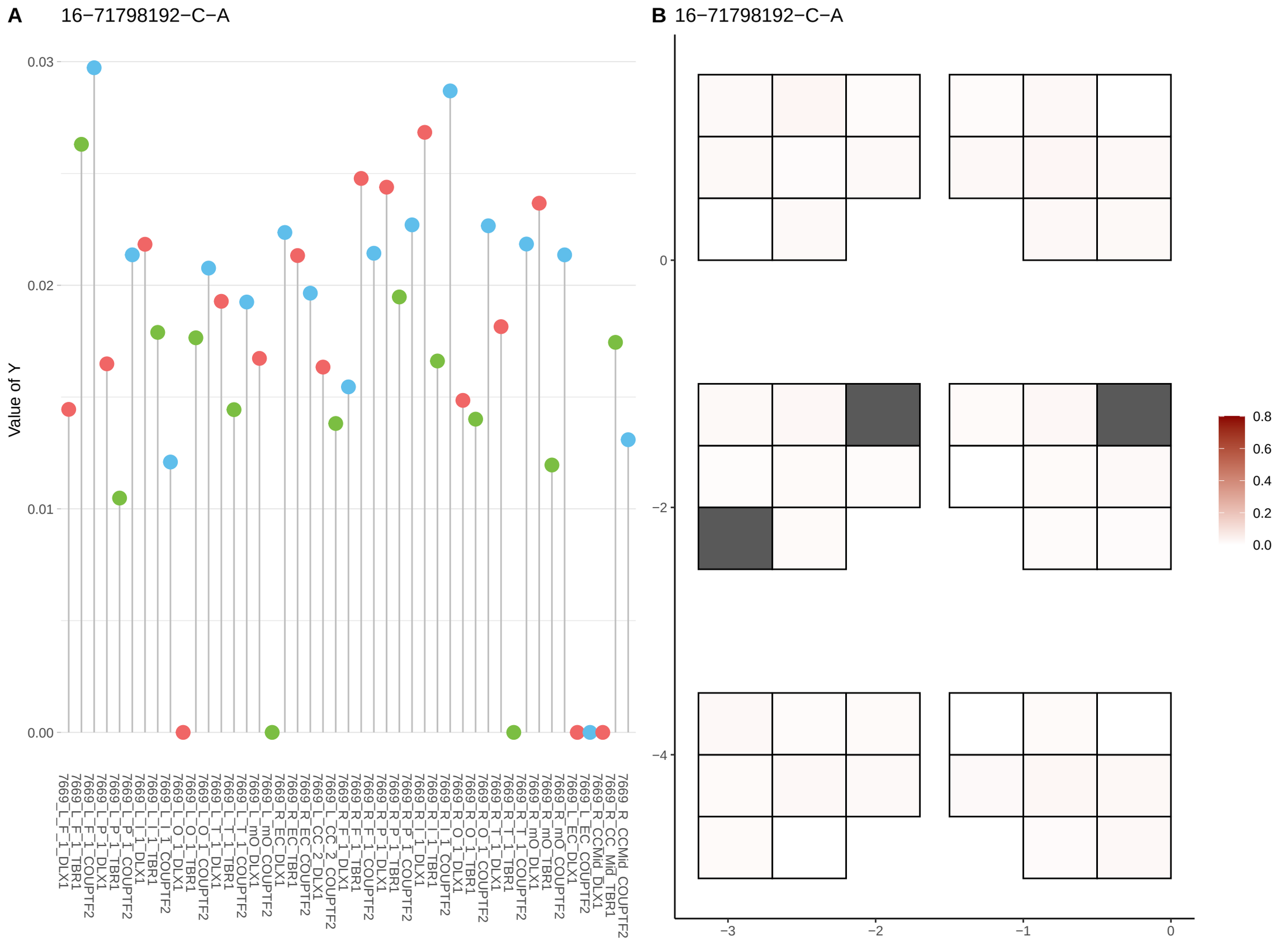
A
16−71798192−C−A
Value of Y
0.03
0.02
0.01
0.00
7669_L_F_1_DLX1
7669_L_F_1_TBR1
7669_L_F_1_COUPTF2
7669_L_P_1_DLX1
7669_L_P_1_TBR1
7669_L_P_1_COUPTF2
7669_L_I_1_DLX1
7669_L_I_1_TBR1
7669_L_I_1_COUPTF2
7669_L_O_1_DLX1
7669_L_O_1_TBR1
7669_L_O_1_COUPTF2
7669_L_T_1_DLX1
7669_L_T_1_TBR1
7669_L_T_1_COUPTF2
7669_L_mO_DLX1
7669_L_mO_COUPTF2
7669_R_EC_DLX1
7669_R_EC_TBR1
7669_R_EC_COUPTF2
7669_L_CC_2_DLX1
7669_L_CC_2_COUPTF2
7669_R_F_1_DLX1
7669_R_F_1_TBR1
7669_R_F_1_COUPTF2
7669_R_P_1_DLX1
7669_R_P_1_TBR1
7669_R_P_1_COUPTF2
7669_R_I_1_DLX1
7669_R_I_1_TBR1
7669_R_I_1_COUPTF2
7669_R_O_1_DLX1
7669_R_O_1_TBR1
7669_R_O_1_COUPTF2
7669_R_T_1_DLX1
7669_R_T_1_TBR1
7669_R_T_1_COUPTF2
7669_R_mO_DLX1
7669_R_mO_TBR1
7669_R_mO_COUPTF2
7669_L_EC_DLX1
7669_L_EC_COUPTF2
7669_R_CCMid_DLX1
7669_R_CC_Mid_TBR1
7669_R_CCMid_COUPTF2
B
16−71798192−C−A
0
−2
−4
−3
−2
−1
0
0.8
0.6
0.4
0.2
0.0

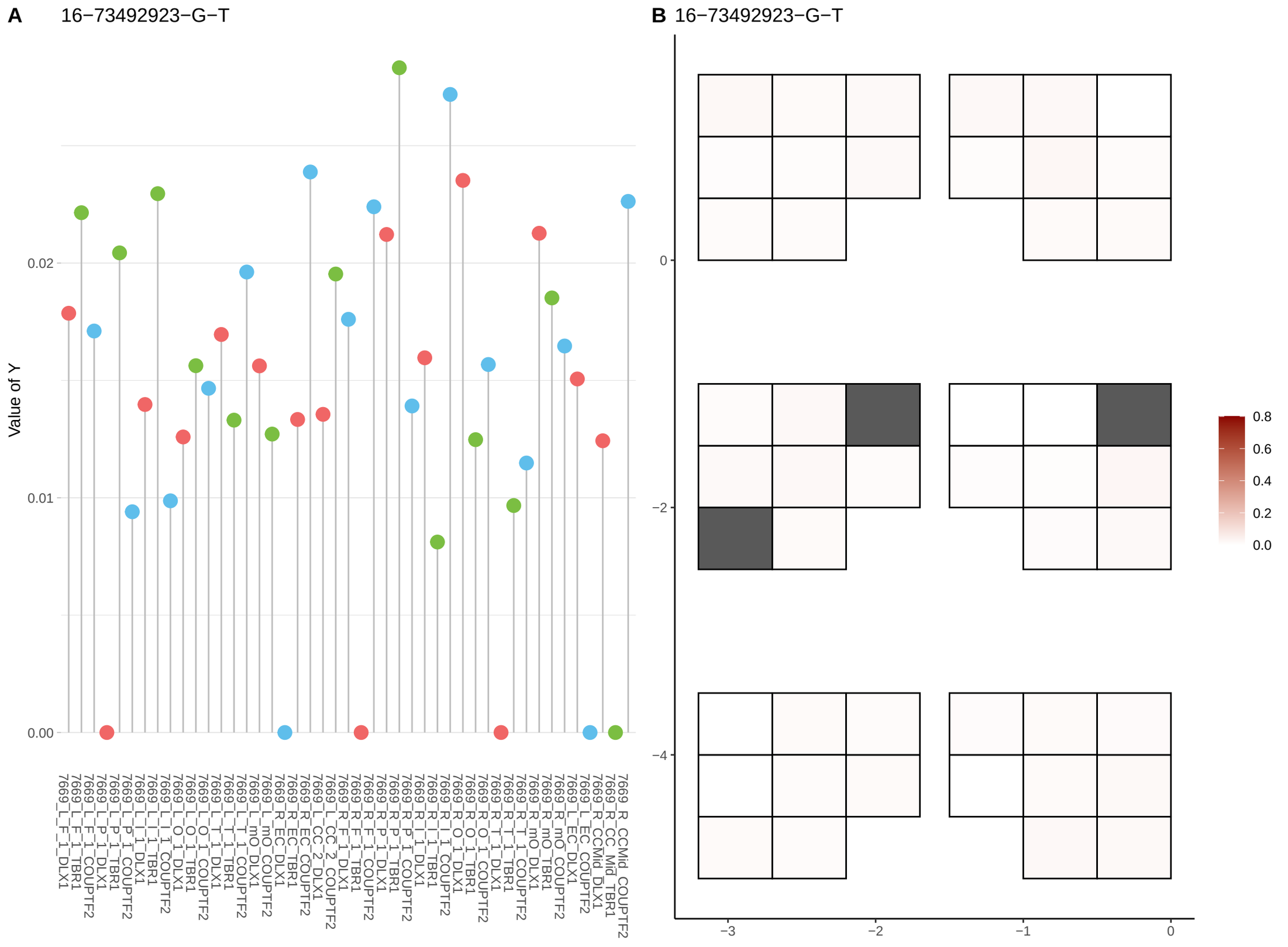
A
16−73492923−G−T
Value of Y
0.02
0.01
0.00
7669_L_F_1_DLX1
7669_L_F_1_TBR1
7669_L_F_1_COUPTF2
7669_L_P_1_DLX1
7669_L_P_1_TBR1
7669_L_P_1_COUPTF2
7669_L_I_1_DLX1
7669_L_I_1_TBR1
7669_L_I_1_COUPTF2
7669_L_O_1_DLX1
7669_L_O_1_TBR1
7669_L_O_1_COUPTF2
7669_L_T_1_DLX1
7669_L_T_1_TBR1
7669_L_T_1_COUPTF2
7669_L_mO_DLX1
7669_L_mO_COUPTF2
7669_R_EC_DLX1
7669_R_EC_TBR1
7669_R_EC_COUPTF2
7669_L_CC_2_DLX1
7669_L_CC_2_COUPTF2
7669_R_F_1_DLX1
7669_R_F_1_TBR1
7669_R_F_1_COUPTF2
7669_R_P_1_DLX1
7669_R_P_1_TBR1
7669_R_P_1_COUPTF2
7669_R_I_1_DLX1
7669_R_I_1_TBR1
7669_R_I_1_COUPTF2
7669_R_O_1_DLX1
7669_R_O_1_TBR1
7669_R_O_1_COUPTF2
7669_R_T_1_DLX1
7669_R_T_1_TBR1
7669_R_T_1_COUPTF2
7669_R_mO_DLX1
7669_R_mO_TBR1
7669_R_mO_COUPTF2
7669_L_EC_DLX1
7669_L_EC_COUPTF2
7669_R_CCMid_DLX1
7669_R_CC_Mid_TBR1
7669_R_CCMid_COUPTF2
B
16−73492923−G−T
0
−2
−4
−3
−2
−1
0
0.8
0.6
0.4
0.2
0.0

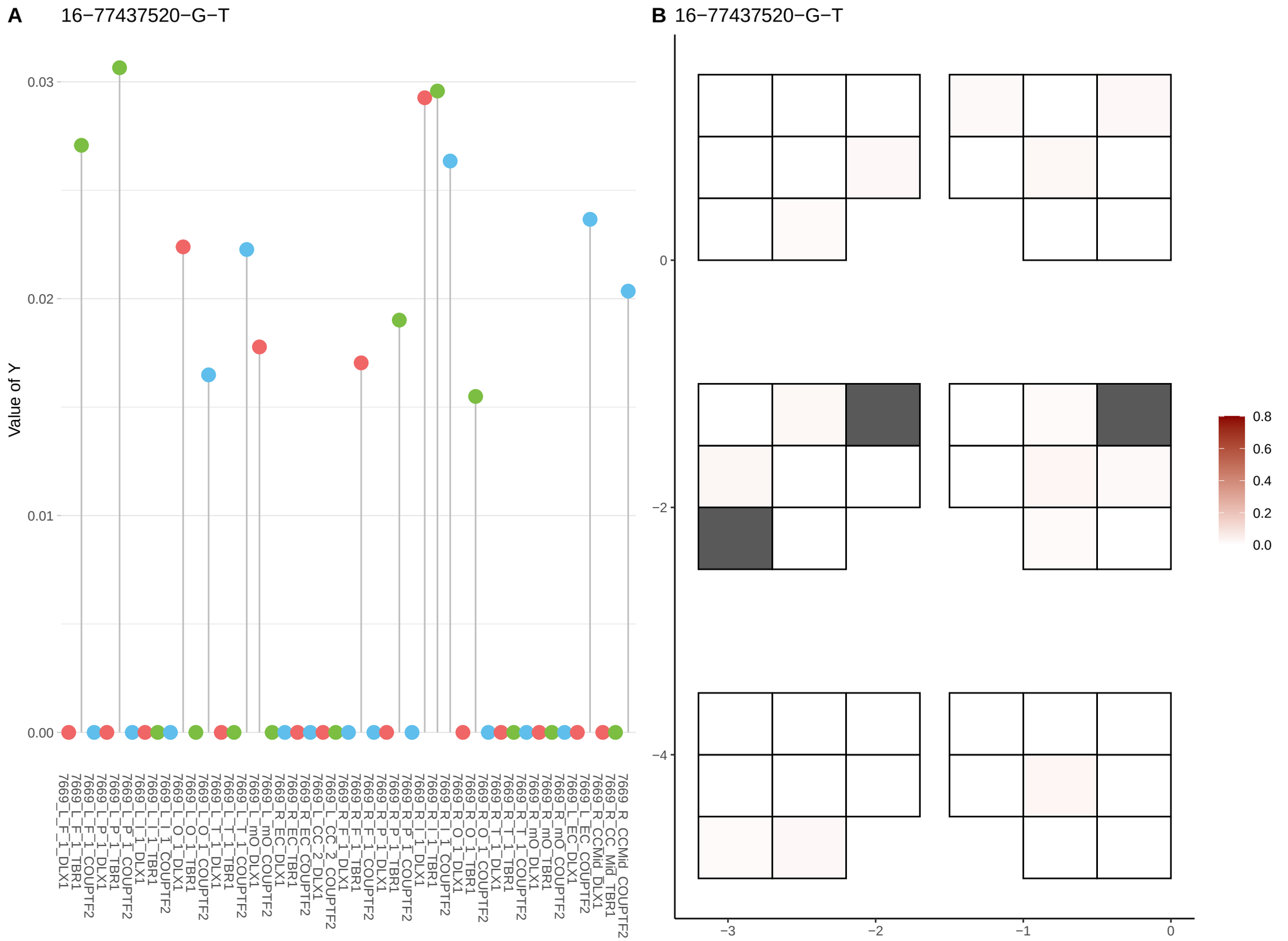
A
16−77437520−G−T
Value of Y
0.03
0.02
0.01
0.00
7669_L_F_1_DLX1
7669_L_F_1_TBR1
7669_L_F_1_COUPTF2
7669_L_P_1_DLX1
7669_L_P_1_TBR1
7669_L_P_1_COUPTF2
7669_L_I_1_DLX1
7669_L_I_1_TBR1
7669_L_I_1_COUPTF2
7669_L_O_1_DLX1
7669_L_O_1_TBR1
7669_L_O_1_COUPTF2
7669_L_T_1_DLX1
7669_L_T_1_TBR1
7669_L_T_1_COUPTF2
7669_L_mO_DLX1
7669_L_mO_COUPTF2
7669_R_EC_DLX1
7669_R_EC_TBR1
7669_R_EC_COUPTF2
7669_L_CC_2_DLX1
7669_L_CC_2_COUPTF2
7669_R_F_1_DLX1
7669_R_F_1_TBR1
7669_R_F_1_COUPTF2
7669_R_P_1_DLX1
7669_R_P_1_TBR1
7669_R_P_1_COUPTF2
7669_R_I_1_DLX1
7669_R_I_1_TBR1
7669_R_I_1_COUPTF2
7669_R_O_1_DLX1
7669_R_O_1_TBR1
7669_R_O_1_COUPTF2
7669_R_T_1_DLX1
7669_R_T_1_TBR1
7669_R_T_1_COUPTF2
7669_R_mO_DLX1
7669_R_mO_TBR1
7669_R_mO_COUPTF2
7669_L_EC_DLX1
7669_L_EC_COUPTF2
7669_R_CCMid_DLX1
7669_R_CC_Mid_TBR1
7669_R_CCMid_COUPTF2
B
16−77437520−G−T
0
−2
−4
−3
−2
−1
0
0.8
0.6
0.4
0.2
0.0

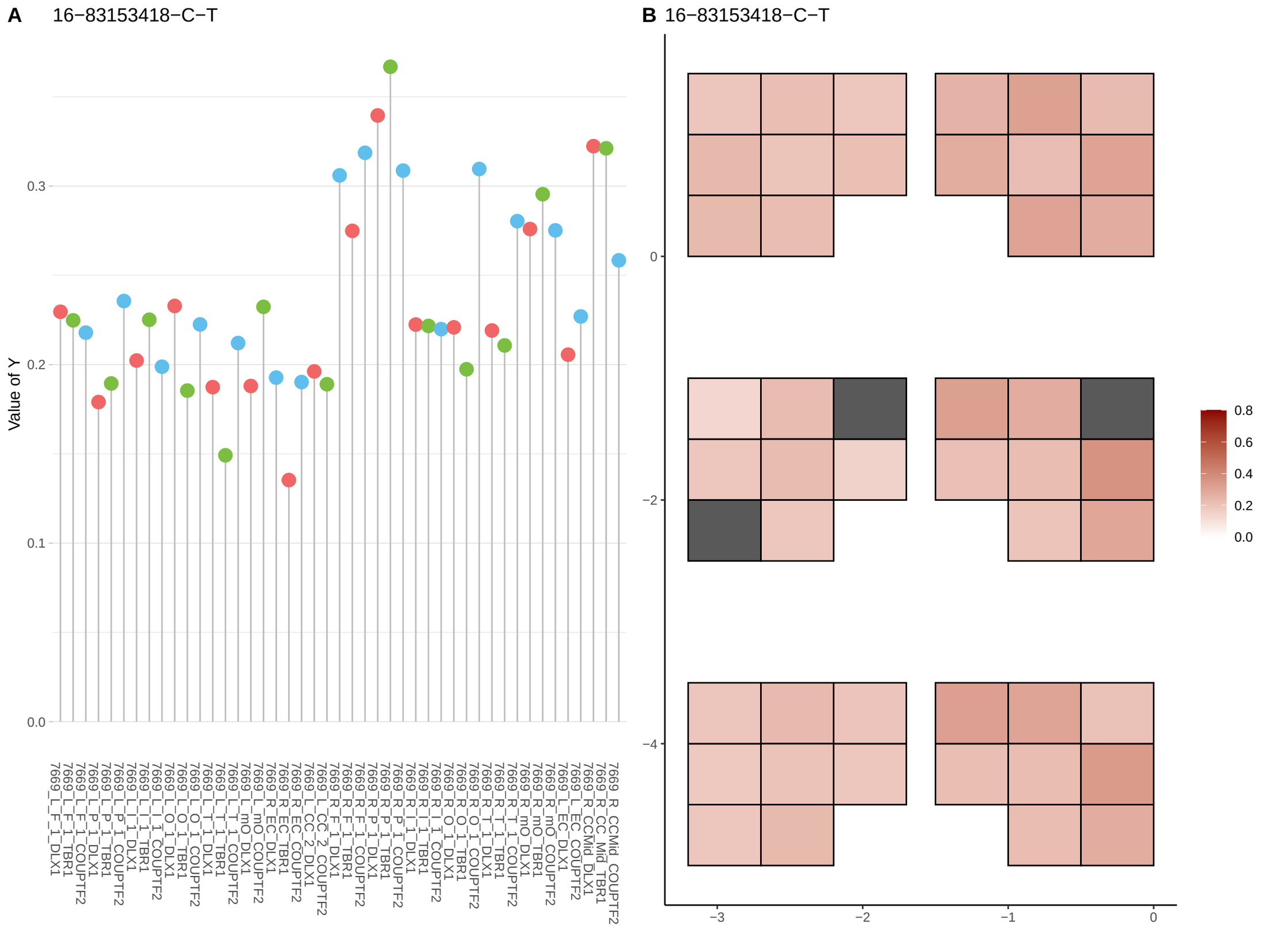
A
16−83153418−C−T
Value of Y
0.0
0.1
0.2
0.3
7669_L_F_1_DLX1
7669_L_F_1_TBR1
7669_L_F_1_COUPTF2
7669_L_P_1_DLX1
7669_L_P_1_TBR1
7669_L_P_1_COUPTF2
7669_L_I_1_DLX1
7669_L_I_1_TBR1
7669_L_I_1_COUPTF2
7669_L_O_1_DLX1
7669_L_O_1_TBR1
7669_L_O_1_COUPTF2
7669_L_T_1_DLX1
7669_L_T_1_TBR1
7669_L_T_1_COUPTF2
7669_L_mO_DLX1
7669_L_mO_COUPTF2
7669_R_EC_DLX1
7669_R_EC_TBR1
7669_R_EC_COUPTF2
7669_L_CC_2_DLX1
7669_L_CC_2_COUPTF2
7669_R_F_1_DLX1
7669_R_F_1_TBR1
7669_R_F_1_COUPTF2
7669_R_P_1_DLX1
7669_R_P_1_TBR1
7669_R_P_1_COUPTF2
7669_R_I_1_DLX1
7669_R_I_1_TBR1
7669_R_I_1_COUPTF2
7669_R_O_1_DLX1
7669_R_O_1_TBR1
7669_R_O_1_COUPTF2
7669_R_T_1_DLX1
7669_R_T_1_TBR1
7669_R_T_1_COUPTF2
7669_R_mO_DLX1
7669_R_mO_TBR1
7669_R_mO_COUPTF2
7669_L_EC_DLX1
7669_L_EC_COUPTF2
7669_R_CCMid_DLX1
7669_R_CC_Mid_TBR1
7669_R_CCMid_COUPTF2
B
16−83153418−C−T
0
−2
−4
−3
−2
−1
0
0.8
0.6
0.4
0.2
0.0

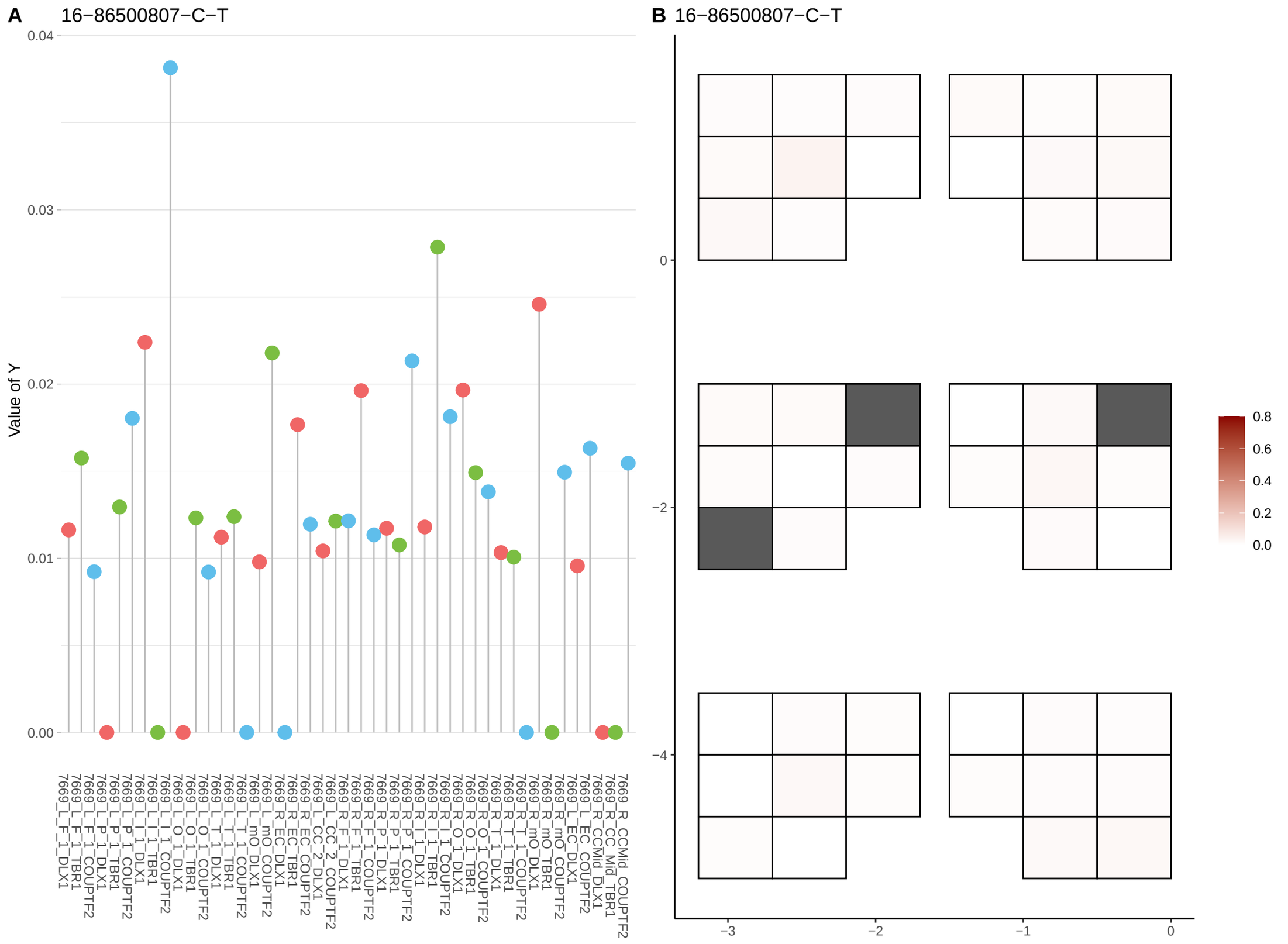
A
16−86500807−C−T
Value of Y
0.04
0.03
0.02
0.01
0.00
7669_L_F_1_DLX1
7669_L_F_1_TBR1
7669_L_F_1_COUPTF2
7669_L_P_1_DLX1
7669_L_P_1_TBR1
7669_L_P_1_COUPTF2
7669_L_I_1_DLX1
7669_L_I_1_TBR1
7669_L_I_1_COUPTF2
7669_L_O_1_DLX1
7669_L_O_1_TBR1
7669_L_O_1_COUPTF2
7669_L_T_1_DLX1
7669_L_T_1_TBR1
7669_L_T_1_COUPTF2
7669_L_mO_DLX1
7669_L_mO_COUPTF2
7669_R_EC_DLX1
7669_R_EC_TBR1
7669_R_EC_COUPTF2
7669_L_CC_2_DLX1
7669_L_CC_2_COUPTF2
7669_R_F_1_DLX1
7669_R_F_1_TBR1
7669_R_F_1_COUPTF2
7669_R_P_1_DLX1
7669_R_P_1_TBR1
7669_R_P_1_COUPTF2
7669_R_I_1_DLX1
7669_R_I_1_TBR1
7669_R_I_1_COUPTF2
7669_R_O_1_DLX1
7669_R_O_1_TBR1
7669_R_O_1_COUPTF2
7669_R_T_1_DLX1
7669_R_T_1_TBR1
7669_R_T_1_COUPTF2
7669_R_mO_DLX1
7669_R_mO_TBR1
7669_R_mO_COUPTF2
7669_L_EC_DLX1
7669_L_EC_COUPTF2
7669_R_CCMid_DLX1
7669_R_CC_Mid_TBR1
7669_R_CCMid_COUPTF2
B
16−86500807−C−T
0
−2
−4
−3
−2
−1
0
0.8
0.6
0.4
0.2
0.0

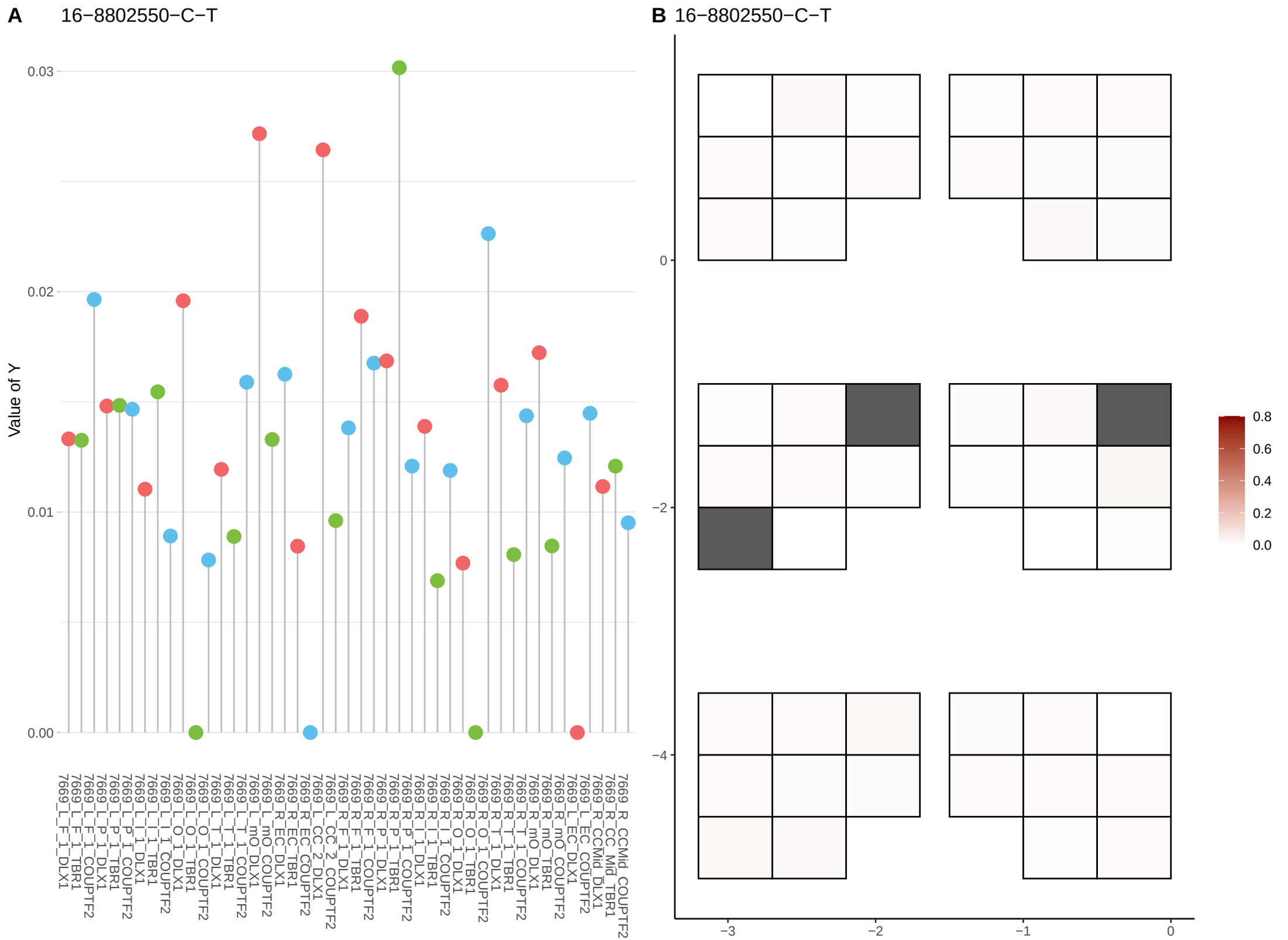
A
16−8802550−C−T
Value of Y
0.03
0.02
0.01
0.00
7669_L_F_1_DLX1
7669_L_F_1_TBR1
7669_L_F_1_COUPTF2
7669_L_P_1_DLX1
7669_L_P_1_TBR1
7669_L_P_1_COUPTF2
7669_L_I_1_DLX1
7669_L_I_1_TBR1
7669_L_I_1_COUPTF2
7669_L_O_1_DLX1
7669_L_O_1_TBR1
7669_L_O_1_COUPTF2
7669_L_T_1_DLX1
7669_L_T_1_TBR1
7669_L_T_1_COUPTF2
7669_L_mO_DLX1
7669_L_mO_COUPTF2
7669_R_EC_DLX1
7669_R_EC_TBR1
7669_R_EC_COUPTF2
7669_L_CC_2_DLX1
7669_L_CC_2_COUPTF2
7669_R_F_1_DLX1
7669_R_F_1_TBR1
7669_R_F_1_COUPTF2
7669_R_P_1_DLX1
7669_R_P_1_TBR1
7669_R_P_1_COUPTF2
7669_R_I_1_DLX1
7669_R_I_1_TBR1
7669_R_I_1_COUPTF2
7669_R_O_1_DLX1
7669_R_O_1_TBR1
7669_R_O_1_COUPTF2
7669_R_T_1_DLX1
7669_R_T_1_TBR1
7669_R_T_1_COUPTF2
7669_R_mO_DLX1
7669_R_mO_TBR1
7669_R_mO_COUPTF2
7669_L_EC_DLX1
7669_L_EC_COUPTF2
7669_R_CCMid_DLX1
7669_R_CC_Mid_TBR1
7669_R_CCMid_COUPTF2
B
16−8802550−C−T
0
−2
−4
−3
−2
−1
0
0.8
0.6
0.4
0.2
0.0

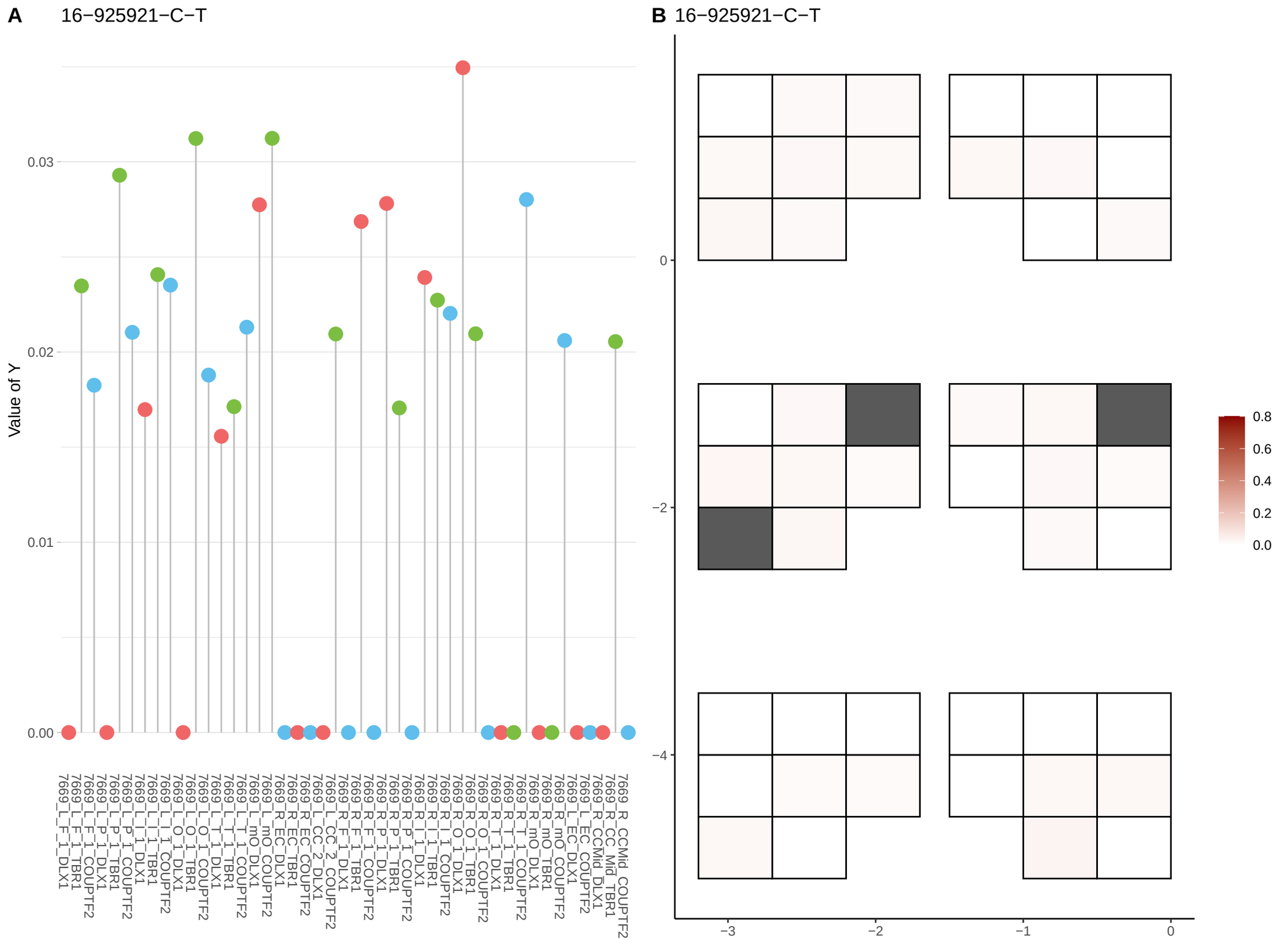
A
16−925921−C−T
Value of Y
0.03
0.02
0.01
0.00
7669_L_F_1_DLX1
7669_L_F_1_TBR1
7669_L_F_1_COUPTF2
7669_L_P_1_DLX1
7669_L_P_1_TBR1
7669_L_P_1_COUPTF2
7669_L_I_1_DLX1
7669_L_I_1_TBR1
7669_L_I_1_COUPTF2
7669_L_O_1_DLX1
7669_L_O_1_TBR1
7669_L_O_1_COUPTF2
7669_L_T_1_DLX1
7669_L_T_1_TBR1
7669_L_T_1_COUPTF2
7669_L_mO_DLX1
7669_L_mO_COUPTF2
7669_R_EC_DLX1
7669_R_EC_TBR1
7669_R_EC_COUPTF2
7669_L_CC_2_DLX1
7669_L_CC_2_COUPTF2
7669_R_F_1_DLX1
7669_R_F_1_TBR1
7669_R_F_1_COUPTF2
7669_R_P_1_DLX1
7669_R_P_1_TBR1
7669_R_P_1_COUPTF2
7669_R_I_1_DLX1
7669_R_I_1_TBR1
7669_R_I_1_COUPTF2
7669_R_O_1_DLX1
7669_R_O_1_TBR1
7669_R_O_1_COUPTF2
7669_R_T_1_DLX1
7669_R_T_1_TBR1
7669_R_T_1_COUPTF2
7669_R_mO_DLX1
7669_R_mO_TBR1
7669_R_mO_COUPTF2
7669_L_EC_DLX1
7669_L_EC_COUPTF2
7669_R_CCMid_DLX1
7669_R_CC_Mid_TBR1
7669_R_CCMid_COUPTF2
B
16−925921−C−T
0
−2
−4
−3
−2
−1
0
0.8
0.6
0.4
0.2
0.0

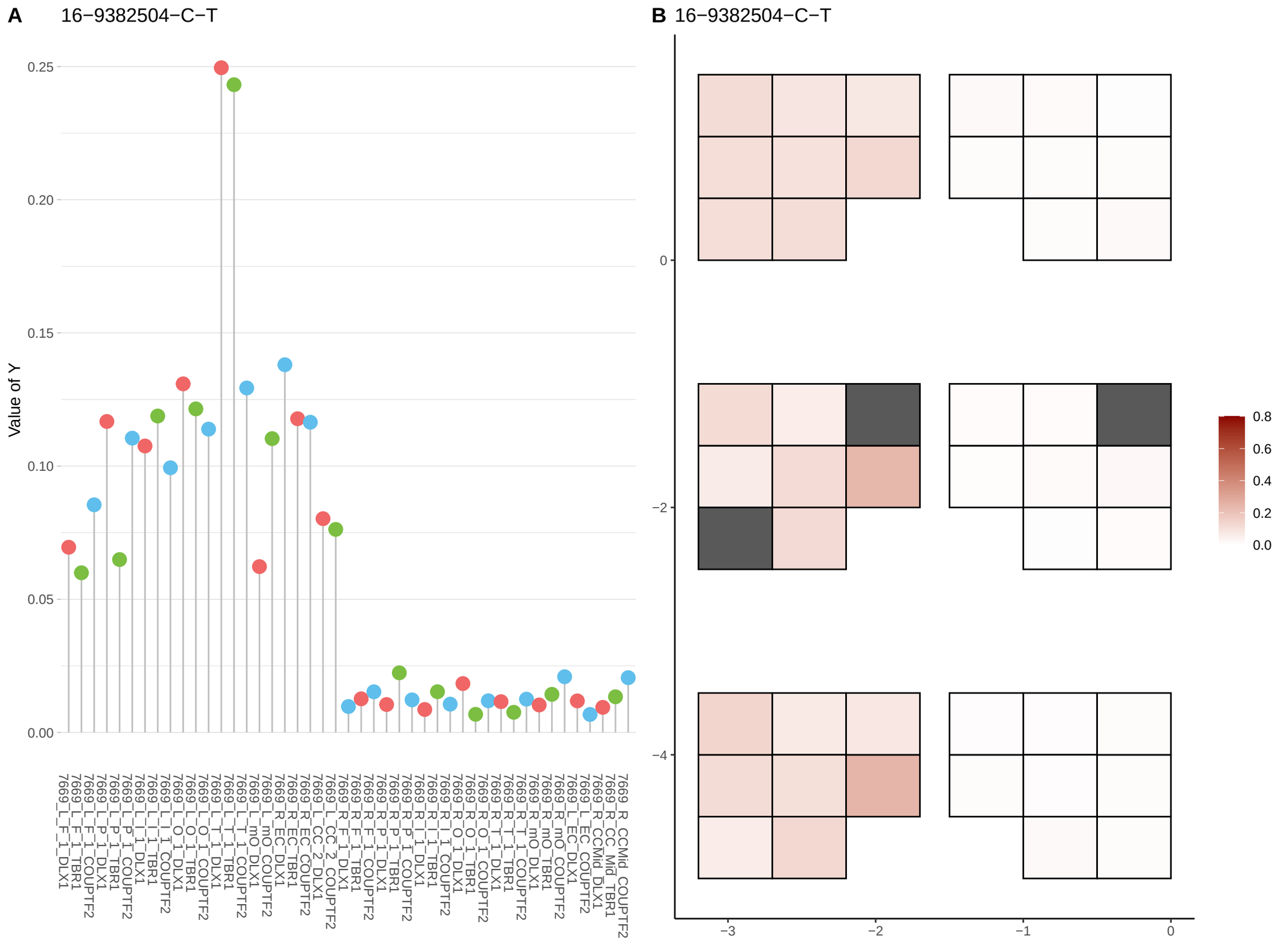
A
16−9382504−C−T
Value of Y
0.25
0.20
0.15
0.10
0.05
0.00
7669_L_F_1_DLX1
7669_L_F_1_TBR1
7669_L_F_1_COUPTF2
7669_L_P_1_DLX1
7669_L_P_1_TBR1
7669_L_P_1_COUPTF2
7669_L_I_1_DLX1
7669_L_I_1_TBR1
7669_L_I_1_COUPTF2
7669_L_O_1_DLX1
7669_L_O_1_TBR1
7669_L_O_1_COUPTF2
7669_L_T_1_DLX1
7669_L_T_1_TBR1
7669_L_T_1_COUPTF2
7669_L_mO_DLX1
7669_L_mO_COUPTF2
7669_R_EC_DLX1
7669_R_EC_TBR1
7669_R_EC_COUPTF2
7669_L_CC_2_DLX1
7669_L_CC_2_COUPTF2
7669_R_F_1_DLX1
7669_R_F_1_TBR1
7669_R_F_1_COUPTF2
7669_R_P_1_DLX1
7669_R_P_1_TBR1
7669_R_P_1_COUPTF2
7669_R_I_1_DLX1
7669_R_I_1_TBR1
7669_R_I_1_COUPTF2
7669_R_O_1_DLX1
7669_R_O_1_TBR1
7669_R_O_1_COUPTF2
7669_R_T_1_DLX1
7669_R_T_1_TBR1
7669_R_T_1_COUPTF2
7669_R_mO_DLX1
7669_R_mO_TBR1
7669_R_mO_COUPTF2
7669_L_EC_DLX1
7669_L_EC_COUPTF2
7669_R_CCMid_DLX1
7669_R_CC_Mid_TBR1
7669_R_CCMid_COUPTF2
B
16−9382504−C−T
0
−2
−4
−3
−2
−1
0
0.8
0.6
0.4
0.2
0.0

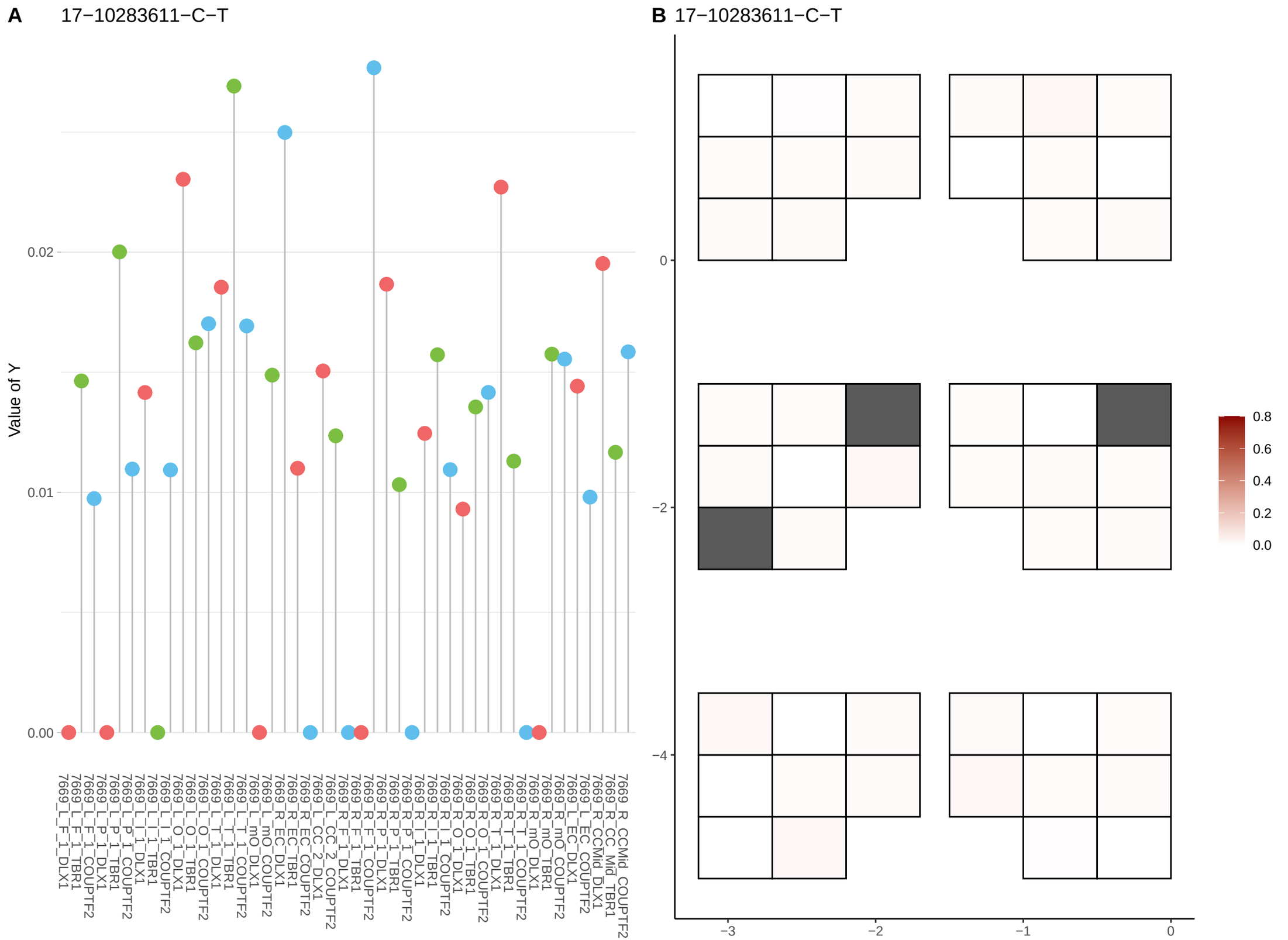
A
17−10283611−C−T
Value of Y
0.02
0.01
0.00
7669_L_F_1_DLX1
7669_L_F_1_TBR1
7669_L_F_1_COUPTF2
7669_L_P_1_DLX1
7669_L_P_1_TBR1
7669_L_P_1_COUPTF2
7669_L_I_1_DLX1
7669_L_I_1_TBR1
7669_L_I_1_COUPTF2
7669_L_O_1_DLX1
7669_L_O_1_TBR1
7669_L_O_1_COUPTF2
7669_L_T_1_DLX1
7669_L_T_1_TBR1
7669_L_T_1_COUPTF2
7669_L_mO_DLX1
7669_L_mO_COUPTF2
7669_R_EC_DLX1
7669_R_EC_TBR1
7669_R_EC_COUPTF2
7669_L_CC_2_DLX1
7669_L_CC_2_COUPTF2
7669_R_F_1_DLX1
7669_R_F_1_TBR1
7669_R_F_1_COUPTF2
7669_R_P_1_DLX1
7669_R_P_1_TBR1
7669_R_P_1_COUPTF2
7669_R_I_1_DLX1
7669_R_I_1_TBR1
7669_R_I_1_COUPTF2
7669_R_O_1_DLX1
7669_R_O_1_TBR1
7669_R_O_1_COUPTF2
7669_R_T_1_DLX1
7669_R_T_1_TBR1
7669_R_T_1_COUPTF2
7669_R_mO_DLX1
7669_R_mO_TBR1
7669_R_mO_COUPTF2
7669_L_EC_DLX1
7669_L_EC_COUPTF2
7669_R_CCMid_DLX1
7669_R_CC_Mid_TBR1
7669_R_CCMid_COUPTF2
B
17−10283611−C−T
0
−2
−4
−3
−2
−1
0
0.8
0.6
0.4
0.2
0.0

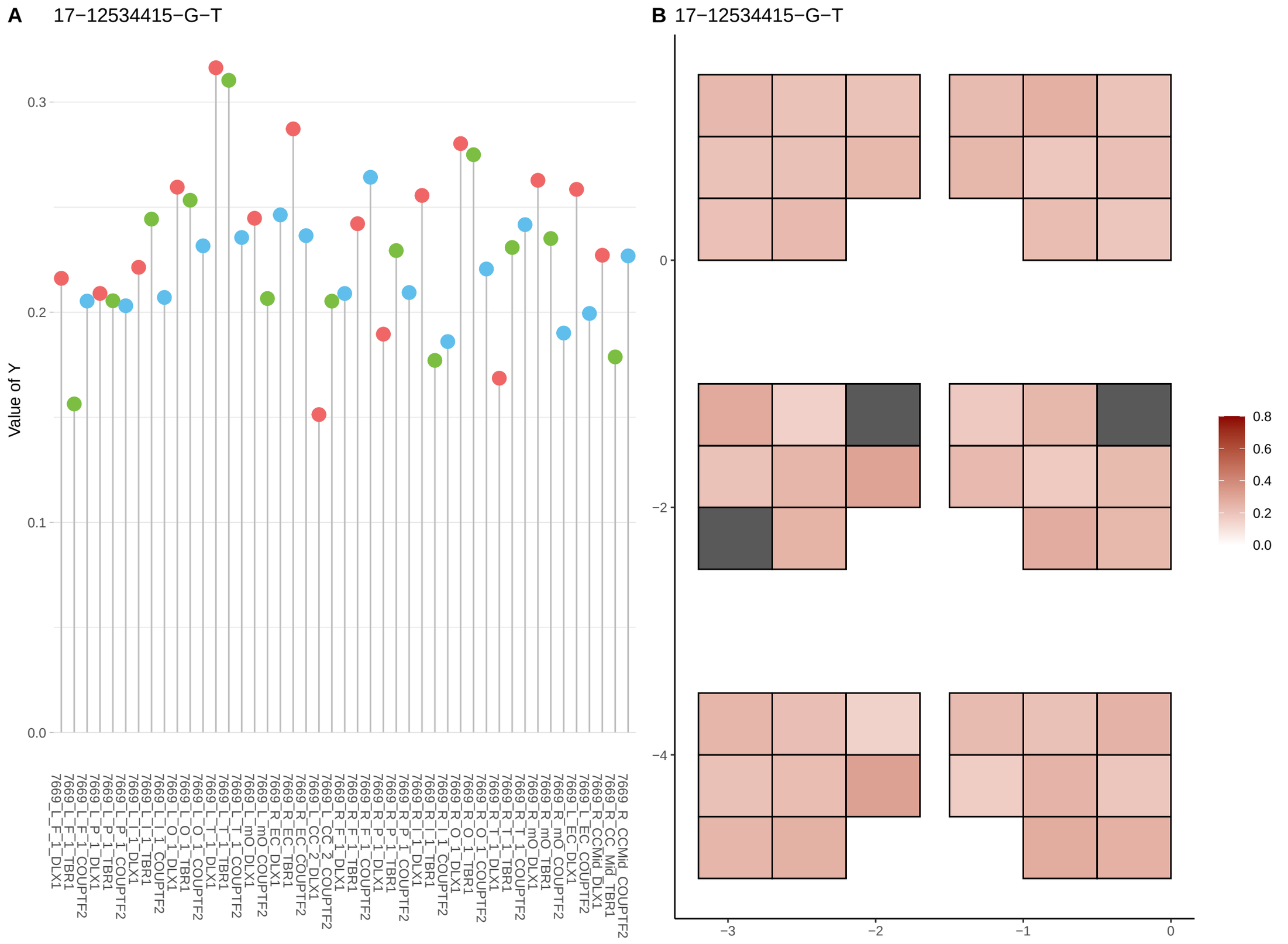
A
17−12534415−G−T
Value of Y
0.3
0.2
0.1
0.0
7669_L_F_1_DLX1
7669_L_F_1_TBR1
7669_L_F_1_COUPTF2
7669_L_P_1_DLX1
7669_L_P_1_TBR1
7669_L_P_1_COUPTF2
7669_L_I_1_DLX1
7669_L_I_1_TBR1
7669_L_I_1_COUPTF2
7669_L_O_1_DLX1
7669_L_O_1_TBR1
7669_L_O_1_COUPTF2
7669_L_T_1_DLX1
7669_L_T_1_TBR1
7669_L_T_1_COUPTF2
7669_L_mO_DLX1
7669_L_mO_COUPTF2
7669_R_EC_DLX1
7669_R_EC_TBR1
7669_R_EC_COUPTF2
7669_L_CC_2_DLX1
7669_L_CC_2_COUPTF2
7669_R_F_1_DLX1
7669_R_F_1_TBR1
7669_R_F_1_COUPTF2
7669_R_P_1_DLX1
7669_R_P_1_TBR1
7669_R_P_1_COUPTF2
7669_R_I_1_DLX1
7669_R_I_1_TBR1
7669_R_I_1_COUPTF2
7669_R_O_1_DLX1
7669_R_O_1_TBR1
7669_R_O_1_COUPTF2
7669_R_T_1_DLX1
7669_R_T_1_TBR1
7669_R_T_1_COUPTF2
7669_R_mO_DLX1
7669_R_mO_TBR1
7669_R_mO_COUPTF2
7669_L_EC_DLX1
7669_L_EC_COUPTF2
7669_R_CCMid_DLX1
7669_R_CC_Mid_TBR1
7669_R_CCMid_COUPTF2
B
17−12534415−G−T
0
−2
−4
−3
−2
−1
0
0.8
0.6
0.4
0.2
0.0

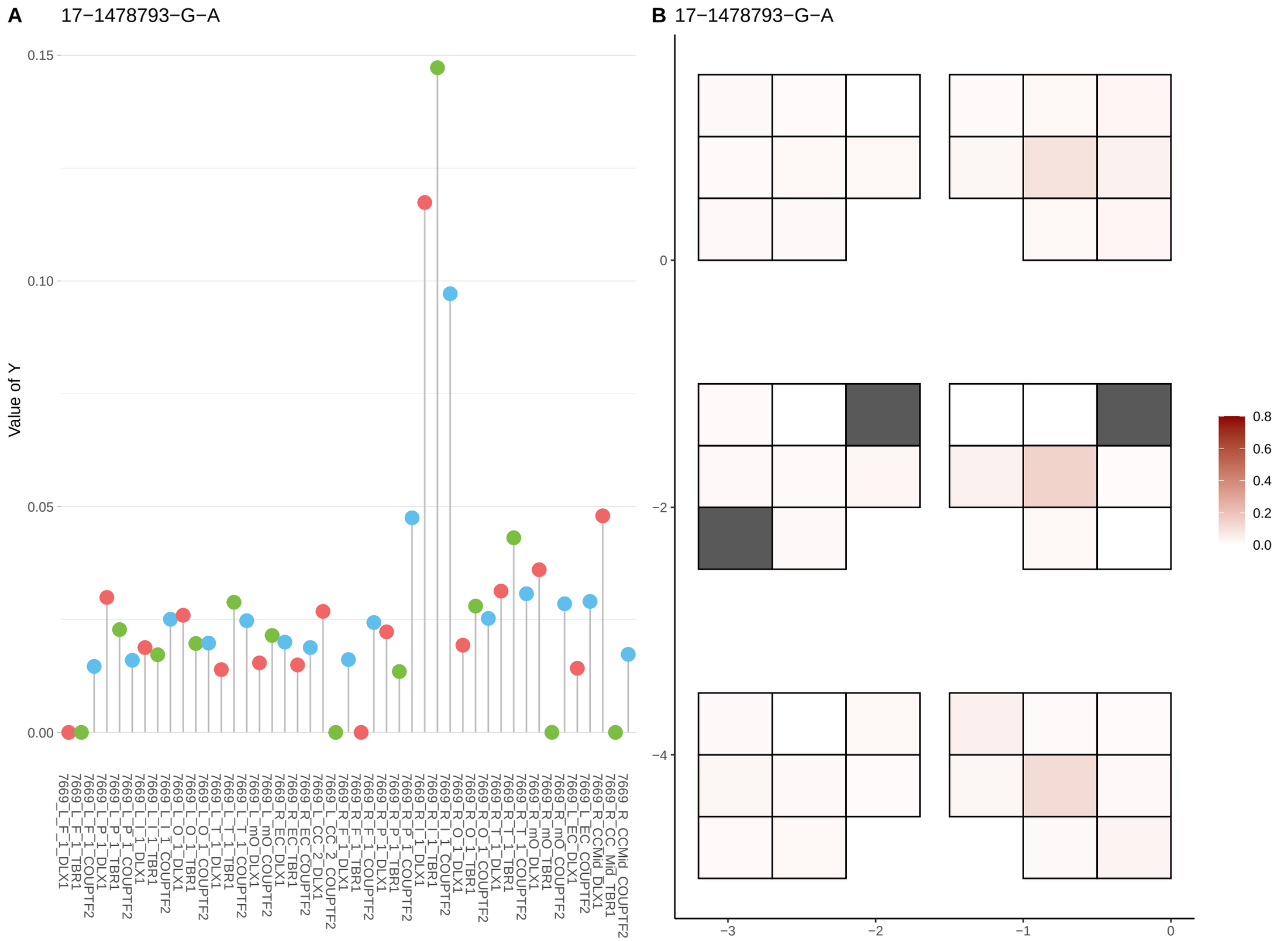
A
17−1478793−G−A
Value of Y
0.15
0.10
0.05
0.00
7669_L_F_1_DLX1
7669_L_F_1_TBR1
7669_L_F_1_COUPTF2
7669_L_P_1_DLX1
7669_L_P_1_TBR1
7669_L_P_1_COUPTF2
7669_L_I_1_DLX1
7669_L_I_1_TBR1
7669_L_I_1_COUPTF2
7669_L_O_1_DLX1
7669_L_O_1_TBR1
7669_L_O_1_COUPTF2
7669_L_T_1_DLX1
7669_L_T_1_TBR1
7669_L_T_1_COUPTF2
7669_L_mO_DLX1
7669_L_mO_COUPTF2
7669_R_EC_DLX1
7669_R_EC_TBR1
7669_R_EC_COUPTF2
7669_L_CC_2_DLX1
7669_L_CC_2_COUPTF2
7669_R_F_1_DLX1
7669_R_F_1_TBR1
7669_R_F_1_COUPTF2
7669_R_P_1_DLX1
7669_R_P_1_TBR1
7669_R_P_1_COUPTF2
7669_R_I_1_DLX1
7669_R_I_1_TBR1
7669_R_I_1_COUPTF2
7669_R_O_1_DLX1
7669_R_O_1_TBR1
7669_R_O_1_COUPTF2
7669_R_T_1_DLX1
7669_R_T_1_TBR1
7669_R_T_1_COUPTF2
7669_R_mO_DLX1
7669_R_mO_TBR1
7669_R_mO_COUPTF2
7669_L_EC_DLX1
7669_L_EC_COUPTF2
7669_R_CCMid_DLX1
7669_R_CC_Mid_TBR1
7669_R_CCMid_COUPTF2
B
17−1478793−G−A
0
−2
−4
−3
−2
−1
0
0.8
0.6
0.4
0.2
0.0

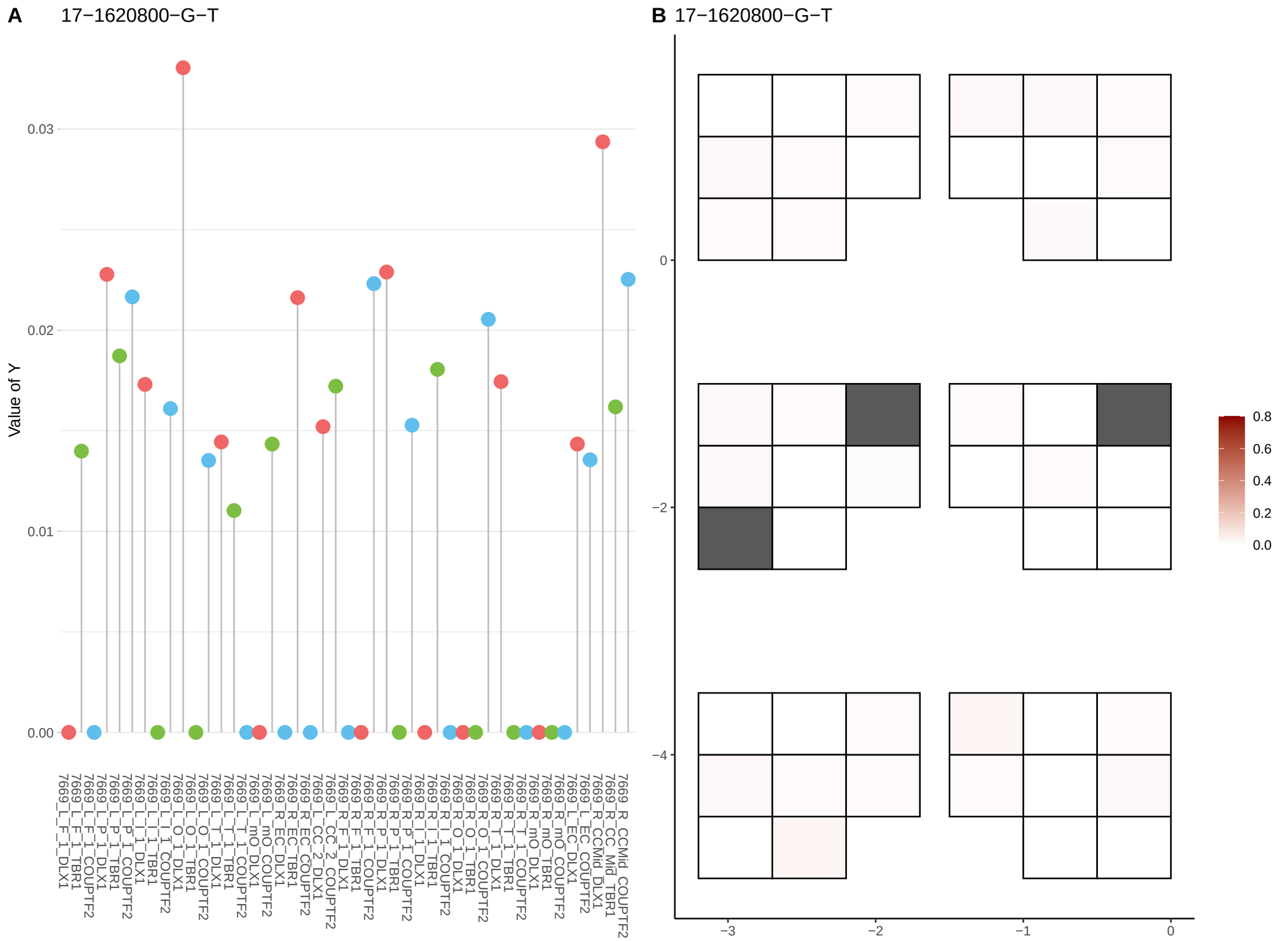
A
17−1620800−G−T
Value of Y
0.03
0.02
0.01
0.00
7669_L_F_1_DLX1
7669_L_F_1_TBR1
7669_L_F_1_COUPTF2
7669_L_P_1_DLX1
7669_L_P_1_TBR1
7669_L_P_1_COUPTF2
7669_L_I_1_DLX1
7669_L_I_1_TBR1
7669_L_I_1_COUPTF2
7669_L_O_1_DLX1
7669_L_O_1_TBR1
7669_L_O_1_COUPTF2
7669_L_T_1_DLX1
7669_L_T_1_TBR1
7669_L_T_1_COUPTF2
7669_L_mO_DLX1
7669_L_mO_COUPTF2
7669_R_EC_DLX1
7669_R_EC_TBR1
7669_R_EC_COUPTF2
7669_L_CC_2_DLX1
7669_L_CC_2_COUPTF2
7669_R_F_1_DLX1
7669_R_F_1_TBR1
7669_R_F_1_COUPTF2
7669_R_P_1_DLX1
7669_R_P_1_TBR1
7669_R_P_1_COUPTF2
7669_R_I_1_DLX1
7669_R_I_1_TBR1
7669_R_I_1_COUPTF2
7669_R_O_1_DLX1
7669_R_O_1_TBR1
7669_R_O_1_COUPTF2
7669_R_T_1_DLX1
7669_R_T_1_TBR1
7669_R_T_1_COUPTF2
7669_R_mO_DLX1
7669_R_mO_TBR1
7669_R_mO_COUPTF2
7669_L_EC_DLX1
7669_L_EC_COUPTF2
7669_R_CCMid_DLX1
7669_R_CC_Mid_TBR1
7669_R_CCMid_COUPTF2
B
17−1620800−G−T
0
−2
−4
−3
−2
−1
0
0.8
0.6
0.4
0.2
0.0

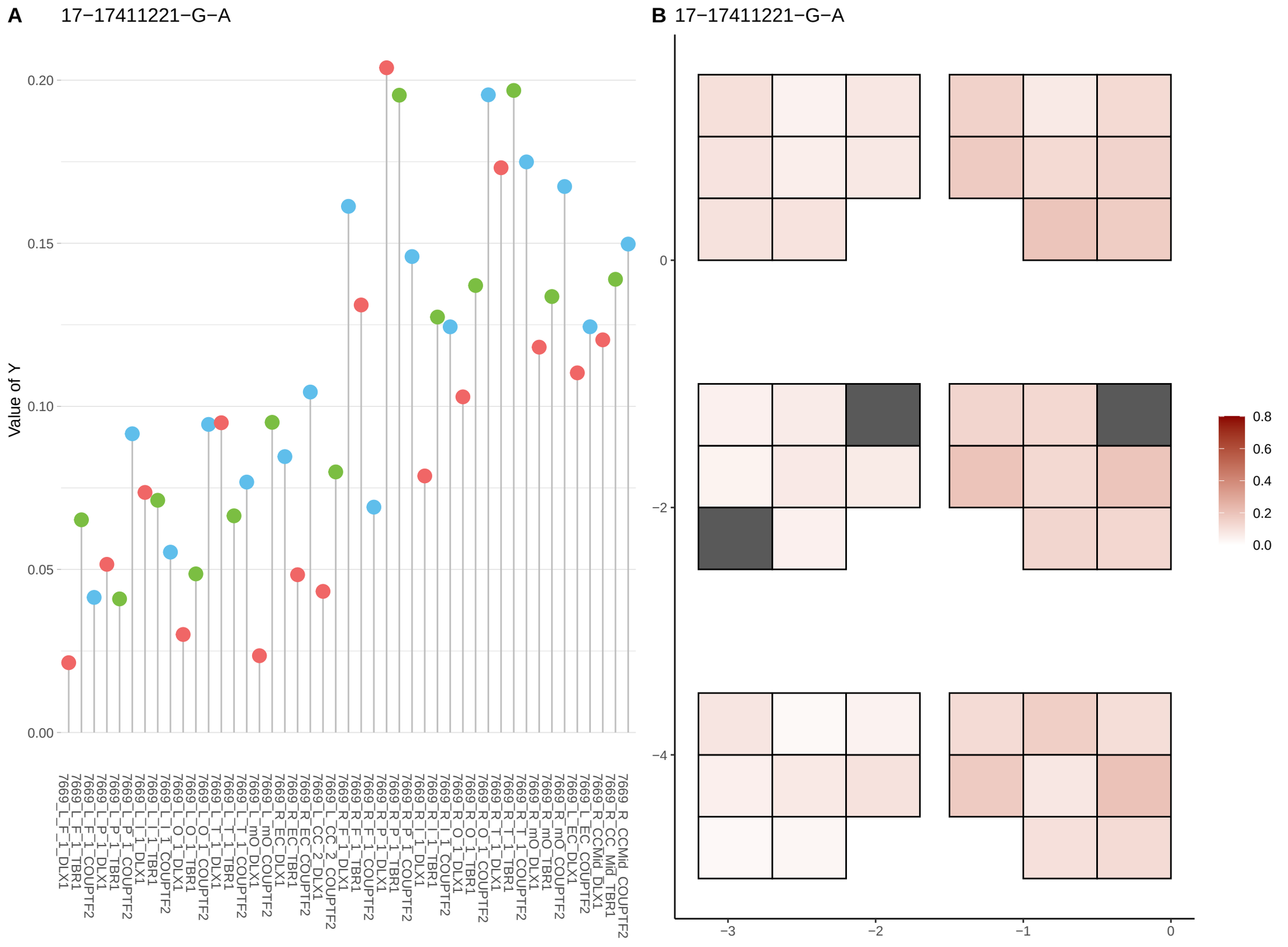
A
17−17411221−G−A
Value of Y
0.20
0.15
0.10
0.05
0.00
7669_L_F_1_DLX1
7669_L_F_1_TBR1
7669_L_F_1_COUPTF2
7669_L_P_1_DLX1
7669_L_P_1_TBR1
7669_L_P_1_COUPTF2
7669_L_I_1_DLX1
7669_L_I_1_TBR1
7669_L_I_1_COUPTF2
7669_L_O_1_DLX1
7669_L_O_1_TBR1
7669_L_O_1_COUPTF2
7669_L_T_1_DLX1
7669_L_T_1_TBR1
7669_L_T_1_COUPTF2
7669_L_mO_DLX1
7669_L_mO_COUPTF2
7669_R_EC_DLX1
7669_R_EC_TBR1
7669_R_EC_COUPTF2
7669_L_CC_2_DLX1
7669_L_CC_2_COUPTF2
7669_R_F_1_DLX1
7669_R_F_1_TBR1
7669_R_F_1_COUPTF2
7669_R_P_1_DLX1
7669_R_P_1_TBR1
7669_R_P_1_COUPTF2
7669_R_I_1_DLX1
7669_R_I_1_TBR1
7669_R_I_1_COUPTF2
7669_R_O_1_DLX1
7669_R_O_1_TBR1
7669_R_O_1_COUPTF2
7669_R_T_1_DLX1
7669_R_T_1_TBR1
7669_R_T_1_COUPTF2
7669_R_mO_DLX1
7669_R_mO_TBR1
7669_R_mO_COUPTF2
7669_L_EC_DLX1
7669_L_EC_COUPTF2
7669_R_CCMid_DLX1
7669_R_CC_Mid_TBR1
7669_R_CCMid_COUPTF2
B
17−17411221−G−A
0
−2
−4
−3
−2
−1
0
0.8
0.6
0.4
0.2
0.0

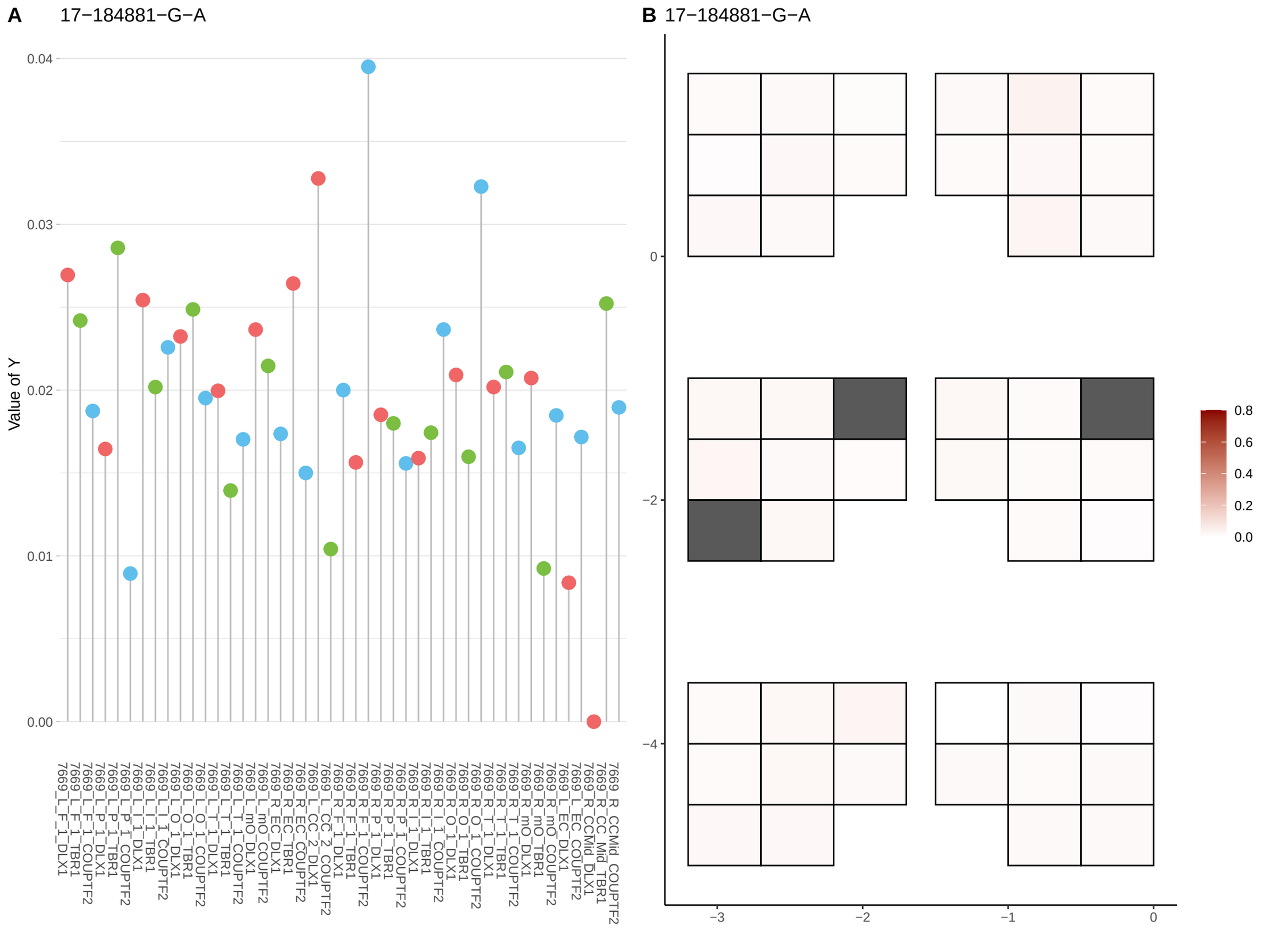
A
17−184881−G−A
Value of Y
0.04
0.03
0.02
0.01
0.00
7669_L_F_1_DLX1
7669_L_F_1_TBR1
7669_L_F_1_COUPTF2
7669_L_P_1_DLX1
7669_L_P_1_TBR1
7669_L_P_1_COUPTF2
7669_L_I_1_DLX1
7669_L_I_1_TBR1
7669_L_I_1_COUPTF2
7669_L_O_1_DLX1
7669_L_O_1_TBR1
7669_L_O_1_COUPTF2
7669_L_T_1_DLX1
7669_L_T_1_TBR1
7669_L_T_1_COUPTF2
7669_L_mO_DLX1
7669_L_mO_COUPTF2
7669_R_EC_DLX1
7669_R_EC_TBR1
7669_R_EC_COUPTF2
7669_L_CC_2_DLX1
7669_L_CC_2_COUPTF2
7669_R_F_1_DLX1
7669_R_F_1_TBR1
7669_R_F_1_COUPTF2
7669_R_P_1_DLX1
7669_R_P_1_TBR1
7669_R_P_1_COUPTF2
7669_R_I_1_DLX1
7669_R_I_1_TBR1
7669_R_I_1_COUPTF2
7669_R_O_1_DLX1
7669_R_O_1_TBR1
7669_R_O_1_COUPTF2
7669_R_T_1_DLX1
7669_R_T_1_TBR1
7669_R_T_1_COUPTF2
7669_R_mO_DLX1
7669_R_mO_TBR1
7669_R_mO_COUPTF2
7669_L_EC_DLX1
7669_L_EC_COUPTF2
7669_R_CCMid_DLX1
7669_R_CC_Mid_TBR1
7669_R_CCMid_COUPTF2
B
17−184881−G−A
0
−2
−4
−3
−2
−1
0
0.8
0.6
0.4
0.2
0.0

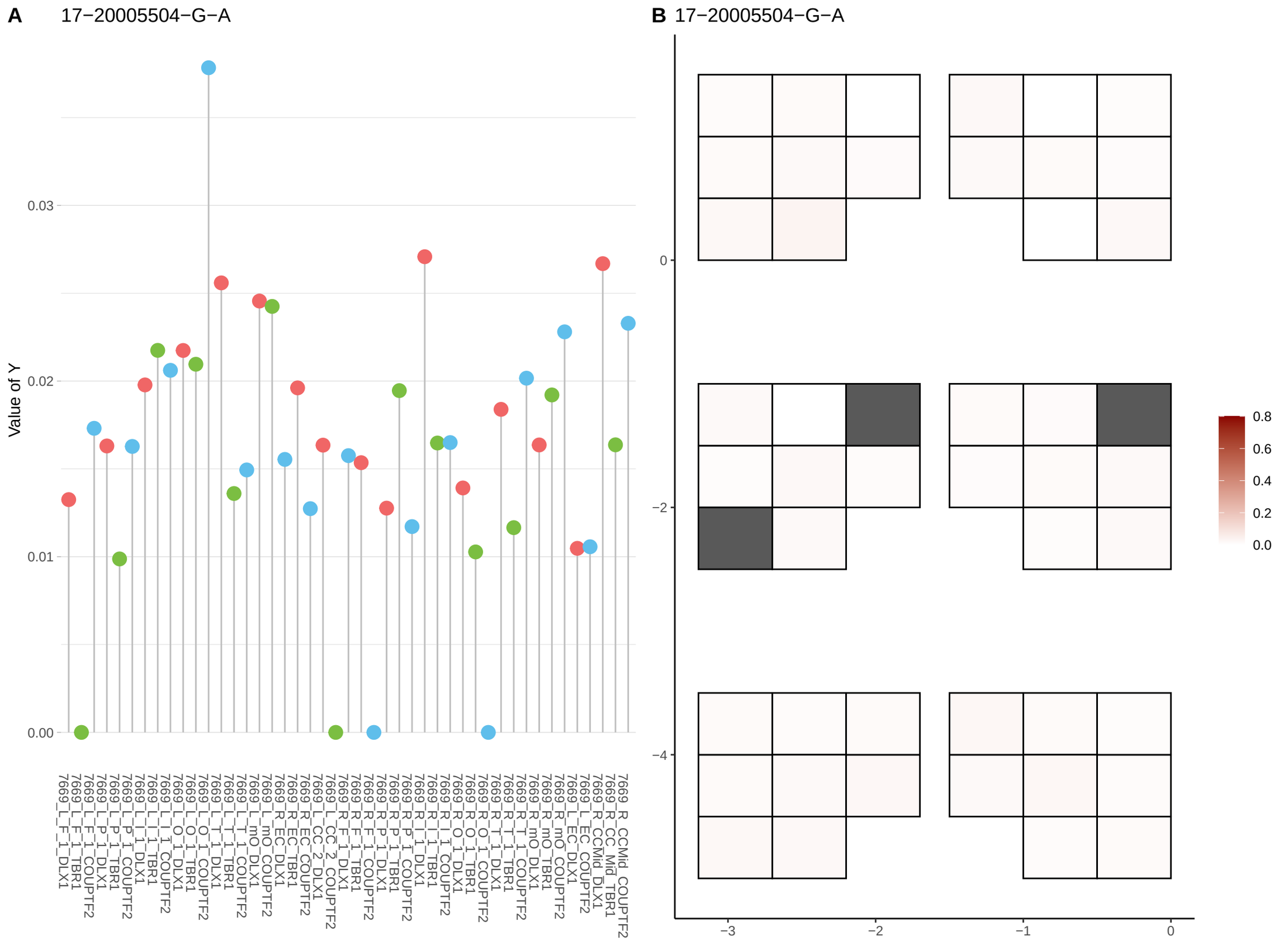
A
17−20005504−G−A
Value of Y
0.03
0.02
0.01
0.00
7669_L_F_1_DLX1
7669_L_F_1_TBR1
7669_L_F_1_COUPTF2
7669_L_P_1_DLX1
7669_L_P_1_TBR1
7669_L_P_1_COUPTF2
7669_L_I_1_DLX1
7669_L_I_1_TBR1
7669_L_I_1_COUPTF2
7669_L_O_1_DLX1
7669_L_O_1_TBR1
7669_L_O_1_COUPTF2
7669_L_T_1_DLX1
7669_L_T_1_TBR1
7669_L_T_1_COUPTF2
7669_L_mO_DLX1
7669_L_mO_COUPTF2
7669_R_EC_DLX1
7669_R_EC_TBR1
7669_R_EC_COUPTF2
7669_L_CC_2_DLX1
7669_L_CC_2_COUPTF2
7669_R_F_1_DLX1
7669_R_F_1_TBR1
7669_R_F_1_COUPTF2
7669_R_P_1_DLX1
7669_R_P_1_TBR1
7669_R_P_1_COUPTF2
7669_R_I_1_DLX1
7669_R_I_1_TBR1
7669_R_I_1_COUPTF2
7669_R_O_1_DLX1
7669_R_O_1_TBR1
7669_R_O_1_COUPTF2
7669_R_T_1_DLX1
7669_R_T_1_TBR1
7669_R_T_1_COUPTF2
7669_R_mO_DLX1
7669_R_mO_TBR1
7669_R_mO_COUPTF2
7669_L_EC_DLX1
7669_L_EC_COUPTF2
7669_R_CCMid_DLX1
7669_R_CC_Mid_TBR1
7669_R_CCMid_COUPTF2
B
17−20005504−G−A
0
−2
−4
−3
−2
−1
0
0.8
0.6
0.4
0.2
0.0

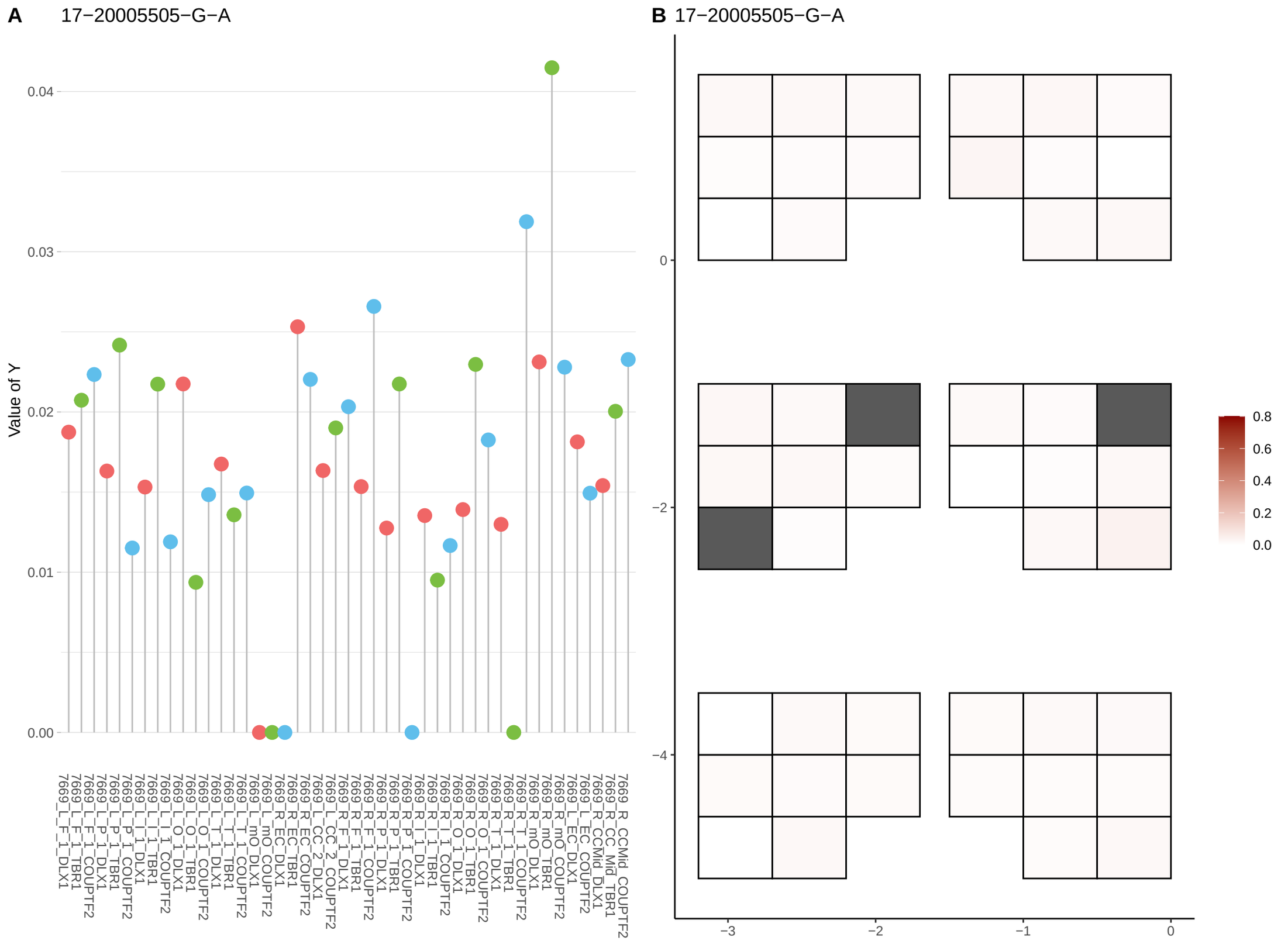
A
17−20005505−G−A
Value of Y
0.04
0.03
0.02
0.01
0.00
7669_L_F_1_DLX1
7669_L_F_1_TBR1
7669_L_F_1_COUPTF2
7669_L_P_1_DLX1
7669_L_P_1_TBR1
7669_L_P_1_COUPTF2
7669_L_I_1_DLX1
7669_L_I_1_TBR1
7669_L_I_1_COUPTF2
7669_L_O_1_DLX1
7669_L_O_1_TBR1
7669_L_O_1_COUPTF2
7669_L_T_1_DLX1
7669_L_T_1_TBR1
7669_L_T_1_COUPTF2
7669_L_mO_DLX1
7669_L_mO_COUPTF2
7669_R_EC_DLX1
7669_R_EC_TBR1
7669_R_EC_COUPTF2
7669_L_CC_2_DLX1
7669_L_CC_2_COUPTF2
7669_R_F_1_DLX1
7669_R_F_1_TBR1
7669_R_F_1_COUPTF2
7669_R_P_1_DLX1
7669_R_P_1_TBR1
7669_R_P_1_COUPTF2
7669_R_I_1_DLX1
7669_R_I_1_TBR1
7669_R_I_1_COUPTF2
7669_R_O_1_DLX1
7669_R_O_1_TBR1
7669_R_O_1_COUPTF2
7669_R_T_1_DLX1
7669_R_T_1_TBR1
7669_R_T_1_COUPTF2
7669_R_mO_DLX1
7669_R_mO_TBR1
7669_R_mO_COUPTF2
7669_L_EC_DLX1
7669_L_EC_COUPTF2
7669_R_CCMid_DLX1
7669_R_CC_Mid_TBR1
7669_R_CCMid_COUPTF2
B
17−20005505−G−A
0
−2
−4
−3
−2
−1
0
0.8
0.6
0.4
0.2
0.0

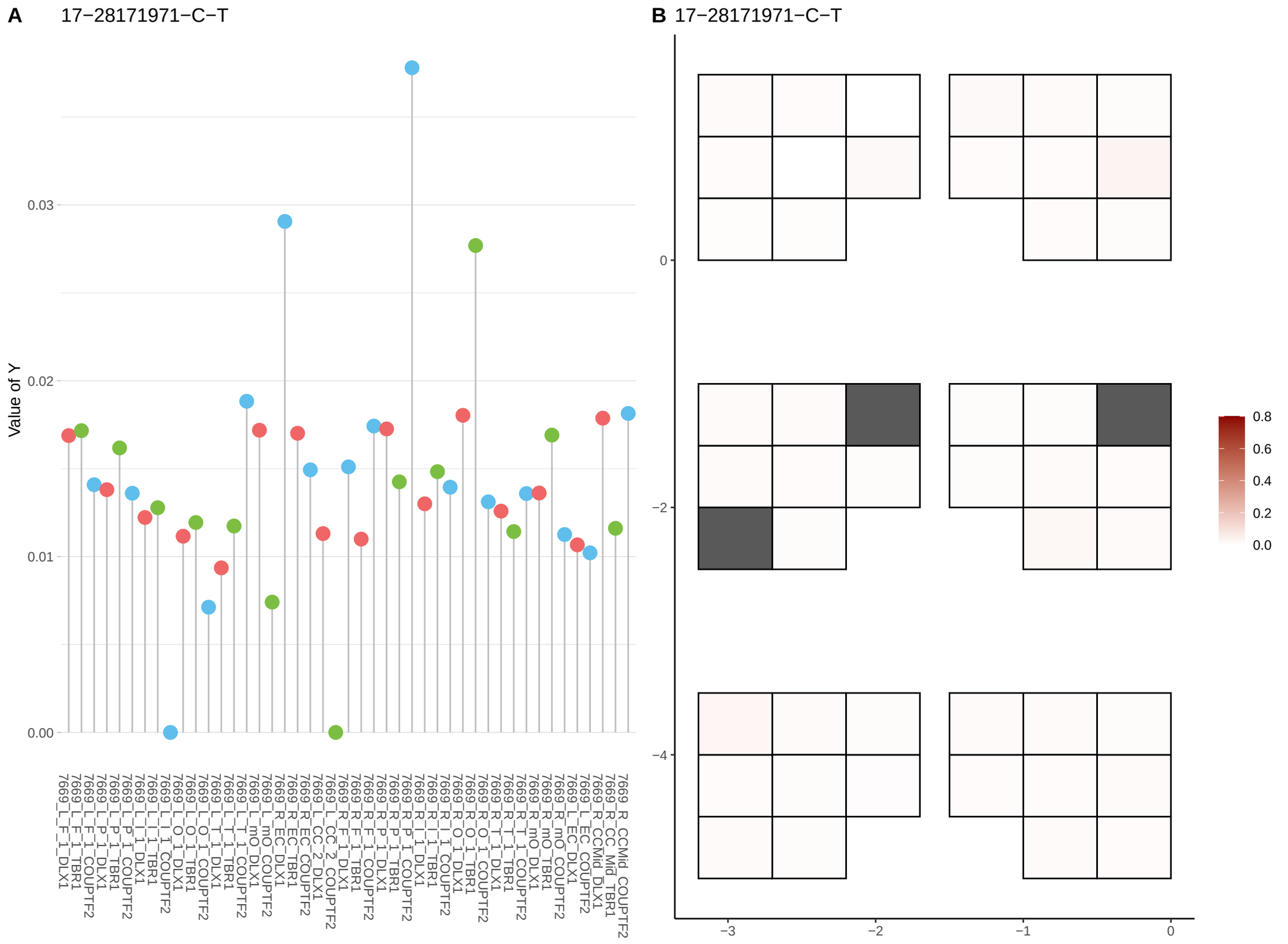
A
17−28171971−C−T
Value of Y
0.03
0.02
0.01
0.00
7669_L_F_1_DLX1
7669_L_F_1_TBR1
7669_L_F_1_COUPTF2
7669_L_P_1_DLX1
7669_L_P_1_TBR1
7669_L_P_1_COUPTF2
7669_L_I_1_DLX1
7669_L_I_1_TBR1
7669_L_I_1_COUPTF2
7669_L_O_1_DLX1
7669_L_O_1_TBR1
7669_L_O_1_COUPTF2
7669_L_T_1_DLX1
7669_L_T_1_TBR1
7669_L_T_1_COUPTF2
7669_L_mO_DLX1
7669_L_mO_COUPTF2
7669_R_EC_DLX1
7669_R_EC_TBR1
7669_R_EC_COUPTF2
7669_L_CC_2_DLX1
7669_L_CC_2_COUPTF2
7669_R_F_1_DLX1
7669_R_F_1_TBR1
7669_R_F_1_COUPTF2
7669_R_P_1_DLX1
7669_R_P_1_TBR1
7669_R_P_1_COUPTF2
7669_R_I_1_DLX1
7669_R_I_1_TBR1
7669_R_I_1_COUPTF2
7669_R_O_1_DLX1
7669_R_O_1_TBR1
7669_R_O_1_COUPTF2
7669_R_T_1_DLX1
7669_R_T_1_TBR1
7669_R_T_1_COUPTF2
7669_R_mO_DLX1
7669_R_mO_TBR1
7669_R_mO_COUPTF2
7669_L_EC_DLX1
7669_L_EC_COUPTF2
7669_R_CCMid_DLX1
7669_R_CC_Mid_TBR1
7669_R_CCMid_COUPTF2
B
17−28171971−C−T
0
−2
−4
−3
−2
−1
0
0.8
0.6
0.4
0.2
0.0

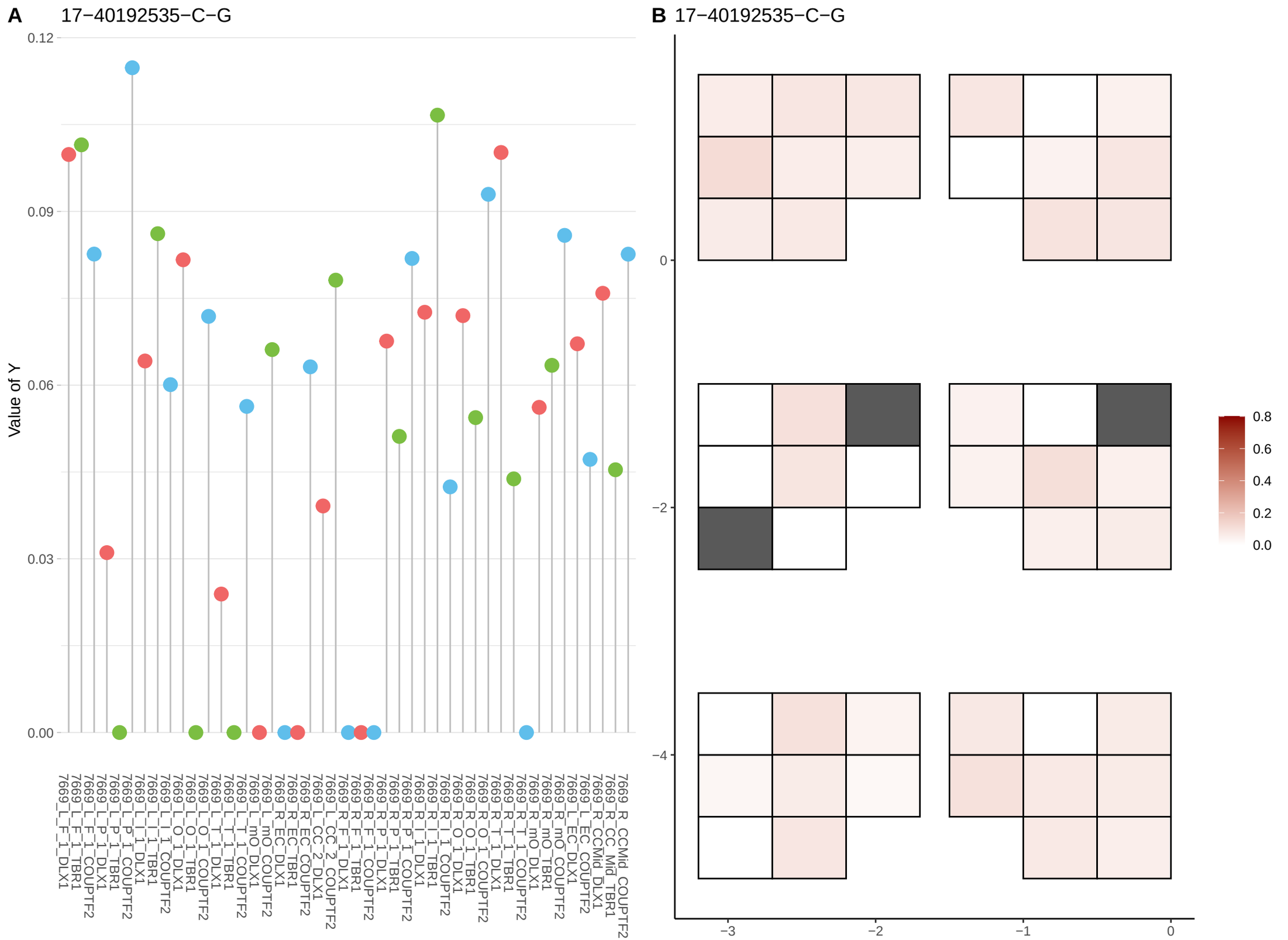
A
17−40192535−C−G
Value of Y
0.12
0.09
0.06
0.03
0.00
7669_L_F_1_DLX1
7669_L_F_1_TBR1
7669_L_F_1_COUPTF2
7669_L_P_1_DLX1
7669_L_P_1_TBR1
7669_L_P_1_COUPTF2
7669_L_I_1_DLX1
7669_L_I_1_TBR1
7669_L_I_1_COUPTF2
7669_L_O_1_DLX1
7669_L_O_1_TBR1
7669_L_O_1_COUPTF2
7669_L_T_1_DLX1
7669_L_T_1_TBR1
7669_L_T_1_COUPTF2
7669_L_mO_DLX1
7669_L_mO_COUPTF2
7669_R_EC_DLX1
7669_R_EC_TBR1
7669_R_EC_COUPTF2
7669_L_CC_2_DLX1
7669_L_CC_2_COUPTF2
7669_R_F_1_DLX1
7669_R_F_1_TBR1
7669_R_F_1_COUPTF2
7669_R_P_1_DLX1
7669_R_P_1_TBR1
7669_R_P_1_COUPTF2
7669_R_I_1_DLX1
7669_R_I_1_TBR1
7669_R_I_1_COUPTF2
7669_R_O_1_DLX1
7669_R_O_1_TBR1
7669_R_O_1_COUPTF2
7669_R_T_1_DLX1
7669_R_T_1_TBR1
7669_R_T_1_COUPTF2
7669_R_mO_DLX1
7669_R_mO_TBR1
7669_R_mO_COUPTF2
7669_L_EC_DLX1
7669_L_EC_COUPTF2
7669_R_CCMid_DLX1
7669_R_CC_Mid_TBR1
7669_R_CCMid_COUPTF2
B
17−40192535−C−G
0
−2
−4
−3
−2
−1
0
0.8
0.6
0.4
0.2
0.0

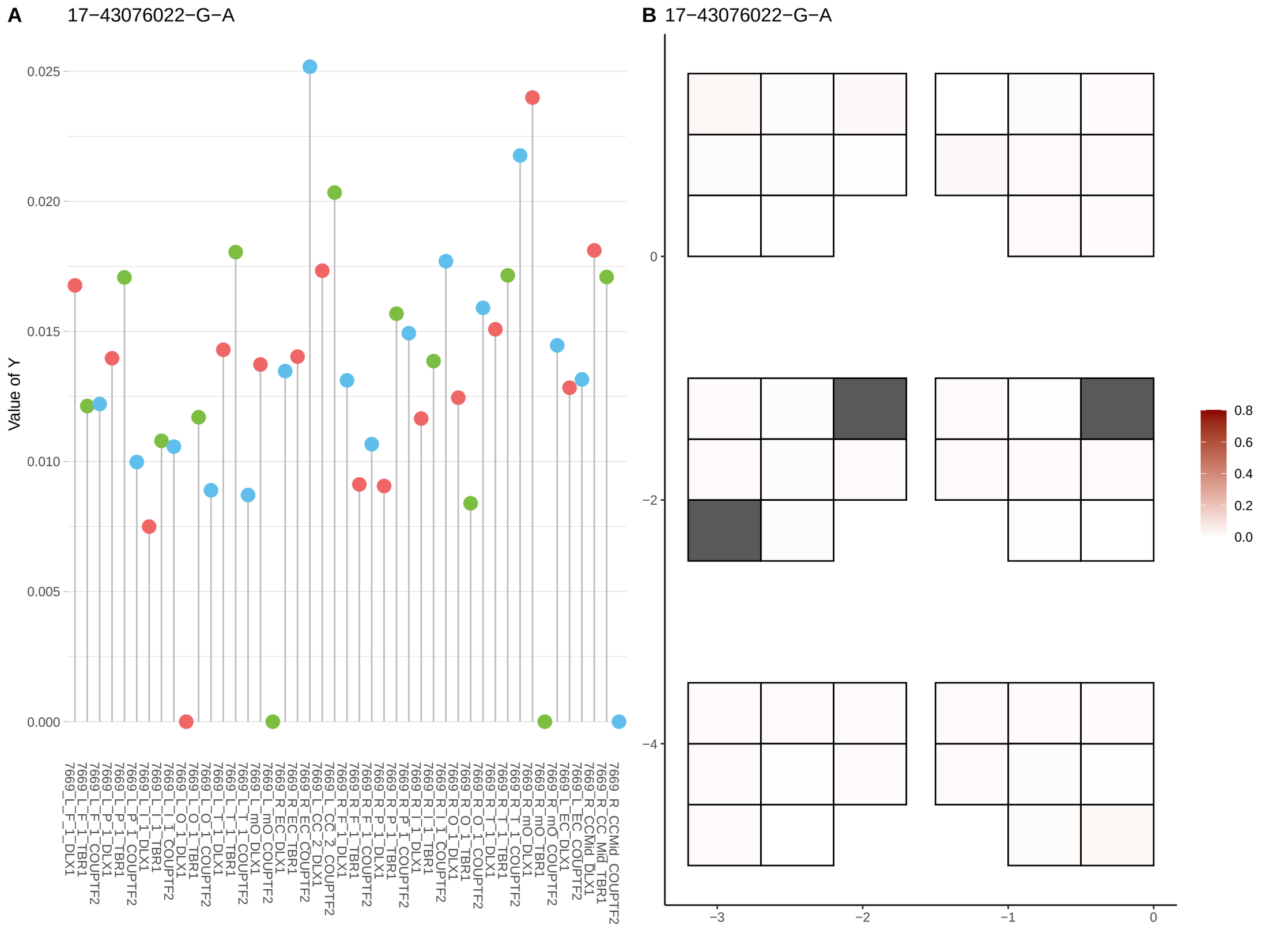
A
17−43076022−G−A
Value of Y
0.025
0.020
0.015
0.010
0.005
0.000
7669_L_F_1_DLX1
7669_L_F_1_TBR1
7669_L_F_1_COUPTF2
7669_L_P_1_DLX1
7669_L_P_1_TBR1
7669_L_P_1_COUPTF2
7669_L_I_1_DLX1
7669_L_I_1_TBR1
7669_L_I_1_COUPTF2
7669_L_O_1_DLX1
7669_L_O_1_TBR1
7669_L_O_1_COUPTF2
7669_L_T_1_DLX1
7669_L_T_1_TBR1
7669_L_T_1_COUPTF2
7669_L_mO_DLX1
7669_L_mO_COUPTF2
7669_R_EC_DLX1
7669_R_EC_TBR1
7669_R_EC_COUPTF2
7669_L_CC_2_DLX1
7669_L_CC_2_COUPTF2
7669_R_F_1_DLX1
7669_R_F_1_TBR1
7669_R_F_1_COUPTF2
7669_R_P_1_DLX1
7669_R_P_1_TBR1
7669_R_P_1_COUPTF2
7669_R_I_1_DLX1
7669_R_I_1_TBR1
7669_R_I_1_COUPTF2
7669_R_O_1_DLX1
7669_R_O_1_TBR1
7669_R_O_1_COUPTF2
7669_R_T_1_DLX1
7669_R_T_1_TBR1
7669_R_T_1_COUPTF2
7669_R_mO_DLX1
7669_R_mO_TBR1
7669_R_mO_COUPTF2
7669_L_EC_DLX1
7669_L_EC_COUPTF2
7669_R_CCMid_DLX1
7669_R_CC_Mid_TBR1
7669_R_CCMid_COUPTF2
B
17−43076022−G−A
0
−2
−4
−3
−2
−1
0
0.8
0.6
0.4
0.2
0.0

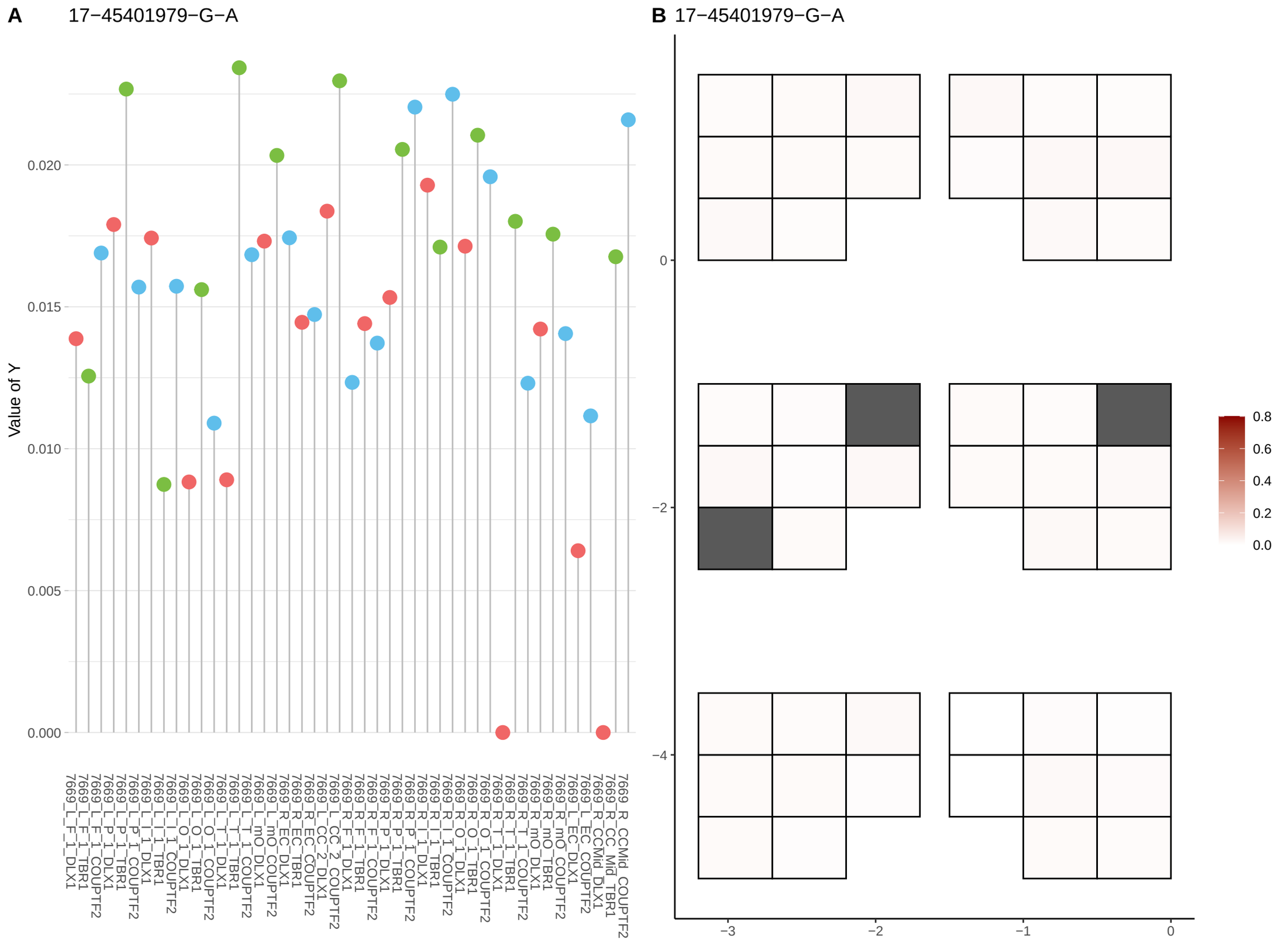
A
17−45401979−G−A
Value of Y
0.020
0.015
0.010
0.005
0.000
7669_L_F_1_DLX1
7669_L_F_1_TBR1
7669_L_F_1_COUPTF2
7669_L_P_1_DLX1
7669_L_P_1_TBR1
7669_L_P_1_COUPTF2
7669_L_I_1_DLX1
7669_L_I_1_TBR1
7669_L_I_1_COUPTF2
7669_L_O_1_DLX1
7669_L_O_1_TBR1
7669_L_O_1_COUPTF2
7669_L_T_1_DLX1
7669_L_T_1_TBR1
7669_L_T_1_COUPTF2
7669_L_mO_DLX1
7669_L_mO_COUPTF2
7669_R_EC_DLX1
7669_R_EC_TBR1
7669_R_EC_COUPTF2
7669_L_CC_2_DLX1
7669_L_CC_2_COUPTF2
7669_R_F_1_DLX1
7669_R_F_1_TBR1
7669_R_F_1_COUPTF2
7669_R_P_1_DLX1
7669_R_P_1_TBR1
7669_R_P_1_COUPTF2
7669_R_I_1_DLX1
7669_R_I_1_TBR1
7669_R_I_1_COUPTF2
7669_R_O_1_DLX1
7669_R_O_1_TBR1
7669_R_O_1_COUPTF2
7669_R_T_1_DLX1
7669_R_T_1_TBR1
7669_R_T_1_COUPTF2
7669_R_mO_DLX1
7669_R_mO_TBR1
7669_R_mO_COUPTF2
7669_L_EC_DLX1
7669_L_EC_COUPTF2
7669_R_CCMid_DLX1
7669_R_CC_Mid_TBR1
7669_R_CCMid_COUPTF2
B
17−45401979−G−A
0
−2
−4
−3
−2
−1
0
0.8
0.6
0.4
0.2
0.0

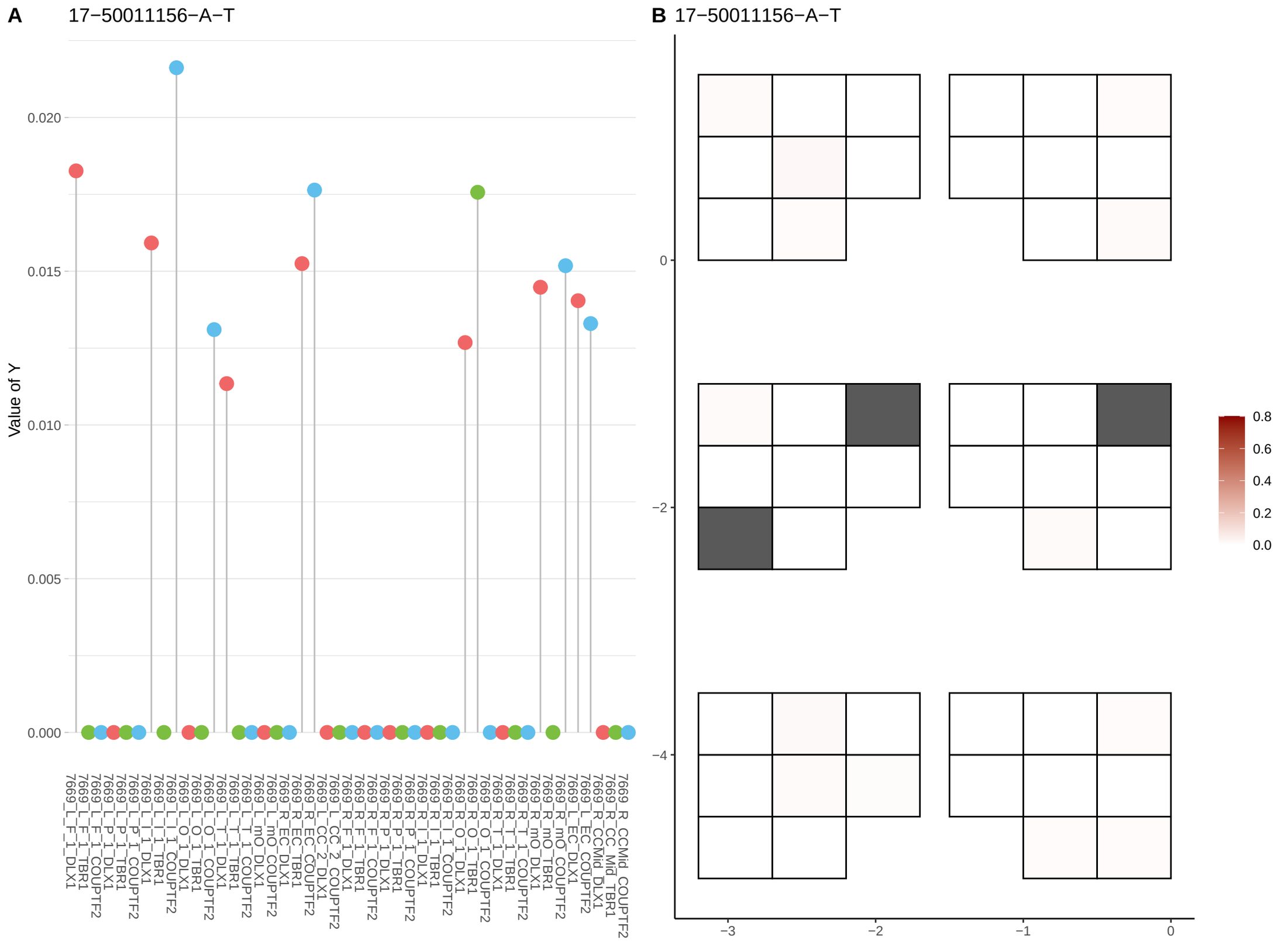
A
17−50011156−A−T
Value of Y
0.020
0.015
0.010
0.005
0.000
7669_L_F_1_DLX1
7669_L_F_1_TBR1
7669_L_F_1_COUPTF2
7669_L_P_1_DLX1
7669_L_P_1_TBR1
7669_L_P_1_COUPTF2
7669_L_I_1_DLX1
7669_L_I_1_TBR1
7669_L_I_1_COUPTF2
7669_L_O_1_DLX1
7669_L_O_1_TBR1
7669_L_O_1_COUPTF2
7669_L_T_1_DLX1
7669_L_T_1_TBR1
7669_L_T_1_COUPTF2
7669_L_mO_DLX1
7669_L_mO_COUPTF2
7669_R_EC_DLX1
7669_R_EC_TBR1
7669_R_EC_COUPTF2
7669_L_CC_2_DLX1
7669_L_CC_2_COUPTF2
7669_R_F_1_DLX1
7669_R_F_1_TBR1
7669_R_F_1_COUPTF2
7669_R_P_1_DLX1
7669_R_P_1_TBR1
7669_R_P_1_COUPTF2
7669_R_I_1_DLX1
7669_R_I_1_TBR1
7669_R_I_1_COUPTF2
7669_R_O_1_DLX1
7669_R_O_1_TBR1
7669_R_O_1_COUPTF2
7669_R_T_1_DLX1
7669_R_T_1_TBR1
7669_R_T_1_COUPTF2
7669_R_mO_DLX1
7669_R_mO_TBR1
7669_R_mO_COUPTF2
7669_L_EC_DLX1
7669_L_EC_COUPTF2
7669_R_CCMid_DLX1
7669_R_CC_Mid_TBR1
7669_R_CCMid_COUPTF2
B
17−50011156−A−T
0
−2
−4
−3
−2
−1
0
0.8
0.6
0.4
0.2
0.0

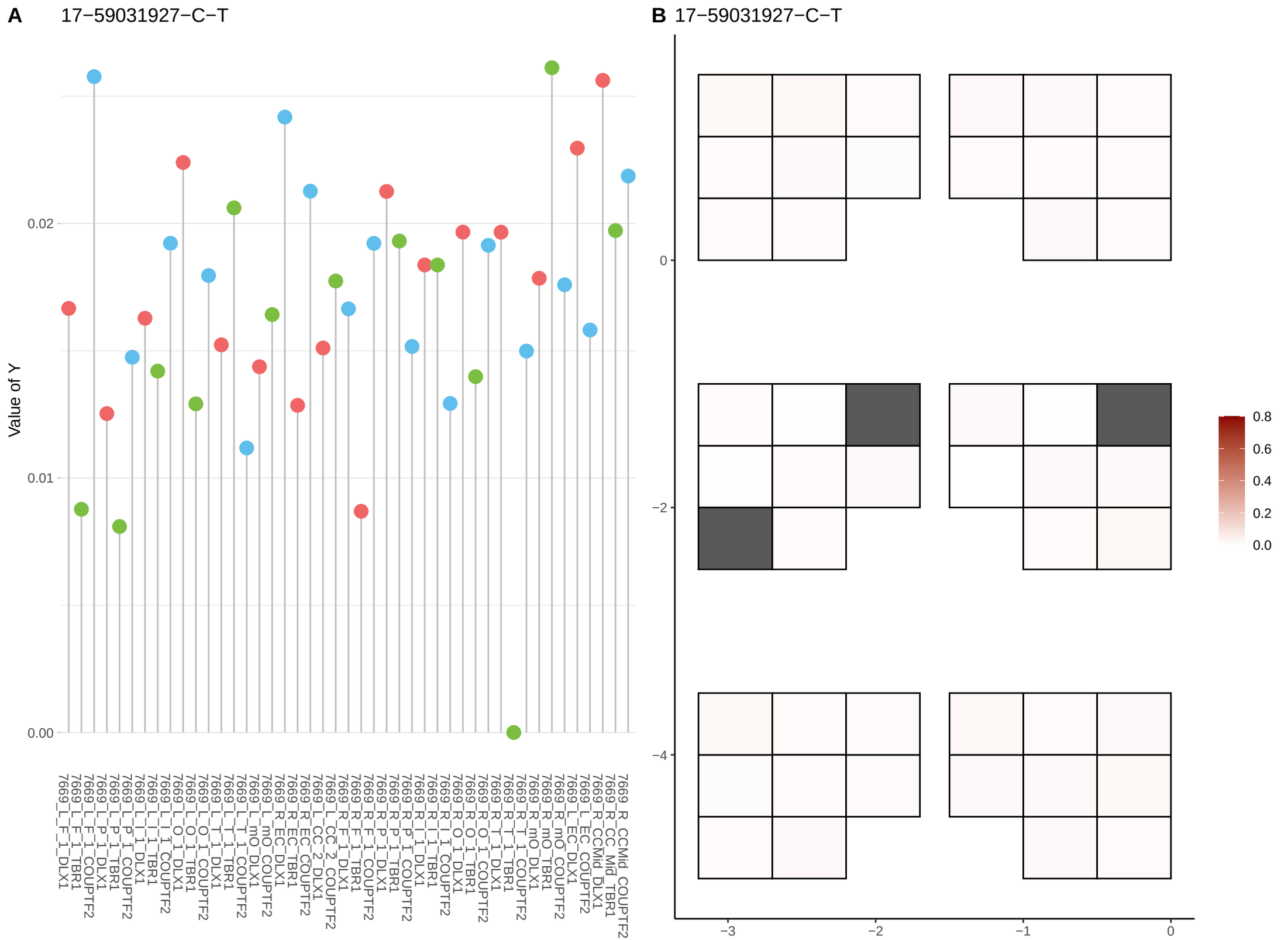
A
17−59031927−C−T
Value of Y
0.02
0.01
0.00
7669_L_F_1_DLX1
7669_L_F_1_TBR1
7669_L_F_1_COUPTF2
7669_L_P_1_DLX1
7669_L_P_1_TBR1
7669_L_P_1_COUPTF2
7669_L_I_1_DLX1
7669_L_I_1_TBR1
7669_L_I_1_COUPTF2
7669_L_O_1_DLX1
7669_L_O_1_TBR1
7669_L_O_1_COUPTF2
7669_L_T_1_DLX1
7669_L_T_1_TBR1
7669_L_T_1_COUPTF2
7669_L_mO_DLX1
7669_L_mO_COUPTF2
7669_R_EC_DLX1
7669_R_EC_TBR1
7669_R_EC_COUPTF2
7669_L_CC_2_DLX1
7669_L_CC_2_COUPTF2
7669_R_F_1_DLX1
7669_R_F_1_TBR1
7669_R_F_1_COUPTF2
7669_R_P_1_DLX1
7669_R_P_1_TBR1
7669_R_P_1_COUPTF2
7669_R_I_1_DLX1
7669_R_I_1_TBR1
7669_R_I_1_COUPTF2
7669_R_O_1_DLX1
7669_R_O_1_TBR1
7669_R_O_1_COUPTF2
7669_R_T_1_DLX1
7669_R_T_1_TBR1
7669_R_T_1_COUPTF2
7669_R_mO_DLX1
7669_R_mO_TBR1
7669_R_mO_COUPTF2
7669_L_EC_DLX1
7669_L_EC_COUPTF2
7669_R_CCMid_DLX1
7669_R_CC_Mid_TBR1
7669_R_CCMid_COUPTF2
B
17−59031927−C−T
0
−2
−4
−3
−2
−1
0
0.8
0.6
0.4
0.2
0.0

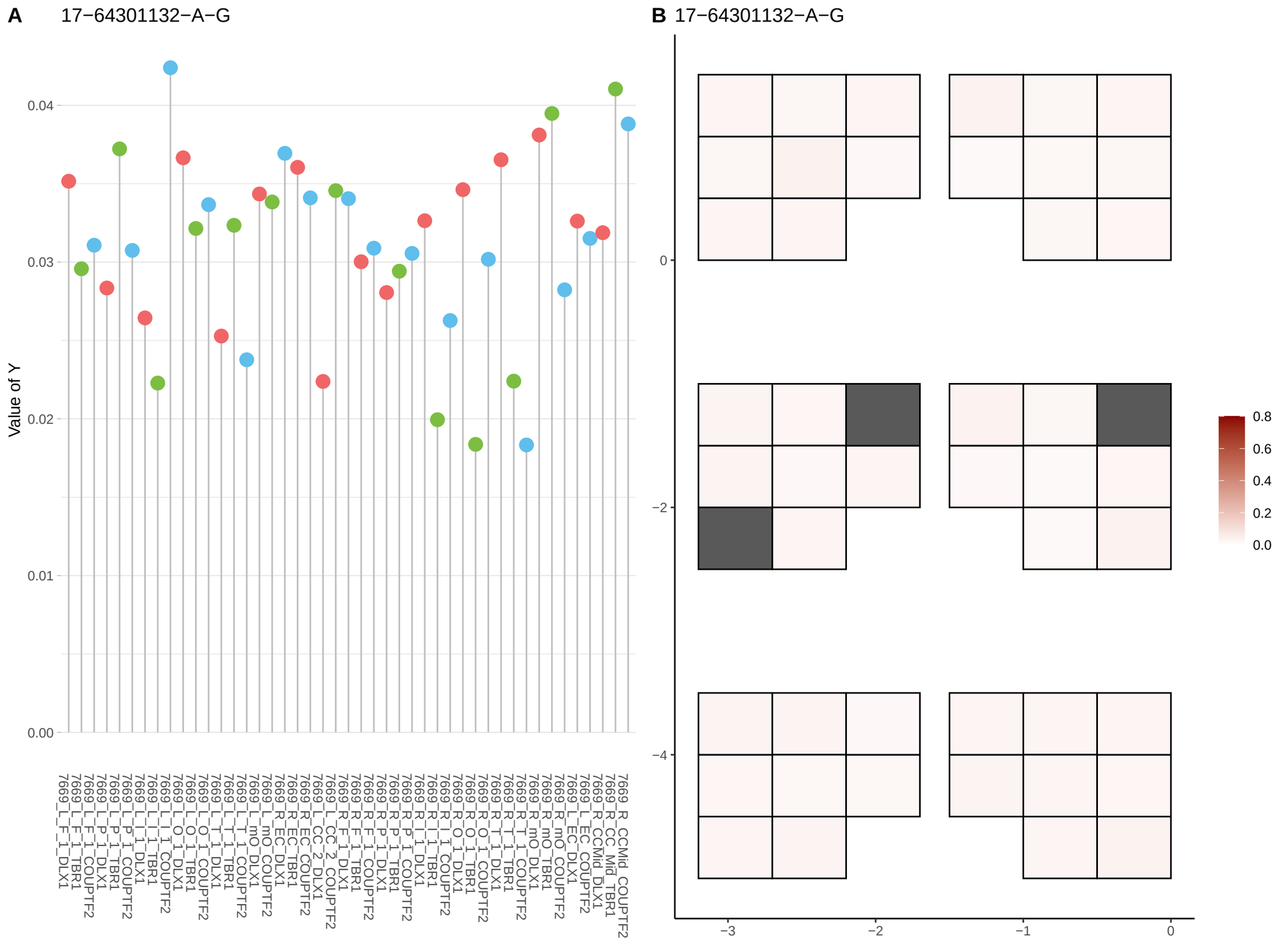
A
17−64301132−A−G
Value of Y
0.04
0.03
0.02
0.01
0.00
7669_L_F_1_DLX1
7669_L_F_1_TBR1
7669_L_F_1_COUPTF2
7669_L_P_1_DLX1
7669_L_P_1_TBR1
7669_L_P_1_COUPTF2
7669_L_I_1_DLX1
7669_L_I_1_TBR1
7669_L_I_1_COUPTF2
7669_L_O_1_DLX1
7669_L_O_1_TBR1
7669_L_O_1_COUPTF2
7669_L_T_1_DLX1
7669_L_T_1_TBR1
7669_L_T_1_COUPTF2
7669_L_mO_DLX1
7669_L_mO_COUPTF2
7669_R_EC_DLX1
7669_R_EC_TBR1
7669_R_EC_COUPTF2
7669_L_CC_2_DLX1
7669_L_CC_2_COUPTF2
7669_R_F_1_DLX1
7669_R_F_1_TBR1
7669_R_F_1_COUPTF2
7669_R_P_1_DLX1
7669_R_P_1_TBR1
7669_R_P_1_COUPTF2
7669_R_I_1_DLX1
7669_R_I_1_TBR1
7669_R_I_1_COUPTF2
7669_R_O_1_DLX1
7669_R_O_1_TBR1
7669_R_O_1_COUPTF2
7669_R_T_1_DLX1
7669_R_T_1_TBR1
7669_R_T_1_COUPTF2
7669_R_mO_DLX1
7669_R_mO_TBR1
7669_R_mO_COUPTF2
7669_L_EC_DLX1
7669_L_EC_COUPTF2
7669_R_CCMid_DLX1
7669_R_CC_Mid_TBR1
7669_R_CCMid_COUPTF2
B
17−64301132−A−G
0
−2
−4
−3
−2
−1
0
0.8
0.6
0.4
0.2
0.0

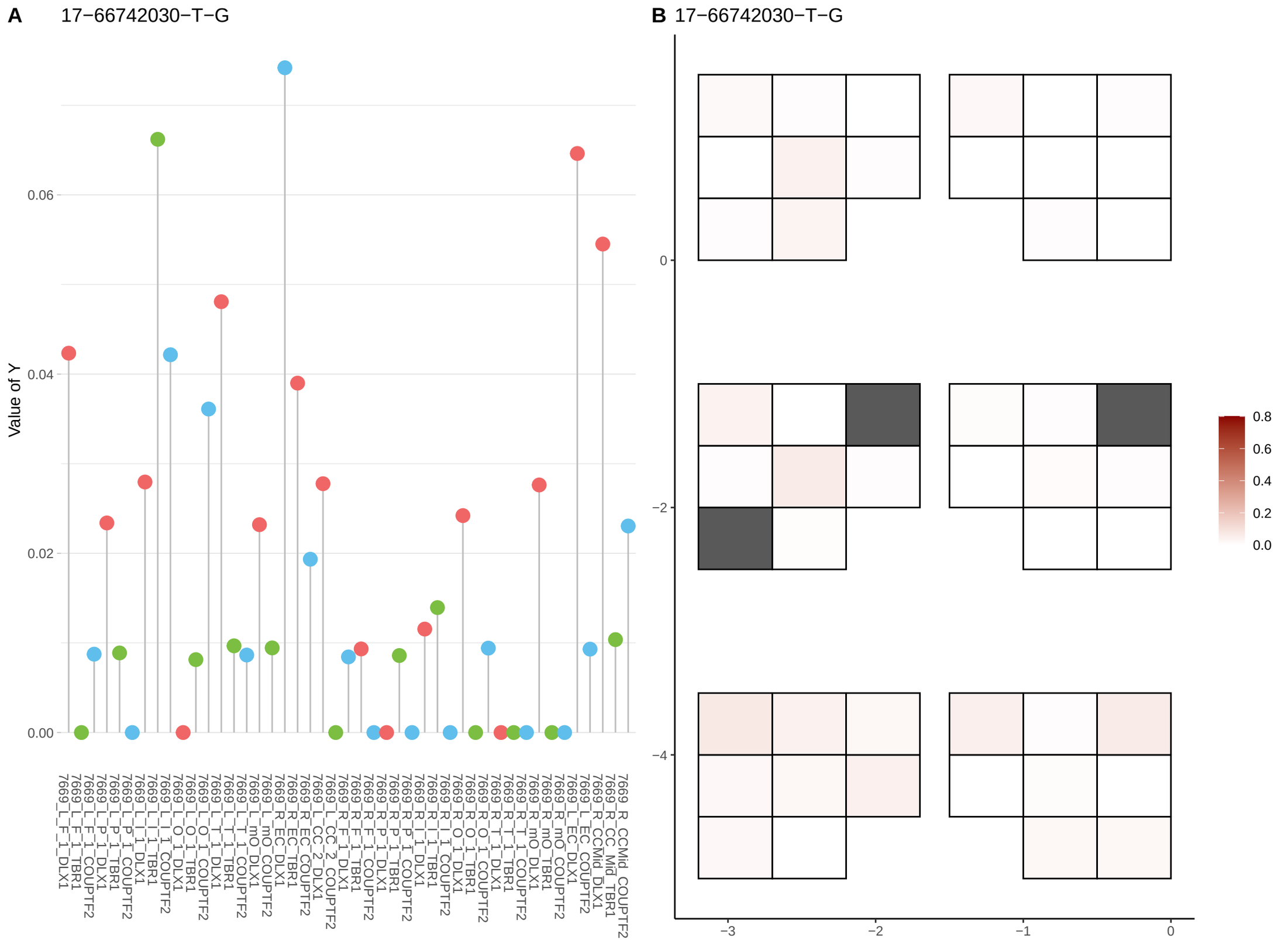
A
17−66742030−T−G
Value of Y
0.06
0.04
0.02
0.00
7669_L_F_1_DLX1
7669_L_F_1_TBR1
7669_L_F_1_COUPTF2
7669_L_P_1_DLX1
7669_L_P_1_TBR1
7669_L_P_1_COUPTF2
7669_L_I_1_DLX1
7669_L_I_1_TBR1
7669_L_I_1_COUPTF2
7669_L_O_1_DLX1
7669_L_O_1_TBR1
7669_L_O_1_COUPTF2
7669_L_T_1_DLX1
7669_L_T_1_TBR1
7669_L_T_1_COUPTF2
7669_L_mO_DLX1
7669_L_mO_COUPTF2
7669_R_EC_DLX1
7669_R_EC_TBR1
7669_R_EC_COUPTF2
7669_L_CC_2_DLX1
7669_L_CC_2_COUPTF2
7669_R_F_1_DLX1
7669_R_F_1_TBR1
7669_R_F_1_COUPTF2
7669_R_P_1_DLX1
7669_R_P_1_TBR1
7669_R_P_1_COUPTF2
7669_R_I_1_DLX1
7669_R_I_1_TBR1
7669_R_I_1_COUPTF2
7669_R_O_1_DLX1
7669_R_O_1_TBR1
7669_R_O_1_COUPTF2
7669_R_T_1_DLX1
7669_R_T_1_TBR1
7669_R_T_1_COUPTF2
7669_R_mO_DLX1
7669_R_mO_TBR1
7669_R_mO_COUPTF2
7669_L_EC_DLX1
7669_L_EC_COUPTF2
7669_R_CCMid_DLX1
7669_R_CC_Mid_TBR1
7669_R_CCMid_COUPTF2
B
17−66742030−T−G
0
−2
−4
−3
−2
−1
0
0.8
0.6
0.4
0.2
0.0

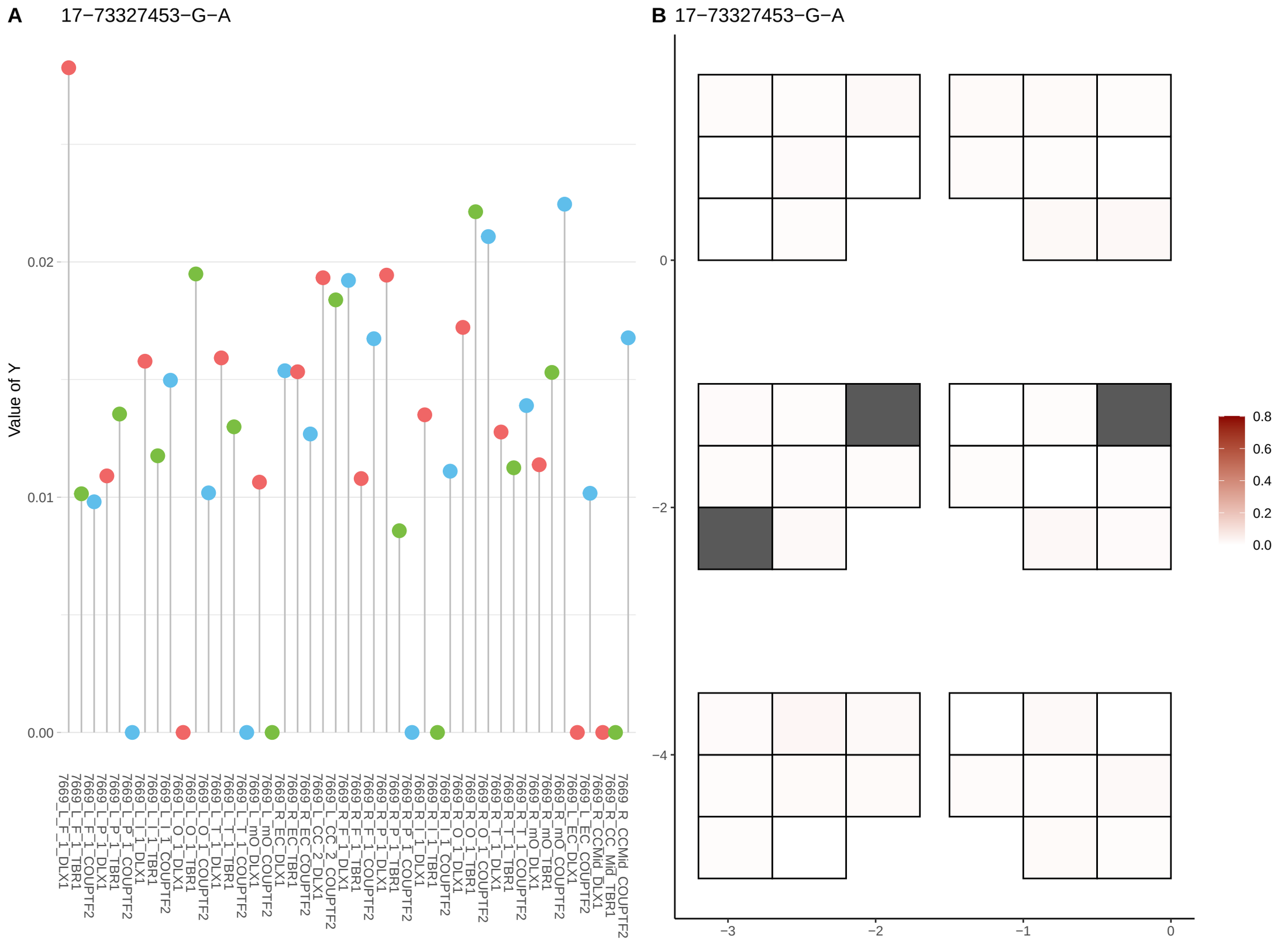
A
17−73327453−G−A
Value of Y
0.02
0.01
0.00
7669_L_F_1_DLX1
7669_L_F_1_TBR1
7669_L_F_1_COUPTF2
7669_L_P_1_DLX1
7669_L_P_1_TBR1
7669_L_P_1_COUPTF2
7669_L_I_1_DLX1
7669_L_I_1_TBR1
7669_L_I_1_COUPTF2
7669_L_O_1_DLX1
7669_L_O_1_TBR1
7669_L_O_1_COUPTF2
7669_L_T_1_DLX1
7669_L_T_1_TBR1
7669_L_T_1_COUPTF2
7669_L_mO_DLX1
7669_L_mO_COUPTF2
7669_R_EC_DLX1
7669_R_EC_TBR1
7669_R_EC_COUPTF2
7669_L_CC_2_DLX1
7669_L_CC_2_COUPTF2
7669_R_F_1_DLX1
7669_R_F_1_TBR1
7669_R_F_1_COUPTF2
7669_R_P_1_DLX1
7669_R_P_1_TBR1
7669_R_P_1_COUPTF2
7669_R_I_1_DLX1
7669_R_I_1_TBR1
7669_R_I_1_COUPTF2
7669_R_O_1_DLX1
7669_R_O_1_TBR1
7669_R_O_1_COUPTF2
7669_R_T_1_DLX1
7669_R_T_1_TBR1
7669_R_T_1_COUPTF2
7669_R_mO_DLX1
7669_R_mO_TBR1
7669_R_mO_COUPTF2
7669_L_EC_DLX1
7669_L_EC_COUPTF2
7669_R_CCMid_DLX1
7669_R_CC_Mid_TBR1
7669_R_CCMid_COUPTF2
B
17−73327453−G−A
0
−2
−4
−3
−2
−1
0
0.8
0.6
0.4
0.2
0.0

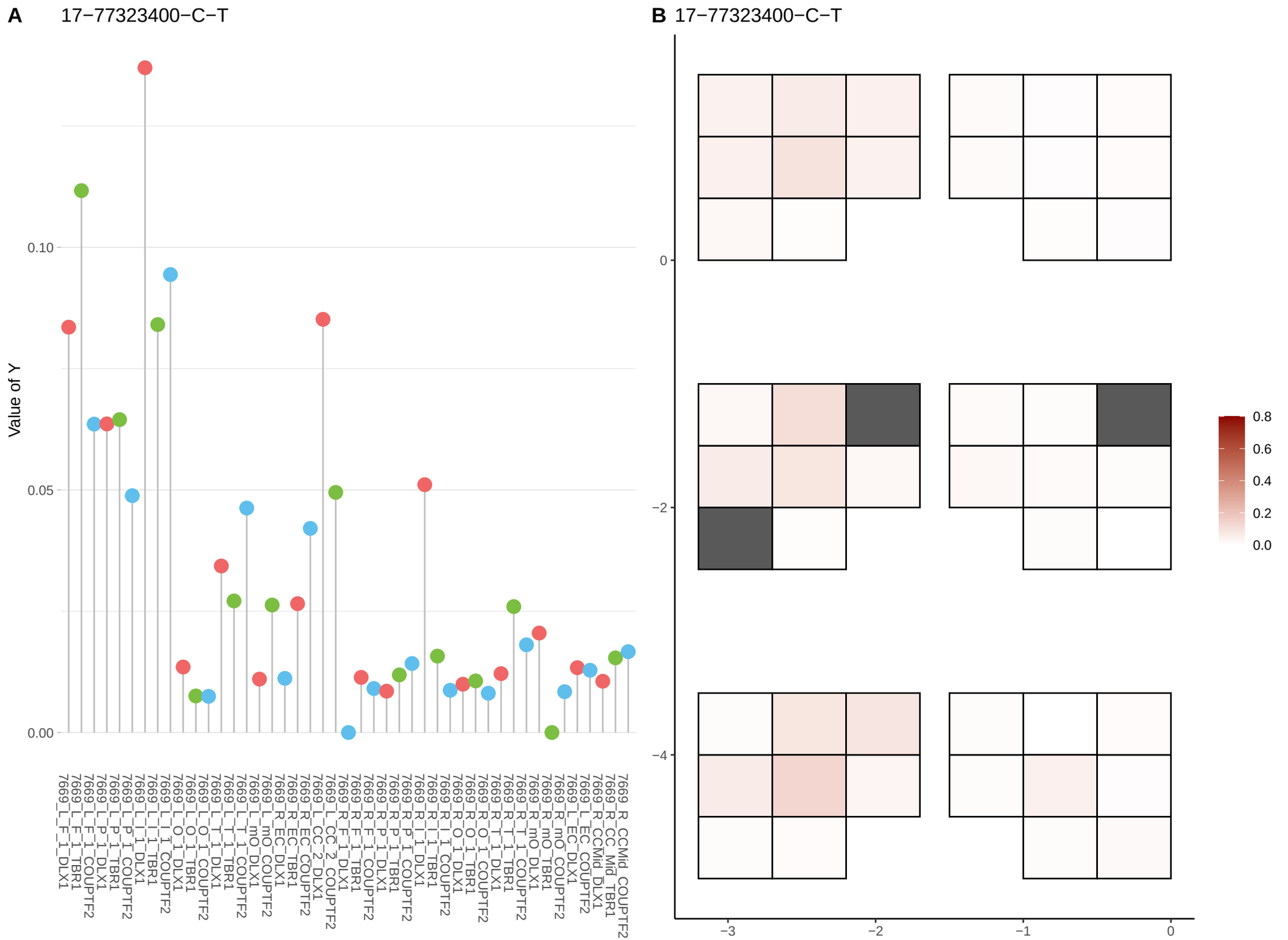
A
17−77323400−C−T
Value of Y
0.10
0.05
0.00
7669_L_F_1_DLX1
7669_L_F_1_TBR1
7669_L_F_1_COUPTF2
7669_L_P_1_DLX1
7669_L_P_1_TBR1
7669_L_P_1_COUPTF2
7669_L_I_1_DLX1
7669_L_I_1_TBR1
7669_L_I_1_COUPTF2
7669_L_O_1_DLX1
7669_L_O_1_TBR1
7669_L_O_1_COUPTF2
7669_L_T_1_DLX1
7669_L_T_1_TBR1
7669_L_T_1_COUPTF2
7669_L_mO_DLX1
7669_L_mO_COUPTF2
7669_R_EC_DLX1
7669_R_EC_TBR1
7669_R_EC_COUPTF2
7669_L_CC_2_DLX1
7669_L_CC_2_COUPTF2
7669_R_F_1_DLX1
7669_R_F_1_TBR1
7669_R_F_1_COUPTF2
7669_R_P_1_DLX1
7669_R_P_1_TBR1
7669_R_P_1_COUPTF2
7669_R_I_1_DLX1
7669_R_I_1_TBR1
7669_R_I_1_COUPTF2
7669_R_O_1_DLX1
7669_R_O_1_TBR1
7669_R_O_1_COUPTF2
7669_R_T_1_DLX1
7669_R_T_1_TBR1
7669_R_T_1_COUPTF2
7669_R_mO_DLX1
7669_R_mO_TBR1
7669_R_mO_COUPTF2
7669_L_EC_DLX1
7669_L_EC_COUPTF2
7669_R_CCMid_DLX1
7669_R_CC_Mid_TBR1
7669_R_CCMid_COUPTF2
B
17−77323400−C−T
0
−2
−4
−3
−2
−1
0
0.8
0.6
0.4
0.2
0.0

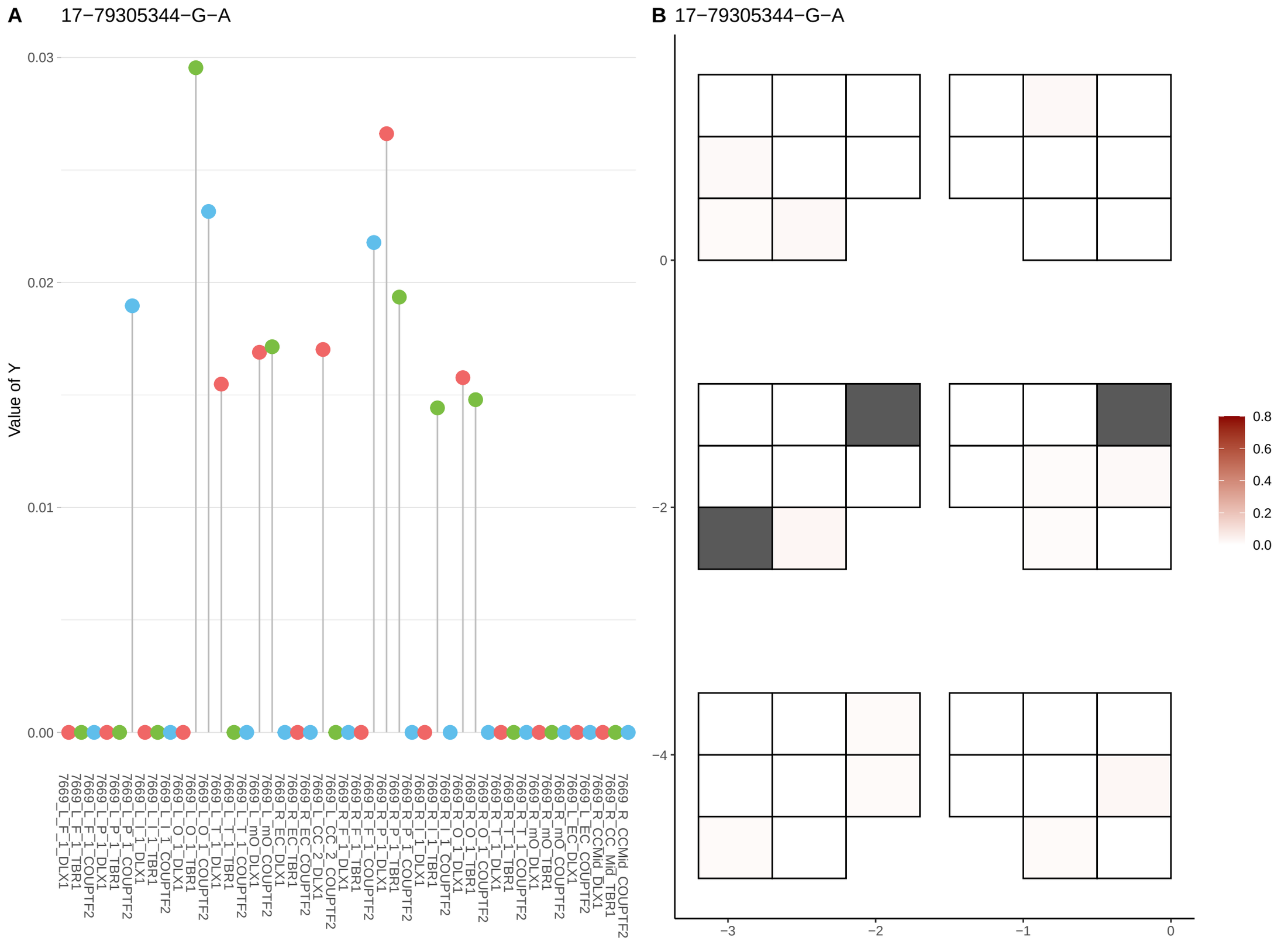
A
17−79305344−G−A
Value of Y
0.03
0.02
0.01
0.00
7669_L_F_1_DLX1
7669_L_F_1_TBR1
7669_L_F_1_COUPTF2
7669_L_P_1_DLX1
7669_L_P_1_TBR1
7669_L_P_1_COUPTF2
7669_L_I_1_DLX1
7669_L_I_1_TBR1
7669_L_I_1_COUPTF2
7669_L_O_1_DLX1
7669_L_O_1_TBR1
7669_L_O_1_COUPTF2
7669_L_T_1_DLX1
7669_L_T_1_TBR1
7669_L_T_1_COUPTF2
7669_L_mO_DLX1
7669_L_mO_COUPTF2
7669_R_EC_DLX1
7669_R_EC_TBR1
7669_R_EC_COUPTF2
7669_L_CC_2_DLX1
7669_L_CC_2_COUPTF2
7669_R_F_1_DLX1
7669_R_F_1_TBR1
7669_R_F_1_COUPTF2
7669_R_P_1_DLX1
7669_R_P_1_TBR1
7669_R_P_1_COUPTF2
7669_R_I_1_DLX1
7669_R_I_1_TBR1
7669_R_I_1_COUPTF2
7669_R_O_1_DLX1
7669_R_O_1_TBR1
7669_R_O_1_COUPTF2
7669_R_T_1_DLX1
7669_R_T_1_TBR1
7669_R_T_1_COUPTF2
7669_R_mO_DLX1
7669_R_mO_TBR1
7669_R_mO_COUPTF2
7669_L_EC_DLX1
7669_L_EC_COUPTF2
7669_R_CCMid_DLX1
7669_R_CC_Mid_TBR1
7669_R_CCMid_COUPTF2
B
17−79305344−G−A
0
−2
−4
−3
−2
−1
0
0.8
0.6
0.4
0.2
0.0

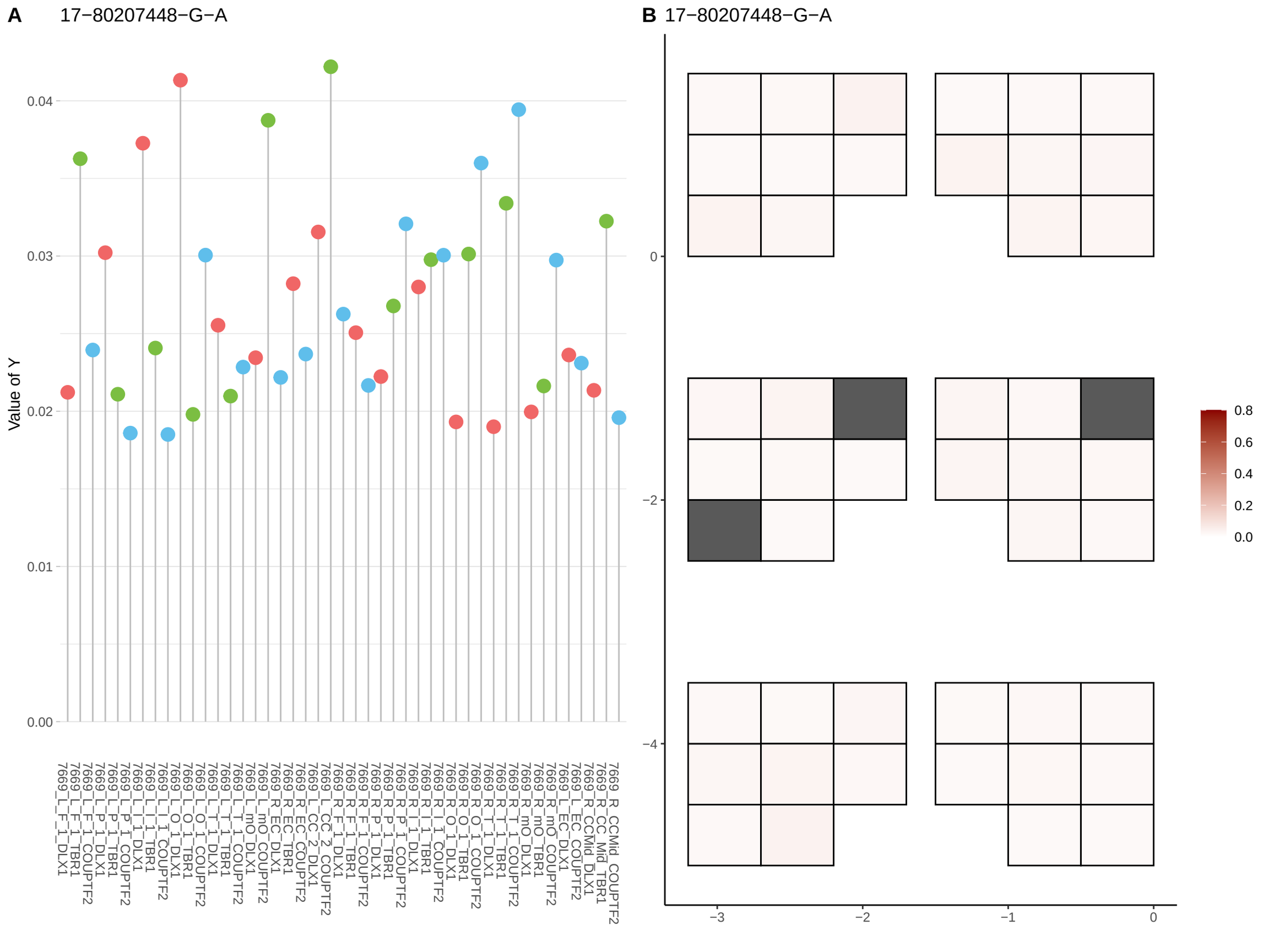
A
17−80207448−G−A
Value of Y
0.04
0.03
0.02
0.01
0.00
7669_L_F_1_DLX1
7669_L_F_1_TBR1
7669_L_F_1_COUPTF2
7669_L_P_1_DLX1
7669_L_P_1_TBR1
7669_L_P_1_COUPTF2
7669_L_I_1_DLX1
7669_L_I_1_TBR1
7669_L_I_1_COUPTF2
7669_L_O_1_DLX1
7669_L_O_1_TBR1
7669_L_O_1_COUPTF2
7669_L_T_1_DLX1
7669_L_T_1_TBR1
7669_L_T_1_COUPTF2
7669_L_mO_DLX1
7669_L_mO_COUPTF2
7669_R_EC_DLX1
7669_R_EC_TBR1
7669_R_EC_COUPTF2
7669_L_CC_2_DLX1
7669_L_CC_2_COUPTF2
7669_R_F_1_DLX1
7669_R_F_1_TBR1
7669_R_F_1_COUPTF2
7669_R_P_1_DLX1
7669_R_P_1_TBR1
7669_R_P_1_COUPTF2
7669_R_I_1_DLX1
7669_R_I_1_TBR1
7669_R_I_1_COUPTF2
7669_R_O_1_DLX1
7669_R_O_1_TBR1
7669_R_O_1_COUPTF2
7669_R_T_1_DLX1
7669_R_T_1_TBR1
7669_R_T_1_COUPTF2
7669_R_mO_DLX1
7669_R_mO_TBR1
7669_R_mO_COUPTF2
7669_L_EC_DLX1
7669_L_EC_COUPTF2
7669_R_CCMid_DLX1
7669_R_CC_Mid_TBR1
7669_R_CCMid_COUPTF2
B
17−80207448−G−A
0
−2
−4
−3
−2
−1
0
0.8
0.6
0.4
0.2
0.0

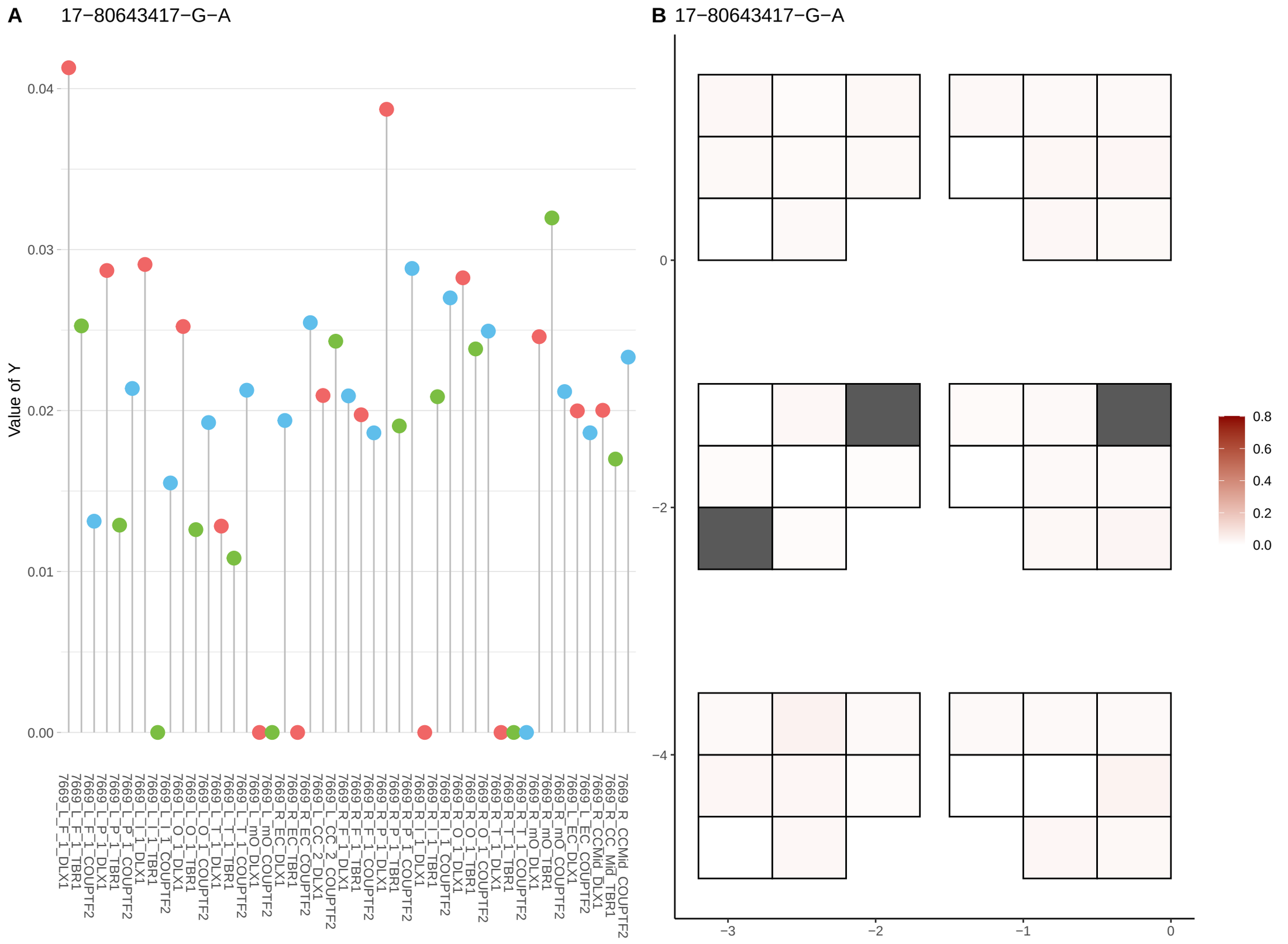
A
17−80643417−G−A
Value of Y
0.04
0.03
0.02
0.01
0.00
7669_L_F_1_DLX1
7669_L_F_1_TBR1
7669_L_F_1_COUPTF2
7669_L_P_1_DLX1
7669_L_P_1_TBR1
7669_L_P_1_COUPTF2
7669_L_I_1_DLX1
7669_L_I_1_TBR1
7669_L_I_1_COUPTF2
7669_L_O_1_DLX1
7669_L_O_1_TBR1
7669_L_O_1_COUPTF2
7669_L_T_1_DLX1
7669_L_T_1_TBR1
7669_L_T_1_COUPTF2
7669_L_mO_DLX1
7669_L_mO_COUPTF2
7669_R_EC_DLX1
7669_R_EC_TBR1
7669_R_EC_COUPTF2
7669_L_CC_2_DLX1
7669_L_CC_2_COUPTF2
7669_R_F_1_DLX1
7669_R_F_1_TBR1
7669_R_F_1_COUPTF2
7669_R_P_1_DLX1
7669_R_P_1_TBR1
7669_R_P_1_COUPTF2
7669_R_I_1_DLX1
7669_R_I_1_TBR1
7669_R_I_1_COUPTF2
7669_R_O_1_DLX1
7669_R_O_1_TBR1
7669_R_O_1_COUPTF2
7669_R_T_1_DLX1
7669_R_T_1_TBR1
7669_R_T_1_COUPTF2
7669_R_mO_DLX1
7669_R_mO_TBR1
7669_R_mO_COUPTF2
7669_L_EC_DLX1
7669_L_EC_COUPTF2
7669_R_CCMid_DLX1
7669_R_CC_Mid_TBR1
7669_R_CCMid_COUPTF2
B
17−80643417−G−A
0
−2
−4
−3
−2
−1
0
0.8
0.6
0.4
0.2
0.0

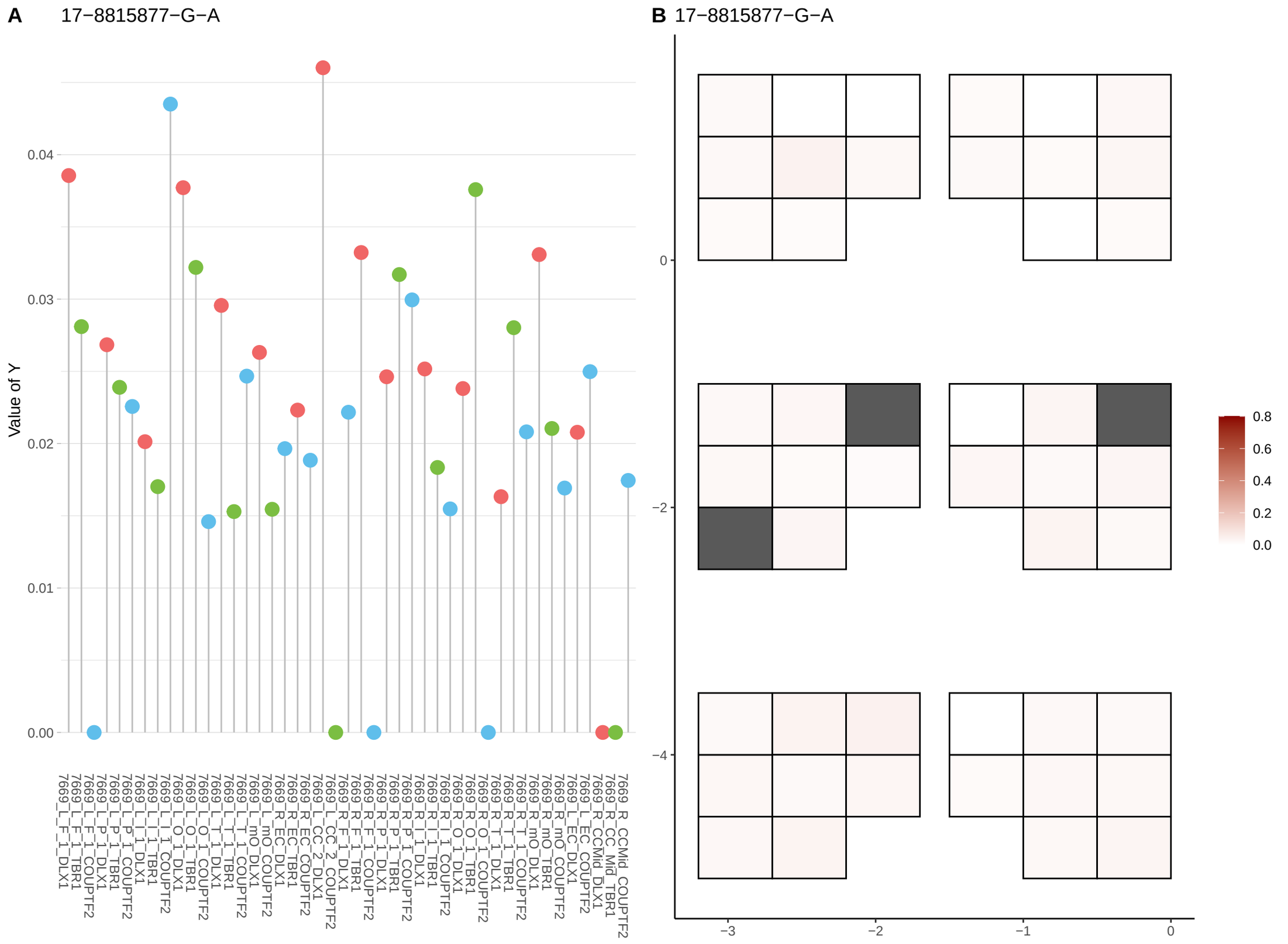
A
17−8815877−G−A
Value of Y
0.04
0.03
0.02
0.01
0.00
7669_L_F_1_DLX1
7669_L_F_1_TBR1
7669_L_F_1_COUPTF2
7669_L_P_1_DLX1
7669_L_P_1_TBR1
7669_L_P_1_COUPTF2
7669_L_I_1_DLX1
7669_L_I_1_TBR1
7669_L_I_1_COUPTF2
7669_L_O_1_DLX1
7669_L_O_1_TBR1
7669_L_O_1_COUPTF2
7669_L_T_1_DLX1
7669_L_T_1_TBR1
7669_L_T_1_COUPTF2
7669_L_mO_DLX1
7669_L_mO_COUPTF2
7669_R_EC_DLX1
7669_R_EC_TBR1
7669_R_EC_COUPTF2
7669_L_CC_2_DLX1
7669_L_CC_2_COUPTF2
7669_R_F_1_DLX1
7669_R_F_1_TBR1
7669_R_F_1_COUPTF2
7669_R_P_1_DLX1
7669_R_P_1_TBR1
7669_R_P_1_COUPTF2
7669_R_I_1_DLX1
7669_R_I_1_TBR1
7669_R_I_1_COUPTF2
7669_R_O_1_DLX1
7669_R_O_1_TBR1
7669_R_O_1_COUPTF2
7669_R_T_1_DLX1
7669_R_T_1_TBR1
7669_R_T_1_COUPTF2
7669_R_mO_DLX1
7669_R_mO_TBR1
7669_R_mO_COUPTF2
7669_L_EC_DLX1
7669_L_EC_COUPTF2
7669_R_CCMid_DLX1
7669_R_CC_Mid_TBR1
7669_R_CCMid_COUPTF2
B
17−8815877−G−A
0
−2
−4
−3
−2
−1
0
0.8
0.6
0.4
0.2
0.0

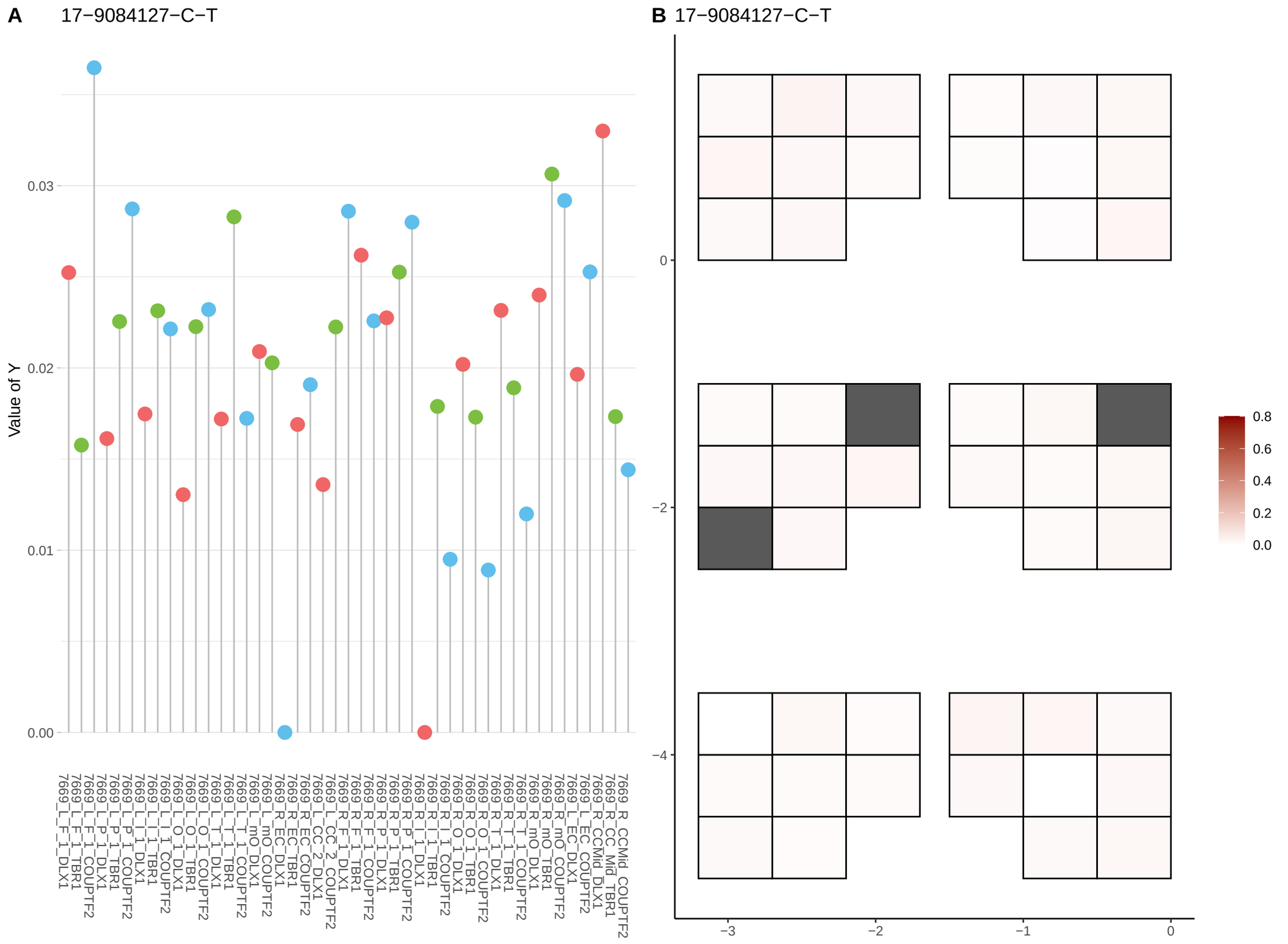
A
17−9084127−C−T
Value of Y
0.03
0.02
0.01
0.00
7669_L_F_1_DLX1
7669_L_F_1_TBR1
7669_L_F_1_COUPTF2
7669_L_P_1_DLX1
7669_L_P_1_TBR1
7669_L_P_1_COUPTF2
7669_L_I_1_DLX1
7669_L_I_1_TBR1
7669_L_I_1_COUPTF2
7669_L_O_1_DLX1
7669_L_O_1_TBR1
7669_L_O_1_COUPTF2
7669_L_T_1_DLX1
7669_L_T_1_TBR1
7669_L_T_1_COUPTF2
7669_L_mO_DLX1
7669_L_mO_COUPTF2
7669_R_EC_DLX1
7669_R_EC_TBR1
7669_R_EC_COUPTF2
7669_L_CC_2_DLX1
7669_L_CC_2_COUPTF2
7669_R_F_1_DLX1
7669_R_F_1_TBR1
7669_R_F_1_COUPTF2
7669_R_P_1_DLX1
7669_R_P_1_TBR1
7669_R_P_1_COUPTF2
7669_R_I_1_DLX1
7669_R_I_1_TBR1
7669_R_I_1_COUPTF2
7669_R_O_1_DLX1
7669_R_O_1_TBR1
7669_R_O_1_COUPTF2
7669_R_T_1_DLX1
7669_R_T_1_TBR1
7669_R_T_1_COUPTF2
7669_R_mO_DLX1
7669_R_mO_TBR1
7669_R_mO_COUPTF2
7669_L_EC_DLX1
7669_L_EC_COUPTF2
7669_R_CCMid_DLX1
7669_R_CC_Mid_TBR1
7669_R_CCMid_COUPTF2
B
17−9084127−C−T
0
−2
−4
−3
−2
−1
0
0.8
0.6
0.4
0.2
0.0

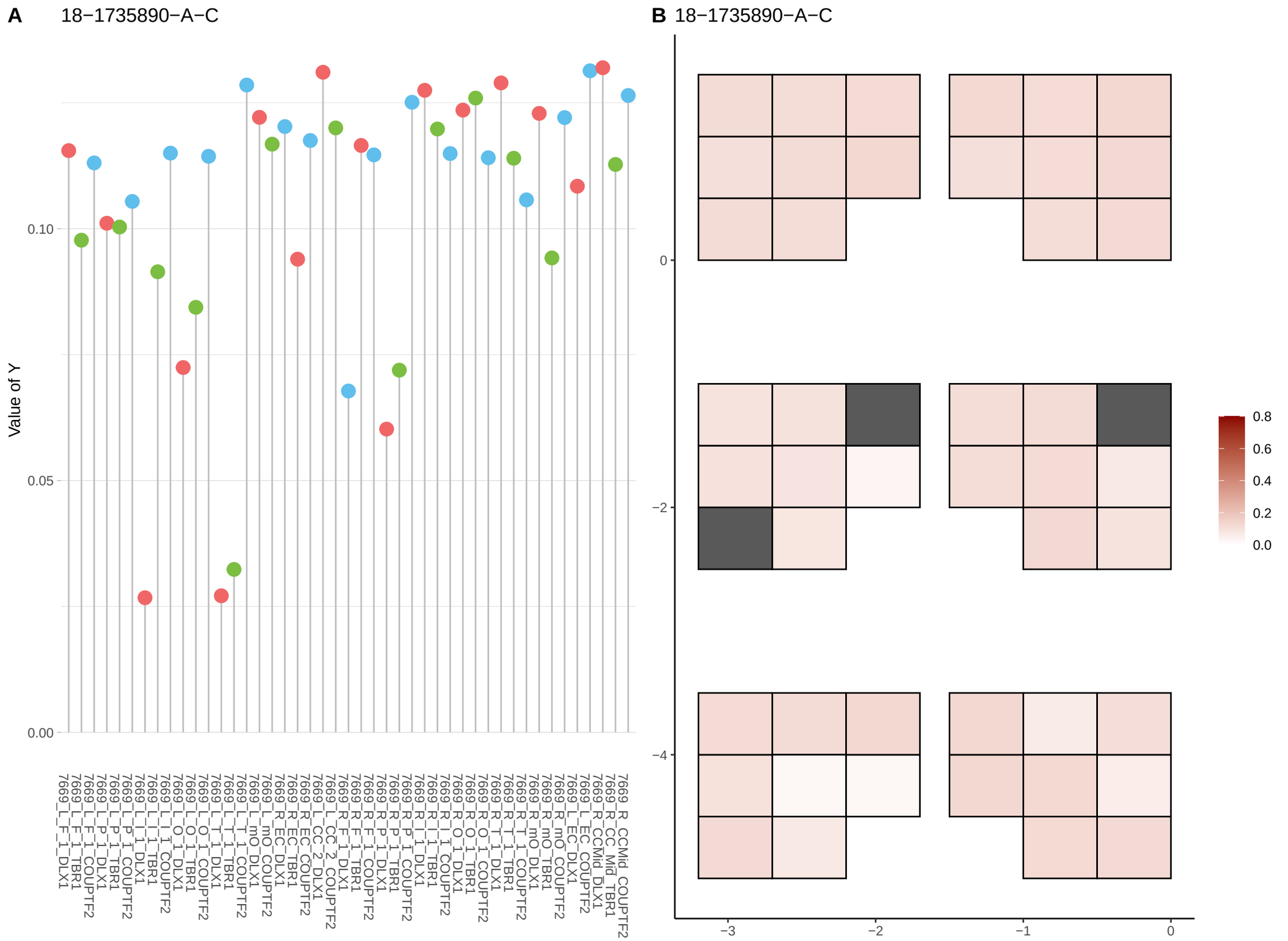
A
18−1735890−A−C
Value of Y
0.10
0.05
0.00
7669_L_F_1_DLX1
7669_L_F_1_TBR1
7669_L_F_1_COUPTF2
7669_L_P_1_DLX1
7669_L_P_1_TBR1
7669_L_P_1_COUPTF2
7669_L_I_1_DLX1
7669_L_I_1_TBR1
7669_L_I_1_COUPTF2
7669_L_O_1_DLX1
7669_L_O_1_TBR1
7669_L_O_1_COUPTF2
7669_L_T_1_DLX1
7669_L_T_1_TBR1
7669_L_T_1_COUPTF2
7669_L_mO_DLX1
7669_L_mO_COUPTF2
7669_R_EC_DLX1
7669_R_EC_TBR1
7669_R_EC_COUPTF2
7669_L_CC_2_DLX1
7669_L_CC_2_COUPTF2
7669_R_F_1_DLX1
7669_R_F_1_TBR1
7669_R_F_1_COUPTF2
7669_R_P_1_DLX1
7669_R_P_1_TBR1
7669_R_P_1_COUPTF2
7669_R_I_1_DLX1
7669_R_I_1_TBR1
7669_R_I_1_COUPTF2
7669_R_O_1_DLX1
7669_R_O_1_TBR1
7669_R_O_1_COUPTF2
7669_R_T_1_DLX1
7669_R_T_1_TBR1
7669_R_T_1_COUPTF2
7669_R_mO_DLX1
7669_R_mO_TBR1
7669_R_mO_COUPTF2
7669_L_EC_DLX1
7669_L_EC_COUPTF2
7669_R_CCMid_DLX1
7669_R_CC_Mid_TBR1
7669_R_CCMid_COUPTF2
B
18−1735890−A−C
0
−2
−4
−3
−2
−1
0
0.8
0.6
0.4
0.2
0.0

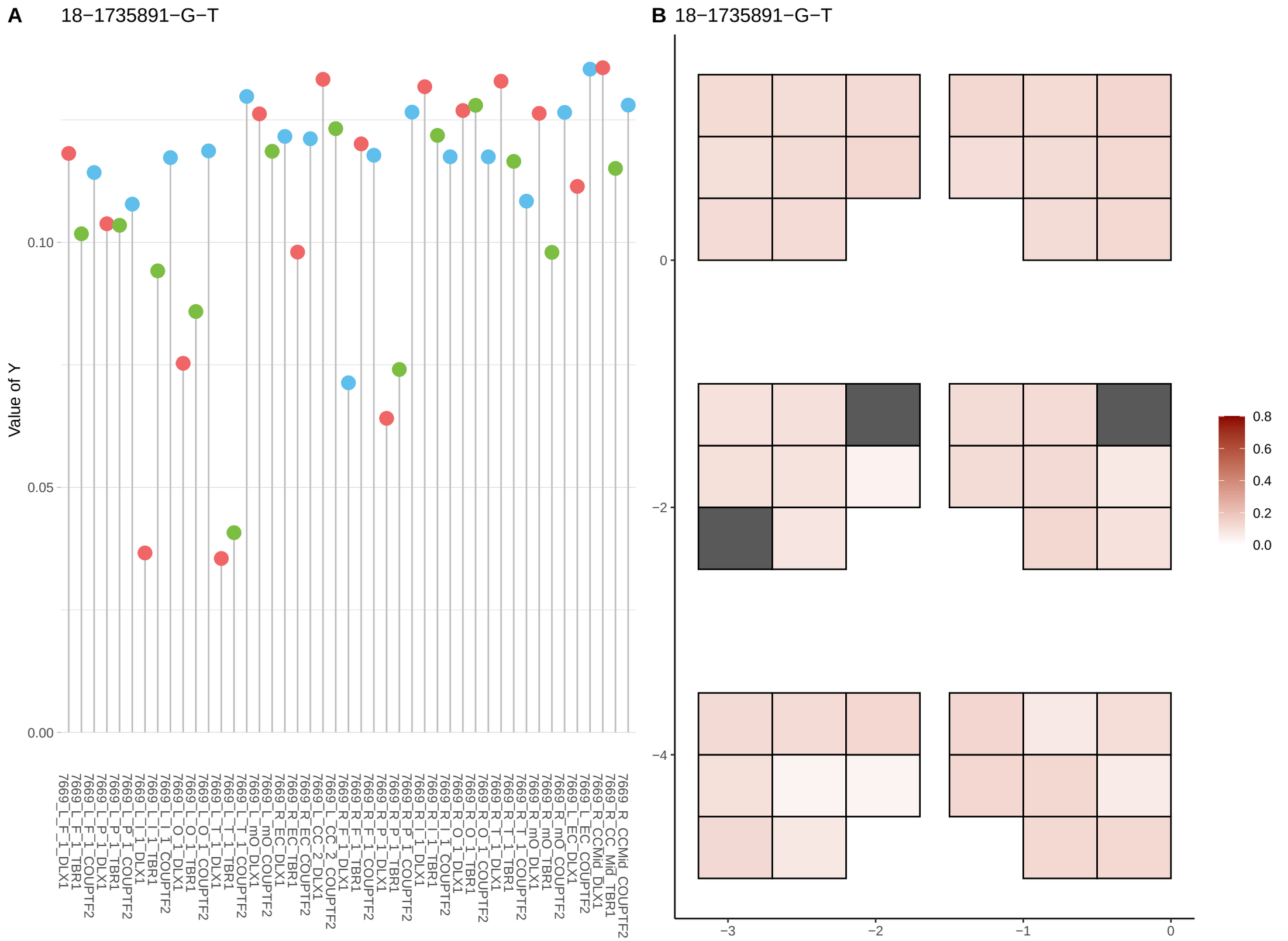
A
18−1735891−G−T
Value of Y
0.10
0.05
0.00
7669_L_F_1_DLX1
7669_L_F_1_TBR1
7669_L_F_1_COUPTF2
7669_L_P_1_DLX1
7669_L_P_1_TBR1
7669_L_P_1_COUPTF2
7669_L_I_1_DLX1
7669_L_I_1_TBR1
7669_L_I_1_COUPTF2
7669_L_O_1_DLX1
7669_L_O_1_TBR1
7669_L_O_1_COUPTF2
7669_L_T_1_DLX1
7669_L_T_1_TBR1
7669_L_T_1_COUPTF2
7669_L_mO_DLX1
7669_L_mO_COUPTF2
7669_R_EC_DLX1
7669_R_EC_TBR1
7669_R_EC_COUPTF2
7669_L_CC_2_DLX1
7669_L_CC_2_COUPTF2
7669_R_F_1_DLX1
7669_R_F_1_TBR1
7669_R_F_1_COUPTF2
7669_R_P_1_DLX1
7669_R_P_1_TBR1
7669_R_P_1_COUPTF2
7669_R_I_1_DLX1
7669_R_I_1_TBR1
7669_R_I_1_COUPTF2
7669_R_O_1_DLX1
7669_R_O_1_TBR1
7669_R_O_1_COUPTF2
7669_R_T_1_DLX1
7669_R_T_1_TBR1
7669_R_T_1_COUPTF2
7669_R_mO_DLX1
7669_R_mO_TBR1
7669_R_mO_COUPTF2
7669_L_EC_DLX1
7669_L_EC_COUPTF2
7669_R_CCMid_DLX1
7669_R_CC_Mid_TBR1
7669_R_CCMid_COUPTF2
B
18−1735891−G−T
0
−2
−4
−3
−2
−1
0
0.8
0.6
0.4
0.2
0.0

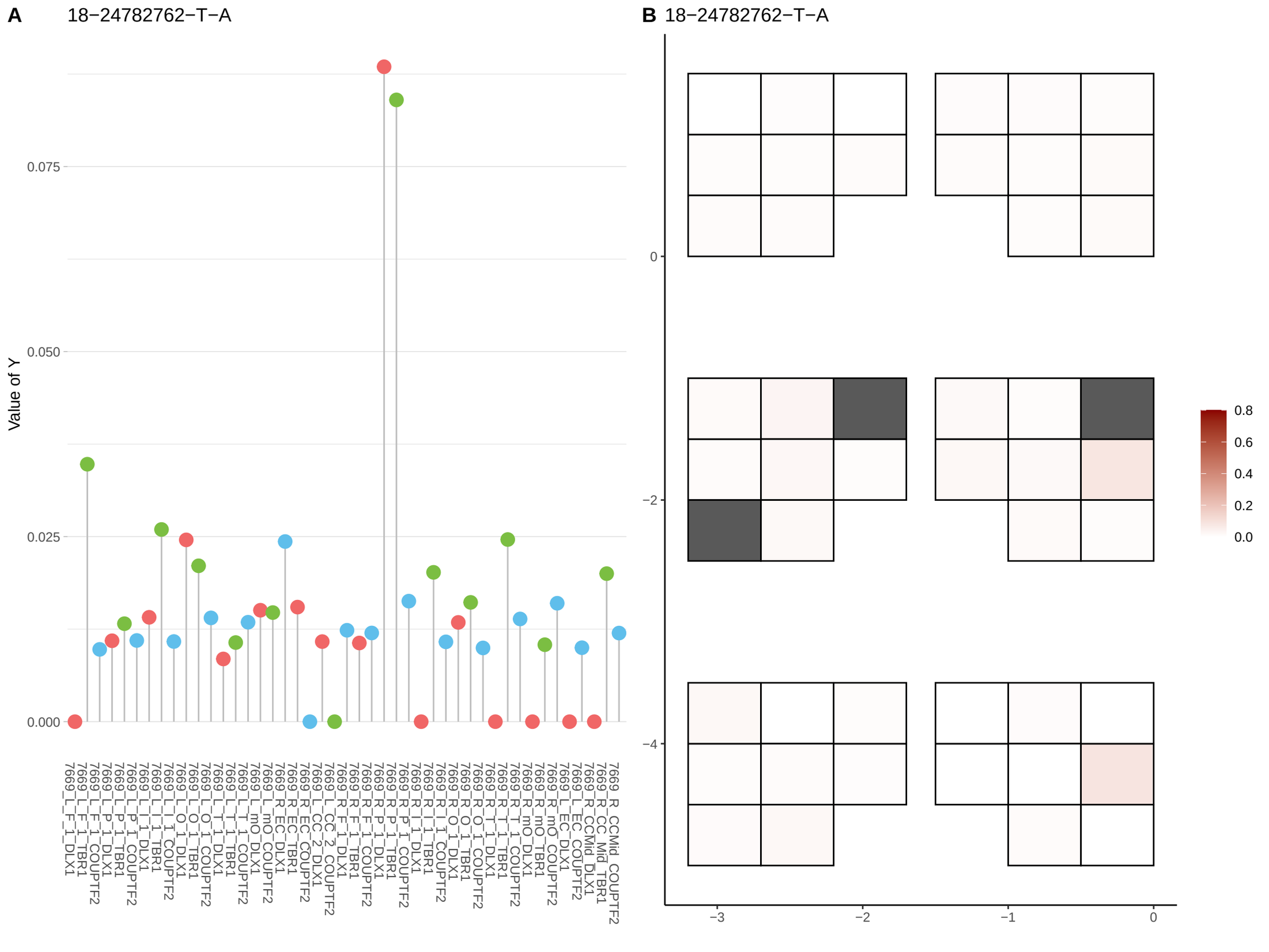
A
18−24782762−T−A
Value of Y
0.075
0.050
0.025
0.000
7669_L_F_1_DLX1
7669_L_F_1_TBR1
7669_L_F_1_COUPTF2
7669_L_P_1_DLX1
7669_L_P_1_TBR1
7669_L_P_1_COUPTF2
7669_L_I_1_DLX1
7669_L_I_1_TBR1
7669_L_I_1_COUPTF2
7669_L_O_1_DLX1
7669_L_O_1_TBR1
7669_L_O_1_COUPTF2
7669_L_T_1_DLX1
7669_L_T_1_TBR1
7669_L_T_1_COUPTF2
7669_L_mO_DLX1
7669_L_mO_COUPTF2
7669_R_EC_DLX1
7669_R_EC_TBR1
7669_R_EC_COUPTF2
7669_L_CC_2_DLX1
7669_L_CC_2_COUPTF2
7669_R_F_1_DLX1
7669_R_F_1_TBR1
7669_R_F_1_COUPTF2
7669_R_P_1_DLX1
7669_R_P_1_TBR1
7669_R_P_1_COUPTF2
7669_R_I_1_DLX1
7669_R_I_1_TBR1
7669_R_I_1_COUPTF2
7669_R_O_1_DLX1
7669_R_O_1_TBR1
7669_R_O_1_COUPTF2
7669_R_T_1_DLX1
7669_R_T_1_TBR1
7669_R_T_1_COUPTF2
7669_R_mO_DLX1
7669_R_mO_TBR1
7669_R_mO_COUPTF2
7669_L_EC_DLX1
7669_L_EC_COUPTF2
7669_R_CCMid_DLX1
7669_R_CC_Mid_TBR1
7669_R_CCMid_COUPTF2
B
18−24782762−T−A
0
−2
−4
−3
−2
−1
0
0.8
0.6
0.4
0.2
0.0

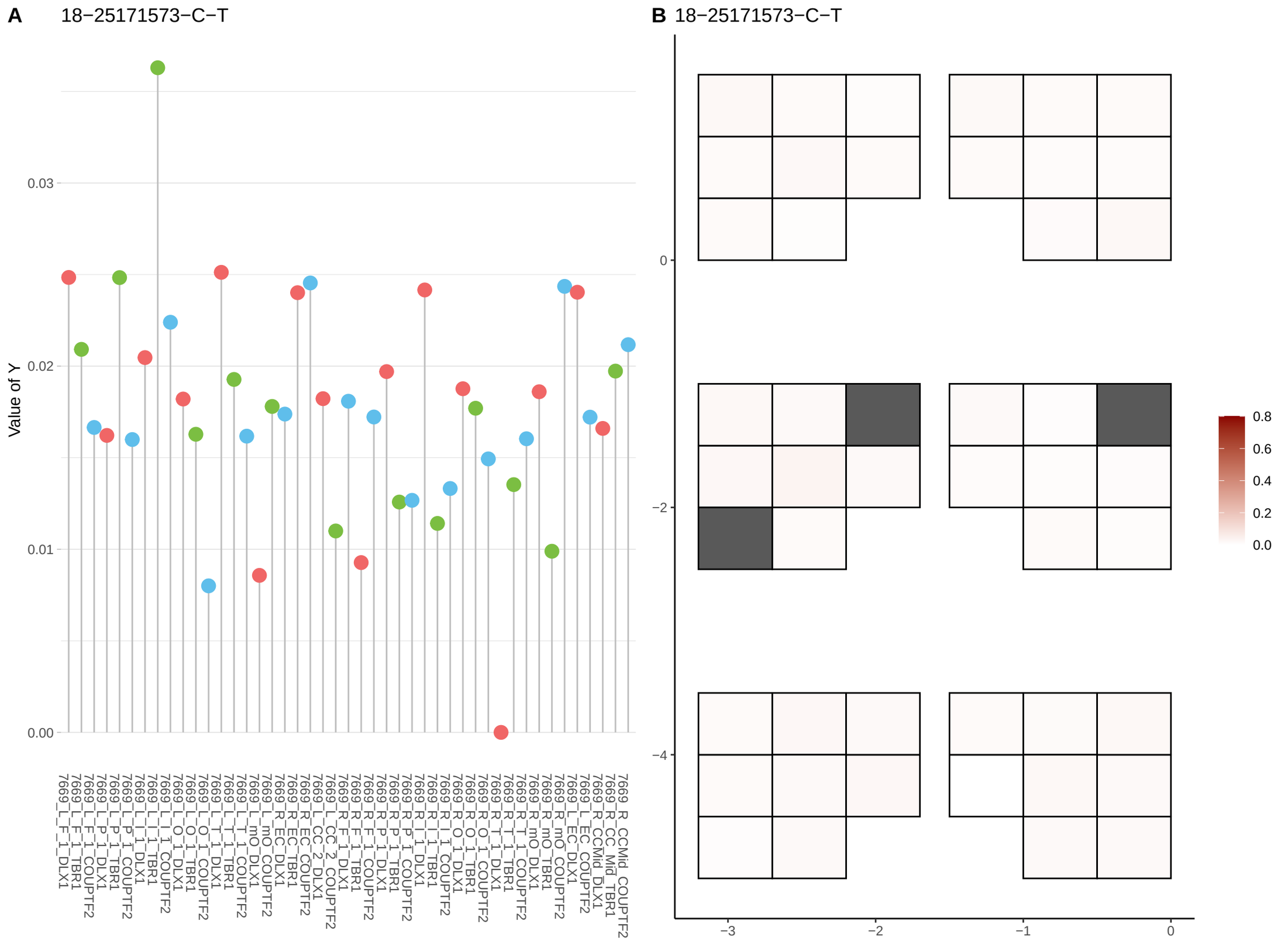
A
18−25171573−C−T
Value of Y
0.03
0.02
0.01
0.00
7669_L_F_1_DLX1
7669_L_F_1_TBR1
7669_L_F_1_COUPTF2
7669_L_P_1_DLX1
7669_L_P_1_TBR1
7669_L_P_1_COUPTF2
7669_L_I_1_DLX1
7669_L_I_1_TBR1
7669_L_I_1_COUPTF2
7669_L_O_1_DLX1
7669_L_O_1_TBR1
7669_L_O_1_COUPTF2
7669_L_T_1_DLX1
7669_L_T_1_TBR1
7669_L_T_1_COUPTF2
7669_L_mO_DLX1
7669_L_mO_COUPTF2
7669_R_EC_DLX1
7669_R_EC_TBR1
7669_R_EC_COUPTF2
7669_L_CC_2_DLX1
7669_L_CC_2_COUPTF2
7669_R_F_1_DLX1
7669_R_F_1_TBR1
7669_R_F_1_COUPTF2
7669_R_P_1_DLX1
7669_R_P_1_TBR1
7669_R_P_1_COUPTF2
7669_R_I_1_DLX1
7669_R_I_1_TBR1
7669_R_I_1_COUPTF2
7669_R_O_1_DLX1
7669_R_O_1_TBR1
7669_R_O_1_COUPTF2
7669_R_T_1_DLX1
7669_R_T_1_TBR1
7669_R_T_1_COUPTF2
7669_R_mO_DLX1
7669_R_mO_TBR1
7669_R_mO_COUPTF2
7669_L_EC_DLX1
7669_L_EC_COUPTF2
7669_R_CCMid_DLX1
7669_R_CC_Mid_TBR1
7669_R_CCMid_COUPTF2
B
18−25171573−C−T
0
−2
−4
−3
−2
−1
0
0.8
0.6
0.4
0.2
0.0

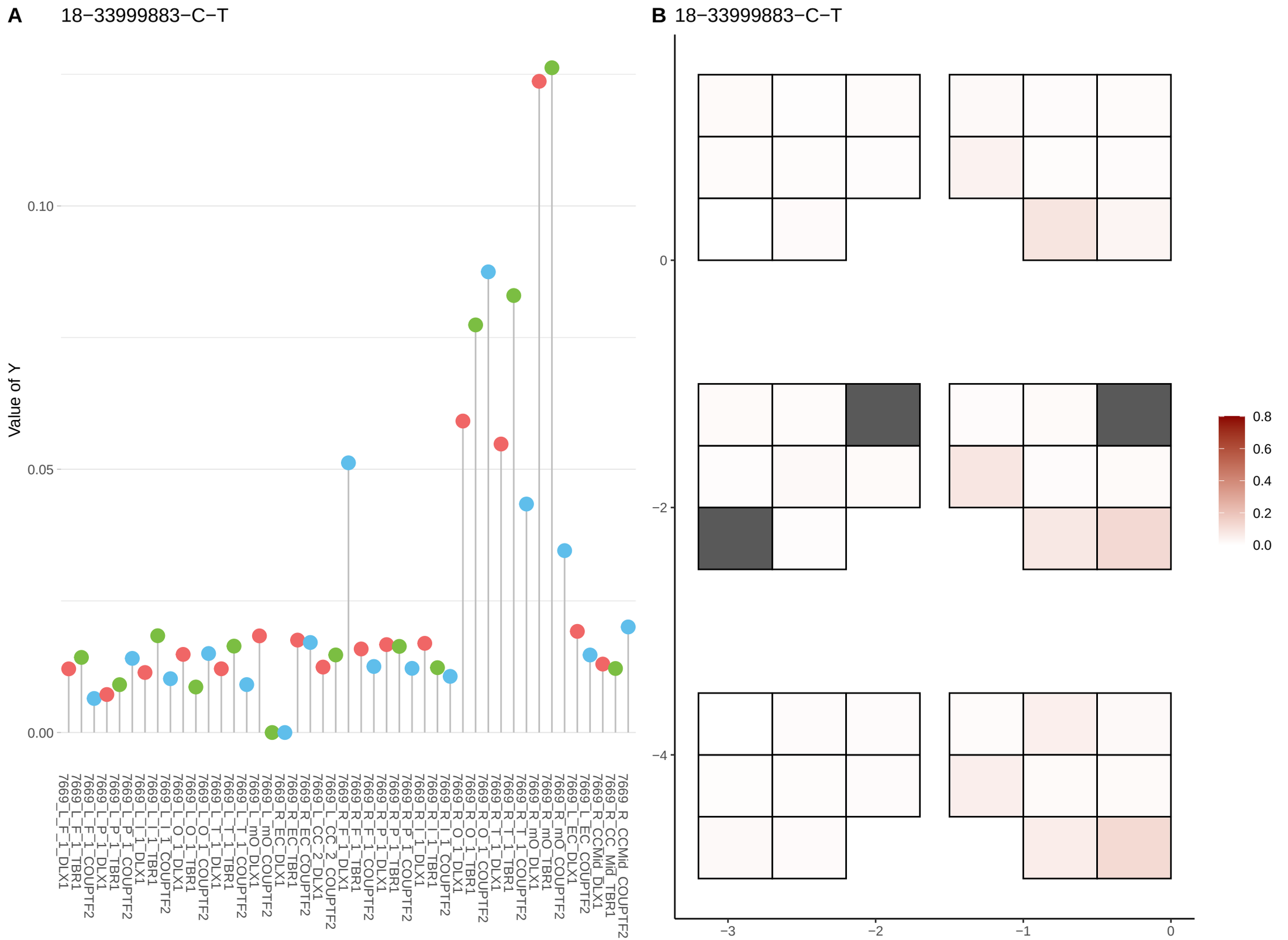
A
18−33999883−C−T
Value of Y
0.10
0.05
0.00
7669_L_F_1_DLX1
7669_L_F_1_TBR1
7669_L_F_1_COUPTF2
7669_L_P_1_DLX1
7669_L_P_1_TBR1
7669_L_P_1_COUPTF2
7669_L_I_1_DLX1
7669_L_I_1_TBR1
7669_L_I_1_COUPTF2
7669_L_O_1_DLX1
7669_L_O_1_TBR1
7669_L_O_1_COUPTF2
7669_L_T_1_DLX1
7669_L_T_1_TBR1
7669_L_T_1_COUPTF2
7669_L_mO_DLX1
7669_L_mO_COUPTF2
7669_R_EC_DLX1
7669_R_EC_TBR1
7669_R_EC_COUPTF2
7669_L_CC_2_DLX1
7669_L_CC_2_COUPTF2
7669_R_F_1_DLX1
7669_R_F_1_TBR1
7669_R_F_1_COUPTF2
7669_R_P_1_DLX1
7669_R_P_1_TBR1
7669_R_P_1_COUPTF2
7669_R_I_1_DLX1
7669_R_I_1_TBR1
7669_R_I_1_COUPTF2
7669_R_O_1_DLX1
7669_R_O_1_TBR1
7669_R_O_1_COUPTF2
7669_R_T_1_DLX1
7669_R_T_1_TBR1
7669_R_T_1_COUPTF2
7669_R_mO_DLX1
7669_R_mO_TBR1
7669_R_mO_COUPTF2
7669_L_EC_DLX1
7669_L_EC_COUPTF2
7669_R_CCMid_DLX1
7669_R_CC_Mid_TBR1
7669_R_CCMid_COUPTF2
B
18−33999883−C−T
0
−2
−4
−3
−2
−1
0
0.8
0.6
0.4
0.2
0.0

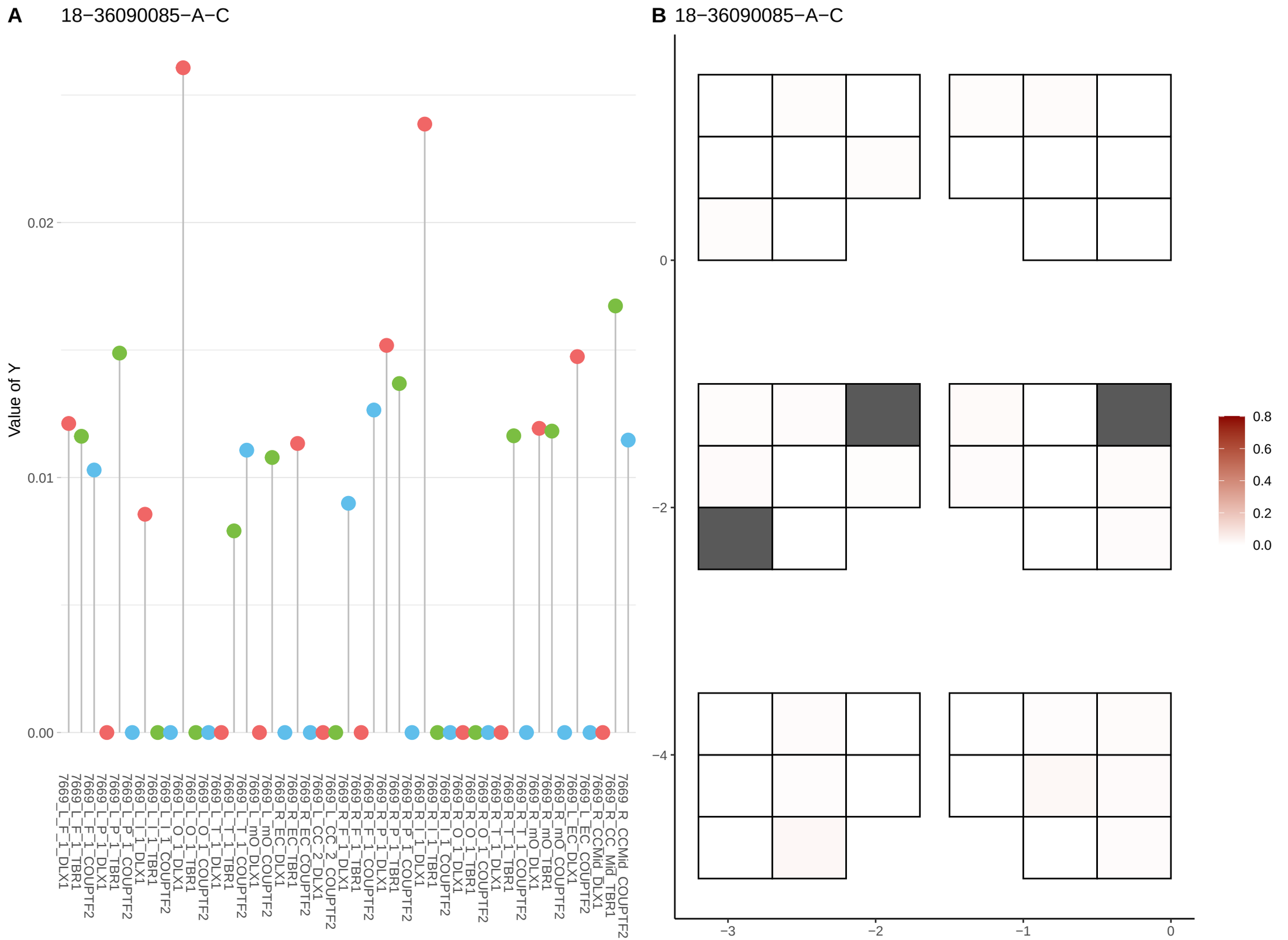
A
18−36090085−A−C
Value of Y
0.02
0.01
0.00
7669_L_F_1_DLX1
7669_L_F_1_TBR1
7669_L_F_1_COUPTF2
7669_L_P_1_DLX1
7669_L_P_1_TBR1
7669_L_P_1_COUPTF2
7669_L_I_1_DLX1
7669_L_I_1_TBR1
7669_L_I_1_COUPTF2
7669_L_O_1_DLX1
7669_L_O_1_TBR1
7669_L_O_1_COUPTF2
7669_L_T_1_DLX1
7669_L_T_1_TBR1
7669_L_T_1_COUPTF2
7669_L_mO_DLX1
7669_L_mO_COUPTF2
7669_R_EC_DLX1
7669_R_EC_TBR1
7669_R_EC_COUPTF2
7669_L_CC_2_DLX1
7669_L_CC_2_COUPTF2
7669_R_F_1_DLX1
7669_R_F_1_TBR1
7669_R_F_1_COUPTF2
7669_R_P_1_DLX1
7669_R_P_1_TBR1
7669_R_P_1_COUPTF2
7669_R_I_1_DLX1
7669_R_I_1_TBR1
7669_R_I_1_COUPTF2
7669_R_O_1_DLX1
7669_R_O_1_TBR1
7669_R_O_1_COUPTF2
7669_R_T_1_DLX1
7669_R_T_1_TBR1
7669_R_T_1_COUPTF2
7669_R_mO_DLX1
7669_R_mO_TBR1
7669_R_mO_COUPTF2
7669_L_EC_DLX1
7669_L_EC_COUPTF2
7669_R_CCMid_DLX1
7669_R_CC_Mid_TBR1
7669_R_CCMid_COUPTF2
B
18−36090085−A−C
0
−2
−4
−3
−2
−1
0
0.8
0.6
0.4
0.2
0.0

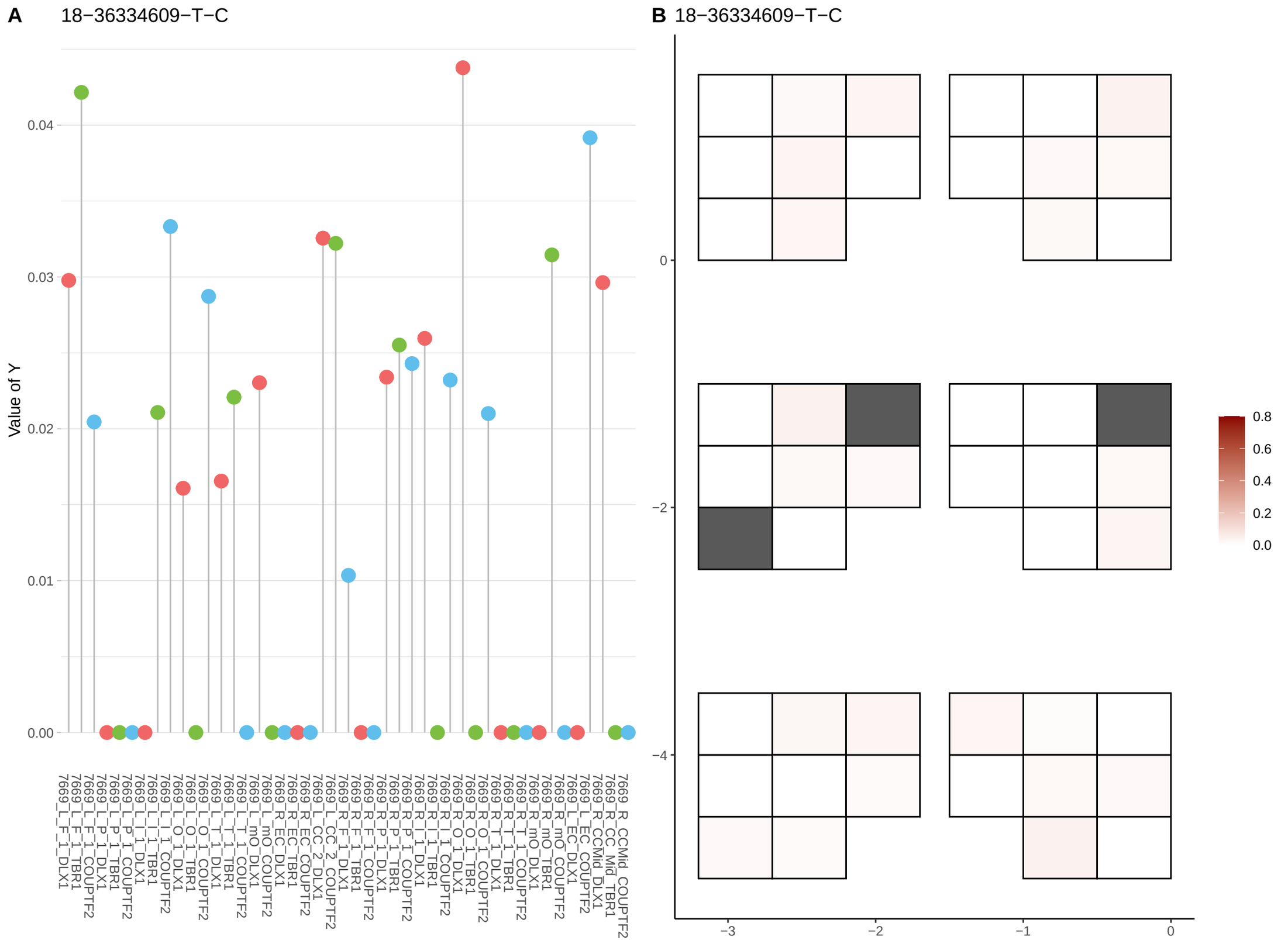
A
18−36334609−T−C
Value of Y
0.04
0.03
0.02
0.01
0.00
7669_L_F_1_DLX1
7669_L_F_1_TBR1
7669_L_F_1_COUPTF2
7669_L_P_1_DLX1
7669_L_P_1_TBR1
7669_L_P_1_COUPTF2
7669_L_I_1_DLX1
7669_L_I_1_TBR1
7669_L_I_1_COUPTF2
7669_L_O_1_DLX1
7669_L_O_1_TBR1
7669_L_O_1_COUPTF2
7669_L_T_1_DLX1
7669_L_T_1_TBR1
7669_L_T_1_COUPTF2
7669_L_mO_DLX1
7669_L_mO_COUPTF2
7669_R_EC_DLX1
7669_R_EC_TBR1
7669_R_EC_COUPTF2
7669_L_CC_2_DLX1
7669_L_CC_2_COUPTF2
7669_R_F_1_DLX1
7669_R_F_1_TBR1
7669_R_F_1_COUPTF2
7669_R_P_1_DLX1
7669_R_P_1_TBR1
7669_R_P_1_COUPTF2
7669_R_I_1_DLX1
7669_R_I_1_TBR1
7669_R_I_1_COUPTF2
7669_R_O_1_DLX1
7669_R_O_1_TBR1
7669_R_O_1_COUPTF2
7669_R_T_1_DLX1
7669_R_T_1_TBR1
7669_R_T_1_COUPTF2
7669_R_mO_DLX1
7669_R_mO_TBR1
7669_R_mO_COUPTF2
7669_L_EC_DLX1
7669_L_EC_COUPTF2
7669_R_CCMid_DLX1
7669_R_CC_Mid_TBR1
7669_R_CCMid_COUPTF2
B
18−36334609−T−C
0
−2
−4
−3
−2
−1
0
0.8
0.6
0.4
0.2
0.0

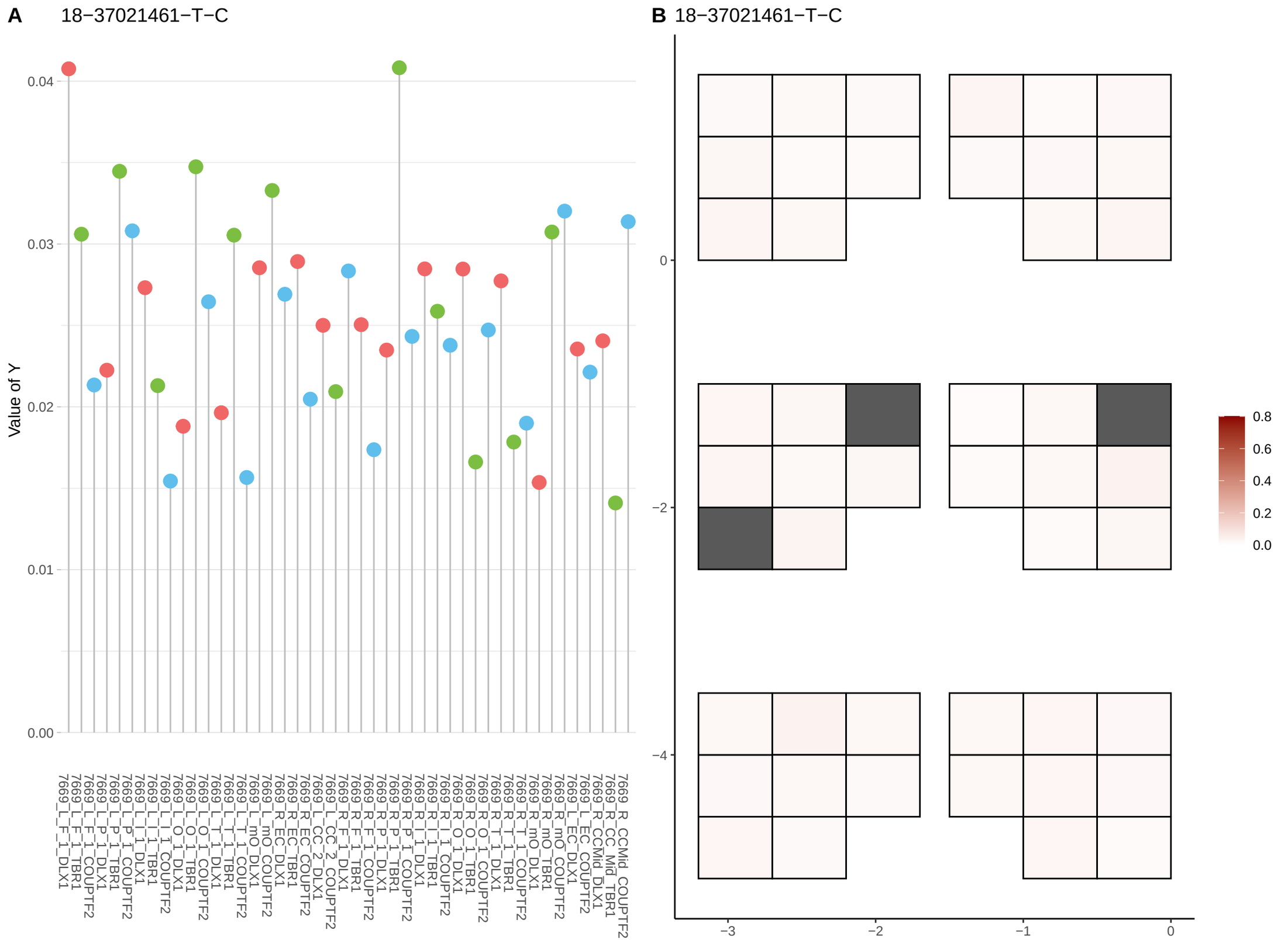
A
18−37021461−T−C
Value of Y
0.04
0.03
0.02
0.01
0.00
7669_L_F_1_DLX1
7669_L_F_1_TBR1
7669_L_F_1_COUPTF2
7669_L_P_1_DLX1
7669_L_P_1_TBR1
7669_L_P_1_COUPTF2
7669_L_I_1_DLX1
7669_L_I_1_TBR1
7669_L_I_1_COUPTF2
7669_L_O_1_DLX1
7669_L_O_1_TBR1
7669_L_O_1_COUPTF2
7669_L_T_1_DLX1
7669_L_T_1_TBR1
7669_L_T_1_COUPTF2
7669_L_mO_DLX1
7669_L_mO_COUPTF2
7669_R_EC_DLX1
7669_R_EC_TBR1
7669_R_EC_COUPTF2
7669_L_CC_2_DLX1
7669_L_CC_2_COUPTF2
7669_R_F_1_DLX1
7669_R_F_1_TBR1
7669_R_F_1_COUPTF2
7669_R_P_1_DLX1
7669_R_P_1_TBR1
7669_R_P_1_COUPTF2
7669_R_I_1_DLX1
7669_R_I_1_TBR1
7669_R_I_1_COUPTF2
7669_R_O_1_DLX1
7669_R_O_1_TBR1
7669_R_O_1_COUPTF2
7669_R_T_1_DLX1
7669_R_T_1_TBR1
7669_R_T_1_COUPTF2
7669_R_mO_DLX1
7669_R_mO_TBR1
7669_R_mO_COUPTF2
7669_L_EC_DLX1
7669_L_EC_COUPTF2
7669_R_CCMid_DLX1
7669_R_CC_Mid_TBR1
7669_R_CCMid_COUPTF2
B
18−37021461−T−C
0
−2
−4
−3
−2
−1
0
0.8
0.6
0.4
0.2
0.0

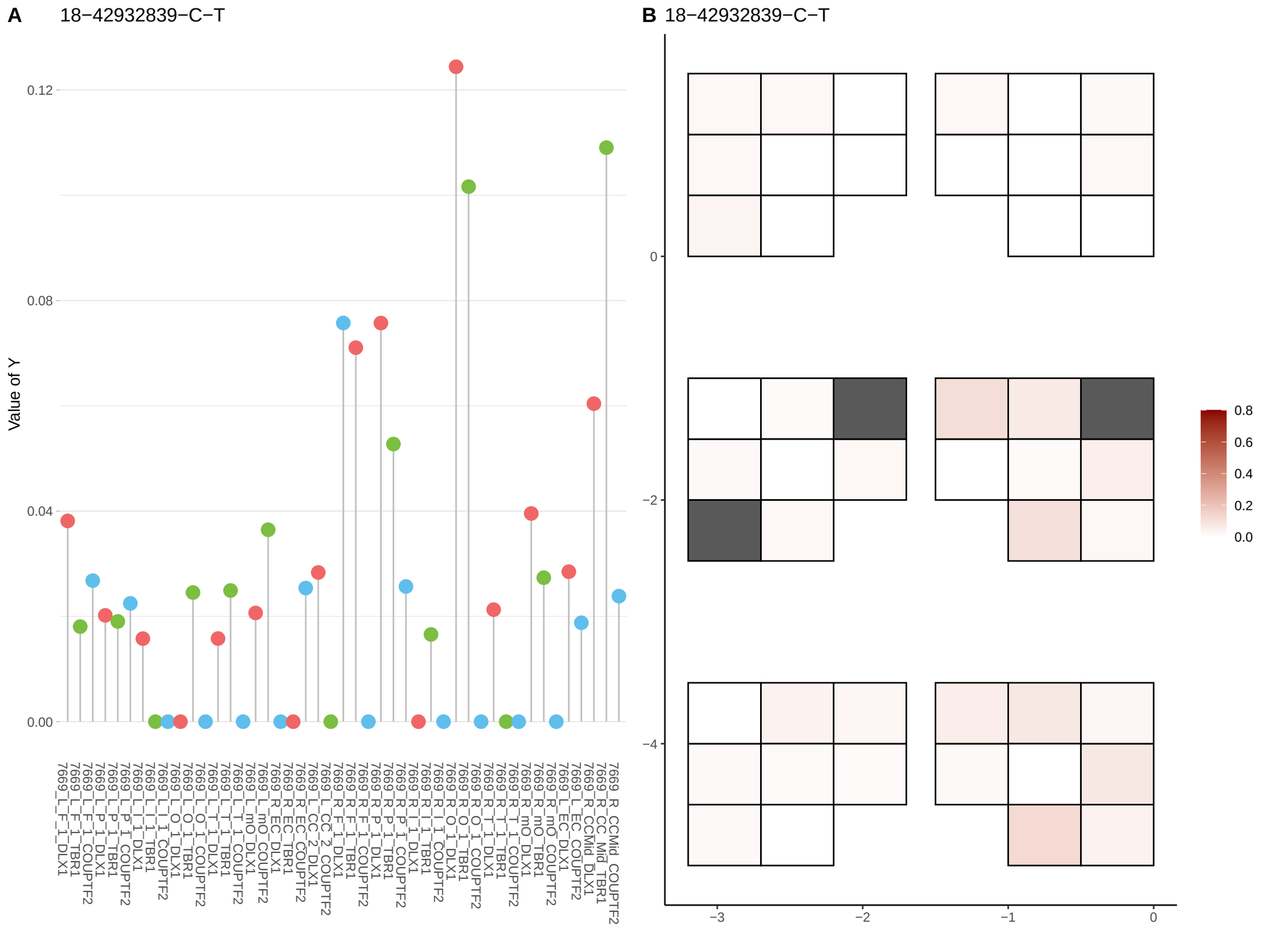
A
18−42932839−C−T
Value of Y
0.12
0.08
0.04
0.00
7669_L_F_1_DLX1
7669_L_F_1_TBR1
7669_L_F_1_COUPTF2
7669_L_P_1_DLX1
7669_L_P_1_TBR1
7669_L_P_1_COUPTF2
7669_L_I_1_DLX1
7669_L_I_1_TBR1
7669_L_I_1_COUPTF2
7669_L_O_1_DLX1
7669_L_O_1_TBR1
7669_L_O_1_COUPTF2
7669_L_T_1_DLX1
7669_L_T_1_TBR1
7669_L_T_1_COUPTF2
7669_L_mO_DLX1
7669_L_mO_COUPTF2
7669_R_EC_DLX1
7669_R_EC_TBR1
7669_R_EC_COUPTF2
7669_L_CC_2_DLX1
7669_L_CC_2_COUPTF2
7669_R_F_1_DLX1
7669_R_F_1_TBR1
7669_R_F_1_COUPTF2
7669_R_P_1_DLX1
7669_R_P_1_TBR1
7669_R_P_1_COUPTF2
7669_R_I_1_DLX1
7669_R_I_1_TBR1
7669_R_I_1_COUPTF2
7669_R_O_1_DLX1
7669_R_O_1_TBR1
7669_R_O_1_COUPTF2
7669_R_T_1_DLX1
7669_R_T_1_TBR1
7669_R_T_1_COUPTF2
7669_R_mO_DLX1
7669_R_mO_TBR1
7669_R_mO_COUPTF2
7669_L_EC_DLX1
7669_L_EC_COUPTF2
7669_R_CCMid_DLX1
7669_R_CC_Mid_TBR1
7669_R_CCMid_COUPTF2
B
18−42932839−C−T
0
−2
−4
−3
−2
−1
0
0.8
0.6
0.4
0.2
0.0

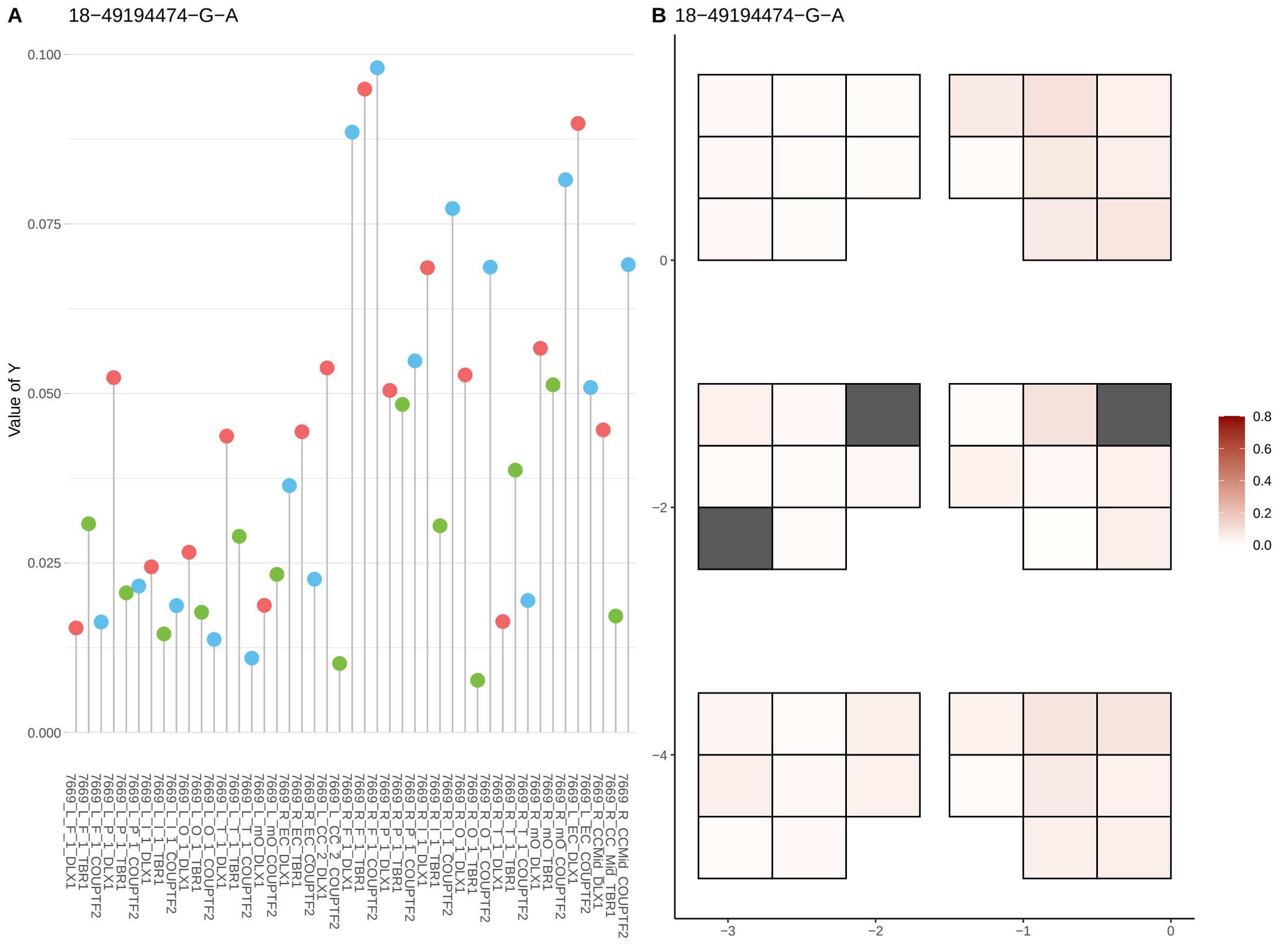
A
18−49194474−G−A
Value of Y
0.100
0.075
0.050
0.025
0.000
7669_L_F_1_DLX1
7669_L_F_1_TBR1
7669_L_F_1_COUPTF2
7669_L_P_1_DLX1
7669_L_P_1_TBR1
7669_L_P_1_COUPTF2
7669_L_I_1_DLX1
7669_L_I_1_TBR1
7669_L_I_1_COUPTF2
7669_L_O_1_DLX1
7669_L_O_1_TBR1
7669_L_O_1_COUPTF2
7669_L_T_1_DLX1
7669_L_T_1_TBR1
7669_L_T_1_COUPTF2
7669_L_mO_DLX1
7669_L_mO_COUPTF2
7669_R_EC_DLX1
7669_R_EC_TBR1
7669_R_EC_COUPTF2
7669_L_CC_2_DLX1
7669_L_CC_2_COUPTF2
7669_R_F_1_DLX1
7669_R_F_1_TBR1
7669_R_F_1_COUPTF2
7669_R_P_1_DLX1
7669_R_P_1_TBR1
7669_R_P_1_COUPTF2
7669_R_I_1_DLX1
7669_R_I_1_TBR1
7669_R_I_1_COUPTF2
7669_R_O_1_DLX1
7669_R_O_1_TBR1
7669_R_O_1_COUPTF2
7669_R_T_1_DLX1
7669_R_T_1_TBR1
7669_R_T_1_COUPTF2
7669_R_mO_DLX1
7669_R_mO_TBR1
7669_R_mO_COUPTF2
7669_L_EC_DLX1
7669_L_EC_COUPTF2
7669_R_CCMid_DLX1
7669_R_CC_Mid_TBR1
7669_R_CCMid_COUPTF2
B
18−49194474−G−A
0
−2
−4
−3
−2
−1
0
0.8
0.6
0.4
0.2
0.0

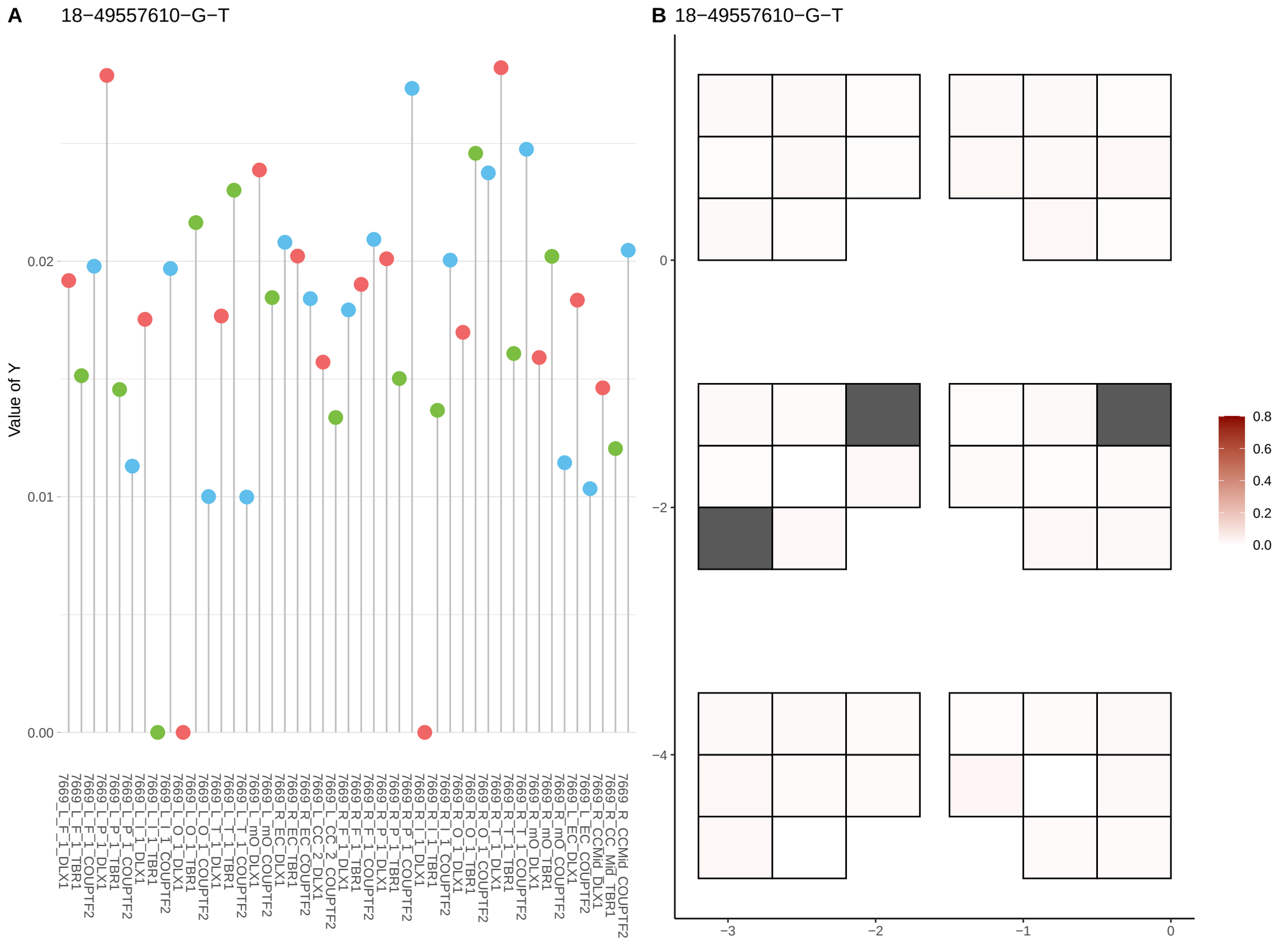
A
18−49557610−G−T
Value of Y
0.02
0.01
0.00
7669_L_F_1_DLX1
7669_L_F_1_TBR1
7669_L_F_1_COUPTF2
7669_L_P_1_DLX1
7669_L_P_1_TBR1
7669_L_P_1_COUPTF2
7669_L_I_1_DLX1
7669_L_I_1_TBR1
7669_L_I_1_COUPTF2
7669_L_O_1_DLX1
7669_L_O_1_TBR1
7669_L_O_1_COUPTF2
7669_L_T_1_DLX1
7669_L_T_1_TBR1
7669_L_T_1_COUPTF2
7669_L_mO_DLX1
7669_L_mO_COUPTF2
7669_R_EC_DLX1
7669_R_EC_TBR1
7669_R_EC_COUPTF2
7669_L_CC_2_DLX1
7669_L_CC_2_COUPTF2
7669_R_F_1_DLX1
7669_R_F_1_TBR1
7669_R_F_1_COUPTF2
7669_R_P_1_DLX1
7669_R_P_1_TBR1
7669_R_P_1_COUPTF2
7669_R_I_1_DLX1
7669_R_I_1_TBR1
7669_R_I_1_COUPTF2
7669_R_O_1_DLX1
7669_R_O_1_TBR1
7669_R_O_1_COUPTF2
7669_R_T_1_DLX1
7669_R_T_1_TBR1
7669_R_T_1_COUPTF2
7669_R_mO_DLX1
7669_R_mO_TBR1
7669_R_mO_COUPTF2
7669_L_EC_DLX1
7669_L_EC_COUPTF2
7669_R_CCMid_DLX1
7669_R_CC_Mid_TBR1
7669_R_CCMid_COUPTF2
B
18−49557610−G−T
0
−2
−4
−3
−2
−1
0
0.8
0.6
0.4
0.2
0.0

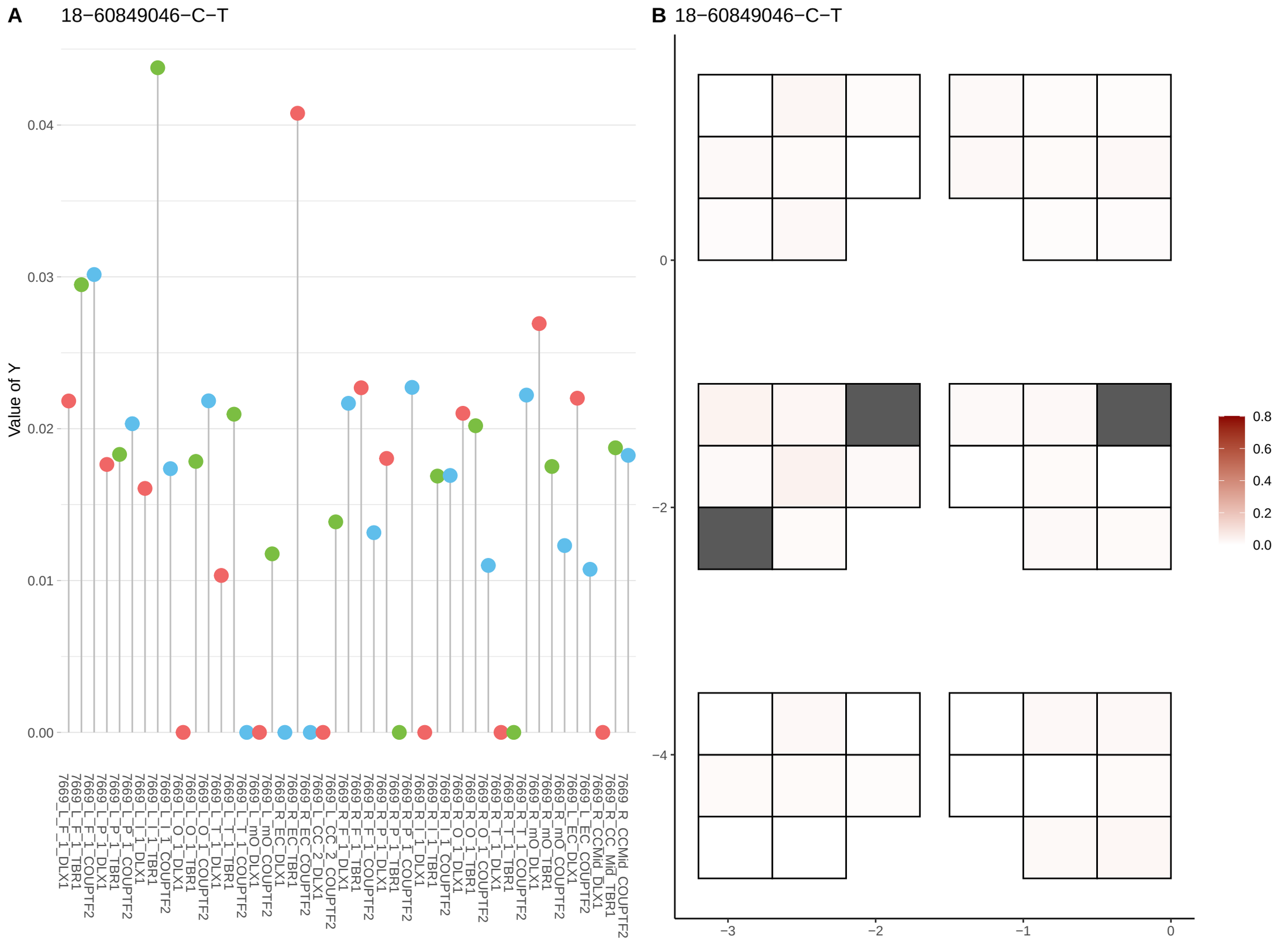
A
18−60849046−C−T
Value of Y
0.04
0.03
0.02
0.01
0.00
7669_L_F_1_DLX1
7669_L_F_1_TBR1
7669_L_F_1_COUPTF2
7669_L_P_1_DLX1
7669_L_P_1_TBR1
7669_L_P_1_COUPTF2
7669_L_I_1_DLX1
7669_L_I_1_TBR1
7669_L_I_1_COUPTF2
7669_L_O_1_DLX1
7669_L_O_1_TBR1
7669_L_O_1_COUPTF2
7669_L_T_1_DLX1
7669_L_T_1_TBR1
7669_L_T_1_COUPTF2
7669_L_mO_DLX1
7669_L_mO_COUPTF2
7669_R_EC_DLX1
7669_R_EC_TBR1
7669_R_EC_COUPTF2
7669_L_CC_2_DLX1
7669_L_CC_2_COUPTF2
7669_R_F_1_DLX1
7669_R_F_1_TBR1
7669_R_F_1_COUPTF2
7669_R_P_1_DLX1
7669_R_P_1_TBR1
7669_R_P_1_COUPTF2
7669_R_I_1_DLX1
7669_R_I_1_TBR1
7669_R_I_1_COUPTF2
7669_R_O_1_DLX1
7669_R_O_1_TBR1
7669_R_O_1_COUPTF2
7669_R_T_1_DLX1
7669_R_T_1_TBR1
7669_R_T_1_COUPTF2
7669_R_mO_DLX1
7669_R_mO_TBR1
7669_R_mO_COUPTF2
7669_L_EC_DLX1
7669_L_EC_COUPTF2
7669_R_CCMid_DLX1
7669_R_CC_Mid_TBR1
7669_R_CCMid_COUPTF2
B
18−60849046−C−T
0
−2
−4
−3
−2
−1
0
0.8
0.6
0.4
0.2
0.0

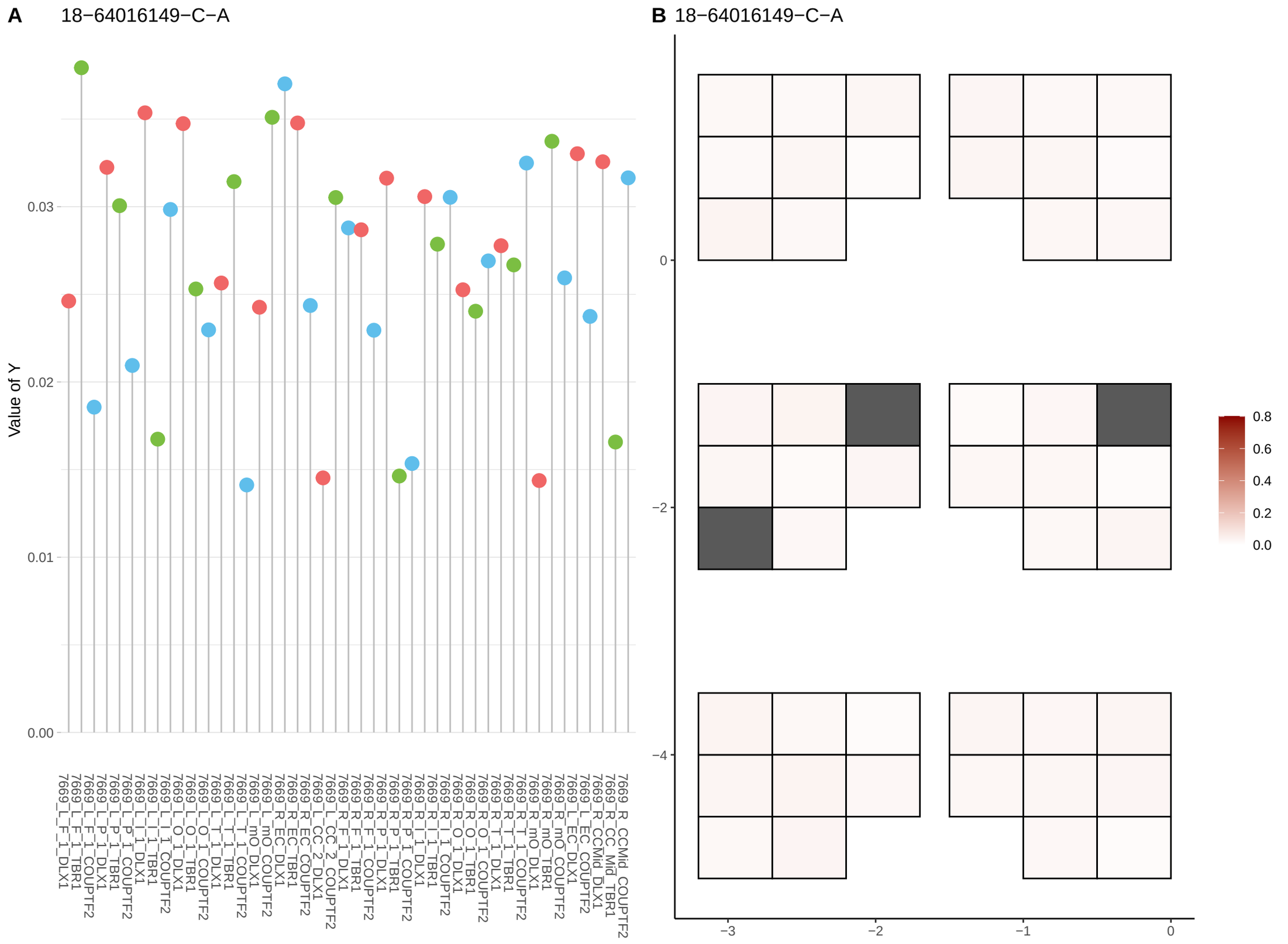
A
18−64016149−C−A
Value of Y
0.03
0.02
0.01
0.00
7669_L_F_1_DLX1
7669_L_F_1_TBR1
7669_L_F_1_COUPTF2
7669_L_P_1_DLX1
7669_L_P_1_TBR1
7669_L_P_1_COUPTF2
7669_L_I_1_DLX1
7669_L_I_1_TBR1
7669_L_I_1_COUPTF2
7669_L_O_1_DLX1
7669_L_O_1_TBR1
7669_L_O_1_COUPTF2
7669_L_T_1_DLX1
7669_L_T_1_TBR1
7669_L_T_1_COUPTF2
7669_L_mO_DLX1
7669_L_mO_COUPTF2
7669_R_EC_DLX1
7669_R_EC_TBR1
7669_R_EC_COUPTF2
7669_L_CC_2_DLX1
7669_L_CC_2_COUPTF2
7669_R_F_1_DLX1
7669_R_F_1_TBR1
7669_R_F_1_COUPTF2
7669_R_P_1_DLX1
7669_R_P_1_TBR1
7669_R_P_1_COUPTF2
7669_R_I_1_DLX1
7669_R_I_1_TBR1
7669_R_I_1_COUPTF2
7669_R_O_1_DLX1
7669_R_O_1_TBR1
7669_R_O_1_COUPTF2
7669_R_T_1_DLX1
7669_R_T_1_TBR1
7669_R_T_1_COUPTF2
7669_R_mO_DLX1
7669_R_mO_TBR1
7669_R_mO_COUPTF2
7669_L_EC_DLX1
7669_L_EC_COUPTF2
7669_R_CCMid_DLX1
7669_R_CC_Mid_TBR1
7669_R_CCMid_COUPTF2
B
18−64016149−C−A
0
−2
−4
−3
−2
−1
0
0.8
0.6
0.4
0.2
0.0

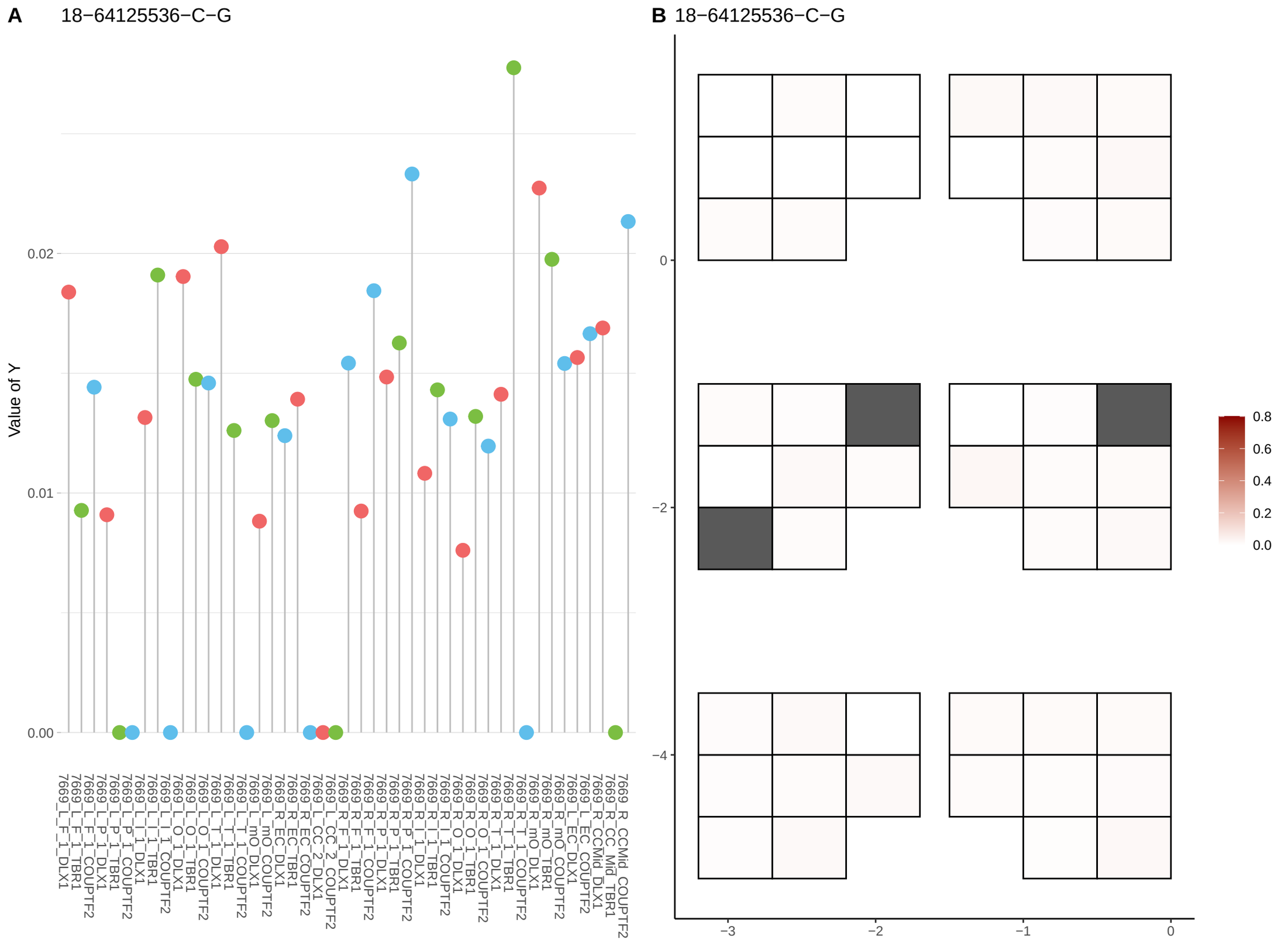
A
18−64125536−C−G
Value of Y
0.02
0.01
0.00
7669_L_F_1_DLX1
7669_L_F_1_TBR1
7669_L_F_1_COUPTF2
7669_L_P_1_DLX1
7669_L_P_1_TBR1
7669_L_P_1_COUPTF2
7669_L_I_1_DLX1
7669_L_I_1_TBR1
7669_L_I_1_COUPTF2
7669_L_O_1_DLX1
7669_L_O_1_TBR1
7669_L_O_1_COUPTF2
7669_L_T_1_DLX1
7669_L_T_1_TBR1
7669_L_T_1_COUPTF2
7669_L_mO_DLX1
7669_L_mO_COUPTF2
7669_R_EC_DLX1
7669_R_EC_TBR1
7669_R_EC_COUPTF2
7669_L_CC_2_DLX1
7669_L_CC_2_COUPTF2
7669_R_F_1_DLX1
7669_R_F_1_TBR1
7669_R_F_1_COUPTF2
7669_R_P_1_DLX1
7669_R_P_1_TBR1
7669_R_P_1_COUPTF2
7669_R_I_1_DLX1
7669_R_I_1_TBR1
7669_R_I_1_COUPTF2
7669_R_O_1_DLX1
7669_R_O_1_TBR1
7669_R_O_1_COUPTF2
7669_R_T_1_DLX1
7669_R_T_1_TBR1
7669_R_T_1_COUPTF2
7669_R_mO_DLX1
7669_R_mO_TBR1
7669_R_mO_COUPTF2
7669_L_EC_DLX1
7669_L_EC_COUPTF2
7669_R_CCMid_DLX1
7669_R_CC_Mid_TBR1
7669_R_CCMid_COUPTF2
B
18−64125536−C−G
0
−2
−4
−3
−2
−1
0
0.8
0.6
0.4
0.2
0.0

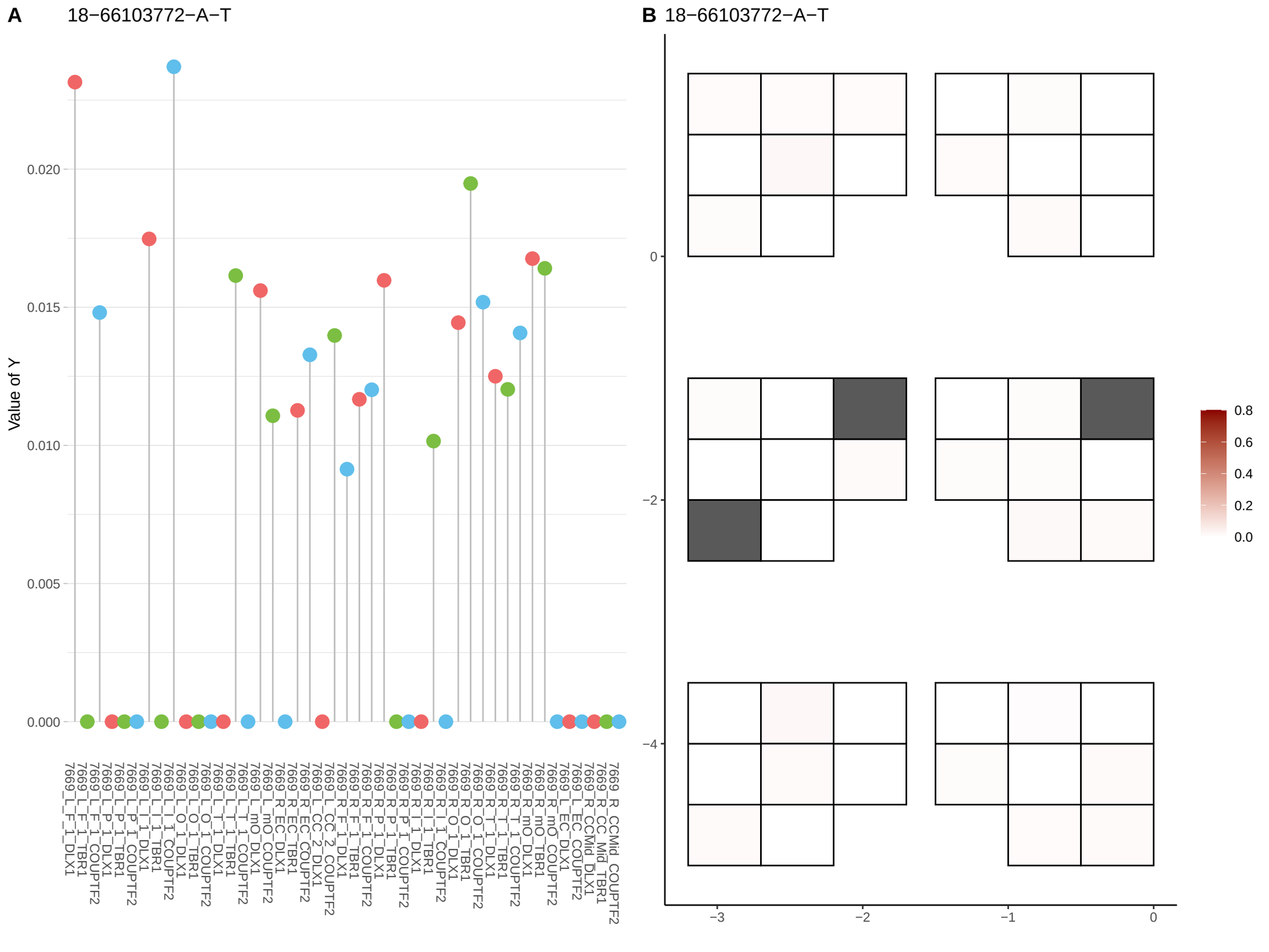
A
18−66103772−A−T
Value of Y
0.020
0.015
0.010
0.005
0.000
7669_L_F_1_DLX1
7669_L_F_1_TBR1
7669_L_F_1_COUPTF2
7669_L_P_1_DLX1
7669_L_P_1_TBR1
7669_L_P_1_COUPTF2
7669_L_I_1_DLX1
7669_L_I_1_TBR1
7669_L_I_1_COUPTF2
7669_L_O_1_DLX1
7669_L_O_1_TBR1
7669_L_O_1_COUPTF2
7669_L_T_1_DLX1
7669_L_T_1_TBR1
7669_L_T_1_COUPTF2
7669_L_mO_DLX1
7669_L_mO_COUPTF2
7669_R_EC_DLX1
7669_R_EC_TBR1
7669_R_EC_COUPTF2
7669_L_CC_2_DLX1
7669_L_CC_2_COUPTF2
7669_R_F_1_DLX1
7669_R_F_1_TBR1
7669_R_F_1_COUPTF2
7669_R_P_1_DLX1
7669_R_P_1_TBR1
7669_R_P_1_COUPTF2
7669_R_I_1_DLX1
7669_R_I_1_TBR1
7669_R_I_1_COUPTF2
7669_R_O_1_DLX1
7669_R_O_1_TBR1
7669_R_O_1_COUPTF2
7669_R_T_1_DLX1
7669_R_T_1_TBR1
7669_R_T_1_COUPTF2
7669_R_mO_DLX1
7669_R_mO_TBR1
7669_R_mO_COUPTF2
7669_L_EC_DLX1
7669_L_EC_COUPTF2
7669_R_CC_Mid_TBR1
7669_R_CCMid_DLX1
7669_R_CCMid_COUPTF2
B
18−66103772−A−T
0
−2
−4
−3
−2
−1
0
0.8
0.6
0.4
0.2
0.0

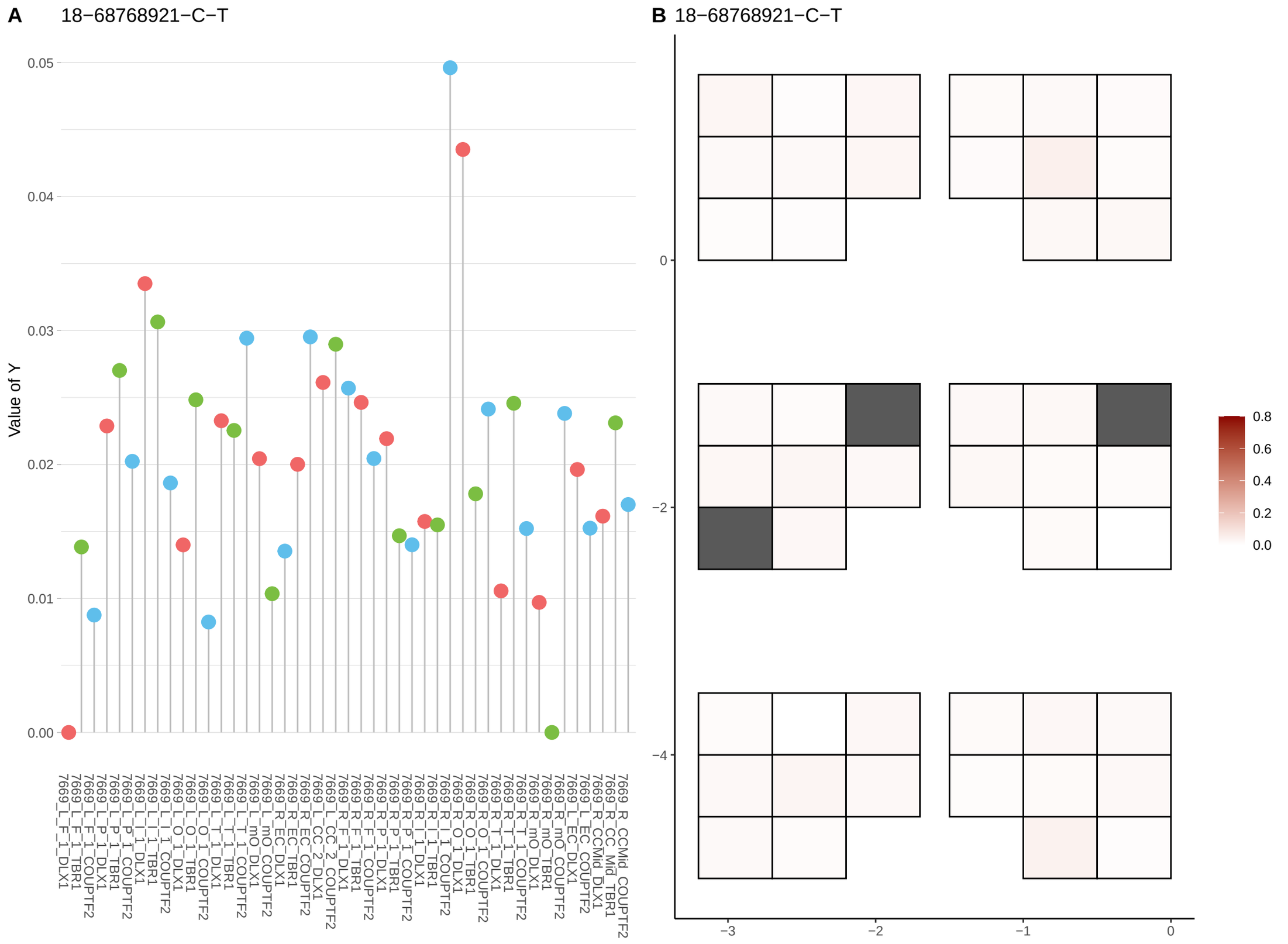
A
18−68768921−C−T
Value of Y
0.05
0.04
0.03
0.02
0.01
0.00
7669_L_F_1_DLX1
7669_L_F_1_TBR1
7669_L_F_1_COUPTF2
7669_L_P_1_DLX1
7669_L_P_1_TBR1
7669_L_P_1_COUPTF2
7669_L_I_1_DLX1
7669_L_I_1_TBR1
7669_L_I_1_COUPTF2
7669_L_O_1_DLX1
7669_L_O_1_TBR1
7669_L_O_1_COUPTF2
7669_L_T_1_DLX1
7669_L_T_1_TBR1
7669_L_T_1_COUPTF2
7669_L_mO_DLX1
7669_L_mO_COUPTF2
7669_R_EC_DLX1
7669_R_EC_TBR1
7669_R_EC_COUPTF2
7669_L_CC_2_DLX1
7669_L_CC_2_COUPTF2
7669_R_F_1_DLX1
7669_R_F_1_TBR1
7669_R_F_1_COUPTF2
7669_R_P_1_DLX1
7669_R_P_1_TBR1
7669_R_P_1_COUPTF2
7669_R_I_1_DLX1
7669_R_I_1_TBR1
7669_R_I_1_COUPTF2
7669_R_O_1_DLX1
7669_R_O_1_TBR1
7669_R_O_1_COUPTF2
7669_R_T_1_DLX1
7669_R_T_1_TBR1
7669_R_T_1_COUPTF2
7669_R_mO_DLX1
7669_R_mO_TBR1
7669_R_mO_COUPTF2
7669_L_EC_DLX1
7669_L_EC_COUPTF2
7669_R_CCMid_DLX1
7669_R_CC_Mid_TBR1
7669_R_CCMid_COUPTF2
B
18−68768921−C−T
0
−2
−4
−3
−2
−1
0
0.8
0.6
0.4
0.2
0.0

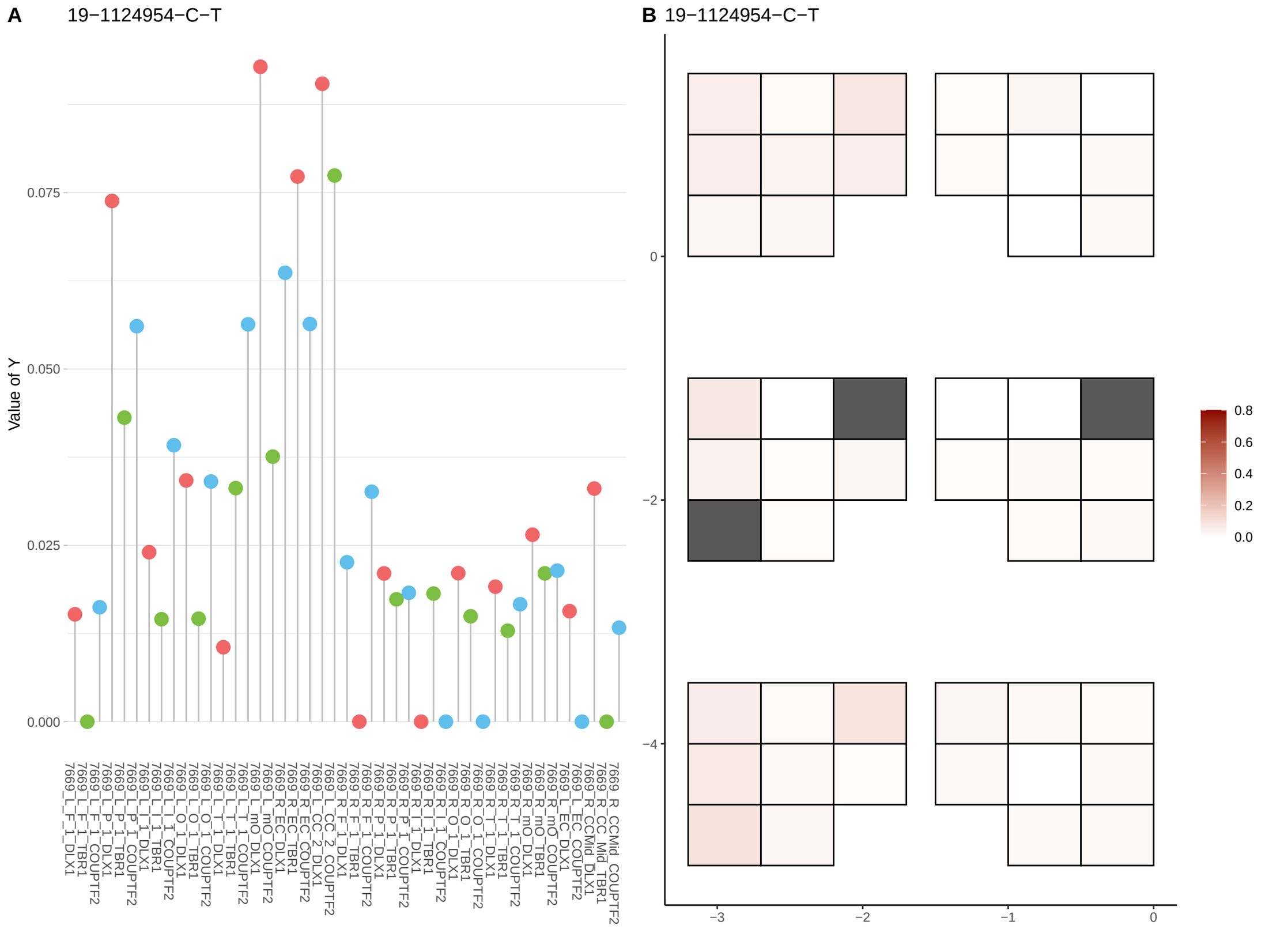
A
19−1124954−C−T
Value of Y
0.075
0.050
0.025
0.000
7669_L_F_1_DLX1
7669_L_F_1_TBR1
7669_L_F_1_COUPTF2
7669_L_P_1_DLX1
7669_L_P_1_TBR1
7669_L_P_1_COUPTF2
7669_L_I_1_DLX1
7669_L_I_1_TBR1
7669_L_I_1_COUPTF2
7669_L_O_1_DLX1
7669_L_O_1_TBR1
7669_L_O_1_COUPTF2
7669_L_T_1_DLX1
7669_L_T_1_TBR1
7669_L_T_1_COUPTF2
7669_L_mO_DLX1
7669_L_mO_COUPTF2
7669_R_EC_DLX1
7669_R_EC_TBR1
7669_R_EC_COUPTF2
7669_L_CC_2_DLX1
7669_L_CC_2_COUPTF2
7669_R_F_1_DLX1
7669_R_F_1_TBR1
7669_R_F_1_COUPTF2
7669_R_P_1_DLX1
7669_R_P_1_TBR1
7669_R_P_1_COUPTF2
7669_R_I_1_DLX1
7669_R_I_1_TBR1
7669_R_I_1_COUPTF2
7669_R_O_1_DLX1
7669_R_O_1_TBR1
7669_R_O_1_COUPTF2
7669_R_T_1_DLX1
7669_R_T_1_TBR1
7669_R_T_1_COUPTF2
7669_R_mO_DLX1
7669_R_mO_TBR1
7669_R_mO_COUPTF2
7669_L_EC_DLX1
7669_L_EC_COUPTF2
7669_R_CCMid_DLX1
7669_R_CC_Mid_TBR1
7669_R_CCMid_COUPTF2
B
19−1124954−C−T
0
−2
−4
−3
−2
−1
0
0.8
0.6
0.4
0.2
0.0

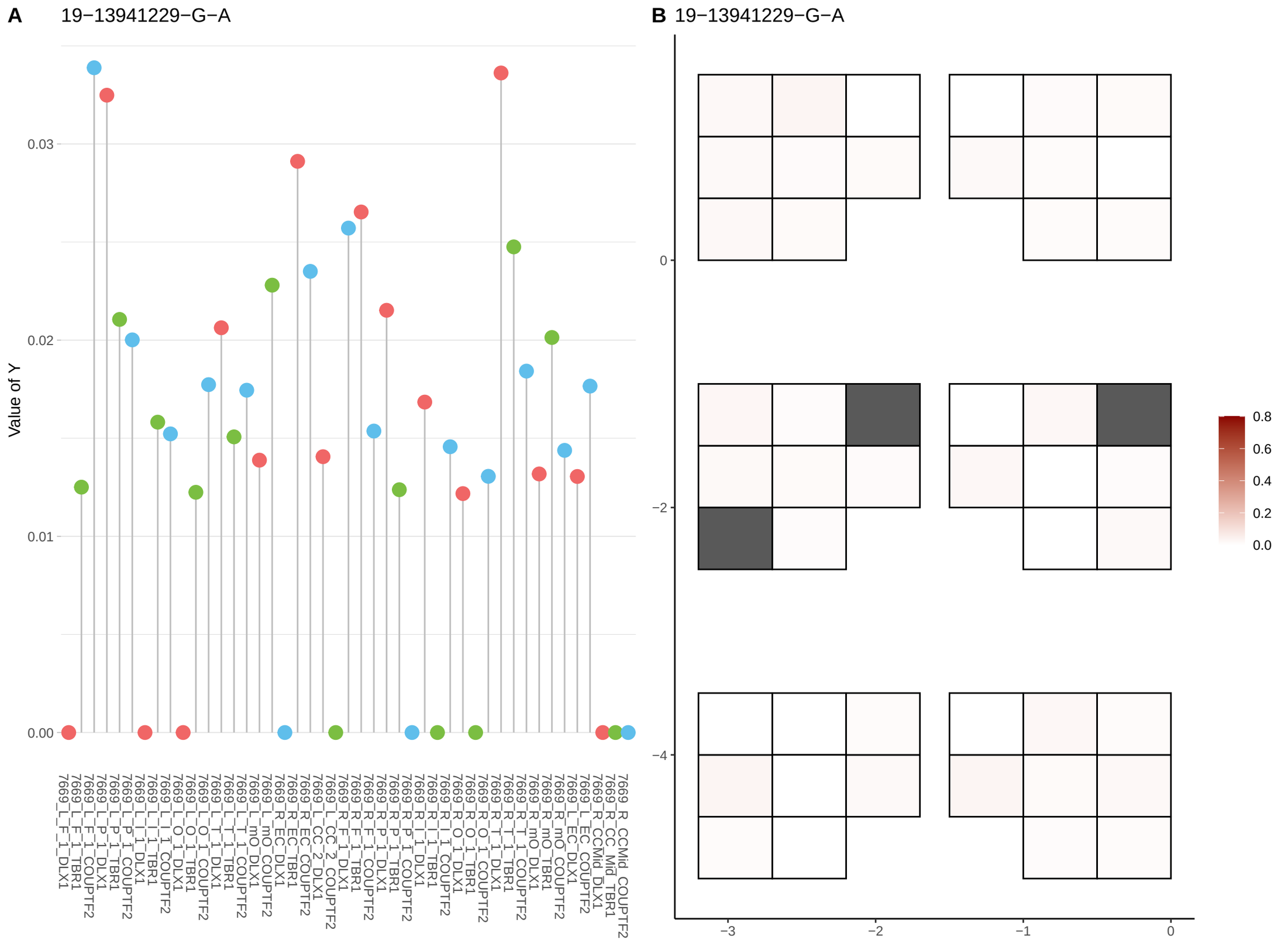
A
19−13941229−G−A
Value of Y
0.03
0.02
0.01
0.00
7669_L_F_1_DLX1
7669_L_F_1_TBR1
7669_L_F_1_COUPTF2
7669_L_P_1_DLX1
7669_L_P_1_TBR1
7669_L_P_1_COUPTF2
7669_L_I_1_DLX1
7669_L_I_1_TBR1
7669_L_I_1_COUPTF2
7669_L_O_1_DLX1
7669_L_O_1_TBR1
7669_L_O_1_COUPTF2
7669_L_T_1_DLX1
7669_L_T_1_TBR1
7669_L_T_1_COUPTF2
7669_L_mO_DLX1
7669_L_mO_COUPTF2
7669_R_EC_DLX1
7669_R_EC_TBR1
7669_R_EC_COUPTF2
7669_L_CC_2_DLX1
7669_L_CC_2_COUPTF2
7669_R_F_1_DLX1
7669_R_F_1_TBR1
7669_R_F_1_COUPTF2
7669_R_P_1_DLX1
7669_R_P_1_TBR1
7669_R_P_1_COUPTF2
7669_R_I_1_DLX1
7669_R_I_1_TBR1
7669_R_I_1_COUPTF2
7669_R_O_1_DLX1
7669_R_O_1_TBR1
7669_R_O_1_COUPTF2
7669_R_T_1_DLX1
7669_R_T_1_TBR1
7669_R_T_1_COUPTF2
7669_R_mO_DLX1
7669_R_mO_TBR1
7669_R_mO_COUPTF2
7669_L_EC_DLX1
7669_L_EC_COUPTF2
7669_R_CCMid_DLX1
7669_R_CC_Mid_TBR1
7669_R_CCMid_COUPTF2
B
19−13941229−G−A
0
−2
−4
−3
−2
−1
0
0.8
0.6
0.4
0.2
0.0

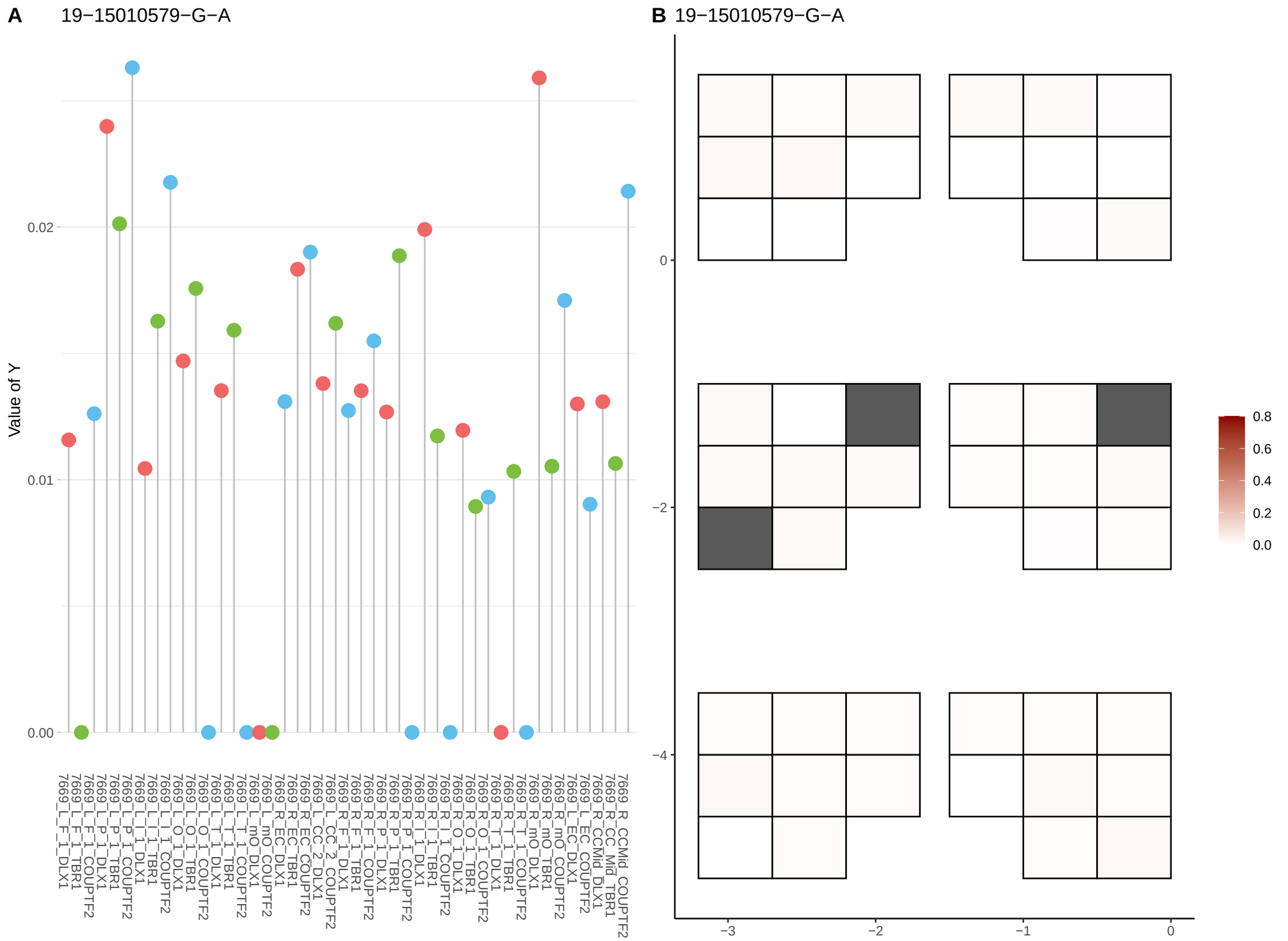
A
19−15010579−G−A
Value of Y
0.02
0.01
0.00
7669_L_F_1_DLX1
7669_L_F_1_TBR1
7669_L_F_1_COUPTF2
7669_L_P_1_DLX1
7669_L_P_1_TBR1
7669_L_P_1_COUPTF2
7669_L_I_1_DLX1
7669_L_I_1_TBR1
7669_L_I_1_COUPTF2
7669_L_O_1_DLX1
7669_L_O_1_TBR1
7669_L_O_1_COUPTF2
7669_L_T_1_DLX1
7669_L_T_1_TBR1
7669_L_T_1_COUPTF2
7669_L_mO_DLX1
7669_L_mO_COUPTF2
7669_R_EC_DLX1
7669_R_EC_TBR1
7669_R_EC_COUPTF2
7669_L_CC_2_DLX1
7669_L_CC_2_COUPTF2
7669_R_F_1_DLX1
7669_R_F_1_TBR1
7669_R_F_1_COUPTF2
7669_R_P_1_DLX1
7669_R_P_1_TBR1
7669_R_P_1_COUPTF2
7669_R_I_1_DLX1
7669_R_I_1_TBR1
7669_R_I_1_COUPTF2
7669_R_O_1_DLX1
7669_R_O_1_TBR1
7669_R_O_1_COUPTF2
7669_R_T_1_DLX1
7669_R_T_1_TBR1
7669_R_T_1_COUPTF2
7669_R_mO_DLX1
7669_R_mO_TBR1
7669_R_mO_COUPTF2
7669_L_EC_DLX1
7669_L_EC_COUPTF2
7669_R_CCMid_DLX1
7669_R_CC_Mid_TBR1
7669_R_CCMid_COUPTF2
B
19−15010579−G−A
0
−2
−4
−3
−2
−1
0
0.8
0.6
0.4
0.2
0.0

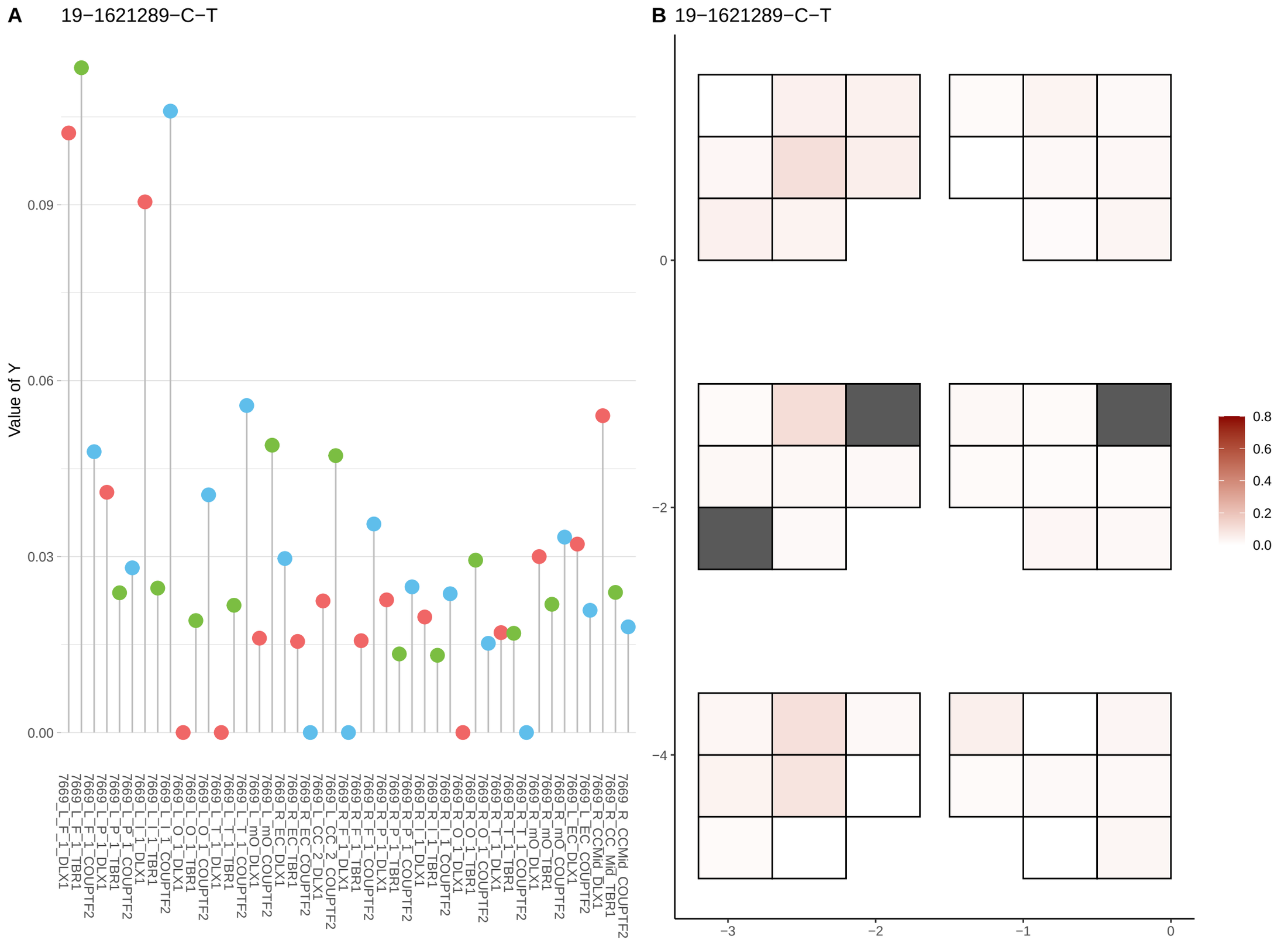
A
19−1621289−C−T
Value of Y
0.09
0.06
0.03
0.00
7669_L_F_1_DLX1
7669_L_F_1_TBR1
7669_L_F_1_COUPTF2
7669_L_P_1_DLX1
7669_L_P_1_TBR1
7669_L_P_1_COUPTF2
7669_L_I_1_DLX1
7669_L_I_1_TBR1
7669_L_I_1_COUPTF2
7669_L_O_1_DLX1
7669_L_O_1_TBR1
7669_L_O_1_COUPTF2
7669_L_T_1_DLX1
7669_L_T_1_TBR1
7669_L_T_1_COUPTF2
7669_L_mO_DLX1
7669_L_mO_COUPTF2
7669_R_EC_DLX1
7669_R_EC_TBR1
7669_R_EC_COUPTF2
7669_L_CC_2_DLX1
7669_L_CC_2_COUPTF2
7669_R_F_1_DLX1
7669_R_F_1_TBR1
7669_R_F_1_COUPTF2
7669_R_P_1_DLX1
7669_R_P_1_TBR1
7669_R_P_1_COUPTF2
7669_R_I_1_DLX1
7669_R_I_1_TBR1
7669_R_I_1_COUPTF2
7669_R_O_1_DLX1
7669_R_O_1_TBR1
7669_R_O_1_COUPTF2
7669_R_T_1_DLX1
7669_R_T_1_TBR1
7669_R_T_1_COUPTF2
7669_R_mO_DLX1
7669_R_mO_TBR1
7669_R_mO_COUPTF2
7669_L_EC_DLX1
7669_L_EC_COUPTF2
7669_R_CCMid_DLX1
7669_R_CC_Mid_TBR1
7669_R_CCMid_COUPTF2
B
19−1621289−C−T
0
−2
−4
−3
−2
−1
0
0.8
0.6
0.4
0.2
0.0

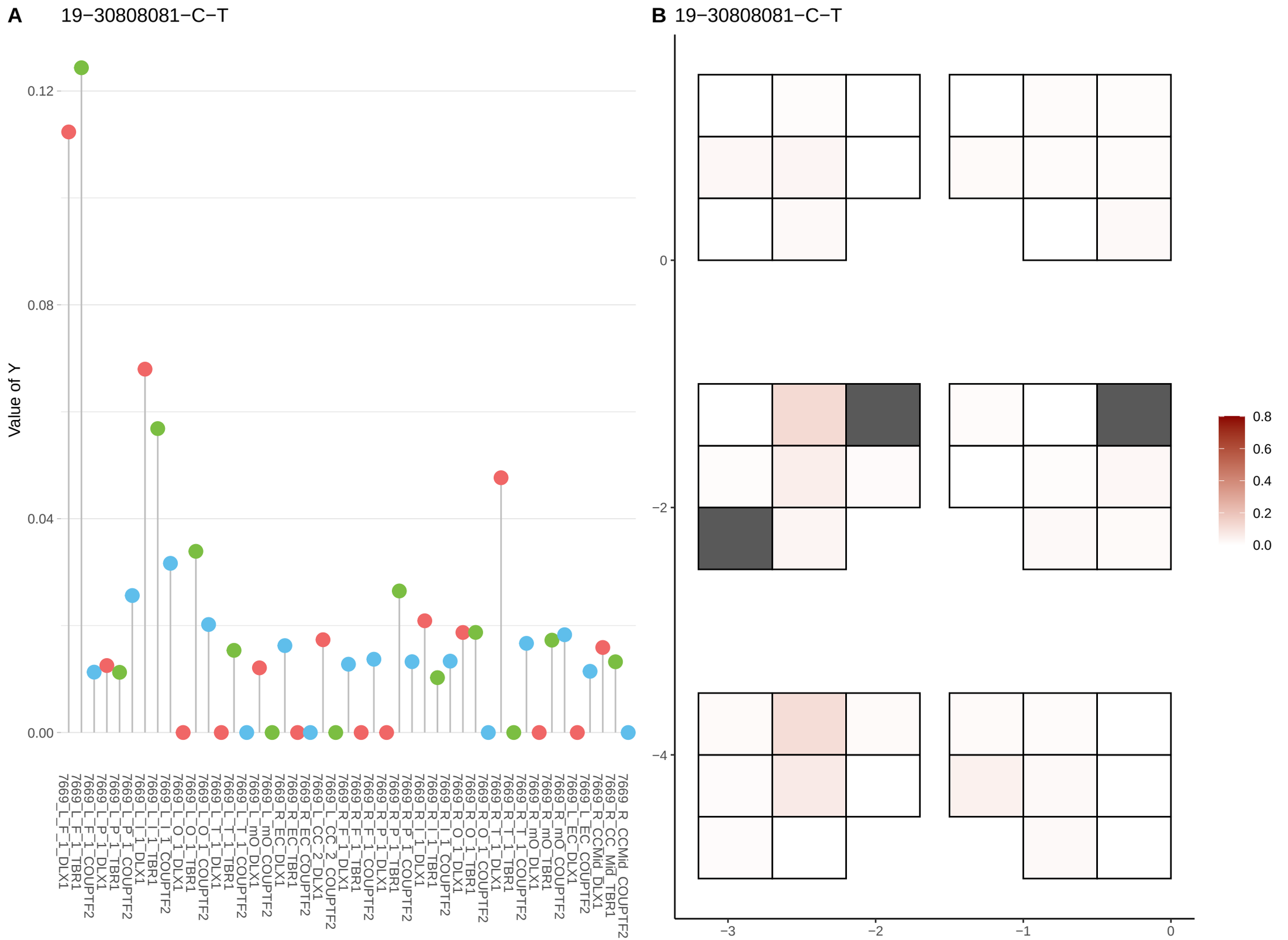
A
19−30808081−C−T
Value of Y
0.12
0.08
0.04
0.00
7669_L_F_1_DLX1
7669_L_F_1_TBR1
7669_L_F_1_COUPTF2
7669_L_P_1_DLX1
7669_L_P_1_TBR1
7669_L_P_1_COUPTF2
7669_L_I_1_DLX1
7669_L_I_1_TBR1
7669_L_I_1_COUPTF2
7669_L_O_1_DLX1
7669_L_O_1_TBR1
7669_L_O_1_COUPTF2
7669_L_T_1_DLX1
7669_L_T_1_TBR1
7669_L_T_1_COUPTF2
7669_L_mO_DLX1
7669_L_mO_COUPTF2
7669_R_EC_DLX1
7669_R_EC_TBR1
7669_R_EC_COUPTF2
7669_L_CC_2_DLX1
7669_L_CC_2_COUPTF2
7669_R_F_1_DLX1
7669_R_F_1_TBR1
7669_R_F_1_COUPTF2
7669_R_P_1_DLX1
7669_R_P_1_TBR1
7669_R_P_1_COUPTF2
7669_R_I_1_DLX1
7669_R_I_1_TBR1
7669_R_I_1_COUPTF2
7669_R_O_1_DLX1
7669_R_O_1_TBR1
7669_R_O_1_COUPTF2
7669_R_T_1_DLX1
7669_R_T_1_TBR1
7669_R_T_1_COUPTF2
7669_R_mO_DLX1
7669_R_mO_TBR1
7669_R_mO_COUPTF2
7669_L_EC_DLX1
7669_L_EC_COUPTF2
7669_R_CCMid_DLX1
7669_R_CC_Mid_TBR1
7669_R_CCMid_COUPTF2
B
19−30808081−C−T
0
−2
−4
−3
−2
−1
0
0.8
0.6
0.4
0.2
0.0

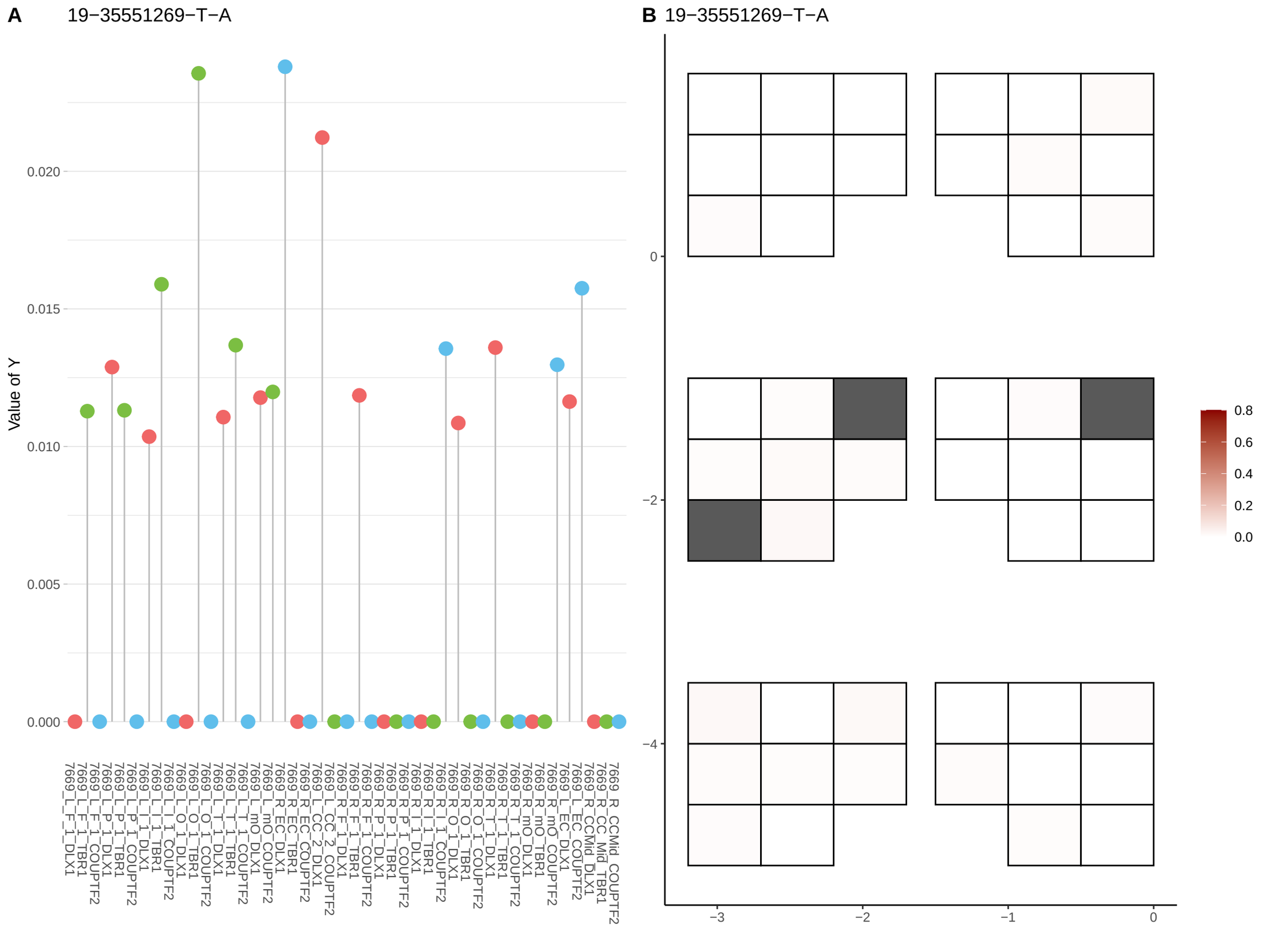
A
19−35551269−T−A
Value of Y
0.020
0.015
0.010
0.005
0.000
7669_L_F_1_DLX1
7669_L_F_1_TBR1
7669_L_F_1_COUPTF2
7669_L_P_1_DLX1
7669_L_P_1_TBR1
7669_L_P_1_COUPTF2
7669_L_I_1_DLX1
7669_L_I_1_TBR1
7669_L_I_1_COUPTF2
7669_L_O_1_DLX1
7669_L_O_1_TBR1
7669_L_O_1_COUPTF2
7669_L_T_1_DLX1
7669_L_T_1_TBR1
7669_L_T_1_COUPTF2
7669_L_mO_DLX1
7669_L_mO_COUPTF2
7669_R_EC_DLX1
7669_R_EC_TBR1
7669_R_EC_COUPTF2
7669_L_CC_2_DLX1
7669_L_CC_2_COUPTF2
7669_R_F_1_DLX1
7669_R_F_1_TBR1
7669_R_F_1_COUPTF2
7669_R_P_1_DLX1
7669_R_P_1_TBR1
7669_R_P_1_COUPTF2
7669_R_I_1_DLX1
7669_R_I_1_TBR1
7669_R_I_1_COUPTF2
7669_R_O_1_DLX1
7669_R_O_1_TBR1
7669_R_O_1_COUPTF2
7669_R_T_1_DLX1
7669_R_T_1_TBR1
7669_R_T_1_COUPTF2
7669_R_mO_DLX1
7669_R_mO_TBR1
7669_R_mO_COUPTF2
7669_L_EC_DLX1
7669_L_EC_COUPTF2
7669_R_CC_Mid_DLX1
7669_R_CC_Mid_TBR1
7669_R_CC_Mid_COUPTF2
B
19−35551269−T−A
0
−2
−4
−3
−2
−1
0
0.8
0.6
0.4
0.2
0.0

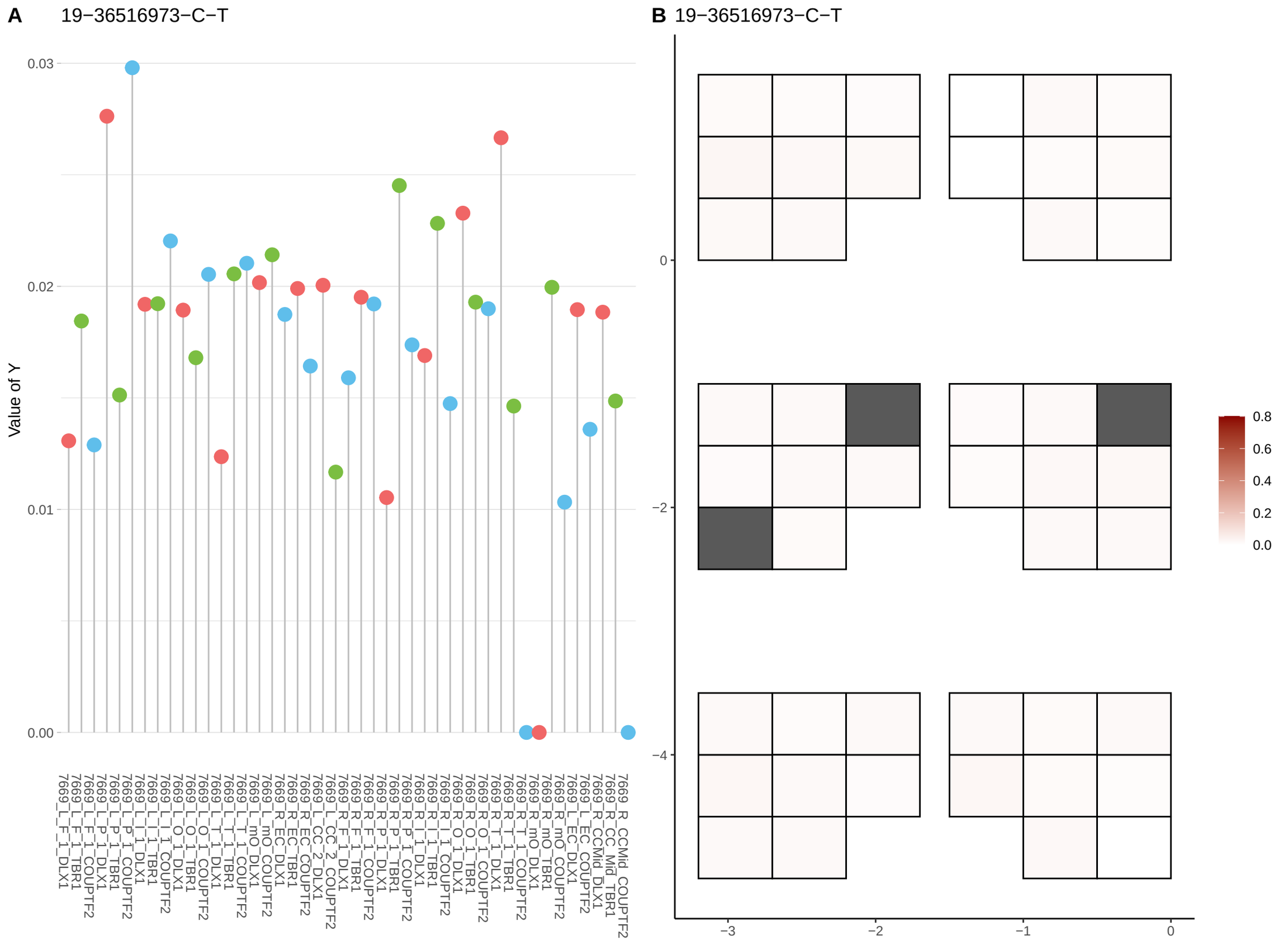
A
19−36516973−C−T
Value of Y
0.03
0.02
0.01
0.00
7669_L_F_1_DLX1
7669_L_F_1_TBR1
7669_L_F_1_COUPTF2
7669_L_P_1_DLX1
7669_L_P_1_TBR1
7669_L_P_1_COUPTF2
7669_L_I_1_DLX1
7669_L_I_1_TBR1
7669_L_I_1_COUPTF2
7669_L_O_1_DLX1
7669_L_O_1_TBR1
7669_L_O_1_COUPTF2
7669_L_T_1_DLX1
7669_L_T_1_TBR1
7669_L_T_1_COUPTF2
7669_L_mO_DLX1
7669_L_mO_COUPTF2
7669_R_EC_DLX1
7669_R_EC_TBR1
7669_R_EC_COUPTF2
7669_L_CC_2_DLX1
7669_L_CC_2_COUPTF2
7669_R_F_1_DLX1
7669_R_F_1_TBR1
7669_R_F_1_COUPTF2
7669_R_P_1_DLX1
7669_R_P_1_TBR1
7669_R_P_1_COUPTF2
7669_R_I_1_DLX1
7669_R_I_1_TBR1
7669_R_I_1_COUPTF2
7669_R_O_1_DLX1
7669_R_O_1_TBR1
7669_R_O_1_COUPTF2
7669_R_T_1_DLX1
7669_R_T_1_TBR1
7669_R_T_1_COUPTF2
7669_R_mO_DLX1
7669_R_mO_TBR1
7669_R_mO_COUPTF2
7669_L_EC_DLX1
7669_L_EC_COUPTF2
7669_R_CCMid_DLX1
7669_R_CC_Mid_TBR1
7669_R_CCMid_COUPTF2
B
19−36516973−C−T
0
−2
−4
−3
−2
−1
0
0.8
0.6
0.4
0.2
0.0

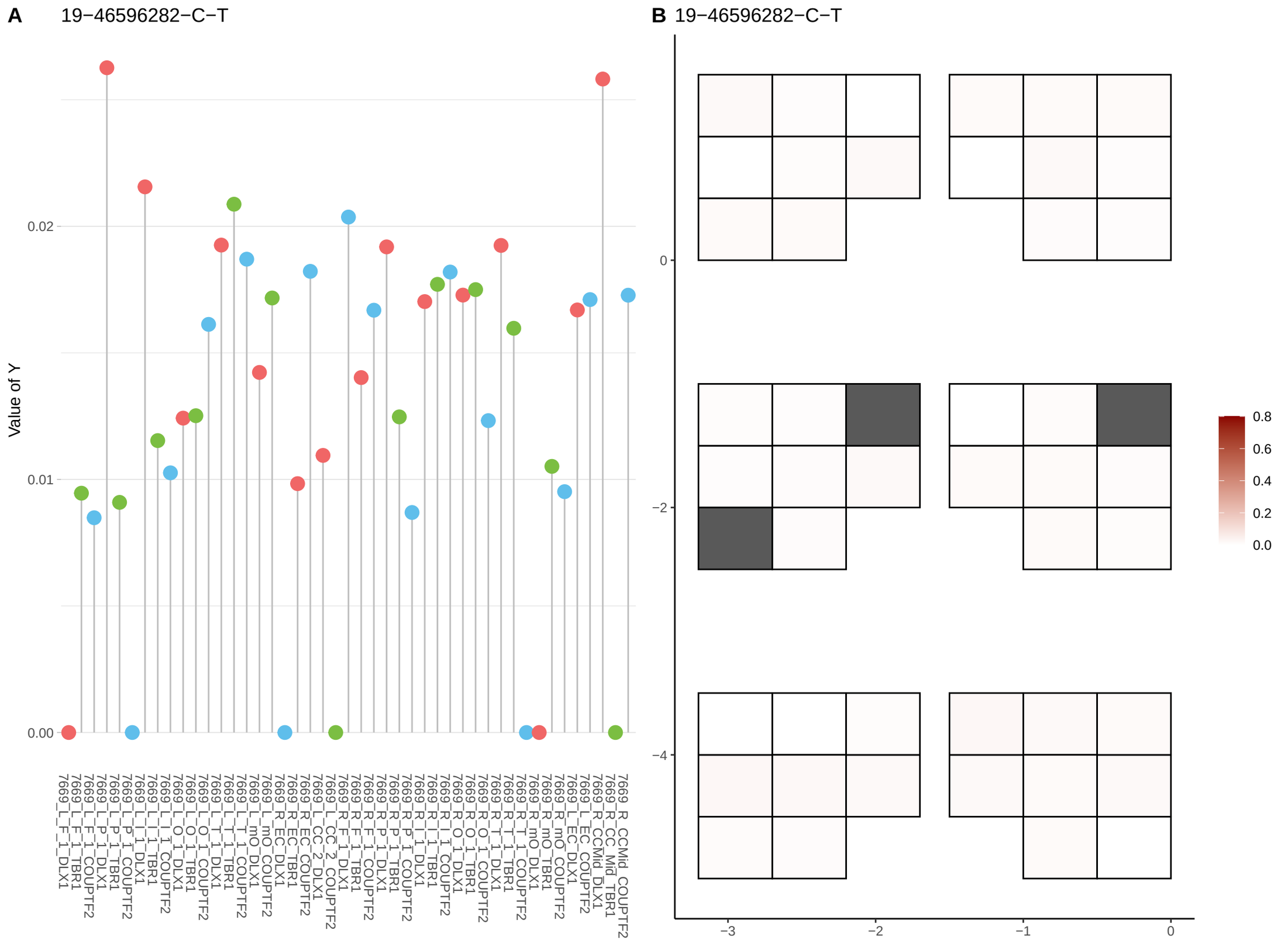
A
19−46596282−C−T
Value of Y
0.02
0.01
0.00
7669_L_F_1_DLX1
7669_L_F_1_TBR1
7669_L_F_1_COUPTF2
7669_L_P_1_DLX1
7669_L_P_1_TBR1
7669_L_P_1_COUPTF2
7669_L_I_1_DLX1
7669_L_I_1_TBR1
7669_L_I_1_COUPTF2
7669_L_O_1_DLX1
7669_L_O_1_TBR1
7669_L_O_1_COUPTF2
7669_L_T_1_DLX1
7669_L_T_1_TBR1
7669_L_T_1_COUPTF2
7669_L_mO_DLX1
7669_L_mO_COUPTF2
7669_R_EC_DLX1
7669_R_EC_TBR1
7669_R_EC_COUPTF2
7669_L_CC_2_DLX1
7669_L_CC_2_COUPTF2
7669_R_F_1_DLX1
7669_R_F_1_TBR1
7669_R_F_1_COUPTF2
7669_R_P_1_DLX1
7669_R_P_1_TBR1
7669_R_P_1_COUPTF2
7669_R_I_1_DLX1
7669_R_I_1_TBR1
7669_R_I_1_COUPTF2
7669_R_O_1_DLX1
7669_R_O_1_TBR1
7669_R_O_1_COUPTF2
7669_R_T_1_DLX1
7669_R_T_1_TBR1
7669_R_T_1_COUPTF2
7669_R_mO_DLX1
7669_R_mO_TBR1
7669_R_mO_COUPTF2
7669_L_EC_DLX1
7669_L_EC_COUPTF2
7669_R_CCMid_DLX1
7669_R_CC_Mid_TBR1
7669_R_CCMid_COUPTF2
B
19−46596282−C−T
0
−2
−4
−3
−2
−1
0
0.8
0.6
0.4
0.2
0.0

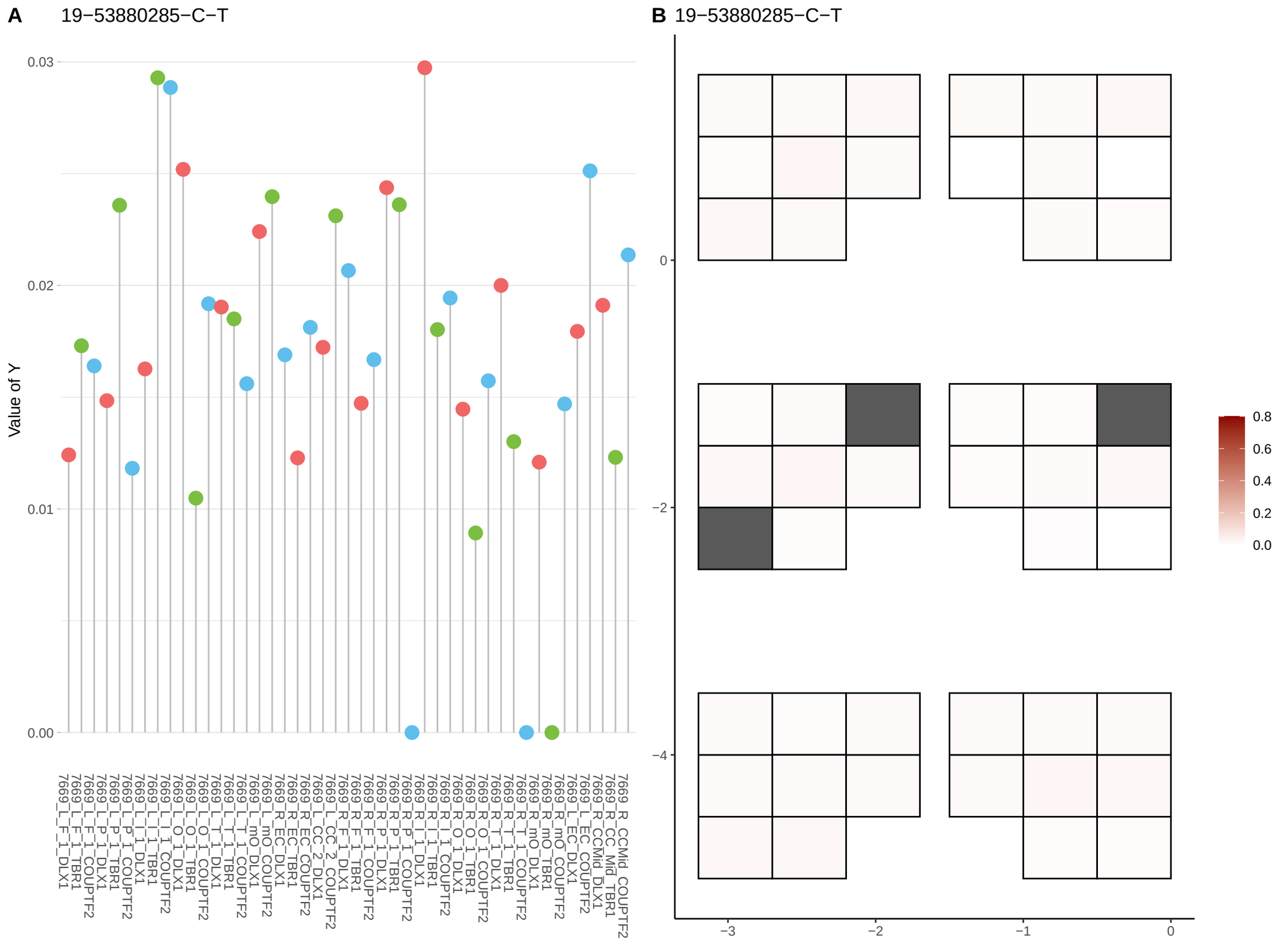
A
19−53880285−C−T
Value of Y
0.03
0.02
0.01
0.00
7669_L_F_1_DLX1
7669_L_F_1_TBR1
7669_L_F_1_COUPTF2
7669_L_P_1_DLX1
7669_L_P_1_TBR1
7669_L_P_1_COUPTF2
7669_L_I_1_DLX1
7669_L_I_1_TBR1
7669_L_I_1_COUPTF2
7669_L_O_1_DLX1
7669_L_O_1_TBR1
7669_L_O_1_COUPTF2
7669_L_T_1_DLX1
7669_L_T_1_TBR1
7669_L_T_1_COUPTF2
7669_L_mO_DLX1
7669_L_mO_COUPTF2
7669_R_EC_DLX1
7669_R_EC_TBR1
7669_R_EC_COUPTF2
7669_L_CC_2_DLX1
7669_L_CC_2_COUPTF2
7669_R_F_1_DLX1
7669_R_F_1_TBR1
7669_R_F_1_COUPTF2
7669_R_P_1_DLX1
7669_R_P_1_TBR1
7669_R_P_1_COUPTF2
7669_R_I_1_DLX1
7669_R_I_1_TBR1
7669_R_I_1_COUPTF2
7669_R_O_1_DLX1
7669_R_O_1_TBR1
7669_R_O_1_COUPTF2
7669_R_T_1_DLX1
7669_R_T_1_TBR1
7669_R_T_1_COUPTF2
7669_R_mO_DLX1
7669_R_mO_TBR1
7669_R_mO_COUPTF2
7669_L_EC_DLX1
7669_L_EC_COUPTF2
7669_R_CCMid_DLX1
7669_R_CC_Mid_TBR1
7669_R_CCMid_COUPTF2
B
19−53880285−C−T
0
−2
−4
−3
−2
−1
0
0.8
0.6
0.4
0.2
0.0

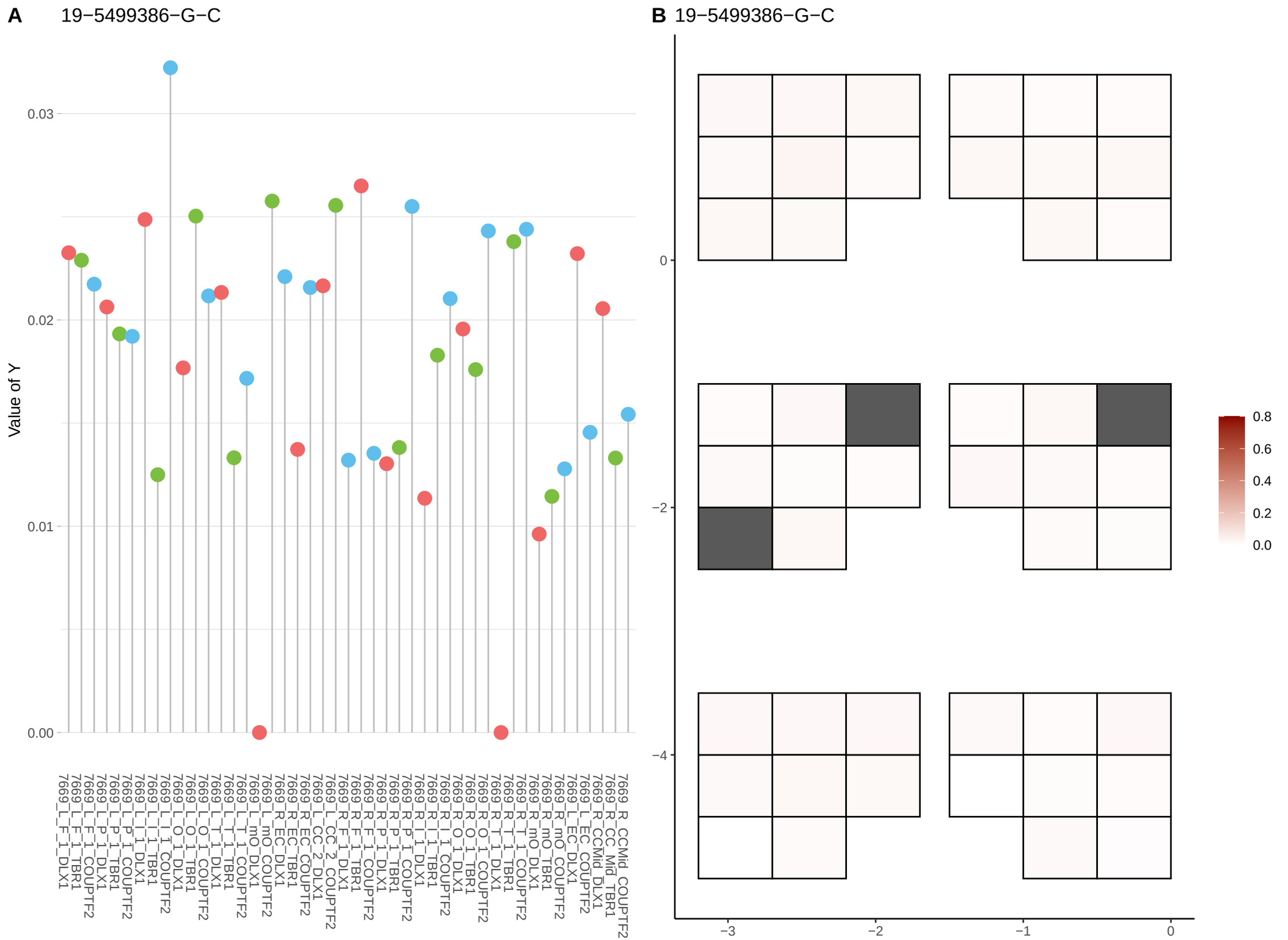
A
19−5499386−G−C
Value of Y
0.03
0.02
0.01
0.00
7669_L_F_1_DLX1
7669_L_F_1_TBR1
7669_L_F_1_COUPTF2
7669_L_P_1_DLX1
7669_L_P_1_TBR1
7669_L_P_1_COUPTF2
7669_L_I_1_DLX1
7669_L_I_1_TBR1
7669_L_I_1_COUPTF2
7669_L_O_1_DLX1
7669_L_O_1_TBR1
7669_L_O_1_COUPTF2
7669_L_T_1_DLX1
7669_L_T_1_TBR1
7669_L_T_1_COUPTF2
7669_L_mO_DLX1
7669_L_mO_COUPTF2
7669_R_EC_DLX1
7669_R_EC_TBR1
7669_R_EC_COUPTF2
7669_L_CC_2_DLX1
7669_L_CC_2_COUPTF2
7669_R_F_1_DLX1
7669_R_F_1_TBR1
7669_R_F_1_COUPTF2
7669_R_P_1_DLX1
7669_R_P_1_TBR1
7669_R_P_1_COUPTF2
7669_R_I_1_DLX1
7669_R_I_1_TBR1
7669_R_I_1_COUPTF2
7669_R_O_1_DLX1
7669_R_O_1_TBR1
7669_R_O_1_COUPTF2
7669_R_T_1_DLX1
7669_R_T_1_TBR1
7669_R_T_1_COUPTF2
7669_R_mO_DLX1
7669_R_mO_TBR1
7669_R_mO_COUPTF2
7669_L_EC_DLX1
7669_L_EC_COUPTF2
7669_R_CCMid_DLX1
7669_R_CC_Mid_TBR1
7669_R_CCMid_COUPTF2
B
19−5499386−G−C
0
−2
−4
−3
−2
−1
0
0.8
0.6
0.4
0.2
0.0

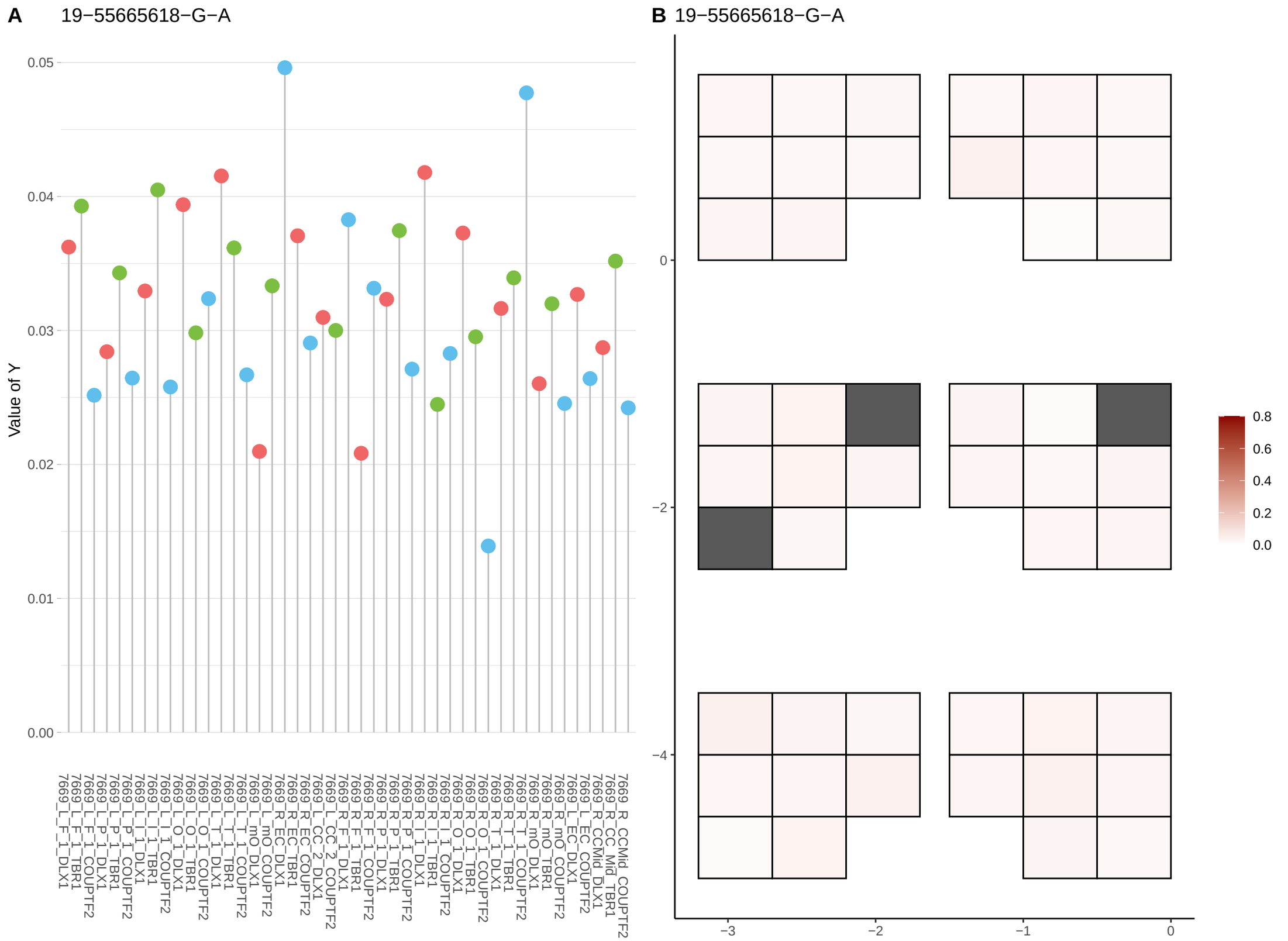
A
19−55665618−G−A
Value of Y
0.05
0.04
0.03
0.02
0.01
0.00
7669_L_F_1_DLX1
7669_L_F_1_TBR1
7669_L_F_1_COUPTF2
7669_L_P_1_DLX1
7669_L_P_1_TBR1
7669_L_P_1_COUPTF2
7669_L_I_1_DLX1
7669_L_I_1_TBR1
7669_L_I_1_COUPTF2
7669_L_O_1_DLX1
7669_L_O_1_TBR1
7669_L_O_1_COUPTF2
7669_L_T_1_DLX1
7669_L_T_1_TBR1
7669_L_T_1_COUPTF2
7669_L_mO_DLX1
7669_L_mO_COUPTF2
7669_R_EC_DLX1
7669_R_EC_TBR1
7669_R_EC_COUPTF2
7669_L_CC_2_DLX1
7669_L_CC_2_COUPTF2
7669_R_F_1_DLX1
7669_R_F_1_TBR1
7669_R_F_1_COUPTF2
7669_R_P_1_DLX1
7669_R_P_1_TBR1
7669_R_P_1_COUPTF2
7669_R_I_1_DLX1
7669_R_I_1_TBR1
7669_R_I_1_COUPTF2
7669_R_O_1_DLX1
7669_R_O_1_TBR1
7669_R_O_1_COUPTF2
7669_R_T_1_DLX1
7669_R_T_1_TBR1
7669_R_T_1_COUPTF2
7669_R_mO_DLX1
7669_R_mO_TBR1
7669_R_mO_COUPTF2
7669_L_EC_DLX1
7669_L_EC_COUPTF2
7669_R_CCMid_DLX1
7669_R_CC_Mid_TBR1
7669_R_CCMid_COUPTF2
B
19−55665618−G−A
0
−2
−4
−3
−2
−1
0
0.8
0.6
0.4
0.2
0.0

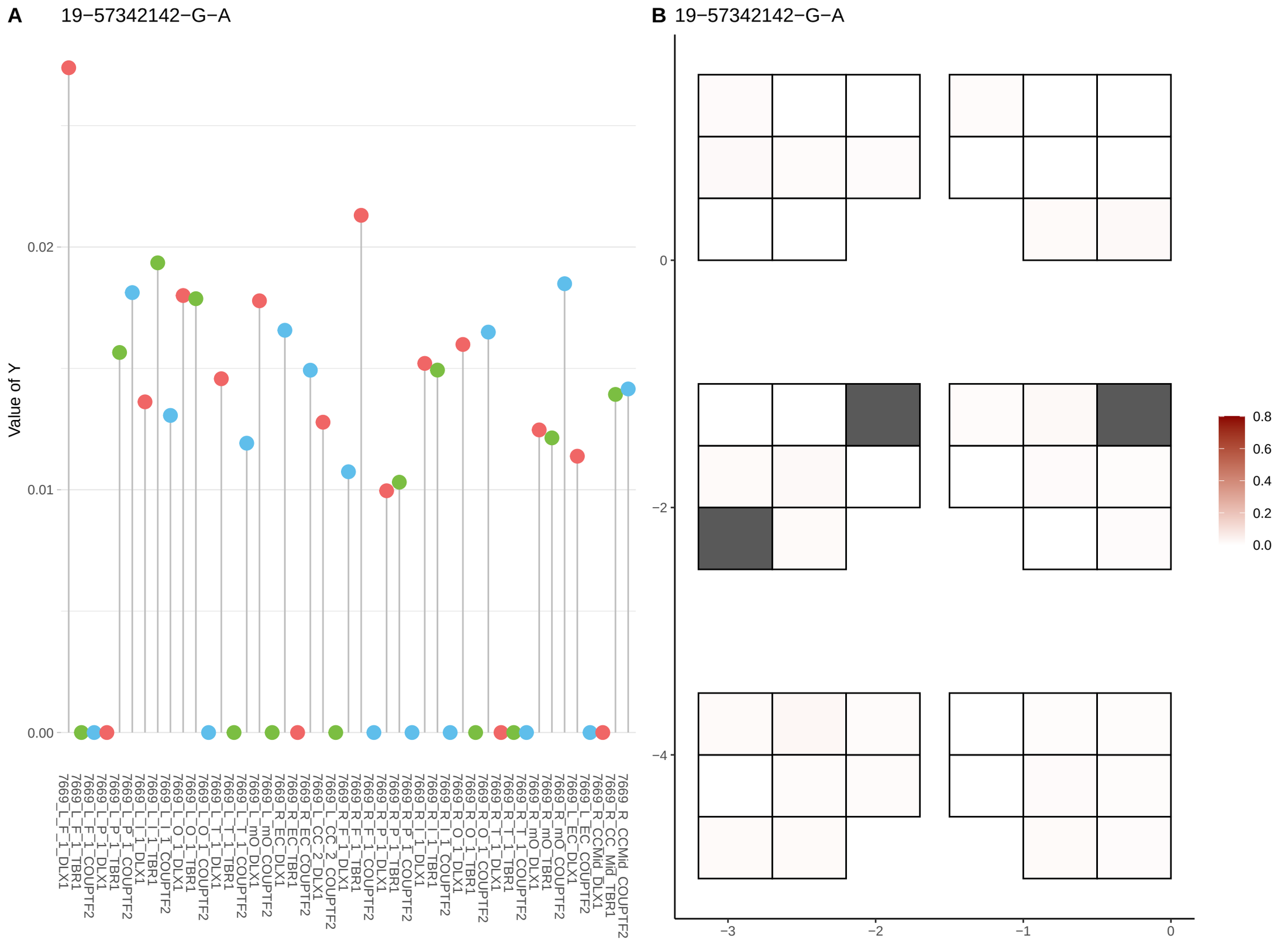
A
19−57342142−G−A
Value of Y
0.02
0.01
0.00
7669_L_F_1_DLX1
7669_L_F_1_TBR1
7669_L_F_1_COUPTF2
7669_L_P_1_DLX1
7669_L_P_1_TBR1
7669_L_P_1_COUPTF2
7669_L_I_1_DLX1
7669_L_I_1_TBR1
7669_L_I_1_COUPTF2
7669_L_O_1_DLX1
7669_L_O_1_TBR1
7669_L_O_1_COUPTF2
7669_L_T_1_DLX1
7669_L_T_1_TBR1
7669_L_T_1_COUPTF2
7669_L_mO_DLX1
7669_L_mO_COUPTF2
7669_R_EC_DLX1
7669_R_EC_TBR1
7669_R_EC_COUPTF2
7669_L_CC_2_DLX1
7669_L_CC_2_COUPTF2
7669_R_F_1_DLX1
7669_R_F_1_TBR1
7669_R_F_1_COUPTF2
7669_R_P_1_DLX1
7669_R_P_1_TBR1
7669_R_P_1_COUPTF2
7669_R_I_1_DLX1
7669_R_I_1_TBR1
7669_R_I_1_COUPTF2
7669_R_O_1_DLX1
7669_R_O_1_TBR1
7669_R_O_1_COUPTF2
7669_R_T_1_DLX1
7669_R_T_1_TBR1
7669_R_T_1_COUPTF2
7669_R_mO_DLX1
7669_R_mO_TBR1
7669_R_mO_COUPTF2
7669_L_EC_DLX1
7669_L_EC_COUPTF2
7669_R_CCMid_DLX1
7669_R_CC_Mid_TBR1
7669_R_CCMid_COUPTF2
B
19−57342142−G−A
0
−2
−4
−3
−2
−1
0
0.8
0.6
0.4
0.2
0.0

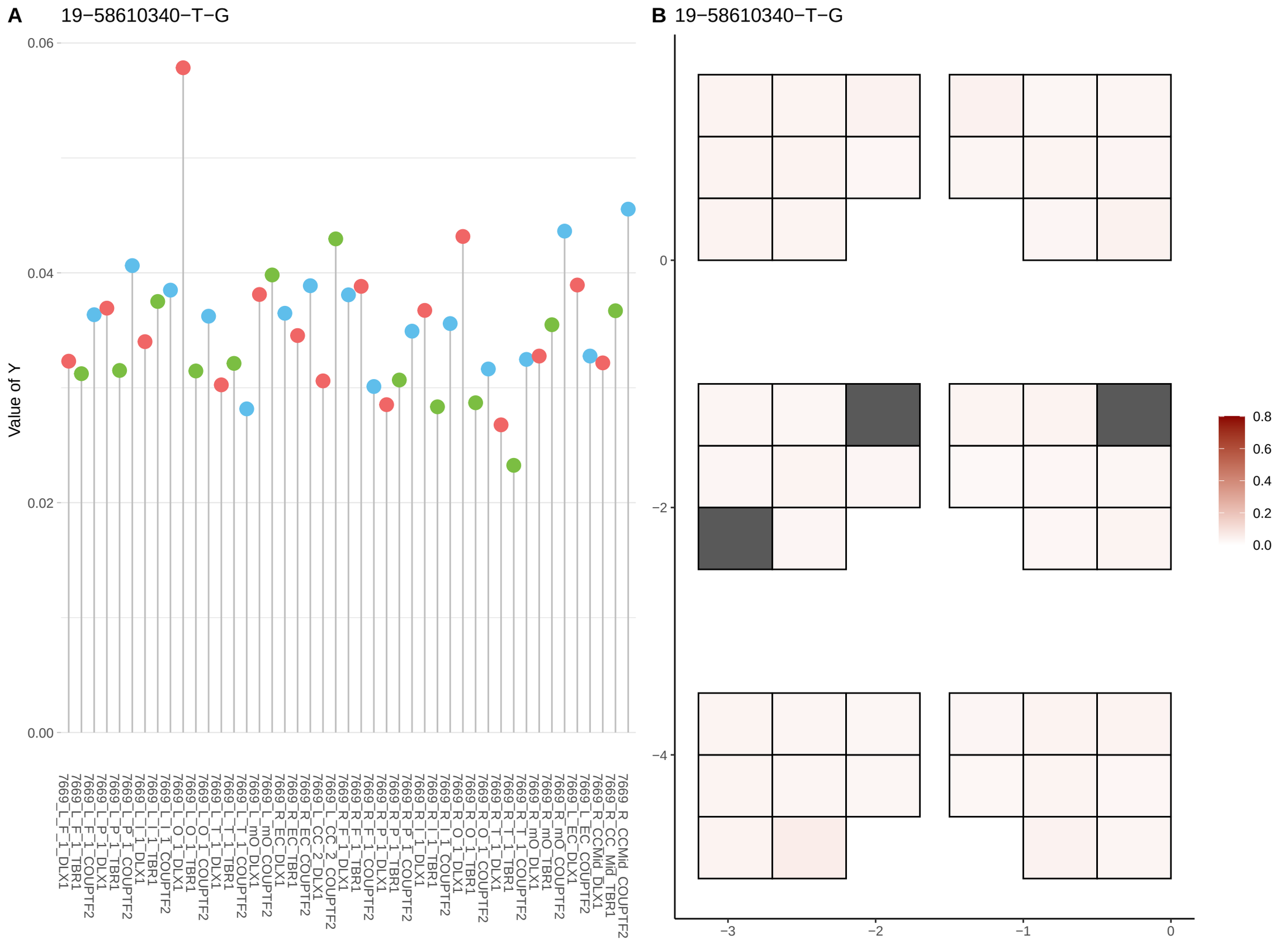
A
19−58610340−T−G
Value of Y
0.06
0.04
0.02
0.00
7669_L_F_1_DLX1
7669_L_F_1_TBR1
7669_L_F_1_COUPTF2
7669_L_P_1_DLX1
7669_L_P_1_TBR1
7669_L_P_1_COUPTF2
7669_L_I_1_DLX1
7669_L_I_1_TBR1
7669_L_I_1_COUPTF2
7669_L_O_1_DLX1
7669_L_O_1_TBR1
7669_L_O_1_COUPTF2
7669_L_T_1_DLX1
7669_L_T_1_TBR1
7669_L_T_1_COUPTF2
7669_L_mO_DLX1
7669_L_mO_COUPTF2
7669_R_EC_DLX1
7669_R_EC_TBR1
7669_R_EC_COUPTF2
7669_L_CC_2_DLX1
7669_L_CC_2_COUPTF2
7669_R_F_1_DLX1
7669_R_F_1_TBR1
7669_R_F_1_COUPTF2
7669_R_P_1_DLX1
7669_R_P_1_TBR1
7669_R_P_1_COUPTF2
7669_R_I_1_DLX1
7669_R_I_1_TBR1
7669_R_I_1_COUPTF2
7669_R_O_1_DLX1
7669_R_O_1_TBR1
7669_R_O_1_COUPTF2
7669_R_T_1_DLX1
7669_R_T_1_TBR1
7669_R_T_1_COUPTF2
7669_R_mO_DLX1
7669_R_mO_TBR1
7669_R_mO_COUPTF2
7669_L_EC_DLX1
7669_L_EC_COUPTF2
7669_R_CCMid_DLX1
7669_R_CC_Mid_TBR1
7669_R_CCMid_COUPTF2
B
19−58610340−T−G
0
−2
−4
−3
−2
−1
0
0.8
0.6
0.4
0.2
0.0

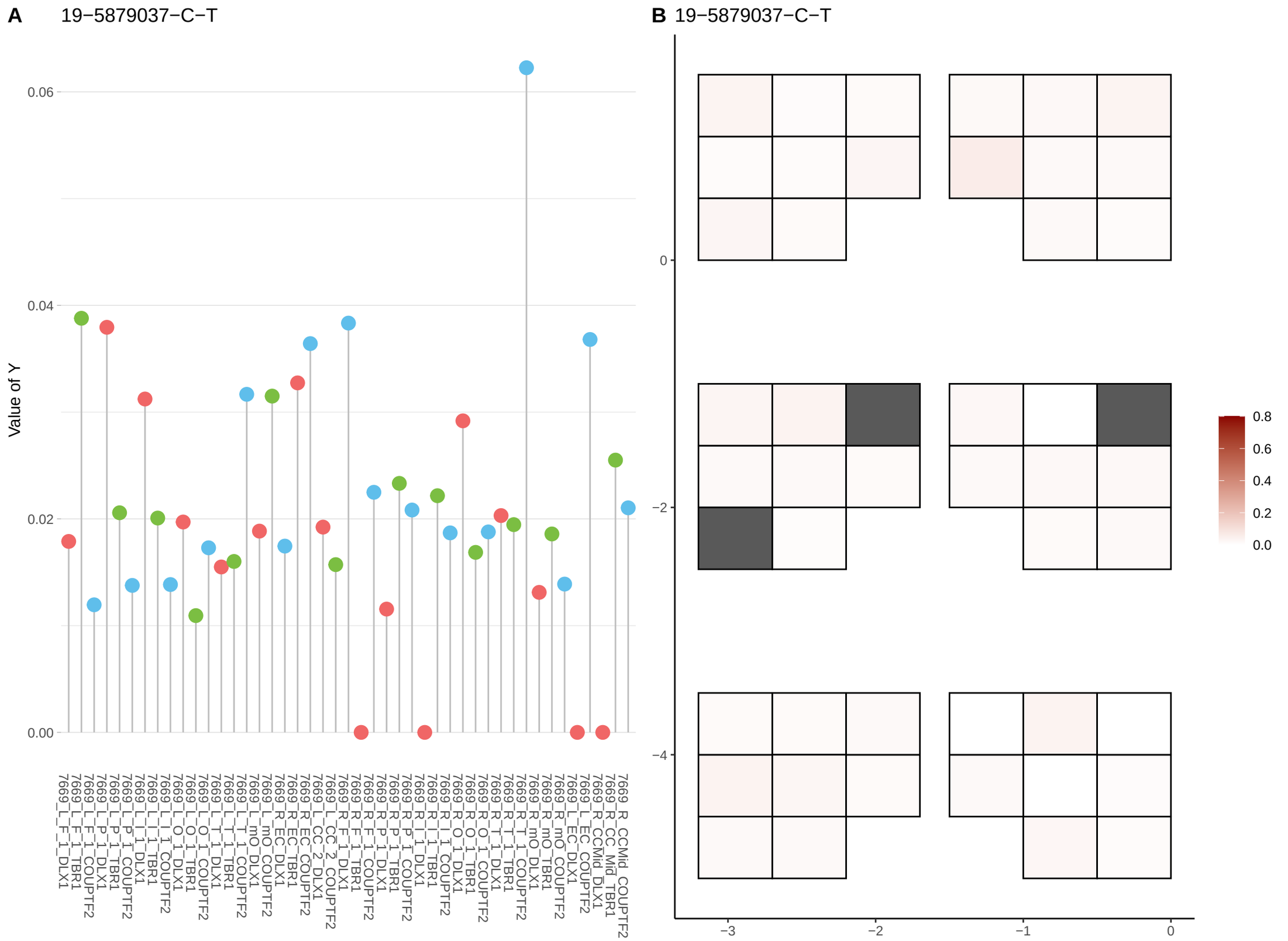
A
19−5879037−C−T
Value of Y
0.06
0.04
0.02
0.00
7669_L_F_1_DLX1
7669_L_F_1_TBR1
7669_L_F_1_COUPTF2
7669_L_P_1_DLX1
7669_L_P_1_TBR1
7669_L_P_1_COUPTF2
7669_L_I_1_DLX1
7669_L_I_1_TBR1
7669_L_I_1_COUPTF2
7669_L_O_1_DLX1
7669_L_O_1_TBR1
7669_L_O_1_COUPTF2
7669_L_T_1_DLX1
7669_L_T_1_TBR1
7669_L_T_1_COUPTF2
7669_L_mO_DLX1
7669_L_mO_COUPTF2
7669_R_EC_DLX1
7669_R_EC_TBR1
7669_R_EC_COUPTF2
7669_L_CC_2_DLX1
7669_L_CC_2_COUPTF2
7669_R_F_1_DLX1
7669_R_F_1_TBR1
7669_R_F_1_COUPTF2
7669_R_P_1_DLX1
7669_R_P_1_TBR1
7669_R_P_1_COUPTF2
7669_R_I_1_DLX1
7669_R_I_1_TBR1
7669_R_I_1_COUPTF2
7669_R_O_1_DLX1
7669_R_O_1_TBR1
7669_R_O_1_COUPTF2
7669_R_T_1_DLX1
7669_R_T_1_TBR1
7669_R_T_1_COUPTF2
7669_R_mO_DLX1
7669_R_mO_TBR1
7669_R_mO_COUPTF2
7669_L_EC_DLX1
7669_L_EC_COUPTF2
7669_R_CCMid_DLX1
7669_R_CC_Mid_TBR1
7669_R_CCMid_COUPTF2
B
19−5879037−C−T
0
−2
−4
−3
−2
−1
0
0.8
0.6
0.4
0.2
0.0

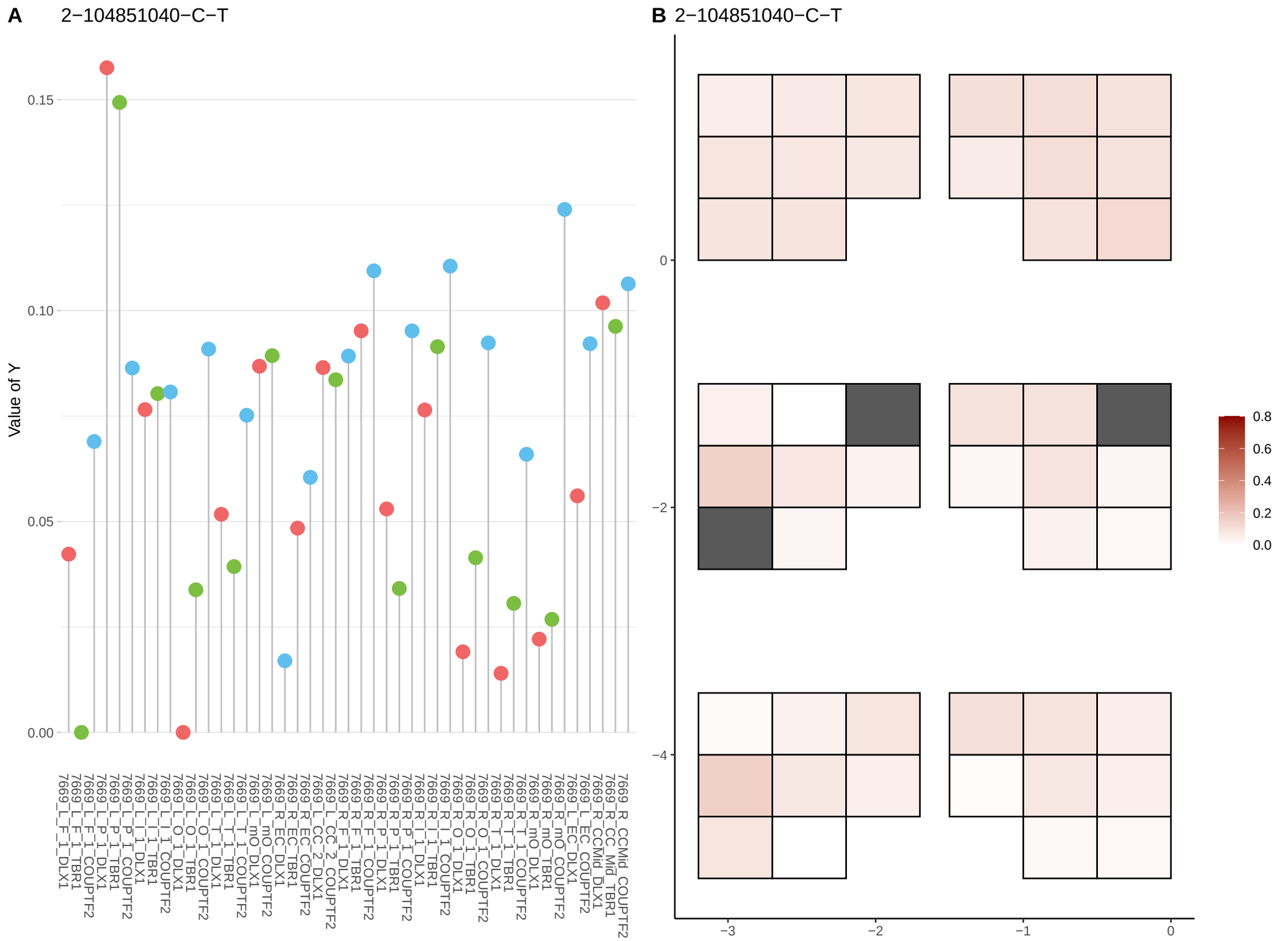
A
2−104851040−C−T
Value of Y
0.15
0.10
0.05
0.00
7669_L_F_1_DLX1
7669_L_F_1_TBR1
7669_L_F_1_COUPTF2
7669_L_P_1_DLX1
7669_L_P_1_TBR1
7669_L_P_1_COUPTF2
7669_L_I_1_DLX1
7669_L_I_1_TBR1
7669_L_I_1_COUPTF2
7669_L_O_1_DLX1
7669_L_O_1_TBR1
7669_L_O_1_COUPTF2
7669_L_T_1_DLX1
7669_L_T_1_TBR1
7669_L_T_1_COUPTF2
7669_L_mO_DLX1
7669_L_mO_COUPTF2
7669_R_EC_DLX1
7669_R_EC_TBR1
7669_R_EC_COUPTF2
7669_L_CC_2_DLX1
7669_L_CC_2_COUPTF2
7669_R_F_1_DLX1
7669_R_F_1_TBR1
7669_R_F_1_COUPTF2
7669_R_P_1_DLX1
7669_R_P_1_TBR1
7669_R_P_1_COUPTF2
7669_R_I_1_DLX1
7669_R_I_1_TBR1
7669_R_I_1_COUPTF2
7669_R_O_1_DLX1
7669_R_O_1_TBR1
7669_R_O_1_COUPTF2
7669_R_T_1_DLX1
7669_R_T_1_TBR1
7669_R_T_1_COUPTF2
7669_R_mO_DLX1
7669_R_mO_TBR1
7669_R_mO_COUPTF2
7669_L_EC_DLX1
7669_L_EC_COUPTF2
7669_R_CCMid_DLX1
7669_R_CC_Mid_TBR1
7669_R_CCMid_COUPTF2
B
2−104851040−C−T
0
−2
−4
−3
−2
−1
0
0.8
0.6
0.4
0.2
0.0

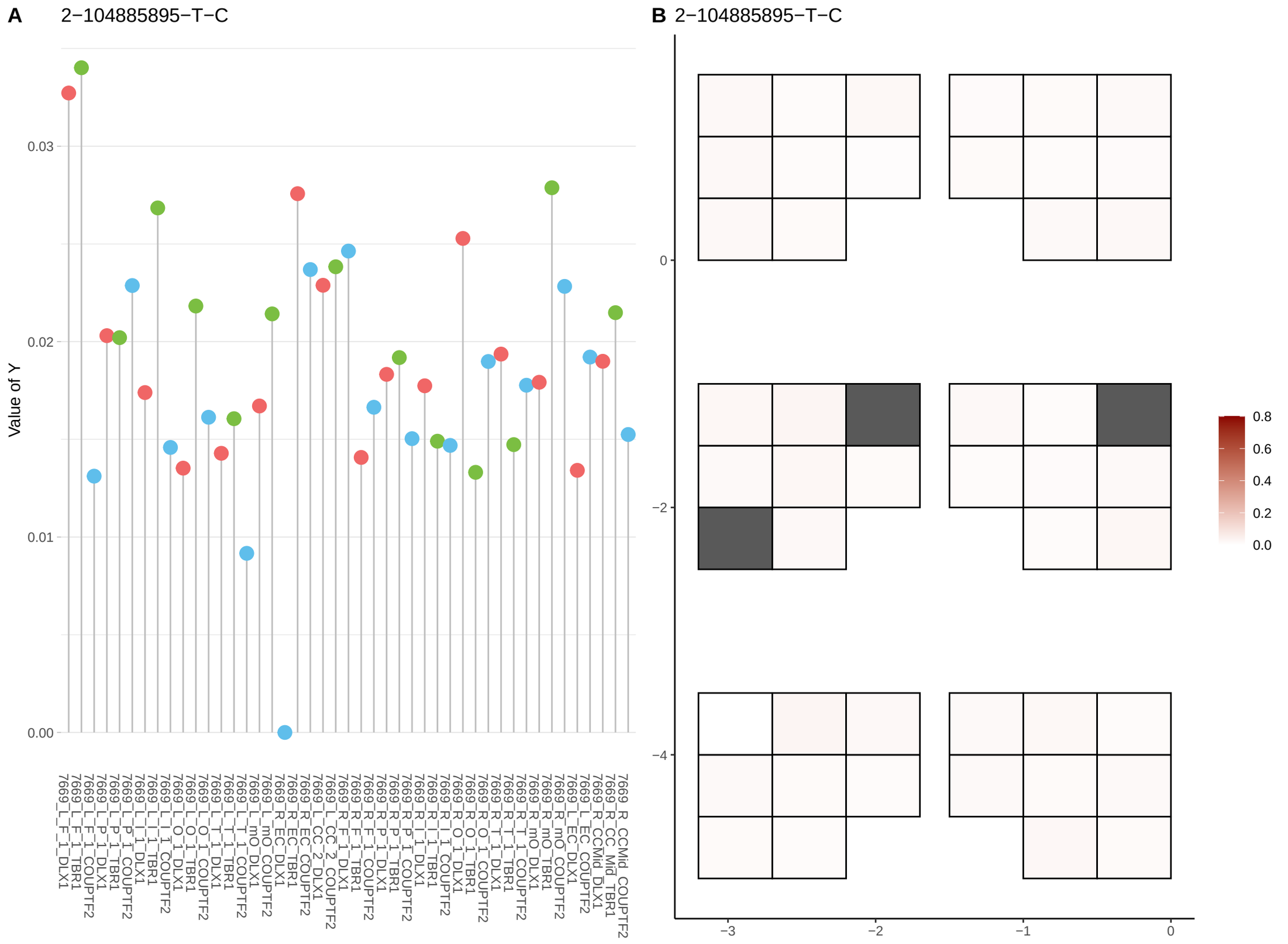
A
2−104885895−T−C
Value of Y
0.03
0.02
0.01
0.00
7669_L_F_1_DLX1
7669_L_F_1_TBR1
7669_L_F_1_COUPTF2
7669_L_P_1_DLX1
7669_L_P_1_TBR1
7669_L_P_1_COUPTF2
7669_L_I_1_DLX1
7669_L_I_1_TBR1
7669_L_I_1_COUPTF2
7669_L_O_1_DLX1
7669_L_O_1_TBR1
7669_L_O_1_COUPTF2
7669_L_T_1_DLX1
7669_L_T_1_TBR1
7669_L_T_1_COUPTF2
7669_L_mO_DLX1
7669_L_mO_COUPTF2
7669_R_EC_DLX1
7669_R_EC_TBR1
7669_R_EC_COUPTF2
7669_L_CC_2_DLX1
7669_L_CC_2_COUPTF2
7669_R_F_1_DLX1
7669_R_F_1_TBR1
7669_R_F_1_COUPTF2
7669_R_P_1_DLX1
7669_R_P_1_TBR1
7669_R_P_1_COUPTF2
7669_R_I_1_DLX1
7669_R_I_1_TBR1
7669_R_I_1_COUPTF2
7669_R_O_1_DLX1
7669_R_O_1_TBR1
7669_R_O_1_COUPTF2
7669_R_T_1_DLX1
7669_R_T_1_TBR1
7669_R_T_1_COUPTF2
7669_R_mO_DLX1
7669_R_mO_TBR1
7669_R_mO_COUPTF2
7669_L_EC_DLX1
7669_L_EC_COUPTF2
7669_R_CCMid_DLX1
7669_R_CC_Mid_TBR1
7669_R_CCMid_COUPTF2
B
2−104885895−T−C
0
−2
−4
−3
−2
−1
0
0.8
0.6
0.4
0.2
0.0

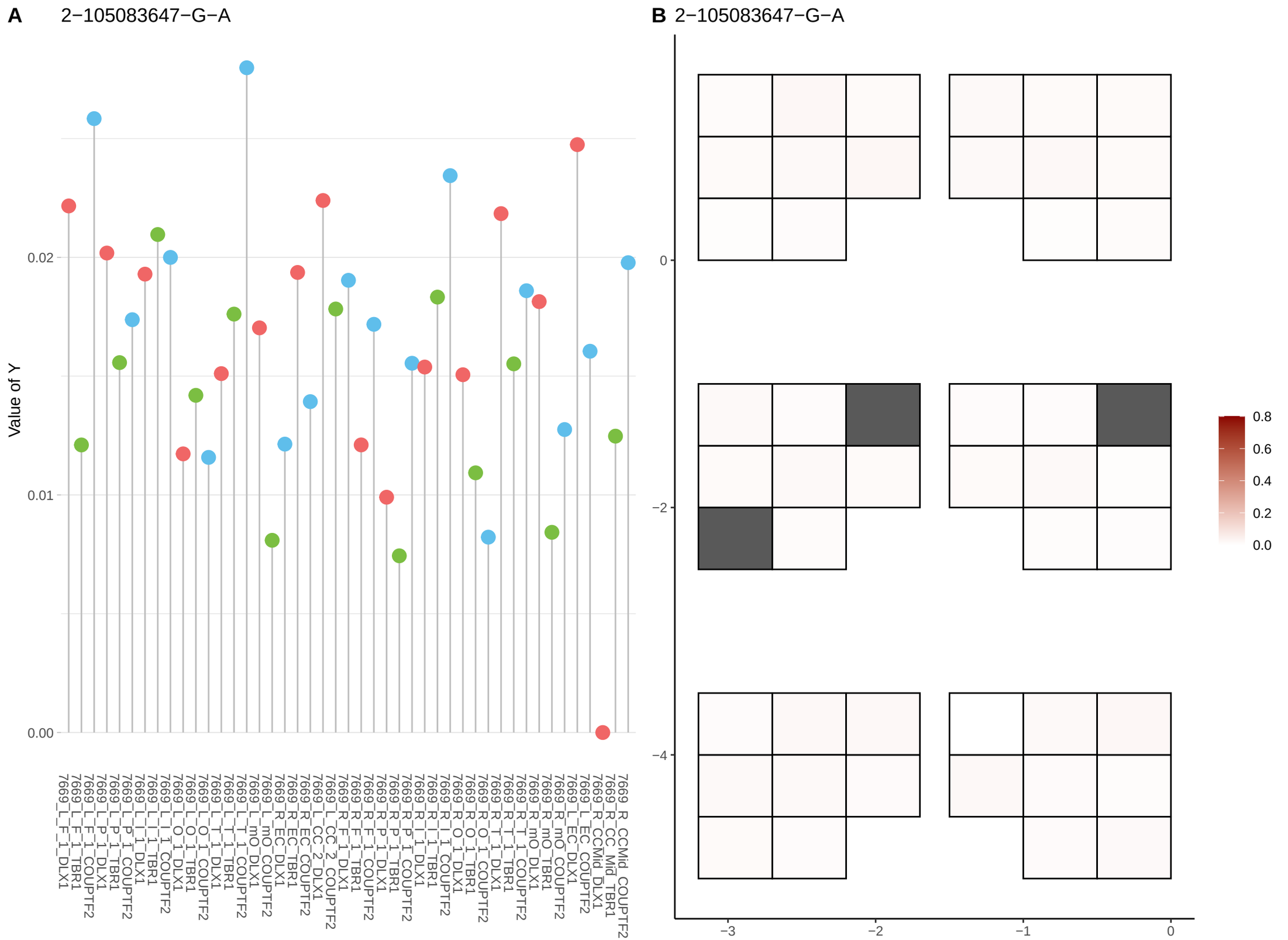
A
2−105083647−G−A
Value of Y
0.02
0.01
0.00
7669_L_F_1_DLX1
7669_L_F_1_TBR1
7669_L_F_1_COUPTF2
7669_L_P_1_DLX1
7669_L_P_1_TBR1
7669_L_P_1_COUPTF2
7669_L_I_1_DLX1
7669_L_I_1_TBR1
7669_L_I_1_COUPTF2
7669_L_O_1_DLX1
7669_L_O_1_TBR1
7669_L_O_1_COUPTF2
7669_L_T_1_DLX1
7669_L_T_1_TBR1
7669_L_T_1_COUPTF2
7669_L_mO_DLX1
7669_L_mO_COUPTF2
7669_R_EC_DLX1
7669_R_EC_TBR1
7669_R_EC_COUPTF2
7669_L_CC_2_DLX1
7669_L_CC_2_COUPTF2
7669_R_F_1_DLX1
7669_R_F_1_TBR1
7669_R_F_1_COUPTF2
7669_R_P_1_DLX1
7669_R_P_1_TBR1
7669_R_P_1_COUPTF2
7669_R_I_1_DLX1
7669_R_I_1_TBR1
7669_R_I_1_COUPTF2
7669_R_O_1_DLX1
7669_R_O_1_TBR1
7669_R_O_1_COUPTF2
7669_R_T_1_DLX1
7669_R_T_1_TBR1
7669_R_T_1_COUPTF2
7669_R_mO_DLX1
7669_R_mO_TBR1
7669_R_mO_COUPTF2
7669_L_EC_DLX1
7669_L_EC_COUPTF2
7669_R_CCMid_DLX1
7669_R_CC_Mid_TBR1
7669_R_CCMid_COUPTF2
B
2−105083647−G−A
0
−2
−4
−3
−2
−1
0
0.8
0.6
0.4
0.2
0.0

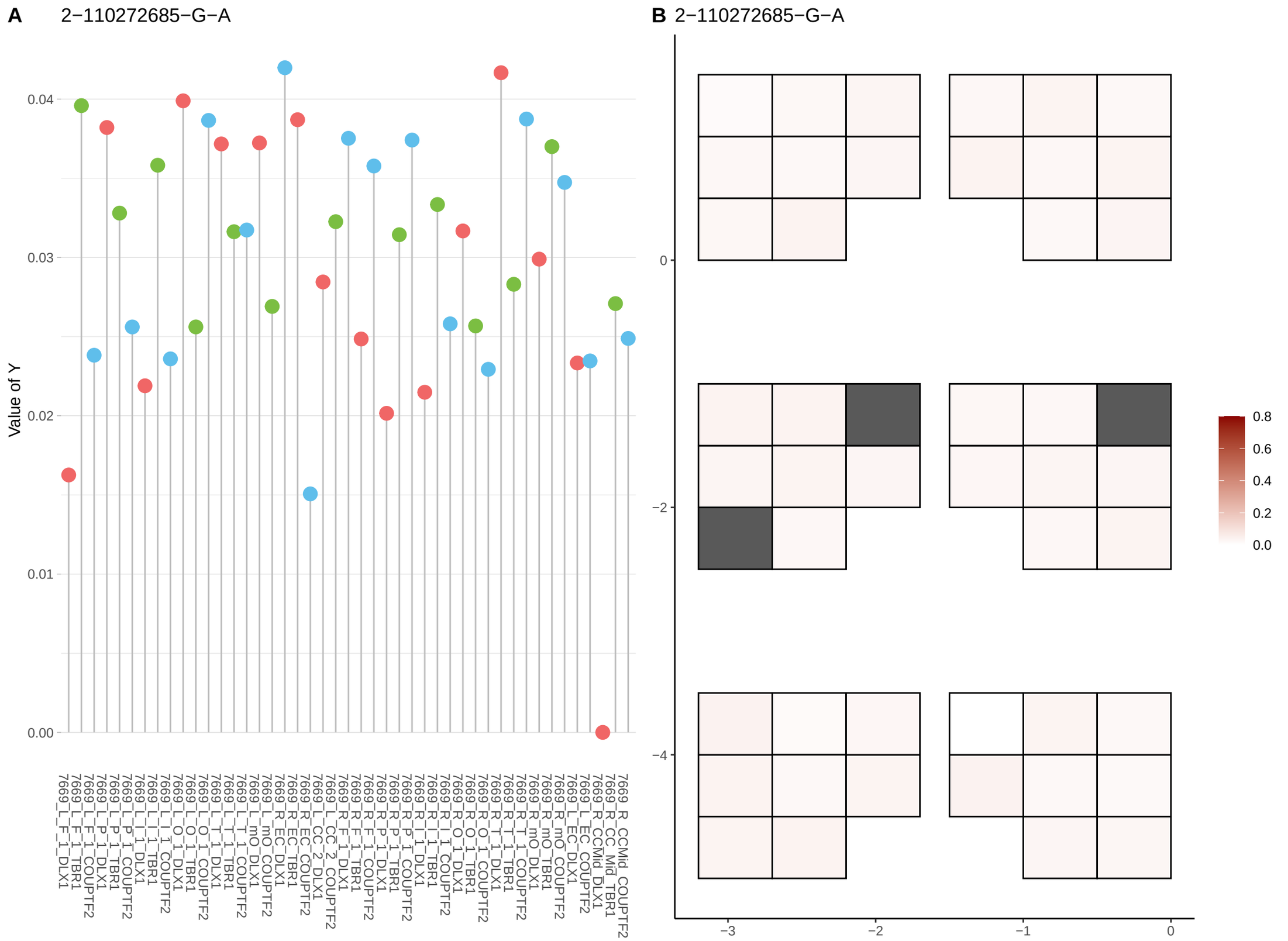
A
2−110272685−G−A
Value of Y
0.04
0.03
0.02
0.01
0.00
7669_L_F_1_DLX1
7669_L_F_1_TBR1
7669_L_F_1_COUPTF2
7669_L_P_1_DLX1
7669_L_P_1_TBR1
7669_L_P_1_COUPTF2
7669_L_I_1_DLX1
7669_L_I_1_TBR1
7669_L_I_1_COUPTF2
7669_L_O_1_DLX1
7669_L_O_1_TBR1
7669_L_O_1_COUPTF2
7669_L_T_1_DLX1
7669_L_T_1_TBR1
7669_L_T_1_COUPTF2
7669_L_mO_DLX1
7669_L_mO_COUPTF2
7669_R_EC_DLX1
7669_R_EC_TBR1
7669_R_EC_COUPTF2
7669_L_CC_2_DLX1
7669_L_CC_2_COUPTF2
7669_R_F_1_DLX1
7669_R_F_1_TBR1
7669_R_F_1_COUPTF2
7669_R_P_1_DLX1
7669_R_P_1_TBR1
7669_R_P_1_COUPTF2
7669_R_I_1_DLX1
7669_R_I_1_TBR1
7669_R_I_1_COUPTF2
7669_R_O_1_DLX1
7669_R_O_1_TBR1
7669_R_O_1_COUPTF2
7669_R_T_1_DLX1
7669_R_T_1_TBR1
7669_R_T_1_COUPTF2
7669_R_mO_DLX1
7669_R_mO_TBR1
7669_R_mO_COUPTF2
7669_L_EC_DLX1
7669_L_EC_COUPTF2
7669_R_CCMid_DLX1
7669_R_CC_Mid_TBR1
7669_R_CCMid_COUPTF2
B
2−110272685−G−A
0
−2
−4
−3
−2
−1
0
0.8
0.6
0.4
0.2
0.0

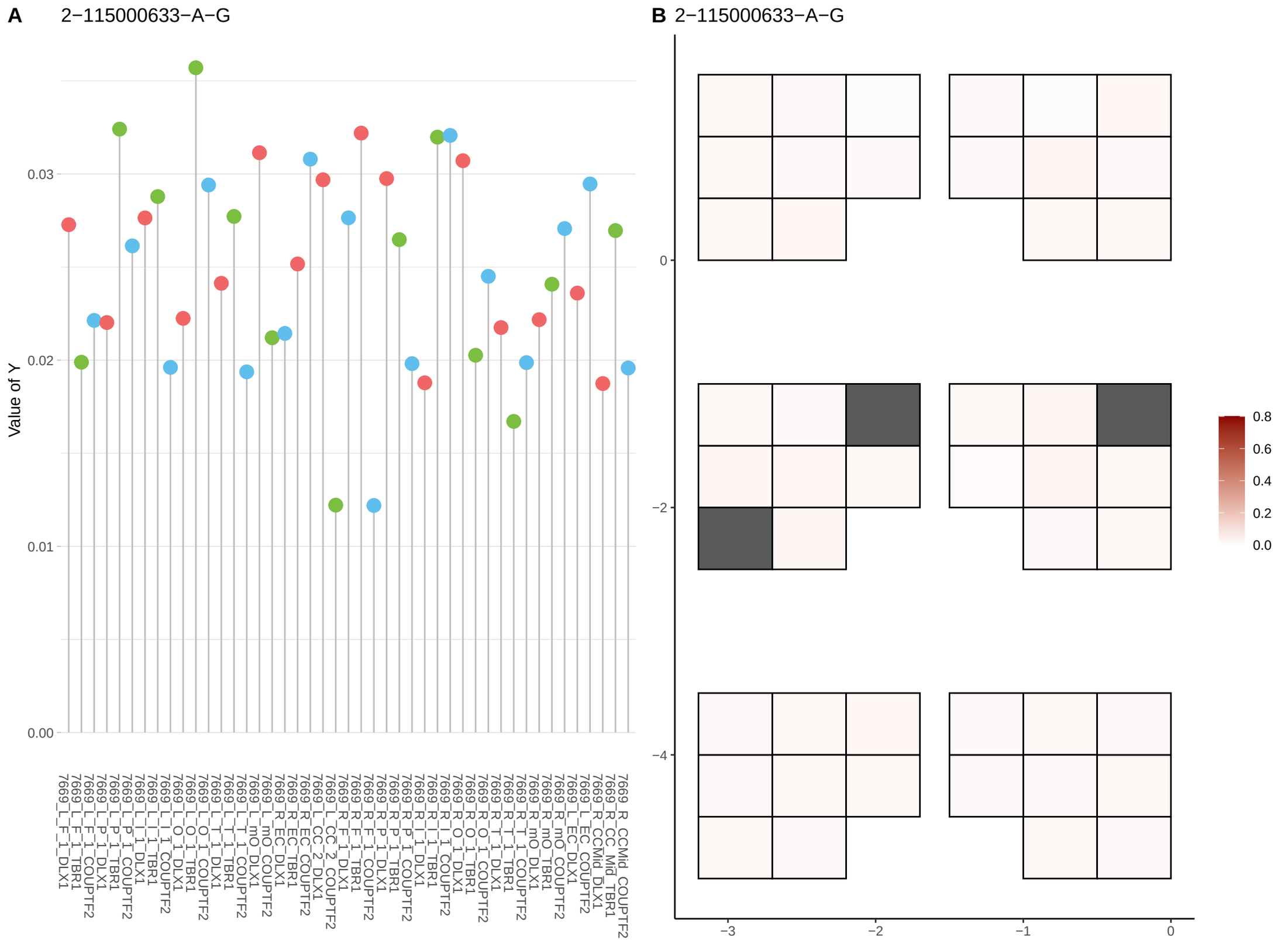
A
2−115000633−A−G
Value of Y
0.03
0.02
0.01
0.00
7669_L_F_1_DLX1
7669_L_F_1_TBR1
7669_L_F_1_COUPTF2
7669_L_P_1_DLX1
7669_L_P_1_TBR1
7669_L_P_1_COUPTF2
7669_L_I_1_DLX1
7669_L_I_1_TBR1
7669_L_I_1_COUPTF2
7669_L_O_1_DLX1
7669_L_O_1_TBR1
7669_L_O_1_COUPTF2
7669_L_T_1_DLX1
7669_L_T_1_TBR1
7669_L_T_1_COUPTF2
7669_L_mO_DLX1
7669_L_mO_COUPTF2
7669_R_EC_DLX1
7669_R_EC_TBR1
7669_R_EC_COUPTF2
7669_L_CC_2_DLX1
7669_L_CC_2_COUPTF2
7669_R_F_1_DLX1
7669_R_F_1_TBR1
7669_R_F_1_COUPTF2
7669_R_P_1_DLX1
7669_R_P_1_TBR1
7669_R_P_1_COUPTF2
7669_R_I_1_DLX1
7669_R_I_1_TBR1
7669_R_I_1_COUPTF2
7669_R_O_1_DLX1
7669_R_O_1_TBR1
7669_R_O_1_COUPTF2
7669_R_T_1_DLX1
7669_R_T_1_TBR1
7669_R_T_1_COUPTF2
7669_R_mO_DLX1
7669_R_mO_TBR1
7669_R_mO_COUPTF2
7669_L_EC_DLX1
7669_L_EC_COUPTF2
7669_R_CCMid_DLX1
7669_R_CC_Mid_TBR1
7669_R_CCMid_COUPTF2
B
2−115000633−A−G
0
−2
−4
−3
−2
−1
0
0.8
0.6
0.4
0.2
0.0

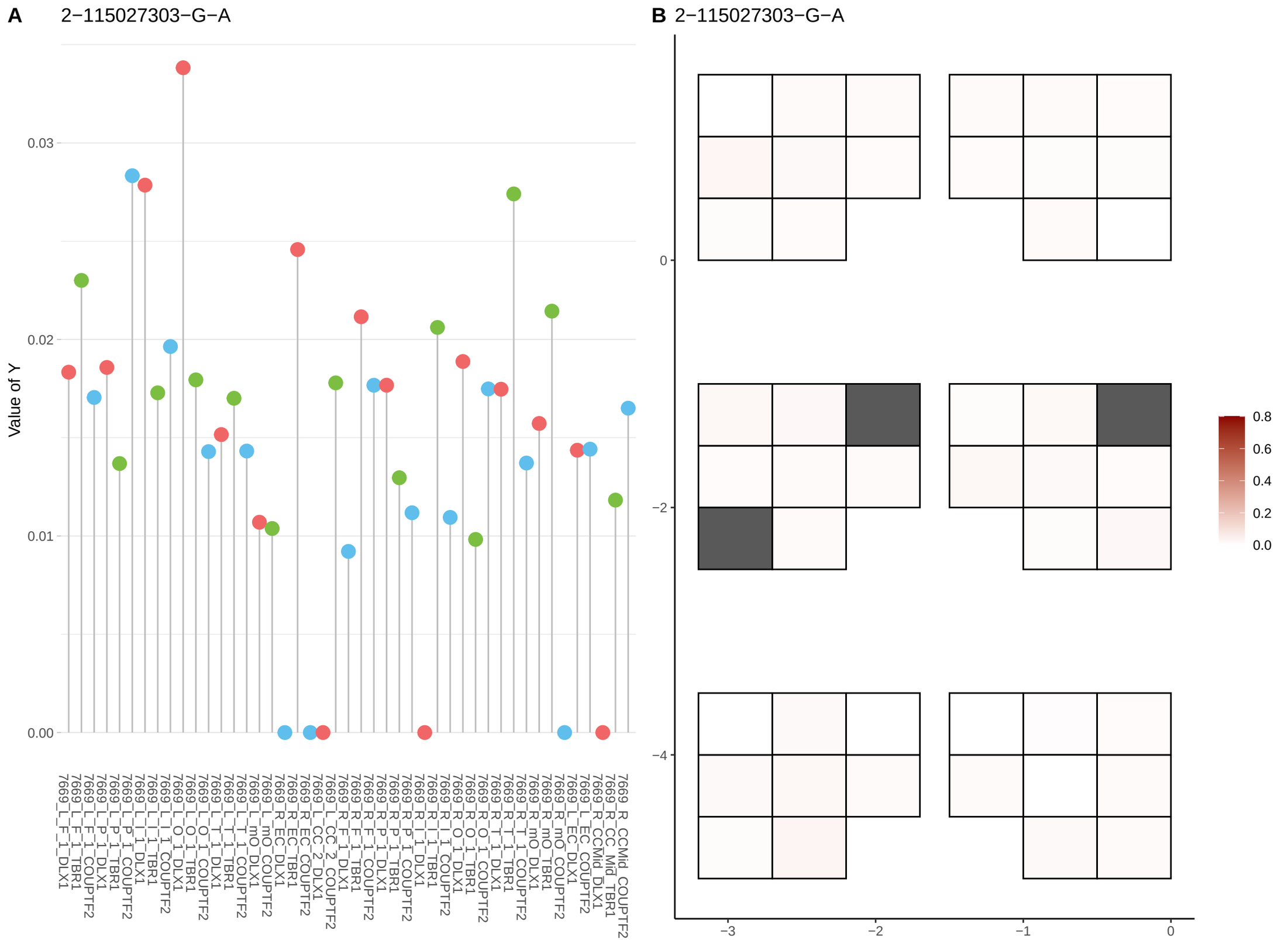
A
2−115027303−G−A
Value of Y
0.03
0.02
0.01
0.00
7669_L_F_1_DLX1
7669_L_F_1_TBR1
7669_L_F_1_COUPTF2
7669_L_P_1_DLX1
7669_L_P_1_TBR1
7669_L_P_1_COUPTF2
7669_L_I_1_DLX1
7669_L_I_1_TBR1
7669_L_I_1_COUPTF2
7669_L_O_1_DLX1
7669_L_O_1_TBR1
7669_L_O_1_COUPTF2
7669_L_T_1_DLX1
7669_L_T_1_TBR1
7669_L_T_1_COUPTF2
7669_L_mO_DLX1
7669_L_mO_COUPTF2
7669_R_EC_DLX1
7669_R_EC_TBR1
7669_R_EC_COUPTF2
7669_L_CC_2_DLX1
7669_L_CC_2_COUPTF2
7669_R_F_1_DLX1
7669_R_F_1_TBR1
7669_R_F_1_COUPTF2
7669_R_P_1_DLX1
7669_R_P_1_TBR1
7669_R_P_1_COUPTF2
7669_R_I_1_DLX1
7669_R_I_1_TBR1
7669_R_I_1_COUPTF2
7669_R_O_1_DLX1
7669_R_O_1_TBR1
7669_R_O_1_COUPTF2
7669_R_T_1_DLX1
7669_R_T_1_TBR1
7669_R_T_1_COUPTF2
7669_R_mO_DLX1
7669_R_mO_TBR1
7669_R_mO_COUPTF2
7669_L_EC_DLX1
7669_L_EC_COUPTF2
7669_R_CCMid_DLX1
7669_R_CC_Mid_TBR1
7669_R_CCMid_COUPTF2
B
2−115027303−G−A
0
−2
−4
−3
−2
−1
0
0.8
0.6
0.4
0.2
0.0

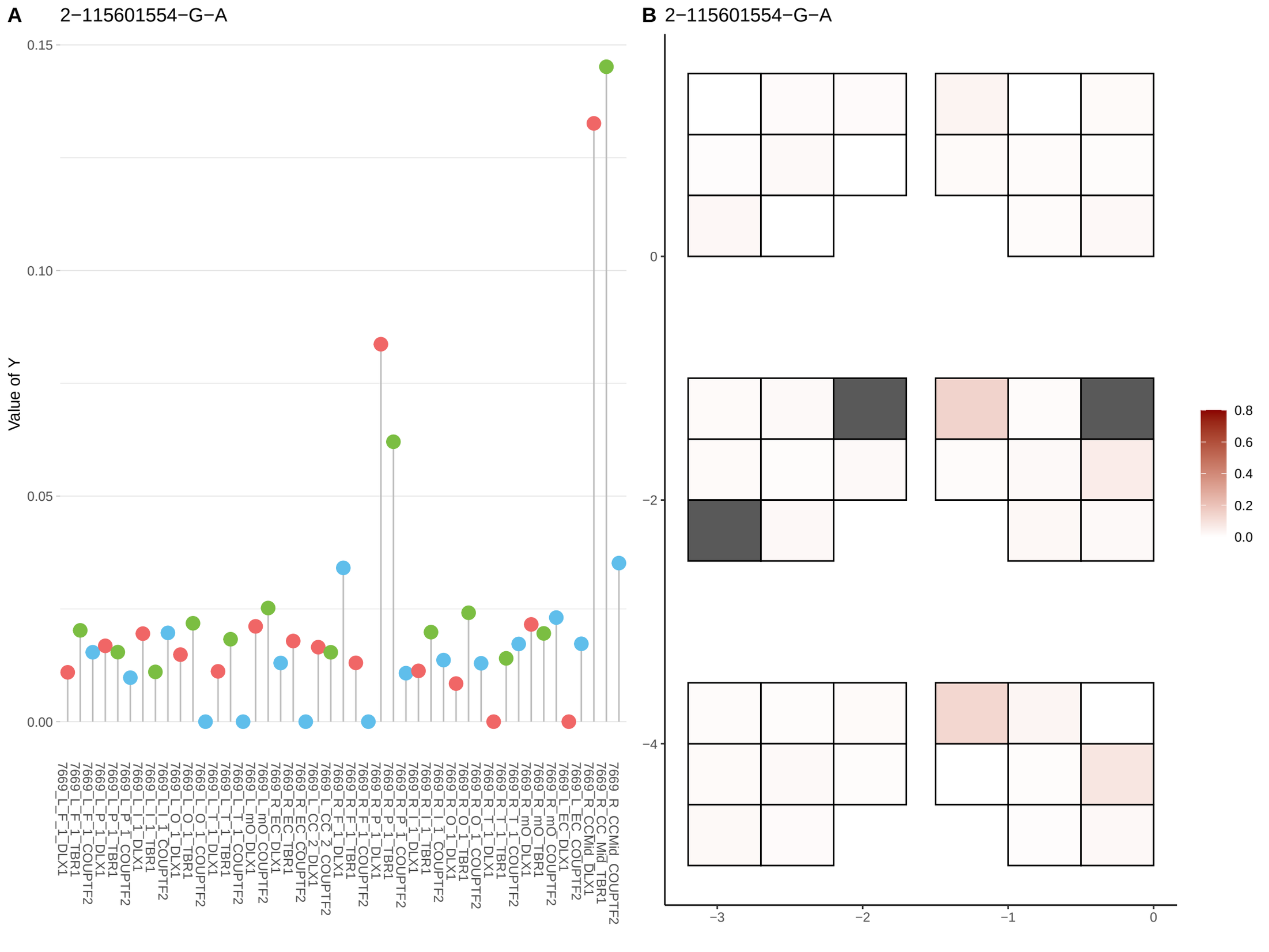
A
2−115601554−G−A
Value of Y
0.15
0.10
0.05
0.00
7669_L_F_1_DLX1
7669_L_F_1_TBR1
7669_L_F_1_COUPTF2
7669_L_P_1_DLX1
7669_L_P_1_TBR1
7669_L_P_1_COUPTF2
7669_L_I_1_DLX1
7669_L_I_1_TBR1
7669_L_I_1_COUPTF2
7669_L_O_1_DLX1
7669_L_O_1_TBR1
7669_L_O_1_COUPTF2
7669_L_T_1_DLX1
7669_L_T_1_TBR1
7669_L_T_1_COUPTF2
7669_L_mO_DLX1
7669_L_mO_COUPTF2
7669_R_EC_DLX1
7669_R_EC_TBR1
7669_R_EC_COUPTF2
7669_L_CC_2_DLX1
7669_L_CC_2_COUPTF2
7669_R_F_1_DLX1
7669_R_F_1_TBR1
7669_R_F_1_COUPTF2
7669_R_P_1_DLX1
7669_R_P_1_TBR1
7669_R_P_1_COUPTF2
7669_R_I_1_DLX1
7669_R_I_1_TBR1
7669_R_I_1_COUPTF2
7669_R_O_1_DLX1
7669_R_O_1_TBR1
7669_R_O_1_COUPTF2
7669_R_T_1_DLX1
7669_R_T_1_TBR1
7669_R_T_1_COUPTF2
7669_R_mO_DLX1
7669_R_mO_TBR1
7669_R_mO_COUPTF2
7669_L_EC_DLX1
7669_L_EC_COUPTF2
7669_R_CCMid_DLX1
7669_R_CC_Mid_TBR1
7669_R_CCMid_COUPTF2
B
2−115601554−G−A
0
−2
−4
−3
−2
−1
0
0.8
0.6
0.4
0.2
0.0

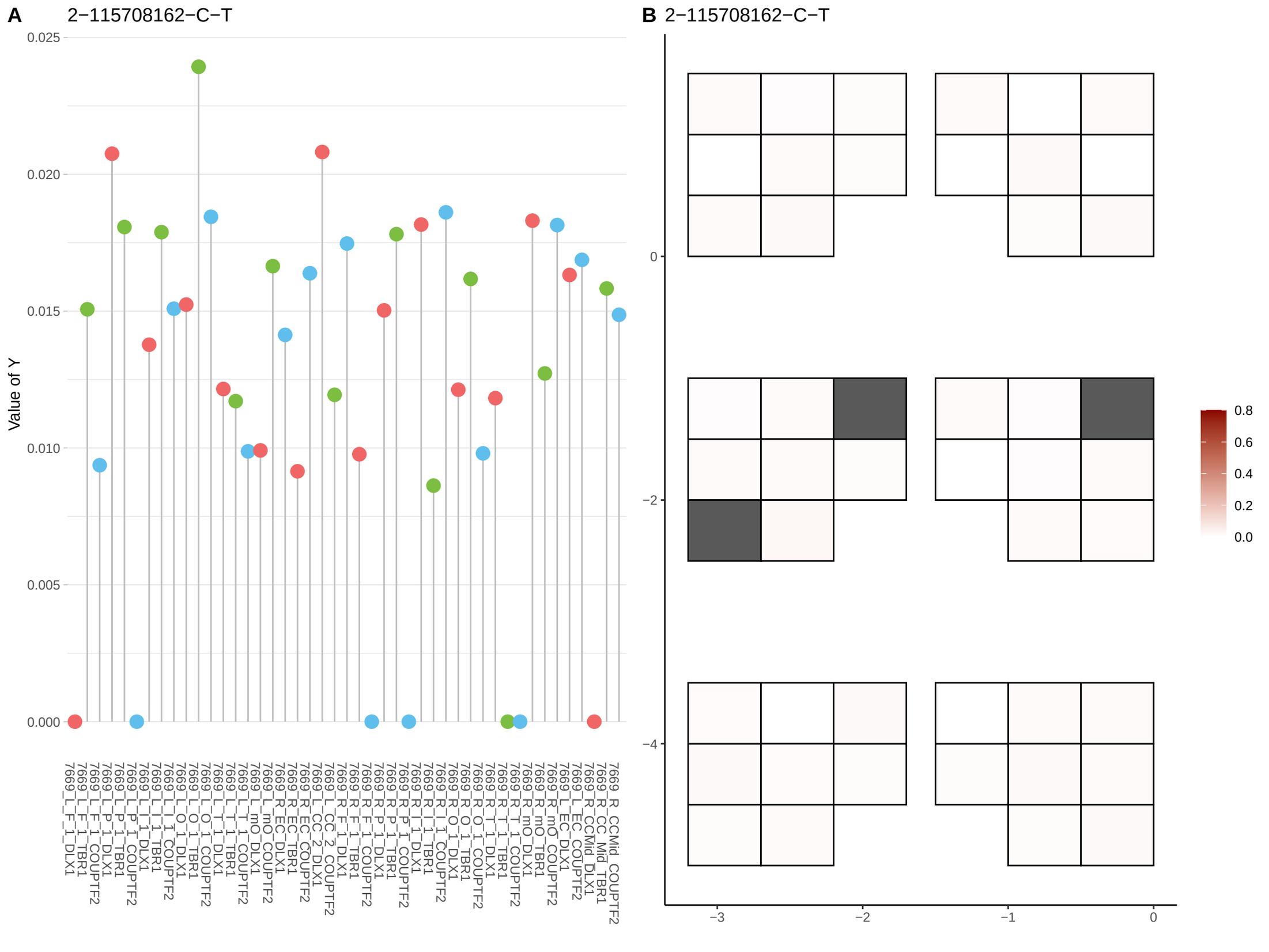
A
2−115708162−C−T
Value of Y
0.025
0.020
0.015
0.010
0.005
0.000
7669_L_F_1_DLX1
7669_L_F_1_TBR1
7669_L_F_1_COUPTF2
7669_L_P_1_DLX1
7669_L_P_1_TBR1
7669_L_P_1_COUPTF2
7669_L_I_1_DLX1
7669_L_I_1_TBR1
7669_L_I_1_COUPTF2
7669_L_O_1_DLX1
7669_L_O_1_TBR1
7669_L_O_1_COUPTF2
7669_L_T_1_DLX1
7669_L_T_1_TBR1
7669_L_T_1_COUPTF2
7669_L_mO_DLX1
7669_L_mO_COUPTF2
7669_R_EC_DLX1
7669_R_EC_TBR1
7669_R_EC_COUPTF2
7669_L_CC_2_DLX1
7669_L_CC_2_COUPTF2
7669_R_F_1_DLX1
7669_R_F_1_TBR1
7669_R_F_1_COUPTF2
7669_R_P_1_DLX1
7669_R_P_1_TBR1
7669_R_P_1_COUPTF2
7669_R_I_1_DLX1
7669_R_I_1_TBR1
7669_R_I_1_COUPTF2
7669_R_O_1_DLX1
7669_R_O_1_TBR1
7669_R_O_1_COUPTF2
7669_R_T_1_DLX1
7669_R_T_1_TBR1
7669_R_T_1_COUPTF2
7669_R_mO_DLX1
7669_R_mO_TBR1
7669_R_mO_COUPTF2
7669_L_EC_DLX1
7669_L_EC_COUPTF2
7669_R_CCMid_DLX1
7669_R_CC_Mid_TBR1
7669_R_CCMid_COUPTF2
B
2−115708162−C−T
0
−2
−4
−3
−2
−1
0
0.8
0.6
0.4
0.2
0.0

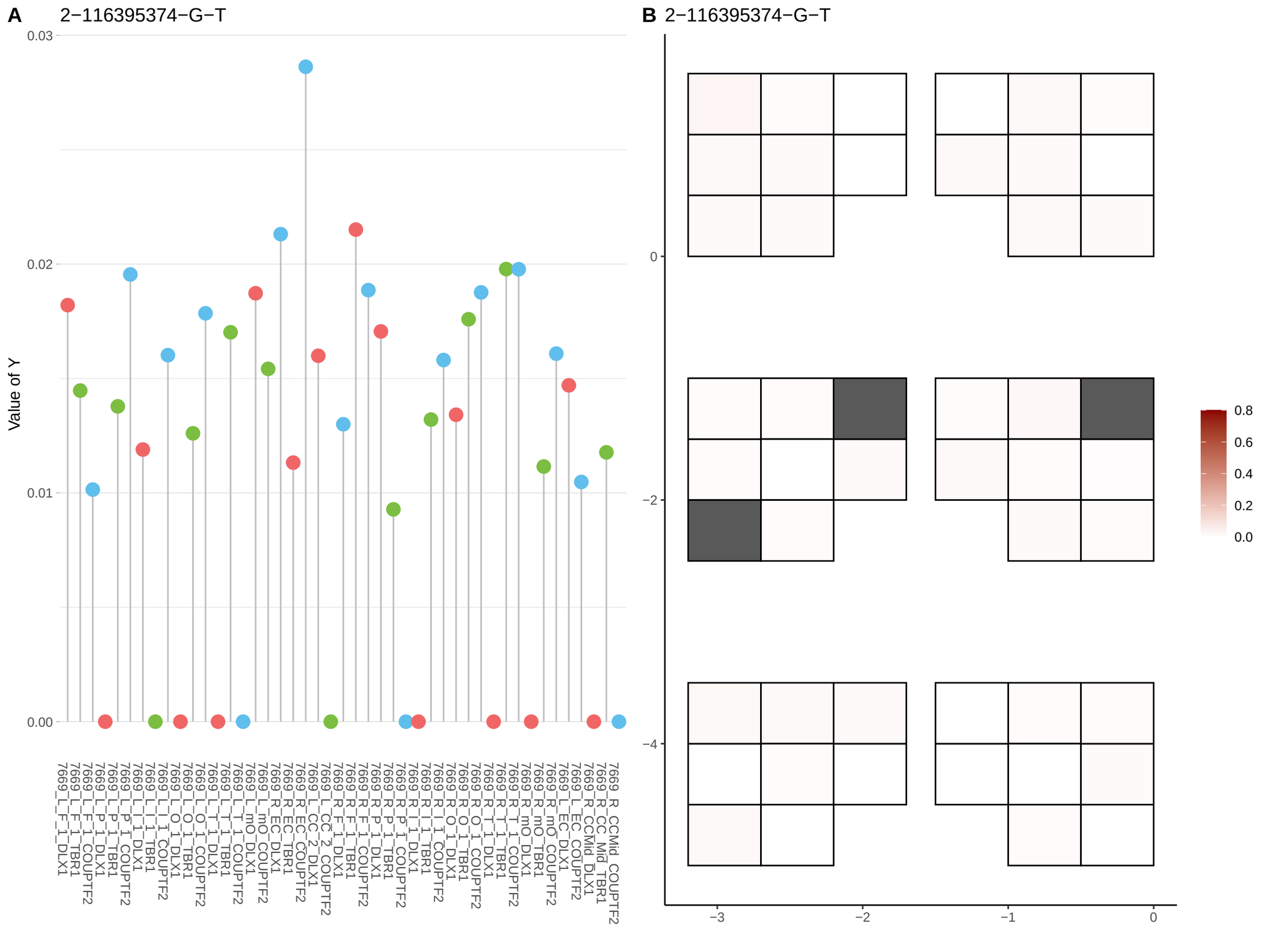
A
2−116395374−G−T
Value of Y
0.03
0.02
0.01
0.00
7669_L_F_1_DLX1
7669_L_F_1_TBR1
7669_L_F_1_COUPTF2
7669_L_P_1_DLX1
7669_L_P_1_TBR1
7669_L_P_1_COUPTF2
7669_L_I_1_DLX1
7669_L_I_1_TBR1
7669_L_I_1_COUPTF2
7669_L_O_1_DLX1
7669_L_O_1_TBR1
7669_L_O_1_COUPTF2
7669_L_T_1_DLX1
7669_L_T_1_TBR1
7669_L_T_1_COUPTF2
7669_L_mO_DLX1
7669_L_mO_COUPTF2
7669_R_EC_DLX1
7669_R_EC_TBR1
7669_R_EC_COUPTF2
7669_L_CC_2_DLX1
7669_L_CC_2_COUPTF2
7669_R_F_1_DLX1
7669_R_F_1_TBR1
7669_R_F_1_COUPTF2
7669_R_P_1_DLX1
7669_R_P_1_TBR1
7669_R_P_1_COUPTF2
7669_R_I_1_DLX1
7669_R_I_1_TBR1
7669_R_I_1_COUPTF2
7669_R_O_1_DLX1
7669_R_O_1_TBR1
7669_R_O_1_COUPTF2
7669_R_T_1_DLX1
7669_R_T_1_TBR1
7669_R_T_1_COUPTF2
7669_R_mO_DLX1
7669_R_mO_TBR1
7669_R_mO_COUPTF2
7669_L_EC_DLX1
7669_L_EC_COUPTF2
7669_R_CCMid_DLX1
7669_R_CC_Mid_TBR1
7669_R_CCMid_COUPTF2
B
2−116395374−G−T
0
−2
−4
−3
−2
−1
0
0.8
0.6
0.4
0.2
0.0

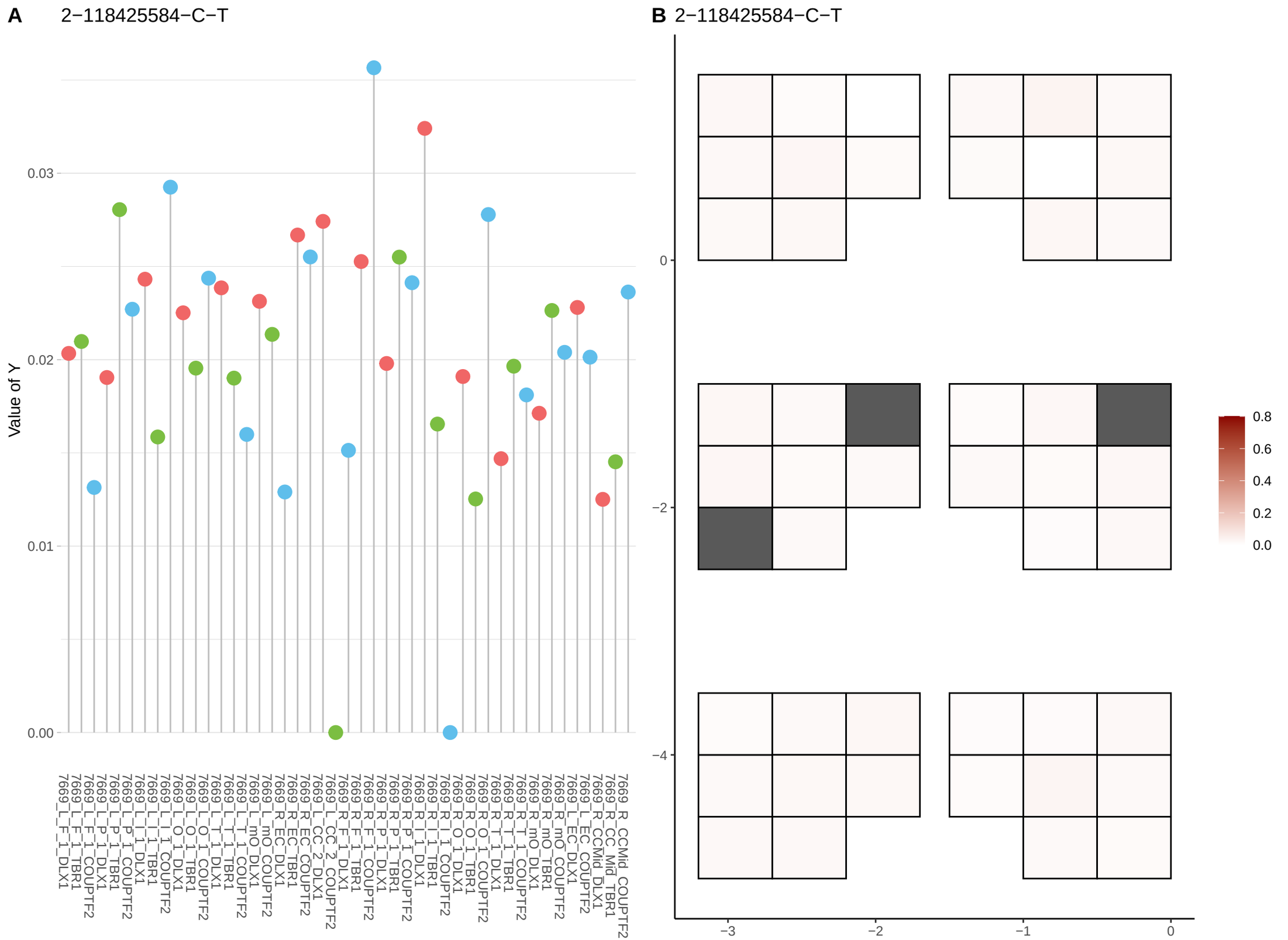
A
2−118425584−C−T
Value of Y
0.03
0.02
0.01
0.00
7669_L_F_1_DLX1
7669_L_F_1_TBR1
7669_L_F_1_COUPTF2
7669_L_P_1_DLX1
7669_L_P_1_TBR1
7669_L_P_1_COUPTF2
7669_L_I_1_DLX1
7669_L_I_1_TBR1
7669_L_I_1_COUPTF2
7669_L_O_1_DLX1
7669_L_O_1_TBR1
7669_L_O_1_COUPTF2
7669_L_T_1_DLX1
7669_L_T_1_TBR1
7669_L_T_1_COUPTF2
7669_L_mO_DLX1
7669_L_mO_COUPTF2
7669_R_EC_DLX1
7669_R_EC_TBR1
7669_R_EC_COUPTF2
7669_L_CC_2_DLX1
7669_L_CC_2_COUPTF2
7669_R_F_1_DLX1
7669_R_F_1_TBR1
7669_R_F_1_COUPTF2
7669_R_P_1_DLX1
7669_R_P_1_TBR1
7669_R_P_1_COUPTF2
7669_R_I_1_DLX1
7669_R_I_1_TBR1
7669_R_I_1_COUPTF2
7669_R_O_1_DLX1
7669_R_O_1_TBR1
7669_R_O_1_COUPTF2
7669_R_T_1_DLX1
7669_R_T_1_TBR1
7669_R_T_1_COUPTF2
7669_R_mO_DLX1
7669_R_mO_TBR1
7669_R_mO_COUPTF2
7669_L_EC_DLX1
7669_L_EC_COUPTF2
7669_R_CCMid_DLX1
7669_R_CC_Mid_TBR1
7669_R_CCMid_COUPTF2
B
2−118425584−C−T
0
−2
−4
−3
−2
−1
0
0.8
0.6
0.4
0.2
0.0

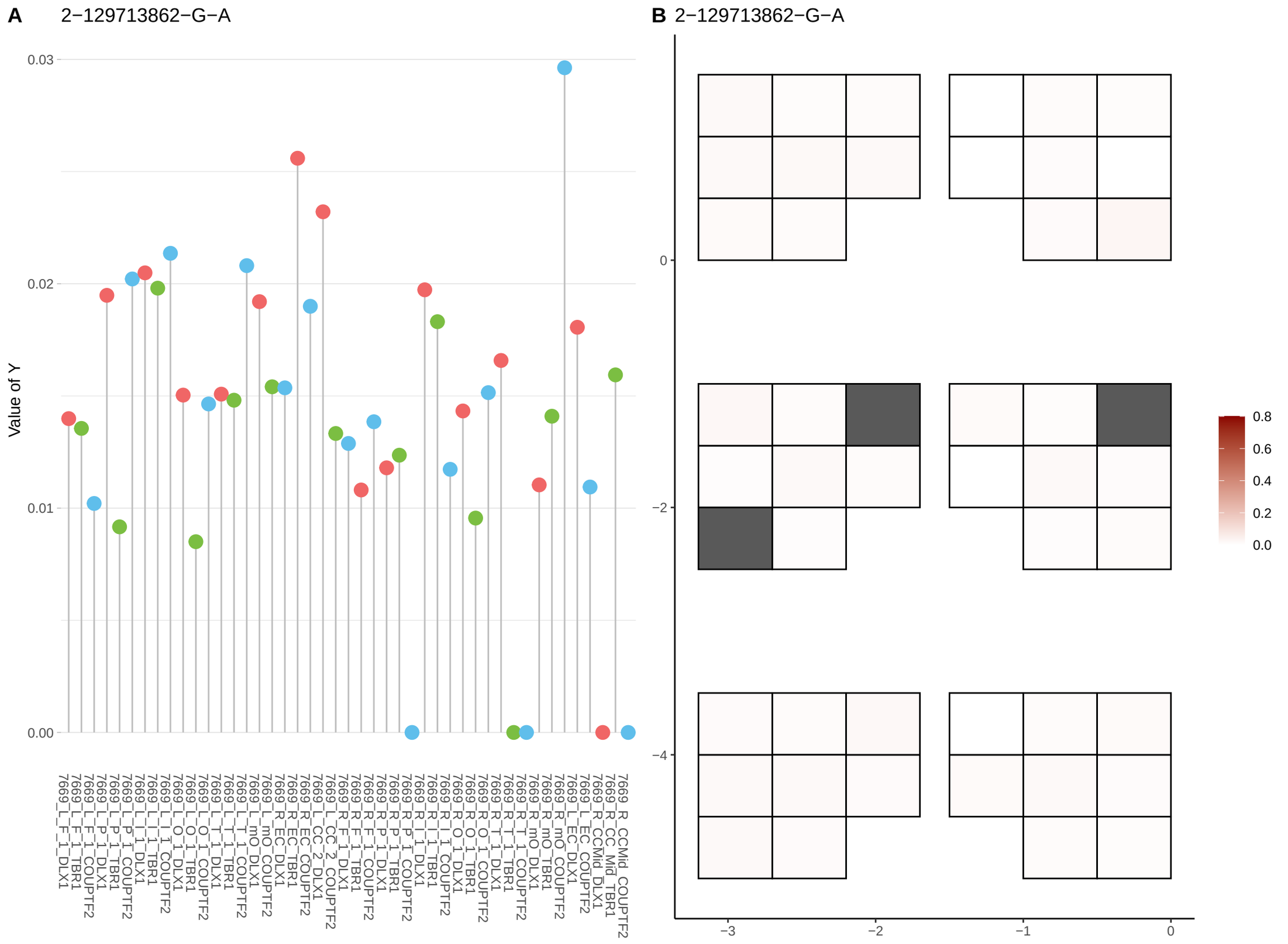
A
2−129713862−G−A
Value of Y
0.03
0.02
0.01
0.00
7669_L_F_1_DLX1
7669_L_F_1_TBR1
7669_L_F_1_COUPTF2
7669_L_P_1_DLX1
7669_L_P_1_TBR1
7669_L_P_1_COUPTF2
7669_L_I_1_DLX1
7669_L_I_1_TBR1
7669_L_I_1_COUPTF2
7669_L_O_1_DLX1
7669_L_O_1_TBR1
7669_L_O_1_COUPTF2
7669_L_T_1_DLX1
7669_L_T_1_TBR1
7669_L_T_1_COUPTF2
7669_L_mO_DLX1
7669_L_mO_COUPTF2
7669_R_EC_DLX1
7669_R_EC_TBR1
7669_R_EC_COUPTF2
7669_L_CC_2_DLX1
7669_L_CC_2_COUPTF2
7669_R_F_1_DLX1
7669_R_F_1_TBR1
7669_R_F_1_COUPTF2
7669_R_P_1_DLX1
7669_R_P_1_TBR1
7669_R_P_1_COUPTF2
7669_R_I_1_DLX1
7669_R_I_1_TBR1
7669_R_I_1_COUPTF2
7669_R_O_1_DLX1
7669_R_O_1_TBR1
7669_R_O_1_COUPTF2
7669_R_T_1_DLX1
7669_R_T_1_TBR1
7669_R_T_1_COUPTF2
7669_R_mO_DLX1
7669_R_mO_TBR1
7669_R_mO_COUPTF2
7669_L_EC_DLX1
7669_L_EC_COUPTF2
7669_R_CCMid_DLX1
7669_R_CC_Mid_TBR1
7669_R_CCMid_COUPTF2
B
2−129713862−G−A
0
−2
−4
−3
−2
−1
0
0.8
0.6
0.4
0.2
0.0

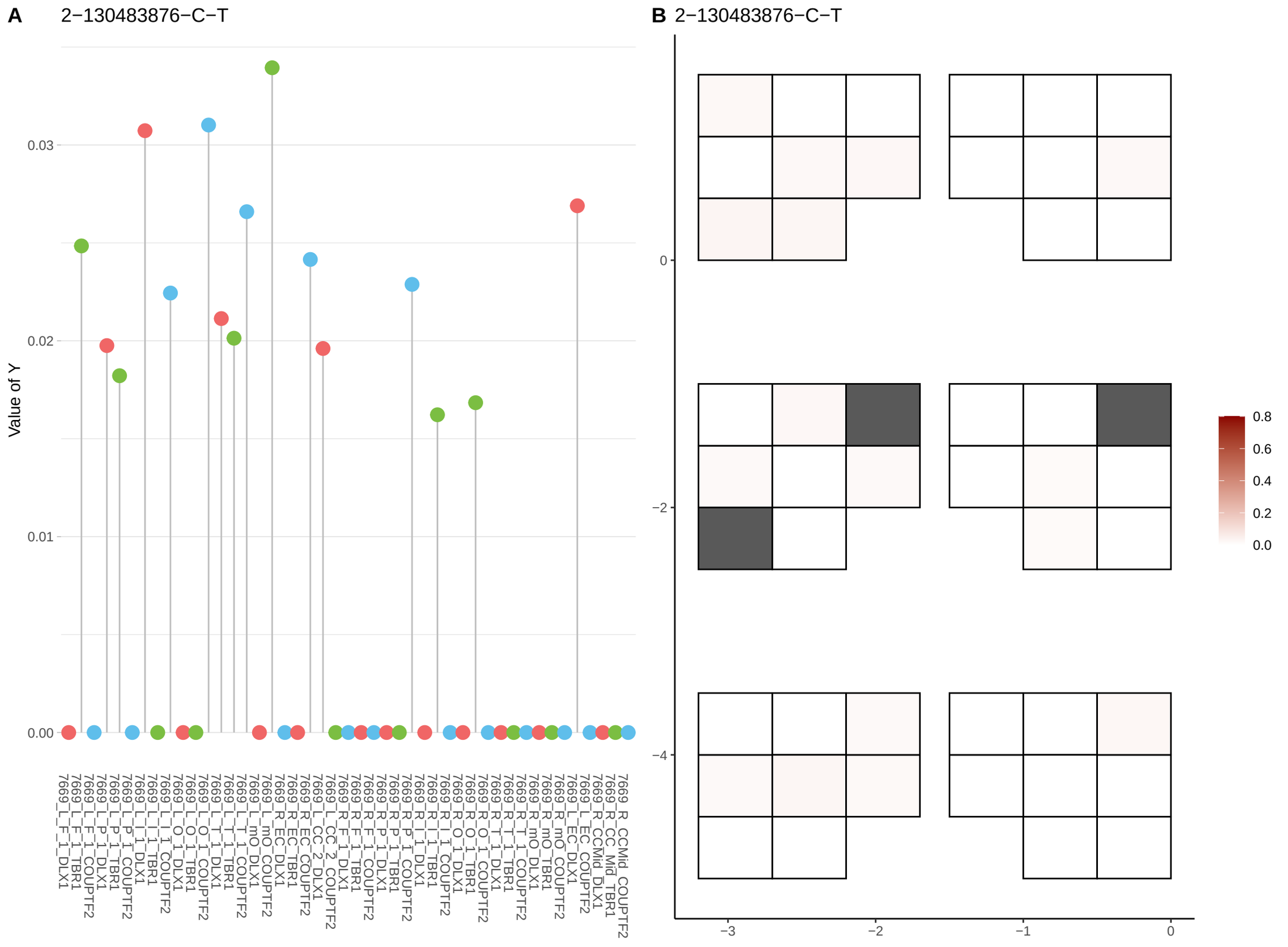
A
2−130483876−C−T
Value of Y
0.03
0.02
0.01
0.00
7669_L_F_1_DLX1
7669_L_F_1_TBR1
7669_L_F_1_COUPTF2
7669_L_P_1_DLX1
7669_L_P_1_TBR1
7669_L_P_1_COUPTF2
7669_L_I_1_DLX1
7669_L_I_1_TBR1
7669_L_I_1_COUPTF2
7669_L_O_1_DLX1
7669_L_O_1_TBR1
7669_L_O_1_COUPTF2
7669_L_T_1_DLX1
7669_L_T_1_TBR1
7669_L_T_1_COUPTF2
7669_L_mO_DLX1
7669_L_mO_COUPTF2
7669_R_EC_DLX1
7669_R_EC_TBR1
7669_R_EC_COUPTF2
7669_L_CC_2_DLX1
7669_L_CC_2_COUPTF2
7669_R_F_1_DLX1
7669_R_F_1_TBR1
7669_R_F_1_COUPTF2
7669_R_P_1_DLX1
7669_R_P_1_TBR1
7669_R_P_1_COUPTF2
7669_R_I_1_DLX1
7669_R_I_1_TBR1
7669_R_I_1_COUPTF2
7669_R_O_1_DLX1
7669_R_O_1_TBR1
7669_R_O_1_COUPTF2
7669_R_T_1_DLX1
7669_R_T_1_TBR1
7669_R_T_1_COUPTF2
7669_R_mO_DLX1
7669_R_mO_TBR1
7669_R_mO_COUPTF2
7669_L_EC_DLX1
7669_L_EC_COUPTF2
7669_R_CCMid_DLX1
7669_R_CC_Mid_TBR1
7669_R_CCMid_COUPTF2
B
2−130483876−C−T
0
−2
−4
−3
−2
−1
0
0.8
0.6
0.4
0.2
0.0

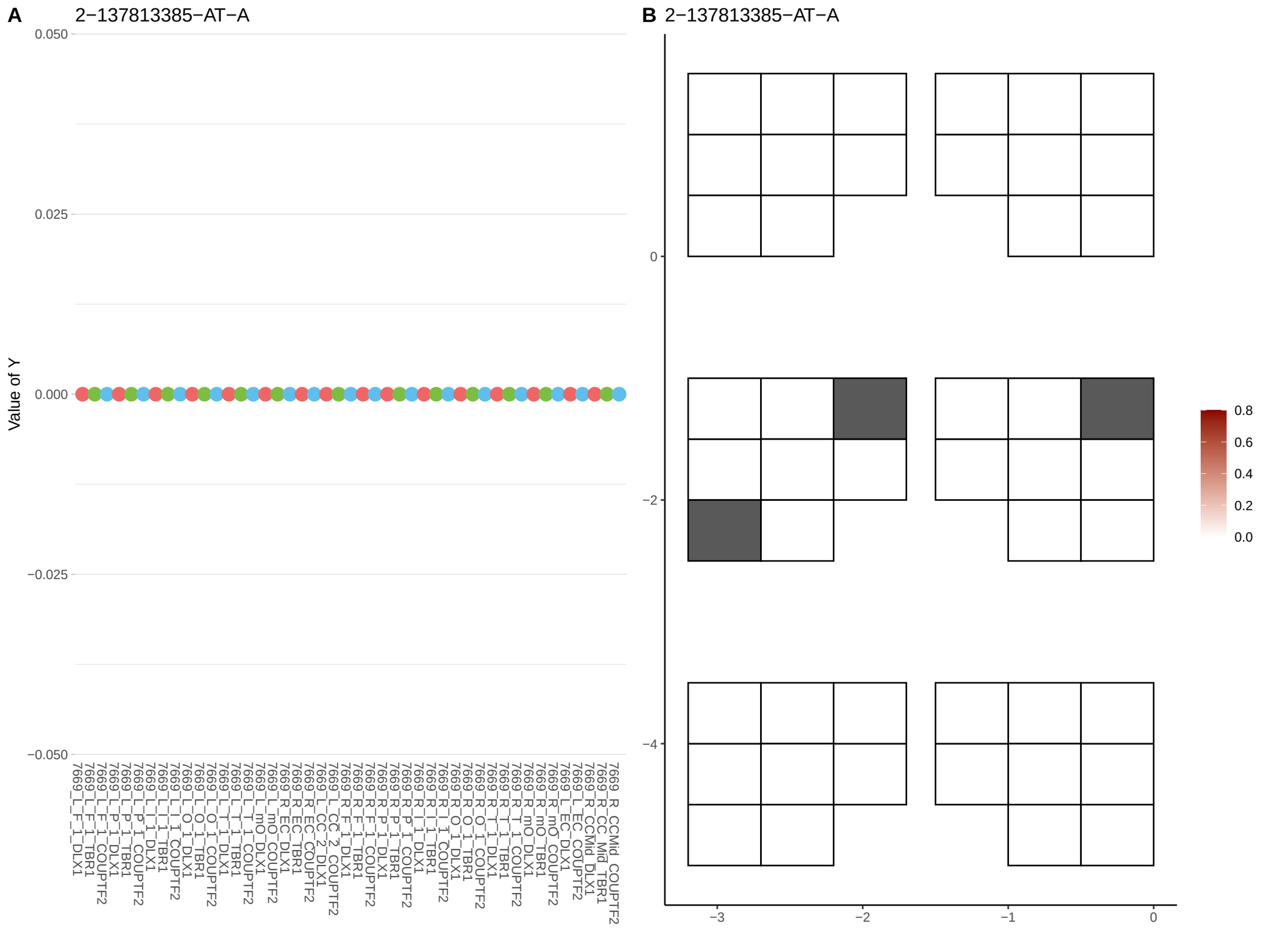
A
2−137813385−AT−A
Value of Y
0.050
0.025
0.000
−0.025
−0.050
7669_L_F_1_DLX1
7669_L_F_1_TBR1
7669_L_F_1_COUPTF2
7669_L_P_1_DLX1
7669_L_P_1_TBR1
7669_L_P_1_COUPTF2
7669_L_I_1_DLX1
7669_L_I_1_TBR1
7669_L_I_1_COUPTF2
7669_L_O_1_DLX1
7669_L_O_1_TBR1
7669_L_O_1_COUPTF2
7669_L_T_1_DLX1
7669_L_T_1_TBR1
7669_L_T_1_COUPTF2
7669_L_mO_DLX1
7669_L_mO_COUPTF2
7669_R_EC_DLX1
7669_R_EC_TBR1
7669_R_EC_COUPTF2
7669_L_CC_2_DLX1
7669_L_CC_2_COUPTF2
7669_R_F_1_DLX1
7669_R_F_1_TBR1
7669_R_F_1_COUPTF2
7669_R_P_1_DLX1
7669_R_P_1_TBR1
7669_R_P_1_COUPTF2
7669_R_I_1_DLX1
7669_R_I_1_TBR1
7669_R_I_1_COUPTF2
7669_R_O_1_DLX1
7669_R_O_1_TBR1
7669_R_O_1_COUPTF2
7669_R_T_1_DLX1
7669_R_T_1_TBR1
7669_R_T_1_COUPTF2
7669_R_mO_DLX1
7669_R_mO_TBR1
7669_R_mO_COUPTF2
7669_L_EC_DLX1
7669_L_EC_COUPTF2
7669_R_CCMid_DLX1
7669_R_CC_Mid_TBR1
7669_R_CCMid_COUPTF2
B
2−137813385−AT−A
0
−2
−4
−3
−2
−1
0
0.8
0.6
0.4
0.2
0.0

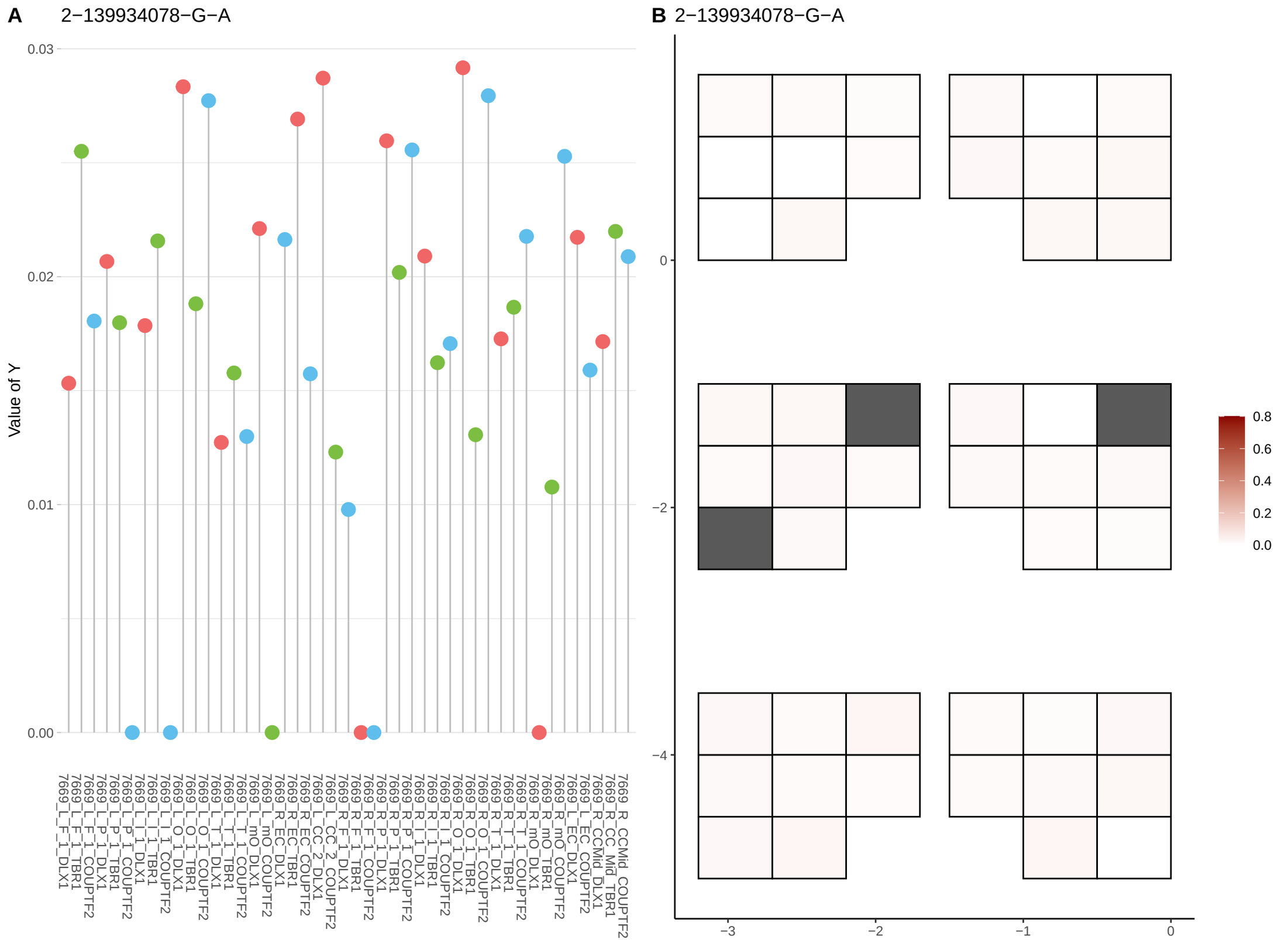
A
2−139934078−G−A
Value of Y
0.03
0.02
0.01
0.00
7669_L_F_1_DLX1
7669_L_F_1_TBR1
7669_L_F_1_COUPTF2
7669_L_P_1_DLX1
7669_L_P_1_TBR1
7669_L_P_1_COUPTF2
7669_L_I_1_DLX1
7669_L_I_1_TBR1
7669_L_I_1_COUPTF2
7669_L_O_1_DLX1
7669_L_O_1_TBR1
7669_L_O_1_COUPTF2
7669_L_T_1_DLX1
7669_L_T_1_TBR1
7669_L_T_1_COUPTF2
7669_L_mO_DLX1
7669_L_mO_COUPTF2
7669_R_EC_DLX1
7669_R_EC_TBR1
7669_R_EC_COUPTF2
7669_L_CC_2_DLX1
7669_L_CC_2_COUPTF2
7669_R_F_1_DLX1
7669_R_F_1_TBR1
7669_R_F_1_COUPTF2
7669_R_P_1_DLX1
7669_R_P_1_TBR1
7669_R_P_1_COUPTF2
7669_R_I_1_DLX1
7669_R_I_1_TBR1
7669_R_I_1_COUPTF2
7669_R_O_1_DLX1
7669_R_O_1_TBR1
7669_R_O_1_COUPTF2
7669_R_T_1_DLX1
7669_R_T_1_TBR1
7669_R_T_1_COUPTF2
7669_R_mO_DLX1
7669_R_mO_TBR1
7669_R_mO_COUPTF2
7669_L_EC_DLX1
7669_L_EC_COUPTF2
7669_R_CCMid_DLX1
7669_R_CC_Mid_TBR1
7669_R_CCMid_COUPTF2
B
2−139934078−G−A
0
−2
−4
−3
−2
−1
0
0.8
0.6
0.4
0.2
0.0

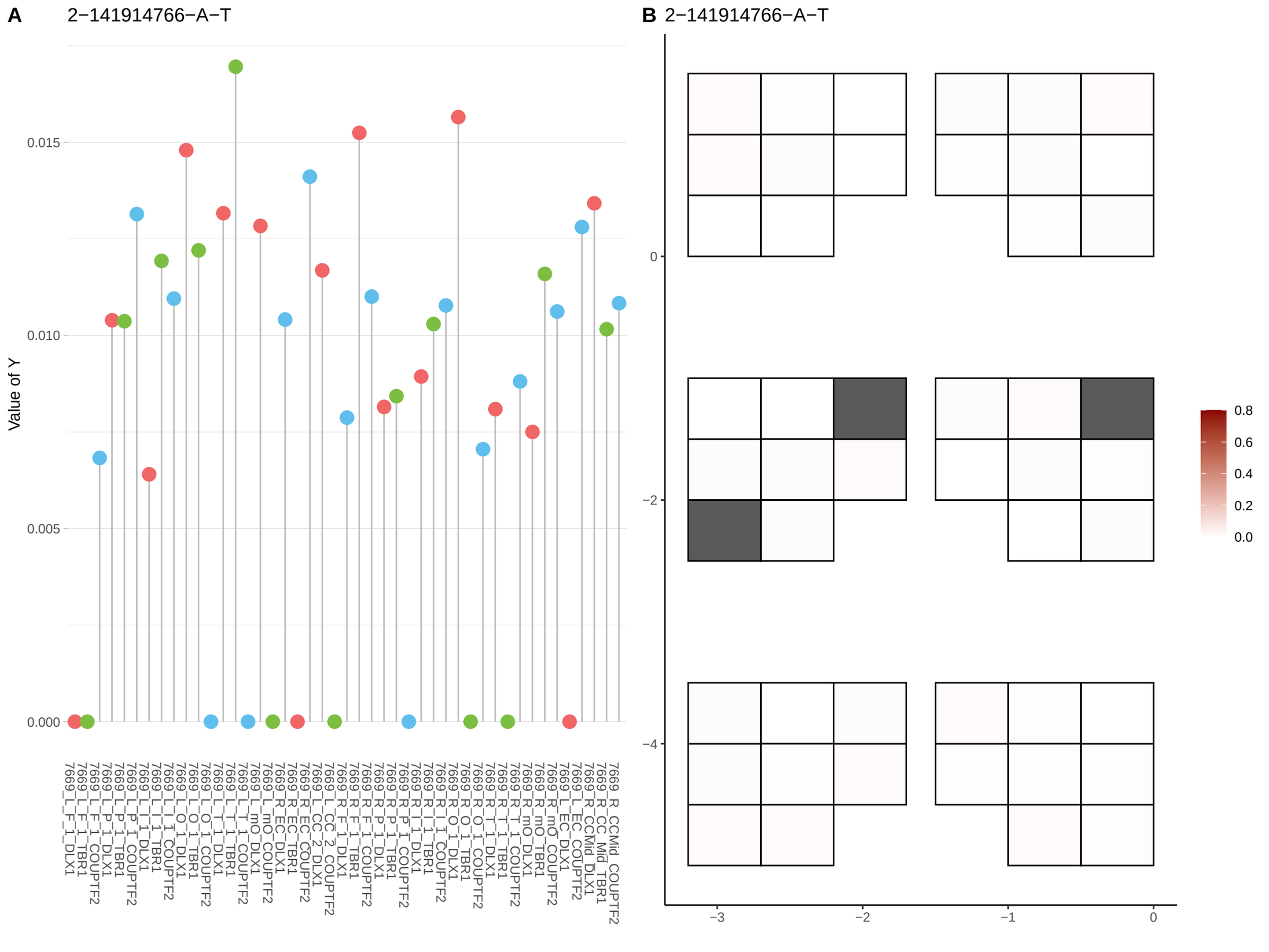
A
2−141914766−A−T
Value of Y
0.015
0.010
0.005
0.000
7669_L_F_1_DLX1
7669_L_F_1_TBR1
7669_L_F_1_COUPTF2
7669_L_P_1_DLX1
7669_L_P_1_TBR1
7669_L_P_1_COUPTF2
7669_L_I_1_DLX1
7669_L_I_1_TBR1
7669_L_I_1_COUPTF2
7669_L_O_1_DLX1
7669_L_O_1_TBR1
7669_L_O_1_COUPTF2
7669_L_T_1_DLX1
7669_L_T_1_TBR1
7669_L_T_1_COUPTF2
7669_L_mO_DLX1
7669_L_mO_COUPTF2
7669_R_EC_DLX1
7669_R_EC_TBR1
7669_R_EC_COUPTF2
7669_L_CC_2_DLX1
7669_L_CC_2_COUPTF2
7669_R_F_1_DLX1
7669_R_F_1_TBR1
7669_R_F_1_COUPTF2
7669_R_P_1_DLX1
7669_R_P_1_TBR1
7669_R_P_1_COUPTF2
7669_R_I_1_DLX1
7669_R_I_1_TBR1
7669_R_I_1_COUPTF2
7669_R_O_1_DLX1
7669_R_O_1_TBR1
7669_R_O_1_COUPTF2
7669_R_T_1_DLX1
7669_R_T_1_TBR1
7669_R_T_1_COUPTF2
7669_R_mO_DLX1
7669_R_mO_TBR1
7669_R_mO_COUPTF2
7669_L_EC_DLX1
7669_L_EC_COUPTF2
7669_R_CCMid_DLX1
7669_R_CC_Mid_TBR1
7669_R_CCMid_COUPTF2
B
2−141914766−A−T
0
−2
−4
−3
−2
−1
0
0.8
0.6
0.4
0.2
0.0

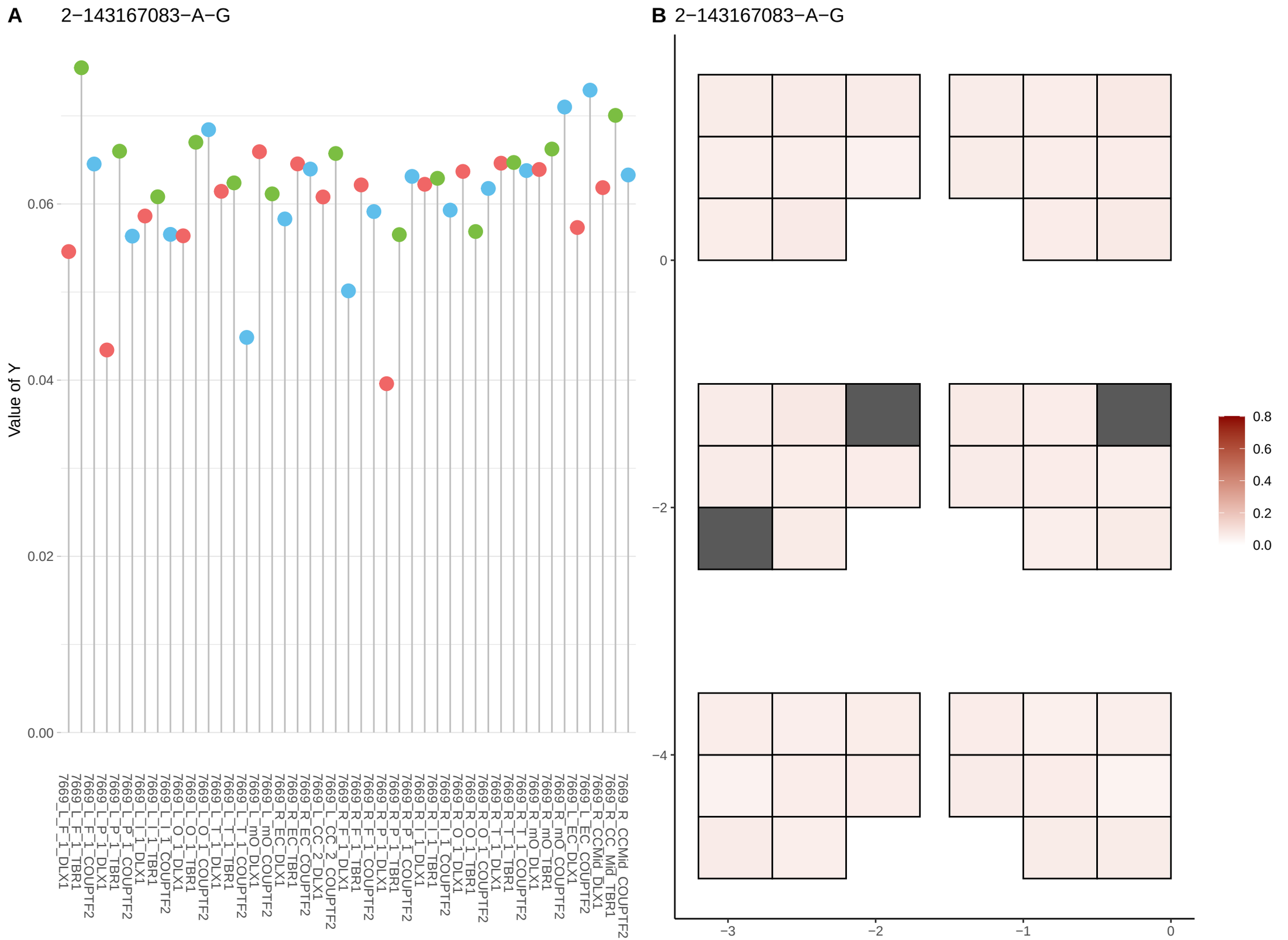
A
2−143167083−A−G
Value of Y
0.06
0.04
0.02
0.00
7669_L_F_1_DLX1
7669_L_F_1_TBR1
7669_L_F_1_COUPTF2
7669_L_P_1_DLX1
7669_L_P_1_TBR1
7669_L_P_1_COUPTF2
7669_L_I_1_DLX1
7669_L_I_1_TBR1
7669_L_I_1_COUPTF2
7669_L_O_1_DLX1
7669_L_O_1_TBR1
7669_L_O_1_COUPTF2
7669_L_T_1_DLX1
7669_L_T_1_TBR1
7669_L_T_1_COUPTF2
7669_L_mO_DLX1
7669_L_mO_COUPTF2
7669_R_EC_DLX1
7669_R_EC_TBR1
7669_R_EC_COUPTF2
7669_L_CC_2_DLX1
7669_L_CC_2_COUPTF2
7669_R_F_1_DLX1
7669_R_F_1_TBR1
7669_R_F_1_COUPTF2
7669_R_P_1_DLX1
7669_R_P_1_TBR1
7669_R_P_1_COUPTF2
7669_R_I_1_DLX1
7669_R_I_1_TBR1
7669_R_I_1_COUPTF2
7669_R_O_1_DLX1
7669_R_O_1_TBR1
7669_R_O_1_COUPTF2
7669_R_T_1_DLX1
7669_R_T_1_TBR1
7669_R_T_1_COUPTF2
7669_R_mO_DLX1
7669_R_mO_TBR1
7669_R_mO_COUPTF2
7669_L_EC_DLX1
7669_L_EC_COUPTF2
7669_R_CCMid_DLX1
7669_R_CC_Mid_TBR1
7669_R_CCMid_COUPTF2
B
2−143167083−A−G
0
−2
−4
−3
−2
−1
0
0.8
0.6
0.4
0.2
0.0

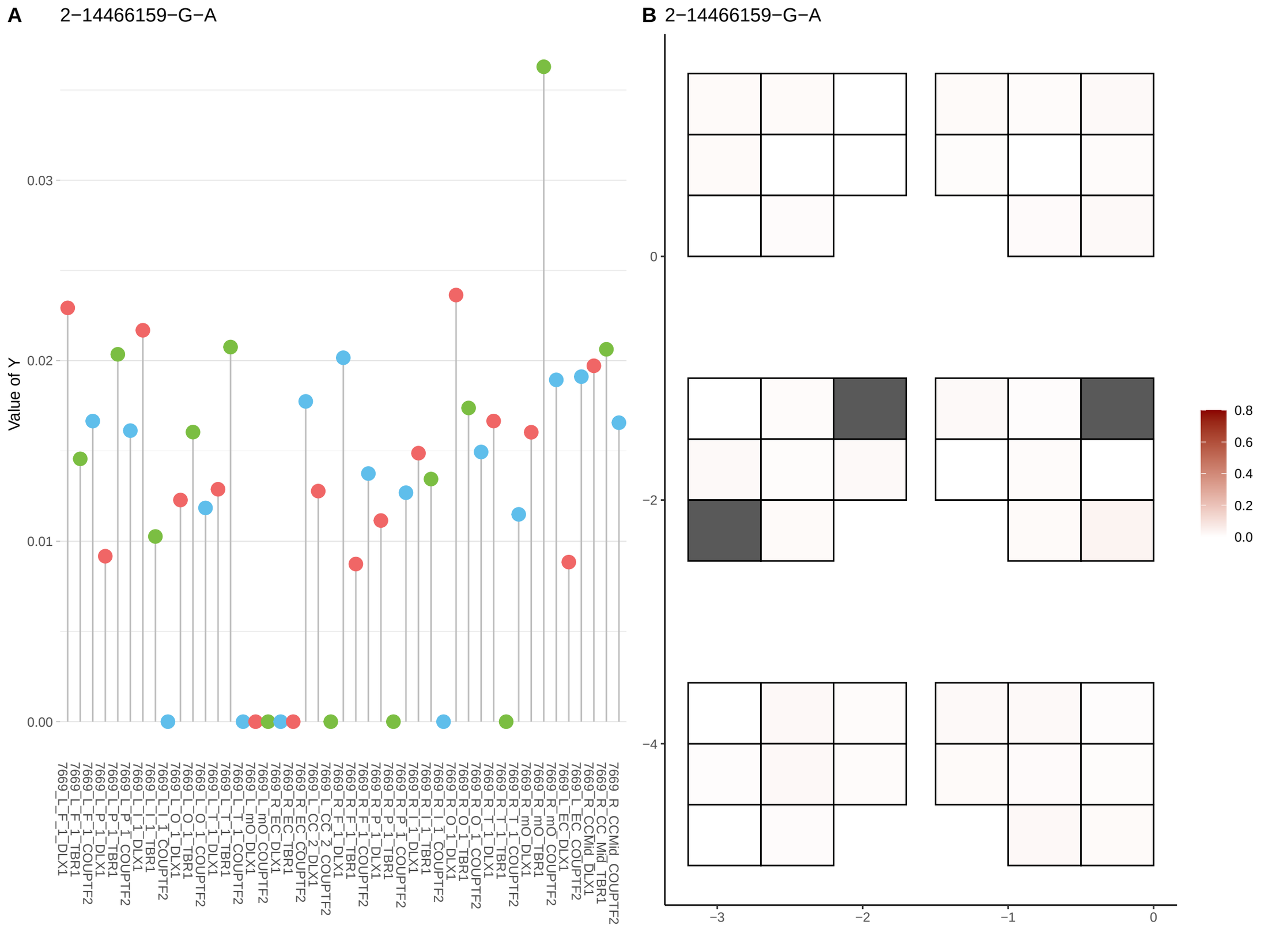
A
2−14466159−G−A
Value of Y
0.03
0.02
0.01
0.00
7669_L_F_1_DLX1
7669_L_F_1_TBR1
7669_L_F_1_COUPTF2
7669_L_P_1_DLX1
7669_L_P_1_TBR1
7669_L_P_1_COUPTF2
7669_L_I_1_DLX1
7669_L_I_1_TBR1
7669_L_I_1_COUPTF2
7669_L_O_1_DLX1
7669_L_O_1_TBR1
7669_L_O_1_COUPTF2
7669_L_T_1_DLX1
7669_L_T_1_TBR1
7669_L_T_1_COUPTF2
7669_L_mO_DLX1
7669_L_mO_COUPTF2
7669_R_EC_DLX1
7669_R_EC_TBR1
7669_R_EC_COUPTF2
7669_L_CC_2_DLX1
7669_L_CC_2_COUPTF2
7669_R_F_1_DLX1
7669_R_F_1_TBR1
7669_R_F_1_COUPTF2
7669_R_P_1_DLX1
7669_R_P_1_TBR1
7669_R_P_1_COUPTF2
7669_R_I_1_DLX1
7669_R_I_1_TBR1
7669_R_I_1_COUPTF2
7669_R_O_1_DLX1
7669_R_O_1_TBR1
7669_R_O_1_COUPTF2
7669_R_T_1_DLX1
7669_R_T_1_TBR1
7669_R_T_1_COUPTF2
7669_R_mO_DLX1
7669_R_mO_TBR1
7669_R_mO_COUPTF2
7669_L_EC_DLX1
7669_L_EC_COUPTF2
7669_R_CCMid_DLX1
7669_R_CC_Mid_TBR1
7669_R_CCMid_COUPTF2
B
2−14466159−G−A
0
−2
−4
−3
−2
−1
0
0.8
0.6
0.4
0.2
0.0

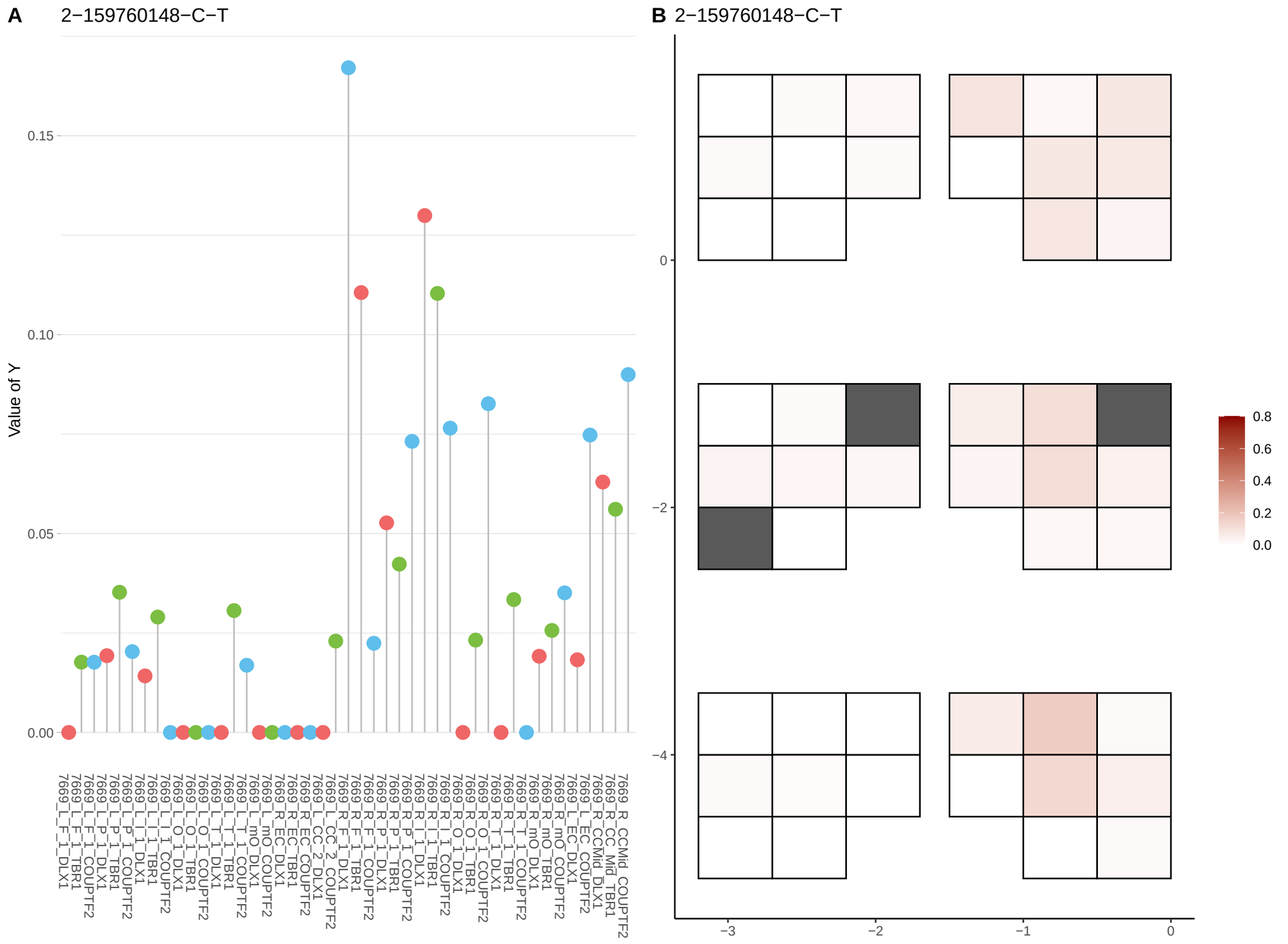
A
2−159760148−C−T
Value of Y
0.15
0.10
0.05
0.00
7669_L_F_1_DLX1
7669_L_F_1_TBR1
7669_L_F_1_COUPTF2
7669_L_P_1_DLX1
7669_L_P_1_TBR1
7669_L_P_1_COUPTF2
7669_L_I_1_DLX1
7669_L_I_1_TBR1
7669_L_I_1_COUPTF2
7669_L_O_1_DLX1
7669_L_O_1_TBR1
7669_L_O_1_COUPTF2
7669_L_T_1_DLX1
7669_L_T_1_TBR1
7669_L_T_1_COUPTF2
7669_L_mO_DLX1
7669_L_mO_COUPTF2
7669_R_EC_DLX1
7669_R_EC_TBR1
7669_R_EC_COUPTF2
7669_L_CC_2_DLX1
7669_L_CC_2_COUPTF2
7669_R_F_1_DLX1
7669_R_F_1_TBR1
7669_R_F_1_COUPTF2
7669_R_P_1_DLX1
7669_R_P_1_TBR1
7669_R_P_1_COUPTF2
7669_R_I_1_DLX1
7669_R_I_1_TBR1
7669_R_I_1_COUPTF2
7669_R_O_1_DLX1
7669_R_O_1_TBR1
7669_R_O_1_COUPTF2
7669_R_T_1_DLX1
7669_R_T_1_TBR1
7669_R_T_1_COUPTF2
7669_R_mO_DLX1
7669_R_mO_TBR1
7669_R_mO_COUPTF2
7669_L_EC_DLX1
7669_L_EC_COUPTF2
7669_R_CCMid_DLX1
7669_R_CC_Mid_TBR1
7669_R_CCMid_COUPTF2
B
2−159760148−C−T
0
−2
−4
−3
−2
−1
0
0.8
0.6
0.4
0.2
0.0

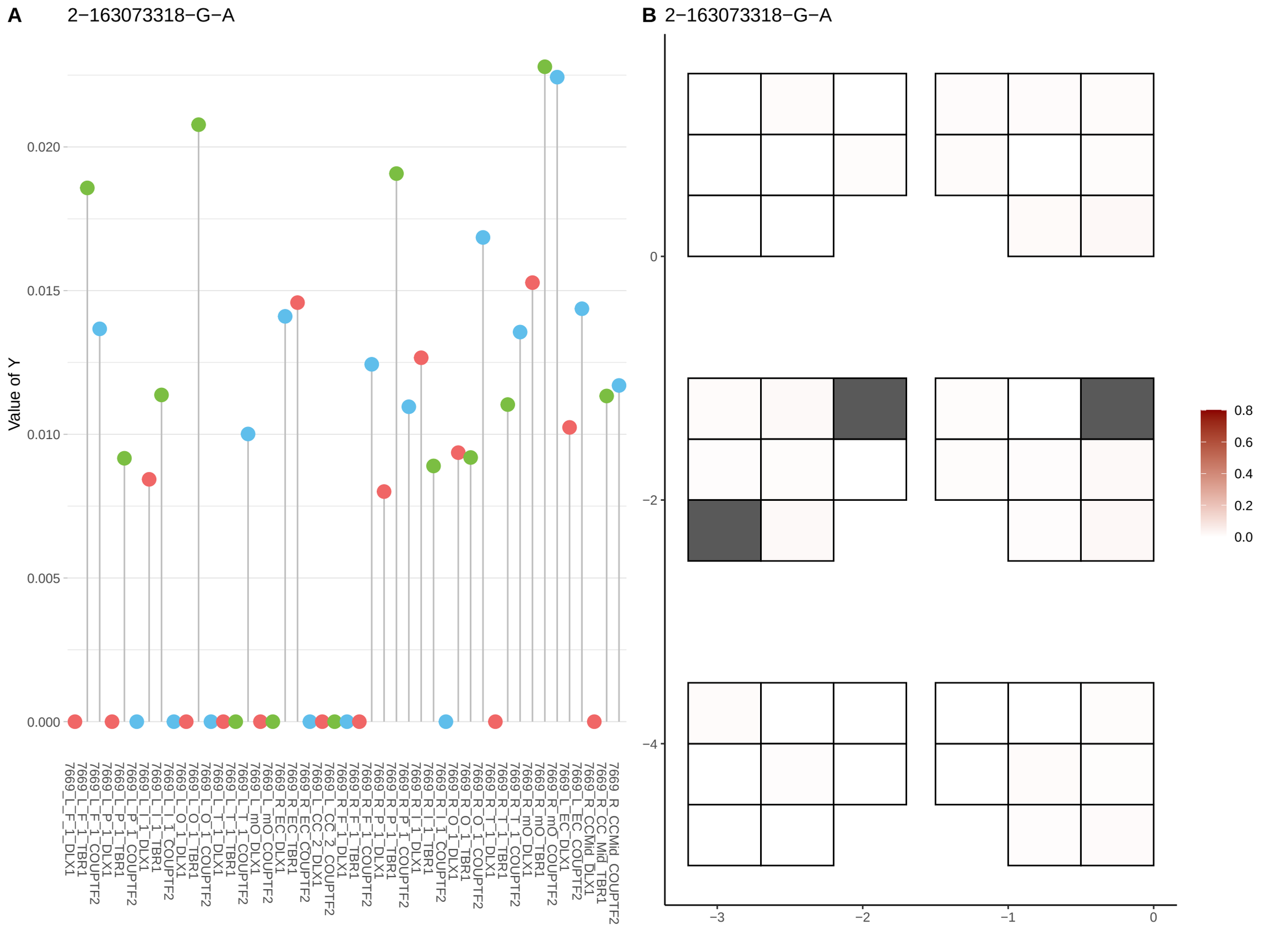
A
2−163073318−G−A
Value of Y
0.020
0.015
0.010
0.005
0.000
7669_L_F_1_DLX1
7669_L_F_1_TBR1
7669_L_F_1_COUPTF2
7669_L_P_1_DLX1
7669_L_P_1_TBR1
7669_L_P_1_COUPTF2
7669_L_I_1_DLX1
7669_L_I_1_TBR1
7669_L_I_1_COUPTF2
7669_L_O_1_DLX1
7669_L_O_1_TBR1
7669_L_O_1_COUPTF2
7669_L_T_1_DLX1
7669_L_T_1_TBR1
7669_L_T_1_COUPTF2
7669_L_mO_DLX1
7669_L_mO_COUPTF2
7669_R_EC_DLX1
7669_R_EC_TBR1
7669_R_EC_COUPTF2
7669_L_CC_2_DLX1
7669_L_CC_2_COUPTF2
7669_R_F_1_DLX1
7669_R_F_1_TBR1
7669_R_F_1_COUPTF2
7669_R_P_1_DLX1
7669_R_P_1_TBR1
7669_R_P_1_COUPTF2
7669_R_I_1_DLX1
7669_R_I_1_TBR1
7669_R_I_1_COUPTF2
7669_R_O_1_DLX1
7669_R_O_1_TBR1
7669_R_O_1_COUPTF2
7669_R_T_1_DLX1
7669_R_T_1_TBR1
7669_R_T_1_COUPTF2
7669_R_mO_DLX1
7669_R_mO_TBR1
7669_R_mO_COUPTF2
7669_L_EC_DLX1
7669_L_EC_COUPTF2
7669_R_CCMid_DLX1
7669_R_CC_Mid_TBR1
7669_R_CCMid_COUPTF2
B
2−163073318−G−A
0
−2
−4
−3
−2
−1
0
0.8
0.6
0.4
0.2
0.0

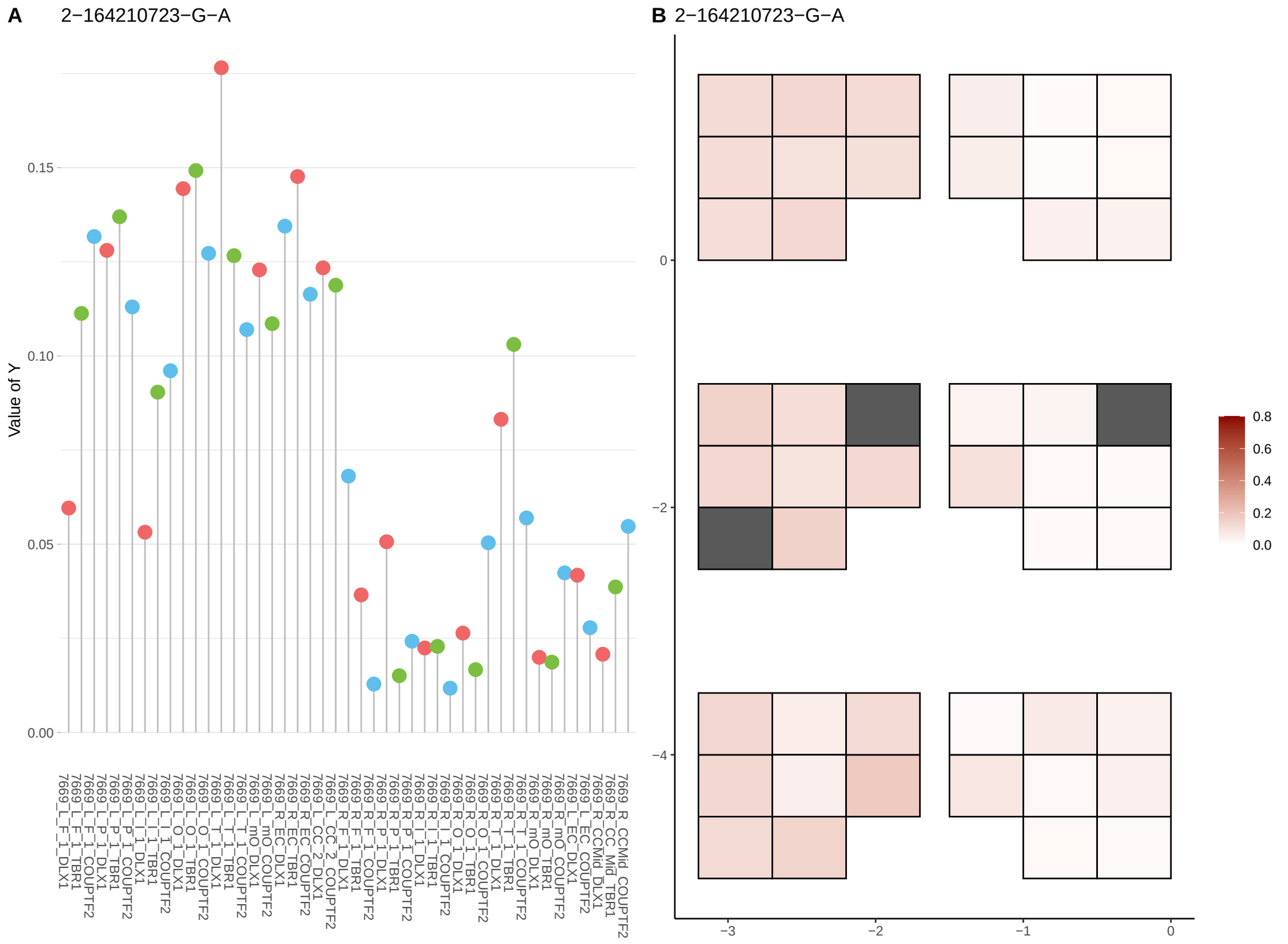
A
2−164210723−G−A
Value of Y
0.15
0.10
0.05
0.00
7669_L_F_1_DLX1
7669_L_F_1_TBR1
7669_L_F_1_COUPTF2
7669_L_P_1_DLX1
7669_L_P_1_TBR1
7669_L_P_1_COUPTF2
7669_L_I_1_DLX1
7669_L_I_1_TBR1
7669_L_I_1_COUPTF2
7669_L_O_1_DLX1
7669_L_O_1_TBR1
7669_L_O_1_COUPTF2
7669_L_T_1_DLX1
7669_L_T_1_TBR1
7669_L_T_1_COUPTF2
7669_L_mO_DLX1
7669_L_mO_COUPTF2
7669_R_EC_DLX1
7669_R_EC_TBR1
7669_R_EC_COUPTF2
7669_L_CC_2_DLX1
7669_L_CC_2_COUPTF2
7669_R_F_1_DLX1
7669_R_F_1_TBR1
7669_R_F_1_COUPTF2
7669_R_P_1_DLX1
7669_R_P_1_TBR1
7669_R_P_1_COUPTF2
7669_R_I_1_DLX1
7669_R_I_1_TBR1
7669_R_I_1_COUPTF2
7669_R_O_1_DLX1
7669_R_O_1_TBR1
7669_R_O_1_COUPTF2
7669_R_T_1_DLX1
7669_R_T_1_TBR1
7669_R_T_1_COUPTF2
7669_R_mO_DLX1
7669_R_mO_TBR1
7669_R_mO_COUPTF2
7669_L_EC_DLX1
7669_L_EC_COUPTF2
7669_R_CCMid_DLX1
7669_R_CC_Mid_TBR1
7669_R_CCMid_COUPTF2
B
2−164210723−G−A
0
−2
−4
−3
−2
−1
0
0.8
0.6
0.4
0.2
0.0

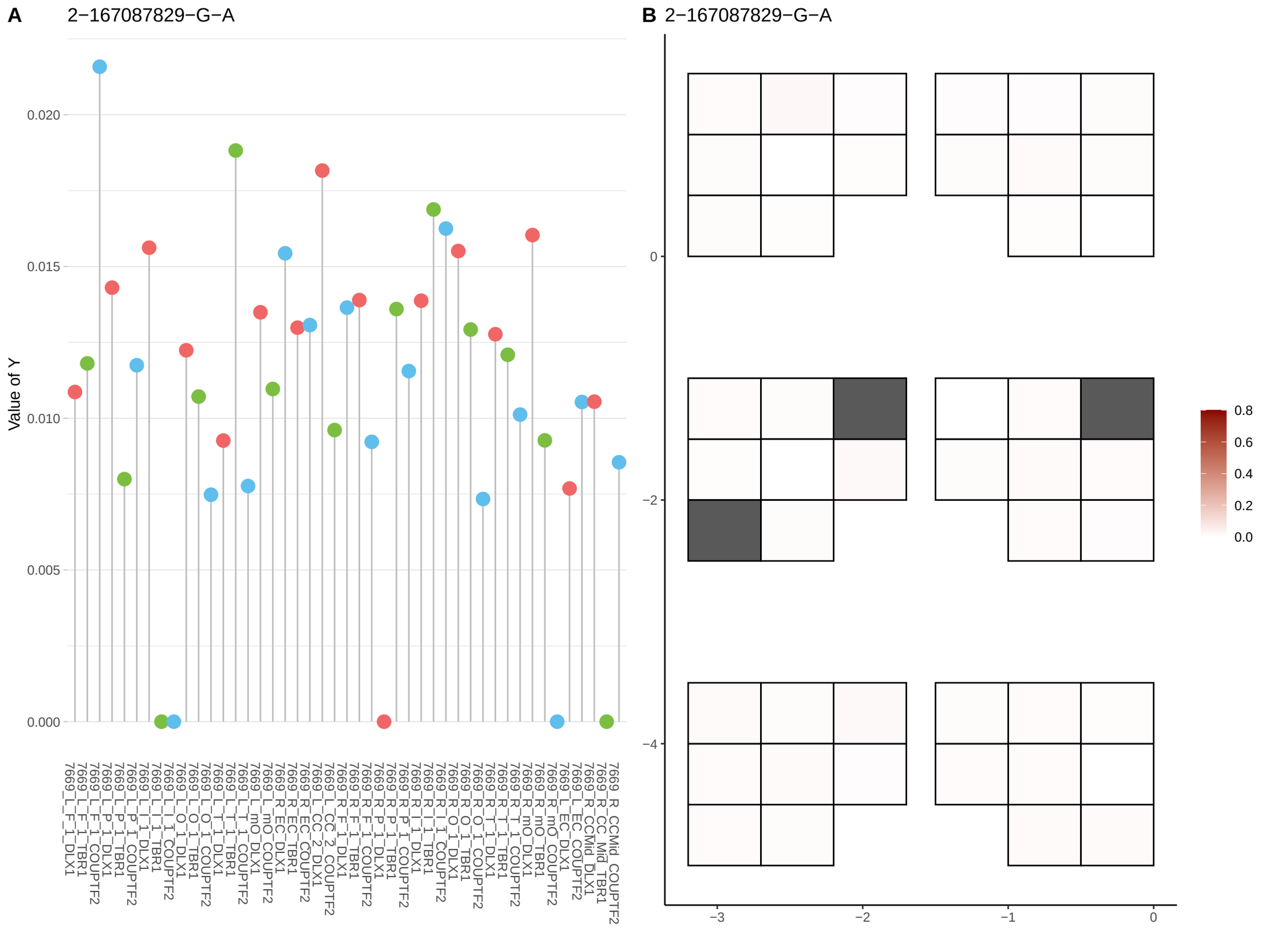
A
2−167087829−G−A
Value of Y
0.020
0.015
0.010
0.005
0.000
7669_L_F_1_DLX1
7669_L_F_1_TBR1
7669_L_F_1_COUPTF2
7669_L_P_1_DLX1
7669_L_P_1_TBR1
7669_L_P_1_COUPTF2
7669_L_I_1_DLX1
7669_L_I_1_TBR1
7669_L_I_1_COUPTF2
7669_L_O_1_DLX1
7669_L_O_1_TBR1
7669_L_O_1_COUPTF2
7669_L_T_1_DLX1
7669_L_T_1_TBR1
7669_L_T_1_COUPTF2
7669_L_mO_DLX1
7669_L_mO_COUPTF2
7669_R_EC_DLX1
7669_R_EC_TBR1
7669_R_EC_COUPTF2
7669_L_CC_2_DLX1
7669_L_CC_2_COUPTF2
7669_R_F_1_DLX1
7669_R_F_1_TBR1
7669_R_F_1_COUPTF2
7669_R_P_1_DLX1
7669_R_P_1_TBR1
7669_R_P_1_COUPTF2
7669_R_I_1_DLX1
7669_R_I_1_TBR1
7669_R_I_1_COUPTF2
7669_R_O_1_DLX1
7669_R_O_1_TBR1
7669_R_O_1_COUPTF2
7669_R_T_1_DLX1
7669_R_T_1_TBR1
7669_R_T_1_COUPTF2
7669_R_mO_DLX1
7669_R_mO_TBR1
7669_R_mO_COUPTF2
7669_L_EC_DLX1
7669_L_EC_COUPTF2
7669_R_CCMid_DLX1
7669_R_CC_Mid_TBR1
7669_R_CCMid_COUPTF2
B
2−167087829−G−A
0
−2
−4
−3
−2
−1
0
0.8
0.6
0.4
0.2
0.0

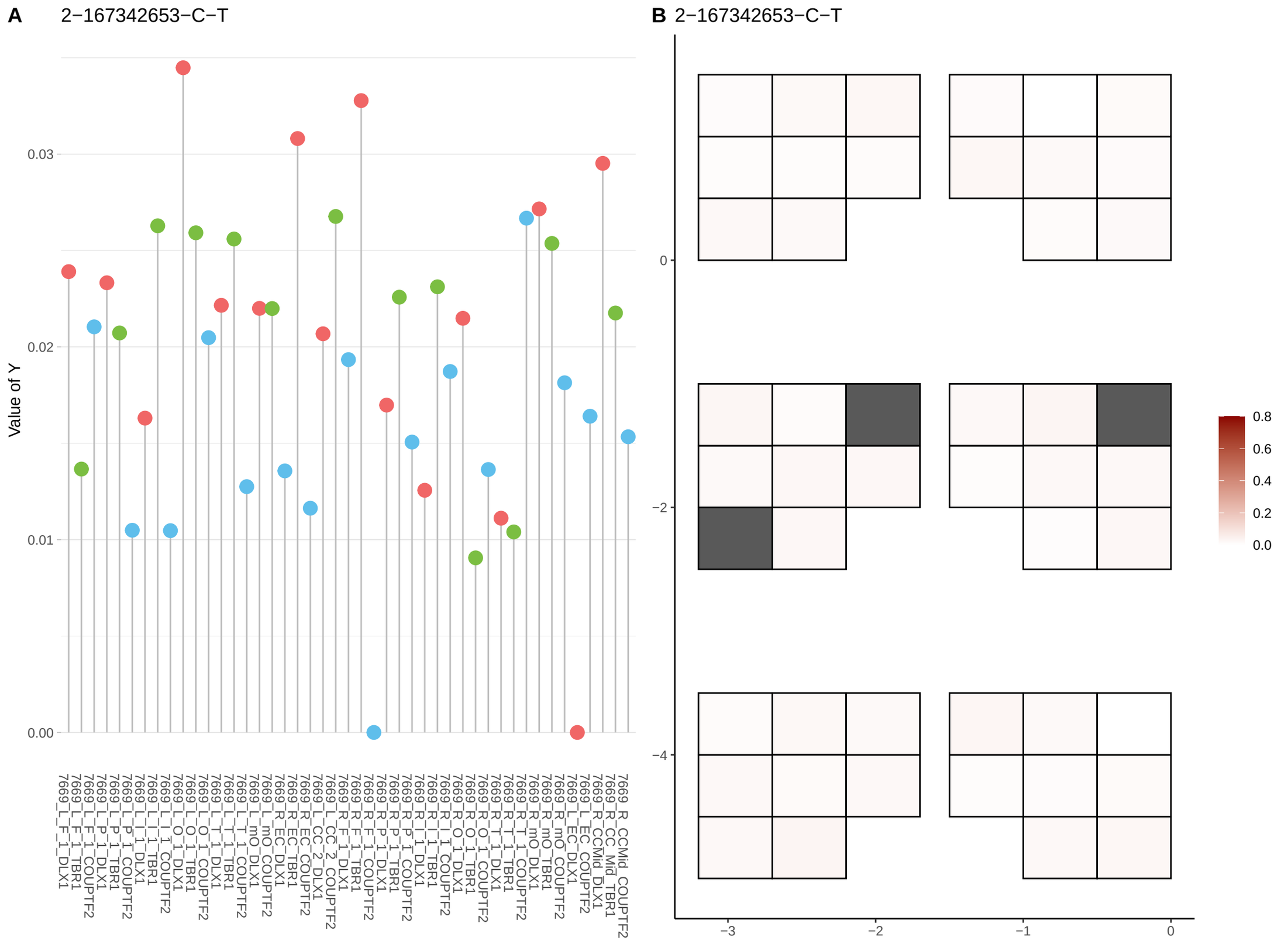
A
2−167342653−C−T
Value of Y
0.03
0.02
0.01
0.00
7669_L_F_1_DLX1
7669_L_F_1_TBR1
7669_L_F_1_COUPTF2
7669_L_P_1_DLX1
7669_L_P_1_TBR1
7669_L_P_1_COUPTF2
7669_L_I_1_DLX1
7669_L_I_1_TBR1
7669_L_I_1_COUPTF2
7669_L_O_1_DLX1
7669_L_O_1_TBR1
7669_L_O_1_COUPTF2
7669_L_T_1_DLX1
7669_L_T_1_TBR1
7669_L_T_1_COUPTF2
7669_L_mO_DLX1
7669_L_mO_COUPTF2
7669_R_EC_DLX1
7669_R_EC_TBR1
7669_R_EC_COUPTF2
7669_L_CC_2_DLX1
7669_L_CC_2_COUPTF2
7669_R_F_1_DLX1
7669_R_F_1_TBR1
7669_R_F_1_COUPTF2
7669_R_P_1_DLX1
7669_R_P_1_TBR1
7669_R_P_1_COUPTF2
7669_R_I_1_DLX1
7669_R_I_1_TBR1
7669_R_I_1_COUPTF2
7669_R_O_1_DLX1
7669_R_O_1_TBR1
7669_R_O_1_COUPTF2
7669_R_T_1_DLX1
7669_R_T_1_TBR1
7669_R_T_1_COUPTF2
7669_R_mO_DLX1
7669_R_mO_TBR1
7669_R_mO_COUPTF2
7669_L_EC_DLX1
7669_L_EC_COUPTF2
7669_R_CCMid_DLX1
7669_R_CC_Mid_TBR1
7669_R_CCMid_COUPTF2
B
2−167342653−C−T
0
−2
−4
−3
−2
−1
0
0.8
0.6
0.4
0.2
0.0

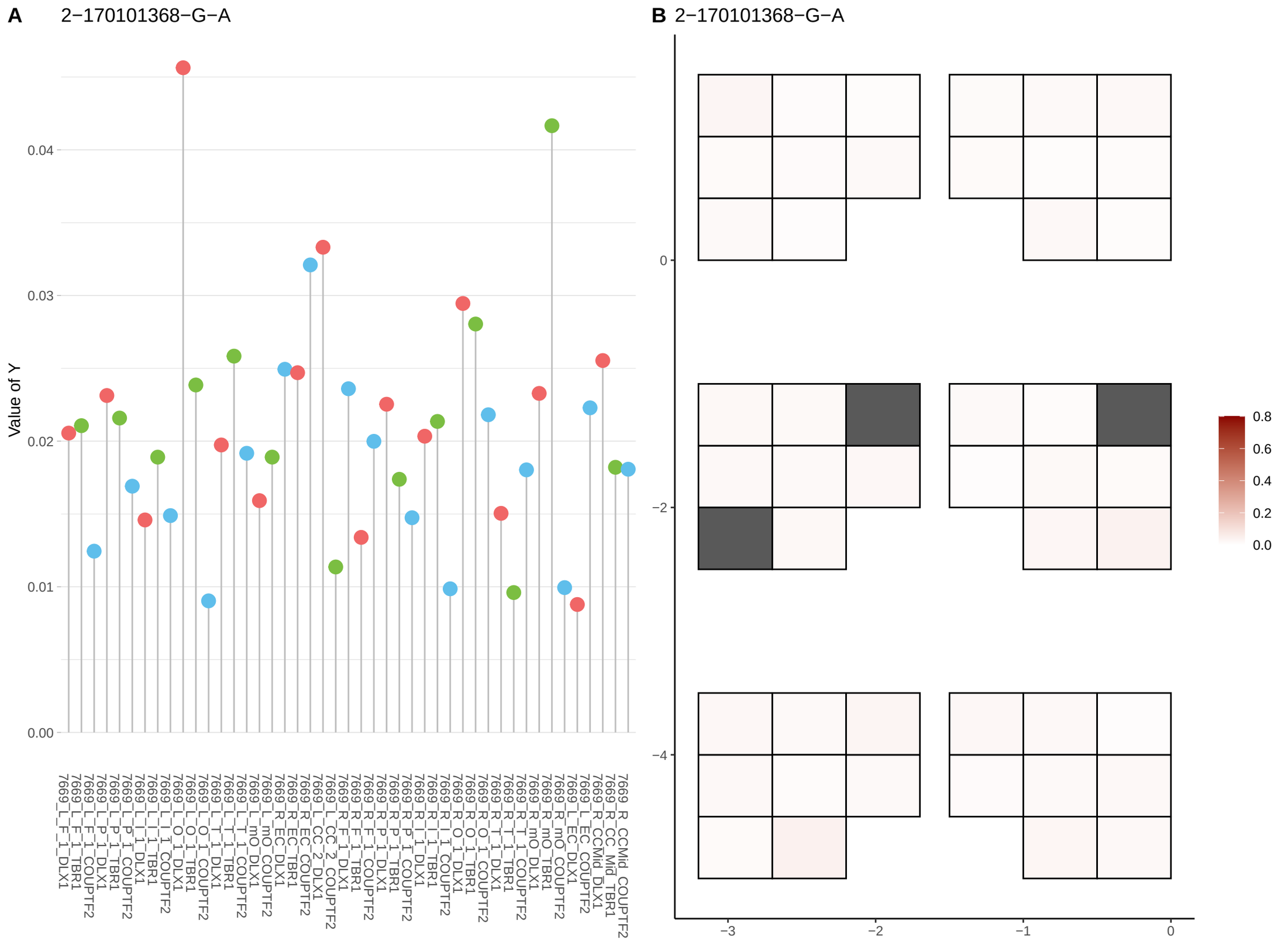
A
2−170101368−G−A
Value of Y
0.04
0.03
0.02
0.01
0.00
7669_L_F_1_DLX1
7669_L_F_1_TBR1
7669_L_F_1_COUPTF2
7669_L_P_1_DLX1
7669_L_P_1_TBR1
7669_L_P_1_COUPTF2
7669_L_I_1_DLX1
7669_L_I_1_TBR1
7669_L_I_1_COUPTF2
7669_L_O_1_DLX1
7669_L_O_1_TBR1
7669_L_O_1_COUPTF2
7669_L_T_1_DLX1
7669_L_T_1_TBR1
7669_L_T_1_COUPTF2
7669_L_mO_DLX1
7669_L_mO_COUPTF2
7669_R_EC_DLX1
7669_R_EC_TBR1
7669_R_EC_COUPTF2
7669_L_CC_2_DLX1
7669_L_CC_2_COUPTF2
7669_R_F_1_DLX1
7669_R_F_1_TBR1
7669_R_F_1_COUPTF2
7669_R_P_1_DLX1
7669_R_P_1_TBR1
7669_R_P_1_COUPTF2
7669_R_I_1_DLX1
7669_R_I_1_TBR1
7669_R_I_1_COUPTF2
7669_R_O_1_DLX1
7669_R_O_1_TBR1
7669_R_O_1_COUPTF2
7669_R_T_1_DLX1
7669_R_T_1_TBR1
7669_R_T_1_COUPTF2
7669_R_mO_DLX1
7669_R_mO_TBR1
7669_R_mO_COUPTF2
7669_L_EC_DLX1
7669_L_EC_COUPTF2
7669_R_CCMid_DLX1
7669_R_CC_Mid_TBR1
7669_R_CCMid_COUPTF2
B
2−170101368−G−A
0
−2
−4
−3
−2
−1
0
0.8
0.6
0.4
0.2
0.0

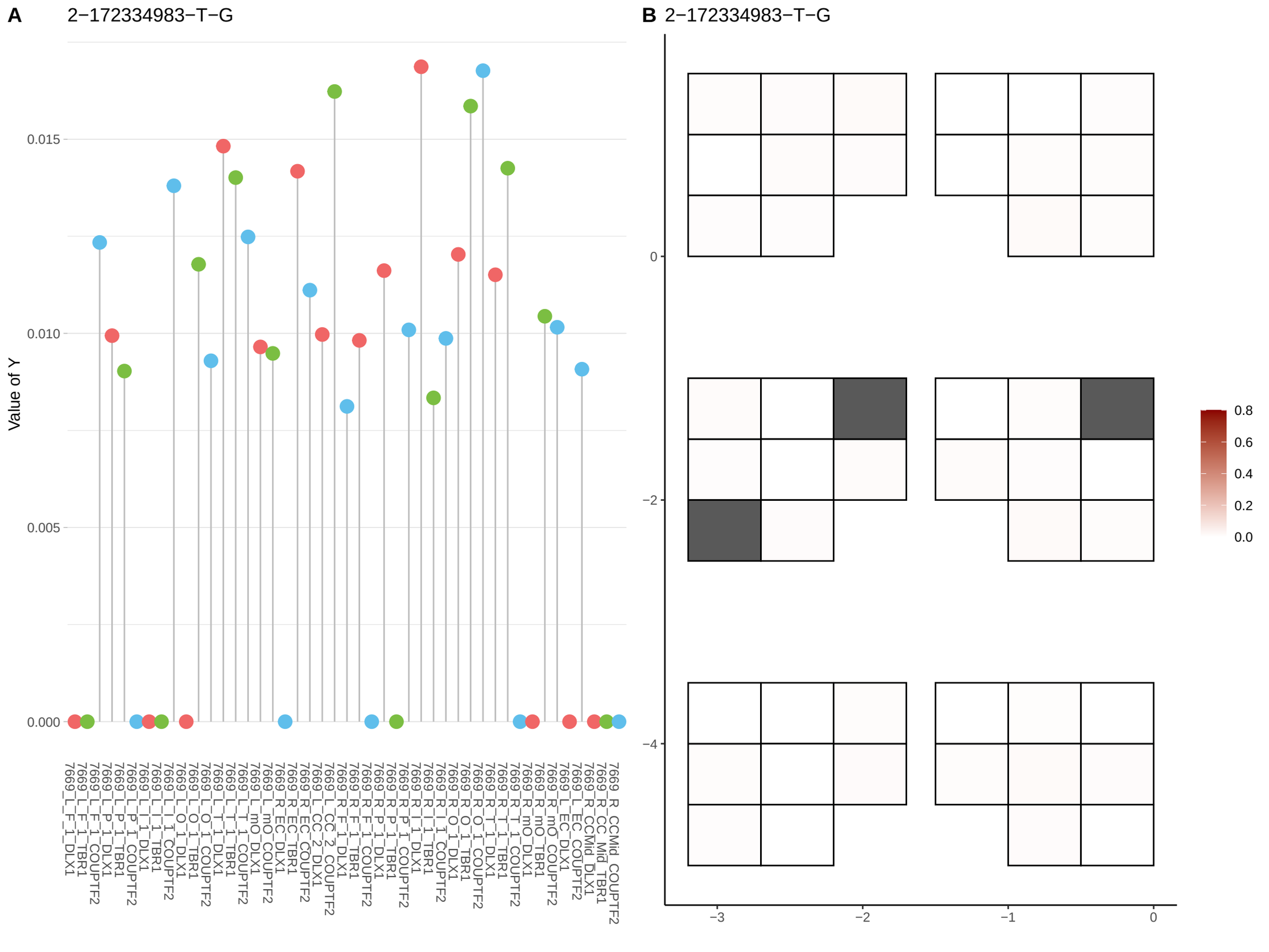
A
2−172334983−T−G
Value of Y
0.015
0.010
0.005
0.000
7669_L_F_1_DLX1
7669_L_F_1_TBR1
7669_L_F_1_COUPTF2
7669_L_P_1_DLX1
7669_L_P_1_TBR1
7669_L_P_1_COUPTF2
7669_L_I_1_DLX1
7669_L_I_1_TBR1
7669_L_I_1_COUPTF2
7669_L_O_1_DLX1
7669_L_O_1_TBR1
7669_L_O_1_COUPTF2
7669_L_T_1_DLX1
7669_L_T_1_TBR1
7669_L_T_1_COUPTF2
7669_L_mO_DLX1
7669_L_mO_COUPTF2
7669_R_EC_DLX1
7669_R_EC_TBR1
7669_R_EC_COUPTF2
7669_L_CC_2_DLX1
7669_L_CC_2_COUPTF2
7669_R_F_1_DLX1
7669_R_F_1_TBR1
7669_R_F_1_COUPTF2
7669_R_P_1_DLX1
7669_R_P_1_TBR1
7669_R_P_1_COUPTF2
7669_R_I_1_DLX1
7669_R_I_1_TBR1
7669_R_I_1_COUPTF2
7669_R_O_1_DLX1
7669_R_O_1_TBR1
7669_R_O_1_COUPTF2
7669_R_T_1_DLX1
7669_R_T_1_TBR1
7669_R_T_1_COUPTF2
7669_R_mO_DLX1
7669_R_mO_TBR1
7669_R_mO_COUPTF2
7669_L_EC_DLX1
7669_L_EC_COUPTF2
7669_R_CCMid_DLX1
7669_R_CC_Mid_TBR1
7669_R_CCMid_COUPTF2
B
2−172334983−T−G
0
−2
−4
−3
−2
−1
0
0.8
0.6
0.4
0.2
0.0

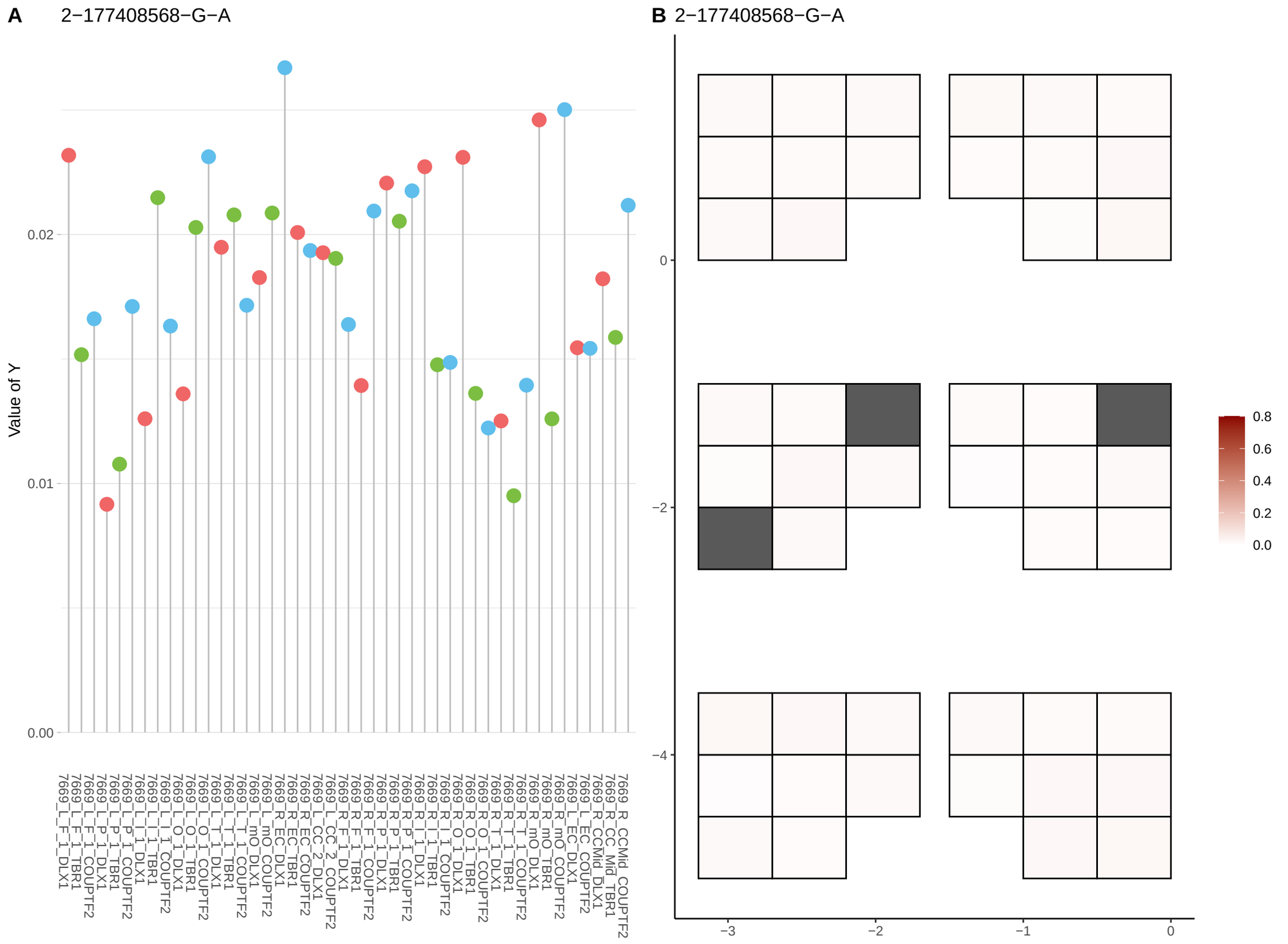
A
2−177408568−G−A
Value of Y
0.02
0.01
0.00
7669_L_F_1_DLX1
7669_L_F_1_TBR1
7669_L_F_1_COUPTF2
7669_L_P_1_DLX1
7669_L_P_1_TBR1
7669_L_P_1_COUPTF2
7669_L_I_1_DLX1
7669_L_I_1_TBR1
7669_L_I_1_COUPTF2
7669_L_O_1_DLX1
7669_L_O_1_TBR1
7669_L_O_1_COUPTF2
7669_L_T_1_DLX1
7669_L_T_1_TBR1
7669_L_T_1_COUPTF2
7669_L_mO_DLX1
7669_L_mO_COUPTF2
7669_R_EC_DLX1
7669_R_EC_TBR1
7669_R_EC_COUPTF2
7669_L_CC_2_DLX1
7669_L_CC_2_COUPTF2
7669_R_F_1_DLX1
7669_R_F_1_TBR1
7669_R_F_1_COUPTF2
7669_R_P_1_DLX1
7669_R_P_1_TBR1
7669_R_P_1_COUPTF2
7669_R_I_1_DLX1
7669_R_I_1_TBR1
7669_R_I_1_COUPTF2
7669_R_O_1_DLX1
7669_R_O_1_TBR1
7669_R_O_1_COUPTF2
7669_R_T_1_DLX1
7669_R_T_1_TBR1
7669_R_T_1_COUPTF2
7669_R_mO_DLX1
7669_R_mO_TBR1
7669_R_mO_COUPTF2
7669_L_EC_DLX1
7669_L_EC_COUPTF2
7669_R_CCMid_DLX1
7669_R_CC_Mid_TBR1
7669_R_CCMid_COUPTF2
B
2−177408568−G−A
0
−2
−4
−3
−2
−1
0
0.8
0.6
0.4
0.2
0.0

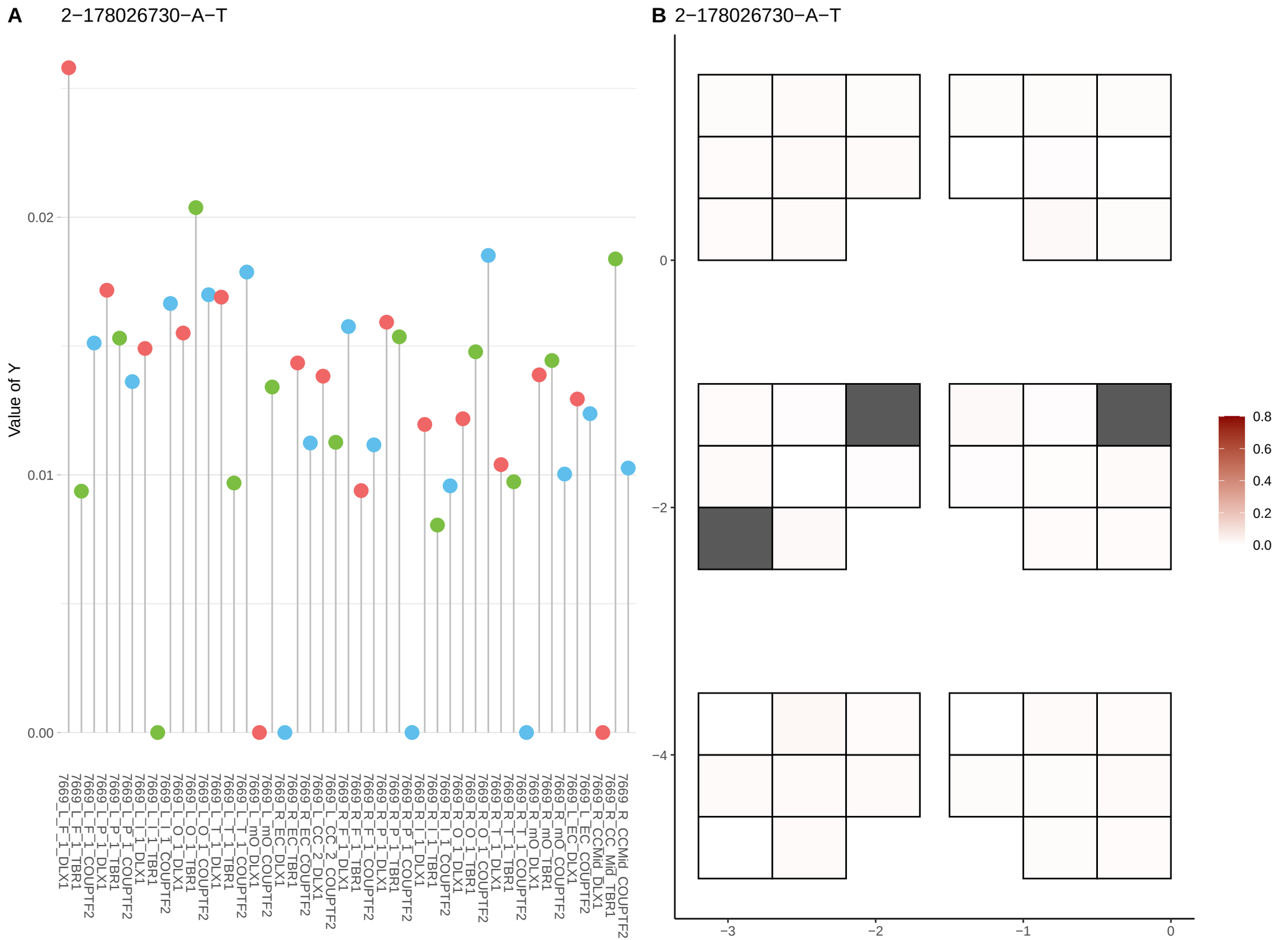
A
2−178026730−A−T
Value of Y
0.02
0.01
0.00
7669_L_F_1_DLX1
7669_L_F_1_TBR1
7669_L_F_1_COUPTF2
7669_L_P_1_DLX1
7669_L_P_1_TBR1
7669_L_P_1_COUPTF2
7669_L_I_1_DLX1
7669_L_I_1_TBR1
7669_L_I_1_COUPTF2
7669_L_O_1_DLX1
7669_L_O_1_TBR1
7669_L_O_1_COUPTF2
7669_L_T_1_DLX1
7669_L_T_1_TBR1
7669_L_T_1_COUPTF2
7669_L_mO_DLX1
7669_L_mO_COUPTF2
7669_R_EC_DLX1
7669_R_EC_TBR1
7669_R_EC_COUPTF2
7669_L_CC_2_DLX1
7669_L_CC_2_COUPTF2
7669_R_F_1_DLX1
7669_R_F_1_TBR1
7669_R_F_1_COUPTF2
7669_R_P_1_DLX1
7669_R_P_1_TBR1
7669_R_P_1_COUPTF2
7669_R_I_1_DLX1
7669_R_I_1_TBR1
7669_R_I_1_COUPTF2
7669_R_O_1_DLX1
7669_R_O_1_TBR1
7669_R_O_1_COUPTF2
7669_R_T_1_DLX1
7669_R_T_1_TBR1
7669_R_T_1_COUPTF2
7669_R_mO_DLX1
7669_R_mO_TBR1
7669_R_mO_COUPTF2
7669_L_EC_DLX1
7669_L_EC_COUPTF2
7669_R_CCMid_DLX1
7669_R_CC_Mid_TBR1
7669_R_CCMid_COUPTF2
B
2−178026730−A−T
0
−2
−4
−3
−2
−1
0
0.8
0.6
0.4
0.2
0.0

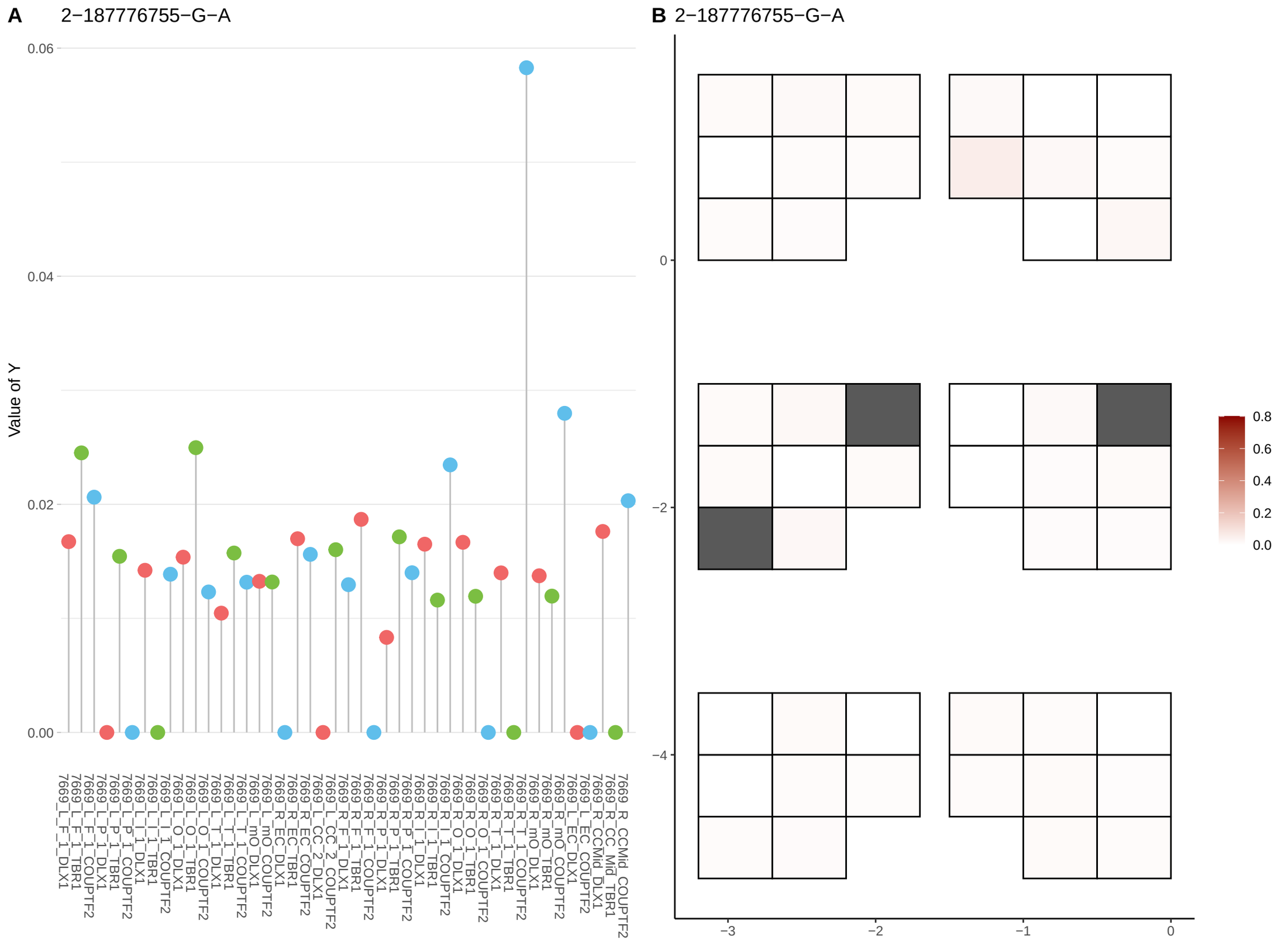
A
2−187776755−G−A
Value of Y
0.06
0.04
0.02
0.00
7669_L_F_1_DLX1
7669_L_F_1_TBR1
7669_L_F_1_COUPTF2
7669_L_P_1_DLX1
7669_L_P_1_TBR1
7669_L_P_1_COUPTF2
7669_L_I_1_DLX1
7669_L_I_1_TBR1
7669_L_I_1_COUPTF2
7669_L_O_1_DLX1
7669_L_O_1_TBR1
7669_L_O_1_COUPTF2
7669_L_T_1_DLX1
7669_L_T_1_TBR1
7669_L_T_1_COUPTF2
7669_L_mO_DLX1
7669_L_mO_COUPTF2
7669_R_EC_DLX1
7669_R_EC_TBR1
7669_R_EC_COUPTF2
7669_L_CC_2_DLX1
7669_L_CC_2_COUPTF2
7669_R_F_1_DLX1
7669_R_F_1_TBR1
7669_R_F_1_COUPTF2
7669_R_P_1_DLX1
7669_R_P_1_TBR1
7669_R_P_1_COUPTF2
7669_R_I_1_DLX1
7669_R_I_1_TBR1
7669_R_I_1_COUPTF2
7669_R_O_1_DLX1
7669_R_O_1_TBR1
7669_R_O_1_COUPTF2
7669_R_T_1_DLX1
7669_R_T_1_TBR1
7669_R_T_1_COUPTF2
7669_R_mO_DLX1
7669_R_mO_TBR1
7669_R_mO_COUPTF2
7669_L_EC_DLX1
7669_L_EC_COUPTF2
7669_R_CCMid_DLX1
7669_R_CC_Mid_TBR1
7669_R_CCMid_COUPTF2
B
2−187776755−G−A
0
−2
−4
−3
−2
−1
0
0.8
0.6
0.4
0.2
0.0

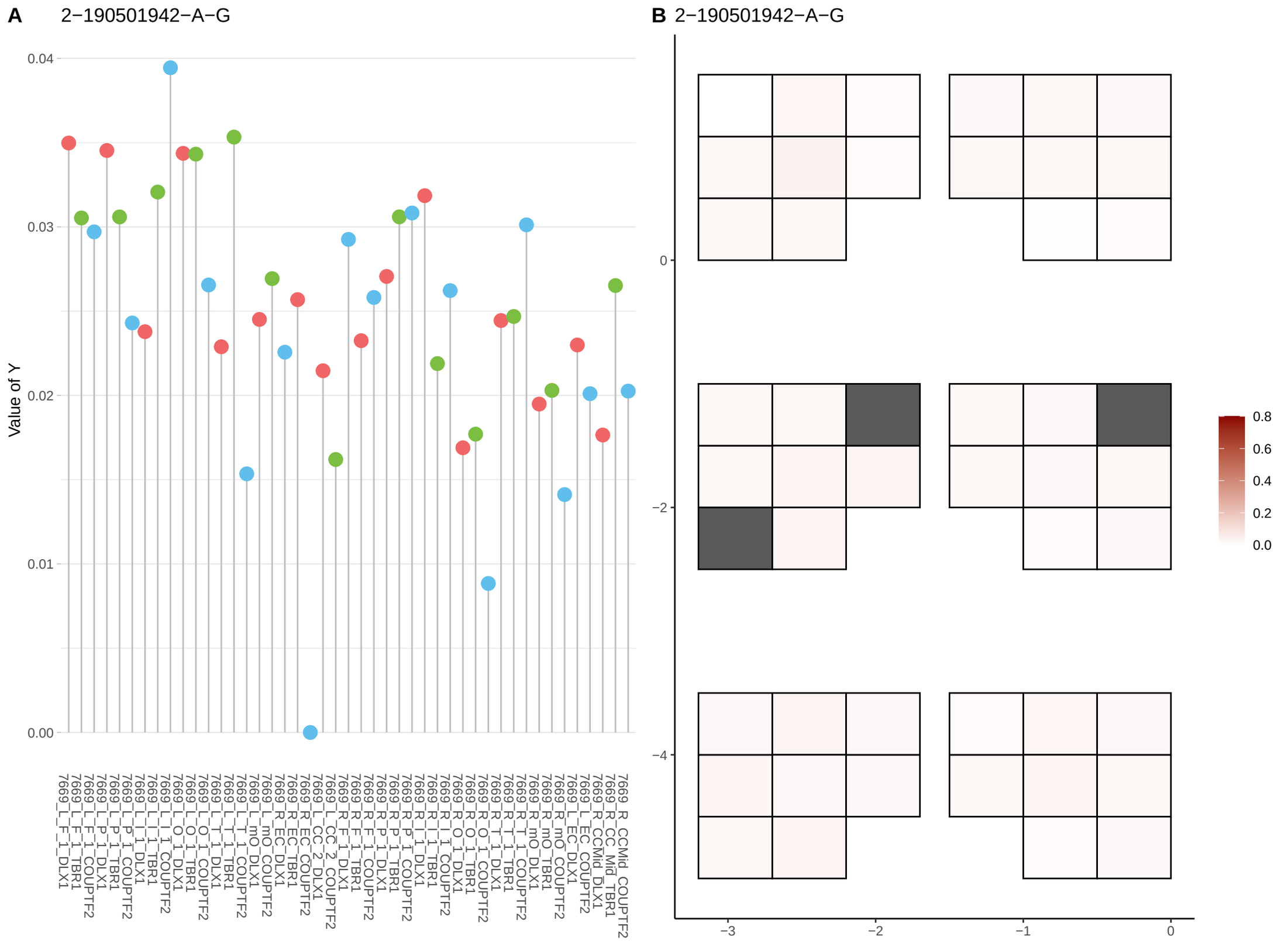
A
2−190501942−A−G
Value of Y
0.04
0.03
0.02
0.01
0.00
7669_L_F_1_DLX1
7669_L_F_1_TBR1
7669_L_F_1_COUPTF2
7669_L_P_1_DLX1
7669_L_P_1_TBR1
7669_L_P_1_COUPTF2
7669_L_I_1_DLX1
7669_L_I_1_TBR1
7669_L_I_1_COUPTF2
7669_L_O_1_DLX1
7669_L_O_1_TBR1
7669_L_O_1_COUPTF2
7669_L_T_1_DLX1
7669_L_T_1_TBR1
7669_L_T_1_COUPTF2
7669_L_mO_DLX1
7669_L_mO_COUPTF2
7669_R_EC_DLX1
7669_R_EC_TBR1
7669_R_EC_COUPTF2
7669_L_CC_2_DLX1
7669_L_CC_2_COUPTF2
7669_R_F_1_DLX1
7669_R_F_1_TBR1
7669_R_F_1_COUPTF2
7669_R_P_1_DLX1
7669_R_P_1_TBR1
7669_R_P_1_COUPTF2
7669_R_I_1_DLX1
7669_R_I_1_TBR1
7669_R_I_1_COUPTF2
7669_R_O_1_DLX1
7669_R_O_1_TBR1
7669_R_O_1_COUPTF2
7669_R_T_1_DLX1
7669_R_T_1_TBR1
7669_R_T_1_COUPTF2
7669_R_mO_DLX1
7669_R_mO_TBR1
7669_R_mO_COUPTF2
7669_L_EC_DLX1
7669_L_EC_COUPTF2
7669_R_CCMid_DLX1
7669_R_CC_Mid_TBR1
7669_R_CCMid_COUPTF2
B
2−190501942−A−G
0
−2
−4
−3
−2
−1
0
0.8
0.6
0.4
0.2
0.0

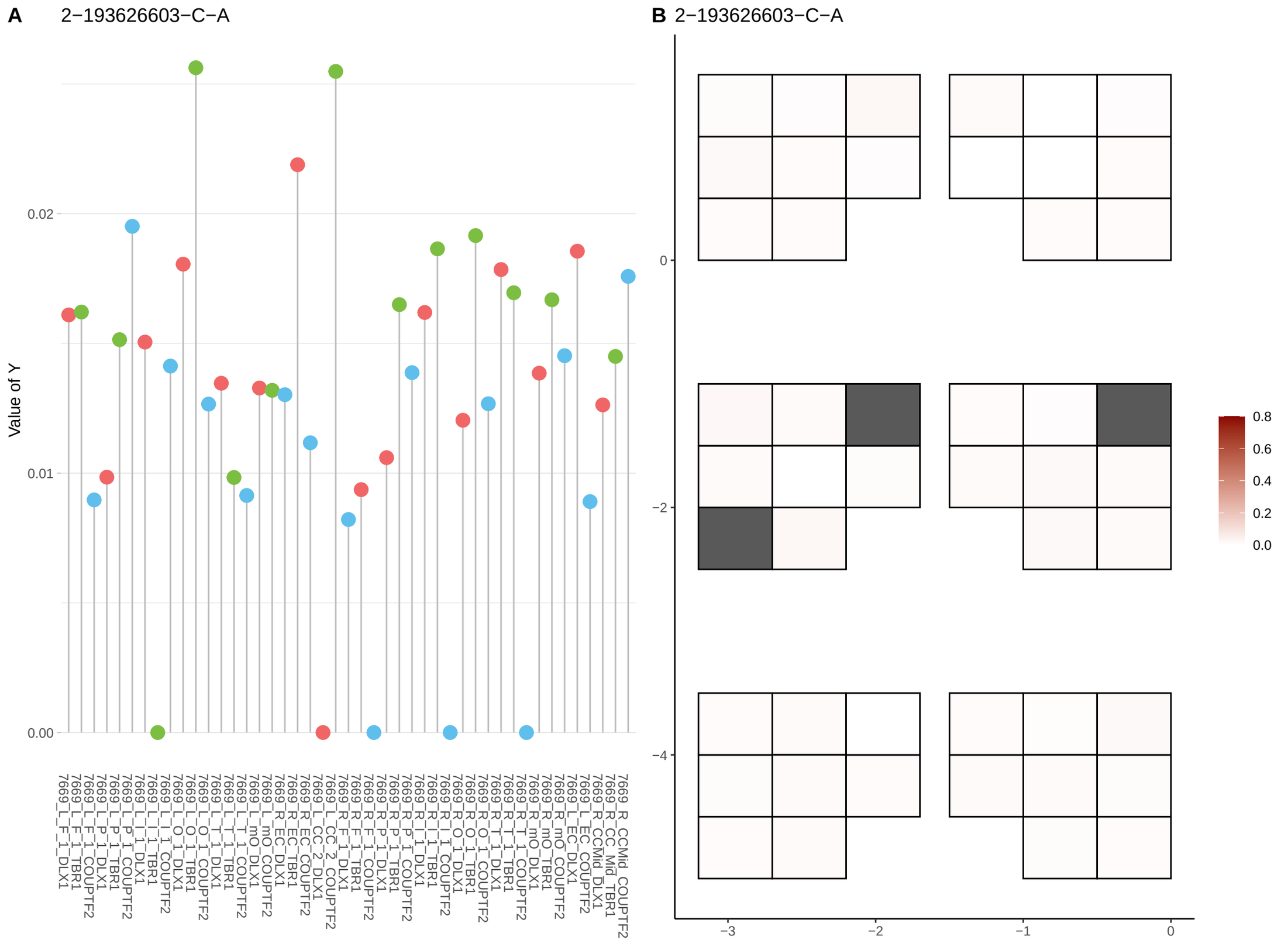
A
2−193626603−C−A
Value of Y
0.02
0.01
0.00
7669_L_F_1_DLX1
7669_L_F_1_TBR1
7669_L_F_1_COUPTF2
7669_L_P_1_DLX1
7669_L_P_1_TBR1
7669_L_P_1_COUPTF2
7669_L_I_1_DLX1
7669_L_I_1_TBR1
7669_L_I_1_COUPTF2
7669_L_O_1_DLX1
7669_L_O_1_TBR1
7669_L_O_1_COUPTF2
7669_L_T_1_DLX1
7669_L_T_1_TBR1
7669_L_T_1_COUPTF2
7669_L_mO_DLX1
7669_L_mO_COUPTF2
7669_R_EC_DLX1
7669_R_EC_TBR1
7669_R_EC_COUPTF2
7669_L_CC_2_DLX1
7669_L_CC_2_COUPTF2
7669_R_F_1_DLX1
7669_R_F_1_TBR1
7669_R_F_1_COUPTF2
7669_R_P_1_DLX1
7669_R_P_1_TBR1
7669_R_P_1_COUPTF2
7669_R_I_1_DLX1
7669_R_I_1_TBR1
7669_R_I_1_COUPTF2
7669_R_O_1_DLX1
7669_R_O_1_TBR1
7669_R_O_1_COUPTF2
7669_R_T_1_DLX1
7669_R_T_1_TBR1
7669_R_T_1_COUPTF2
7669_R_mO_DLX1
7669_R_mO_TBR1
7669_R_mO_COUPTF2
7669_L_EC_DLX1
7669_L_EC_COUPTF2
7669_R_CCMid_DLX1
7669_R_CC_Mid_TBR1
7669_R_CCMid_COUPTF2
B
2−193626603−C−A
0
−2
−4
−3
−2
−1
0
0.8
0.6
0.4
0.2
0.0

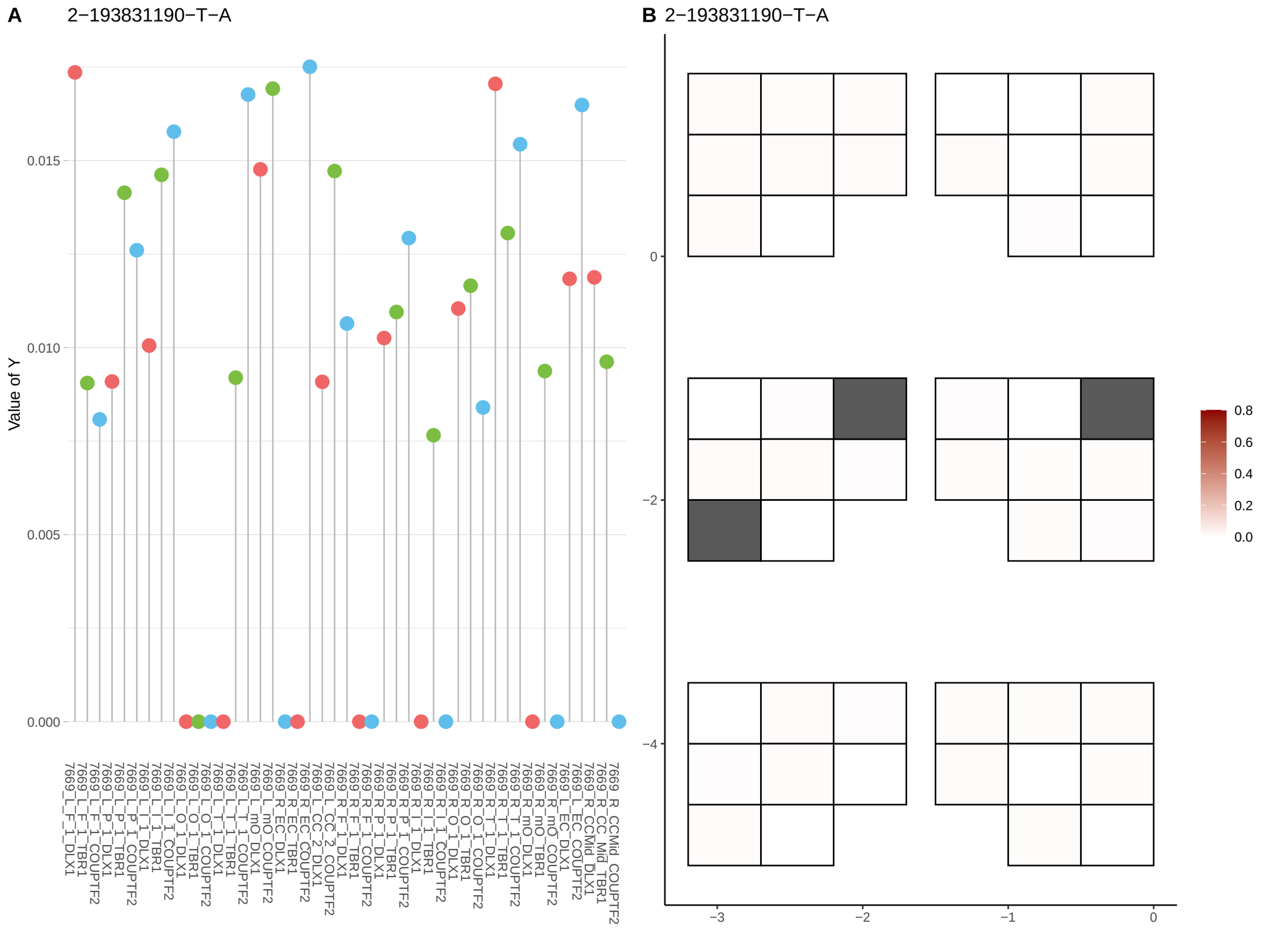
A
2−193831190−T−A
Value of Y
0.015
0.010
0.005
0.000
7669_L_F_1_DLX1
7669_L_F_1_TBR1
7669_L_F_1_COUPTF2
7669_L_P_1_DLX1
7669_L_P_1_TBR1
7669_L_P_1_COUPTF2
7669_L_I_1_DLX1
7669_L_I_1_TBR1
7669_L_I_1_COUPTF2
7669_L_O_1_DLX1
7669_L_O_1_TBR1
7669_L_O_1_COUPTF2
7669_L_T_1_DLX1
7669_L_T_1_TBR1
7669_L_T_1_COUPTF2
7669_L_mO_DLX1
7669_L_mO_COUPTF2
7669_R_EC_DLX1
7669_R_EC_TBR1
7669_R_EC_COUPTF2
7669_L_CC_2_DLX1
7669_L_CC_2_COUPTF2
7669_R_F_1_DLX1
7669_R_F_1_TBR1
7669_R_F_1_COUPTF2
7669_R_P_1_DLX1
7669_R_P_1_TBR1
7669_R_P_1_COUPTF2
7669_R_I_1_DLX1
7669_R_I_1_TBR1
7669_R_I_1_COUPTF2
7669_R_O_1_DLX1
7669_R_O_1_TBR1
7669_R_O_1_COUPTF2
7669_R_T_1_DLX1
7669_R_T_1_TBR1
7669_R_T_1_COUPTF2
7669_R_mO_DLX1
7669_R_mO_TBR1
7669_R_mO_COUPTF2
7669_L_EC_DLX1
7669_L_EC_COUPTF2
7669_R_CCMid_DLX1
7669_R_CC_Mid_TBR1
7669_R_CCMid_COUPTF2
B
2−193831190−T−A
0
−2
−4
−3
−2
−1
0
0.8
0.6
0.4
0.2
0.0

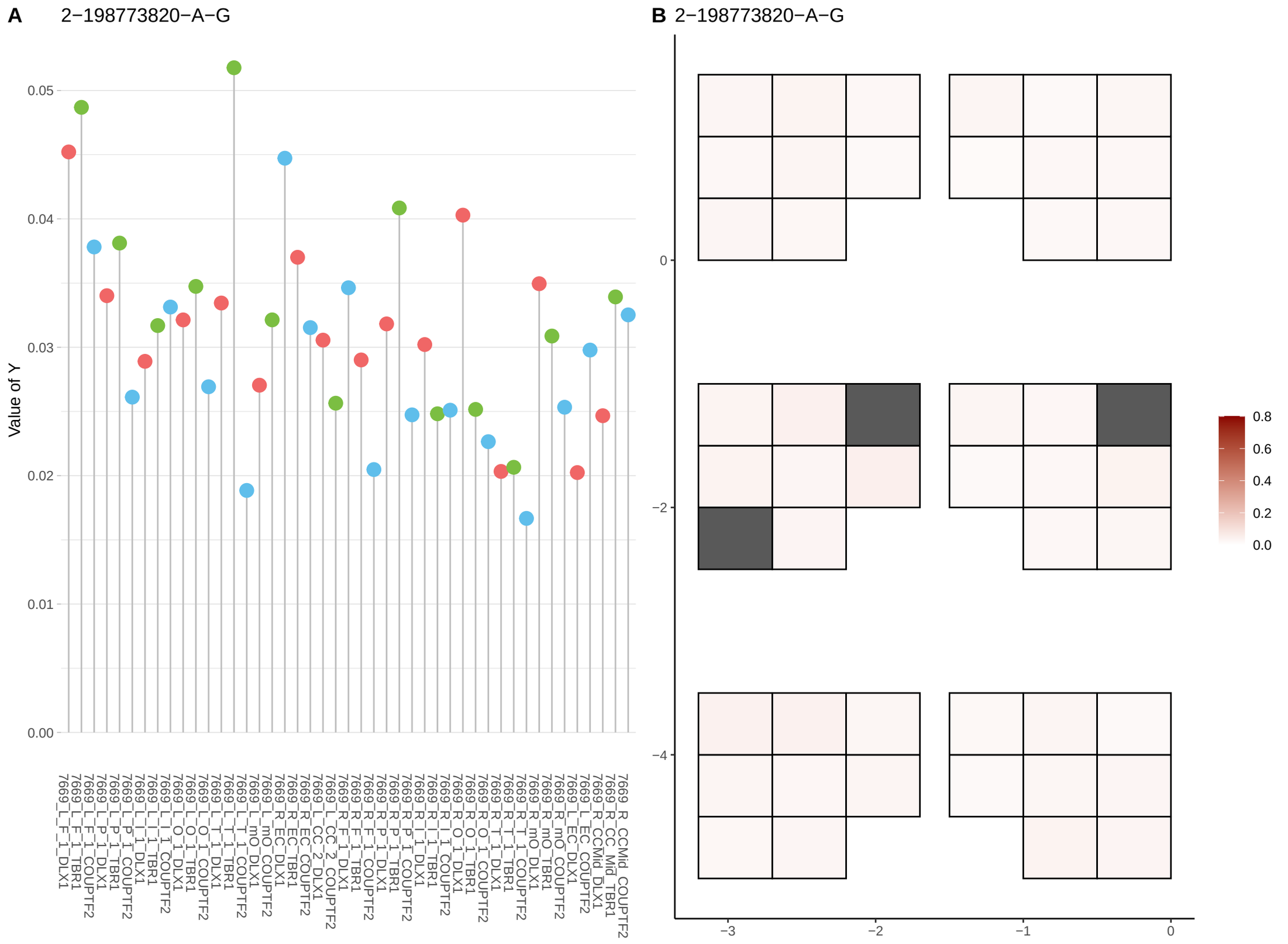
A
2−198773820−A−G
Value of Y
0.05
0.04
0.03
0.02
0.01
0.00
7669_L_F_1_DLX1
7669_L_F_1_TBR1
7669_L_F_1_COUPTF2
7669_L_P_1_DLX1
7669_L_P_1_TBR1
7669_L_P_1_COUPTF2
7669_L_I_1_DLX1
7669_L_I_1_TBR1
7669_L_I_1_COUPTF2
7669_L_O_1_DLX1
7669_L_O_1_TBR1
7669_L_O_1_COUPTF2
7669_L_T_1_DLX1
7669_L_T_1_TBR1
7669_L_T_1_COUPTF2
7669_L_mO_DLX1
7669_L_mO_COUPTF2
7669_R_EC_DLX1
7669_R_EC_TBR1
7669_R_EC_COUPTF2
7669_L_CC_2_DLX1
7669_L_CC_2_COUPTF2
7669_R_F_1_DLX1
7669_R_F_1_TBR1
7669_R_F_1_COUPTF2
7669_R_P_1_DLX1
7669_R_P_1_TBR1
7669_R_P_1_COUPTF2
7669_R_I_1_DLX1
7669_R_I_1_TBR1
7669_R_I_1_COUPTF2
7669_R_O_1_DLX1
7669_R_O_1_TBR1
7669_R_O_1_COUPTF2
7669_R_T_1_DLX1
7669_R_T_1_TBR1
7669_R_T_1_COUPTF2
7669_R_mO_DLX1
7669_R_mO_TBR1
7669_R_mO_COUPTF2
7669_L_EC_DLX1
7669_L_EC_COUPTF2
7669_R_CCMid_DLX1
7669_R_CC_Mid_TBR1
7669_R_CCMid_COUPTF2
B
2−198773820−A−G
0
−2
−4
−3
−2
−1
0
0.8
0.6
0.4
0.2
0.0

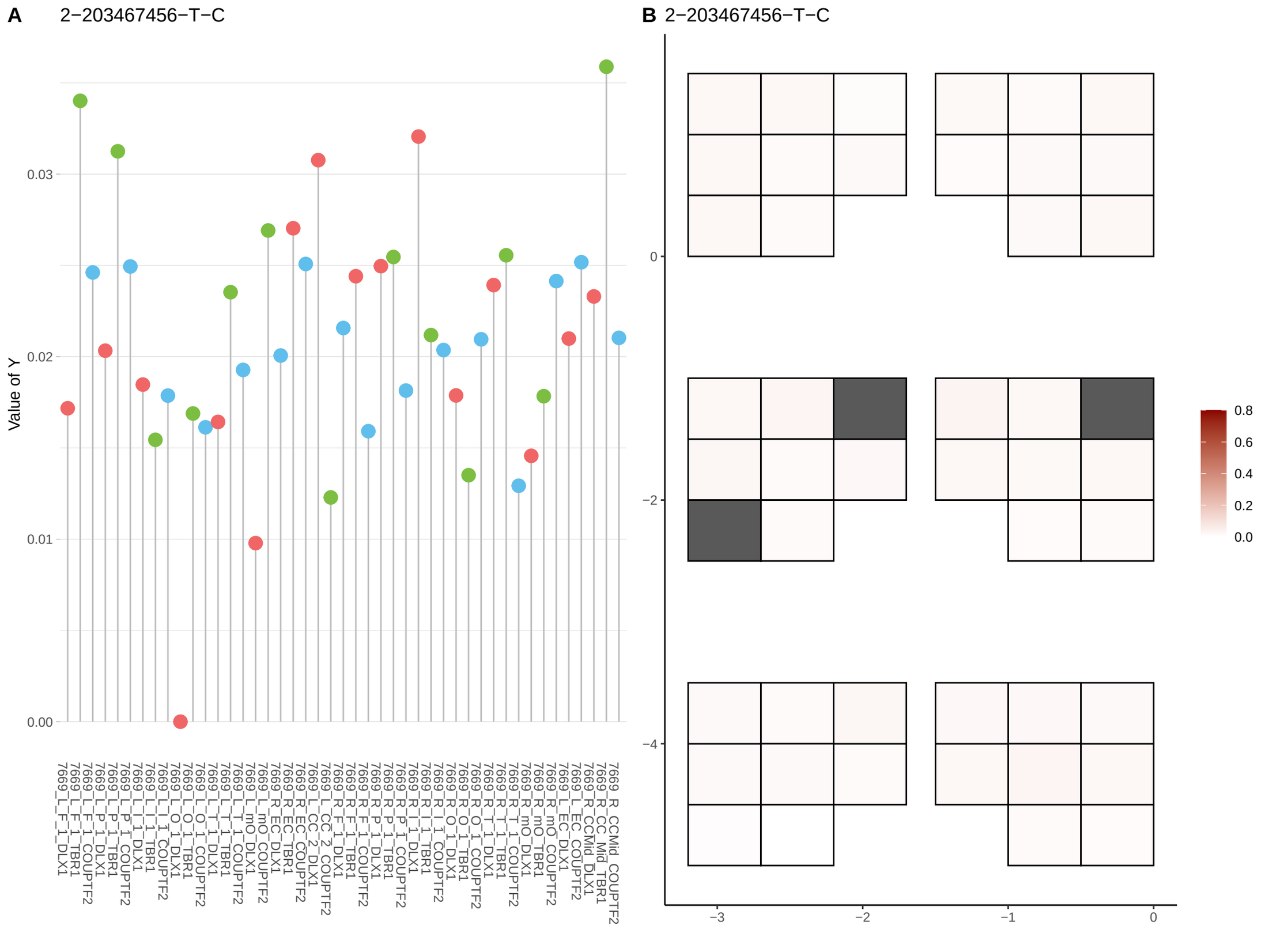
A
2−203467456−T−C
Value of Y
0.03
0.02
0.01
0.00
7669_L_F_1_DLX1
7669_L_F_1_TBR1
7669_L_F_1_COUPTF2
7669_L_P_1_DLX1
7669_L_P_1_TBR1
7669_L_P_1_COUPTF2
7669_L_I_1_DLX1
7669_L_I_1_TBR1
7669_L_I_1_COUPTF2
7669_L_O_1_DLX1
7669_L_O_1_TBR1
7669_L_O_1_COUPTF2
7669_L_T_1_DLX1
7669_L_T_1_TBR1
7669_L_T_1_COUPTF2
7669_L_mO_DLX1
7669_L_mO_COUPTF2
7669_R_EC_DLX1
7669_R_EC_TBR1
7669_R_EC_COUPTF2
7669_L_CC_2_DLX1
7669_L_CC_2_COUPTF2
7669_R_F_1_DLX1
7669_R_F_1_TBR1
7669_R_F_1_COUPTF2
7669_R_P_1_DLX1
7669_R_P_1_TBR1
7669_R_P_1_COUPTF2
7669_R_I_1_DLX1
7669_R_I_1_TBR1
7669_R_I_1_COUPTF2
7669_R_O_1_DLX1
7669_R_O_1_TBR1
7669_R_O_1_COUPTF2
7669_R_T_1_DLX1
7669_R_T_1_TBR1
7669_R_T_1_COUPTF2
7669_R_mO_DLX1
7669_R_mO_TBR1
7669_R_mO_COUPTF2
7669_L_EC_DLX1
7669_L_EC_COUPTF2
7669_R_CCMid_DLX1
7669_R_CC_Mid_TBR1
7669_R_CCMid_COUPTF2
B
2−203467456−T−C
0
−2
−4
−3
−2
−1
0
0.8
0.6
0.4
0.2
0.0

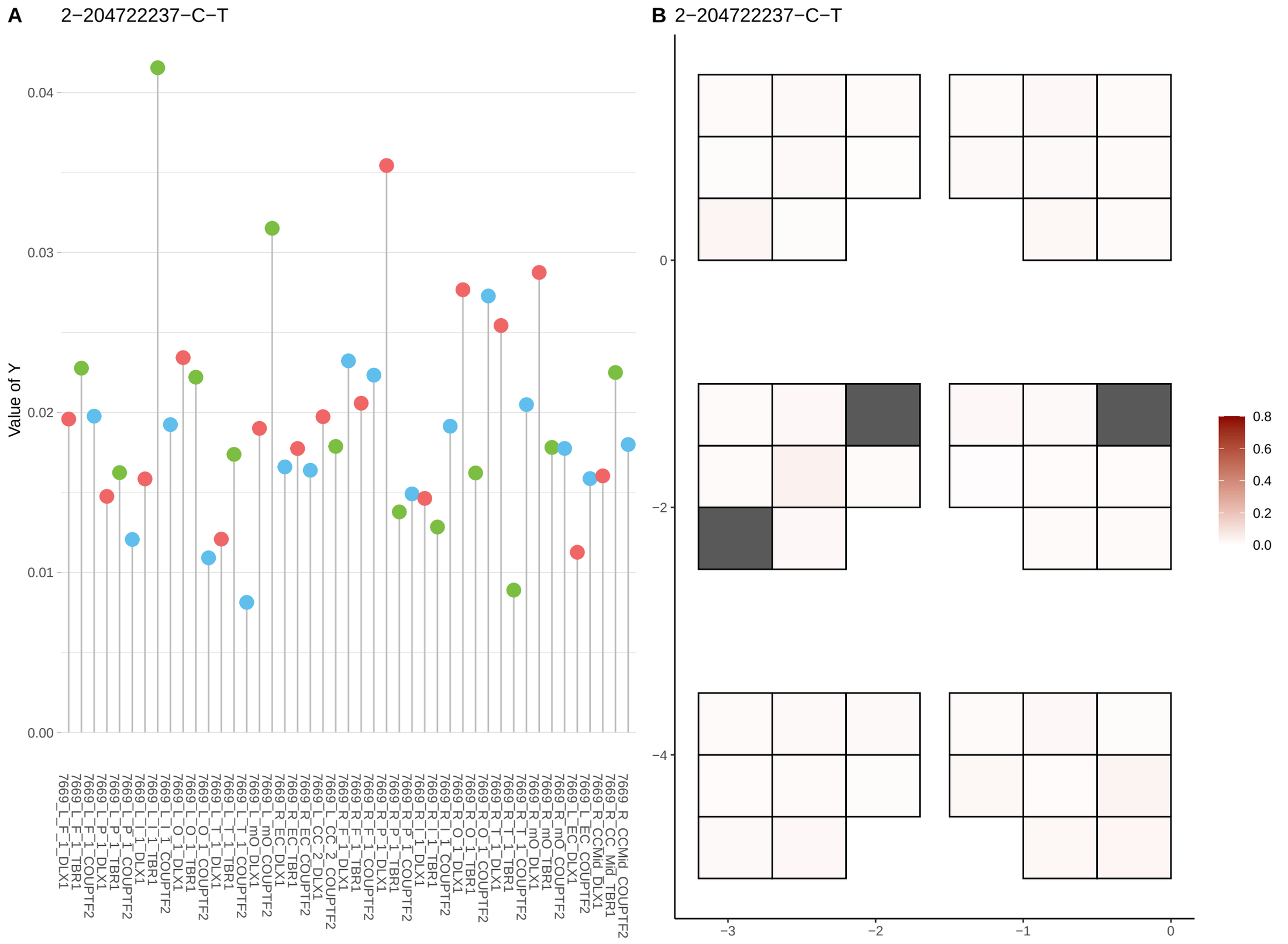
A
2−204722237−C−T
Value of Y
0.04
0.03
0.02
0.01
0.00
7669_L_F_1_DLX1
7669_L_F_1_TBR1
7669_L_F_1_COUPTF2
7669_L_P_1_DLX1
7669_L_P_1_TBR1
7669_L_P_1_COUPTF2
7669_L_I_1_DLX1
7669_L_I_1_TBR1
7669_L_I_1_COUPTF2
7669_L_O_1_DLX1
7669_L_O_1_TBR1
7669_L_O_1_COUPTF2
7669_L_T_1_DLX1
7669_L_T_1_TBR1
7669_L_T_1_COUPTF2
7669_L_mO_DLX1
7669_L_mO_COUPTF2
7669_R_EC_DLX1
7669_R_EC_TBR1
7669_R_EC_COUPTF2
7669_L_CC_2_DLX1
7669_L_CC_2_COUPTF2
7669_R_F_1_DLX1
7669_R_F_1_TBR1
7669_R_F_1_COUPTF2
7669_R_P_1_DLX1
7669_R_P_1_TBR1
7669_R_P_1_COUPTF2
7669_R_I_1_DLX1
7669_R_I_1_TBR1
7669_R_I_1_COUPTF2
7669_R_O_1_DLX1
7669_R_O_1_TBR1
7669_R_O_1_COUPTF2
7669_R_T_1_DLX1
7669_R_T_1_TBR1
7669_R_T_1_COUPTF2
7669_R_mO_DLX1
7669_R_mO_TBR1
7669_R_mO_COUPTF2
7669_L_EC_DLX1
7669_L_EC_COUPTF2
7669_R_CCMid_DLX1
7669_R_CC_Mid_TBR1
7669_R_CCMid_COUPTF2
B
2−204722237−C−T
0
−2
−4
−3
−2
−1
0
0.8
0.6
0.4
0.2
0.0

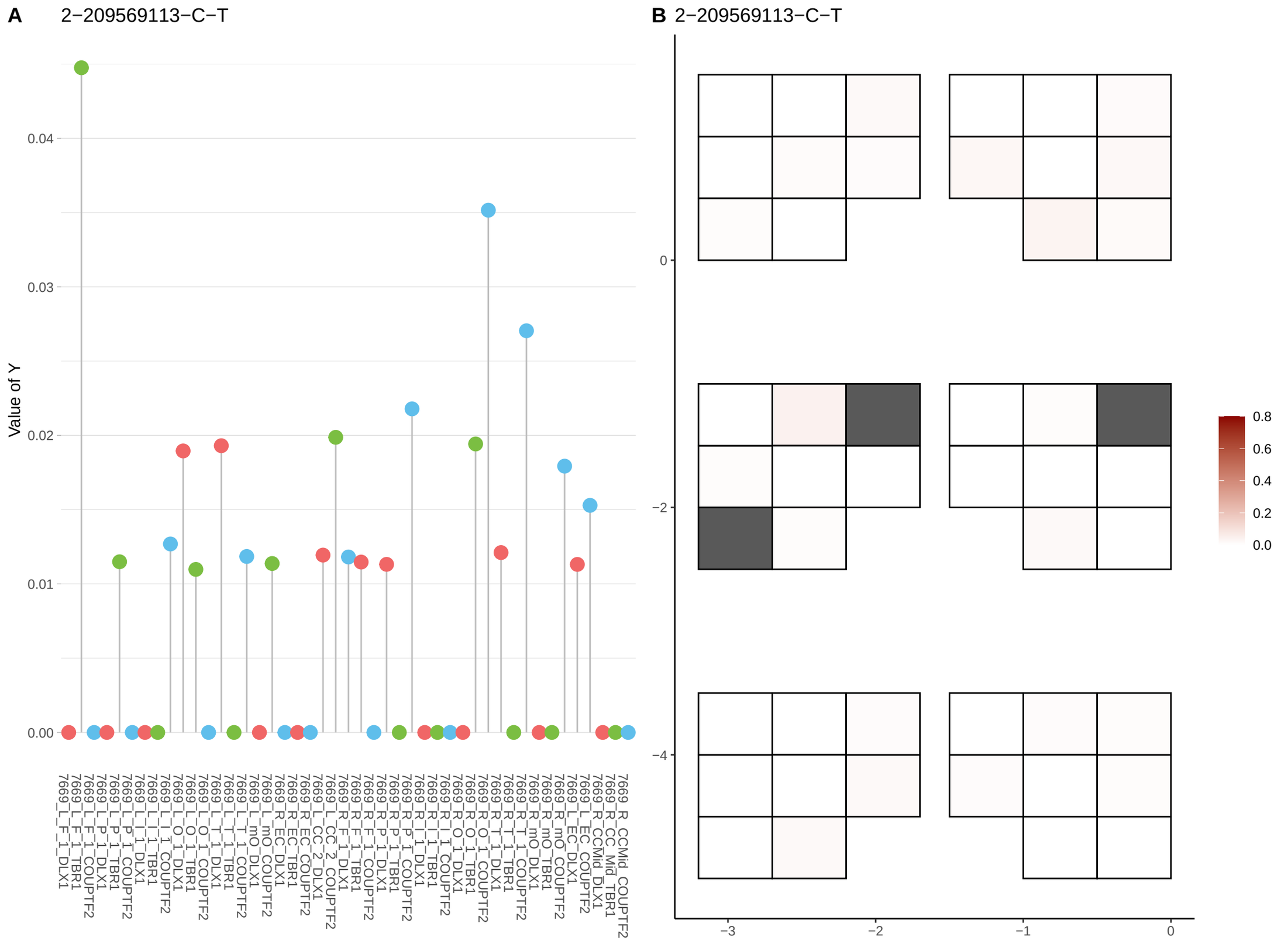
A
2−209569113−C−T
Value of Y
0.04
0.03
0.02
0.01
0.00
7669_L_F_1_DLX1
7669_L_F_1_TBR1
7669_L_F_1_COUPTF2
7669_L_P_1_DLX1
7669_L_P_1_TBR1
7669_L_P_1_COUPTF2
7669_L_I_1_DLX1
7669_L_I_1_TBR1
7669_L_I_1_COUPTF2
7669_L_O_1_DLX1
7669_L_O_1_TBR1
7669_L_O_1_COUPTF2
7669_L_T_1_DLX1
7669_L_T_1_TBR1
7669_L_T_1_COUPTF2
7669_L_mO_DLX1
7669_L_mO_COUPTF2
7669_R_EC_DLX1
7669_R_EC_TBR1
7669_R_EC_COUPTF2
7669_L_CC_2_DLX1
7669_L_CC_2_COUPTF2
7669_R_F_1_DLX1
7669_R_F_1_TBR1
7669_R_F_1_COUPTF2
7669_R_P_1_DLX1
7669_R_P_1_TBR1
7669_R_P_1_COUPTF2
7669_R_I_1_DLX1
7669_R_I_1_TBR1
7669_R_I_1_COUPTF2
7669_R_O_1_DLX1
7669_R_O_1_TBR1
7669_R_O_1_COUPTF2
7669_R_T_1_DLX1
7669_R_T_1_TBR1
7669_R_T_1_COUPTF2
7669_R_mO_DLX1
7669_R_mO_TBR1
7669_R_mO_COUPTF2
7669_L_EC_DLX1
7669_L_EC_COUPTF2
7669_R_CCMid_DLX1
7669_R_CC_Mid_TBR1
7669_R_CCMid_COUPTF2
B
2−209569113−C−T
0
−2
−4
−3
−2
−1
0
0.8
0.6
0.4
0.2
0.0

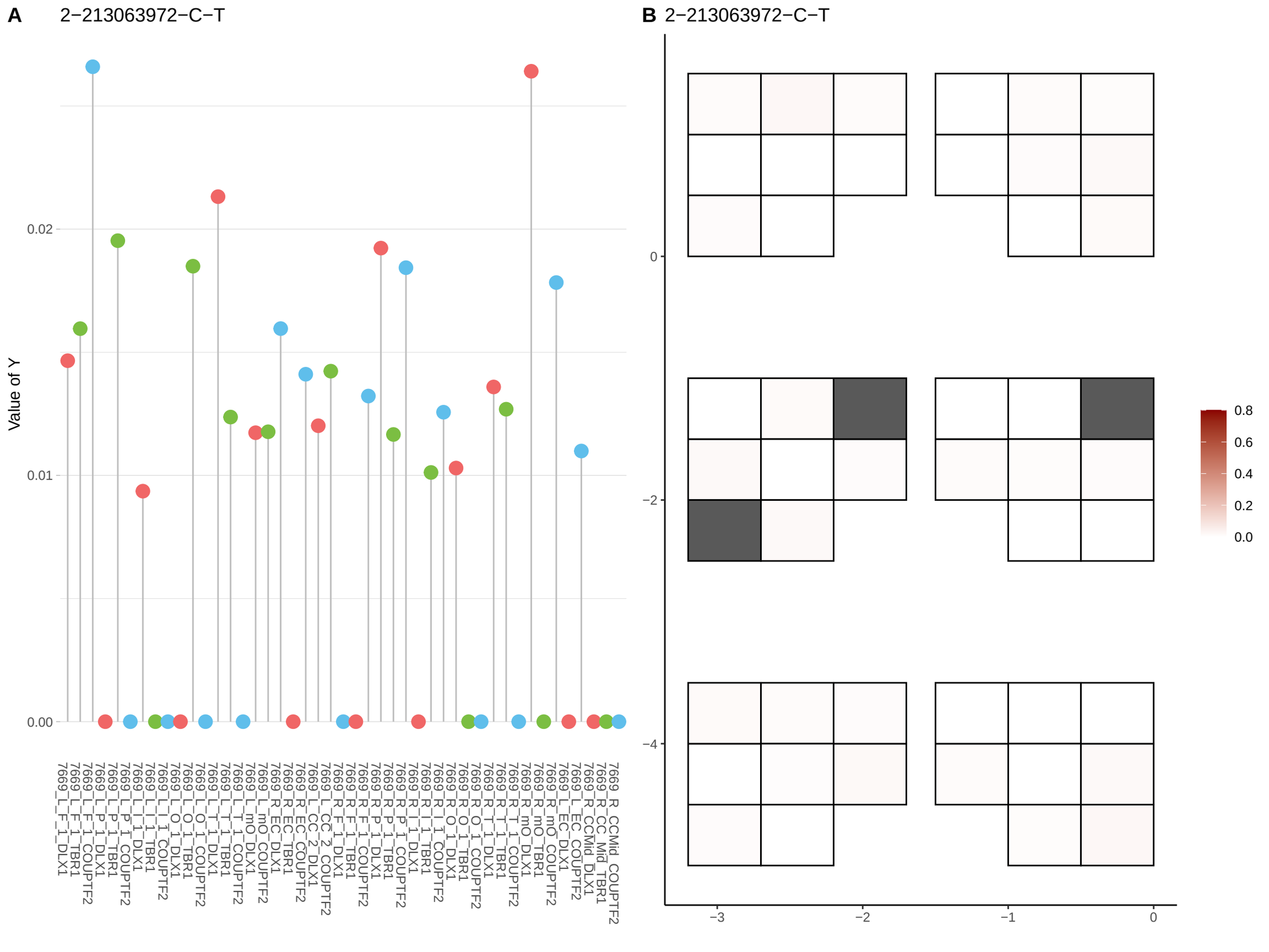
A
2−213063972−C−T
Value of Y
0.02
0.01
0.00
7669_L_F_1_DLX1
7669_L_F_1_TBR1
7669_L_F_1_COUPTF2
7669_L_P_1_DLX1
7669_L_P_1_TBR1
7669_L_P_1_COUPTF2
7669_L_I_1_DLX1
7669_L_I_1_TBR1
7669_L_I_1_COUPTF2
7669_L_O_1_DLX1
7669_L_O_1_TBR1
7669_L_O_1_COUPTF2
7669_L_T_1_DLX1
7669_L_T_1_TBR1
7669_L_T_1_COUPTF2
7669_L_mO_DLX1
7669_L_mO_COUPTF2
7669_R_EC_DLX1
7669_R_EC_TBR1
7669_R_EC_COUPTF2
7669_L_CC_2_DLX1
7669_L_CC_2_COUPTF2
7669_R_F_1_DLX1
7669_R_F_1_TBR1
7669_R_F_1_COUPTF2
7669_R_P_1_DLX1
7669_R_P_1_TBR1
7669_R_P_1_COUPTF2
7669_R_I_1_DLX1
7669_R_I_1_TBR1
7669_R_I_1_COUPTF2
7669_R_O_1_DLX1
7669_R_O_1_TBR1
7669_R_O_1_COUPTF2
7669_R_T_1_DLX1
7669_R_T_1_TBR1
7669_R_T_1_COUPTF2
7669_R_mO_DLX1
7669_R_mO_TBR1
7669_R_mO_COUPTF2
7669_L_EC_DLX1
7669_L_EC_COUPTF2
7669_R_CCMid_DLX1
7669_R_CC_Mid_TBR1
7669_R_CCMid_COUPTF2
B
2−213063972−C−T
0
−2
−4
−3
−2
−1
0
0.8
0.6
0.4
0.2
0.0

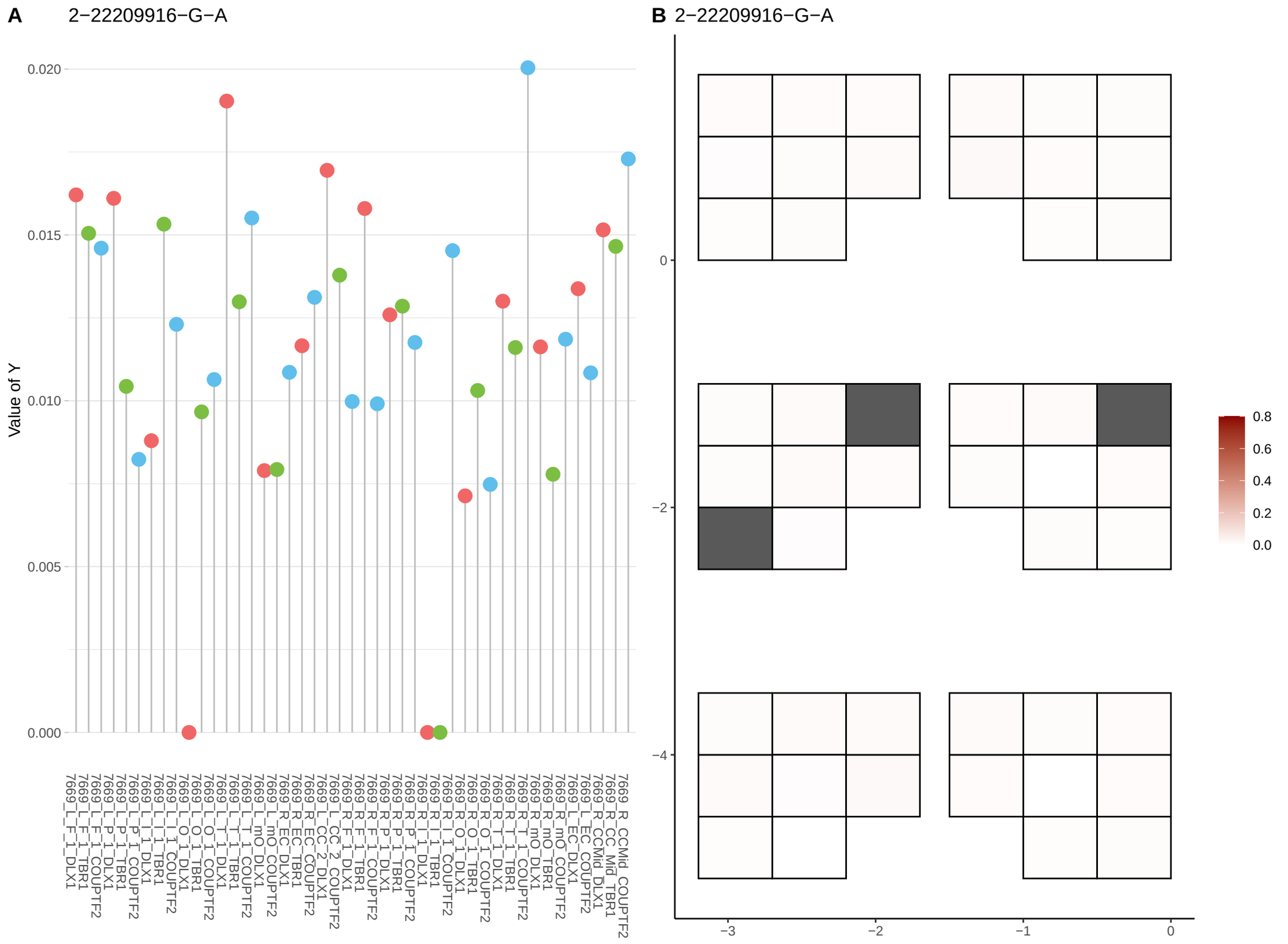
A
2−22209916−G−A
Value of Y
0.020
0.015
0.010
0.005
0.000
7669_L_F_1_DLX1
7669_L_F_1_TBR1
7669_L_F_1_COUPTF2
7669_L_P_1_DLX1
7669_L_P_1_TBR1
7669_L_P_1_COUPTF2
7669_L_I_1_DLX1
7669_L_I_1_TBR1
7669_L_I_1_COUPTF2
7669_L_O_1_DLX1
7669_L_O_1_TBR1
7669_L_O_1_COUPTF2
7669_L_T_1_DLX1
7669_L_T_1_TBR1
7669_L_T_1_COUPTF2
7669_L_mO_DLX1
7669_L_mO_COUPTF2
7669_R_EC_DLX1
7669_R_EC_TBR1
7669_R_EC_COUPTF2
7669_L_CC_2_DLX1
7669_L_CC_2_COUPTF2
7669_R_F_1_DLX1
7669_R_F_1_TBR1
7669_R_F_1_COUPTF2
7669_R_P_1_DLX1
7669_R_P_1_TBR1
7669_R_P_1_COUPTF2
7669_R_I_1_DLX1
7669_R_I_1_TBR1
7669_R_I_1_COUPTF2
7669_R_O_1_DLX1
7669_R_O_1_TBR1
7669_R_O_1_COUPTF2
7669_R_T_1_DLX1
7669_R_T_1_TBR1
7669_R_T_1_COUPTF2
7669_R_mO_DLX1
7669_R_mO_TBR1
7669_R_mO_COUPTF2
7669_L_EC_DLX1
7669_L_EC_COUPTF2
7669_R_CCMid_DLX1
7669_R_CC_Mid_TBR1
7669_R_CCMid_COUPTF2
B
2−22209916−G−A
0
−2
−4
−3
−2
−1
0
0.8
0.6
0.4
0.2
0.0

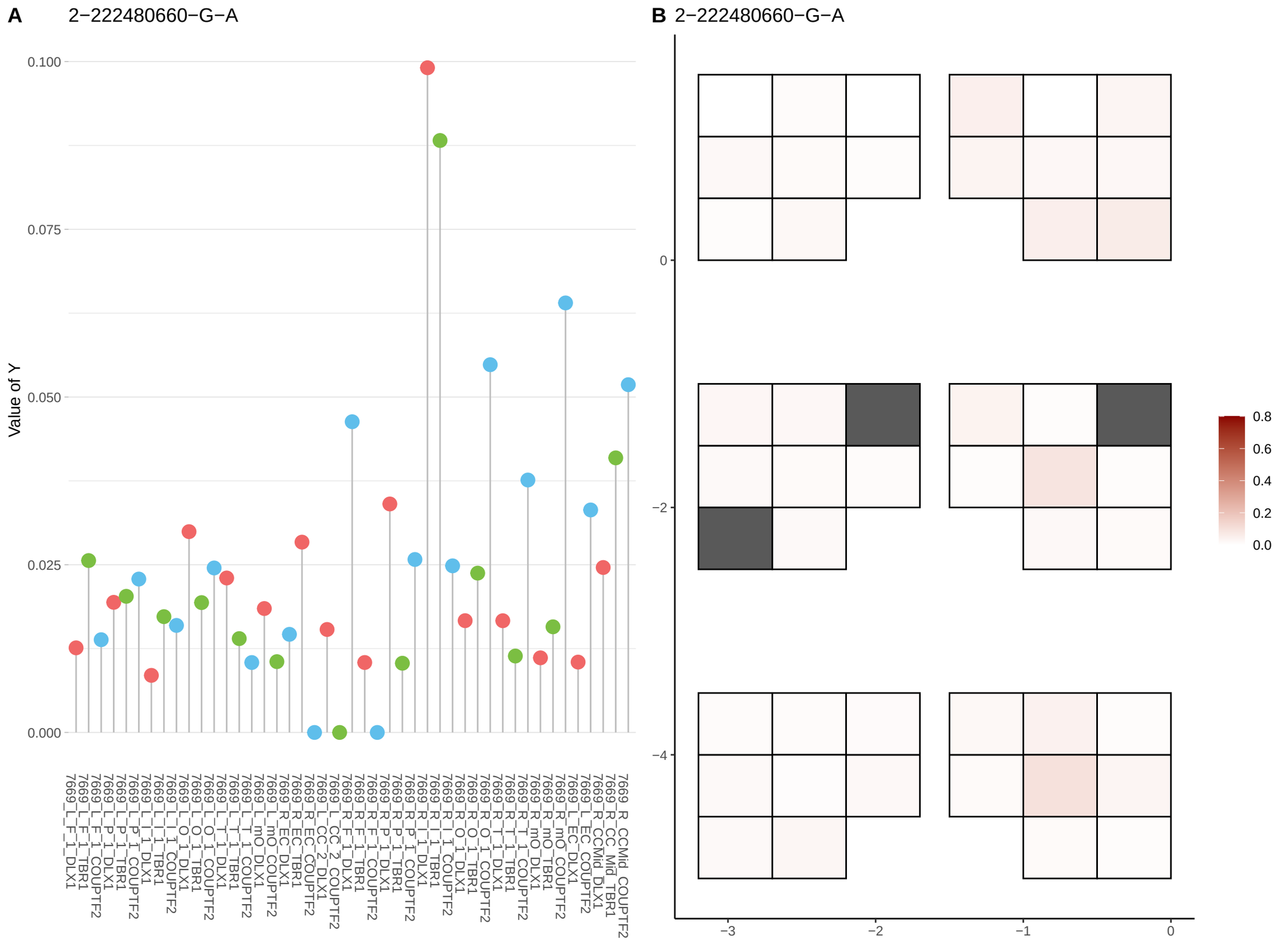
A
2−222480660−G−A
Value of Y
0.100
0.075
0.050
0.025
0.000
7669_L_F_1_DLX1
7669_L_F_1_TBR1
7669_L_F_1_COUPTF2
7669_L_P_1_DLX1
7669_L_P_1_TBR1
7669_L_P_1_COUPTF2
7669_L_I_1_DLX1
7669_L_I_1_TBR1
7669_L_I_1_COUPTF2
7669_L_O_1_DLX1
7669_L_O_1_TBR1
7669_L_O_1_COUPTF2
7669_L_T_1_DLX1
7669_L_T_1_TBR1
7669_L_T_1_COUPTF2
7669_L_mO_DLX1
7669_L_mO_COUPTF2
7669_R_EC_DLX1
7669_R_EC_TBR1
7669_R_EC_COUPTF2
7669_L_CC_2_DLX1
7669_L_CC_2_COUPTF2
7669_R_F_1_DLX1
7669_R_F_1_TBR1
7669_R_F_1_COUPTF2
7669_R_P_1_DLX1
7669_R_P_1_TBR1
7669_R_P_1_COUPTF2
7669_R_I_1_DLX1
7669_R_I_1_TBR1
7669_R_I_1_COUPTF2
7669_R_O_1_DLX1
7669_R_O_1_TBR1
7669_R_O_1_COUPTF2
7669_R_T_1_DLX1
7669_R_T_1_TBR1
7669_R_T_1_COUPTF2
7669_R_mO_DLX1
7669_R_mO_TBR1
7669_R_mO_COUPTF2
7669_L_EC_DLX1
7669_L_EC_COUPTF2
7669_R_CCMid_DLX1
7669_R_CC_Mid_TBR1
7669_R_CCMid_COUPTF2
B
2−222480660−G−A
0
−2
−4
−3
−2
−1
0
0.8
0.6
0.4
0.2
0.0

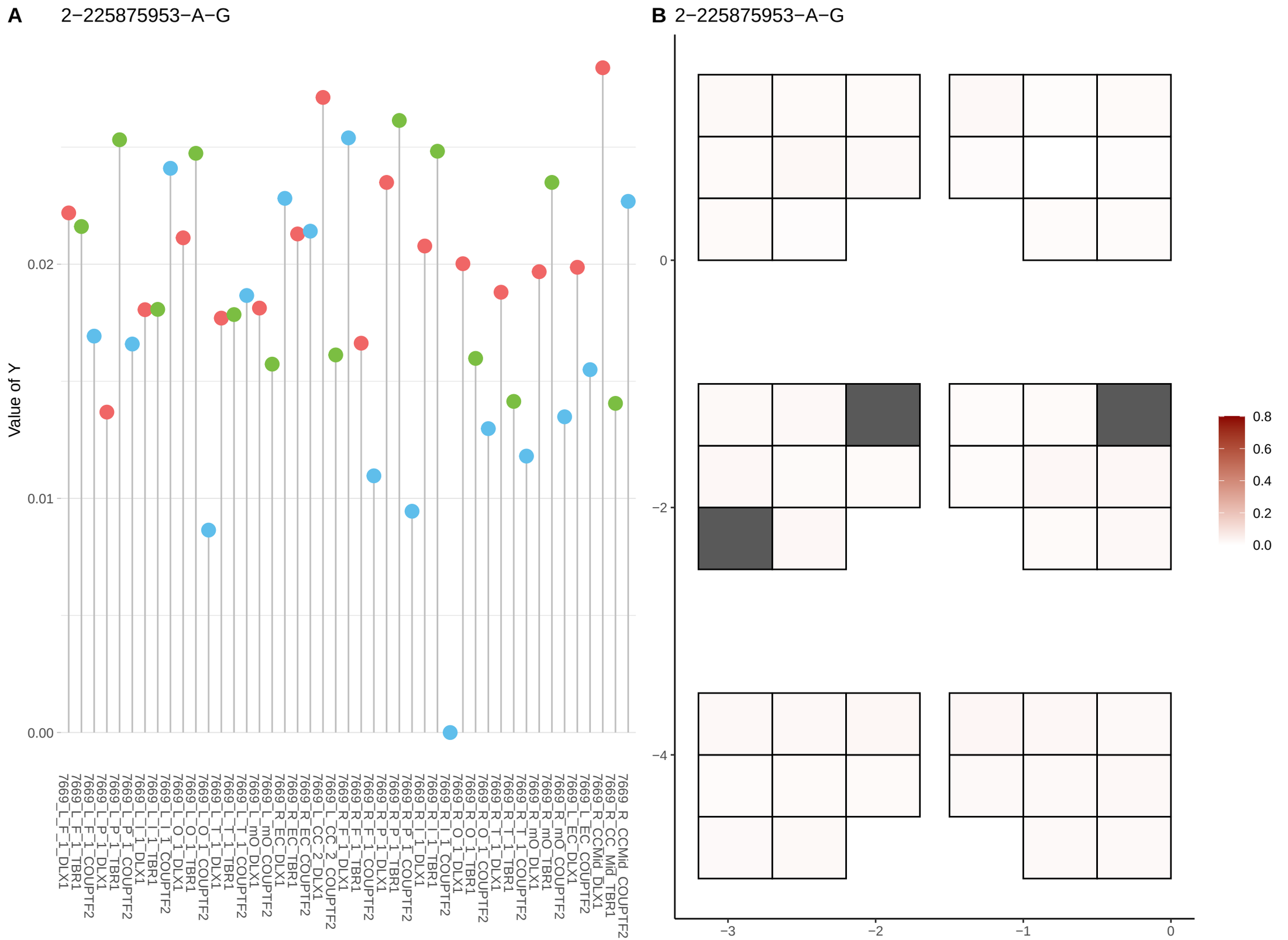
A
2−225875953−A−G
Value of Y
0.02
0.01
0.00
7669_L_F_1_DLX1
7669_L_F_1_TBR1
7669_L_F_1_COUPTF2
7669_L_P_1_DLX1
7669_L_P_1_TBR1
7669_L_P_1_COUPTF2
7669_L_I_1_DLX1
7669_L_I_1_TBR1
7669_L_I_1_COUPTF2
7669_L_O_1_DLX1
7669_L_O_1_TBR1
7669_L_O_1_COUPTF2
7669_L_T_1_DLX1
7669_L_T_1_TBR1
7669_L_T_1_COUPTF2
7669_L_mO_DLX1
7669_L_mO_COUPTF2
7669_R_EC_DLX1
7669_R_EC_TBR1
7669_R_EC_COUPTF2
7669_L_CC_2_DLX1
7669_L_CC_2_COUPTF2
7669_R_F_1_DLX1
7669_R_F_1_TBR1
7669_R_F_1_COUPTF2
7669_R_P_1_DLX1
7669_R_P_1_TBR1
7669_R_P_1_COUPTF2
7669_R_I_1_DLX1
7669_R_I_1_TBR1
7669_R_I_1_COUPTF2
7669_R_O_1_DLX1
7669_R_O_1_TBR1
7669_R_O_1_COUPTF2
7669_R_T_1_DLX1
7669_R_T_1_TBR1
7669_R_T_1_COUPTF2
7669_R_mO_DLX1
7669_R_mO_TBR1
7669_R_mO_COUPTF2
7669_L_EC_DLX1
7669_L_EC_COUPTF2
7669_R_CCMid_DLX1
7669_R_CC_Mid_TBR1
7669_R_CCMid_COUPTF2
B
2−225875953−A−G
0
−2
−4
−3
−2
−1
0
0.8
0.6
0.4
0.2
0.0

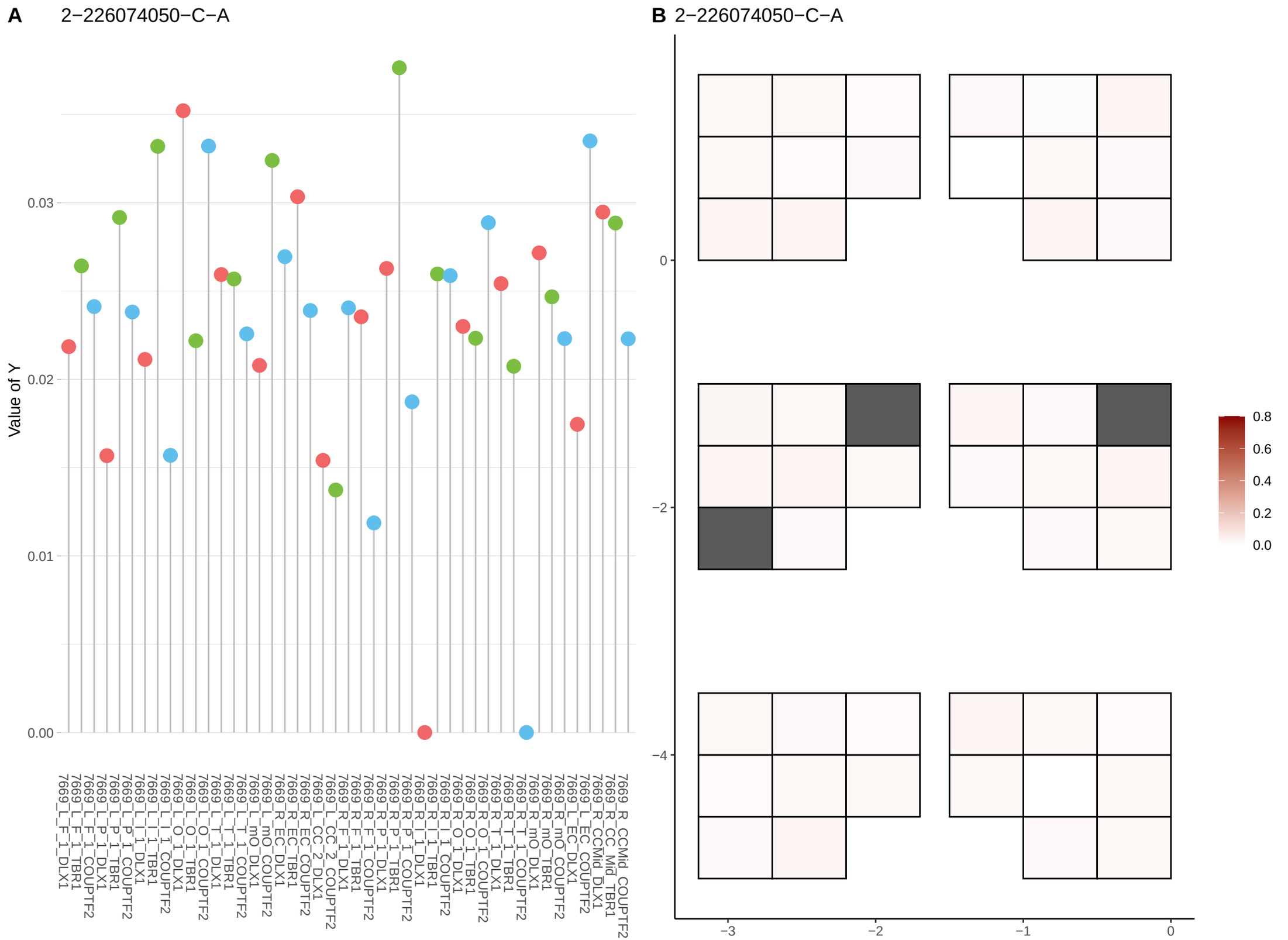
A
2−226074050−C−A
Value of Y
0.03
0.02
0.01
0.00
7669_L_F_1_DLX1
7669_L_F_1_TBR1
7669_L_F_1_COUPTF2
7669_L_P_1_DLX1
7669_L_P_1_TBR1
7669_L_P_1_COUPTF2
7669_L_I_1_DLX1
7669_L_I_1_TBR1
7669_L_I_1_COUPTF2
7669_L_O_1_DLX1
7669_L_O_1_TBR1
7669_L_O_1_COUPTF2
7669_L_T_1_DLX1
7669_L_T_1_TBR1
7669_L_T_1_COUPTF2
7669_L_mO_DLX1
7669_L_mO_COUPTF2
7669_R_EC_DLX1
7669_R_EC_TBR1
7669_R_EC_COUPTF2
7669_L_CC_2_DLX1
7669_L_CC_2_COUPTF2
7669_R_F_1_DLX1
7669_R_F_1_TBR1
7669_R_F_1_COUPTF2
7669_R_P_1_DLX1
7669_R_P_1_TBR1
7669_R_P_1_COUPTF2
7669_R_I_1_DLX1
7669_R_I_1_TBR1
7669_R_I_1_COUPTF2
7669_R_O_1_DLX1
7669_R_O_1_TBR1
7669_R_O_1_COUPTF2
7669_R_T_1_DLX1
7669_R_T_1_TBR1
7669_R_T_1_COUPTF2
7669_R_mO_DLX1
7669_R_mO_TBR1
7669_R_mO_COUPTF2
7669_L_EC_DLX1
7669_L_EC_COUPTF2
7669_R_CCMid_DLX1
7669_R_CC_Mid_TBR1
7669_R_CCMid_COUPTF2
B
2−226074050−C−A
0
−2
−4
−3
−2
−1
0
0.8
0.6
0.4
0.2
0.0

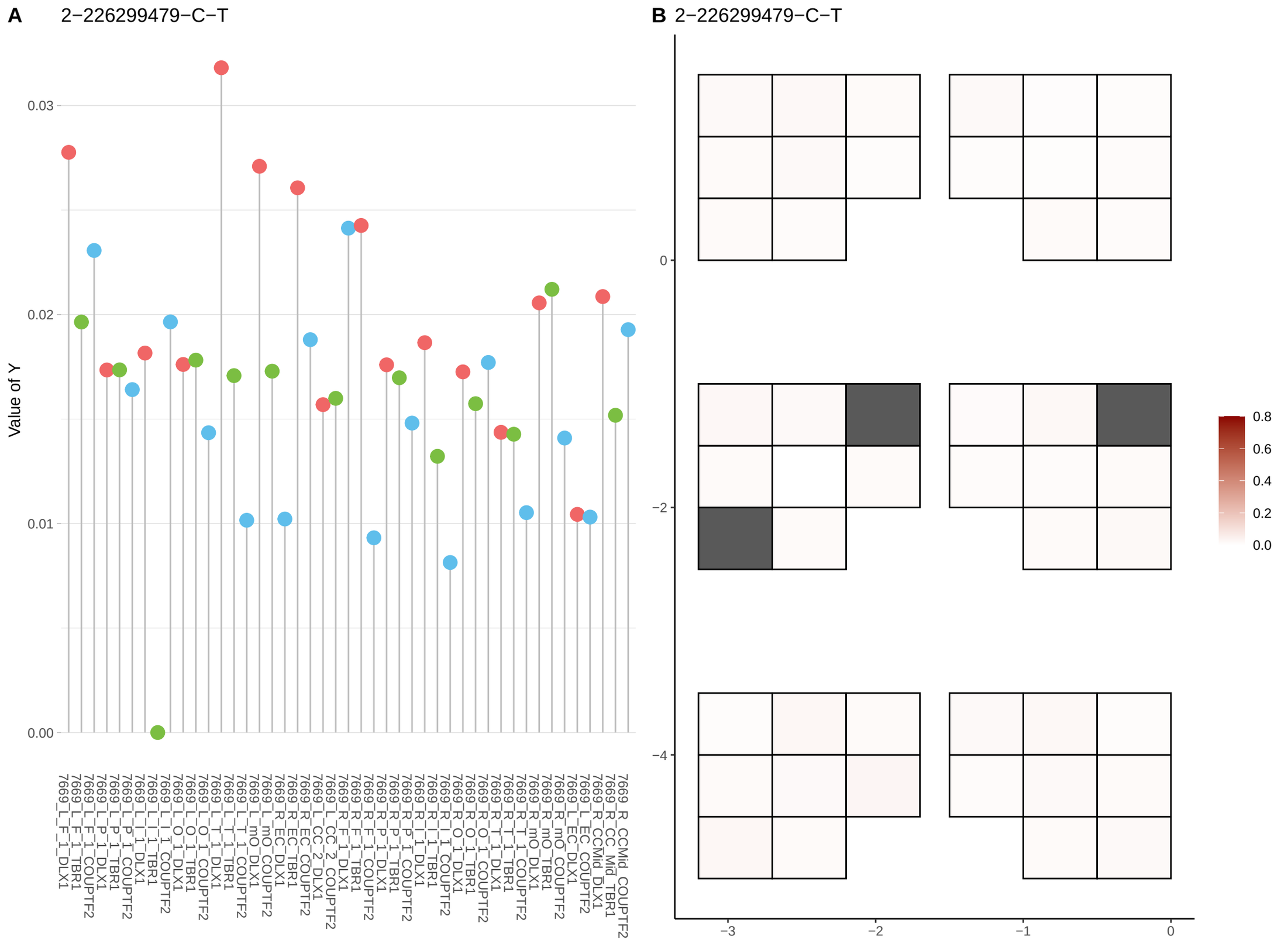
A
2−226299479−C−T
Value of Y
0.03
0.02
0.01
0.00
7669_L_F_1_DLX1
7669_L_F_1_TBR1
7669_L_F_1_COUPTF2
7669_L_P_1_DLX1
7669_L_P_1_TBR1
7669_L_P_1_COUPTF2
7669_L_I_1_DLX1
7669_L_I_1_TBR1
7669_L_I_1_COUPTF2
7669_L_O_1_DLX1
7669_L_O_1_TBR1
7669_L_O_1_COUPTF2
7669_L_T_1_DLX1
7669_L_T_1_TBR1
7669_L_T_1_COUPTF2
7669_L_mO_DLX1
7669_L_mO_COUPTF2
7669_R_EC_DLX1
7669_R_EC_TBR1
7669_R_EC_COUPTF2
7669_L_CC_2_DLX1
7669_L_CC_2_COUPTF2
7669_R_F_1_DLX1
7669_R_F_1_TBR1
7669_R_F_1_COUPTF2
7669_R_P_1_DLX1
7669_R_P_1_TBR1
7669_R_P_1_COUPTF2
7669_R_I_1_DLX1
7669_R_I_1_TBR1
7669_R_I_1_COUPTF2
7669_R_O_1_DLX1
7669_R_O_1_TBR1
7669_R_O_1_COUPTF2
7669_R_T_1_DLX1
7669_R_T_1_TBR1
7669_R_T_1_COUPTF2
7669_R_mO_DLX1
7669_R_mO_TBR1
7669_R_mO_COUPTF2
7669_L_EC_DLX1
7669_L_EC_COUPTF2
7669_R_CCMid_DLX1
7669_R_CC_Mid_TBR1
7669_R_CCMid_COUPTF2
B
2−226299479−C−T
0
−2
−4
−3
−2
−1
0
0.8
0.6
0.4
0.2
0.0

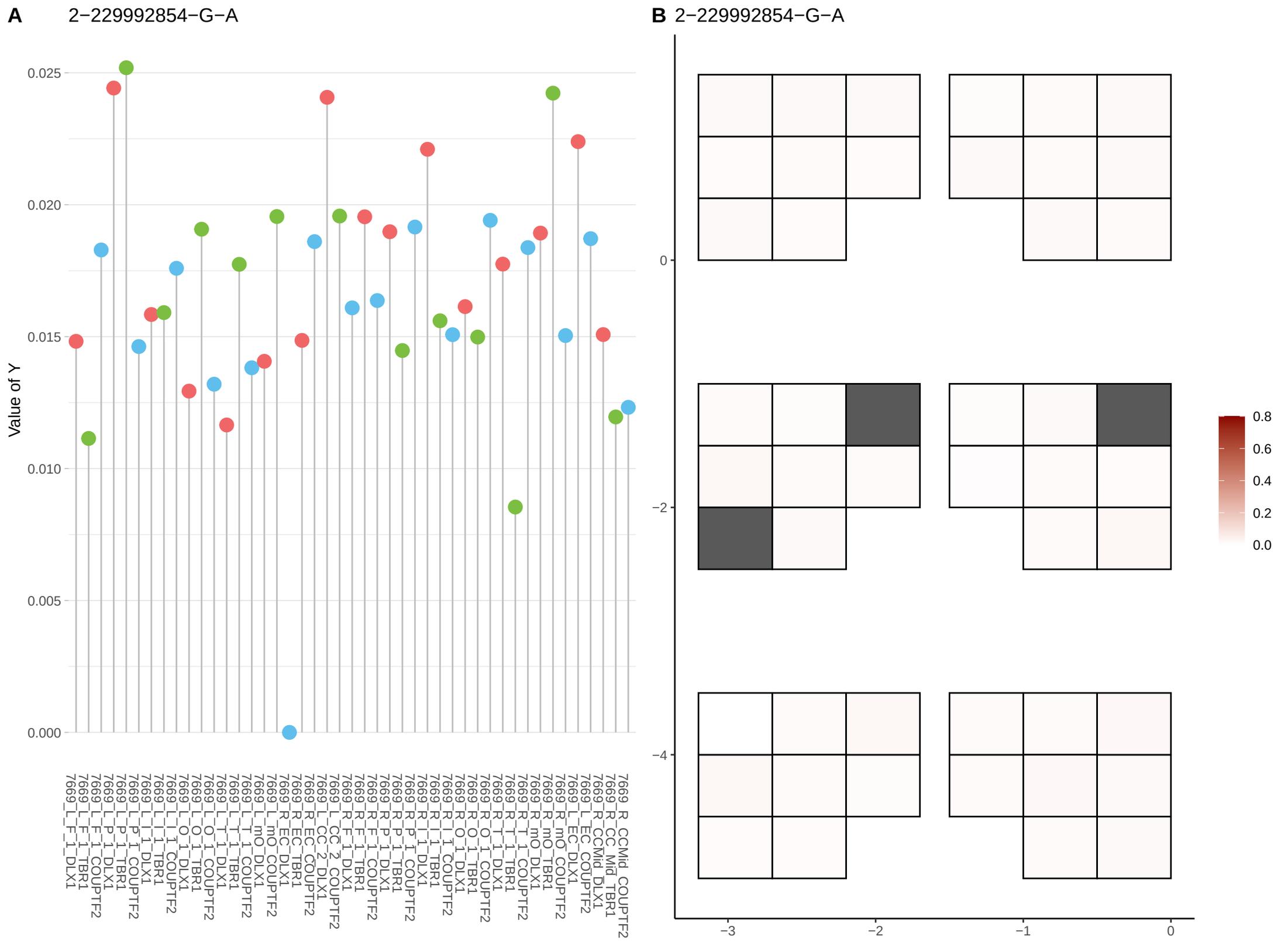
A
2−229992854−G−A
Value of Y
0.025
0.020
0.015
0.010
0.005
0.000
7669_L_F_1_DLX1
7669_L_F_1_TBR1
7669_L_F_1_COUPTF2
7669_L_P_1_DLX1
7669_L_P_1_TBR1
7669_L_P_1_COUPTF2
7669_L_I_1_DLX1
7669_L_I_1_TBR1
7669_L_I_1_COUPTF2
7669_L_O_1_DLX1
7669_L_O_1_TBR1
7669_L_O_1_COUPTF2
7669_L_T_1_DLX1
7669_L_T_1_TBR1
7669_L_T_1_COUPTF2
7669_L_mO_DLX1
7669_L_mO_COUPTF2
7669_R_EC_DLX1
7669_R_EC_TBR1
7669_R_EC_COUPTF2
7669_L_CC_2_DLX1
7669_L_CC_2_COUPTF2
7669_R_F_1_DLX1
7669_R_F_1_TBR1
7669_R_F_1_COUPTF2
7669_R_P_1_DLX1
7669_R_P_1_TBR1
7669_R_P_1_COUPTF2
7669_R_I_1_DLX1
7669_R_I_1_TBR1
7669_R_I_1_COUPTF2
7669_R_O_1_DLX1
7669_R_O_1_TBR1
7669_R_O_1_COUPTF2
7669_R_T_1_DLX1
7669_R_T_1_TBR1
7669_R_T_1_COUPTF2
7669_R_mO_DLX1
7669_R_mO_TBR1
7669_R_mO_COUPTF2
7669_L_EC_DLX1
7669_L_EC_COUPTF2
7669_R_CCMid_DLX1
7669_R_CC_Mid_TBR1
7669_R_CCMid_COUPTF2
B
2−229992854−G−A
0
−2
−4
−3
−2
−1
0
0.8
0.6
0.4
0.2
0.0

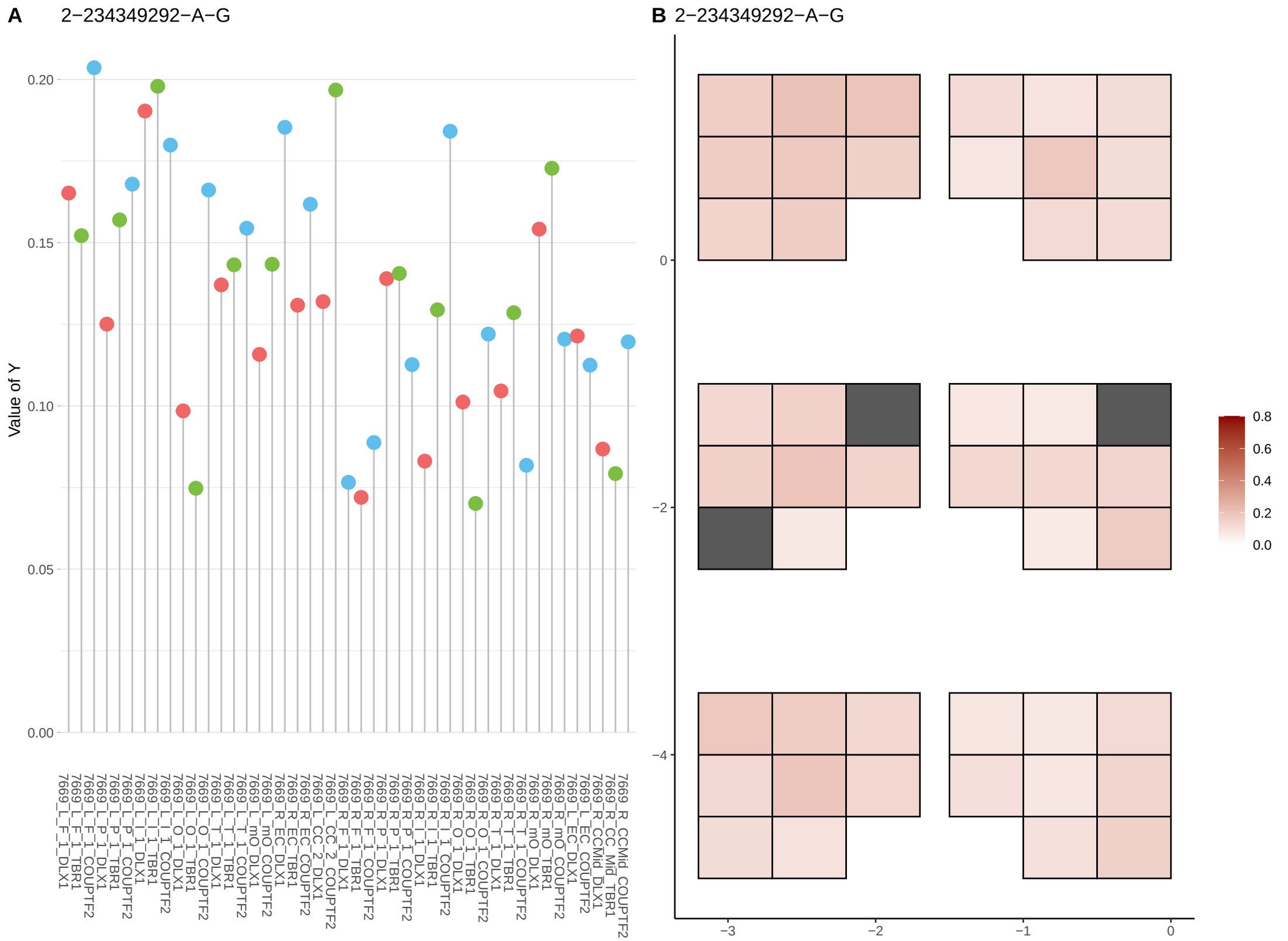
A
2−234349292−A−G
Value of Y
0.20
0.15
0.10
0.05
0.00
7669_L_F_1_DLX1
7669_L_F_1_TBR1
7669_L_F_1_COUPTF2
7669_L_P_1_DLX1
7669_L_P_1_TBR1
7669_L_P_1_COUPTF2
7669_L_I_1_DLX1
7669_L_I_1_TBR1
7669_L_I_1_COUPTF2
7669_L_O_1_DLX1
7669_L_O_1_TBR1
7669_L_O_1_COUPTF2
7669_L_T_1_DLX1
7669_L_T_1_TBR1
7669_L_T_1_COUPTF2
7669_L_mO_DLX1
7669_L_mO_COUPTF2
7669_R_EC_DLX1
7669_R_EC_TBR1
7669_R_EC_COUPTF2
7669_L_CC_2_DLX1
7669_L_CC_2_COUPTF2
7669_R_F_1_DLX1
7669_R_F_1_TBR1
7669_R_F_1_COUPTF2
7669_R_P_1_DLX1
7669_R_P_1_TBR1
7669_R_P_1_COUPTF2
7669_R_I_1_DLX1
7669_R_I_1_TBR1
7669_R_I_1_COUPTF2
7669_R_O_1_DLX1
7669_R_O_1_TBR1
7669_R_O_1_COUPTF2
7669_R_T_1_DLX1
7669_R_T_1_TBR1
7669_R_T_1_COUPTF2
7669_R_mO_DLX1
7669_R_mO_TBR1
7669_R_mO_COUPTF2
7669_L_EC_DLX1
7669_L_EC_COUPTF2
7669_R_CCMid_DLX1
7669_R_CC_Mid_TBR1
7669_R_CCMid_COUPTF2
B
2−234349292−A−G
0
−2
−4
−3
−2
−1
0
0.8
0.6
0.4
0.2
0.0

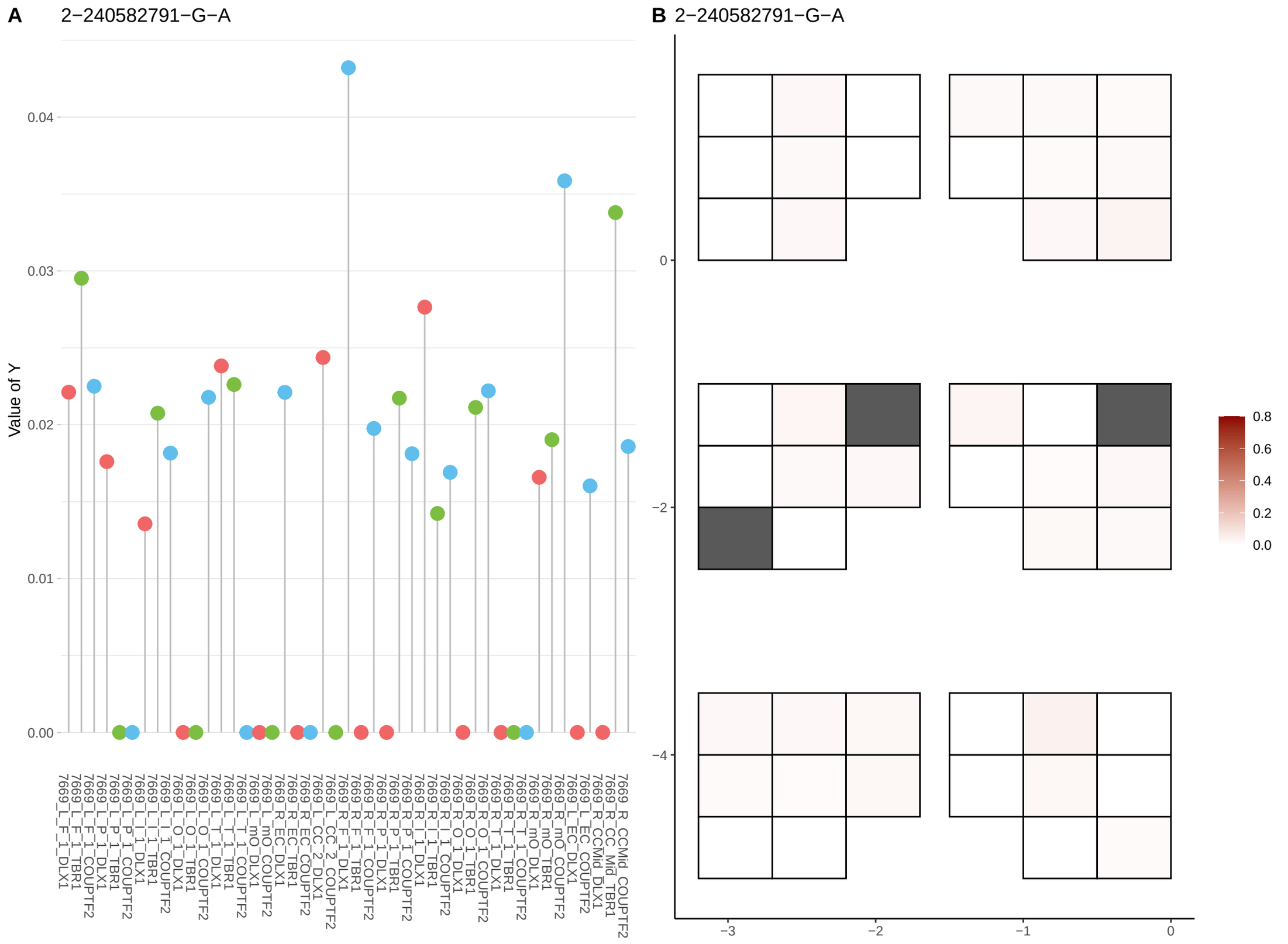
A
2−240582791−G−A
Value of Y
0.04
0.03
0.02
0.01
0.00
7669_L_F_1_DLX1
7669_L_F_1_TBR1
7669_L_F_1_COUPTF2
7669_L_P_1_DLX1
7669_L_P_1_TBR1
7669_L_P_1_COUPTF2
7669_L_I_1_DLX1
7669_L_I_1_TBR1
7669_L_I_1_COUPTF2
7669_L_O_1_DLX1
7669_L_O_1_TBR1
7669_L_O_1_COUPTF2
7669_L_T_1_DLX1
7669_L_T_1_TBR1
7669_L_T_1_COUPTF2
7669_L_mO_DLX1
7669_L_mO_COUPTF2
7669_R_EC_DLX1
7669_R_EC_TBR1
7669_R_EC_COUPTF2
7669_L_CC_2_DLX1
7669_L_CC_2_COUPTF2
7669_R_F_1_DLX1
7669_R_F_1_TBR1
7669_R_F_1_COUPTF2
7669_R_P_1_DLX1
7669_R_P_1_TBR1
7669_R_P_1_COUPTF2
7669_R_I_1_DLX1
7669_R_I_1_TBR1
7669_R_I_1_COUPTF2
7669_R_O_1_DLX1
7669_R_O_1_TBR1
7669_R_O_1_COUPTF2
7669_R_T_1_DLX1
7669_R_T_1_TBR1
7669_R_T_1_COUPTF2
7669_R_mO_DLX1
7669_R_mO_TBR1
7669_R_mO_COUPTF2
7669_L_EC_DLX1
7669_L_EC_COUPTF2
7669_R_CCMid_DLX1
7669_R_CC_Mid_TBR1
7669_R_CCMid_COUPTF2
B
2−240582791−G−A
0
−2
−4
−3
−2
−1
0
0.8
0.6
0.4
0.2
0.0

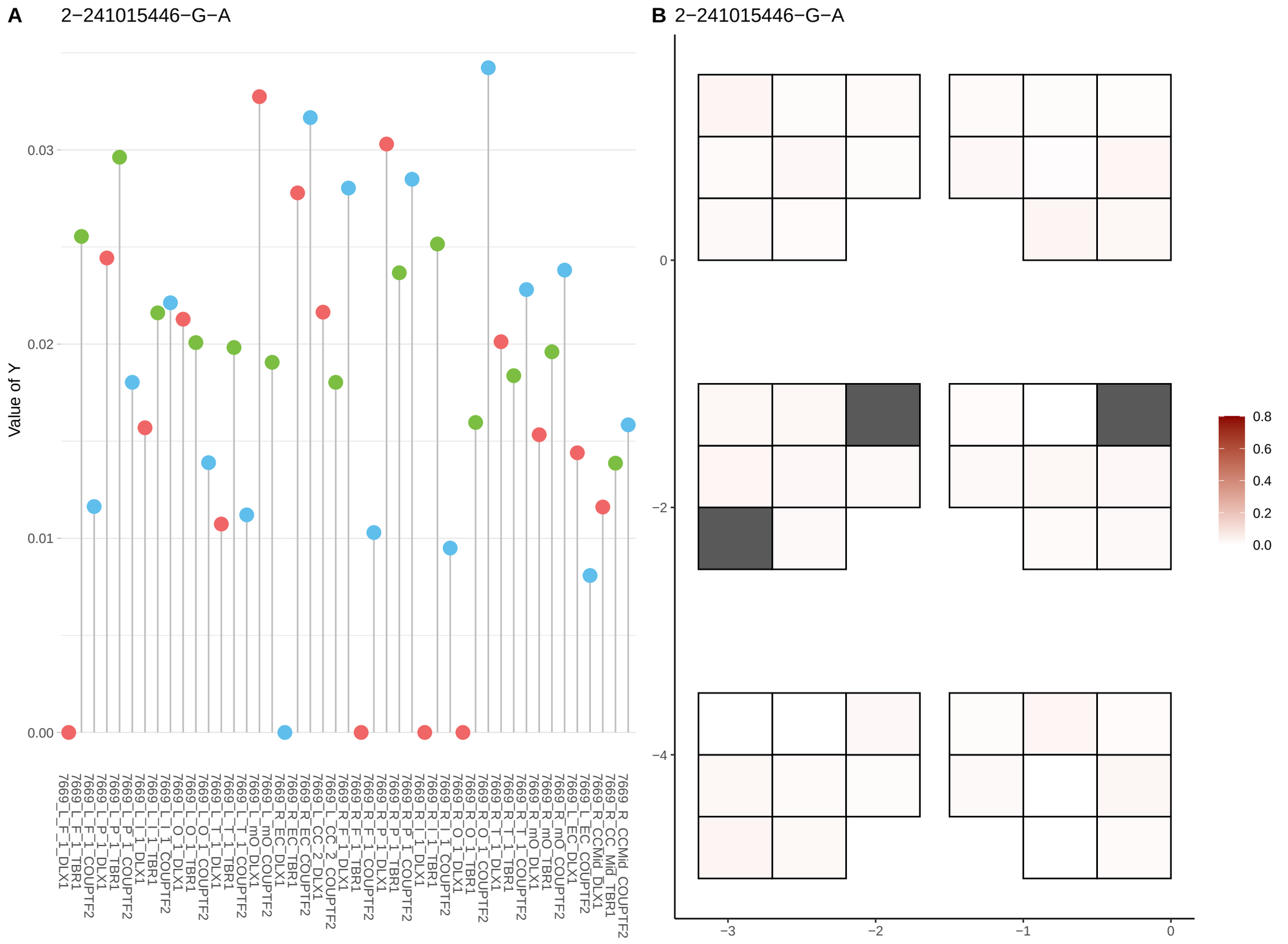
A
2−241015446−G−A
Value of Y
0.03
0.02
0.01
0.00
7669_L_F_1_DLX1
7669_L_F_1_TBR1
7669_L_F_1_COUPTF2
7669_L_P_1_DLX1
7669_L_P_1_TBR1
7669_L_P_1_COUPTF2
7669_L_I_1_DLX1
7669_L_I_1_TBR1
7669_L_I_1_COUPTF2
7669_L_O_1_DLX1
7669_L_O_1_TBR1
7669_L_O_1_COUPTF2
7669_L_T_1_DLX1
7669_L_T_1_TBR1
7669_L_T_1_COUPTF2
7669_L_mO_DLX1
7669_L_mO_COUPTF2
7669_R_EC_DLX1
7669_R_EC_TBR1
7669_R_EC_COUPTF2
7669_L_CC_2_DLX1
7669_L_CC_2_COUPTF2
7669_R_F_1_DLX1
7669_R_F_1_TBR1
7669_R_F_1_COUPTF2
7669_R_P_1_DLX1
7669_R_P_1_TBR1
7669_R_P_1_COUPTF2
7669_R_I_1_DLX1
7669_R_I_1_TBR1
7669_R_I_1_COUPTF2
7669_R_O_1_DLX1
7669_R_O_1_TBR1
7669_R_O_1_COUPTF2
7669_R_T_1_DLX1
7669_R_T_1_TBR1
7669_R_T_1_COUPTF2
7669_R_mO_DLX1
7669_R_mO_TBR1
7669_R_mO_COUPTF2
7669_L_EC_DLX1
7669_L_EC_COUPTF2
7669_R_CCMid_DLX1
7669_R_CC_Mid_TBR1
7669_R_CCMid_COUPTF2
B
2−241015446−G−A
0
−2
−4
−3
−2
−1
0
0.8
0.6
0.4
0.2
0.0

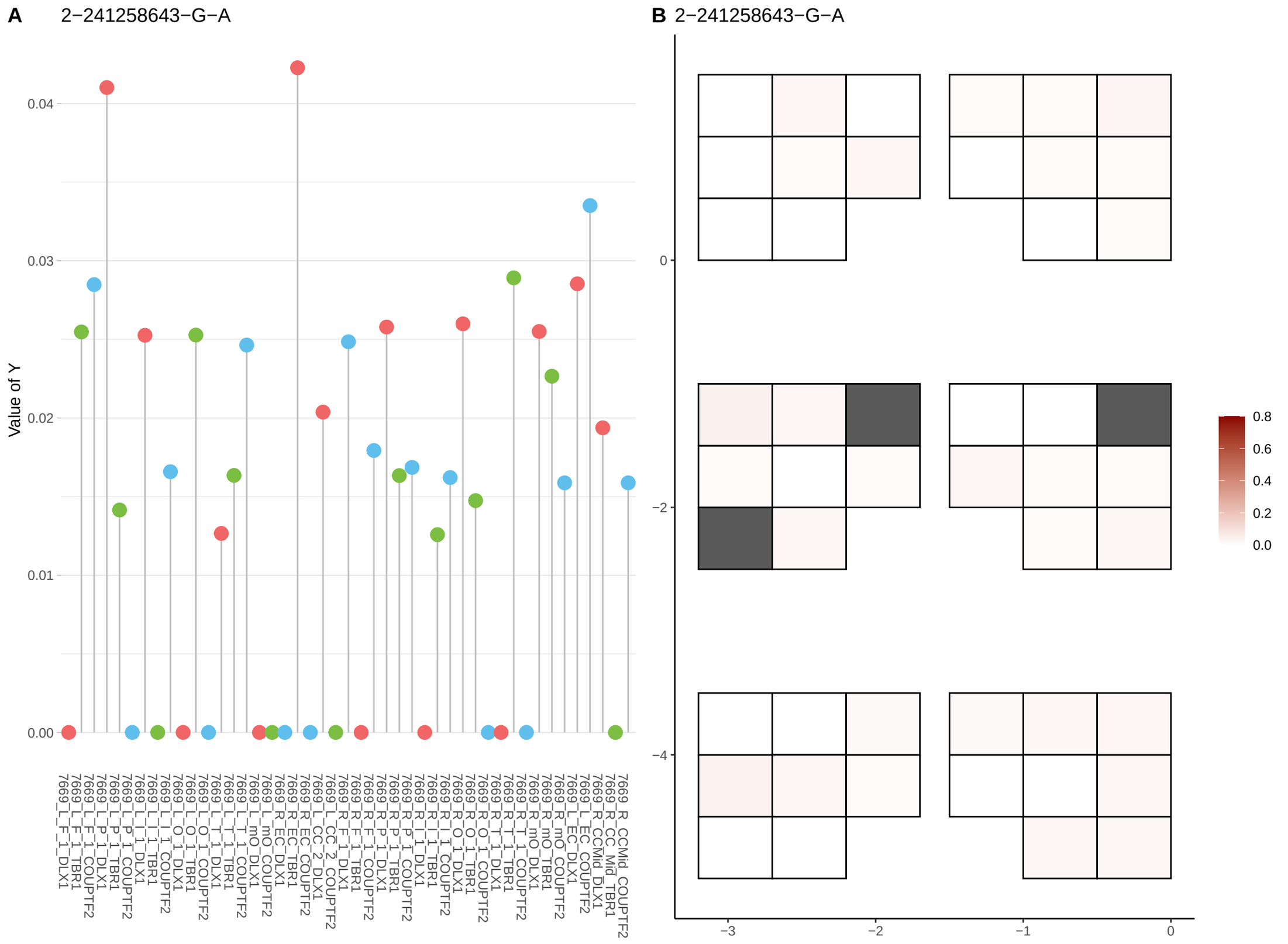
A
2−241258643−G−A
Value of Y
0.04
0.03
0.02
0.01
0.00
7669_L_F_1_DLX1
7669_L_F_1_TBR1
7669_L_F_1_COUPTF2
7669_L_P_1_DLX1
7669_L_P_1_TBR1
7669_L_P_1_COUPTF2
7669_L_I_1_DLX1
7669_L_I_1_TBR1
7669_L_I_1_COUPTF2
7669_L_O_1_DLX1
7669_L_O_1_TBR1
7669_L_O_1_COUPTF2
7669_L_T_1_DLX1
7669_L_T_1_TBR1
7669_L_T_1_COUPTF2
7669_L_mO_DLX1
7669_L_mO_COUPTF2
7669_R_EC_DLX1
7669_R_EC_TBR1
7669_R_EC_COUPTF2
7669_L_CC_2_DLX1
7669_L_CC_2_COUPTF2
7669_R_F_1_DLX1
7669_R_F_1_TBR1
7669_R_F_1_COUPTF2
7669_R_P_1_DLX1
7669_R_P_1_TBR1
7669_R_P_1_COUPTF2
7669_R_I_1_DLX1
7669_R_I_1_TBR1
7669_R_I_1_COUPTF2
7669_R_O_1_DLX1
7669_R_O_1_TBR1
7669_R_O_1_COUPTF2
7669_R_T_1_DLX1
7669_R_T_1_TBR1
7669_R_T_1_COUPTF2
7669_R_mO_DLX1
7669_R_mO_TBR1
7669_R_mO_COUPTF2
7669_L_EC_DLX1
7669_L_EC_COUPTF2
7669_R_CCMid_DLX1
7669_R_CC_Mid_TBR1
7669_R_CCMid_COUPTF2
B
2−241258643−G−A
0
−2
−4
−3
−2
−1
0
0.8
0.6
0.4
0.2
0.0

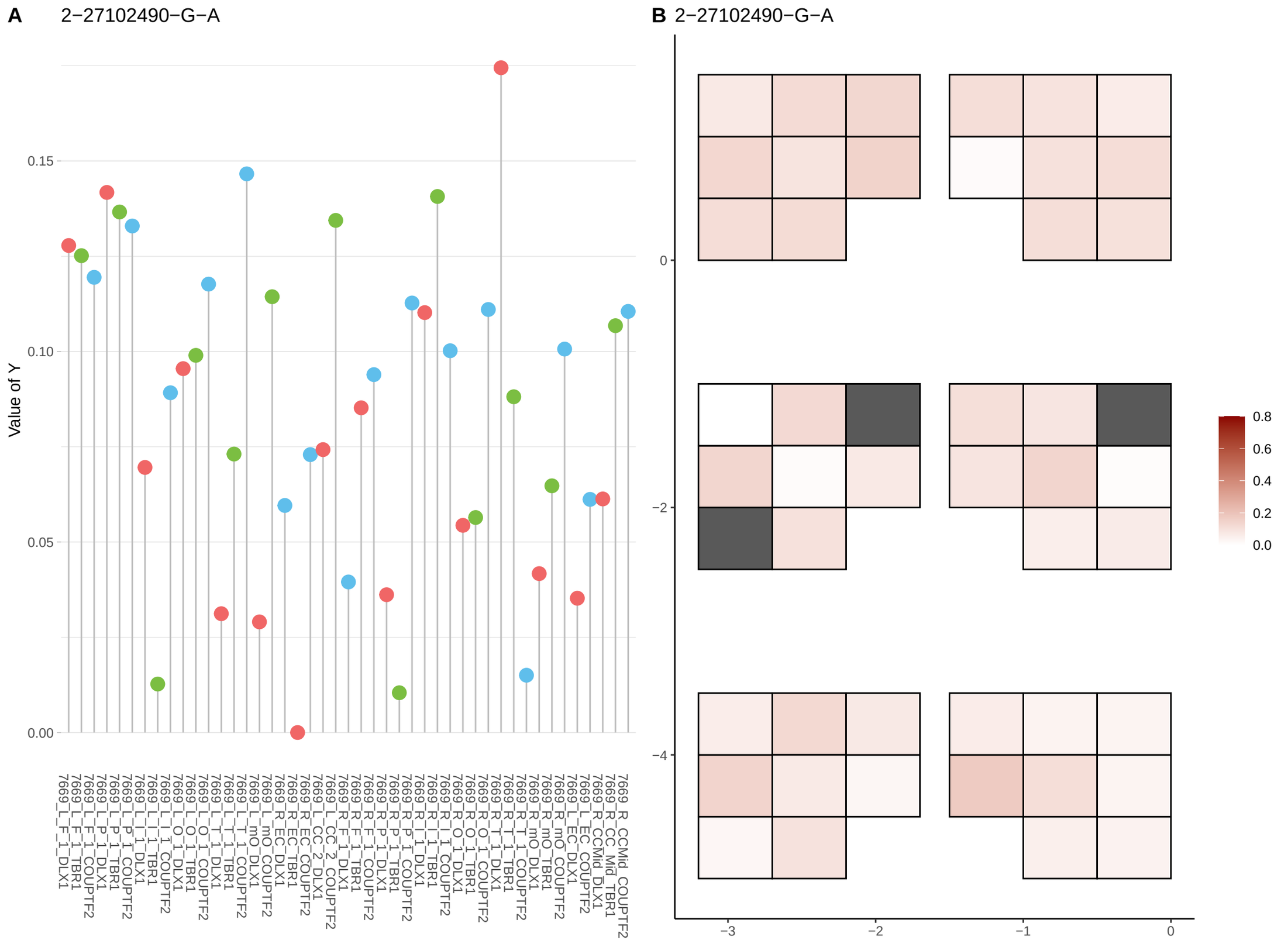
A
2−27102490−G−A
Value of Y
0.15
0.10
0.05
0.00
7669_L_F_1_DLX1
7669_L_F_1_TBR1
7669_L_F_1_COUPTF2
7669_L_P_1_DLX1
7669_L_P_1_TBR1
7669_L_P_1_COUPTF2
7669_L_I_1_DLX1
7669_L_I_1_TBR1
7669_L_I_1_COUPTF2
7669_L_O_1_DLX1
7669_L_O_1_TBR1
7669_L_O_1_COUPTF2
7669_L_T_1_DLX1
7669_L_T_1_TBR1
7669_L_T_1_COUPTF2
7669_L_mO_DLX1
7669_L_mO_COUPTF2
7669_R_EC_DLX1
7669_R_EC_TBR1
7669_R_EC_COUPTF2
7669_L_CC_2_DLX1
7669_L_CC_2_COUPTF2
7669_R_F_1_DLX1
7669_R_F_1_TBR1
7669_R_F_1_COUPTF2
7669_R_P_1_DLX1
7669_R_P_1_TBR1
7669_R_P_1_COUPTF2
7669_R_I_1_DLX1
7669_R_I_1_TBR1
7669_R_I_1_COUPTF2
7669_R_O_1_DLX1
7669_R_O_1_TBR1
7669_R_O_1_COUPTF2
7669_R_T_1_DLX1
7669_R_T_1_TBR1
7669_R_T_1_COUPTF2
7669_R_mO_DLX1
7669_R_mO_TBR1
7669_R_mO_COUPTF2
7669_L_EC_DLX1
7669_L_EC_COUPTF2
7669_R_CCMid_DLX1
7669_R_CC_Mid_TBR1
7669_R_CCMid_COUPTF2
B
2−27102490−G−A
0
−2
−4
−3
−2
−1
0
0.8
0.6
0.4
0.2
0.0

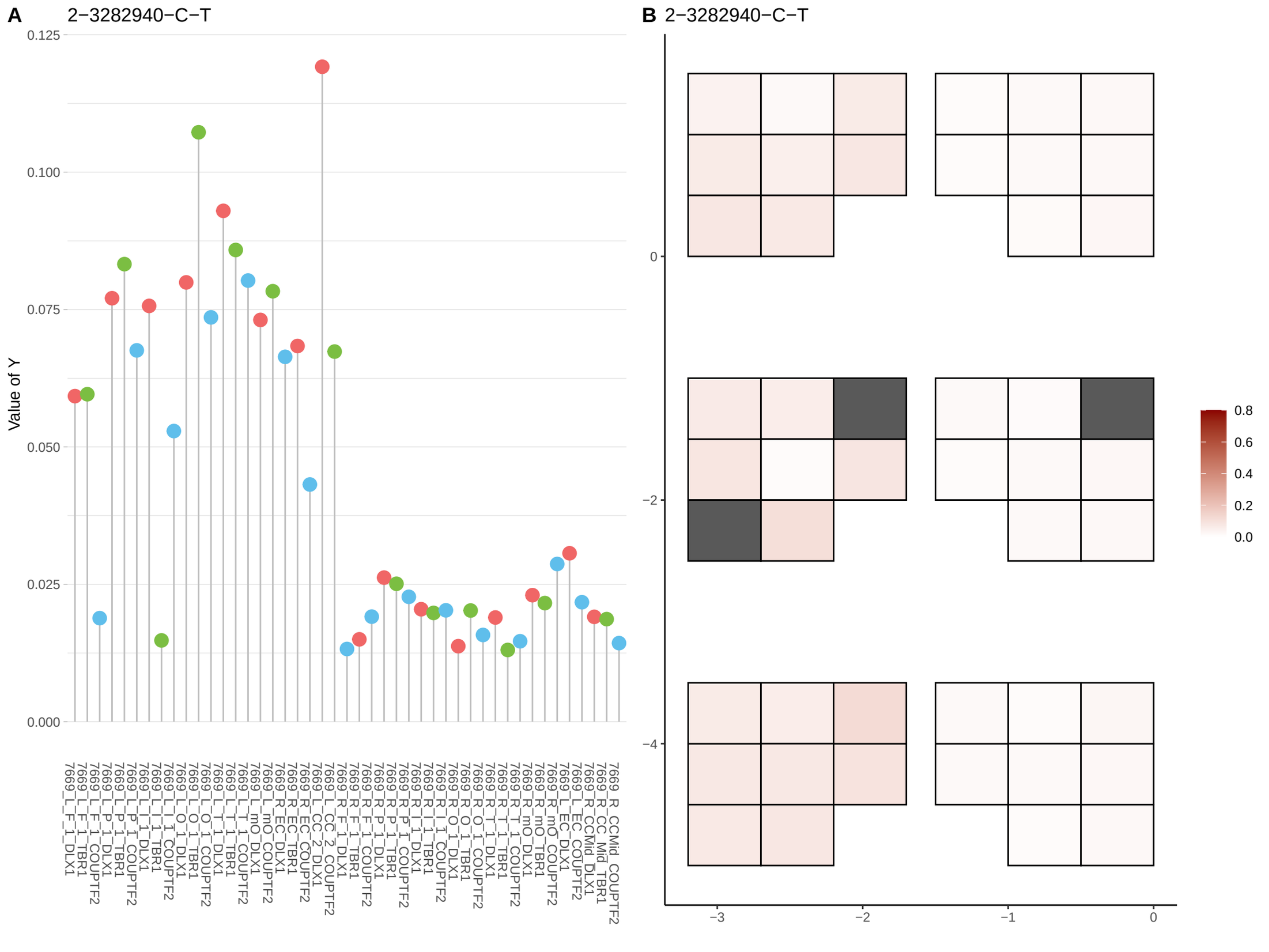
A
2−3282940−C−T
Value of Y
0.125
0.100
0.075
0.050
0.025
0.000
7669_L_F_1_DLX1
7669_L_F_1_TBR1
7669_L_F_1_COUPTF2
7669_L_P_1_DLX1
7669_L_P_1_TBR1
7669_L_P_1_COUPTF2
7669_L_I_1_DLX1
7669_L_I_1_TBR1
7669_L_I_1_COUPTF2
7669_L_O_1_DLX1
7669_L_O_1_TBR1
7669_L_O_1_COUPTF2
7669_L_T_1_DLX1
7669_L_T_1_TBR1
7669_L_T_1_COUPTF2
7669_L_mO_DLX1
7669_L_mO_COUPTF2
7669_R_EC_DLX1
7669_R_EC_TBR1
7669_R_EC_COUPTF2
7669_L_CC_2_DLX1
7669_L_CC_2_COUPTF2
7669_R_F_1_DLX1
7669_R_F_1_TBR1
7669_R_F_1_COUPTF2
7669_R_P_1_DLX1
7669_R_P_1_TBR1
7669_R_P_1_COUPTF2
7669_R_I_1_DLX1
7669_R_I_1_TBR1
7669_R_I_1_COUPTF2
7669_R_O_1_DLX1
7669_R_O_1_TBR1
7669_R_O_1_COUPTF2
7669_R_T_1_DLX1
7669_R_T_1_TBR1
7669_R_T_1_COUPTF2
7669_R_mO_DLX1
7669_R_mO_TBR1
7669_R_mO_COUPTF2
7669_L_EC_DLX1
7669_L_EC_COUPTF2
7669_R_CCMid_DLX1
7669_R_CC_Mid_TBR1
7669_R_CCMid_COUPTF2
B
2−3282940−C−T
0
−2
−4
−3
−2
−1
0
0.8
0.6
0.4
0.2
0.0

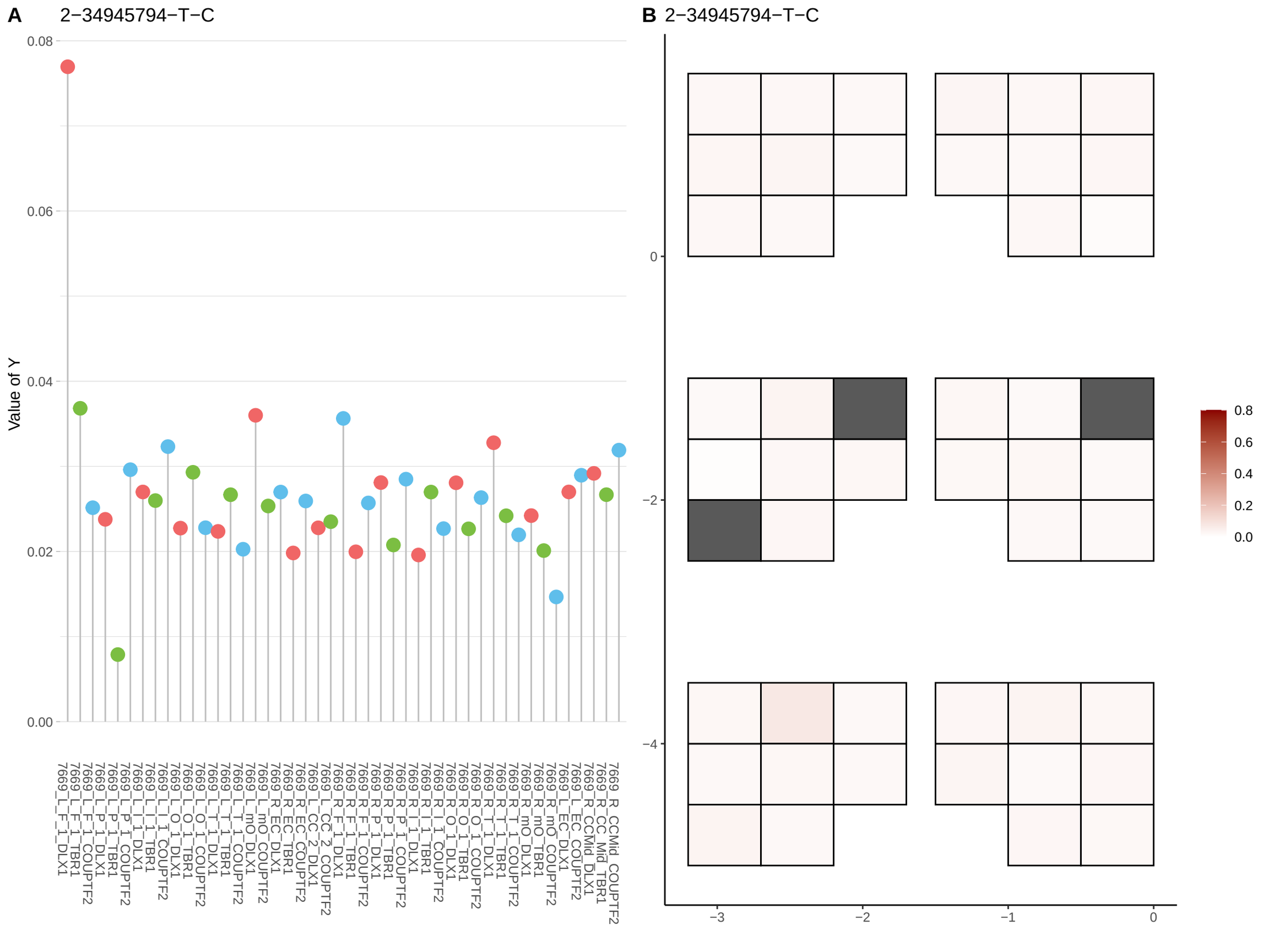
A
2−34945794−T−C
Value of Y
0.08
0.06
0.04
0.02
0.00
7669_L_F_1_DLX1
7669_L_F_1_TBR1
7669_L_F_1_COUPTF2
7669_L_P_1_DLX1
7669_L_P_1_TBR1
7669_L_P_1_COUPTF2
7669_L_I_1_DLX1
7669_L_I_1_TBR1
7669_L_I_1_COUPTF2
7669_L_O_1_DLX1
7669_L_O_1_TBR1
7669_L_O_1_COUPTF2
7669_L_T_1_DLX1
7669_L_T_1_TBR1
7669_L_T_1_COUPTF2
7669_L_mO_DLX1
7669_L_mO_COUPTF2
7669_R_EC_DLX1
7669_R_EC_TBR1
7669_R_EC_COUPTF2
7669_L_CC_2_DLX1
7669_L_CC_2_COUPTF2
7669_R_F_1_DLX1
7669_R_F_1_TBR1
7669_R_F_1_COUPTF2
7669_R_P_1_DLX1
7669_R_P_1_TBR1
7669_R_P_1_COUPTF2
7669_R_I_1_DLX1
7669_R_I_1_TBR1
7669_R_I_1_COUPTF2
7669_R_O_1_DLX1
7669_R_O_1_TBR1
7669_R_O_1_COUPTF2
7669_R_T_1_DLX1
7669_R_T_1_TBR1
7669_R_T_1_COUPTF2
7669_R_mO_DLX1
7669_R_mO_TBR1
7669_R_mO_COUPTF2
7669_L_EC_DLX1
7669_L_EC_COUPTF2
7669_R_CCMid_DLX1
7669_R_CC_Mid_TBR1
7669_R_CCMid_COUPTF2
B
2−34945794−T−C
0
−2
−4
−3
−2
−1
0
0.8
0.6
0.4
0.2
0.0

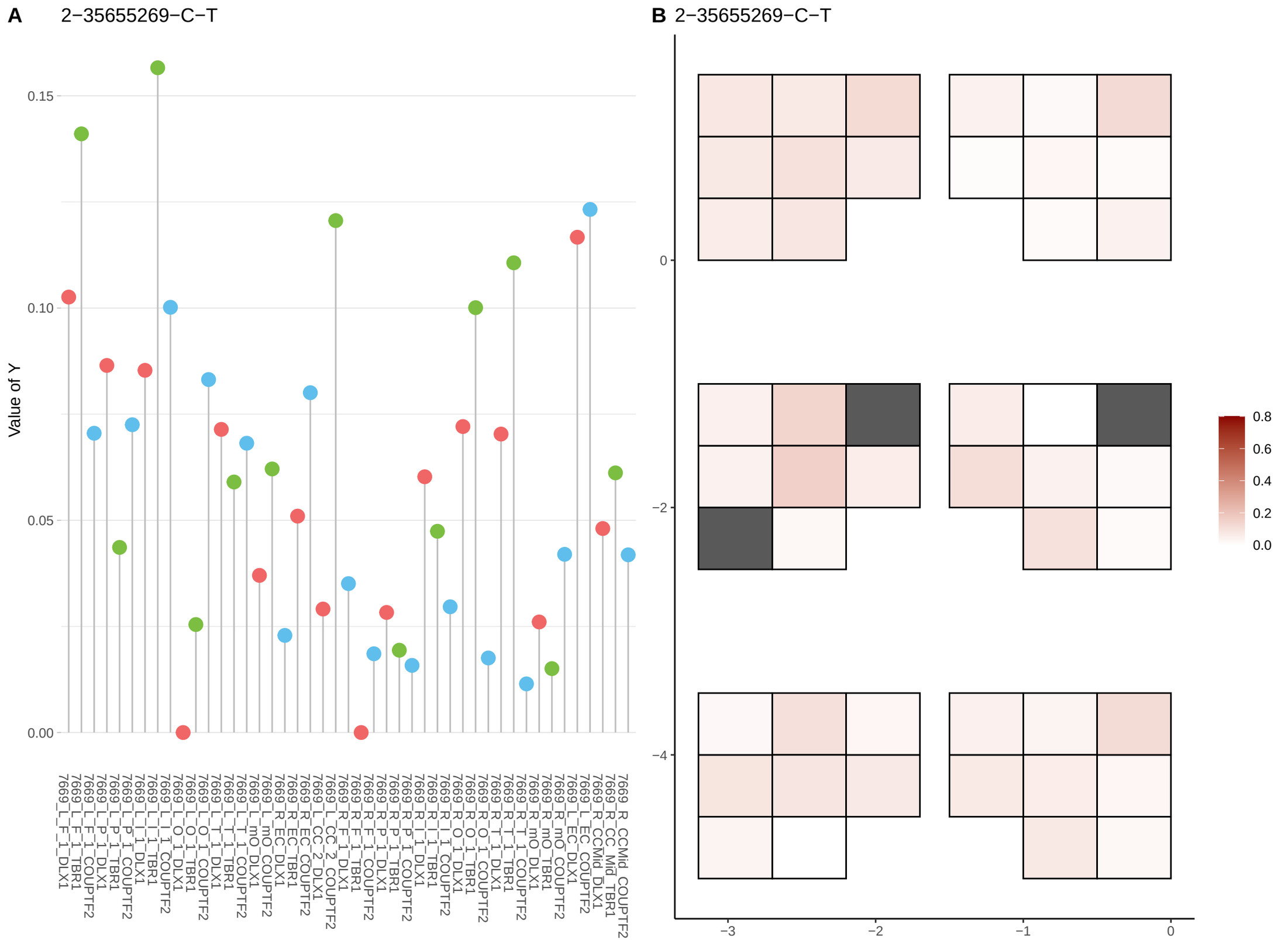
A
2−35655269−C−T
Value of Y
0.15
0.10
0.05
0.00
7669_L_F_1_DLX1
7669_L_F_1_TBR1
7669_L_F_1_COUPTF2
7669_L_P_1_DLX1
7669_L_P_1_TBR1
7669_L_P_1_COUPTF2
7669_L_I_1_DLX1
7669_L_I_1_TBR1
7669_L_I_1_COUPTF2
7669_L_O_1_DLX1
7669_L_O_1_TBR1
7669_L_O_1_COUPTF2
7669_L_T_1_DLX1
7669_L_T_1_TBR1
7669_L_T_1_COUPTF2
7669_L_mO_DLX1
7669_L_mO_COUPTF2
7669_R_EC_DLX1
7669_R_EC_TBR1
7669_R_EC_COUPTF2
7669_L_CC_2_DLX1
7669_L_CC_2_COUPTF2
7669_R_F_1_DLX1
7669_R_F_1_TBR1
7669_R_F_1_COUPTF2
7669_R_P_1_DLX1
7669_R_P_1_TBR1
7669_R_P_1_COUPTF2
7669_R_I_1_DLX1
7669_R_I_1_TBR1
7669_R_I_1_COUPTF2
7669_R_O_1_DLX1
7669_R_O_1_TBR1
7669_R_O_1_COUPTF2
7669_R_T_1_DLX1
7669_R_T_1_TBR1
7669_R_T_1_COUPTF2
7669_R_mO_DLX1
7669_R_mO_TBR1
7669_R_mO_COUPTF2
7669_L_EC_DLX1
7669_L_EC_COUPTF2
7669_R_CCMid_DLX1
7669_R_CC_Mid_TBR1
7669_R_CCMid_COUPTF2
B
2−35655269−C−T
0
−2
−4
−3
−2
−1
0
0.8
0.6
0.4
0.2
0.0

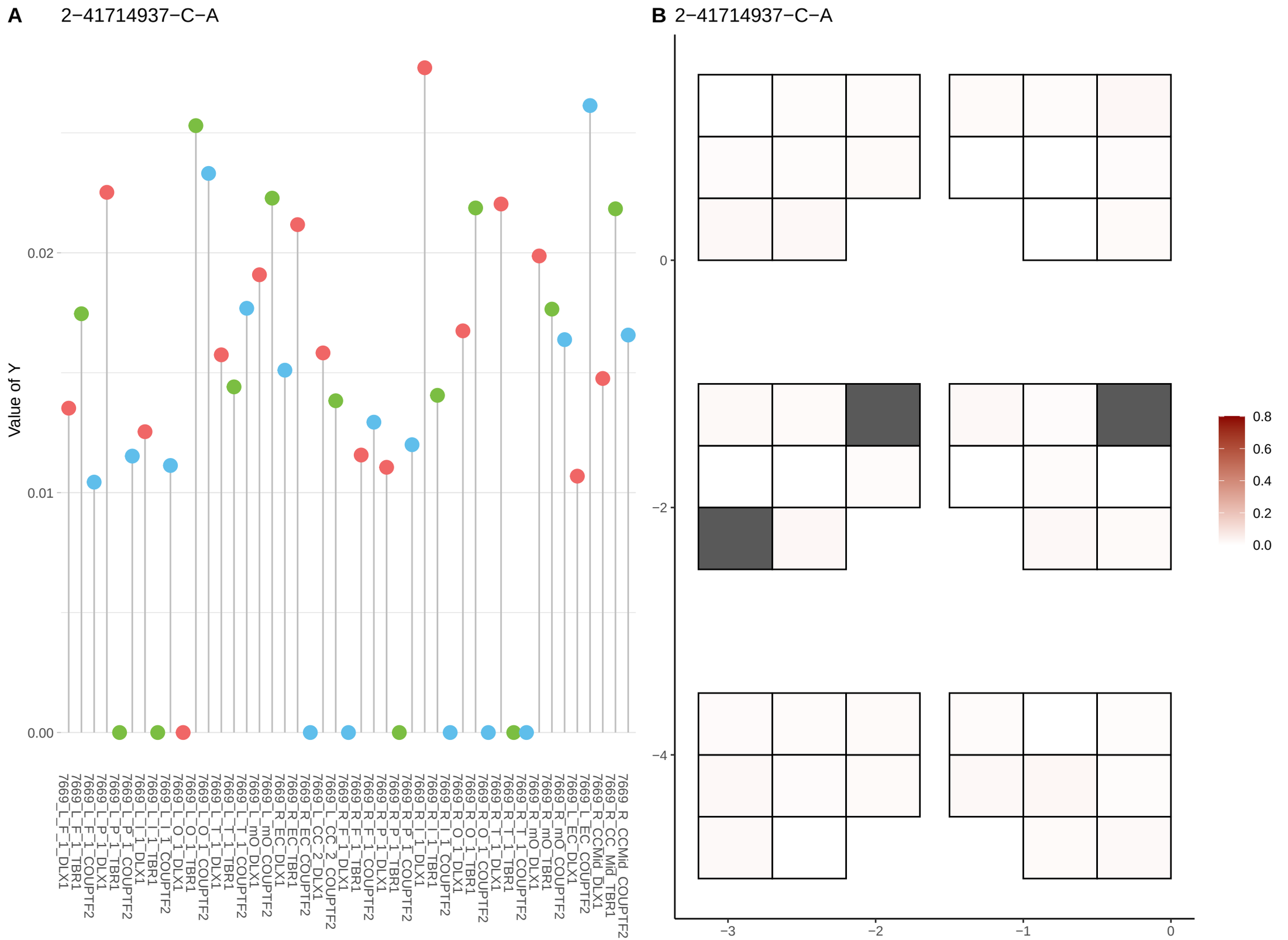
A
2−41714937−C−A
Value of Y
0.02
0.01
0.00
7669_L_F_1_DLX1
7669_L_F_1_TBR1
7669_L_F_1_COUPTF2
7669_L_P_1_DLX1
7669_L_P_1_TBR1
7669_L_P_1_COUPTF2
7669_L_I_1_DLX1
7669_L_I_1_TBR1
7669_L_I_1_COUPTF2
7669_L_O_1_DLX1
7669_L_O_1_TBR1
7669_L_O_1_COUPTF2
7669_L_T_1_DLX1
7669_L_T_1_TBR1
7669_L_T_1_COUPTF2
7669_L_mO_DLX1
7669_L_mO_COUPTF2
7669_R_EC_DLX1
7669_R_EC_TBR1
7669_R_EC_COUPTF2
7669_L_CC_2_DLX1
7669_L_CC_2_COUPTF2
7669_R_F_1_DLX1
7669_R_F_1_TBR1
7669_R_F_1_COUPTF2
7669_R_P_1_DLX1
7669_R_P_1_TBR1
7669_R_P_1_COUPTF2
7669_R_I_1_DLX1
7669_R_I_1_TBR1
7669_R_I_1_COUPTF2
7669_R_O_1_DLX1
7669_R_O_1_TBR1
7669_R_O_1_COUPTF2
7669_R_T_1_DLX1
7669_R_T_1_TBR1
7669_R_T_1_COUPTF2
7669_R_mO_DLX1
7669_R_mO_TBR1
7669_R_mO_COUPTF2
7669_L_EC_DLX1
7669_L_EC_COUPTF2
7669_R_CCMid_DLX1
7669_R_CC_Mid_TBR1
7669_R_CCMid_COUPTF2
B
2−41714937−C−A
0
−2
−4
−3
−2
−1
0
0.8
0.6
0.4
0.2
0.0

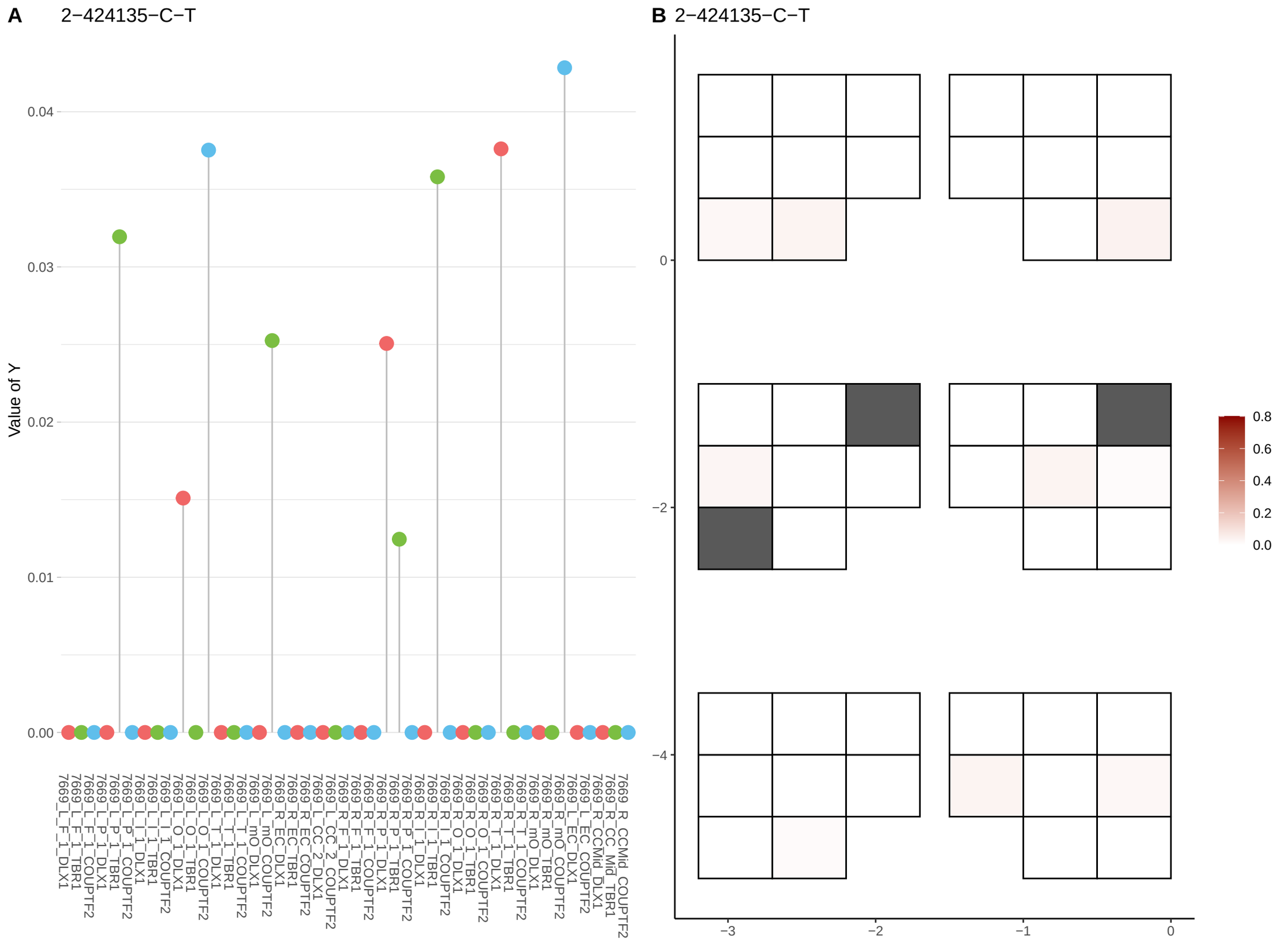
A
2−424135−C−T
Value of Y
0.04
0.03
0.02
0.01
0.00
7669_L_F_1_DLX1
7669_L_F_1_TBR1
7669_L_F_1_COUPTF2
7669_L_P_1_DLX1
7669_L_P_1_TBR1
7669_L_P_1_COUPTF2
7669_L_I_1_DLX1
7669_L_I_1_TBR1
7669_L_I_1_COUPTF2
7669_L_O_1_DLX1
7669_L_O_1_TBR1
7669_L_O_1_COUPTF2
7669_L_T_1_DLX1
7669_L_T_1_TBR1
7669_L_T_1_COUPTF2
7669_L_mO_DLX1
7669_L_mO_COUPTF2
7669_R_EC_DLX1
7669_R_EC_TBR1
7669_R_EC_COUPTF2
7669_L_CC_2_DLX1
7669_L_CC_2_COUPTF2
7669_R_F_1_DLX1
7669_R_F_1_TBR1
7669_R_F_1_COUPTF2
7669_R_P_1_DLX1
7669_R_P_1_TBR1
7669_R_P_1_COUPTF2
7669_R_I_1_DLX1
7669_R_I_1_TBR1
7669_R_I_1_COUPTF2
7669_R_O_1_DLX1
7669_R_O_1_TBR1
7669_R_O_1_COUPTF2
7669_R_T_1_DLX1
7669_R_T_1_TBR1
7669_R_T_1_COUPTF2
7669_R_mO_DLX1
7669_R_mO_TBR1
7669_R_mO_COUPTF2
7669_L_EC_DLX1
7669_L_EC_COUPTF2
7669_R_CCMid_DLX1
7669_R_CC_Mid_TBR1
7669_R_CCMid_COUPTF2
B
2−424135−C−T
0
−2
−4
−3
−2
−1
0
0.8
0.6
0.4
0.2
0.0

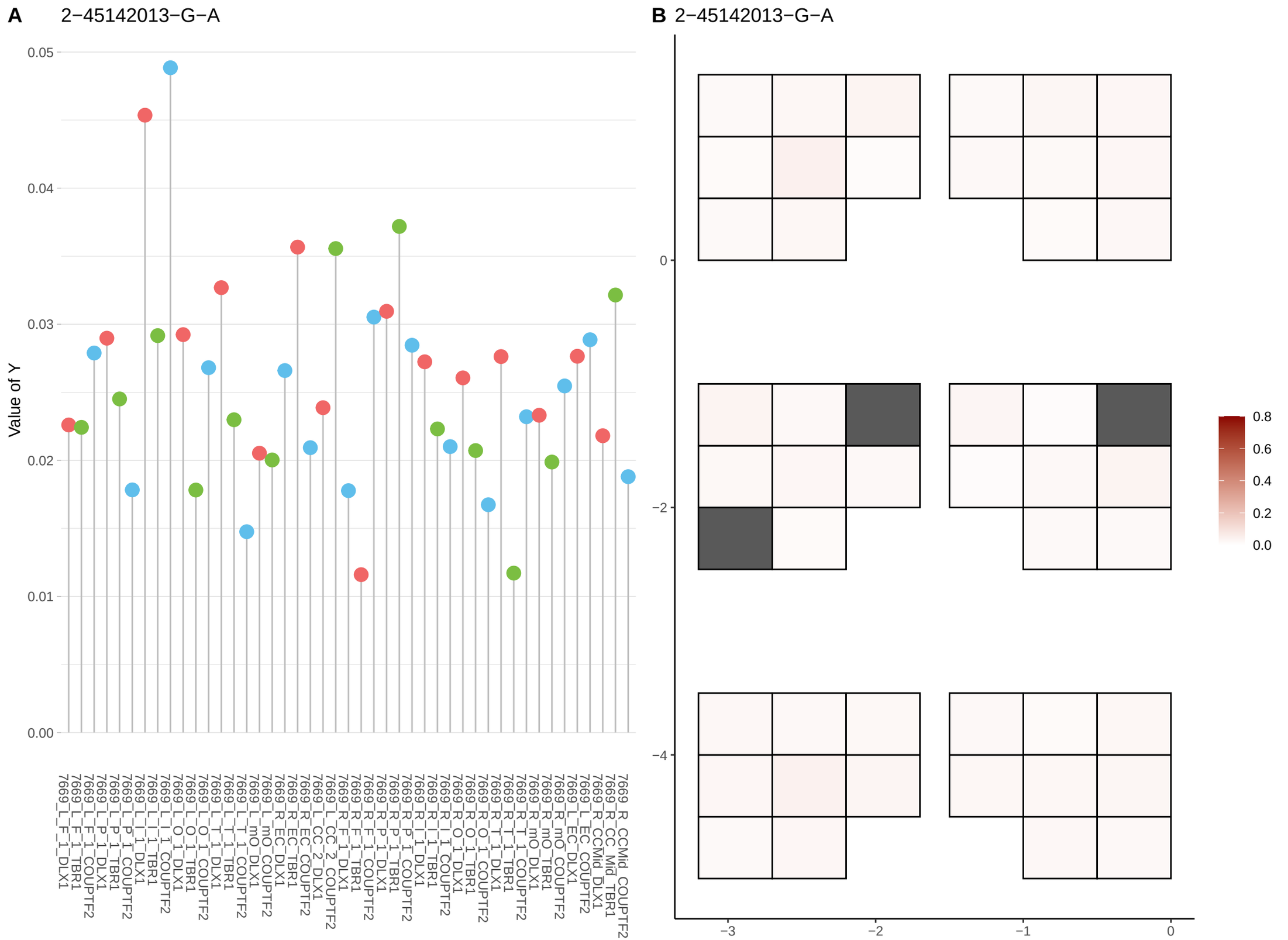
A
2−45142013−G−A
Value of Y
0.05
0.04
0.03
0.02
0.01
0.00
7669_L_F_1_DLX1
7669_L_F_1_TBR1
7669_L_F_1_COUPTF2
7669_L_P_1_DLX1
7669_L_P_1_TBR1
7669_L_P_1_COUPTF2
7669_L_I_1_DLX1
7669_L_I_1_TBR1
7669_L_I_1_COUPTF2
7669_L_O_1_DLX1
7669_L_O_1_TBR1
7669_L_O_1_COUPTF2
7669_L_T_1_DLX1
7669_L_T_1_TBR1
7669_L_T_1_COUPTF2
7669_L_mO_DLX1
7669_L_mO_COUPTF2
7669_R_EC_DLX1
7669_R_EC_TBR1
7669_R_EC_COUPTF2
7669_L_CC_2_DLX1
7669_L_CC_2_COUPTF2
7669_R_F_1_DLX1
7669_R_F_1_TBR1
7669_R_F_1_COUPTF2
7669_R_P_1_DLX1
7669_R_P_1_TBR1
7669_R_P_1_COUPTF2
7669_R_I_1_DLX1
7669_R_I_1_TBR1
7669_R_I_1_COUPTF2
7669_R_O_1_DLX1
7669_R_O_1_TBR1
7669_R_O_1_COUPTF2
7669_R_T_1_DLX1
7669_R_T_1_TBR1
7669_R_T_1_COUPTF2
7669_R_mO_DLX1
7669_R_mO_TBR1
7669_R_mO_COUPTF2
7669_L_EC_DLX1
7669_L_EC_COUPTF2
7669_R_CCMid_DLX1
7669_R_CC_Mid_TBR1
7669_R_CCMid_COUPTF2
B
2−45142013−G−A
0
−2
−4
−3
−2
−1
0
0.8
0.6
0.4
0.2
0.0

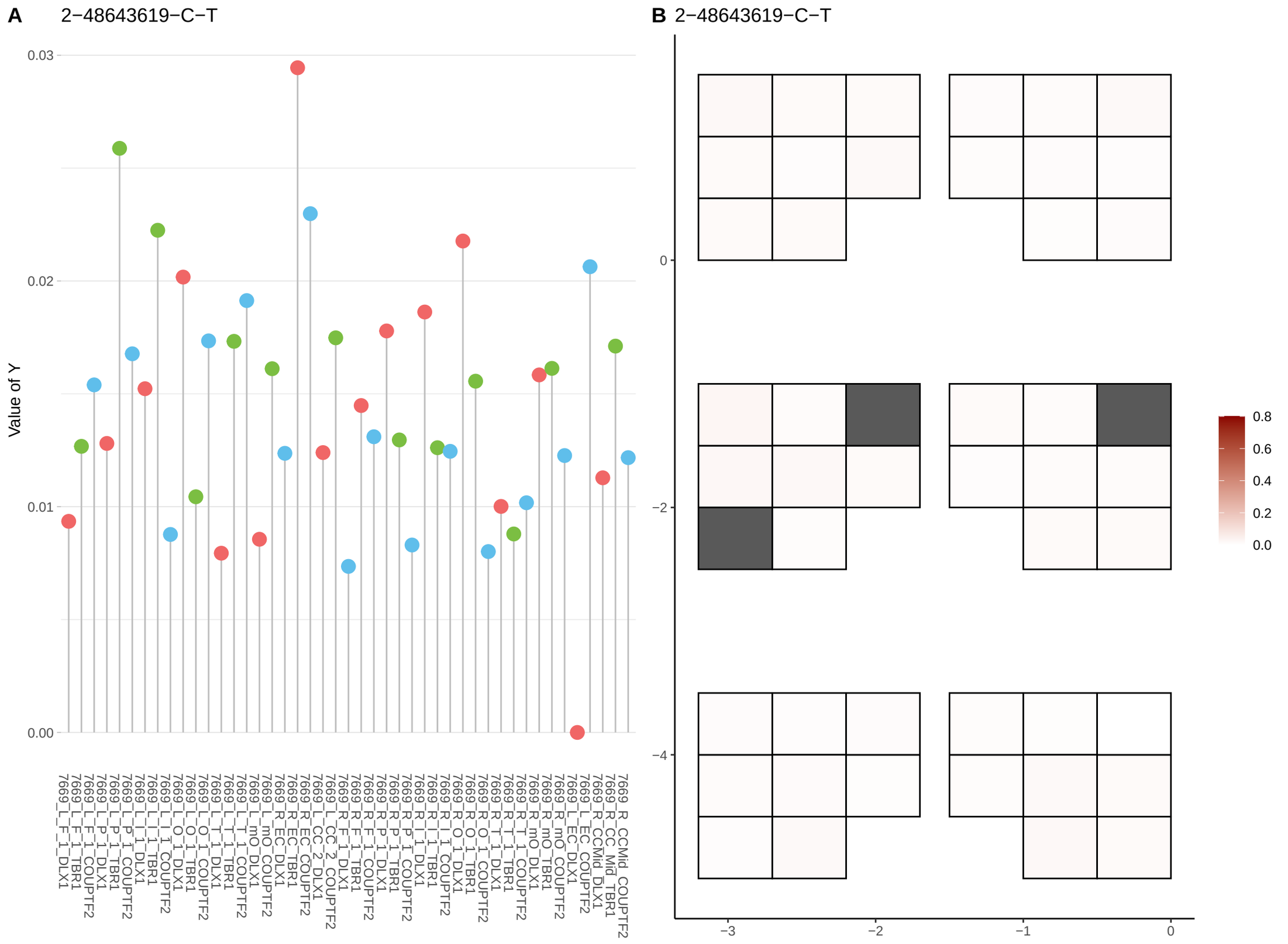
A
2−48643619−C−T
Value of Y
0.03
0.02
0.01
0.00
7669_L_F_1_DLX1
7669_L_F_1_TBR1
7669_L_F_1_COUPTF2
7669_L_P_1_DLX1
7669_L_P_1_TBR1
7669_L_P_1_COUPTF2
7669_L_I_1_DLX1
7669_L_I_1_TBR1
7669_L_I_1_COUPTF2
7669_L_O_1_DLX1
7669_L_O_1_TBR1
7669_L_O_1_COUPTF2
7669_L_T_1_DLX1
7669_L_T_1_TBR1
7669_L_T_1_COUPTF2
7669_L_mO_DLX1
7669_L_mO_COUPTF2
7669_R_EC_DLX1
7669_R_EC_TBR1
7669_R_EC_COUPTF2
7669_L_CC_2_DLX1
7669_L_CC_2_COUPTF2
7669_R_F_1_DLX1
7669_R_F_1_TBR1
7669_R_F_1_COUPTF2
7669_R_P_1_DLX1
7669_R_P_1_TBR1
7669_R_P_1_COUPTF2
7669_R_I_1_DLX1
7669_R_I_1_TBR1
7669_R_I_1_COUPTF2
7669_R_O_1_DLX1
7669_R_O_1_TBR1
7669_R_O_1_COUPTF2
7669_R_T_1_DLX1
7669_R_T_1_TBR1
7669_R_T_1_COUPTF2
7669_R_mO_DLX1
7669_R_mO_TBR1
7669_R_mO_COUPTF2
7669_L_EC_DLX1
7669_L_EC_COUPTF2
7669_R_CCMid_DLX1
7669_R_CC_Mid_TBR1
7669_R_CCMid_COUPTF2
B
2−48643619−C−T
0
−2
−4
−3
−2
−1
0
0.8
0.6
0.4
0.2
0.0

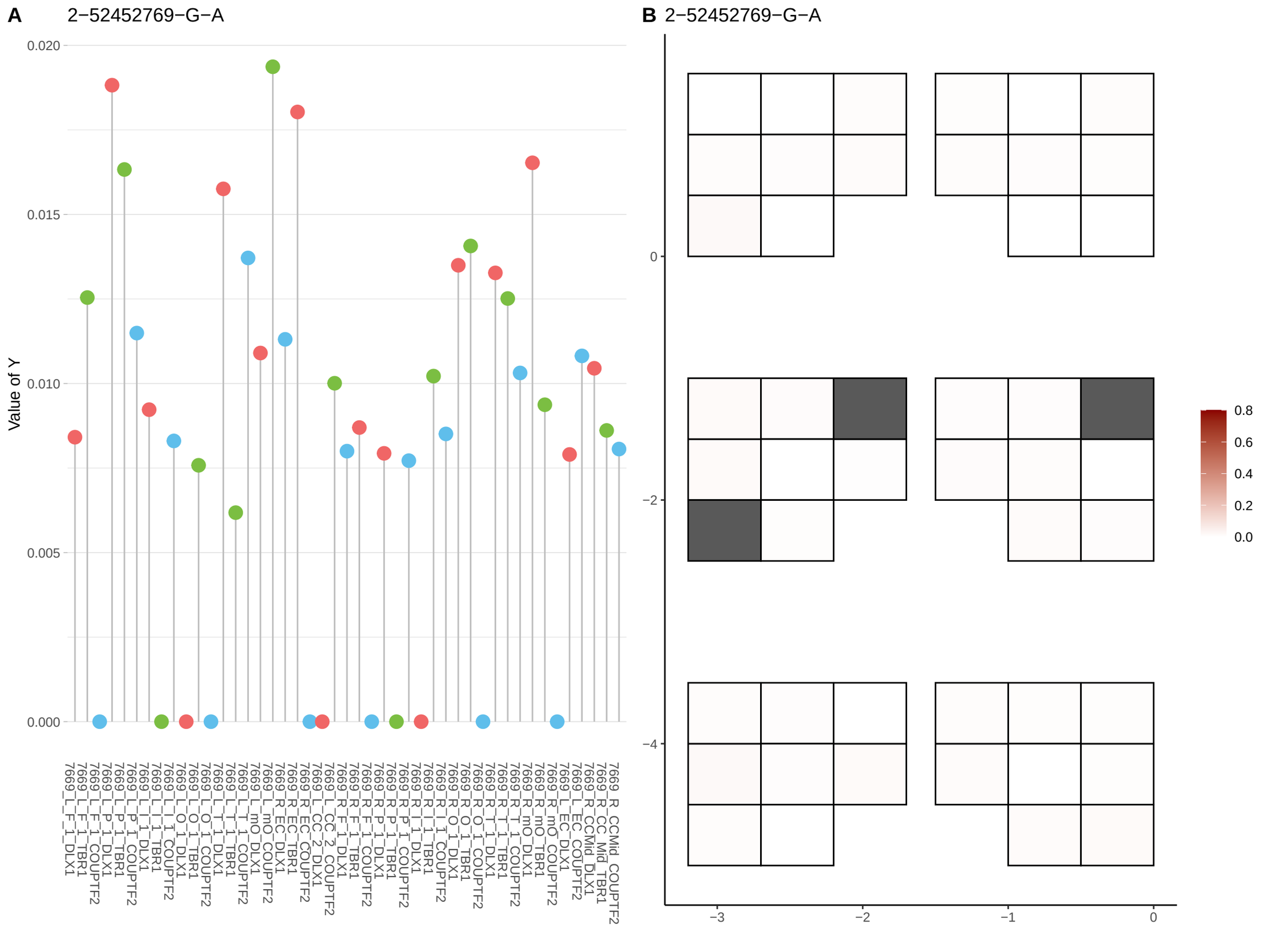
A
2−52452769−G−A
Value of Y
0.020
0.015
0.010
0.005
0.000
7669_L_F_1_DLX1
7669_L_F_1_TBR1
7669_L_F_1_COUPTF2
7669_L_P_1_DLX1
7669_L_P_1_TBR1
7669_L_P_1_COUPTF2
7669_L_I_1_DLX1
7669_L_I_1_TBR1
7669_L_I_1_COUPTF2
7669_L_O_1_DLX1
7669_L_O_1_TBR1
7669_L_O_1_COUPTF2
7669_L_T_1_DLX1
7669_L_T_1_TBR1
7669_L_T_1_COUPTF2
7669_L_mO_DLX1
7669_L_mO_COUPTF2
7669_R_EC_DLX1
7669_R_EC_TBR1
7669_R_EC_COUPTF2
7669_L_CC_2_DLX1
7669_L_CC_2_COUPTF2
7669_R_F_1_DLX1
7669_R_F_1_TBR1
7669_R_F_1_COUPTF2
7669_R_P_1_DLX1
7669_R_P_1_TBR1
7669_R_P_1_COUPTF2
7669_R_I_1_DLX1
7669_R_I_1_TBR1
7669_R_I_1_COUPTF2
7669_R_O_1_DLX1
7669_R_O_1_TBR1
7669_R_O_1_COUPTF2
7669_R_T_1_DLX1
7669_R_T_1_TBR1
7669_R_T_1_COUPTF2
7669_R_mO_DLX1
7669_R_mO_TBR1
7669_R_mO_COUPTF2
7669_L_EC_DLX1
7669_L_EC_COUPTF2
7669_R_CCMid_DLX1
7669_R_CC_Mid_TBR1
7669_R_CCMid_COUPTF2
B
2−52452769−G−A
0
−2
−4
−3
−2
−1
0
0.8
0.6
0.4
0.2
0.0

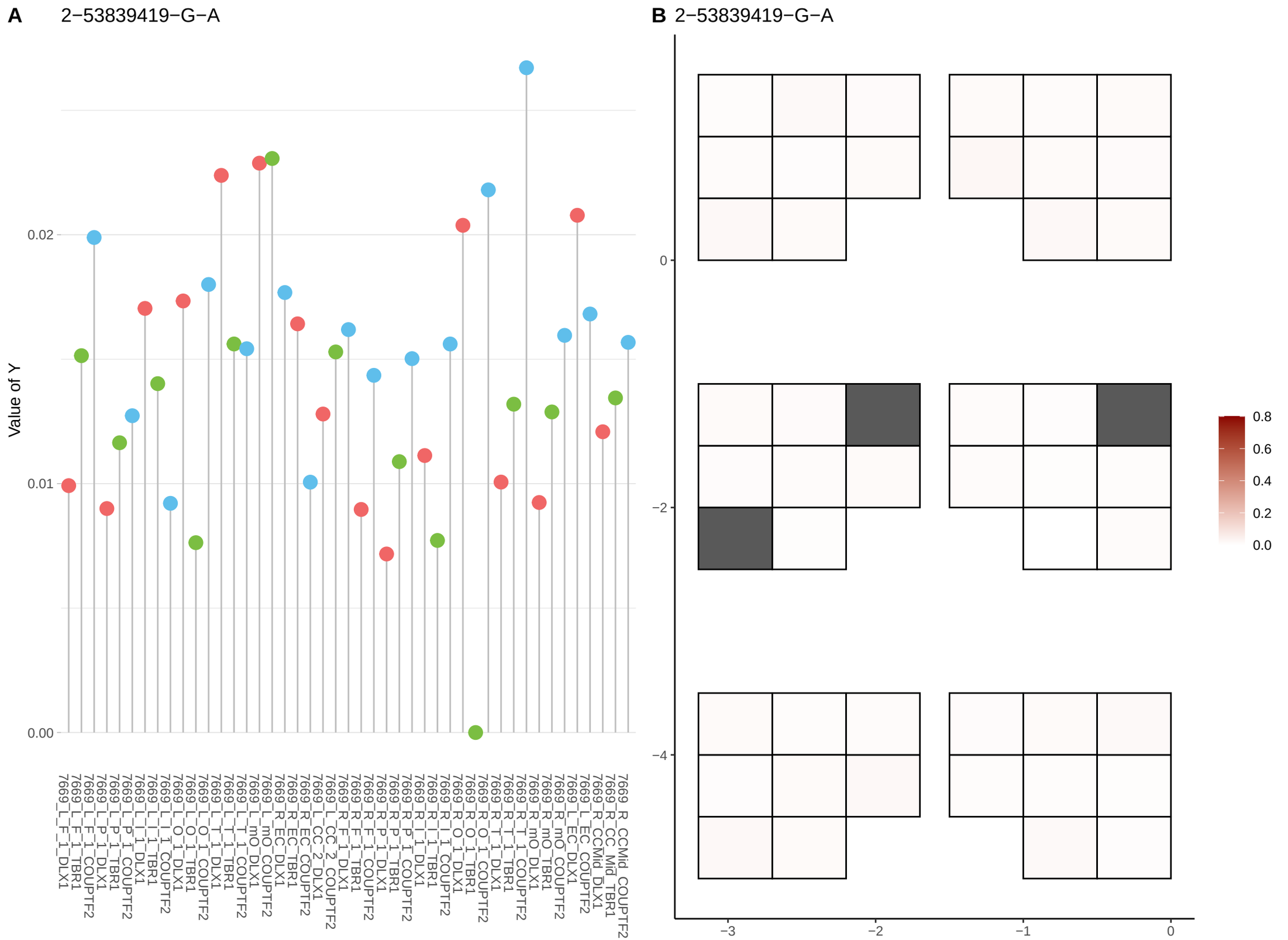
A
2−53839419−G−A
Value of Y
0.02
0.01
0.00
7669_L_F_1_DLX1
7669_L_F_1_TBR1
7669_L_F_1_COUPTF2
7669_L_P_1_DLX1
7669_L_P_1_TBR1
7669_L_P_1_COUPTF2
7669_L_I_1_DLX1
7669_L_I_1_TBR1
7669_L_I_1_COUPTF2
7669_L_O_1_DLX1
7669_L_O_1_TBR1
7669_L_O_1_COUPTF2
7669_L_T_1_DLX1
7669_L_T_1_TBR1
7669_L_T_1_COUPTF2
7669_L_mO_DLX1
7669_L_mO_COUPTF2
7669_R_EC_DLX1
7669_R_EC_TBR1
7669_R_EC_COUPTF2
7669_L_CC_2_DLX1
7669_L_CC_2_COUPTF2
7669_R_F_1_DLX1
7669_R_F_1_TBR1
7669_R_F_1_COUPTF2
7669_R_P_1_DLX1
7669_R_P_1_TBR1
7669_R_P_1_COUPTF2
7669_R_I_1_DLX1
7669_R_I_1_TBR1
7669_R_I_1_COUPTF2
7669_R_O_1_DLX1
7669_R_O_1_TBR1
7669_R_O_1_COUPTF2
7669_R_T_1_DLX1
7669_R_T_1_TBR1
7669_R_T_1_COUPTF2
7669_R_mO_DLX1
7669_R_mO_TBR1
7669_R_mO_COUPTF2
7669_L_EC_DLX1
7669_L_EC_COUPTF2
7669_R_CCMid_DLX1
7669_R_CC_Mid_TBR1
7669_R_CCMid_COUPTF2
B
2−53839419−G−A
0
−2
−4
−3
−2
−1
0
0.8
0.6
0.4
0.2
0.0

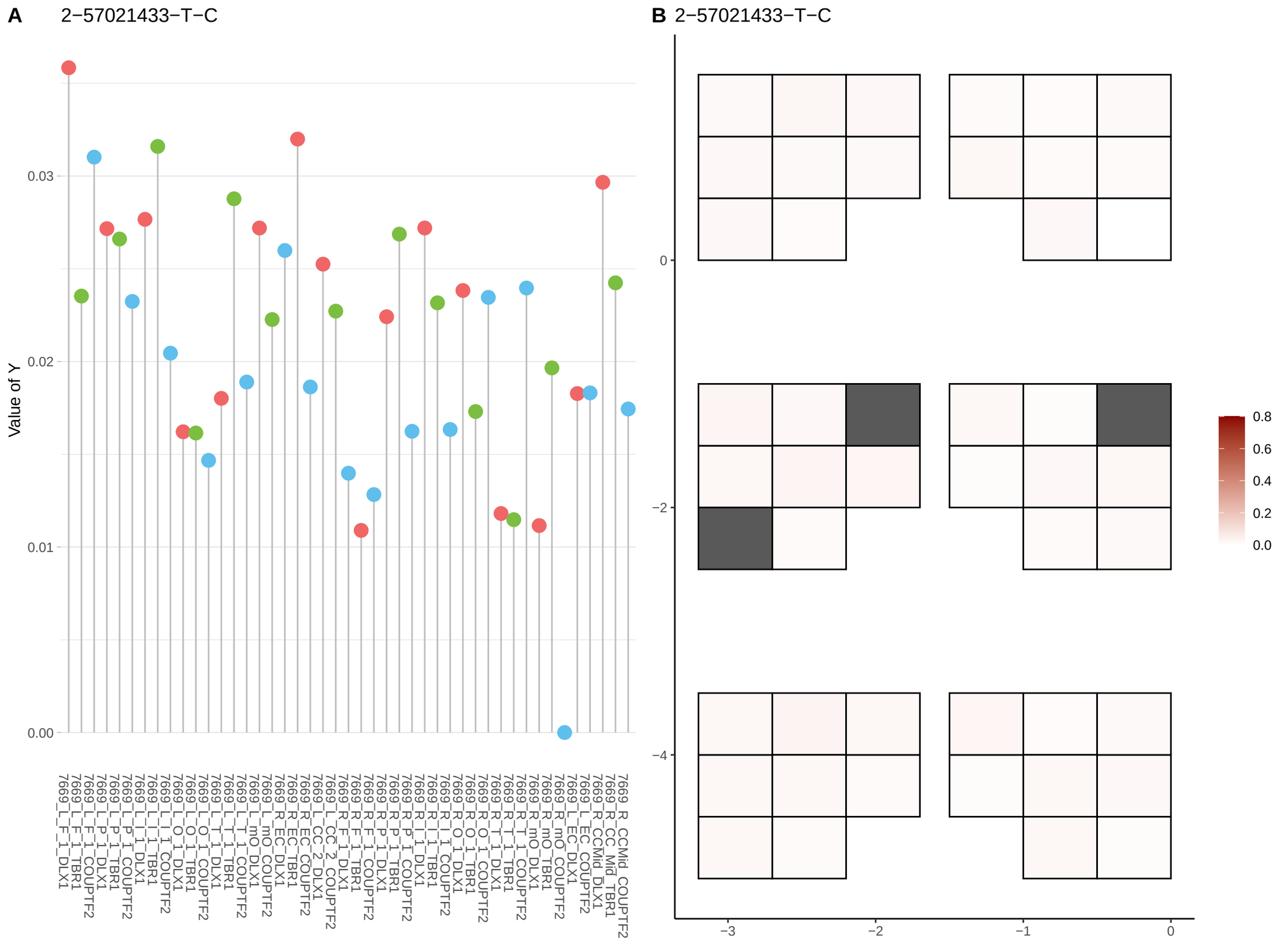
A
2−57021433−T−C
Value of Y
0.03
0.02
0.01
0.00
7669_L_F_1_DLX1
7669_L_F_1_TBR1
7669_L_F_1_COUPTF2
7669_L_P_1_DLX1
7669_L_P_1_TBR1
7669_L_P_1_COUPTF2
7669_L_I_1_DLX1
7669_L_I_1_TBR1
7669_L_I_1_COUPTF2
7669_L_O_1_DLX1
7669_L_O_1_TBR1
7669_L_O_1_COUPTF2
7669_L_T_1_DLX1
7669_L_T_1_TBR1
7669_L_T_1_COUPTF2
7669_L_mO_DLX1
7669_L_mO_COUPTF2
7669_R_EC_DLX1
7669_R_EC_TBR1
7669_R_EC_COUPTF2
7669_L_CC_2_DLX1
7669_L_CC_2_COUPTF2
7669_R_F_1_DLX1
7669_R_F_1_TBR1
7669_R_F_1_COUPTF2
7669_R_P_1_DLX1
7669_R_P_1_TBR1
7669_R_P_1_COUPTF2
7669_R_I_1_DLX1
7669_R_I_1_TBR1
7669_R_I_1_COUPTF2
7669_R_O_1_DLX1
7669_R_O_1_TBR1
7669_R_O_1_COUPTF2
7669_R_T_1_DLX1
7669_R_T_1_TBR1
7669_R_T_1_COUPTF2
7669_R_mO_DLX1
7669_R_mO_TBR1
7669_R_mO_COUPTF2
7669_L_EC_DLX1
7669_L_EC_COUPTF2
7669_R_CCMid_DLX1
7669_R_CC_Mid_TBR1
7669_R_CCMid_COUPTF2
B
2−57021433−T−C
0
−2
−4
−3
−2
−1
0
0.8
0.6
0.4
0.2
0.0

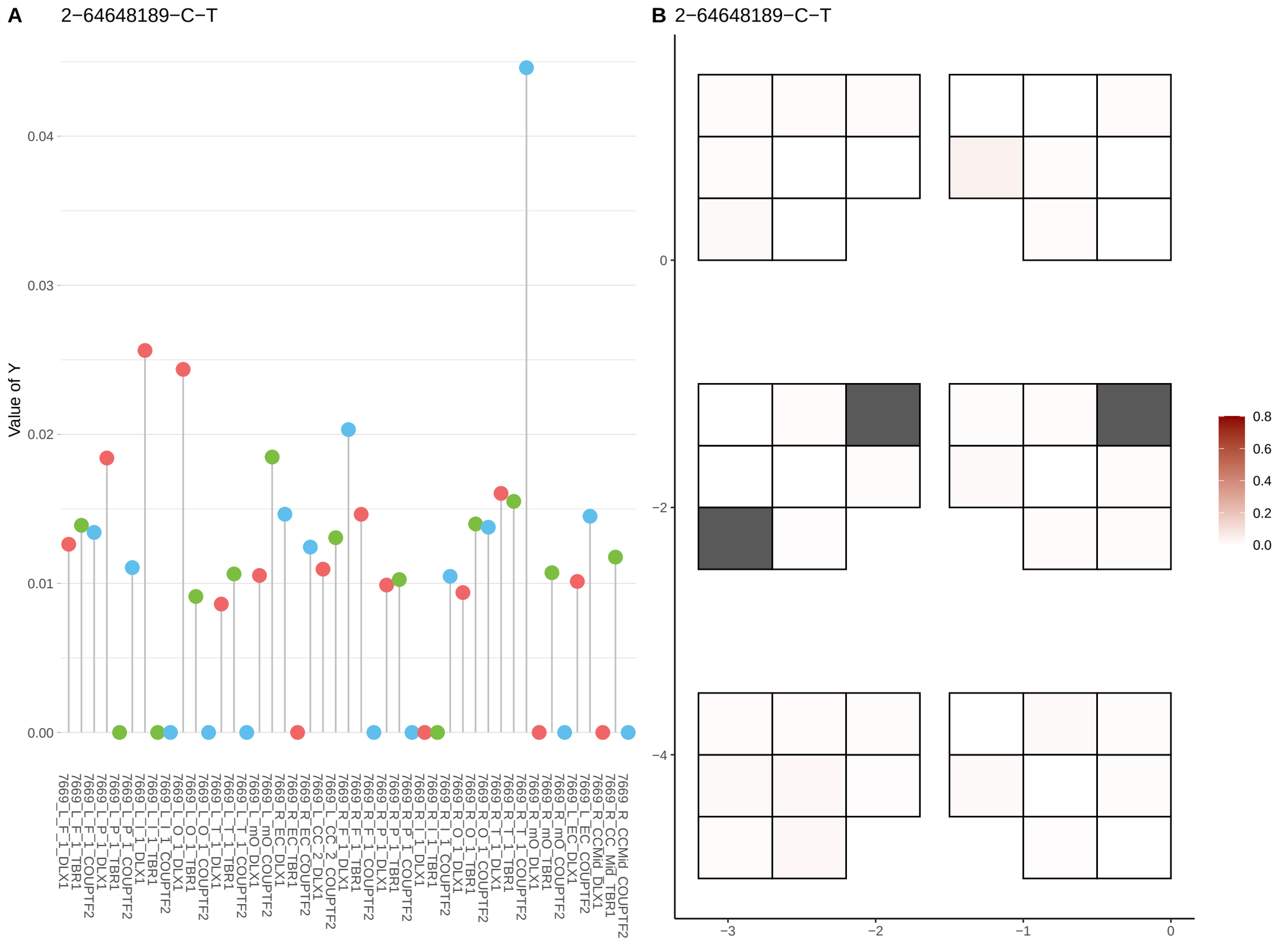
A
2−64648189−C−T
Value of Y
0.04
0.03
0.02
0.01
0.00
7669_L_F_1_DLX1
7669_L_F_1_TBR1
7669_L_F_1_COUPTF2
7669_L_P_1_DLX1
7669_L_P_1_TBR1
7669_L_P_1_COUPTF2
7669_L_I_1_DLX1
7669_L_I_1_TBR1
7669_L_I_1_COUPTF2
7669_L_O_1_DLX1
7669_L_O_1_TBR1
7669_L_O_1_COUPTF2
7669_L_T_1_DLX1
7669_L_T_1_TBR1
7669_L_T_1_COUPTF2
7669_L_mO_DLX1
7669_L_mO_COUPTF2
7669_R_EC_DLX1
7669_R_EC_TBR1
7669_R_EC_COUPTF2
7669_L_CC_2_DLX1
7669_L_CC_2_COUPTF2
7669_R_F_1_DLX1
7669_R_F_1_TBR1
7669_R_F_1_COUPTF2
7669_R_P_1_DLX1
7669_R_P_1_TBR1
7669_R_P_1_COUPTF2
7669_R_I_1_DLX1
7669_R_I_1_TBR1
7669_R_I_1_COUPTF2
7669_R_O_1_DLX1
7669_R_O_1_TBR1
7669_R_O_1_COUPTF2
7669_R_T_1_DLX1
7669_R_T_1_TBR1
7669_R_T_1_COUPTF2
7669_R_mO_DLX1
7669_R_mO_TBR1
7669_R_mO_COUPTF2
7669_L_EC_DLX1
7669_L_EC_COUPTF2
7669_R_CCMid_DLX1
7669_R_CC_Mid_TBR1
7669_R_CCMid_COUPTF2
B
2−64648189−C−T
0
−2
−4
−3
−2
−1
0
0.8
0.6
0.4
0.2
0.0

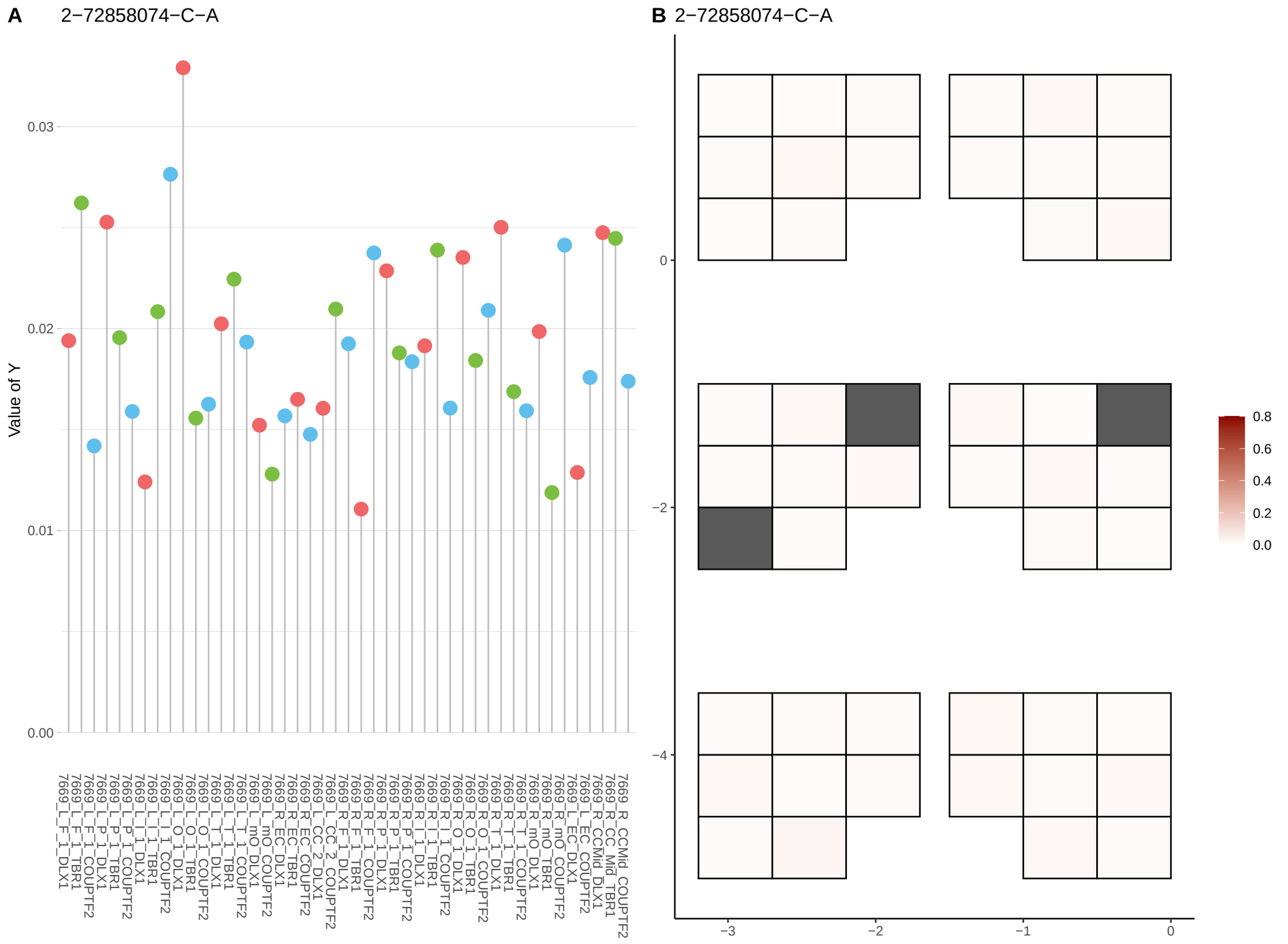
A
2−72858074−C−A
Value of Y
0.03
0.02
0.01
0.00
7669_L_F_1_DLX1
7669_L_F_1_TBR1
7669_L_F_1_COUPTF2
7669_L_P_1_DLX1
7669_L_P_1_TBR1
7669_L_P_1_COUPTF2
7669_L_I_1_DLX1
7669_L_I_1_TBR1
7669_L_I_1_COUPTF2
7669_L_O_1_DLX1
7669_L_O_1_TBR1
7669_L_O_1_COUPTF2
7669_L_T_1_DLX1
7669_L_T_1_TBR1
7669_L_T_1_COUPTF2
7669_L_mO_DLX1
7669_L_mO_COUPTF2
7669_R_EC_DLX1
7669_R_EC_TBR1
7669_R_EC_COUPTF2
7669_L_CC_2_DLX1
7669_L_CC_2_COUPTF2
7669_R_F_1_DLX1
7669_R_F_1_TBR1
7669_R_F_1_COUPTF2
7669_R_P_1_DLX1
7669_R_P_1_TBR1
7669_R_P_1_COUPTF2
7669_R_I_1_DLX1
7669_R_I_1_TBR1
7669_R_I_1_COUPTF2
7669_R_O_1_DLX1
7669_R_O_1_TBR1
7669_R_O_1_COUPTF2
7669_R_T_1_DLX1
7669_R_T_1_TBR1
7669_R_T_1_COUPTF2
7669_R_mO_DLX1
7669_R_mO_TBR1
7669_R_mO_COUPTF2
7669_L_EC_DLX1
7669_L_EC_COUPTF2
7669_R_CCMid_DLX1
7669_R_CC_Mid_TBR1
7669_R_CCMid_COUPTF2
B
2−72858074−C−A
0
−2
−4
−3
−2
−1
0
0.8
0.6
0.4
0.2
0.0

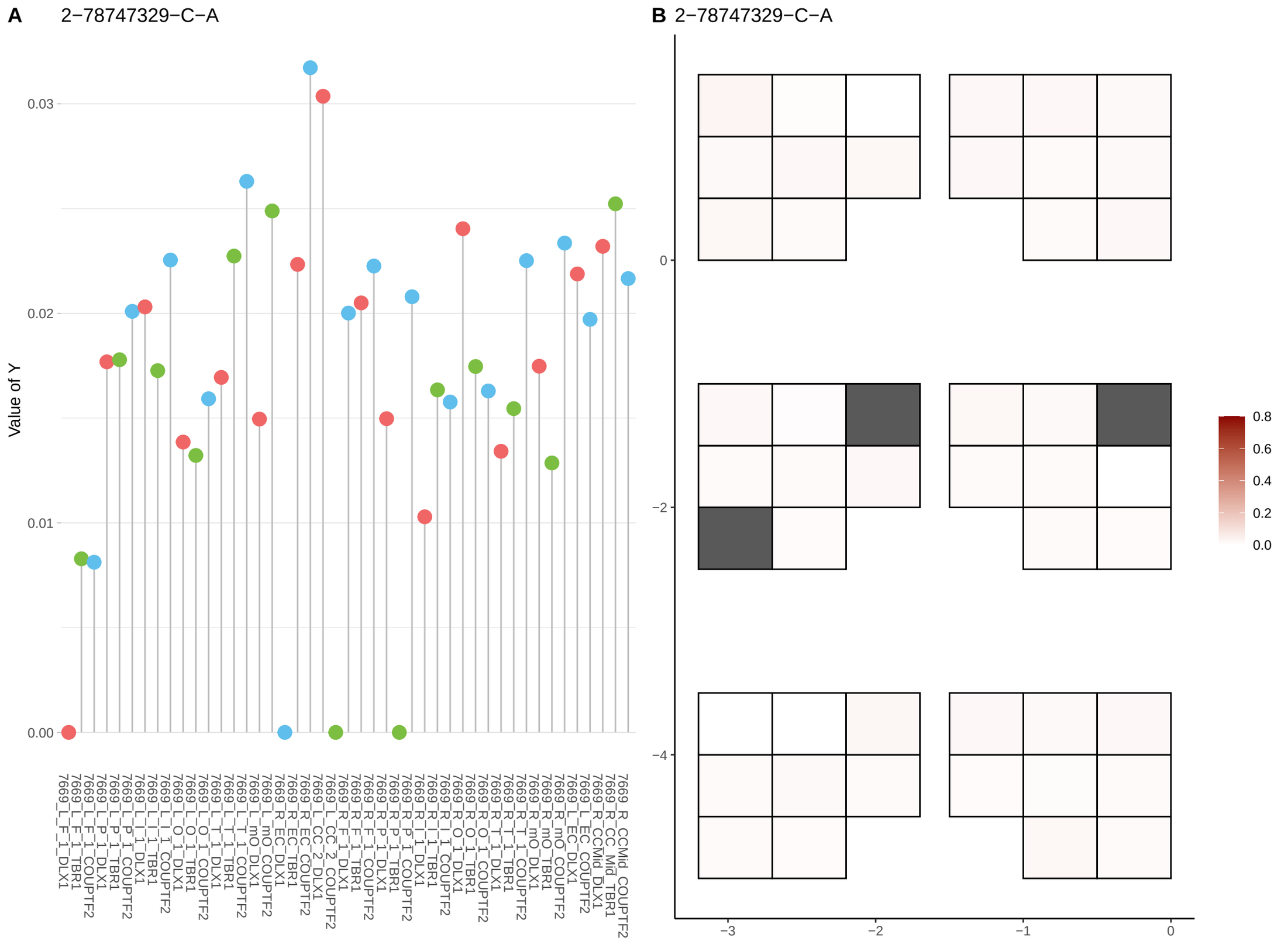
A
2−78747329−C−A
Value of Y
0.03
0.02
0.01
0.00
7669_L_F_1_DLX1
7669_L_F_1_TBR1
7669_L_F_1_COUPTF2
7669_L_P_1_DLX1
7669_L_P_1_TBR1
7669_L_P_1_COUPTF2
7669_L_I_1_DLX1
7669_L_I_1_TBR1
7669_L_I_1_COUPTF2
7669_L_O_1_DLX1
7669_L_O_1_TBR1
7669_L_O_1_COUPTF2
7669_L_T_1_DLX1
7669_L_T_1_TBR1
7669_L_T_1_COUPTF2
7669_L_mO_DLX1
7669_L_mO_COUPTF2
7669_R_EC_DLX1
7669_R_EC_TBR1
7669_R_EC_COUPTF2
7669_L_CC_2_DLX1
7669_L_CC_2_COUPTF2
7669_R_F_1_DLX1
7669_R_F_1_TBR1
7669_R_F_1_COUPTF2
7669_R_P_1_DLX1
7669_R_P_1_TBR1
7669_R_P_1_COUPTF2
7669_R_I_1_DLX1
7669_R_I_1_TBR1
7669_R_I_1_COUPTF2
7669_R_O_1_DLX1
7669_R_O_1_TBR1
7669_R_O_1_COUPTF2
7669_R_T_1_DLX1
7669_R_T_1_TBR1
7669_R_T_1_COUPTF2
7669_R_mO_DLX1
7669_R_mO_TBR1
7669_R_mO_COUPTF2
7669_L_EC_DLX1
7669_L_EC_COUPTF2
7669_R_CCMid_DLX1
7669_R_CC_Mid_TBR1
7669_R_CCMid_COUPTF2
B
2−78747329−C−A
0
−2
−4
−3
−2
−1
0
0.8
0.6
0.4
0.2
0.0

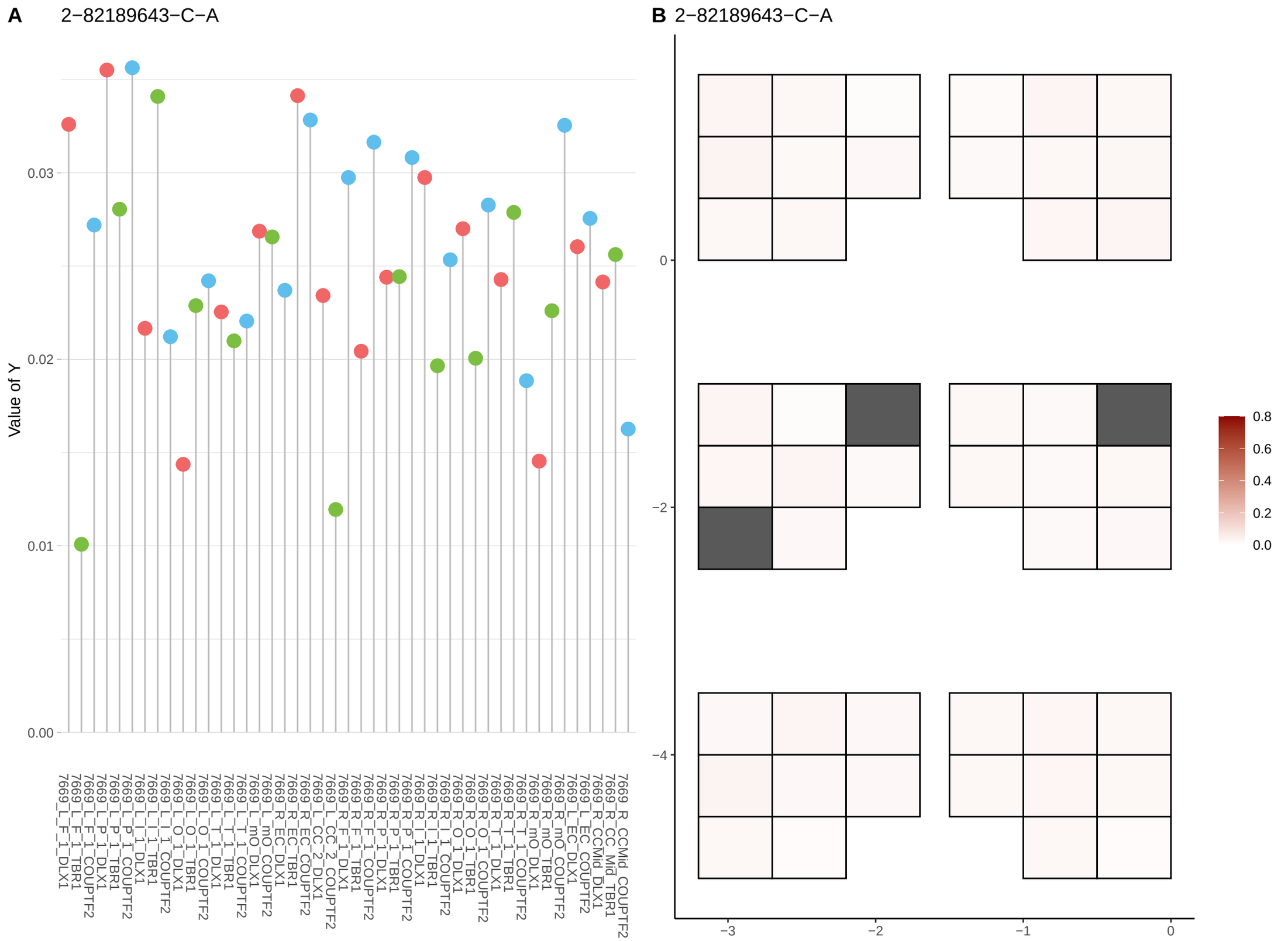
A
2−82189643−C−A
Value of Y
0.03
0.02
0.01
0.00
7669_L_F_1_DLX1
7669_L_F_1_TBR1
7669_L_F_1_COUPTF2
7669_L_P_1_DLX1
7669_L_P_1_TBR1
7669_L_P_1_COUPTF2
7669_L_I_1_DLX1
7669_L_I_1_TBR1
7669_L_I_1_COUPTF2
7669_L_O_1_DLX1
7669_L_O_1_TBR1
7669_L_O_1_COUPTF2
7669_L_T_1_DLX1
7669_L_T_1_TBR1
7669_L_T_1_COUPTF2
7669_L_mO_DLX1
7669_L_mO_COUPTF2
7669_R_EC_DLX1
7669_R_EC_TBR1
7669_R_EC_COUPTF2
7669_L_CC_2_DLX1
7669_L_CC_2_COUPTF2
7669_R_F_1_DLX1
7669_R_F_1_TBR1
7669_R_F_1_COUPTF2
7669_R_P_1_DLX1
7669_R_P_1_TBR1
7669_R_P_1_COUPTF2
7669_R_I_1_DLX1
7669_R_I_1_TBR1
7669_R_I_1_COUPTF2
7669_R_O_1_DLX1
7669_R_O_1_TBR1
7669_R_O_1_COUPTF2
7669_R_T_1_DLX1
7669_R_T_1_TBR1
7669_R_T_1_COUPTF2
7669_R_mO_DLX1
7669_R_mO_TBR1
7669_R_mO_COUPTF2
7669_L_EC_DLX1
7669_L_EC_COUPTF2
7669_R_CCMid_DLX1
7669_R_CC_Mid_TBR1
7669_R_CCMid_COUPTF2
B
2−82189643−C−A
0
−2
−4
−3
−2
−1
0
0.8
0.6
0.4
0.2
0.0

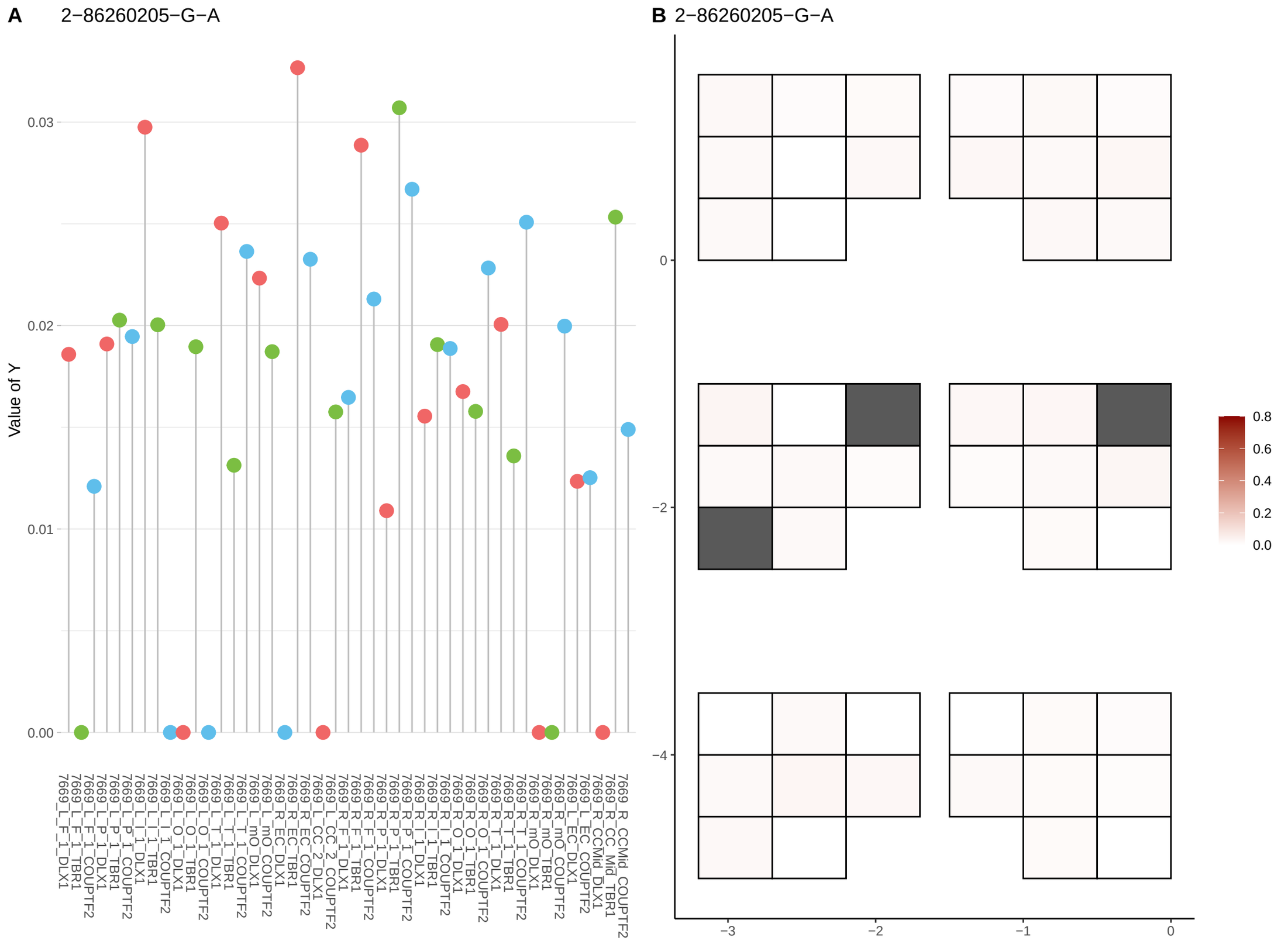
A
2−86260205−G−A
Value of Y
0.03
0.02
0.01
0.00
7669_L_F_1_DLX1
7669_L_F_1_TBR1
7669_L_F_1_COUPTF2
7669_L_P_1_DLX1
7669_L_P_1_TBR1
7669_L_P_1_COUPTF2
7669_L_I_1_DLX1
7669_L_I_1_TBR1
7669_L_I_1_COUPTF2
7669_L_O_1_DLX1
7669_L_O_1_TBR1
7669_L_O_1_COUPTF2
7669_L_T_1_DLX1
7669_L_T_1_TBR1
7669_L_T_1_COUPTF2
7669_L_mO_DLX1
7669_L_mO_COUPTF2
7669_R_EC_DLX1
7669_R_EC_TBR1
7669_R_EC_COUPTF2
7669_L_CC_2_DLX1
7669_L_CC_2_COUPTF2
7669_R_F_1_DLX1
7669_R_F_1_TBR1
7669_R_F_1_COUPTF2
7669_R_P_1_DLX1
7669_R_P_1_TBR1
7669_R_P_1_COUPTF2
7669_R_I_1_DLX1
7669_R_I_1_TBR1
7669_R_I_1_COUPTF2
7669_R_O_1_DLX1
7669_R_O_1_TBR1
7669_R_O_1_COUPTF2
7669_R_T_1_DLX1
7669_R_T_1_TBR1
7669_R_T_1_COUPTF2
7669_R_mO_DLX1
7669_R_mO_TBR1
7669_R_mO_COUPTF2
7669_L_EC_DLX1
7669_L_EC_COUPTF2
7669_R_CCMid_DLX1
7669_R_CC_Mid_TBR1
7669_R_CCMid_COUPTF2
B
2−86260205−G−A
0
−2
−4
−3
−2
−1
0
0.8
0.6
0.4
0.2
0.0

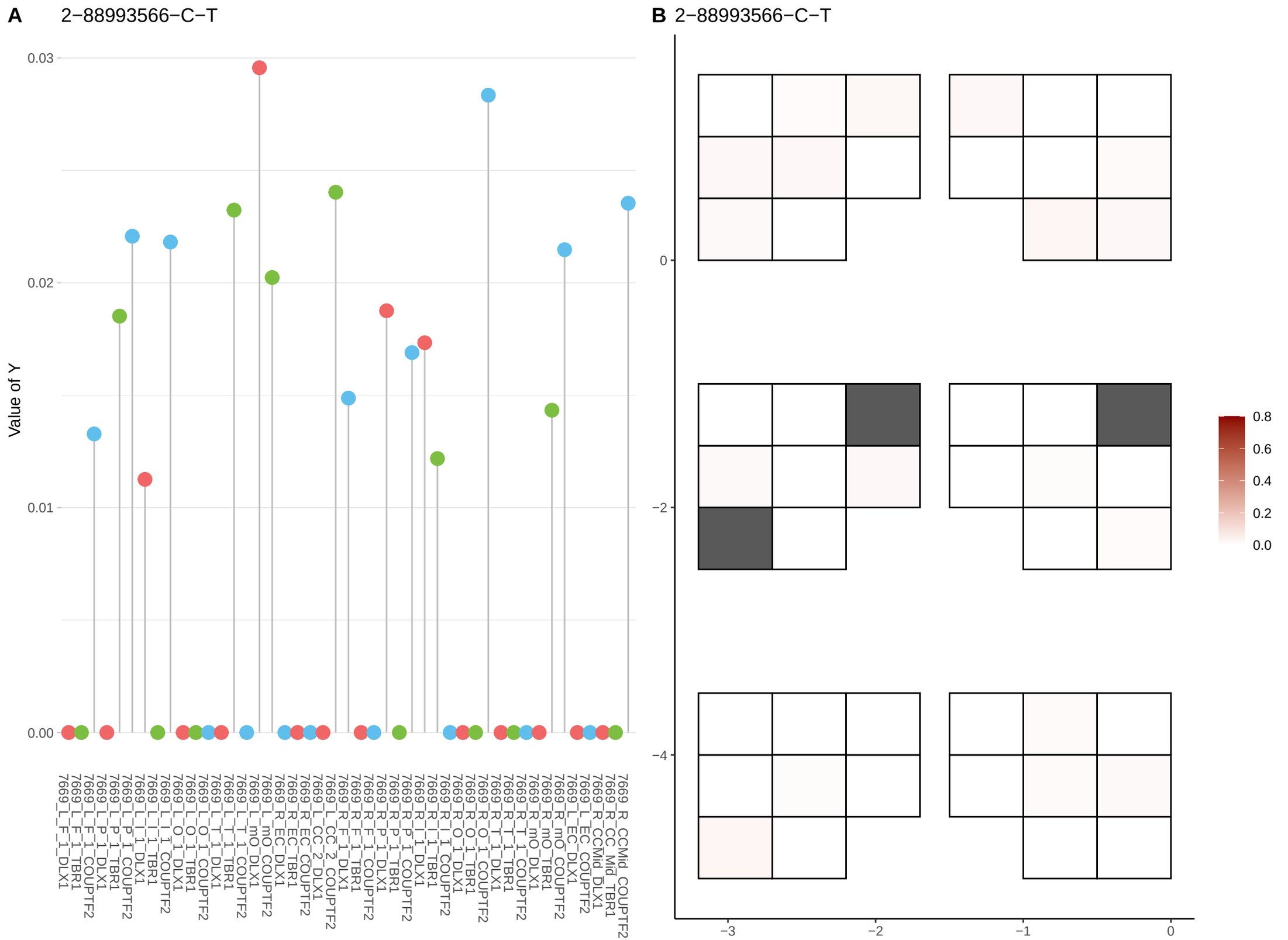
A
2−88993566−C−T
Value of Y
0.03
0.02
0.01
0.00
7669_L_F_1_DLX1
7669_L_F_1_TBR1
7669_L_F_1_COUPTF2
7669_L_P_1_DLX1
7669_L_P_1_TBR1
7669_L_P_1_COUPTF2
7669_L_I_1_DLX1
7669_L_I_1_TBR1
7669_L_I_1_COUPTF2
7669_L_O_1_DLX1
7669_L_O_1_TBR1
7669_L_O_1_COUPTF2
7669_L_T_1_DLX1
7669_L_T_1_TBR1
7669_L_T_1_COUPTF2
7669_L_mO_DLX1
7669_L_mO_COUPTF2
7669_R_EC_DLX1
7669_R_EC_TBR1
7669_R_EC_COUPTF2
7669_L_CC_2_DLX1
7669_L_CC_2_COUPTF2
7669_R_F_1_DLX1
7669_R_F_1_TBR1
7669_R_F_1_COUPTF2
7669_R_P_1_DLX1
7669_R_P_1_TBR1
7669_R_P_1_COUPTF2
7669_R_I_1_DLX1
7669_R_I_1_TBR1
7669_R_I_1_COUPTF2
7669_R_O_1_DLX1
7669_R_O_1_TBR1
7669_R_O_1_COUPTF2
7669_R_T_1_DLX1
7669_R_T_1_TBR1
7669_R_T_1_COUPTF2
7669_R_mO_DLX1
7669_R_mO_TBR1
7669_R_mO_COUPTF2
7669_L_EC_DLX1
7669_L_EC_COUPTF2
7669_R_CCMid_DLX1
7669_R_CC_Mid_TBR1
7669_R_CCMid_COUPTF2
B
2−88993566−C−T
0
−2
−4
−3
−2
−1
0
0.8
0.6
0.4
0.2
0.0

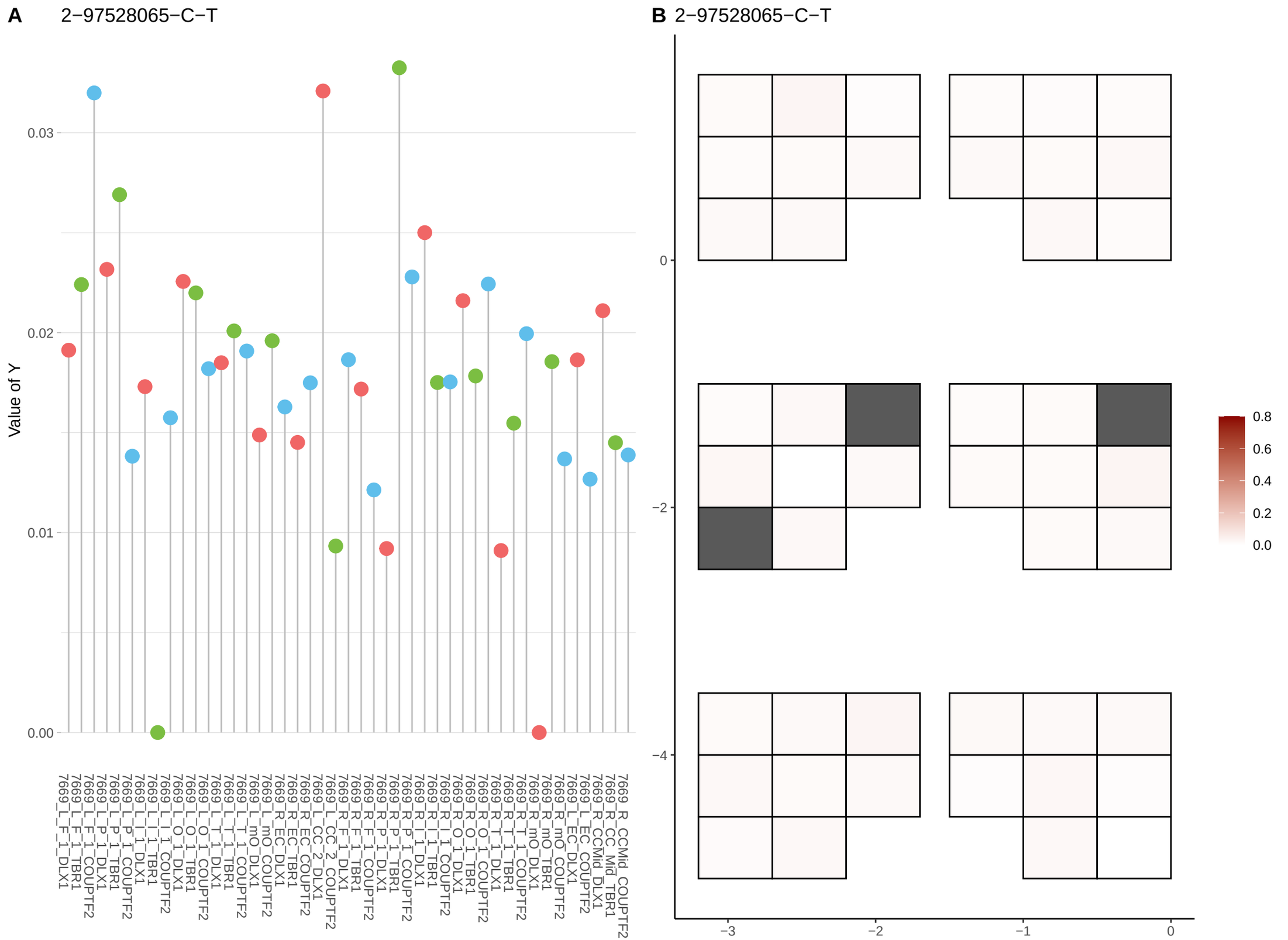
A
2−97528065−C−T
Value of Y
0.03
0.02
0.01
0.00
7669_L_F_1_DLX1
7669_L_F_1_TBR1
7669_L_F_1_COUPTF2
7669_L_P_1_DLX1
7669_L_P_1_TBR1
7669_L_P_1_COUPTF2
7669_L_I_1_DLX1
7669_L_I_1_TBR1
7669_L_I_1_COUPTF2
7669_L_O_1_DLX1
7669_L_O_1_TBR1
7669_L_O_1_COUPTF2
7669_L_T_1_DLX1
7669_L_T_1_TBR1
7669_L_T_1_COUPTF2
7669_L_mO_DLX1
7669_L_mO_COUPTF2
7669_R_EC_DLX1
7669_R_EC_TBR1
7669_R_EC_COUPTF2
7669_L_CC_2_DLX1
7669_L_CC_2_COUPTF2
7669_R_F_1_DLX1
7669_R_F_1_TBR1
7669_R_F_1_COUPTF2
7669_R_P_1_DLX1
7669_R_P_1_TBR1
7669_R_P_1_COUPTF2
7669_R_I_1_DLX1
7669_R_I_1_TBR1
7669_R_I_1_COUPTF2
7669_R_O_1_DLX1
7669_R_O_1_TBR1
7669_R_O_1_COUPTF2
7669_R_T_1_DLX1
7669_R_T_1_TBR1
7669_R_T_1_COUPTF2
7669_R_mO_DLX1
7669_R_mO_TBR1
7669_R_mO_COUPTF2
7669_L_EC_DLX1
7669_L_EC_COUPTF2
7669_R_CCMid_DLX1
7669_R_CC_Mid_TBR1
7669_R_CCMid_COUPTF2
B
2−97528065−C−T
0
−2
−4
−3
−2
−1
0
0.8
0.6
0.4
0.2
0.0

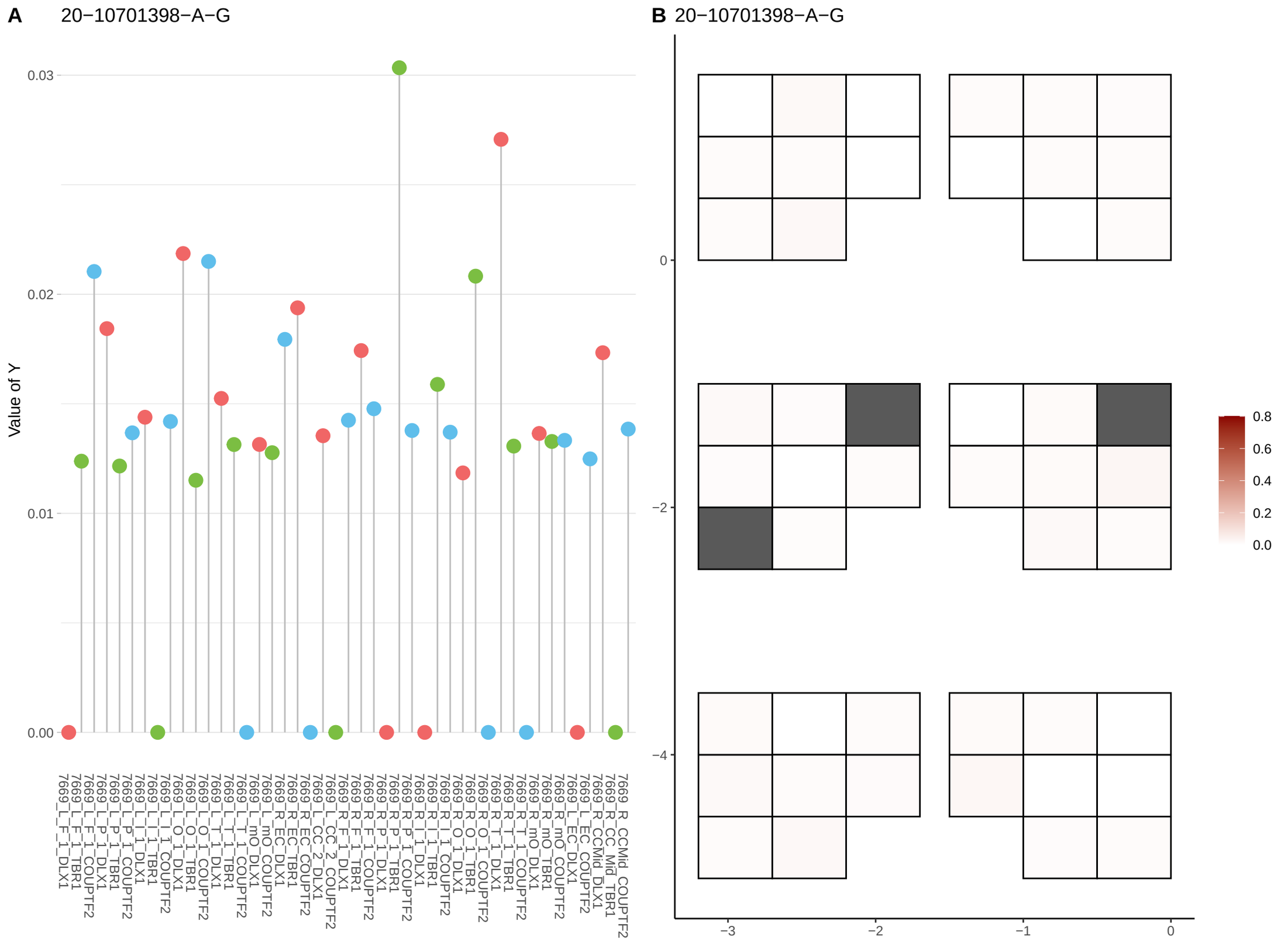
A
20−10701398−A−G
Value of Y
0.03
0.02
0.01
0.00
7669_L_F_1_DLX1
7669_L_F_1_TBR1
7669_L_F_1_COUPTF2
7669_L_P_1_DLX1
7669_L_P_1_TBR1
7669_L_P_1_COUPTF2
7669_L_I_1_DLX1
7669_L_I_1_TBR1
7669_L_I_1_COUPTF2
7669_L_O_1_DLX1
7669_L_O_1_TBR1
7669_L_O_1_COUPTF2
7669_L_T_1_DLX1
7669_L_T_1_TBR1
7669_L_T_1_COUPTF2
7669_L_mO_DLX1
7669_L_mO_COUPTF2
7669_R_EC_DLX1
7669_R_EC_TBR1
7669_R_EC_COUPTF2
7669_L_CC_2_DLX1
7669_L_CC_2_COUPTF2
7669_R_F_1_DLX1
7669_R_F_1_TBR1
7669_R_F_1_COUPTF2
7669_R_P_1_DLX1
7669_R_P_1_TBR1
7669_R_P_1_COUPTF2
7669_R_I_1_DLX1
7669_R_I_1_TBR1
7669_R_I_1_COUPTF2
7669_R_O_1_DLX1
7669_R_O_1_TBR1
7669_R_O_1_COUPTF2
7669_R_T_1_DLX1
7669_R_T_1_TBR1
7669_R_T_1_COUPTF2
7669_R_mO_DLX1
7669_R_mO_TBR1
7669_R_mO_COUPTF2
7669_L_EC_DLX1
7669_L_EC_COUPTF2
7669_R_CCMid_DLX1
7669_R_CC_Mid_TBR1
7669_R_CCMid_COUPTF2
B
20−10701398−A−G
0
−2
−4
−3
−2
−1
0
0.8
0.6
0.4
0.2
0.0

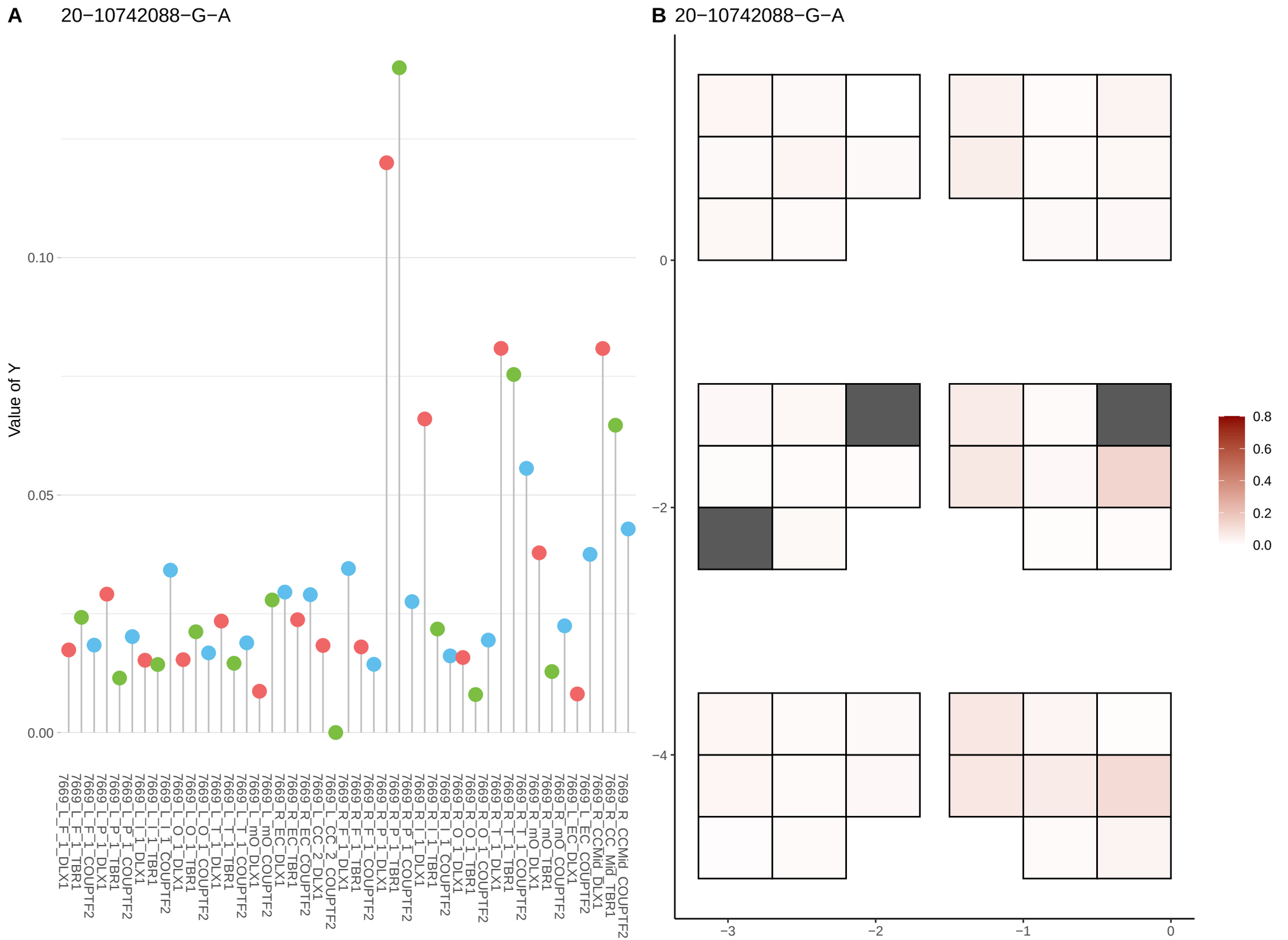
A
20−10742088−G−A
Value of Y
0.10
0.05
0.00
7669_L_F_1_DLX1
7669_L_F_1_TBR1
7669_L_F_1_COUPTF2
7669_L_P_1_DLX1
7669_L_P_1_TBR1
7669_L_P_1_COUPTF2
7669_L_I_1_DLX1
7669_L_I_1_TBR1
7669_L_I_1_COUPTF2
7669_L_O_1_DLX1
7669_L_O_1_TBR1
7669_L_O_1_COUPTF2
7669_L_T_1_DLX1
7669_L_T_1_TBR1
7669_L_T_1_COUPTF2
7669_L_mO_DLX1
7669_L_mO_COUPTF2
7669_R_EC_DLX1
7669_R_EC_TBR1
7669_R_EC_COUPTF2
7669_L_CC_2_DLX1
7669_L_CC_2_COUPTF2
7669_R_F_1_DLX1
7669_R_F_1_TBR1
7669_R_F_1_COUPTF2
7669_R_P_1_DLX1
7669_R_P_1_TBR1
7669_R_P_1_COUPTF2
7669_R_I_1_DLX1
7669_R_I_1_TBR1
7669_R_I_1_COUPTF2
7669_R_O_1_DLX1
7669_R_O_1_TBR1
7669_R_O_1_COUPTF2
7669_R_T_1_DLX1
7669_R_T_1_TBR1
7669_R_T_1_COUPTF2
7669_R_mO_DLX1
7669_R_mO_TBR1
7669_R_mO_COUPTF2
7669_L_EC_DLX1
7669_L_EC_COUPTF2
7669_R_CCMid_DLX1
7669_R_CC_Mid_TBR1
7669_R_CCMid_COUPTF2
B
20−10742088−G−A
0
−2
−4
−3
−2
−1
0
0.8
0.6
0.4
0.2
0.0

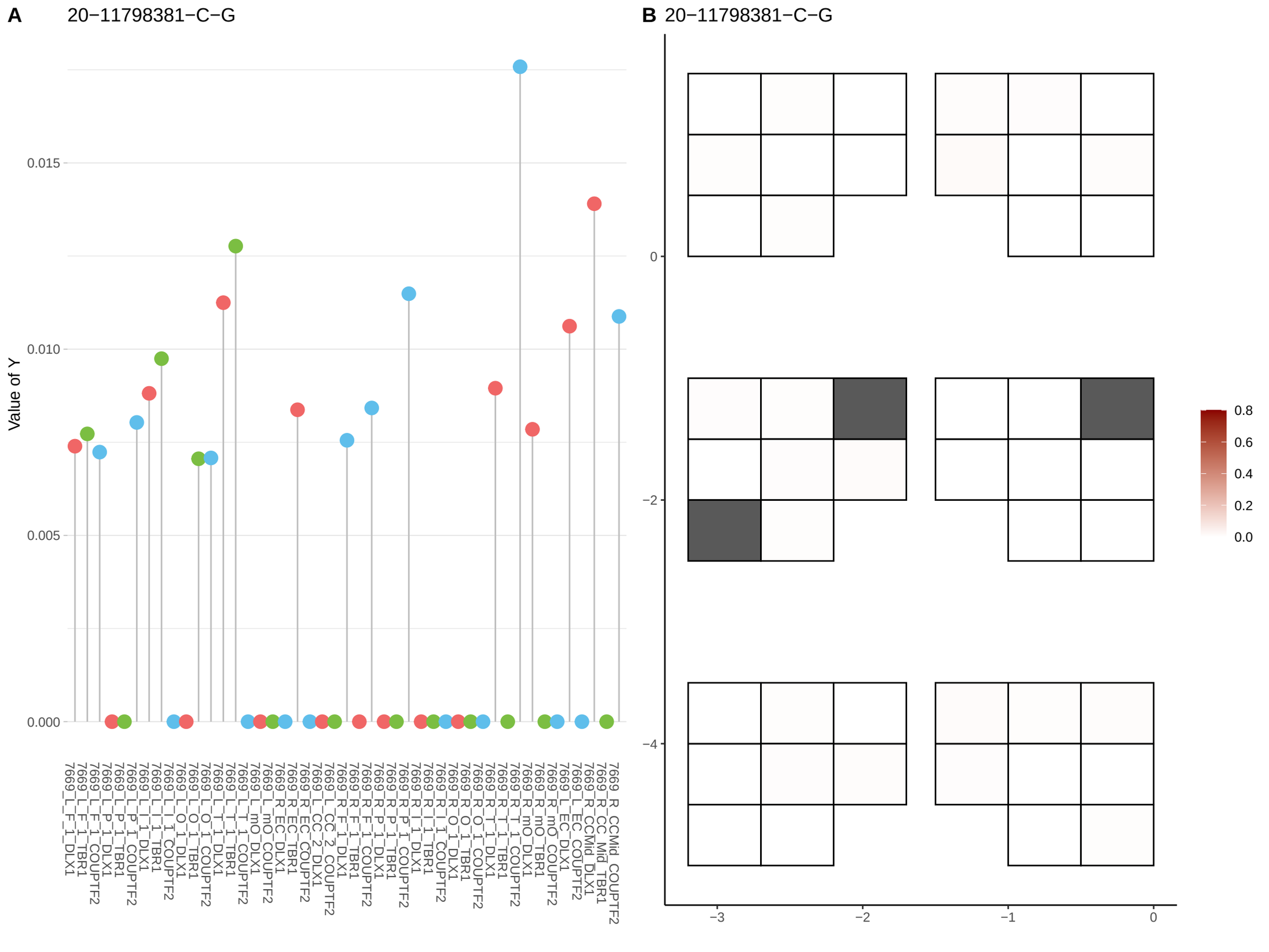
A
20−11798381−C−G
Value of Y
0.015
0.010
0.005
0.000
7669_L_F_1_DLX1
7669_L_F_1_TBR1
7669_L_F_1_COUPTF2
7669_L_P_1_DLX1
7669_L_P_1_TBR1
7669_L_P_1_COUPTF2
7669_L_I_1_DLX1
7669_L_I_1_TBR1
7669_L_I_1_COUPTF2
7669_L_O_1_DLX1
7669_L_O_1_TBR1
7669_L_O_1_COUPTF2
7669_L_T_1_DLX1
7669_L_T_1_TBR1
7669_L_T_1_COUPTF2
7669_L_mO_DLX1
7669_L_mO_COUPTF2
7669_R_EC_TBR1
7669_R_EC_DLX1
7669_R_EC_COUPTF2
7669_L_CC_2_DLX1
7669_L_CC_2_COUPTF2
7669_R_F_1_DLX1
7669_R_F_1_TBR1
7669_R_F_1_COUPTF2
7669_R_P_1_DLX1
7669_R_P_1_TBR1
7669_R_P_1_COUPTF2
7669_R_I_1_DLX1
7669_R_I_1_TBR1
7669_R_I_1_COUPTF2
7669_R_O_1_DLX1
7669_R_O_1_TBR1
7669_R_O_1_COUPTF2
7669_R_T_1_DLX1
7669_R_T_1_TBR1
7669_R_T_1_COUPTF2
7669_R_mO_DLX1
7669_R_mO_TBR1
7669_R_mO_COUPTF2
7669_L_EC_DLX1
7669_L_EC_COUPTF2
7669_R_CCMid_DLX1
7669_R_CC_Mid_TBR1
7669_R_CCMid_COUPTF2
B
20−11798381−C−G
0
−2
−4
−3
−2
−1
0
0.8
0.6
0.4
0.2
0.0

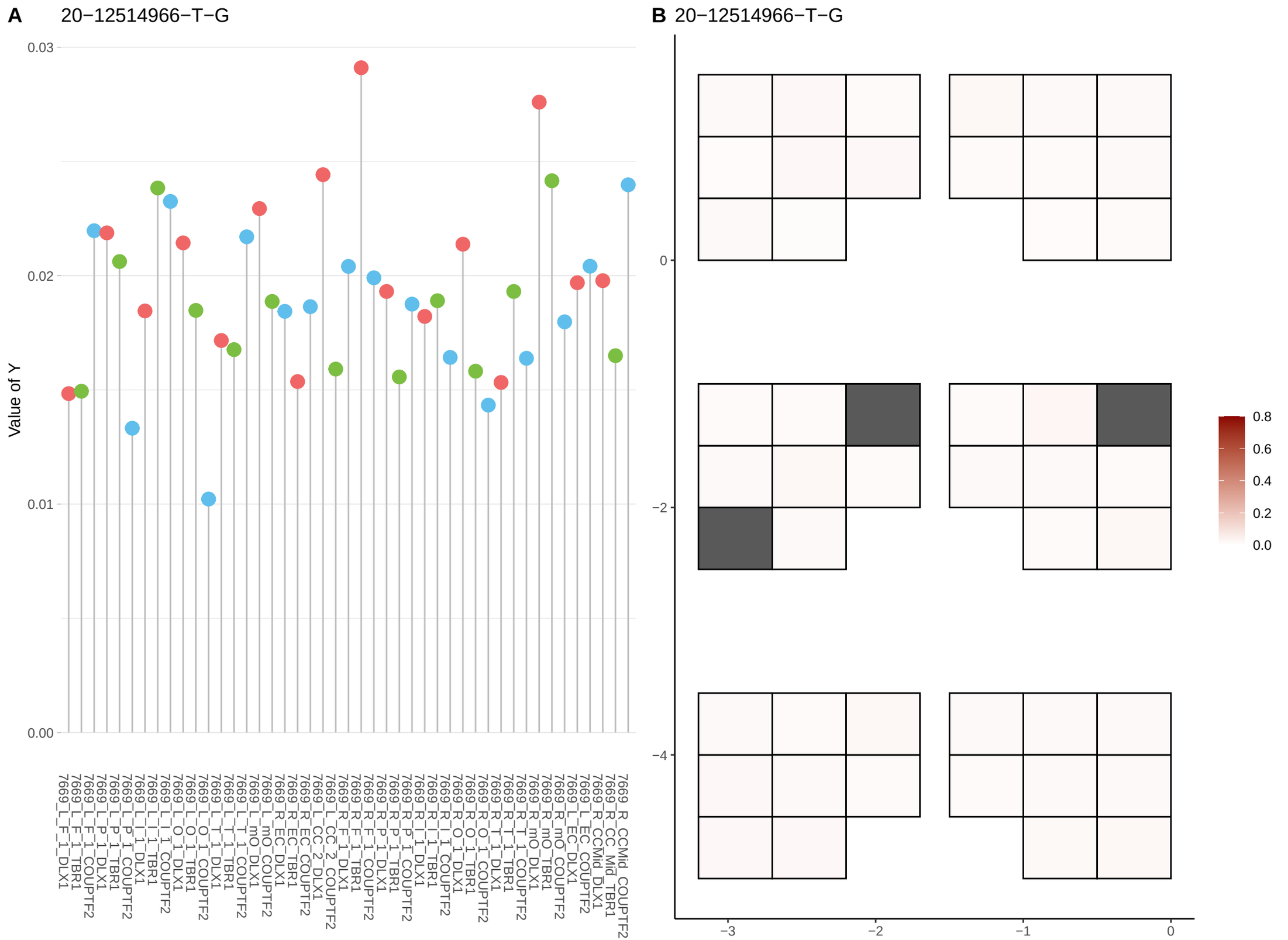
A
20−12514966−T−G
Value of Y
0.03
0.02
0.01
0.00
7669_L_F_1_DLX1
7669_L_F_1_TBR1
7669_L_F_1_COUPTF2
7669_L_P_1_DLX1
7669_L_P_1_TBR1
7669_L_P_1_COUPTF2
7669_L_I_1_DLX1
7669_L_I_1_TBR1
7669_L_I_1_COUPTF2
7669_L_O_1_DLX1
7669_L_O_1_TBR1
7669_L_O_1_COUPTF2
7669_L_T_1_DLX1
7669_L_T_1_TBR1
7669_L_T_1_COUPTF2
7669_L_mO_DLX1
7669_L_mO_COUPTF2
7669_R_EC_DLX1
7669_R_EC_TBR1
7669_R_EC_COUPTF2
7669_L_CC_2_DLX1
7669_L_CC_2_COUPTF2
7669_R_F_1_DLX1
7669_R_F_1_TBR1
7669_R_F_1_COUPTF2
7669_R_P_1_DLX1
7669_R_P_1_TBR1
7669_R_P_1_COUPTF2
7669_R_I_1_DLX1
7669_R_I_1_TBR1
7669_R_I_1_COUPTF2
7669_R_O_1_DLX1
7669_R_O_1_TBR1
7669_R_O_1_COUPTF2
7669_R_T_1_DLX1
7669_R_T_1_TBR1
7669_R_T_1_COUPTF2
7669_R_mO_DLX1
7669_R_mO_TBR1
7669_R_mO_COUPTF2
7669_L_EC_DLX1
7669_L_EC_COUPTF2
7669_R_CCMid_DLX1
7669_R_CC_Mid_TBR1
7669_R_CCMid_COUPTF2
B
20−12514966−T−G
0
−2
−4
−3
−2
−1
0
0.8
0.6
0.4
0.2
0.0

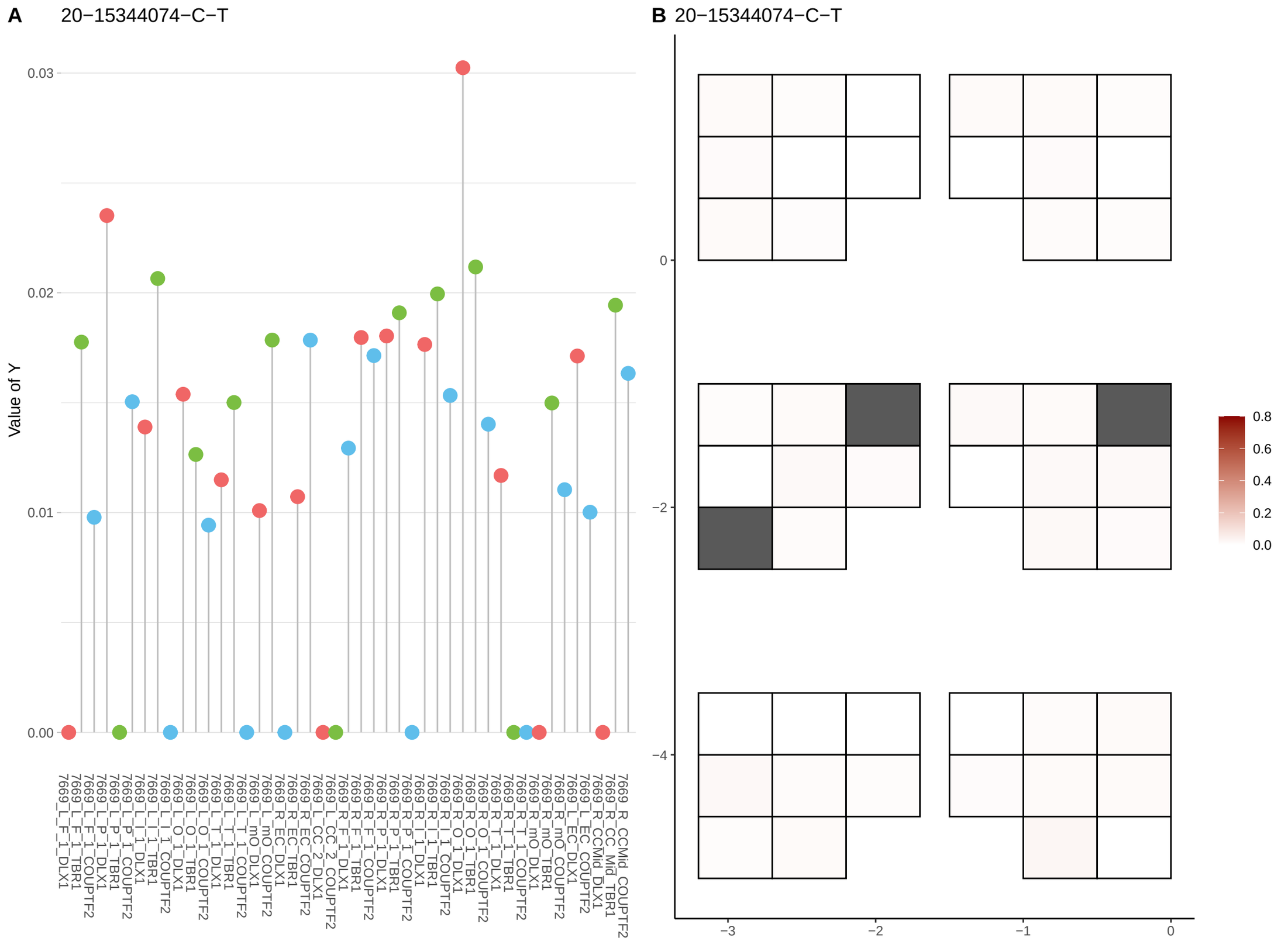
A
20−15344074−C−T
Value of Y
0.03
0.02
0.01
0.00
7669_L_F_1_DLX1
7669_L_F_1_TBR1
7669_L_F_1_COUPTF2
7669_L_P_1_DLX1
7669_L_P_1_TBR1
7669_L_P_1_COUPTF2
7669_L_I_1_DLX1
7669_L_I_1_TBR1
7669_L_I_1_COUPTF2
7669_L_O_1_DLX1
7669_L_O_1_TBR1
7669_L_O_1_COUPTF2
7669_L_T_1_DLX1
7669_L_T_1_TBR1
7669_L_T_1_COUPTF2
7669_L_mO_DLX1
7669_L_mO_COUPTF2
7669_R_EC_DLX1
7669_R_EC_TBR1
7669_R_EC_COUPTF2
7669_L_CC_2_DLX1
7669_L_CC_2_COUPTF2
7669_R_F_1_DLX1
7669_R_F_1_TBR1
7669_R_F_1_COUPTF2
7669_R_P_1_DLX1
7669_R_P_1_TBR1
7669_R_P_1_COUPTF2
7669_R_I_1_DLX1
7669_R_I_1_TBR1
7669_R_I_1_COUPTF2
7669_R_O_1_DLX1
7669_R_O_1_TBR1
7669_R_O_1_COUPTF2
7669_R_T_1_DLX1
7669_R_T_1_TBR1
7669_R_T_1_COUPTF2
7669_R_mO_DLX1
7669_R_mO_TBR1
7669_R_mO_COUPTF2
7669_L_EC_DLX1
7669_L_EC_COUPTF2
7669_R_CCMid_DLX1
7669_R_CC_Mid_TBR1
7669_R_CCMid_COUPTF2
B
20−15344074−C−T
0
−2
−4
−3
−2
−1
0
0.8
0.6
0.4
0.2
0.0

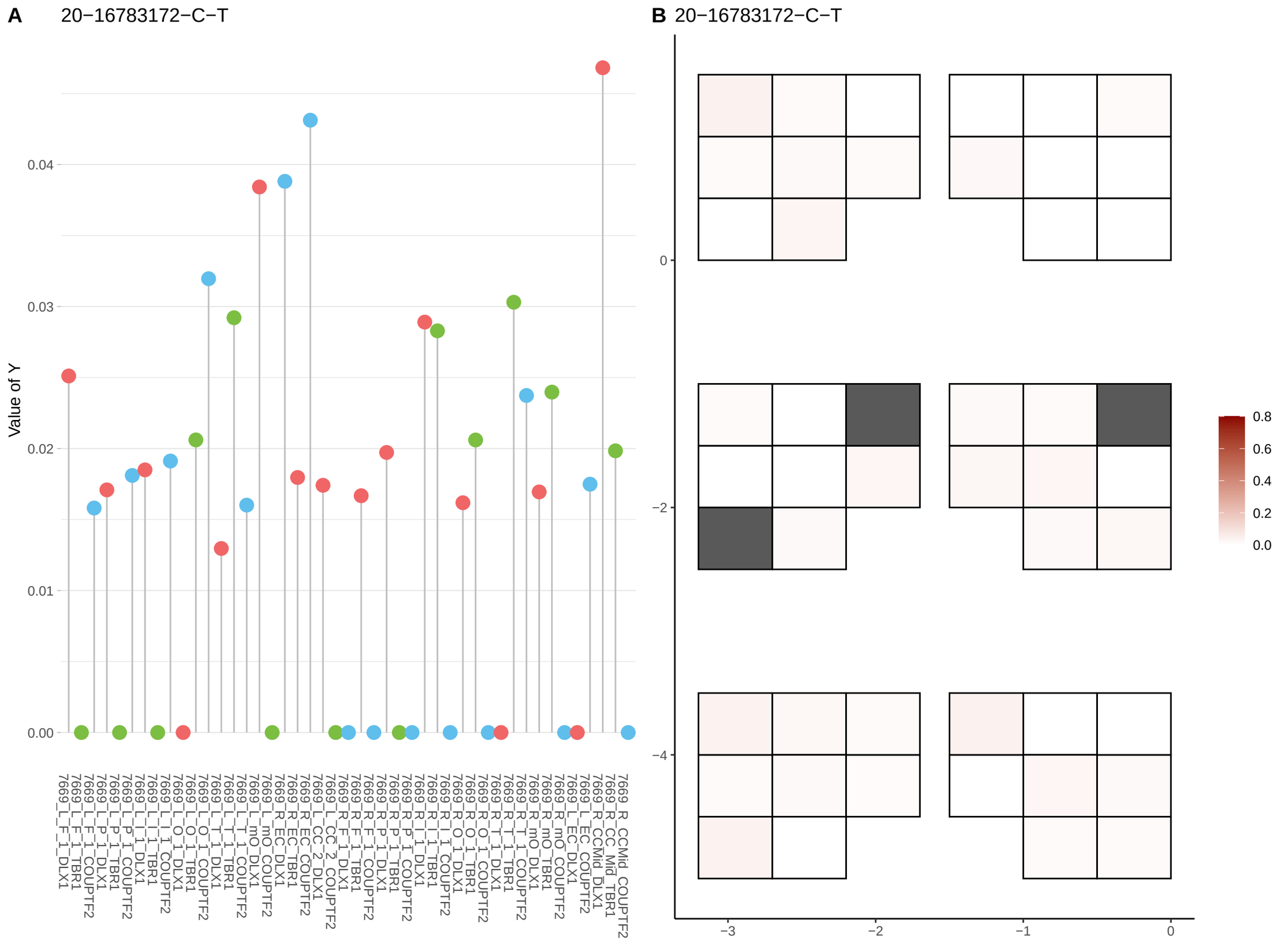
A
20−16783172−C−T
Value of Y
0.04
0.03
0.02
0.01
0.00
7669_L_F_1_DLX1
7669_L_F_1_TBR1
7669_L_F_1_COUPTF2
7669_L_P_1_DLX1
7669_L_P_1_TBR1
7669_L_P_1_COUPTF2
7669_L_I_1_DLX1
7669_L_I_1_TBR1
7669_L_I_1_COUPTF2
7669_L_O_1_DLX1
7669_L_O_1_TBR1
7669_L_O_1_COUPTF2
7669_L_T_1_DLX1
7669_L_T_1_TBR1
7669_L_T_1_COUPTF2
7669_L_mO_DLX1
7669_L_mO_COUPTF2
7669_R_EC_DLX1
7669_R_EC_TBR1
7669_R_EC_COUPTF2
7669_L_CC_2_DLX1
7669_L_CC_2_COUPTF2
7669_R_F_1_DLX1
7669_R_F_1_TBR1
7669_R_F_1_COUPTF2
7669_R_P_1_DLX1
7669_R_P_1_TBR1
7669_R_P_1_COUPTF2
7669_R_I_1_DLX1
7669_R_I_1_TBR1
7669_R_I_1_COUPTF2
7669_R_O_1_DLX1
7669_R_O_1_TBR1
7669_R_O_1_COUPTF2
7669_R_T_1_DLX1
7669_R_T_1_TBR1
7669_R_T_1_COUPTF2
7669_R_mO_DLX1
7669_R_mO_TBR1
7669_R_mO_COUPTF2
7669_L_EC_DLX1
7669_L_EC_COUPTF2
7669_R_CCMid_DLX1
7669_R_CC_Mid_TBR1
7669_R_CCMid_COUPTF2
B
20−16783172−C−T
0
−2
−4
−3
−2
−1
0
0.8
0.6
0.4
0.2
0.0

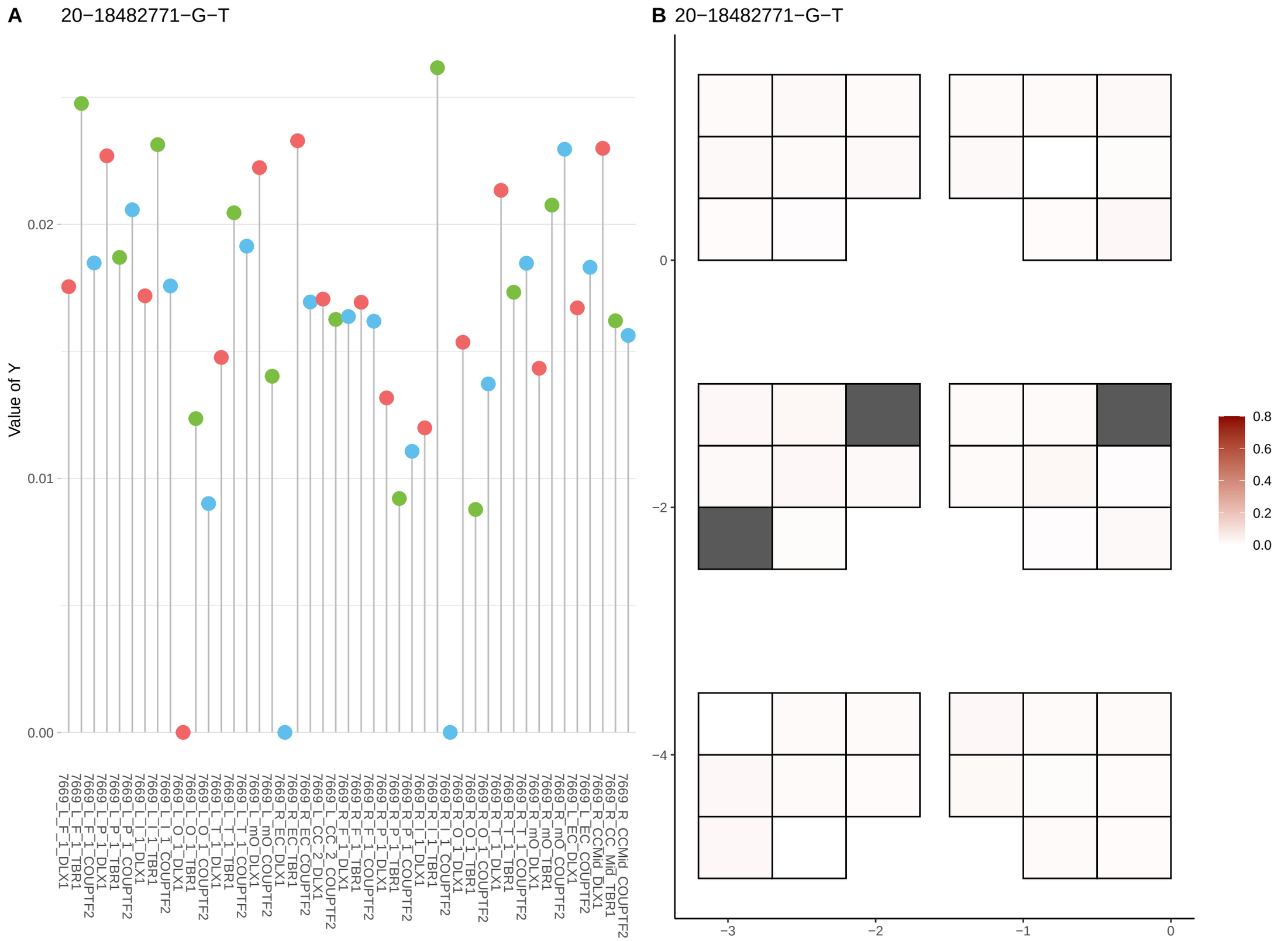
A
20−18482771−G−T
Value of Y
0.02
0.01
0.00
7669_L_F_1_DLX1
7669_L_F_1_TBR1
7669_L_F_1_COUPTF2
7669_L_P_1_DLX1
7669_L_P_1_TBR1
7669_L_P_1_COUPTF2
7669_L_I_1_DLX1
7669_L_I_1_TBR1
7669_L_I_1_COUPTF2
7669_L_O_1_DLX1
7669_L_O_1_TBR1
7669_L_O_1_COUPTF2
7669_L_T_1_DLX1
7669_L_T_1_TBR1
7669_L_T_1_COUPTF2
7669_L_mO_DLX1
7669_L_mO_COUPTF2
7669_R_EC_DLX1
7669_R_EC_TBR1
7669_R_EC_COUPTF2
7669_L_CC_2_DLX1
7669_L_CC_2_COUPTF2
7669_R_F_1_DLX1
7669_R_F_1_TBR1
7669_R_F_1_COUPTF2
7669_R_P_1_DLX1
7669_R_P_1_TBR1
7669_R_P_1_COUPTF2
7669_R_I_1_DLX1
7669_R_I_1_TBR1
7669_R_I_1_COUPTF2
7669_R_O_1_DLX1
7669_R_O_1_TBR1
7669_R_O_1_COUPTF2
7669_R_T_1_DLX1
7669_R_T_1_TBR1
7669_R_T_1_COUPTF2
7669_R_mO_DLX1
7669_R_mO_TBR1
7669_R_mO_COUPTF2
7669_L_EC_DLX1
7669_L_EC_COUPTF2
7669_R_CCMid_DLX1
7669_R_CC_Mid_TBR1
7669_R_CCMid_COUPTF2
B
20−18482771−G−T
0
−2
−4
−3
−2
−1
0
0.8
0.6
0.4
0.2
0.0

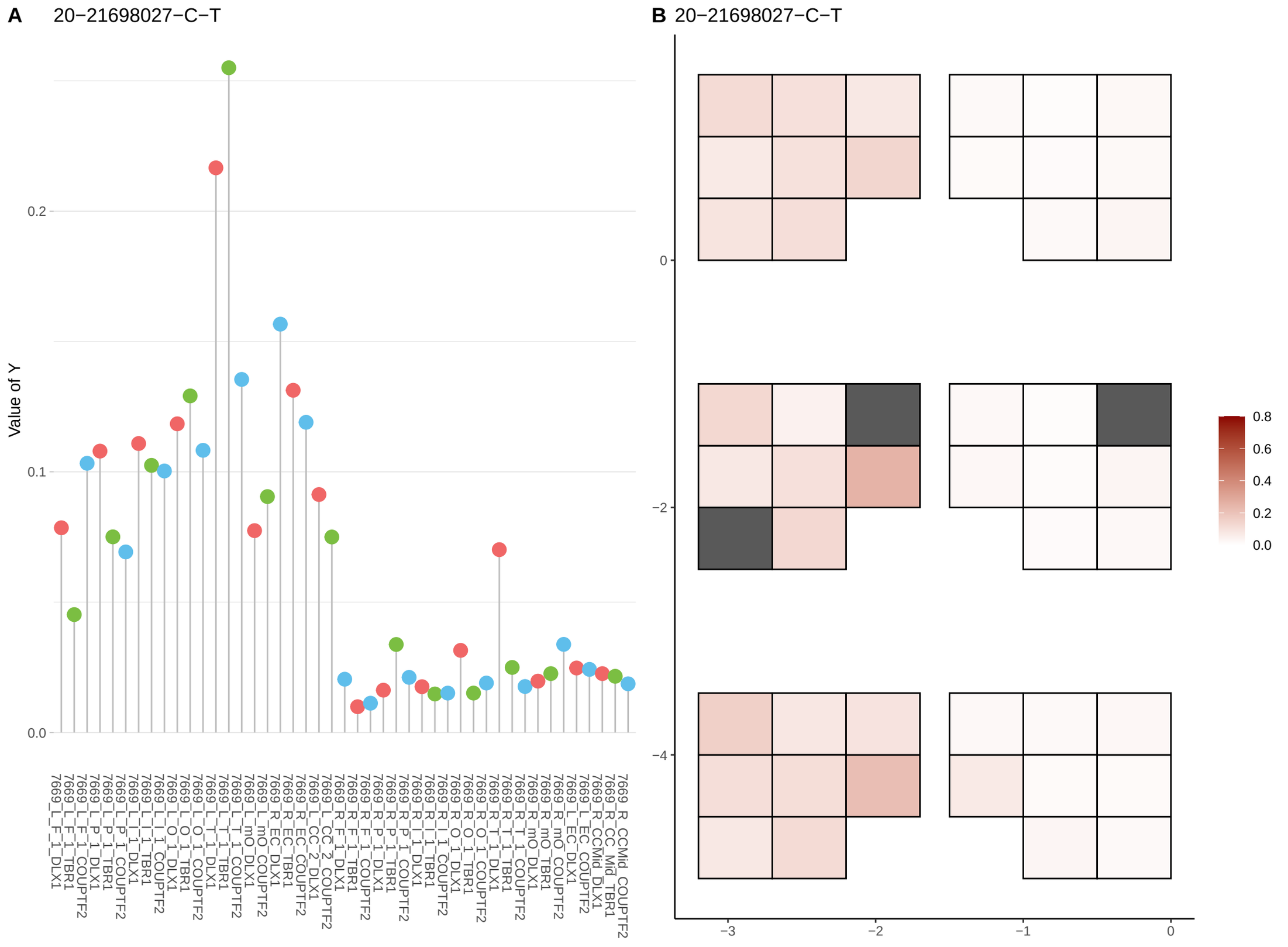
A
20−21698027−C−T
Value of Y
0.0
0.1
0.2
7669_L_F_1_DLX1
7669_L_F_1_TBR1
7669_L_F_1_COUPTF2
7669_L_P_1_DLX1
7669_L_P_1_TBR1
7669_L_P_1_COUPTF2
7669_L_I_1_DLX1
7669_L_I_1_TBR1
7669_L_I_1_COUPTF2
7669_L_O_1_DLX1
7669_L_O_1_TBR1
7669_L_O_1_COUPTF2
7669_L_T_1_DLX1
7669_L_T_1_TBR1
7669_L_T_1_COUPTF2
7669_L_mO_DLX1
7669_L_mO_COUPTF2
7669_R_EC_DLX1
7669_R_EC_TBR1
7669_R_EC_COUPTF2
7669_L_CC_2_DLX1
7669_L_CC_2_COUPTF2
7669_R_F_1_DLX1
7669_R_F_1_TBR1
7669_R_F_1_COUPTF2
7669_R_P_1_DLX1
7669_R_P_1_TBR1
7669_R_P_1_COUPTF2
7669_R_I_1_DLX1
7669_R_I_1_TBR1
7669_R_I_1_COUPTF2
7669_R_O_1_DLX1
7669_R_O_1_TBR1
7669_R_O_1_COUPTF2
7669_R_T_1_DLX1
7669_R_T_1_TBR1
7669_R_T_1_COUPTF2
7669_R_mO_DLX1
7669_R_mO_TBR1
7669_R_mO_COUPTF2
7669_L_EC_DLX1
7669_L_EC_COUPTF2
7669_R_CCMid_DLX1
7669_R_CC_Mid_TBR1
7669_R_CCMid_COUPTF2
B
20−21698027−C−T
0
−2
−4
−3
−2
−1
0
0.8
0.6
0.4
0.2
0.0

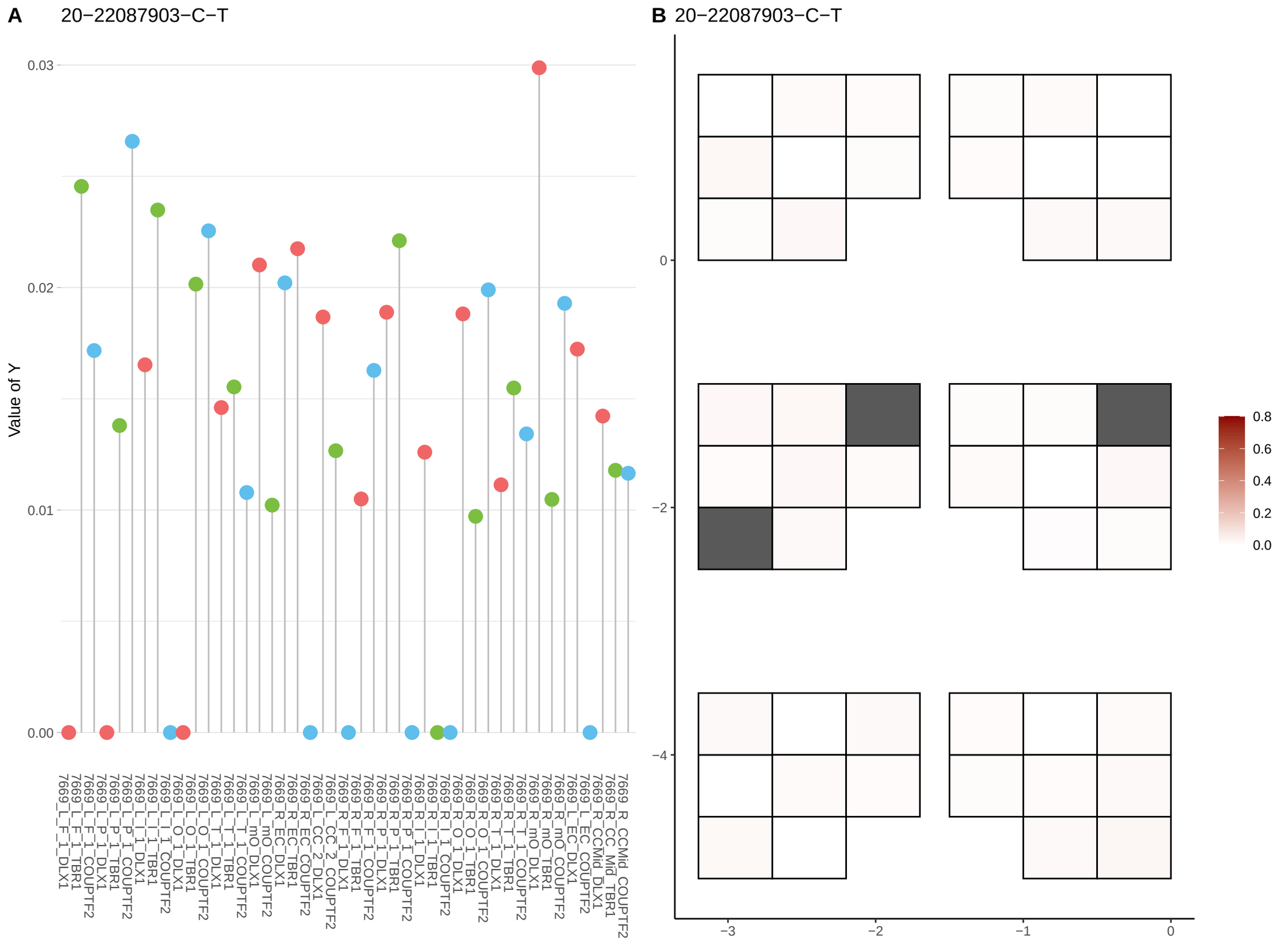
A
20−22087903−C−T
Value of Y
0.03
0.02
0.01
0.00
7669_L_F_1_DLX1
7669_L_F_1_TBR1
7669_L_F_1_COUPTF2
7669_L_P_1_DLX1
7669_L_P_1_TBR1
7669_L_P_1_COUPTF2
7669_L_I_1_DLX1
7669_L_I_1_TBR1
7669_L_I_1_COUPTF2
7669_L_O_1_DLX1
7669_L_O_1_TBR1
7669_L_O_1_COUPTF2
7669_L_T_1_DLX1
7669_L_T_1_TBR1
7669_L_T_1_COUPTF2
7669_L_mO_DLX1
7669_L_mO_COUPTF2
7669_R_EC_DLX1
7669_R_EC_TBR1
7669_R_EC_COUPTF2
7669_L_CC_2_DLX1
7669_L_CC_2_COUPTF2
7669_R_F_1_DLX1
7669_R_F_1_TBR1
7669_R_F_1_COUPTF2
7669_R_P_1_DLX1
7669_R_P_1_TBR1
7669_R_P_1_COUPTF2
7669_R_I_1_DLX1
7669_R_I_1_TBR1
7669_R_I_1_COUPTF2
7669_R_O_1_DLX1
7669_R_O_1_TBR1
7669_R_O_1_COUPTF2
7669_R_T_1_DLX1
7669_R_T_1_TBR1
7669_R_T_1_COUPTF2
7669_R_mO_DLX1
7669_R_mO_TBR1
7669_R_mO_COUPTF2
7669_L_EC_DLX1
7669_L_EC_COUPTF2
7669_R_CCMid_DLX1
7669_R_CC_Mid_TBR1
7669_R_CCMid_COUPTF2
B
20−22087903−C−T
0
−2
−4
−3
−2
−1
0
0.8
0.6
0.4
0.2
0.0

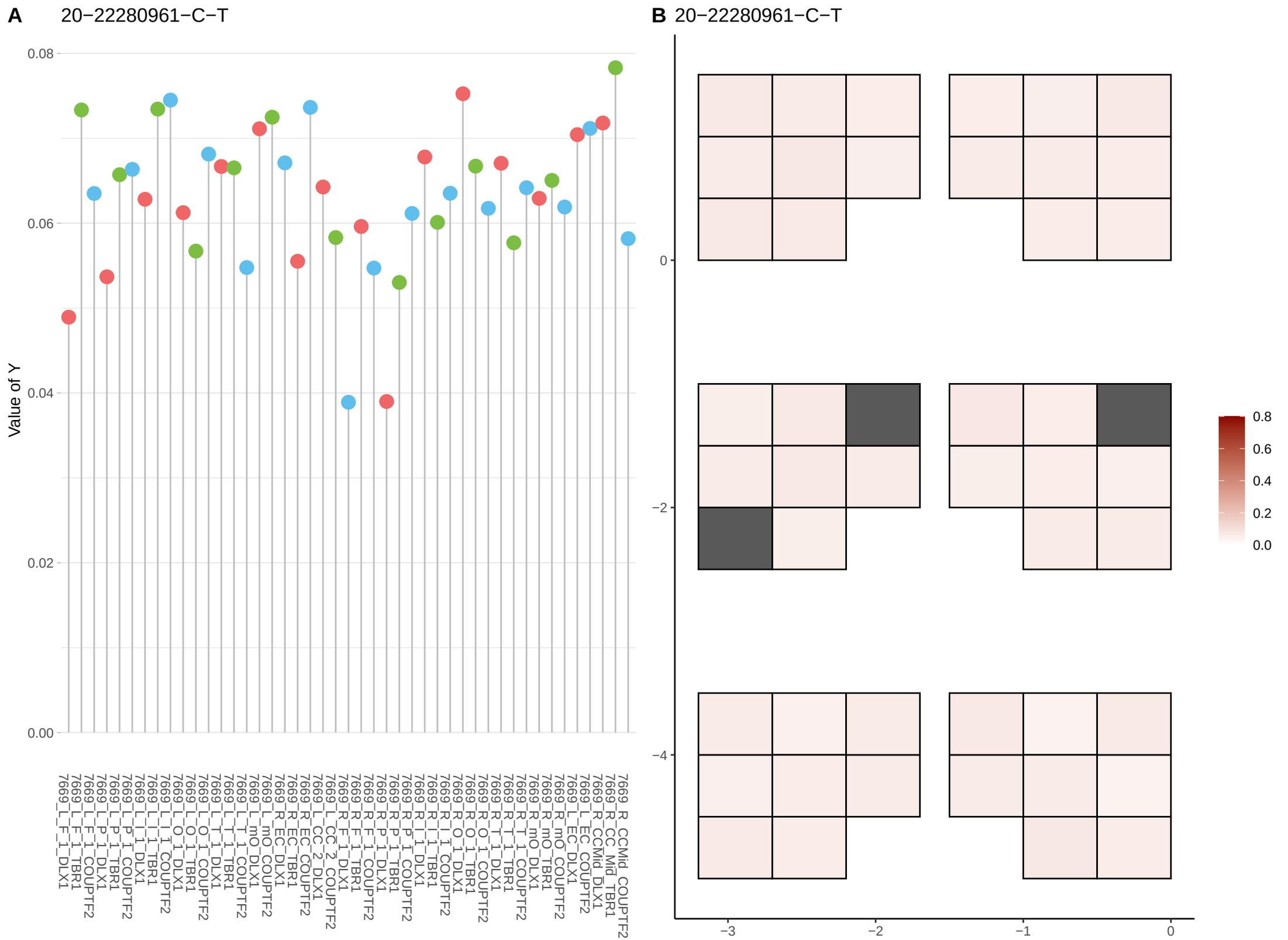
A
20−22280961−C−T
Value of Y
0.08
0.06
0.04
0.02
0.00
7669_L_F_1_DLX1
7669_L_F_1_TBR1
7669_L_F_1_COUPTF2
7669_L_P_1_DLX1
7669_L_P_1_TBR1
7669_L_P_1_COUPTF2
7669_L_I_1_DLX1
7669_L_I_1_TBR1
7669_L_I_1_COUPTF2
7669_L_O_1_DLX1
7669_L_O_1_TBR1
7669_L_O_1_COUPTF2
7669_L_T_1_DLX1
7669_L_T_1_TBR1
7669_L_T_1_COUPTF2
7669_L_mO_DLX1
7669_L_mO_COUPTF2
7669_R_EC_DLX1
7669_R_EC_TBR1
7669_R_EC_COUPTF2
7669_L_CC_2_DLX1
7669_L_CC_2_COUPTF2
7669_R_F_1_DLX1
7669_R_F_1_TBR1
7669_R_F_1_COUPTF2
7669_R_P_1_DLX1
7669_R_P_1_TBR1
7669_R_P_1_COUPTF2
7669_R_I_1_DLX1
7669_R_I_1_TBR1
7669_R_I_1_COUPTF2
7669_R_O_1_DLX1
7669_R_O_1_TBR1
7669_R_O_1_COUPTF2
7669_R_T_1_DLX1
7669_R_T_1_TBR1
7669_R_T_1_COUPTF2
7669_R_mO_DLX1
7669_R_mO_TBR1
7669_R_mO_COUPTF2
7669_L_EC_DLX1
7669_L_EC_COUPTF2
7669_R_CCMid_DLX1
7669_R_CC_Mid_TBR1
7669_R_CCMid_COUPTF2
B
20−22280961−C−T
0
−2
−4
−3
−2
−1
0
0.8
0.6
0.4
0.2
0.0

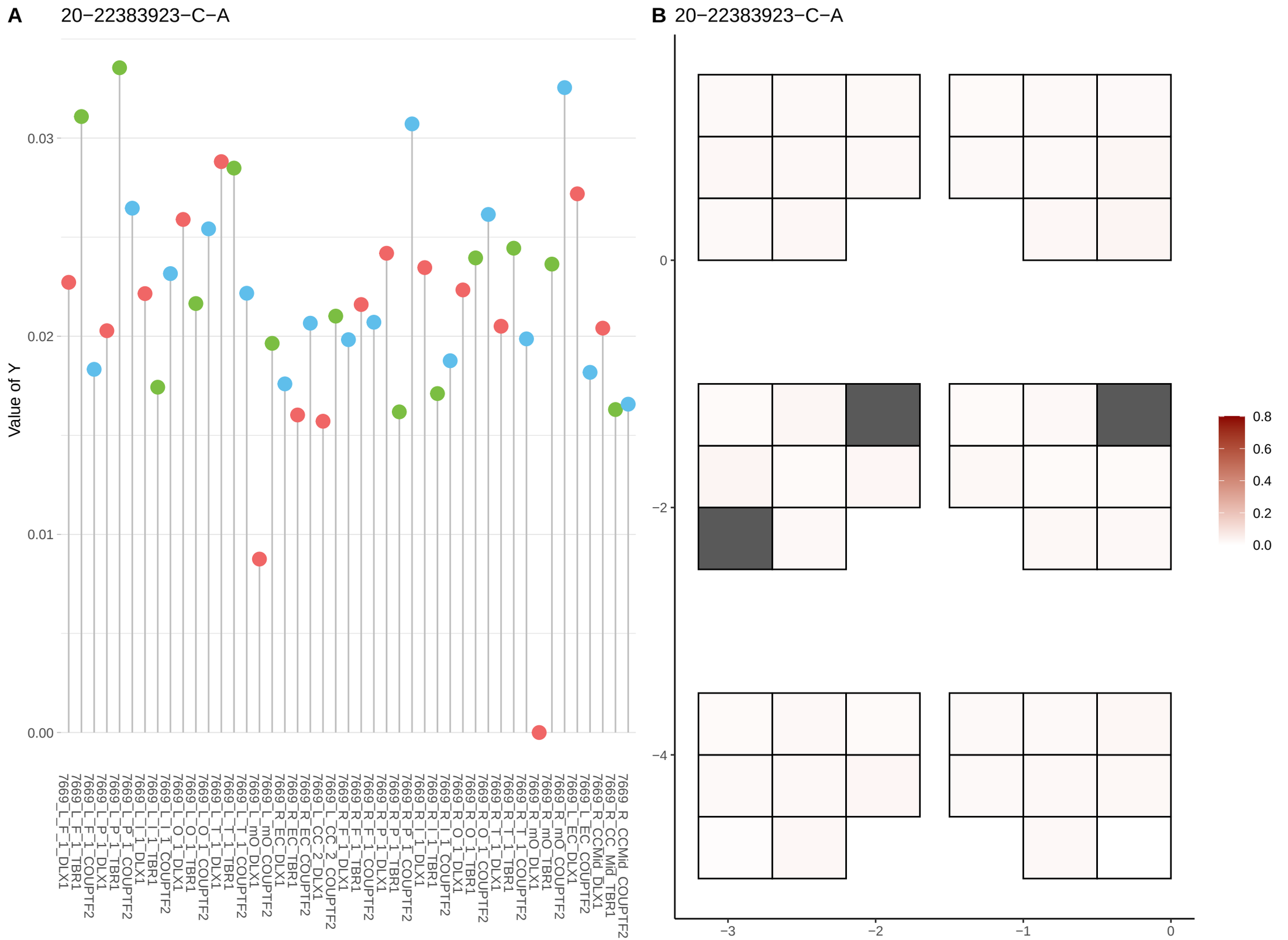
A
20−22383923−C−A
Value of Y
0.03
0.02
0.01
0.00
7669_L_F_1_DLX1
7669_L_F_1_TBR1
7669_L_F_1_COUPTF2
7669_L_P_1_DLX1
7669_L_P_1_TBR1
7669_L_P_1_COUPTF2
7669_L_I_1_DLX1
7669_L_I_1_TBR1
7669_L_I_1_COUPTF2
7669_L_O_1_DLX1
7669_L_O_1_TBR1
7669_L_O_1_COUPTF2
7669_L_T_1_DLX1
7669_L_T_1_TBR1
7669_L_T_1_COUPTF2
7669_L_mO_DLX1
7669_L_mO_COUPTF2
7669_R_EC_DLX1
7669_R_EC_TBR1
7669_R_EC_COUPTF2
7669_L_CC_2_DLX1
7669_L_CC_2_COUPTF2
7669_R_F_1_DLX1
7669_R_F_1_TBR1
7669_R_F_1_COUPTF2
7669_R_P_1_DLX1
7669_R_P_1_TBR1
7669_R_P_1_COUPTF2
7669_R_I_1_DLX1
7669_R_I_1_TBR1
7669_R_I_1_COUPTF2
7669_R_O_1_DLX1
7669_R_O_1_TBR1
7669_R_O_1_COUPTF2
7669_R_T_1_DLX1
7669_R_T_1_TBR1
7669_R_T_1_COUPTF2
7669_R_mO_DLX1
7669_R_mO_TBR1
7669_R_mO_COUPTF2
7669_L_EC_DLX1
7669_L_EC_COUPTF2
7669_R_CCMid_DLX1
7669_R_CC_Mid_TBR1
7669_R_CCMid_COUPTF2
B
20−22383923−C−A
0
−2
−4
−3
−2
−1
0
0.8
0.6
0.4
0.2
0.0

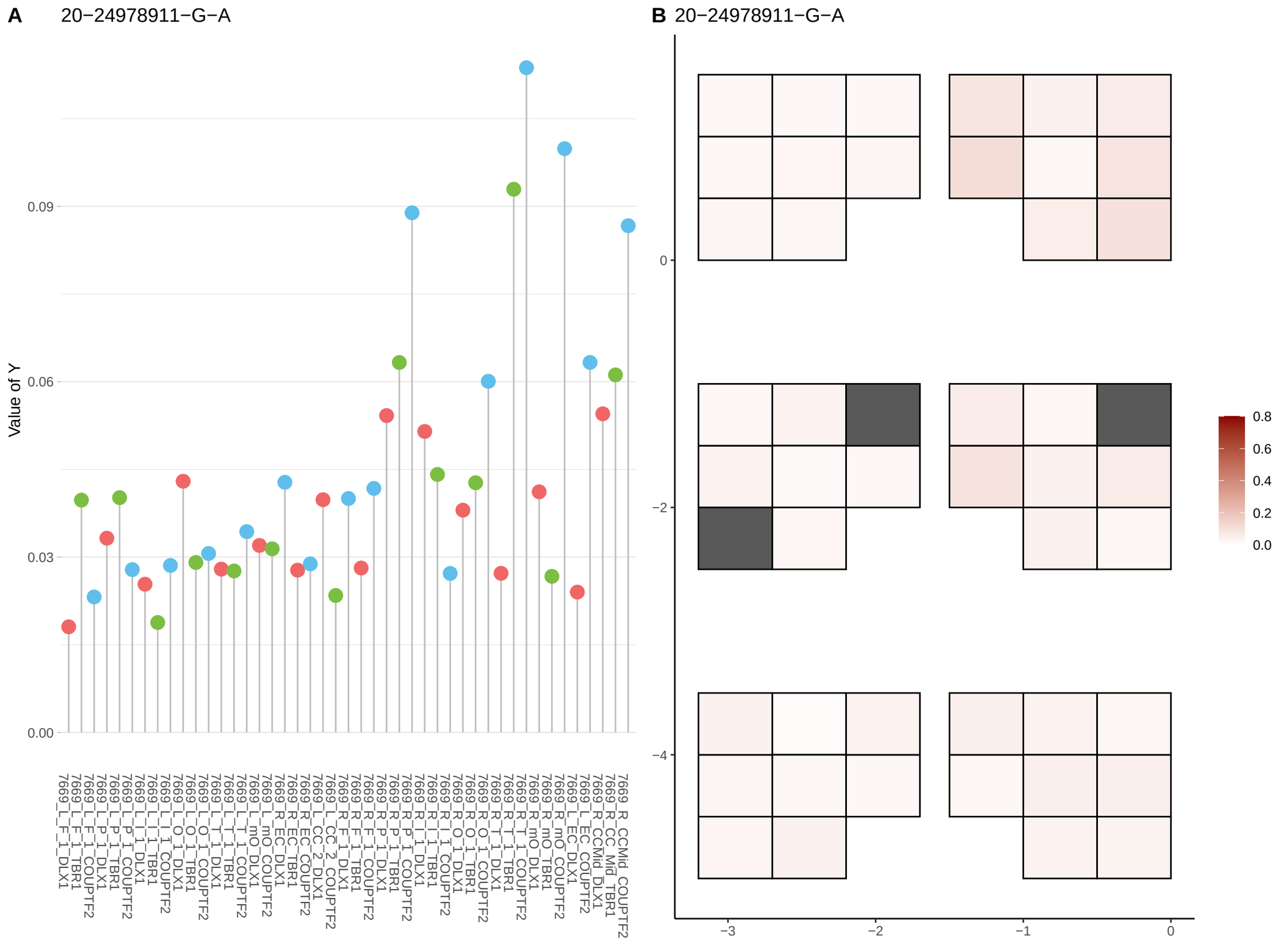
A
20−24978911−G−A
Value of Y
0.09
0.06
0.03
0.00
7669_L_F_1_DLX1
7669_L_F_1_TBR1
7669_L_F_1_COUPTF2
7669_L_P_1_DLX1
7669_L_P_1_TBR1
7669_L_P_1_COUPTF2
7669_L_I_1_DLX1
7669_L_I_1_TBR1
7669_L_I_1_COUPTF2
7669_L_O_1_DLX1
7669_L_O_1_TBR1
7669_L_O_1_COUPTF2
7669_L_T_1_DLX1
7669_L_T_1_TBR1
7669_L_T_1_COUPTF2
7669_L_mO_DLX1
7669_L_mO_COUPTF2
7669_R_EC_DLX1
7669_R_EC_TBR1
7669_R_EC_COUPTF2
7669_L_CC_2_DLX1
7669_L_CC_2_COUPTF2
7669_R_F_1_DLX1
7669_R_F_1_TBR1
7669_R_F_1_COUPTF2
7669_R_P_1_DLX1
7669_R_P_1_TBR1
7669_R_P_1_COUPTF2
7669_R_I_1_DLX1
7669_R_I_1_TBR1
7669_R_I_1_COUPTF2
7669_R_O_1_DLX1
7669_R_O_1_TBR1
7669_R_O_1_COUPTF2
7669_R_T_1_DLX1
7669_R_T_1_TBR1
7669_R_T_1_COUPTF2
7669_R_mO_DLX1
7669_R_mO_TBR1
7669_R_mO_COUPTF2
7669_L_EC_DLX1
7669_L_EC_COUPTF2
7669_R_CCMid_DLX1
7669_R_CC_Mid_TBR1
7669_R_CCMid_COUPTF2
B
20−24978911−G−A
0
−2
−4
−3
−2
−1
0
0.8
0.6
0.4
0.2
0.0

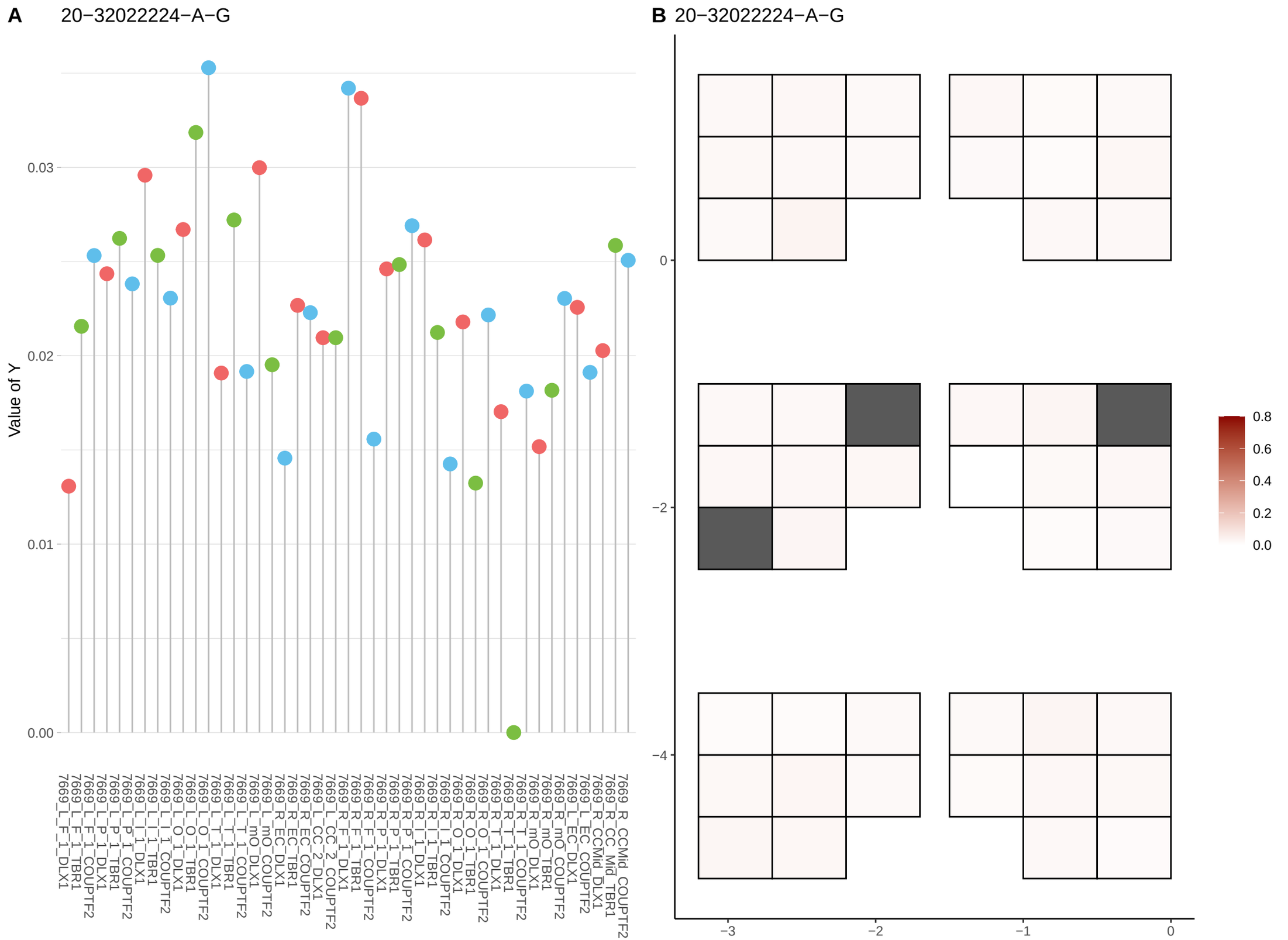
A
20−32022224−A−G
Value of Y
0.03
0.02
0.01
0.00
7669_L_F_1_DLX1
7669_L_F_1_TBR1
7669_L_F_1_COUPTF2
7669_L_P_1_DLX1
7669_L_P_1_TBR1
7669_L_P_1_COUPTF2
7669_L_I_1_DLX1
7669_L_I_1_TBR1
7669_L_I_1_COUPTF2
7669_L_O_1_DLX1
7669_L_O_1_TBR1
7669_L_O_1_COUPTF2
7669_L_T_1_DLX1
7669_L_T_1_TBR1
7669_L_T_1_COUPTF2
7669_L_mO_DLX1
7669_L_mO_COUPTF2
7669_R_EC_DLX1
7669_R_EC_TBR1
7669_R_EC_COUPTF2
7669_L_CC_2_DLX1
7669_L_CC_2_COUPTF2
7669_R_F_1_DLX1
7669_R_F_1_TBR1
7669_R_F_1_COUPTF2
7669_R_P_1_DLX1
7669_R_P_1_TBR1
7669_R_P_1_COUPTF2
7669_R_I_1_DLX1
7669_R_I_1_TBR1
7669_R_I_1_COUPTF2
7669_R_O_1_DLX1
7669_R_O_1_TBR1
7669_R_O_1_COUPTF2
7669_R_T_1_DLX1
7669_R_T_1_TBR1
7669_R_T_1_COUPTF2
7669_R_mO_DLX1
7669_R_mO_TBR1
7669_R_mO_COUPTF2
7669_L_EC_DLX1
7669_L_EC_COUPTF2
7669_R_CCMid_DLX1
7669_R_CC_Mid_TBR1
7669_R_CCMid_COUPTF2
B
20−32022224−A−G
0
−2
−4
−3
−2
−1
0
0.8
0.6
0.4
0.2
0.0

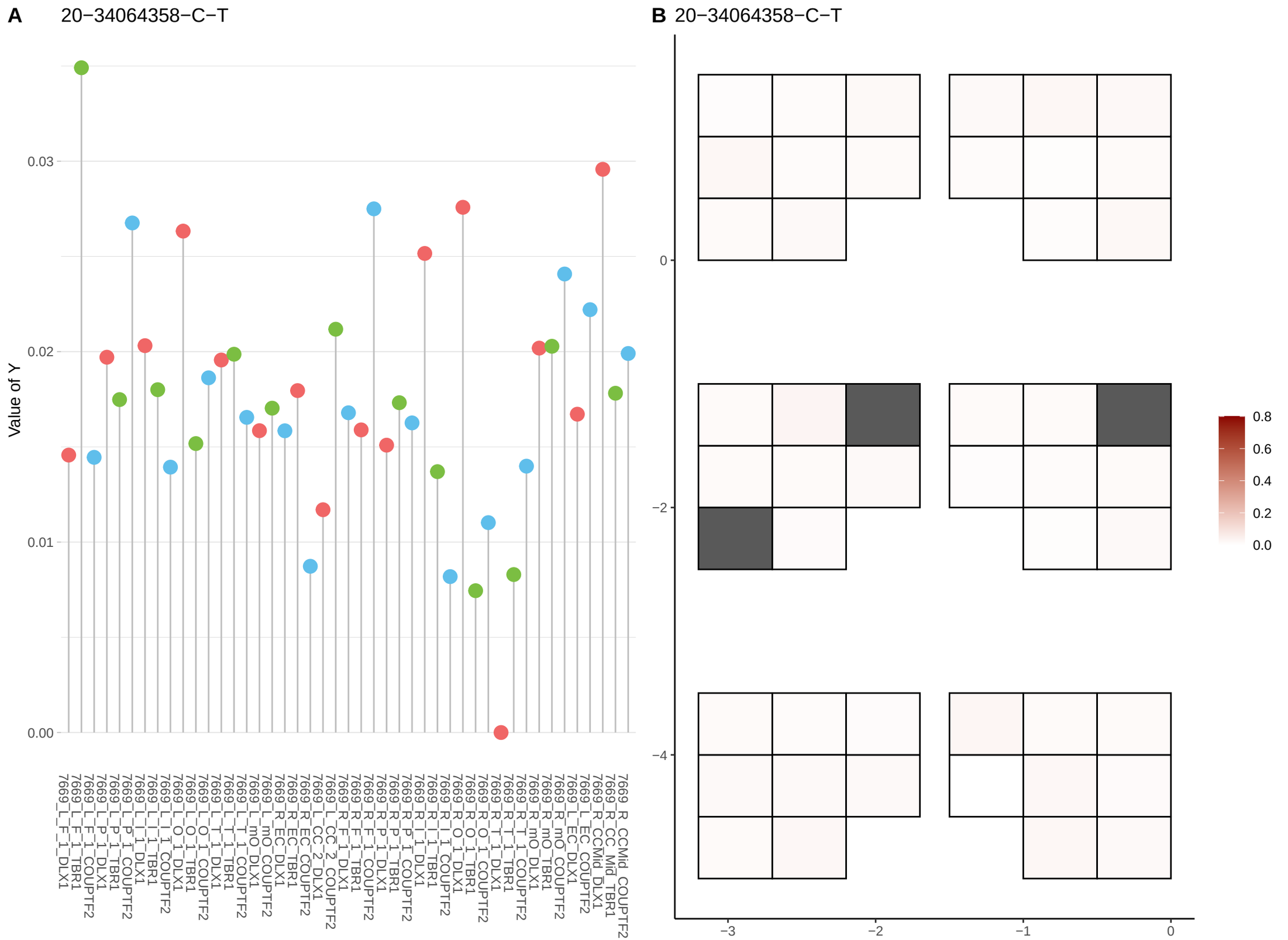
A
20−34064358−C−T
Value of Y
0.03
0.02
0.01
0.00
7669_L_F_1_DLX1
7669_L_F_1_TBR1
7669_L_F_1_COUPTF2
7669_L_P_1_DLX1
7669_L_P_1_TBR1
7669_L_P_1_COUPTF2
7669_L_I_1_DLX1
7669_L_I_1_TBR1
7669_L_I_1_COUPTF2
7669_L_O_1_DLX1
7669_L_O_1_TBR1
7669_L_O_1_COUPTF2
7669_L_T_1_DLX1
7669_L_T_1_TBR1
7669_L_T_1_COUPTF2
7669_L_mO_DLX1
7669_L_mO_COUPTF2
7669_R_EC_DLX1
7669_R_EC_TBR1
7669_R_EC_COUPTF2
7669_L_CC_2_DLX1
7669_L_CC_2_COUPTF2
7669_R_F_1_DLX1
7669_R_F_1_TBR1
7669_R_F_1_COUPTF2
7669_R_P_1_DLX1
7669_R_P_1_TBR1
7669_R_P_1_COUPTF2
7669_R_I_1_DLX1
7669_R_I_1_TBR1
7669_R_I_1_COUPTF2
7669_R_O_1_DLX1
7669_R_O_1_TBR1
7669_R_O_1_COUPTF2
7669_R_T_1_DLX1
7669_R_T_1_TBR1
7669_R_T_1_COUPTF2
7669_R_mO_DLX1
7669_R_mO_TBR1
7669_R_mO_COUPTF2
7669_L_EC_DLX1
7669_L_EC_COUPTF2
7669_R_CCMid_DLX1
7669_R_CC_Mid_TBR1
7669_R_CCMid_COUPTF2
B
20−34064358−C−T
0
−2
−4
−3
−2
−1
0
0.8
0.6
0.4
0.2
0.0

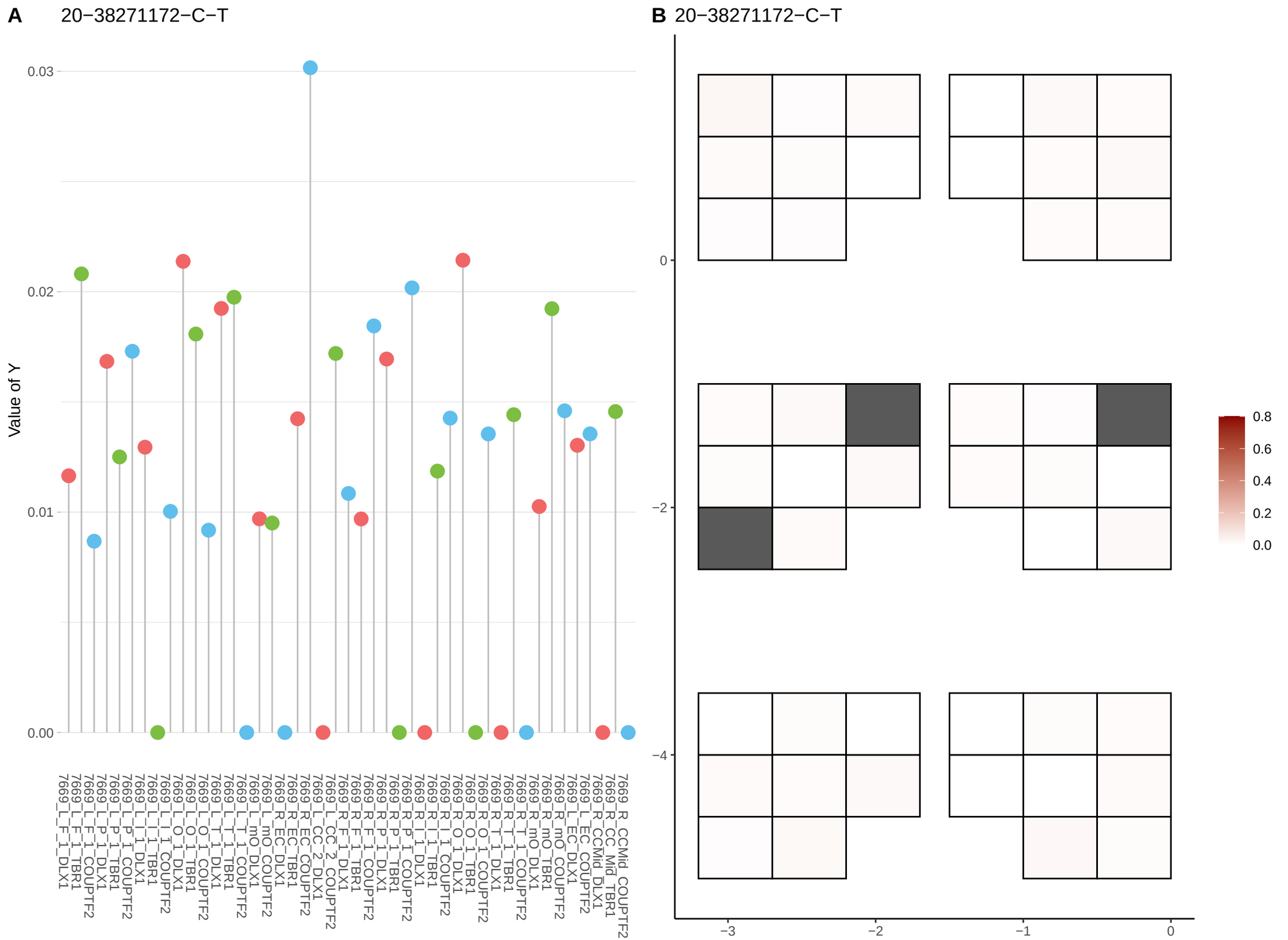
A
20−38271172−C−T
Value of Y
0.03
0.02
0.01
0.00
7669_L_F_1_DLX1
7669_L_F_1_TBR1
7669_L_F_1_COUPTF2
7669_L_P_1_DLX1
7669_L_P_1_TBR1
7669_L_P_1_COUPTF2
7669_L_I_1_DLX1
7669_L_I_1_TBR1
7669_L_I_1_COUPTF2
7669_L_O_1_DLX1
7669_L_O_1_TBR1
7669_L_O_1_COUPTF2
7669_L_T_1_DLX1
7669_L_T_1_TBR1
7669_L_T_1_COUPTF2
7669_L_mO_DLX1
7669_L_mO_COUPTF2
7669_R_EC_DLX1
7669_R_EC_TBR1
7669_R_EC_COUPTF2
7669_L_CC_2_DLX1
7669_L_CC_2_COUPTF2
7669_R_F_1_DLX1
7669_R_F_1_TBR1
7669_R_F_1_COUPTF2
7669_R_P_1_DLX1
7669_R_P_1_TBR1
7669_R_P_1_COUPTF2
7669_R_I_1_DLX1
7669_R_I_1_TBR1
7669_R_I_1_COUPTF2
7669_R_O_1_DLX1
7669_R_O_1_TBR1
7669_R_O_1_COUPTF2
7669_R_T_1_DLX1
7669_R_T_1_TBR1
7669_R_T_1_COUPTF2
7669_R_mO_DLX1
7669_R_mO_TBR1
7669_R_mO_COUPTF2
7669_L_EC_DLX1
7669_L_EC_COUPTF2
7669_R_CCMid_DLX1
7669_R_CC_Mid_TBR1
7669_R_CCMid_COUPTF2
B
20−38271172−C−T
0
−2
−4
−3
−2
−1
0
0.8
0.6
0.4
0.2
0.0

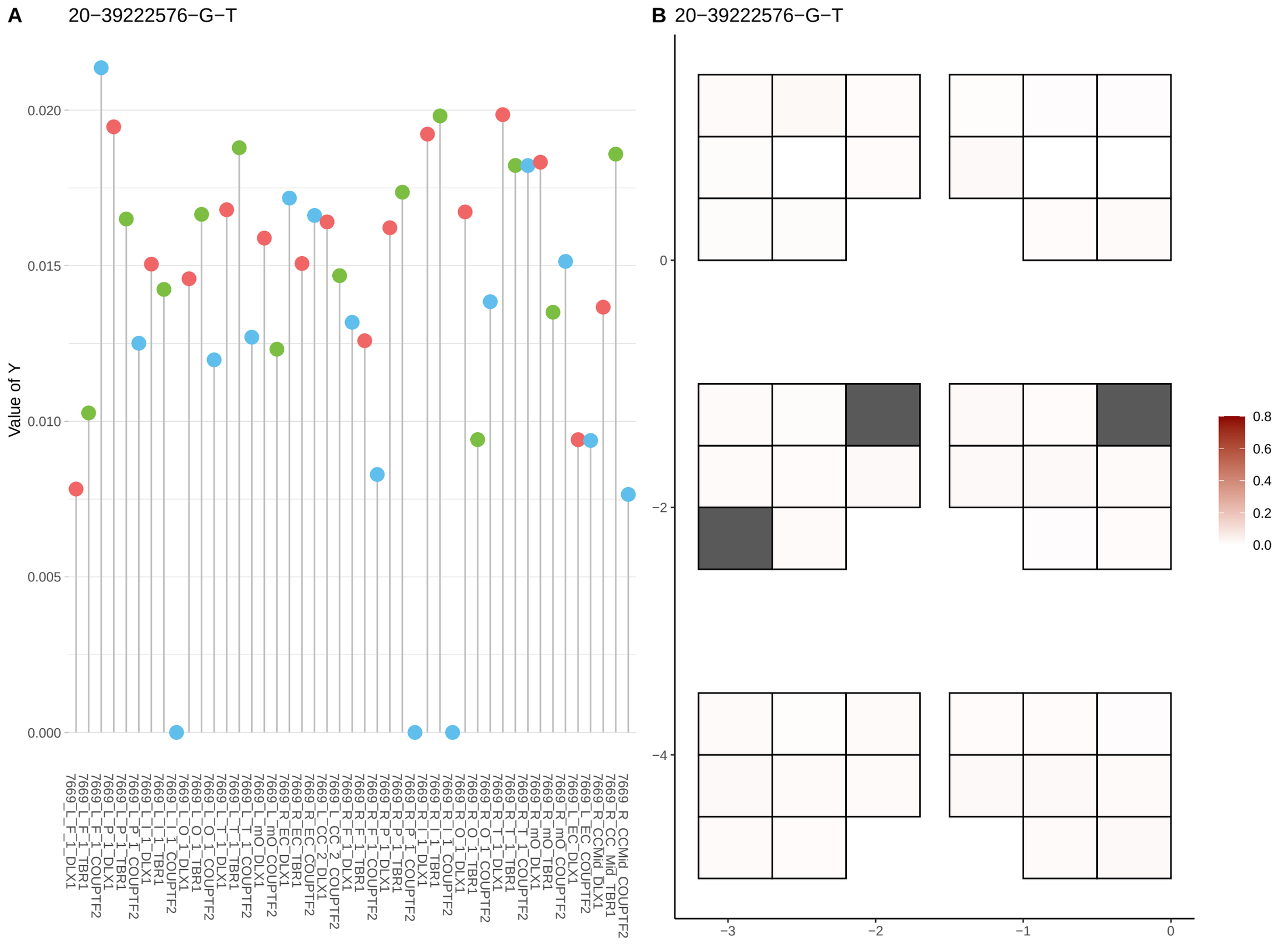
A
20−39222576−G−T
Value of Y
0.020
0.015
0.010
0.005
0.000
7669_L_F_1_DLX1
7669_L_F_1_TBR1
7669_L_F_1_COUPTF2
7669_L_P_1_DLX1
7669_L_P_1_TBR1
7669_L_P_1_COUPTF2
7669_L_I_1_DLX1
7669_L_I_1_TBR1
7669_L_I_1_COUPTF2
7669_L_O_1_DLX1
7669_L_O_1_TBR1
7669_L_O_1_COUPTF2
7669_L_T_1_DLX1
7669_L_T_1_TBR1
7669_L_T_1_COUPTF2
7669_L_mO_DLX1
7669_L_mO_COUPTF2
7669_R_EC_DLX1
7669_R_EC_TBR1
7669_R_EC_COUPTF2
7669_L_CC_2_DLX1
7669_L_CC_2_COUPTF2
7669_R_F_1_DLX1
7669_R_F_1_TBR1
7669_R_F_1_COUPTF2
7669_R_P_1_DLX1
7669_R_P_1_TBR1
7669_R_P_1_COUPTF2
7669_R_I_1_DLX1
7669_R_I_1_TBR1
7669_R_I_1_COUPTF2
7669_R_O_1_DLX1
7669_R_O_1_TBR1
7669_R_O_1_COUPTF2
7669_R_T_1_DLX1
7669_R_T_1_TBR1
7669_R_T_1_COUPTF2
7669_R_mO_DLX1
7669_R_mO_TBR1
7669_R_mO_COUPTF2
7669_L_EC_DLX1
7669_L_EC_COUPTF2
7669_R_CCMid_DLX1
7669_R_CC_Mid_TBR1
7669_R_CCMid_COUPTF2
B
20−39222576−G−T
0
−2
−4
−3
−2
−1
0
0.8
0.6
0.4
0.2
0.0

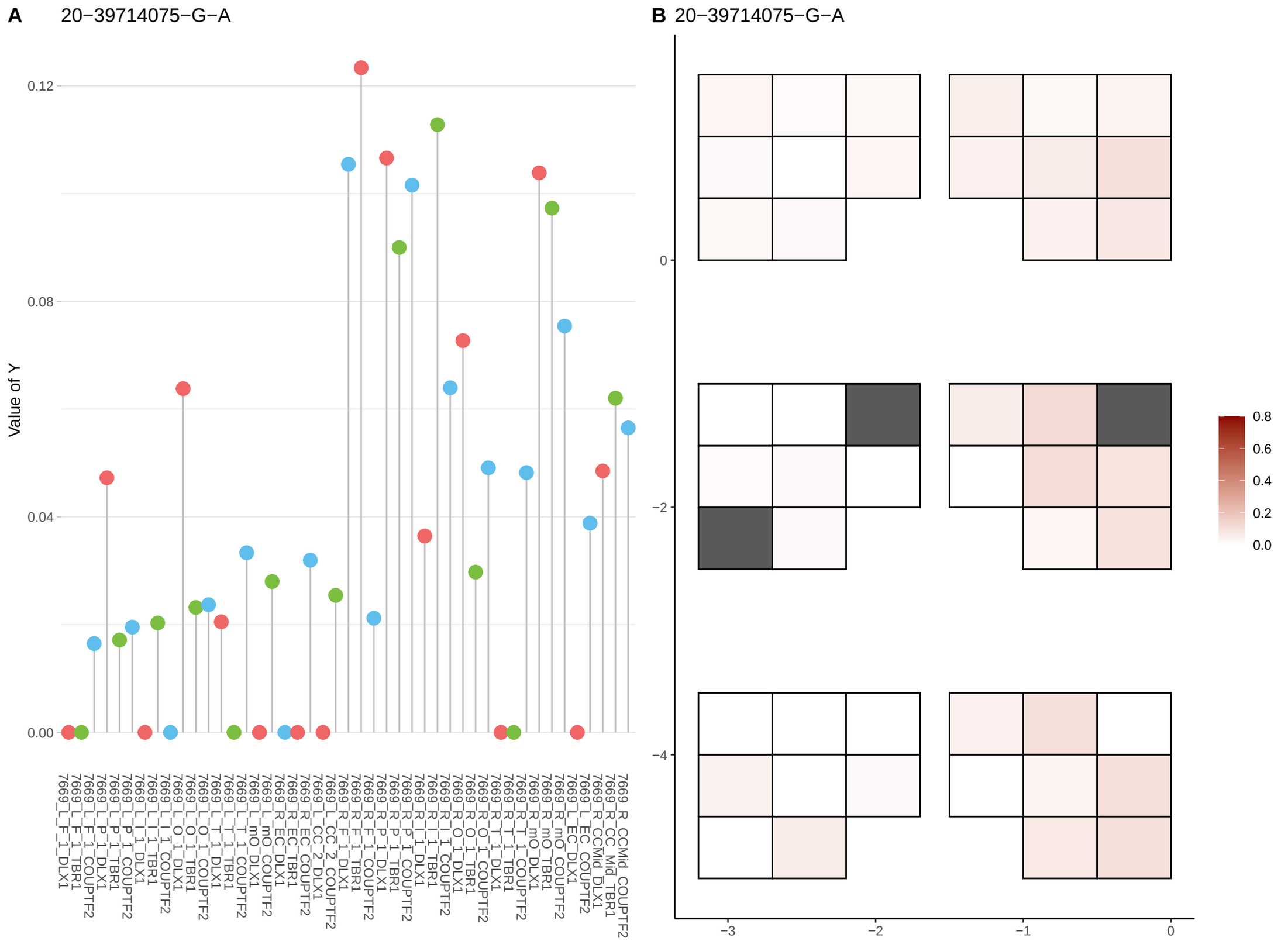
A
20−39714075−G−A
Value of Y
0.12
0.08
0.04
0.00
7669_L_F_1_DLX1
7669_L_F_1_TBR1
7669_L_F_1_COUPTF2
7669_L_P_1_DLX1
7669_L_P_1_TBR1
7669_L_P_1_COUPTF2
7669_L_I_1_DLX1
7669_L_I_1_TBR1
7669_L_I_1_COUPTF2
7669_L_O_1_DLX1
7669_L_O_1_TBR1
7669_L_O_1_COUPTF2
7669_L_T_1_DLX1
7669_L_T_1_TBR1
7669_L_T_1_COUPTF2
7669_L_mO_DLX1
7669_L_mO_COUPTF2
7669_R_EC_DLX1
7669_R_EC_TBR1
7669_R_EC_COUPTF2
7669_L_CC_2_DLX1
7669_L_CC_2_COUPTF2
7669_R_F_1_DLX1
7669_R_F_1_TBR1
7669_R_F_1_COUPTF2
7669_R_P_1_DLX1
7669_R_P_1_TBR1
7669_R_P_1_COUPTF2
7669_R_I_1_DLX1
7669_R_I_1_TBR1
7669_R_I_1_COUPTF2
7669_R_O_1_DLX1
7669_R_O_1_TBR1
7669_R_O_1_COUPTF2
7669_R_T_1_DLX1
7669_R_T_1_TBR1
7669_R_T_1_COUPTF2
7669_R_mO_DLX1
7669_R_mO_TBR1
7669_R_mO_COUPTF2
7669_L_EC_DLX1
7669_L_EC_COUPTF2
7669_R_CCMid_DLX1
7669_R_CC_Mid_TBR1
7669_R_CCMid_COUPTF2
B
20−39714075−G−A
0
−2
−4
−3
−2
−1
0
0.8
0.6
0.4
0.2
0.0

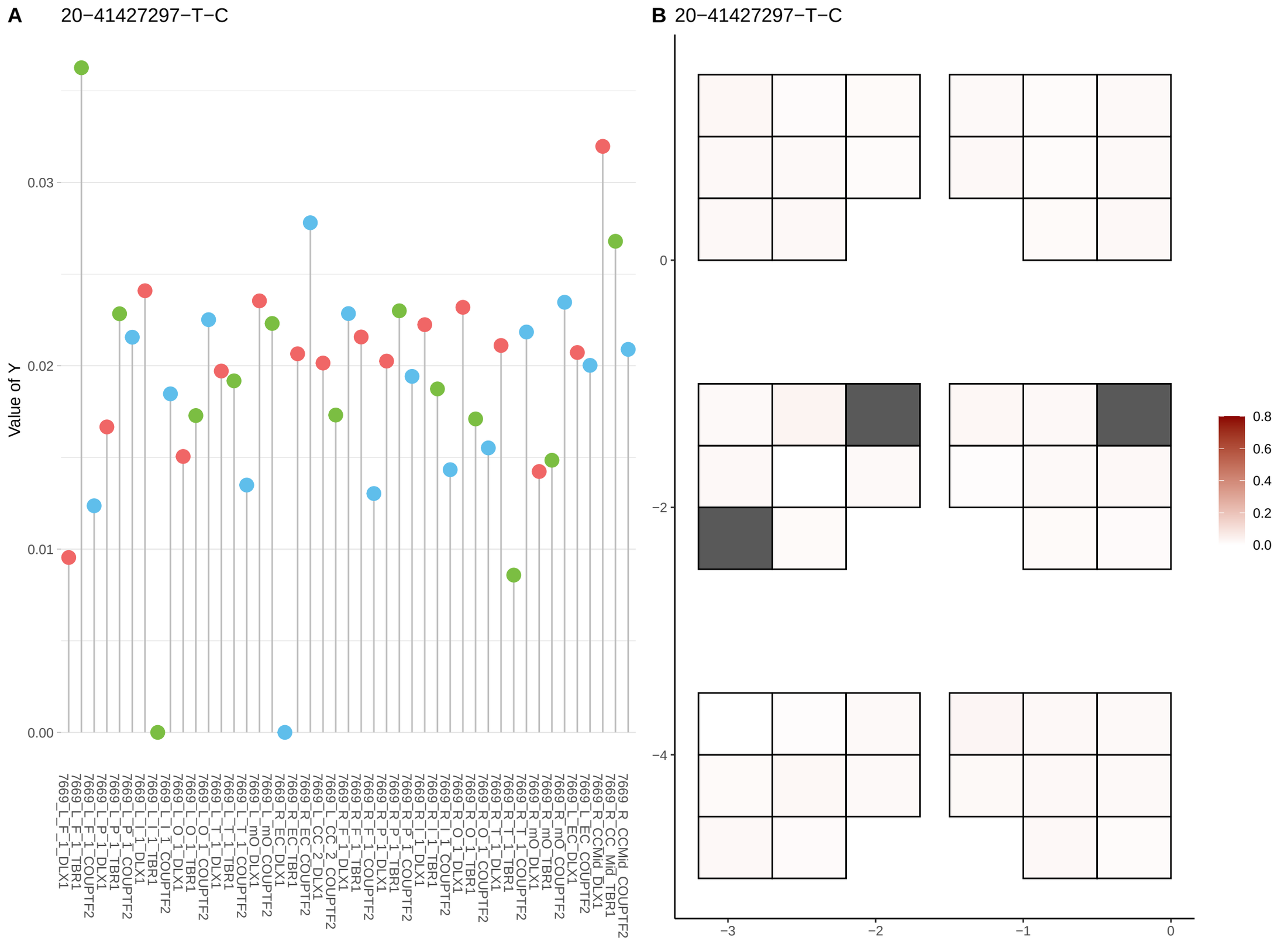
A
20−41427297−T−C
Value of Y
0.03
0.02
0.01
0.00
7669_L_F_1_DLX1
7669_L_F_1_TBR1
7669_L_F_1_COUPTF2
7669_L_P_1_DLX1
7669_L_P_1_TBR1
7669_L_P_1_COUPTF2
7669_L_I_1_DLX1
7669_L_I_1_TBR1
7669_L_I_1_COUPTF2
7669_L_O_1_DLX1
7669_L_O_1_TBR1
7669_L_O_1_COUPTF2
7669_L_T_1_DLX1
7669_L_T_1_TBR1
7669_L_T_1_COUPTF2
7669_L_mO_DLX1
7669_L_mO_COUPTF2
7669_R_EC_DLX1
7669_R_EC_TBR1
7669_R_EC_COUPTF2
7669_L_CC_2_DLX1
7669_L_CC_2_COUPTF2
7669_R_F_1_DLX1
7669_R_F_1_TBR1
7669_R_F_1_COUPTF2
7669_R_P_1_DLX1
7669_R_P_1_TBR1
7669_R_P_1_COUPTF2
7669_R_I_1_DLX1
7669_R_I_1_TBR1
7669_R_I_1_COUPTF2
7669_R_O_1_DLX1
7669_R_O_1_TBR1
7669_R_O_1_COUPTF2
7669_R_T_1_DLX1
7669_R_T_1_TBR1
7669_R_T_1_COUPTF2
7669_R_mO_DLX1
7669_R_mO_TBR1
7669_R_mO_COUPTF2
7669_L_EC_DLX1
7669_L_EC_COUPTF2
7669_R_CCMid_DLX1
7669_R_CC_Mid_TBR1
7669_R_CCMid_COUPTF2
B
20−41427297−T−C
0
−2
−4
−3
−2
−1
0
0.8
0.6
0.4
0.2
0.0

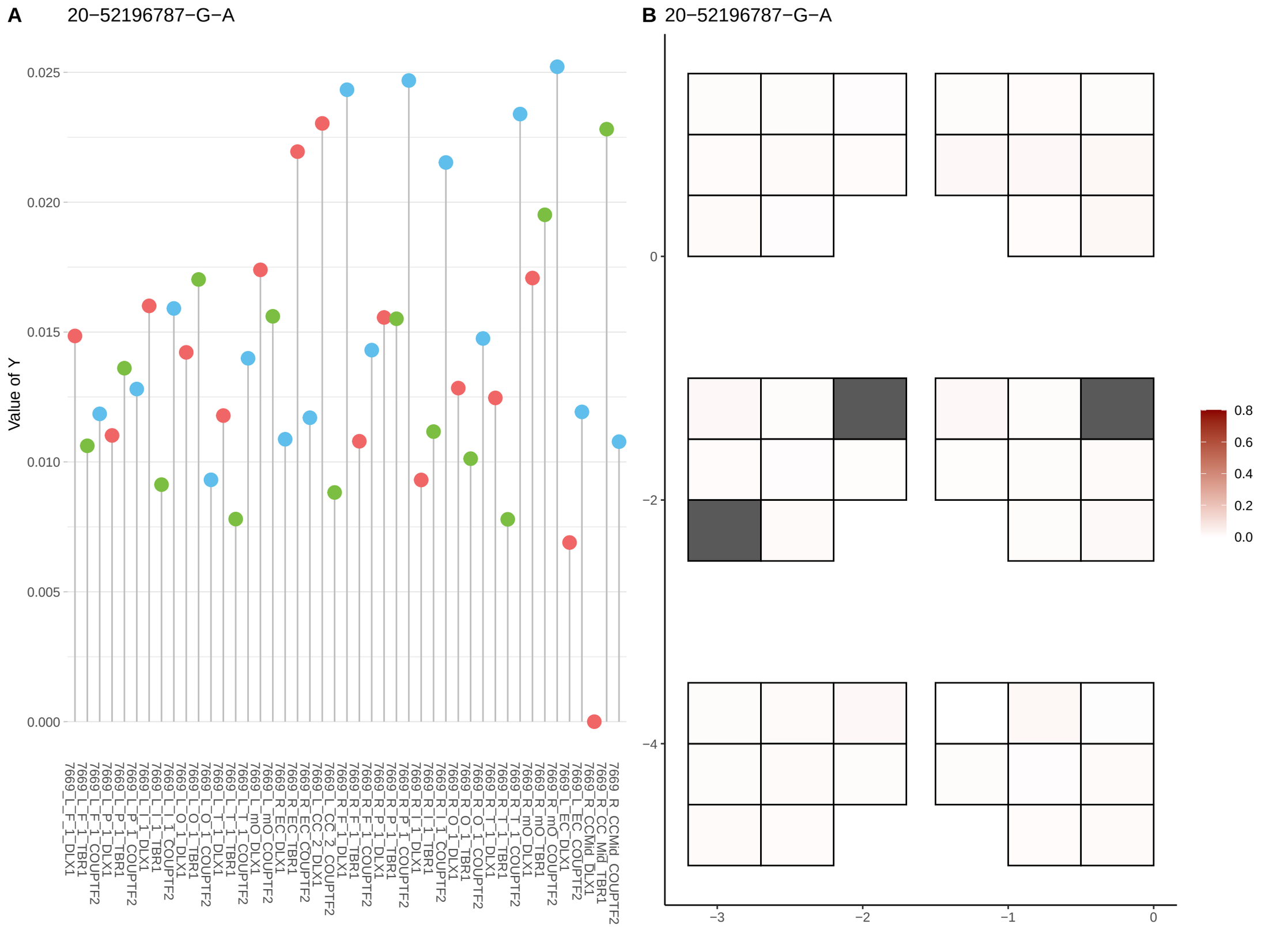
A
20−52196787−G−A
Value of Y
0.025
0.020
0.015
0.010
0.005
0.000
7669_L_F_1_DLX1
7669_L_F_1_TBR1
7669_L_F_1_COUPTF2
7669_L_P_1_DLX1
7669_L_P_1_TBR1
7669_L_P_1_COUPTF2
7669_L_I_1_DLX1
7669_L_I_1_TBR1
7669_L_I_1_COUPTF2
7669_L_O_1_DLX1
7669_L_O_1_TBR1
7669_L_O_1_COUPTF2
7669_L_T_1_DLX1
7669_L_T_1_TBR1
7669_L_T_1_COUPTF2
7669_L_mO_DLX1
7669_L_mO_COUPTF2
7669_R_EC_DLX1
7669_R_EC_TBR1
7669_R_EC_COUPTF2
7669_L_CC_2_DLX1
7669_L_CC_2_COUPTF2
7669_R_F_1_DLX1
7669_R_F_1_TBR1
7669_R_F_1_COUPTF2
7669_R_P_1_DLX1
7669_R_P_1_TBR1
7669_R_P_1_COUPTF2
7669_R_I_1_DLX1
7669_R_I_1_TBR1
7669_R_I_1_COUPTF2
7669_R_O_1_DLX1
7669_R_O_1_TBR1
7669_R_O_1_COUPTF2
7669_R_T_1_DLX1
7669_R_T_1_TBR1
7669_R_T_1_COUPTF2
7669_R_mO_DLX1
7669_R_mO_TBR1
7669_R_mO_COUPTF2
7669_L_EC_DLX1
7669_L_EC_COUPTF2
7669_R_CCMid_DLX1
7669_R_CC_Mid_TBR1
7669_R_CCMid_COUPTF2
B
20−52196787−G−A
0
−2
−4
−3
−2
−1
0
0.8
0.6
0.4
0.2
0.0

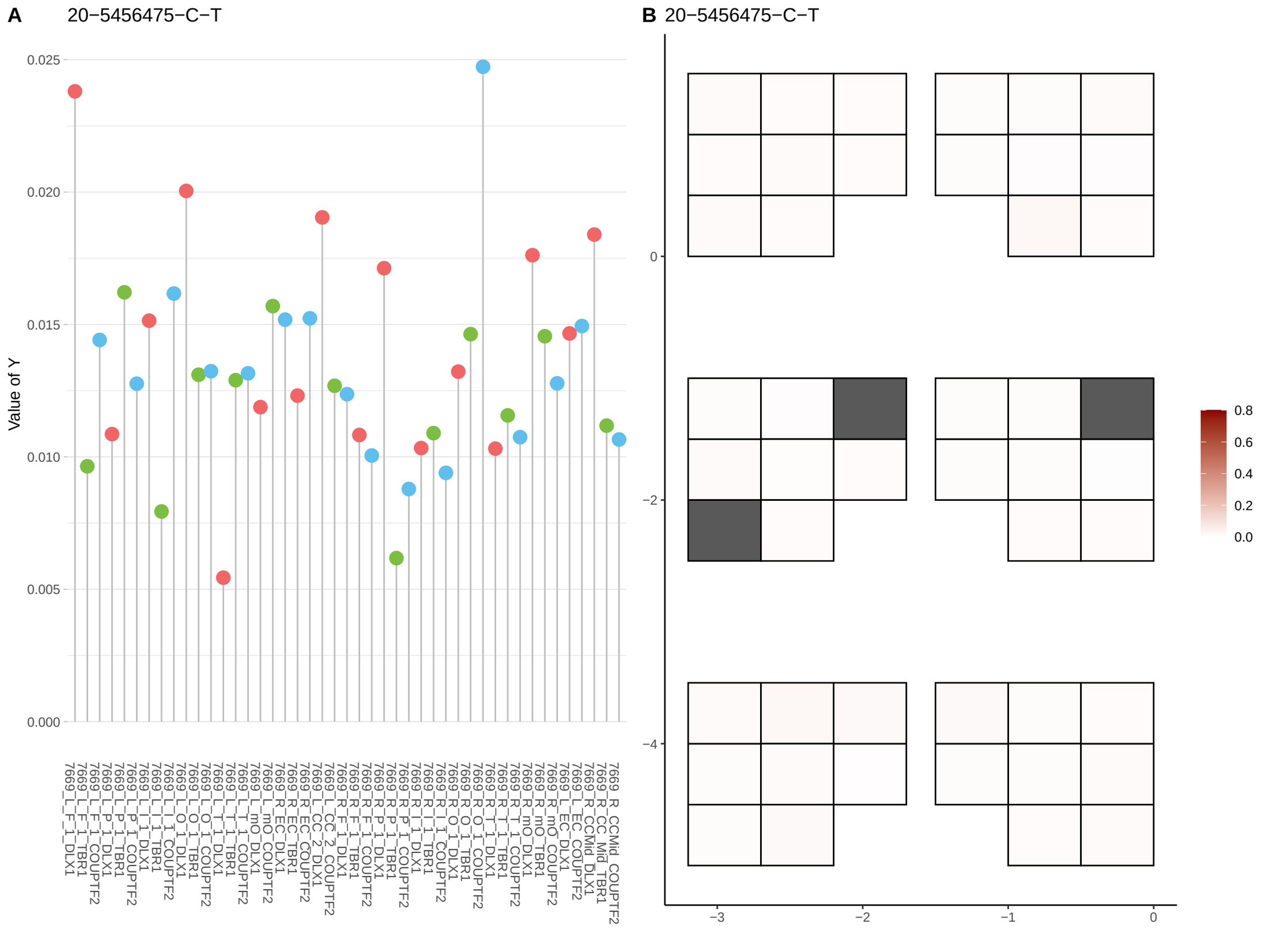
A
20−5456475−C−T
Value of Y
0.025
0.020
0.015
0.010
0.005
0.000
7669_L_F_1_DLX1
7669_L_F_1_TBR1
7669_L_F_1_COUPTF2
7669_L_P_1_DLX1
7669_L_P_1_TBR1
7669_L_P_1_COUPTF2
7669_L_I_1_DLX1
7669_L_I_1_TBR1
7669_L_I_1_COUPTF2
7669_L_O_1_DLX1
7669_L_O_1_TBR1
7669_L_O_1_COUPTF2
7669_L_T_1_DLX1
7669_L_T_1_TBR1
7669_L_T_1_COUPTF2
7669_L_mO_DLX1
7669_L_mO_COUPTF2
7669_R_EC_DLX1
7669_R_EC_TBR1
7669_R_EC_COUPTF2
7669_L_CC_2_DLX1
7669_L_CC_2_COUPTF2
7669_R_F_1_DLX1
7669_R_F_1_TBR1
7669_R_F_1_COUPTF2
7669_R_P_1_DLX1
7669_R_P_1_TBR1
7669_R_P_1_COUPTF2
7669_R_I_1_DLX1
7669_R_I_1_TBR1
7669_R_I_1_COUPTF2
7669_R_O_1_DLX1
7669_R_O_1_TBR1
7669_R_O_1_COUPTF2
7669_R_T_1_DLX1
7669_R_T_1_TBR1
7669_R_T_1_COUPTF2
7669_R_mO_DLX1
7669_R_mO_TBR1
7669_R_mO_COUPTF2
7669_L_EC_DLX1
7669_L_EC_COUPTF2
7669_R_CCMid_DLX1
7669_R_CC_Mid_TBR1
7669_R_CCMid_COUPTF2
B
20−5456475−C−T
0
−2
−4
−3
−2
−1
0
0.8
0.6
0.4
0.2
0.0

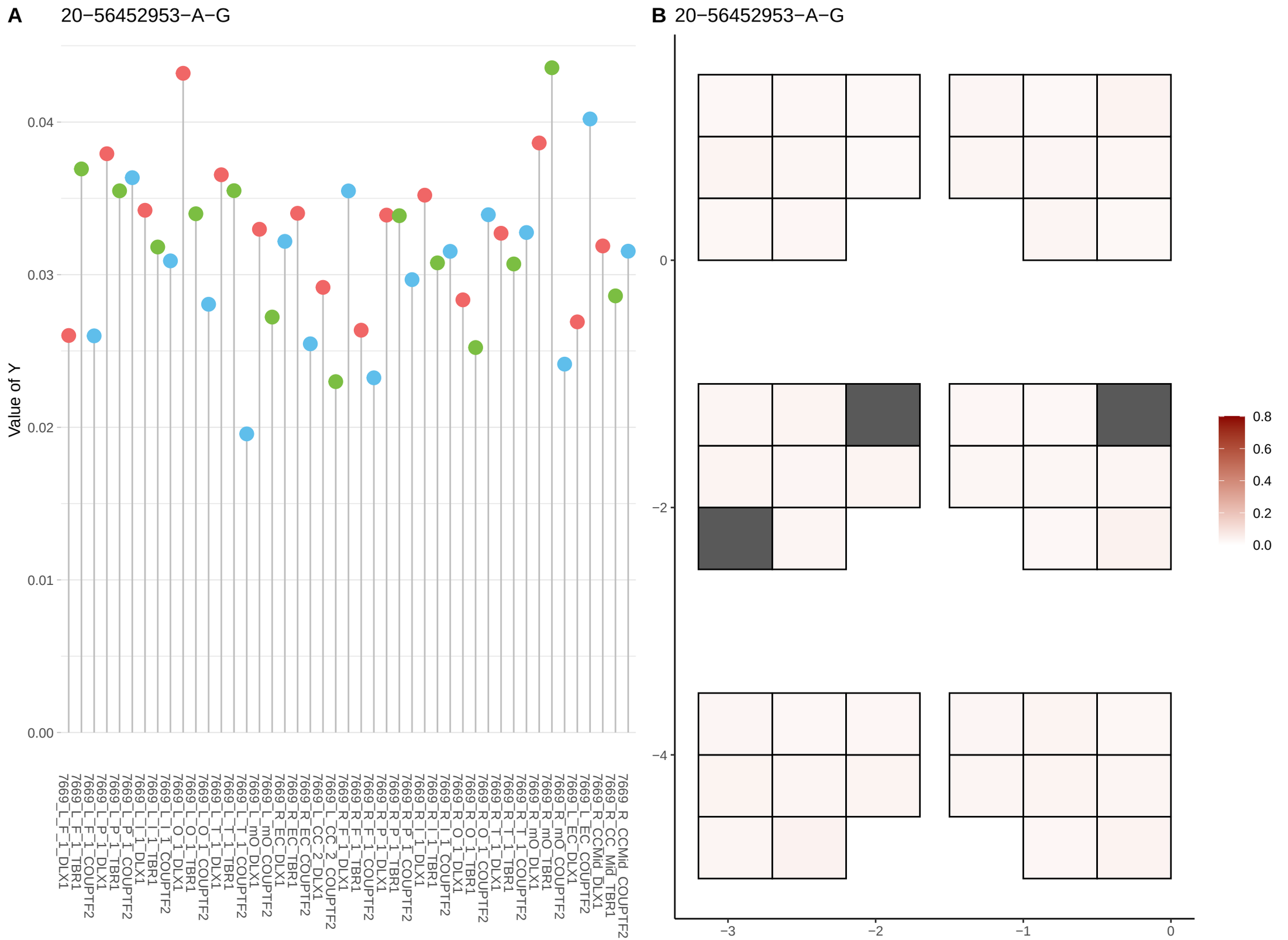
A
20−56452953−A−G
Value of Y
0.04
0.03
0.02
0.01
0.00
7669_L_F_1_DLX1
7669_L_F_1_TBR1
7669_L_F_1_COUPTF2
7669_L_P_1_DLX1
7669_L_P_1_TBR1
7669_L_P_1_COUPTF2
7669_L_I_1_DLX1
7669_L_I_1_TBR1
7669_L_I_1_COUPTF2
7669_L_O_1_DLX1
7669_L_O_1_TBR1
7669_L_O_1_COUPTF2
7669_L_T_1_DLX1
7669_L_T_1_TBR1
7669_L_T_1_COUPTF2
7669_L_mO_DLX1
7669_L_mO_COUPTF2
7669_R_EC_DLX1
7669_R_EC_TBR1
7669_R_EC_COUPTF2
7669_L_CC_2_DLX1
7669_L_CC_2_COUPTF2
7669_R_F_1_DLX1
7669_R_F_1_TBR1
7669_R_F_1_COUPTF2
7669_R_P_1_DLX1
7669_R_P_1_TBR1
7669_R_P_1_COUPTF2
7669_R_I_1_DLX1
7669_R_I_1_TBR1
7669_R_I_1_COUPTF2
7669_R_O_1_DLX1
7669_R_O_1_TBR1
7669_R_O_1_COUPTF2
7669_R_T_1_DLX1
7669_R_T_1_TBR1
7669_R_T_1_COUPTF2
7669_R_mO_DLX1
7669_R_mO_TBR1
7669_R_mO_COUPTF2
7669_L_EC_DLX1
7669_L_EC_COUPTF2
7669_R_CCMid_DLX1
7669_R_CC_Mid_TBR1
7669_R_CCMid_COUPTF2
B
20−56452953−A−G
0
−2
−4
−3
−2
−1
0
0.8
0.6
0.4
0.2
0.0

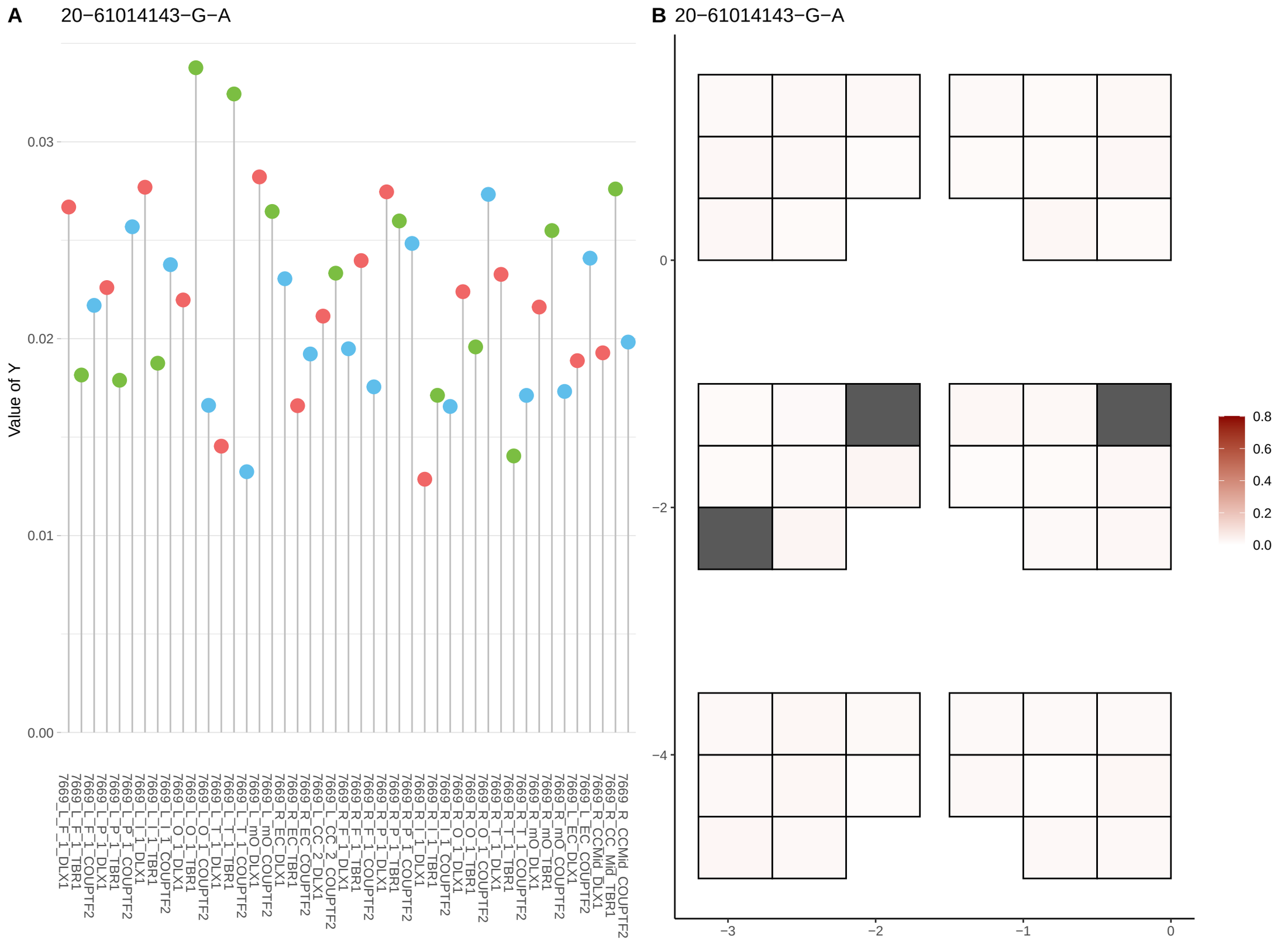
A
20−61014143−G−A
Value of Y
0.03
0.02
0.01
0.00
7669_L_F_1_DLX1
7669_L_F_1_TBR1
7669_L_F_1_COUPTF2
7669_L_P_1_DLX1
7669_L_P_1_TBR1
7669_L_P_1_COUPTF2
7669_L_I_1_DLX1
7669_L_I_1_TBR1
7669_L_I_1_COUPTF2
7669_L_O_1_DLX1
7669_L_O_1_TBR1
7669_L_O_1_COUPTF2
7669_L_T_1_DLX1
7669_L_T_1_TBR1
7669_L_T_1_COUPTF2
7669_L_mO_DLX1
7669_L_mO_COUPTF2
7669_R_EC_DLX1
7669_R_EC_TBR1
7669_R_EC_COUPTF2
7669_L_CC_2_DLX1
7669_L_CC_2_COUPTF2
7669_R_F_1_DLX1
7669_R_F_1_TBR1
7669_R_F_1_COUPTF2
7669_R_P_1_DLX1
7669_R_P_1_TBR1
7669_R_P_1_COUPTF2
7669_R_I_1_DLX1
7669_R_I_1_TBR1
7669_R_I_1_COUPTF2
7669_R_O_1_DLX1
7669_R_O_1_TBR1
7669_R_O_1_COUPTF2
7669_R_T_1_DLX1
7669_R_T_1_TBR1
7669_R_T_1_COUPTF2
7669_R_mO_DLX1
7669_R_mO_TBR1
7669_R_mO_COUPTF2
7669_L_EC_DLX1
7669_L_EC_COUPTF2
7669_R_CCMid_DLX1
7669_R_CC_Mid_TBR1
7669_R_CCMid_COUPTF2
B
20−61014143−G−A
0
−2
−4
−3
−2
−1
0
0.8
0.6
0.4
0.2
0.0

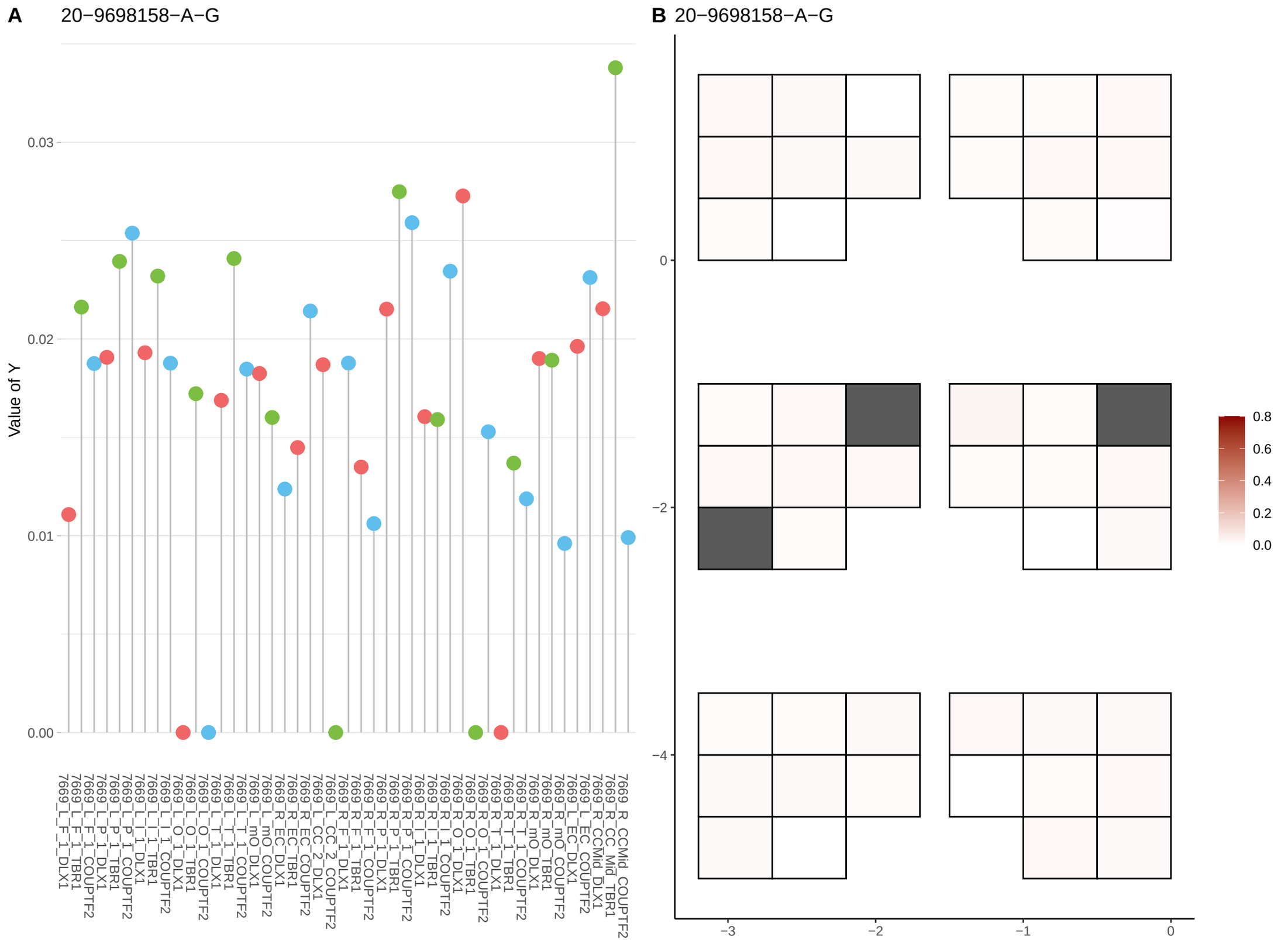
A
20−9698158−A−G
Value of Y
0.03
0.02
0.01
0.00
7669_L_F_1_DLX1
7669_L_F_1_TBR1
7669_L_F_1_COUPTF2
7669_L_P_1_DLX1
7669_L_P_1_TBR1
7669_L_P_1_COUPTF2
7669_L_I_1_DLX1
7669_L_I_1_TBR1
7669_L_I_1_COUPTF2
7669_L_O_1_DLX1
7669_L_O_1_TBR1
7669_L_O_1_COUPTF2
7669_L_T_1_DLX1
7669_L_T_1_TBR1
7669_L_T_1_COUPTF2
7669_L_mO_DLX1
7669_L_mO_COUPTF2
7669_R_EC_DLX1
7669_R_EC_TBR1
7669_R_EC_COUPTF2
7669_L_CC_2_DLX1
7669_L_CC_2_COUPTF2
7669_R_F_1_DLX1
7669_R_F_1_TBR1
7669_R_F_1_COUPTF2
7669_R_P_1_DLX1
7669_R_P_1_TBR1
7669_R_P_1_COUPTF2
7669_R_I_1_DLX1
7669_R_I_1_TBR1
7669_R_I_1_COUPTF2
7669_R_O_1_DLX1
7669_R_O_1_TBR1
7669_R_O_1_COUPTF2
7669_R_T_1_DLX1
7669_R_T_1_TBR1
7669_R_T_1_COUPTF2
7669_R_mO_DLX1
7669_R_mO_TBR1
7669_R_mO_COUPTF2
7669_L_EC_DLX1
7669_L_EC_COUPTF2
7669_R_CCMid_DLX1
7669_R_CC_Mid_TBR1
7669_R_CCMid_COUPTF2
B
20−9698158−A−G
0
−2
−4
−3
−2
−1
0
0.8
0.6
0.4
0.2
0.0

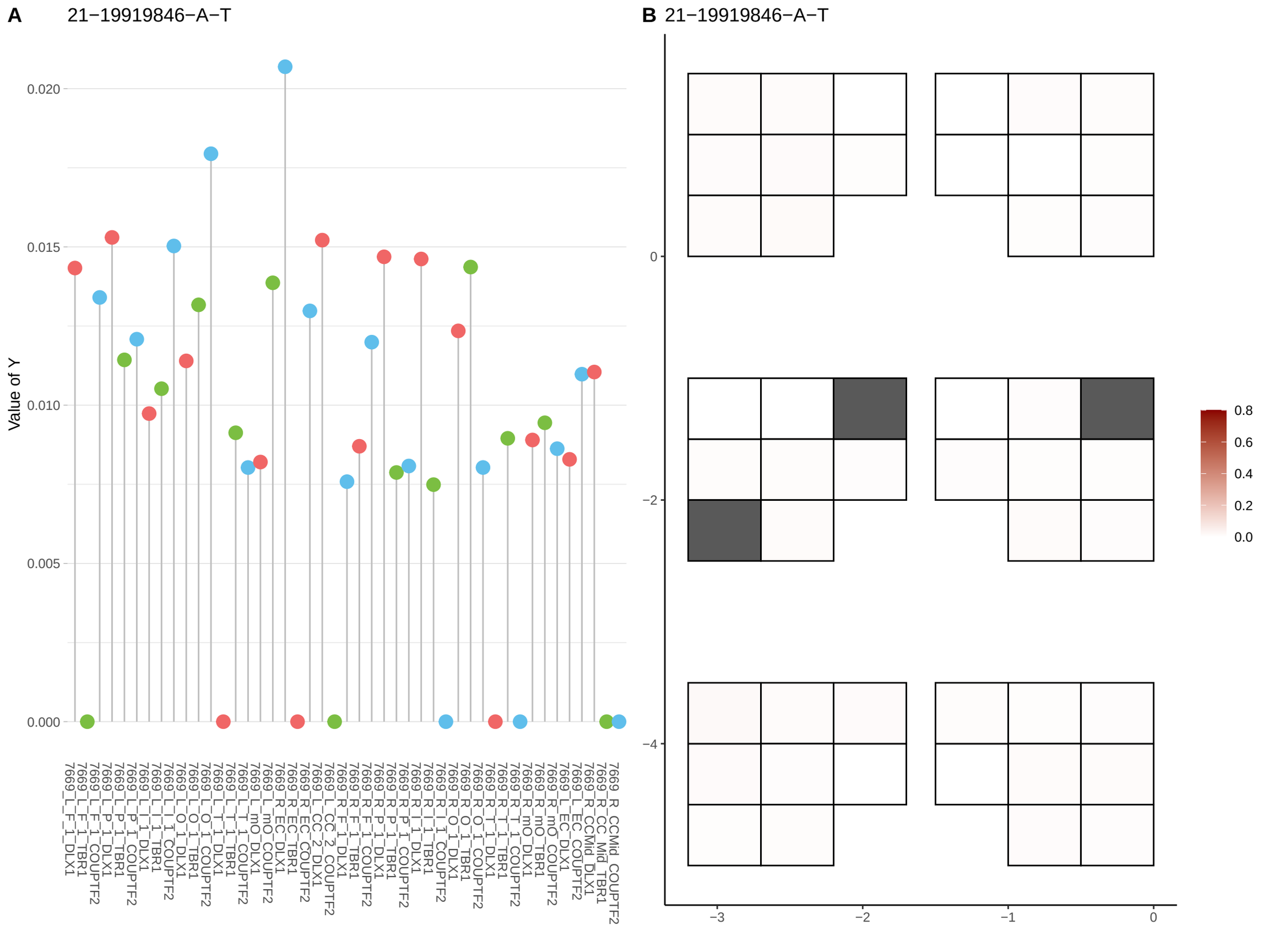
A
21−19919846−A−T
Value of Y
0.020
0.015
0.010
0.005
0.000
7669_L_F_1_DLX1
7669_L_F_1_TBR1
7669_L_F_1_COUPTF2
7669_L_P_1_DLX1
7669_L_P_1_TBR1
7669_L_P_1_COUPTF2
7669_L_I_1_DLX1
7669_L_I_1_TBR1
7669_L_I_1_COUPTF2
7669_L_O_1_DLX1
7669_L_O_1_TBR1
7669_L_O_1_COUPTF2
7669_L_T_1_DLX1
7669_L_T_1_TBR1
7669_L_T_1_COUPTF2
7669_L_mO_DLX1
7669_L_mO_COUPTF2
7669_R_EC_DLX1
7669_R_EC_TBR1
7669_R_EC_COUPTF2
7669_L_CC_2_DLX1
7669_L_CC_2_COUPTF2
7669_R_F_1_DLX1
7669_R_F_1_TBR1
7669_R_F_1_COUPTF2
7669_R_P_1_DLX1
7669_R_P_1_TBR1
7669_R_P_1_COUPTF2
7669_R_I_1_DLX1
7669_R_I_1_TBR1
7669_R_I_1_COUPTF2
7669_R_O_1_DLX1
7669_R_O_1_TBR1
7669_R_O_1_COUPTF2
7669_R_T_1_DLX1
7669_R_T_1_TBR1
7669_R_T_1_COUPTF2
7669_R_mO_DLX1
7669_R_mO_TBR1
7669_R_mO_COUPTF2
7669_L_EC_DLX1
7669_L_EC_COUPTF2
7669_R_CCMid_DLX1
7669_R_CC_Mid_TBR1
7669_R_CCMid_COUPTF2
B
21−19919846−A−T
0
−2
−4
−3
−2
−1
0
0.8
0.6
0.4
0.2
0.0

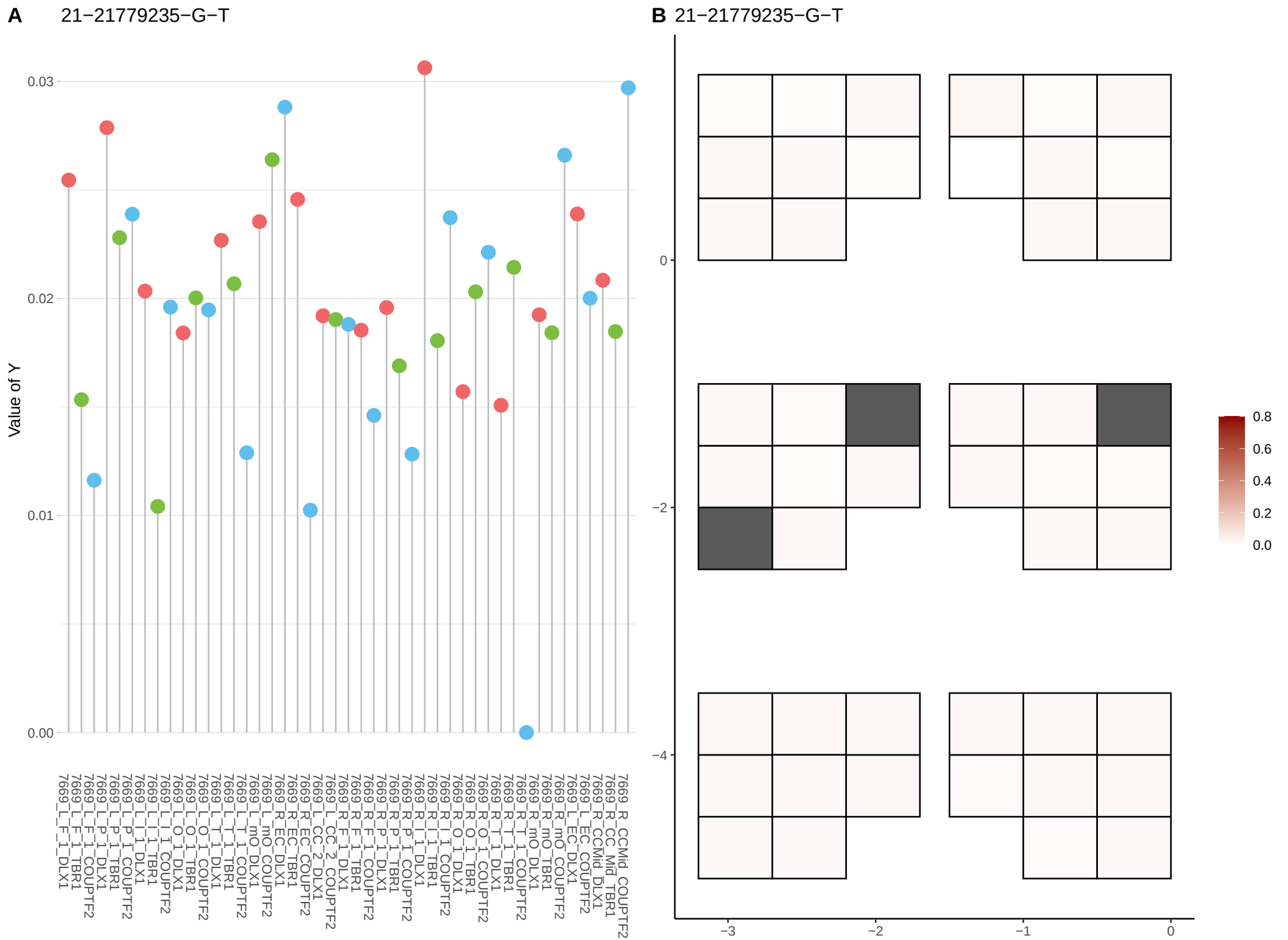
A
21−21779235−G−T
Value of Y
0.03
0.02
0.01
0.00
7669_L_F_1_DLX1
7669_L_F_1_TBR1
7669_L_F_1_COUPTF2
7669_L_P_1_DLX1
7669_L_P_1_TBR1
7669_L_P_1_COUPTF2
7669_L_I_1_DLX1
7669_L_I_1_TBR1
7669_L_I_1_COUPTF2
7669_L_O_1_DLX1
7669_L_O_1_TBR1
7669_L_O_1_COUPTF2
7669_L_T_1_DLX1
7669_L_T_1_TBR1
7669_L_T_1_COUPTF2
7669_L_mO_DLX1
7669_L_mO_COUPTF2
7669_R_EC_DLX1
7669_R_EC_TBR1
7669_R_EC_COUPTF2
7669_L_CC_2_DLX1
7669_L_CC_2_COUPTF2
7669_R_F_1_DLX1
7669_R_F_1_TBR1
7669_R_F_1_COUPTF2
7669_R_P_1_DLX1
7669_R_P_1_TBR1
7669_R_P_1_COUPTF2
7669_R_I_1_DLX1
7669_R_I_1_TBR1
7669_R_I_1_COUPTF2
7669_R_O_1_DLX1
7669_R_O_1_TBR1
7669_R_O_1_COUPTF2
7669_R_T_1_DLX1
7669_R_T_1_TBR1
7669_R_T_1_COUPTF2
7669_R_mO_DLX1
7669_R_mO_TBR1
7669_R_mO_COUPTF2
7669_L_EC_DLX1
7669_L_EC_COUPTF2
7669_R_CCMid_DLX1
7669_R_CC_Mid_TBR1
7669_R_CCMid_COUPTF2
B
21−21779235−G−T
0
−2
−4
−3
−2
−1
0
0.8
0.6
0.4
0.2
0.0

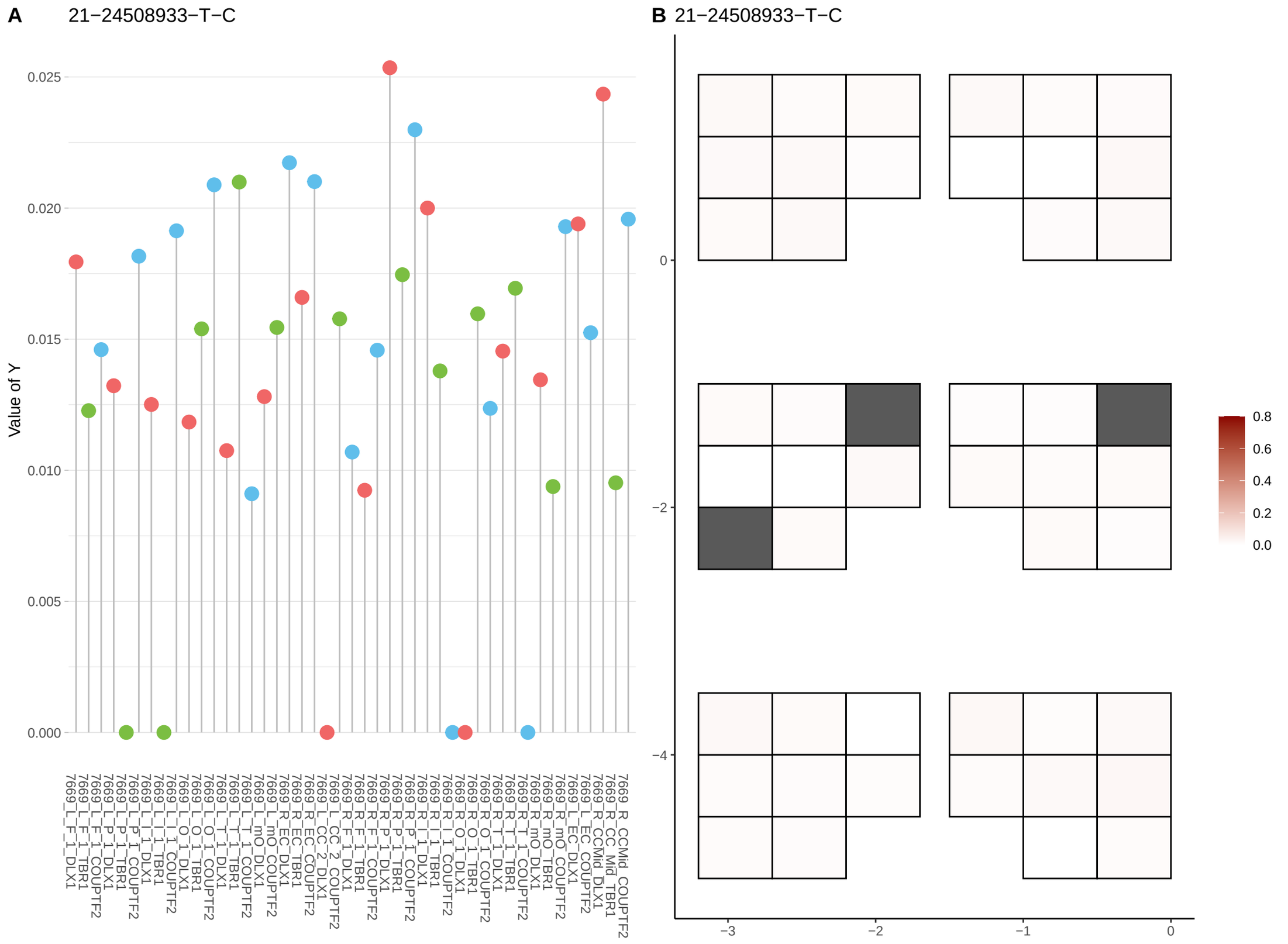
A
21−24508933−T−C
Value of Y
0.025
0.020
0.015
0.010
0.005
0.000
7669_L_F_1_DLX1
7669_L_F_1_TBR1
7669_L_F_1_COUPTF2
7669_L_P_1_DLX1
7669_L_P_1_TBR1
7669_L_P_1_COUPTF2
7669_L_I_1_DLX1
7669_L_I_1_TBR1
7669_L_I_1_COUPTF2
7669_L_O_1_DLX1
7669_L_O_1_TBR1
7669_L_O_1_COUPTF2
7669_L_T_1_DLX1
7669_L_T_1_TBR1
7669_L_T_1_COUPTF2
7669_L_mO_DLX1
7669_L_mO_COUPTF2
7669_R_EC_DLX1
7669_R_EC_TBR1
7669_R_EC_COUPTF2
7669_L_CC_2_DLX1
7669_L_CC_2_COUPTF2
7669_R_F_1_DLX1
7669_R_F_1_TBR1
7669_R_F_1_COUPTF2
7669_R_P_1_DLX1
7669_R_P_1_TBR1
7669_R_P_1_COUPTF2
7669_R_I_1_DLX1
7669_R_I_1_TBR1
7669_R_I_1_COUPTF2
7669_R_O_1_DLX1
7669_R_O_1_TBR1
7669_R_O_1_COUPTF2
7669_R_T_1_DLX1
7669_R_T_1_TBR1
7669_R_T_1_COUPTF2
7669_R_mO_DLX1
7669_R_mO_TBR1
7669_R_mO_COUPTF2
7669_L_EC_DLX1
7669_L_EC_COUPTF2
7669_R_CCMid_DLX1
7669_R_CC_Mid_TBR1
7669_R_CCMid_COUPTF2
B
21−24508933−T−C
0
−2
−4
−3
−2
−1
0
0.8
0.6
0.4
0.2
0.0

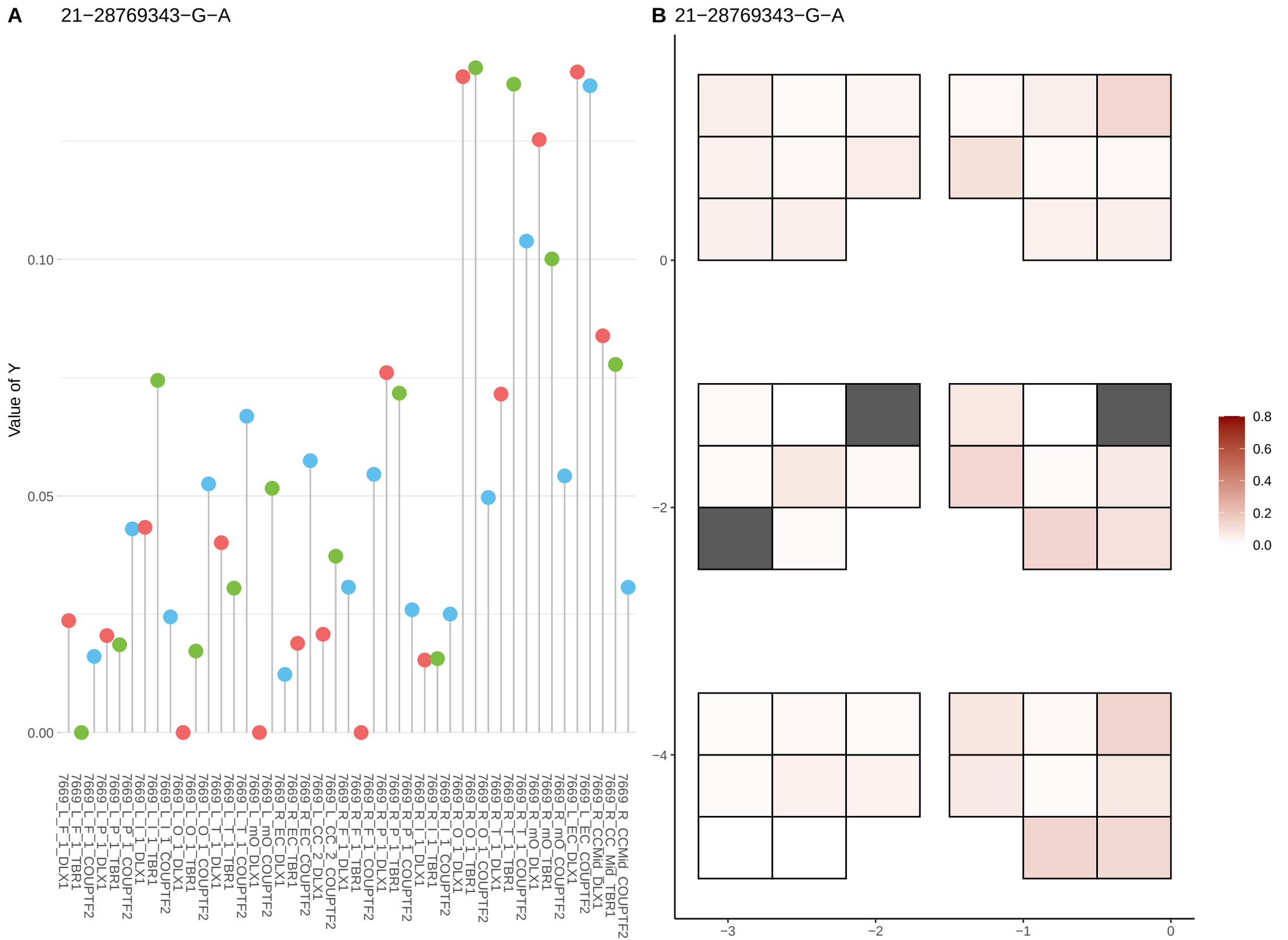
A
21−28769343−G−A
Value of Y
0.10
0.05
0.00
7669_L_F_1_DLX1
7669_L_F_1_TBR1
7669_L_F_1_COUPTF2
7669_L_P_1_DLX1
7669_L_P_1_TBR1
7669_L_P_1_COUPTF2
7669_L_I_1_DLX1
7669_L_I_1_TBR1
7669_L_I_1_COUPTF2
7669_L_O_1_DLX1
7669_L_O_1_TBR1
7669_L_O_1_COUPTF2
7669_L_T_1_DLX1
7669_L_T_1_TBR1
7669_L_T_1_COUPTF2
7669_L_mO_DLX1
7669_L_mO_COUPTF2
7669_R_EC_DLX1
7669_R_EC_TBR1
7669_R_EC_COUPTF2
7669_L_CC_2_DLX1
7669_L_CC_2_COUPTF2
7669_R_F_1_DLX1
7669_R_F_1_TBR1
7669_R_F_1_COUPTF2
7669_R_P_1_DLX1
7669_R_P_1_TBR1
7669_R_P_1_COUPTF2
7669_R_I_1_DLX1
7669_R_I_1_TBR1
7669_R_I_1_COUPTF2
7669_R_O_1_DLX1
7669_R_O_1_TBR1
7669_R_O_1_COUPTF2
7669_R_T_1_DLX1
7669_R_T_1_TBR1
7669_R_T_1_COUPTF2
7669_R_mO_DLX1
7669_R_mO_TBR1
7669_R_mO_COUPTF2
7669_L_EC_DLX1
7669_L_EC_COUPTF2
7669_R_CCMid_DLX1
7669_R_CC_Mid_TBR1
7669_R_CCMid_COUPTF2
B
21−28769343−G−A
0
−2
−4
−3
−2
−1
0
0.8
0.6
0.4
0.2
0.0

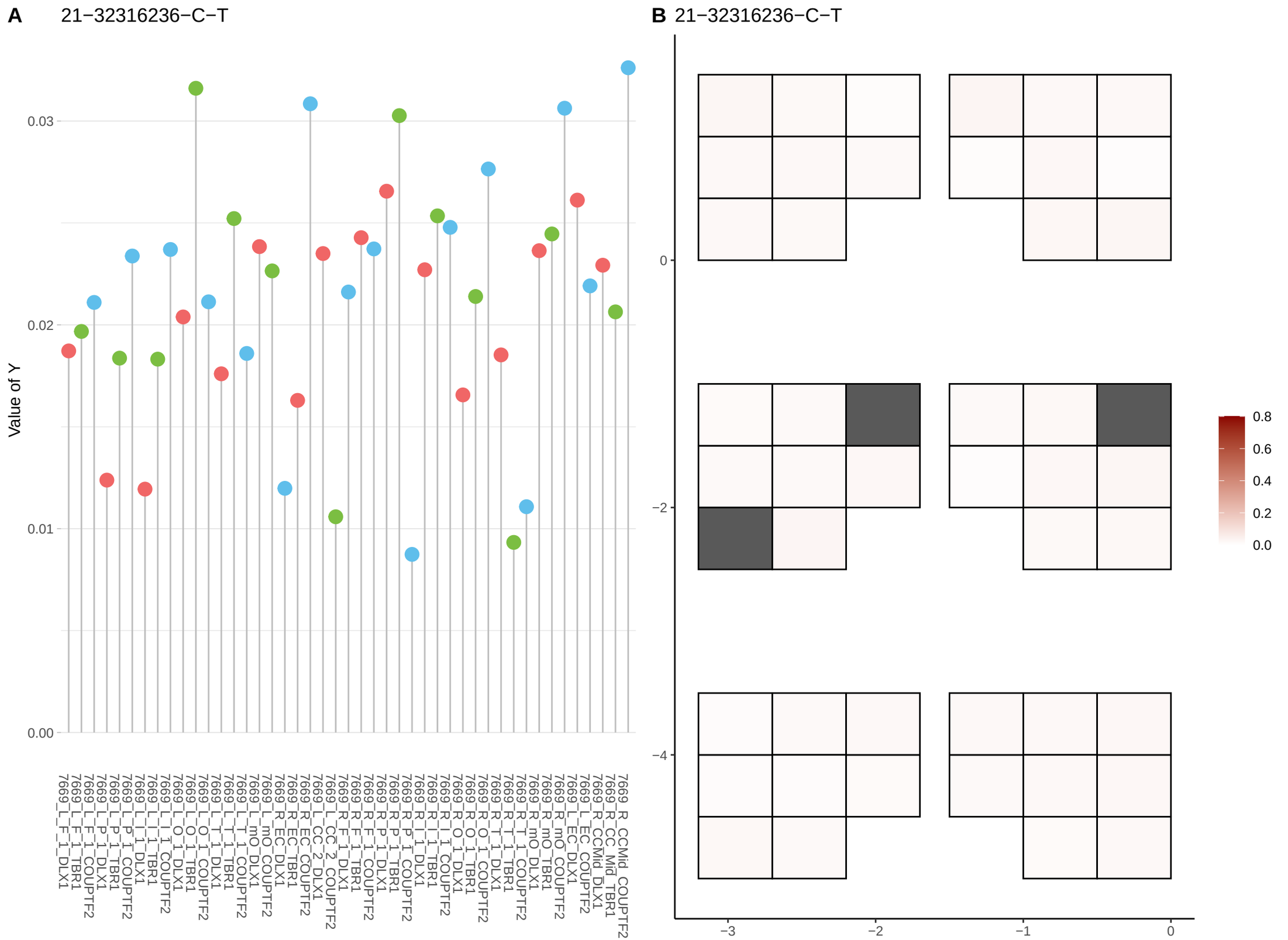
A
21−32316236−C−T
Value of Y
0.03
0.02
0.01
0.00
7669_L_F_1_DLX1
7669_L_F_1_TBR1
7669_L_F_1_COUPTF2
7669_L_P_1_DLX1
7669_L_P_1_TBR1
7669_L_P_1_COUPTF2
7669_L_I_1_DLX1
7669_L_I_1_TBR1
7669_L_I_1_COUPTF2
7669_L_O_1_DLX1
7669_L_O_1_TBR1
7669_L_O_1_COUPTF2
7669_L_T_1_DLX1
7669_L_T_1_TBR1
7669_L_T_1_COUPTF2
7669_L_mO_DLX1
7669_L_mO_COUPTF2
7669_R_EC_DLX1
7669_R_EC_TBR1
7669_R_EC_COUPTF2
7669_L_CC_2_DLX1
7669_L_CC_2_COUPTF2
7669_R_F_1_DLX1
7669_R_F_1_TBR1
7669_R_F_1_COUPTF2
7669_R_P_1_DLX1
7669_R_P_1_TBR1
7669_R_P_1_COUPTF2
7669_R_I_1_DLX1
7669_R_I_1_TBR1
7669_R_I_1_COUPTF2
7669_R_O_1_DLX1
7669_R_O_1_TBR1
7669_R_O_1_COUPTF2
7669_R_T_1_DLX1
7669_R_T_1_TBR1
7669_R_T_1_COUPTF2
7669_R_mO_DLX1
7669_R_mO_TBR1
7669_R_mO_COUPTF2
7669_L_EC_DLX1
7669_L_EC_COUPTF2
7669_R_CCMid_DLX1
7669_R_CC_Mid_TBR1
7669_R_CCMid_COUPTF2
B
21−32316236−C−T
0
−2
−4
−3
−2
−1
0
0.8
0.6
0.4
0.2
0.0

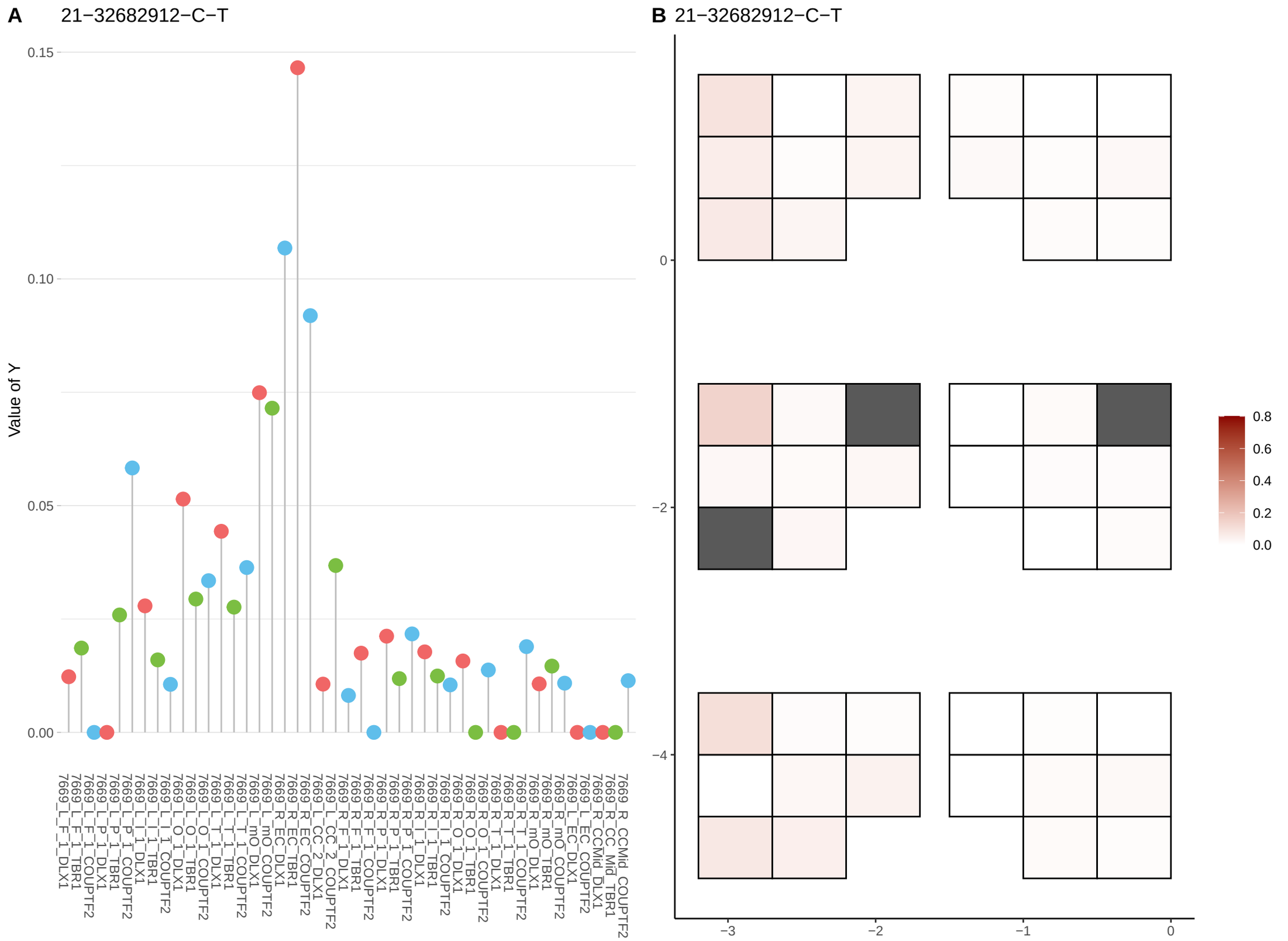
A
21−32682912−C−T
Value of Y
0.15
0.10
0.05
0.00
7669_L_F_1_DLX1
7669_L_F_1_TBR1
7669_L_F_1_COUPTF2
7669_L_P_1_DLX1
7669_L_P_1_TBR1
7669_L_P_1_COUPTF2
7669_L_I_1_DLX1
7669_L_I_1_TBR1
7669_L_I_1_COUPTF2
7669_L_O_1_DLX1
7669_L_O_1_TBR1
7669_L_O_1_COUPTF2
7669_L_T_1_DLX1
7669_L_T_1_TBR1
7669_L_T_1_COUPTF2
7669_L_mO_DLX1
7669_L_mO_COUPTF2
7669_R_EC_DLX1
7669_R_EC_TBR1
7669_R_EC_COUPTF2
7669_L_CC_2_DLX1
7669_L_CC_2_COUPTF2
7669_R_F_1_DLX1
7669_R_F_1_TBR1
7669_R_F_1_COUPTF2
7669_R_P_1_DLX1
7669_R_P_1_TBR1
7669_R_P_1_COUPTF2
7669_R_I_1_DLX1
7669_R_I_1_TBR1
7669_R_I_1_COUPTF2
7669_R_O_1_DLX1
7669_R_O_1_TBR1
7669_R_O_1_COUPTF2
7669_R_T_1_DLX1
7669_R_T_1_TBR1
7669_R_T_1_COUPTF2
7669_R_mO_DLX1
7669_R_mO_TBR1
7669_R_mO_COUPTF2
7669_L_EC_DLX1
7669_L_EC_COUPTF2
7669_R_CCMid_DLX1
7669_R_CC_Mid_TBR1
7669_R_CCMid_COUPTF2
B
21−32682912−C−T
0
−2
−4
−3
−2
−1
0
0.8
0.6
0.4
0.2
0.0

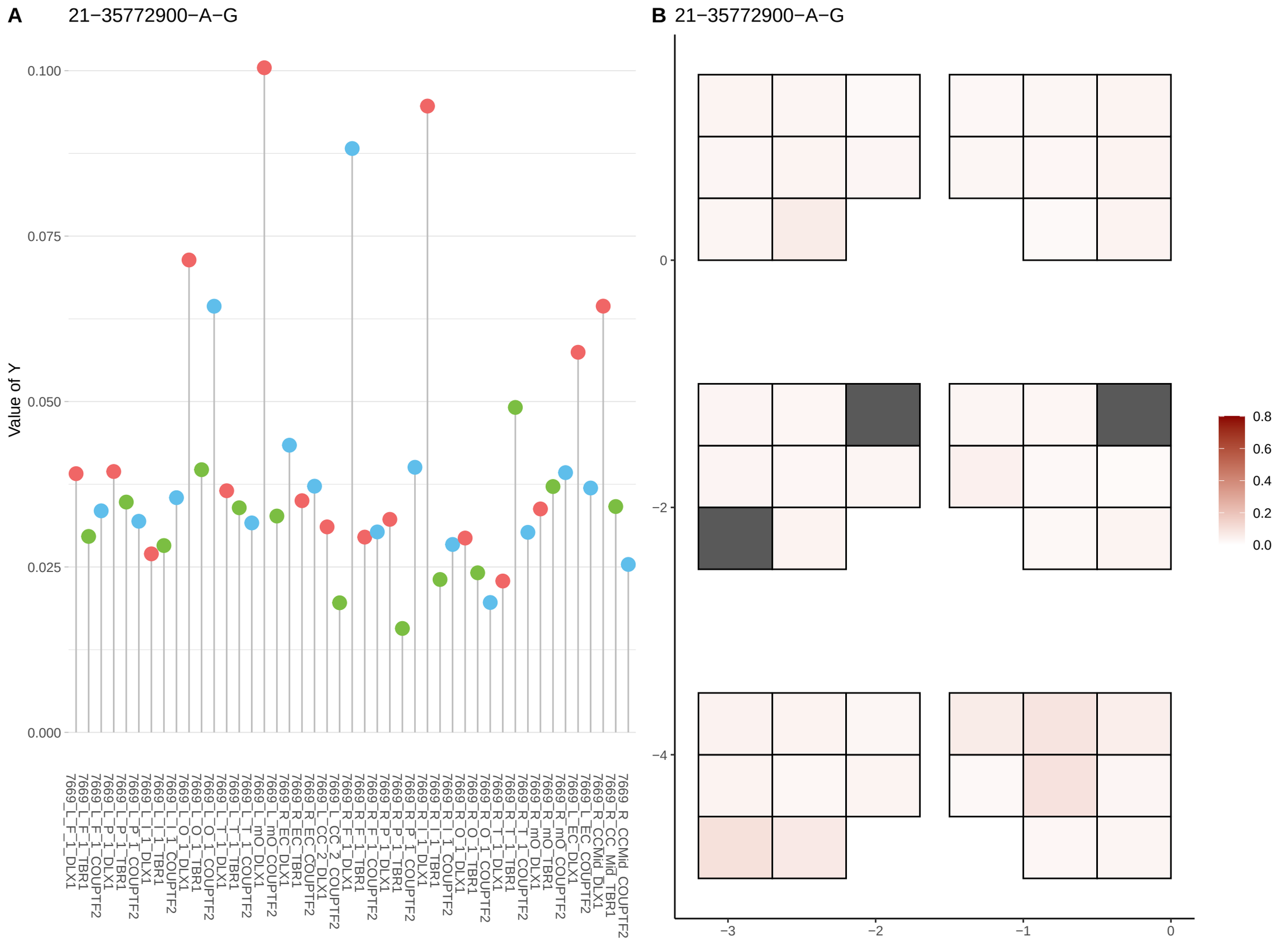
A
21−35772900−A−G
Value of Y
0.100
0.075
0.050
0.025
0.000
7669_L_F_1_DLX1
7669_L_F_1_TBR1
7669_L_F_1_COUPTF2
7669_L_P_1_DLX1
7669_L_P_1_TBR1
7669_L_P_1_COUPTF2
7669_L_I_1_DLX1
7669_L_I_1_TBR1
7669_L_I_1_COUPTF2
7669_L_O_1_DLX1
7669_L_O_1_TBR1
7669_L_O_1_COUPTF2
7669_L_T_1_DLX1
7669_L_T_1_TBR1
7669_L_T_1_COUPTF2
7669_L_mO_DLX1
7669_L_mO_COUPTF2
7669_R_EC_DLX1
7669_R_EC_TBR1
7669_R_EC_COUPTF2
7669_L_CC_2_DLX1
7669_L_CC_2_COUPTF2
7669_R_F_1_DLX1
7669_R_F_1_TBR1
7669_R_F_1_COUPTF2
7669_R_P_1_DLX1
7669_R_P_1_TBR1
7669_R_P_1_COUPTF2
7669_R_I_1_DLX1
7669_R_I_1_TBR1
7669_R_I_1_COUPTF2
7669_R_O_1_DLX1
7669_R_O_1_TBR1
7669_R_O_1_COUPTF2
7669_R_T_1_DLX1
7669_R_T_1_TBR1
7669_R_T_1_COUPTF2
7669_R_mO_DLX1
7669_R_mO_TBR1
7669_R_mO_COUPTF2
7669_L_EC_DLX1
7669_L_EC_COUPTF2
7669_R_CCMid_DLX1
7669_R_CC_Mid_TBR1
7669_R_CCMid_COUPTF2
B
21−35772900−A−G
0
−2
−4
−3
−2
−1
0
0.8
0.6
0.4
0.2
0.0

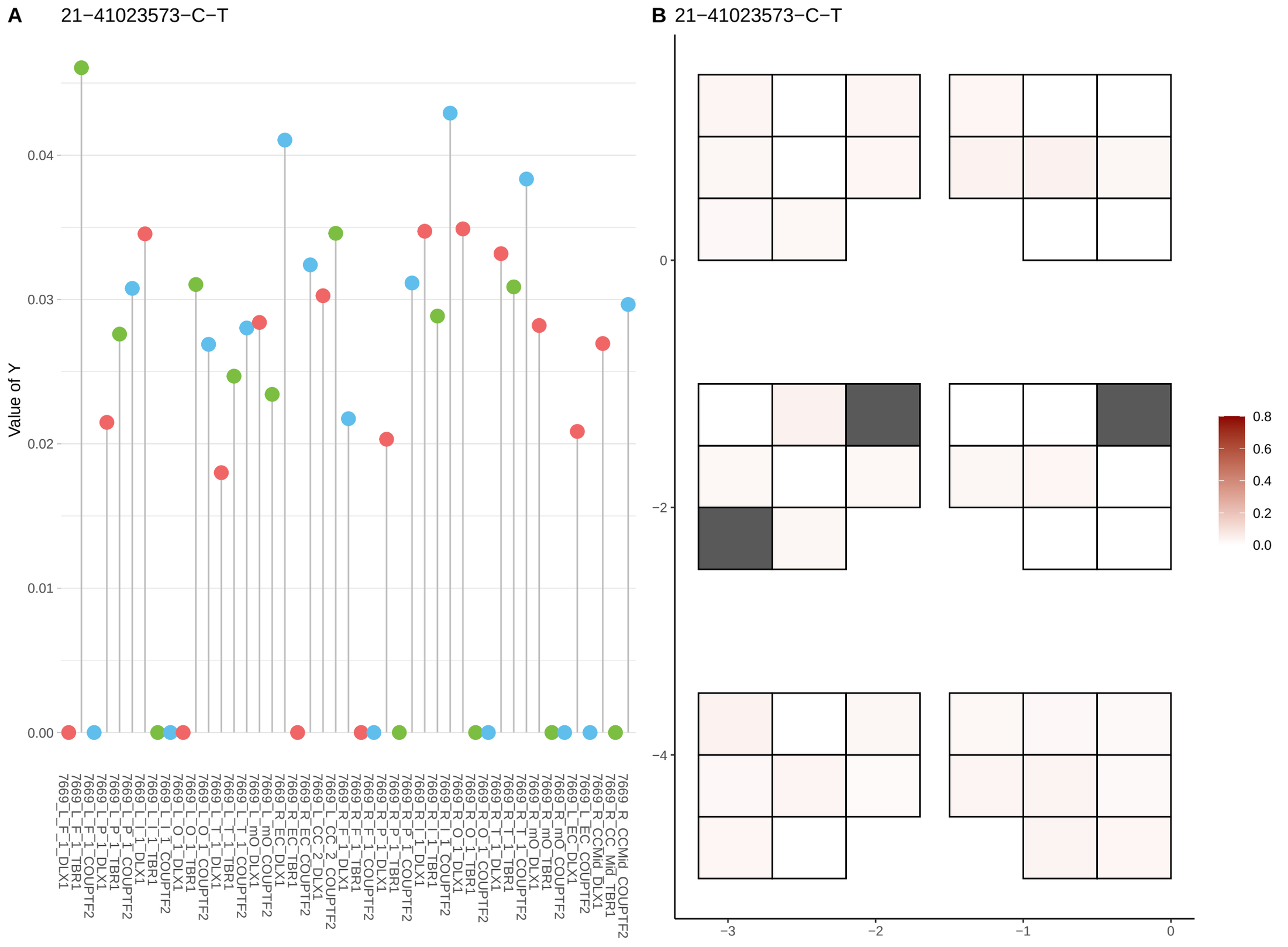
A
21−41023573−C−T
Value of Y
0.04
0.03
0.02
0.01
0.00
7669_L_F_1_DLX1
7669_L_F_1_TBR1
7669_L_F_1_COUPTF2
7669_L_P_1_DLX1
7669_L_P_1_TBR1
7669_L_P_1_COUPTF2
7669_L_I_1_DLX1
7669_L_I_1_TBR1
7669_L_I_1_COUPTF2
7669_L_O_1_DLX1
7669_L_O_1_TBR1
7669_L_O_1_COUPTF2
7669_L_T_1_DLX1
7669_L_T_1_TBR1
7669_L_T_1_COUPTF2
7669_L_mO_DLX1
7669_L_mO_COUPTF2
7669_R_EC_DLX1
7669_R_EC_TBR1
7669_R_EC_COUPTF2
7669_L_CC_2_DLX1
7669_L_CC_2_COUPTF2
7669_R_F_1_DLX1
7669_R_F_1_TBR1
7669_R_F_1_COUPTF2
7669_R_P_1_DLX1
7669_R_P_1_TBR1
7669_R_P_1_COUPTF2
7669_R_I_1_DLX1
7669_R_I_1_TBR1
7669_R_I_1_COUPTF2
7669_R_O_1_DLX1
7669_R_O_1_TBR1
7669_R_O_1_COUPTF2
7669_R_T_1_DLX1
7669_R_T_1_TBR1
7669_R_T_1_COUPTF2
7669_R_mO_DLX1
7669_R_mO_TBR1
7669_R_mO_COUPTF2
7669_L_EC_DLX1
7669_L_EC_COUPTF2
7669_R_CCMid_DLX1
7669_R_CC_Mid_TBR1
7669_R_CCMid_COUPTF2
B
21−41023573−C−T
0
−2
−4
−3
−2
−1
0
0.8
0.6
0.4
0.2
0.0

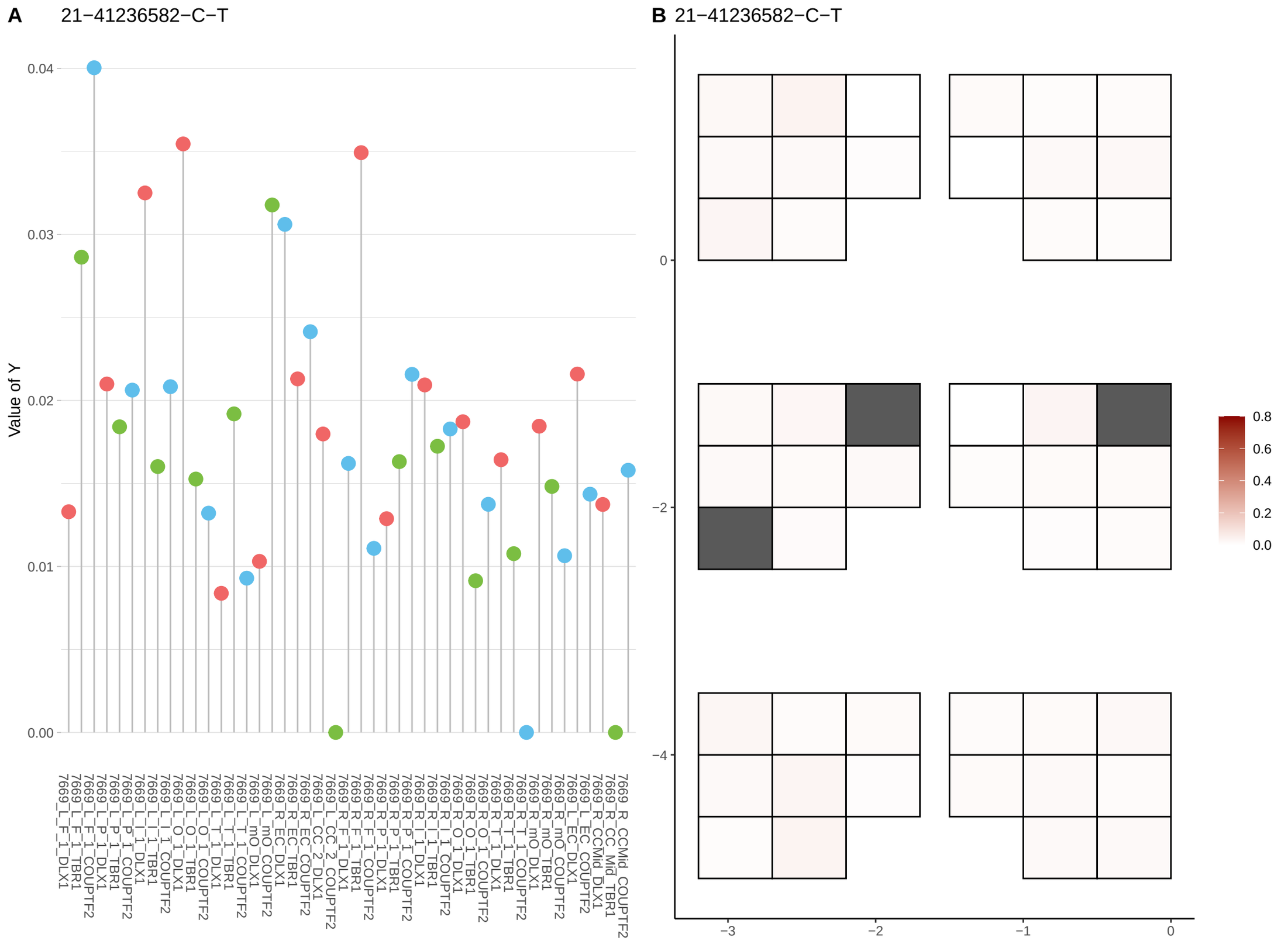
A
21−41236582−C−T
Value of Y
0.04
0.03
0.02
0.01
0.00
7669_L_F_1_DLX1
7669_L_F_1_TBR1
7669_L_F_1_COUPTF2
7669_L_P_1_DLX1
7669_L_P_1_TBR1
7669_L_P_1_COUPTF2
7669_L_I_1_DLX1
7669_L_I_1_TBR1
7669_L_I_1_COUPTF2
7669_L_O_1_DLX1
7669_L_O_1_TBR1
7669_L_O_1_COUPTF2
7669_L_T_1_DLX1
7669_L_T_1_TBR1
7669_L_T_1_COUPTF2
7669_L_mO_DLX1
7669_L_mO_COUPTF2
7669_R_EC_DLX1
7669_R_EC_TBR1
7669_R_EC_COUPTF2
7669_L_CC_2_DLX1
7669_L_CC_2_COUPTF2
7669_R_F_1_DLX1
7669_R_F_1_TBR1
7669_R_F_1_COUPTF2
7669_R_P_1_DLX1
7669_R_P_1_TBR1
7669_R_P_1_COUPTF2
7669_R_I_1_DLX1
7669_R_I_1_TBR1
7669_R_I_1_COUPTF2
7669_R_O_1_DLX1
7669_R_O_1_TBR1
7669_R_O_1_COUPTF2
7669_R_T_1_DLX1
7669_R_T_1_TBR1
7669_R_T_1_COUPTF2
7669_R_mO_DLX1
7669_R_mO_TBR1
7669_R_mO_COUPTF2
7669_L_EC_DLX1
7669_L_EC_COUPTF2
7669_R_CCMid_DLX1
7669_R_CC_Mid_TBR1
7669_R_CCMid_COUPTF2
B
21−41236582−C−T
0
−2
−4
−3
−2
−1
0
0.8
0.6
0.4
0.2
0.0

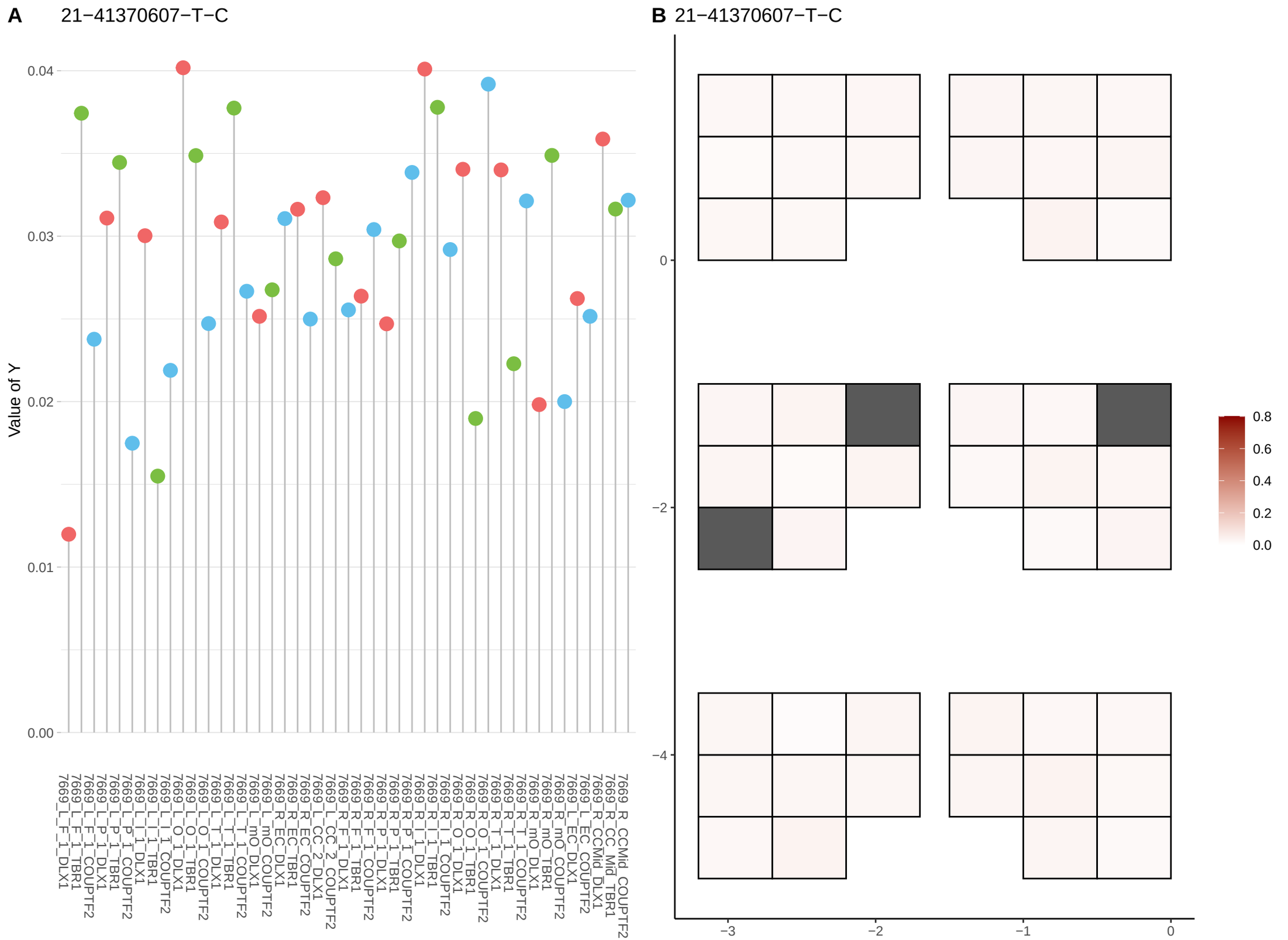
A
21−41370607−T−C
Value of Y
0.04
0.03
0.02
0.01
0.00
7669_L_F_1_DLX1
7669_L_F_1_TBR1
7669_L_F_1_COUPTF2
7669_L_P_1_DLX1
7669_L_P_1_TBR1
7669_L_P_1_COUPTF2
7669_L_I_1_DLX1
7669_L_I_1_TBR1
7669_L_I_1_COUPTF2
7669_L_O_1_DLX1
7669_L_O_1_TBR1
7669_L_O_1_COUPTF2
7669_L_T_1_DLX1
7669_L_T_1_TBR1
7669_L_T_1_COUPTF2
7669_L_mO_DLX1
7669_L_mO_COUPTF2
7669_R_EC_DLX1
7669_R_EC_TBR1
7669_R_EC_COUPTF2
7669_L_CC_2_DLX1
7669_L_CC_2_COUPTF2
7669_R_F_1_DLX1
7669_R_F_1_TBR1
7669_R_F_1_COUPTF2
7669_R_P_1_DLX1
7669_R_P_1_TBR1
7669_R_P_1_COUPTF2
7669_R_I_1_DLX1
7669_R_I_1_TBR1
7669_R_I_1_COUPTF2
7669_R_O_1_DLX1
7669_R_O_1_TBR1
7669_R_O_1_COUPTF2
7669_R_T_1_DLX1
7669_R_T_1_TBR1
7669_R_T_1_COUPTF2
7669_R_mO_DLX1
7669_R_mO_TBR1
7669_R_mO_COUPTF2
7669_L_EC_DLX1
7669_L_EC_COUPTF2
7669_R_CCMid_DLX1
7669_R_CC_Mid_TBR1
7669_R_CCMid_COUPTF2
B
21−41370607−T−C
0
−2
−4
−3
−2
−1
0
0.8
0.6
0.4
0.2
0.0

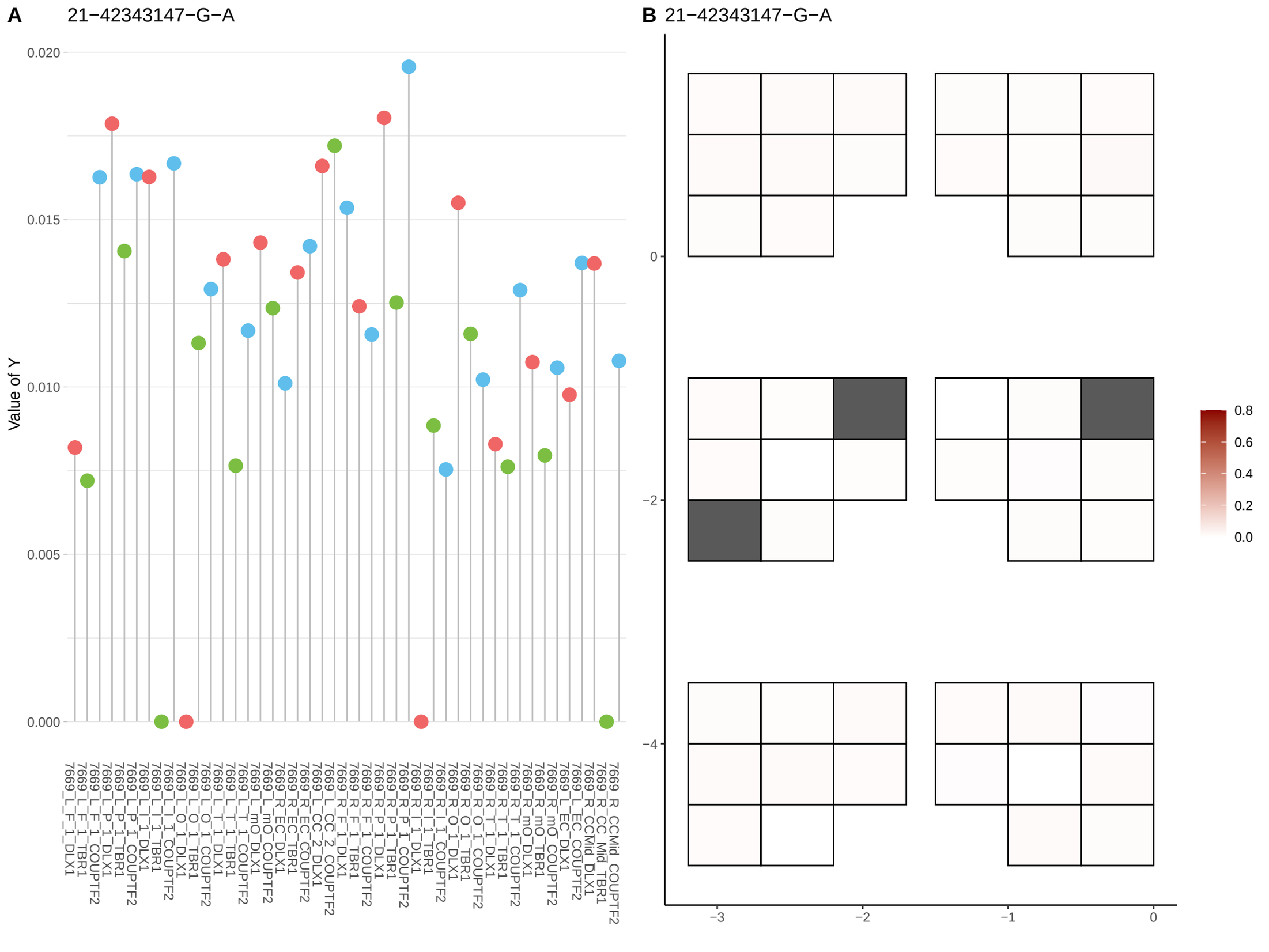
A
21−42343147−G−A
Value of Y
0.020
0.015
0.010
0.005
0.000
7669_L_F_1_DLX1
7669_L_F_1_TBR1
7669_L_F_1_COUPTF2
7669_L_P_1_DLX1
7669_L_P_1_TBR1
7669_L_P_1_COUPTF2
7669_L_I_1_DLX1
7669_L_I_1_TBR1
7669_L_I_1_COUPTF2
7669_L_O_1_DLX1
7669_L_O_1_TBR1
7669_L_O_1_COUPTF2
7669_L_T_1_DLX1
7669_L_T_1_TBR1
7669_L_T_1_COUPTF2
7669_L_mO_DLX1
7669_L_mO_COUPTF2
7669_R_EC_DLX1
7669_R_EC_TBR1
7669_R_EC_COUPTF2
7669_L_CC_2_DLX1
7669_L_CC_2_COUPTF2
7669_R_F_1_DLX1
7669_R_F_1_TBR1
7669_R_F_1_COUPTF2
7669_R_P_1_DLX1
7669_R_P_1_TBR1
7669_R_P_1_COUPTF2
7669_R_I_1_DLX1
7669_R_I_1_TBR1
7669_R_I_1_COUPTF2
7669_R_O_1_DLX1
7669_R_O_1_TBR1
7669_R_O_1_COUPTF2
7669_R_T_1_DLX1
7669_R_T_1_TBR1
7669_R_T_1_COUPTF2
7669_R_mO_DLX1
7669_R_mO_TBR1
7669_R_mO_COUPTF2
7669_L_EC_DLX1
7669_L_EC_COUPTF2
7669_R_CCMid_DLX1
7669_R_CC_Mid_TBR1
7669_R_CCMid_COUPTF2
B
21−42343147−G−A
0
−2
−4
−3
−2
−1
0
0.8
0.6
0.4
0.2
0.0

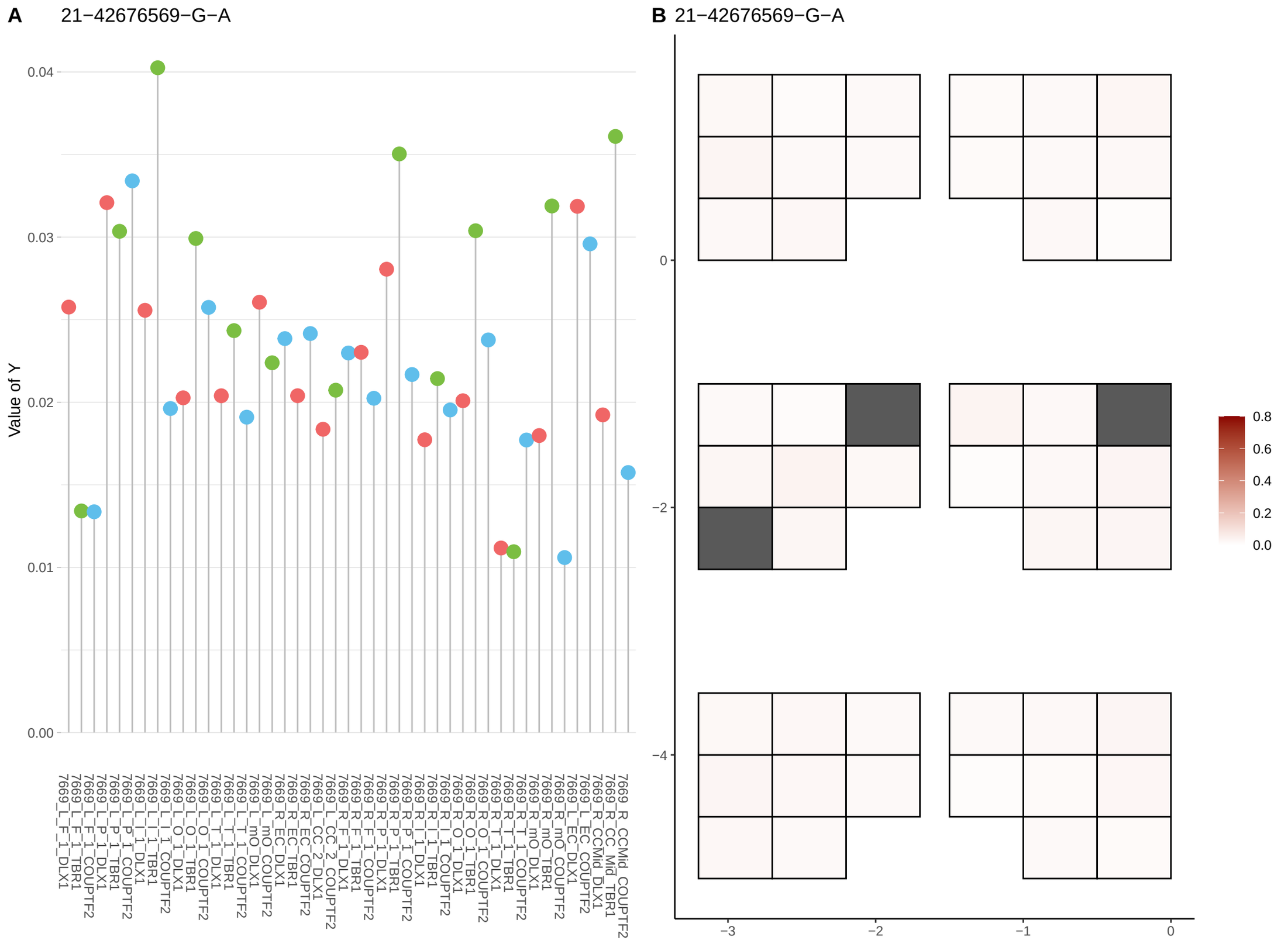
A
21−42676569−G−A
Value of Y
0.04
0.03
0.02
0.01
0.00
7669_L_F_1_DLX1
7669_L_F_1_TBR1
7669_L_F_1_COUPTF2
7669_L_P_1_DLX1
7669_L_P_1_TBR1
7669_L_P_1_COUPTF2
7669_L_I_1_DLX1
7669_L_I_1_TBR1
7669_L_I_1_COUPTF2
7669_L_O_1_DLX1
7669_L_O_1_TBR1
7669_L_O_1_COUPTF2
7669_L_T_1_DLX1
7669_L_T_1_TBR1
7669_L_T_1_COUPTF2
7669_L_mO_DLX1
7669_L_mO_COUPTF2
7669_R_EC_DLX1
7669_R_EC_TBR1
7669_R_EC_COUPTF2
7669_L_CC_2_DLX1
7669_L_CC_2_COUPTF2
7669_R_F_1_DLX1
7669_R_F_1_TBR1
7669_R_F_1_COUPTF2
7669_R_P_1_DLX1
7669_R_P_1_TBR1
7669_R_P_1_COUPTF2
7669_R_I_1_DLX1
7669_R_I_1_TBR1
7669_R_I_1_COUPTF2
7669_R_O_1_DLX1
7669_R_O_1_TBR1
7669_R_O_1_COUPTF2
7669_R_T_1_DLX1
7669_R_T_1_TBR1
7669_R_T_1_COUPTF2
7669_R_mO_DLX1
7669_R_mO_TBR1
7669_R_mO_COUPTF2
7669_L_EC_DLX1
7669_L_EC_COUPTF2
7669_R_CCMid_DLX1
7669_R_CC_Mid_TBR1
7669_R_CCMid_COUPTF2
B
21−42676569−G−A
0
−2
−4
−3
−2
−1
0
0.8
0.6
0.4
0.2
0.0

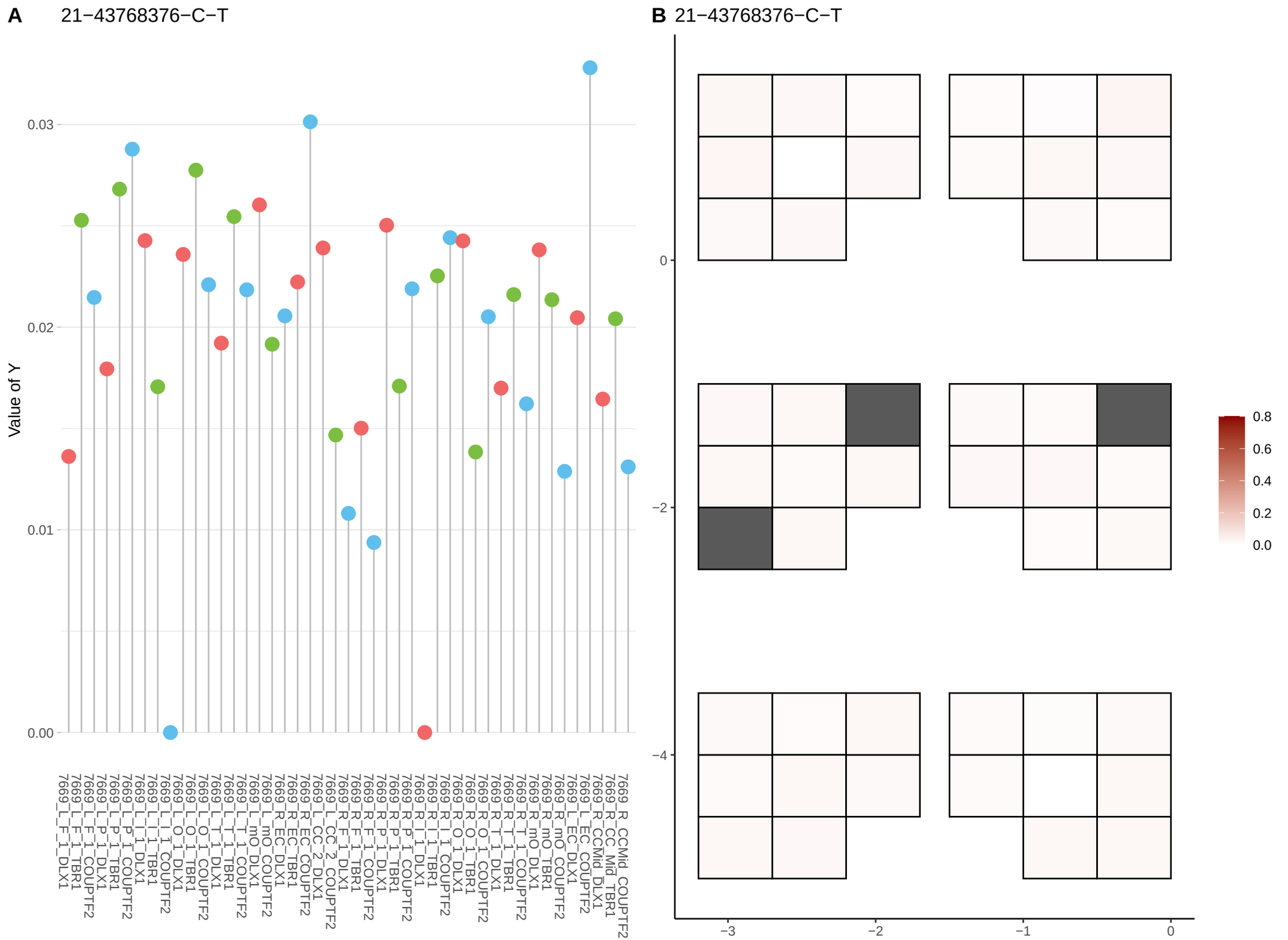
A
21−43768376−C−T
Value of Y
0.03
0.02
0.01
0.00
7669_L_F_1_DLX1
7669_L_F_1_TBR1
7669_L_F_1_COUPTF2
7669_L_P_1_DLX1
7669_L_P_1_TBR1
7669_L_P_1_COUPTF2
7669_L_I_1_DLX1
7669_L_I_1_TBR1
7669_L_I_1_COUPTF2
7669_L_O_1_DLX1
7669_L_O_1_TBR1
7669_L_O_1_COUPTF2
7669_L_T_1_DLX1
7669_L_T_1_TBR1
7669_L_T_1_COUPTF2
7669_L_mO_DLX1
7669_L_mO_COUPTF2
7669_R_EC_DLX1
7669_R_EC_TBR1
7669_R_EC_COUPTF2
7669_L_CC_2_DLX1
7669_L_CC_2_COUPTF2
7669_R_F_1_DLX1
7669_R_F_1_TBR1
7669_R_F_1_COUPTF2
7669_R_P_1_DLX1
7669_R_P_1_TBR1
7669_R_P_1_COUPTF2
7669_R_I_1_DLX1
7669_R_I_1_TBR1
7669_R_I_1_COUPTF2
7669_R_O_1_DLX1
7669_R_O_1_TBR1
7669_R_O_1_COUPTF2
7669_R_T_1_DLX1
7669_R_T_1_TBR1
7669_R_T_1_COUPTF2
7669_R_mO_DLX1
7669_R_mO_TBR1
7669_R_mO_COUPTF2
7669_L_EC_DLX1
7669_L_EC_COUPTF2
7669_R_CCMid_DLX1
7669_R_CC_Mid_TBR1
7669_R_CCMid_COUPTF2
B
21−43768376−C−T
0
−2
−4
−3
−2
−1
0
0.8
0.6
0.4
0.2
0.0

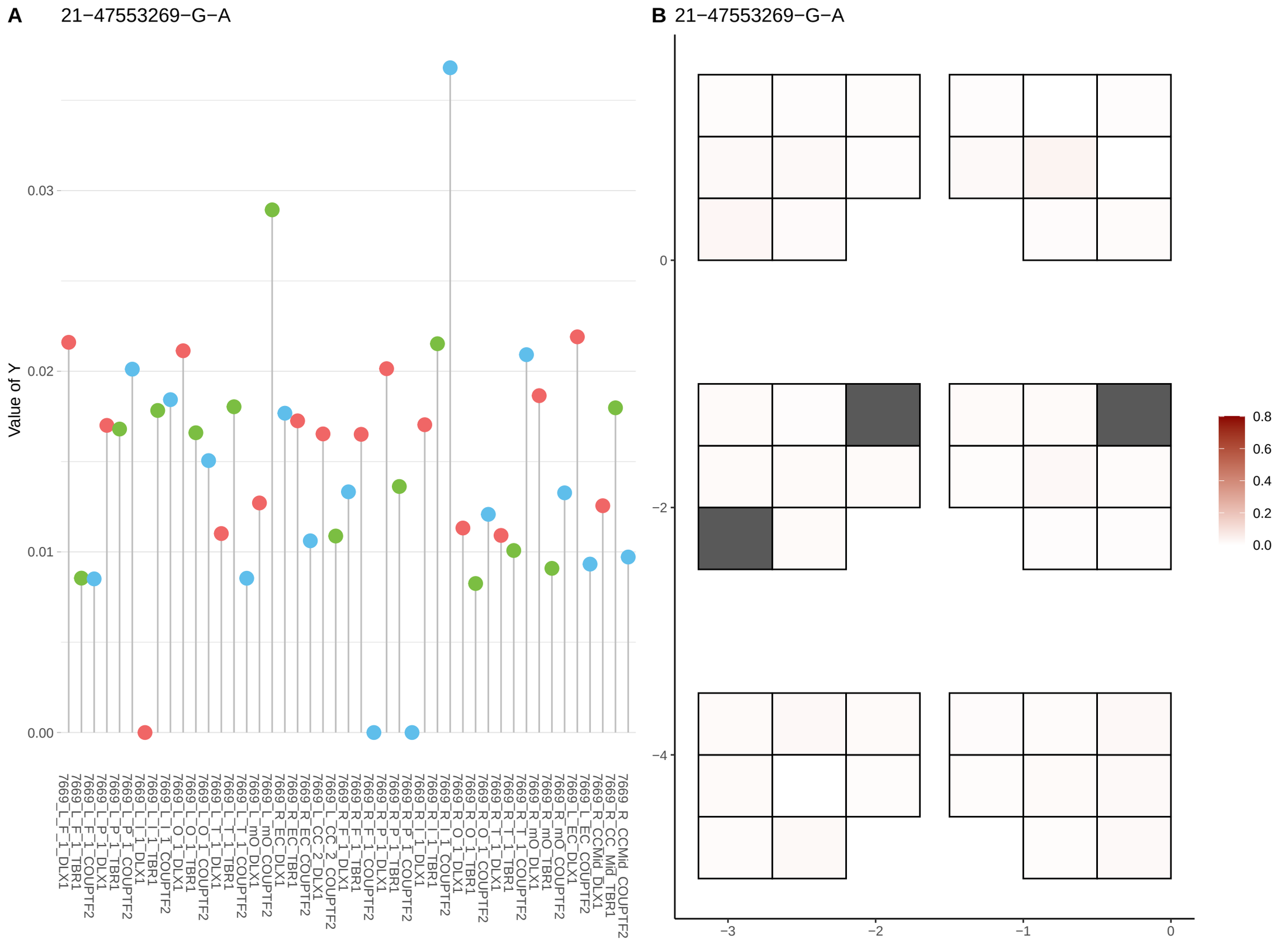
A
21−47553269−G−A
Value of Y
0.03
0.02
0.01
0.00
7669_L_F_1_DLX1
7669_L_F_1_TBR1
7669_L_F_1_COUPTF2
7669_L_P_1_DLX1
7669_L_P_1_TBR1
7669_L_P_1_COUPTF2
7669_L_I_1_DLX1
7669_L_I_1_TBR1
7669_L_I_1_COUPTF2
7669_L_O_1_DLX1
7669_L_O_1_TBR1
7669_L_O_1_COUPTF2
7669_L_T_1_DLX1
7669_L_T_1_TBR1
7669_L_T_1_COUPTF2
7669_L_mO_DLX1
7669_L_mO_COUPTF2
7669_R_EC_DLX1
7669_R_EC_TBR1
7669_R_EC_COUPTF2
7669_L_CC_2_DLX1
7669_L_CC_2_COUPTF2
7669_R_F_1_DLX1
7669_R_F_1_TBR1
7669_R_F_1_COUPTF2
7669_R_P_1_DLX1
7669_R_P_1_TBR1
7669_R_P_1_COUPTF2
7669_R_I_1_DLX1
7669_R_I_1_TBR1
7669_R_I_1_COUPTF2
7669_R_O_1_DLX1
7669_R_O_1_TBR1
7669_R_O_1_COUPTF2
7669_R_T_1_DLX1
7669_R_T_1_TBR1
7669_R_T_1_COUPTF2
7669_R_mO_DLX1
7669_R_mO_TBR1
7669_R_mO_COUPTF2
7669_L_EC_DLX1
7669_L_EC_COUPTF2
7669_R_CCMid_DLX1
7669_R_CC_Mid_TBR1
7669_R_CCMid_COUPTF2
B
21−47553269−G−A
0
−2
−4
−3
−2
−1
0
0.8
0.6
0.4
0.2
0.0

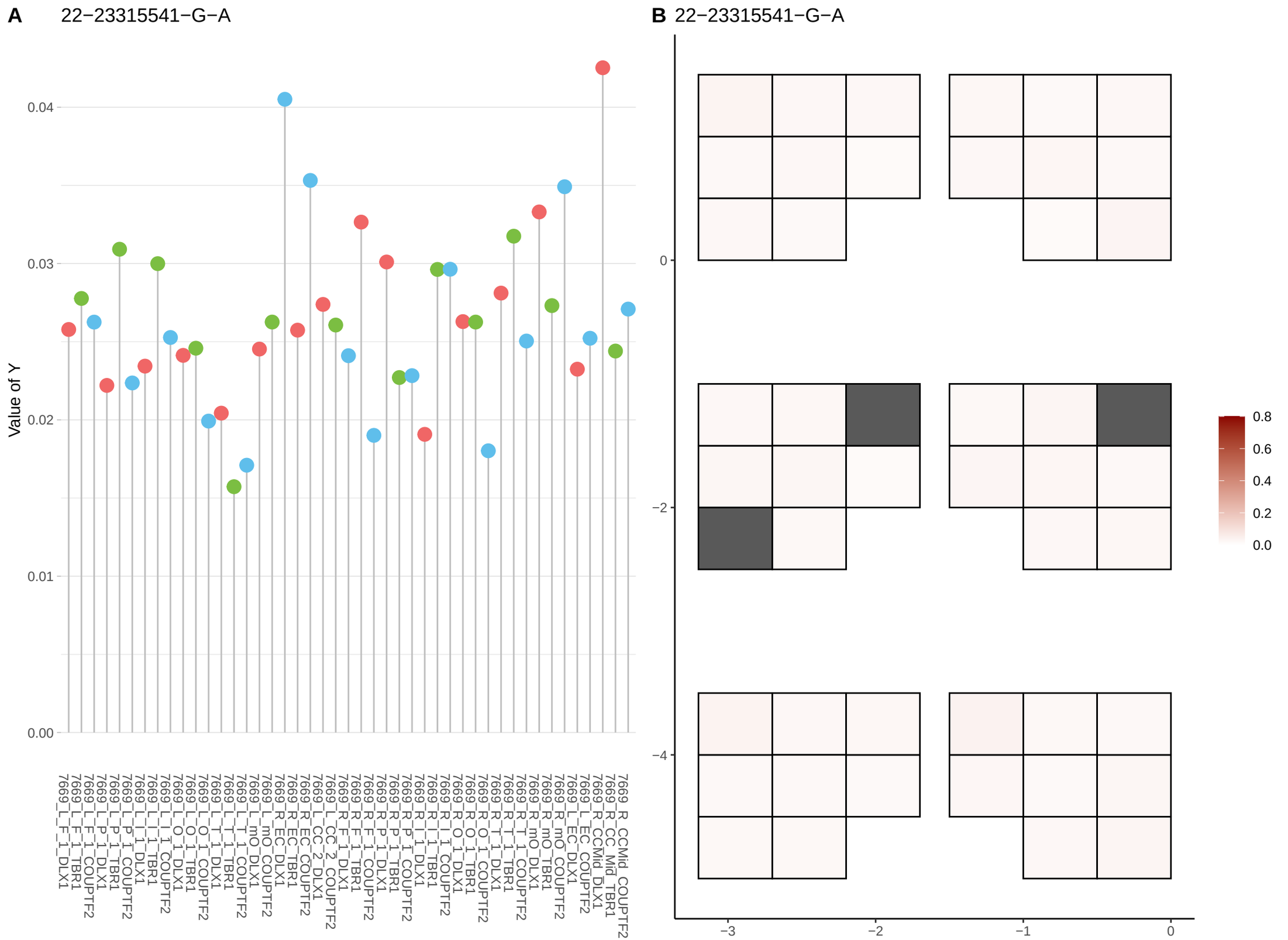
A
22−23315541−G−A
Value of Y
0.04
0.03
0.02
0.01
0.00
7669_L_F_1_DLX1
7669_L_F_1_TBR1
7669_L_F_1_COUPTF2
7669_L_P_1_DLX1
7669_L_P_1_TBR1
7669_L_P_1_COUPTF2
7669_L_I_1_DLX1
7669_L_I_1_TBR1
7669_L_I_1_COUPTF2
7669_L_O_1_DLX1
7669_L_O_1_TBR1
7669_L_O_1_COUPTF2
7669_L_T_1_DLX1
7669_L_T_1_TBR1
7669_L_T_1_COUPTF2
7669_L_mO_DLX1
7669_L_mO_COUPTF2
7669_R_EC_DLX1
7669_R_EC_TBR1
7669_R_EC_COUPTF2
7669_L_CC_2_DLX1
7669_L_CC_2_COUPTF2
7669_R_F_1_DLX1
7669_R_F_1_TBR1
7669_R_F_1_COUPTF2
7669_R_P_1_DLX1
7669_R_P_1_TBR1
7669_R_P_1_COUPTF2
7669_R_I_1_DLX1
7669_R_I_1_TBR1
7669_R_I_1_COUPTF2
7669_R_O_1_DLX1
7669_R_O_1_TBR1
7669_R_O_1_COUPTF2
7669_R_T_1_DLX1
7669_R_T_1_TBR1
7669_R_T_1_COUPTF2
7669_R_mO_DLX1
7669_R_mO_TBR1
7669_R_mO_COUPTF2
7669_L_EC_DLX1
7669_L_EC_COUPTF2
7669_R_CCMid_DLX1
7669_R_CC_Mid_TBR1
7669_R_CCMid_COUPTF2
B
22−23315541−G−A
0
−2
−4
−3
−2
−1
0
0.8
0.6
0.4
0.2
0.0

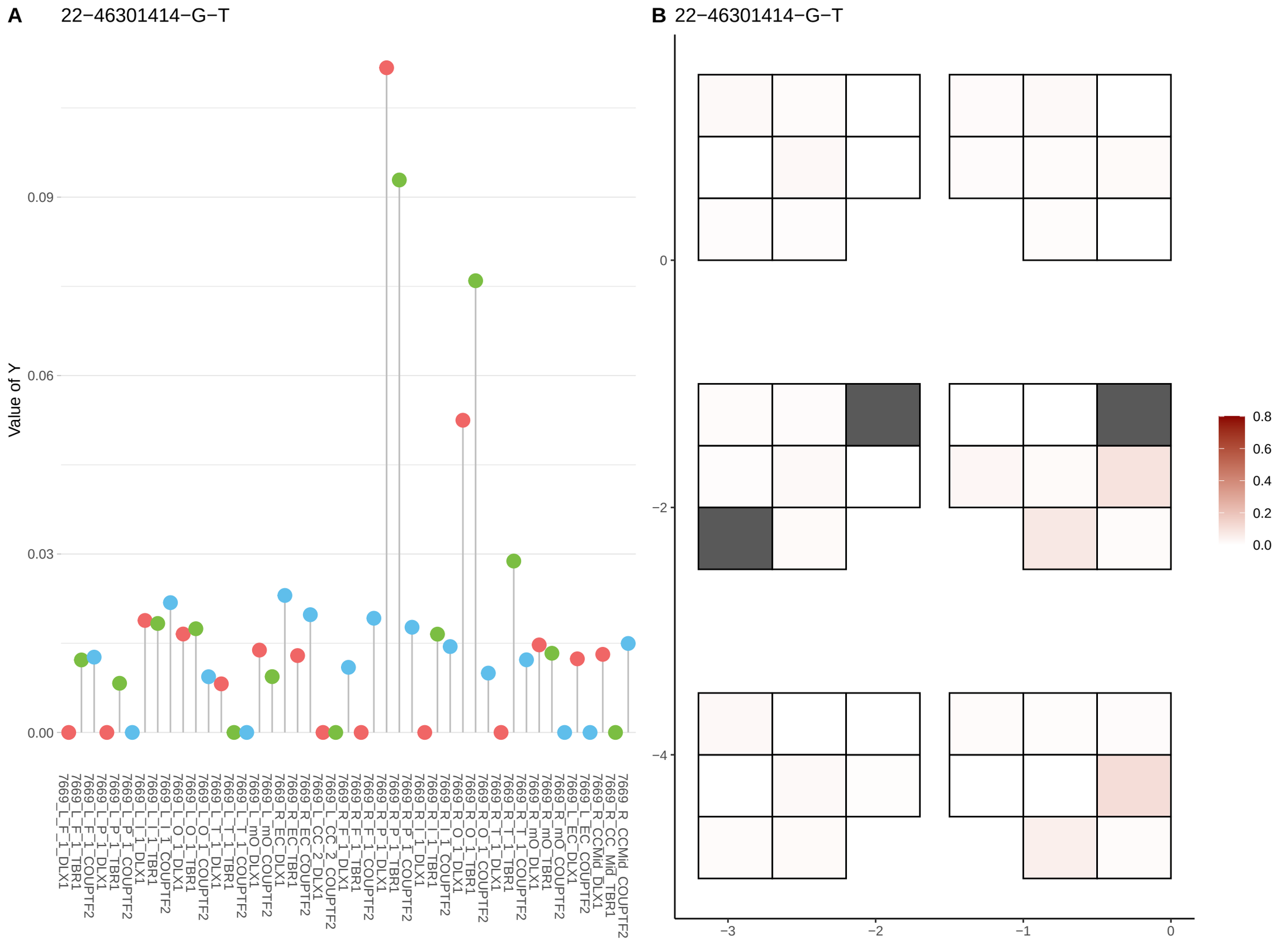
A
22−46301414−G−T
Value of Y
0.09
0.06
0.03
0.00
7669_L_F_1_DLX1
7669_L_F_1_TBR1
7669_L_F_1_COUPTF2
7669_L_P_1_DLX1
7669_L_P_1_TBR1
7669_L_P_1_COUPTF2
7669_L_I_1_DLX1
7669_L_I_1_TBR1
7669_L_I_1_COUPTF2
7669_L_O_1_DLX1
7669_L_O_1_TBR1
7669_L_O_1_COUPTF2
7669_L_T_1_DLX1
7669_L_T_1_TBR1
7669_L_T_1_COUPTF2
7669_L_mO_DLX1
7669_L_mO_COUPTF2
7669_R_EC_DLX1
7669_R_EC_TBR1
7669_R_EC_COUPTF2
7669_L_CC_2_DLX1
7669_L_CC_2_COUPTF2
7669_R_F_1_DLX1
7669_R_F_1_TBR1
7669_R_F_1_COUPTF2
7669_R_P_1_DLX1
7669_R_P_1_TBR1
7669_R_P_1_COUPTF2
7669_R_I_1_DLX1
7669_R_I_1_TBR1
7669_R_I_1_COUPTF2
7669_R_O_1_DLX1
7669_R_O_1_TBR1
7669_R_O_1_COUPTF2
7669_R_T_1_DLX1
7669_R_T_1_TBR1
7669_R_T_1_COUPTF2
7669_R_mO_DLX1
7669_R_mO_TBR1
7669_R_mO_COUPTF2
7669_L_EC_DLX1
7669_L_EC_COUPTF2
7669_R_CCMid_DLX1
7669_R_CC_Mid_TBR1
7669_R_CCMid_COUPTF2
B
22−46301414−G−T
0
−2
−4
−3
−2
−1
0
0.8
0.6
0.4
0.2
0.0

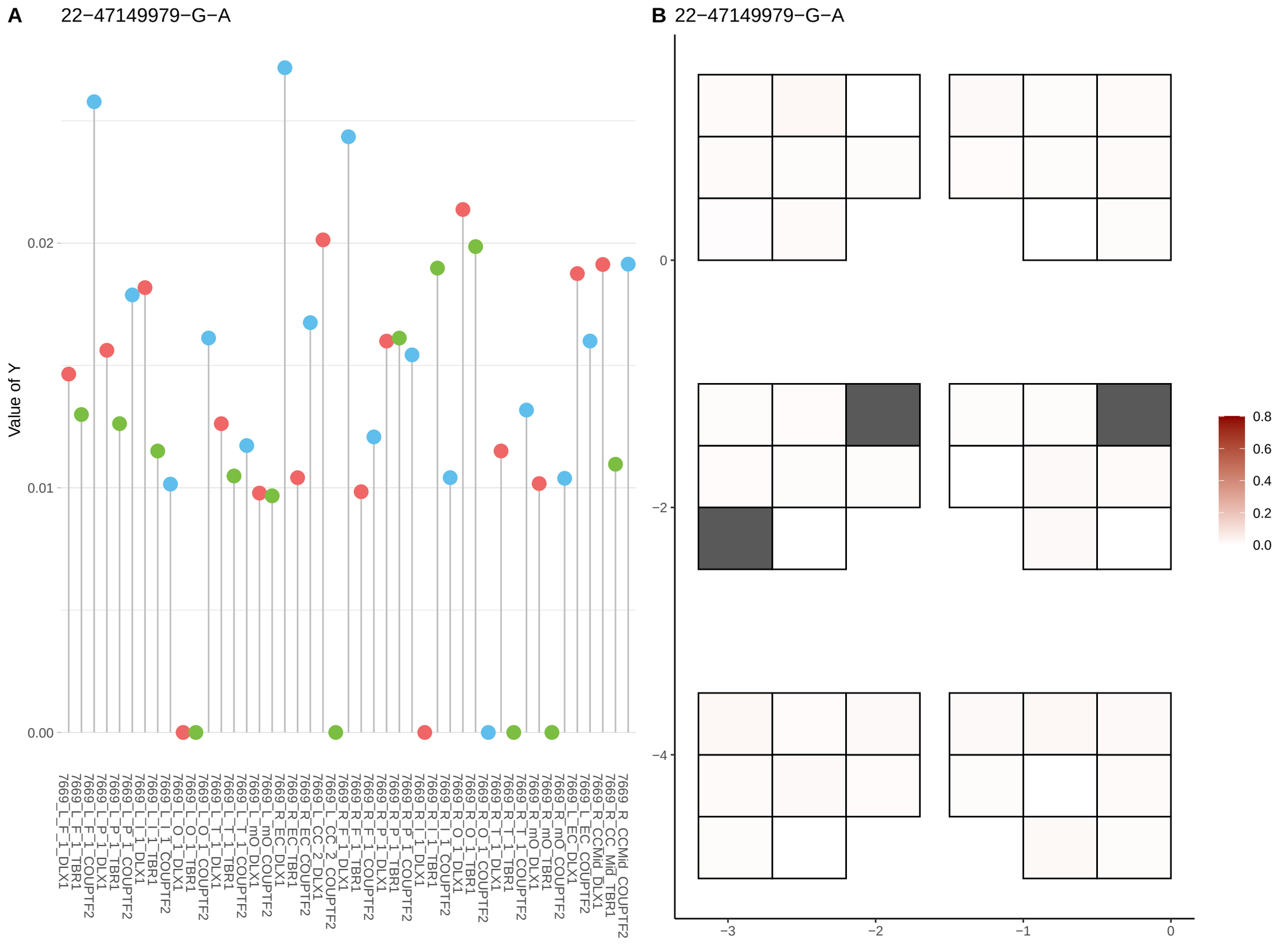
A
22−47149979−G−A
Value of Y
0.02
0.01
0.00
7669_L_F_1_DLX1
7669_L_F_1_TBR1
7669_L_F_1_COUPTF2
7669_L_P_1_DLX1
7669_L_P_1_TBR1
7669_L_P_1_COUPTF2
7669_L_I_1_DLX1
7669_L_I_1_TBR1
7669_L_I_1_COUPTF2
7669_L_O_1_DLX1
7669_L_O_1_TBR1
7669_L_O_1_COUPTF2
7669_L_T_1_DLX1
7669_L_T_1_TBR1
7669_L_T_1_COUPTF2
7669_L_mO_DLX1
7669_L_mO_COUPTF2
7669_R_EC_DLX1
7669_R_EC_TBR1
7669_R_EC_COUPTF2
7669_L_CC_2_DLX1
7669_L_CC_2_COUPTF2
7669_R_F_1_DLX1
7669_R_F_1_TBR1
7669_R_F_1_COUPTF2
7669_R_P_1_DLX1
7669_R_P_1_TBR1
7669_R_P_1_COUPTF2
7669_R_I_1_DLX1
7669_R_I_1_TBR1
7669_R_I_1_COUPTF2
7669_R_O_1_DLX1
7669_R_O_1_TBR1
7669_R_O_1_COUPTF2
7669_R_T_1_DLX1
7669_R_T_1_TBR1
7669_R_T_1_COUPTF2
7669_R_mO_DLX1
7669_R_mO_TBR1
7669_R_mO_COUPTF2
7669_L_EC_DLX1
7669_L_EC_COUPTF2
7669_R_CCMid_DLX1
7669_R_CC_Mid_TBR1
7669_R_CCMid_COUPTF2
B
22−47149979−G−A
0
−2
−4
−3
−2
−1
0
0.8
0.6
0.4
0.2
0.0

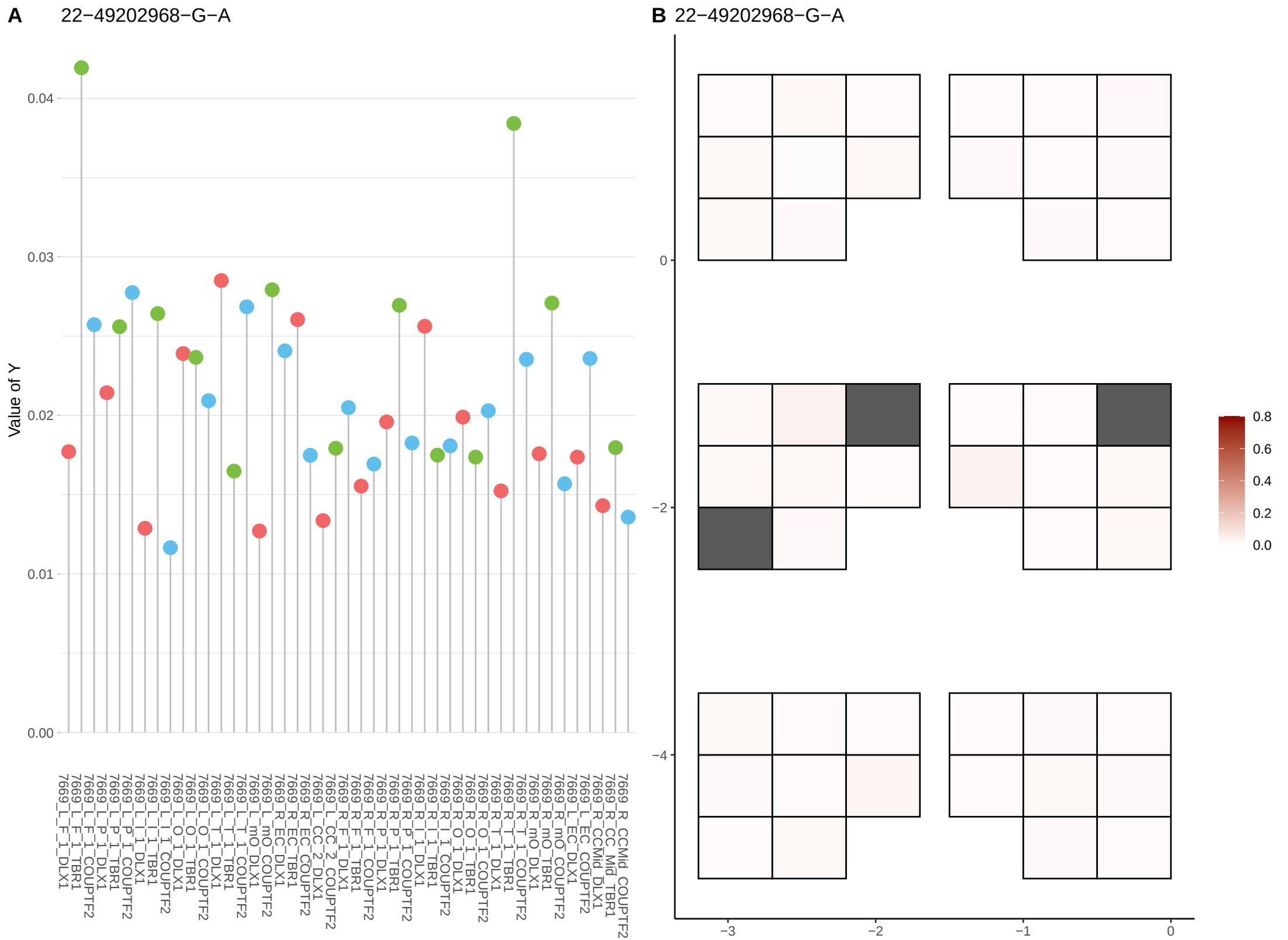
A
22−49202968−G−A
Value of Y
0.04
0.03
0.02
0.01
0.00
7669_L_F_1_DLX1
7669_L_F_1_TBR1
7669_L_F_1_COUPTF2
7669_L_P_1_DLX1
7669_L_P_1_TBR1
7669_L_P_1_COUPTF2
7669_L_I_1_DLX1
7669_L_I_1_TBR1
7669_L_I_1_COUPTF2
7669_L_O_1_DLX1
7669_L_O_1_TBR1
7669_L_O_1_COUPTF2
7669_L_T_1_DLX1
7669_L_T_1_TBR1
7669_L_T_1_COUPTF2
7669_L_mO_DLX1
7669_L_mO_COUPTF2
7669_R_EC_DLX1
7669_R_EC_TBR1
7669_R_EC_COUPTF2
7669_L_CC_2_DLX1
7669_L_CC_2_COUPTF2
7669_R_F_1_DLX1
7669_R_F_1_TBR1
7669_R_F_1_COUPTF2
7669_R_P_1_DLX1
7669_R_P_1_TBR1
7669_R_P_1_COUPTF2
7669_R_I_1_DLX1
7669_R_I_1_TBR1
7669_R_I_1_COUPTF2
7669_R_O_1_DLX1
7669_R_O_1_TBR1
7669_R_O_1_COUPTF2
7669_R_T_1_DLX1
7669_R_T_1_TBR1
7669_R_T_1_COUPTF2
7669_R_mO_DLX1
7669_R_mO_TBR1
7669_R_mO_COUPTF2
7669_L_EC_DLX1
7669_L_EC_COUPTF2
7669_R_CCMid_DLX1
7669_R_CC_Mid_TBR1
7669_R_CCMid_COUPTF2
B
22−49202968−G−A
0
−2
−4
−3
−2
−1
0
0.8
0.6
0.4
0.2
0.0

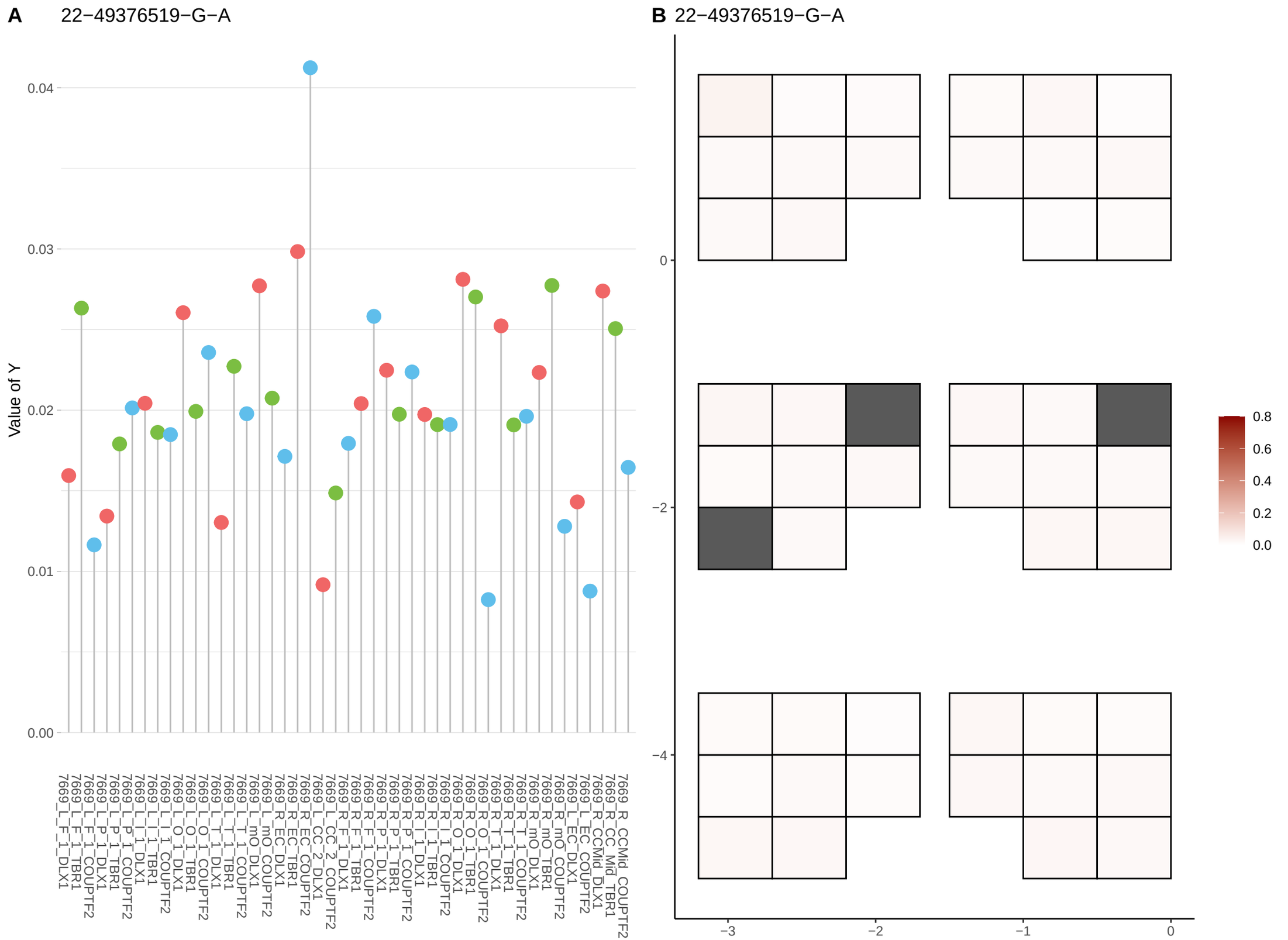
A
22−49376519−G−A
Value of Y
0.04
0.03
0.02
0.01
0.00
7669_L_F_1_DLX1
7669_L_F_1_TBR1
7669_L_F_1_COUPTF2
7669_L_P_1_DLX1
7669_L_P_1_TBR1
7669_L_P_1_COUPTF2
7669_L_I_1_DLX1
7669_L_I_1_TBR1
7669_L_I_1_COUPTF2
7669_L_O_1_DLX1
7669_L_O_1_TBR1
7669_L_O_1_COUPTF2
7669_L_T_1_DLX1
7669_L_T_1_TBR1
7669_L_T_1_COUPTF2
7669_L_mO_DLX1
7669_L_mO_COUPTF2
7669_R_EC_DLX1
7669_R_EC_TBR1
7669_R_EC_COUPTF2
7669_L_CC_2_DLX1
7669_L_CC_2_COUPTF2
7669_R_F_1_DLX1
7669_R_F_1_TBR1
7669_R_F_1_COUPTF2
7669_R_P_1_DLX1
7669_R_P_1_TBR1
7669_R_P_1_COUPTF2
7669_R_I_1_DLX1
7669_R_I_1_TBR1
7669_R_I_1_COUPTF2
7669_R_O_1_DLX1
7669_R_O_1_TBR1
7669_R_O_1_COUPTF2
7669_R_T_1_DLX1
7669_R_T_1_TBR1
7669_R_T_1_COUPTF2
7669_R_mO_DLX1
7669_R_mO_TBR1
7669_R_mO_COUPTF2
7669_L_EC_DLX1
7669_L_EC_COUPTF2
7669_R_CCMid_DLX1
7669_R_CC_Mid_TBR1
7669_R_CCMid_COUPTF2
B
22−49376519−G−A
0
−2
−4
−3
−2
−1
0
0.8
0.6
0.4
0.2
0.0

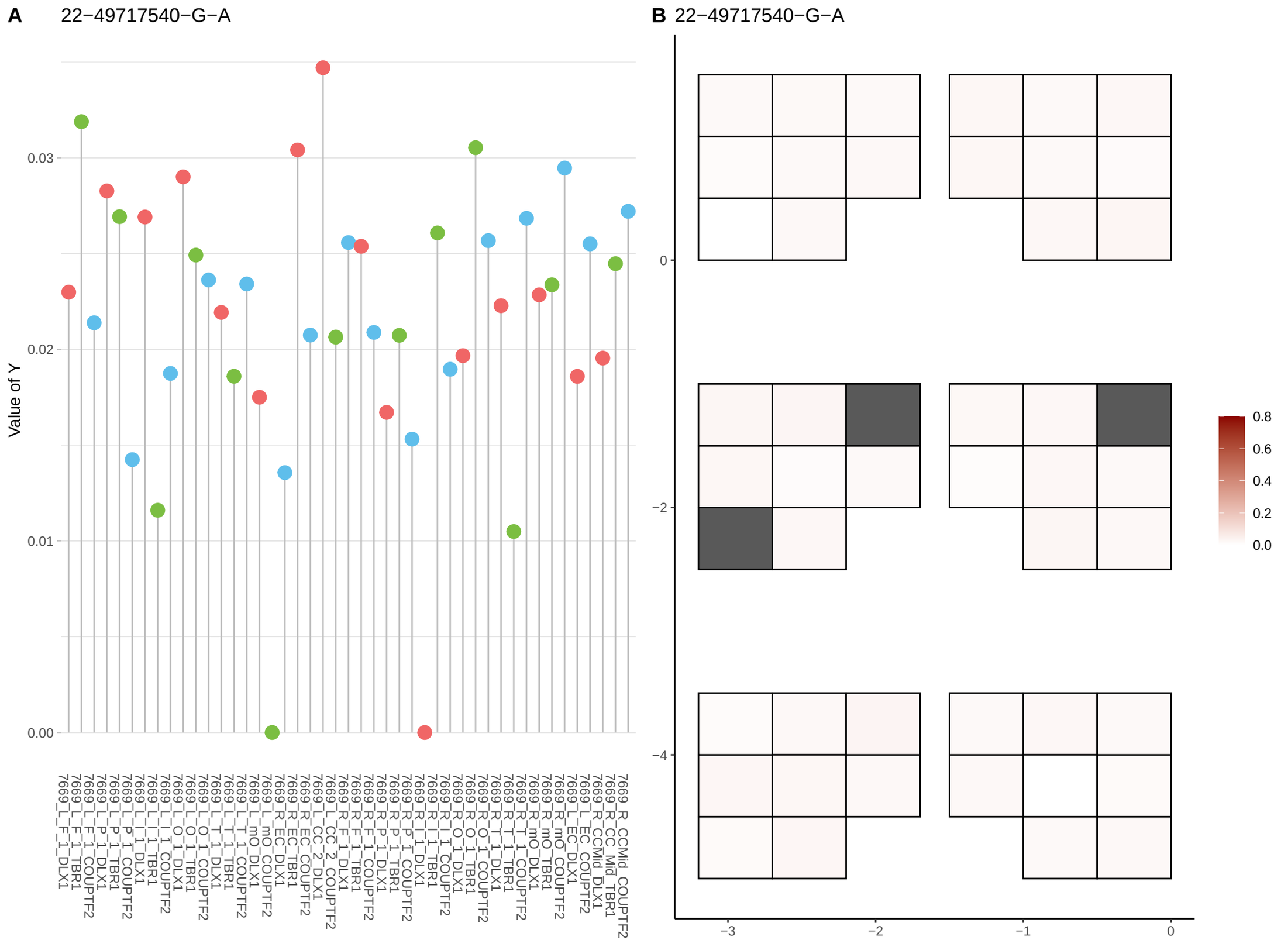
A
22−49717540−G−A
Value of Y
0.03
0.02
0.01
0.00
7669_L_F_1_DLX1
7669_L_F_1_TBR1
7669_L_F_1_COUPTF2
7669_L_P_1_DLX1
7669_L_P_1_TBR1
7669_L_P_1_COUPTF2
7669_L_I_1_DLX1
7669_L_I_1_TBR1
7669_L_I_1_COUPTF2
7669_L_O_1_DLX1
7669_L_O_1_TBR1
7669_L_O_1_COUPTF2
7669_L_T_1_DLX1
7669_L_T_1_TBR1
7669_L_T_1_COUPTF2
7669_L_mO_DLX1
7669_L_mO_COUPTF2
7669_R_EC_DLX1
7669_R_EC_TBR1
7669_R_EC_COUPTF2
7669_L_CC_2_DLX1
7669_L_CC_2_COUPTF2
7669_R_F_1_DLX1
7669_R_F_1_TBR1
7669_R_F_1_COUPTF2
7669_R_P_1_DLX1
7669_R_P_1_TBR1
7669_R_P_1_COUPTF2
7669_R_I_1_DLX1
7669_R_I_1_TBR1
7669_R_I_1_COUPTF2
7669_R_O_1_DLX1
7669_R_O_1_TBR1
7669_R_O_1_COUPTF2
7669_R_T_1_DLX1
7669_R_T_1_TBR1
7669_R_T_1_COUPTF2
7669_R_mO_DLX1
7669_R_mO_TBR1
7669_R_mO_COUPTF2
7669_L_EC_DLX1
7669_L_EC_COUPTF2
7669_R_CCMid_DLX1
7669_R_CC_Mid_TBR1
7669_R_CCMid_COUPTF2
B
22−49717540−G−A
0
−2
−4
−3
−2
−1
0
0.8
0.6
0.4
0.2
0.0

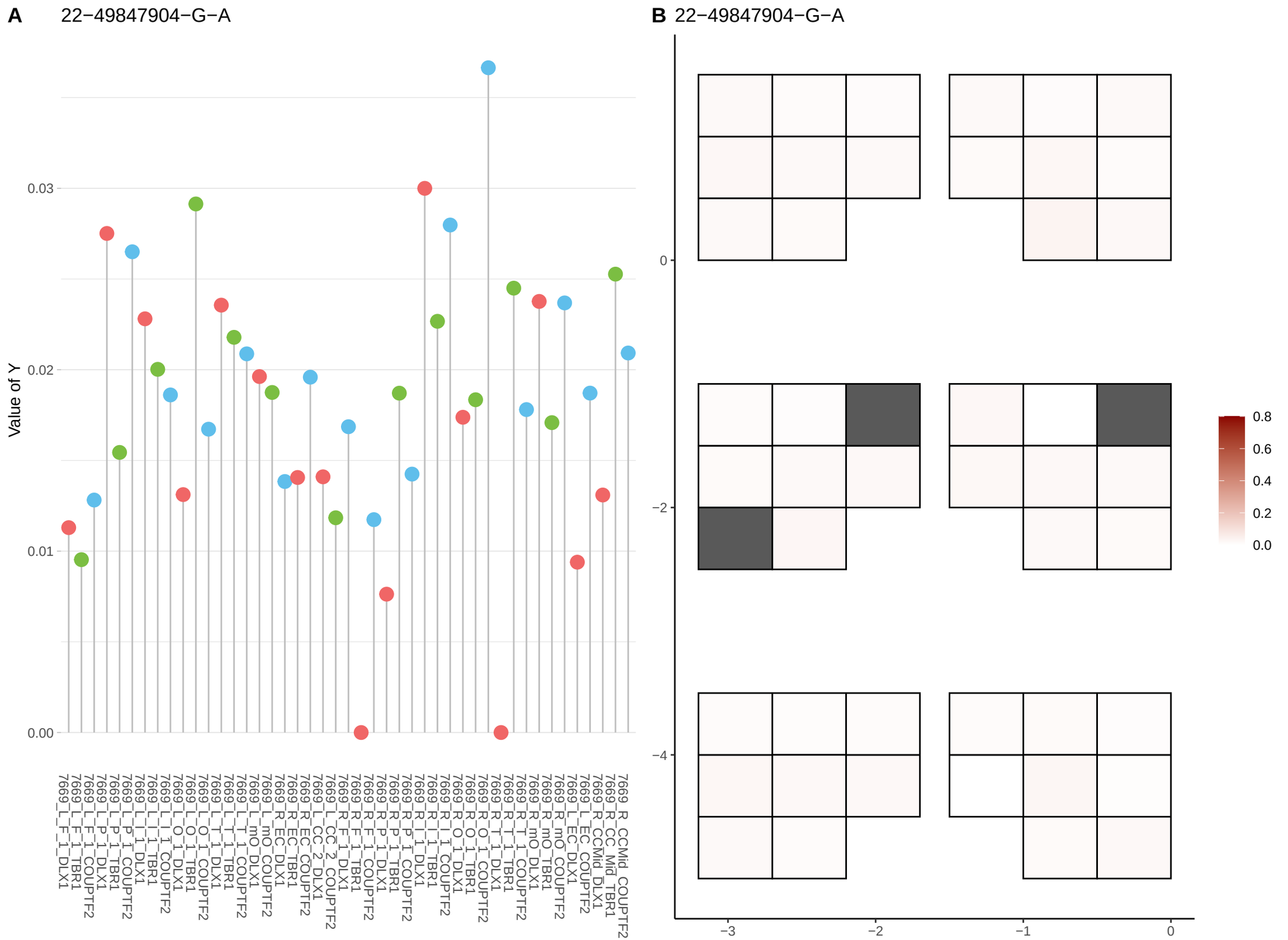
A
22−49847904−G−A
Value of Y
0.03
0.02
0.01
0.00
7669_L_F_1_DLX1
7669_L_F_1_TBR1
7669_L_F_1_COUPTF2
7669_L_P_1_DLX1
7669_L_P_1_TBR1
7669_L_P_1_COUPTF2
7669_L_I_1_DLX1
7669_L_I_1_TBR1
7669_L_I_1_COUPTF2
7669_L_O_1_DLX1
7669_L_O_1_TBR1
7669_L_O_1_COUPTF2
7669_L_T_1_DLX1
7669_L_T_1_TBR1
7669_L_T_1_COUPTF2
7669_L_mO_DLX1
7669_L_mO_COUPTF2
7669_R_EC_DLX1
7669_R_EC_TBR1
7669_R_EC_COUPTF2
7669_L_CC_2_DLX1
7669_L_CC_2_COUPTF2
7669_R_F_1_DLX1
7669_R_F_1_TBR1
7669_R_F_1_COUPTF2
7669_R_P_1_DLX1
7669_R_P_1_TBR1
7669_R_P_1_COUPTF2
7669_R_I_1_DLX1
7669_R_I_1_TBR1
7669_R_I_1_COUPTF2
7669_R_O_1_DLX1
7669_R_O_1_TBR1
7669_R_O_1_COUPTF2
7669_R_T_1_DLX1
7669_R_T_1_TBR1
7669_R_T_1_COUPTF2
7669_R_mO_DLX1
7669_R_mO_TBR1
7669_R_mO_COUPTF2
7669_L_EC_DLX1
7669_L_EC_COUPTF2
7669_R_CCMid_DLX1
7669_R_CC_Mid_TBR1
7669_R_CCMid_COUPTF2
B
22−49847904−G−A
0
−2
−4
−3
−2
−1
0
0.8
0.6
0.4
0.2
0.0

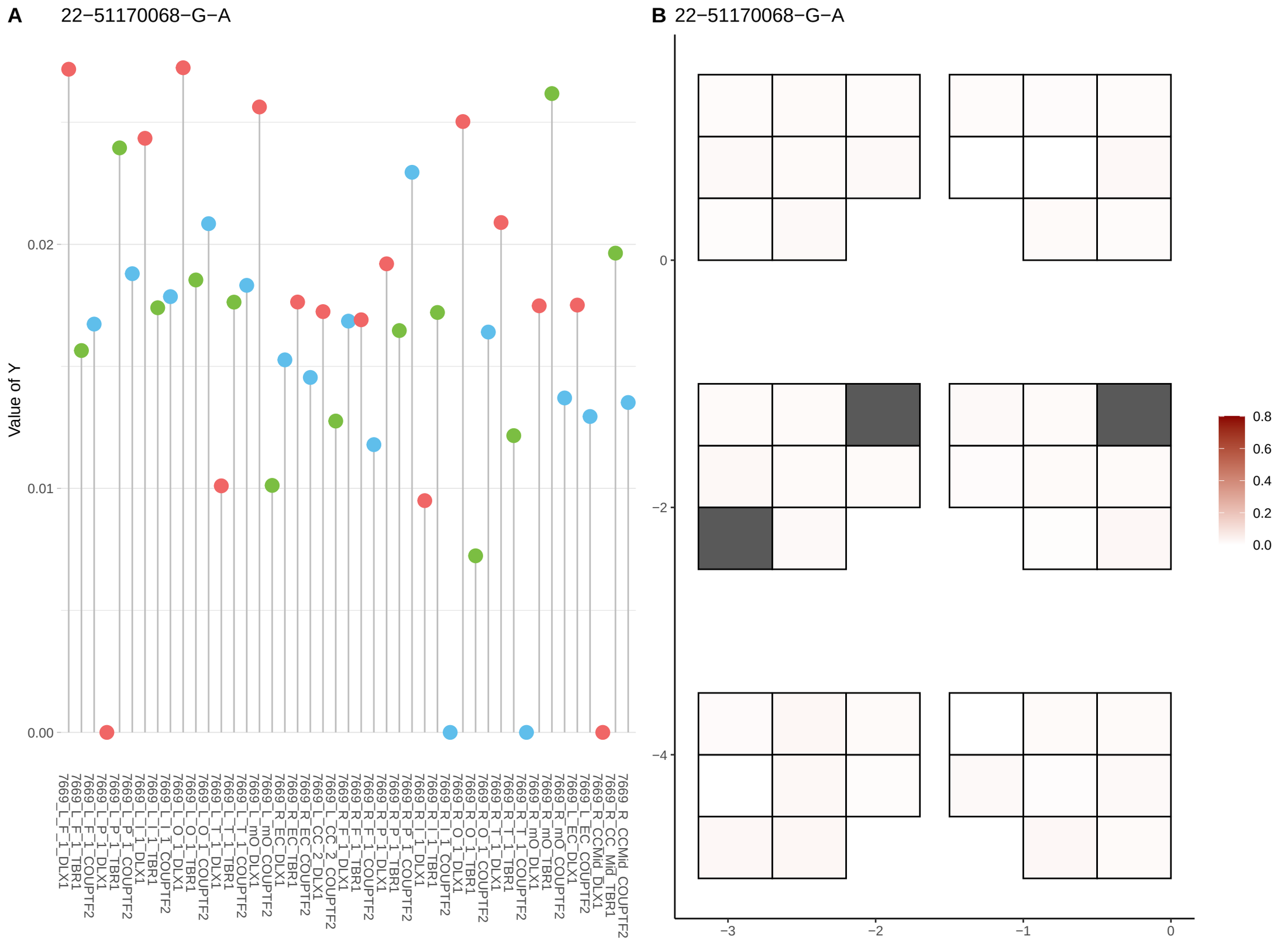
A
22−51170068−G−A
Value of Y
0.02
0.01
0.00
7669_L_F_1_DLX1
7669_L_F_1_TBR1
7669_L_F_1_COUPTF2
7669_L_P_1_DLX1
7669_L_P_1_TBR1
7669_L_P_1_COUPTF2
7669_L_I_1_DLX1
7669_L_I_1_TBR1
7669_L_I_1_COUPTF2
7669_L_O_1_DLX1
7669_L_O_1_TBR1
7669_L_O_1_COUPTF2
7669_L_T_1_DLX1
7669_L_T_1_TBR1
7669_L_T_1_COUPTF2
7669_L_mO_DLX1
7669_L_mO_COUPTF2
7669_R_EC_DLX1
7669_R_EC_TBR1
7669_R_EC_COUPTF2
7669_L_CC_2_DLX1
7669_L_CC_2_COUPTF2
7669_R_F_1_DLX1
7669_R_F_1_TBR1
7669_R_F_1_COUPTF2
7669_R_P_1_DLX1
7669_R_P_1_TBR1
7669_R_P_1_COUPTF2
7669_R_I_1_DLX1
7669_R_I_1_TBR1
7669_R_I_1_COUPTF2
7669_R_O_1_DLX1
7669_R_O_1_TBR1
7669_R_O_1_COUPTF2
7669_R_T_1_DLX1
7669_R_T_1_TBR1
7669_R_T_1_COUPTF2
7669_R_mO_DLX1
7669_R_mO_TBR1
7669_R_mO_COUPTF2
7669_L_EC_DLX1
7669_L_EC_COUPTF2
7669_R_CCMid_DLX1
7669_R_CC_Mid_TBR1
7669_R_CCMid_COUPTF2
B
22−51170068−G−A
0
−2
−4
−3
−2
−1
0
0.8
0.6
0.4
0.2
0.0

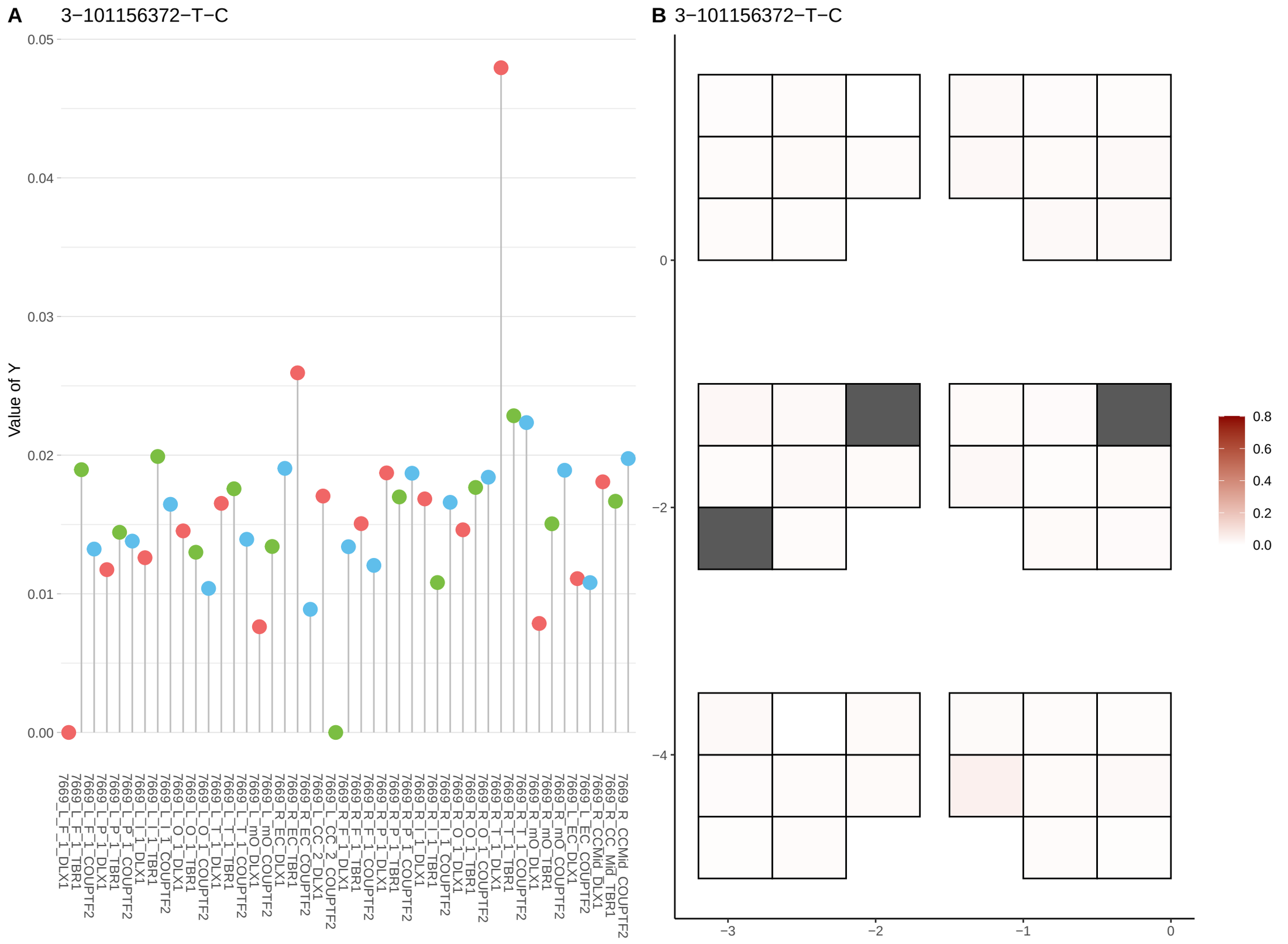
A
3−101156372−T−C
Value of Y
0.05
0.04
0.03
0.02
0.01
0.00
7669_L_F_1_DLX1
7669_L_F_1_TBR1
7669_L_F_1_COUPTF2
7669_L_P_1_DLX1
7669_L_P_1_TBR1
7669_L_P_1_COUPTF2
7669_L_I_1_DLX1
7669_L_I_1_TBR1
7669_L_I_1_COUPTF2
7669_L_O_1_DLX1
7669_L_O_1_TBR1
7669_L_O_1_COUPTF2
7669_L_T_1_DLX1
7669_L_T_1_TBR1
7669_L_T_1_COUPTF2
7669_L_mO_DLX1
7669_L_mO_COUPTF2
7669_R_EC_DLX1
7669_R_EC_TBR1
7669_R_EC_COUPTF2
7669_L_CC_2_DLX1
7669_L_CC_2_COUPTF2
7669_R_F_1_DLX1
7669_R_F_1_TBR1
7669_R_F_1_COUPTF2
7669_R_P_1_DLX1
7669_R_P_1_TBR1
7669_R_P_1_COUPTF2
7669_R_I_1_DLX1
7669_R_I_1_TBR1
7669_R_I_1_COUPTF2
7669_R_O_1_DLX1
7669_R_O_1_TBR1
7669_R_O_1_COUPTF2
7669_R_T_1_DLX1
7669_R_T_1_TBR1
7669_R_T_1_COUPTF2
7669_R_mO_DLX1
7669_R_mO_TBR1
7669_R_mO_COUPTF2
7669_L_EC_DLX1
7669_L_EC_COUPTF2
7669_R_CCMid_DLX1
7669_R_CC_Mid_TBR1
7669_R_CCMid_COUPTF2
B
3−101156372−T−C
0
−2
−4
−3
−2
−1
0
0.8
0.6
0.4
0.2
0.0

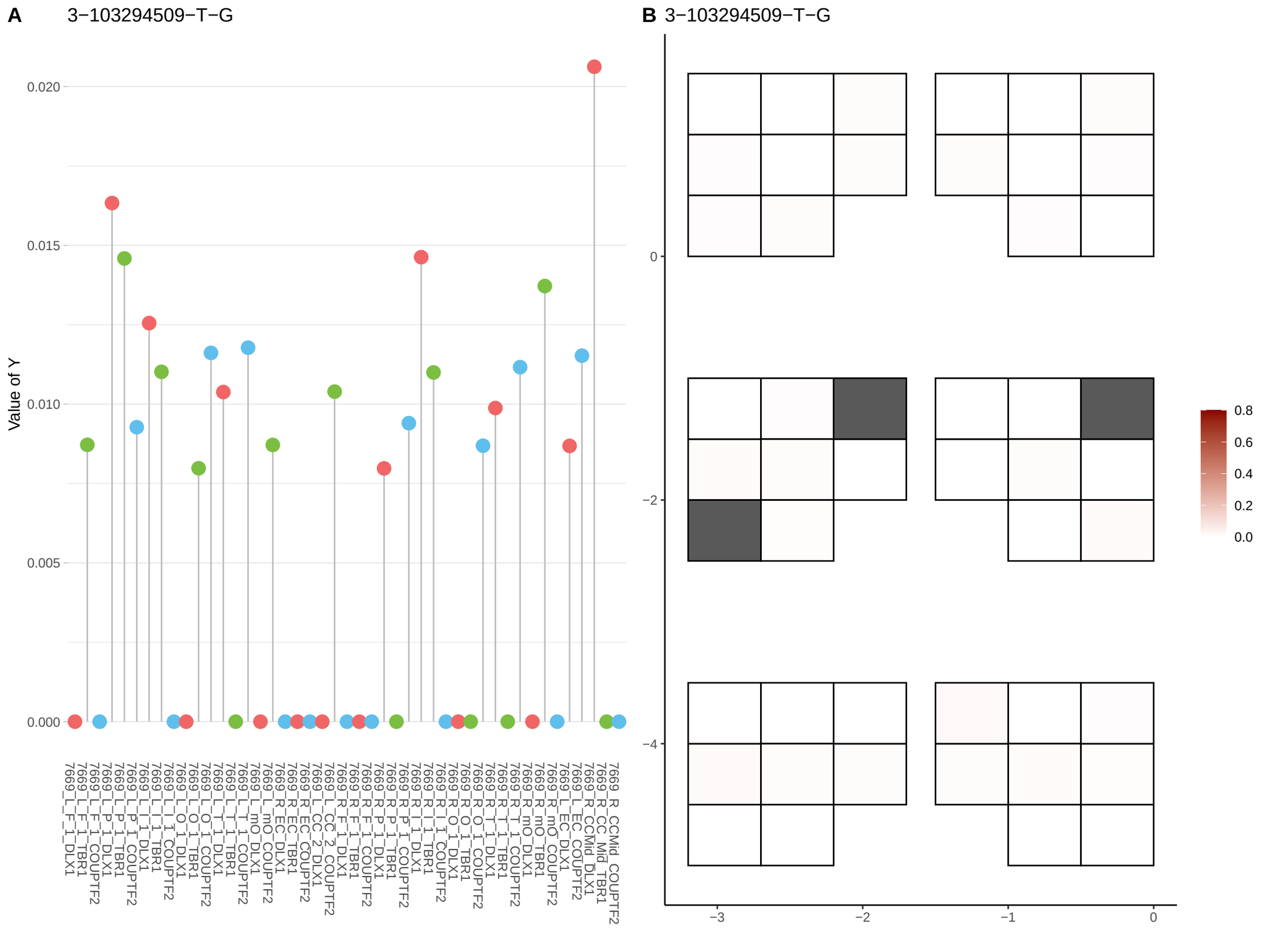
A
3−103294509−T−G
Value of Y
0.020
0.015
0.010
0.005
0.000
7669_L_F_1_DLX1
7669_L_F_1_TBR1
7669_L_F_1_COUPTF2
7669_L_P_1_DLX1
7669_L_P_1_TBR1
7669_L_P_1_COUPTF2
7669_L_I_1_DLX1
7669_L_I_1_TBR1
7669_L_I_1_COUPTF2
7669_L_O_1_DLX1
7669_L_O_1_TBR1
7669_L_O_1_COUPTF2
7669_L_T_1_DLX1
7669_L_T_1_TBR1
7669_L_T_1_COUPTF2
7669_L_mO_DLX1
7669_L_mO_COUPTF2
7669_R_EC_DLX1
7669_R_EC_TBR1
7669_R_EC_COUPTF2
7669_L_CC_2_DLX1
7669_L_CC_2_COUPTF2
7669_R_F_1_DLX1
7669_R_F_1_TBR1
7669_R_F_1_COUPTF2
7669_R_P_1_DLX1
7669_R_P_1_TBR1
7669_R_P_1_COUPTF2
7669_R_I_1_DLX1
7669_R_I_1_TBR1
7669_R_I_1_COUPTF2
7669_R_O_1_DLX1
7669_R_O_1_TBR1
7669_R_O_1_COUPTF2
7669_R_T_1_DLX1
7669_R_T_1_TBR1
7669_R_T_1_COUPTF2
7669_R_mO_DLX1
7669_R_mO_TBR1
7669_R_mO_COUPTF2
7669_L_EC_DLX1
7669_L_EC_COUPTF2
7669_R_CCMid_DLX1
7669_R_CC_Mid_TBR1
7669_R_CCMid_COUPTF2
B
3−103294509−T−G
0
−2
−4
−3
−2
−1
0
0.8
0.6
0.4
0.2
0.0

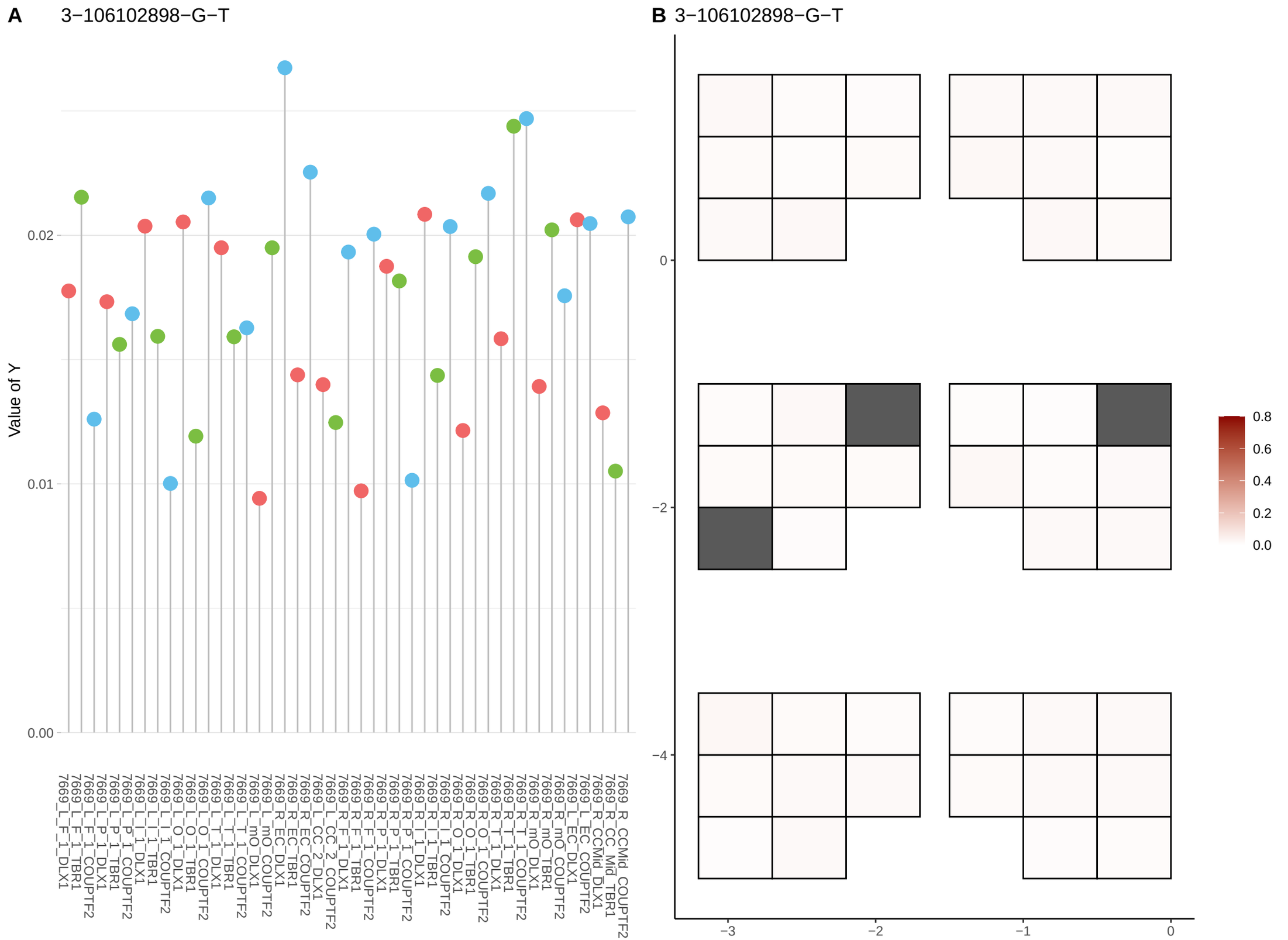
A
3−106102898−G−T
Value of Y
0.02
0.01
0.00
7669_L_F_1_DLX1
7669_L_F_1_TBR1
7669_L_F_1_COUPTF2
7669_L_P_1_DLX1
7669_L_P_1_TBR1
7669_L_P_1_COUPTF2
7669_L_I_1_DLX1
7669_L_I_1_TBR1
7669_L_I_1_COUPTF2
7669_L_O_1_DLX1
7669_L_O_1_TBR1
7669_L_O_1_COUPTF2
7669_L_T_1_DLX1
7669_L_T_1_TBR1
7669_L_T_1_COUPTF2
7669_L_mO_DLX1
7669_L_mO_COUPTF2
7669_R_EC_DLX1
7669_R_EC_TBR1
7669_R_EC_COUPTF2
7669_L_CC_2_DLX1
7669_L_CC_2_COUPTF2
7669_R_F_1_DLX1
7669_R_F_1_TBR1
7669_R_F_1_COUPTF2
7669_R_P_1_DLX1
7669_R_P_1_TBR1
7669_R_P_1_COUPTF2
7669_R_I_1_DLX1
7669_R_I_1_TBR1
7669_R_I_1_COUPTF2
7669_R_O_1_DLX1
7669_R_O_1_TBR1
7669_R_O_1_COUPTF2
7669_R_T_1_DLX1
7669_R_T_1_TBR1
7669_R_T_1_COUPTF2
7669_R_mO_DLX1
7669_R_mO_TBR1
7669_R_mO_COUPTF2
7669_L_EC_DLX1
7669_L_EC_COUPTF2
7669_R_CCMid_DLX1
7669_R_CC_Mid_TBR1
7669_R_CCMid_COUPTF2
B
3−106102898−G−T
0
−2
−4
−3
−2
−1
0
0.8
0.6
0.4
0.2
0.0

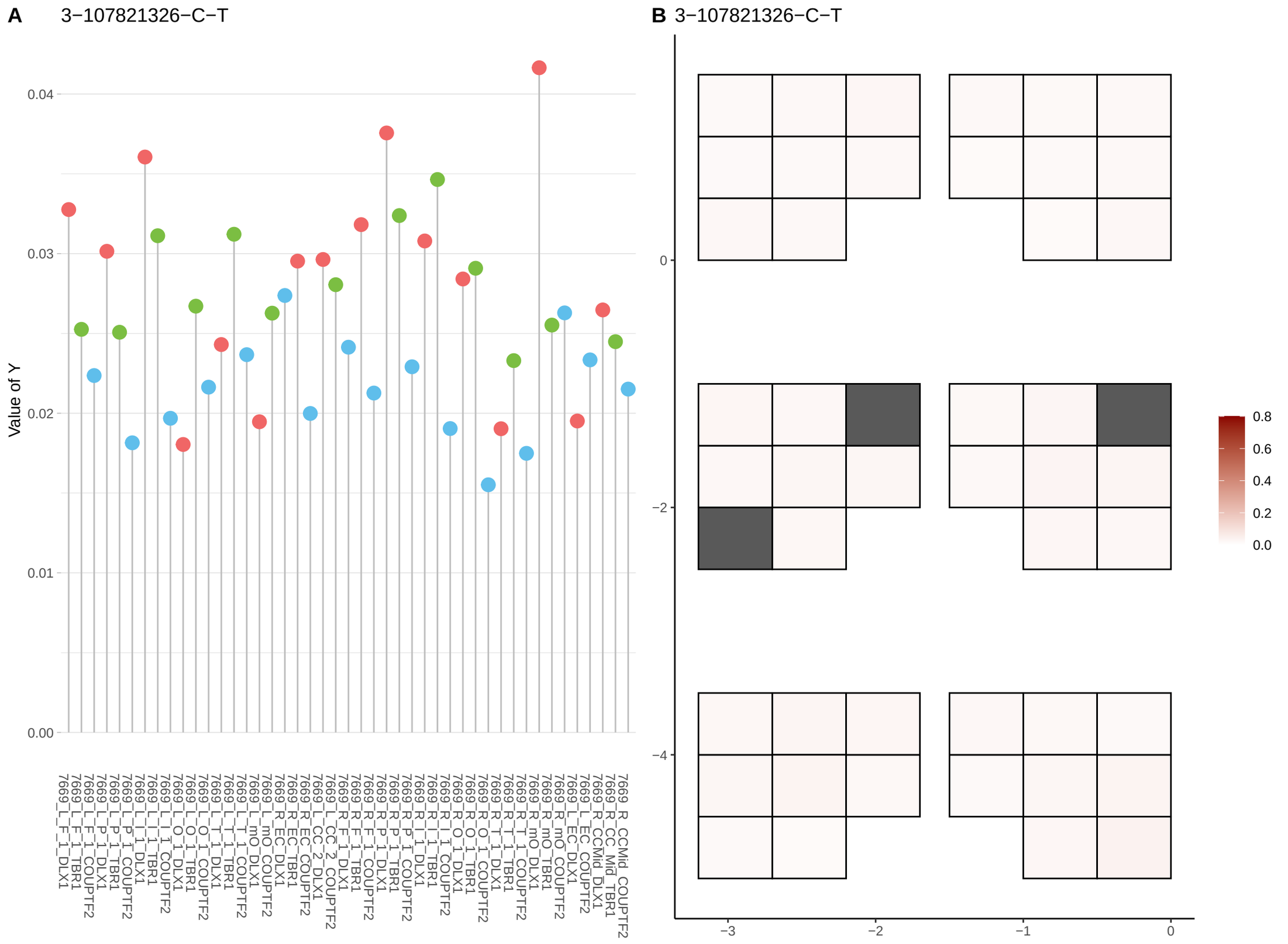
A
3−107821326−C−T
Value of Y
0.04
0.03
0.02
0.01
0.00
7669_L_F_1_DLX1
7669_L_F_1_TBR1
7669_L_F_1_COUPTF2
7669_L_P_1_DLX1
7669_L_P_1_TBR1
7669_L_P_1_COUPTF2
7669_L_I_1_DLX1
7669_L_I_1_TBR1
7669_L_I_1_COUPTF2
7669_L_O_1_DLX1
7669_L_O_1_TBR1
7669_L_O_1_COUPTF2
7669_L_T_1_DLX1
7669_L_T_1_TBR1
7669_L_T_1_COUPTF2
7669_L_mO_DLX1
7669_L_mO_COUPTF2
7669_R_EC_DLX1
7669_R_EC_TBR1
7669_R_EC_COUPTF2
7669_L_CC_2_DLX1
7669_L_CC_2_COUPTF2
7669_R_F_1_DLX1
7669_R_F_1_TBR1
7669_R_F_1_COUPTF2
7669_R_P_1_DLX1
7669_R_P_1_TBR1
7669_R_P_1_COUPTF2
7669_R_I_1_DLX1
7669_R_I_1_TBR1
7669_R_I_1_COUPTF2
7669_R_O_1_DLX1
7669_R_O_1_TBR1
7669_R_O_1_COUPTF2
7669_R_T_1_DLX1
7669_R_T_1_TBR1
7669_R_T_1_COUPTF2
7669_R_mO_DLX1
7669_R_mO_TBR1
7669_R_mO_COUPTF2
7669_L_EC_DLX1
7669_L_EC_COUPTF2
7669_R_CCMid_DLX1
7669_R_CC_Mid_TBR1
7669_R_CCMid_COUPTF2
B
3−107821326−C−T
0
−2
−4
−3
−2
−1
0
0.8
0.6
0.4
0.2
0.0

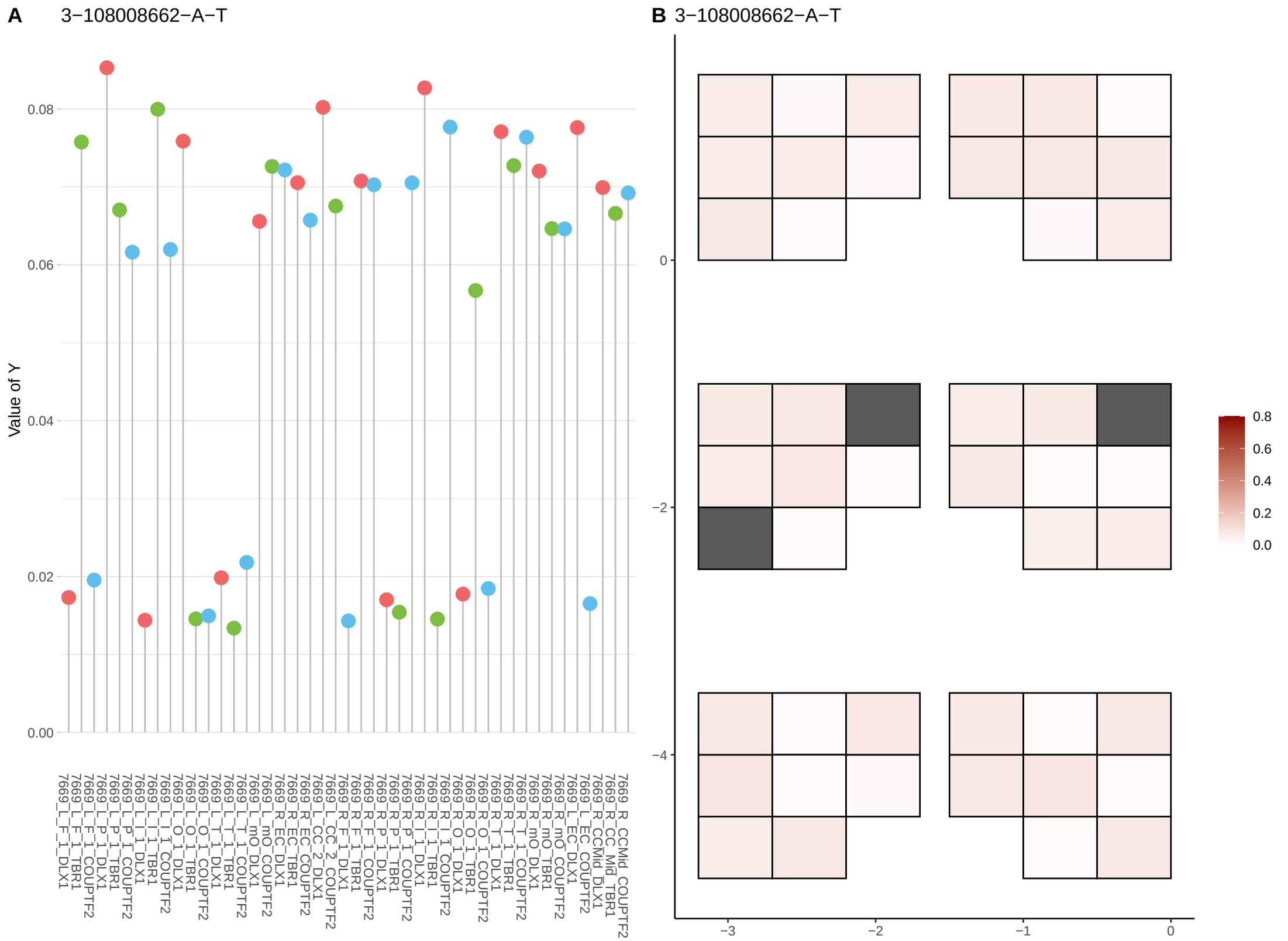
A
3−108008662−A−T
Value of Y
0.08
0.06
0.04
0.02
0.00
7669_L_F_1_DLX1
7669_L_F_1_TBR1
7669_L_F_1_COUPTF2
7669_L_P_1_DLX1
7669_L_P_1_TBR1
7669_L_P_1_COUPTF2
7669_L_I_1_DLX1
7669_L_I_1_TBR1
7669_L_I_1_COUPTF2
7669_L_O_1_DLX1
7669_L_O_1_TBR1
7669_L_O_1_COUPTF2
7669_L_T_1_DLX1
7669_L_T_1_TBR1
7669_L_T_1_COUPTF2
7669_L_mO_DLX1
7669_L_mO_COUPTF2
7669_R_EC_DLX1
7669_R_EC_TBR1
7669_R_EC_COUPTF2
7669_L_CC_2_DLX1
7669_L_CC_2_COUPTF2
7669_R_F_1_DLX1
7669_R_F_1_TBR1
7669_R_F_1_COUPTF2
7669_R_P_1_DLX1
7669_R_P_1_TBR1
7669_R_P_1_COUPTF2
7669_R_I_1_DLX1
7669_R_I_1_TBR1
7669_R_I_1_COUPTF2
7669_R_O_1_DLX1
7669_R_O_1_TBR1
7669_R_O_1_COUPTF2
7669_R_T_1_DLX1
7669_R_T_1_TBR1
7669_R_T_1_COUPTF2
7669_R_mO_DLX1
7669_R_mO_TBR1
7669_R_mO_COUPTF2
7669_L_EC_DLX1
7669_L_EC_COUPTF2
7669_R_CCMid_DLX1
7669_R_CC_Mid_TBR1
7669_R_CCMid_COUPTF2
B
3−108008662−A−T
0
−2
−4
−3
−2
−1
0
0.8
0.6
0.4
0.2
0.0

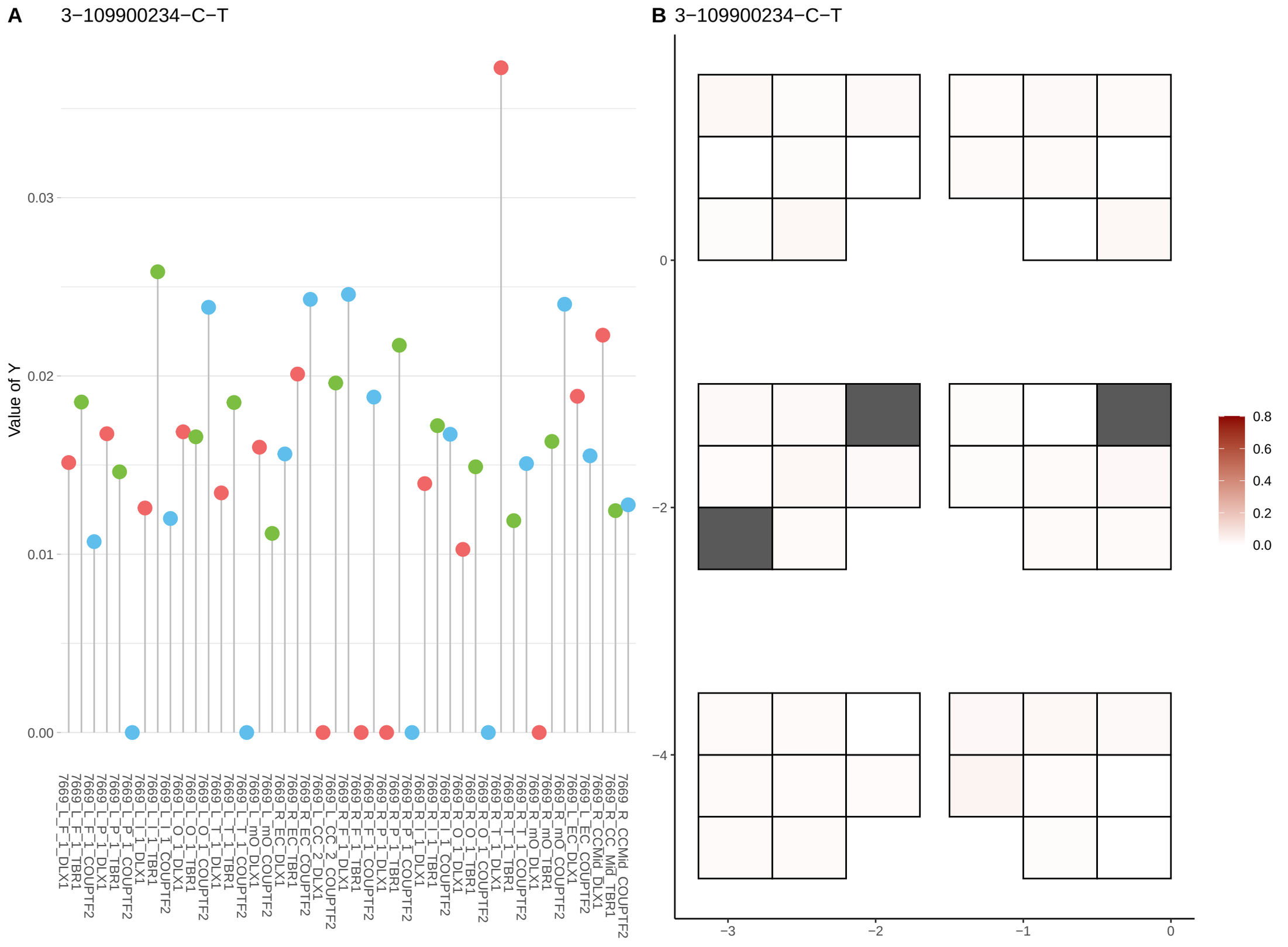
A
3−109900234−C−T
Value of Y
0.03
0.02
0.01
0.00
7669_L_F_1_DLX1
7669_L_F_1_TBR1
7669_L_F_1_COUPTF2
7669_L_P_1_DLX1
7669_L_P_1_TBR1
7669_L_P_1_COUPTF2
7669_L_I_1_DLX1
7669_L_I_1_TBR1
7669_L_I_1_COUPTF2
7669_L_O_1_DLX1
7669_L_O_1_TBR1
7669_L_O_1_COUPTF2
7669_L_T_1_DLX1
7669_L_T_1_TBR1
7669_L_T_1_COUPTF2
7669_L_mO_DLX1
7669_L_mO_COUPTF2
7669_R_EC_DLX1
7669_R_EC_TBR1
7669_R_EC_COUPTF2
7669_L_CC_2_DLX1
7669_L_CC_2_COUPTF2
7669_R_F_1_DLX1
7669_R_F_1_TBR1
7669_R_F_1_COUPTF2
7669_R_P_1_DLX1
7669_R_P_1_TBR1
7669_R_P_1_COUPTF2
7669_R_I_1_DLX1
7669_R_I_1_TBR1
7669_R_I_1_COUPTF2
7669_R_O_1_DLX1
7669_R_O_1_TBR1
7669_R_O_1_COUPTF2
7669_R_T_1_DLX1
7669_R_T_1_TBR1
7669_R_T_1_COUPTF2
7669_R_mO_DLX1
7669_R_mO_TBR1
7669_R_mO_COUPTF2
7669_L_EC_DLX1
7669_L_EC_COUPTF2
7669_R_CCMid_DLX1
7669_R_CC_Mid_TBR1
7669_R_CCMid_COUPTF2
B
3−109900234−C−T
0
−2
−4
−3
−2
−1
0
0.8
0.6
0.4
0.2
0.0

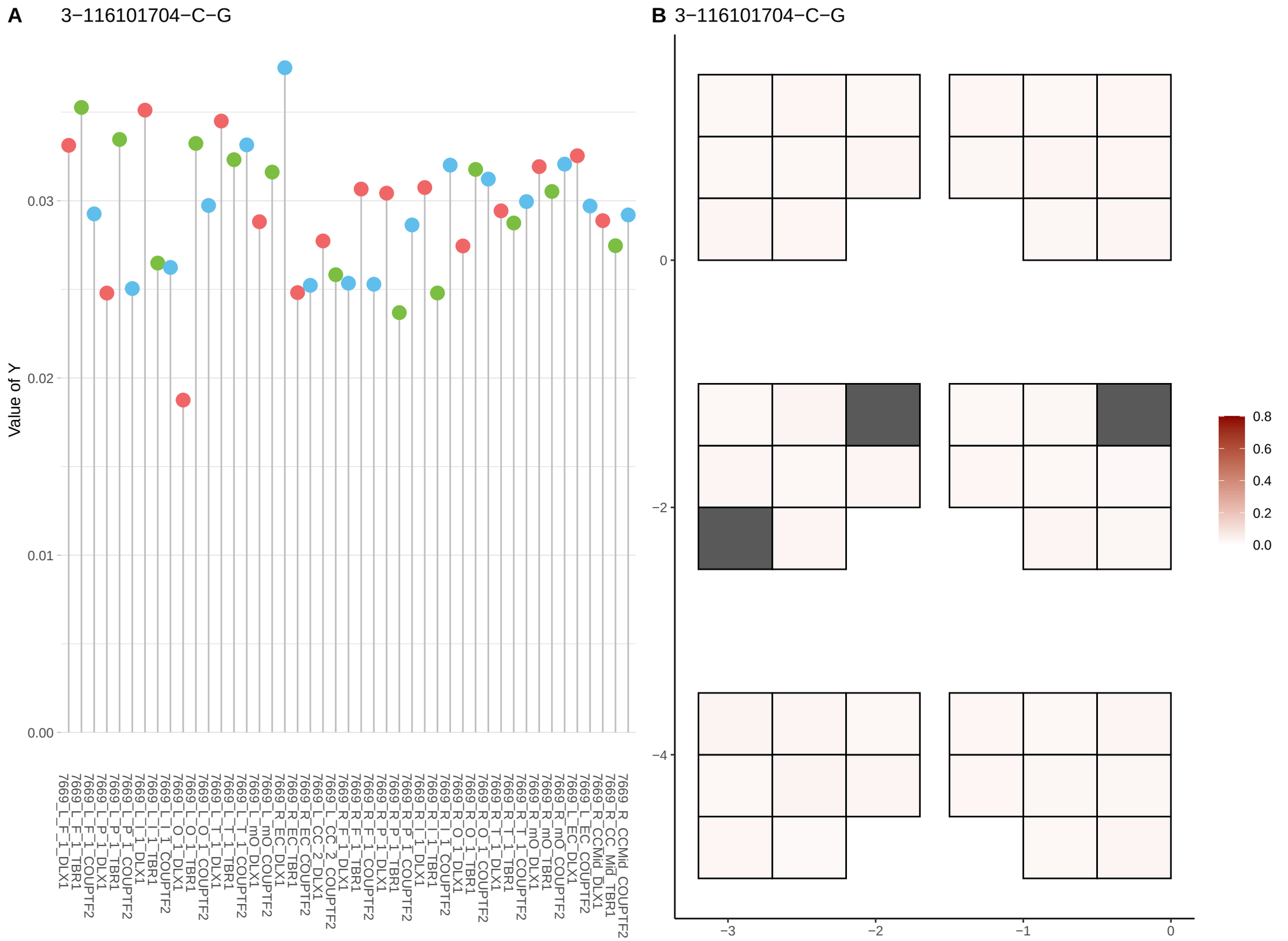
A
3−116101704−C−G
Value of Y
0.03
0.02
0.01
0.00
7669_L_F_1_DLX1
7669_L_F_1_TBR1
7669_L_F_1_COUPTF2
7669_L_P_1_DLX1
7669_L_P_1_TBR1
7669_L_P_1_COUPTF2
7669_L_I_1_DLX1
7669_L_I_1_TBR1
7669_L_I_1_COUPTF2
7669_L_O_1_DLX1
7669_L_O_1_TBR1
7669_L_O_1_COUPTF2
7669_L_T_1_DLX1
7669_L_T_1_TBR1
7669_L_T_1_COUPTF2
7669_L_mO_DLX1
7669_L_mO_COUPTF2
7669_R_EC_DLX1
7669_R_EC_TBR1
7669_R_EC_COUPTF2
7669_L_CC_2_DLX1
7669_L_CC_2_COUPTF2
7669_R_F_1_DLX1
7669_R_F_1_TBR1
7669_R_F_1_COUPTF2
7669_R_P_1_DLX1
7669_R_P_1_TBR1
7669_R_P_1_COUPTF2
7669_R_I_1_DLX1
7669_R_I_1_TBR1
7669_R_I_1_COUPTF2
7669_R_O_1_DLX1
7669_R_O_1_TBR1
7669_R_O_1_COUPTF2
7669_R_T_1_DLX1
7669_R_T_1_TBR1
7669_R_T_1_COUPTF2
7669_R_mO_DLX1
7669_R_mO_TBR1
7669_R_mO_COUPTF2
7669_L_EC_DLX1
7669_L_EC_COUPTF2
7669_R_CCMid_DLX1
7669_R_CC_Mid_TBR1
7669_R_CCMid_COUPTF2
B
3−116101704−C−G
0
−2
−4
−3
−2
−1
0
0.8
0.6
0.4
0.2
0.0

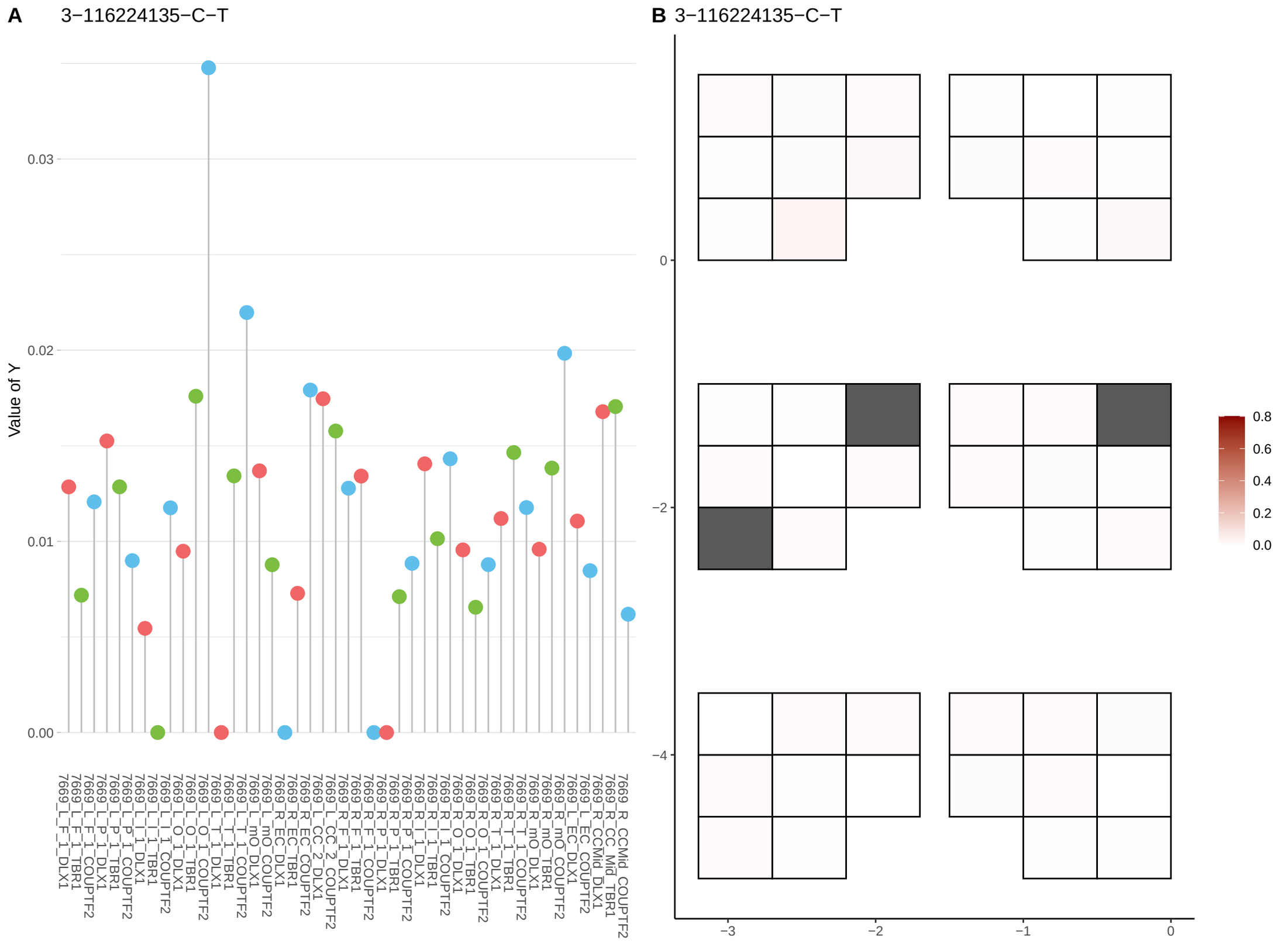
A
3−116224135−C−T
Value of Y
0.03
0.02
0.01
0.00
7669_L_F_1_DLX1
7669_L_F_1_TBR1
7669_L_F_1_COUPTF2
7669_L_P_1_DLX1
7669_L_P_1_TBR1
7669_L_P_1_COUPTF2
7669_L_I_1_DLX1
7669_L_I_1_TBR1
7669_L_I_1_COUPTF2
7669_L_O_1_DLX1
7669_L_O_1_TBR1
7669_L_O_1_COUPTF2
7669_L_T_1_DLX1
7669_L_T_1_TBR1
7669_L_T_1_COUPTF2
7669_L_mO_DLX1
7669_L_mO_COUPTF2
7669_R_EC_DLX1
7669_R_EC_TBR1
7669_R_EC_COUPTF2
7669_L_CC_2_DLX1
7669_L_CC_2_COUPTF2
7669_R_F_1_DLX1
7669_R_F_1_TBR1
7669_R_F_1_COUPTF2
7669_R_P_1_DLX1
7669_R_P_1_TBR1
7669_R_P_1_COUPTF2
7669_R_I_1_DLX1
7669_R_I_1_TBR1
7669_R_I_1_COUPTF2
7669_R_O_1_DLX1
7669_R_O_1_TBR1
7669_R_O_1_COUPTF2
7669_R_T_1_DLX1
7669_R_T_1_TBR1
7669_R_T_1_COUPTF2
7669_R_mO_DLX1
7669_R_mO_TBR1
7669_R_mO_COUPTF2
7669_L_EC_DLX1
7669_L_EC_COUPTF2
7669_R_CCMid_DLX1
7669_R_CC_Mid_TBR1
7669_R_CCMid_COUPTF2
B
3−116224135−C−T
0
−2
−4
−3
−2
−1
0
0.8
0.6
0.4
0.2
0.0

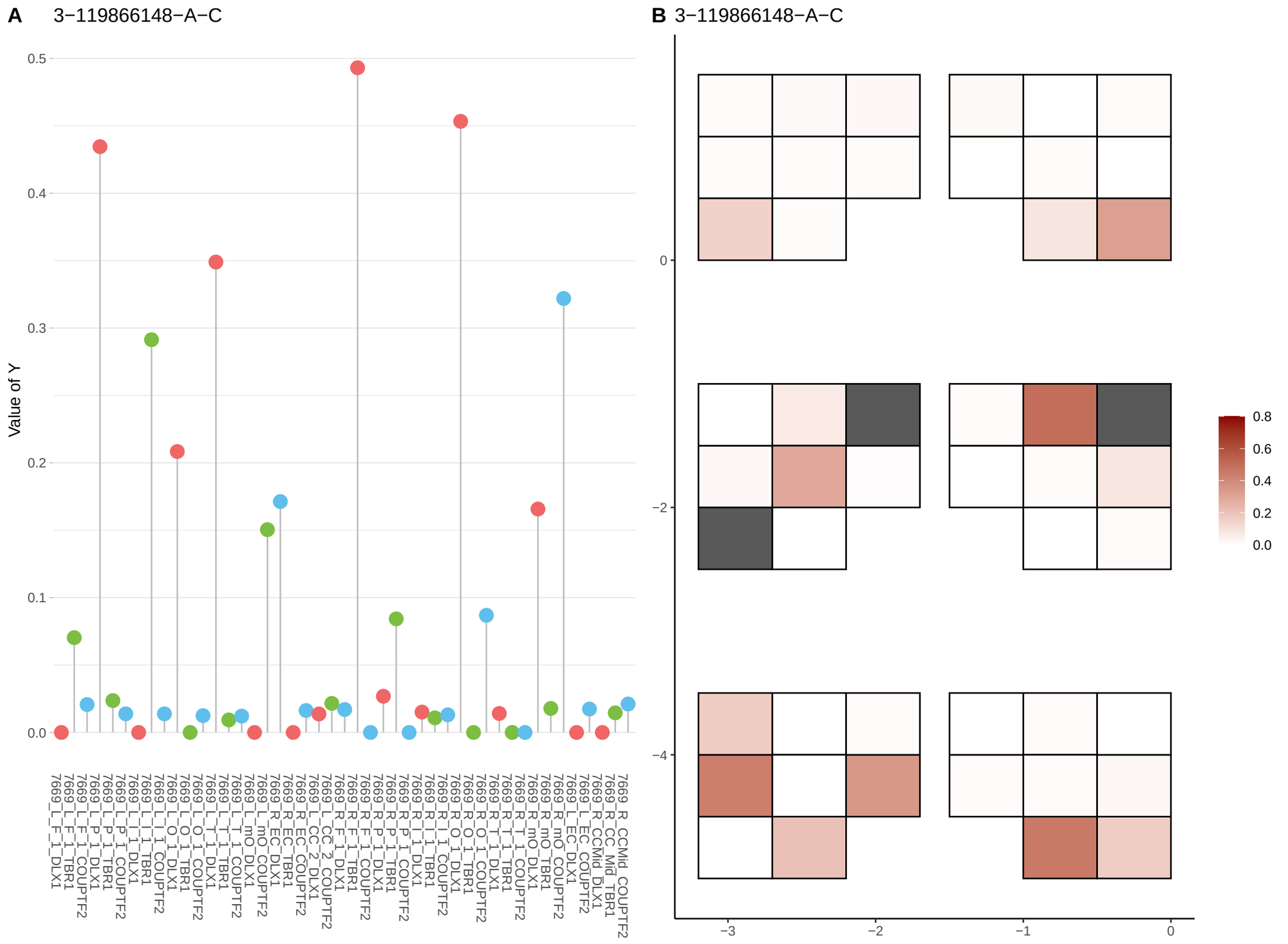
A
3−119866148−A−C
Value of Y
0.5
0.4
0.3
0.2
0.1
0.0
7669_L_F_1_DLX1
7669_L_F_1_TBR1
7669_L_F_1_COUPTF2
7669_L_P_1_DLX1
7669_L_P_1_TBR1
7669_L_P_1_COUPTF2
7669_L_I_1_DLX1
7669_L_I_1_TBR1
7669_L_I_1_COUPTF2
7669_L_O_1_DLX1
7669_L_O_1_TBR1
7669_L_O_1_COUPTF2
7669_L_T_1_DLX1
7669_L_T_1_TBR1
7669_L_T_1_COUPTF2
7669_L_mO_DLX1
7669_L_mO_COUPTF2
7669_R_EC_DLX1
7669_R_EC_TBR1
7669_R_EC_COUPTF2
7669_L_CC_2_DLX1
7669_L_CC_2_COUPTF2
7669_R_F_1_DLX1
7669_R_F_1_TBR1
7669_R_F_1_COUPTF2
7669_R_P_1_DLX1
7669_R_P_1_TBR1
7669_R_P_1_COUPTF2
7669_R_I_1_DLX1
7669_R_I_1_TBR1
7669_R_I_1_COUPTF2
7669_R_O_1_DLX1
7669_R_O_1_TBR1
7669_R_O_1_COUPTF2
7669_R_T_1_DLX1
7669_R_T_1_TBR1
7669_R_T_1_COUPTF2
7669_R_mO_DLX1
7669_R_mO_TBR1
7669_R_mO_COUPTF2
7669_L_EC_DLX1
7669_L_EC_COUPTF2
7669_R_CCMid_DLX1
7669_R_CC_Mid_TBR1
7669_R_CCMid_COUPTF2
B
3−119866148−A−C
0
−2
−4
−3
−2
−1
0
0.8
0.6
0.4
0.2
0.0

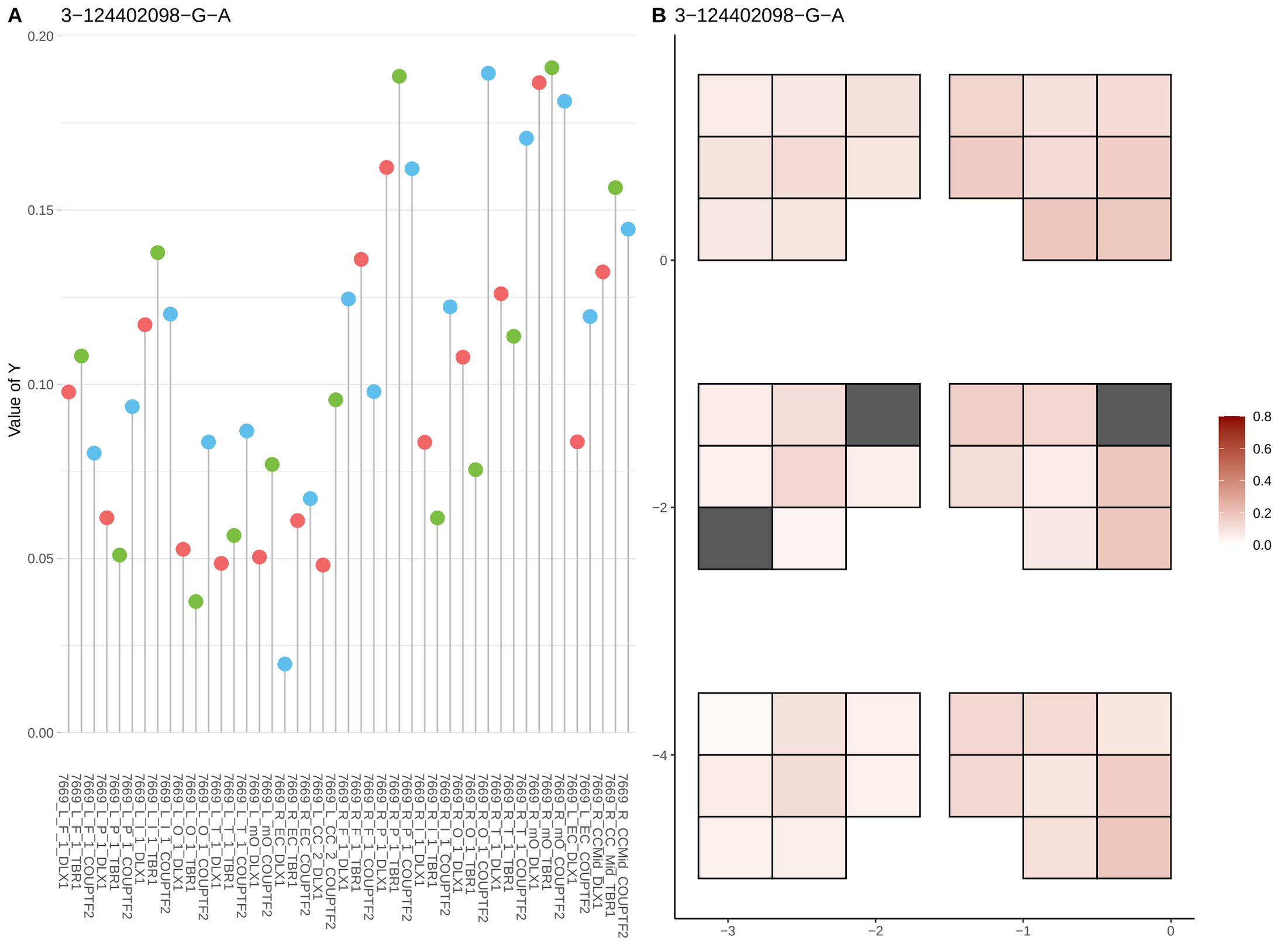
A
3−124402098−G−A
Value of Y
0.20
0.15
0.10
0.05
0.00
7669_L_F_1_DLX1
7669_L_F_1_TBR1
7669_L_F_1_COUPTF2
7669_L_P_1_DLX1
7669_L_P_1_TBR1
7669_L_P_1_COUPTF2
7669_L_I_1_DLX1
7669_L_I_1_TBR1
7669_L_I_1_COUPTF2
7669_L_O_1_DLX1
7669_L_O_1_TBR1
7669_L_O_1_COUPTF2
7669_L_T_1_DLX1
7669_L_T_1_TBR1
7669_L_T_1_COUPTF2
7669_L_mO_DLX1
7669_L_mO_COUPTF2
7669_R_EC_DLX1
7669_R_EC_TBR1
7669_R_EC_COUPTF2
7669_L_CC_2_DLX1
7669_L_CC_2_COUPTF2
7669_R_F_1_DLX1
7669_R_F_1_TBR1
7669_R_F_1_COUPTF2
7669_R_P_1_DLX1
7669_R_P_1_TBR1
7669_R_P_1_COUPTF2
7669_R_I_1_DLX1
7669_R_I_1_TBR1
7669_R_I_1_COUPTF2
7669_R_O_1_DLX1
7669_R_O_1_TBR1
7669_R_O_1_COUPTF2
7669_R_T_1_DLX1
7669_R_T_1_TBR1
7669_R_T_1_COUPTF2
7669_R_mO_DLX1
7669_R_mO_TBR1
7669_R_mO_COUPTF2
7669_L_EC_DLX1
7669_L_EC_COUPTF2
7669_R_CCMid_DLX1
7669_R_CC_Mid_TBR1
7669_R_CCMid_COUPTF2
B
3−124402098−G−A
0
−2
−4
−3
−2
−1
0
0.8
0.6
0.4
0.2
0.0

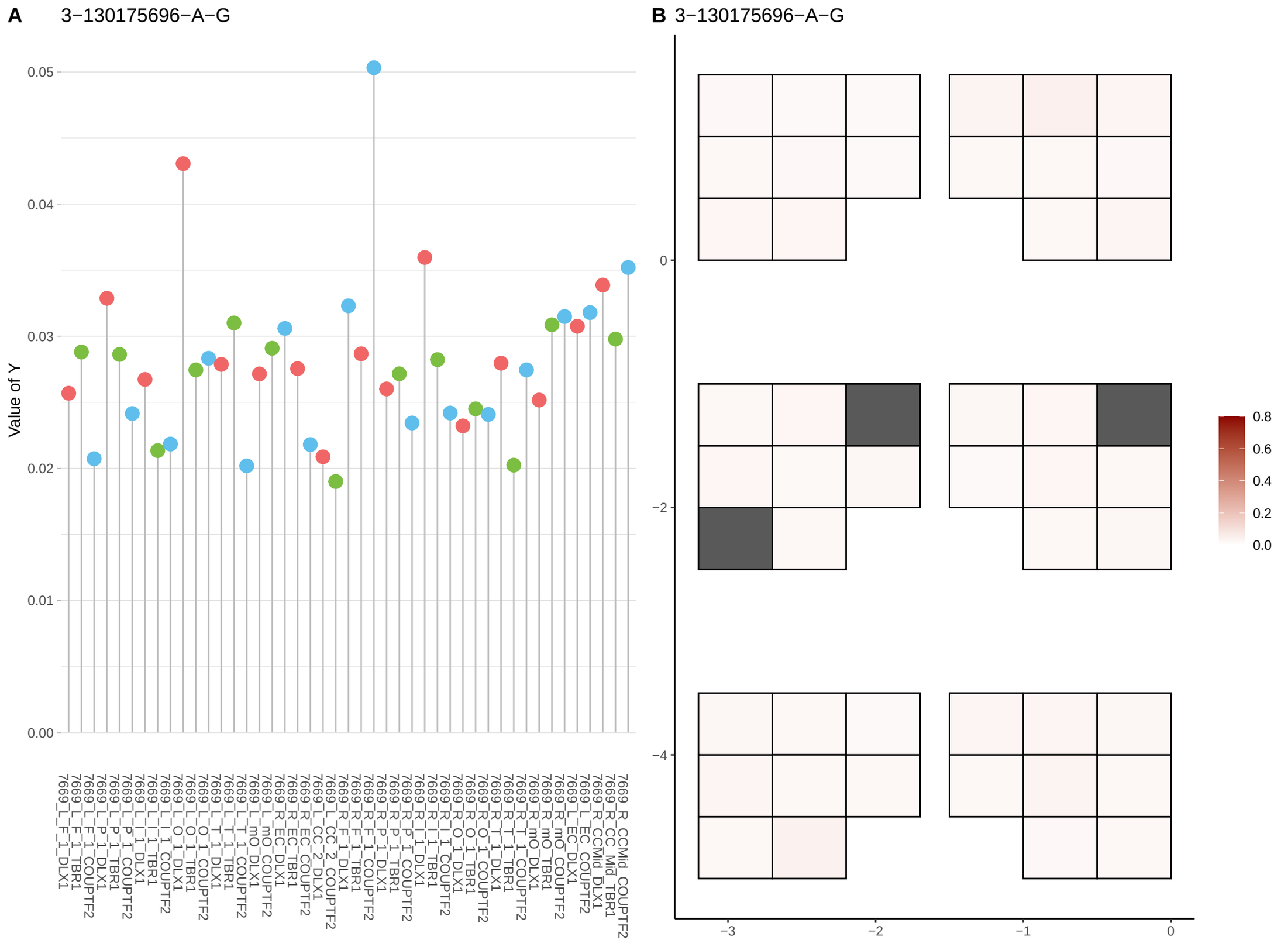
A
3−130175696−A−G
Value of Y
0.05
0.04
0.03
0.02
0.01
0.00
7669_L_F_1_DLX1
7669_L_F_1_TBR1
7669_L_F_1_COUPTF2
7669_L_P_1_DLX1
7669_L_P_1_TBR1
7669_L_P_1_COUPTF2
7669_L_I_1_DLX1
7669_L_I_1_TBR1
7669_L_I_1_COUPTF2
7669_L_O_1_DLX1
7669_L_O_1_TBR1
7669_L_O_1_COUPTF2
7669_L_T_1_DLX1
7669_L_T_1_TBR1
7669_L_T_1_COUPTF2
7669_L_mO_DLX1
7669_L_mO_COUPTF2
7669_R_EC_DLX1
7669_R_EC_TBR1
7669_R_EC_COUPTF2
7669_L_CC_2_DLX1
7669_L_CC_2_COUPTF2
7669_R_F_1_DLX1
7669_R_F_1_TBR1
7669_R_F_1_COUPTF2
7669_R_P_1_DLX1
7669_R_P_1_TBR1
7669_R_P_1_COUPTF2
7669_R_I_1_DLX1
7669_R_I_1_TBR1
7669_R_I_1_COUPTF2
7669_R_O_1_DLX1
7669_R_O_1_TBR1
7669_R_O_1_COUPTF2
7669_R_T_1_DLX1
7669_R_T_1_TBR1
7669_R_T_1_COUPTF2
7669_R_mO_DLX1
7669_R_mO_TBR1
7669_R_mO_COUPTF2
7669_L_EC_DLX1
7669_L_EC_COUPTF2
7669_R_CCMid_DLX1
7669_R_CC_Mid_TBR1
7669_R_CCMid_COUPTF2
B
3−130175696−A−G
0
−2
−4
−3
−2
−1
0
0.8
0.6
0.4
0.2
0.0

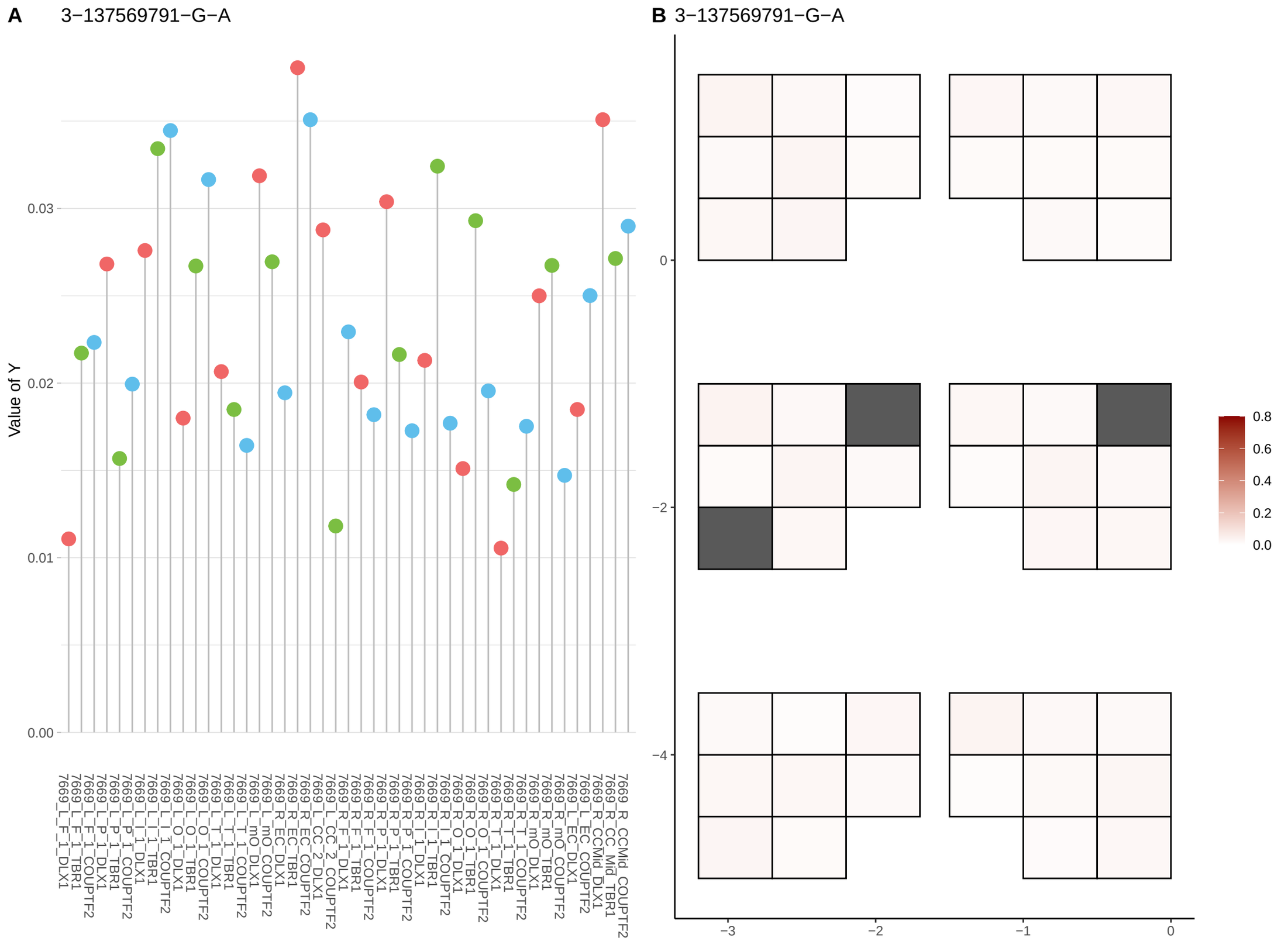
A
3−137569791−G−A
Value of Y
0.00
0.01
0.02
0.03
7669_L_F_1_DLX1
7669_L_F_1_TBR1
7669_L_F_1_COUPTF2
7669_L_P_1_DLX1
7669_L_P_1_TBR1
7669_L_P_1_COUPTF2
7669_L_I_1_DLX1
7669_L_I_1_TBR1
7669_L_I_1_COUPTF2
7669_L_O_1_DLX1
7669_L_O_1_TBR1
7669_L_O_1_COUPTF2
7669_L_T_1_DLX1
7669_L_T_1_TBR1
7669_L_T_1_COUPTF2
7669_L_mO_DLX1
7669_L_mO_COUPTF2
7669_R_EC_DLX1
7669_R_EC_TBR1
7669_R_EC_COUPTF2
7669_L_CC_2_DLX1
7669_L_CC_2_COUPTF2
7669_R_F_1_DLX1
7669_R_F_1_TBR1
7669_R_F_1_COUPTF2
7669_R_P_1_DLX1
7669_R_P_1_TBR1
7669_R_P_1_COUPTF2
7669_R_I_1_DLX1
7669_R_I_1_TBR1
7669_R_I_1_COUPTF2
7669_R_O_1_DLX1
7669_R_O_1_TBR1
7669_R_O_1_COUPTF2
7669_R_T_1_DLX1
7669_R_T_1_TBR1
7669_R_T_1_COUPTF2
7669_R_mO_DLX1
7669_R_mO_TBR1
7669_R_mO_COUPTF2
7669_L_EC_DLX1
7669_L_EC_COUPTF2
7669_R_CCMid_DLX1
7669_R_CC_Mid_TBR1
7669_R_CCMid_COUPTF2
B
3−137569791−G−A
0
−2
−4
−3
−2
−1
0
0.8
0.6
0.4
0.2
0.0

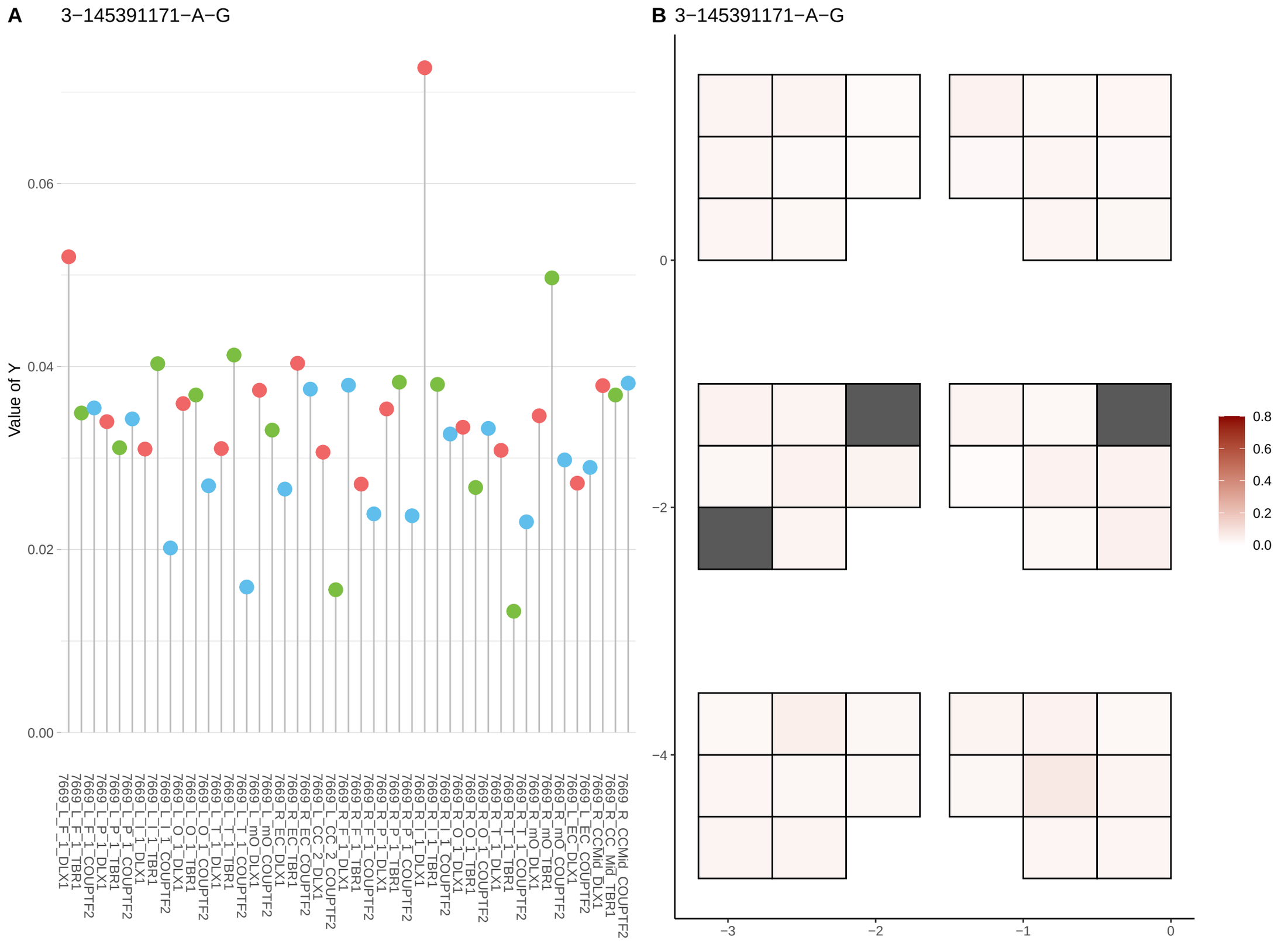
A
3−145391171−A−G
Value of Y
0.06
0.04
0.02
0.00
7669_L_F_1_DLX1
7669_L_F_1_TBR1
7669_L_F_1_COUPTF2
7669_L_P_1_DLX1
7669_L_P_1_TBR1
7669_L_P_1_COUPTF2
7669_L_I_1_DLX1
7669_L_I_1_TBR1
7669_L_I_1_COUPTF2
7669_L_O_1_DLX1
7669_L_O_1_TBR1
7669_L_O_1_COUPTF2
7669_L_T_1_DLX1
7669_L_T_1_TBR1
7669_L_T_1_COUPTF2
7669_L_mO_DLX1
7669_L_mO_COUPTF2
7669_R_EC_DLX1
7669_R_EC_TBR1
7669_R_EC_COUPTF2
7669_L_CC_2_DLX1
7669_L_CC_2_COUPTF2
7669_R_F_1_DLX1
7669_R_F_1_TBR1
7669_R_F_1_COUPTF2
7669_R_P_1_DLX1
7669_R_P_1_TBR1
7669_R_P_1_COUPTF2
7669_R_I_1_DLX1
7669_R_I_1_TBR1
7669_R_I_1_COUPTF2
7669_R_O_1_DLX1
7669_R_O_1_TBR1
7669_R_O_1_COUPTF2
7669_R_T_1_DLX1
7669_R_T_1_TBR1
7669_R_T_1_COUPTF2
7669_R_mO_DLX1
7669_R_mO_TBR1
7669_R_mO_COUPTF2
7669_L_EC_DLX1
7669_L_EC_COUPTF2
7669_R_CCMid_DLX1
7669_R_CC_Mid_TBR1
7669_R_CCMid_COUPTF2
B
3−145391171−A−G
0
−2
−4
−3
−2
−1
0
0.8
0.6
0.4
0.2
0.0

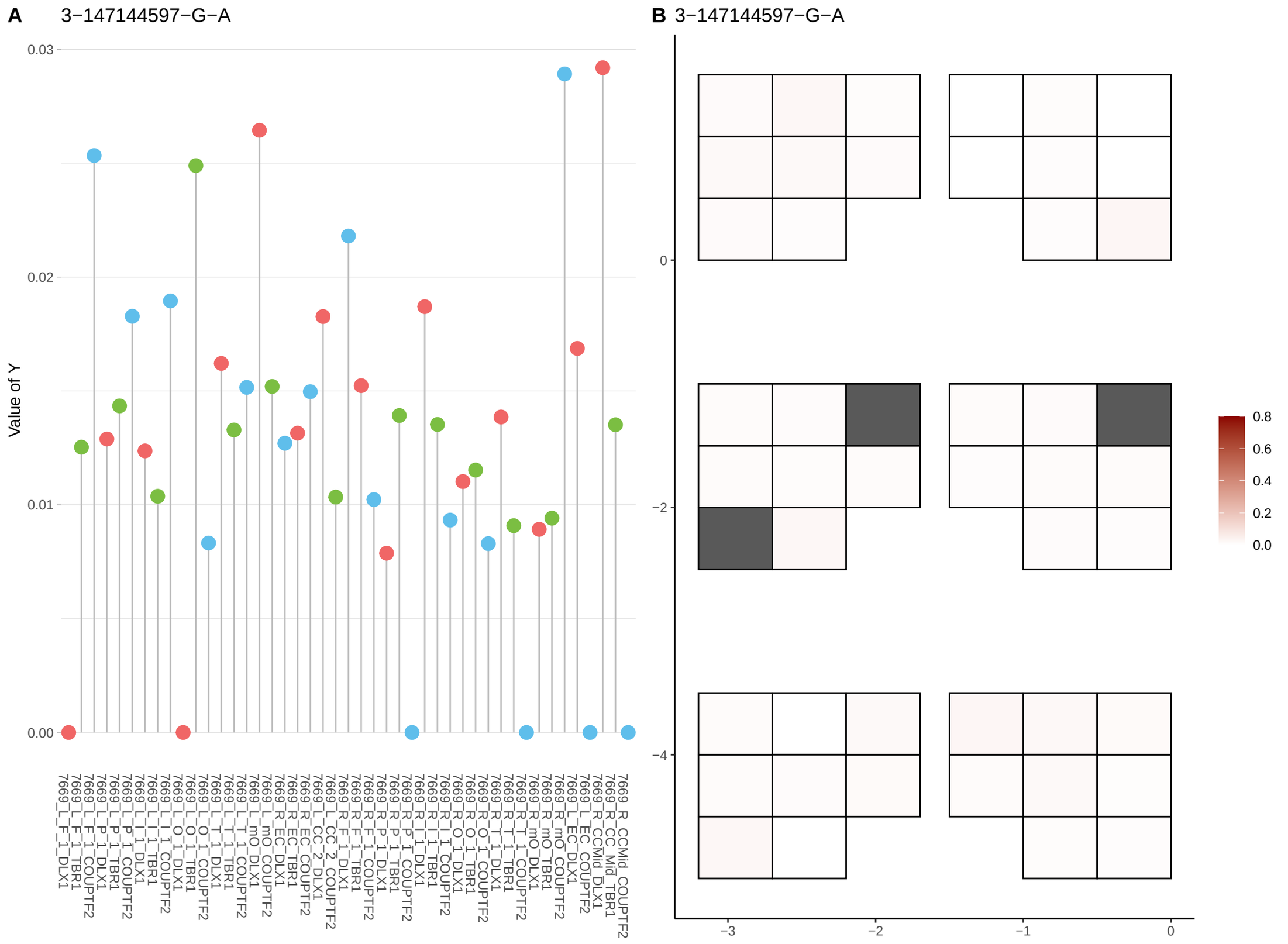
A
3−147144597−G−A
Value of Y
0.03
0.02
0.01
0.00
7669_L_F_1_DLX1
7669_L_F_1_TBR1
7669_L_F_1_COUPTF2
7669_L_P_1_DLX1
7669_L_P_1_TBR1
7669_L_P_1_COUPTF2
7669_L_I_1_DLX1
7669_L_I_1_TBR1
7669_L_I_1_COUPTF2
7669_L_O_1_DLX1
7669_L_O_1_TBR1
7669_L_O_1_COUPTF2
7669_L_T_1_DLX1
7669_L_T_1_TBR1
7669_L_T_1_COUPTF2
7669_L_mO_DLX1
7669_L_mO_COUPTF2
7669_R_EC_DLX1
7669_R_EC_TBR1
7669_R_EC_COUPTF2
7669_L_CC_2_DLX1
7669_L_CC_2_COUPTF2
7669_R_F_1_DLX1
7669_R_F_1_TBR1
7669_R_F_1_COUPTF2
7669_R_P_1_DLX1
7669_R_P_1_TBR1
7669_R_P_1_COUPTF2
7669_R_I_1_DLX1
7669_R_I_1_TBR1
7669_R_I_1_COUPTF2
7669_R_O_1_DLX1
7669_R_O_1_TBR1
7669_R_O_1_COUPTF2
7669_R_T_1_DLX1
7669_R_T_1_TBR1
7669_R_T_1_COUPTF2
7669_R_mO_DLX1
7669_R_mO_TBR1
7669_R_mO_COUPTF2
7669_L_EC_DLX1
7669_L_EC_COUPTF2
7669_R_CCMid_DLX1
7669_R_CC_Mid_TBR1
7669_R_CCMid_COUPTF2
B
3−147144597−G−A
0
−2
−4
−3
−2
−1
0
0.8
0.6
0.4
0.2
0.0

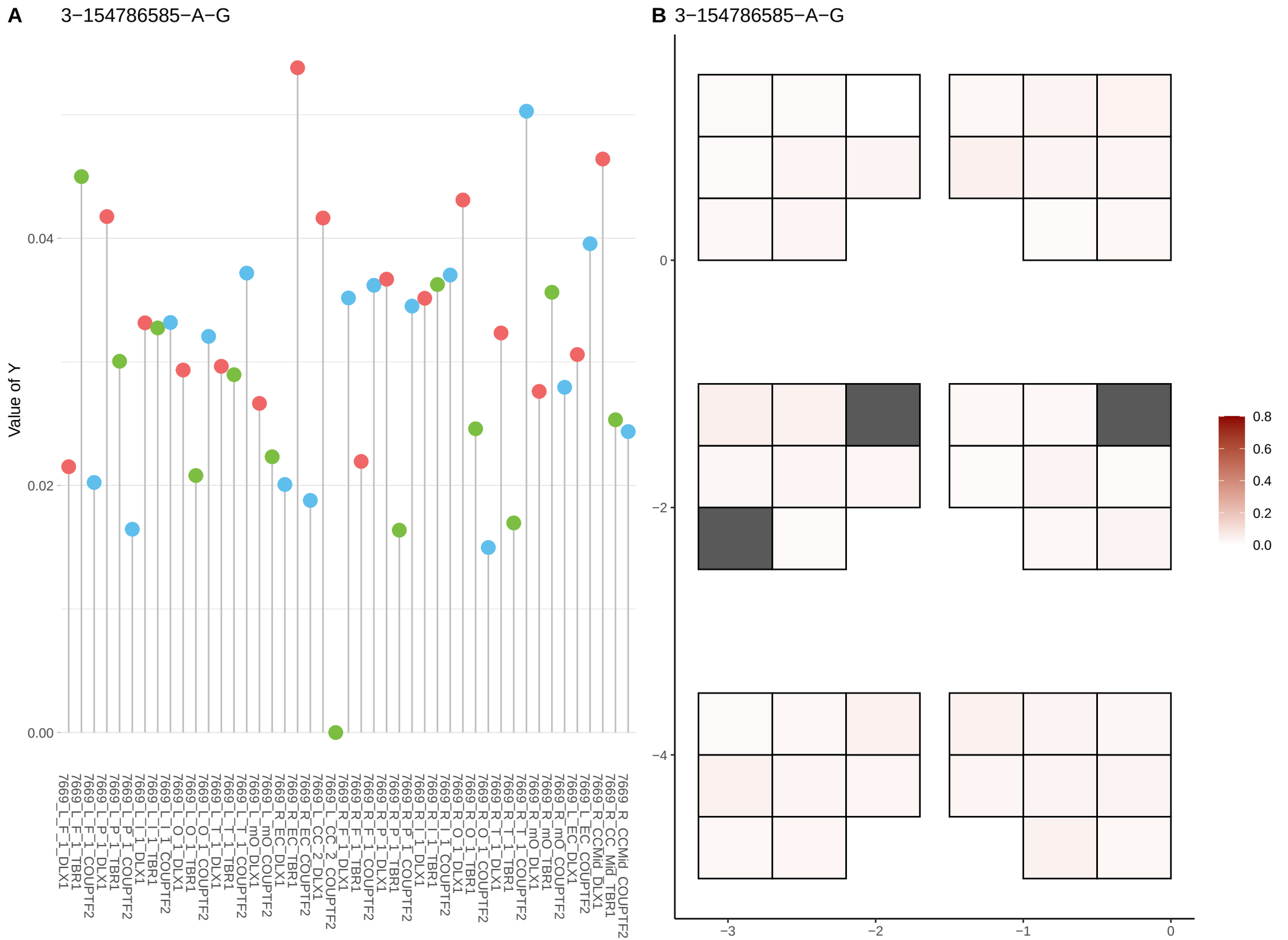
A
3−154786585−A−G
Value of Y
0.04
0.02
0.00
7669_L_F_1_DLX1
7669_L_F_1_TBR1
7669_L_F_1_COUPTF2
7669_L_P_1_DLX1
7669_L_P_1_TBR1
7669_L_P_1_COUPTF2
7669_L_I_1_DLX1
7669_L_I_1_TBR1
7669_L_I_1_COUPTF2
7669_L_O_1_DLX1
7669_L_O_1_TBR1
7669_L_O_1_COUPTF2
7669_L_T_1_DLX1
7669_L_T_1_TBR1
7669_L_T_1_COUPTF2
7669_L_mO_DLX1
7669_L_mO_COUPTF2
7669_R_EC_DLX1
7669_R_EC_TBR1
7669_R_EC_COUPTF2
7669_L_CC_2_DLX1
7669_L_CC_2_COUPTF2
7669_R_F_1_DLX1
7669_R_F_1_TBR1
7669_R_F_1_COUPTF2
7669_R_P_1_DLX1
7669_R_P_1_TBR1
7669_R_P_1_COUPTF2
7669_R_I_1_DLX1
7669_R_I_1_TBR1
7669_R_I_1_COUPTF2
7669_R_O_1_DLX1
7669_R_O_1_TBR1
7669_R_O_1_COUPTF2
7669_R_T_1_DLX1
7669_R_T_1_TBR1
7669_R_T_1_COUPTF2
7669_R_mO_DLX1
7669_R_mO_TBR1
7669_R_mO_COUPTF2
7669_L_EC_DLX1
7669_L_EC_COUPTF2
7669_R_CCMid_DLX1
7669_R_CC_Mid_TBR1
7669_R_CCMid_COUPTF2
B
3−154786585−A−G
0
−2
−4
−3
−2
−1
0
0.8
0.6
0.4
0.2
0.0

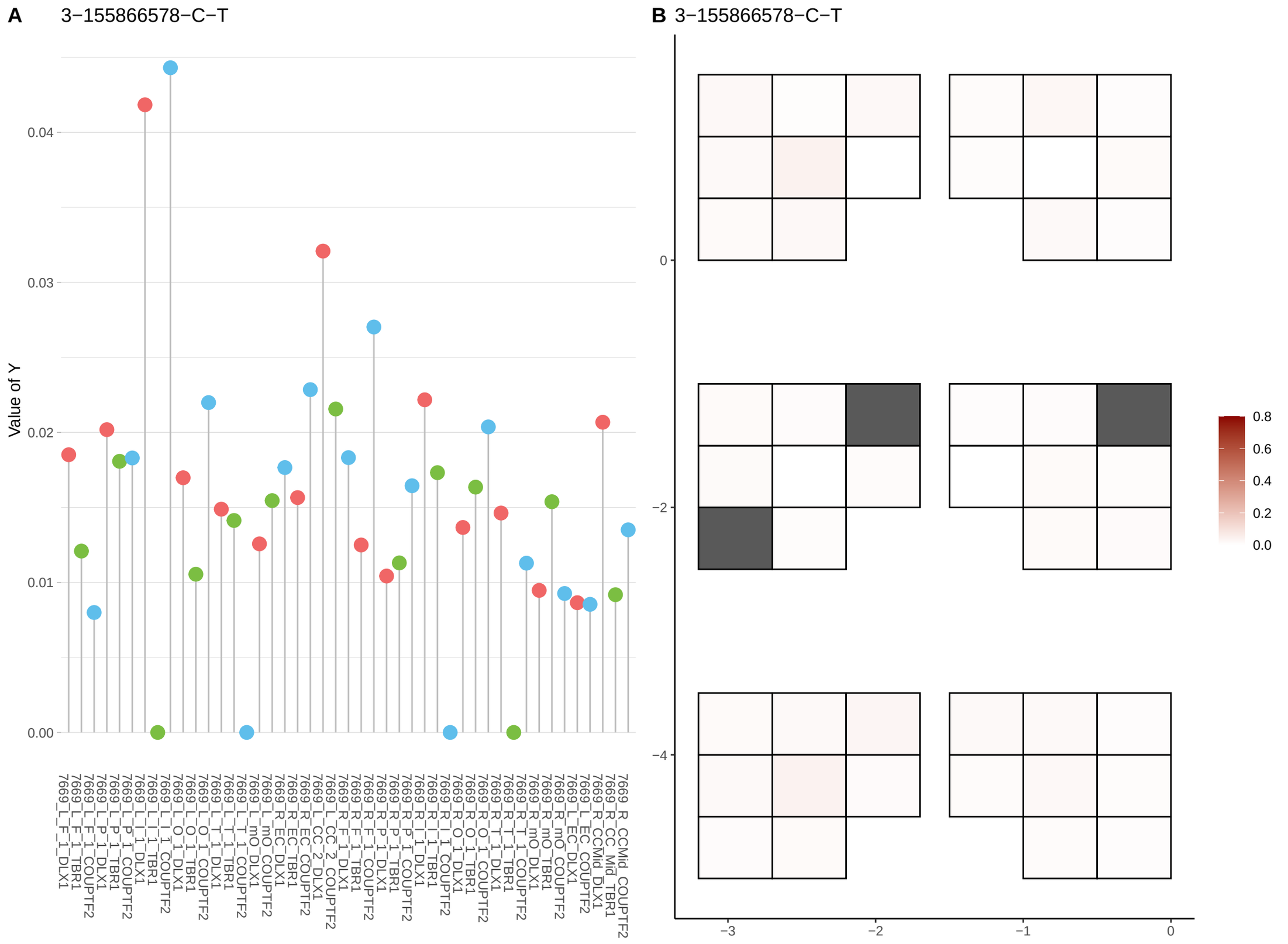
A
3−155866578−C−T
Value of Y
0.04
0.03
0.02
0.01
0.00
7669_L_F_1_DLX1
7669_L_F_1_TBR1
7669_L_F_1_COUPTF2
7669_L_P_1_DLX1
7669_L_P_1_TBR1
7669_L_P_1_COUPTF2
7669_L_I_1_DLX1
7669_L_I_1_TBR1
7669_L_I_1_COUPTF2
7669_L_O_1_DLX1
7669_L_O_1_TBR1
7669_L_O_1_COUPTF2
7669_L_T_1_DLX1
7669_L_T_1_TBR1
7669_L_T_1_COUPTF2
7669_L_mO_DLX1
7669_L_mO_COUPTF2
7669_R_EC_DLX1
7669_R_EC_TBR1
7669_R_EC_COUPTF2
7669_L_CC_2_DLX1
7669_L_CC_2_COUPTF2
7669_R_F_1_DLX1
7669_R_F_1_TBR1
7669_R_F_1_COUPTF2
7669_R_P_1_DLX1
7669_R_P_1_TBR1
7669_R_P_1_COUPTF2
7669_R_I_1_DLX1
7669_R_I_1_TBR1
7669_R_I_1_COUPTF2
7669_R_O_1_DLX1
7669_R_O_1_TBR1
7669_R_O_1_COUPTF2
7669_R_T_1_DLX1
7669_R_T_1_TBR1
7669_R_T_1_COUPTF2
7669_R_mO_DLX1
7669_R_mO_TBR1
7669_R_mO_COUPTF2
7669_L_EC_DLX1
7669_L_EC_COUPTF2
7669_R_CCMid_DLX1
7669_R_CC_Mid_TBR1
7669_R_CCMid_COUPTF2
B
3−155866578−C−T
0
−2
−4
−3
−2
−1
0
0.8
0.6
0.4
0.2
0.0

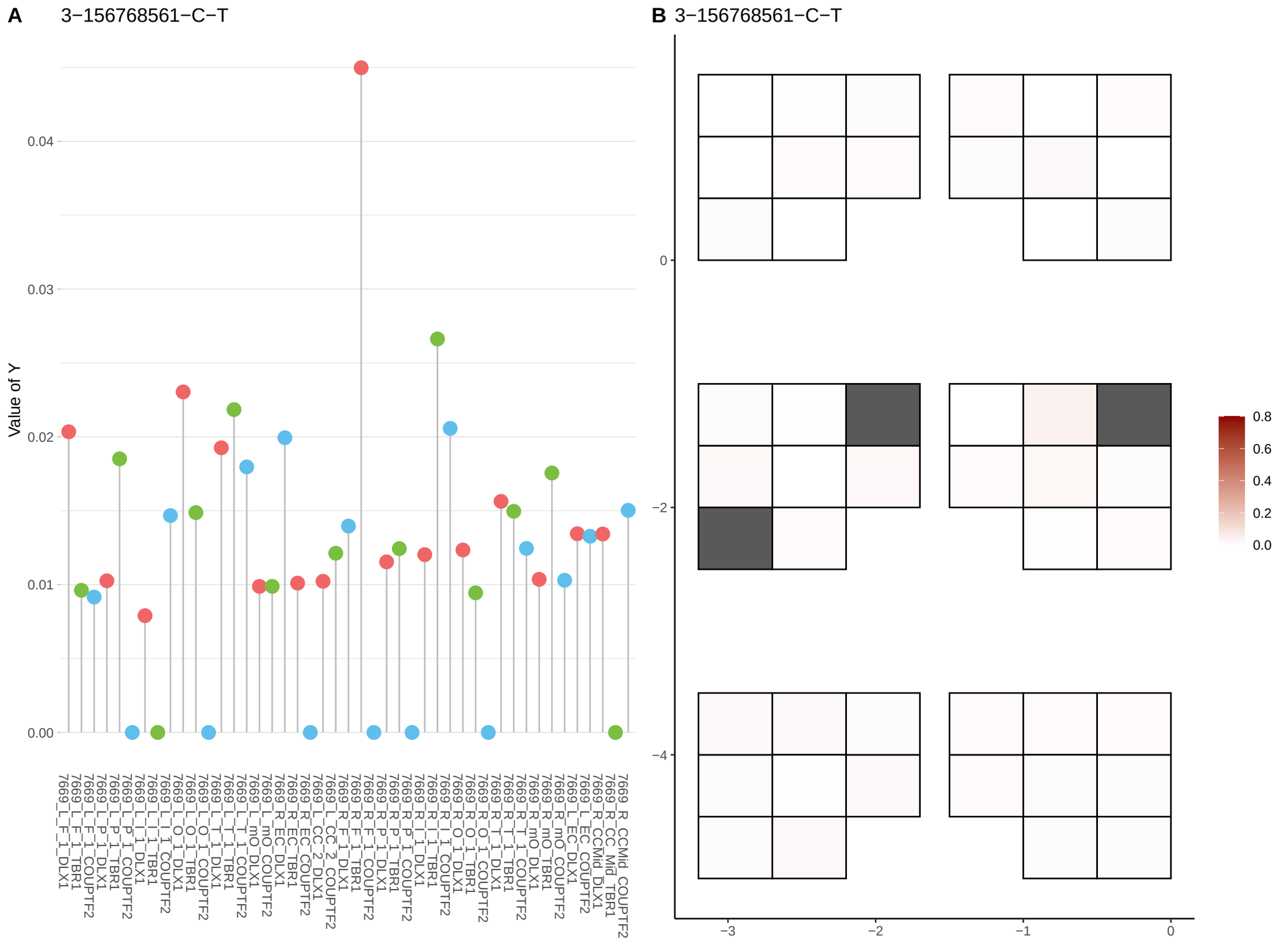
A
3−156768561−C−T
Value of Y
0.04
0.03
0.02
0.01
0.00
7669_L_F_1_DLX1
7669_L_F_1_TBR1
7669_L_F_1_COUPTF2
7669_L_P_1_DLX1
7669_L_P_1_TBR1
7669_L_P_1_COUPTF2
7669_L_I_1_DLX1
7669_L_I_1_TBR1
7669_L_I_1_COUPTF2
7669_L_O_1_DLX1
7669_L_O_1_TBR1
7669_L_O_1_COUPTF2
7669_L_T_1_DLX1
7669_L_T_1_TBR1
7669_L_T_1_COUPTF2
7669_L_mO_DLX1
7669_L_mO_COUPTF2
7669_R_EC_DLX1
7669_R_EC_TBR1
7669_R_EC_COUPTF2
7669_L_CC_2_DLX1
7669_L_CC_2_COUPTF2
7669_R_F_1_DLX1
7669_R_F_1_TBR1
7669_R_F_1_COUPTF2
7669_R_P_1_DLX1
7669_R_P_1_TBR1
7669_R_P_1_COUPTF2
7669_R_I_1_DLX1
7669_R_I_1_TBR1
7669_R_I_1_COUPTF2
7669_R_O_1_DLX1
7669_R_O_1_TBR1
7669_R_O_1_COUPTF2
7669_R_T_1_DLX1
7669_R_T_1_TBR1
7669_R_T_1_COUPTF2
7669_R_mO_DLX1
7669_R_mO_TBR1
7669_R_mO_COUPTF2
7669_L_EC_DLX1
7669_L_EC_COUPTF2
7669_R_CCMid_DLX1
7669_R_CC_Mid_TBR1
7669_R_CCMid_COUPTF2
B
3−156768561−C−T
0
−2
−4
−3
−2
−1
0
0.8
0.6
0.4
0.2
0.0

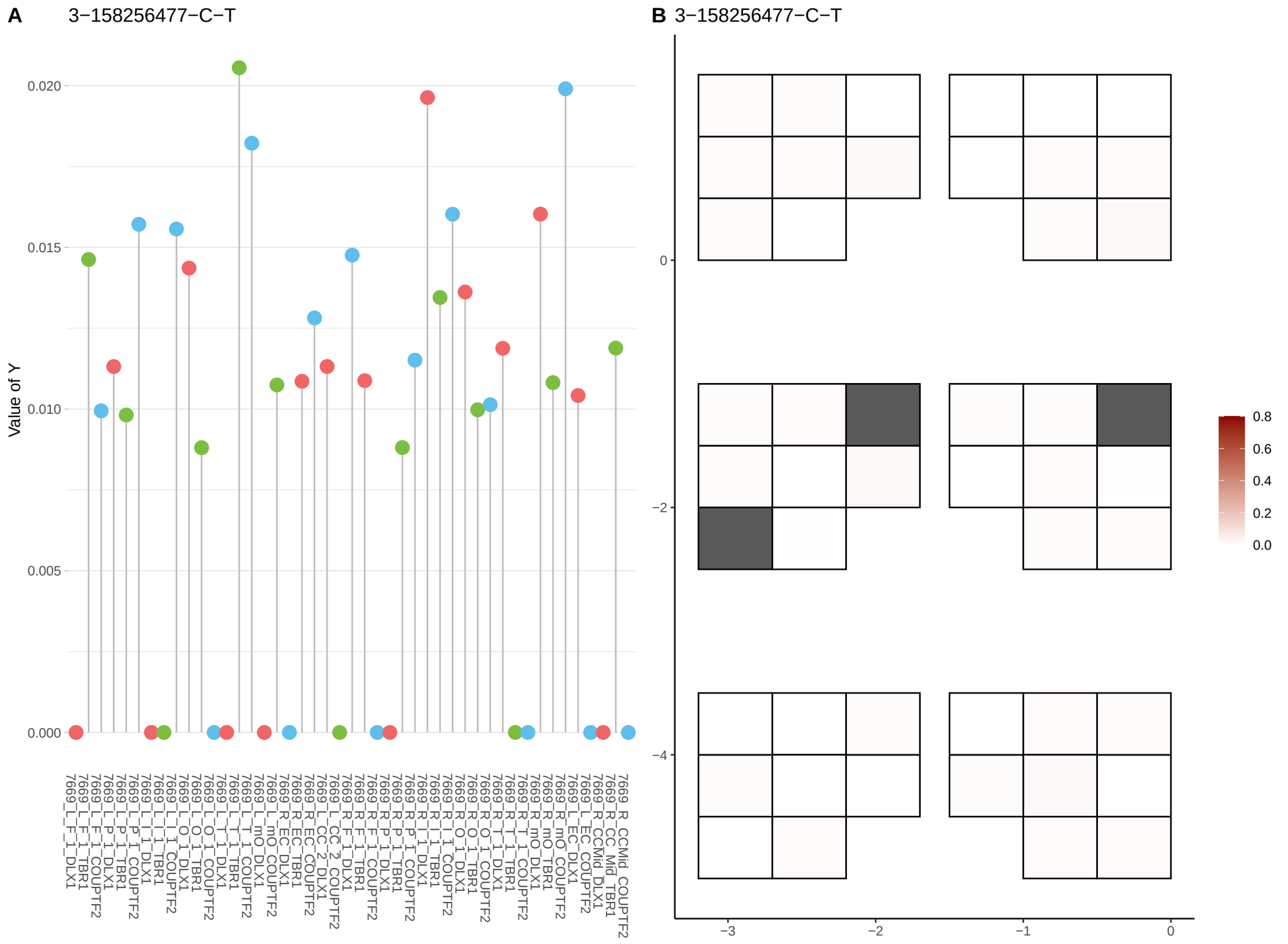
A
3−158256477−C−T
Value of Y
0.020
0.015
0.010
0.005
0.000
7669_L_F_1_DLX1
7669_L_F_1_TBR1
7669_L_F_1_COUPTF2
7669_L_P_1_DLX1
7669_L_P_1_TBR1
7669_L_P_1_COUPTF2
7669_L_I_1_DLX1
7669_L_I_1_TBR1
7669_L_I_1_COUPTF2
7669_L_O_1_DLX1
7669_L_O_1_TBR1
7669_L_O_1_COUPTF2
7669_L_T_1_DLX1
7669_L_T_1_TBR1
7669_L_T_1_COUPTF2
7669_L_mO_DLX1
7669_L_mO_COUPTF2
7669_R_EC_TBR1
7669_R_EC_DLX1
7669_R_EC_COUPTF2
7669_L_CC_2_DLX1
7669_L_CC_2_COUPTF2
7669_R_F_1_DLX1
7669_R_F_1_TBR1
7669_R_F_1_COUPTF2
7669_R_P_1_DLX1
7669_R_P_1_TBR1
7669_R_P_1_COUPTF2
7669_R_I_1_DLX1
7669_R_I_1_TBR1
7669_R_I_1_COUPTF2
7669_R_O_1_DLX1
7669_R_O_1_TBR1
7669_R_O_1_COUPTF2
7669_R_T_1_DLX1
7669_R_T_1_TBR1
7669_R_T_1_COUPTF2
7669_R_mO_DLX1
7669_R_mO_TBR1
7669_R_mO_COUPTF2
7669_L_EC_DLX1
7669_L_EC_COUPTF2
7669_R_CCMid_DLX1
7669_R_CC_Mid_TBR1
7669_R_CCMid_COUPTF2
B
3−158256477−C−T
0
−2
−4
−3
−2
−1
0
0.8
0.6
0.4
0.2
0.0

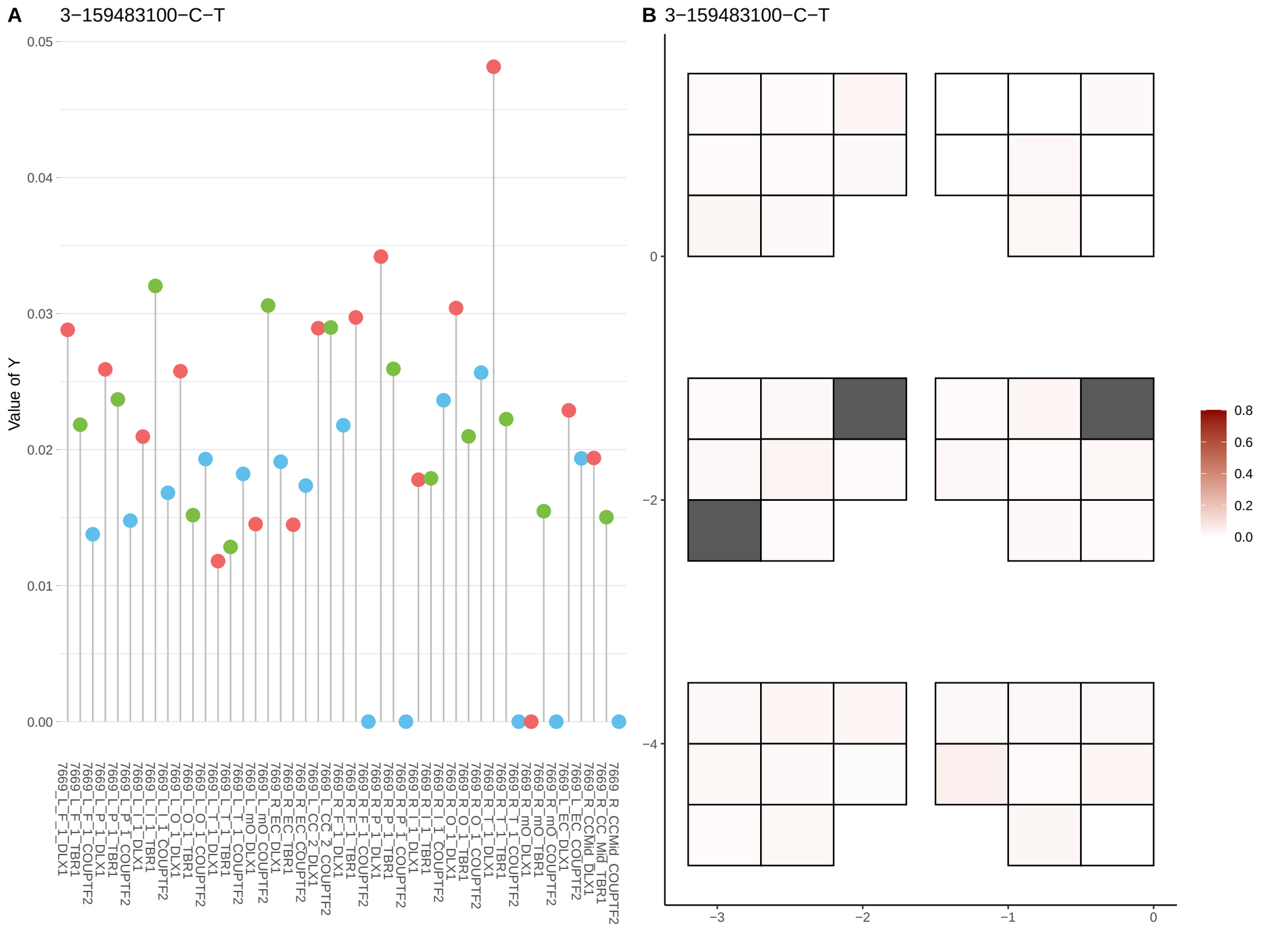
A
3−159483100−C−T
Value of Y
0.05
0.04
0.03
0.02
0.01
0.00
7669_L_F_1_DLX1
7669_L_F_1_TBR1
7669_L_F_1_COUPTF2
7669_L_P_1_DLX1
7669_L_P_1_TBR1
7669_L_P_1_COUPTF2
7669_L_I_1_DLX1
7669_L_I_1_TBR1
7669_L_I_1_COUPTF2
7669_L_O_1_DLX1
7669_L_O_1_TBR1
7669_L_O_1_COUPTF2
7669_L_T_1_DLX1
7669_L_T_1_TBR1
7669_L_T_1_COUPTF2
7669_L_mO_DLX1
7669_L_mO_COUPTF2
7669_R_EC_DLX1
7669_R_EC_TBR1
7669_R_EC_COUPTF2
7669_L_CC_2_DLX1
7669_L_CC_2_COUPTF2
7669_R_F_1_DLX1
7669_R_F_1_TBR1
7669_R_F_1_COUPTF2
7669_R_P_1_DLX1
7669_R_P_1_TBR1
7669_R_P_1_COUPTF2
7669_R_I_1_DLX1
7669_R_I_1_TBR1
7669_R_I_1_COUPTF2
7669_R_O_1_DLX1
7669_R_O_1_TBR1
7669_R_O_1_COUPTF2
7669_R_T_1_DLX1
7669_R_T_1_TBR1
7669_R_T_1_COUPTF2
7669_R_mO_DLX1
7669_R_mO_TBR1
7669_R_mO_COUPTF2
7669_L_EC_DLX1
7669_L_EC_COUPTF2
7669_R_CCMid_DLX1
7669_R_CC_Mid_TBR1
7669_R_CCMid_COUPTF2
B
3−159483100−C−T
0
−2
−4
−3
−2
−1
0
0.8
0.6
0.4
0.2
0.0

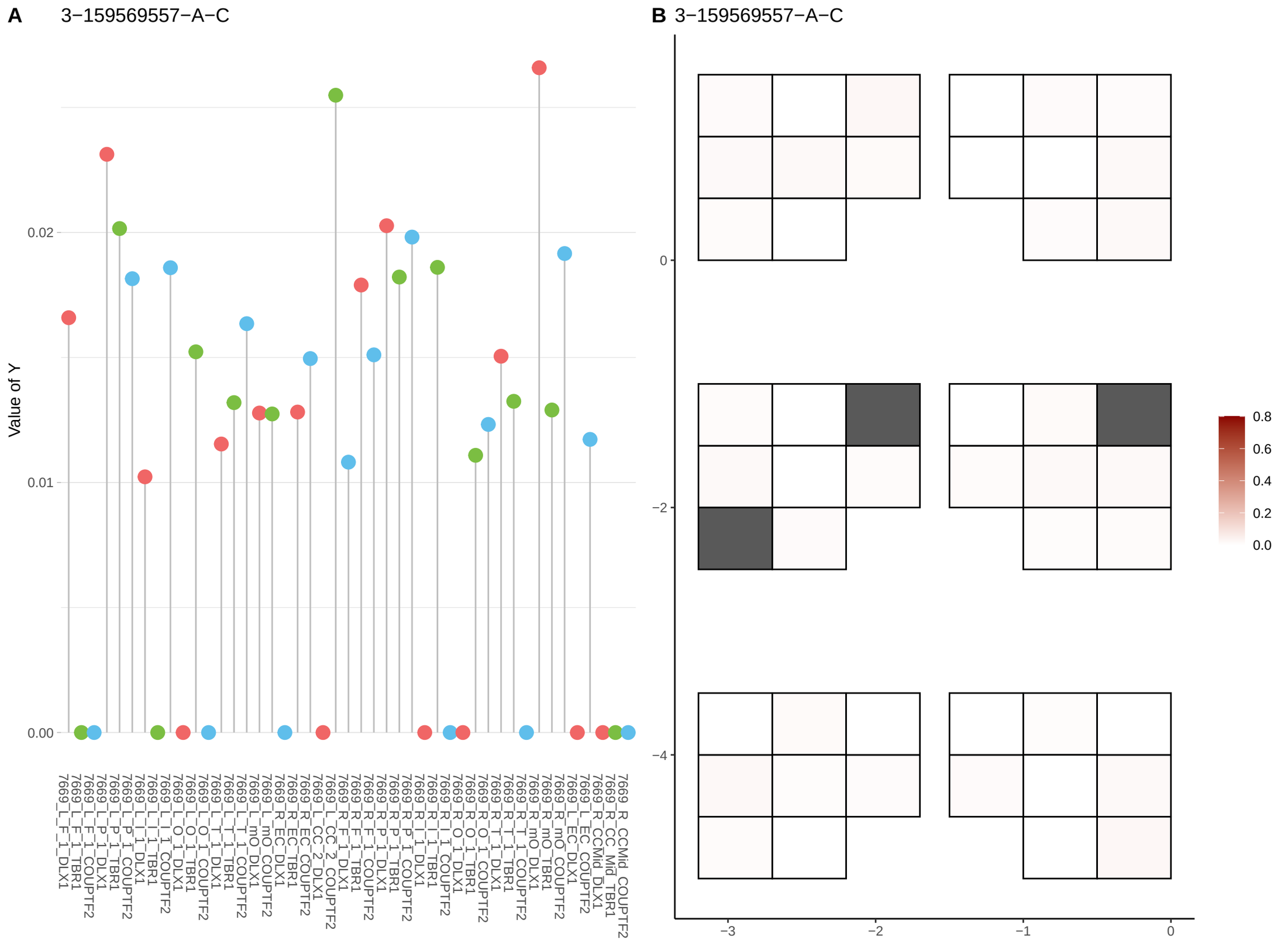
A
3−159569557−A−C
Value of Y
0.02
0.01
0.00
7669_L_F_1_DLX1
7669_L_F_1_TBR1
7669_L_F_1_COUPTF2
7669_L_P_1_DLX1
7669_L_P_1_TBR1
7669_L_P_1_COUPTF2
7669_L_I_1_DLX1
7669_L_I_1_TBR1
7669_L_I_1_COUPTF2
7669_L_O_1_DLX1
7669_L_O_1_TBR1
7669_L_O_1_COUPTF2
7669_L_T_1_DLX1
7669_L_T_1_TBR1
7669_L_T_1_COUPTF2
7669_L_mO_DLX1
7669_L_mO_COUPTF2
7669_R_EC_DLX1
7669_R_EC_TBR1
7669_R_EC_COUPTF2
7669_L_CC_2_DLX1
7669_L_CC_2_COUPTF2
7669_R_F_1_DLX1
7669_R_F_1_TBR1
7669_R_F_1_COUPTF2
7669_R_P_1_DLX1
7669_R_P_1_TBR1
7669_R_P_1_COUPTF2
7669_R_I_1_DLX1
7669_R_I_1_TBR1
7669_R_I_1_COUPTF2
7669_R_O_1_DLX1
7669_R_O_1_TBR1
7669_R_O_1_COUPTF2
7669_R_T_1_DLX1
7669_R_T_1_TBR1
7669_R_T_1_COUPTF2
7669_R_mO_DLX1
7669_R_mO_TBR1
7669_R_mO_COUPTF2
7669_L_EC_DLX1
7669_L_EC_COUPTF2
7669_R_CCMid_DLX1
7669_R_CC_Mid_TBR1
7669_R_CCMid_COUPTF2
B
3−159569557−A−C
0
−2
−4
−3
−2
−1
0
0.8
0.6
0.4
0.2
0.0

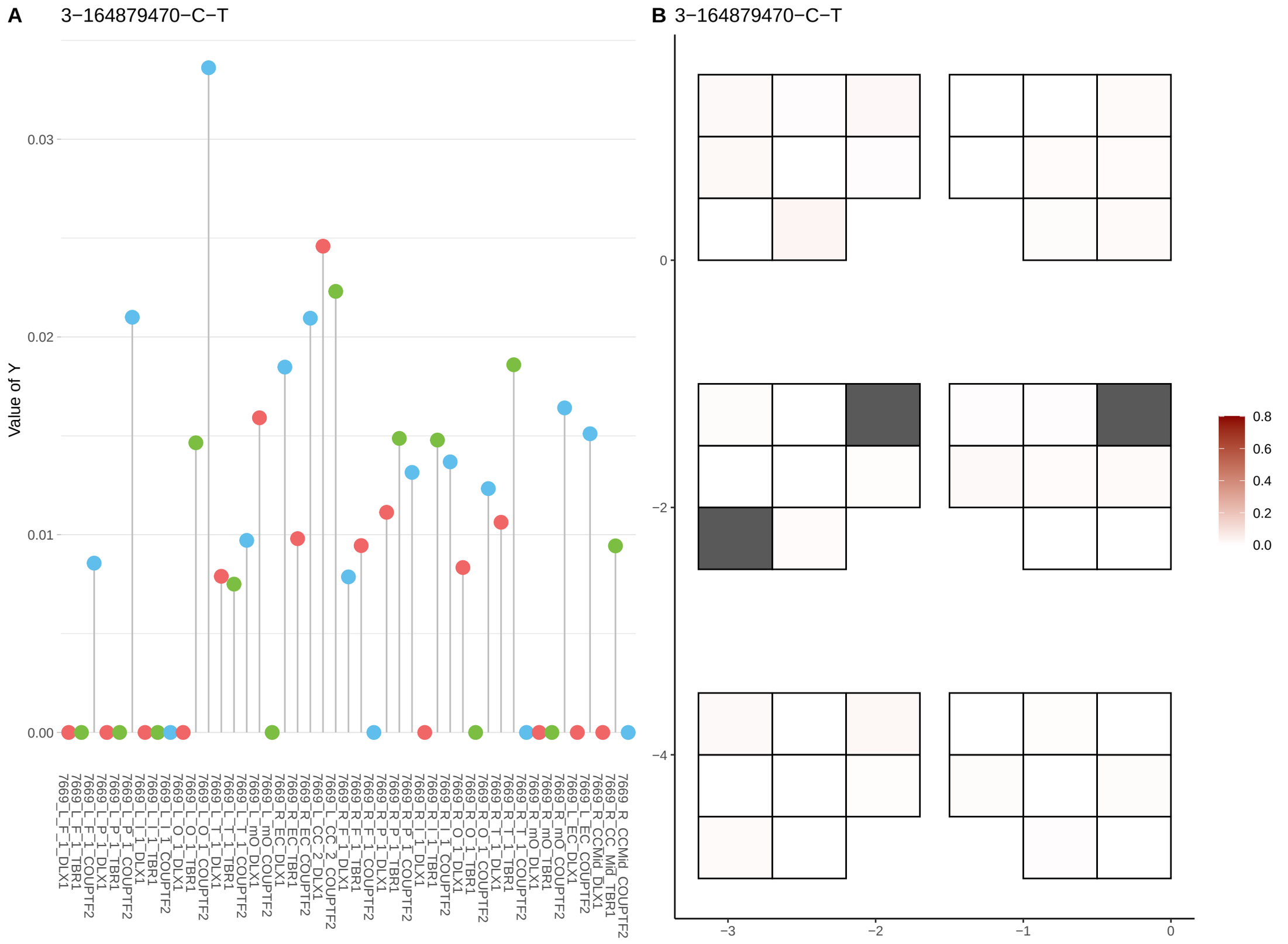
A
3−164879470−C−T
Value of Y
0.03
0.02
0.01
0.00
7669_L_F_1_DLX1
7669_L_F_1_TBR1
7669_L_F_1_COUPTF2
7669_L_P_1_DLX1
7669_L_P_1_TBR1
7669_L_P_1_COUPTF2
7669_L_I_1_DLX1
7669_L_I_1_TBR1
7669_L_I_1_COUPTF2
7669_L_O_1_DLX1
7669_L_O_1_TBR1
7669_L_O_1_COUPTF2
7669_L_T_1_DLX1
7669_L_T_1_TBR1
7669_L_T_1_COUPTF2
7669_L_mO_DLX1
7669_L_mO_COUPTF2
7669_R_EC_DLX1
7669_R_EC_TBR1
7669_R_EC_COUPTF2
7669_L_CC_2_DLX1
7669_L_CC_2_COUPTF2
7669_R_F_1_DLX1
7669_R_F_1_TBR1
7669_R_F_1_COUPTF2
7669_R_P_1_DLX1
7669_R_P_1_TBR1
7669_R_P_1_COUPTF2
7669_R_I_1_DLX1
7669_R_I_1_TBR1
7669_R_I_1_COUPTF2
7669_R_O_1_DLX1
7669_R_O_1_TBR1
7669_R_O_1_COUPTF2
7669_R_T_1_DLX1
7669_R_T_1_TBR1
7669_R_T_1_COUPTF2
7669_R_mO_DLX1
7669_R_mO_TBR1
7669_R_mO_COUPTF2
7669_L_EC_DLX1
7669_L_EC_COUPTF2
7669_R_CCMid_DLX1
7669_R_CC_Mid_TBR1
7669_R_CCMid_COUPTF2
B
3−164879470−C−T
0
−2
−4
−3
−2
−1
0
0.8
0.6
0.4
0.2
0.0

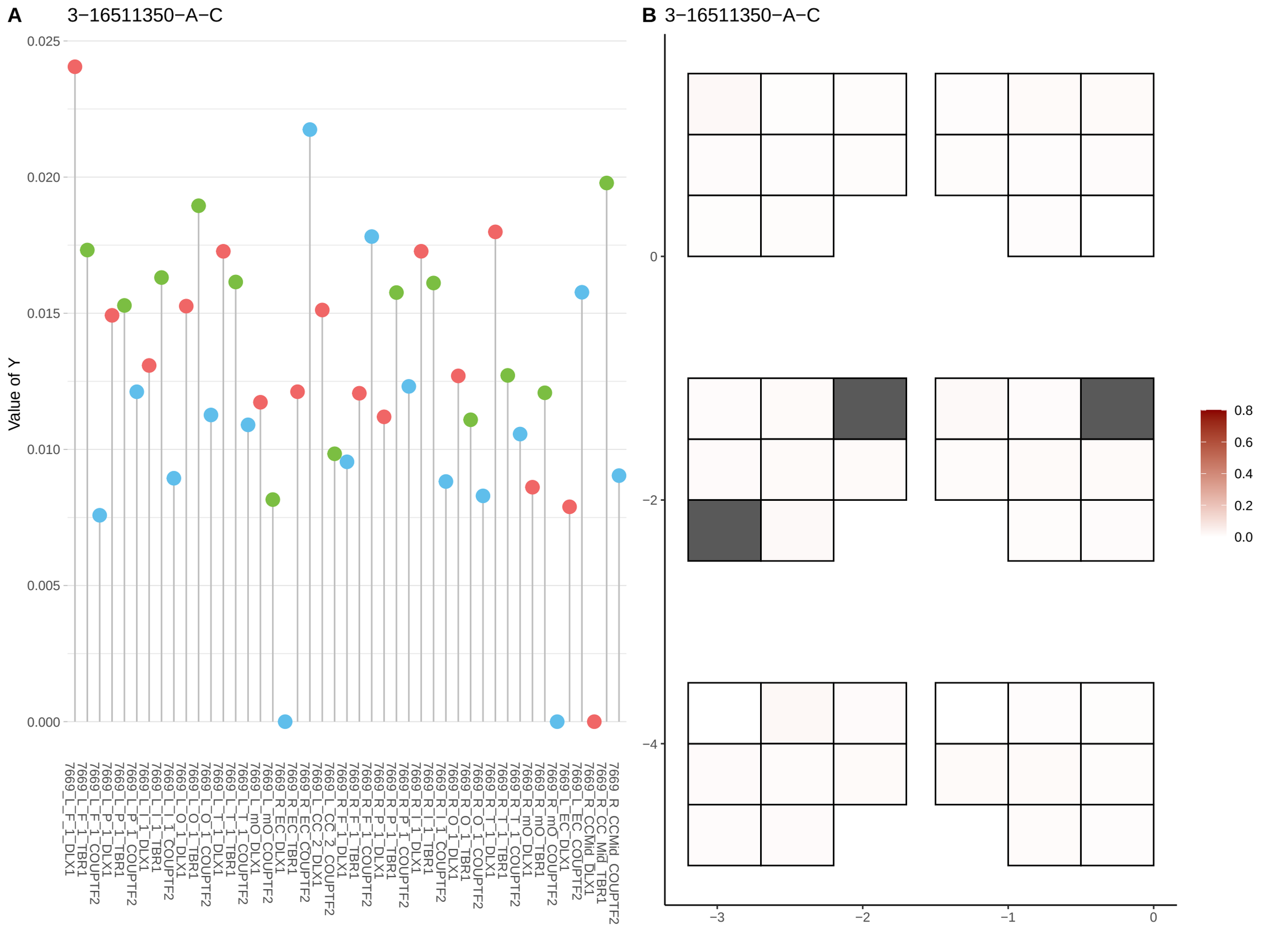
A
3−16511350−A−C
Value of Y
0.025
0.020
0.015
0.010
0.005
0.000
7669_L_F_1_DLX1
7669_L_F_1_TBR1
7669_L_F_1_COUPTF2
7669_L_P_1_DLX1
7669_L_P_1_TBR1
7669_L_P_1_COUPTF2
7669_L_I_1_DLX1
7669_L_I_1_TBR1
7669_L_I_1_COUPTF2
7669_L_O_1_DLX1
7669_L_O_1_TBR1
7669_L_O_1_COUPTF2
7669_L_T_1_DLX1
7669_L_T_1_TBR1
7669_L_T_1_COUPTF2
7669_L_mO_DLX1
7669_L_mO_COUPTF2
7669_R_EC_DLX1
7669_R_EC_TBR1
7669_R_EC_COUPTF2
7669_L_CC_2_DLX1
7669_L_CC_2_COUPTF2
7669_R_F_1_DLX1
7669_R_F_1_TBR1
7669_R_F_1_COUPTF2
7669_R_P_1_DLX1
7669_R_P_1_TBR1
7669_R_P_1_COUPTF2
7669_R_I_1_DLX1
7669_R_I_1_TBR1
7669_R_I_1_COUPTF2
7669_R_O_1_DLX1
7669_R_O_1_TBR1
7669_R_O_1_COUPTF2
7669_R_T_1_DLX1
7669_R_T_1_TBR1
7669_R_T_1_COUPTF2
7669_R_mO_DLX1
7669_R_mO_TBR1
7669_R_mO_COUPTF2
7669_L_EC_DLX1
7669_L_EC_COUPTF2
7669_R_CCMid_DLX1
7669_R_CC_Mid_TBR1
7669_R_CCMid_COUPTF2
B
3−16511350−A−C
0
−2
−4
−3
−2
−1
0
0.8
0.6
0.4
0.2
0.0

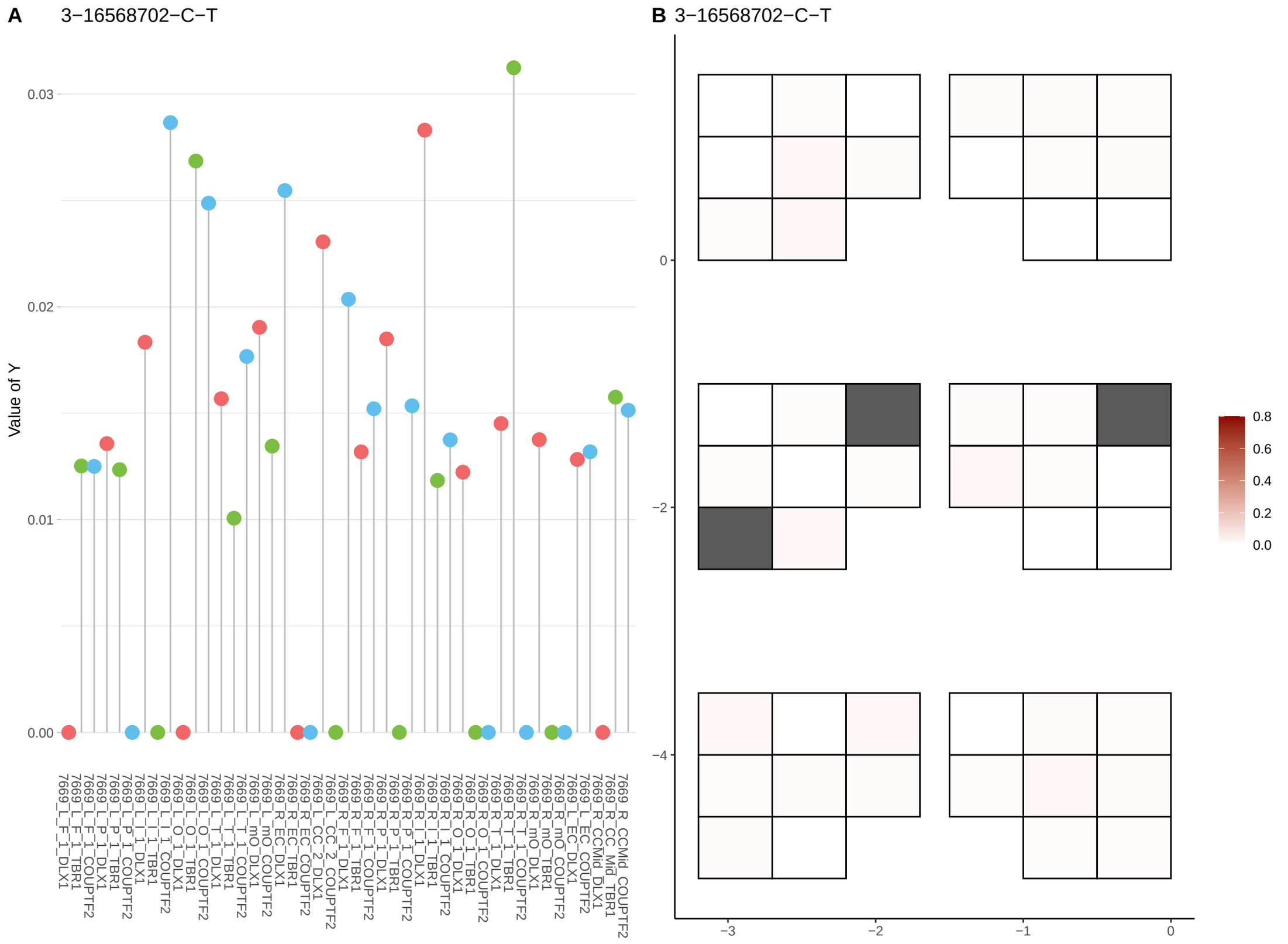
A
3−16568702−C−T
Value of Y
0.03
0.02
0.01
0.00
7669_L_F_1_DLX1
7669_L_F_1_TBR1
7669_L_F_1_COUPTF2
7669_L_P_1_DLX1
7669_L_P_1_TBR1
7669_L_P_1_COUPTF2
7669_L_I_1_DLX1
7669_L_I_1_TBR1
7669_L_I_1_COUPTF2
7669_L_O_1_DLX1
7669_L_O_1_TBR1
7669_L_O_1_COUPTF2
7669_L_T_1_DLX1
7669_L_T_1_TBR1
7669_L_T_1_COUPTF2
7669_L_mO_DLX1
7669_L_mO_COUPTF2
7669_R_EC_DLX1
7669_R_EC_TBR1
7669_R_EC_COUPTF2
7669_L_CC_2_DLX1
7669_L_CC_2_COUPTF2
7669_R_F_1_DLX1
7669_R_F_1_TBR1
7669_R_F_1_COUPTF2
7669_R_P_1_DLX1
7669_R_P_1_TBR1
7669_R_P_1_COUPTF2
7669_R_I_1_DLX1
7669_R_I_1_TBR1
7669_R_I_1_COUPTF2
7669_R_O_1_DLX1
7669_R_O_1_TBR1
7669_R_O_1_COUPTF2
7669_R_T_1_DLX1
7669_R_T_1_TBR1
7669_R_T_1_COUPTF2
7669_R_mO_DLX1
7669_R_mO_TBR1
7669_R_mO_COUPTF2
7669_L_EC_DLX1
7669_L_EC_COUPTF2
7669_R_CCMid_DLX1
7669_R_CC_Mid_TBR1
7669_R_CCMid_COUPTF2
B
3−16568702−C−T
0
−2
−4
−3
−2
−1
0
0.8
0.6
0.4
0.2
0.0

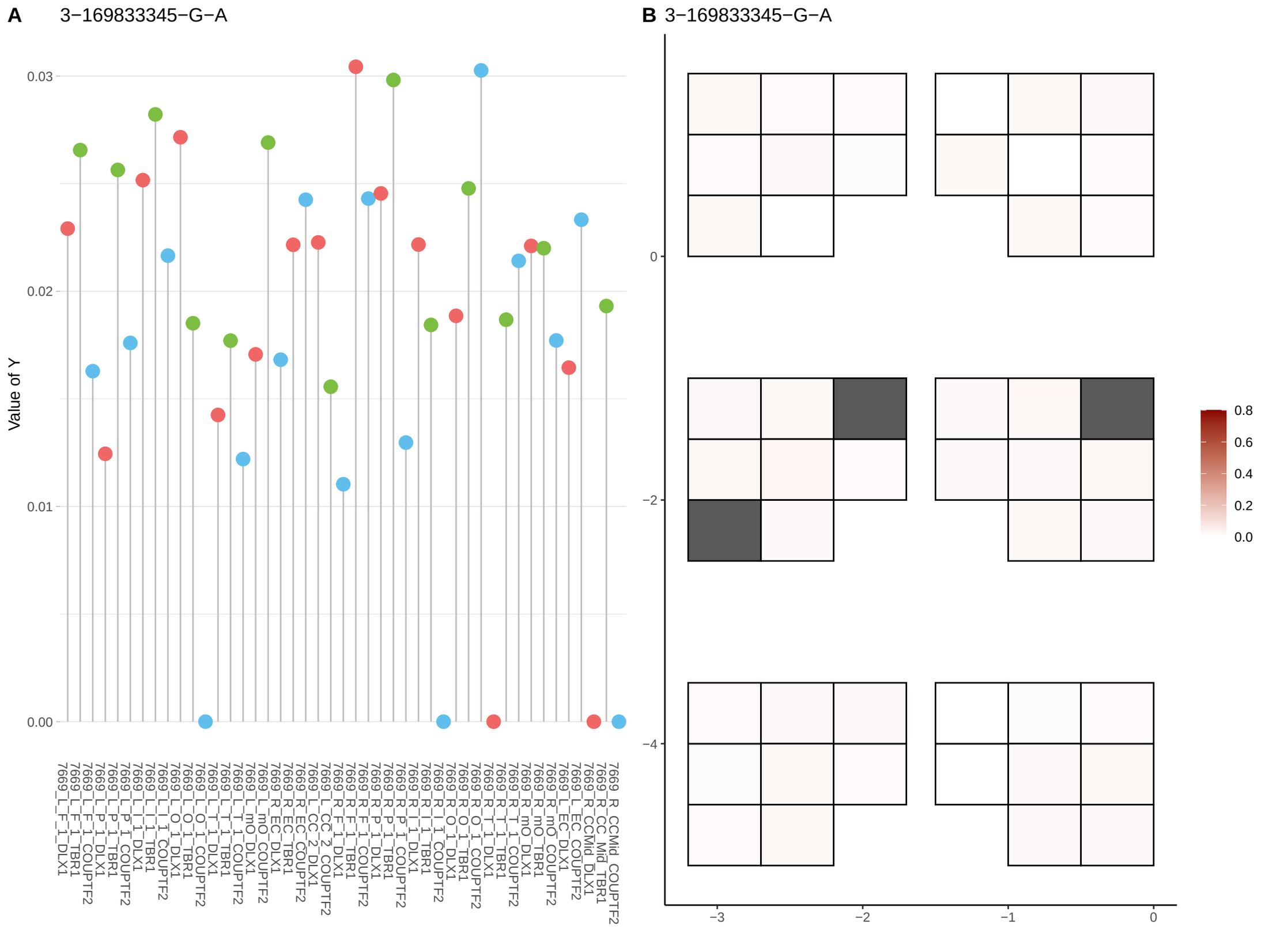
A
3−169833345−G−A
Value of Y
0.03
0.02
0.01
0.00
7669_L_F_1_DLX1
7669_L_F_1_TBR1
7669_L_F_1_COUPTF2
7669_L_P_1_DLX1
7669_L_P_1_TBR1
7669_L_P_1_COUPTF2
7669_L_I_1_DLX1
7669_L_I_1_TBR1
7669_L_I_1_COUPTF2
7669_L_O_1_DLX1
7669_L_O_1_TBR1
7669_L_O_1_COUPTF2
7669_L_T_1_DLX1
7669_L_T_1_TBR1
7669_L_T_1_COUPTF2
7669_L_mO_DLX1
7669_L_mO_COUPTF2
7669_R_EC_DLX1
7669_R_EC_TBR1
7669_R_EC_COUPTF2
7669_L_CC_2_DLX1
7669_L_CC_2_COUPTF2
7669_R_F_1_DLX1
7669_R_F_1_TBR1
7669_R_F_1_COUPTF2
7669_R_P_1_DLX1
7669_R_P_1_TBR1
7669_R_P_1_COUPTF2
7669_R_I_1_DLX1
7669_R_I_1_TBR1
7669_R_I_1_COUPTF2
7669_R_O_1_DLX1
7669_R_O_1_TBR1
7669_R_O_1_COUPTF2
7669_R_T_1_DLX1
7669_R_T_1_TBR1
7669_R_T_1_COUPTF2
7669_R_mO_DLX1
7669_R_mO_TBR1
7669_R_mO_COUPTF2
7669_L_EC_DLX1
7669_L_EC_COUPTF2
7669_R_CCMid_DLX1
7669_R_CC_Mid_TBR1
7669_R_CCMid_COUPTF2
B
3−169833345−G−A
0
−2
−4
−3
−2
−1
0
0.8
0.6
0.4
0.2
0.0

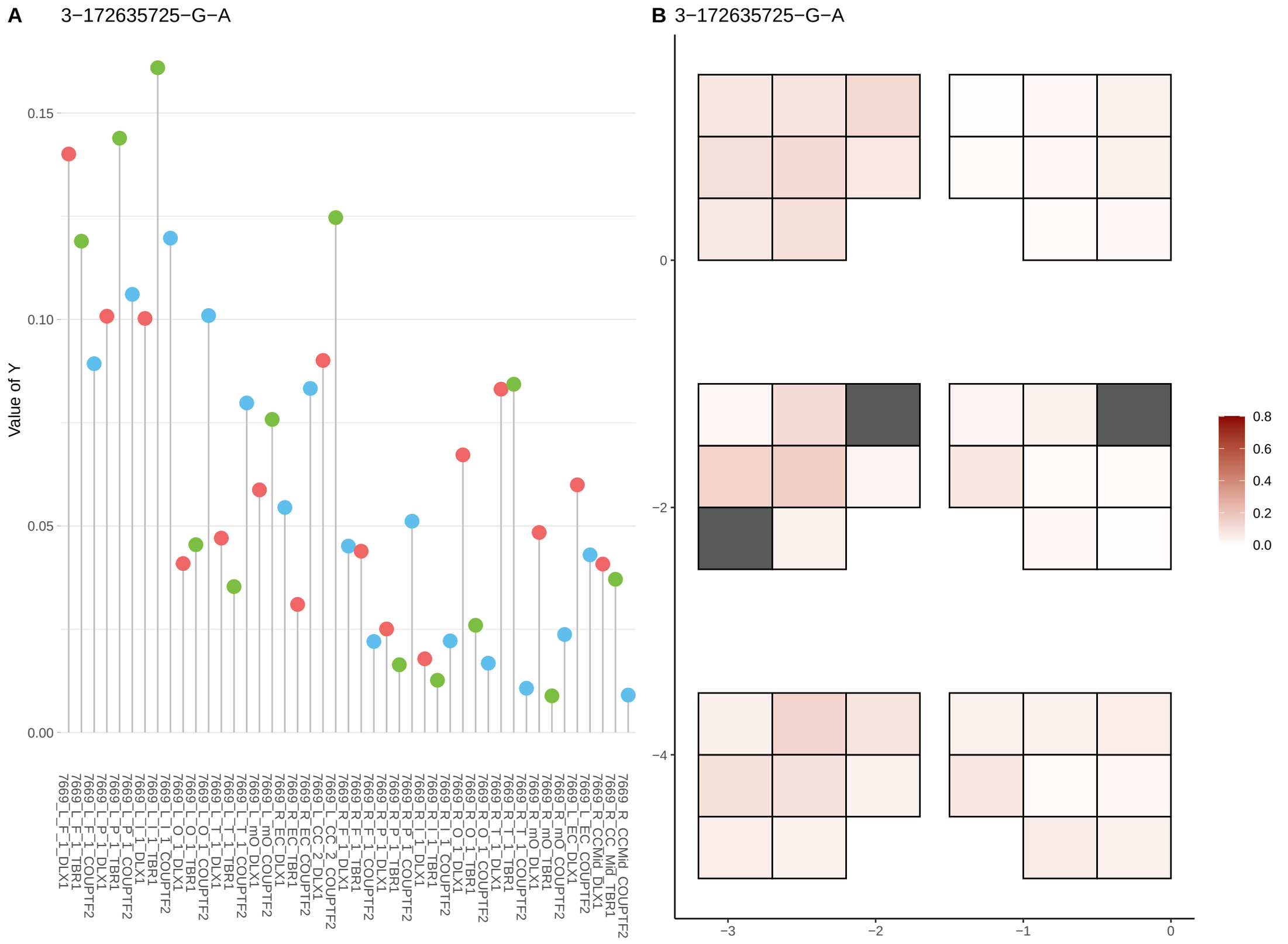
A
3−172635725−G−A
Value of Y
0.15
0.10
0.05
0.00
7669_L_F_1_DLX1
7669_L_F_1_TBR1
7669_L_F_1_COUPTF2
7669_L_P_1_DLX1
7669_L_P_1_TBR1
7669_L_P_1_COUPTF2
7669_L_I_1_DLX1
7669_L_I_1_TBR1
7669_L_I_1_COUPTF2
7669_L_O_1_DLX1
7669_L_O_1_TBR1
7669_L_O_1_COUPTF2
7669_L_T_1_DLX1
7669_L_T_1_TBR1
7669_L_T_1_COUPTF2
7669_L_mO_DLX1
7669_L_mO_COUPTF2
7669_R_EC_DLX1
7669_R_EC_TBR1
7669_R_EC_COUPTF2
7669_L_CC_2_DLX1
7669_L_CC_2_COUPTF2
7669_R_F_1_DLX1
7669_R_F_1_TBR1
7669_R_F_1_COUPTF2
7669_R_P_1_DLX1
7669_R_P_1_TBR1
7669_R_P_1_COUPTF2
7669_R_I_1_DLX1
7669_R_I_1_TBR1
7669_R_I_1_COUPTF2
7669_R_O_1_DLX1
7669_R_O_1_TBR1
7669_R_O_1_COUPTF2
7669_R_T_1_DLX1
7669_R_T_1_TBR1
7669_R_T_1_COUPTF2
7669_R_mO_DLX1
7669_R_mO_TBR1
7669_R_mO_COUPTF2
7669_L_EC_DLX1
7669_L_EC_COUPTF2
7669_R_CCMid_DLX1
7669_R_CC_Mid_TBR1
7669_R_CCMid_COUPTF2
B
3−172635725−G−A
0
−2
−4
−3
−2
−1
0
0.8
0.6
0.4
0.2
0.0

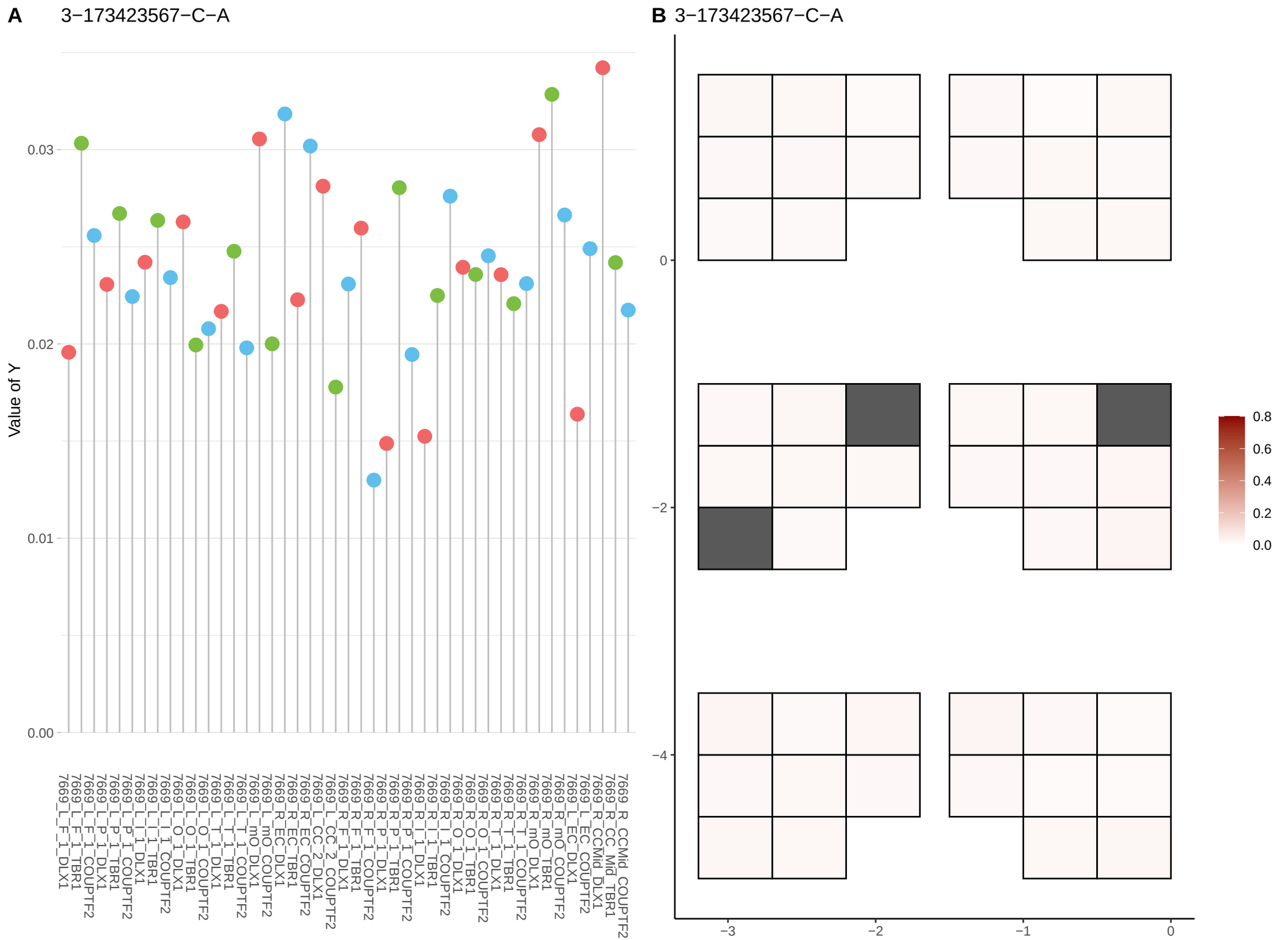
A
3−173423567−C−A
Value of Y
0.03
0.02
0.01
0.00
7669_L_F_1_DLX1
7669_L_F_1_TBR1
7669_L_F_1_COUPTF2
7669_L_P_1_DLX1
7669_L_P_1_TBR1
7669_L_P_1_COUPTF2
7669_L_I_1_DLX1
7669_L_I_1_TBR1
7669_L_I_1_COUPTF2
7669_L_O_1_DLX1
7669_L_O_1_TBR1
7669_L_O_1_COUPTF2
7669_L_T_1_DLX1
7669_L_T_1_TBR1
7669_L_T_1_COUPTF2
7669_L_mO_DLX1
7669_L_mO_COUPTF2
7669_R_EC_DLX1
7669_R_EC_TBR1
7669_R_EC_COUPTF2
7669_L_CC_2_DLX1
7669_L_CC_2_COUPTF2
7669_R_F_1_DLX1
7669_R_F_1_TBR1
7669_R_F_1_COUPTF2
7669_R_P_1_DLX1
7669_R_P_1_TBR1
7669_R_P_1_COUPTF2
7669_R_I_1_DLX1
7669_R_I_1_TBR1
7669_R_I_1_COUPTF2
7669_R_O_1_DLX1
7669_R_O_1_TBR1
7669_R_O_1_COUPTF2
7669_R_T_1_DLX1
7669_R_T_1_TBR1
7669_R_T_1_COUPTF2
7669_R_mO_DLX1
7669_R_mO_TBR1
7669_R_mO_COUPTF2
7669_L_EC_DLX1
7669_L_EC_COUPTF2
7669_R_CCMid_DLX1
7669_R_CC_Mid_TBR1
7669_R_CCMid_COUPTF2
B
3−173423567−C−A
0
−2
−4
−3
−2
−1
0
0.8
0.6
0.4
0.2
0.0

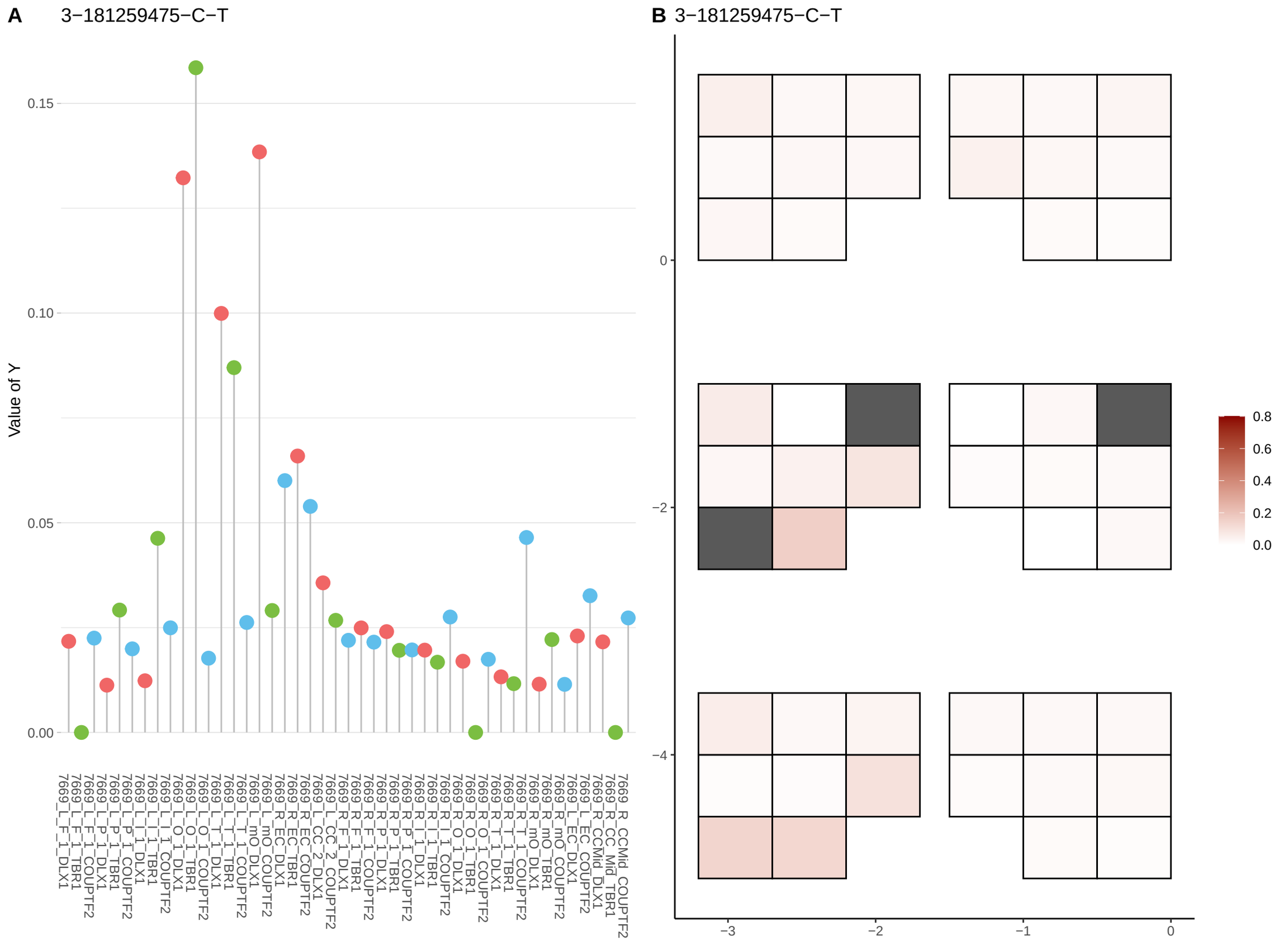
A
3−181259475−C−T
Value of Y
0.15
0.10
0.05
0.00
7669_L_F_1_DLX1
7669_L_F_1_TBR1
7669_L_F_1_COUPTF2
7669_L_P_1_DLX1
7669_L_P_1_TBR1
7669_L_P_1_COUPTF2
7669_L_I_1_DLX1
7669_L_I_1_TBR1
7669_L_I_1_COUPTF2
7669_L_O_1_DLX1
7669_L_O_1_TBR1
7669_L_O_1_COUPTF2
7669_L_T_1_DLX1
7669_L_T_1_TBR1
7669_L_T_1_COUPTF2
7669_L_mO_DLX1
7669_L_mO_COUPTF2
7669_R_EC_DLX1
7669_R_EC_TBR1
7669_R_EC_COUPTF2
7669_L_CC_2_DLX1
7669_L_CC_2_COUPTF2
7669_R_F_1_DLX1
7669_R_F_1_TBR1
7669_R_F_1_COUPTF2
7669_R_P_1_DLX1
7669_R_P_1_TBR1
7669_R_P_1_COUPTF2
7669_R_I_1_DLX1
7669_R_I_1_TBR1
7669_R_I_1_COUPTF2
7669_R_O_1_DLX1
7669_R_O_1_TBR1
7669_R_O_1_COUPTF2
7669_R_T_1_DLX1
7669_R_T_1_TBR1
7669_R_T_1_COUPTF2
7669_R_mO_DLX1
7669_R_mO_TBR1
7669_R_mO_COUPTF2
7669_L_EC_DLX1
7669_L_EC_COUPTF2
7669_R_CCMid_DLX1
7669_R_CC_Mid_TBR1
7669_R_CCMid_COUPTF2
B
3−181259475−C−T
0
−2
−4
−3
−2
−1
0
0.8
0.6
0.4
0.2
0.0

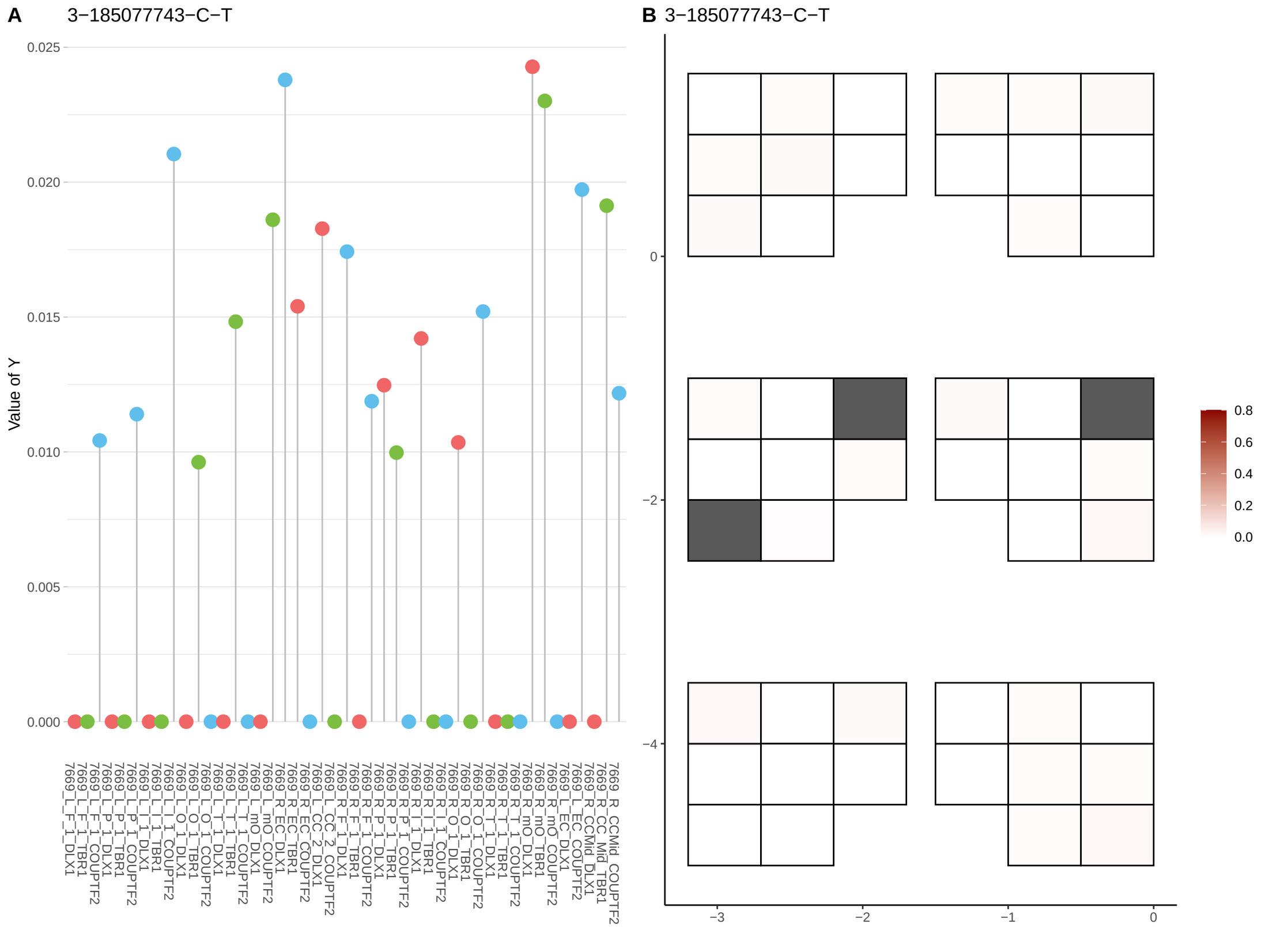
A
3−185077743−C−T
Value of Y
0.025
0.020
0.015
0.010
0.005
0.000
7669_L_F_1_DLX1
7669_L_F_1_TBR1
7669_L_F_1_COUPTF2
7669_L_P_1_DLX1
7669_L_P_1_TBR1
7669_L_P_1_COUPTF2
7669_L_I_1_DLX1
7669_L_I_1_TBR1
7669_L_I_1_COUPTF2
7669_L_O_1_DLX1
7669_L_O_1_TBR1
7669_L_O_1_COUPTF2
7669_L_T_1_DLX1
7669_L_T_1_TBR1
7669_L_T_1_COUPTF2
7669_L_mO_DLX1
7669_L_mO_COUPTF2
7669_R_EC_DLX1
7669_R_EC_TBR1
7669_R_EC_COUPTF2
7669_L_CC_2_DLX1
7669_L_CC_2_COUPTF2
7669_R_F_1_DLX1
7669_R_F_1_TBR1
7669_R_F_1_COUPTF2
7669_R_P_1_DLX1
7669_R_P_1_TBR1
7669_R_P_1_COUPTF2
7669_R_I_1_DLX1
7669_R_I_1_TBR1
7669_R_I_1_COUPTF2
7669_R_O_1_DLX1
7669_R_O_1_TBR1
7669_R_O_1_COUPTF2
7669_R_T_1_DLX1
7669_R_T_1_TBR1
7669_R_T_1_COUPTF2
7669_R_mO_DLX1
7669_R_mO_TBR1
7669_R_mO_COUPTF2
7669_L_EC_DLX1
7669_L_EC_COUPTF2
7669_R_CCMid_DLX1
7669_R_CC_Mid_TBR1
7669_R_CCMid_COUPTF2
B
3−185077743−C−T
0
−2
−4
−3
−2
−1
0
0.8
0.6
0.4
0.2
0.0

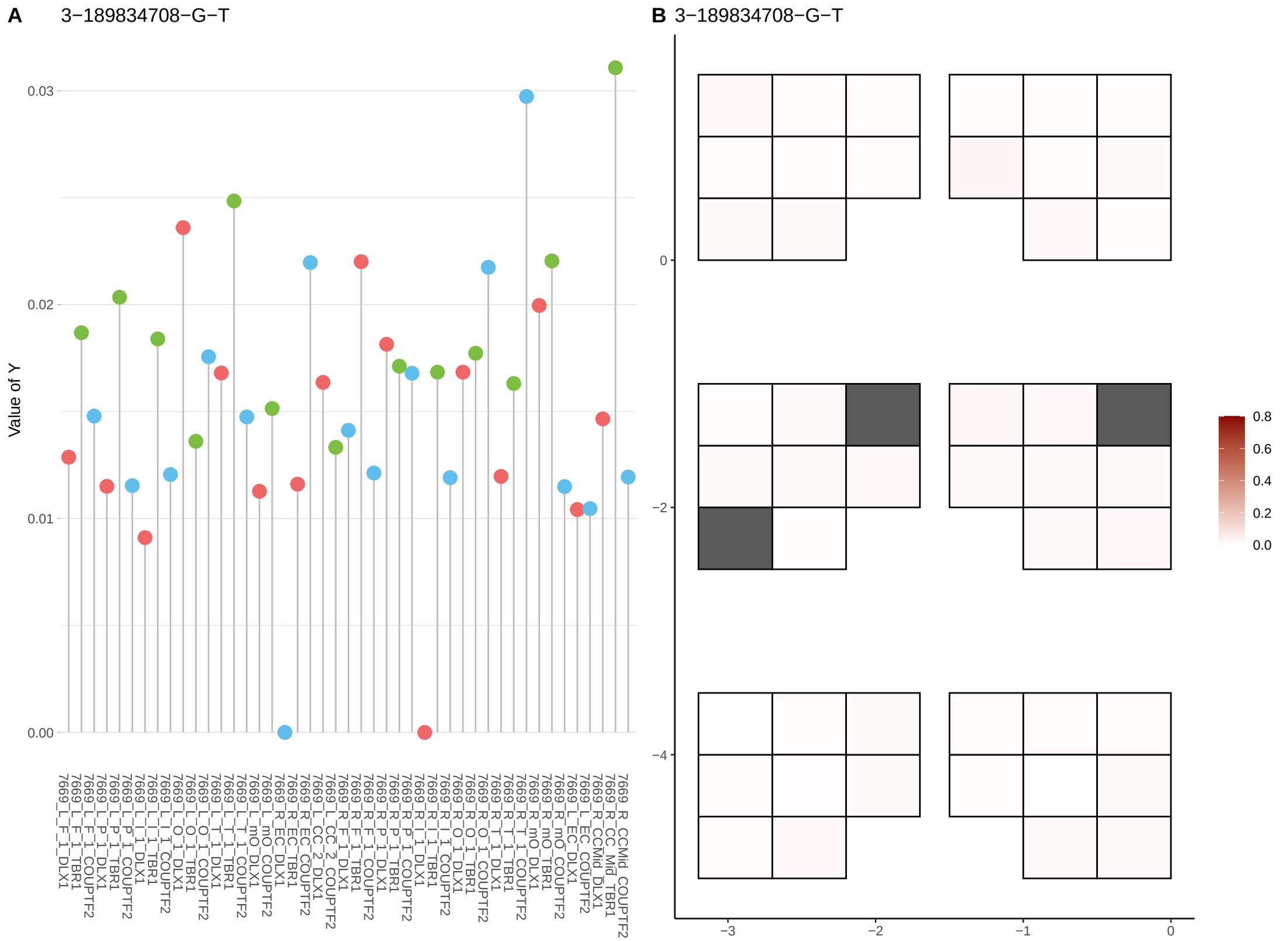
A
3−189834708−G−T
Value of Y
0.03
0.02
0.01
0.00
7669_L_F_1_DLX1
7669_L_F_1_TBR1
7669_L_F_1_COUPTF2
7669_L_P_1_DLX1
7669_L_P_1_TBR1
7669_L_P_1_COUPTF2
7669_L_I_1_DLX1
7669_L_I_1_TBR1
7669_L_I_1_COUPTF2
7669_L_O_1_DLX1
7669_L_O_1_TBR1
7669_L_O_1_COUPTF2
7669_L_T_1_DLX1
7669_L_T_1_TBR1
7669_L_T_1_COUPTF2
7669_L_mO_DLX1
7669_L_mO_COUPTF2
7669_R_EC_DLX1
7669_R_EC_TBR1
7669_R_EC_COUPTF2
7669_L_CC_2_DLX1
7669_L_CC_2_COUPTF2
7669_R_F_1_DLX1
7669_R_F_1_TBR1
7669_R_F_1_COUPTF2
7669_R_P_1_DLX1
7669_R_P_1_TBR1
7669_R_P_1_COUPTF2
7669_R_I_1_DLX1
7669_R_I_1_TBR1
7669_R_I_1_COUPTF2
7669_R_O_1_DLX1
7669_R_O_1_TBR1
7669_R_O_1_COUPTF2
7669_R_T_1_DLX1
7669_R_T_1_TBR1
7669_R_T_1_COUPTF2
7669_R_mO_DLX1
7669_R_mO_TBR1
7669_R_mO_COUPTF2
7669_L_EC_DLX1
7669_L_EC_COUPTF2
7669_R_CCMid_DLX1
7669_R_CC_Mid_TBR1
7669_R_CCMid_COUPTF2
B
3−189834708−G−T
0
−2
−4
−3
−2
−1
0
0.8
0.6
0.4
0.2
0.0

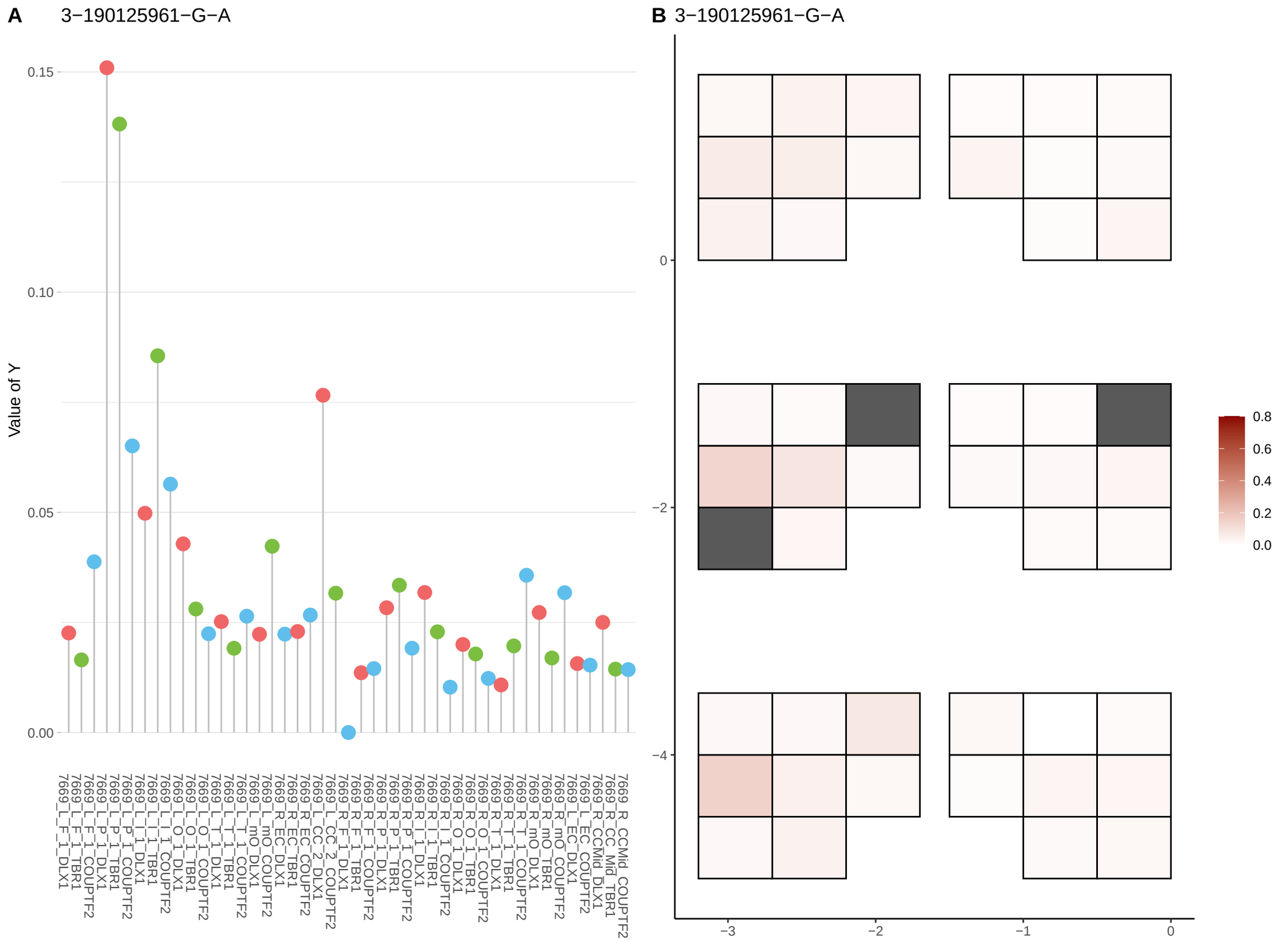
A
3−190125961−G−A
Value of Y
0.15
0.10
0.05
0.00
7669_L_F_1_DLX1
7669_L_F_1_TBR1
7669_L_F_1_COUPTF2
7669_L_P_1_DLX1
7669_L_P_1_TBR1
7669_L_P_1_COUPTF2
7669_L_I_1_DLX1
7669_L_I_1_TBR1
7669_L_I_1_COUPTF2
7669_L_O_1_DLX1
7669_L_O_1_TBR1
7669_L_O_1_COUPTF2
7669_L_T_1_DLX1
7669_L_T_1_TBR1
7669_L_T_1_COUPTF2
7669_L_mO_DLX1
7669_L_mO_COUPTF2
7669_R_EC_DLX1
7669_R_EC_TBR1
7669_R_EC_COUPTF2
7669_L_CC_2_DLX1
7669_L_CC_2_COUPTF2
7669_R_F_1_DLX1
7669_R_F_1_TBR1
7669_R_F_1_COUPTF2
7669_R_P_1_DLX1
7669_R_P_1_TBR1
7669_R_P_1_COUPTF2
7669_R_I_1_DLX1
7669_R_I_1_TBR1
7669_R_I_1_COUPTF2
7669_R_O_1_DLX1
7669_R_O_1_TBR1
7669_R_O_1_COUPTF2
7669_R_T_1_DLX1
7669_R_T_1_TBR1
7669_R_T_1_COUPTF2
7669_R_mO_DLX1
7669_R_mO_TBR1
7669_R_mO_COUPTF2
7669_L_EC_DLX1
7669_L_EC_COUPTF2
7669_R_CCMid_DLX1
7669_R_CC_Mid_TBR1
7669_R_CCMid_COUPTF2
B
3−190125961−G−A
0
−2
−4
−3
−2
−1
0
0.8
0.6
0.4
0.2
0.0

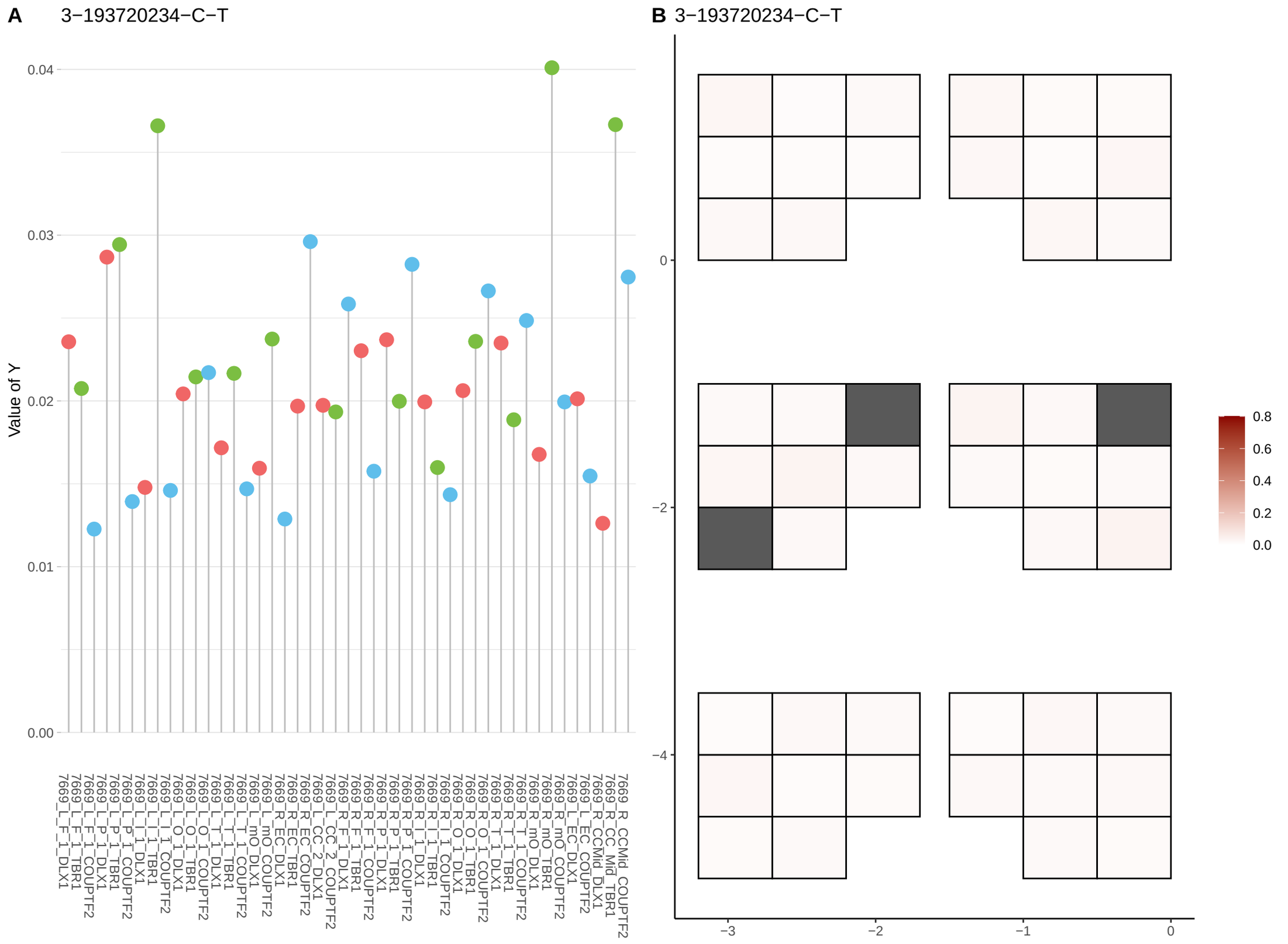
A
3−193720234−C−T
Value of Y
0.04
0.03
0.02
0.01
0.00
7669_L_F_1_DLX1
7669_L_F_1_TBR1
7669_L_F_1_COUPTF2
7669_L_P_1_DLX1
7669_L_P_1_TBR1
7669_L_P_1_COUPTF2
7669_L_I_1_DLX1
7669_L_I_1_TBR1
7669_L_I_1_COUPTF2
7669_L_O_1_DLX1
7669_L_O_1_TBR1
7669_L_O_1_COUPTF2
7669_L_T_1_DLX1
7669_L_T_1_TBR1
7669_L_T_1_COUPTF2
7669_L_mO_DLX1
7669_L_mO_COUPTF2
7669_R_EC_DLX1
7669_R_EC_TBR1
7669_R_EC_COUPTF2
7669_L_CC_2_DLX1
7669_L_CC_2_COUPTF2
7669_R_F_1_DLX1
7669_R_F_1_TBR1
7669_R_F_1_COUPTF2
7669_R_P_1_DLX1
7669_R_P_1_TBR1
7669_R_P_1_COUPTF2
7669_R_I_1_DLX1
7669_R_I_1_TBR1
7669_R_I_1_COUPTF2
7669_R_O_1_DLX1
7669_R_O_1_TBR1
7669_R_O_1_COUPTF2
7669_R_T_1_DLX1
7669_R_T_1_TBR1
7669_R_T_1_COUPTF2
7669_R_mO_DLX1
7669_R_mO_TBR1
7669_R_mO_COUPTF2
7669_L_EC_DLX1
7669_L_EC_COUPTF2
7669_R_CCMid_DLX1
7669_R_CC_Mid_TBR1
7669_R_CCMid_COUPTF2
B
3−193720234−C−T
0
−2
−4
−3
−2
−1
0
0.8
0.6
0.4
0.2
0.0

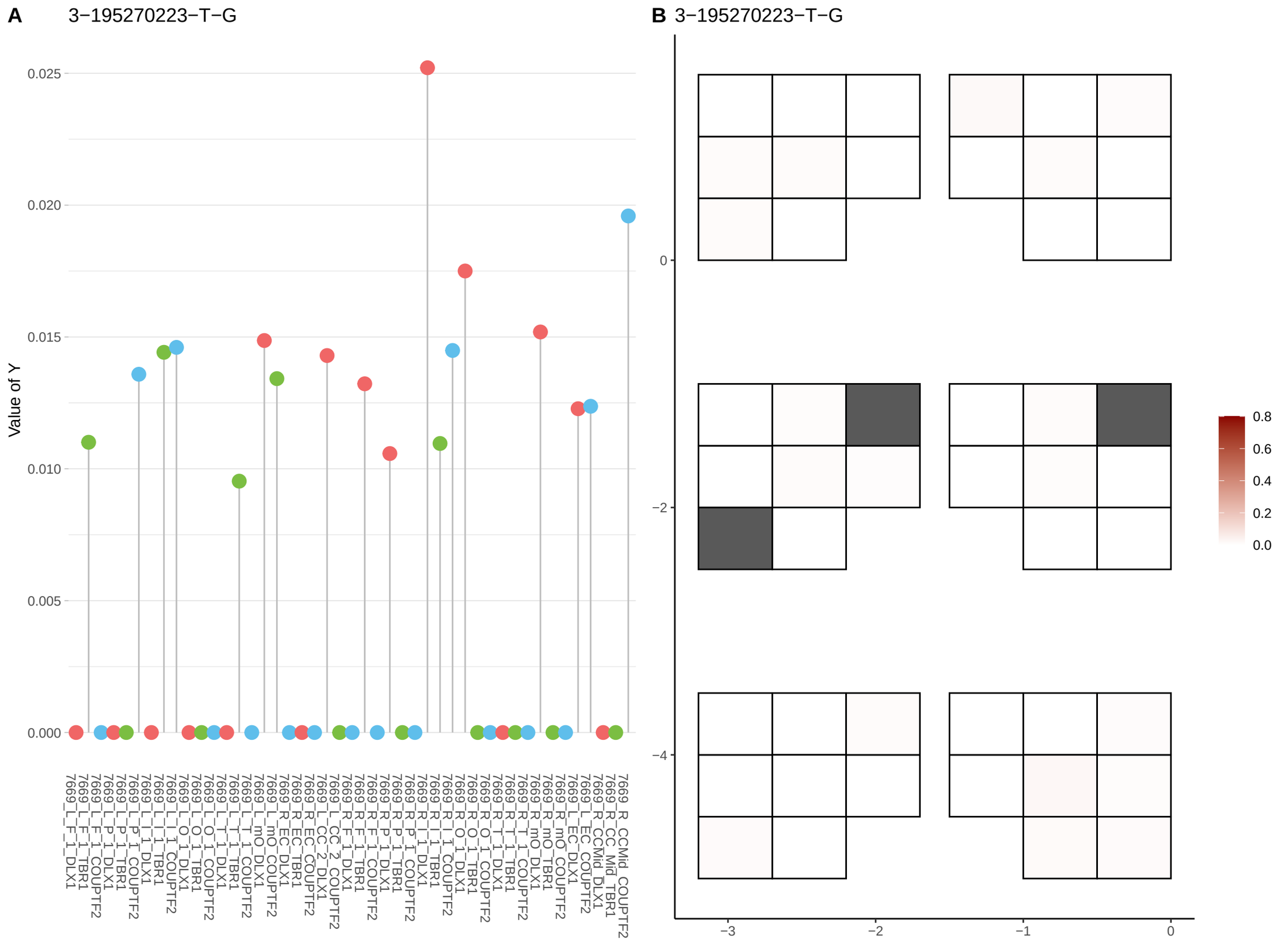
A
3−195270223−T−G
Value of Y
0.025
0.020
0.015
0.010
0.005
0.000
7669_L_F_1_DLX1
7669_L_F_1_TBR1
7669_L_F_1_COUPTF2
7669_L_P_1_DLX1
7669_L_P_1_TBR1
7669_L_P_1_COUPTF2
7669_L_I_1_DLX1
7669_L_I_1_TBR1
7669_L_I_1_COUPTF2
7669_L_O_1_DLX1
7669_L_O_1_TBR1
7669_L_O_1_COUPTF2
7669_L_T_1_DLX1
7669_L_T_1_TBR1
7669_L_T_1_COUPTF2
7669_L_mO_DLX1
7669_L_mO_COUPTF2
7669_R_EC_DLX1
7669_R_EC_TBR1
7669_R_EC_COUPTF2
7669_L_CC_2_DLX1
7669_L_CC_2_COUPTF2
7669_R_F_1_DLX1
7669_R_F_1_TBR1
7669_R_F_1_COUPTF2
7669_R_P_1_DLX1
7669_R_P_1_TBR1
7669_R_P_1_COUPTF2
7669_R_I_1_DLX1
7669_R_I_1_TBR1
7669_R_I_1_COUPTF2
7669_R_O_1_DLX1
7669_R_O_1_TBR1
7669_R_O_1_COUPTF2
7669_R_T_1_DLX1
7669_R_T_1_TBR1
7669_R_T_1_COUPTF2
7669_R_mO_DLX1
7669_R_mO_TBR1
7669_R_mO_COUPTF2
7669_L_EC_DLX1
7669_L_EC_COUPTF2
7669_R_CCMid_DLX1
7669_R_CC_Mid_TBR1
7669_R_CCMid_COUPTF2
B
3−195270223−T−G
0
−2
−4
−3
−2
−1
0
0.8
0.6
0.4
0.2
0.0

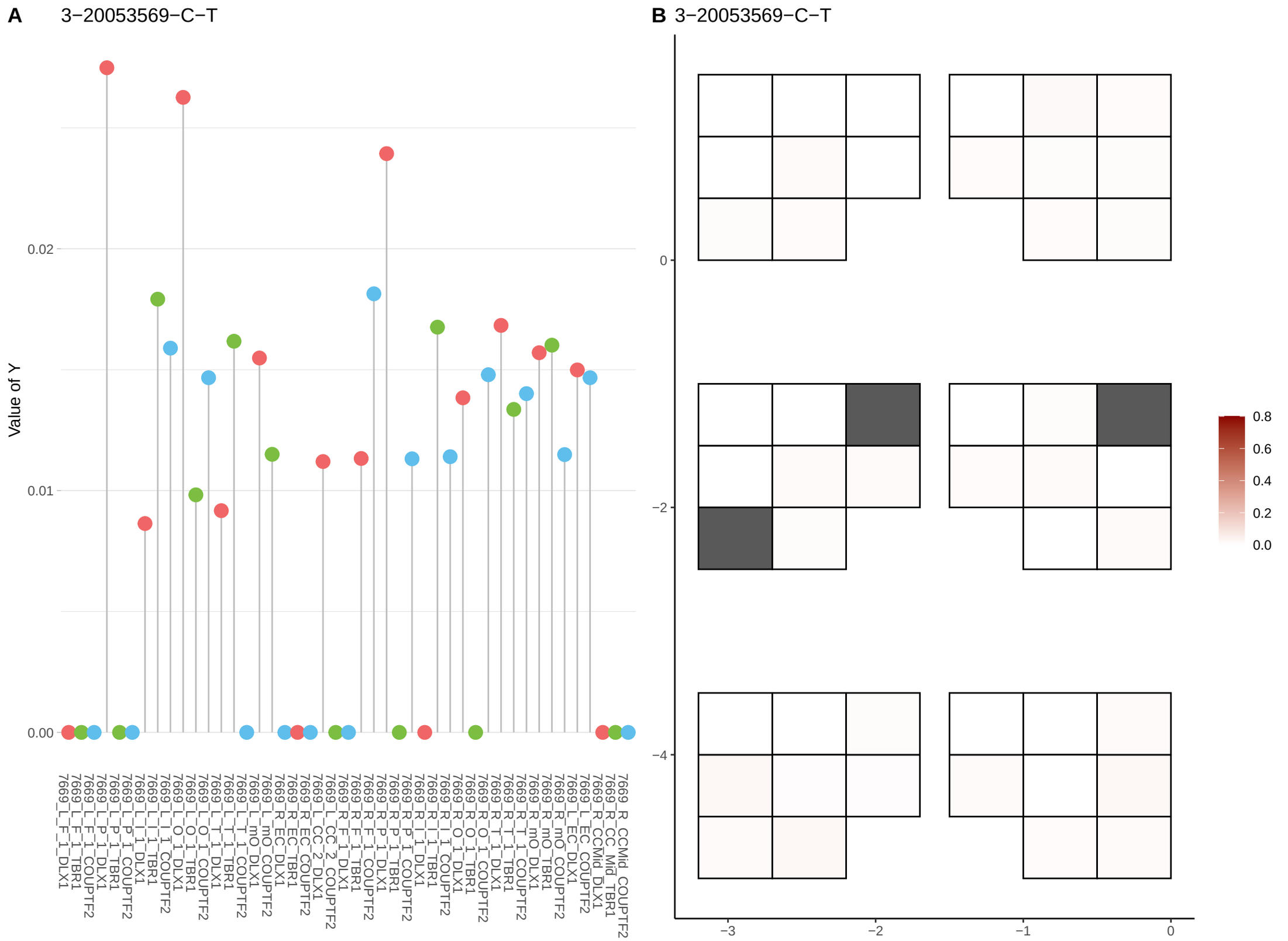
A
3−20053569−C−T
Value of Y
0.02
0.01
0.00
7669_L_F_1_DLX1
7669_L_F_1_TBR1
7669_L_F_1_COUPTF2
7669_L_P_1_DLX1
7669_L_P_1_TBR1
7669_L_P_1_COUPTF2
7669_L_I_1_DLX1
7669_L_I_1_TBR1
7669_L_I_1_COUPTF2
7669_L_O_1_DLX1
7669_L_O_1_TBR1
7669_L_O_1_COUPTF2
7669_L_T_1_DLX1
7669_L_T_1_TBR1
7669_L_T_1_COUPTF2
7669_L_mO_DLX1
7669_L_mO_COUPTF2
7669_R_EC_DLX1
7669_R_EC_TBR1
7669_R_EC_COUPTF2
7669_L_CC_2_DLX1
7669_L_CC_2_COUPTF2
7669_R_F_1_DLX1
7669_R_F_1_TBR1
7669_R_F_1_COUPTF2
7669_R_P_1_DLX1
7669_R_P_1_TBR1
7669_R_P_1_COUPTF2
7669_R_I_1_DLX1
7669_R_I_1_TBR1
7669_R_I_1_COUPTF2
7669_R_O_1_DLX1
7669_R_O_1_TBR1
7669_R_O_1_COUPTF2
7669_R_T_1_DLX1
7669_R_T_1_TBR1
7669_R_T_1_COUPTF2
7669_R_mO_DLX1
7669_R_mO_TBR1
7669_R_mO_COUPTF2
7669_L_EC_DLX1
7669_L_EC_COUPTF2
7669_R_CCMid_DLX1
7669_R_CC_Mid_TBR1
7669_R_CCMid_COUPTF2
B
3−20053569−C−T
0
−2
−4
−3
−2
−1
0
0.8
0.6
0.4
0.2
0.0

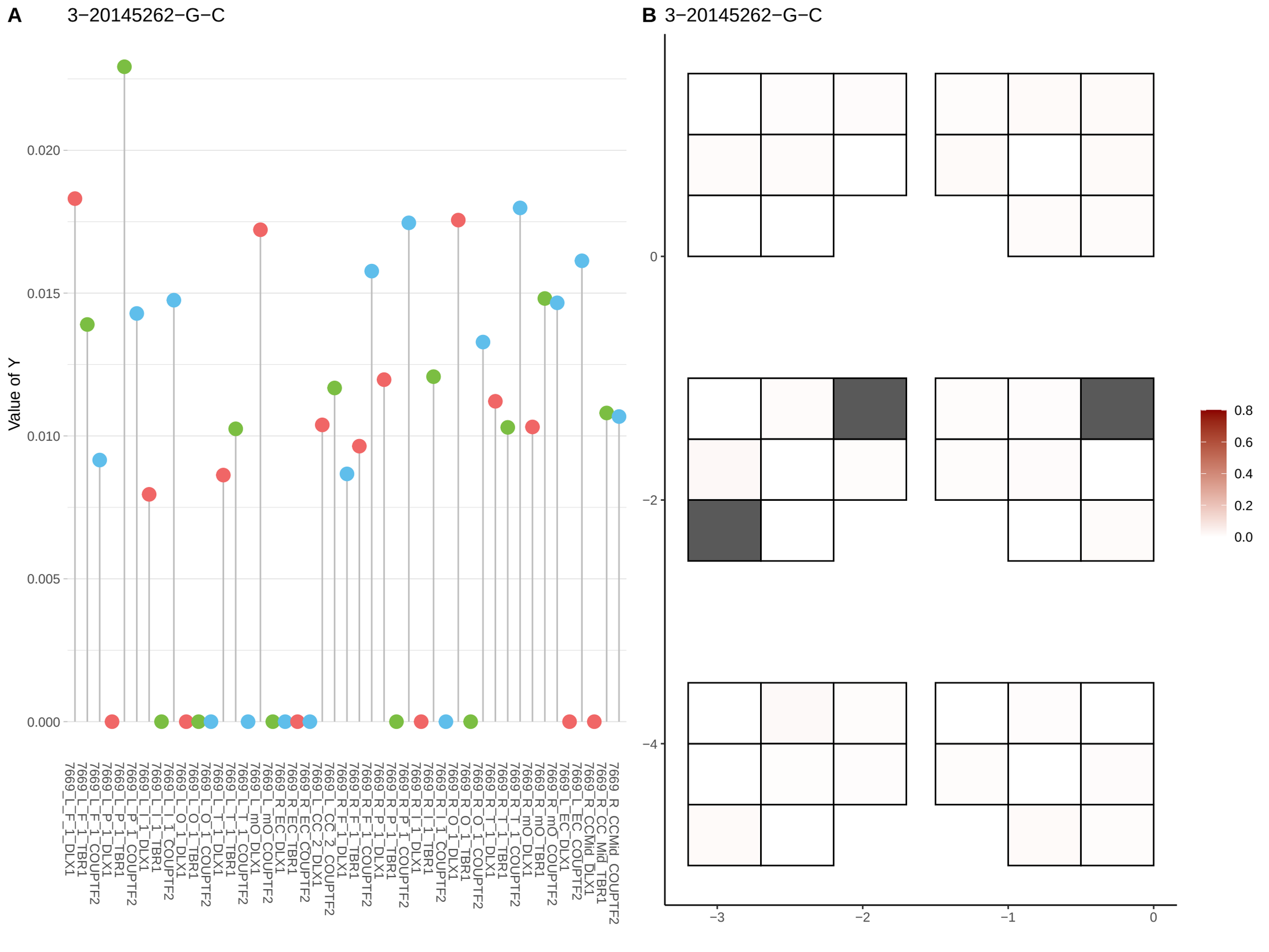
A
3−20145262−G−C
Value of Y
0.020
0.015
0.010
0.005
0.000
7669_L_F_1_DLX1
7669_L_F_1_TBR1
7669_L_F_1_COUPTF2
7669_L_P_1_DLX1
7669_L_P_1_TBR1
7669_L_P_1_COUPTF2
7669_L_I_1_DLX1
7669_L_I_1_TBR1
7669_L_I_1_COUPTF2
7669_L_O_1_DLX1
7669_L_O_1_TBR1
7669_L_O_1_COUPTF2
7669_L_T_1_DLX1
7669_L_T_1_TBR1
7669_L_T_1_COUPTF2
7669_L_mO_DLX1
7669_L_mO_COUPTF2
7669_R_EC_DLX1
7669_R_EC_TBR1
7669_R_EC_COUPTF2
7669_L_CC_2_DLX1
7669_L_CC_2_COUPTF2
7669_R_F_1_DLX1
7669_R_F_1_TBR1
7669_R_F_1_COUPTF2
7669_R_P_1_DLX1
7669_R_P_1_TBR1
7669_R_P_1_COUPTF2
7669_R_I_1_DLX1
7669_R_I_1_TBR1
7669_R_I_1_COUPTF2
7669_R_O_1_DLX1
7669_R_O_1_TBR1
7669_R_O_1_COUPTF2
7669_R_T_1_DLX1
7669_R_T_1_TBR1
7669_R_T_1_COUPTF2
7669_R_mO_DLX1
7669_R_mO_TBR1
7669_R_mO_COUPTF2
7669_L_EC_DLX1
7669_L_EC_COUPTF2
7669_R_CCMid_DLX1
7669_R_CC_Mid_TBR1
7669_R_CCMid_COUPTF2
B
3−20145262−G−C
0
−2
−4
−3
−2
−1
0
0.8
0.6
0.4
0.2
0.0

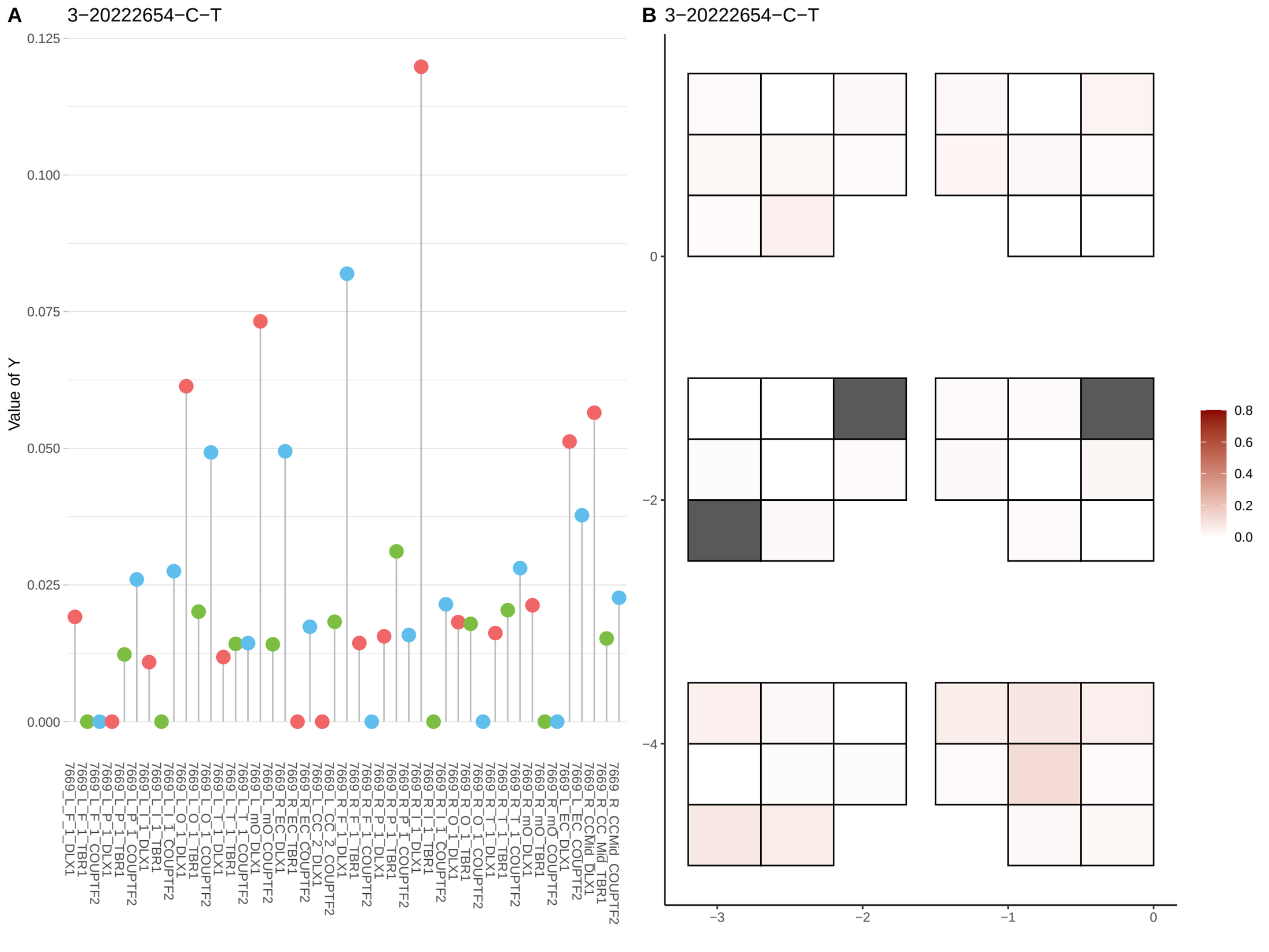
A
3−20222654−C−T
Value of Y
0.125
0.100
0.075
0.050
0.025
0.000
7669_L_F_1_DLX1
7669_L_F_1_TBR1
7669_L_F_1_COUPTF2
7669_L_P_1_DLX1
7669_L_P_1_TBR1
7669_L_P_1_COUPTF2
7669_L_I_1_DLX1
7669_L_I_1_TBR1
7669_L_I_1_COUPTF2
7669_L_O_1_DLX1
7669_L_O_1_TBR1
7669_L_O_1_COUPTF2
7669_L_T_1_DLX1
7669_L_T_1_TBR1
7669_L_T_1_COUPTF2
7669_L_mO_DLX1
7669_L_mO_COUPTF2
7669_R_EC_DLX1
7669_R_EC_TBR1
7669_R_EC_COUPTF2
7669_L_CC_2_DLX1
7669_L_CC_2_COUPTF2
7669_R_F_1_DLX1
7669_R_F_1_TBR1
7669_R_F_1_COUPTF2
7669_R_P_1_DLX1
7669_R_P_1_TBR1
7669_R_P_1_COUPTF2
7669_R_I_1_DLX1
7669_R_I_1_TBR1
7669_R_I_1_COUPTF2
7669_R_O_1_DLX1
7669_R_O_1_TBR1
7669_R_O_1_COUPTF2
7669_R_T_1_DLX1
7669_R_T_1_TBR1
7669_R_T_1_COUPTF2
7669_R_mO_DLX1
7669_R_mO_TBR1
7669_R_mO_COUPTF2
7669_L_EC_DLX1
7669_L_EC_COUPTF2
7669_L_CCMid_DLX1
7669_R_CC_Mid_TBR1
7669_R_CCMid_COUPTF2
B
3−20222654−C−T
0
−2
−4
−3
−2
−1
0
0.8
0.6
0.4
0.2
0.0

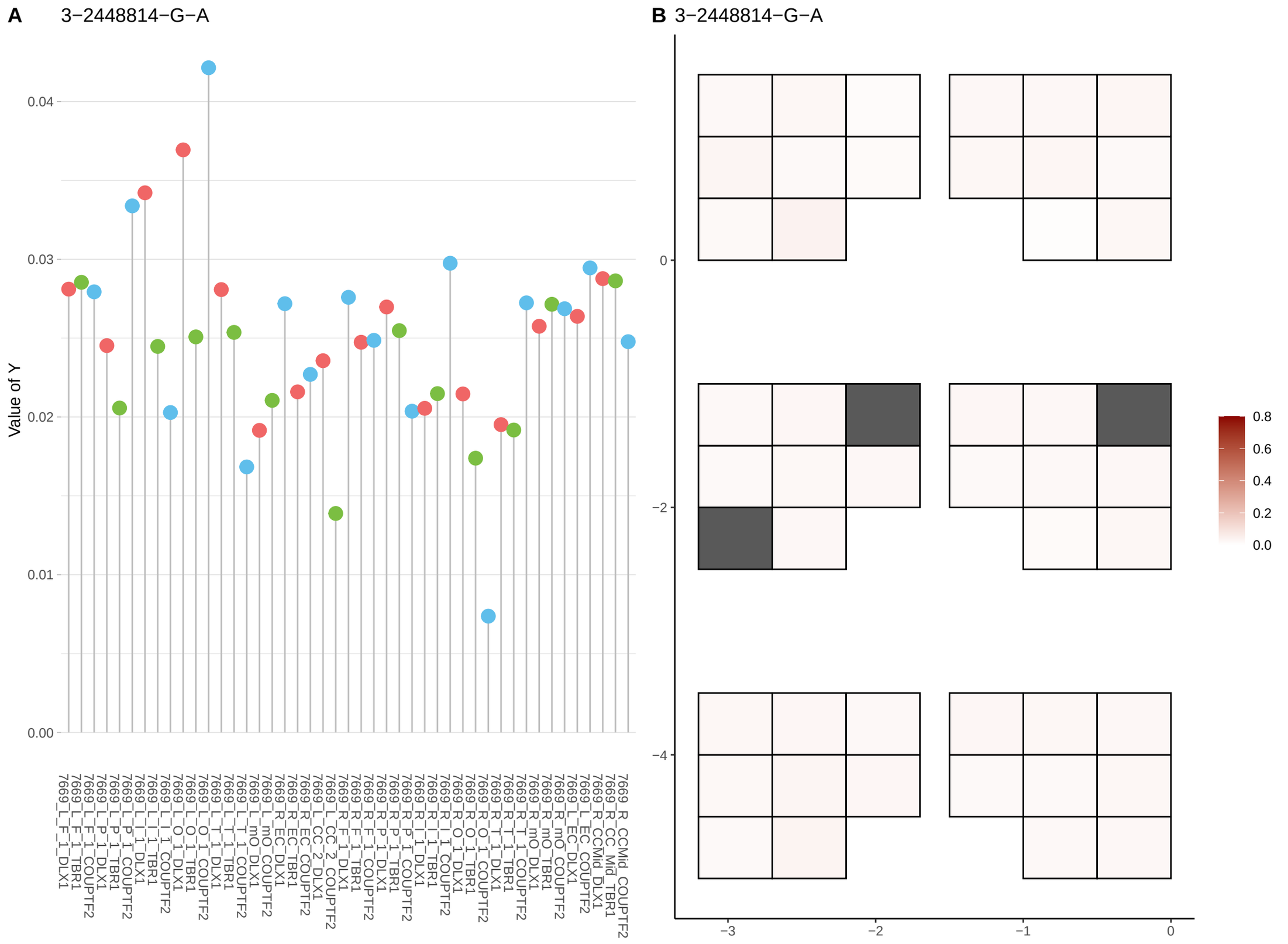
A
3−2448814−G−A
Value of Y
0.04
0.03
0.02
0.01
0.00
7669_L_F_1_DLX1
7669_L_F_1_TBR1
7669_L_F_1_COUPTF2
7669_L_P_1_DLX1
7669_L_P_1_TBR1
7669_L_P_1_COUPTF2
7669_L_I_1_DLX1
7669_L_I_1_TBR1
7669_L_I_1_COUPTF2
7669_L_O_1_DLX1
7669_L_O_1_TBR1
7669_L_O_1_COUPTF2
7669_L_T_1_DLX1
7669_L_T_1_TBR1
7669_L_T_1_COUPTF2
7669_L_mO_DLX1
7669_L_mO_COUPTF2
7669_R_EC_DLX1
7669_R_EC_TBR1
7669_R_EC_COUPTF2
7669_L_CC_2_DLX1
7669_L_CC_2_COUPTF2
7669_R_F_1_DLX1
7669_R_F_1_TBR1
7669_R_F_1_COUPTF2
7669_R_P_1_DLX1
7669_R_P_1_TBR1
7669_R_P_1_COUPTF2
7669_R_I_1_DLX1
7669_R_I_1_TBR1
7669_R_I_1_COUPTF2
7669_R_O_1_DLX1
7669_R_O_1_TBR1
7669_R_O_1_COUPTF2
7669_R_T_1_DLX1
7669_R_T_1_TBR1
7669_R_T_1_COUPTF2
7669_R_mO_DLX1
7669_R_mO_TBR1
7669_R_mO_COUPTF2
7669_L_EC_DLX1
7669_L_EC_COUPTF2
7669_R_CCMid_DLX1
7669_R_CC_Mid_TBR1
7669_R_CCMid_COUPTF2
B
3−2448814−G−A
0
−2
−4
−3
−2
−1
0
0.8
0.6
0.4
0.2
0.0

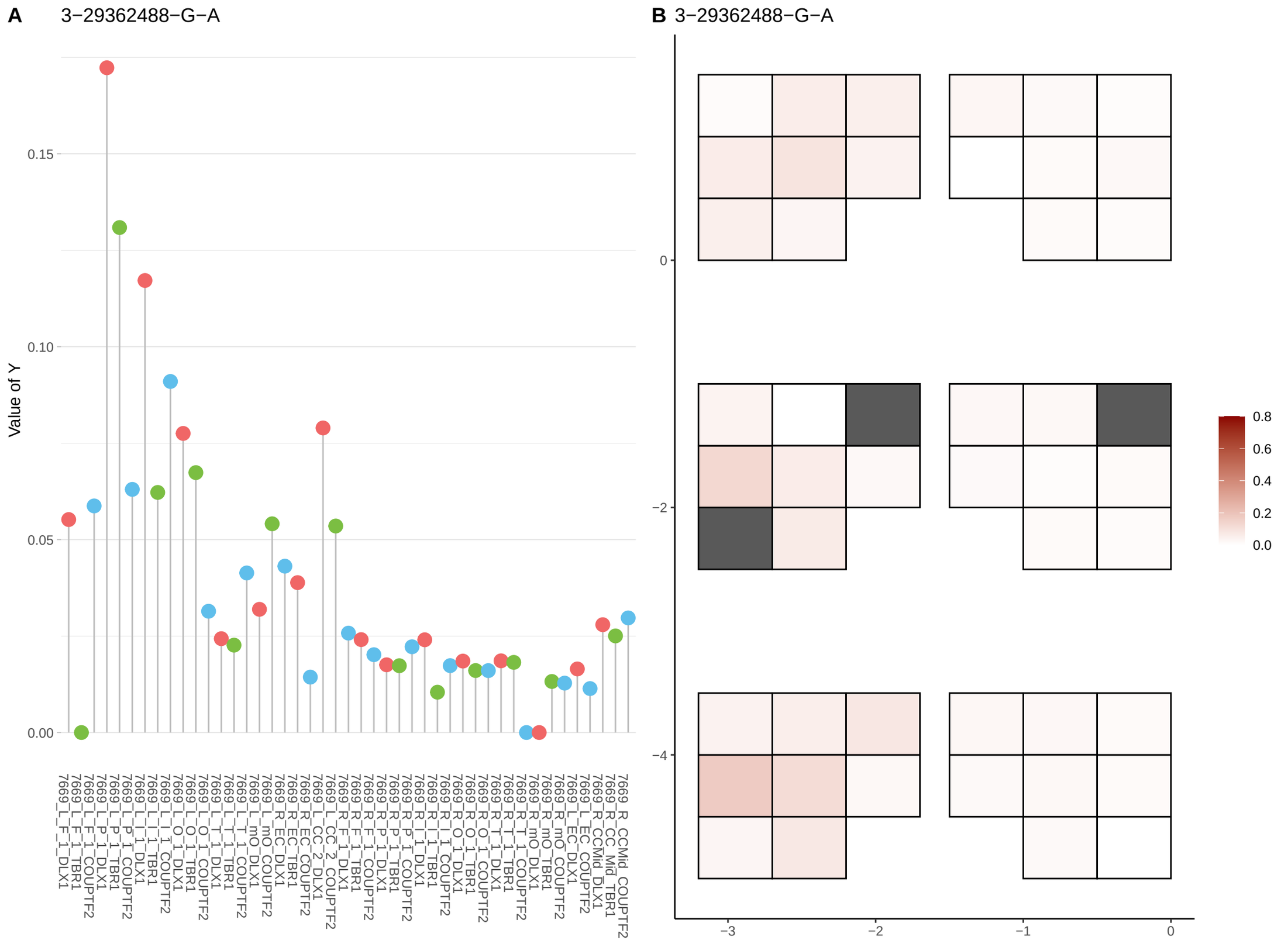
A
3−29362488−G−A
Value of Y
0.15
0.10
0.05
0.00
7669_L_F_1_DLX1
7669_L_F_1_TBR1
7669_L_F_1_COUPTF2
7669_L_P_1_DLX1
7669_L_P_1_TBR1
7669_L_P_1_COUPTF2
7669_L_I_1_DLX1
7669_L_I_1_TBR1
7669_L_I_1_COUPTF2
7669_L_O_1_DLX1
7669_L_O_1_TBR1
7669_L_O_1_COUPTF2
7669_L_T_1_DLX1
7669_L_T_1_TBR1
7669_L_T_1_COUPTF2
7669_L_mO_DLX1
7669_L_mO_COUPTF2
7669_R_EC_DLX1
7669_R_EC_TBR1
7669_R_EC_COUPTF2
7669_L_CC_2_DLX1
7669_L_CC_2_COUPTF2
7669_R_F_1_DLX1
7669_R_F_1_TBR1
7669_R_F_1_COUPTF2
7669_R_P_1_DLX1
7669_R_P_1_TBR1
7669_R_P_1_COUPTF2
7669_R_I_1_DLX1
7669_R_I_1_TBR1
7669_R_I_1_COUPTF2
7669_R_O_1_DLX1
7669_R_O_1_TBR1
7669_R_O_1_COUPTF2
7669_R_T_1_DLX1
7669_R_T_1_TBR1
7669_R_T_1_COUPTF2
7669_R_mO_DLX1
7669_R_mO_TBR1
7669_R_mO_COUPTF2
7669_L_EC_DLX1
7669_L_EC_COUPTF2
7669_R_CCMid_DLX1
7669_R_CC_Mid_TBR1
7669_R_CCMid_COUPTF2
B
3−29362488−G−A
0
−2
−4
−3
−2
−1
0
0.8
0.6
0.4
0.2
0.0

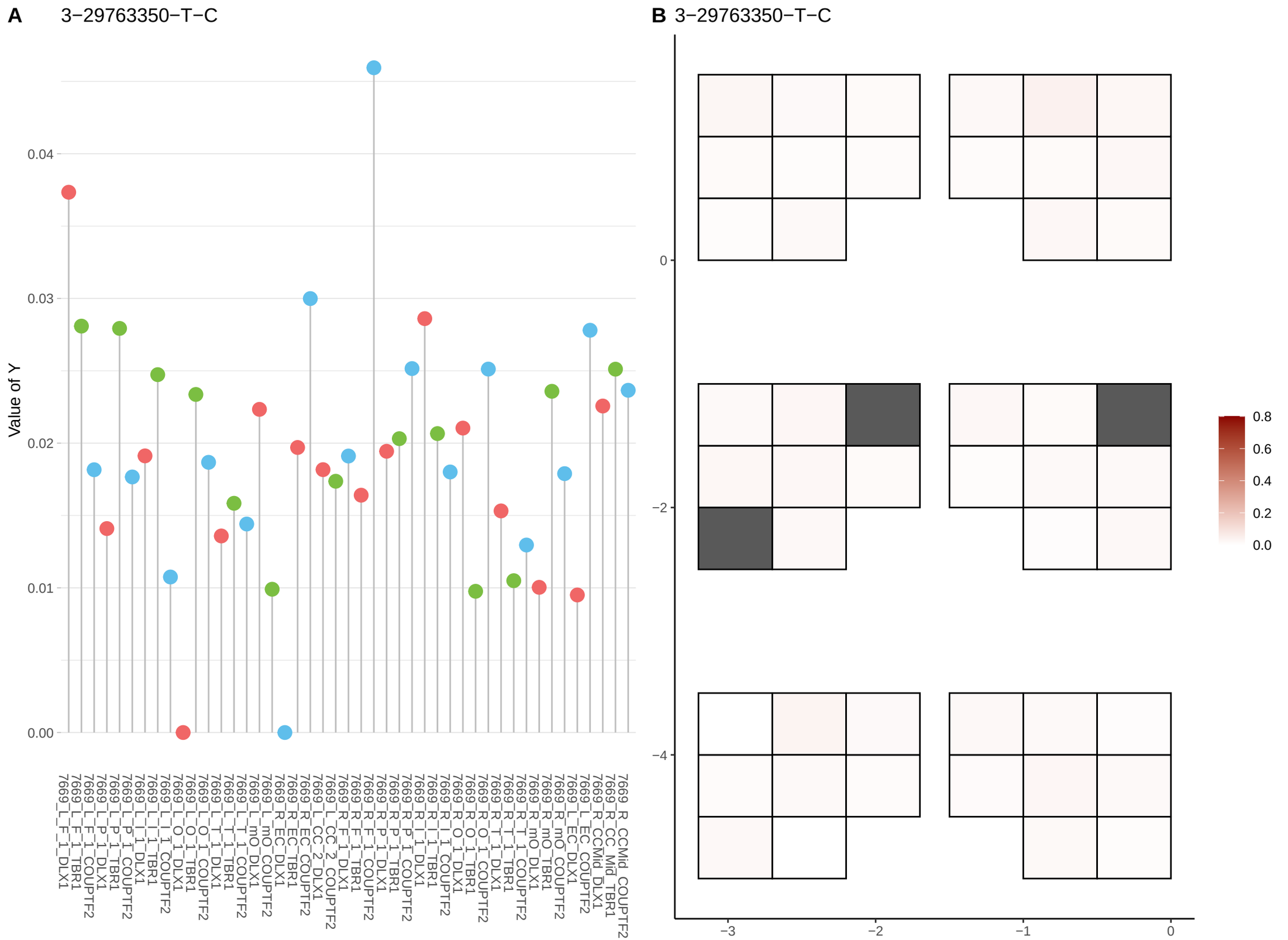
A
3−29763350−T−C
Value of Y
0.04
0.03
0.02
0.01
0.00
7669_L_F_1_DLX1
7669_L_F_1_TBR1
7669_L_F_1_COUPTF2
7669_L_P_1_DLX1
7669_L_P_1_TBR1
7669_L_P_1_COUPTF2
7669_L_I_1_DLX1
7669_L_I_1_TBR1
7669_L_I_1_COUPTF2
7669_L_O_1_DLX1
7669_L_O_1_TBR1
7669_L_O_1_COUPTF2
7669_L_T_1_DLX1
7669_L_T_1_TBR1
7669_L_T_1_COUPTF2
7669_L_mO_DLX1
7669_L_mO_COUPTF2
7669_R_EC_DLX1
7669_R_EC_TBR1
7669_R_EC_COUPTF2
7669_L_CC_2_DLX1
7669_L_CC_2_COUPTF2
7669_R_F_1_DLX1
7669_R_F_1_TBR1
7669_R_F_1_COUPTF2
7669_R_P_1_DLX1
7669_R_P_1_TBR1
7669_R_P_1_COUPTF2
7669_R_I_1_DLX1
7669_R_I_1_TBR1
7669_R_I_1_COUPTF2
7669_R_O_1_DLX1
7669_R_O_1_TBR1
7669_R_O_1_COUPTF2
7669_R_T_1_DLX1
7669_R_T_1_TBR1
7669_R_T_1_COUPTF2
7669_R_mO_DLX1
7669_R_mO_TBR1
7669_R_mO_COUPTF2
7669_L_EC_DLX1
7669_L_EC_COUPTF2
7669_R_CCMid_DLX1
7669_R_CC_Mid_TBR1
7669_R_CCMid_COUPTF2
B
3−29763350−T−C
0
−2
−4
−3
−2
−1
0
0.8
0.6
0.4
0.2
0.0

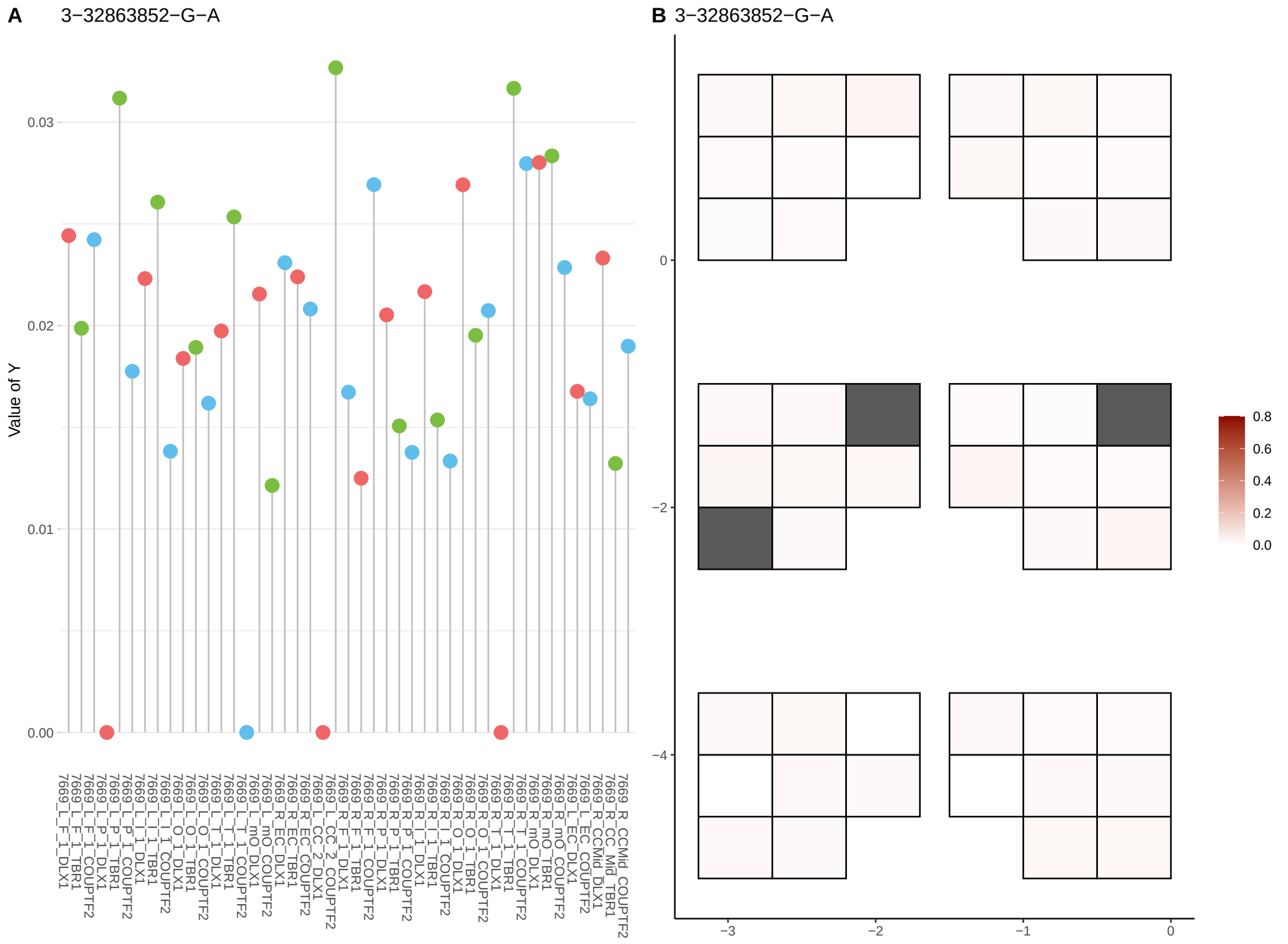
A
3−32863852−G−A
Value of Y
0.03
0.02
0.01
0.00
7669_L_F_1_DLX1
7669_L_F_1_TBR1
7669_L_F_1_COUPTF2
7669_L_P_1_DLX1
7669_L_P_1_TBR1
7669_L_P_1_COUPTF2
7669_L_I_1_DLX1
7669_L_I_1_TBR1
7669_L_I_1_COUPTF2
7669_L_O_1_DLX1
7669_L_O_1_TBR1
7669_L_O_1_COUPTF2
7669_L_T_1_DLX1
7669_L_T_1_TBR1
7669_L_T_1_COUPTF2
7669_L_mO_DLX1
7669_L_mO_COUPTF2
7669_R_EC_DLX1
7669_R_EC_TBR1
7669_R_EC_COUPTF2
7669_L_CC_2_DLX1
7669_L_CC_2_COUPTF2
7669_R_F_1_DLX1
7669_R_F_1_TBR1
7669_R_F_1_COUPTF2
7669_R_P_1_DLX1
7669_R_P_1_TBR1
7669_R_P_1_COUPTF2
7669_R_I_1_DLX1
7669_R_I_1_TBR1
7669_R_I_1_COUPTF2
7669_R_O_1_DLX1
7669_R_O_1_TBR1
7669_R_O_1_COUPTF2
7669_R_T_1_DLX1
7669_R_T_1_TBR1
7669_R_T_1_COUPTF2
7669_R_mO_DLX1
7669_R_mO_TBR1
7669_R_mO_COUPTF2
7669_L_EC_DLX1
7669_L_EC_COUPTF2
7669_R_CCMid_DLX1
7669_R_CC_Mid_TBR1
7669_R_CCMid_COUPTF2
B
3−32863852−G−A
0
−2
−4
−3
−2
−1
0
0.8
0.6
0.4
0.2
0.0

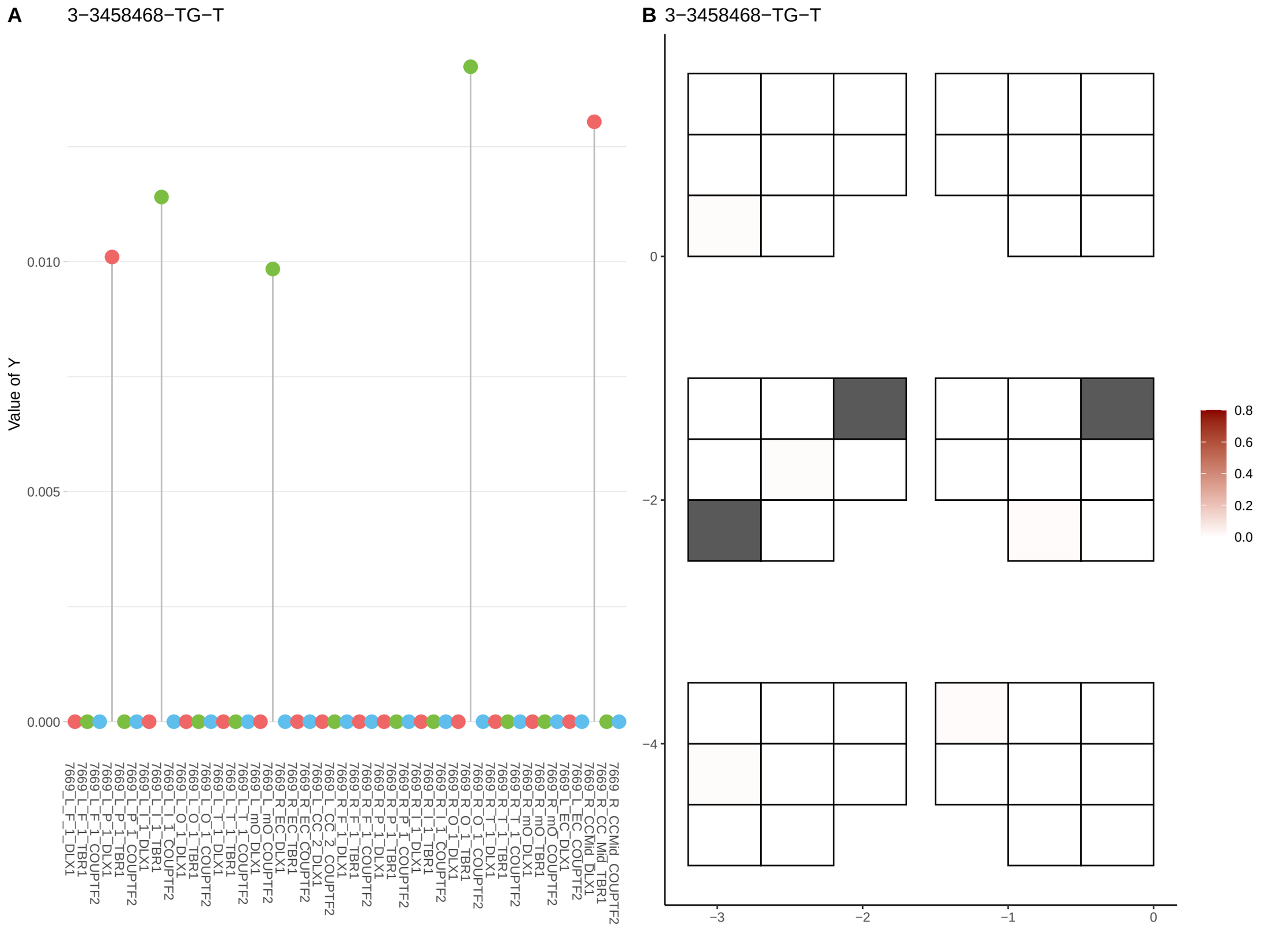
A
3−3458468−TG−T
Value of Y
0.010
0.005
0.000
7669_L_F_1_DLX1
7669_L_F_1_TBR1
7669_L_F_1_COUPTF2
7669_L_P_1_DLX1
7669_L_P_1_TBR1
7669_L_P_1_COUPTF2
7669_L_I_1_DLX1
7669_L_I_1_TBR1
7669_L_I_1_COUPTF2
7669_L_O_1_DLX1
7669_L_O_1_TBR1
7669_L_O_1_COUPTF2
7669_L_T_1_DLX1
7669_L_T_1_TBR1
7669_L_T_1_COUPTF2
7669_L_mO_DLX1
7669_L_mO_COUPTF2
7669_R_EC_DLX1
7669_R_EC_TBR1
7669_R_EC_COUPTF2
7669_L_CC_2_DLX1
7669_L_CC_2_COUPTF2
7669_R_F_1_DLX1
7669_R_F_1_TBR1
7669_R_F_1_COUPTF2
7669_R_P_1_DLX1
7669_R_P_1_TBR1
7669_R_P_1_COUPTF2
7669_R_I_1_DLX1
7669_R_I_1_TBR1
7669_R_I_1_COUPTF2
7669_R_O_1_DLX1
7669_R_O_1_TBR1
7669_R_O_1_COUPTF2
7669_R_T_1_DLX1
7669_R_T_1_TBR1
7669_R_T_1_COUPTF2
7669_R_mO_DLX1
7669_R_mO_TBR1
7669_R_mO_COUPTF2
7669_L_EC_DLX1
7669_L_EC_COUPTF2
7669_R_CCMid_DLX1
7669_R_CC_Mid_TBR1
7669_R_CCMid_COUPTF2
B
3−3458468−TG−T
0
−2
−4
−3
−2
−1
0
0.8
0.6
0.4
0.2
0.0

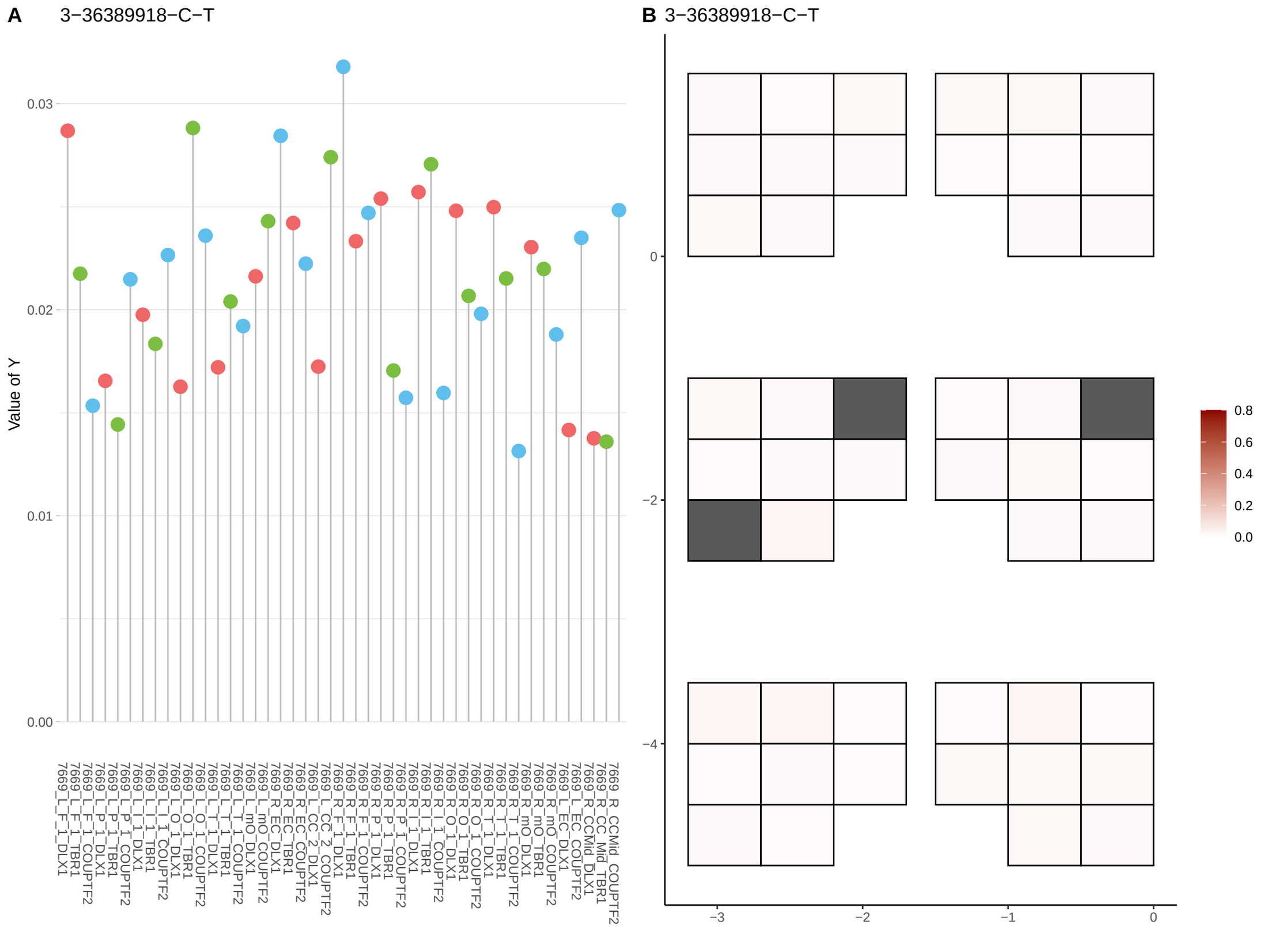
A
3−36389918−C−T
Value of Y
0.03
0.02
0.01
0.00
7669_L_F_1_DLX1
7669_L_F_1_TBR1
7669_L_F_1_COUPTF2
7669_L_P_1_DLX1
7669_L_P_1_TBR1
7669_L_P_1_COUPTF2
7669_L_I_1_DLX1
7669_L_I_1_TBR1
7669_L_I_1_COUPTF2
7669_L_O_1_DLX1
7669_L_O_1_TBR1
7669_L_O_1_COUPTF2
7669_L_T_1_DLX1
7669_L_T_1_TBR1
7669_L_T_1_COUPTF2
7669_L_mO_DLX1
7669_L_mO_COUPTF2
7669_R_EC_DLX1
7669_R_EC_TBR1
7669_R_EC_COUPTF2
7669_L_CC_2_DLX1
7669_L_CC_2_COUPTF2
7669_R_F_1_DLX1
7669_R_F_1_TBR1
7669_R_F_1_COUPTF2
7669_R_P_1_DLX1
7669_R_P_1_TBR1
7669_R_P_1_COUPTF2
7669_R_I_1_DLX1
7669_R_I_1_TBR1
7669_R_I_1_COUPTF2
7669_R_O_1_DLX1
7669_R_O_1_TBR1
7669_R_O_1_COUPTF2
7669_R_T_1_DLX1
7669_R_T_1_TBR1
7669_R_T_1_COUPTF2
7669_R_mO_DLX1
7669_R_mO_TBR1
7669_R_mO_COUPTF2
7669_L_EC_DLX1
7669_L_EC_COUPTF2
7669_R_CCMid_DLX1
7669_R_CC_Mid_TBR1
7669_R_CCMid_COUPTF2
B
3−36389918−C−T
0
−2
−4
−3
−2
−1
0
0.8
0.6
0.4
0.2
0.0

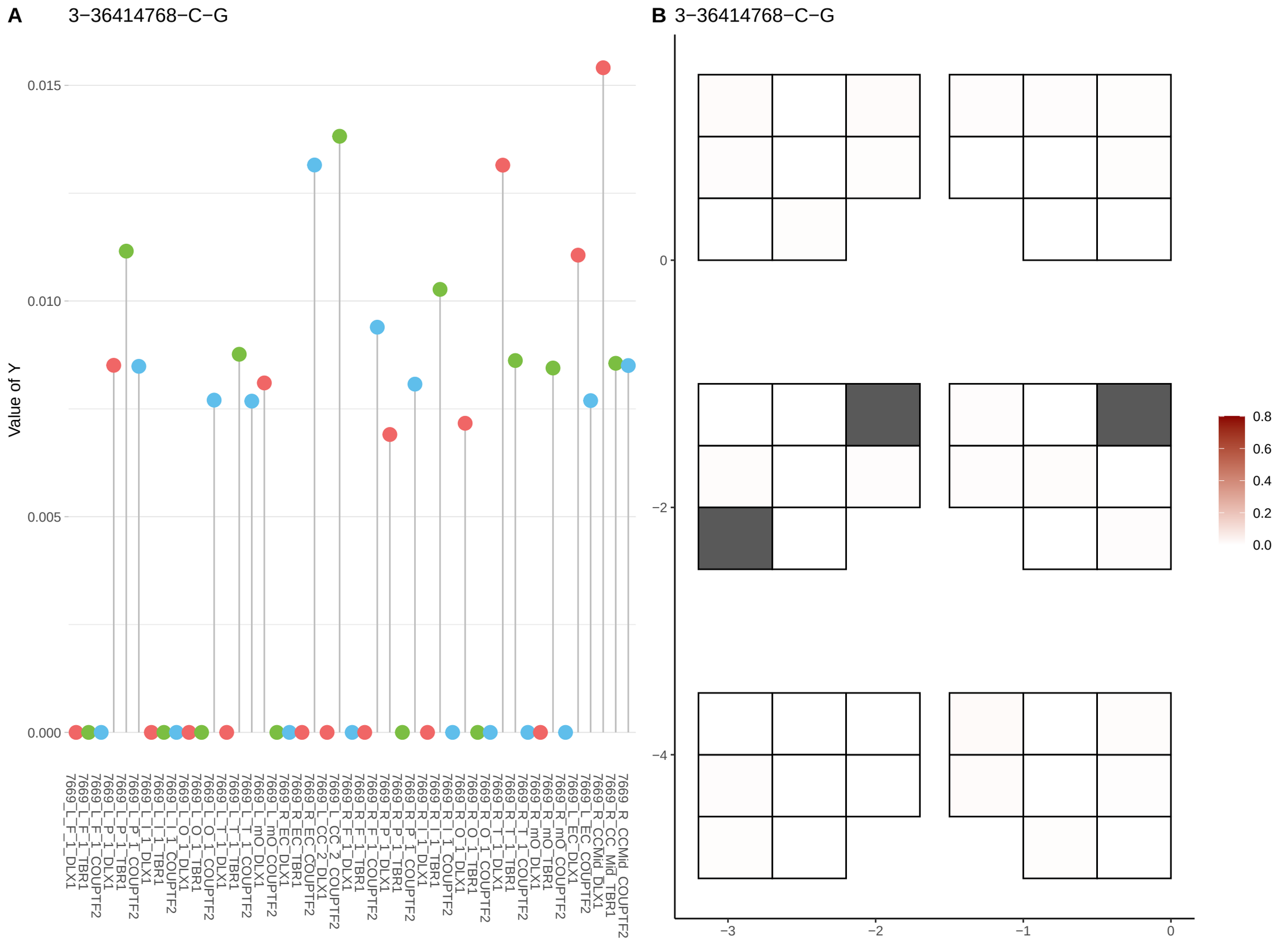
A
3−36414768−C−G
Value of Y
0.015
0.010
0.005
0.000
7669_L_F_1_DLX1
7669_L_F_1_TBR1
7669_L_F_1_COUPTF2
7669_L_P_1_DLX1
7669_L_P_1_TBR1
7669_L_P_1_COUPTF2
7669_L_I_1_DLX1
7669_L_I_1_TBR1
7669_L_I_1_COUPTF2
7669_L_O_1_DLX1
7669_L_O_1_TBR1
7669_L_O_1_COUPTF2
7669_L_T_1_DLX1
7669_L_T_1_TBR1
7669_L_T_1_COUPTF2
7669_L_mO_DLX1
7669_L_mO_COUPTF2
7669_R_EC_DLX1
7669_R_EC_TBR1
7669_R_EC_COUPTF2
7669_L_CC_2_DLX1
7669_L_CC_2_COUPTF2
7669_R_F_1_DLX1
7669_R_F_1_TBR1
7669_R_F_1_COUPTF2
7669_R_P_1_DLX1
7669_R_P_1_TBR1
7669_R_P_1_COUPTF2
7669_R_I_1_DLX1
7669_R_I_1_TBR1
7669_R_I_1_COUPTF2
7669_R_O_1_DLX1
7669_R_O_1_TBR1
7669_R_O_1_COUPTF2
7669_R_T_1_DLX1
7669_R_T_1_TBR1
7669_R_T_1_COUPTF2
7669_R_mO_DLX1
7669_R_mO_TBR1
7669_R_mO_COUPTF2
7669_L_EC_DLX1
7669_L_EC_COUPTF2
7669_R_CCMid_DLX1
7669_R_CC_Mid_TBR1
7669_R_CCMid_COUPTF2
B
3−36414768−C−G
0
−2
−4
−3
−2
−1
0
0.8
0.6
0.4
0.2
0.0

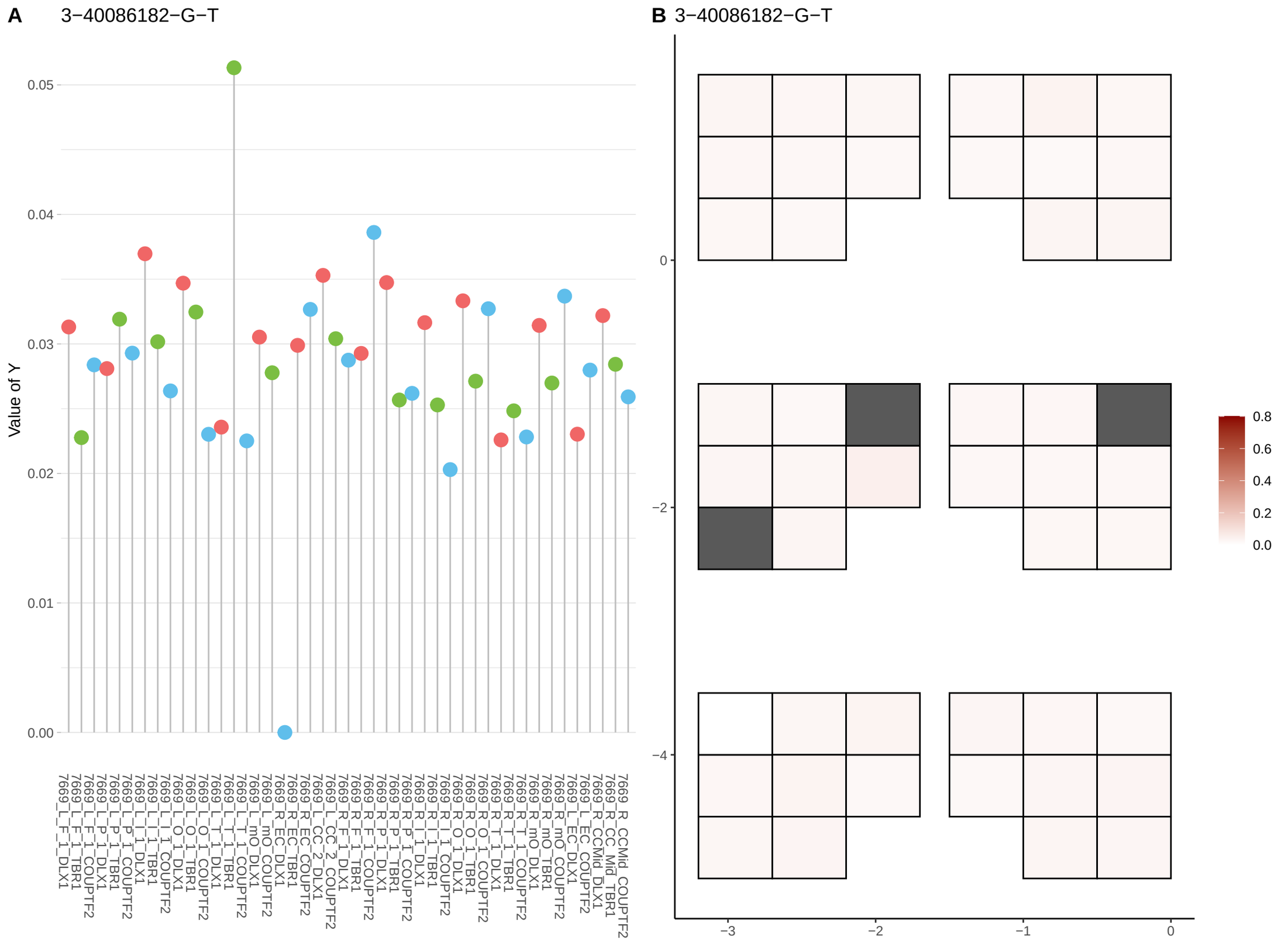
A
3−40086182−G−T
Value of Y
0.05
0.04
0.03
0.02
0.01
0.00
7669_L_F_1_DLX1
7669_L_F_1_TBR1
7669_L_F_1_COUPTF2
7669_L_P_1_DLX1
7669_L_P_1_TBR1
7669_L_P_1_COUPTF2
7669_L_I_1_DLX1
7669_L_I_1_TBR1
7669_L_I_1_COUPTF2
7669_L_O_1_DLX1
7669_L_O_1_TBR1
7669_L_O_1_COUPTF2
7669_L_T_1_DLX1
7669_L_T_1_TBR1
7669_L_T_1_COUPTF2
7669_L_mO_DLX1
7669_L_mO_COUPTF2
7669_R_EC_DLX1
7669_R_EC_TBR1
7669_R_EC_COUPTF2
7669_L_CC_2_DLX1
7669_L_CC_2_COUPTF2
7669_R_F_1_DLX1
7669_R_F_1_TBR1
7669_R_F_1_COUPTF2
7669_R_P_1_DLX1
7669_R_P_1_TBR1
7669_R_P_1_COUPTF2
7669_R_I_1_DLX1
7669_R_I_1_TBR1
7669_R_I_1_COUPTF2
7669_R_O_1_DLX1
7669_R_O_1_TBR1
7669_R_O_1_COUPTF2
7669_R_T_1_DLX1
7669_R_T_1_TBR1
7669_R_T_1_COUPTF2
7669_R_mO_DLX1
7669_R_mO_TBR1
7669_R_mO_COUPTF2
7669_L_EC_DLX1
7669_L_EC_COUPTF2
7669_R_CCMid_DLX1
7669_R_CC_Mid_TBR1
7669_R_CCMid_COUPTF2
B
3−40086182−G−T
0
−2
−4
−3
−2
−1
0
0.8
0.6
0.4
0.2
0.0

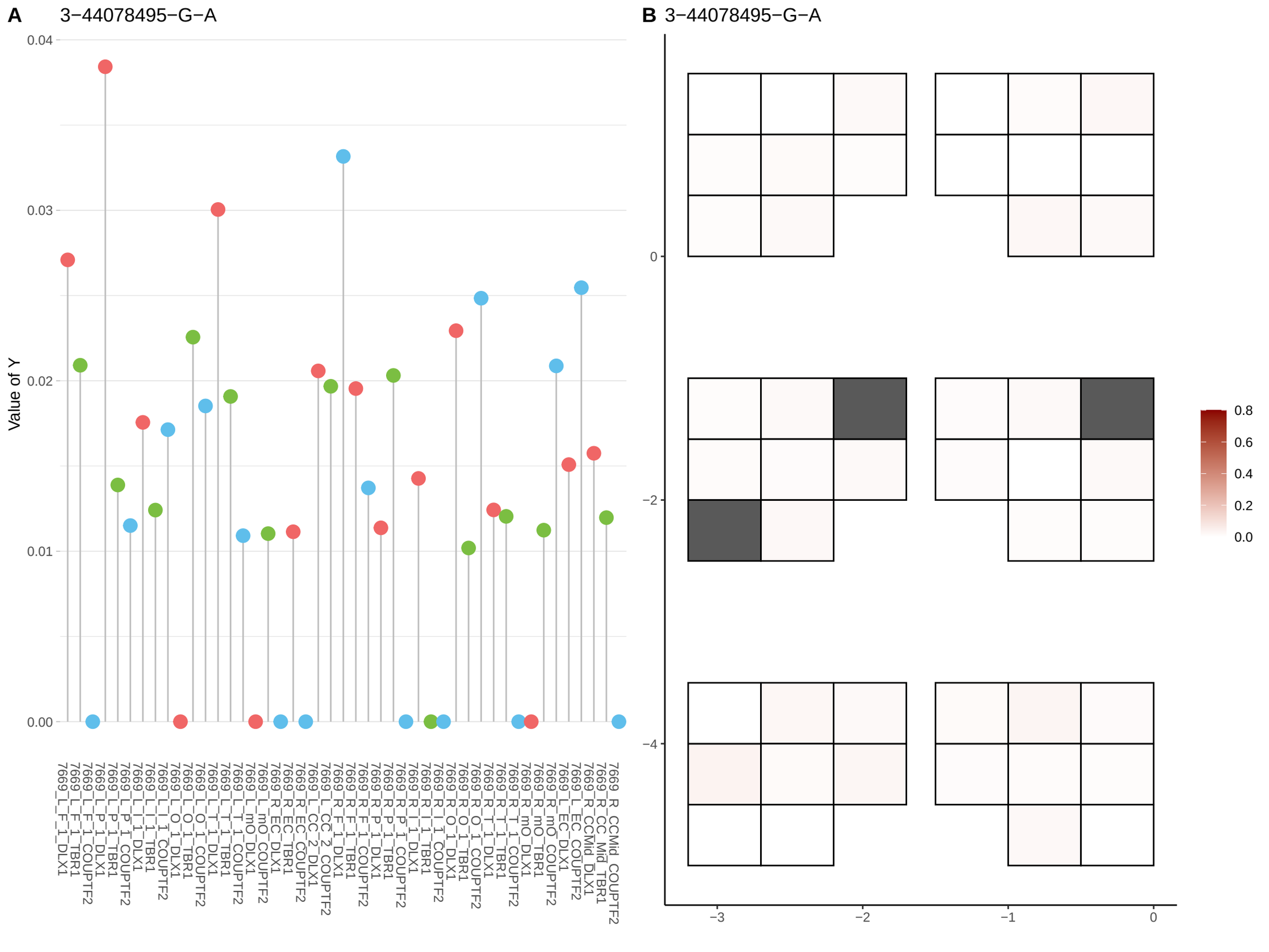
A
3−44078495−G−A
Value of Y
0.04
0.03
0.02
0.01
0.00
7669_L_F_1_DLX1
7669_L_F_1_TBR1
7669_L_F_1_COUPTF2
7669_L_P_1_DLX1
7669_L_P_1_TBR1
7669_L_P_1_COUPTF2
7669_L_I_1_DLX1
7669_L_I_1_TBR1
7669_L_I_1_COUPTF2
7669_L_O_1_DLX1
7669_L_O_1_TBR1
7669_L_O_1_COUPTF2
7669_L_T_1_DLX1
7669_L_T_1_TBR1
7669_L_T_1_COUPTF2
7669_L_mO_DLX1
7669_L_mO_COUPTF2
7669_R_EC_DLX1
7669_R_EC_TBR1
7669_R_EC_COUPTF2
7669_L_CC_2_DLX1
7669_L_CC_2_COUPTF2
7669_R_F_1_DLX1
7669_R_F_1_TBR1
7669_R_F_1_COUPTF2
7669_R_P_1_DLX1
7669_R_P_1_TBR1
7669_R_P_1_COUPTF2
7669_R_I_1_DLX1
7669_R_I_1_TBR1
7669_R_I_1_COUPTF2
7669_R_O_1_DLX1
7669_R_O_1_TBR1
7669_R_O_1_COUPTF2
7669_R_T_1_DLX1
7669_R_T_1_TBR1
7669_R_T_1_COUPTF2
7669_R_mO_DLX1
7669_R_mO_TBR1
7669_R_mO_COUPTF2
7669_L_EC_DLX1
7669_L_EC_COUPTF2
7669_R_CCMid_DLX1
7669_R_CC_Mid_TBR1
7669_R_CCMid_COUPTF2
B
3−44078495−G−A
0
−2
−4
−3
−2
−1
0
0.8
0.6
0.4
0.2
0.0

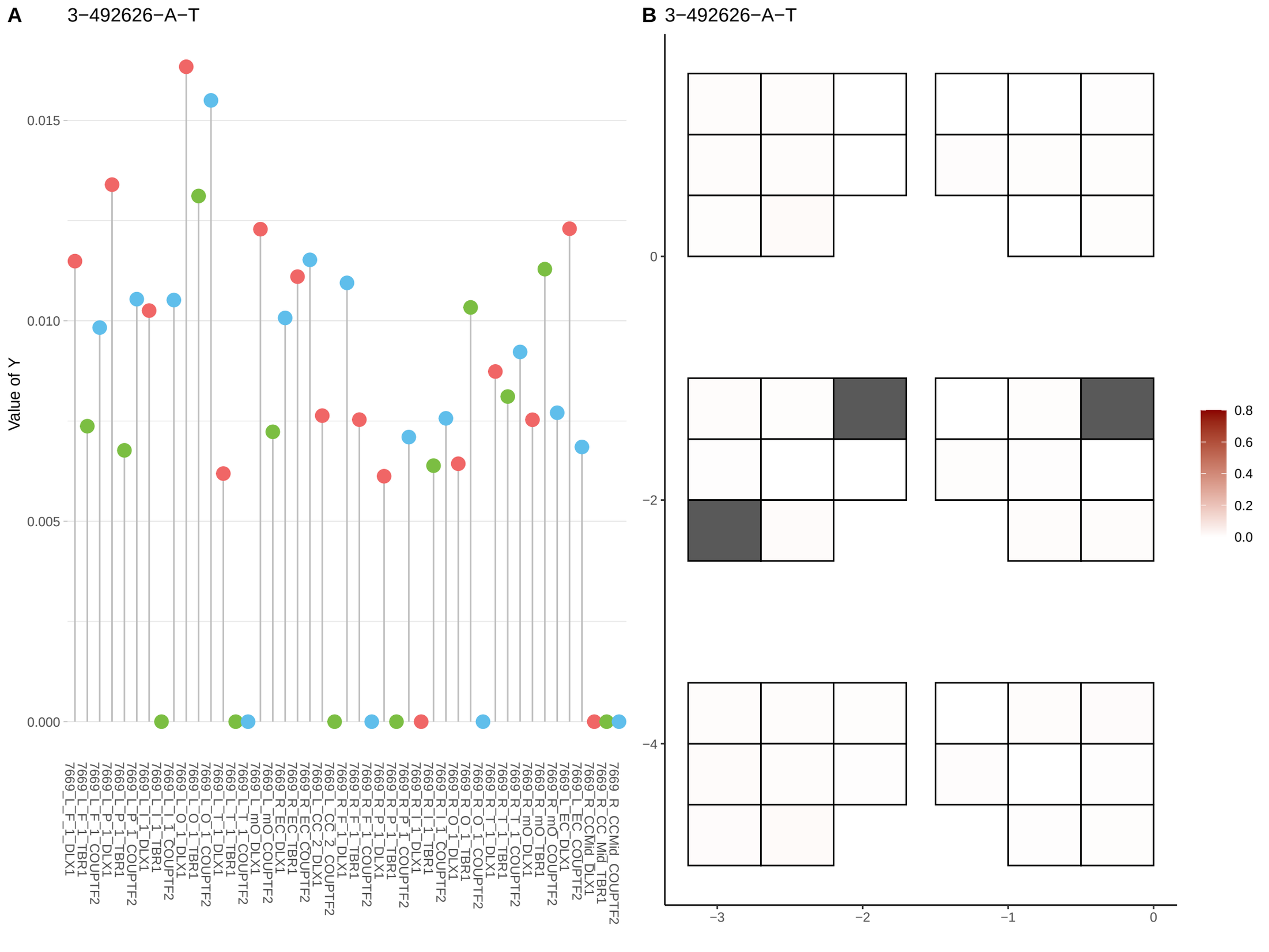
A
3−492626−A−T
Value of Y
0.015
0.010
0.005
0.000
7669_L_F_1_DLX1
7669_L_F_1_TBR1
7669_L_F_1_COUPTF2
7669_L_P_1_DLX1
7669_L_P_1_TBR1
7669_L_P_1_COUPTF2
7669_L_I_1_DLX1
7669_L_I_1_TBR1
7669_L_I_1_COUPTF2
7669_L_O_1_DLX1
7669_L_O_1_TBR1
7669_L_O_1_COUPTF2
7669_L_T_1_DLX1
7669_L_T_1_TBR1
7669_L_T_1_COUPTF2
7669_L_mO_DLX1
7669_L_mO_COUPTF2
7669_R_EC_DLX1
7669_R_EC_TBR1
7669_R_EC_COUPTF2
7669_L_CC_2_DLX1
7669_L_CC_2_COUPTF2
7669_R_F_1_DLX1
7669_R_F_1_TBR1
7669_R_F_1_COUPTF2
7669_R_P_1_DLX1
7669_R_P_1_TBR1
7669_R_P_1_COUPTF2
7669_R_I_1_DLX1
7669_R_I_1_TBR1
7669_R_I_1_COUPTF2
7669_R_O_1_DLX1
7669_R_O_1_TBR1
7669_R_O_1_COUPTF2
7669_R_T_1_DLX1
7669_R_T_1_TBR1
7669_R_T_1_COUPTF2
7669_R_mO_DLX1
7669_R_mO_TBR1
7669_R_mO_COUPTF2
7669_L_EC_DLX1
7669_L_EC_COUPTF2
7669_R_CCMid_DLX1
7669_R_CC_Mid_TBR1
7669_R_CCMid_COUPTF2
B
3−492626−A−T
0
−2
−4
−3
−2
−1
0
0.8
0.6
0.4
0.2
0.0

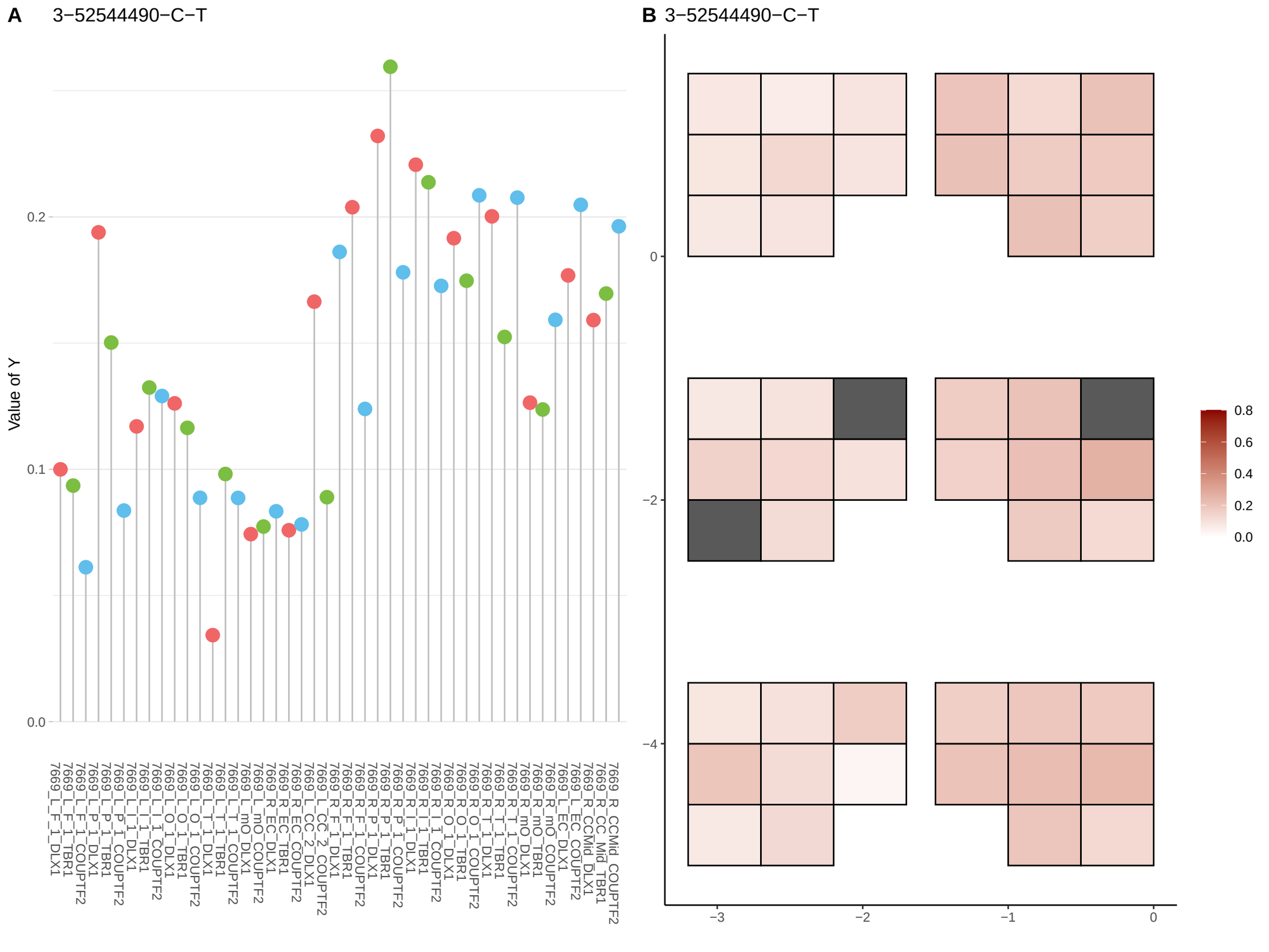
A
3−52544490−C−T
Value of Y
0.0
0.1
0.2
7669_L_F_1_DLX1
7669_L_F_1_TBR1
7669_L_F_1_COUPTF2
7669_L_P_1_DLX1
7669_L_P_1_TBR1
7669_L_P_1_COUPTF2
7669_L_I_1_DLX1
7669_L_I_1_TBR1
7669_L_I_1_COUPTF2
7669_L_O_1_DLX1
7669_L_O_1_TBR1
7669_L_O_1_COUPTF2
7669_L_T_1_DLX1
7669_L_T_1_TBR1
7669_L_T_1_COUPTF2
7669_L_mO_DLX1
7669_L_mO_COUPTF2
7669_R_EC_DLX1
7669_R_EC_TBR1
7669_R_EC_COUPTF2
7669_L_CC_2_DLX1
7669_L_CC_2_COUPTF2
7669_R_F_1_DLX1
7669_R_F_1_TBR1
7669_R_F_1_COUPTF2
7669_R_P_1_DLX1
7669_R_P_1_TBR1
7669_R_P_1_COUPTF2
7669_R_I_1_DLX1
7669_R_I_1_TBR1
7669_R_I_1_COUPTF2
7669_R_O_1_DLX1
7669_R_O_1_TBR1
7669_R_O_1_COUPTF2
7669_R_T_1_DLX1
7669_R_T_1_TBR1
7669_R_T_1_COUPTF2
7669_R_mO_DLX1
7669_R_mO_TBR1
7669_R_mO_COUPTF2
7669_L_EC_DLX1
7669_L_EC_COUPTF2
7669_R_CCMid_DLX1
7669_R_CC_Mid_TBR1
7669_R_CCMid_COUPTF2
B
3−52544490−C−T
0
−2
−4
−3
−2
−1
0
0.8
0.6
0.4
0.2
0.0

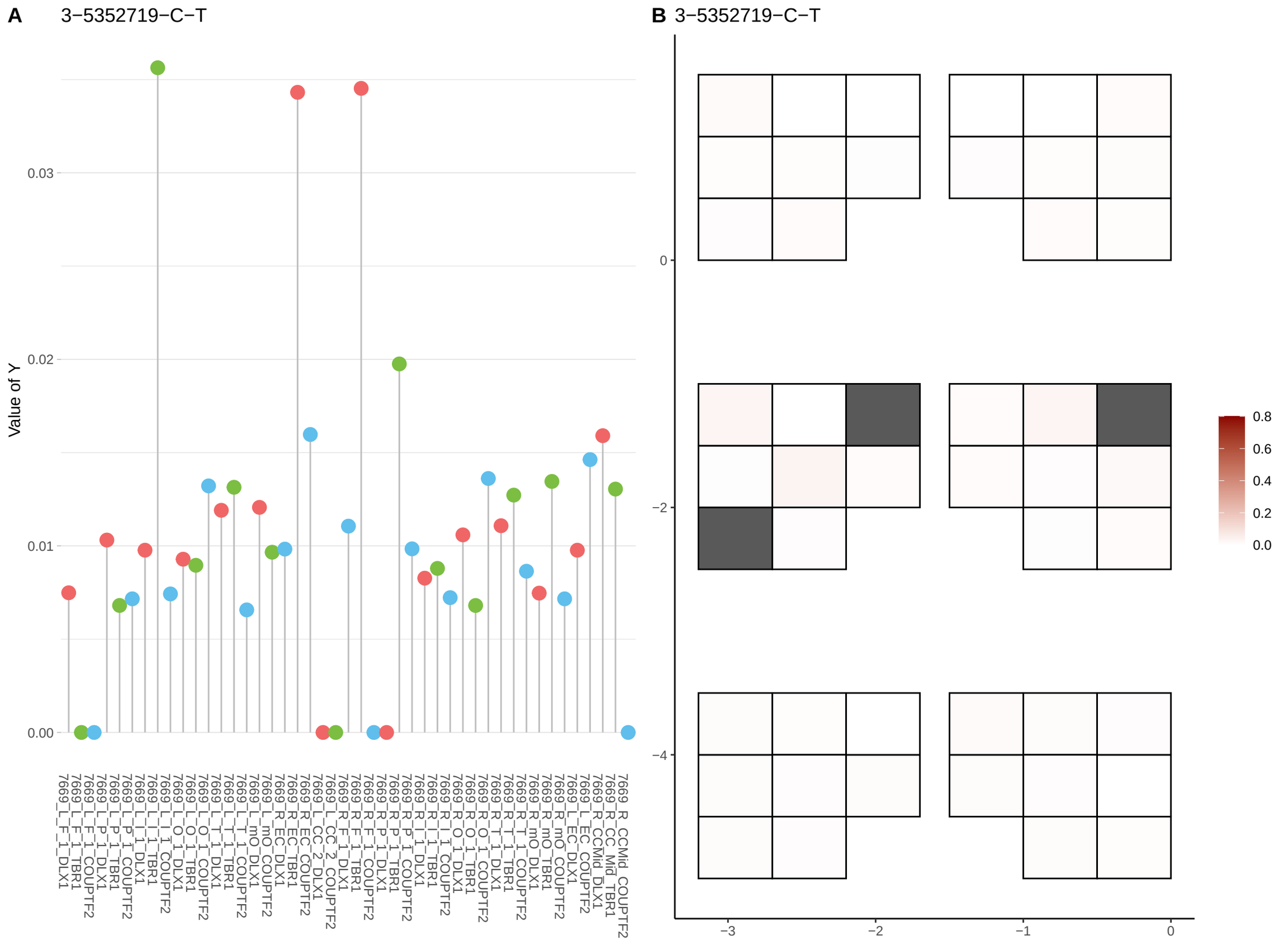
A
3−5352719−C−T
Value of Y
0.03
0.02
0.01
0.00
7669_L_F_1_DLX1
7669_L_F_1_TBR1
7669_L_F_1_COUPTF2
7669_L_P_1_DLX1
7669_L_P_1_TBR1
7669_L_P_1_COUPTF2
7669_L_I_1_DLX1
7669_L_I_1_TBR1
7669_L_I_1_COUPTF2
7669_L_O_1_DLX1
7669_L_O_1_TBR1
7669_L_O_1_COUPTF2
7669_L_T_1_DLX1
7669_L_T_1_TBR1
7669_L_T_1_COUPTF2
7669_L_mO_DLX1
7669_L_mO_COUPTF2
7669_R_EC_DLX1
7669_R_EC_TBR1
7669_R_EC_COUPTF2
7669_L_CC_2_DLX1
7669_L_CC_2_COUPTF2
7669_R_F_1_DLX1
7669_R_F_1_TBR1
7669_R_F_1_COUPTF2
7669_R_P_1_DLX1
7669_R_P_1_TBR1
7669_R_P_1_COUPTF2
7669_R_I_1_DLX1
7669_R_I_1_TBR1
7669_R_I_1_COUPTF2
7669_R_O_1_DLX1
7669_R_O_1_TBR1
7669_R_O_1_COUPTF2
7669_R_T_1_DLX1
7669_R_T_1_TBR1
7669_R_T_1_COUPTF2
7669_R_mO_DLX1
7669_R_mO_TBR1
7669_R_mO_COUPTF2
7669_L_EC_DLX1
7669_L_EC_COUPTF2
7669_R_CCMid_DLX1
7669_R_CC_Mid_TBR1
7669_R_CCMid_COUPTF2
B
3−5352719−C−T
0
−2
−4
−3
−2
−1
0
0.8
0.6
0.4
0.2
0.0

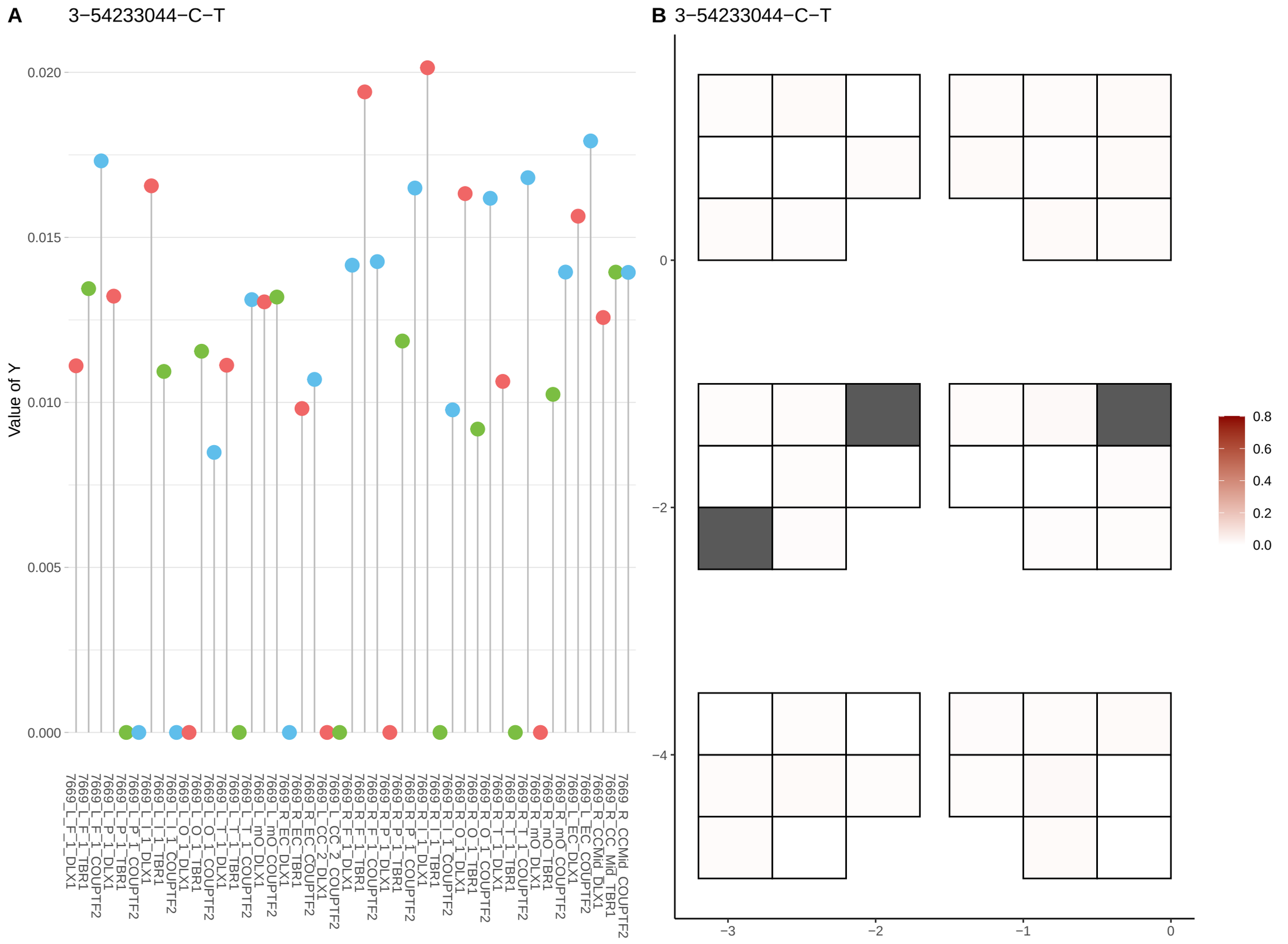
A
3−54233044−C−T
Value of Y
0.020
0.015
0.010
0.005
0.000
7669_L_F_1_DLX1
7669_L_F_1_TBR1
7669_L_F_1_COUPTF2
7669_L_P_1_DLX1
7669_L_P_1_TBR1
7669_L_P_1_COUPTF2
7669_L_I_1_DLX1
7669_L_I_1_TBR1
7669_L_I_1_COUPTF2
7669_L_O_1_DLX1
7669_L_O_1_TBR1
7669_L_O_1_COUPTF2
7669_L_T_1_DLX1
7669_L_T_1_TBR1
7669_L_T_1_COUPTF2
7669_L_mO_DLX1
7669_L_mO_COUPTF2
7669_R_EC_DLX1
7669_R_EC_TBR1
7669_R_EC_COUPTF2
7669_L_CC_2_DLX1
7669_L_CC_2_COUPTF2
7669_R_F_1_DLX1
7669_R_F_1_TBR1
7669_R_F_1_COUPTF2
7669_R_P_1_DLX1
7669_R_P_1_TBR1
7669_R_P_1_COUPTF2
7669_R_I_1_DLX1
7669_R_I_1_TBR1
7669_R_I_1_COUPTF2
7669_R_O_1_DLX1
7669_R_O_1_TBR1
7669_R_O_1_COUPTF2
7669_R_T_1_DLX1
7669_R_T_1_TBR1
7669_R_T_1_COUPTF2
7669_R_mO_DLX1
7669_R_mO_TBR1
7669_R_mO_COUPTF2
7669_L_EC_DLX1
7669_L_EC_COUPTF2
7669_R_CCMid_DLX1
7669_R_CC_Mid_TBR1
7669_R_CCMid_COUPTF2
B
3−54233044−C−T
0
−2
−4
−3
−2
−1
0
0.8
0.6
0.4
0.2
0.0

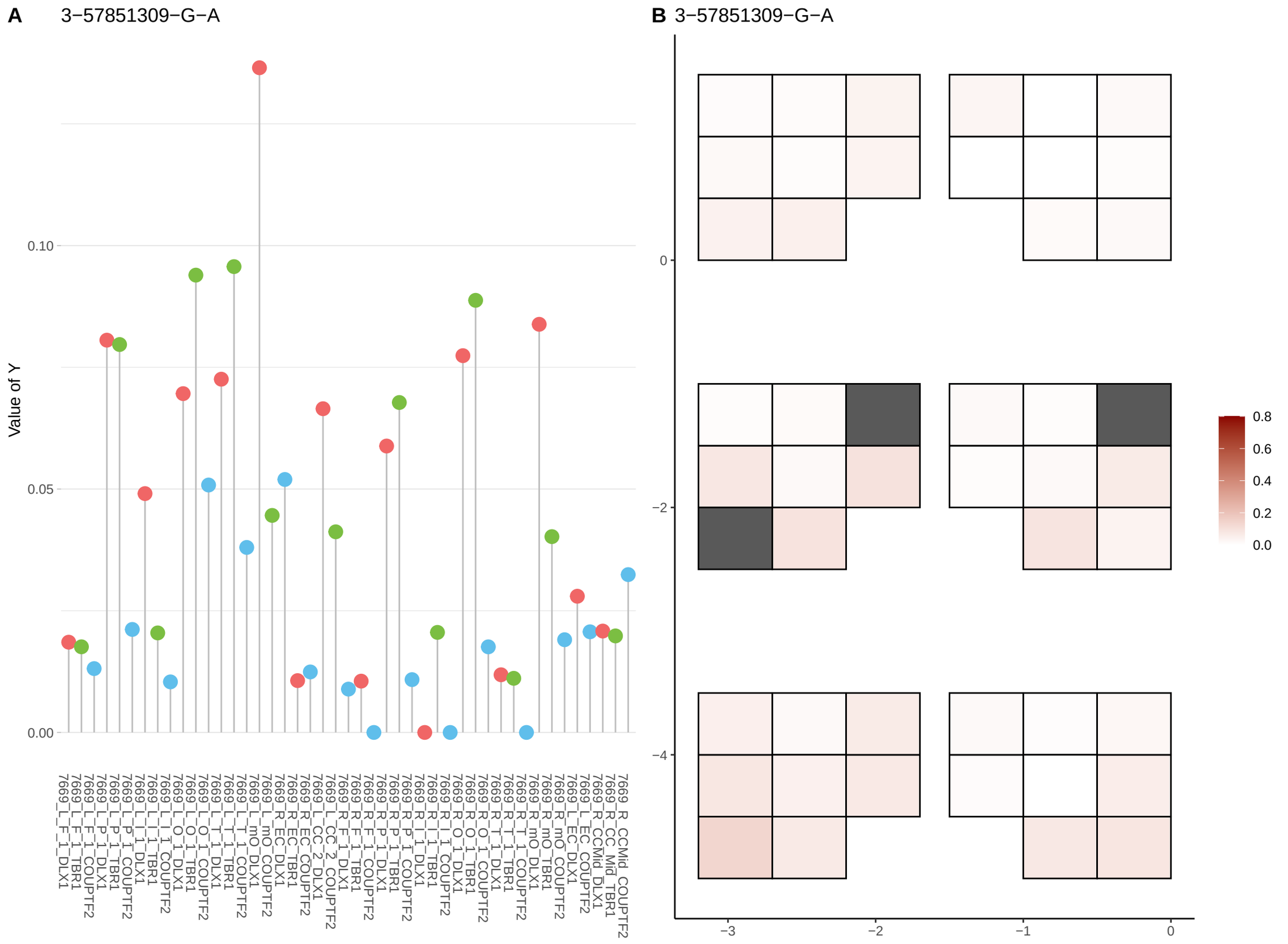
A
3−57851309−G−A
Value of Y
0.10
0.05
0.00
7669_L_F_1_DLX1
7669_L_F_1_TBR1
7669_L_F_1_COUPTF2
7669_L_P_1_DLX1
7669_L_P_1_TBR1
7669_L_P_1_COUPTF2
7669_L_I_1_DLX1
7669_L_I_1_TBR1
7669_L_I_1_COUPTF2
7669_L_O_1_DLX1
7669_L_O_1_TBR1
7669_L_O_1_COUPTF2
7669_L_T_1_DLX1
7669_L_T_1_TBR1
7669_L_T_1_COUPTF2
7669_L_mO_DLX1
7669_L_mO_COUPTF2
7669_R_EC_DLX1
7669_R_EC_TBR1
7669_R_EC_COUPTF2
7669_L_CC_2_DLX1
7669_L_CC_2_COUPTF2
7669_R_F_1_DLX1
7669_R_F_1_TBR1
7669_R_F_1_COUPTF2
7669_R_P_1_DLX1
7669_R_P_1_TBR1
7669_R_P_1_COUPTF2
7669_R_I_1_DLX1
7669_R_I_1_TBR1
7669_R_I_1_COUPTF2
7669_R_O_1_DLX1
7669_R_O_1_TBR1
7669_R_O_1_COUPTF2
7669_R_T_1_DLX1
7669_R_T_1_TBR1
7669_R_T_1_COUPTF2
7669_R_mO_DLX1
7669_R_mO_TBR1
7669_R_mO_COUPTF2
7669_L_EC_DLX1
7669_L_EC_COUPTF2
7669_R_CCMid_DLX1
7669_R_CC_Mid_TBR1
7669_R_CCMid_COUPTF2
B
3−57851309−G−A
0
−2
−4
−3
−2
−1
0
0.8
0.6
0.4
0.2
0.0

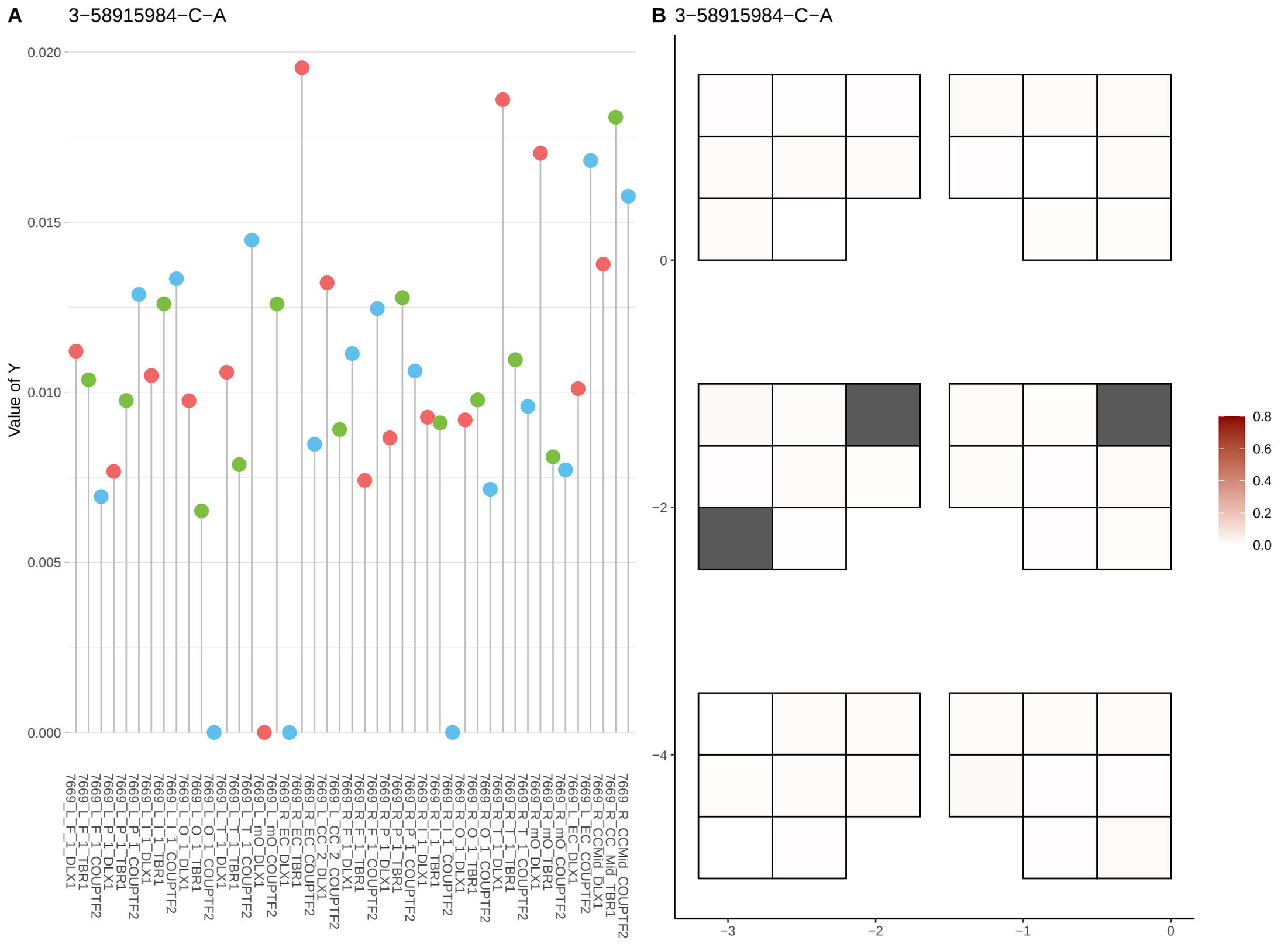
A
3−58915984−C−A
Value of Y
0.020
0.015
0.010
0.005
0.000
7669_L_F_1_DLX1
7669_L_F_1_TBR1
7669_L_F_1_COUPTF2
7669_L_P_1_DLX1
7669_L_P_1_TBR1
7669_L_P_1_COUPTF2
7669_L_I_1_DLX1
7669_L_I_1_TBR1
7669_L_I_1_COUPTF2
7669_L_O_1_DLX1
7669_L_O_1_TBR1
7669_L_O_1_COUPTF2
7669_L_T_1_DLX1
7669_L_T_1_TBR1
7669_L_T_1_COUPTF2
7669_L_mO_DLX1
7669_L_mO_COUPTF2
7669_R_EC_DLX1
7669_R_EC_TBR1
7669_R_EC_COUPTF2
7669_L_CC_2_DLX1
7669_L_CC_2_COUPTF2
7669_R_F_1_DLX1
7669_R_F_1_TBR1
7669_R_F_1_COUPTF2
7669_R_P_1_DLX1
7669_R_P_1_TBR1
7669_R_P_1_COUPTF2
7669_R_I_1_DLX1
7669_R_I_1_TBR1
7669_R_I_1_COUPTF2
7669_R_O_1_DLX1
7669_R_O_1_TBR1
7669_R_O_1_COUPTF2
7669_R_T_1_DLX1
7669_R_T_1_TBR1
7669_R_T_1_COUPTF2
7669_R_mO_DLX1
7669_R_mO_TBR1
7669_R_mO_COUPTF2
7669_L_EC_DLX1
7669_L_EC_COUPTF2
7669_R_CCMid_DLX1
7669_R_CC_Mid_TBR1
7669_R_CCMid_COUPTF2
B
3−58915984−C−A
0
−2
−4
−3
−2
−1
0
0.8
0.6
0.4
0.2
0.0

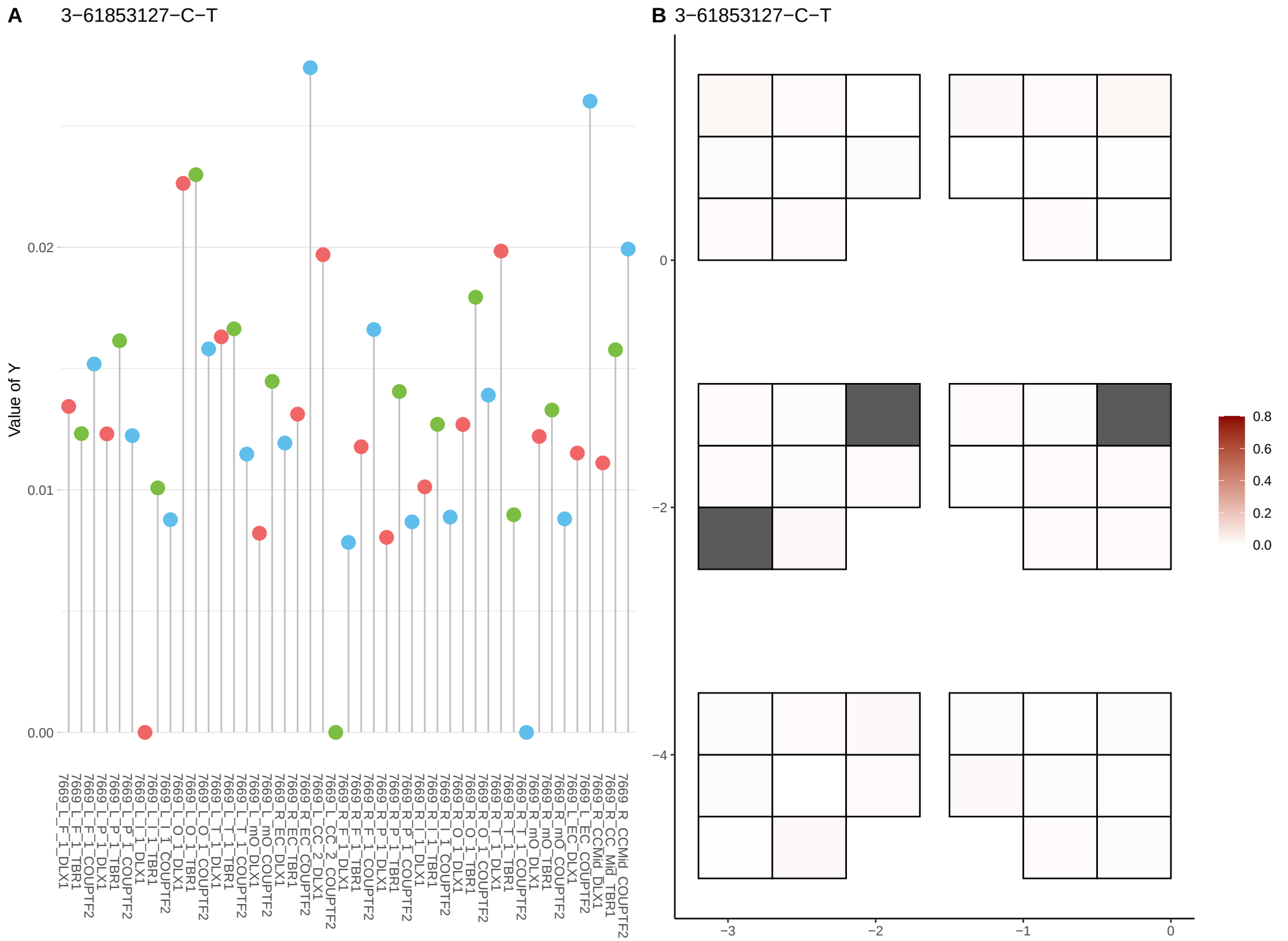
A
3−61853127−C−T
Value of Y
0.02
0.01
0.00
7669_L_F_1_DLX1
7669_L_F_1_TBR1
7669_L_F_1_COUPTF2
7669_L_P_1_DLX1
7669_L_P_1_TBR1
7669_L_P_1_COUPTF2
7669_L_I_1_DLX1
7669_L_I_1_TBR1
7669_L_I_1_COUPTF2
7669_L_O_1_DLX1
7669_L_O_1_TBR1
7669_L_O_1_COUPTF2
7669_L_T_1_DLX1
7669_L_T_1_TBR1
7669_L_T_1_COUPTF2
7669_L_mO_DLX1
7669_L_mO_COUPTF2
7669_R_EC_DLX1
7669_R_EC_TBR1
7669_R_EC_COUPTF2
7669_L_CC_2_DLX1
7669_L_CC_2_COUPTF2
7669_R_F_1_DLX1
7669_R_F_1_TBR1
7669_R_F_1_COUPTF2
7669_R_P_1_DLX1
7669_R_P_1_TBR1
7669_R_P_1_COUPTF2
7669_R_I_1_DLX1
7669_R_I_1_TBR1
7669_R_I_1_COUPTF2
7669_R_O_1_DLX1
7669_R_O_1_TBR1
7669_R_O_1_COUPTF2
7669_R_T_1_DLX1
7669_R_T_1_TBR1
7669_R_T_1_COUPTF2
7669_R_mO_DLX1
7669_R_mO_TBR1
7669_R_mO_COUPTF2
7669_L_EC_DLX1
7669_L_EC_COUPTF2
7669_R_CCMid_DLX1
7669_R_CC_Mid_TBR1
7669_R_CCMid_COUPTF2
B
3−61853127−C−T
0
−2
−4
−3
−2
−1
0
0.8
0.6
0.4
0.2
0.0

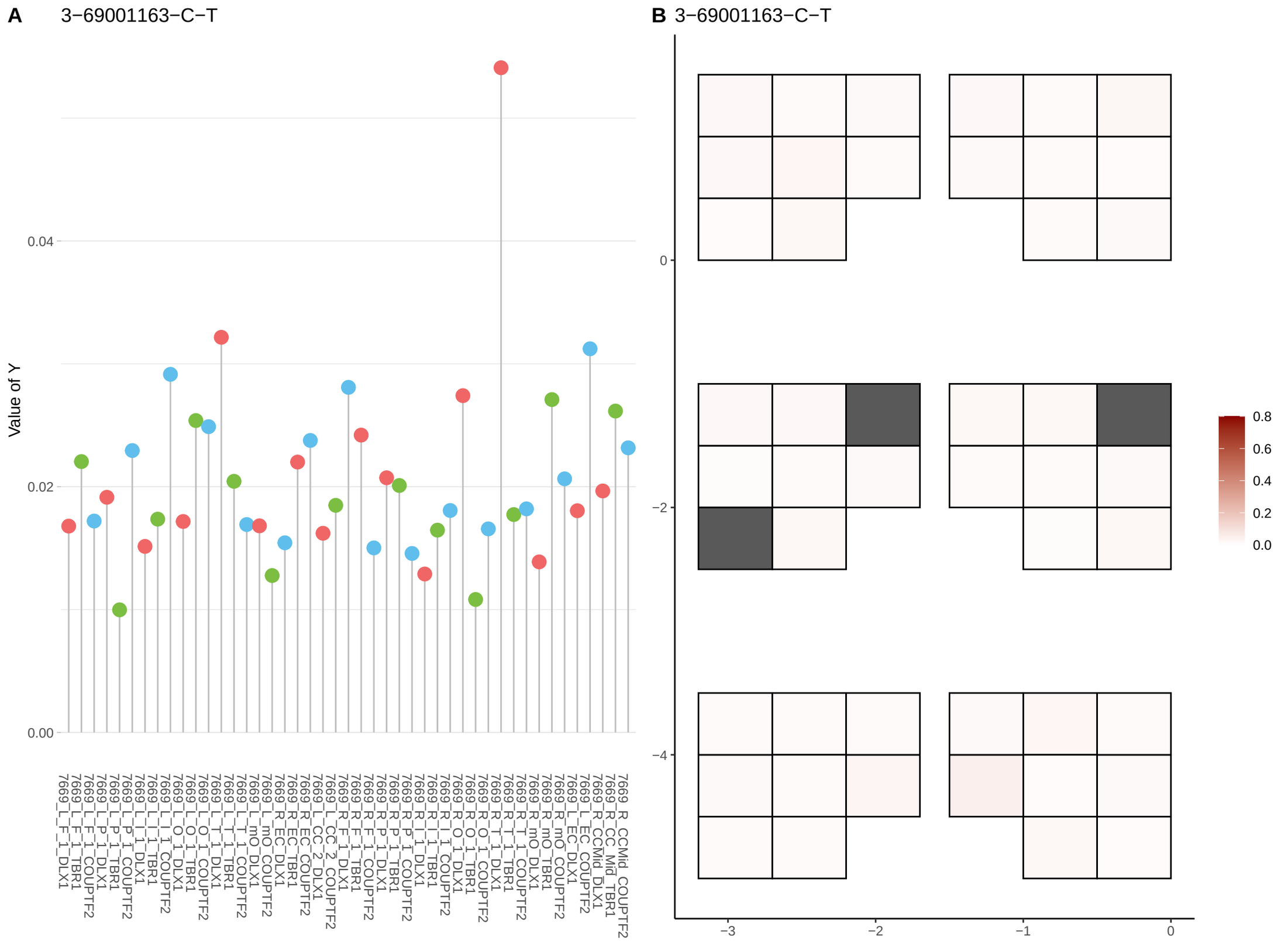
A
3−69001163−C−T
Value of Y
0.04
0.02
0.00
7669_L_F_1_DLX1
7669_L_F_1_TBR1
7669_L_F_1_COUPTF2
7669_L_P_1_DLX1
7669_L_P_1_TBR1
7669_L_P_1_COUPTF2
7669_L_I_1_DLX1
7669_L_I_1_TBR1
7669_L_I_1_COUPTF2
7669_L_O_1_DLX1
7669_L_O_1_TBR1
7669_L_O_1_COUPTF2
7669_L_T_1_DLX1
7669_L_T_1_TBR1
7669_L_T_1_COUPTF2
7669_L_mO_DLX1
7669_L_mO_COUPTF2
7669_R_EC_DLX1
7669_R_EC_TBR1
7669_R_EC_COUPTF2
7669_L_CC_2_DLX1
7669_L_CC_2_COUPTF2
7669_R_F_1_DLX1
7669_R_F_1_TBR1
7669_R_F_1_COUPTF2
7669_R_P_1_DLX1
7669_R_P_1_TBR1
7669_R_P_1_COUPTF2
7669_R_I_1_DLX1
7669_R_I_1_TBR1
7669_R_I_1_COUPTF2
7669_R_O_1_DLX1
7669_R_O_1_TBR1
7669_R_O_1_COUPTF2
7669_R_T_1_DLX1
7669_R_T_1_TBR1
7669_R_T_1_COUPTF2
7669_R_mO_DLX1
7669_R_mO_TBR1
7669_R_mO_COUPTF2
7669_L_EC_DLX1
7669_L_EC_COUPTF2
7669_R_CCMid_DLX1
7669_R_CC_Mid_TBR1
7669_R_CCMid_COUPTF2
B
3−69001163−C−T
0
−2
−4
−3
−2
−1
0
0.8
0.6
0.4
0.2
0.0

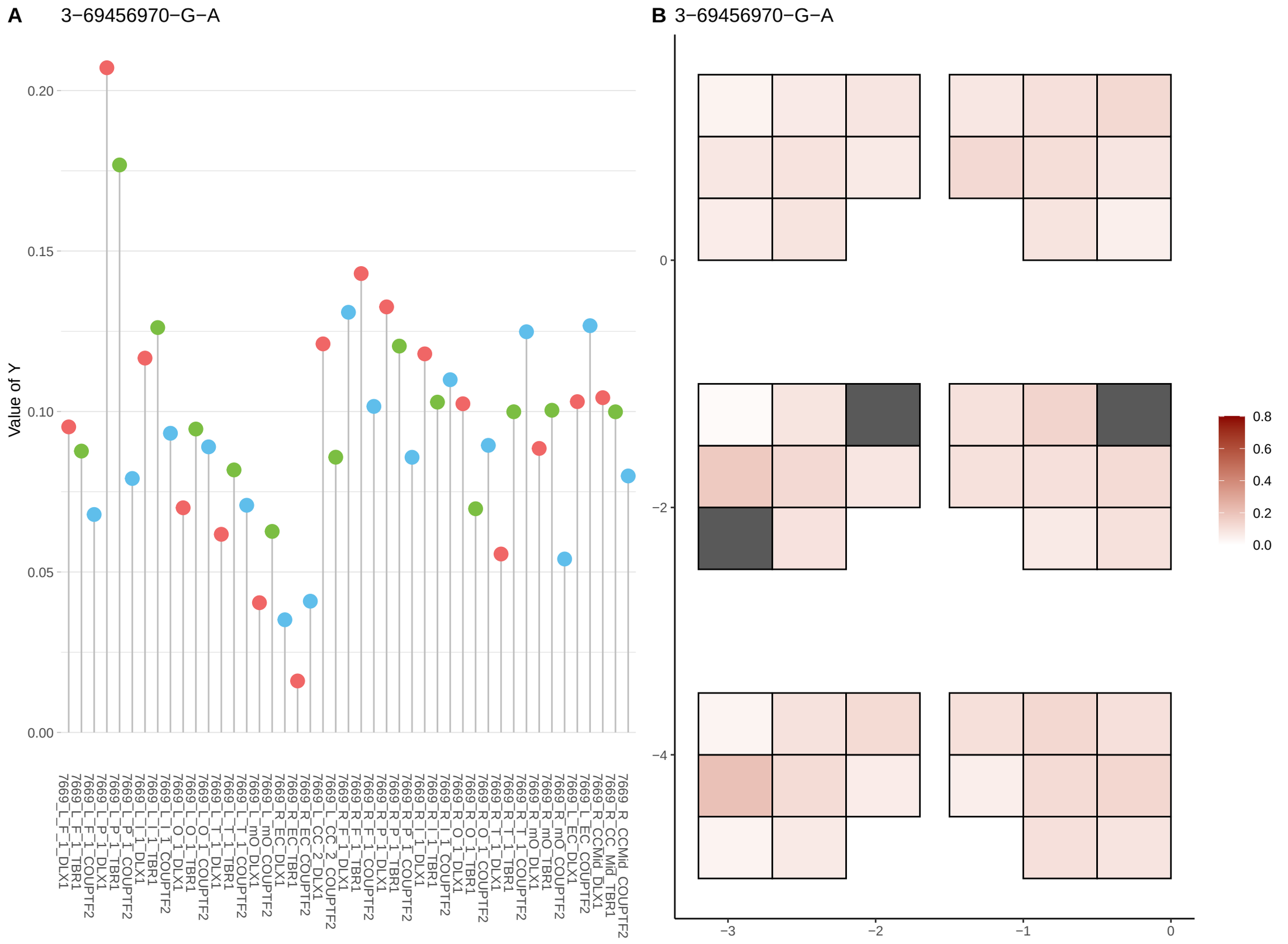
A
3−69456970−G−A
Value of Y
0.20
0.15
0.10
0.05
0.00
7669_L_F_1_DLX1
7669_L_F_1_TBR1
7669_L_F_1_COUPTF2
7669_L_P_1_DLX1
7669_L_P_1_TBR1
7669_L_P_1_COUPTF2
7669_L_I_1_DLX1
7669_L_I_1_TBR1
7669_L_I_1_COUPTF2
7669_L_O_1_DLX1
7669_L_O_1_TBR1
7669_L_O_1_COUPTF2
7669_L_T_1_DLX1
7669_L_T_1_TBR1
7669_L_T_1_COUPTF2
7669_L_mO_DLX1
7669_L_mO_COUPTF2
7669_R_EC_DLX1
7669_R_EC_TBR1
7669_R_EC_COUPTF2
7669_L_CC_2_DLX1
7669_L_CC_2_COUPTF2
7669_R_F_1_DLX1
7669_R_F_1_TBR1
7669_R_F_1_COUPTF2
7669_R_P_1_DLX1
7669_R_P_1_TBR1
7669_R_P_1_COUPTF2
7669_R_I_1_DLX1
7669_R_I_1_TBR1
7669_R_I_1_COUPTF2
7669_R_O_1_DLX1
7669_R_O_1_TBR1
7669_R_O_1_COUPTF2
7669_R_T_1_DLX1
7669_R_T_1_TBR1
7669_R_T_1_COUPTF2
7669_R_mO_DLX1
7669_R_mO_TBR1
7669_R_mO_COUPTF2
7669_L_EC_DLX1
7669_L_EC_COUPTF2
7669_R_CCMid_DLX1
7669_R_CC_Mid_TBR1
7669_R_CCMid_COUPTF2
B
3−69456970−G−A
0
−2
−4
−3
−2
−1
0
0.8
0.6
0.4
0.2
0.0

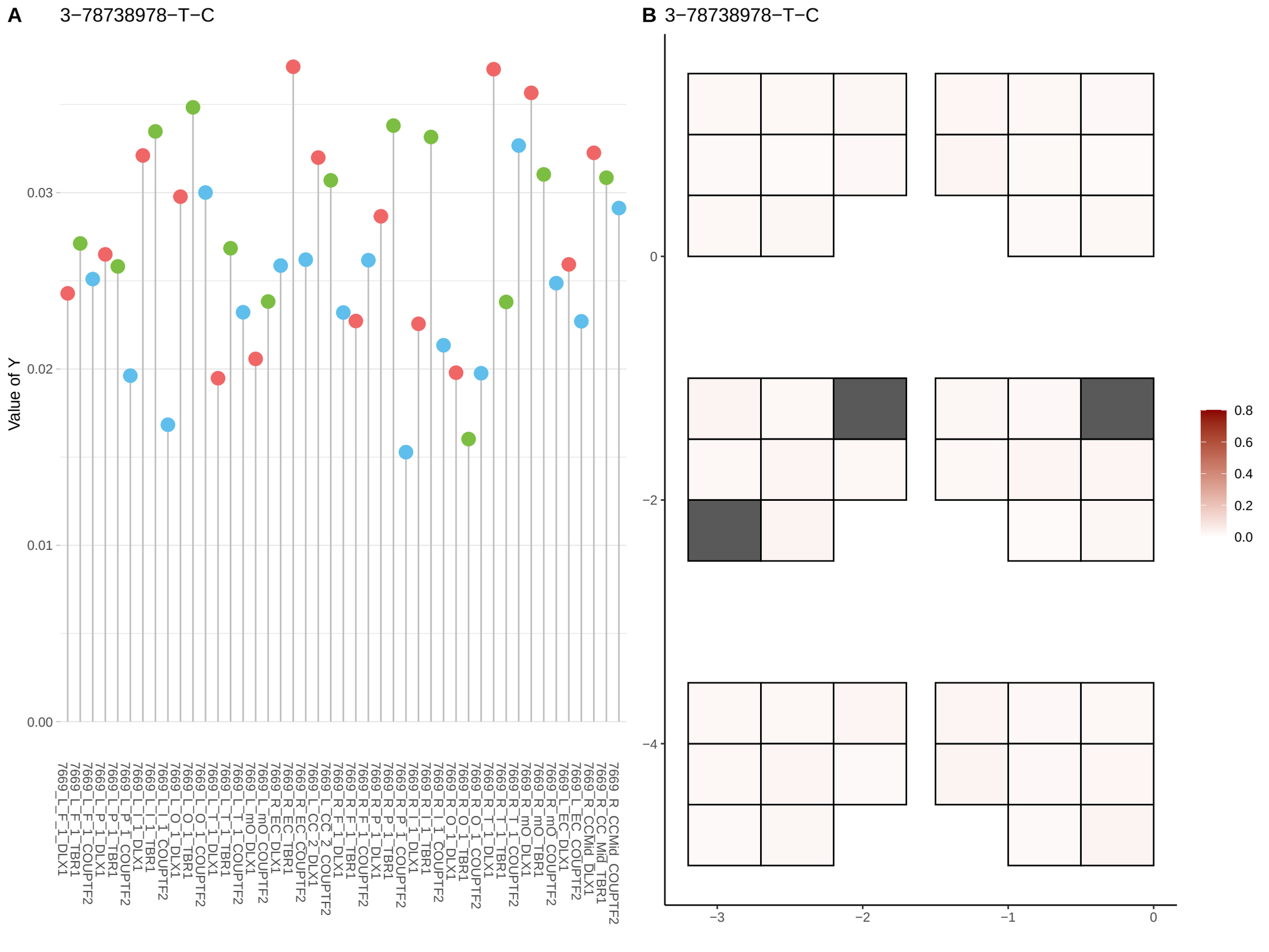
A
3−78738978−T−C
Value of Y
0.03
0.02
0.01
0.00
7669_L_F_1_DLX1
7669_L_F_1_TBR1
7669_L_F_1_COUPTF2
7669_L_P_1_DLX1
7669_L_P_1_TBR1
7669_L_P_1_COUPTF2
7669_L_I_1_DLX1
7669_L_I_1_TBR1
7669_L_I_1_COUPTF2
7669_L_O_1_DLX1
7669_L_O_1_TBR1
7669_L_O_1_COUPTF2
7669_L_T_1_DLX1
7669_L_T_1_TBR1
7669_L_T_1_COUPTF2
7669_L_mO_DLX1
7669_L_mO_COUPTF2
7669_R_EC_DLX1
7669_R_EC_TBR1
7669_R_EC_COUPTF2
7669_L_CC_2_DLX1
7669_L_CC_2_COUPTF2
7669_R_F_1_DLX1
7669_R_F_1_TBR1
7669_R_F_1_COUPTF2
7669_R_P_1_DLX1
7669_R_P_1_TBR1
7669_R_P_1_COUPTF2
7669_R_I_1_DLX1
7669_R_I_1_TBR1
7669_R_I_1_COUPTF2
7669_R_O_1_DLX1
7669_R_O_1_TBR1
7669_R_O_1_COUPTF2
7669_R_T_1_DLX1
7669_R_T_1_TBR1
7669_R_T_1_COUPTF2
7669_R_mO_DLX1
7669_R_mO_TBR1
7669_R_mO_COUPTF2
7669_L_EC_DLX1
7669_L_EC_COUPTF2
7669_R_CCMid_DLX1
7669_R_CC_Mid_TBR1
7669_R_CCMid_COUPTF2
B
3−78738978−T−C
0
−2
−4
−3
−2
−1
0
0.8
0.6
0.4
0.2
0.0

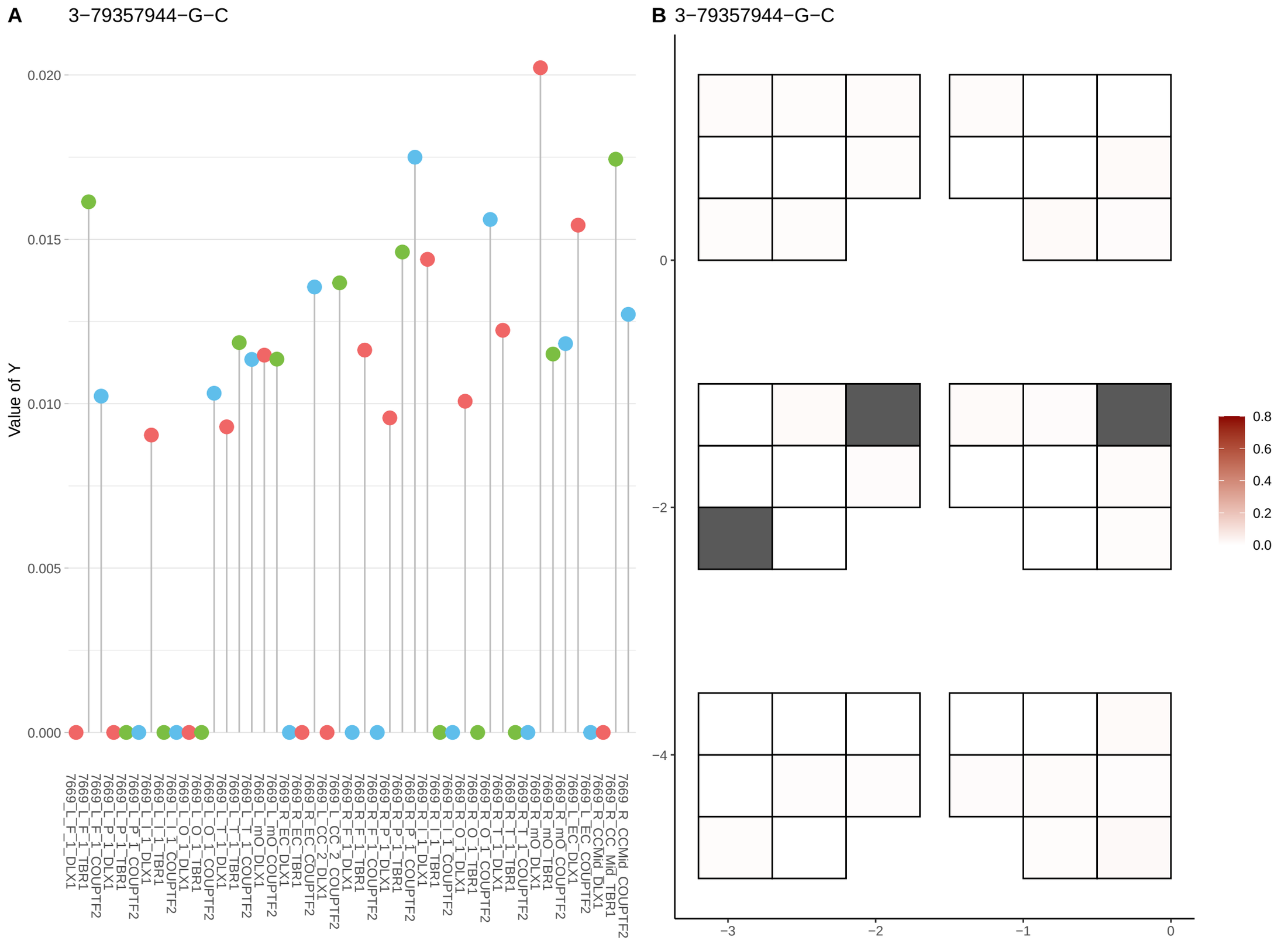
A
3−79357944−G−C
Value of Y
0.020
0.015
0.010
0.005
0.000
7669_L_F_1_DLX1
7669_L_F_1_TBR1
7669_L_F_1_COUPTF2
7669_L_P_1_DLX1
7669_L_P_1_TBR1
7669_L_P_1_COUPTF2
7669_L_I_1_DLX1
7669_L_I_1_TBR1
7669_L_I_1_COUPTF2
7669_L_O_1_DLX1
7669_L_O_1_TBR1
7669_L_O_1_COUPTF2
7669_L_T_1_DLX1
7669_L_T_1_TBR1
7669_L_T_1_COUPTF2
7669_L_mO_DLX1
7669_L_mO_COUPTF2
7669_R_EC_DLX1
7669_R_EC_TBR1
7669_R_EC_COUPTF2
7669_L_CC_2_DLX1
7669_L_CC_2_COUPTF2
7669_R_F_1_DLX1
7669_R_F_1_TBR1
7669_R_F_1_COUPTF2
7669_R_P_1_DLX1
7669_R_P_1_TBR1
7669_R_P_1_COUPTF2
7669_R_I_1_DLX1
7669_R_I_1_TBR1
7669_R_I_1_COUPTF2
7669_R_O_1_DLX1
7669_R_O_1_TBR1
7669_R_O_1_COUPTF2
7669_R_T_1_DLX1
7669_R_T_1_TBR1
7669_R_T_1_COUPTF2
7669_R_mO_DLX1
7669_R_mO_TBR1
7669_R_mO_COUPTF2
7669_L_EC_DLX1
7669_L_EC_COUPTF2
7669_R_CCMid_DLX1
7669_R_CC_Mid_TBR1
7669_R_CCMid_COUPTF2
B
3−79357944−G−C
0
−2
−4
−3
−2
−1
0
0.8
0.6
0.4
0.2
0.0

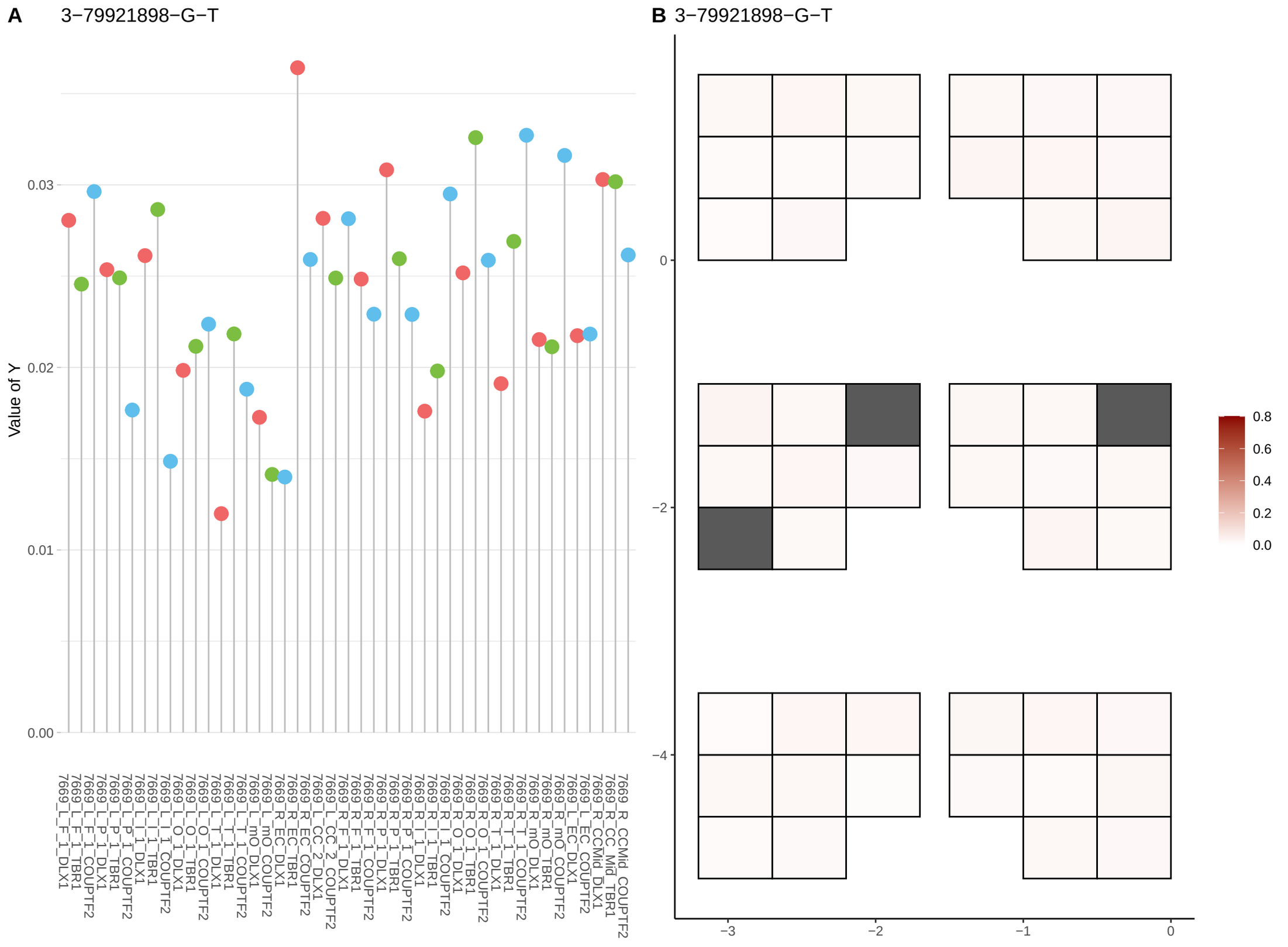
A
3−79921898−G−T
Value of Y
0.03
0.02
0.01
0.00
7669_L_F_1_DLX1
7669_L_F_1_TBR1
7669_L_F_1_COUPTF2
7669_L_P_1_DLX1
7669_L_P_1_TBR1
7669_L_P_1_COUPTF2
7669_L_I_1_DLX1
7669_L_I_1_TBR1
7669_L_I_1_COUPTF2
7669_L_O_1_DLX1
7669_L_O_1_TBR1
7669_L_O_1_COUPTF2
7669_L_T_1_DLX1
7669_L_T_1_TBR1
7669_L_T_1_COUPTF2
7669_L_mO_DLX1
7669_L_mO_COUPTF2
7669_R_EC_DLX1
7669_R_EC_TBR1
7669_R_EC_COUPTF2
7669_L_CC_2_DLX1
7669_L_CC_2_COUPTF2
7669_R_F_1_DLX1
7669_R_F_1_TBR1
7669_R_F_1_COUPTF2
7669_R_P_1_DLX1
7669_R_P_1_TBR1
7669_R_P_1_COUPTF2
7669_R_I_1_DLX1
7669_R_I_1_TBR1
7669_R_I_1_COUPTF2
7669_R_O_1_DLX1
7669_R_O_1_TBR1
7669_R_O_1_COUPTF2
7669_R_T_1_DLX1
7669_R_T_1_TBR1
7669_R_T_1_COUPTF2
7669_R_mO_DLX1
7669_R_mO_TBR1
7669_R_mO_COUPTF2
7669_L_EC_DLX1
7669_L_EC_COUPTF2
7669_R_CCMid_DLX1
7669_R_CC_Mid_TBR1
7669_R_CCMid_COUPTF2
B
3−79921898−G−T
0
−2
−4
−3
−2
−1
0
0.8
0.6
0.4
0.2
0.0

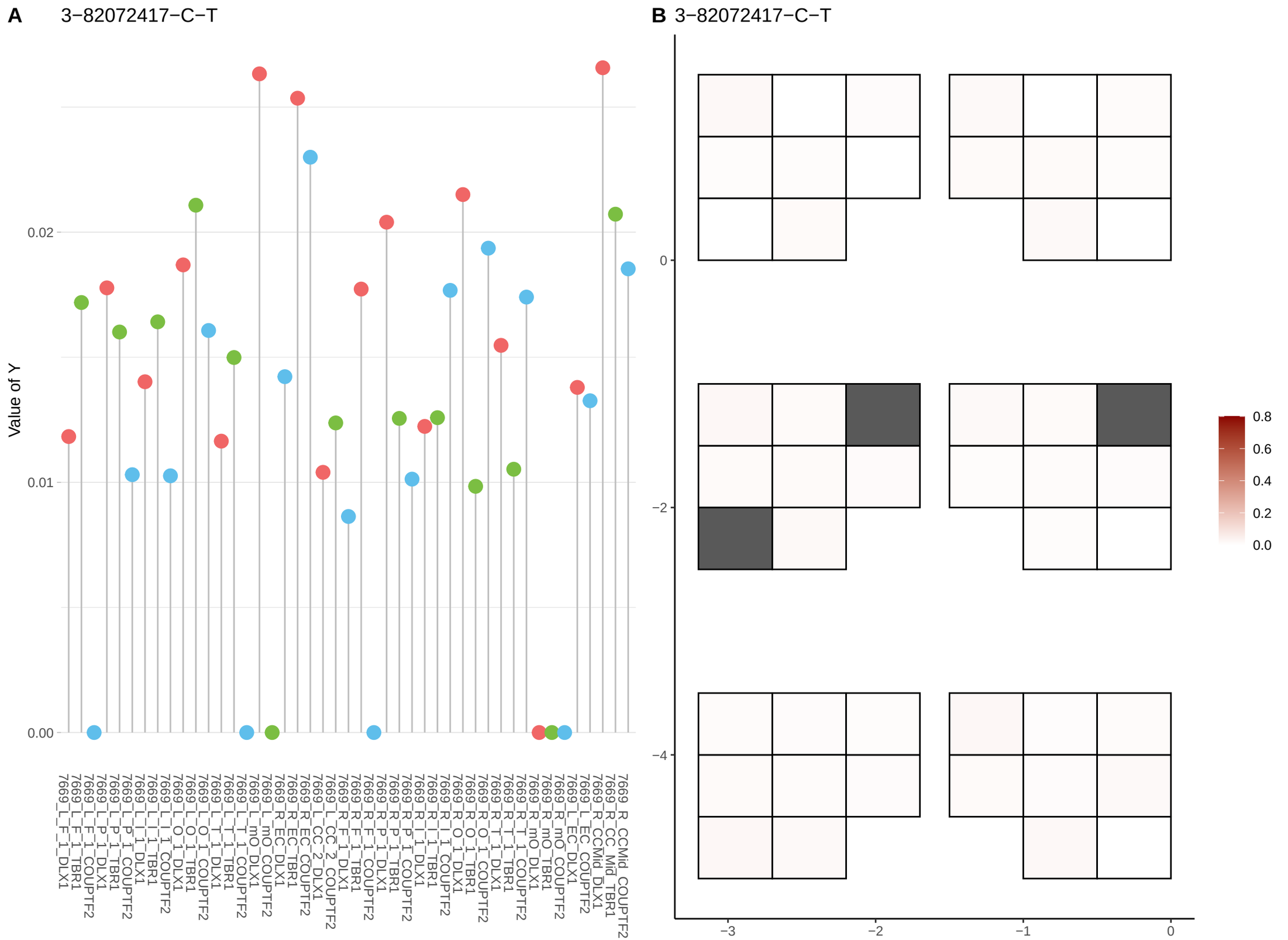
A
3−82072417−C−T
Value of Y
0.02
0.01
0.00
7669_L_F_1_DLX1
7669_L_F_1_TBR1
7669_L_F_1_COUPTF2
7669_L_P_1_DLX1
7669_L_P_1_TBR1
7669_L_P_1_COUPTF2
7669_L_I_1_DLX1
7669_L_I_1_TBR1
7669_L_I_1_COUPTF2
7669_L_O_1_DLX1
7669_L_O_1_TBR1
7669_L_O_1_COUPTF2
7669_L_T_1_DLX1
7669_L_T_1_TBR1
7669_L_T_1_COUPTF2
7669_L_mO_DLX1
7669_L_mO_COUPTF2
7669_R_EC_DLX1
7669_R_EC_TBR1
7669_R_EC_COUPTF2
7669_L_CC_2_DLX1
7669_L_CC_2_COUPTF2
7669_R_F_1_DLX1
7669_R_F_1_TBR1
7669_R_F_1_COUPTF2
7669_R_P_1_DLX1
7669_R_P_1_TBR1
7669_R_P_1_COUPTF2
7669_R_I_1_DLX1
7669_R_I_1_TBR1
7669_R_I_1_COUPTF2
7669_R_O_1_DLX1
7669_R_O_1_TBR1
7669_R_O_1_COUPTF2
7669_R_T_1_DLX1
7669_R_T_1_TBR1
7669_R_T_1_COUPTF2
7669_R_mO_DLX1
7669_R_mO_TBR1
7669_R_mO_COUPTF2
7669_L_EC_DLX1
7669_L_EC_COUPTF2
7669_R_CCMid_DLX1
7669_R_CC_Mid_TBR1
7669_R_CCMid_COUPTF2
B
3−82072417−C−T
0
−2
−4
−3
−2
−1
0
0.8
0.6
0.4
0.2
0.0

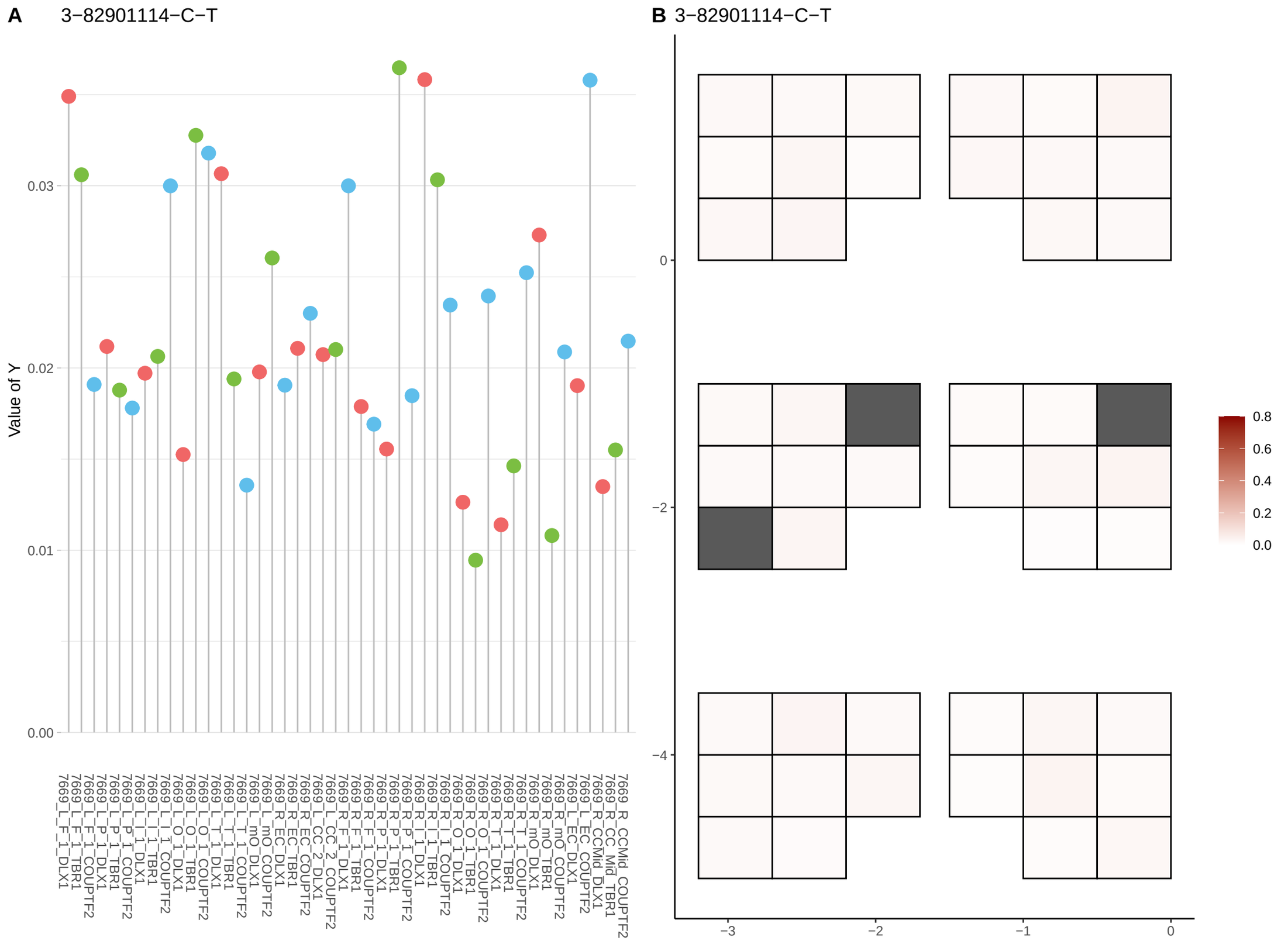
A
3−82901114−C−T
Value of Y
0.03
0.02
0.01
0.00
7669_L_F_1_DLX1
7669_L_F_1_TBR1
7669_L_F_1_COUPTF2
7669_L_P_1_DLX1
7669_L_P_1_TBR1
7669_L_P_1_COUPTF2
7669_L_I_1_DLX1
7669_L_I_1_TBR1
7669_L_I_1_COUPTF2
7669_L_O_1_DLX1
7669_L_O_1_TBR1
7669_L_O_1_COUPTF2
7669_L_T_1_DLX1
7669_L_T_1_TBR1
7669_L_T_1_COUPTF2
7669_L_mO_DLX1
7669_L_mO_COUPTF2
7669_R_EC_DLX1
7669_R_EC_TBR1
7669_R_EC_COUPTF2
7669_L_CC_2_DLX1
7669_L_CC_2_COUPTF2
7669_R_F_1_DLX1
7669_R_F_1_TBR1
7669_R_F_1_COUPTF2
7669_R_P_1_DLX1
7669_R_P_1_TBR1
7669_R_P_1_COUPTF2
7669_R_I_1_DLX1
7669_R_I_1_TBR1
7669_R_I_1_COUPTF2
7669_R_O_1_DLX1
7669_R_O_1_TBR1
7669_R_O_1_COUPTF2
7669_R_T_1_DLX1
7669_R_T_1_TBR1
7669_R_T_1_COUPTF2
7669_R_mO_DLX1
7669_R_mO_TBR1
7669_R_mO_COUPTF2
7669_L_EC_DLX1
7669_L_EC_COUPTF2
7669_R_CCMid_DLX1
7669_R_CC_Mid_TBR1
7669_R_CCMid_COUPTF2
B
3−82901114−C−T
0
−2
−4
−3
−2
−1
0
0.8
0.6
0.4
0.2
0.0

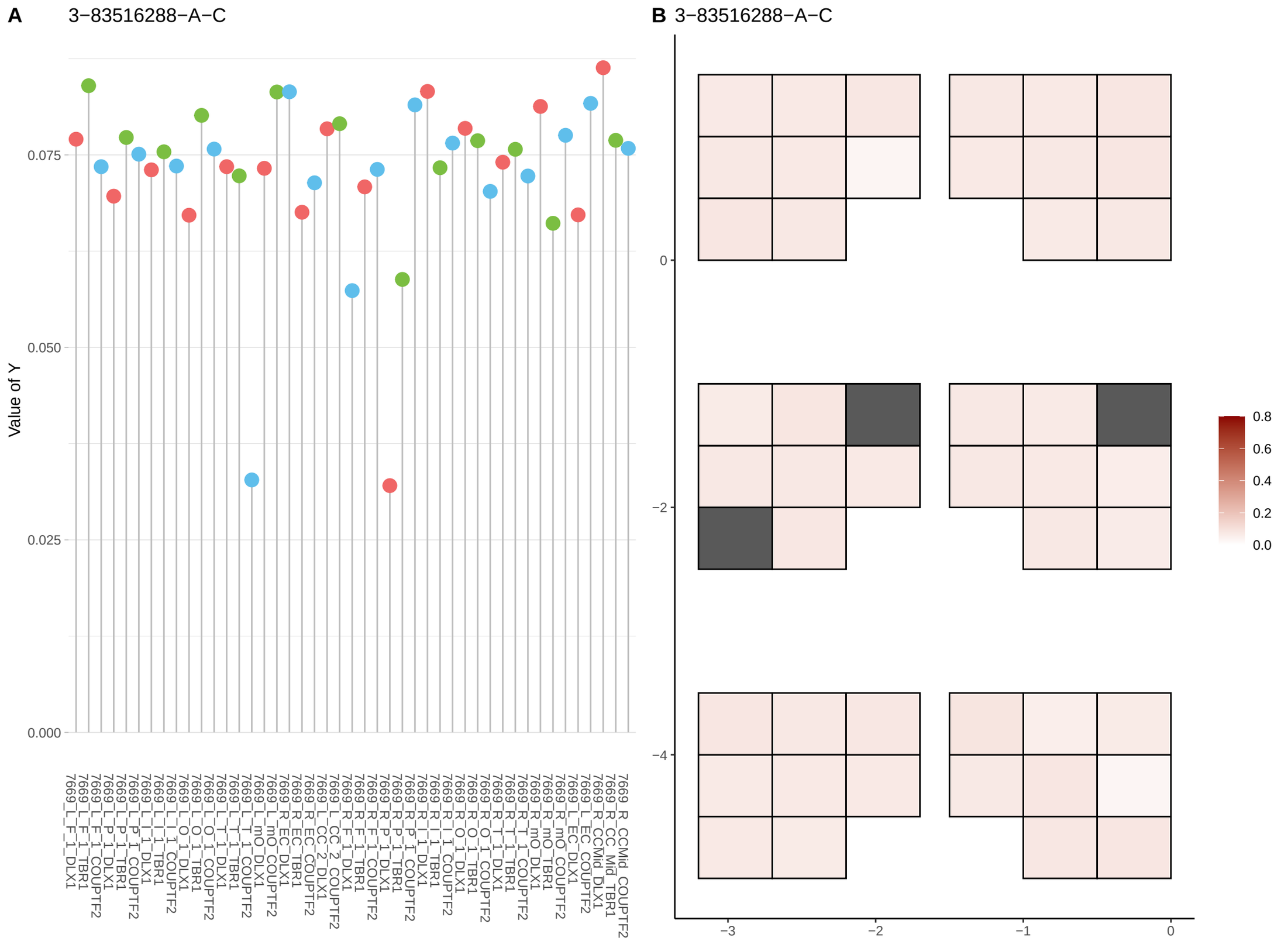
A
3−83516288−A−C
Value of Y
0.075
0.050
0.025
0.000
7669_L_F_1_DLX1
7669_L_F_1_TBR1
7669_L_F_1_COUPTF2
7669_L_P_1_DLX1
7669_L_P_1_TBR1
7669_L_P_1_COUPTF2
7669_L_I_1_DLX1
7669_L_I_1_TBR1
7669_L_I_1_COUPTF2
7669_L_O_1_DLX1
7669_L_O_1_TBR1
7669_L_O_1_COUPTF2
7669_L_T_1_DLX1
7669_L_T_1_TBR1
7669_L_T_1_COUPTF2
7669_L_mO_DLX1
7669_L_mO_COUPTF2
7669_R_EC_DLX1
7669_R_EC_TBR1
7669_R_EC_COUPTF2
7669_L_CC_2_DLX1
7669_L_CC_2_COUPTF2
7669_R_F_1_DLX1
7669_R_F_1_TBR1
7669_R_F_1_COUPTF2
7669_R_P_1_DLX1
7669_R_P_1_TBR1
7669_R_P_1_COUPTF2
7669_R_I_1_DLX1
7669_R_I_1_TBR1
7669_R_I_1_COUPTF2
7669_R_O_1_DLX1
7669_R_O_1_TBR1
7669_R_O_1_COUPTF2
7669_R_T_1_DLX1
7669_R_T_1_TBR1
7669_R_T_1_COUPTF2
7669_R_mO_DLX1
7669_R_mO_TBR1
7669_R_mO_COUPTF2
7669_L_EC_DLX1
7669_L_EC_COUPTF2
7669_R_CCMid_DLX1
7669_R_CC_Mid_TBR1
7669_R_CCMid_COUPTF2
B
3−83516288−A−C
0
−2
−4
−3
−2
−1
0
0.8
0.6
0.4
0.2
0.0

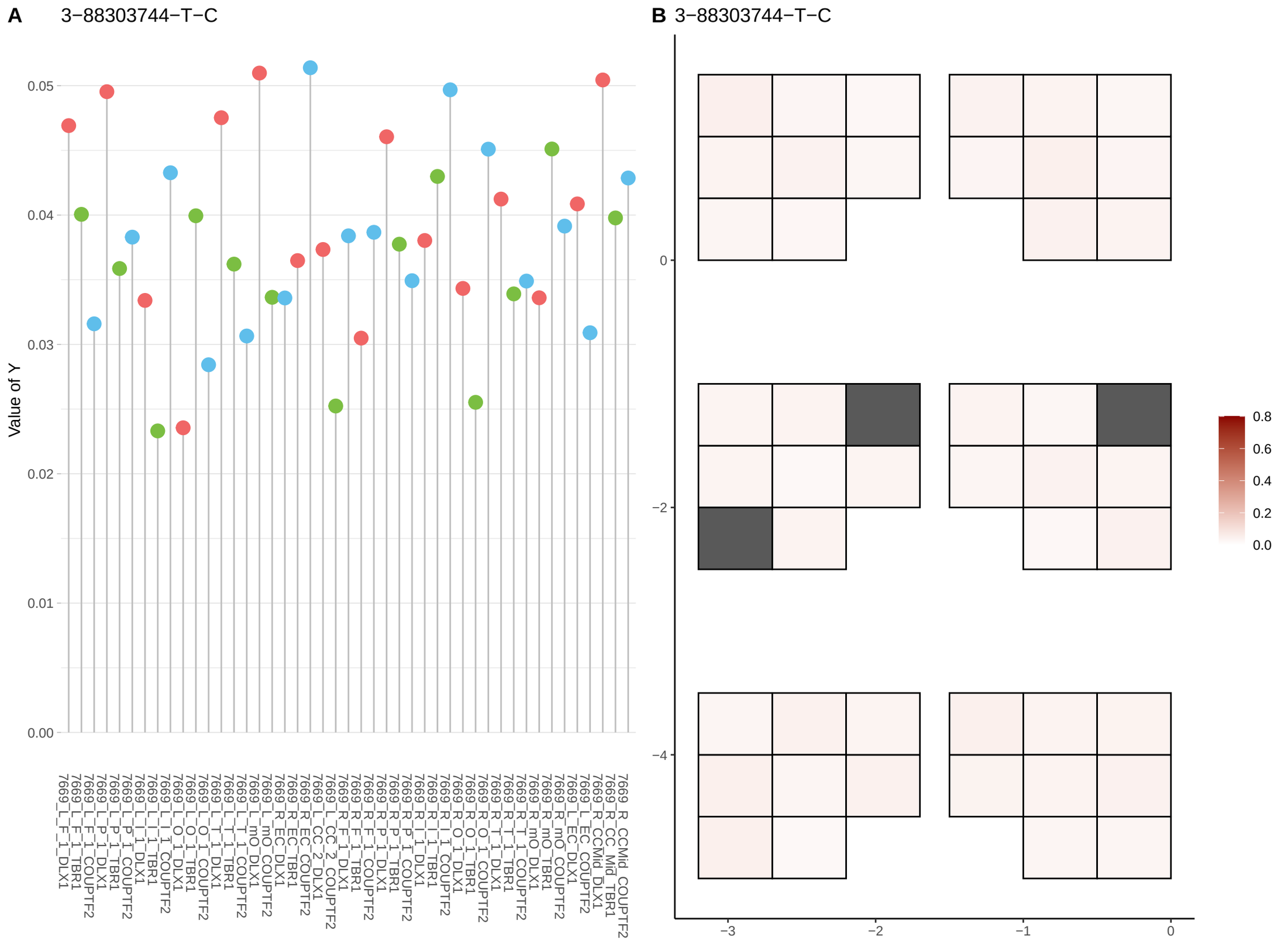
A
3−88303744−T−C
Value of Y
0.05
0.04
0.03
0.02
0.01
0.00
7669_L_F_1_DLX1
7669_L_F_1_TBR1
7669_L_F_1_COUPTF2
7669_L_P_1_DLX1
7669_L_P_1_TBR1
7669_L_P_1_COUPTF2
7669_L_I_1_DLX1
7669_L_I_1_TBR1
7669_L_I_1_COUPTF2
7669_L_O_1_DLX1
7669_L_O_1_TBR1
7669_L_O_1_COUPTF2
7669_L_T_1_DLX1
7669_L_T_1_TBR1
7669_L_T_1_COUPTF2
7669_L_mO_DLX1
7669_L_mO_COUPTF2
7669_R_EC_DLX1
7669_R_EC_TBR1
7669_R_EC_COUPTF2
7669_L_CC_2_DLX1
7669_L_CC_2_COUPTF2
7669_R_F_1_DLX1
7669_R_F_1_TBR1
7669_R_F_1_COUPTF2
7669_R_P_1_DLX1
7669_R_P_1_TBR1
7669_R_P_1_COUPTF2
7669_R_I_1_DLX1
7669_R_I_1_TBR1
7669_R_I_1_COUPTF2
7669_R_O_1_DLX1
7669_R_O_1_TBR1
7669_R_O_1_COUPTF2
7669_R_T_1_DLX1
7669_R_T_1_TBR1
7669_R_T_1_COUPTF2
7669_R_mO_DLX1
7669_R_mO_TBR1
7669_R_mO_COUPTF2
7669_L_EC_DLX1
7669_L_EC_COUPTF2
7669_R_CCMid_DLX1
7669_R_CC_Mid_TBR1
7669_R_CCMid_COUPTF2
B
3−88303744−T−C
0
−2
−4
−3
−2
−1
0
0.8
0.6
0.4
0.2
0.0

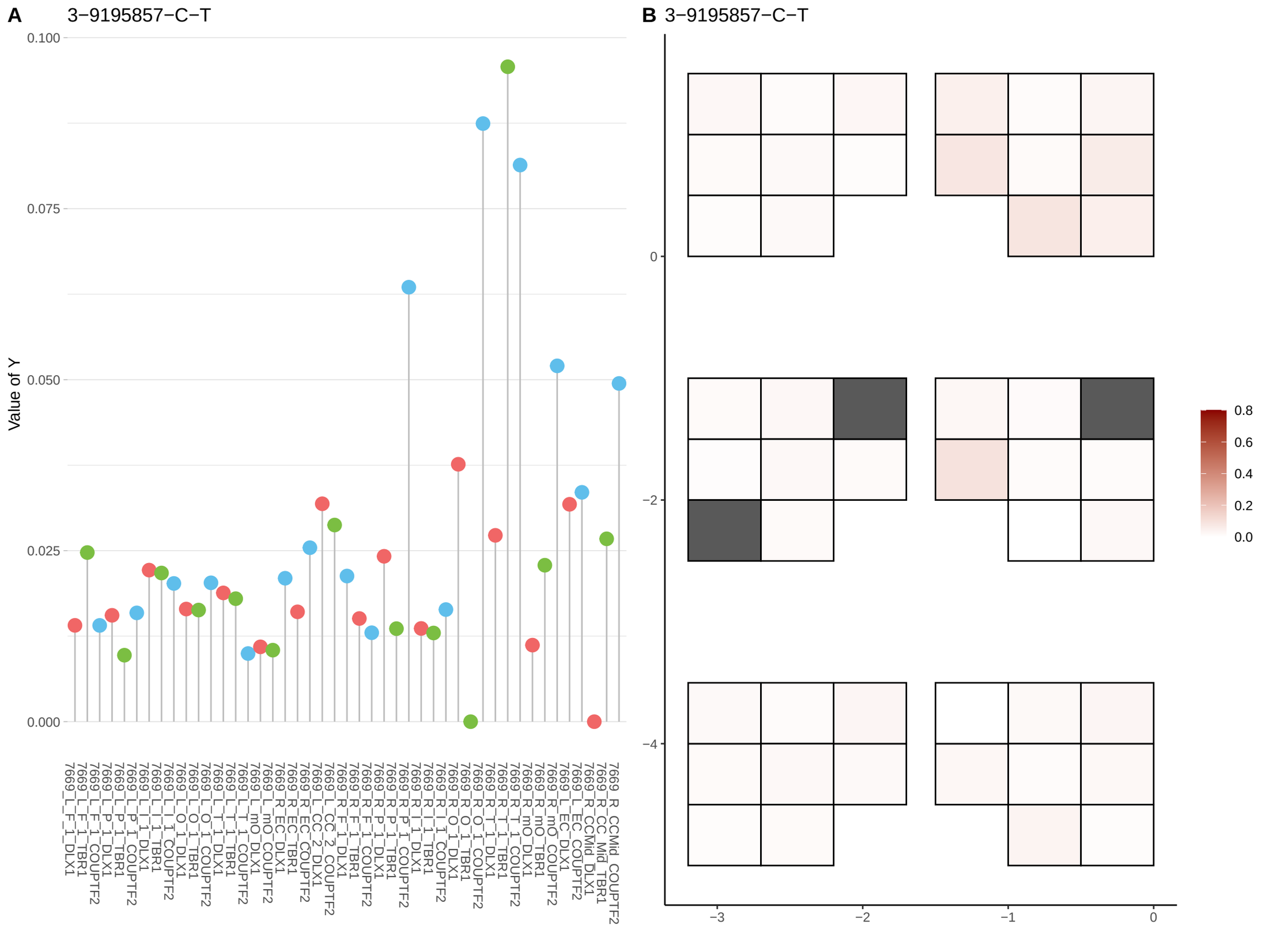
A
3−9195857−C−T
Value of Y
0.100
0.075
0.050
0.025
0.000
7669_L_F_1_DLX1
7669_L_F_1_TBR1
7669_L_F_1_COUPTF2
7669_L_P_1_DLX1
7669_L_P_1_TBR1
7669_L_P_1_COUPTF2
7669_L_I_1_DLX1
7669_L_I_1_TBR1
7669_L_I_1_COUPTF2
7669_L_O_1_DLX1
7669_L_O_1_TBR1
7669_L_O_1_COUPTF2
7669_L_T_1_DLX1
7669_L_T_1_TBR1
7669_L_T_1_COUPTF2
7669_L_mO_DLX1
7669_L_mO_COUPTF2
7669_R_EC_DLX1
7669_R_EC_TBR1
7669_R_EC_COUPTF2
7669_L_CC_2_DLX1
7669_L_CC_2_COUPTF2
7669_R_F_1_DLX1
7669_R_F_1_TBR1
7669_R_F_1_COUPTF2
7669_R_P_1_DLX1
7669_R_P_1_TBR1
7669_R_P_1_COUPTF2
7669_R_I_1_DLX1
7669_R_I_1_TBR1
7669_R_I_1_COUPTF2
7669_R_O_1_DLX1
7669_R_O_1_TBR1
7669_R_O_1_COUPTF2
7669_R_T_1_DLX1
7669_R_T_1_TBR1
7669_R_T_1_COUPTF2
7669_R_mO_DLX1
7669_R_mO_TBR1
7669_R_mO_COUPTF2
7669_L_EC_DLX1
7669_L_EC_COUPTF2
7669_R_CCMid_DLX1
7669_R_CC_Mid_TBR1
7669_R_CCMid_COUPTF2
B
3−9195857−C−T
0
−2
−4
−3
−2
−1
0
0.8
0.6
0.4
0.2
0.0

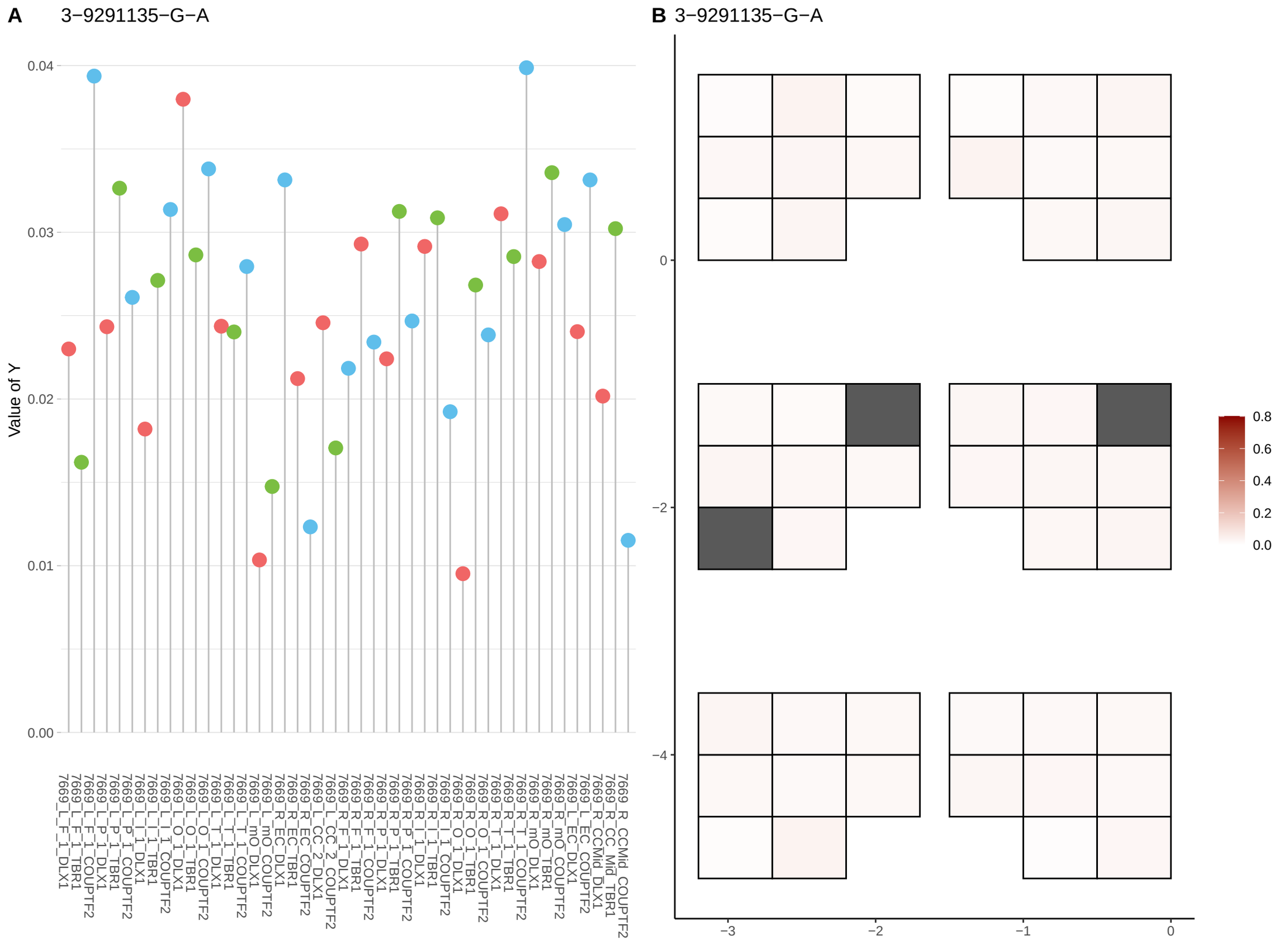
A
3−9291135−G−A
Value of Y
0.04
0.03
0.02
0.01
0.00
7669_L_F_1_DLX1
7669_L_F_1_TBR1
7669_L_F_1_COUPTF2
7669_L_P_1_DLX1
7669_L_P_1_TBR1
7669_L_P_1_COUPTF2
7669_L_I_1_DLX1
7669_L_I_1_TBR1
7669_L_I_1_COUPTF2
7669_L_O_1_DLX1
7669_L_O_1_TBR1
7669_L_O_1_COUPTF2
7669_L_T_1_DLX1
7669_L_T_1_TBR1
7669_L_T_1_COUPTF2
7669_L_mO_DLX1
7669_L_mO_COUPTF2
7669_R_EC_DLX1
7669_R_EC_TBR1
7669_R_EC_COUPTF2
7669_L_CC_2_DLX1
7669_L_CC_2_COUPTF2
7669_R_F_1_DLX1
7669_R_F_1_TBR1
7669_R_F_1_COUPTF2
7669_R_P_1_DLX1
7669_R_P_1_TBR1
7669_R_P_1_COUPTF2
7669_R_I_1_DLX1
7669_R_I_1_TBR1
7669_R_I_1_COUPTF2
7669_R_O_1_DLX1
7669_R_O_1_TBR1
7669_R_O_1_COUPTF2
7669_R_T_1_DLX1
7669_R_T_1_TBR1
7669_R_T_1_COUPTF2
7669_R_mO_DLX1
7669_R_mO_TBR1
7669_R_mO_COUPTF2
7669_L_EC_DLX1
7669_L_EC_COUPTF2
7669_R_CCMid_DLX1
7669_R_CC_Mid_TBR1
7669_R_CCMid_COUPTF2
B
3−9291135−G−A
0
−2
−4
−3
−2
−1
0
0.8
0.6
0.4
0.2
0.0

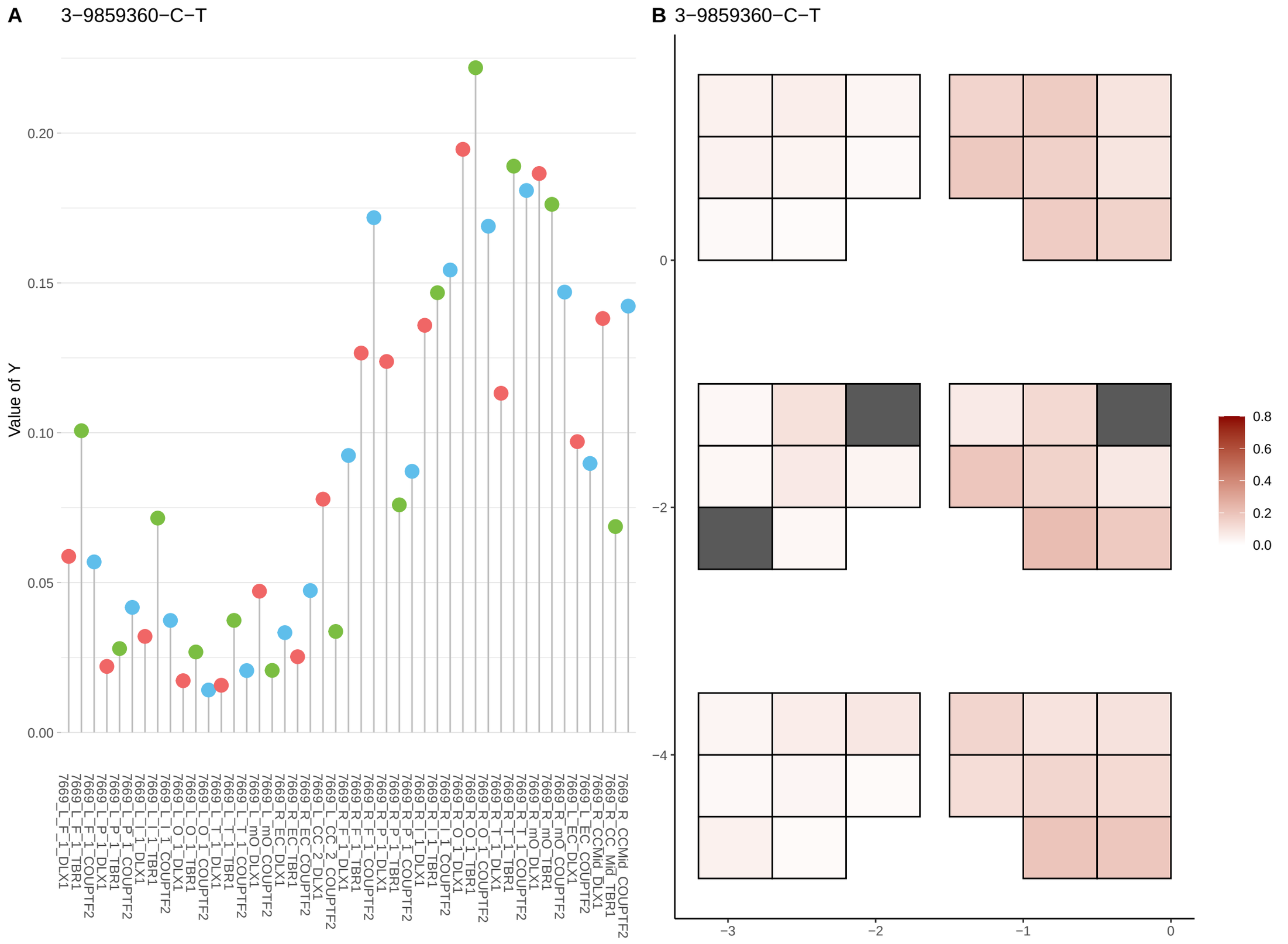
A
3−9859360−C−T
Value of Y
0.20
0.15
0.10
0.05
0.00
7669_L_F_1_DLX1
7669_L_F_1_TBR1
7669_L_F_1_COUPTF2
7669_L_P_1_DLX1
7669_L_P_1_TBR1
7669_L_P_1_COUPTF2
7669_L_I_1_DLX1
7669_L_I_1_TBR1
7669_L_I_1_COUPTF2
7669_L_O_1_DLX1
7669_L_O_1_TBR1
7669_L_O_1_COUPTF2
7669_L_T_1_DLX1
7669_L_T_1_TBR1
7669_L_T_1_COUPTF2
7669_L_mO_DLX1
7669_L_mO_COUPTF2
7669_R_EC_DLX1
7669_R_EC_TBR1
7669_R_EC_COUPTF2
7669_L_CC_2_DLX1
7669_L_CC_2_COUPTF2
7669_R_F_1_DLX1
7669_R_F_1_TBR1
7669_R_F_1_COUPTF2
7669_R_P_1_DLX1
7669_R_P_1_TBR1
7669_R_P_1_COUPTF2
7669_R_I_1_DLX1
7669_R_I_1_TBR1
7669_R_I_1_COUPTF2
7669_R_O_1_DLX1
7669_R_O_1_TBR1
7669_R_O_1_COUPTF2
7669_R_T_1_DLX1
7669_R_T_1_TBR1
7669_R_T_1_COUPTF2
7669_R_mO_DLX1
7669_R_mO_TBR1
7669_R_mO_COUPTF2
7669_L_EC_DLX1
7669_L_EC_COUPTF2
7669_R_CCMid_DLX1
7669_R_CC_Mid_TBR1
7669_R_CCMid_COUPTF2
B
3−9859360−C−T
0
−2
−4
−3
−2
−1
0
0.8
0.6
0.4
0.2
0.0

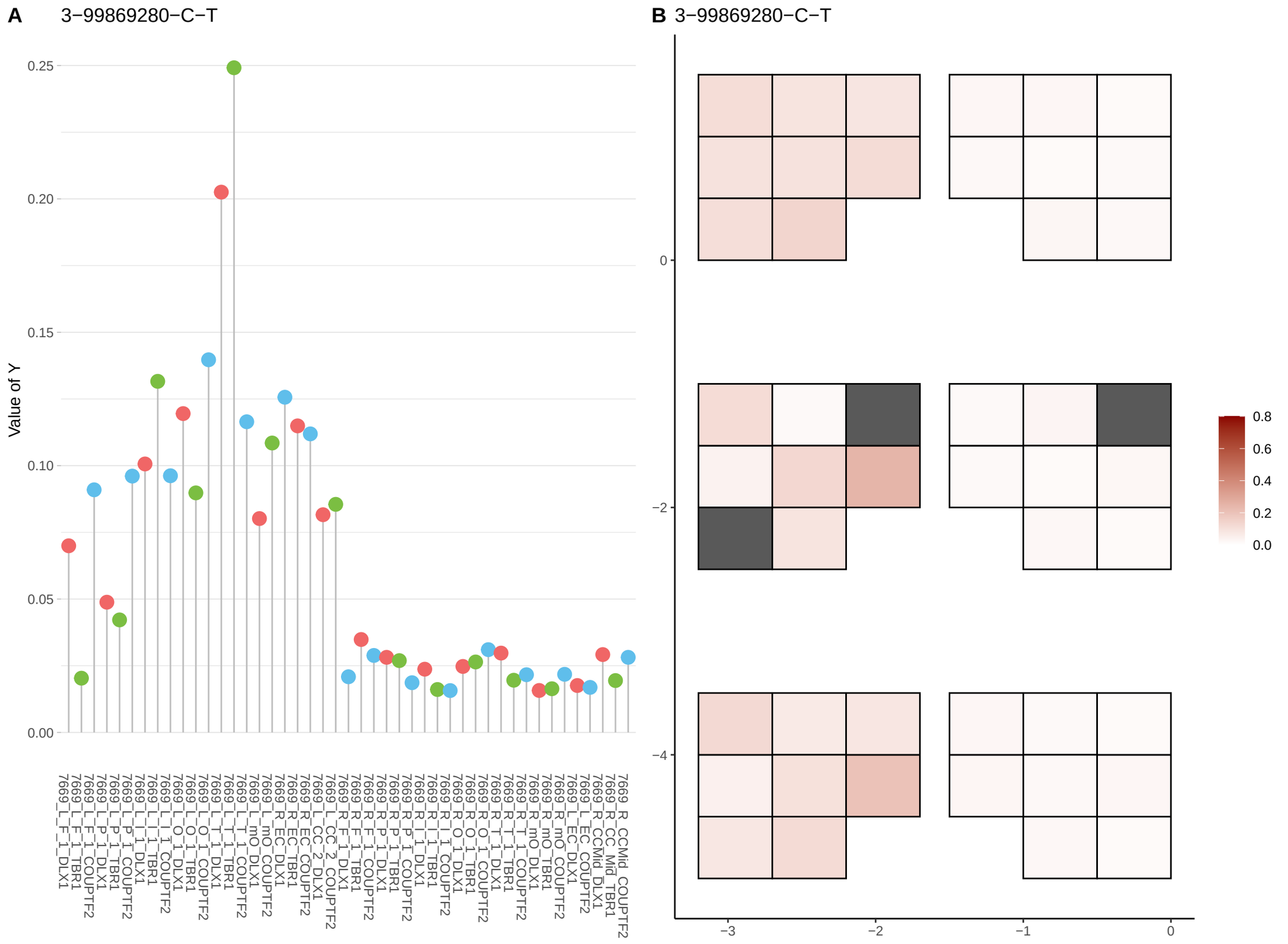
A
3−99869280−C−T
Value of Y
0.25
0.20
0.15
0.10
0.05
0.00
7669_L_F_1_DLX1
7669_L_F_1_TBR1
7669_L_F_1_COUPTF2
7669_L_P_1_DLX1
7669_L_P_1_TBR1
7669_L_P_1_COUPTF2
7669_L_I_1_DLX1
7669_L_I_1_TBR1
7669_L_I_1_COUPTF2
7669_L_O_1_DLX1
7669_L_O_1_TBR1
7669_L_O_1_COUPTF2
7669_L_T_1_DLX1
7669_L_T_1_TBR1
7669_L_T_1_COUPTF2
7669_L_mO_DLX1
7669_L_mO_COUPTF2
7669_R_EC_DLX1
7669_R_EC_TBR1
7669_R_EC_COUPTF2
7669_L_CC_2_DLX1
7669_L_CC_2_COUPTF2
7669_R_F_1_DLX1
7669_R_F_1_TBR1
7669_R_F_1_COUPTF2
7669_R_P_1_DLX1
7669_R_P_1_TBR1
7669_R_P_1_COUPTF2
7669_R_I_1_DLX1
7669_R_I_1_TBR1
7669_R_I_1_COUPTF2
7669_R_O_1_DLX1
7669_R_O_1_TBR1
7669_R_O_1_COUPTF2
7669_R_T_1_DLX1
7669_R_T_1_TBR1
7669_R_T_1_COUPTF2
7669_R_mO_DLX1
7669_R_mO_TBR1
7669_R_mO_COUPTF2
7669_L_EC_DLX1
7669_L_EC_COUPTF2
7669_R_CCMid_DLX1
7669_R_CC_Mid_TBR1
7669_R_CCMid_COUPTF2
B
3−99869280−C−T
0
−2
−4
−3
−2
−1
0
0.8
0.6
0.4
0.2
0.0

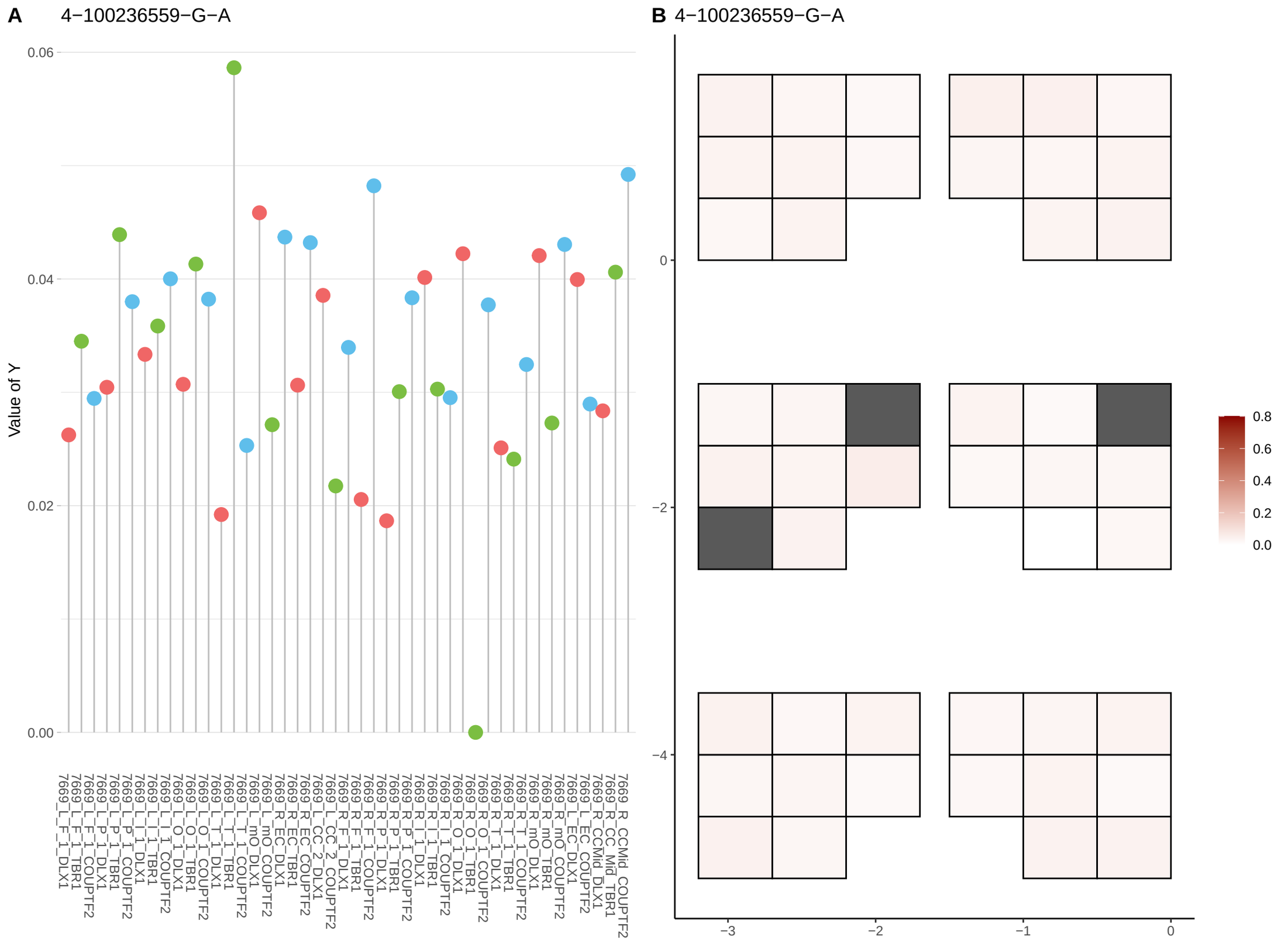
A
4−100236559−G−A
Value of Y
0.06
0.04
0.02
0.00
7669_L_F_1_DLX1
7669_L_F_1_TBR1
7669_L_F_1_COUPTF2
7669_L_P_1_DLX1
7669_L_P_1_TBR1
7669_L_P_1_COUPTF2
7669_L_I_1_DLX1
7669_L_I_1_TBR1
7669_L_I_1_COUPTF2
7669_L_O_1_DLX1
7669_L_O_1_TBR1
7669_L_O_1_COUPTF2
7669_L_T_1_DLX1
7669_L_T_1_TBR1
7669_L_T_1_COUPTF2
7669_L_mO_DLX1
7669_L_mO_COUPTF2
7669_R_EC_DLX1
7669_R_EC_TBR1
7669_R_EC_COUPTF2
7669_L_CC_2_DLX1
7669_L_CC_2_COUPTF2
7669_R_F_1_DLX1
7669_R_F_1_TBR1
7669_R_F_1_COUPTF2
7669_R_P_1_DLX1
7669_R_P_1_TBR1
7669_R_P_1_COUPTF2
7669_R_I_1_DLX1
7669_R_I_1_TBR1
7669_R_I_1_COUPTF2
7669_R_O_1_DLX1
7669_R_O_1_TBR1
7669_R_O_1_COUPTF2
7669_R_T_1_DLX1
7669_R_T_1_TBR1
7669_R_T_1_COUPTF2
7669_R_mO_DLX1
7669_R_mO_TBR1
7669_R_mO_COUPTF2
7669_L_EC_DLX1
7669_L_EC_COUPTF2
7669_R_CCMid_DLX1
7669_R_CC_Mid_TBR1
7669_R_CCMid_COUPTF2
B
4−100236559−G−A
0
−2
−4
−3
−2
−1
0
0.8
0.6
0.4
0.2
0.0

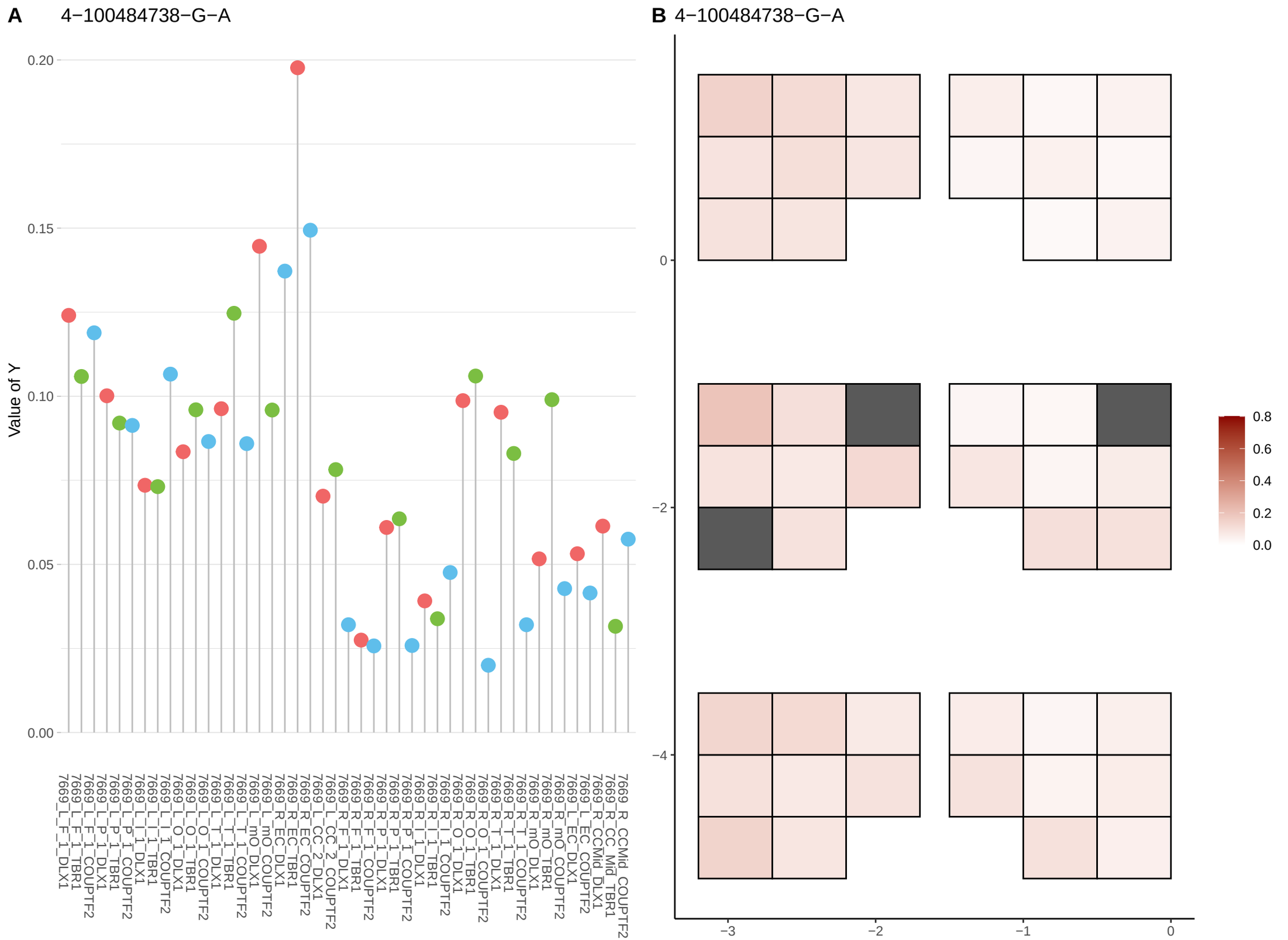
A
4−100484738−G−A
Value of Y
0.20
0.15
0.10
0.05
0.00
7669_L_F_1_DLX1
7669_L_F_1_TBR1
7669_L_F_1_COUPTF2
7669_L_P_1_DLX1
7669_L_P_1_TBR1
7669_L_P_1_COUPTF2
7669_L_I_1_DLX1
7669_L_I_1_TBR1
7669_L_I_1_COUPTF2
7669_L_O_1_DLX1
7669_L_O_1_TBR1
7669_L_O_1_COUPTF2
7669_L_T_1_DLX1
7669_L_T_1_TBR1
7669_L_T_1_COUPTF2
7669_L_mO_DLX1
7669_L_mO_COUPTF2
7669_R_EC_DLX1
7669_R_EC_TBR1
7669_R_EC_COUPTF2
7669_L_CC_2_DLX1
7669_L_CC_2_COUPTF2
7669_R_F_1_DLX1
7669_R_F_1_TBR1
7669_R_F_1_COUPTF2
7669_R_P_1_DLX1
7669_R_P_1_TBR1
7669_R_P_1_COUPTF2
7669_R_I_1_DLX1
7669_R_I_1_TBR1
7669_R_I_1_COUPTF2
7669_R_O_1_DLX1
7669_R_O_1_TBR1
7669_R_O_1_COUPTF2
7669_R_T_1_DLX1
7669_R_T_1_TBR1
7669_R_T_1_COUPTF2
7669_R_mO_DLX1
7669_R_mO_TBR1
7669_R_mO_COUPTF2
7669_L_EC_DLX1
7669_L_EC_COUPTF2
7669_R_CCMid_DLX1
7669_R_CC_Mid_TBR1
7669_R_CCMid_COUPTF2
B
4−100484738−G−A
0
−2
−4
−3
−2
−1
0
0.8
0.6
0.4
0.2
0.0

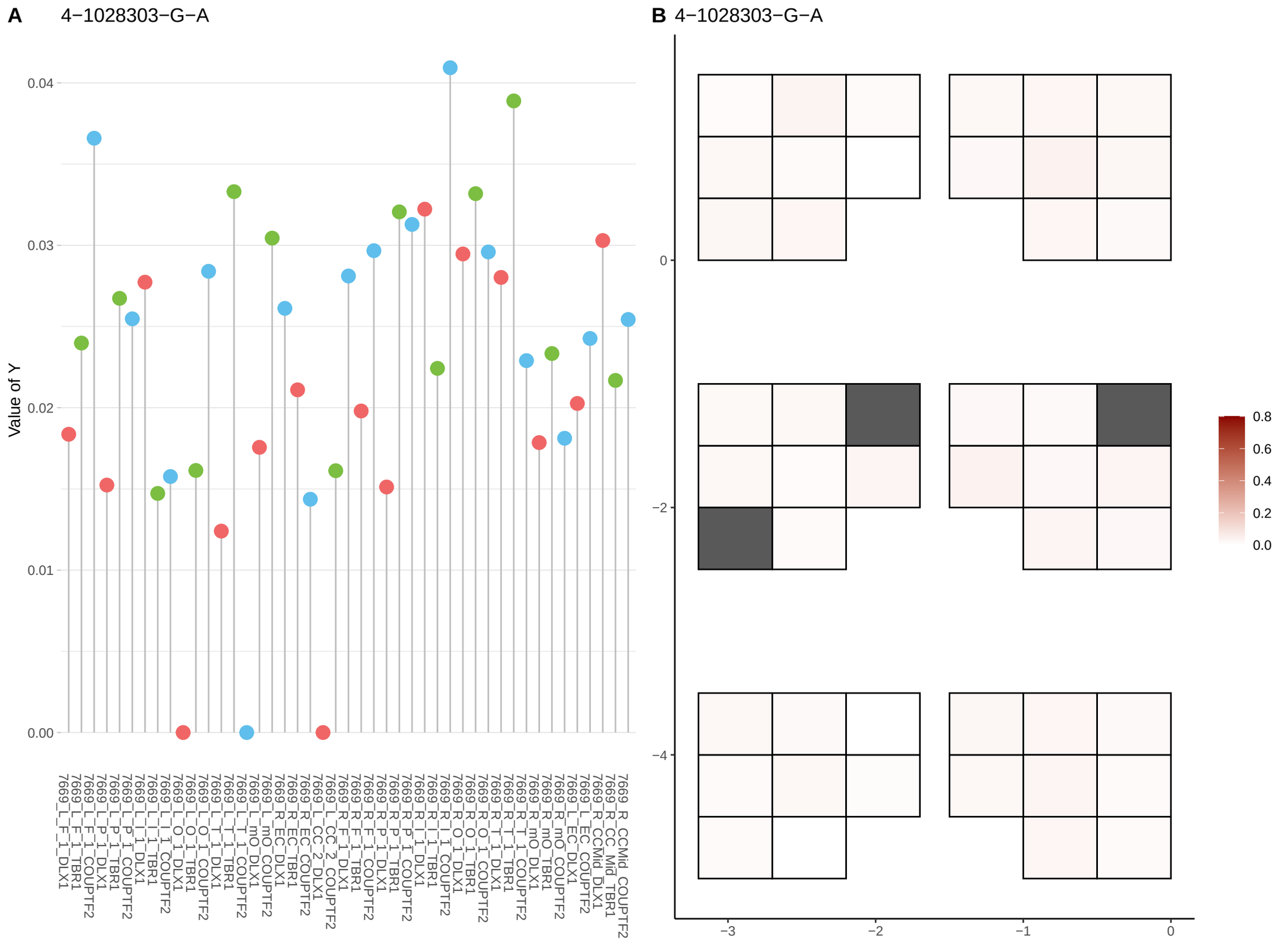
A
4−1028303−G−A
Value of Y
0.04
0.03
0.02
0.01
0.00
7669_L_F_1_DLX1
7669_L_F_1_TBR1
7669_L_F_1_COUPTF2
7669_L_P_1_DLX1
7669_L_P_1_TBR1
7669_L_P_1_COUPTF2
7669_L_I_1_DLX1
7669_L_I_1_TBR1
7669_L_I_1_COUPTF2
7669_L_O_1_DLX1
7669_L_O_1_TBR1
7669_L_O_1_COUPTF2
7669_L_T_1_DLX1
7669_L_T_1_TBR1
7669_L_T_1_COUPTF2
7669_L_mO_DLX1
7669_L_mO_COUPTF2
7669_R_EC_DLX1
7669_R_EC_TBR1
7669_R_EC_COUPTF2
7669_L_CC_2_DLX1
7669_L_CC_2_COUPTF2
7669_R_F_1_DLX1
7669_R_F_1_TBR1
7669_R_F_1_COUPTF2
7669_R_P_1_DLX1
7669_R_P_1_TBR1
7669_R_P_1_COUPTF2
7669_R_I_1_DLX1
7669_R_I_1_TBR1
7669_R_I_1_COUPTF2
7669_R_O_1_DLX1
7669_R_O_1_TBR1
7669_R_O_1_COUPTF2
7669_R_T_1_DLX1
7669_R_T_1_TBR1
7669_R_T_1_COUPTF2
7669_R_mO_DLX1
7669_R_mO_TBR1
7669_R_mO_COUPTF2
7669_L_EC_DLX1
7669_L_EC_COUPTF2
7669_R_CCMid_DLX1
7669_R_CC_Mid_TBR1
7669_R_CCMid_COUPTF2
B
4−1028303−G−A
0
−2
−4
−3
−2
−1
0
0.8
0.6
0.4
0.2
0.0

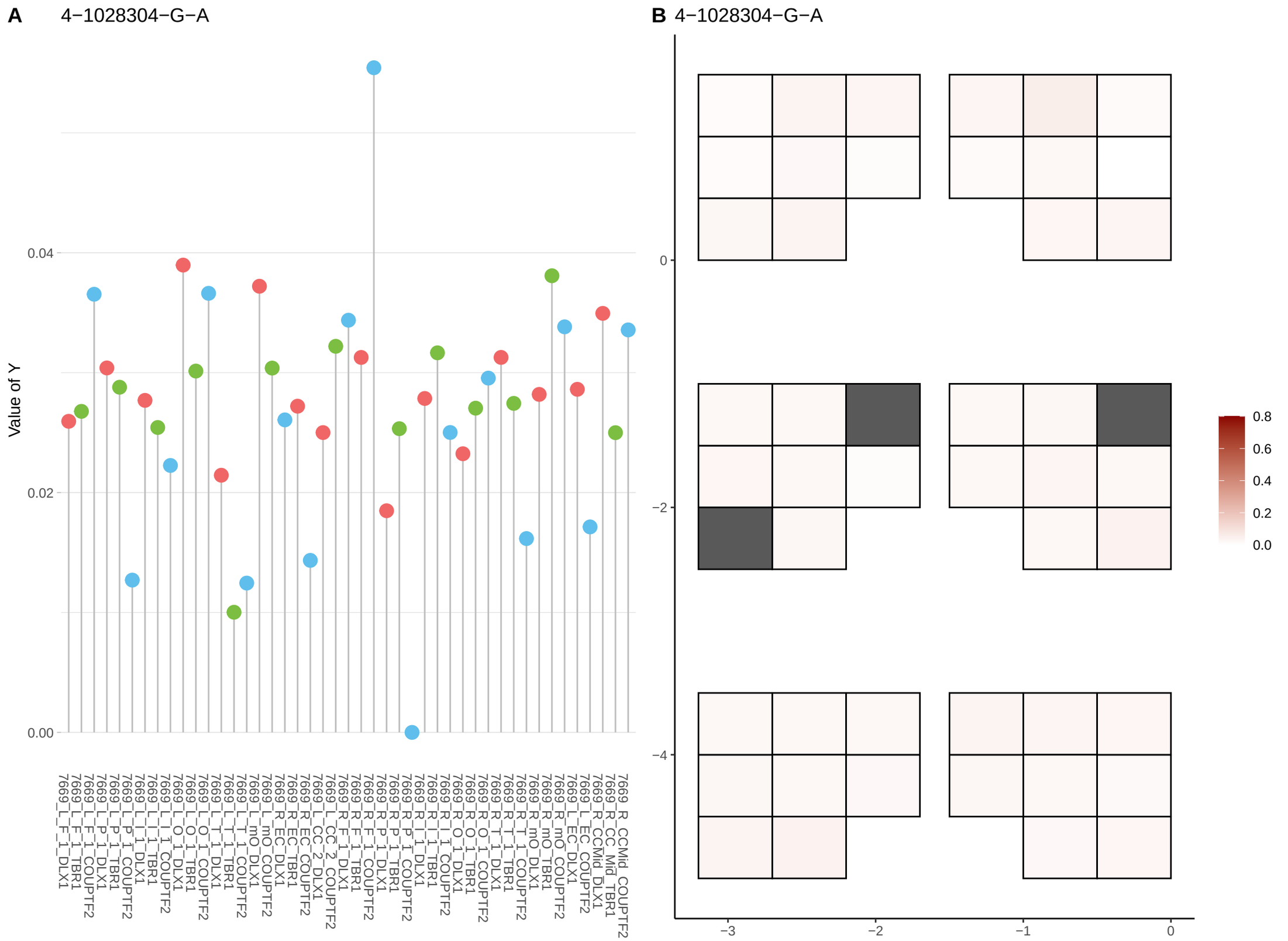
A
4−1028304−G−A
Value of Y
0.04
0.02
0.00
7669_L_F_1_DLX1
7669_L_F_1_TBR1
7669_L_F_1_COUPTF2
7669_L_P_1_DLX1
7669_L_P_1_TBR1
7669_L_P_1_COUPTF2
7669_L_I_1_DLX1
7669_L_I_1_TBR1
7669_L_I_1_COUPTF2
7669_L_O_1_DLX1
7669_L_O_1_TBR1
7669_L_O_1_COUPTF2
7669_L_T_1_DLX1
7669_L_T_1_TBR1
7669_L_T_1_COUPTF2
7669_L_mO_DLX1
7669_L_mO_COUPTF2
7669_R_EC_DLX1
7669_R_EC_TBR1
7669_R_EC_COUPTF2
7669_L_CC_2_DLX1
7669_L_CC_2_COUPTF2
7669_R_F_1_DLX1
7669_R_F_1_TBR1
7669_R_F_1_COUPTF2
7669_R_P_1_DLX1
7669_R_P_1_TBR1
7669_R_P_1_COUPTF2
7669_R_I_1_DLX1
7669_R_I_1_TBR1
7669_R_I_1_COUPTF2
7669_R_O_1_DLX1
7669_R_O_1_TBR1
7669_R_O_1_COUPTF2
7669_R_T_1_DLX1
7669_R_T_1_TBR1
7669_R_T_1_COUPTF2
7669_R_mO_DLX1
7669_R_mO_TBR1
7669_R_mO_COUPTF2
7669_L_EC_DLX1
7669_L_EC_COUPTF2
7669_R_CCMid_DLX1
7669_R_CC_Mid_TBR1
7669_R_CCMid_COUPTF2
B
4−1028304−G−A
0
−2
−4
−3
−2
−1
0
0.8
0.6
0.4
0.2
0.0

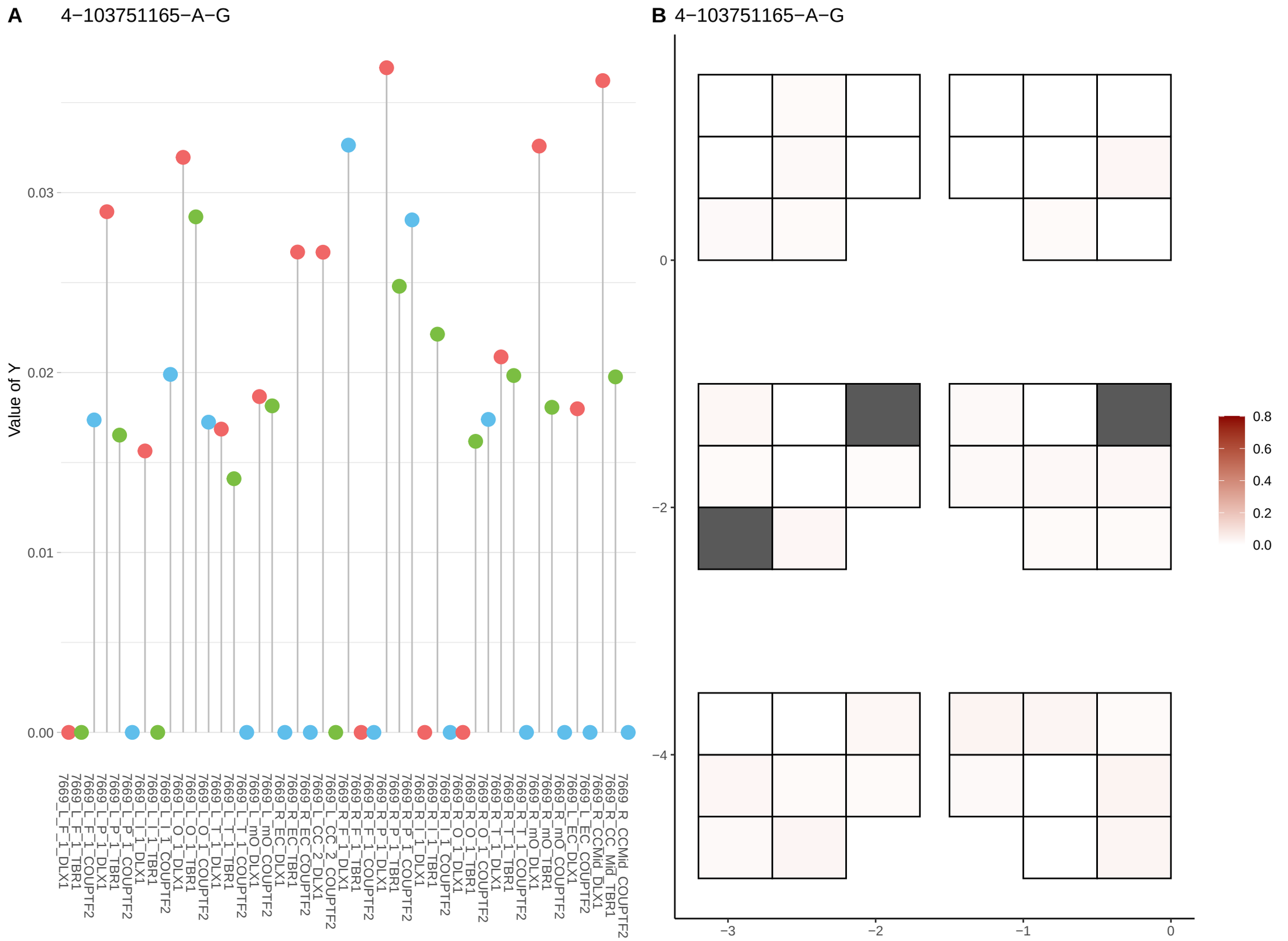
A
4−103751165−A−G
Value of Y
0.03
0.02
0.01
0.00
7669_L_F_1_DLX1
7669_L_F_1_TBR1
7669_L_F_1_COUPTF2
7669_L_P_1_DLX1
7669_L_P_1_TBR1
7669_L_P_1_COUPTF2
7669_L_I_1_DLX1
7669_L_I_1_TBR1
7669_L_I_1_COUPTF2
7669_L_O_1_DLX1
7669_L_O_1_TBR1
7669_L_O_1_COUPTF2
7669_L_T_1_DLX1
7669_L_T_1_TBR1
7669_L_T_1_COUPTF2
7669_L_mO_DLX1
7669_L_mO_COUPTF2
7669_R_EC_DLX1
7669_R_EC_TBR1
7669_R_EC_COUPTF2
7669_L_CC_2_DLX1
7669_L_CC_2_COUPTF2
7669_R_F_1_DLX1
7669_R_F_1_TBR1
7669_R_F_1_COUPTF2
7669_R_P_1_DLX1
7669_R_P_1_TBR1
7669_R_P_1_COUPTF2
7669_R_I_1_DLX1
7669_R_I_1_TBR1
7669_R_I_1_COUPTF2
7669_R_O_1_DLX1
7669_R_O_1_TBR1
7669_R_O_1_COUPTF2
7669_R_T_1_DLX1
7669_R_T_1_TBR1
7669_R_T_1_COUPTF2
7669_R_mO_DLX1
7669_R_mO_TBR1
7669_R_mO_COUPTF2
7669_L_EC_DLX1
7669_L_EC_COUPTF2
7669_R_CCMid_DLX1
7669_R_CC_Mid_TBR1
7669_R_CCMid_COUPTF2
B
4−103751165−A−G
0
−2
−4
−3
−2
−1
0
0.8
0.6
0.4
0.2
0.0

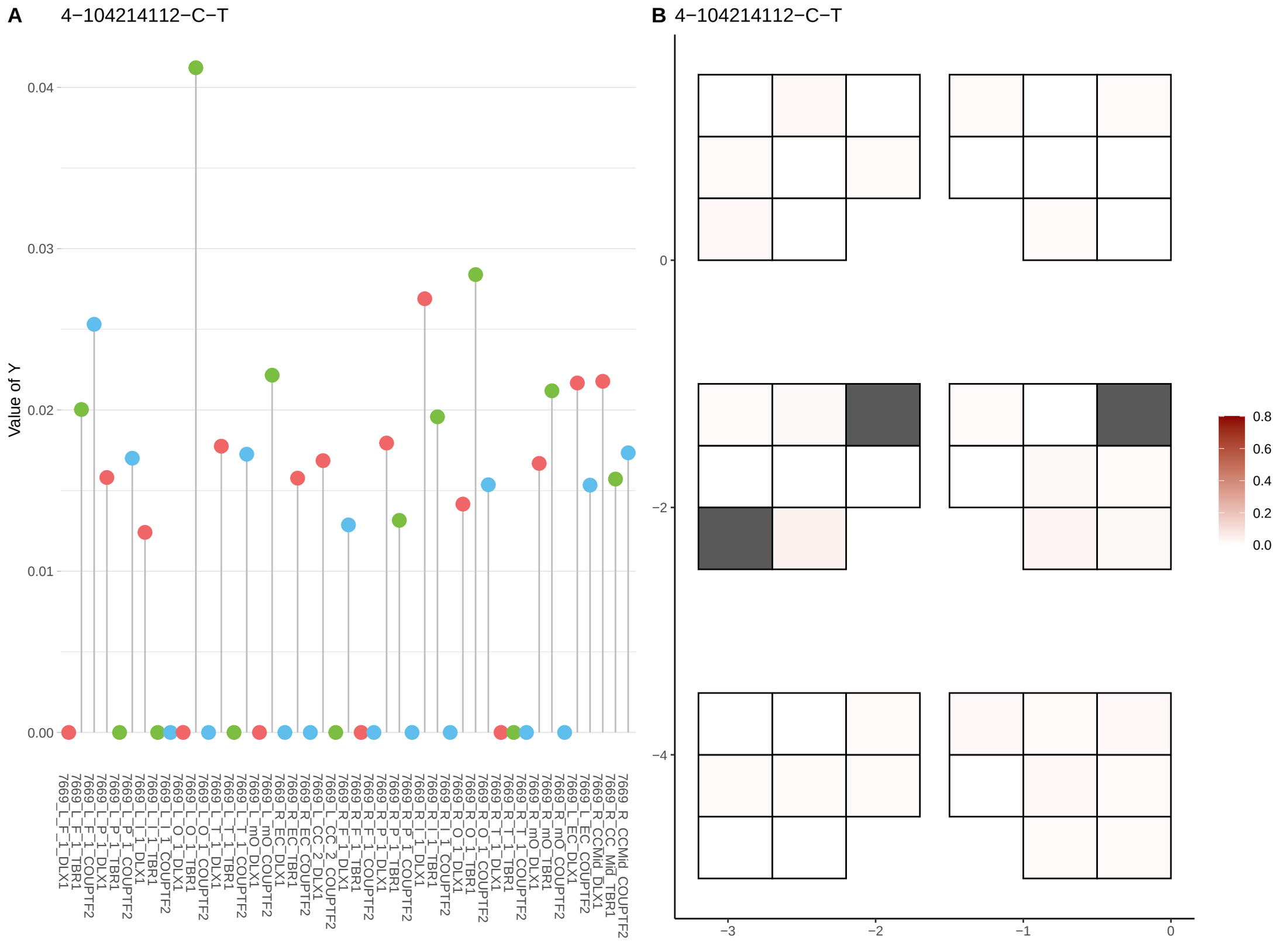
A
4−104214112−C−T
Value of Y
0.04
0.03
0.02
0.01
0.00
7669_L_F_1_DLX1
7669_L_F_1_TBR1
7669_L_F_1_COUPTF2
7669_L_P_1_DLX1
7669_L_P_1_TBR1
7669_L_P_1_COUPTF2
7669_L_I_1_DLX1
7669_L_I_1_TBR1
7669_L_I_1_COUPTF2
7669_L_O_1_DLX1
7669_L_O_1_TBR1
7669_L_O_1_COUPTF2
7669_L_T_1_DLX1
7669_L_T_1_TBR1
7669_L_T_1_COUPTF2
7669_L_mO_DLX1
7669_L_mO_COUPTF2
7669_R_EC_DLX1
7669_R_EC_TBR1
7669_R_EC_COUPTF2
7669_L_CC_2_DLX1
7669_L_CC_2_COUPTF2
7669_R_F_1_DLX1
7669_R_F_1_TBR1
7669_R_F_1_COUPTF2
7669_R_P_1_DLX1
7669_R_P_1_TBR1
7669_R_P_1_COUPTF2
7669_R_I_1_DLX1
7669_R_I_1_TBR1
7669_R_I_1_COUPTF2
7669_R_O_1_DLX1
7669_R_O_1_TBR1
7669_R_O_1_COUPTF2
7669_R_T_1_DLX1
7669_R_T_1_TBR1
7669_R_T_1_COUPTF2
7669_R_mO_DLX1
7669_R_mO_TBR1
7669_R_mO_COUPTF2
7669_L_EC_DLX1
7669_L_EC_COUPTF2
7669_R_CCMid_DLX1
7669_R_CC_Mid_TBR1
7669_R_CCMid_COUPTF2
B
4−104214112−C−T
0
−2
−4
−3
−2
−1
0
0.8
0.6
0.4
0.2
0.0

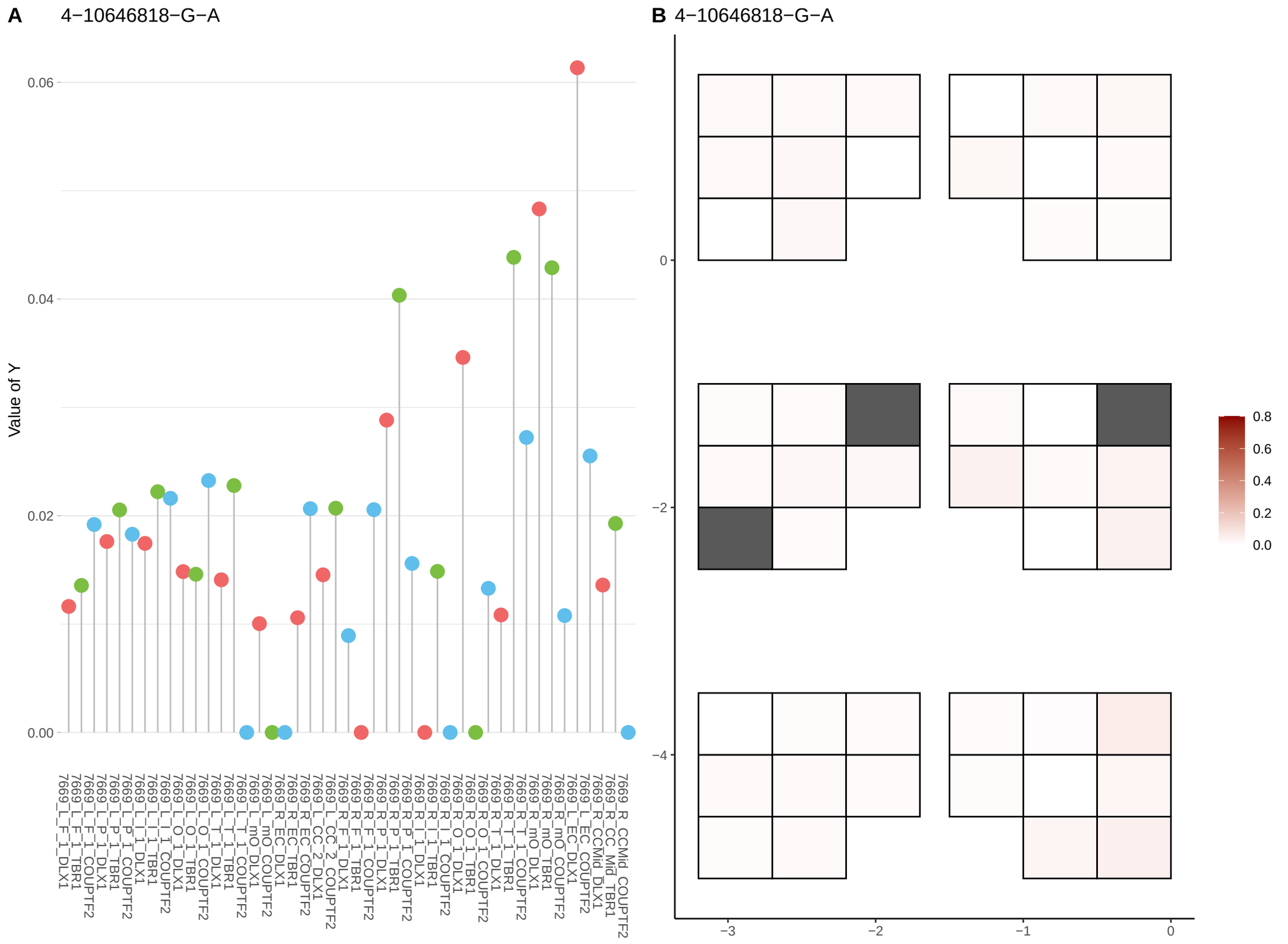
A
4−10646818−G−A
Value of Y
0.06
0.04
0.02
0.00
7669_L_F_1_DLX1
7669_L_F_1_TBR1
7669_L_F_1_COUPTF2
7669_L_P_1_DLX1
7669_L_P_1_TBR1
7669_L_P_1_COUPTF2
7669_L_I_1_DLX1
7669_L_I_1_TBR1
7669_L_I_1_COUPTF2
7669_L_O_1_DLX1
7669_L_O_1_TBR1
7669_L_O_1_COUPTF2
7669_L_T_1_DLX1
7669_L_T_1_TBR1
7669_L_T_1_COUPTF2
7669_L_mO_DLX1
7669_L_mO_COUPTF2
7669_R_EC_DLX1
7669_R_EC_TBR1
7669_R_EC_COUPTF2
7669_L_CC_2_DLX1
7669_L_CC_2_COUPTF2
7669_R_F_1_DLX1
7669_R_F_1_TBR1
7669_R_F_1_COUPTF2
7669_R_P_1_DLX1
7669_R_P_1_TBR1
7669_R_P_1_COUPTF2
7669_R_I_1_DLX1
7669_R_I_1_TBR1
7669_R_I_1_COUPTF2
7669_R_O_1_DLX1
7669_R_O_1_TBR1
7669_R_O_1_COUPTF2
7669_R_T_1_DLX1
7669_R_T_1_TBR1
7669_R_T_1_COUPTF2
7669_R_mO_DLX1
7669_R_mO_TBR1
7669_R_mO_COUPTF2
7669_L_EC_DLX1
7669_L_EC_COUPTF2
7669_R_CCMid_DLX1
7669_R_CC_Mid_TBR1
7669_R_CCMid_COUPTF2
B
4−10646818−G−A
0
−2
−4
−3
−2
−1
0
0.8
0.6
0.4
0.2
0.0

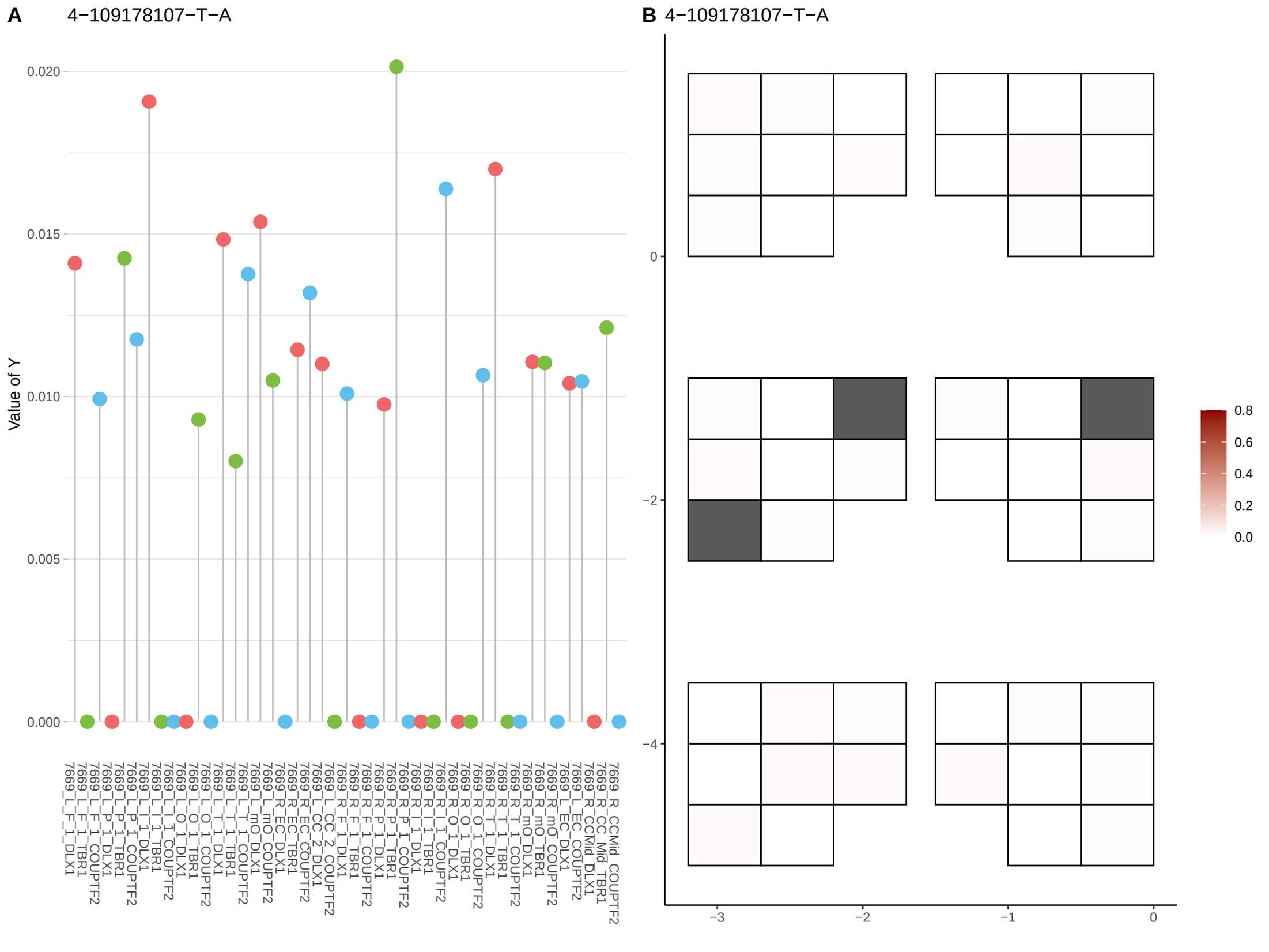
A
4−109178107−T−A
Value of Y
0.020
0.015
0.010
0.005
0.000
7669_L_F_1_DLX1
7669_L_F_1_TBR1
7669_L_F_1_COUPTF2
7669_L_P_1_DLX1
7669_L_P_1_TBR1
7669_L_P_1_COUPTF2
7669_L_I_1_DLX1
7669_L_I_1_TBR1
7669_L_I_1_COUPTF2
7669_L_O_1_DLX1
7669_L_O_1_TBR1
7669_L_O_1_COUPTF2
7669_L_T_1_DLX1
7669_L_T_1_TBR1
7669_L_T_1_COUPTF2
7669_L_mO_DLX1
7669_L_mO_COUPTF2
7669_R_EC_DLX1
7669_R_EC_TBR1
7669_R_EC_COUPTF2
7669_L_CC_2_DLX1
7669_L_CC_2_COUPTF2
7669_R_F_1_DLX1
7669_R_F_1_TBR1
7669_R_F_1_COUPTF2
7669_R_P_1_DLX1
7669_R_P_1_TBR1
7669_R_P_1_COUPTF2
7669_R_I_1_DLX1
7669_R_I_1_TBR1
7669_R_I_1_COUPTF2
7669_R_O_1_DLX1
7669_R_O_1_TBR1
7669_R_O_1_COUPTF2
7669_R_T_1_DLX1
7669_R_T_1_TBR1
7669_R_T_1_COUPTF2
7669_R_mO_DLX1
7669_R_mO_TBR1
7669_R_mO_COUPTF2
7669_L_EC_DLX1
7669_L_EC_COUPTF2
7669_R_CCMid_DLX1
7669_R_CC_Mid_TBR1
7669_R_CCMid_COUPTF2
B
4−109178107−T−A
0
−2
−4
−3
−2
−1
0
0.8
0.6
0.4
0.2
0.0

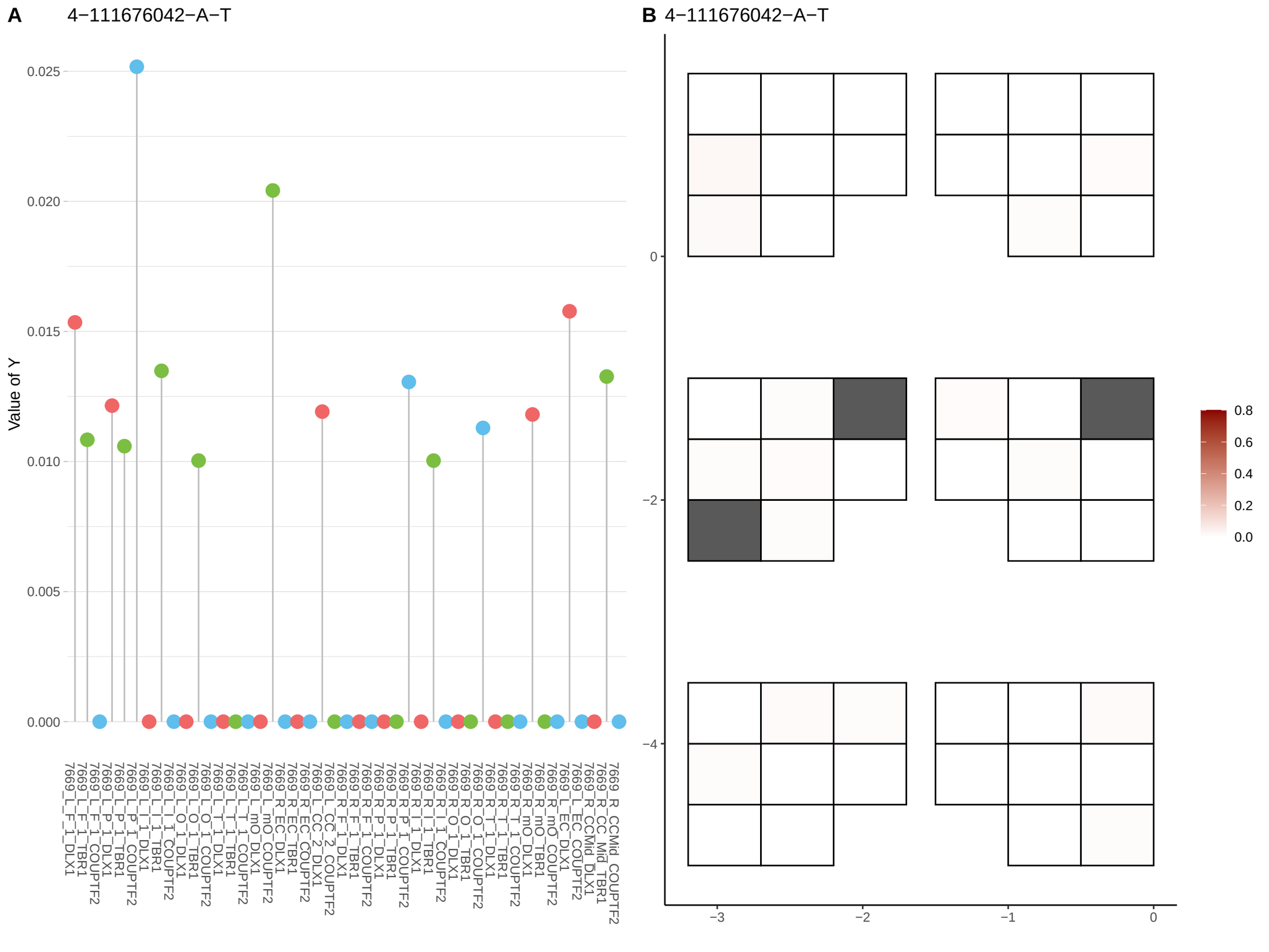
A
4−111676042−A−T
Value of Y
0.025
0.020
0.015
0.010
0.005
0.000
7669_L_F_1_DLX1
7669_L_F_1_TBR1
7669_L_F_1_COUPTF2
7669_L_P_1_DLX1
7669_L_P_1_TBR1
7669_L_P_1_COUPTF2
7669_L_I_1_DLX1
7669_L_I_1_TBR1
7669_L_I_1_COUPTF2
7669_L_O_1_DLX1
7669_L_O_1_TBR1
7669_L_O_1_COUPTF2
7669_L_T_1_DLX1
7669_L_T_1_TBR1
7669_L_T_1_COUPTF2
7669_L_mO_DLX1
7669_L_mO_COUPTF2
7669_R_EC_DLX1
7669_R_EC_TBR1
7669_R_EC_COUPTF2
7669_L_CC_2_DLX1
7669_L_CC_2_COUPTF2
7669_R_F_1_DLX1
7669_R_F_1_TBR1
7669_R_F_1_COUPTF2
7669_R_P_1_DLX1
7669_R_P_1_TBR1
7669_R_P_1_COUPTF2
7669_R_I_1_DLX1
7669_R_I_1_TBR1
7669_R_I_1_COUPTF2
7669_R_O_1_DLX1
7669_R_O_1_TBR1
7669_R_O_1_COUPTF2
7669_R_T_1_DLX1
7669_R_T_1_TBR1
7669_R_T_1_COUPTF2
7669_R_mO_DLX1
7669_R_mO_TBR1
7669_R_mO_COUPTF2
7669_L_EC_DLX1
7669_L_EC_COUPTF2
7669_R_CCMid_DLX1
7669_R_CC_Mid_TBR1
7669_R_CCMid_COUPTF2
B
4−111676042−A−T
0
−2
−4
−3
−2
−1
0
0.8
0.6
0.4
0.2
0.0

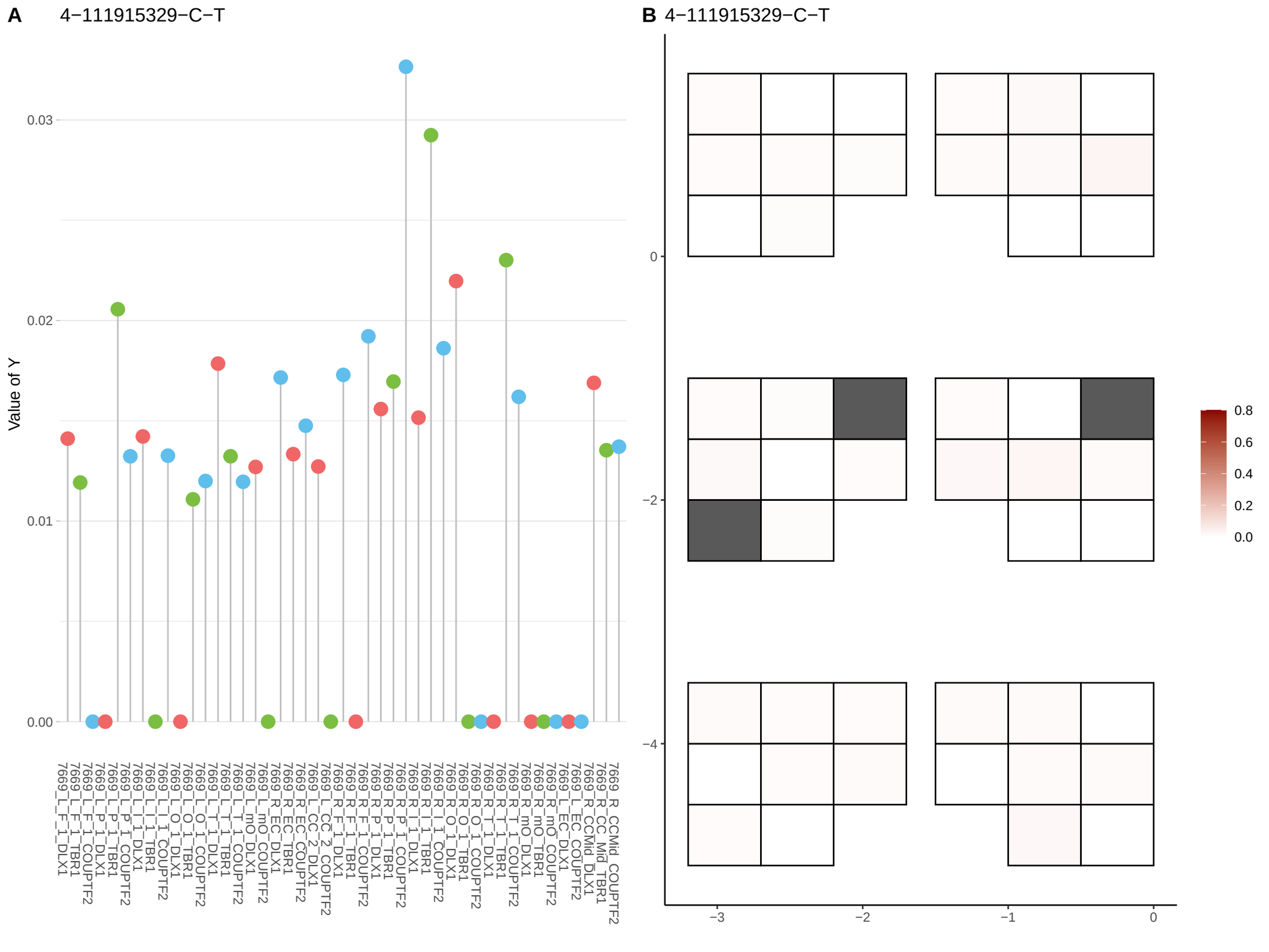
A
4−111915329−C−T
Value of Y
0.03
0.02
0.01
0.00
7669_L_F_1_DLX1
7669_L_F_1_TBR1
7669_L_F_1_COUPTF2
7669_L_P_1_DLX1
7669_L_P_1_TBR1
7669_L_P_1_COUPTF2
7669_L_I_1_DLX1
7669_L_I_1_TBR1
7669_L_I_1_COUPTF2
7669_L_O_1_DLX1
7669_L_O_1_TBR1
7669_L_O_1_COUPTF2
7669_L_T_1_DLX1
7669_L_T_1_TBR1
7669_L_T_1_COUPTF2
7669_L_mO_DLX1
7669_L_mO_COUPTF2
7669_R_EC_DLX1
7669_R_EC_TBR1
7669_R_EC_COUPTF2
7669_L_CC_2_DLX1
7669_L_CC_2_COUPTF2
7669_R_F_1_DLX1
7669_R_F_1_TBR1
7669_R_F_1_COUPTF2
7669_R_P_1_DLX1
7669_R_P_1_TBR1
7669_R_P_1_COUPTF2
7669_R_I_1_DLX1
7669_R_I_1_TBR1
7669_R_I_1_COUPTF2
7669_R_O_1_DLX1
7669_R_O_1_TBR1
7669_R_O_1_COUPTF2
7669_R_T_1_DLX1
7669_R_T_1_TBR1
7669_R_T_1_COUPTF2
7669_R_mO_DLX1
7669_R_mO_TBR1
7669_R_mO_COUPTF2
7669_L_EC_DLX1
7669_L_EC_COUPTF2
7669_R_CCMid_DLX1
7669_R_CC_Mid_TBR1
7669_R_CCMid_COUPTF2
B
4−111915329−C−T
0
−2
−4
−3
−2
−1
0
0.8
0.6
0.4
0.2
0.0

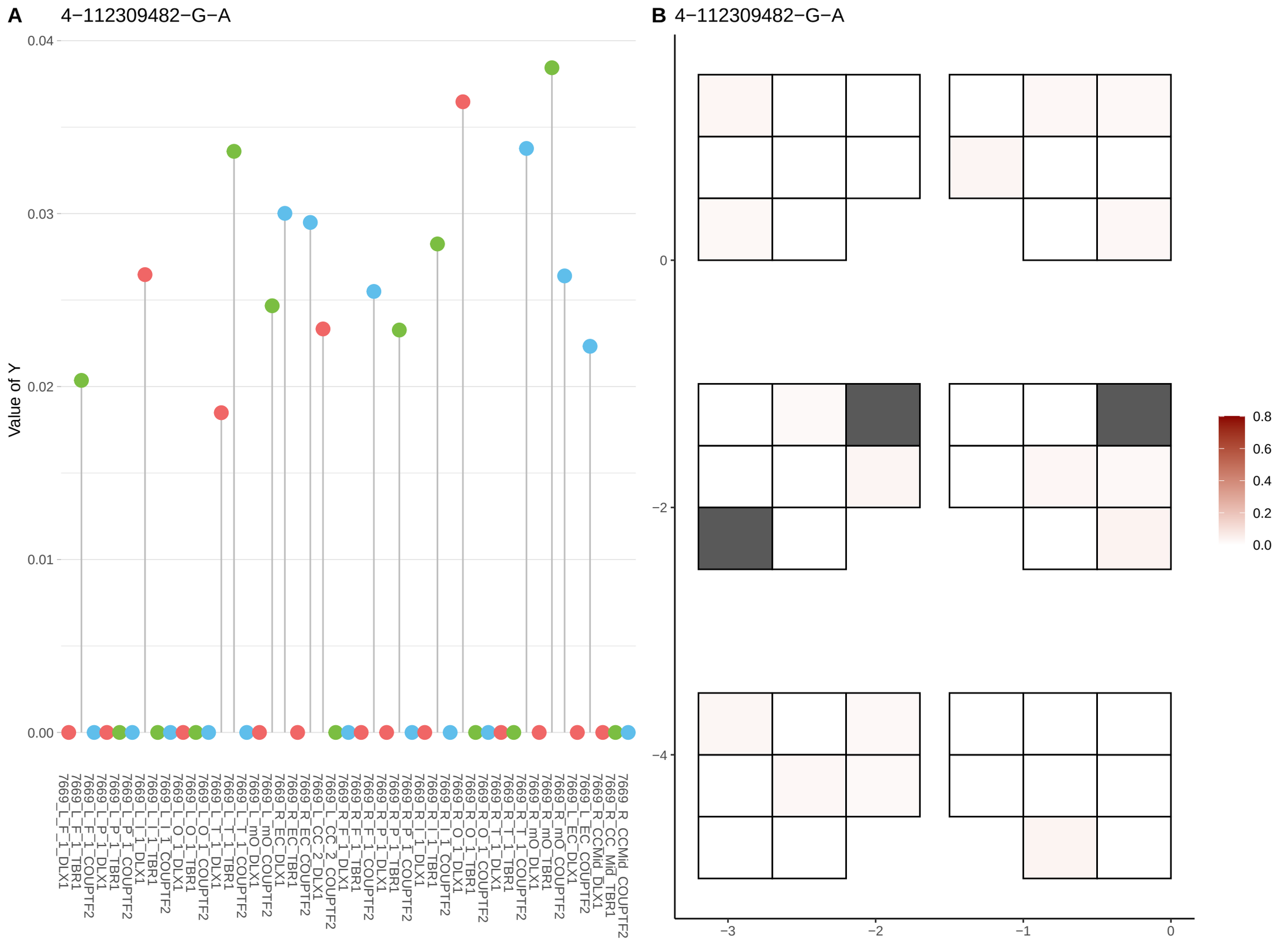
A
4−112309482−G−A
Value of Y
0.04
0.03
0.02
0.01
0.00
7669_L_F_1_DLX1
7669_L_F_1_TBR1
7669_L_F_1_COUPTF2
7669_L_P_1_DLX1
7669_L_P_1_TBR1
7669_L_P_1_COUPTF2
7669_L_I_1_DLX1
7669_L_I_1_TBR1
7669_L_I_1_COUPTF2
7669_L_O_1_DLX1
7669_L_O_1_TBR1
7669_L_O_1_COUPTF2
7669_L_T_1_DLX1
7669_L_T_1_TBR1
7669_L_T_1_COUPTF2
7669_L_mO_DLX1
7669_L_mO_COUPTF2
7669_R_EC_DLX1
7669_R_EC_TBR1
7669_R_EC_COUPTF2
7669_L_CC_2_DLX1
7669_L_CC_2_COUPTF2
7669_R_F_1_DLX1
7669_R_F_1_TBR1
7669_R_F_1_COUPTF2
7669_R_P_1_DLX1
7669_R_P_1_TBR1
7669_R_P_1_COUPTF2
7669_R_I_1_DLX1
7669_R_I_1_TBR1
7669_R_I_1_COUPTF2
7669_R_O_1_DLX1
7669_R_O_1_TBR1
7669_R_O_1_COUPTF2
7669_R_T_1_DLX1
7669_R_T_1_TBR1
7669_R_T_1_COUPTF2
7669_R_mO_DLX1
7669_R_mO_TBR1
7669_R_mO_COUPTF2
7669_L_EC_DLX1
7669_L_EC_COUPTF2
7669_R_CCMid_DLX1
7669_R_CC_Mid_TBR1
7669_R_CCMid_COUPTF2
B
4−112309482−G−A
0
−2
−4
−3
−2
−1
0
0.8
0.6
0.4
0.2
0.0

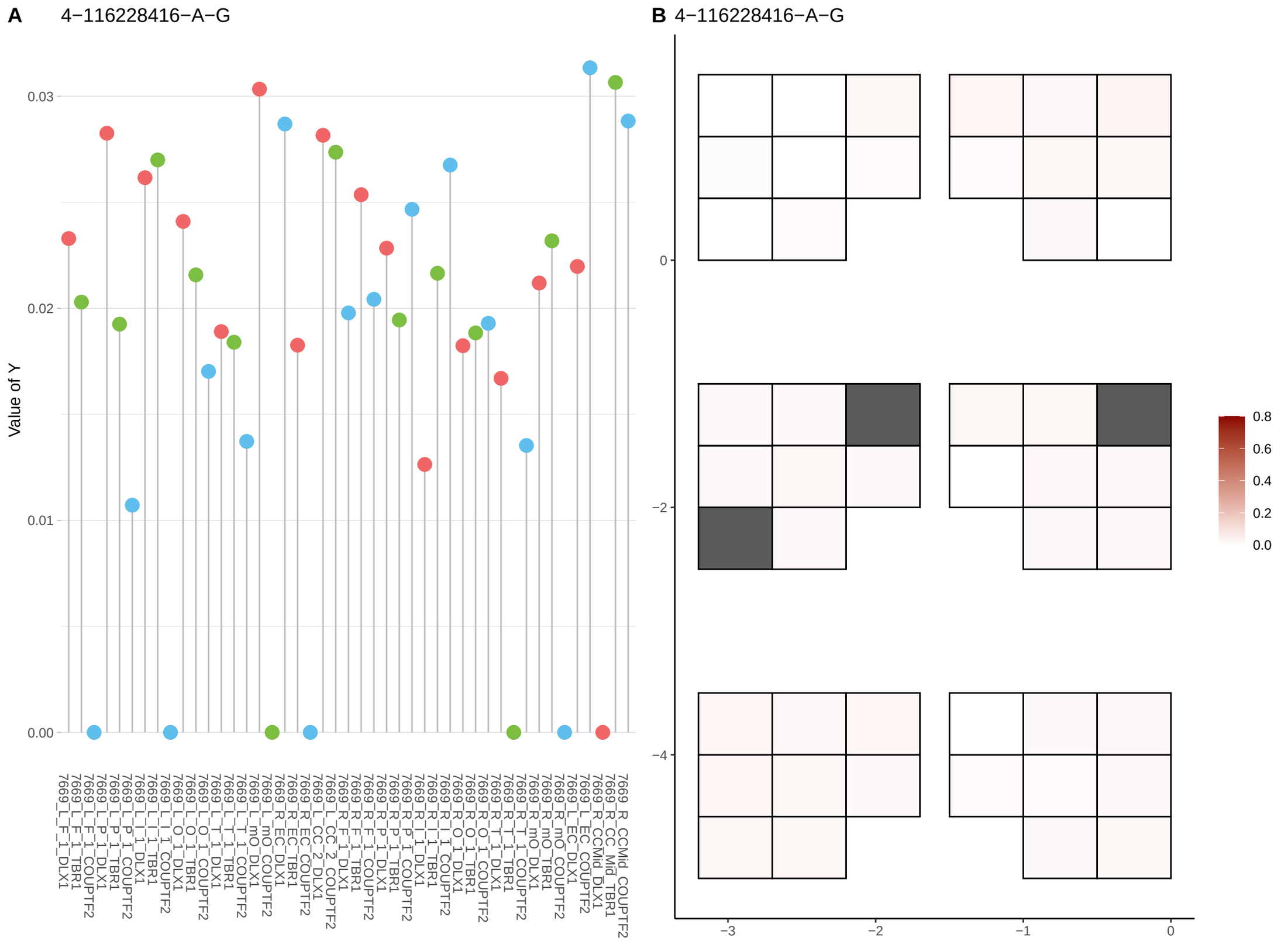
A
4−116228416−A−G
Value of Y
0.03
0.02
0.01
0.00
7669_L_F_1_DLX1
7669_L_F_1_TBR1
7669_L_F_1_COUPTF2
7669_L_P_1_DLX1
7669_L_P_1_TBR1
7669_L_P_1_COUPTF2
7669_L_I_1_DLX1
7669_L_I_1_TBR1
7669_L_I_1_COUPTF2
7669_L_O_1_DLX1
7669_L_O_1_TBR1
7669_L_O_1_COUPTF2
7669_L_T_1_DLX1
7669_L_T_1_TBR1
7669_L_T_1_COUPTF2
7669_L_mO_DLX1
7669_L_mO_COUPTF2
7669_R_EC_DLX1
7669_R_EC_TBR1
7669_R_EC_COUPTF2
7669_L_CC_2_DLX1
7669_L_CC_2_COUPTF2
7669_R_F_1_DLX1
7669_R_F_1_TBR1
7669_R_F_1_COUPTF2
7669_R_P_1_DLX1
7669_R_P_1_TBR1
7669_R_P_1_COUPTF2
7669_R_I_1_DLX1
7669_R_I_1_TBR1
7669_R_I_1_COUPTF2
7669_R_O_1_DLX1
7669_R_O_1_TBR1
7669_R_O_1_COUPTF2
7669_R_T_1_DLX1
7669_R_T_1_TBR1
7669_R_T_1_COUPTF2
7669_R_mO_DLX1
7669_R_mO_TBR1
7669_R_mO_COUPTF2
7669_L_EC_DLX1
7669_L_EC_COUPTF2
7669_R_CCMid_DLX1
7669_R_CC_Mid_TBR1
7669_R_CCMid_COUPTF2
B
4−116228416−A−G
0
−2
−4
−3
−2
−1
0
0.8
0.6
0.4
0.2
0.0

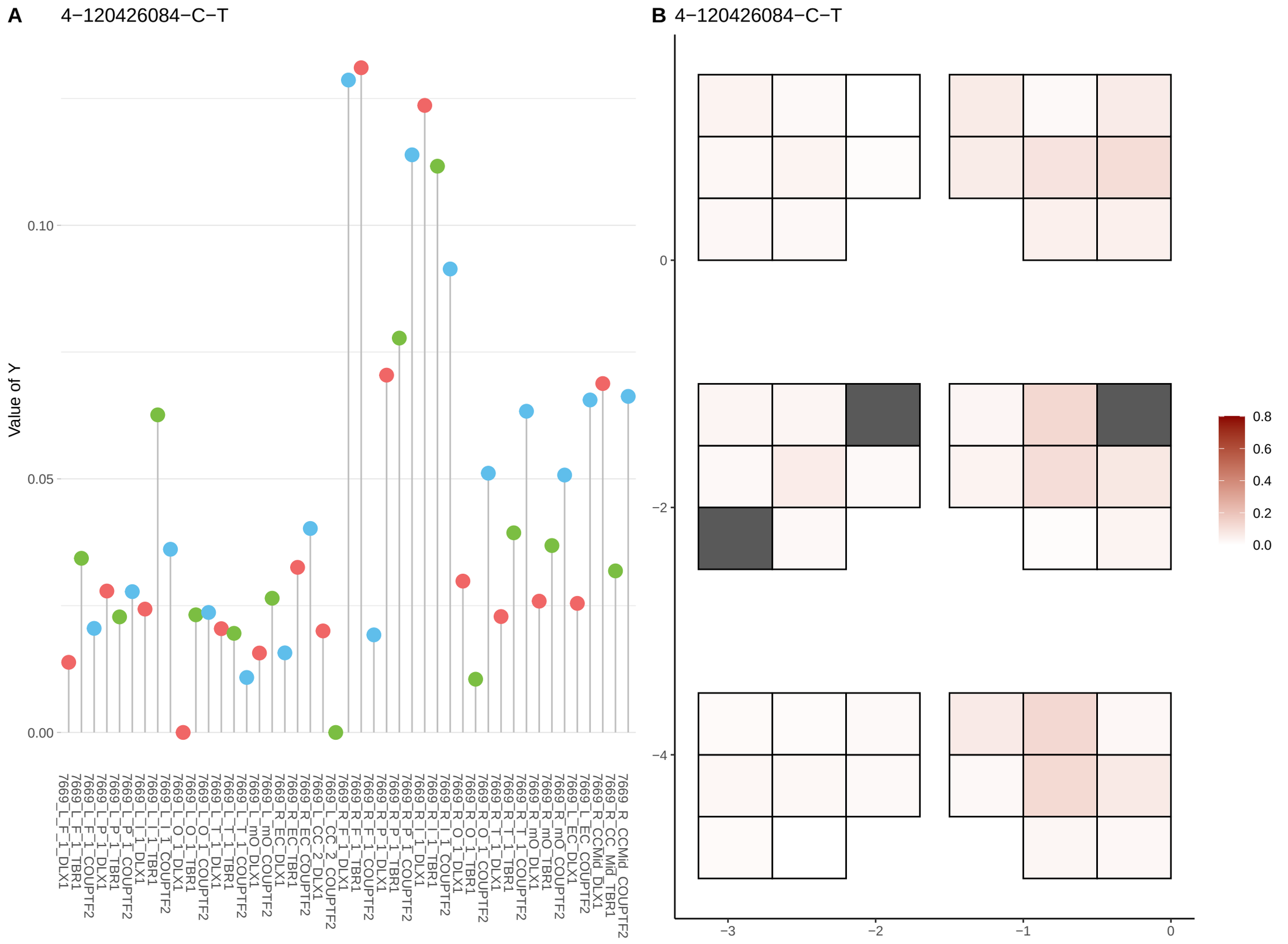
A
4−120426084−C−T
Value of Y
0.10
0.05
0.00
7669_L_F_1_DLX1
7669_L_F_1_TBR1
7669_L_F_1_COUPTF2
7669_L_P_1_DLX1
7669_L_P_1_TBR1
7669_L_P_1_COUPTF2
7669_L_I_1_DLX1
7669_L_I_1_TBR1
7669_L_I_1_COUPTF2
7669_L_O_1_DLX1
7669_L_O_1_TBR1
7669_L_O_1_COUPTF2
7669_L_T_1_DLX1
7669_L_T_1_TBR1
7669_L_T_1_COUPTF2
7669_L_mO_DLX1
7669_L_mO_COUPTF2
7669_R_EC_DLX1
7669_R_EC_TBR1
7669_R_EC_COUPTF2
7669_L_CC_2_DLX1
7669_L_CC_2_COUPTF2
7669_R_F_1_DLX1
7669_R_F_1_TBR1
7669_R_F_1_COUPTF2
7669_R_P_1_DLX1
7669_R_P_1_TBR1
7669_R_P_1_COUPTF2
7669_R_I_1_DLX1
7669_R_I_1_TBR1
7669_R_I_1_COUPTF2
7669_R_O_1_DLX1
7669_R_O_1_TBR1
7669_R_O_1_COUPTF2
7669_R_T_1_DLX1
7669_R_T_1_TBR1
7669_R_T_1_COUPTF2
7669_R_mO_DLX1
7669_R_mO_TBR1
7669_R_mO_COUPTF2
7669_L_EC_DLX1
7669_L_EC_COUPTF2
7669_R_CCMid_DLX1
7669_R_CC_Mid_TBR1
7669_R_CCMid_COUPTF2
B
4−120426084−C−T
0
−2
−4
−3
−2
−1
0
0.8
0.6
0.4
0.2
0.0

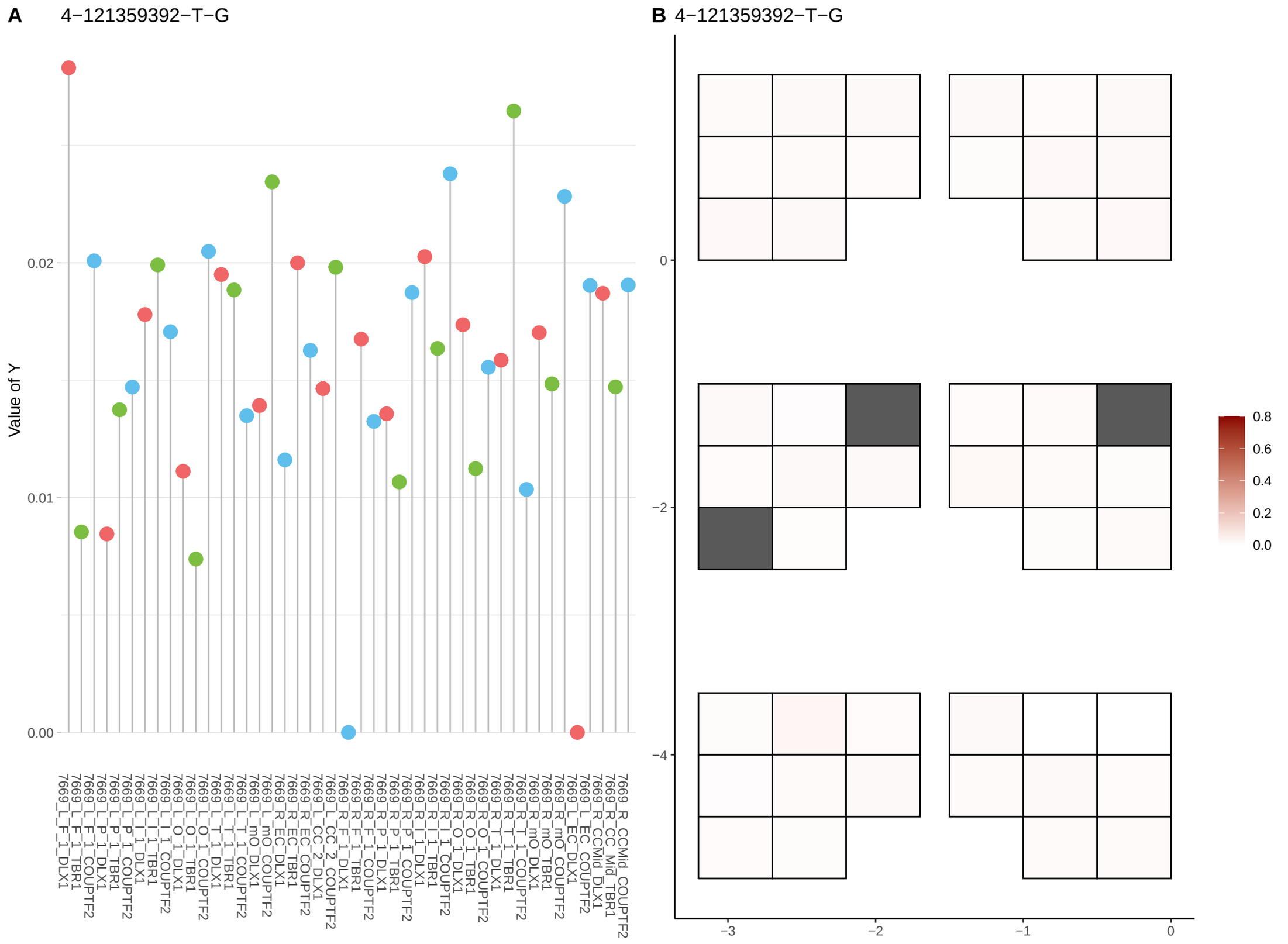
A
4−121359392−T−G
Value of Y
0.02
0.01
0.00
7669_L_F_1_DLX1
7669_L_F_1_TBR1
7669_L_F_1_COUPTF2
7669_L_P_1_DLX1
7669_L_P_1_TBR1
7669_L_P_1_COUPTF2
7669_L_I_1_DLX1
7669_L_I_1_TBR1
7669_L_I_1_COUPTF2
7669_L_O_1_DLX1
7669_L_O_1_TBR1
7669_L_O_1_COUPTF2
7669_L_T_1_DLX1
7669_L_T_1_TBR1
7669_L_T_1_COUPTF2
7669_L_mO_DLX1
7669_L_mO_COUPTF2
7669_R_EC_DLX1
7669_R_EC_TBR1
7669_R_EC_COUPTF2
7669_L_CC_2_DLX1
7669_L_CC_2_COUPTF2
7669_R_F_1_DLX1
7669_R_F_1_TBR1
7669_R_F_1_COUPTF2
7669_R_P_1_DLX1
7669_R_P_1_TBR1
7669_R_P_1_COUPTF2
7669_R_I_1_DLX1
7669_R_I_1_TBR1
7669_R_I_1_COUPTF2
7669_R_O_1_DLX1
7669_R_O_1_TBR1
7669_R_O_1_COUPTF2
7669_R_T_1_DLX1
7669_R_T_1_TBR1
7669_R_T_1_COUPTF2
7669_R_mO_DLX1
7669_R_mO_TBR1
7669_R_mO_COUPTF2
7669_L_EC_DLX1
7669_L_EC_COUPTF2
7669_R_CCMid_DLX1
7669_R_CC_Mid_TBR1
7669_R_CCMid_COUPTF2
B
4−121359392−T−G
0
−2
−4
−3
−2
−1
0
0.8
0.6
0.4
0.2
0.0

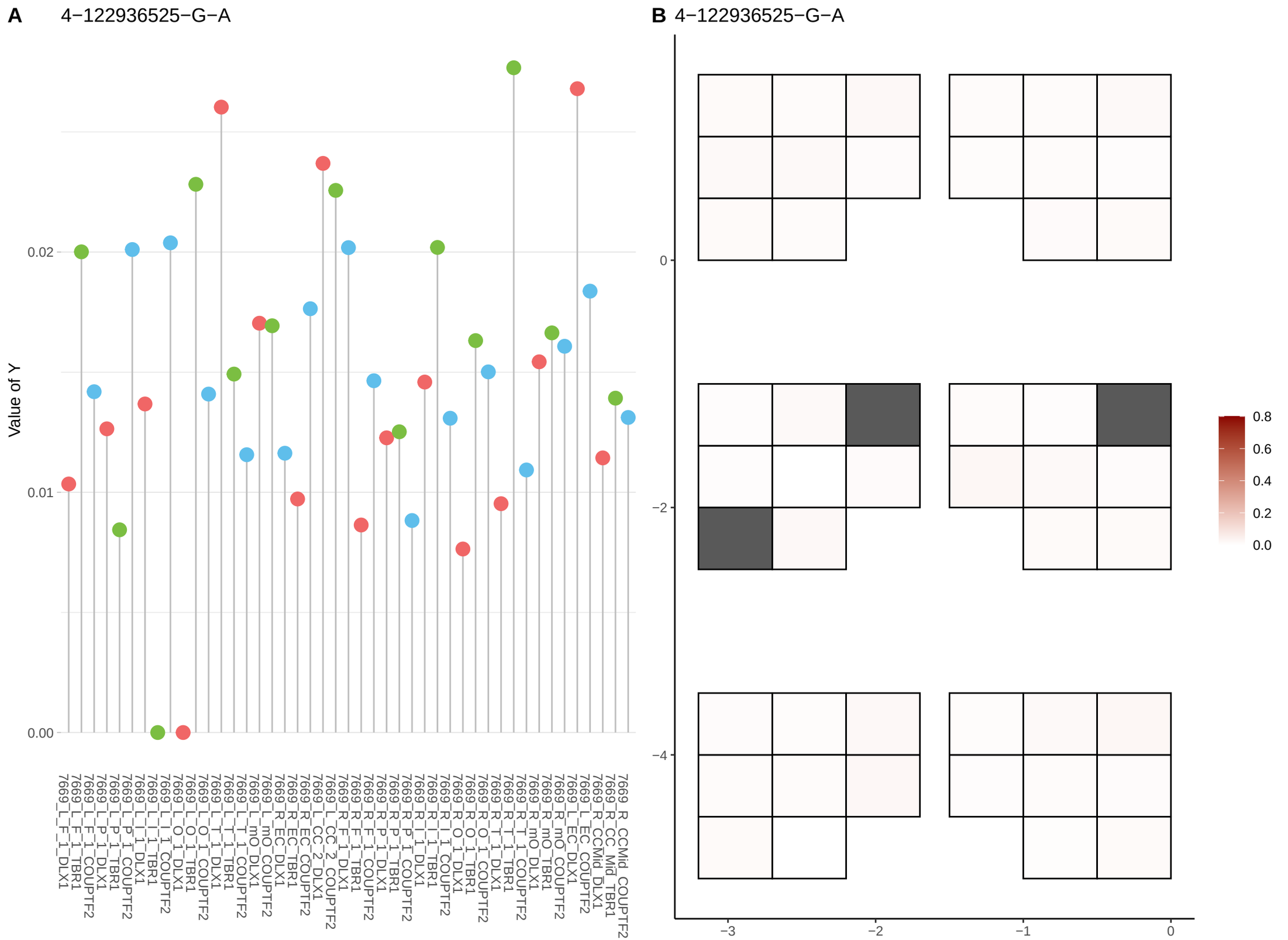
A
4−122936525−G−A
Value of Y
0.02
0.01
0.00
7669_L_F_1_DLX1
7669_L_F_1_TBR1
7669_L_F_1_COUPTF2
7669_L_P_1_DLX1
7669_L_P_1_TBR1
7669_L_P_1_COUPTF2
7669_L_I_1_DLX1
7669_L_I_1_TBR1
7669_L_I_1_COUPTF2
7669_L_O_1_DLX1
7669_L_O_1_TBR1
7669_L_O_1_COUPTF2
7669_L_T_1_DLX1
7669_L_T_1_TBR1
7669_L_T_1_COUPTF2
7669_L_mO_DLX1
7669_L_mO_COUPTF2
7669_R_EC_DLX1
7669_R_EC_TBR1
7669_R_EC_COUPTF2
7669_L_CC_2_DLX1
7669_L_CC_2_COUPTF2
7669_R_F_1_DLX1
7669_R_F_1_TBR1
7669_R_F_1_COUPTF2
7669_R_P_1_DLX1
7669_R_P_1_TBR1
7669_R_P_1_COUPTF2
7669_R_I_1_DLX1
7669_R_I_1_TBR1
7669_R_I_1_COUPTF2
7669_R_O_1_DLX1
7669_R_O_1_TBR1
7669_R_O_1_COUPTF2
7669_R_T_1_DLX1
7669_R_T_1_TBR1
7669_R_T_1_COUPTF2
7669_R_mO_DLX1
7669_R_mO_TBR1
7669_R_mO_COUPTF2
7669_L_EC_DLX1
7669_L_EC_COUPTF2
7669_R_CCMid_DLX1
7669_R_CC_Mid_TBR1
7669_R_CCMid_COUPTF2
B
4−122936525−G−A
0
−2
−4
−3
−2
−1
0
0.8
0.6
0.4
0.2
0.0

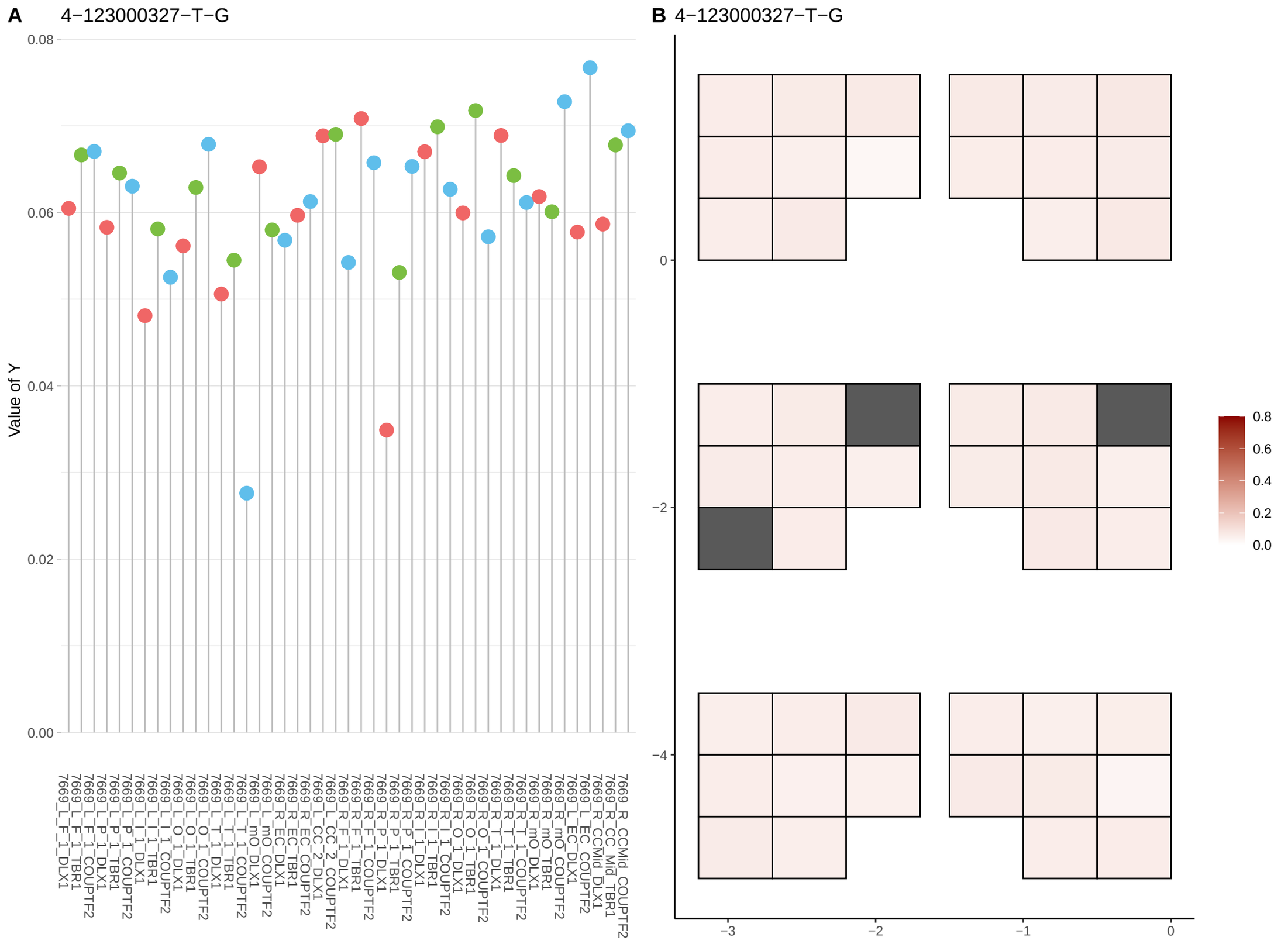
A
4−123000327−T−G
Value of Y
0.08
0.06
0.04
0.02
0.00
7669_L_F_1_DLX1
7669_L_F_1_TBR1
7669_L_F_1_COUPTF2
7669_L_P_1_DLX1
7669_L_P_1_TBR1
7669_L_P_1_COUPTF2
7669_L_I_1_DLX1
7669_L_I_1_TBR1
7669_L_I_1_COUPTF2
7669_L_O_1_DLX1
7669_L_O_1_TBR1
7669_L_O_1_COUPTF2
7669_L_T_1_DLX1
7669_L_T_1_TBR1
7669_L_T_1_COUPTF2
7669_L_mO_DLX1
7669_L_mO_COUPTF2
7669_R_EC_DLX1
7669_R_EC_TBR1
7669_R_EC_COUPTF2
7669_L_CC_2_DLX1
7669_L_CC_2_COUPTF2
7669_R_F_1_DLX1
7669_R_F_1_TBR1
7669_R_F_1_COUPTF2
7669_R_P_1_DLX1
7669_R_P_1_TBR1
7669_R_P_1_COUPTF2
7669_R_I_1_DLX1
7669_R_I_1_TBR1
7669_R_I_1_COUPTF2
7669_R_O_1_DLX1
7669_R_O_1_TBR1
7669_R_O_1_COUPTF2
7669_R_T_1_DLX1
7669_R_T_1_TBR1
7669_R_T_1_COUPTF2
7669_R_mO_DLX1
7669_R_mO_TBR1
7669_R_mO_COUPTF2
7669_L_EC_DLX1
7669_L_EC_COUPTF2
7669_R_CCMid_DLX1
7669_R_CC_Mid_TBR1
7669_R_CCMid_COUPTF2
B
4−123000327−T−G
0
−2
−4
−3
−2
−1
0
0.8
0.6
0.4
0.2
0.0

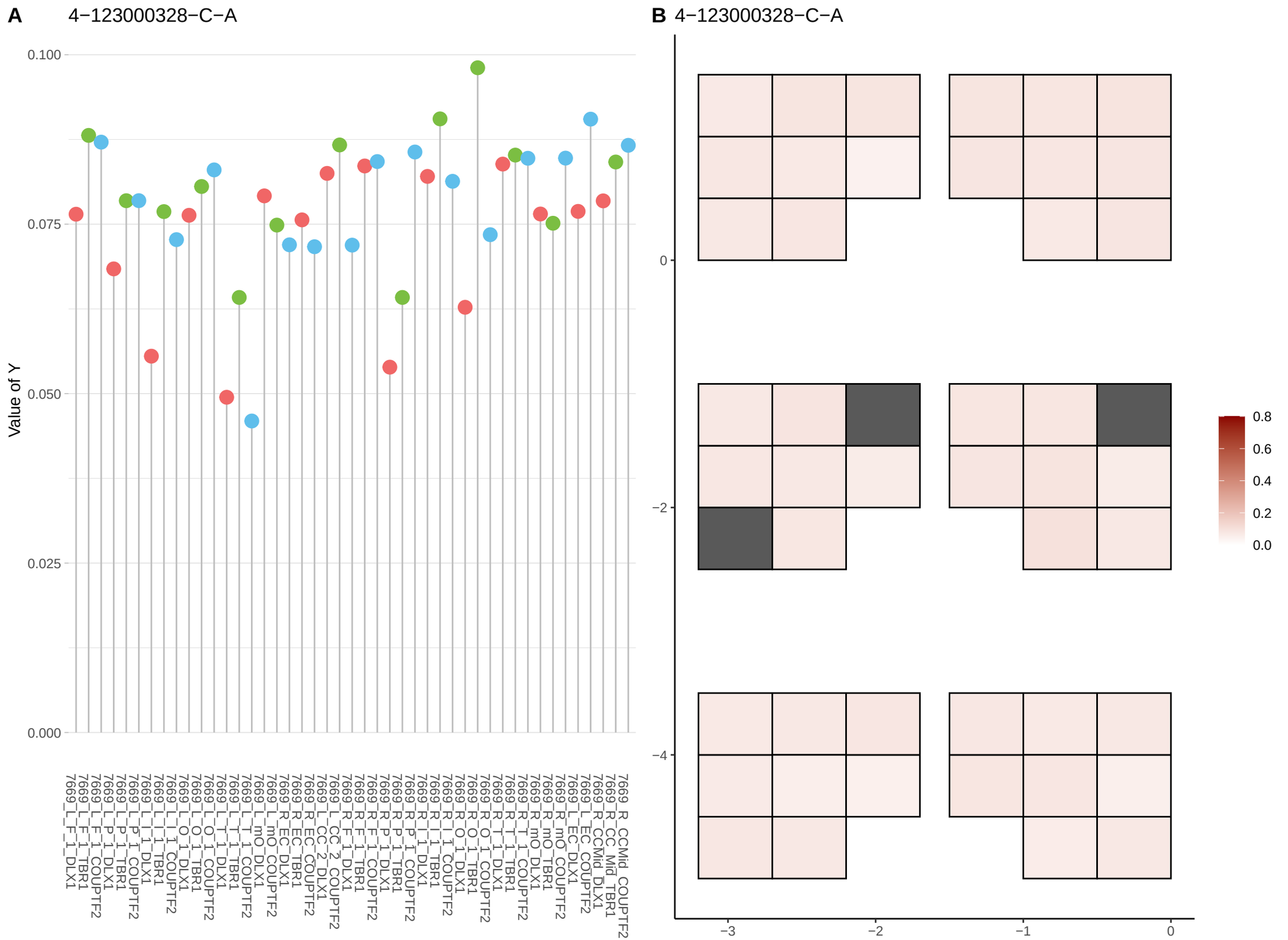
A
4−123000328−C−A
Value of Y
0.100
0.075
0.050
0.025
0.000
7669_L_F_1_DLX1
7669_L_F_1_TBR1
7669_L_F_1_COUPTF2
7669_L_P_1_DLX1
7669_L_P_1_TBR1
7669_L_P_1_COUPTF2
7669_L_I_1_DLX1
7669_L_I_1_TBR1
7669_L_I_1_COUPTF2
7669_L_O_1_DLX1
7669_L_O_1_TBR1
7669_L_O_1_COUPTF2
7669_L_T_1_DLX1
7669_L_T_1_TBR1
7669_L_T_1_COUPTF2
7669_L_mO_DLX1
7669_L_mO_COUPTF2
7669_R_EC_DLX1
7669_R_EC_TBR1
7669_R_EC_COUPTF2
7669_L_CC_2_DLX1
7669_L_CC_2_COUPTF2
7669_R_F_1_DLX1
7669_R_F_1_TBR1
7669_R_F_1_COUPTF2
7669_R_P_1_DLX1
7669_R_P_1_TBR1
7669_R_P_1_COUPTF2
7669_R_I_1_DLX1
7669_R_I_1_TBR1
7669_R_I_1_COUPTF2
7669_R_O_1_DLX1
7669_R_O_1_TBR1
7669_R_O_1_COUPTF2
7669_R_T_1_DLX1
7669_R_T_1_TBR1
7669_R_T_1_COUPTF2
7669_R_mO_DLX1
7669_R_mO_TBR1
7669_R_mO_COUPTF2
7669_L_EC_DLX1
7669_L_EC_COUPTF2
7669_R_CCMid_DLX1
7669_R_CC_Mid_TBR1
7669_R_CCMid_COUPTF2
B
4−123000328−C−A
0
−2
−4
−3
−2
−1
0
0.8
0.6
0.4
0.2
0.0

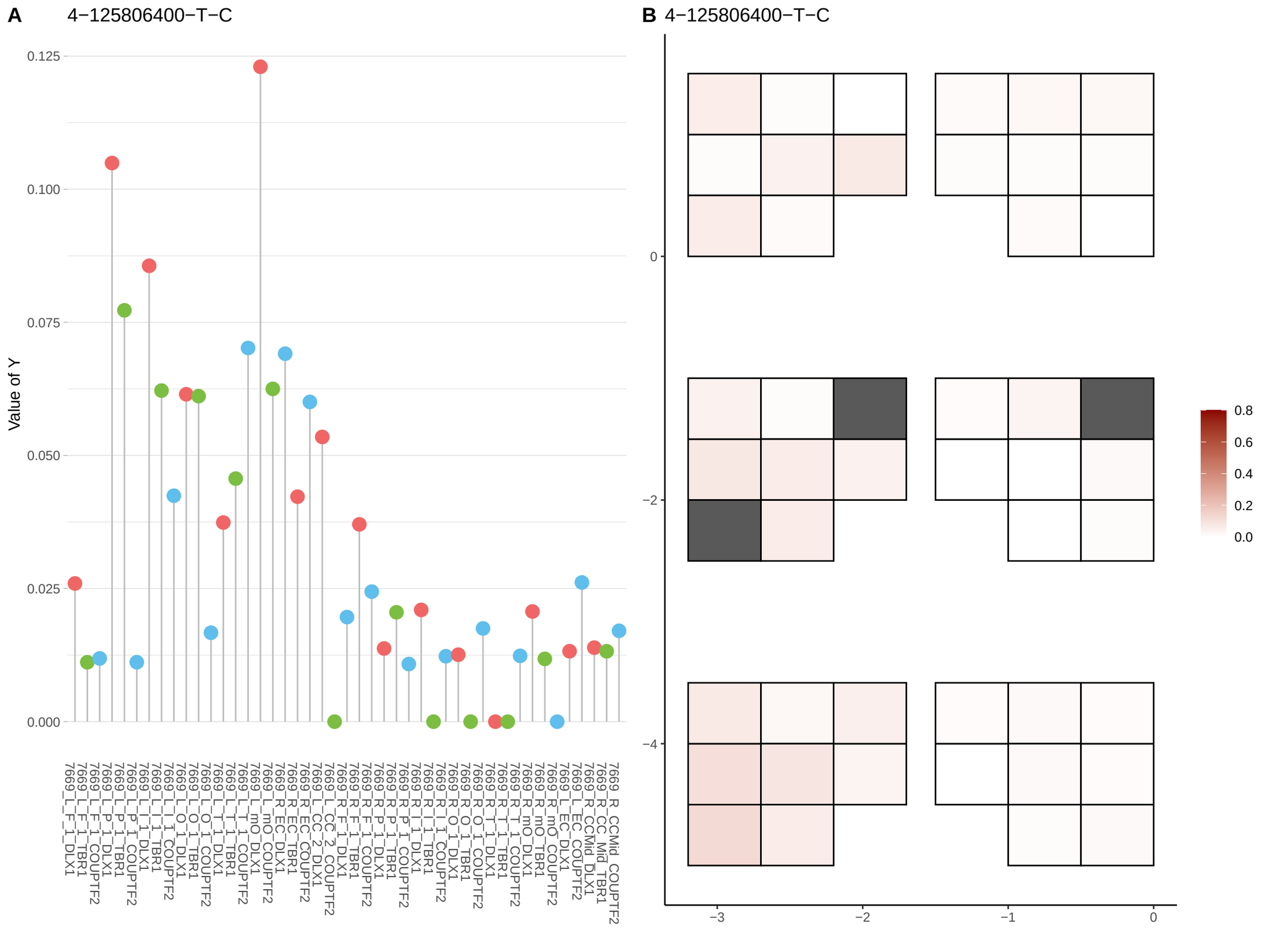
A
4−125806400−T−C
Value of Y
0.125
0.100
0.075
0.050
0.025
0.000
7669_L_F_1_DLX1
7669_L_F_1_TBR1
7669_L_F_1_COUPTF2
7669_L_P_1_DLX1
7669_L_P_1_TBR1
7669_L_P_1_COUPTF2
7669_L_I_1_DLX1
7669_L_I_1_TBR1
7669_L_I_1_COUPTF2
7669_L_O_1_DLX1
7669_L_O_1_TBR1
7669_L_O_1_COUPTF2
7669_L_T_1_DLX1
7669_L_T_1_TBR1
7669_L_T_1_COUPTF2
7669_L_mO_DLX1
7669_L_mO_COUPTF2
7669_R_EC_DLX1
7669_R_EC_TBR1
7669_R_EC_COUPTF2
7669_L_CC_2_DLX1
7669_L_CC_2_COUPTF2
7669_R_F_1_DLX1
7669_R_F_1_TBR1
7669_R_F_1_COUPTF2
7669_R_P_1_DLX1
7669_R_P_1_TBR1
7669_R_P_1_COUPTF2
7669_R_I_1_DLX1
7669_R_I_1_TBR1
7669_R_I_1_COUPTF2
7669_R_O_1_DLX1
7669_R_O_1_TBR1
7669_R_O_1_COUPTF2
7669_R_T_1_DLX1
7669_R_T_1_TBR1
7669_R_T_1_COUPTF2
7669_R_mO_DLX1
7669_R_mO_TBR1
7669_R_mO_COUPTF2
7669_L_EC_DLX1
7669_L_EC_COUPTF2
7669_R_CCMid_DLX1
7669_R_CC_Mid_TBR1
7669_R_CCMid_COUPTF2
B
4−125806400−T−C
0
−2
−4
−3
−2
−1
0
0.8
0.6
0.4
0.2
0.0

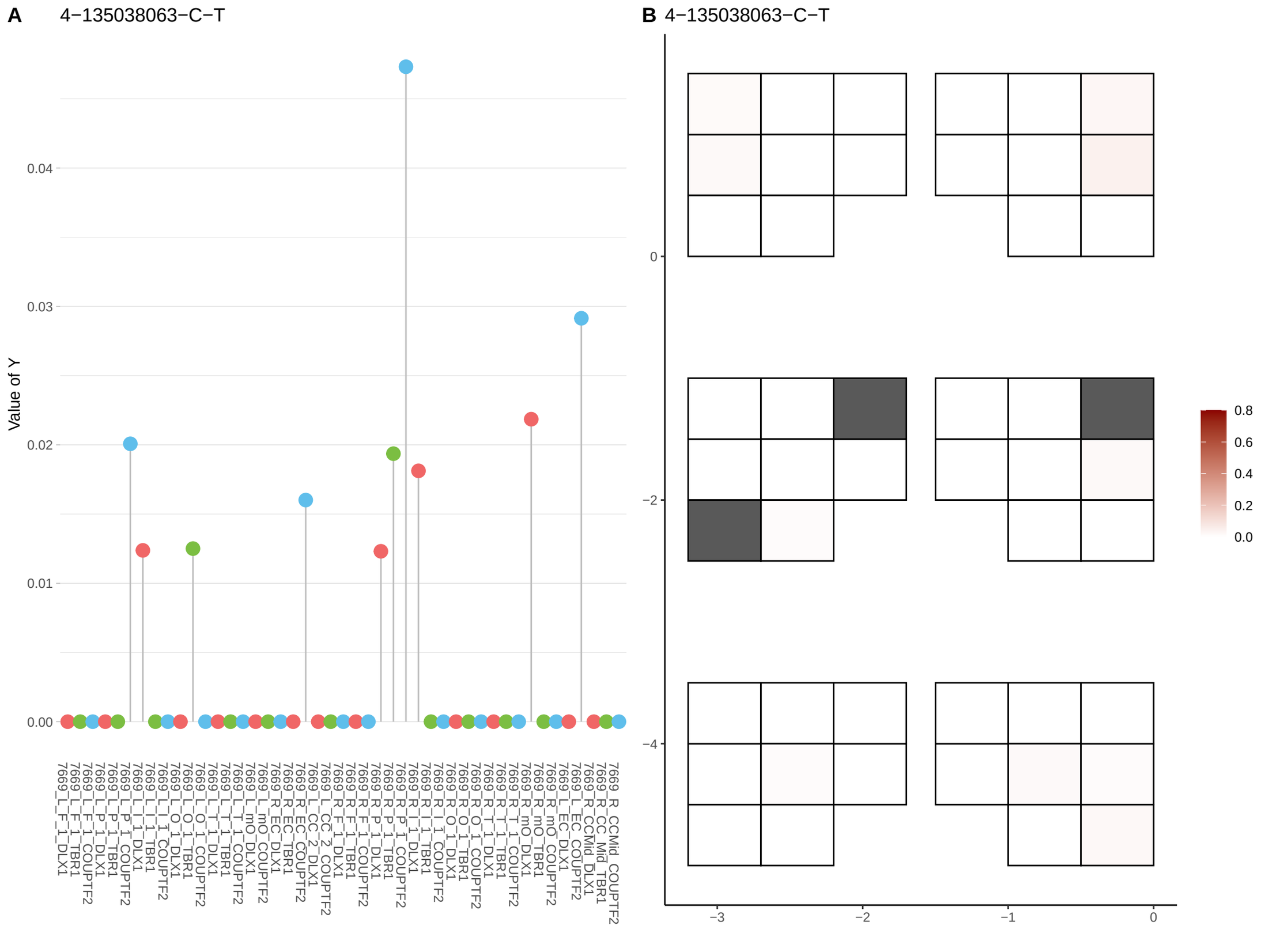
A
4−135038063−C−T
Value of Y
0.04
0.03
0.02
0.01
0.00
7669_L_F_1_DLX1
7669_L_F_1_TBR1
7669_L_F_1_COUPTF2
7669_L_P_1_DLX1
7669_L_P_1_TBR1
7669_L_P_1_COUPTF2
7669_L_I_1_DLX1
7669_L_I_1_TBR1
7669_L_I_1_COUPTF2
7669_L_O_1_DLX1
7669_L_O_1_TBR1
7669_L_O_1_COUPTF2
7669_L_T_1_DLX1
7669_L_T_1_TBR1
7669_L_T_1_COUPTF2
7669_L_mO_DLX1
7669_L_mO_COUPTF2
7669_R_EC_DLX1
7669_R_EC_TBR1
7669_R_EC_COUPTF2
7669_L_CC_2_DLX1
7669_L_CC_2_COUPTF2
7669_R_F_1_DLX1
7669_R_F_1_TBR1
7669_R_F_1_COUPTF2
7669_R_P_1_DLX1
7669_R_P_1_TBR1
7669_R_P_1_COUPTF2
7669_R_I_1_DLX1
7669_R_I_1_TBR1
7669_R_I_1_COUPTF2
7669_R_O_1_DLX1
7669_R_O_1_TBR1
7669_R_O_1_COUPTF2
7669_R_T_1_DLX1
7669_R_T_1_TBR1
7669_R_T_1_COUPTF2
7669_R_mO_DLX1
7669_R_mO_TBR1
7669_R_mO_COUPTF2
7669_L_EC_DLX1
7669_L_EC_COUPTF2
7669_R_CCMid_DLX1
7669_R_CC_Mid_TBR1
7669_R_CCMid_COUPTF2
B
4−135038063−C−T
0
−2
−4
−3
−2
−1
0
0.8
0.6
0.4
0.2
0.0

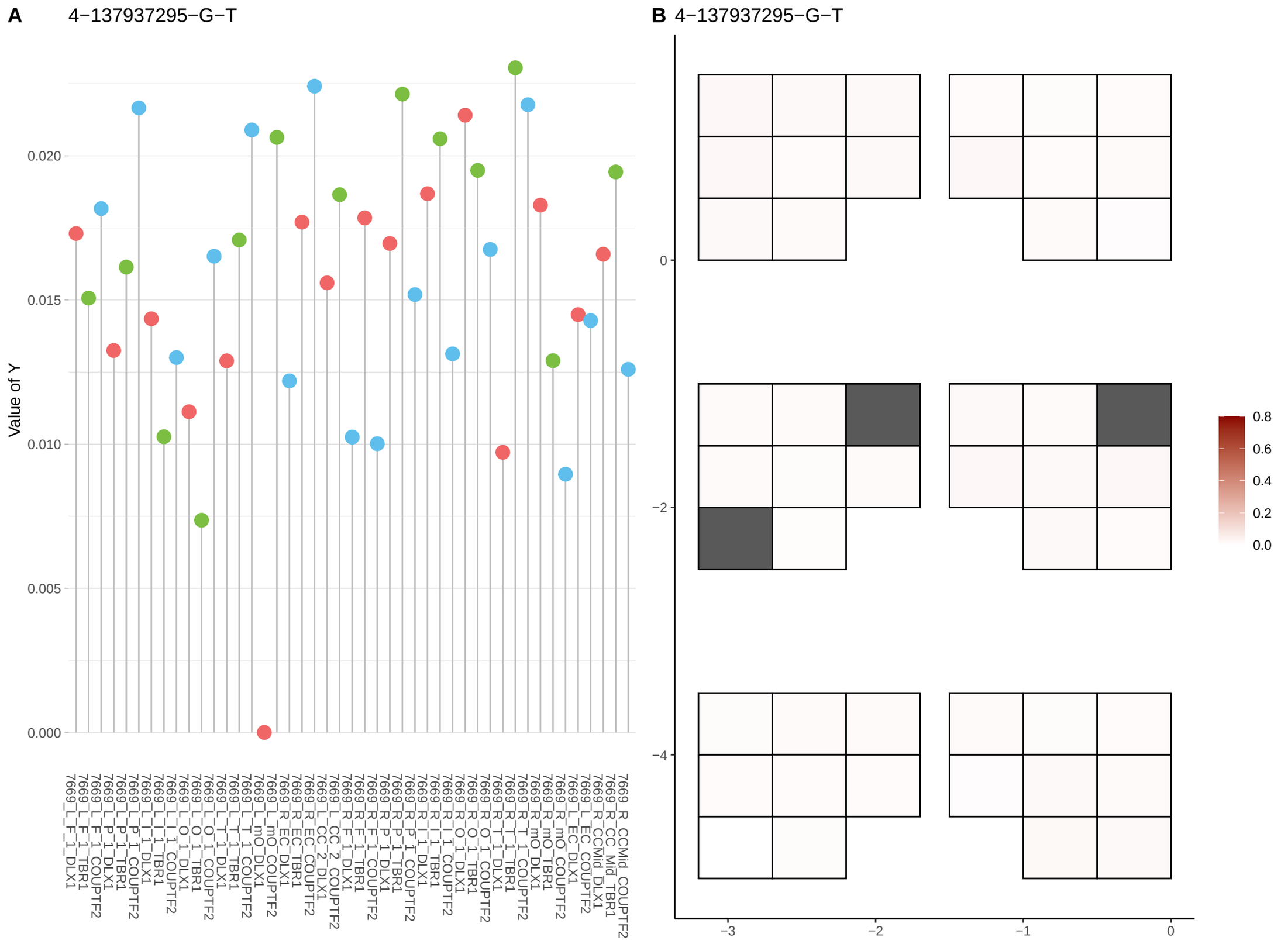
A
4−137937295−G−T
Value of Y
0.020
0.015
0.010
0.005
0.000
7669_L_F_1_DLX1
7669_L_F_1_TBR1
7669_L_F_1_COUPTF2
7669_L_P_1_DLX1
7669_L_P_1_TBR1
7669_L_P_1_COUPTF2
7669_L_I_1_DLX1
7669_L_I_1_TBR1
7669_L_I_1_COUPTF2
7669_L_O_1_DLX1
7669_L_O_1_TBR1
7669_L_O_1_COUPTF2
7669_L_T_1_DLX1
7669_L_T_1_TBR1
7669_L_T_1_COUPTF2
7669_L_mO_DLX1
7669_L_mO_COUPTF2
7669_R_EC_DLX1
7669_R_EC_TBR1
7669_R_EC_COUPTF2
7669_L_CC_2_DLX1
7669_L_CC_2_COUPTF2
7669_R_F_1_DLX1
7669_R_F_1_TBR1
7669_R_F_1_COUPTF2
7669_R_P_1_DLX1
7669_R_P_1_TBR1
7669_R_P_1_COUPTF2
7669_R_I_1_DLX1
7669_R_I_1_TBR1
7669_R_I_1_COUPTF2
7669_R_O_1_DLX1
7669_R_O_1_TBR1
7669_R_O_1_COUPTF2
7669_R_T_1_DLX1
7669_R_T_1_TBR1
7669_R_T_1_COUPTF2
7669_R_mO_DLX1
7669_R_mO_TBR1
7669_R_mO_COUPTF2
7669_L_EC_DLX1
7669_L_EC_COUPTF2
7669_R_CCMid_DLX1
7669_R_CC_Mid_TBR1
7669_R_CCMid_COUPTF2
B
4−137937295−G−T
0
−2
−4
−3
−2
−1
0
0.8
0.6
0.4
0.2
0.0

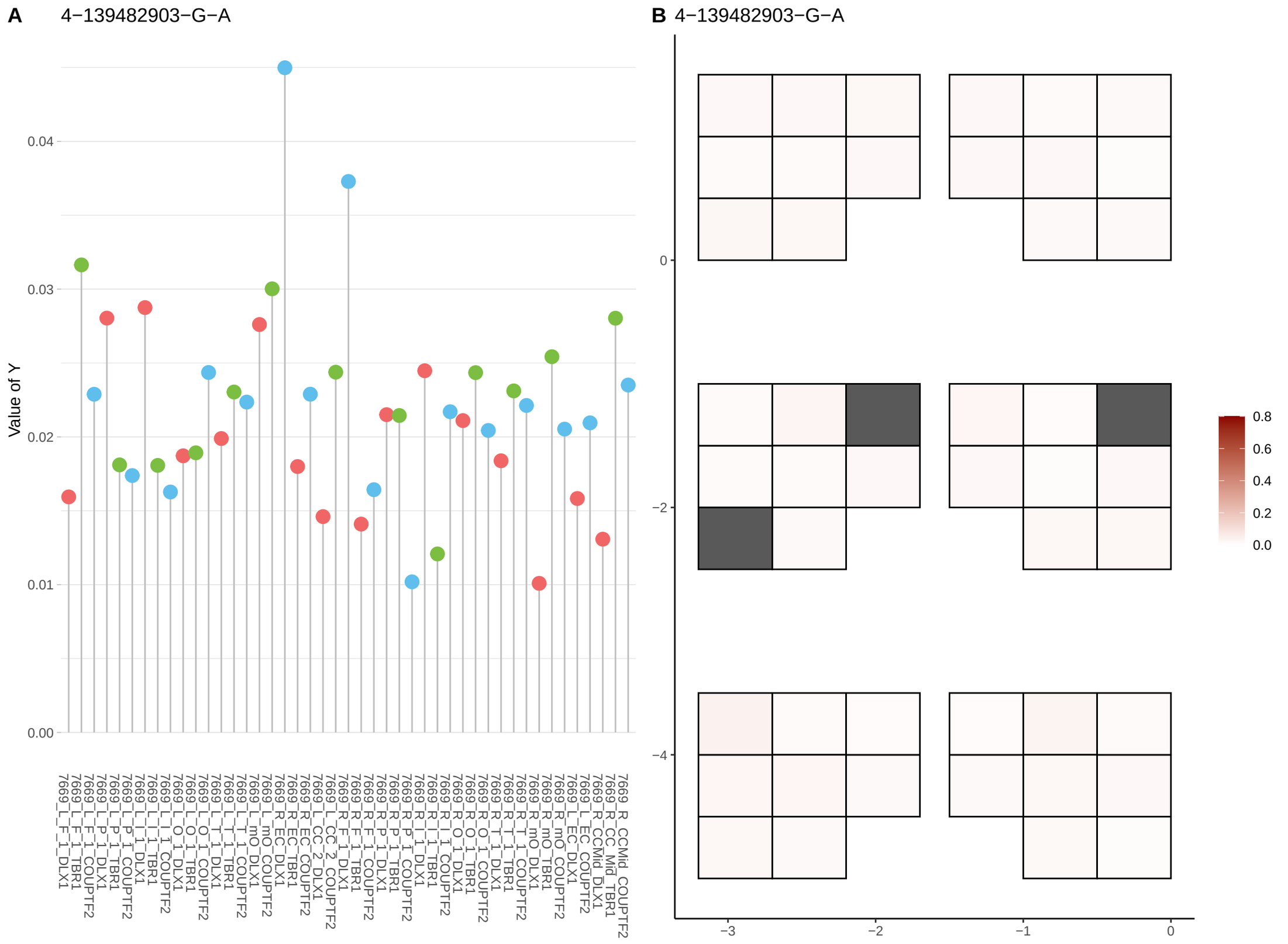
A
4−139482903−G−A
Value of Y
0.04
0.03
0.02
0.01
0.00
7669_L_F_1_DLX1
7669_L_F_1_TBR1
7669_L_F_1_COUPTF2
7669_L_P_1_DLX1
7669_L_P_1_TBR1
7669_L_P_1_COUPTF2
7669_L_I_1_DLX1
7669_L_I_1_TBR1
7669_L_I_1_COUPTF2
7669_L_O_1_DLX1
7669_L_O_1_TBR1
7669_L_O_1_COUPTF2
7669_L_T_1_DLX1
7669_L_T_1_TBR1
7669_L_T_1_COUPTF2
7669_L_mO_DLX1
7669_L_mO_COUPTF2
7669_R_EC_DLX1
7669_R_EC_TBR1
7669_R_EC_COUPTF2
7669_L_CC_2_DLX1
7669_L_CC_2_COUPTF2
7669_R_F_1_DLX1
7669_R_F_1_TBR1
7669_R_F_1_COUPTF2
7669_R_P_1_DLX1
7669_R_P_1_TBR1
7669_R_P_1_COUPTF2
7669_R_I_1_DLX1
7669_R_I_1_TBR1
7669_R_I_1_COUPTF2
7669_R_O_1_DLX1
7669_R_O_1_TBR1
7669_R_O_1_COUPTF2
7669_R_T_1_DLX1
7669_R_T_1_TBR1
7669_R_T_1_COUPTF2
7669_R_mO_DLX1
7669_R_mO_TBR1
7669_R_mO_COUPTF2
7669_L_EC_DLX1
7669_L_EC_COUPTF2
7669_R_CCMid_DLX1
7669_R_CC_Mid_TBR1
7669_R_CCMid_COUPTF2
B
4−139482903−G−A
0
−2
−4
−3
−2
−1
0
0.8
0.6
0.4
0.2
0.0

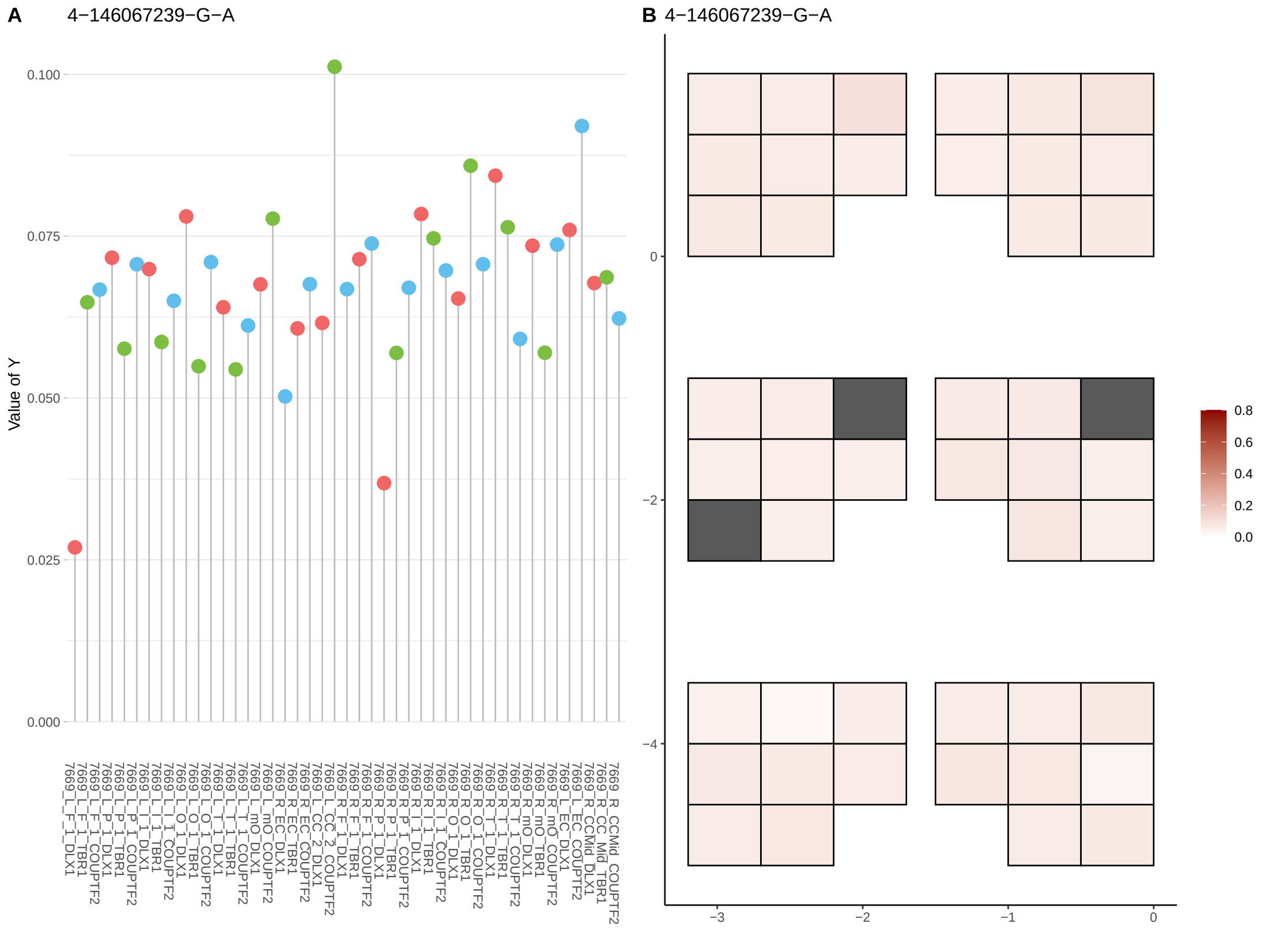
A
4−146067239−G−A
Value of Y
0.100
0.075
0.050
0.025
0.000
7669_L_F_1_DLX1
7669_L_F_1_TBR1
7669_L_F_1_COUPTF2
7669_L_P_1_DLX1
7669_L_P_1_TBR1
7669_L_P_1_COUPTF2
7669_L_I_1_DLX1
7669_L_I_1_TBR1
7669_L_I_1_COUPTF2
7669_L_O_1_DLX1
7669_L_O_1_TBR1
7669_L_O_1_COUPTF2
7669_L_T_1_DLX1
7669_L_T_1_TBR1
7669_L_T_1_COUPTF2
7669_L_mO_DLX1
7669_L_mO_COUPTF2
7669_R_EC_DLX1
7669_R_EC_TBR1
7669_R_EC_COUPTF2
7669_L_CC_2_DLX1
7669_L_CC_2_COUPTF2
7669_R_F_1_DLX1
7669_R_F_1_TBR1
7669_R_F_1_COUPTF2
7669_R_P_1_DLX1
7669_R_P_1_TBR1
7669_R_P_1_COUPTF2
7669_R_I_1_DLX1
7669_R_I_1_TBR1
7669_R_I_1_COUPTF2
7669_R_O_1_DLX1
7669_R_O_1_TBR1
7669_R_O_1_COUPTF2
7669_R_T_1_DLX1
7669_R_T_1_TBR1
7669_R_T_1_COUPTF2
7669_R_mO_DLX1
7669_R_mO_TBR1
7669_R_mO_COUPTF2
7669_L_EC_DLX1
7669_L_EC_COUPTF2
7669_R_CCMid_DLX1
7669_R_CC_Mid_TBR1
7669_R_CCMid_COUPTF2
B
4−146067239−G−A
0
−2
−4
−3
−2
−1
0
0.8
0.6
0.4
0.2
0.0

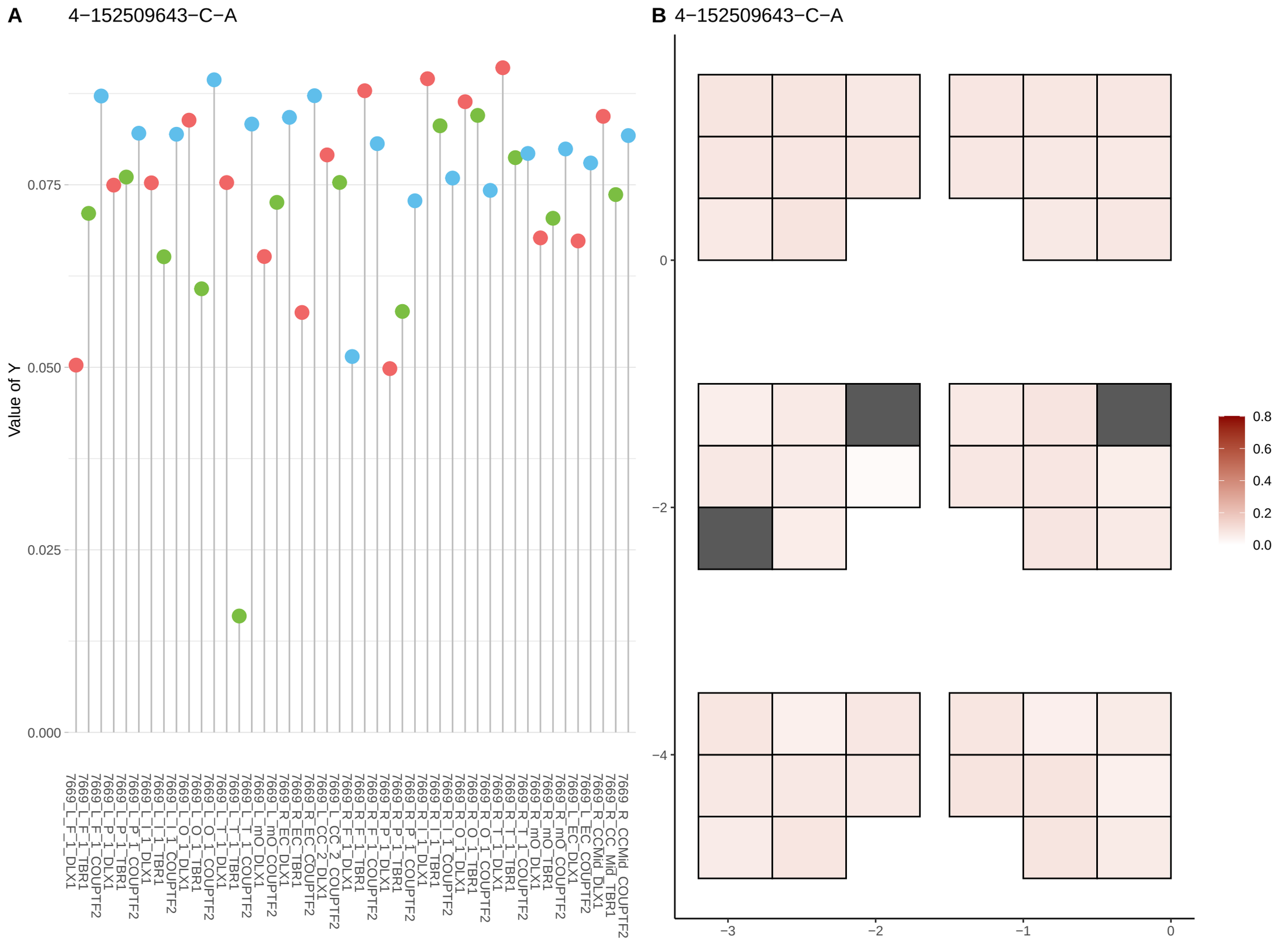
A
4−152509643−C−A
Value of Y
0.075
0.050
0.025
0.000
7669_L_F_1_DLX1
7669_L_F_1_TBR1
7669_L_F_1_COUPTF2
7669_L_P_1_DLX1
7669_L_P_1_TBR1
7669_L_P_1_COUPTF2
7669_L_I_1_DLX1
7669_L_I_1_TBR1
7669_L_I_1_COUPTF2
7669_L_O_1_DLX1
7669_L_O_1_TBR1
7669_L_O_1_COUPTF2
7669_L_T_1_DLX1
7669_L_T_1_TBR1
7669_L_T_1_COUPTF2
7669_L_mO_DLX1
7669_L_mO_COUPTF2
7669_R_EC_DLX1
7669_R_EC_TBR1
7669_R_EC_COUPTF2
7669_L_CC_2_DLX1
7669_L_CC_2_COUPTF2
7669_R_F_1_DLX1
7669_R_F_1_TBR1
7669_R_F_1_COUPTF2
7669_R_P_1_DLX1
7669_R_P_1_TBR1
7669_R_P_1_COUPTF2
7669_R_I_1_DLX1
7669_R_I_1_TBR1
7669_R_I_1_COUPTF2
7669_R_O_1_DLX1
7669_R_O_1_TBR1
7669_R_O_1_COUPTF2
7669_R_T_1_DLX1
7669_R_T_1_TBR1
7669_R_T_1_COUPTF2
7669_R_mO_DLX1
7669_R_mO_TBR1
7669_R_mO_COUPTF2
7669_L_EC_DLX1
7669_L_EC_COUPTF2
7669_R_CCMid_DLX1
7669_R_CC_Mid_TBR1
7669_R_CCMid_COUPTF2
B
4−152509643−C−A
0
−2
−4
−3
−2
−1
0
0.8
0.6
0.4
0.2
0.0

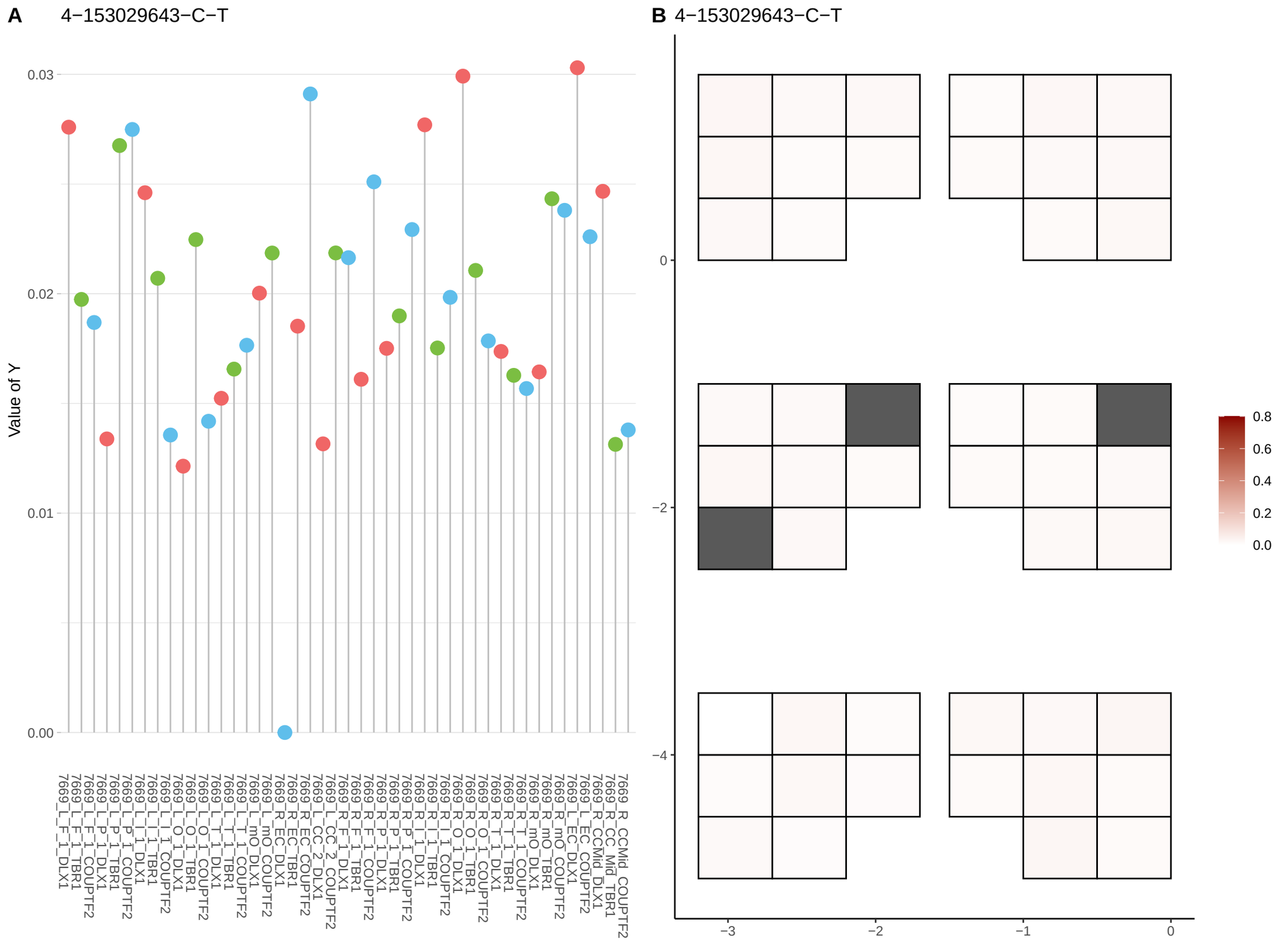
A
4−153029643−C−T
Value of Y
0.03
0.02
0.01
0.00
7669_L_F_1_DLX1
7669_L_F_1_TBR1
7669_L_F_1_COUPTF2
7669_L_P_1_DLX1
7669_L_P_1_TBR1
7669_L_P_1_COUPTF2
7669_L_I_1_DLX1
7669_L_I_1_TBR1
7669_L_I_1_COUPTF2
7669_L_O_1_DLX1
7669_L_O_1_TBR1
7669_L_O_1_COUPTF2
7669_L_T_1_DLX1
7669_L_T_1_TBR1
7669_L_T_1_COUPTF2
7669_L_mO_DLX1
7669_L_mO_COUPTF2
7669_R_EC_DLX1
7669_R_EC_TBR1
7669_R_EC_COUPTF2
7669_L_CC_2_DLX1
7669_L_CC_2_COUPTF2
7669_R_F_1_DLX1
7669_R_F_1_TBR1
7669_R_F_1_COUPTF2
7669_R_P_1_DLX1
7669_R_P_1_TBR1
7669_R_P_1_COUPTF2
7669_R_I_1_DLX1
7669_R_I_1_TBR1
7669_R_I_1_COUPTF2
7669_R_O_1_DLX1
7669_R_O_1_TBR1
7669_R_O_1_COUPTF2
7669_R_T_1_DLX1
7669_R_T_1_TBR1
7669_R_T_1_COUPTF2
7669_R_mO_DLX1
7669_R_mO_TBR1
7669_R_mO_COUPTF2
7669_L_EC_DLX1
7669_L_EC_COUPTF2
7669_R_CCMid_DLX1
7669_R_CC_Mid_TBR1
7669_R_CCMid_COUPTF2
B
4−153029643−C−T
0
−2
−4
−3
−2
−1
0
0.8
0.6
0.4
0.2
0.0

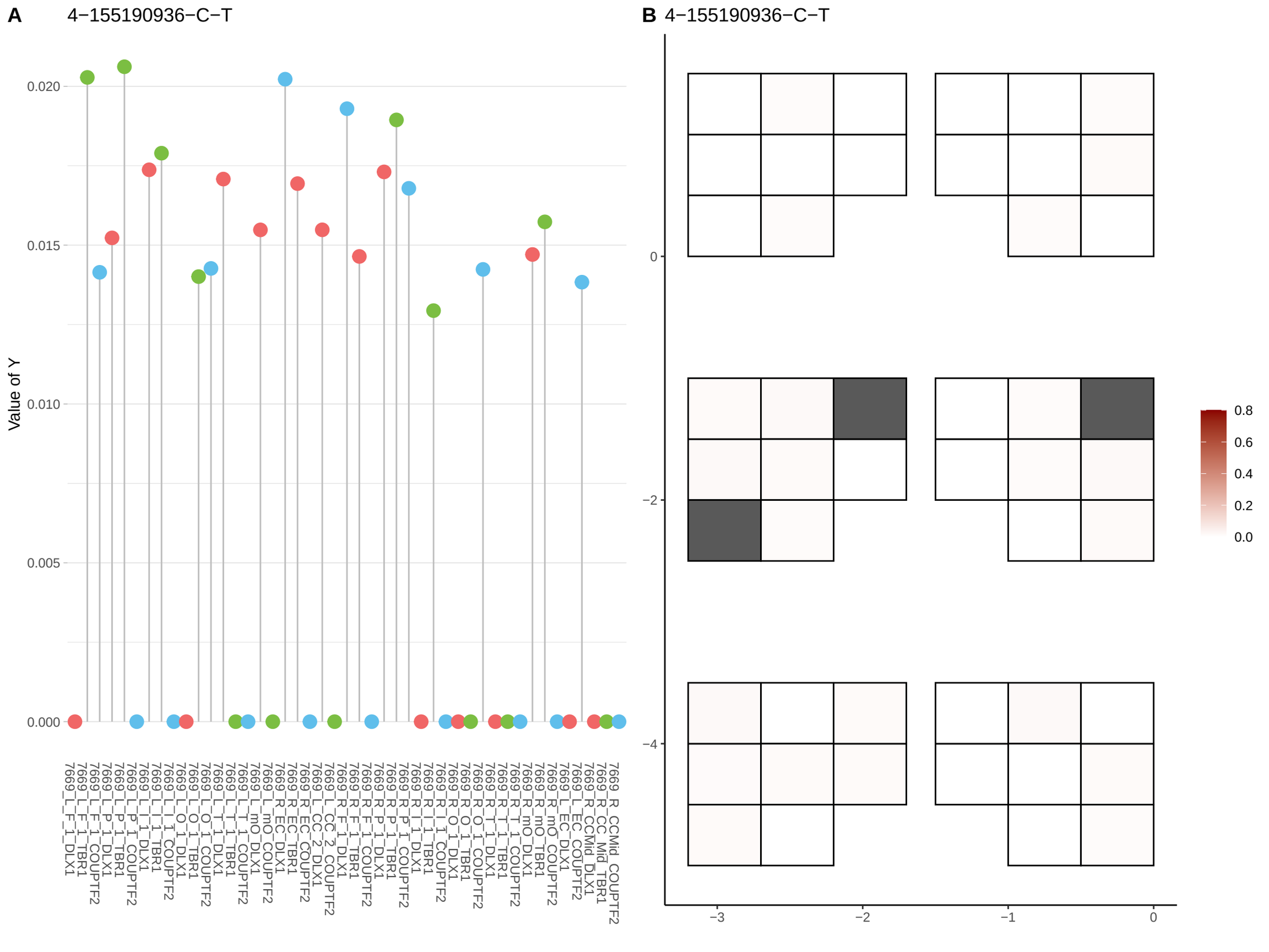
A
4−155190936−C−T
Value of Y
0.020
0.015
0.010
0.005
0.000
7669_L_F_1_DLX1
7669_L_F_1_TBR1
7669_L_F_1_COUPTF2
7669_L_P_1_DLX1
7669_L_P_1_TBR1
7669_L_P_1_COUPTF2
7669_L_I_1_DLX1
7669_L_I_1_TBR1
7669_L_I_1_COUPTF2
7669_L_O_1_DLX1
7669_L_O_1_TBR1
7669_L_O_1_COUPTF2
7669_L_T_1_DLX1
7669_L_T_1_TBR1
7669_L_T_1_COUPTF2
7669_L_mO_DLX1
7669_L_mO_COUPTF2
7669_R_EC_DLX1
7669_R_EC_TBR1
7669_R_EC_COUPTF2
7669_L_CC_2_DLX1
7669_L_CC_2_COUPTF2
7669_R_F_1_DLX1
7669_R_F_1_TBR1
7669_R_F_1_COUPTF2
7669_R_P_1_DLX1
7669_R_P_1_TBR1
7669_R_P_1_COUPTF2
7669_R_I_1_DLX1
7669_R_I_1_TBR1
7669_R_I_1_COUPTF2
7669_R_O_1_DLX1
7669_R_O_1_TBR1
7669_R_O_1_COUPTF2
7669_R_T_1_DLX1
7669_R_T_1_TBR1
7669_R_T_1_COUPTF2
7669_R_mO_DLX1
7669_R_mO_TBR1
7669_R_mO_COUPTF2
7669_L_EC_DLX1
7669_L_EC_COUPTF2
7669_R_CCMid_DLX1
7669_R_CC_Mid_TBR1
7669_R_CCMid_COUPTF2
B
4−155190936−C−T
0
−2
−4
−3
−2
−1
0
0.8
0.6
0.4
0.2
0.0

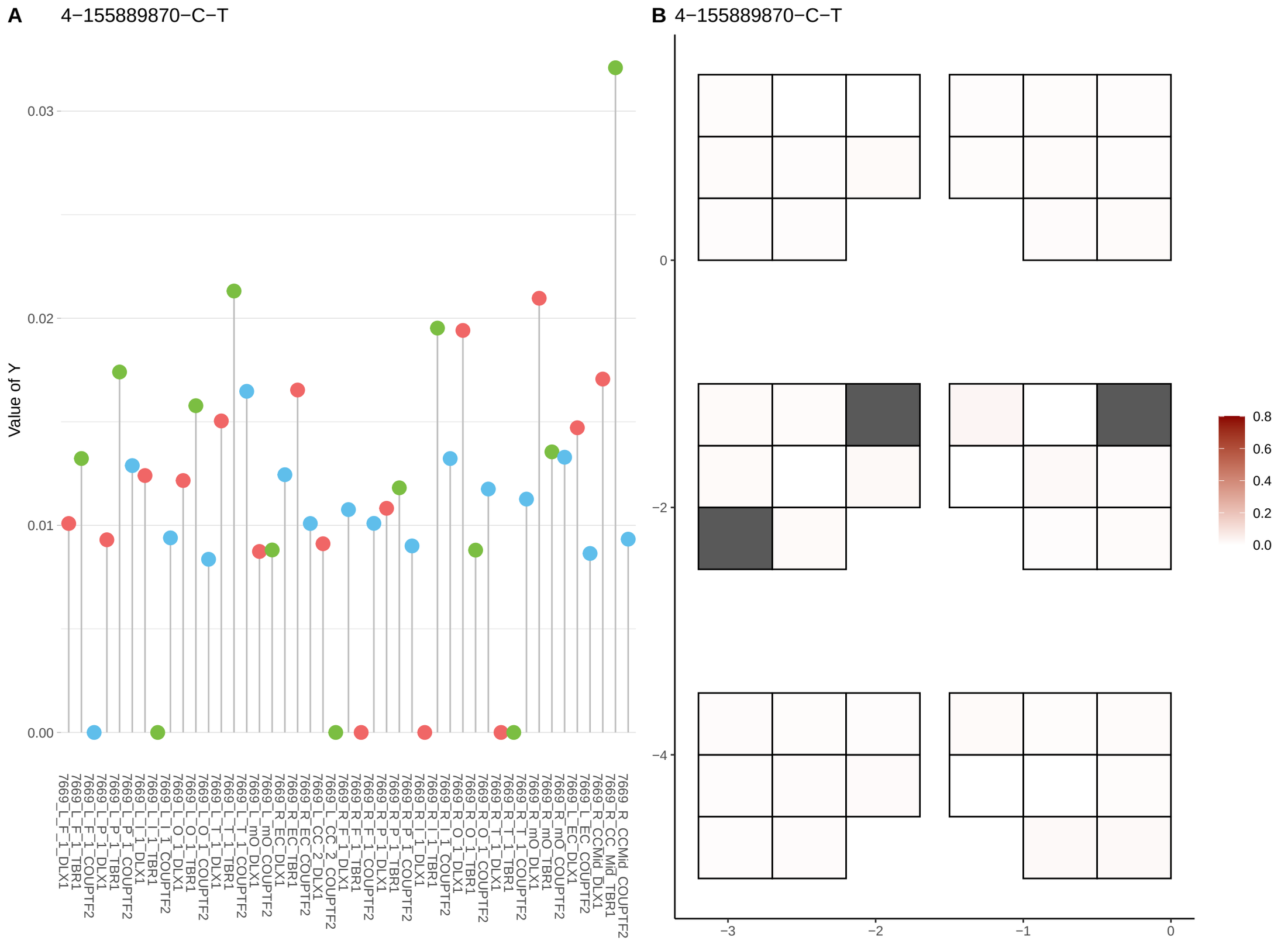
A
4−155889870−C−T
Value of Y
0.03
0.02
0.01
0.00
7669_L_F_1_DLX1
7669_L_F_1_TBR1
7669_L_F_1_COUPTF2
7669_L_P_1_DLX1
7669_L_P_1_TBR1
7669_L_P_1_COUPTF2
7669_L_I_1_DLX1
7669_L_I_1_TBR1
7669_L_I_1_COUPTF2
7669_L_O_1_DLX1
7669_L_O_1_TBR1
7669_L_O_1_COUPTF2
7669_L_T_1_DLX1
7669_L_T_1_TBR1
7669_L_T_1_COUPTF2
7669_L_mO_DLX1
7669_L_mO_COUPTF2
7669_R_EC_DLX1
7669_R_EC_TBR1
7669_R_EC_COUPTF2
7669_L_CC_2_DLX1
7669_L_CC_2_COUPTF2
7669_R_F_1_DLX1
7669_R_F_1_TBR1
7669_R_F_1_COUPTF2
7669_R_P_1_DLX1
7669_R_P_1_TBR1
7669_R_P_1_COUPTF2
7669_R_I_1_DLX1
7669_R_I_1_TBR1
7669_R_I_1_COUPTF2
7669_R_O_1_DLX1
7669_R_O_1_TBR1
7669_R_O_1_COUPTF2
7669_R_T_1_DLX1
7669_R_T_1_TBR1
7669_R_T_1_COUPTF2
7669_R_mO_DLX1
7669_R_mO_TBR1
7669_R_mO_COUPTF2
7669_L_EC_DLX1
7669_L_EC_COUPTF2
7669_R_CCMid_DLX1
7669_R_CC_Mid_TBR1
7669_R_CCMid_COUPTF2
B
4−155889870−C−T
0
−2
−4
−3
−2
−1
0
0.8
0.6
0.4
0.2
0.0

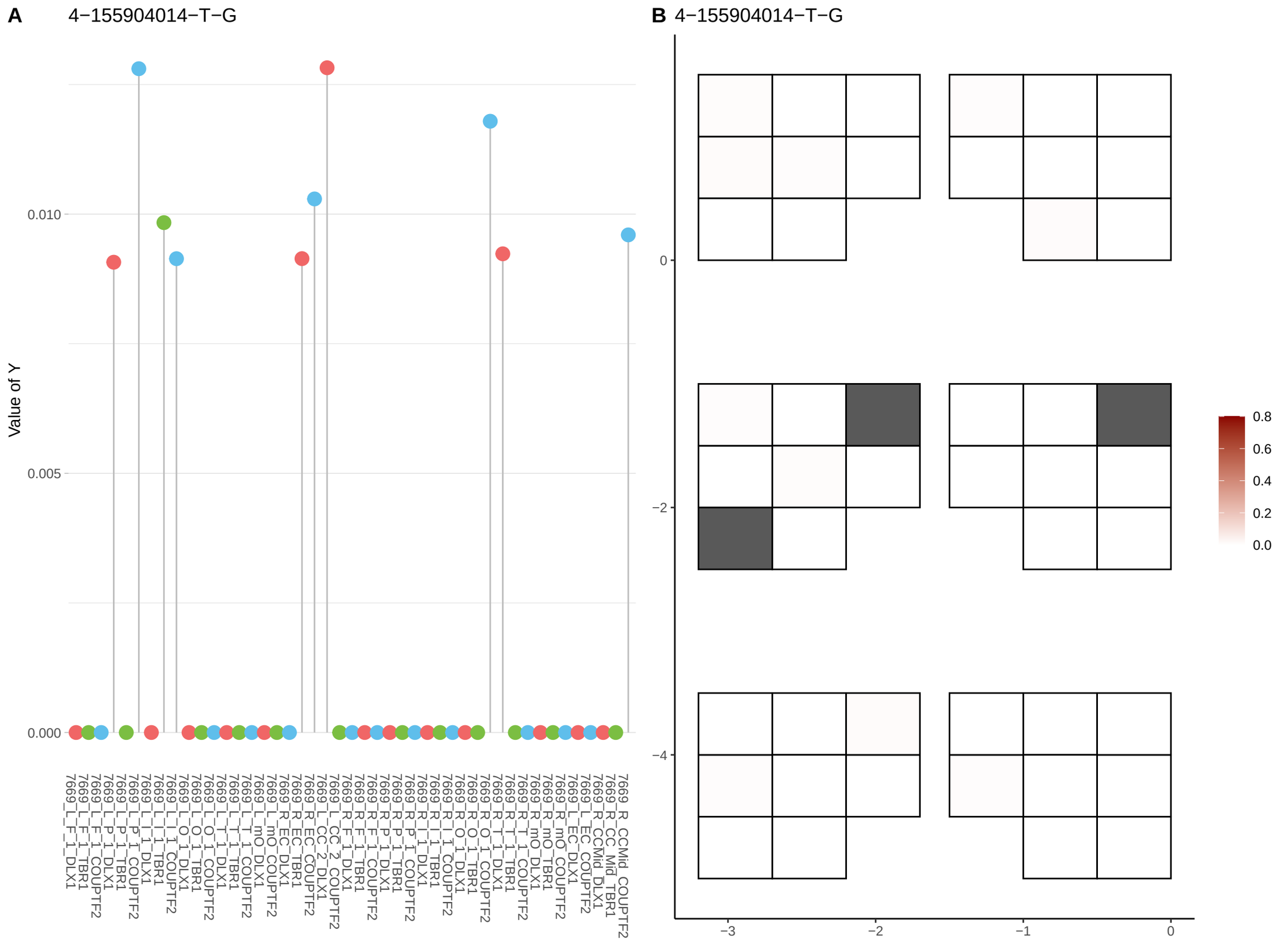
A
4−155904014−T−G
Value of Y
0.010
0.005
0.000
7669_L_F_1_DLX1
7669_L_F_1_TBR1
7669_L_F_1_COUPTF2
7669_L_P_1_DLX1
7669_L_P_1_TBR1
7669_L_P_1_COUPTF2
7669_L_I_1_DLX1
7669_L_I_1_TBR1
7669_L_I_1_COUPTF2
7669_L_O_1_DLX1
7669_L_O_1_TBR1
7669_L_O_1_COUPTF2
7669_L_T_1_DLX1
7669_L_T_1_TBR1
7669_L_T_1_COUPTF2
7669_L_mO_DLX1
7669_L_mO_COUPTF2
7669_R_EC_DLX1
7669_R_EC_TBR1
7669_R_EC_COUPTF2
7669_L_CC_2_DLX1
7669_L_CC_2_COUPTF2
7669_R_F_1_DLX1
7669_R_F_1_TBR1
7669_R_F_1_COUPTF2
7669_R_P_1_DLX1
7669_R_P_1_TBR1
7669_R_P_1_COUPTF2
7669_R_I_1_DLX1
7669_R_I_1_TBR1
7669_R_I_1_COUPTF2
7669_R_O_1_DLX1
7669_R_O_1_TBR1
7669_R_O_1_COUPTF2
7669_R_T_1_DLX1
7669_R_T_1_TBR1
7669_R_T_1_COUPTF2
7669_R_mO_DLX1
7669_R_mO_TBR1
7669_R_mO_COUPTF2
7669_L_EC_DLX1
7669_L_EC_COUPTF2
7669_R_CCMid_DLX1
7669_R_CC_Mid_TBR1
7669_R_CCMid_COUPTF2
B
4−155904014−T−G
0
−2
−4
−3
−2
−1
0
0.8
0.6
0.4
0.2
0.0

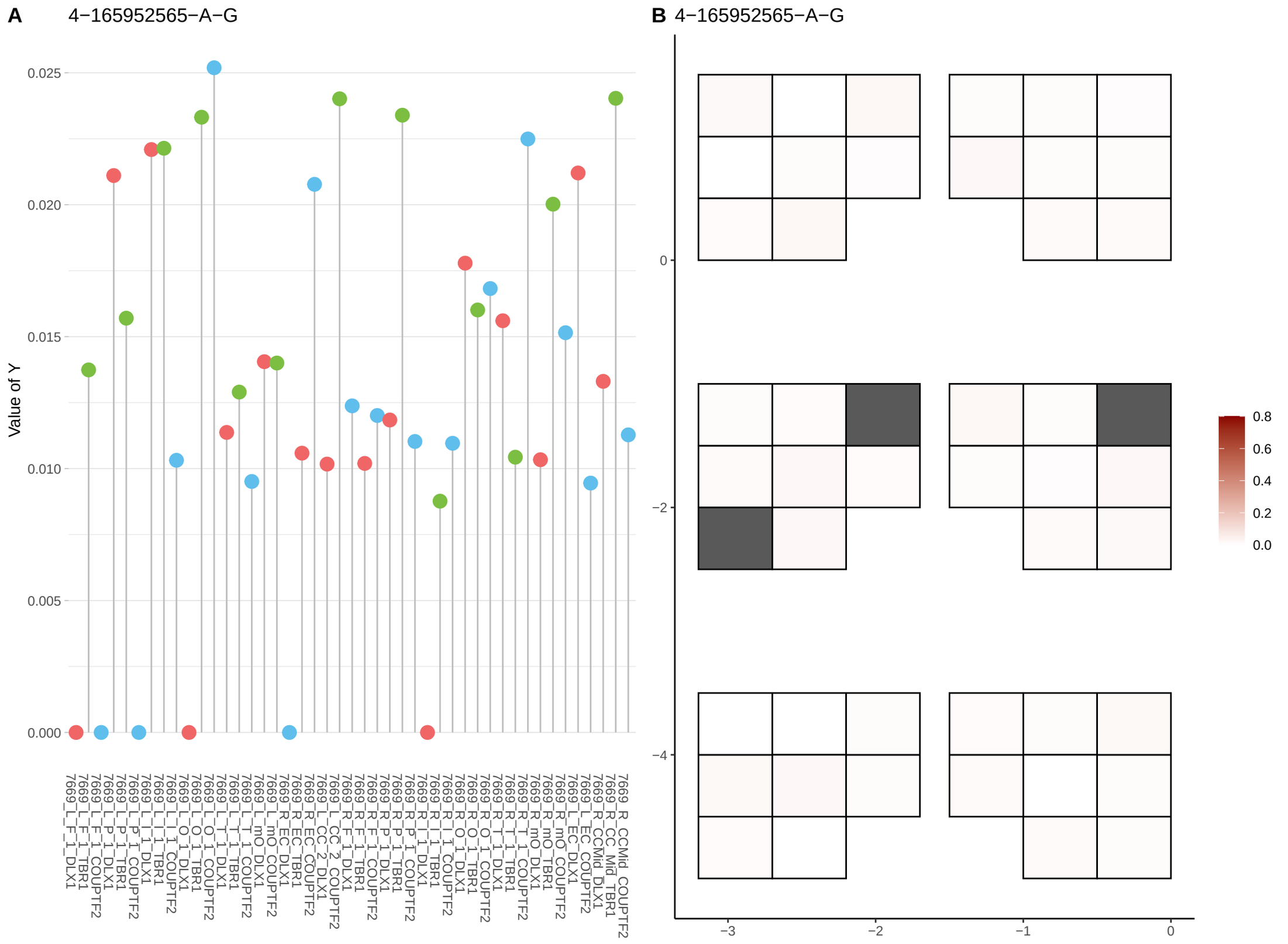
A
4−165952565−A−G
Value of Y
0.025
0.020
0.015
0.010
0.005
0.000
7669_L_F_1_DLX1
7669_L_F_1_TBR1
7669_L_F_1_COUPTF2
7669_L_P_1_DLX1
7669_L_P_1_TBR1
7669_L_P_1_COUPTF2
7669_L_I_1_DLX1
7669_L_I_1_TBR1
7669_L_I_1_COUPTF2
7669_L_O_1_DLX1
7669_L_O_1_TBR1
7669_L_O_1_COUPTF2
7669_L_T_1_DLX1
7669_L_T_1_TBR1
7669_L_T_1_COUPTF2
7669_L_mO_DLX1
7669_L_mO_COUPTF2
7669_R_EC_DLX1
7669_R_EC_TBR1
7669_R_EC_COUPTF2
7669_L_CC_2_DLX1
7669_L_CC_2_COUPTF2
7669_R_F_1_DLX1
7669_R_F_1_TBR1
7669_R_F_1_COUPTF2
7669_R_P_1_DLX1
7669_R_P_1_TBR1
7669_R_P_1_COUPTF2
7669_R_I_1_DLX1
7669_R_I_1_TBR1
7669_R_I_1_COUPTF2
7669_R_O_1_DLX1
7669_R_O_1_TBR1
7669_R_O_1_COUPTF2
7669_R_T_1_DLX1
7669_R_T_1_TBR1
7669_R_T_1_COUPTF2
7669_R_mO_DLX1
7669_R_mO_TBR1
7669_R_mO_COUPTF2
7669_L_EC_DLX1
7669_L_EC_COUPTF2
7669_R_CCMid_DLX1
7669_R_CC_Mid_TBR1
7669_R_CCMid_COUPTF2
B
4−165952565−A−G
0
−2
−4
−3
−2
−1
0
0.8
0.6
0.4
0.2
0.0

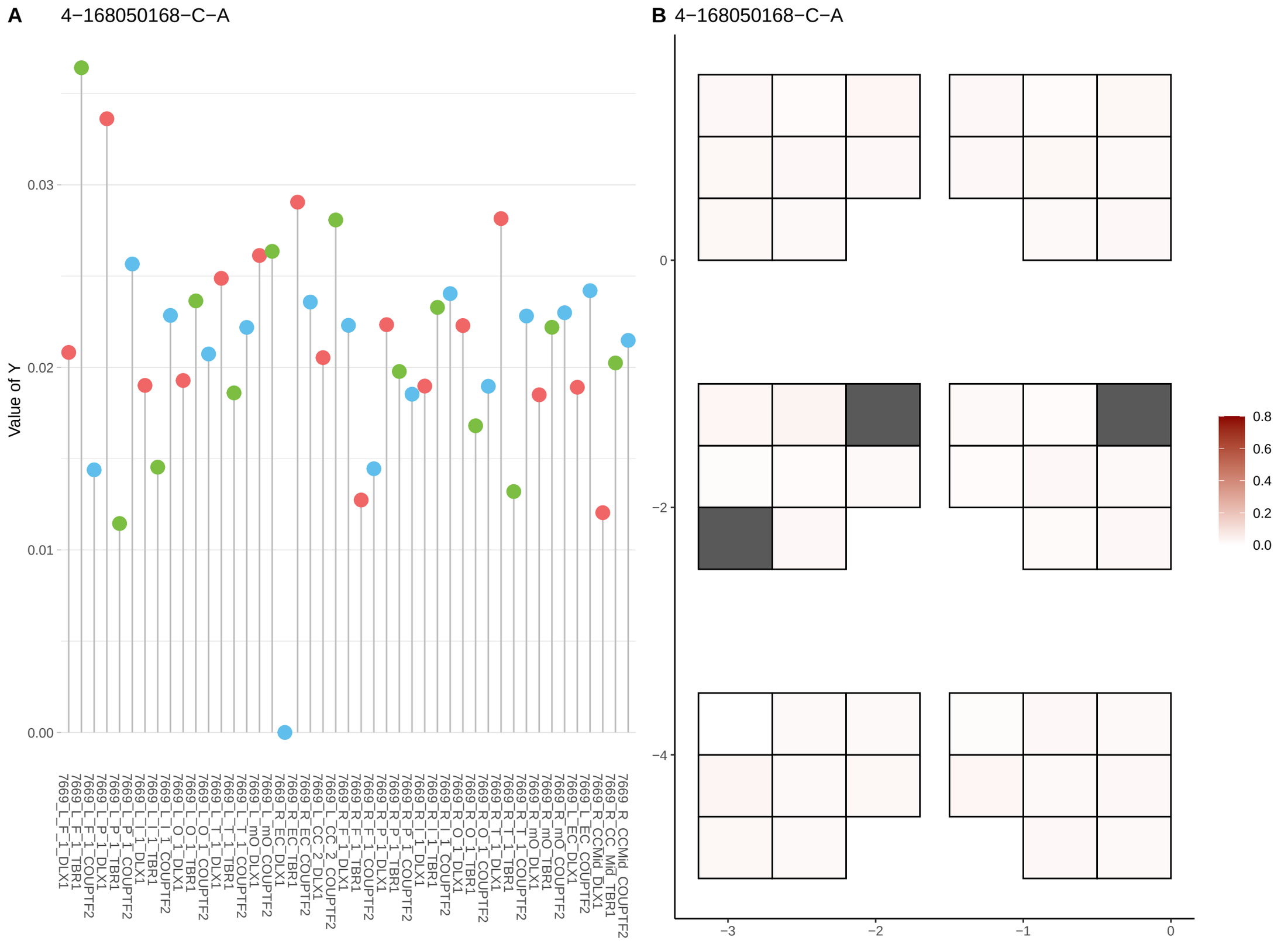
A
4−168050168−C−A
Value of Y
0.03
0.02
0.01
0.00
7669_L_F_1_DLX1
7669_L_F_1_TBR1
7669_L_F_1_COUPTF2
7669_L_P_1_DLX1
7669_L_P_1_TBR1
7669_L_P_1_COUPTF2
7669_L_I_1_DLX1
7669_L_I_1_TBR1
7669_L_I_1_COUPTF2
7669_L_O_1_DLX1
7669_L_O_1_TBR1
7669_L_O_1_COUPTF2
7669_L_T_1_DLX1
7669_L_T_1_TBR1
7669_L_T_1_COUPTF2
7669_L_mO_DLX1
7669_L_mO_COUPTF2
7669_R_EC_DLX1
7669_R_EC_TBR1
7669_R_EC_COUPTF2
7669_L_CC_2_DLX1
7669_L_CC_2_COUPTF2
7669_R_F_1_DLX1
7669_R_F_1_TBR1
7669_R_F_1_COUPTF2
7669_R_P_1_DLX1
7669_R_P_1_TBR1
7669_R_P_1_COUPTF2
7669_R_I_1_DLX1
7669_R_I_1_TBR1
7669_R_I_1_COUPTF2
7669_R_O_1_DLX1
7669_R_O_1_TBR1
7669_R_O_1_COUPTF2
7669_R_T_1_DLX1
7669_R_T_1_TBR1
7669_R_T_1_COUPTF2
7669_R_mO_DLX1
7669_R_mO_TBR1
7669_R_mO_COUPTF2
7669_L_EC_DLX1
7669_L_EC_COUPTF2
7669_R_CCMid_DLX1
7669_R_CC_Mid_TBR1
7669_R_CCMid_COUPTF2
B
4−168050168−C−A
0
−2
−4
−3
−2
−1
0
0.8
0.6
0.4
0.2
0.0

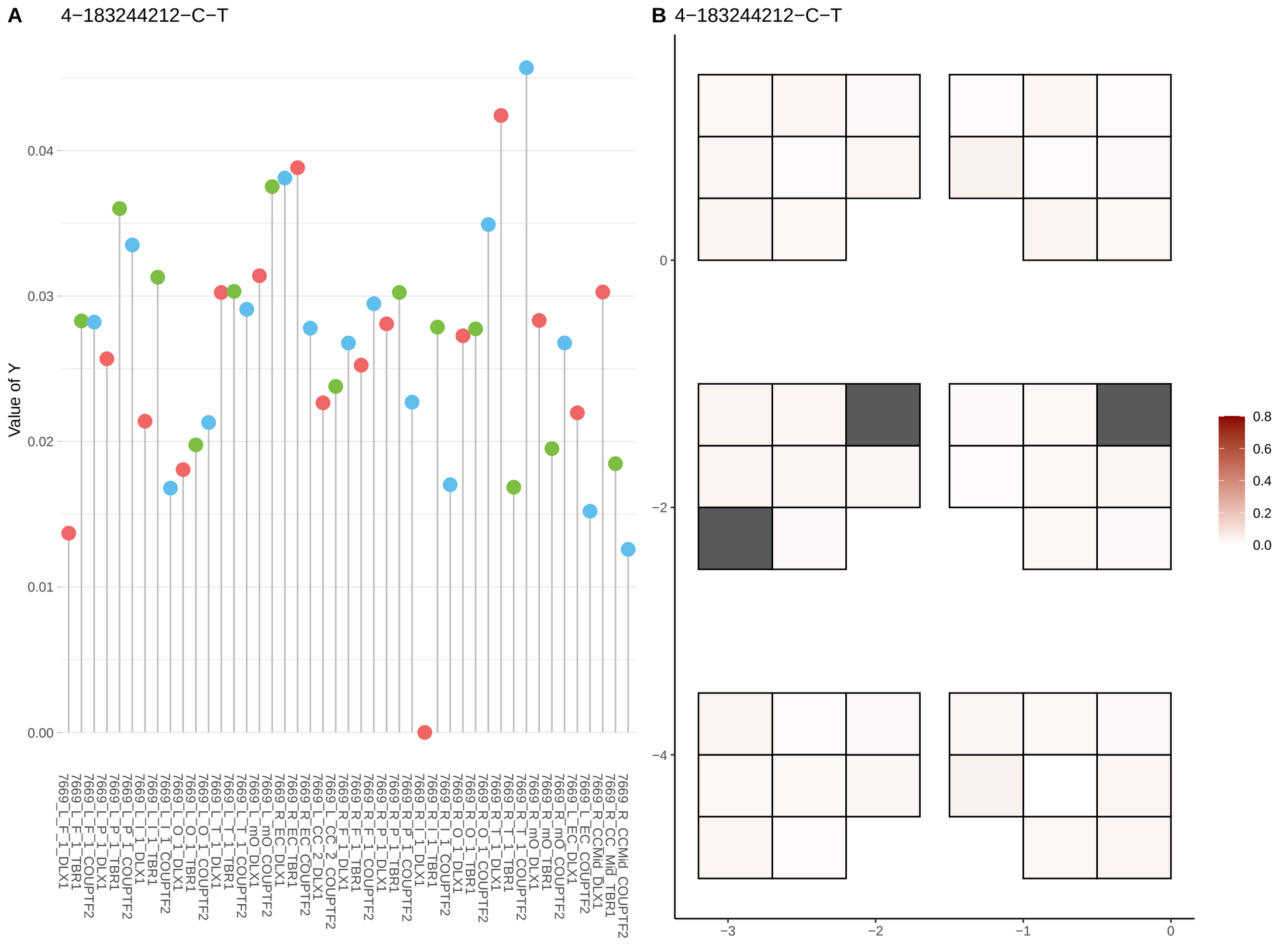
A
4−183244212−C−T
Value of Y
0.04
0.03
0.02
0.01
0.00
7669_L_F_1_DLX1
7669_L_F_1_TBR1
7669_L_F_1_COUPTF2
7669_L_P_1_DLX1
7669_L_P_1_TBR1
7669_L_P_1_COUPTF2
7669_L_I_1_DLX1
7669_L_I_1_TBR1
7669_L_I_1_COUPTF2
7669_L_O_1_DLX1
7669_L_O_1_TBR1
7669_L_O_1_COUPTF2
7669_L_T_1_DLX1
7669_L_T_1_TBR1
7669_L_T_1_COUPTF2
7669_L_mO_DLX1
7669_L_mO_COUPTF2
7669_R_EC_DLX1
7669_R_EC_TBR1
7669_R_EC_COUPTF2
7669_L_CC_2_DLX1
7669_L_CC_2_COUPTF2
7669_R_F_1_DLX1
7669_R_F_1_TBR1
7669_R_F_1_COUPTF2
7669_R_P_1_DLX1
7669_R_P_1_TBR1
7669_R_P_1_COUPTF2
7669_R_I_1_DLX1
7669_R_I_1_TBR1
7669_R_I_1_COUPTF2
7669_R_O_1_DLX1
7669_R_O_1_TBR1
7669_R_O_1_COUPTF2
7669_R_T_1_DLX1
7669_R_T_1_TBR1
7669_R_T_1_COUPTF2
7669_R_mO_DLX1
7669_R_mO_TBR1
7669_R_mO_COUPTF2
7669_L_EC_DLX1
7669_L_EC_COUPTF2
7669_R_CCMid_DLX1
7669_R_CC_Mid_TBR1
7669_R_CCMid_COUPTF2
B
4−183244212−C−T
0
−2
−4
−3
−2
−1
0
0.8
0.6
0.4
0.2
0.0

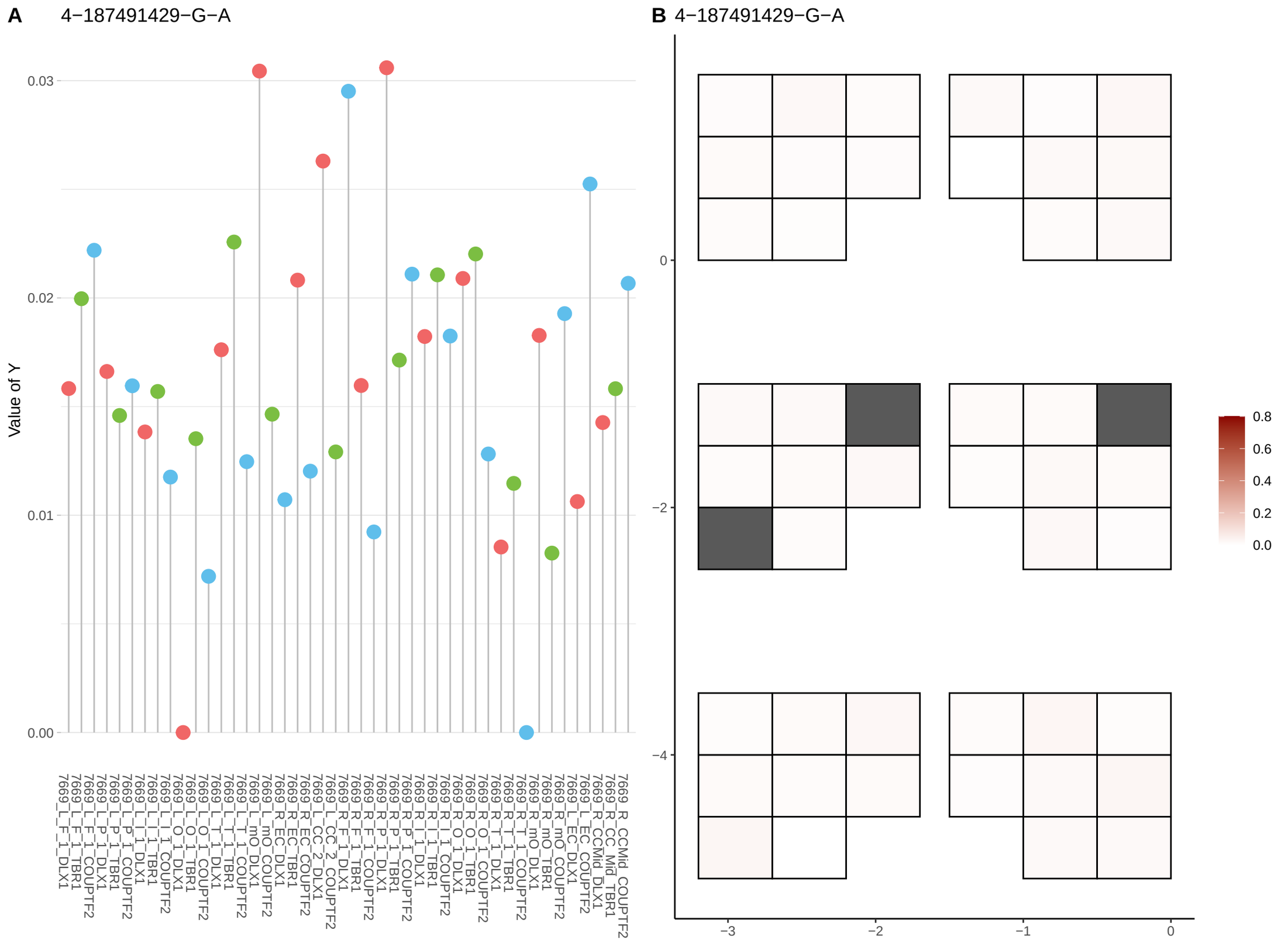
A
4−187491429−G−A
Value of Y
0.03
0.02
0.01
0.00
7669_L_F_1_DLX1
7669_L_F_1_TBR1
7669_L_F_1_COUPTF2
7669_L_P_1_DLX1
7669_L_P_1_TBR1
7669_L_P_1_COUPTF2
7669_L_I_1_DLX1
7669_L_I_1_TBR1
7669_L_I_1_COUPTF2
7669_L_O_1_DLX1
7669_L_O_1_TBR1
7669_L_O_1_COUPTF2
7669_L_T_1_DLX1
7669_L_T_1_TBR1
7669_L_T_1_COUPTF2
7669_L_mO_DLX1
7669_L_mO_COUPTF2
7669_R_EC_DLX1
7669_R_EC_TBR1
7669_R_EC_COUPTF2
7669_L_CC_2_DLX1
7669_L_CC_2_COUPTF2
7669_R_F_1_DLX1
7669_R_F_1_TBR1
7669_R_F_1_COUPTF2
7669_R_P_1_DLX1
7669_R_P_1_TBR1
7669_R_P_1_COUPTF2
7669_R_I_1_DLX1
7669_R_I_1_TBR1
7669_R_I_1_COUPTF2
7669_R_O_1_DLX1
7669_R_O_1_TBR1
7669_R_O_1_COUPTF2
7669_R_T_1_DLX1
7669_R_T_1_TBR1
7669_R_T_1_COUPTF2
7669_R_mO_DLX1
7669_R_mO_TBR1
7669_R_mO_COUPTF2
7669_L_EC_DLX1
7669_L_EC_COUPTF2
7669_R_CCMid_DLX1
7669_R_CC_Mid_TBR1
7669_R_CCMid_COUPTF2
B
4−187491429−G−A
0
−2
−4
−3
−2
−1
0
0.8
0.6
0.4
0.2
0.0

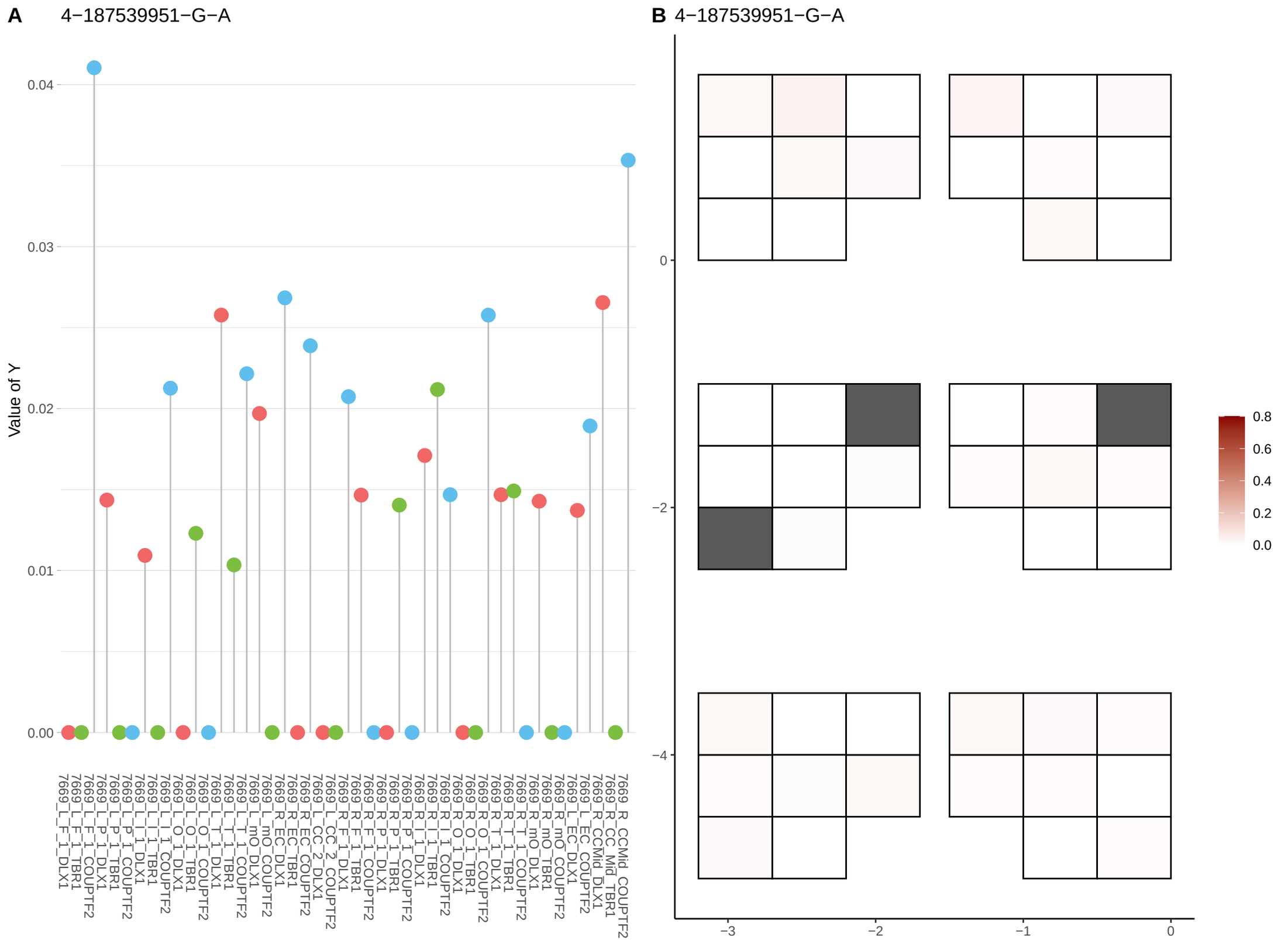
A
4−187539951−G−A
Value of Y
0.04
0.03
0.02
0.01
0.00
7669_L_F_1_DLX1
7669_L_F_1_TBR1
7669_L_F_1_COUPTF2
7669_L_P_1_DLX1
7669_L_P_1_TBR1
7669_L_P_1_COUPTF2
7669_L_I_1_DLX1
7669_L_I_1_TBR1
7669_L_I_1_COUPTF2
7669_L_O_1_DLX1
7669_L_O_1_TBR1
7669_L_O_1_COUPTF2
7669_L_T_1_DLX1
7669_L_T_1_TBR1
7669_L_T_1_COUPTF2
7669_L_mO_DLX1
7669_L_mO_COUPTF2
7669_R_EC_DLX1
7669_R_EC_TBR1
7669_R_EC_COUPTF2
7669_L_CC_2_DLX1
7669_L_CC_2_COUPTF2
7669_R_F_1_DLX1
7669_R_F_1_TBR1
7669_R_F_1_COUPTF2
7669_R_P_1_DLX1
7669_R_P_1_TBR1
7669_R_P_1_COUPTF2
7669_R_I_1_DLX1
7669_R_I_1_TBR1
7669_R_I_1_COUPTF2
7669_R_O_1_DLX1
7669_R_O_1_TBR1
7669_R_O_1_COUPTF2
7669_R_T_1_DLX1
7669_R_T_1_TBR1
7669_R_T_1_COUPTF2
7669_R_mO_DLX1
7669_R_mO_TBR1
7669_R_mO_COUPTF2
7669_L_EC_DLX1
7669_L_EC_COUPTF2
7669_R_CCMid_DLX1
7669_R_CC_Mid_TBR1
7669_R_CCMid_COUPTF2
B
4−187539951−G−A
0
−2
−4
−3
−2
−1
0
0.8
0.6
0.4
0.2
0.0

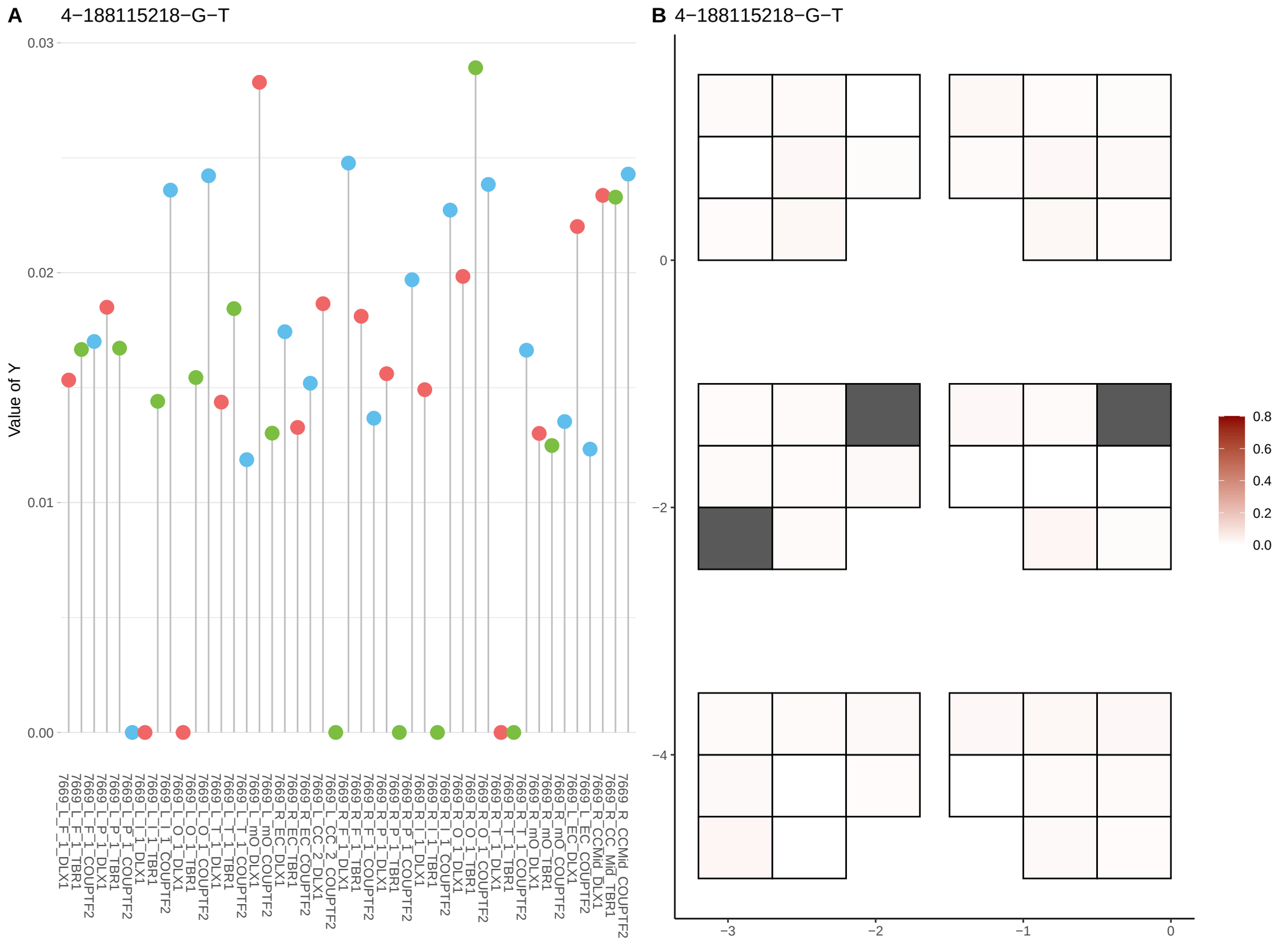
A
4−188115218−G−T
Value of Y
0.03
0.02
0.01
0.00
7669_L_F_1_DLX1
7669_L_F_1_TBR1
7669_L_F_1_COUPTF2
7669_L_P_1_DLX1
7669_L_P_1_TBR1
7669_L_P_1_COUPTF2
7669_L_I_1_DLX1
7669_L_I_1_TBR1
7669_L_I_1_COUPTF2
7669_L_O_1_DLX1
7669_L_O_1_TBR1
7669_L_O_1_COUPTF2
7669_L_T_1_DLX1
7669_L_T_1_TBR1
7669_L_T_1_COUPTF2
7669_L_mO_DLX1
7669_L_mO_COUPTF2
7669_R_EC_DLX1
7669_R_EC_TBR1
7669_R_EC_COUPTF2
7669_L_CC_2_DLX1
7669_L_CC_2_COUPTF2
7669_R_F_1_DLX1
7669_R_F_1_TBR1
7669_R_F_1_COUPTF2
7669_R_P_1_DLX1
7669_R_P_1_TBR1
7669_R_P_1_COUPTF2
7669_R_I_1_DLX1
7669_R_I_1_TBR1
7669_R_I_1_COUPTF2
7669_R_O_1_DLX1
7669_R_O_1_TBR1
7669_R_O_1_COUPTF2
7669_R_T_1_DLX1
7669_R_T_1_TBR1
7669_R_T_1_COUPTF2
7669_R_mO_DLX1
7669_R_mO_TBR1
7669_R_mO_COUPTF2
7669_L_EC_DLX1
7669_L_EC_COUPTF2
7669_R_CCMid_DLX1
7669_R_CC_Mid_TBR1
7669_R_CCMid_COUPTF2
B
4−188115218−G−T
0
−2
−4
−3
−2
−1
0
0.8
0.6
0.4
0.2
0.0

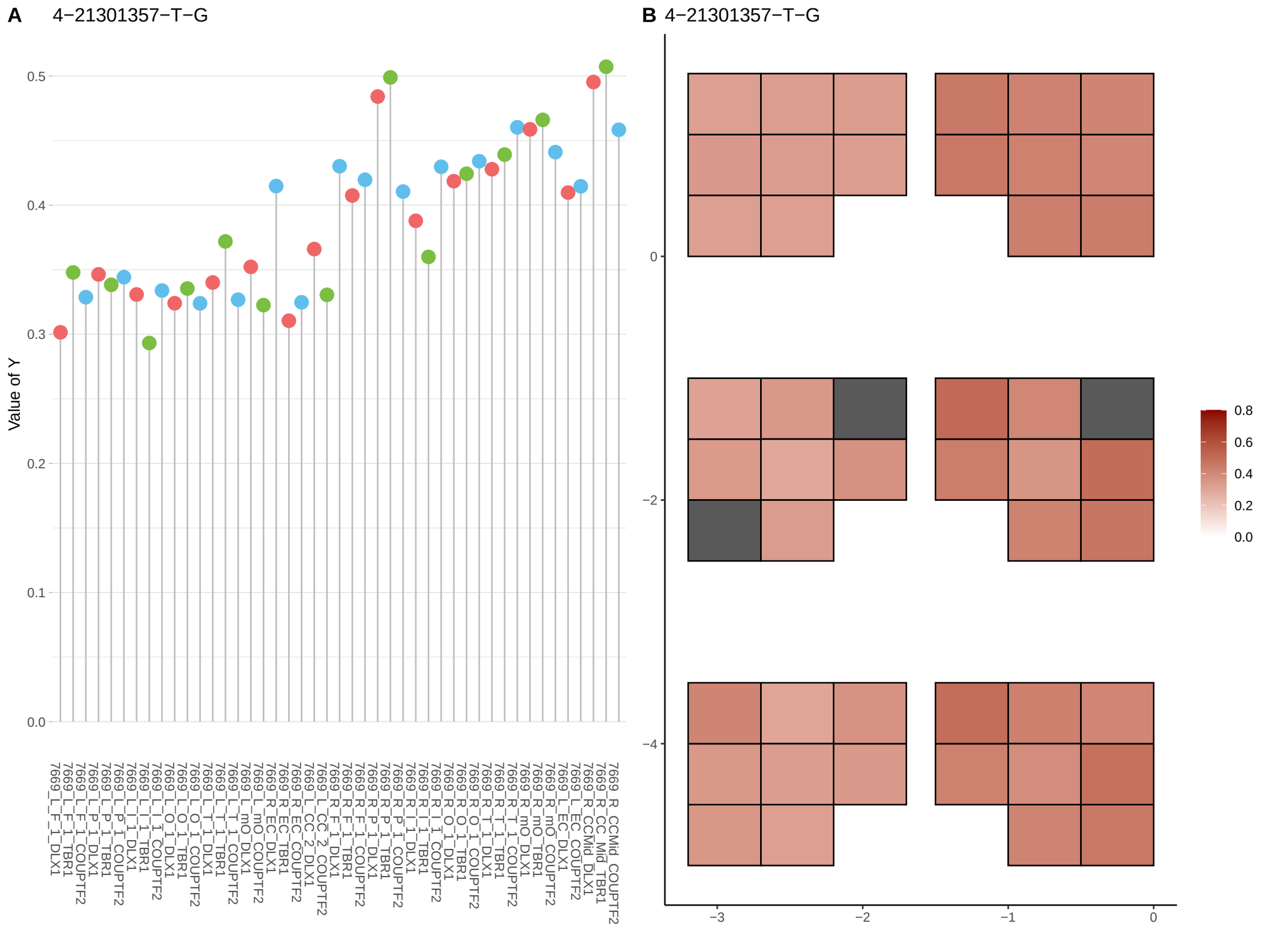
A
4−21301357−T−G
Value of Y
0.5
0.4
0.3
0.2
0.1
0.0
7669_L_F_1_DLX1
7669_L_F_1_TBR1
7669_L_F_1_COUPTF2
7669_L_P_1_DLX1
7669_L_P_1_TBR1
7669_L_P_1_COUPTF2
7669_L_I_1_DLX1
7669_L_I_1_TBR1
7669_L_I_1_COUPTF2
7669_L_O_1_DLX1
7669_L_O_1_TBR1
7669_L_O_1_COUPTF2
7669_L_T_1_DLX1
7669_L_T_1_TBR1
7669_L_T_1_COUPTF2
7669_L_mO_DLX1
7669_L_mO_COUPTF2
7669_R_EC_DLX1
7669_R_EC_TBR1
7669_R_EC_COUPTF2
7669_L_CC_2_DLX1
7669_L_CC_2_COUPTF2
7669_R_F_1_DLX1
7669_R_F_1_TBR1
7669_R_F_1_COUPTF2
7669_R_P_1_DLX1
7669_R_P_1_TBR1
7669_R_P_1_COUPTF2
7669_R_I_1_DLX1
7669_R_I_1_TBR1
7669_R_I_1_COUPTF2
7669_R_O_1_DLX1
7669_R_O_1_TBR1
7669_R_O_1_COUPTF2
7669_R_T_1_DLX1
7669_R_T_1_TBR1
7669_R_T_1_COUPTF2
7669_R_mO_DLX1
7669_R_mO_TBR1
7669_R_mO_COUPTF2
7669_L_EC_DLX1
7669_L_EC_COUPTF2
7669_R_CCMid_DLX1
7669_R_CC_Mid_TBR1
7669_R_CCMid_COUPTF2
B
4−21301357−T−G
0
−2
−4
−3
−2
−1
0
0.8
0.6
0.4
0.2
0.0

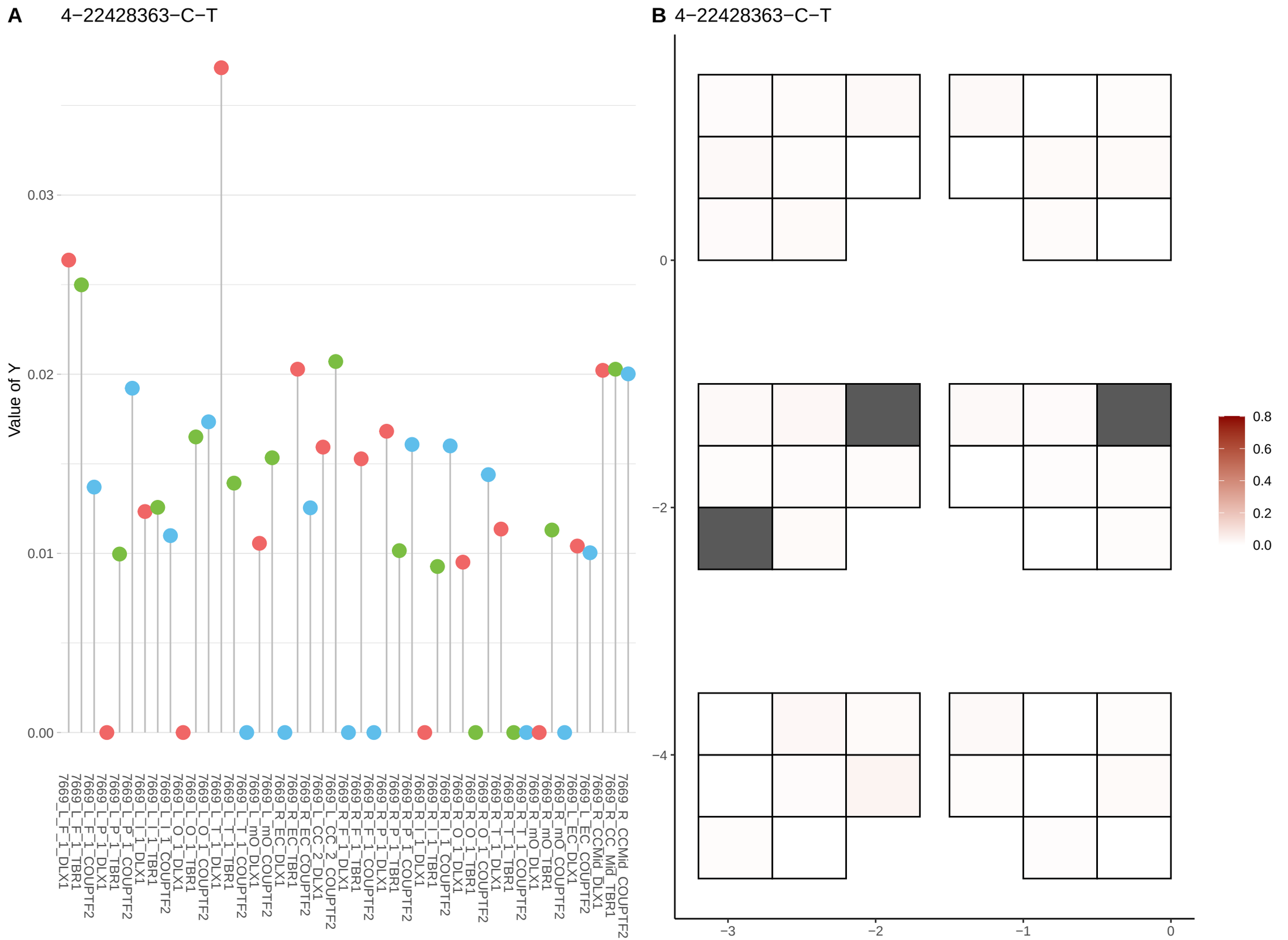
A
4−22428363−C−T
Value of Y
0.03
0.02
0.01
0.00
7669_L_F_1_DLX1
7669_L_F_1_TBR1
7669_L_F_1_COUPTF2
7669_L_P_1_DLX1
7669_L_P_1_TBR1
7669_L_P_1_COUPTF2
7669_L_I_1_DLX1
7669_L_I_1_TBR1
7669_L_I_1_COUPTF2
7669_L_O_1_DLX1
7669_L_O_1_TBR1
7669_L_O_1_COUPTF2
7669_L_T_1_DLX1
7669_L_T_1_TBR1
7669_L_T_1_COUPTF2
7669_L_mO_DLX1
7669_L_mO_COUPTF2
7669_R_EC_DLX1
7669_R_EC_TBR1
7669_R_EC_COUPTF2
7669_L_CC_2_DLX1
7669_L_CC_2_COUPTF2
7669_R_F_1_DLX1
7669_R_F_1_TBR1
7669_R_F_1_COUPTF2
7669_R_P_1_DLX1
7669_R_P_1_TBR1
7669_R_P_1_COUPTF2
7669_R_I_1_DLX1
7669_R_I_1_TBR1
7669_R_I_1_COUPTF2
7669_R_O_1_DLX1
7669_R_O_1_TBR1
7669_R_O_1_COUPTF2
7669_R_T_1_DLX1
7669_R_T_1_TBR1
7669_R_T_1_COUPTF2
7669_R_mO_DLX1
7669_R_mO_TBR1
7669_R_mO_COUPTF2
7669_L_EC_DLX1
7669_L_EC_COUPTF2
7669_R_CCMid_DLX1
7669_R_CC_Mid_TBR1
7669_R_CCMid_COUPTF2
B
4−22428363−C−T
0
−2
−4
−3
−2
−1
0
0.8
0.6
0.4
0.2
0.0

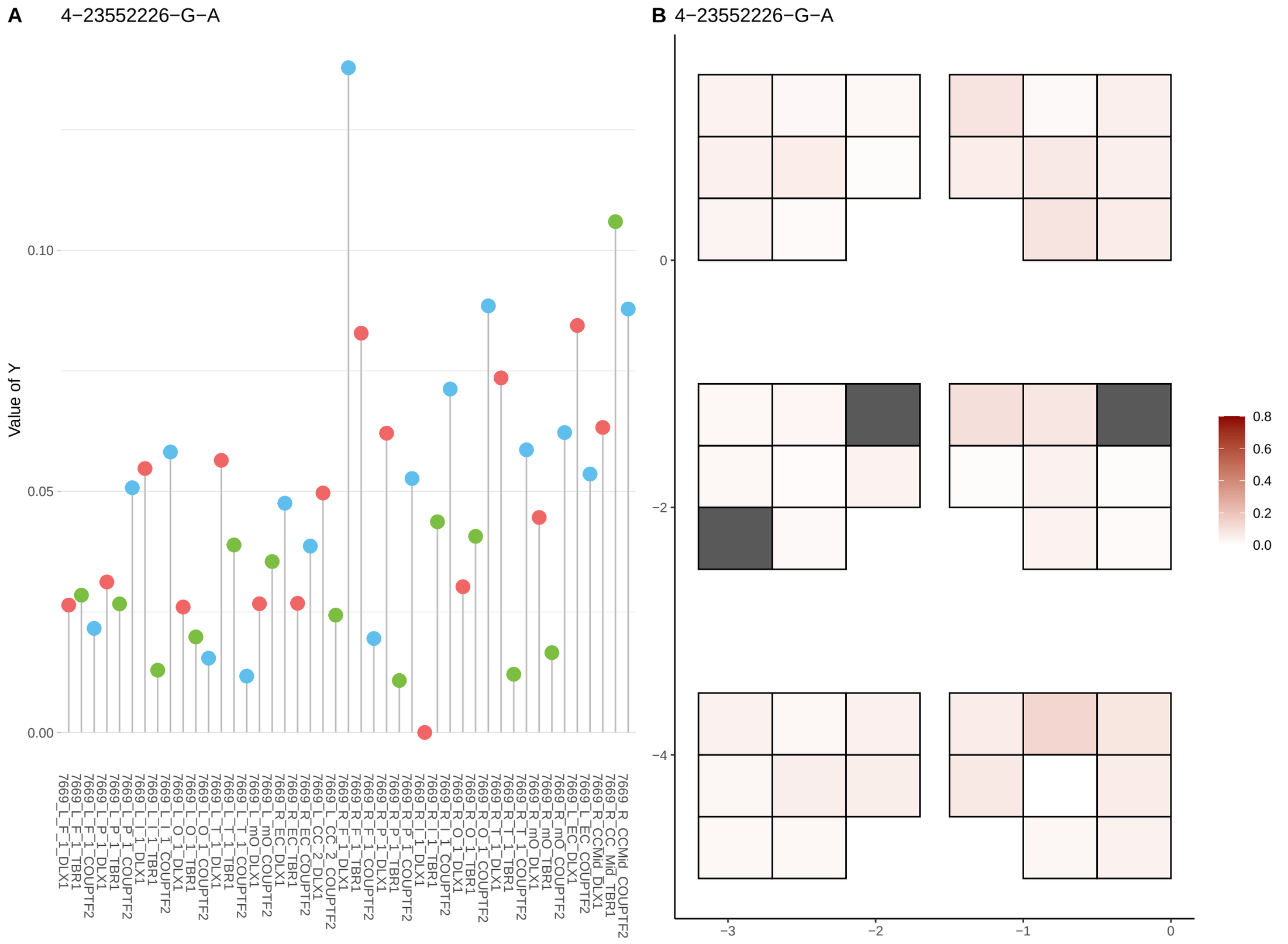
A
4−23552226−G−A
Value of Y
0.10
0.05
0.00
7669_L_F_1_DLX1
7669_L_F_1_TBR1
7669_L_F_1_COUPTF2
7669_L_P_1_DLX1
7669_L_P_1_TBR1
7669_L_P_1_COUPTF2
7669_L_I_1_DLX1
7669_L_I_1_TBR1
7669_L_I_1_COUPTF2
7669_L_O_1_DLX1
7669_L_O_1_TBR1
7669_L_O_1_COUPTF2
7669_L_T_1_DLX1
7669_L_T_1_TBR1
7669_L_T_1_COUPTF2
7669_L_mO_DLX1
7669_L_mO_COUPTF2
7669_R_EC_DLX1
7669_R_EC_TBR1
7669_R_EC_COUPTF2
7669_L_CC_2_DLX1
7669_L_CC_2_COUPTF2
7669_R_F_1_DLX1
7669_R_F_1_TBR1
7669_R_F_1_COUPTF2
7669_R_P_1_DLX1
7669_R_P_1_TBR1
7669_R_P_1_COUPTF2
7669_R_I_1_DLX1
7669_R_I_1_TBR1
7669_R_I_1_COUPTF2
7669_R_O_1_DLX1
7669_R_O_1_TBR1
7669_R_O_1_COUPTF2
7669_R_T_1_DLX1
7669_R_T_1_TBR1
7669_R_T_1_COUPTF2
7669_R_mO_DLX1
7669_R_mO_TBR1
7669_R_mO_COUPTF2
7669_L_EC_DLX1
7669_L_EC_COUPTF2
7669_R_CCMid_DLX1
7669_R_CC_Mid_TBR1
7669_R_CCMid_COUPTF2
B
4−23552226−G−A
0
−2
−4
−3
−2
−1
0
0.8
0.6
0.4
0.2
0.0

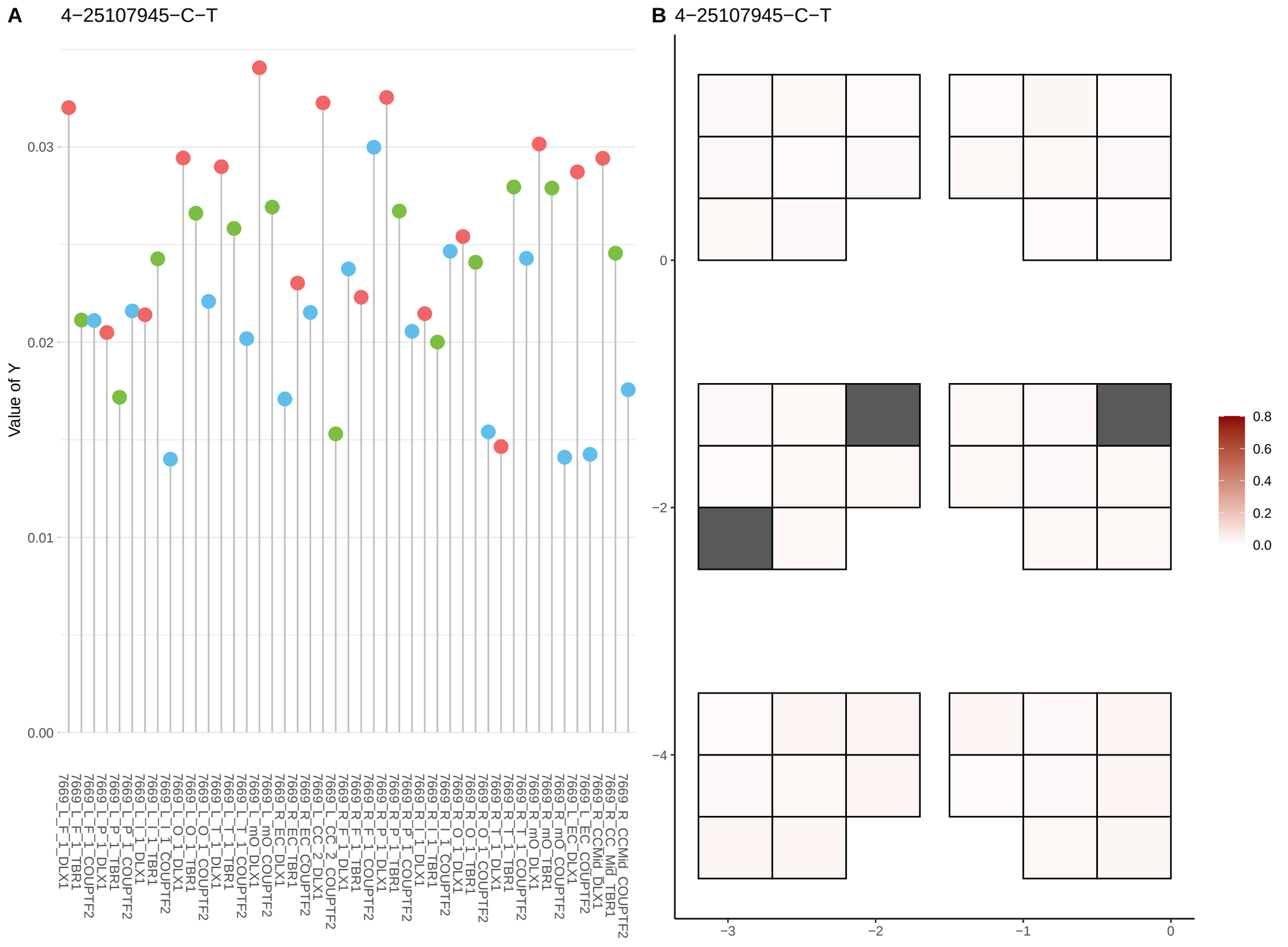
A
4−25107945−C−T
Value of Y
0.03
0.02
0.01
0.00
7669_L_F_1_DLX1
7669_L_F_1_TBR1
7669_L_F_1_COUPTF2
7669_L_P_1_DLX1
7669_L_P_1_TBR1
7669_L_P_1_COUPTF2
7669_L_I_1_DLX1
7669_L_I_1_TBR1
7669_L_I_1_COUPTF2
7669_L_O_1_DLX1
7669_L_O_1_TBR1
7669_L_O_1_COUPTF2
7669_L_T_1_DLX1
7669_L_T_1_TBR1
7669_L_T_1_COUPTF2
7669_L_mO_DLX1
7669_L_mO_COUPTF2
7669_R_EC_DLX1
7669_R_EC_TBR1
7669_R_EC_COUPTF2
7669_L_CC_2_DLX1
7669_L_CC_2_COUPTF2
7669_R_F_1_DLX1
7669_R_F_1_TBR1
7669_R_F_1_COUPTF2
7669_R_P_1_DLX1
7669_R_P_1_TBR1
7669_R_P_1_COUPTF2
7669_R_I_1_DLX1
7669_R_I_1_TBR1
7669_R_I_1_COUPTF2
7669_R_O_1_DLX1
7669_R_O_1_TBR1
7669_R_O_1_COUPTF2
7669_R_T_1_DLX1
7669_R_T_1_TBR1
7669_R_T_1_COUPTF2
7669_R_mO_DLX1
7669_R_mO_TBR1
7669_R_mO_COUPTF2
7669_L_EC_DLX1
7669_L_EC_COUPTF2
7669_R_CCMid_DLX1
7669_R_CC_Mid_TBR1
7669_R_CCMid_COUPTF2
B
4−25107945−C−T
0
−2
−4
−3
−2
−1
0
0.8
0.6
0.4
0.2
0.0

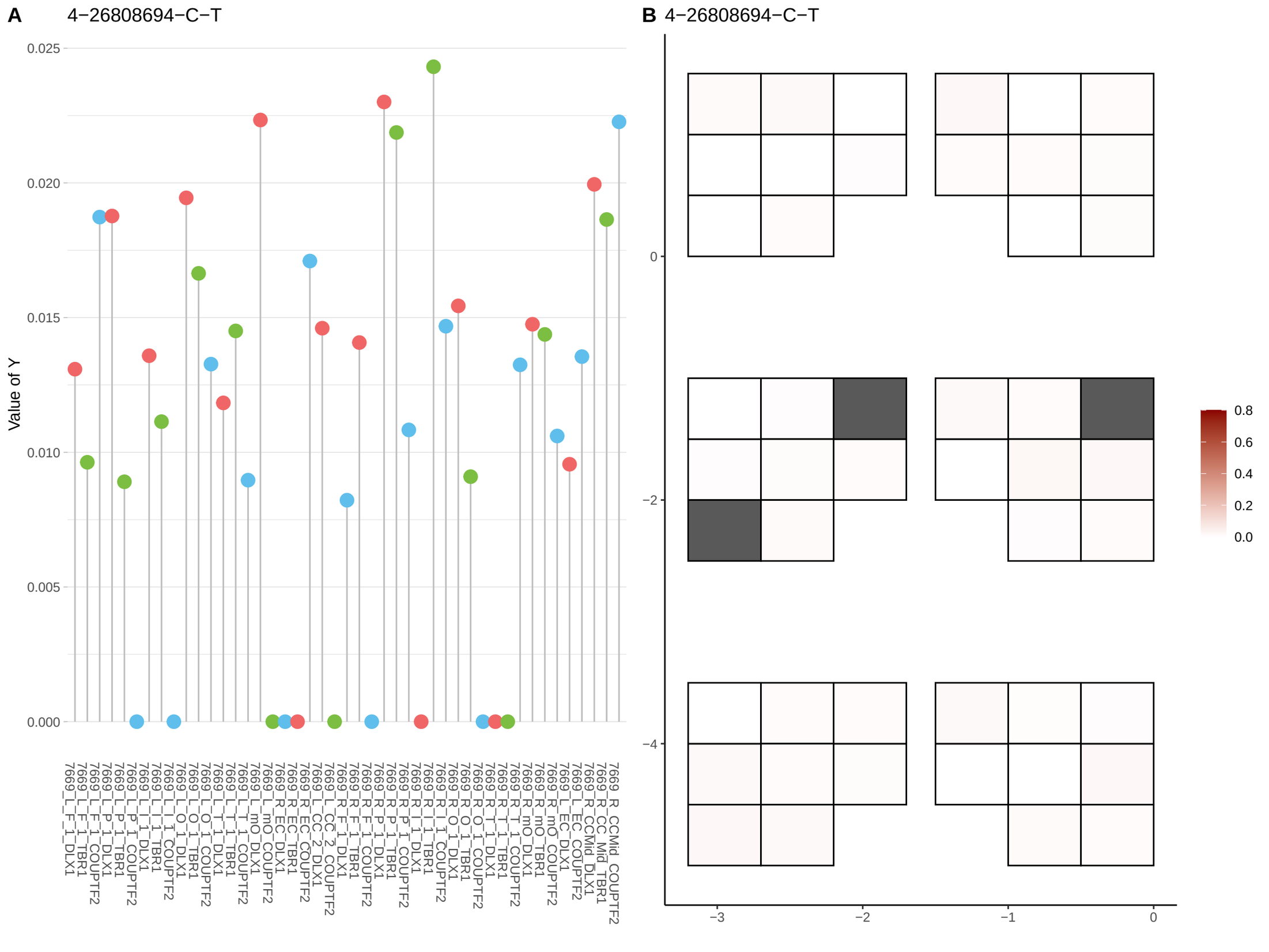
A
4−26808694−C−T
Value of Y
0.025
0.020
0.015
0.010
0.005
0.000
7669_L_F_1_DLX1
7669_L_F_1_TBR1
7669_L_F_1_COUPTF2
7669_L_P_1_DLX1
7669_L_P_1_TBR1
7669_L_P_1_COUPTF2
7669_L_I_1_DLX1
7669_L_I_1_TBR1
7669_L_I_1_COUPTF2
7669_L_O_1_DLX1
7669_L_O_1_TBR1
7669_L_O_1_COUPTF2
7669_L_T_1_DLX1
7669_L_T_1_TBR1
7669_L_T_1_COUPTF2
7669_L_mO_DLX1
7669_L_mO_COUPTF2
7669_R_EC_DLX1
7669_R_EC_TBR1
7669_R_EC_COUPTF2
7669_L_CC_2_DLX1
7669_L_CC_2_COUPTF2
7669_R_F_1_DLX1
7669_R_F_1_TBR1
7669_R_F_1_COUPTF2
7669_R_P_1_DLX1
7669_R_P_1_TBR1
7669_R_P_1_COUPTF2
7669_R_I_1_DLX1
7669_R_I_1_TBR1
7669_R_I_1_COUPTF2
7669_R_O_1_DLX1
7669_R_O_1_TBR1
7669_R_O_1_COUPTF2
7669_R_T_1_DLX1
7669_R_T_1_TBR1
7669_R_T_1_COUPTF2
7669_R_mO_DLX1
7669_R_mO_TBR1
7669_R_mO_COUPTF2
7669_L_EC_DLX1
7669_L_EC_COUPTF2
7669_R_CCMid_DLX1
7669_R_CC_Mid_TBR1
7669_R_CCMid_COUPTF2
B
4−26808694−C−T
0
−2
−4
−3
−2
−1
0
0.8
0.6
0.4
0.2
0.0

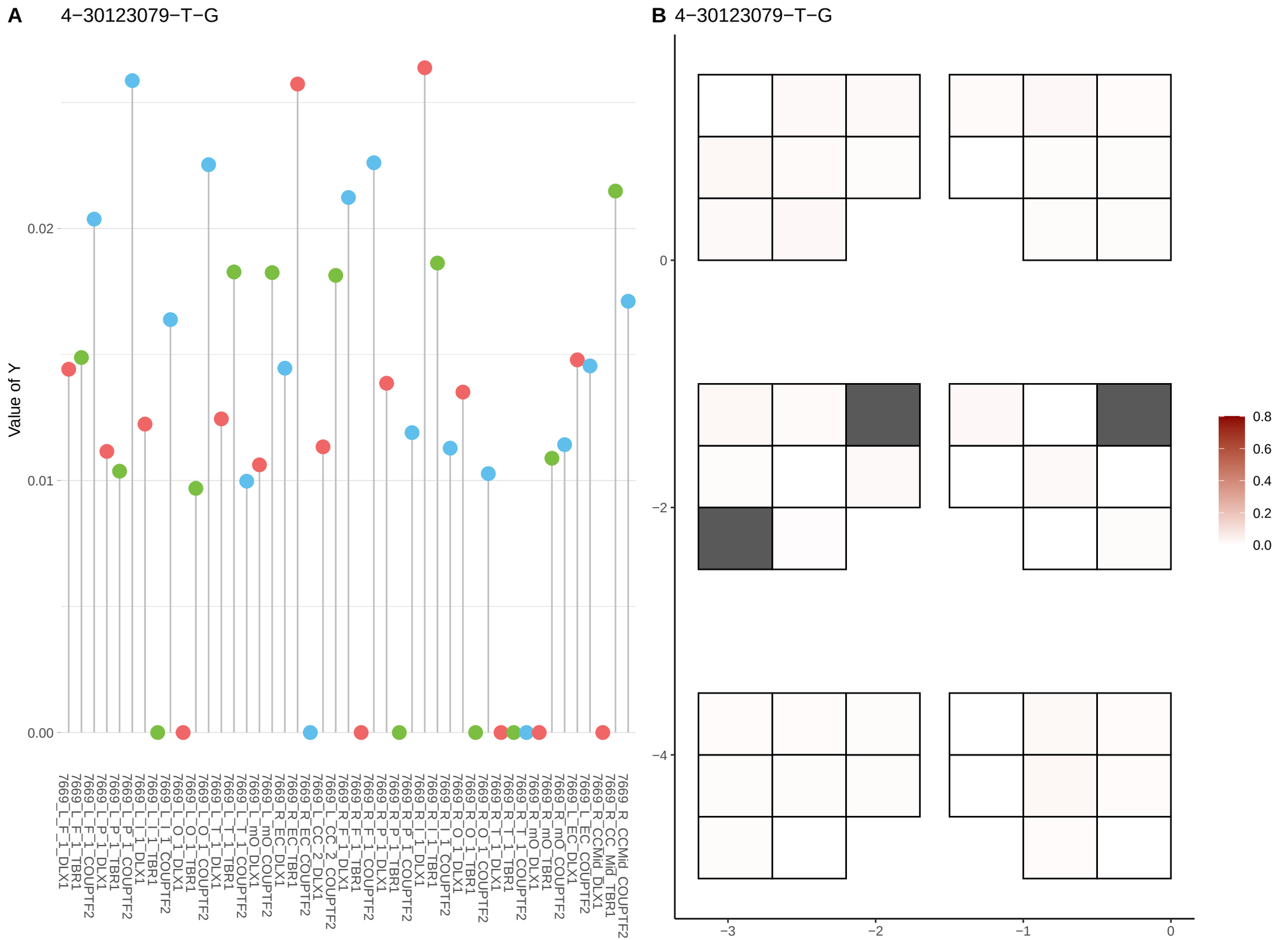
A
4−30123079−T−G
Value of Y
0.02
0.01
0.00
7669_L_F_1_DLX1
7669_L_F_1_TBR1
7669_L_F_1_COUPTF2
7669_L_P_1_DLX1
7669_L_P_1_TBR1
7669_L_P_1_COUPTF2
7669_L_I_1_DLX1
7669_L_I_1_TBR1
7669_L_I_1_COUPTF2
7669_L_O_1_DLX1
7669_L_O_1_TBR1
7669_L_O_1_COUPTF2
7669_L_T_1_DLX1
7669_L_T_1_TBR1
7669_L_T_1_COUPTF2
7669_L_mO_DLX1
7669_L_mO_COUPTF2
7669_R_EC_DLX1
7669_R_EC_TBR1
7669_R_EC_COUPTF2
7669_L_CC_2_DLX1
7669_L_CC_2_COUPTF2
7669_R_F_1_DLX1
7669_R_F_1_TBR1
7669_R_F_1_COUPTF2
7669_R_P_1_DLX1
7669_R_P_1_TBR1
7669_R_P_1_COUPTF2
7669_R_I_1_DLX1
7669_R_I_1_TBR1
7669_R_I_1_COUPTF2
7669_R_O_1_DLX1
7669_R_O_1_TBR1
7669_R_O_1_COUPTF2
7669_R_T_1_DLX1
7669_R_T_1_TBR1
7669_R_T_1_COUPTF2
7669_R_mO_DLX1
7669_R_mO_TBR1
7669_R_mO_COUPTF2
7669_L_EC_DLX1
7669_L_EC_COUPTF2
7669_R_CCMid_DLX1
7669_R_CC_Mid_TBR1
7669_R_CCMid_COUPTF2
B
4−30123079−T−G
0
−2
−4
−3
−2
−1
0
0.8
0.6
0.4
0.2
0.0

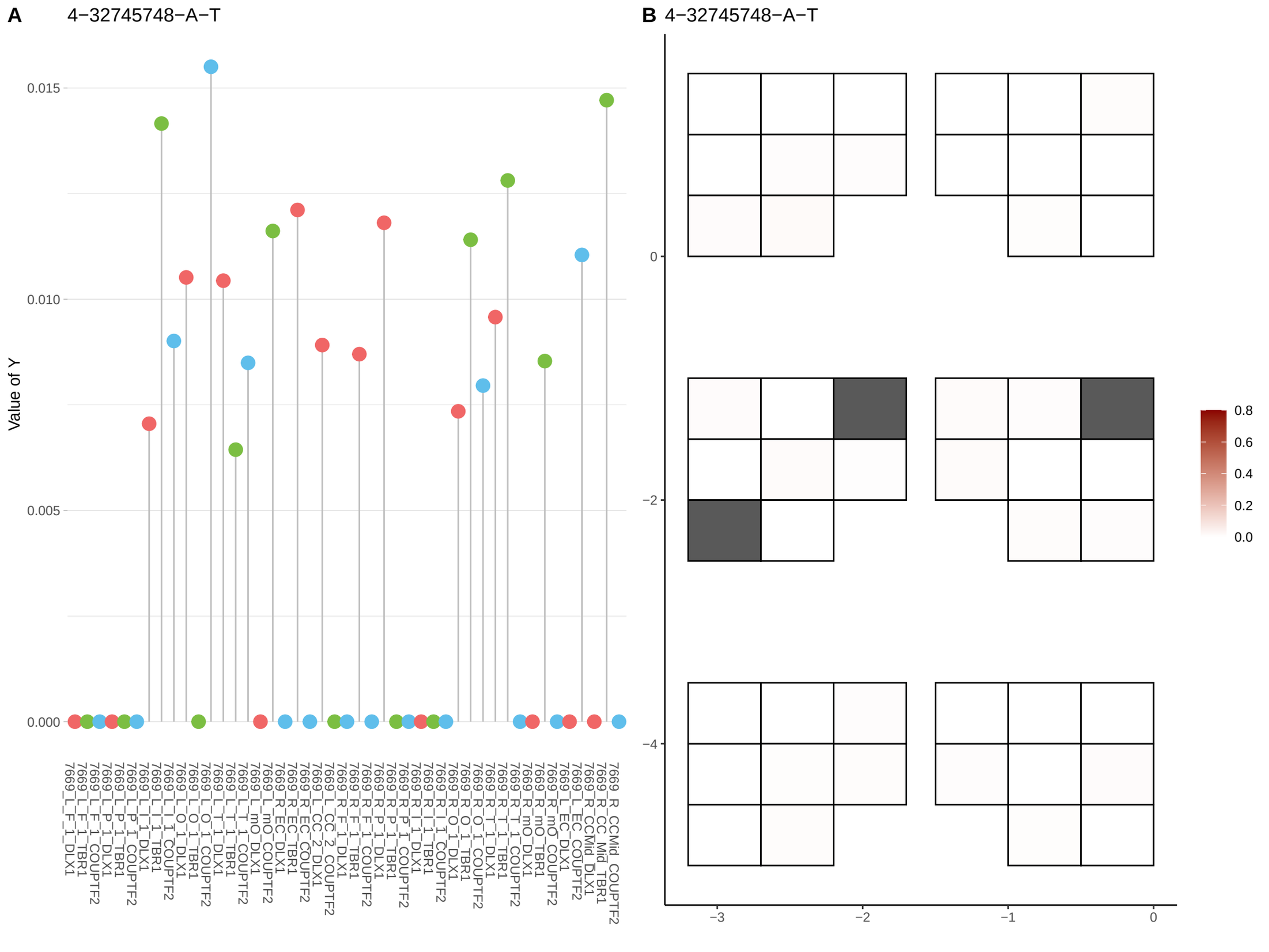
A
4−32745748−A−T
Value of Y
0.015
0.010
0.005
0.000
7669_L_F_1_DLX1
7669_L_F_1_TBR1
7669_L_F_1_COUPTF2
7669_L_P_1_DLX1
7669_L_P_1_TBR1
7669_L_P_1_COUPTF2
7669_L_I_1_DLX1
7669_L_I_1_TBR1
7669_L_I_1_COUPTF2
7669_L_O_1_DLX1
7669_L_O_1_TBR1
7669_L_O_1_COUPTF2
7669_L_T_1_DLX1
7669_L_T_1_TBR1
7669_L_T_1_COUPTF2
7669_L_mO_DLX1
7669_L_mO_COUPTF2
7669_R_EC_DLX1
7669_R_EC_TBR1
7669_R_EC_COUPTF2
7669_L_CC_2_DLX1
7669_L_CC_2_COUPTF2
7669_R_F_1_DLX1
7669_R_F_1_TBR1
7669_R_F_1_COUPTF2
7669_R_P_1_DLX1
7669_R_P_1_TBR1
7669_R_P_1_COUPTF2
7669_R_I_1_DLX1
7669_R_I_1_TBR1
7669_R_I_1_COUPTF2
7669_R_O_1_DLX1
7669_R_O_1_TBR1
7669_R_O_1_COUPTF2
7669_R_T_1_DLX1
7669_R_T_1_TBR1
7669_R_T_1_COUPTF2
7669_R_mO_DLX1
7669_R_mO_TBR1
7669_R_mO_COUPTF2
7669_L_EC_DLX1
7669_L_EC_COUPTF2
7669_R_CCMid_DLX1
7669_R_CC_Mid_TBR1
7669_R_CCMid_COUPTF2
B
4−32745748−A−T
0
−2
−4
−3
−2
−1
0
0.8
0.6
0.4
0.2
0.0

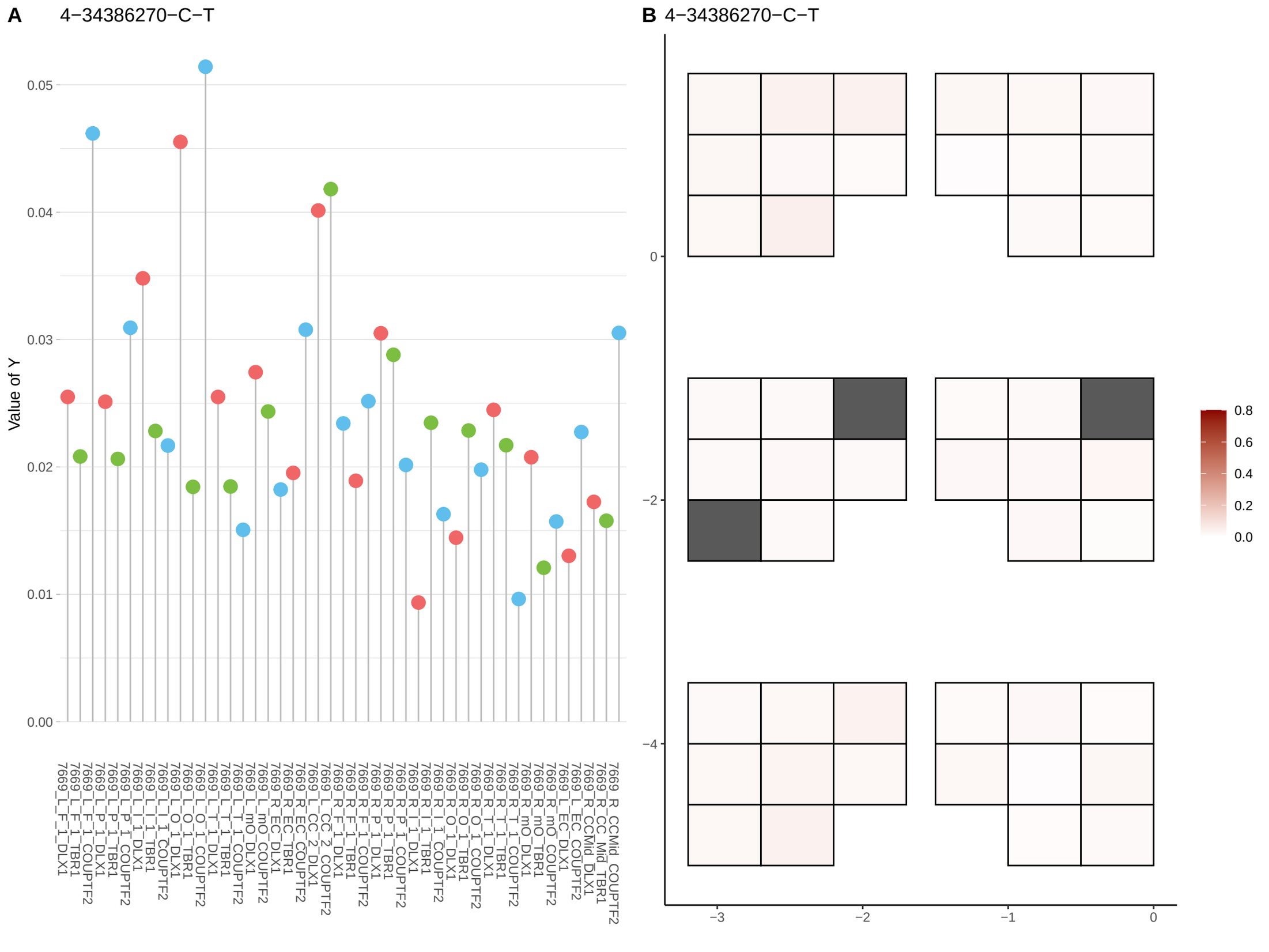
A
4−34386270−C−T
Value of Y
0.05
0.04
0.03
0.02
0.01
0.00
7669_L_F_1_DLX1
7669_L_F_1_TBR1
7669_L_F_1_COUPTF2
7669_L_P_1_DLX1
7669_L_P_1_TBR1
7669_L_P_1_COUPTF2
7669_L_I_1_DLX1
7669_L_I_1_TBR1
7669_L_I_1_COUPTF2
7669_L_O_1_DLX1
7669_L_O_1_TBR1
7669_L_O_1_COUPTF2
7669_L_T_1_DLX1
7669_L_T_1_TBR1
7669_L_T_1_COUPTF2
7669_L_mO_DLX1
7669_L_mO_COUPTF2
7669_R_EC_DLX1
7669_R_EC_TBR1
7669_R_EC_COUPTF2
7669_L_CC_2_DLX1
7669_L_CC_2_COUPTF2
7669_R_F_1_DLX1
7669_R_F_1_TBR1
7669_R_F_1_COUPTF2
7669_R_P_1_DLX1
7669_R_P_1_TBR1
7669_R_P_1_COUPTF2
7669_R_I_1_DLX1
7669_R_I_1_TBR1
7669_R_I_1_COUPTF2
7669_R_O_1_DLX1
7669_R_O_1_TBR1
7669_R_O_1_COUPTF2
7669_R_T_1_DLX1
7669_R_T_1_TBR1
7669_R_T_1_COUPTF2
7669_R_mO_DLX1
7669_R_mO_TBR1
7669_R_mO_COUPTF2
7669_L_EC_DLX1
7669_L_EC_COUPTF2
7669_R_CCMid_DLX1
7669_R_CC_Mid_TBR1
7669_R_CCMid_COUPTF2
B
4−34386270−C−T
0
−2
−4
−3
−2
−1
0
0.8
0.6
0.4
0.2
0.0

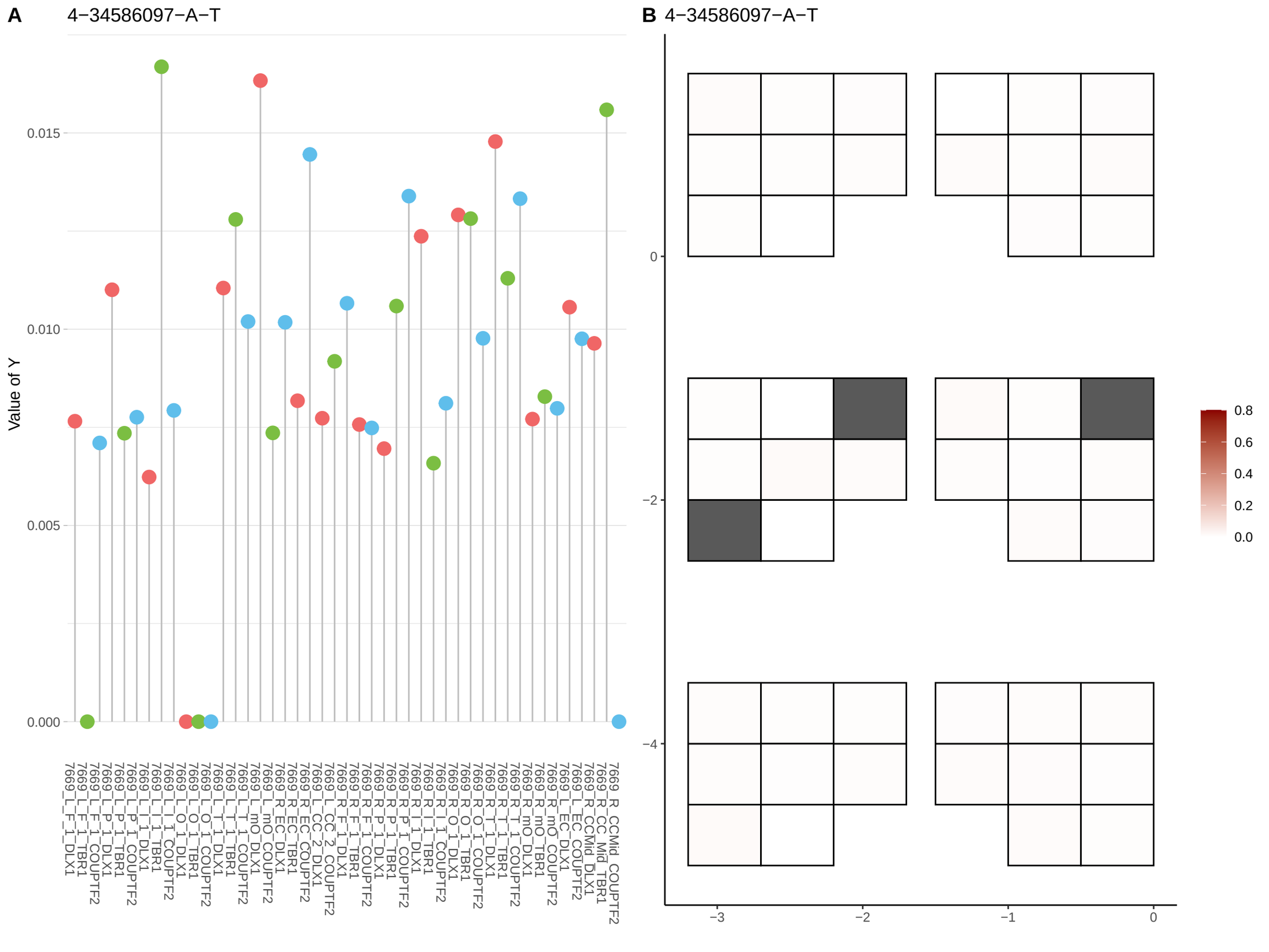
A
4−34586097−A−T
Value of Y
0.015
0.010
0.005
0.000
7669_L_F_1_DLX1
7669_L_F_1_TBR1
7669_L_F_1_COUPTF2
7669_L_P_1_DLX1
7669_L_P_1_TBR1
7669_L_P_1_COUPTF2
7669_L_I_1_DLX1
7669_L_I_1_TBR1
7669_L_I_1_COUPTF2
7669_L_O_1_DLX1
7669_L_O_1_TBR1
7669_L_O_1_COUPTF2
7669_L_T_1_DLX1
7669_L_T_1_TBR1
7669_L_T_1_COUPTF2
7669_L_mO_DLX1
7669_L_mO_COUPTF2
7669_R_EC_DLX1
7669_R_EC_TBR1
7669_R_EC_COUPTF2
7669_L_CC_2_DLX1
7669_L_CC_2_COUPTF2
7669_R_F_1_DLX1
7669_R_F_1_TBR1
7669_R_F_1_COUPTF2
7669_R_P_1_DLX1
7669_R_P_1_TBR1
7669_R_P_1_COUPTF2
7669_R_I_1_DLX1
7669_R_I_1_TBR1
7669_R_I_1_COUPTF2
7669_R_O_1_DLX1
7669_R_O_1_TBR1
7669_R_O_1_COUPTF2
7669_R_T_1_DLX1
7669_R_T_1_TBR1
7669_R_T_1_COUPTF2
7669_R_mO_DLX1
7669_R_mO_TBR1
7669_R_mO_COUPTF2
7669_L_EC_DLX1
7669_L_EC_COUPTF2
7669_R_CCMid_DLX1
7669_R_CC_Mid_TBR1
7669_R_CCMid_COUPTF2
B
4−34586097−A−T
0
−2
−4
−3
−2
−1
0
0.8
0.6
0.4
0.2
0.0

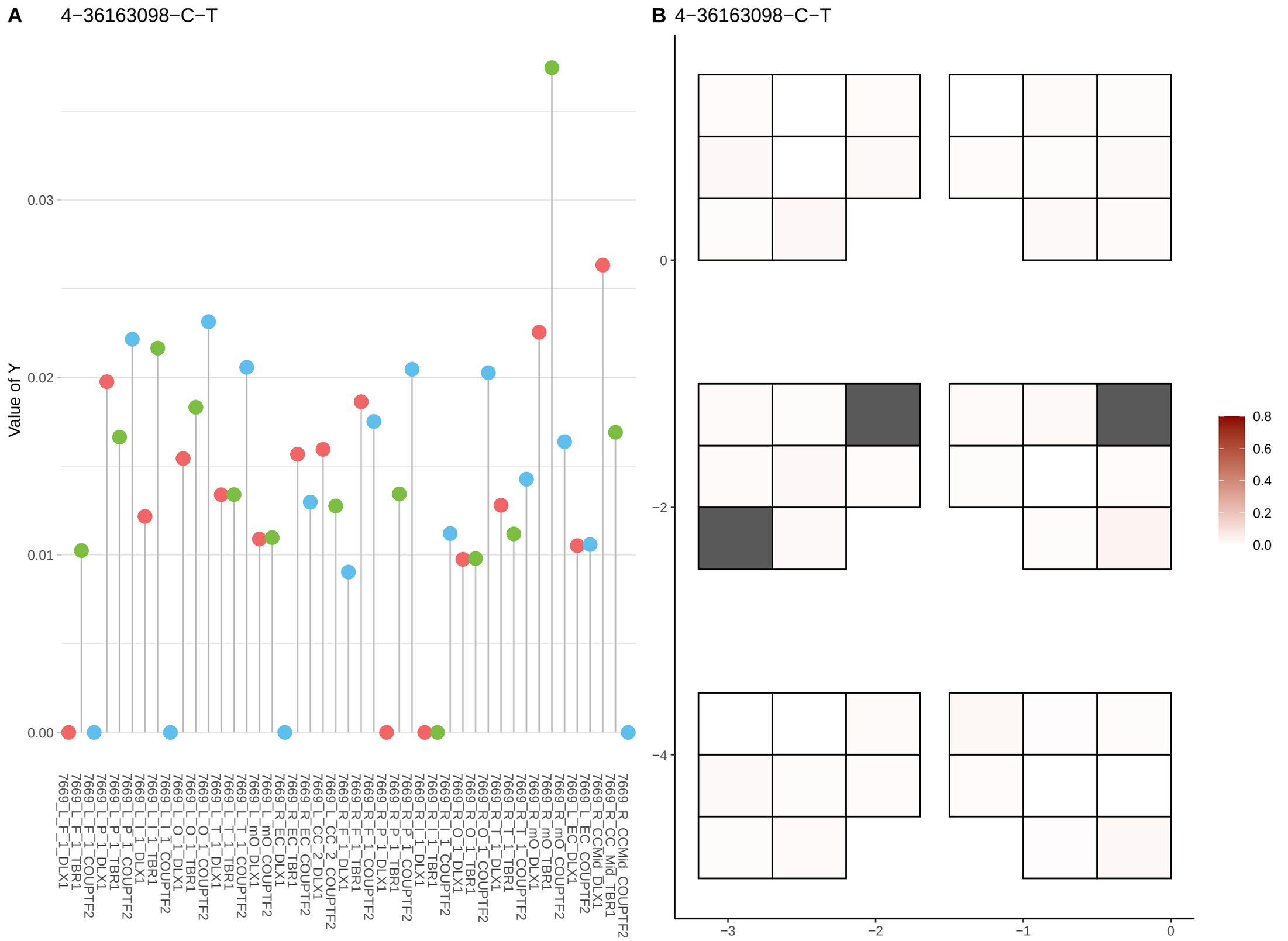
A
4−36163098−C−T
Value of Y
0.03
0.02
0.01
0.00
7669_L_F_1_DLX1
7669_L_F_1_TBR1
7669_L_F_1_COUPTF2
7669_L_P_1_DLX1
7669_L_P_1_TBR1
7669_L_P_1_COUPTF2
7669_L_I_1_DLX1
7669_L_I_1_TBR1
7669_L_I_1_COUPTF2
7669_L_O_1_DLX1
7669_L_O_1_TBR1
7669_L_O_1_COUPTF2
7669_L_T_1_DLX1
7669_L_T_1_TBR1
7669_L_T_1_COUPTF2
7669_L_mO_DLX1
7669_L_mO_COUPTF2
7669_R_EC_DLX1
7669_R_EC_TBR1
7669_R_EC_COUPTF2
7669_L_CC_2_DLX1
7669_L_CC_2_COUPTF2
7669_R_F_1_DLX1
7669_R_F_1_TBR1
7669_R_F_1_COUPTF2
7669_R_P_1_DLX1
7669_R_P_1_TBR1
7669_R_P_1_COUPTF2
7669_R_I_1_DLX1
7669_R_I_1_TBR1
7669_R_I_1_COUPTF2
7669_R_O_1_DLX1
7669_R_O_1_TBR1
7669_R_O_1_COUPTF2
7669_R_T_1_DLX1
7669_R_T_1_TBR1
7669_R_T_1_COUPTF2
7669_R_mO_DLX1
7669_R_mO_TBR1
7669_R_mO_COUPTF2
7669_L_EC_DLX1
7669_L_EC_COUPTF2
7669_R_CCMid_DLX1
7669_R_CC_Mid_TBR1
7669_R_CCMid_COUPTF2
B
4−36163098−C−T
0
−2
−4
−3
−2
−1
0
0.8
0.6
0.4
0.2
0.0

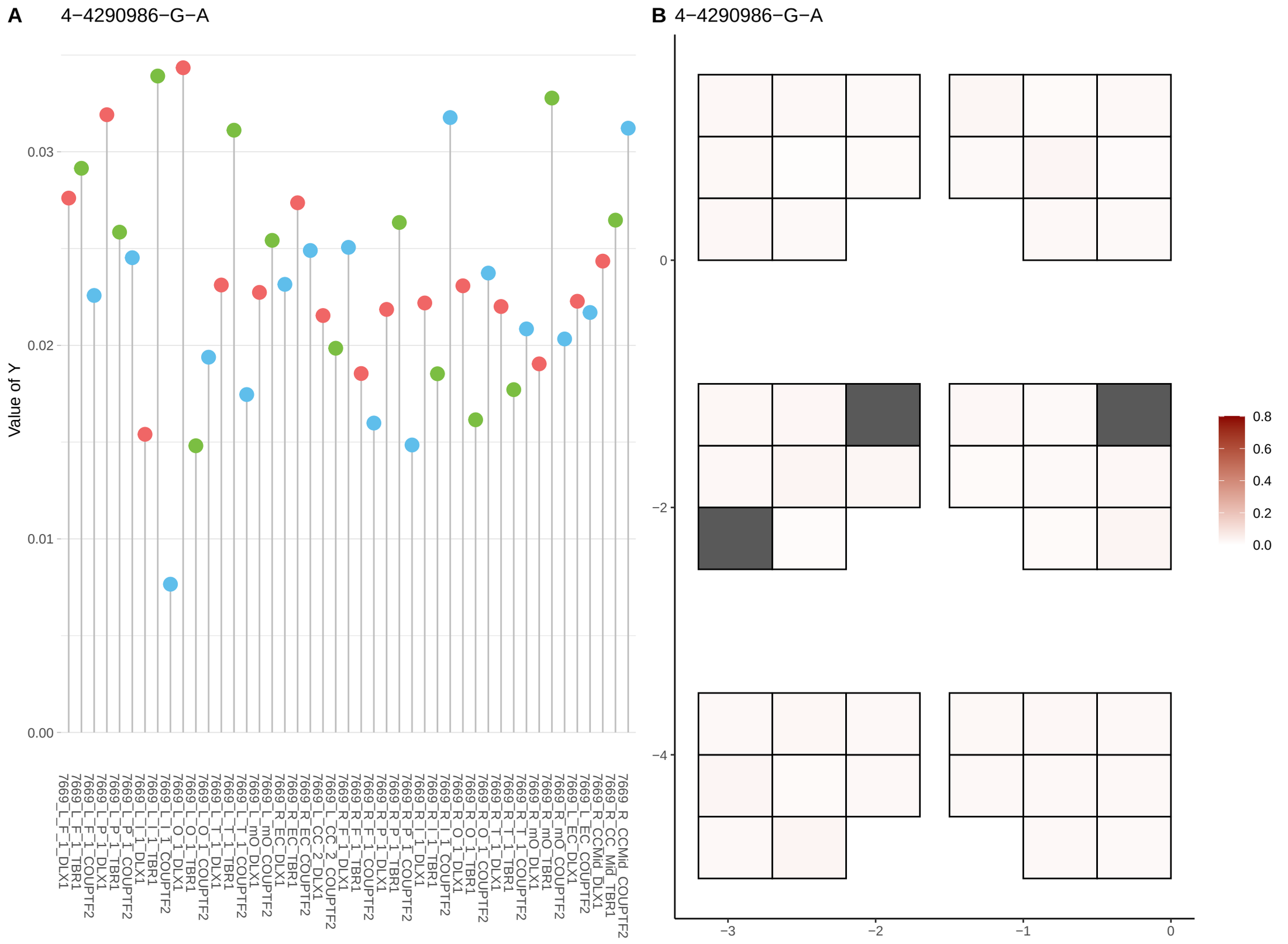
A
4−4290986−G−A
Value of Y
0.03
0.02
0.01
0.00
7669_L_F_1_DLX1
7669_L_F_1_TBR1
7669_L_F_1_COUPTF2
7669_L_P_1_DLX1
7669_L_P_1_TBR1
7669_L_P_1_COUPTF2
7669_L_I_1_DLX1
7669_L_I_1_TBR1
7669_L_I_1_COUPTF2
7669_L_O_1_DLX1
7669_L_O_1_TBR1
7669_L_O_1_COUPTF2
7669_L_T_1_DLX1
7669_L_T_1_TBR1
7669_L_T_1_COUPTF2
7669_L_mO_DLX1
7669_L_mO_COUPTF2
7669_R_EC_DLX1
7669_R_EC_TBR1
7669_R_EC_COUPTF2
7669_L_CC_2_DLX1
7669_L_CC_2_COUPTF2
7669_R_F_1_DLX1
7669_R_F_1_TBR1
7669_R_F_1_COUPTF2
7669_R_P_1_DLX1
7669_R_P_1_TBR1
7669_R_P_1_COUPTF2
7669_R_I_1_DLX1
7669_R_I_1_TBR1
7669_R_I_1_COUPTF2
7669_R_O_1_DLX1
7669_R_O_1_TBR1
7669_R_O_1_COUPTF2
7669_R_T_1_DLX1
7669_R_T_1_TBR1
7669_R_T_1_COUPTF2
7669_R_mO_DLX1
7669_R_mO_TBR1
7669_R_mO_COUPTF2
7669_L_EC_DLX1
7669_L_EC_COUPTF2
7669_R_CCMid_DLX1
7669_R_CC_Mid_TBR1
7669_R_CCMid_COUPTF2
B
4−4290986−G−A
0
−2
−4
−3
−2
−1
0
0.8
0.6
0.4
0.2
0.0

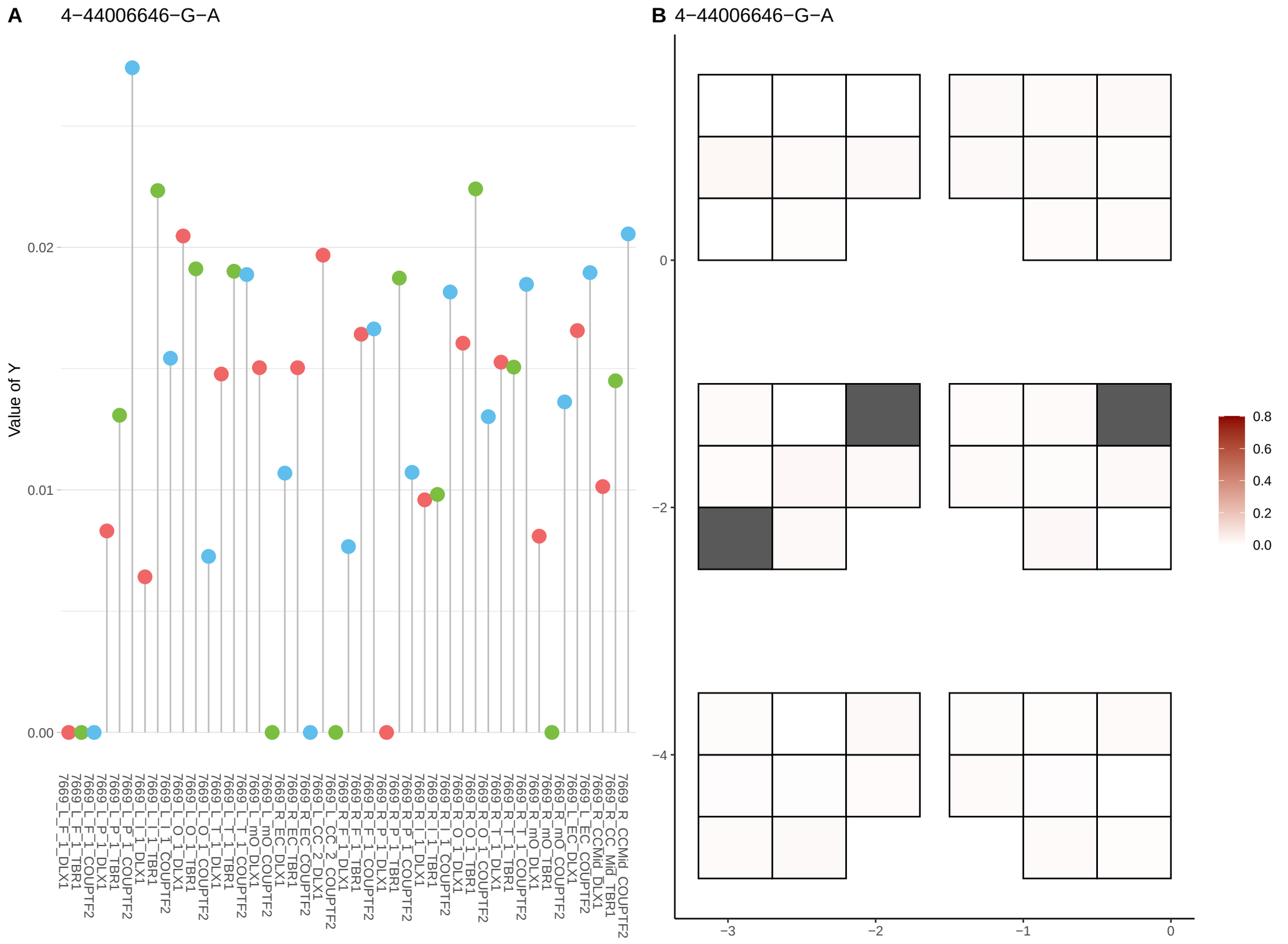
A
4−44006646−G−A
Value of Y
0.02
0.01
0.00
7669_L_F_1_DLX1
7669_L_F_1_TBR1
7669_L_F_1_COUPTF2
7669_L_P_1_DLX1
7669_L_P_1_TBR1
7669_L_P_1_COUPTF2
7669_L_I_1_DLX1
7669_L_I_1_TBR1
7669_L_I_1_COUPTF2
7669_L_O_1_DLX1
7669_L_O_1_TBR1
7669_L_O_1_COUPTF2
7669_L_T_1_DLX1
7669_L_T_1_TBR1
7669_L_T_1_COUPTF2
7669_L_mO_DLX1
7669_L_mO_COUPTF2
7669_R_EC_DLX1
7669_R_EC_TBR1
7669_R_EC_COUPTF2
7669_L_CC_2_DLX1
7669_L_CC_2_COUPTF2
7669_R_F_1_DLX1
7669_R_F_1_TBR1
7669_R_F_1_COUPTF2
7669_R_P_1_DLX1
7669_R_P_1_TBR1
7669_R_P_1_COUPTF2
7669_R_I_1_DLX1
7669_R_I_1_TBR1
7669_R_I_1_COUPTF2
7669_R_O_1_DLX1
7669_R_O_1_TBR1
7669_R_O_1_COUPTF2
7669_R_T_1_DLX1
7669_R_T_1_TBR1
7669_R_T_1_COUPTF2
7669_R_mO_DLX1
7669_R_mO_TBR1
7669_R_mO_COUPTF2
7669_L_EC_DLX1
7669_L_EC_COUPTF2
7669_R_CCMid_DLX1
7669_R_CC_Mid_TBR1
7669_R_CCMid_COUPTF2
B
4−44006646−G−A
0
−2
−4
−3
−2
−1
0
0.8
0.6
0.4
0.2
0.0

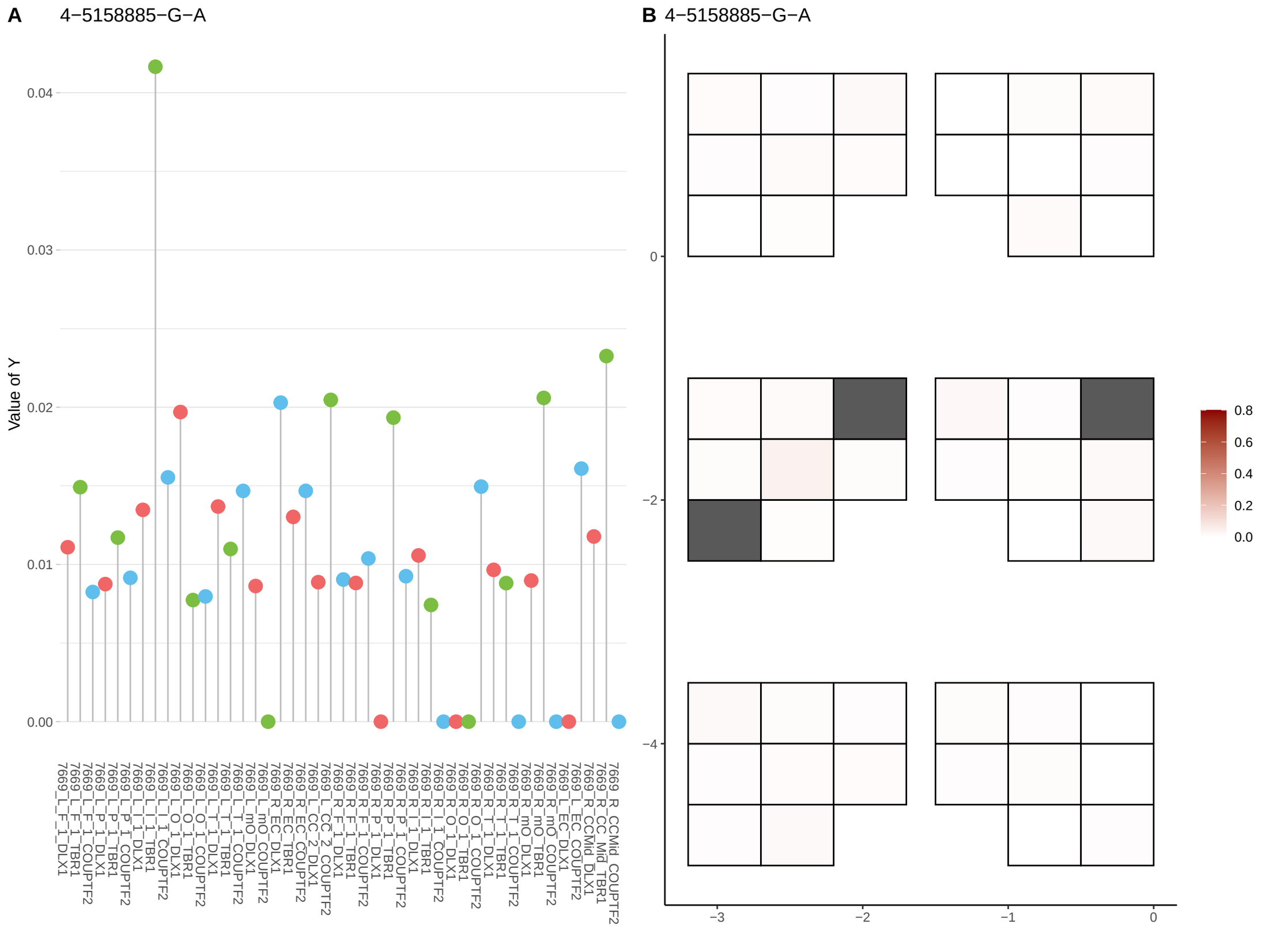
A
4−5158885−G−A
Value of Y
0.04
0.03
0.02
0.01
0.00
7669_L_F_1_DLX1
7669_L_F_1_TBR1
7669_L_F_1_COUPTF2
7669_L_P_1_DLX1
7669_L_P_1_TBR1
7669_L_P_1_COUPTF2
7669_L_I_1_DLX1
7669_L_I_1_TBR1
7669_L_I_1_COUPTF2
7669_L_O_1_DLX1
7669_L_O_1_TBR1
7669_L_O_1_COUPTF2
7669_L_T_1_DLX1
7669_L_T_1_TBR1
7669_L_T_1_COUPTF2
7669_L_mO_DLX1
7669_L_mO_COUPTF2
7669_R_EC_DLX1
7669_R_EC_TBR1
7669_R_EC_COUPTF2
7669_L_CC_2_DLX1
7669_L_CC_2_COUPTF2
7669_R_F_1_DLX1
7669_R_F_1_TBR1
7669_R_F_1_COUPTF2
7669_R_P_1_DLX1
7669_R_P_1_TBR1
7669_R_P_1_COUPTF2
7669_R_I_1_DLX1
7669_R_I_1_TBR1
7669_R_I_1_COUPTF2
7669_R_O_1_DLX1
7669_R_O_1_TBR1
7669_R_O_1_COUPTF2
7669_R_T_1_DLX1
7669_R_T_1_TBR1
7669_R_T_1_COUPTF2
7669_R_mO_DLX1
7669_R_mO_TBR1
7669_R_mO_COUPTF2
7669_L_EC_DLX1
7669_L_EC_COUPTF2
7669_R_CCMid_DLX1
7669_R_CC_Mid_TBR1
7669_R_CCMid_COUPTF2
B
4−5158885−G−A
0
−2
−4
−3
−2
−1
0
0.8
0.6
0.4
0.2
0.0

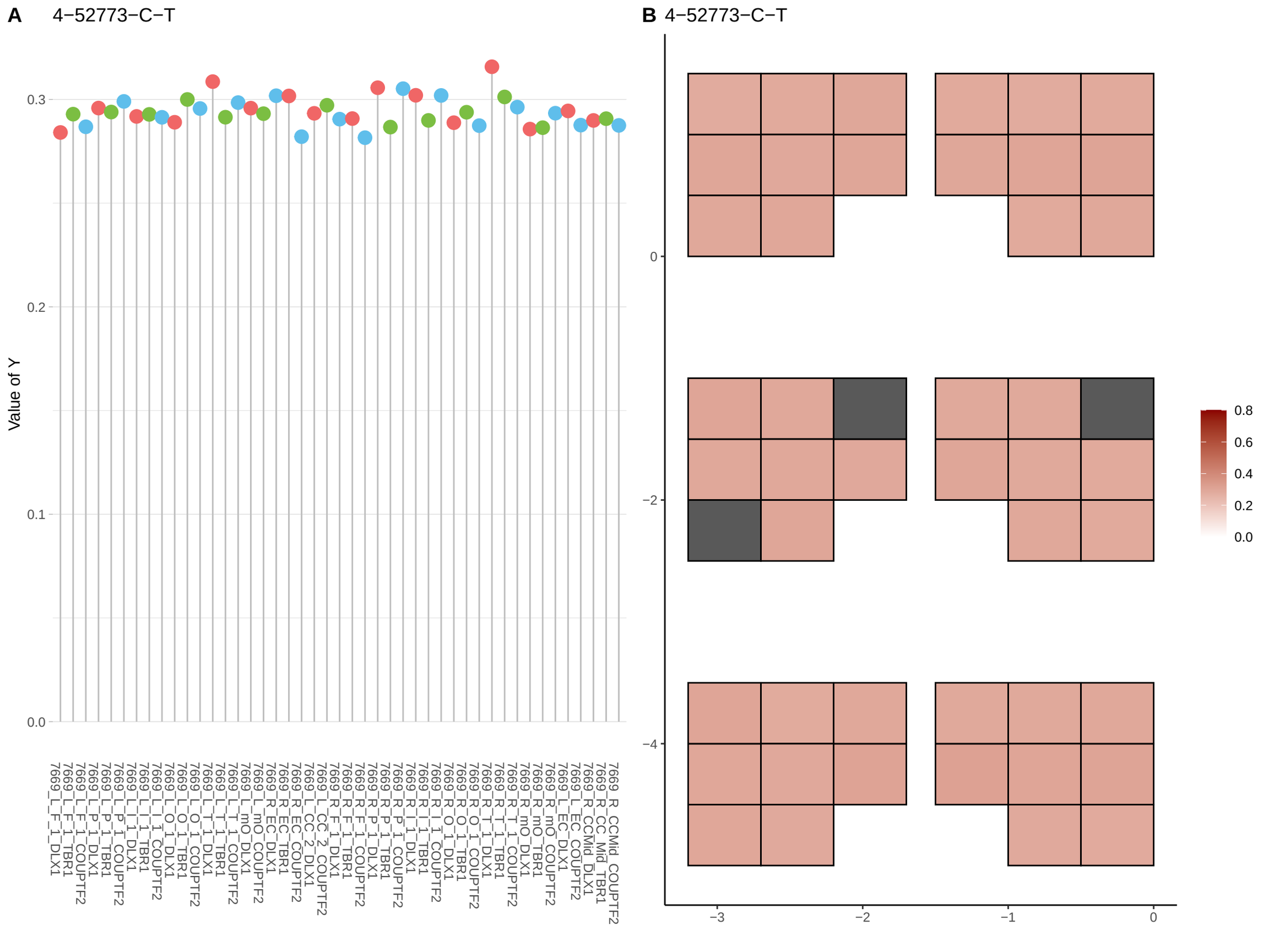
A
4−52773−C−T
Value of Y
0.3
0.2
0.1
0.0
7669_L_F_1_DLX1
7669_L_F_1_TBR1
7669_L_F_1_COUPTF2
7669_L_P_1_DLX1
7669_L_P_1_TBR1
7669_L_P_1_COUPTF2
7669_L_I_1_DLX1
7669_L_I_1_TBR1
7669_L_I_1_COUPTF2
7669_L_O_1_DLX1
7669_L_O_1_TBR1
7669_L_O_1_COUPTF2
7669_L_T_1_DLX1
7669_L_T_1_TBR1
7669_L_T_1_COUPTF2
7669_L_mO_DLX1
7669_L_mO_COUPTF2
7669_R_EC_DLX1
7669_R_EC_TBR1
7669_R_EC_COUPTF2
7669_L_CC_2_DLX1
7669_L_CC_2_COUPTF2
7669_R_F_1_DLX1
7669_R_F_1_TBR1
7669_R_F_1_COUPTF2
7669_R_P_1_DLX1
7669_R_P_1_TBR1
7669_R_P_1_COUPTF2
7669_R_I_1_DLX1
7669_R_I_1_TBR1
7669_R_I_1_COUPTF2
7669_R_O_1_DLX1
7669_R_O_1_TBR1
7669_R_O_1_COUPTF2
7669_R_T_1_DLX1
7669_R_T_1_TBR1
7669_R_T_1_COUPTF2
7669_R_mO_DLX1
7669_R_mO_TBR1
7669_R_mO_COUPTF2
7669_L_EC_DLX1
7669_L_EC_COUPTF2
7669_R_CCMid_DLX1
7669_R_CC_Mid_TBR1
7669_R_CCMid_COUPTF2
B
4−52773−C−T
0
−2
−4
−3
−2
−1
0
0.8
0.6
0.4
0.2
0.0

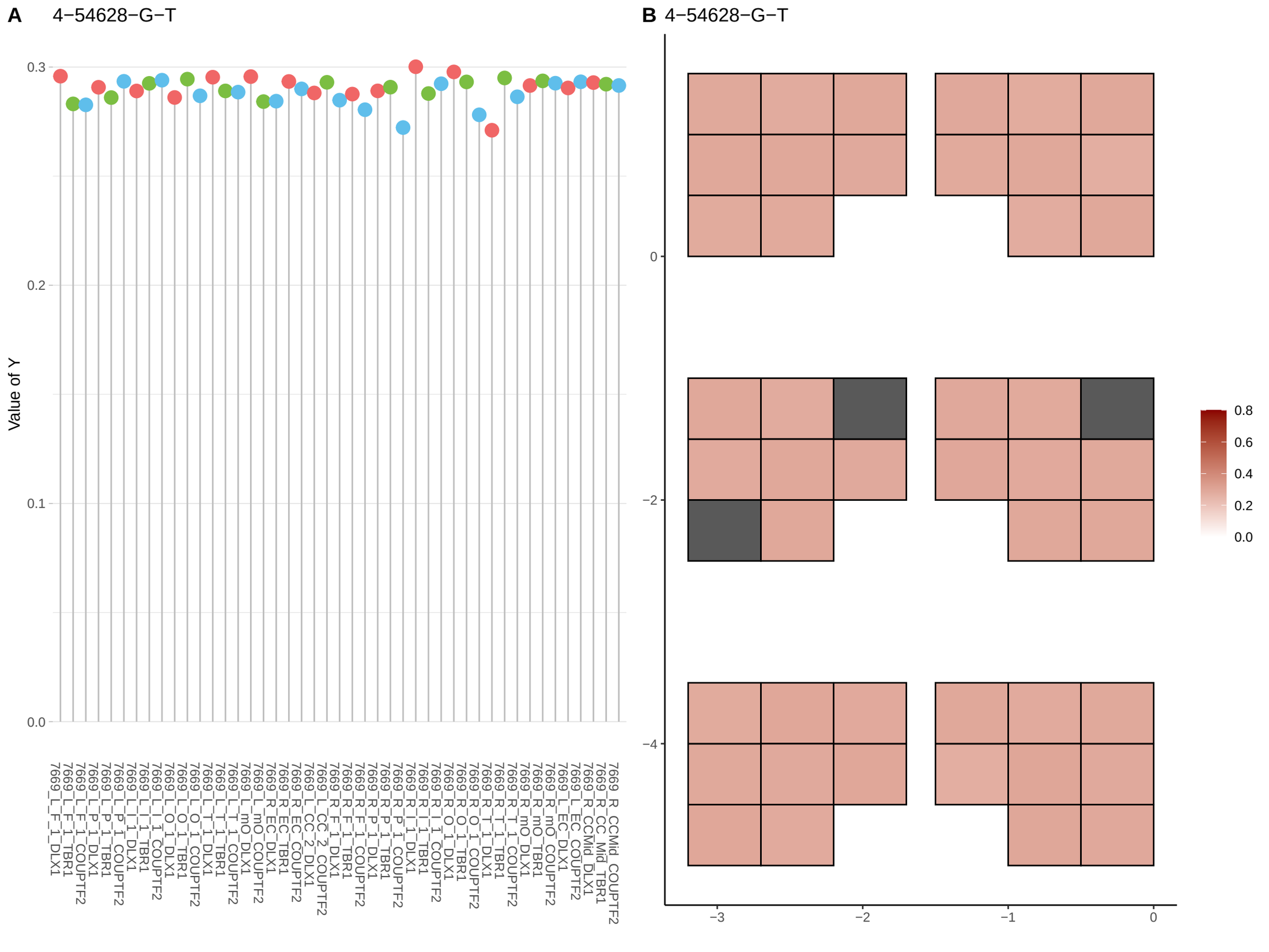
A
4−54628−G−T
Value of Y
0.3
0.2
0.1
0.0
7669_L_F_1_DLX1
7669_L_F_1_TBR1
7669_L_F_1_COUPTF2
7669_L_P_1_DLX1
7669_L_P_1_TBR1
7669_L_P_1_COUPTF2
7669_L_I_1_DLX1
7669_L_I_1_TBR1
7669_L_I_1_COUPTF2
7669_L_O_1_DLX1
7669_L_O_1_TBR1
7669_L_O_1_COUPTF2
7669_L_T_1_DLX1
7669_L_T_1_TBR1
7669_L_T_1_COUPTF2
7669_L_mO_DLX1
7669_L_mO_COUPTF2
7669_R_EC_DLX1
7669_R_EC_TBR1
7669_R_EC_COUPTF2
7669_L_CC_2_DLX1
7669_L_CC_2_COUPTF2
7669_R_F_1_DLX1
7669_R_F_1_TBR1
7669_R_F_1_COUPTF2
7669_R_P_1_DLX1
7669_R_P_1_TBR1
7669_R_P_1_COUPTF2
7669_R_I_1_DLX1
7669_R_I_1_TBR1
7669_R_I_1_COUPTF2
7669_R_O_1_DLX1
7669_R_O_1_TBR1
7669_R_O_1_COUPTF2
7669_R_T_1_DLX1
7669_R_T_1_TBR1
7669_R_T_1_COUPTF2
7669_R_mO_DLX1
7669_R_mO_TBR1
7669_R_mO_COUPTF2
7669_L_EC_DLX1
7669_L_EC_COUPTF2
7669_R_CCMid_DLX1
7669_R_CC_Mid_TBR1
7669_R_CCMid_COUPTF2
B
4−54628−G−T
0
−2
−4
−3
−2
−1
0
0.8
0.6
0.4
0.2
0.0

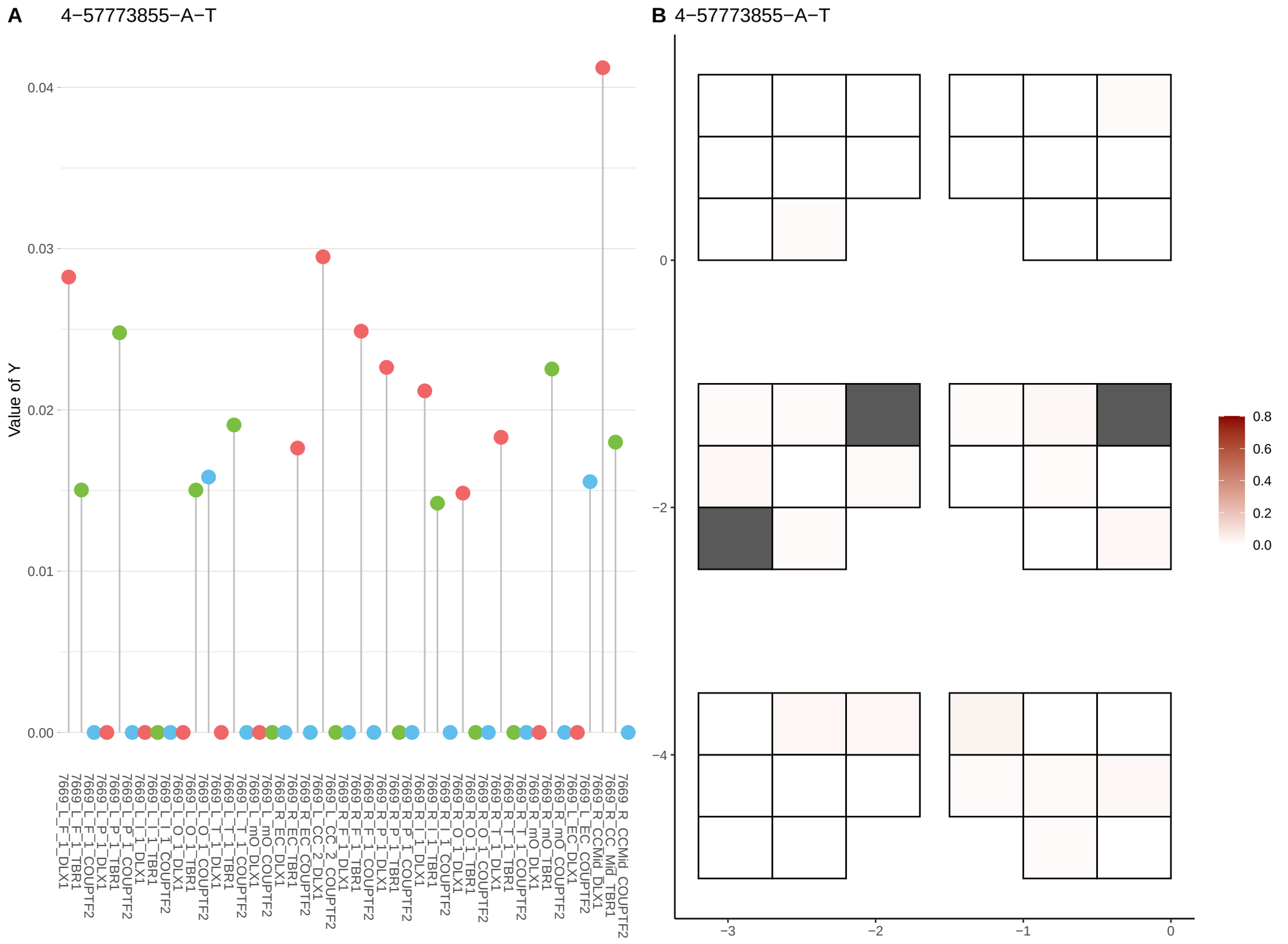
A
4−57773855−A−T
Value of Y
0.04
0.03
0.02
0.01
0.00
7669_L_F_1_DLX1
7669_L_F_1_TBR1
7669_L_F_1_COUPTF2
7669_L_P_1_DLX1
7669_L_P_1_TBR1
7669_L_P_1_COUPTF2
7669_L_I_1_DLX1
7669_L_I_1_TBR1
7669_L_I_1_COUPTF2
7669_L_O_1_DLX1
7669_L_O_1_TBR1
7669_L_O_1_COUPTF2
7669_L_T_1_DLX1
7669_L_T_1_TBR1
7669_L_T_1_COUPTF2
7669_L_mO_DLX1
7669_L_mO_COUPTF2
7669_R_EC_DLX1
7669_R_EC_TBR1
7669_R_EC_COUPTF2
7669_L_CC_2_DLX1
7669_L_CC_2_COUPTF2
7669_R_F_1_DLX1
7669_R_F_1_TBR1
7669_R_F_1_COUPTF2
7669_R_P_1_DLX1
7669_R_P_1_TBR1
7669_R_P_1_COUPTF2
7669_R_I_1_DLX1
7669_R_I_1_TBR1
7669_R_I_1_COUPTF2
7669_R_O_1_DLX1
7669_R_O_1_TBR1
7669_R_O_1_COUPTF2
7669_R_T_1_DLX1
7669_R_T_1_TBR1
7669_R_T_1_COUPTF2
7669_R_mO_DLX1
7669_R_mO_TBR1
7669_R_mO_COUPTF2
7669_L_EC_DLX1
7669_L_EC_COUPTF2
7669_R_CCMid_DLX1
7669_R_CC_Mid_TBR1
7669_R_CCMid_COUPTF2
B
4−57773855−A−T
0
−2
−4
−3
−2
−1
0
0.8
0.6
0.4
0.2
0.0

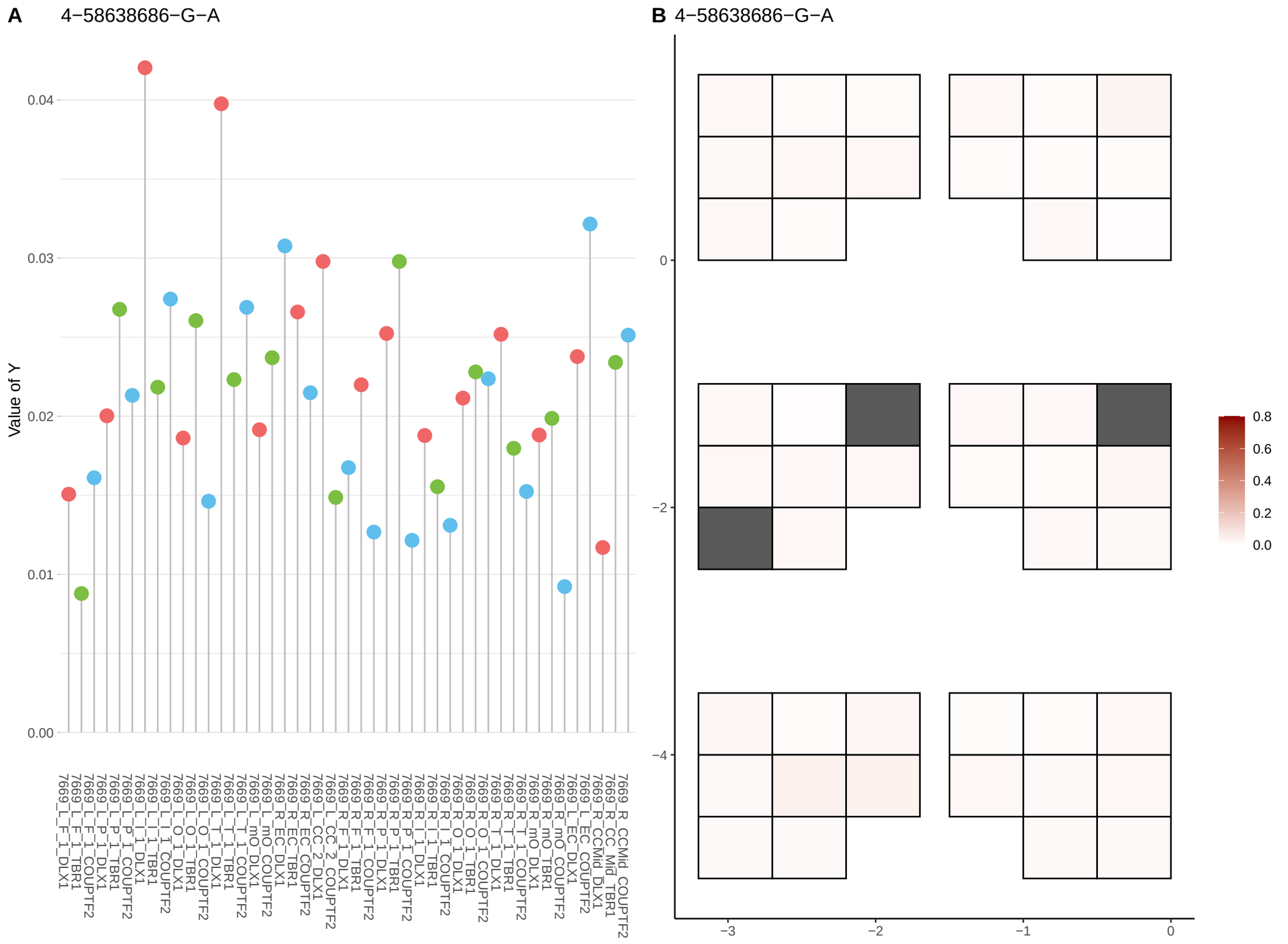
A
4−58638686−G−A
Value of Y
0.04
0.03
0.02
0.01
0.00
7669_L_F_1_DLX1
7669_L_F_1_TBR1
7669_L_F_1_COUPTF2
7669_L_P_1_DLX1
7669_L_P_1_TBR1
7669_L_P_1_COUPTF2
7669_L_I_1_DLX1
7669_L_I_1_TBR1
7669_L_I_1_COUPTF2
7669_L_O_1_DLX1
7669_L_O_1_TBR1
7669_L_O_1_COUPTF2
7669_L_T_1_DLX1
7669_L_T_1_TBR1
7669_L_T_1_COUPTF2
7669_L_mO_DLX1
7669_L_mO_COUPTF2
7669_R_EC_DLX1
7669_R_EC_TBR1
7669_R_EC_COUPTF2
7669_L_CC_2_DLX1
7669_L_CC_2_COUPTF2
7669_R_F_1_DLX1
7669_R_F_1_TBR1
7669_R_F_1_COUPTF2
7669_R_P_1_DLX1
7669_R_P_1_TBR1
7669_R_P_1_COUPTF2
7669_R_I_1_DLX1
7669_R_I_1_TBR1
7669_R_I_1_COUPTF2
7669_R_O_1_DLX1
7669_R_O_1_TBR1
7669_R_O_1_COUPTF2
7669_R_T_1_DLX1
7669_R_T_1_TBR1
7669_R_T_1_COUPTF2
7669_R_mO_DLX1
7669_R_mO_TBR1
7669_R_mO_COUPTF2
7669_L_EC_DLX1
7669_L_EC_COUPTF2
7669_R_CCMid_DLX1
7669_R_CC_Mid_TBR1
7669_R_CCMid_COUPTF2
B
4−58638686−G−A
0
−2
−4
−3
−2
−1
0
0.8
0.6
0.4
0.2
0.0

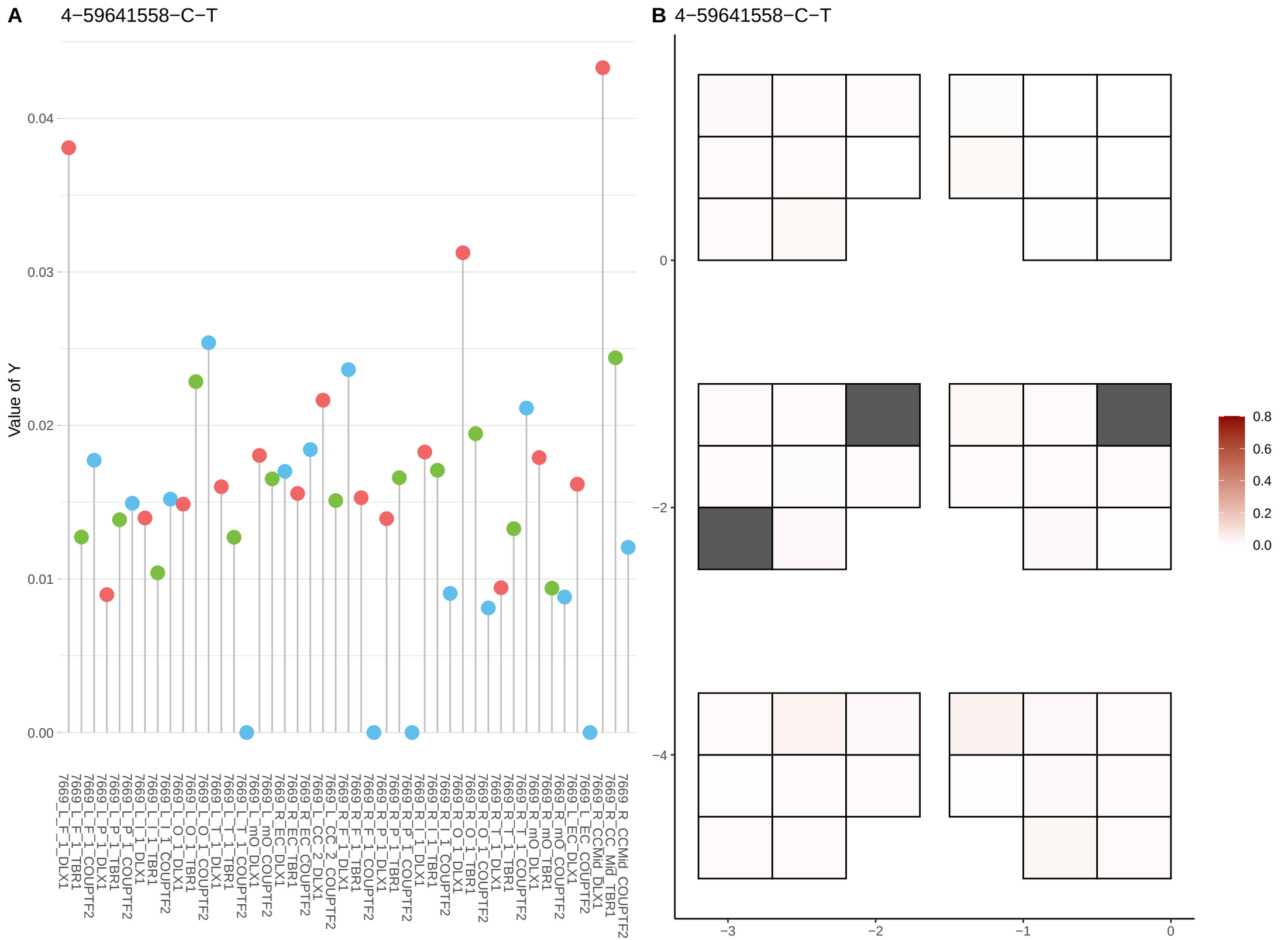
A
4−59641558−C−T
Value of Y
0.04
0.03
0.02
0.01
0.00
7669_L_F_1_DLX1
7669_L_F_1_TBR1
7669_L_F_1_COUPTF2
7669_L_P_1_DLX1
7669_L_P_1_TBR1
7669_L_P_1_COUPTF2
7669_L_I_1_DLX1
7669_L_I_1_TBR1
7669_L_I_1_COUPTF2
7669_L_O_1_DLX1
7669_L_O_1_TBR1
7669_L_O_1_COUPTF2
7669_L_T_1_DLX1
7669_L_T_1_TBR1
7669_L_T_1_COUPTF2
7669_L_mO_DLX1
7669_L_mO_COUPTF2
7669_R_EC_DLX1
7669_R_EC_TBR1
7669_R_EC_COUPTF2
7669_L_CC_2_DLX1
7669_L_CC_2_COUPTF2
7669_R_F_1_DLX1
7669_R_F_1_TBR1
7669_R_F_1_COUPTF2
7669_R_P_1_DLX1
7669_R_P_1_TBR1
7669_R_P_1_COUPTF2
7669_R_I_1_DLX1
7669_R_I_1_TBR1
7669_R_I_1_COUPTF2
7669_R_O_1_DLX1
7669_R_O_1_TBR1
7669_R_O_1_COUPTF2
7669_R_T_1_DLX1
7669_R_T_1_TBR1
7669_R_T_1_COUPTF2
7669_R_mO_DLX1
7669_R_mO_TBR1
7669_R_mO_COUPTF2
7669_L_EC_DLX1
7669_L_EC_COUPTF2
7669_R_CCMid_DLX1
7669_R_CC_Mid_TBR1
7669_R_CCMid_COUPTF2
B
4−59641558−C−T
0
−2
−4
−3
−2
−1
0
0.8
0.6
0.4
0.2
0.0

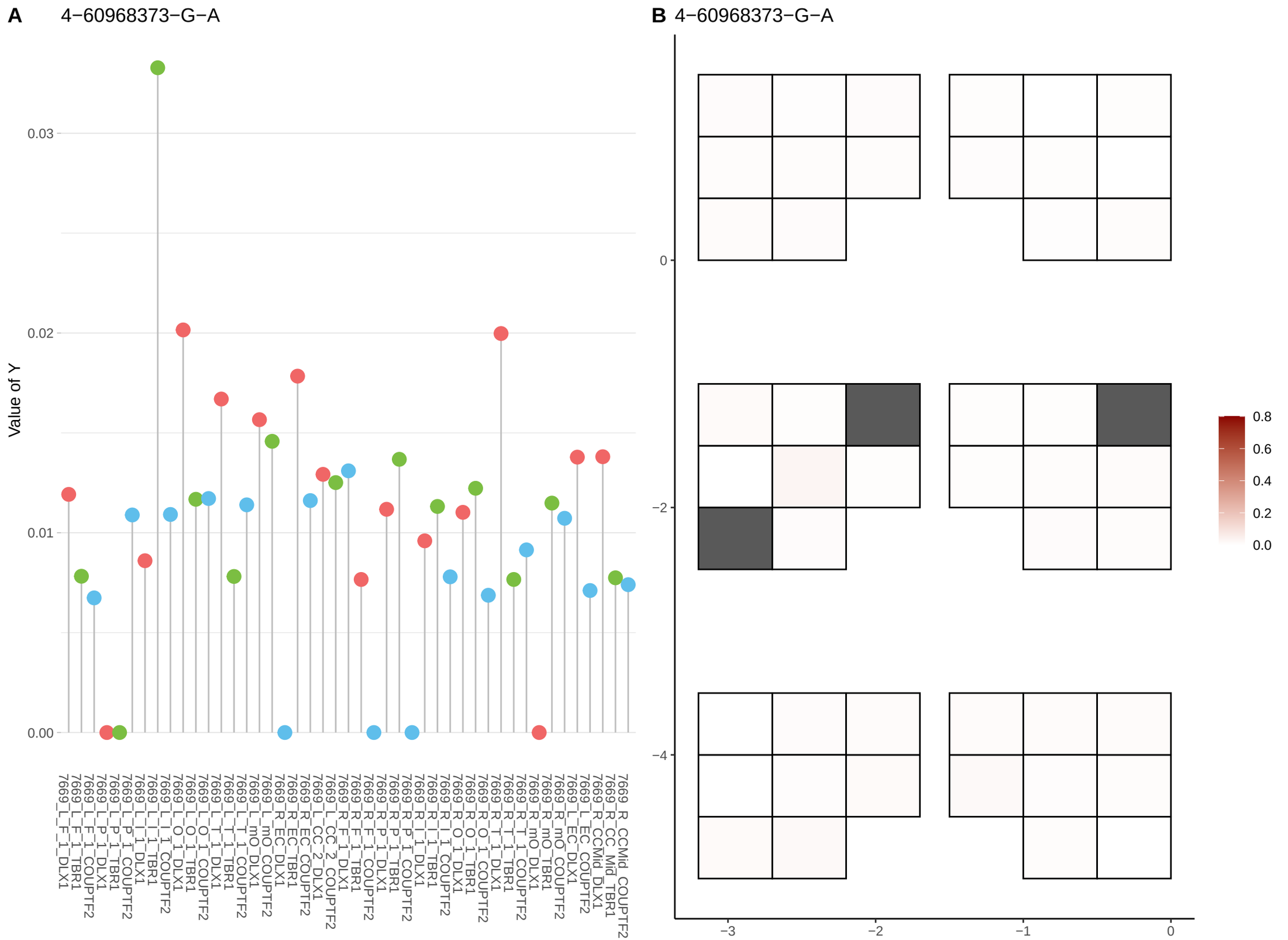
A
4−60968373−G−A
Value of Y
0.03
0.02
0.01
0.00
7669_L_F_1_DLX1
7669_L_F_1_TBR1
7669_L_F_1_COUPTF2
7669_L_P_1_DLX1
7669_L_P_1_TBR1
7669_L_P_1_COUPTF2
7669_L_I_1_DLX1
7669_L_I_1_TBR1
7669_L_I_1_COUPTF2
7669_L_O_1_DLX1
7669_L_O_1_TBR1
7669_L_O_1_COUPTF2
7669_L_T_1_DLX1
7669_L_T_1_TBR1
7669_L_T_1_COUPTF2
7669_L_mO_DLX1
7669_L_mO_COUPTF2
7669_R_EC_DLX1
7669_R_EC_TBR1
7669_R_EC_COUPTF2
7669_L_CC_2_DLX1
7669_L_CC_2_COUPTF2
7669_R_F_1_DLX1
7669_R_F_1_TBR1
7669_R_F_1_COUPTF2
7669_R_P_1_DLX1
7669_R_P_1_TBR1
7669_R_P_1_COUPTF2
7669_R_I_1_DLX1
7669_R_I_1_TBR1
7669_R_I_1_COUPTF2
7669_R_O_1_DLX1
7669_R_O_1_TBR1
7669_R_O_1_COUPTF2
7669_R_T_1_DLX1
7669_R_T_1_TBR1
7669_R_T_1_COUPTF2
7669_R_mO_DLX1
7669_R_mO_TBR1
7669_R_mO_COUPTF2
7669_L_EC_DLX1
7669_L_EC_COUPTF2
7669_R_CCMid_DLX1
7669_R_CC_Mid_TBR1
7669_R_CCMid_COUPTF2
B
4−60968373−G−A
0
−2
−4
−3
−2
−1
0
0.8
0.6
0.4
0.2
0.0

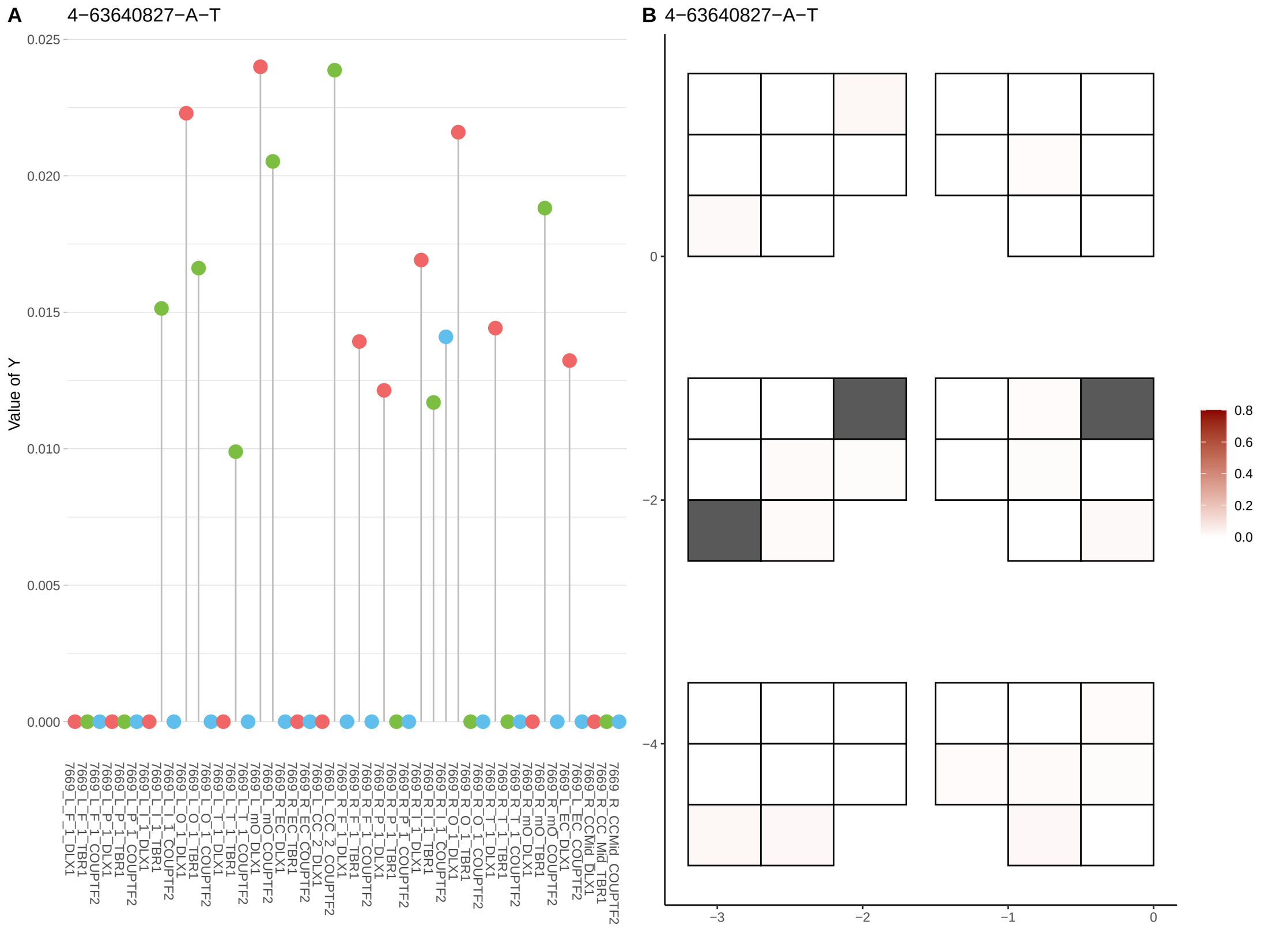
A
4−63640827−A−T
Value of Y
0.025
0.020
0.015
0.010
0.005
0.000
7669_L_F_1_DLX1
7669_L_F_1_TBR1
7669_L_F_1_COUPTF2
7669_L_P_1_DLX1
7669_L_P_1_TBR1
7669_L_P_1_COUPTF2
7669_L_I_1_DLX1
7669_L_I_1_TBR1
7669_L_I_1_COUPTF2
7669_L_O_1_DLX1
7669_L_O_1_TBR1
7669_L_O_1_COUPTF2
7669_L_T_1_DLX1
7669_L_T_1_TBR1
7669_L_T_1_COUPTF2
7669_L_mO_DLX1
7669_L_mO_COUPTF2
7669_R_EC_DLX1
7669_R_EC_TBR1
7669_R_EC_COUPTF2
7669_L_CC_2_DLX1
7669_L_CC_2_COUPTF2
7669_R_F_1_DLX1
7669_R_F_1_TBR1
7669_R_F_1_COUPTF2
7669_R_P_1_DLX1
7669_R_P_1_TBR1
7669_R_P_1_COUPTF2
7669_R_I_1_DLX1
7669_R_I_1_TBR1
7669_R_I_1_COUPTF2
7669_R_O_1_DLX1
7669_R_O_1_TBR1
7669_R_O_1_COUPTF2
7669_R_T_1_DLX1
7669_R_T_1_TBR1
7669_R_T_1_COUPTF2
7669_R_mO_DLX1
7669_R_mO_TBR1
7669_R_mO_COUPTF2
7669_L_EC_DLX1
7669_L_EC_COUPTF2
7669_R_CCMid_DLX1
7669_R_CC_Mid_TBR1
7669_R_CCMid_COUPTF2
B
4−63640827−A−T
0
−2
−4
−3
−2
−1
0
0.8
0.6
0.4
0.2
0.0

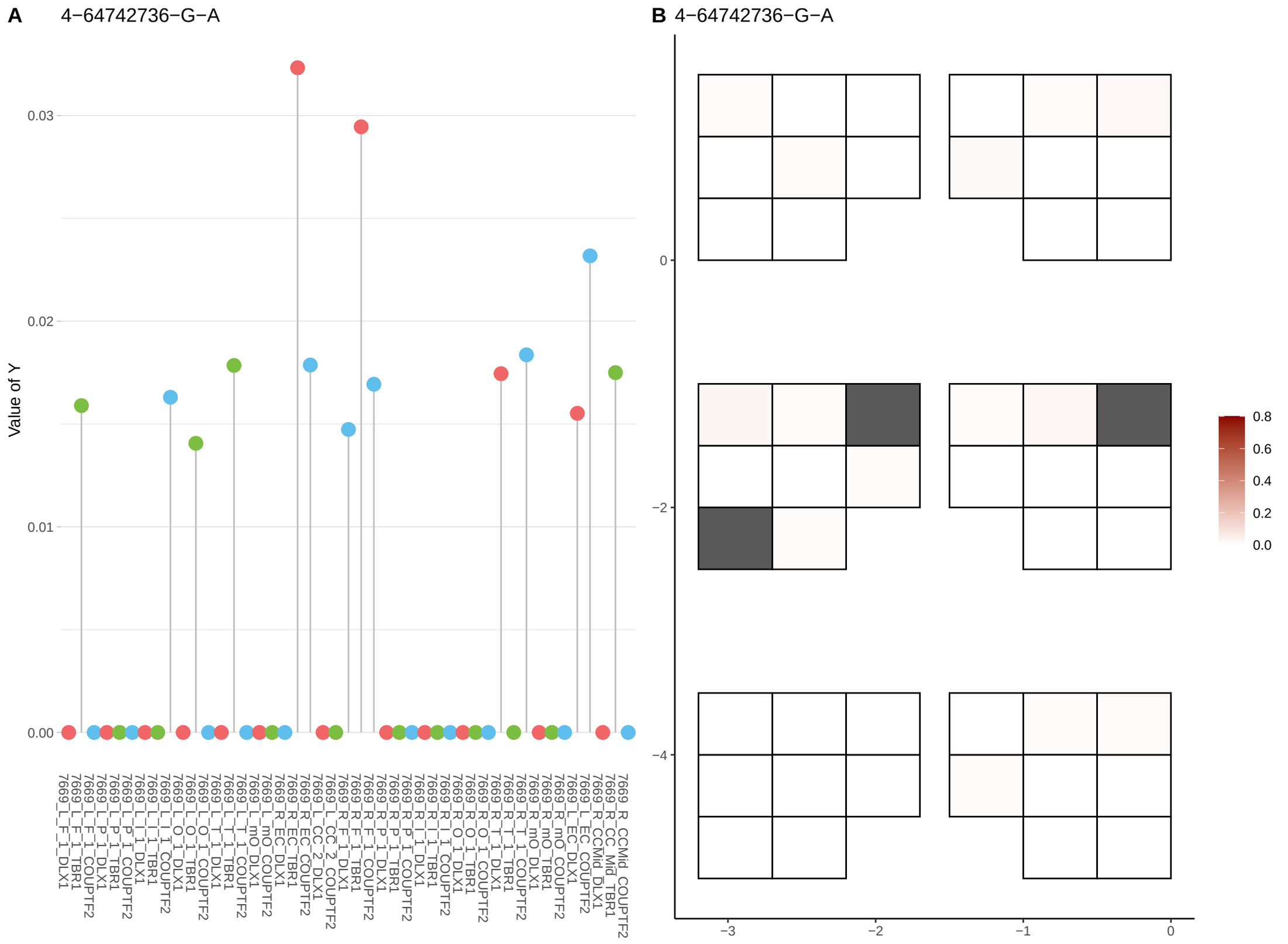
A
4−64742736−G−A
Value of Y
0.03
0.02
0.01
0.00
7669_L_F_1_DLX1
7669_L_F_1_TBR1
7669_L_F_1_COUPTF2
7669_L_P_1_DLX1
7669_L_P_1_TBR1
7669_L_P_1_COUPTF2
7669_L_I_1_DLX1
7669_L_I_1_TBR1
7669_L_I_1_COUPTF2
7669_L_O_1_DLX1
7669_L_O_1_TBR1
7669_L_O_1_COUPTF2
7669_L_T_1_DLX1
7669_L_T_1_TBR1
7669_L_T_1_COUPTF2
7669_L_mO_DLX1
7669_L_mO_COUPTF2
7669_R_EC_DLX1
7669_R_EC_TBR1
7669_R_EC_COUPTF2
7669_L_CC_2_DLX1
7669_L_CC_2_COUPTF2
7669_R_F_1_DLX1
7669_R_F_1_TBR1
7669_R_F_1_COUPTF2
7669_R_P_1_DLX1
7669_R_P_1_TBR1
7669_R_P_1_COUPTF2
7669_R_I_1_DLX1
7669_R_I_1_TBR1
7669_R_I_1_COUPTF2
7669_R_O_1_DLX1
7669_R_O_1_TBR1
7669_R_O_1_COUPTF2
7669_R_T_1_DLX1
7669_R_T_1_TBR1
7669_R_T_1_COUPTF2
7669_R_mO_DLX1
7669_R_mO_TBR1
7669_R_mO_COUPTF2
7669_L_EC_DLX1
7669_L_EC_COUPTF2
7669_R_CCMid_DLX1
7669_R_CC_Mid_TBR1
7669_R_CCMid_COUPTF2
B
4−64742736−G−A
0
−2
−4
−3
−2
−1
0
0.8
0.6
0.4
0.2
0.0

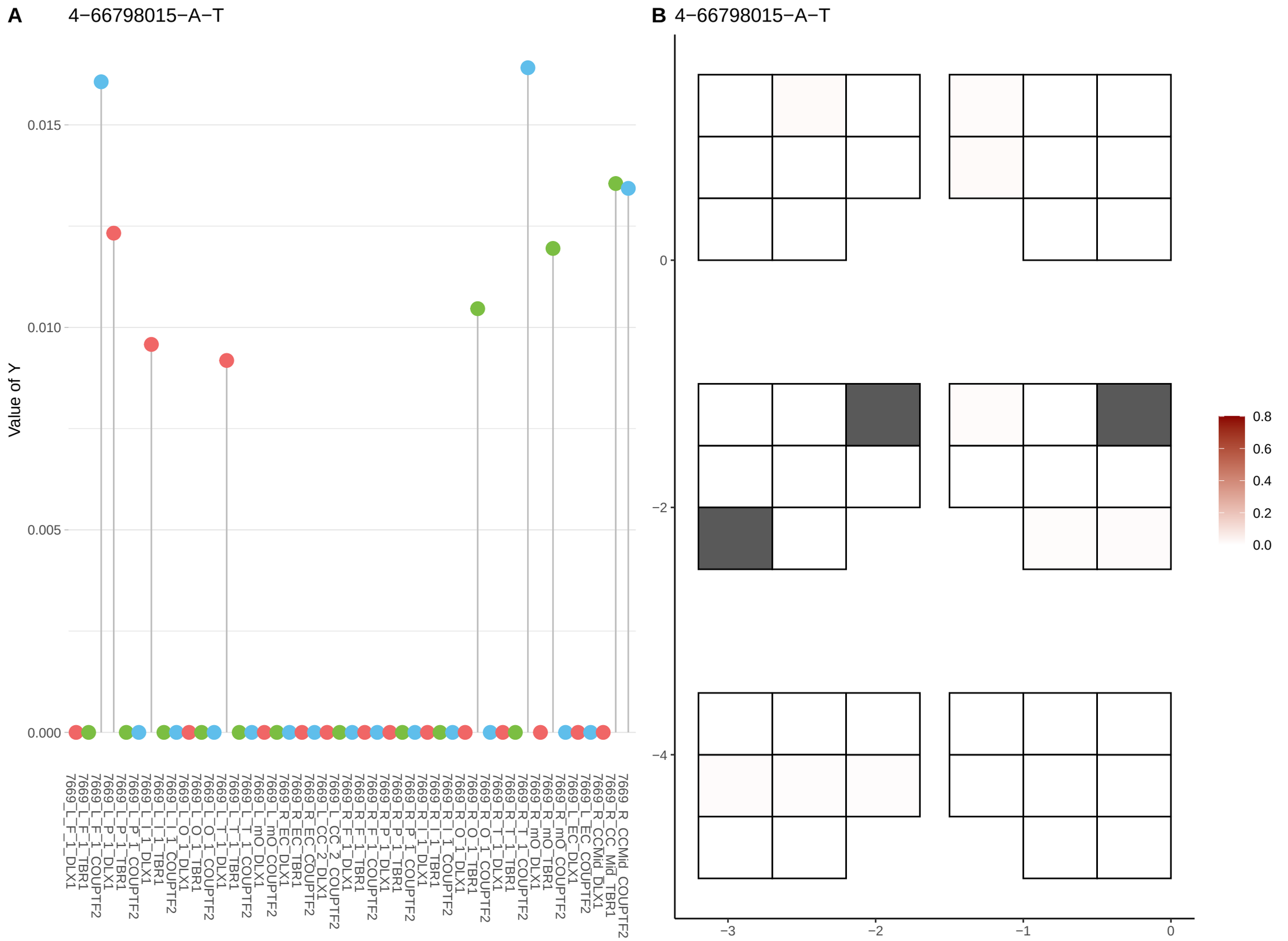
A
4−66798015−A−T
Value of Y
0.015
0.010
0.005
0.000
7669_L_F_1_DLX1
7669_L_F_1_TBR1
7669_L_F_1_COUPTF2
7669_L_P_1_DLX1
7669_L_P_1_TBR1
7669_L_P_1_COUPTF2
7669_L_I_1_DLX1
7669_L_I_1_TBR1
7669_L_I_1_COUPTF2
7669_L_O_1_DLX1
7669_L_O_1_TBR1
7669_L_O_1_COUPTF2
7669_L_T_1_DLX1
7669_L_T_1_TBR1
7669_L_T_1_COUPTF2
7669_L_mO_DLX1
7669_L_mO_COUPTF2
7669_R_EC_DLX1
7669_R_EC_TBR1
7669_R_EC_COUPTF2
7669_L_CC_2_DLX1
7669_L_CC_2_COUPTF2
7669_R_F_1_DLX1
7669_R_F_1_TBR1
7669_R_F_1_COUPTF2
7669_R_P_1_DLX1
7669_R_P_1_TBR1
7669_R_P_1_COUPTF2
7669_R_I_1_DLX1
7669_R_I_1_TBR1
7669_R_I_1_COUPTF2
7669_R_O_1_DLX1
7669_R_O_1_TBR1
7669_R_O_1_COUPTF2
7669_R_T_1_DLX1
7669_R_T_1_TBR1
7669_R_T_1_COUPTF2
7669_R_mO_DLX1
7669_R_mO_TBR1
7669_R_mO_COUPTF2
7669_L_EC_DLX1
7669_L_EC_COUPTF2
7669_R_CCMid_DLX1
7669_R_CC_Mid_TBR1
7669_R_CCMid_COUPTF2
B
4−66798015−A−T
0
−2
−4
−3
−2
−1
0
0.8
0.6
0.4
0.2
0.0

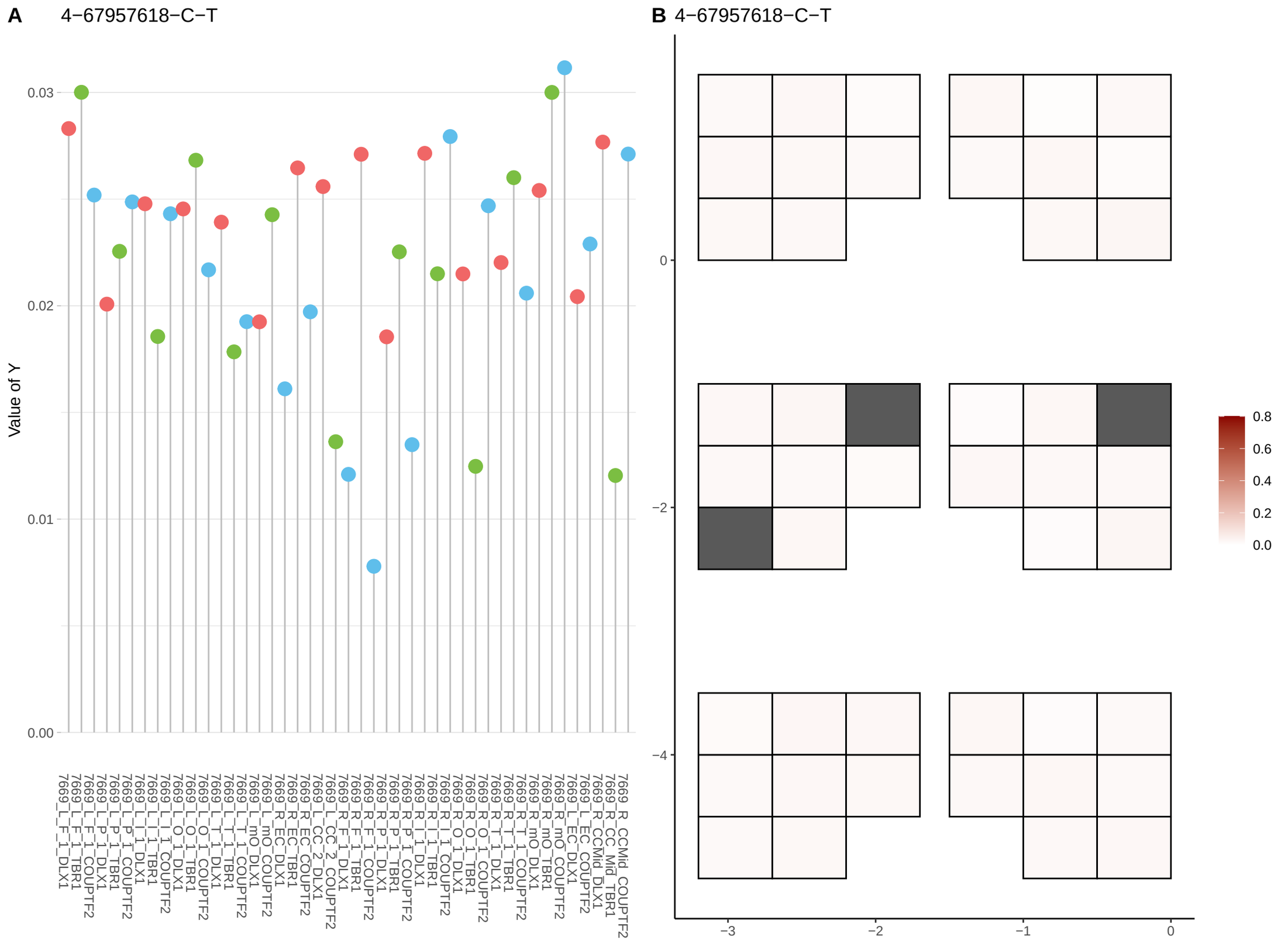
A
4−67957618−C−T
Value of Y
0.03
0.02
0.01
0.00
7669_L_F_1_DLX1
7669_L_F_1_TBR1
7669_L_F_1_COUPTF2
7669_L_P_1_DLX1
7669_L_P_1_TBR1
7669_L_P_1_COUPTF2
7669_L_I_1_DLX1
7669_L_I_1_TBR1
7669_L_I_1_COUPTF2
7669_L_O_1_DLX1
7669_L_O_1_TBR1
7669_L_O_1_COUPTF2
7669_L_T_1_DLX1
7669_L_T_1_TBR1
7669_L_T_1_COUPTF2
7669_L_mO_DLX1
7669_L_mO_COUPTF2
7669_R_EC_DLX1
7669_R_EC_TBR1
7669_R_EC_COUPTF2
7669_L_CC_2_DLX1
7669_L_CC_2_COUPTF2
7669_R_F_1_DLX1
7669_R_F_1_TBR1
7669_R_F_1_COUPTF2
7669_R_P_1_DLX1
7669_R_P_1_TBR1
7669_R_P_1_COUPTF2
7669_R_I_1_DLX1
7669_R_I_1_TBR1
7669_R_I_1_COUPTF2
7669_R_O_1_DLX1
7669_R_O_1_TBR1
7669_R_O_1_COUPTF2
7669_R_T_1_DLX1
7669_R_T_1_TBR1
7669_R_T_1_COUPTF2
7669_R_mO_DLX1
7669_R_mO_TBR1
7669_R_mO_COUPTF2
7669_L_EC_DLX1
7669_L_EC_COUPTF2
7669_R_CCMid_DLX1
7669_R_CC_Mid_TBR1
7669_R_CCMid_COUPTF2
B
4−67957618−C−T
0
−2
−4
−3
−2
−1
0
0.8
0.6
0.4
0.2
0.0

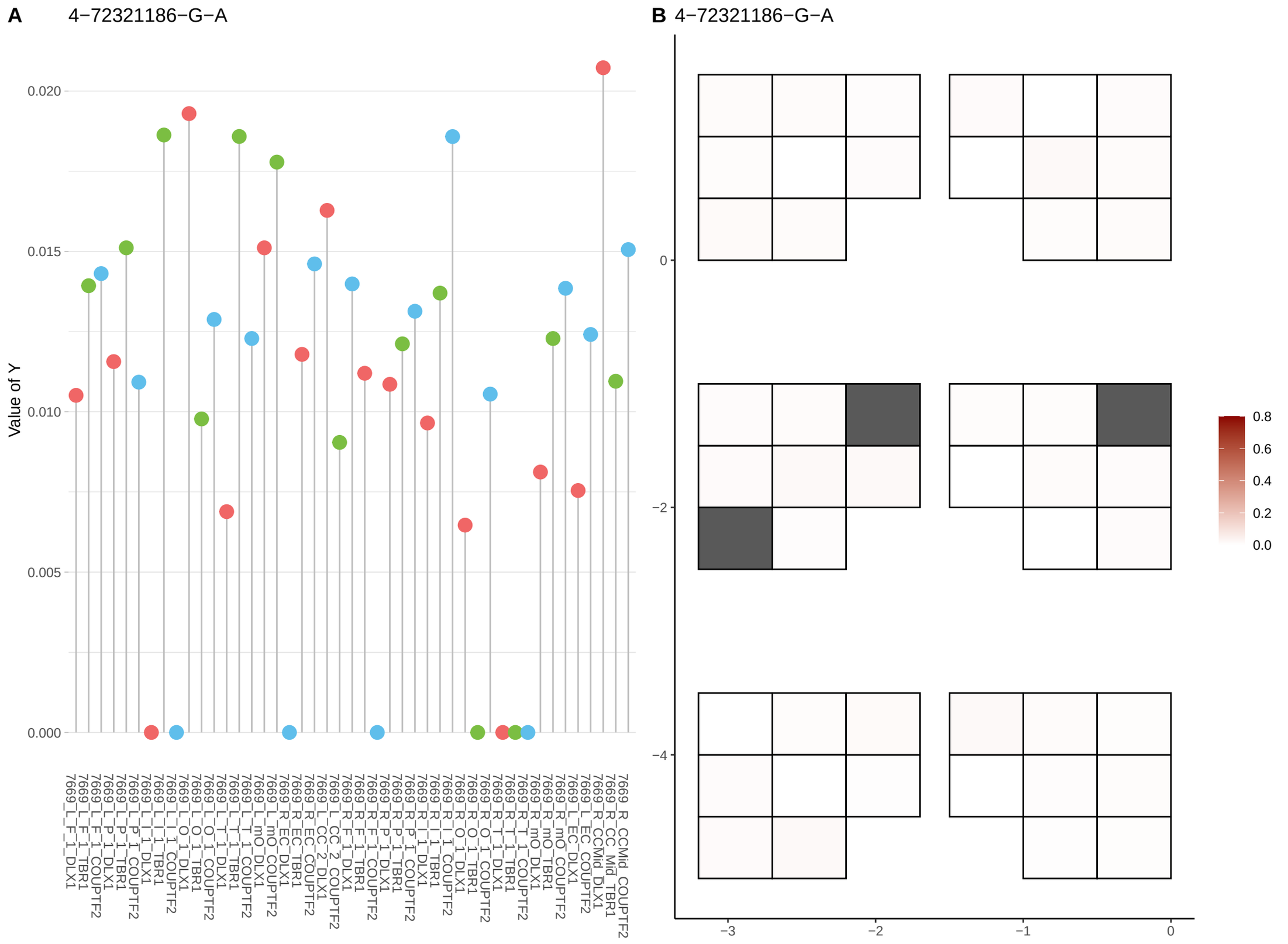
A
4−72321186−G−A
Value of Y
0.020
0.015
0.010
0.005
0.000
7669_L_F_1_DLX1
7669_L_F_1_TBR1
7669_L_F_1_COUPTF2
7669_L_P_1_DLX1
7669_L_P_1_TBR1
7669_L_P_1_COUPTF2
7669_L_I_1_DLX1
7669_L_I_1_TBR1
7669_L_I_1_COUPTF2
7669_L_O_1_DLX1
7669_L_O_1_TBR1
7669_L_O_1_COUPTF2
7669_L_T_1_DLX1
7669_L_T_1_TBR1
7669_L_T_1_COUPTF2
7669_L_mO_DLX1
7669_L_mO_COUPTF2
7669_R_EC_DLX1
7669_R_EC_TBR1
7669_R_EC_COUPTF2
7669_L_CC_2_DLX1
7669_L_CC_2_COUPTF2
7669_R_F_1_DLX1
7669_R_F_1_TBR1
7669_R_F_1_COUPTF2
7669_R_P_1_DLX1
7669_R_P_1_TBR1
7669_R_P_1_COUPTF2
7669_R_I_1_DLX1
7669_R_I_1_TBR1
7669_R_I_1_COUPTF2
7669_R_O_1_DLX1
7669_R_O_1_TBR1
7669_R_O_1_COUPTF2
7669_R_T_1_DLX1
7669_R_T_1_TBR1
7669_R_T_1_COUPTF2
7669_R_mO_DLX1
7669_R_mO_TBR1
7669_R_mO_COUPTF2
7669_L_EC_DLX1
7669_L_EC_COUPTF2
7669_R_CCMid_DLX1
7669_R_CC_Mid_TBR1
7669_R_CCMid_COUPTF2
B
4−72321186−G−A
0
−2
−4
−3
−2
−1
0
0.8
0.6
0.4
0.2
0.0

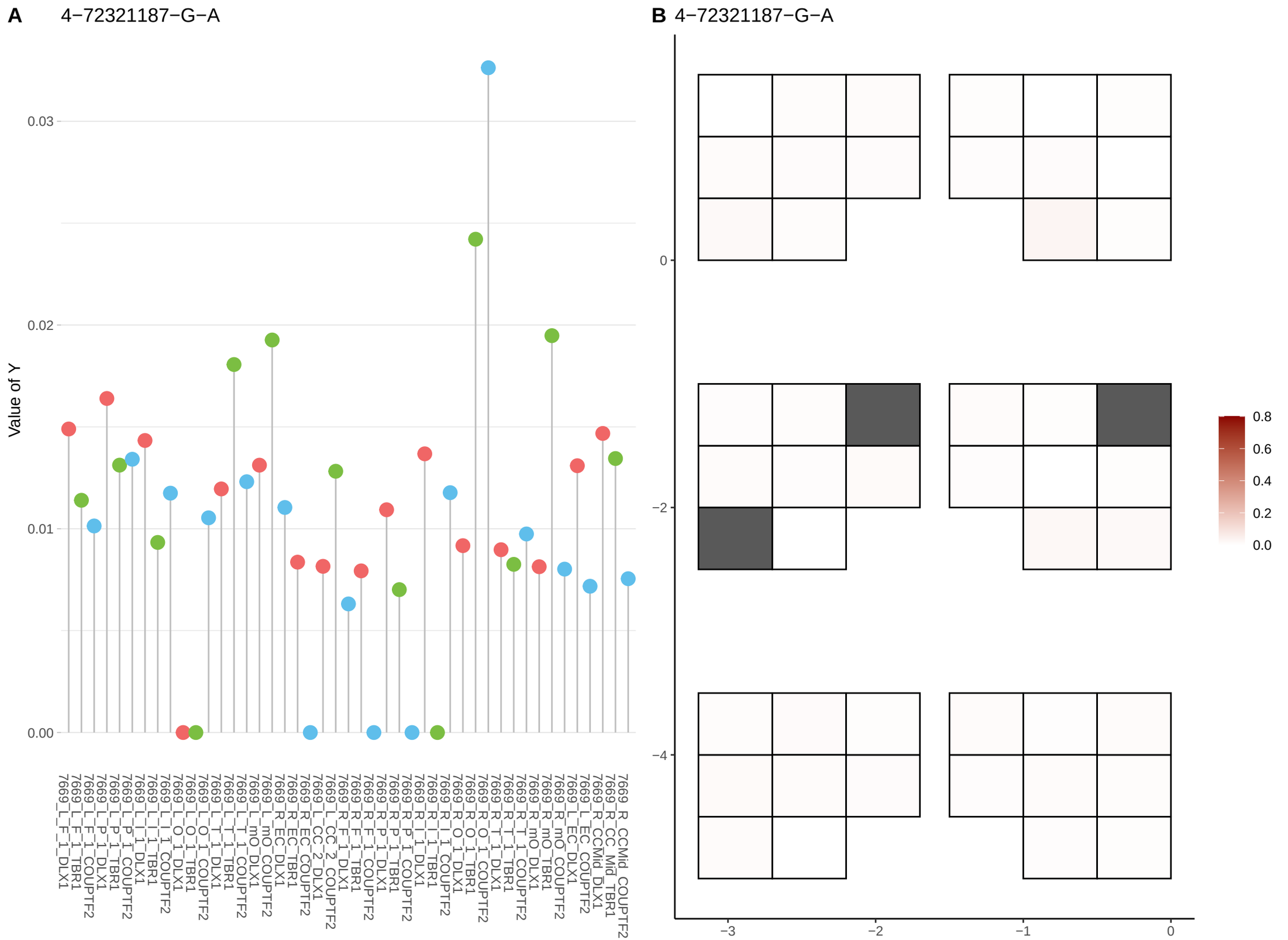
A
4−72321187−G−A
Value of Y
0.03
0.02
0.01
0.00
7669_L_F_1_DLX1
7669_L_F_1_TBR1
7669_L_F_1_COUPTF2
7669_L_P_1_DLX1
7669_L_P_1_TBR1
7669_L_P_1_COUPTF2
7669_L_I_1_DLX1
7669_L_I_1_TBR1
7669_L_I_1_COUPTF2
7669_L_O_1_DLX1
7669_L_O_1_TBR1
7669_L_O_1_COUPTF2
7669_L_T_1_DLX1
7669_L_T_1_TBR1
7669_L_T_1_COUPTF2
7669_L_mO_DLX1
7669_L_mO_COUPTF2
7669_R_EC_DLX1
7669_R_EC_TBR1
7669_R_EC_COUPTF2
7669_L_CC_2_DLX1
7669_L_CC_2_COUPTF2
7669_R_F_1_DLX1
7669_R_F_1_TBR1
7669_R_F_1_COUPTF2
7669_R_P_1_DLX1
7669_R_P_1_TBR1
7669_R_P_1_COUPTF2
7669_R_I_1_DLX1
7669_R_I_1_TBR1
7669_R_I_1_COUPTF2
7669_R_O_1_DLX1
7669_R_O_1_TBR1
7669_R_O_1_COUPTF2
7669_R_T_1_DLX1
7669_R_T_1_TBR1
7669_R_T_1_COUPTF2
7669_R_mO_DLX1
7669_R_mO_TBR1
7669_R_mO_COUPTF2
7669_L_EC_DLX1
7669_L_EC_COUPTF2
7669_R_CCMid_DLX1
7669_R_CC_Mid_TBR1
7669_R_CCMid_COUPTF2
B
4−72321187−G−A
0
−2
−4
−3
−2
−1
0
0.8
0.6
0.4
0.2
0.0

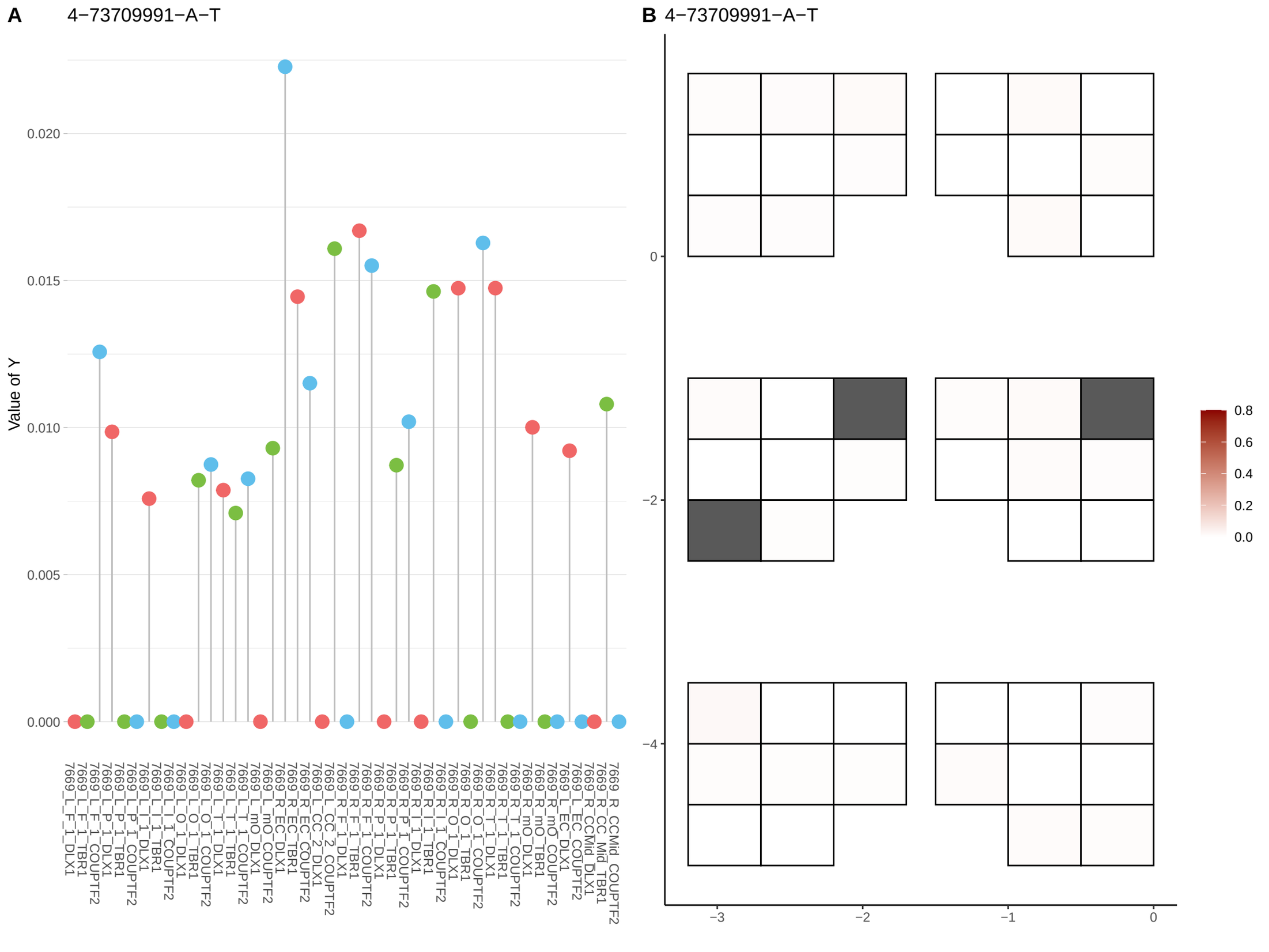
A
4−73709991−A−T
Value of Y
0.020
0.015
0.010
0.005
0.000
7669_L_F_1_DLX1
7669_L_F_1_TBR1
7669_L_F_1_COUPTF2
7669_L_P_1_DLX1
7669_L_P_1_TBR1
7669_L_P_1_COUPTF2
7669_L_I_1_DLX1
7669_L_I_1_TBR1
7669_L_I_1_COUPTF2
7669_L_O_1_DLX1
7669_L_O_1_TBR1
7669_L_O_1_COUPTF2
7669_L_T_1_DLX1
7669_L_T_1_TBR1
7669_L_T_1_COUPTF2
7669_L_mO_DLX1
7669_L_mO_COUPTF2
7669_R_EC_DLX1
7669_R_EC_TBR1
7669_R_EC_COUPTF2
7669_L_CC_2_DLX1
7669_L_CC_2_COUPTF2
7669_R_F_1_DLX1
7669_R_F_1_TBR1
7669_R_F_1_COUPTF2
7669_R_P_1_DLX1
7669_R_P_1_TBR1
7669_R_P_1_COUPTF2
7669_R_I_1_DLX1
7669_R_I_1_TBR1
7669_R_I_1_COUPTF2
7669_R_O_1_DLX1
7669_R_O_1_TBR1
7669_R_O_1_COUPTF2
7669_R_T_1_DLX1
7669_R_T_1_TBR1
7669_R_T_1_COUPTF2
7669_R_mO_DLX1
7669_R_mO_TBR1
7669_R_mO_COUPTF2
7669_L_EC_DLX1
7669_L_EC_COUPTF2
7669_R_CCMid_DLX1
7669_R_CC_Mid_TBR1
7669_R_CCMid_COUPTF2
B
4−73709991−A−T
0
−2
−4
−3
−2
−1
0
0.8
0.6
0.4
0.2
0.0

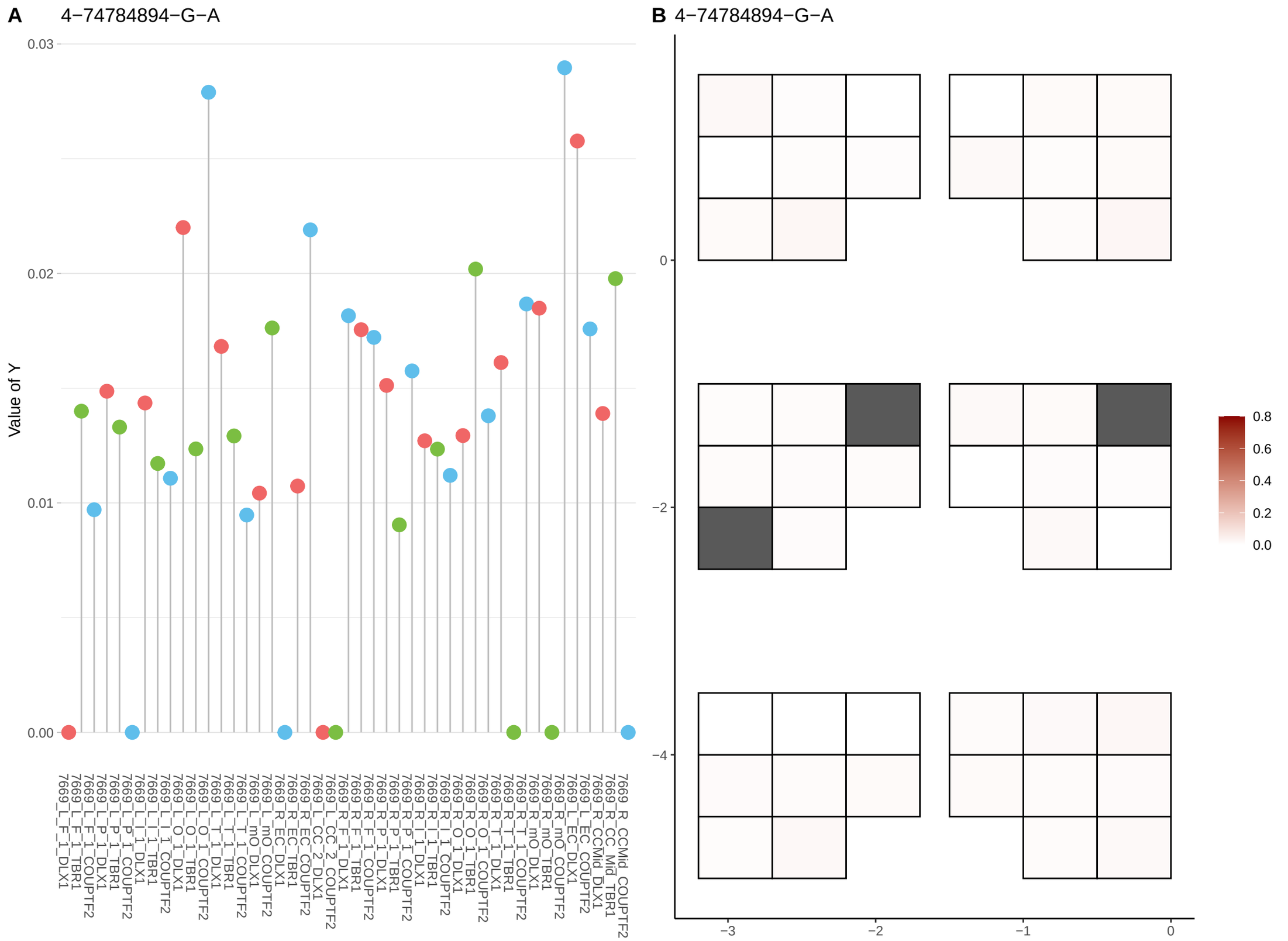
A
4−74784894−G−A
Value of Y
0.03
0.02
0.01
0.00
7669_L_F_1_DLX1
7669_L_F_1_TBR1
7669_L_F_1_COUPTF2
7669_L_P_1_DLX1
7669_L_P_1_TBR1
7669_L_P_1_COUPTF2
7669_L_I_1_DLX1
7669_L_I_1_TBR1
7669_L_I_1_COUPTF2
7669_L_O_1_DLX1
7669_L_O_1_TBR1
7669_L_O_1_COUPTF2
7669_L_T_1_DLX1
7669_L_T_1_TBR1
7669_L_T_1_COUPTF2
7669_L_mO_DLX1
7669_L_mO_COUPTF2
7669_R_EC_DLX1
7669_R_EC_TBR1
7669_R_EC_COUPTF2
7669_L_CC_2_DLX1
7669_L_CC_2_COUPTF2
7669_R_F_1_DLX1
7669_R_F_1_TBR1
7669_R_F_1_COUPTF2
7669_R_P_1_DLX1
7669_R_P_1_TBR1
7669_R_P_1_COUPTF2
7669_R_I_1_DLX1
7669_R_I_1_TBR1
7669_R_I_1_COUPTF2
7669_R_O_1_DLX1
7669_R_O_1_TBR1
7669_R_O_1_COUPTF2
7669_R_T_1_DLX1
7669_R_T_1_TBR1
7669_R_T_1_COUPTF2
7669_R_mO_DLX1
7669_R_mO_TBR1
7669_R_mO_COUPTF2
7669_L_EC_DLX1
7669_L_EC_COUPTF2
7669_R_CCMid_DLX1
7669_R_CC_Mid_TBR1
7669_R_CCMid_COUPTF2
B
4−74784894−G−A
0
−2
−4
−3
−2
−1
0
0.8
0.6
0.4
0.2
0.0

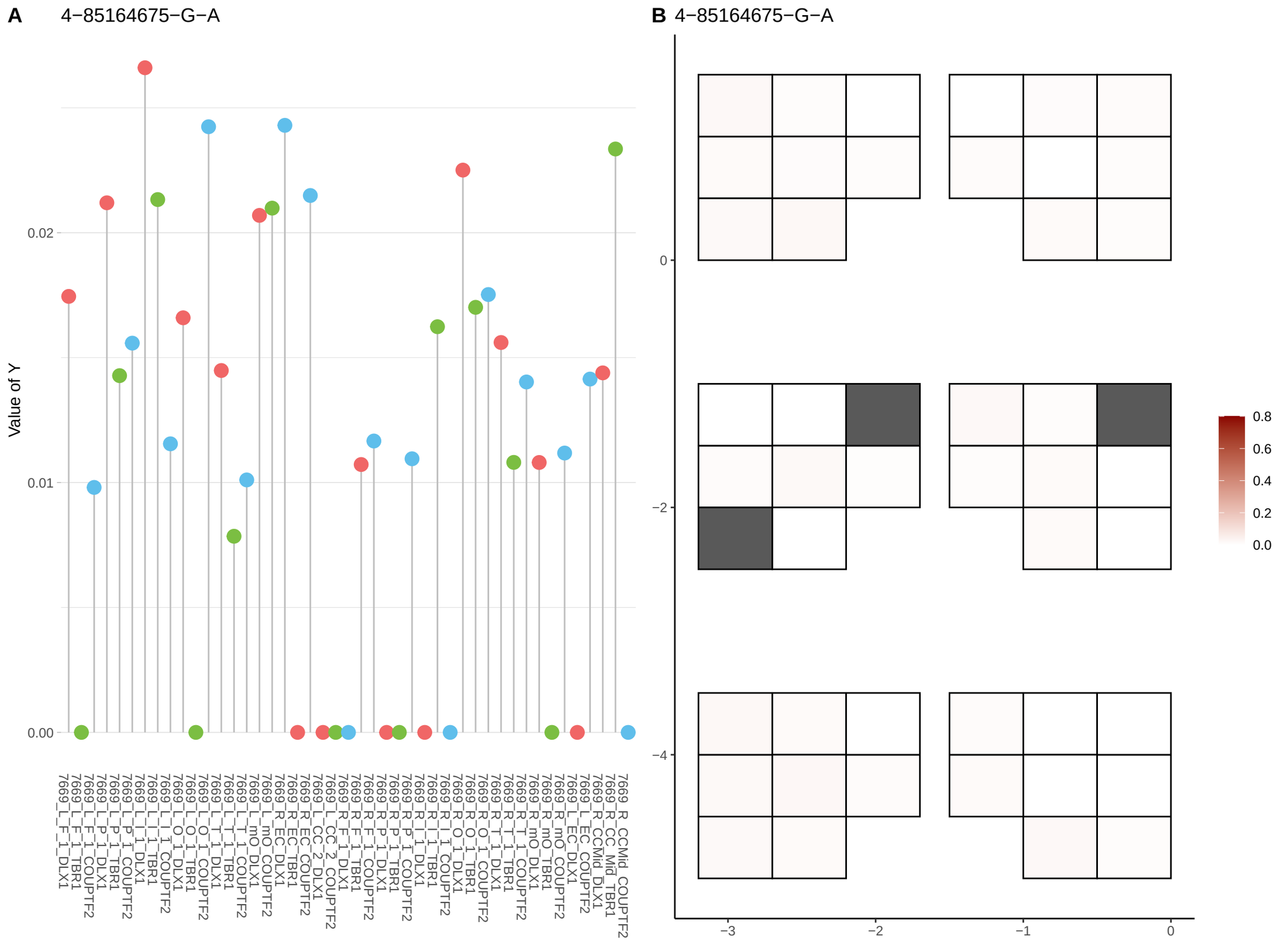
A
4−85164675−G−A
Value of Y
0.02
0.01
0.00
7669_L_F_1_DLX1
7669_L_F_1_TBR1
7669_L_F_1_COUPTF2
7669_L_P_1_DLX1
7669_L_P_1_TBR1
7669_L_P_1_COUPTF2
7669_L_I_1_DLX1
7669_L_I_1_TBR1
7669_L_I_1_COUPTF2
7669_L_O_1_DLX1
7669_L_O_1_TBR1
7669_L_O_1_COUPTF2
7669_L_T_1_DLX1
7669_L_T_1_TBR1
7669_L_T_1_COUPTF2
7669_L_mO_DLX1
7669_L_mO_COUPTF2
7669_R_EC_DLX1
7669_R_EC_TBR1
7669_R_EC_COUPTF2
7669_L_CC_2_DLX1
7669_L_CC_2_COUPTF2
7669_R_F_1_DLX1
7669_R_F_1_TBR1
7669_R_F_1_COUPTF2
7669_R_P_1_DLX1
7669_R_P_1_TBR1
7669_R_P_1_COUPTF2
7669_R_I_1_DLX1
7669_R_I_1_TBR1
7669_R_I_1_COUPTF2
7669_R_O_1_DLX1
7669_R_O_1_TBR1
7669_R_O_1_COUPTF2
7669_R_T_1_DLX1
7669_R_T_1_TBR1
7669_R_T_1_COUPTF2
7669_R_mO_DLX1
7669_R_mO_TBR1
7669_R_mO_COUPTF2
7669_L_EC_DLX1
7669_L_EC_COUPTF2
7669_R_CCMid_DLX1
7669_R_CC_Mid_TBR1
7669_R_CCMid_COUPTF2
B
4−85164675−G−A
0
−2
−4
−3
−2
−1
0
0.8
0.6
0.4
0.2
0.0

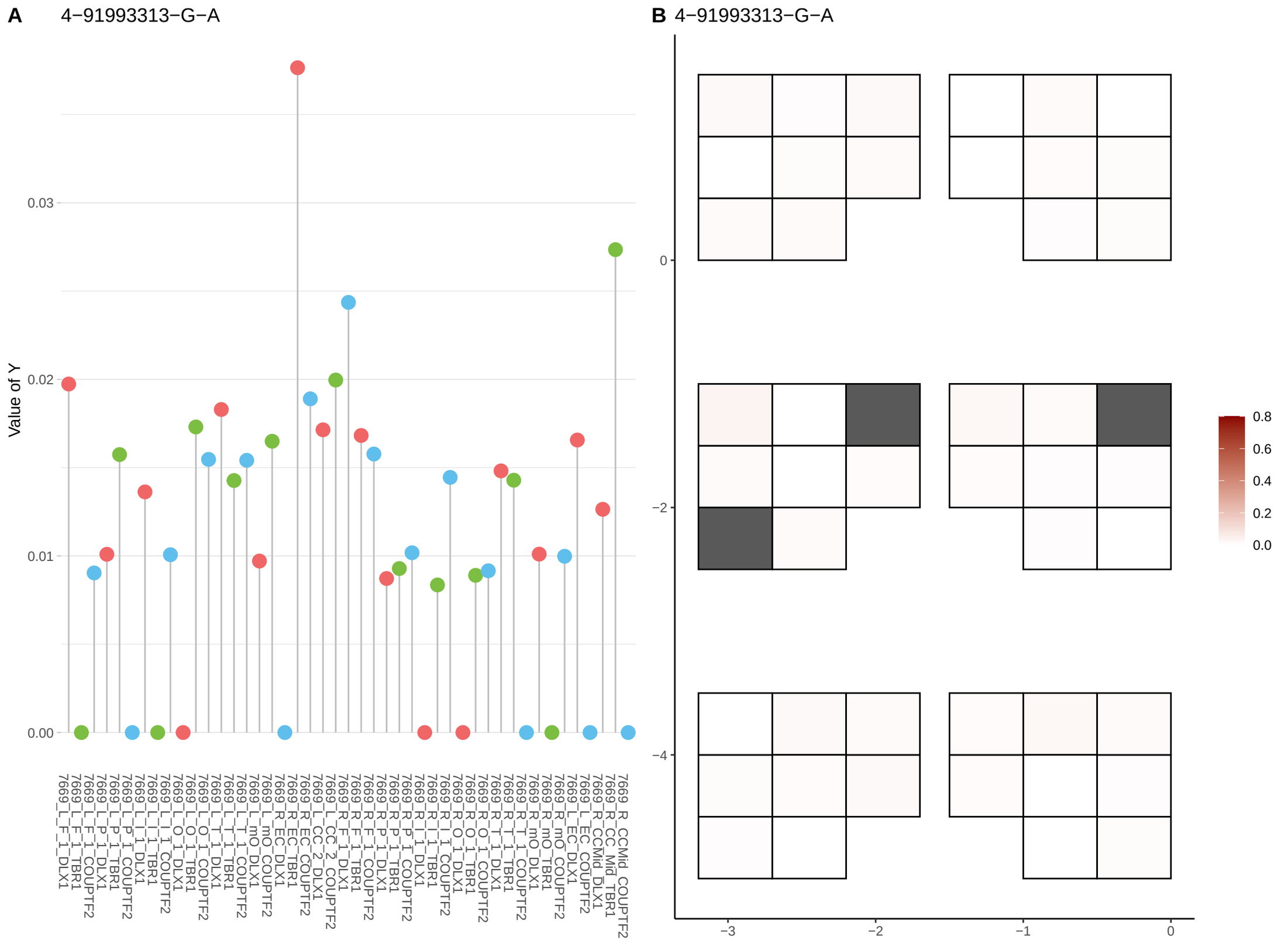
A
4−91993313−G−A
Value of Y
0.03
0.02
0.01
0.00
7669_L_F_1_DLX1
7669_L_F_1_TBR1
7669_L_F_1_COUPTF2
7669_L_P_1_DLX1
7669_L_P_1_TBR1
7669_L_P_1_COUPTF2
7669_L_I_1_DLX1
7669_L_I_1_TBR1
7669_L_I_1_COUPTF2
7669_L_O_1_DLX1
7669_L_O_1_TBR1
7669_L_O_1_COUPTF2
7669_L_T_1_DLX1
7669_L_T_1_TBR1
7669_L_T_1_COUPTF2
7669_L_mO_DLX1
7669_L_mO_COUPTF2
7669_R_EC_DLX1
7669_R_EC_TBR1
7669_R_EC_COUPTF2
7669_L_CC_2_DLX1
7669_L_CC_2_COUPTF2
7669_R_F_1_DLX1
7669_R_F_1_TBR1
7669_R_F_1_COUPTF2
7669_R_P_1_DLX1
7669_R_P_1_TBR1
7669_R_P_1_COUPTF2
7669_R_I_1_DLX1
7669_R_I_1_TBR1
7669_R_I_1_COUPTF2
7669_R_O_1_DLX1
7669_R_O_1_TBR1
7669_R_O_1_COUPTF2
7669_R_T_1_DLX1
7669_R_T_1_TBR1
7669_R_T_1_COUPTF2
7669_R_mO_DLX1
7669_R_mO_TBR1
7669_R_mO_COUPTF2
7669_L_EC_DLX1
7669_L_EC_COUPTF2
7669_R_CCMid_DLX1
7669_R_CC_Mid_TBR1
7669_R_CCMid_COUPTF2
B
4−91993313−G−A
0
−2
−4
−3
−2
−1
0
0.8
0.6
0.4
0.2
0.0

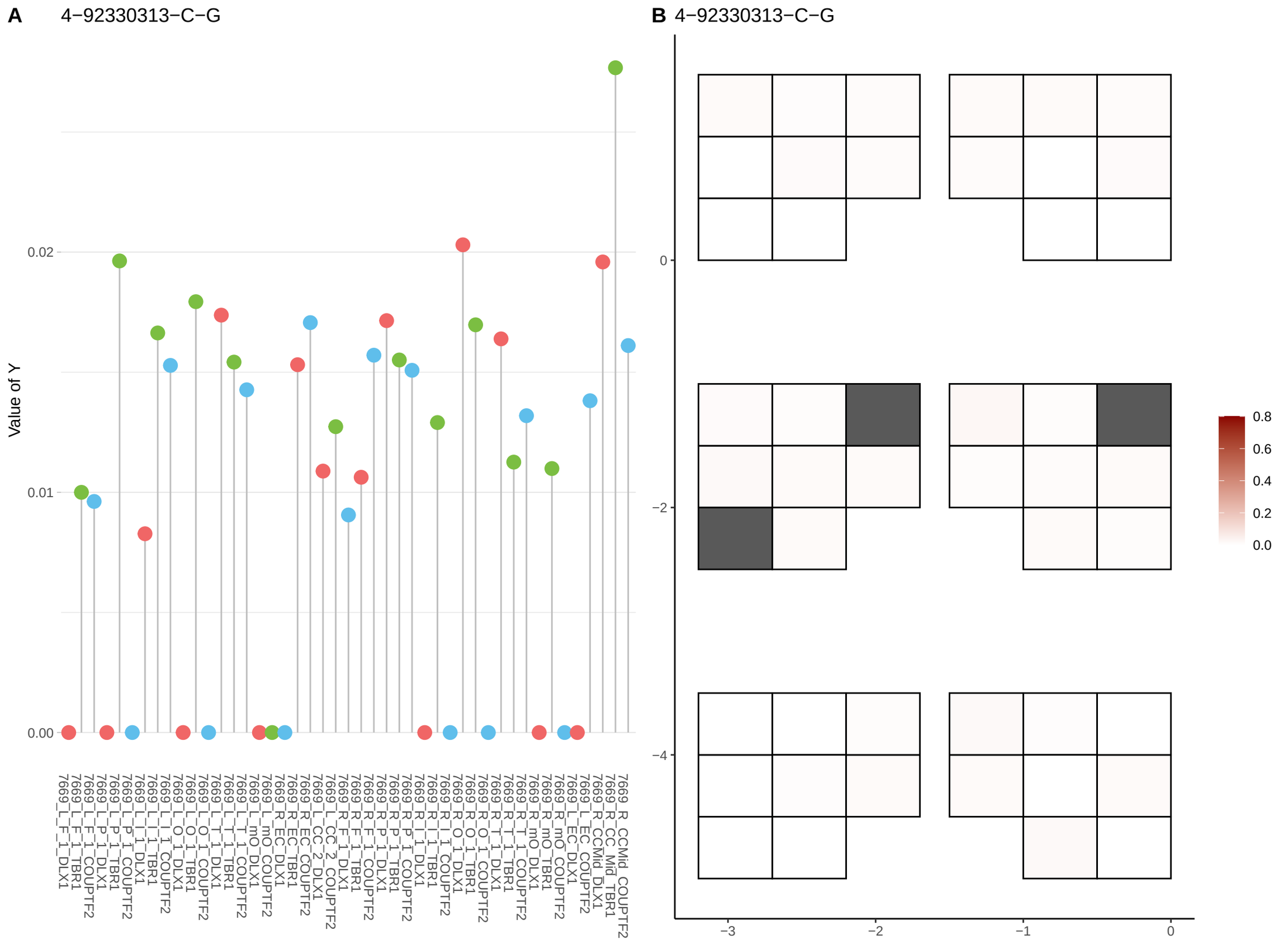
A
4−92330313−C−G
Value of Y
0.02
0.01
0.00
7669_L_F_1_DLX1
7669_L_F_1_TBR1
7669_L_F_1_COUPTF2
7669_L_P_1_DLX1
7669_L_P_1_TBR1
7669_L_P_1_COUPTF2
7669_L_I_1_DLX1
7669_L_I_1_TBR1
7669_L_I_1_COUPTF2
7669_L_O_1_DLX1
7669_L_O_1_TBR1
7669_L_O_1_COUPTF2
7669_L_T_1_DLX1
7669_L_T_1_TBR1
7669_L_T_1_COUPTF2
7669_L_mO_DLX1
7669_L_mO_COUPTF2
7669_R_EC_DLX1
7669_R_EC_TBR1
7669_R_EC_COUPTF2
7669_L_CC_2_DLX1
7669_L_CC_2_COUPTF2
7669_R_F_1_DLX1
7669_R_F_1_TBR1
7669_R_F_1_COUPTF2
7669_R_P_1_DLX1
7669_R_P_1_TBR1
7669_R_P_1_COUPTF2
7669_R_I_1_DLX1
7669_R_I_1_TBR1
7669_R_I_1_COUPTF2
7669_R_O_1_DLX1
7669_R_O_1_TBR1
7669_R_O_1_COUPTF2
7669_R_T_1_DLX1
7669_R_T_1_TBR1
7669_R_T_1_COUPTF2
7669_R_mO_DLX1
7669_R_mO_TBR1
7669_R_mO_COUPTF2
7669_L_EC_DLX1
7669_L_EC_COUPTF2
7669_R_CCMid_DLX1
7669_R_CC_Mid_TBR1
7669_R_CCMid_COUPTF2
B
4−92330313−C−G
0
−2
−4
−3
−2
−1
0
0.8
0.6
0.4
0.2
0.0

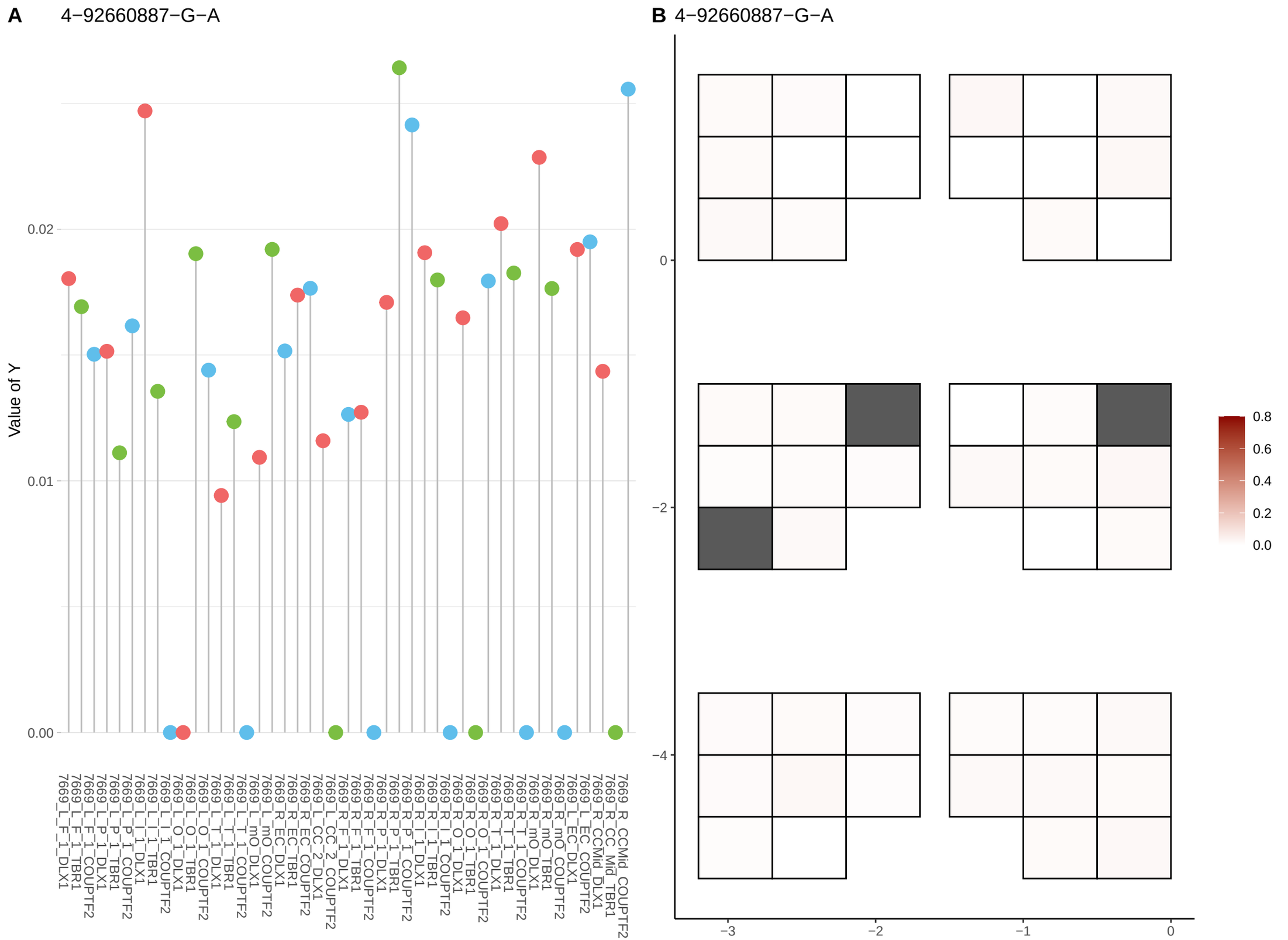
A
4−92660887−G−A
Value of Y
0.02
0.01
0.00
7669_L_F_1_DLX1
7669_L_F_1_TBR1
7669_L_F_1_COUPTF2
7669_L_P_1_DLX1
7669_L_P_1_TBR1
7669_L_P_1_COUPTF2
7669_L_I_1_DLX1
7669_L_I_1_TBR1
7669_L_I_1_COUPTF2
7669_L_O_1_DLX1
7669_L_O_1_TBR1
7669_L_O_1_COUPTF2
7669_L_T_1_DLX1
7669_L_T_1_TBR1
7669_L_T_1_COUPTF2
7669_L_mO_DLX1
7669_L_mO_COUPTF2
7669_R_EC_DLX1
7669_R_EC_TBR1
7669_R_EC_COUPTF2
7669_L_CC_2_DLX1
7669_L_CC_2_COUPTF2
7669_R_F_1_DLX1
7669_R_F_1_TBR1
7669_R_F_1_COUPTF2
7669_R_P_1_DLX1
7669_R_P_1_TBR1
7669_R_P_1_COUPTF2
7669_R_I_1_DLX1
7669_R_I_1_TBR1
7669_R_I_1_COUPTF2
7669_R_O_1_DLX1
7669_R_O_1_TBR1
7669_R_O_1_COUPTF2
7669_R_T_1_DLX1
7669_R_T_1_TBR1
7669_R_T_1_COUPTF2
7669_R_mO_DLX1
7669_R_mO_TBR1
7669_R_mO_COUPTF2
7669_L_EC_DLX1
7669_L_EC_COUPTF2
7669_R_CCMid_DLX1
7669_R_CC_Mid_TBR1
7669_R_CCMid_COUPTF2
B
4−92660887−G−A
0
−2
−4
−3
−2
−1
0
0.8
0.6
0.4
0.2
0.0

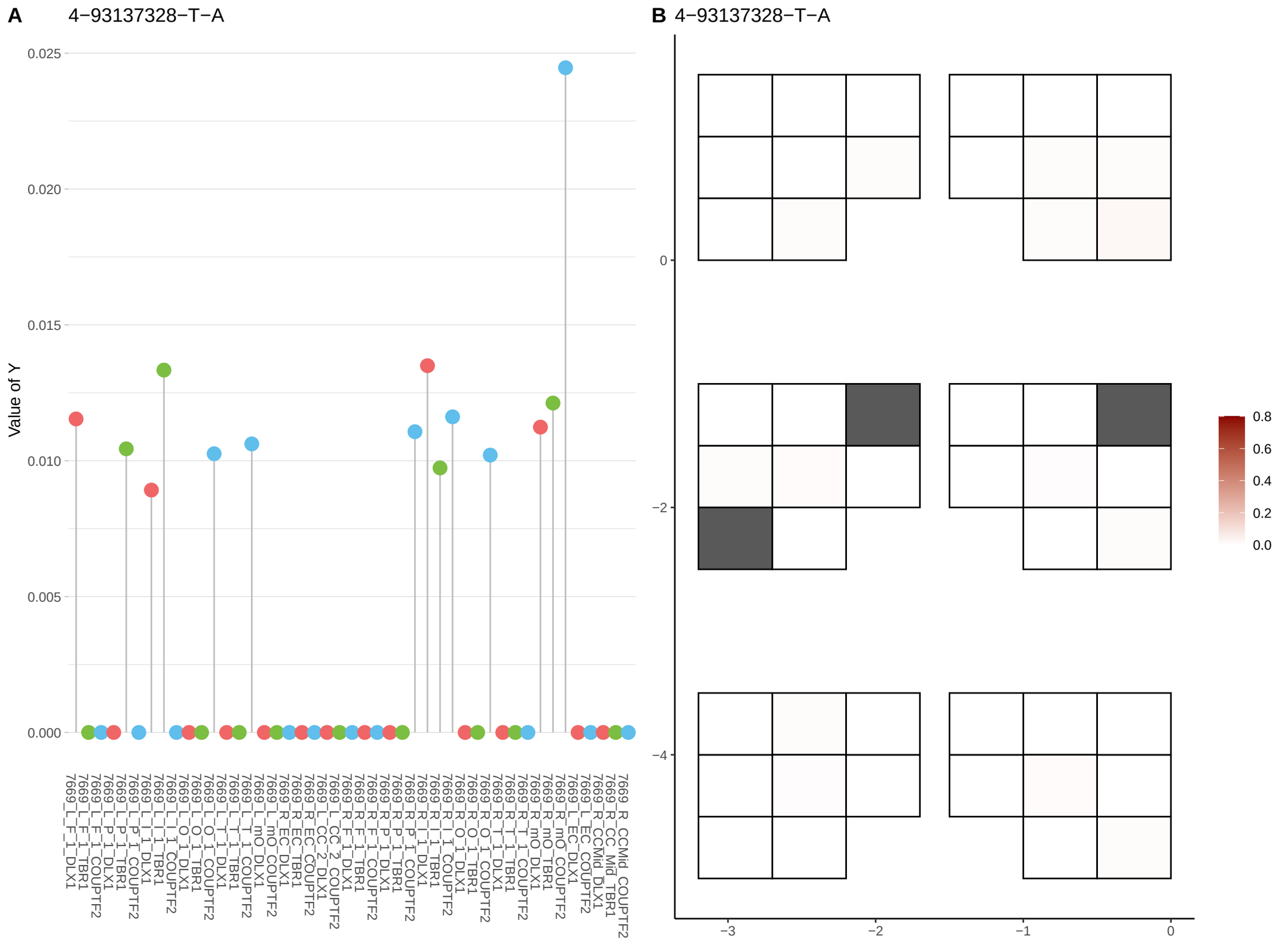
A
4−93137328−T−A
Value of Y
0.025
0.020
0.015
0.010
0.005
0.000
7669_L_F_1_DLX1
7669_L_F_1_TBR1
7669_L_F_1_COUPTF2
7669_L_P_1_DLX1
7669_L_P_1_TBR1
7669_L_P_1_COUPTF2
7669_L_I_1_DLX1
7669_L_I_1_TBR1
7669_L_I_1_COUPTF2
7669_L_O_1_DLX1
7669_L_O_1_TBR1
7669_L_O_1_COUPTF2
7669_L_T_1_DLX1
7669_L_T_1_TBR1
7669_L_T_1_COUPTF2
7669_L_mO_DLX1
7669_L_mO_COUPTF2
7669_R_EC_DLX1
7669_R_EC_TBR1
7669_R_EC_COUPTF2
7669_L_CC_2_DLX1
7669_L_CC_2_COUPTF2
7669_R_F_1_DLX1
7669_R_F_1_TBR1
7669_R_F_1_COUPTF2
7669_R_P_1_DLX1
7669_R_P_1_TBR1
7669_R_P_1_COUPTF2
7669_R_I_1_DLX1
7669_R_I_1_TBR1
7669_R_I_1_COUPTF2
7669_R_O_1_DLX1
7669_R_O_1_TBR1
7669_R_O_1_COUPTF2
7669_R_T_1_DLX1
7669_R_T_1_TBR1
7669_R_T_1_COUPTF2
7669_R_mO_DLX1
7669_R_mO_TBR1
7669_R_mO_COUPTF2
7669_L_EC_DLX1
7669_L_EC_COUPTF2
7669_R_CCMid_DLX1
7669_R_CC_Mid_TBR1
7669_R_CCMid_COUPTF2
B
4−93137328−T−A
0
−2
−4
−3
−2
−1
0
0.8
0.6
0.4
0.2
0.0

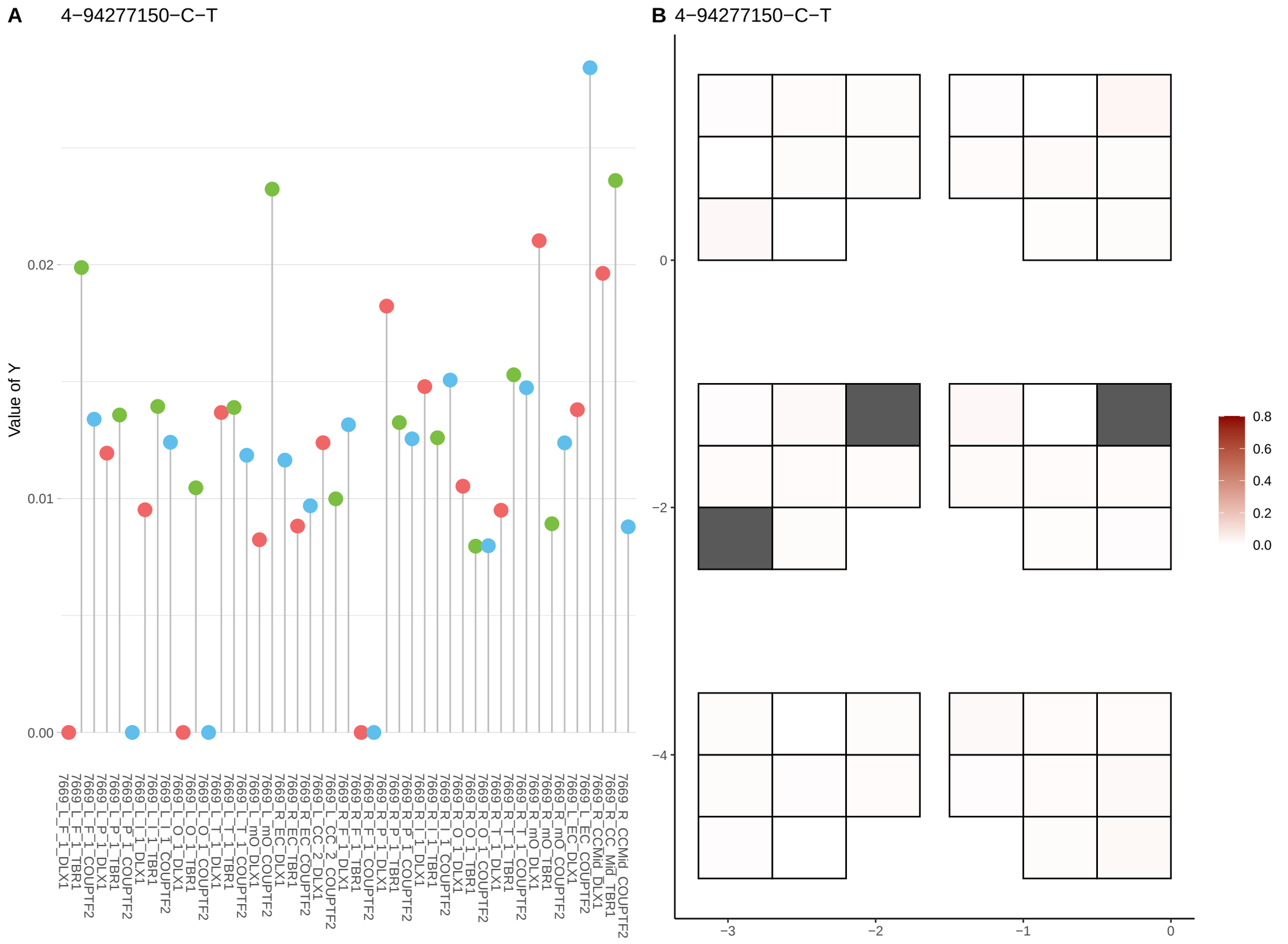
A
4−94277150−C−T
Value of Y
0.02
0.01
0.00
7669_L_F_1_DLX1
7669_L_F_1_TBR1
7669_L_F_1_COUPTF2
7669_L_P_1_DLX1
7669_L_P_1_TBR1
7669_L_P_1_COUPTF2
7669_L_I_1_DLX1
7669_L_I_1_TBR1
7669_L_I_1_COUPTF2
7669_L_O_1_DLX1
7669_L_O_1_TBR1
7669_L_O_1_COUPTF2
7669_L_T_1_DLX1
7669_L_T_1_TBR1
7669_L_T_1_COUPTF2
7669_L_mO_DLX1
7669_L_mO_COUPTF2
7669_R_EC_DLX1
7669_R_EC_TBR1
7669_R_EC_COUPTF2
7669_L_CC_2_DLX1
7669_L_CC_2_COUPTF2
7669_R_F_1_DLX1
7669_R_F_1_TBR1
7669_R_F_1_COUPTF2
7669_R_P_1_DLX1
7669_R_P_1_TBR1
7669_R_P_1_COUPTF2
7669_R_I_1_DLX1
7669_R_I_1_TBR1
7669_R_I_1_COUPTF2
7669_R_O_1_DLX1
7669_R_O_1_TBR1
7669_R_O_1_COUPTF2
7669_R_T_1_DLX1
7669_R_T_1_TBR1
7669_R_T_1_COUPTF2
7669_R_mO_DLX1
7669_R_mO_TBR1
7669_R_mO_COUPTF2
7669_L_EC_DLX1
7669_L_EC_COUPTF2
7669_R_CCMid_DLX1
7669_R_CC_Mid_TBR1
7669_R_CCMid_COUPTF2
B
4−94277150−C−T
0
−2
−4
−3
−2
−1
0
0.8
0.6
0.4
0.2
0.0

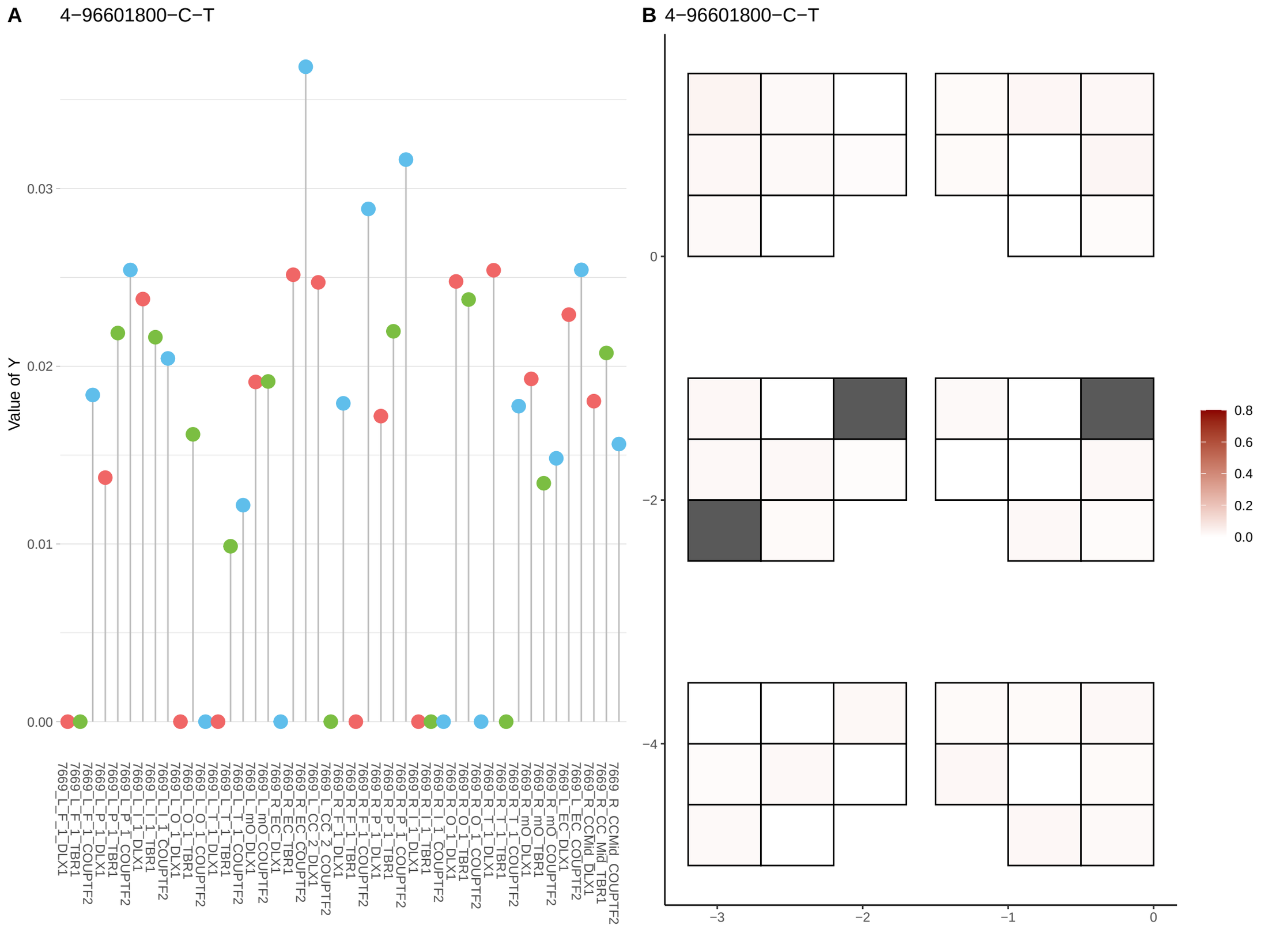
A
4−96601800−C−T
Value of Y
0.03
0.02
0.01
0.00
7669_L_F_1_DLX1
7669_L_F_1_TBR1
7669_L_F_1_COUPTF2
7669_L_P_1_DLX1
7669_L_P_1_TBR1
7669_L_P_1_COUPTF2
7669_L_I_1_DLX1
7669_L_I_1_TBR1
7669_L_I_1_COUPTF2
7669_L_O_1_DLX1
7669_L_O_1_TBR1
7669_L_O_1_COUPTF2
7669_L_T_1_DLX1
7669_L_T_1_TBR1
7669_L_T_1_COUPTF2
7669_L_mO_DLX1
7669_L_mO_COUPTF2
7669_R_EC_DLX1
7669_R_EC_TBR1
7669_R_EC_COUPTF2
7669_L_CC_2_DLX1
7669_L_CC_2_COUPTF2
7669_R_F_1_DLX1
7669_R_F_1_TBR1
7669_R_F_1_COUPTF2
7669_R_P_1_DLX1
7669_R_P_1_TBR1
7669_R_P_1_COUPTF2
7669_R_I_1_DLX1
7669_R_I_1_TBR1
7669_R_I_1_COUPTF2
7669_R_O_1_DLX1
7669_R_O_1_TBR1
7669_R_O_1_COUPTF2
7669_R_T_1_DLX1
7669_R_T_1_TBR1
7669_R_T_1_COUPTF2
7669_R_mO_DLX1
7669_R_mO_TBR1
7669_R_mO_COUPTF2
7669_L_EC_DLX1
7669_L_EC_COUPTF2
7669_R_CCMid_DLX1
7669_R_CC_Mid_TBR1
7669_R_CCMid_COUPTF2
B
4−96601800−C−T
0
−2
−4
−3
−2
−1
0
0.8
0.6
0.4
0.2
0.0

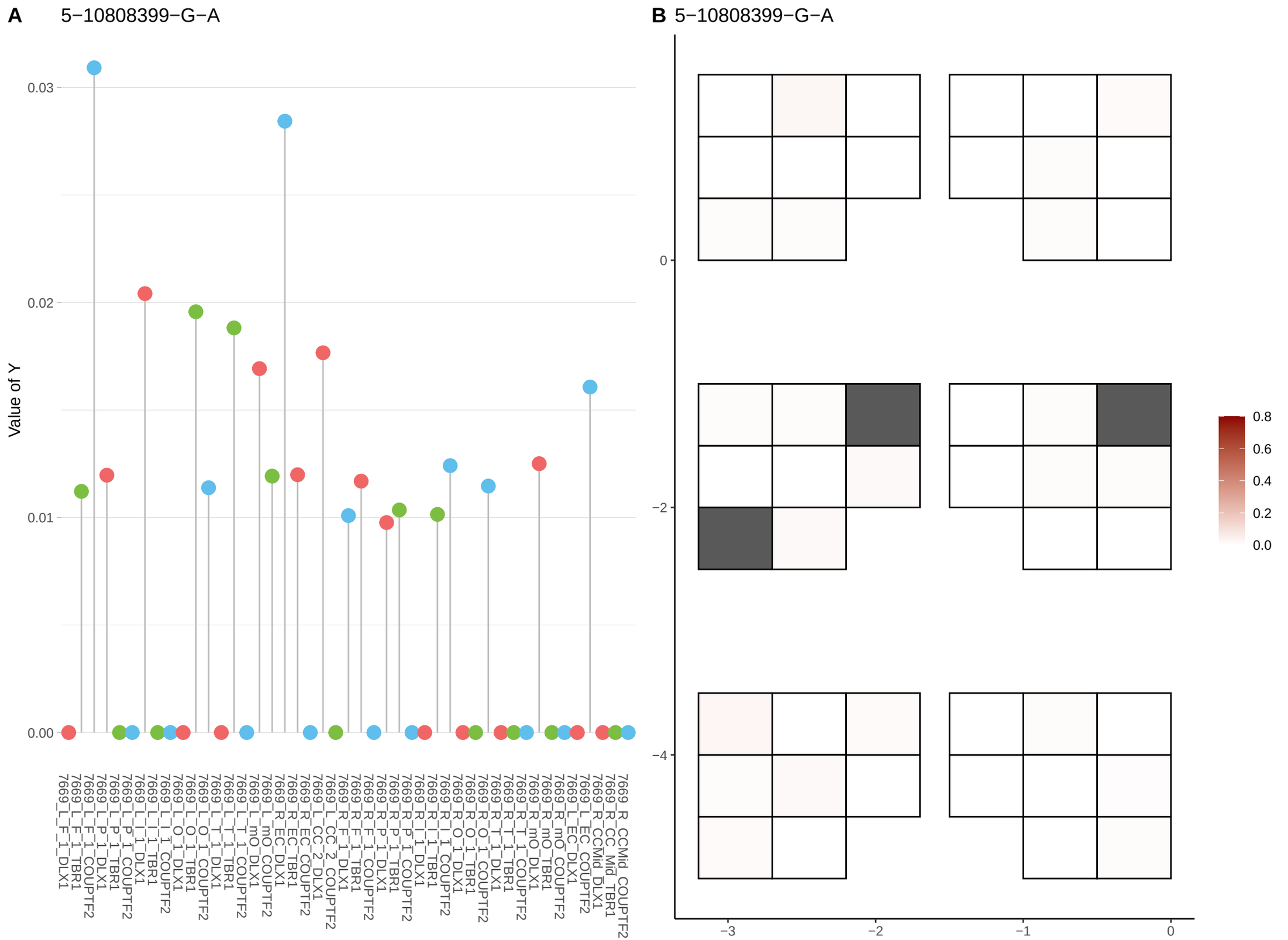
A
5−10808399−G−A
Value of Y
0.03
0.02
0.01
0.00
7669_L_F_1_DLX1
7669_L_F_1_TBR1
7669_L_F_1_COUPTF2
7669_L_P_1_DLX1
7669_L_P_1_TBR1
7669_L_P_1_COUPTF2
7669_L_I_1_DLX1
7669_L_I_1_TBR1
7669_L_I_1_COUPTF2
7669_L_O_1_DLX1
7669_L_O_1_TBR1
7669_L_O_1_COUPTF2
7669_L_T_1_DLX1
7669_L_T_1_TBR1
7669_L_T_1_COUPTF2
7669_L_mO_DLX1
7669_L_mO_COUPTF2
7669_R_EC_DLX1
7669_R_EC_TBR1
7669_R_EC_COUPTF2
7669_L_CC_2_DLX1
7669_L_CC_2_COUPTF2
7669_R_F_1_DLX1
7669_R_F_1_TBR1
7669_R_F_1_COUPTF2
7669_R_P_1_DLX1
7669_R_P_1_TBR1
7669_R_P_1_COUPTF2
7669_R_I_1_DLX1
7669_R_I_1_TBR1
7669_R_I_1_COUPTF2
7669_R_O_1_DLX1
7669_R_O_1_TBR1
7669_R_O_1_COUPTF2
7669_R_T_1_DLX1
7669_R_T_1_TBR1
7669_R_T_1_COUPTF2
7669_R_mO_DLX1
7669_R_mO_TBR1
7669_R_mO_COUPTF2
7669_L_EC_DLX1
7669_L_EC_COUPTF2
7669_R_CCMid_DLX1
7669_R_CC_Mid_TBR1
7669_R_CCMid_COUPTF2
B
5−10808399−G−A
0
−2
−4
−3
−2
−1
0
0.8
0.6
0.4
0.2
0.0

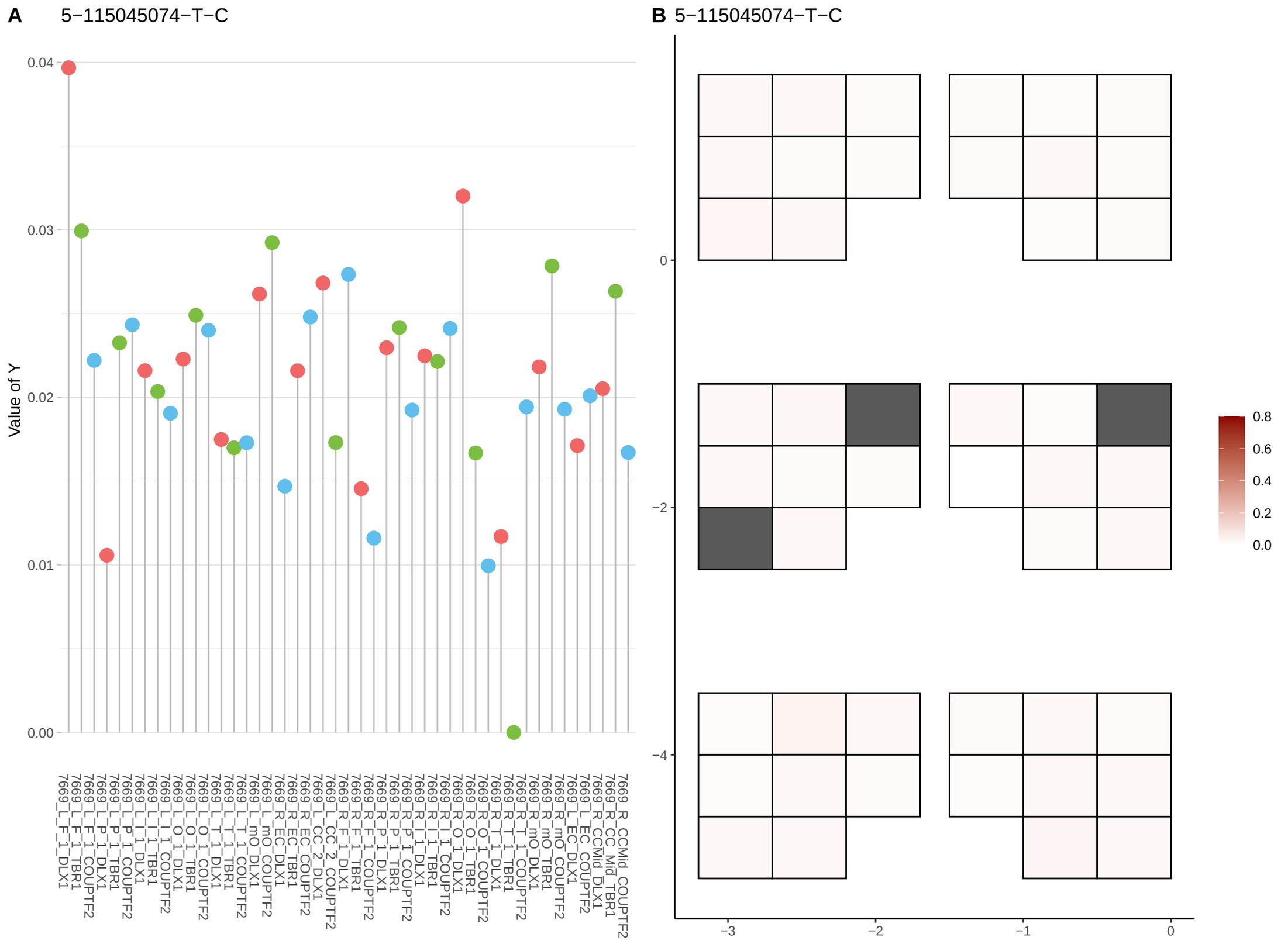
A
5−115045074−T−C
Value of Y
0.04
0.03
0.02
0.01
0.00
7669_L_F_1_DLX1
7669_L_F_1_TBR1
7669_L_F_1_COUPTF2
7669_L_P_1_DLX1
7669_L_P_1_TBR1
7669_L_P_1_COUPTF2
7669_L_I_1_DLX1
7669_L_I_1_TBR1
7669_L_I_1_COUPTF2
7669_L_O_1_DLX1
7669_L_O_1_TBR1
7669_L_O_1_COUPTF2
7669_L_T_1_DLX1
7669_L_T_1_TBR1
7669_L_T_1_COUPTF2
7669_L_mO_DLX1
7669_L_mO_COUPTF2
7669_R_EC_DLX1
7669_R_EC_TBR1
7669_R_EC_COUPTF2
7669_L_CC_2_DLX1
7669_L_CC_2_COUPTF2
7669_R_F_1_DLX1
7669_R_F_1_TBR1
7669_R_F_1_COUPTF2
7669_R_P_1_DLX1
7669_R_P_1_TBR1
7669_R_P_1_COUPTF2
7669_R_I_1_DLX1
7669_R_I_1_TBR1
7669_R_I_1_COUPTF2
7669_R_O_1_DLX1
7669_R_O_1_TBR1
7669_R_O_1_COUPTF2
7669_R_T_1_DLX1
7669_R_T_1_TBR1
7669_R_T_1_COUPTF2
7669_R_mO_DLX1
7669_R_mO_TBR1
7669_R_mO_COUPTF2
7669_L_EC_DLX1
7669_L_EC_COUPTF2
7669_R_CCMid_DLX1
7669_R_CC_Mid_TBR1
7669_R_CCMid_COUPTF2
B
5−115045074−T−C
0
−2
−4
−3
−2
−1
0
0.8
0.6
0.4
0.2
0.0

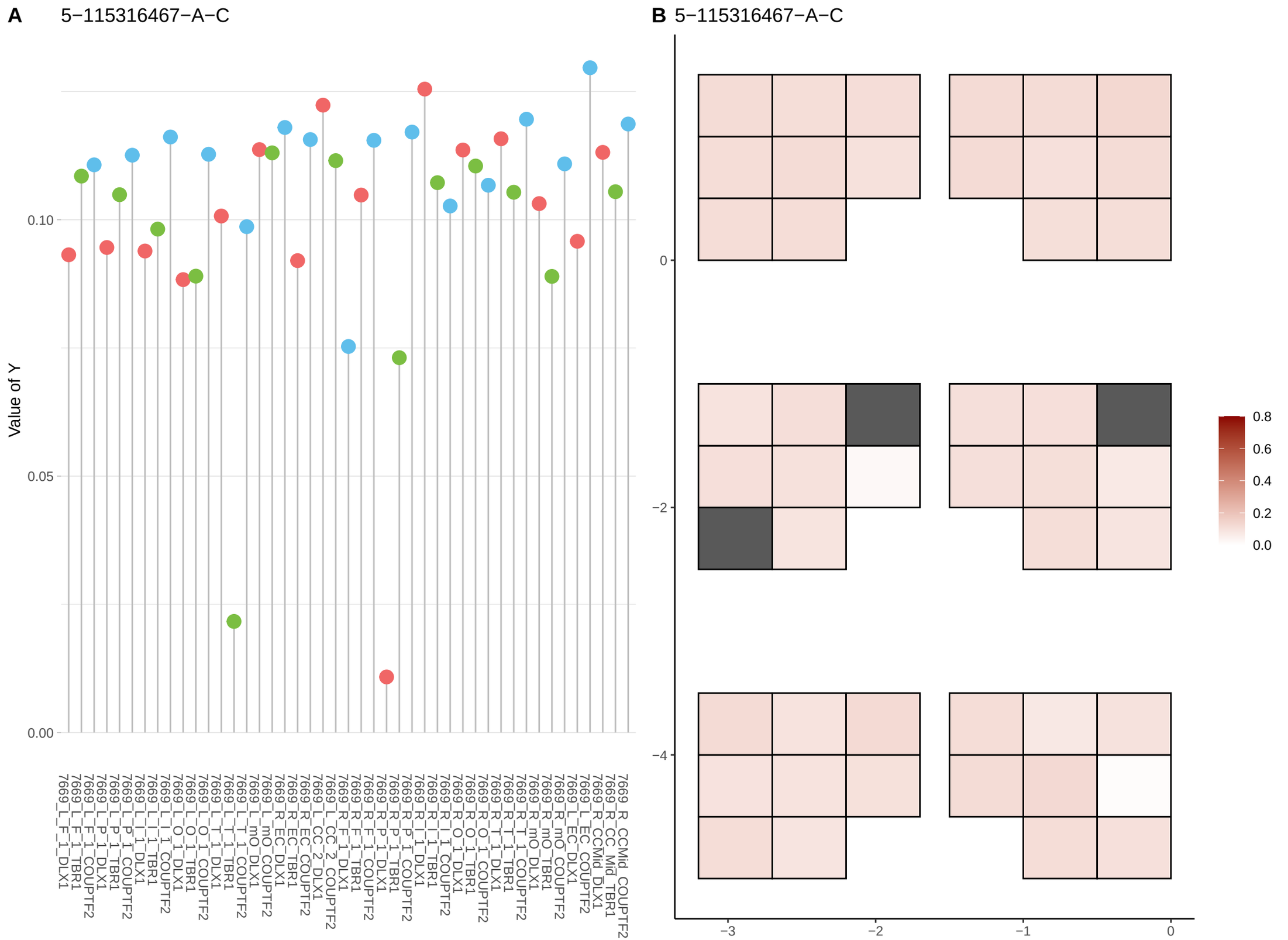
A
5−115316467−A−C
Value of Y
0.10
0.05
0.00
7669_L_F_1_DLX1
7669_L_F_1_TBR1
7669_L_F_1_COUPTF2
7669_L_P_1_DLX1
7669_L_P_1_TBR1
7669_L_P_1_COUPTF2
7669_L_I_1_DLX1
7669_L_I_1_TBR1
7669_L_I_1_COUPTF2
7669_L_O_1_DLX1
7669_L_O_1_TBR1
7669_L_O_1_COUPTF2
7669_L_T_1_DLX1
7669_L_T_1_TBR1
7669_L_T_1_COUPTF2
7669_L_mO_DLX1
7669_L_mO_COUPTF2
7669_R_EC_DLX1
7669_R_EC_TBR1
7669_R_EC_COUPTF2
7669_L_CC_2_DLX1
7669_L_CC_2_COUPTF2
7669_R_F_1_DLX1
7669_R_F_1_TBR1
7669_R_F_1_COUPTF2
7669_R_P_1_DLX1
7669_R_P_1_TBR1
7669_R_P_1_COUPTF2
7669_R_I_1_DLX1
7669_R_I_1_TBR1
7669_R_I_1_COUPTF2
7669_R_O_1_DLX1
7669_R_O_1_TBR1
7669_R_O_1_COUPTF2
7669_R_T_1_DLX1
7669_R_T_1_TBR1
7669_R_T_1_COUPTF2
7669_R_mO_DLX1
7669_R_mO_TBR1
7669_R_mO_COUPTF2
7669_L_EC_DLX1
7669_L_EC_COUPTF2
7669_R_CCMid_DLX1
7669_R_CC_Mid_TBR1
7669_R_CCMid_COUPTF2
B
5−115316467−A−C
0
−2
−4
−3
−2
−1
0
0.8
0.6
0.4
0.2
0.0

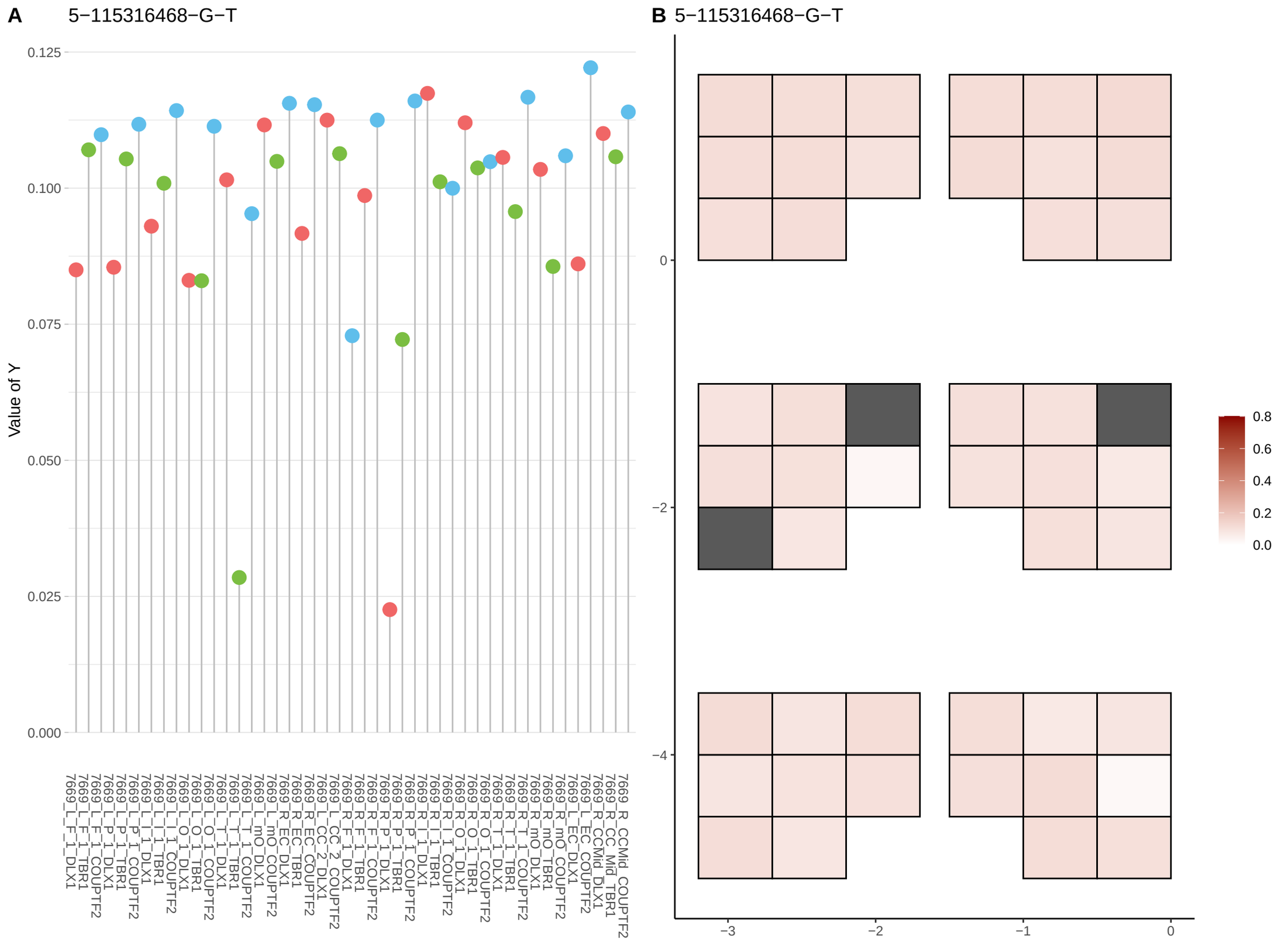
A
5−115316468−G−T
Value of Y
0.125
0.100
0.075
0.050
0.025
0.000
7669_L_F_1_DLX1
7669_L_F_1_TBR1
7669_L_F_1_COUPTF2
7669_L_P_1_DLX1
7669_L_P_1_TBR1
7669_L_P_1_COUPTF2
7669_L_I_1_DLX1
7669_L_I_1_TBR1
7669_L_I_1_COUPTF2
7669_L_O_1_DLX1
7669_L_O_1_TBR1
7669_L_O_1_COUPTF2
7669_L_T_1_DLX1
7669_L_T_1_TBR1
7669_L_T_1_COUPTF2
7669_L_mO_DLX1
7669_L_mO_COUPTF2
7669_R_EC_DLX1
7669_R_EC_TBR1
7669_R_EC_COUPTF2
7669_L_CC_2_DLX1
7669_L_CC_2_COUPTF2
7669_R_F_1_DLX1
7669_R_F_1_TBR1
7669_R_F_1_COUPTF2
7669_R_P_1_DLX1
7669_R_P_1_TBR1
7669_R_P_1_COUPTF2
7669_R_I_1_DLX1
7669_R_I_1_TBR1
7669_R_I_1_COUPTF2
7669_R_O_1_DLX1
7669_R_O_1_TBR1
7669_R_O_1_COUPTF2
7669_R_T_1_DLX1
7669_R_T_1_TBR1
7669_R_T_1_COUPTF2
7669_R_mO_DLX1
7669_R_mO_TBR1
7669_R_mO_COUPTF2
7669_L_EC_DLX1
7669_L_EC_COUPTF2
7669_R_CCMid_DLX1
7669_R_CC_Mid_TBR1
7669_R_CCMid_COUPTF2
B
5−115316468−G−T
0
−2
−4
−3
−2
−1
0
0.8
0.6
0.4
0.2
0.0

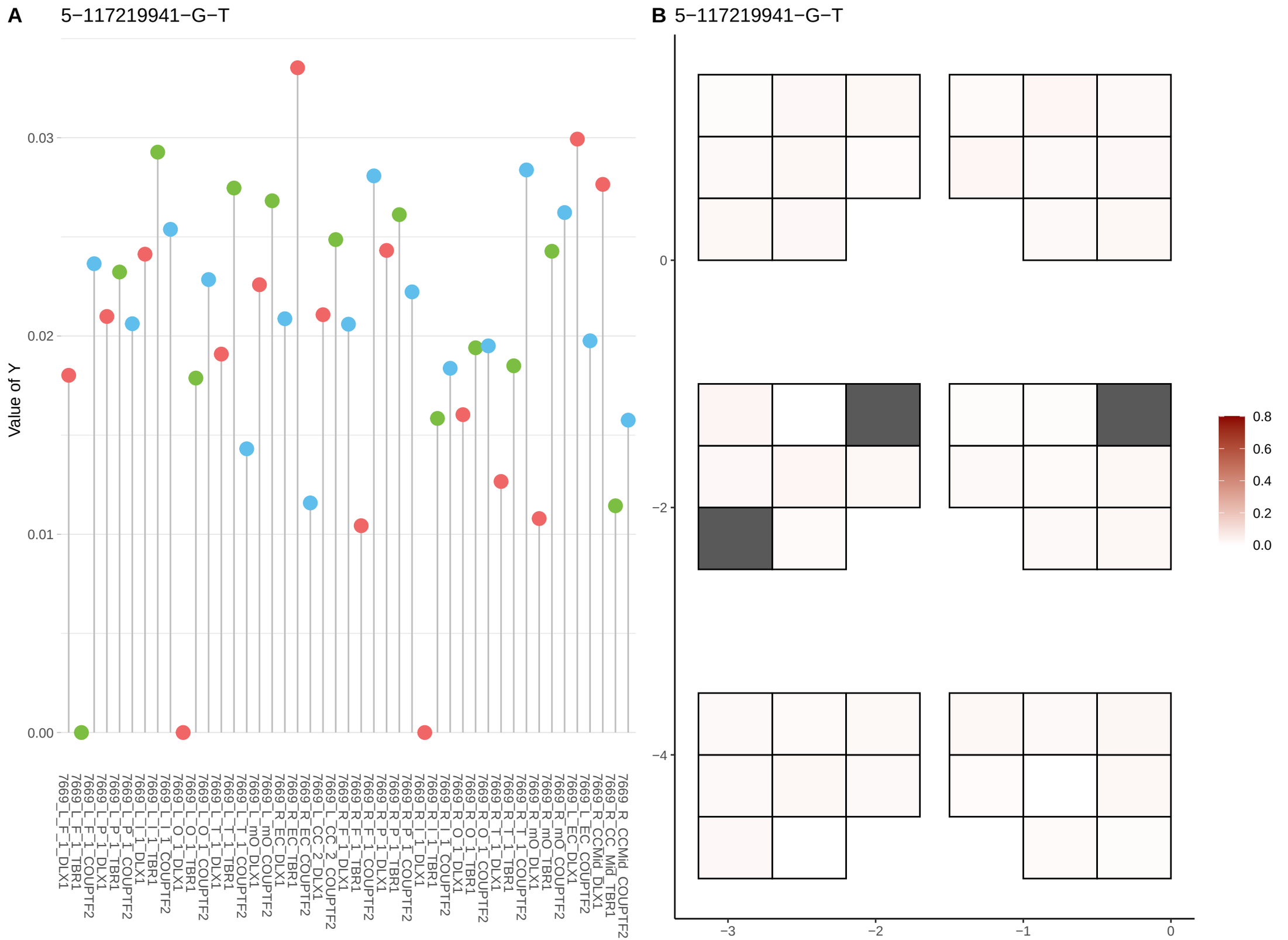
A
5−117219941−G−T
Value of Y
0.03
0.02
0.01
0.00
7669_L_F_1_DLX1
7669_L_F_1_TBR1
7669_L_F_1_COUPTF2
7669_L_P_1_DLX1
7669_L_P_1_TBR1
7669_L_P_1_COUPTF2
7669_L_I_1_DLX1
7669_L_I_1_TBR1
7669_L_I_1_COUPTF2
7669_L_O_1_DLX1
7669_L_O_1_TBR1
7669_L_O_1_COUPTF2
7669_L_T_1_DLX1
7669_L_T_1_TBR1
7669_L_T_1_COUPTF2
7669_L_mO_DLX1
7669_L_mO_COUPTF2
7669_R_EC_DLX1
7669_R_EC_TBR1
7669_R_EC_COUPTF2
7669_L_CC_2_DLX1
7669_L_CC_2_COUPTF2
7669_R_F_1_DLX1
7669_R_F_1_TBR1
7669_R_F_1_COUPTF2
7669_R_P_1_DLX1
7669_R_P_1_TBR1
7669_R_P_1_COUPTF2
7669_R_I_1_DLX1
7669_R_I_1_TBR1
7669_R_I_1_COUPTF2
7669_R_O_1_DLX1
7669_R_O_1_TBR1
7669_R_O_1_COUPTF2
7669_R_T_1_DLX1
7669_R_T_1_TBR1
7669_R_T_1_COUPTF2
7669_R_mO_DLX1
7669_R_mO_TBR1
7669_R_mO_COUPTF2
7669_L_EC_DLX1
7669_L_EC_COUPTF2
7669_R_CCMid_DLX1
7669_R_CC_Mid_TBR1
7669_R_CCMid_COUPTF2
B
5−117219941−G−T
0
−2
−4
−3
−2
−1
0
0.8
0.6
0.4
0.2
0.0

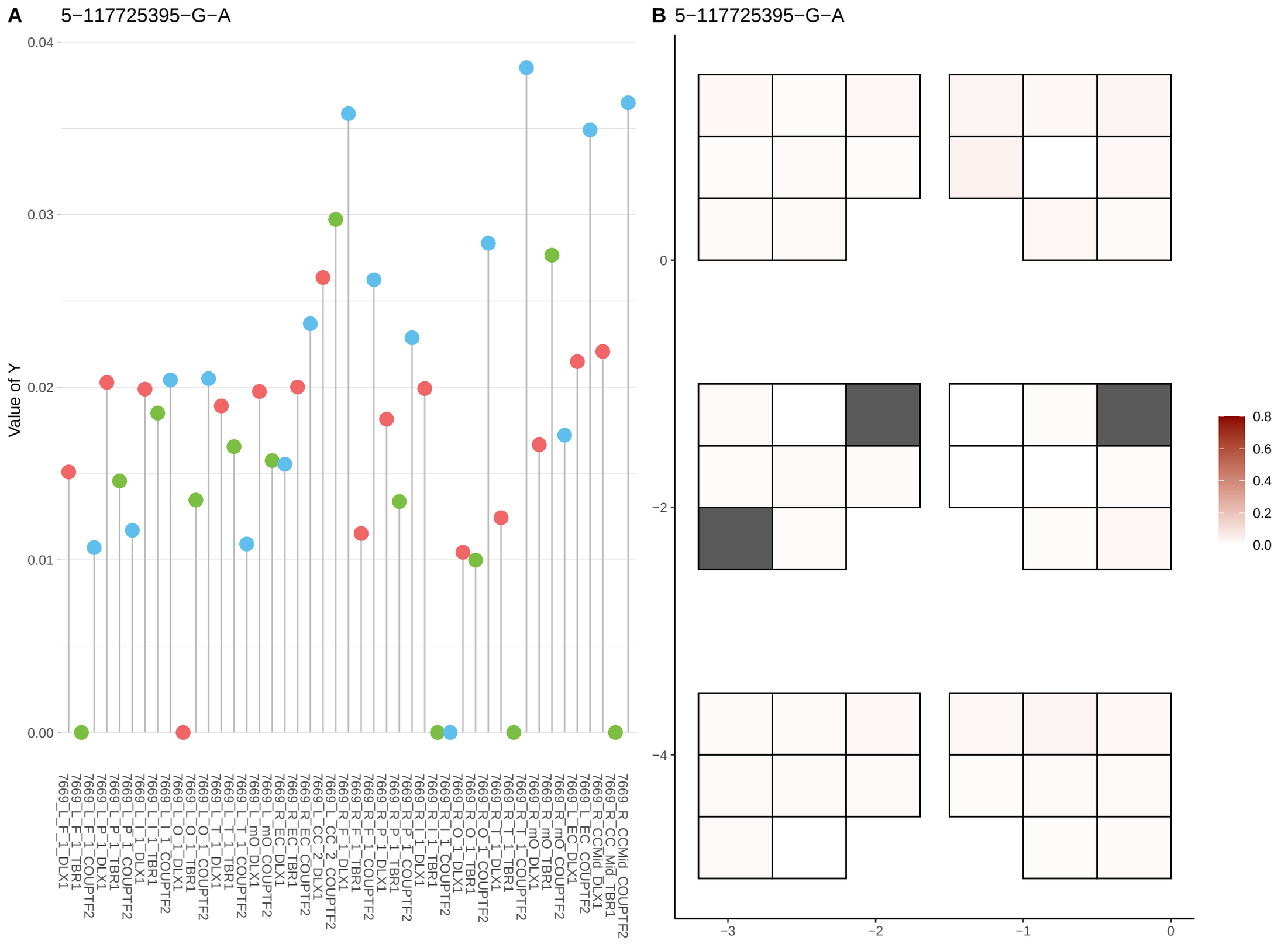
A
5−117725395−G−A
Value of Y
0.04
0.03
0.02
0.01
0.00
7669_L_F_1_DLX1
7669_L_F_1_TBR1
7669_L_F_1_COUPTF2
7669_L_P_1_DLX1
7669_L_P_1_TBR1
7669_L_P_1_COUPTF2
7669_L_I_1_DLX1
7669_L_I_1_TBR1
7669_L_I_1_COUPTF2
7669_L_O_1_DLX1
7669_L_O_1_TBR1
7669_L_O_1_COUPTF2
7669_L_T_1_DLX1
7669_L_T_1_TBR1
7669_L_T_1_COUPTF2
7669_L_mO_DLX1
7669_L_mO_COUPTF2
7669_R_EC_DLX1
7669_R_EC_TBR1
7669_R_EC_COUPTF2
7669_L_CC_2_DLX1
7669_L_CC_2_COUPTF2
7669_R_F_1_DLX1
7669_R_F_1_TBR1
7669_R_F_1_COUPTF2
7669_R_P_1_DLX1
7669_R_P_1_TBR1
7669_R_P_1_COUPTF2
7669_R_I_1_DLX1
7669_R_I_1_TBR1
7669_R_I_1_COUPTF2
7669_R_O_1_DLX1
7669_R_O_1_TBR1
7669_R_O_1_COUPTF2
7669_R_T_1_DLX1
7669_R_T_1_TBR1
7669_R_T_1_COUPTF2
7669_R_mO_DLX1
7669_R_mO_TBR1
7669_R_mO_COUPTF2
7669_L_EC_DLX1
7669_L_EC_COUPTF2
7669_R_CCMid_DLX1
7669_R_CC_Mid_TBR1
7669_R_CCMid_COUPTF2
B
5−117725395−G−A
0
−2
−4
−3
−2
−1
0
0.8
0.6
0.4
0.2
0.0

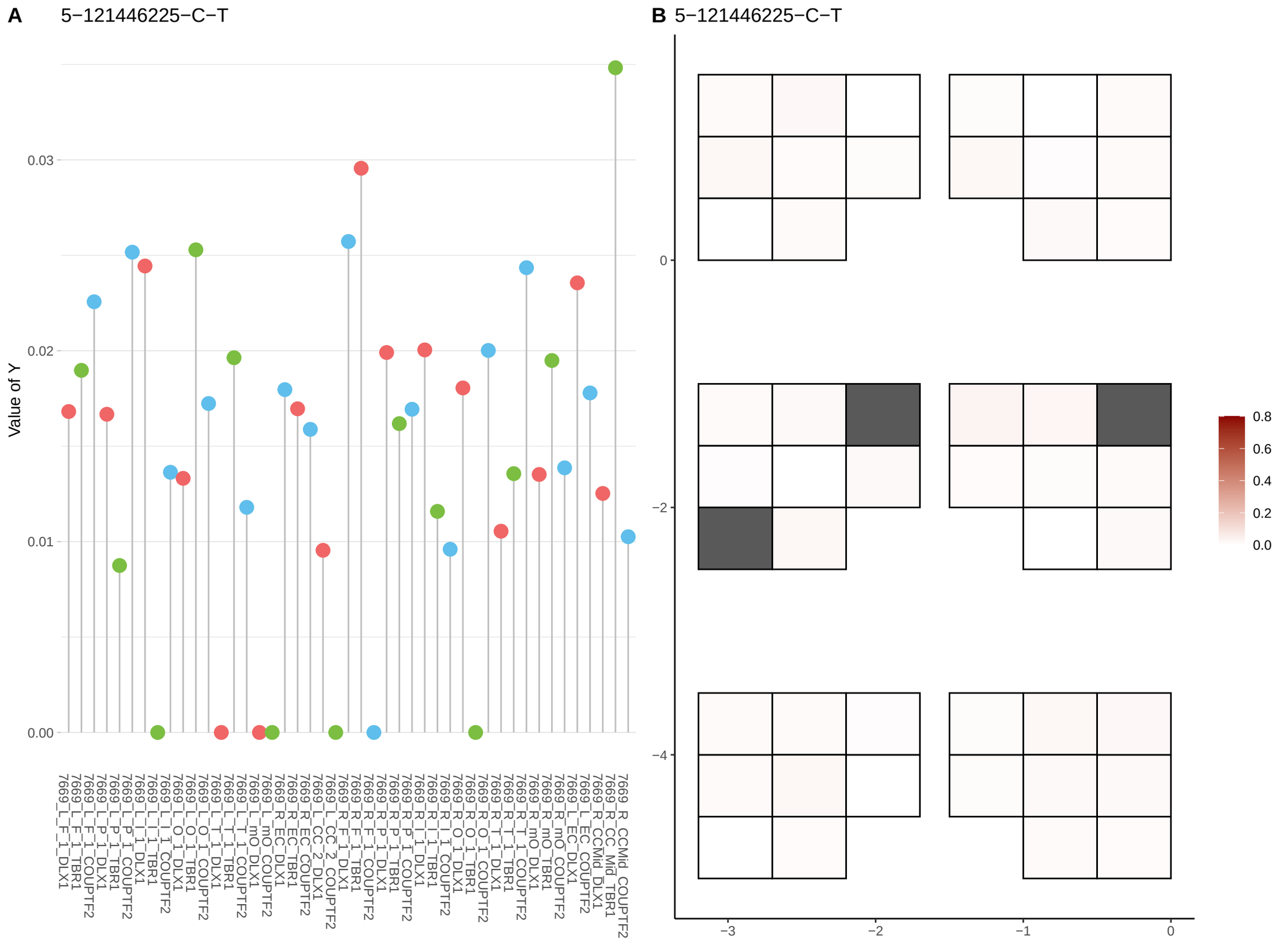
A
5−121446225−C−T
Value of Y
0.03
0.02
0.01
0.00
7669_L_F_1_DLX1
7669_L_F_1_TBR1
7669_L_F_1_COUPTF2
7669_L_P_1_DLX1
7669_L_P_1_TBR1
7669_L_P_1_COUPTF2
7669_L_I_1_DLX1
7669_L_I_1_TBR1
7669_L_I_1_COUPTF2
7669_L_O_1_DLX1
7669_L_O_1_TBR1
7669_L_O_1_COUPTF2
7669_L_T_1_DLX1
7669_L_T_1_TBR1
7669_L_T_1_COUPTF2
7669_L_mO_DLX1
7669_L_mO_COUPTF2
7669_R_EC_DLX1
7669_R_EC_TBR1
7669_R_EC_COUPTF2
7669_L_CC_2_DLX1
7669_L_CC_2_COUPTF2
7669_R_F_1_DLX1
7669_R_F_1_TBR1
7669_R_F_1_COUPTF2
7669_R_P_1_DLX1
7669_R_P_1_TBR1
7669_R_P_1_COUPTF2
7669_R_I_1_DLX1
7669_R_I_1_TBR1
7669_R_I_1_COUPTF2
7669_R_O_1_DLX1
7669_R_O_1_TBR1
7669_R_O_1_COUPTF2
7669_R_T_1_DLX1
7669_R_T_1_TBR1
7669_R_T_1_COUPTF2
7669_R_mO_DLX1
7669_R_mO_TBR1
7669_R_mO_COUPTF2
7669_L_EC_DLX1
7669_L_EC_COUPTF2
7669_R_CCMid_DLX1
7669_R_CC_Mid_TBR1
7669_R_CCMid_COUPTF2
B
5−121446225−C−T
0
−2
−4
−3
−2
−1
0
0.8
0.6
0.4
0.2
0.0

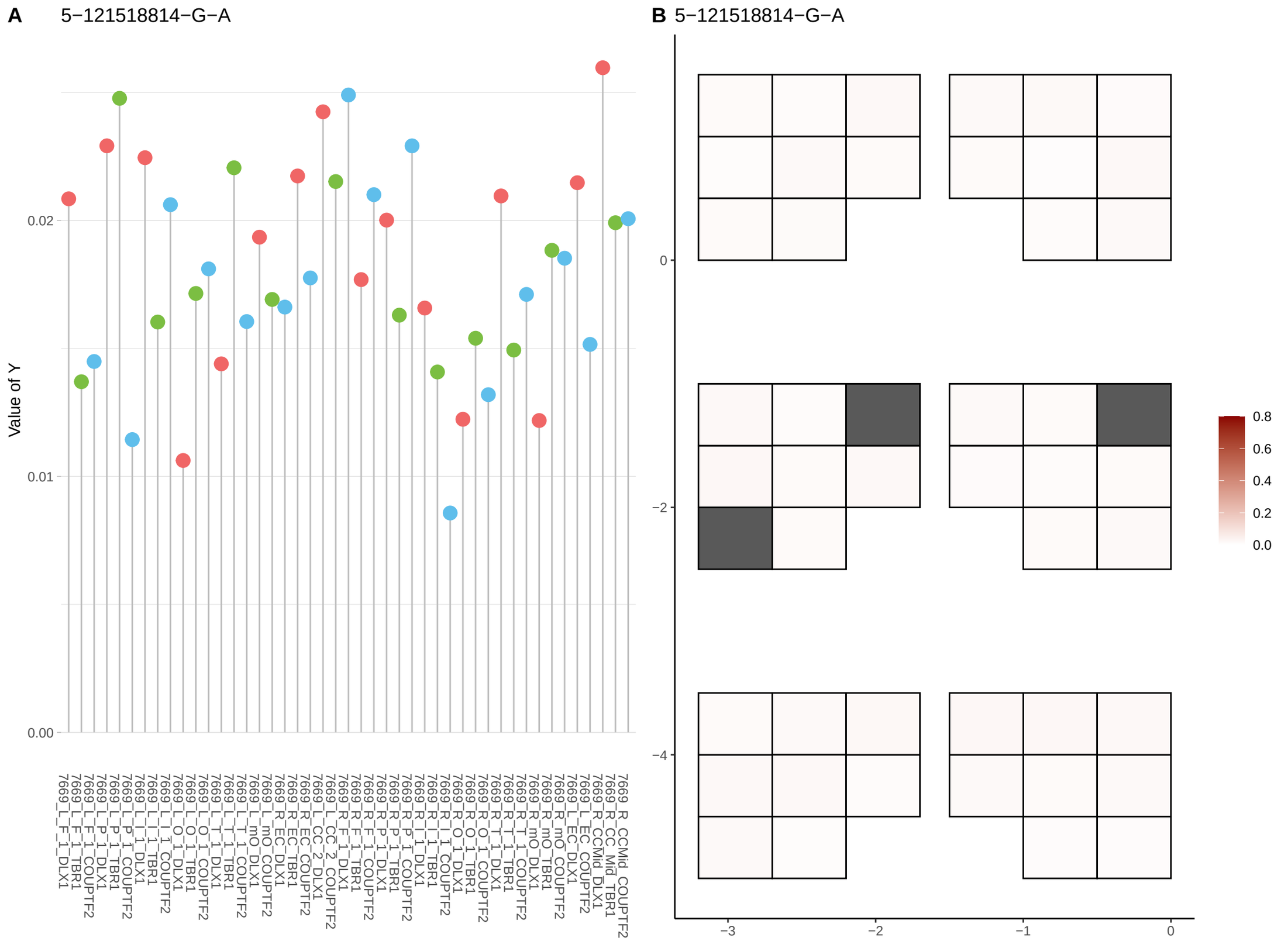
A
5−121518814−G−A
Value of Y
0.02
0.01
0.00
7669_L_F_1_DLX1
7669_L_F_1_TBR1
7669_L_F_1_COUPTF2
7669_L_P_1_DLX1
7669_L_P_1_TBR1
7669_L_P_1_COUPTF2
7669_L_I_1_DLX1
7669_L_I_1_TBR1
7669_L_I_1_COUPTF2
7669_L_O_1_DLX1
7669_L_O_1_TBR1
7669_L_O_1_COUPTF2
7669_L_T_1_DLX1
7669_L_T_1_TBR1
7669_L_T_1_COUPTF2
7669_L_mO_DLX1
7669_L_mO_COUPTF2
7669_R_EC_DLX1
7669_R_EC_TBR1
7669_R_EC_COUPTF2
7669_L_CC_2_DLX1
7669_L_CC_2_COUPTF2
7669_R_F_1_DLX1
7669_R_F_1_TBR1
7669_R_F_1_COUPTF2
7669_R_P_1_DLX1
7669_R_P_1_TBR1
7669_R_P_1_COUPTF2
7669_R_I_1_DLX1
7669_R_I_1_TBR1
7669_R_I_1_COUPTF2
7669_R_O_1_DLX1
7669_R_O_1_TBR1
7669_R_O_1_COUPTF2
7669_R_T_1_DLX1
7669_R_T_1_TBR1
7669_R_T_1_COUPTF2
7669_R_mO_DLX1
7669_R_mO_TBR1
7669_R_mO_COUPTF2
7669_L_EC_DLX1
7669_L_EC_COUPTF2
7669_R_CCMid_DLX1
7669_R_CC_Mid_TBR1
7669_R_CCMid_COUPTF2
B
5−121518814−G−A
0
−2
−4
−3
−2
−1
0
0.8
0.6
0.4
0.2
0.0

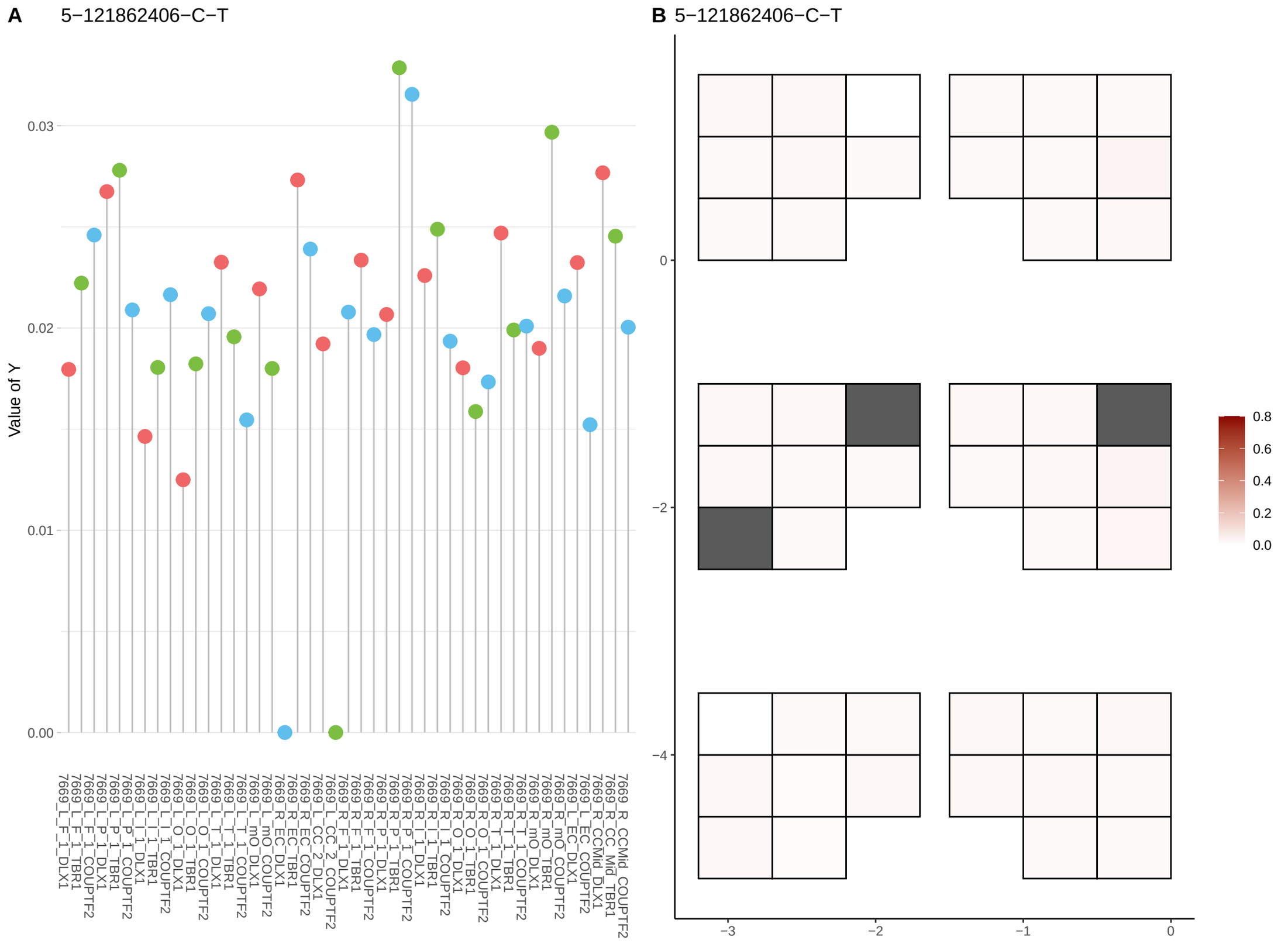
A
5−121862406−C−T
Value of Y
0.03
0.02
0.01
0.00
7669_L_F_1_DLX1
7669_L_F_1_TBR1
7669_L_F_1_COUPTF2
7669_L_P_1_DLX1
7669_L_P_1_TBR1
7669_L_P_1_COUPTF2
7669_L_I_1_DLX1
7669_L_I_1_TBR1
7669_L_I_1_COUPTF2
7669_L_O_1_DLX1
7669_L_O_1_TBR1
7669_L_O_1_COUPTF2
7669_L_T_1_DLX1
7669_L_T_1_TBR1
7669_L_T_1_COUPTF2
7669_L_mO_DLX1
7669_L_mO_COUPTF2
7669_R_EC_DLX1
7669_R_EC_TBR1
7669_R_EC_COUPTF2
7669_L_CC_2_DLX1
7669_L_CC_2_COUPTF2
7669_R_F_1_DLX1
7669_R_F_1_TBR1
7669_R_F_1_COUPTF2
7669_R_P_1_DLX1
7669_R_P_1_TBR1
7669_R_P_1_COUPTF2
7669_R_I_1_DLX1
7669_R_I_1_TBR1
7669_R_I_1_COUPTF2
7669_R_O_1_DLX1
7669_R_O_1_TBR1
7669_R_O_1_COUPTF2
7669_R_T_1_DLX1
7669_R_T_1_TBR1
7669_R_T_1_COUPTF2
7669_R_mO_DLX1
7669_R_mO_TBR1
7669_R_mO_COUPTF2
7669_L_EC_DLX1
7669_L_EC_COUPTF2
7669_R_CCMid_DLX1
7669_R_CC_Mid_TBR1
7669_R_CCMid_COUPTF2
B
5−121862406−C−T
0
−2
−4
−3
−2
−1
0
0.8
0.6
0.4
0.2
0.0

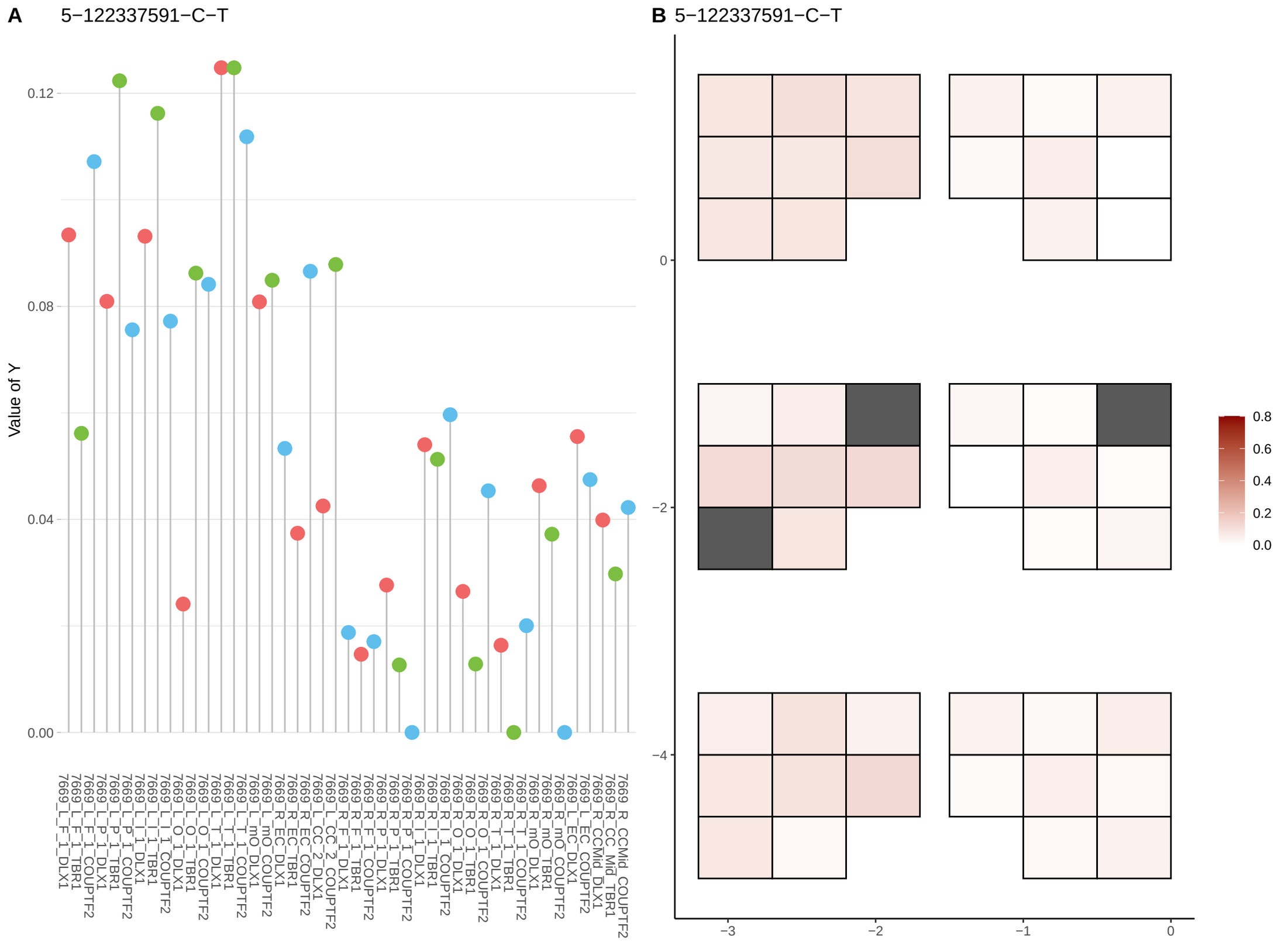
A
5−122337591−C−T
Value of Y
0.12
0.08
0.04
0.00
7669_L_F_1_DLX1
7669_L_F_1_TBR1
7669_L_F_1_COUPTF2
7669_L_P_1_DLX1
7669_L_P_1_TBR1
7669_L_P_1_COUPTF2
7669_L_I_1_DLX1
7669_L_I_1_TBR1
7669_L_I_1_COUPTF2
7669_L_O_1_DLX1
7669_L_O_1_TBR1
7669_L_O_1_COUPTF2
7669_L_T_1_DLX1
7669_L_T_1_TBR1
7669_L_T_1_COUPTF2
7669_L_mO_DLX1
7669_L_mO_COUPTF2
7669_R_EC_DLX1
7669_R_EC_TBR1
7669_R_EC_COUPTF2
7669_L_CC_2_DLX1
7669_L_CC_2_COUPTF2
7669_R_F_1_DLX1
7669_R_F_1_TBR1
7669_R_F_1_COUPTF2
7669_R_P_1_DLX1
7669_R_P_1_TBR1
7669_R_P_1_COUPTF2
7669_R_I_1_DLX1
7669_R_I_1_TBR1
7669_R_I_1_COUPTF2
7669_R_O_1_DLX1
7669_R_O_1_TBR1
7669_R_O_1_COUPTF2
7669_R_T_1_DLX1
7669_R_T_1_TBR1
7669_R_T_1_COUPTF2
7669_R_mO_DLX1
7669_R_mO_TBR1
7669_R_mO_COUPTF2
7669_L_EC_DLX1
7669_L_EC_COUPTF2
7669_R_CCMid_DLX1
7669_R_CC_Mid_TBR1
7669_R_CCMid_COUPTF2
B
5−122337591−C−T
0
−2
−4
−3
−2
−1
0
0.8
0.6
0.4
0.2
0.0

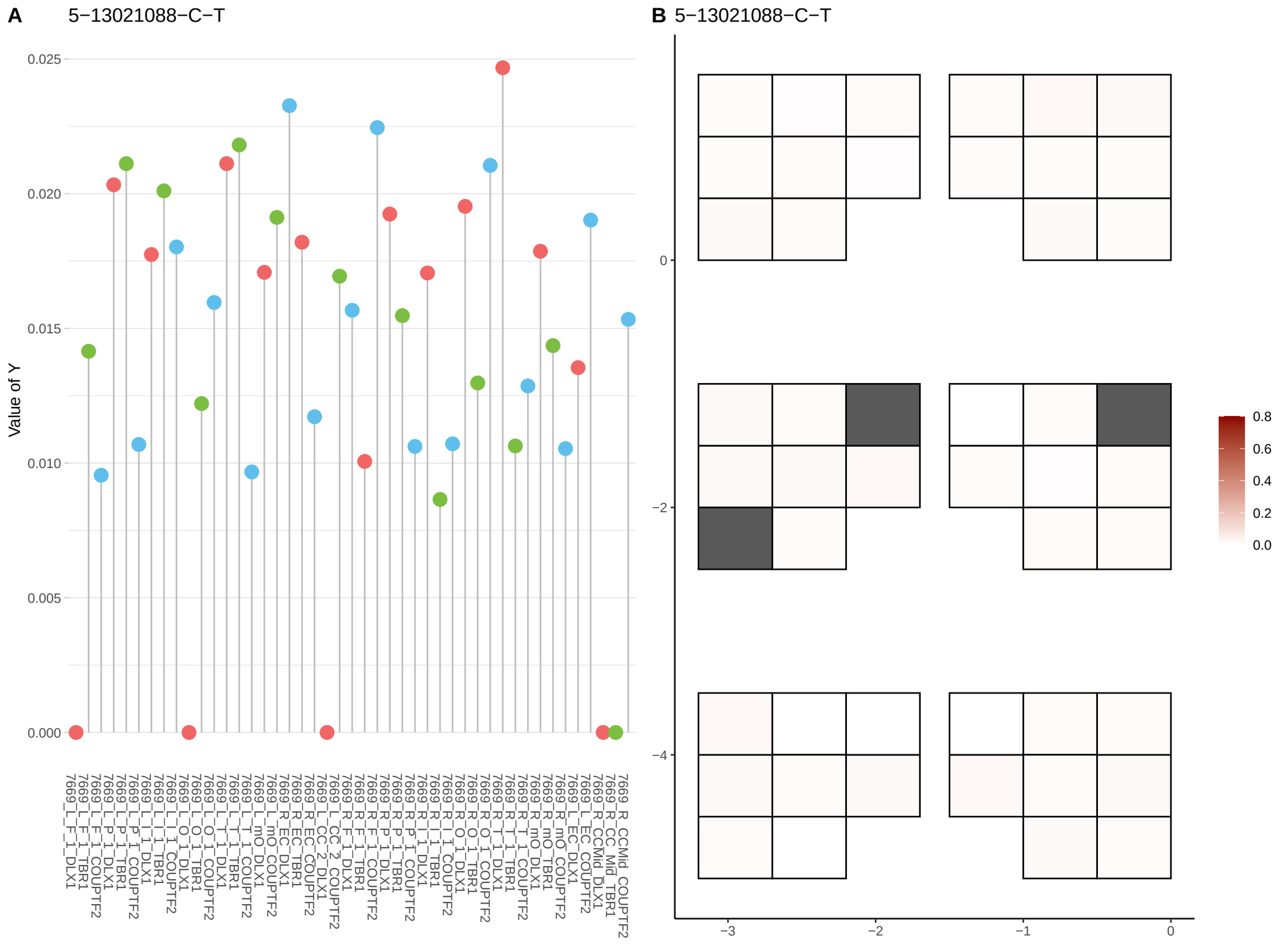
A
5−13021088−C−T
Value of Y
0.025
0.020
0.015
0.010
0.005
0.000
7669_L_F_1_DLX1
7669_L_F_1_TBR1
7669_L_F_1_COUPTF2
7669_L_P_1_DLX1
7669_L_P_1_TBR1
7669_L_P_1_COUPTF2
7669_L_I_1_DLX1
7669_L_I_1_TBR1
7669_L_I_1_COUPTF2
7669_L_O_1_DLX1
7669_L_O_1_TBR1
7669_L_O_1_COUPTF2
7669_L_T_1_DLX1
7669_L_T_1_TBR1
7669_L_T_1_COUPTF2
7669_L_mO_DLX1
7669_L_mO_COUPTF2
7669_R_EC_DLX1
7669_R_EC_TBR1
7669_R_EC_COUPTF2
7669_L_CC_2_DLX1
7669_L_CC_2_COUPTF2
7669_R_F_1_DLX1
7669_R_F_1_TBR1
7669_R_F_1_COUPTF2
7669_R_P_1_DLX1
7669_R_P_1_TBR1
7669_R_P_1_COUPTF2
7669_R_I_1_DLX1
7669_R_I_1_TBR1
7669_R_I_1_COUPTF2
7669_R_O_1_DLX1
7669_R_O_1_TBR1
7669_R_O_1_COUPTF2
7669_R_T_1_DLX1
7669_R_T_1_TBR1
7669_R_T_1_COUPTF2
7669_R_mO_DLX1
7669_R_mO_TBR1
7669_R_mO_COUPTF2
7669_L_EC_DLX1
7669_L_EC_COUPTF2
7669_R_CCMid_DLX1
7669_R_CC_Mid_TBR1
7669_R_CCMid_COUPTF2
B
5−13021088−C−T
0
−2
−4
−3
−2
−1
0
0.8
0.6
0.4
0.2
0.0

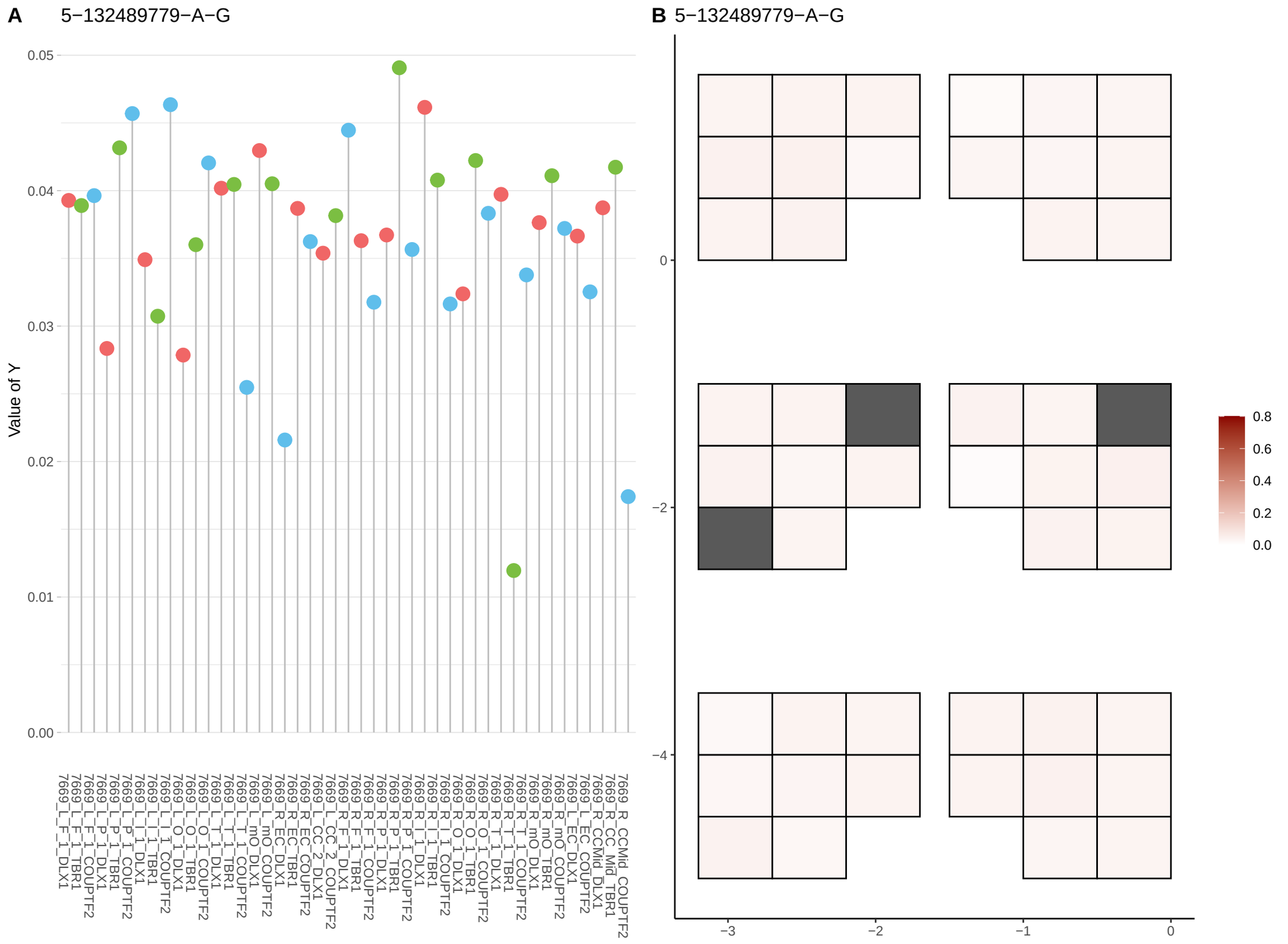
A
5−132489779−A−G
Value of Y
0.05
0.04
0.03
0.02
0.01
0.00
7669_L_F_1_DLX1
7669_L_F_1_TBR1
7669_L_F_1_COUPTF2
7669_L_P_1_DLX1
7669_L_P_1_TBR1
7669_L_P_1_COUPTF2
7669_L_I_1_DLX1
7669_L_I_1_TBR1
7669_L_I_1_COUPTF2
7669_L_O_1_DLX1
7669_L_O_1_TBR1
7669_L_O_1_COUPTF2
7669_L_T_1_DLX1
7669_L_T_1_TBR1
7669_L_T_1_COUPTF2
7669_L_mO_DLX1
7669_L_mO_COUPTF2
7669_R_EC_DLX1
7669_R_EC_TBR1
7669_R_EC_COUPTF2
7669_L_CC_2_DLX1
7669_L_CC_2_COUPTF2
7669_R_F_1_DLX1
7669_R_F_1_TBR1
7669_R_F_1_COUPTF2
7669_R_P_1_DLX1
7669_R_P_1_TBR1
7669_R_P_1_COUPTF2
7669_R_I_1_DLX1
7669_R_I_1_TBR1
7669_R_I_1_COUPTF2
7669_R_O_1_DLX1
7669_R_O_1_TBR1
7669_R_O_1_COUPTF2
7669_R_T_1_DLX1
7669_R_T_1_TBR1
7669_R_T_1_COUPTF2
7669_R_mO_DLX1
7669_R_mO_TBR1
7669_R_mO_COUPTF2
7669_L_EC_DLX1
7669_L_EC_COUPTF2
7669_R_CCMid_DLX1
7669_R_CC_Mid_TBR1
7669_R_CCMid_COUPTF2
B
5−132489779−A−G
0
−2
−4
−3
−2
−1
0
0.8
0.6
0.4
0.2
0.0

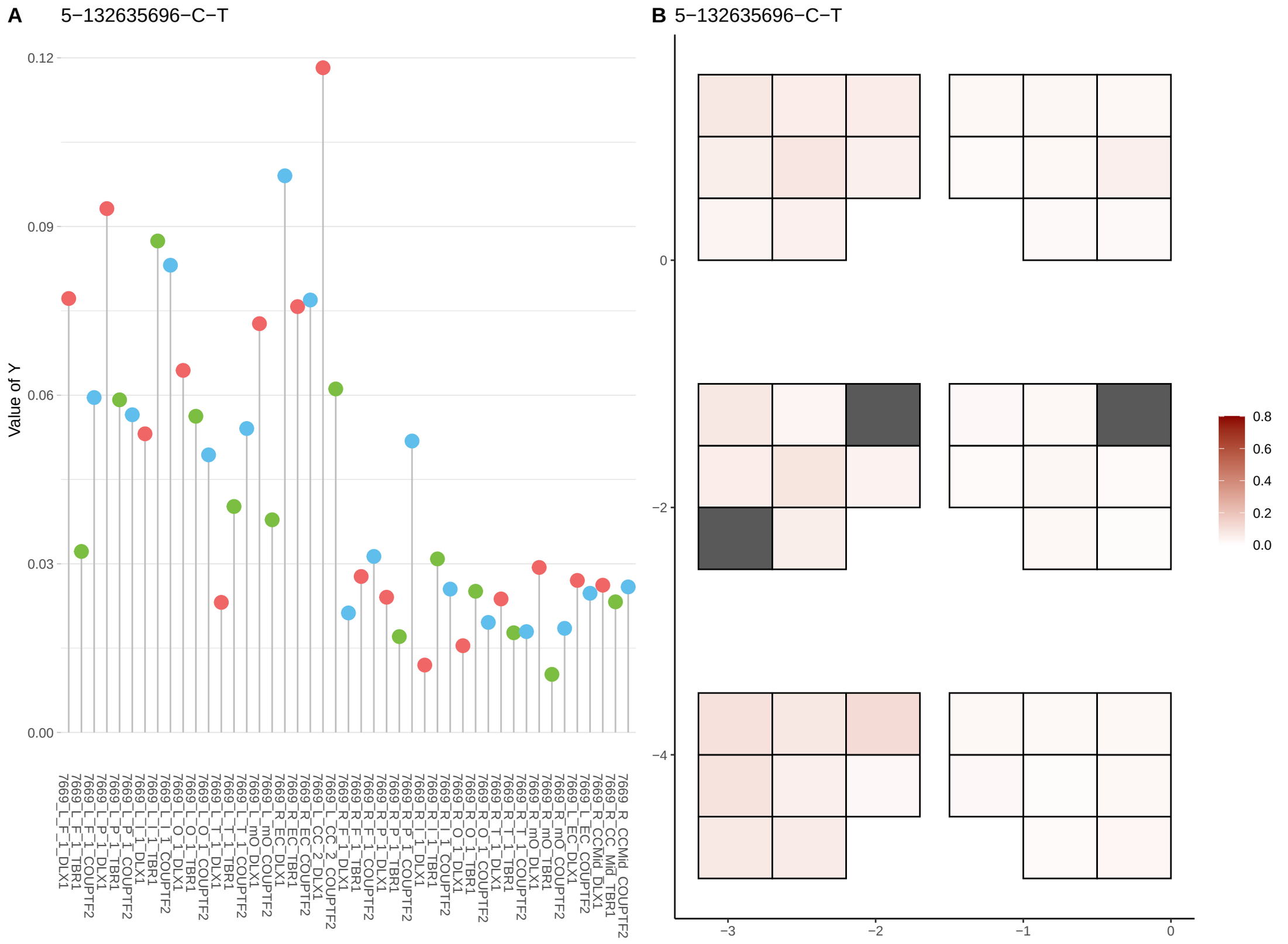
A
5−132635696−C−T
Value of Y
0.12
0.09
0.06
0.03
0.00
7669_L_F_1_DLX1
7669_L_F_1_TBR1
7669_L_F_1_COUPTF2
7669_L_P_1_DLX1
7669_L_P_1_TBR1
7669_L_P_1_COUPTF2
7669_L_I_1_DLX1
7669_L_I_1_TBR1
7669_L_I_1_COUPTF2
7669_L_O_1_DLX1
7669_L_O_1_TBR1
7669_L_O_1_COUPTF2
7669_L_T_1_DLX1
7669_L_T_1_TBR1
7669_L_T_1_COUPTF2
7669_L_mO_DLX1
7669_L_mO_COUPTF2
7669_R_EC_DLX1
7669_R_EC_TBR1
7669_R_EC_COUPTF2
7669_L_CC_2_DLX1
7669_L_CC_2_COUPTF2
7669_R_F_1_DLX1
7669_R_F_1_TBR1
7669_R_F_1_COUPTF2
7669_R_P_1_DLX1
7669_R_P_1_TBR1
7669_R_P_1_COUPTF2
7669_R_I_1_DLX1
7669_R_I_1_TBR1
7669_R_I_1_COUPTF2
7669_R_O_1_DLX1
7669_R_O_1_TBR1
7669_R_O_1_COUPTF2
7669_R_T_1_DLX1
7669_R_T_1_TBR1
7669_R_T_1_COUPTF2
7669_R_mO_DLX1
7669_R_mO_TBR1
7669_R_mO_COUPTF2
7669_L_EC_DLX1
7669_L_EC_COUPTF2
7669_R_CCMid_DLX1
7669_R_CC_Mid_TBR1
7669_R_CCMid_COUPTF2
B
5−132635696−C−T
0
−2
−4
−3
−2
−1
0
0.8
0.6
0.4
0.2
0.0

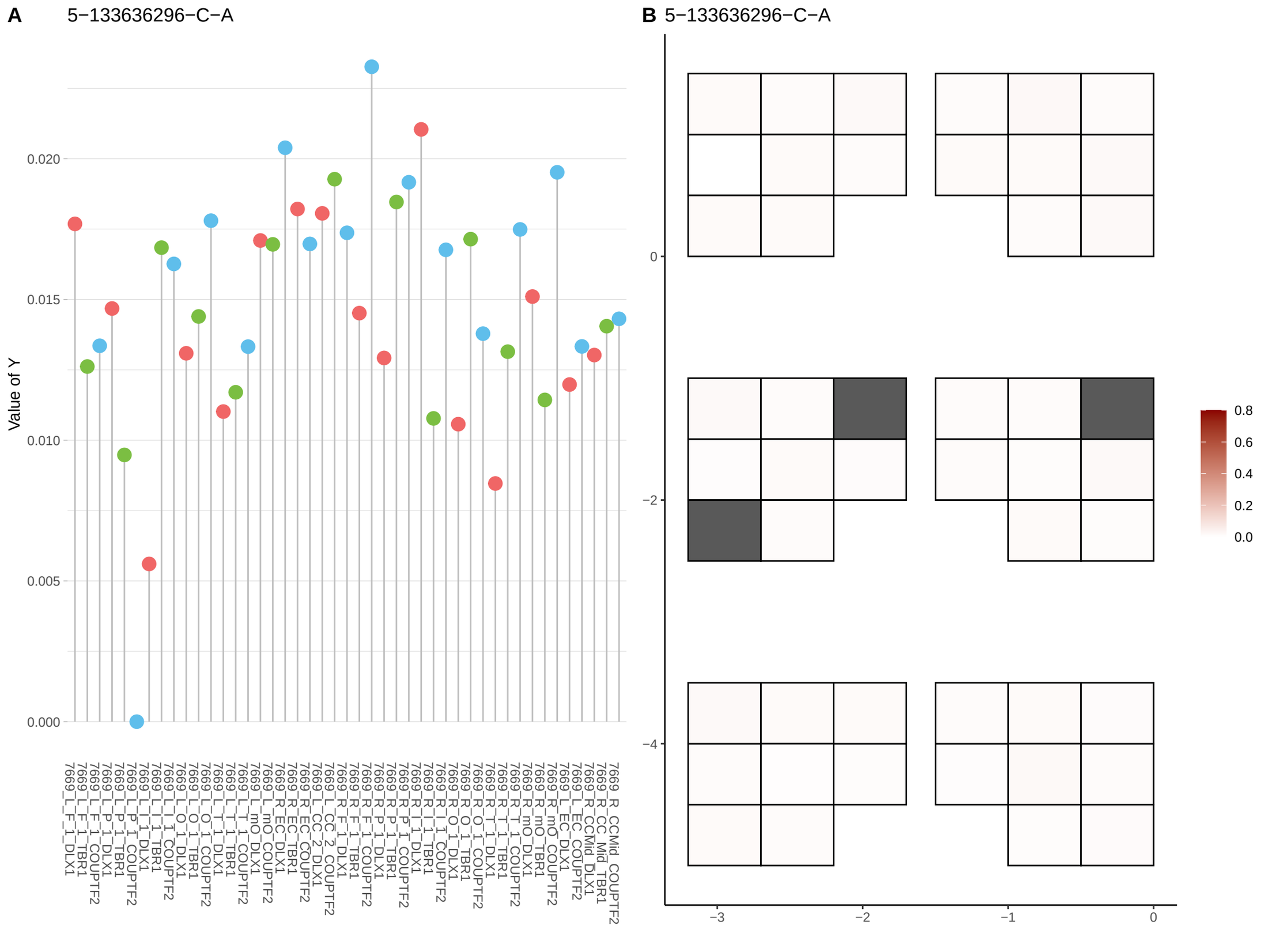
A
5−133636296−C−A
Value of Y
0.020
0.015
0.010
0.005
0.000
7669_L_F_1_DLX1
7669_L_F_1_TBR1
7669_L_F_1_COUPTF2
7669_L_P_1_DLX1
7669_L_P_1_TBR1
7669_L_P_1_COUPTF2
7669_L_I_1_DLX1
7669_L_I_1_TBR1
7669_L_I_1_COUPTF2
7669_L_O_1_DLX1
7669_L_O_1_TBR1
7669_L_O_1_COUPTF2
7669_L_T_1_DLX1
7669_L_T_1_TBR1
7669_L_T_1_COUPTF2
7669_L_mO_DLX1
7669_L_mO_COUPTF2
7669_R_EC_DLX1
7669_R_EC_TBR1
7669_R_EC_COUPTF2
7669_L_CC_2_DLX1
7669_L_CC_2_COUPTF2
7669_R_F_1_DLX1
7669_R_F_1_TBR1
7669_R_F_1_COUPTF2
7669_R_P_1_DLX1
7669_R_P_1_TBR1
7669_R_P_1_COUPTF2
7669_R_I_1_DLX1
7669_R_I_1_TBR1
7669_R_I_1_COUPTF2
7669_R_O_1_DLX1
7669_R_O_1_TBR1
7669_R_O_1_COUPTF2
7669_R_T_1_DLX1
7669_R_T_1_TBR1
7669_R_T_1_COUPTF2
7669_R_mO_DLX1
7669_R_mO_TBR1
7669_R_mO_COUPTF2
7669_L_EC_DLX1
7669_L_EC_COUPTF2
7669_R_CCMid_DLX1
7669_R_CC_Mid_TBR1
7669_R_CCMid_COUPTF2
B
5−133636296−C−A
0
−2
−4
−3
−2
−1
0
0.8
0.6
0.4
0.2
0.0

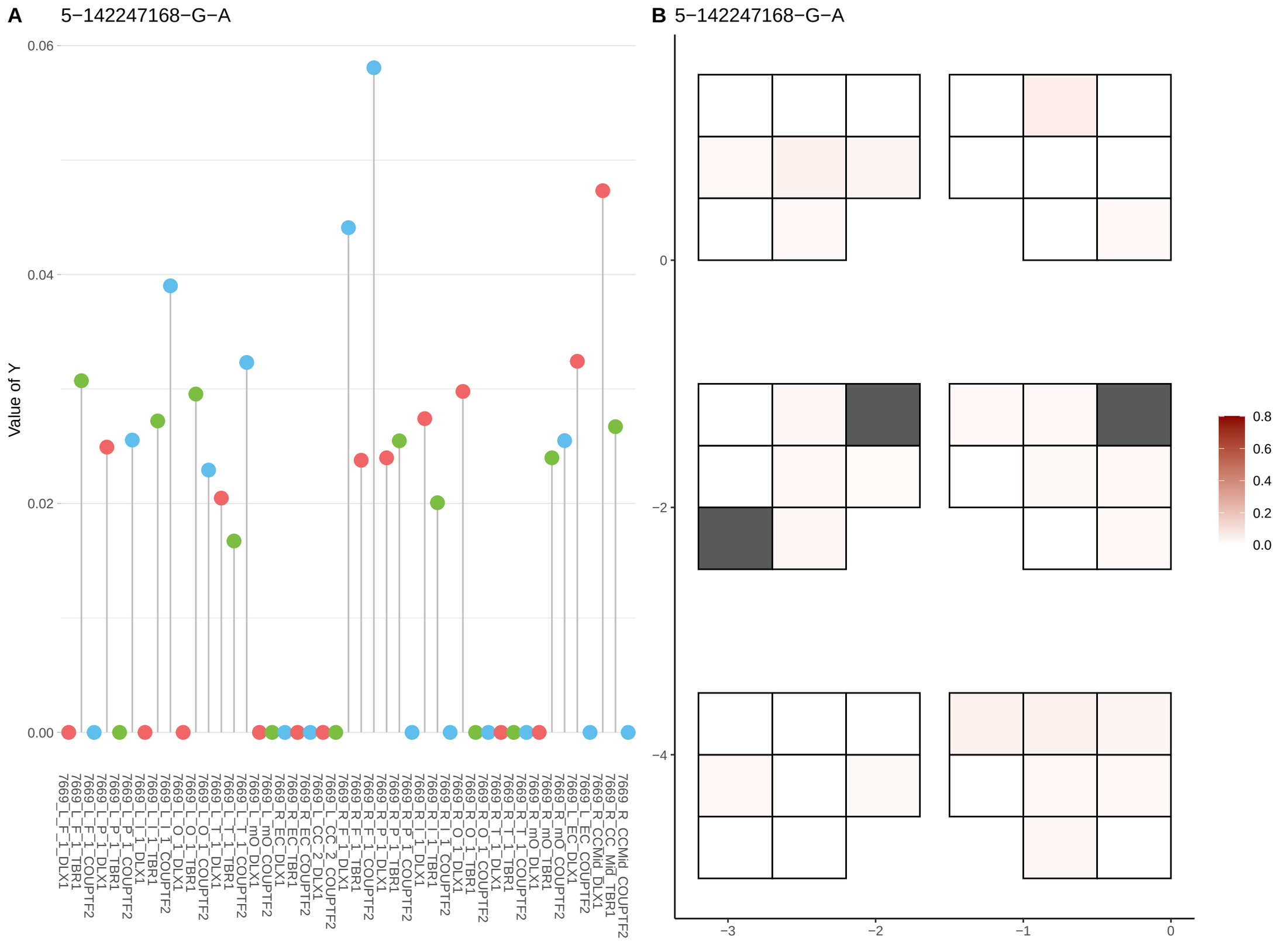
A
5−142247168−G−A
Value of Y
0.06
0.04
0.02
0.00
7669_L_F_1_DLX1
7669_L_F_1_TBR1
7669_L_F_1_COUPTF2
7669_L_P_1_DLX1
7669_L_P_1_TBR1
7669_L_P_1_COUPTF2
7669_L_I_1_DLX1
7669_L_I_1_TBR1
7669_L_I_1_COUPTF2
7669_L_O_1_DLX1
7669_L_O_1_TBR1
7669_L_O_1_COUPTF2
7669_L_T_1_DLX1
7669_L_T_1_TBR1
7669_L_T_1_COUPTF2
7669_L_mO_DLX1
7669_L_mO_COUPTF2
7669_R_EC_DLX1
7669_R_EC_TBR1
7669_R_EC_COUPTF2
7669_L_CC_2_DLX1
7669_L_CC_2_COUPTF2
7669_R_F_1_DLX1
7669_R_F_1_TBR1
7669_R_F_1_COUPTF2
7669_R_P_1_DLX1
7669_R_P_1_TBR1
7669_R_P_1_COUPTF2
7669_R_I_1_DLX1
7669_R_I_1_TBR1
7669_R_I_1_COUPTF2
7669_R_O_1_DLX1
7669_R_O_1_TBR1
7669_R_O_1_COUPTF2
7669_R_T_1_DLX1
7669_R_T_1_TBR1
7669_R_T_1_COUPTF2
7669_R_mO_DLX1
7669_R_mO_TBR1
7669_R_mO_COUPTF2
7669_L_EC_DLX1
7669_L_EC_COUPTF2
7669_R_CCMid_DLX1
7669_R_CC_Mid_TBR1
7669_R_CCMid_COUPTF2
B
5−142247168−G−A
0
−2
−4
−3
−2
−1
0
0.8
0.6
0.4
0.2
0.0

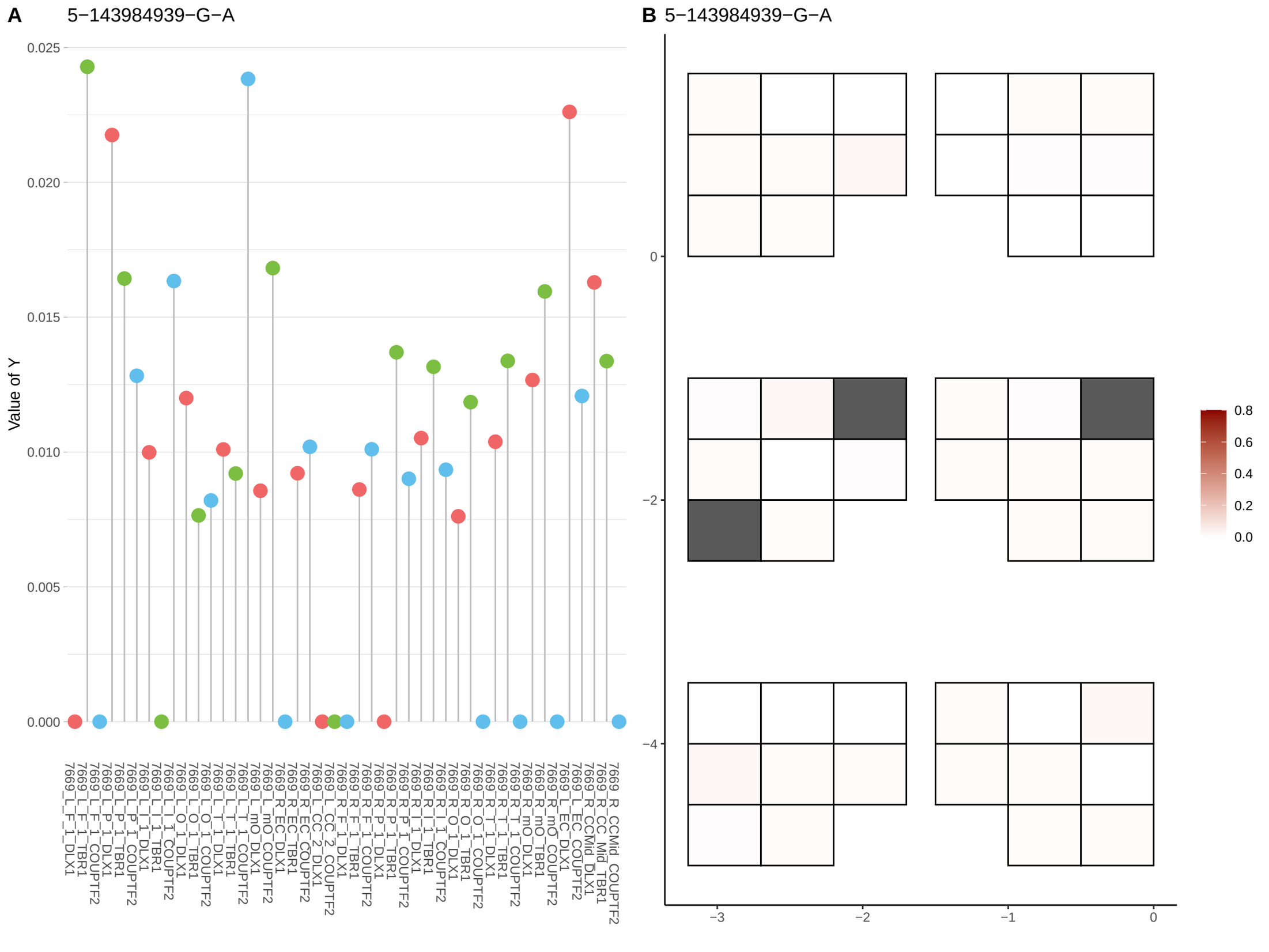
A
5−143984939−G−A
Value of Y
0.025
0.020
0.015
0.010
0.005
0.000
7669_L_F_1_DLX1
7669_L_F_1_TBR1
7669_L_F_1_COUPTF2
7669_L_P_1_DLX1
7669_L_P_1_TBR1
7669_L_P_1_COUPTF2
7669_L_I_1_DLX1
7669_L_I_1_TBR1
7669_L_I_1_COUPTF2
7669_L_O_1_DLX1
7669_L_O_1_TBR1
7669_L_O_1_COUPTF2
7669_L_T_1_DLX1
7669_L_T_1_TBR1
7669_L_T_1_COUPTF2
7669_L_mO_DLX1
7669_L_mO_COUPTF2
7669_R_EC_DLX1
7669_R_EC_TBR1
7669_R_EC_COUPTF2
7669_L_CC_2_DLX1
7669_L_CC_2_COUPTF2
7669_R_F_1_DLX1
7669_R_F_1_TBR1
7669_R_F_1_COUPTF2
7669_R_P_1_DLX1
7669_R_P_1_TBR1
7669_R_P_1_COUPTF2
7669_R_I_1_DLX1
7669_R_I_1_TBR1
7669_R_I_1_COUPTF2
7669_R_O_1_DLX1
7669_R_O_1_TBR1
7669_R_O_1_COUPTF2
7669_R_T_1_DLX1
7669_R_T_1_TBR1
7669_R_T_1_COUPTF2
7669_R_mO_DLX1
7669_R_mO_TBR1
7669_R_mO_COUPTF2
7669_L_EC_DLX1
7669_L_EC_COUPTF2
7669_R_CCMid_DLX1
7669_R_CC_Mid_TBR1
7669_R_CCMid_COUPTF2
B
5−143984939−G−A
0
−2
−4
−3
−2
−1
0
0.8
0.6
0.4
0.2
0.0

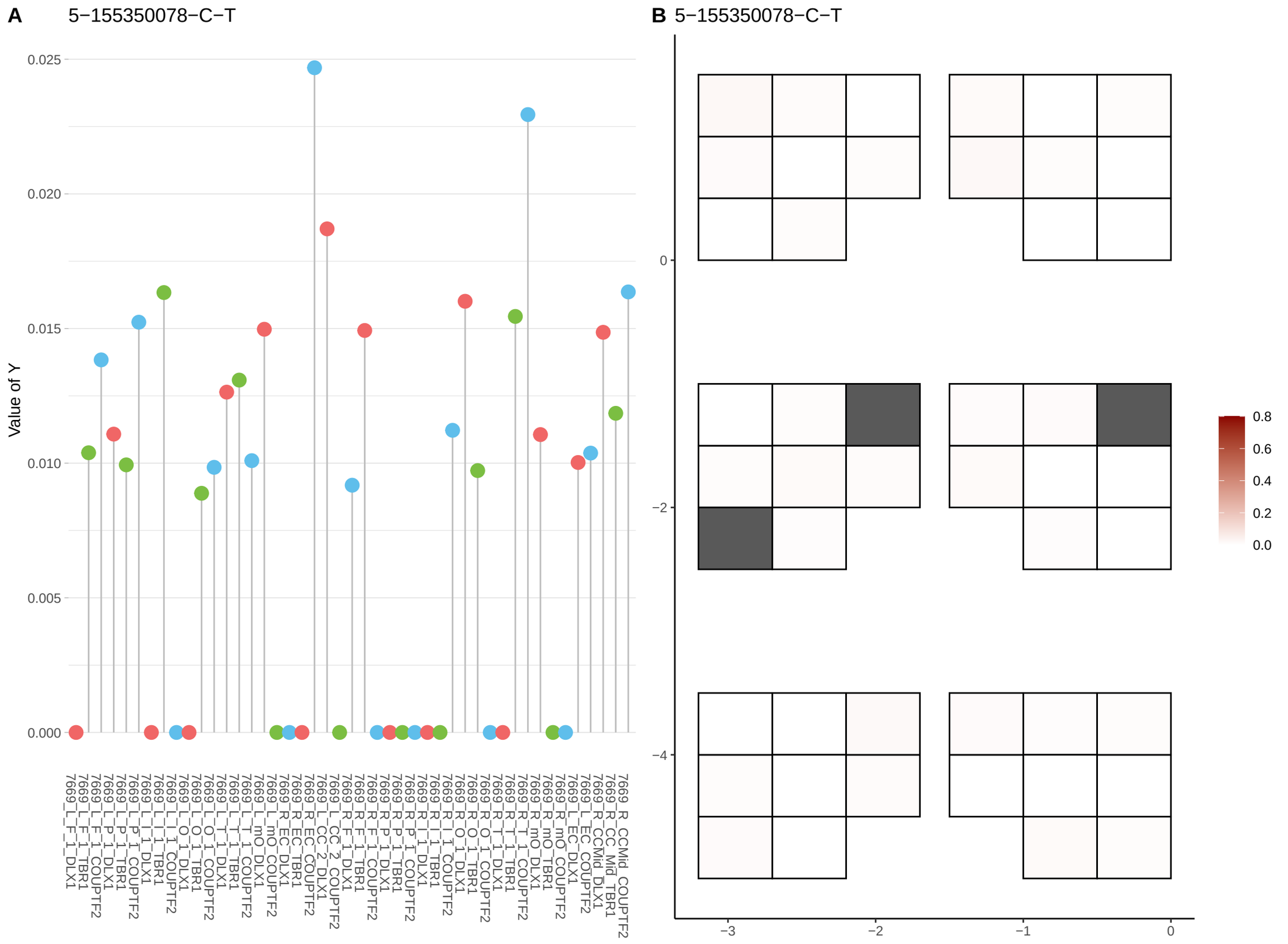
A
5−155350078−C−T
Value of Y
0.025
0.020
0.015
0.010
0.005
0.000
7669_L_F_1_DLX1
7669_L_F_1_TBR1
7669_L_F_1_COUPTF2
7669_L_P_1_DLX1
7669_L_P_1_TBR1
7669_L_P_1_COUPTF2
7669_L_I_1_DLX1
7669_L_I_1_TBR1
7669_L_I_1_COUPTF2
7669_L_O_1_DLX1
7669_L_O_1_TBR1
7669_L_O_1_COUPTF2
7669_L_T_1_DLX1
7669_L_T_1_TBR1
7669_L_T_1_COUPTF2
7669_L_mO_DLX1
7669_L_mO_COUPTF2
7669_R_EC_DLX1
7669_R_EC_TBR1
7669_R_EC_COUPTF2
7669_L_CC_2_DLX1
7669_L_CC_2_COUPTF2
7669_R_F_1_DLX1
7669_R_F_1_TBR1
7669_R_F_1_COUPTF2
7669_R_P_1_DLX1
7669_R_P_1_TBR1
7669_R_P_1_COUPTF2
7669_R_I_1_DLX1
7669_R_I_1_TBR1
7669_R_I_1_COUPTF2
7669_R_O_1_DLX1
7669_R_O_1_TBR1
7669_R_O_1_COUPTF2
7669_R_T_1_DLX1
7669_R_T_1_TBR1
7669_R_T_1_COUPTF2
7669_R_mO_DLX1
7669_R_mO_TBR1
7669_R_mO_COUPTF2
7669_L_EC_DLX1
7669_L_EC_COUPTF2
7669_R_CCMid_DLX1
7669_R_CC_Mid_TBR1
7669_R_CCMid_COUPTF2
B
5−155350078−C−T
0
−2
−4
−3
−2
−1
0
0.8
0.6
0.4
0.2
0.0

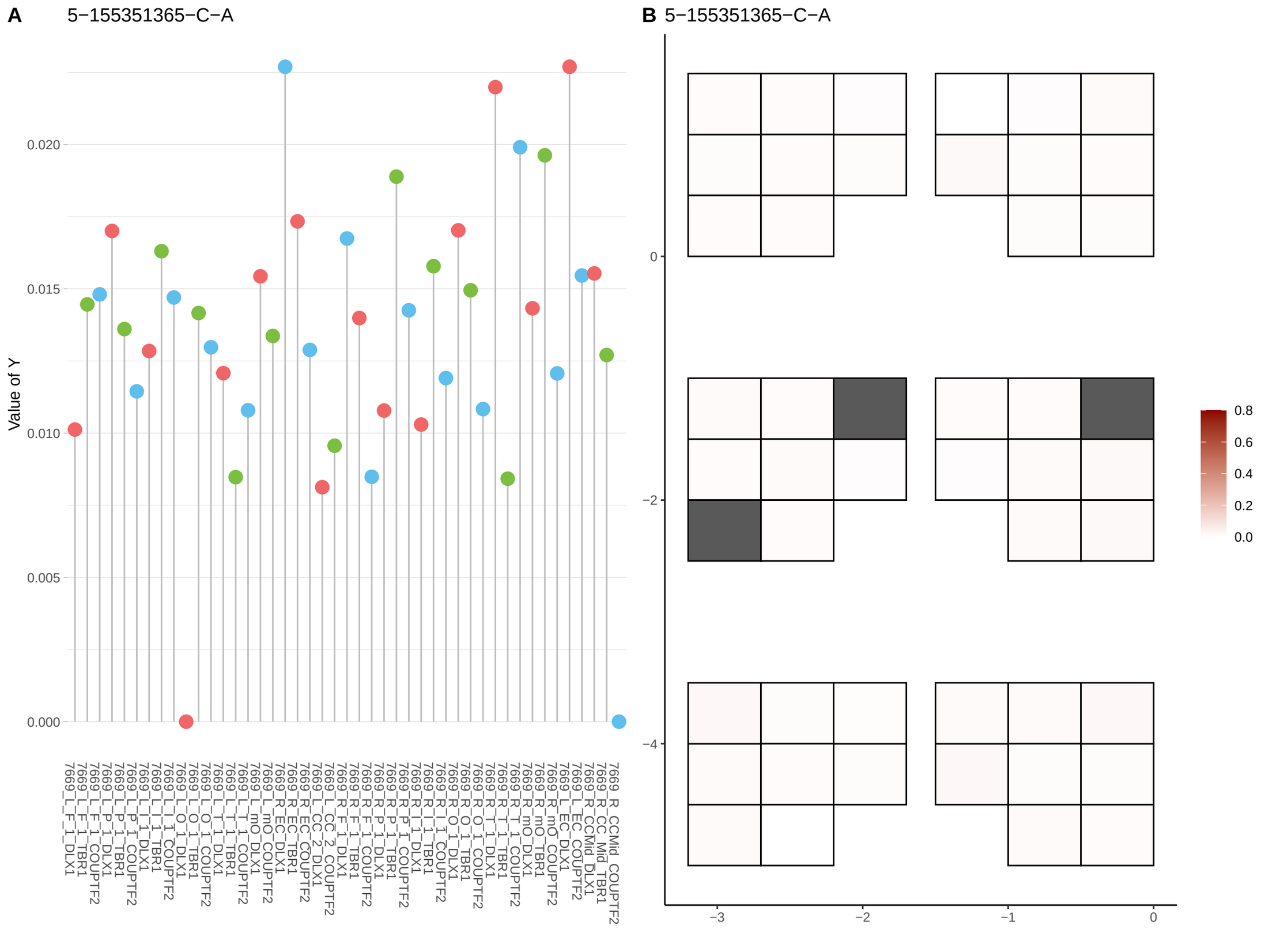
A
5−155351365−C−A
Value of Y
0.020
0.015
0.010
0.005
0.000
7669_L_F_1_DLX1
7669_L_F_1_TBR1
7669_L_F_1_COUPTF2
7669_L_P_1_DLX1
7669_L_P_1_TBR1
7669_L_P_1_COUPTF2
7669_L_I_1_DLX1
7669_L_I_1_TBR1
7669_L_I_1_COUPTF2
7669_L_O_1_DLX1
7669_L_O_1_TBR1
7669_L_O_1_COUPTF2
7669_L_T_1_DLX1
7669_L_T_1_TBR1
7669_L_T_1_COUPTF2
7669_L_mO_DLX1
7669_L_mO_COUPTF2
7669_R_EC_DLX1
7669_R_EC_TBR1
7669_R_EC_COUPTF2
7669_L_CC_2_DLX1
7669_L_CC_2_COUPTF2
7669_R_F_1_DLX1
7669_R_F_1_TBR1
7669_R_F_1_COUPTF2
7669_R_P_1_DLX1
7669_R_P_1_TBR1
7669_R_P_1_COUPTF2
7669_R_I_1_DLX1
7669_R_I_1_TBR1
7669_R_I_1_COUPTF2
7669_R_O_1_DLX1
7669_R_O_1_TBR1
7669_R_O_1_COUPTF2
7669_R_T_1_DLX1
7669_R_T_1_TBR1
7669_R_T_1_COUPTF2
7669_R_mO_DLX1
7669_R_mO_TBR1
7669_R_mO_COUPTF2
7669_L_EC_DLX1
7669_L_EC_COUPTF2
7669_R_CCMid_DLX1
7669_R_CC_Mid_TBR1
7669_R_CCMid_COUPTF2
B
5−155351365−C−A
0
−2
−4
−3
−2
−1
0
0.8
0.6
0.4
0.2
0.0

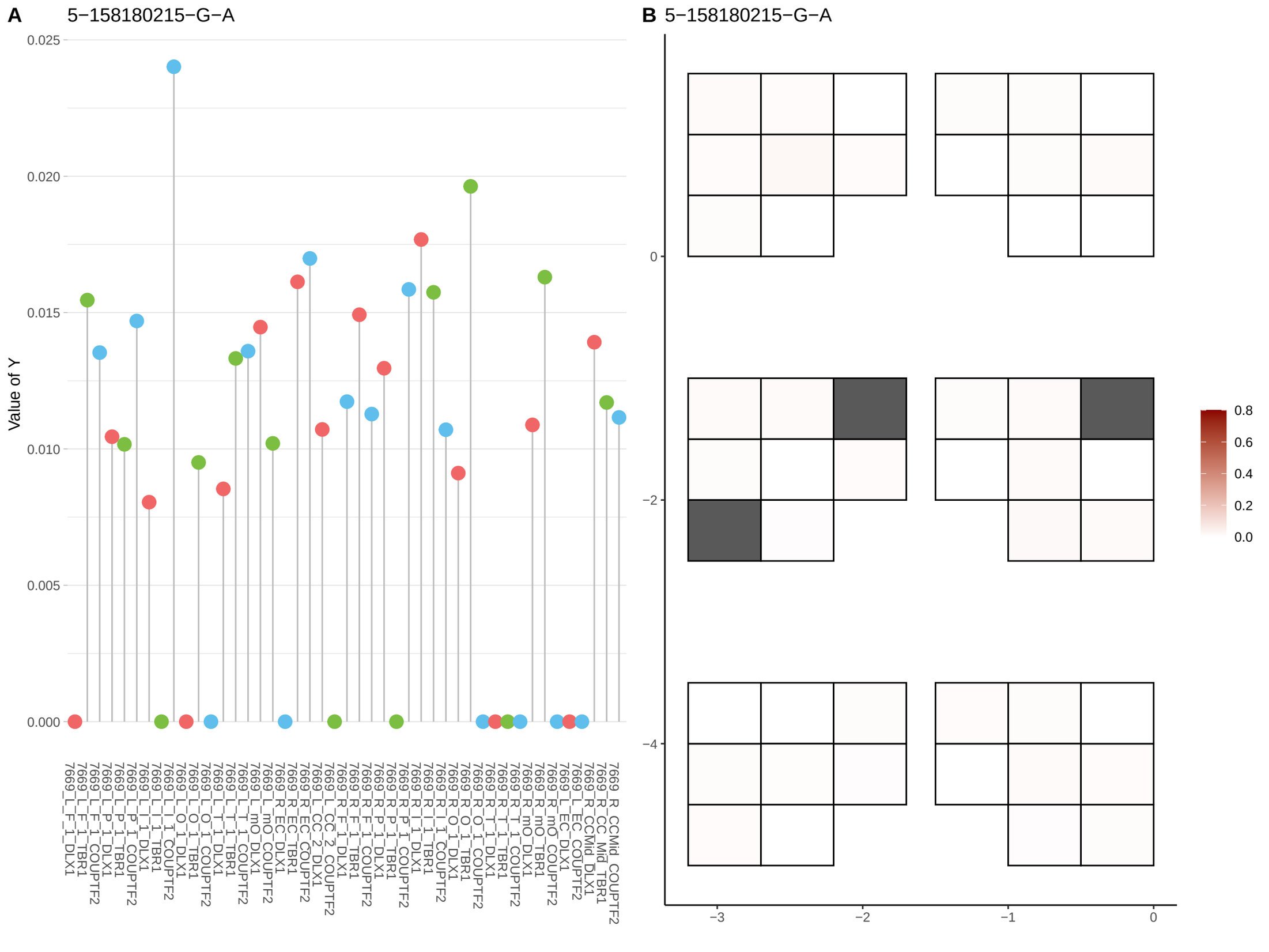
A
5−158180215−G−A
Value of Y
0.025
0.020
0.015
0.010
0.005
0.000
7669_L_F_1_DLX1
7669_L_F_1_TBR1
7669_L_F_1_COUPTF2
7669_L_P_1_DLX1
7669_L_P_1_TBR1
7669_L_P_1_COUPTF2
7669_L_I_1_DLX1
7669_L_I_1_TBR1
7669_L_I_1_COUPTF2
7669_L_O_1_DLX1
7669_L_O_1_TBR1
7669_L_O_1_COUPTF2
7669_L_T_1_DLX1
7669_L_T_1_TBR1
7669_L_T_1_COUPTF2
7669_L_mO_DLX1
7669_L_mO_COUPTF2
7669_R_EC_DLX1
7669_R_EC_TBR1
7669_R_EC_COUPTF2
7669_L_CC_2_DLX1
7669_L_CC_2_COUPTF2
7669_R_F_1_DLX1
7669_R_F_1_TBR1
7669_R_F_1_COUPTF2
7669_R_P_1_DLX1
7669_R_P_1_TBR1
7669_R_P_1_COUPTF2
7669_R_I_1_DLX1
7669_R_I_1_TBR1
7669_R_I_1_COUPTF2
7669_R_O_1_DLX1
7669_R_O_1_TBR1
7669_R_O_1_COUPTF2
7669_R_T_1_DLX1
7669_R_T_1_TBR1
7669_R_T_1_COUPTF2
7669_R_mO_DLX1
7669_R_mO_TBR1
7669_R_mO_COUPTF2
7669_L_EC_DLX1
7669_L_EC_COUPTF2
7669_R_CC_Mid_DLX1
7669_R_CC_Mid_TBR1
7669_R_CC_Mid_COUPTF2
B
5−158180215−G−A
0
−2
−4
−3
−2
−1
0
0.8
0.6
0.4
0.2
0.0

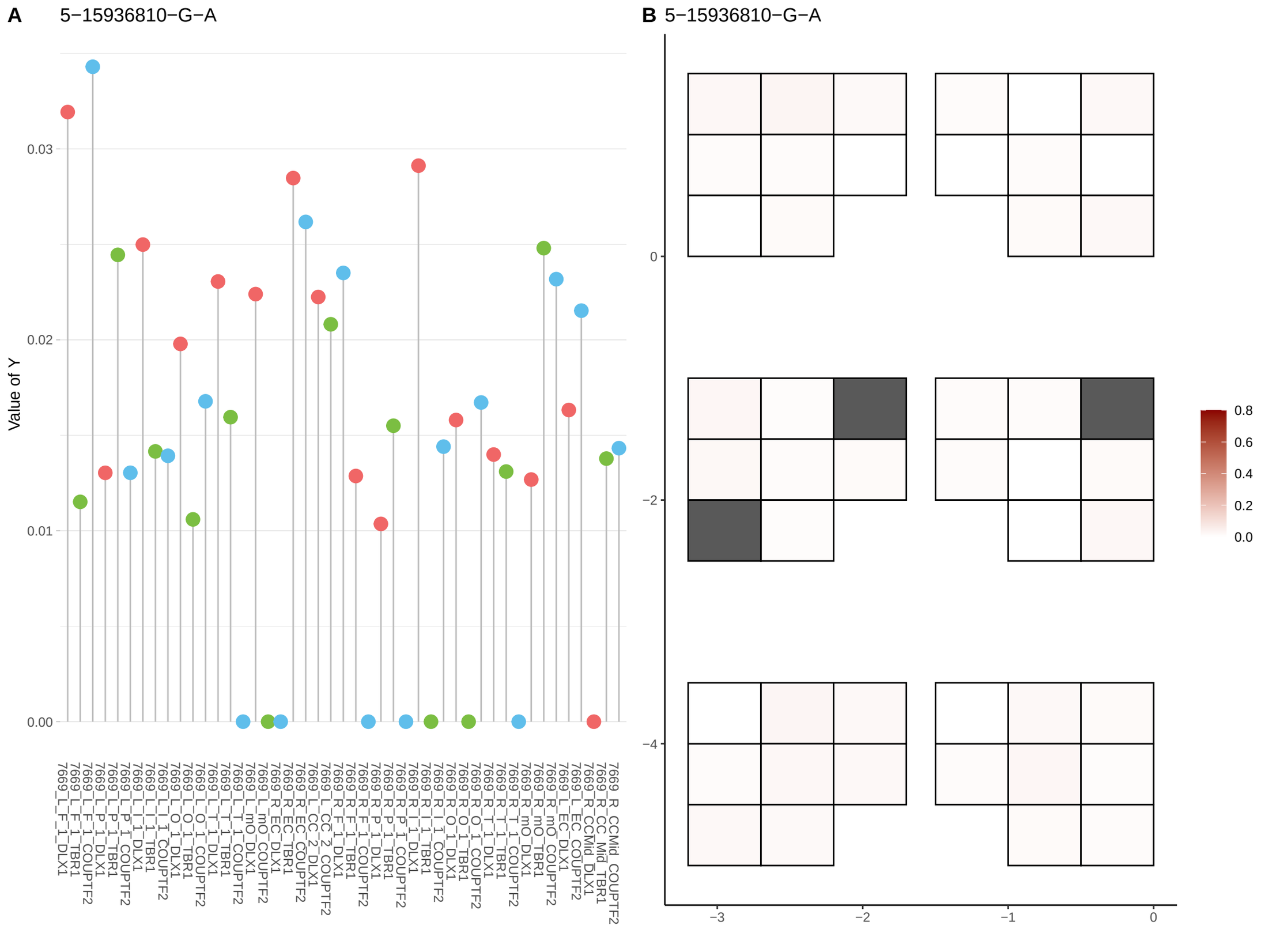
A
5−15936810−G−A
Value of Y
0.03
0.02
0.01
0.00
7669_L_F_1_DLX1
7669_L_F_1_TBR1
7669_L_F_1_COUPTF2
7669_L_P_1_DLX1
7669_L_P_1_TBR1
7669_L_P_1_COUPTF2
7669_L_I_1_DLX1
7669_L_I_1_TBR1
7669_L_I_1_COUPTF2
7669_L_O_1_DLX1
7669_L_O_1_TBR1
7669_L_O_1_COUPTF2
7669_L_T_1_DLX1
7669_L_T_1_TBR1
7669_L_T_1_COUPTF2
7669_L_mO_DLX1
7669_L_mO_COUPTF2
7669_R_EC_DLX1
7669_R_EC_TBR1
7669_R_EC_COUPTF2
7669_L_CC_2_DLX1
7669_L_CC_2_COUPTF2
7669_R_F_1_DLX1
7669_R_F_1_TBR1
7669_R_F_1_COUPTF2
7669_R_P_1_DLX1
7669_R_P_1_TBR1
7669_R_P_1_COUPTF2
7669_R_I_1_DLX1
7669_R_I_1_TBR1
7669_R_I_1_COUPTF2
7669_R_O_1_DLX1
7669_R_O_1_TBR1
7669_R_O_1_COUPTF2
7669_R_T_1_DLX1
7669_R_T_1_TBR1
7669_R_T_1_COUPTF2
7669_R_mO_DLX1
7669_R_mO_TBR1
7669_R_mO_COUPTF2
7669_L_EC_DLX1
7669_L_EC_COUPTF2
7669_R_CCMid_DLX1
7669_R_CC_Mid_TBR1
7669_R_CCMid_COUPTF2
B
5−15936810−G−A
0
−2
−4
−3
−2
−1
0
0.8
0.6
0.4
0.2
0.0

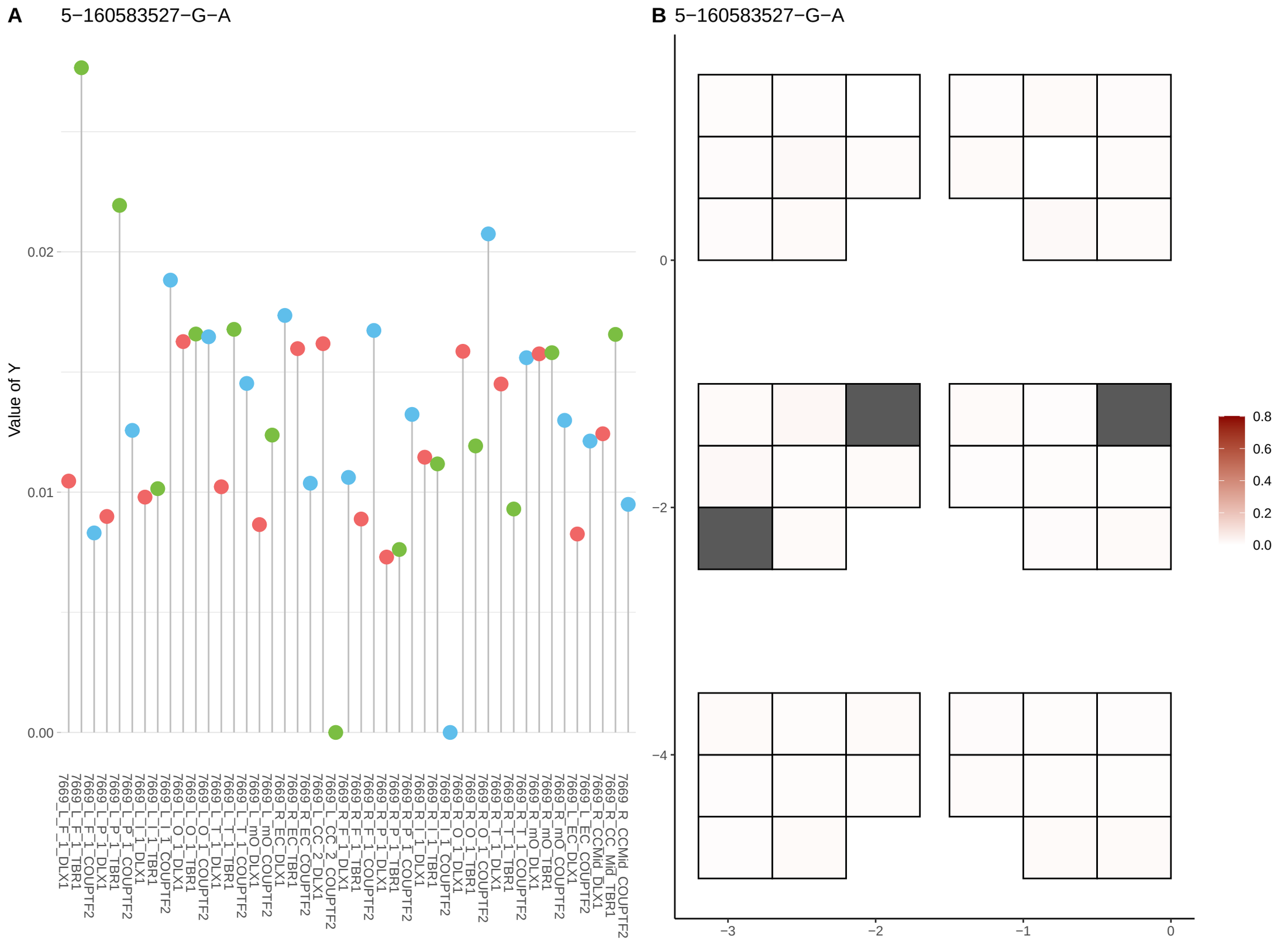
A
5−160583527−G−A
Value of Y
0.02
0.01
0.00
7669_L_F_1_DLX1
7669_L_F_1_TBR1
7669_L_F_1_COUPTF2
7669_L_P_1_DLX1
7669_L_P_1_TBR1
7669_L_P_1_COUPTF2
7669_L_I_1_DLX1
7669_L_I_1_TBR1
7669_L_I_1_COUPTF2
7669_L_O_1_DLX1
7669_L_O_1_TBR1
7669_L_O_1_COUPTF2
7669_L_T_1_DLX1
7669_L_T_1_TBR1
7669_L_T_1_COUPTF2
7669_L_mO_DLX1
7669_L_mO_COUPTF2
7669_R_EC_DLX1
7669_R_EC_TBR1
7669_R_EC_COUPTF2
7669_L_CC_2_DLX1
7669_L_CC_2_COUPTF2
7669_R_F_1_DLX1
7669_R_F_1_TBR1
7669_R_F_1_COUPTF2
7669_R_P_1_DLX1
7669_R_P_1_TBR1
7669_R_P_1_COUPTF2
7669_R_I_1_DLX1
7669_R_I_1_TBR1
7669_R_I_1_COUPTF2
7669_R_O_1_DLX1
7669_R_O_1_TBR1
7669_R_O_1_COUPTF2
7669_R_T_1_DLX1
7669_R_T_1_TBR1
7669_R_T_1_COUPTF2
7669_R_mO_DLX1
7669_R_mO_TBR1
7669_R_mO_COUPTF2
7669_L_EC_DLX1
7669_L_EC_COUPTF2
7669_R_CCMid_DLX1
7669_R_CC_Mid_TBR1
7669_R_CCMid_COUPTF2
B
5−160583527−G−A
0
−2
−4
−3
−2
−1
0
0.8
0.6
0.4
0.2
0.0

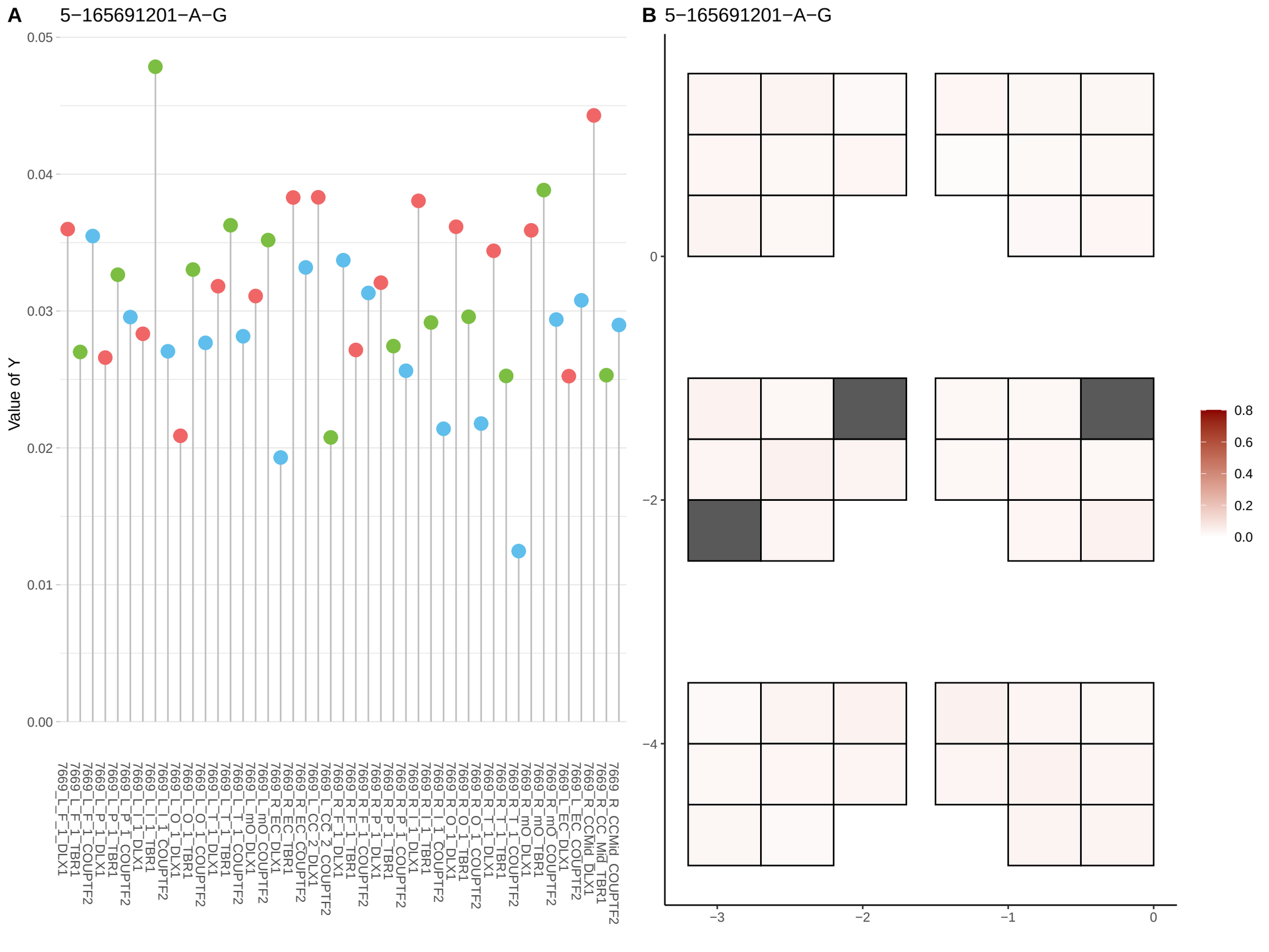
A
5−165691201−A−G
Value of Y
0.05
0.04
0.03
0.02
0.01
0.00
7669_L_F_1_DLX1
7669_L_F_1_TBR1
7669_L_F_1_COUPTF2
7669_L_P_1_DLX1
7669_L_P_1_TBR1
7669_L_P_1_COUPTF2
7669_L_I_1_DLX1
7669_L_I_1_TBR1
7669_L_I_1_COUPTF2
7669_L_O_1_DLX1
7669_L_O_1_TBR1
7669_L_O_1_COUPTF2
7669_L_T_1_DLX1
7669_L_T_1_TBR1
7669_L_T_1_COUPTF2
7669_L_mO_DLX1
7669_L_mO_COUPTF2
7669_R_EC_DLX1
7669_R_EC_TBR1
7669_R_EC_COUPTF2
7669_L_CC_2_DLX1
7669_L_CC_2_COUPTF2
7669_R_F_1_DLX1
7669_R_F_1_TBR1
7669_R_F_1_COUPTF2
7669_R_P_1_DLX1
7669_R_P_1_TBR1
7669_R_P_1_COUPTF2
7669_R_I_1_DLX1
7669_R_I_1_TBR1
7669_R_I_1_COUPTF2
7669_R_O_1_DLX1
7669_R_O_1_TBR1
7669_R_O_1_COUPTF2
7669_R_T_1_DLX1
7669_R_T_1_TBR1
7669_R_T_1_COUPTF2
7669_R_mO_DLX1
7669_R_mO_TBR1
7669_R_mO_COUPTF2
7669_L_EC_DLX1
7669_L_EC_COUPTF2
7669_R_CCMid_DLX1
7669_R_CC_Mid_TBR1
7669_R_CCMid_COUPTF2
B
5−165691201−A−G
0
−2
−4
−3
−2
−1
0
0.8
0.6
0.4
0.2
0.0

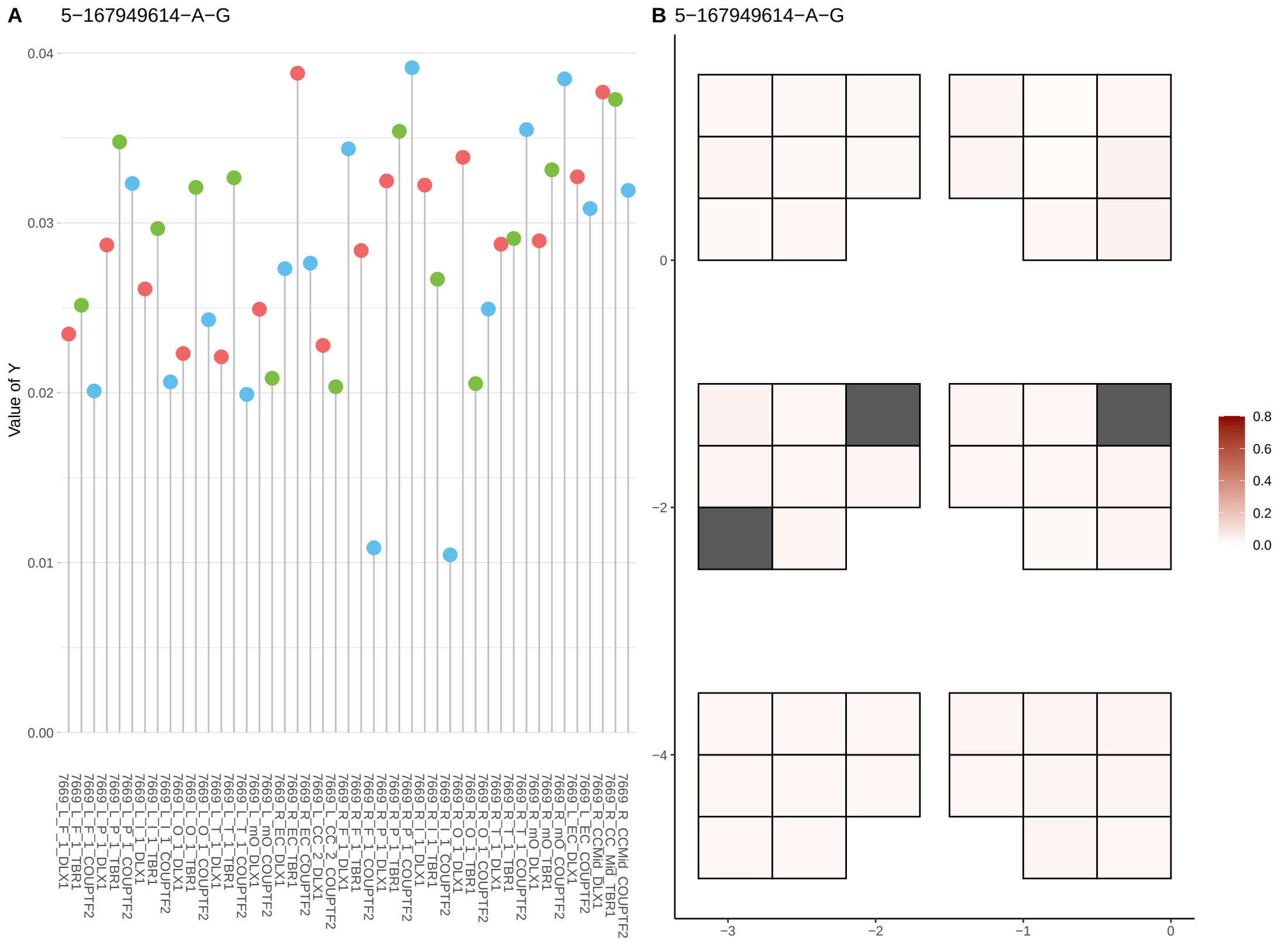
A
5−167949614−A−G
Value of Y
0.04
0.03
0.02
0.01
0.00
7669_L_F_1_DLX1
7669_L_F_1_TBR1
7669_L_F_1_COUPTF2
7669_L_P_1_DLX1
7669_L_P_1_TBR1
7669_L_P_1_COUPTF2
7669_L_I_1_DLX1
7669_L_I_1_TBR1
7669_L_I_1_COUPTF2
7669_L_O_1_DLX1
7669_L_O_1_TBR1
7669_L_O_1_COUPTF2
7669_L_T_1_DLX1
7669_L_T_1_TBR1
7669_L_T_1_COUPTF2
7669_L_mO_DLX1
7669_L_mO_COUPTF2
7669_R_EC_DLX1
7669_R_EC_TBR1
7669_R_EC_COUPTF2
7669_L_CC_2_DLX1
7669_L_CC_2_COUPTF2
7669_R_F_1_DLX1
7669_R_F_1_TBR1
7669_R_F_1_COUPTF2
7669_R_P_1_DLX1
7669_R_P_1_TBR1
7669_R_P_1_COUPTF2
7669_R_I_1_DLX1
7669_R_I_1_TBR1
7669_R_I_1_COUPTF2
7669_R_O_1_DLX1
7669_R_O_1_TBR1
7669_R_O_1_COUPTF2
7669_R_T_1_DLX1
7669_R_T_1_TBR1
7669_R_T_1_COUPTF2
7669_R_mO_DLX1
7669_R_mO_TBR1
7669_R_mO_COUPTF2
7669_L_EC_DLX1
7669_L_EC_COUPTF2
7669_R_CCMid_DLX1
7669_R_CC_Mid_TBR1
7669_R_CCMid_COUPTF2
B
5−167949614−A−G
0
−2
−4
−3
−2
−1
0
0.8
0.6
0.4
0.2
0.0

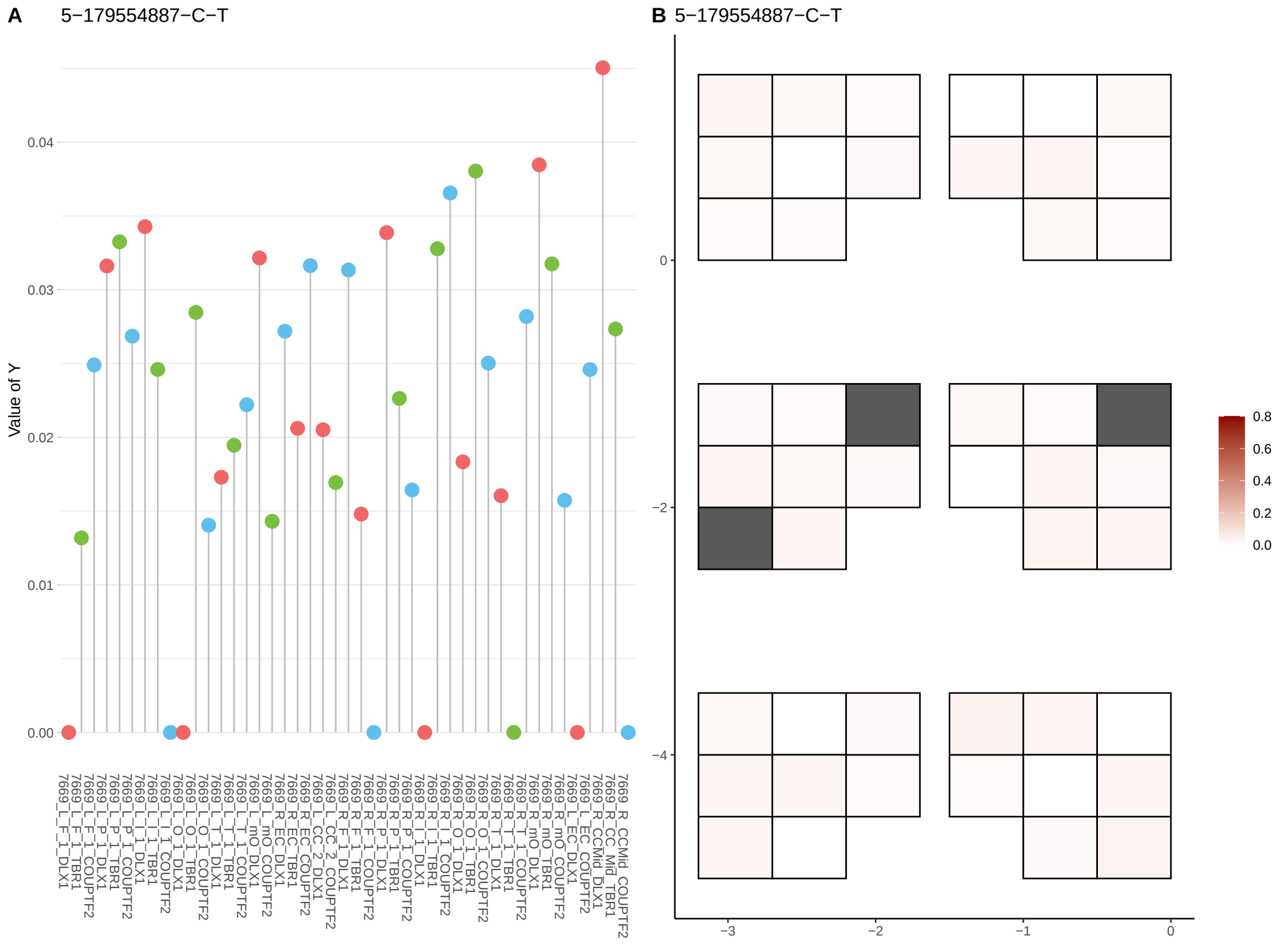
A
5−179554887−C−T
Value of Y
0.04
0.03
0.02
0.01
0.00
7669_L_F_1_DLX1
7669_L_F_1_TBR1
7669_L_F_1_COUPTF2
7669_L_P_1_DLX1
7669_L_P_1_TBR1
7669_L_P_1_COUPTF2
7669_L_I_1_DLX1
7669_L_I_1_TBR1
7669_L_I_1_COUPTF2
7669_L_O_1_DLX1
7669_L_O_1_TBR1
7669_L_O_1_COUPTF2
7669_L_T_1_DLX1
7669_L_T_1_TBR1
7669_L_T_1_COUPTF2
7669_L_mO_DLX1
7669_L_mO_COUPTF2
7669_R_EC_DLX1
7669_R_EC_TBR1
7669_R_EC_COUPTF2
7669_L_CC_2_DLX1
7669_L_CC_2_COUPTF2
7669_R_F_1_DLX1
7669_R_F_1_TBR1
7669_R_F_1_COUPTF2
7669_R_P_1_DLX1
7669_R_P_1_TBR1
7669_R_P_1_COUPTF2
7669_R_I_1_DLX1
7669_R_I_1_TBR1
7669_R_I_1_COUPTF2
7669_R_O_1_DLX1
7669_R_O_1_TBR1
7669_R_O_1_COUPTF2
7669_R_T_1_DLX1
7669_R_T_1_TBR1
7669_R_T_1_COUPTF2
7669_R_mO_DLX1
7669_R_mO_TBR1
7669_R_mO_COUPTF2
7669_L_EC_DLX1
7669_L_EC_COUPTF2
7669_R_CCMid_DLX1
7669_R_CC_Mid_TBR1
7669_R_CCMid_COUPTF2
B
5−179554887−C−T
0
−2
−4
−3
−2
−1
0
0.8
0.6
0.4
0.2
0.0

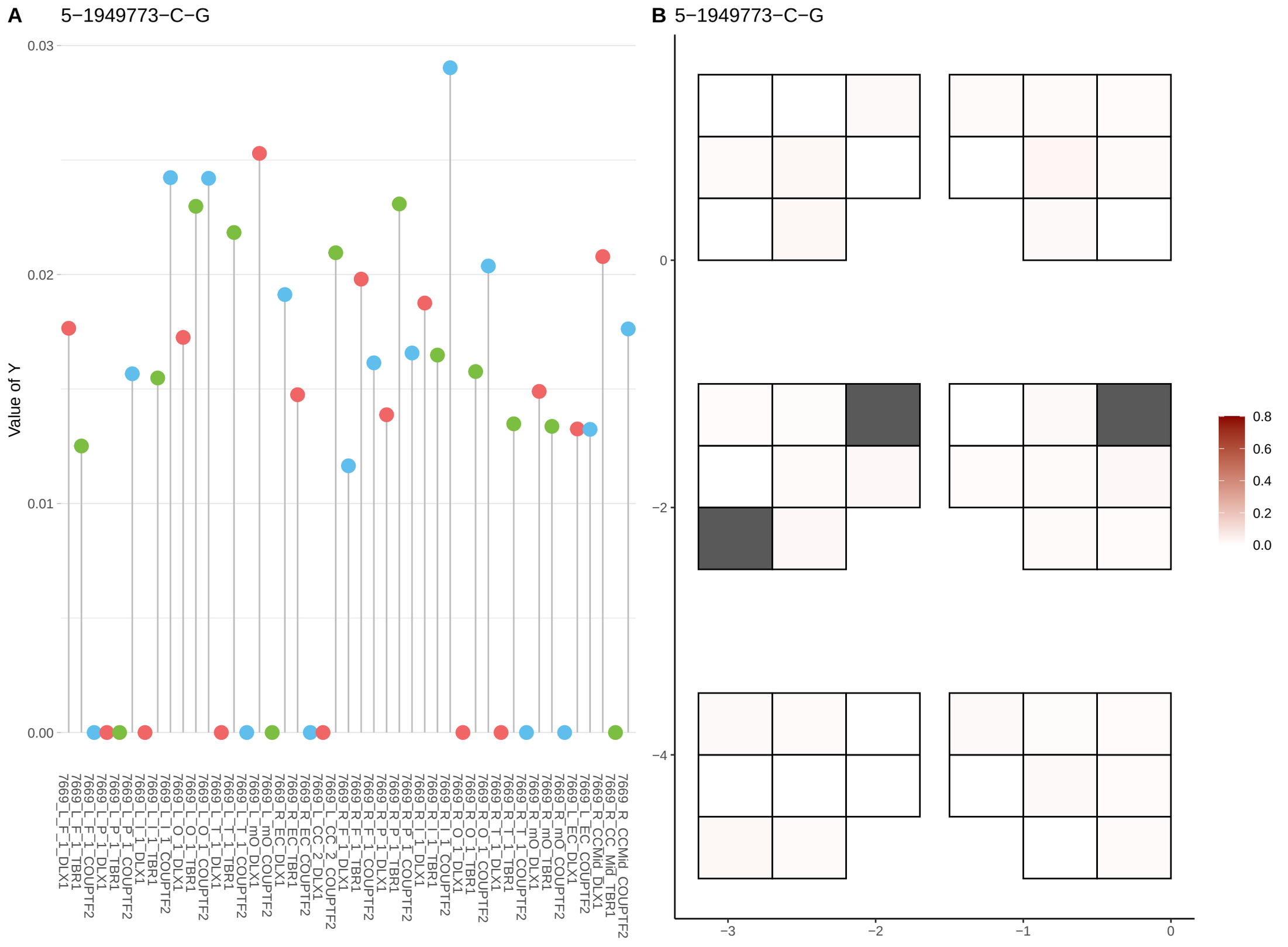
A
5−1949773−C−G
Value of Y
0.03
0.02
0.01
0.00
7669_L_F_1_DLX1
7669_L_F_1_TBR1
7669_L_F_1_COUPTF2
7669_L_P_1_DLX1
7669_L_P_1_TBR1
7669_L_P_1_COUPTF2
7669_L_I_1_DLX1
7669_L_I_1_TBR1
7669_L_I_1_COUPTF2
7669_L_O_1_DLX1
7669_L_O_1_TBR1
7669_L_O_1_COUPTF2
7669_L_T_1_DLX1
7669_L_T_1_TBR1
7669_L_T_1_COUPTF2
7669_L_mO_DLX1
7669_L_mO_COUPTF2
7669_R_EC_DLX1
7669_R_EC_TBR1
7669_R_EC_COUPTF2
7669_L_CC_2_DLX1
7669_L_CC_2_COUPTF2
7669_R_F_1_DLX1
7669_R_F_1_TBR1
7669_R_F_1_COUPTF2
7669_R_P_1_DLX1
7669_R_P_1_TBR1
7669_R_P_1_COUPTF2
7669_R_I_1_DLX1
7669_R_I_1_TBR1
7669_R_I_1_COUPTF2
7669_R_O_1_DLX1
7669_R_O_1_TBR1
7669_R_O_1_COUPTF2
7669_R_T_1_DLX1
7669_R_T_1_TBR1
7669_R_T_1_COUPTF2
7669_R_mO_DLX1
7669_R_mO_TBR1
7669_R_mO_COUPTF2
7669_L_EC_DLX1
7669_L_EC_COUPTF2
7669_R_CCMid_DLX1
7669_R_CC_Mid_TBR1
7669_R_CCMid_COUPTF2
B
5−1949773−C−G
0
−2
−4
−3
−2
−1
0
0.8
0.6
0.4
0.2
0.0

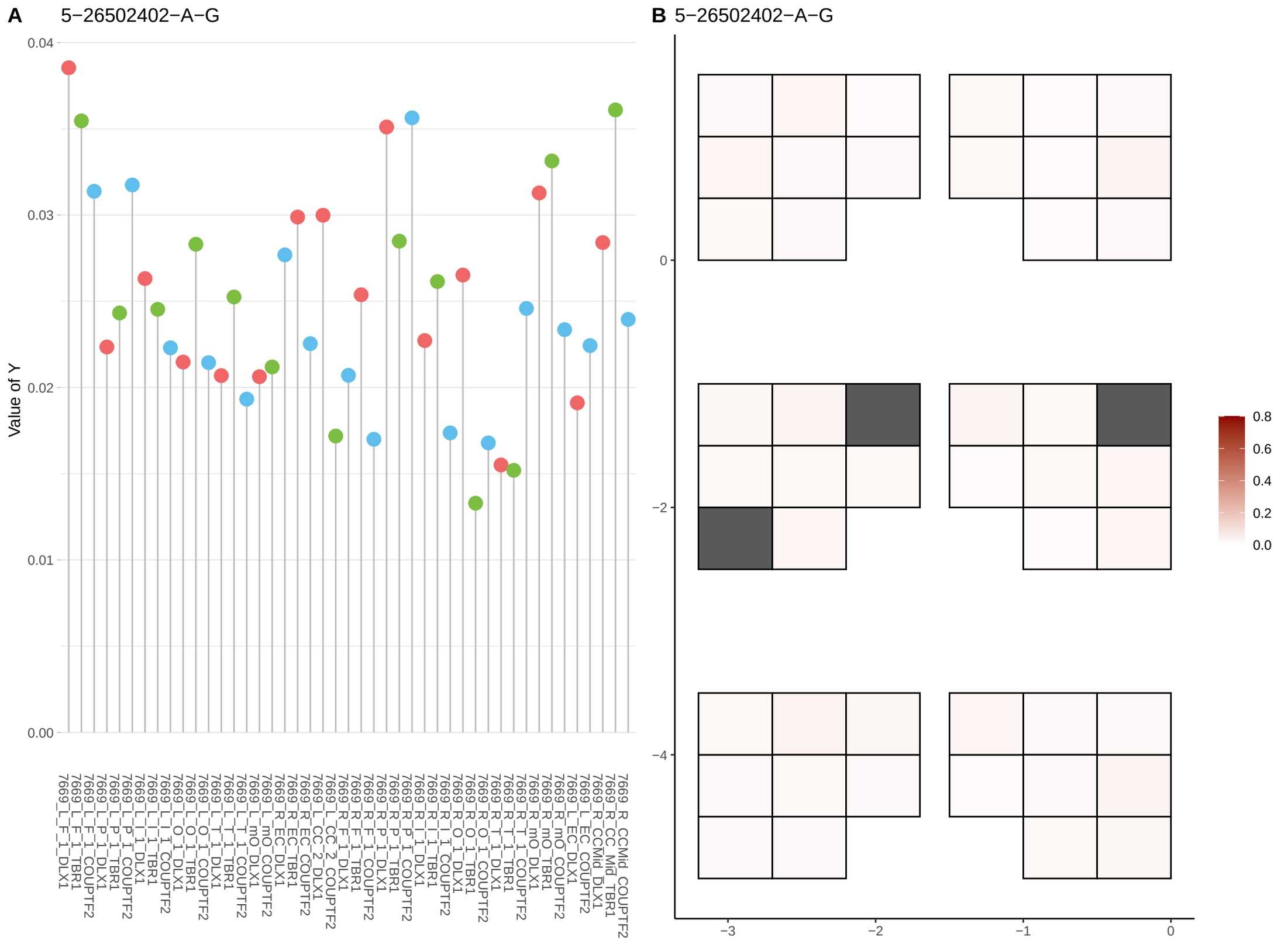
A
5−26502402−A−G
Value of Y
0.04
0.03
0.02
0.01
0.00
7669_L_F_1_DLX1
7669_L_F_1_TBR1
7669_L_F_1_COUPTF2
7669_L_P_1_DLX1
7669_L_P_1_TBR1
7669_L_P_1_COUPTF2
7669_L_I_1_DLX1
7669_L_I_1_TBR1
7669_L_I_1_COUPTF2
7669_L_O_1_DLX1
7669_L_O_1_TBR1
7669_L_O_1_COUPTF2
7669_L_T_1_DLX1
7669_L_T_1_TBR1
7669_L_T_1_COUPTF2
7669_L_mO_DLX1
7669_L_mO_COUPTF2
7669_R_EC_DLX1
7669_R_EC_TBR1
7669_R_EC_COUPTF2
7669_L_CC_2_DLX1
7669_L_CC_2_COUPTF2
7669_R_F_1_DLX1
7669_R_F_1_TBR1
7669_R_F_1_COUPTF2
7669_R_P_1_DLX1
7669_R_P_1_TBR1
7669_R_P_1_COUPTF2
7669_R_I_1_DLX1
7669_R_I_1_TBR1
7669_R_I_1_COUPTF2
7669_R_O_1_DLX1
7669_R_O_1_TBR1
7669_R_O_1_COUPTF2
7669_R_T_1_DLX1
7669_R_T_1_TBR1
7669_R_T_1_COUPTF2
7669_R_mO_DLX1
7669_R_mO_TBR1
7669_R_mO_COUPTF2
7669_L_EC_DLX1
7669_L_EC_COUPTF2
7669_R_CCMid_DLX1
7669_R_CC_Mid_TBR1
7669_R_CCMid_COUPTF2
B
5−26502402−A−G
0
−2
−4
−3
−2
−1
0
0.8
0.6
0.4
0.2
0.0

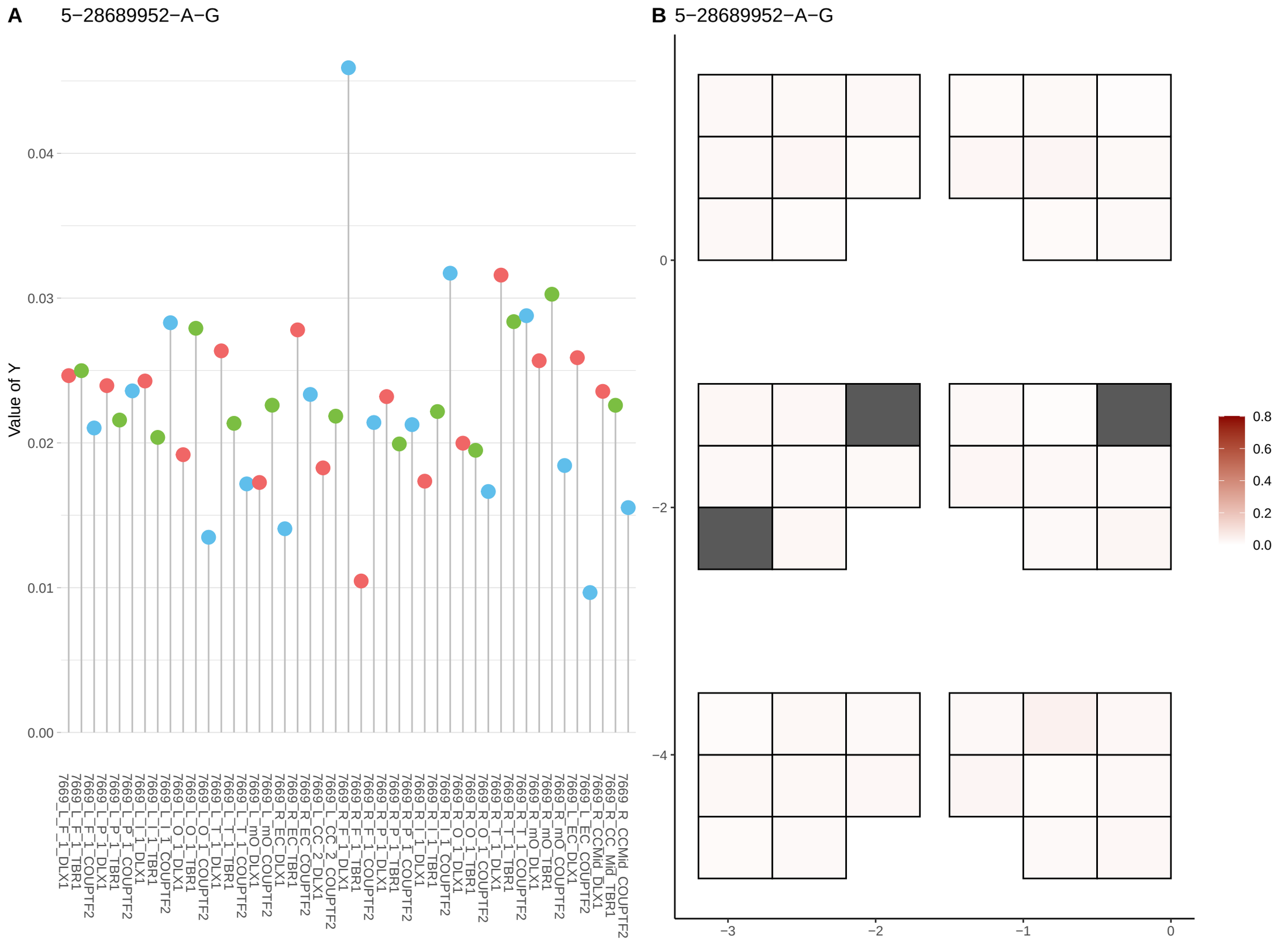
A
5−28689952−A−G
Value of Y
0.04
0.03
0.02
0.01
0.00
7669_L_F_1_DLX1
7669_L_F_1_TBR1
7669_L_F_1_COUPTF2
7669_L_P_1_DLX1
7669_L_P_1_TBR1
7669_L_P_1_COUPTF2
7669_L_I_1_DLX1
7669_L_I_1_TBR1
7669_L_I_1_COUPTF2
7669_L_O_1_DLX1
7669_L_O_1_TBR1
7669_L_O_1_COUPTF2
7669_L_T_1_DLX1
7669_L_T_1_TBR1
7669_L_T_1_COUPTF2
7669_L_mO_DLX1
7669_L_mO_COUPTF2
7669_R_EC_DLX1
7669_R_EC_TBR1
7669_R_EC_COUPTF2
7669_L_CC_2_DLX1
7669_L_CC_2_COUPTF2
7669_R_F_1_DLX1
7669_R_F_1_TBR1
7669_R_F_1_COUPTF2
7669_R_P_1_DLX1
7669_R_P_1_TBR1
7669_R_P_1_COUPTF2
7669_R_I_1_DLX1
7669_R_I_1_TBR1
7669_R_I_1_COUPTF2
7669_R_O_1_DLX1
7669_R_O_1_TBR1
7669_R_O_1_COUPTF2
7669_R_T_1_DLX1
7669_R_T_1_TBR1
7669_R_T_1_COUPTF2
7669_R_mO_DLX1
7669_R_mO_TBR1
7669_R_mO_COUPTF2
7669_L_EC_DLX1
7669_L_EC_COUPTF2
7669_R_CCMid_DLX1
7669_R_CC_Mid_TBR1
7669_R_CCMid_COUPTF2
B
5−28689952−A−G
0
−2
−4
−3
−2
−1
0
0.8
0.6
0.4
0.2
0.0

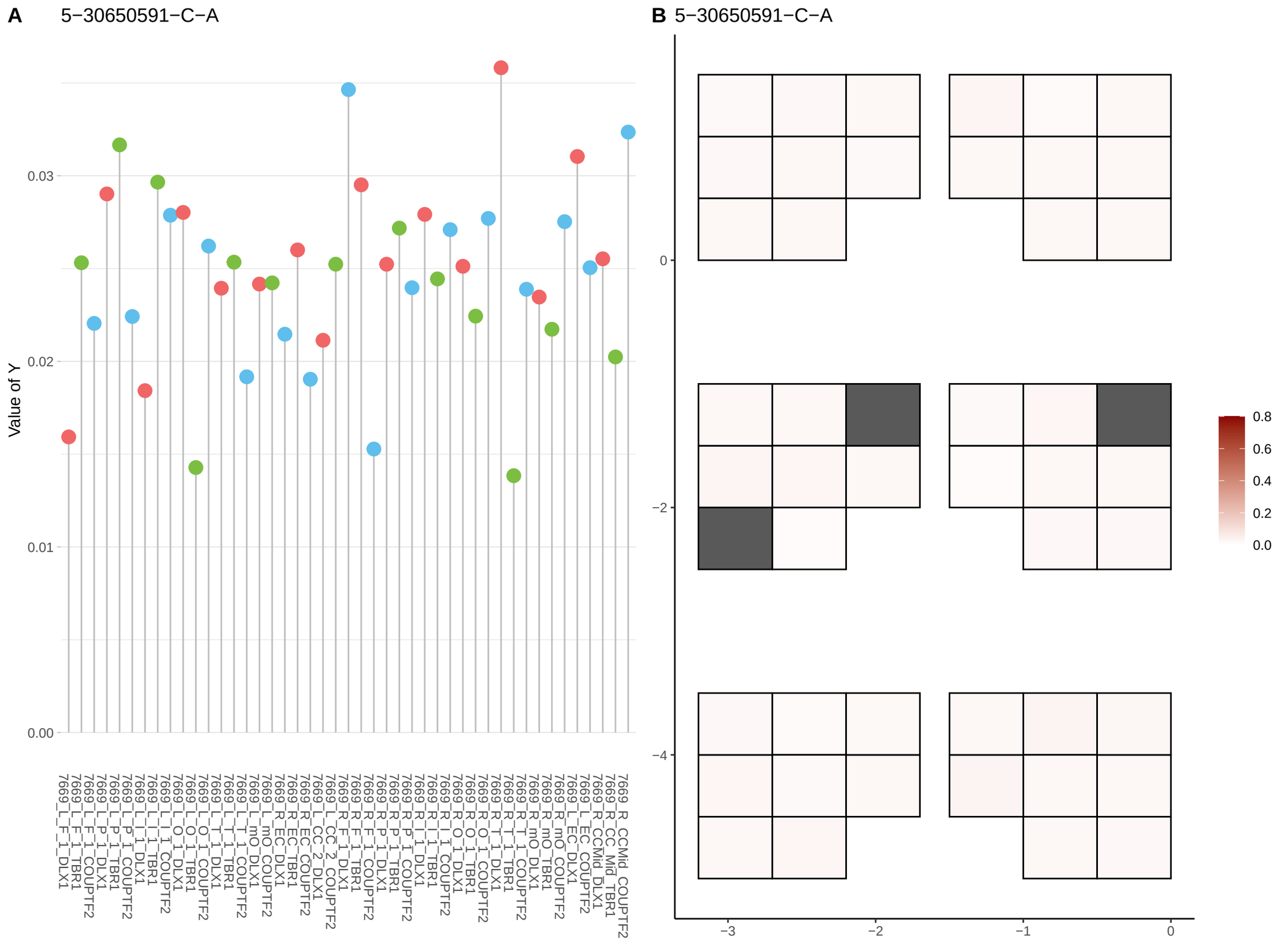
A
5−30650591−C−A
Value of Y
0.03
0.02
0.01
0.00
7669_L_F_1_DLX1
7669_L_F_1_TBR1
7669_L_F_1_COUPTF2
7669_L_P_1_DLX1
7669_L_P_1_TBR1
7669_L_P_1_COUPTF2
7669_L_I_1_DLX1
7669_L_I_1_TBR1
7669_L_I_1_COUPTF2
7669_L_O_1_DLX1
7669_L_O_1_TBR1
7669_L_O_1_COUPTF2
7669_L_T_1_DLX1
7669_L_T_1_TBR1
7669_L_T_1_COUPTF2
7669_L_mO_DLX1
7669_L_mO_COUPTF2
7669_R_EC_DLX1
7669_R_EC_TBR1
7669_R_EC_COUPTF2
7669_L_CC_2_DLX1
7669_L_CC_2_COUPTF2
7669_R_F_1_DLX1
7669_R_F_1_TBR1
7669_R_F_1_COUPTF2
7669_R_P_1_DLX1
7669_R_P_1_TBR1
7669_R_P_1_COUPTF2
7669_R_I_1_DLX1
7669_R_I_1_TBR1
7669_R_I_1_COUPTF2
7669_R_O_1_DLX1
7669_R_O_1_TBR1
7669_R_O_1_COUPTF2
7669_R_T_1_DLX1
7669_R_T_1_TBR1
7669_R_T_1_COUPTF2
7669_R_mO_DLX1
7669_R_mO_TBR1
7669_R_mO_COUPTF2
7669_L_EC_DLX1
7669_L_EC_COUPTF2
7669_R_CCMid_DLX1
7669_R_CC_Mid_TBR1
7669_R_CCMid_COUPTF2
B
5−30650591−C−A
0
−2
−4
−3
−2
−1
0
0.8
0.6
0.4
0.2
0.0

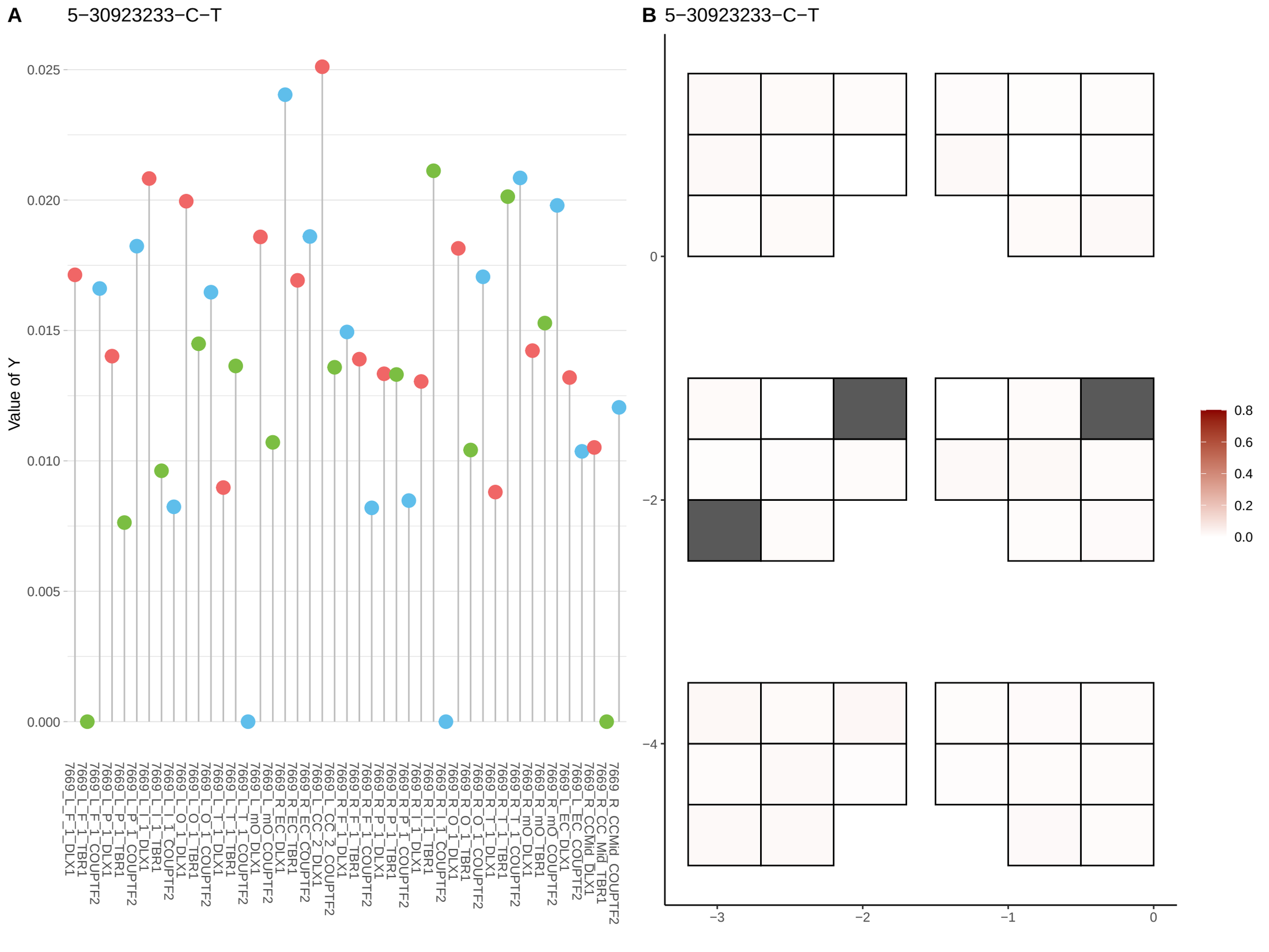
A
5−30923233−C−T
Value of Y
0.025
0.020
0.015
0.010
0.005
0.000
7669_L_F_1_DLX1
7669_L_F_1_TBR1
7669_L_F_1_COUPTF2
7669_L_P_1_DLX1
7669_L_P_1_TBR1
7669_L_P_1_COUPTF2
7669_L_I_1_DLX1
7669_L_I_1_TBR1
7669_L_I_1_COUPTF2
7669_L_O_1_DLX1
7669_L_O_1_TBR1
7669_L_O_1_COUPTF2
7669_L_T_1_DLX1
7669_L_T_1_TBR1
7669_L_T_1_COUPTF2
7669_L_mO_DLX1
7669_L_mO_COUPTF2
7669_R_EC_DLX1
7669_R_EC_TBR1
7669_R_EC_COUPTF2
7669_L_CC_2_DLX1
7669_L_CC_2_COUPTF2
7669_R_F_1_DLX1
7669_R_F_1_TBR1
7669_R_F_1_COUPTF2
7669_R_P_1_DLX1
7669_R_P_1_TBR1
7669_R_P_1_COUPTF2
7669_R_I_1_DLX1
7669_R_I_1_TBR1
7669_R_I_1_COUPTF2
7669_R_O_1_DLX1
7669_R_O_1_TBR1
7669_R_O_1_COUPTF2
7669_R_T_1_DLX1
7669_R_T_1_TBR1
7669_R_T_1_COUPTF2
7669_R_mO_DLX1
7669_R_mO_TBR1
7669_R_mO_COUPTF2
7669_L_EC_DLX1
7669_L_EC_COUPTF2
7669_R_CCMid_DLX1
7669_R_CC_Mid_TBR1
7669_R_CCMid_COUPTF2
B
5−30923233−C−T
0
−2
−4
−3
−2
−1
0
0.8
0.6
0.4
0.2
0.0

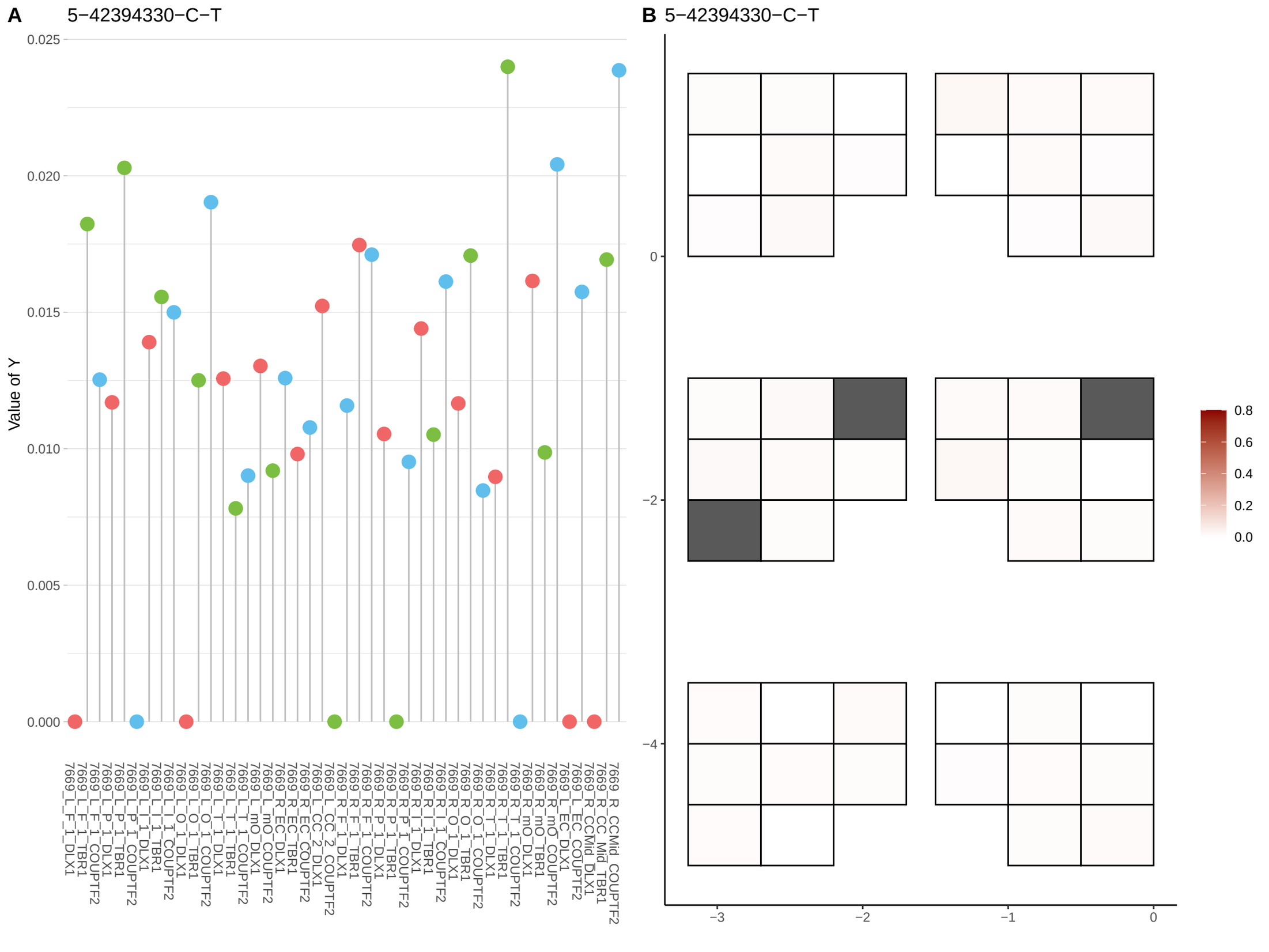
A
5−42394330−C−T
Value of Y
0.025
0.020
0.015
0.010
0.005
0.000
7669_L_F_1_DLX1
7669_L_F_1_TBR1
7669_L_F_1_COUPTF2
7669_L_P_1_DLX1
7669_L_P_1_TBR1
7669_L_P_1_COUPTF2
7669_L_I_1_DLX1
7669_L_I_1_TBR1
7669_L_I_1_COUPTF2
7669_L_O_1_DLX1
7669_L_O_1_TBR1
7669_L_O_1_COUPTF2
7669_L_T_1_DLX1
7669_L_T_1_TBR1
7669_L_T_1_COUPTF2
7669_L_mO_DLX1
7669_L_mO_COUPTF2
7669_R_EC_DLX1
7669_R_EC_TBR1
7669_R_EC_COUPTF2
7669_L_CC_2_DLX1
7669_L_CC_2_COUPTF2
7669_R_F_1_DLX1
7669_R_F_1_TBR1
7669_R_F_1_COUPTF2
7669_R_P_1_DLX1
7669_R_P_1_TBR1
7669_R_P_1_COUPTF2
7669_R_I_1_DLX1
7669_R_I_1_TBR1
7669_R_I_1_COUPTF2
7669_R_O_1_DLX1
7669_R_O_1_TBR1
7669_R_O_1_COUPTF2
7669_R_T_1_DLX1
7669_R_T_1_TBR1
7669_R_T_1_COUPTF2
7669_R_mO_DLX1
7669_R_mO_TBR1
7669_R_mO_COUPTF2
7669_L_EC_DLX1
7669_L_EC_COUPTF2
7669_R_CC_Mid_DLX1
7669_R_CC_Mid_TBR1
7669_R_CCMid_COUPTF2
B
5−42394330−C−T
0
−2
−4
−3
−2
−1
0
0.8
0.6
0.4
0.2
0.0

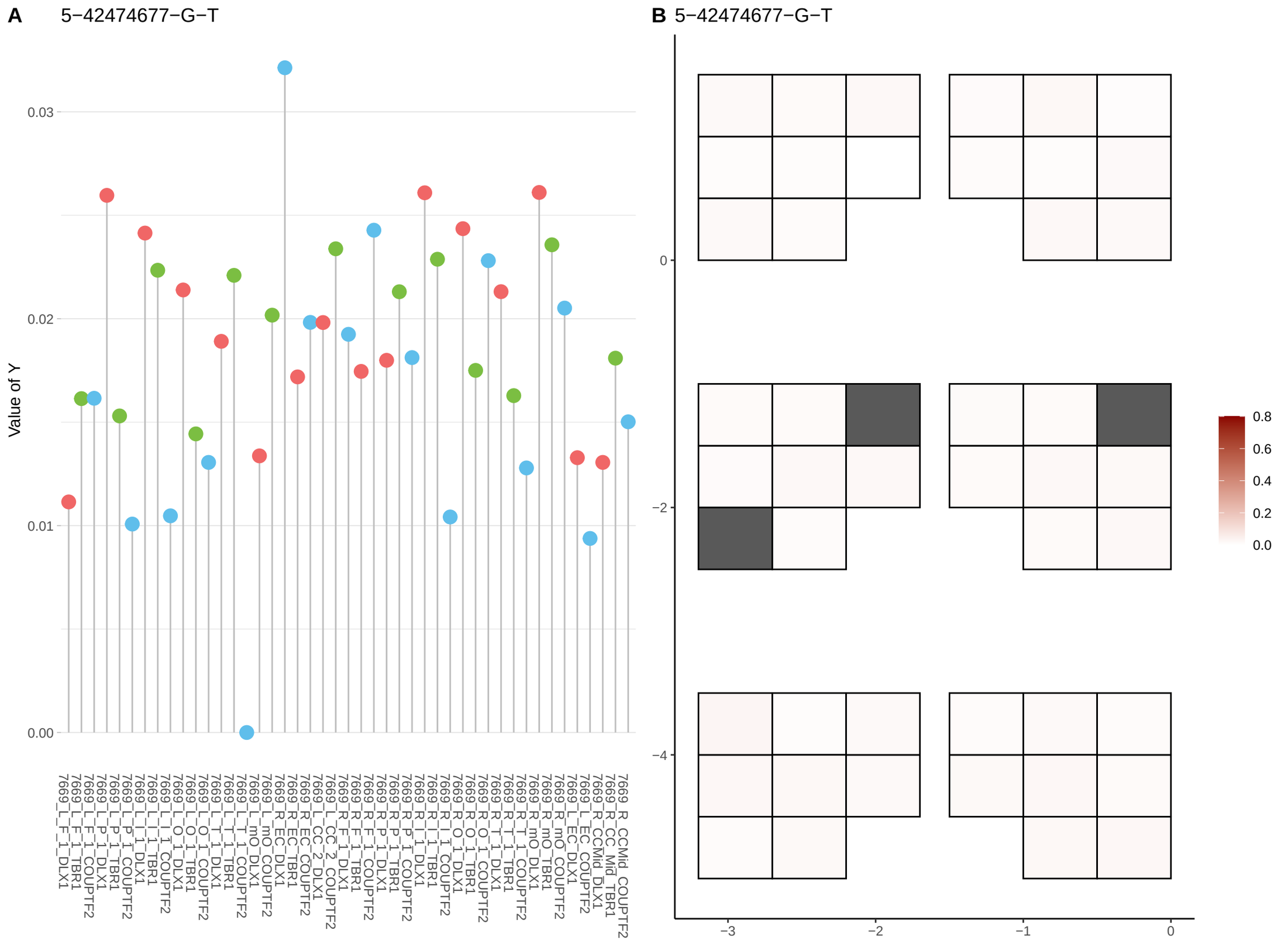
A
5−42474677−G−T
Value of Y
0.03
0.02
0.01
0.00
7669_L_F_1_DLX1
7669_L_F_1_TBR1
7669_L_F_1_COUPTF2
7669_L_P_1_DLX1
7669_L_P_1_TBR1
7669_L_P_1_COUPTF2
7669_L_I_1_DLX1
7669_L_I_1_TBR1
7669_L_I_1_COUPTF2
7669_L_O_1_DLX1
7669_L_O_1_TBR1
7669_L_O_1_COUPTF2
7669_L_T_1_DLX1
7669_L_T_1_TBR1
7669_L_T_1_COUPTF2
7669_L_mO_DLX1
7669_L_mO_COUPTF2
7669_R_EC_DLX1
7669_R_EC_TBR1
7669_R_EC_COUPTF2
7669_L_CC_2_DLX1
7669_L_CC_2_COUPTF2
7669_R_F_1_DLX1
7669_R_F_1_TBR1
7669_R_F_1_COUPTF2
7669_R_P_1_DLX1
7669_R_P_1_TBR1
7669_R_P_1_COUPTF2
7669_R_I_1_DLX1
7669_R_I_1_TBR1
7669_R_I_1_COUPTF2
7669_R_O_1_DLX1
7669_R_O_1_TBR1
7669_R_O_1_COUPTF2
7669_R_T_1_DLX1
7669_R_T_1_TBR1
7669_R_T_1_COUPTF2
7669_R_mO_DLX1
7669_R_mO_TBR1
7669_R_mO_COUPTF2
7669_L_EC_DLX1
7669_L_EC_COUPTF2
7669_R_CCMid_DLX1
7669_R_CC_Mid_TBR1
7669_R_CCMid_COUPTF2
B
5−42474677−G−T
0
−2
−4
−3
−2
−1
0
0.8
0.6
0.4
0.2
0.0

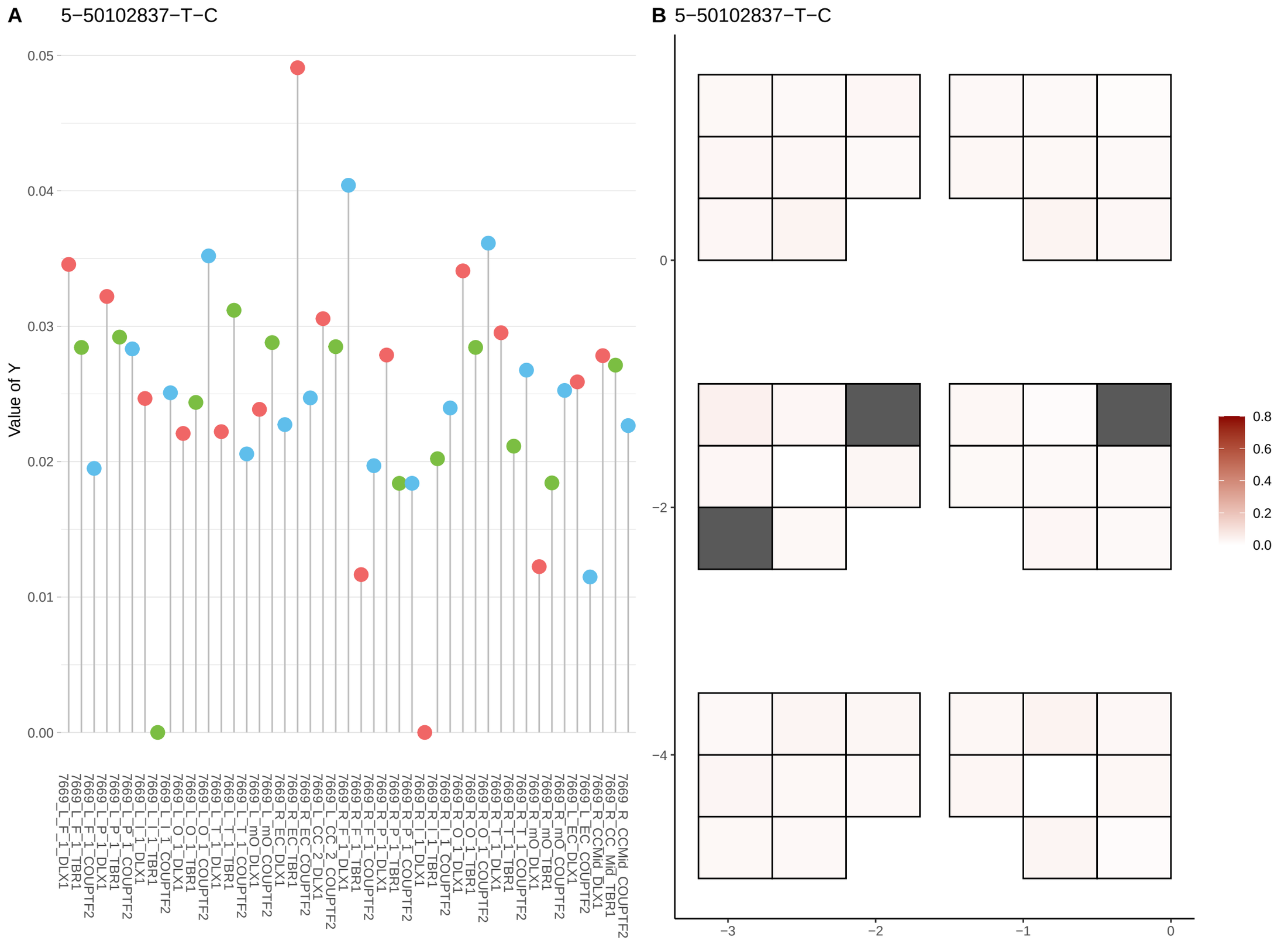
A
5−50102837−T−C
Value of Y
0.05
0.04
0.03
0.02
0.01
0.00
7669_L_F_1_DLX1
7669_L_F_1_TBR1
7669_L_F_1_COUPTF2
7669_L_P_1_DLX1
7669_L_P_1_TBR1
7669_L_P_1_COUPTF2
7669_L_I_1_DLX1
7669_L_I_1_TBR1
7669_L_I_1_COUPTF2
7669_L_O_1_DLX1
7669_L_O_1_TBR1
7669_L_O_1_COUPTF2
7669_L_T_1_DLX1
7669_L_T_1_TBR1
7669_L_T_1_COUPTF2
7669_L_mO_DLX1
7669_L_mO_COUPTF2
7669_R_EC_DLX1
7669_R_EC_TBR1
7669_R_EC_COUPTF2
7669_L_CC_2_DLX1
7669_L_CC_2_COUPTF2
7669_R_F_1_DLX1
7669_R_F_1_TBR1
7669_R_F_1_COUPTF2
7669_R_P_1_DLX1
7669_R_P_1_TBR1
7669_R_P_1_COUPTF2
7669_R_I_1_DLX1
7669_R_I_1_TBR1
7669_R_I_1_COUPTF2
7669_R_O_1_DLX1
7669_R_O_1_TBR1
7669_R_O_1_COUPTF2
7669_R_T_1_DLX1
7669_R_T_1_TBR1
7669_R_T_1_COUPTF2
7669_R_mO_DLX1
7669_R_mO_TBR1
7669_R_mO_COUPTF2
7669_L_EC_DLX1
7669_L_EC_COUPTF2
7669_R_CCMid_DLX1
7669_R_CC_Mid_TBR1
7669_R_CCMid_COUPTF2
B
5−50102837−T−C
0
−2
−4
−3
−2
−1
0
0.8
0.6
0.4
0.2
0.0

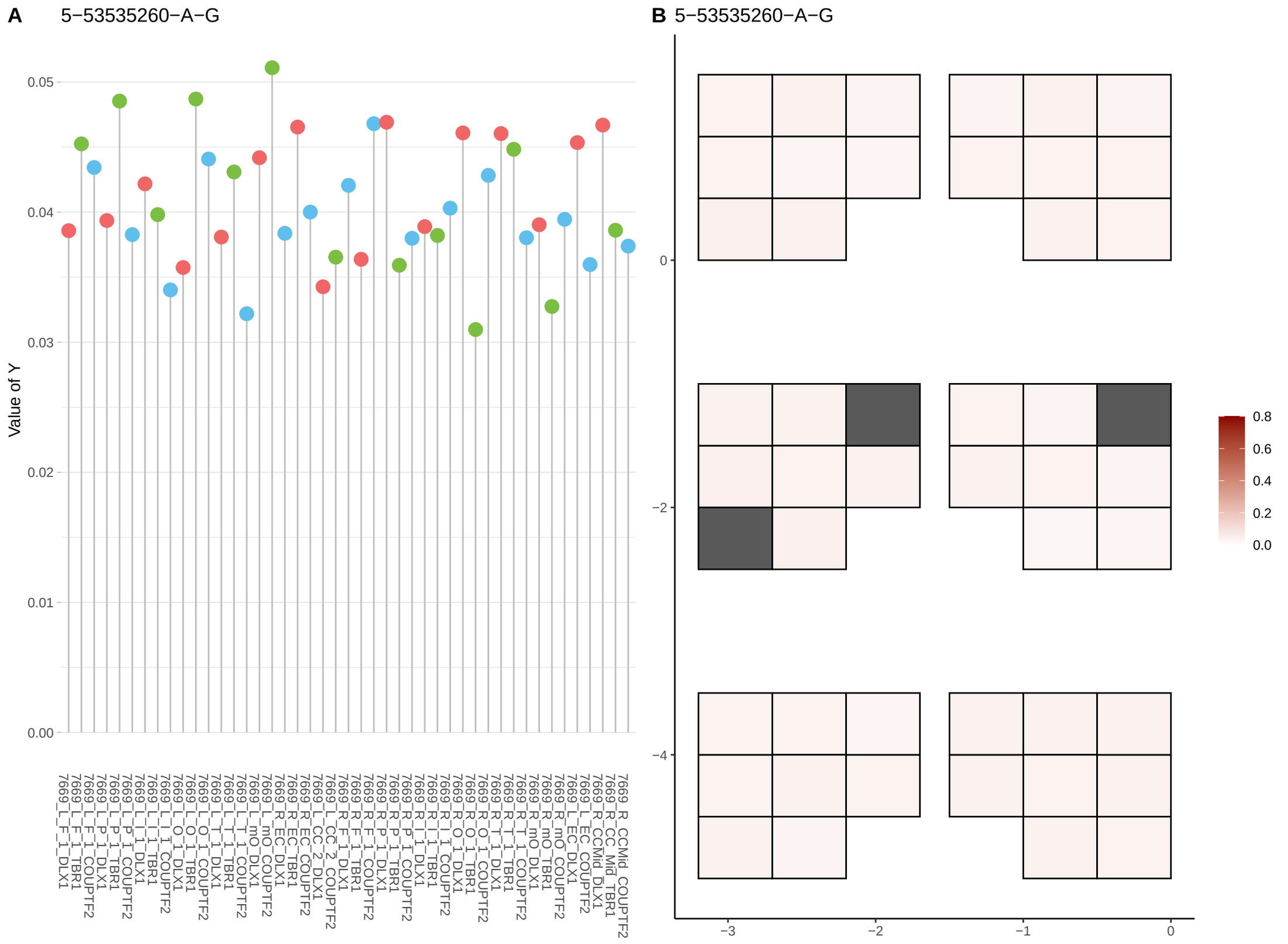
A
5−53535260−A−G
Value of Y
0.05
0.04
0.03
0.02
0.01
0.00
7669_L_F_1_DLX1
7669_L_F_1_TBR1
7669_L_F_1_COUPTF2
7669_L_P_1_DLX1
7669_L_P_1_TBR1
7669_L_P_1_COUPTF2
7669_L_I_1_DLX1
7669_L_I_1_TBR1
7669_L_I_1_COUPTF2
7669_L_O_1_DLX1
7669_L_O_1_TBR1
7669_L_O_1_COUPTF2
7669_L_T_1_DLX1
7669_L_T_1_TBR1
7669_L_T_1_COUPTF2
7669_L_mO_DLX1
7669_L_mO_COUPTF2
7669_R_EC_DLX1
7669_R_EC_TBR1
7669_R_EC_COUPTF2
7669_L_CC_2_DLX1
7669_L_CC_2_COUPTF2
7669_R_F_1_DLX1
7669_R_F_1_TBR1
7669_R_F_1_COUPTF2
7669_R_P_1_DLX1
7669_R_P_1_TBR1
7669_R_P_1_COUPTF2
7669_R_I_1_DLX1
7669_R_I_1_TBR1
7669_R_I_1_COUPTF2
7669_R_O_1_DLX1
7669_R_O_1_TBR1
7669_R_O_1_COUPTF2
7669_R_T_1_DLX1
7669_R_T_1_TBR1
7669_R_T_1_COUPTF2
7669_R_mO_DLX1
7669_R_mO_TBR1
7669_R_mO_COUPTF2
7669_L_EC_DLX1
7669_L_EC_COUPTF2
7669_R_CCMid_DLX1
7669_R_CC_Mid_TBR1
7669_R_CCMid_COUPTF2
B
5−53535260−A−G
0
−2
−4
−3
−2
−1
0
0.8
0.6
0.4
0.2
0.0

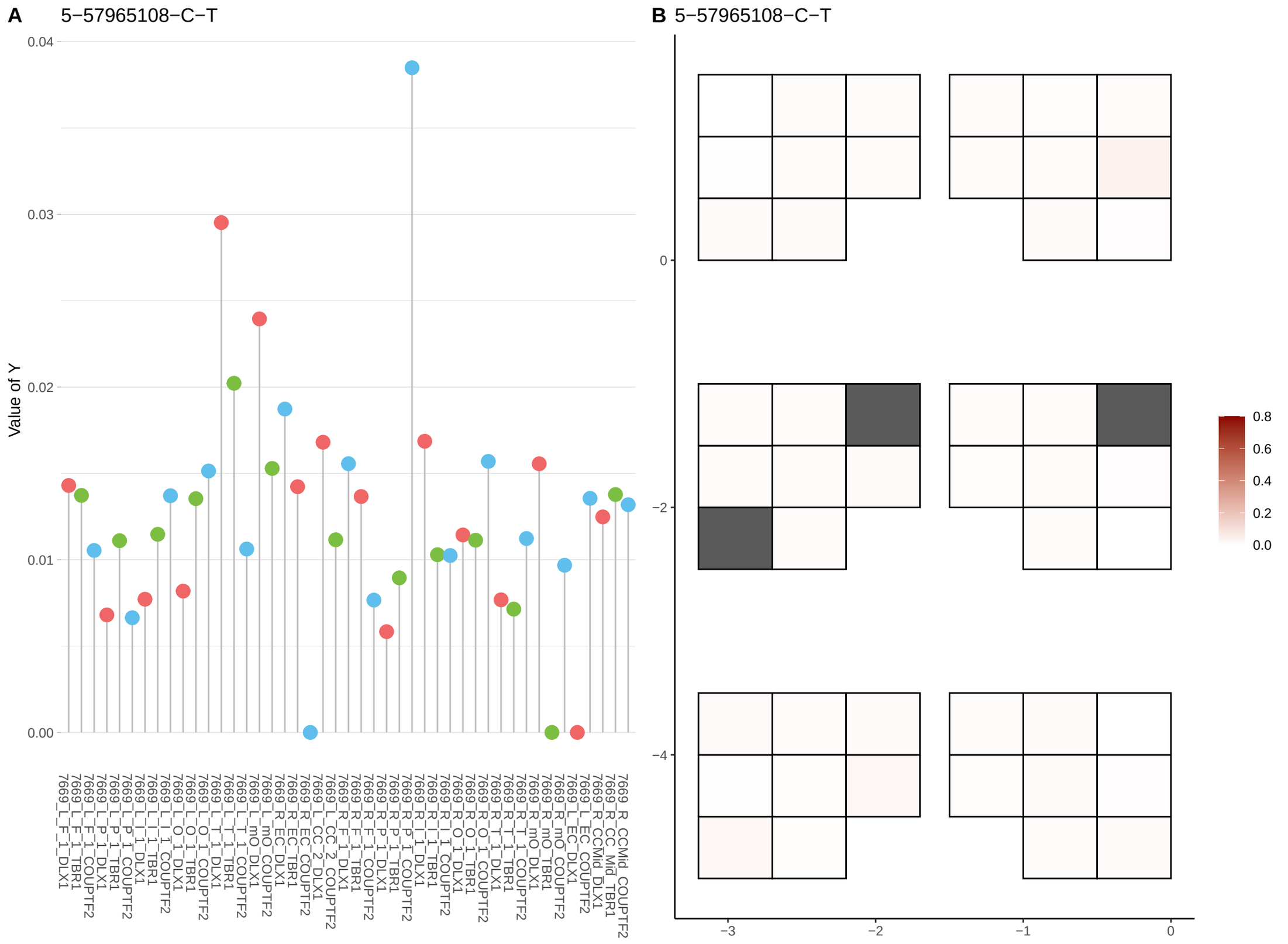
A
5−57965108−C−T
Value of Y
0.04
0.03
0.02
0.01
0.00
7669_L_F_1_DLX1
7669_L_F_1_TBR1
7669_L_F_1_COUPTF2
7669_L_P_1_DLX1
7669_L_P_1_TBR1
7669_L_P_1_COUPTF2
7669_L_I_1_DLX1
7669_L_I_1_TBR1
7669_L_I_1_COUPTF2
7669_L_O_1_DLX1
7669_L_O_1_TBR1
7669_L_O_1_COUPTF2
7669_L_T_1_DLX1
7669_L_T_1_TBR1
7669_L_T_1_COUPTF2
7669_L_mO_DLX1
7669_L_mO_COUPTF2
7669_R_EC_DLX1
7669_R_EC_TBR1
7669_R_EC_COUPTF2
7669_L_CC_2_DLX1
7669_L_CC_2_COUPTF2
7669_R_F_1_DLX1
7669_R_F_1_TBR1
7669_R_F_1_COUPTF2
7669_R_P_1_DLX1
7669_R_P_1_TBR1
7669_R_P_1_COUPTF2
7669_R_I_1_DLX1
7669_R_I_1_TBR1
7669_R_I_1_COUPTF2
7669_R_O_1_DLX1
7669_R_O_1_TBR1
7669_R_O_1_COUPTF2
7669_R_T_1_DLX1
7669_R_T_1_TBR1
7669_R_T_1_COUPTF2
7669_R_mO_DLX1
7669_R_mO_TBR1
7669_R_mO_COUPTF2
7669_L_EC_DLX1
7669_L_EC_COUPTF2
7669_R_CCMid_DLX1
7669_R_CC_Mid_TBR1
7669_R_CCMid_COUPTF2
B
5−57965108−C−T
0
−2
−4
−3
−2
−1
0
0.8
0.6
0.4
0.2
0.0

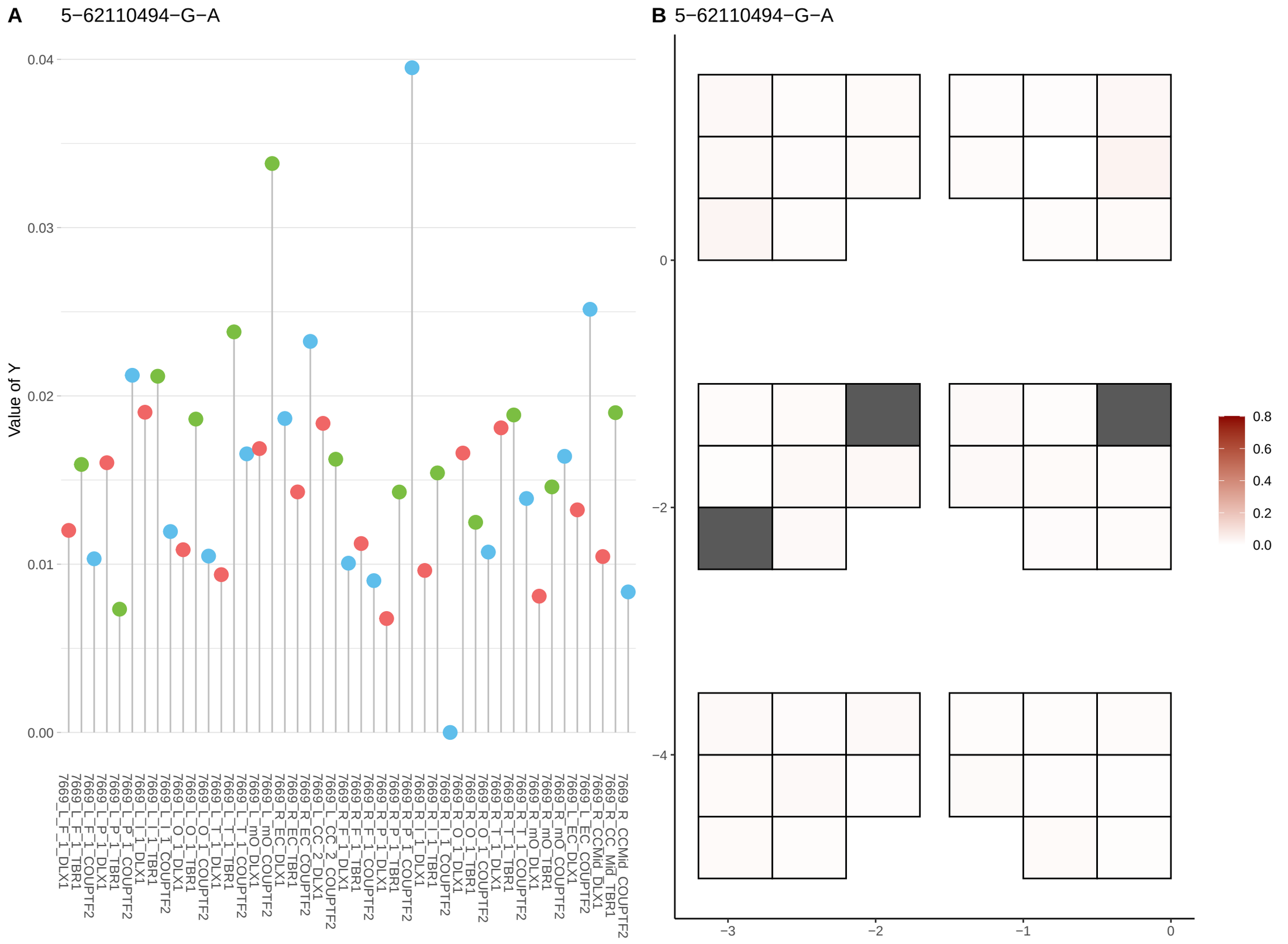
A
5−62110494−G−A
Value of Y
0.04
0.03
0.02
0.01
0.00
7669_L_F_1_DLX1
7669_L_F_1_TBR1
7669_L_F_1_COUPTF2
7669_L_P_1_DLX1
7669_L_P_1_TBR1
7669_L_P_1_COUPTF2
7669_L_I_1_DLX1
7669_L_I_1_TBR1
7669_L_I_1_COUPTF2
7669_L_O_1_DLX1
7669_L_O_1_TBR1
7669_L_O_1_COUPTF2
7669_L_T_1_DLX1
7669_L_T_1_TBR1
7669_L_T_1_COUPTF2
7669_L_mO_DLX1
7669_L_mO_COUPTF2
7669_R_EC_DLX1
7669_R_EC_TBR1
7669_R_EC_COUPTF2
7669_L_CC_2_DLX1
7669_L_CC_2_COUPTF2
7669_R_F_1_DLX1
7669_R_F_1_TBR1
7669_R_F_1_COUPTF2
7669_R_P_1_DLX1
7669_R_P_1_TBR1
7669_R_P_1_COUPTF2
7669_R_I_1_DLX1
7669_R_I_1_TBR1
7669_R_I_1_COUPTF2
7669_R_O_1_DLX1
7669_R_O_1_TBR1
7669_R_O_1_COUPTF2
7669_R_T_1_DLX1
7669_R_T_1_TBR1
7669_R_T_1_COUPTF2
7669_R_mO_DLX1
7669_R_mO_TBR1
7669_R_mO_COUPTF2
7669_L_EC_DLX1
7669_L_EC_COUPTF2
7669_R_CCMid_DLX1
7669_R_CC_Mid_TBR1
7669_R_CCMid_COUPTF2
B
5−62110494−G−A
0
−2
−4
−3
−2
−1
0
0.8
0.6
0.4
0.2
0.0

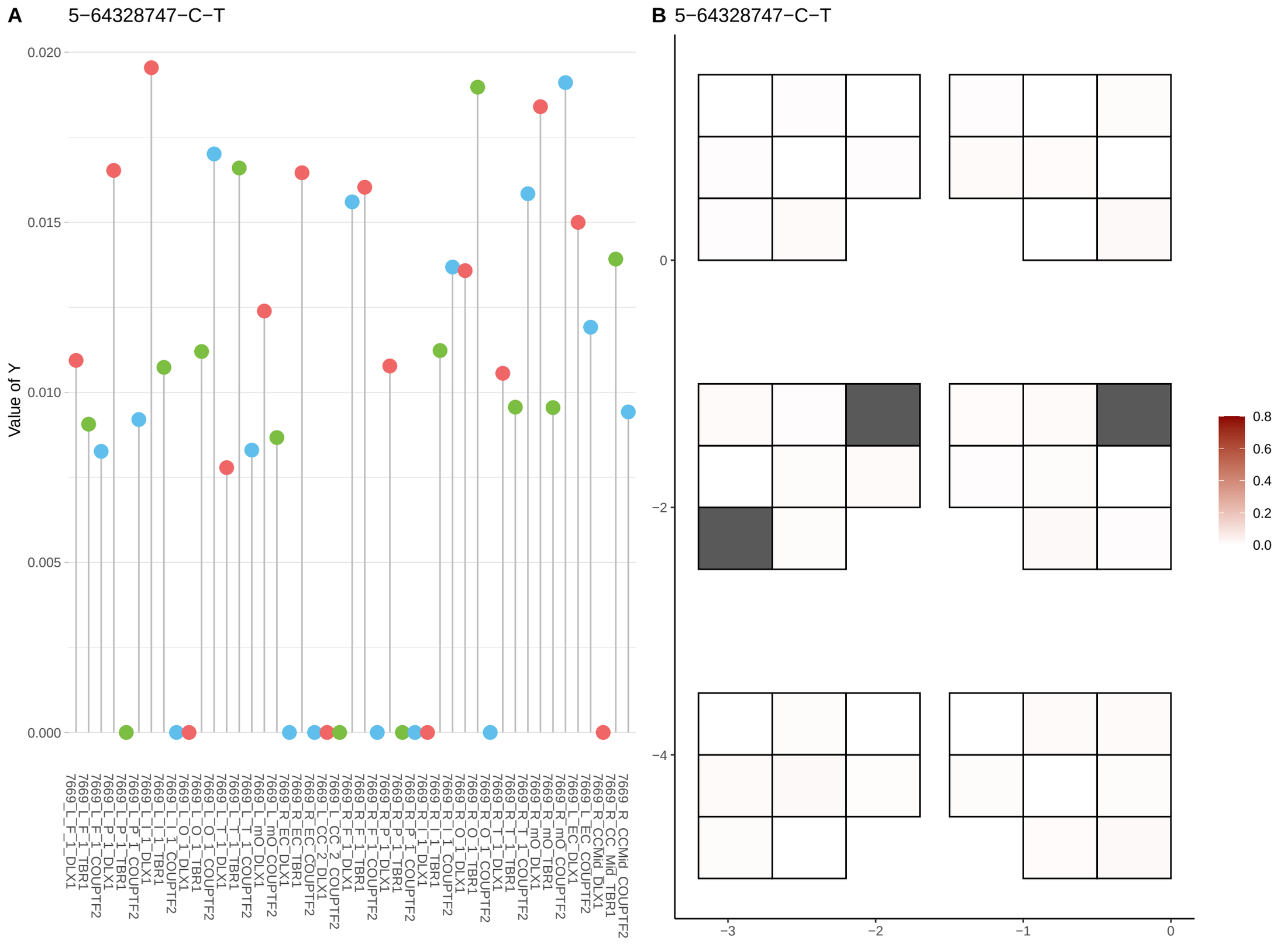
A
5−64328747−C−T
Value of Y
0.020
0.015
0.010
0.005
0.000
7669_L_F_1_DLX1
7669_L_F_1_TBR1
7669_L_F_1_COUPTF2
7669_L_P_1_DLX1
7669_L_P_1_TBR1
7669_L_P_1_COUPTF2
7669_L_I_1_DLX1
7669_L_I_1_TBR1
7669_L_I_1_COUPTF2
7669_L_O_1_DLX1
7669_L_O_1_TBR1
7669_L_O_1_COUPTF2
7669_L_T_1_DLX1
7669_L_T_1_TBR1
7669_L_T_1_COUPTF2
7669_L_mO_DLX1
7669_L_mO_COUPTF2
7669_R_EC_DLX1
7669_R_EC_TBR1
7669_R_EC_COUPTF2
7669_L_CC_2_DLX1
7669_L_CC_2_COUPTF2
7669_R_F_1_DLX1
7669_R_F_1_TBR1
7669_R_F_1_COUPTF2
7669_R_P_1_DLX1
7669_R_P_1_TBR1
7669_R_P_1_COUPTF2
7669_R_I_1_DLX1
7669_R_I_1_TBR1
7669_R_I_1_COUPTF2
7669_R_O_1_DLX1
7669_R_O_1_TBR1
7669_R_O_1_COUPTF2
7669_R_T_1_DLX1
7669_R_T_1_TBR1
7669_R_T_1_COUPTF2
7669_R_mO_DLX1
7669_R_mO_TBR1
7669_R_mO_COUPTF2
7669_L_EC_DLX1
7669_L_EC_COUPTF2
7669_R_CCMid_DLX1
7669_R_CC_Mid_TBR1
7669_R_CCMid_COUPTF2
B
5−64328747−C−T
0
−2
−4
−3
−2
−1
0
0.8
0.6
0.4
0.2
0.0

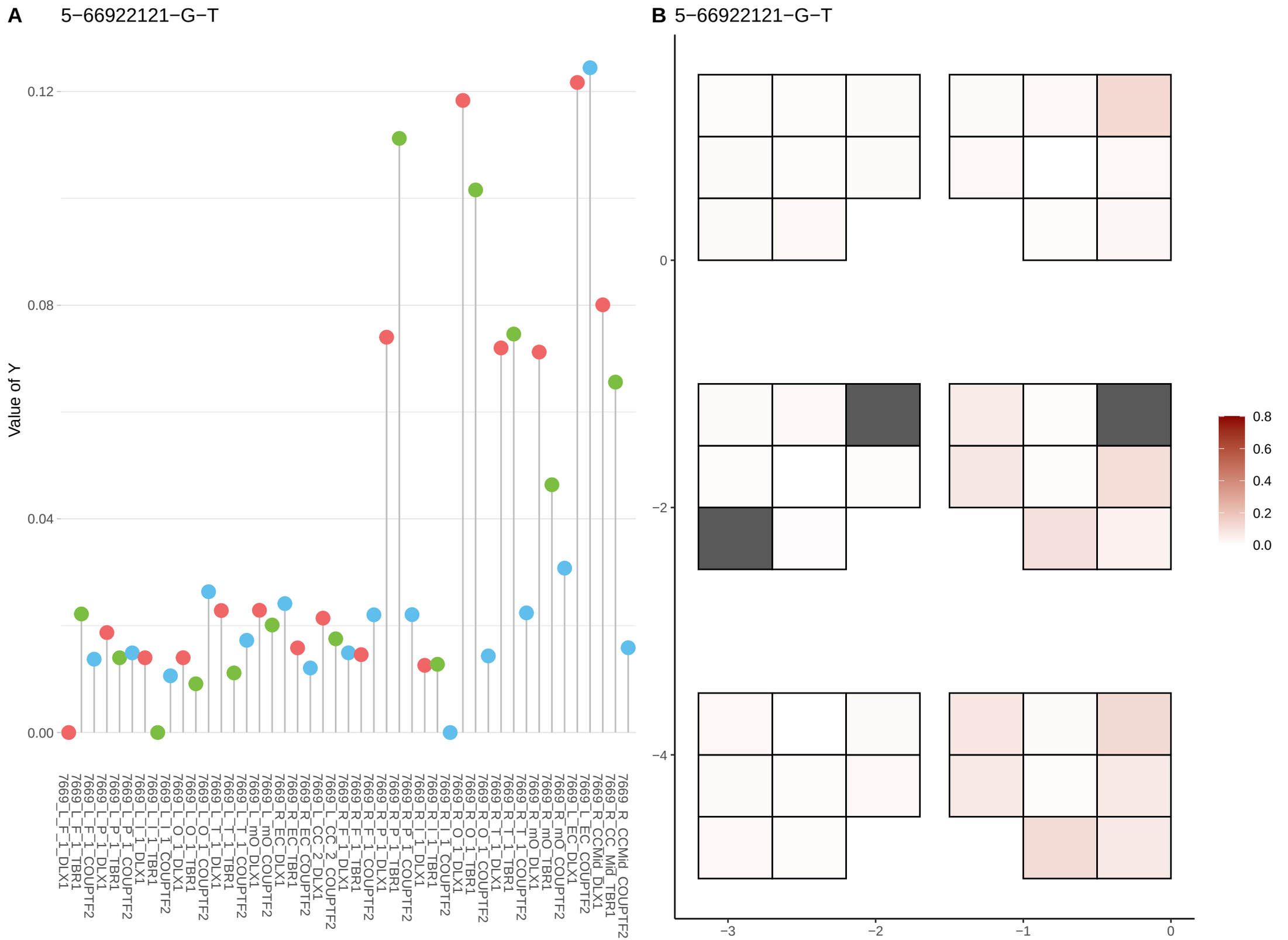
A
5−66922121−G−T
Value of Y
0.12
0.08
0.04
0.00
7669_L_F_1_DLX1
7669_L_F_1_TBR1
7669_L_F_1_COUPTF2
7669_L_P_1_DLX1
7669_L_P_1_TBR1
7669_L_P_1_COUPTF2
7669_L_I_1_DLX1
7669_L_I_1_TBR1
7669_L_I_1_COUPTF2
7669_L_O_1_DLX1
7669_L_O_1_TBR1
7669_L_O_1_COUPTF2
7669_L_T_1_DLX1
7669_L_T_1_TBR1
7669_L_T_1_COUPTF2
7669_L_mO_DLX1
7669_L_mO_COUPTF2
7669_R_EC_DLX1
7669_R_EC_TBR1
7669_R_EC_COUPTF2
7669_L_CC_2_DLX1
7669_L_CC_2_COUPTF2
7669_R_F_1_DLX1
7669_R_F_1_TBR1
7669_R_F_1_COUPTF2
7669_R_P_1_DLX1
7669_R_P_1_TBR1
7669_R_P_1_COUPTF2
7669_R_I_1_DLX1
7669_R_I_1_TBR1
7669_R_I_1_COUPTF2
7669_R_O_1_DLX1
7669_R_O_1_TBR1
7669_R_O_1_COUPTF2
7669_R_T_1_DLX1
7669_R_T_1_TBR1
7669_R_T_1_COUPTF2
7669_R_mO_DLX1
7669_R_mO_TBR1
7669_R_mO_COUPTF2
7669_L_EC_DLX1
7669_L_EC_COUPTF2
7669_R_CCMid_DLX1
7669_R_CC_Mid_TBR1
7669_R_CCMid_COUPTF2
B
5−66922121−G−T
0
−2
−4
−3
−2
−1
0
0.8
0.6
0.4
0.2
0.0

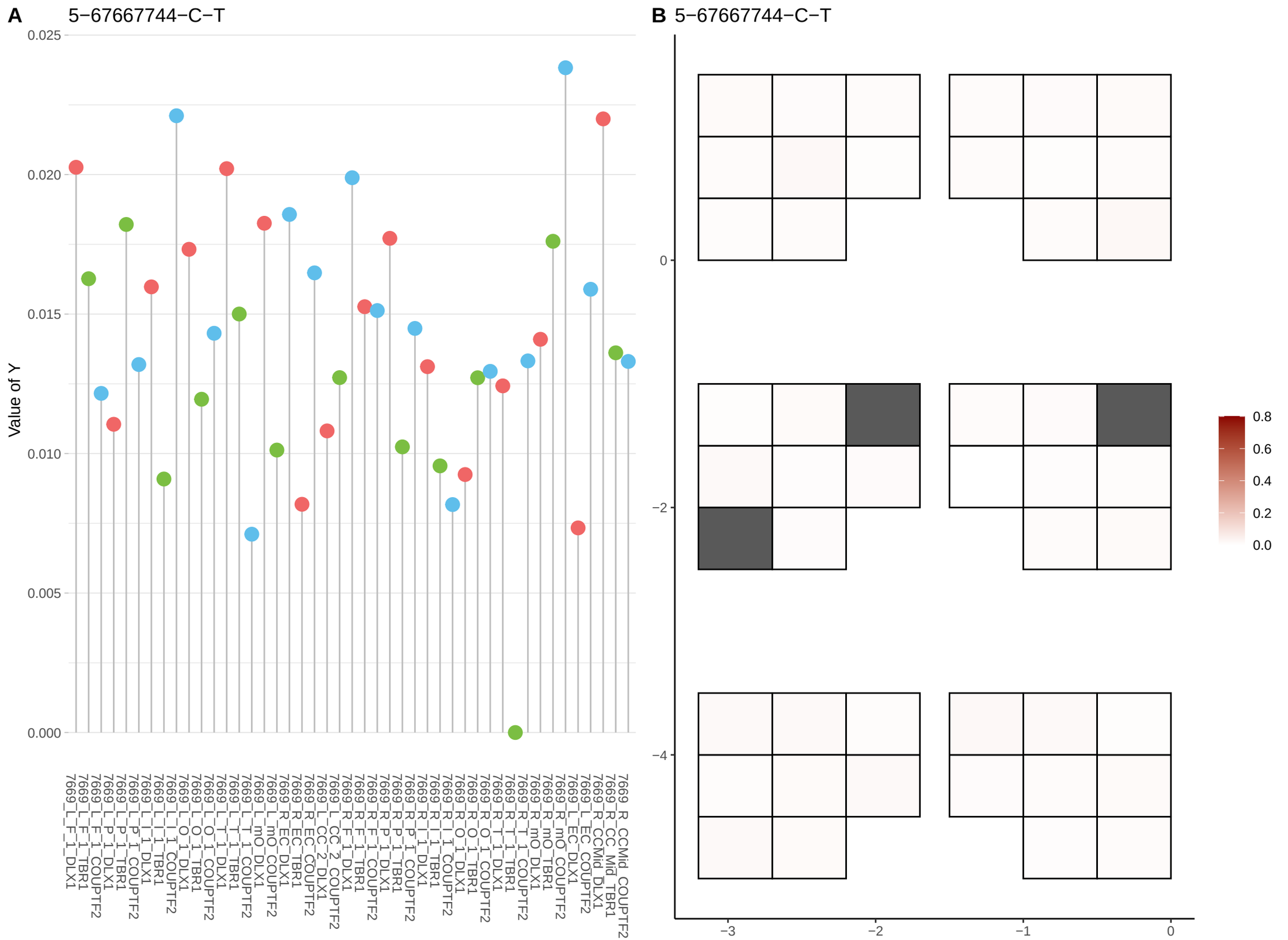
A
5−67667744−C−T
Value of Y
0.025
0.020
0.015
0.010
0.005
0.000
7669_L_F_1_DLX1
7669_L_F_1_TBR1
7669_L_F_1_COUPTF2
7669_L_P_1_DLX1
7669_L_P_1_TBR1
7669_L_P_1_COUPTF2
7669_L_I_1_DLX1
7669_L_I_1_TBR1
7669_L_I_1_COUPTF2
7669_L_O_1_DLX1
7669_L_O_1_TBR1
7669_L_O_1_COUPTF2
7669_L_T_1_DLX1
7669_L_T_1_TBR1
7669_L_T_1_COUPTF2
7669_L_mO_DLX1
7669_L_mO_COUPTF2
7669_R_EC_DLX1
7669_R_EC_TBR1
7669_R_EC_COUPTF2
7669_L_CC_2_DLX1
7669_L_CC_2_COUPTF2
7669_R_F_1_DLX1
7669_R_F_1_TBR1
7669_R_F_1_COUPTF2
7669_R_P_1_DLX1
7669_R_P_1_TBR1
7669_R_P_1_COUPTF2
7669_R_I_1_DLX1
7669_R_I_1_TBR1
7669_R_I_1_COUPTF2
7669_R_O_1_DLX1
7669_R_O_1_TBR1
7669_R_O_1_COUPTF2
7669_R_T_1_DLX1
7669_R_T_1_TBR1
7669_R_T_1_COUPTF2
7669_R_mO_DLX1
7669_R_mO_TBR1
7669_R_mO_COUPTF2
7669_L_EC_DLX1
7669_L_EC_COUPTF2
7669_R_CCMid_DLX1
7669_R_CC_Mid_TBR1
7669_R_CCMid_COUPTF2
B
5−67667744−C−T
0
−2
−4
−3
−2
−1
0
0.8
0.6
0.4
0.2
0.0

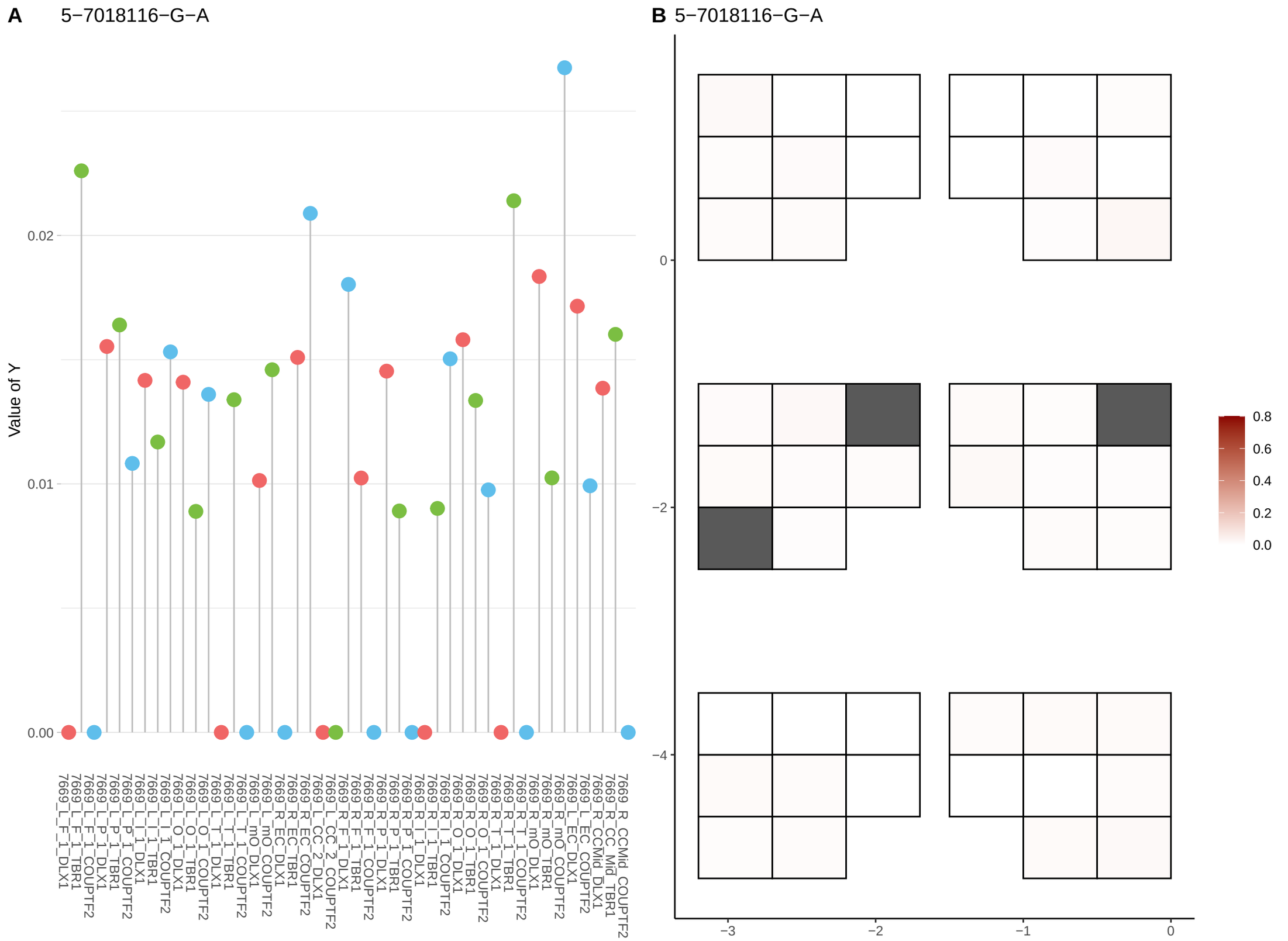
A
5−7018116−G−A
Value of Y
0.02
0.01
0.00
7669_L_F_1_DLX1
7669_L_F_1_TBR1
7669_L_F_1_COUPTF2
7669_L_P_1_DLX1
7669_L_P_1_TBR1
7669_L_P_1_COUPTF2
7669_L_I_1_DLX1
7669_L_I_1_TBR1
7669_L_I_1_COUPTF2
7669_L_O_1_DLX1
7669_L_O_1_TBR1
7669_L_O_1_COUPTF2
7669_L_T_1_DLX1
7669_L_T_1_TBR1
7669_L_T_1_COUPTF2
7669_L_mO_DLX1
7669_L_mO_COUPTF2
7669_R_EC_DLX1
7669_R_EC_TBR1
7669_R_EC_COUPTF2
7669_L_CC_2_DLX1
7669_L_CC_2_COUPTF2
7669_R_F_1_DLX1
7669_R_F_1_TBR1
7669_R_F_1_COUPTF2
7669_R_P_1_DLX1
7669_R_P_1_TBR1
7669_R_P_1_COUPTF2
7669_R_I_1_DLX1
7669_R_I_1_TBR1
7669_R_I_1_COUPTF2
7669_R_O_1_DLX1
7669_R_O_1_TBR1
7669_R_O_1_COUPTF2
7669_R_T_1_DLX1
7669_R_T_1_TBR1
7669_R_T_1_COUPTF2
7669_R_mO_DLX1
7669_R_mO_TBR1
7669_R_mO_COUPTF2
7669_L_EC_DLX1
7669_L_EC_COUPTF2
7669_R_CCMid_DLX1
7669_R_CC_Mid_TBR1
7669_R_CCMid_COUPTF2
B
5−7018116−G−A
0
−2
−4
−3
−2
−1
0
0.8
0.6
0.4
0.2
0.0

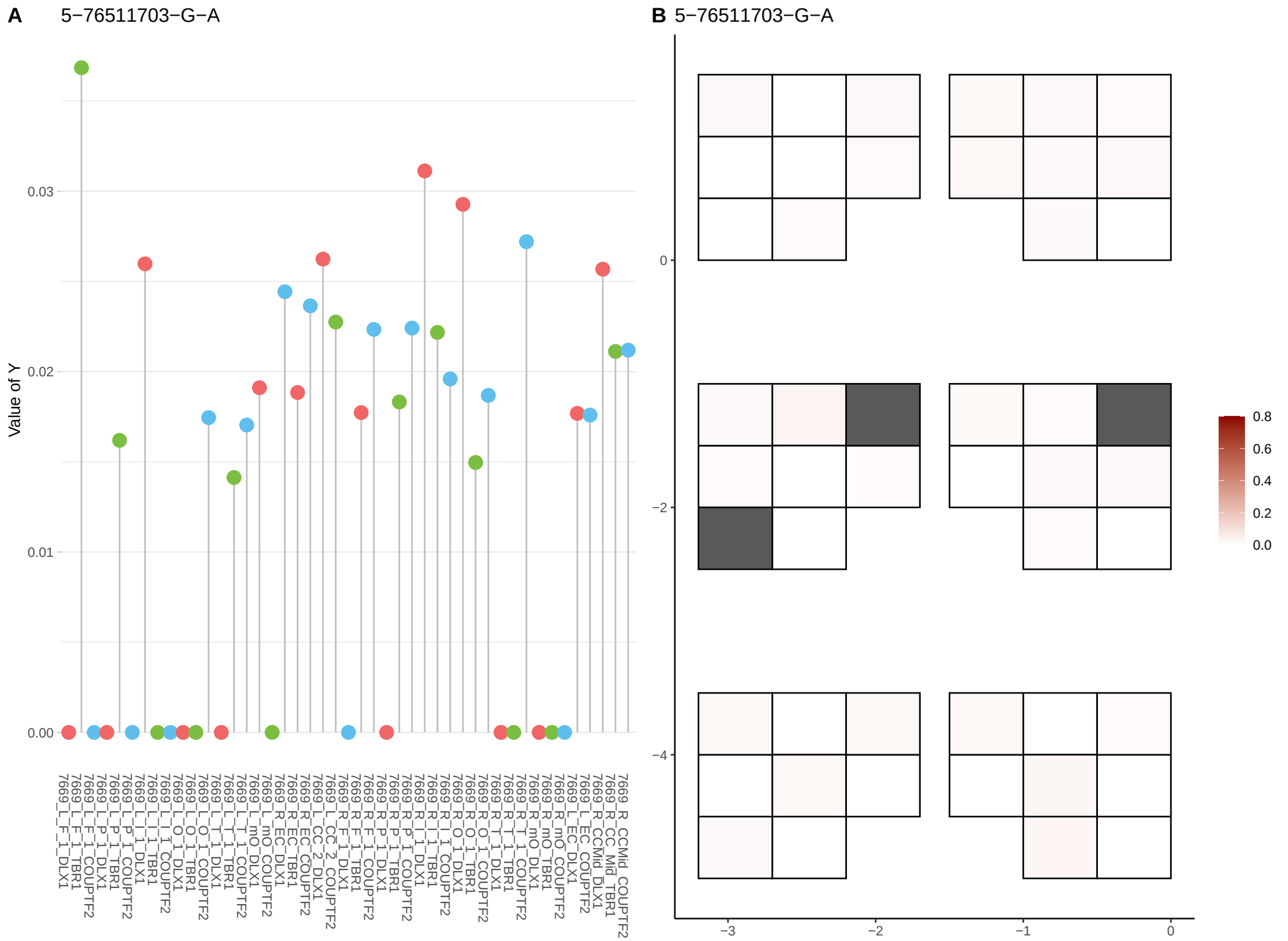
A
5−76511703−G−A
Value of Y
0.03
0.02
0.01
0.00
7669_L_F_1_DLX1
7669_L_F_1_TBR1
7669_L_F_1_COUPTF2
7669_L_P_1_DLX1
7669_L_P_1_TBR1
7669_L_P_1_COUPTF2
7669_L_I_1_DLX1
7669_L_I_1_TBR1
7669_L_I_1_COUPTF2
7669_L_O_1_DLX1
7669_L_O_1_TBR1
7669_L_O_1_COUPTF2
7669_L_T_1_DLX1
7669_L_T_1_TBR1
7669_L_T_1_COUPTF2
7669_L_mO_DLX1
7669_L_mO_COUPTF2
7669_R_EC_DLX1
7669_R_EC_TBR1
7669_R_EC_COUPTF2
7669_L_CC_2_DLX1
7669_L_CC_2_COUPTF2
7669_R_F_1_DLX1
7669_R_F_1_TBR1
7669_R_F_1_COUPTF2
7669_R_P_1_DLX1
7669_R_P_1_TBR1
7669_R_P_1_COUPTF2
7669_R_I_1_DLX1
7669_R_I_1_TBR1
7669_R_I_1_COUPTF2
7669_R_O_1_DLX1
7669_R_O_1_TBR1
7669_R_O_1_COUPTF2
7669_R_T_1_DLX1
7669_R_T_1_TBR1
7669_R_T_1_COUPTF2
7669_R_mO_DLX1
7669_R_mO_TBR1
7669_R_mO_COUPTF2
7669_L_EC_DLX1
7669_L_EC_COUPTF2
7669_R_CCMid_DLX1
7669_R_CC_Mid_TBR1
7669_R_CCMid_COUPTF2
B
5−76511703−G−A
0
−2
−4
−3
−2
−1
0
0.8
0.6
0.4
0.2
0.0

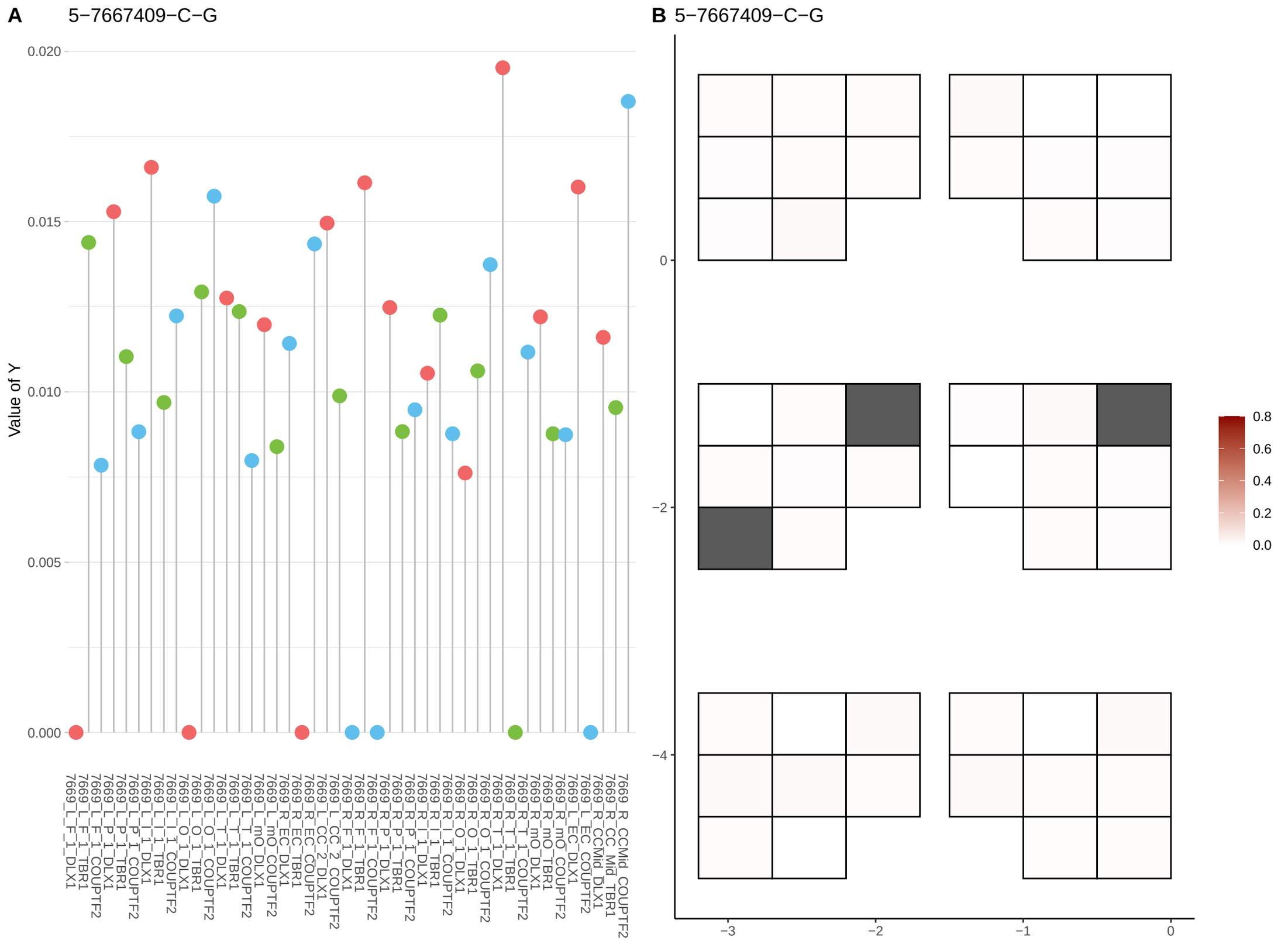
A
5−7667409−C−G
Value of Y
0.020
0.015
0.010
0.005
0.000
7669_L_F_1_DLX1
7669_L_F_1_TBR1
7669_L_F_1_COUPTF2
7669_L_P_1_DLX1
7669_L_P_1_TBR1
7669_L_P_1_COUPTF2
7669_L_I_1_DLX1
7669_L_I_1_TBR1
7669_L_I_1_COUPTF2
7669_L_O_1_DLX1
7669_L_O_1_TBR1
7669_L_O_1_COUPTF2
7669_L_T_1_DLX1
7669_L_T_1_TBR1
7669_L_T_1_COUPTF2
7669_L_mO_DLX1
7669_L_mO_COUPTF2
7669_R_EC_DLX1
7669_R_EC_TBR1
7669_R_EC_COUPTF2
7669_L_CC_2_DLX1
7669_L_CC_2_COUPTF2
7669_R_F_1_DLX1
7669_R_F_1_TBR1
7669_R_F_1_COUPTF2
7669_R_P_1_DLX1
7669_R_P_1_TBR1
7669_R_P_1_COUPTF2
7669_R_I_1_DLX1
7669_R_I_1_TBR1
7669_R_I_1_COUPTF2
7669_R_O_1_DLX1
7669_R_O_1_TBR1
7669_R_O_1_COUPTF2
7669_R_T_1_DLX1
7669_R_T_1_TBR1
7669_R_T_1_COUPTF2
7669_R_mO_DLX1
7669_R_mO_TBR1
7669_R_mO_COUPTF2
7669_L_EC_DLX1
7669_L_EC_COUPTF2
7669_R_CCMid_DLX1
7669_R_CC_Mid_TBR1
7669_R_CCMid_COUPTF2
B
5−7667409−C−G
0
−2
−4
−3
−2
−1
0
0.8
0.6
0.4
0.2
0.0

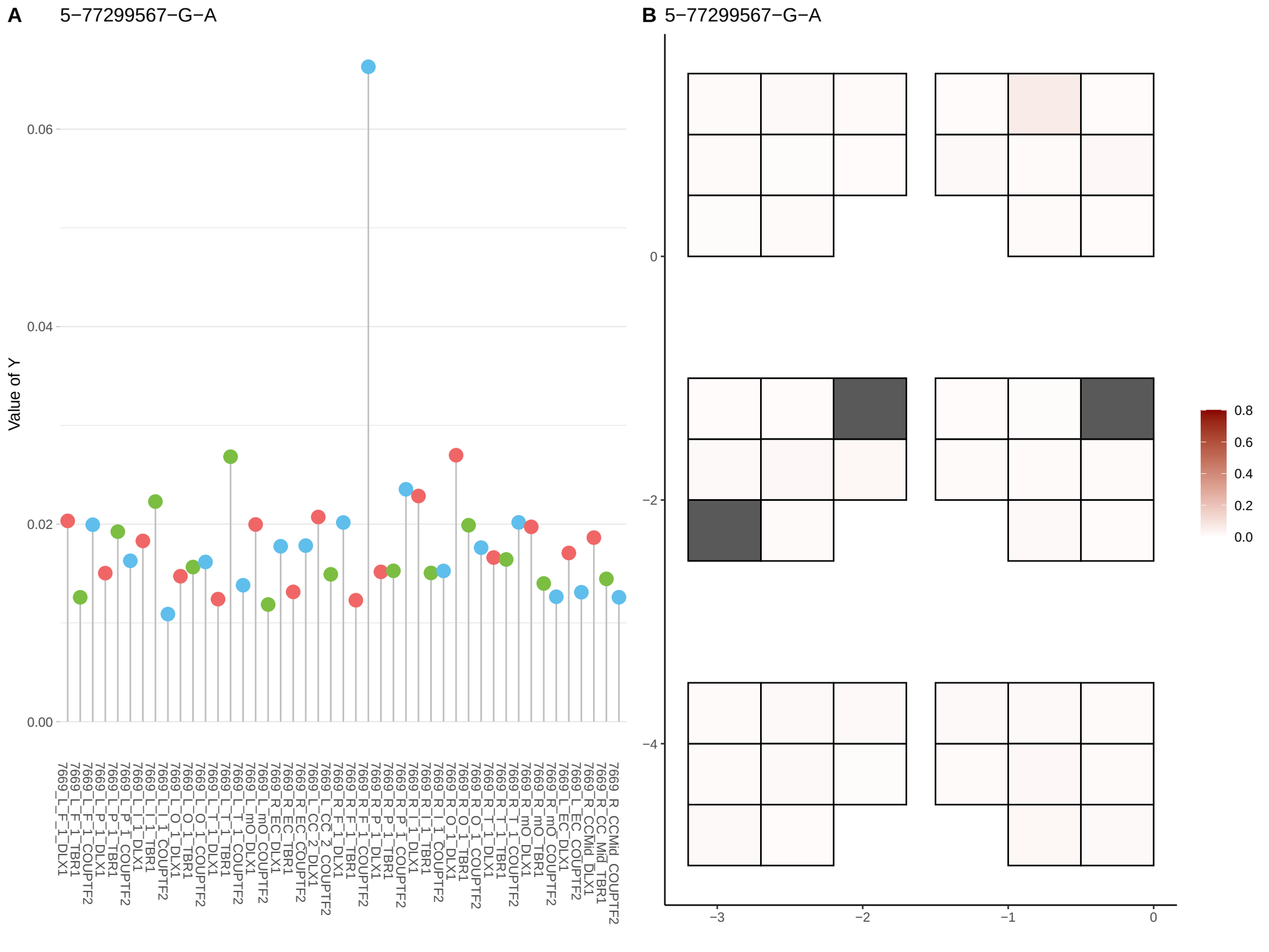
A
5−77299567−G−A
Value of Y
0.06
0.04
0.02
0.00
7669_L_F_1_DLX1
7669_L_F_1_TBR1
7669_L_F_1_COUPTF2
7669_L_P_1_DLX1
7669_L_P_1_TBR1
7669_L_P_1_COUPTF2
7669_L_I_1_DLX1
7669_L_I_1_TBR1
7669_L_I_1_COUPTF2
7669_L_O_1_DLX1
7669_L_O_1_TBR1
7669_L_O_1_COUPTF2
7669_L_T_1_DLX1
7669_L_T_1_TBR1
7669_L_T_1_COUPTF2
7669_L_mO_DLX1
7669_L_mO_COUPTF2
7669_R_EC_DLX1
7669_R_EC_TBR1
7669_R_EC_COUPTF2
7669_L_CC_2_DLX1
7669_L_CC_2_COUPTF2
7669_R_F_1_DLX1
7669_R_F_1_TBR1
7669_R_F_1_COUPTF2
7669_R_P_1_DLX1
7669_R_P_1_TBR1
7669_R_P_1_COUPTF2
7669_R_I_1_DLX1
7669_R_I_1_TBR1
7669_R_I_1_COUPTF2
7669_R_O_1_DLX1
7669_R_O_1_TBR1
7669_R_O_1_COUPTF2
7669_R_T_1_DLX1
7669_R_T_1_TBR1
7669_R_T_1_COUPTF2
7669_R_mO_DLX1
7669_R_mO_TBR1
7669_R_mO_COUPTF2
7669_L_EC_DLX1
7669_L_EC_COUPTF2
7669_R_CCMid_DLX1
7669_R_CC_Mid_TBR1
7669_R_CCMid_COUPTF2
B
5−77299567−G−A
0
−2
−4
−3
−2
−1
0
0.8
0.6
0.4
0.2
0.0

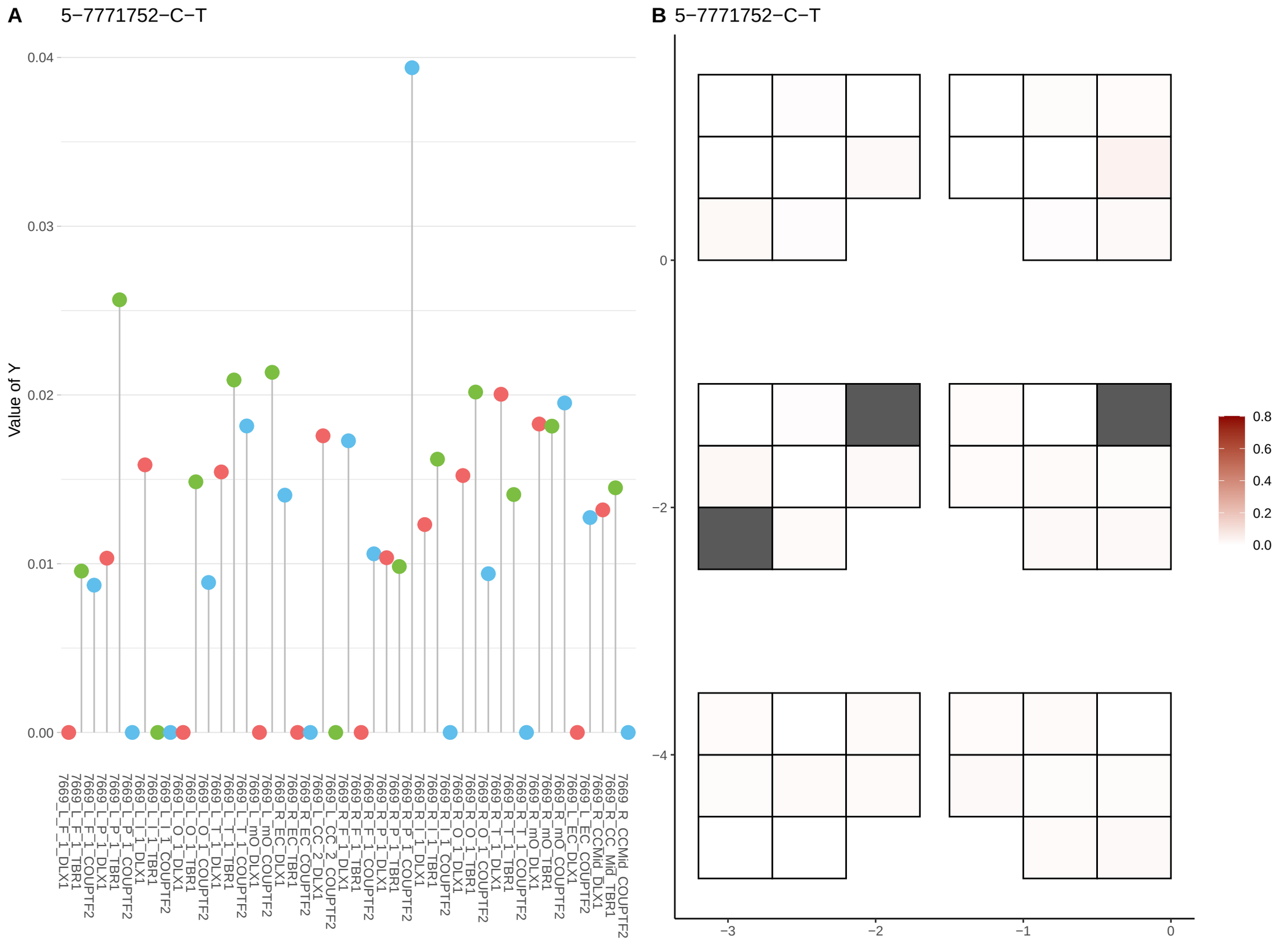
A
5−7771752−C−T
Value of Y
0.04
0.03
0.02
0.01
0.00
7669_L_F_1_DLX1
7669_L_F_1_TBR1
7669_L_F_1_COUPTF2
7669_L_P_1_DLX1
7669_L_P_1_TBR1
7669_L_P_1_COUPTF2
7669_L_I_1_DLX1
7669_L_I_1_TBR1
7669_L_I_1_COUPTF2
7669_L_O_1_DLX1
7669_L_O_1_TBR1
7669_L_O_1_COUPTF2
7669_L_T_1_DLX1
7669_L_T_1_TBR1
7669_L_T_1_COUPTF2
7669_L_mO_DLX1
7669_L_mO_COUPTF2
7669_R_EC_DLX1
7669_R_EC_TBR1
7669_R_EC_COUPTF2
7669_L_CC_2_DLX1
7669_L_CC_2_COUPTF2
7669_R_F_1_DLX1
7669_R_F_1_TBR1
7669_R_F_1_COUPTF2
7669_R_P_1_DLX1
7669_R_P_1_TBR1
7669_R_P_1_COUPTF2
7669_R_I_1_DLX1
7669_R_I_1_TBR1
7669_R_I_1_COUPTF2
7669_R_O_1_DLX1
7669_R_O_1_TBR1
7669_R_O_1_COUPTF2
7669_R_T_1_DLX1
7669_R_T_1_TBR1
7669_R_T_1_COUPTF2
7669_R_mO_DLX1
7669_R_mO_TBR1
7669_R_mO_COUPTF2
7669_L_EC_DLX1
7669_L_EC_COUPTF2
7669_R_CCMid_DLX1
7669_R_CC_Mid_TBR1
7669_R_CCMid_COUPTF2
B
5−7771752−C−T
0
−2
−4
−3
−2
−1
0
0.8
0.6
0.4
0.2
0.0

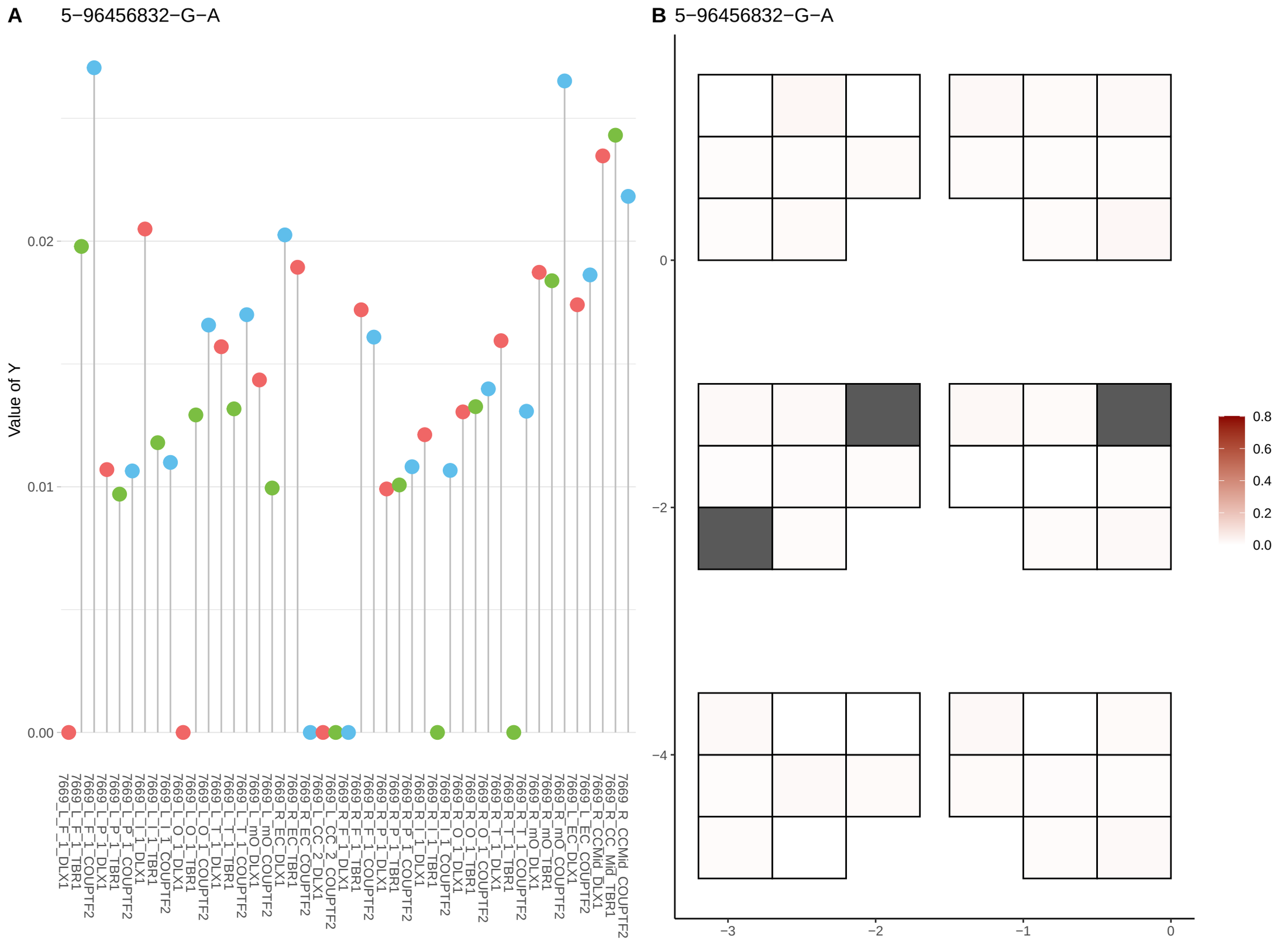
A
5−96456832−G−A
Value of Y
0.02
0.01
0.00
7669_L_F_1_DLX1
7669_L_F_1_TBR1
7669_L_F_1_COUPTF2
7669_L_P_1_DLX1
7669_L_P_1_TBR1
7669_L_P_1_COUPTF2
7669_L_I_1_DLX1
7669_L_I_1_TBR1
7669_L_I_1_COUPTF2
7669_L_O_1_DLX1
7669_L_O_1_TBR1
7669_L_O_1_COUPTF2
7669_L_T_1_DLX1
7669_L_T_1_TBR1
7669_L_T_1_COUPTF2
7669_L_mO_DLX1
7669_L_mO_COUPTF2
7669_R_EC_DLX1
7669_R_EC_TBR1
7669_R_EC_COUPTF2
7669_L_CC_2_DLX1
7669_L_CC_2_COUPTF2
7669_R_F_1_DLX1
7669_R_F_1_TBR1
7669_R_F_1_COUPTF2
7669_R_P_1_DLX1
7669_R_P_1_TBR1
7669_R_P_1_COUPTF2
7669_R_I_1_DLX1
7669_R_I_1_TBR1
7669_R_I_1_COUPTF2
7669_R_O_1_DLX1
7669_R_O_1_TBR1
7669_R_O_1_COUPTF2
7669_R_T_1_DLX1
7669_R_T_1_TBR1
7669_R_T_1_COUPTF2
7669_R_mO_DLX1
7669_R_mO_TBR1
7669_R_mO_COUPTF2
7669_L_EC_DLX1
7669_L_EC_COUPTF2
7669_R_CCMid_DLX1
7669_R_CC_Mid_TBR1
7669_R_CCMid_COUPTF2
B
5−96456832−G−A
0
−2
−4
−3
−2
−1
0
0.8
0.6
0.4
0.2
0.0

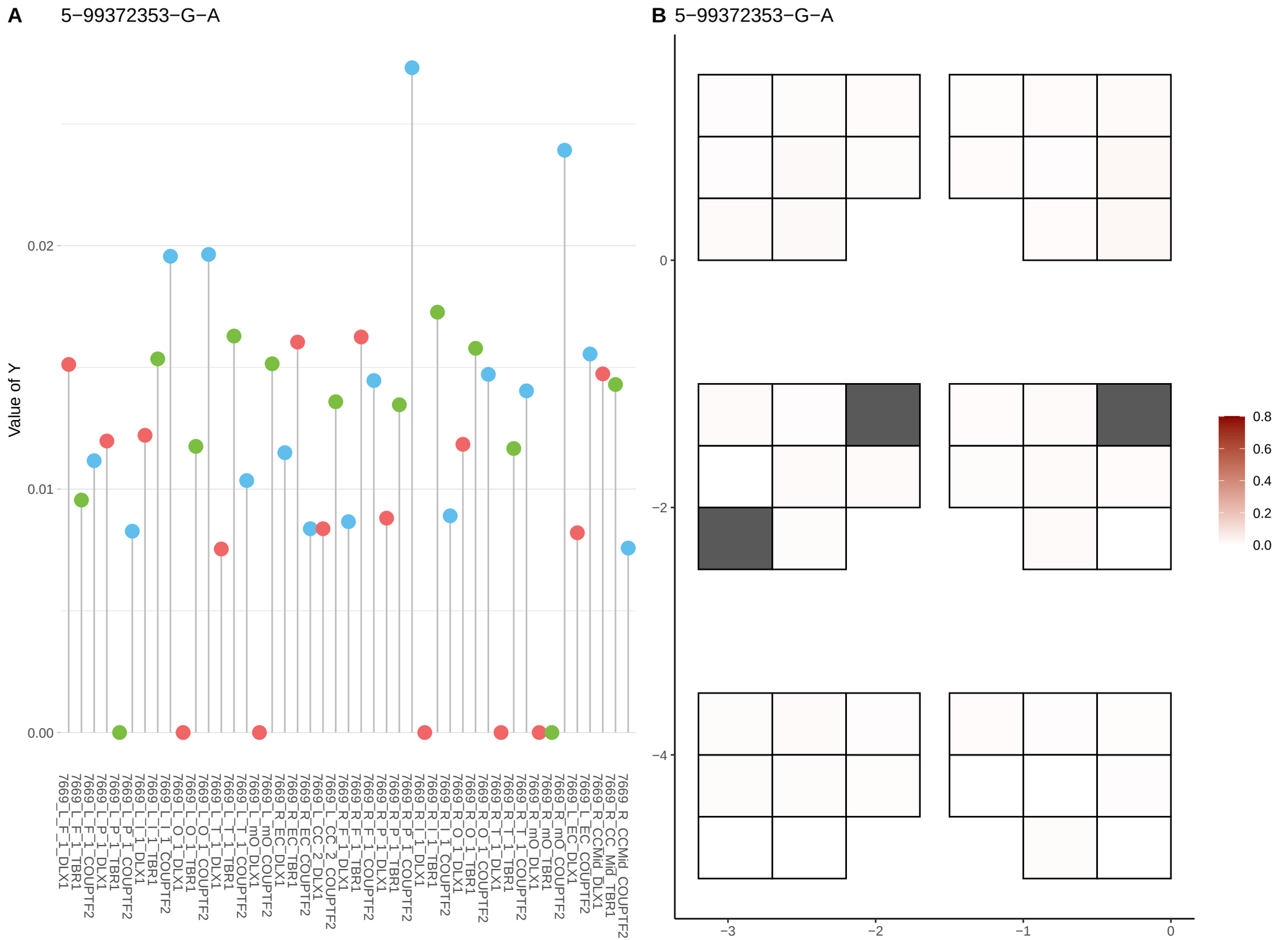
A
5−99372353−G−A
Value of Y
0.02
0.01
0.00
7669_L_F_1_DLX1
7669_L_F_1_TBR1
7669_L_F_1_COUPTF2
7669_L_P_1_DLX1
7669_L_P_1_TBR1
7669_L_P_1_COUPTF2
7669_L_I_1_DLX1
7669_L_I_1_TBR1
7669_L_I_1_COUPTF2
7669_L_O_1_DLX1
7669_L_O_1_TBR1
7669_L_O_1_COUPTF2
7669_L_T_1_DLX1
7669_L_T_1_TBR1
7669_L_T_1_COUPTF2
7669_L_mO_DLX1
7669_L_mO_COUPTF2
7669_R_EC_DLX1
7669_R_EC_TBR1
7669_R_EC_COUPTF2
7669_L_CC_2_DLX1
7669_L_CC_2_COUPTF2
7669_R_F_1_DLX1
7669_R_F_1_TBR1
7669_R_F_1_COUPTF2
7669_R_P_1_DLX1
7669_R_P_1_TBR1
7669_R_P_1_COUPTF2
7669_R_I_1_DLX1
7669_R_I_1_TBR1
7669_R_I_1_COUPTF2
7669_R_O_1_DLX1
7669_R_O_1_TBR1
7669_R_O_1_COUPTF2
7669_R_T_1_DLX1
7669_R_T_1_TBR1
7669_R_T_1_COUPTF2
7669_R_mO_DLX1
7669_R_mO_TBR1
7669_R_mO_COUPTF2
7669_L_EC_DLX1
7669_L_EC_COUPTF2
7669_R_CCMid_DLX1
7669_R_CC_Mid_TBR1
7669_R_CCMid_COUPTF2
B
5−99372353−G−A
0
−2
−4
−3
−2
−1
0
0.8
0.6
0.4
0.2
0.0

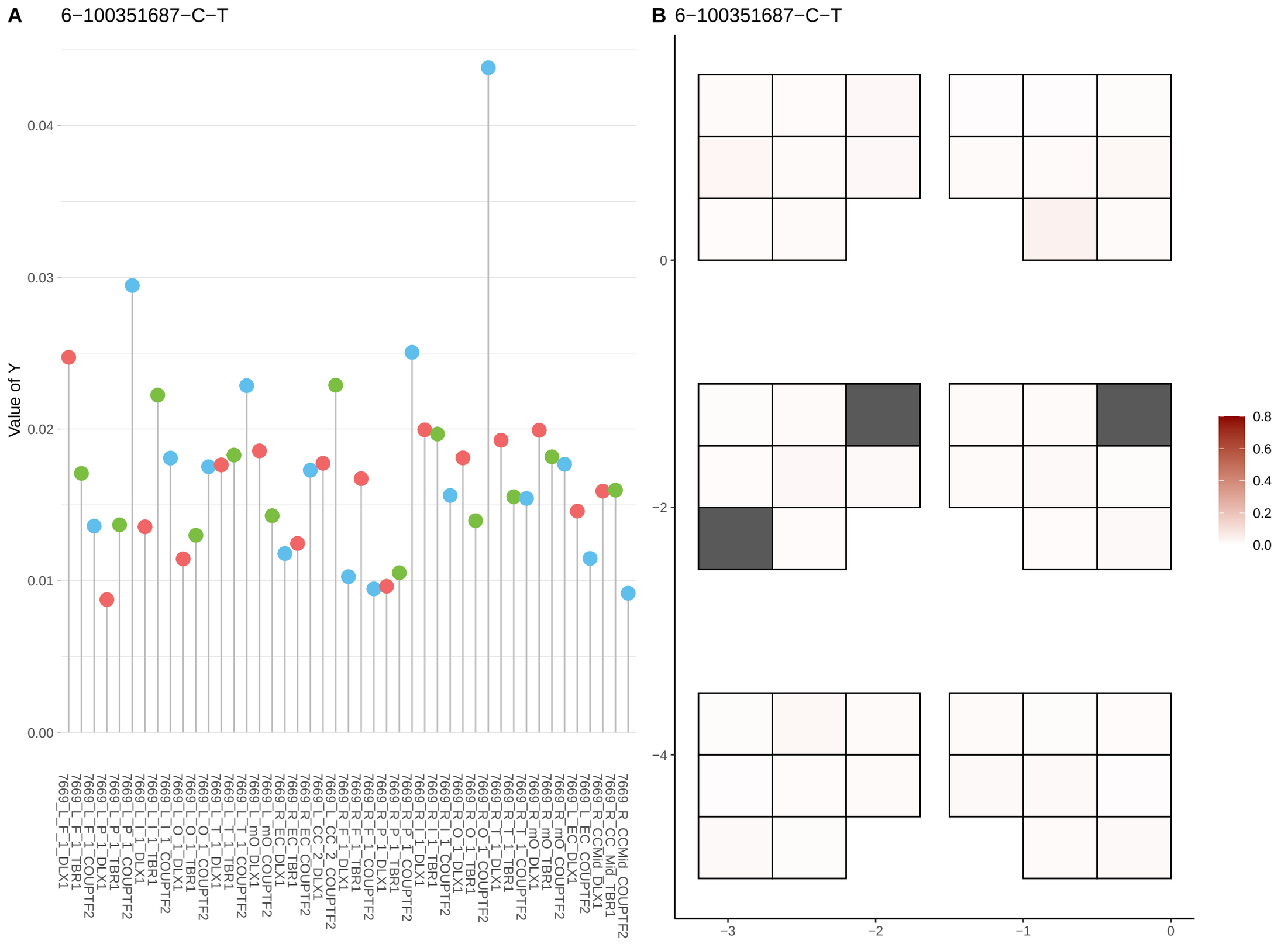
A
6−100351687−C−T
Value of Y
0.04
0.03
0.02
0.01
0.00
7669_L_F_1_DLX1
7669_L_F_1_TBR1
7669_L_F_1_COUPTF2
7669_L_P_1_DLX1
7669_L_P_1_TBR1
7669_L_P_1_COUPTF2
7669_L_I_1_DLX1
7669_L_I_1_TBR1
7669_L_I_1_COUPTF2
7669_L_O_1_DLX1
7669_L_O_1_TBR1
7669_L_O_1_COUPTF2
7669_L_T_1_DLX1
7669_L_T_1_TBR1
7669_L_T_1_COUPTF2
7669_L_mO_DLX1
7669_L_mO_COUPTF2
7669_R_EC_DLX1
7669_R_EC_TBR1
7669_R_EC_COUPTF2
7669_L_CC_2_DLX1
7669_L_CC_2_COUPTF2
7669_R_F_1_DLX1
7669_R_F_1_TBR1
7669_R_F_1_COUPTF2
7669_R_P_1_DLX1
7669_R_P_1_TBR1
7669_R_P_1_COUPTF2
7669_R_I_1_DLX1
7669_R_I_1_TBR1
7669_R_I_1_COUPTF2
7669_R_O_1_DLX1
7669_R_O_1_TBR1
7669_R_O_1_COUPTF2
7669_R_T_1_DLX1
7669_R_T_1_TBR1
7669_R_T_1_COUPTF2
7669_R_mO_DLX1
7669_R_mO_TBR1
7669_R_mO_COUPTF2
7669_L_EC_DLX1
7669_L_EC_COUPTF2
7669_R_CCMid_DLX1
7669_R_CC_Mid_TBR1
7669_R_CCMid_COUPTF2
B
6−100351687−C−T
0
−2
−4
−3
−2
−1
0
0.8
0.6
0.4
0.2
0.0

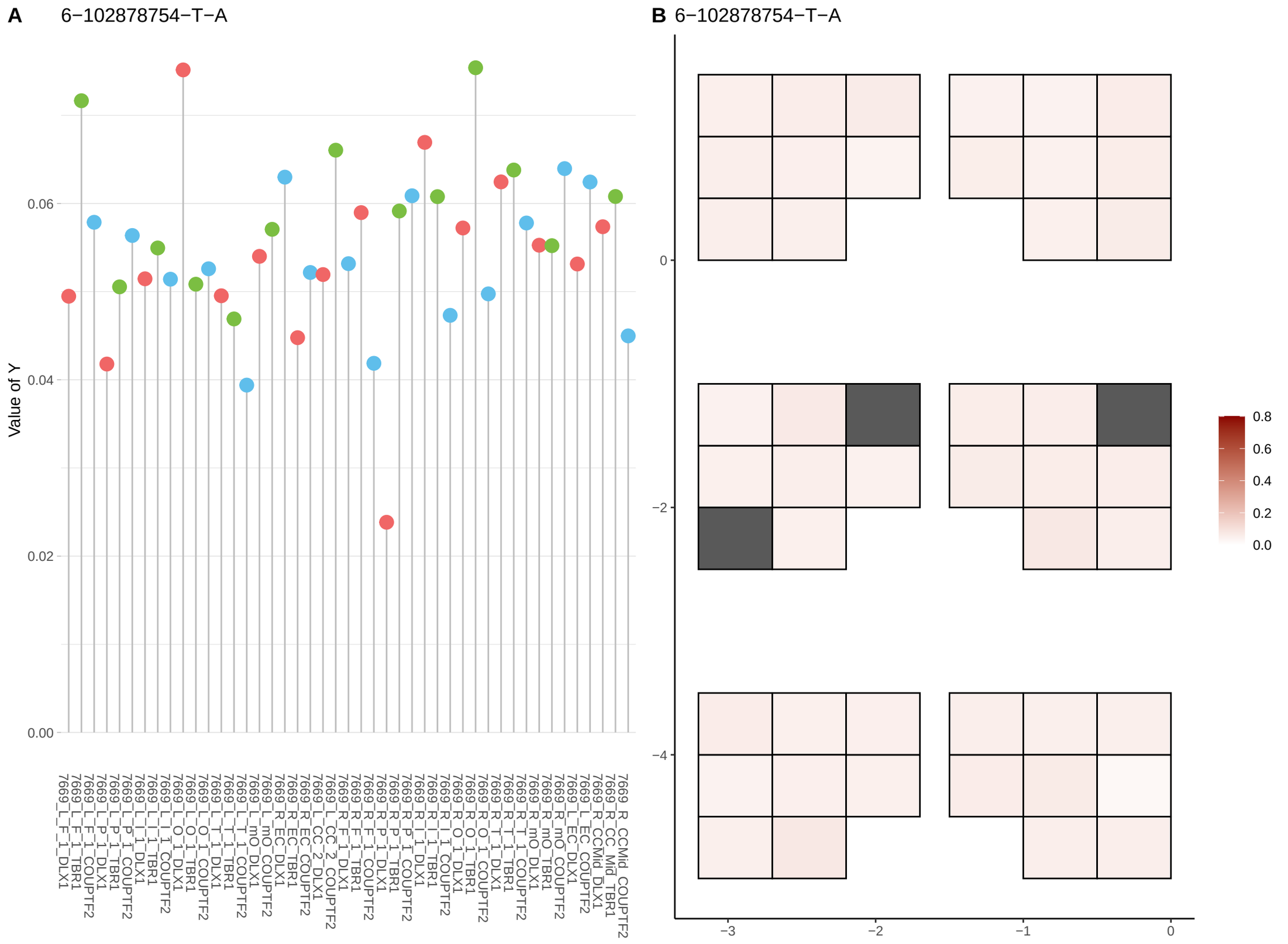
A
6−102878754−T−A
Value of Y
0.06
0.04
0.02
0.00
7669_L_F_1_DLX1
7669_L_F_1_TBR1
7669_L_F_1_COUPTF2
7669_L_P_1_DLX1
7669_L_P_1_TBR1
7669_L_P_1_COUPTF2
7669_L_I_1_DLX1
7669_L_I_1_TBR1
7669_L_I_1_COUPTF2
7669_L_O_1_DLX1
7669_L_O_1_TBR1
7669_L_O_1_COUPTF2
7669_L_T_1_DLX1
7669_L_T_1_TBR1
7669_L_T_1_COUPTF2
7669_L_mO_DLX1
7669_L_mO_COUPTF2
7669_R_EC_DLX1
7669_R_EC_TBR1
7669_R_EC_COUPTF2
7669_L_CC_2_DLX1
7669_L_CC_2_COUPTF2
7669_R_F_1_DLX1
7669_R_F_1_TBR1
7669_R_F_1_COUPTF2
7669_R_P_1_DLX1
7669_R_P_1_TBR1
7669_R_P_1_COUPTF2
7669_R_I_1_DLX1
7669_R_I_1_TBR1
7669_R_I_1_COUPTF2
7669_R_O_1_DLX1
7669_R_O_1_TBR1
7669_R_O_1_COUPTF2
7669_R_T_1_DLX1
7669_R_T_1_TBR1
7669_R_T_1_COUPTF2
7669_R_mO_DLX1
7669_R_mO_TBR1
7669_R_mO_COUPTF2
7669_L_EC_DLX1
7669_L_EC_COUPTF2
7669_R_CCMid_DLX1
7669_R_CC_Mid_TBR1
7669_R_CCMid_COUPTF2
B
6−102878754−T−A
0
−2
−4
−3
−2
−1
0
0.8
0.6
0.4
0.2
0.0

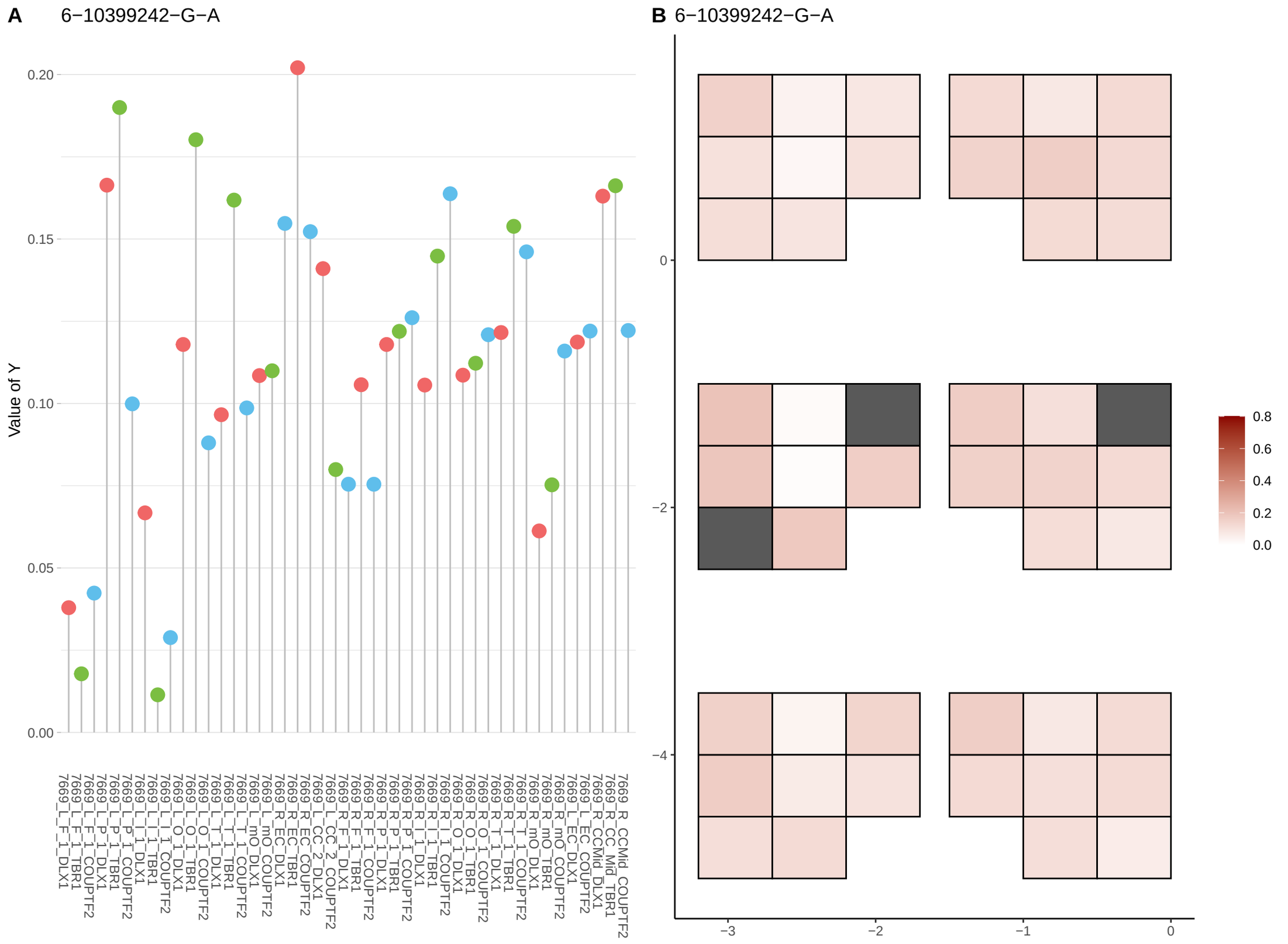
A
6−10399242−G−A
Value of Y
0.20
0.15
0.10
0.05
0.00
7669_L_F_1_DLX1
7669_L_F_1_TBR1
7669_L_F_1_COUPTF2
7669_L_P_1_DLX1
7669_L_P_1_TBR1
7669_L_P_1_COUPTF2
7669_L_I_1_DLX1
7669_L_I_1_TBR1
7669_L_I_1_COUPTF2
7669_L_O_1_DLX1
7669_L_O_1_TBR1
7669_L_O_1_COUPTF2
7669_L_T_1_DLX1
7669_L_T_1_TBR1
7669_L_T_1_COUPTF2
7669_L_mO_DLX1
7669_L_mO_COUPTF2
7669_R_EC_DLX1
7669_R_EC_TBR1
7669_R_EC_COUPTF2
7669_L_CC_2_DLX1
7669_L_CC_2_COUPTF2
7669_R_F_1_DLX1
7669_R_F_1_TBR1
7669_R_F_1_COUPTF2
7669_R_P_1_DLX1
7669_R_P_1_TBR1
7669_R_P_1_COUPTF2
7669_R_I_1_DLX1
7669_R_I_1_TBR1
7669_R_I_1_COUPTF2
7669_R_O_1_DLX1
7669_R_O_1_TBR1
7669_R_O_1_COUPTF2
7669_R_T_1_DLX1
7669_R_T_1_TBR1
7669_R_T_1_COUPTF2
7669_R_mO_DLX1
7669_R_mO_TBR1
7669_R_mO_COUPTF2
7669_L_EC_DLX1
7669_L_EC_COUPTF2
7669_R_CCMid_DLX1
7669_R_CC_Mid_TBR1
7669_R_CCMid_COUPTF2
B
6−10399242−G−A
0
−2
−4
−3
−2
−1
0
0.8
0.6
0.4
0.2
0.0

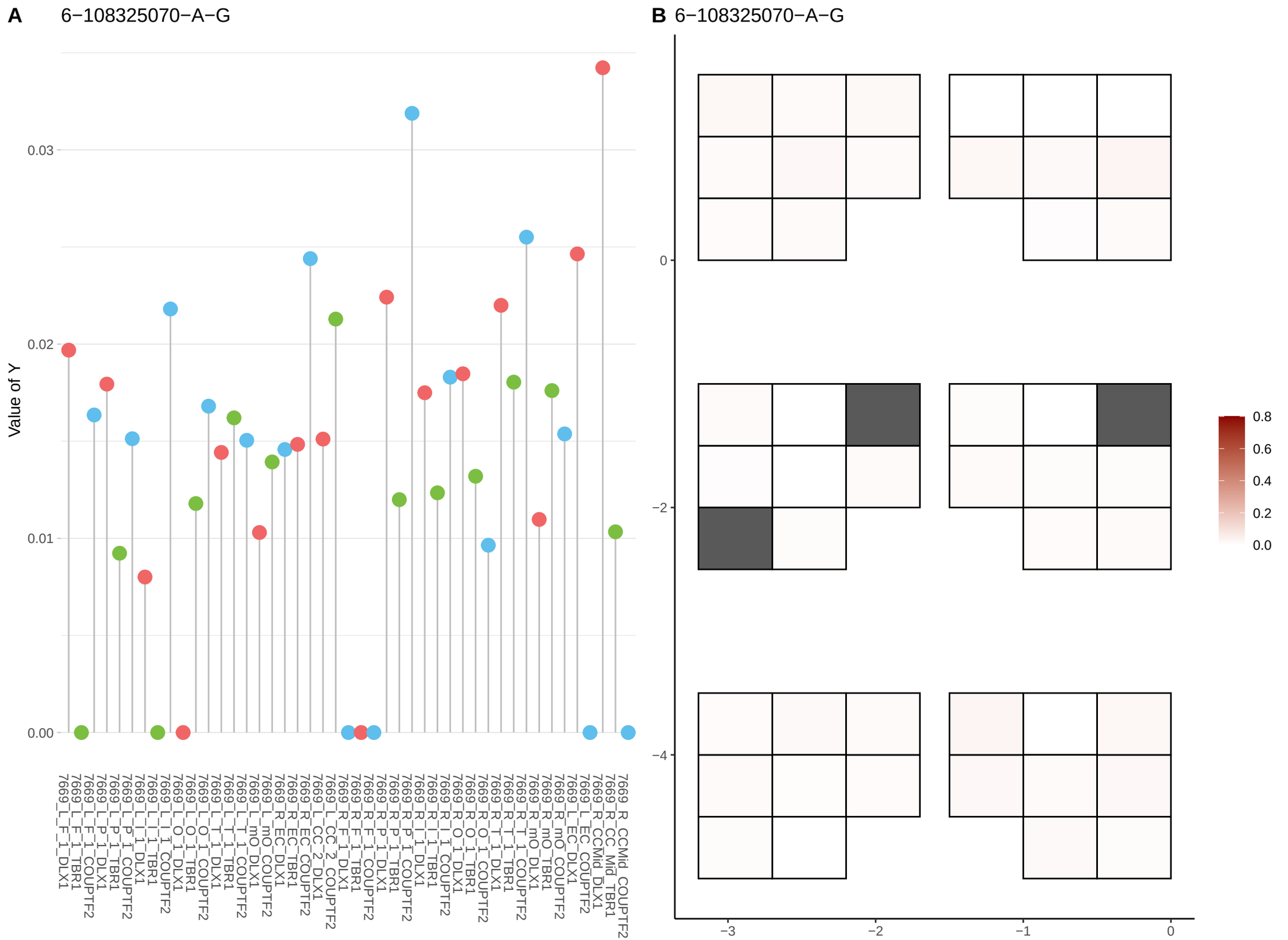
A
6−108325070−A−G
Value of Y
0.03
0.02
0.01
0.00
7669_L_F_1_DLX1
7669_L_F_1_TBR1
7669_L_F_1_COUPTF2
7669_L_P_1_DLX1
7669_L_P_1_TBR1
7669_L_P_1_COUPTF2
7669_L_I_1_DLX1
7669_L_I_1_TBR1
7669_L_I_1_COUPTF2
7669_L_O_1_DLX1
7669_L_O_1_TBR1
7669_L_O_1_COUPTF2
7669_L_T_1_DLX1
7669_L_T_1_TBR1
7669_L_T_1_COUPTF2
7669_L_mO_DLX1
7669_L_mO_COUPTF2
7669_R_EC_DLX1
7669_R_EC_TBR1
7669_R_EC_COUPTF2
7669_L_CC_2_DLX1
7669_L_CC_2_COUPTF2
7669_R_F_1_DLX1
7669_R_F_1_TBR1
7669_R_F_1_COUPTF2
7669_R_P_1_DLX1
7669_R_P_1_TBR1
7669_R_P_1_COUPTF2
7669_R_I_1_DLX1
7669_R_I_1_TBR1
7669_R_I_1_COUPTF2
7669_R_O_1_DLX1
7669_R_O_1_TBR1
7669_R_O_1_COUPTF2
7669_R_T_1_DLX1
7669_R_T_1_TBR1
7669_R_T_1_COUPTF2
7669_R_mO_DLX1
7669_R_mO_TBR1
7669_R_mO_COUPTF2
7669_L_EC_DLX1
7669_L_EC_COUPTF2
7669_R_CCMid_DLX1
7669_R_CC_Mid_TBR1
7669_R_CCMid_COUPTF2
B
6−108325070−A−G
0
−2
−4
−3
−2
−1
0
0.8
0.6
0.4
0.2
0.0

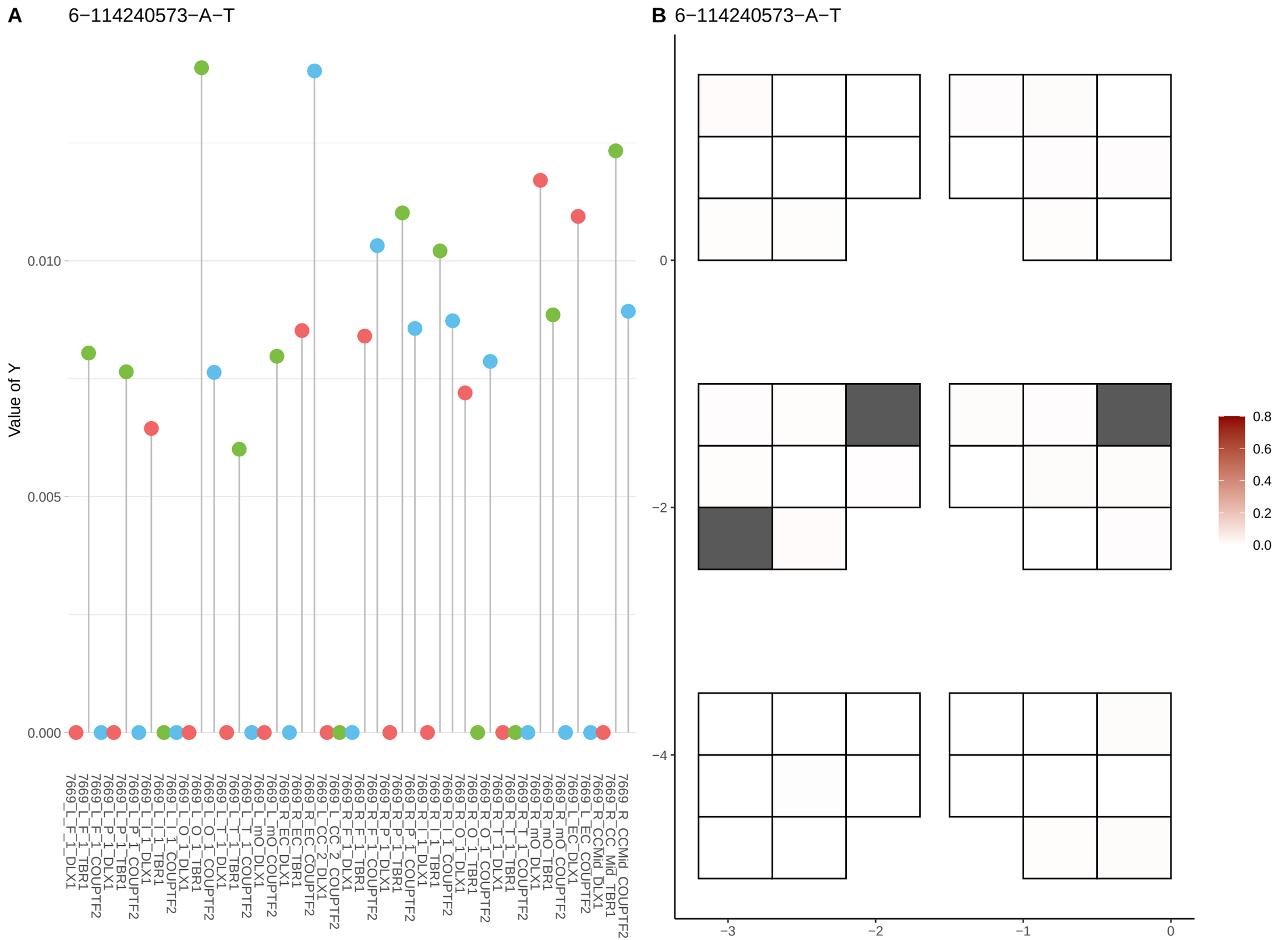
A
6−114240573−A−T
Value of Y
0.010
0.005
0.000
7669_L_F_1_DLX1
7669_L_F_1_TBR1
7669_L_F_1_COUPTF2
7669_L_P_1_DLX1
7669_L_P_1_TBR1
7669_L_P_1_COUPTF2
7669_L_I_1_DLX1
7669_L_I_1_TBR1
7669_L_I_1_COUPTF2
7669_L_O_1_DLX1
7669_L_O_1_TBR1
7669_L_O_1_COUPTF2
7669_L_T_1_DLX1
7669_L_T_1_TBR1
7669_L_T_1_COUPTF2
7669_L_mO_DLX1
7669_L_mO_COUPTF2
7669_R_EC_DLX1
7669_R_EC_TBR1
7669_R_EC_COUPTF2
7669_L_CC_2_DLX1
7669_L_CC_2_COUPTF2
7669_R_F_1_DLX1
7669_R_F_1_TBR1
7669_R_F_1_COUPTF2
7669_R_P_1_DLX1
7669_R_P_1_TBR1
7669_R_P_1_COUPTF2
7669_R_I_1_DLX1
7669_R_I_1_TBR1
7669_R_I_1_COUPTF2
7669_R_O_1_DLX1
7669_R_O_1_TBR1
7669_R_O_1_COUPTF2
7669_R_T_1_DLX1
7669_R_T_1_TBR1
7669_R_T_1_COUPTF2
7669_R_mO_DLX1
7669_R_mO_TBR1
7669_R_mO_COUPTF2
7669_L_EC_DLX1
7669_L_EC_COUPTF2
7669_R_CCMid_DLX1
7669_R_CC_Mid_TBR1
7669_R_CCMid_COUPTF2
B
6−114240573−A−T
0
−2
−4
−3
−2
−1
0
0.8
0.6
0.4
0.2
0.0

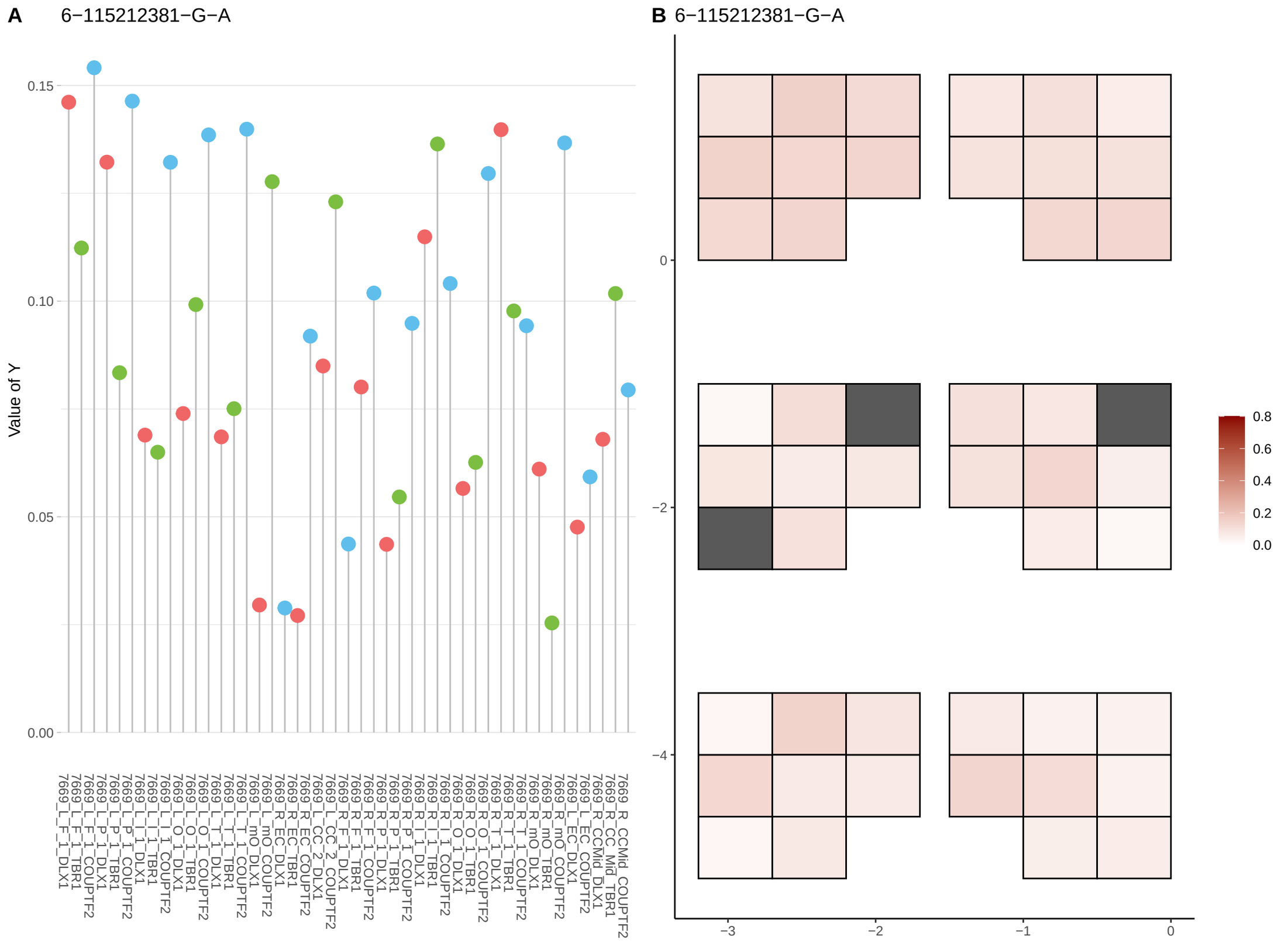
A
6−115212381−G−A
Value of Y
0.15
0.10
0.05
0.00
7669_L_F_1_DLX1
7669_L_F_1_TBR1
7669_L_F_1_COUPTF2
7669_L_P_1_DLX1
7669_L_P_1_TBR1
7669_L_P_1_COUPTF2
7669_L_I_1_DLX1
7669_L_I_1_TBR1
7669_L_I_1_COUPTF2
7669_L_O_1_DLX1
7669_L_O_1_TBR1
7669_L_O_1_COUPTF2
7669_L_T_1_DLX1
7669_L_T_1_TBR1
7669_L_T_1_COUPTF2
7669_L_mO_DLX1
7669_L_mO_COUPTF2
7669_R_EC_DLX1
7669_R_EC_TBR1
7669_R_EC_COUPTF2
7669_L_CC_2_DLX1
7669_L_CC_2_COUPTF2
7669_R_F_1_DLX1
7669_R_F_1_TBR1
7669_R_F_1_COUPTF2
7669_R_P_1_DLX1
7669_R_P_1_TBR1
7669_R_P_1_COUPTF2
7669_R_I_1_DLX1
7669_R_I_1_TBR1
7669_R_I_1_COUPTF2
7669_R_O_1_DLX1
7669_R_O_1_TBR1
7669_R_O_1_COUPTF2
7669_R_T_1_DLX1
7669_R_T_1_TBR1
7669_R_T_1_COUPTF2
7669_R_mO_DLX1
7669_R_mO_TBR1
7669_R_mO_COUPTF2
7669_L_EC_DLX1
7669_L_EC_COUPTF2
7669_R_CCMid_DLX1
7669_R_CC_Mid_TBR1
7669_R_CCMid_COUPTF2
B
6−115212381−G−A
0
−2
−4
−3
−2
−1
0
0.8
0.6
0.4
0.2
0.0

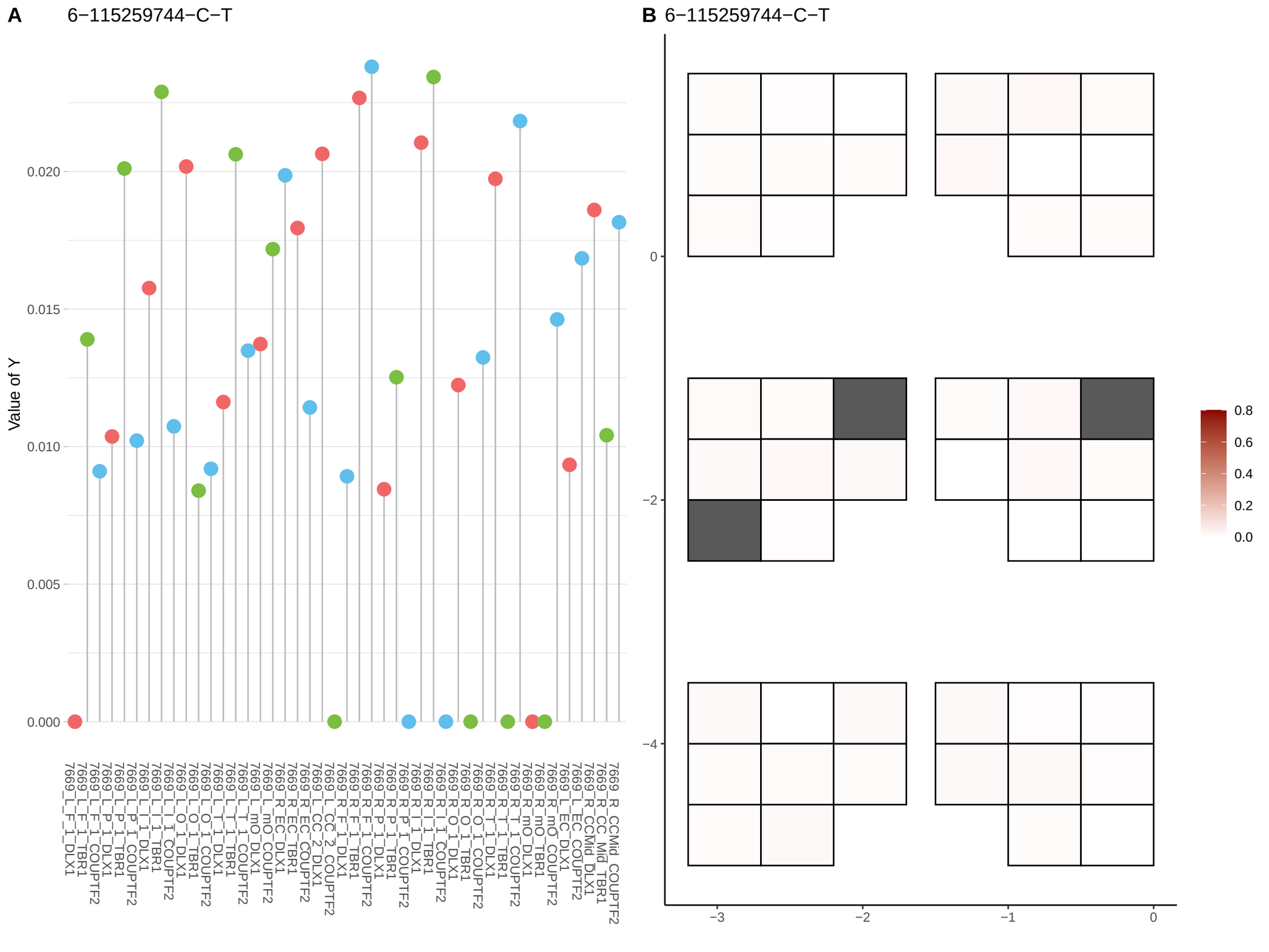
A
6−115259744−C−T
Value of Y
0.020
0.015
0.010
0.005
0.000
7669_L_F_1_DLX1
7669_L_F_1_TBR1
7669_L_F_1_COUPTF2
7669_L_P_1_DLX1
7669_L_P_1_TBR1
7669_L_P_1_COUPTF2
7669_L_I_1_DLX1
7669_L_I_1_TBR1
7669_L_I_1_COUPTF2
7669_L_O_1_DLX1
7669_L_O_1_TBR1
7669_L_O_1_COUPTF2
7669_L_T_1_DLX1
7669_L_T_1_TBR1
7669_L_T_1_COUPTF2
7669_L_mO_DLX1
7669_L_mO_COUPTF2
7669_R_EC_DLX1
7669_R_EC_TBR1
7669_R_EC_COUPTF2
7669_L_CC_2_DLX1
7669_L_CC_2_COUPTF2
7669_R_F_1_DLX1
7669_R_F_1_TBR1
7669_R_F_1_COUPTF2
7669_R_P_1_DLX1
7669_R_P_1_TBR1
7669_R_P_1_COUPTF2
7669_R_I_1_DLX1
7669_R_I_1_TBR1
7669_R_I_1_COUPTF2
7669_R_O_1_DLX1
7669_R_O_1_TBR1
7669_R_O_1_COUPTF2
7669_R_T_1_DLX1
7669_R_T_1_TBR1
7669_R_T_1_COUPTF2
7669_R_mO_DLX1
7669_R_mO_TBR1
7669_R_mO_COUPTF2
7669_L_EC_DLX1
7669_L_EC_COUPTF2
7669_R_CCMid_DLX1
7669_R_CC_Mid_TBR1
7669_R_CCMid_COUPTF2
B
6−115259744−C−T
0
−2
−4
−3
−2
−1
0
0.8
0.6
0.4
0.2
0.0

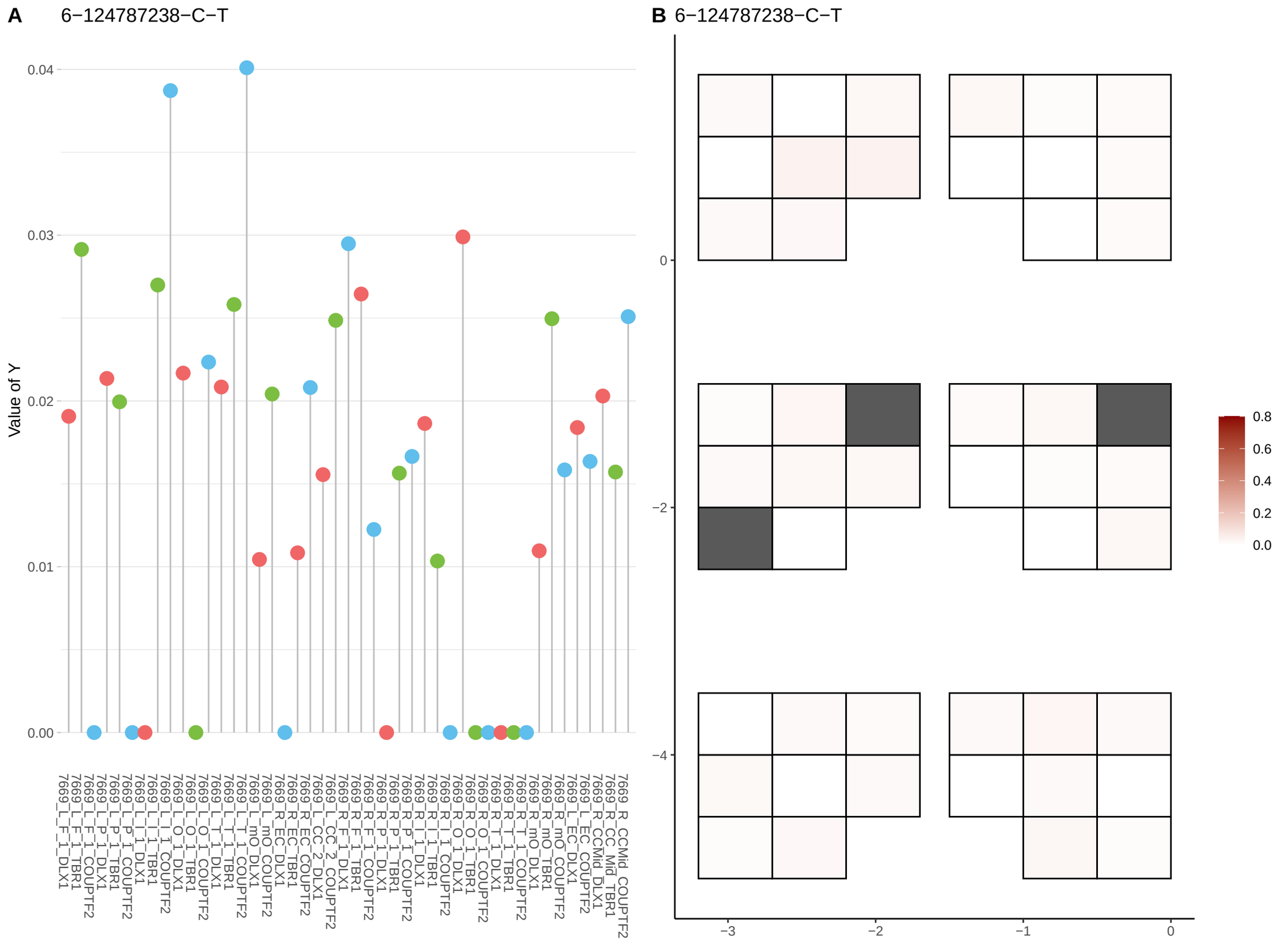
A
6−124787238−C−T
Value of Y
0.04
0.03
0.02
0.01
0.00
7669_L_F_1_DLX1
7669_L_F_1_TBR1
7669_L_F_1_COUPTF2
7669_L_P_1_DLX1
7669_L_P_1_TBR1
7669_L_P_1_COUPTF2
7669_L_I_1_DLX1
7669_L_I_1_TBR1
7669_L_I_1_COUPTF2
7669_L_O_1_DLX1
7669_L_O_1_TBR1
7669_L_O_1_COUPTF2
7669_L_T_1_DLX1
7669_L_T_1_TBR1
7669_L_T_1_COUPTF2
7669_L_mO_DLX1
7669_L_mO_COUPTF2
7669_R_EC_DLX1
7669_R_EC_TBR1
7669_R_EC_COUPTF2
7669_L_CC_2_DLX1
7669_L_CC_2_COUPTF2
7669_R_F_1_DLX1
7669_R_F_1_TBR1
7669_R_F_1_COUPTF2
7669_R_P_1_DLX1
7669_R_P_1_TBR1
7669_R_P_1_COUPTF2
7669_R_I_1_DLX1
7669_R_I_1_TBR1
7669_R_I_1_COUPTF2
7669_R_O_1_DLX1
7669_R_O_1_TBR1
7669_R_O_1_COUPTF2
7669_R_T_1_DLX1
7669_R_T_1_TBR1
7669_R_T_1_COUPTF2
7669_R_mO_DLX1
7669_R_mO_TBR1
7669_R_mO_COUPTF2
7669_L_EC_DLX1
7669_L_EC_COUPTF2
7669_R_CCMid_DLX1
7669_R_CC_Mid_TBR1
7669_R_CCMid_COUPTF2
B
6−124787238−C−T
0
−2
−4
−3
−2
−1
0
0.8
0.6
0.4
0.2
0.0

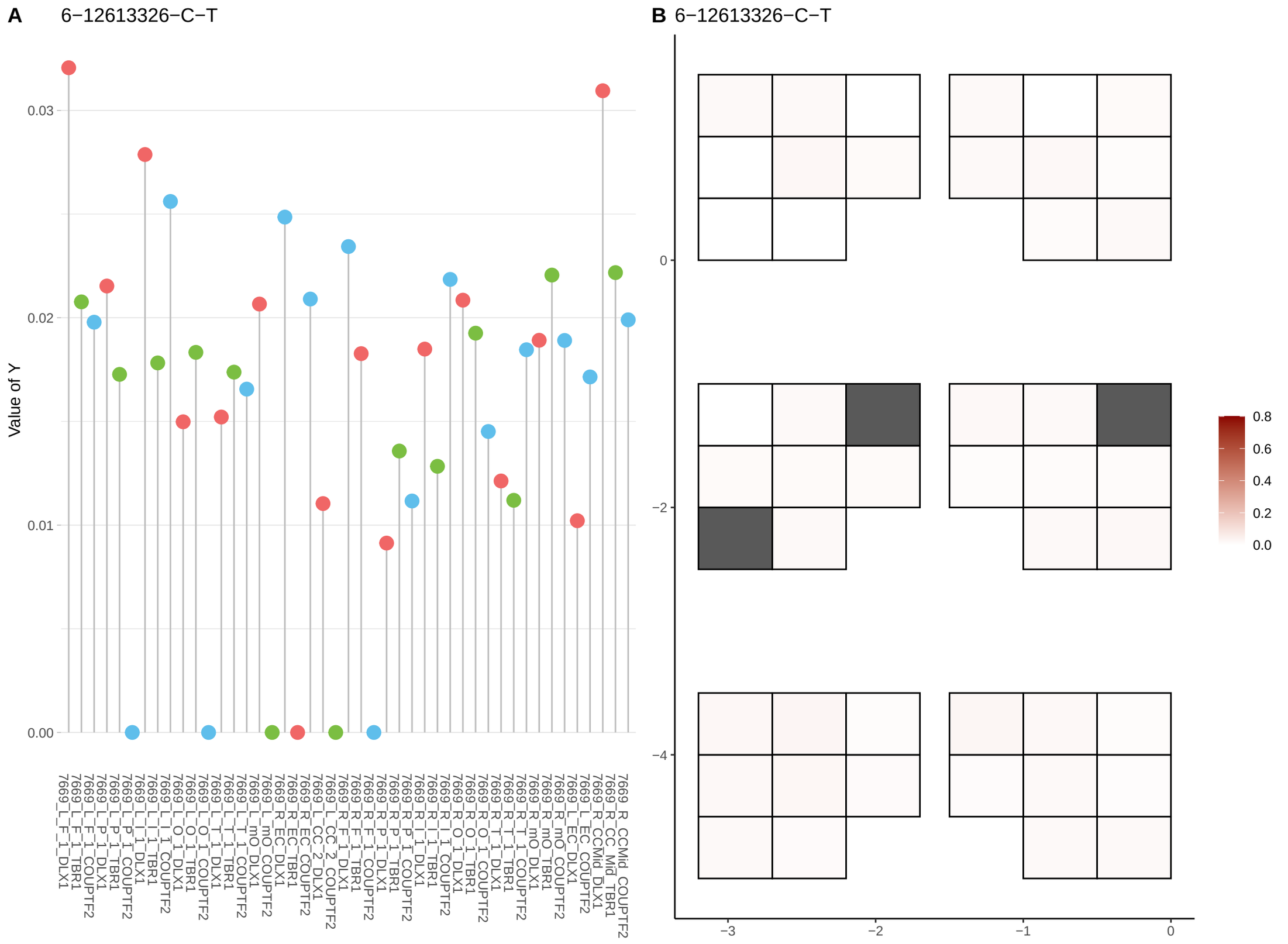
A
6−12613326−C−T
Value of Y
0.03
0.02
0.01
0.00
7669_L_F_1_DLX1
7669_L_F_1_TBR1
7669_L_F_1_COUPTF2
7669_L_P_1_DLX1
7669_L_P_1_TBR1
7669_L_P_1_COUPTF2
7669_L_I_1_DLX1
7669_L_I_1_TBR1
7669_L_I_1_COUPTF2
7669_L_O_1_DLX1
7669_L_O_1_TBR1
7669_L_O_1_COUPTF2
7669_L_T_1_DLX1
7669_L_T_1_TBR1
7669_L_T_1_COUPTF2
7669_L_mO_DLX1
7669_L_mO_COUPTF2
7669_R_EC_DLX1
7669_R_EC_TBR1
7669_R_EC_COUPTF2
7669_L_CC_2_DLX1
7669_L_CC_2_COUPTF2
7669_R_F_1_DLX1
7669_R_F_1_TBR1
7669_R_F_1_COUPTF2
7669_R_P_1_DLX1
7669_R_P_1_TBR1
7669_R_P_1_COUPTF2
7669_R_I_1_DLX1
7669_R_I_1_TBR1
7669_R_I_1_COUPTF2
7669_R_O_1_DLX1
7669_R_O_1_TBR1
7669_R_O_1_COUPTF2
7669_R_T_1_DLX1
7669_R_T_1_TBR1
7669_R_T_1_COUPTF2
7669_R_mO_DLX1
7669_R_mO_TBR1
7669_R_mO_COUPTF2
7669_L_EC_DLX1
7669_L_EC_COUPTF2
7669_R_CCMid_DLX1
7669_R_CC_Mid_TBR1
7669_R_CCMid_COUPTF2
B
6−12613326−C−T
0
−2
−4
−3
−2
−1
0
0.8
0.6
0.4
0.2
0.0

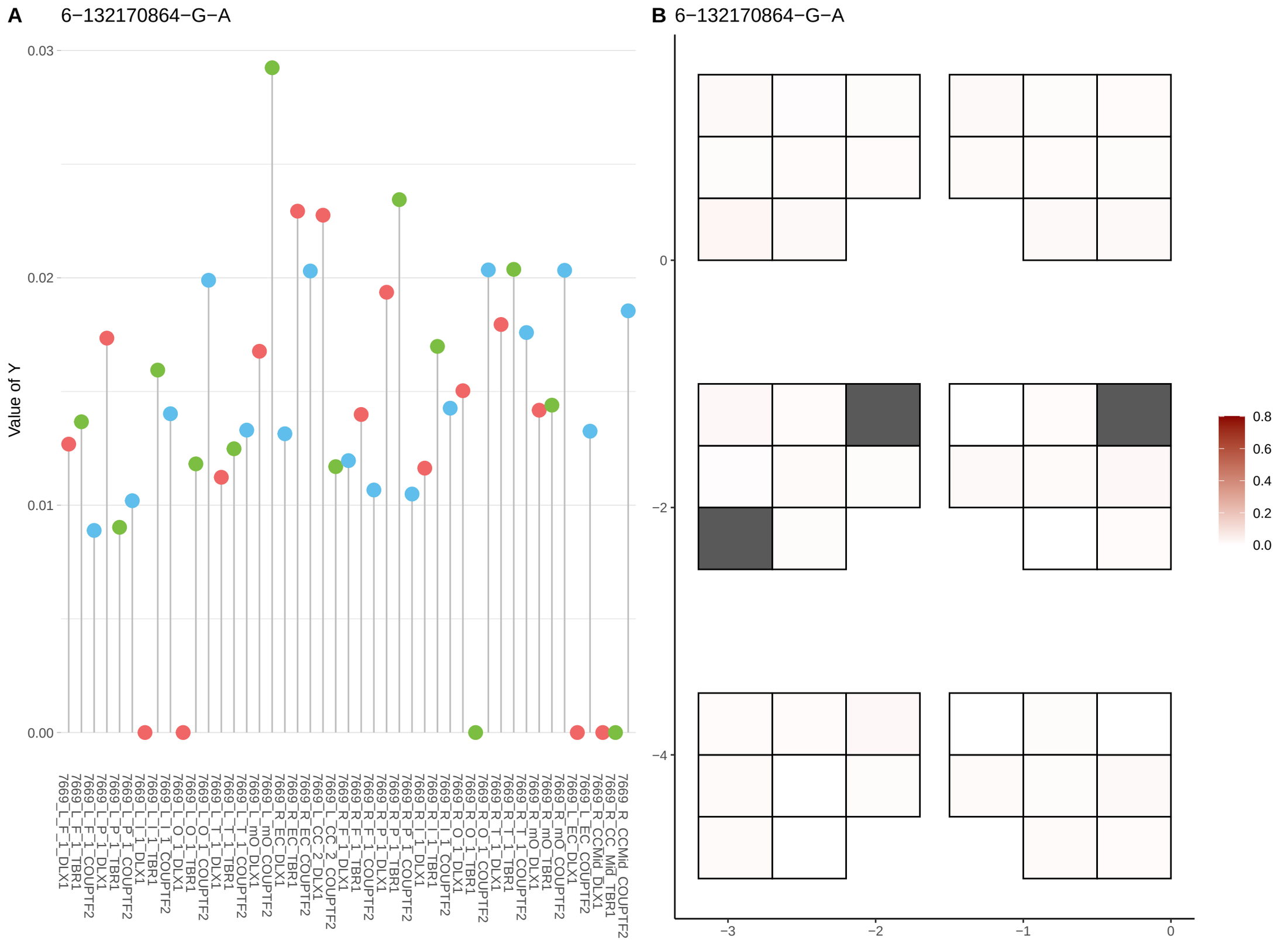
A
6−132170864−G−A
Value of Y
0.03
0.02
0.01
0.00
7669_L_F_1_DLX1
7669_L_F_1_TBR1
7669_L_F_1_COUPTF2
7669_L_P_1_DLX1
7669_L_P_1_TBR1
7669_L_P_1_COUPTF2
7669_L_I_1_DLX1
7669_L_I_1_TBR1
7669_L_I_1_COUPTF2
7669_L_O_1_DLX1
7669_L_O_1_TBR1
7669_L_O_1_COUPTF2
7669_L_T_1_DLX1
7669_L_T_1_TBR1
7669_L_T_1_COUPTF2
7669_L_mO_DLX1
7669_L_mO_COUPTF2
7669_R_EC_DLX1
7669_R_EC_TBR1
7669_R_EC_COUPTF2
7669_L_CC_2_DLX1
7669_L_CC_2_COUPTF2
7669_R_F_1_DLX1
7669_R_F_1_TBR1
7669_R_F_1_COUPTF2
7669_R_P_1_DLX1
7669_R_P_1_TBR1
7669_R_P_1_COUPTF2
7669_R_I_1_DLX1
7669_R_I_1_TBR1
7669_R_I_1_COUPTF2
7669_R_O_1_DLX1
7669_R_O_1_TBR1
7669_R_O_1_COUPTF2
7669_R_T_1_DLX1
7669_R_T_1_TBR1
7669_R_T_1_COUPTF2
7669_R_mO_DLX1
7669_R_mO_TBR1
7669_R_mO_COUPTF2
7669_L_EC_DLX1
7669_L_EC_COUPTF2
7669_R_CCMid_DLX1
7669_R_CC_Mid_TBR1
7669_R_CCMid_COUPTF2
B
6−132170864−G−A
0
−2
−4
−3
−2
−1
0
0.8
0.6
0.4
0.2
0.0

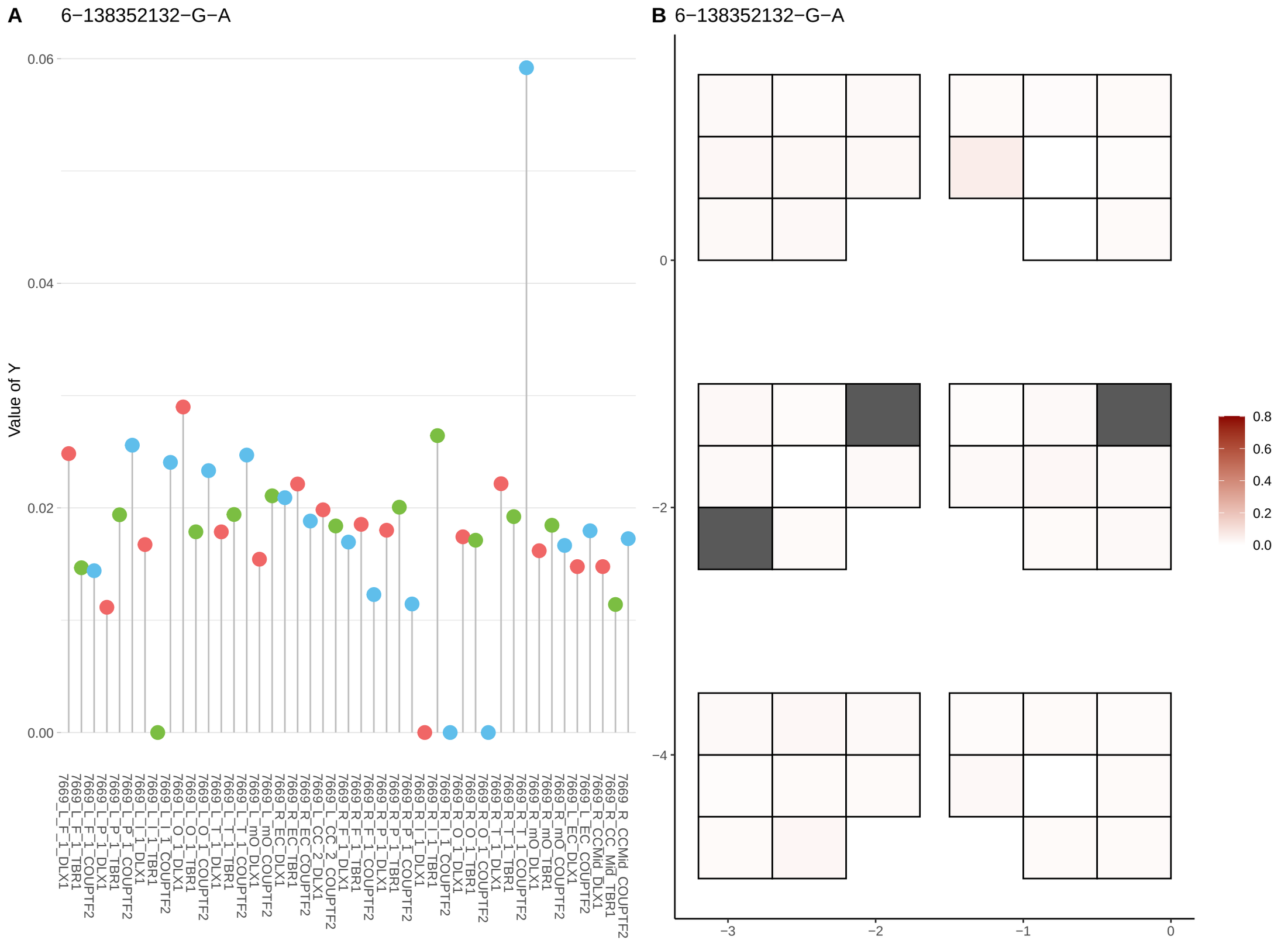
A
6−138352132−G−A
Value of Y
0.06
0.04
0.02
0.00
7669_L_F_1_DLX1
7669_L_F_1_TBR1
7669_L_F_1_COUPTF2
7669_L_P_1_DLX1
7669_L_P_1_TBR1
7669_L_P_1_COUPTF2
7669_L_I_1_DLX1
7669_L_I_1_TBR1
7669_L_I_1_COUPTF2
7669_L_O_1_DLX1
7669_L_O_1_TBR1
7669_L_O_1_COUPTF2
7669_L_T_1_DLX1
7669_L_T_1_TBR1
7669_L_T_1_COUPTF2
7669_L_mO_DLX1
7669_L_mO_COUPTF2
7669_R_EC_DLX1
7669_R_EC_TBR1
7669_R_EC_COUPTF2
7669_L_CC_2_DLX1
7669_L_CC_2_COUPTF2
7669_R_F_1_DLX1
7669_R_F_1_TBR1
7669_R_F_1_COUPTF2
7669_R_P_1_DLX1
7669_R_P_1_TBR1
7669_R_P_1_COUPTF2
7669_R_I_1_DLX1
7669_R_I_1_TBR1
7669_R_I_1_COUPTF2
7669_R_O_1_DLX1
7669_R_O_1_TBR1
7669_R_O_1_COUPTF2
7669_R_T_1_DLX1
7669_R_T_1_TBR1
7669_R_T_1_COUPTF2
7669_R_mO_DLX1
7669_R_mO_TBR1
7669_R_mO_COUPTF2
7669_L_EC_DLX1
7669_L_EC_COUPTF2
7669_R_CCMid_DLX1
7669_R_CC_Mid_TBR1
7669_R_CCMid_COUPTF2
B
6−138352132−G−A
0
−2
−4
−3
−2
−1
0
0.8
0.6
0.4
0.2
0.0

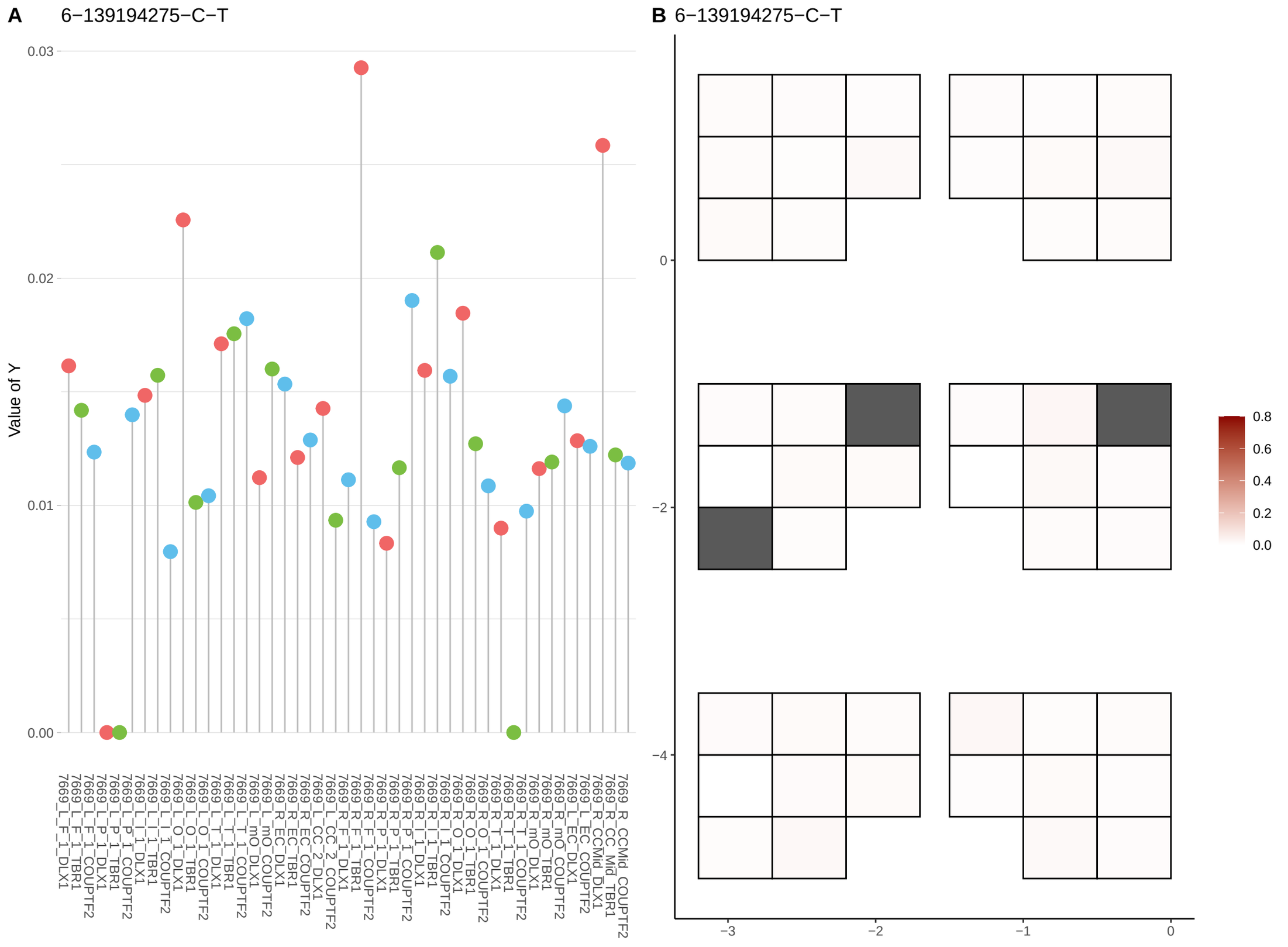
A
6−139194275−C−T
Value of Y
0.03
0.02
0.01
0.00
7669_L_F_1_DLX1
7669_L_F_1_TBR1
7669_L_F_1_COUPTF2
7669_L_P_1_DLX1
7669_L_P_1_TBR1
7669_L_P_1_COUPTF2
7669_L_I_1_DLX1
7669_L_I_1_TBR1
7669_L_I_1_COUPTF2
7669_L_O_1_DLX1
7669_L_O_1_TBR1
7669_L_O_1_COUPTF2
7669_L_T_1_DLX1
7669_L_T_1_TBR1
7669_L_T_1_COUPTF2
7669_L_mO_DLX1
7669_L_mO_COUPTF2
7669_R_EC_DLX1
7669_R_EC_TBR1
7669_R_EC_COUPTF2
7669_L_CC_2_DLX1
7669_L_CC_2_COUPTF2
7669_R_F_1_DLX1
7669_R_F_1_TBR1
7669_R_F_1_COUPTF2
7669_R_P_1_DLX1
7669_R_P_1_TBR1
7669_R_P_1_COUPTF2
7669_R_I_1_DLX1
7669_R_I_1_TBR1
7669_R_I_1_COUPTF2
7669_R_O_1_DLX1
7669_R_O_1_TBR1
7669_R_O_1_COUPTF2
7669_R_T_1_DLX1
7669_R_T_1_TBR1
7669_R_T_1_COUPTF2
7669_R_mO_DLX1
7669_R_mO_TBR1
7669_R_mO_COUPTF2
7669_L_EC_DLX1
7669_L_EC_COUPTF2
7669_R_CCMid_DLX1
7669_R_CC_Mid_TBR1
7669_R_CCMid_COUPTF2
B
6−139194275−C−T
0
−2
−4
−3
−2
−1
0
0.8
0.6
0.4
0.2
0.0

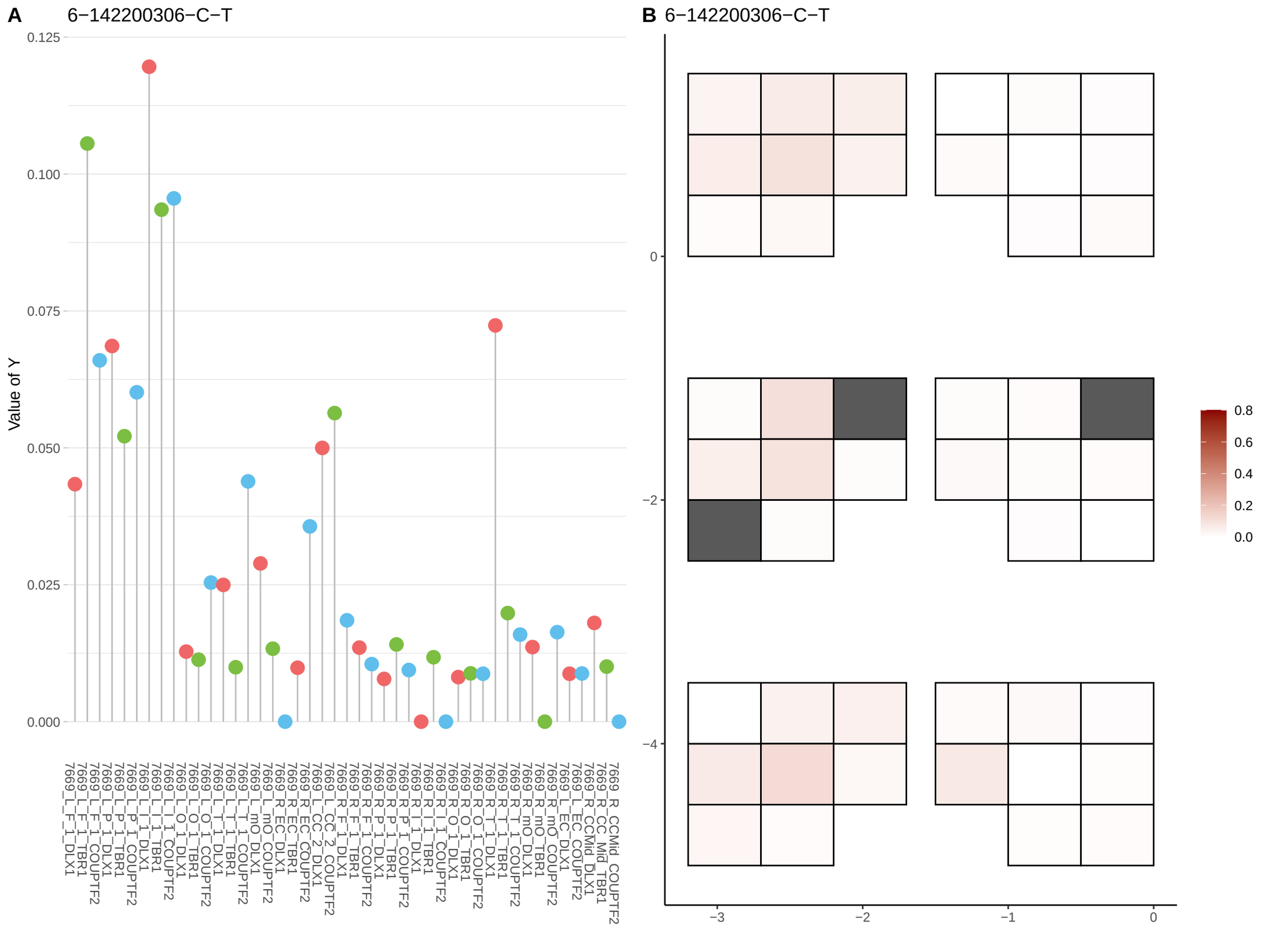
A
6−142200306−C−T
Value of Y
0.125
0.100
0.075
0.050
0.025
0.000
7669_L_F_1_DLX1
7669_L_F_1_TBR1
7669_L_F_1_COUPTF2
7669_L_P_1_DLX1
7669_L_P_1_TBR1
7669_L_P_1_COUPTF2
7669_L_I_1_DLX1
7669_L_I_1_TBR1
7669_L_I_1_COUPTF2
7669_L_O_1_DLX1
7669_L_O_1_TBR1
7669_L_O_1_COUPTF2
7669_L_T_1_DLX1
7669_L_T_1_TBR1
7669_L_T_1_COUPTF2
7669_L_mO_DLX1
7669_L_mO_COUPTF2
7669_R_EC_DLX1
7669_R_EC_TBR1
7669_R_EC_COUPTF2
7669_L_CC_2_DLX1
7669_L_CC_2_COUPTF2
7669_R_F_1_DLX1
7669_R_F_1_TBR1
7669_R_F_1_COUPTF2
7669_R_P_1_DLX1
7669_R_P_1_TBR1
7669_R_P_1_COUPTF2
7669_R_I_1_DLX1
7669_R_I_1_TBR1
7669_R_I_1_COUPTF2
7669_R_O_1_DLX1
7669_R_O_1_TBR1
7669_R_O_1_COUPTF2
7669_R_T_1_DLX1
7669_R_T_1_TBR1
7669_R_T_1_COUPTF2
7669_R_mO_DLX1
7669_R_mO_TBR1
7669_R_mO_COUPTF2
7669_L_EC_DLX1
7669_L_EC_COUPTF2
7669_R_CCMid_DLX1
7669_R_CC_Mid_TBR1
7669_R_CCMid_COUPTF2
B
6−142200306−C−T
0
−2
−4
−3
−2
−1
0
0.8
0.6
0.4
0.2
0.0

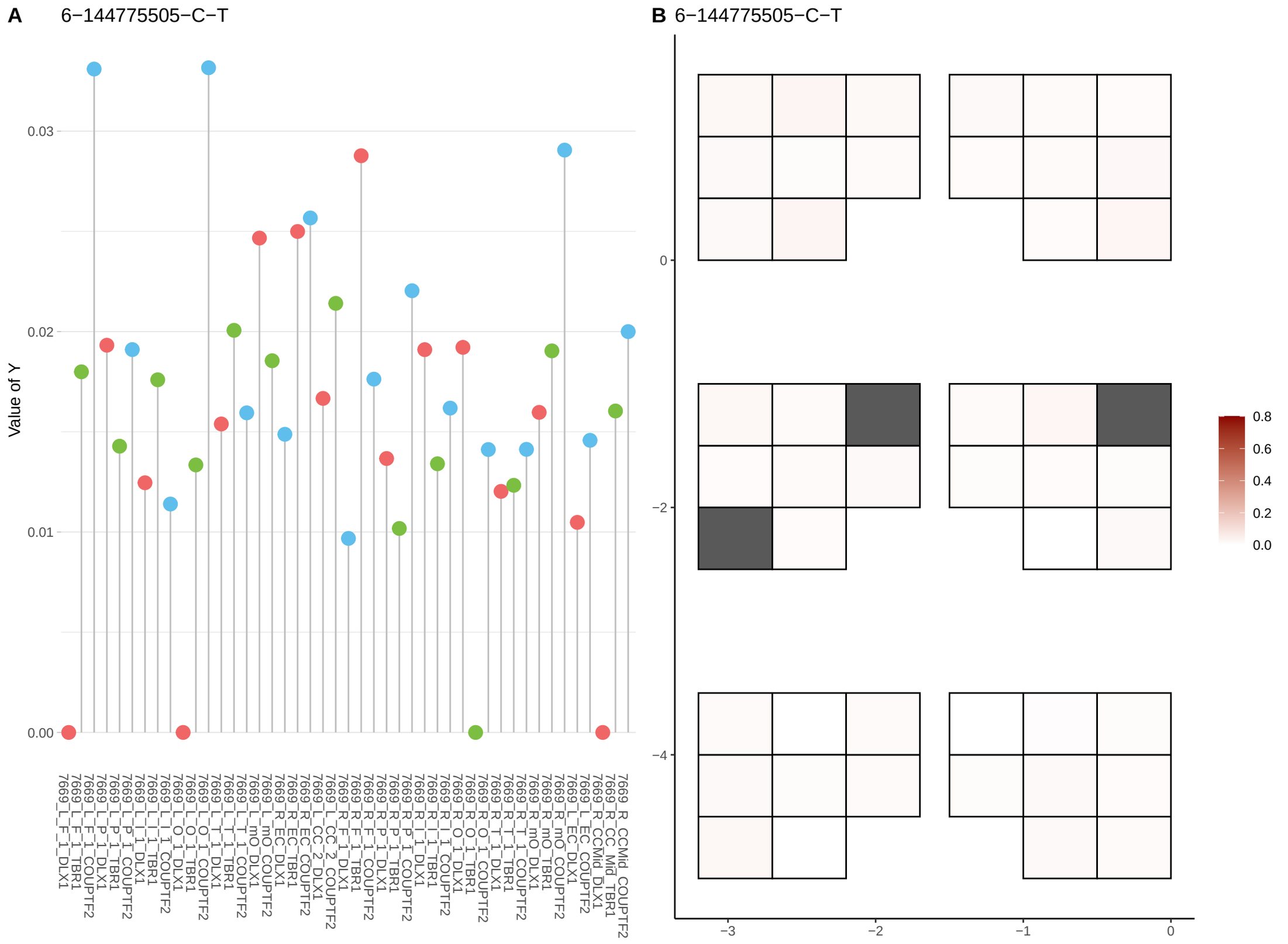
A
6−144775505−C−T
Value of Y
0.03
0.02
0.01
0.00
7669_L_F_1_DLX1
7669_L_F_1_TBR1
7669_L_F_1_COUPTF2
7669_L_P_1_DLX1
7669_L_P_1_TBR1
7669_L_P_1_COUPTF2
7669_L_I_1_DLX1
7669_L_I_1_TBR1
7669_L_I_1_COUPTF2
7669_L_O_1_DLX1
7669_L_O_1_TBR1
7669_L_O_1_COUPTF2
7669_L_T_1_DLX1
7669_L_T_1_TBR1
7669_L_T_1_COUPTF2
7669_L_mO_DLX1
7669_L_mO_COUPTF2
7669_R_EC_DLX1
7669_R_EC_TBR1
7669_R_EC_COUPTF2
7669_L_CC_2_DLX1
7669_L_CC_2_COUPTF2
7669_R_F_1_DLX1
7669_R_F_1_TBR1
7669_R_F_1_COUPTF2
7669_R_P_1_DLX1
7669_R_P_1_TBR1
7669_R_P_1_COUPTF2
7669_R_I_1_DLX1
7669_R_I_1_TBR1
7669_R_I_1_COUPTF2
7669_R_O_1_DLX1
7669_R_O_1_TBR1
7669_R_O_1_COUPTF2
7669_R_T_1_DLX1
7669_R_T_1_TBR1
7669_R_T_1_COUPTF2
7669_R_mO_DLX1
7669_R_mO_TBR1
7669_R_mO_COUPTF2
7669_L_EC_DLX1
7669_L_EC_COUPTF2
7669_R_CCMid_DLX1
7669_R_CC_Mid_TBR1
7669_R_CCMid_COUPTF2
B
6−144775505−C−T
0
−2
−4
−3
−2
−1
0
0.8
0.6
0.4
0.2
0.0

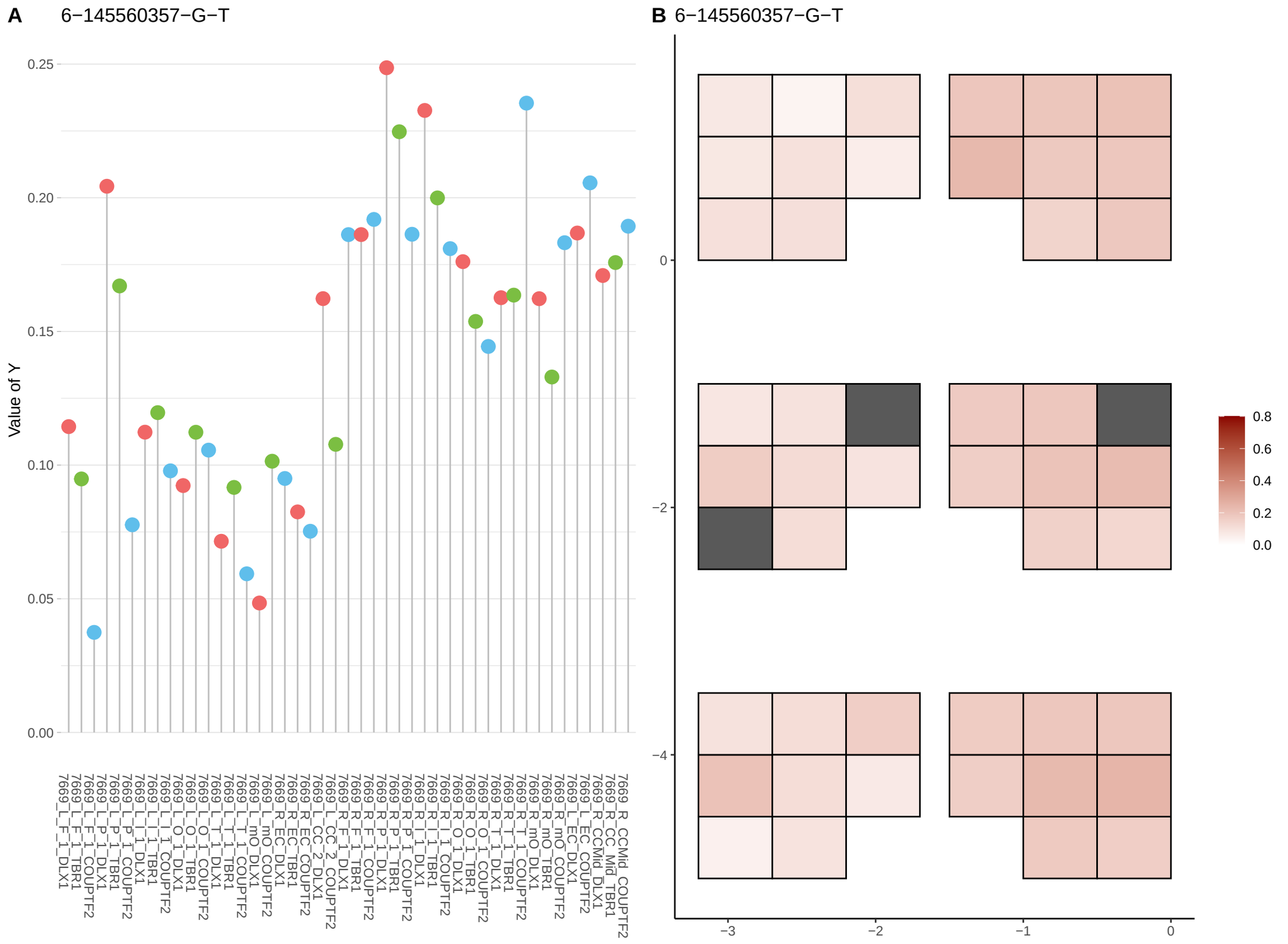
A
6−145560357−G−T
Value of Y
0.25
0.20
0.15
0.10
0.05
0.00
7669_L_F_1_DLX1
7669_L_F_1_TBR1
7669_L_F_1_COUPTF2
7669_L_P_1_DLX1
7669_L_P_1_TBR1
7669_L_P_1_COUPTF2
7669_L_I_1_DLX1
7669_L_I_1_TBR1
7669_L_I_1_COUPTF2
7669_L_O_1_DLX1
7669_L_O_1_TBR1
7669_L_O_1_COUPTF2
7669_L_T_1_DLX1
7669_L_T_1_TBR1
7669_L_T_1_COUPTF2
7669_L_mO_DLX1
7669_L_mO_COUPTF2
7669_R_EC_DLX1
7669_R_EC_TBR1
7669_R_EC_COUPTF2
7669_L_CC_2_DLX1
7669_L_CC_2_COUPTF2
7669_R_F_1_DLX1
7669_R_F_1_TBR1
7669_R_F_1_COUPTF2
7669_R_P_1_DLX1
7669_R_P_1_TBR1
7669_R_P_1_COUPTF2
7669_R_I_1_DLX1
7669_R_I_1_TBR1
7669_R_I_1_COUPTF2
7669_R_O_1_DLX1
7669_R_O_1_TBR1
7669_R_O_1_COUPTF2
7669_R_T_1_DLX1
7669_R_T_1_TBR1
7669_R_T_1_COUPTF2
7669_R_mO_DLX1
7669_R_mO_TBR1
7669_R_mO_COUPTF2
7669_L_EC_DLX1
7669_L_EC_COUPTF2
7669_R_CCMid_DLX1
7669_R_CC_Mid_TBR1
7669_R_CCMid_COUPTF2
B
6−145560357−G−T
0
−2
−4
−3
−2
−1
0
0.8
0.6
0.4
0.2
0.0

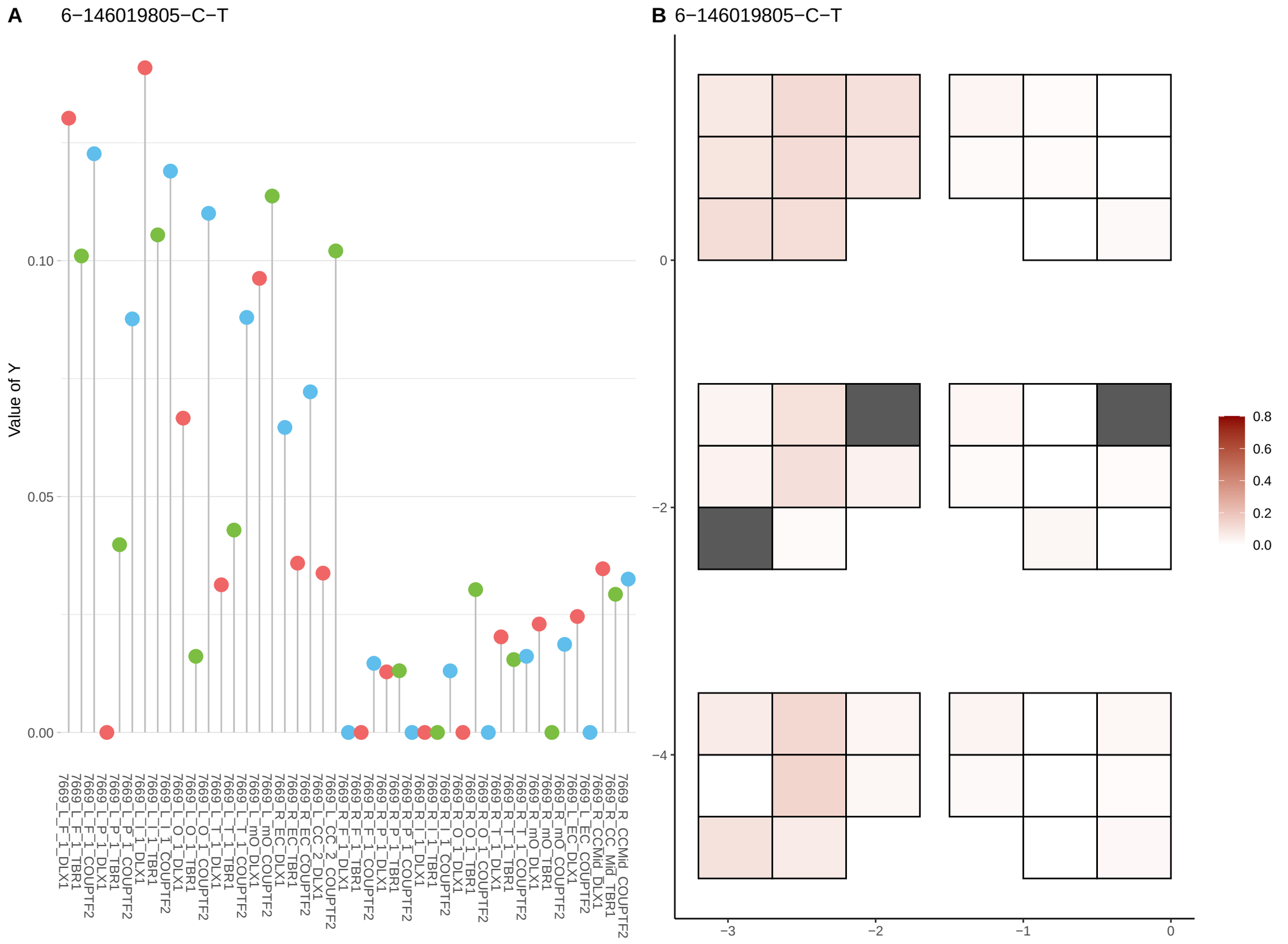
A
6−146019805−C−T
Value of Y
0.10
0.05
0.00
7669_L_F_1_DLX1
7669_L_F_1_TBR1
7669_L_F_1_COUPTF2
7669_L_P_1_DLX1
7669_L_P_1_TBR1
7669_L_P_1_COUPTF2
7669_L_I_1_DLX1
7669_L_I_1_TBR1
7669_L_I_1_COUPTF2
7669_L_O_1_DLX1
7669_L_O_1_TBR1
7669_L_O_1_COUPTF2
7669_L_T_1_DLX1
7669_L_T_1_TBR1
7669_L_T_1_COUPTF2
7669_L_mO_DLX1
7669_L_mO_COUPTF2
7669_R_EC_DLX1
7669_R_EC_TBR1
7669_R_EC_COUPTF2
7669_L_CC_2_DLX1
7669_L_CC_2_COUPTF2
7669_R_F_1_DLX1
7669_R_F_1_TBR1
7669_R_F_1_COUPTF2
7669_R_P_1_DLX1
7669_R_P_1_TBR1
7669_R_P_1_COUPTF2
7669_R_I_1_DLX1
7669_R_I_1_TBR1
7669_R_I_1_COUPTF2
7669_R_O_1_DLX1
7669_R_O_1_TBR1
7669_R_O_1_COUPTF2
7669_R_T_1_DLX1
7669_R_T_1_TBR1
7669_R_T_1_COUPTF2
7669_R_mO_DLX1
7669_R_mO_TBR1
7669_R_mO_COUPTF2
7669_L_EC_DLX1
7669_L_EC_COUPTF2
7669_R_CCMid_DLX1
7669_R_CC_Mid_TBR1
7669_R_CCMid_COUPTF2
B
6−146019805−C−T
0
−2
−4
−3
−2
−1
0
0.8
0.6
0.4
0.2
0.0

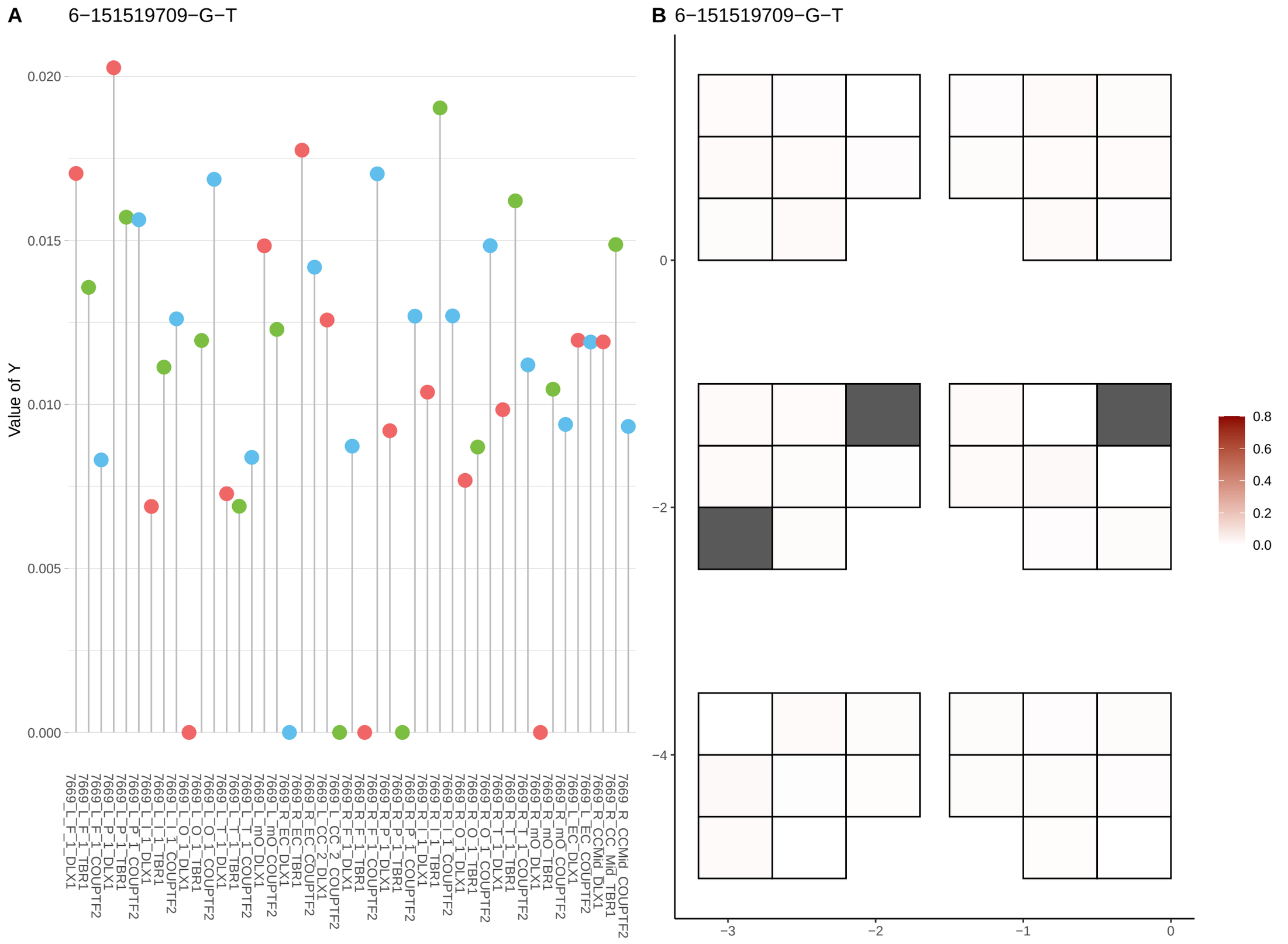
A
6−151519709−G−T
Value of Y
0.020
0.015
0.010
0.005
0.000
7669_L_F_1_DLX1
7669_L_F_1_TBR1
7669_L_F_1_COUPTF2
7669_L_P_1_DLX1
7669_L_P_1_TBR1
7669_L_P_1_COUPTF2
7669_L_I_1_DLX1
7669_L_I_1_TBR1
7669_L_I_1_COUPTF2
7669_L_O_1_DLX1
7669_L_O_1_TBR1
7669_L_O_1_COUPTF2
7669_L_T_1_DLX1
7669_L_T_1_TBR1
7669_L_T_1_COUPTF2
7669_L_mO_DLX1
7669_L_mO_COUPTF2
7669_R_EC_DLX1
7669_R_EC_TBR1
7669_R_EC_COUPTF2
7669_L_CC_2_DLX1
7669_L_CC_2_COUPTF2
7669_R_F_1_DLX1
7669_R_F_1_TBR1
7669_R_F_1_COUPTF2
7669_R_P_1_DLX1
7669_R_P_1_TBR1
7669_R_P_1_COUPTF2
7669_R_I_1_DLX1
7669_R_I_1_TBR1
7669_R_I_1_COUPTF2
7669_R_O_1_DLX1
7669_R_O_1_TBR1
7669_R_O_1_COUPTF2
7669_R_T_1_DLX1
7669_R_T_1_TBR1
7669_R_T_1_COUPTF2
7669_R_mO_DLX1
7669_R_mO_TBR1
7669_R_mO_COUPTF2
7669_L_EC_DLX1
7669_L_EC_COUPTF2
7669_R_CCMid_DLX1
7669_R_CC_Mid_TBR1
7669_R_CCMid_COUPTF2
B
6−151519709−G−T
0
−2
−4
−3
−2
−1
0
0.8
0.6
0.4
0.2
0.0

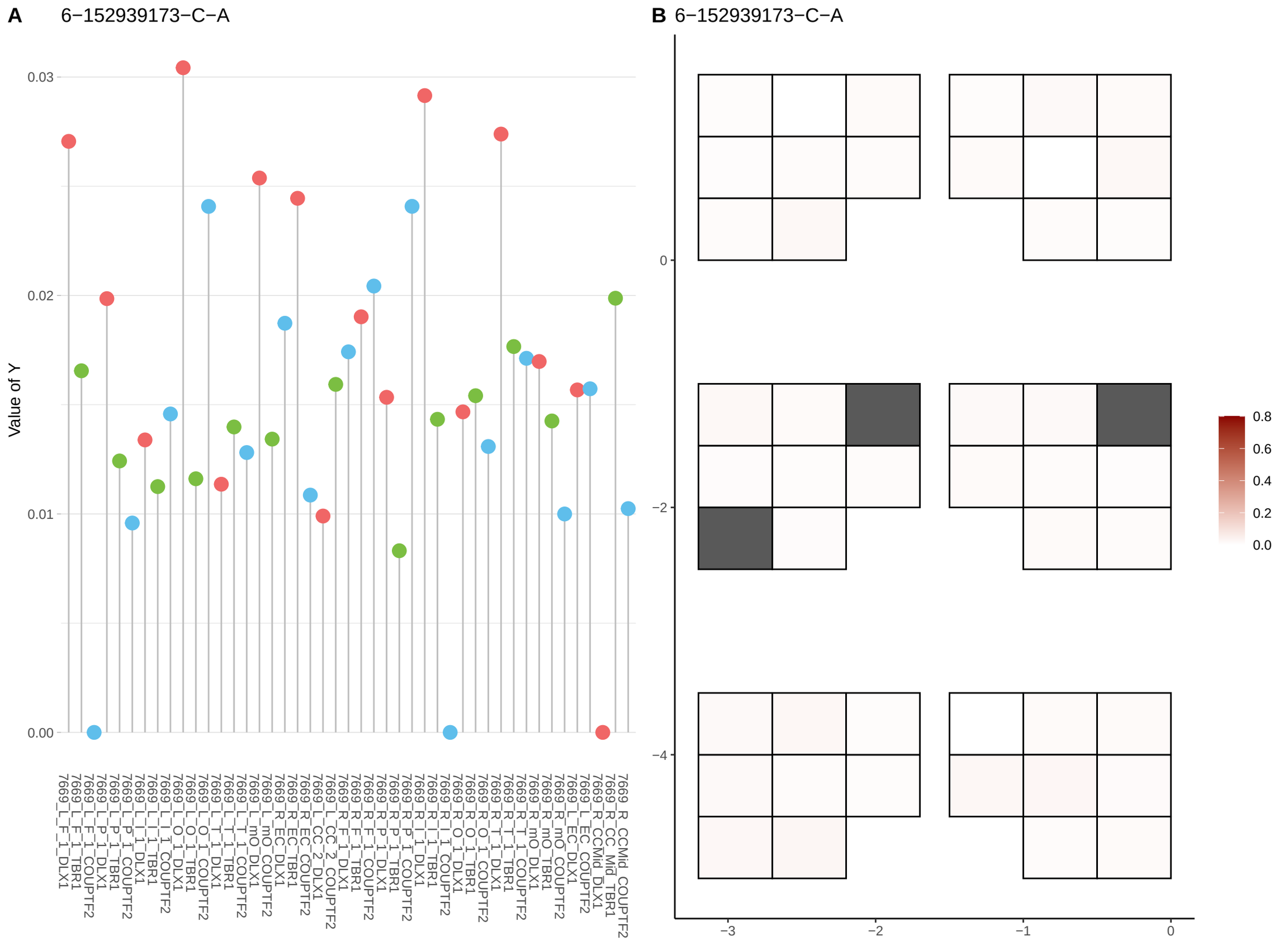
A
6−152939173−C−A
Value of Y
0.03
0.02
0.01
0.00
7669_L_F_1_DLX1
7669_L_F_1_TBR1
7669_L_F_1_COUPTF2
7669_L_P_1_DLX1
7669_L_P_1_TBR1
7669_L_P_1_COUPTF2
7669_L_I_1_DLX1
7669_L_I_1_TBR1
7669_L_I_1_COUPTF2
7669_L_O_1_DLX1
7669_L_O_1_TBR1
7669_L_O_1_COUPTF2
7669_L_T_1_DLX1
7669_L_T_1_TBR1
7669_L_T_1_COUPTF2
7669_L_mO_DLX1
7669_L_mO_COUPTF2
7669_R_EC_DLX1
7669_R_EC_TBR1
7669_R_EC_COUPTF2
7669_L_CC_2_DLX1
7669_L_CC_2_COUPTF2
7669_R_F_1_DLX1
7669_R_F_1_TBR1
7669_R_F_1_COUPTF2
7669_R_P_1_DLX1
7669_R_P_1_TBR1
7669_R_P_1_COUPTF2
7669_R_I_1_DLX1
7669_R_I_1_TBR1
7669_R_I_1_COUPTF2
7669_R_O_1_DLX1
7669_R_O_1_TBR1
7669_R_O_1_COUPTF2
7669_R_T_1_DLX1
7669_R_T_1_TBR1
7669_R_T_1_COUPTF2
7669_R_mO_DLX1
7669_R_mO_TBR1
7669_R_mO_COUPTF2
7669_L_EC_DLX1
7669_L_EC_COUPTF2
7669_R_CCMid_DLX1
7669_R_CC_Mid_TBR1
7669_R_CCMid_COUPTF2
B
6−152939173−C−A
0
−2
−4
−3
−2
−1
0
0.8
0.6
0.4
0.2
0.0

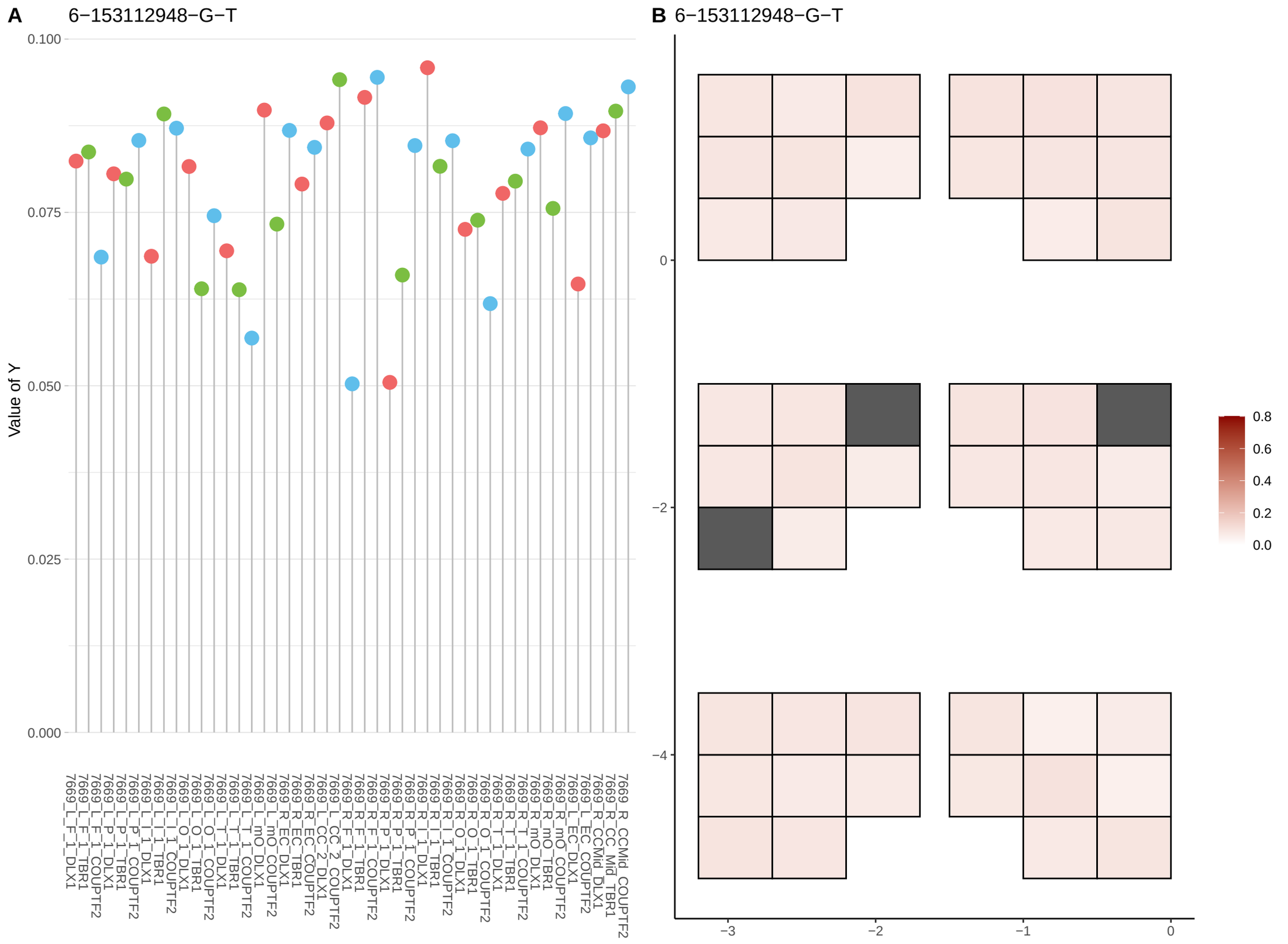
A
6−153112948−G−T
Value of Y
0.100
0.075
0.050
0.025
0.000
7669_L_F_1_DLX1
7669_L_F_1_TBR1
7669_L_F_1_COUPTF2
7669_L_P_1_DLX1
7669_L_P_1_TBR1
7669_L_P_1_COUPTF2
7669_L_I_1_DLX1
7669_L_I_1_TBR1
7669_L_I_1_COUPTF2
7669_L_O_1_DLX1
7669_L_O_1_TBR1
7669_L_O_1_COUPTF2
7669_L_T_1_DLX1
7669_L_T_1_TBR1
7669_L_T_1_COUPTF2
7669_L_mO_DLX1
7669_L_mO_COUPTF2
7669_R_EC_DLX1
7669_R_EC_TBR1
7669_R_EC_COUPTF2
7669_L_CC_2_DLX1
7669_L_CC_2_COUPTF2
7669_R_F_1_DLX1
7669_R_F_1_TBR1
7669_R_F_1_COUPTF2
7669_R_P_1_DLX1
7669_R_P_1_TBR1
7669_R_P_1_COUPTF2
7669_R_I_1_DLX1
7669_R_I_1_TBR1
7669_R_I_1_COUPTF2
7669_R_O_1_DLX1
7669_R_O_1_TBR1
7669_R_O_1_COUPTF2
7669_R_T_1_DLX1
7669_R_T_1_TBR1
7669_R_T_1_COUPTF2
7669_R_mO_DLX1
7669_R_mO_TBR1
7669_R_mO_COUPTF2
7669_L_EC_DLX1
7669_L_EC_COUPTF2
7669_R_CCMid_DLX1
7669_R_CC_Mid_TBR1
7669_R_CCMid_COUPTF2
B
6−153112948−G−T
0
−2
−4
−3
−2
−1
0
0.8
0.6
0.4
0.2
0.0

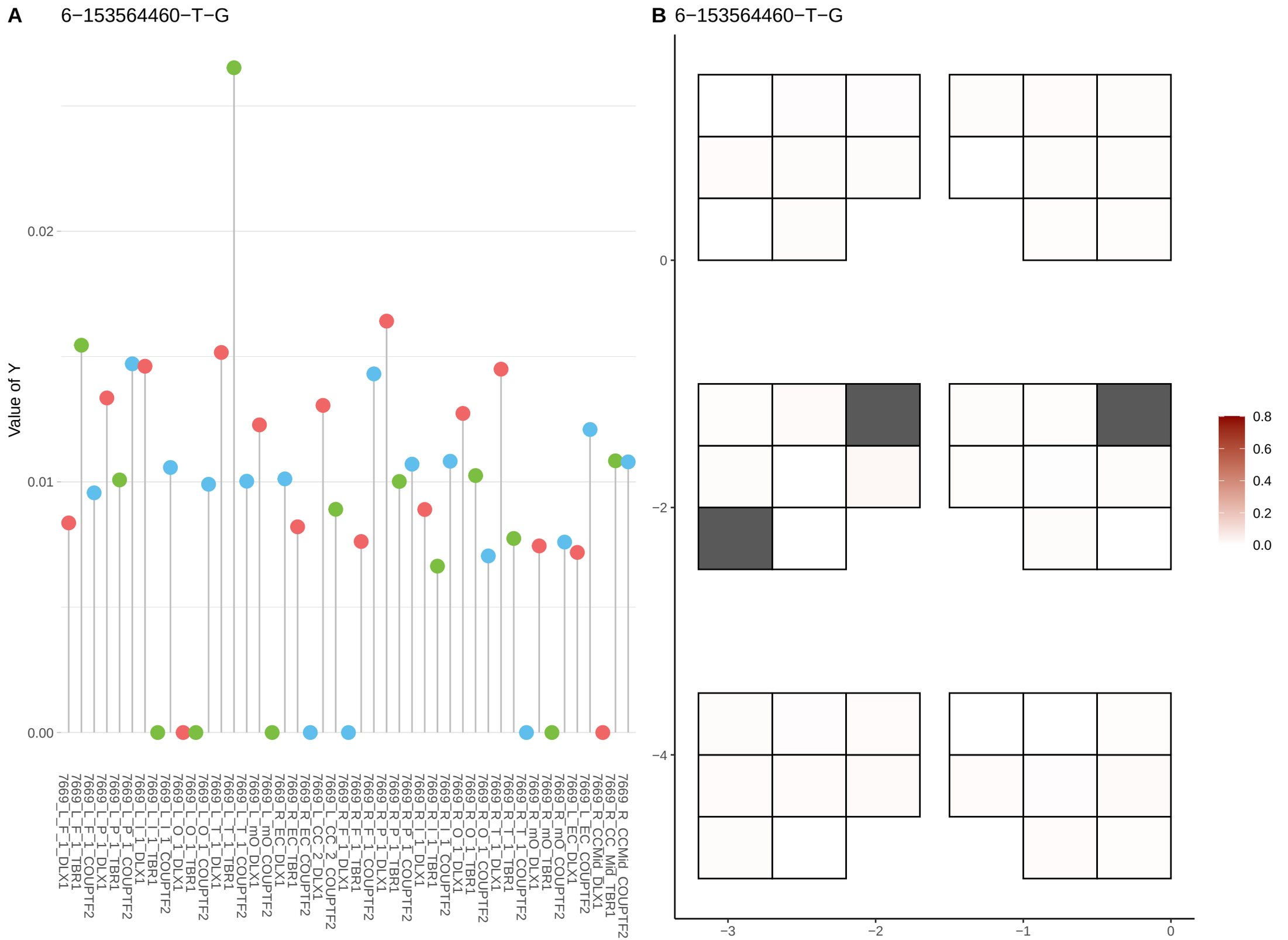
A
6−153564460−T−G
Value of Y
0.02
0.01
0.00
7669_L_F_1_DLX1
7669_L_F_1_TBR1
7669_L_F_1_COUPTF2
7669_L_P_1_DLX1
7669_L_P_1_TBR1
7669_L_P_1_COUPTF2
7669_L_I_1_DLX1
7669_L_I_1_TBR1
7669_L_I_1_COUPTF2
7669_L_O_1_DLX1
7669_L_O_1_TBR1
7669_L_O_1_COUPTF2
7669_L_T_1_DLX1
7669_L_T_1_TBR1
7669_L_T_1_COUPTF2
7669_L_mO_DLX1
7669_L_mO_COUPTF2
7669_R_EC_DLX1
7669_R_EC_TBR1
7669_R_EC_COUPTF2
7669_L_CC_2_DLX1
7669_L_CC_2_COUPTF2
7669_R_F_1_DLX1
7669_R_F_1_TBR1
7669_R_F_1_COUPTF2
7669_R_P_1_DLX1
7669_R_P_1_TBR1
7669_R_P_1_COUPTF2
7669_R_I_1_DLX1
7669_R_I_1_TBR1
7669_R_I_1_COUPTF2
7669_R_O_1_DLX1
7669_R_O_1_TBR1
7669_R_O_1_COUPTF2
7669_R_T_1_DLX1
7669_R_T_1_TBR1
7669_R_T_1_COUPTF2
7669_R_mO_DLX1
7669_R_mO_TBR1
7669_R_mO_COUPTF2
7669_L_EC_DLX1
7669_L_EC_COUPTF2
7669_R_CCMid_DLX1
7669_R_CC_Mid_TBR1
7669_R_CCMid_COUPTF2
B
6−153564460−T−G
0
−2
−4
−3
−2
−1
0
0.8
0.6
0.4
0.2
0.0

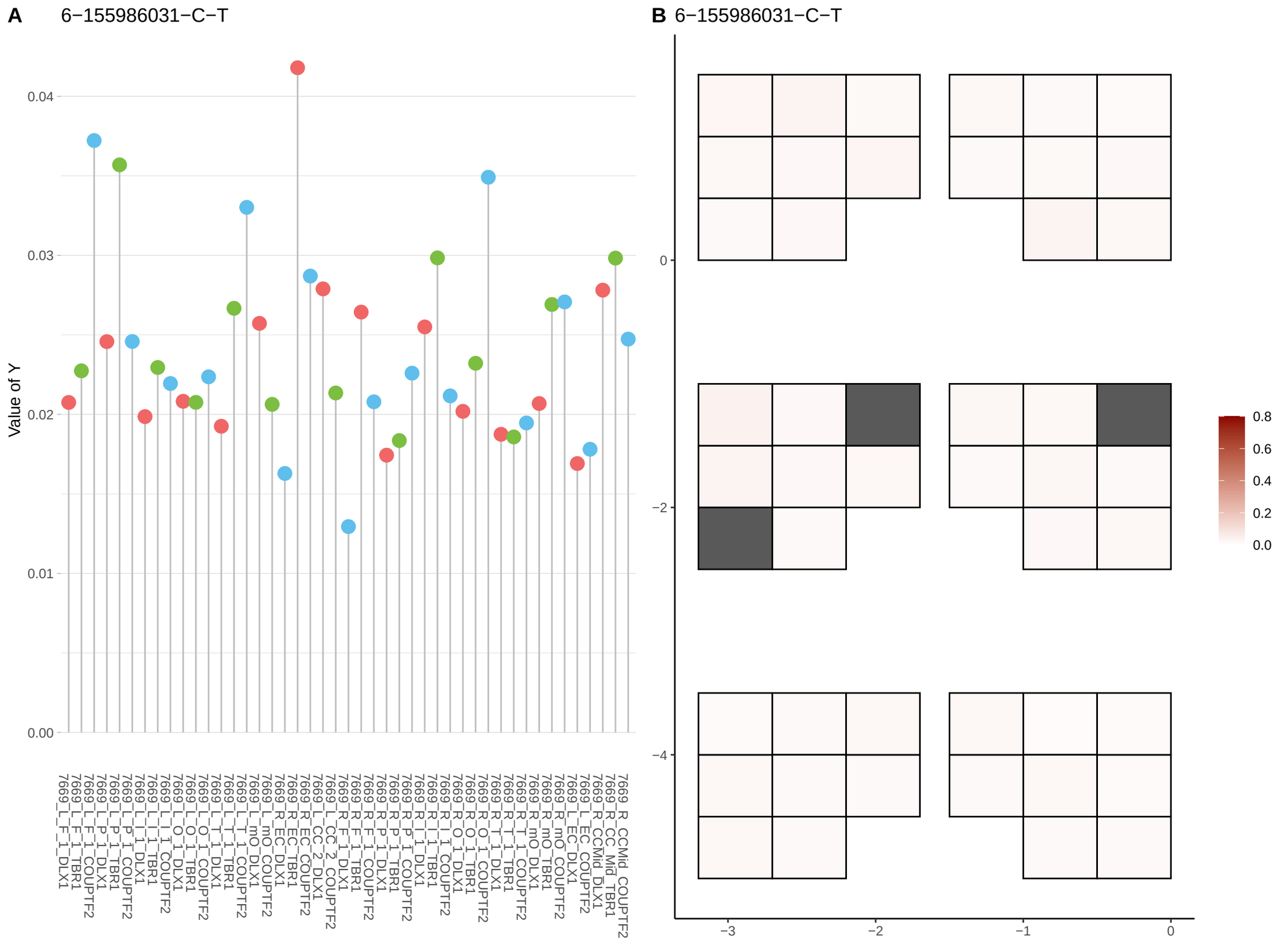
A
6−155986031−C−T
Value of Y
0.04
0.03
0.02
0.01
0.00
7669_L_F_1_DLX1
7669_L_F_1_TBR1
7669_L_F_1_COUPTF2
7669_L_P_1_DLX1
7669_L_P_1_TBR1
7669_L_P_1_COUPTF2
7669_L_I_1_DLX1
7669_L_I_1_TBR1
7669_L_I_1_COUPTF2
7669_L_O_1_DLX1
7669_L_O_1_TBR1
7669_L_O_1_COUPTF2
7669_L_T_1_DLX1
7669_L_T_1_TBR1
7669_L_T_1_COUPTF2
7669_L_mO_DLX1
7669_L_mO_COUPTF2
7669_R_EC_DLX1
7669_R_EC_TBR1
7669_R_EC_COUPTF2
7669_L_CC_2_DLX1
7669_L_CC_2_COUPTF2
7669_R_F_1_DLX1
7669_R_F_1_TBR1
7669_R_F_1_COUPTF2
7669_R_P_1_DLX1
7669_R_P_1_TBR1
7669_R_P_1_COUPTF2
7669_R_I_1_DLX1
7669_R_I_1_TBR1
7669_R_I_1_COUPTF2
7669_R_O_1_DLX1
7669_R_O_1_TBR1
7669_R_O_1_COUPTF2
7669_R_T_1_DLX1
7669_R_T_1_TBR1
7669_R_T_1_COUPTF2
7669_R_mO_DLX1
7669_R_mO_TBR1
7669_R_mO_COUPTF2
7669_L_EC_DLX1
7669_L_EC_COUPTF2
7669_R_CCMid_DLX1
7669_R_CC_Mid_TBR1
7669_R_CCMid_COUPTF2
B
6−155986031−C−T
0
−2
−4
−3
−2
−1
0
0.8
0.6
0.4
0.2
0.0

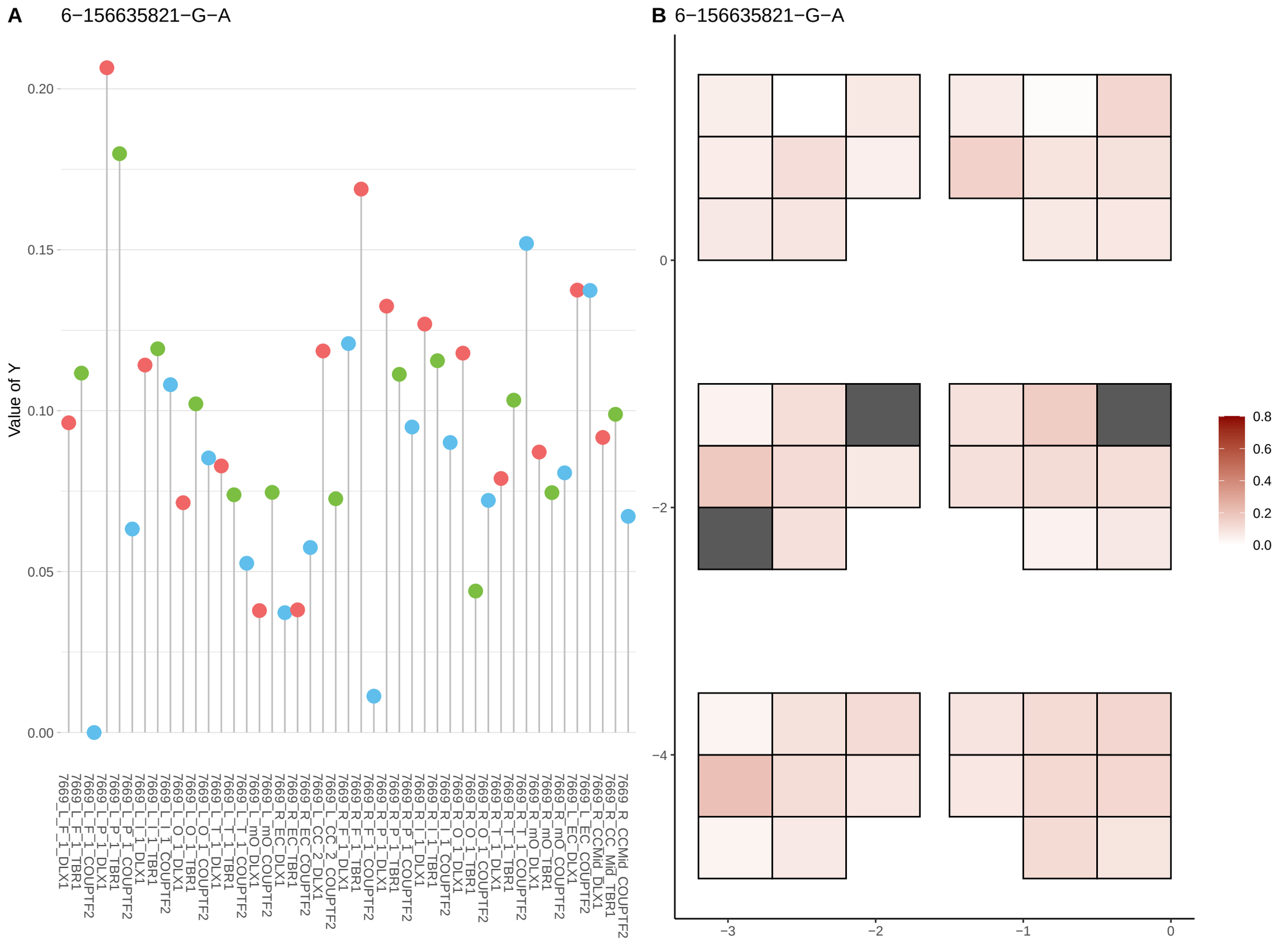
A
6−156635821−G−A
Value of Y
0.20
0.15
0.10
0.05
0.00
7669_L_F_1_DLX1
7669_L_F_1_TBR1
7669_L_F_1_COUPTF2
7669_L_P_1_DLX1
7669_L_P_1_TBR1
7669_L_P_1_COUPTF2
7669_L_I_1_DLX1
7669_L_I_1_TBR1
7669_L_I_1_COUPTF2
7669_L_O_1_DLX1
7669_L_O_1_TBR1
7669_L_O_1_COUPTF2
7669_L_T_1_DLX1
7669_L_T_1_TBR1
7669_L_T_1_COUPTF2
7669_L_mO_DLX1
7669_L_mO_COUPTF2
7669_R_EC_DLX1
7669_R_EC_TBR1
7669_R_EC_COUPTF2
7669_L_CC_2_DLX1
7669_L_CC_2_COUPTF2
7669_R_F_1_DLX1
7669_R_F_1_TBR1
7669_R_F_1_COUPTF2
7669_R_P_1_DLX1
7669_R_P_1_TBR1
7669_R_P_1_COUPTF2
7669_R_I_1_DLX1
7669_R_I_1_TBR1
7669_R_I_1_COUPTF2
7669_R_O_1_DLX1
7669_R_O_1_TBR1
7669_R_O_1_COUPTF2
7669_R_T_1_DLX1
7669_R_T_1_TBR1
7669_R_T_1_COUPTF2
7669_R_mO_DLX1
7669_R_mO_TBR1
7669_R_mO_COUPTF2
7669_L_EC_DLX1
7669_L_EC_COUPTF2
7669_R_CCMid_DLX1
7669_R_CC_Mid_TBR1
7669_R_CCMid_COUPTF2
B
6−156635821−G−A
0
−2
−4
−3
−2
−1
0
0.8
0.6
0.4
0.2
0.0

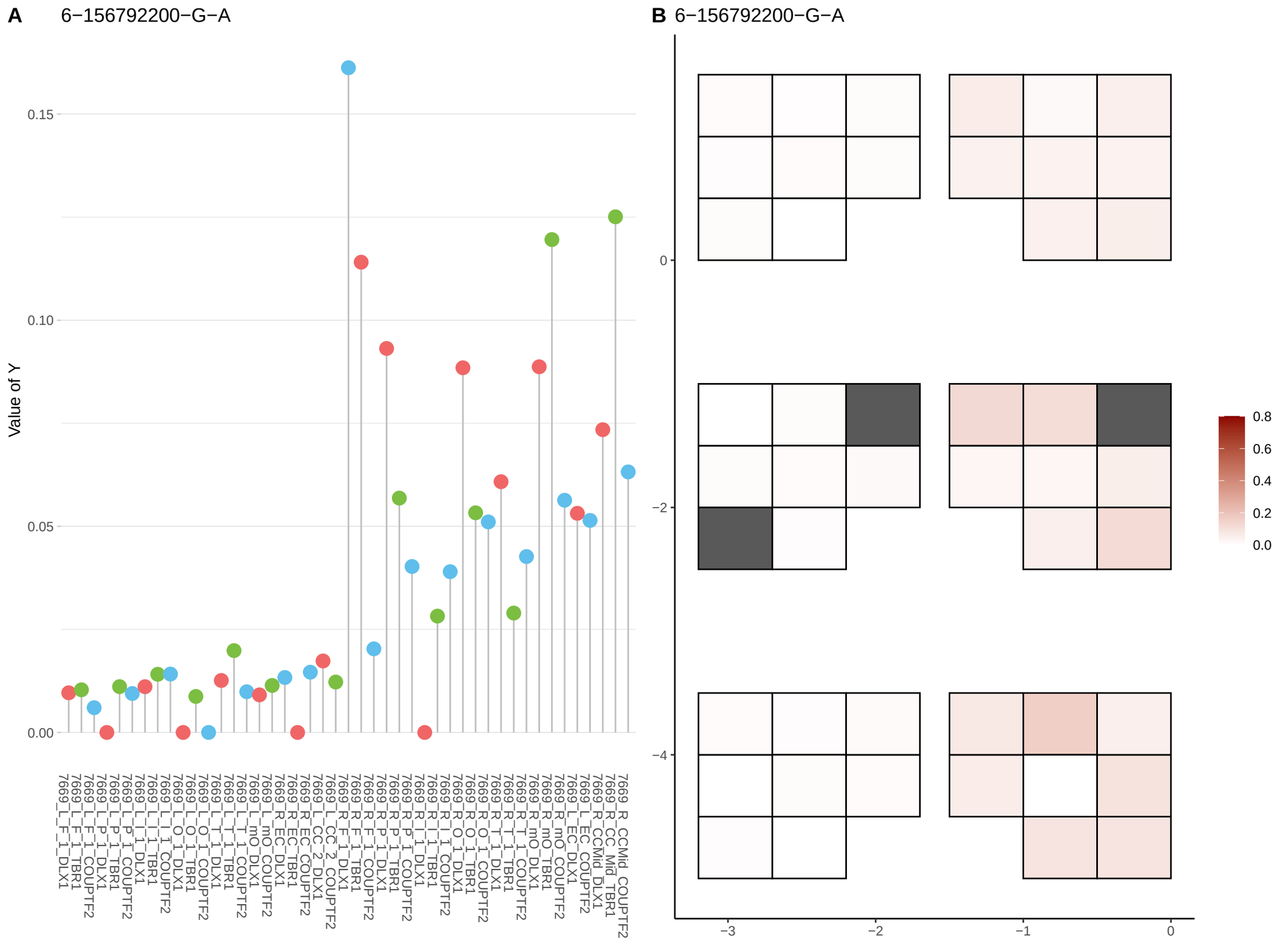
A
6−156792200−G−A
Value of Y
0.15
0.10
0.05
0.00
7669_L_F_1_DLX1
7669_L_F_1_TBR1
7669_L_F_1_COUPTF2
7669_L_P_1_DLX1
7669_L_P_1_TBR1
7669_L_P_1_COUPTF2
7669_L_I_1_DLX1
7669_L_I_1_TBR1
7669_L_I_1_COUPTF2
7669_L_O_1_DLX1
7669_L_O_1_TBR1
7669_L_O_1_COUPTF2
7669_L_T_1_DLX1
7669_L_T_1_TBR1
7669_L_T_1_COUPTF2
7669_L_mO_DLX1
7669_L_mO_COUPTF2
7669_R_EC_DLX1
7669_R_EC_TBR1
7669_R_EC_COUPTF2
7669_L_CC_2_DLX1
7669_L_CC_2_COUPTF2
7669_R_F_1_DLX1
7669_R_F_1_TBR1
7669_R_F_1_COUPTF2
7669_R_P_1_DLX1
7669_R_P_1_TBR1
7669_R_P_1_COUPTF2
7669_R_I_1_DLX1
7669_R_I_1_TBR1
7669_R_I_1_COUPTF2
7669_R_O_1_DLX1
7669_R_O_1_TBR1
7669_R_O_1_COUPTF2
7669_R_T_1_DLX1
7669_R_T_1_TBR1
7669_R_T_1_COUPTF2
7669_R_mO_DLX1
7669_R_mO_TBR1
7669_R_mO_COUPTF2
7669_L_EC_DLX1
7669_L_EC_COUPTF2
7669_R_CCMid_DLX1
7669_R_CC_Mid_TBR1
7669_R_CCMid_COUPTF2
B
6−156792200−G−A
0
−2
−4
−3
−2
−1
0
0.8
0.6
0.4
0.2
0.0

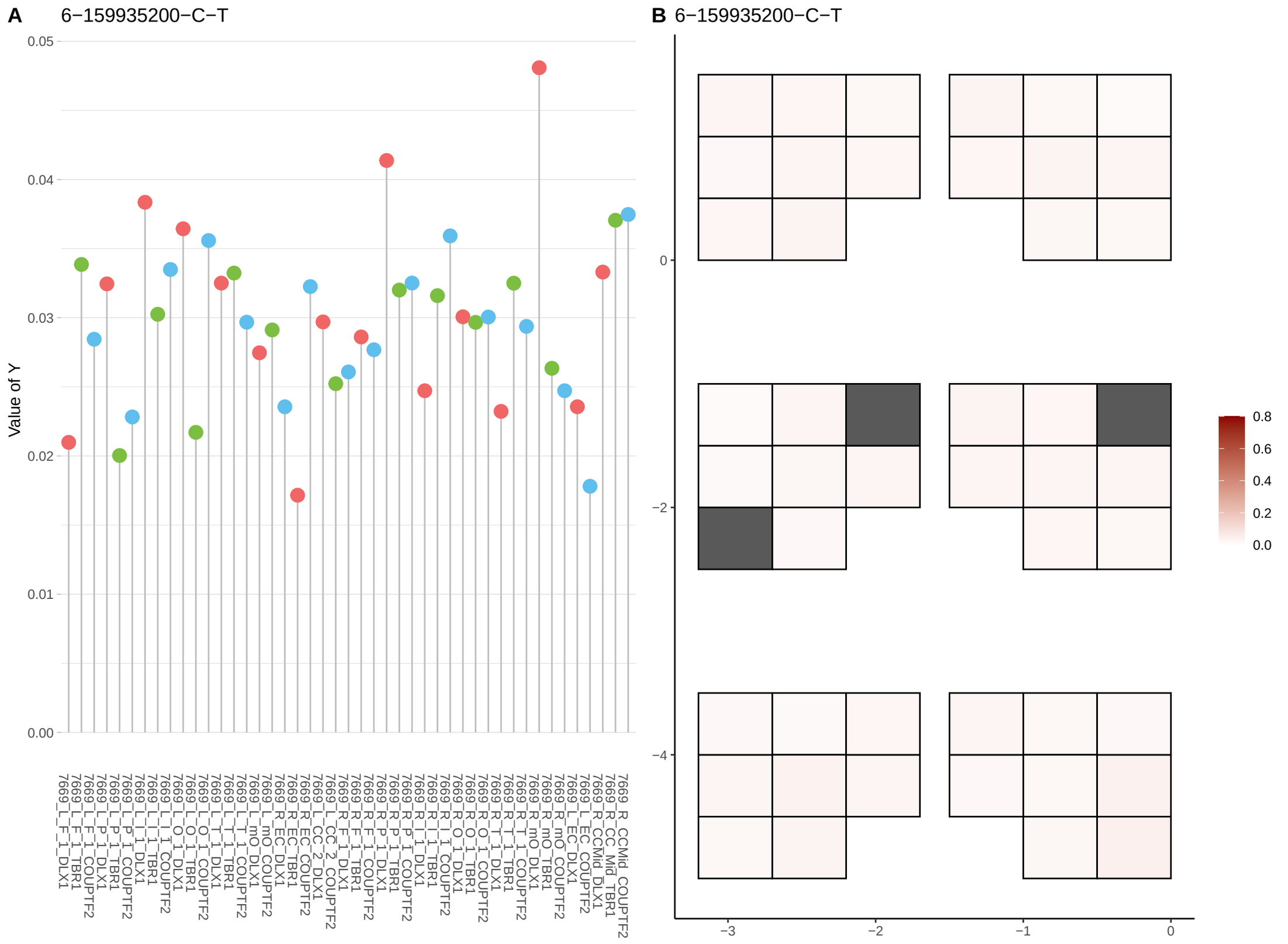
A
6−159935200−C−T
Value of Y
0.05
0.04
0.03
0.02
0.01
0.00
7669_L_F_1_DLX1
7669_L_F_1_TBR1
7669_L_F_1_COUPTF2
7669_L_P_1_DLX1
7669_L_P_1_TBR1
7669_L_P_1_COUPTF2
7669_L_I_1_DLX1
7669_L_I_1_TBR1
7669_L_I_1_COUPTF2
7669_L_O_1_DLX1
7669_L_O_1_TBR1
7669_L_O_1_COUPTF2
7669_L_T_1_DLX1
7669_L_T_1_TBR1
7669_L_T_1_COUPTF2
7669_L_mO_DLX1
7669_L_mO_COUPTF2
7669_R_EC_DLX1
7669_R_EC_TBR1
7669_R_EC_COUPTF2
7669_L_CC_2_DLX1
7669_L_CC_2_COUPTF2
7669_R_F_1_DLX1
7669_R_F_1_TBR1
7669_R_F_1_COUPTF2
7669_R_P_1_DLX1
7669_R_P_1_TBR1
7669_R_P_1_COUPTF2
7669_R_I_1_DLX1
7669_R_I_1_TBR1
7669_R_I_1_COUPTF2
7669_R_O_1_DLX1
7669_R_O_1_TBR1
7669_R_O_1_COUPTF2
7669_R_T_1_DLX1
7669_R_T_1_TBR1
7669_R_T_1_COUPTF2
7669_R_mO_DLX1
7669_R_mO_TBR1
7669_R_mO_COUPTF2
7669_L_EC_DLX1
7669_L_EC_COUPTF2
7669_R_CCMid_DLX1
7669_R_CC_Mid_TBR1
7669_R_CCMid_COUPTF2
B
6−159935200−C−T
0
−2
−4
−3
−2
−1
0
0.8
0.6
0.4
0.2
0.0

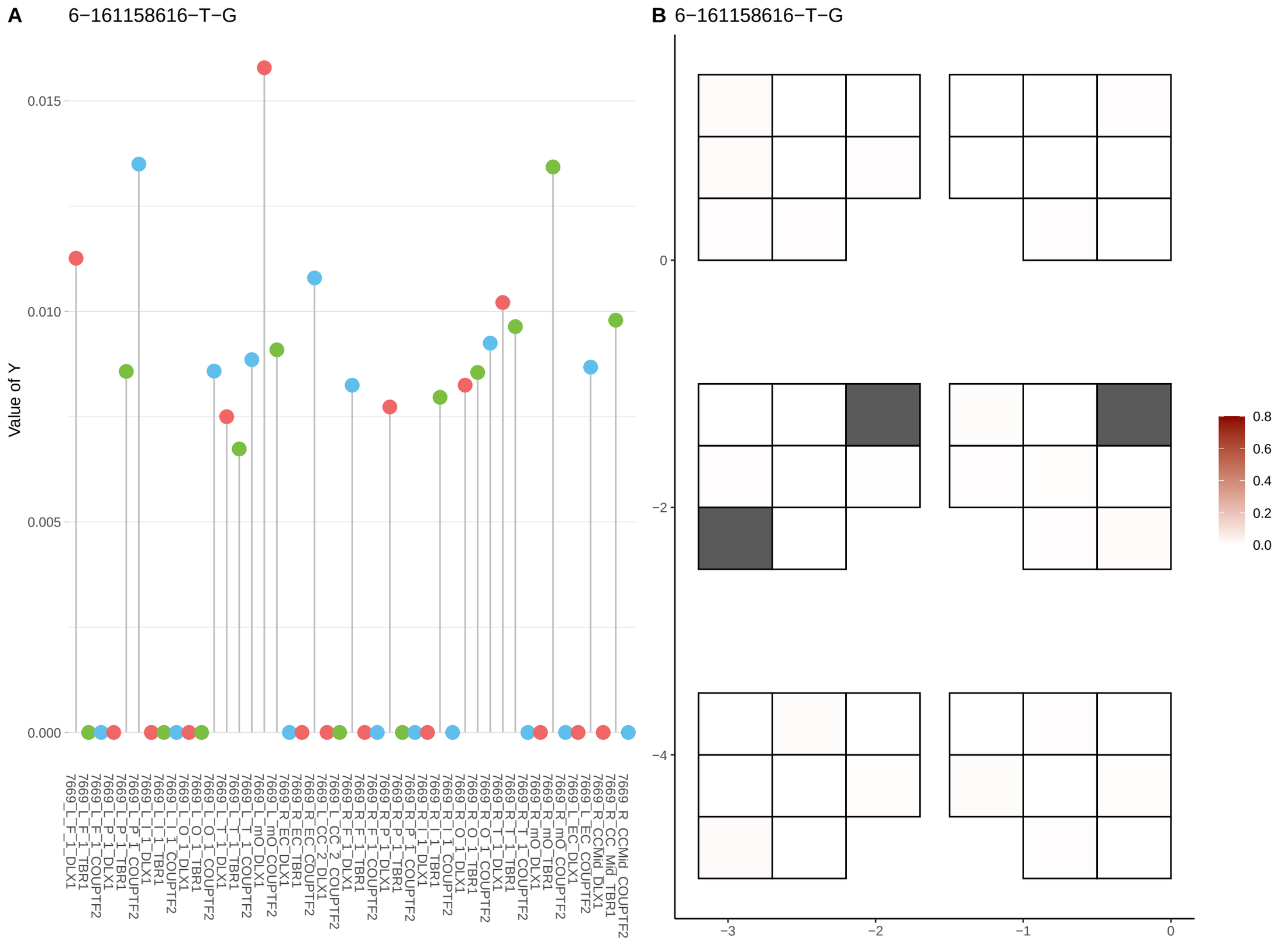
A
6−161158616−T−G
Value of Y
0.015
0.010
0.005
0.000
7669_L_F_1_DLX1
7669_L_F_1_TBR1
7669_L_F_1_COUPTF2
7669_L_P_1_DLX1
7669_L_P_1_TBR1
7669_L_P_1_COUPTF2
7669_L_I_1_DLX1
7669_L_I_1_TBR1
7669_L_I_1_COUPTF2
7669_L_O_1_DLX1
7669_L_O_1_TBR1
7669_L_O_1_COUPTF2
7669_L_T_1_DLX1
7669_L_T_1_TBR1
7669_L_T_1_COUPTF2
7669_L_mO_DLX1
7669_L_mO_COUPTF2
7669_R_EC_DLX1
7669_R_EC_TBR1
7669_R_EC_COUPTF2
7669_L_CC_2_DLX1
7669_L_CC_2_COUPTF2
7669_R_F_1_DLX1
7669_R_F_1_TBR1
7669_R_F_1_COUPTF2
7669_R_P_1_DLX1
7669_R_P_1_TBR1
7669_R_P_1_COUPTF2
7669_R_I_1_DLX1
7669_R_I_1_TBR1
7669_R_I_1_COUPTF2
7669_R_O_1_DLX1
7669_R_O_1_TBR1
7669_R_O_1_COUPTF2
7669_R_T_1_DLX1
7669_R_T_1_TBR1
7669_R_T_1_COUPTF2
7669_R_mO_DLX1
7669_R_mO_TBR1
7669_R_mO_COUPTF2
7669_L_EC_DLX1
7669_L_EC_COUPTF2
7669_R_CCMid_DLX1
7669_R_CC_Mid_TBR1
7669_R_CCMid_COUPTF2
B
6−161158616−T−G
0
−2
−4
−3
−2
−1
0
0.8
0.6
0.4
0.2
0.0

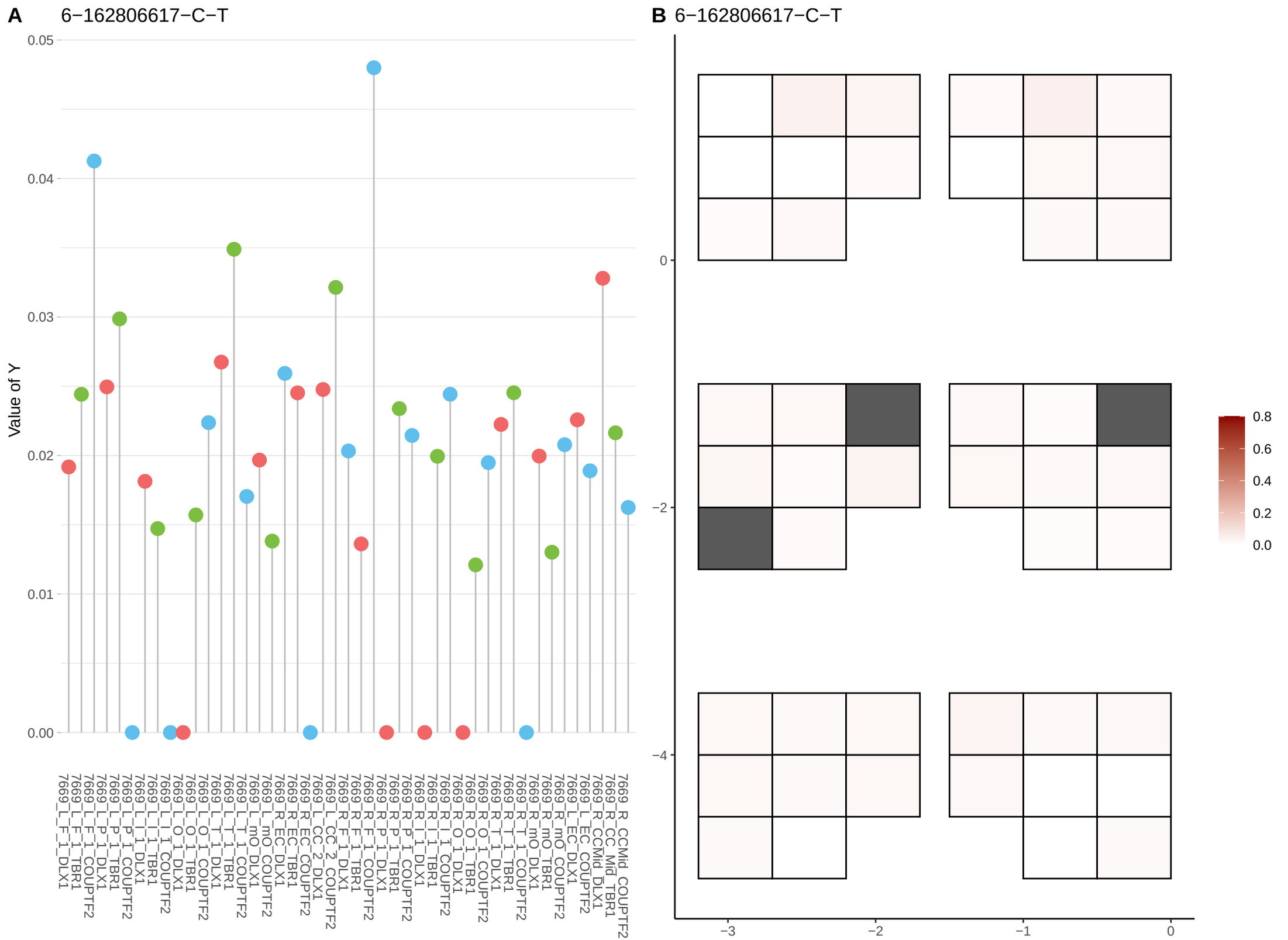
A
6−162806617−C−T
Value of Y
0.05
0.04
0.03
0.02
0.01
0.00
7669_L_F_1_DLX1
7669_L_F_1_TBR1
7669_L_F_1_COUPTF2
7669_L_P_1_DLX1
7669_L_P_1_TBR1
7669_L_P_1_COUPTF2
7669_L_I_1_DLX1
7669_L_I_1_TBR1
7669_L_I_1_COUPTF2
7669_L_O_1_DLX1
7669_L_O_1_TBR1
7669_L_O_1_COUPTF2
7669_L_T_1_DLX1
7669_L_T_1_TBR1
7669_L_T_1_COUPTF2
7669_L_mO_DLX1
7669_L_mO_COUPTF2
7669_R_EC_DLX1
7669_R_EC_TBR1
7669_R_EC_COUPTF2
7669_L_CC_2_DLX1
7669_L_CC_2_COUPTF2
7669_R_F_1_DLX1
7669_R_F_1_TBR1
7669_R_F_1_COUPTF2
7669_R_P_1_DLX1
7669_R_P_1_TBR1
7669_R_P_1_COUPTF2
7669_R_I_1_DLX1
7669_R_I_1_TBR1
7669_R_I_1_COUPTF2
7669_R_O_1_DLX1
7669_R_O_1_TBR1
7669_R_O_1_COUPTF2
7669_R_T_1_DLX1
7669_R_T_1_TBR1
7669_R_T_1_COUPTF2
7669_R_mO_DLX1
7669_R_mO_TBR1
7669_R_mO_COUPTF2
7669_L_EC_DLX1
7669_L_EC_COUPTF2
7669_R_CCMid_DLX1
7669_R_CC_Mid_TBR1
7669_R_CCMid_COUPTF2
B
6−162806617−C−T
0
−2
−4
−3
−2
−1
0
0.8
0.6
0.4
0.2
0.0

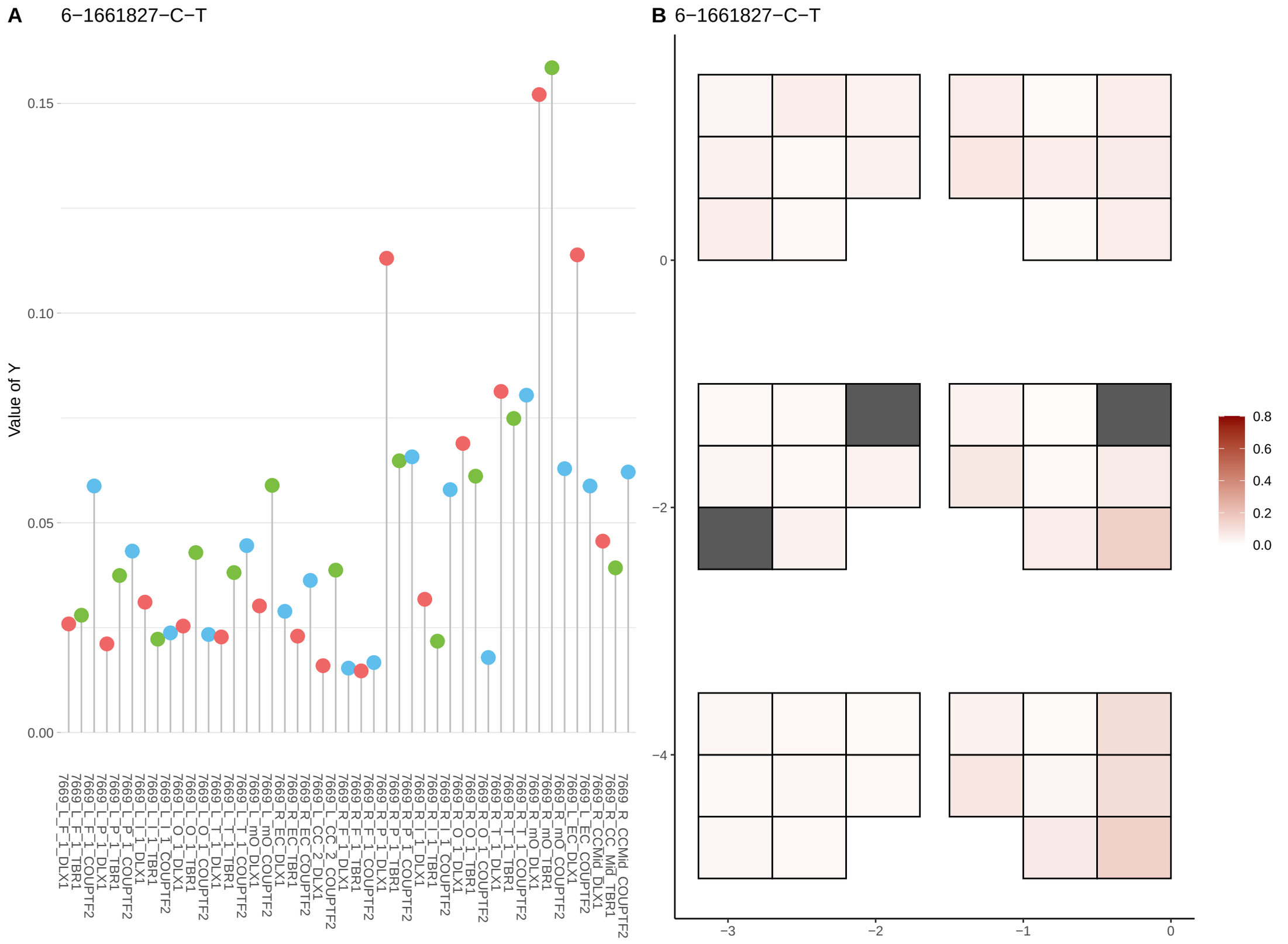
A
6−1661827−C−T
Value of Y
0.15
0.10
0.05
0.00
7669_L_F_1_DLX1
7669_L_F_1_TBR1
7669_L_F_1_COUPTF2
7669_L_P_1_DLX1
7669_L_P_1_TBR1
7669_L_P_1_COUPTF2
7669_L_I_1_DLX1
7669_L_I_1_TBR1
7669_L_I_1_COUPTF2
7669_L_O_1_DLX1
7669_L_O_1_TBR1
7669_L_O_1_COUPTF2
7669_L_T_1_DLX1
7669_L_T_1_TBR1
7669_L_T_1_COUPTF2
7669_L_mO_DLX1
7669_L_mO_COUPTF2
7669_R_EC_DLX1
7669_R_EC_TBR1
7669_R_EC_COUPTF2
7669_L_CC_2_DLX1
7669_L_CC_2_COUPTF2
7669_R_F_1_DLX1
7669_R_F_1_TBR1
7669_R_F_1_COUPTF2
7669_R_P_1_DLX1
7669_R_P_1_TBR1
7669_R_P_1_COUPTF2
7669_R_I_1_DLX1
7669_R_I_1_TBR1
7669_R_I_1_COUPTF2
7669_R_O_1_DLX1
7669_R_O_1_TBR1
7669_R_O_1_COUPTF2
7669_R_T_1_DLX1
7669_R_T_1_TBR1
7669_R_T_1_COUPTF2
7669_R_mO_DLX1
7669_R_mO_TBR1
7669_R_mO_COUPTF2
7669_L_EC_DLX1
7669_L_EC_COUPTF2
7669_R_CCMid_DLX1
7669_R_CC_Mid_TBR1
7669_R_CCMid_COUPTF2
B
6−1661827−C−T
0
−2
−4
−3
−2
−1
0
0.8
0.6
0.4
0.2
0.0

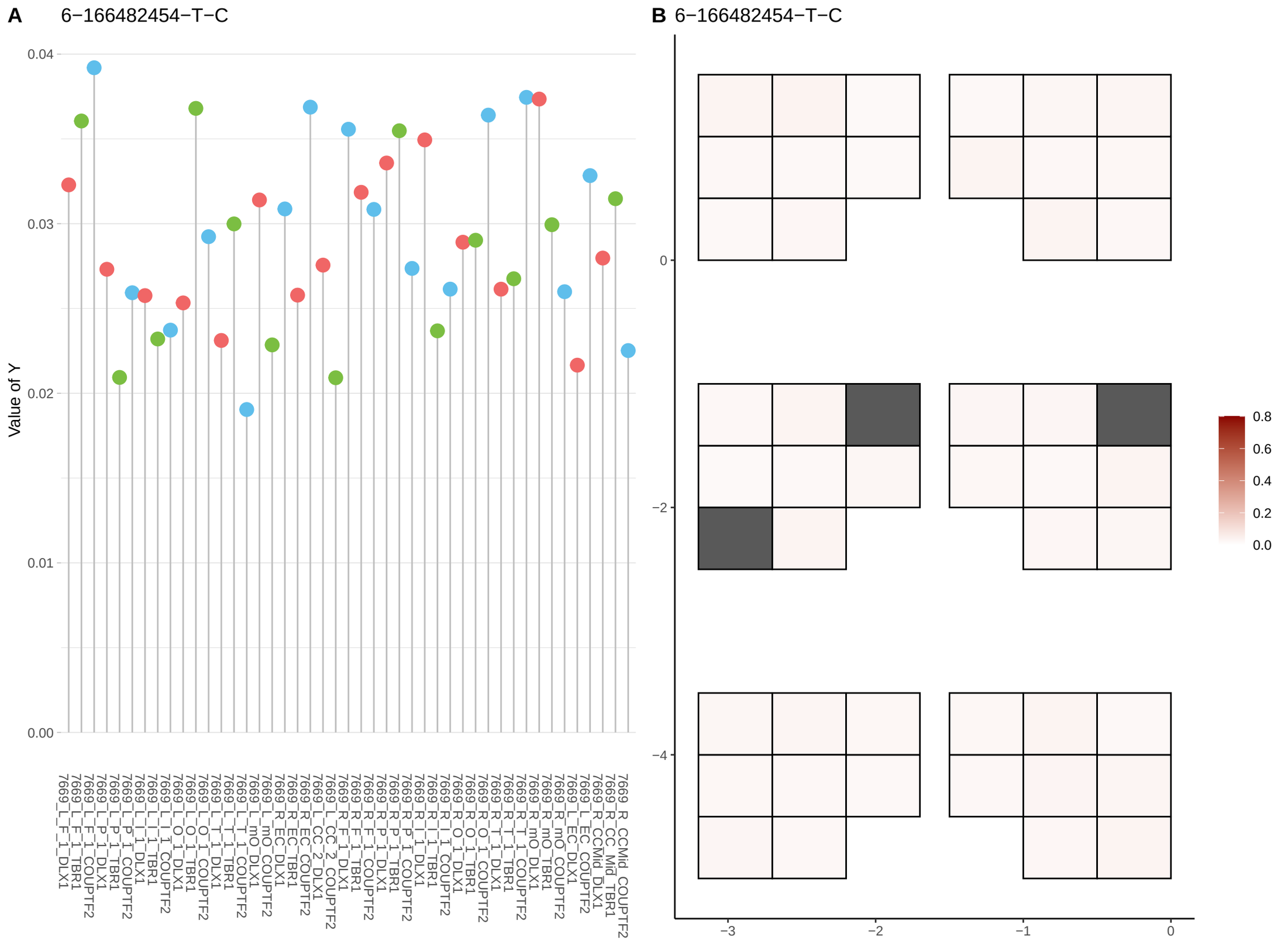
A
6−166482454−T−C
Value of Y
0.04
0.03
0.02
0.01
0.00
7669_L_F_1_DLX1
7669_L_F_1_TBR1
7669_L_F_1_COUPTF2
7669_L_P_1_DLX1
7669_L_P_1_TBR1
7669_L_P_1_COUPTF2
7669_L_I_1_DLX1
7669_L_I_1_TBR1
7669_L_I_1_COUPTF2
7669_L_O_1_DLX1
7669_L_O_1_TBR1
7669_L_O_1_COUPTF2
7669_L_T_1_DLX1
7669_L_T_1_TBR1
7669_L_T_1_COUPTF2
7669_L_mO_DLX1
7669_L_mO_COUPTF2
7669_R_EC_DLX1
7669_R_EC_TBR1
7669_R_EC_COUPTF2
7669_L_CC_2_DLX1
7669_L_CC_2_COUPTF2
7669_R_F_1_DLX1
7669_R_F_1_TBR1
7669_R_F_1_COUPTF2
7669_R_P_1_DLX1
7669_R_P_1_TBR1
7669_R_P_1_COUPTF2
7669_R_I_1_DLX1
7669_R_I_1_TBR1
7669_R_I_1_COUPTF2
7669_R_O_1_DLX1
7669_R_O_1_TBR1
7669_R_O_1_COUPTF2
7669_R_T_1_DLX1
7669_R_T_1_TBR1
7669_R_T_1_COUPTF2
7669_R_mO_DLX1
7669_R_mO_TBR1
7669_R_mO_COUPTF2
7669_L_EC_DLX1
7669_L_EC_COUPTF2
7669_R_CCMid_DLX1
7669_R_CC_Mid_TBR1
7669_R_CCMid_COUPTF2
B
6−166482454−T−C
0
−2
−4
−3
−2
−1
0
0.8
0.6
0.4
0.2
0.0

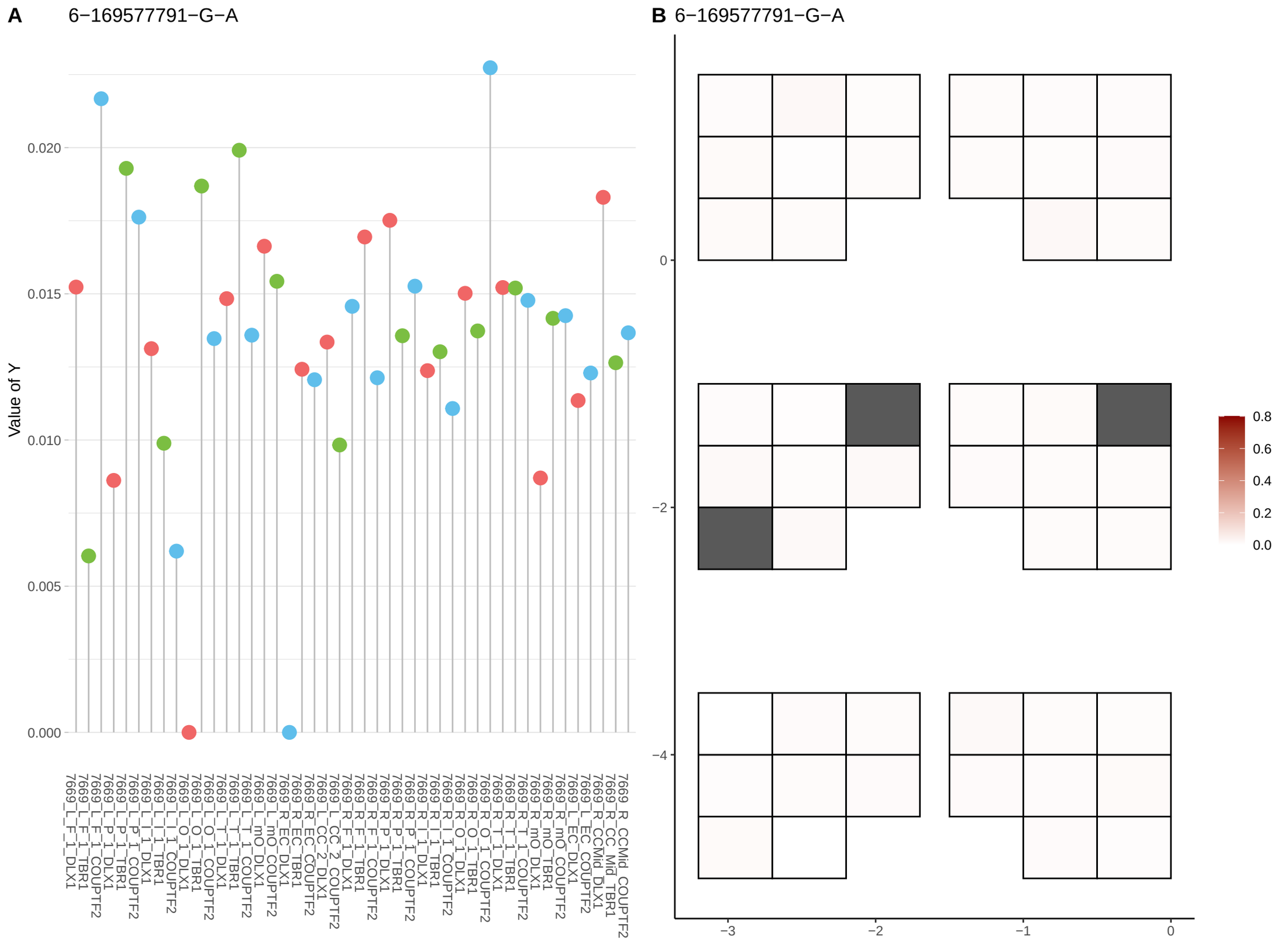
A
6−169577791−G−A
Value of Y
0.020
0.015
0.010
0.005
0.000
7669_L_F_1_DLX1
7669_L_F_1_TBR1
7669_L_F_1_COUPTF2
7669_L_P_1_DLX1
7669_L_P_1_TBR1
7669_L_P_1_COUPTF2
7669_L_I_1_DLX1
7669_L_I_1_TBR1
7669_L_I_1_COUPTF2
7669_L_O_1_DLX1
7669_L_O_1_TBR1
7669_L_O_1_COUPTF2
7669_L_T_1_DLX1
7669_L_T_1_TBR1
7669_L_T_1_COUPTF2
7669_L_mO_DLX1
7669_L_mO_COUPTF2
7669_R_EC_DLX1
7669_R_EC_TBR1
7669_R_EC_COUPTF2
7669_L_CC_2_DLX1
7669_L_CC_2_COUPTF2
7669_R_F_1_DLX1
7669_R_F_1_TBR1
7669_R_F_1_COUPTF2
7669_R_P_1_DLX1
7669_R_P_1_TBR1
7669_R_P_1_COUPTF2
7669_R_I_1_DLX1
7669_R_I_1_TBR1
7669_R_I_1_COUPTF2
7669_R_O_1_DLX1
7669_R_O_1_TBR1
7669_R_O_1_COUPTF2
7669_R_T_1_DLX1
7669_R_T_1_TBR1
7669_R_T_1_COUPTF2
7669_R_mO_DLX1
7669_R_mO_TBR1
7669_R_mO_COUPTF2
7669_L_EC_DLX1
7669_L_EC_COUPTF2
7669_R_CCMid_DLX1
7669_R_CC_Mid_TBR1
7669_R_CCMid_COUPTF2
B
6−169577791−G−A
0
−2
−4
−3
−2
−1
0
0.8
0.6
0.4
0.2
0.0

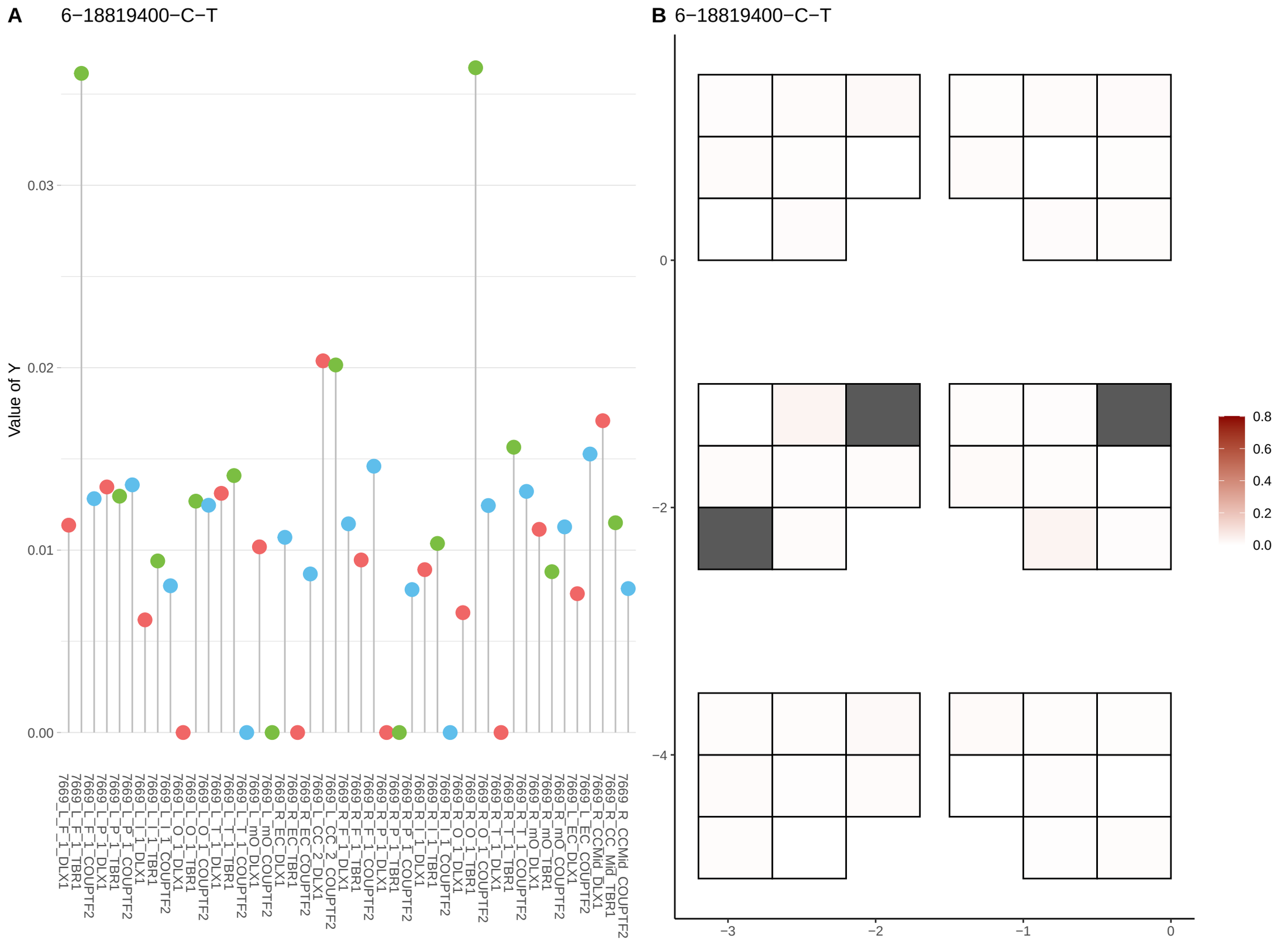
A
6−18819400−C−T
Value of Y
0.03
0.02
0.01
0.00
7669_L_F_1_DLX1
7669_L_F_1_TBR1
7669_L_F_1_COUPTF2
7669_L_P_1_DLX1
7669_L_P_1_TBR1
7669_L_P_1_COUPTF2
7669_L_I_1_DLX1
7669_L_I_1_TBR1
7669_L_I_1_COUPTF2
7669_L_O_1_DLX1
7669_L_O_1_TBR1
7669_L_O_1_COUPTF2
7669_L_T_1_DLX1
7669_L_T_1_TBR1
7669_L_T_1_COUPTF2
7669_L_mO_DLX1
7669_L_mO_COUPTF2
7669_R_EC_DLX1
7669_R_EC_TBR1
7669_R_EC_COUPTF2
7669_L_CC_2_DLX1
7669_L_CC_2_COUPTF2
7669_R_F_1_DLX1
7669_R_F_1_TBR1
7669_R_F_1_COUPTF2
7669_R_P_1_DLX1
7669_R_P_1_TBR1
7669_R_P_1_COUPTF2
7669_R_I_1_DLX1
7669_R_I_1_TBR1
7669_R_I_1_COUPTF2
7669_R_O_1_DLX1
7669_R_O_1_TBR1
7669_R_O_1_COUPTF2
7669_R_T_1_DLX1
7669_R_T_1_TBR1
7669_R_T_1_COUPTF2
7669_R_mO_DLX1
7669_R_mO_TBR1
7669_R_mO_COUPTF2
7669_L_EC_DLX1
7669_L_EC_COUPTF2
7669_R_CCMid_DLX1
7669_R_CC_Mid_TBR1
7669_R_CCMid_COUPTF2
B
6−18819400−C−T
0
−2
−4
−3
−2
−1
0
0.8
0.6
0.4
0.2
0.0

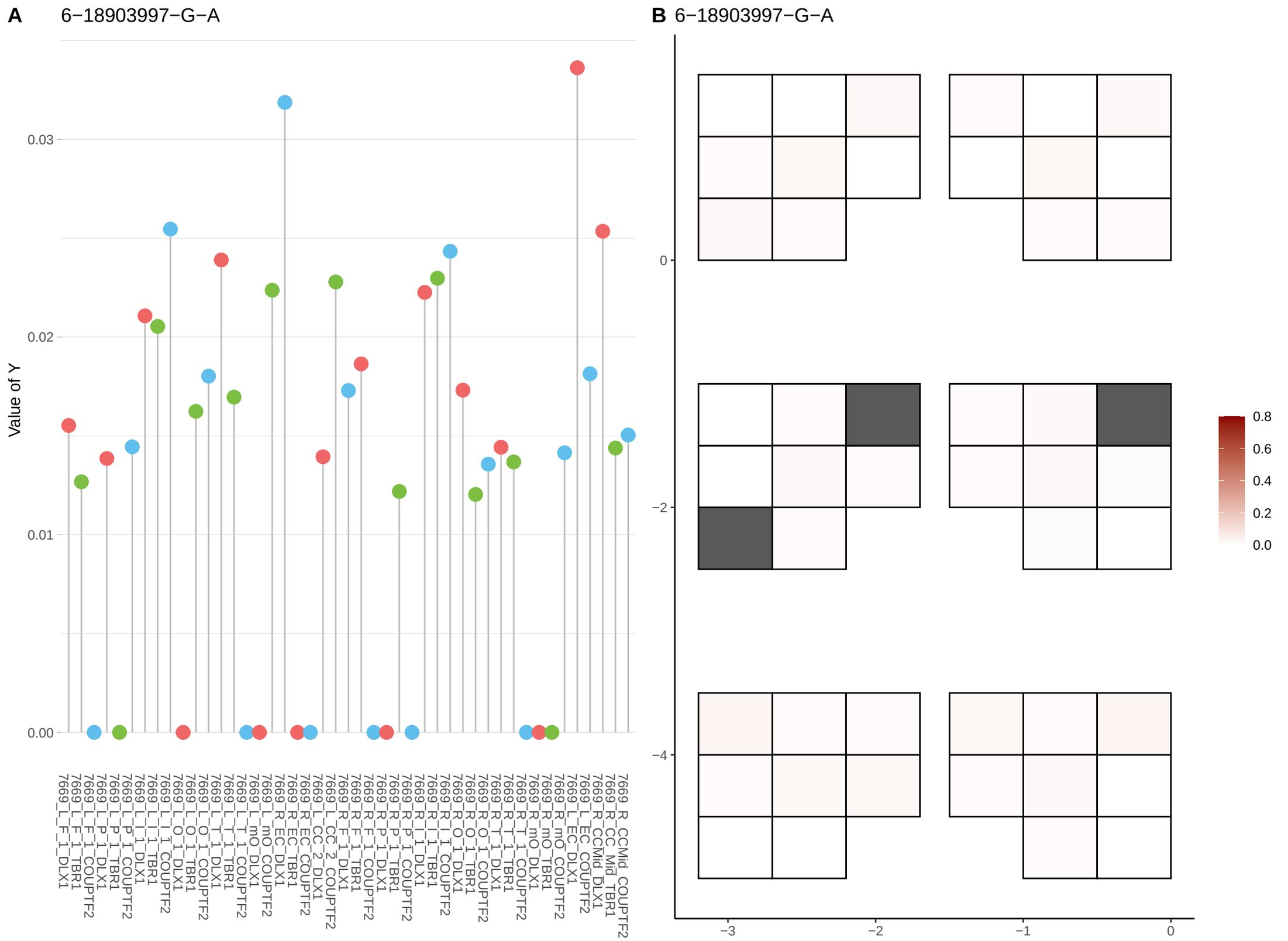
A
6−18903997−G−A
Value of Y
0.03
0.02
0.01
0.00
7669_L_F_1_DLX1
7669_L_F_1_TBR1
7669_L_F_1_COUPTF2
7669_L_P_1_DLX1
7669_L_P_1_TBR1
7669_L_P_1_COUPTF2
7669_L_I_1_DLX1
7669_L_I_1_TBR1
7669_L_I_1_COUPTF2
7669_L_O_1_DLX1
7669_L_O_1_TBR1
7669_L_O_1_COUPTF2
7669_L_T_1_DLX1
7669_L_T_1_TBR1
7669_L_T_1_COUPTF2
7669_L_mO_DLX1
7669_L_mO_COUPTF2
7669_R_EC_DLX1
7669_R_EC_TBR1
7669_R_EC_COUPTF2
7669_L_CC_2_DLX1
7669_L_CC_2_COUPTF2
7669_R_F_1_DLX1
7669_R_F_1_TBR1
7669_R_F_1_COUPTF2
7669_R_P_1_DLX1
7669_R_P_1_TBR1
7669_R_P_1_COUPTF2
7669_R_I_1_DLX1
7669_R_I_1_TBR1
7669_R_I_1_COUPTF2
7669_R_O_1_DLX1
7669_R_O_1_TBR1
7669_R_O_1_COUPTF2
7669_R_T_1_DLX1
7669_R_T_1_TBR1
7669_R_T_1_COUPTF2
7669_R_mO_DLX1
7669_R_mO_TBR1
7669_R_mO_COUPTF2
7669_L_EC_DLX1
7669_L_EC_COUPTF2
7669_R_CCMid_DLX1
7669_R_CC_Mid_TBR1
7669_R_CCMid_COUPTF2
B
6−18903997−G−A
0
−2
−4
−3
−2
−1
0
0.8
0.6
0.4
0.2
0.0

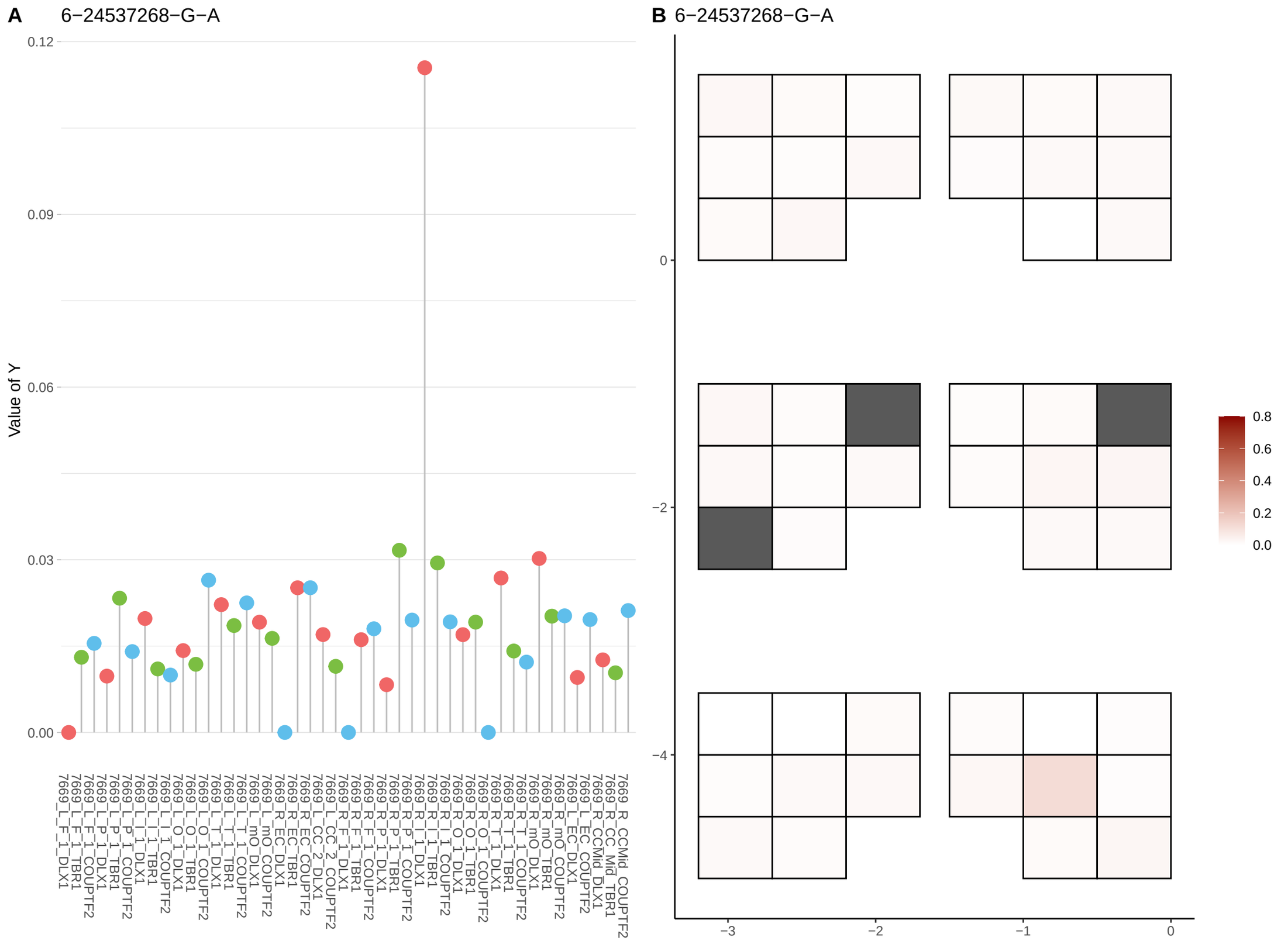
A
6−24537268−G−A
Value of Y
0.12
0.09
0.06
0.03
0.00
7669_L_F_1_DLX1
7669_L_F_1_TBR1
7669_L_F_1_COUPTF2
7669_L_P_1_DLX1
7669_L_P_1_TBR1
7669_L_P_1_COUPTF2
7669_L_I_1_DLX1
7669_L_I_1_TBR1
7669_L_I_1_COUPTF2
7669_L_O_1_DLX1
7669_L_O_1_TBR1
7669_L_O_1_COUPTF2
7669_L_T_1_DLX1
7669_L_T_1_TBR1
7669_L_T_1_COUPTF2
7669_L_mO_DLX1
7669_L_mO_COUPTF2
7669_R_EC_DLX1
7669_R_EC_TBR1
7669_R_EC_COUPTF2
7669_L_CC_2_DLX1
7669_L_CC_2_COUPTF2
7669_R_F_1_DLX1
7669_R_F_1_TBR1
7669_R_F_1_COUPTF2
7669_R_P_1_DLX1
7669_R_P_1_TBR1
7669_R_P_1_COUPTF2
7669_R_I_1_DLX1
7669_R_I_1_TBR1
7669_R_I_1_COUPTF2
7669_R_O_1_DLX1
7669_R_O_1_TBR1
7669_R_O_1_COUPTF2
7669_R_T_1_DLX1
7669_R_T_1_TBR1
7669_R_T_1_COUPTF2
7669_R_mO_DLX1
7669_R_mO_TBR1
7669_R_mO_COUPTF2
7669_L_EC_DLX1
7669_L_EC_COUPTF2
7669_R_CCMid_DLX1
7669_R_CC_Mid_TBR1
7669_R_CCMid_COUPTF2
B
6−24537268−G−A
0
−2
−4
−3
−2
−1
0
0.8
0.6
0.4
0.2
0.0

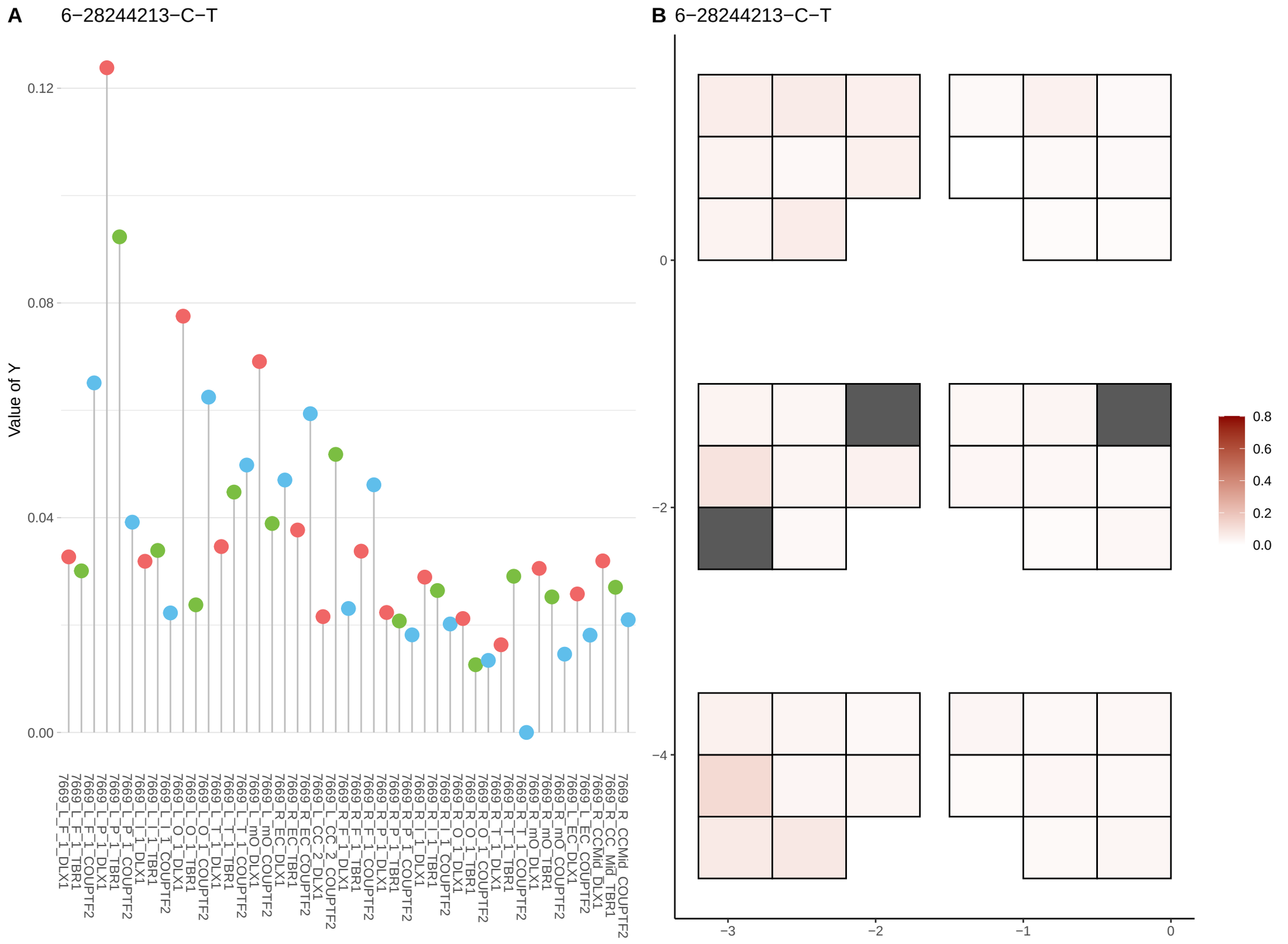
A
6−28244213−C−T
Value of Y
0.12
0.08
0.04
0.00
7669_L_F_1_DLX1
7669_L_F_1_TBR1
7669_L_F_1_COUPTF2
7669_L_P_1_DLX1
7669_L_P_1_TBR1
7669_L_P_1_COUPTF2
7669_L_I_1_DLX1
7669_L_I_1_TBR1
7669_L_I_1_COUPTF2
7669_L_O_1_DLX1
7669_L_O_1_TBR1
7669_L_O_1_COUPTF2
7669_L_T_1_DLX1
7669_L_T_1_TBR1
7669_L_T_1_COUPTF2
7669_L_mO_DLX1
7669_L_mO_COUPTF2
7669_R_EC_DLX1
7669_R_EC_TBR1
7669_R_EC_COUPTF2
7669_L_CC_2_DLX1
7669_L_CC_2_COUPTF2
7669_R_F_1_DLX1
7669_R_F_1_TBR1
7669_R_F_1_COUPTF2
7669_R_P_1_DLX1
7669_R_P_1_TBR1
7669_R_P_1_COUPTF2
7669_R_I_1_DLX1
7669_R_I_1_TBR1
7669_R_I_1_COUPTF2
7669_R_O_1_DLX1
7669_R_O_1_TBR1
7669_R_O_1_COUPTF2
7669_R_T_1_DLX1
7669_R_T_1_TBR1
7669_R_T_1_COUPTF2
7669_R_mO_DLX1
7669_R_mO_TBR1
7669_R_mO_COUPTF2
7669_L_EC_DLX1
7669_L_EC_COUPTF2
7669_R_CCMid_DLX1
7669_R_CC_Mid_TBR1
7669_R_CCMid_COUPTF2
B
6−28244213−C−T
0
−2
−4
−3
−2
−1
0
0.8
0.6
0.4
0.2
0.0

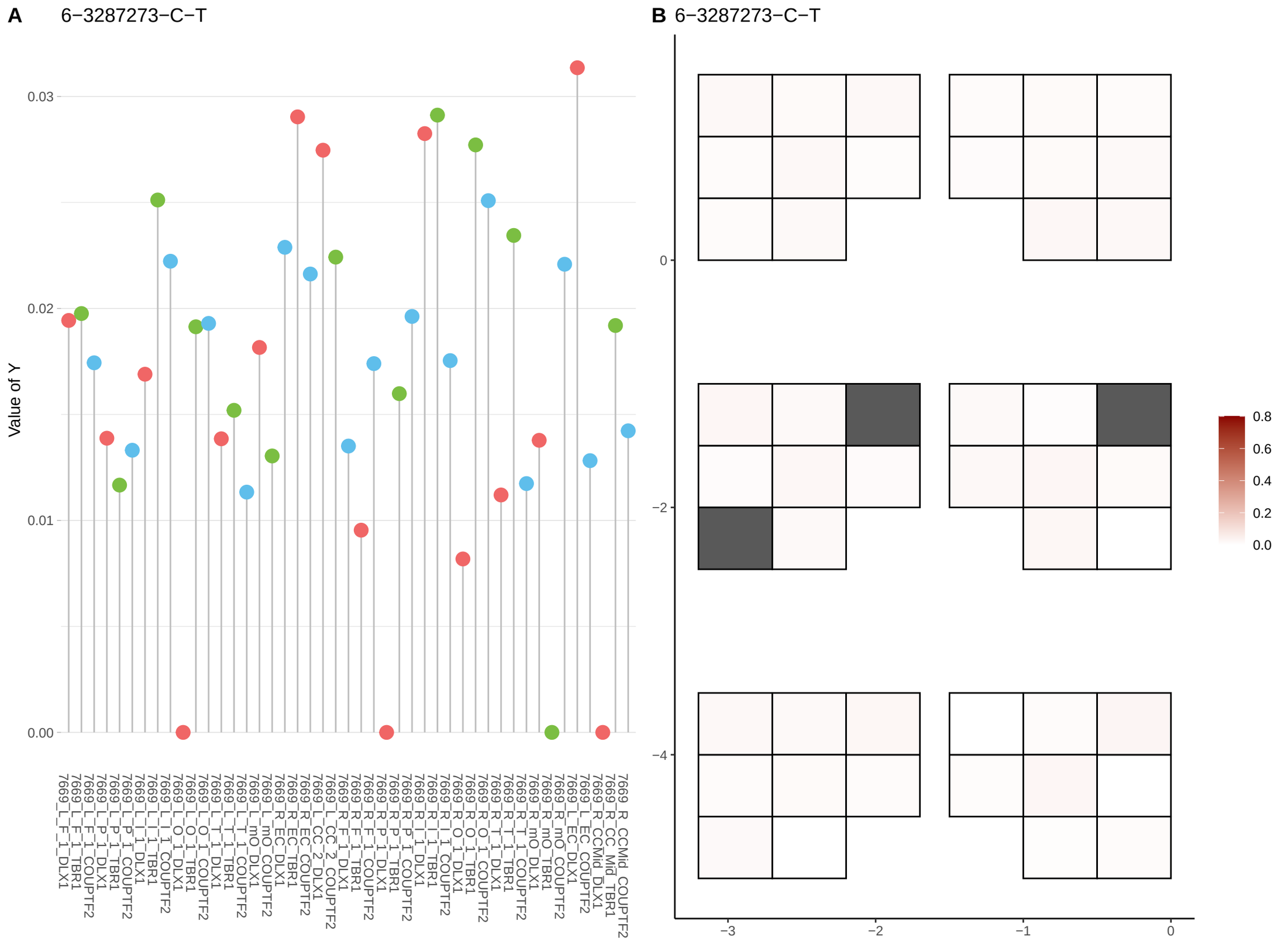
A
6−3287273−C−T
Value of Y
0.03
0.02
0.01
0.00
7669_L_F_1_DLX1
7669_L_F_1_TBR1
7669_L_F_1_COUPTF2
7669_L_P_1_DLX1
7669_L_P_1_TBR1
7669_L_P_1_COUPTF2
7669_L_I_1_DLX1
7669_L_I_1_TBR1
7669_L_I_1_COUPTF2
7669_L_O_1_DLX1
7669_L_O_1_TBR1
7669_L_O_1_COUPTF2
7669_L_T_1_DLX1
7669_L_T_1_TBR1
7669_L_T_1_COUPTF2
7669_L_mO_DLX1
7669_L_mO_COUPTF2
7669_R_EC_DLX1
7669_R_EC_TBR1
7669_R_EC_COUPTF2
7669_L_CC_2_DLX1
7669_L_CC_2_COUPTF2
7669_R_F_1_DLX1
7669_R_F_1_TBR1
7669_R_F_1_COUPTF2
7669_R_P_1_DLX1
7669_R_P_1_TBR1
7669_R_P_1_COUPTF2
7669_R_I_1_DLX1
7669_R_I_1_TBR1
7669_R_I_1_COUPTF2
7669_R_O_1_DLX1
7669_R_O_1_TBR1
7669_R_O_1_COUPTF2
7669_R_T_1_DLX1
7669_R_T_1_TBR1
7669_R_T_1_COUPTF2
7669_R_mO_DLX1
7669_R_mO_TBR1
7669_R_mO_COUPTF2
7669_L_EC_DLX1
7669_L_EC_COUPTF2
7669_R_CCMid_DLX1
7669_R_CC_Mid_TBR1
7669_R_CCMid_COUPTF2
B
6−3287273−C−T
0
−2
−4
−3
−2
−1
0
0.8
0.6
0.4
0.2
0.0

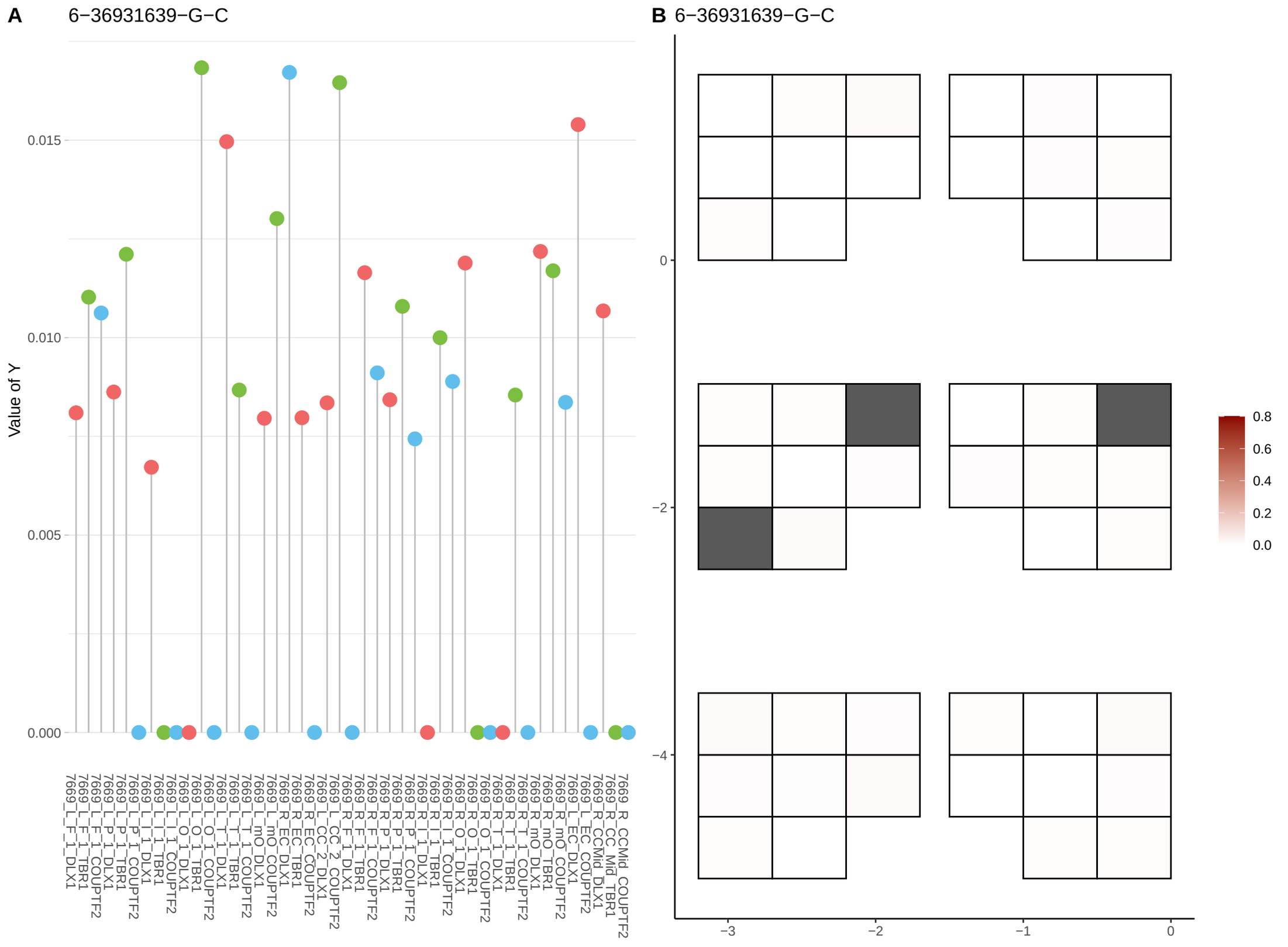
A
6−36931639−G−C
Value of Y
0.015
0.010
0.005
0.000
7669_L_F_1_DLX1
7669_L_F_1_TBR1
7669_L_F_1_COUPTF2
7669_L_P_1_DLX1
7669_L_P_1_TBR1
7669_L_P_1_COUPTF2
7669_L_I_1_DLX1
7669_L_I_1_TBR1
7669_L_I_1_COUPTF2
7669_L_O_1_DLX1
7669_L_O_1_TBR1
7669_L_O_1_COUPTF2
7669_L_T_1_DLX1
7669_L_T_1_TBR1
7669_L_T_1_COUPTF2
7669_L_mO_DLX1
7669_L_mO_COUPTF2
7669_R_EC_DLX1
7669_R_EC_TBR1
7669_R_EC_COUPTF2
7669_L_CC_2_DLX1
7669_L_CC_2_COUPTF2
7669_R_F_1_DLX1
7669_R_F_1_TBR1
7669_R_F_1_COUPTF2
7669_R_P_1_DLX1
7669_R_P_1_TBR1
7669_R_P_1_COUPTF2
7669_R_I_1_DLX1
7669_R_I_1_TBR1
7669_R_I_1_COUPTF2
7669_R_O_1_DLX1
7669_R_O_1_TBR1
7669_R_O_1_COUPTF2
7669_R_T_1_DLX1
7669_R_T_1_TBR1
7669_R_T_1_COUPTF2
7669_R_mO_DLX1
7669_R_mO_TBR1
7669_R_mO_COUPTF2
7669_L_EC_DLX1
7669_L_EC_COUPTF2
7669_R_CCMid_DLX1
7669_R_CC_Mid_TBR1
7669_R_CCMid_COUPTF2
B
6−36931639−G−C
0
−2
−4
−3
−2
−1
0
0.8
0.6
0.4
0.2
0.0

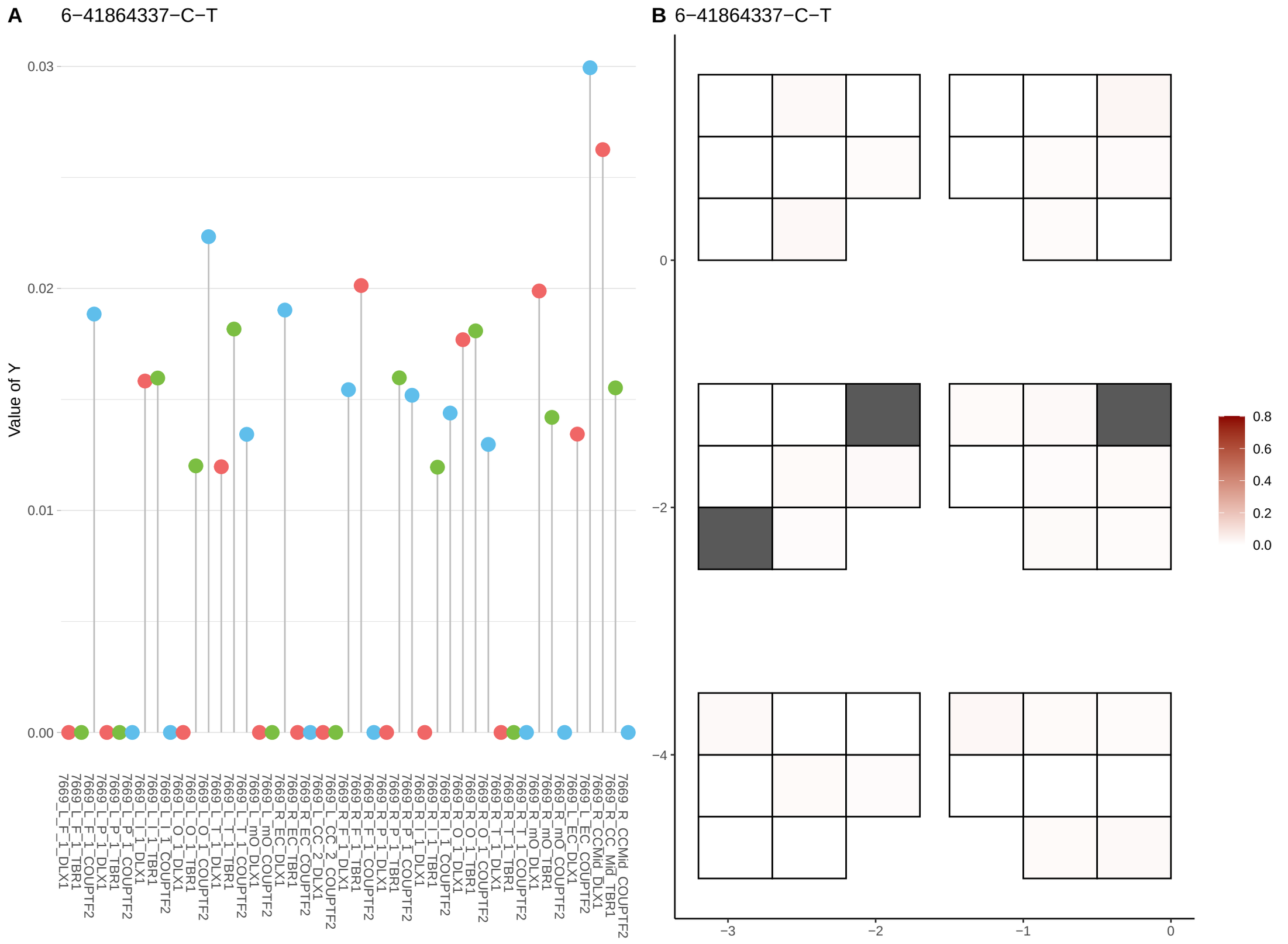
A
6−41864337−C−T
Value of Y
0.03
0.02
0.01
0.00
7669_L_F_1_DLX1
7669_L_F_1_TBR1
7669_L_F_1_COUPTF2
7669_L_P_1_DLX1
7669_L_P_1_TBR1
7669_L_P_1_COUPTF2
7669_L_I_1_DLX1
7669_L_I_1_TBR1
7669_L_I_1_COUPTF2
7669_L_O_1_DLX1
7669_L_O_1_TBR1
7669_L_O_1_COUPTF2
7669_L_T_1_DLX1
7669_L_T_1_TBR1
7669_L_T_1_COUPTF2
7669_L_mO_DLX1
7669_L_mO_COUPTF2
7669_R_EC_DLX1
7669_R_EC_TBR1
7669_R_EC_COUPTF2
7669_L_CC_2_DLX1
7669_L_CC_2_COUPTF2
7669_R_F_1_DLX1
7669_R_F_1_TBR1
7669_R_F_1_COUPTF2
7669_R_P_1_DLX1
7669_R_P_1_TBR1
7669_R_P_1_COUPTF2
7669_R_I_1_DLX1
7669_R_I_1_TBR1
7669_R_I_1_COUPTF2
7669_R_O_1_DLX1
7669_R_O_1_TBR1
7669_R_O_1_COUPTF2
7669_R_T_1_DLX1
7669_R_T_1_TBR1
7669_R_T_1_COUPTF2
7669_R_mO_DLX1
7669_R_mO_TBR1
7669_R_mO_COUPTF2
7669_L_EC_DLX1
7669_L_EC_COUPTF2
7669_R_CCMid_DLX1
7669_R_CC_Mid_TBR1
7669_R_CCMid_COUPTF2
B
6−41864337−C−T
0
−2
−4
−3
−2
−1
0
0.8
0.6
0.4
0.2
0.0

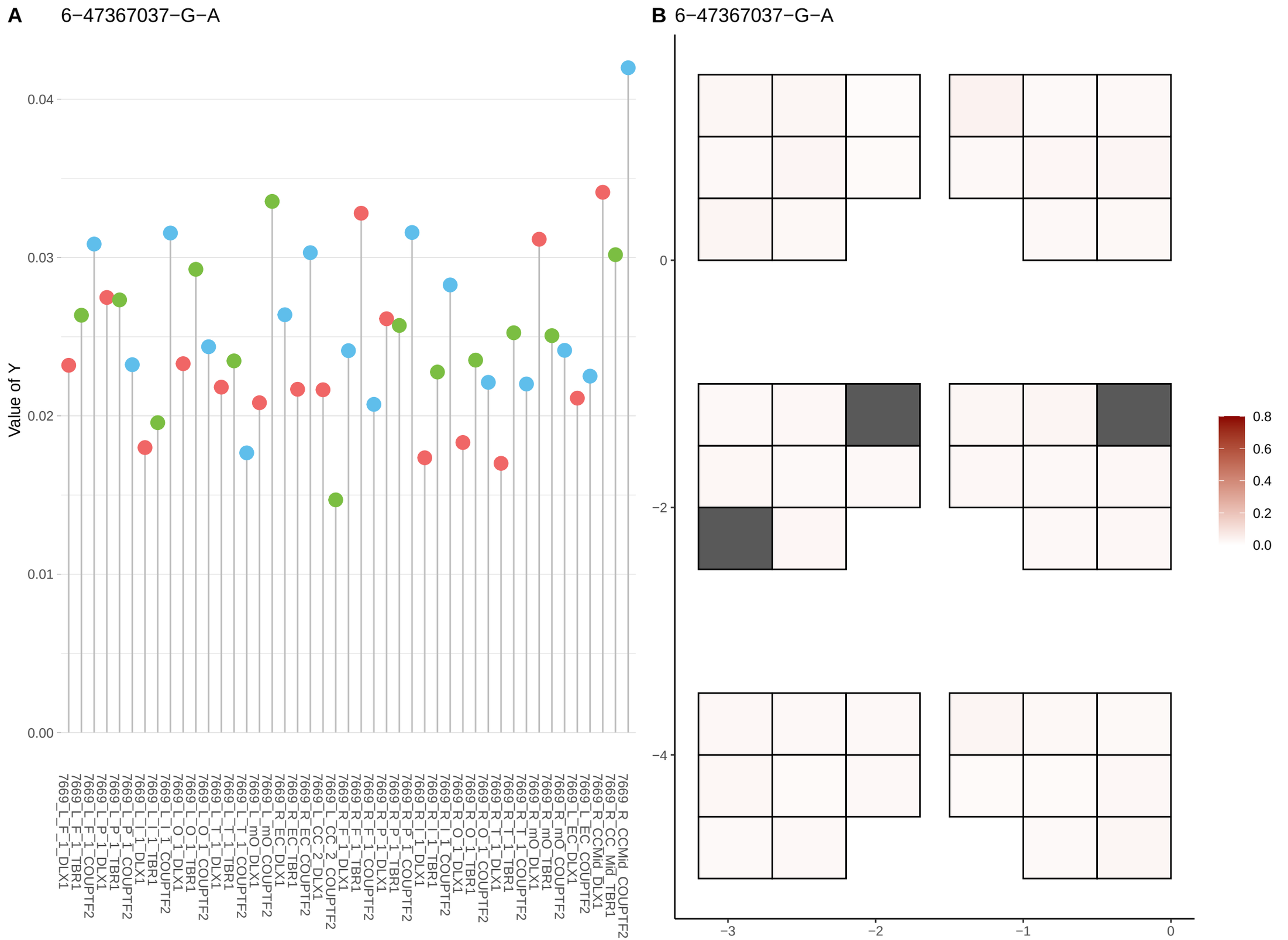
A
6−47367037−G−A
Value of Y
0.04
0.03
0.02
0.01
0.00
7669_L_F_1_DLX1
7669_L_F_1_TBR1
7669_L_F_1_COUPTF2
7669_L_P_1_DLX1
7669_L_P_1_TBR1
7669_L_P_1_COUPTF2
7669_L_I_1_DLX1
7669_L_I_1_TBR1
7669_L_I_1_COUPTF2
7669_L_O_1_DLX1
7669_L_O_1_TBR1
7669_L_O_1_COUPTF2
7669_L_T_1_DLX1
7669_L_T_1_TBR1
7669_L_T_1_COUPTF2
7669_L_mO_DLX1
7669_L_mO_COUPTF2
7669_R_EC_DLX1
7669_R_EC_TBR1
7669_R_EC_COUPTF2
7669_L_CC_2_DLX1
7669_L_CC_2_COUPTF2
7669_R_F_1_DLX1
7669_R_F_1_TBR1
7669_R_F_1_COUPTF2
7669_R_P_1_DLX1
7669_R_P_1_TBR1
7669_R_P_1_COUPTF2
7669_R_I_1_DLX1
7669_R_I_1_TBR1
7669_R_I_1_COUPTF2
7669_R_O_1_DLX1
7669_R_O_1_TBR1
7669_R_O_1_COUPTF2
7669_R_T_1_DLX1
7669_R_T_1_TBR1
7669_R_T_1_COUPTF2
7669_R_mO_DLX1
7669_R_mO_TBR1
7669_R_mO_COUPTF2
7669_L_EC_DLX1
7669_L_EC_COUPTF2
7669_R_CCMid_DLX1
7669_R_CC_Mid_TBR1
7669_R_CCMid_COUPTF2
B
6−47367037−G−A
0
−2
−4
−3
−2
−1
0
0.8
0.6
0.4
0.2
0.0

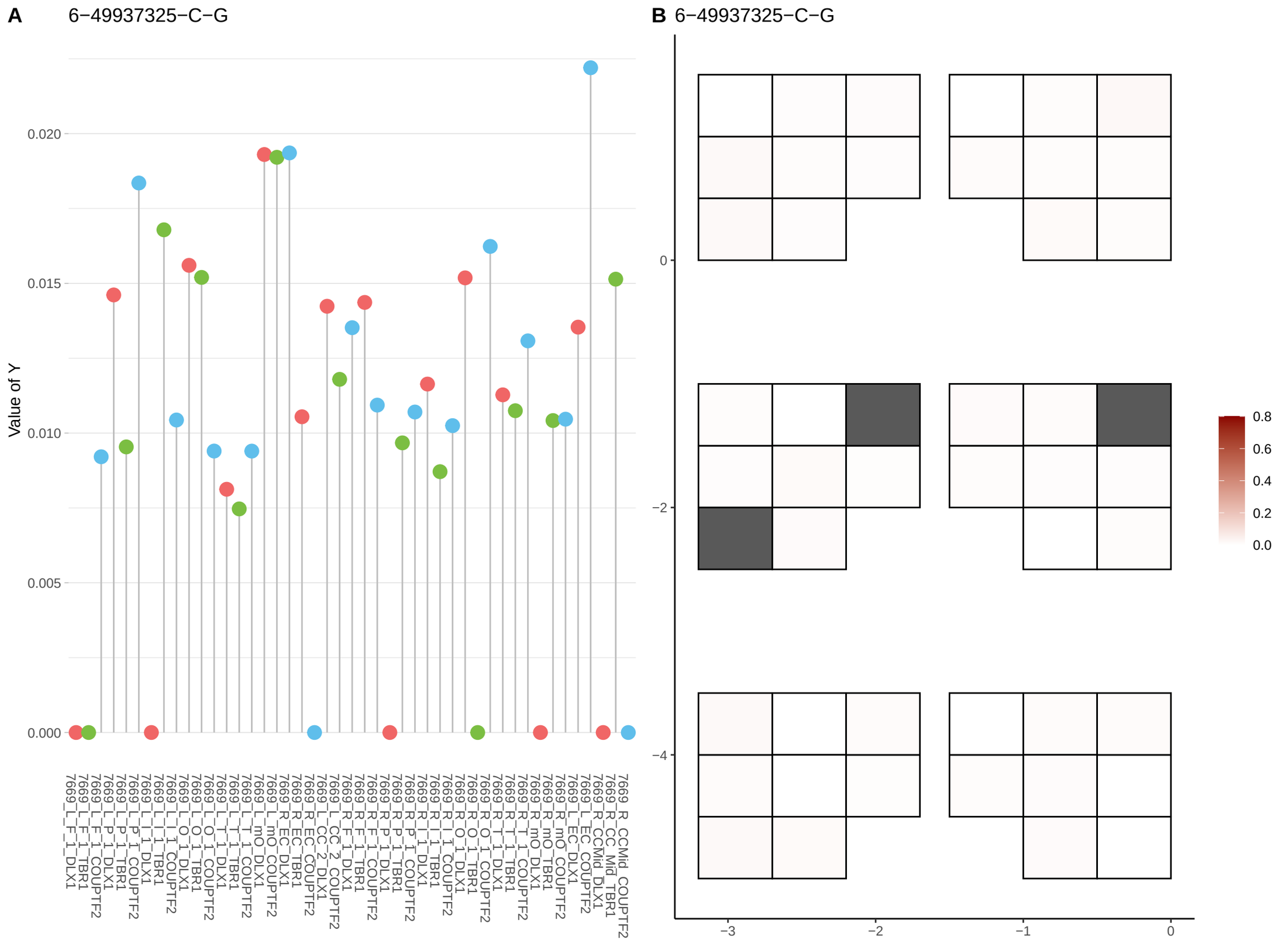
A
6−49937325−C−G
Value of Y
0.020
0.015
0.010
0.005
0.000
7669_L_F_1_DLX1
7669_L_F_1_TBR1
7669_L_F_1_COUPTF2
7669_L_P_1_DLX1
7669_L_P_1_TBR1
7669_L_P_1_COUPTF2
7669_L_I_1_DLX1
7669_L_I_1_TBR1
7669_L_I_1_COUPTF2
7669_L_O_1_DLX1
7669_L_O_1_TBR1
7669_L_O_1_COUPTF2
7669_L_T_1_DLX1
7669_L_T_1_TBR1
7669_L_T_1_COUPTF2
7669_L_mO_DLX1
7669_L_mO_COUPTF2
7669_R_EC_DLX1
7669_R_EC_TBR1
7669_R_EC_COUPTF2
7669_L_CC_2_DLX1
7669_L_CC_2_COUPTF2
7669_R_F_1_DLX1
7669_R_F_1_TBR1
7669_R_F_1_COUPTF2
7669_R_P_1_DLX1
7669_R_P_1_TBR1
7669_R_P_1_COUPTF2
7669_R_I_1_DLX1
7669_R_I_1_TBR1
7669_R_I_1_COUPTF2
7669_R_O_1_DLX1
7669_R_O_1_TBR1
7669_R_O_1_COUPTF2
7669_R_T_1_DLX1
7669_R_T_1_TBR1
7669_R_T_1_COUPTF2
7669_R_mO_DLX1
7669_R_mO_TBR1
7669_R_mO_COUPTF2
7669_L_EC_DLX1
7669_L_EC_COUPTF2
7669_R_CCMid_DLX1
7669_R_CC_Mid_TBR1
7669_R_CCMid_COUPTF2
B
6−49937325−C−G
0
−2
−4
−3
−2
−1
0
0.8
0.6
0.4
0.2
0.0

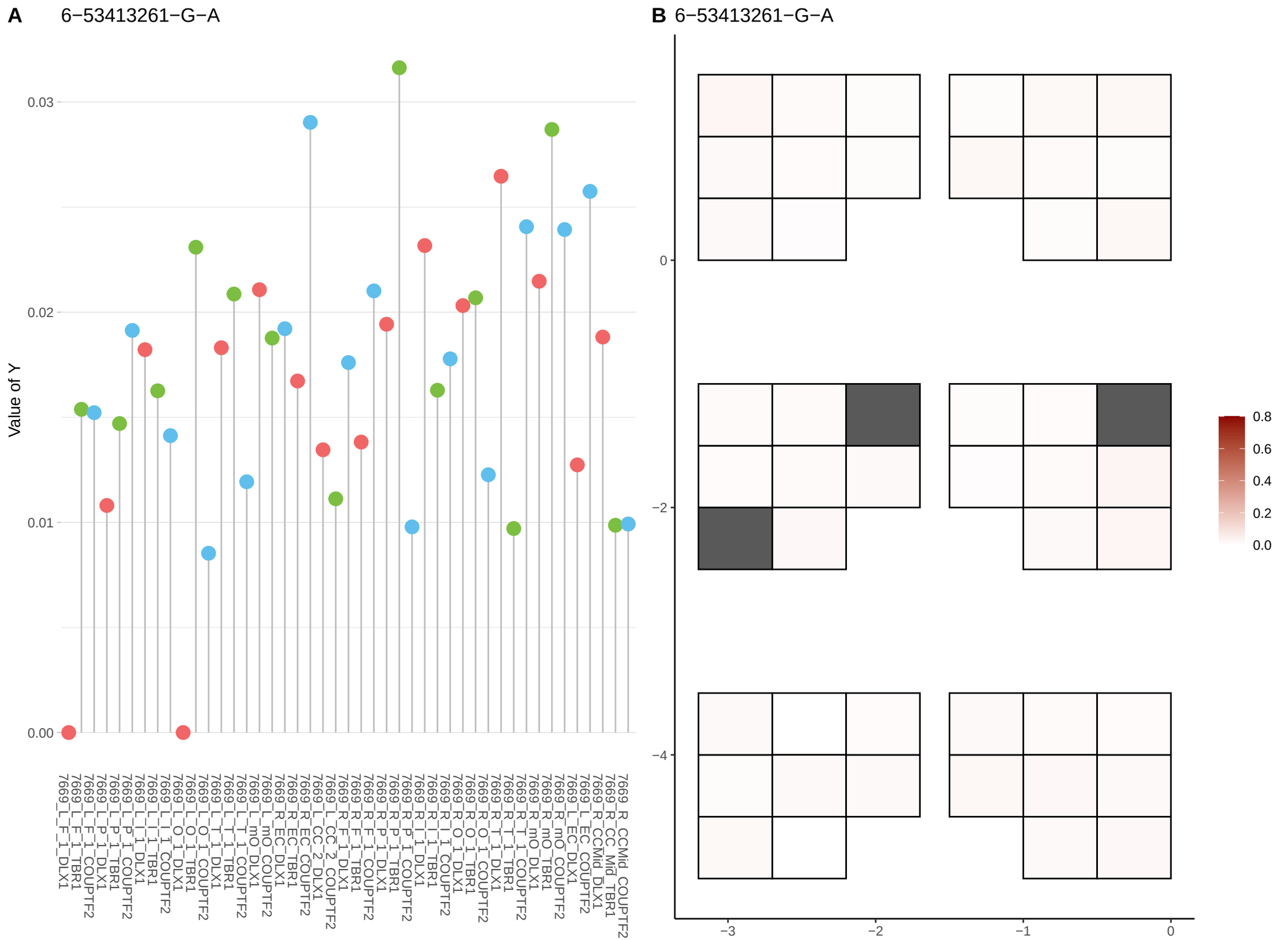
A
6−53413261−G−A
Value of Y
0.03
0.02
0.01
0.00
7669_L_F_1_DLX1
7669_L_F_1_TBR1
7669_L_F_1_COUPTF2
7669_L_P_1_DLX1
7669_L_P_1_TBR1
7669_L_P_1_COUPTF2
7669_L_I_1_DLX1
7669_L_I_1_TBR1
7669_L_I_1_COUPTF2
7669_L_O_1_DLX1
7669_L_O_1_TBR1
7669_L_O_1_COUPTF2
7669_L_T_1_DLX1
7669_L_T_1_TBR1
7669_L_T_1_COUPTF2
7669_L_mO_DLX1
7669_L_mO_COUPTF2
7669_R_EC_DLX1
7669_R_EC_TBR1
7669_R_EC_COUPTF2
7669_L_CC_2_DLX1
7669_L_CC_2_COUPTF2
7669_R_F_1_DLX1
7669_R_F_1_TBR1
7669_R_F_1_COUPTF2
7669_R_P_1_DLX1
7669_R_P_1_TBR1
7669_R_P_1_COUPTF2
7669_R_I_1_DLX1
7669_R_I_1_TBR1
7669_R_I_1_COUPTF2
7669_R_O_1_DLX1
7669_R_O_1_TBR1
7669_R_O_1_COUPTF2
7669_R_T_1_DLX1
7669_R_T_1_TBR1
7669_R_T_1_COUPTF2
7669_R_mO_DLX1
7669_R_mO_TBR1
7669_R_mO_COUPTF2
7669_L_EC_DLX1
7669_L_EC_COUPTF2
7669_R_CCMid_DLX1
7669_R_CC_Mid_TBR1
7669_R_CCMid_COUPTF2
B
6−53413261−G−A
0
−2
−4
−3
−2
−1
0
0.8
0.6
0.4
0.2
0.0

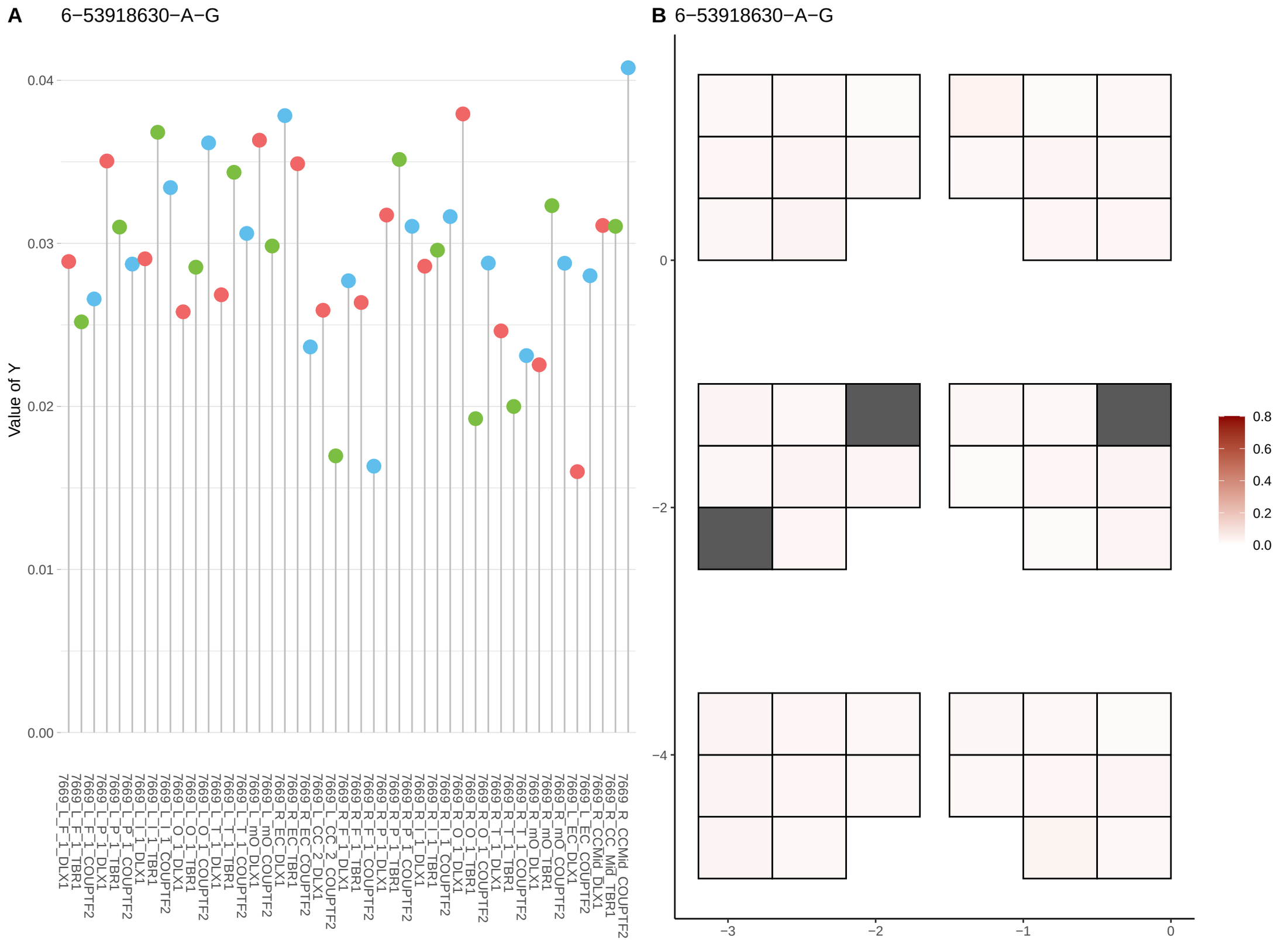
A
6−53918630−A−G
Value of Y
0.04
0.03
0.02
0.01
0.00
7669_L_F_1_DLX1
7669_L_F_1_TBR1
7669_L_F_1_COUPTF2
7669_L_P_1_DLX1
7669_L_P_1_TBR1
7669_L_P_1_COUPTF2
7669_L_I_1_DLX1
7669_L_I_1_TBR1
7669_L_I_1_COUPTF2
7669_L_O_1_DLX1
7669_L_O_1_TBR1
7669_L_O_1_COUPTF2
7669_L_T_1_DLX1
7669_L_T_1_TBR1
7669_L_T_1_COUPTF2
7669_L_mO_DLX1
7669_L_mO_COUPTF2
7669_R_EC_DLX1
7669_R_EC_TBR1
7669_R_EC_COUPTF2
7669_L_CC_2_DLX1
7669_L_CC_2_COUPTF2
7669_R_F_1_DLX1
7669_R_F_1_TBR1
7669_R_F_1_COUPTF2
7669_R_P_1_DLX1
7669_R_P_1_TBR1
7669_R_P_1_COUPTF2
7669_R_I_1_DLX1
7669_R_I_1_TBR1
7669_R_I_1_COUPTF2
7669_R_O_1_DLX1
7669_R_O_1_TBR1
7669_R_O_1_COUPTF2
7669_R_T_1_DLX1
7669_R_T_1_TBR1
7669_R_T_1_COUPTF2
7669_R_mO_DLX1
7669_R_mO_TBR1
7669_R_mO_COUPTF2
7669_L_EC_DLX1
7669_L_EC_COUPTF2
7669_R_CCMid_DLX1
7669_R_CC_Mid_TBR1
7669_R_CCMid_COUPTF2
B
6−53918630−A−G
0
−2
−4
−3
−2
−1
0
0.8
0.6
0.4
0.2
0.0

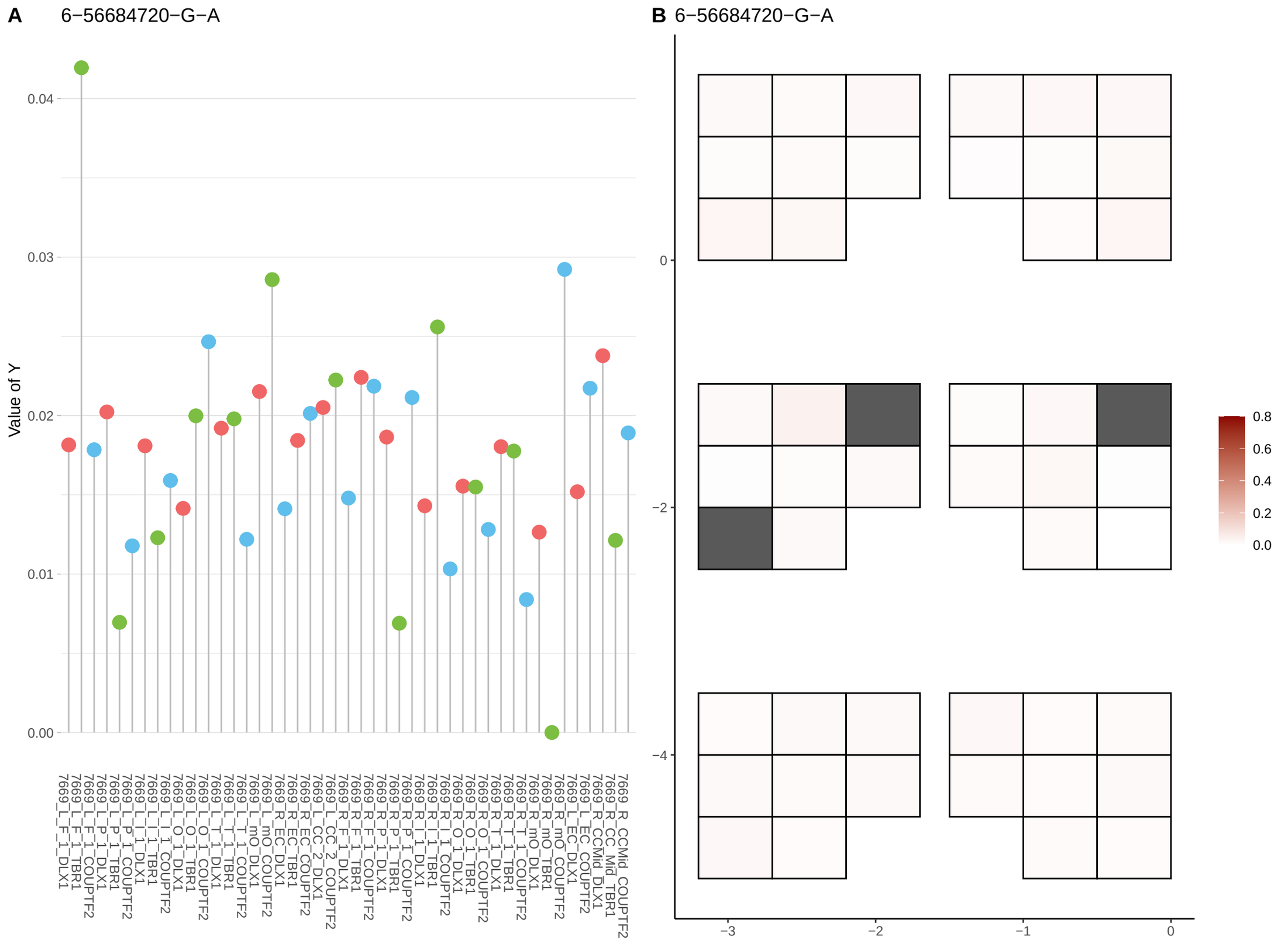
A
6−56684720−G−A
Value of Y
0.04
0.03
0.02
0.01
0.00
7669_L_F_1_DLX1
7669_L_F_1_TBR1
7669_L_F_1_COUPTF2
7669_L_P_1_DLX1
7669_L_P_1_TBR1
7669_L_P_1_COUPTF2
7669_L_I_1_DLX1
7669_L_I_1_TBR1
7669_L_I_1_COUPTF2
7669_L_O_1_DLX1
7669_L_O_1_TBR1
7669_L_O_1_COUPTF2
7669_L_T_1_DLX1
7669_L_T_1_TBR1
7669_L_T_1_COUPTF2
7669_L_mO_DLX1
7669_L_mO_COUPTF2
7669_R_EC_DLX1
7669_R_EC_TBR1
7669_R_EC_COUPTF2
7669_L_CC_2_DLX1
7669_L_CC_2_COUPTF2
7669_R_F_1_DLX1
7669_R_F_1_TBR1
7669_R_F_1_COUPTF2
7669_R_P_1_DLX1
7669_R_P_1_TBR1
7669_R_P_1_COUPTF2
7669_R_I_1_DLX1
7669_R_I_1_TBR1
7669_R_I_1_COUPTF2
7669_R_O_1_DLX1
7669_R_O_1_TBR1
7669_R_O_1_COUPTF2
7669_R_T_1_DLX1
7669_R_T_1_TBR1
7669_R_T_1_COUPTF2
7669_R_mO_DLX1
7669_R_mO_TBR1
7669_R_mO_COUPTF2
7669_L_EC_DLX1
7669_L_EC_COUPTF2
7669_R_CCMid_DLX1
7669_R_CC_Mid_TBR1
7669_R_CCMid_COUPTF2
B
6−56684720−G−A
0
−2
−4
−3
−2
−1
0
0.8
0.6
0.4
0.2
0.0

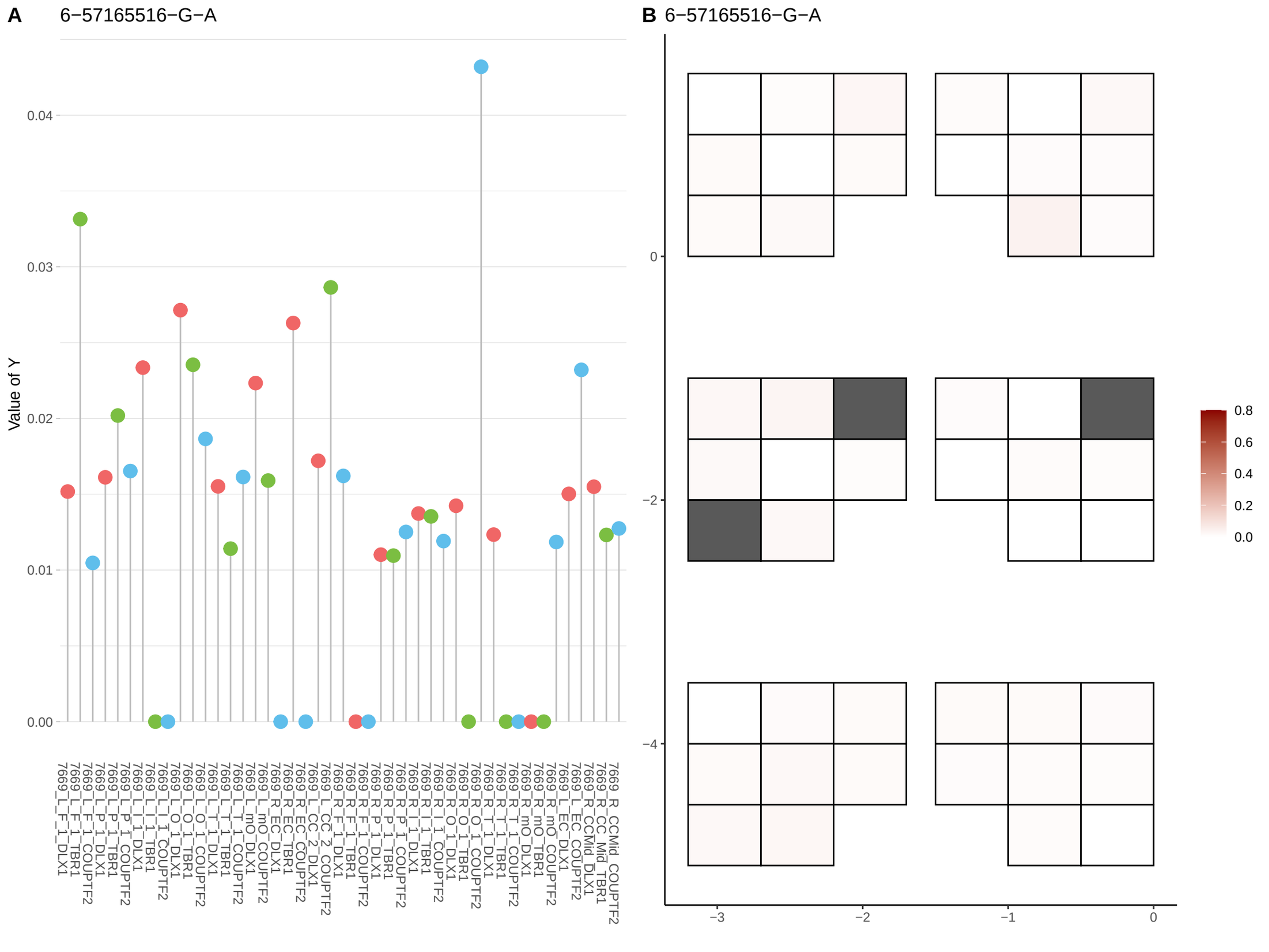
A
6−57165516−G−A
Value of Y
0.04
0.03
0.02
0.01
0.00
7669_L_F_1_DLX1
7669_L_F_1_TBR1
7669_L_F_1_COUPTF2
7669_L_P_1_DLX1
7669_L_P_1_TBR1
7669_L_P_1_COUPTF2
7669_L_I_1_DLX1
7669_L_I_1_TBR1
7669_L_I_1_COUPTF2
7669_L_O_1_DLX1
7669_L_O_1_TBR1
7669_L_O_1_COUPTF2
7669_L_T_1_DLX1
7669_L_T_1_TBR1
7669_L_T_1_COUPTF2
7669_L_mO_DLX1
7669_L_mO_COUPTF2
7669_R_EC_DLX1
7669_R_EC_TBR1
7669_R_EC_COUPTF2
7669_L_CC_2_DLX1
7669_L_CC_2_COUPTF2
7669_R_F_1_DLX1
7669_R_F_1_TBR1
7669_R_F_1_COUPTF2
7669_R_P_1_DLX1
7669_R_P_1_TBR1
7669_R_P_1_COUPTF2
7669_R_I_1_DLX1
7669_R_I_1_TBR1
7669_R_I_1_COUPTF2
7669_R_O_1_DLX1
7669_R_O_1_TBR1
7669_R_O_1_COUPTF2
7669_R_T_1_DLX1
7669_R_T_1_TBR1
7669_R_T_1_COUPTF2
7669_R_mO_DLX1
7669_R_mO_TBR1
7669_R_mO_COUPTF2
7669_L_EC_DLX1
7669_L_EC_COUPTF2
7669_R_CCMid_DLX1
7669_R_CC_Mid_TBR1
7669_R_CCMid_COUPTF2
B
6−57165516−G−A
0
−2
−4
−3
−2
−1
0
0.8
0.6
0.4
0.2
0.0

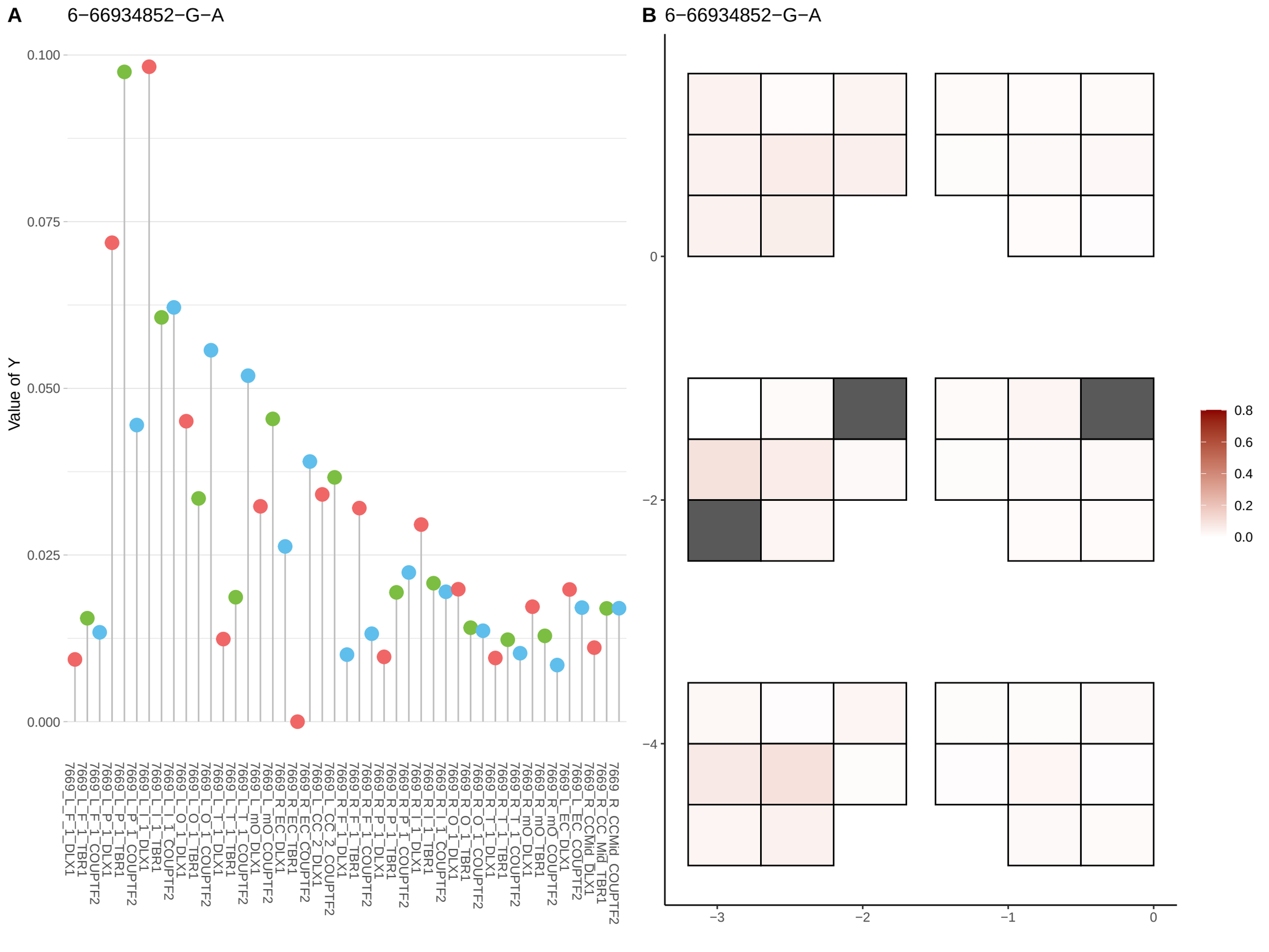
A
6−66934852−G−A
Value of Y
0.100
0.075
0.050
0.025
0.000
7669_L_F_1_DLX1
7669_L_F_1_TBR1
7669_L_F_1_COUPTF2
7669_L_P_1_DLX1
7669_L_P_1_TBR1
7669_L_P_1_COUPTF2
7669_L_I_1_DLX1
7669_L_I_1_TBR1
7669_L_I_1_COUPTF2
7669_L_O_1_DLX1
7669_L_O_1_TBR1
7669_L_O_1_COUPTF2
7669_L_T_1_DLX1
7669_L_T_1_TBR1
7669_L_T_1_COUPTF2
7669_L_mO_DLX1
7669_L_mO_COUPTF2
7669_R_EC_DLX1
7669_R_EC_TBR1
7669_R_EC_COUPTF2
7669_L_CC_2_DLX1
7669_L_CC_2_COUPTF2
7669_R_F_1_DLX1
7669_R_F_1_TBR1
7669_R_F_1_COUPTF2
7669_R_P_1_DLX1
7669_R_P_1_TBR1
7669_R_P_1_COUPTF2
7669_R_I_1_DLX1
7669_R_I_1_TBR1
7669_R_I_1_COUPTF2
7669_R_O_1_DLX1
7669_R_O_1_TBR1
7669_R_O_1_COUPTF2
7669_R_T_1_DLX1
7669_R_T_1_TBR1
7669_R_T_1_COUPTF2
7669_R_mO_DLX1
7669_R_mO_TBR1
7669_R_mO_COUPTF2
7669_L_EC_DLX1
7669_L_EC_COUPTF2
7669_R_CCMid_DLX1
7669_R_CC_Mid_TBR1
7669_R_CCMid_COUPTF2
B
6−66934852−G−A
0
−2
−4
−3
−2
−1
0
0.8
0.6
0.4
0.2
0.0

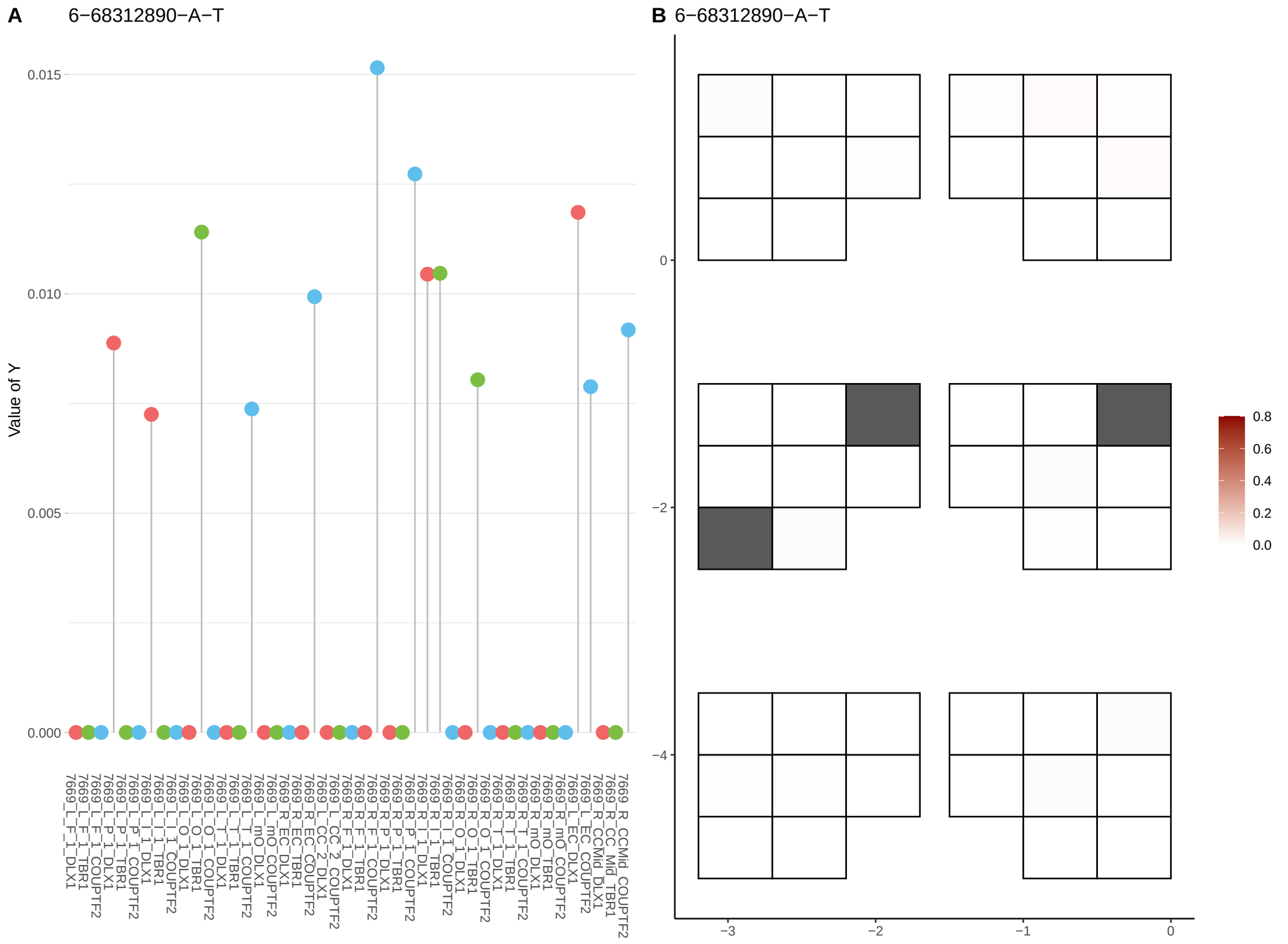
A
6−68312890−A−T
Value of Y
0.015
0.010
0.005
0.000
7669_L_F_1_DLX1
7669_L_F_1_TBR1
7669_L_F_1_COUPTF2
7669_L_P_1_DLX1
7669_L_P_1_TBR1
7669_L_P_1_COUPTF2
7669_L_I_1_DLX1
7669_L_I_1_TBR1
7669_L_I_1_COUPTF2
7669_L_O_1_DLX1
7669_L_O_1_TBR1
7669_L_O_1_COUPTF2
7669_L_T_1_DLX1
7669_L_T_1_TBR1
7669_L_T_1_COUPTF2
7669_L_mO_DLX1
7669_L_mO_COUPTF2
7669_R_EC_DLX1
7669_R_EC_TBR1
7669_R_EC_COUPTF2
7669_L_CC_2_DLX1
7669_L_CC_2_COUPTF2
7669_R_F_1_DLX1
7669_R_F_1_TBR1
7669_R_F_1_COUPTF2
7669_R_P_1_DLX1
7669_R_P_1_TBR1
7669_R_P_1_COUPTF2
7669_R_I_1_DLX1
7669_R_I_1_TBR1
7669_R_I_1_COUPTF2
7669_R_O_1_DLX1
7669_R_O_1_TBR1
7669_R_O_1_COUPTF2
7669_R_T_1_DLX1
7669_R_T_1_TBR1
7669_R_T_1_COUPTF2
7669_R_mO_DLX1
7669_R_mO_TBR1
7669_R_mO_COUPTF2
7669_L_EC_DLX1
7669_L_EC_COUPTF2
7669_R_CCMid_DLX1
7669_R_CC_Mid_TBR1
7669_R_CCMid_COUPTF2
B
6−68312890−A−T
0
−2
−4
−3
−2
−1
0
0.8
0.6
0.4
0.2
0.0

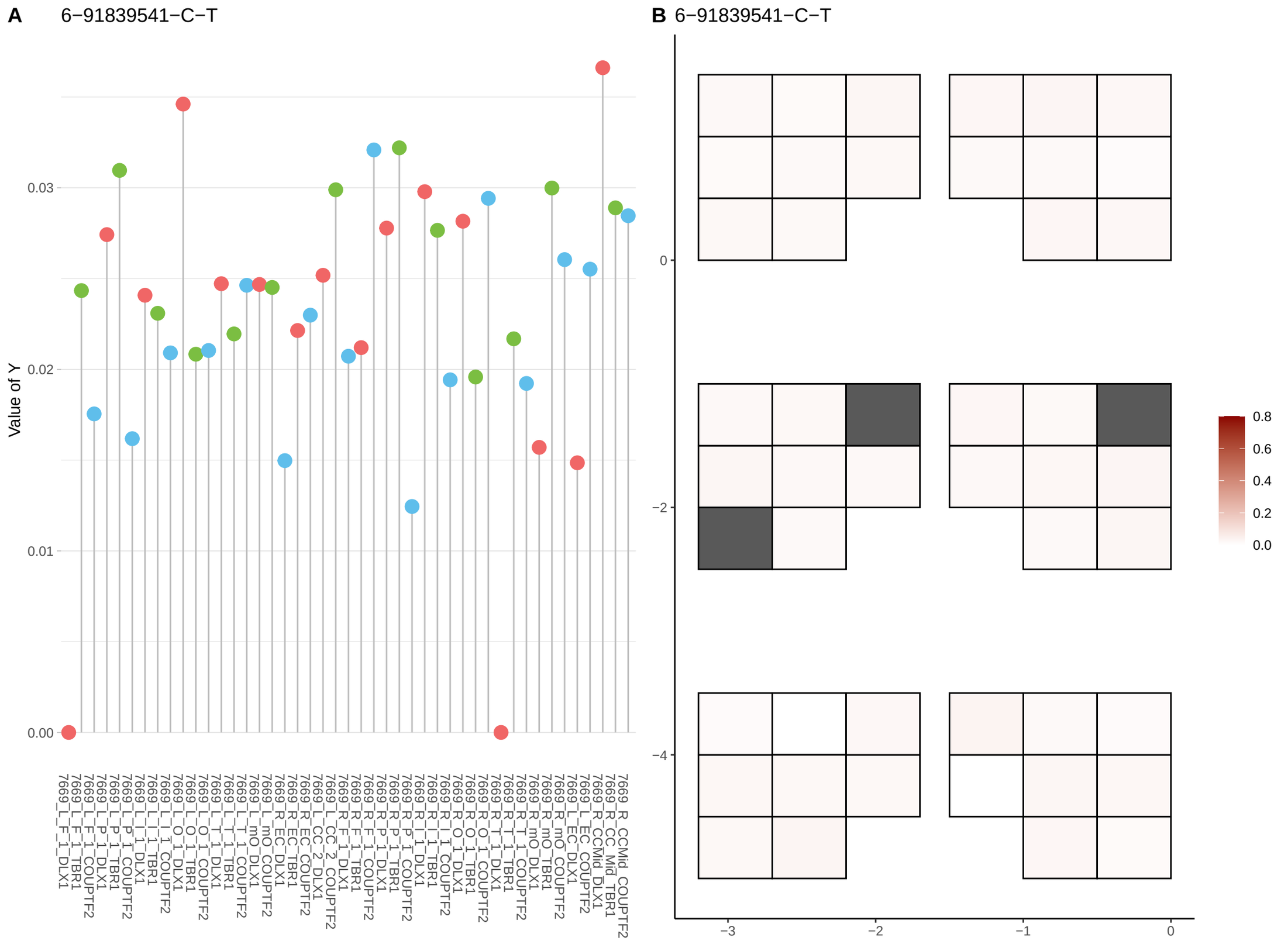
A
6−91839541−C−T
Value of Y
0.03
0.02
0.01
0.00
7669_L_F_1_DLX1
7669_L_F_1_TBR1
7669_L_F_1_COUPTF2
7669_L_P_1_DLX1
7669_L_P_1_TBR1
7669_L_P_1_COUPTF2
7669_L_I_1_DLX1
7669_L_I_1_TBR1
7669_L_I_1_COUPTF2
7669_L_O_1_DLX1
7669_L_O_1_TBR1
7669_L_O_1_COUPTF2
7669_L_T_1_DLX1
7669_L_T_1_TBR1
7669_L_T_1_COUPTF2
7669_L_mO_DLX1
7669_L_mO_COUPTF2
7669_R_EC_DLX1
7669_R_EC_TBR1
7669_R_EC_COUPTF2
7669_L_CC_2_DLX1
7669_L_CC_2_COUPTF2
7669_R_F_1_DLX1
7669_R_F_1_TBR1
7669_R_F_1_COUPTF2
7669_R_P_1_DLX1
7669_R_P_1_TBR1
7669_R_P_1_COUPTF2
7669_R_I_1_DLX1
7669_R_I_1_TBR1
7669_R_I_1_COUPTF2
7669_R_O_1_DLX1
7669_R_O_1_TBR1
7669_R_O_1_COUPTF2
7669_R_T_1_DLX1
7669_R_T_1_TBR1
7669_R_T_1_COUPTF2
7669_R_mO_DLX1
7669_R_mO_TBR1
7669_R_mO_COUPTF2
7669_L_EC_DLX1
7669_L_EC_COUPTF2
7669_R_CCMid_DLX1
7669_R_CC_Mid_TBR1
7669_R_CCMid_COUPTF2
B
6−91839541−C−T
0
−2
−4
−3
−2
−1
0
0.8
0.6
0.4
0.2
0.0

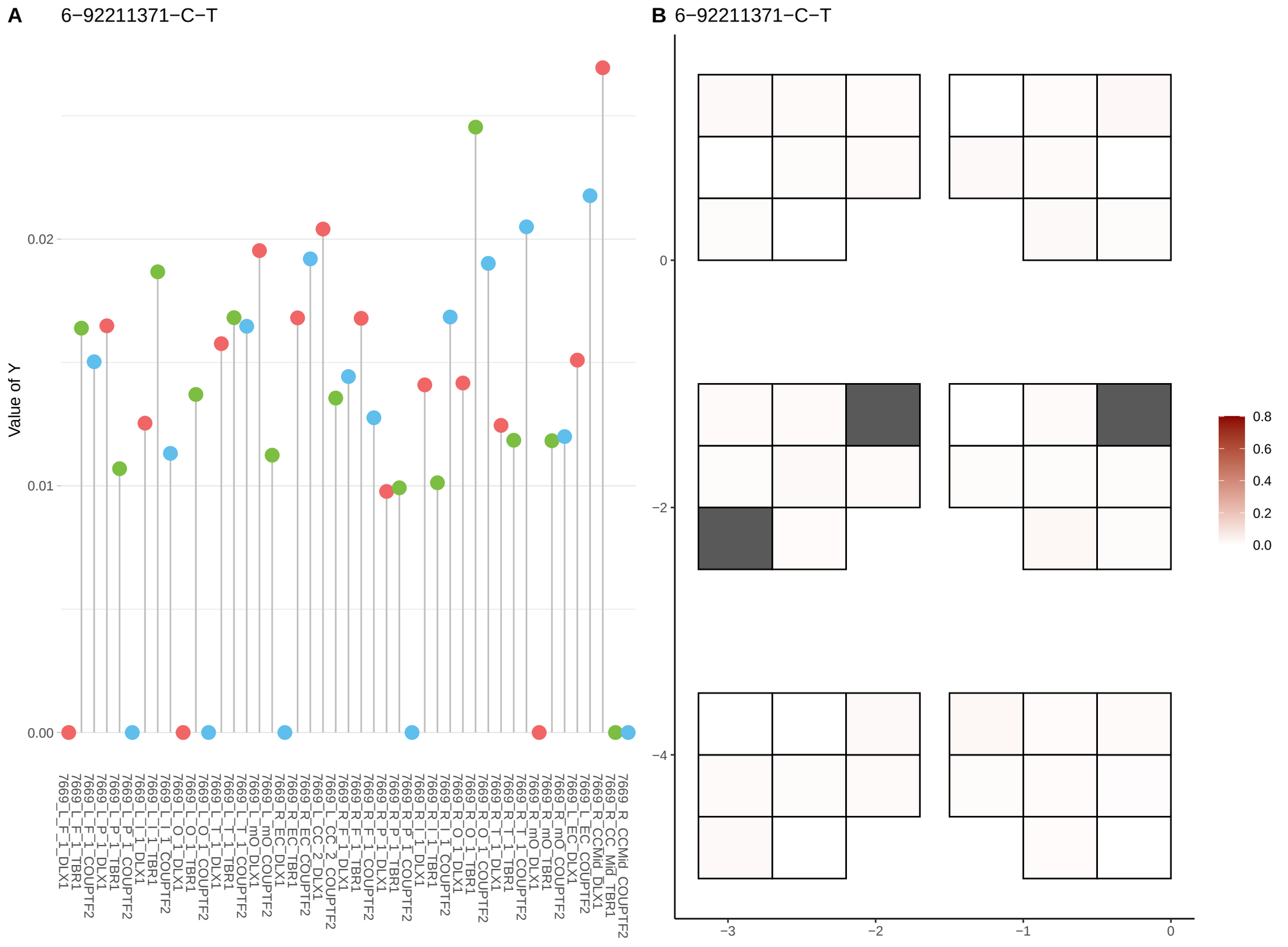
A
6−92211371−C−T
Value of Y
0.02
0.01
0.00
7669_L_F_1_DLX1
7669_L_F_1_TBR1
7669_L_F_1_COUPTF2
7669_L_P_1_DLX1
7669_L_P_1_TBR1
7669_L_P_1_COUPTF2
7669_L_I_1_DLX1
7669_L_I_1_TBR1
7669_L_I_1_COUPTF2
7669_L_O_1_DLX1
7669_L_O_1_TBR1
7669_L_O_1_COUPTF2
7669_L_T_1_DLX1
7669_L_T_1_TBR1
7669_L_T_1_COUPTF2
7669_L_mO_DLX1
7669_L_mO_COUPTF2
7669_R_EC_DLX1
7669_R_EC_TBR1
7669_R_EC_COUPTF2
7669_L_CC_2_DLX1
7669_L_CC_2_COUPTF2
7669_R_F_1_DLX1
7669_R_F_1_TBR1
7669_R_F_1_COUPTF2
7669_R_P_1_DLX1
7669_R_P_1_TBR1
7669_R_P_1_COUPTF2
7669_R_I_1_DLX1
7669_R_I_1_TBR1
7669_R_I_1_COUPTF2
7669_R_O_1_DLX1
7669_R_O_1_TBR1
7669_R_O_1_COUPTF2
7669_R_T_1_DLX1
7669_R_T_1_TBR1
7669_R_T_1_COUPTF2
7669_R_mO_DLX1
7669_R_mO_TBR1
7669_R_mO_COUPTF2
7669_L_EC_DLX1
7669_L_EC_COUPTF2
7669_R_CCMid_DLX1
7669_R_CC_Mid_TBR1
7669_R_CCMid_COUPTF2
B
6−92211371−C−T
0
−2
−4
−3
−2
−1
0
0.8
0.6
0.4
0.2
0.0

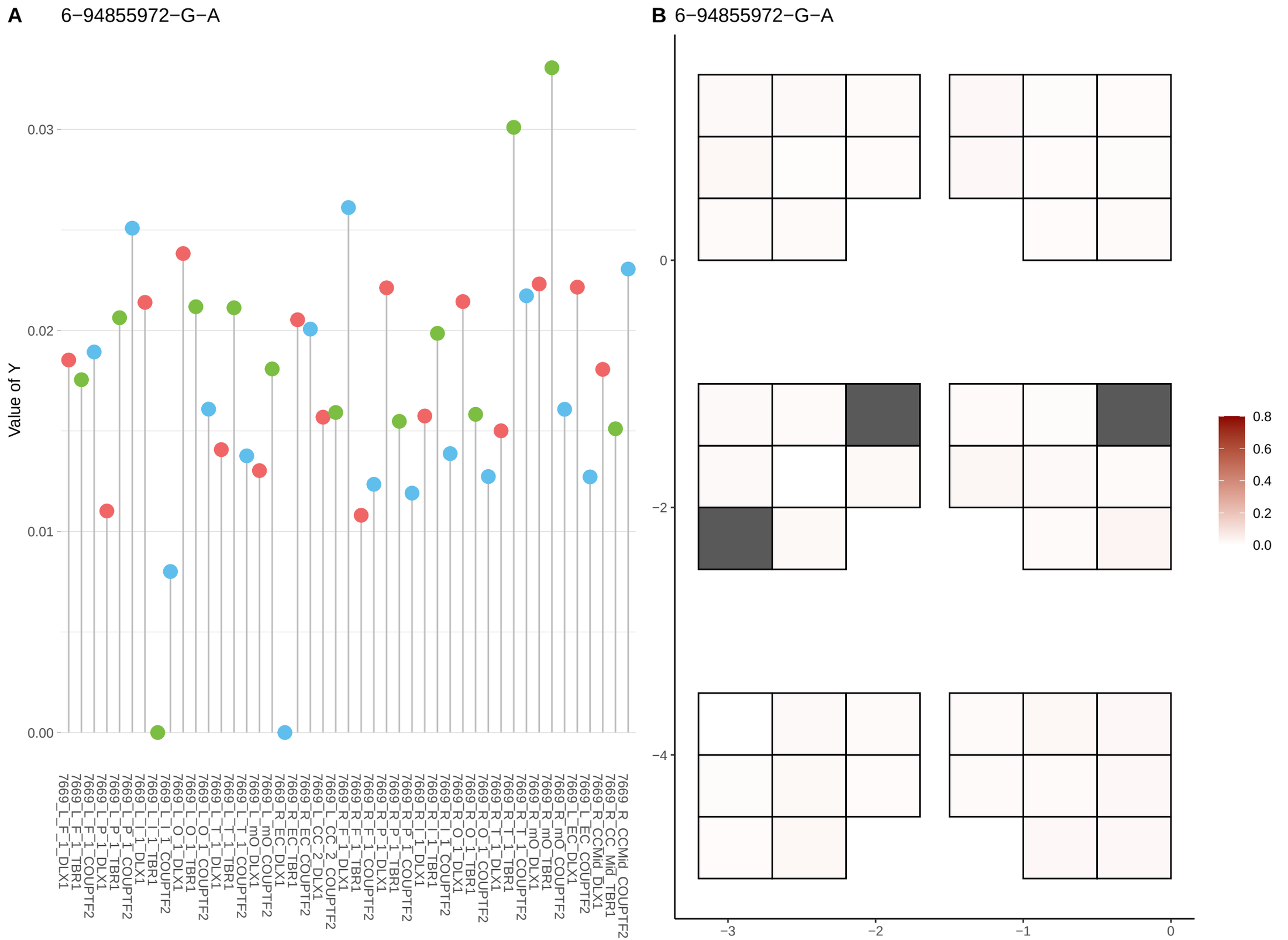
A
6−94855972−G−A
Value of Y
0.03
0.02
0.01
0.00
7669_L_F_1_DLX1
7669_L_F_1_TBR1
7669_L_F_1_COUPTF2
7669_L_P_1_DLX1
7669_L_P_1_TBR1
7669_L_P_1_COUPTF2
7669_L_I_1_DLX1
7669_L_I_1_TBR1
7669_L_I_1_COUPTF2
7669_L_O_1_DLX1
7669_L_O_1_TBR1
7669_L_O_1_COUPTF2
7669_L_T_1_DLX1
7669_L_T_1_TBR1
7669_L_T_1_COUPTF2
7669_L_mO_DLX1
7669_L_mO_COUPTF2
7669_R_EC_DLX1
7669_R_EC_TBR1
7669_R_EC_COUPTF2
7669_L_CC_2_DLX1
7669_L_CC_2_COUPTF2
7669_R_F_1_DLX1
7669_R_F_1_TBR1
7669_R_F_1_COUPTF2
7669_R_P_1_DLX1
7669_R_P_1_TBR1
7669_R_P_1_COUPTF2
7669_R_I_1_DLX1
7669_R_I_1_TBR1
7669_R_I_1_COUPTF2
7669_R_O_1_DLX1
7669_R_O_1_TBR1
7669_R_O_1_COUPTF2
7669_R_T_1_DLX1
7669_R_T_1_TBR1
7669_R_T_1_COUPTF2
7669_R_mO_DLX1
7669_R_mO_TBR1
7669_R_mO_COUPTF2
7669_L_EC_DLX1
7669_L_EC_COUPTF2
7669_R_CCMid_DLX1
7669_R_CC_Mid_TBR1
7669_R_CCMid_COUPTF2
B
6−94855972−G−A
0
−2
−4
−3
−2
−1
0
0.8
0.6
0.4
0.2
0.0

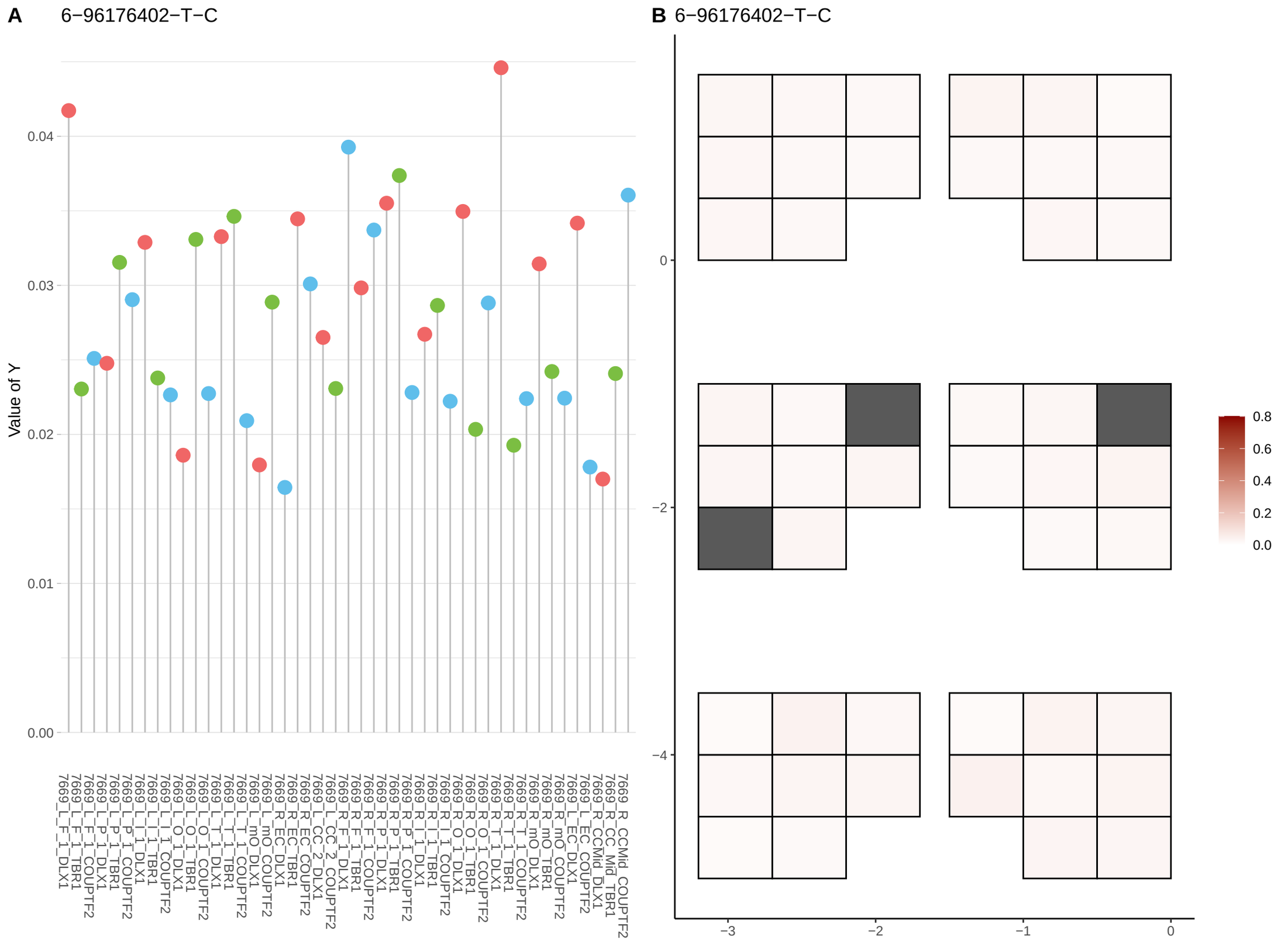
A
6−96176402−T−C
Value of Y
0.04
0.03
0.02
0.01
0.00
7669_L_F_1_DLX1
7669_L_F_1_TBR1
7669_L_F_1_COUPTF2
7669_L_P_1_DLX1
7669_L_P_1_TBR1
7669_L_P_1_COUPTF2
7669_L_I_1_DLX1
7669_L_I_1_TBR1
7669_L_I_1_COUPTF2
7669_L_O_1_DLX1
7669_L_O_1_TBR1
7669_L_O_1_COUPTF2
7669_L_T_1_DLX1
7669_L_T_1_TBR1
7669_L_T_1_COUPTF2
7669_L_mO_DLX1
7669_L_mO_COUPTF2
7669_R_EC_DLX1
7669_R_EC_TBR1
7669_R_EC_COUPTF2
7669_L_CC_2_DLX1
7669_L_CC_2_COUPTF2
7669_R_F_1_DLX1
7669_R_F_1_TBR1
7669_R_F_1_COUPTF2
7669_R_P_1_DLX1
7669_R_P_1_TBR1
7669_R_P_1_COUPTF2
7669_R_I_1_DLX1
7669_R_I_1_TBR1
7669_R_I_1_COUPTF2
7669_R_O_1_DLX1
7669_R_O_1_TBR1
7669_R_O_1_COUPTF2
7669_R_T_1_DLX1
7669_R_T_1_TBR1
7669_R_T_1_COUPTF2
7669_R_mO_DLX1
7669_R_mO_TBR1
7669_R_mO_COUPTF2
7669_L_EC_DLX1
7669_L_EC_COUPTF2
7669_R_CCMid_DLX1
7669_R_CC_Mid_TBR1
7669_R_CCMid_COUPTF2
B
6−96176402−T−C
0
−2
−4
−3
−2
−1
0
0.8
0.6
0.4
0.2
0.0

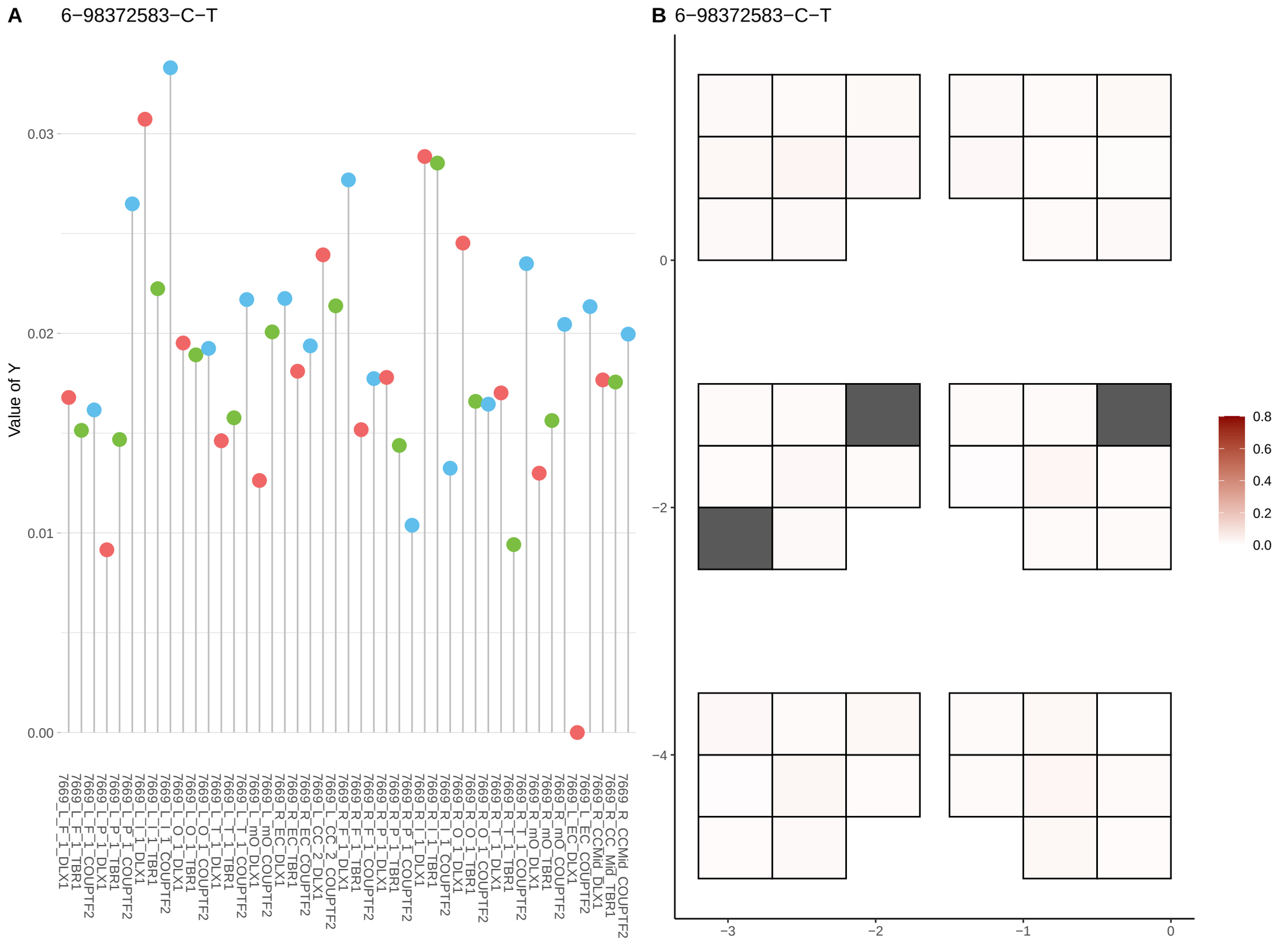
A
6−98372583−C−T
Value of Y
0.03
0.02
0.01
0.00
7669_L_F_1_DLX1
7669_L_F_1_TBR1
7669_L_F_1_COUPTF2
7669_L_P_1_DLX1
7669_L_P_1_TBR1
7669_L_P_1_COUPTF2
7669_L_I_1_DLX1
7669_L_I_1_TBR1
7669_L_I_1_COUPTF2
7669_L_O_1_DLX1
7669_L_O_1_TBR1
7669_L_O_1_COUPTF2
7669_L_T_1_DLX1
7669_L_T_1_TBR1
7669_L_T_1_COUPTF2
7669_L_mO_DLX1
7669_L_mO_COUPTF2
7669_R_EC_DLX1
7669_R_EC_TBR1
7669_R_EC_COUPTF2
7669_L_CC_2_DLX1
7669_L_CC_2_COUPTF2
7669_R_F_1_DLX1
7669_R_F_1_TBR1
7669_R_F_1_COUPTF2
7669_R_P_1_DLX1
7669_R_P_1_TBR1
7669_R_P_1_COUPTF2
7669_R_I_1_DLX1
7669_R_I_1_TBR1
7669_R_I_1_COUPTF2
7669_R_O_1_DLX1
7669_R_O_1_TBR1
7669_R_O_1_COUPTF2
7669_R_T_1_DLX1
7669_R_T_1_TBR1
7669_R_T_1_COUPTF2
7669_R_mO_DLX1
7669_R_mO_TBR1
7669_R_mO_COUPTF2
7669_L_EC_DLX1
7669_L_EC_COUPTF2
7669_R_CCMid_DLX1
7669_R_CC_Mid_TBR1
7669_R_CCMid_COUPTF2
B
6−98372583−C−T
0
−2
−4
−3
−2
−1
0
0.8
0.6
0.4
0.2
0.0

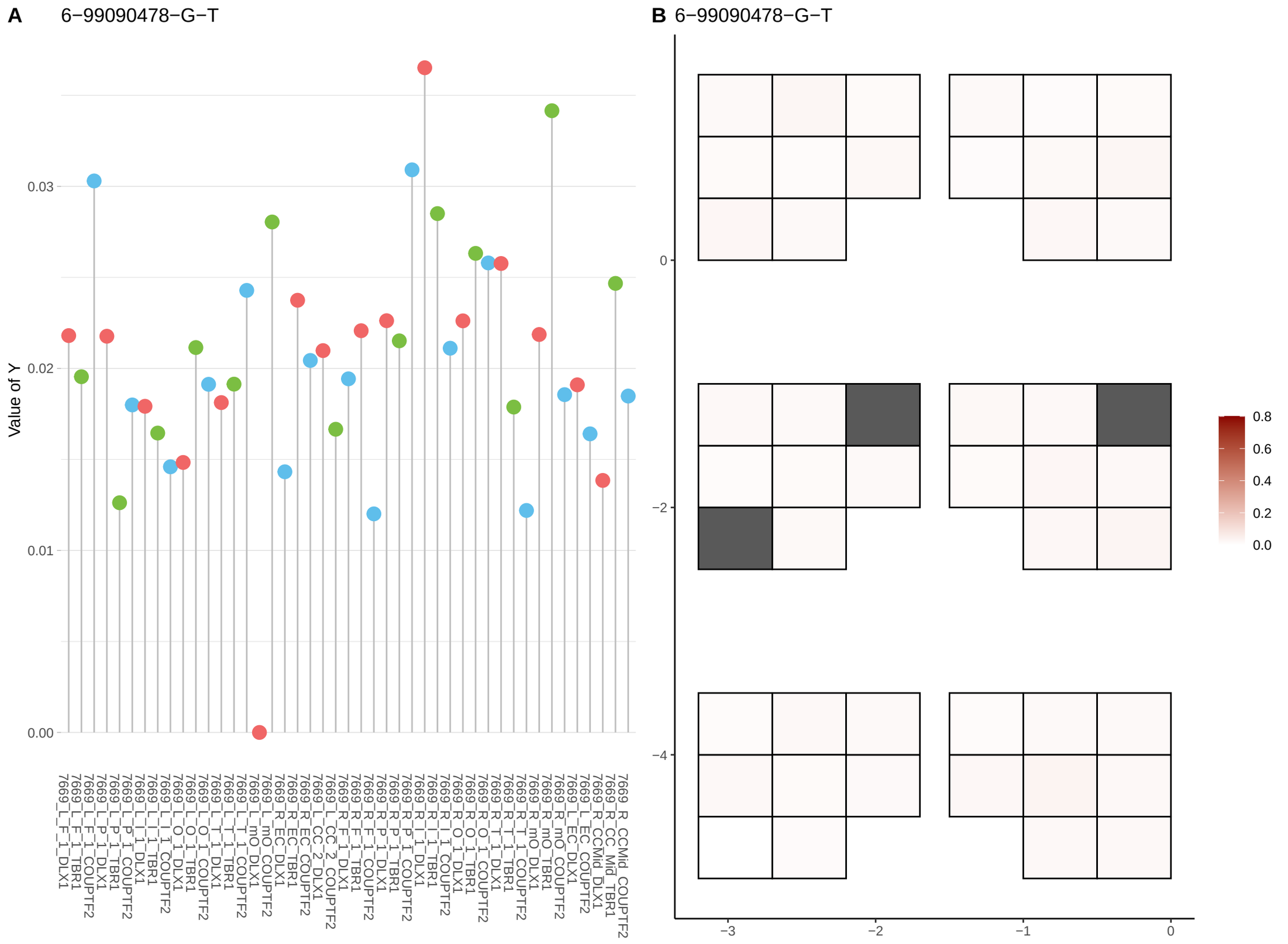
A
6−99090478−G−T
Value of Y
0.03
0.02
0.01
0.00
7669_L_F_1_DLX1
7669_L_F_1_TBR1
7669_L_F_1_COUPTF2
7669_L_P_1_DLX1
7669_L_P_1_TBR1
7669_L_P_1_COUPTF2
7669_L_I_1_DLX1
7669_L_I_1_TBR1
7669_L_I_1_COUPTF2
7669_L_O_1_DLX1
7669_L_O_1_TBR1
7669_L_O_1_COUPTF2
7669_L_T_1_DLX1
7669_L_T_1_TBR1
7669_L_T_1_COUPTF2
7669_L_mO_DLX1
7669_L_mO_COUPTF2
7669_R_EC_DLX1
7669_R_EC_TBR1
7669_R_EC_COUPTF2
7669_L_CC_2_DLX1
7669_L_CC_2_COUPTF2
7669_R_F_1_DLX1
7669_R_F_1_TBR1
7669_R_F_1_COUPTF2
7669_R_P_1_DLX1
7669_R_P_1_TBR1
7669_R_P_1_COUPTF2
7669_R_I_1_DLX1
7669_R_I_1_TBR1
7669_R_I_1_COUPTF2
7669_R_O_1_DLX1
7669_R_O_1_TBR1
7669_R_O_1_COUPTF2
7669_R_T_1_DLX1
7669_R_T_1_TBR1
7669_R_T_1_COUPTF2
7669_R_mO_DLX1
7669_R_mO_TBR1
7669_R_mO_COUPTF2
7669_L_EC_DLX1
7669_L_EC_COUPTF2
7669_R_CCMid_DLX1
7669_R_CC_Mid_TBR1
7669_R_CCMid_COUPTF2
B
6−99090478−G−T
0
−2
−4
−3
−2
−1
0
0.8
0.6
0.4
0.2
0.0

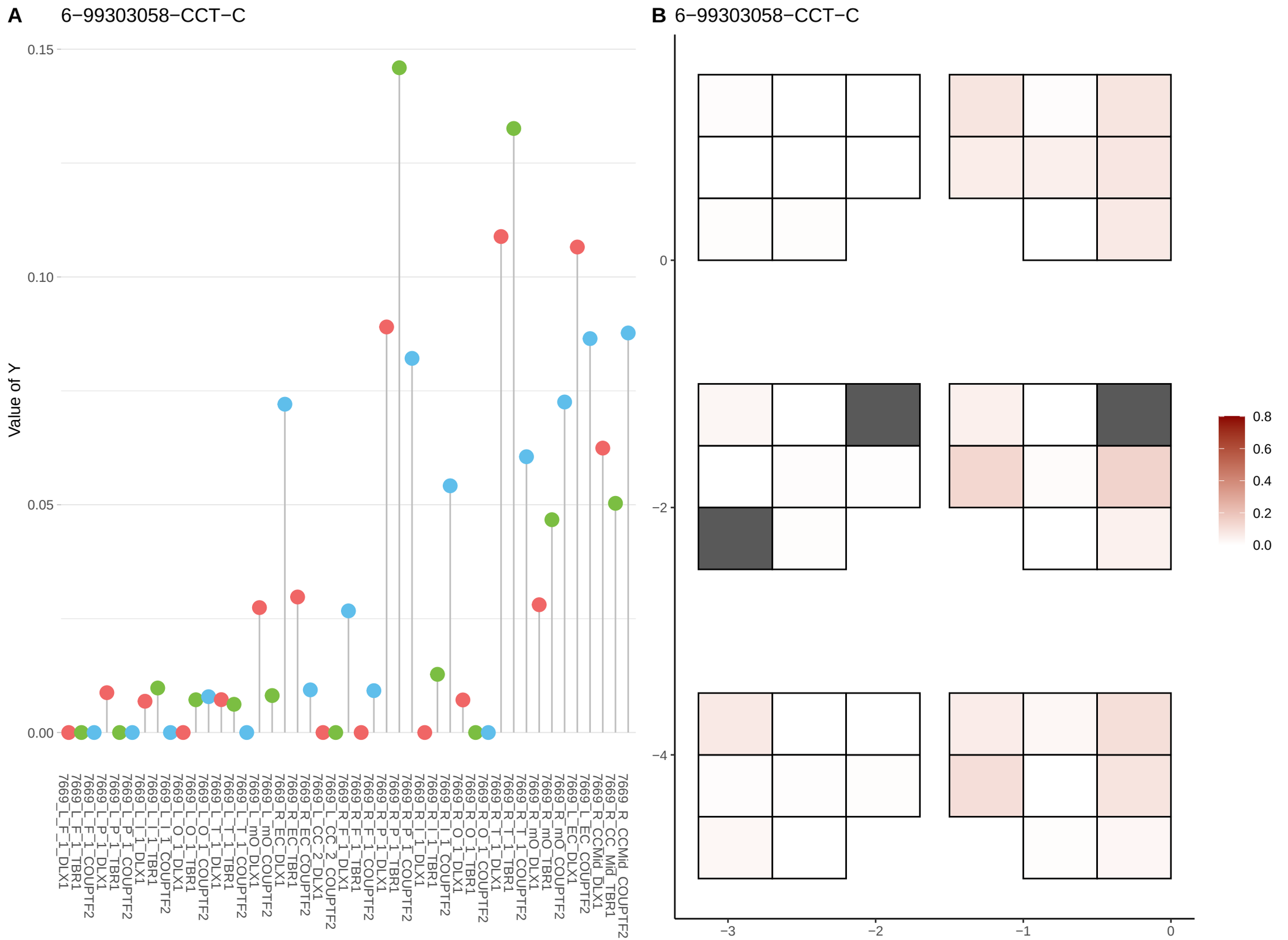
A
6−99303058−CCT−C
Value of Y
0.15
0.10
0.05
0.00
7669_L_F_1_DLX1
7669_L_F_1_TBR1
7669_L_F_1_COUPTF2
7669_L_P_1_DLX1
7669_L_P_1_TBR1
7669_L_P_1_COUPTF2
7669_L_I_1_DLX1
7669_L_I_1_TBR1
7669_L_I_1_COUPTF2
7669_L_O_1_DLX1
7669_L_O_1_TBR1
7669_L_O_1_COUPTF2
7669_L_T_1_DLX1
7669_L_T_1_TBR1
7669_L_T_1_COUPTF2
7669_L_mO_DLX1
7669_L_mO_COUPTF2
7669_R_EC_DLX1
7669_R_EC_TBR1
7669_R_EC_COUPTF2
7669_L_CC_2_DLX1
7669_L_CC_2_COUPTF2
7669_R_F_1_DLX1
7669_R_F_1_TBR1
7669_R_F_1_COUPTF2
7669_R_P_1_DLX1
7669_R_P_1_TBR1
7669_R_P_1_COUPTF2
7669_R_I_1_DLX1
7669_R_I_1_TBR1
7669_R_I_1_COUPTF2
7669_R_O_1_DLX1
7669_R_O_1_TBR1
7669_R_O_1_COUPTF2
7669_R_T_1_DLX1
7669_R_T_1_TBR1
7669_R_T_1_COUPTF2
7669_R_mO_DLX1
7669_R_mO_TBR1
7669_R_mO_COUPTF2
7669_L_EC_DLX1
7669_L_EC_COUPTF2
7669_R_CCMid_DLX1
7669_R_CC_Mid_TBR1
7669_R_CCMid_COUPTF2
B
6−99303058−CCT−C
0
−2
−4
−3
−2
−1
0
0.8
0.6
0.4
0.2
0.0

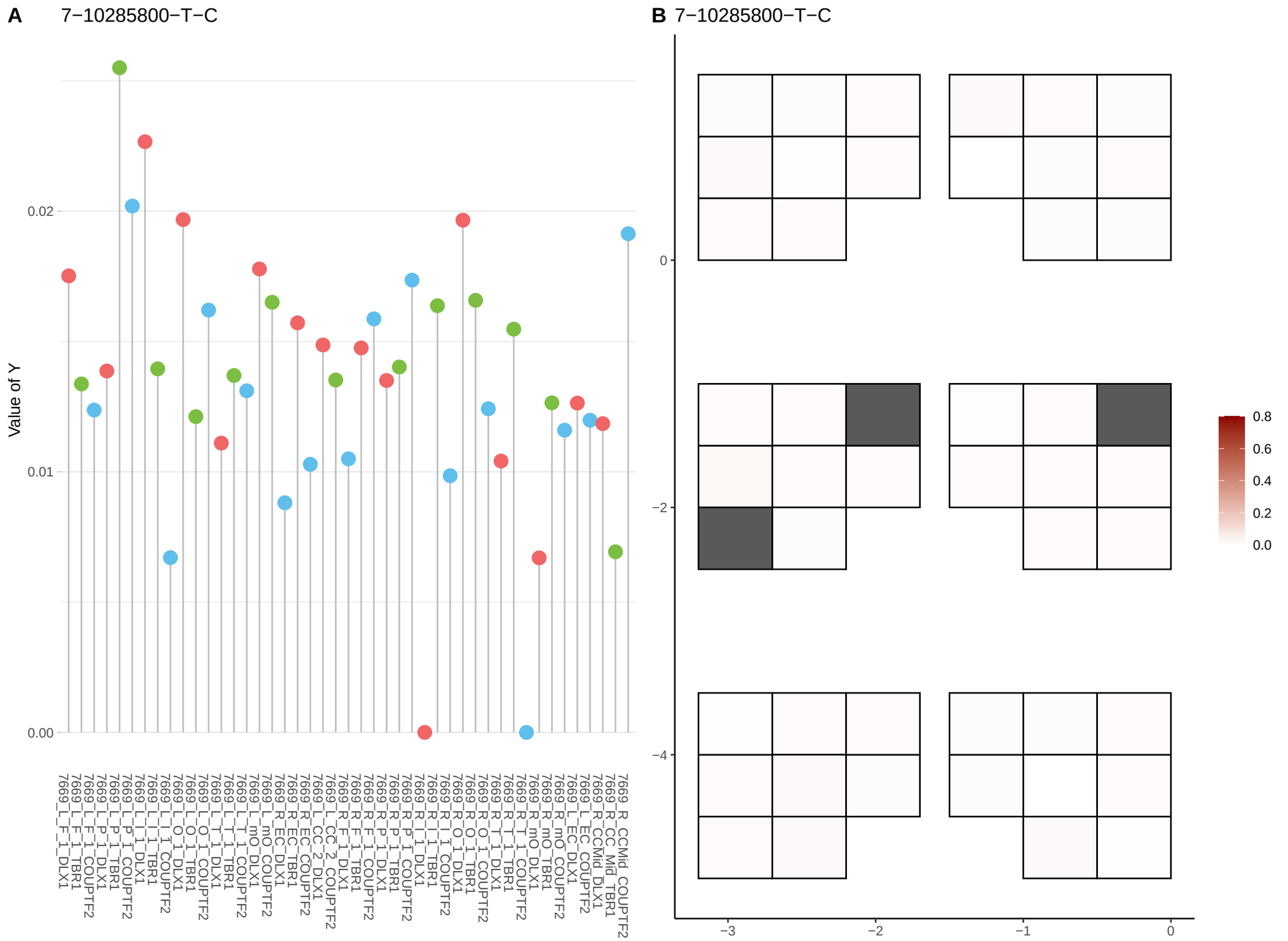
A
7−10285800−T−C
Value of Y
0.02
0.01
0.00
7669_L_F_1_DLX1
7669_L_F_1_TBR1
7669_L_F_1_COUPTF2
7669_L_P_1_DLX1
7669_L_P_1_TBR1
7669_L_P_1_COUPTF2
7669_L_I_1_DLX1
7669_L_I_1_TBR1
7669_L_I_1_COUPTF2
7669_L_O_1_DLX1
7669_L_O_1_TBR1
7669_L_O_1_COUPTF2
7669_L_T_1_DLX1
7669_L_T_1_TBR1
7669_L_T_1_COUPTF2
7669_L_mO_DLX1
7669_L_mO_COUPTF2
7669_R_EC_DLX1
7669_R_EC_TBR1
7669_R_EC_COUPTF2
7669_L_CC_2_DLX1
7669_L_CC_2_COUPTF2
7669_R_F_1_DLX1
7669_R_F_1_TBR1
7669_R_F_1_COUPTF2
7669_R_P_1_DLX1
7669_R_P_1_TBR1
7669_R_P_1_COUPTF2
7669_R_I_1_DLX1
7669_R_I_1_TBR1
7669_R_I_1_COUPTF2
7669_R_O_1_DLX1
7669_R_O_1_TBR1
7669_R_O_1_COUPTF2
7669_R_T_1_DLX1
7669_R_T_1_TBR1
7669_R_T_1_COUPTF2
7669_R_mO_DLX1
7669_R_mO_TBR1
7669_R_mO_COUPTF2
7669_L_EC_DLX1
7669_L_EC_COUPTF2
7669_R_CCMid_DLX1
7669_R_CC_Mid_TBR1
7669_R_CCMid_COUPTF2
B
7−10285800−T−C
0
−2
−4
−3
−2
−1
0
0.8
0.6
0.4
0.2
0.0

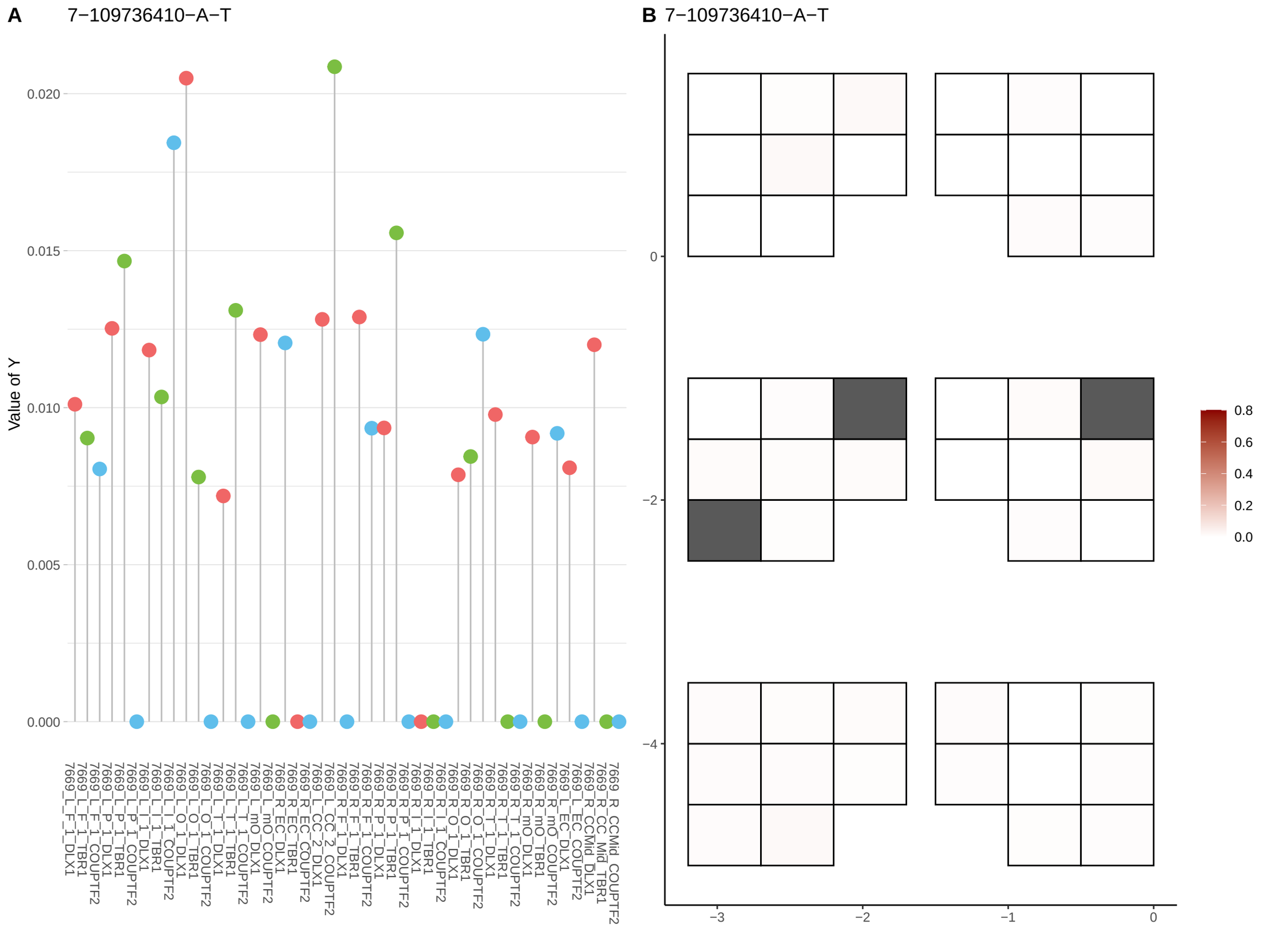
A
7−109736410−A−T
Value of Y
0.020
0.015
0.010
0.005
0.000
7669_L_F_1_DLX1
7669_L_F_1_TBR1
7669_L_F_1_COUPTF2
7669_L_P_1_DLX1
7669_L_P_1_TBR1
7669_L_P_1_COUPTF2
7669_L_I_1_DLX1
7669_L_I_1_TBR1
7669_L_I_1_COUPTF2
7669_L_O_1_DLX1
7669_L_O_1_TBR1
7669_L_O_1_COUPTF2
7669_L_T_1_DLX1
7669_L_T_1_TBR1
7669_L_T_1_COUPTF2
7669_L_mO_DLX1
7669_L_mO_COUPTF2
7669_R_EC_DLX1
7669_R_EC_TBR1
7669_R_EC_COUPTF2
7669_L_CC_2_DLX1
7669_L_CC_2_COUPTF2
7669_R_F_1_DLX1
7669_R_F_1_TBR1
7669_R_F_1_COUPTF2
7669_R_P_1_DLX1
7669_R_P_1_TBR1
7669_R_P_1_COUPTF2
7669_R_I_1_DLX1
7669_R_I_1_TBR1
7669_R_I_1_COUPTF2
7669_R_O_1_DLX1
7669_R_O_1_TBR1
7669_R_O_1_COUPTF2
7669_R_T_1_DLX1
7669_R_T_1_TBR1
7669_R_T_1_COUPTF2
7669_R_mO_DLX1
7669_R_mO_TBR1
7669_R_mO_COUPTF2
7669_L_EC_DLX1
7669_L_EC_COUPTF2
7669_R_CCMid_DLX1
7669_R_CC_Mid_TBR1
7669_R_CCMid_COUPTF2
B
7−109736410−A−T
0
−2
−4
−3
−2
−1
0
0.8
0.6
0.4
0.2
0.0

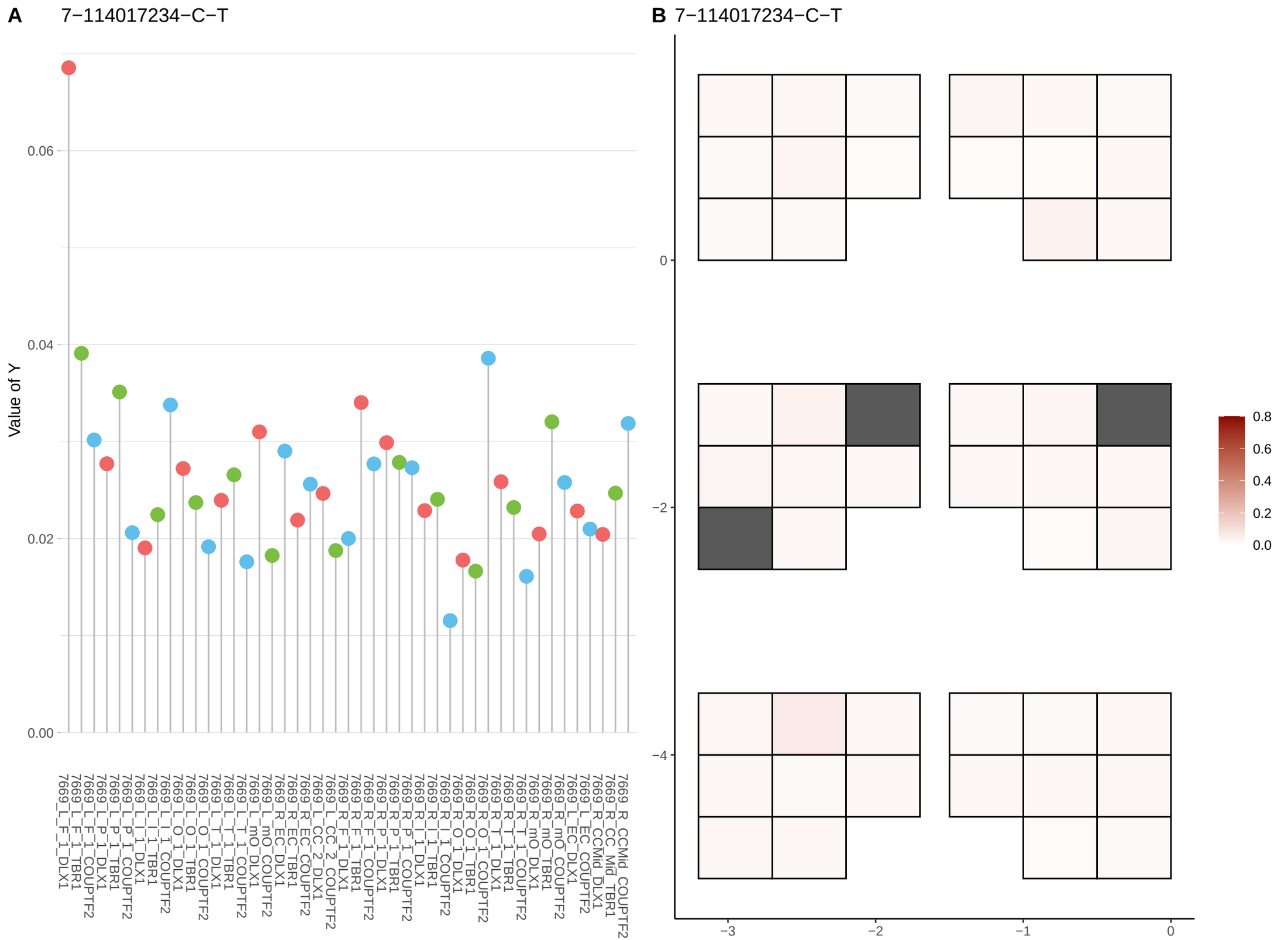
A
7−114017234−C−T
Value of Y
0.06
0.04
0.02
0.00
7669_L_F_1_DLX1
7669_L_F_1_TBR1
7669_L_F_1_COUPTF2
7669_L_P_1_DLX1
7669_L_P_1_TBR1
7669_L_P_1_COUPTF2
7669_L_I_1_DLX1
7669_L_I_1_TBR1
7669_L_I_1_COUPTF2
7669_L_O_1_DLX1
7669_L_O_1_TBR1
7669_L_O_1_COUPTF2
7669_L_T_1_DLX1
7669_L_T_1_TBR1
7669_L_T_1_COUPTF2
7669_L_mO_DLX1
7669_L_mO_COUPTF2
7669_R_EC_DLX1
7669_R_EC_TBR1
7669_R_EC_COUPTF2
7669_L_CC_2_DLX1
7669_L_CC_2_COUPTF2
7669_R_F_1_DLX1
7669_R_F_1_TBR1
7669_R_F_1_COUPTF2
7669_R_P_1_DLX1
7669_R_P_1_TBR1
7669_R_P_1_COUPTF2
7669_R_I_1_DLX1
7669_R_I_1_TBR1
7669_R_I_1_COUPTF2
7669_R_O_1_DLX1
7669_R_O_1_TBR1
7669_R_O_1_COUPTF2
7669_R_T_1_DLX1
7669_R_T_1_TBR1
7669_R_T_1_COUPTF2
7669_R_mO_DLX1
7669_R_mO_TBR1
7669_R_mO_COUPTF2
7669_L_EC_DLX1
7669_L_EC_COUPTF2
7669_R_CCMid_DLX1
7669_R_CC_Mid_TBR1
7669_R_CCMid_COUPTF2
B
7−114017234−C−T
0
−2
−4
−3
−2
−1
0
0.8
0.6
0.4
0.2
0.0

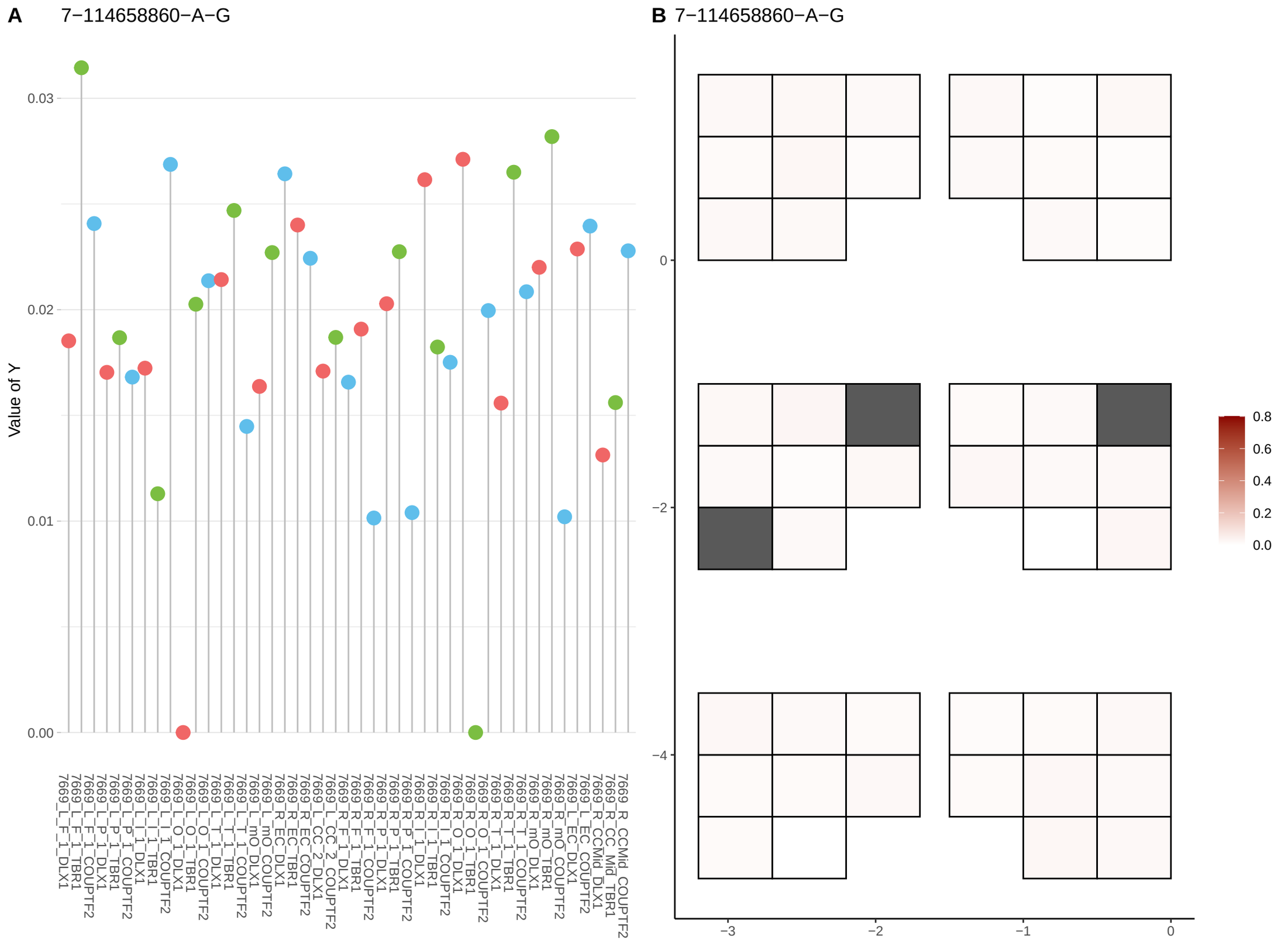
A
7−114658860−A−G
Value of Y
0.03
0.02
0.01
0.00
7669_L_F_1_DLX1
7669_L_F_1_TBR1
7669_L_F_1_COUPTF2
7669_L_P_1_DLX1
7669_L_P_1_TBR1
7669_L_P_1_COUPTF2
7669_L_I_1_DLX1
7669_L_I_1_TBR1
7669_L_I_1_COUPTF2
7669_L_O_1_DLX1
7669_L_O_1_TBR1
7669_L_O_1_COUPTF2
7669_L_T_1_DLX1
7669_L_T_1_TBR1
7669_L_T_1_COUPTF2
7669_L_mO_DLX1
7669_L_mO_COUPTF2
7669_R_EC_DLX1
7669_R_EC_TBR1
7669_R_EC_COUPTF2
7669_L_CC_2_DLX1
7669_L_CC_2_COUPTF2
7669_R_F_1_DLX1
7669_R_F_1_TBR1
7669_R_F_1_COUPTF2
7669_R_P_1_DLX1
7669_R_P_1_TBR1
7669_R_P_1_COUPTF2
7669_R_I_1_DLX1
7669_R_I_1_TBR1
7669_R_I_1_COUPTF2
7669_R_O_1_DLX1
7669_R_O_1_TBR1
7669_R_O_1_COUPTF2
7669_R_T_1_DLX1
7669_R_T_1_TBR1
7669_R_T_1_COUPTF2
7669_R_mO_DLX1
7669_R_mO_TBR1
7669_R_mO_COUPTF2
7669_L_EC_DLX1
7669_L_EC_COUPTF2
7669_R_CCMid_DLX1
7669_R_CC_Mid_TBR1
7669_R_CCMid_COUPTF2
B
7−114658860−A−G
0
−2
−4
−3
−2
−1
0
0.8
0.6
0.4
0.2
0.0

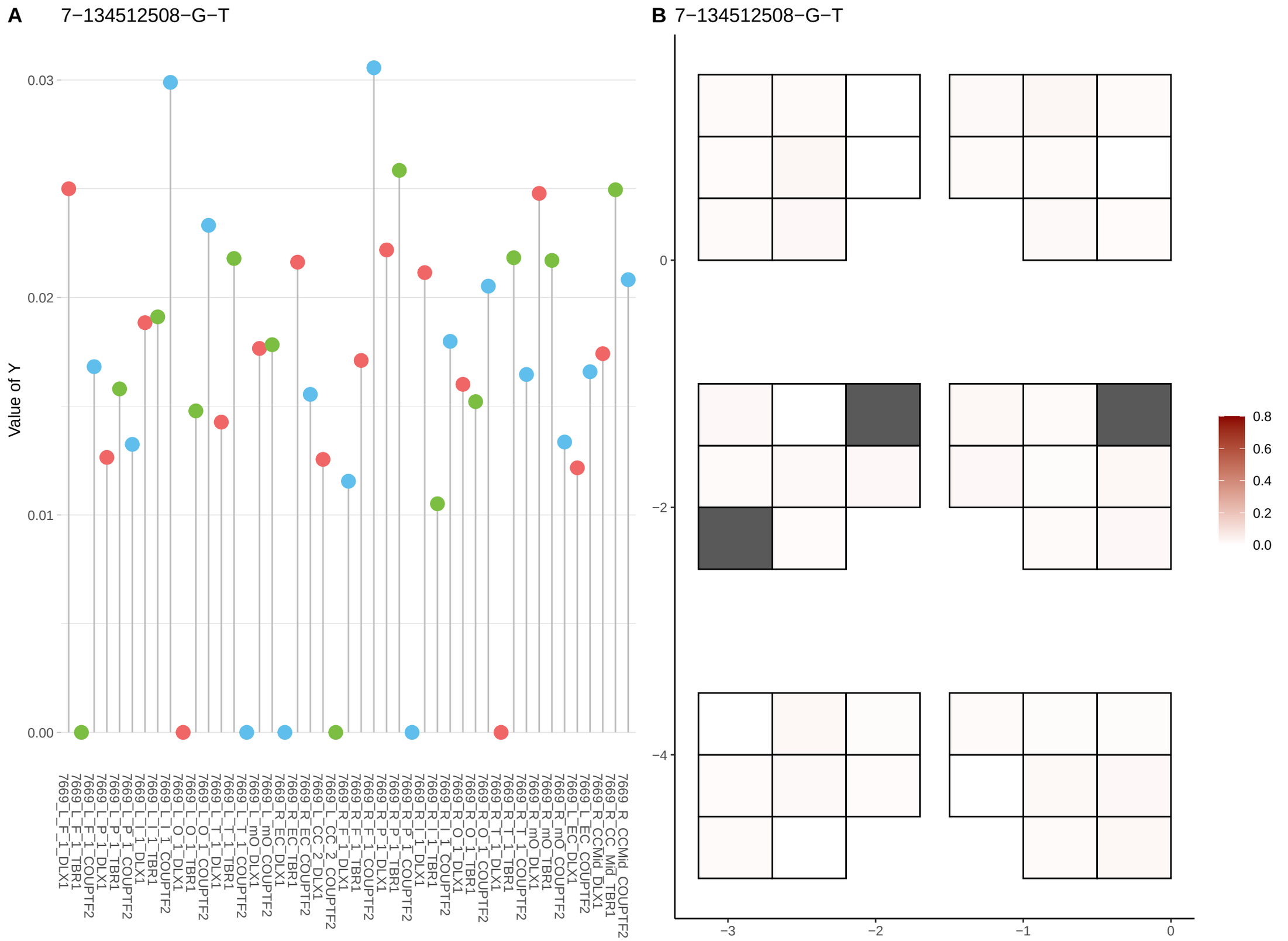
A
7−134512508−G−T
Value of Y
0.03
0.02
0.01
0.00
7669_L_F_1_DLX1
7669_L_F_1_TBR1
7669_L_F_1_COUPTF2
7669_L_P_1_DLX1
7669_L_P_1_TBR1
7669_L_P_1_COUPTF2
7669_L_I_1_DLX1
7669_L_I_1_TBR1
7669_L_I_1_COUPTF2
7669_L_O_1_DLX1
7669_L_O_1_TBR1
7669_L_O_1_COUPTF2
7669_L_T_1_DLX1
7669_L_T_1_TBR1
7669_L_T_1_COUPTF2
7669_L_mO_DLX1
7669_L_mO_COUPTF2
7669_R_EC_DLX1
7669_R_EC_TBR1
7669_R_EC_COUPTF2
7669_L_CC_2_DLX1
7669_L_CC_2_COUPTF2
7669_R_F_1_DLX1
7669_R_F_1_TBR1
7669_R_F_1_COUPTF2
7669_R_P_1_DLX1
7669_R_P_1_TBR1
7669_R_P_1_COUPTF2
7669_R_I_1_DLX1
7669_R_I_1_TBR1
7669_R_I_1_COUPTF2
7669_R_O_1_DLX1
7669_R_O_1_TBR1
7669_R_O_1_COUPTF2
7669_R_T_1_DLX1
7669_R_T_1_TBR1
7669_R_T_1_COUPTF2
7669_R_mO_DLX1
7669_R_mO_TBR1
7669_R_mO_COUPTF2
7669_L_EC_DLX1
7669_L_EC_COUPTF2
7669_R_CCMid_DLX1
7669_R_CC_Mid_TBR1
7669_R_CCMid_COUPTF2
B
7−134512508−G−T
0
−2
−4
−3
−2
−1
0
0.8
0.6
0.4
0.2
0.0

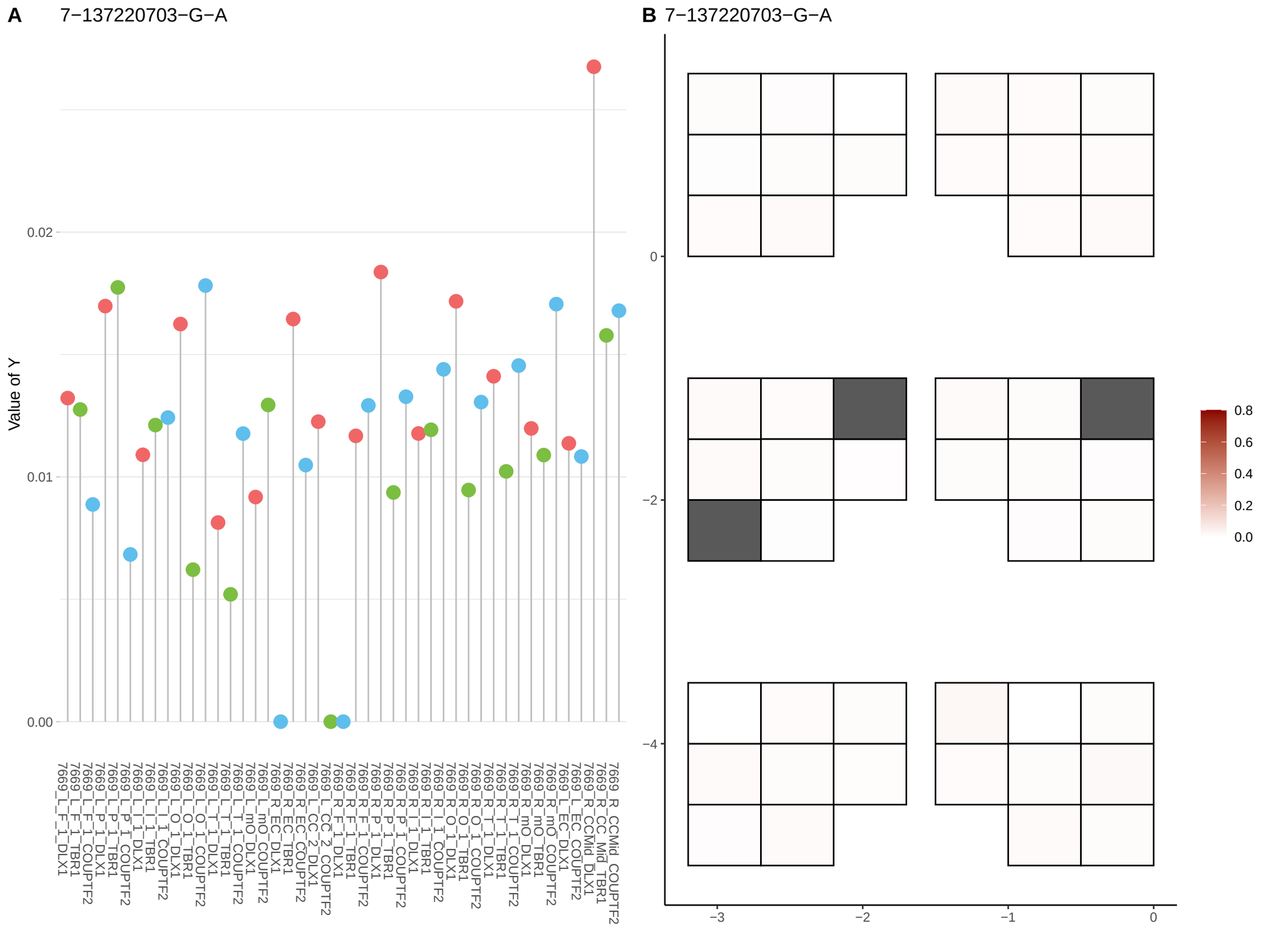
A
7−137220703−G−A
Value of Y
0.02
0.01
0.00
7669_L_F_1_DLX1
7669_L_F_1_TBR1
7669_L_F_1_COUPTF2
7669_L_P_1_DLX1
7669_L_P_1_TBR1
7669_L_P_1_COUPTF2
7669_L_I_1_DLX1
7669_L_I_1_TBR1
7669_L_I_1_COUPTF2
7669_L_O_1_DLX1
7669_L_O_1_TBR1
7669_L_O_1_COUPTF2
7669_L_T_1_DLX1
7669_L_T_1_TBR1
7669_L_T_1_COUPTF2
7669_L_mO_DLX1
7669_L_mO_COUPTF2
7669_R_EC_DLX1
7669_R_EC_TBR1
7669_R_EC_COUPTF2
7669_L_CC_2_DLX1
7669_L_CC_2_COUPTF2
7669_R_F_1_DLX1
7669_R_F_1_TBR1
7669_R_F_1_COUPTF2
7669_R_P_1_DLX1
7669_R_P_1_TBR1
7669_R_P_1_COUPTF2
7669_R_I_1_DLX1
7669_R_I_1_TBR1
7669_R_I_1_COUPTF2
7669_R_O_1_DLX1
7669_R_O_1_TBR1
7669_R_O_1_COUPTF2
7669_R_T_1_DLX1
7669_R_T_1_TBR1
7669_R_T_1_COUPTF2
7669_R_mO_DLX1
7669_R_mO_TBR1
7669_R_mO_COUPTF2
7669_L_EC_DLX1
7669_L_EC_COUPTF2
7669_R_CCMid_DLX1
7669_R_CC_Mid_TBR1
7669_R_CCMid_COUPTF2
B
7−137220703−G−A
0
−2
−4
−3
−2
−1
0
0.8
0.6
0.4
0.2
0.0

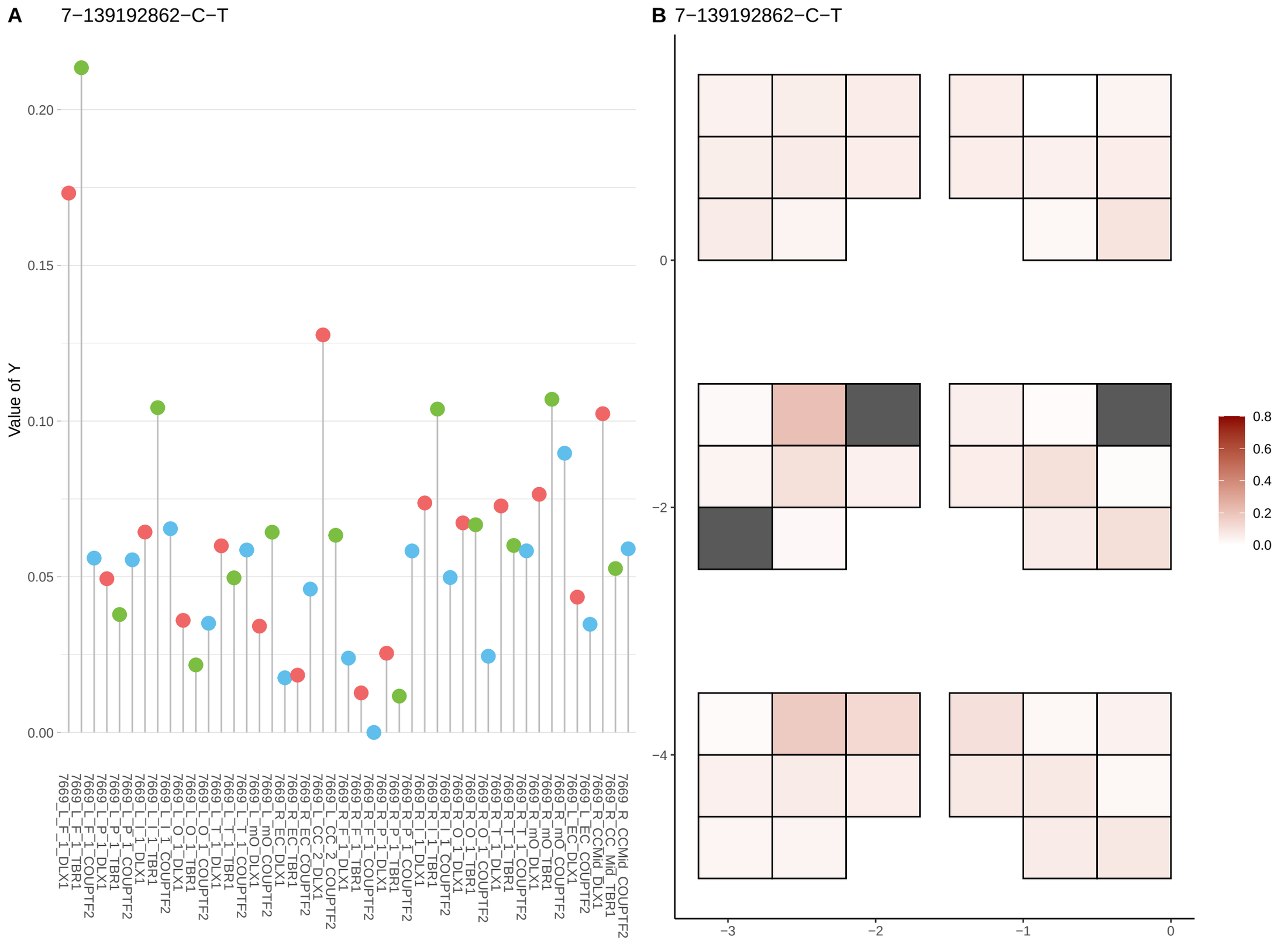
A
7−139192862−C−T
Value of Y
0.20
0.15
0.10
0.05
0.00
7669_L_F_1_DLX1
7669_L_F_1_TBR1
7669_L_F_1_COUPTF2
7669_L_P_1_DLX1
7669_L_P_1_TBR1
7669_L_P_1_COUPTF2
7669_L_I_1_DLX1
7669_L_I_1_TBR1
7669_L_I_1_COUPTF2
7669_L_O_1_DLX1
7669_L_O_1_TBR1
7669_L_O_1_COUPTF2
7669_L_T_1_DLX1
7669_L_T_1_TBR1
7669_L_T_1_COUPTF2
7669_L_mO_DLX1
7669_L_mO_COUPTF2
7669_R_EC_DLX1
7669_R_EC_TBR1
7669_R_EC_COUPTF2
7669_L_CC_2_DLX1
7669_L_CC_2_COUPTF2
7669_R_F_1_DLX1
7669_R_F_1_TBR1
7669_R_F_1_COUPTF2
7669_R_P_1_DLX1
7669_R_P_1_TBR1
7669_R_P_1_COUPTF2
7669_R_I_1_DLX1
7669_R_I_1_TBR1
7669_R_I_1_COUPTF2
7669_R_O_1_DLX1
7669_R_O_1_TBR1
7669_R_O_1_COUPTF2
7669_R_T_1_DLX1
7669_R_T_1_TBR1
7669_R_T_1_COUPTF2
7669_R_mO_DLX1
7669_R_mO_TBR1
7669_R_mO_COUPTF2
7669_L_EC_DLX1
7669_L_EC_COUPTF2
7669_R_CCMid_DLX1
7669_R_CC_Mid_TBR1
7669_R_CCMid_COUPTF2
B
7−139192862−C−T
0
−2
−4
−3
−2
−1
0
0.8
0.6
0.4
0.2
0.0

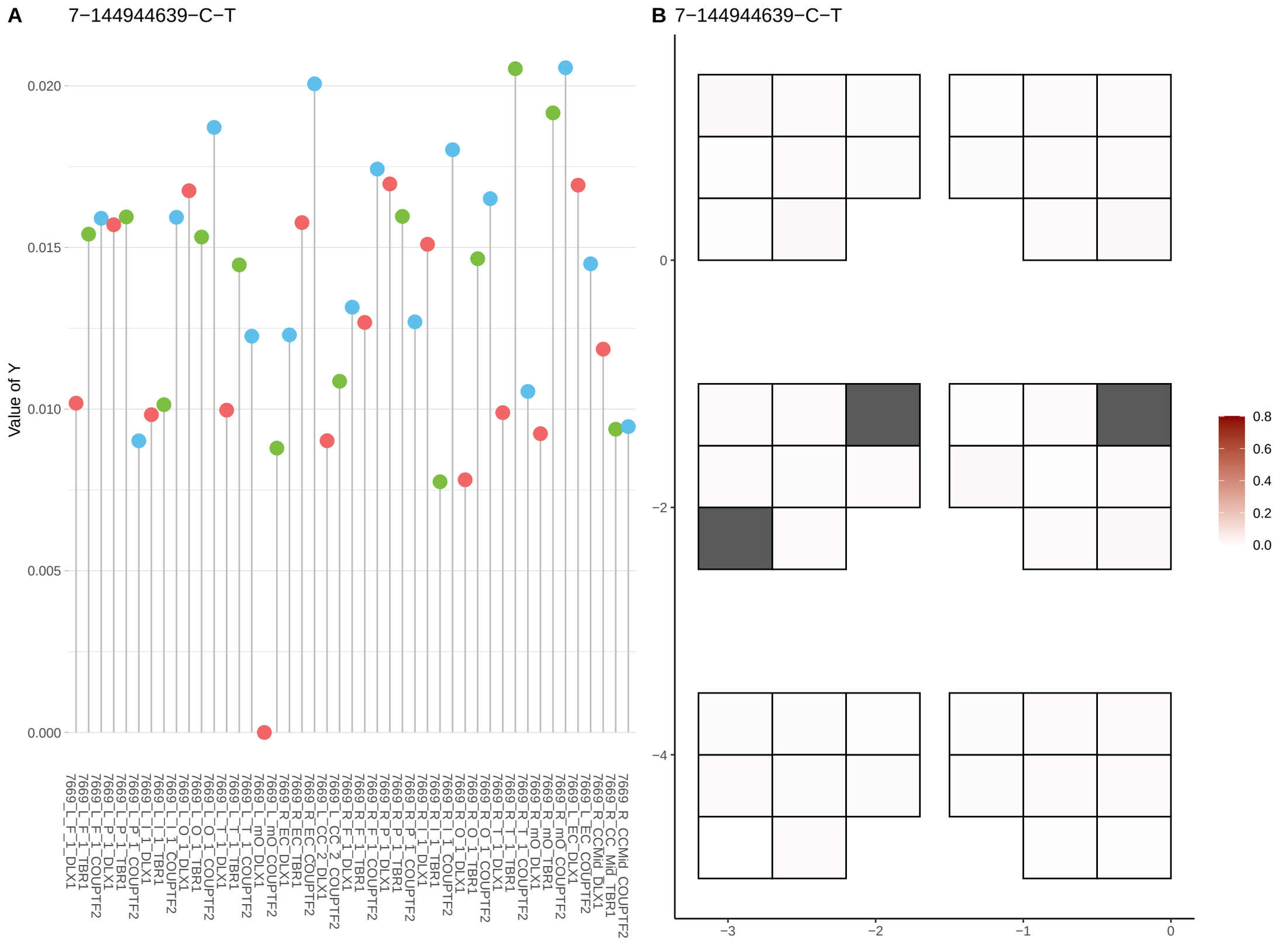
A
7−144944639−C−T
Value of Y
0.020
0.015
0.010
0.005
0.000
7669_L_F_1_DLX1
7669_L_F_1_TBR1
7669_L_F_1_COUPTF2
7669_L_P_1_DLX1
7669_L_P_1_TBR1
7669_L_P_1_COUPTF2
7669_L_I_1_DLX1
7669_L_I_1_TBR1
7669_L_I_1_COUPTF2
7669_L_O_1_DLX1
7669_L_O_1_TBR1
7669_L_O_1_COUPTF2
7669_L_T_1_DLX1
7669_L_T_1_TBR1
7669_L_T_1_COUPTF2
7669_L_mO_DLX1
7669_L_mO_COUPTF2
7669_R_EC_DLX1
7669_R_EC_TBR1
7669_R_EC_COUPTF2
7669_L_CC_2_DLX1
7669_L_CC_2_COUPTF2
7669_R_F_1_DLX1
7669_R_F_1_TBR1
7669_R_F_1_COUPTF2
7669_R_P_1_DLX1
7669_R_P_1_TBR1
7669_R_P_1_COUPTF2
7669_R_I_1_DLX1
7669_R_I_1_TBR1
7669_R_I_1_COUPTF2
7669_R_O_1_DLX1
7669_R_O_1_TBR1
7669_R_O_1_COUPTF2
7669_R_T_1_DLX1
7669_R_T_1_TBR1
7669_R_T_1_COUPTF2
7669_R_mO_DLX1
7669_R_mO_TBR1
7669_R_mO_COUPTF2
7669_L_EC_DLX1
7669_L_EC_COUPTF2
7669_R_CCMid_DLX1
7669_R_CC_Mid_TBR1
7669_R_CCMid_COUPTF2
B
7−144944639−C−T
0
−2
−4
−3
−2
−1
0
0.8
0.6
0.4
0.2
0.0

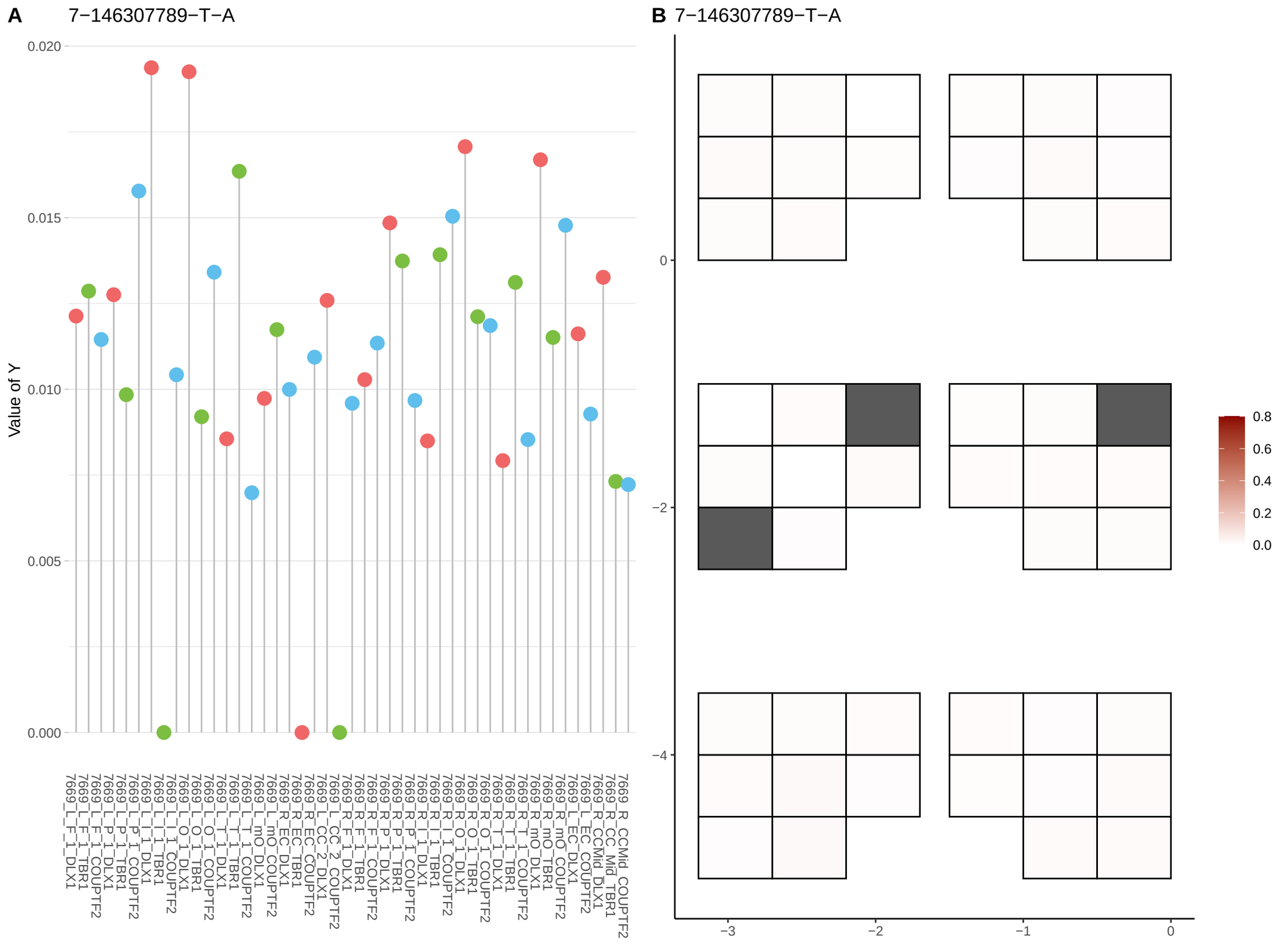
A
7−146307789−T−A
Value of Y
0.020
0.015
0.010
0.005
0.000
7669_L_F_1_DLX1
7669_L_F_1_TBR1
7669_L_F_1_COUPTF2
7669_L_P_1_DLX1
7669_L_P_1_TBR1
7669_L_P_1_COUPTF2
7669_L_I_1_DLX1
7669_L_I_1_TBR1
7669_L_I_1_COUPTF2
7669_L_O_1_DLX1
7669_L_O_1_TBR1
7669_L_O_1_COUPTF2
7669_L_T_1_DLX1
7669_L_T_1_TBR1
7669_L_T_1_COUPTF2
7669_L_mO_DLX1
7669_L_mO_COUPTF2
7669_R_EC_DLX1
7669_R_EC_TBR1
7669_R_EC_COUPTF2
7669_L_CC_2_DLX1
7669_L_CC_2_COUPTF2
7669_R_F_1_DLX1
7669_R_F_1_TBR1
7669_R_F_1_COUPTF2
7669_R_P_1_DLX1
7669_R_P_1_TBR1
7669_R_P_1_COUPTF2
7669_R_I_1_DLX1
7669_R_I_1_TBR1
7669_R_I_1_COUPTF2
7669_R_O_1_DLX1
7669_R_O_1_TBR1
7669_R_O_1_COUPTF2
7669_R_T_1_DLX1
7669_R_T_1_TBR1
7669_R_T_1_COUPTF2
7669_R_mO_DLX1
7669_R_mO_TBR1
7669_R_mO_COUPTF2
7669_L_EC_DLX1
7669_L_EC_COUPTF2
7669_R_CCMid_DLX1
7669_R_CC_Mid_TBR1
7669_R_CCMid_COUPTF2
B
7−146307789−T−A
0
−2
−4
−3
−2
−1
0
0.8
0.6
0.4
0.2
0.0

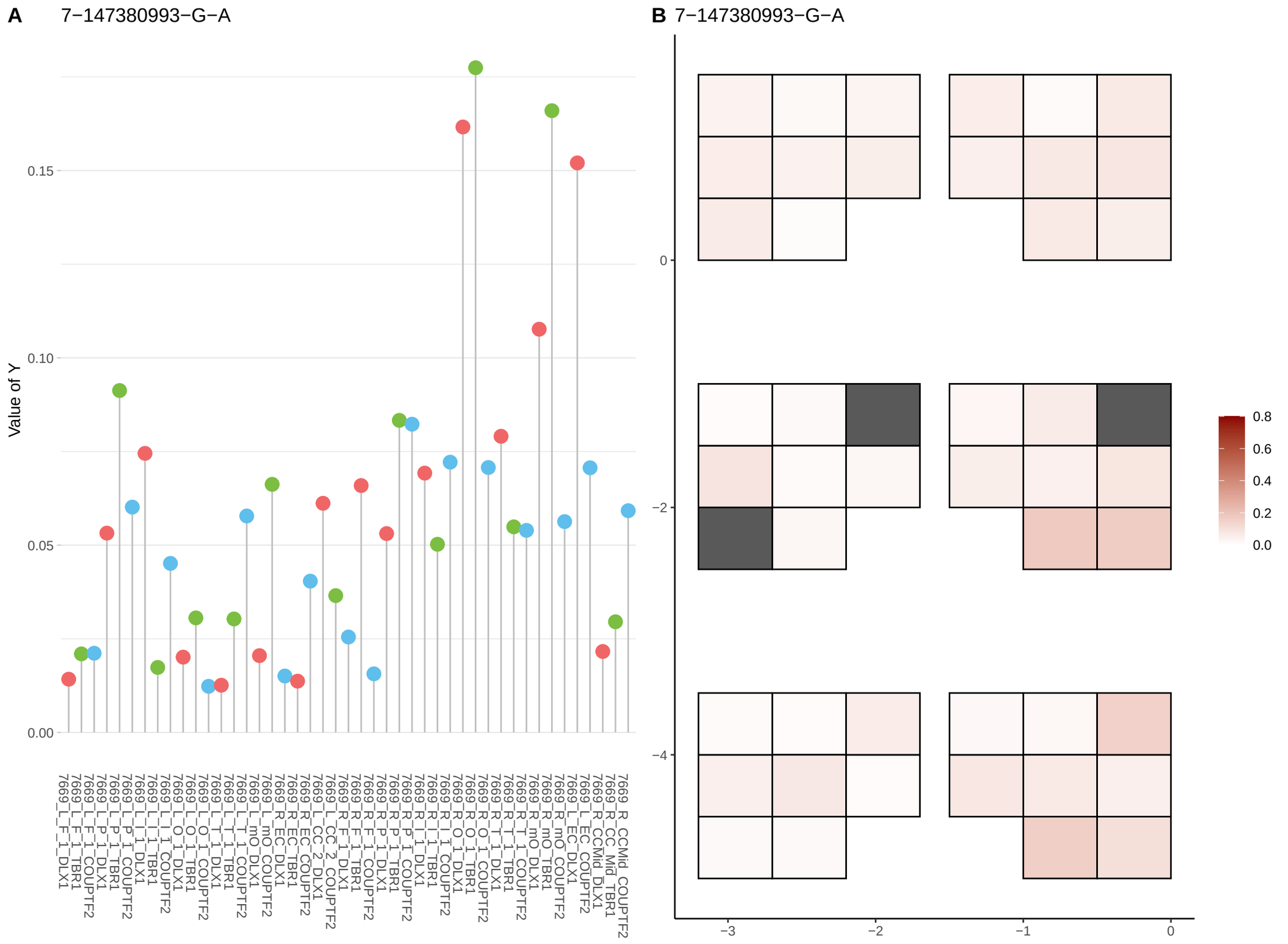
A
7−147380993−G−A
Value of Y
0.00
0.05
0.10
0.15
7669_L_F_1_DLX1
7669_L_F_1_TBR1
7669_L_F_1_COUPTF2
7669_L_P_1_DLX1
7669_L_P_1_TBR1
7669_L_P_1_COUPTF2
7669_L_I_1_DLX1
7669_L_I_1_TBR1
7669_L_I_1_COUPTF2
7669_L_O_1_DLX1
7669_L_O_1_TBR1
7669_L_O_1_COUPTF2
7669_L_T_1_DLX1
7669_L_T_1_TBR1
7669_L_T_1_COUPTF2
7669_L_mO_DLX1
7669_L_mO_COUPTF2
7669_R_EC_DLX1
7669_R_EC_TBR1
7669_R_EC_COUPTF2
7669_L_CC_2_DLX1
7669_L_CC_2_COUPTF2
7669_R_F_1_DLX1
7669_R_F_1_TBR1
7669_R_F_1_COUPTF2
7669_R_P_1_DLX1
7669_R_P_1_TBR1
7669_R_P_1_COUPTF2
7669_R_I_1_DLX1
7669_R_I_1_TBR1
7669_R_I_1_COUPTF2
7669_R_O_1_DLX1
7669_R_O_1_TBR1
7669_R_O_1_COUPTF2
7669_R_T_1_DLX1
7669_R_T_1_TBR1
7669_R_T_1_COUPTF2
7669_R_mO_DLX1
7669_R_mO_TBR1
7669_R_mO_COUPTF2
7669_L_EC_DLX1
7669_L_EC_COUPTF2
7669_R_CCMid_DLX1
7669_R_CC_Mid_TBR1
7669_R_CCMid_COUPTF2
B
7−147380993−G−A
0
−2
−4
−3
−2
−1
0
0.8
0.6
0.4
0.2
0.0

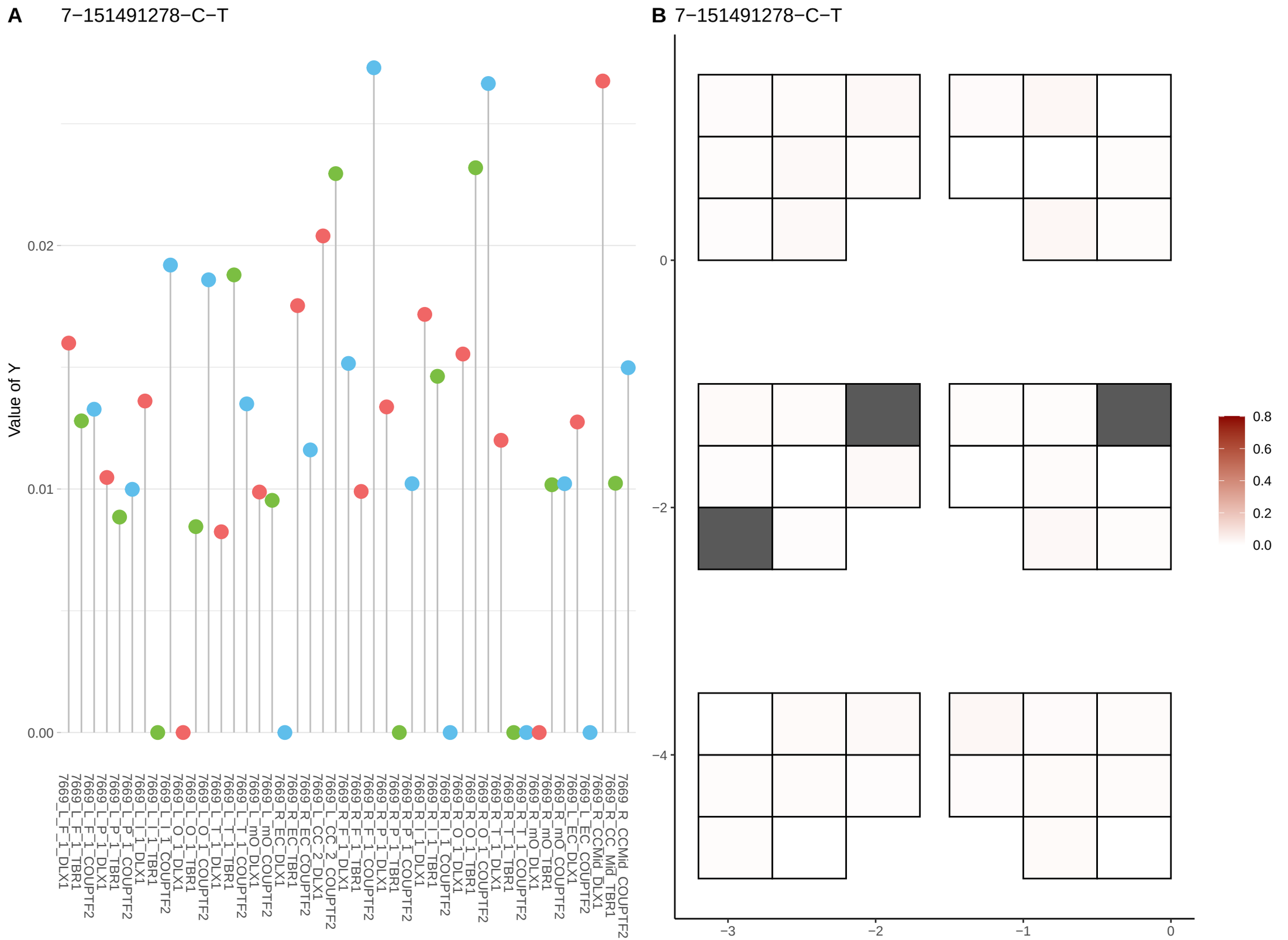
A
7−151491278−C−T
Value of Y
0.02
0.01
0.00
7669_L_F_1_DLX1
7669_L_F_1_TBR1
7669_L_F_1_COUPTF2
7669_L_P_1_DLX1
7669_L_P_1_TBR1
7669_L_P_1_COUPTF2
7669_L_I_1_DLX1
7669_L_I_1_TBR1
7669_L_I_1_COUPTF2
7669_L_O_1_DLX1
7669_L_O_1_TBR1
7669_L_O_1_COUPTF2
7669_L_T_1_DLX1
7669_L_T_1_TBR1
7669_L_T_1_COUPTF2
7669_L_mO_DLX1
7669_L_mO_COUPTF2
7669_R_EC_DLX1
7669_R_EC_TBR1
7669_R_EC_COUPTF2
7669_L_CC_2_DLX1
7669_L_CC_2_COUPTF2
7669_R_F_1_DLX1
7669_R_F_1_TBR1
7669_R_F_1_COUPTF2
7669_R_P_1_DLX1
7669_R_P_1_TBR1
7669_R_P_1_COUPTF2
7669_R_I_1_DLX1
7669_R_I_1_TBR1
7669_R_I_1_COUPTF2
7669_R_O_1_DLX1
7669_R_O_1_TBR1
7669_R_O_1_COUPTF2
7669_R_T_1_DLX1
7669_R_T_1_TBR1
7669_R_T_1_COUPTF2
7669_R_mO_DLX1
7669_R_mO_TBR1
7669_R_mO_COUPTF2
7669_L_EC_DLX1
7669_L_EC_COUPTF2
7669_R_CCMid_DLX1
7669_R_CC_Mid_TBR1
7669_R_CCMid_COUPTF2
B
7−151491278−C−T
0
−2
−4
−3
−2
−1
0
0.8
0.6
0.4
0.2
0.0

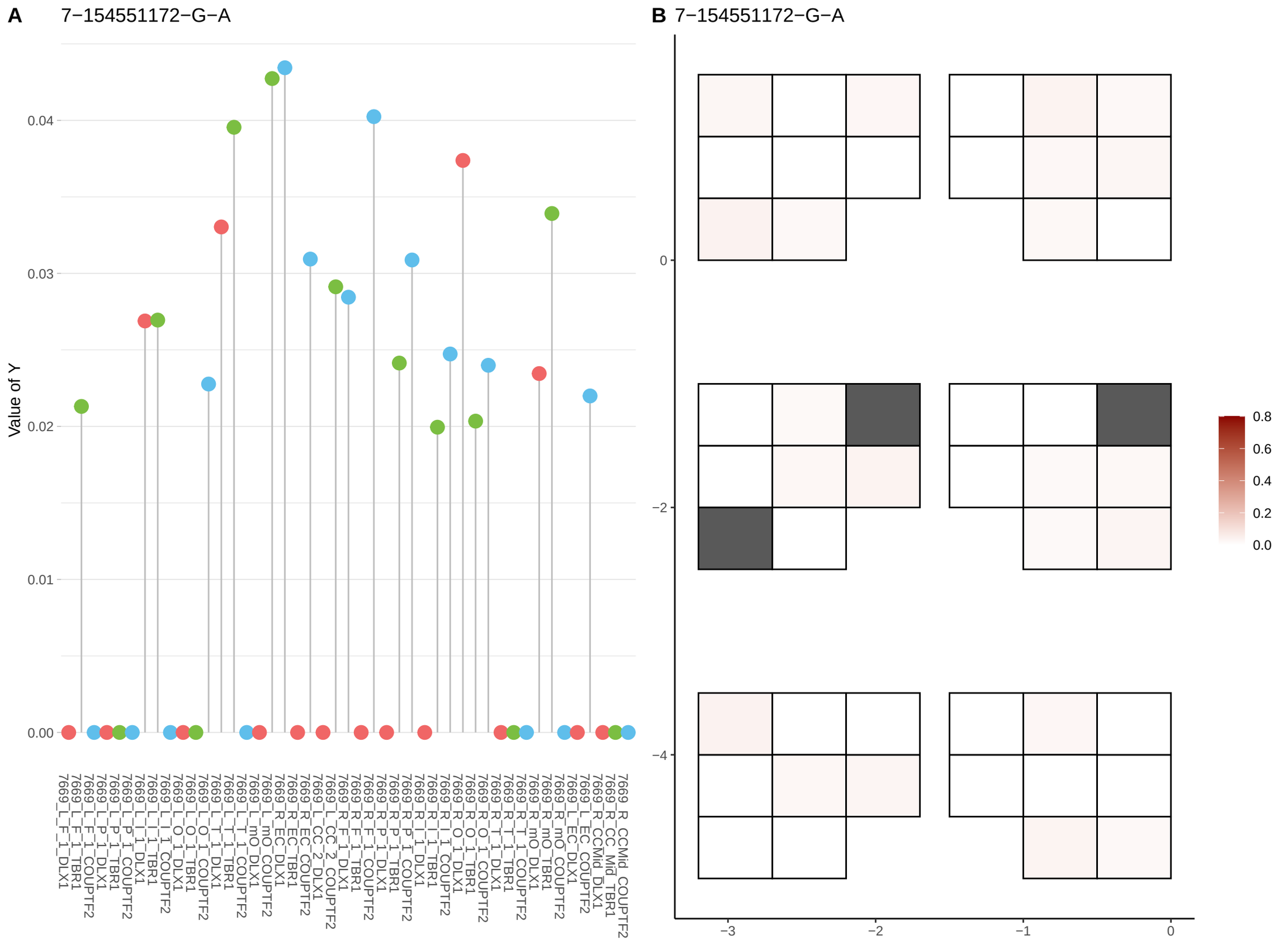
A
7−154551172−G−A
Value of Y
0.04
0.03
0.02
0.01
0.00
7669_L_F_1_DLX1
7669_L_F_1_TBR1
7669_L_F_1_COUPTF2
7669_L_P_1_DLX1
7669_L_P_1_TBR1
7669_L_P_1_COUPTF2
7669_L_I_1_DLX1
7669_L_I_1_TBR1
7669_L_I_1_COUPTF2
7669_L_O_1_DLX1
7669_L_O_1_TBR1
7669_L_O_1_COUPTF2
7669_L_T_1_DLX1
7669_L_T_1_TBR1
7669_L_T_1_COUPTF2
7669_L_mO_DLX1
7669_L_mO_COUPTF2
7669_R_EC_DLX1
7669_R_EC_TBR1
7669_R_EC_COUPTF2
7669_L_CC_2_DLX1
7669_L_CC_2_COUPTF2
7669_R_F_1_DLX1
7669_R_F_1_TBR1
7669_R_F_1_COUPTF2
7669_R_P_1_DLX1
7669_R_P_1_TBR1
7669_R_P_1_COUPTF2
7669_R_I_1_DLX1
7669_R_I_1_TBR1
7669_R_I_1_COUPTF2
7669_R_O_1_DLX1
7669_R_O_1_TBR1
7669_R_O_1_COUPTF2
7669_R_T_1_DLX1
7669_R_T_1_TBR1
7669_R_T_1_COUPTF2
7669_R_mO_DLX1
7669_R_mO_TBR1
7669_R_mO_COUPTF2
7669_L_EC_DLX1
7669_L_EC_COUPTF2
7669_R_CCMid_DLX1
7669_R_CC_Mid_TBR1
7669_R_CCMid_COUPTF2
B
7−154551172−G−A
0
−2
−4
−3
−2
−1
0
0.8
0.6
0.4
0.2
0.0

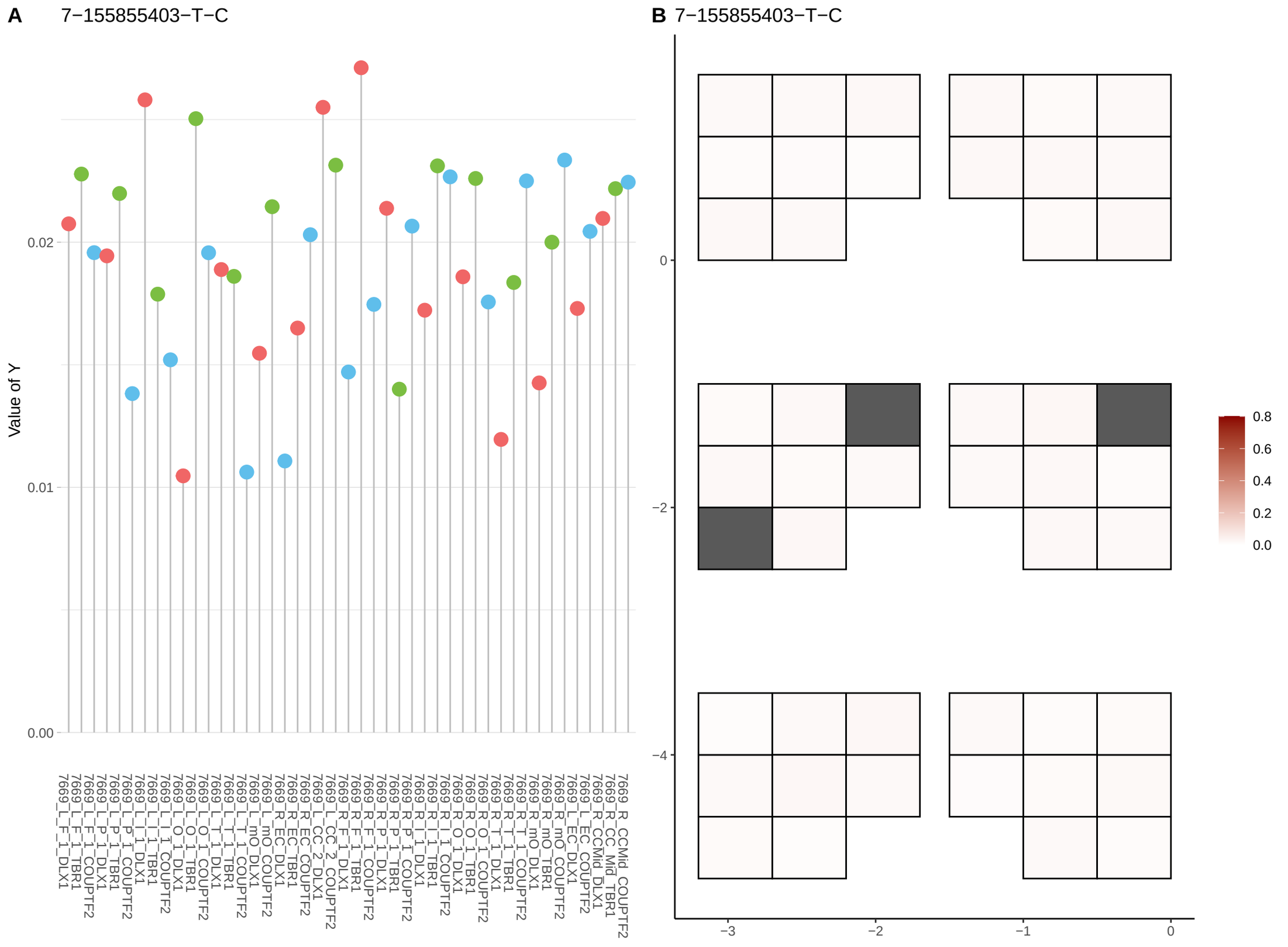
A
7−155855403−T−C
Value of Y
0.02
0.01
0.00
7669_L_F_1_DLX1
7669_L_F_1_TBR1
7669_L_F_1_COUPTF2
7669_L_P_1_DLX1
7669_L_P_1_TBR1
7669_L_P_1_COUPTF2
7669_L_I_1_DLX1
7669_L_I_1_TBR1
7669_L_I_1_COUPTF2
7669_L_O_1_DLX1
7669_L_O_1_TBR1
7669_L_O_1_COUPTF2
7669_L_T_1_DLX1
7669_L_T_1_TBR1
7669_L_T_1_COUPTF2
7669_L_mO_DLX1
7669_L_mO_COUPTF2
7669_R_EC_DLX1
7669_R_EC_TBR1
7669_R_EC_COUPTF2
7669_L_CC_2_DLX1
7669_L_CC_2_COUPTF2
7669_R_F_1_DLX1
7669_R_F_1_TBR1
7669_R_F_1_COUPTF2
7669_R_P_1_DLX1
7669_R_P_1_TBR1
7669_R_P_1_COUPTF2
7669_R_I_1_DLX1
7669_R_I_1_TBR1
7669_R_I_1_COUPTF2
7669_R_O_1_DLX1
7669_R_O_1_TBR1
7669_R_O_1_COUPTF2
7669_R_T_1_DLX1
7669_R_T_1_TBR1
7669_R_T_1_COUPTF2
7669_R_mO_DLX1
7669_R_mO_TBR1
7669_R_mO_COUPTF2
7669_L_EC_DLX1
7669_L_EC_COUPTF2
7669_R_CCMid_DLX1
7669_R_CC_Mid_TBR1
7669_R_CCMid_COUPTF2
B
7−155855403−T−C
0
−2
−4
−3
−2
−1
0
0.8
0.6
0.4
0.2
0.0

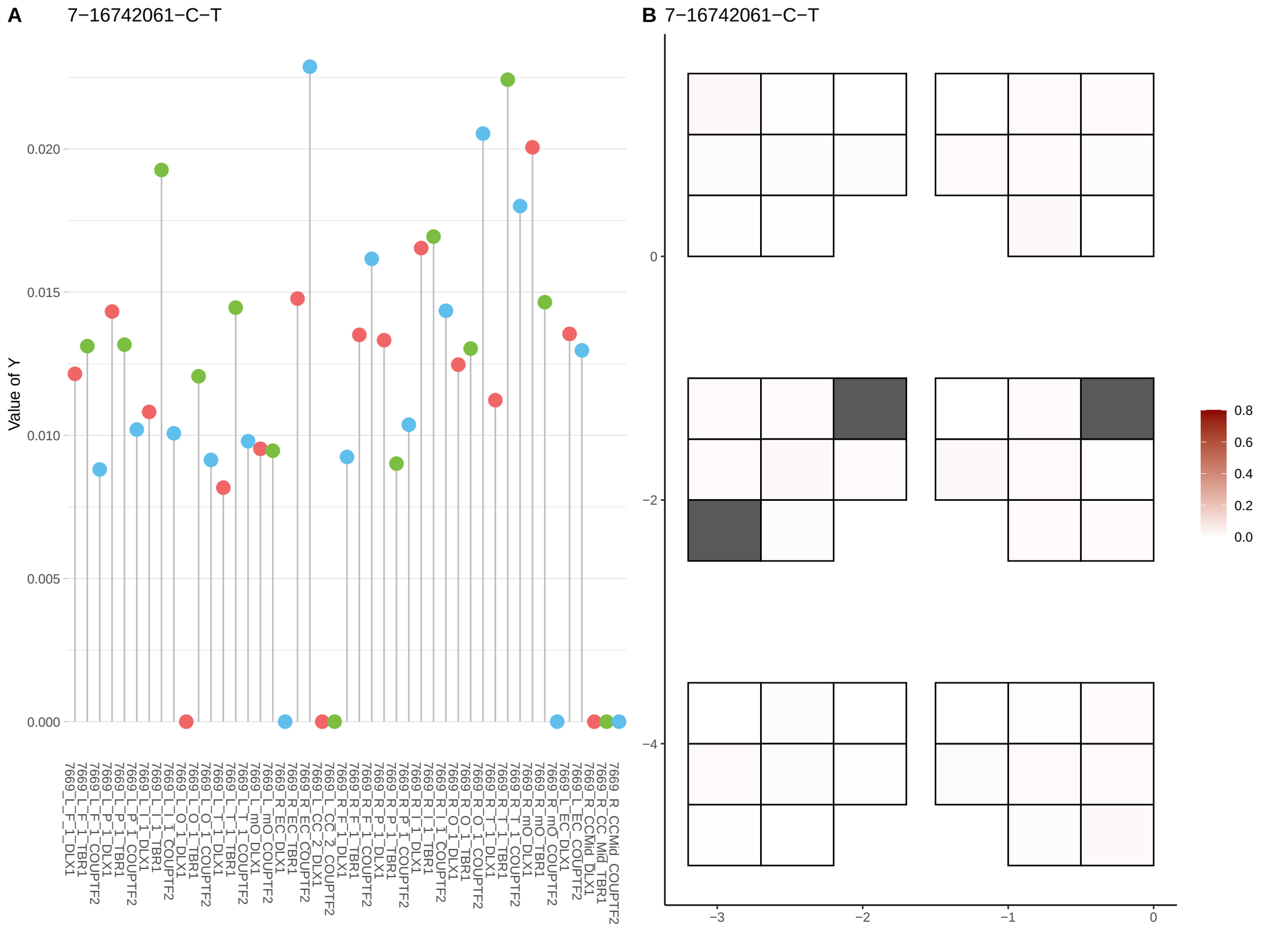
A
7−16742061−C−T
Value of Y
0.020
0.015
0.010
0.005
0.000
7669_L_F_1_DLX1
7669_L_F_1_TBR1
7669_L_F_1_COUPTF2
7669_L_P_1_DLX1
7669_L_P_1_TBR1
7669_L_P_1_COUPTF2
7669_L_I_1_DLX1
7669_L_I_1_TBR1
7669_L_I_1_COUPTF2
7669_L_O_1_DLX1
7669_L_O_1_TBR1
7669_L_O_1_COUPTF2
7669_L_T_1_DLX1
7669_L_T_1_TBR1
7669_L_T_1_COUPTF2
7669_L_mO_DLX1
7669_L_mO_COUPTF2
7669_R_EC_DLX1
7669_R_EC_TBR1
7669_R_EC_COUPTF2
7669_L_CC_2_DLX1
7669_L_CC_2_COUPTF2
7669_R_F_1_DLX1
7669_R_F_1_TBR1
7669_R_F_1_COUPTF2
7669_R_P_1_DLX1
7669_R_P_1_TBR1
7669_R_P_1_COUPTF2
7669_R_I_1_DLX1
7669_R_I_1_TBR1
7669_R_I_1_COUPTF2
7669_R_O_1_DLX1
7669_R_O_1_TBR1
7669_R_O_1_COUPTF2
7669_R_T_1_DLX1
7669_R_T_1_TBR1
7669_R_T_1_COUPTF2
7669_R_mO_DLX1
7669_R_mO_TBR1
7669_R_mO_COUPTF2
7669_L_EC_DLX1
7669_L_EC_COUPTF2
7669_R_CCMid_DLX1
7669_R_CC_Mid_TBR1
7669_R_CCMid_COUPTF2
B
7−16742061−C−T
0
−2
−4
−3
−2
−1
0
0.8
0.6
0.4
0.2
0.0

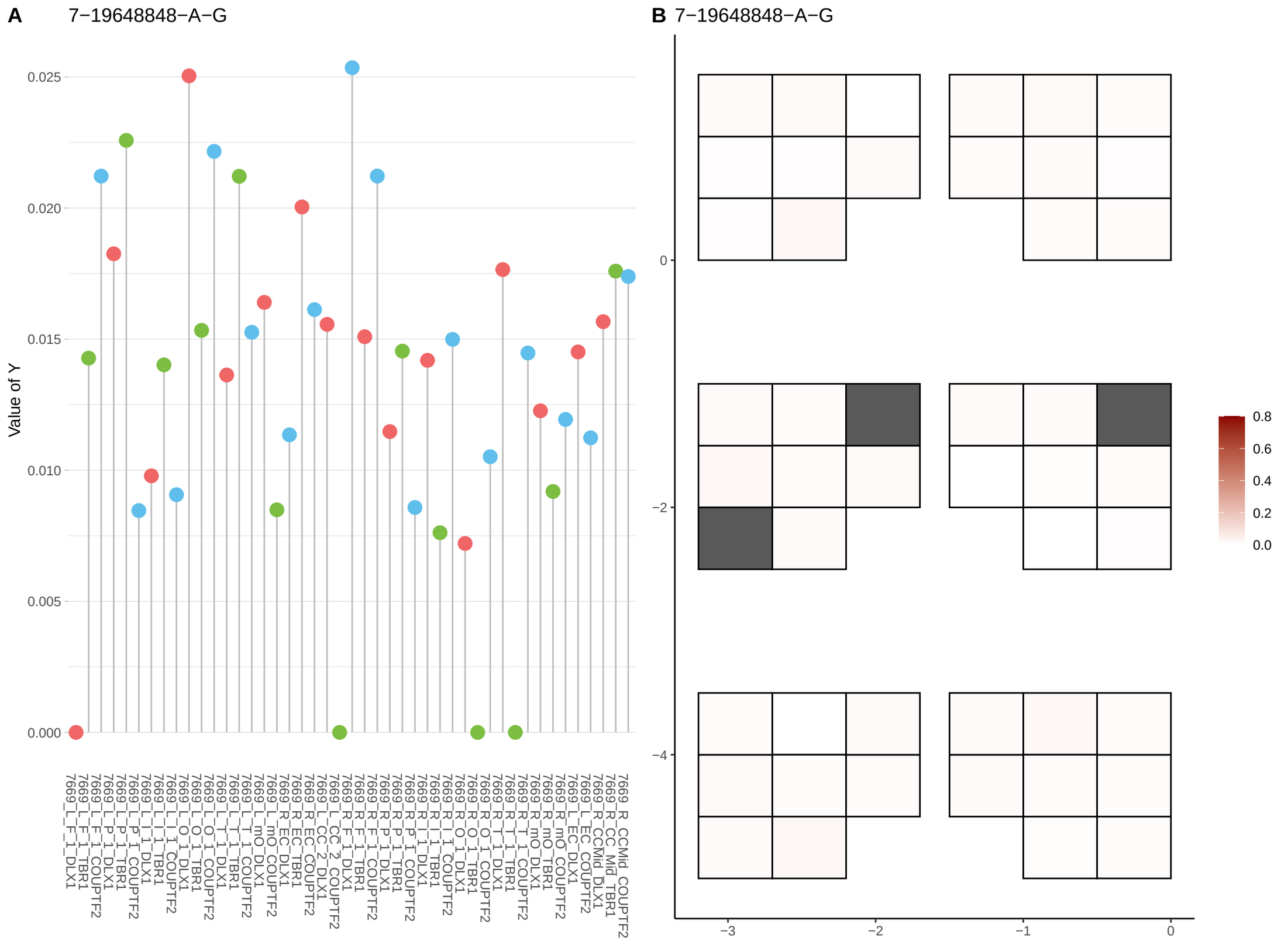
A
7−19648848−A−G
Value of Y
0.025
0.020
0.015
0.010
0.005
0.000
7669_L_F_1_DLX1
7669_L_F_1_TBR1
7669_L_F_1_COUPTF2
7669_L_P_1_DLX1
7669_L_P_1_TBR1
7669_L_P_1_COUPTF2
7669_L_I_1_DLX1
7669_L_I_1_TBR1
7669_L_I_1_COUPTF2
7669_L_O_1_DLX1
7669_L_O_1_TBR1
7669_L_O_1_COUPTF2
7669_L_T_1_DLX1
7669_L_T_1_TBR1
7669_L_T_1_COUPTF2
7669_L_mO_DLX1
7669_L_mO_COUPTF2
7669_R_EC_DLX1
7669_R_EC_TBR1
7669_R_EC_COUPTF2
7669_L_CC_2_DLX1
7669_L_CC_2_COUPTF2
7669_R_F_1_DLX1
7669_R_F_1_TBR1
7669_R_F_1_COUPTF2
7669_R_P_1_DLX1
7669_R_P_1_TBR1
7669_R_P_1_COUPTF2
7669_R_I_1_DLX1
7669_R_I_1_TBR1
7669_R_I_1_COUPTF2
7669_R_O_1_DLX1
7669_R_O_1_TBR1
7669_R_O_1_COUPTF2
7669_R_T_1_DLX1
7669_R_T_1_TBR1
7669_R_T_1_COUPTF2
7669_R_mO_DLX1
7669_R_mO_TBR1
7669_R_mO_COUPTF2
7669_L_EC_DLX1
7669_L_EC_COUPTF2
7669_R_CCMid_DLX1
7669_R_CC_Mid_TBR1
7669_R_CCMid_COUPTF2
B
7−19648848−A−G
0
−2
−4
−3
−2
−1
0
0.8
0.6
0.4
0.2
0.0

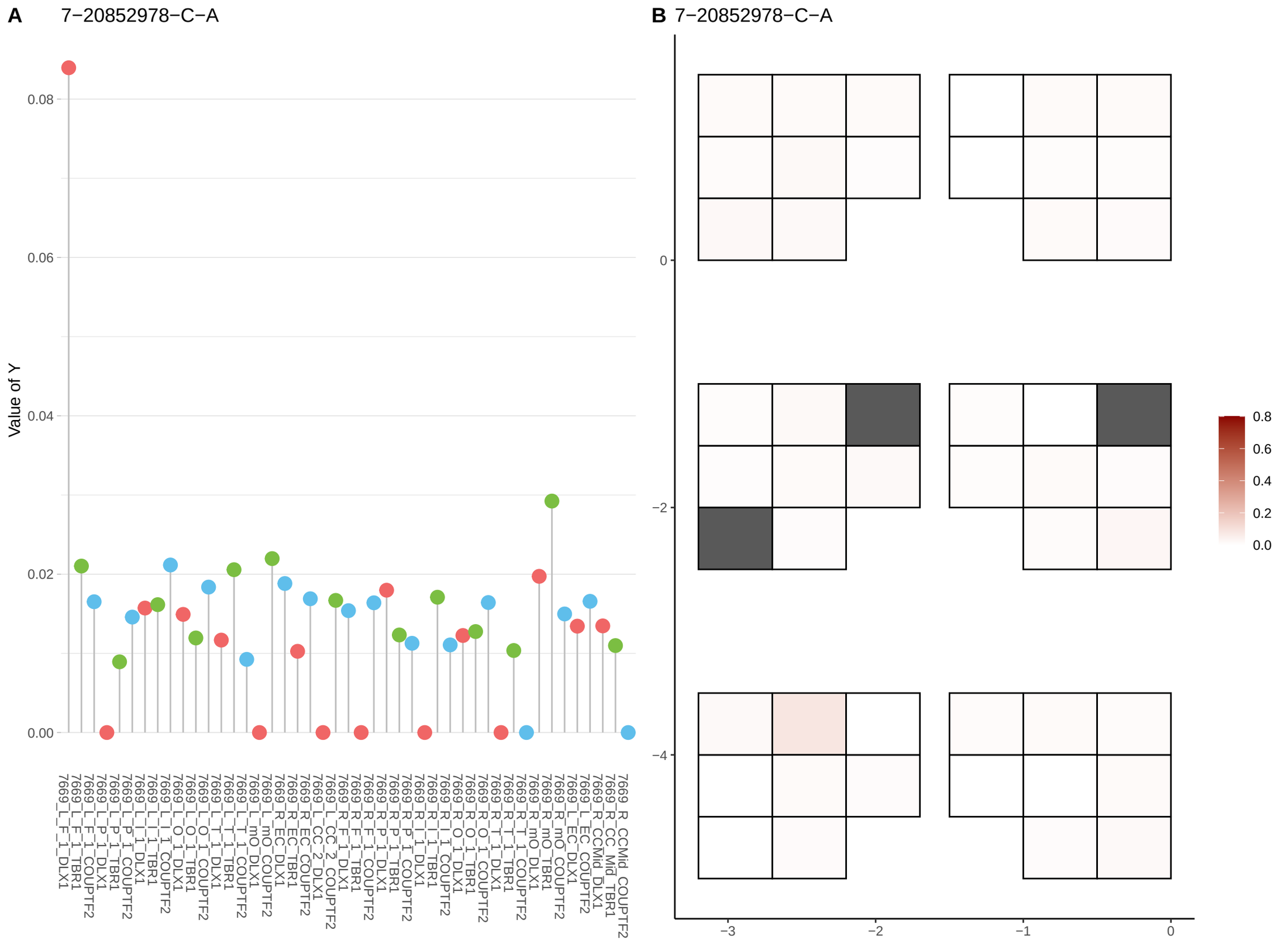
A
7−20852978−C−A
Value of Y
0.08
0.06
0.04
0.02
0.00
7669_L_F_1_DLX1
7669_L_F_1_TBR1
7669_L_F_1_COUPTF2
7669_L_P_1_DLX1
7669_L_P_1_TBR1
7669_L_P_1_COUPTF2
7669_L_I_1_DLX1
7669_L_I_1_TBR1
7669_L_I_1_COUPTF2
7669_L_O_1_DLX1
7669_L_O_1_TBR1
7669_L_O_1_COUPTF2
7669_L_T_1_DLX1
7669_L_T_1_TBR1
7669_L_T_1_COUPTF2
7669_L_mO_DLX1
7669_L_mO_COUPTF2
7669_R_EC_DLX1
7669_R_EC_TBR1
7669_R_EC_COUPTF2
7669_L_CC_2_DLX1
7669_L_CC_2_COUPTF2
7669_R_F_1_DLX1
7669_R_F_1_TBR1
7669_R_F_1_COUPTF2
7669_R_P_1_DLX1
7669_R_P_1_TBR1
7669_R_P_1_COUPTF2
7669_R_I_1_DLX1
7669_R_I_1_TBR1
7669_R_I_1_COUPTF2
7669_R_O_1_DLX1
7669_R_O_1_TBR1
7669_R_O_1_COUPTF2
7669_R_T_1_DLX1
7669_R_T_1_TBR1
7669_R_T_1_COUPTF2
7669_R_mO_DLX1
7669_R_mO_TBR1
7669_R_mO_COUPTF2
7669_L_EC_DLX1
7669_L_EC_COUPTF2
7669_R_CCMid_DLX1
7669_R_CC_Mid_TBR1
7669_R_CCMid_COUPTF2
B
7−20852978−C−A
0
−2
−4
−3
−2
−1
0
0.8
0.6
0.4
0.2
0.0

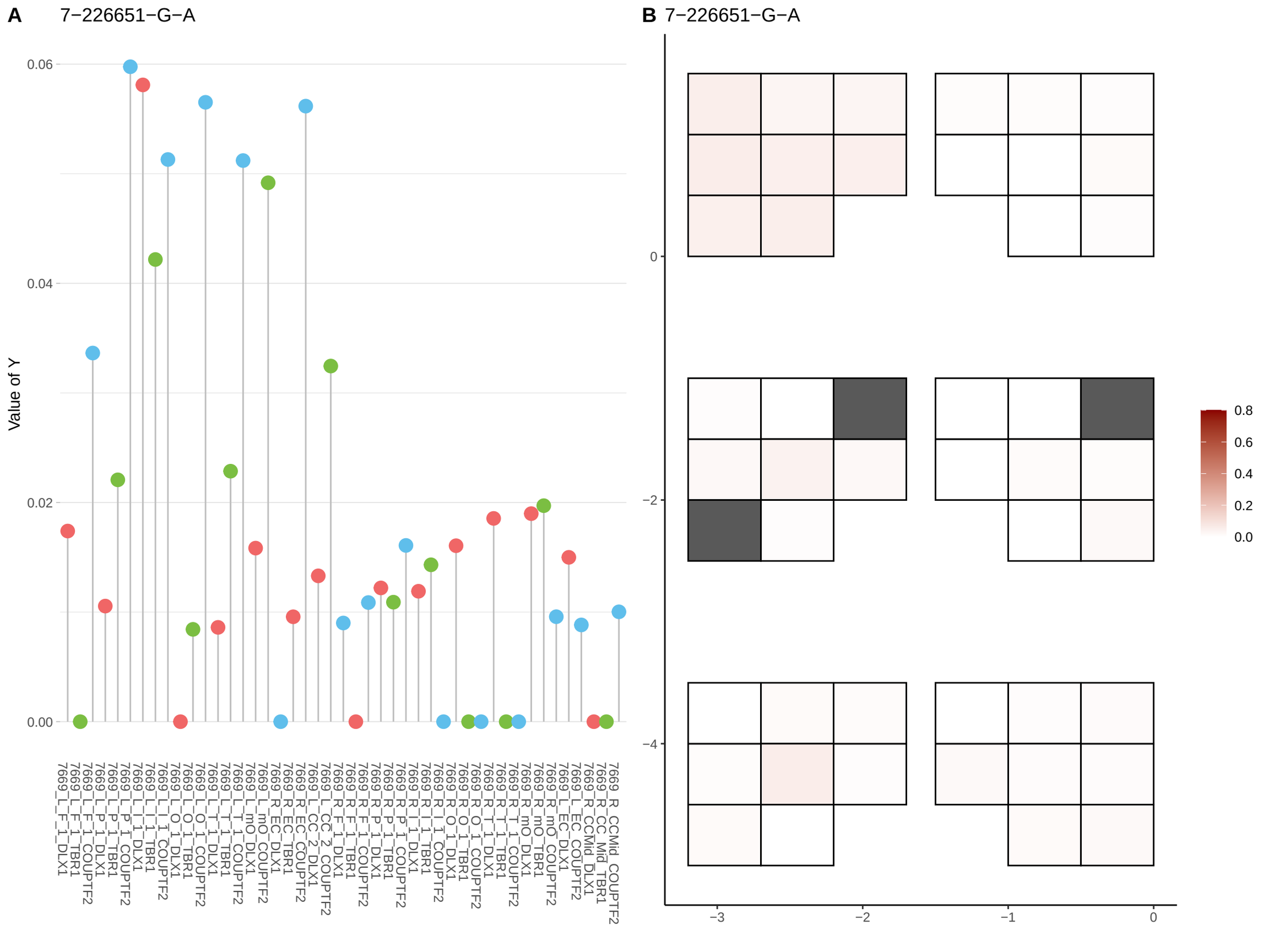
A
7−226651−G−A
Value of Y
0.06
0.04
0.02
0.00
7669_L_F_1_DLX1
7669_L_F_1_TBR1
7669_L_F_1_COUPTF2
7669_L_P_1_DLX1
7669_L_P_1_TBR1
7669_L_P_1_COUPTF2
7669_L_I_1_DLX1
7669_L_I_1_TBR1
7669_L_I_1_COUPTF2
7669_L_O_1_DLX1
7669_L_O_1_TBR1
7669_L_O_1_COUPTF2
7669_L_T_1_DLX1
7669_L_T_1_TBR1
7669_L_T_1_COUPTF2
7669_L_mO_DLX1
7669_L_mO_COUPTF2
7669_R_EC_DLX1
7669_R_EC_TBR1
7669_R_EC_COUPTF2
7669_L_CC_2_DLX1
7669_L_CC_2_COUPTF2
7669_R_F_1_DLX1
7669_R_F_1_TBR1
7669_R_F_1_COUPTF2
7669_R_P_1_DLX1
7669_R_P_1_TBR1
7669_R_P_1_COUPTF2
7669_R_I_1_DLX1
7669_R_I_1_TBR1
7669_R_I_1_COUPTF2
7669_R_O_1_DLX1
7669_R_O_1_TBR1
7669_R_O_1_COUPTF2
7669_R_T_1_DLX1
7669_R_T_1_TBR1
7669_R_T_1_COUPTF2
7669_R_mO_DLX1
7669_R_mO_TBR1
7669_R_mO_COUPTF2
7669_L_EC_DLX1
7669_L_EC_COUPTF2
7669_R_CCMid_DLX1
7669_R_CC_Mid_TBR1
7669_R_CCMid_COUPTF2
B
7−226651−G−A
0
−2
−4
−3
−2
−1
0
0.8
0.6
0.4
0.2
0.0

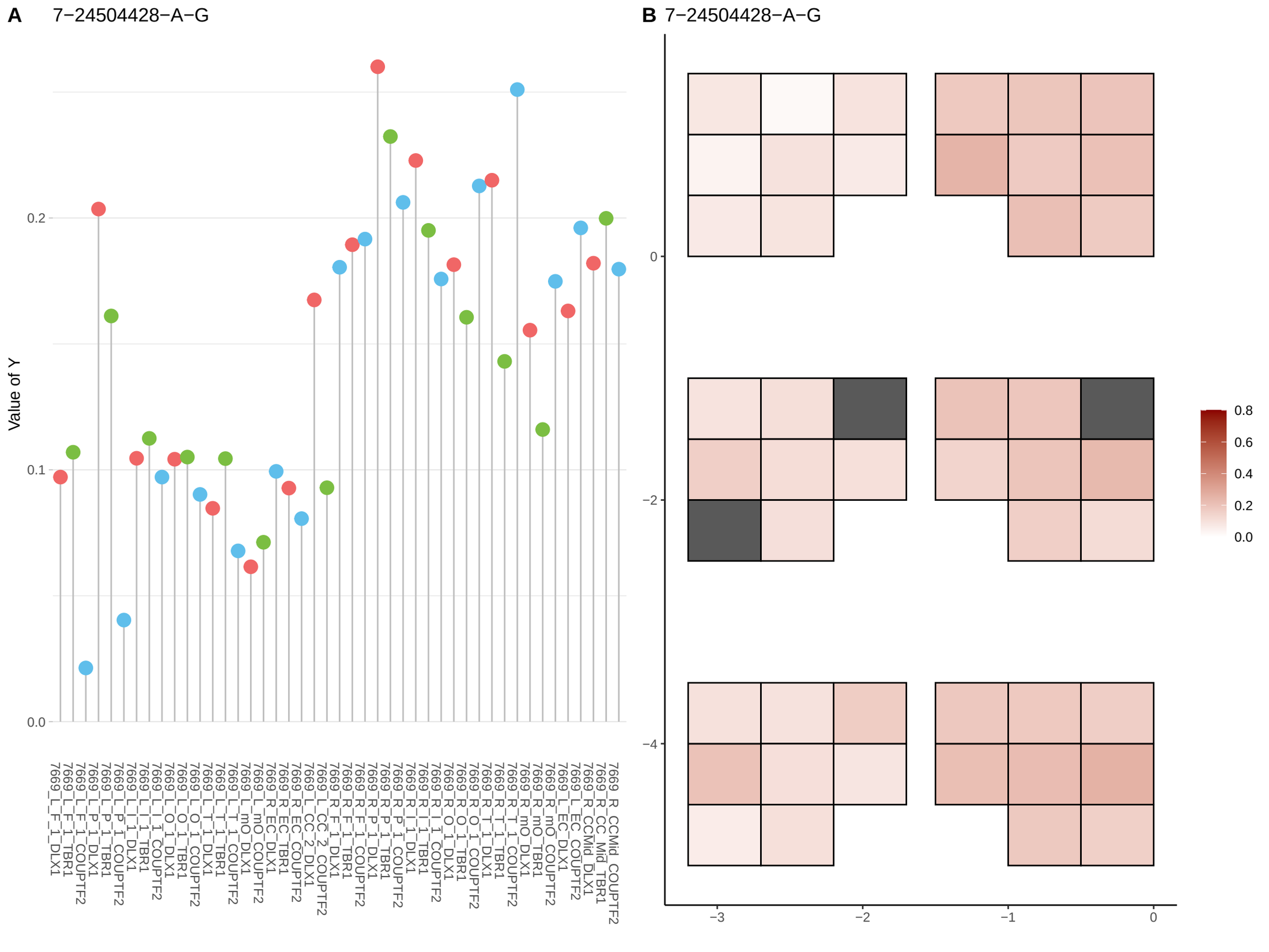
A
7−24504428−A−G
Value of Y
0.0
0.1
0.2
7669_L_F_1_DLX1
7669_L_F_1_TBR1
7669_L_F_1_COUPTF2
7669_L_P_1_DLX1
7669_L_P_1_TBR1
7669_L_P_1_COUPTF2
7669_L_I_1_DLX1
7669_L_I_1_TBR1
7669_L_I_1_COUPTF2
7669_L_O_1_DLX1
7669_L_O_1_TBR1
7669_L_O_1_COUPTF2
7669_L_T_1_DLX1
7669_L_T_1_TBR1
7669_L_T_1_COUPTF2
7669_L_mO_DLX1
7669_L_mO_COUPTF2
7669_R_EC_DLX1
7669_R_EC_TBR1
7669_R_EC_COUPTF2
7669_L_CC_2_DLX1
7669_L_CC_2_COUPTF2
7669_R_F_1_DLX1
7669_R_F_1_TBR1
7669_R_F_1_COUPTF2
7669_R_P_1_DLX1
7669_R_P_1_TBR1
7669_R_P_1_COUPTF2
7669_R_I_1_DLX1
7669_R_I_1_TBR1
7669_R_I_1_COUPTF2
7669_R_O_1_DLX1
7669_R_O_1_TBR1
7669_R_O_1_COUPTF2
7669_R_T_1_DLX1
7669_R_T_1_TBR1
7669_R_T_1_COUPTF2
7669_R_mO_DLX1
7669_R_mO_TBR1
7669_R_mO_COUPTF2
7669_L_EC_DLX1
7669_L_EC_COUPTF2
7669_R_CCMid_DLX1
7669_R_CC_Mid_TBR1
7669_R_CCMid_COUPTF2
B
7−24504428−A−G
0
−2
−4
−3
−2
−1
0
0.8
0.6
0.4
0.2
0.0

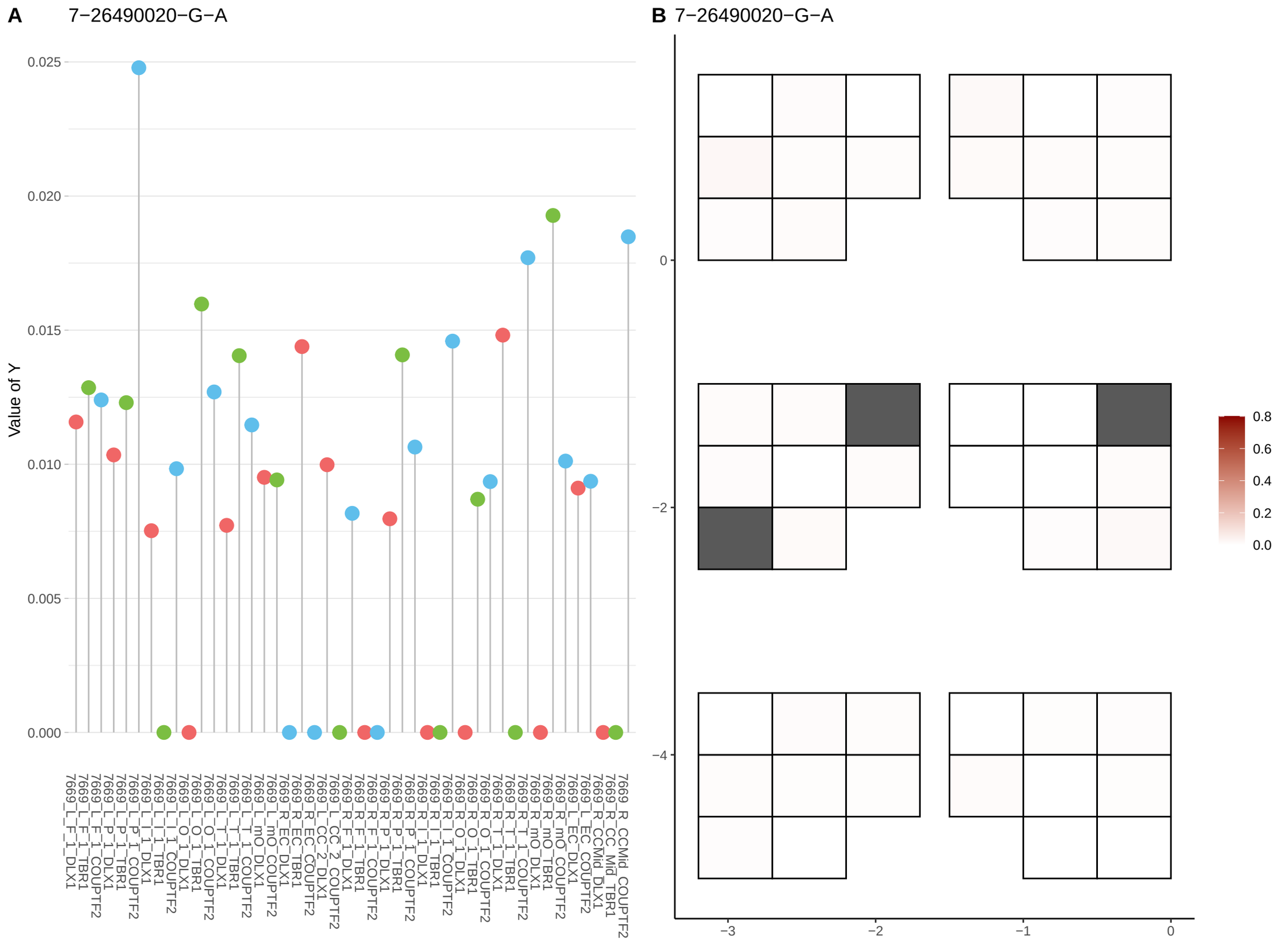
A
7−26490020−G−A
Value of Y
0.025
0.020
0.015
0.010
0.005
0.000
7669_L_F_1_DLX1
7669_L_F_1_TBR1
7669_L_F_1_COUPTF2
7669_L_P_1_DLX1
7669_L_P_1_TBR1
7669_L_P_1_COUPTF2
7669_L_I_1_DLX1
7669_L_I_1_TBR1
7669_L_I_1_COUPTF2
7669_L_O_1_DLX1
7669_L_O_1_TBR1
7669_L_O_1_COUPTF2
7669_L_T_1_DLX1
7669_L_T_1_TBR1
7669_L_T_1_COUPTF2
7669_L_mO_DLX1
7669_L_mO_COUPTF2
7669_R_EC_DLX1
7669_R_EC_TBR1
7669_R_EC_COUPTF2
7669_L_CC_2_DLX1
7669_L_CC_2_COUPTF2
7669_R_F_1_DLX1
7669_R_F_1_TBR1
7669_R_F_1_COUPTF2
7669_R_P_1_DLX1
7669_R_P_1_TBR1
7669_R_P_1_COUPTF2
7669_R_I_1_DLX1
7669_R_I_1_TBR1
7669_R_I_1_COUPTF2
7669_R_O_1_DLX1
7669_R_O_1_TBR1
7669_R_O_1_COUPTF2
7669_R_T_1_DLX1
7669_R_T_1_TBR1
7669_R_T_1_COUPTF2
7669_R_mO_DLX1
7669_R_mO_TBR1
7669_R_mO_COUPTF2
7669_L_EC_DLX1
7669_L_EC_COUPTF2
7669_R_CCMid_DLX1
7669_R_CC_Mid_TBR1
7669_R_CCMid_COUPTF2
B
7−26490020−G−A
0
−2
−4
−3
−2
−1
0
0.8
0.6
0.4
0.2
0.0

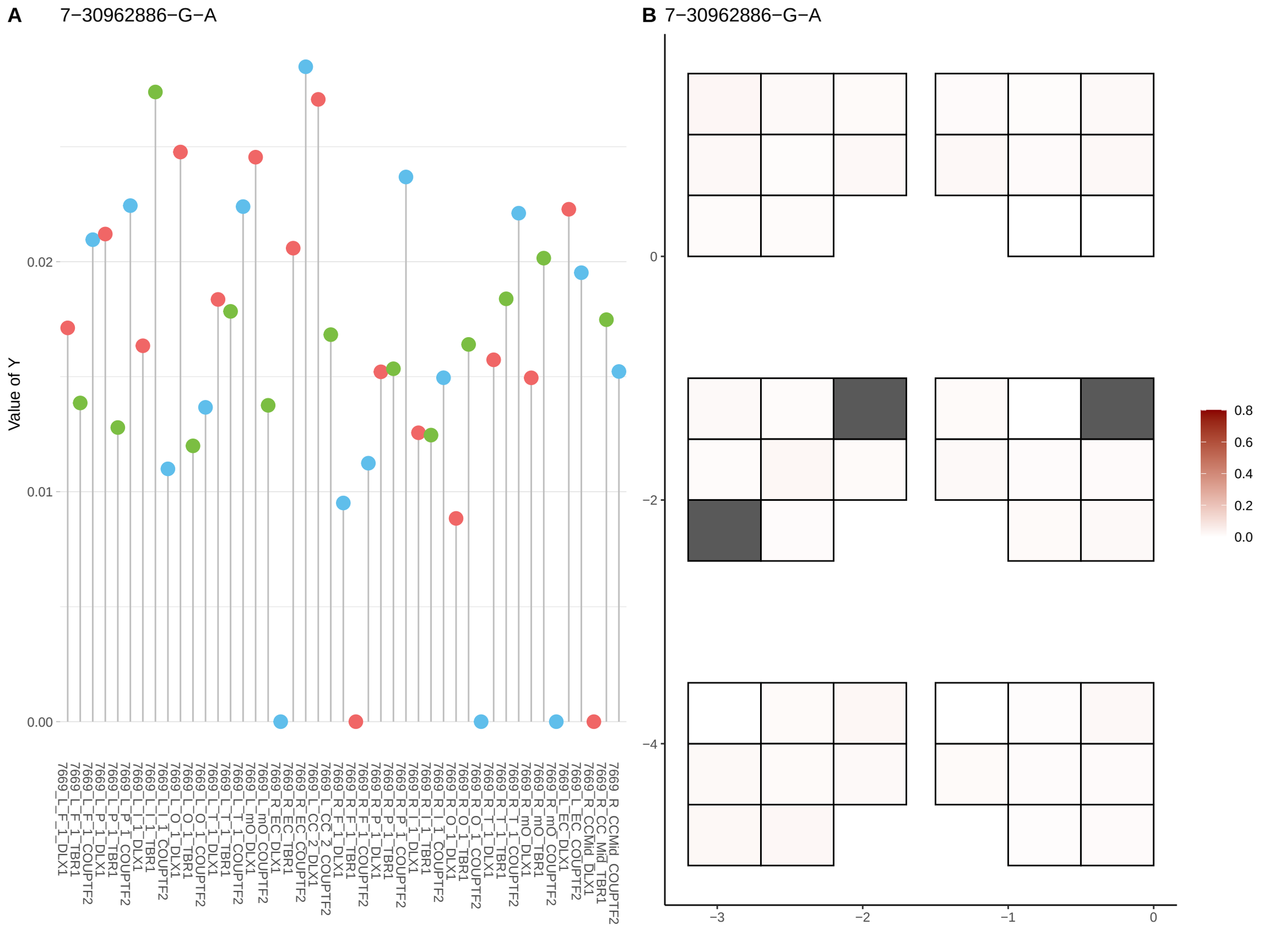
A
7−30962886−G−A
Value of Y
0.02
0.01
0.00
7669_L_F_1_DLX1
7669_L_F_1_TBR1
7669_L_F_1_COUPTF2
7669_L_P_1_DLX1
7669_L_P_1_TBR1
7669_L_P_1_COUPTF2
7669_L_I_1_DLX1
7669_L_I_1_TBR1
7669_L_I_1_COUPTF2
7669_L_O_1_DLX1
7669_L_O_1_TBR1
7669_L_O_1_COUPTF2
7669_L_T_1_DLX1
7669_L_T_1_TBR1
7669_L_T_1_COUPTF2
7669_L_mO_DLX1
7669_L_mO_COUPTF2
7669_R_EC_DLX1
7669_R_EC_TBR1
7669_R_EC_COUPTF2
7669_L_CC_2_DLX1
7669_L_CC_2_COUPTF2
7669_R_F_1_DLX1
7669_R_F_1_TBR1
7669_R_F_1_COUPTF2
7669_R_P_1_DLX1
7669_R_P_1_TBR1
7669_R_P_1_COUPTF2
7669_R_I_1_DLX1
7669_R_I_1_TBR1
7669_R_I_1_COUPTF2
7669_R_O_1_DLX1
7669_R_O_1_TBR1
7669_R_O_1_COUPTF2
7669_R_T_1_DLX1
7669_R_T_1_TBR1
7669_R_T_1_COUPTF2
7669_R_mO_DLX1
7669_R_mO_TBR1
7669_R_mO_COUPTF2
7669_L_EC_DLX1
7669_L_EC_COUPTF2
7669_R_CCMid_DLX1
7669_R_CC_Mid_TBR1
7669_R_CCMid_COUPTF2
B
7−30962886−G−A
0
−2
−4
−3
−2
−1
0
0.8
0.6
0.4
0.2
0.0

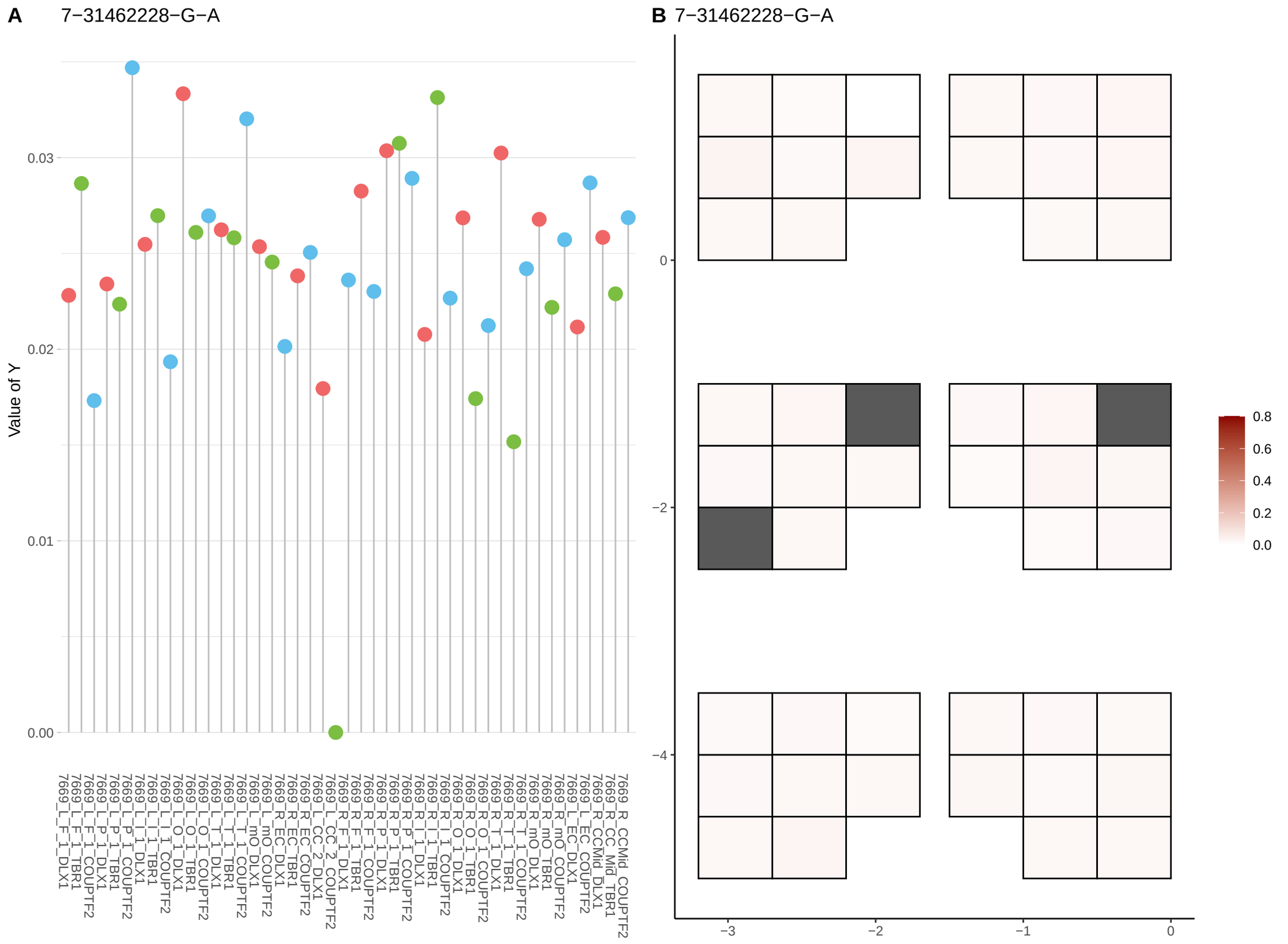
A
7−31462228−G−A
Value of Y
0.03
0.02
0.01
0.00
7669_L_F_1_DLX1
7669_L_F_1_TBR1
7669_L_F_1_COUPTF2
7669_L_P_1_DLX1
7669_L_P_1_TBR1
7669_L_P_1_COUPTF2
7669_L_I_1_DLX1
7669_L_I_1_TBR1
7669_L_I_1_COUPTF2
7669_L_O_1_DLX1
7669_L_O_1_TBR1
7669_L_O_1_COUPTF2
7669_L_T_1_DLX1
7669_L_T_1_TBR1
7669_L_T_1_COUPTF2
7669_L_mO_DLX1
7669_L_mO_COUPTF2
7669_R_EC_DLX1
7669_R_EC_TBR1
7669_R_EC_COUPTF2
7669_L_CC_2_DLX1
7669_L_CC_2_COUPTF2
7669_R_F_1_DLX1
7669_R_F_1_TBR1
7669_R_F_1_COUPTF2
7669_R_P_1_DLX1
7669_R_P_1_TBR1
7669_R_P_1_COUPTF2
7669_R_I_1_DLX1
7669_R_I_1_TBR1
7669_R_I_1_COUPTF2
7669_R_O_1_DLX1
7669_R_O_1_TBR1
7669_R_O_1_COUPTF2
7669_R_T_1_DLX1
7669_R_T_1_TBR1
7669_R_T_1_COUPTF2
7669_R_mO_DLX1
7669_R_mO_TBR1
7669_R_mO_COUPTF2
7669_L_EC_DLX1
7669_L_EC_COUPTF2
7669_R_CCMid_DLX1
7669_R_CC_Mid_TBR1
7669_R_CCMid_COUPTF2
B
7−31462228−G−A
0
−2
−4
−3
−2
−1
0
0.8
0.6
0.4
0.2
0.0

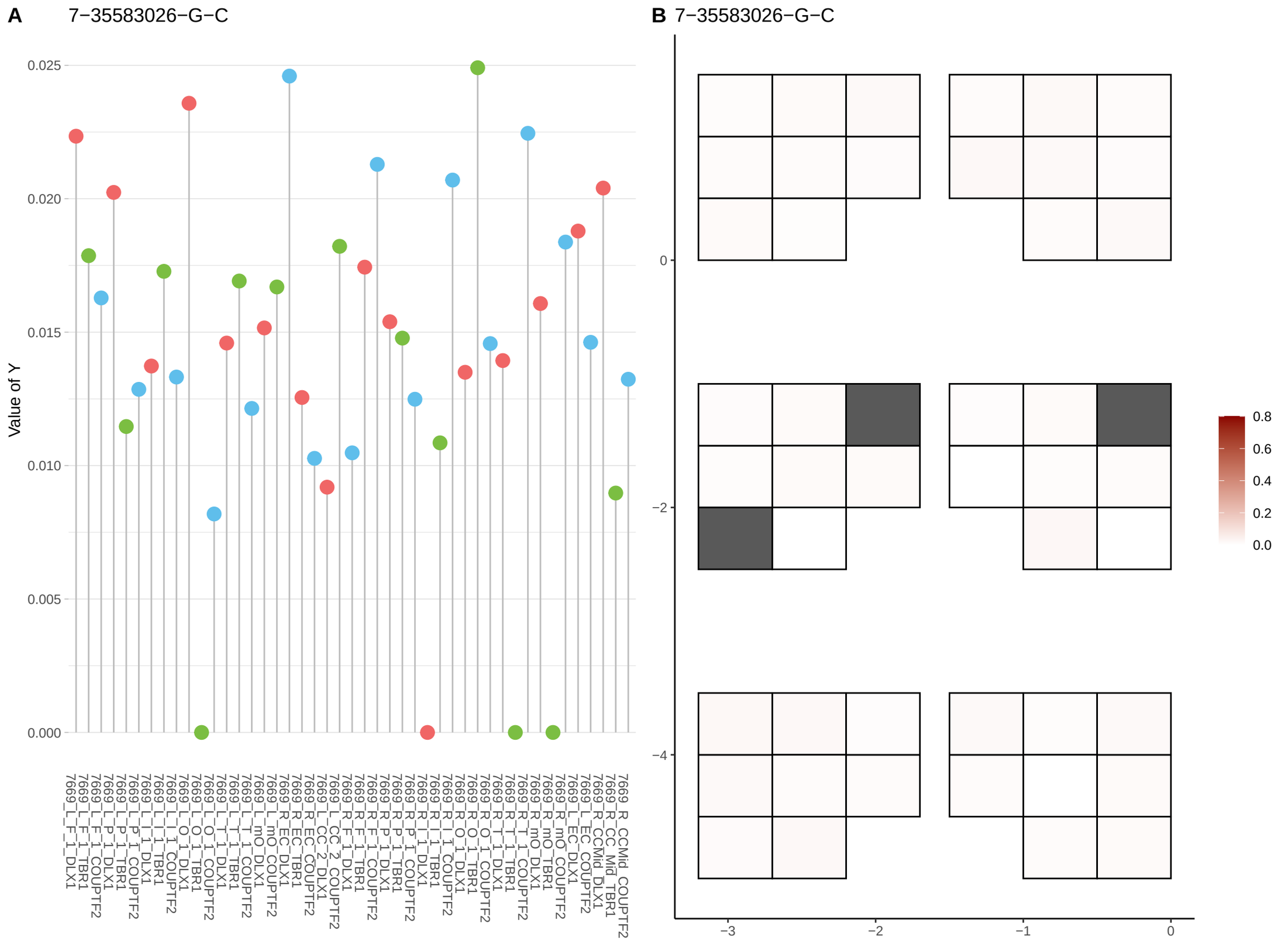
A
7−35583026−G−C
Value of Y
0.025
0.020
0.015
0.010
0.005
0.000
7669_L_F_1_DLX1
7669_L_F_1_TBR1
7669_L_F_1_COUPTF2
7669_L_P_1_DLX1
7669_L_P_1_TBR1
7669_L_P_1_COUPTF2
7669_L_I_1_DLX1
7669_L_I_1_TBR1
7669_L_I_1_COUPTF2
7669_L_O_1_DLX1
7669_L_O_1_TBR1
7669_L_O_1_COUPTF2
7669_L_T_1_DLX1
7669_L_T_1_TBR1
7669_L_T_1_COUPTF2
7669_L_mO_DLX1
7669_L_mO_COUPTF2
7669_R_EC_DLX1
7669_R_EC_TBR1
7669_R_EC_COUPTF2
7669_L_CC_2_DLX1
7669_L_CC_2_COUPTF2
7669_R_F_1_DLX1
7669_R_F_1_TBR1
7669_R_F_1_COUPTF2
7669_R_P_1_DLX1
7669_R_P_1_TBR1
7669_R_P_1_COUPTF2
7669_R_I_1_DLX1
7669_R_I_1_TBR1
7669_R_I_1_COUPTF2
7669_R_O_1_DLX1
7669_R_O_1_TBR1
7669_R_O_1_COUPTF2
7669_R_T_1_DLX1
7669_R_T_1_TBR1
7669_R_T_1_COUPTF2
7669_R_mO_DLX1
7669_R_mO_TBR1
7669_R_mO_COUPTF2
7669_L_EC_DLX1
7669_L_EC_COUPTF2
7669_R_CCMid_DLX1
7669_R_CC_Mid_TBR1
7669_R_CCMid_COUPTF2
B
7−35583026−G−C
0
−2
−4
−3
−2
−1
0
0.8
0.6
0.4
0.2
0.0

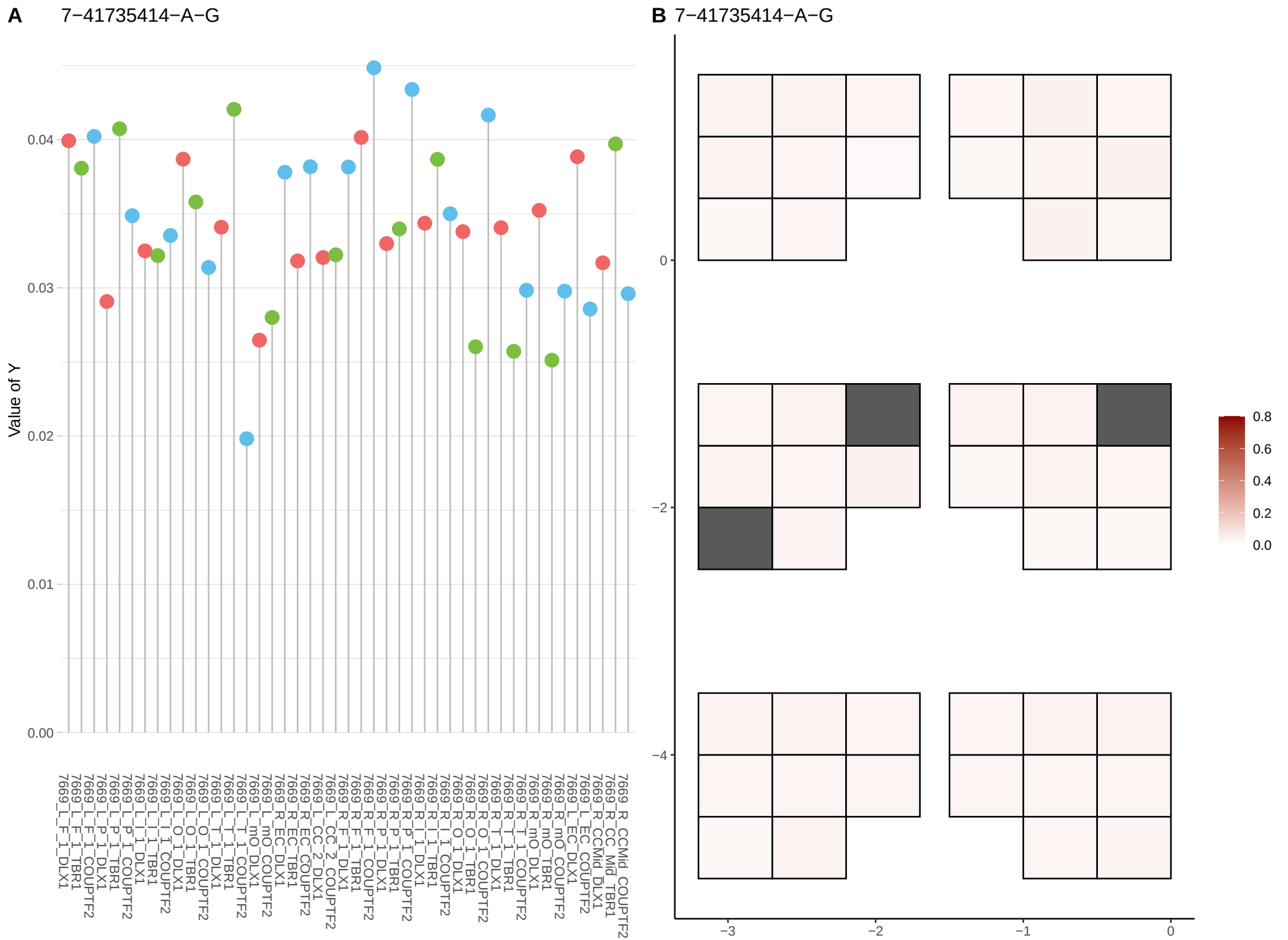
A
7−41735414−A−G
Value of Y
0.04
0.03
0.02
0.01
0.00
7669_L_F_1_DLX1
7669_L_F_1_TBR1
7669_L_F_1_COUPTF2
7669_L_P_1_DLX1
7669_L_P_1_TBR1
7669_L_P_1_COUPTF2
7669_L_I_1_DLX1
7669_L_I_1_TBR1
7669_L_I_1_COUPTF2
7669_L_O_1_DLX1
7669_L_O_1_TBR1
7669_L_O_1_COUPTF2
7669_L_T_1_DLX1
7669_L_T_1_TBR1
7669_L_T_1_COUPTF2
7669_L_mO_DLX1
7669_L_mO_COUPTF2
7669_R_EC_DLX1
7669_R_EC_TBR1
7669_R_EC_COUPTF2
7669_L_CC_2_DLX1
7669_L_CC_2_COUPTF2
7669_R_F_1_DLX1
7669_R_F_1_TBR1
7669_R_F_1_COUPTF2
7669_R_P_1_DLX1
7669_R_P_1_TBR1
7669_R_P_1_COUPTF2
7669_R_I_1_DLX1
7669_R_I_1_TBR1
7669_R_I_1_COUPTF2
7669_R_O_1_DLX1
7669_R_O_1_TBR1
7669_R_O_1_COUPTF2
7669_R_T_1_DLX1
7669_R_T_1_TBR1
7669_R_T_1_COUPTF2
7669_R_mO_DLX1
7669_R_mO_TBR1
7669_R_mO_COUPTF2
7669_L_EC_DLX1
7669_L_EC_COUPTF2
7669_R_CCMid_DLX1
7669_R_CC_Mid_TBR1
7669_R_CCMid_COUPTF2
B
7−41735414−A−G
0
−2
−4
−3
−2
−1
0
0.8
0.6
0.4
0.2
0.0

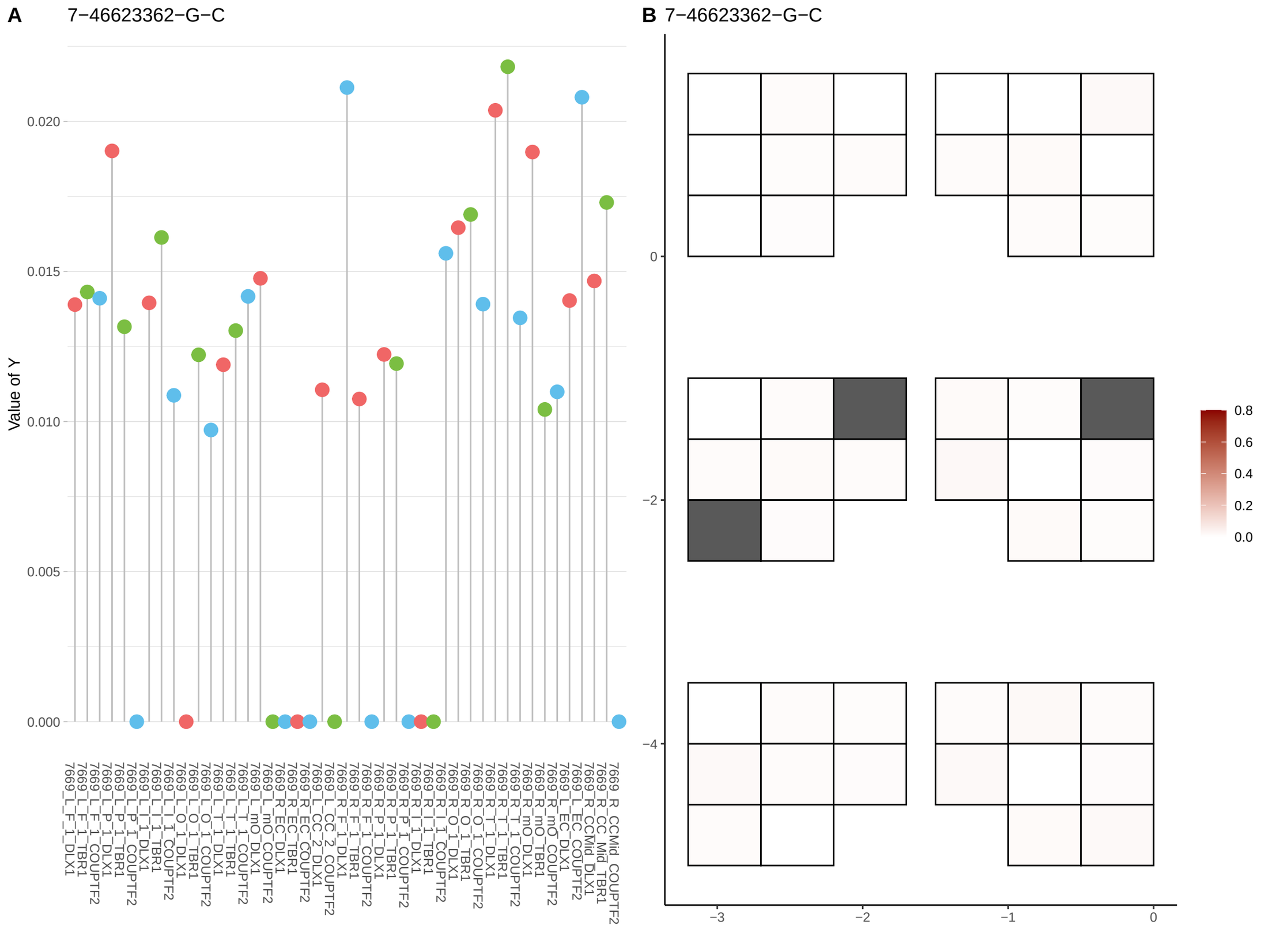
A
7−46623362−G−C
Value of Y
0.020
0.015
0.010
0.005
0.000
7669_L_F_1_DLX1
7669_L_F_1_TBR1
7669_L_F_1_COUPTF2
7669_L_P_1_DLX1
7669_L_P_1_TBR1
7669_L_P_1_COUPTF2
7669_L_I_1_DLX1
7669_L_I_1_TBR1
7669_L_I_1_COUPTF2
7669_L_O_1_DLX1
7669_L_O_1_TBR1
7669_L_O_1_COUPTF2
7669_L_T_1_DLX1
7669_L_T_1_TBR1
7669_L_T_1_COUPTF2
7669_L_mO_DLX1
7669_L_mO_COUPTF2
7669_R_EC_DLX1
7669_R_EC_TBR1
7669_R_EC_COUPTF2
7669_L_CC_2_DLX1
7669_L_CC_2_COUPTF2
7669_R_F_1_DLX1
7669_R_F_1_TBR1
7669_R_F_1_COUPTF2
7669_R_P_1_DLX1
7669_R_P_1_TBR1
7669_R_P_1_COUPTF2
7669_R_I_1_DLX1
7669_R_I_1_TBR1
7669_R_I_1_COUPTF2
7669_R_O_1_DLX1
7669_R_O_1_TBR1
7669_R_O_1_COUPTF2
7669_R_T_1_DLX1
7669_R_T_1_TBR1
7669_R_T_1_COUPTF2
7669_R_mO_DLX1
7669_R_mO_TBR1
7669_R_mO_COUPTF2
7669_L_EC_DLX1
7669_L_EC_COUPTF2
7669_R_CCMid_DLX1
7669_R_CC_Mid_TBR1
7669_R_CCMid_COUPTF2
B
7−46623362−G−C
0
−2
−4
−3
−2
−1
0
0.8
0.6
0.4
0.2
0.0

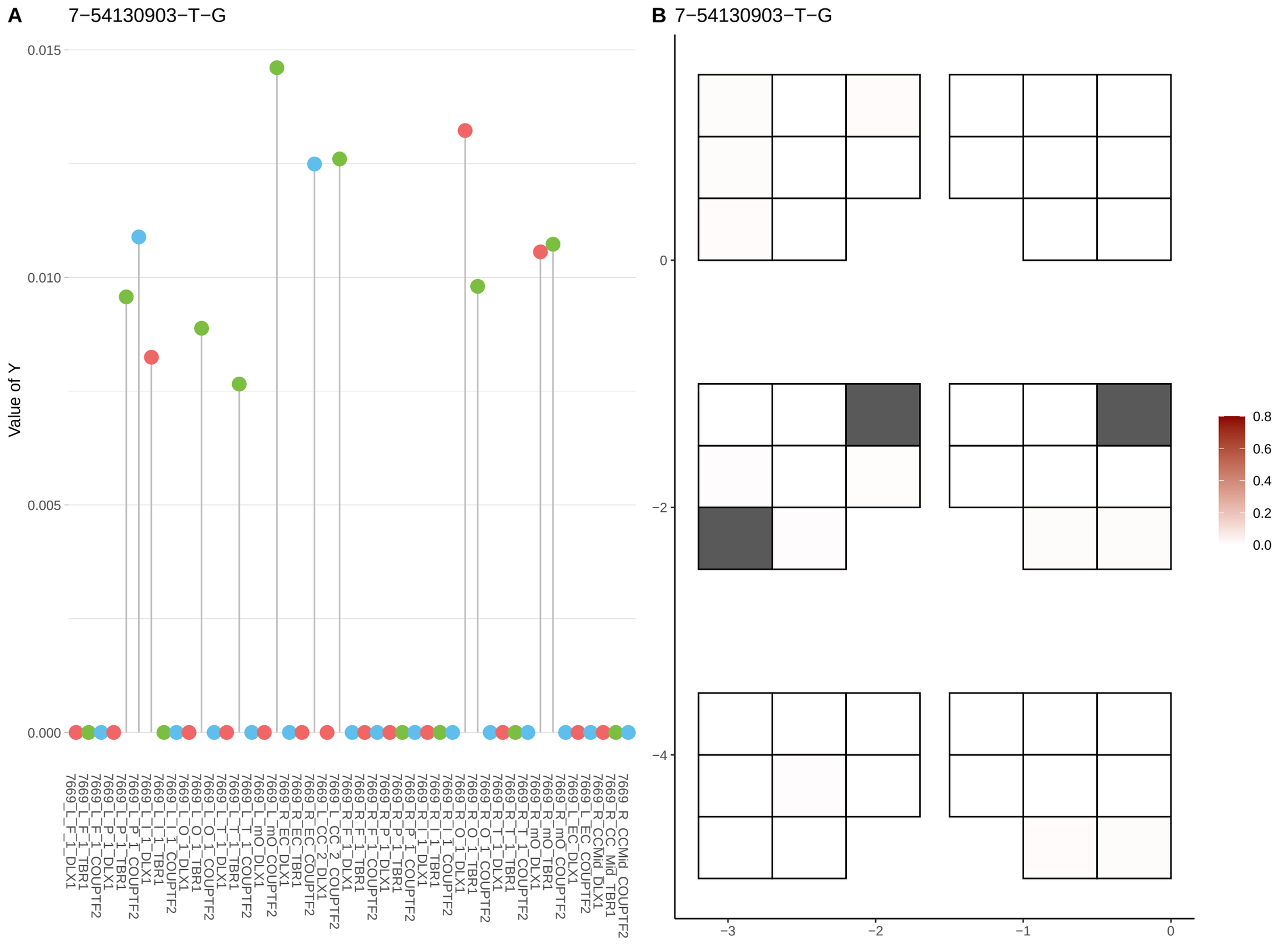
A
7−54130903−T−G
Value of Y
0.015
0.010
0.005
0.000
7669_L_F_1_DLX1
7669_L_F_1_TBR1
7669_L_F_1_COUPTF2
7669_L_P_1_DLX1
7669_L_P_1_TBR1
7669_L_P_1_COUPTF2
7669_L_I_1_DLX1
7669_L_I_1_TBR1
7669_L_I_1_COUPTF2
7669_L_O_1_DLX1
7669_L_O_1_TBR1
7669_L_O_1_COUPTF2
7669_L_T_1_DLX1
7669_L_T_1_TBR1
7669_L_T_1_COUPTF2
7669_L_mO_DLX1
7669_L_mO_COUPTF2
7669_R_EC_DLX1
7669_R_EC_TBR1
7669_R_EC_COUPTF2
7669_L_CC_2_DLX1
7669_L_CC_2_COUPTF2
7669_R_F_1_DLX1
7669_R_F_1_TBR1
7669_R_F_1_COUPTF2
7669_R_P_1_DLX1
7669_R_P_1_TBR1
7669_R_P_1_COUPTF2
7669_R_I_1_DLX1
7669_R_I_1_TBR1
7669_R_I_1_COUPTF2
7669_R_O_1_DLX1
7669_R_O_1_TBR1
7669_R_O_1_COUPTF2
7669_R_T_1_DLX1
7669_R_T_1_TBR1
7669_R_T_1_COUPTF2
7669_R_mO_DLX1
7669_R_mO_TBR1
7669_R_mO_COUPTF2
7669_L_EC_DLX1
7669_L_EC_COUPTF2
7669_R_CCMid_DLX1
7669_R_CC_Mid_TBR1
7669_R_CCMid_COUPTF2
B
7−54130903−T−G
0
−2
−4
−3
−2
−1
0
0.8
0.6
0.4
0.2
0.0

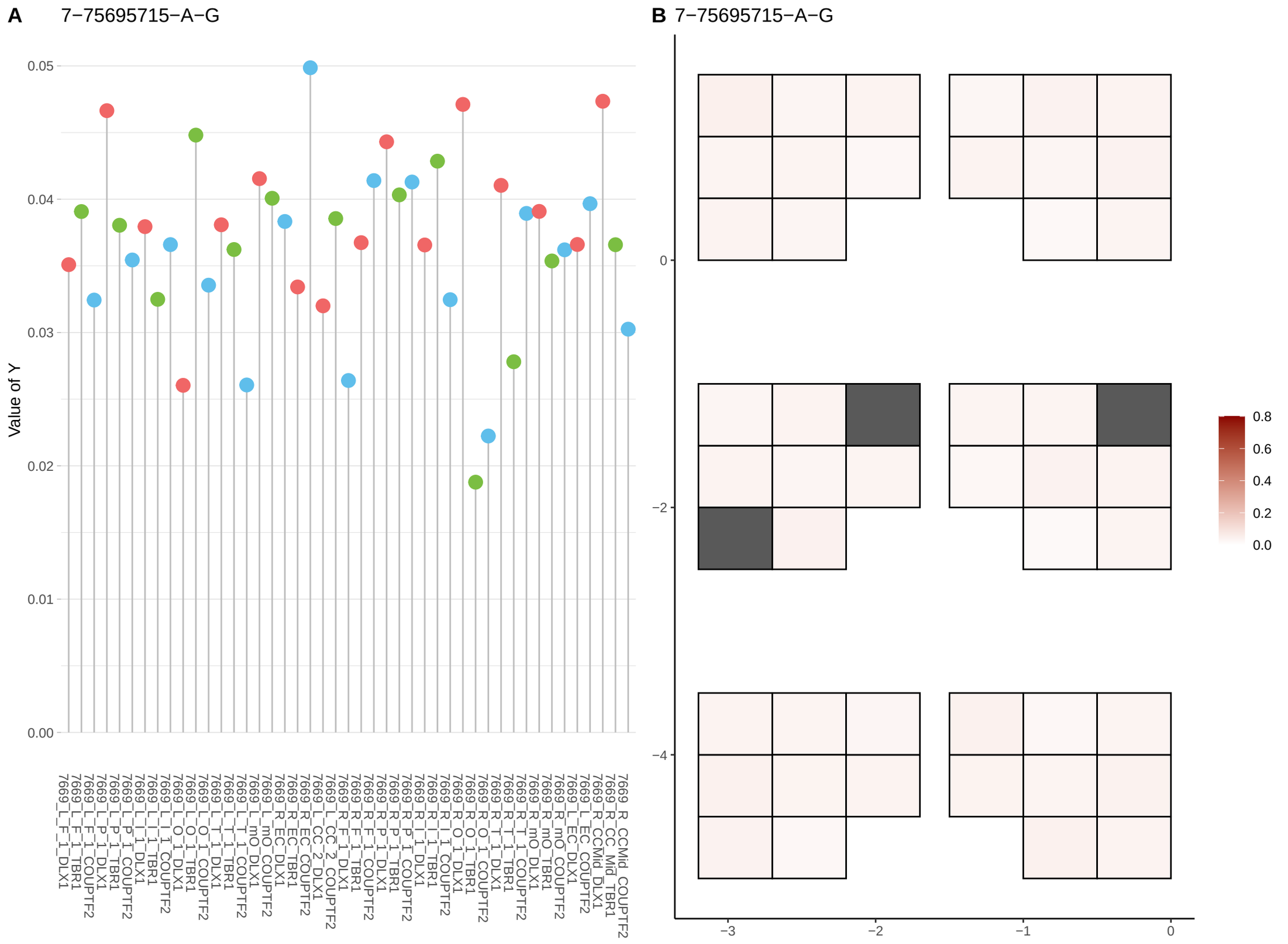
A
7−75695715−A−G
Value of Y
0.05
0.04
0.03
0.02
0.01
0.00
7669_L_F_1_DLX1
7669_L_F_1_TBR1
7669_L_F_1_COUPTF2
7669_L_P_1_DLX1
7669_L_P_1_TBR1
7669_L_P_1_COUPTF2
7669_L_I_1_DLX1
7669_L_I_1_TBR1
7669_L_I_1_COUPTF2
7669_L_O_1_DLX1
7669_L_O_1_TBR1
7669_L_O_1_COUPTF2
7669_L_T_1_DLX1
7669_L_T_1_TBR1
7669_L_T_1_COUPTF2
7669_L_mO_DLX1
7669_L_mO_COUPTF2
7669_R_EC_DLX1
7669_R_EC_TBR1
7669_R_EC_COUPTF2
7669_L_CC_2_DLX1
7669_L_CC_2_COUPTF2
7669_R_F_1_DLX1
7669_R_F_1_TBR1
7669_R_F_1_COUPTF2
7669_R_P_1_DLX1
7669_R_P_1_TBR1
7669_R_P_1_COUPTF2
7669_R_I_1_DLX1
7669_R_I_1_TBR1
7669_R_I_1_COUPTF2
7669_R_O_1_DLX1
7669_R_O_1_TBR1
7669_R_O_1_COUPTF2
7669_R_T_1_DLX1
7669_R_T_1_TBR1
7669_R_T_1_COUPTF2
7669_R_mO_DLX1
7669_R_mO_TBR1
7669_R_mO_COUPTF2
7669_L_EC_DLX1
7669_L_EC_COUPTF2
7669_R_CCMid_DLX1
7669_R_CC_Mid_TBR1
7669_R_CCMid_COUPTF2
B
7−75695715−A−G
0
−2
−4
−3
−2
−1
0
0.8
0.6
0.4
0.2
0.0

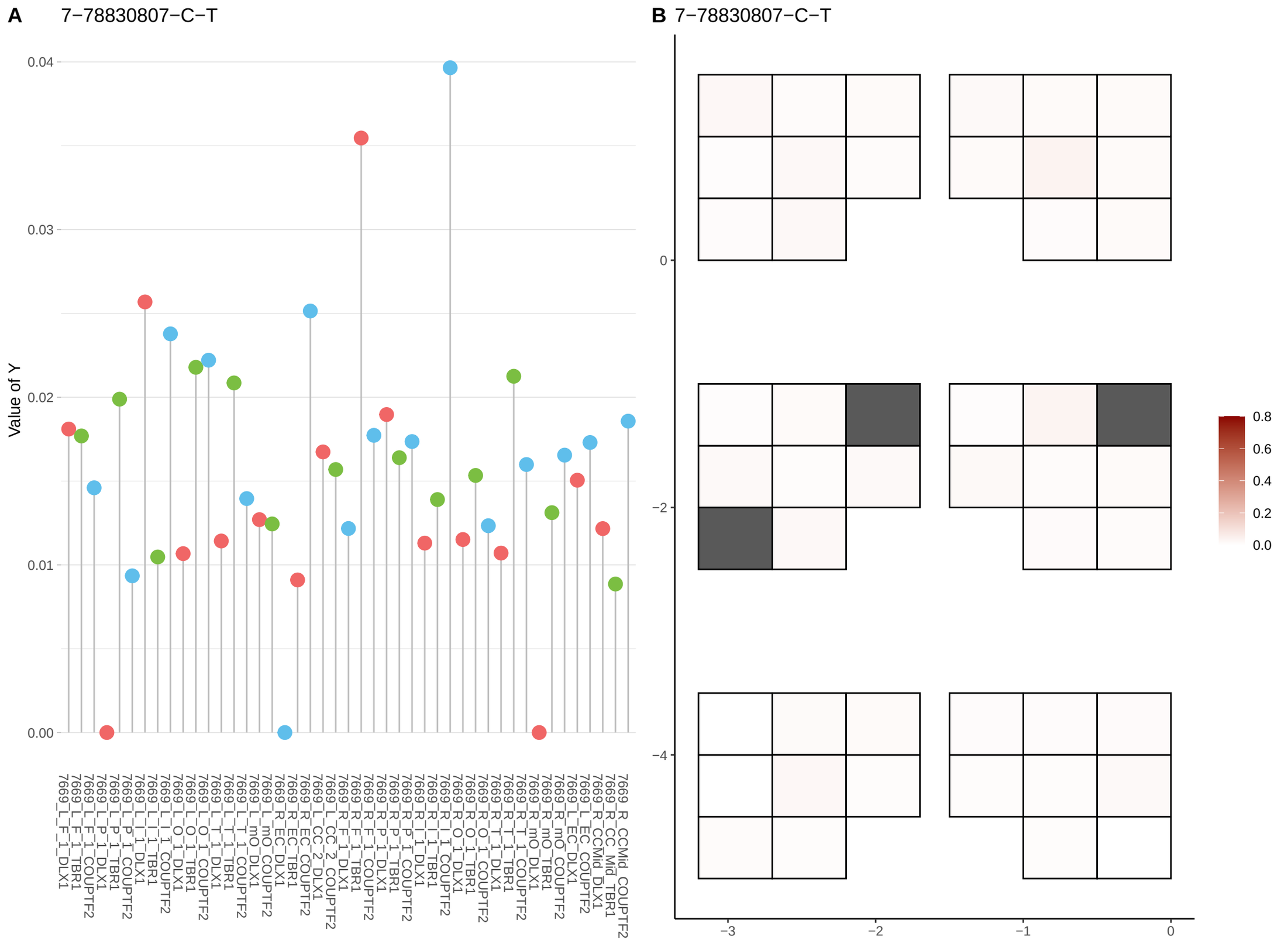
A
7−78830807−C−T
Value of Y
0.04
0.03
0.02
0.01
0.00
7669_L_F_1_DLX1
7669_L_F_1_TBR1
7669_L_F_1_COUPTF2
7669_L_P_1_DLX1
7669_L_P_1_TBR1
7669_L_P_1_COUPTF2
7669_L_I_1_DLX1
7669_L_I_1_TBR1
7669_L_I_1_COUPTF2
7669_L_O_1_DLX1
7669_L_O_1_TBR1
7669_L_O_1_COUPTF2
7669_L_T_1_DLX1
7669_L_T_1_TBR1
7669_L_T_1_COUPTF2
7669_L_mO_DLX1
7669_L_mO_COUPTF2
7669_R_EC_DLX1
7669_R_EC_TBR1
7669_R_EC_COUPTF2
7669_L_CC_2_DLX1
7669_L_CC_2_COUPTF2
7669_R_F_1_DLX1
7669_R_F_1_TBR1
7669_R_F_1_COUPTF2
7669_R_P_1_DLX1
7669_R_P_1_TBR1
7669_R_P_1_COUPTF2
7669_R_I_1_DLX1
7669_R_I_1_TBR1
7669_R_I_1_COUPTF2
7669_R_O_1_DLX1
7669_R_O_1_TBR1
7669_R_O_1_COUPTF2
7669_R_T_1_DLX1
7669_R_T_1_TBR1
7669_R_T_1_COUPTF2
7669_R_mO_DLX1
7669_R_mO_TBR1
7669_R_mO_COUPTF2
7669_L_EC_DLX1
7669_L_EC_COUPTF2
7669_R_CCMid_DLX1
7669_R_CC_Mid_TBR1
7669_R_CCMid_COUPTF2
B
7−78830807−C−T
0
−2
−4
−3
−2
−1
0
0.8
0.6
0.4
0.2
0.0

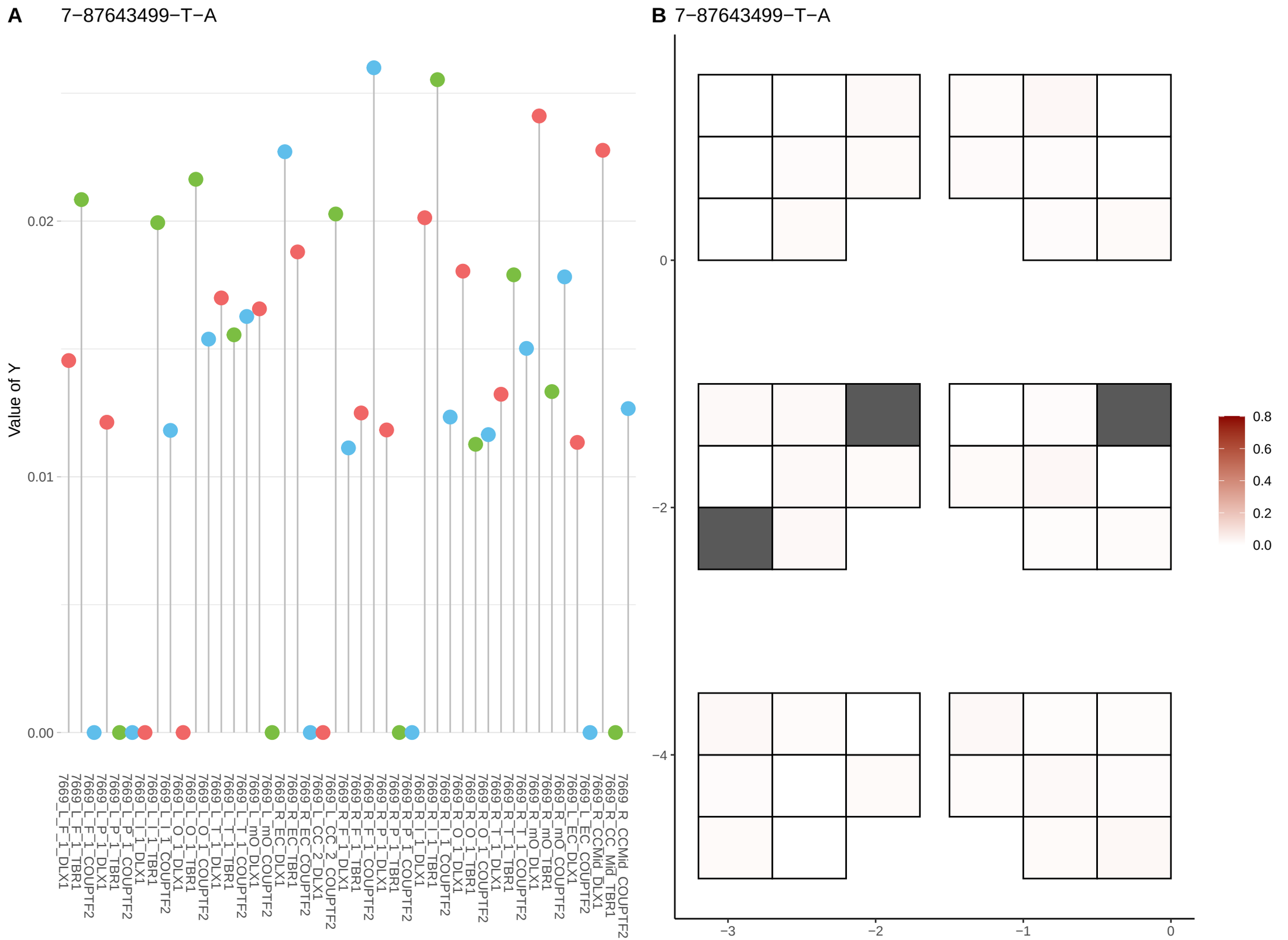
A
7−87643499−T−A
Value of Y
0.02
0.01
0.00
7669_L_F_1_DLX1
7669_L_F_1_TBR1
7669_L_F_1_COUPTF2
7669_L_P_1_DLX1
7669_L_P_1_TBR1
7669_L_P_1_COUPTF2
7669_L_I_1_DLX1
7669_L_I_1_TBR1
7669_L_I_1_COUPTF2
7669_L_O_1_DLX1
7669_L_O_1_TBR1
7669_L_O_1_COUPTF2
7669_L_T_1_DLX1
7669_L_T_1_TBR1
7669_L_T_1_COUPTF2
7669_L_mO_DLX1
7669_L_mO_COUPTF2
7669_R_EC_DLX1
7669_R_EC_TBR1
7669_R_EC_COUPTF2
7669_L_CC_2_DLX1
7669_L_CC_2_COUPTF2
7669_R_F_1_DLX1
7669_R_F_1_TBR1
7669_R_F_1_COUPTF2
7669_R_P_1_DLX1
7669_R_P_1_TBR1
7669_R_P_1_COUPTF2
7669_R_I_1_DLX1
7669_R_I_1_TBR1
7669_R_I_1_COUPTF2
7669_R_O_1_DLX1
7669_R_O_1_TBR1
7669_R_O_1_COUPTF2
7669_R_T_1_DLX1
7669_R_T_1_TBR1
7669_R_T_1_COUPTF2
7669_R_mO_DLX1
7669_R_mO_TBR1
7669_R_mO_COUPTF2
7669_L_EC_DLX1
7669_L_EC_COUPTF2
7669_R_CCMid_DLX1
7669_R_CC_Mid_TBR1
7669_R_CCMid_COUPTF2
B
7−87643499−T−A
0
−2
−4
−3
−2
−1
0
0.8
0.6
0.4
0.2
0.0

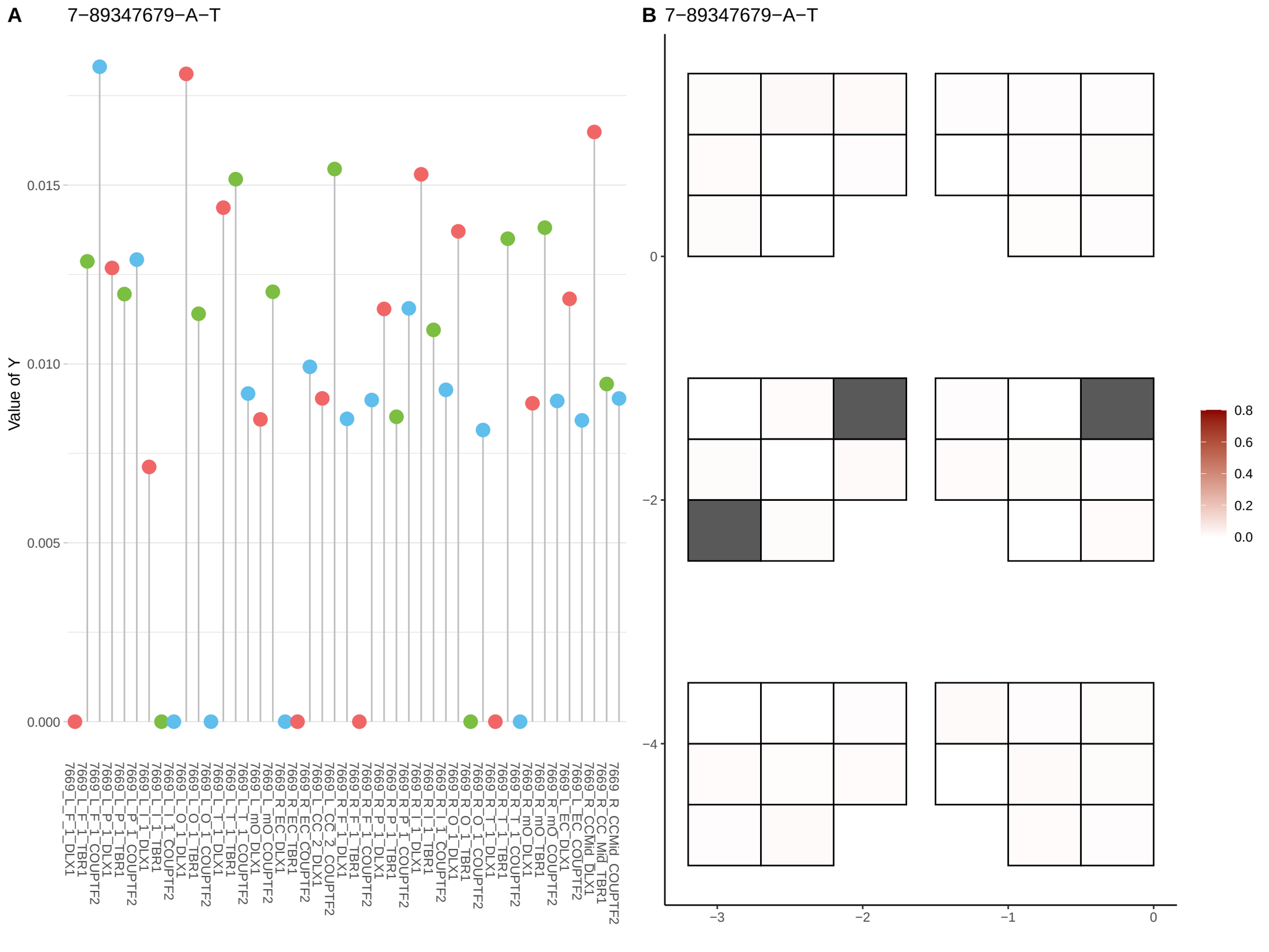
A
7−89347679−A−T
Value of Y
0.015
0.010
0.005
0.000
7669_L_F_1_DLX1
7669_L_F_1_TBR1
7669_L_F_1_COUPTF2
7669_L_P_1_DLX1
7669_L_P_1_TBR1
7669_L_P_1_COUPTF2
7669_L_I_1_DLX1
7669_L_I_1_TBR1
7669_L_I_1_COUPTF2
7669_L_O_1_DLX1
7669_L_O_1_TBR1
7669_L_O_1_COUPTF2
7669_L_T_1_DLX1
7669_L_T_1_TBR1
7669_L_T_1_COUPTF2
7669_L_mO_DLX1
7669_L_mO_COUPTF2
7669_R_EC_DLX1
7669_R_EC_TBR1
7669_R_EC_COUPTF2
7669_L_CC_2_DLX1
7669_L_CC_2_COUPTF2
7669_R_F_1_DLX1
7669_R_F_1_TBR1
7669_R_F_1_COUPTF2
7669_R_P_1_DLX1
7669_R_P_1_TBR1
7669_R_P_1_COUPTF2
7669_R_I_1_DLX1
7669_R_I_1_TBR1
7669_R_I_1_COUPTF2
7669_R_O_1_DLX1
7669_R_O_1_TBR1
7669_R_O_1_COUPTF2
7669_R_T_1_DLX1
7669_R_T_1_TBR1
7669_R_T_1_COUPTF2
7669_R_mO_DLX1
7669_R_mO_TBR1
7669_R_mO_COUPTF2
7669_L_EC_DLX1
7669_L_EC_COUPTF2
7669_R_CCMid_DLX1
7669_R_CC_Mid_TBR1
7669_R_CCMid_COUPTF2
B
7−89347679−A−T
0
−2
−4
−3
−2
−1
0
0.8
0.6
0.4
0.2
0.0

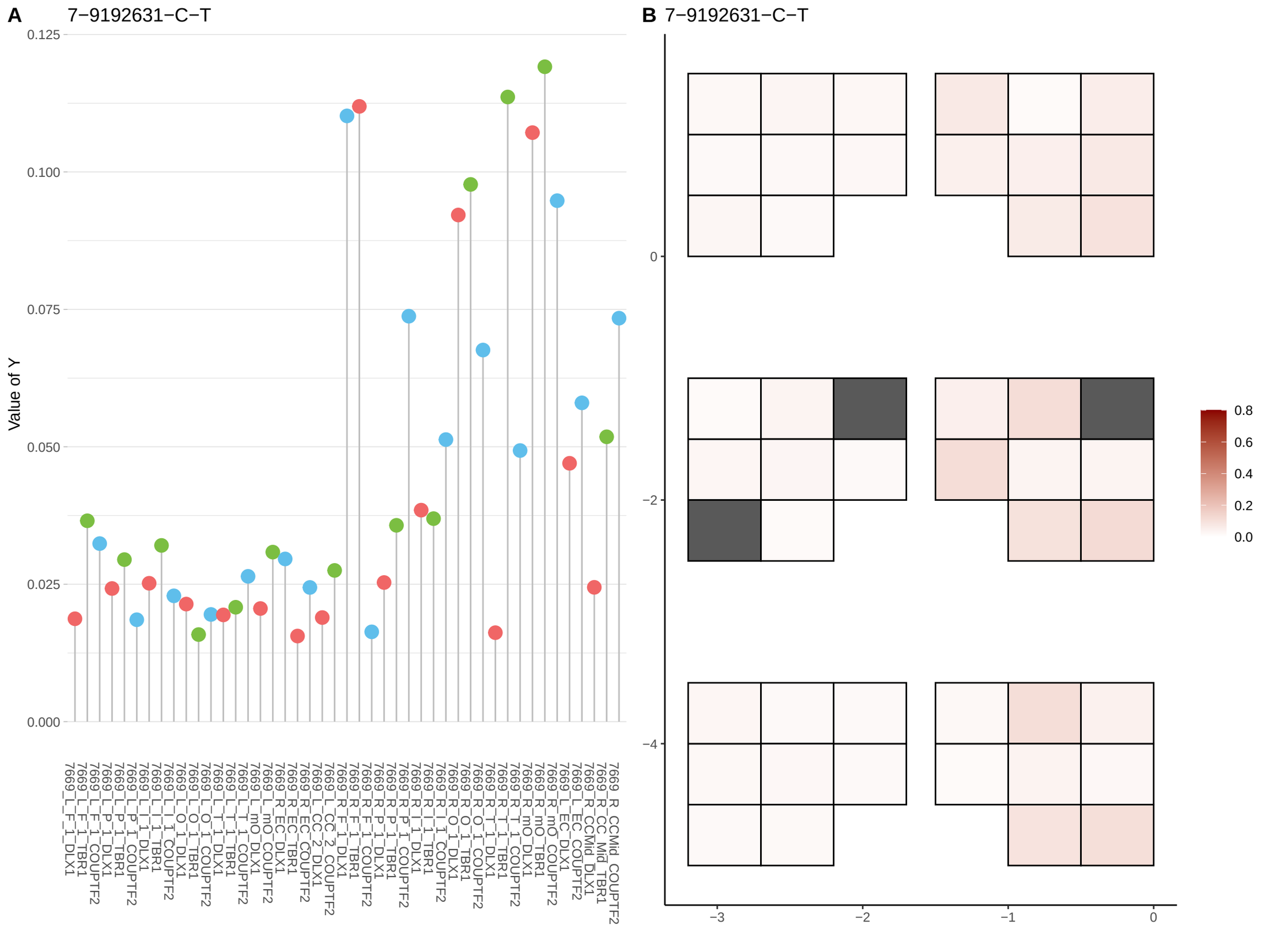
A
7−9192631−C−T
Value of Y
0.125
0.100
0.075
0.050
0.025
0.000
7669_L_F_1_DLX1
7669_L_F_1_TBR1
7669_L_F_1_COUPTF2
7669_L_P_1_DLX1
7669_L_P_1_TBR1
7669_L_P_1_COUPTF2
7669_L_I_1_DLX1
7669_L_I_1_TBR1
7669_L_I_1_COUPTF2
7669_L_O_1_DLX1
7669_L_O_1_TBR1
7669_L_O_1_COUPTF2
7669_L_T_1_DLX1
7669_L_T_1_TBR1
7669_L_T_1_COUPTF2
7669_L_mO_DLX1
7669_L_mO_COUPTF2
7669_R_EC_DLX1
7669_R_EC_TBR1
7669_R_EC_COUPTF2
7669_L_CC_2_DLX1
7669_L_CC_2_COUPTF2
7669_R_F_1_DLX1
7669_R_F_1_TBR1
7669_R_F_1_COUPTF2
7669_R_P_1_DLX1
7669_R_P_1_TBR1
7669_R_P_1_COUPTF2
7669_R_I_1_DLX1
7669_R_I_1_TBR1
7669_R_I_1_COUPTF2
7669_R_O_1_DLX1
7669_R_O_1_TBR1
7669_R_O_1_COUPTF2
7669_R_T_1_DLX1
7669_R_T_1_TBR1
7669_R_T_1_COUPTF2
7669_R_mO_DLX1
7669_R_mO_TBR1
7669_R_mO_COUPTF2
7669_L_EC_DLX1
7669_L_EC_COUPTF2
7669_R_CCMid_DLX1
7669_R_CC_Mid_TBR1
7669_R_CCMid_COUPTF2
B
7−9192631−C−T
0
−2
−4
−3
−2
−1
0
0.8
0.6
0.4
0.2
0.0

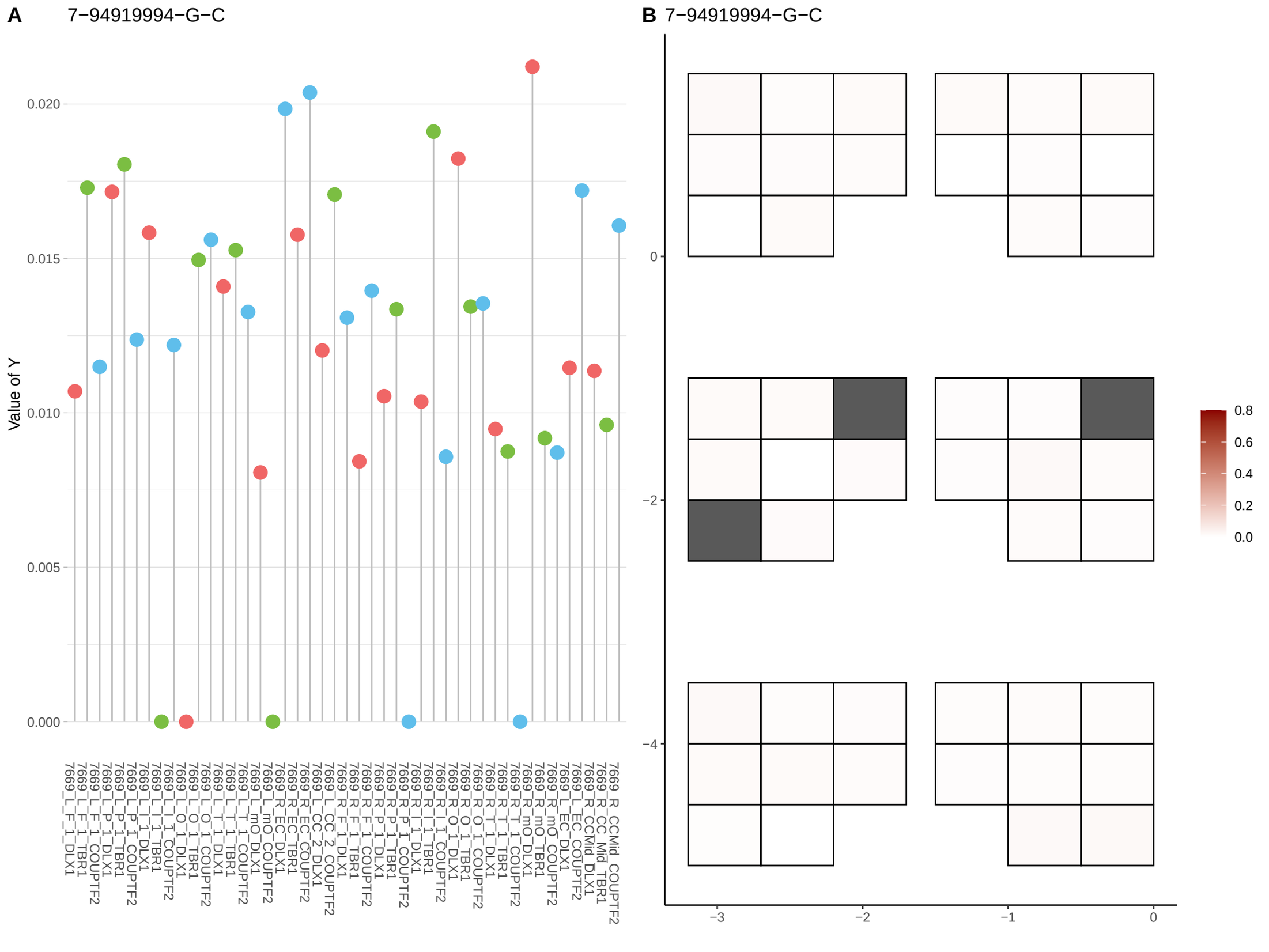
A
7−94919994−G−C
Value of Y
0.020
0.015
0.010
0.005
0.000
7669_L_F_1_DLX1
7669_L_F_1_TBR1
7669_L_F_1_COUPTF2
7669_L_P_1_DLX1
7669_L_P_1_TBR1
7669_L_P_1_COUPTF2
7669_L_I_1_DLX1
7669_L_I_1_TBR1
7669_L_I_1_COUPTF2
7669_L_O_1_DLX1
7669_L_O_1_TBR1
7669_L_O_1_COUPTF2
7669_L_T_1_DLX1
7669_L_T_1_TBR1
7669_L_T_1_COUPTF2
7669_L_mO_DLX1
7669_L_mO_COUPTF2
7669_R_EC_DLX1
7669_R_EC_TBR1
7669_R_EC_COUPTF2
7669_L_CC_2_DLX1
7669_L_CC_2_COUPTF2
7669_R_F_1_DLX1
7669_R_F_1_TBR1
7669_R_F_1_COUPTF2
7669_R_P_1_DLX1
7669_R_P_1_TBR1
7669_R_P_1_COUPTF2
7669_R_I_1_DLX1
7669_R_I_1_TBR1
7669_R_I_1_COUPTF2
7669_R_O_1_DLX1
7669_R_O_1_TBR1
7669_R_O_1_COUPTF2
7669_R_T_1_DLX1
7669_R_T_1_TBR1
7669_R_T_1_COUPTF2
7669_R_mO_DLX1
7669_R_mO_TBR1
7669_R_mO_COUPTF2
7669_L_EC_DLX1
7669_L_EC_COUPTF2
7669_R_CCMid_DLX1
7669_R_CC_Mid_TBR1
7669_R_CCMid_COUPTF2
B
7−94919994−G−C
0
−2
−4
−3
−2
−1
0
0.8
0.6
0.4
0.2
0.0

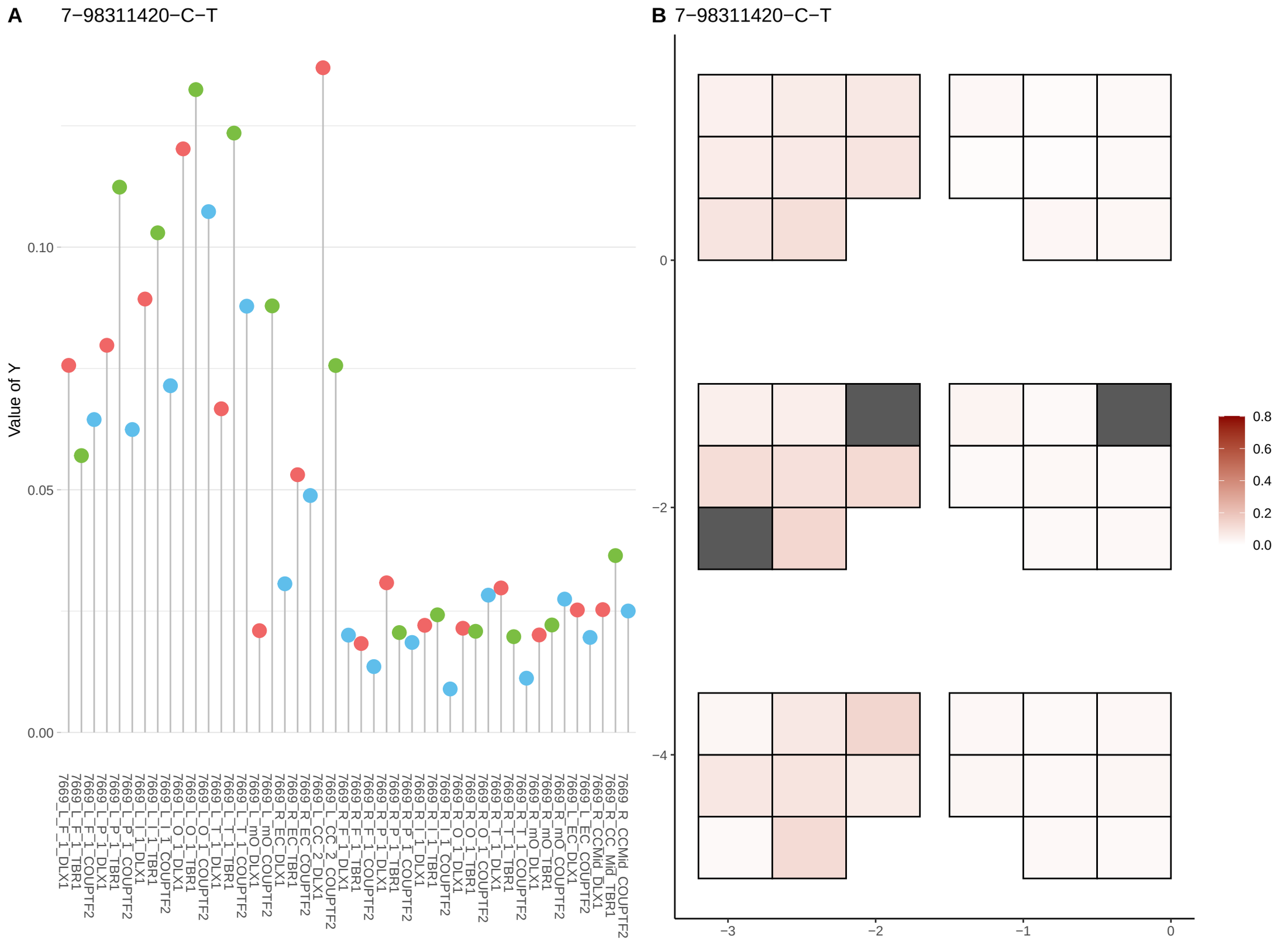
A
7−98311420−C−T
Value of Y
0.10
0.05
0.00
7669_L_F_1_DLX1
7669_L_F_1_TBR1
7669_L_F_1_COUPTF2
7669_L_P_1_DLX1
7669_L_P_1_TBR1
7669_L_P_1_COUPTF2
7669_L_I_1_DLX1
7669_L_I_1_TBR1
7669_L_I_1_COUPTF2
7669_L_O_1_DLX1
7669_L_O_1_TBR1
7669_L_O_1_COUPTF2
7669_L_T_1_DLX1
7669_L_T_1_TBR1
7669_L_T_1_COUPTF2
7669_L_mO_DLX1
7669_L_mO_COUPTF2
7669_R_EC_DLX1
7669_R_EC_TBR1
7669_R_EC_COUPTF2
7669_L_CC_2_DLX1
7669_L_CC_2_COUPTF2
7669_R_F_1_DLX1
7669_R_F_1_TBR1
7669_R_F_1_COUPTF2
7669_R_P_1_DLX1
7669_R_P_1_TBR1
7669_R_P_1_COUPTF2
7669_R_I_1_DLX1
7669_R_I_1_TBR1
7669_R_I_1_COUPTF2
7669_R_O_1_DLX1
7669_R_O_1_TBR1
7669_R_O_1_COUPTF2
7669_R_T_1_DLX1
7669_R_T_1_TBR1
7669_R_T_1_COUPTF2
7669_R_mO_DLX1
7669_R_mO_TBR1
7669_R_mO_COUPTF2
7669_L_EC_DLX1
7669_L_EC_COUPTF2
7669_R_CCMid_DLX1
7669_R_CC_Mid_TBR1
7669_R_CCMid_COUPTF2
B
7−98311420−C−T
0
−2
−4
−3
−2
−1
0
0.8
0.6
0.4
0.2
0.0

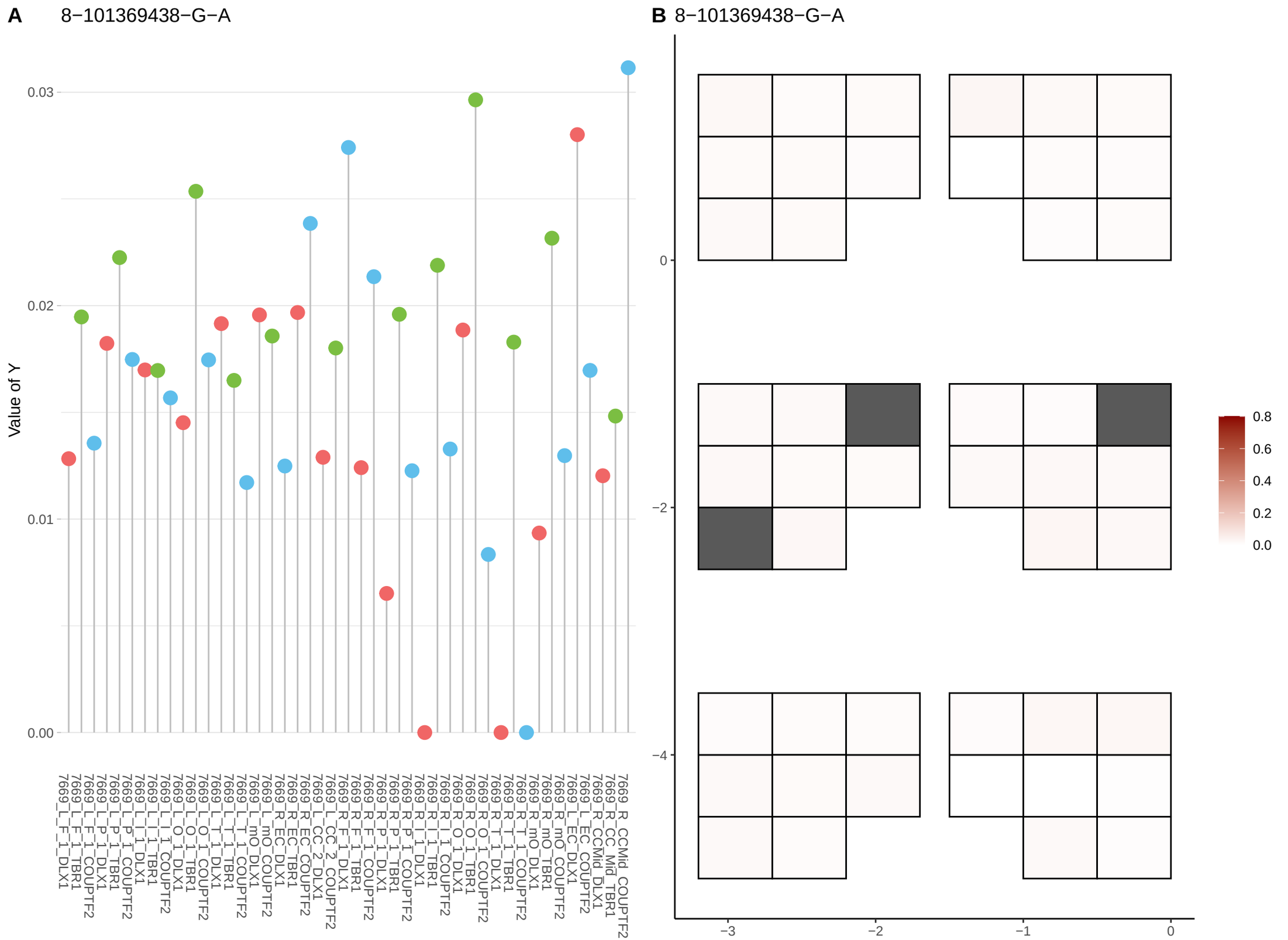
A
8−101369438−G−A
Value of Y
0.03
0.02
0.01
0.00
7669_L_F_1_DLX1
7669_L_F_1_TBR1
7669_L_F_1_COUPTF2
7669_L_P_1_DLX1
7669_L_P_1_TBR1
7669_L_P_1_COUPTF2
7669_L_I_1_DLX1
7669_L_I_1_TBR1
7669_L_I_1_COUPTF2
7669_L_O_1_DLX1
7669_L_O_1_TBR1
7669_L_O_1_COUPTF2
7669_L_T_1_DLX1
7669_L_T_1_TBR1
7669_L_T_1_COUPTF2
7669_L_mO_DLX1
7669_L_mO_COUPTF2
7669_R_EC_DLX1
7669_R_EC_TBR1
7669_R_EC_COUPTF2
7669_L_CC_2_DLX1
7669_L_CC_2_COUPTF2
7669_R_F_1_DLX1
7669_R_F_1_TBR1
7669_R_F_1_COUPTF2
7669_R_P_1_DLX1
7669_R_P_1_TBR1
7669_R_P_1_COUPTF2
7669_R_I_1_DLX1
7669_R_I_1_TBR1
7669_R_I_1_COUPTF2
7669_R_O_1_DLX1
7669_R_O_1_TBR1
7669_R_O_1_COUPTF2
7669_R_T_1_DLX1
7669_R_T_1_TBR1
7669_R_T_1_COUPTF2
7669_R_mO_DLX1
7669_R_mO_TBR1
7669_R_mO_COUPTF2
7669_L_EC_DLX1
7669_L_EC_COUPTF2
7669_R_CCMid_DLX1
7669_R_CC_Mid_TBR1
7669_R_CCMid_COUPTF2
B
8−101369438−G−A
0
−2
−4
−3
−2
−1
0
0.8
0.6
0.4
0.2
0.0

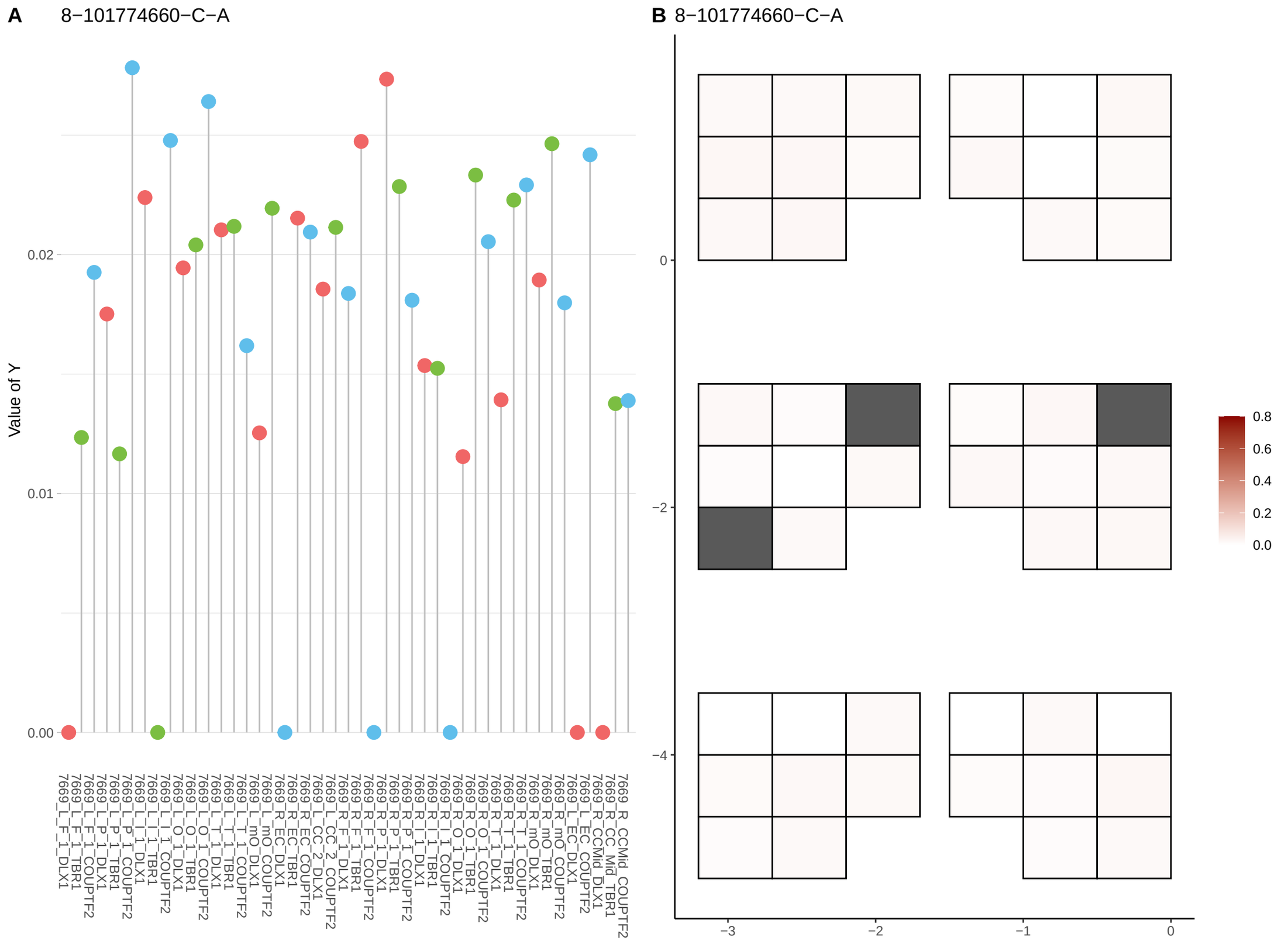
A
8−101774660−C−A
Value of Y
0.02
0.01
0.00
7669_L_F_1_DLX1
7669_L_F_1_TBR1
7669_L_F_1_COUPTF2
7669_L_P_1_DLX1
7669_L_P_1_TBR1
7669_L_P_1_COUPTF2
7669_L_I_1_DLX1
7669_L_I_1_TBR1
7669_L_I_1_COUPTF2
7669_L_O_1_DLX1
7669_L_O_1_TBR1
7669_L_O_1_COUPTF2
7669_L_T_1_DLX1
7669_L_T_1_TBR1
7669_L_T_1_COUPTF2
7669_L_mO_DLX1
7669_L_mO_COUPTF2
7669_R_EC_DLX1
7669_R_EC_TBR1
7669_R_EC_COUPTF2
7669_L_CC_2_DLX1
7669_L_CC_2_COUPTF2
7669_R_F_1_DLX1
7669_R_F_1_TBR1
7669_R_F_1_COUPTF2
7669_R_P_1_DLX1
7669_R_P_1_TBR1
7669_R_P_1_COUPTF2
7669_R_I_1_DLX1
7669_R_I_1_TBR1
7669_R_I_1_COUPTF2
7669_R_O_1_DLX1
7669_R_O_1_TBR1
7669_R_O_1_COUPTF2
7669_R_T_1_DLX1
7669_R_T_1_TBR1
7669_R_T_1_COUPTF2
7669_R_mO_DLX1
7669_R_mO_TBR1
7669_R_mO_COUPTF2
7669_L_EC_DLX1
7669_L_EC_COUPTF2
7669_R_CCMid_DLX1
7669_R_CC_Mid_TBR1
7669_R_CCMid_COUPTF2
B
8−101774660−C−A
0
−2
−4
−3
−2
−1
0
0.8
0.6
0.4
0.2
0.0

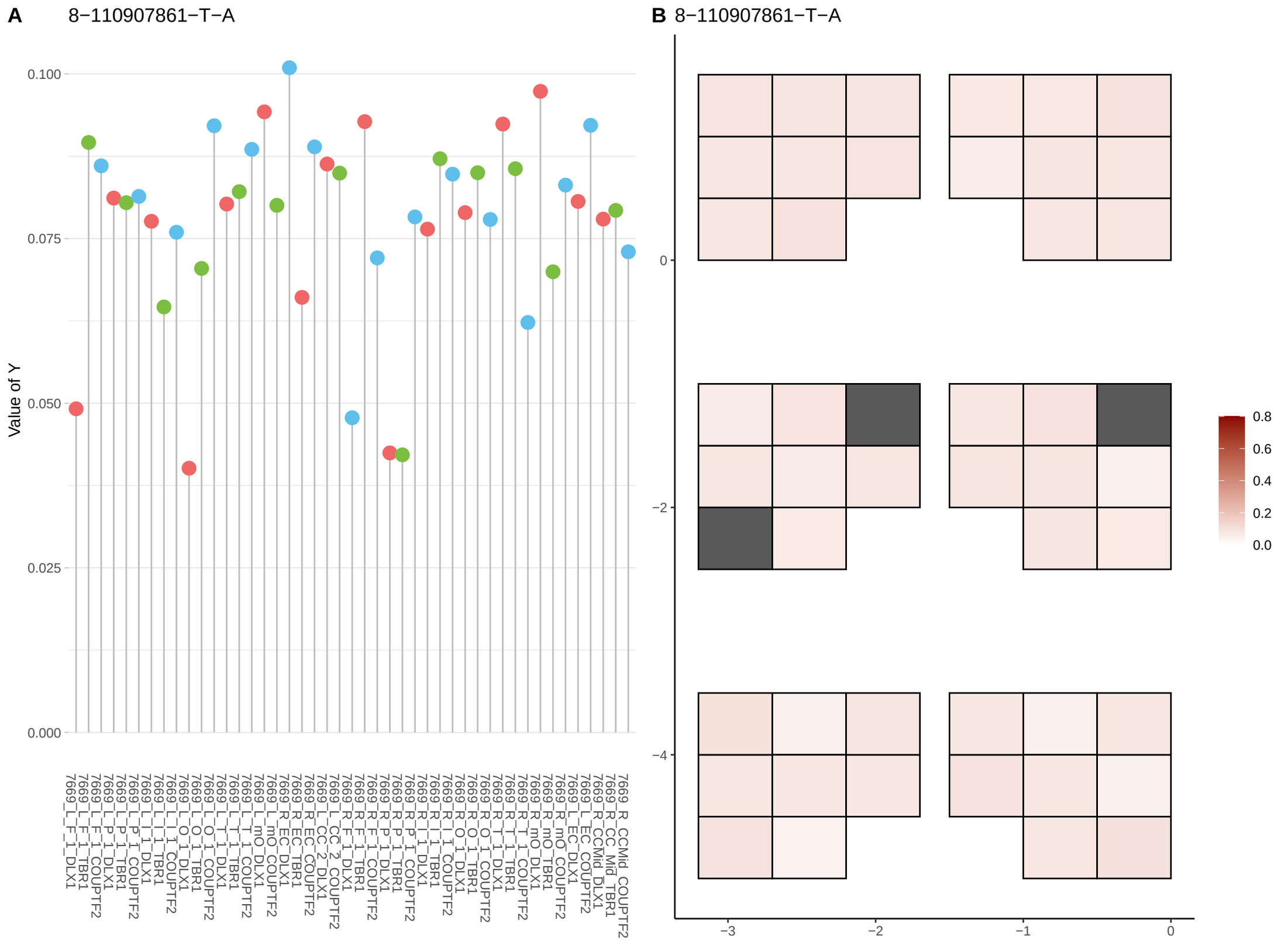
A
8−110907861−T−A
Value of Y
0.100
0.075
0.050
0.025
0.000
7669_L_F_1_DLX1
7669_L_F_1_TBR1
7669_L_F_1_COUPTF2
7669_L_P_1_DLX1
7669_L_P_1_TBR1
7669_L_P_1_COUPTF2
7669_L_I_1_DLX1
7669_L_I_1_TBR1
7669_L_I_1_COUPTF2
7669_L_O_1_DLX1
7669_L_O_1_TBR1
7669_L_O_1_COUPTF2
7669_L_T_1_DLX1
7669_L_T_1_TBR1
7669_L_T_1_COUPTF2
7669_L_mO_DLX1
7669_L_mO_COUPTF2
7669_R_EC_DLX1
7669_R_EC_TBR1
7669_R_EC_COUPTF2
7669_L_CC_2_DLX1
7669_L_CC_2_COUPTF2
7669_R_F_1_DLX1
7669_R_F_1_TBR1
7669_R_F_1_COUPTF2
7669_R_P_1_DLX1
7669_R_P_1_TBR1
7669_R_P_1_COUPTF2
7669_R_I_1_DLX1
7669_R_I_1_TBR1
7669_R_I_1_COUPTF2
7669_R_O_1_DLX1
7669_R_O_1_TBR1
7669_R_O_1_COUPTF2
7669_R_T_1_DLX1
7669_R_T_1_TBR1
7669_R_T_1_COUPTF2
7669_R_mO_DLX1
7669_R_mO_TBR1
7669_R_mO_COUPTF2
7669_L_EC_DLX1
7669_L_EC_COUPTF2
7669_R_CCMid_DLX1
7669_R_CC_Mid_TBR1
7669_R_CCMid_COUPTF2
B
8−110907861−T−A
0
−2
−4
−3
−2
−1
0
0.8
0.6
0.4
0.2
0.0

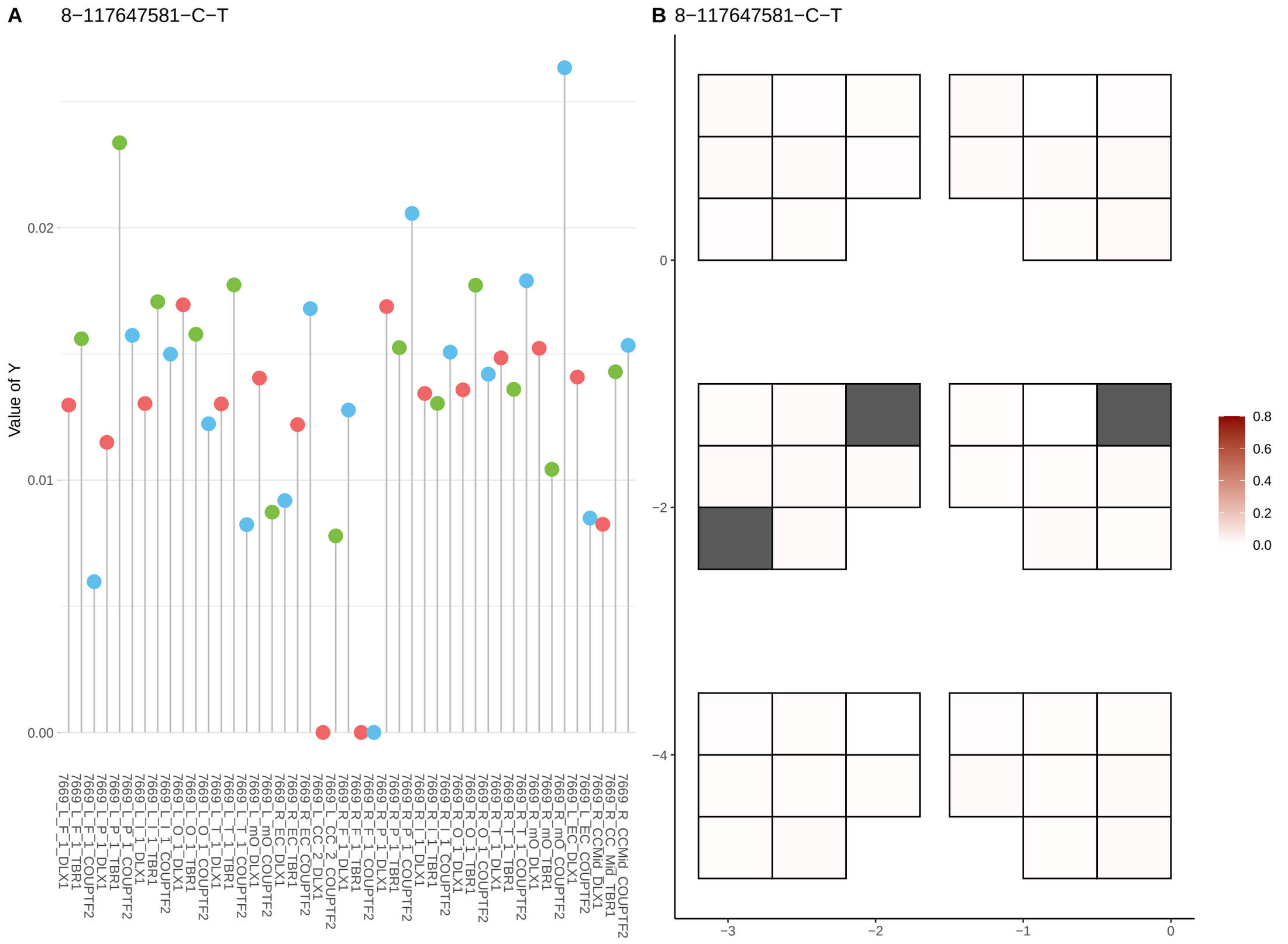
A
8−117647581−C−T
Value of Y
0.02
0.01
0.00
7669_L_F_1_DLX1
7669_L_F_1_TBR1
7669_L_F_1_COUPTF2
7669_L_P_1_DLX1
7669_L_P_1_TBR1
7669_L_P_1_COUPTF2
7669_L_I_1_DLX1
7669_L_I_1_TBR1
7669_L_I_1_COUPTF2
7669_L_O_1_DLX1
7669_L_O_1_TBR1
7669_L_O_1_COUPTF2
7669_L_T_1_DLX1
7669_L_T_1_TBR1
7669_L_T_1_COUPTF2
7669_L_mO_DLX1
7669_L_mO_COUPTF2
7669_R_EC_DLX1
7669_R_EC_TBR1
7669_R_EC_COUPTF2
7669_L_CC_2_DLX1
7669_L_CC_2_COUPTF2
7669_R_F_1_DLX1
7669_R_F_1_TBR1
7669_R_F_1_COUPTF2
7669_R_P_1_DLX1
7669_R_P_1_TBR1
7669_R_P_1_COUPTF2
7669_R_I_1_DLX1
7669_R_I_1_TBR1
7669_R_I_1_COUPTF2
7669_R_O_1_DLX1
7669_R_O_1_TBR1
7669_R_O_1_COUPTF2
7669_R_T_1_DLX1
7669_R_T_1_TBR1
7669_R_T_1_COUPTF2
7669_R_mO_DLX1
7669_R_mO_TBR1
7669_R_mO_COUPTF2
7669_L_EC_DLX1
7669_L_EC_COUPTF2
7669_L_CCMid_DLX1
7669_R_CC_Mid_TBR1
7669_R_CCMid_COUPTF2
B
8−117647581−C−T
0
−2
−4
−3
−2
−1
0
0.8
0.6
0.4
0.2
0.0

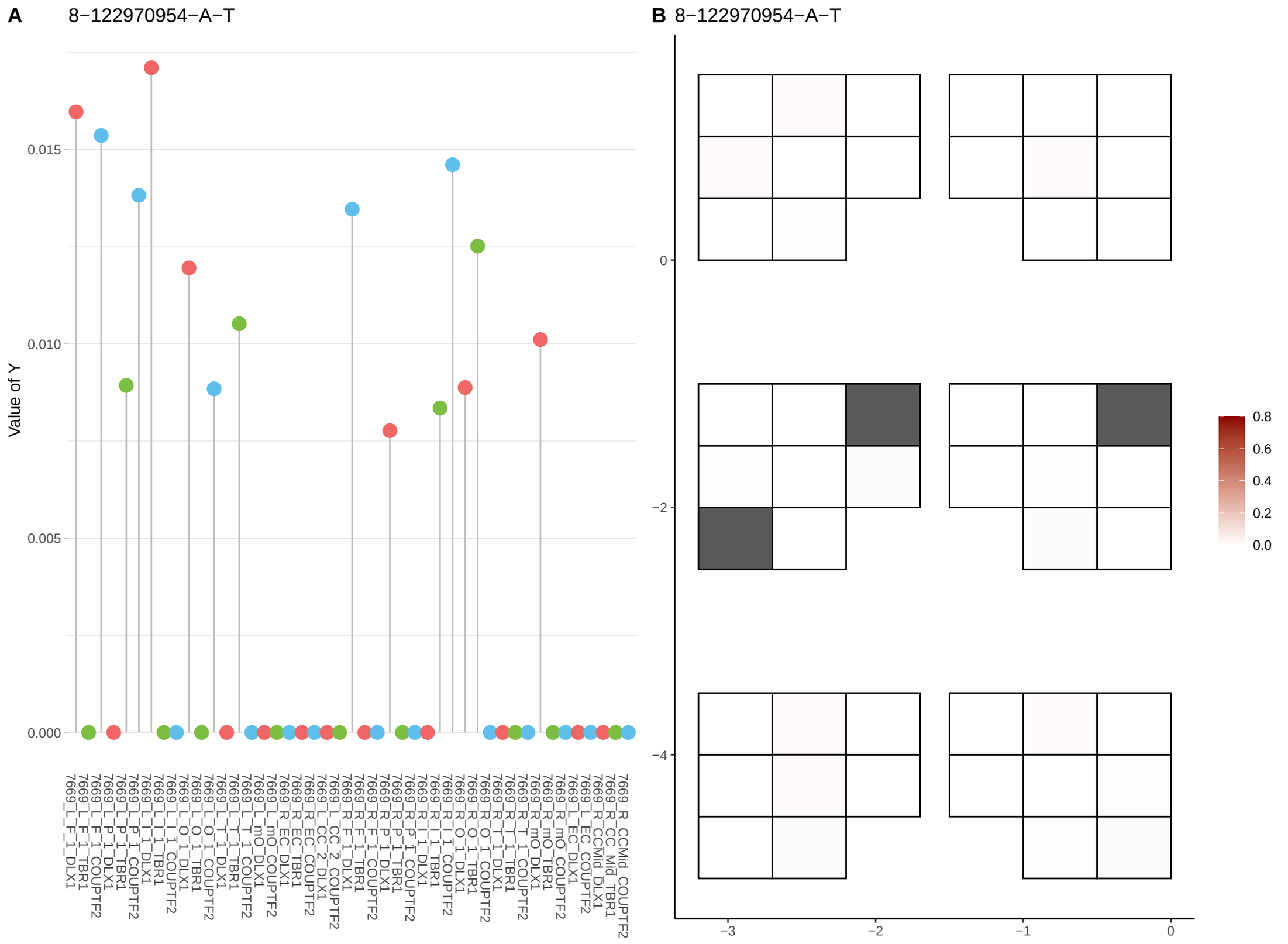
A
8−122970954−A−T
Value of Y
0.015
0.010
0.005
0.000
7669_L_F_1_DLX1
7669_L_F_1_TBR1
7669_L_F_1_COUPTF2
7669_L_P_1_DLX1
7669_L_P_1_TBR1
7669_L_P_1_COUPTF2
7669_L_I_1_DLX1
7669_L_I_1_TBR1
7669_L_I_1_COUPTF2
7669_L_O_1_DLX1
7669_L_O_1_TBR1
7669_L_O_1_COUPTF2
7669_L_T_1_DLX1
7669_L_T_1_TBR1
7669_L_T_1_COUPTF2
7669_L_mO_DLX1
7669_L_mO_COUPTF2
7669_R_EC_DLX1
7669_R_EC_TBR1
7669_R_EC_COUPTF2
7669_L_CC_2_DLX1
7669_L_CC_2_COUPTF2
7669_R_F_1_DLX1
7669_R_F_1_TBR1
7669_R_F_1_COUPTF2
7669_R_P_1_DLX1
7669_R_P_1_TBR1
7669_R_P_1_COUPTF2
7669_R_I_1_DLX1
7669_R_I_1_TBR1
7669_R_I_1_COUPTF2
7669_R_O_1_DLX1
7669_R_O_1_TBR1
7669_R_O_1_COUPTF2
7669_R_T_1_DLX1
7669_R_T_1_TBR1
7669_R_T_1_COUPTF2
7669_R_mO_DLX1
7669_R_mO_TBR1
7669_R_mO_COUPTF2
7669_L_EC_DLX1
7669_L_EC_COUPTF2
7669_R_CCMid_DLX1
7669_R_CC_Mid_TBR1
7669_R_CCMid_COUPTF2
B
8−122970954−A−T
0
−2
−4
−3
−2
−1
0
0.8
0.6
0.4
0.2
0.0

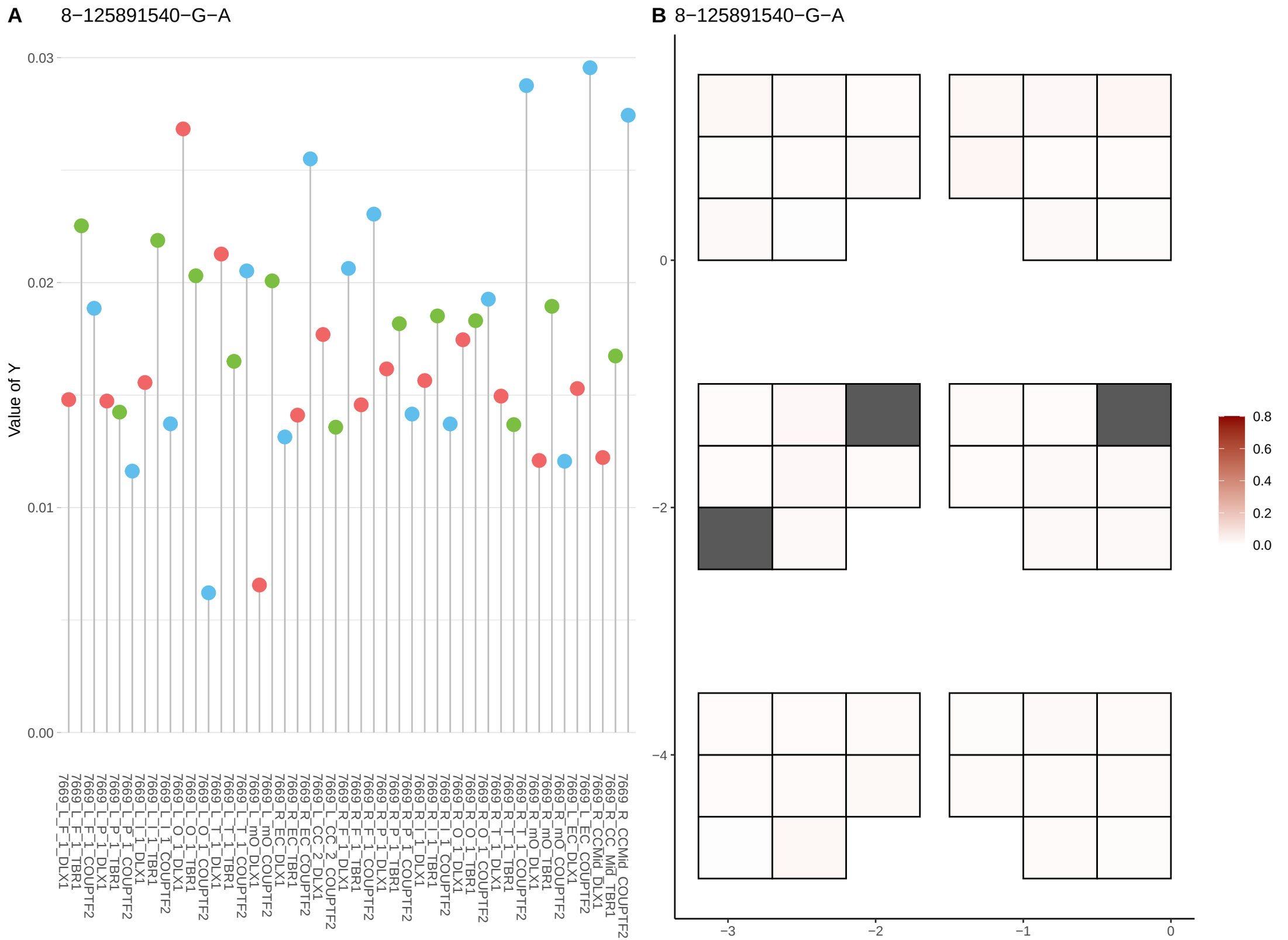
A
8−125891540−G−A
Value of Y
0.03
0.02
0.01
0.00
7669_L_F_1_DLX1
7669_L_F_1_TBR1
7669_L_F_1_COUPTF2
7669_L_P_1_DLX1
7669_L_P_1_TBR1
7669_L_P_1_COUPTF2
7669_L_I_1_DLX1
7669_L_I_1_TBR1
7669_L_I_1_COUPTF2
7669_L_O_1_DLX1
7669_L_O_1_TBR1
7669_L_O_1_COUPTF2
7669_L_T_1_DLX1
7669_L_T_1_TBR1
7669_L_T_1_COUPTF2
7669_L_mO_DLX1
7669_L_mO_COUPTF2
7669_R_EC_DLX1
7669_R_EC_TBR1
7669_R_EC_COUPTF2
7669_L_CC_2_DLX1
7669_L_CC_2_COUPTF2
7669_R_F_1_DLX1
7669_R_F_1_TBR1
7669_R_F_1_COUPTF2
7669_R_P_1_DLX1
7669_R_P_1_TBR1
7669_R_P_1_COUPTF2
7669_R_I_1_DLX1
7669_R_I_1_TBR1
7669_R_I_1_COUPTF2
7669_R_O_1_DLX1
7669_R_O_1_TBR1
7669_R_O_1_COUPTF2
7669_R_T_1_DLX1
7669_R_T_1_TBR1
7669_R_T_1_COUPTF2
7669_R_mO_DLX1
7669_R_mO_TBR1
7669_R_mO_COUPTF2
7669_L_EC_DLX1
7669_L_EC_COUPTF2
7669_R_CCMid_DLX1
7669_R_CC_Mid_TBR1
7669_R_CCMid_COUPTF2
B
8−125891540−G−A
0
−2
−4
−3
−2
−1
0
0.8
0.6
0.4
0.2
0.0

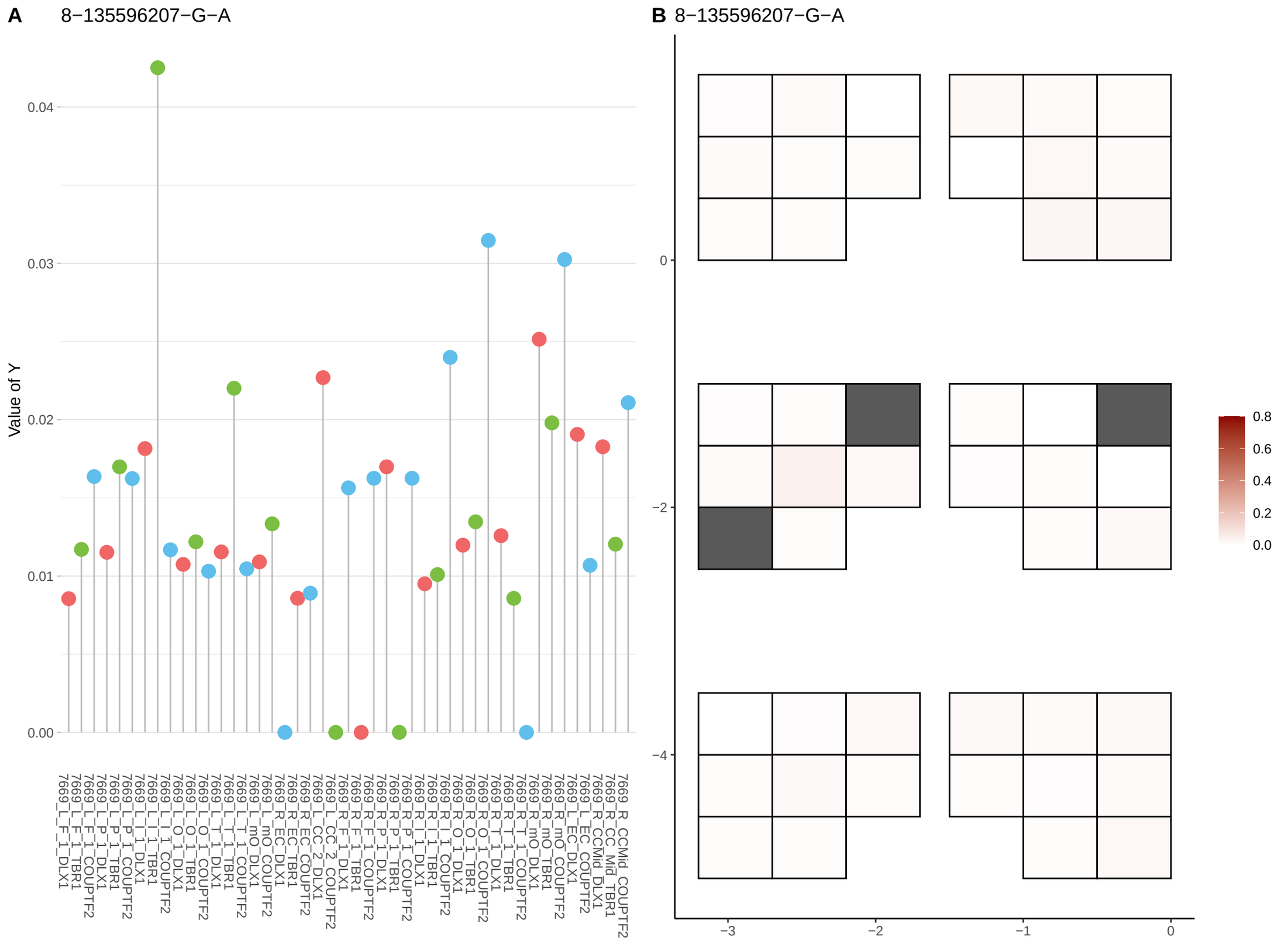
A
8−135596207−G−A
Value of Y
0.04
0.03
0.02
0.01
0.00
7669_L_F_1_DLX1
7669_L_F_1_TBR1
7669_L_F_1_COUPTF2
7669_L_P_1_DLX1
7669_L_P_1_TBR1
7669_L_P_1_COUPTF2
7669_L_I_1_DLX1
7669_L_I_1_TBR1
7669_L_I_1_COUPTF2
7669_L_O_1_DLX1
7669_L_O_1_TBR1
7669_L_O_1_COUPTF2
7669_L_T_1_DLX1
7669_L_T_1_TBR1
7669_L_T_1_COUPTF2
7669_L_mO_DLX1
7669_L_mO_COUPTF2
7669_R_EC_DLX1
7669_R_EC_TBR1
7669_R_EC_COUPTF2
7669_L_CC_2_DLX1
7669_L_CC_2_COUPTF2
7669_R_F_1_DLX1
7669_R_F_1_TBR1
7669_R_F_1_COUPTF2
7669_R_P_1_DLX1
7669_R_P_1_TBR1
7669_R_P_1_COUPTF2
7669_R_I_1_DLX1
7669_R_I_1_TBR1
7669_R_I_1_COUPTF2
7669_R_O_1_DLX1
7669_R_O_1_TBR1
7669_R_O_1_COUPTF2
7669_R_T_1_DLX1
7669_R_T_1_TBR1
7669_R_T_1_COUPTF2
7669_R_mO_DLX1
7669_R_mO_TBR1
7669_R_mO_COUPTF2
7669_L_EC_DLX1
7669_L_EC_COUPTF2
7669_R_CCMid_DLX1
7669_R_CC_Mid_TBR1
7669_R_CCMid_COUPTF2
B
8−135596207−G−A
0
−2
−4
−3
−2
−1
0
0.8
0.6
0.4
0.2
0.0

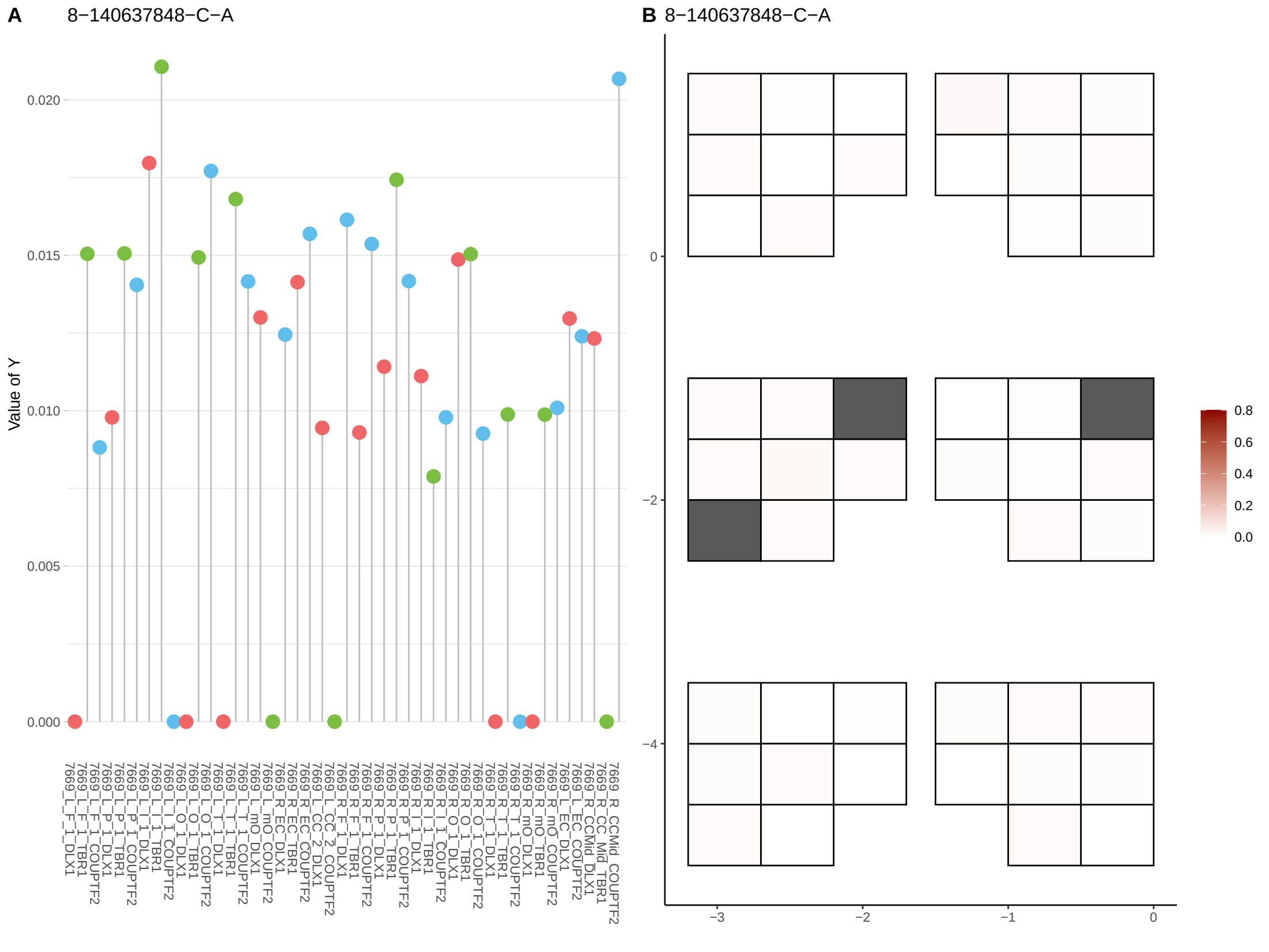
A
8−140637848−C−A
Value of Y
0.020
0.015
0.010
0.005
0.000
7669_L_F_1_DLX1
7669_L_F_1_TBR1
7669_L_F_1_COUPTF2
7669_L_P_1_DLX1
7669_L_P_1_TBR1
7669_L_P_1_COUPTF2
7669_L_I_1_DLX1
7669_L_I_1_TBR1
7669_L_I_1_COUPTF2
7669_L_O_1_DLX1
7669_L_O_1_TBR1
7669_L_O_1_COUPTF2
7669_L_T_1_DLX1
7669_L_T_1_TBR1
7669_L_T_1_COUPTF2
7669_L_mO_DLX1
7669_L_mO_COUPTF2
7669_R_EC_DLX1
7669_R_EC_TBR1
7669_R_EC_COUPTF2
7669_L_CC_2_DLX1
7669_L_CC_2_COUPTF2
7669_R_F_1_DLX1
7669_R_F_1_TBR1
7669_R_F_1_COUPTF2
7669_R_P_1_DLX1
7669_R_P_1_TBR1
7669_R_P_1_COUPTF2
7669_R_I_1_DLX1
7669_R_I_1_TBR1
7669_R_I_1_COUPTF2
7669_R_O_1_DLX1
7669_R_O_1_TBR1
7669_R_O_1_COUPTF2
7669_R_T_1_DLX1
7669_R_T_1_TBR1
7669_R_T_1_COUPTF2
7669_R_mO_DLX1
7669_R_mO_TBR1
7669_R_mO_COUPTF2
7669_L_EC_DLX1
7669_L_EC_COUPTF2
7669_R_CCMid_DLX1
7669_R_CC_Mid_TBR1
7669_R_CCMid_COUPTF2
B
8−140637848−C−A
0
−2
−4
−3
−2
−1
0
0.8
0.6
0.4
0.2
0.0

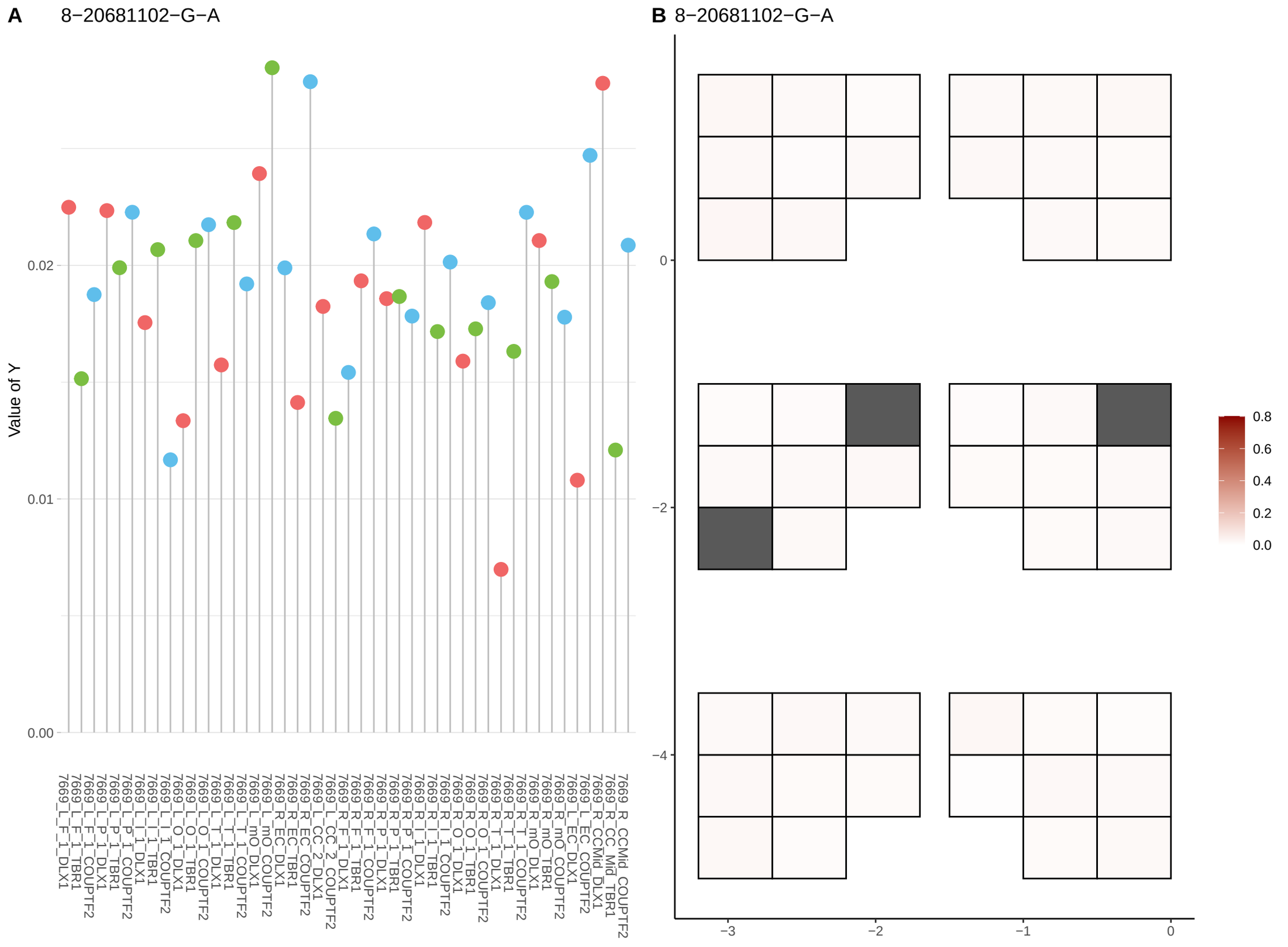
A
8−20681102−G−A
Value of Y
0.02
0.01
0.00
7669_L_F_1_DLX1
7669_L_F_1_TBR1
7669_L_F_1_COUPTF2
7669_L_P_1_DLX1
7669_L_P_1_TBR1
7669_L_P_1_COUPTF2
7669_L_I_1_DLX1
7669_L_I_1_TBR1
7669_L_I_1_COUPTF2
7669_L_O_1_DLX1
7669_L_O_1_TBR1
7669_L_O_1_COUPTF2
7669_L_T_1_DLX1
7669_L_T_1_TBR1
7669_L_T_1_COUPTF2
7669_L_mO_DLX1
7669_L_mO_COUPTF2
7669_R_EC_DLX1
7669_R_EC_TBR1
7669_R_EC_COUPTF2
7669_L_CC_2_DLX1
7669_L_CC_2_COUPTF2
7669_R_F_1_DLX1
7669_R_F_1_TBR1
7669_R_F_1_COUPTF2
7669_R_P_1_DLX1
7669_R_P_1_TBR1
7669_R_P_1_COUPTF2
7669_R_I_1_DLX1
7669_R_I_1_TBR1
7669_R_I_1_COUPTF2
7669_R_O_1_DLX1
7669_R_O_1_TBR1
7669_R_O_1_COUPTF2
7669_R_T_1_DLX1
7669_R_T_1_TBR1
7669_R_T_1_COUPTF2
7669_R_mO_DLX1
7669_R_mO_TBR1
7669_R_mO_COUPTF2
7669_L_EC_DLX1
7669_L_EC_COUPTF2
7669_R_CCMid_DLX1
7669_R_CC_Mid_TBR1
7669_R_CCMid_COUPTF2
B
8−20681102−G−A
0
−2
−4
−3
−2
−1
0
0.8
0.6
0.4
0.2
0.0

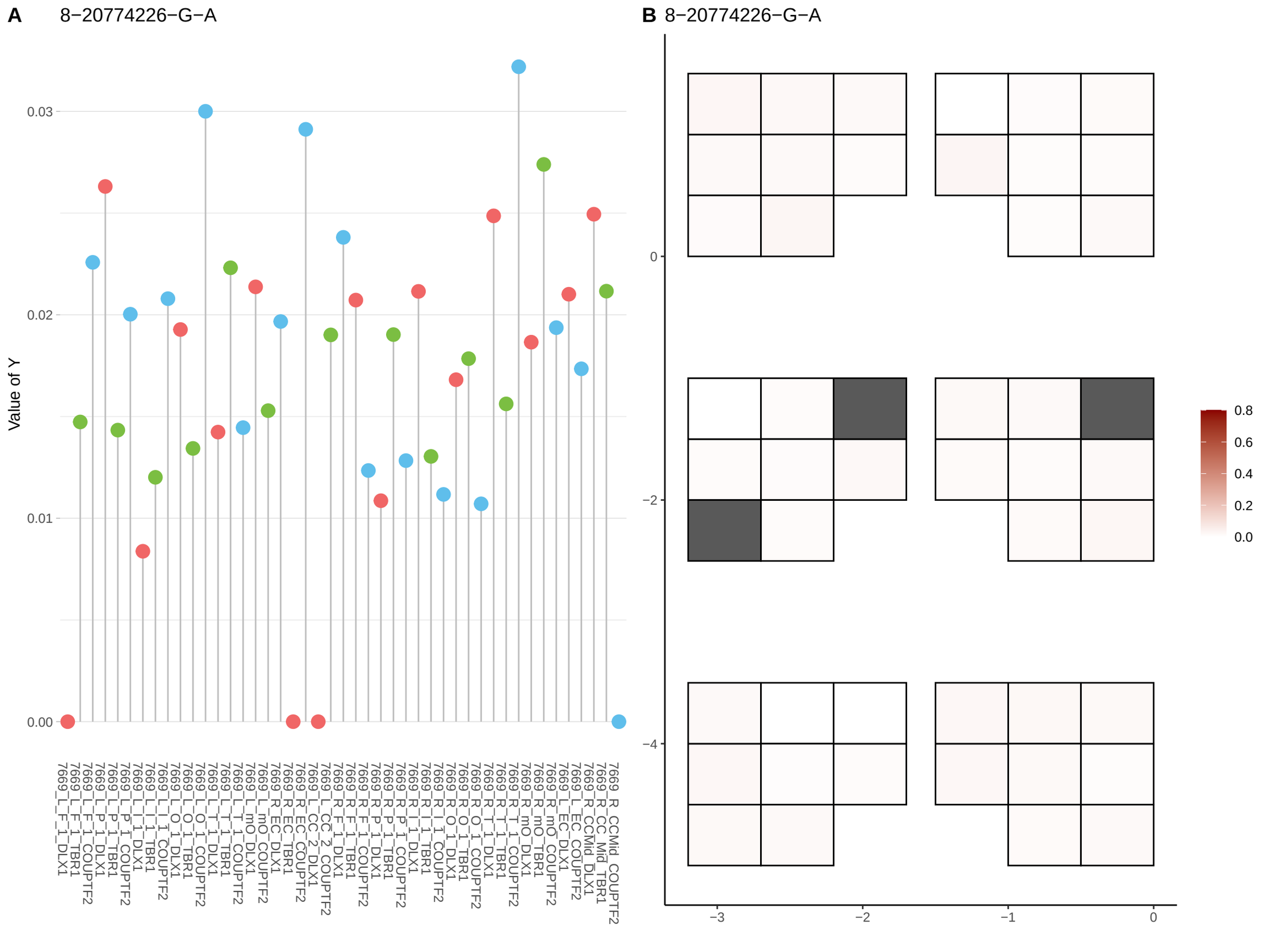
A
8−20774226−G−A
Value of Y
0.03
0.02
0.01
0.00
7669_L_F_1_DLX1
7669_L_F_1_TBR1
7669_L_F_1_COUPTF2
7669_L_P_1_DLX1
7669_L_P_1_TBR1
7669_L_P_1_COUPTF2
7669_L_I_1_DLX1
7669_L_I_1_TBR1
7669_L_I_1_COUPTF2
7669_L_O_1_DLX1
7669_L_O_1_TBR1
7669_L_O_1_COUPTF2
7669_L_T_1_DLX1
7669_L_T_1_TBR1
7669_L_T_1_COUPTF2
7669_L_mO_DLX1
7669_L_mO_COUPTF2
7669_R_EC_DLX1
7669_R_EC_TBR1
7669_R_EC_COUPTF2
7669_L_CC_2_DLX1
7669_L_CC_2_COUPTF2
7669_R_F_1_DLX1
7669_R_F_1_TBR1
7669_R_F_1_COUPTF2
7669_R_P_1_DLX1
7669_R_P_1_TBR1
7669_R_P_1_COUPTF2
7669_R_I_1_DLX1
7669_R_I_1_TBR1
7669_R_I_1_COUPTF2
7669_R_O_1_DLX1
7669_R_O_1_TBR1
7669_R_O_1_COUPTF2
7669_R_T_1_DLX1
7669_R_T_1_TBR1
7669_R_T_1_COUPTF2
7669_R_mO_DLX1
7669_R_mO_TBR1
7669_R_mO_COUPTF2
7669_L_EC_DLX1
7669_L_EC_COUPTF2
7669_R_CCMid_DLX1
7669_R_CC_Mid_TBR1
7669_R_CCMid_COUPTF2
B
8−20774226−G−A
0
−2
−4
−3
−2
−1
0
0.8
0.6
0.4
0.2
0.0

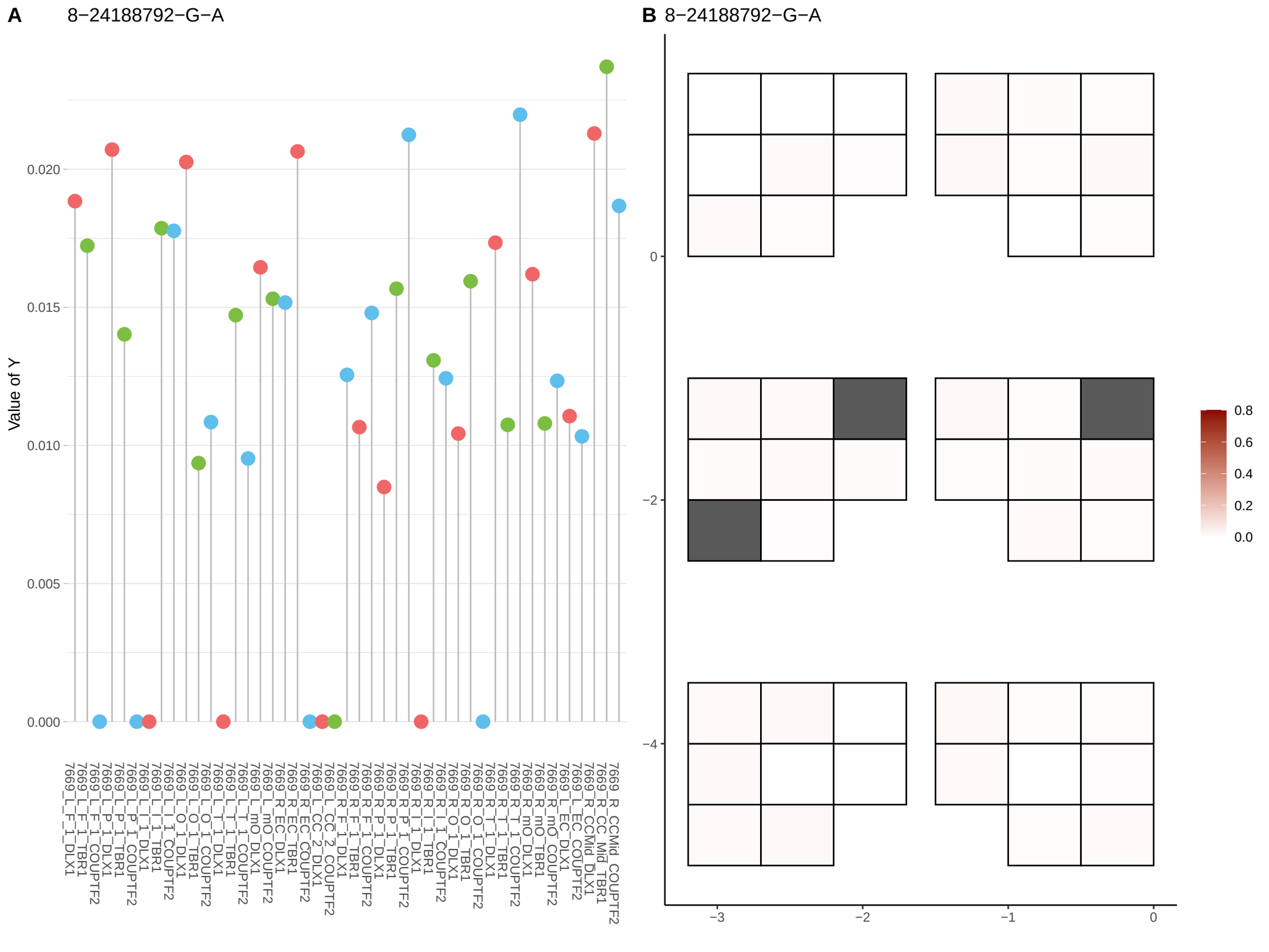
A
8−24188792−G−A
Value of Y
0.020
0.015
0.010
0.005
0.000
7669_L_F_1_DLX1
7669_L_F_1_TBR1
7669_L_F_1_COUPTF2
7669_L_P_1_DLX1
7669_L_P_1_TBR1
7669_L_P_1_COUPTF2
7669_L_I_1_DLX1
7669_L_I_1_TBR1
7669_L_I_1_COUPTF2
7669_L_O_1_DLX1
7669_L_O_1_TBR1
7669_L_O_1_COUPTF2
7669_L_T_1_DLX1
7669_L_T_1_TBR1
7669_L_T_1_COUPTF2
7669_L_mO_DLX1
7669_L_mO_COUPTF2
7669_R_EC_DLX1
7669_R_EC_TBR1
7669_R_EC_COUPTF2
7669_L_CC_2_DLX1
7669_L_CC_2_COUPTF2
7669_R_F_1_DLX1
7669_R_F_1_TBR1
7669_R_F_1_COUPTF2
7669_R_P_1_DLX1
7669_R_P_1_TBR1
7669_R_P_1_COUPTF2
7669_R_I_1_DLX1
7669_R_I_1_TBR1
7669_R_I_1_COUPTF2
7669_R_O_1_DLX1
7669_R_O_1_TBR1
7669_R_O_1_COUPTF2
7669_R_T_1_DLX1
7669_R_T_1_TBR1
7669_R_T_1_COUPTF2
7669_R_mO_DLX1
7669_R_mO_TBR1
7669_R_mO_COUPTF2
7669_L_EC_DLX1
7669_L_EC_COUPTF2
7669_R_CC_Mid_DLX1
7669_R_CC_Mid_TBR1
7669_R_CC_Mid_COUPTF2
B
8−24188792−G−A
0
−2
−4
−3
−2
−1
0
0.8
0.6
0.4
0.2
0.0

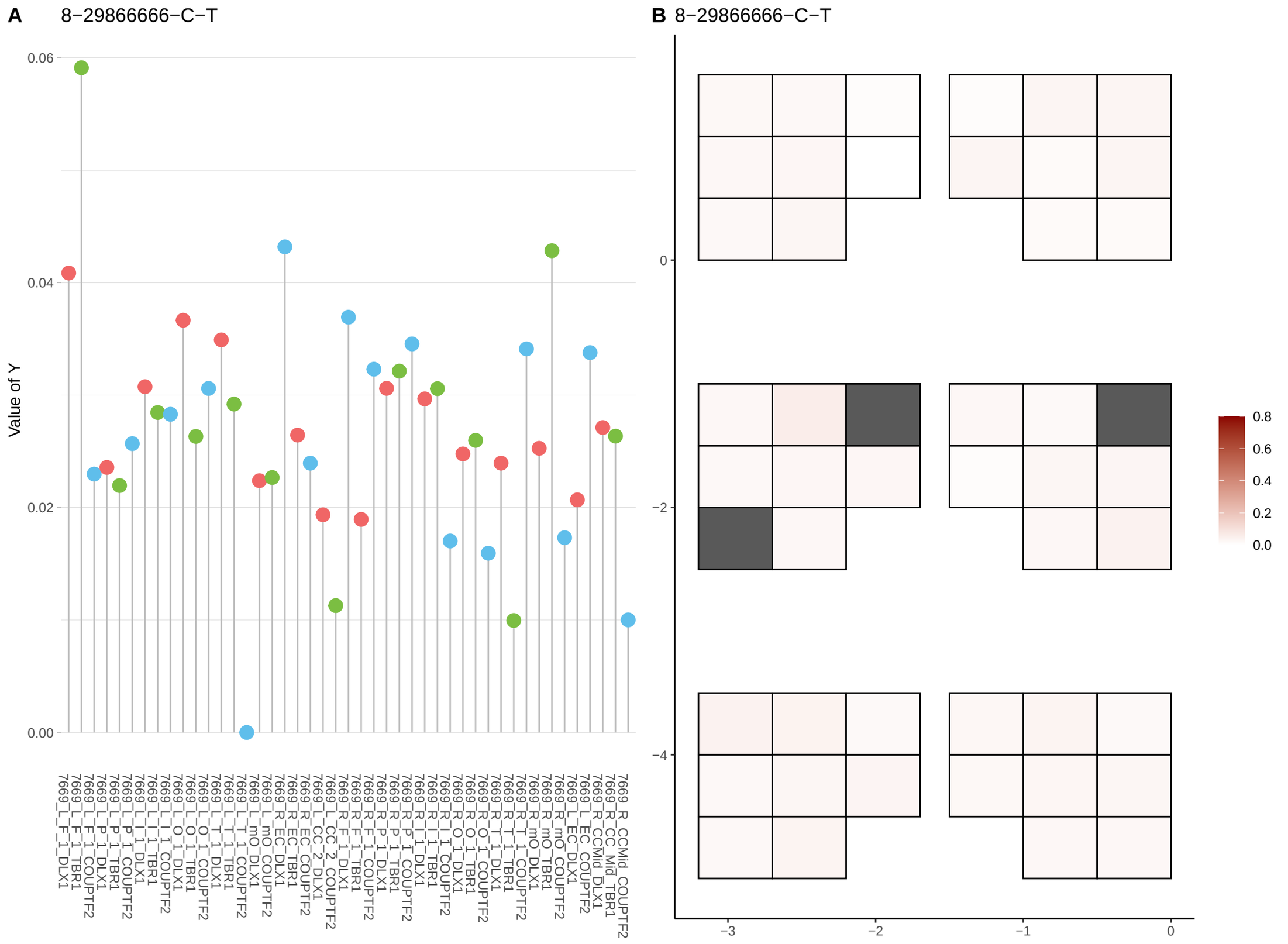
A
8−29866666−C−T
Value of Y
0.06
0.04
0.02
0.00
7669_L_F_1_DLX1
7669_L_F_1_TBR1
7669_L_F_1_COUPTF2
7669_L_P_1_DLX1
7669_L_P_1_TBR1
7669_L_P_1_COUPTF2
7669_L_I_1_DLX1
7669_L_I_1_TBR1
7669_L_I_1_COUPTF2
7669_L_O_1_DLX1
7669_L_O_1_TBR1
7669_L_O_1_COUPTF2
7669_L_T_1_DLX1
7669_L_T_1_TBR1
7669_L_T_1_COUPTF2
7669_L_mO_DLX1
7669_L_mO_COUPTF2
7669_R_EC_DLX1
7669_R_EC_TBR1
7669_R_EC_COUPTF2
7669_L_CC_2_DLX1
7669_L_CC_2_COUPTF2
7669_R_F_1_DLX1
7669_R_F_1_TBR1
7669_R_F_1_COUPTF2
7669_R_P_1_DLX1
7669_R_P_1_TBR1
7669_R_P_1_COUPTF2
7669_R_I_1_DLX1
7669_R_I_1_TBR1
7669_R_I_1_COUPTF2
7669_R_O_1_DLX1
7669_R_O_1_TBR1
7669_R_O_1_COUPTF2
7669_R_T_1_DLX1
7669_R_T_1_TBR1
7669_R_T_1_COUPTF2
7669_R_mO_DLX1
7669_R_mO_TBR1
7669_R_mO_COUPTF2
7669_L_EC_DLX1
7669_L_EC_COUPTF2
7669_R_CCMid_DLX1
7669_R_CC_Mid_TBR1
7669_R_CCMid_COUPTF2
B
8−29866666−C−T
0
−2
−4
−3
−2
−1
0
0.8
0.6
0.4
0.2
0.0

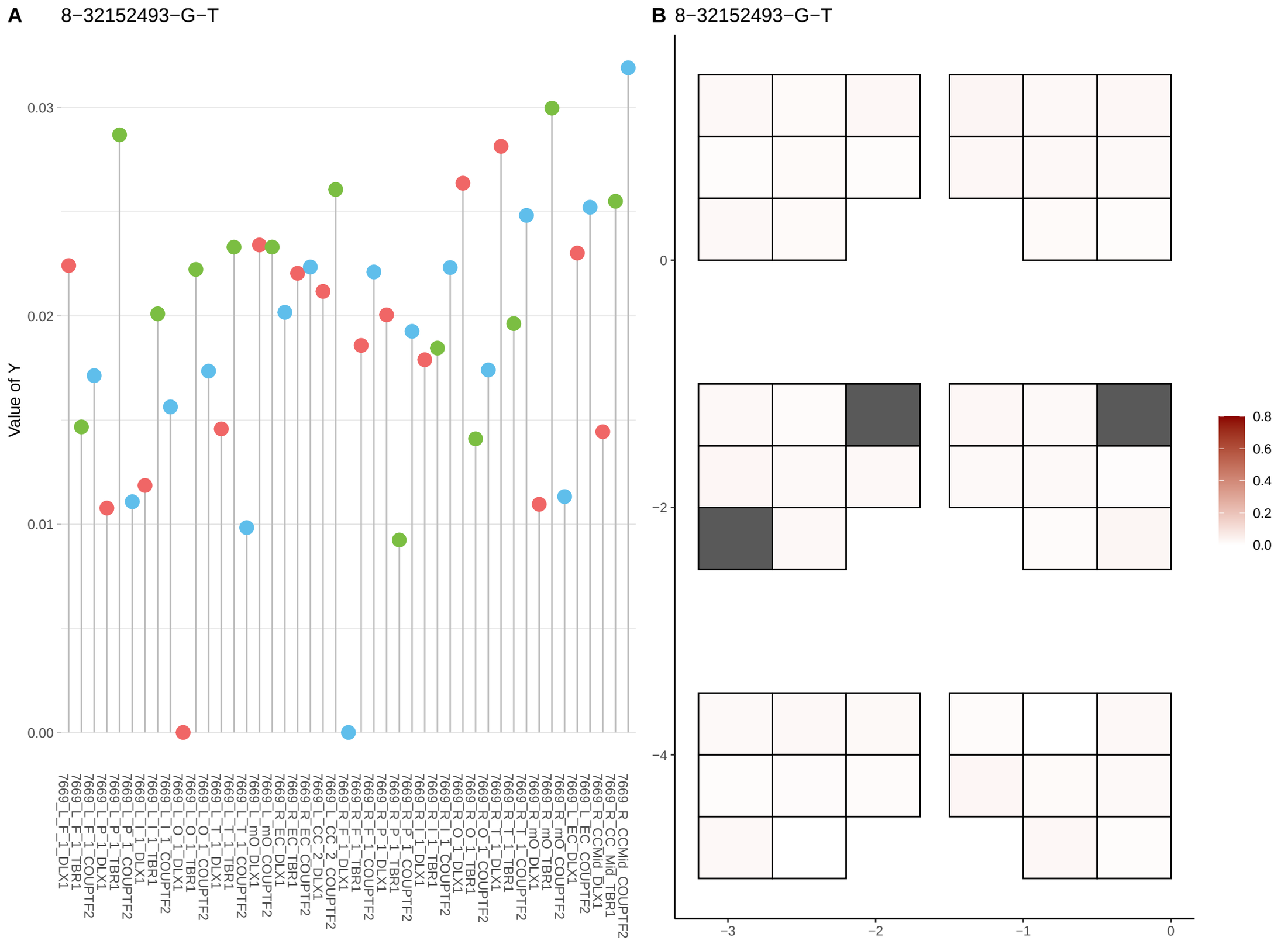
A
8−32152493−G−T
Value of Y
0.03
0.02
0.01
0.00
7669_L_F_1_DLX1
7669_L_F_1_TBR1
7669_L_F_1_COUPTF2
7669_L_P_1_DLX1
7669_L_P_1_TBR1
7669_L_P_1_COUPTF2
7669_L_I_1_DLX1
7669_L_I_1_TBR1
7669_L_I_1_COUPTF2
7669_L_O_1_DLX1
7669_L_O_1_TBR1
7669_L_O_1_COUPTF2
7669_L_T_1_DLX1
7669_L_T_1_TBR1
7669_L_T_1_COUPTF2
7669_L_mO_DLX1
7669_L_mO_COUPTF2
7669_R_EC_DLX1
7669_R_EC_TBR1
7669_R_EC_COUPTF2
7669_L_CC_2_DLX1
7669_L_CC_2_COUPTF2
7669_R_F_1_DLX1
7669_R_F_1_TBR1
7669_R_F_1_COUPTF2
7669_R_P_1_DLX1
7669_R_P_1_TBR1
7669_R_P_1_COUPTF2
7669_R_I_1_DLX1
7669_R_I_1_TBR1
7669_R_I_1_COUPTF2
7669_R_O_1_DLX1
7669_R_O_1_TBR1
7669_R_O_1_COUPTF2
7669_R_T_1_DLX1
7669_R_T_1_TBR1
7669_R_T_1_COUPTF2
7669_R_mO_DLX1
7669_R_mO_TBR1
7669_R_mO_COUPTF2
7669_L_EC_DLX1
7669_L_EC_COUPTF2
7669_R_CCMid_DLX1
7669_R_CC_Mid_TBR1
7669_R_CCMid_COUPTF2
B
8−32152493−G−T
0
−2
−4
−3
−2
−1
0
0.8
0.6
0.4
0.2
0.0

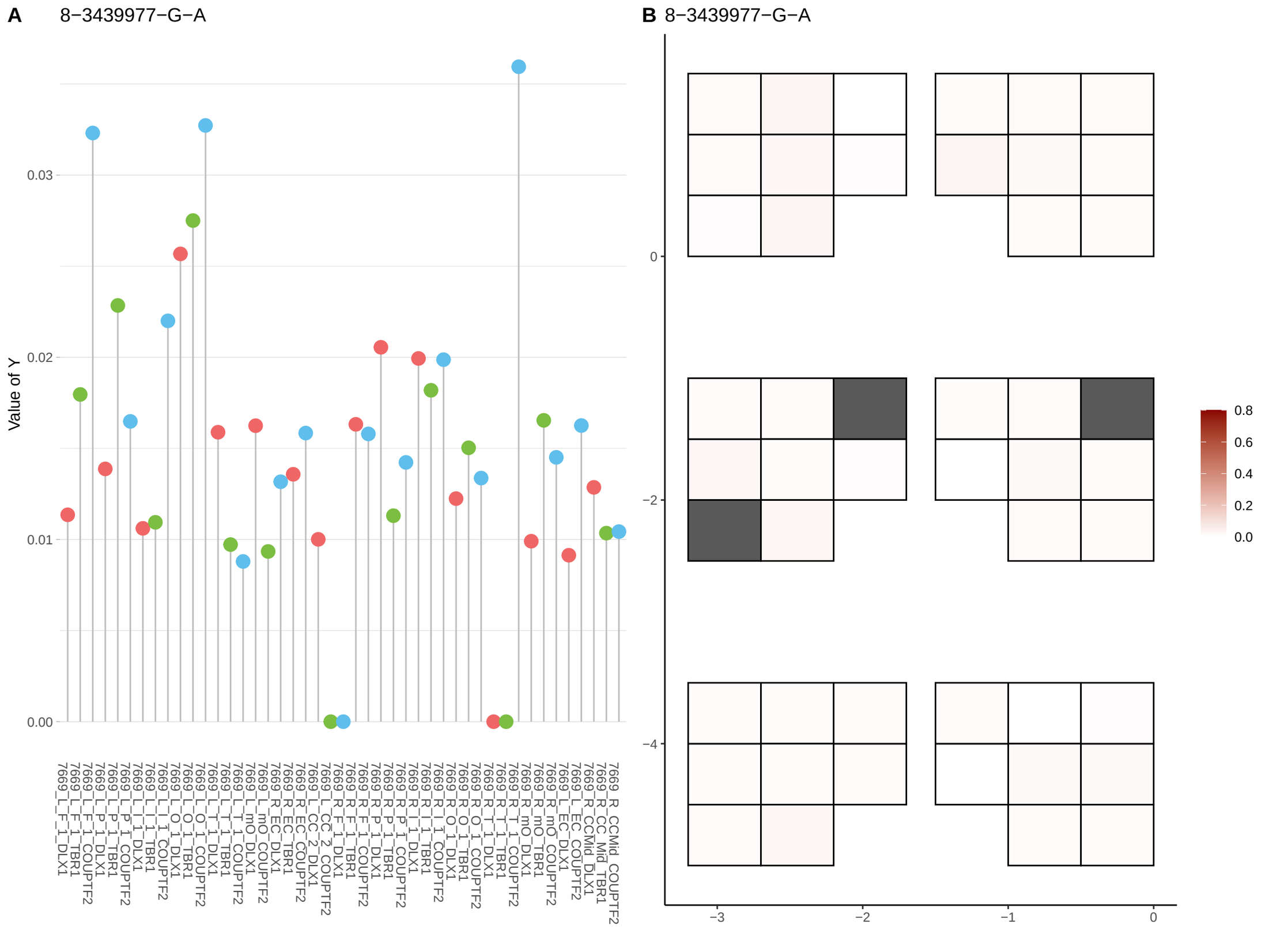
A
8−3439977−G−A
Value of Y
0.03
0.02
0.01
0.00
7669_L_F_1_DLX1
7669_L_F_1_TBR1
7669_L_F_1_COUPTF2
7669_L_P_1_DLX1
7669_L_P_1_TBR1
7669_L_P_1_COUPTF2
7669_L_I_1_DLX1
7669_L_I_1_TBR1
7669_L_I_1_COUPTF2
7669_L_O_1_DLX1
7669_L_O_1_TBR1
7669_L_O_1_COUPTF2
7669_L_T_1_DLX1
7669_L_T_1_TBR1
7669_L_T_1_COUPTF2
7669_L_mO_DLX1
7669_L_mO_COUPTF2
7669_R_EC_DLX1
7669_R_EC_TBR1
7669_R_EC_COUPTF2
7669_L_CC_2_DLX1
7669_L_CC_2_COUPTF2
7669_R_F_1_DLX1
7669_R_F_1_TBR1
7669_R_F_1_COUPTF2
7669_R_P_1_DLX1
7669_R_P_1_TBR1
7669_R_P_1_COUPTF2
7669_R_I_1_DLX1
7669_R_I_1_TBR1
7669_R_I_1_COUPTF2
7669_R_O_1_DLX1
7669_R_O_1_TBR1
7669_R_O_1_COUPTF2
7669_R_T_1_DLX1
7669_R_T_1_TBR1
7669_R_T_1_COUPTF2
7669_R_mO_DLX1
7669_R_mO_TBR1
7669_R_mO_COUPTF2
7669_L_EC_DLX1
7669_L_EC_COUPTF2
7669_R_CCMid_DLX1
7669_R_CC_Mid_TBR1
7669_R_CCMid_COUPTF2
B
8−3439977−G−A
0
−2
−4
−3
−2
−1
0
0.8
0.6
0.4
0.2
0.0

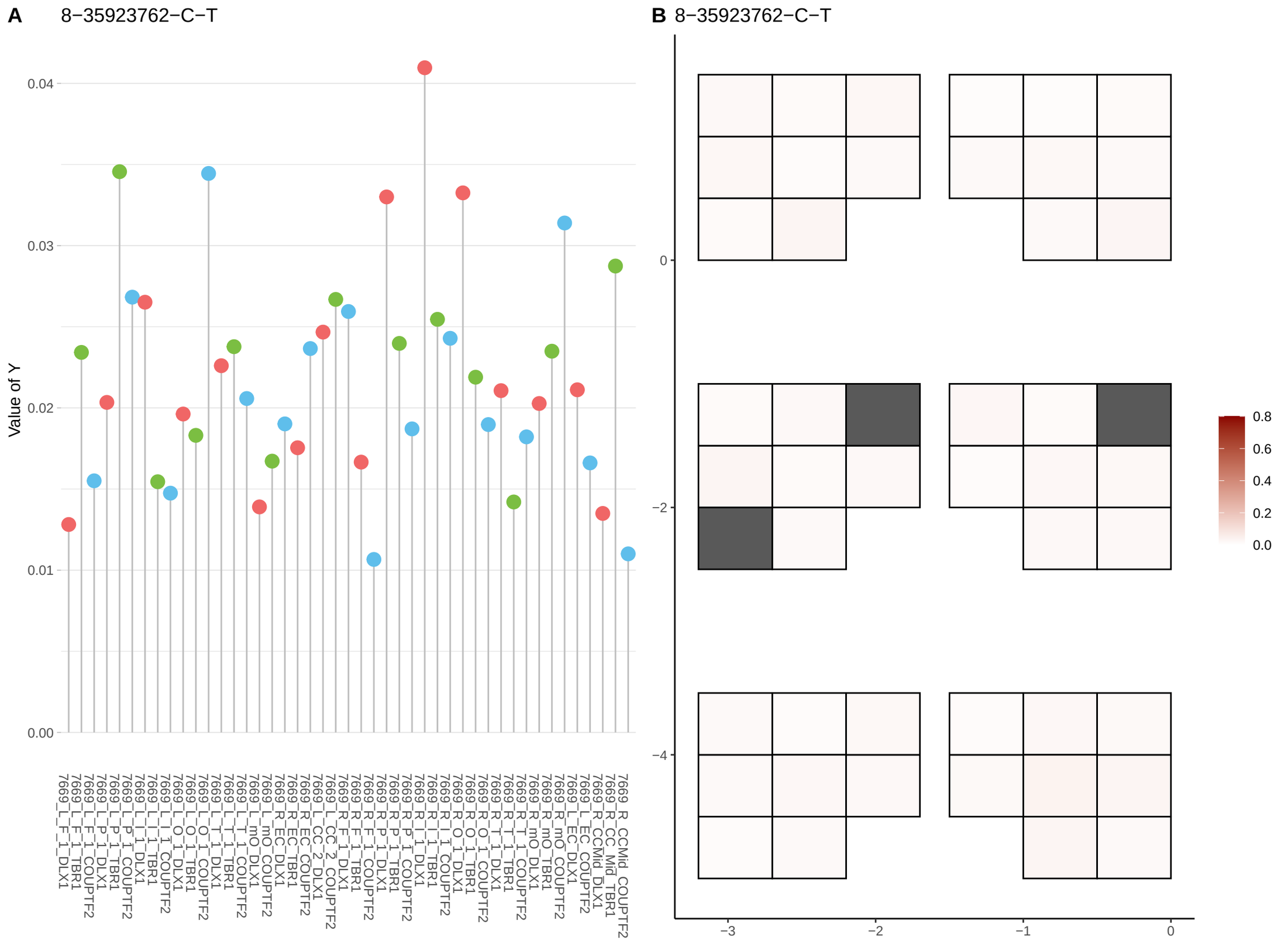
A
8−35923762−C−T
Value of Y
0.04
0.03
0.02
0.01
0.00
7669_L_F_1_DLX1
7669_L_F_1_TBR1
7669_L_F_1_COUPTF2
7669_L_P_1_DLX1
7669_L_P_1_TBR1
7669_L_P_1_COUPTF2
7669_L_I_1_DLX1
7669_L_I_1_TBR1
7669_L_I_1_COUPTF2
7669_L_O_1_DLX1
7669_L_O_1_TBR1
7669_L_O_1_COUPTF2
7669_L_T_1_DLX1
7669_L_T_1_TBR1
7669_L_T_1_COUPTF2
7669_L_mO_DLX1
7669_L_mO_COUPTF2
7669_R_EC_DLX1
7669_R_EC_TBR1
7669_R_EC_COUPTF2
7669_L_CC_2_DLX1
7669_L_CC_2_COUPTF2
7669_R_F_1_DLX1
7669_R_F_1_TBR1
7669_R_F_1_COUPTF2
7669_R_P_1_DLX1
7669_R_P_1_TBR1
7669_R_P_1_COUPTF2
7669_R_I_1_DLX1
7669_R_I_1_TBR1
7669_R_I_1_COUPTF2
7669_R_O_1_DLX1
7669_R_O_1_TBR1
7669_R_O_1_COUPTF2
7669_R_T_1_DLX1
7669_R_T_1_TBR1
7669_R_T_1_COUPTF2
7669_R_mO_DLX1
7669_R_mO_TBR1
7669_R_mO_COUPTF2
7669_L_EC_DLX1
7669_L_EC_COUPTF2
7669_R_CCMid_DLX1
7669_R_CC_Mid_TBR1
7669_R_CCMid_COUPTF2
B
8−35923762−C−T
0
−2
−4
−3
−2
−1
0
0.8
0.6
0.4
0.2
0.0

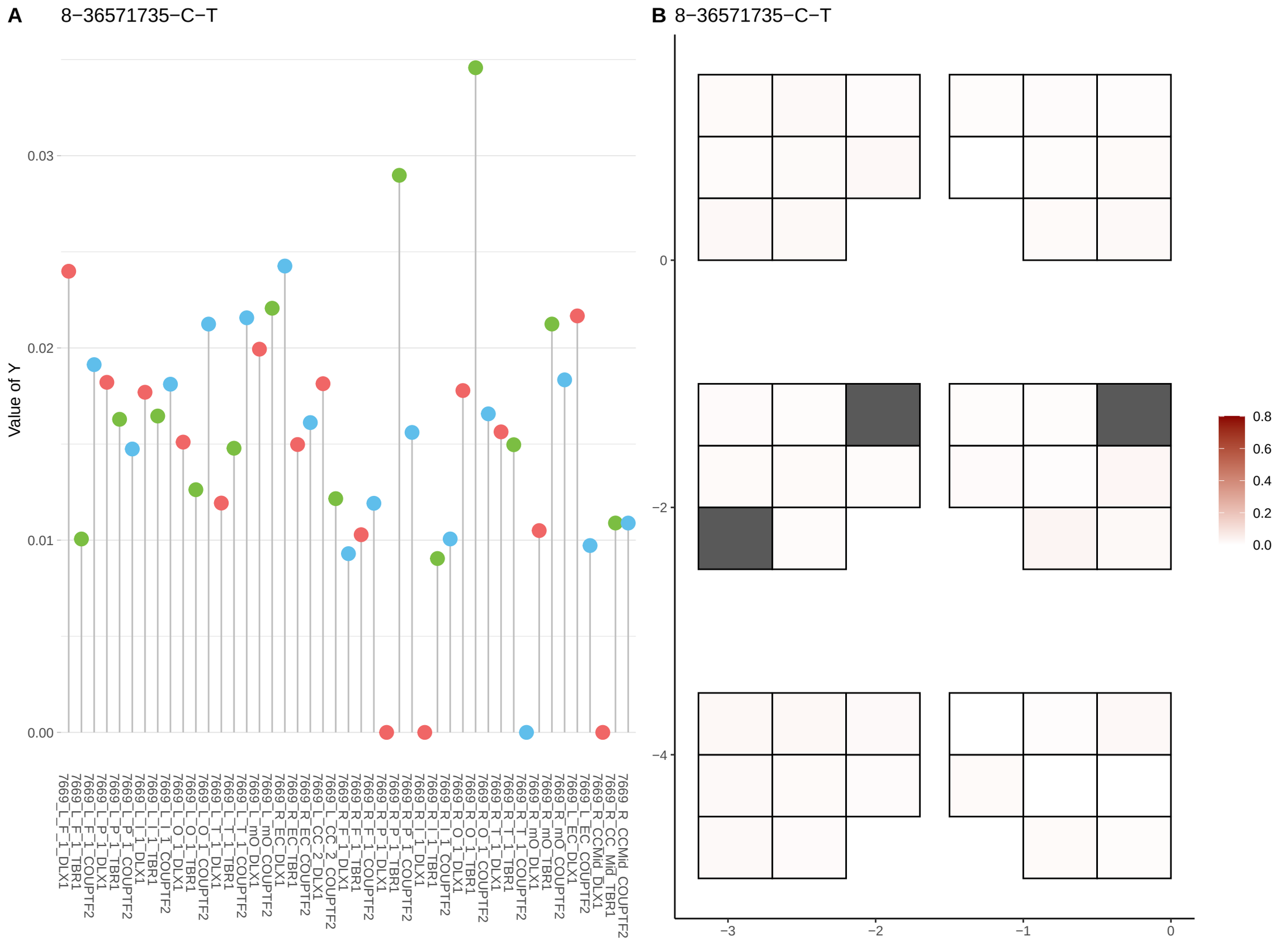
A
8−36571735−C−T
Value of Y
0.03
0.02
0.01
0.00
7669_L_F_1_DLX1
7669_L_F_1_TBR1
7669_L_F_1_COUPTF2
7669_L_P_1_DLX1
7669_L_P_1_TBR1
7669_L_P_1_COUPTF2
7669_L_I_1_DLX1
7669_L_I_1_TBR1
7669_L_I_1_COUPTF2
7669_L_O_1_DLX1
7669_L_O_1_TBR1
7669_L_O_1_COUPTF2
7669_L_T_1_DLX1
7669_L_T_1_TBR1
7669_L_T_1_COUPTF2
7669_L_mO_DLX1
7669_L_mO_COUPTF2
7669_R_EC_DLX1
7669_R_EC_TBR1
7669_R_EC_COUPTF2
7669_L_CC_2_DLX1
7669_L_CC_2_COUPTF2
7669_R_F_1_DLX1
7669_R_F_1_TBR1
7669_R_F_1_COUPTF2
7669_R_P_1_DLX1
7669_R_P_1_TBR1
7669_R_P_1_COUPTF2
7669_R_I_1_DLX1
7669_R_I_1_TBR1
7669_R_I_1_COUPTF2
7669_R_O_1_DLX1
7669_R_O_1_TBR1
7669_R_O_1_COUPTF2
7669_R_T_1_DLX1
7669_R_T_1_TBR1
7669_R_T_1_COUPTF2
7669_R_mO_DLX1
7669_R_mO_TBR1
7669_R_mO_COUPTF2
7669_L_EC_DLX1
7669_L_EC_COUPTF2
7669_R_CCMid_DLX1
7669_R_CC_Mid_TBR1
7669_R_CCMid_COUPTF2
B
8−36571735−C−T
0
−2
−4
−3
−2
−1
0
0.8
0.6
0.4
0.2
0.0

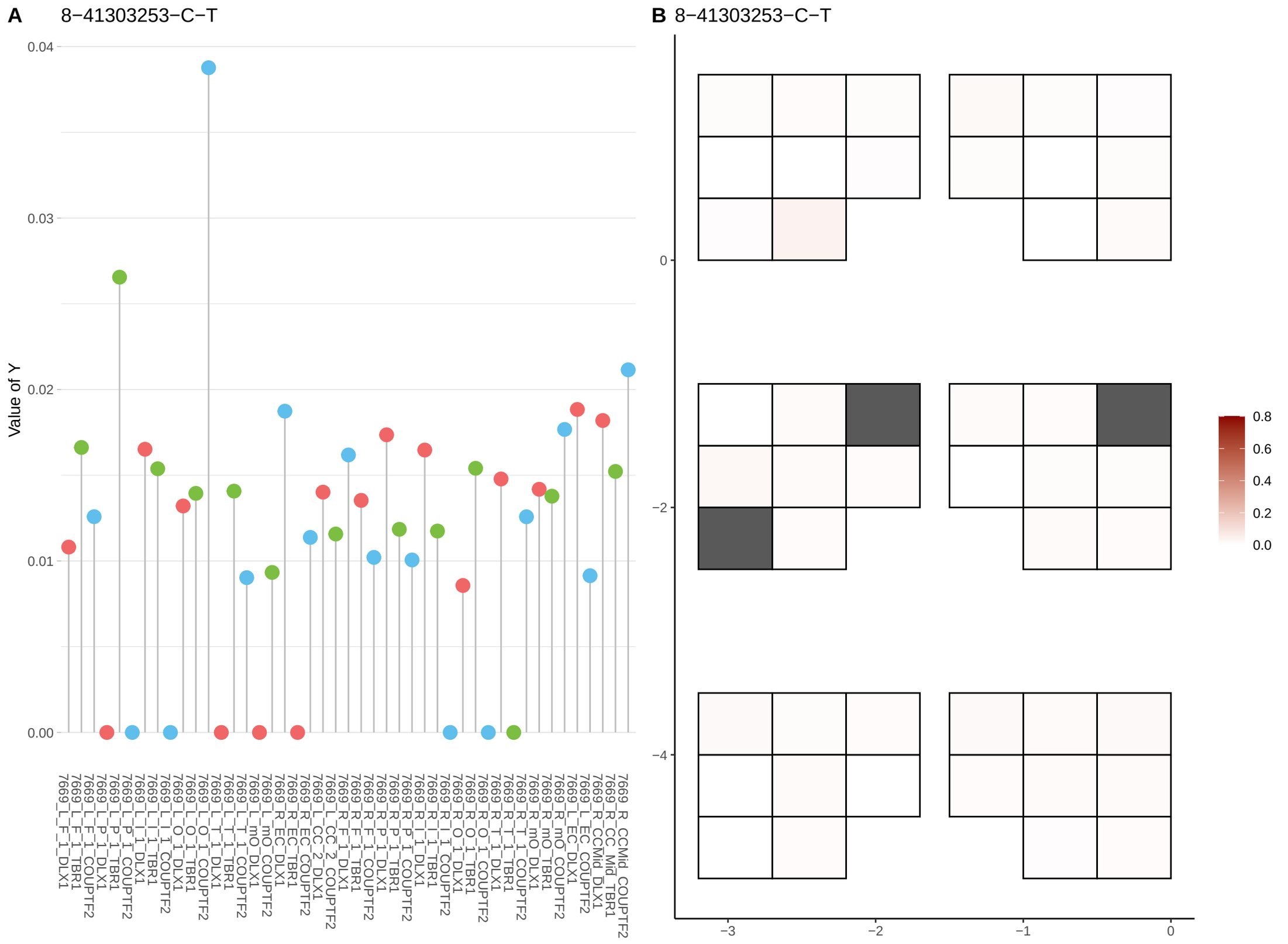
A
8−41303253−C−T
Value of Y
0.04
0.03
0.02
0.01
0.00
7669_L_F_1_DLX1
7669_L_F_1_TBR1
7669_L_F_1_COUPTF2
7669_L_P_1_DLX1
7669_L_P_1_TBR1
7669_L_P_1_COUPTF2
7669_L_I_1_DLX1
7669_L_I_1_TBR1
7669_L_I_1_COUPTF2
7669_L_O_1_DLX1
7669_L_O_1_TBR1
7669_L_O_1_COUPTF2
7669_L_T_1_DLX1
7669_L_T_1_TBR1
7669_L_T_1_COUPTF2
7669_L_mO_DLX1
7669_L_mO_COUPTF2
7669_R_EC_DLX1
7669_R_EC_TBR1
7669_R_EC_COUPTF2
7669_L_CC_2_DLX1
7669_L_CC_2_COUPTF2
7669_R_F_1_DLX1
7669_R_F_1_TBR1
7669_R_F_1_COUPTF2
7669_R_P_1_DLX1
7669_R_P_1_TBR1
7669_R_P_1_COUPTF2
7669_R_I_1_DLX1
7669_R_I_1_TBR1
7669_R_I_1_COUPTF2
7669_R_O_1_DLX1
7669_R_O_1_TBR1
7669_R_O_1_COUPTF2
7669_R_T_1_DLX1
7669_R_T_1_TBR1
7669_R_T_1_COUPTF2
7669_R_mO_DLX1
7669_R_mO_TBR1
7669_R_mO_COUPTF2
7669_L_EC_DLX1
7669_L_EC_COUPTF2
7669_R_CCMid_DLX1
7669_R_CC_Mid_TBR1
7669_R_CCMid_COUPTF2
B
8−41303253−C−T
0
−2
−4
−3
−2
−1
0
0.8
0.6
0.4
0.2
0.0

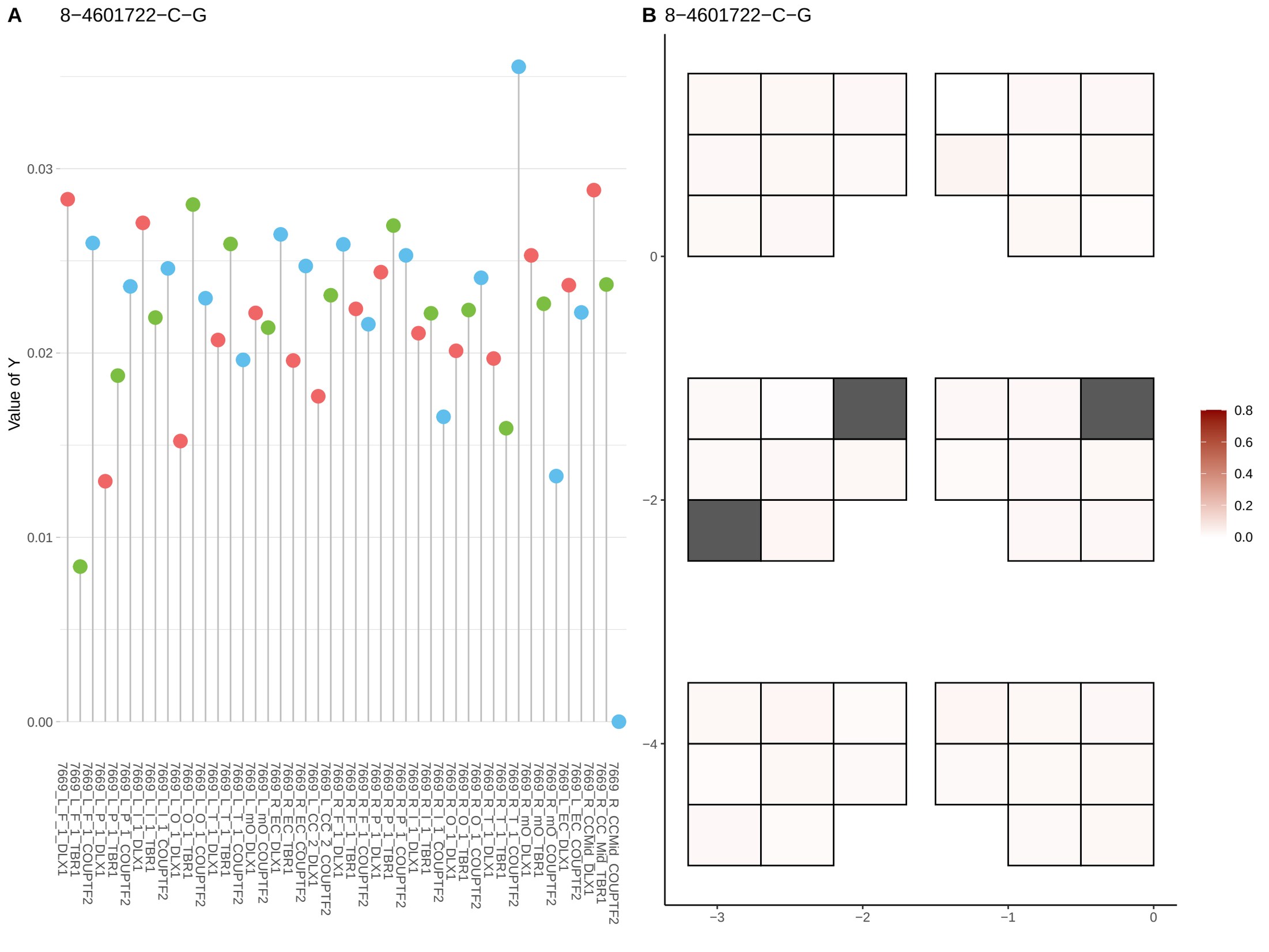
A
8−4601722−C−G
Value of Y
0.03
0.02
0.01
0.00
7669_L_F_1_DLX1
7669_L_F_1_TBR1
7669_L_F_1_COUPTF2
7669_L_P_1_DLX1
7669_L_P_1_TBR1
7669_L_P_1_COUPTF2
7669_L_I_1_DLX1
7669_L_I_1_TBR1
7669_L_I_1_COUPTF2
7669_L_O_1_DLX1
7669_L_O_1_TBR1
7669_L_O_1_COUPTF2
7669_L_T_1_DLX1
7669_L_T_1_TBR1
7669_L_T_1_COUPTF2
7669_L_mO_DLX1
7669_L_mO_COUPTF2
7669_R_EC_DLX1
7669_R_EC_TBR1
7669_R_EC_COUPTF2
7669_L_CC_2_DLX1
7669_L_CC_2_COUPTF2
7669_R_F_1_DLX1
7669_R_F_1_TBR1
7669_R_F_1_COUPTF2
7669_R_P_1_DLX1
7669_R_P_1_TBR1
7669_R_P_1_COUPTF2
7669_R_I_1_DLX1
7669_R_I_1_TBR1
7669_R_I_1_COUPTF2
7669_R_O_1_DLX1
7669_R_O_1_TBR1
7669_R_O_1_COUPTF2
7669_R_T_1_DLX1
7669_R_T_1_TBR1
7669_R_T_1_COUPTF2
7669_R_mO_DLX1
7669_R_mO_TBR1
7669_R_mO_COUPTF2
7669_L_EC_DLX1
7669_L_EC_COUPTF2
7669_R_CCMid_DLX1
7669_R_CC_Mid_TBR1
7669_R_CCMid_COUPTF2
B
8−4601722−C−G
0
−2
−4
−3
−2
−1
0
0.8
0.6
0.4
0.2
0.0

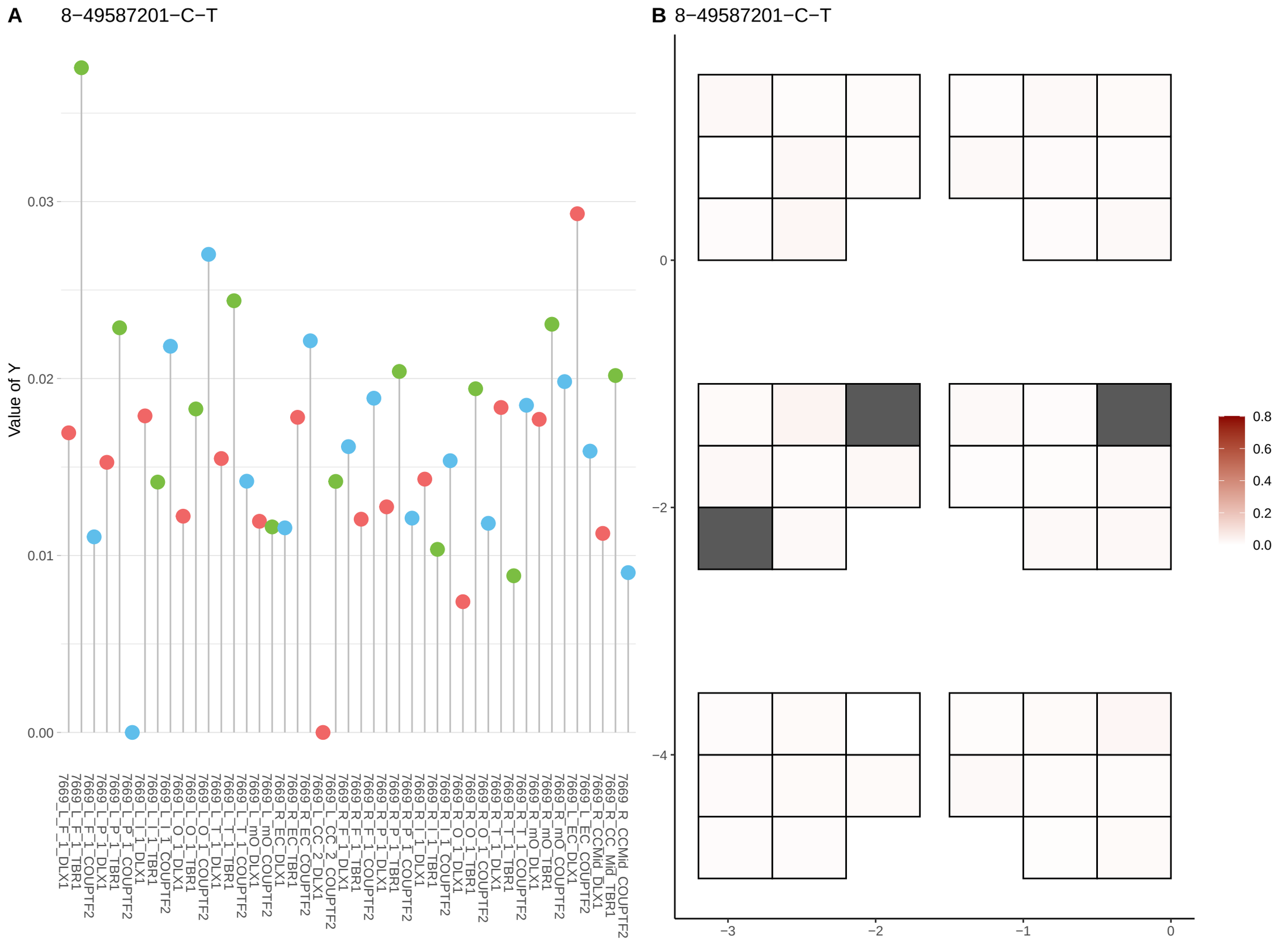
A
8−49587201−C−T
Value of Y
0.03
0.02
0.01
0.00
7669_L_F_1_DLX1
7669_L_F_1_TBR1
7669_L_F_1_COUPTF2
7669_L_P_1_DLX1
7669_L_P_1_TBR1
7669_L_P_1_COUPTF2
7669_L_I_1_DLX1
7669_L_I_1_TBR1
7669_L_I_1_COUPTF2
7669_L_O_1_DLX1
7669_L_O_1_TBR1
7669_L_O_1_COUPTF2
7669_L_T_1_DLX1
7669_L_T_1_TBR1
7669_L_T_1_COUPTF2
7669_L_mO_DLX1
7669_L_mO_COUPTF2
7669_R_EC_DLX1
7669_R_EC_TBR1
7669_R_EC_COUPTF2
7669_L_CC_2_DLX1
7669_L_CC_2_COUPTF2
7669_R_F_1_DLX1
7669_R_F_1_TBR1
7669_R_F_1_COUPTF2
7669_R_P_1_DLX1
7669_R_P_1_TBR1
7669_R_P_1_COUPTF2
7669_R_I_1_DLX1
7669_R_I_1_TBR1
7669_R_I_1_COUPTF2
7669_R_O_1_DLX1
7669_R_O_1_TBR1
7669_R_O_1_COUPTF2
7669_R_T_1_DLX1
7669_R_T_1_TBR1
7669_R_T_1_COUPTF2
7669_R_mO_DLX1
7669_R_mO_TBR1
7669_R_mO_COUPTF2
7669_L_EC_DLX1
7669_L_EC_COUPTF2
7669_R_CCMid_DLX1
7669_R_CC_Mid_TBR1
7669_R_CCMid_COUPTF2
B
8−49587201−C−T
0
−2
−4
−3
−2
−1
0
0.8
0.6
0.4
0.2
0.0

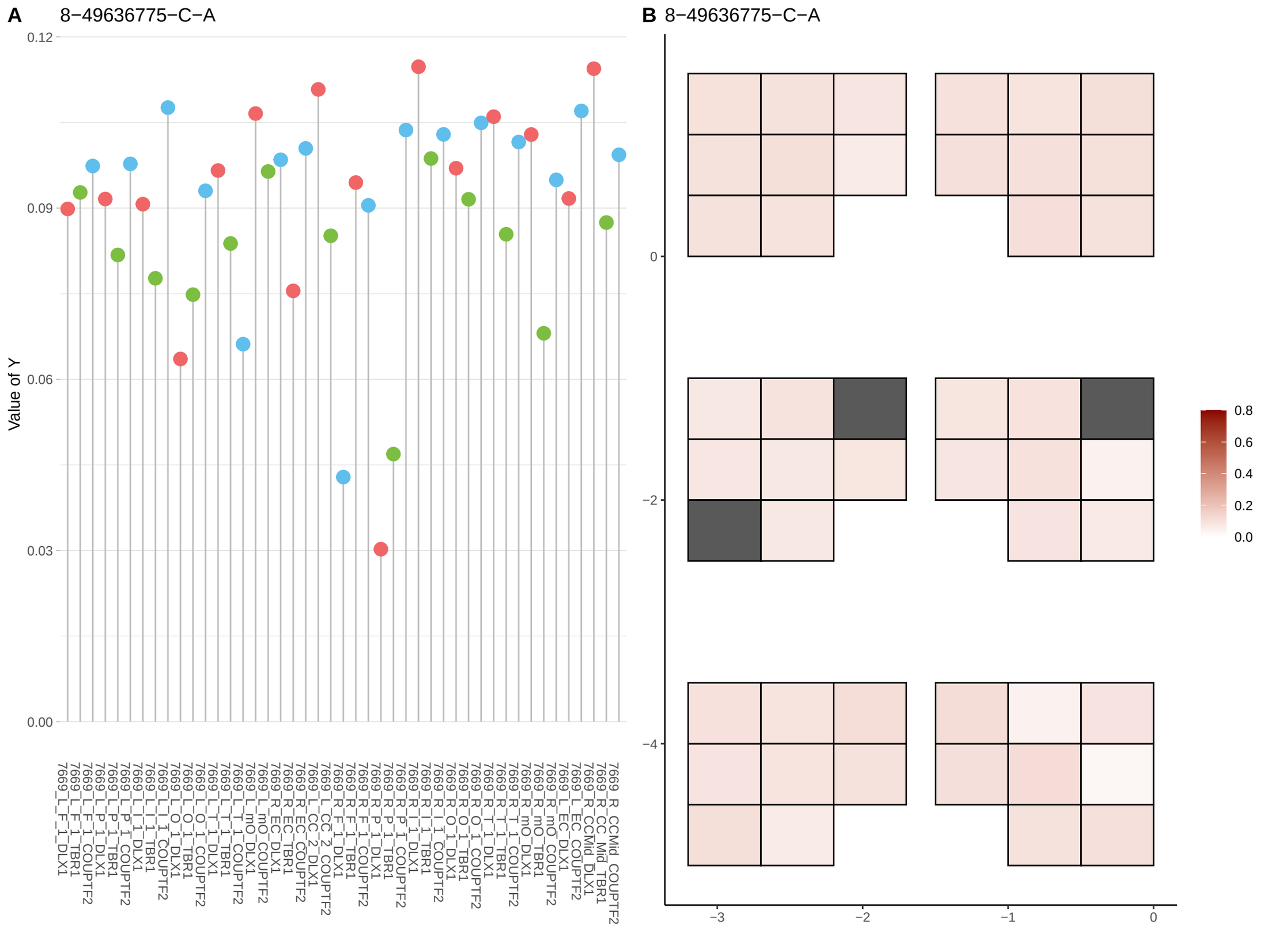
A
8−49636775−C−A
Value of Y
0.12
0.09
0.06
0.03
0.00
7669_L_F_1_DLX1
7669_L_F_1_TBR1
7669_L_F_1_COUPTF2
7669_L_P_1_DLX1
7669_L_P_1_TBR1
7669_L_P_1_COUPTF2
7669_L_I_1_DLX1
7669_L_I_1_TBR1
7669_L_I_1_COUPTF2
7669_L_O_1_DLX1
7669_L_O_1_TBR1
7669_L_O_1_COUPTF2
7669_L_T_1_DLX1
7669_L_T_1_TBR1
7669_L_T_1_COUPTF2
7669_L_mO_DLX1
7669_L_mO_COUPTF2
7669_R_EC_DLX1
7669_R_EC_TBR1
7669_R_EC_COUPTF2
7669_L_CC_2_DLX1
7669_L_CC_2_COUPTF2
7669_R_F_1_DLX1
7669_R_F_1_TBR1
7669_R_F_1_COUPTF2
7669_R_P_1_DLX1
7669_R_P_1_TBR1
7669_R_P_1_COUPTF2
7669_R_I_1_DLX1
7669_R_I_1_TBR1
7669_R_I_1_COUPTF2
7669_R_O_1_DLX1
7669_R_O_1_TBR1
7669_R_O_1_COUPTF2
7669_R_T_1_DLX1
7669_R_T_1_TBR1
7669_R_T_1_COUPTF2
7669_R_mO_DLX1
7669_R_mO_TBR1
7669_R_mO_COUPTF2
7669_L_EC_DLX1
7669_L_EC_COUPTF2
7669_R_CCMid_DLX1
7669_R_CC_Mid_TBR1
7669_R_CCMid_COUPTF2
B
8−49636775−C−A
0
−2
−4
−3
−2
−1
0
0.8
0.6
0.4
0.2
0.0

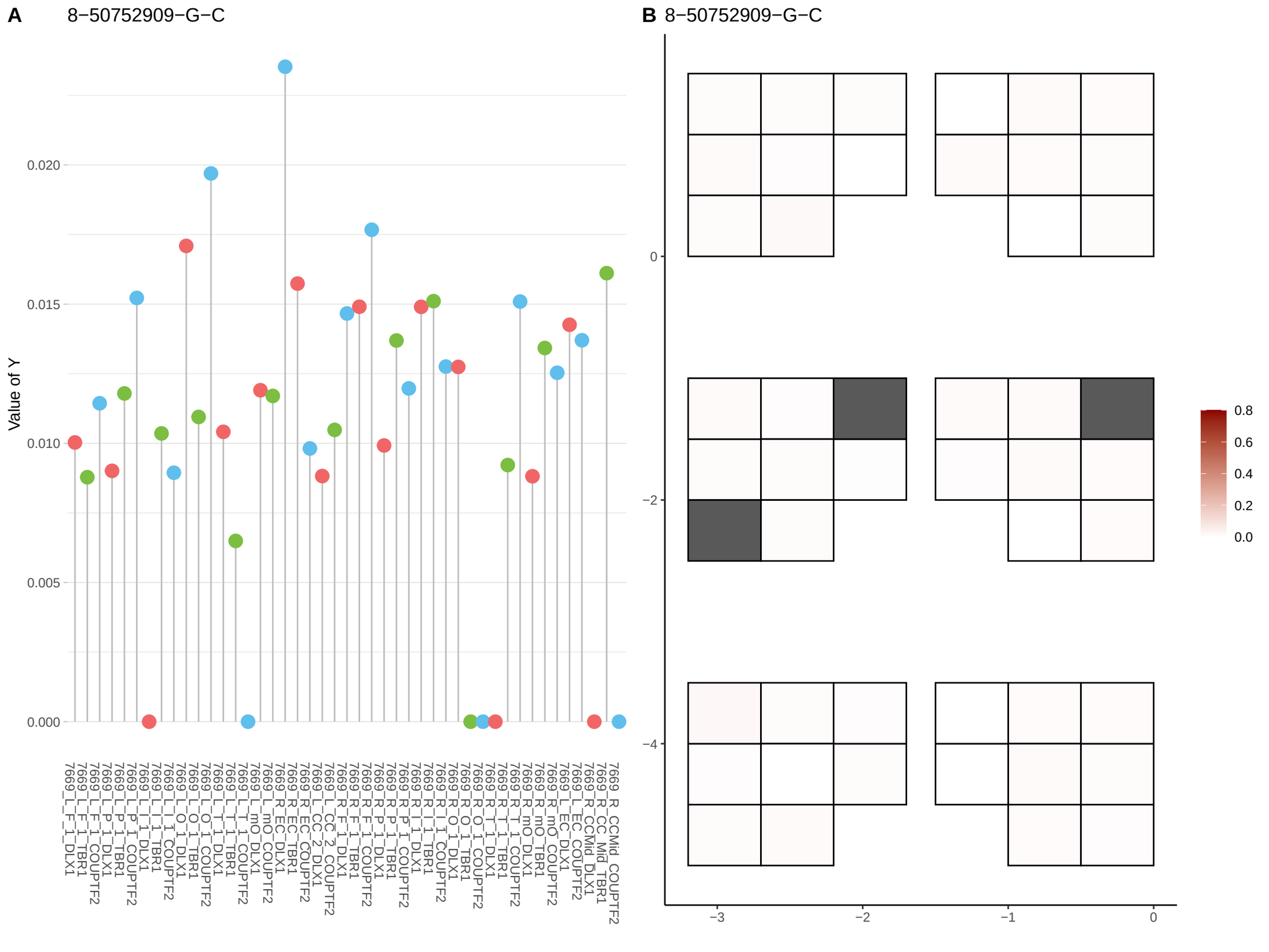
A
8−50752909−G−C
Value of Y
0.020
0.015
0.010
0.005
0.000
7669_L_F_1_DLX1
7669_L_F_1_TBR1
7669_L_F_1_COUPTF2
7669_L_P_1_DLX1
7669_L_P_1_TBR1
7669_L_P_1_COUPTF2
7669_L_I_1_DLX1
7669_L_I_1_TBR1
7669_L_I_1_COUPTF2
7669_L_O_1_DLX1
7669_L_O_1_TBR1
7669_L_O_1_COUPTF2
7669_L_T_1_DLX1
7669_L_T_1_TBR1
7669_L_T_1_COUPTF2
7669_L_mO_DLX1
7669_L_mO_COUPTF2
7669_R_EC_DLX1
7669_R_EC_TBR1
7669_R_EC_COUPTF2
7669_L_CC_2_DLX1
7669_L_CC_2_COUPTF2
7669_R_F_1_DLX1
7669_R_F_1_TBR1
7669_R_F_1_COUPTF2
7669_R_P_1_DLX1
7669_R_P_1_TBR1
7669_R_P_1_COUPTF2
7669_R_I_1_DLX1
7669_R_I_1_TBR1
7669_R_I_1_COUPTF2
7669_R_O_1_DLX1
7669_R_O_1_TBR1
7669_R_O_1_COUPTF2
7669_R_T_1_DLX1
7669_R_T_1_TBR1
7669_R_T_1_COUPTF2
7669_R_mO_DLX1
7669_R_mO_TBR1
7669_R_mO_COUPTF2
7669_L_EC_DLX1
7669_L_EC_COUPTF2
7669_R_CCMid_DLX1
7669_R_CC_Mid_TBR1
7669_R_CCMid_COUPTF2
B
8−50752909−G−C
0
−2
−4
−3
−2
−1
0
0.8
0.6
0.4
0.2
0.0

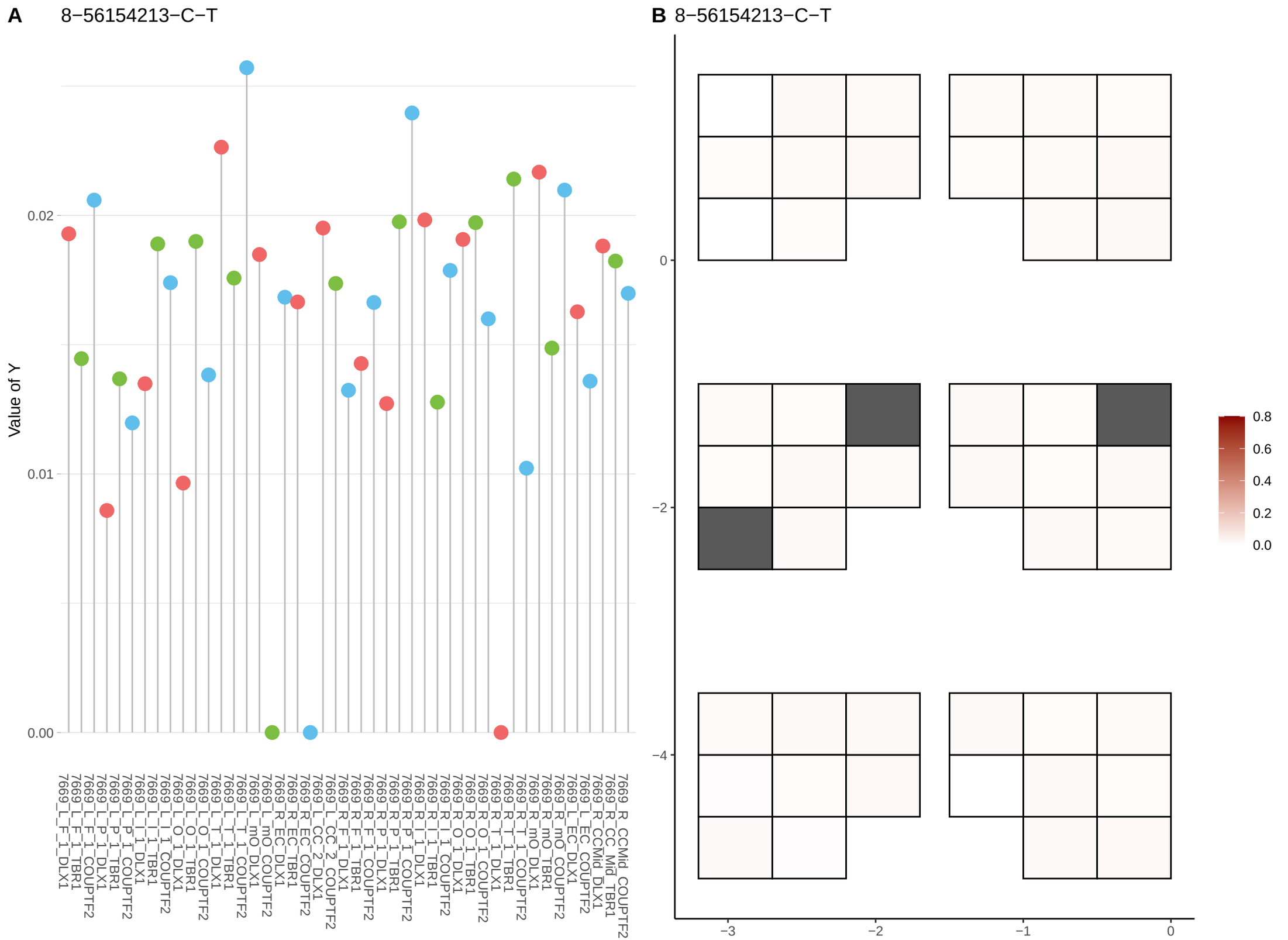
A
8−56154213−C−T
Value of Y
0.02
0.01
0.00
7669_L_F_1_DLX1
7669_L_F_1_TBR1
7669_L_F_1_COUPTF2
7669_L_P_1_DLX1
7669_L_P_1_TBR1
7669_L_P_1_COUPTF2
7669_L_I_1_DLX1
7669_L_I_1_TBR1
7669_L_I_1_COUPTF2
7669_L_O_1_DLX1
7669_L_O_1_TBR1
7669_L_O_1_COUPTF2
7669_L_T_1_DLX1
7669_L_T_1_TBR1
7669_L_T_1_COUPTF2
7669_L_mO_DLX1
7669_L_mO_COUPTF2
7669_R_EC_DLX1
7669_R_EC_TBR1
7669_R_EC_COUPTF2
7669_L_CC_2_DLX1
7669_L_CC_2_COUPTF2
7669_R_F_1_DLX1
7669_R_F_1_TBR1
7669_R_F_1_COUPTF2
7669_R_P_1_DLX1
7669_R_P_1_TBR1
7669_R_P_1_COUPTF2
7669_R_I_1_DLX1
7669_R_I_1_TBR1
7669_R_I_1_COUPTF2
7669_R_O_1_DLX1
7669_R_O_1_TBR1
7669_R_O_1_COUPTF2
7669_R_T_1_DLX1
7669_R_T_1_TBR1
7669_R_T_1_COUPTF2
7669_R_mO_DLX1
7669_R_mO_TBR1
7669_R_mO_COUPTF2
7669_L_EC_DLX1
7669_L_EC_COUPTF2
7669_R_CCMid_DLX1
7669_R_CC_Mid_TBR1
7669_R_CCMid_COUPTF2
B
8−56154213−C−T
0
−2
−4
−3
−2
−1
0
0.8
0.6
0.4
0.2
0.0

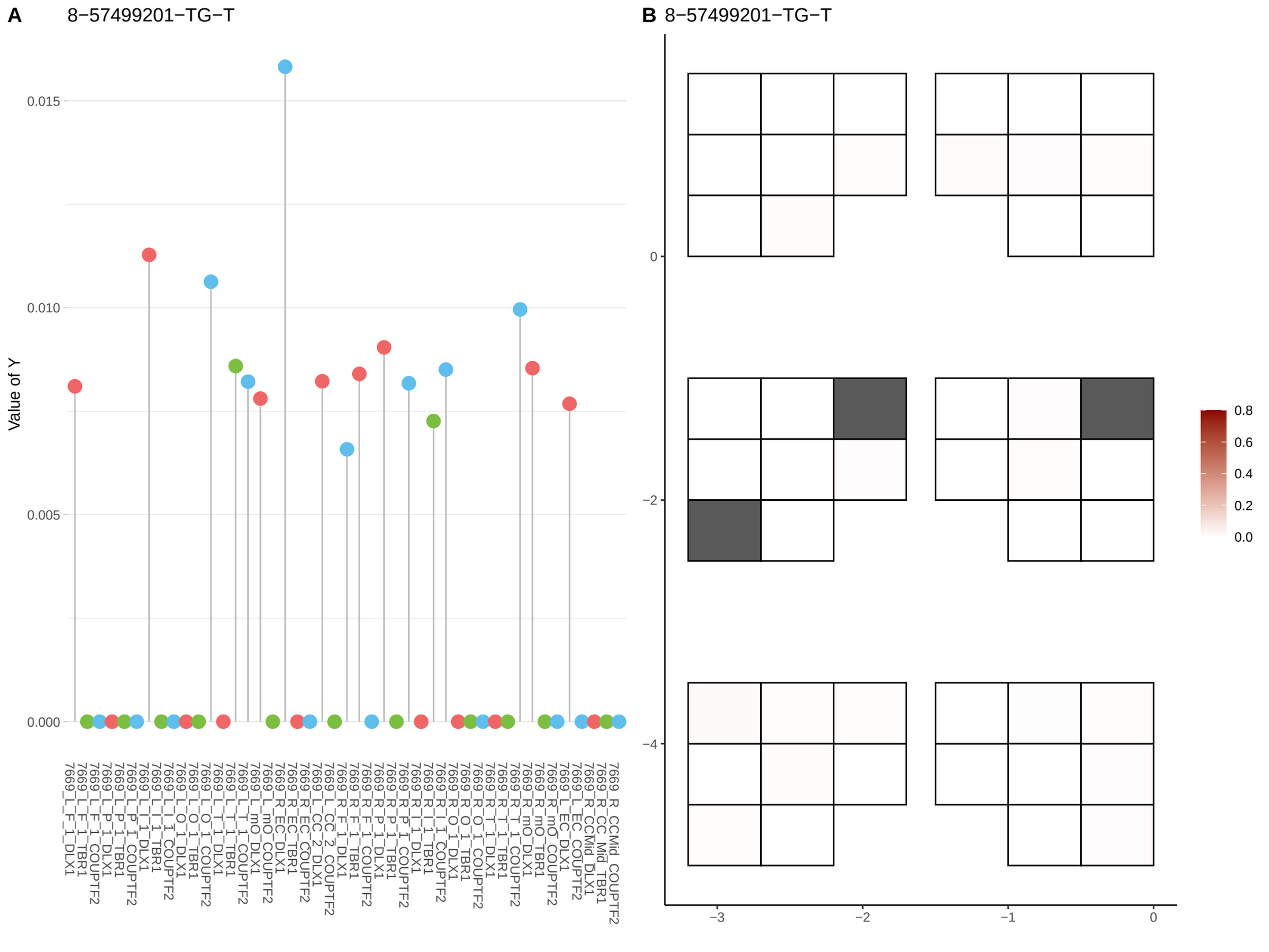
A
8−57499201−TG−T
Value of Y
0.015
0.010
0.005
0.000
7669_L_F_1_DLX1
7669_L_F_1_TBR1
7669_L_F_1_COUPTF2
7669_L_P_1_DLX1
7669_L_P_1_TBR1
7669_L_P_1_COUPTF2
7669_L_I_1_DLX1
7669_L_I_1_TBR1
7669_L_I_1_COUPTF2
7669_L_O_1_DLX1
7669_L_O_1_TBR1
7669_L_O_1_COUPTF2
7669_L_T_1_DLX1
7669_L_T_1_TBR1
7669_L_T_1_COUPTF2
7669_L_mO_DLX1
7669_L_mO_COUPTF2
7669_R_EC_DLX1
7669_R_EC_TBR1
7669_R_EC_COUPTF2
7669_L_CC_2_DLX1
7669_L_CC_2_COUPTF2
7669_R_F_1_DLX1
7669_R_F_1_TBR1
7669_R_F_1_COUPTF2
7669_R_P_1_DLX1
7669_R_P_1_TBR1
7669_R_P_1_COUPTF2
7669_R_I_1_DLX1
7669_R_I_1_TBR1
7669_R_I_1_COUPTF2
7669_R_O_1_DLX1
7669_R_O_1_TBR1
7669_R_O_1_COUPTF2
7669_R_T_1_DLX1
7669_R_T_1_TBR1
7669_R_T_1_COUPTF2
7669_R_mO_DLX1
7669_R_mO_TBR1
7669_R_mO_COUPTF2
7669_L_EC_DLX1
7669_L_EC_COUPTF2
7669_R_CCMid_DLX1
7669_R_CC_Mid_TBR1
7669_R_CCMid_COUPTF2
B
8−57499201−TG−T
0
−2
−4
−3
−2
−1
0
0.8
0.6
0.4
0.2
0.0

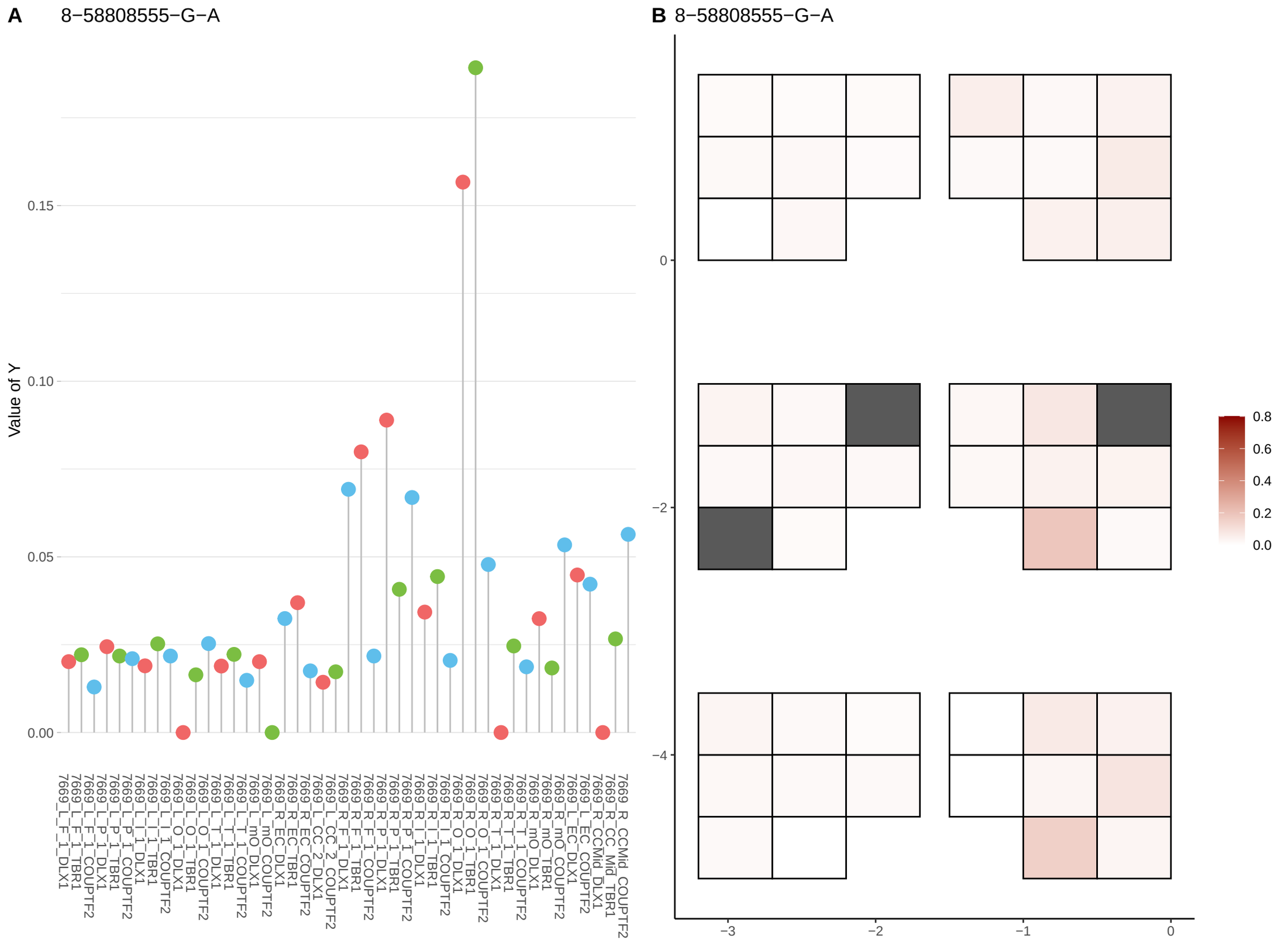
A
8−58808555−G−A
Value of Y
0.15
0.10
0.05
0.00
7669_L_F_1_DLX1
7669_L_F_1_TBR1
7669_L_F_1_COUPTF2
7669_L_P_1_DLX1
7669_L_P_1_TBR1
7669_L_P_1_COUPTF2
7669_L_I_1_DLX1
7669_L_I_1_TBR1
7669_L_I_1_COUPTF2
7669_L_O_1_DLX1
7669_L_O_1_TBR1
7669_L_O_1_COUPTF2
7669_L_T_1_DLX1
7669_L_T_1_TBR1
7669_L_T_1_COUPTF2
7669_L_mO_DLX1
7669_L_mO_COUPTF2
7669_R_EC_DLX1
7669_R_EC_TBR1
7669_R_EC_COUPTF2
7669_L_CC_2_DLX1
7669_L_CC_2_COUPTF2
7669_R_F_1_DLX1
7669_R_F_1_TBR1
7669_R_F_1_COUPTF2
7669_R_P_1_DLX1
7669_R_P_1_TBR1
7669_R_P_1_COUPTF2
7669_R_I_1_DLX1
7669_R_I_1_TBR1
7669_R_I_1_COUPTF2
7669_R_O_1_DLX1
7669_R_O_1_TBR1
7669_R_O_1_COUPTF2
7669_R_T_1_DLX1
7669_R_T_1_TBR1
7669_R_T_1_COUPTF2
7669_R_mO_DLX1
7669_R_mO_TBR1
7669_R_mO_COUPTF2
7669_L_EC_DLX1
7669_L_EC_COUPTF2
7669_R_CCMid_DLX1
7669_R_CC_Mid_TBR1
7669_R_CCMid_COUPTF2
B
8−58808555−G−A
0
−2
−4
−3
−2
−1
0
0.8
0.6
0.4
0.2
0.0

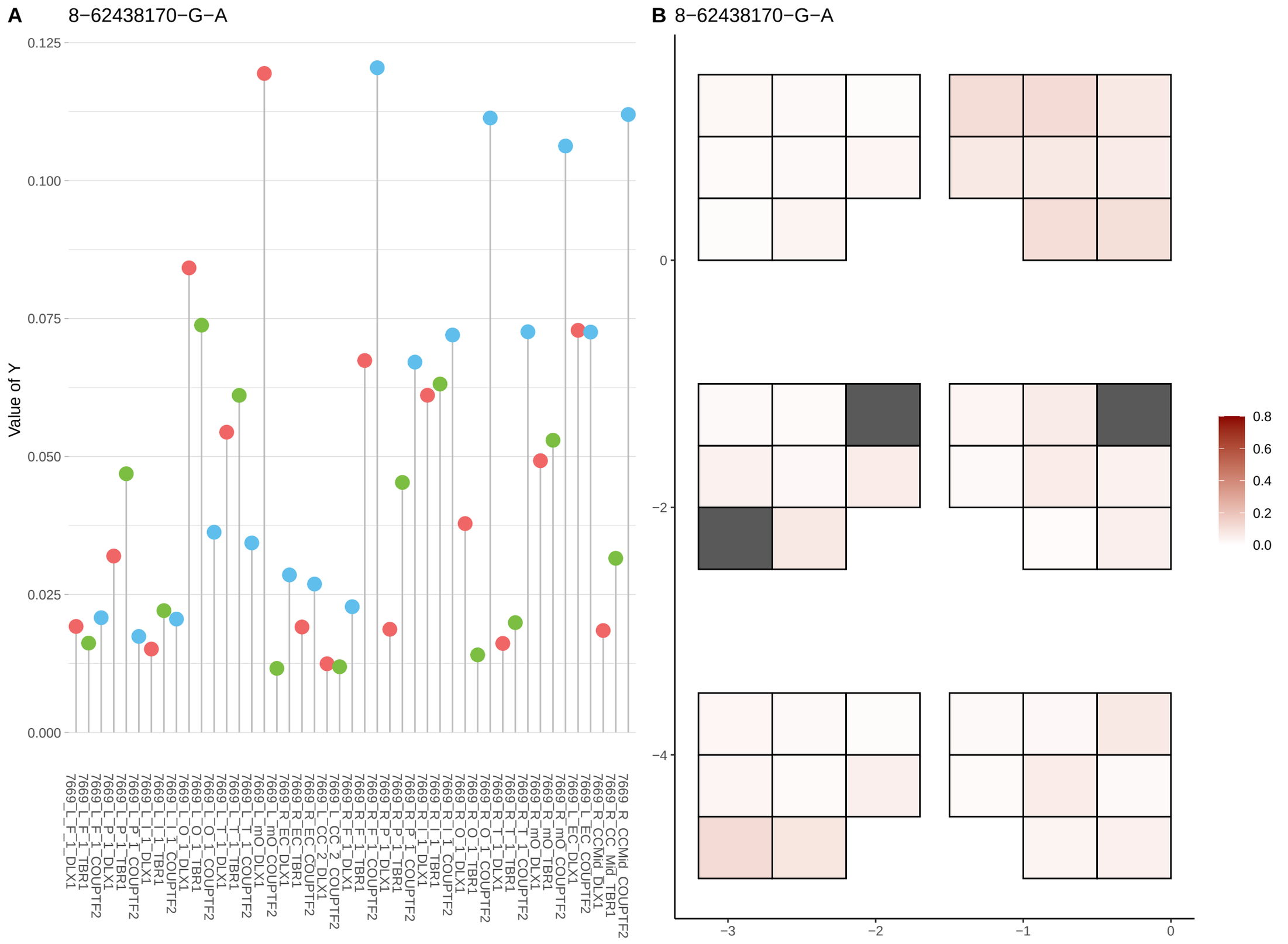
A
8−62438170−G−A
Value of Y
0.125
0.100
0.075
0.050
0.025
0.000
7669_L_F_1_DLX1
7669_L_F_1_TBR1
7669_L_F_1_COUPTF2
7669_L_P_1_DLX1
7669_L_P_1_TBR1
7669_L_P_1_COUPTF2
7669_L_I_1_DLX1
7669_L_I_1_TBR1
7669_L_I_1_COUPTF2
7669_L_O_1_DLX1
7669_L_O_1_TBR1
7669_L_O_1_COUPTF2
7669_L_T_1_DLX1
7669_L_T_1_TBR1
7669_L_T_1_COUPTF2
7669_L_mO_DLX1
7669_L_mO_COUPTF2
7669_R_EC_DLX1
7669_R_EC_TBR1
7669_R_EC_COUPTF2
7669_L_CC_2_DLX1
7669_L_CC_2_COUPTF2
7669_R_F_1_DLX1
7669_R_F_1_TBR1
7669_R_F_1_COUPTF2
7669_R_P_1_DLX1
7669_R_P_1_TBR1
7669_R_P_1_COUPTF2
7669_R_I_1_DLX1
7669_R_I_1_TBR1
7669_R_I_1_COUPTF2
7669_R_O_1_DLX1
7669_R_O_1_TBR1
7669_R_O_1_COUPTF2
7669_R_T_1_DLX1
7669_R_T_1_TBR1
7669_R_T_1_COUPTF2
7669_R_mO_DLX1
7669_R_mO_TBR1
7669_R_mO_COUPTF2
7669_L_EC_DLX1
7669_L_EC_COUPTF2
7669_R_CC_Mid_DLX1
7669_R_CC_Mid_TBR1
7669_R_CCMid_COUPTF2
B
8−62438170−G−A
0
−2
−4
−3
−2
−1
0
0.8
0.6
0.4
0.2
0.0

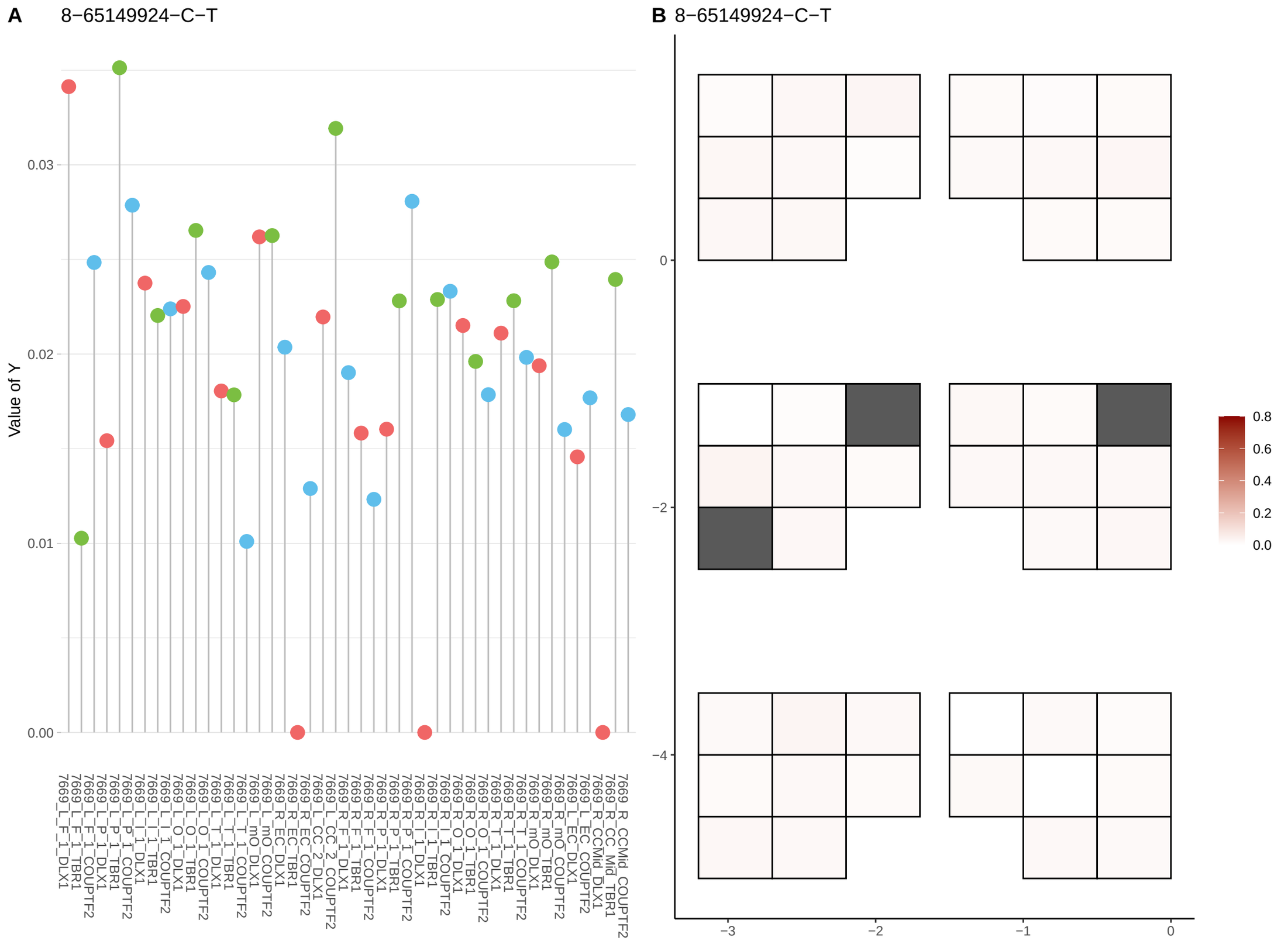
A
8−65149924−C−T
Value of Y
0.03
0.02
0.01
0.00
7669_L_F_1_DLX1
7669_L_F_1_TBR1
7669_L_F_1_COUPTF2
7669_L_P_1_DLX1
7669_L_P_1_TBR1
7669_L_P_1_COUPTF2
7669_L_I_1_DLX1
7669_L_I_1_TBR1
7669_L_I_1_COUPTF2
7669_L_O_1_DLX1
7669_L_O_1_TBR1
7669_L_O_1_COUPTF2
7669_L_T_1_DLX1
7669_L_T_1_TBR1
7669_L_T_1_COUPTF2
7669_L_mO_DLX1
7669_L_mO_COUPTF2
7669_R_EC_DLX1
7669_R_EC_TBR1
7669_R_EC_COUPTF2
7669_L_CC_2_DLX1
7669_L_CC_2_COUPTF2
7669_R_F_1_DLX1
7669_R_F_1_TBR1
7669_R_F_1_COUPTF2
7669_R_P_1_DLX1
7669_R_P_1_TBR1
7669_R_P_1_COUPTF2
7669_R_I_1_DLX1
7669_R_I_1_TBR1
7669_R_I_1_COUPTF2
7669_R_O_1_DLX1
7669_R_O_1_TBR1
7669_R_O_1_COUPTF2
7669_R_T_1_DLX1
7669_R_T_1_TBR1
7669_R_T_1_COUPTF2
7669_R_mO_DLX1
7669_R_mO_TBR1
7669_R_mO_COUPTF2
7669_L_EC_DLX1
7669_L_EC_COUPTF2
7669_R_CCMid_DLX1
7669_R_CC_Mid_TBR1
7669_R_CCMid_COUPTF2
B
8−65149924−C−T
0
−2
−4
−3
−2
−1
0
0.8
0.6
0.4
0.2
0.0

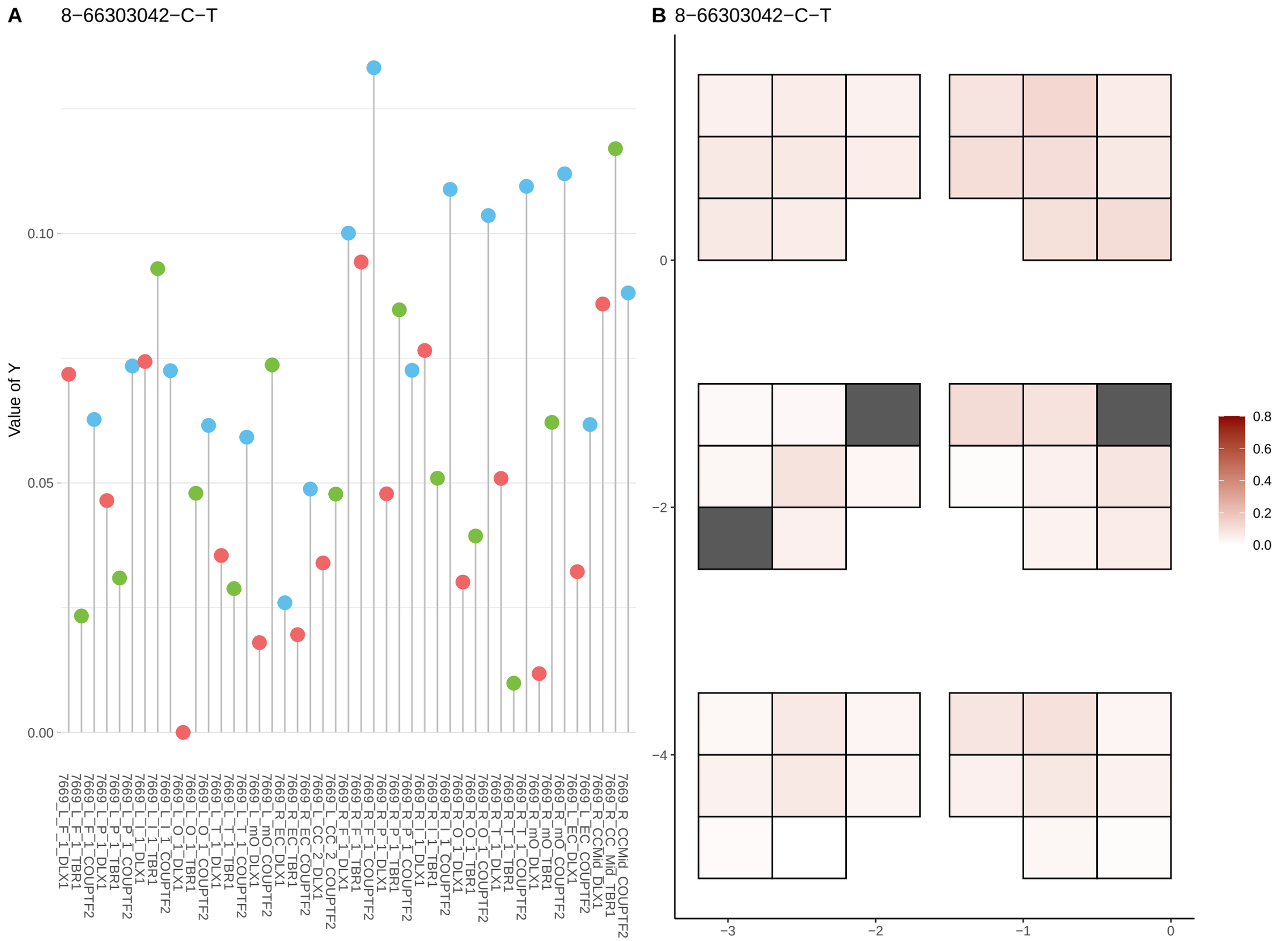
A
8−66303042−C−T
Value of Y
0.10
0.05
0.00
7669_L_F_1_DLX1
7669_L_F_1_TBR1
7669_L_F_1_COUPTF2
7669_L_P_1_DLX1
7669_L_P_1_TBR1
7669_L_P_1_COUPTF2
7669_L_I_1_DLX1
7669_L_I_1_TBR1
7669_L_I_1_COUPTF2
7669_L_O_1_DLX1
7669_L_O_1_TBR1
7669_L_O_1_COUPTF2
7669_L_T_1_DLX1
7669_L_T_1_TBR1
7669_L_T_1_COUPTF2
7669_L_mO_DLX1
7669_L_mO_COUPTF2
7669_R_EC_DLX1
7669_R_EC_TBR1
7669_R_EC_COUPTF2
7669_L_CC_2_DLX1
7669_L_CC_2_COUPTF2
7669_R_F_1_DLX1
7669_R_F_1_TBR1
7669_R_F_1_COUPTF2
7669_R_P_1_DLX1
7669_R_P_1_TBR1
7669_R_P_1_COUPTF2
7669_R_I_1_DLX1
7669_R_I_1_TBR1
7669_R_I_1_COUPTF2
7669_R_O_1_DLX1
7669_R_O_1_TBR1
7669_R_O_1_COUPTF2
7669_R_T_1_DLX1
7669_R_T_1_TBR1
7669_R_T_1_COUPTF2
7669_R_mO_DLX1
7669_R_mO_TBR1
7669_R_mO_COUPTF2
7669_L_EC_DLX1
7669_L_EC_COUPTF2
7669_R_CCMid_DLX1
7669_R_CC_Mid_TBR1
7669_R_CCMid_COUPTF2
B
8−66303042−C−T
0
−2
−4
−3
−2
−1
0
0.8
0.6
0.4
0.2
0.0

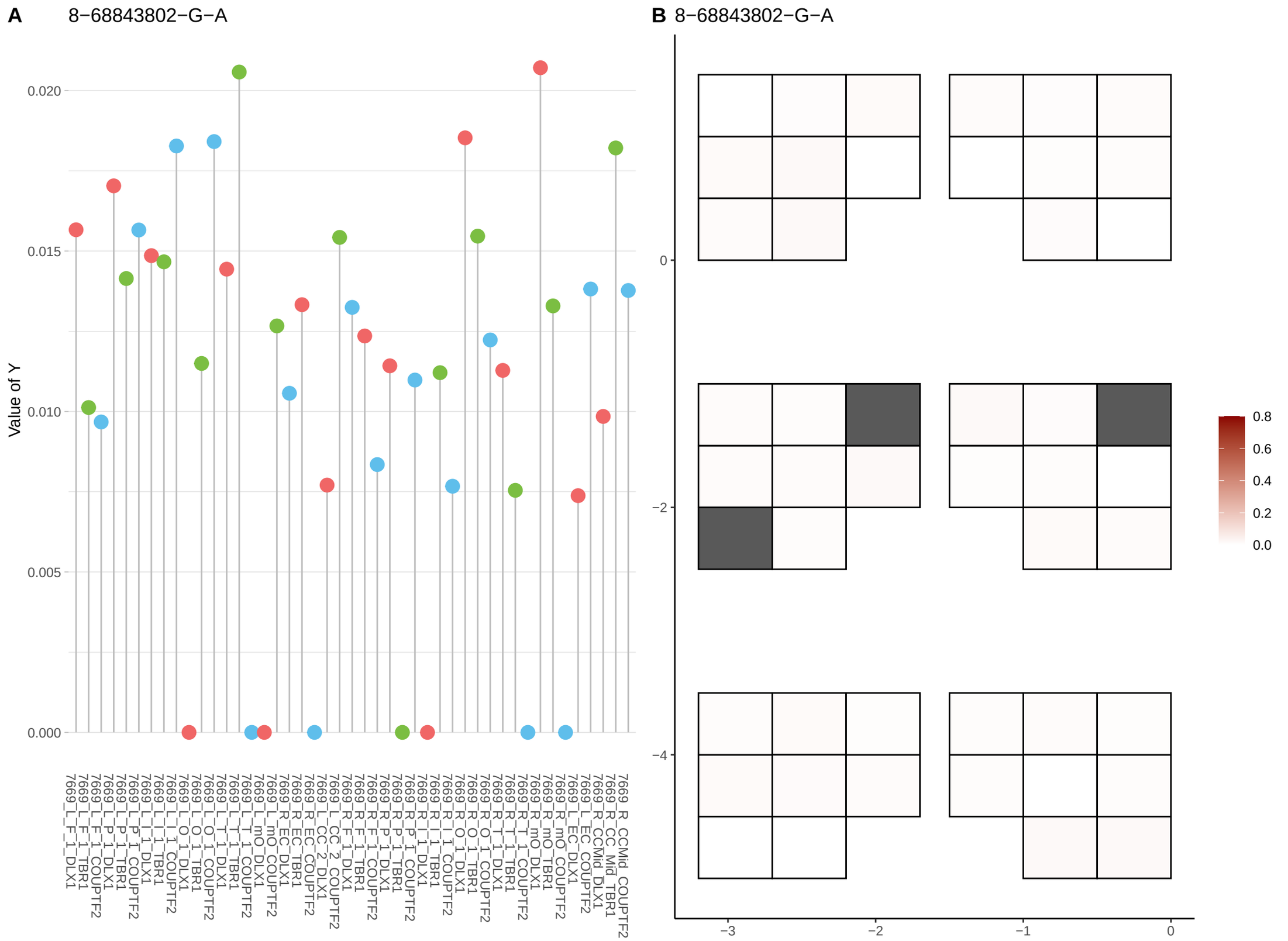
A
8−68843802−G−A
Value of Y
0.020
0.015
0.010
0.005
0.000
7669_L_F_1_DLX1
7669_L_F_1_TBR1
7669_L_F_1_COUPTF2
7669_L_P_1_DLX1
7669_L_P_1_TBR1
7669_L_P_1_COUPTF2
7669_L_I_1_DLX1
7669_L_I_1_TBR1
7669_L_I_1_COUPTF2
7669_L_O_1_DLX1
7669_L_O_1_TBR1
7669_L_O_1_COUPTF2
7669_L_T_1_DLX1
7669_L_T_1_TBR1
7669_L_T_1_COUPTF2
7669_L_mO_DLX1
7669_L_mO_COUPTF2
7669_R_EC_DLX1
7669_R_EC_TBR1
7669_R_EC_COUPTF2
7669_L_CC_2_DLX1
7669_L_CC_2_COUPTF2
7669_R_F_1_DLX1
7669_R_F_1_TBR1
7669_R_F_1_COUPTF2
7669_R_P_1_DLX1
7669_R_P_1_TBR1
7669_R_P_1_COUPTF2
7669_R_I_1_DLX1
7669_R_I_1_TBR1
7669_R_I_1_COUPTF2
7669_R_O_1_DLX1
7669_R_O_1_TBR1
7669_R_O_1_COUPTF2
7669_R_T_1_DLX1
7669_R_T_1_TBR1
7669_R_T_1_COUPTF2
7669_R_mO_DLX1
7669_R_mO_TBR1
7669_R_mO_COUPTF2
7669_L_EC_DLX1
7669_L_EC_COUPTF2
7669_R_CCMid_DLX1
7669_R_CC_Mid_TBR1
7669_R_CCMid_COUPTF2
B
8−68843802−G−A
0
−2
−4
−3
−2
−1
0
0.8
0.6
0.4
0.2
0.0

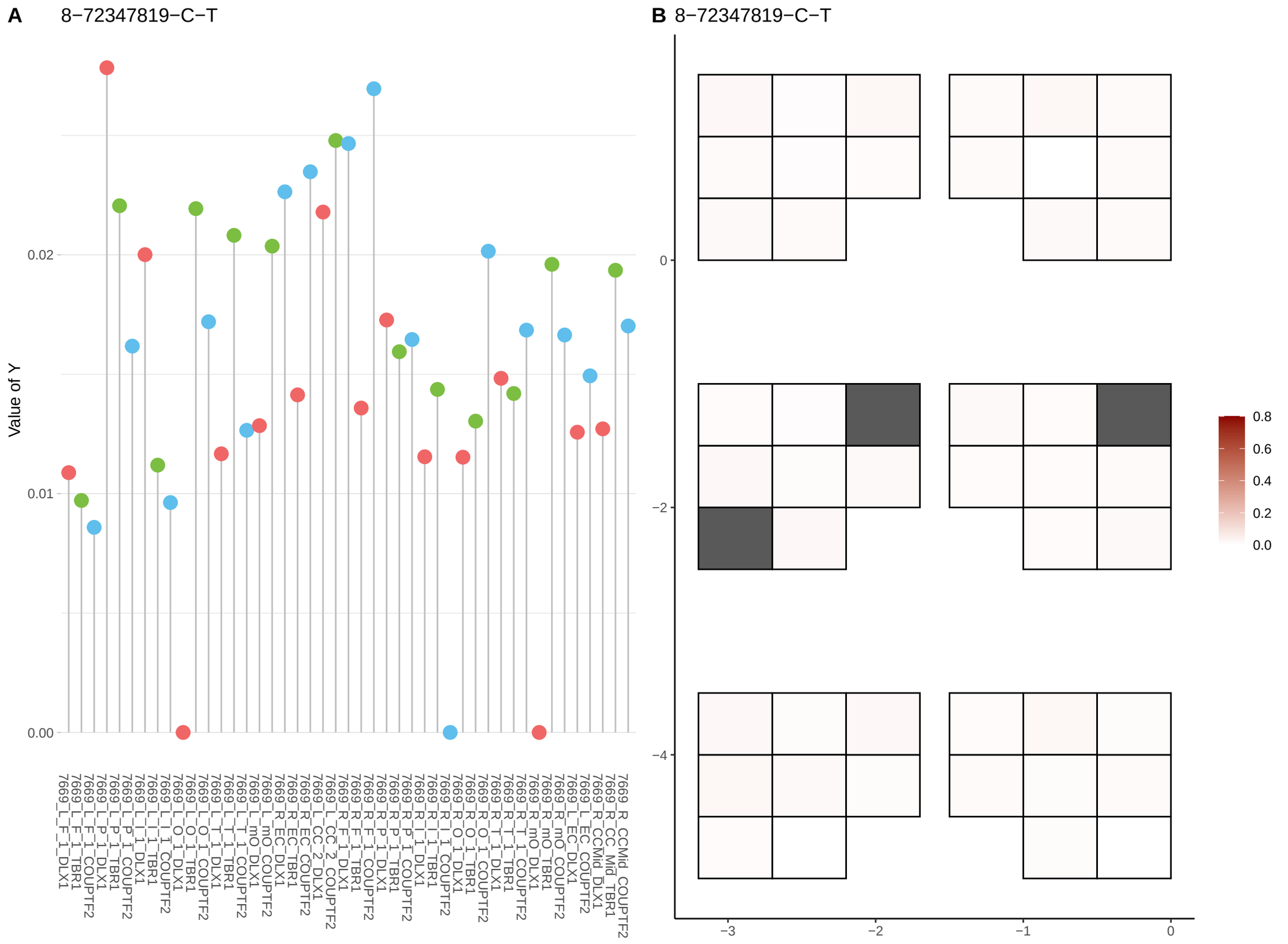
A
8−72347819−C−T
Value of Y
0.02
0.01
0.00
7669_L_F_1_DLX1
7669_L_F_1_TBR1
7669_L_F_1_COUPTF2
7669_L_P_1_DLX1
7669_L_P_1_TBR1
7669_L_P_1_COUPTF2
7669_L_I_1_DLX1
7669_L_I_1_TBR1
7669_L_I_1_COUPTF2
7669_L_O_1_DLX1
7669_L_O_1_TBR1
7669_L_O_1_COUPTF2
7669_L_T_1_DLX1
7669_L_T_1_TBR1
7669_L_T_1_COUPTF2
7669_L_mO_DLX1
7669_L_mO_COUPTF2
7669_R_EC_DLX1
7669_R_EC_TBR1
7669_R_EC_COUPTF2
7669_L_CC_2_DLX1
7669_L_CC_2_COUPTF2
7669_R_F_1_DLX1
7669_R_F_1_TBR1
7669_R_F_1_COUPTF2
7669_R_P_1_DLX1
7669_R_P_1_TBR1
7669_R_P_1_COUPTF2
7669_R_I_1_DLX1
7669_R_I_1_TBR1
7669_R_I_1_COUPTF2
7669_R_O_1_DLX1
7669_R_O_1_TBR1
7669_R_O_1_COUPTF2
7669_R_T_1_DLX1
7669_R_T_1_TBR1
7669_R_T_1_COUPTF2
7669_R_mO_DLX1
7669_R_mO_TBR1
7669_R_mO_COUPTF2
7669_L_EC_DLX1
7669_L_EC_COUPTF2
7669_R_CCMid_DLX1
7669_R_CC_Mid_TBR1
7669_R_CCMid_COUPTF2
B
8−72347819−C−T
0
−2
−4
−3
−2
−1
0
0.8
0.6
0.4
0.2
0.0

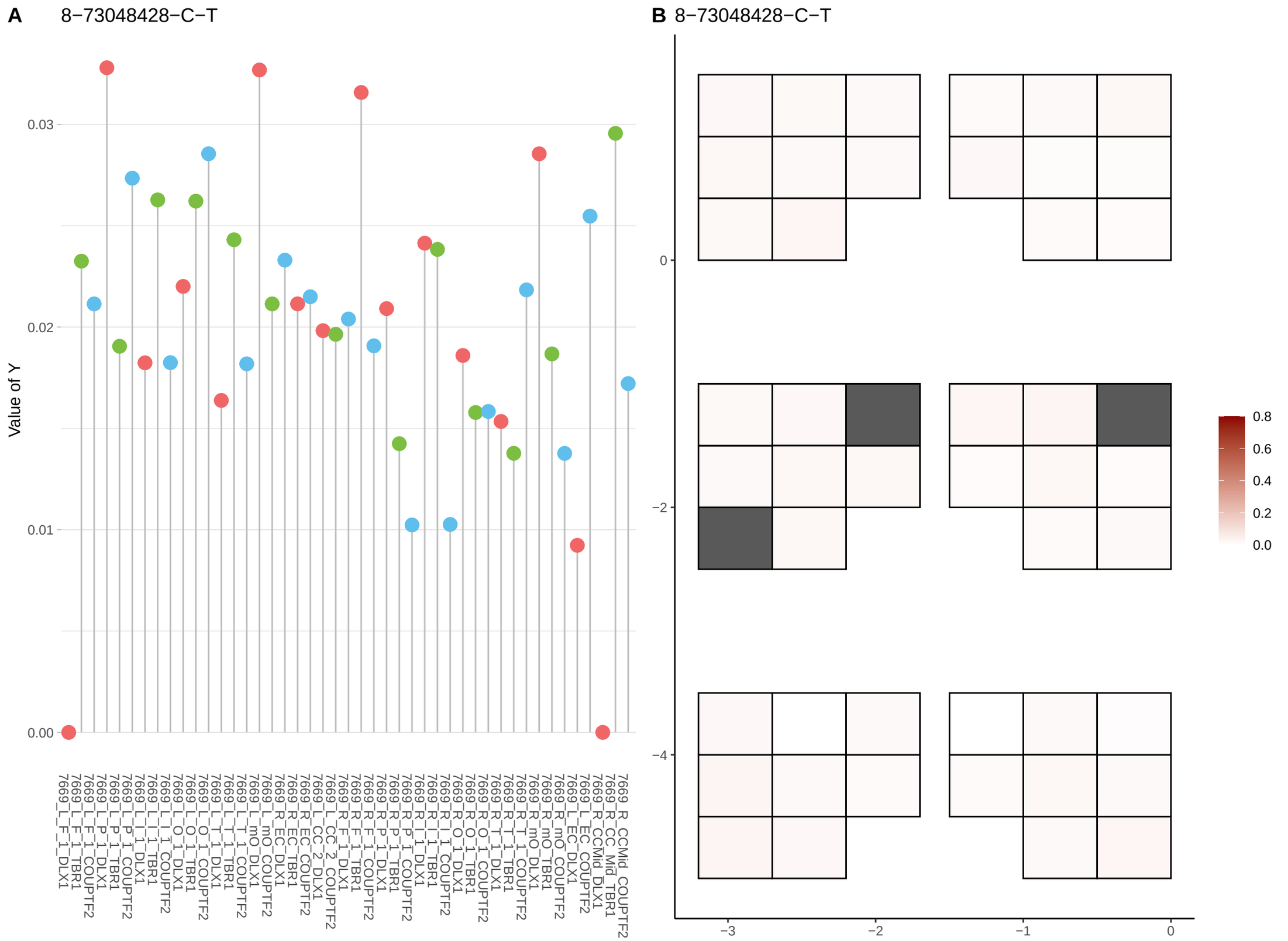
A
8−73048428−C−T
Value of Y
0.03
0.02
0.01
0.00
7669_L_F_1_DLX1
7669_L_F_1_TBR1
7669_L_F_1_COUPTF2
7669_L_P_1_DLX1
7669_L_P_1_TBR1
7669_L_P_1_COUPTF2
7669_L_I_1_DLX1
7669_L_I_1_TBR1
7669_L_I_1_COUPTF2
7669_L_O_1_DLX1
7669_L_O_1_TBR1
7669_L_O_1_COUPTF2
7669_L_T_1_DLX1
7669_L_T_1_TBR1
7669_L_T_1_COUPTF2
7669_L_mO_DLX1
7669_L_mO_COUPTF2
7669_R_EC_DLX1
7669_R_EC_TBR1
7669_R_EC_COUPTF2
7669_L_CC_2_DLX1
7669_L_CC_2_COUPTF2
7669_R_F_1_DLX1
7669_R_F_1_TBR1
7669_R_F_1_COUPTF2
7669_R_P_1_DLX1
7669_R_P_1_TBR1
7669_R_P_1_COUPTF2
7669_R_I_1_DLX1
7669_R_I_1_TBR1
7669_R_I_1_COUPTF2
7669_R_O_1_DLX1
7669_R_O_1_TBR1
7669_R_O_1_COUPTF2
7669_R_T_1_DLX1
7669_R_T_1_TBR1
7669_R_T_1_COUPTF2
7669_R_mO_DLX1
7669_R_mO_TBR1
7669_R_mO_COUPTF2
7669_L_EC_DLX1
7669_L_EC_COUPTF2
7669_R_CCMid_DLX1
7669_R_CC_Mid_TBR1
7669_R_CCMid_COUPTF2
B
8−73048428−C−T
0
−2
−4
−3
−2
−1
0
0.8
0.6
0.4
0.2
0.0

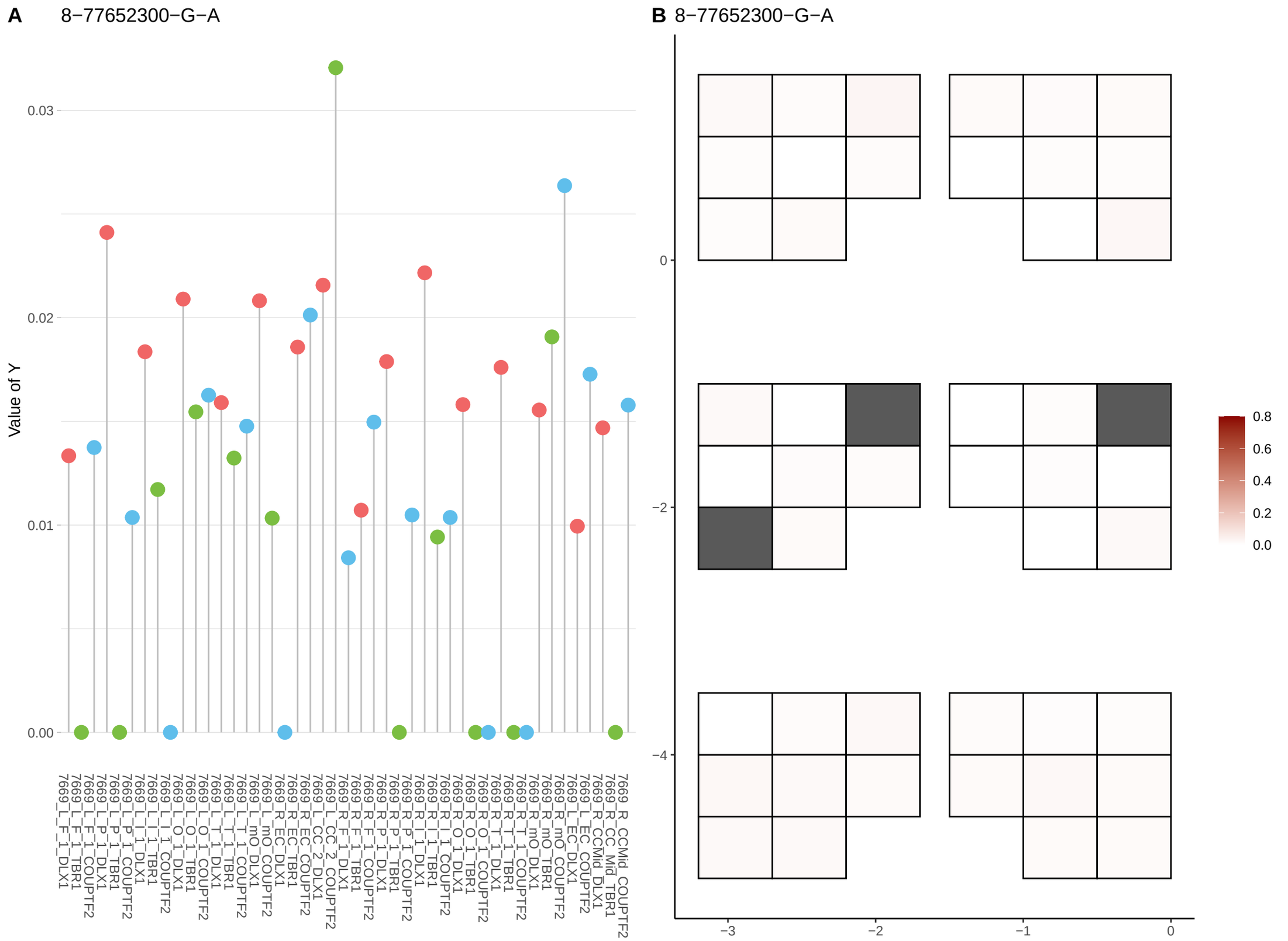
A
8−77652300−G−A
Value of Y
0.03
0.02
0.01
0.00
7669_L_F_1_DLX1
7669_L_F_1_TBR1
7669_L_F_1_COUPTF2
7669_L_P_1_DLX1
7669_L_P_1_TBR1
7669_L_P_1_COUPTF2
7669_L_I_1_DLX1
7669_L_I_1_TBR1
7669_L_I_1_COUPTF2
7669_L_O_1_DLX1
7669_L_O_1_TBR1
7669_L_O_1_COUPTF2
7669_L_T_1_DLX1
7669_L_T_1_TBR1
7669_L_T_1_COUPTF2
7669_L_mO_DLX1
7669_L_mO_COUPTF2
7669_R_EC_DLX1
7669_R_EC_TBR1
7669_R_EC_COUPTF2
7669_L_CC_2_DLX1
7669_L_CC_2_COUPTF2
7669_R_F_1_DLX1
7669_R_F_1_TBR1
7669_R_F_1_COUPTF2
7669_R_P_1_DLX1
7669_R_P_1_TBR1
7669_R_P_1_COUPTF2
7669_R_I_1_DLX1
7669_R_I_1_TBR1
7669_R_I_1_COUPTF2
7669_R_O_1_DLX1
7669_R_O_1_TBR1
7669_R_O_1_COUPTF2
7669_R_T_1_DLX1
7669_R_T_1_TBR1
7669_R_T_1_COUPTF2
7669_R_mO_DLX1
7669_R_mO_TBR1
7669_R_mO_COUPTF2
7669_L_EC_DLX1
7669_L_EC_COUPTF2
7669_R_CCMid_DLX1
7669_R_CC_Mid_TBR1
7669_R_CCMid_COUPTF2
B
8−77652300−G−A
0
−2
−4
−3
−2
−1
0
0.8
0.6
0.4
0.2
0.0

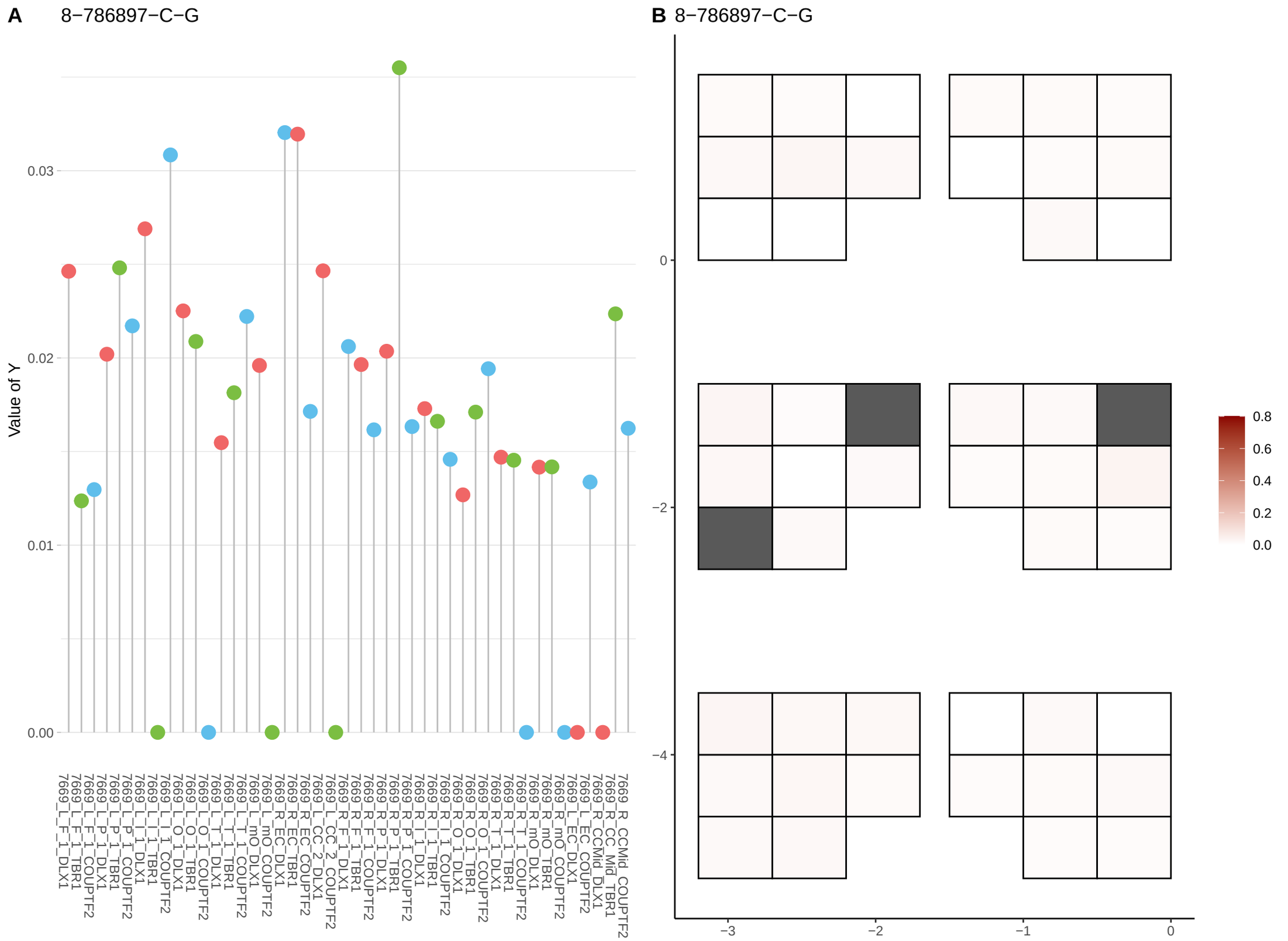
A
8−786897−C−G
Value of Y
0.03
0.02
0.01
0.00
7669_L_F_1_DLX1
7669_L_F_1_TBR1
7669_L_F_1_COUPTF2
7669_L_P_1_DLX1
7669_L_P_1_TBR1
7669_L_P_1_COUPTF2
7669_L_I_1_DLX1
7669_L_I_1_TBR1
7669_L_I_1_COUPTF2
7669_L_O_1_DLX1
7669_L_O_1_TBR1
7669_L_O_1_COUPTF2
7669_L_T_1_DLX1
7669_L_T_1_TBR1
7669_L_T_1_COUPTF2
7669_L_mO_DLX1
7669_L_mO_COUPTF2
7669_R_EC_DLX1
7669_R_EC_TBR1
7669_R_EC_COUPTF2
7669_L_CC_2_DLX1
7669_L_CC_2_COUPTF2
7669_R_F_1_DLX1
7669_R_F_1_TBR1
7669_R_F_1_COUPTF2
7669_R_P_1_DLX1
7669_R_P_1_TBR1
7669_R_P_1_COUPTF2
7669_R_I_1_DLX1
7669_R_I_1_TBR1
7669_R_I_1_COUPTF2
7669_R_O_1_DLX1
7669_R_O_1_TBR1
7669_R_O_1_COUPTF2
7669_R_T_1_DLX1
7669_R_T_1_TBR1
7669_R_T_1_COUPTF2
7669_R_mO_DLX1
7669_R_mO_TBR1
7669_R_mO_COUPTF2
7669_L_EC_DLX1
7669_L_EC_COUPTF2
7669_R_CCMid_DLX1
7669_R_CC_Mid_TBR1
7669_R_CCMid_COUPTF2
B
8−786897−C−G
0
−2
−4
−3
−2
−1
0
0.8
0.6
0.4
0.2
0.0

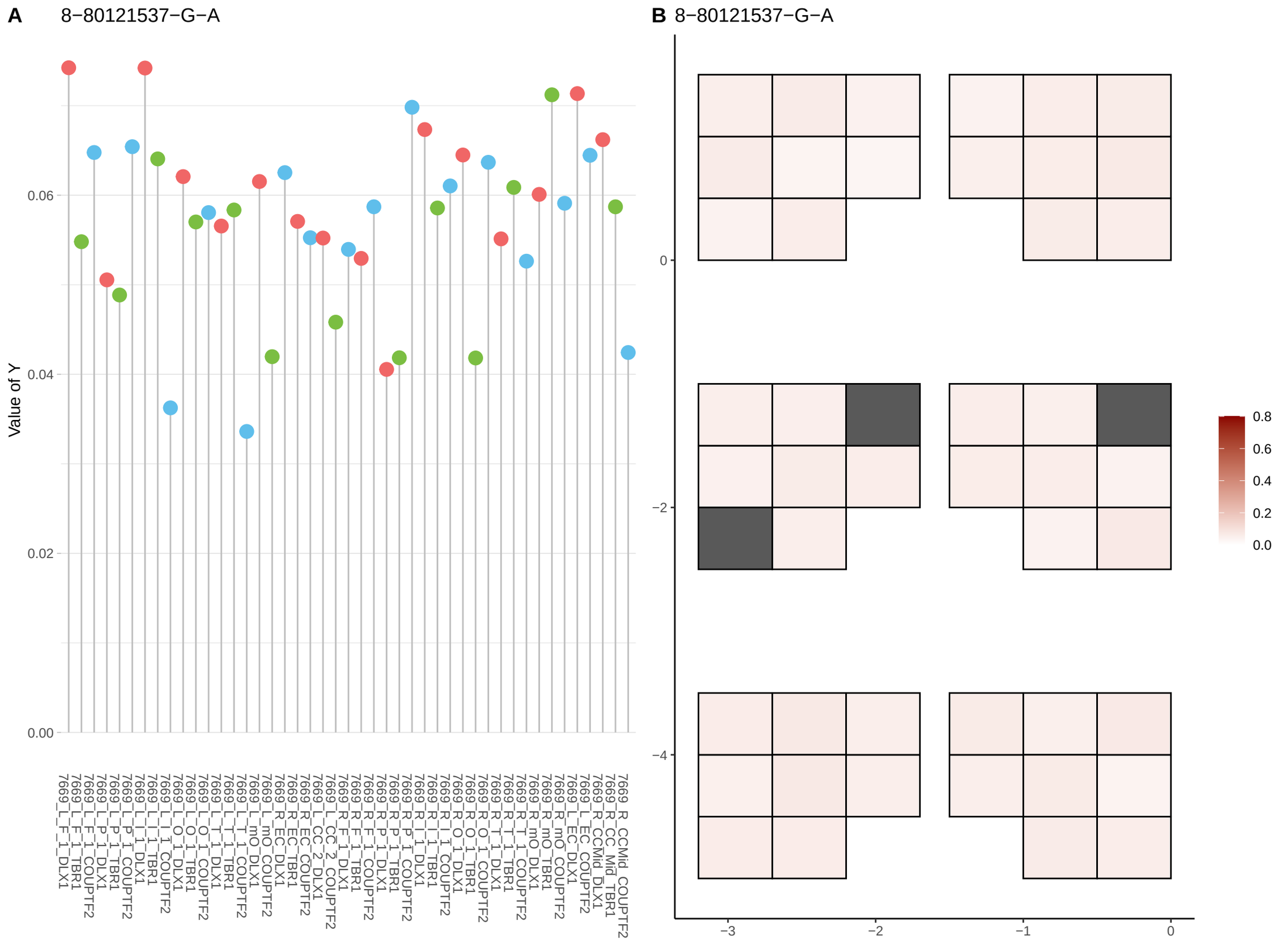
A
8−80121537−G−A
Value of Y
0.06
0.04
0.02
0.00
7669_L_F_1_DLX1
7669_L_F_1_TBR1
7669_L_F_1_COUPTF2
7669_L_P_1_DLX1
7669_L_P_1_TBR1
7669_L_P_1_COUPTF2
7669_L_I_1_DLX1
7669_L_I_1_TBR1
7669_L_I_1_COUPTF2
7669_L_O_1_DLX1
7669_L_O_1_TBR1
7669_L_O_1_COUPTF2
7669_L_T_1_DLX1
7669_L_T_1_TBR1
7669_L_T_1_COUPTF2
7669_L_mO_DLX1
7669_L_mO_COUPTF2
7669_R_EC_DLX1
7669_R_EC_TBR1
7669_R_EC_COUPTF2
7669_L_CC_2_DLX1
7669_L_CC_2_COUPTF2
7669_R_F_1_DLX1
7669_R_F_1_TBR1
7669_R_F_1_COUPTF2
7669_R_P_1_DLX1
7669_R_P_1_TBR1
7669_R_P_1_COUPTF2
7669_R_I_1_DLX1
7669_R_I_1_TBR1
7669_R_I_1_COUPTF2
7669_R_O_1_DLX1
7669_R_O_1_TBR1
7669_R_O_1_COUPTF2
7669_R_T_1_DLX1
7669_R_T_1_TBR1
7669_R_T_1_COUPTF2
7669_R_mO_DLX1
7669_R_mO_TBR1
7669_R_mO_COUPTF2
7669_L_EC_DLX1
7669_L_EC_COUPTF2
7669_R_CCMid_DLX1
7669_R_CC_Mid_TBR1
7669_R_CCMid_COUPTF2
B
8−80121537−G−A
0
−2
−4
−3
−2
−1
0
0.8
0.6
0.4
0.2
0.0

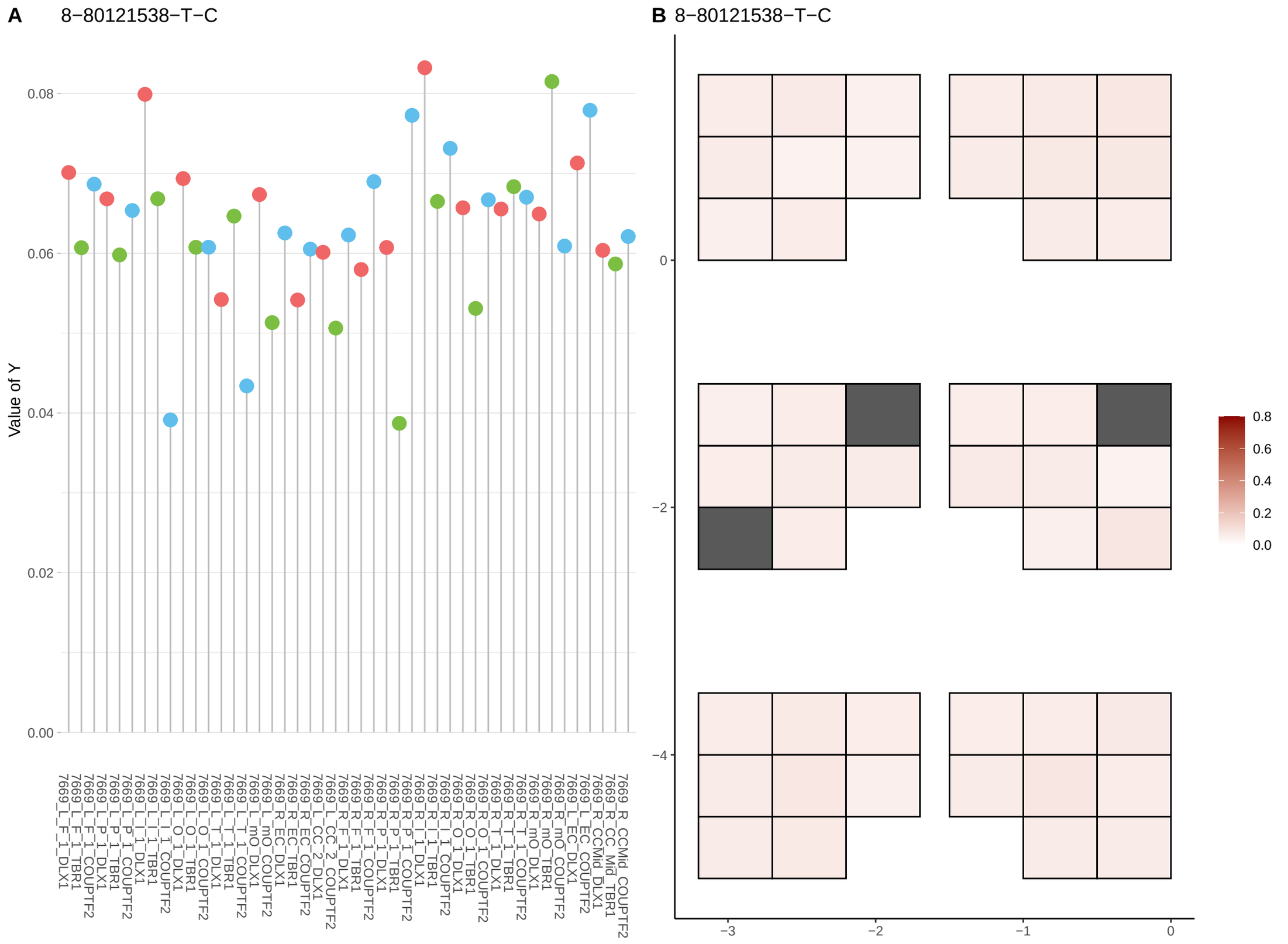
A
8−80121538−T−C
Value of Y
0.08
0.06
0.04
0.02
0.00
7669_L_F_1_DLX1
7669_L_F_1_TBR1
7669_L_F_1_COUPTF2
7669_L_P_1_DLX1
7669_L_P_1_TBR1
7669_L_P_1_COUPTF2
7669_L_I_1_DLX1
7669_L_I_1_TBR1
7669_L_I_1_COUPTF2
7669_L_O_1_DLX1
7669_L_O_1_TBR1
7669_L_O_1_COUPTF2
7669_L_T_1_DLX1
7669_L_T_1_TBR1
7669_L_T_1_COUPTF2
7669_L_mO_DLX1
7669_L_mO_COUPTF2
7669_R_EC_DLX1
7669_R_EC_TBR1
7669_R_EC_COUPTF2
7669_L_CC_2_DLX1
7669_L_CC_2_COUPTF2
7669_R_F_1_DLX1
7669_R_F_1_TBR1
7669_R_F_1_COUPTF2
7669_R_P_1_DLX1
7669_R_P_1_TBR1
7669_R_P_1_COUPTF2
7669_R_I_1_DLX1
7669_R_I_1_TBR1
7669_R_I_1_COUPTF2
7669_R_O_1_DLX1
7669_R_O_1_TBR1
7669_R_O_1_COUPTF2
7669_R_T_1_DLX1
7669_R_T_1_TBR1
7669_R_T_1_COUPTF2
7669_R_mO_DLX1
7669_R_mO_TBR1
7669_R_mO_COUPTF2
7669_L_EC_DLX1
7669_L_EC_COUPTF2
7669_R_CCMid_DLX1
7669_R_CC_Mid_TBR1
7669_R_CCMid_COUPTF2
B
8−80121538−T−C
0
−2
−4
−3
−2
−1
0
0.8
0.6
0.4
0.2
0.0

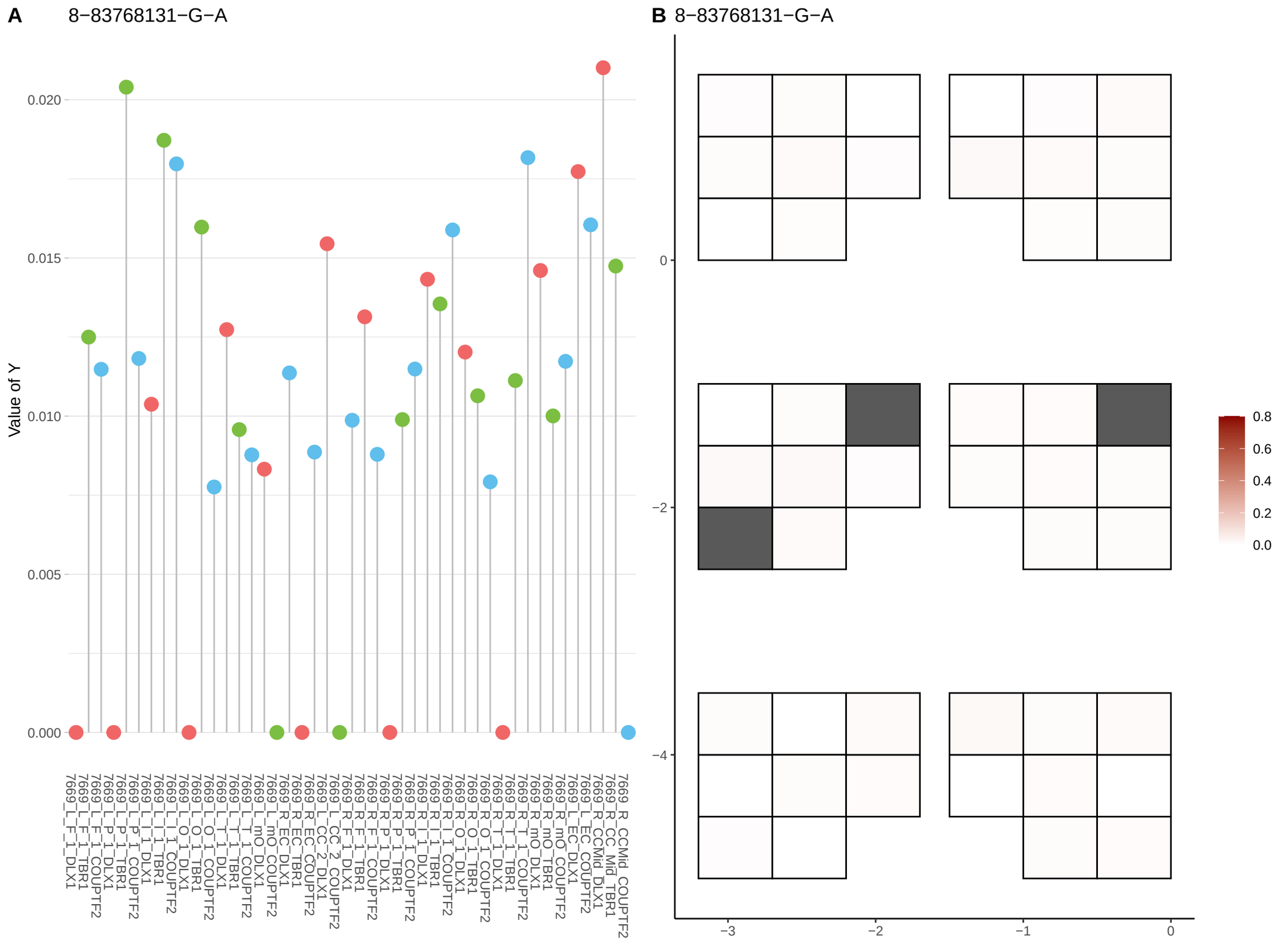
A
8−83768131−G−A
Value of Y
0.020
0.015
0.010
0.005
0.000
7669_L_F_1_DLX1
7669_L_F_1_TBR1
7669_L_F_1_COUPTF2
7669_L_P_1_DLX1
7669_L_P_1_TBR1
7669_L_P_1_COUPTF2
7669_L_I_1_DLX1
7669_L_I_1_TBR1
7669_L_I_1_COUPTF2
7669_L_O_1_DLX1
7669_L_O_1_TBR1
7669_L_O_1_COUPTF2
7669_L_T_1_DLX1
7669_L_T_1_TBR1
7669_L_T_1_COUPTF2
7669_L_mO_DLX1
7669_L_mO_COUPTF2
7669_R_EC_DLX1
7669_R_EC_TBR1
7669_R_EC_COUPTF2
7669_L_CC_2_DLX1
7669_L_CC_2_COUPTF2
7669_R_F_1_DLX1
7669_R_F_1_TBR1
7669_R_F_1_COUPTF2
7669_R_P_1_DLX1
7669_R_P_1_TBR1
7669_R_P_1_COUPTF2
7669_R_I_1_DLX1
7669_R_I_1_TBR1
7669_R_I_1_COUPTF2
7669_R_O_1_DLX1
7669_R_O_1_TBR1
7669_R_O_1_COUPTF2
7669_R_T_1_DLX1
7669_R_T_1_TBR1
7669_R_T_1_COUPTF2
7669_R_mO_DLX1
7669_R_mO_TBR1
7669_R_mO_COUPTF2
7669_L_EC_DLX1
7669_L_EC_COUPTF2
7669_R_CCMid_DLX1
7669_R_CC_Mid_TBR1
7669_R_CCMid_COUPTF2
B
8−83768131−G−A
0
−2
−4
−3
−2
−1
0
0.8
0.6
0.4
0.2
0.0

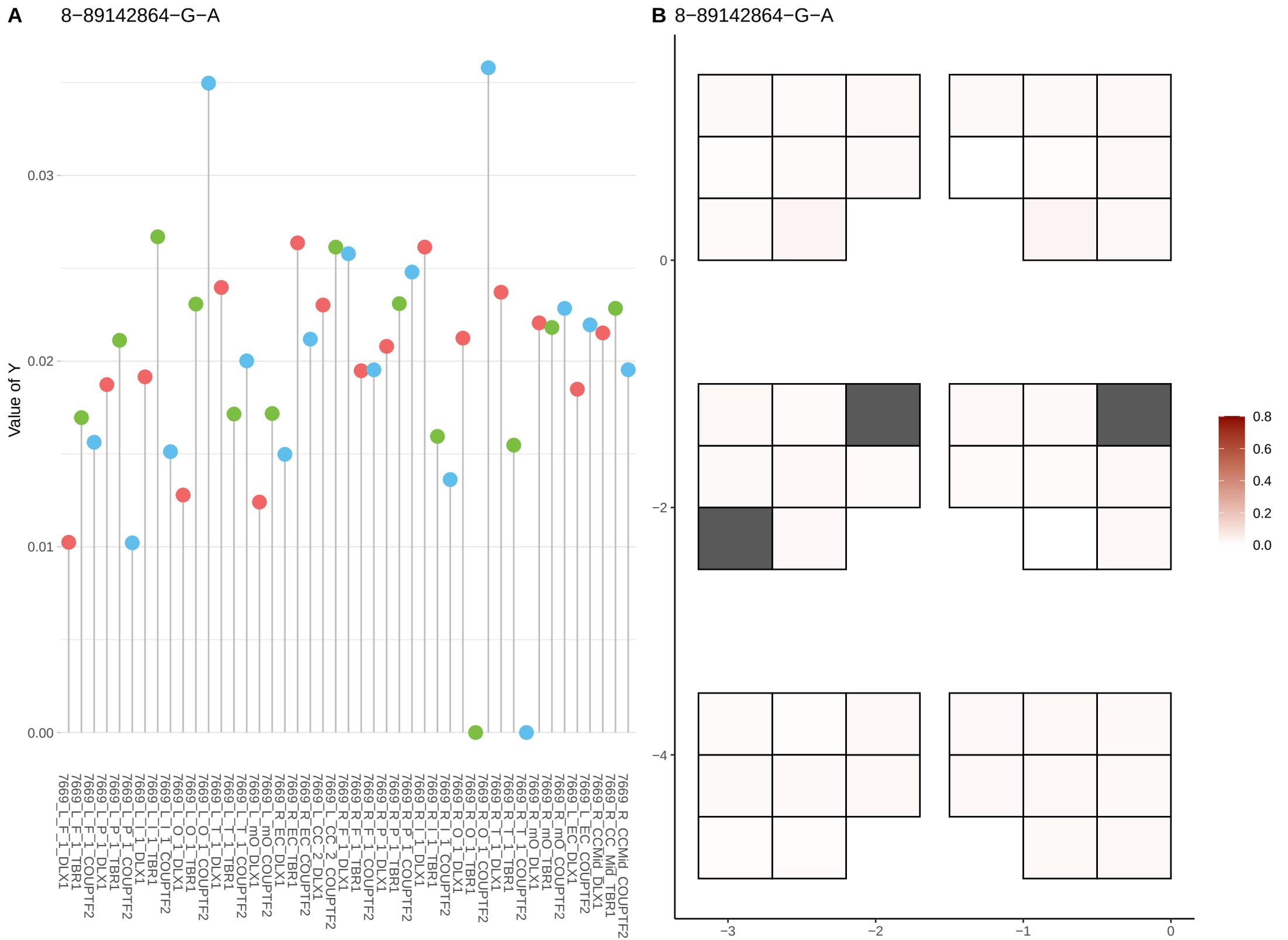
A
8−89142864−G−A
Value of Y
0.03
0.02
0.01
0.00
7669_L_F_1_DLX1
7669_L_F_1_TBR1
7669_L_F_1_COUPTF2
7669_L_P_1_DLX1
7669_L_P_1_TBR1
7669_L_P_1_COUPTF2
7669_L_I_1_DLX1
7669_L_I_1_TBR1
7669_L_I_1_COUPTF2
7669_L_O_1_DLX1
7669_L_O_1_TBR1
7669_L_O_1_COUPTF2
7669_L_T_1_DLX1
7669_L_T_1_TBR1
7669_L_T_1_COUPTF2
7669_L_mO_DLX1
7669_L_mO_COUPTF2
7669_R_EC_DLX1
7669_R_EC_TBR1
7669_R_EC_COUPTF2
7669_L_CC_2_DLX1
7669_L_CC_2_COUPTF2
7669_R_F_1_DLX1
7669_R_F_1_TBR1
7669_R_F_1_COUPTF2
7669_R_P_1_DLX1
7669_R_P_1_TBR1
7669_R_P_1_COUPTF2
7669_R_I_1_DLX1
7669_R_I_1_TBR1
7669_R_I_1_COUPTF2
7669_R_O_1_DLX1
7669_R_O_1_TBR1
7669_R_O_1_COUPTF2
7669_R_T_1_DLX1
7669_R_T_1_TBR1
7669_R_T_1_COUPTF2
7669_R_mO_DLX1
7669_R_mO_TBR1
7669_R_mO_COUPTF2
7669_L_EC_DLX1
7669_L_EC_COUPTF2
7669_R_CCMid_DLX1
7669_R_CC_Mid_TBR1
7669_R_CCMid_COUPTF2
B
8−89142864−G−A
0
−2
−4
−3
−2
−1
0
0.8
0.6
0.4
0.2
0.0

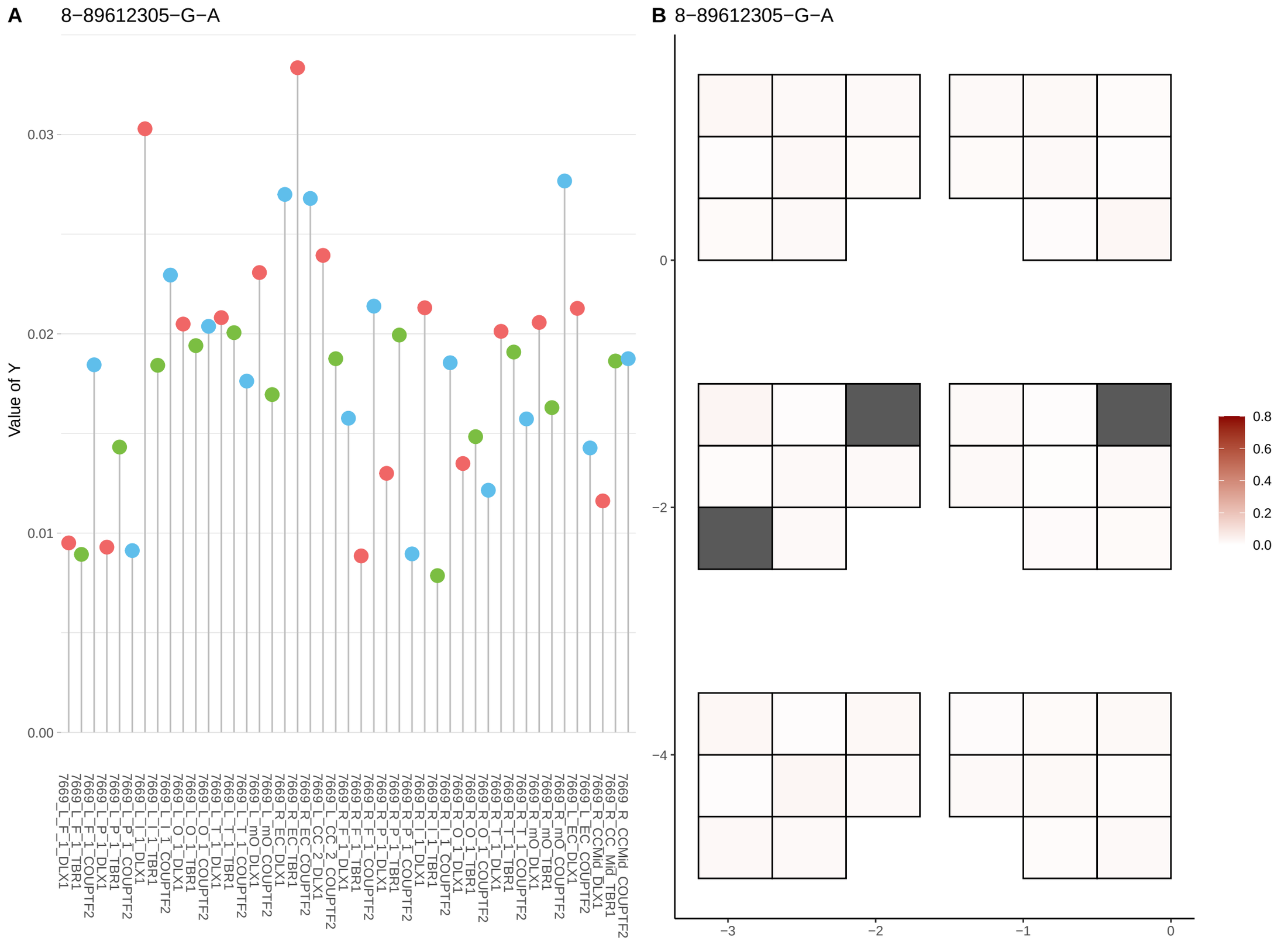
A
8−89612305−G−A
Value of Y
0.03
0.02
0.01
0.00
7669_L_F_1_DLX1
7669_L_F_1_TBR1
7669_L_F_1_COUPTF2
7669_L_P_1_DLX1
7669_L_P_1_TBR1
7669_L_P_1_COUPTF2
7669_L_I_1_DLX1
7669_L_I_1_TBR1
7669_L_I_1_COUPTF2
7669_L_O_1_DLX1
7669_L_O_1_TBR1
7669_L_O_1_COUPTF2
7669_L_T_1_DLX1
7669_L_T_1_TBR1
7669_L_T_1_COUPTF2
7669_L_mO_DLX1
7669_L_mO_COUPTF2
7669_R_EC_DLX1
7669_R_EC_TBR1
7669_R_EC_COUPTF2
7669_L_CC_2_DLX1
7669_L_CC_2_COUPTF2
7669_R_F_1_DLX1
7669_R_F_1_TBR1
7669_R_F_1_COUPTF2
7669_R_P_1_DLX1
7669_R_P_1_TBR1
7669_R_P_1_COUPTF2
7669_R_I_1_DLX1
7669_R_I_1_TBR1
7669_R_I_1_COUPTF2
7669_R_O_1_DLX1
7669_R_O_1_TBR1
7669_R_O_1_COUPTF2
7669_R_T_1_DLX1
7669_R_T_1_TBR1
7669_R_T_1_COUPTF2
7669_R_mO_DLX1
7669_R_mO_TBR1
7669_R_mO_COUPTF2
7669_L_EC_DLX1
7669_L_EC_COUPTF2
7669_R_CCMid_DLX1
7669_R_CC_Mid_TBR1
7669_R_CCMid_COUPTF2
B
8−89612305−G−A
0
−2
−4
−3
−2
−1
0
0.8
0.6
0.4
0.2
0.0

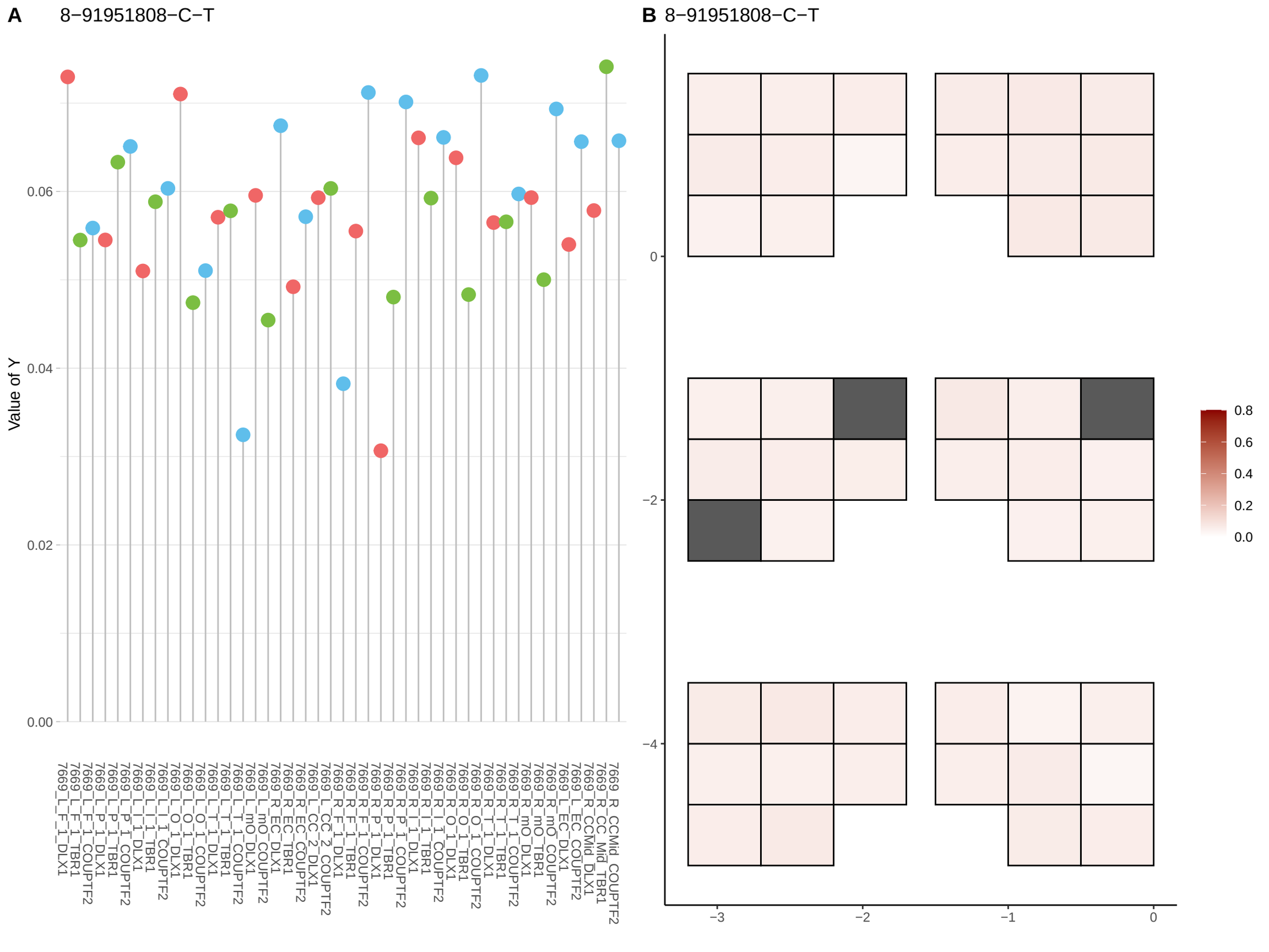
A
8−91951808−C−T
Value of Y
0.06
0.04
0.02
0.00
7669_L_F_1_DLX1
7669_L_F_1_TBR1
7669_L_F_1_COUPTF2
7669_L_P_1_DLX1
7669_L_P_1_TBR1
7669_L_P_1_COUPTF2
7669_L_I_1_DLX1
7669_L_I_1_TBR1
7669_L_I_1_COUPTF2
7669_L_O_1_DLX1
7669_L_O_1_TBR1
7669_L_O_1_COUPTF2
7669_L_T_1_DLX1
7669_L_T_1_TBR1
7669_L_T_1_COUPTF2
7669_L_mO_DLX1
7669_L_mO_COUPTF2
7669_R_EC_DLX1
7669_R_EC_TBR1
7669_R_EC_COUPTF2
7669_L_CC_2_DLX1
7669_L_CC_2_COUPTF2
7669_R_F_1_DLX1
7669_R_F_1_TBR1
7669_R_F_1_COUPTF2
7669_R_P_1_DLX1
7669_R_P_1_TBR1
7669_R_P_1_COUPTF2
7669_R_I_1_DLX1
7669_R_I_1_TBR1
7669_R_I_1_COUPTF2
7669_R_O_1_DLX1
7669_R_O_1_TBR1
7669_R_O_1_COUPTF2
7669_R_T_1_DLX1
7669_R_T_1_TBR1
7669_R_T_1_COUPTF2
7669_R_mO_DLX1
7669_R_mO_TBR1
7669_R_mO_COUPTF2
7669_L_EC_DLX1
7669_L_EC_COUPTF2
7669_R_CCMid_DLX1
7669_R_CC_Mid_TBR1
7669_R_CCMid_COUPTF2
B
8−91951808−C−T
0
−2
−4
−3
−2
−1
0
0.8
0.6
0.4
0.2
0.0

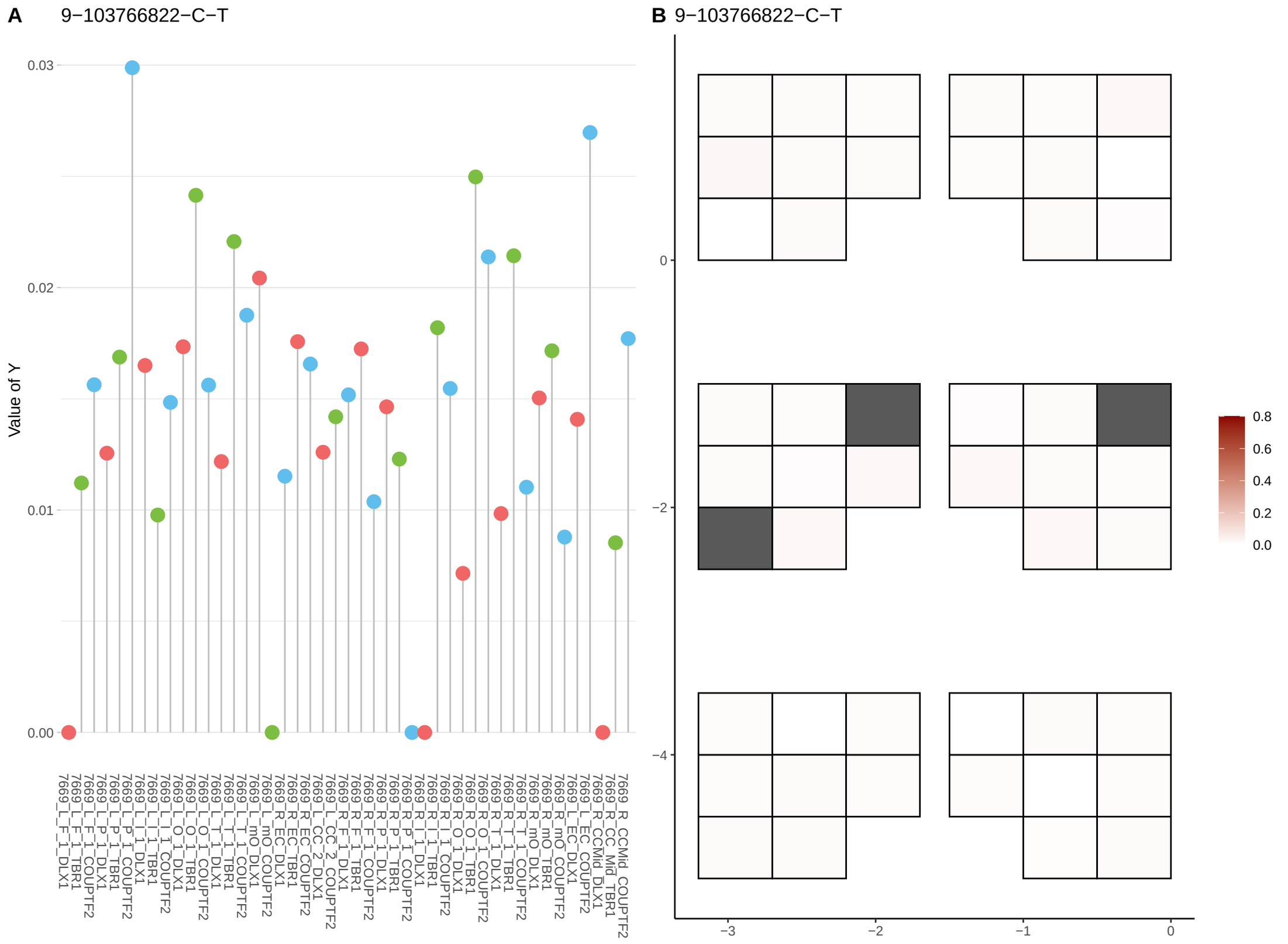
A
9−103766822−C−T
Value of Y
0.03
0.02
0.01
0.00
7669_L_F_1_DLX1
7669_L_F_1_TBR1
7669_L_F_1_COUPTF2
7669_L_P_1_DLX1
7669_L_P_1_TBR1
7669_L_P_1_COUPTF2
7669_L_I_1_DLX1
7669_L_I_1_TBR1
7669_L_I_1_COUPTF2
7669_L_O_1_DLX1
7669_L_O_1_TBR1
7669_L_O_1_COUPTF2
7669_L_T_1_DLX1
7669_L_T_1_TBR1
7669_L_T_1_COUPTF2
7669_L_mO_DLX1
7669_L_mO_COUPTF2
7669_R_EC_DLX1
7669_R_EC_TBR1
7669_R_EC_COUPTF2
7669_L_CC_2_DLX1
7669_L_CC_2_COUPTF2
7669_R_F_1_DLX1
7669_R_F_1_TBR1
7669_R_F_1_COUPTF2
7669_R_P_1_DLX1
7669_R_P_1_TBR1
7669_R_P_1_COUPTF2
7669_R_I_1_DLX1
7669_R_I_1_TBR1
7669_R_I_1_COUPTF2
7669_R_O_1_DLX1
7669_R_O_1_TBR1
7669_R_O_1_COUPTF2
7669_R_T_1_DLX1
7669_R_T_1_TBR1
7669_R_T_1_COUPTF2
7669_R_mO_DLX1
7669_R_mO_TBR1
7669_R_mO_COUPTF2
7669_L_EC_DLX1
7669_L_EC_COUPTF2
7669_R_CCMid_DLX1
7669_R_CC_Mid_TBR1
7669_R_CCMid_COUPTF2
B
9−103766822−C−T
0
−2
−4
−3
−2
−1
0
0.8
0.6
0.4
0.2
0.0

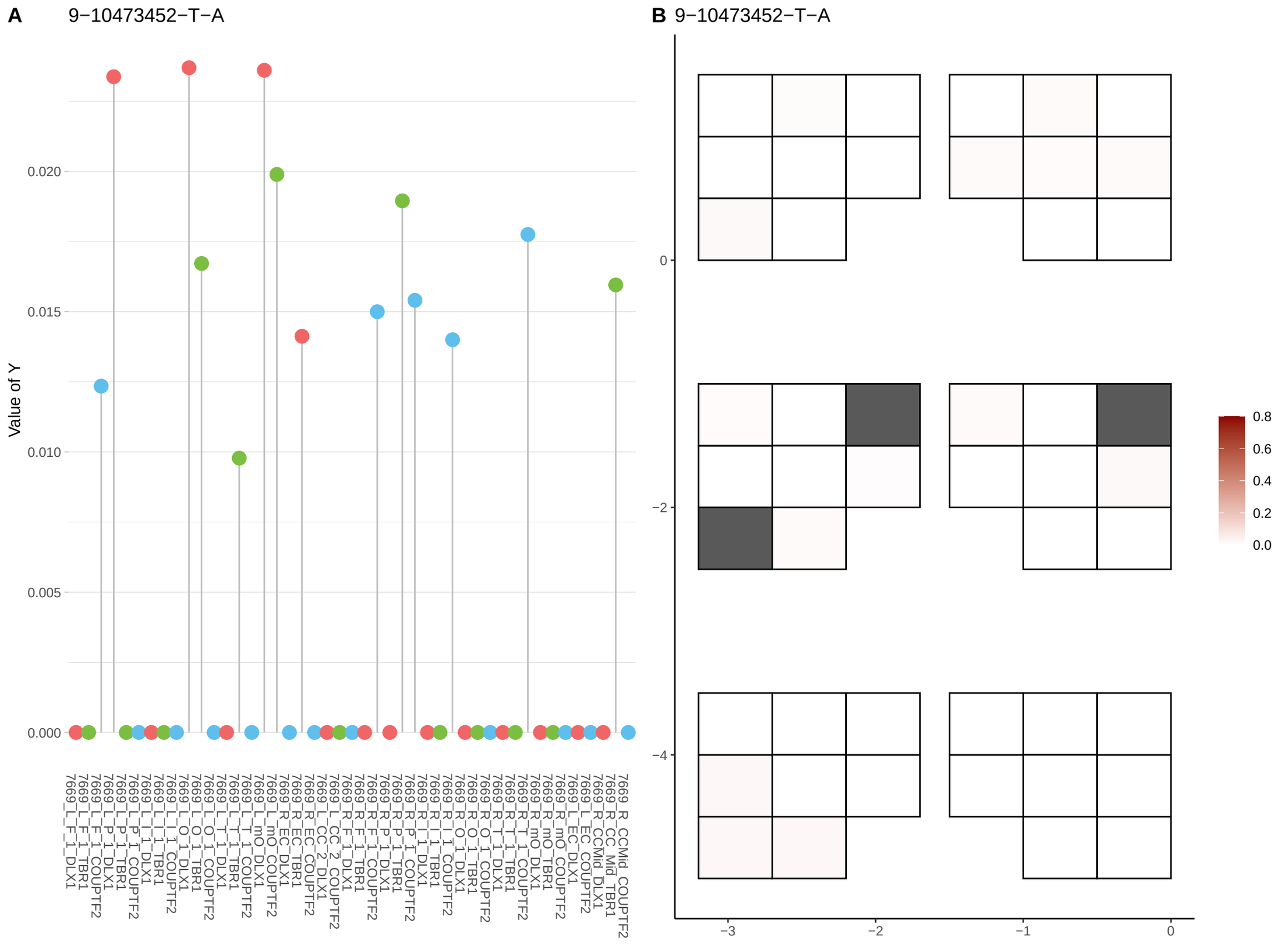
A
9−10473452−T−A
Value of Y
0.020
0.015
0.010
0.005
0.000
7669_L_F_1_DLX1
7669_L_F_1_TBR1
7669_L_F_1_COUPTF2
7669_L_P_1_DLX1
7669_L_P_1_TBR1
7669_L_P_1_COUPTF2
7669_L_I_1_DLX1
7669_L_I_1_TBR1
7669_L_I_1_COUPTF2
7669_L_O_1_DLX1
7669_L_O_1_TBR1
7669_L_O_1_COUPTF2
7669_L_T_1_DLX1
7669_L_T_1_TBR1
7669_L_T_1_COUPTF2
7669_L_mO_DLX1
7669_L_mO_COUPTF2
7669_R_EC_DLX1
7669_R_EC_TBR1
7669_R_EC_COUPTF2
7669_L_CC_2_DLX1
7669_L_CC_2_COUPTF2
7669_R_F_1_DLX1
7669_R_F_1_TBR1
7669_R_F_1_COUPTF2
7669_R_P_1_DLX1
7669_R_P_1_TBR1
7669_R_P_1_COUPTF2
7669_R_I_1_DLX1
7669_R_I_1_TBR1
7669_R_I_1_COUPTF2
7669_R_O_1_DLX1
7669_R_O_1_TBR1
7669_R_O_1_COUPTF2
7669_R_T_1_DLX1
7669_R_T_1_TBR1
7669_R_T_1_COUPTF2
7669_R_mO_DLX1
7669_R_mO_TBR1
7669_R_mO_COUPTF2
7669_L_EC_DLX1
7669_L_EC_COUPTF2
7669_R_CCMid_DLX1
7669_R_CC_Mid_TBR1
7669_R_CCMid_COUPTF2
B
9−10473452−T−A
0
−2
−4
−3
−2
−1
0
0.8
0.6
0.4
0.2
0.0

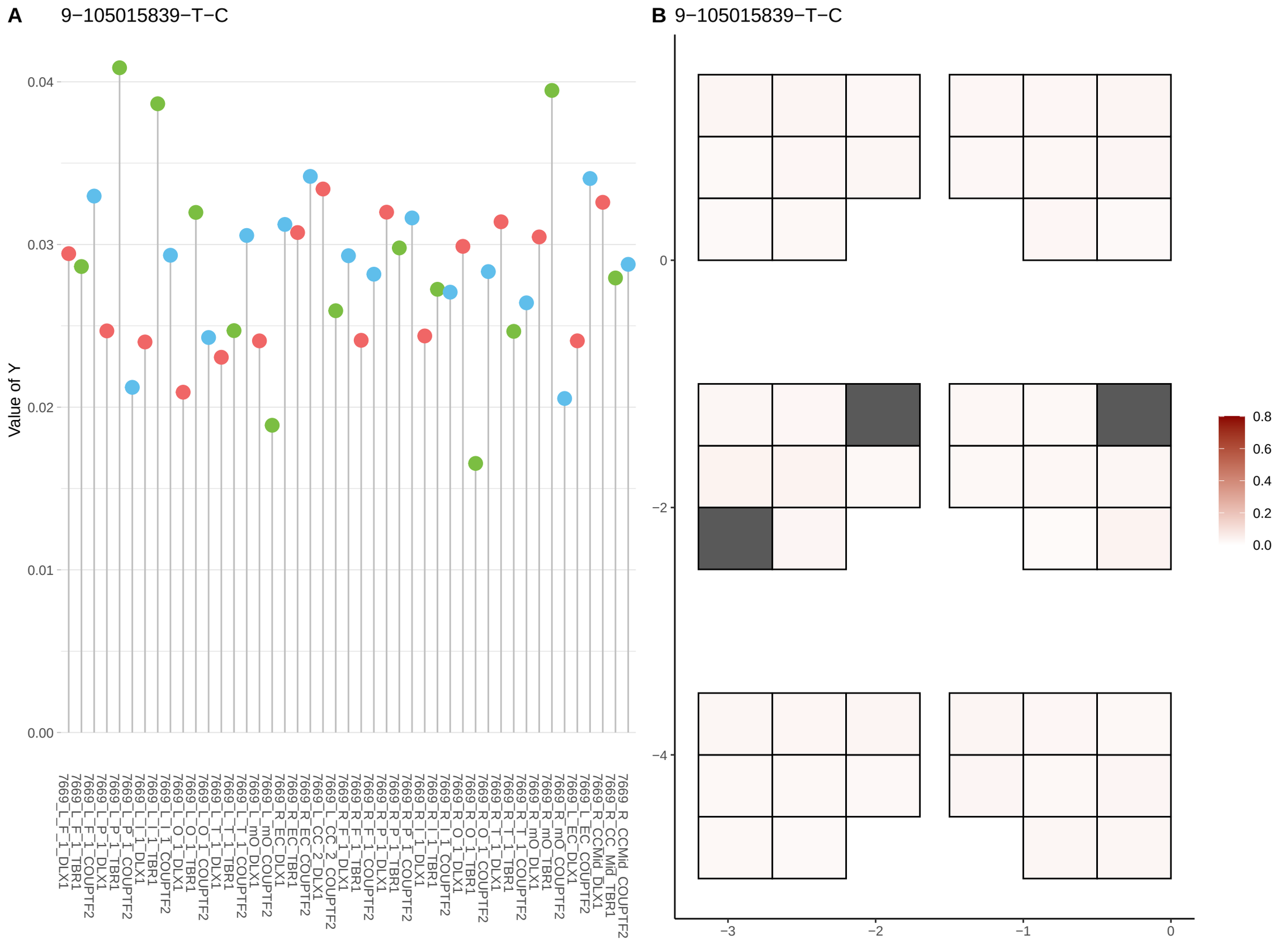
A
9−105015839−T−C
Value of Y
0.04
0.03
0.02
0.01
0.00
7669_L_F_1_DLX1
7669_L_F_1_TBR1
7669_L_F_1_COUPTF2
7669_L_P_1_DLX1
7669_L_P_1_TBR1
7669_L_P_1_COUPTF2
7669_L_I_1_DLX1
7669_L_I_1_TBR1
7669_L_I_1_COUPTF2
7669_L_O_1_DLX1
7669_L_O_1_TBR1
7669_L_O_1_COUPTF2
7669_L_T_1_DLX1
7669_L_T_1_TBR1
7669_L_T_1_COUPTF2
7669_L_mO_DLX1
7669_L_mO_COUPTF2
7669_R_EC_DLX1
7669_R_EC_TBR1
7669_R_EC_COUPTF2
7669_L_CC_2_DLX1
7669_L_CC_2_COUPTF2
7669_R_F_1_DLX1
7669_R_F_1_TBR1
7669_R_F_1_COUPTF2
7669_R_P_1_DLX1
7669_R_P_1_TBR1
7669_R_P_1_COUPTF2
7669_R_I_1_DLX1
7669_R_I_1_TBR1
7669_R_I_1_COUPTF2
7669_R_O_1_DLX1
7669_R_O_1_TBR1
7669_R_O_1_COUPTF2
7669_R_T_1_DLX1
7669_R_T_1_TBR1
7669_R_T_1_COUPTF2
7669_R_mO_DLX1
7669_R_mO_TBR1
7669_R_mO_COUPTF2
7669_L_EC_DLX1
7669_L_EC_COUPTF2
7669_R_CCMid_DLX1
7669_R_CC_Mid_TBR1
7669_R_CCMid_COUPTF2
B
9−105015839−T−C
0
−2
−4
−3
−2
−1
0
0.8
0.6
0.4
0.2
0.0

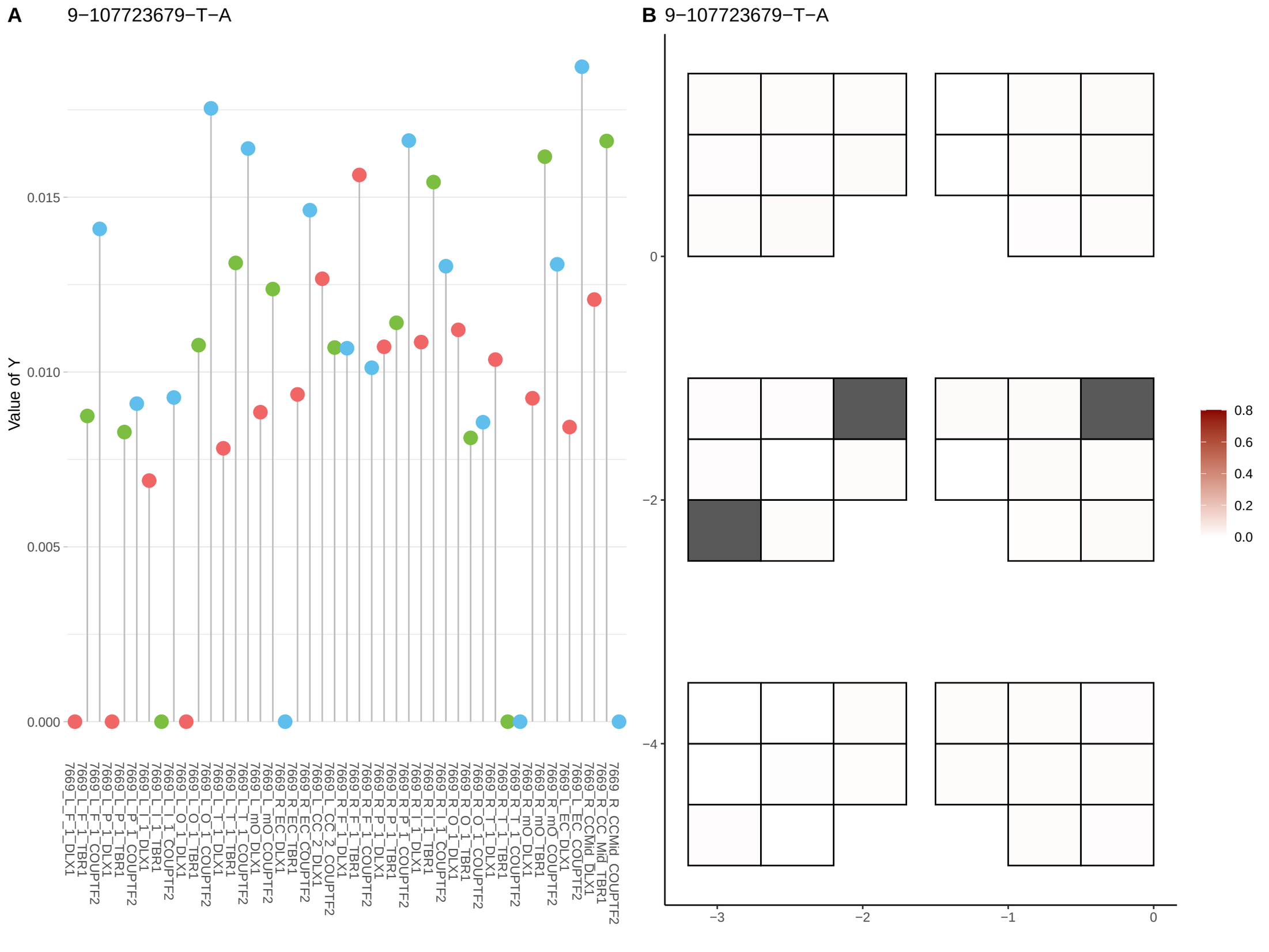
A
9−107723679−T−A
Value of Y
0.015
0.010
0.005
0.000
7669_L_F_1_DLX1
7669_L_F_1_TBR1
7669_L_F_1_COUPTF2
7669_L_P_1_DLX1
7669_L_P_1_TBR1
7669_L_P_1_COUPTF2
7669_L_I_1_DLX1
7669_L_I_1_TBR1
7669_L_I_1_COUPTF2
7669_L_O_1_DLX1
7669_L_O_1_TBR1
7669_L_O_1_COUPTF2
7669_L_T_1_DLX1
7669_L_T_1_TBR1
7669_L_T_1_COUPTF2
7669_L_mO_DLX1
7669_L_mO_COUPTF2
7669_R_EC_DLX1
7669_R_EC_TBR1
7669_R_EC_COUPTF2
7669_L_CC_2_DLX1
7669_L_CC_2_COUPTF2
7669_R_F_1_DLX1
7669_R_F_1_TBR1
7669_R_F_1_COUPTF2
7669_R_P_1_DLX1
7669_R_P_1_TBR1
7669_R_P_1_COUPTF2
7669_R_I_1_DLX1
7669_R_I_1_TBR1
7669_R_I_1_COUPTF2
7669_R_O_1_DLX1
7669_R_O_1_TBR1
7669_R_O_1_COUPTF2
7669_R_T_1_DLX1
7669_R_T_1_TBR1
7669_R_T_1_COUPTF2
7669_R_mO_DLX1
7669_R_mO_TBR1
7669_R_mO_COUPTF2
7669_L_EC_DLX1
7669_L_EC_COUPTF2
7669_R_CCMid_DLX1
7669_R_CC_Mid_TBR1
7669_R_CCMid_COUPTF2
B
9−107723679−T−A
0
−2
−4
−3
−2
−1
0
0.8
0.6
0.4
0.2
0.0

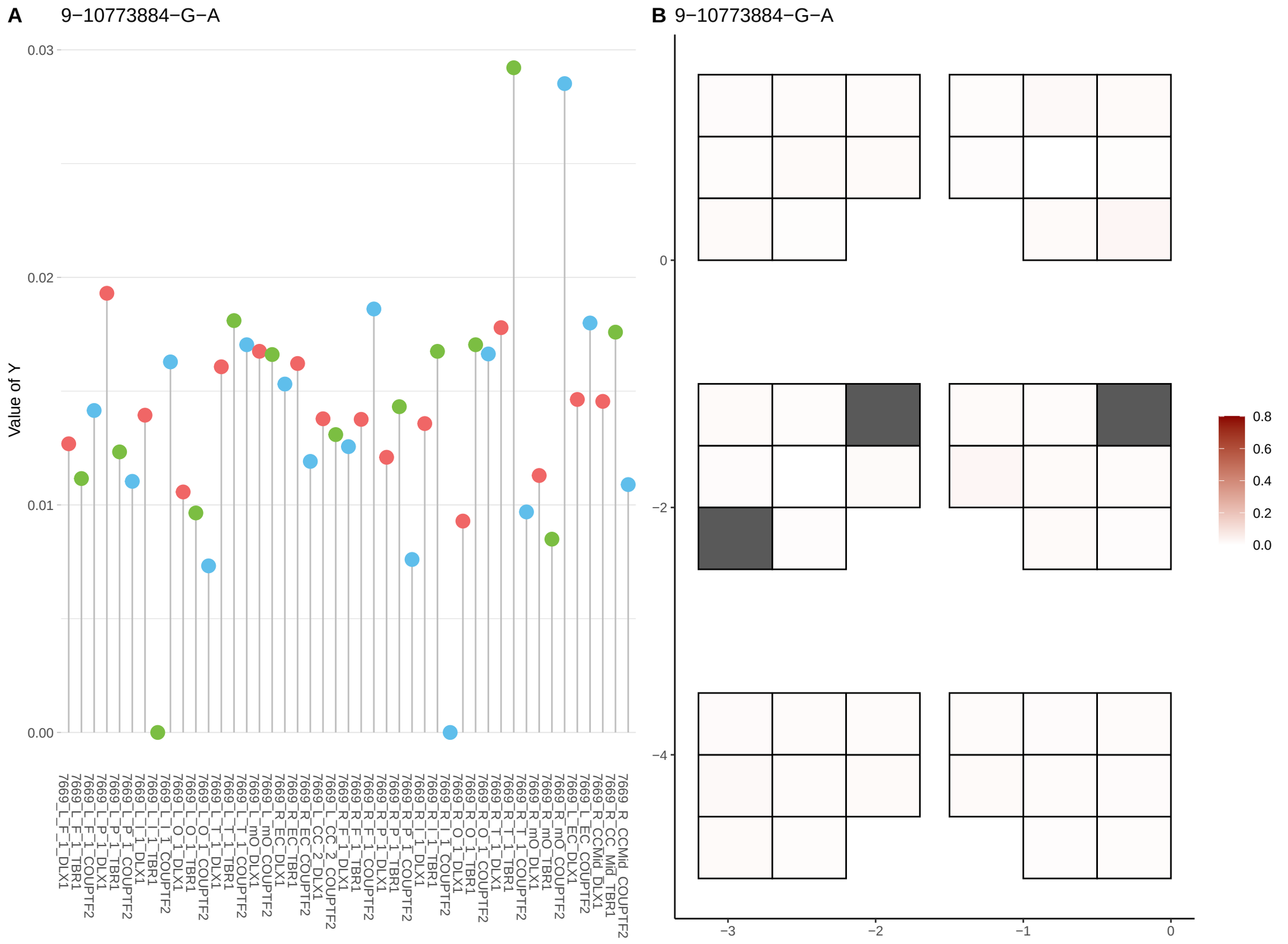
A
9−10773884−G−A
Value of Y
0.03
0.02
0.01
0.00
7669_L_F_1_DLX1
7669_L_F_1_TBR1
7669_L_F_1_COUPTF2
7669_L_P_1_DLX1
7669_L_P_1_TBR1
7669_L_P_1_COUPTF2
7669_L_I_1_DLX1
7669_L_I_1_TBR1
7669_L_I_1_COUPTF2
7669_L_O_1_DLX1
7669_L_O_1_TBR1
7669_L_O_1_COUPTF2
7669_L_T_1_DLX1
7669_L_T_1_TBR1
7669_L_T_1_COUPTF2
7669_L_mO_DLX1
7669_L_mO_COUPTF2
7669_R_EC_DLX1
7669_R_EC_TBR1
7669_R_EC_COUPTF2
7669_L_CC_2_DLX1
7669_L_CC_2_COUPTF2
7669_R_F_1_DLX1
7669_R_F_1_TBR1
7669_R_F_1_COUPTF2
7669_R_P_1_DLX1
7669_R_P_1_TBR1
7669_R_P_1_COUPTF2
7669_R_I_1_DLX1
7669_R_I_1_TBR1
7669_R_I_1_COUPTF2
7669_R_O_1_DLX1
7669_R_O_1_TBR1
7669_R_O_1_COUPTF2
7669_R_T_1_DLX1
7669_R_T_1_TBR1
7669_R_T_1_COUPTF2
7669_R_mO_DLX1
7669_R_mO_TBR1
7669_R_mO_COUPTF2
7669_L_EC_DLX1
7669_L_EC_COUPTF2
7669_R_CCMid_DLX1
7669_R_CC_Mid_TBR1
7669_R_CCMid_COUPTF2
B
9−10773884−G−A
0
−2
−4
−3
−2
−1
0
0.8
0.6
0.4
0.2
0.0

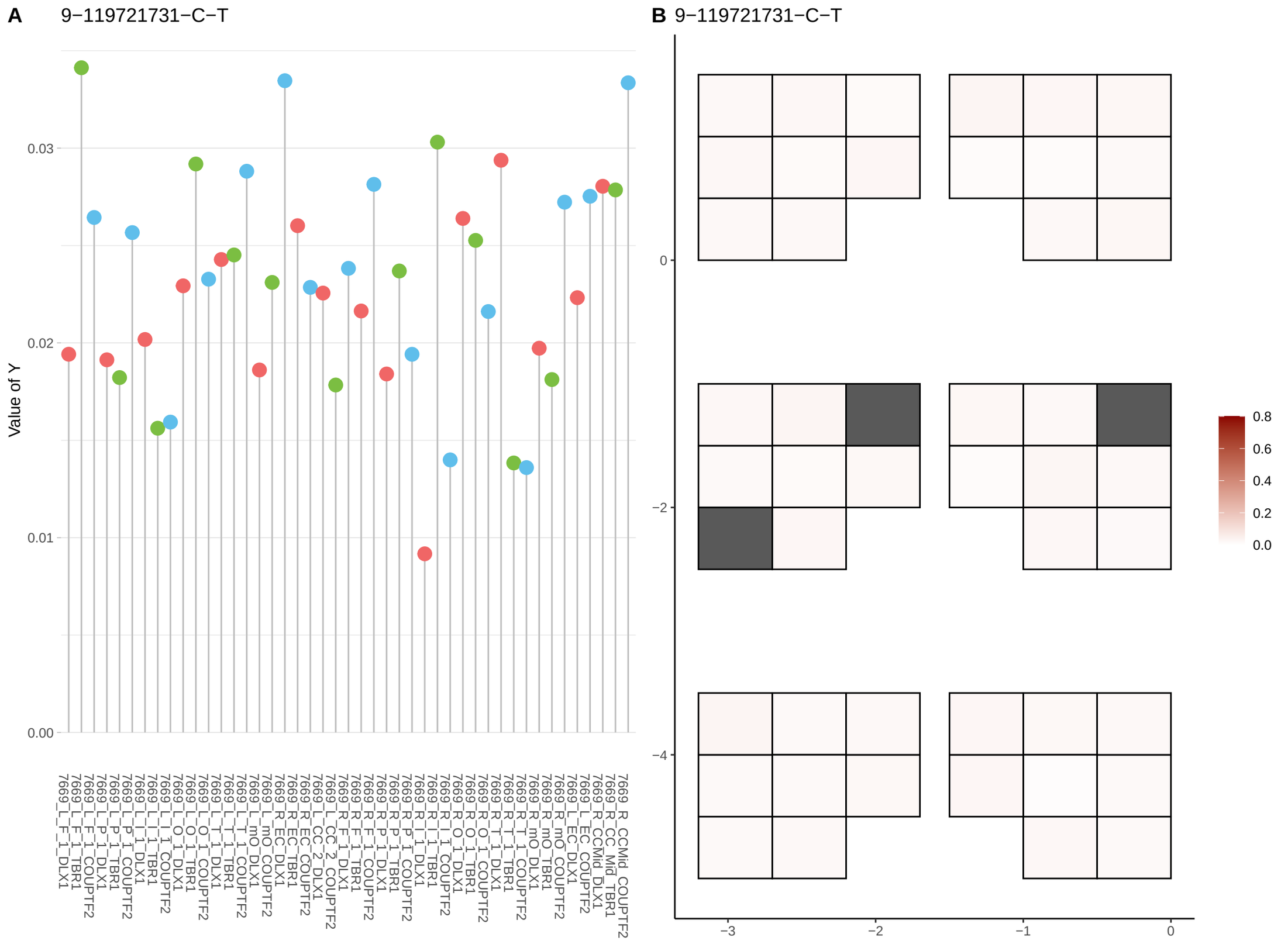
A
9−119721731−C−T
Value of Y
0.03
0.02
0.01
0.00
7669_L_F_1_DLX1
7669_L_F_1_TBR1
7669_L_F_1_COUPTF2
7669_L_P_1_DLX1
7669_L_P_1_TBR1
7669_L_P_1_COUPTF2
7669_L_I_1_DLX1
7669_L_I_1_TBR1
7669_L_I_1_COUPTF2
7669_L_O_1_DLX1
7669_L_O_1_TBR1
7669_L_O_1_COUPTF2
7669_L_T_1_DLX1
7669_L_T_1_TBR1
7669_L_T_1_COUPTF2
7669_L_mO_DLX1
7669_L_mO_COUPTF2
7669_R_EC_DLX1
7669_R_EC_TBR1
7669_R_EC_COUPTF2
7669_L_CC_2_DLX1
7669_L_CC_2_COUPTF2
7669_R_F_1_DLX1
7669_R_F_1_TBR1
7669_R_F_1_COUPTF2
7669_R_P_1_DLX1
7669_R_P_1_TBR1
7669_R_P_1_COUPTF2
7669_R_I_1_DLX1
7669_R_I_1_TBR1
7669_R_I_1_COUPTF2
7669_R_O_1_DLX1
7669_R_O_1_TBR1
7669_R_O_1_COUPTF2
7669_R_T_1_DLX1
7669_R_T_1_TBR1
7669_R_T_1_COUPTF2
7669_R_mO_DLX1
7669_R_mO_TBR1
7669_R_mO_COUPTF2
7669_L_EC_DLX1
7669_L_EC_COUPTF2
7669_R_CCMid_DLX1
7669_R_CC_Mid_TBR1
7669_R_CCMid_COUPTF2
B
9−119721731−C−T
0
−2
−4
−3
−2
−1
0
0.8
0.6
0.4
0.2
0.0

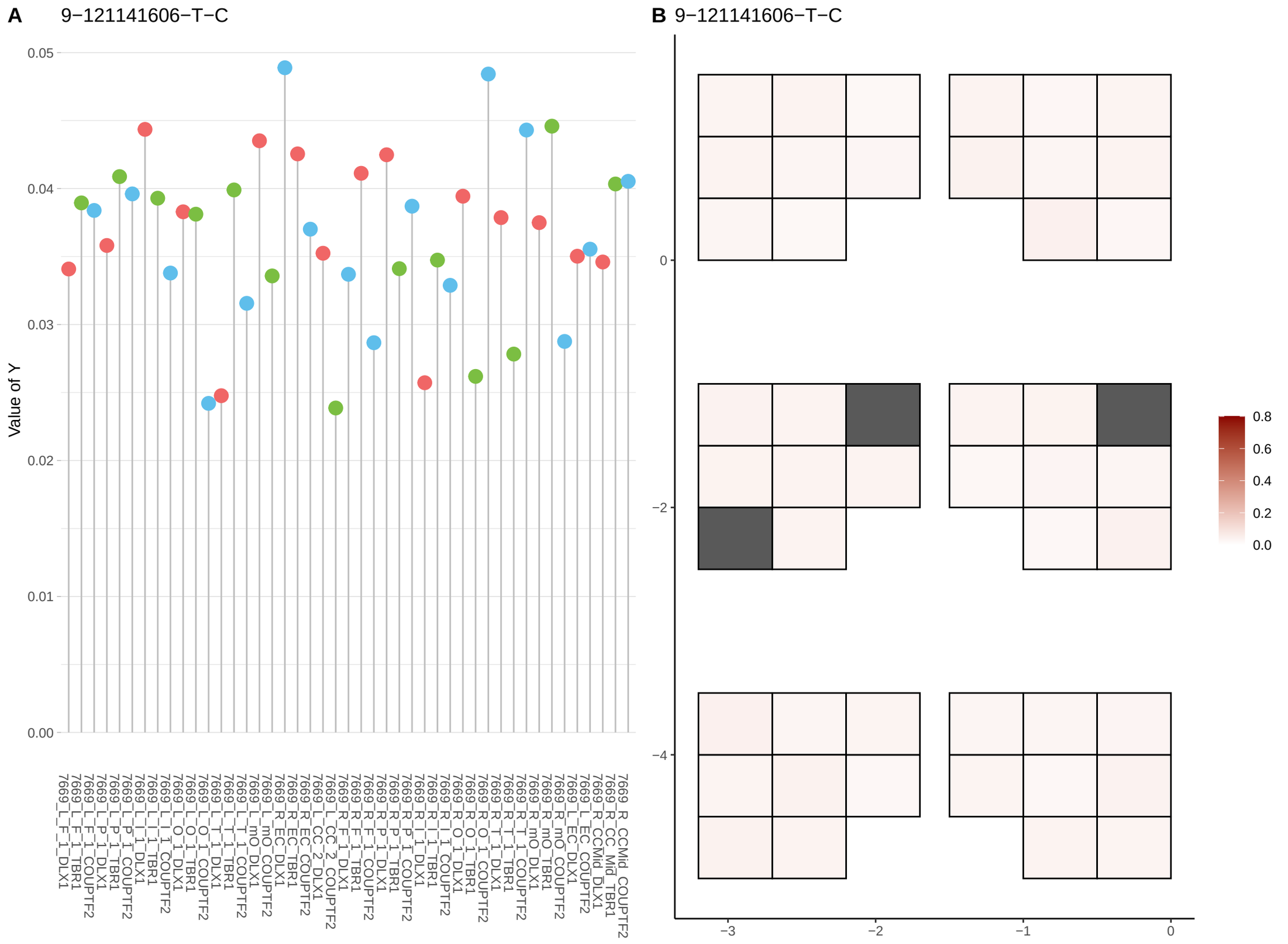
A
9−121141606−T−C
Value of Y
0.05
0.04
0.03
0.02
0.01
0.00
7669_L_F_1_DLX1
7669_L_F_1_TBR1
7669_L_F_1_COUPTF2
7669_L_P_1_DLX1
7669_L_P_1_TBR1
7669_L_P_1_COUPTF2
7669_L_I_1_DLX1
7669_L_I_1_TBR1
7669_L_I_1_COUPTF2
7669_L_O_1_DLX1
7669_L_O_1_TBR1
7669_L_O_1_COUPTF2
7669_L_T_1_DLX1
7669_L_T_1_TBR1
7669_L_T_1_COUPTF2
7669_L_mO_DLX1
7669_L_mO_COUPTF2
7669_R_EC_DLX1
7669_R_EC_TBR1
7669_R_EC_COUPTF2
7669_L_CC_2_DLX1
7669_L_CC_2_COUPTF2
7669_R_F_1_DLX1
7669_R_F_1_TBR1
7669_R_F_1_COUPTF2
7669_R_P_1_DLX1
7669_R_P_1_TBR1
7669_R_P_1_COUPTF2
7669_R_I_1_DLX1
7669_R_I_1_TBR1
7669_R_I_1_COUPTF2
7669_R_O_1_DLX1
7669_R_O_1_TBR1
7669_R_O_1_COUPTF2
7669_R_T_1_DLX1
7669_R_T_1_TBR1
7669_R_T_1_COUPTF2
7669_R_mO_DLX1
7669_R_mO_TBR1
7669_R_mO_COUPTF2
7669_L_EC_DLX1
7669_L_EC_COUPTF2
7669_R_CCMid_DLX1
7669_R_CC_Mid_TBR1
7669_R_CCMid_COUPTF2
B
9−121141606−T−C
0
−2
−4
−3
−2
−1
0
0.8
0.6
0.4
0.2
0.0

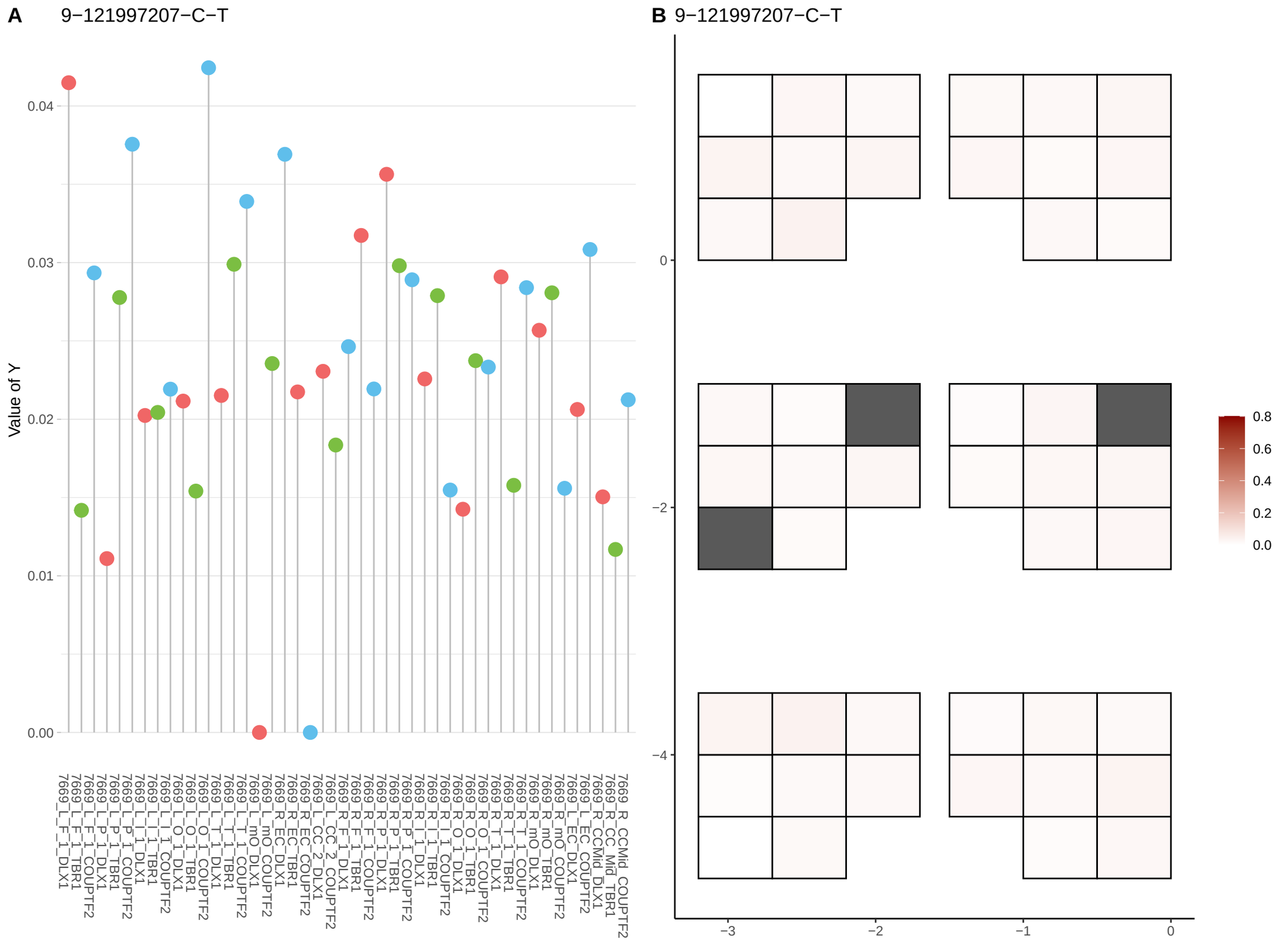
A
9−121997207−C−T
Value of Y
0.04
0.03
0.02
0.01
0.00
7669_L_F_1_DLX1
7669_L_F_1_TBR1
7669_L_F_1_COUPTF2
7669_L_P_1_DLX1
7669_L_P_1_TBR1
7669_L_P_1_COUPTF2
7669_L_I_1_DLX1
7669_L_I_1_TBR1
7669_L_I_1_COUPTF2
7669_L_O_1_DLX1
7669_L_O_1_TBR1
7669_L_O_1_COUPTF2
7669_L_T_1_DLX1
7669_L_T_1_TBR1
7669_L_T_1_COUPTF2
7669_L_mO_DLX1
7669_L_mO_COUPTF2
7669_R_EC_DLX1
7669_R_EC_TBR1
7669_R_EC_COUPTF2
7669_L_CC_2_DLX1
7669_L_CC_2_COUPTF2
7669_R_F_1_DLX1
7669_R_F_1_TBR1
7669_R_F_1_COUPTF2
7669_R_P_1_DLX1
7669_R_P_1_TBR1
7669_R_P_1_COUPTF2
7669_R_I_1_DLX1
7669_R_I_1_TBR1
7669_R_I_1_COUPTF2
7669_R_O_1_DLX1
7669_R_O_1_TBR1
7669_R_O_1_COUPTF2
7669_R_T_1_DLX1
7669_R_T_1_TBR1
7669_R_T_1_COUPTF2
7669_R_mO_DLX1
7669_R_mO_TBR1
7669_R_mO_COUPTF2
7669_L_EC_DLX1
7669_L_EC_COUPTF2
7669_R_CCMid_DLX1
7669_R_CC_Mid_TBR1
7669_R_CCMid_COUPTF2
B
9−121997207−C−T
0
−2
−4
−3
−2
−1
0
0.8
0.6
0.4
0.2
0.0

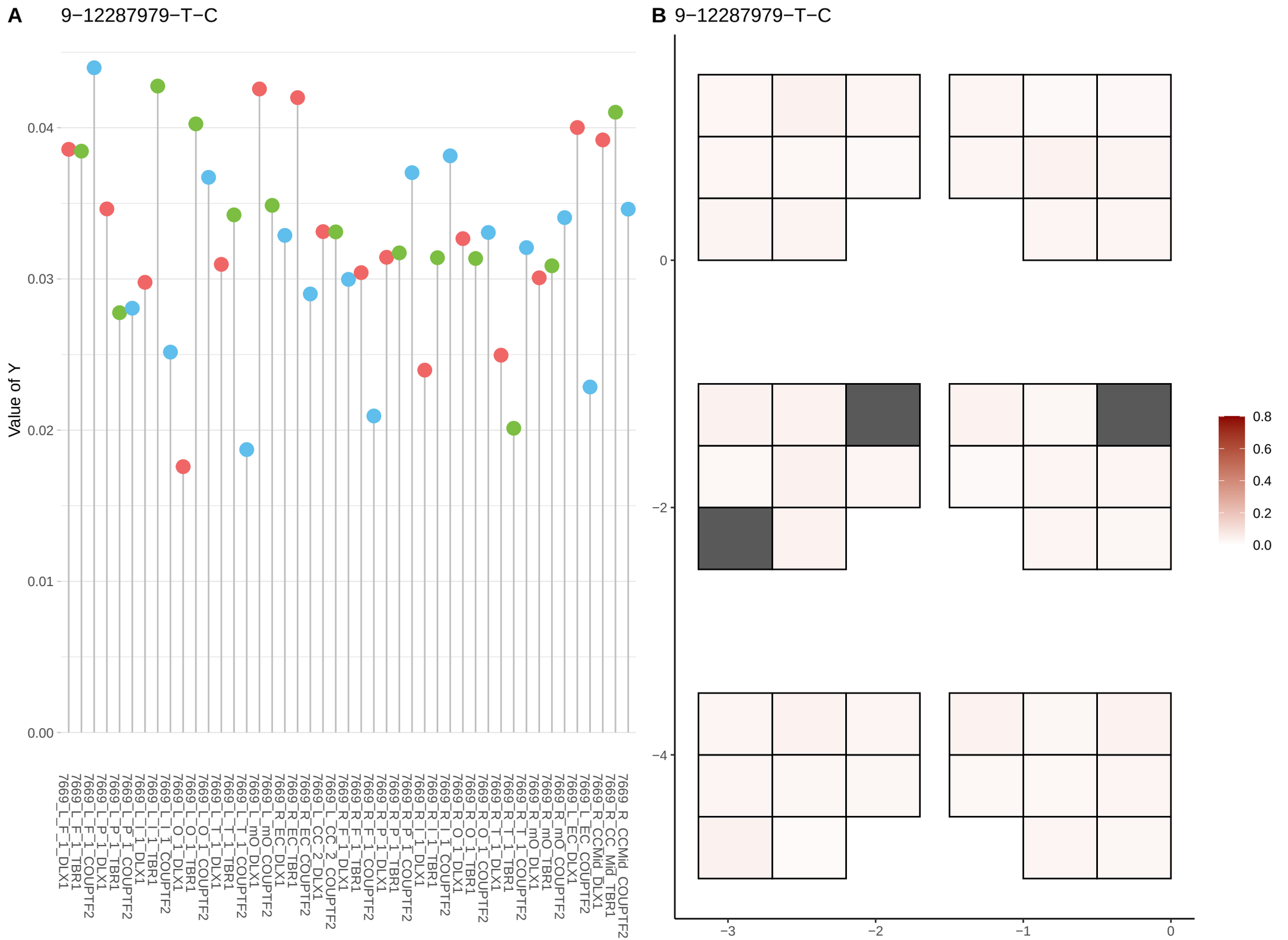
A
9−12287979−T−C
Value of Y
0.04
0.03
0.02
0.01
0.00
7669_L_F_1_DLX1
7669_L_F_1_TBR1
7669_L_F_1_COUPTF2
7669_L_P_1_DLX1
7669_L_P_1_TBR1
7669_L_P_1_COUPTF2
7669_L_I_1_DLX1
7669_L_I_1_TBR1
7669_L_I_1_COUPTF2
7669_L_O_1_DLX1
7669_L_O_1_TBR1
7669_L_O_1_COUPTF2
7669_L_T_1_DLX1
7669_L_T_1_TBR1
7669_L_T_1_COUPTF2
7669_L_mO_DLX1
7669_L_mO_COUPTF2
7669_R_EC_DLX1
7669_R_EC_TBR1
7669_R_EC_COUPTF2
7669_L_CC_2_DLX1
7669_L_CC_2_COUPTF2
7669_R_F_1_DLX1
7669_R_F_1_TBR1
7669_R_F_1_COUPTF2
7669_R_P_1_DLX1
7669_R_P_1_TBR1
7669_R_P_1_COUPTF2
7669_R_I_1_DLX1
7669_R_I_1_TBR1
7669_R_I_1_COUPTF2
7669_R_O_1_DLX1
7669_R_O_1_TBR1
7669_R_O_1_COUPTF2
7669_R_T_1_DLX1
7669_R_T_1_TBR1
7669_R_T_1_COUPTF2
7669_R_mO_DLX1
7669_R_mO_TBR1
7669_R_mO_COUPTF2
7669_L_EC_DLX1
7669_L_EC_COUPTF2
7669_R_CCMid_DLX1
7669_R_CC_Mid_TBR1
7669_R_CCMid_COUPTF2
B
9−12287979−T−C
0
−2
−4
−3
−2
−1
0
0.8
0.6
0.4
0.2
0.0

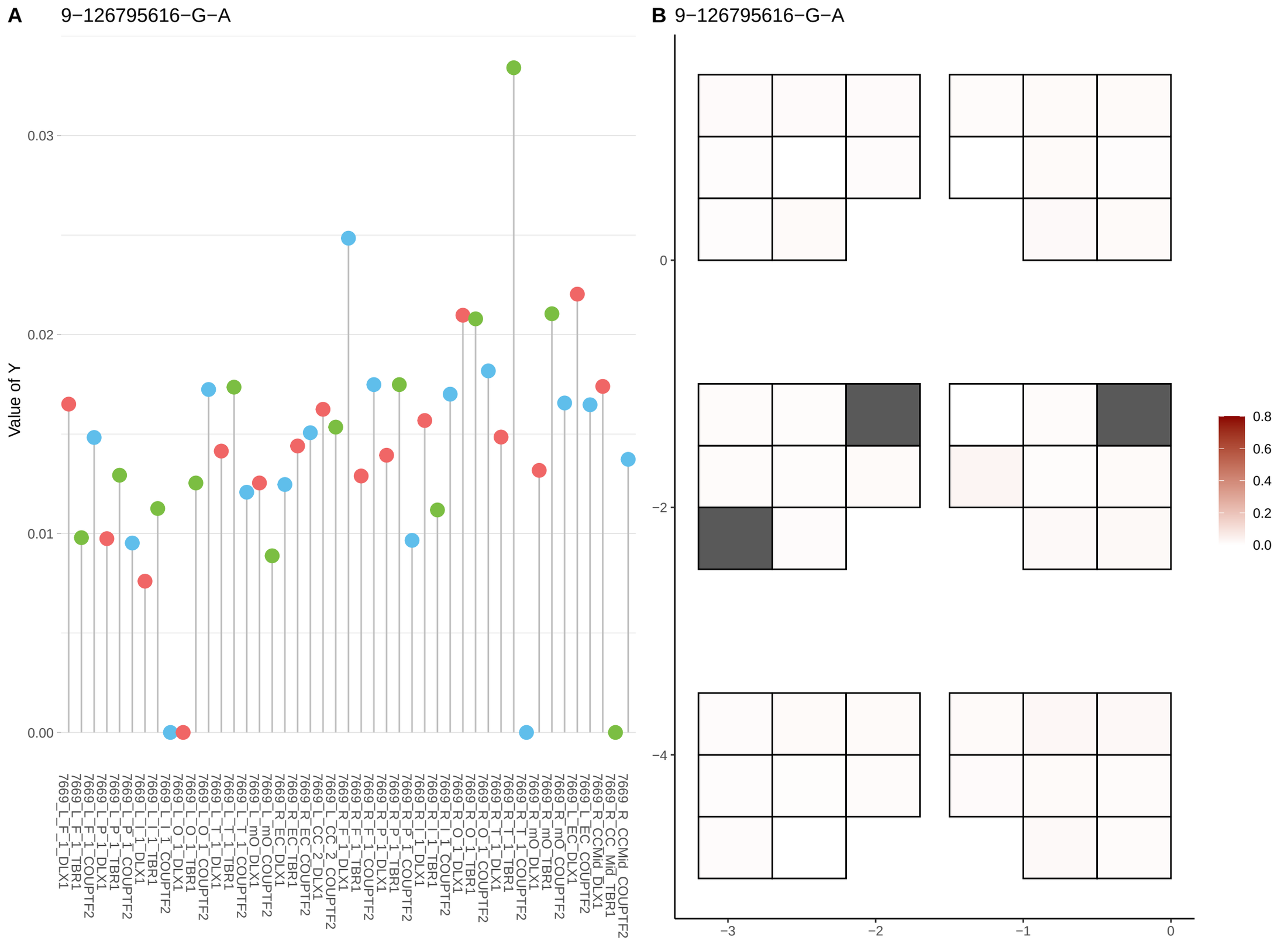
A
9−126795616−G−A
Value of Y
0.03
0.02
0.01
0.00
7669_L_F_1_DLX1
7669_L_F_1_TBR1
7669_L_F_1_COUPTF2
7669_L_P_1_DLX1
7669_L_P_1_TBR1
7669_L_P_1_COUPTF2
7669_L_I_1_DLX1
7669_L_I_1_TBR1
7669_L_I_1_COUPTF2
7669_L_O_1_DLX1
7669_L_O_1_TBR1
7669_L_O_1_COUPTF2
7669_L_T_1_DLX1
7669_L_T_1_TBR1
7669_L_T_1_COUPTF2
7669_L_mO_DLX1
7669_L_mO_COUPTF2
7669_R_EC_DLX1
7669_R_EC_TBR1
7669_R_EC_COUPTF2
7669_L_CC_2_DLX1
7669_L_CC_2_COUPTF2
7669_R_F_1_DLX1
7669_R_F_1_TBR1
7669_R_F_1_COUPTF2
7669_R_P_1_DLX1
7669_R_P_1_TBR1
7669_R_P_1_COUPTF2
7669_R_I_1_DLX1
7669_R_I_1_TBR1
7669_R_I_1_COUPTF2
7669_R_O_1_DLX1
7669_R_O_1_TBR1
7669_R_O_1_COUPTF2
7669_R_T_1_DLX1
7669_R_T_1_TBR1
7669_R_T_1_COUPTF2
7669_R_mO_DLX1
7669_R_mO_TBR1
7669_R_mO_COUPTF2
7669_L_EC_DLX1
7669_L_EC_COUPTF2
7669_R_CCMid_DLX1
7669_R_CC_Mid_TBR1
7669_R_CCMid_COUPTF2
B
9−126795616−G−A
0
−2
−4
−3
−2
−1
0
0.8
0.6
0.4
0.2
0.0

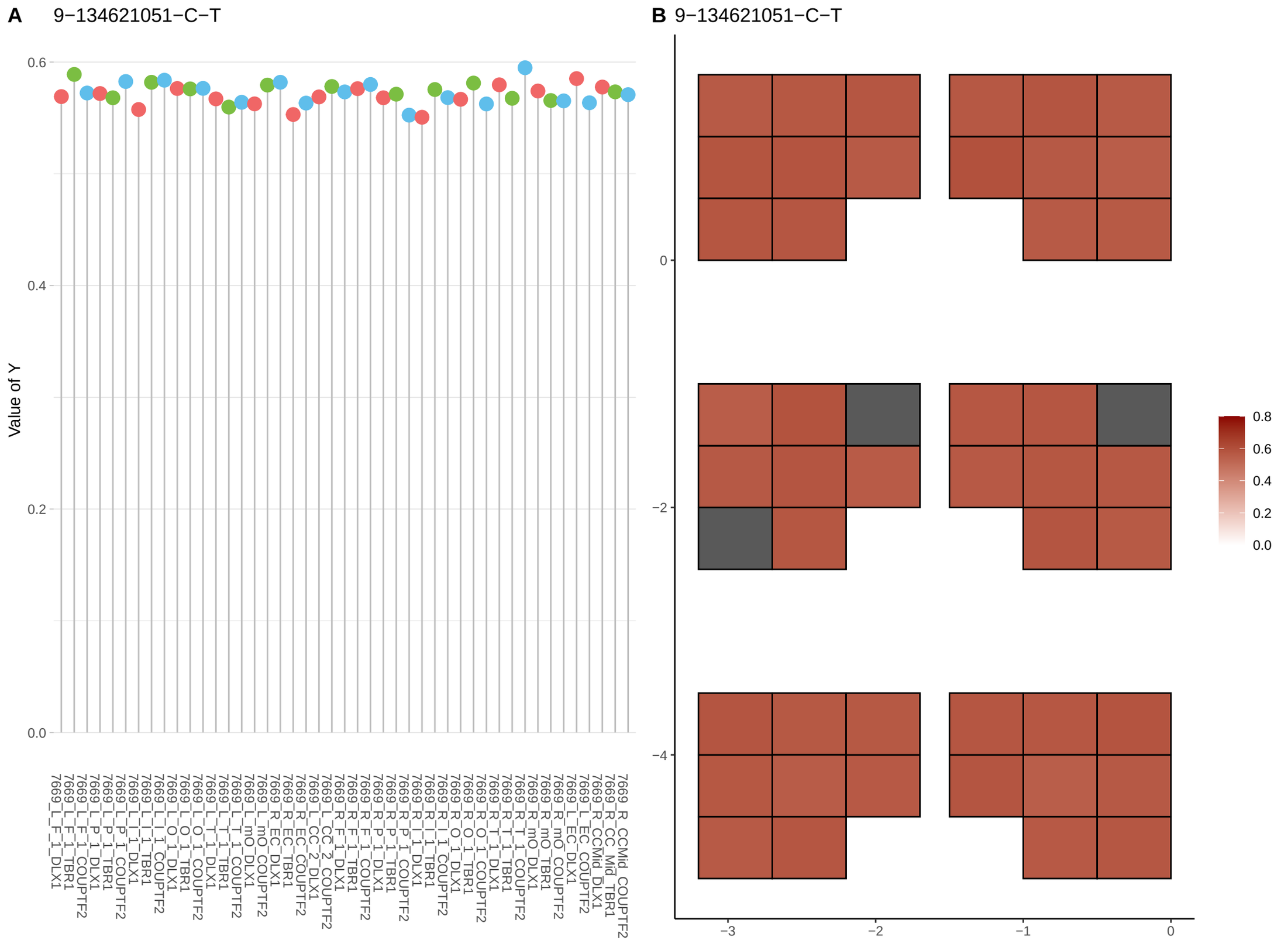
A
9−134621051−C−T
Value of Y
0.6
0.4
0.2
0.0
7669_L_F_1_DLX1
7669_L_F_1_TBR1
7669_L_F_1_COUPTF2
7669_L_P_1_DLX1
7669_L_P_1_TBR1
7669_L_P_1_COUPTF2
7669_L_I_1_DLX1
7669_L_I_1_TBR1
7669_L_I_1_COUPTF2
7669_L_O_1_DLX1
7669_L_O_1_TBR1
7669_L_O_1_COUPTF2
7669_L_T_1_DLX1
7669_L_T_1_TBR1
7669_L_T_1_COUPTF2
7669_L_mO_DLX1
7669_L_mO_COUPTF2
7669_R_EC_DLX1
7669_R_EC_TBR1
7669_R_EC_COUPTF2
7669_L_CC_2_DLX1
7669_L_CC_2_COUPTF2
7669_R_F_1_DLX1
7669_R_F_1_TBR1
7669_R_F_1_COUPTF2
7669_R_P_1_DLX1
7669_R_P_1_TBR1
7669_R_P_1_COUPTF2
7669_R_I_1_DLX1
7669_R_I_1_TBR1
7669_R_I_1_COUPTF2
7669_R_O_1_DLX1
7669_R_O_1_TBR1
7669_R_O_1_COUPTF2
7669_R_T_1_DLX1
7669_R_T_1_TBR1
7669_R_T_1_COUPTF2
7669_R_mO_DLX1
7669_R_mO_TBR1
7669_R_mO_COUPTF2
7669_L_EC_DLX1
7669_L_EC_COUPTF2
7669_R_CCMid_DLX1
7669_R_CC_Mid_TBR1
7669_R_CCMid_COUPTF2
B
9−134621051−C−T
0
−2
−4
−3
−2
−1
0
0.8
0.6
0.4
0.2
0.0

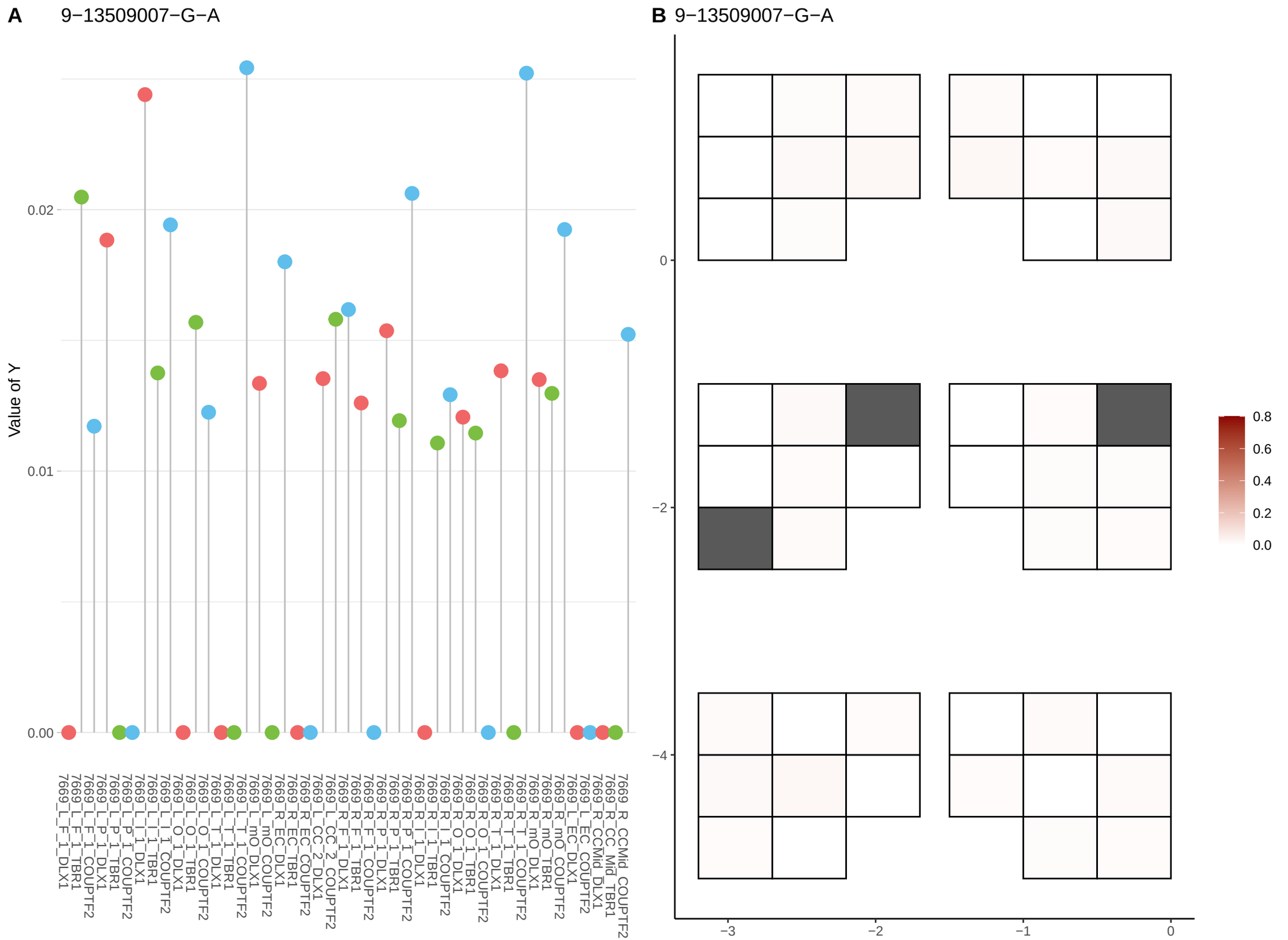
A
9−13509007−G−A
Value of Y
0.02
0.01
0.00
7669_L_F_1_DLX1
7669_L_F_1_TBR1
7669_L_F_1_COUPTF2
7669_L_P_1_DLX1
7669_L_P_1_TBR1
7669_L_P_1_COUPTF2
7669_L_I_1_DLX1
7669_L_I_1_TBR1
7669_L_I_1_COUPTF2
7669_L_O_1_DLX1
7669_L_O_1_TBR1
7669_L_O_1_COUPTF2
7669_L_T_1_DLX1
7669_L_T_1_TBR1
7669_L_T_1_COUPTF2
7669_L_mO_DLX1
7669_L_mO_COUPTF2
7669_R_EC_DLX1
7669_R_EC_TBR1
7669_R_EC_COUPTF2
7669_L_CC_2_DLX1
7669_L_CC_2_COUPTF2
7669_R_F_1_DLX1
7669_R_F_1_TBR1
7669_R_F_1_COUPTF2
7669_R_P_1_DLX1
7669_R_P_1_TBR1
7669_R_P_1_COUPTF2
7669_R_I_1_DLX1
7669_R_I_1_TBR1
7669_R_I_1_COUPTF2
7669_R_O_1_DLX1
7669_R_O_1_TBR1
7669_R_O_1_COUPTF2
7669_R_T_1_DLX1
7669_R_T_1_TBR1
7669_R_T_1_COUPTF2
7669_R_mO_DLX1
7669_R_mO_TBR1
7669_R_mO_COUPTF2
7669_L_EC_DLX1
7669_L_EC_COUPTF2
7669_R_CCMid_DLX1
7669_R_CC_Mid_TBR1
7669_R_CCMid_COUPTF2
B
9−13509007−G−A
0
−2
−4
−3
−2
−1
0
0.8
0.6
0.4
0.2
0.0

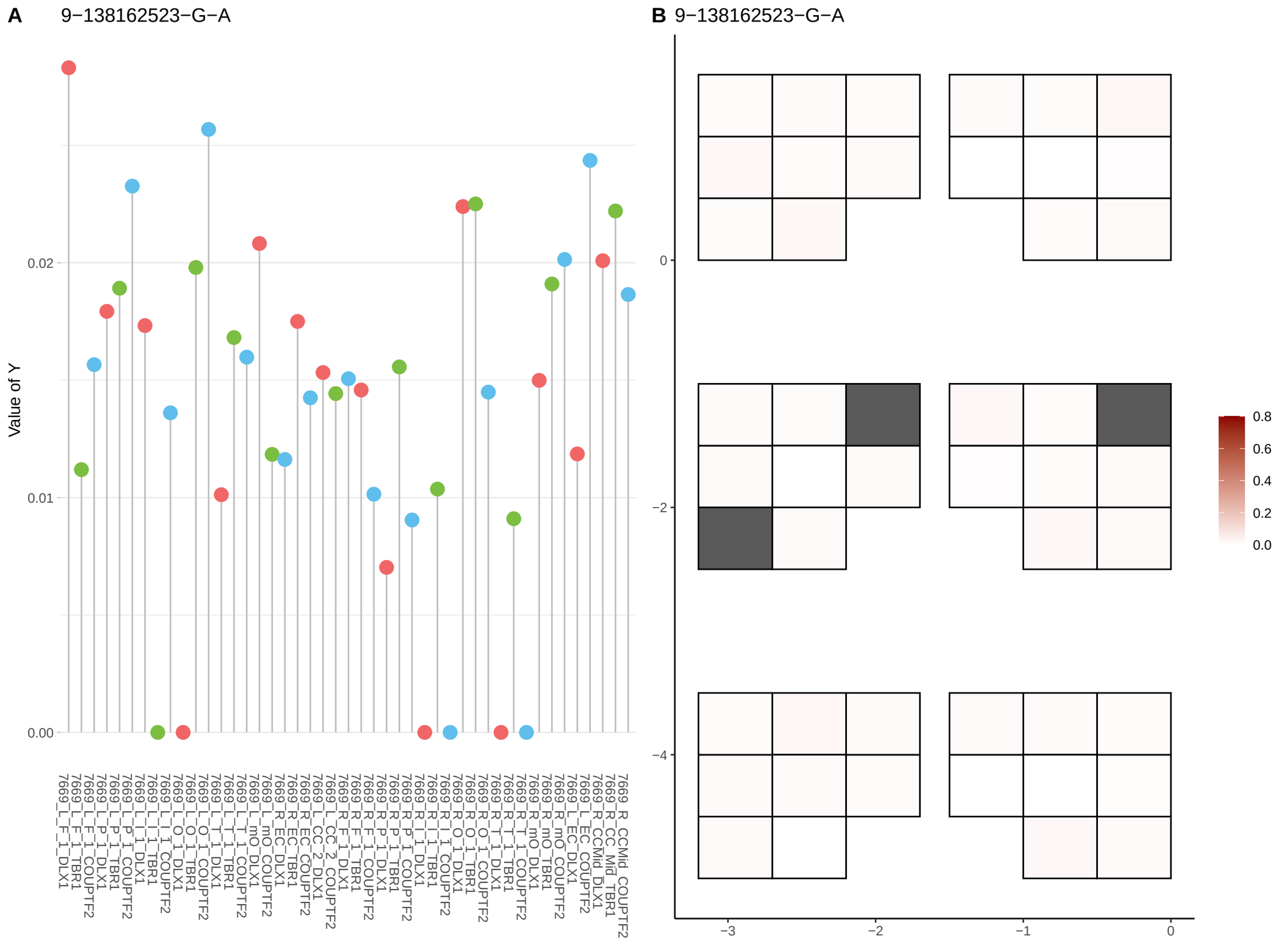
A
9−138162523−G−A
Value of Y
0.02
0.01
0.00
7669_L_F_1_DLX1
7669_L_F_1_TBR1
7669_L_F_1_COUPTF2
7669_L_P_1_DLX1
7669_L_P_1_TBR1
7669_L_P_1_COUPTF2
7669_L_I_1_DLX1
7669_L_I_1_TBR1
7669_L_I_1_COUPTF2
7669_L_O_1_DLX1
7669_L_O_1_TBR1
7669_L_O_1_COUPTF2
7669_L_T_1_DLX1
7669_L_T_1_TBR1
7669_L_T_1_COUPTF2
7669_L_mO_DLX1
7669_L_mO_COUPTF2
7669_R_EC_DLX1
7669_R_EC_TBR1
7669_R_EC_COUPTF2
7669_L_CC_2_DLX1
7669_L_CC_2_COUPTF2
7669_R_F_1_DLX1
7669_R_F_1_TBR1
7669_R_F_1_COUPTF2
7669_R_P_1_DLX1
7669_R_P_1_TBR1
7669_R_P_1_COUPTF2
7669_R_I_1_DLX1
7669_R_I_1_TBR1
7669_R_I_1_COUPTF2
7669_R_O_1_DLX1
7669_R_O_1_TBR1
7669_R_O_1_COUPTF2
7669_R_T_1_DLX1
7669_R_T_1_TBR1
7669_R_T_1_COUPTF2
7669_R_mO_DLX1
7669_R_mO_TBR1
7669_R_mO_COUPTF2
7669_L_EC_DLX1
7669_L_EC_COUPTF2
7669_R_CCMid_DLX1
7669_R_CC_Mid_TBR1
7669_R_CCMid_COUPTF2
B
9−138162523−G−A
0
−2
−4
−3
−2
−1
0
0.8
0.6
0.4
0.2
0.0

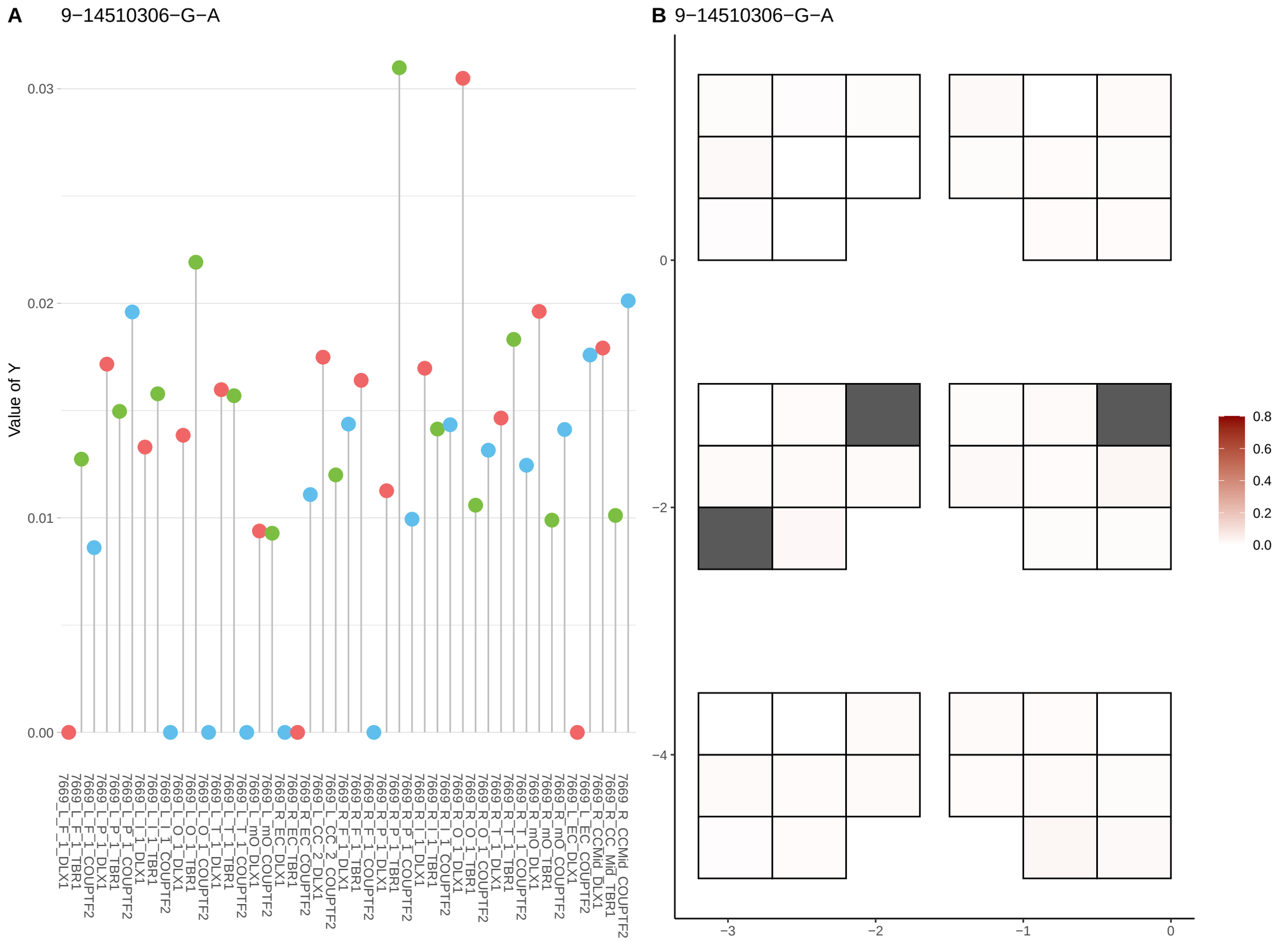
A
9−14510306−G−A
Value of Y
0.03
0.02
0.01
0.00
7669_L_F_1_DLX1
7669_L_F_1_TBR1
7669_L_F_1_COUPTF2
7669_L_P_1_DLX1
7669_L_P_1_TBR1
7669_L_P_1_COUPTF2
7669_L_I_1_DLX1
7669_L_I_1_TBR1
7669_L_I_1_COUPTF2
7669_L_O_1_DLX1
7669_L_O_1_TBR1
7669_L_O_1_COUPTF2
7669_L_T_1_DLX1
7669_L_T_1_TBR1
7669_L_T_1_COUPTF2
7669_L_mO_DLX1
7669_L_mO_COUPTF2
7669_R_EC_DLX1
7669_R_EC_TBR1
7669_R_EC_COUPTF2
7669_L_CC_2_DLX1
7669_L_CC_2_COUPTF2
7669_R_F_1_DLX1
7669_R_F_1_TBR1
7669_R_F_1_COUPTF2
7669_R_P_1_DLX1
7669_R_P_1_TBR1
7669_R_P_1_COUPTF2
7669_R_I_1_DLX1
7669_R_I_1_TBR1
7669_R_I_1_COUPTF2
7669_R_O_1_DLX1
7669_R_O_1_TBR1
7669_R_O_1_COUPTF2
7669_R_T_1_DLX1
7669_R_T_1_TBR1
7669_R_T_1_COUPTF2
7669_R_mO_DLX1
7669_R_mO_TBR1
7669_R_mO_COUPTF2
7669_L_EC_DLX1
7669_L_EC_COUPTF2
7669_R_CCMid_DLX1
7669_R_CC_Mid_TBR1
7669_R_CCMid_COUPTF2
B
9−14510306−G−A
0
−2
−4
−3
−2
−1
0
0.8
0.6
0.4
0.2
0.0

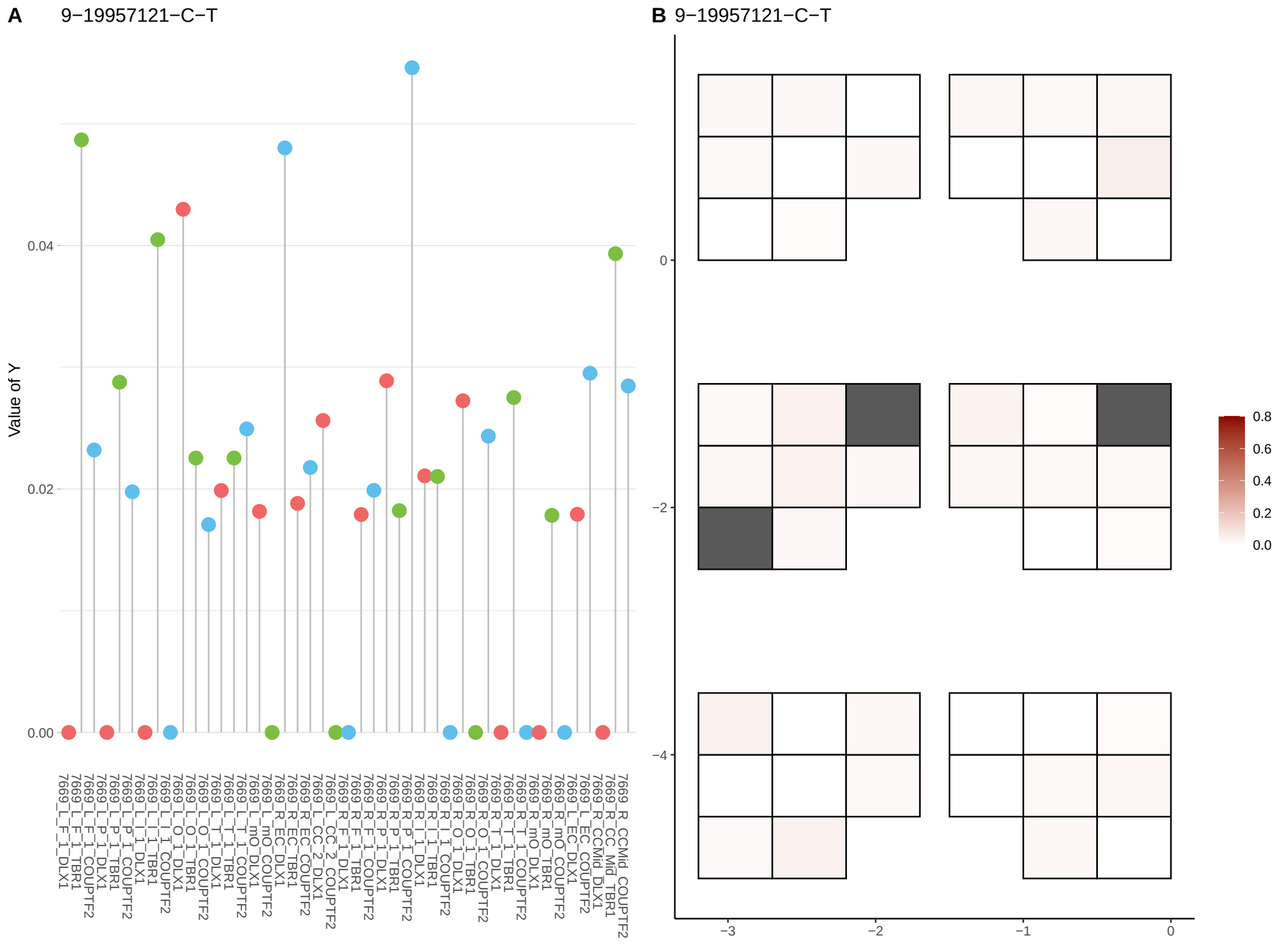
A
9−19957121−C−T
Value of Y
0.04
0.02
0.00
7669_L_F_1_DLX1
7669_L_F_1_TBR1
7669_L_F_1_COUPTF2
7669_L_P_1_DLX1
7669_L_P_1_TBR1
7669_L_P_1_COUPTF2
7669_L_I_1_DLX1
7669_L_I_1_TBR1
7669_L_I_1_COUPTF2
7669_L_O_1_DLX1
7669_L_O_1_TBR1
7669_L_O_1_COUPTF2
7669_L_T_1_DLX1
7669_L_T_1_TBR1
7669_L_T_1_COUPTF2
7669_L_mO_DLX1
7669_L_mO_COUPTF2
7669_R_EC_DLX1
7669_R_EC_TBR1
7669_R_EC_COUPTF2
7669_L_CC_2_DLX1
7669_L_CC_2_COUPTF2
7669_R_F_1_DLX1
7669_R_F_1_TBR1
7669_R_F_1_COUPTF2
7669_R_P_1_DLX1
7669_R_P_1_TBR1
7669_R_P_1_COUPTF2
7669_R_I_1_DLX1
7669_R_I_1_TBR1
7669_R_I_1_COUPTF2
7669_R_O_1_DLX1
7669_R_O_1_TBR1
7669_R_O_1_COUPTF2
7669_R_T_1_DLX1
7669_R_T_1_TBR1
7669_R_T_1_COUPTF2
7669_R_mO_DLX1
7669_R_mO_TBR1
7669_R_mO_COUPTF2
7669_L_EC_DLX1
7669_L_EC_COUPTF2
7669_R_CCMid_DLX1
7669_R_CC_Mid_TBR1
7669_R_CCMid_COUPTF2
B
9−19957121−C−T
0
−2
−4
−3
−2
−1
0
0.8
0.6
0.4
0.2
0.0

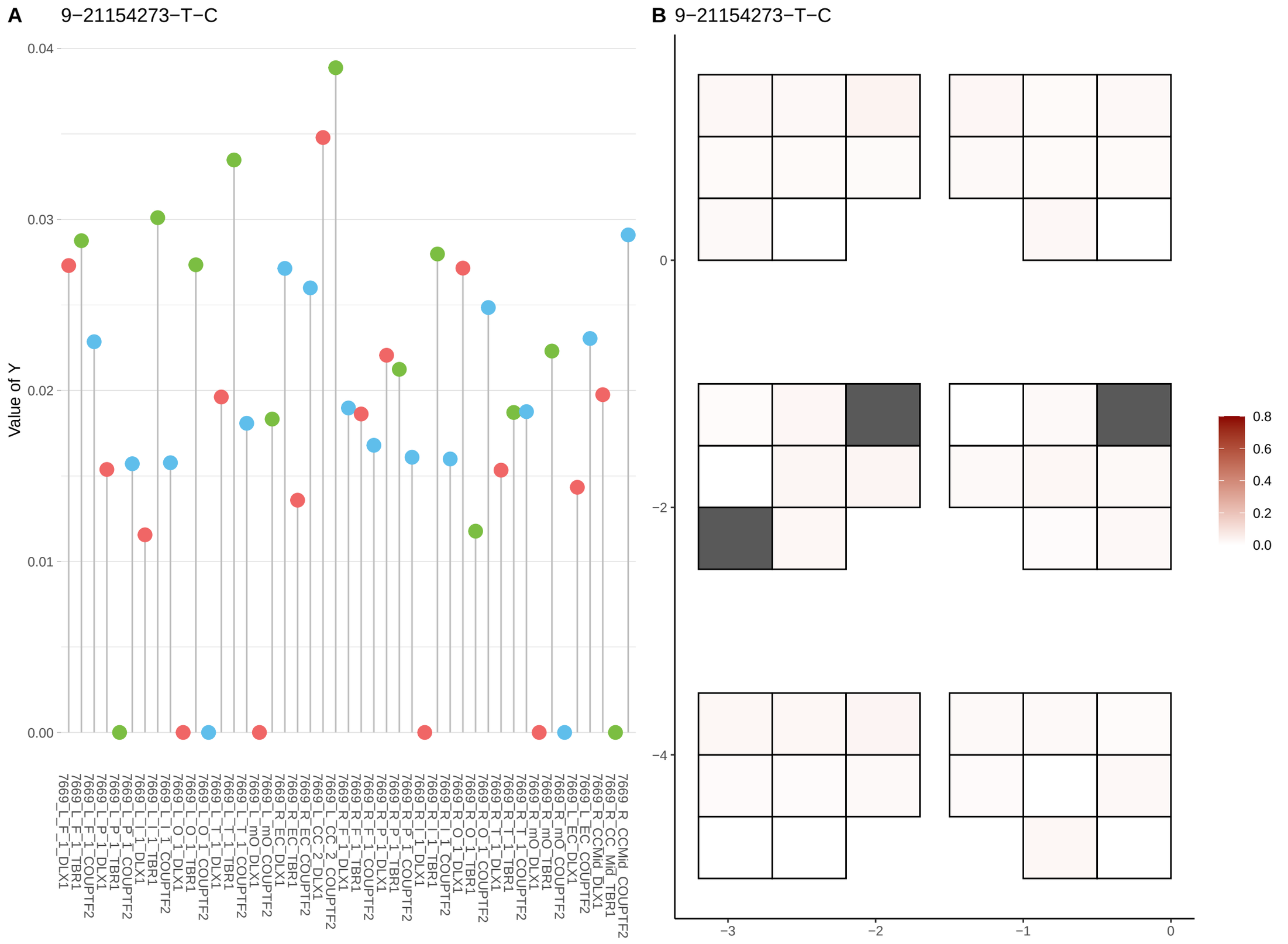
A
9−21154273−T−C
Value of Y
0.04
0.03
0.02
0.01
0.00
7669_L_F_1_DLX1
7669_L_F_1_TBR1
7669_L_F_1_COUPTF2
7669_L_P_1_DLX1
7669_L_P_1_TBR1
7669_L_P_1_COUPTF2
7669_L_I_1_DLX1
7669_L_I_1_TBR1
7669_L_I_1_COUPTF2
7669_L_O_1_DLX1
7669_L_O_1_TBR1
7669_L_O_1_COUPTF2
7669_L_T_1_DLX1
7669_L_T_1_TBR1
7669_L_T_1_COUPTF2
7669_L_mO_DLX1
7669_L_mO_COUPTF2
7669_R_EC_DLX1
7669_R_EC_TBR1
7669_R_EC_COUPTF2
7669_L_CC_2_DLX1
7669_L_CC_2_COUPTF2
7669_R_F_1_DLX1
7669_R_F_1_TBR1
7669_R_F_1_COUPTF2
7669_R_P_1_DLX1
7669_R_P_1_TBR1
7669_R_P_1_COUPTF2
7669_R_I_1_DLX1
7669_R_I_1_TBR1
7669_R_I_1_COUPTF2
7669_R_O_1_DLX1
7669_R_O_1_TBR1
7669_R_O_1_COUPTF2
7669_R_T_1_DLX1
7669_R_T_1_TBR1
7669_R_T_1_COUPTF2
7669_R_mO_DLX1
7669_R_mO_TBR1
7669_R_mO_COUPTF2
7669_L_EC_DLX1
7669_L_EC_COUPTF2
7669_R_CCMid_DLX1
7669_R_CC_Mid_TBR1
7669_R_CCMid_COUPTF2
B
9−21154273−T−C
0
−2
−4
−3
−2
−1
0
0.8
0.6
0.4
0.2
0.0

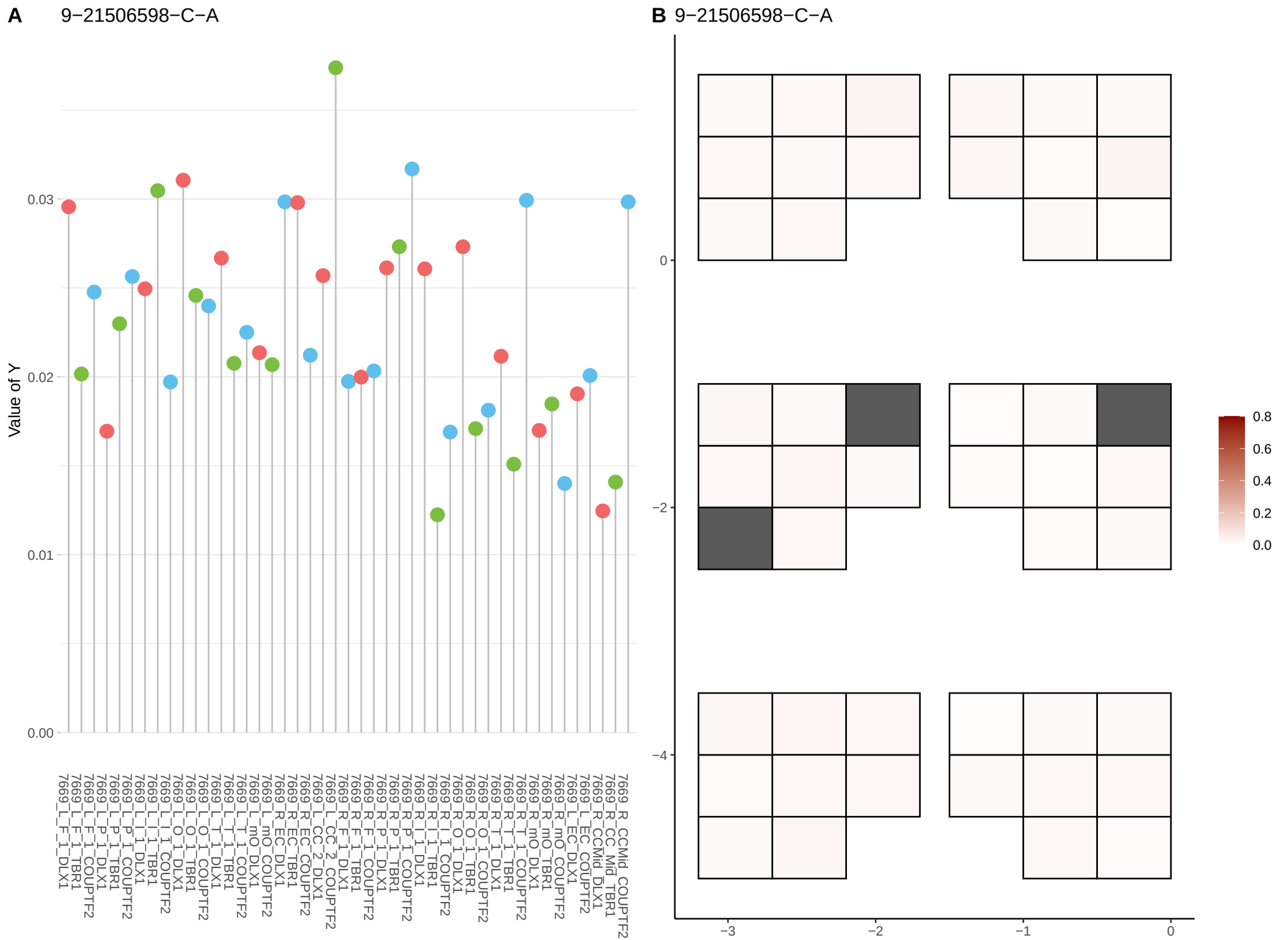
A
9−21506598−C−A
Value of Y
0.03
0.02
0.01
0.00
7669_L_F_1_DLX1
7669_L_F_1_TBR1
7669_L_F_1_COUPTF2
7669_L_P_1_DLX1
7669_L_P_1_TBR1
7669_L_P_1_COUPTF2
7669_L_I_1_DLX1
7669_L_I_1_TBR1
7669_L_I_1_COUPTF2
7669_L_O_1_DLX1
7669_L_O_1_TBR1
7669_L_O_1_COUPTF2
7669_L_T_1_DLX1
7669_L_T_1_TBR1
7669_L_T_1_COUPTF2
7669_L_mO_DLX1
7669_L_mO_COUPTF2
7669_R_EC_DLX1
7669_R_EC_TBR1
7669_R_EC_COUPTF2
7669_L_CC_2_DLX1
7669_L_CC_2_COUPTF2
7669_R_F_1_DLX1
7669_R_F_1_TBR1
7669_R_F_1_COUPTF2
7669_R_P_1_DLX1
7669_R_P_1_TBR1
7669_R_P_1_COUPTF2
7669_R_I_1_DLX1
7669_R_I_1_TBR1
7669_R_I_1_COUPTF2
7669_R_O_1_DLX1
7669_R_O_1_TBR1
7669_R_O_1_COUPTF2
7669_R_T_1_DLX1
7669_R_T_1_TBR1
7669_R_T_1_COUPTF2
7669_R_mO_DLX1
7669_R_mO_TBR1
7669_R_mO_COUPTF2
7669_L_EC_DLX1
7669_L_EC_COUPTF2
7669_R_CCMid_DLX1
7669_R_CC_Mid_TBR1
7669_R_CCMid_COUPTF2
B
9−21506598−C−A
0
−2
−4
−3
−2
−1
0
0.8
0.6
0.4
0.2
0.0

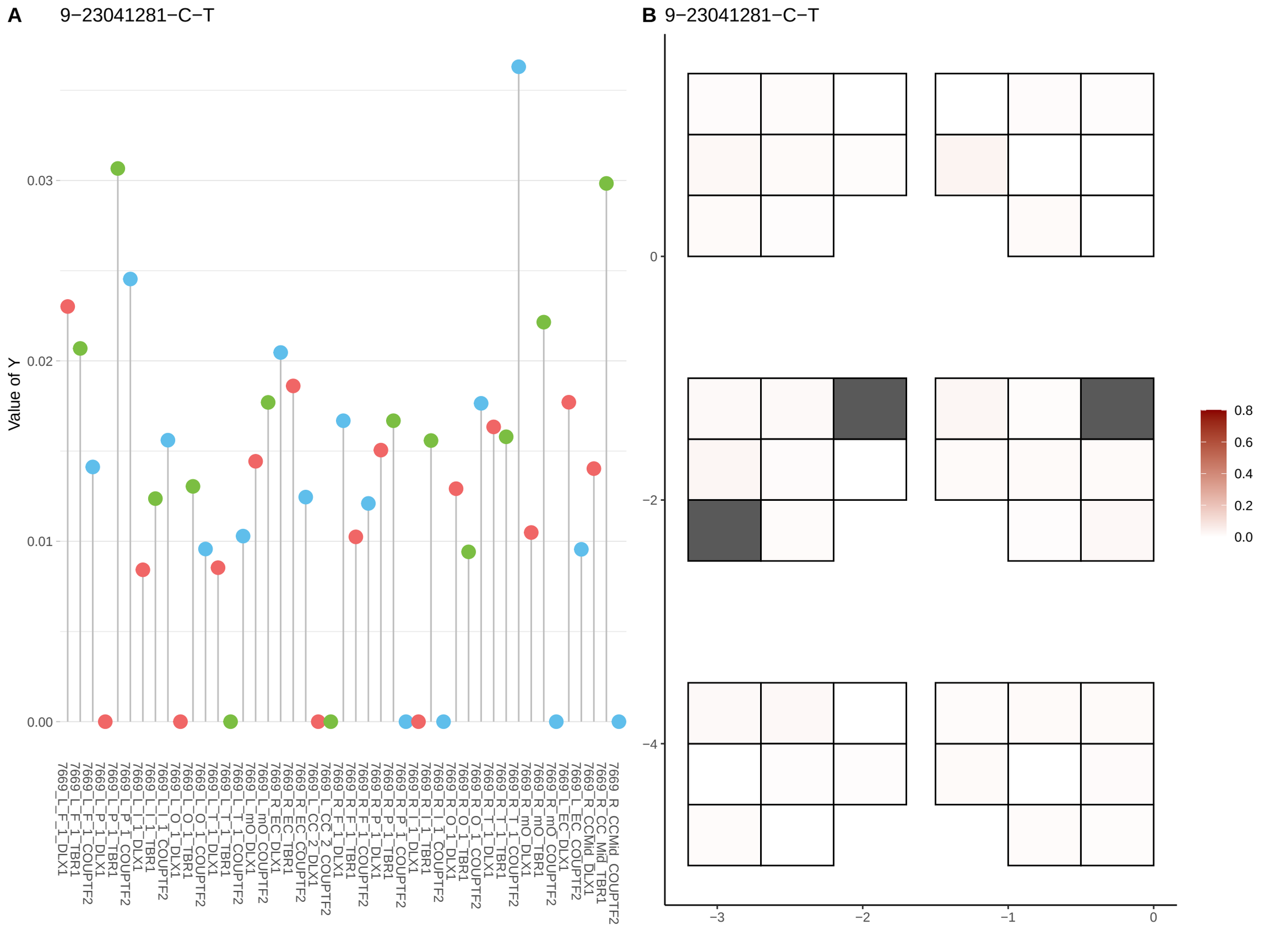
A
9−23041281−C−T
Value of Y
0.03
0.02
0.01
0.00
7669_L_F_1_DLX1
7669_L_F_1_TBR1
7669_L_F_1_COUPTF2
7669_L_P_1_DLX1
7669_L_P_1_TBR1
7669_L_P_1_COUPTF2
7669_L_I_1_DLX1
7669_L_I_1_TBR1
7669_L_I_1_COUPTF2
7669_L_O_1_DLX1
7669_L_O_1_TBR1
7669_L_O_1_COUPTF2
7669_L_T_1_DLX1
7669_L_T_1_TBR1
7669_L_T_1_COUPTF2
7669_L_mO_DLX1
7669_L_mO_COUPTF2
7669_R_EC_DLX1
7669_R_EC_TBR1
7669_R_EC_COUPTF2
7669_L_CC_2_DLX1
7669_L_CC_2_COUPTF2
7669_R_F_1_DLX1
7669_R_F_1_TBR1
7669_R_F_1_COUPTF2
7669_R_P_1_DLX1
7669_R_P_1_TBR1
7669_R_P_1_COUPTF2
7669_R_I_1_DLX1
7669_R_I_1_TBR1
7669_R_I_1_COUPTF2
7669_R_O_1_DLX1
7669_R_O_1_TBR1
7669_R_O_1_COUPTF2
7669_R_T_1_DLX1
7669_R_T_1_TBR1
7669_R_T_1_COUPTF2
7669_R_mO_DLX1
7669_R_mO_TBR1
7669_R_mO_COUPTF2
7669_L_EC_DLX1
7669_L_EC_COUPTF2
7669_R_CCMid_DLX1
7669_R_CC_Mid_TBR1
7669_R_CCMid_COUPTF2
B
9−23041281−C−T
0
−2
−4
−3
−2
−1
0
0.8
0.6
0.4
0.2
0.0

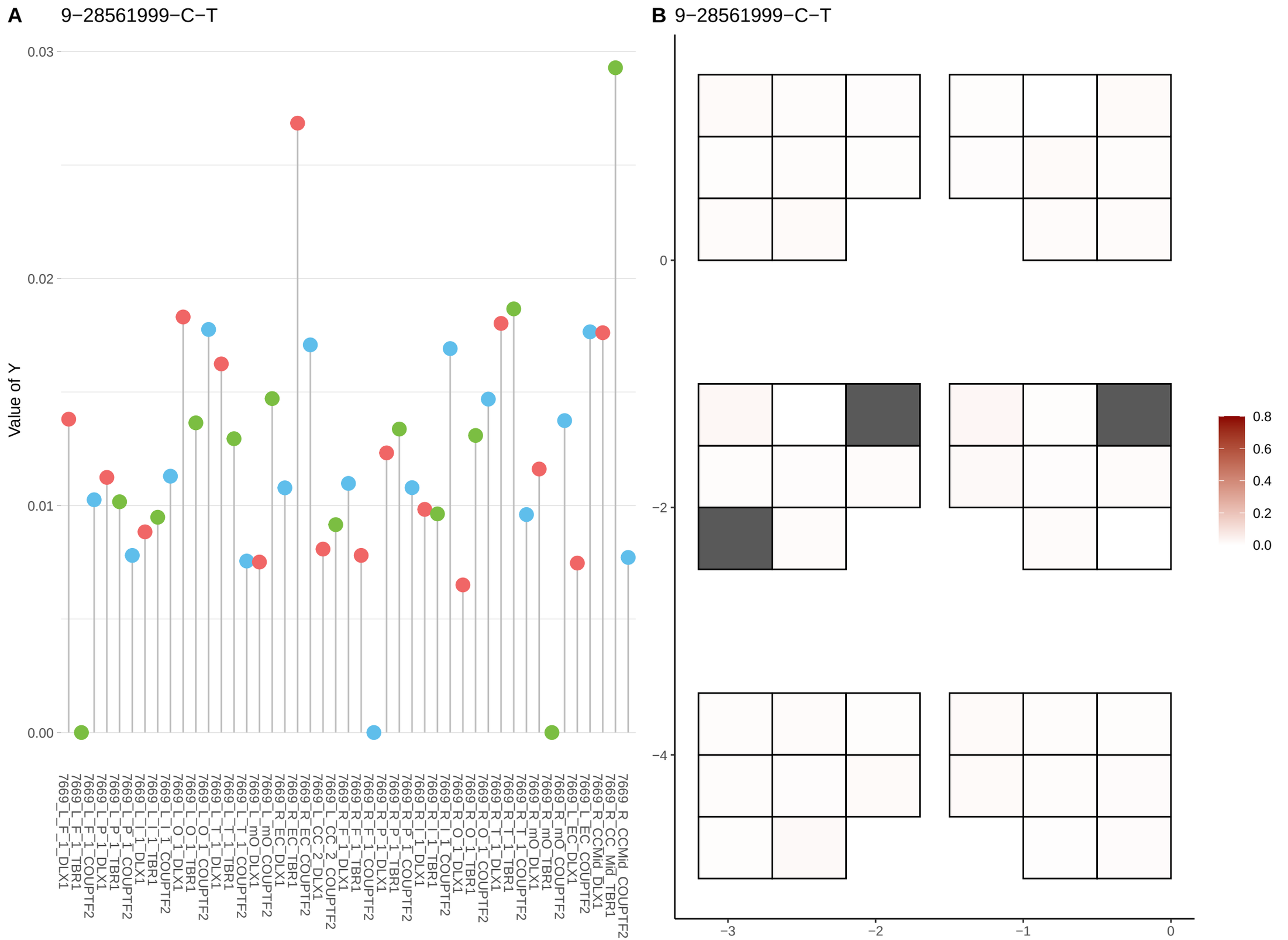
A
9−28561999−C−T
Value of Y
0.03
0.02
0.01
0.00
7669_L_F_1_DLX1
7669_L_F_1_TBR1
7669_L_F_1_COUPTF2
7669_L_P_1_DLX1
7669_L_P_1_TBR1
7669_L_P_1_COUPTF2
7669_L_I_1_DLX1
7669_L_I_1_TBR1
7669_L_I_1_COUPTF2
7669_L_O_1_DLX1
7669_L_O_1_TBR1
7669_L_O_1_COUPTF2
7669_L_T_1_DLX1
7669_L_T_1_TBR1
7669_L_T_1_COUPTF2
7669_L_mO_DLX1
7669_L_mO_COUPTF2
7669_R_EC_DLX1
7669_R_EC_TBR1
7669_R_EC_COUPTF2
7669_L_CC_2_DLX1
7669_L_CC_2_COUPTF2
7669_R_F_1_DLX1
7669_R_F_1_TBR1
7669_R_F_1_COUPTF2
7669_R_P_1_DLX1
7669_R_P_1_TBR1
7669_R_P_1_COUPTF2
7669_R_I_1_DLX1
7669_R_I_1_TBR1
7669_R_I_1_COUPTF2
7669_R_O_1_DLX1
7669_R_O_1_TBR1
7669_R_O_1_COUPTF2
7669_R_T_1_DLX1
7669_R_T_1_TBR1
7669_R_T_1_COUPTF2
7669_R_mO_DLX1
7669_R_mO_TBR1
7669_R_mO_COUPTF2
7669_L_EC_DLX1
7669_L_EC_COUPTF2
7669_R_CCMid_DLX1
7669_R_CC_Mid_TBR1
7669_R_CCMid_COUPTF2
B
9−28561999−C−T
0
−2
−4
−3
−2
−1
0
0.8
0.6
0.4
0.2
0.0

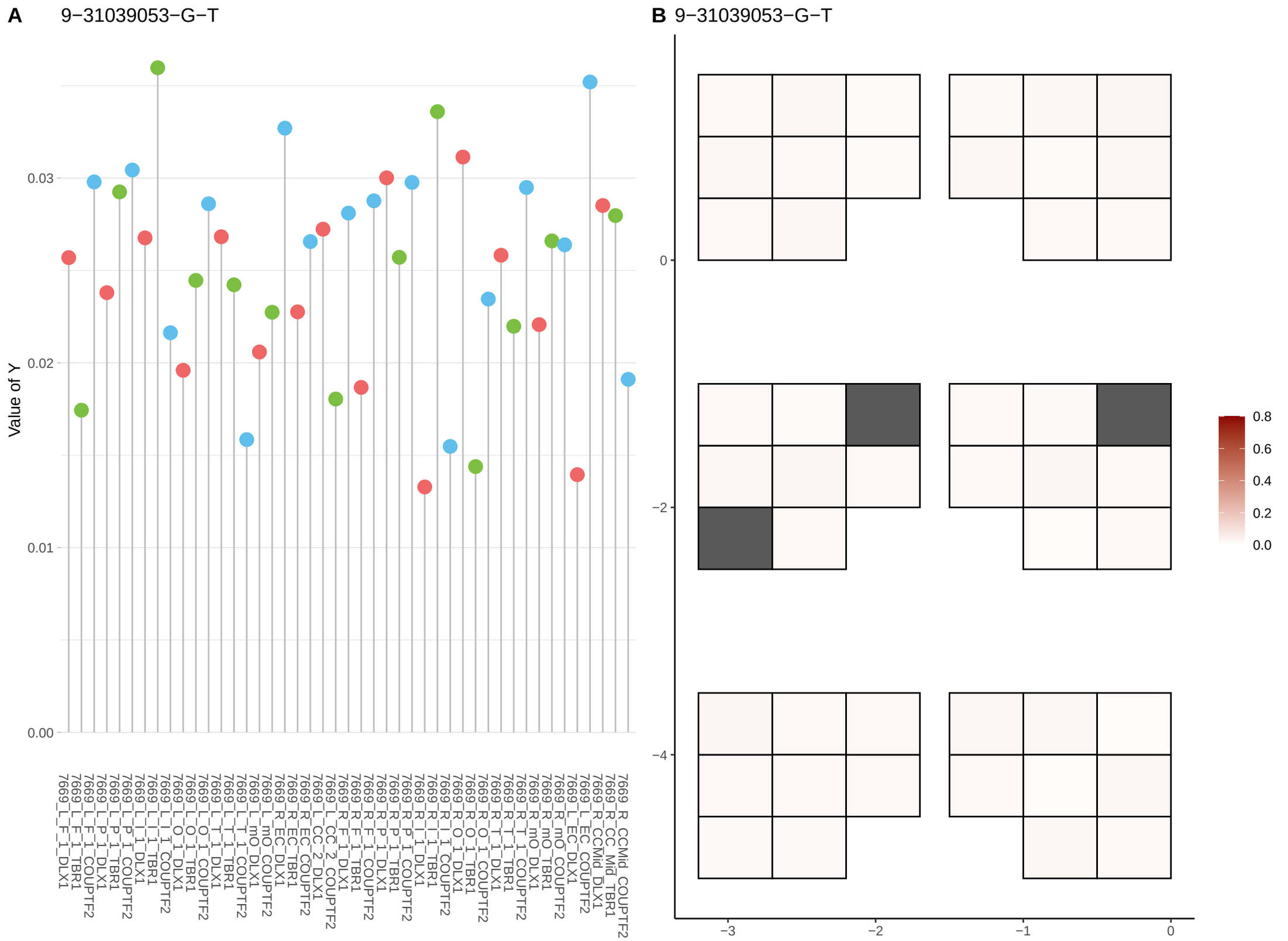
A
9−31039053−G−T
Value of Y
0.03
0.02
0.01
0.00
7669_L_F_1_DLX1
7669_L_F_1_TBR1
7669_L_F_1_COUPTF2
7669_L_P_1_DLX1
7669_L_P_1_TBR1
7669_L_P_1_COUPTF2
7669_L_I_1_DLX1
7669_L_I_1_TBR1
7669_L_I_1_COUPTF2
7669_L_O_1_DLX1
7669_L_O_1_TBR1
7669_L_O_1_COUPTF2
7669_L_T_1_DLX1
7669_L_T_1_TBR1
7669_L_T_1_COUPTF2
7669_L_mO_DLX1
7669_L_mO_COUPTF2
7669_R_EC_DLX1
7669_R_EC_TBR1
7669_R_EC_COUPTF2
7669_L_CC_2_DLX1
7669_L_CC_2_COUPTF2
7669_R_F_1_DLX1
7669_R_F_1_TBR1
7669_R_F_1_COUPTF2
7669_R_P_1_DLX1
7669_R_P_1_TBR1
7669_R_P_1_COUPTF2
7669_R_I_1_DLX1
7669_R_I_1_TBR1
7669_R_I_1_COUPTF2
7669_R_O_1_DLX1
7669_R_O_1_TBR1
7669_R_O_1_COUPTF2
7669_R_T_1_DLX1
7669_R_T_1_TBR1
7669_R_T_1_COUPTF2
7669_R_mO_DLX1
7669_R_mO_TBR1
7669_R_mO_COUPTF2
7669_L_EC_DLX1
7669_L_EC_COUPTF2
7669_R_CCMid_DLX1
7669_R_CC_Mid_TBR1
7669_R_CCMid_COUPTF2
B
9−31039053−G−T
0
−2
−4
−3
−2
−1
0
0.8
0.6
0.4
0.2
0.0

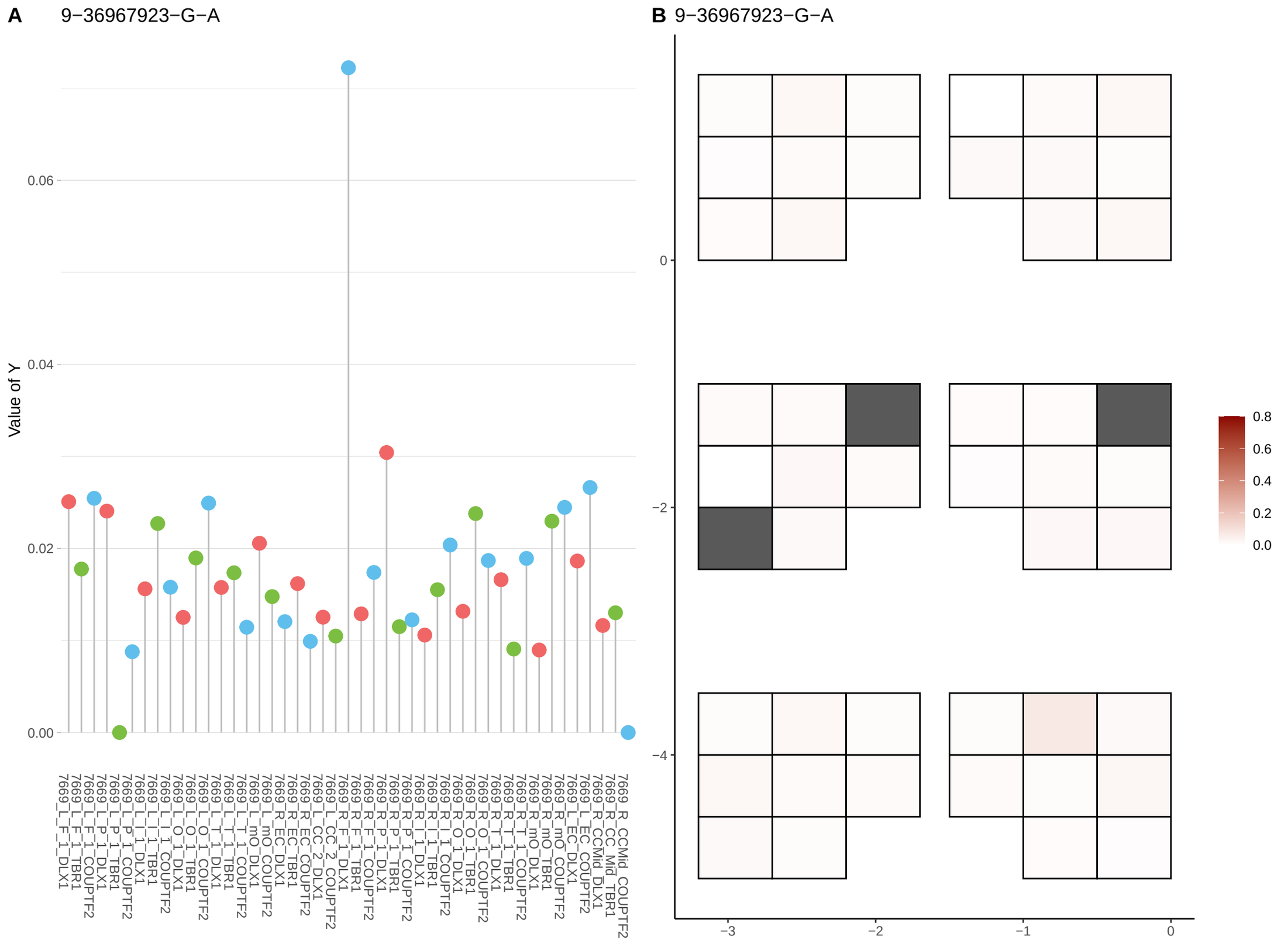
A
9−36967923−G−A
Value of Y
0.06
0.04
0.02
0.00
7669_L_F_1_DLX1
7669_L_F_1_TBR1
7669_L_F_1_COUPTF2
7669_L_P_1_DLX1
7669_L_P_1_TBR1
7669_L_P_1_COUPTF2
7669_L_I_1_DLX1
7669_L_I_1_TBR1
7669_L_I_1_COUPTF2
7669_L_O_1_DLX1
7669_L_O_1_TBR1
7669_L_O_1_COUPTF2
7669_L_T_1_DLX1
7669_L_T_1_TBR1
7669_L_T_1_COUPTF2
7669_L_mO_DLX1
7669_L_mO_COUPTF2
7669_R_EC_DLX1
7669_R_EC_TBR1
7669_R_EC_COUPTF2
7669_L_CC_2_DLX1
7669_L_CC_2_COUPTF2
7669_R_F_1_DLX1
7669_R_F_1_TBR1
7669_R_F_1_COUPTF2
7669_R_P_1_DLX1
7669_R_P_1_TBR1
7669_R_P_1_COUPTF2
7669_R_I_1_DLX1
7669_R_I_1_TBR1
7669_R_I_1_COUPTF2
7669_R_O_1_DLX1
7669_R_O_1_TBR1
7669_R_O_1_COUPTF2
7669_R_T_1_DLX1
7669_R_T_1_TBR1
7669_R_T_1_COUPTF2
7669_R_mO_DLX1
7669_R_mO_TBR1
7669_R_mO_COUPTF2
7669_L_EC_DLX1
7669_L_EC_COUPTF2
7669_R_CCMid_DLX1
7669_R_CC_Mid_TBR1
7669_R_CCMid_COUPTF2
B
9−36967923−G−A
0
−2
−4
−3
−2
−1
0
0.8
0.6
0.4
0.2
0.0

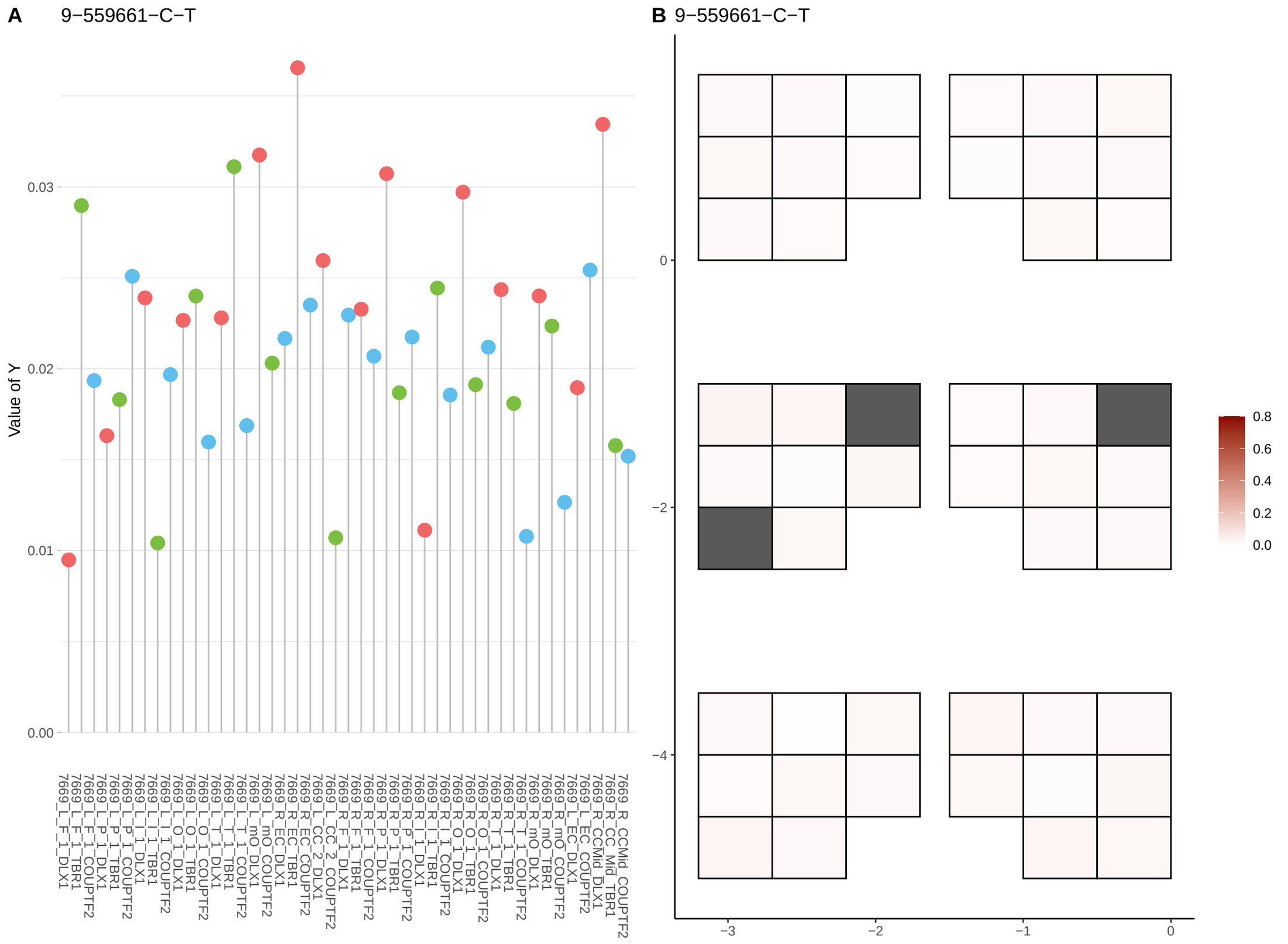
A
9−559661−C−T
Value of Y
0.03
0.02
0.01
0.00
7669_L_F_1_DLX1
7669_L_F_1_TBR1
7669_L_F_1_COUPTF2
7669_L_P_1_DLX1
7669_L_P_1_TBR1
7669_L_P_1_COUPTF2
7669_L_I_1_DLX1
7669_L_I_1_TBR1
7669_L_I_1_COUPTF2
7669_L_O_1_DLX1
7669_L_O_1_TBR1
7669_L_O_1_COUPTF2
7669_L_T_1_DLX1
7669_L_T_1_TBR1
7669_L_T_1_COUPTF2
7669_L_mO_DLX1
7669_L_mO_COUPTF2
7669_R_EC_DLX1
7669_R_EC_TBR1
7669_R_EC_COUPTF2
7669_L_CC_2_DLX1
7669_L_CC_2_COUPTF2
7669_R_F_1_DLX1
7669_R_F_1_TBR1
7669_R_F_1_COUPTF2
7669_R_P_1_DLX1
7669_R_P_1_TBR1
7669_R_P_1_COUPTF2
7669_R_I_1_DLX1
7669_R_I_1_TBR1
7669_R_I_1_COUPTF2
7669_R_O_1_DLX1
7669_R_O_1_TBR1
7669_R_O_1_COUPTF2
7669_R_T_1_DLX1
7669_R_T_1_TBR1
7669_R_T_1_COUPTF2
7669_R_mO_DLX1
7669_R_mO_TBR1
7669_R_mO_COUPTF2
7669_L_EC_DLX1
7669_L_EC_COUPTF2
7669_R_CCMid_DLX1
7669_R_CC_Mid_TBR1
7669_R_CCMid_COUPTF2
B
9−559661−C−T
0
−2
−4
−3
−2
−1
0
0.8
0.6
0.4
0.2
0.0

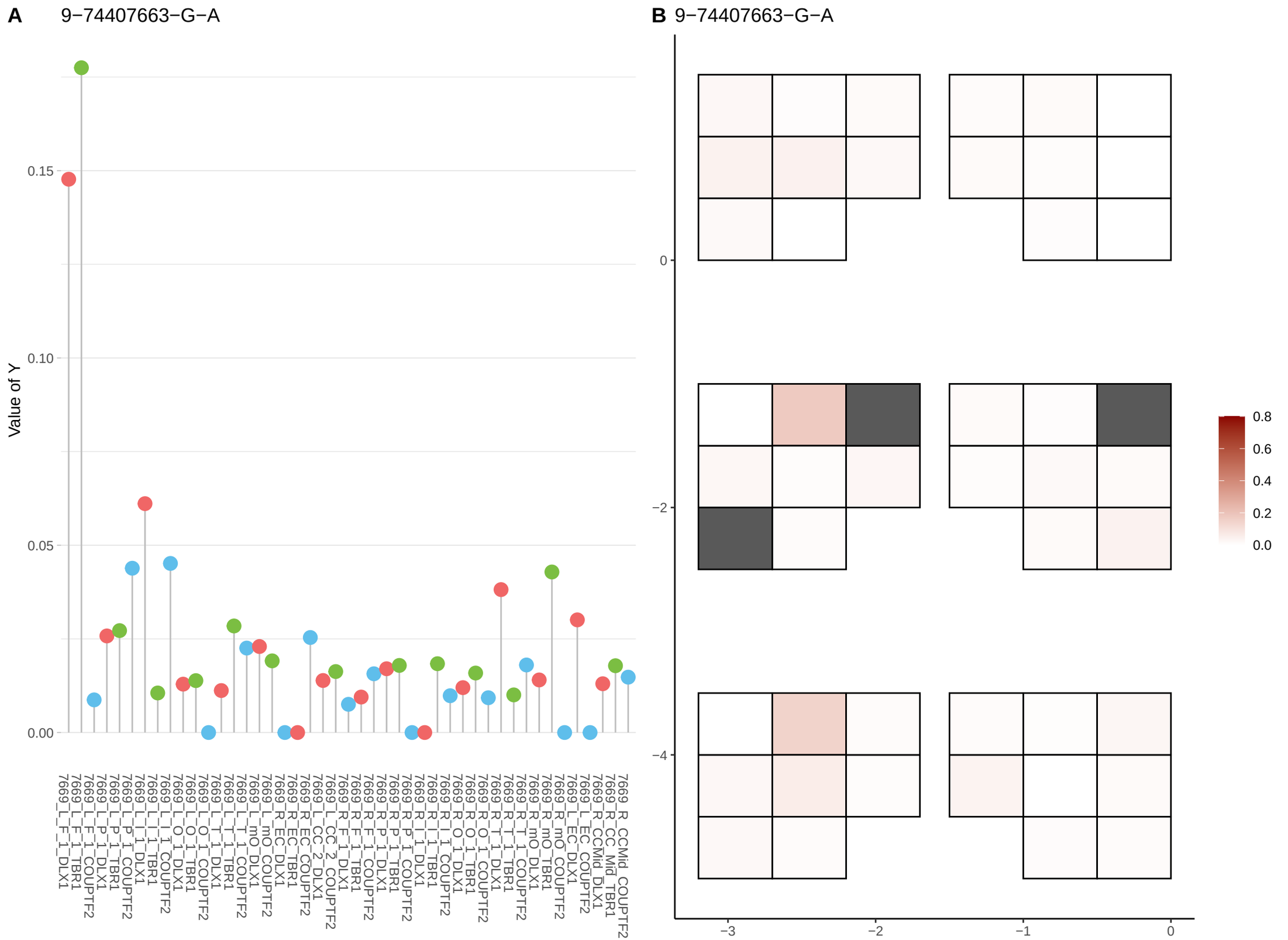
A
9−74407663−G−A
Value of Y
0.15
0.10
0.05
0.00
7669_L_F_1_DLX1
7669_L_F_1_TBR1
7669_L_F_1_COUPTF2
7669_L_P_1_DLX1
7669_L_P_1_TBR1
7669_L_P_1_COUPTF2
7669_L_I_1_DLX1
7669_L_I_1_TBR1
7669_L_I_1_COUPTF2
7669_L_O_1_DLX1
7669_L_O_1_TBR1
7669_L_O_1_COUPTF2
7669_L_T_1_DLX1
7669_L_T_1_TBR1
7669_L_T_1_COUPTF2
7669_L_mO_DLX1
7669_L_mO_COUPTF2
7669_R_EC_DLX1
7669_R_EC_TBR1
7669_R_EC_COUPTF2
7669_L_CC_2_DLX1
7669_L_CC_2_COUPTF2
7669_R_F_1_DLX1
7669_R_F_1_TBR1
7669_R_F_1_COUPTF2
7669_R_P_1_DLX1
7669_R_P_1_TBR1
7669_R_P_1_COUPTF2
7669_R_I_1_DLX1
7669_R_I_1_TBR1
7669_R_I_1_COUPTF2
7669_R_O_1_DLX1
7669_R_O_1_TBR1
7669_R_O_1_COUPTF2
7669_R_T_1_DLX1
7669_R_T_1_TBR1
7669_R_T_1_COUPTF2
7669_R_mO_DLX1
7669_R_mO_TBR1
7669_R_mO_COUPTF2
7669_L_EC_DLX1
7669_L_EC_COUPTF2
7669_R_CCMid_DLX1
7669_R_CC_Mid_TBR1
7669_R_CCMid_COUPTF2
B
9−74407663−G−A
0
−2
−4
−3
−2
−1
0
0.8
0.6
0.4
0.2
0.0

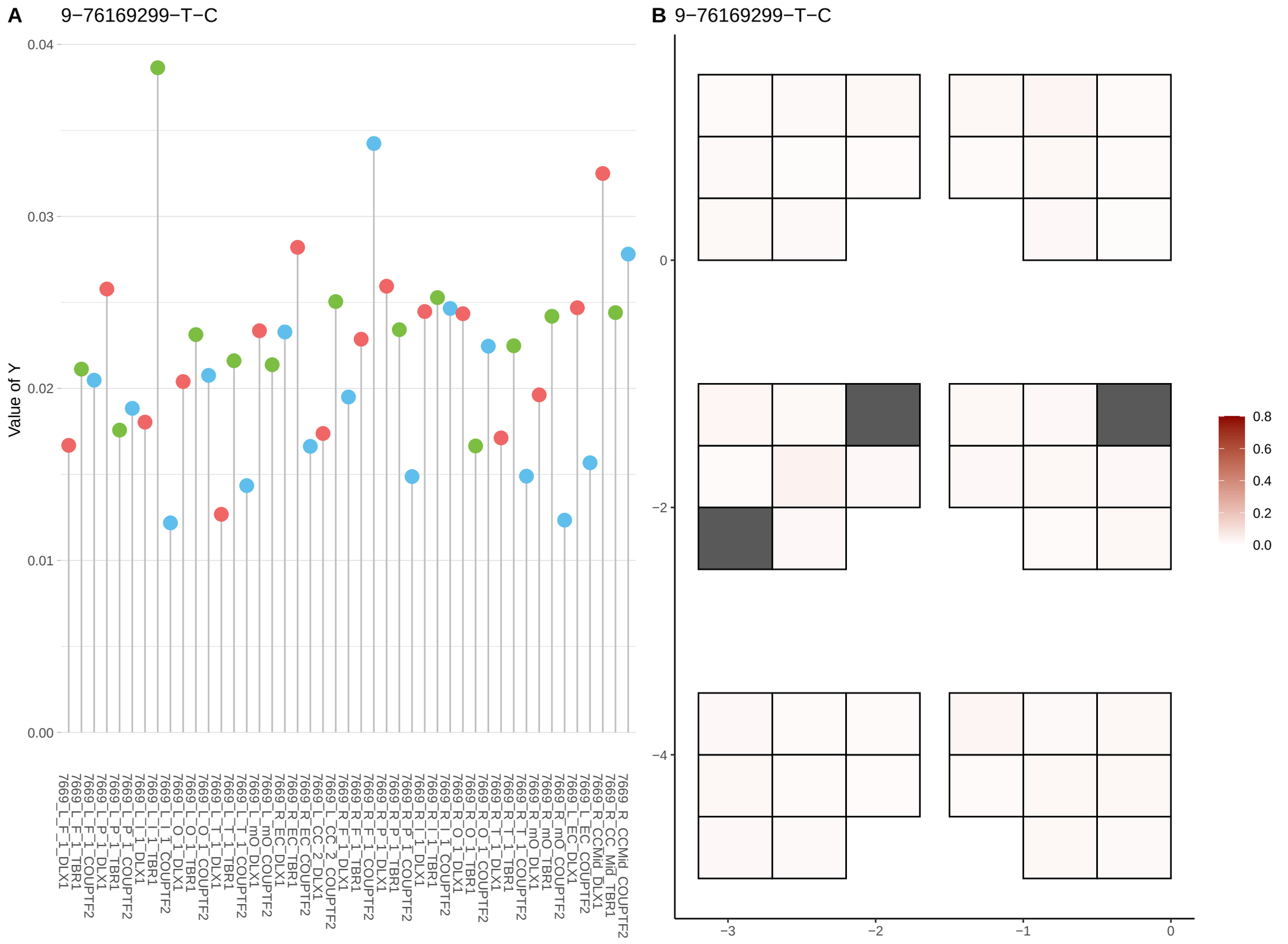
A
9−76169299−T−C
Value of Y
0.04
0.03
0.02
0.01
0.00
7669_L_F_1_DLX1
7669_L_F_1_TBR1
7669_L_F_1_COUPTF2
7669_L_P_1_DLX1
7669_L_P_1_TBR1
7669_L_P_1_COUPTF2
7669_L_I_1_DLX1
7669_L_I_1_TBR1
7669_L_I_1_COUPTF2
7669_L_O_1_DLX1
7669_L_O_1_TBR1
7669_L_O_1_COUPTF2
7669_L_T_1_DLX1
7669_L_T_1_TBR1
7669_L_T_1_COUPTF2
7669_L_mO_DLX1
7669_L_mO_COUPTF2
7669_R_EC_DLX1
7669_R_EC_TBR1
7669_R_EC_COUPTF2
7669_L_CC_2_DLX1
7669_L_CC_2_COUPTF2
7669_R_F_1_DLX1
7669_R_F_1_TBR1
7669_R_F_1_COUPTF2
7669_R_P_1_DLX1
7669_R_P_1_TBR1
7669_R_P_1_COUPTF2
7669_R_I_1_DLX1
7669_R_I_1_TBR1
7669_R_I_1_COUPTF2
7669_R_O_1_DLX1
7669_R_O_1_TBR1
7669_R_O_1_COUPTF2
7669_R_T_1_DLX1
7669_R_T_1_TBR1
7669_R_T_1_COUPTF2
7669_R_mO_DLX1
7669_R_mO_TBR1
7669_R_mO_COUPTF2
7669_L_EC_DLX1
7669_L_EC_COUPTF2
7669_R_CCMid_DLX1
7669_R_CC_Mid_TBR1
7669_R_CCMid_COUPTF2
B
9−76169299−T−C
0
−2
−4
−3
−2
−1
0
0.8
0.6
0.4
0.2
0.0

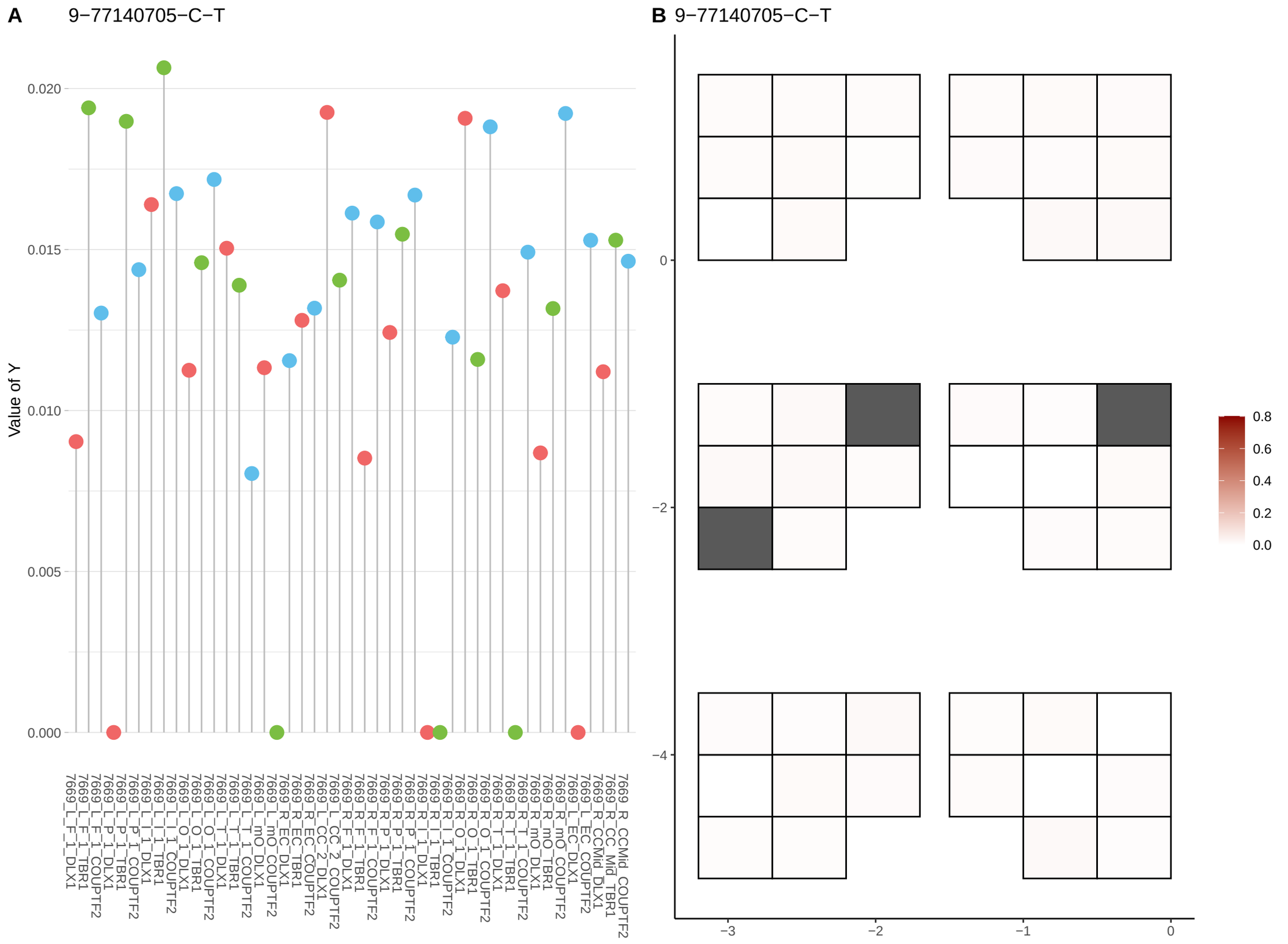
A
9−77140705−C−T
Value of Y
0.020
0.015
0.010
0.005
0.000
7669_L_F_1_DLX1
7669_L_F_1_TBR1
7669_L_F_1_COUPTF2
7669_L_P_1_DLX1
7669_L_P_1_TBR1
7669_L_P_1_COUPTF2
7669_L_I_1_DLX1
7669_L_I_1_TBR1
7669_L_I_1_COUPTF2
7669_L_O_1_DLX1
7669_L_O_1_TBR1
7669_L_O_1_COUPTF2
7669_L_T_1_DLX1
7669_L_T_1_TBR1
7669_L_T_1_COUPTF2
7669_L_mO_DLX1
7669_L_mO_COUPTF2
7669_R_EC_DLX1
7669_R_EC_TBR1
7669_R_EC_COUPTF2
7669_L_CC_2_DLX1
7669_L_CC_2_COUPTF2
7669_R_F_1_DLX1
7669_R_F_1_TBR1
7669_R_F_1_COUPTF2
7669_R_P_1_DLX1
7669_R_P_1_TBR1
7669_R_P_1_COUPTF2
7669_R_I_1_DLX1
7669_R_I_1_TBR1
7669_R_I_1_COUPTF2
7669_R_O_1_DLX1
7669_R_O_1_TBR1
7669_R_O_1_COUPTF2
7669_R_T_1_DLX1
7669_R_T_1_TBR1
7669_R_T_1_COUPTF2
7669_R_mO_DLX1
7669_R_mO_TBR1
7669_R_mO_COUPTF2
7669_L_EC_DLX1
7669_L_EC_COUPTF2
7669_R_CCMid_DLX1
7669_R_CC_Mid_TBR1
7669_R_CCMid_COUPTF2
B
9−77140705−C−T
0
−2
−4
−3
−2
−1
0
0.8
0.6
0.4
0.2
0.0

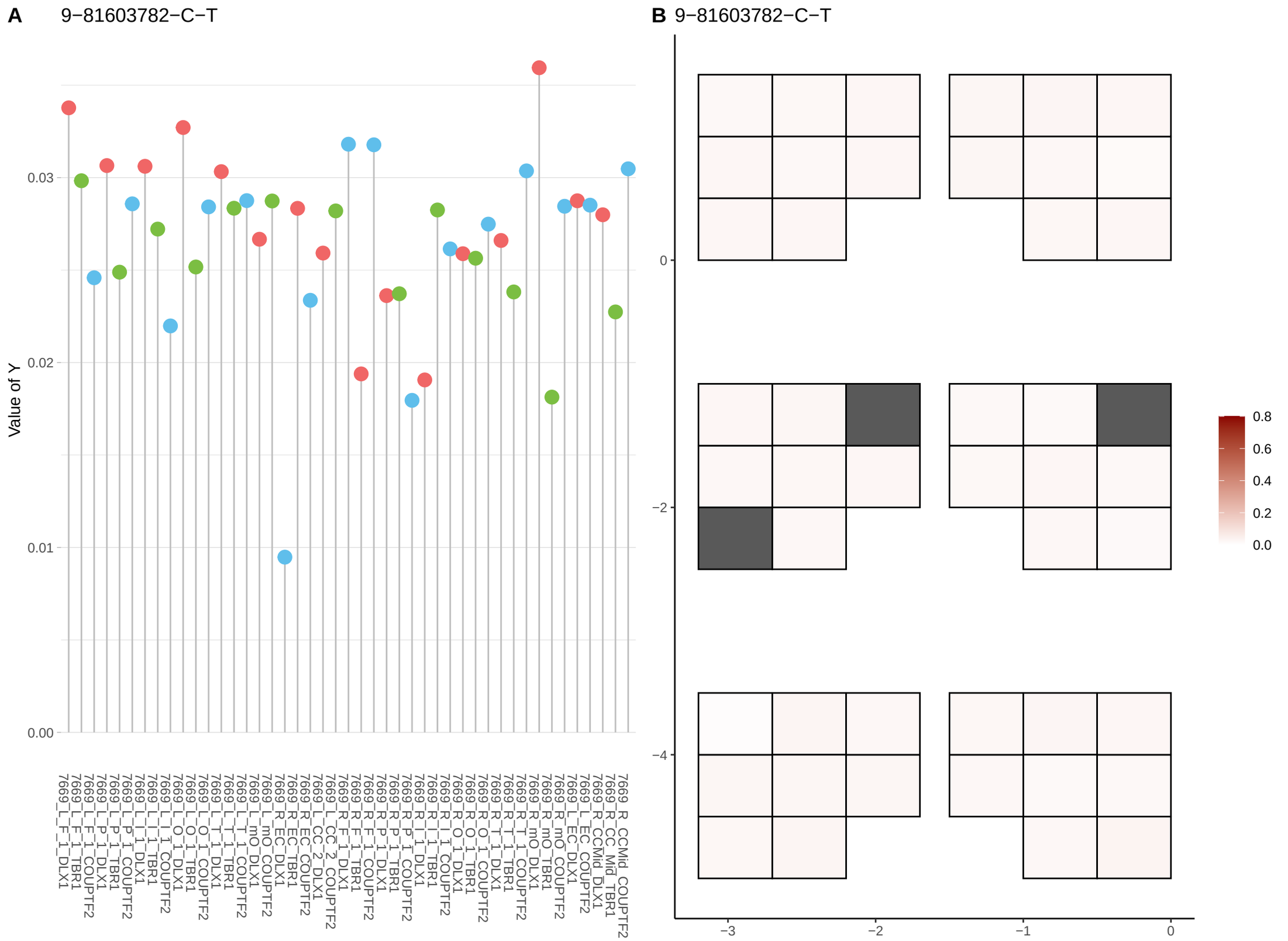
A
9−81603782−C−T
Value of Y
0.03
0.02
0.01
0.00
7669_L_F_1_DLX1
7669_L_F_1_TBR1
7669_L_F_1_COUPTF2
7669_L_P_1_DLX1
7669_L_P_1_TBR1
7669_L_P_1_COUPTF2
7669_L_I_1_DLX1
7669_L_I_1_TBR1
7669_L_I_1_COUPTF2
7669_L_O_1_DLX1
7669_L_O_1_TBR1
7669_L_O_1_COUPTF2
7669_L_T_1_DLX1
7669_L_T_1_TBR1
7669_L_T_1_COUPTF2
7669_L_mO_DLX1
7669_L_mO_COUPTF2
7669_R_EC_DLX1
7669_R_EC_TBR1
7669_R_EC_COUPTF2
7669_L_CC_2_DLX1
7669_L_CC_2_COUPTF2
7669_R_F_1_DLX1
7669_R_F_1_TBR1
7669_R_F_1_COUPTF2
7669_R_P_1_DLX1
7669_R_P_1_TBR1
7669_R_P_1_COUPTF2
7669_R_I_1_DLX1
7669_R_I_1_TBR1
7669_R_I_1_COUPTF2
7669_R_O_1_DLX1
7669_R_O_1_TBR1
7669_R_O_1_COUPTF2
7669_R_T_1_DLX1
7669_R_T_1_TBR1
7669_R_T_1_COUPTF2
7669_R_mO_DLX1
7669_R_mO_TBR1
7669_R_mO_COUPTF2
7669_L_EC_DLX1
7669_L_EC_COUPTF2
7669_R_CCMid_DLX1
7669_R_CC_Mid_TBR1
7669_R_CCMid_COUPTF2
B
9−81603782−C−T
0
−2
−4
−3
−2
−1
0
0.8
0.6
0.4
0.2
0.0

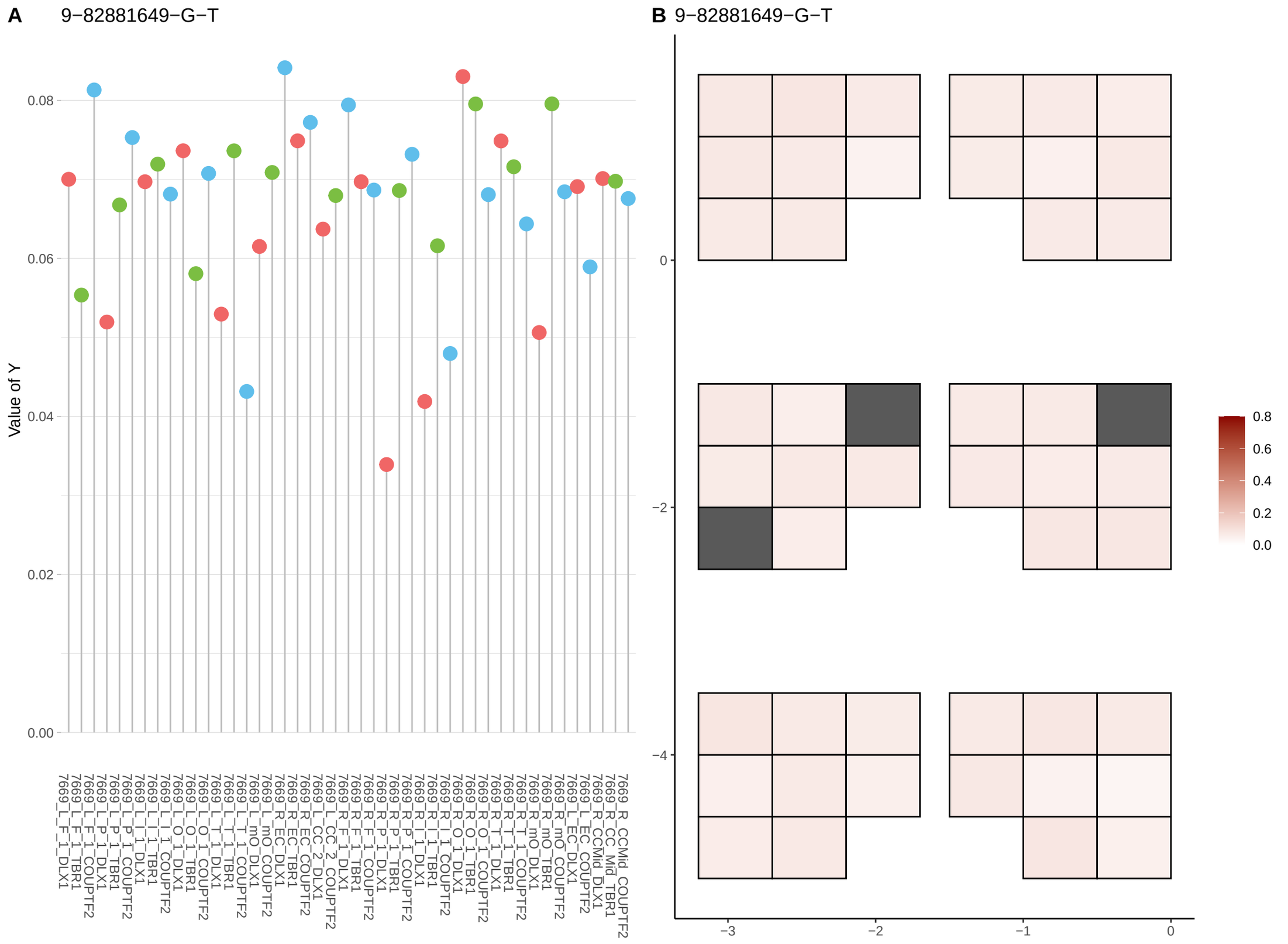
A
9−82881649−G−T
Value of Y
0.08
0.06
0.04
0.02
0.00
7669_L_F_1_DLX1
7669_L_F_1_TBR1
7669_L_F_1_COUPTF2
7669_L_P_1_DLX1
7669_L_P_1_TBR1
7669_L_P_1_COUPTF2
7669_L_I_1_DLX1
7669_L_I_1_TBR1
7669_L_I_1_COUPTF2
7669_L_O_1_DLX1
7669_L_O_1_TBR1
7669_L_O_1_COUPTF2
7669_L_T_1_DLX1
7669_L_T_1_TBR1
7669_L_T_1_COUPTF2
7669_L_mO_DLX1
7669_L_mO_COUPTF2
7669_R_EC_DLX1
7669_R_EC_TBR1
7669_R_EC_COUPTF2
7669_L_CC_2_DLX1
7669_L_CC_2_COUPTF2
7669_R_F_1_DLX1
7669_R_F_1_TBR1
7669_R_F_1_COUPTF2
7669_R_P_1_DLX1
7669_R_P_1_TBR1
7669_R_P_1_COUPTF2
7669_R_I_1_DLX1
7669_R_I_1_TBR1
7669_R_I_1_COUPTF2
7669_R_O_1_DLX1
7669_R_O_1_TBR1
7669_R_O_1_COUPTF2
7669_R_T_1_DLX1
7669_R_T_1_TBR1
7669_R_T_1_COUPTF2
7669_R_mO_DLX1
7669_R_mO_TBR1
7669_R_mO_COUPTF2
7669_L_EC_DLX1
7669_L_EC_COUPTF2
7669_R_CCMid_DLX1
7669_R_CC_Mid_TBR1
7669_R_CCMid_COUPTF2
B
9−82881649−G−T
0
−2
−4
−3
−2
−1
0
0.8
0.6
0.4
0.2
0.0

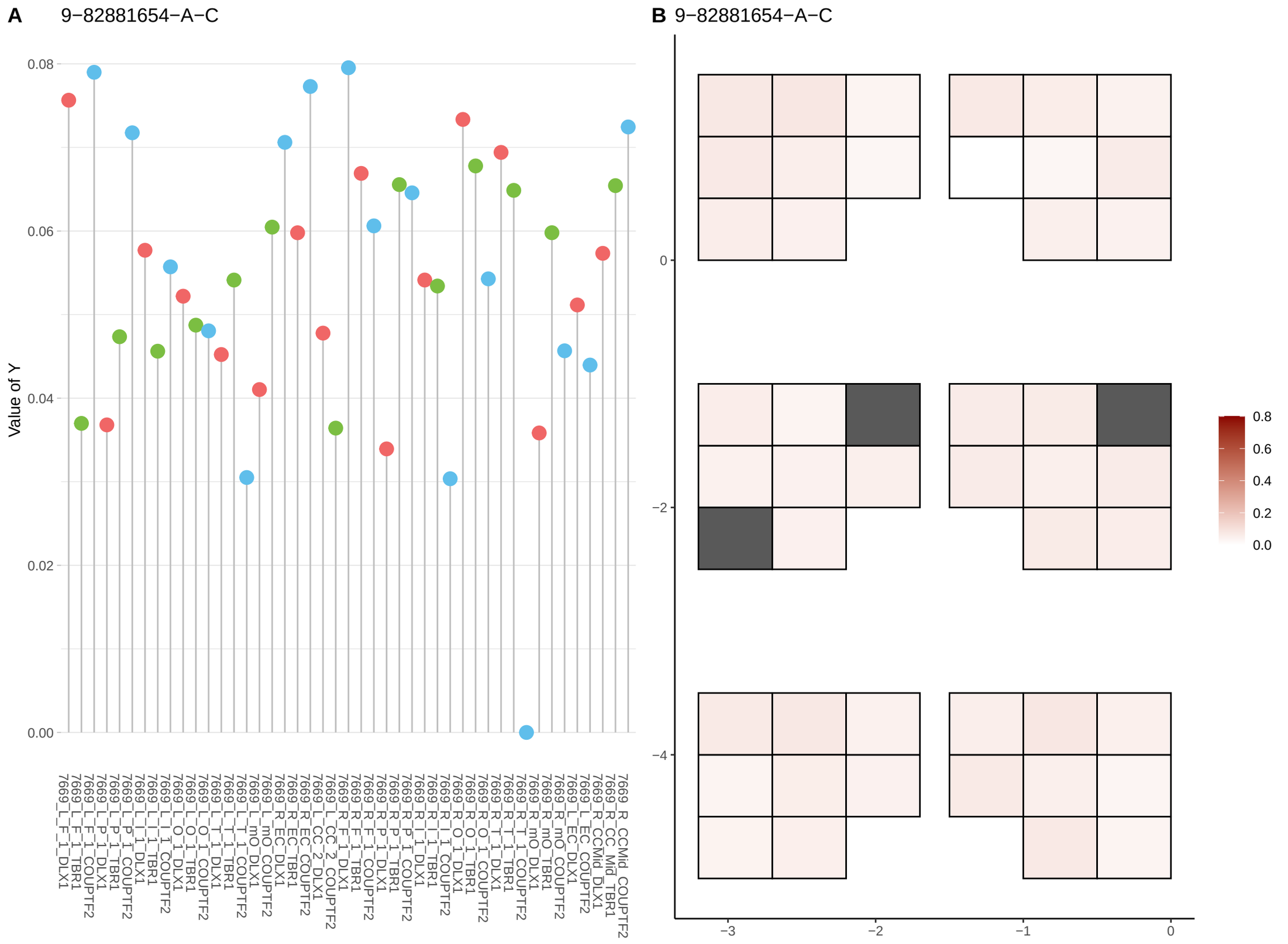
A
9−82881654−A−C
Value of Y
0.08
0.06
0.04
0.02
0.00
7669_L_F_1_DLX1
7669_L_F_1_TBR1
7669_L_F_1_COUPTF2
7669_L_P_1_DLX1
7669_L_P_1_TBR1
7669_L_P_1_COUPTF2
7669_L_I_1_DLX1
7669_L_I_1_TBR1
7669_L_I_1_COUPTF2
7669_L_O_1_DLX1
7669_L_O_1_TBR1
7669_L_O_1_COUPTF2
7669_L_T_1_DLX1
7669_L_T_1_TBR1
7669_L_T_1_COUPTF2
7669_L_mO_DLX1
7669_L_mO_COUPTF2
7669_R_EC_DLX1
7669_R_EC_TBR1
7669_R_EC_COUPTF2
7669_L_CC_2_DLX1
7669_L_CC_2_COUPTF2
7669_R_F_1_DLX1
7669_R_F_1_TBR1
7669_R_F_1_COUPTF2
7669_R_P_1_DLX1
7669_R_P_1_TBR1
7669_R_P_1_COUPTF2
7669_R_I_1_DLX1
7669_R_I_1_TBR1
7669_R_I_1_COUPTF2
7669_R_O_1_DLX1
7669_R_O_1_TBR1
7669_R_O_1_COUPTF2
7669_R_T_1_DLX1
7669_R_T_1_TBR1
7669_R_T_1_COUPTF2
7669_R_mO_DLX1
7669_R_mO_TBR1
7669_R_mO_COUPTF2
7669_L_EC_DLX1
7669_L_EC_COUPTF2
7669_R_CCMid_DLX1
7669_R_CC_Mid_TBR1
7669_R_CCMid_COUPTF2
B
9−82881654−A−C
0
−2
−4
−3
−2
−1
0
0.8
0.6
0.4
0.2
0.0

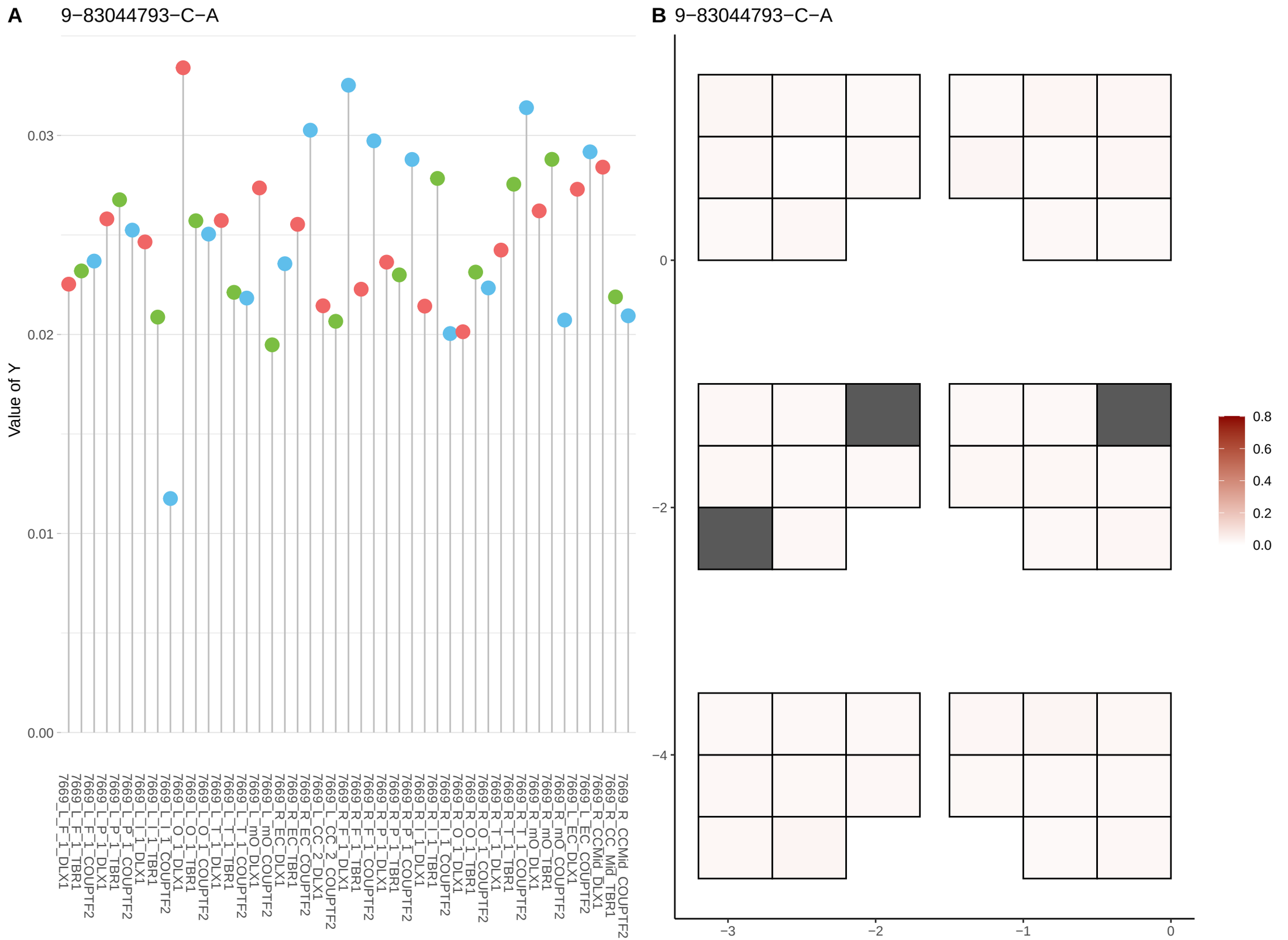
A
9−83044793−C−A
Value of Y
0.03
0.02
0.01
0.00
7669_L_F_1_DLX1
7669_L_F_1_TBR1
7669_L_F_1_COUPTF2
7669_L_P_1_DLX1
7669_L_P_1_TBR1
7669_L_P_1_COUPTF2
7669_L_I_1_DLX1
7669_L_I_1_TBR1
7669_L_I_1_COUPTF2
7669_L_O_1_DLX1
7669_L_O_1_TBR1
7669_L_O_1_COUPTF2
7669_L_T_1_DLX1
7669_L_T_1_TBR1
7669_L_T_1_COUPTF2
7669_L_mO_DLX1
7669_L_mO_COUPTF2
7669_R_EC_DLX1
7669_R_EC_TBR1
7669_R_EC_COUPTF2
7669_L_CC_2_DLX1
7669_L_CC_2_COUPTF2
7669_R_F_1_DLX1
7669_R_F_1_TBR1
7669_R_F_1_COUPTF2
7669_R_P_1_DLX1
7669_R_P_1_TBR1
7669_R_P_1_COUPTF2
7669_R_I_1_DLX1
7669_R_I_1_TBR1
7669_R_I_1_COUPTF2
7669_R_O_1_DLX1
7669_R_O_1_TBR1
7669_R_O_1_COUPTF2
7669_R_T_1_DLX1
7669_R_T_1_TBR1
7669_R_T_1_COUPTF2
7669_R_mO_DLX1
7669_R_mO_TBR1
7669_R_mO_COUPTF2
7669_L_EC_DLX1
7669_L_EC_COUPTF2
7669_R_CCMid_DLX1
7669_R_CC_Mid_TBR1
7669_R_CCMid_COUPTF2
B
9−83044793−C−A
0
−2
−4
−3
−2
−1
0
0.8
0.6
0.4
0.2
0.0

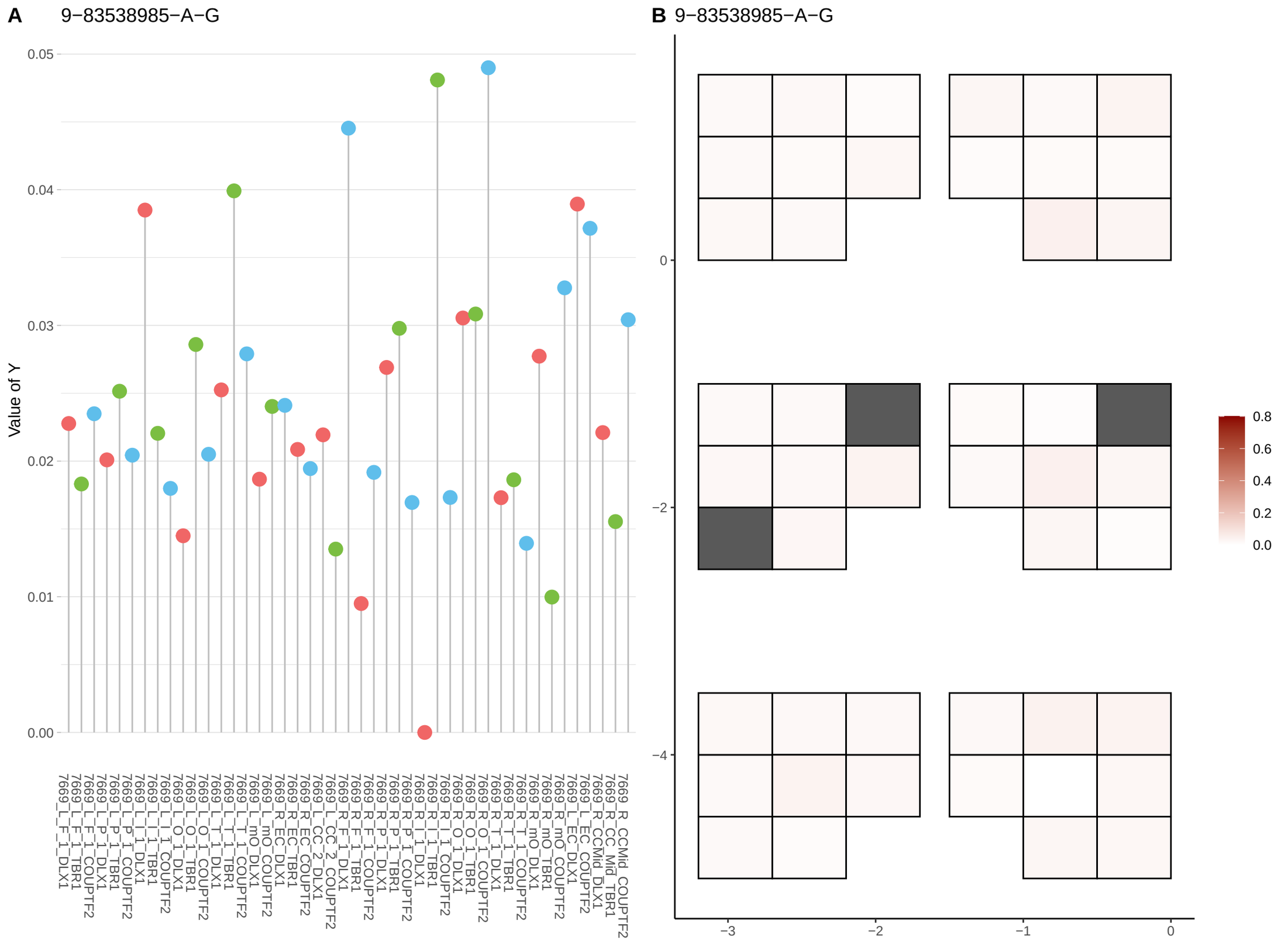
A
9−83538985−A−G
Value of Y
0.05
0.04
0.03
0.02
0.01
0.00
7669_L_F_1_DLX1
7669_L_F_1_TBR1
7669_L_F_1_COUPTF2
7669_L_P_1_DLX1
7669_L_P_1_TBR1
7669_L_P_1_COUPTF2
7669_L_I_1_DLX1
7669_L_I_1_TBR1
7669_L_I_1_COUPTF2
7669_L_O_1_DLX1
7669_L_O_1_TBR1
7669_L_O_1_COUPTF2
7669_L_T_1_DLX1
7669_L_T_1_TBR1
7669_L_T_1_COUPTF2
7669_L_mO_DLX1
7669_L_mO_COUPTF2
7669_R_EC_DLX1
7669_R_EC_TBR1
7669_R_EC_COUPTF2
7669_L_CC_2_DLX1
7669_L_CC_2_COUPTF2
7669_R_F_1_DLX1
7669_R_F_1_TBR1
7669_R_F_1_COUPTF2
7669_R_P_1_DLX1
7669_R_P_1_TBR1
7669_R_P_1_COUPTF2
7669_R_I_1_DLX1
7669_R_I_1_TBR1
7669_R_I_1_COUPTF2
7669_R_O_1_DLX1
7669_R_O_1_TBR1
7669_R_O_1_COUPTF2
7669_R_T_1_DLX1
7669_R_T_1_TBR1
7669_R_T_1_COUPTF2
7669_R_mO_DLX1
7669_R_mO_TBR1
7669_R_mO_COUPTF2
7669_L_EC_DLX1
7669_L_EC_COUPTF2
7669_R_CCMid_DLX1
7669_R_CC_Mid_TBR1
7669_R_CCMid_COUPTF2
B
9−83538985−A−G
0
−2
−4
−3
−2
−1
0
0.8
0.6
0.4
0.2
0.0

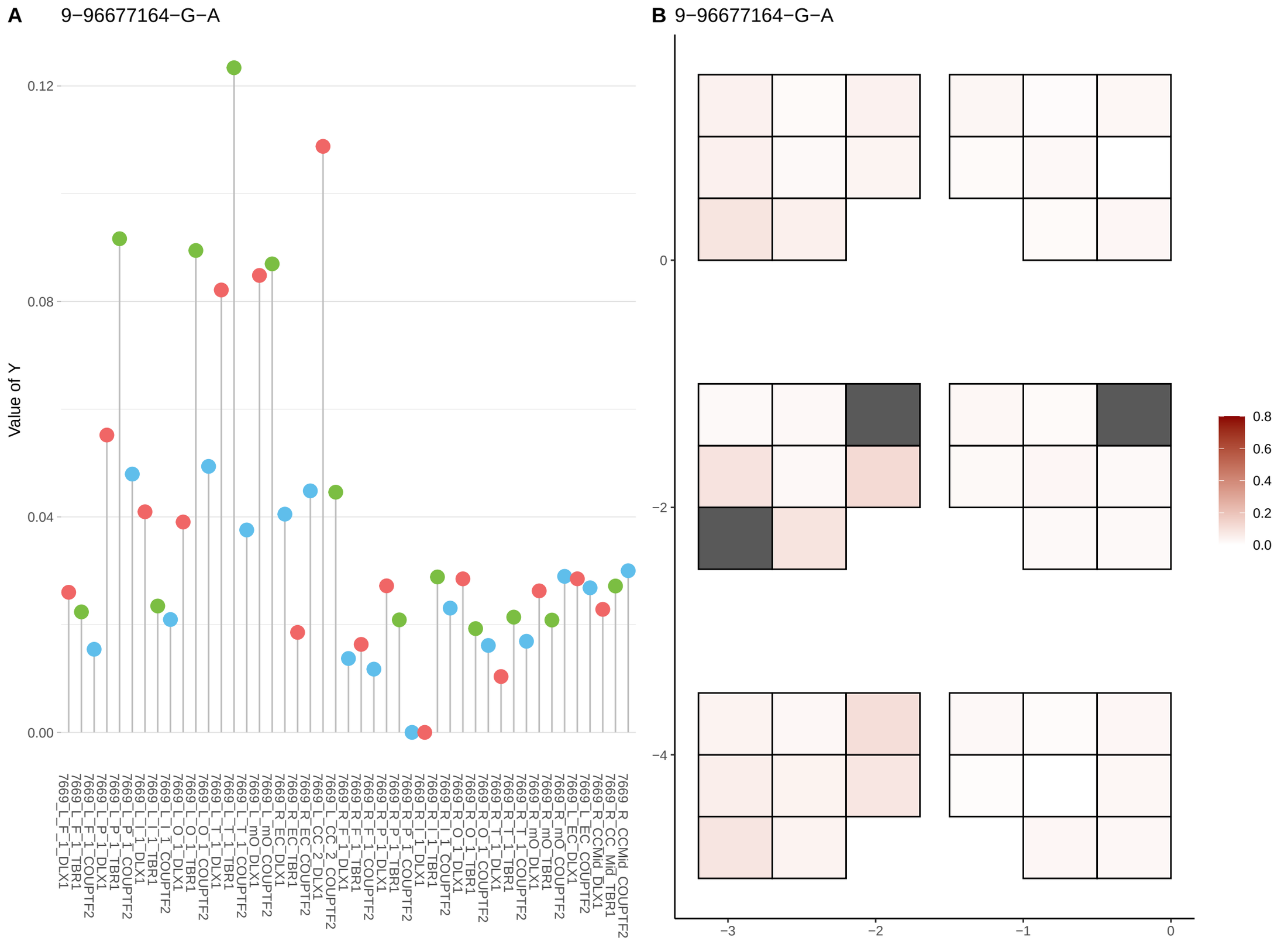
A
9−96677164−G−A
Value of Y
0.12
0.08
0.04
0.00
7669_L_F_1_DLX1
7669_L_F_1_TBR1
7669_L_F_1_COUPTF2
7669_L_P_1_DLX1
7669_L_P_1_TBR1
7669_L_P_1_COUPTF2
7669_L_I_1_DLX1
7669_L_I_1_TBR1
7669_L_I_1_COUPTF2
7669_L_O_1_DLX1
7669_L_O_1_TBR1
7669_L_O_1_COUPTF2
7669_L_T_1_DLX1
7669_L_T_1_TBR1
7669_L_T_1_COUPTF2
7669_L_mO_DLX1
7669_L_mO_COUPTF2
7669_R_EC_DLX1
7669_R_EC_TBR1
7669_R_EC_COUPTF2
7669_L_CC_2_DLX1
7669_L_CC_2_COUPTF2
7669_R_F_1_DLX1
7669_R_F_1_TBR1
7669_R_F_1_COUPTF2
7669_R_P_1_DLX1
7669_R_P_1_TBR1
7669_R_P_1_COUPTF2
7669_R_I_1_DLX1
7669_R_I_1_TBR1
7669_R_I_1_COUPTF2
7669_R_O_1_DLX1
7669_R_O_1_TBR1
7669_R_O_1_COUPTF2
7669_R_T_1_DLX1
7669_R_T_1_TBR1
7669_R_T_1_COUPTF2
7669_R_mO_DLX1
7669_R_mO_TBR1
7669_R_mO_COUPTF2
7669_L_EC_DLX1
7669_L_EC_COUPTF2
7669_R_CCMid_DLX1
7669_R_CC_Mid_TBR1
7669_R_CCMid_COUPTF2
B
9−96677164−G−A
0
−2
−4
−3
−2
−1
0
0.8
0.6
0.4
0.2
0.0

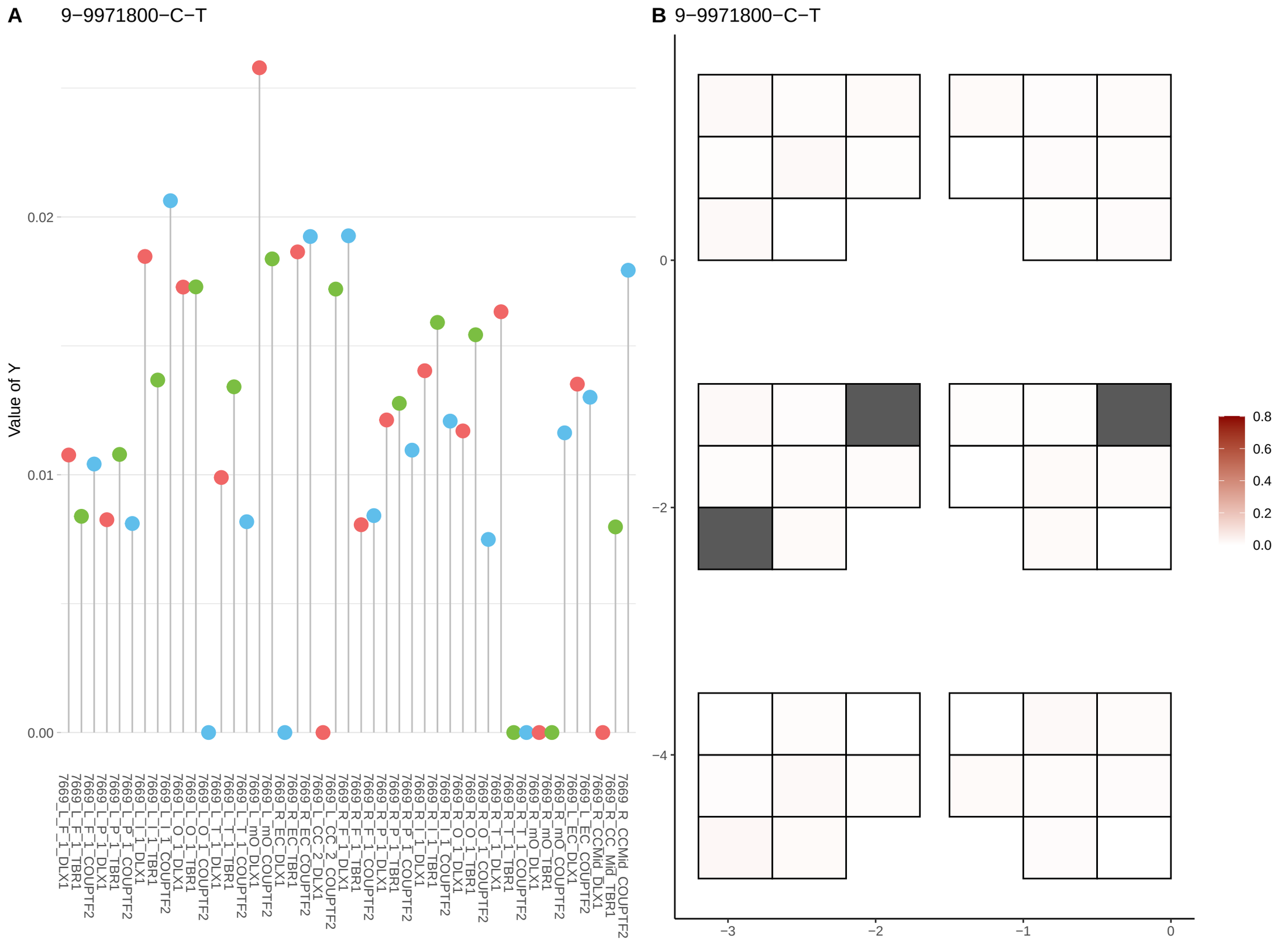
A
9−9971800−C−T
Value of Y
0.02
0.01
0.00
7669_L_F_1_DLX1
7669_L_F_1_TBR1
7669_L_F_1_COUPTF2
7669_L_P_1_DLX1
7669_L_P_1_TBR1
7669_L_P_1_COUPTF2
7669_L_I_1_DLX1
7669_L_I_1_TBR1
7669_L_I_1_COUPTF2
7669_L_O_1_DLX1
7669_L_O_1_TBR1
7669_L_O_1_COUPTF2
7669_L_T_1_DLX1
7669_L_T_1_TBR1
7669_L_T_1_COUPTF2
7669_L_mO_DLX1
7669_L_mO_COUPTF2
7669_R_EC_DLX1
7669_R_EC_TBR1
7669_R_EC_COUPTF2
7669_L_CC_2_DLX1
7669_L_CC_2_COUPTF2
7669_R_F_1_DLX1
7669_R_F_1_TBR1
7669_R_F_1_COUPTF2
7669_R_P_1_DLX1
7669_R_P_1_TBR1
7669_R_P_1_COUPTF2
7669_R_I_1_DLX1
7669_R_I_1_TBR1
7669_R_I_1_COUPTF2
7669_R_O_1_DLX1
7669_R_O_1_TBR1
7669_R_O_1_COUPTF2
7669_R_T_1_DLX1
7669_R_T_1_TBR1
7669_R_T_1_COUPTF2
7669_R_mO_DLX1
7669_R_mO_TBR1
7669_R_mO_COUPTF2
7669_L_EC_DLX1
7669_L_EC_COUPTF2
7669_R_CCMid_DLX1
7669_R_CC_Mid_TBR1
7669_R_CCMid_COUPTF2
B
9−9971800−C−T
0
−2
−4
−3
−2
−1
0
0.8
0.6
0.4
0.2
0.0

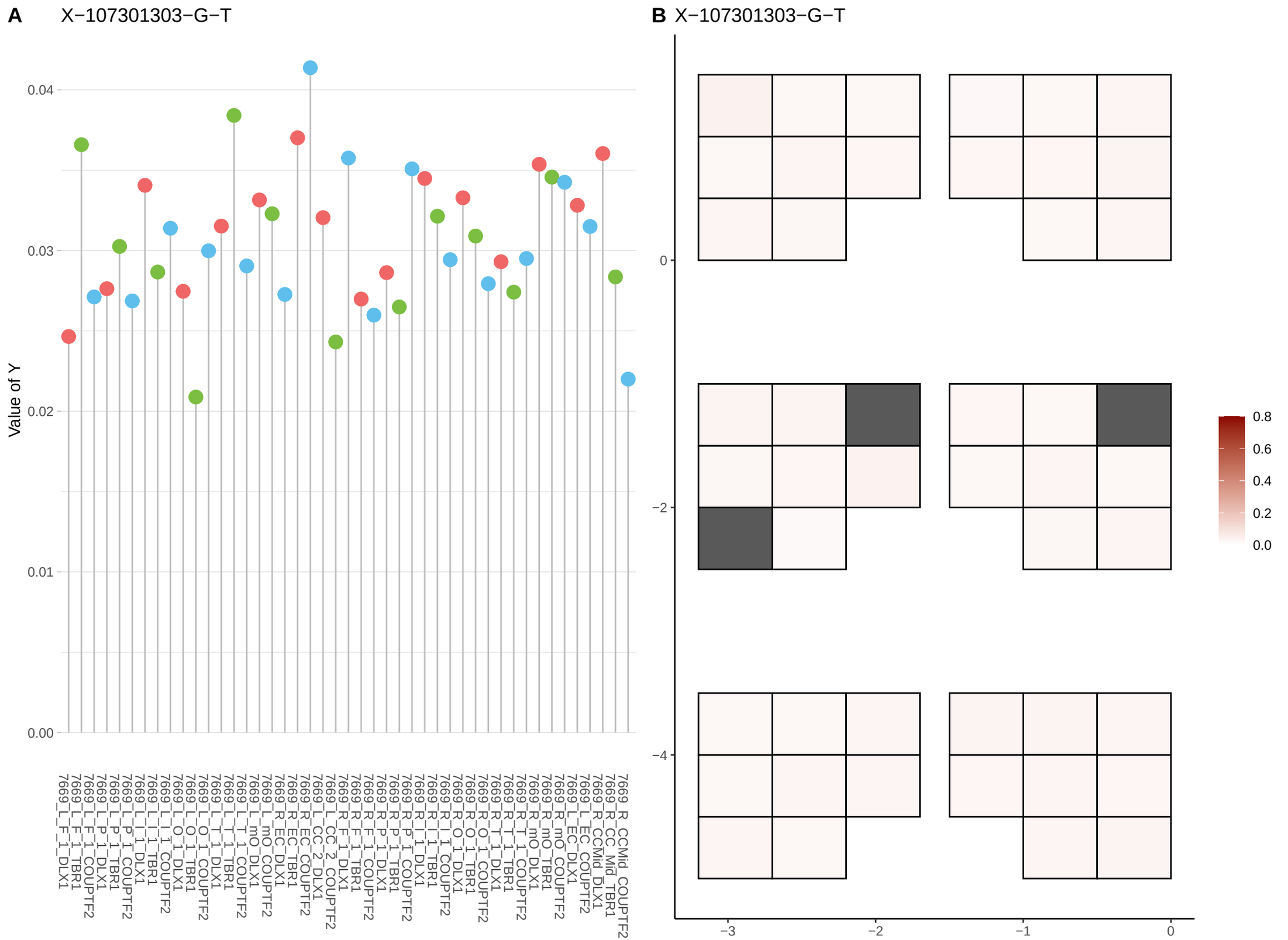
A
X−107301303−G−T
Value of Y
0.04
0.03
0.02
0.01
0.00
7669_L_F_1_DLX1
7669_L_F_1_TBR1
7669_L_F_1_COUPTF2
7669_L_P_1_DLX1
7669_L_P_1_TBR1
7669_L_P_1_COUPTF2
7669_L_I_1_DLX1
7669_L_I_1_TBR1
7669_L_I_1_COUPTF2
7669_L_O_1_DLX1
7669_L_O_1_TBR1
7669_L_O_1_COUPTF2
7669_L_T_1_DLX1
7669_L_T_1_TBR1
7669_L_T_1_COUPTF2
7669_L_mO_DLX1
7669_L_mO_COUPTF2
7669_R_EC_DLX1
7669_R_EC_TBR1
7669_R_EC_COUPTF2
7669_L_CC_2_DLX1
7669_L_CC_2_COUPTF2
7669_R_F_1_DLX1
7669_R_F_1_TBR1
7669_R_F_1_COUPTF2
7669_R_P_1_DLX1
7669_R_P_1_TBR1
7669_R_P_1_COUPTF2
7669_R_I_1_DLX1
7669_R_I_1_TBR1
7669_R_I_1_COUPTF2
7669_R_O_1_DLX1
7669_R_O_1_TBR1
7669_R_O_1_COUPTF2
7669_R_T_1_DLX1
7669_R_T_1_TBR1
7669_R_T_1_COUPTF2
7669_R_mO_DLX1
7669_R_mO_TBR1
7669_R_mO_COUPTF2
7669_L_EC_DLX1
7669_L_EC_COUPTF2
7669_R_CCMid_DLX1
7669_R_CC_Mid_TBR1
7669_R_CCMid_COUPTF2
B
X−107301303−G−T
0
−2
−4
−3
−2
−1
0
0.8
0.6
0.4
0.2
0.0

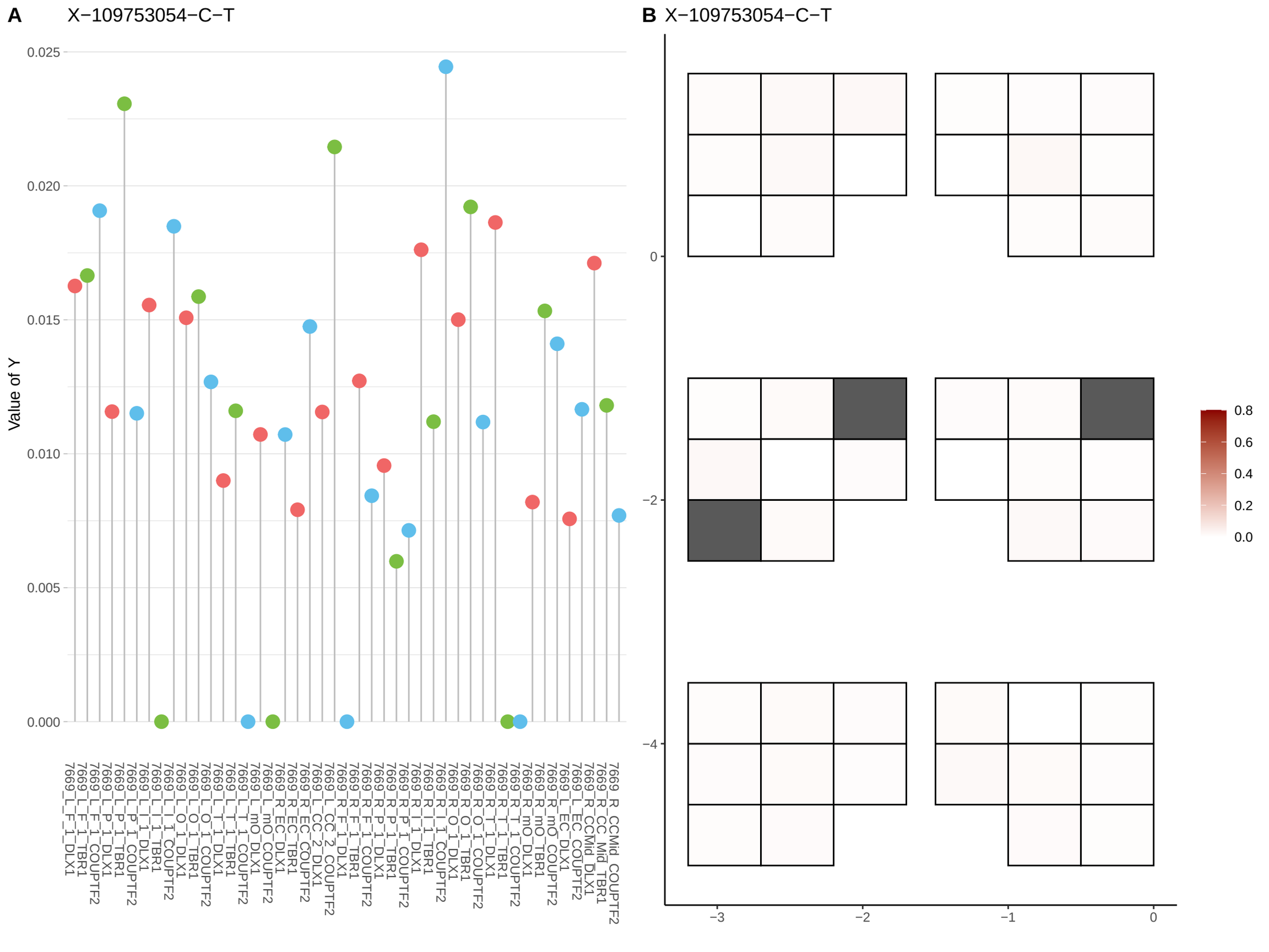
A
X−109753054−C−T
Value of Y
0.025
0.020
0.015
0.010
0.005
0.000
7669_L_F_1_DLX1
7669_L_F_1_TBR1
7669_L_F_1_COUPTF2
7669_L_P_1_DLX1
7669_L_P_1_TBR1
7669_L_P_1_COUPTF2
7669_L_I_1_DLX1
7669_L_I_1_TBR1
7669_L_I_1_COUPTF2
7669_L_O_1_DLX1
7669_L_O_1_TBR1
7669_L_O_1_COUPTF2
7669_L_T_1_DLX1
7669_L_T_1_TBR1
7669_L_T_1_COUPTF2
7669_L_mO_DLX1
7669_L_mO_COUPTF2
7669_R_EC_DLX1
7669_R_EC_TBR1
7669_R_EC_COUPTF2
7669_L_CC_2_DLX1
7669_L_CC_2_COUPTF2
7669_R_F_1_DLX1
7669_R_F_1_TBR1
7669_R_F_1_COUPTF2
7669_R_P_1_DLX1
7669_R_P_1_TBR1
7669_R_P_1_COUPTF2
7669_R_I_1_DLX1
7669_R_I_1_TBR1
7669_R_I_1_COUPTF2
7669_R_O_1_DLX1
7669_R_O_1_TBR1
7669_R_O_1_COUPTF2
7669_R_T_1_DLX1
7669_R_T_1_TBR1
7669_R_T_1_COUPTF2
7669_R_mO_DLX1
7669_R_mO_TBR1
7669_R_mO_COUPTF2
7669_L_EC_DLX1
7669_L_EC_COUPTF2
7669_R_CCMid_DLX1
7669_R_CC_Mid_TBR1
7669_R_CCMid_COUPTF2
B
X−109753054−C−T
0
−2
−4
−3
−2
−1
0
0.8
0.6
0.4
0.2
0.0

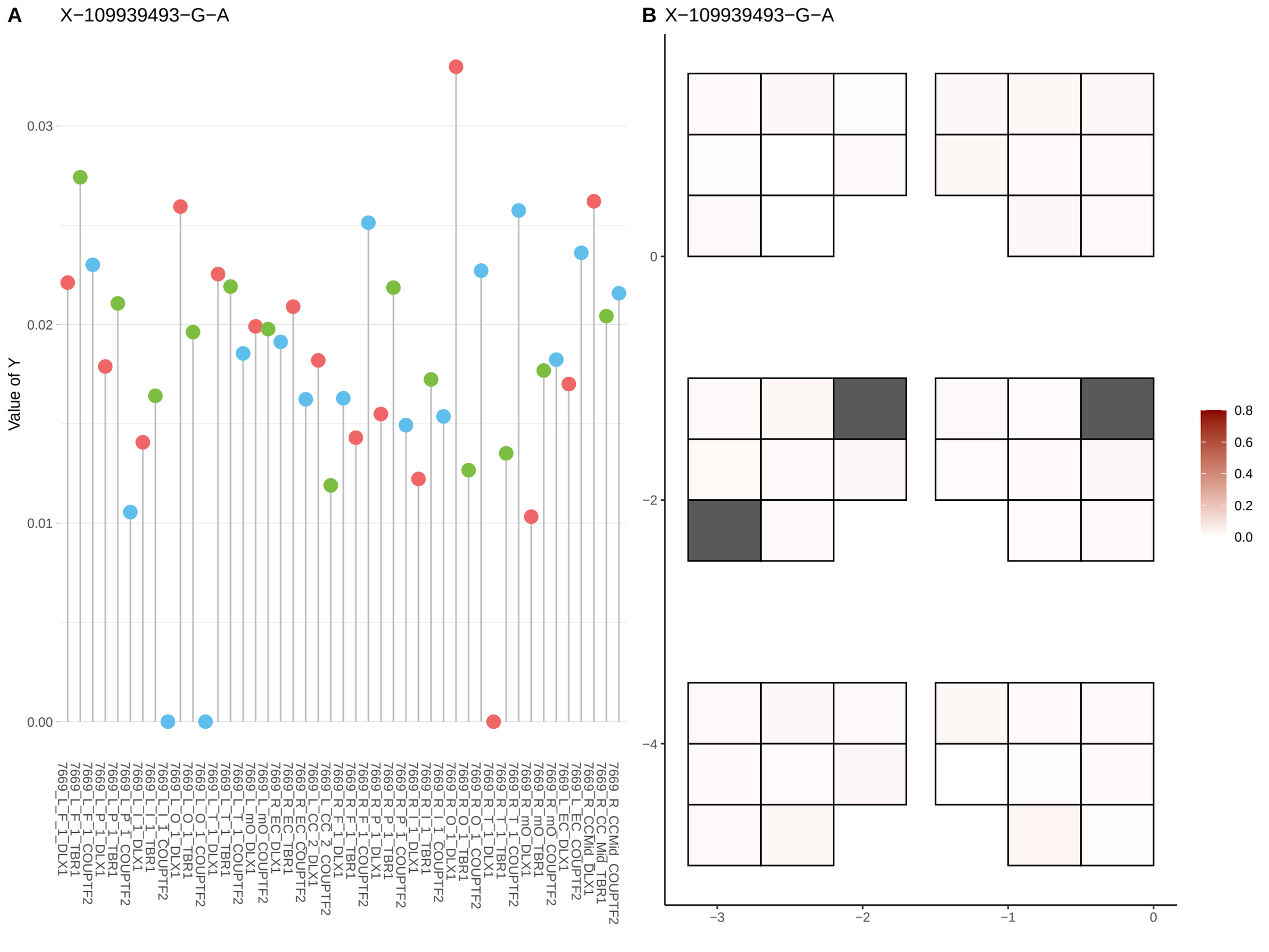
A
X−109939493−G−A
Value of Y
0.03
0.02
0.01
0.00
7669_L_F_1_DLX1
7669_L_F_1_TBR1
7669_L_F_1_COUPTF2
7669_L_P_1_DLX1
7669_L_P_1_TBR1
7669_L_P_1_COUPTF2
7669_L_I_1_DLX1
7669_L_I_1_TBR1
7669_L_I_1_COUPTF2
7669_L_O_1_DLX1
7669_L_O_1_TBR1
7669_L_O_1_COUPTF2
7669_L_T_1_DLX1
7669_L_T_1_TBR1
7669_L_T_1_COUPTF2
7669_L_mO_DLX1
7669_L_mO_COUPTF2
7669_R_EC_DLX1
7669_R_EC_TBR1
7669_R_EC_COUPTF2
7669_L_CC_2_DLX1
7669_L_CC_2_COUPTF2
7669_R_F_1_DLX1
7669_R_F_1_TBR1
7669_R_F_1_COUPTF2
7669_R_P_1_DLX1
7669_R_P_1_TBR1
7669_R_P_1_COUPTF2
7669_R_I_1_DLX1
7669_R_I_1_TBR1
7669_R_I_1_COUPTF2
7669_R_O_1_DLX1
7669_R_O_1_TBR1
7669_R_O_1_COUPTF2
7669_R_T_1_DLX1
7669_R_T_1_TBR1
7669_R_T_1_COUPTF2
7669_R_mO_DLX1
7669_R_mO_TBR1
7669_R_mO_COUPTF2
7669_L_EC_DLX1
7669_L_EC_COUPTF2
7669_R_CCMid_DLX1
7669_R_CC_Mid_TBR1
7669_R_CCMid_COUPTF2
B
X−109939493−G−A
0
−2
−4
−3
−2
−1
0
0.8
0.6
0.4
0.2
0.0

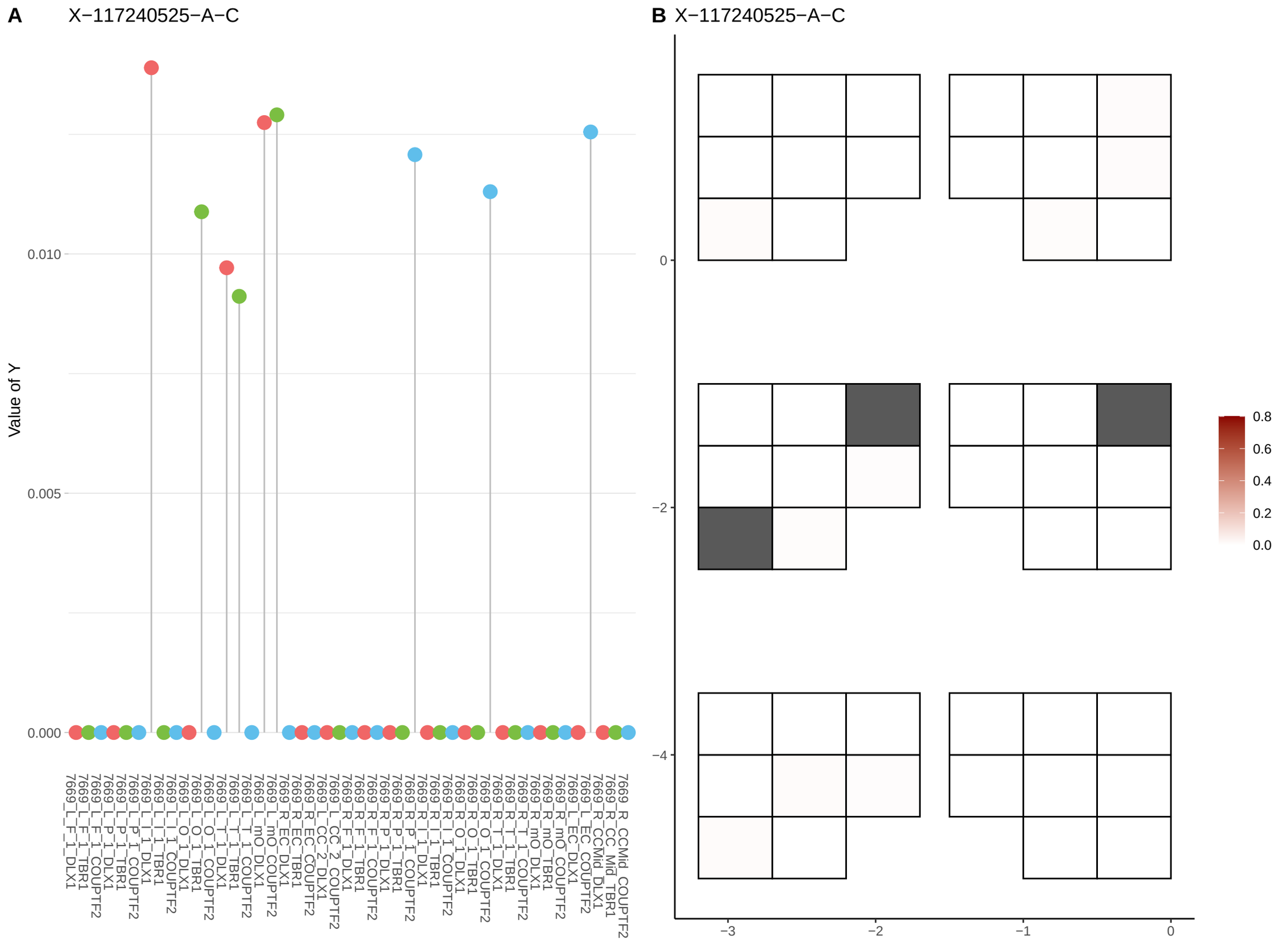
A
X−117240525−A−C
Value of Y
0.010
0.005
0.000
7669_L_F_1_DLX1
7669_L_F_1_TBR1
7669_L_F_1_COUPTF2
7669_L_P_1_DLX1
7669_L_P_1_TBR1
7669_L_P_1_COUPTF2
7669_L_I_1_DLX1
7669_L_I_1_TBR1
7669_L_I_1_COUPTF2
7669_L_O_1_DLX1
7669_L_O_1_TBR1
7669_L_O_1_COUPTF2
7669_L_T_1_DLX1
7669_L_T_1_TBR1
7669_L_T_1_COUPTF2
7669_L_mO_DLX1
7669_L_mO_COUPTF2
7669_R_EC_DLX1
7669_R_EC_TBR1
7669_R_EC_COUPTF2
7669_L_CC_2_DLX1
7669_L_CC_2_COUPTF2
7669_R_F_1_DLX1
7669_R_F_1_TBR1
7669_R_F_1_COUPTF2
7669_R_P_1_DLX1
7669_R_P_1_TBR1
7669_R_P_1_COUPTF2
7669_R_I_1_DLX1
7669_R_I_1_TBR1
7669_R_I_1_COUPTF2
7669_R_O_1_DLX1
7669_R_O_1_TBR1
7669_R_O_1_COUPTF2
7669_R_T_1_DLX1
7669_R_T_1_TBR1
7669_R_T_1_COUPTF2
7669_R_mO_DLX1
7669_R_mO_TBR1
7669_R_mO_COUPTF2
7669_L_EC_DLX1
7669_L_EC_COUPTF2
7669_R_CCMid_DLX1
7669_R_CC_Mid_TBR1
7669_R_CCMid_COUPTF2
B
X−117240525−A−C
0
−2
−4
−3
−2
−1
0
0.8
0.6
0.4
0.2
0.0

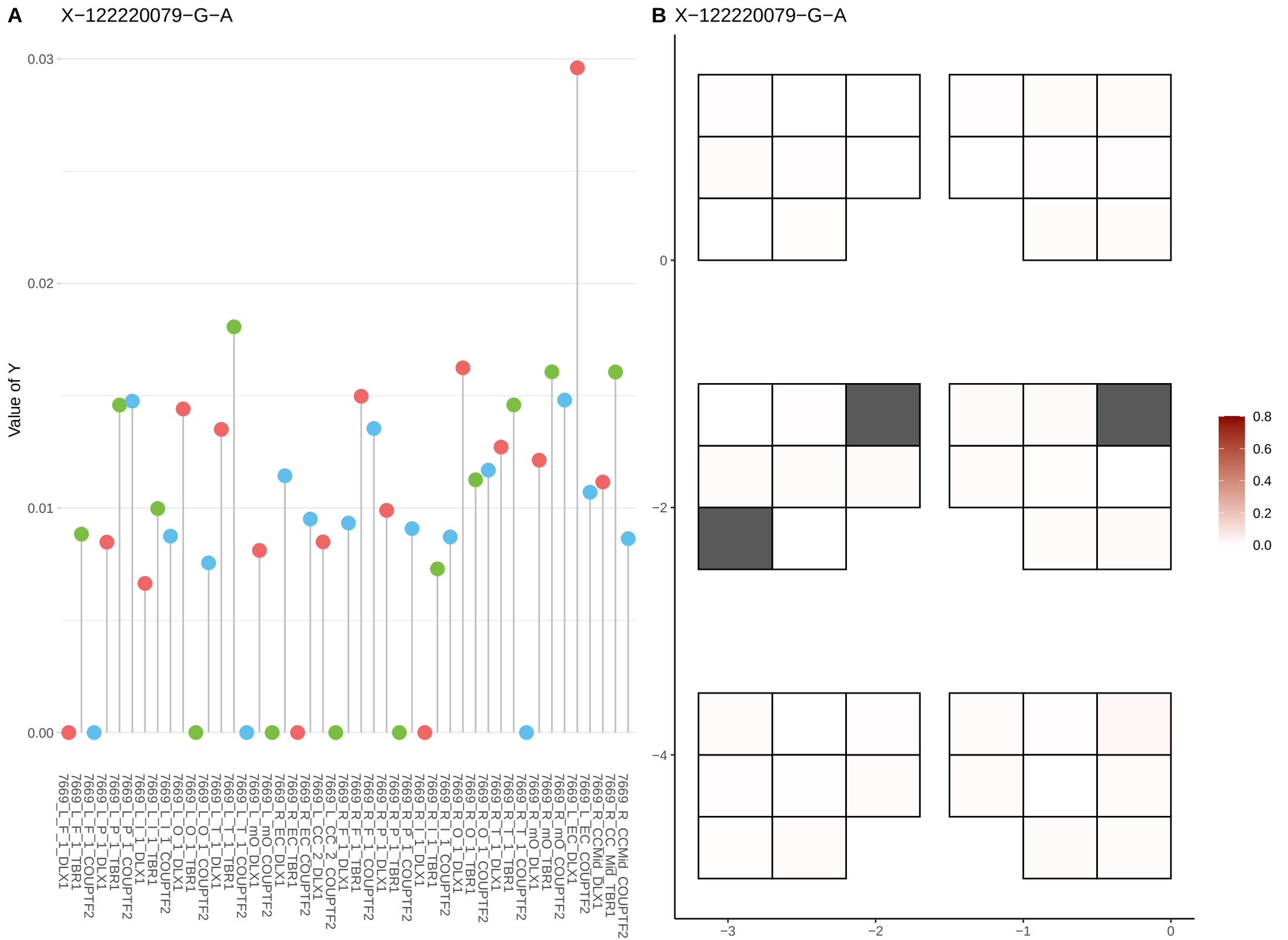
A
X−122220079−G−A
Value of Y
0.03
0.02
0.01
0.00
7669_L_F_1_DLX1
7669_L_F_1_TBR1
7669_L_F_1_COUPTF2
7669_L_P_1_DLX1
7669_L_P_1_TBR1
7669_L_P_1_COUPTF2
7669_L_I_1_DLX1
7669_L_I_1_TBR1
7669_L_I_1_COUPTF2
7669_L_O_1_DLX1
7669_L_O_1_TBR1
7669_L_O_1_COUPTF2
7669_L_T_1_DLX1
7669_L_T_1_TBR1
7669_L_T_1_COUPTF2
7669_L_mO_DLX1
7669_L_mO_COUPTF2
7669_R_EC_DLX1
7669_R_EC_TBR1
7669_R_EC_COUPTF2
7669_L_CC_2_DLX1
7669_L_CC_2_COUPTF2
7669_R_F_1_DLX1
7669_R_F_1_TBR1
7669_R_F_1_COUPTF2
7669_R_P_1_DLX1
7669_R_P_1_TBR1
7669_R_P_1_COUPTF2
7669_R_I_1_DLX1
7669_R_I_1_TBR1
7669_R_I_1_COUPTF2
7669_R_O_1_DLX1
7669_R_O_1_TBR1
7669_R_O_1_COUPTF2
7669_R_T_1_DLX1
7669_R_T_1_TBR1
7669_R_T_1_COUPTF2
7669_R_mO_DLX1
7669_R_mO_TBR1
7669_R_mO_COUPTF2
7669_L_EC_DLX1
7669_L_EC_COUPTF2
7669_R_CCMid_DLX1
7669_R_CC_Mid_TBR1
7669_R_CCMid_COUPTF2
B
X−122220079−G−A
0
−2
−4
−3
−2
−1
0
0.8
0.6
0.4
0.2
0.0

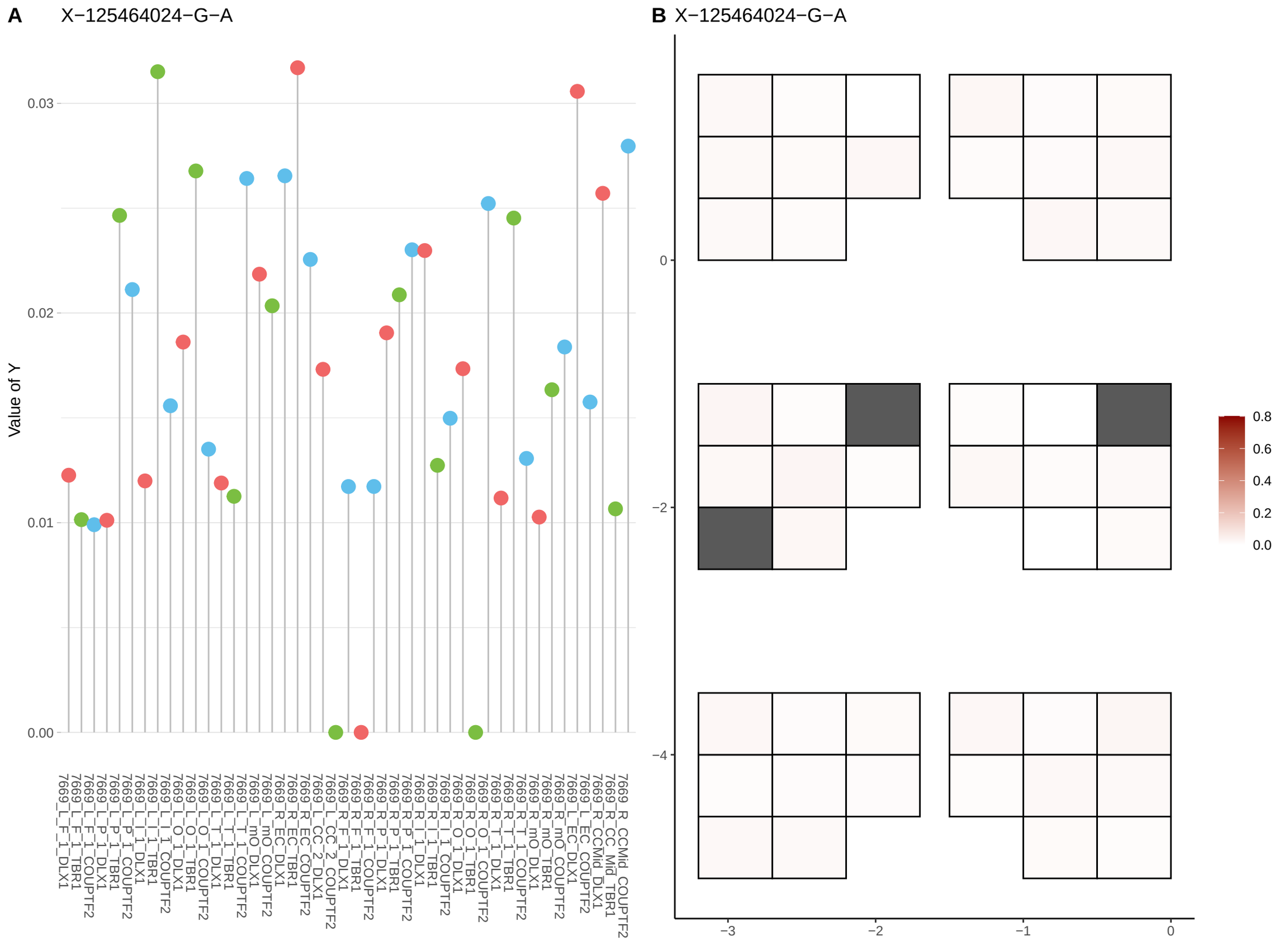
A
X−125464024−G−A
Value of Y
0.03
0.02
0.01
0.00
7669_L_F_1_DLX1
7669_L_F_1_TBR1
7669_L_F_1_COUPTF2
7669_L_P_1_DLX1
7669_L_P_1_TBR1
7669_L_P_1_COUPTF2
7669_L_I_1_DLX1
7669_L_I_1_TBR1
7669_L_I_1_COUPTF2
7669_L_O_1_DLX1
7669_L_O_1_TBR1
7669_L_O_1_COUPTF2
7669_L_T_1_DLX1
7669_L_T_1_TBR1
7669_L_T_1_COUPTF2
7669_L_mO_DLX1
7669_L_mO_COUPTF2
7669_R_EC_DLX1
7669_R_EC_TBR1
7669_R_EC_COUPTF2
7669_L_CC_2_DLX1
7669_L_CC_2_COUPTF2
7669_R_F_1_DLX1
7669_R_F_1_TBR1
7669_R_F_1_COUPTF2
7669_R_P_1_DLX1
7669_R_P_1_TBR1
7669_R_P_1_COUPTF2
7669_R_I_1_DLX1
7669_R_I_1_TBR1
7669_R_I_1_COUPTF2
7669_R_O_1_DLX1
7669_R_O_1_TBR1
7669_R_O_1_COUPTF2
7669_R_T_1_DLX1
7669_R_T_1_TBR1
7669_R_T_1_COUPTF2
7669_R_mO_DLX1
7669_R_mO_TBR1
7669_R_mO_COUPTF2
7669_L_EC_DLX1
7669_L_EC_COUPTF2
7669_R_CCMid_DLX1
7669_R_CC_Mid_TBR1
7669_R_CCMid_COUPTF2
B
X−125464024−G−A
0
−2
−4
−3
−2
−1
0
0.8
0.6
0.4
0.2
0.0

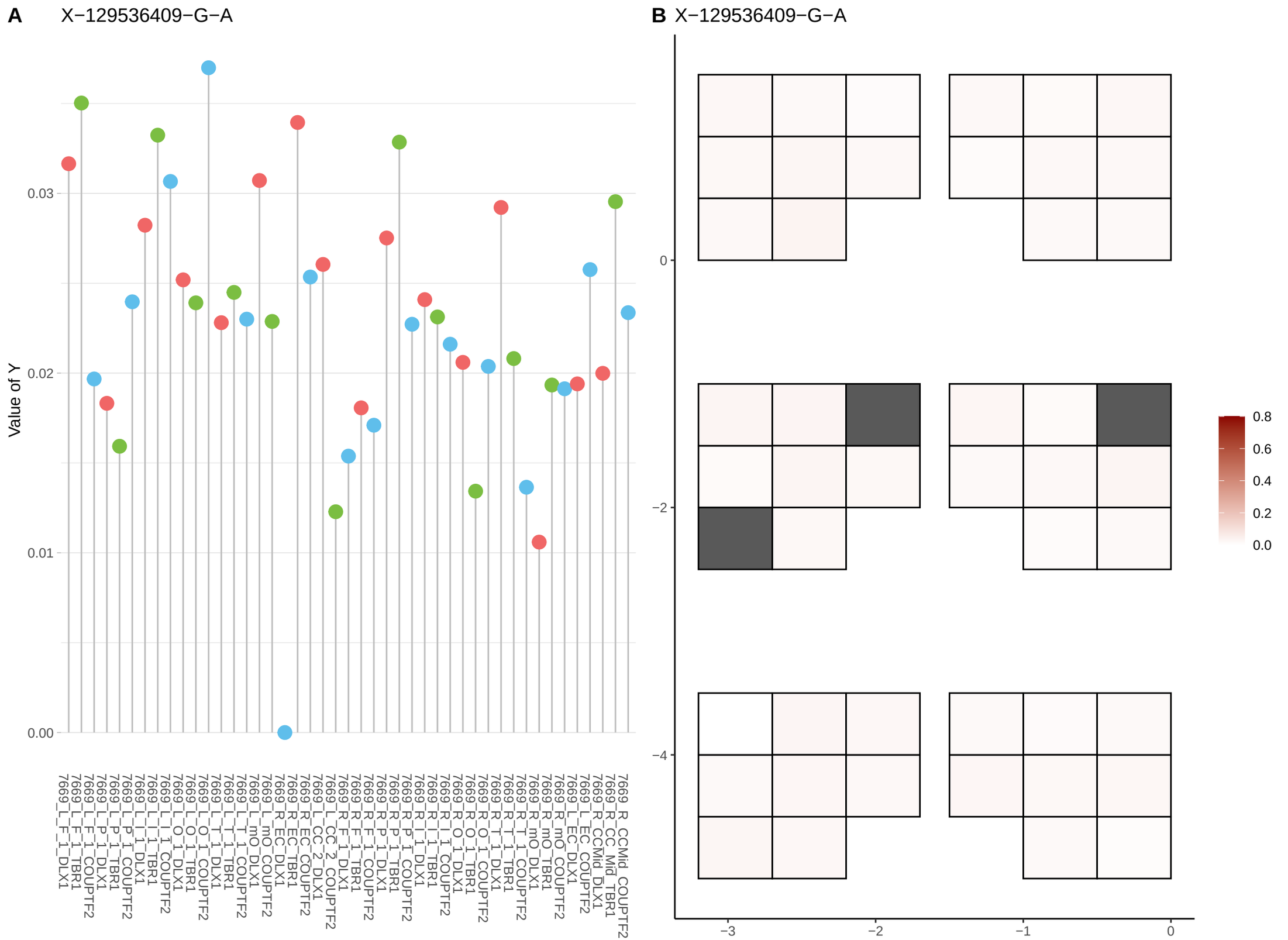
A
X−129536409−G−A
Value of Y
0.03
0.02
0.01
0.00
7669_L_F_1_DLX1
7669_L_F_1_TBR1
7669_L_F_1_COUPTF2
7669_L_P_1_DLX1
7669_L_P_1_TBR1
7669_L_P_1_COUPTF2
7669_L_I_1_DLX1
7669_L_I_1_TBR1
7669_L_I_1_COUPTF2
7669_L_O_1_DLX1
7669_L_O_1_TBR1
7669_L_O_1_COUPTF2
7669_L_T_1_DLX1
7669_L_T_1_TBR1
7669_L_T_1_COUPTF2
7669_L_mO_DLX1
7669_L_mO_COUPTF2
7669_R_EC_DLX1
7669_R_EC_TBR1
7669_R_EC_COUPTF2
7669_L_CC_2_DLX1
7669_L_CC_2_COUPTF2
7669_R_F_1_DLX1
7669_R_F_1_TBR1
7669_R_F_1_COUPTF2
7669_R_P_1_DLX1
7669_R_P_1_TBR1
7669_R_P_1_COUPTF2
7669_R_I_1_DLX1
7669_R_I_1_TBR1
7669_R_I_1_COUPTF2
7669_R_O_1_DLX1
7669_R_O_1_TBR1
7669_R_O_1_COUPTF2
7669_R_T_1_DLX1
7669_R_T_1_TBR1
7669_R_T_1_COUPTF2
7669_R_mO_DLX1
7669_R_mO_TBR1
7669_R_mO_COUPTF2
7669_L_EC_DLX1
7669_L_EC_COUPTF2
7669_R_CCMid_DLX1
7669_R_CC_Mid_TBR1
7669_R_CCMid_COUPTF2
B
X−129536409−G−A
0
−2
−4
−3
−2
−1
0
0.8
0.6
0.4
0.2
0.0

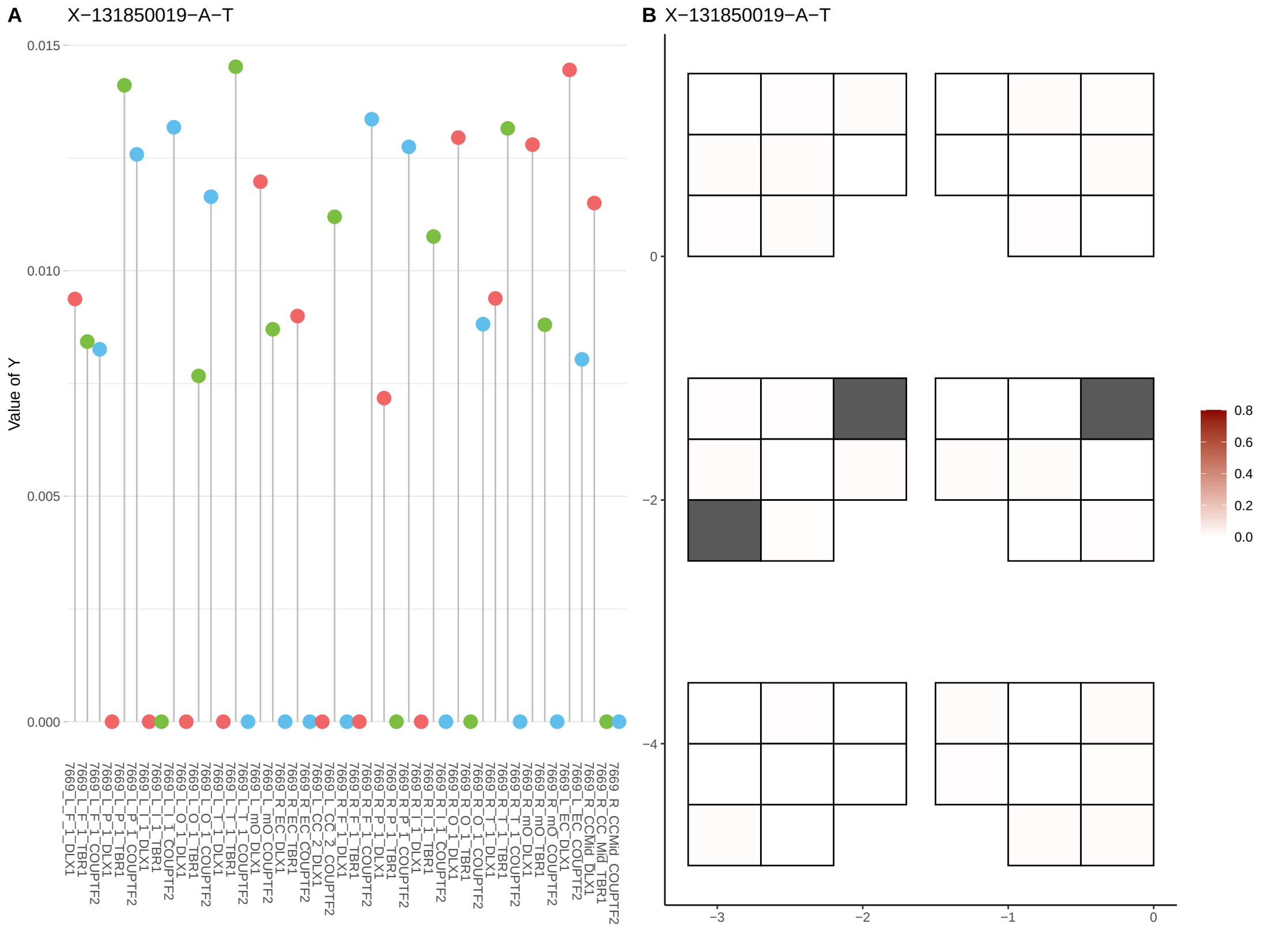
A
X−131850019−A−T
Value of Y
0.015
0.010
0.005
0.000
7669_L_F_1_DLX1
7669_L_F_1_TBR1
7669_L_F_1_COUPTF2
7669_L_P_1_DLX1
7669_L_P_1_TBR1
7669_L_P_1_COUPTF2
7669_L_I_1_DLX1
7669_L_I_1_TBR1
7669_L_I_1_COUPTF2
7669_L_O_1_DLX1
7669_L_O_1_TBR1
7669_L_O_1_COUPTF2
7669_L_T_1_DLX1
7669_L_T_1_TBR1
7669_L_T_1_COUPTF2
7669_L_mO_DLX1
7669_L_mO_COUPTF2
7669_R_EC_DLX1
7669_R_EC_TBR1
7669_R_EC_COUPTF2
7669_L_CC_2_DLX1
7669_L_CC_2_COUPTF2
7669_R_F_1_DLX1
7669_R_F_1_TBR1
7669_R_F_1_COUPTF2
7669_R_P_1_DLX1
7669_R_P_1_TBR1
7669_R_P_1_COUPTF2
7669_R_I_1_DLX1
7669_R_I_1_TBR1
7669_R_I_1_COUPTF2
7669_R_O_1_DLX1
7669_R_O_1_TBR1
7669_R_O_1_COUPTF2
7669_R_T_1_DLX1
7669_R_T_1_TBR1
7669_R_T_1_COUPTF2
7669_R_mO_DLX1
7669_R_mO_TBR1
7669_R_mO_COUPTF2
7669_L_EC_DLX1
7669_L_EC_COUPTF2
7669_R_CCMid_DLX1
7669_R_CC_Mid_TBR1
7669_R_CCMid_COUPTF2
B
X−131850019−A−T
0
−2
−4
−3
−2
−1
0
0.8
0.6
0.4
0.2
0.0

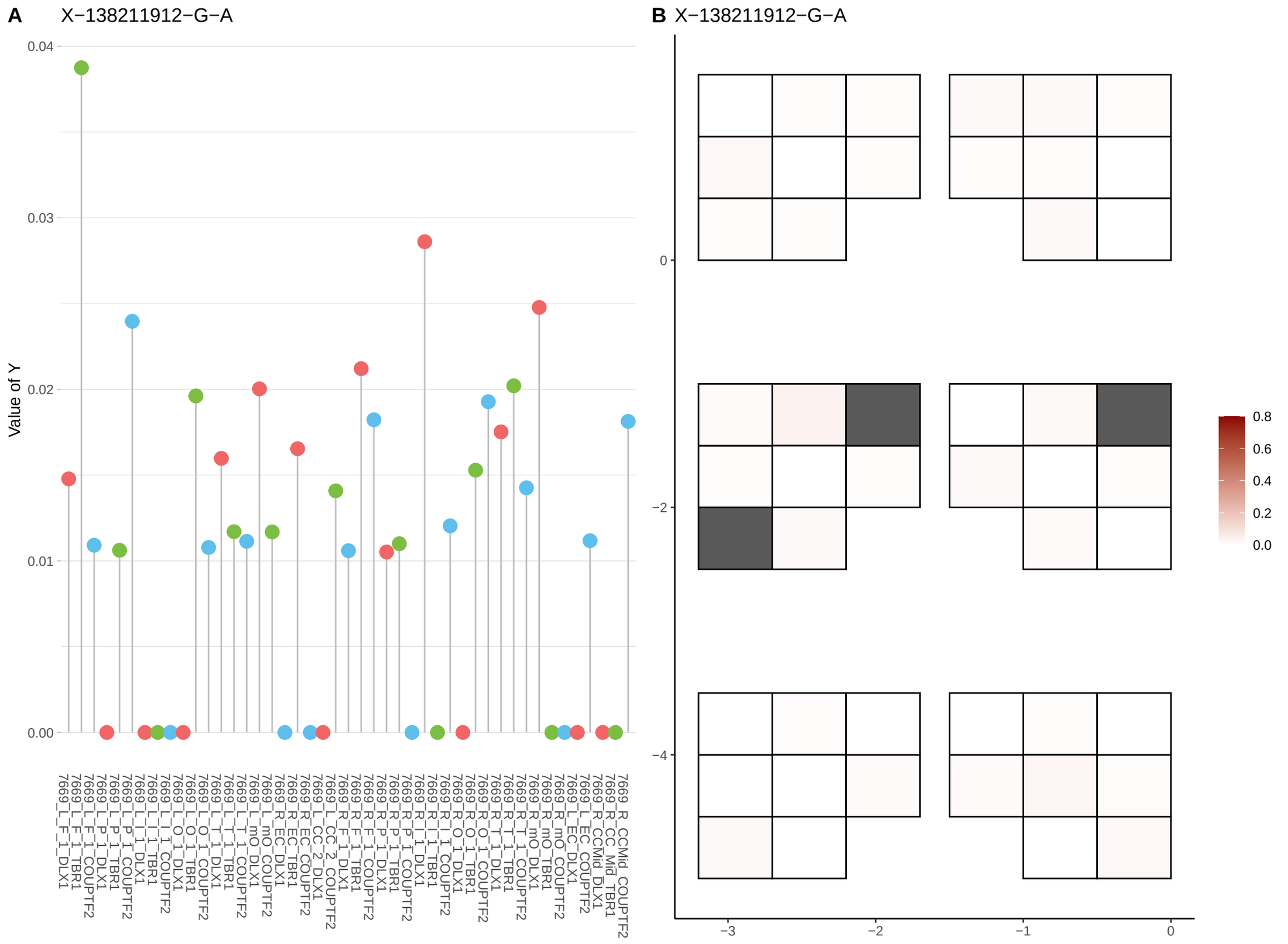
A
X−138211912−G−A
Value of Y
0.04
0.03
0.02
0.01
0.00
7669_L_F_1_DLX1
7669_L_F_1_TBR1
7669_L_F_1_COUPTF2
7669_L_P_1_DLX1
7669_L_P_1_TBR1
7669_L_P_1_COUPTF2
7669_L_I_1_DLX1
7669_L_I_1_TBR1
7669_L_I_1_COUPTF2
7669_L_O_1_DLX1
7669_L_O_1_TBR1
7669_L_O_1_COUPTF2
7669_L_T_1_DLX1
7669_L_T_1_TBR1
7669_L_T_1_COUPTF2
7669_L_mO_DLX1
7669_L_mO_COUPTF2
7669_R_EC_DLX1
7669_R_EC_TBR1
7669_R_EC_COUPTF2
7669_L_CC_2_DLX1
7669_L_CC_2_COUPTF2
7669_R_F_1_DLX1
7669_R_F_1_TBR1
7669_R_F_1_COUPTF2
7669_R_P_1_DLX1
7669_R_P_1_TBR1
7669_R_P_1_COUPTF2
7669_R_I_1_DLX1
7669_R_I_1_TBR1
7669_R_I_1_COUPTF2
7669_R_O_1_DLX1
7669_R_O_1_TBR1
7669_R_O_1_COUPTF2
7669_R_T_1_DLX1
7669_R_T_1_TBR1
7669_R_T_1_COUPTF2
7669_R_mO_DLX1
7669_R_mO_TBR1
7669_R_mO_COUPTF2
7669_L_EC_DLX1
7669_L_EC_COUPTF2
7669_R_CCMid_DLX1
7669_R_CC_Mid_TBR1
7669_R_CCMid_COUPTF2
B
X−138211912−G−A
0
−2
−4
−3
−2
−1
0
0.8
0.6
0.4
0.2
0.0

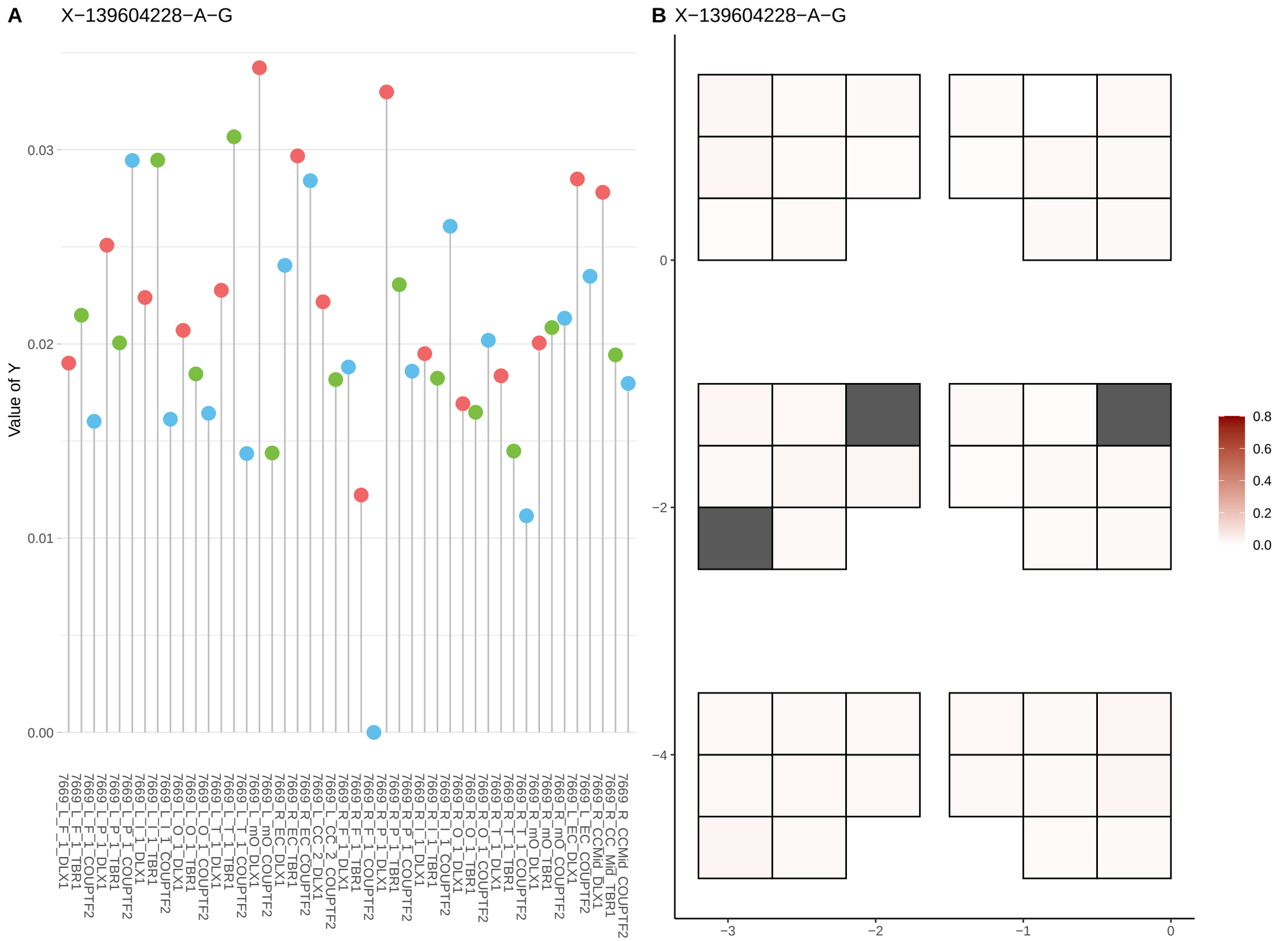
A
X−139604228−A−G
Value of Y
0.03
0.02
0.01
0.00
7669_L_F_1_DLX1
7669_L_F_1_TBR1
7669_L_F_1_COUPTF2
7669_L_P_1_DLX1
7669_L_P_1_TBR1
7669_L_P_1_COUPTF2
7669_L_I_1_DLX1
7669_L_I_1_TBR1
7669_L_I_1_COUPTF2
7669_L_O_1_DLX1
7669_L_O_1_TBR1
7669_L_O_1_COUPTF2
7669_L_T_1_DLX1
7669_L_T_1_TBR1
7669_L_T_1_COUPTF2
7669_L_mO_DLX1
7669_L_mO_COUPTF2
7669_R_EC_DLX1
7669_R_EC_TBR1
7669_R_EC_COUPTF2
7669_L_CC_2_DLX1
7669_L_CC_2_COUPTF2
7669_R_F_1_DLX1
7669_R_F_1_TBR1
7669_R_F_1_COUPTF2
7669_R_P_1_DLX1
7669_R_P_1_TBR1
7669_R_P_1_COUPTF2
7669_R_I_1_DLX1
7669_R_I_1_TBR1
7669_R_I_1_COUPTF2
7669_R_O_1_DLX1
7669_R_O_1_TBR1
7669_R_O_1_COUPTF2
7669_R_T_1_DLX1
7669_R_T_1_TBR1
7669_R_T_1_COUPTF2
7669_R_mO_DLX1
7669_R_mO_TBR1
7669_R_mO_COUPTF2
7669_L_EC_DLX1
7669_L_EC_COUPTF2
7669_R_CCMid_DLX1
7669_R_CC_Mid_TBR1
7669_R_CCMid_COUPTF2
B
X−139604228−A−G
0
−2
−4
−3
−2
−1
0
0.8
0.6
0.4
0.2
0.0

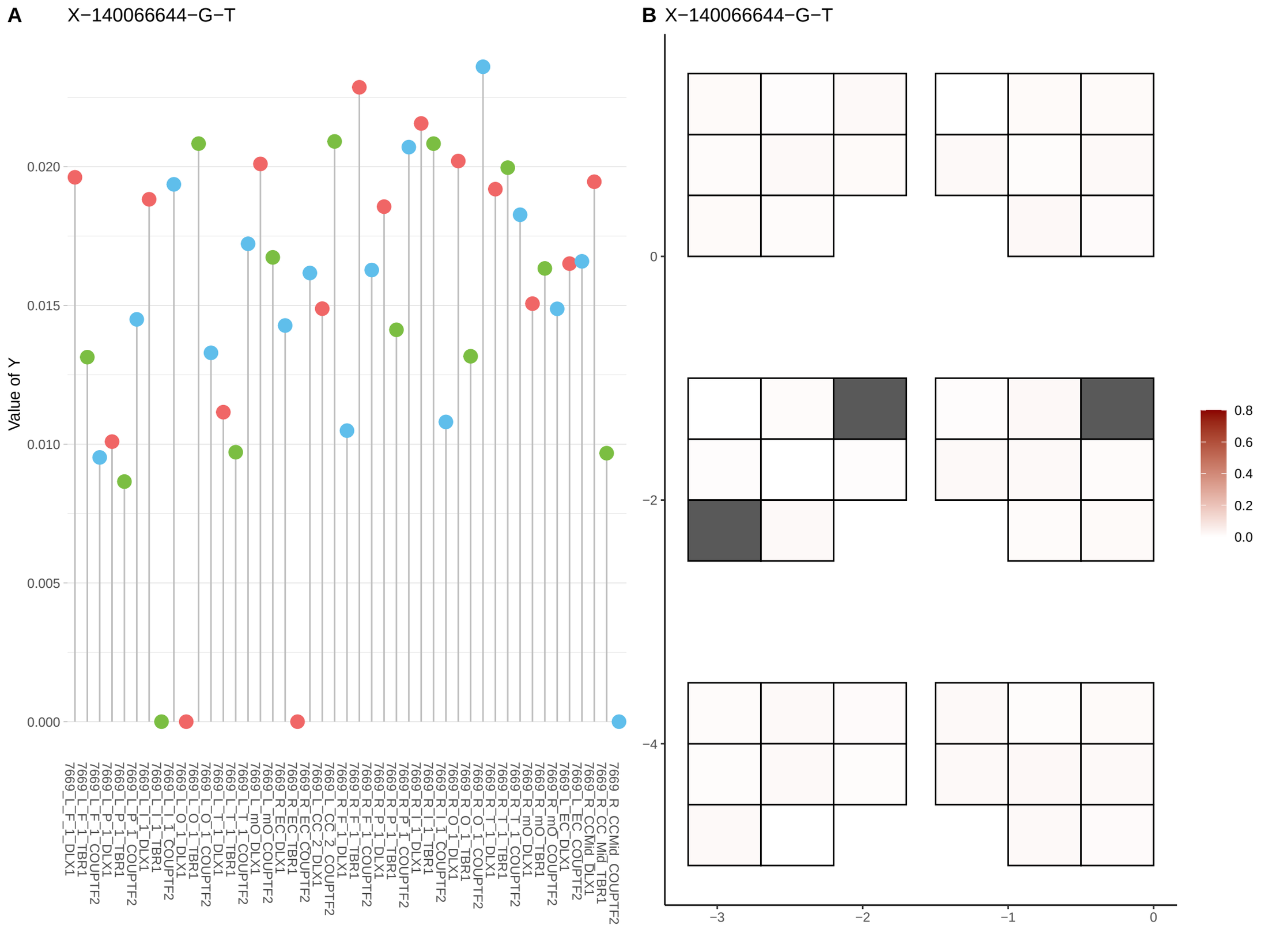
A
X−140066644−G−T
Value of Y
0.020
0.015
0.010
0.005
0.000
7669_L_F_1_DLX1
7669_L_F_1_TBR1
7669_L_F_1_COUPTF2
7669_L_P_1_DLX1
7669_L_P_1_TBR1
7669_L_P_1_COUPTF2
7669_L_I_1_DLX1
7669_L_I_1_TBR1
7669_L_I_1_COUPTF2
7669_L_O_1_DLX1
7669_L_O_1_TBR1
7669_L_O_1_COUPTF2
7669_L_T_1_DLX1
7669_L_T_1_TBR1
7669_L_T_1_COUPTF2
7669_L_mO_DLX1
7669_L_mO_COUPTF2
7669_R_EC_DLX1
7669_R_EC_TBR1
7669_R_EC_COUPTF2
7669_L_CC_2_DLX1
7669_L_CC_2_COUPTF2
7669_R_F_1_DLX1
7669_R_F_1_TBR1
7669_R_F_1_COUPTF2
7669_R_P_1_DLX1
7669_R_P_1_TBR1
7669_R_P_1_COUPTF2
7669_R_I_1_DLX1
7669_R_I_1_TBR1
7669_R_I_1_COUPTF2
7669_R_O_1_DLX1
7669_R_O_1_TBR1
7669_R_O_1_COUPTF2
7669_R_T_1_DLX1
7669_R_T_1_TBR1
7669_R_T_1_COUPTF2
7669_R_mO_DLX1
7669_R_mO_TBR1
7669_R_mO_COUPTF2
7669_L_EC_DLX1
7669_L_EC_COUPTF2
7669_R_CCMid_DLX1
7669_R_CC_Mid_TBR1
7669_R_CCMid_COUPTF2
B
X−140066644−G−T
0
−2
−4
−3
−2
−1
0
0.8
0.6
0.4
0.2
0.0

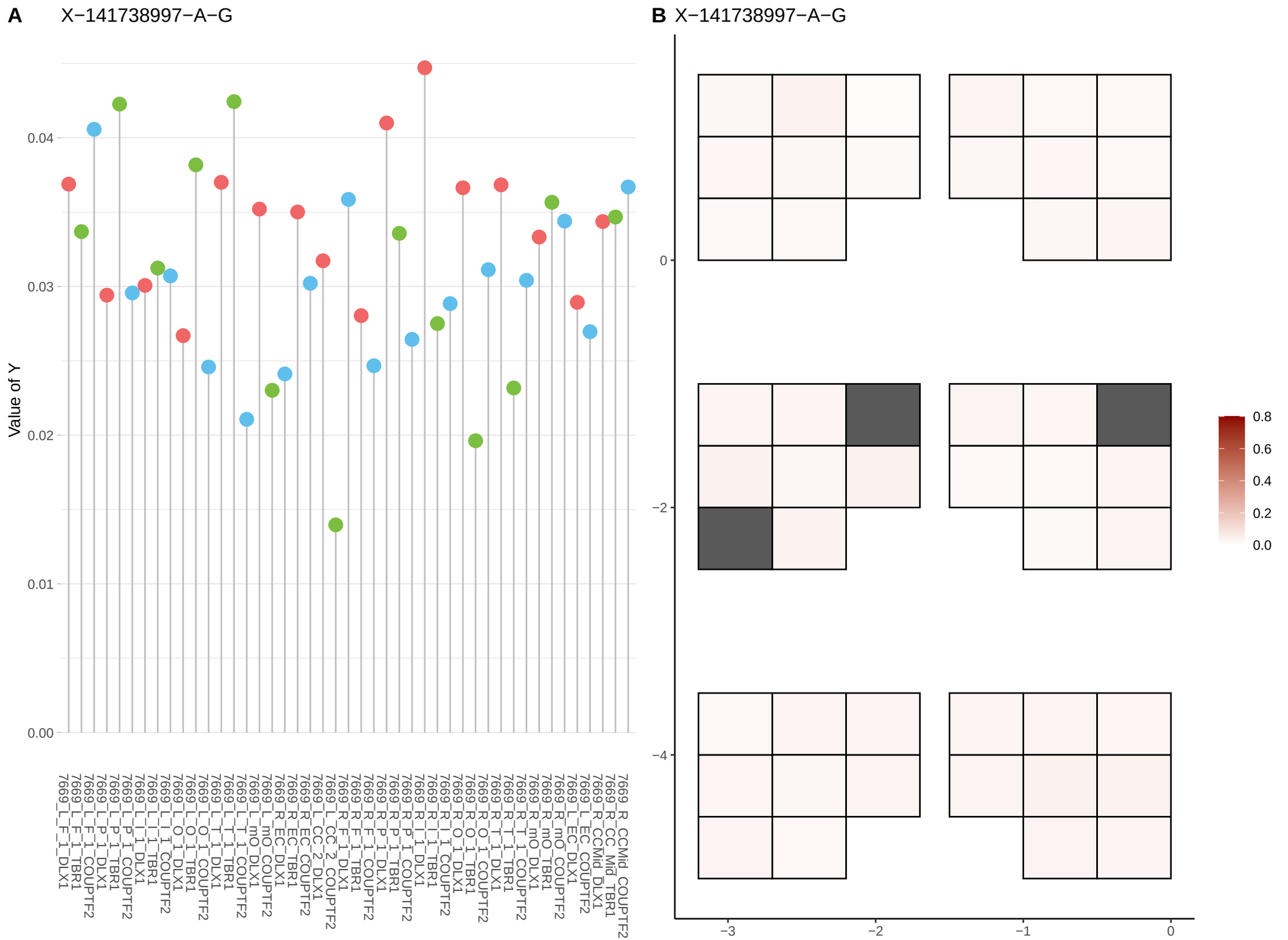
A
X−141738997−A−G
Value of Y
0.04
0.03
0.02
0.01
0.00
7669_L_F_1_DLX1
7669_L_F_1_TBR1
7669_L_F_1_COUPTF2
7669_L_P_1_DLX1
7669_L_P_1_TBR1
7669_L_P_1_COUPTF2
7669_L_I_1_DLX1
7669_L_I_1_TBR1
7669_L_I_1_COUPTF2
7669_L_O_1_DLX1
7669_L_O_1_TBR1
7669_L_O_1_COUPTF2
7669_L_T_1_DLX1
7669_L_T_1_TBR1
7669_L_T_1_COUPTF2
7669_L_mO_DLX1
7669_L_mO_COUPTF2
7669_R_EC_DLX1
7669_R_EC_TBR1
7669_R_EC_COUPTF2
7669_L_CC_2_DLX1
7669_L_CC_2_COUPTF2
7669_R_F_1_DLX1
7669_R_F_1_TBR1
7669_R_F_1_COUPTF2
7669_R_P_1_DLX1
7669_R_P_1_TBR1
7669_R_P_1_COUPTF2
7669_R_I_1_DLX1
7669_R_I_1_TBR1
7669_R_I_1_COUPTF2
7669_R_O_1_DLX1
7669_R_O_1_TBR1
7669_R_O_1_COUPTF2
7669_R_T_1_DLX1
7669_R_T_1_TBR1
7669_R_T_1_COUPTF2
7669_R_mO_DLX1
7669_R_mO_TBR1
7669_R_mO_COUPTF2
7669_L_EC_DLX1
7669_L_EC_COUPTF2
7669_R_CCMid_DLX1
7669_R_CC_Mid_TBR1
7669_R_CCMid_COUPTF2
B
X−141738997−A−G
0
−2
−4
−3
−2
−1
0
0.8
0.6
0.4
0.2
0.0

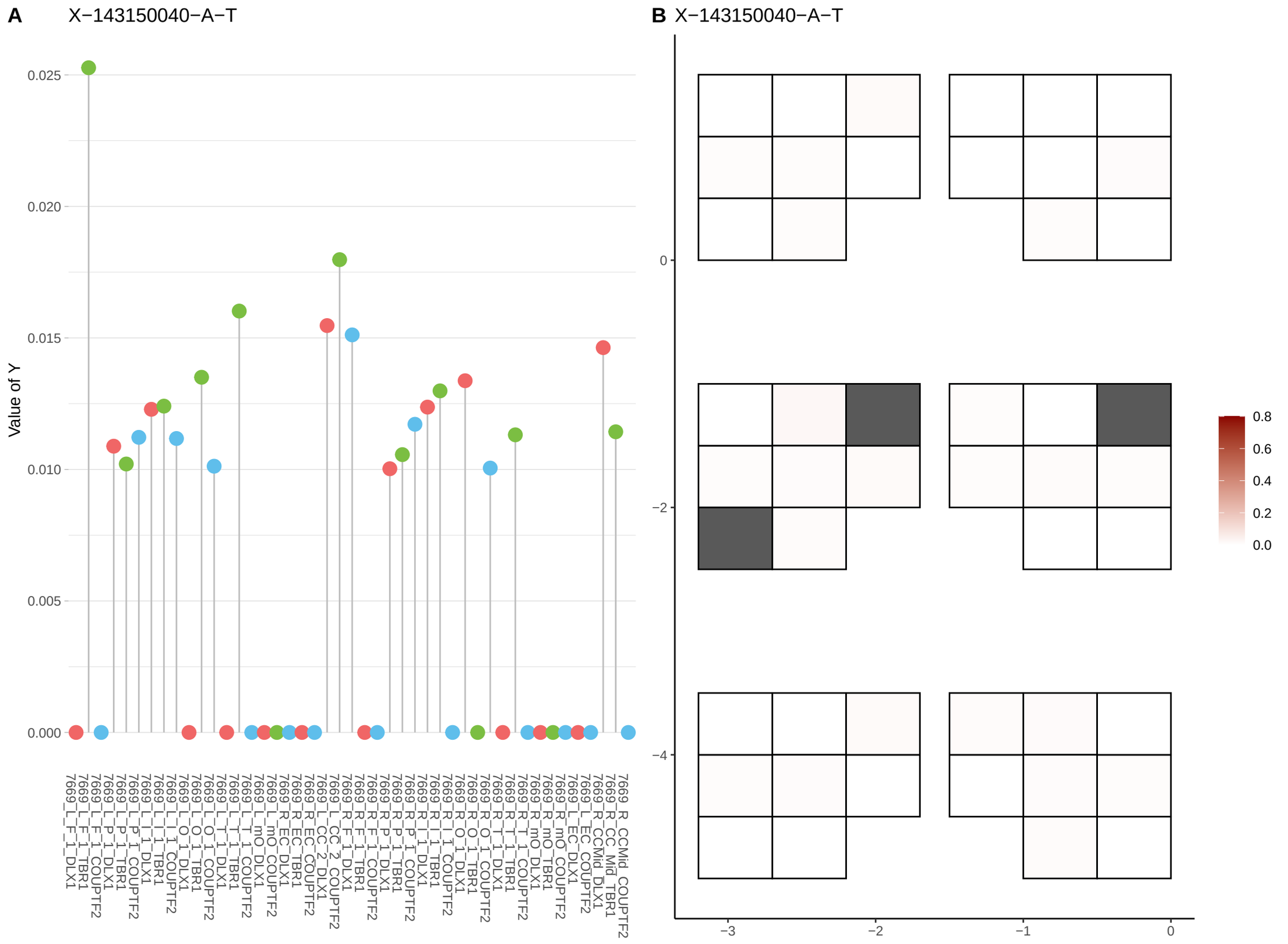
A
X−143150040−A−T
Value of Y
0.025
0.020
0.015
0.010
0.005
0.000
7669_L_F_1_DLX1
7669_L_F_1_TBR1
7669_L_F_1_COUPTF2
7669_L_P_1_DLX1
7669_L_P_1_TBR1
7669_L_P_1_COUPTF2
7669_L_I_1_DLX1
7669_L_I_1_TBR1
7669_L_I_1_COUPTF2
7669_L_O_1_DLX1
7669_L_O_1_TBR1
7669_L_O_1_COUPTF2
7669_L_T_1_DLX1
7669_L_T_1_TBR1
7669_L_T_1_COUPTF2
7669_L_mO_DLX1
7669_L_mO_COUPTF2
7669_R_EC_DLX1
7669_R_EC_TBR1
7669_R_EC_COUPTF2
7669_L_CC_2_DLX1
7669_L_CC_2_COUPTF2
7669_R_F_1_DLX1
7669_R_F_1_TBR1
7669_R_F_1_COUPTF2
7669_R_P_1_DLX1
7669_R_P_1_TBR1
7669_R_P_1_COUPTF2
7669_R_I_1_DLX1
7669_R_I_1_TBR1
7669_R_I_1_COUPTF2
7669_R_O_1_DLX1
7669_R_O_1_TBR1
7669_R_O_1_COUPTF2
7669_R_T_1_DLX1
7669_R_T_1_TBR1
7669_R_T_1_COUPTF2
7669_R_mO_DLX1
7669_R_mO_TBR1
7669_R_mO_COUPTF2
7669_L_EC_DLX1
7669_L_EC_COUPTF2
7669_R_CCMid_DLX1
7669_R_CC_Mid_TBR1
7669_R_CCMid_COUPTF2
B
X−143150040−A−T
0
−2
−4
−3
−2
−1
0
0.8
0.6
0.4
0.2
0.0

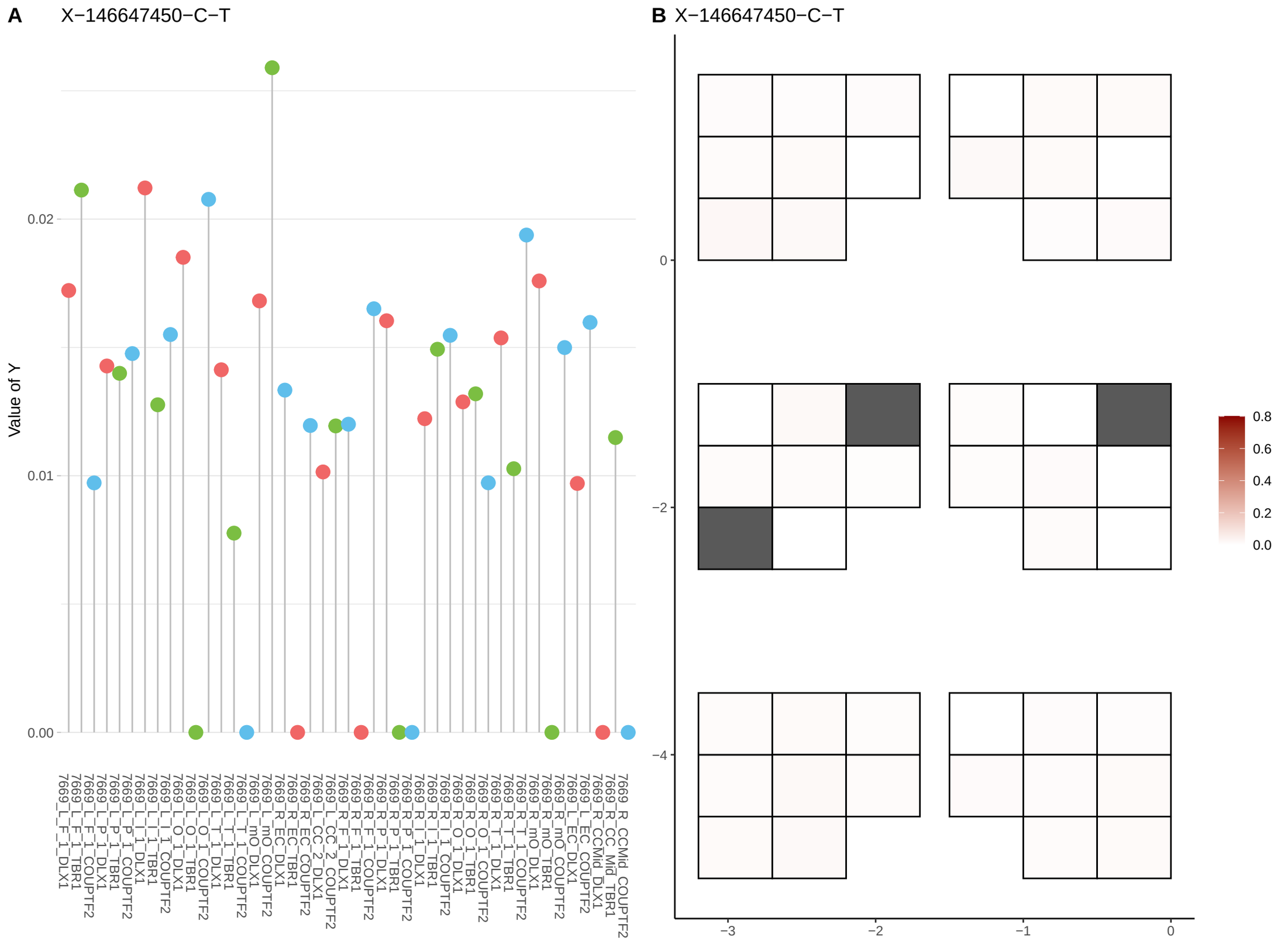
A
X−146647450−C−T
Value of Y
0.02
0.01
0.00
7669_L_F_1_DLX1
7669_L_F_1_TBR1
7669_L_F_1_COUPTF2
7669_L_P_1_DLX1
7669_L_P_1_TBR1
7669_L_P_1_COUPTF2
7669_L_I_1_DLX1
7669_L_I_1_TBR1
7669_L_I_1_COUPTF2
7669_L_O_1_DLX1
7669_L_O_1_TBR1
7669_L_O_1_COUPTF2
7669_L_T_1_DLX1
7669_L_T_1_TBR1
7669_L_T_1_COUPTF2
7669_L_mO_DLX1
7669_L_mO_COUPTF2
7669_R_EC_DLX1
7669_R_EC_TBR1
7669_R_EC_COUPTF2
7669_L_CC_2_DLX1
7669_L_CC_2_COUPTF2
7669_R_F_1_DLX1
7669_R_F_1_TBR1
7669_R_F_1_COUPTF2
7669_R_P_1_DLX1
7669_R_P_1_TBR1
7669_R_P_1_COUPTF2
7669_R_I_1_DLX1
7669_R_I_1_TBR1
7669_R_I_1_COUPTF2
7669_R_O_1_DLX1
7669_R_O_1_TBR1
7669_R_O_1_COUPTF2
7669_R_T_1_DLX1
7669_R_T_1_TBR1
7669_R_T_1_COUPTF2
7669_R_mO_DLX1
7669_R_mO_TBR1
7669_R_mO_COUPTF2
7669_L_EC_DLX1
7669_L_EC_COUPTF2
7669_R_CCMid_DLX1
7669_R_CC_Mid_TBR1
7669_R_CCMid_COUPTF2
B
X−146647450−C−T
0
−2
−4
−3
−2
−1
0
0.8
0.6
0.4
0.2
0.0

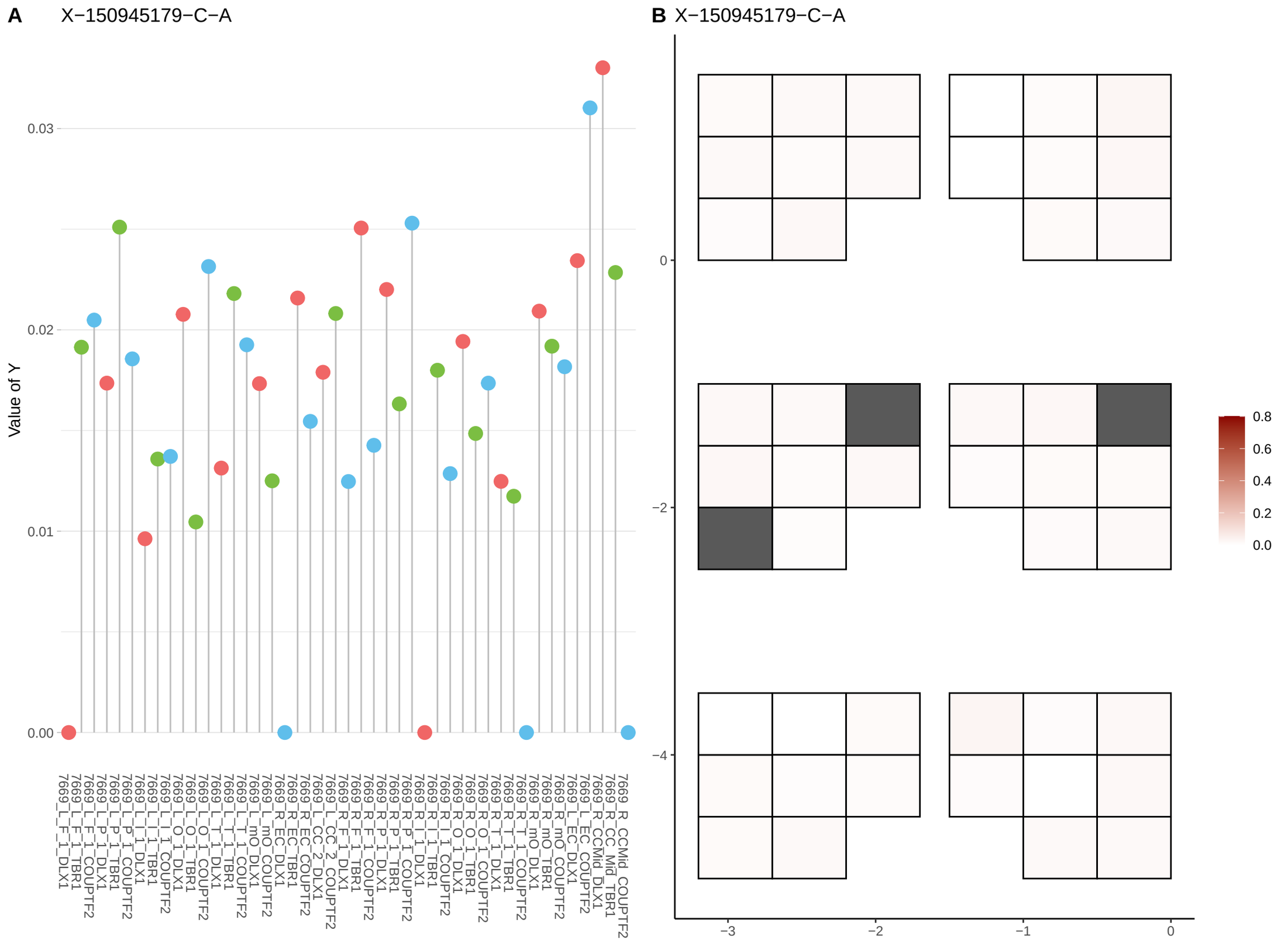
A
X−150945179−C−A
Value of Y
0.03
0.02
0.01
0.00
7669_L_F_1_DLX1
7669_L_F_1_TBR1
7669_L_F_1_COUPTF2
7669_L_P_1_DLX1
7669_L_P_1_TBR1
7669_L_P_1_COUPTF2
7669_L_I_1_DLX1
7669_L_I_1_TBR1
7669_L_I_1_COUPTF2
7669_L_O_1_DLX1
7669_L_O_1_TBR1
7669_L_O_1_COUPTF2
7669_L_T_1_DLX1
7669_L_T_1_TBR1
7669_L_T_1_COUPTF2
7669_L_mO_DLX1
7669_L_mO_COUPTF2
7669_R_EC_DLX1
7669_R_EC_TBR1
7669_R_EC_COUPTF2
7669_L_CC_2_DLX1
7669_L_CC_2_COUPTF2
7669_R_F_1_DLX1
7669_R_F_1_TBR1
7669_R_F_1_COUPTF2
7669_R_P_1_DLX1
7669_R_P_1_TBR1
7669_R_P_1_COUPTF2
7669_R_I_1_DLX1
7669_R_I_1_TBR1
7669_R_I_1_COUPTF2
7669_R_O_1_DLX1
7669_R_O_1_TBR1
7669_R_O_1_COUPTF2
7669_R_T_1_DLX1
7669_R_T_1_TBR1
7669_R_T_1_COUPTF2
7669_R_mO_DLX1
7669_R_mO_TBR1
7669_R_mO_COUPTF2
7669_L_EC_DLX1
7669_L_EC_COUPTF2
7669_R_CCMid_DLX1
7669_R_CC_Mid_TBR1
7669_R_CCMid_COUPTF2
B
X−150945179−C−A
0
−2
−4
−3
−2
−1
0
0.8
0.6
0.4
0.2
0.0

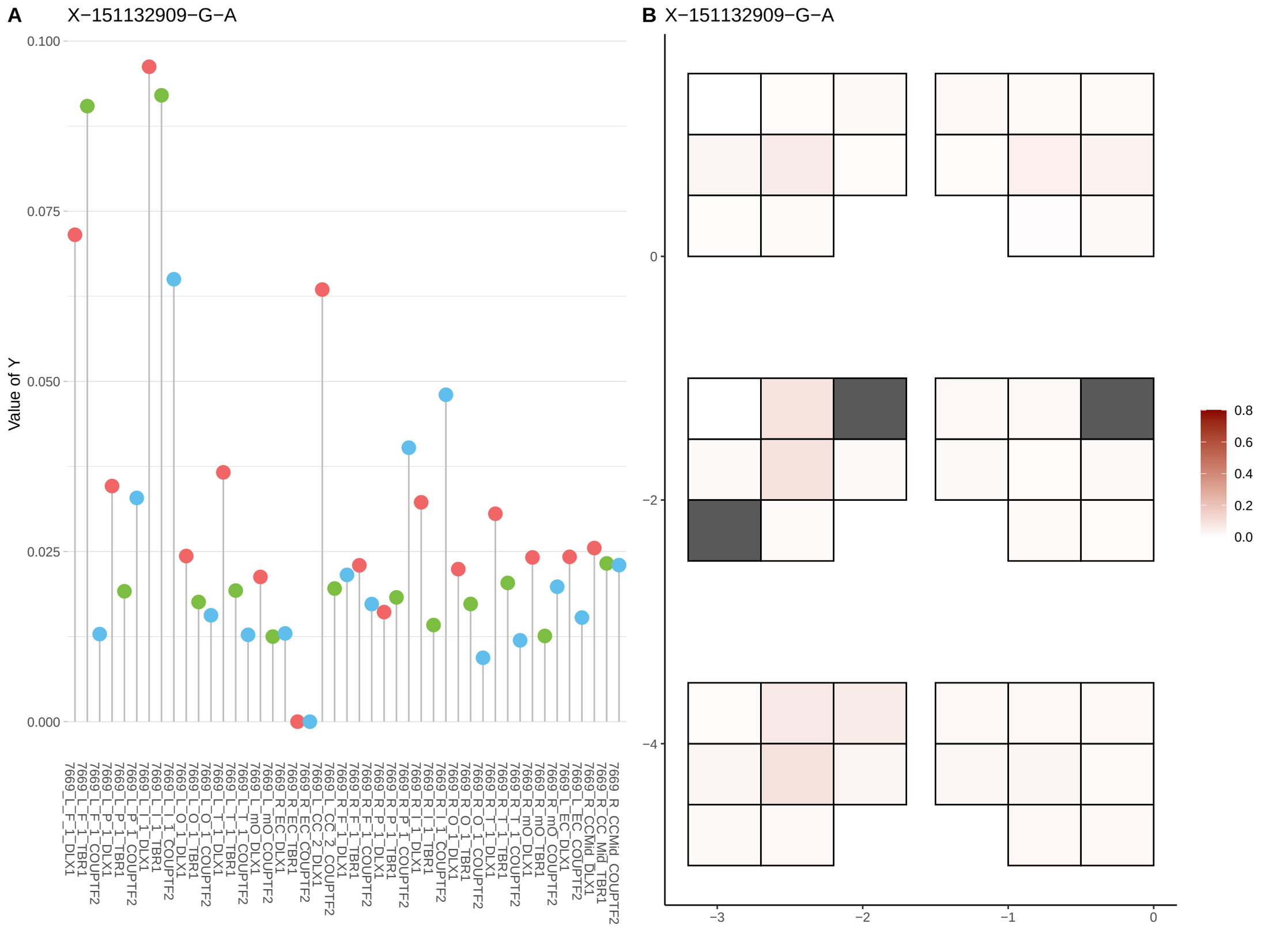
A
X−151132909−G−A
Value of Y
0.100
0.075
0.050
0.025
0.000
7669_L_F_1_DLX1
7669_L_F_1_TBR1
7669_L_F_1_COUPTF2
7669_L_P_1_DLX1
7669_L_P_1_TBR1
7669_L_P_1_COUPTF2
7669_L_I_1_DLX1
7669_L_I_1_TBR1
7669_L_I_1_COUPTF2
7669_L_O_1_DLX1
7669_L_O_1_TBR1
7669_L_O_1_COUPTF2
7669_L_T_1_DLX1
7669_L_T_1_TBR1
7669_L_T_1_COUPTF2
7669_L_mO_DLX1
7669_L_mO_COUPTF2
7669_R_EC_DLX1
7669_R_EC_TBR1
7669_R_EC_COUPTF2
7669_L_CC_2_DLX1
7669_L_CC_2_COUPTF2
7669_R_F_1_DLX1
7669_R_F_1_TBR1
7669_R_F_1_COUPTF2
7669_R_P_1_DLX1
7669_R_P_1_TBR1
7669_R_P_1_COUPTF2
7669_R_I_1_DLX1
7669_R_I_1_TBR1
7669_R_I_1_COUPTF2
7669_R_O_1_DLX1
7669_R_O_1_TBR1
7669_R_O_1_COUPTF2
7669_R_T_1_DLX1
7669_R_T_1_TBR1
7669_R_T_1_COUPTF2
7669_R_mO_DLX1
7669_R_mO_TBR1
7669_R_mO_COUPTF2
7669_L_EC_DLX1
7669_L_EC_COUPTF2
7669_R_CCMid_DLX1
7669_R_CC_Mid_TBR1
7669_R_CCMid_COUPTF2
B
X−151132909−G−A
0
−2
−4
−3
−2
−1
0
0.8
0.6
0.4
0.2
0.0

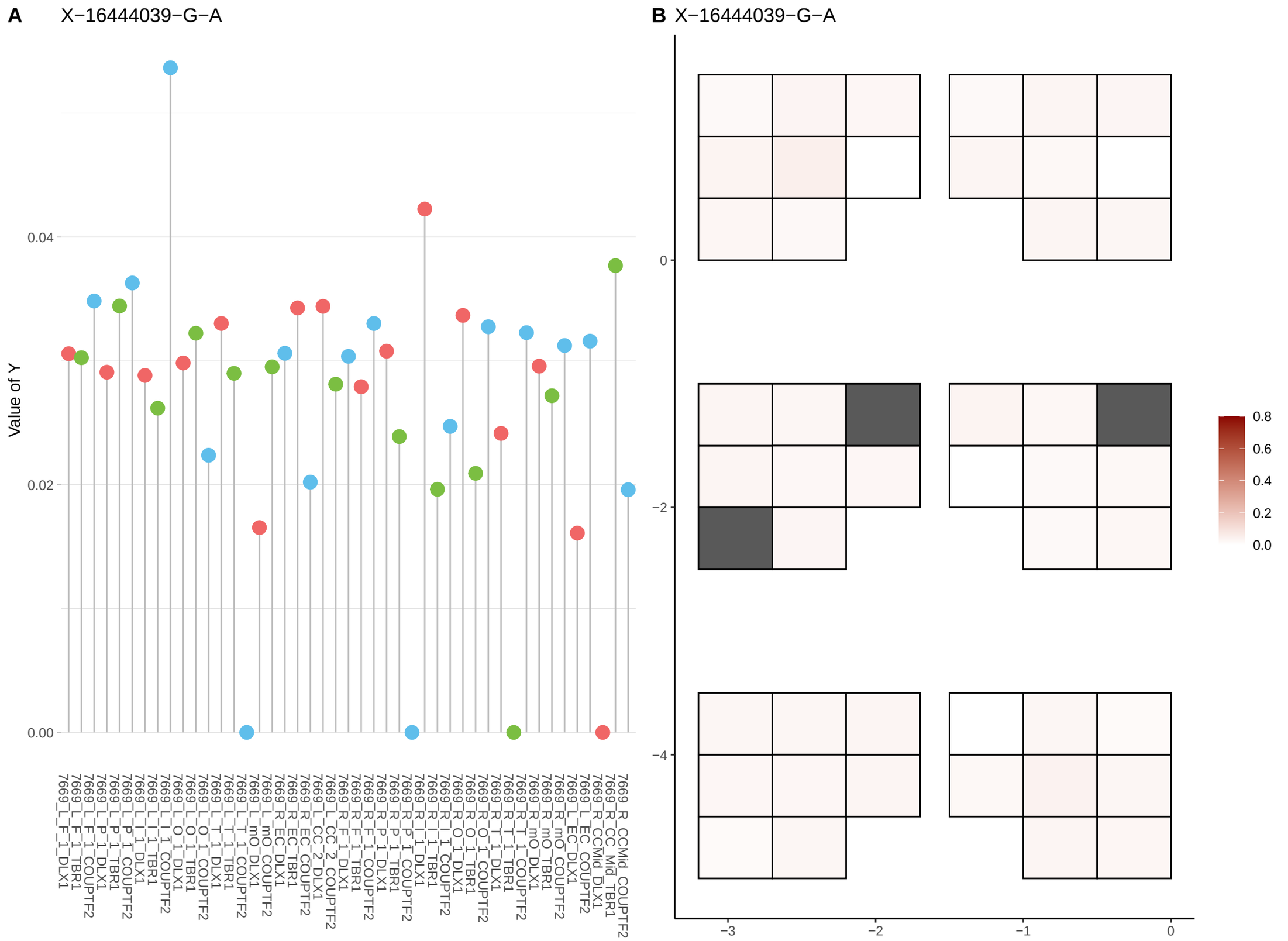
A
X−16444039−G−A
Value of Y
0.04
0.02
0.00
7669_L_F_1_DLX1
7669_L_F_1_TBR1
7669_L_F_1_COUPTF2
7669_L_P_1_DLX1
7669_L_P_1_TBR1
7669_L_P_1_COUPTF2
7669_L_I_1_DLX1
7669_L_I_1_TBR1
7669_L_I_1_COUPTF2
7669_L_O_1_DLX1
7669_L_O_1_TBR1
7669_L_O_1_COUPTF2
7669_L_T_1_DLX1
7669_L_T_1_TBR1
7669_L_T_1_COUPTF2
7669_L_mO_DLX1
7669_L_mO_COUPTF2
7669_R_EC_DLX1
7669_R_EC_TBR1
7669_R_EC_COUPTF2
7669_L_CC_2_DLX1
7669_L_CC_2_COUPTF2
7669_R_F_1_DLX1
7669_R_F_1_TBR1
7669_R_F_1_COUPTF2
7669_R_P_1_DLX1
7669_R_P_1_TBR1
7669_R_P_1_COUPTF2
7669_R_I_1_DLX1
7669_R_I_1_TBR1
7669_R_I_1_COUPTF2
7669_R_O_1_DLX1
7669_R_O_1_TBR1
7669_R_O_1_COUPTF2
7669_R_T_1_DLX1
7669_R_T_1_TBR1
7669_R_T_1_COUPTF2
7669_R_mO_DLX1
7669_R_mO_TBR1
7669_R_mO_COUPTF2
7669_L_EC_DLX1
7669_L_EC_COUPTF2
7669_R_CCMid_DLX1
7669_R_CC_Mid_TBR1
7669_R_CCMid_COUPTF2
B
X−16444039−G−A
0
−2
−4
−3
−2
−1
0
0.8
0.6
0.4
0.2
0.0

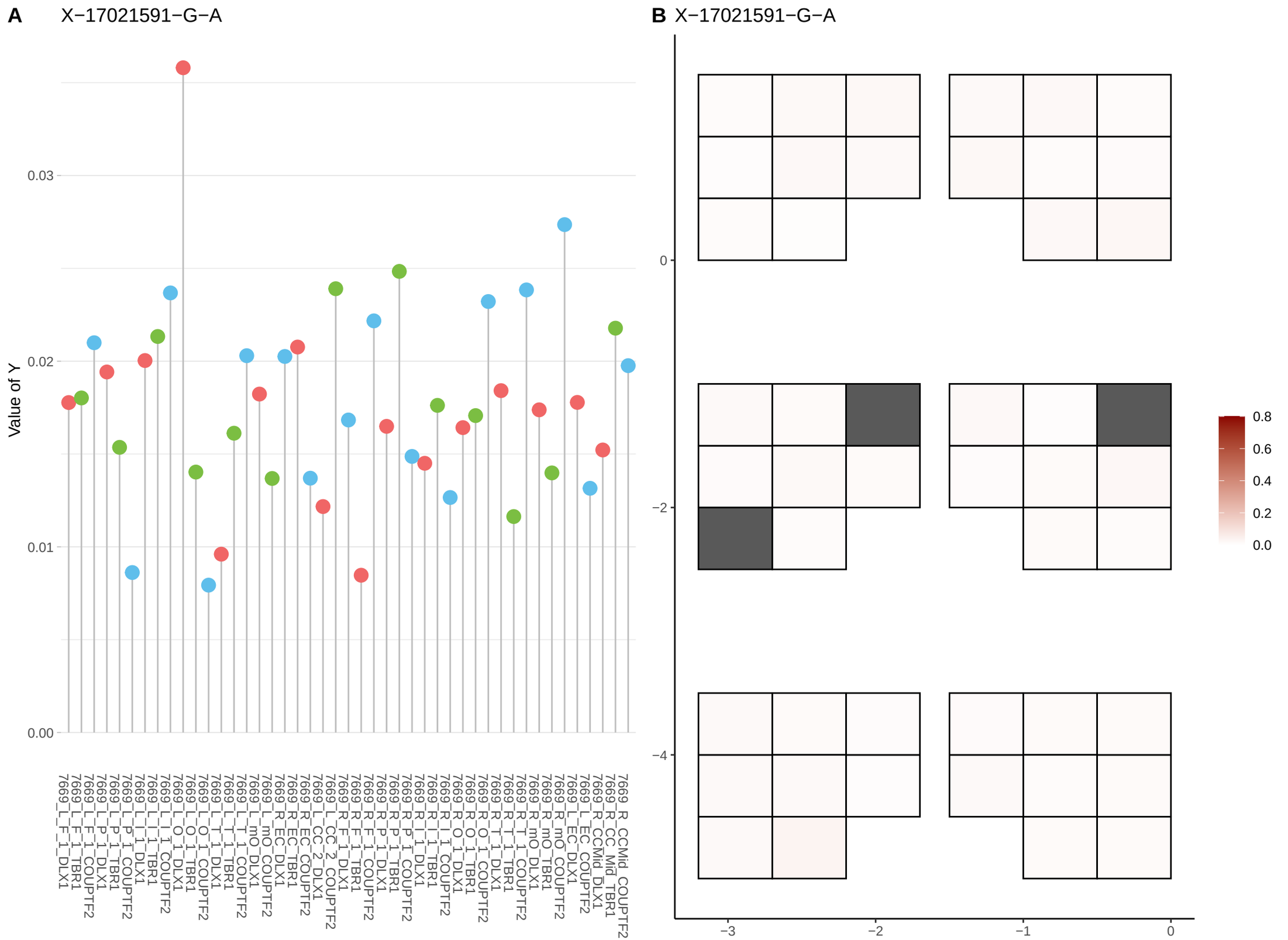
A
X−17021591−G−A
Value of Y
0.03
0.02
0.01
0.00
7669_L_F_1_DLX1
7669_L_F_1_TBR1
7669_L_F_1_COUPTF2
7669_L_P_1_DLX1
7669_L_P_1_TBR1
7669_L_P_1_COUPTF2
7669_L_I_1_DLX1
7669_L_I_1_TBR1
7669_L_I_1_COUPTF2
7669_L_O_1_DLX1
7669_L_O_1_TBR1
7669_L_O_1_COUPTF2
7669_L_T_1_DLX1
7669_L_T_1_TBR1
7669_L_T_1_COUPTF2
7669_L_mO_DLX1
7669_L_mO_COUPTF2
7669_R_EC_DLX1
7669_R_EC_TBR1
7669_R_EC_COUPTF2
7669_L_CC_2_DLX1
7669_L_CC_2_COUPTF2
7669_R_F_1_DLX1
7669_R_F_1_TBR1
7669_R_F_1_COUPTF2
7669_R_P_1_DLX1
7669_R_P_1_TBR1
7669_R_P_1_COUPTF2
7669_R_I_1_DLX1
7669_R_I_1_TBR1
7669_R_I_1_COUPTF2
7669_R_O_1_DLX1
7669_R_O_1_TBR1
7669_R_O_1_COUPTF2
7669_R_T_1_DLX1
7669_R_T_1_TBR1
7669_R_T_1_COUPTF2
7669_R_mO_DLX1
7669_R_mO_TBR1
7669_R_mO_COUPTF2
7669_L_EC_DLX1
7669_L_EC_COUPTF2
7669_R_CCMid_DLX1
7669_R_CC_Mid_TBR1
7669_R_CCMid_COUPTF2
B
X−17021591−G−A
0
−2
−4
−3
−2
−1
0
0.8
0.6
0.4
0.2
0.0

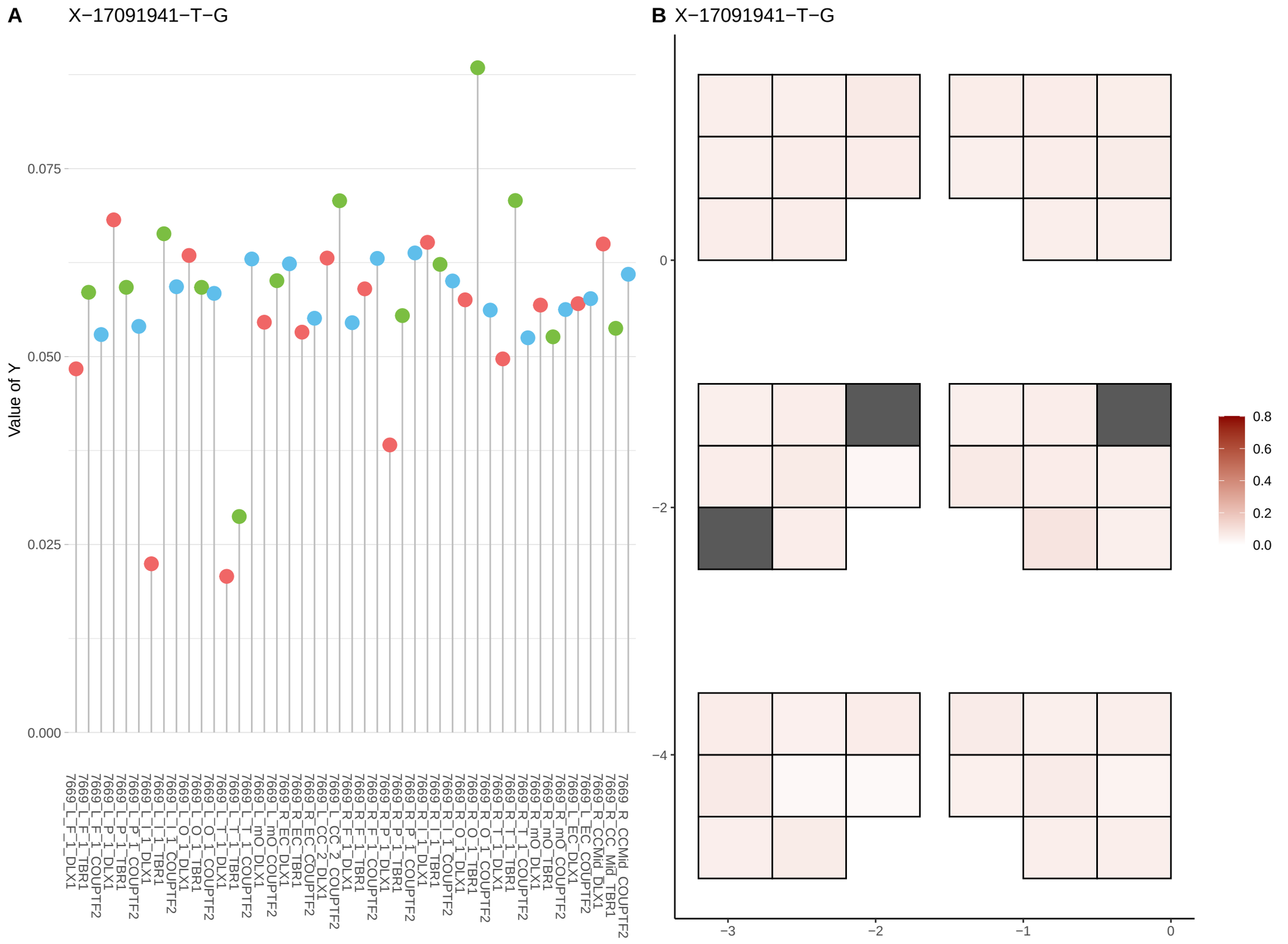
A
X−17091941−T−G
Value of Y
0.075
0.050
0.025
0.000
7669_L_F_1_DLX1
7669_L_F_1_TBR1
7669_L_F_1_COUPTF2
7669_L_P_1_DLX1
7669_L_P_1_TBR1
7669_L_P_1_COUPTF2
7669_L_I_1_DLX1
7669_L_I_1_TBR1
7669_L_I_1_COUPTF2
7669_L_O_1_DLX1
7669_L_O_1_TBR1
7669_L_O_1_COUPTF2
7669_L_T_1_DLX1
7669_L_T_1_TBR1
7669_L_T_1_COUPTF2
7669_L_mO_DLX1
7669_L_mO_COUPTF2
7669_R_EC_DLX1
7669_R_EC_TBR1
7669_R_EC_COUPTF2
7669_L_CC_2_DLX1
7669_L_CC_2_COUPTF2
7669_R_F_1_DLX1
7669_R_F_1_TBR1
7669_R_F_1_COUPTF2
7669_R_P_1_DLX1
7669_R_P_1_TBR1
7669_R_P_1_COUPTF2
7669_R_I_1_DLX1
7669_R_I_1_TBR1
7669_R_I_1_COUPTF2
7669_R_O_1_DLX1
7669_R_O_1_TBR1
7669_R_O_1_COUPTF2
7669_R_T_1_DLX1
7669_R_T_1_TBR1
7669_R_T_1_COUPTF2
7669_R_mO_DLX1
7669_R_mO_TBR1
7669_R_mO_COUPTF2
7669_L_EC_DLX1
7669_L_EC_COUPTF2
7669_R_CCMid_DLX1
7669_R_CC_Mid_TBR1
7669_R_CCMid_COUPTF2
B
X−17091941−T−G
0
−2
−4
−3
−2
−1
0
0.8
0.6
0.4
0.2
0.0

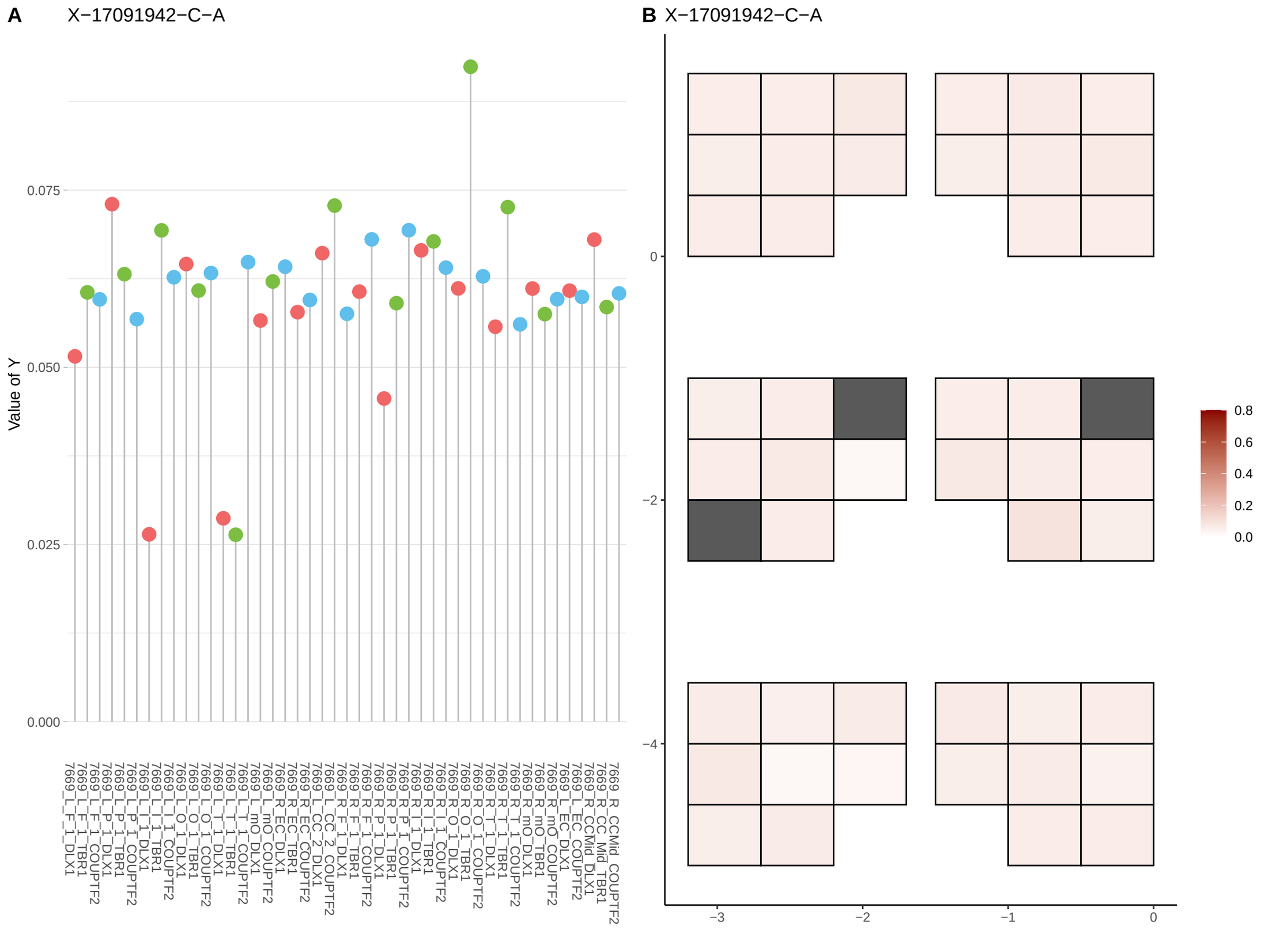
A
X−17091942−C−A
Value of Y
0.075
0.050
0.025
0.000
7669_L_F_1_DLX1
7669_L_F_1_TBR1
7669_L_F_1_COUPTF2
7669_L_P_1_DLX1
7669_L_P_1_TBR1
7669_L_P_1_COUPTF2
7669_L_I_1_DLX1
7669_L_I_1_TBR1
7669_L_I_1_COUPTF2
7669_L_O_1_DLX1
7669_L_O_1_TBR1
7669_L_O_1_COUPTF2
7669_L_T_1_DLX1
7669_L_T_1_TBR1
7669_L_T_1_COUPTF2
7669_L_mO_DLX1
7669_L_mO_COUPTF2
7669_R_EC_DLX1
7669_R_EC_TBR1
7669_R_EC_COUPTF2
7669_L_CC_2_DLX1
7669_L_CC_2_COUPTF2
7669_R_F_1_DLX1
7669_R_F_1_TBR1
7669_R_F_1_COUPTF2
7669_R_P_1_DLX1
7669_R_P_1_TBR1
7669_R_P_1_COUPTF2
7669_R_I_1_DLX1
7669_R_I_1_TBR1
7669_R_I_1_COUPTF2
7669_R_O_1_DLX1
7669_R_O_1_TBR1
7669_R_O_1_COUPTF2
7669_R_T_1_DLX1
7669_R_T_1_TBR1
7669_R_T_1_COUPTF2
7669_R_mO_DLX1
7669_R_mO_TBR1
7669_R_mO_COUPTF2
7669_L_EC_DLX1
7669_L_EC_COUPTF2
7669_R_CCMid_DLX1
7669_R_CC_Mid_TBR1
7669_R_CCMid_COUPTF2
B
X−17091942−C−A
0
−2
−4
−3
−2
−1
0
0.8
0.6
0.4
0.2
0.0

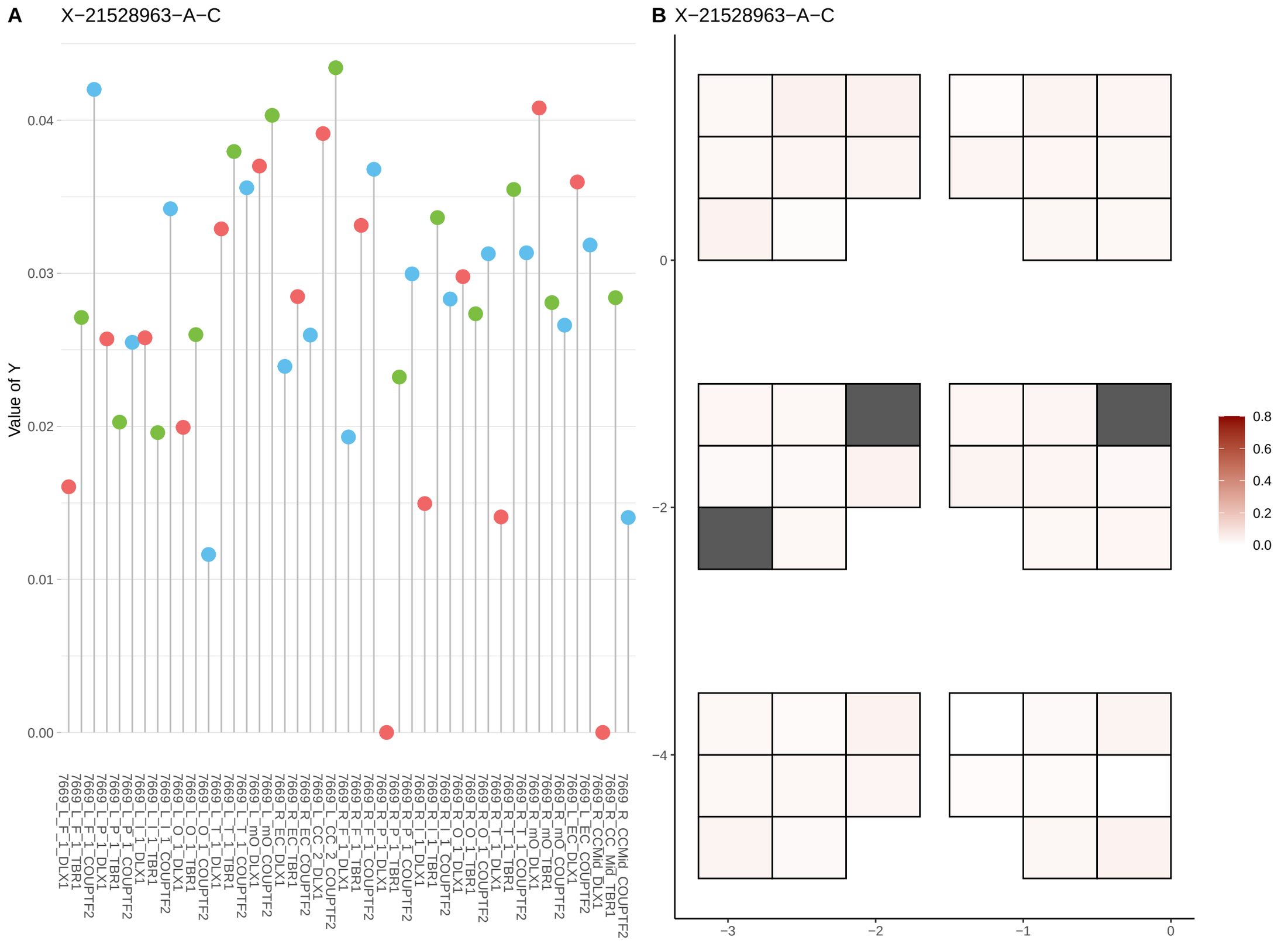
A
X−21528963−A−C
Value of Y
0.04
0.03
0.02
0.01
0.00
7669_L_F_1_DLX1
7669_L_F_1_TBR1
7669_L_F_1_COUPTF2
7669_L_P_1_DLX1
7669_L_P_1_TBR1
7669_L_P_1_COUPTF2
7669_L_I_1_DLX1
7669_L_I_1_TBR1
7669_L_I_1_COUPTF2
7669_L_O_1_DLX1
7669_L_O_1_TBR1
7669_L_O_1_COUPTF2
7669_L_T_1_DLX1
7669_L_T_1_TBR1
7669_L_T_1_COUPTF2
7669_L_mO_DLX1
7669_L_mO_COUPTF2
7669_R_EC_DLX1
7669_R_EC_TBR1
7669_R_EC_COUPTF2
7669_L_CC_2_DLX1
7669_L_CC_2_COUPTF2
7669_R_F_1_DLX1
7669_R_F_1_TBR1
7669_R_F_1_COUPTF2
7669_R_P_1_DLX1
7669_R_P_1_TBR1
7669_R_P_1_COUPTF2
7669_R_I_1_DLX1
7669_R_I_1_TBR1
7669_R_I_1_COUPTF2
7669_R_O_1_DLX1
7669_R_O_1_TBR1
7669_R_O_1_COUPTF2
7669_R_T_1_DLX1
7669_R_T_1_TBR1
7669_R_T_1_COUPTF2
7669_R_mO_DLX1
7669_R_mO_TBR1
7669_R_mO_COUPTF2
7669_L_EC_DLX1
7669_L_EC_COUPTF2
7669_R_CCMid_DLX1
7669_R_CC_Mid_TBR1
7669_R_CCMid_COUPTF2
B
X−21528963−A−C
0
−2
−4
−3
−2
−1
0
0.8
0.6
0.4
0.2
0.0

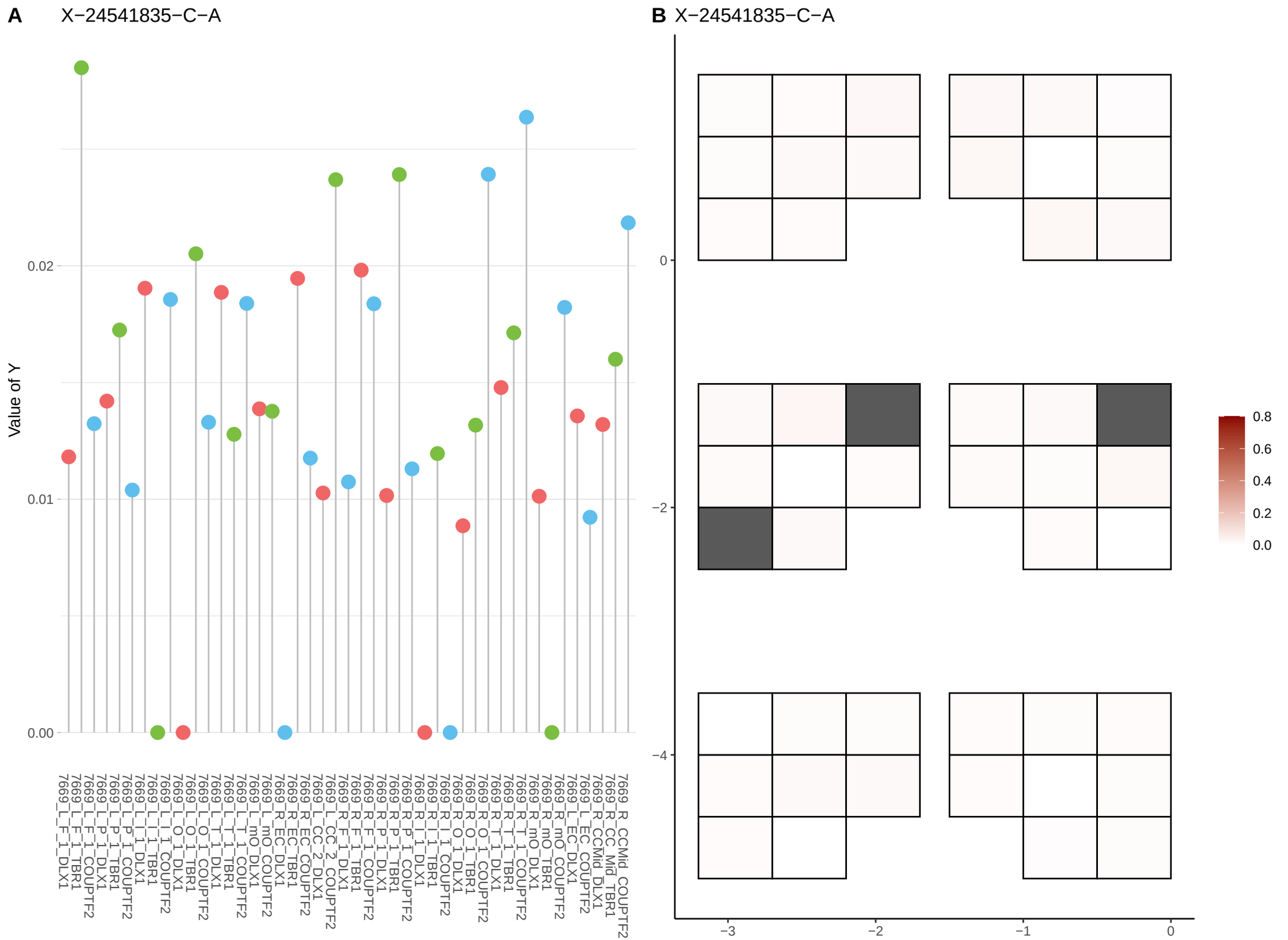
A
X−24541835−C−A
Value of Y
0.02
0.01
0.00
7669_L_F_1_DLX1
7669_L_F_1_TBR1
7669_L_F_1_COUPTF2
7669_L_P_1_DLX1
7669_L_P_1_TBR1
7669_L_P_1_COUPTF2
7669_L_I_1_DLX1
7669_L_I_1_TBR1
7669_L_I_1_COUPTF2
7669_L_O_1_DLX1
7669_L_O_1_TBR1
7669_L_O_1_COUPTF2
7669_L_T_1_DLX1
7669_L_T_1_TBR1
7669_L_T_1_COUPTF2
7669_L_mO_DLX1
7669_L_mO_COUPTF2
7669_R_EC_DLX1
7669_R_EC_TBR1
7669_R_EC_COUPTF2
7669_L_CC_2_DLX1
7669_L_CC_2_COUPTF2
7669_R_F_1_DLX1
7669_R_F_1_TBR1
7669_R_F_1_COUPTF2
7669_R_P_1_DLX1
7669_R_P_1_TBR1
7669_R_P_1_COUPTF2
7669_R_I_1_DLX1
7669_R_I_1_TBR1
7669_R_I_1_COUPTF2
7669_R_O_1_DLX1
7669_R_O_1_TBR1
7669_R_O_1_COUPTF2
7669_R_T_1_DLX1
7669_R_T_1_TBR1
7669_R_T_1_COUPTF2
7669_R_mO_DLX1
7669_R_mO_TBR1
7669_R_mO_COUPTF2
7669_L_EC_DLX1
7669_L_EC_COUPTF2
7669_R_CCMid_DLX1
7669_R_CC_Mid_TBR1
7669_R_CCMid_COUPTF2
B
X−24541835−C−A
0
−2
−4
−3
−2
−1
0
0.8
0.6
0.4
0.2
0.0

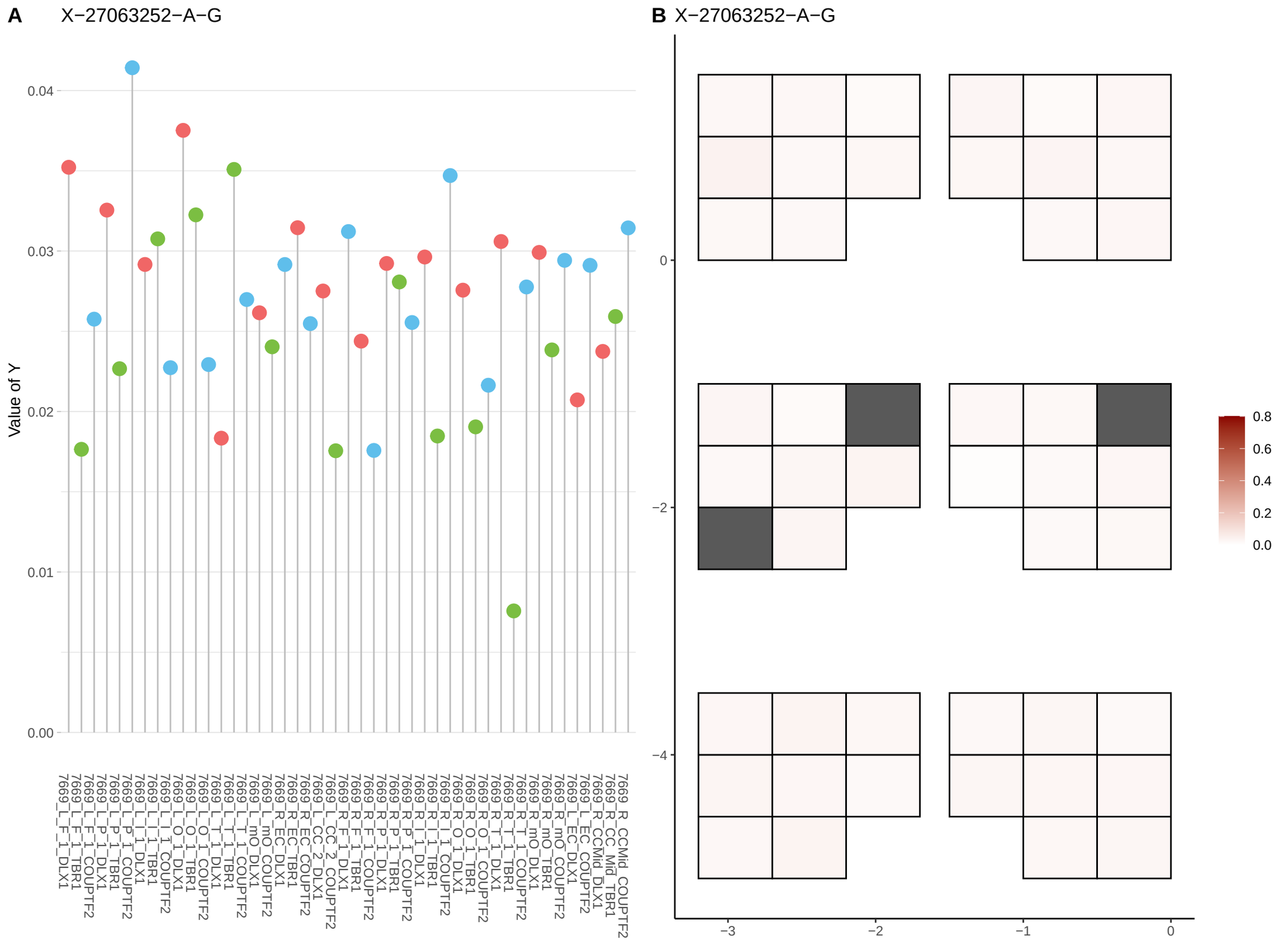
A
X−27063252−A−G
Value of Y
0.04
0.03
0.02
0.01
0.00
7669_L_F_1_DLX1
7669_L_F_1_TBR1
7669_L_F_1_COUPTF2
7669_L_P_1_DLX1
7669_L_P_1_TBR1
7669_L_P_1_COUPTF2
7669_L_I_1_DLX1
7669_L_I_1_TBR1
7669_L_I_1_COUPTF2
7669_L_O_1_DLX1
7669_L_O_1_TBR1
7669_L_O_1_COUPTF2
7669_L_T_1_DLX1
7669_L_T_1_TBR1
7669_L_T_1_COUPTF2
7669_L_mO_DLX1
7669_L_mO_COUPTF2
7669_R_EC_DLX1
7669_R_EC_TBR1
7669_R_EC_COUPTF2
7669_L_CC_2_DLX1
7669_L_CC_2_COUPTF2
7669_R_F_1_DLX1
7669_R_F_1_TBR1
7669_R_F_1_COUPTF2
7669_R_P_1_DLX1
7669_R_P_1_TBR1
7669_R_P_1_COUPTF2
7669_R_I_1_DLX1
7669_R_I_1_TBR1
7669_R_I_1_COUPTF2
7669_R_O_1_DLX1
7669_R_O_1_TBR1
7669_R_O_1_COUPTF2
7669_R_T_1_DLX1
7669_R_T_1_TBR1
7669_R_T_1_COUPTF2
7669_R_mO_DLX1
7669_R_mO_TBR1
7669_R_mO_COUPTF2
7669_L_EC_DLX1
7669_L_EC_COUPTF2
7669_R_CCMid_DLX1
7669_R_CC_Mid_TBR1
7669_R_CCMid_COUPTF2
B
X−27063252−A−G
0
−2
−4
−3
−2
−1
0
0.8
0.6
0.4
0.2
0.0

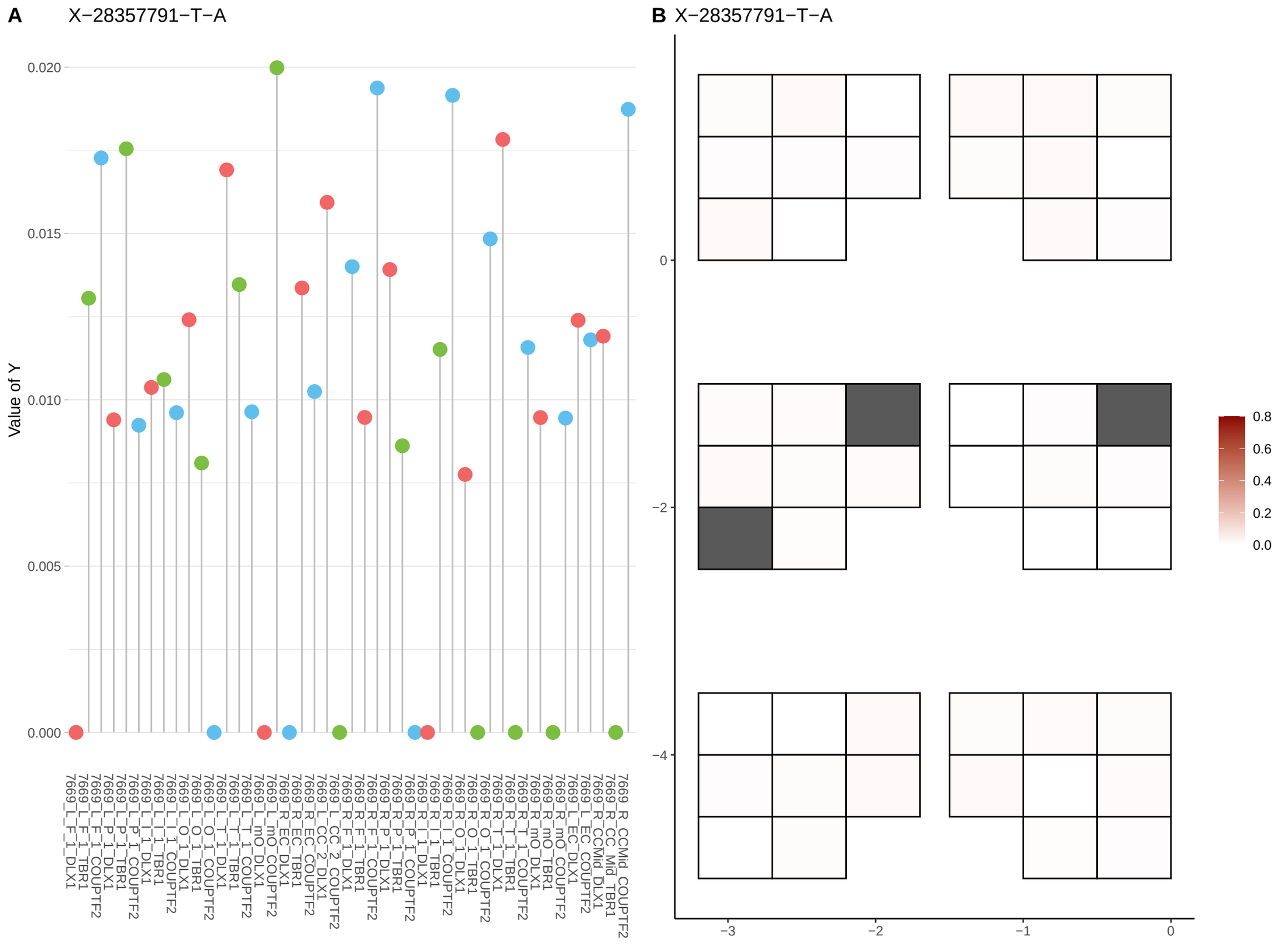
A
X−28357791−T−A
Value of Y
0.020
0.015
0.010
0.005
0.000
7669_L_F_1_DLX1
7669_L_F_1_TBR1
7669_L_F_1_COUPTF2
7669_L_P_1_DLX1
7669_L_P_1_TBR1
7669_L_P_1_COUPTF2
7669_L_I_1_DLX1
7669_L_I_1_TBR1
7669_L_I_1_COUPTF2
7669_L_O_1_DLX1
7669_L_O_1_TBR1
7669_L_O_1_COUPTF2
7669_L_T_1_DLX1
7669_L_T_1_TBR1
7669_L_T_1_COUPTF2
7669_L_mO_DLX1
7669_L_mO_COUPTF2
7669_R_EC_DLX1
7669_R_EC_TBR1
7669_R_EC_COUPTF2
7669_L_CC_2_DLX1
7669_L_CC_2_COUPTF2
7669_R_F_1_DLX1
7669_R_F_1_TBR1
7669_R_F_1_COUPTF2
7669_R_P_1_DLX1
7669_R_P_1_TBR1
7669_R_P_1_COUPTF2
7669_R_I_1_DLX1
7669_R_I_1_TBR1
7669_R_I_1_COUPTF2
7669_R_O_1_DLX1
7669_R_O_1_TBR1
7669_R_O_1_COUPTF2
7669_R_T_1_DLX1
7669_R_T_1_TBR1
7669_R_T_1_COUPTF2
7669_R_mO_DLX1
7669_R_mO_TBR1
7669_R_mO_COUPTF2
7669_L_EC_DLX1
7669_L_EC_COUPTF2
7669_R_CCMid_DLX1
7669_R_CC_Mid_TBR1
7669_R_CCMid_COUPTF2
B
X−28357791−T−A
0
−2
−4
−3
−2
−1
0
0.8
0.6
0.4
0.2
0.0

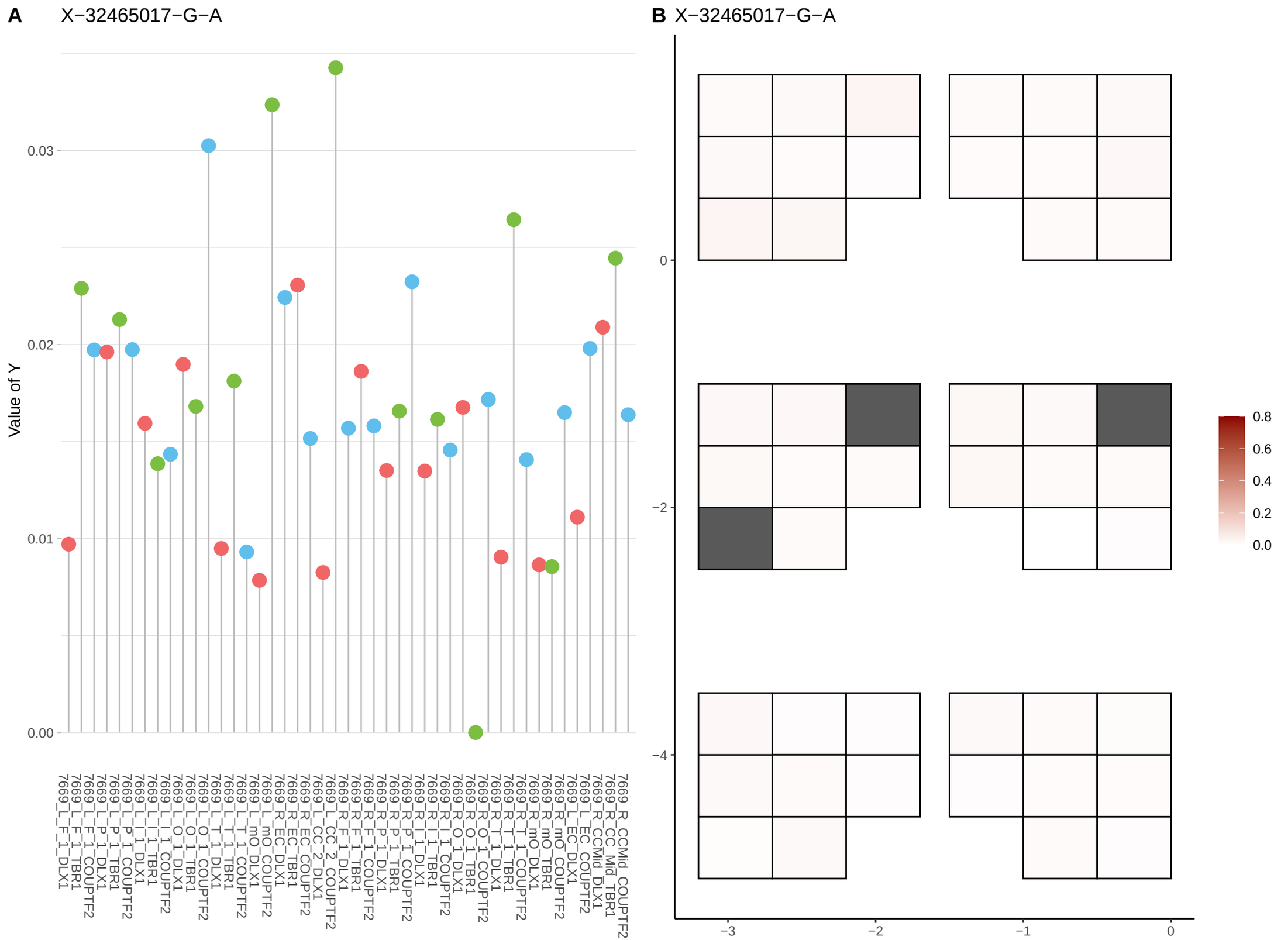
A
X−32465017−G−A
Value of Y
0.03
0.02
0.01
0.00
7669_L_F_1_DLX1
7669_L_F_1_TBR1
7669_L_F_1_COUPTF2
7669_L_P_1_DLX1
7669_L_P_1_TBR1
7669_L_P_1_COUPTF2
7669_L_I_1_DLX1
7669_L_I_1_TBR1
7669_L_I_1_COUPTF2
7669_L_O_1_DLX1
7669_L_O_1_TBR1
7669_L_O_1_COUPTF2
7669_L_T_1_DLX1
7669_L_T_1_TBR1
7669_L_T_1_COUPTF2
7669_L_mO_DLX1
7669_L_mO_COUPTF2
7669_R_EC_DLX1
7669_R_EC_TBR1
7669_R_EC_COUPTF2
7669_L_CC_2_DLX1
7669_L_CC_2_COUPTF2
7669_R_F_1_DLX1
7669_R_F_1_TBR1
7669_R_F_1_COUPTF2
7669_R_P_1_DLX1
7669_R_P_1_TBR1
7669_R_P_1_COUPTF2
7669_R_I_1_DLX1
7669_R_I_1_TBR1
7669_R_I_1_COUPTF2
7669_R_O_1_DLX1
7669_R_O_1_TBR1
7669_R_O_1_COUPTF2
7669_R_T_1_DLX1
7669_R_T_1_TBR1
7669_R_T_1_COUPTF2
7669_R_mO_DLX1
7669_R_mO_TBR1
7669_R_mO_COUPTF2
7669_L_EC_DLX1
7669_L_EC_COUPTF2
7669_R_CCMid_DLX1
7669_R_CC_Mid_TBR1
7669_R_CCMid_COUPTF2
B
X−32465017−G−A
0
−2
−4
−3
−2
−1
0
0.8
0.6
0.4
0.2
0.0

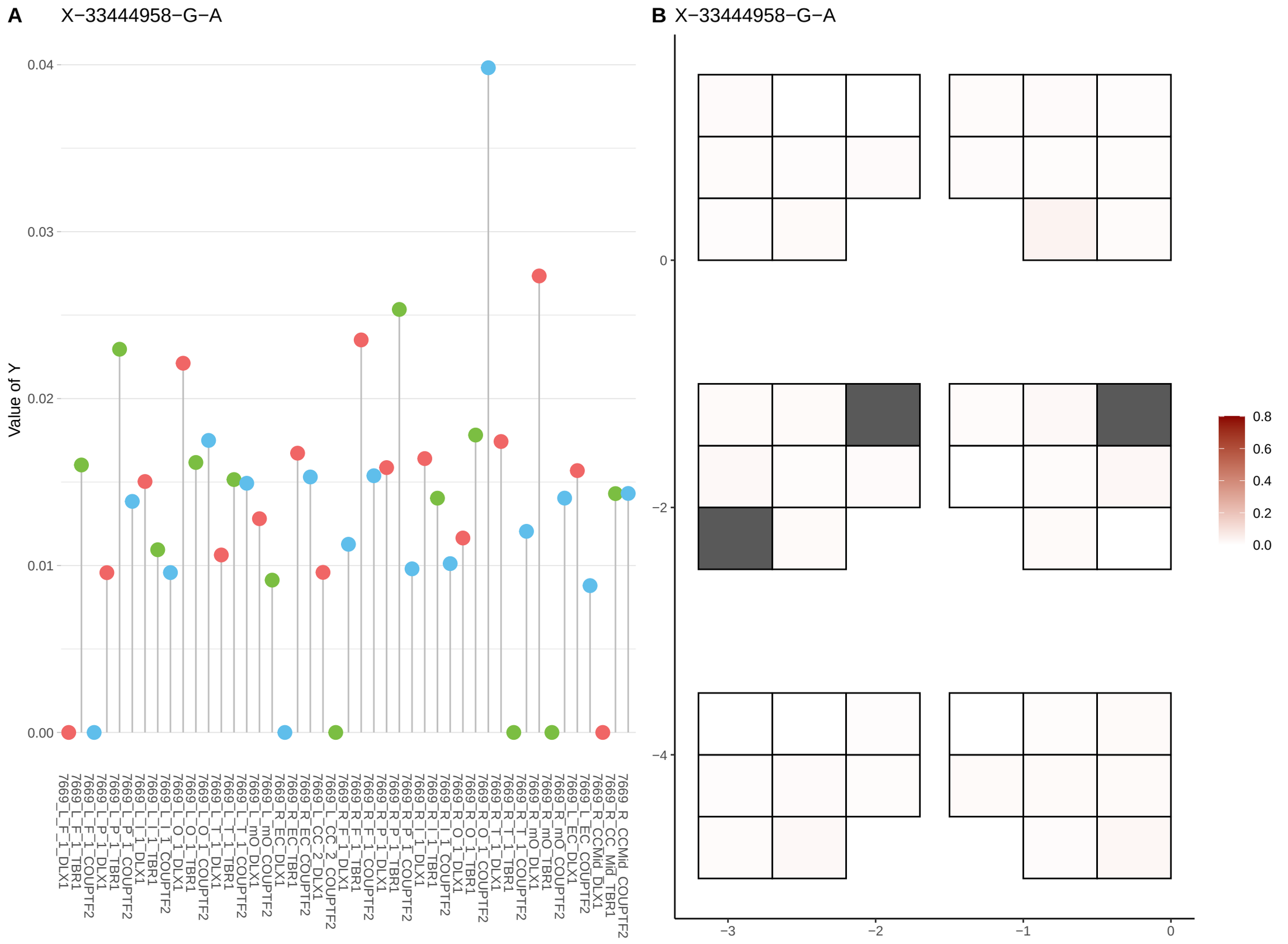
A
X−33444958−G−A
Value of Y
0.04
0.03
0.02
0.01
0.00
7669_L_F_1_DLX1
7669_L_F_1_TBR1
7669_L_F_1_COUPTF2
7669_L_P_1_DLX1
7669_L_P_1_TBR1
7669_L_P_1_COUPTF2
7669_L_I_1_DLX1
7669_L_I_1_TBR1
7669_L_I_1_COUPTF2
7669_L_O_1_DLX1
7669_L_O_1_TBR1
7669_L_O_1_COUPTF2
7669_L_T_1_DLX1
7669_L_T_1_TBR1
7669_L_T_1_COUPTF2
7669_L_mO_DLX1
7669_L_mO_COUPTF2
7669_R_EC_DLX1
7669_R_EC_TBR1
7669_R_EC_COUPTF2
7669_L_CC_2_DLX1
7669_L_CC_2_COUPTF2
7669_R_F_1_DLX1
7669_R_F_1_TBR1
7669_R_F_1_COUPTF2
7669_R_P_1_DLX1
7669_R_P_1_TBR1
7669_R_P_1_COUPTF2
7669_R_I_1_DLX1
7669_R_I_1_TBR1
7669_R_I_1_COUPTF2
7669_R_O_1_DLX1
7669_R_O_1_TBR1
7669_R_O_1_COUPTF2
7669_R_T_1_DLX1
7669_R_T_1_TBR1
7669_R_T_1_COUPTF2
7669_R_mO_DLX1
7669_R_mO_TBR1
7669_R_mO_COUPTF2
7669_L_EC_DLX1
7669_L_EC_COUPTF2
7669_R_CCMid_DLX1
7669_R_CC_Mid_TBR1
7669_R_CCMid_COUPTF2
B
X−33444958−G−A
0
−2
−4
−3
−2
−1
0
0.8
0.6
0.4
0.2
0.0

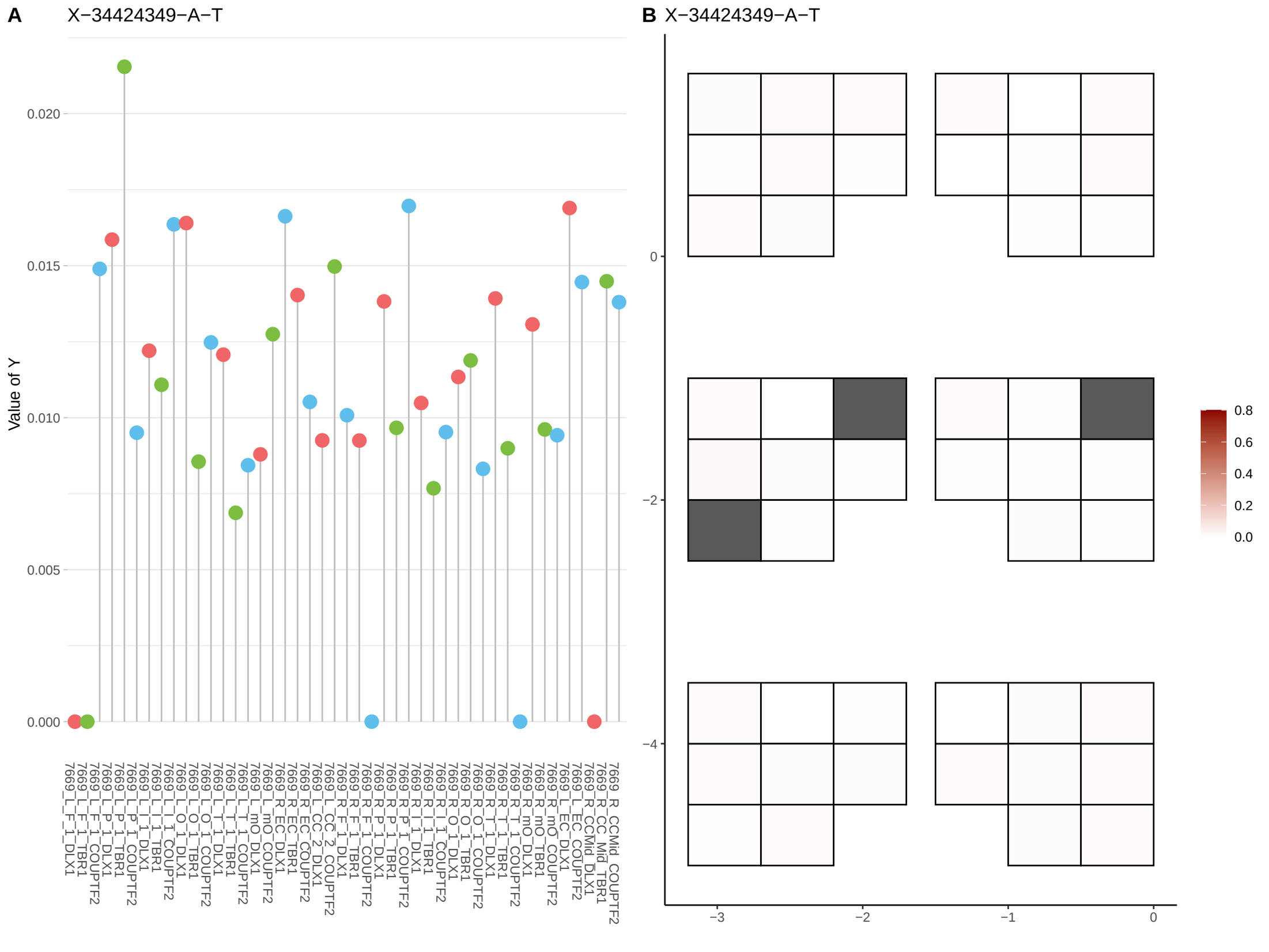
A
X−34424349−A−T
Value of Y
0.020
0.015
0.010
0.005
0.000
7669_L_F_1_DLX1
7669_L_F_1_TBR1
7669_L_F_1_COUPTF2
7669_L_P_1_DLX1
7669_L_P_1_TBR1
7669_L_P_1_COUPTF2
7669_L_I_1_DLX1
7669_L_I_1_TBR1
7669_L_I_1_COUPTF2
7669_L_O_1_DLX1
7669_L_O_1_TBR1
7669_L_O_1_COUPTF2
7669_L_T_1_DLX1
7669_L_T_1_TBR1
7669_L_T_1_COUPTF2
7669_L_mO_DLX1
7669_L_mO_COUPTF2
7669_R_EC_DLX1
7669_R_EC_TBR1
7669_R_EC_COUPTF2
7669_L_CC_2_DLX1
7669_L_CC_2_COUPTF2
7669_R_F_1_DLX1
7669_R_F_1_TBR1
7669_R_F_1_COUPTF2
7669_R_P_1_DLX1
7669_R_P_1_TBR1
7669_R_P_1_COUPTF2
7669_R_I_1_DLX1
7669_R_I_1_TBR1
7669_R_I_1_COUPTF2
7669_R_O_1_DLX1
7669_R_O_1_TBR1
7669_R_O_1_COUPTF2
7669_R_T_1_DLX1
7669_R_T_1_TBR1
7669_R_T_1_COUPTF2
7669_R_mO_DLX1
7669_R_mO_TBR1
7669_R_mO_COUPTF2
7669_L_EC_DLX1
7669_L_EC_COUPTF2
7669_R_CCMid_DLX1
7669_R_CC_Mid_TBR1
7669_R_CCMid_COUPTF2
B
X−34424349−A−T
0
−2
−4
−3
−2
−1
0
0.8
0.6
0.4
0.2
0.0

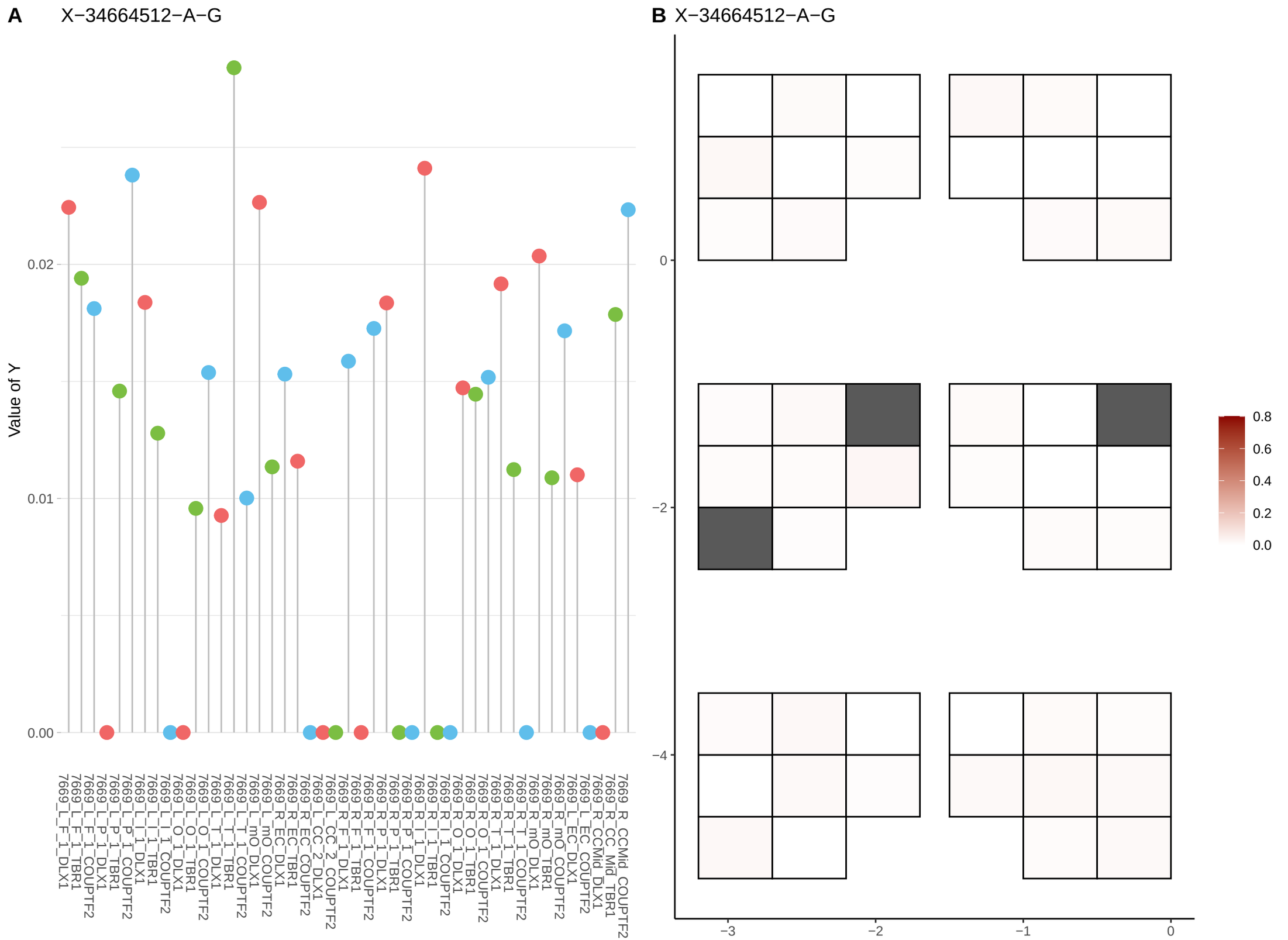
A
X−34664512−A−G
Value of Y
0.02
0.01
0.00
7669_L_F_1_DLX1
7669_L_F_1_TBR1
7669_L_F_1_COUPTF2
7669_L_P_1_DLX1
7669_L_P_1_TBR1
7669_L_P_1_COUPTF2
7669_L_I_1_DLX1
7669_L_I_1_TBR1
7669_L_I_1_COUPTF2
7669_L_O_1_DLX1
7669_L_O_1_TBR1
7669_L_O_1_COUPTF2
7669_L_T_1_DLX1
7669_L_T_1_TBR1
7669_L_T_1_COUPTF2
7669_L_mO_DLX1
7669_L_mO_COUPTF2
7669_R_EC_DLX1
7669_R_EC_TBR1
7669_R_EC_COUPTF2
7669_L_CC_2_DLX1
7669_L_CC_2_COUPTF2
7669_R_F_1_DLX1
7669_R_F_1_TBR1
7669_R_F_1_COUPTF2
7669_R_P_1_DLX1
7669_R_P_1_TBR1
7669_R_P_1_COUPTF2
7669_R_I_1_DLX1
7669_R_I_1_TBR1
7669_R_I_1_COUPTF2
7669_R_O_1_DLX1
7669_R_O_1_TBR1
7669_R_O_1_COUPTF2
7669_R_T_1_DLX1
7669_R_T_1_TBR1
7669_R_T_1_COUPTF2
7669_R_mO_DLX1
7669_R_mO_TBR1
7669_R_mO_COUPTF2
7669_L_EC_DLX1
7669_L_EC_COUPTF2
7669_R_CCMid_DLX1
7669_R_CC_Mid_TBR1
7669_R_CCMid_COUPTF2
B
X−34664512−A−G
0
−2
−4
−3
−2
−1
0
0.8
0.6
0.4
0.2
0.0

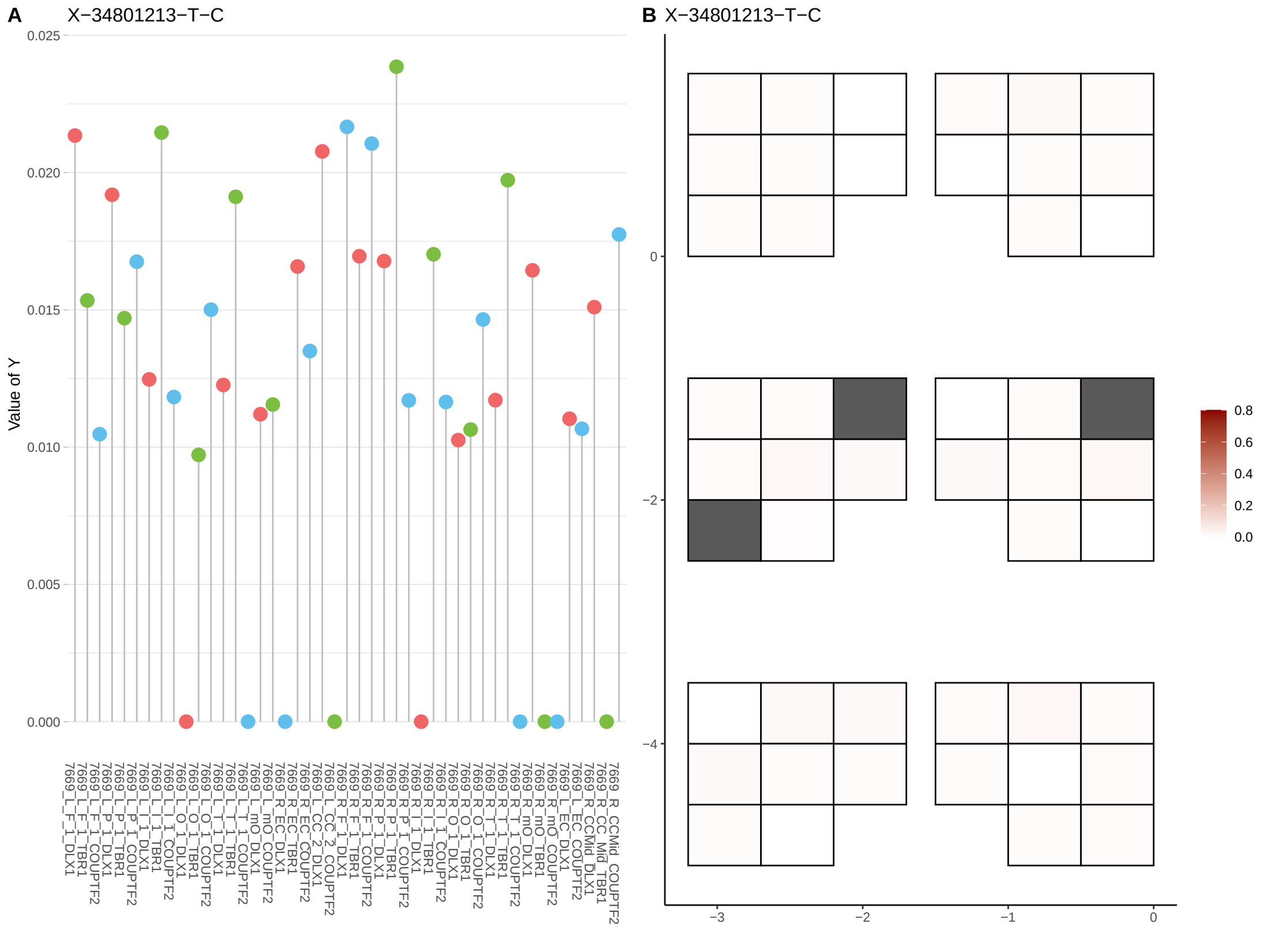
A
X−34801213−T−C
Value of Y
0.025
0.020
0.015
0.010
0.005
0.000
7669_L_F_1_DLX1
7669_L_F_1_TBR1
7669_L_F_1_COUPTF2
7669_L_P_1_DLX1
7669_L_P_1_TBR1
7669_L_P_1_COUPTF2
7669_L_I_1_DLX1
7669_L_I_1_TBR1
7669_L_I_1_COUPTF2
7669_L_O_1_DLX1
7669_L_O_1_TBR1
7669_L_O_1_COUPTF2
7669_L_T_1_DLX1
7669_L_T_1_TBR1
7669_L_T_1_COUPTF2
7669_L_mO_DLX1
7669_L_mO_COUPTF2
7669_R_EC_DLX1
7669_R_EC_TBR1
7669_R_EC_COUPTF2
7669_L_CC_2_DLX1
7669_L_CC_2_COUPTF2
7669_R_F_1_DLX1
7669_R_F_1_TBR1
7669_R_F_1_COUPTF2
7669_R_P_1_DLX1
7669_R_P_1_TBR1
7669_R_P_1_COUPTF2
7669_R_I_1_DLX1
7669_R_I_1_TBR1
7669_R_I_1_COUPTF2
7669_R_O_1_DLX1
7669_R_O_1_TBR1
7669_R_O_1_COUPTF2
7669_R_T_1_DLX1
7669_R_T_1_TBR1
7669_R_T_1_COUPTF2
7669_R_mO_DLX1
7669_R_mO_TBR1
7669_R_mO_COUPTF2
7669_L_EC_DLX1
7669_L_EC_COUPTF2
7669_R_CCMid_DLX1
7669_R_CC_Mid_TBR1
7669_R_CCMid_COUPTF2
B
X−34801213−T−C
0
−2
−4
−3
−2
−1
0
0.8
0.6
0.4
0.2
0.0

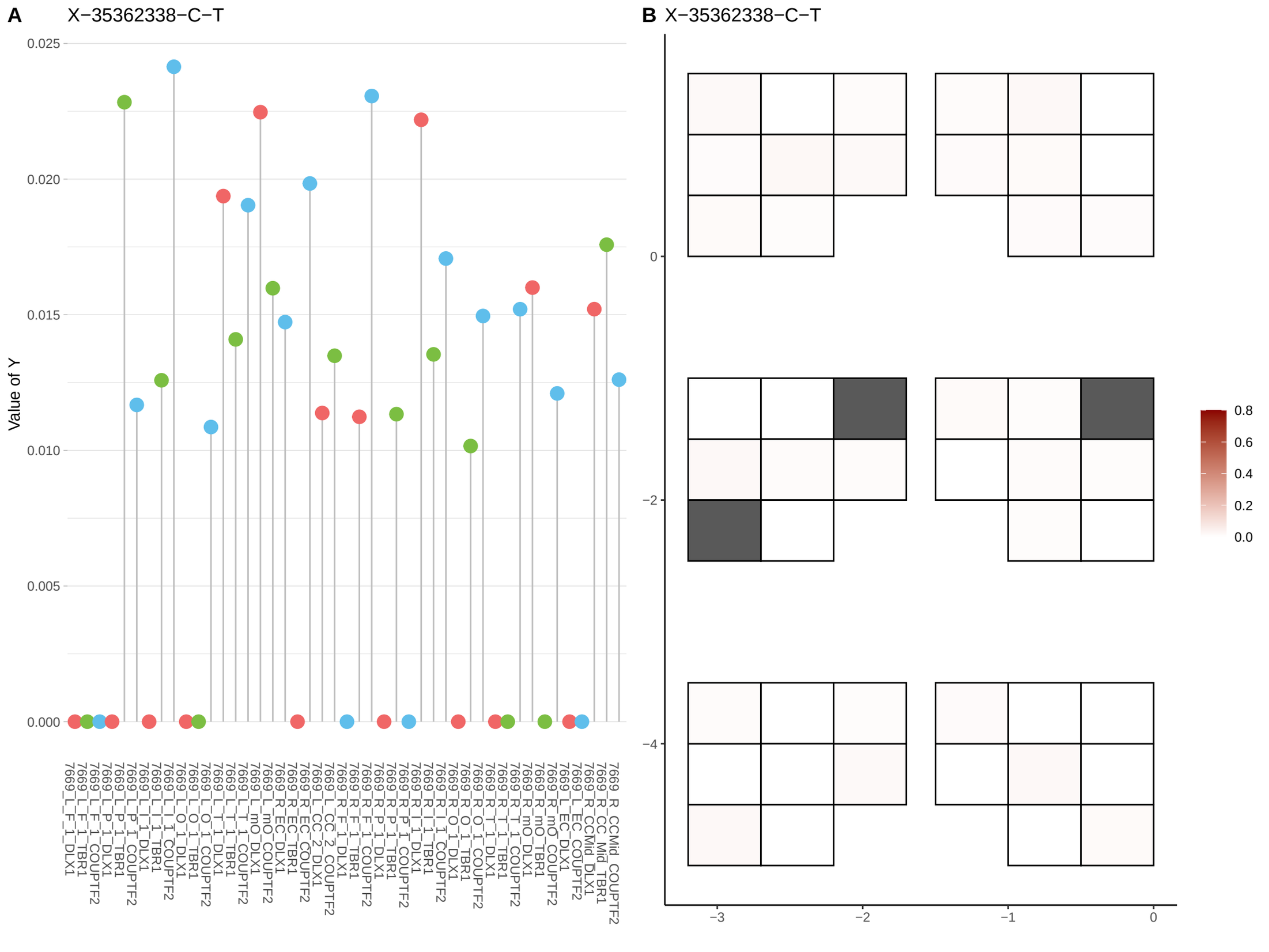
A
X−35362338−C−T
Value of Y
0.025
0.020
0.015
0.010
0.005
0.000
7669_L_F_1_DLX1
7669_L_F_1_TBR1
7669_L_F_1_COUPTF2
7669_L_P_1_DLX1
7669_L_P_1_TBR1
7669_L_P_1_COUPTF2
7669_L_I_1_DLX1
7669_L_I_1_TBR1
7669_L_I_1_COUPTF2
7669_L_O_1_DLX1
7669_L_O_1_TBR1
7669_L_O_1_COUPTF2
7669_L_T_1_DLX1
7669_L_T_1_TBR1
7669_L_T_1_COUPTF2
7669_L_mO_DLX1
7669_L_mO_COUPTF2
7669_R_EC_DLX1
7669_R_EC_TBR1
7669_R_EC_COUPTF2
7669_L_CC_2_DLX1
7669_L_CC_2_COUPTF2
7669_R_F_1_DLX1
7669_R_F_1_TBR1
7669_R_F_1_COUPTF2
7669_R_P_1_DLX1
7669_R_P_1_TBR1
7669_R_P_1_COUPTF2
7669_R_I_1_DLX1
7669_R_I_1_TBR1
7669_R_I_1_COUPTF2
7669_R_O_1_DLX1
7669_R_O_1_TBR1
7669_R_O_1_COUPTF2
7669_R_T_1_DLX1
7669_R_T_1_TBR1
7669_R_T_1_COUPTF2
7669_R_mO_DLX1
7669_R_mO_TBR1
7669_R_mO_COUPTF2
7669_L_EC_DLX1
7669_L_EC_COUPTF2
7669_R_CC_Mid_TBR1
7669_R_CCMid_DLX1
7669_R_CCMid_COUPTF2
B
X−35362338−C−T
0
−2
−4
−3
−2
−1
0
0.8
0.6
0.4
0.2
0.0

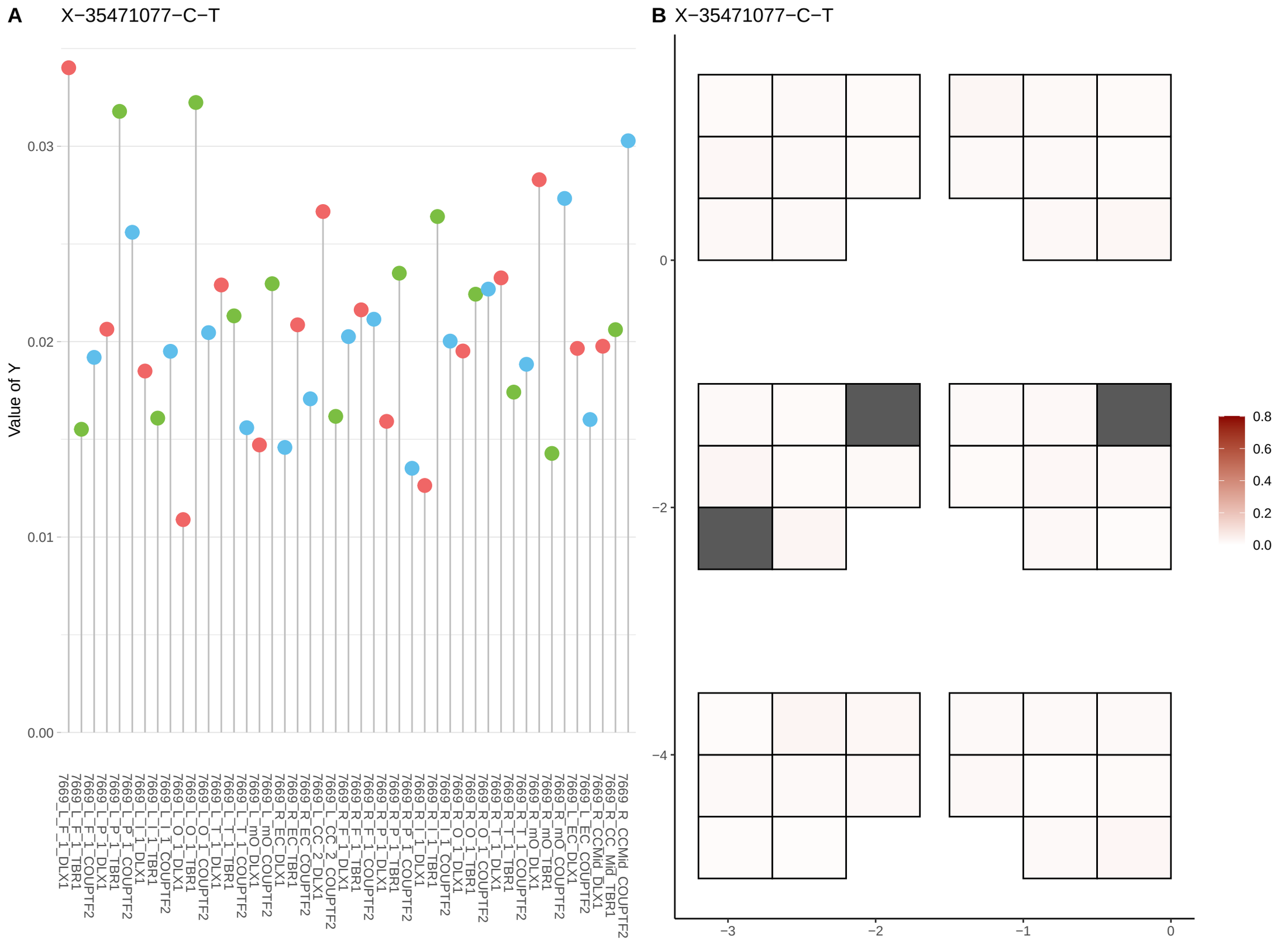
A
X−35471077−C−T
Value of Y
0.03
0.02
0.01
0.00
7669_L_F_1_DLX1
7669_L_F_1_TBR1
7669_L_F_1_COUPTF2
7669_L_P_1_DLX1
7669_L_P_1_TBR1
7669_L_P_1_COUPTF2
7669_L_I_1_DLX1
7669_L_I_1_TBR1
7669_L_I_1_COUPTF2
7669_L_O_1_DLX1
7669_L_O_1_TBR1
7669_L_O_1_COUPTF2
7669_L_T_1_DLX1
7669_L_T_1_TBR1
7669_L_T_1_COUPTF2
7669_L_mO_DLX1
7669_L_mO_COUPTF2
7669_R_EC_DLX1
7669_R_EC_TBR1
7669_R_EC_COUPTF2
7669_L_CC_2_DLX1
7669_L_CC_2_COUPTF2
7669_R_F_1_DLX1
7669_R_F_1_TBR1
7669_R_F_1_COUPTF2
7669_R_P_1_DLX1
7669_R_P_1_TBR1
7669_R_P_1_COUPTF2
7669_R_I_1_DLX1
7669_R_I_1_TBR1
7669_R_I_1_COUPTF2
7669_R_O_1_DLX1
7669_R_O_1_TBR1
7669_R_O_1_COUPTF2
7669_R_T_1_DLX1
7669_R_T_1_TBR1
7669_R_T_1_COUPTF2
7669_R_mO_DLX1
7669_R_mO_TBR1
7669_R_mO_COUPTF2
7669_L_EC_DLX1
7669_L_EC_COUPTF2
7669_R_CCMid_DLX1
7669_R_CC_Mid_TBR1
7669_R_CCMid_COUPTF2
B
X−35471077−C−T
0
−2
−4
−3
−2
−1
0
0.8
0.6
0.4
0.2
0.0

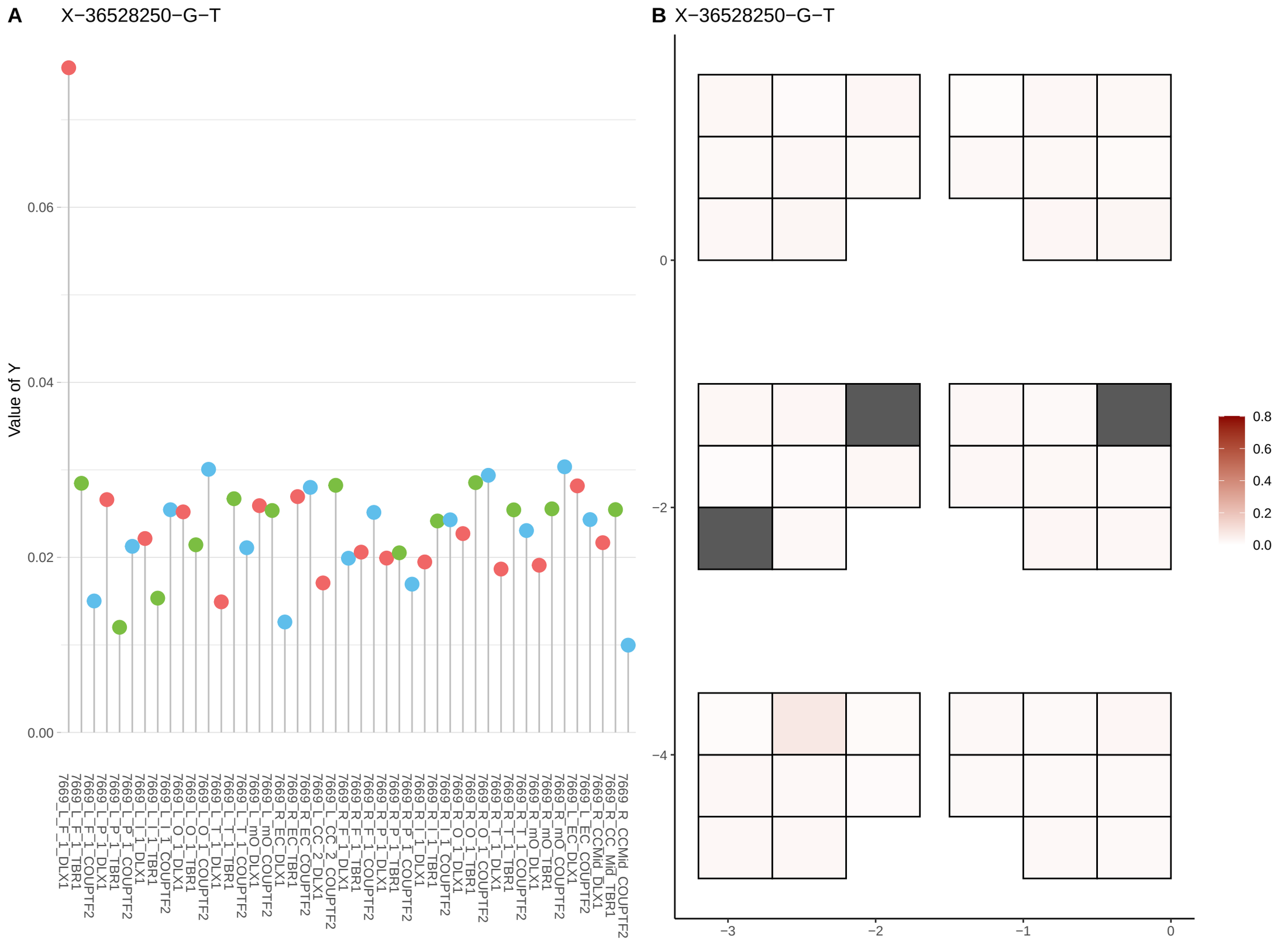
A
X−36528250−G−T
Value of Y
0.06
0.04
0.02
0.00
7669_L_F_1_DLX1
7669_L_F_1_TBR1
7669_L_F_1_COUPTF2
7669_L_P_1_DLX1
7669_L_P_1_TBR1
7669_L_P_1_COUPTF2
7669_L_I_1_DLX1
7669_L_I_1_TBR1
7669_L_I_1_COUPTF2
7669_L_O_1_DLX1
7669_L_O_1_TBR1
7669_L_O_1_COUPTF2
7669_L_T_1_DLX1
7669_L_T_1_TBR1
7669_L_T_1_COUPTF2
7669_L_mO_DLX1
7669_L_mO_COUPTF2
7669_R_EC_DLX1
7669_R_EC_TBR1
7669_R_EC_COUPTF2
7669_L_CC_2_DLX1
7669_L_CC_2_COUPTF2
7669_R_F_1_DLX1
7669_R_F_1_TBR1
7669_R_F_1_COUPTF2
7669_R_P_1_DLX1
7669_R_P_1_TBR1
7669_R_P_1_COUPTF2
7669_R_I_1_DLX1
7669_R_I_1_TBR1
7669_R_I_1_COUPTF2
7669_R_O_1_DLX1
7669_R_O_1_TBR1
7669_R_O_1_COUPTF2
7669_R_T_1_DLX1
7669_R_T_1_TBR1
7669_R_T_1_COUPTF2
7669_R_mO_DLX1
7669_R_mO_TBR1
7669_R_mO_COUPTF2
7669_L_EC_DLX1
7669_L_EC_COUPTF2
7669_R_CCMid_DLX1
7669_R_CC_Mid_TBR1
7669_R_CCMid_COUPTF2
B
X−36528250−G−T
0
−2
−4
−3
−2
−1
0
0.8
0.6
0.4
0.2
0.0

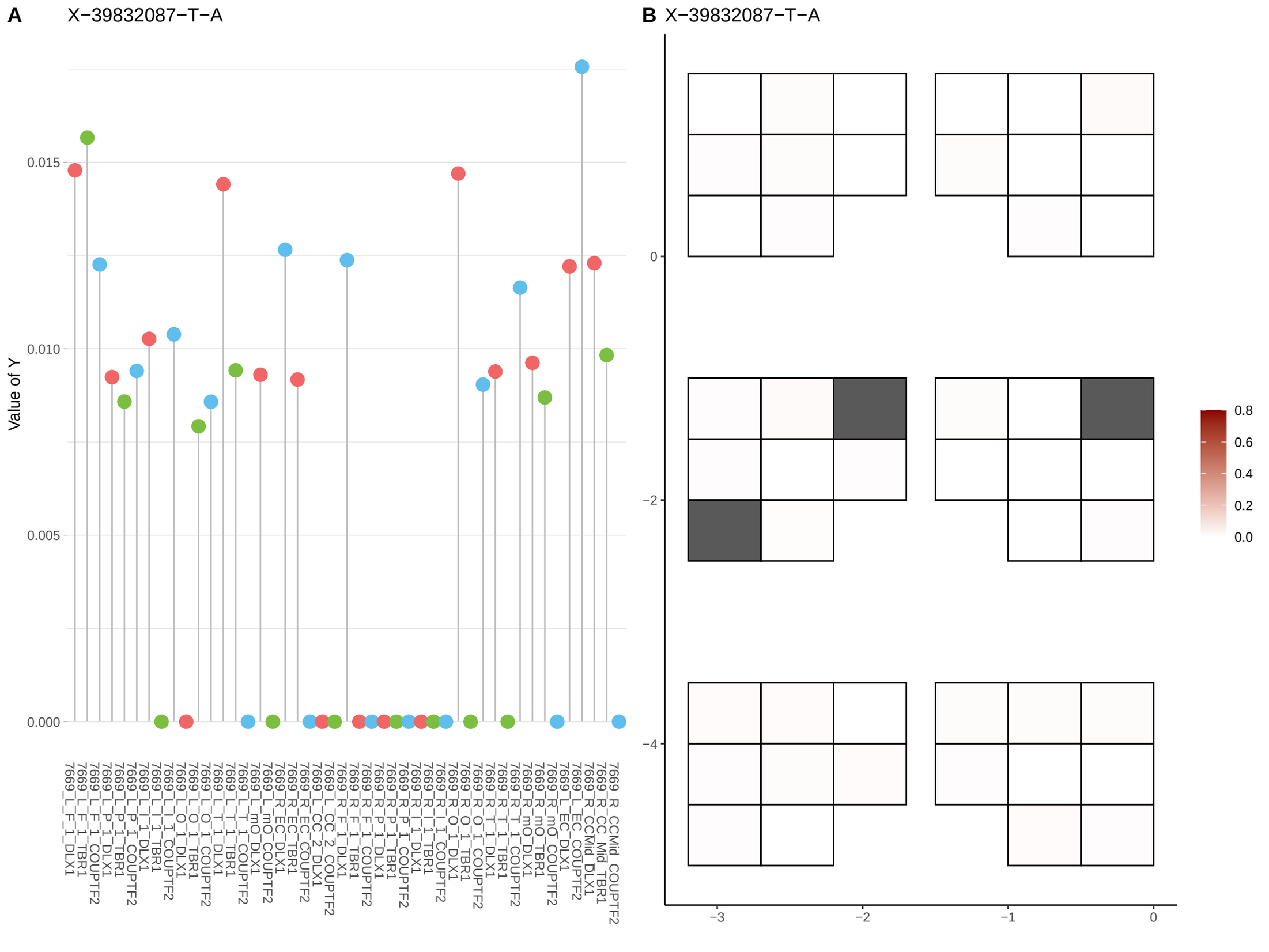
A
X−39832087−T−A
Value of Y
0.015
0.010
0.005
0.000
7669_L_F_1_DLX1
7669_L_F_1_TBR1
7669_L_F_1_COUPTF2
7669_L_P_1_DLX1
7669_L_P_1_TBR1
7669_L_P_1_COUPTF2
7669_L_I_1_DLX1
7669_L_I_1_TBR1
7669_L_I_1_COUPTF2
7669_L_O_1_DLX1
7669_L_O_1_TBR1
7669_L_O_1_COUPTF2
7669_L_T_1_DLX1
7669_L_T_1_TBR1
7669_L_T_1_COUPTF2
7669_L_mO_DLX1
7669_L_mO_COUPTF2
7669_R_EC_DLX1
7669_R_EC_TBR1
7669_R_EC_COUPTF2
7669_L_CC_2_DLX1
7669_L_CC_2_COUPTF2
7669_R_F_1_DLX1
7669_R_F_1_TBR1
7669_R_F_1_COUPTF2
7669_R_P_1_DLX1
7669_R_P_1_TBR1
7669_R_P_1_COUPTF2
7669_R_I_1_DLX1
7669_R_I_1_TBR1
7669_R_I_1_COUPTF2
7669_R_O_1_DLX1
7669_R_O_1_TBR1
7669_R_O_1_COUPTF2
7669_R_T_1_DLX1
7669_R_T_1_TBR1
7669_R_T_1_COUPTF2
7669_R_mO_DLX1
7669_R_mO_TBR1
7669_R_mO_COUPTF2
7669_L_EC_DLX1
7669_L_EC_COUPTF2
7669_R_CCMid_DLX1
7669_R_CC_Mid_TBR1
7669_R_CCMid_COUPTF2
B
X−39832087−T−A
0
−2
−4
−3
−2
−1
0
0.8
0.6
0.4
0.2
0.0

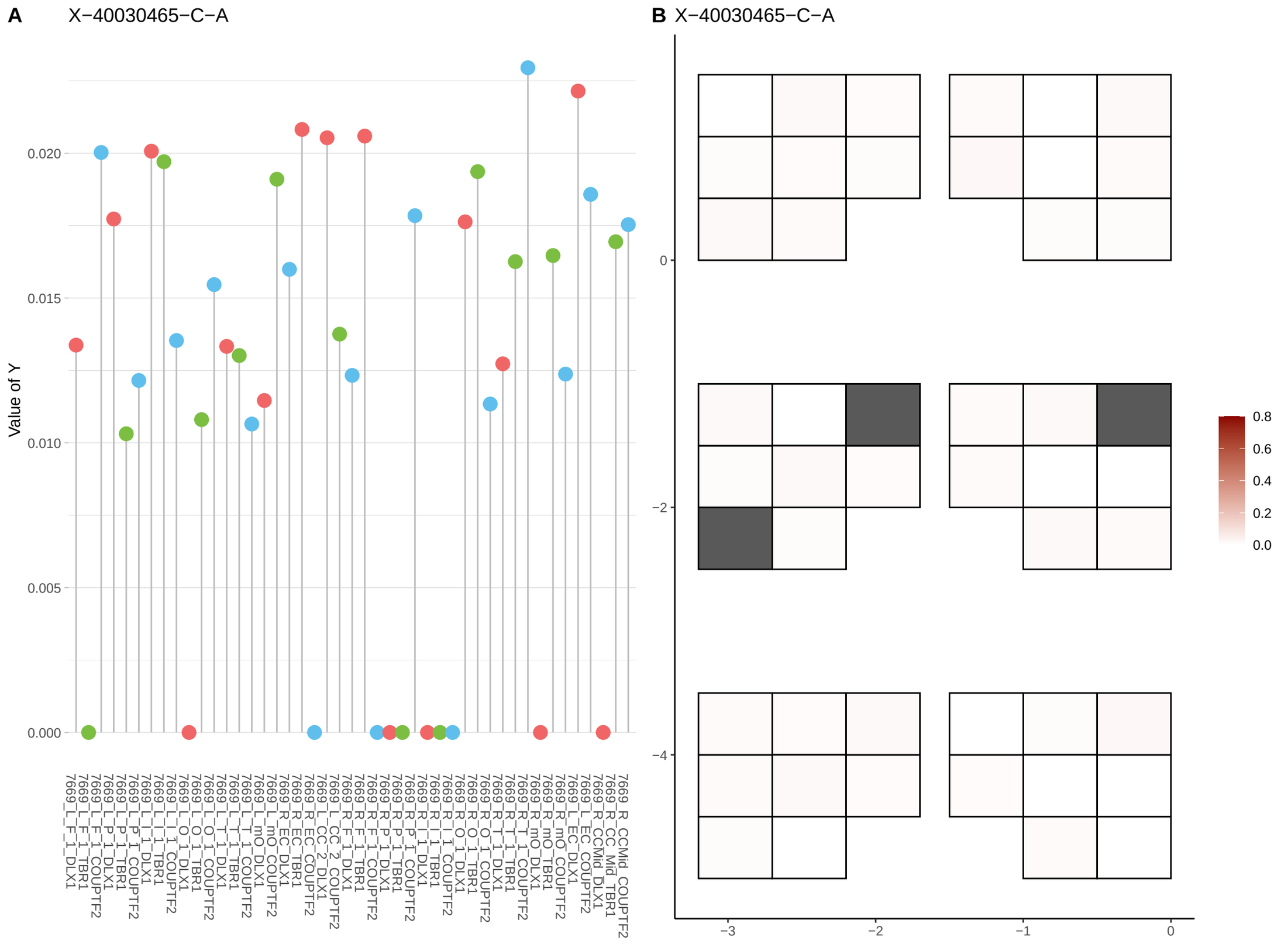
A
X−40030465−C−A
Value of Y
0.020
0.015
0.010
0.005
0.000
7669_L_F_1_DLX1
7669_L_F_1_TBR1
7669_L_F_1_COUPTF2
7669_L_P_1_DLX1
7669_L_P_1_TBR1
7669_L_P_1_COUPTF2
7669_L_I_1_DLX1
7669_L_I_1_TBR1
7669_L_I_1_COUPTF2
7669_L_O_1_DLX1
7669_L_O_1_TBR1
7669_L_O_1_COUPTF2
7669_L_T_1_DLX1
7669_L_T_1_TBR1
7669_L_T_1_COUPTF2
7669_L_mO_DLX1
7669_L_mO_COUPTF2
7669_R_EC_DLX1
7669_R_EC_TBR1
7669_R_EC_COUPTF2
7669_L_CC_2_DLX1
7669_L_CC_2_COUPTF2
7669_R_F_1_DLX1
7669_R_F_1_TBR1
7669_R_F_1_COUPTF2
7669_R_P_1_DLX1
7669_R_P_1_TBR1
7669_R_P_1_COUPTF2
7669_R_I_1_DLX1
7669_R_I_1_TBR1
7669_R_I_1_COUPTF2
7669_R_O_1_DLX1
7669_R_O_1_TBR1
7669_R_O_1_COUPTF2
7669_R_T_1_DLX1
7669_R_T_1_TBR1
7669_R_T_1_COUPTF2
7669_R_mO_DLX1
7669_R_mO_TBR1
7669_R_mO_COUPTF2
7669_L_EC_DLX1
7669_L_EC_COUPTF2
7669_R_CCMid_DLX1
7669_R_CC_Mid_TBR1
7669_R_CCMid_COUPTF2
B
X−40030465−C−A
0
−2
−4
−3
−2
−1
0
0.8
0.6
0.4
0.2
0.0

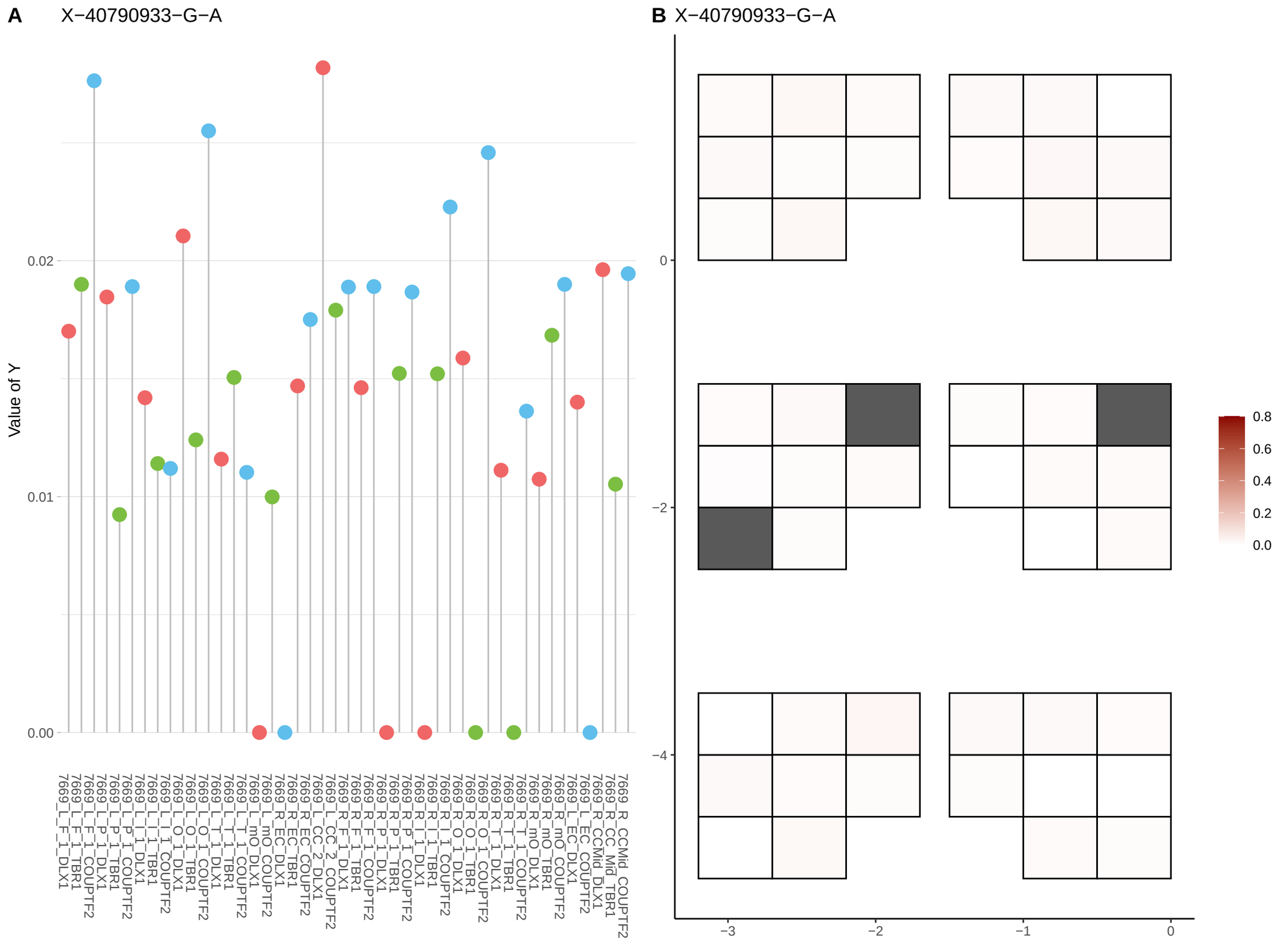
A
X−40790933−G−A
Value of Y
0.02
0.01
0.00
7669_L_F_1_DLX1
7669_L_F_1_TBR1
7669_L_F_1_COUPTF2
7669_L_P_1_DLX1
7669_L_P_1_TBR1
7669_L_P_1_COUPTF2
7669_L_I_1_DLX1
7669_L_I_1_TBR1
7669_L_I_1_COUPTF2
7669_L_O_1_DLX1
7669_L_O_1_TBR1
7669_L_O_1_COUPTF2
7669_L_T_1_DLX1
7669_L_T_1_TBR1
7669_L_T_1_COUPTF2
7669_L_mO_DLX1
7669_L_mO_COUPTF2
7669_R_EC_DLX1
7669_R_EC_TBR1
7669_R_EC_COUPTF2
7669_L_CC_2_DLX1
7669_L_CC_2_COUPTF2
7669_R_F_1_DLX1
7669_R_F_1_TBR1
7669_R_F_1_COUPTF2
7669_R_P_1_DLX1
7669_R_P_1_TBR1
7669_R_P_1_COUPTF2
7669_R_I_1_DLX1
7669_R_I_1_TBR1
7669_R_I_1_COUPTF2
7669_R_O_1_DLX1
7669_R_O_1_TBR1
7669_R_O_1_COUPTF2
7669_R_T_1_DLX1
7669_R_T_1_TBR1
7669_R_T_1_COUPTF2
7669_R_mO_DLX1
7669_R_mO_TBR1
7669_R_mO_COUPTF2
7669_L_EC_DLX1
7669_L_EC_COUPTF2
7669_R_CCMid_DLX1
7669_R_CC_Mid_TBR1
7669_R_CCMid_COUPTF2
B
X−40790933−G−A
0
−2
−4
−3
−2
−1
0
0.8
0.6
0.4
0.2
0.0

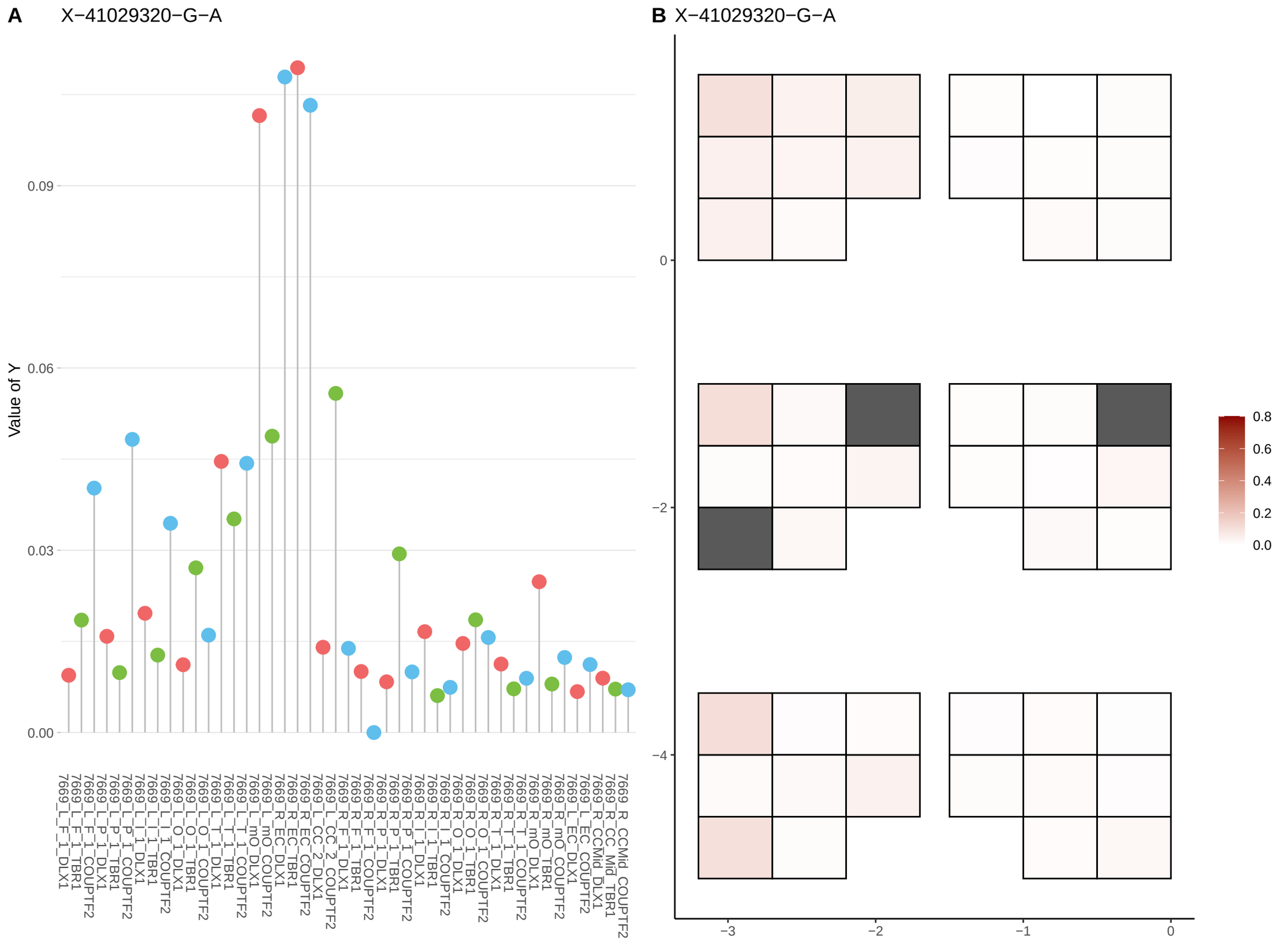
A
X−41029320−G−A
Value of Y
0.09
0.06
0.03
0.00
7669_L_F_1_DLX1
7669_L_F_1_TBR1
7669_L_F_1_COUPTF2
7669_L_P_1_DLX1
7669_L_P_1_TBR1
7669_L_P_1_COUPTF2
7669_L_I_1_DLX1
7669_L_I_1_TBR1
7669_L_I_1_COUPTF2
7669_L_O_1_DLX1
7669_L_O_1_TBR1
7669_L_O_1_COUPTF2
7669_L_T_1_DLX1
7669_L_T_1_TBR1
7669_L_T_1_COUPTF2
7669_L_mO_DLX1
7669_L_mO_COUPTF2
7669_R_EC_DLX1
7669_R_EC_TBR1
7669_R_EC_COUPTF2
7669_L_CC_2_DLX1
7669_L_CC_2_COUPTF2
7669_R_F_1_DLX1
7669_R_F_1_TBR1
7669_R_F_1_COUPTF2
7669_R_P_1_DLX1
7669_R_P_1_TBR1
7669_R_P_1_COUPTF2
7669_R_I_1_DLX1
7669_R_I_1_TBR1
7669_R_I_1_COUPTF2
7669_R_O_1_DLX1
7669_R_O_1_TBR1
7669_R_O_1_COUPTF2
7669_R_T_1_DLX1
7669_R_T_1_TBR1
7669_R_T_1_COUPTF2
7669_R_mO_DLX1
7669_R_mO_TBR1
7669_R_mO_COUPTF2
7669_L_EC_DLX1
7669_L_EC_COUPTF2
7669_R_CCMid_DLX1
7669_R_CC_Mid_TBR1
7669_R_CCMid_COUPTF2
B
X−41029320−G−A
0
−2
−4
−3
−2
−1
0
0.8
0.6
0.4
0.2
0.0

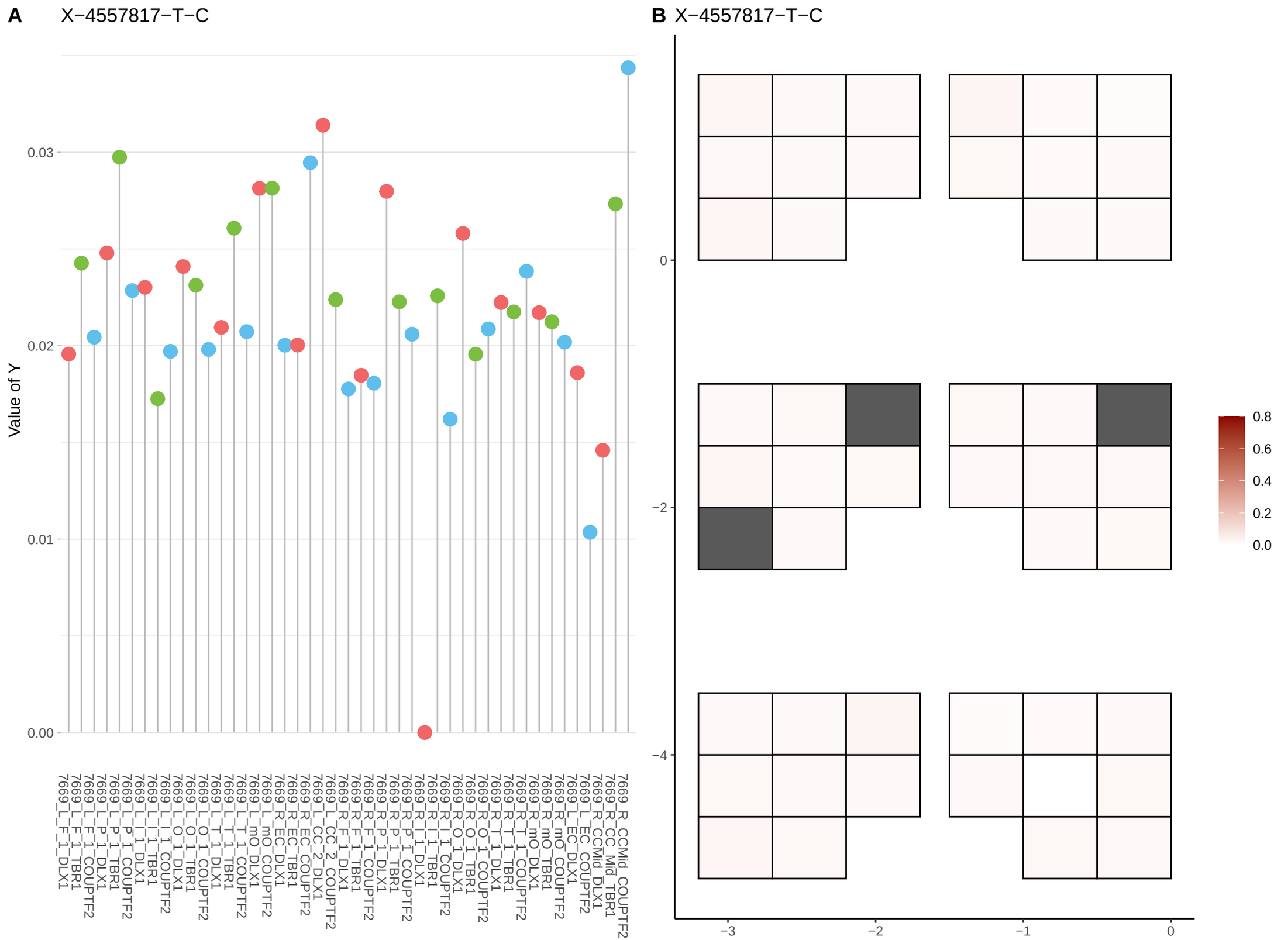
A
X−4557817−T−C
Value of Y
0.03
0.02
0.01
0.00
7669_L_F_1_DLX1
7669_L_F_1_TBR1
7669_L_F_1_COUPTF2
7669_L_P_1_DLX1
7669_L_P_1_TBR1
7669_L_P_1_COUPTF2
7669_L_I_1_DLX1
7669_L_I_1_TBR1
7669_L_I_1_COUPTF2
7669_L_O_1_DLX1
7669_L_O_1_TBR1
7669_L_O_1_COUPTF2
7669_L_T_1_DLX1
7669_L_T_1_TBR1
7669_L_T_1_COUPTF2
7669_L_mO_DLX1
7669_L_mO_COUPTF2
7669_R_EC_DLX1
7669_R_EC_TBR1
7669_R_EC_COUPTF2
7669_L_CC_2_DLX1
7669_L_CC_2_COUPTF2
7669_R_F_1_DLX1
7669_R_F_1_TBR1
7669_R_F_1_COUPTF2
7669_R_P_1_DLX1
7669_R_P_1_TBR1
7669_R_P_1_COUPTF2
7669_R_I_1_DLX1
7669_R_I_1_TBR1
7669_R_I_1_COUPTF2
7669_R_O_1_DLX1
7669_R_O_1_TBR1
7669_R_O_1_COUPTF2
7669_R_T_1_DLX1
7669_R_T_1_TBR1
7669_R_T_1_COUPTF2
7669_R_mO_DLX1
7669_R_mO_TBR1
7669_R_mO_COUPTF2
7669_L_EC_DLX1
7669_L_EC_COUPTF2
7669_R_CCMid_DLX1
7669_R_CC_Mid_TBR1
7669_R_CCMid_COUPTF2
B
X−4557817−T−C
0
−2
−4
−3
−2
−1
0
0.8
0.6
0.4
0.2
0.0

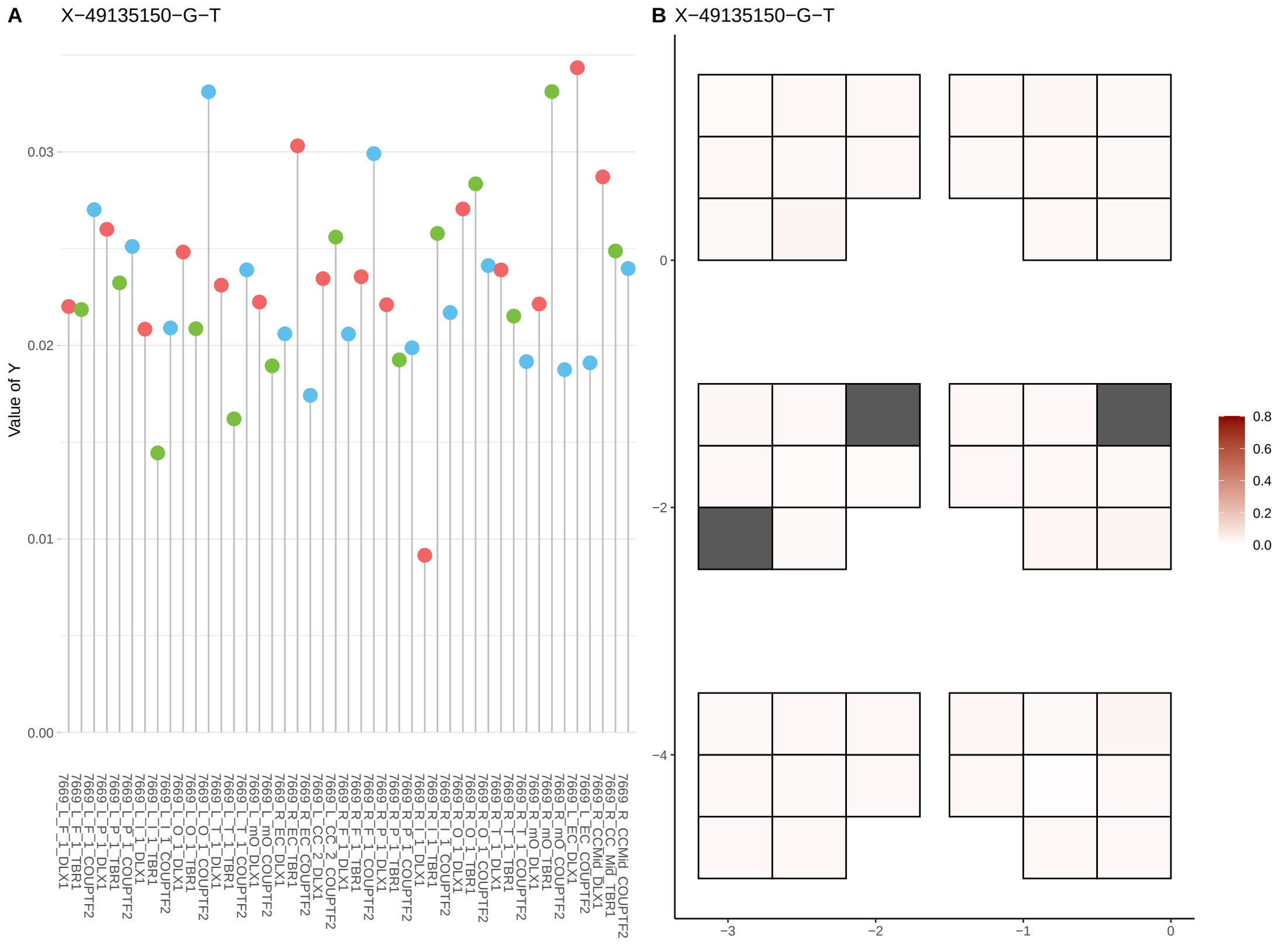
A
X−49135150−G−T
Value of Y
0.03
0.02
0.01
0.00
7669_L_F_1_DLX1
7669_L_F_1_TBR1
7669_L_F_1_COUPTF2
7669_L_P_1_DLX1
7669_L_P_1_TBR1
7669_L_P_1_COUPTF2
7669_L_I_1_DLX1
7669_L_I_1_TBR1
7669_L_I_1_COUPTF2
7669_L_O_1_DLX1
7669_L_O_1_TBR1
7669_L_O_1_COUPTF2
7669_L_T_1_DLX1
7669_L_T_1_TBR1
7669_L_T_1_COUPTF2
7669_L_mO_DLX1
7669_L_mO_COUPTF2
7669_R_EC_DLX1
7669_R_EC_TBR1
7669_R_EC_COUPTF2
7669_L_CC_2_DLX1
7669_L_CC_2_COUPTF2
7669_R_F_1_DLX1
7669_R_F_1_TBR1
7669_R_F_1_COUPTF2
7669_R_P_1_DLX1
7669_R_P_1_TBR1
7669_R_P_1_COUPTF2
7669_R_I_1_DLX1
7669_R_I_1_TBR1
7669_R_I_1_COUPTF2
7669_R_O_1_DLX1
7669_R_O_1_TBR1
7669_R_O_1_COUPTF2
7669_R_T_1_DLX1
7669_R_T_1_TBR1
7669_R_T_1_COUPTF2
7669_R_mO_DLX1
7669_R_mO_TBR1
7669_R_mO_COUPTF2
7669_L_EC_DLX1
7669_L_EC_COUPTF2
7669_R_CCMid_DLX1
7669_R_CC_Mid_TBR1
7669_R_CCMid_COUPTF2
B
X−49135150−G−T
0
−2
−4
−3
−2
−1
0
0.8
0.6
0.4
0.2
0.0

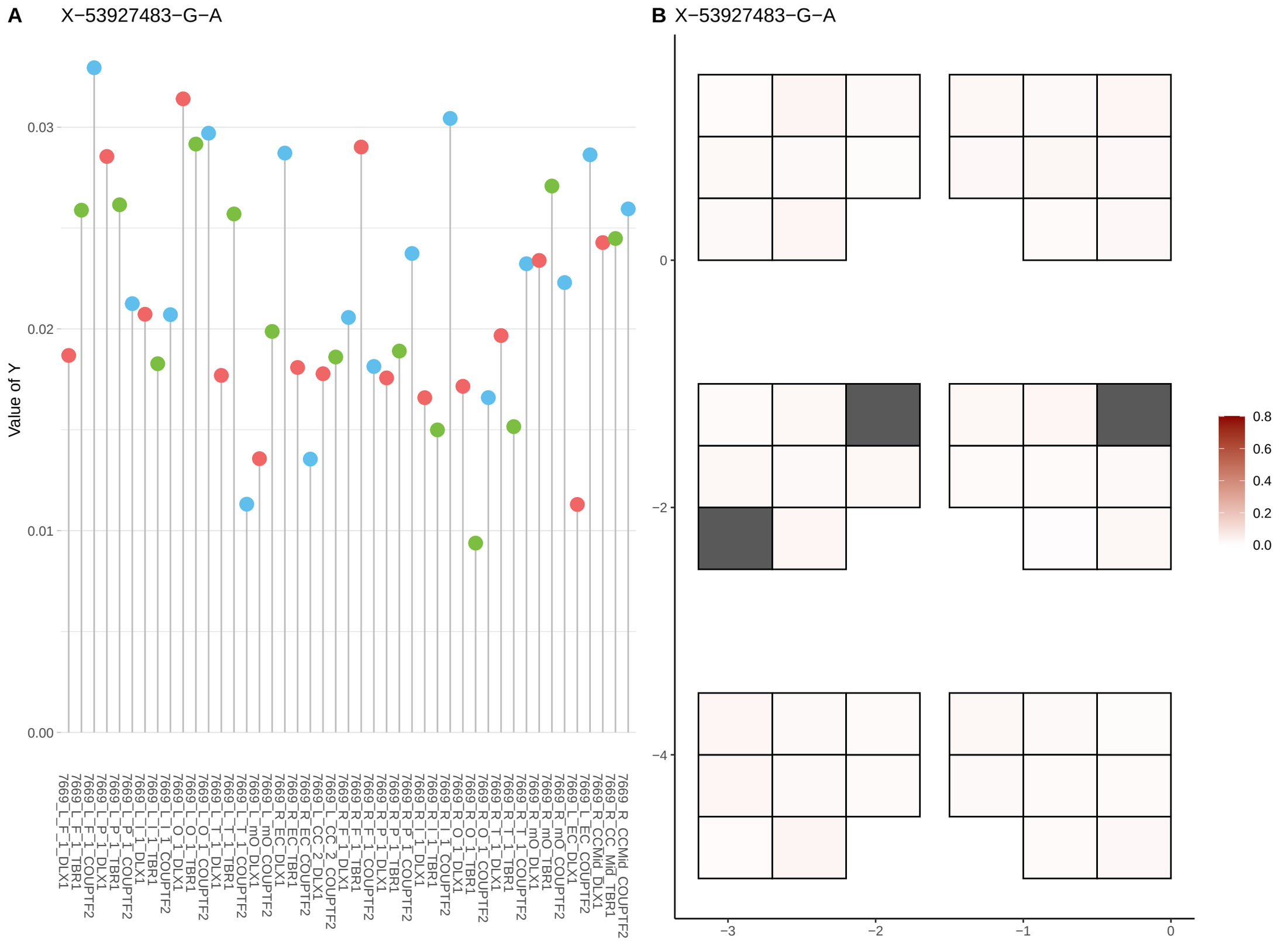
A
X−53927483−G−A
Value of Y
0.03
0.02
0.01
0.00
7669_L_F_1_DLX1
7669_L_F_1_TBR1
7669_L_F_1_COUPTF2
7669_L_P_1_DLX1
7669_L_P_1_TBR1
7669_L_P_1_COUPTF2
7669_L_I_1_DLX1
7669_L_I_1_TBR1
7669_L_I_1_COUPTF2
7669_L_O_1_DLX1
7669_L_O_1_TBR1
7669_L_O_1_COUPTF2
7669_L_T_1_DLX1
7669_L_T_1_TBR1
7669_L_T_1_COUPTF2
7669_L_mO_DLX1
7669_L_mO_COUPTF2
7669_R_EC_DLX1
7669_R_EC_TBR1
7669_R_EC_COUPTF2
7669_L_CC_2_DLX1
7669_L_CC_2_COUPTF2
7669_R_F_1_DLX1
7669_R_F_1_TBR1
7669_R_F_1_COUPTF2
7669_R_P_1_DLX1
7669_R_P_1_TBR1
7669_R_P_1_COUPTF2
7669_R_I_1_DLX1
7669_R_I_1_TBR1
7669_R_I_1_COUPTF2
7669_R_O_1_DLX1
7669_R_O_1_TBR1
7669_R_O_1_COUPTF2
7669_R_T_1_DLX1
7669_R_T_1_TBR1
7669_R_T_1_COUPTF2
7669_R_mO_DLX1
7669_R_mO_TBR1
7669_R_mO_COUPTF2
7669_L_EC_DLX1
7669_L_EC_COUPTF2
7669_R_CCMid_DLX1
7669_R_CC_Mid_TBR1
7669_R_CCMid_COUPTF2
B
X−53927483−G−A
0
−2
−4
−3
−2
−1
0
0.8
0.6
0.4
0.2
0.0

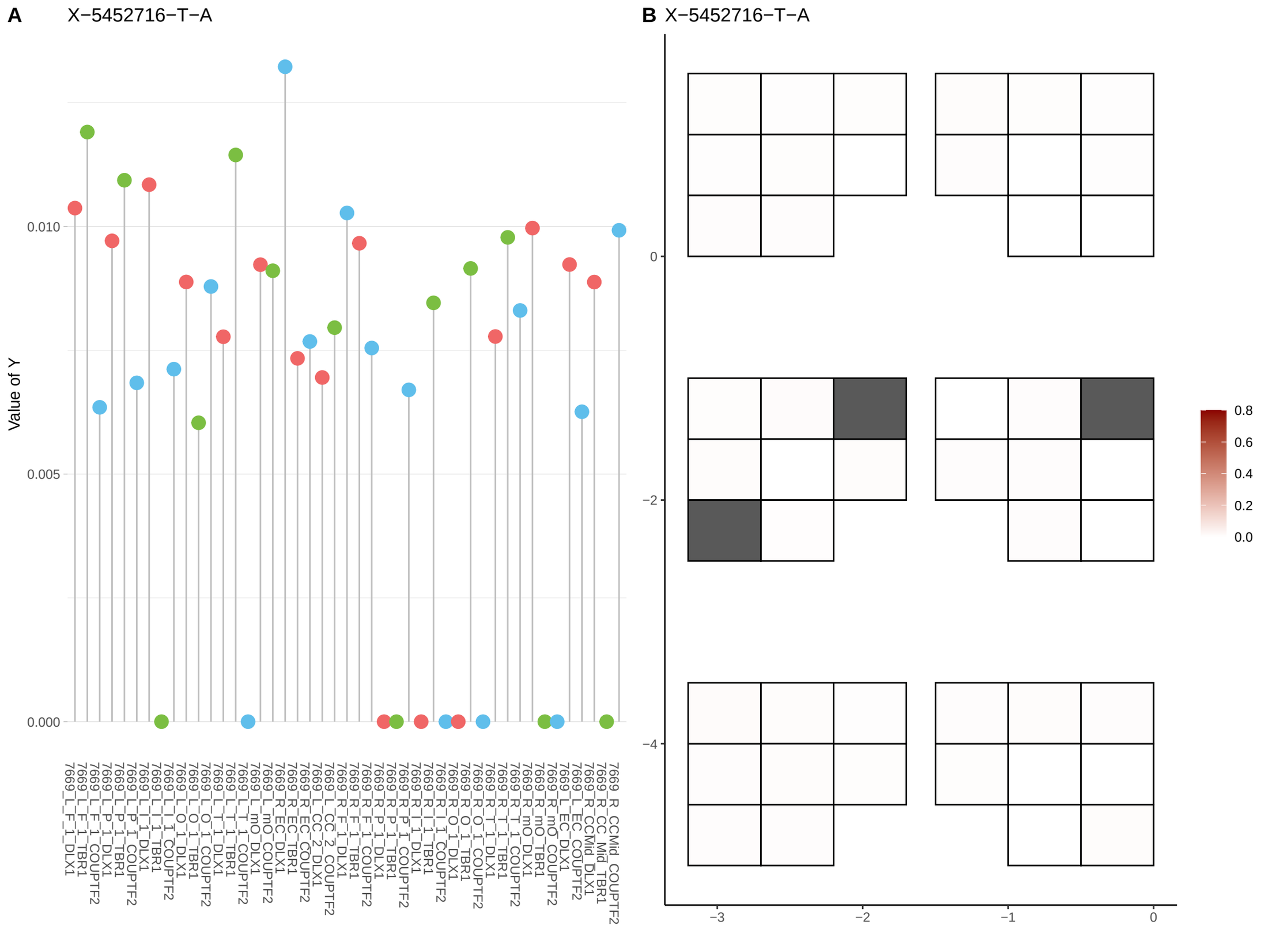
A
X−5452716−T−A
Value of Y
0.010
0.005
0.000
7669_L_F_1_DLX1
7669_L_F_1_TBR1
7669_L_F_1_COUPTF2
7669_L_P_1_DLX1
7669_L_P_1_TBR1
7669_L_P_1_COUPTF2
7669_L_I_1_DLX1
7669_L_I_1_TBR1
7669_L_I_1_COUPTF2
7669_L_O_1_DLX1
7669_L_O_1_TBR1
7669_L_O_1_COUPTF2
7669_L_T_1_DLX1
7669_L_T_1_TBR1
7669_L_T_1_COUPTF2
7669_L_mO_DLX1
7669_L_mO_COUPTF2
7669_R_EC_DLX1
7669_R_EC_TBR1
7669_R_EC_COUPTF2
7669_L_CC_2_DLX1
7669_L_CC_2_COUPTF2
7669_R_F_1_DLX1
7669_R_F_1_TBR1
7669_R_F_1_COUPTF2
7669_R_P_1_DLX1
7669_R_P_1_TBR1
7669_R_P_1_COUPTF2
7669_R_I_1_DLX1
7669_R_I_1_TBR1
7669_R_I_1_COUPTF2
7669_R_O_1_DLX1
7669_R_O_1_TBR1
7669_R_O_1_COUPTF2
7669_R_T_1_DLX1
7669_R_T_1_TBR1
7669_R_T_1_COUPTF2
7669_R_mO_DLX1
7669_R_mO_TBR1
7669_R_mO_COUPTF2
7669_L_EC_DLX1
7669_L_EC_COUPTF2
7669_R_CCMid_DLX1
7669_R_CC_Mid_TBR1
7669_R_CCMid_COUPTF2
B
X−5452716−T−A
0
−2
−4
−3
−2
−1
0
0.8
0.6
0.4
0.2
0.0

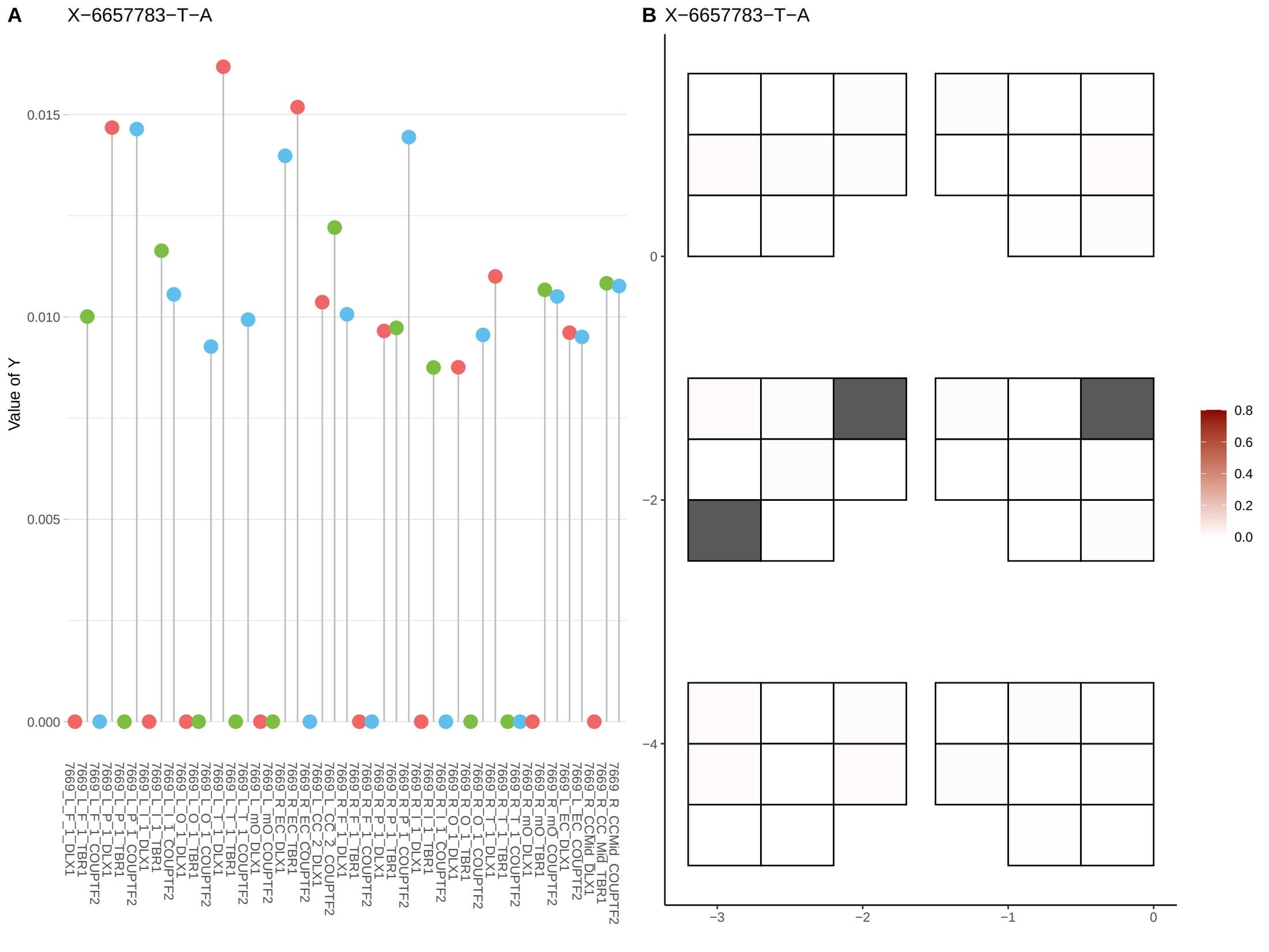
A
X−6657783−T−A
Value of Y
0.015
0.010
0.005
0.000
7669_L_F_1_DLX1
7669_L_F_1_TBR1
7669_L_F_1_COUPTF2
7669_L_P_1_DLX1
7669_L_P_1_TBR1
7669_L_P_1_COUPTF2
7669_L_I_1_DLX1
7669_L_I_1_TBR1
7669_L_I_1_COUPTF2
7669_L_O_1_DLX1
7669_L_O_1_TBR1
7669_L_O_1_COUPTF2
7669_L_T_1_DLX1
7669_L_T_1_TBR1
7669_L_T_1_COUPTF2
7669_L_mO_DLX1
7669_L_mO_COUPTF2
7669_R_EC_DLX1
7669_R_EC_TBR1
7669_R_EC_COUPTF2
7669_L_CC_2_DLX1
7669_L_CC_2_COUPTF2
7669_R_F_1_DLX1
7669_R_F_1_TBR1
7669_R_F_1_COUPTF2
7669_R_P_1_DLX1
7669_R_P_1_TBR1
7669_R_P_1_COUPTF2
7669_R_I_1_DLX1
7669_R_I_1_TBR1
7669_R_I_1_COUPTF2
7669_R_O_1_DLX1
7669_R_O_1_TBR1
7669_R_O_1_COUPTF2
7669_R_T_1_DLX1
7669_R_T_1_TBR1
7669_R_T_1_COUPTF2
7669_R_mO_DLX1
7669_R_mO_TBR1
7669_R_mO_COUPTF2
7669_L_EC_DLX1
7669_L_EC_COUPTF2
7669_R_CCMid_DLX1
7669_R_CC_Mid_TBR1
7669_R_CCMid_COUPTF2
B
X−6657783−T−A
0
−2
−4
−3
−2
−1
0
0.8
0.6
0.4
0.2
0.0

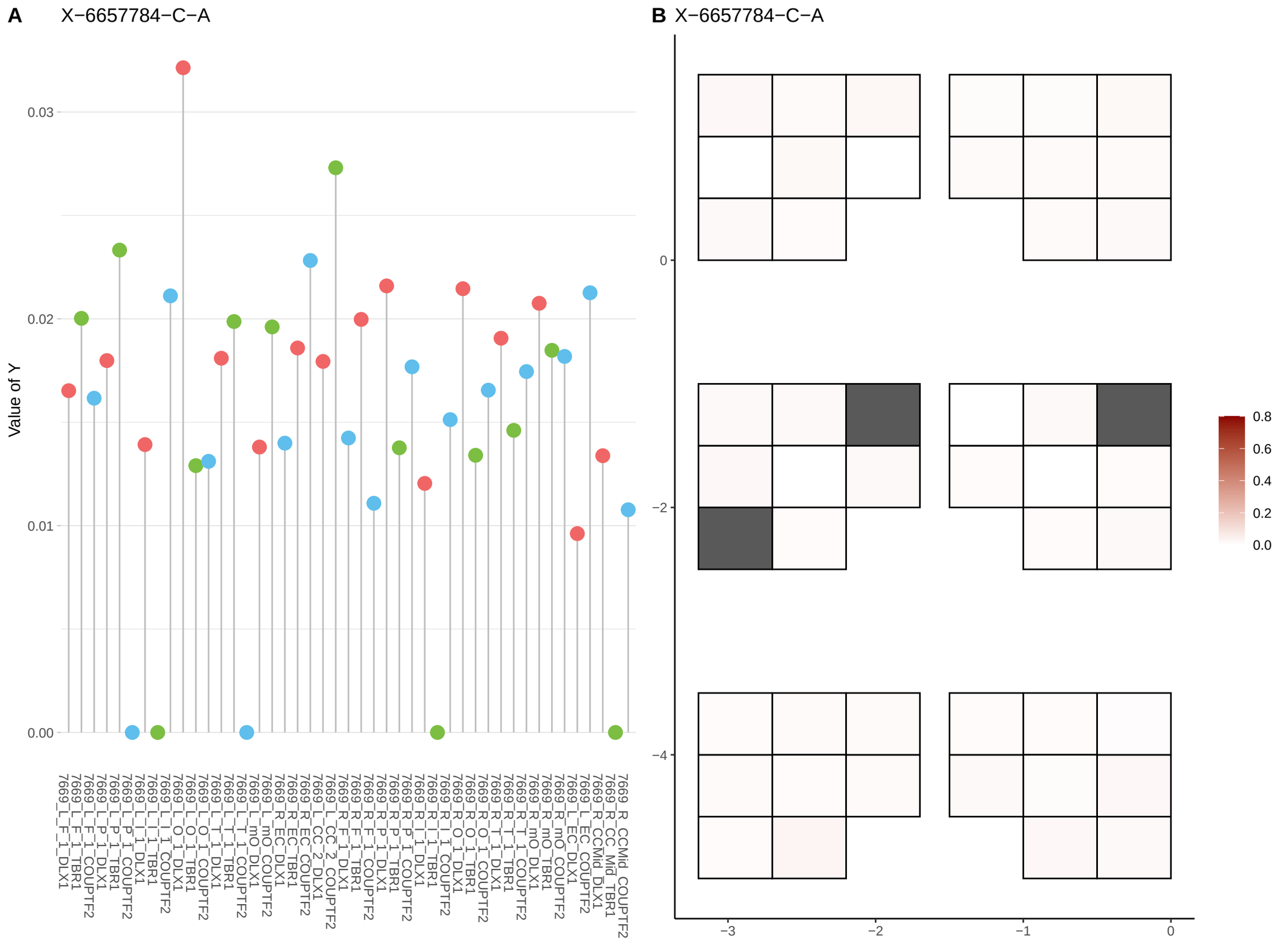
A
X−6657784−C−A
Value of Y
0.03
0.02
0.01
0.00
7669_L_F_1_DLX1
7669_L_F_1_TBR1
7669_L_F_1_COUPTF2
7669_L_P_1_DLX1
7669_L_P_1_TBR1
7669_L_P_1_COUPTF2
7669_L_I_1_DLX1
7669_L_I_1_TBR1
7669_L_I_1_COUPTF2
7669_L_O_1_DLX1
7669_L_O_1_TBR1
7669_L_O_1_COUPTF2
7669_L_T_1_DLX1
7669_L_T_1_TBR1
7669_L_T_1_COUPTF2
7669_L_mO_DLX1
7669_L_mO_COUPTF2
7669_R_EC_DLX1
7669_R_EC_TBR1
7669_R_EC_COUPTF2
7669_L_CC_2_DLX1
7669_L_CC_2_COUPTF2
7669_R_F_1_DLX1
7669_R_F_1_TBR1
7669_R_F_1_COUPTF2
7669_R_P_1_DLX1
7669_R_P_1_TBR1
7669_R_P_1_COUPTF2
7669_R_I_1_DLX1
7669_R_I_1_TBR1
7669_R_I_1_COUPTF2
7669_R_O_1_DLX1
7669_R_O_1_TBR1
7669_R_O_1_COUPTF2
7669_R_T_1_DLX1
7669_R_T_1_TBR1
7669_R_T_1_COUPTF2
7669_R_mO_DLX1
7669_R_mO_TBR1
7669_R_mO_COUPTF2
7669_L_EC_DLX1
7669_L_EC_COUPTF2
7669_R_CCMid_DLX1
7669_R_CC_Mid_TBR1
7669_R_CCMid_COUPTF2
B
X−6657784−C−A
0
−2
−4
−3
−2
−1
0
0.8
0.6
0.4
0.2
0.0

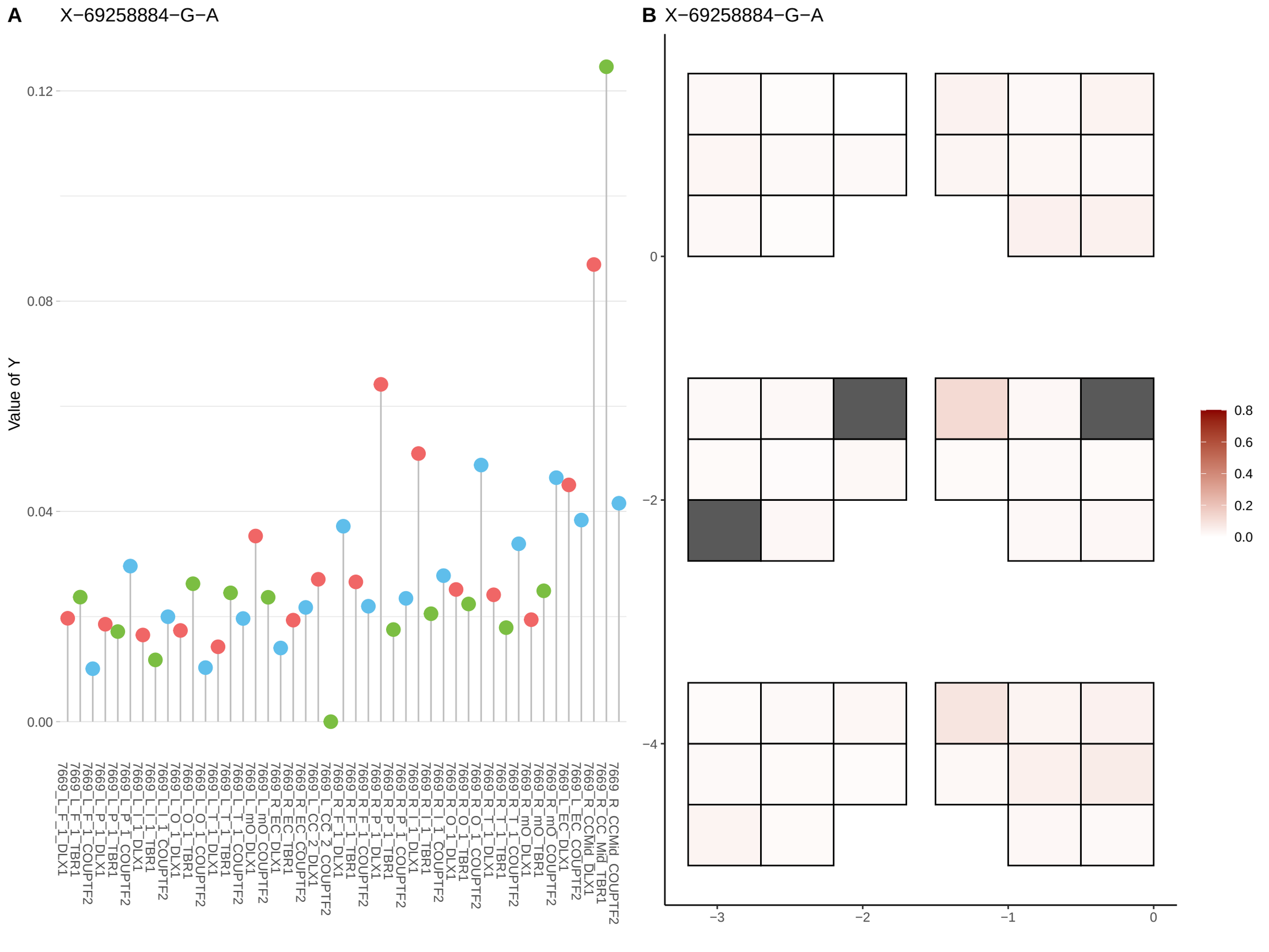
A
X−69258884−G−A
Value of Y
0.12
0.08
0.04
0.00
7669_L_F_1_DLX1
7669_L_F_1_TBR1
7669_L_F_1_COUPTF2
7669_L_P_1_DLX1
7669_L_P_1_TBR1
7669_L_P_1_COUPTF2
7669_L_I_1_DLX1
7669_L_I_1_TBR1
7669_L_I_1_COUPTF2
7669_L_O_1_DLX1
7669_L_O_1_TBR1
7669_L_O_1_COUPTF2
7669_L_T_1_DLX1
7669_L_T_1_TBR1
7669_L_T_1_COUPTF2
7669_L_mO_DLX1
7669_L_mO_COUPTF2
7669_R_EC_DLX1
7669_R_EC_TBR1
7669_R_EC_COUPTF2
7669_L_CC_2_DLX1
7669_L_CC_2_COUPTF2
7669_R_F_1_DLX1
7669_R_F_1_TBR1
7669_R_F_1_COUPTF2
7669_R_P_1_DLX1
7669_R_P_1_TBR1
7669_R_P_1_COUPTF2
7669_R_I_1_DLX1
7669_R_I_1_TBR1
7669_R_I_1_COUPTF2
7669_R_O_1_DLX1
7669_R_O_1_TBR1
7669_R_O_1_COUPTF2
7669_R_T_1_DLX1
7669_R_T_1_TBR1
7669_R_T_1_COUPTF2
7669_R_mO_DLX1
7669_R_mO_TBR1
7669_R_mO_COUPTF2
7669_L_EC_DLX1
7669_L_EC_COUPTF2
7669_R_CCMid_DLX1
7669_R_CC_Mid_TBR1
7669_R_CCMid_COUPTF2
B
X−69258884−G−A
0
−2
−4
−3
−2
−1
0
0.8
0.6
0.4
0.2
0.0

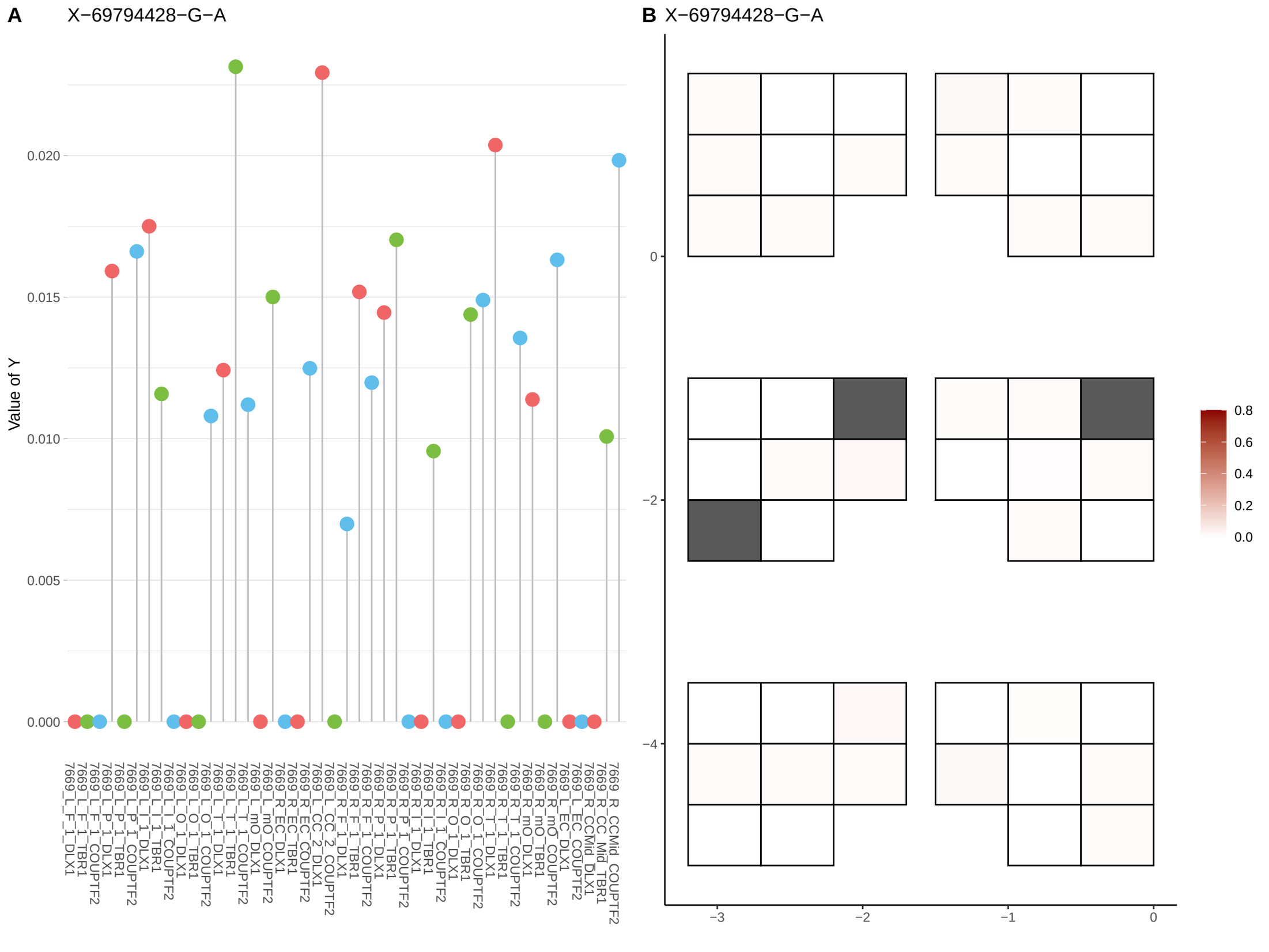
A
X−69794428−G−A
Value of Y
0.020
0.015
0.010
0.005
0.000
7669_L_F_1_DLX1
7669_L_F_1_TBR1
7669_L_F_1_COUPTF2
7669_L_P_1_DLX1
7669_L_P_1_TBR1
7669_L_P_1_COUPTF2
7669_L_I_1_DLX1
7669_L_I_1_TBR1
7669_L_I_1_COUPTF2
7669_L_O_1_DLX1
7669_L_O_1_TBR1
7669_L_O_1_COUPTF2
7669_L_T_1_DLX1
7669_L_T_1_TBR1
7669_L_T_1_COUPTF2
7669_L_mO_DLX1
7669_L_mO_COUPTF2
7669_R_EC_DLX1
7669_R_EC_TBR1
7669_R_EC_COUPTF2
7669_L_CC_2_DLX1
7669_L_CC_2_COUPTF2
7669_R_F_1_DLX1
7669_R_F_1_TBR1
7669_R_F_1_COUPTF2
7669_R_P_1_DLX1
7669_R_P_1_TBR1
7669_R_P_1_COUPTF2
7669_R_I_1_DLX1
7669_R_I_1_TBR1
7669_R_I_1_COUPTF2
7669_R_O_1_DLX1
7669_R_O_1_TBR1
7669_R_O_1_COUPTF2
7669_R_T_1_DLX1
7669_R_T_1_TBR1
7669_R_T_1_COUPTF2
7669_R_mO_DLX1
7669_R_mO_TBR1
7669_R_mO_COUPTF2
7669_L_EC_DLX1
7669_L_EC_COUPTF2
7669_R_CC_Mid_DLX1
7669_R_CC_Mid_TBR1
7669_R_CCMid_COUPTF2
B
X−69794428−G−A
0
−2
−4
−3
−2
−1
0
0.8
0.6
0.4
0.2
0.0

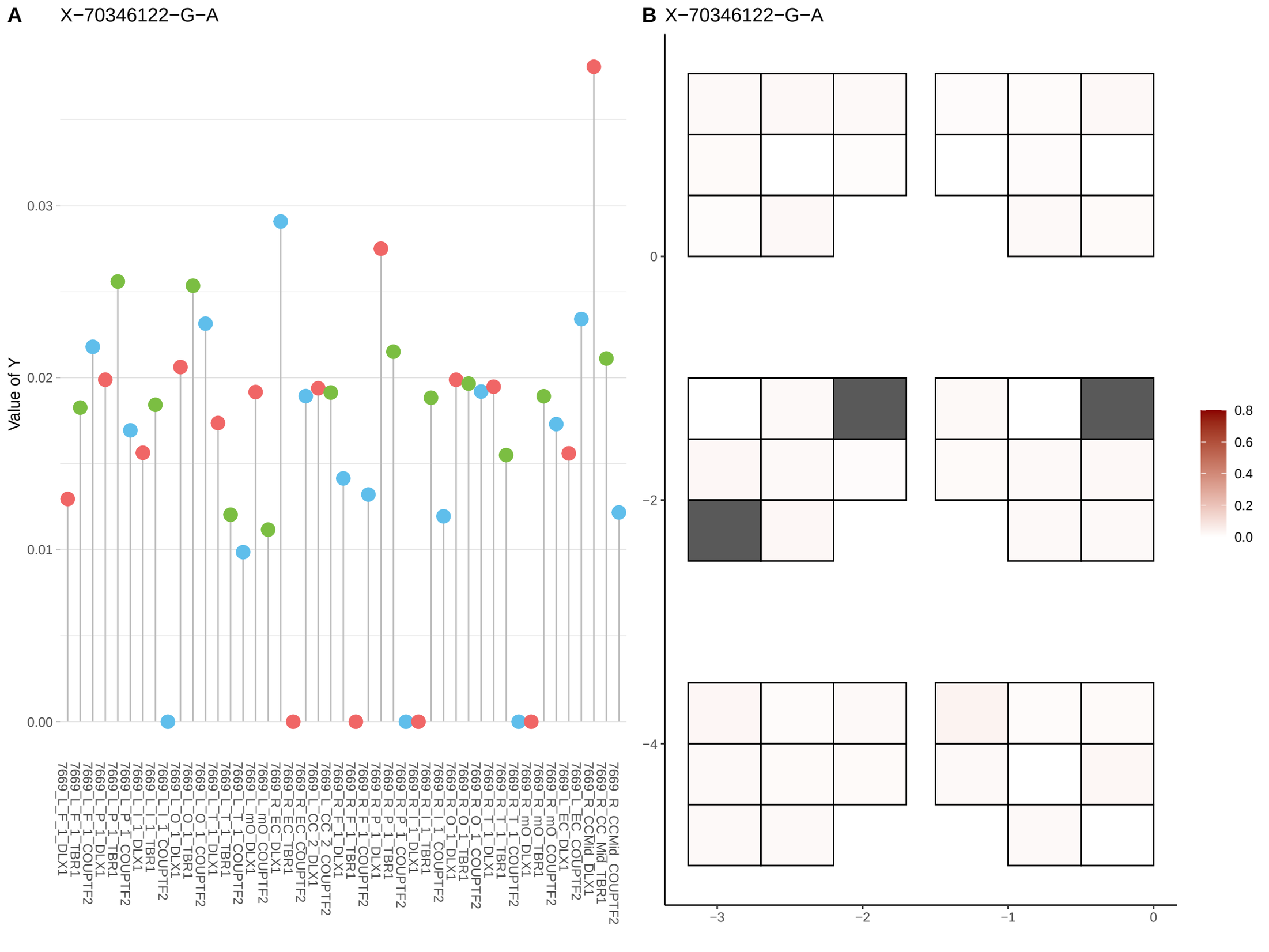
A
X−70346122−G−A
Value of Y
0.03
0.02
0.01
0.00
7669_L_F_1_DLX1
7669_L_F_1_TBR1
7669_L_F_1_COUPTF2
7669_L_P_1_DLX1
7669_L_P_1_TBR1
7669_L_P_1_COUPTF2
7669_L_I_1_DLX1
7669_L_I_1_TBR1
7669_L_I_1_COUPTF2
7669_L_O_1_DLX1
7669_L_O_1_TBR1
7669_L_O_1_COUPTF2
7669_L_T_1_DLX1
7669_L_T_1_TBR1
7669_L_T_1_COUPTF2
7669_L_mO_DLX1
7669_L_mO_COUPTF2
7669_R_EC_DLX1
7669_R_EC_TBR1
7669_R_EC_COUPTF2
7669_L_CC_2_DLX1
7669_L_CC_2_COUPTF2
7669_R_F_1_DLX1
7669_R_F_1_TBR1
7669_R_F_1_COUPTF2
7669_R_P_1_DLX1
7669_R_P_1_TBR1
7669_R_P_1_COUPTF2
7669_R_I_1_DLX1
7669_R_I_1_TBR1
7669_R_I_1_COUPTF2
7669_R_O_1_DLX1
7669_R_O_1_TBR1
7669_R_O_1_COUPTF2
7669_R_T_1_DLX1
7669_R_T_1_TBR1
7669_R_T_1_COUPTF2
7669_R_mO_DLX1
7669_R_mO_TBR1
7669_R_mO_COUPTF2
7669_L_EC_DLX1
7669_L_EC_COUPTF2
7669_R_CCMid_DLX1
7669_R_CC_Mid_TBR1
7669_R_CCMid_COUPTF2
B
X−70346122−G−A
0
−2
−4
−3
−2
−1
0
0.8
0.6
0.4
0.2
0.0

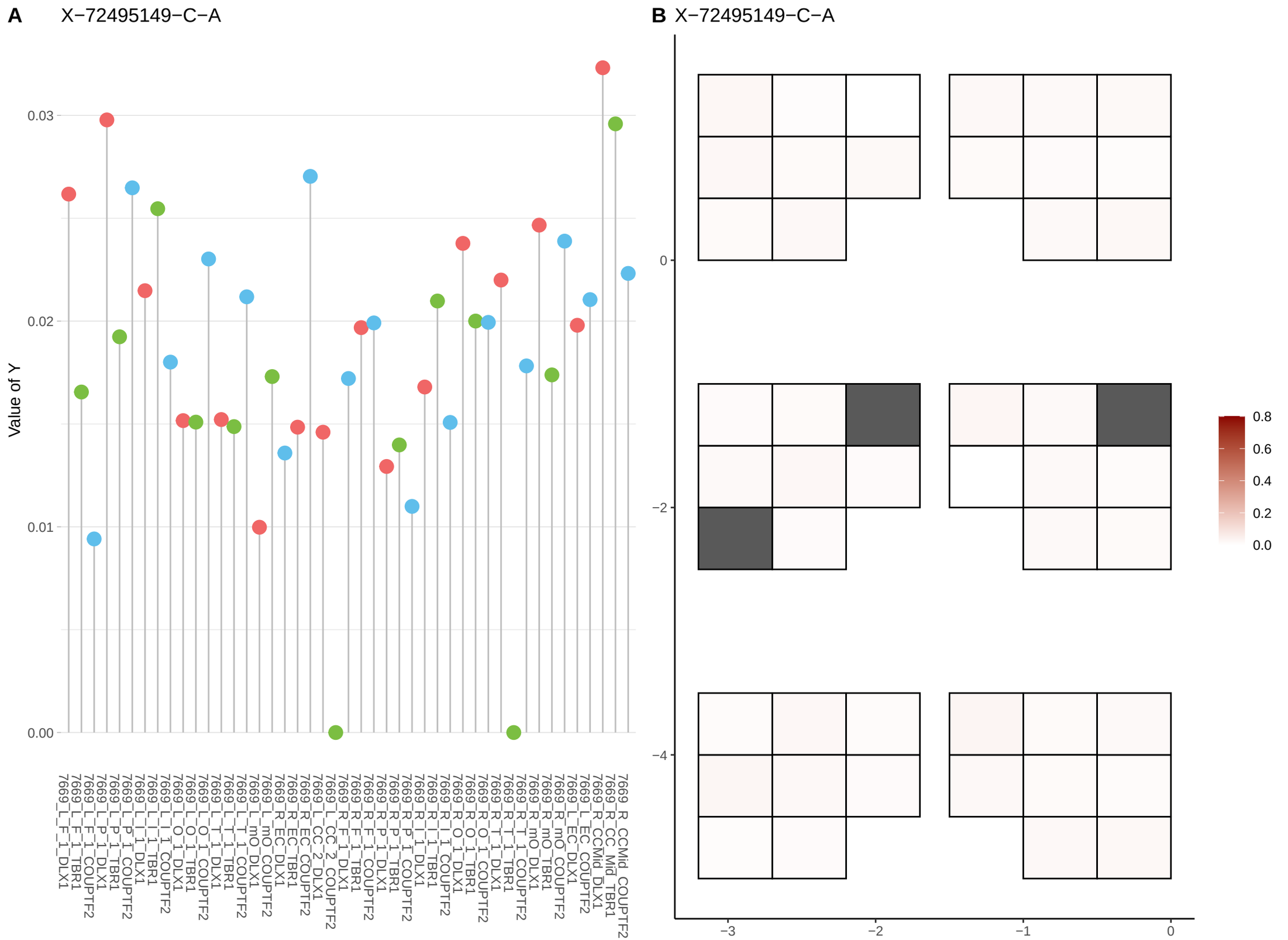
A
X−72495149−C−A
Value of Y
0.03
0.02
0.01
0.00
7669_L_F_1_DLX1
7669_L_F_1_TBR1
7669_L_F_1_COUPTF2
7669_L_P_1_DLX1
7669_L_P_1_TBR1
7669_L_P_1_COUPTF2
7669_L_I_1_DLX1
7669_L_I_1_TBR1
7669_L_I_1_COUPTF2
7669_L_O_1_DLX1
7669_L_O_1_TBR1
7669_L_O_1_COUPTF2
7669_L_T_1_DLX1
7669_L_T_1_TBR1
7669_L_T_1_COUPTF2
7669_L_mO_DLX1
7669_L_mO_COUPTF2
7669_R_EC_DLX1
7669_R_EC_TBR1
7669_R_EC_COUPTF2
7669_L_CC_2_DLX1
7669_L_CC_2_COUPTF2
7669_R_F_1_DLX1
7669_R_F_1_TBR1
7669_R_F_1_COUPTF2
7669_R_P_1_DLX1
7669_R_P_1_TBR1
7669_R_P_1_COUPTF2
7669_R_I_1_DLX1
7669_R_I_1_TBR1
7669_R_I_1_COUPTF2
7669_R_O_1_DLX1
7669_R_O_1_TBR1
7669_R_O_1_COUPTF2
7669_R_T_1_DLX1
7669_R_T_1_TBR1
7669_R_T_1_COUPTF2
7669_R_mO_DLX1
7669_R_mO_TBR1
7669_R_mO_COUPTF2
7669_L_EC_DLX1
7669_L_EC_COUPTF2
7669_R_CCMid_DLX1
7669_R_CC_Mid_TBR1
7669_R_CCMid_COUPTF2
B
X−72495149−C−A
0
−2
−4
−3
−2
−1
0
0.8
0.6
0.4
0.2
0.0

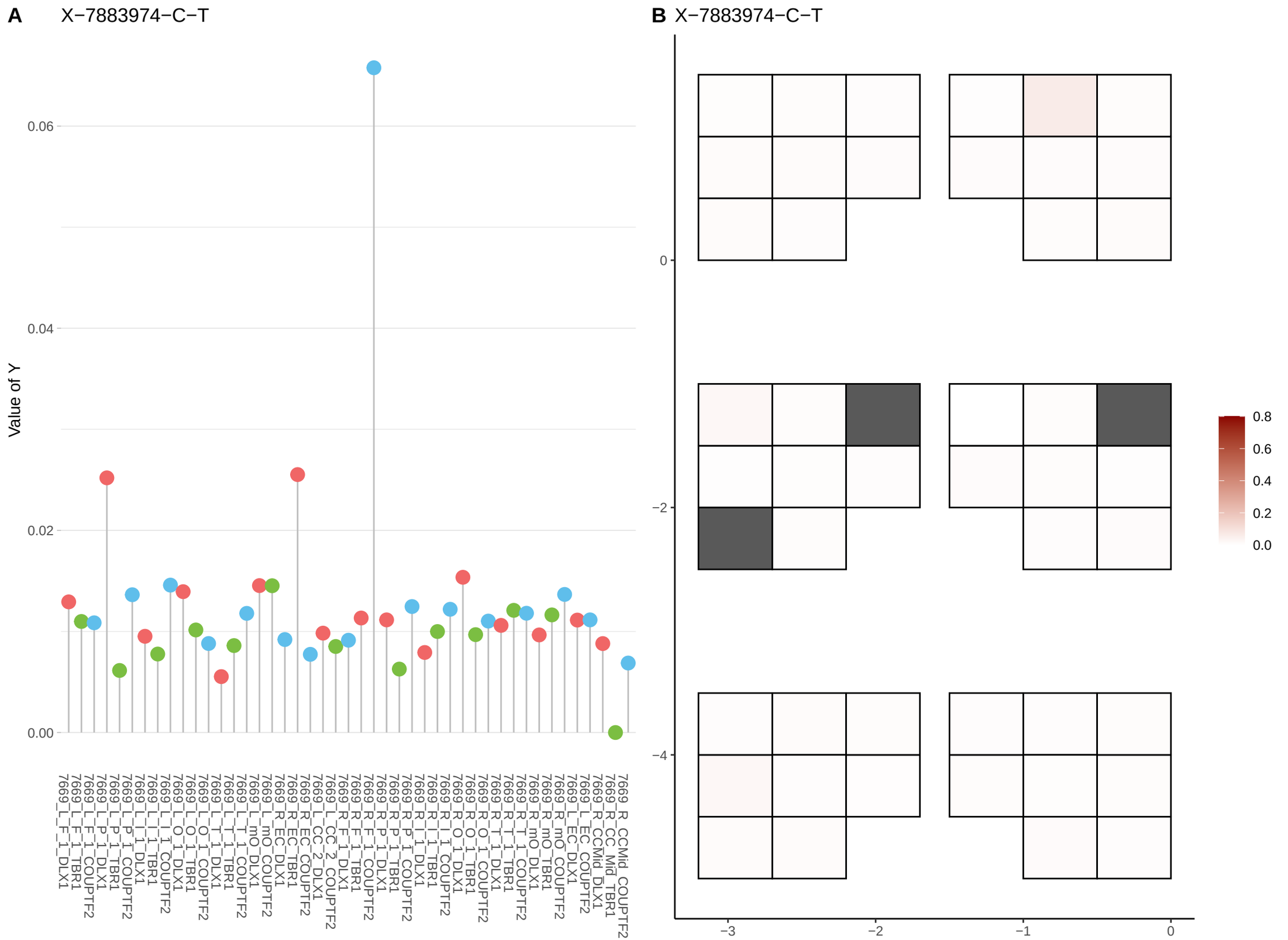
A
X−7883974−C−T
Value of Y
0.06
0.04
0.02
0.00
7669_L_F_1_DLX1
7669_L_F_1_TBR1
7669_L_F_1_COUPTF2
7669_L_P_1_DLX1
7669_L_P_1_TBR1
7669_L_P_1_COUPTF2
7669_L_I_1_DLX1
7669_L_I_1_TBR1
7669_L_I_1_COUPTF2
7669_L_O_1_DLX1
7669_L_O_1_TBR1
7669_L_O_1_COUPTF2
7669_L_T_1_DLX1
7669_L_T_1_TBR1
7669_L_T_1_COUPTF2
7669_L_mO_DLX1
7669_L_mO_COUPTF2
7669_R_EC_DLX1
7669_R_EC_TBR1
7669_R_EC_COUPTF2
7669_L_CC_2_DLX1
7669_L_CC_2_COUPTF2
7669_R_F_1_DLX1
7669_R_F_1_TBR1
7669_R_F_1_COUPTF2
7669_R_P_1_DLX1
7669_R_P_1_TBR1
7669_R_P_1_COUPTF2
7669_R_I_1_DLX1
7669_R_I_1_TBR1
7669_R_I_1_COUPTF2
7669_R_O_1_DLX1
7669_R_O_1_TBR1
7669_R_O_1_COUPTF2
7669_R_T_1_DLX1
7669_R_T_1_TBR1
7669_R_T_1_COUPTF2
7669_R_mO_DLX1
7669_R_mO_TBR1
7669_R_mO_COUPTF2
7669_L_EC_DLX1
7669_L_EC_COUPTF2
7669_R_CCMid_DLX1
7669_R_CC_Mid_TBR1
7669_R_CCMid_COUPTF2
B
X−7883974−C−T
0
−2
−4
−3
−2
−1
0
0.8
0.6
0.4
0.2
0.0

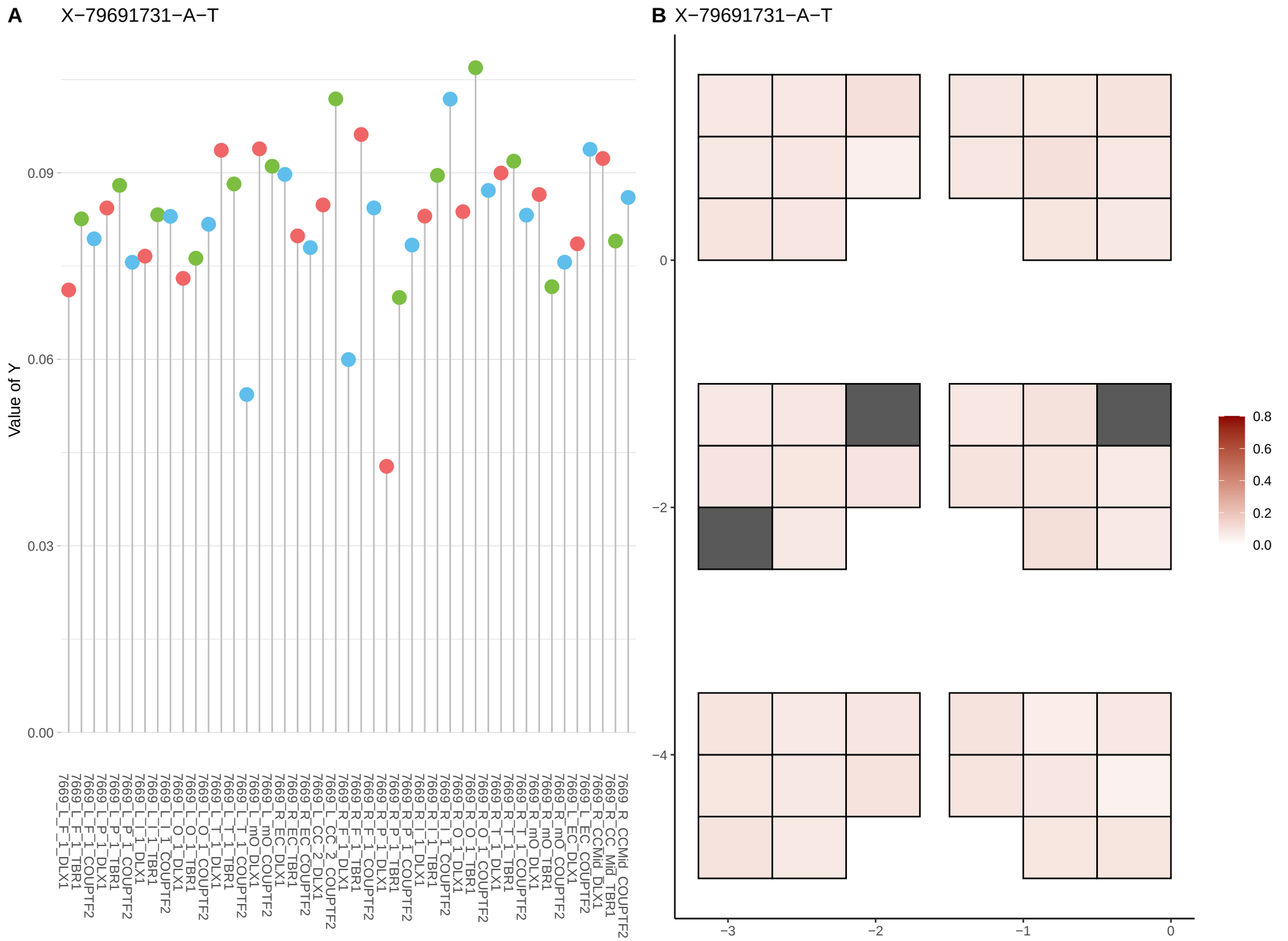
A
X−79691731−A−T
Value of Y
0.09
0.06
0.03
0.00
7669_L_F_1_DLX1
7669_L_F_1_TBR1
7669_L_F_1_COUPTF2
7669_L_P_1_DLX1
7669_L_P_1_TBR1
7669_L_P_1_COUPTF2
7669_L_I_1_DLX1
7669_L_I_1_TBR1
7669_L_I_1_COUPTF2
7669_L_O_1_DLX1
7669_L_O_1_TBR1
7669_L_O_1_COUPTF2
7669_L_T_1_DLX1
7669_L_T_1_TBR1
7669_L_T_1_COUPTF2
7669_L_mO_DLX1
7669_L_mO_COUPTF2
7669_R_EC_DLX1
7669_R_EC_TBR1
7669_R_EC_COUPTF2
7669_L_CC_2_DLX1
7669_L_CC_2_COUPTF2
7669_R_F_1_DLX1
7669_R_F_1_TBR1
7669_R_F_1_COUPTF2
7669_R_P_1_DLX1
7669_R_P_1_TBR1
7669_R_P_1_COUPTF2
7669_R_I_1_DLX1
7669_R_I_1_TBR1
7669_R_I_1_COUPTF2
7669_R_O_1_DLX1
7669_R_O_1_TBR1
7669_R_O_1_COUPTF2
7669_R_T_1_DLX1
7669_R_T_1_TBR1
7669_R_T_1_COUPTF2
7669_R_mO_DLX1
7669_R_mO_TBR1
7669_R_mO_COUPTF2
7669_L_EC_DLX1
7669_L_EC_COUPTF2
7669_R_CCMid_DLX1
7669_R_CC_Mid_TBR1
7669_R_CCMid_COUPTF2
B
X−79691731−A−T
0
−2
−4
−3
−2
−1
0
0.8
0.6
0.4
0.2
0.0

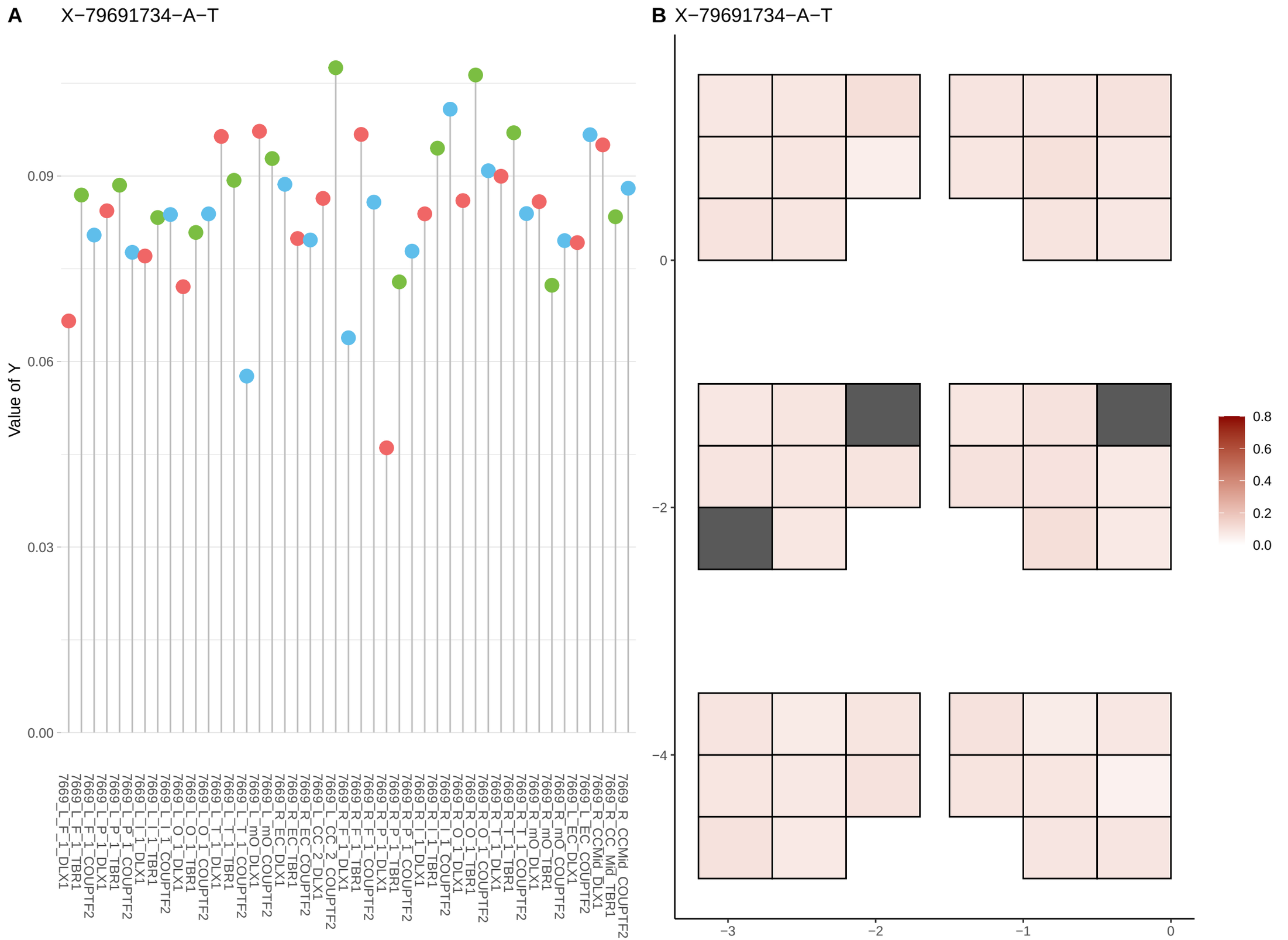
A
X−79691734−A−T
Value of Y
0.09
0.06
0.03
0.00
7669_L_F_1_DLX1
7669_L_F_1_TBR1
7669_L_F_1_COUPTF2
7669_L_P_1_DLX1
7669_L_P_1_TBR1
7669_L_P_1_COUPTF2
7669_L_I_1_DLX1
7669_L_I_1_TBR1
7669_L_I_1_COUPTF2
7669_L_O_1_DLX1
7669_L_O_1_TBR1
7669_L_O_1_COUPTF2
7669_L_T_1_DLX1
7669_L_T_1_TBR1
7669_L_T_1_COUPTF2
7669_L_mO_DLX1
7669_L_mO_COUPTF2
7669_R_EC_DLX1
7669_R_EC_TBR1
7669_R_EC_COUPTF2
7669_L_CC_2_DLX1
7669_L_CC_2_COUPTF2
7669_R_F_1_DLX1
7669_R_F_1_TBR1
7669_R_F_1_COUPTF2
7669_R_P_1_DLX1
7669_R_P_1_TBR1
7669_R_P_1_COUPTF2
7669_R_I_1_DLX1
7669_R_I_1_TBR1
7669_R_I_1_COUPTF2
7669_R_O_1_DLX1
7669_R_O_1_TBR1
7669_R_O_1_COUPTF2
7669_R_T_1_DLX1
7669_R_T_1_TBR1
7669_R_T_1_COUPTF2
7669_R_mO_DLX1
7669_R_mO_TBR1
7669_R_mO_COUPTF2
7669_L_EC_DLX1
7669_L_EC_COUPTF2
7669_R_CCMid_DLX1
7669_R_CC_Mid_TBR1
7669_R_CCMid_COUPTF2
B
X−79691734−A−T
0
−2
−4
−3
−2
−1
0
0.8
0.6
0.4
0.2
0.0

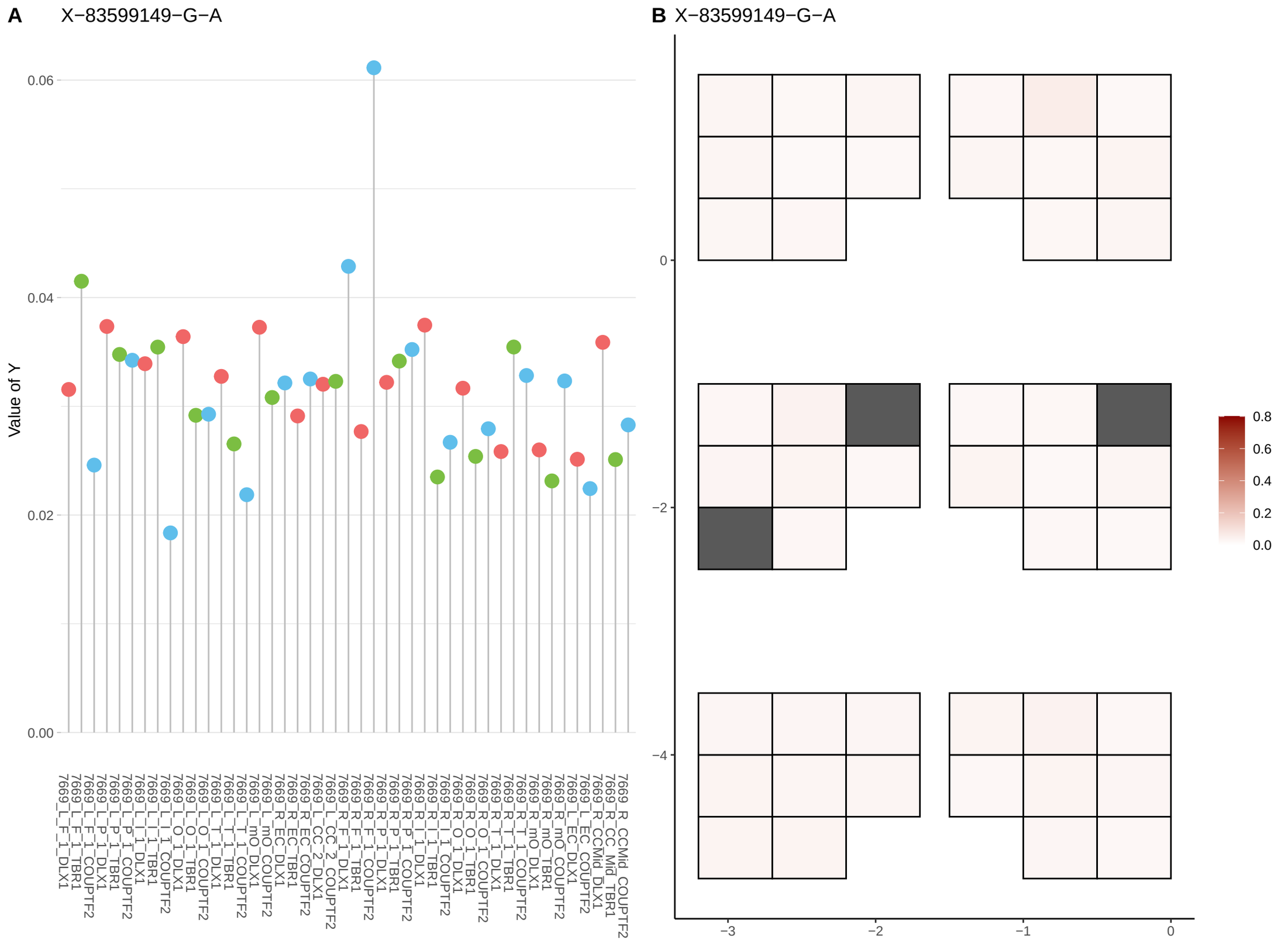
A
X−83599149−G−A
Value of Y
0.06
0.04
0.02
0.00
7669_L_F_1_DLX1
7669_L_F_1_TBR1
7669_L_F_1_COUPTF2
7669_L_P_1_DLX1
7669_L_P_1_TBR1
7669_L_P_1_COUPTF2
7669_L_I_1_DLX1
7669_L_I_1_TBR1
7669_L_I_1_COUPTF2
7669_L_O_1_DLX1
7669_L_O_1_TBR1
7669_L_O_1_COUPTF2
7669_L_T_1_DLX1
7669_L_T_1_TBR1
7669_L_T_1_COUPTF2
7669_L_mO_DLX1
7669_L_mO_COUPTF2
7669_R_EC_DLX1
7669_R_EC_TBR1
7669_R_EC_COUPTF2
7669_L_CC_2_DLX1
7669_L_CC_2_COUPTF2
7669_R_F_1_DLX1
7669_R_F_1_TBR1
7669_R_F_1_COUPTF2
7669_R_P_1_DLX1
7669_R_P_1_TBR1
7669_R_P_1_COUPTF2
7669_R_I_1_DLX1
7669_R_I_1_TBR1
7669_R_I_1_COUPTF2
7669_R_O_1_DLX1
7669_R_O_1_TBR1
7669_R_O_1_COUPTF2
7669_R_T_1_DLX1
7669_R_T_1_TBR1
7669_R_T_1_COUPTF2
7669_R_mO_DLX1
7669_R_mO_TBR1
7669_R_mO_COUPTF2
7669_L_EC_DLX1
7669_L_EC_COUPTF2
7669_R_CCMid_DLX1
7669_R_CC_Mid_TBR1
7669_R_CCMid_COUPTF2
B
X−83599149−G−A
0
−2
−4
−3
−2
−1
0
0.8
0.6
0.4
0.2
0.0

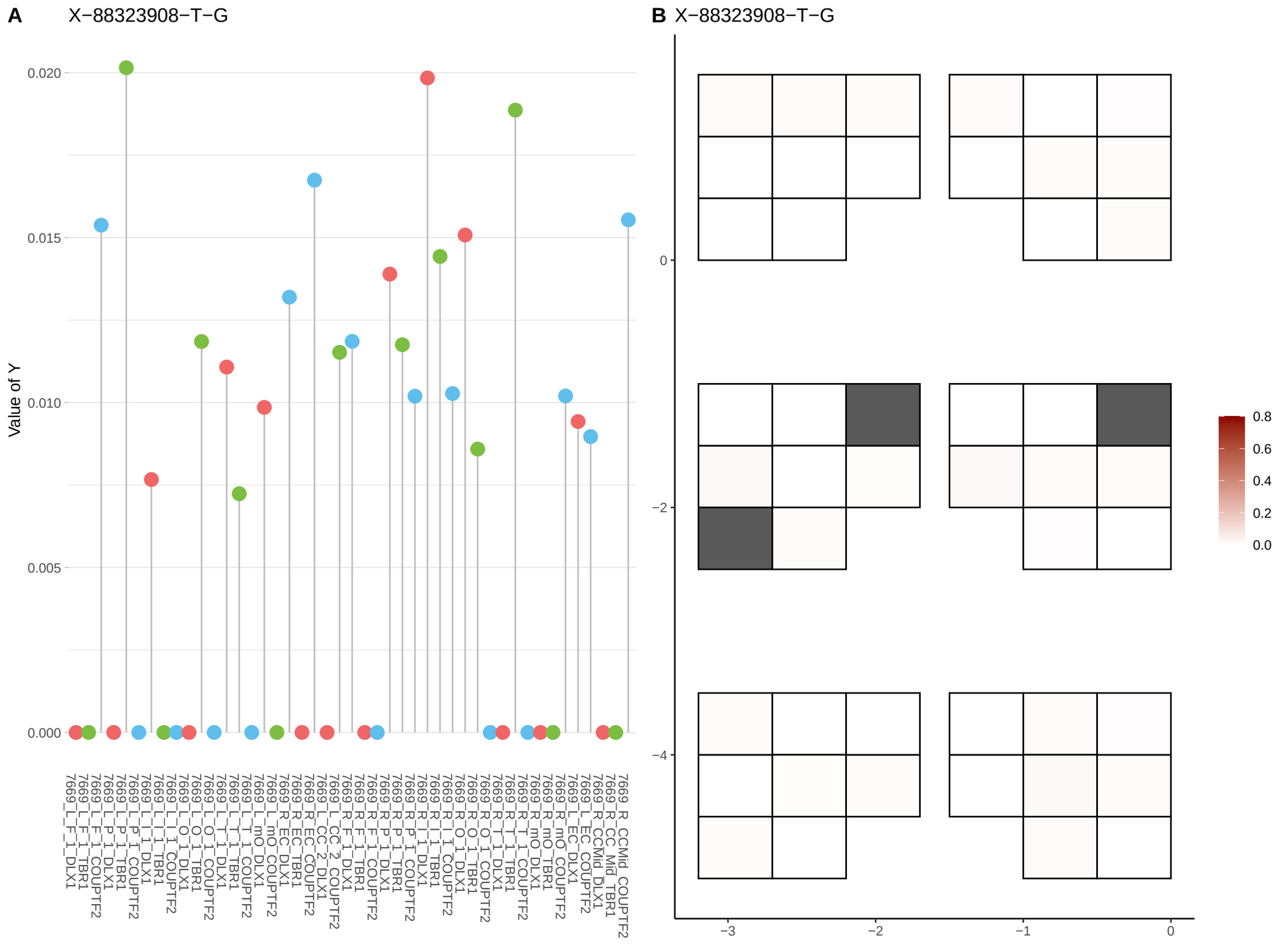
A
X−88323908−T−G
Value of Y
0.020
0.015
0.010
0.005
0.000
7669_L_F_1_DLX1
7669_L_F_1_TBR1
7669_L_F_1_COUPTF2
7669_L_P_1_DLX1
7669_L_P_1_TBR1
7669_L_P_1_COUPTF2
7669_L_I_1_DLX1
7669_L_I_1_TBR1
7669_L_I_1_COUPTF2
7669_L_O_1_DLX1
7669_L_O_1_TBR1
7669_L_O_1_COUPTF2
7669_L_T_1_DLX1
7669_L_T_1_TBR1
7669_L_T_1_COUPTF2
7669_L_mO_DLX1
7669_L_mO_COUPTF2
7669_R_EC_DLX1
7669_R_EC_TBR1
7669_R_EC_COUPTF2
7669_L_CC_2_DLX1
7669_L_CC_2_COUPTF2
7669_R_F_1_DLX1
7669_R_F_1_TBR1
7669_R_F_1_COUPTF2
7669_R_P_1_DLX1
7669_R_P_1_TBR1
7669_R_P_1_COUPTF2
7669_R_I_1_DLX1
7669_R_I_1_TBR1
7669_R_I_1_COUPTF2
7669_R_O_1_DLX1
7669_R_O_1_TBR1
7669_R_O_1_COUPTF2
7669_R_T_1_DLX1
7669_R_T_1_TBR1
7669_R_T_1_COUPTF2
7669_R_mO_DLX1
7669_R_mO_TBR1
7669_R_mO_COUPTF2
7669_L_EC_DLX1
7669_L_EC_COUPTF2
7669_R_CCMid_DLX1
7669_R_CC_Mid_TBR1
7669_R_CCMid_COUPTF2
B
X−88323908−T−G
0
−2
−4
−3
−2
−1
0
0.8
0.6
0.4
0.2
0.0

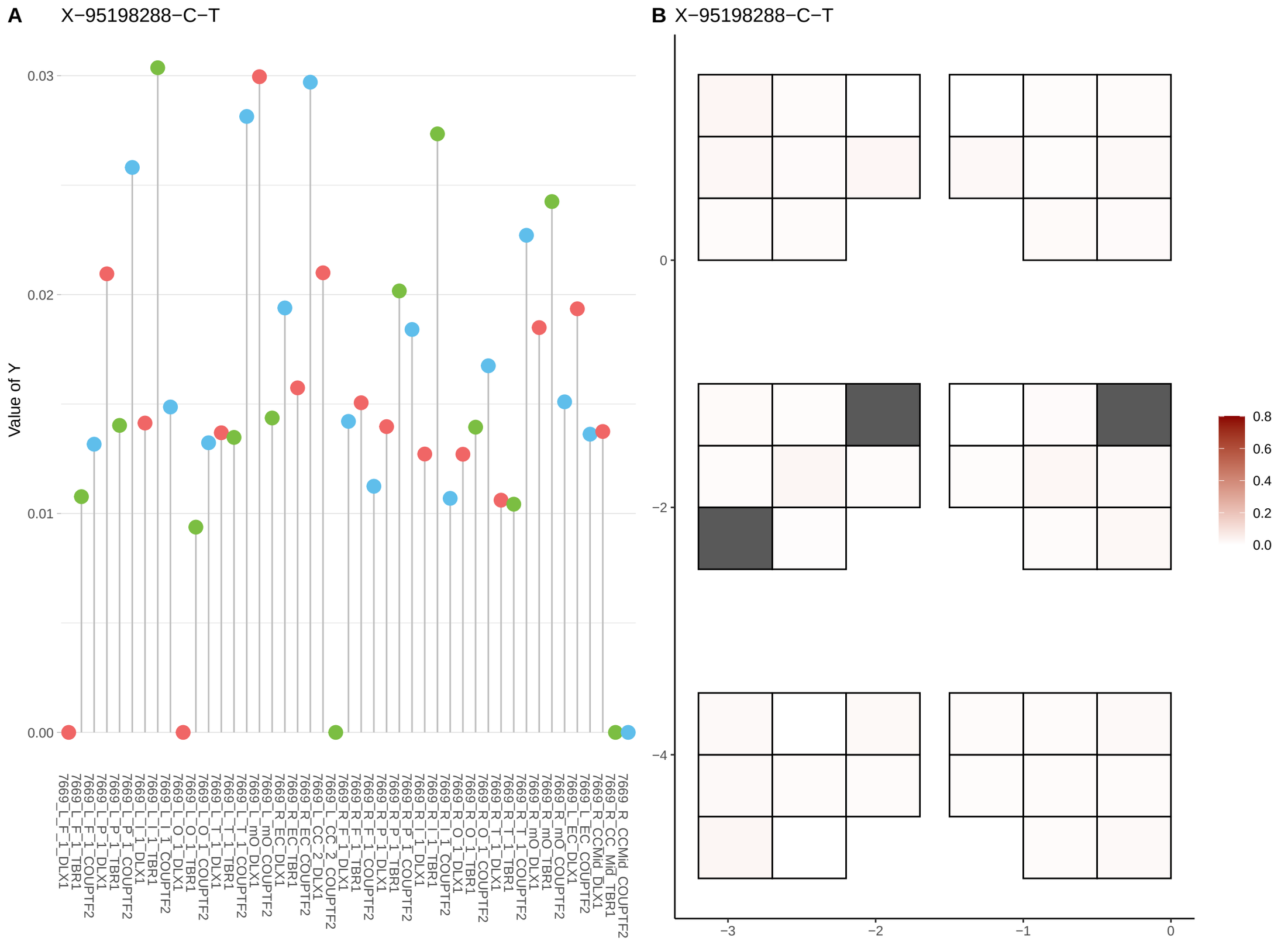
A
X−95198288−C−T
Value of Y
0.03
0.02
0.01
0.00
7669_L_F_1_DLX1
7669_L_F_1_TBR1
7669_L_F_1_COUPTF2
7669_L_P_1_DLX1
7669_L_P_1_TBR1
7669_L_P_1_COUPTF2
7669_L_I_1_DLX1
7669_L_I_1_TBR1
7669_L_I_1_COUPTF2
7669_L_O_1_DLX1
7669_L_O_1_TBR1
7669_L_O_1_COUPTF2
7669_L_T_1_DLX1
7669_L_T_1_TBR1
7669_L_T_1_COUPTF2
7669_L_mO_DLX1
7669_L_mO_COUPTF2
7669_R_EC_DLX1
7669_R_EC_TBR1
7669_R_EC_COUPTF2
7669_L_CC_2_DLX1
7669_L_CC_2_COUPTF2
7669_R_F_1_DLX1
7669_R_F_1_TBR1
7669_R_F_1_COUPTF2
7669_R_P_1_DLX1
7669_R_P_1_TBR1
7669_R_P_1_COUPTF2
7669_R_I_1_DLX1
7669_R_I_1_TBR1
7669_R_I_1_COUPTF2
7669_R_O_1_DLX1
7669_R_O_1_TBR1
7669_R_O_1_COUPTF2
7669_R_T_1_DLX1
7669_R_T_1_TBR1
7669_R_T_1_COUPTF2
7669_R_mO_DLX1
7669_R_mO_TBR1
7669_R_mO_COUPTF2
7669_L_EC_DLX1
7669_L_EC_COUPTF2
7669_R_CCMid_DLX1
7669_R_CC_Mid_TBR1
7669_R_CCMid_COUPTF2
B
X−95198288−C−T
0
−2
−4
−3
−2
−1
0
0.8
0.6
0.4
0.2
0.0

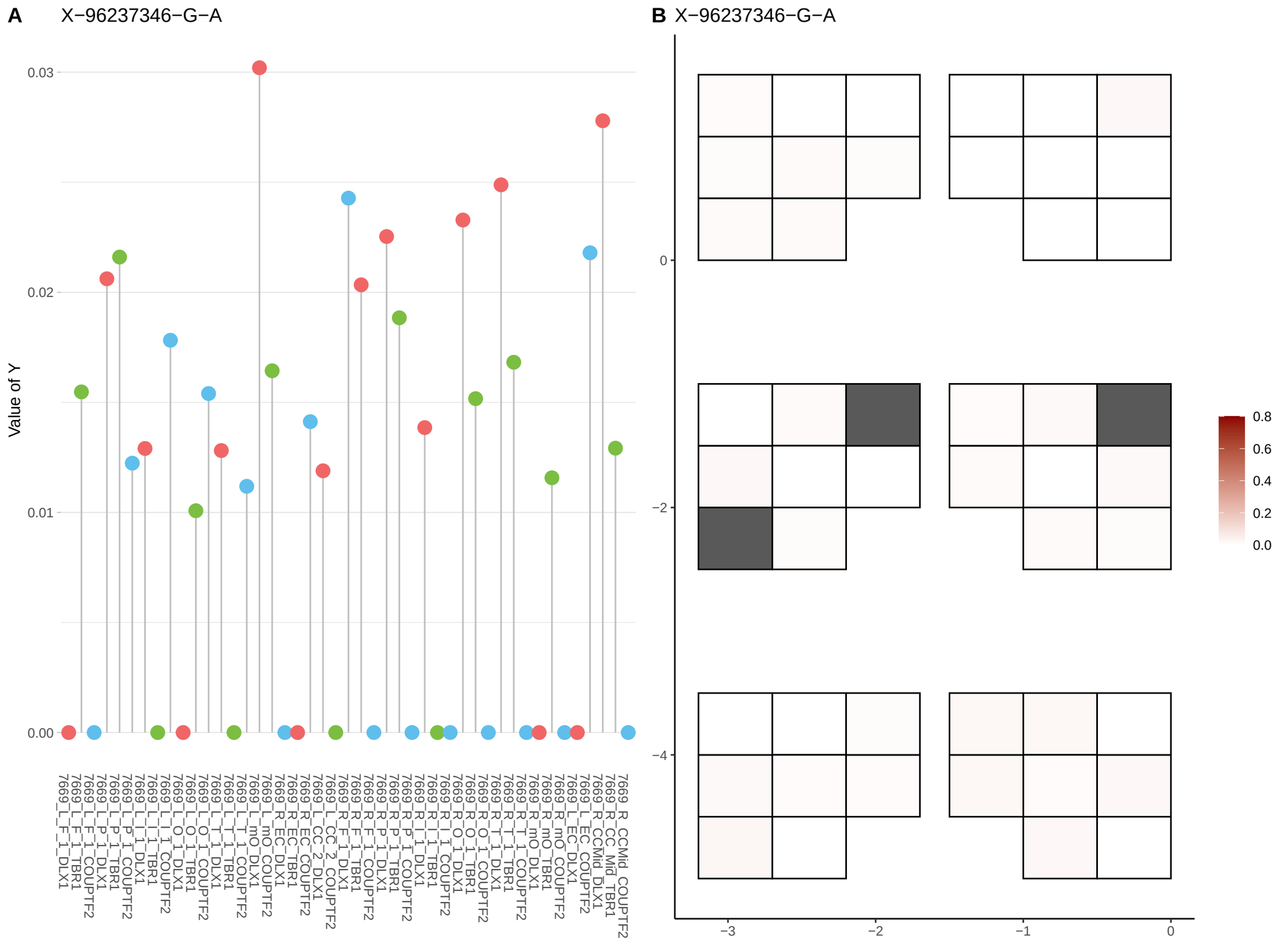
A
X−96237346−G−A
Value of Y
0.03
0.02
0.01
0.00
7669_L_F_1_DLX1
7669_L_F_1_TBR1
7669_L_F_1_COUPTF2
7669_L_P_1_DLX1
7669_L_P_1_TBR1
7669_L_P_1_COUPTF2
7669_L_I_1_DLX1
7669_L_I_1_TBR1
7669_L_I_1_COUPTF2
7669_L_O_1_DLX1
7669_L_O_1_TBR1
7669_L_O_1_COUPTF2
7669_L_T_1_DLX1
7669_L_T_1_TBR1
7669_L_T_1_COUPTF2
7669_L_mO_DLX1
7669_L_mO_COUPTF2
7669_R_EC_DLX1
7669_R_EC_TBR1
7669_R_EC_COUPTF2
7669_L_CC_2_DLX1
7669_L_CC_2_COUPTF2
7669_R_F_1_DLX1
7669_R_F_1_TBR1
7669_R_F_1_COUPTF2
7669_R_P_1_DLX1
7669_R_P_1_TBR1
7669_R_P_1_COUPTF2
7669_R_I_1_DLX1
7669_R_I_1_TBR1
7669_R_I_1_COUPTF2
7669_R_O_1_DLX1
7669_R_O_1_TBR1
7669_R_O_1_COUPTF2
7669_R_T_1_DLX1
7669_R_T_1_TBR1
7669_R_T_1_COUPTF2
7669_R_mO_DLX1
7669_R_mO_TBR1
7669_R_mO_COUPTF2
7669_L_EC_DLX1
7669_L_EC_COUPTF2
7669_R_CCMid_DLX1
7669_R_CC_Mid_TBR1
7669_R_CCMid_COUPTF2
B
X−96237346−G−A
0
−2
−4
−3
−2
−1
0
0.8
0.6
0.4
0.2
0.0

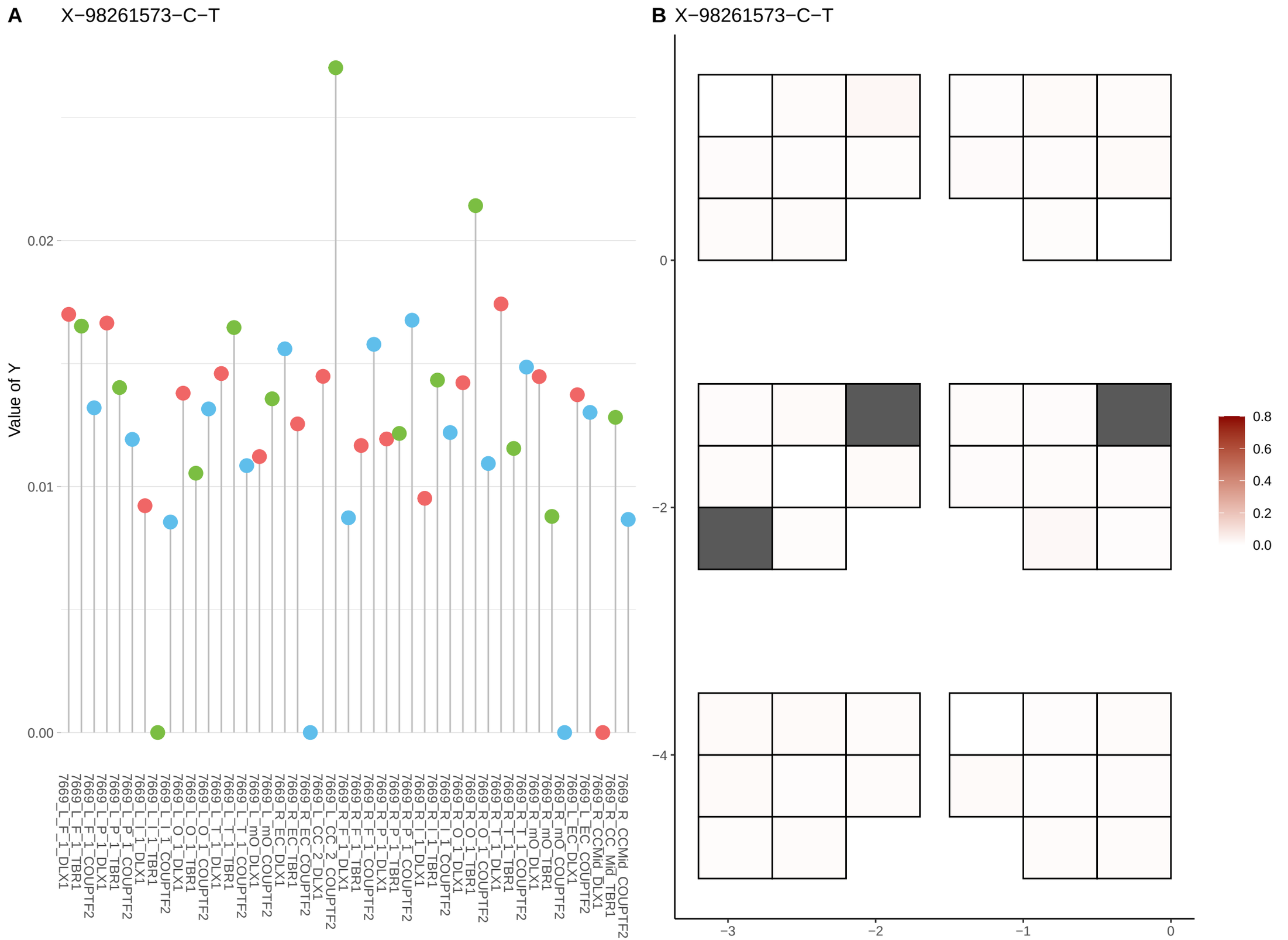
A
X−98261573−C−T
Value of Y
0.02
0.01
0.00
7669_L_F_1_DLX1
7669_L_F_1_TBR1
7669_L_F_1_COUPTF2
7669_L_P_1_DLX1
7669_L_P_1_TBR1
7669_L_P_1_COUPTF2
7669_L_I_1_DLX1
7669_L_I_1_TBR1
7669_L_I_1_COUPTF2
7669_L_O_1_DLX1
7669_L_O_1_TBR1
7669_L_O_1_COUPTF2
7669_L_T_1_DLX1
7669_L_T_1_TBR1
7669_L_T_1_COUPTF2
7669_L_mO_DLX1
7669_L_mO_COUPTF2
7669_R_EC_DLX1
7669_R_EC_TBR1
7669_R_EC_COUPTF2
7669_L_CC_2_DLX1
7669_L_CC_2_COUPTF2
7669_R_F_1_DLX1
7669_R_F_1_TBR1
7669_R_F_1_COUPTF2
7669_R_P_1_DLX1
7669_R_P_1_TBR1
7669_R_P_1_COUPTF2
7669_R_I_1_DLX1
7669_R_I_1_TBR1
7669_R_I_1_COUPTF2
7669_R_O_1_DLX1
7669_R_O_1_TBR1
7669_R_O_1_COUPTF2
7669_R_T_1_DLX1
7669_R_T_1_TBR1
7669_R_T_1_COUPTF2
7669_R_mO_DLX1
7669_R_mO_TBR1
7669_R_mO_COUPTF2
7669_L_EC_DLX1
7669_L_EC_COUPTF2
7669_R_CCMid_DLX1
7669_R_CC_Mid_TBR1
7669_R_CCMid_COUPTF2
B
X−98261573−C−T
0
−2
−4
−3
−2
−1
0
0.8
0.6
0.4
0.2
0.0

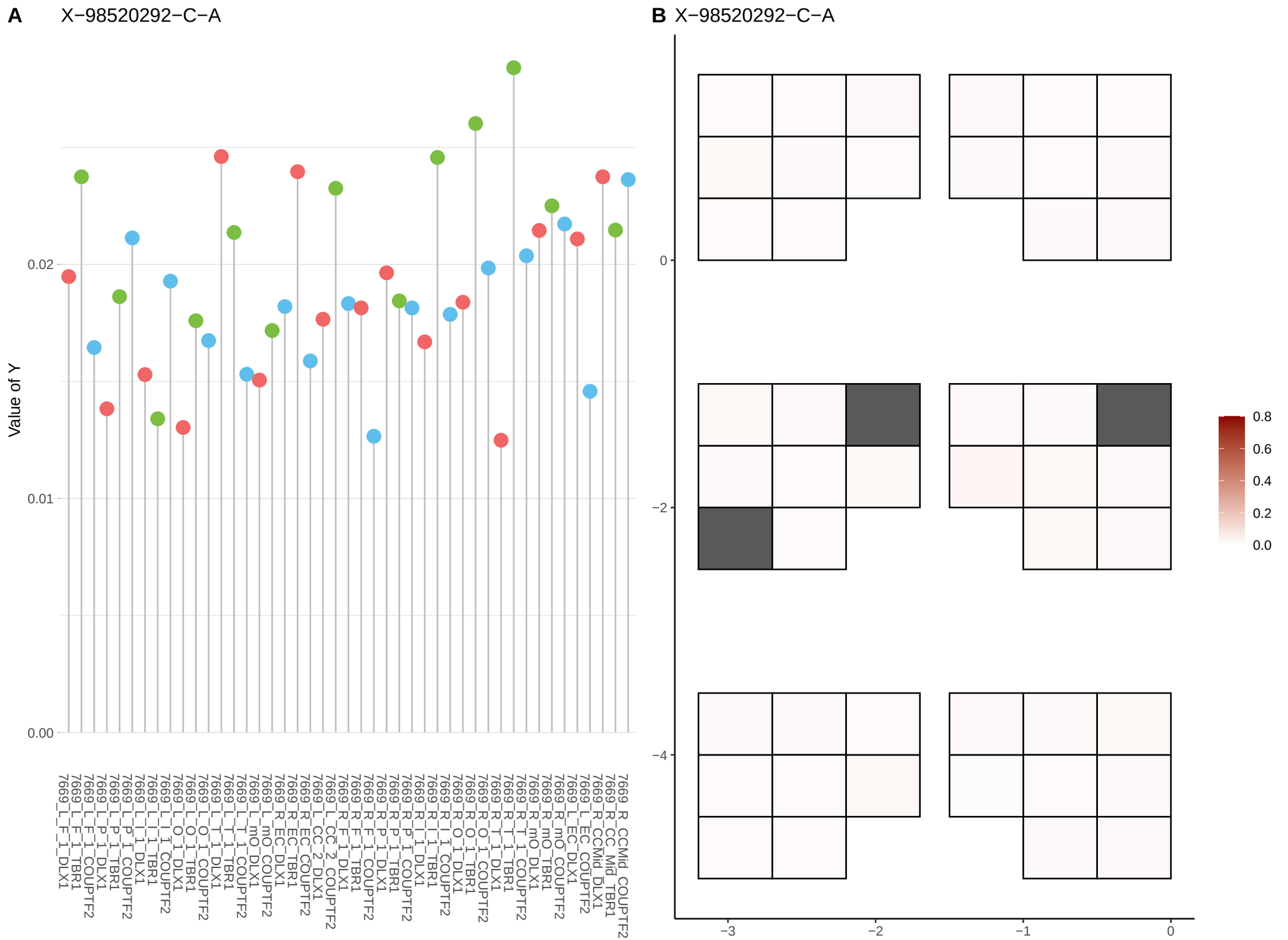
A
X−98520292−C−A
Value of Y
0.02
0.01
0.00
7669_L_F_1_DLX1
7669_L_F_1_TBR1
7669_L_F_1_COUPTF2
7669_L_P_1_DLX1
7669_L_P_1_TBR1
7669_L_P_1_COUPTF2
7669_L_I_1_DLX1
7669_L_I_1_TBR1
7669_L_I_1_COUPTF2
7669_L_O_1_DLX1
7669_L_O_1_TBR1
7669_L_O_1_COUPTF2
7669_L_T_1_DLX1
7669_L_T_1_TBR1
7669_L_T_1_COUPTF2
7669_L_mO_DLX1
7669_L_mO_COUPTF2
7669_R_EC_DLX1
7669_R_EC_TBR1
7669_R_EC_COUPTF2
7669_L_CC_2_DLX1
7669_L_CC_2_COUPTF2
7669_R_F_1_DLX1
7669_R_F_1_TBR1
7669_R_F_1_COUPTF2
7669_R_P_1_DLX1
7669_R_P_1_TBR1
7669_R_P_1_COUPTF2
7669_R_I_1_DLX1
7669_R_I_1_TBR1
7669_R_I_1_COUPTF2
7669_R_O_1_DLX1
7669_R_O_1_TBR1
7669_R_O_1_COUPTF2
7669_R_T_1_DLX1
7669_R_T_1_TBR1
7669_R_T_1_COUPTF2
7669_R_mO_DLX1
7669_R_mO_TBR1
7669_R_mO_COUPTF2
7669_L_EC_DLX1
7669_L_EC_COUPTF2
7669_R_CCMid_DLX1
7669_R_CC_Mid_TBR1
7669_R_CCMid_COUPTF2
B
X−98520292−C−A
0
−2
−4
−3
−2
−1
0
0.8
0.6
0.4
0.2
0.0

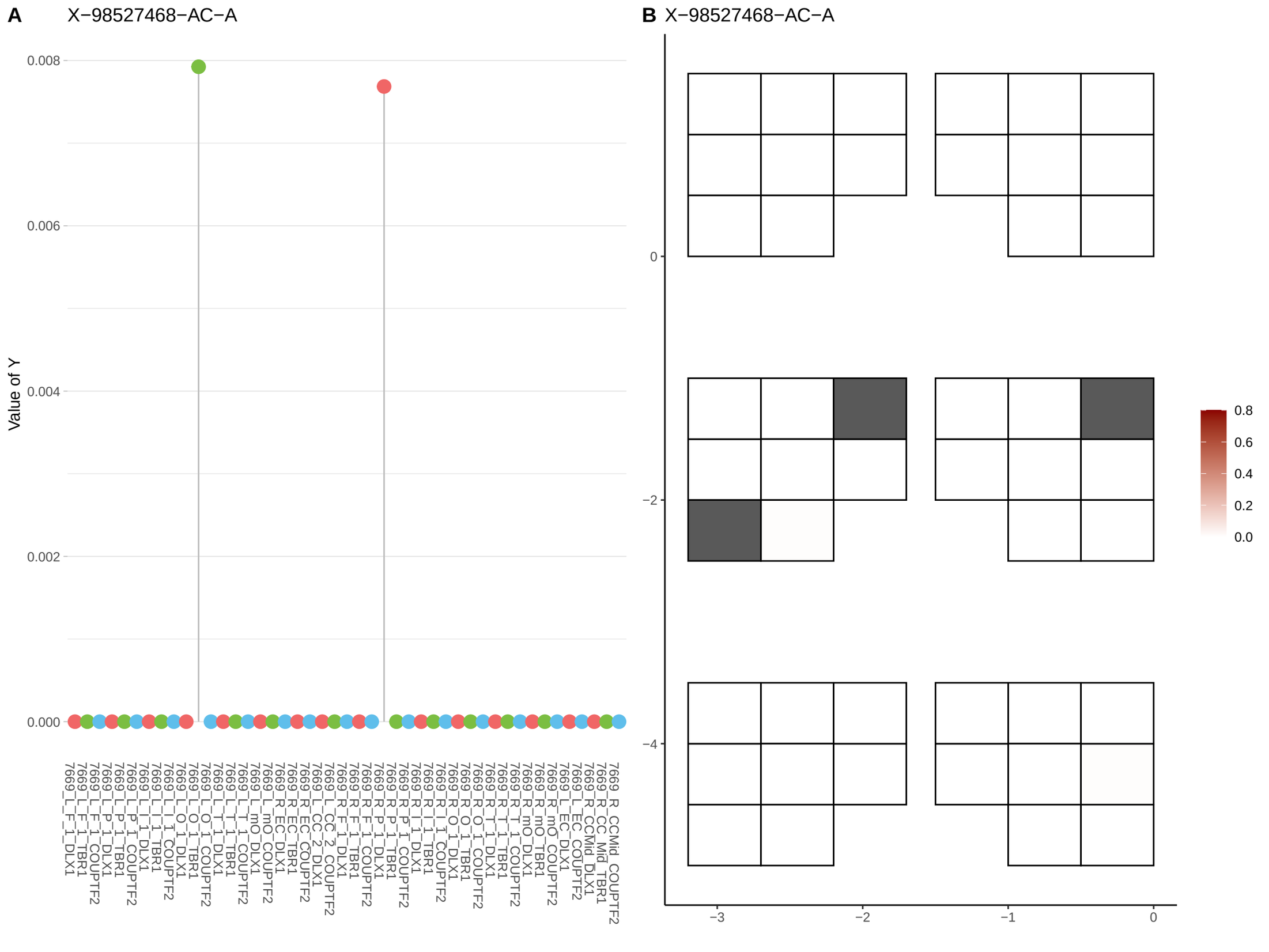
A
X−98527468−AC−A
Value of Y
0.008
0.006
0.004
0.002
0.000
7669_L_F_1_DLX1
7669_L_F_1_TBR1
7669_L_F_1_COUPTF2
7669_L_P_1_DLX1
7669_L_P_1_TBR1
7669_L_P_1_COUPTF2
7669_L_I_1_DLX1
7669_L_I_1_TBR1
7669_L_I_1_COUPTF2
7669_L_O_1_DLX1
7669_L_O_1_TBR1
7669_L_O_1_COUPTF2
7669_L_T_1_DLX1
7669_L_T_1_TBR1
7669_L_T_1_COUPTF2
7669_L_mO_DLX1
7669_L_mO_COUPTF2
7669_R_EC_DLX1
7669_R_EC_TBR1
7669_R_EC_COUPTF2
7669_L_CC_2_DLX1
7669_L_CC_2_COUPTF2
7669_R_F_1_DLX1
7669_R_F_1_TBR1
7669_R_F_1_COUPTF2
7669_R_P_1_DLX1
7669_R_P_1_TBR1
7669_R_P_1_COUPTF2
7669_R_I_1_DLX1
7669_R_I_1_TBR1
7669_R_I_1_COUPTF2
7669_R_O_1_DLX1
7669_R_O_1_TBR1
7669_R_O_1_COUPTF2
7669_R_T_1_DLX1
7669_R_T_1_TBR1
7669_R_T_1_COUPTF2
7669_R_mO_DLX1
7669_R_mO_TBR1
7669_R_mO_COUPTF2
7669_L_EC_DLX1
7669_L_EC_COUPTF2
7669_R_CCMid_DLX1
7669_R_CC_Mid_TBR1
7669_R_CCMid_COUPTF2
B
X−98527468−AC−A
0
−2
−4
−3
−2
−1
0
0.8
0.6
0.4
0.2
0.0

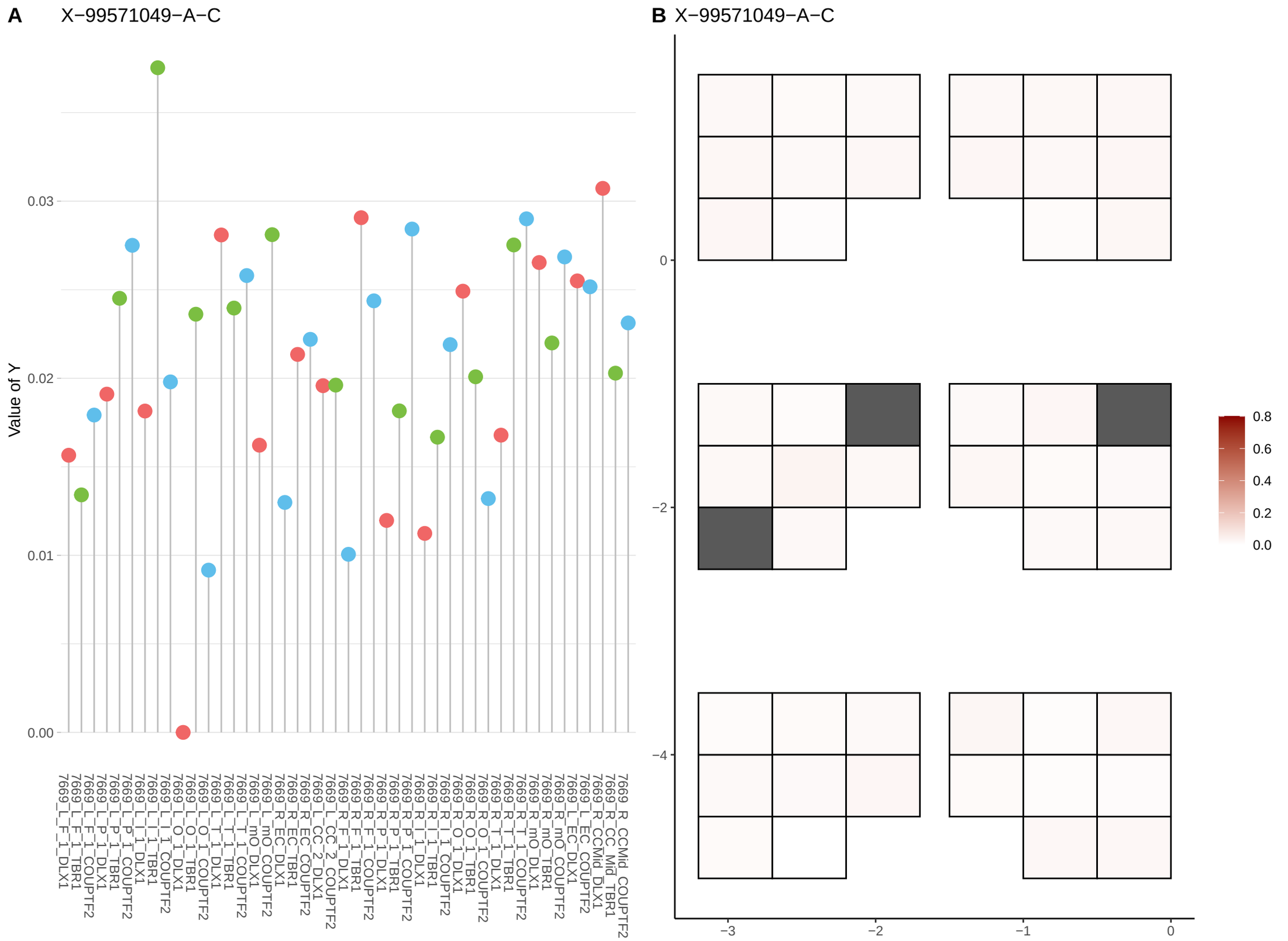
A
X−99571049−A−C
Value of Y
0.03
0.02
0.01
0.00
7669_L_F_1_DLX1
7669_L_F_1_TBR1
7669_L_F_1_COUPTF2
7669_L_P_1_DLX1
7669_L_P_1_TBR1
7669_L_P_1_COUPTF2
7669_L_I_1_DLX1
7669_L_I_1_TBR1
7669_L_I_1_COUPTF2
7669_L_O_1_DLX1
7669_L_O_1_TBR1
7669_L_O_1_COUPTF2
7669_L_T_1_DLX1
7669_L_T_1_TBR1
7669_L_T_1_COUPTF2
7669_L_mO_DLX1
7669_L_mO_COUPTF2
7669_R_EC_DLX1
7669_R_EC_TBR1
7669_R_EC_COUPTF2
7669_L_CC_2_DLX1
7669_L_CC_2_COUPTF2
7669_R_F_1_DLX1
7669_R_F_1_TBR1
7669_R_F_1_COUPTF2
7669_R_P_1_DLX1
7669_R_P_1_TBR1
7669_R_P_1_COUPTF2
7669_R_I_1_DLX1
7669_R_I_1_TBR1
7669_R_I_1_COUPTF2
7669_R_O_1_DLX1
7669_R_O_1_TBR1
7669_R_O_1_COUPTF2
7669_R_T_1_DLX1
7669_R_T_1_TBR1
7669_R_T_1_COUPTF2
7669_R_mO_DLX1
7669_R_mO_TBR1
7669_R_mO_COUPTF2
7669_L_EC_DLX1
7669_L_EC_COUPTF2
7669_R_CCMid_DLX1
7669_R_CC_Mid_TBR1
7669_R_CCMid_COUPTF2
B
X−99571049−A−C
0
−2
−4
−3
−2
−1
0
0.8
0.6
0.4
0.2
0.0

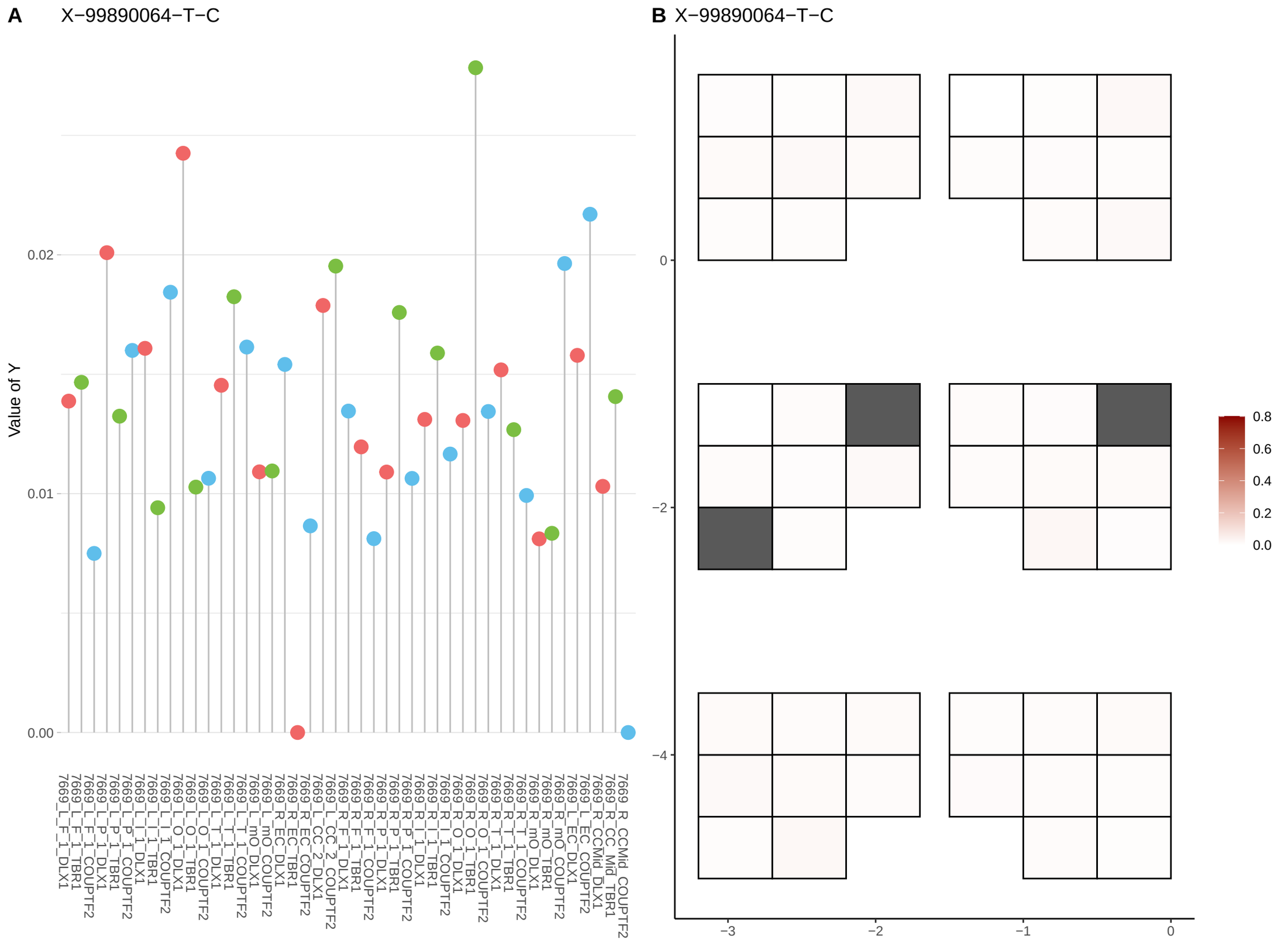
A
X−99890064−T−C
Value of Y
0.02
0.01
0.00
7669_L_F_1_DLX1
7669_L_F_1_TBR1
7669_L_F_1_COUPTF2
7669_L_P_1_DLX1
7669_L_P_1_TBR1
7669_L_P_1_COUPTF2
7669_L_I_1_DLX1
7669_L_I_1_TBR1
7669_L_I_1_COUPTF2
7669_L_O_1_DLX1
7669_L_O_1_TBR1
7669_L_O_1_COUPTF2
7669_L_T_1_DLX1
7669_L_T_1_TBR1
7669_L_T_1_COUPTF2
7669_L_mO_DLX1
7669_L_mO_COUPTF2
7669_R_EC_DLX1
7669_R_EC_TBR1
7669_R_EC_COUPTF2
7669_L_CC_2_DLX1
7669_L_CC_2_COUPTF2
7669_R_F_1_DLX1
7669_R_F_1_TBR1
7669_R_F_1_COUPTF2
7669_R_P_1_DLX1
7669_R_P_1_TBR1
7669_R_P_1_COUPTF2
7669_R_I_1_DLX1
7669_R_I_1_TBR1
7669_R_I_1_COUPTF2
7669_R_O_1_DLX1
7669_R_O_1_TBR1
7669_R_O_1_COUPTF2
7669_R_T_1_DLX1
7669_R_T_1_TBR1
7669_R_T_1_COUPTF2
7669_R_mO_DLX1
7669_R_mO_TBR1
7669_R_mO_COUPTF2
7669_L_EC_DLX1
7669_L_EC_COUPTF2
7669_R_CCMid_DLX1
7669_R_CC_Mid_TBR1
7669_R_CCMid_COUPTF2
B
X−99890064−T−C
0
−2
−4
−3
−2
−1
0
0.8
0.6
0.4
0.2
0.0